## 2.11 使用済燃料プールからの燃料取り出し設備

### 2.11.1 基本設計

#### 2.11.1.1 設置の目的

使用済燃料プールからの燃料取り出しは，燃料取り出し用カバー（又はコンテナ）の設置による作業環境の整備，燃料等を取り扱う燃料取扱設備の設置を行い，燃料を使用済燃料プール内の使用済燃料貯蔵ラックから取り出し原子炉建屋から搬出することを目的とする。

使用済燃料プールからの燃料取り出し設備は，燃料取扱設備，構内用輸送容器，燃料取り出し用カバーで構成される。燃料取扱設備は，燃料取扱機，クレーンで構成され，燃料取り出し用カバーにより支持される。なお，燃料の原子炉建屋外への搬出には，構内用輸送容器を使用する。

また，クレーンはオペレーティングフロア上での資機材運搬や揚重等にも使用する。

#### 2.11.1.2 要求される機能

(1) 燃料取扱設備

燃料取扱設備は，二重のワイヤなどにより落下防止を図る他，駆動源喪失時にも燃料集合体を落下させない設計とする。

また，遮蔽，臨界防止を考慮した設計とする。

(2) 構内用輸送容器

構内用輸送容器は，除熱，密封，遮蔽，臨界防止を考慮した設計とする。また，破損燃料集合体を収納して輸送する容器については，燃料集合体の破損形態に応じて輸送中に放射性物質の飛散・拡散を防止できる設計とする。

(3) 燃料取り出し用カバー

燃料取り出し用カバーは，燃料取扱設備の支持，作業環境の整備及び放射性物質の飛散・拡散防止ができる設計とする。

#### 2.11.1.3 設計方針

(1) 燃料取扱設備

a. 落下防止

(a) 使用済燃料貯蔵ラック上には，重量物を吊ったクレーンを通過できないようにインターロックを設け，貯蔵燃料への重量物の落下を防止できる設計とする。

(b) 燃料取扱機の燃料把握機は，二重のワイヤや種々のインターロックを設け，また，クレーンの主要要素は，二重化を施すことなどにより，燃料移送操作中の燃料集合体等の落下を防止できる設計とする。

b. 遮蔽

燃料取扱設備は，使用済燃料プールから構内用輸送容器への燃料集合体の収容操作を，燃料の遮蔽に必要な水深を確保した状態で，水中で行うことができる設計とするか，放射線防護のための適切な遮蔽を設けて行う設計とする。

c. 臨界防止

燃料取扱設備は，燃料集合体を一体ずつ取り扱う構造とすることにより，燃料の臨界を防止する設計とする。

d. 放射線モニタリング

燃料取扱エリアの放射線モニタリングのため，放射線モニタを設け放射線レベルを測定し，これを免震重要棟集中監視室に表示すると共に，過度の放射線レベルを検出した場合には警報を発し，放射線業務従事者に伝える設計とする。

e. 単一故障

(a) 燃料取扱機の燃料把握機は，二重のワイヤや燃料集合体を確実につかんでいない場合には吊上げができない等のインターロックを設け，圧縮空気等の駆動源が喪失した場合にも，フックから燃料集合体が外れない設計とする。

(b) 燃料取扱機の安全運転に係わるインターロックは電源喪失，ケーブル断線で安全側になる設計とする。

(c) クレーンの主要要素は，二重化を施すことなどにより，移送操作中の構内用輸送容器等の落下を防止できる設計とする。

f. 試験検査

燃料取扱設備のうち安全機能を有する機器は，適切な定期的試験及び検査を行うことができる設計とする。

また，破損燃料を取り扱う場合，燃料取扱設備は，破損形態に応じた適切な取扱手法により，移送中の放射性物質の飛散・拡散を防止できる設計とする。

(2) 構内用輸送容器

a. 除熱

使用済燃料の健全性及び構内用輸送容器構成部材の健全性が維持できるように，使用済燃料の崩壊熱を適切に除去できる設計とする。

b. 密封

周辺公衆及び放射線業務従事者に対し，放射線被ばく上の影響を及ぼすことのないよう，使用済燃料が内包する放射性物質を適切に閉じ込める設計とする。

c. 遮蔽

内部に燃料を入れた場合に放射線障害を防止するため，使用済燃料の放射線を適切に遮蔽する設計とする。

d. 臨界防止

想定されるいかなる場合にも，燃料が臨界に達することを防止できる設計とする。

また，破損燃料集合体を収納して輸送する容器は燃料集合体の破損形態に応じて輸送中に放射性物質の飛散・拡散を防止できる設計とする。

(3) 燃料取り出し用カバー

a. 燃料取り出し作業環境の整備

燃料取り出し用カバーは，燃料取り出し作業に支障が生じることのないよう，風雨を遮る設計とする。

また，必要に応じ燃料取り出し用カバー内にローカル空調機を設置し，カバー内の作業環境の改善を図るものとする。

b. 放射性物質の飛散・拡散防止

燃料取り出し用カバーは，隙間を低減するとともに，換気設備を設け，排気はフィルタユニットを通じて大気へ放出することにより，カバー内の放射性物質の大気への放出を抑制できる設計とする。

2.11.1.4　供用期間中に確認する項目

(1) 燃料取扱設備

燃料取扱設備は，動力源がなくなった場合においても吊り荷を保持し続けること。

(2) 構内用輸送容器

構内用輸送容器は，除熱，密封，遮蔽，臨界防止の安全機能が維持されていること。

(3) 燃料取り出し用カバー

対象外とする。

2.11.1.5　主要な機器

(1) 燃料取扱設備

燃料取扱設備は，燃料取扱機，クレーンで構成する。なお，２号機の燃料取扱設備には，これらに加えてジブクレーンを備える。

a. 燃料取扱機

燃料取扱機は，使用済燃料プール及びキャスクピット上を水平に移動するブリッジ並びにその上を移動するトロリで構成する。なお，２号機の燃料取扱機は，低床ジブクレーンとし，原子炉建屋オペレーティングフロア，燃料取り出し用カバー間を水平に移動する走行台車とその上に設置する旋回体で構成する。

b. クレーン

クレーンは，オペレーティングフロア上部を水平に移動するガーダ及びその上を

移動するトロリで構成する。なお，２号機のクレーンは，低床ジブクレーンとし，原子炉建屋オペレーティングフロア，燃料取り出し用カバー間を水平に移動する走行台車とその上に設置する旋回体で構成する。

(2) 構内用輸送容器

構内用輸送容器は，容器本体，蓋，バスケット等で構成する。

(3) 燃料取り出し用カバー

燃料取り出し用カバーは，２号機を除き使用済燃料プールを覆う構造としており，必要により，燃料取扱機支持用架構及びクレーン支持用架構を有する。

なお，２号機については，燃料取扱機支持用架構及びクレーン支持用架構を有する燃料取り出し用構台を新設し，既存の原子炉建屋に新たに設ける開口部から，燃料取扱設備を出し入れする構造とする。

また，燃料取り出し用カバーは換気設備及びフィルタユニットを有する。

１号機の燃料取り出し用カバーは，大型カバーとその内部に設ける内部カバーで構成する。

なお，換気設備の運転状態やフィルタユニット出入口で監視する放射性物質濃度等の監視状態は現場制御盤及び免震重要棟集中監視室に表示され，異常時は警報を発するなどの管理を行う。

2.11.1.6　自然災害対策等

(1) 津波

燃料取扱設備は，東北地方太平洋沖地震津波相当の津波が到達しないと考えられる原子炉建屋オペレーティングフロア上（地上からの高さ約 30m）に設置する。

燃料取り出し用カバーは鉄骨構造と鋼製の外装材により構成されているが，閉空間になっておらず，津波襲来時には，水は燃料取り出し用カバーの裏側に回り込み，津波による影響を受けない。

(2) 豪雨，台風，竜巻，落雷

燃料取り出し用カバーは，建築基準法及び関係法令に基づいた風圧力に対し耐えられるよう設計する。

燃料取扱設備は，建築基準法及び関係法令に基づいた風圧力に対し耐えられるよう設計している燃料取り出し用カバー内に設置する。

燃料取出し用カバーは外装材で覆うことにより風雨を遮る設計とする。燃料取扱設備は，風雨を遮る設計である燃料取出し用カバー内に設置する。

燃料取扱設備および燃料取り出し用構台は建築基準法及び関連法令に従い必要に応じて避雷設備を設ける。

(3) 外部人為事象

外部人為事象に対する設計上の考慮については，Ⅱ.1.14　参照。

(4) 火災

燃料取り出し用カバー及び燃料取り出し用カバー内外の主要構成機器は不燃性のものを使用し，電源盤については不燃性又は難燃性，ケーブルについては難燃性のものを可能な限り使用し，火災が発生することを防止する。火災の発生が考えられる箇所について，火災の早期検知に努めるとともに，消火器を設置することで初期消火活動を可能にし，火災により安全性を損なうことのないようにする。

(5) 環境条件

燃料取扱設備については，燃料取り出し用カバーに換気設備を設け，排気はフィルタユニットを通じて大気へ放出することとしている。

燃料取り出し用カバーの外部にさらされている鉄骨部及び機器等は，劣化防止を目的に，塗装を施す。

(6) 被ばく低減対策

放射線業務従事者が立ち入る場所の外部放射線に係る線量率を把握し，作業時間等を管理することで，作業時の被ばく線量が法令に定められた線量限度を超えないようにする。

また，放射線業務従事者の被ばく線量低減策として，大組した構造物をクレーンにてオペレーティングフロアへ吊り込むことにより，オペレーティングフロア上での有人作業の削減を図る。

2.11.1.7 運用

(1) 燃料集合体の健全性確認

使用済燃料プールに貯蔵されている燃料集合体について，移送前に燃料集合体の機械的健全性を確認する。

(2) 破損燃料の取り扱い

燃料集合体の機械的健全性確認において，破損が確認された燃料集合体を移送する場合には，破損形態に応じた適切な取扱手法及び収納方法により，放射性物質の飛散・拡散を防止する。

2.11.1.8 構造強度及び耐震性

(1) 構造強度

a. 燃料取扱設備

燃料取扱設備は，設計，材料の選定，製作及び検査について，適切と認められる規格及び基準による。

燃料取扱設備は，地震荷重等の適切な組合せを考慮しても強度上耐え得る設計とする。

b. 構内用輸送容器

構内用輸送容器は取扱中における衝撃，熱等に耐え，かつ，容易に破損しない設計とする。

構内用輸送容器は，設計，材料の選定，製作及び検査について適切と認められる規格及び基準によるものとする。

c. 燃料取り出し用カバー

燃料取り出し用カバーは，設計，材料の選定，製作及び検査について，適切と認められる規格及び基準を原則とするが，特殊な環境下での設置となるため，必要に応じ解析や試験等を用いた評価により確認する。

燃料取り出し用カバーは，燃料取扱設備を支持するために必要な構造強度を有する設計とする。

(2) 耐震性

a. 燃料取扱設備

(a) 燃料取扱機

燃料取扱機は，2021 年 9 月 8 日及び 2022 年 11 月 16 日の原子力規制委員会で示された耐震設計の考え方を踏まえ，その安全機能の重要度，地震によって機能の喪失を起こした場合の安全上の影響（公衆への被ばく影響）や廃炉活動への影響等を考慮した上で，核燃料物質を非密封で扱う燃料加工施設や使用施設等における耐震クラス分類を参考にして適切な耐震設計上の区分を行うとともに，適切と考えられる設計用地震力に十分耐えられる設計とする。

ただし，2021 年 9 月 8 日以前に認可された設備については，「発電用原子炉施設に関する耐震設計審査指針」を参考にして耐震クラスを分類している。

(b) クレーン

クレーンは，2021 年 9 月 8 日及び 2022 年 11 月 16 日の原子力規制委員会で示された耐震設計の考え方を踏まえ，その安全機能の重要度，地震によって機能の喪失を起こした場合の安全上の影響（公衆への被ばく影響）や廃炉活動への影響等を考慮した上で，核燃料物質を非密封で扱う燃料加工施設や使用施設等における耐震クラス分類を参考にして適切な耐震設計上の区分を行うとともに，適切と考えられる設計用地震力に十分耐えられる設計とする。

ただし，2021 年 9 月 8 日以前に認可された設備については，「発電用原子炉施設に関する耐震設計審査指針」を参考にして耐震クラスを分類している。

b. 燃料取り出し用カバー

燃料取り出し用カバーは，2021 年 9 月 8 日の原子力規制委員会で示された耐震設計の考え方を踏まえ，その安全機能の重要度，地震によって機能の喪失を起こした場合の安全上の影響（公衆への被ばく影響）や廃炉活動への影響等を考慮した上で，核燃料物質を非密封で扱う燃料加工施設や使用施設等における耐震クラス分類を参

考にして適切な耐震設計上の区分を行うとともに，適切と考えられる設計用地震力に十分耐えられる設計とする。

ただし，2021 年 9 月 8 日以前に認可された設備については，「発電用原子炉施設に関する耐震設計審査指針」を参考にして耐震クラスを分類している。

2.11.2　基本仕様

2.11.2.1　主要仕様

(1) 燃料取扱設備

（２号機，３号機及び４号機を除く）

a. 燃料取扱機

| | |
|---|---|
| 個数 | 1 式 |

b. クレーン

| | |
|---|---|
| 個数 | 1 式 |

（４号機）

a. 燃料取扱機

| | | |
|---|---|---|
| 型式 | 燃料把握機付移床式 | |
| 基数 | 1 基 | |
| 定格荷重 | 燃料把握機 | ：450kg |
| | 補助ホイスト | ：450kg |

b. クレーン

| | | |
|---|---|---|
| 型式 | 天井走行式 | |
| 基数 | 1 基 | |
| 定格荷重 | 主巻 | ：100t |
| | 補巻 | ：5t |
| | ホイスト | ：10t |

c. エリア放射線モニタ

| | |
|---|---|
| 検出器の種類 | 半導体検出器 |
| 計測範囲 | $10^{-3}$～10mSv/h |
| 個数 | 2 個 |
| 取付箇所 | 4 号機　原子炉建屋 5FL（燃料取り出し用カバーオペフロ階） |

（３号機）

a. 燃料取扱機

| | | |
|---|---|---|
| 型式 | 燃料把握機付移床式 | |
| 基数 | 1基 | |
| 定格荷重 | 燃料把握機 | ：1t |
| | 西側補助ホイスト | ：4.9t |
| | 東側補助ホイスト | ：4.9t |
| | テンシルトラス | ：1.5t |

b. クレーン

| | | |
|---|---|---|
| 型式 | 床上走行式 | |
| 基数 | 1基 | |
| 定格荷重 | 主巻 | ：50t |
| | 補巻 | ：5t |

c. エリア放射線モニタ

| | |
|---|---|
| 検出器の種類 | 半導体検出器 |
| 計測範囲 | $10^{-2}$～$10^{2}$mSv/h |
| 個数 | 2個 |
| 取付箇所 | 3号機　燃料取り出し用カバー　燃料取り出し作業フロア |

（２号機）

a. 燃料取扱機

| | |
|---|---|
| 型式 | 低床ジブクレーン |
| 基数 | 1基 |
| 定格荷重 | ：1t |

b. クレーン

| | |
|---|---|
| 型式 | 低床ジブクレーン |
| 基数 | 1基 |
| 定格荷重 | ：47t |

c. ジブクレーン

| | |
|---|---|
| 型式 | 低床ジブクレーン |
| 基数 | 1基 |
| 定格荷重 | ：3.9t |

d. エリア放射線モニタ

| | |
|---|---|
| 検出器の種類 | 半導体検出器 |
| 計測範囲 | $10^{-2}$～$10^{2}$mSv/h |
| 個数 | 2 個 |
| 取付箇所 | 2 号機　燃料取り出し用構台作業エリア |

(2) 構内用輸送容器

（３号機及び４号機を除く）

| | |
|---|---|
| 基数 | 1 式 |

（４号機）

| | |
|---|---|
| 型式 | NFT-22B 型 |
| 収納体数 | 22 体 |
| 基数 | 2 基 |

| | |
|---|---|
| 型式 | NFT-12B 型 |
| 収納体数 | 12 体 |
| 基数 | 2 基 |

（３号機）

| | |
|---|---|
| 種類 | 密封式円筒形 |
| 収納体数 | 7 体 |
| 基数 | 2 基 |

| | |
|---|---|
| 種類 | 密封式円筒形 |
| 収納体数 | 2 体 |
| 基数 | 1 基 |

(3) 燃料取り出し用カバー（換気設備含む）

（４号機）

a. 燃料取り出し用カバー

| | |
|---|---|
| 種類 | 鉄骨造 |
| 寸法 | 約 69m（南北）×約 31m（東西）×約 53m（地上高）<br>（作業環境整備区画）<br>約 55m（南北）×約 31m（東西）×約 23m（オペレーティングフロア上部高さ） |
| 個数 | 1 個 |

b. 送風機（給気フィルタユニット）

| | |
|---|---|
| 種類 | 遠心式 |
| 容量 | 25,000$m^3$/h |
| 台数 | 3 台 |

c. プレフィルタ（給気フィルタユニット）

| | |
|---|---|
| 種類 | 中性能フィルタ（袋型） |
| 容量 | 25,000$m^3$/h |
| 台数 | 3 台 |

d. 高性能粒子フィルタ（給気フィルタユニット）

| | |
|---|---|
| 種類 | 高性能粒子フィルタ |
| 容量 | 25,000$m^3$/h |
| 効率 | 97%（粒径 0.3$\mu$m）以上 |
| 台数 | 3 台 |

e. 排風機（排気フィルタユニット）

| | |
|---|---|
| 種類 | 遠心式 |
| 容量 | 25,000$m^3$/h |
| 台数 | 3 台 |

f. プレフィルタ（排気フィルタユニット）

| | |
|---|---|
| 種類 | 中性能フィルタ（袋型） |
| 容量 | 25,000$m^3$/h |
| 台数 | 3 台 |

g. 高性能粒子フィルタ（排気フィルタユニット）

| | |
|---|---|
| 種類 | 高性能粒子フィルタ |
| 容量 | 25,000$m^3$/h |
| 効率 | 97%（粒径 0.3$\mu$m）以上 |
| 台数 | 3 台 |

h. 放射性物質濃度測定器（排気フィルタユニット出入口）

(a) 排気フィルタユニット入口

| | |
|---|---|
| 検出器の種類 | シンチレーション検出器 |
| 計測範囲 | $10^0$～$10^4s^{-1}$ |
| 台数 | 1 台 |

(b) 排気フィルタユニット出口

排気フィルタユニット出口については，Ⅱ2.15 放射線管理関係設備等参照

i. ダクト

(a) カバー内ダクト

| | |
|---|---|
| 種類 | 長方形はぜ折りダクト／鋼板ダクト |
| 材質 | 溶融亜鉛めっき鋼板（SGCC 又は SGHC）／SS400 |

(b) 屋外ダクト

| | |
|---|---|
| 種類 | 長方形はぜ折りダクト／鋼板ダクト |
| 材質 | 溶融亜鉛めっき鋼板<br>（SGCC 又は SGHC，ガルバニウム付着）／SS400 |

(c) 柱架構ダクト

| | |
|---|---|
| 種類 | 柱架構 |
| 材質 | 鋼材 |

（3 号機）

a. 燃料取り出し用カバー

| | |
|---|---|
| 種類 | 鉄骨造 |
| 寸法 | 約 19m（南北）×約 57m（東西）×約 54m（地上高）<br>（作業環境整備区画）<br>約 19m（南北）×約 57m（東西）×約 24m（オペレーティングフロア上部高さ） |
| 個数 | 1 個 |

b. 排風機

| | |
|---|---|
| 種類 | 遠心式 |
| 容量 | 30,000$m^3$/h |
| 台数 | 2台 |

c. プレフィルタ（排気フィルタユニット）

| | |
|---|---|
| 種類 | 中性能フィルタ |
| 容量 | 10,000$m^3$/h |
| 台数 | 4台 |

d. 高性能粒子フィルタ（排気フィルタユニット）

| | |
|---|---|
| 種類 | 高性能粒子フィルタ |
| 容量 | 10,000$m^3$/h |
| 効率 | 97%（粒径0.3$\mu$m）以上 |
| 台数 | 4台 |

e. 放射性物質濃度測定器（排気フィルタユニット出入口）

(a) 排気フィルタユニット入口

| | |
|---|---|
| 検出器の種類 | シンチレーション検出器 |
| 計測範囲 | $10^{-1}$～$10^{5}s^{-1}$ |
| 台数 | 1台 |

(b) 排気フィルタユニット出口

排気フィルタユニット出口については，Ⅱ2.15放射線管理関係設備等参照

f. ダクト

| | |
|---|---|
| 種類 | はぜ折りダクト／鋼板ダクト |
| 材質 | ガルバリウム鋼板／SS400 |

（2号機）

a. 燃料取り出し用構台

| | |
|---|---|
| 種類 | 鉄骨造 |
| 寸法 | 約33m（南北）×約27m（東西）×約45m（地上高）<br>（作業環境整備区画）<br>約33m（南北）×約27m（東西）×約17m（オペレーティングフロア上部高さ） |
| 個数 | 1個 |

b. 排風機

| | |
|---|---|
| 種類 | 遠心式 |
| 容量 | 30,000$m^3$/h |
| 台数 | 2台 |

c. プレフィルタ（排気フィルタユニット）

| | |
|---|---|
| 種類 | 中性能フィルタ |
| 容量 | 10,000$m^3$/h |
| 台数 | 4台 |

d. 高性能粒子フィルタ（排気フィルタユニット）

| | |
|---|---|
| 種類 | 高性能粒子フィルタ |
| 容量 | 10,000$m^3$/h |
| 効率 | 97%（粒径0.3$\mu$m）以上 |
| 台数 | 4台 |

e. 放射性物質濃度測定器（排気フィルタユニット出入口）

(a) 排気フィルタユニット入口

| | |
|---|---|
| 検出器の種類 | シンチレーション検出器 |
| 計測範囲 | $10^{-1}$～$10^{5}s^{-1}$ |
| 台数 | 4台 |

(b) 排気フィルタユニット出口

排気フィルタユニット出口については，Ⅱ2.15放射線管理関係設備等参照

f. ダクト

| | |
|---|---|
| 種類 | はぜ折りダクト／鋼板ダクト |
| 材質 | ガルバリウム鋼板／SS400 |

（1号機）

a. 排風機

| | |
|---|---|
| 種類 | 遠心式 |
| 容量 | 30,000$m^3$/h |
| 台数 | 2台（うち1台予備） |

b. プレフィルタ（排気フィルタユニット）

| | |
|---|---|
| 種類 | 中性能フィルタ |
| 容量 | 30,000$m^3$/h |
| 台数 | 2台（うち1台予備） |

c. 高性能粒子フィルタ（排気フィルタユニット）

| | |
|---|---|
| 種類 | 高性能粒子フィルタ |
| 容量 | 30,000$m^3$/h |
| 効率 | 97%（粒径0.3$\mu$m）以上 |
| 台数 | 2台（うち1台予備） |

d. 放射性物質濃度測定器（排気フィルタユニット出入口）

(a) 排気フィルタユニット入口

| | |
|---|---|
| 検出器の種類 | シンチレーション検出器 |
| 計測範囲 | $10^0$～$10^4s^{-1}$ |
| 台数 | 2台 |

(b) 排気フィルタユニット出口

排気フィルタユニット出口については，Ⅱ2.15放射線管理関係設備等参照

e. ダクト

| | |
|---|---|
| 種類 | はぜ折りダクト／鋼板ダクト |
| 材質 | ガルバリウム鋼板／SS400 |

2.11.3　添付資料

添付資料－１　燃料取扱設備の設計等に関する説明書

添付資料－１－１　燃料の落下防止，臨界防止に関する説明書※1

添付資料－１－２　放射線モニタリングに関する説明書※1

添付資料－１－３　燃料の健全性確認及び取り扱いに関する説明書※2

添付資料－２　構内用輸送容器の設計等に関する説明書

添付資料－２－１　構内用輸送容器に係る安全機能及び構造強度に関する説明書※2

添付資料－２－２　破損燃料用輸送容器に係る安全機能及び構造強度に関する説明書※2

添付資料－２－３　構内輸送時の措置に関する説明書※2

添付資料－３　燃料取り出し用カバーの設計等に関する説明書

添付資料－３－１　放射性物質の飛散・拡散を防止するための機能に関する説明書

添付資料－３－２　がれき撤去等の手順に関する説明書

添付資料－３－３　移送操作中の燃料集合体の落下※1

添付資料－４　構造強度及び耐震性に関する説明書

添付資料－４－１　燃料取扱設備の構造強度及び耐震性に関する説明書※1

添付資料－４－２　燃料取り出し用カバーの構造強度及び耐震性に関する説明書※1

添付資料－４－３　燃料取り出し用カバー換気設備の構造強度及び耐震性に関する説明書※1

添付資料－５　使用済燃料プールからの燃料取り出し工程表※1

添付資料－６　福島第一原子力発電所第１号機原子炉建屋カバーに関する説明書

添付資料－７　福島第一原子力発電所第１号機原子炉建屋カバー解体について

添付資料－８　福島第一原子力発電所第１・２号機原子炉建屋作業エリア整備に伴う干渉物解体撤去について

添付資料－９　福島第一原子力発電所第２号機原子炉建屋西側外壁の開口設置について

添付資料－１０　福島第一原子力発電所１号機原子炉建屋オペレーティングフロアのガレキの撤去について

添付資料－１０－１　福島第一原子力発電所１号機原子炉建屋オペレーティングフロア北側のガレキの撤去について

添付資料－１０－２　福島第一原子力発電所１号機原子炉建屋オペレーティングフロア中央および南側のガレキの一部撤去について

添付資料－１０－３　福島第一原子力発電所１号機原子炉建屋オペレーティングフロア外周鉄骨の一部撤去について

添付資料－１０－４　福島第一原子力発電所１号機原子炉建屋オペレーティングフロア床上のガレキの一部撤去について

添付資料－１１　福島第一原子力発電所１号機及び２号機非常用ガス処理系配管の一部撤去について

※1（２号機，３号機及び４号機を除く）及び※2（３号機及び４号機を除く）の説明書については，別途申請する。

# 燃料の落下防止，臨界防止に関する説明書

## 1　4 号機燃料取り扱いに関する概要

### 1.1　概要

燃料取扱設備は，燃料取扱機及びクレーンで構成し，新燃料及び使用済燃料を使用済燃料貯蔵プールから取り出し，燃料取り出し用カバーから搬出するまでの取り扱いを行うものである。

なお，燃料の搬出には構内用輸送容器を使用する。

また，燃料取扱機は燃料集合体を 1 体ずつ取り扱う構造とすることにより，燃料の臨界を防止できる設計とし，燃料集合体の構内用輸送容器への収容操作が使用済燃料の遮蔽に必要な水深を確保した状態で，水中で行うことができる設計とする。

さらに，燃料取扱設備は地震荷重等の適切な組み合わせを考慮しても強度上耐え得る設計とするとともに，燃料取扱機は二重のワイヤロープや種々のインターロック等を設け，クレーンの主要要素は種々の二重化を行うこと等により，移送操作中の燃料集合体の落下を防止する設計とする。

また，燃料取扱設備はその機能の健全性を確認するため，定期的に試験及び検査を行う。

燃料取り扱いに使用する燃料取扱機及びクレーンの概要を以下に示す。

(1) 4 号機　燃料取扱機

燃料取扱機は使用済燃料貯蔵プール，キャスクピット上を走行し，ブリッジ，トロリ，燃料把握機，補助ホイストで構成されている。

トロリには運転台及び 1 体の燃料集合体をつかむ燃料把握機があり，燃料集合体を使用済燃料貯蔵プール内の適当な位置に移送することができる。

燃料把握機のフックは空気作動式であり，燃料集合体をつかんだ状態で空気源が喪失しても，フックが開とならないようにする機械的機構を有しているため，燃料集合体を確実に保持できる。また，燃料把握機は二重のワイヤロープで保持する構造である。さらに燃料取扱中に過荷重となった場合に上昇を阻止するため，燃料把握機にインターロックを設ける。

本装置は走行，横行，昇降を安全かつ確実に行うため，各装置にインターロックを設ける。

また，地震時にも転倒することがない構造であり，走行部はレールを抱え込む構造である。

なお，燃料取扱機は崩壊熱により燃料が溶融しないよう，使用済燃料を使用済燃料貯蔵プール水中で取り扱う設計とする。

(2) 4 号機　クレーン

クレーンは，燃料取り出し用カバー内及びオペレーションフロア上で構内用輸送容器の移送を行うものである。

本クレーンは，地震時にも落下することがない構造であり，構内用輸送容器の移送中において駆動源が喪失しても確実に保持できる。

また重量物を移送する主巻フックは二重のワイヤロープで保持する構造である。

フックは玉掛け用ワイヤロープ等が当該フックから外れることを防止するための装置を設ける。

さらに，重量物を吊った状態で使用済燃料貯蔵ラック上を通過できないようインターロックを設ける。

1.2　4 号機　燃料落下防止対策

燃料取り扱いに使用する燃料取扱機及びクレーンは，以下に示す落下防止対策により燃料集合体を安全かつ確実に取り扱うことができる設計とする。

燃料集合体の落下防止対策を表 1.2-1 に示す。

表 1.2-1　燃料集合体の落下防止対策

| 機器名称 | 落下防止対策 |
|---|---|
| 燃料取扱機 | (1)　ホイストは電源断時に電磁ブレーキで保持する構造<br>(2)　燃料把握機は空気源喪失時にフックが開かない構造<br>(3)　燃料把握機の機械的インターロック<br>(4)　燃料把握機の過荷重時に上昇を阻止するインターロック<br>(5)　燃料把握機は二重のワイヤロープで保持する構造 |
| クレーン | (1)　巻上装置は電源断時に電動油圧押上機ブレーキで保持する構造<br>(2)　主巻フックは二重のワイヤロープで保持する構造<br>(3)　主巻フックは外れ止め装置を有する構造 |

上記の落下防止対策の概要を次紙以降に示す

1.3　4 号機　燃料取扱設備の未臨界性

燃料取扱機は，燃料集合体を 1 体ずつ取り扱う構造とすることにより，未臨界性は確保される。

また，クレーンは未臨界性について評価されている構内用輸送容器に燃料集合体を収納して取り扱う。

| 機器名称 | 落下防止対策 |
|---|---|
| 燃料取扱機 | (1)　ホイストは電源断時に電磁ブレーキで保持する構造<br>(2)　燃料把握機は空気源喪失時にフックが開かない構造<br>(3)　燃料把握機の機械的インターロック<br>(4)　燃料把握機の過荷重時に上昇を阻止するインターロック<br>(5)　燃料把握機は二重のワイヤロープで保持する構造 |
| クレーン | (1)　巻上装置は電源断時に電動油圧押上機で保持する構造<br>(2)　主巻フックは二重のワイヤロープで保持する構造<br>(3)　主巻フックは外れ止め装置を有する構造 |

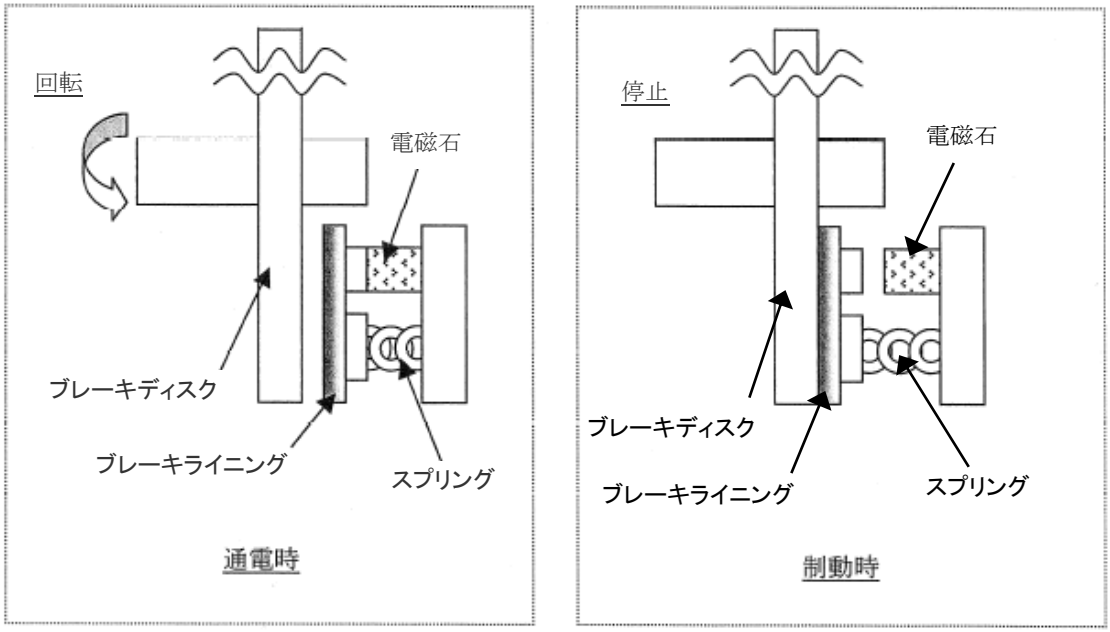
電磁ブレーキは，電源断時にバネによりブレーキがかかり保持できる機構を有している。

○電磁ブレーキ（電磁ディスクブレーキ）の動作原理

電磁ディスクブレーキは，スプリング力によってブレーキライニングをブレーキディスクに押しつけて電動機の回転を制動している。電動機に通電すると，電磁コイルに電流が流れ，電磁石がスプリングの力に逆らってブレーキを解放する。

電動機を停止させると，再びスプリング力によってブレーキライニングがブレーキディスクを押しつけて制動する。電磁ディスクブレーキは，ホイストの巻上装置等に使用されている。

以下に通電（回転）時と，制動時の模式図を示す。



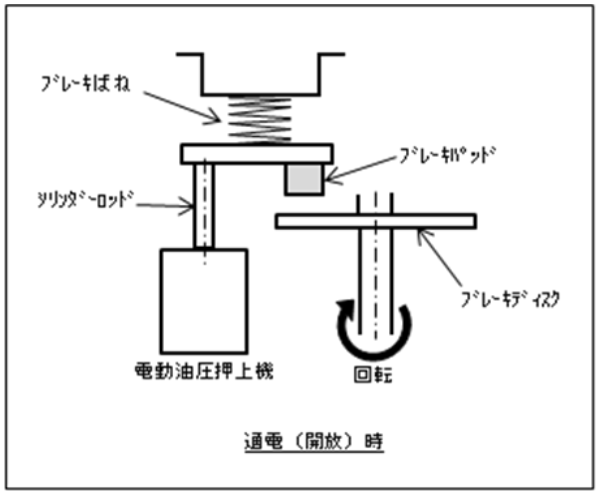
電動油圧押上機ブレーキは，電源断時にブレーキばねによりブレーキがかかり保持できる機構を有している。

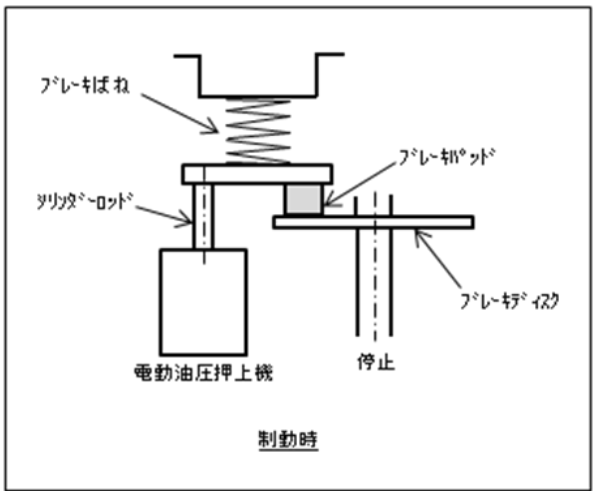
○電動油圧押上機ブレーキ（電動油圧押上機ディスクブレーキ）の動作原理

電動油圧押上機ブレーキは，ブレーキばねの力によってブレーキパッドをブレーキディスクに押しつけて電動機の回転を制動している。巻上モータに通電すると，同時に電動油圧押上機にも通電され，内蔵モータにより油圧が発生し，シリンダーロッドを押上げ，ブレーキばねを縮めることによりブレーキを開放する。

巻上モータを停止させると，電動油圧押上機も停止するため，再びブレーキばねの力によってブレーキパッドがブレーキディスクを押しつけて制動する。

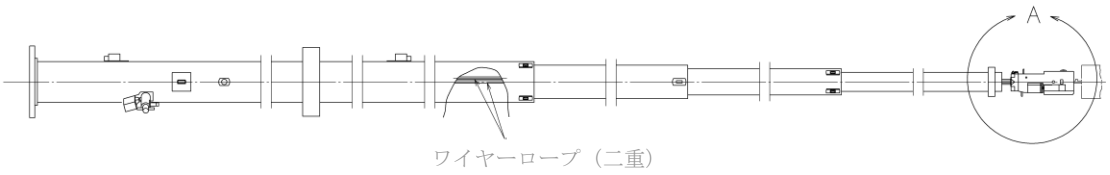
以下に通電(開放)時と，制動時の模式図を示す。

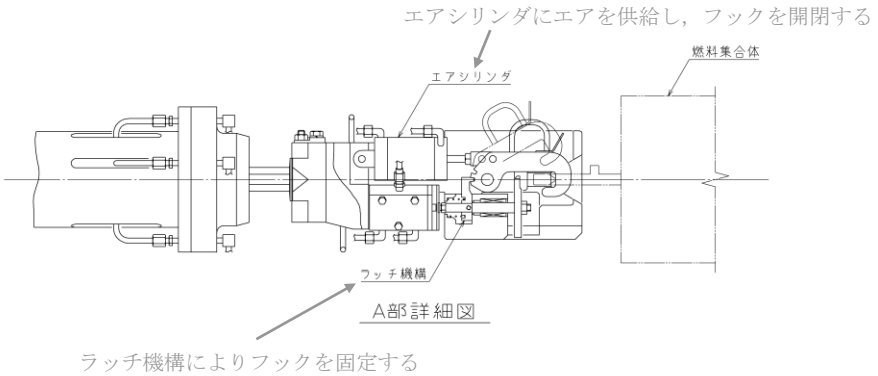


| 機器名称 | 落下防止対策 |
|---|---|
| 燃料取扱機 | (1)　ホイストは電源断時に電磁ブレーキで保持する構造<br>(2)　燃料把握機は空気源喪失時にフックが開かない構造<br>(3)　燃料把握機の機械的インターロック<br>(4)　燃料把握機の過荷重時に上昇を阻止するインターロック<br>(5)　燃料把握機は二重のワイヤロープで保持する構造 |
| クレーン | (1)　巻上装置は電源断時に電動油圧押上機ブレーキで保持する構造<br>(2)　主巻フックは二重のワイヤロープで保持する構造<br>(3)　主巻フックは外れ止め装置を有する構造 |

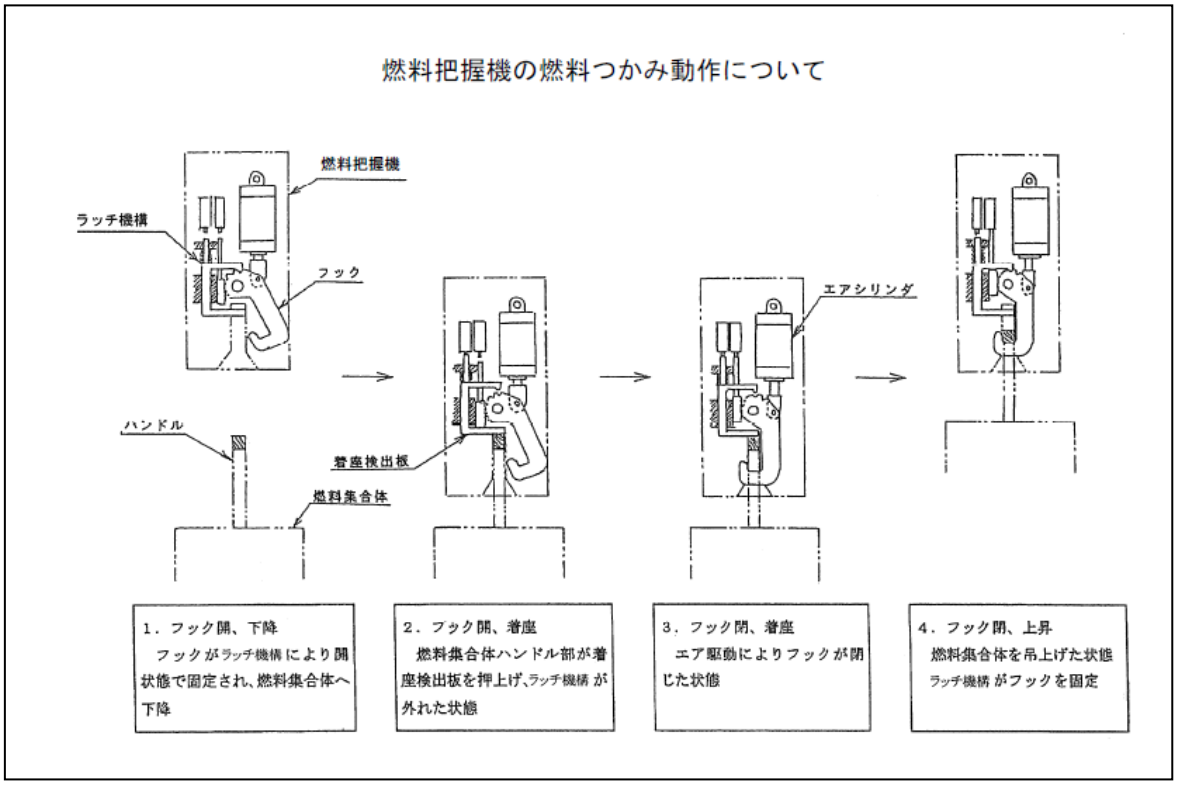
燃料把握機は，フックの駆動に用いる空気源が喪失しても，ラッチ機構によりフックが開かないような設計としている。



| 機器名称 | 落下防止対策 |
|---|---|
| 燃料取扱機 | (1)　ホイストは電源断時に電磁ブレーキで保持する構造<br>(2)　燃料把握機は空気源喪失時にフックが開かない構造<br>(3)　燃料把握機の機械的インターロック<br>(4)　燃料把握機の過荷重時に上昇を阻止するインターロック<br>(5)　燃料把握機は二重のワイヤロープで保持する構造 |
| クレーン | (1)　巻上装置は電源断時に電動油圧押上機ブレーキで保持する構造<br>(2)　主巻フックは二重のワイヤロープで保持する構造<br>(3)　主巻フックは外れ止め装置を有する構造 |

燃料集合体を吊った状態においては，燃料把握機はラッチ機構により固定されフックを開くことができない。また，燃料把握時には燃料集合体ハンドル部が着座検出板を押し上げるとラッチ機構が外れる機械的インターロックを備えている。

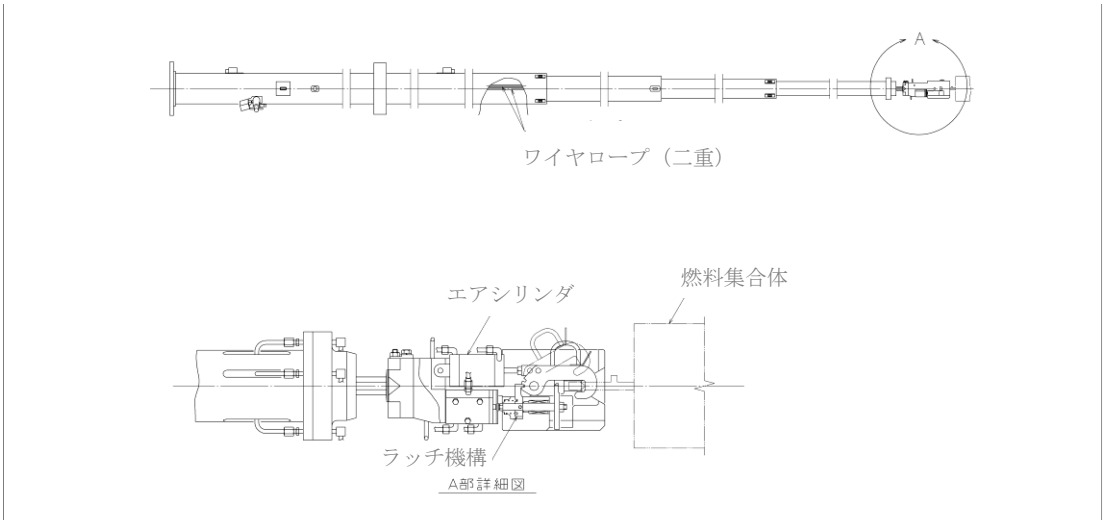


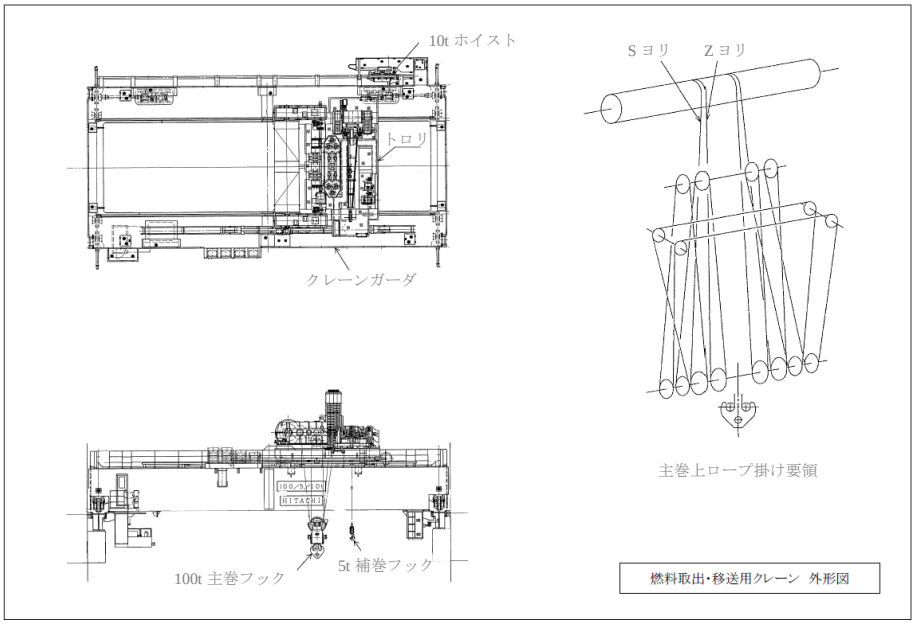
| 機器名称 | 落下防止対策 |
|---|---|
| 燃料取扱機 | (1)　ホイストは電源断時に電磁ブレーキで保持する構造<br>(2)　燃料把握機は空気源喪失時にフックが開かない構造<br>(3)　燃料把握機の機械的インターロック<br>(4)　燃料把握機の過荷重時に上昇を阻止するインターロック<br>(5)　燃料把握機は二重のワイヤロープで保持する構造 |
| クレーン | (1)　巻上装置は電源断時に電動油圧押上機ブレーキで保持する構造<br>(2)　主巻フックは二重のワイヤロープで保持する構造<br>(3)　主巻フックは外れ止め装置を有する構造 |

燃料把握機のワイヤロープに必要以上の張力が加わらないように，必要以上の荷重を検出した場合に，燃料把握機を上昇することができないインターロックを備えている。

| 機器名称 | 落下防止対策 |
|---|---|
| 燃料取扱機 | (1)　ホイストは電源断時に電磁ブレーキで保持する構造<br>(2)　燃料把握機は空気源喪失時にフックが開かない構造<br>(3)　燃料把握機の機械的インターロック<br>(4)　燃料把握機の過荷重時に上昇を阻止するインターロック<br>(5)　燃料把握機は二重のワイヤロープで保持する構造 |
| クレーン | (1)　巻上装置は電源断時に電動油圧押上機ブレーキで保持する構造<br>(2)　主巻フックは二重のワイヤロープで保持する構造<br>(3)　主巻フックは外れ止め装置を有する構造 |

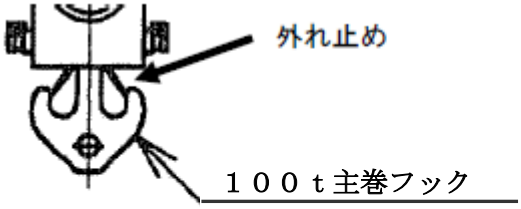
燃料把握機及びクレーンの主巻フックは，ワイヤロープを二重化し，万一ワイヤロープが 1 本切断したとしても落下を防止できる設計としている。



| 機器名称 | 落下防止対策 |
|---|---|
| 燃料取扱機 | (1)　ホイストは電源断時に電磁ブレーキで保持する構造<br>(2)　燃料把握機は空気源喪失時にフックが開かない構造<br>(3)　燃料把握機の機械的インターロック<br>(4)　燃料把握機の過荷重時に上昇を阻止するインターロック<br>(5)　燃料把握機は二重のワイヤロープで保持する構造 |
| クレーン | (1)　巻上装置は電源断時に電動油圧押上機ブレーキで保持する構造<br>(2)　主巻フックは二重のワイヤロープで保持する構造<br>(3)　主巻フックは外れ止め装置を有する構造 |

主巻フックは，両釣形フックとし，外れ止めを有する。



## 2　　3号機燃料取り扱いに関する概要

### 2.1　概要

燃料取扱設備は，燃料取扱機及びクレーンで構成し，新燃料及び使用済燃料を使用済燃料貯蔵プールから取り出し，燃料取り出し用カバーから搬出するまでの取り扱いを行うものである。

なお，燃料の搬出には構内用輸送容器を使用する。

また，燃料取扱機は燃料集合体を 1 体ずつ取り扱う構造とすることにより，燃料の臨界を防止できる設計とし，燃料集合体の構内用輸送容器への収容操作が燃料の遮蔽に必要な水深を確保した状態で，水中で行うことができる設計とする。

さらに，燃料取扱設備は地震荷重等の適切な組み合わせを考慮しても強度上耐え得る設計とするとともに，燃料取扱機は二重のワイヤロープや種々のインターロック等を設け，クレーンの主要要素は種々の二重化を行うこと等により，移送操作中の燃料集合体の落下を防止する設計とする。

また，燃料取扱設備はその機能の健全性を確認するため，定期的に試験及び検査を行う。

燃料取り扱いに使用する燃料取扱機及びクレーンの概要を以下に示す。

(1) 3号機　燃料取扱機

燃料取扱機は，使用済燃料プール，キャスクピット上を走行し，ブリッジ，トロリ，燃料把握機，西側補助ホイスト，東側補助ホイスト，テンシルトラスで構成されている。

燃料把握機トロリには 1 体の燃料集合体をつかむ燃料把握機があり，燃料集合体を使用済燃料プール内の適切な位置に移動することができる。

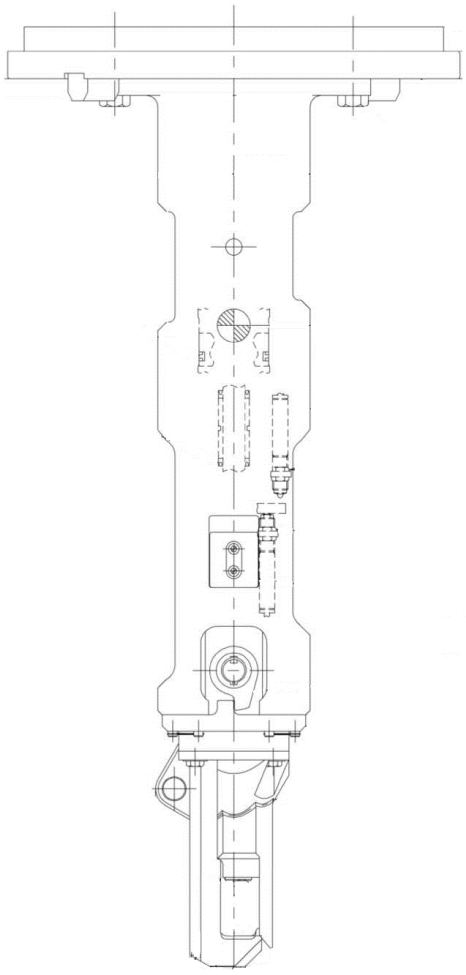
燃料把握機のフックは水圧作動式であり，燃料集合体をつかんだ状態で水圧源が喪失しても，フックが開とならないようにする機械的機構を有しているため，燃料集合体を確実に保持できる。また，燃料把握機は二重のワイヤロープで保持する構造である。さらに燃料取扱中に過荷重となった場合に上昇を阻止するため，燃料把握機にインターロックを設ける。

がれき落下によるハンドル部の変形が認められる燃料集合体の一部は，通常の燃料把握機のフック（掴み具）では取り扱えないため，ハンドル部の変形状況に応じて専用の大変形用掴み具を用いる。

燃料取扱機は，運転員の誤操作を防止するため，走行，横行，昇降のそれぞれの操作について2段階の動作が必要なスイッチを設けるとともに，走行，横行，昇降を安全かつ確実に行うため各装置にインターロックを設ける。さらに，荷重計（ロードセル）を設け遠隔操作を行う運転員が荷重を確認できる設計とし，仮に過荷重となった場合にはインターロックにより上昇を阻止する設計とする。

また，燃料集合体の移送作業中における地震時においても転倒・落下することがない構造であり，走行部はレールを抱え込む構造である。

なお，燃料取扱機は崩壊熱により燃料が溶融しないよう，燃料を使用済燃料貯蔵プール水中で取り扱う設計とする。



大変形用掴み具　構造図

(2) 3号機　クレーン

クレーンは，燃料取り出し用カバー内で構内用輸送容器の移送を行うものである。

本クレーンは，構内用輸送容器の移送作業中における地震時においても転倒・落下することがない構造であり，構内用輸送容器の移送中において駆動源が喪失しても確実に保持できる。

また，重量物を移送する主巻フックは二重のワイヤロープで保持する構造である。

主巻フックは玉掛け用ワイヤロープ等が当該フックから外れることを防止するための装置を設ける。

さらに，重量物を吊った状態で使用済燃料貯蔵ラック上を通過できないようインターロックを設ける。

クレーンは，運転員の誤操作を防止するため，走行，横行，昇降のそれぞれの操作について２段階の動作が必要なスイッチを設ける。さらに，荷重計（ロードセル）を設け遠隔操作を行う運転員が荷重を確認できる設計とし，仮に過荷重となった場合にはインターロックにより上昇を阻止する設計とする。

2.2　3号機　燃料落下防止対策

燃料取り扱いに使用する燃料取扱機及びクレーンは，以下に示す落下防止対策により燃料集合体を安全かつ確実に取り扱うことができる設計とする。

燃料集合体の落下防止対策を表 2.2-1 に示す。

表 2.2-1　燃料集合体の落下防止対策

| 機器名称 | 落下防止対策 |
|---|---|
| 燃料取扱機 | (1)　ホイストは電源断時に電磁ブレーキで保持する構造<br>(2)　燃料把握機は水圧源喪失時にフックが開かない構造<br>(3)　燃料把握機の機械的インターロック<br>(4)　燃料把握機の過荷重時に上昇を阻止するインターロック<br>(5)　燃料把握機は二重のワイヤロープで保持する構造 |
| クレーン | (1)　巻上装置は電源断時に電動油圧押上機ブレーキで保持する構造<br>(2)　主巻フックは二重のワイヤロープで保持する構造<br>(3)　主巻フックは外れ止め装置を有する構造 |

上記の落下防止対策の概要を次紙以降に示す

2.3　3号機　燃料取扱設備の未臨界性

燃料取扱機は，燃料集合体を 1 体ずつ取り扱う構造とすることにより，燃料の未臨界性を確保する。

また，クレーンは，燃料集合体の搬出にあたって，燃料の未臨界性について評価されている構内用輸送容器に燃料集合体を収納して取り扱う。

| 機器名称 | 落下防止対策 |
|---|---|
| 燃料取扱機 | (1)　ホイストは電源断時に電磁ブレーキで保持する構造<br>(2)　燃料把握機は水圧源喪失時にフックが開かない構造<br>(3)　燃料把握機の機械的インターロック<br>(4)　燃料把握機の過荷重時に上昇を阻止するインターロック<br>(5)　燃料把握機は二重のワイヤロープで保持する構造 |
| クレーン | (1)　巻上装置は電源断時に電動油圧押上機ブレーキで保持する構造<br>(2)　主巻フックは二重のワイヤロープで保持する構造<br>(3)　主巻フックは外れ止め装置を有する構造 |

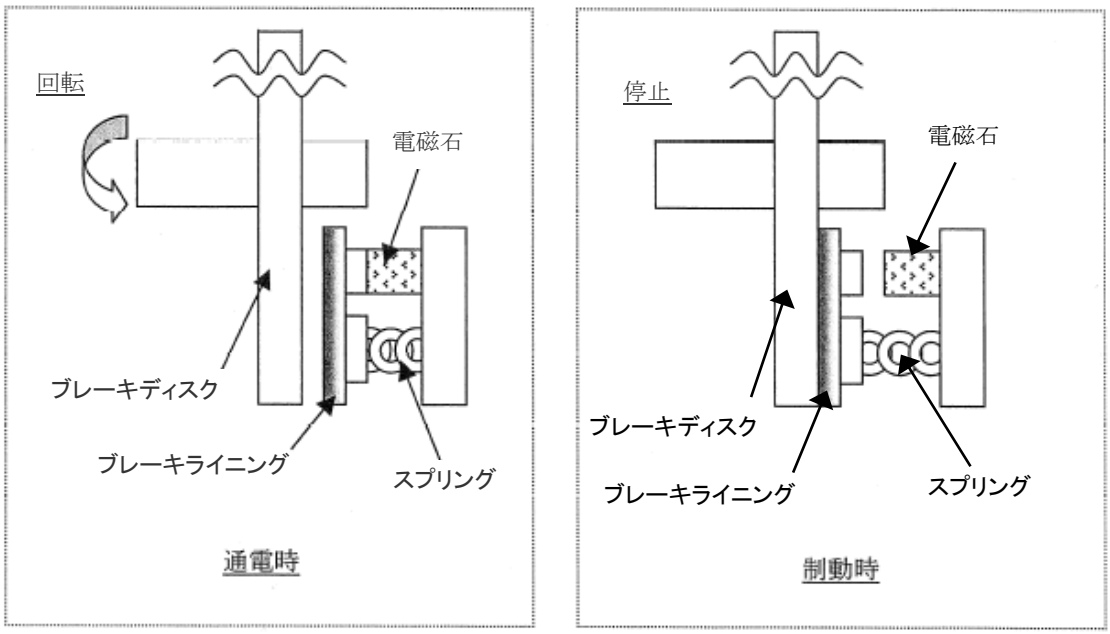
燃料取扱機の電磁ブレーキは，電源断時にバネによりブレーキがかかり保持できる機構を有している。

○電磁ブレーキ（電磁ディスクブレーキ）の動作原理

電磁ディスクブレーキは，スプリング力によってブレーキライニングをブレーキディスクに押しつけて電動機の回転を制動している。電動機に通電すると，電磁コイルに電流が流れ，電磁石がスプリングの力に逆らってブレーキを解放する。

電動機を停止させると，再びスプリング力によってブレーキライニングがブレーキディスクを押しつけて制動する。電磁ディスクブレーキは，ホイストの巻上装置等に使用されている。

以下に通電（回転）時と，制動時の模式図を示す。



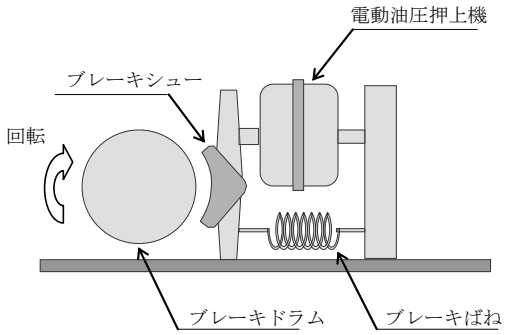
クレーンの電動油圧押上機ブレーキは，電源断時にブレーキばねによりブレーキがかかり保持できる機構を有している。

○電動油圧押上機ブレーキ（電動油圧押上機ドラムブレーキ）の動作原理

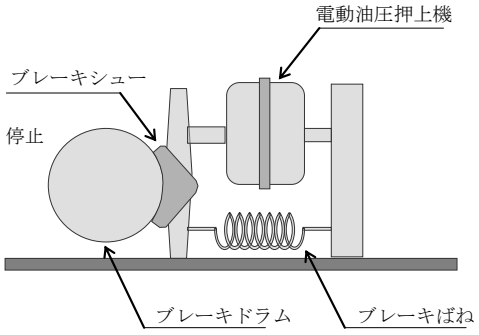
電動油圧押上機ブレーキは，ブレーキばねの力によってブレーキシューをブレーキドラムに押しつけて電動機の回転を制動している。巻上モータに通電すると，同時に電動油圧押上機にも通電され，内蔵モータにより油圧が発生し，シリンダーロッドを押上げ，ブレーキばねを縮めることによりブレーキを開放する。

巻上モータを停止させると，電動油圧押上機も停止するため，再びブレーキばねの力によってブレーキシューがブレーキドラムを押しつけて制動する。

以下に通電(開放)時と，制動時の模式図を示す。



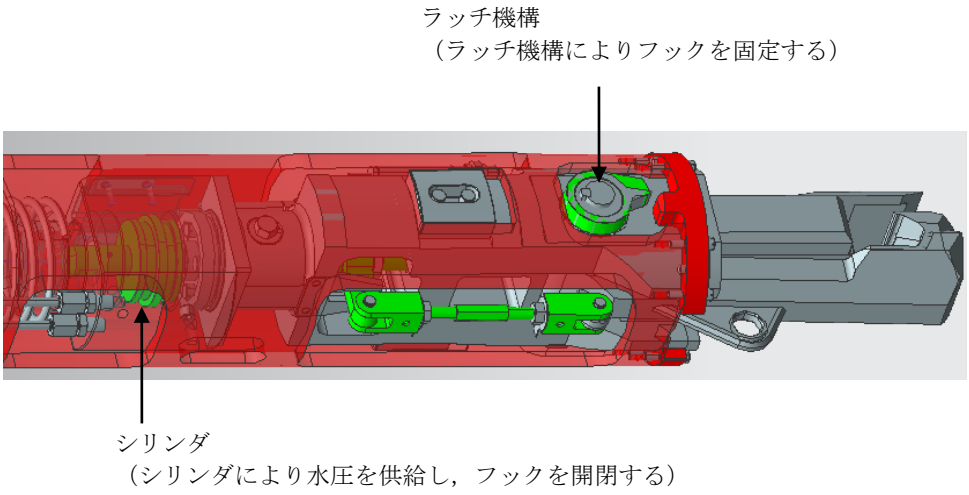

**通電（開放）時**




**制動時**

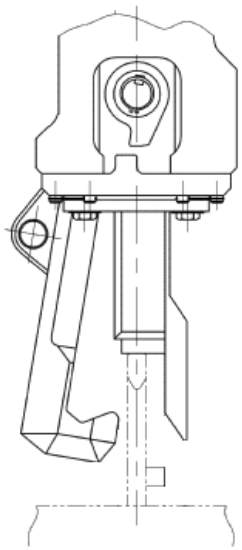
| 機器名称 | 落下防止対策 |
|---|---|
| 燃料取扱機 | (1)　ホイストは電源断時に電磁ブレーキで保持する構造<br>(2)　燃料把握機は水圧源喪失時にフックが開かない構造<br>(3)　燃料把握機の機械的インターロック<br>(4)　燃料把握機の過荷重時に上昇を阻止するインターロック<br>(5)　燃料把握機は二重のワイヤロープで保持する構造 |
| クレーン | (1)　巻上装置は電源断時に電動油圧押上機ブレーキで保持する構造<br>(2)　主巻フックは二重のワイヤロープで保持する構造<br>(3)　主巻フックは外れ止め装置を有する構造 |

燃料把握機は、フックの駆動に用いる水圧源が喪失しても，ラッチ機構によりフックが開かないような設計としている。



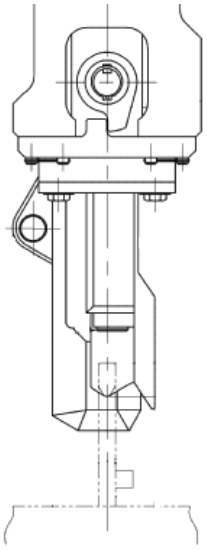
| 機器名称 | 落下防止対策 |
|---|---|
| 燃料取扱機 | (1)　ホイストは電源断時に電磁ブレーキで保持する構造<br>(2)　燃料把握機は水圧源喪失時にフックが開かない構造<br>(3)　燃料把握機の機械的インターロック<br>(4)　燃料把握機の過荷重時に上昇を阻止するインターロック<br>(5)　燃料把握機は二重のワイヤロープで保持する構造 |
| クレーン | (1)　巻上装置は電源断時に電動油圧押上機ブレーキで保持する構造<br>(2)　主巻フックは二重のワイヤロープで保持する構造<br>(3)　主巻フックは外れ止め装置を有する構造 |

燃料集合体を吊った状態においては，燃料把握機はラッチ機構により固定されフックを開くことができない。また，燃料着座時には燃料集合体荷重がフックに負荷されなくなることで，フックが押し上がり，ラッチ機構が外れる機械的インターロックを備えている。



１．フック開　下降～着座

フックが開状態にて，燃料集合体へ下降，着座。



２．フック閉　着座～上昇

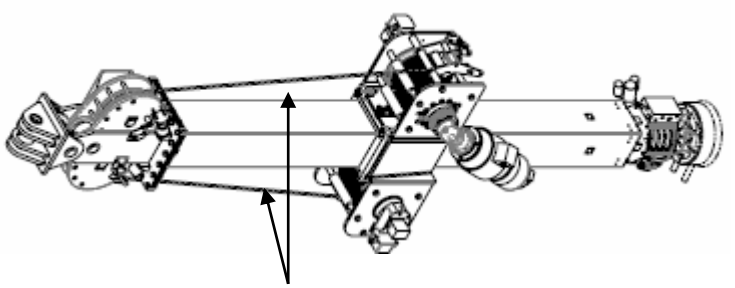
水圧駆動にてフックが閉じた後，燃料集合体を吊上げ。ラッチ機構がフックを固定。

| 機器名称 | 落下防止対策 |
|---|---|
| 燃料取扱機 | (1)　ホイストは電源断時に電磁ブレーキで保持する構造<br>(2)　燃料把握機は水圧源喪失時にフックが開かない構造<br>(3)　燃料把握機の機械的インターロック<br>(4)　燃料把握機の過荷重時に上昇を阻止するインターロック<br>(5)　燃料把握機は二重のワイヤロープで保持する構造 |
| クレーン | (1)　巻上装置は電源断時に電動油圧押上機ブレーキで保持する構造<br>(2)　主巻フックは二重のワイヤロープで保持する構造<br>(3)　主巻フックは外れ止め装置を有する構造 |

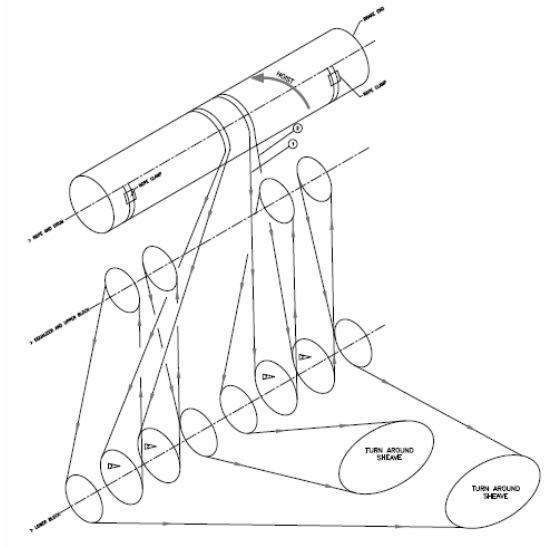
燃料把握機のワイヤロープに必要以上の張力が加わらないように，必要以上の荷重を検出した場合に，燃料把握機を上昇することができないインターロックを備えている。

| 機器名称 | 落下防止対策 |
|---|---|
| 燃料取扱機 | (1)　ホイストは電源断時に電磁ブレーキで保持する構造<br>(2)　燃料把握機は水圧源喪失時にフックが開かない構造<br>(3)　燃料把握機の機械的インターロック<br>(4)　燃料把握機の過荷重時に上昇を阻止するインターロック<br>(5)　燃料把握機は二重のワイヤロープで保持する構造 |
| クレーン | (1)　巻上装置は電源断時に電動油圧押上機ブレーキで保持する構造<br>(2)　主巻フックは二重のワイヤロープで保持する構造<br>(3)　主巻フックは外れ止め装置を有する構造 |

燃料把握機及びクレーンの主巻フックは，ワイヤロープを二重化し，万一ワイヤロープが1本切断したとしても落下を防止できる設計としている。



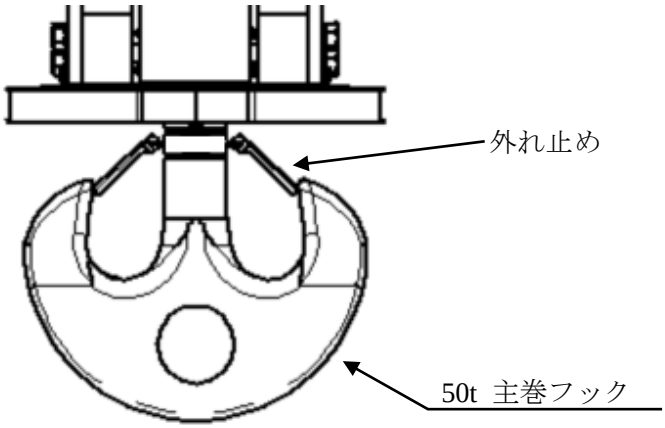
ワイヤロープ（二重）




主巻上ロープ掛け要領

| 機器名称 | 落下防止対策 |
|---|---|
| 燃料取扱機 | (1)　ホイストは電源断時に電磁ブレーキで保持する構造<br>(2)　燃料把握機は水圧源喪失時にフックが開かない構造<br>(3)　燃料把握機の機械的インターロック<br>(4)　燃料把握機の過荷重時に上昇を阻止するインターロック<br>(5)　燃料把握機は二重のワイヤロープで保持する構造 |
| クレーン | (1)　巻上装置は電源断時に電動油圧押上機ブレーキで保持する構造<br>(2)　主巻フックは二重のワイヤロープで保持する構造<br>(3)　主巻フックは外れ止め装置を有する構造 |

主巻フックは、両釣形フックとし、外れ止めを有する。



3　　2号機燃料取り扱いに関する概要

3.1　概要

燃料取扱設備は，燃料取扱機及びクレーンで構成し，新燃料及び使用済燃料を使用済燃料プールから取り出し，燃料取り出し用構台から搬出するまでの取り扱いを行うものである。

なお，燃料の搬出には構内用輸送容器を使用する。

また，燃料取扱機は燃料集合体を１体ずつ取り扱う構造とすることにより，燃料の臨界を防止できる設計とし，燃料集合体の構内用輸送容器への収容操作が燃料の遮蔽に必要な水深を確保した状態で，水中で行うことができる設計とする。

さらに，燃料取扱設備は地震荷重等の適切な組み合わせを考慮しても強度上耐え得る設計とするとともに，燃料取扱機は二重のワイヤロープや種々のインターロック等を設け，クレーンの主要要素は種々の二重化を行うこと等により，移送操作中の燃料集合体の落下を防止する設計とする。

また，燃料取扱設備はその機能の健全性を確認するため，定期的に試験及び検査を行う。

燃料取り扱いに使用する燃料取扱機及びクレーンの概要を以下に示す。

(1) 2号機　燃料取扱機

燃料取扱機は，低床ジブクレーンとし，原子炉建屋オペレーティングフロア，燃料取り出し用構台間を水平に移動する走行台車とその上に設置する旋回体で構成する。

旋回体には 1 体の燃料集合体をつかむ燃料把握機があり，燃料集合体を使用済燃料プール内の適切な位置に移動することができる。

燃料把握機のフックは空気圧作動式であり，燃料集合体をつかんだ状態で空気圧源を喪失しても，フックが開とならないようにする機械的機構を有しているため，燃料集合体を確実に保持できる。また，燃料把握機は二重のワイヤロープで保持する構造である。

燃料取扱機には，運転員の誤操作を防止するため，走行，伸縮，起伏，旋回，昇降のそれぞれ操作について 2 段階の動作が必要なスイッチを設けるとともに，走行，伸縮，起伏，旋回，昇降を安全かつ確実に行うため各装置にインターロックを設ける。さらに，荷重計（ロードセル）を設け遠隔操作を行う運転員が荷重を確認できる設計とし，仮に過荷重となった場合にはインターロックにより上昇を阻止する設計とする。

また，燃料集合体の移送作業中における地震時においても転倒・落下することがない構造であり，燃料取扱機操作時は走行台車をランウェイガーダに固定する設計とする。

(2) 2号機　クレーン

クレーンは，低床ジブクレーンとし，原子炉建屋オペレーティングフロア及び燃料取り出し用構台内で構内用輸送容器の移送を行うものである。

本クレーンは，構内用輸送容器の移送作業中における地震時においても転倒・落下することがない構造であり，構内用輸送容器の移送中において駆動源が喪失しても当該容器を確実に保持できる。

また，重量物を移送する垂直吊具は二重のワイヤロープで保持する構造である。

垂直吊具には構内用輸送容器トラニオン等が当該垂直吊具から外れることを防止するための装置を設ける。

さらに，重量物を吊った状態で使用済燃料貯蔵ラック上を通過できないようインターロックを設ける。

クレーンには，運転員の誤操作を防止するため，走行，伸縮，起伏，旋回，昇降のそれぞれの操作について2段階の動作が必要なスイッチを設ける。さらに，荷重計（ロードセル）を設け運転員が荷重を確認できる設計とし，仮に過荷重となった場合にはインターロックにより上昇を阻止する設計とする。

また，重量物の移送作業中における地震時においても転倒・落下することがない構造であり，クレーン操作時は走行台車をランウェイガーダに固定する設計とする。

3.2　2号機　燃料落下防止対策

燃料取り扱いに使用する燃料取扱機及びクレーンは，以下に示す落下防止対策により燃料集合体を安全かつ確実に取り扱うことができる設計とする。

燃料集合体の落下防止対策を表3.2-1に示す。

表3.2-1　燃料集合体の落下防止対策

| 機器名称 | 落下防止対策 |
|---|---|
| 燃料取扱機 | (1)　巻上装置は駆動源喪失時にブレーキで保持する構造<br>(2)　燃料把握機は空気圧源喪失時にフックが開かない構造<br>(3)　燃料把握機の機械的インターロック<br>(4)　燃料把握機の過荷重時に上昇を阻止するインターロック<br>(5)　燃料把握機は二重のワイヤロープで保持する構造 |
| クレーン | (1)　巻上装置は駆動源喪失時にブレーキで保持する構造<br>(2)　垂直吊具は二重のワイヤロープで保持する構造<br>(3)　垂直吊具の過荷重時に上昇を阻止するインターロック<br>(4)　垂直吊具は外れ止め装置を有する構造 |

上記の落下防止対策の概要を次紙以降に示す

3.3　２号機　燃料取扱設備の未臨界性

燃料取扱機は，燃料集合体を 1 体ずつ取り扱う構造とすることにより，燃料の未臨界性を確保する。

また，クレーンは，燃料集合体の搬出にあたって，燃料の未臨界性について評価されている構内用輸送容器に燃料集合体を収納して取り扱う。

| 機器名称 | 落下防止対策 |
|---|---|
| 燃料取扱機 | (1)　巻上装置は駆動源喪失時にブレーキで保持する構造<br>(2)　燃料把握機は空気圧源喪失時にフックが開かない構造<br>(3)　燃料把握機の機械的インターロック<br>(4)　燃料把握機の過荷重時に上昇を阻止するインターロック<br>(5)　燃料把握機は二重のワイヤロープで保持する構造 |
| クレーン | (1)　巻上装置は駆動源喪失時にブレーキで保持する構造<br>(2)　垂直吊具は二重のワイヤロープで保持する構造<br>(3)　垂直吊具の過荷重時に上昇を阻止するインターロック<br>(4)　垂直吊具は外れ止め装置を有する構造 |

燃料取扱機及びクレーンの巻上装置のブレーキは，駆動源喪失時にバネによりブレーキがかかり保持できるスプリングリターン機能を有している。

○スプリングリターン式ブレーキの動作原理

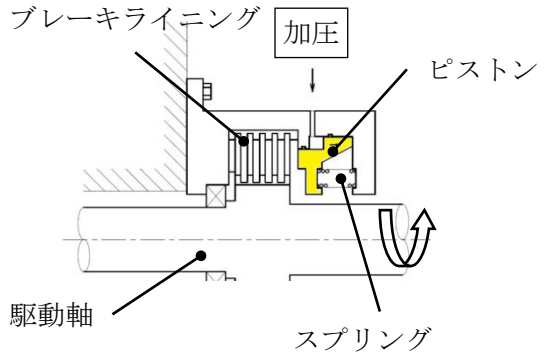
スプリングリターン式ブレーキは，スプリング力によってピストンをブレーキライニングに押しつけて巻上装置の回転を制動する。油圧シリンダが加圧されると，ピストンがスプリングの力に逆らってブレーキを解放する。

巻上装置を停止させると，再び油圧シリンダが減圧され，スプリング力によってピストンをブレーキライニングに押しつけて巻上装置の回転を制動する。

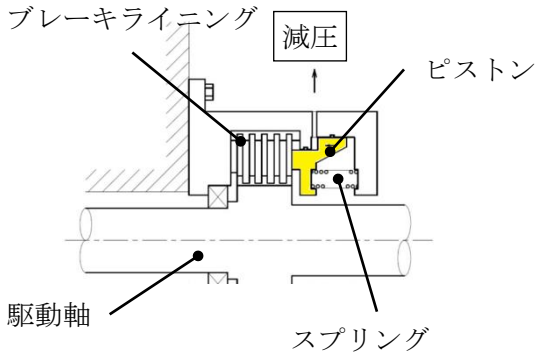
スプリングリターン式ブレーキは，燃料取扱機及びクレーンの巻上装置に使用されている。

以下にブレーキ制動時と，ブレーキ解放時の模式図を示す。

ブレーキ解放時

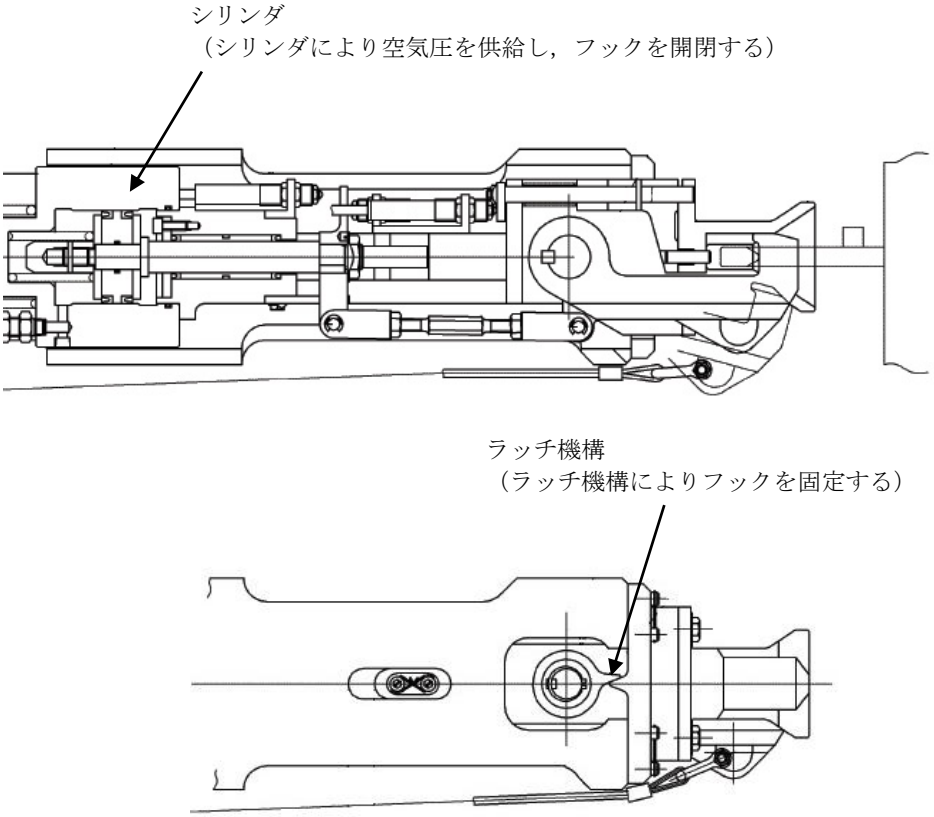



ブレーキ制動時



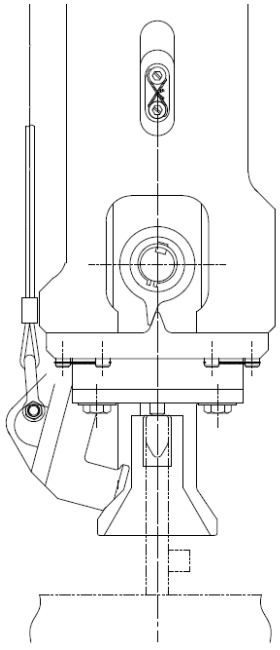
| 機器名称 | 落下防止対策 |
|---|---|
| 燃料取扱機 | (1)　巻上装置は駆動源喪失時にブレーキで保持する構造<br>(2)　燃料把握機は空気圧源喪失時にフックが開かない構造<br>(3)　燃料把握機の機械的インターロック<br>(4)　燃料把握機の過荷重時に上昇を阻止するインターロック<br>(5)　燃料把握機は二重のワイヤロープで保持する構造 |
| クレーン | (1)　巻上装置は駆動源喪失時にブレーキで保持する構造<br>(2)　垂直吊具は二重のワイヤロープで保持する構造<br>(3)　垂直吊具の過荷重時に上昇を阻止するインターロック<br>(4)　垂直吊具は外れ止め装置を有する構造 |

燃料把握機は，フックの駆動に用いる空気圧源が喪失しても，ラッチ機構によりフックが開かないような設計としている。

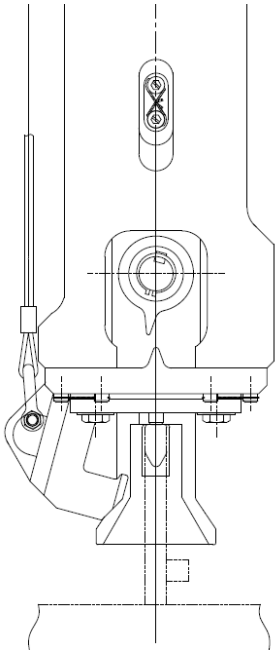


| 機器名称 | 落下防止対策 |
|---|---|
| 燃料取扱機 | (1)　巻上装置は駆動源喪失時にブレーキで保持する構造<br>(2)　燃料把握機は空気圧源喪失時にフックが開かない構造<br>(3)　燃料把握機の機械的インターロック<br>(4)　燃料把握機の過荷重時に上昇を阻止するインターロック<br>(5)　燃料把握機は二重のワイヤロープで保持する構造 |
| クレーン | (1)　巻上装置は駆動源喪失時にブレーキで保持する構造<br>(2)　垂直吊具は二重のワイヤロープで保持する構造<br>(3)　垂直吊具の過荷重時に上昇を阻止するインターロック<br>(4)　垂直吊具は外れ止め装置を有する構造 |

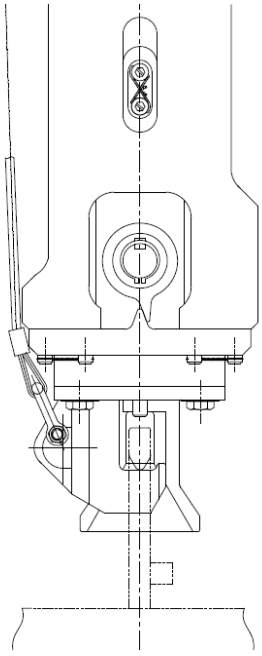
燃料集合体を吊った状態においては，燃料把握機はラッチ機構により固定されフックを開くことができない。また，燃料着座時には燃料集合体荷重がフックに負荷されなくなることでフックが押し上がり，ラッチ機構が外れる機械的インターロックを備えている。



1.フック開　下降～着座
フックが開状態にて，燃料集合体へ下降，着座。



2. 着座～ラッチ機構解除
燃料集合体に着座後，ラッチ機構解除。



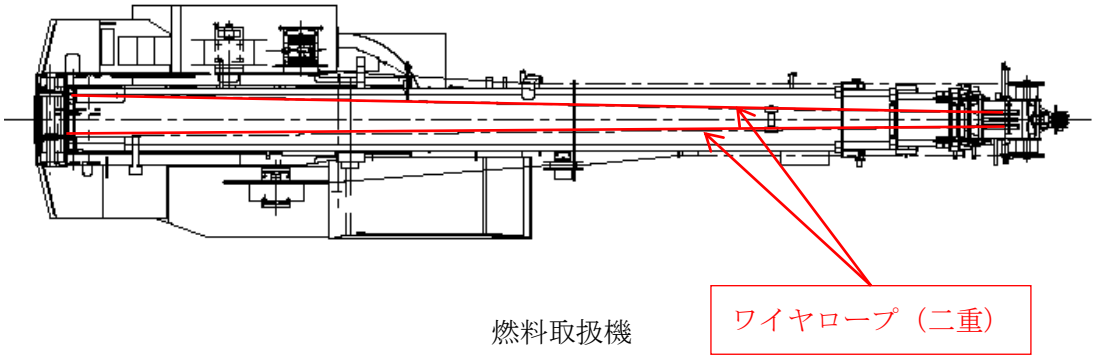
3.フック閉～上昇
空気圧駆動にてフックが閉じた後，燃料集合体を吊上げ。ラッチ機構がフックを固定。

| 機器名称 | 落下防止対策 |
|---|---|
| 燃料取扱機 | (1)　巻上装置は駆動源喪失時にブレーキで保持する構造<br>(2)　燃料把握機は空気圧源喪失時にフックが開かない構造<br>(3)　燃料把握機の機械的インターロック<br>(4)　燃料把握機の過荷重時に上昇を阻止するインターロック<br>(5)　燃料把握機は二重のワイヤロープで保持する構造 |
| クレーン | (1)　巻上装置は駆動源喪失時にブレーキで保持する構造<br>(2)　垂直吊具は二重のワイヤロープで保持する構造<br>(3)　垂直吊具の過荷重時に上昇を阻止するインターロック<br>(4)　垂直吊具は外れ止め装置を有する構造 |

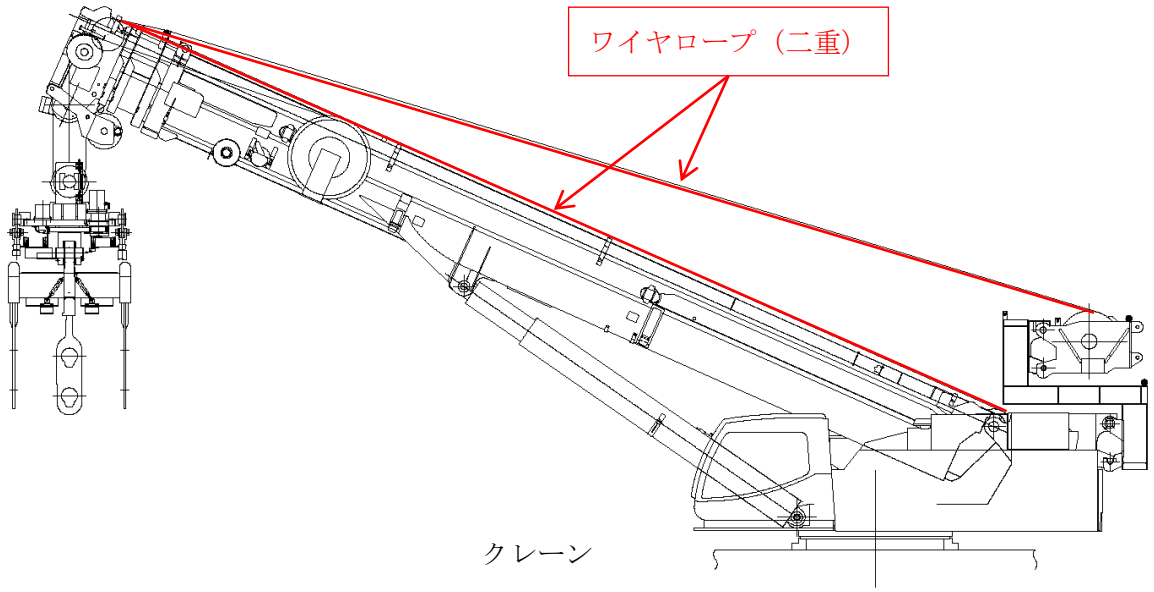
燃料把握機および垂直吊具のワイヤロープに必要以上の張力が加わらないように，必要以上の荷重を検出した場合に，燃料把握機および垂直吊具を上昇することができないインターロックを備えている。

| 機器名称 | 落下防止対策 |
|---|---|
| 燃料取扱機 | (1)　巻上装置は駆動源喪失時にブレーキで保持する構造<br>(2)　燃料把握機は空気圧源喪失時にフックが開かない構造<br>(3)　燃料把握機の機械的インターロック<br>(4)　燃料把握機の過荷重時に上昇を阻止するインターロック<br>(5)　燃料把握機は二重のワイヤロープで保持する構造 |
| クレーン | (1)　巻上装置は駆動源喪失時にブレーキで保持する構造<br>(2)　垂直吊具は二重のワイヤロープで保持する構造<br>(3)　垂直吊具の過荷重時に上昇を阻止するインターロック<br>(4)　垂直吊具は外れ止め装置を有する構造 |

燃料取扱機及びクレーンの巻上装置は，ワイヤロープを二重化し，万一ワイヤロープが 1 本切断したとしても落下を防止できる設計としている。



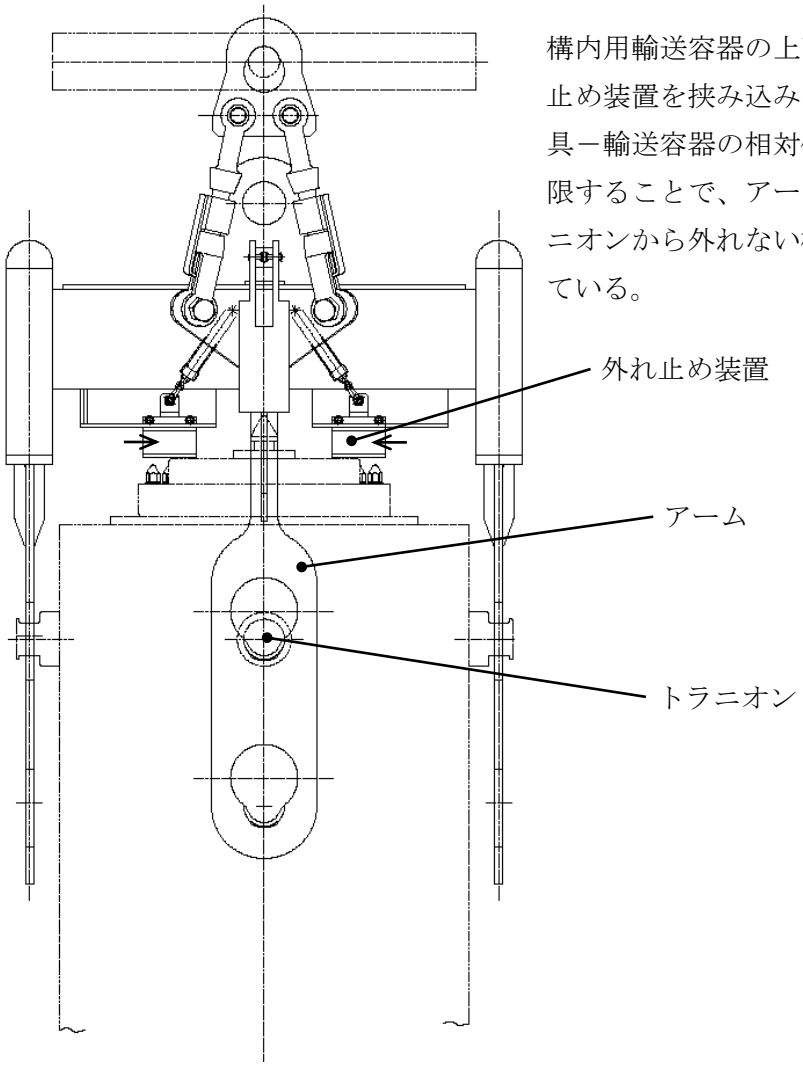

燃料取扱機




クレーン

| 機器名称 | 落下防止対策 |
|---|---|
| 燃料取扱機 | (1)　巻上装置は駆動源喪失時にブレーキで保持する構造<br>(2)　燃料把握機は空気圧源喪失時にフックが開かない構造<br>(3)　燃料把握機の機械的インターロック<br>(4)　燃料把握機の過荷重時に上昇を阻止するインターロック<br>(5)　燃料把握機は二重のワイヤロープで保持する構造 |
| クレーン | (1)　巻上装置は駆動源喪失時にブレーキで保持する構造<br>(2)　垂直吊具は二重のワイヤロープで保持する構造<br>(3)　垂直吊具の過荷重時に上昇を阻止するインターロック<br>(4)　垂直吊具は外れ止め装置を有する構造 |

垂直吊具は，構内用輸送容器トラニオンから垂直吊具のアームが外れることを防止する外れ止め装置を有する。




構内用輸送容器の上面に外れ止め装置を挟み込み、垂直吊具－輸送容器の相対位置を制限することで、アームがトラニオンから外れない機構としている。

垂直吊具

4　　別添

別添－１　４号機燃料取扱設備の機能に係る確認事項

別添－２　３号機燃料取扱設備の機能に係る確認事項

別添－３　２号機燃料取扱設備の機能に係る確認事項

# ４号機燃料取扱設備の機能に係る確認事項

４号機燃料取扱設備の機能に係る主要な確認事項を表－１及び表－２に示す。

表－１　４号機燃料取扱設備の機能に係る確認事項（燃料取扱機）

| 確認事項 | 確認項目 | | 確認内容 | 判定基準 |
|---|---|---|---|---|
| 落下防止 | 機能確認 | | 単一故障において燃料集合体を落下させないことを確認する。 | 動力源が喪失した場合においても燃料集合体を保持し続ける構造であること。<br>動力源断時に電磁ブレーキで保持する構造であること。 |
| | | | | 空気喪失時にフックが開かない構造であること。 |
| | | | | ラッチ機構により固定されフックを開くことができない構造であること。 |
| | | | | 過荷重時に上昇を阻止すること。 |
| | | | | 二重のワイヤロープで保持する構造であること。 |
| 臨界防止 | 機能確認 | | 燃料集合体取り扱い時の臨界防止機能について確認する。 | 燃料集合体を１体ずつ取り扱う構造であること。 |
| 遮蔽 | 機能確認 | | 燃料集合体取り扱い時の遮蔽機能について確認する。 | 遮蔽水深を確保した状態で取り扱えること。 |
| 性能 | 機能確認 | 容量確認 | 容量及び所定の動作について確認する。 | 実施計画通りの荷重が吊り上げ可能なこと。<br>横行，走行，巻き上げ，巻き下げが可能なこと。 |

表－２　４号機燃料取扱設備の機能に係る確認事項（クレーン）

| 確認事項 | 確認項目 | | 確認内容 | 判定基準 |
|---|---|---|---|---|
| 落下防止 | 機能確認 | | 単一故障において構内用輸送容器を落下させないことを確認する。 | 動力源が喪失した場合においても構内用輸送容器を保持し続ける構造であること。<br>動力源断時に電動油圧押上機ブレーキで保持する構造であること。 |
| | | | | 重量物を吊った状態で使用済燃料貯蔵ラック上を通過させない構造であること。 |
| | | | | 二重のワイヤロープで保持する構造であること。 |
| | | | | フックは外れ防止装置を有する構造であること。 |
| 性能 | 機能確認 | 容量確認 | 容量及び所定の動作について確認する。 | 実施計画通りの荷重が吊り上げ可能なこと。<br>横行，走行，巻き上げ，巻き下げが可能なこと。 |

# ３号機燃料取扱設備の機能に係る確認事項

３号機燃料取扱設備の機能に係る主要な確認事項を表－１及び表－２に示す。

表－１　３号機燃料取扱設備の機能に係る確認事項（燃料取扱機）

| 確認事項 | 確認項目 | | 確認内容 | 判定基準 |
|---|---|---|---|---|
| 落下防止 | 機能確認 | | 単一故障において燃料集合体を落下させないことを確認する。 | 動力源が喪失した場合においても燃料集合体を保持し続ける構造であること。<br>動力源断時に電磁ブレーキで保持する構造であること。 |
| | | | | 駆動水圧喪失時にフックが開かない構造であること。 |
| | | | | ラッチ機構により固定されフックを開くことができない構造であること。 |
| | | | | 過荷重時に上昇を阻止すること。 |
| | | | | 二重のワイヤロープで保持する構造であること。 |
| 臨界防止 | 機能確認 | | 燃料集合体取り扱い時の臨界防止機能について確認する。 | 燃料集合体を１体ずつ取り扱う構造であること。 |
| 遮蔽 | 機能確認 | | 燃料集合体取り扱い時の遮蔽機能について確認する。 | 遮蔽水深を確保した状態で取り扱えること。 |
| 性能 | 機能確認 | 容量確認 | 容量及び所定の動作について確認する。 | 実施計画通りの荷重が吊り上げ可能なこと。<br>横行，走行，巻き上げ，巻き下げが可能なこと。 |

表－２　３号機燃料取扱設備の機能に係る確認事項（クレーン）

| 確認事項 | 確認項目 | | 確認内容 | 判定基準 |
|---|---|---|---|---|
| 落下防止 | 機能確認 | | 単一故障において構内用輸送容器を落下させないことを確認する。 | 動力源が喪失した場合においても構内用輸送容器を保持し続ける構造であること。<br>動力源断時に電動油圧押上機ブレーキで保持する構造であること。 |
| | | | | 重量物を吊った状態で使用済燃料貯蔵ラック上を通過させない構造であること。 |
| | | | | 二重のワイヤロープで保持する構造であること。 |
| | | | | フックは外れ防止装置を有する構造であること。 |
| 性能 | 機能確認 | 容量確認 | 容量及び所定の動作について確認する。 | 実施計画通りの荷重が吊り上げ可能なこと。<br>横行，走行，巻き上げ，巻き下げが可能なこと。 |

# ２号機燃料取扱設備の機能に係る確認事項

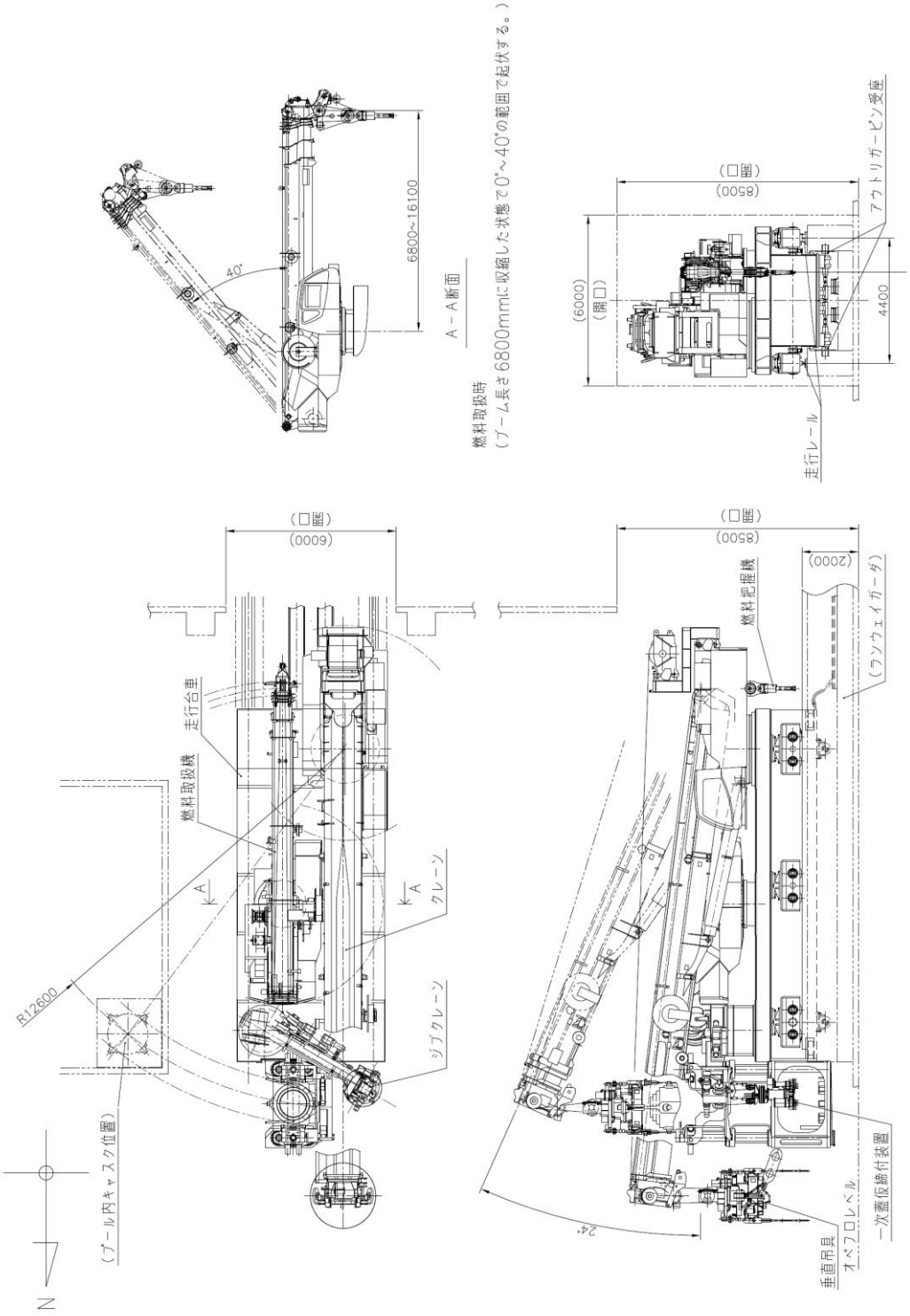
２号機燃料取扱設備の機能に係る主要な確認事項を表－１及び表－２に示す。また，燃料取扱設備，燃料把握機，垂直吊具の外形図を図－１，図－２及び図―３に示す。

表－１　２号機燃料取扱設備の機能に係る確認事項（燃料取扱機）

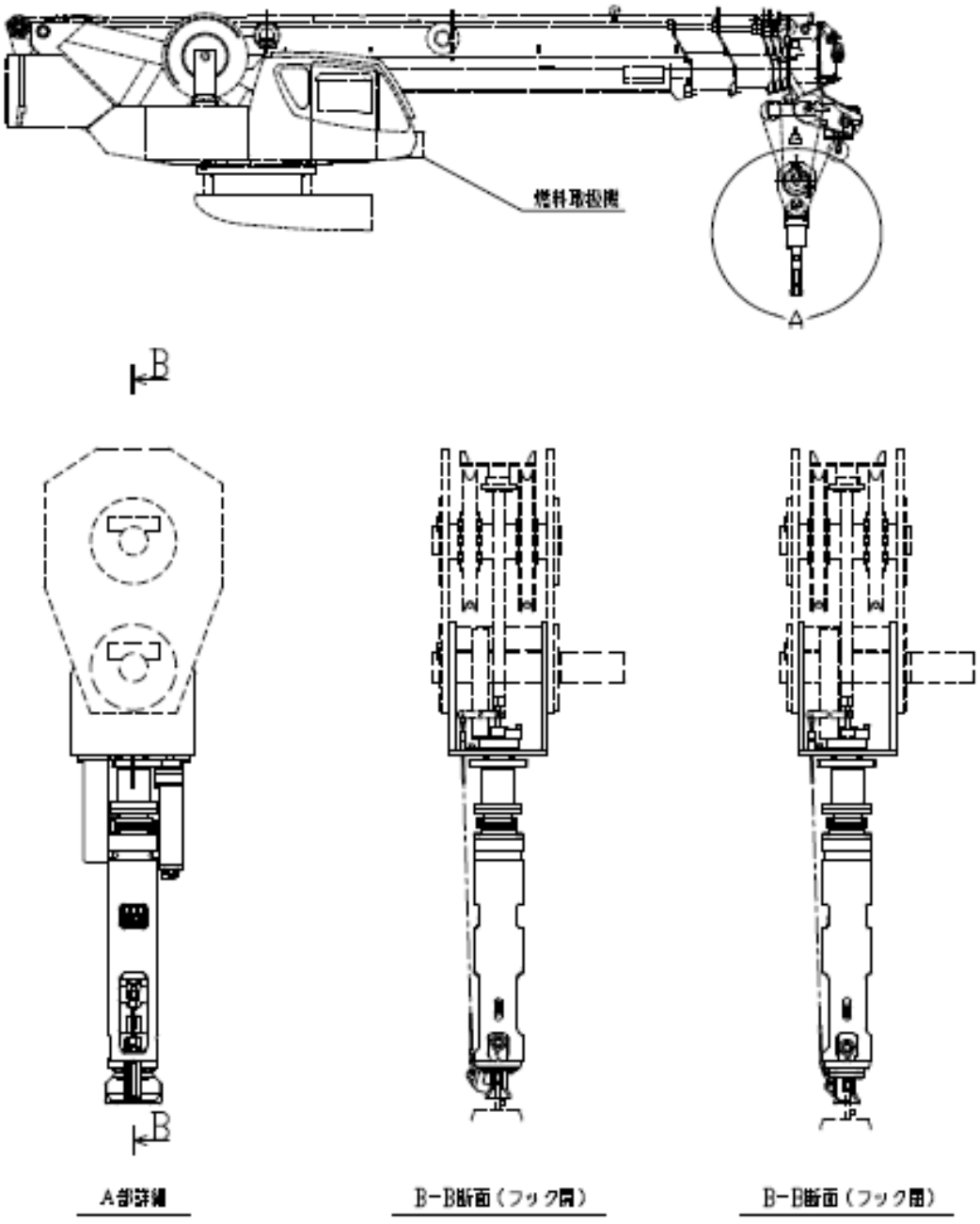
| 確認事項 | 確認項目 | | 確認内容 | 判定基準 | 検査場所 |
|---|---|---|---|---|---|
| 落下防止 | 機能確認 | | 単一故障において燃料集合体を落下させないことを確認する。 | 動力源が喪失した場合においても定格容量を保持し続ける構造であること。<br>動力源断時にスプリングリターン式ブレーキで保持する構造であること。 | 工場 |
| | | | | 駆動空気圧喪失時にフックが開かない構造であること。 | 工場 |
| | | | | ラッチ機構により固定されフックを開くことができない構造であること。 | 工場 |
| | | | | 過荷重時に上昇を阻止すること。 | 工場 |
| | | | | 二重のワイヤロープで保持する構造であること。 | 工場 |
| 臨界防止 | 機能確認 | | 燃料集合体取り扱い時の臨界防止機能について確認する。 | 燃料集合体を１体ずつ取り扱う構造であること。 | 工場 |
| 遮蔽 | 機能確認 | | 燃料集合体取り扱い時の遮蔽機能について確認する。 | 遮蔽水深を確保した状態で取り扱えること。 | 現地 |
| 性能 | 機能確認 | 容量確認 | 容量について確認する。 | 実施計画通りの荷重が吊り上げ可能なこと。 | 工場 |
| 性能 | 性能確認 | 動作確認 | 所定の動作について確認する。 | 燃料集合体を取扱う状態で伸縮，起伏，旋回，昇降が可能なこと。 | 現地 |

表－２　２号機燃料取扱設備の機能に係る確認事項（クレーン）

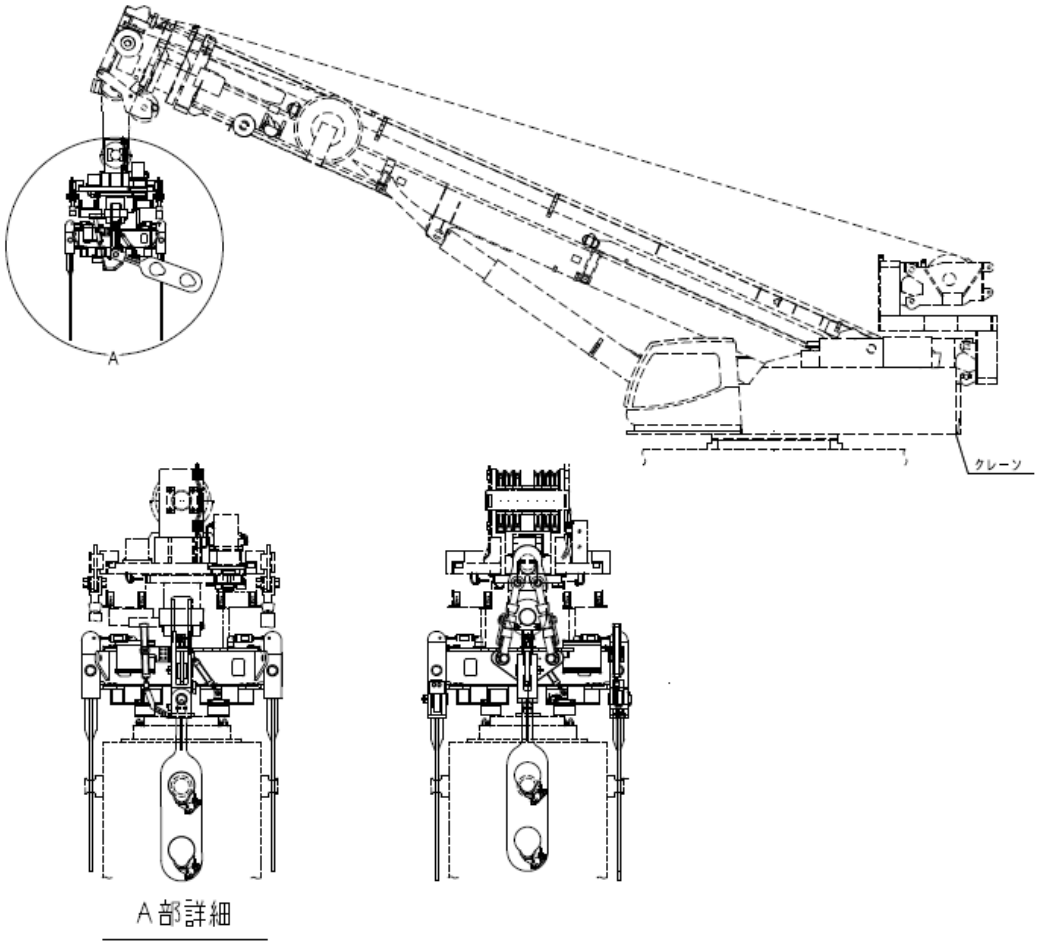
| 確認事項 | 確認項目 | | 確認内容 | 判定基準 | 検査場所 |
|---|---|---|---|---|---|
| 落下防止 | 機能確認 | | 単一故障において構内用輸送容器を落下させないことを確認する。 | 動力源が喪失した場合においても定格容量を保持し続ける構造であること。<br>動力源断時にスプリングリターン式ブレーキで保持する構造であること。 | 工場 |
| | | | | 構内用輸送容器を取扱う状態で使用済燃料貯蔵ラック上を通過させない機能を有すること。 | 現地 |
| | | | | 二重のワイヤロープで保持する構造であること。 | 工場 |
| | | | | 垂直吊具は外れ止め装置を有する構造であること。 | 工場 |
| 性能 | 機能確認 | 容量確認 | 容量について確認する。 | 実施計画通りの荷重が吊り上げ可能なこと。 | 工場 |
| 性能 | 性能確認 | 動作確認 | 所定の動作について確認する。 | 構内用輸送容器を取扱う状態で旋回，昇降が可能なこと。 | 現地 |




図－１　燃料取扱設備　外形図




図－２　燃料把握機　外形図




図－３　垂直吊具　外形図

# 放射線モニタリングに関する説明書

## 1　概要

本説明書は，放射線管理用計測装置の構成並びに計測範囲及び警報動作範囲について説明するものである。

## 2　４号機放射線モニタリング

### 2.1　４号機放射線モニタリングの基本方針

燃料取扱時及び非常時において，エリア放射線モニタは使用済燃料貯蔵プールエリアの線量当量率を連続計測する目的で設置する。その計測結果を計装監視設備の現場盤に集約し，現場盤のデータはネットワーク回線経由で免震重要棟内 PC に集約し，集中監視する。

なお，エリア放射線モニタは試験及び検査ができる設計とする。

エリア放射線モニタを含む制御回路は，無停電電源装置を有しており，瞬停時にも計測を継続可能とする。

(1) 使用済燃料貯蔵プールエリアの線量当量率を計測する装置

本計測装置は，使用済燃料貯蔵プールエリアの線量当量率を計測して，その計測結果を現場盤にて指示及び記録するとともに，免震重要棟で指示値を確認できるものとする。また，放射線基準設定レベルを超えた時には免震重要棟及び現場設置箇所にて警報を発信する。

表 2.1-1　４号機エリア放射線モニタ仕様

| 名称 | 検出器の種類 | 計測範囲 | 警報動作範囲 | 取付箇所 | 個数 |
|---|---|---|---|---|---|
| 使用済燃料貯蔵プールエリア放射線モニタ | 半導体検出器 | $10^{-3}$～10mSv/h | 計測範囲内で可変 | ４号機　原子炉建屋 5FL<br>(燃料取り出し用カバーオペフロ階) | 2 |

(2) 計測範囲の設定に関する考え方

測定下限値はバックグラウンドレベルが測定でき、測定上限値は設定すべき警報動作値を包含する範囲とする。

(3) 警報動作範囲の設定に関する考え方

警報動作値は，異常を検知する観点からバックグラウンドと有意な差を持たせると同時に，作業安全を考慮した適切な値とする。

2.2　4号機エリア放射線モニタの構成

使用済燃料貯蔵プールエリアの線量当量率を半導体検出器を用いてパルス信号として検出する。検出したパルス信号を演算装置にて線量当量率信号へ変換する処理を行った後，線量当量率を現場盤にて指示及び記録するとともに，免震重要棟にて指示値を表示する。

また，演算装置にて警報設定値との比較を行い，線量当量率が警報設定値に達した場合には，免震重要棟内に警報音とともに一括警報及び個別警報表示を行う。

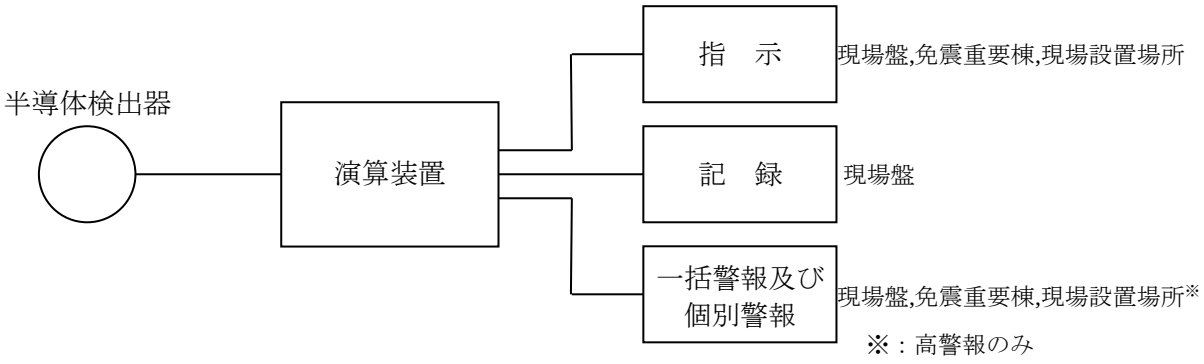



図 2.2-1　4号機使用済燃料貯蔵プールエリアのエリア放射線モニタ概略構成図

2.3　４号機使用済燃料貯蔵プールエリアのエリア放射線モニタの配置

４号機使用済燃料キャスクの移動ルート（SFP 近傍／搬出入口近傍）の 2 箇所に設置する（図 2.3-1 参照）。

検出器のボトムが床から 1500±100mm となるよう壁または柱に設置する。

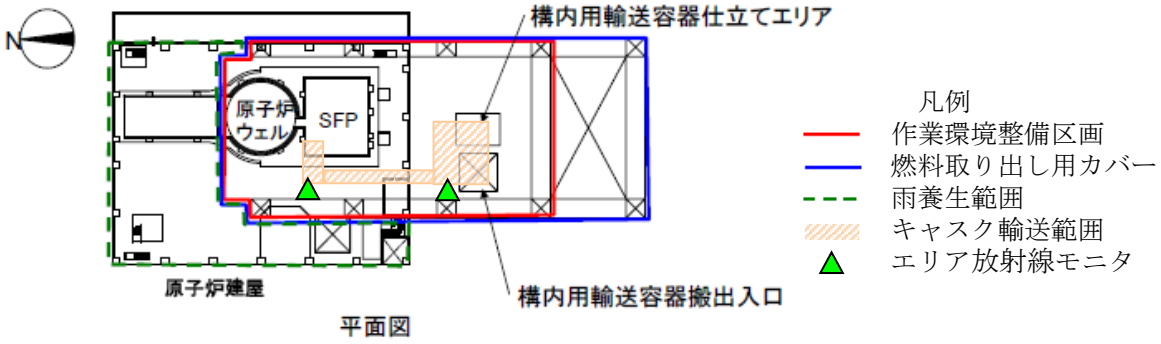



図 2.3-1　４号機使用済燃料貯蔵プールエリアのエリア放射線モニタ配置図

3　 3号機放射線モニタリング

3.1　3号機放射線モニタリングの基本方針

通常時及び非常時において，エリア放射線モニタは使用済燃料貯蔵プールエリアの線量当量率を連続計測する目的で設置する。その計測結果は現場盤を介して伝送用PCに集約し，伝送用PCのデータはネットワーク回線経由で免震重要棟内の監視PCに集約・表示し集中監視する。

なお，エリア放射線モニタは試験及び検査ができる設計とする。

(1) 使用済燃料貯蔵プールエリアの線量当量率を計測する装置

本計測装置は，使用済燃料貯蔵プールエリアの線量当量率を計測して，その計測結果を現場盤にて指示及び記録するとともに，免震重要棟で指示を確認できるものとする。

また，放射線基準設定レベルを超えた時には免震重要棟及び現場設置箇所にて警報を発信する。

表3.1-1　3号機エリア放射線モニタ仕様

| 名称 | 検出器の種類 | 計測範囲 | 警報動作範囲 | 取付箇所 | 個数 |
|---|---|---|---|---|---|
| 使用済燃料貯蔵プールエリア放射線モニタ | 半導体検出器 | $10^{-2}$～$10^{2}$mSv/h | 計測範囲内で可変 | 3号機　燃料取り出し用カバー<br>燃料取り出し作業フロア | 2 |

(2) 計測範囲の設定に関する考え方

測定下限値はバックグラウンドレベルが測定でき、測定上限値は設定すべき警報動作値を包含する範囲とする。

(3) 警報動作範囲の設定に関する考え方

警報動作値は，異常を検知する観点からバックグラウンドと有意な差を持たせると同時に，作業安全を考慮した適切な値とする。

3.2　３号機使用済燃料貯蔵プールエリア放射線モニタの構成

使用済燃料貯蔵プールエリアの線量当量率を半導体検出器を用いてパルス信号として検出する。検出したパルス信号を演算装置にて線量当量率信号へ変換する処理を行った後，線量当量率を現場盤にて指示及び記録するとともに，免震重要棟にて指示値を表示する。

また，演算装置にて警報設定値との比較を行い，線量当量率が警報設定値に達した場合には，免震重要棟に警報音とともに一括警報及び個別警報表示を行う。

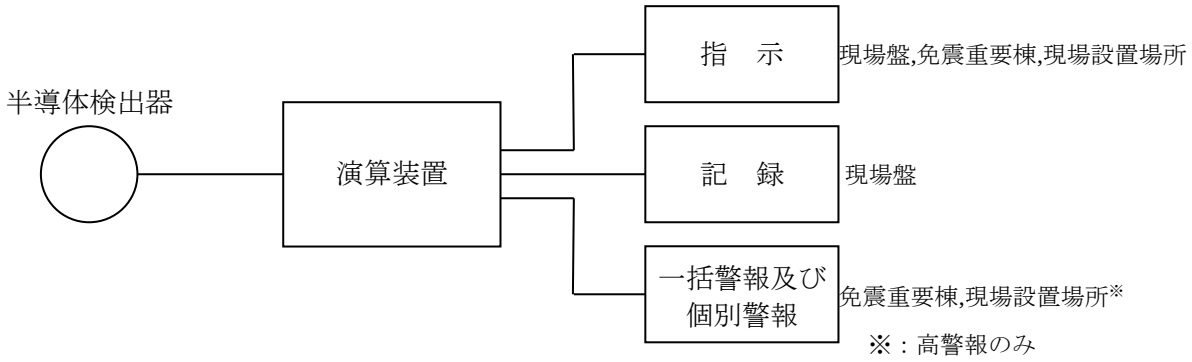



図 3.2-1　３号機使用済燃料貯蔵プールエリアのエリア放射線モニタ概略構成図

3.3　３号機使用済燃料貯蔵プールエリア放射線モニタの配置

３号機燃料取り出し用カバー　燃料取り出し作業フロア（東側メンテナンスエリア／西側メンテナンスエリア）の２箇所に設置する（図 3.3-1 参照）。

検出器のボトムが床から 1300±100㎜となるよう床から自立させて設置する。

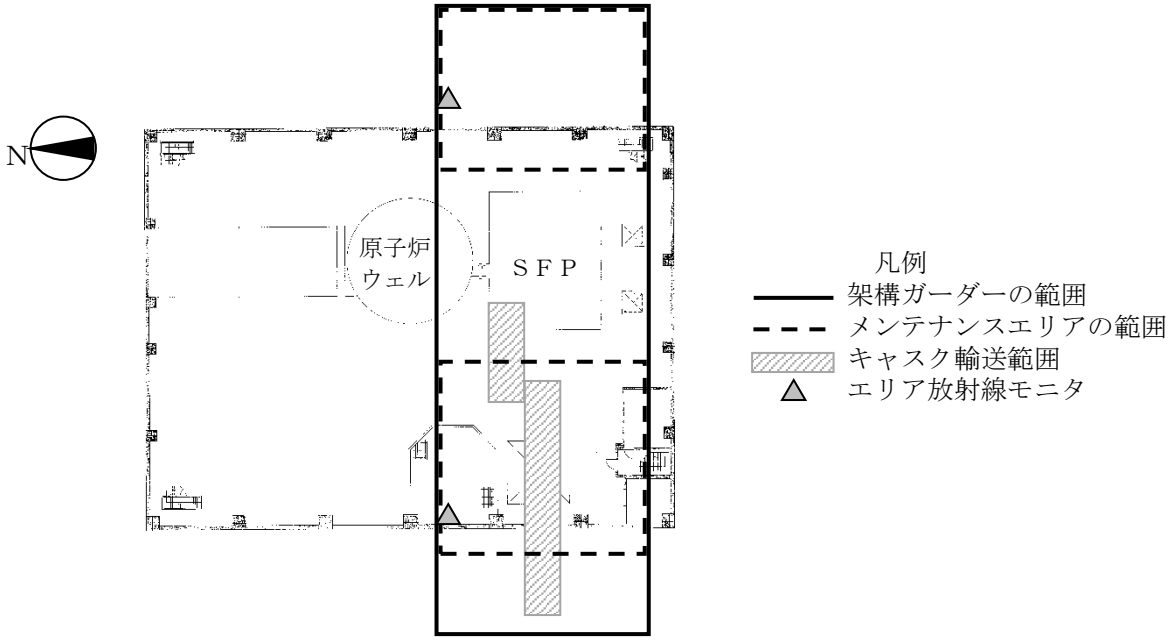



図 3.3-1　３号機使用済燃料貯蔵プールエリアのエリア放射線モニタ配置図

4　２号機放射線モニタリング

4.1　２号機放射線モニタリングの基本方針

通常時及び非常時において，エリア放射線モニタは燃料取り出し用構台内作業エリアの線量当量率を計測する目的で設置する。その計測結果は現場盤を介して伝送用 PC に集約し，伝送用 PC のデータはネットワーク回線経由で免震重要棟内の監視 PC に集約・表示し集中監視する。

なお，エリア放射線モニタは試験及び検査ができる設計とする。

(1) 燃料取り出し用構台内作業エリアの線量当量率を計測する装置

本計測装置は，燃料取り出し用構台内作業エリアの線量当量率を計測して，その計測結果を現場盤及び現場設置場所にて指示するとともに，免震重要棟で指示及び記録するものとする。

また，放射線基準設定レベルを超えた時には免震重要棟及び現場設置箇所にて警報を発信する。

表 4.1-1　２号機エリア放射線モニタ仕様

| 名称 | 検出器の種類 | 計測範囲 | 警報動作範囲 | 取付箇所 | 個数 |
|---|---|---|---|---|---|
| 燃料取り出し用構台内エリア放射線モニタ | 半導体検出器 | $10^{-2}$～$10^{2}$mSv/h | 計測範囲内で可変 | ２号機<br>燃料取り出し用構台内作業エリア | 2 |

(2) 計測範囲の設定に関する考え方

測定下限値はバックグラウンドレベルが測定でき，測定上限値は設定すべき警報動作値を包含する範囲とする。

(3) 警報動作範囲の設定に関する考え方

警報動作値は，異常を検知する観点からバックグラウンドと有意な差を持たせると同時に，作業安全を考慮した適切な値とする。

4.2　２号機燃料取り出し用構台内エリア放射線モニタの構成

燃料取り出し用構台内作業エリアの線量当量率を，半導体検出器を用いてパルス信号として検出する。検出したパルス信号を演算装置にて線量当量率信号へ変換する処理を行った後，線量当量率を現場盤及び現場設置場所にて指示するとともに，免震重要棟にて指示及び記録する。

また，演算装置にて警報設定値との比較を行い，線量当量率が警報設定値に達した場合には，免震重要棟に警報音とともに一括警報及び個別警報表示を行う。

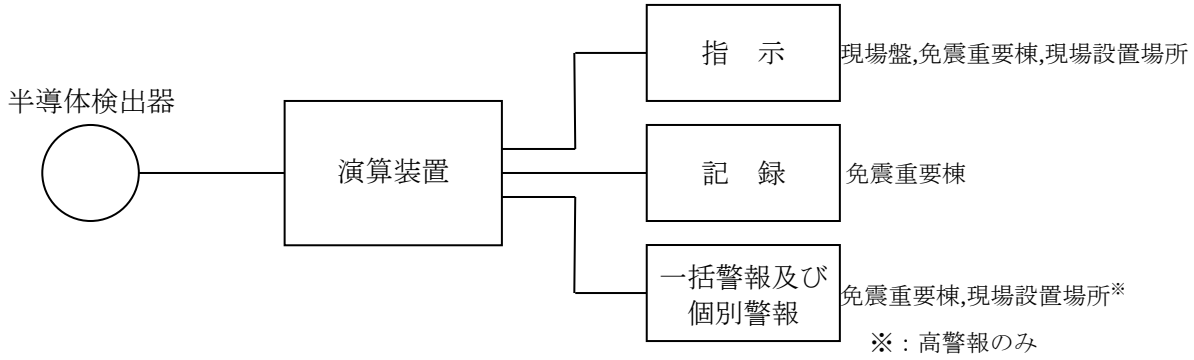



図 4.2-1　２号機燃料取り出し用構台内作業エリアのエリア放射線モニタ概略構成図

4.3　２号機燃料取り出し用構台内作業エリア放射線モニタの配置

燃料取り出し用構台内作業エリアの 2 箇所に設置する（図 4.3-1 参照）。

検出器のボトムが床から 1300±100mm となるよう床から自立させて設置する。

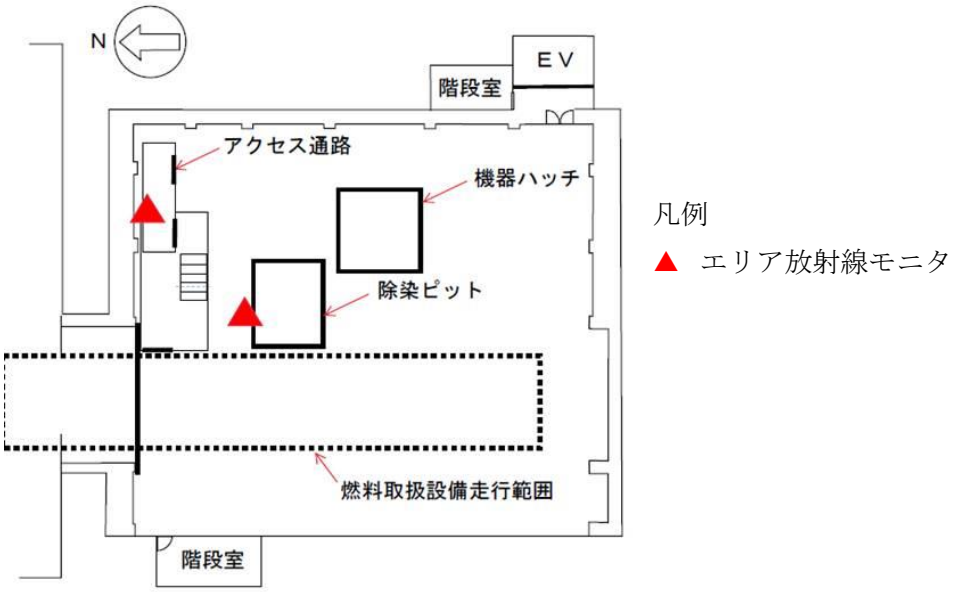



図 4.3-1　２号機燃料取り出し用構台内のエリア放射線モニタ配置図

5　別添

別添－１　４号機使用済燃料貯蔵プールエリア放射線モニタに係る確認事項

別添－２　３号機使用済燃料貯蔵プールエリア放射線モニタに係る確認事項

別添－３　２号機燃料取り出し用構台内エリア放射線モニタに係る確認事項

# ４号機使用済燃料貯蔵プールエリア放射線モニタに係る確認事項

４号機使用済燃料貯蔵プールエリア放射線モニタに係る主要な確認事項を表－１に示す。

表－１　４号機使用済燃料貯蔵プールエリア放射線モニタに係る確認事項

| 確認事項 | 確認項目 | | 確認内容 | 判定基準 |
|---|---|---|---|---|
| 監視 | 構造確認 | 外観確認 | 各部の外観を確認する。 | 有意な欠陥がないこと。 |
| | | 据付確認 | 機器の据付位置，据付状態について確認する。 | 実施計画通りに施工・据付されていること。 |
| | 機能確認 | 警報確認 | 設定値において警報及び表示灯が作動することを確認する。 | 許容範囲以内で警報及び表示灯が作動すること。 |
| | 性能確認 | 線源校正確認 | 標準線源を用いて線量当量率を測定し，各検出器の校正が正しいことを確認する。 | 基準線量当量率に対する正味線量当量が，許容範囲以内であること。 |
| | | 校正確認 | モニタ内のテスト信号発生部により，データ収集装置に各校正点の基準入力を与え，その時のデータ収集装置の指示値が正しいことを確認する。 | 各指示値が許容範囲以内に入っていること。 |

# ３号機使用済燃料貯蔵プールエリア放射線モニタに係る確認事項

３号機使用済燃料貯蔵プールエリア放射線モニタに係る主要な確認事項を表－１に示す。

表－１　３号機使用済燃料貯蔵プールエリア放射線モニタに係る確認事項

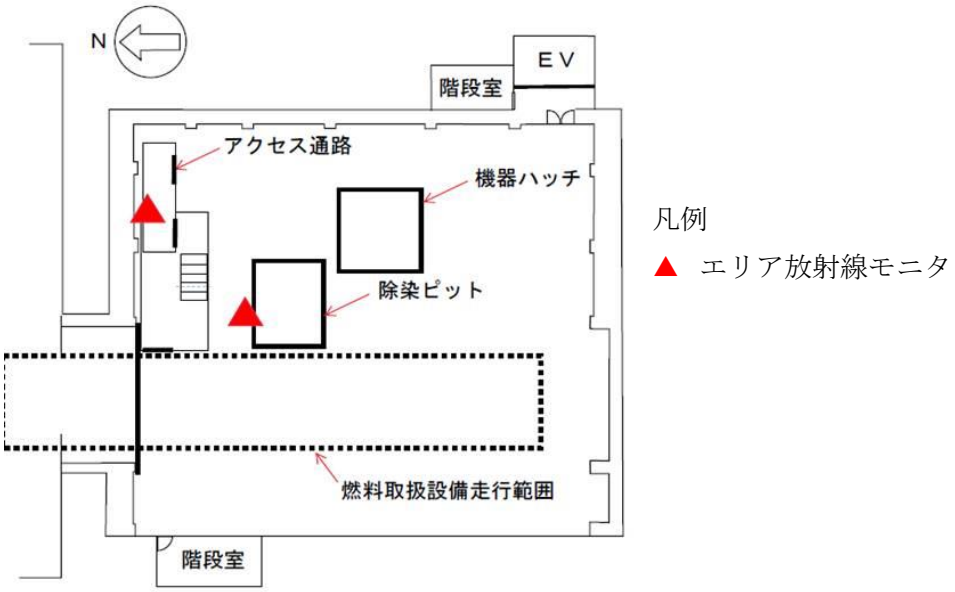
| 確認事項 | 確認項目 | | 確認内容 | 判定基準 |
|---|---|---|---|---|
| 監視 | 構造確認 | 外観確認 | 各部の外観を確認する。 | 有意な欠陥がないこと。 |
| | | 据付確認 | 機器の据付位置，据付状態について確認する。 | 実施計画通りに施工・据付されていること。 |
| | 機能確認 | 警報確認 | 設定値において警報及び表示灯が作動することを確認する。 | 許容範囲以内で警報及び表示灯が作動すること。 |
| | 性能確認 | 線源校正確認 | 標準線源を用いて線量当量率を測定し，各検出器の校正が正しいことを確認する。 | 基準線量当量率に対する正味線量当量が，許容範囲以内であること。 |
| | | 校正確認 | モニタ内のテスト信号発生部により，各校正点の基準入力を与え，その時の監視ＰＣの指示値が正しいことを確認する。 | 各指示値が許容範囲以内に入っていること。 |

# ２号機燃料取り出し用構台内エリア放射線モニタに係る確認事項

２号機燃料取り出し用構台内エリア放射線モニタに係る主要な確認事項を表－１に，エリア放射線モニタの配置図を図－１に示す。

表－１　２号機燃料取り出し用構台内エリア放射線モニタに係る確認事項

| 確認事項 | 確認項目 | | 確認内容 | 判定基準 | 検査場所 |
|---|---|---|---|---|---|
| 監視 | 構造確認 | 外観確認 | 各部の外観を確認する。 | 有意な欠陥がないこと。 | 現地 |
| | | 据付確認 | 機器の据付位置，据付状態について確認する。 | 実施計画通りに施工・据付されていること。 | 現地 |
| | 機能確認 | 警報確認 | 設定値において警報及び表示灯が作動することを確認する。 | 許容範囲以内で警報及び表示灯が作動すること。 | 現地 |
| | 性能確認 | 線源校正確認 | 標準線源を用いて線量当量率を測定し，各検出器の校正が正しいことを確認する。 | 基準線量当量率に対する正味線量当量が，許容範囲以内であること。 | 現地 |
| | | 校正確認 | モニタ内のテスト信号発生部により，各校正点の基準入力を与え，その時の監視ＰＣの指示値が正しいことを確認する。 | 各指示値が許容範囲以内に入っていること。 | 現地 |




図－１　２号機燃料取り出し用構台内のエリア放射線モニタ配置図
（添付資料１－２　図 4.3-1 再掲）

# 燃料の健全性確認及び取り扱いに関する説明書

## 1.　概要

福島第一１～４号機　使用済燃料プール（以下，ＳＦＰ）に貯蔵されている燃料は，海水注入等による水質環境変化，原子炉建屋爆発に伴うがれきの落下を経験しており，燃料を使用済燃料共用プール（４号機ＳＦＰに貯蔵されている新燃料については，一部６号機ＳＦＰ）へ搬出する前に，取り扱いに必要な機能を有していることを確認しておく必要がある。

燃料健全性を確認するための検査としてはシッピング検査や外観検査といった検査が考えられるが，燃料検査装置が損傷していること，ＳＦＰ周辺は空間線量が高いことから，通常行われている検査を行うことは困難な状況にある。このため，海水注入等による水質環境変化についてはＳＦＰ水質を模擬した燃料部材の腐食試験等により，がれきの落下についてはがれきが衝突する上部タイプレート（以下，ＵＴＰ）の変形程度を確認することにより，燃料健全性への影響について確認する。

燃料健全性への影響がない燃料集合体は３号機においては３号機構内用輸送容器，４号機においては既存のＮＦＴ－２２Ｂ型構内輸送容器に収納し，燃料健全性への影響が疑われる燃料集合体は燃料被覆管の破損を考慮した容器に収納し，使用済燃料共用プール（４号機ＳＦＰに貯蔵されている新燃料については，一部６号機ＳＦＰ）へ搬出する。

## 2.　震災時のＳＦＰの状況

福島第一１～４号機は地震後の津波によりプール水の冷却機能が喪失し，使用済燃料からの崩壊熱によりプール水が蒸発したが，放水車や既設のＦＰＣ配管を用いた注水によりＳＦＰ内の燃料が冠水した状態を維持することができた。１号機，３号機，４号機は水素爆発により建屋が損傷しており，水中カメラを用いて３号機，４号機のＳＦＰ内を調査したところ，がれきが散乱していることを確認している。

水質分析の結果，塩化物イオン濃度は４号機で約 2500ppm，pH は３号機で 11.2 が確認された。以下に福島第一１～４号機の震災時のＳＦＰの水質について記載する。

### 2.1.　１号機ＳＦＰの状況

震災発生時に１号機のＳＦＰには使用済燃料292体，新燃料100体が貯蔵されていた。震災に伴う全交流電源喪失により，平成23年3月11日にＳＦＰの冷却機能及び補給水機能が喪失したが，コンクリートポンプ車による放水（淡水）やＦＰＣ配管による注水（淡水）により，図２－１に示すとおり燃料が冠水した状態を維持することができた。平成23年8月10日に代替冷却系によるＳＦＰ冷却を開始した。冷却開始時の水温は約47℃（代替冷却系入口温度）だったが，平成23年8月27日頃には安定した状態になった。

なお，１号機ＳＦＰには海水注入を行っていない。

2.2.　２号機ＳＦＰの状況

震災発生時に２号機のＳＦＰには使用済燃料587体，新燃料28体が貯蔵されていた。震災に伴う全交流電源喪失により，平成23年3月11日にＳＦＰの冷却機能及び補給水機能が喪失したが，ＦＰＣ配管を用いた注水（海水又は淡水）により，図２－２に示すとおり燃料が冠水した状態を維持することができた。平成23年5月31日に代替冷却系によるＳＦＰ水冷却を開始した。冷却開始時の水温は70℃（ＳＦＰ温度計指示値）だったが，平成23年6月5日頃には安定した状態になった。また，平成24年1月から塩分除去作業を開始した。塩分除去開始前の塩化物イオン濃度は1600ppmであったが，平成24年7月に十分低い濃度に達したことから，塩分除去作業を完了した（保安規定制限値：100ppm)。塩分濃度の推移を図２－３に示す。

2.3.　３号機ＳＦＰの状況

震災発生時に3号機のＳＦＰには使用済燃料514体，新燃料52体が貯蔵されていた。震災に伴う全交流電源喪失により，平成23年3月11日にＳＦＰの冷却機能及び補給水機能が喪失したが，放水車，屈折放水塔車，コンクリートポンプ車による放水（海水又は淡水）や既設のＦＰＣ配管を用いた注水により図２－４に示すとおり燃料が冠水した状態を維持することができた。

ＳＦＰ水を分析したところ，落下したコンクリートからカルシウム等が溶出し，ＳＦＰ水がアルカリ性を示すことが確認された。このため，ＳＦＰ内の設備の腐食を防止するためにホウ酸水を注水して中和した。注水前には強アルカリ性（pH11.2，平成23年5月8日測定）であったが，注水後には弱アルカリ性（pH9.0，平成23年7月7日測定）になった。

平成23年6月30日に代替冷却系によるＳＦＰ水冷却を開始した。冷却開始時の水温は約62℃（代替冷却系入口温度）だったが，平成23年7月7日頃には安定した状態になった。また，平成24年4月から塩分除去作業を開始した。塩分除去開始前の塩化物イオン濃度は1600ppmであったが，平成25年3月に十分低い濃度に達したことから塩分除去作業を完了した。塩分濃度の推移を図２－５に示す。

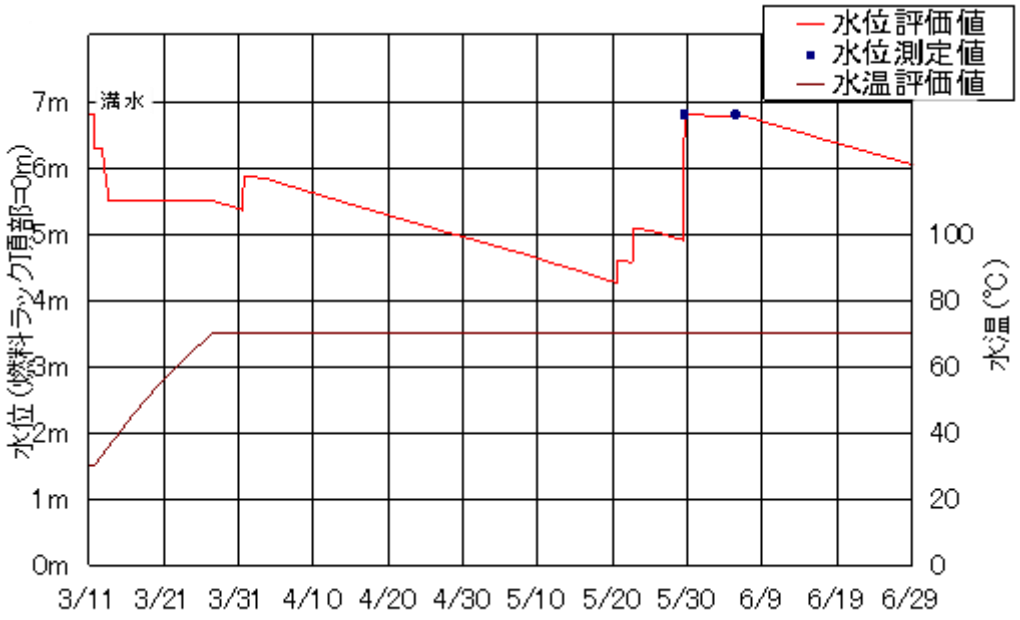
2.4.　４号機ＳＦＰの状況

震災発生時に4号機のＳＦＰには使用済燃料1331体，新燃料204体が貯蔵されていた。震災に伴う全交流電源喪失により，平成23年3月11日にＳＦＰの冷却機能及び補給水機能が喪失したが，高圧放水車，コンクリートポンプ車を用いた放水（海水又は淡水）により図２－６に示すとおり燃料が冠水した状態を維持することができた。

福島第一１～４号機ＳＦＰの中で最も発熱量が高い４号機では，平成23年3月22日より海水注水を実施しており，平成23年5月7日には約2500ppmの塩化物イオン濃度が測定された。淡水に切替えた以降は，約2000～2500ppmの塩化物イオン濃度で推移した。

平成23年7月31日に代替冷却系によるＳＦＰ水冷却を開始した。冷却開始前の水温は

90℃程度と評価されているが，冷却開始後は夏場でも40℃程度で安定的に推移した。また，平成23年8月から塩分除去作業を開始した。塩分除去開始前の塩化物イオン濃度は1944ppmであったが，平成24年10月に塩化物イオン濃度9ppm程度と十分低い濃度に達したことから塩分除去作業を完了した。塩分濃度の推移を図２－７に示す。




日付は平成 23 年の月/日を示す

図２－１　１号機ＳＦＰの評価結果

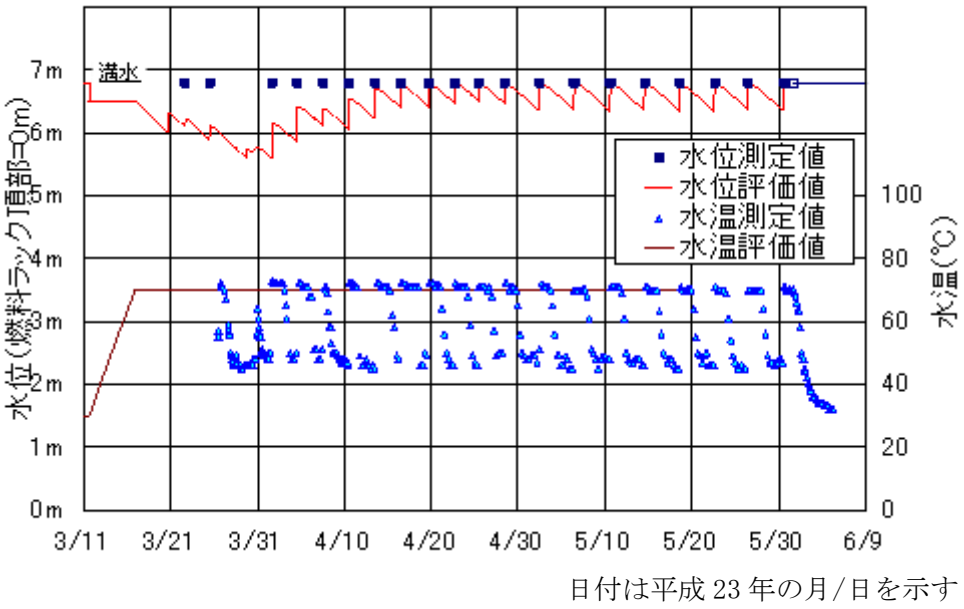



図２－２　２号機ＳＦＰの評価結果

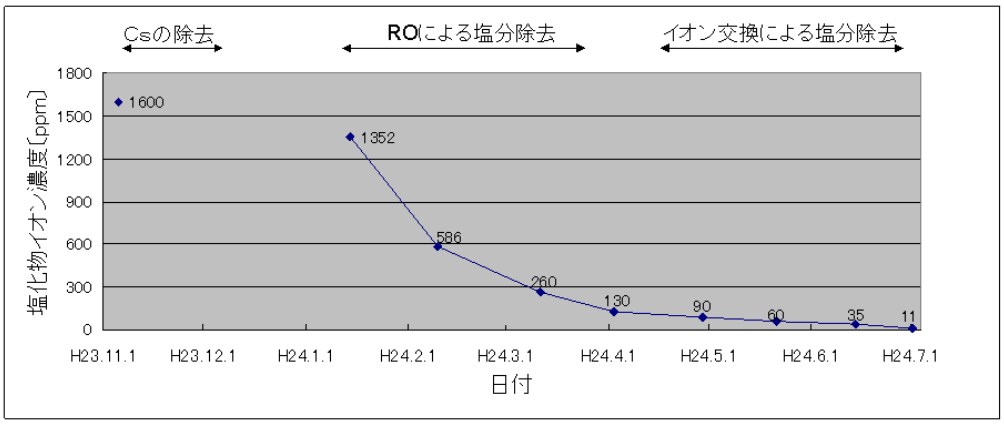
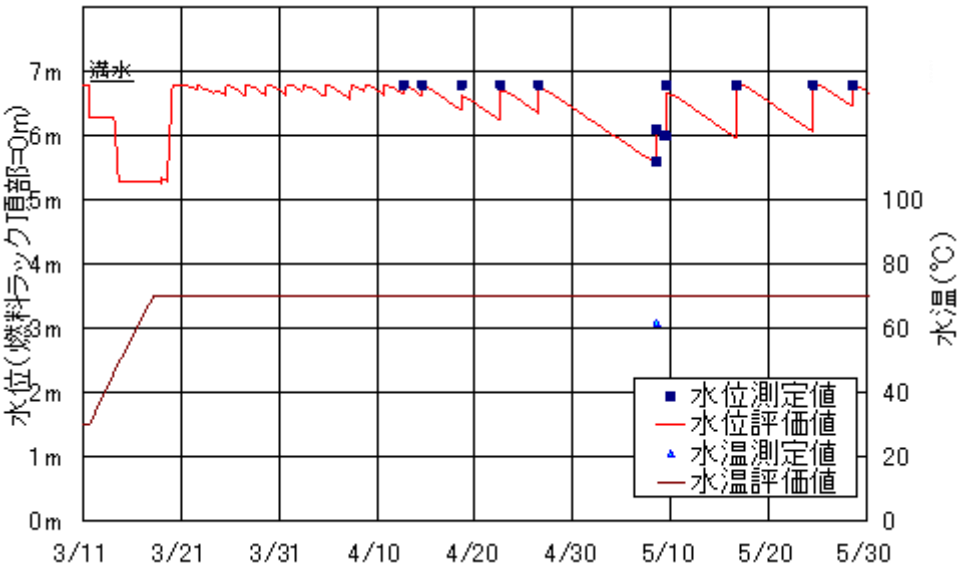



図２－３　２号機ＳＦＰ塩化物イオン濃度の評価結果




日付は平成 23 年の月/日を示す

図２－４　３号機ＳＦＰの評価結果

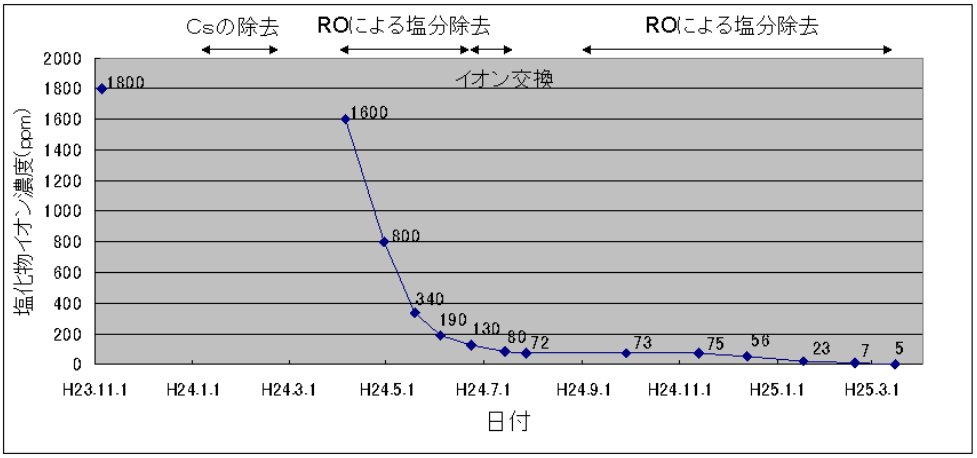
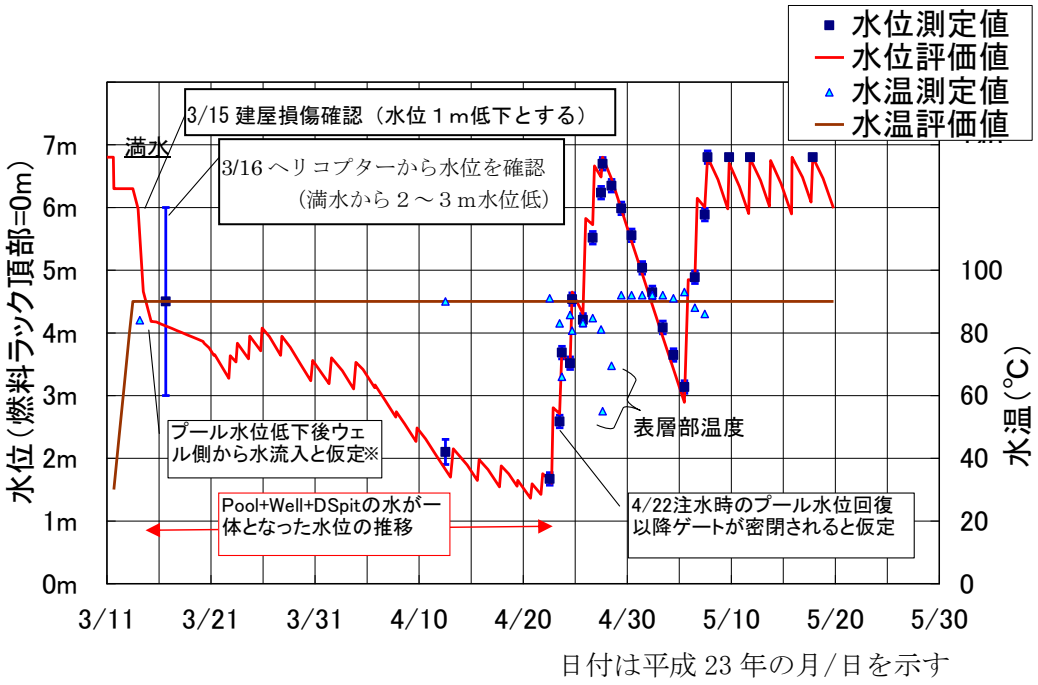



図２－５　３号機ＳＦＰ塩化物イオン濃度の評価結果




※　地震発生時，原子炉ウェル側は満水状態であったため，水位評価値においては，ウェル・ＤＳピット側からプール側への水の流入を考慮している。

図２－６　４号機ＳＦＰの評価結果

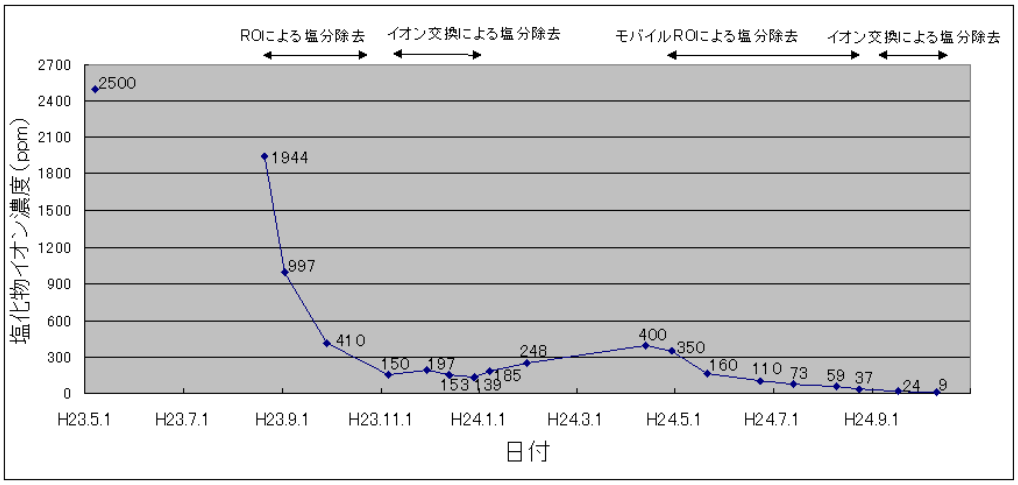



図２－７　４号機ＳＦＰ塩化物イオン濃度の評価結果

3.　燃料取り扱いに必要な機能

福島第一１～４号機ＳＦＰに保管されている燃料集合体は，原子炉に装荷して使用する計画はないが，使用済燃料共用プール（４号機ＳＦＰに貯蔵されている新燃料については，一部６号機ＳＦＰ）へ搬出するための取り扱いに必要な機能を有している必要がある。

3.1.　燃料集合体の吊上げ

燃料取扱機は，燃料集合体のＵＴＰのハンドルを把持する。ＵＴＰは８本の結合燃料棒とナットを介して結合され，結合燃料棒の下端は下部タイプレート（以下，ＬＴＰ）に結合されている。結合燃料棒以外の燃料棒は，ＵＴＰとＬＴＰの間に挟まれているが，結合されてはいない。

結合燃料棒の引張強度は１本あたり 500kg 以上であり，ＵＴＰ，結合燃料棒１本（端栓，燃料被覆管及びナット）及びＬＴＰが健全であれば，燃料集合体（約 300kg）を吊上げることができる。

3.2.　構内用輸送容器の収納条件

３号機及び４号機ＳＦＰに貯蔵されている震災以前から存在する漏えい燃料等やハンドル部が変形し燃料健全性への影響が疑われる燃料の輸送で用いる構内用輸送容器を除く，構内用輸送容器は，燃料ペレットが燃料被覆管に密封されていることを前提として安全評価を行っている。このため，構内用輸送容器に収納する前に，燃料被覆管健全性を確認する必要がある。

4.　海水注入等による燃料構造材の腐食

燃料を構成する材料であるジルカロイ２，ステンレス鋼は腐食に強い材料であり，腐食する可能性は低い。しかしながら，念のため，ＳＦＰの水質（海水注水，pH，水温）を模擬した腐食試験と４号機ＳＦＰに保管されていた新燃料の外観点検を行った。その結果，燃料健全性に影響を与えるような腐食は確認されなかった。

このため，福島第一１～４号機ＳＦＰに貯蔵されている燃料において燃料健全性に影響する腐食はないと考える。

4.1.　腐食試験

福島第一１～４号機ＳＦＰの水質環境の影響を評価するため，腐食試験を行った。海水注水の影響確認は，最も多くの海水を注水した４号機ＳＦＰの水質環境を試験条件とした。pH は最も多くのコンクリートが混入した３号機ＳＦＰの水質環境を試験条件とした。

4.1.1.　試験条件

腐食試験の試験条件を表４－１に，試験片の形状を表４－２，表４－３，各部材の材質を

表４－４に示す。

4.1.1.1.　海水注水による影響の確認

試験片は燃料の吊り上げに必要な部材である結合燃料棒及び結合燃料棒とＵＴＰまたはＬＴＰとの結合部（ナットと膨張スプリングを含む）とした。

試験時間は４号機の温度履歴を考慮し3500時間とした。3500時間は４号機のＳＦＰに海水注入してから代替冷却系による冷却を開始するまでの期間を包絡している。また，時間に対する腐食程度の傾向を把握するために，2000時間についても実施した。

水質環境は，４号機の水質環境を模擬して３つのフェーズに分割した。

(1)　フェーズ１：平成23年3月22日～平成23年5月7日までの環境条件

平成23年5月7日には塩化物イオン濃度2500ppmが測定されている。しかしながら，水位が低かった時にはこれより濃度が高かったと考えられる。よって，保守的に人工海水の約３倍希釈とし，塩化物イオン濃度6000ppmで1200時間浸漬し，その後2500ppmで浸漬した。水温は冷却前の水温である90℃とした。

(2)　フェーズ２：平成23年5月7日以降の環境条件

平成23年5月7日には塩化物イオン濃度2500ppmが測定され，図２－７に示すとおり平成23年8月20日には1944ppmが測定された。この間，海水注入は行われていないことから，平成23年5月7日以降の環境条件を塩化物イオン濃度2500ppm，温度90℃とした。

(3)　フェーズ３：環境改善後の環境条件

図２－７に示すとおり試験条件を検討した時期（平成24年4月）に塩化物イオン濃度400ppmが測定されたため，塩化物イオン濃度400ppm，温度40℃を環境改善後の環境条件に設定した。

現在は100ppm以下で管理されている。

4.1.1.2.　アルカリ化による影響の確認

コンクリートがれきによるアルカリ化の影響を確認するため，コンクリートから溶出するアルカリ金属（Ca等）として，$Ca(OH)_2$の薬剤でpH11.2に調整した。

塩化物イオン濃度及び水温は，測定データ及び海水注水による影響評価試験の条件を考慮して2500ppm，また３号機ＳＦＰの水温70℃を設定した。試験時間は，海水注水による影響評価試験の条件を考慮して，　2000時間及び3500時間とした。

4.1.1.3.　照射影響の確認

照射材と未照射材との差異を確認するため，比較試験を実施した。照射材は，福島第二原子力発電所１号機で５サイクル照射した後に取り出した９×９燃料Ａ型少数体装荷燃料

（集合体平均燃焼度：53GWd/t）の上部端栓，下部端栓（燃料被覆管を含む）及びＬＴＰとした。

環境条件は，海水注水による影響評価試験の条件を考慮して，温度 90℃，塩化物イオン濃度 2500ppm，中性の環境を選定した。試験時間は 2000 時間とした。

4.1.2.　試験結果

図４－１～図４－５に腐食試験の代表的な結果を示す。

燃料吊り上げ時の荷重負担部位のうち，ジルカロイ製部材（端栓，被覆管）については，有意な腐食は見られなかった。図４－１ではニッケル基合金の膨張スプリングに腐食が見られるが，詳細観察の結果，膨張スプリング近傍の上部端栓，ＵＴＰの減肉は見られない。なお，膨張スプリングは吊り上げ時の荷重負担部位ではないため，吊上げ機能には影響しない。また，ジルカロイ製部材（上部端栓）とステンレス製部材（ナット）との接触部（ねじ山）に有意な腐食は見られなかった。

一方，ステンレス製の荷重負担部材（ＵＴＰ，ＬＴＰ及びナット）については，表面の軽微な腐食を示す着色が観察され，一部の試験片では部材内部に及ぶ孔食が観察された。図４－５にＵＴＰに観察された孔食を示す。孔食は単発的に発生しており，偶発的で発生頻度は限定的なものと考えられるため，腐食の集中により荷重負担部材の強度が低下する可能性は小さく，吊上げ機能には影響しないと考える。また，漏えい流制御板の押さえ板と押さえねじの接触部で腐食が観察されているが，腐食はねじ部近傍に限定されており吊上げ機能には影響しない。

図４－６，図４－７に引張試験の結果について示す。図に示すとおり，浸漬後の試験片でも浸漬してない試験片でも最大荷重に有意な差はなく，強度劣化は確認されなかった。

4.2.　４号機使用済燃料プール内に保管された新燃料の外観点検

平成 24 年 7 月に４号機ＳＦＰから未照射の新燃料を２体取り出し，うち１体について詳細な外観点検を実施した。ＵＴＰ，結合燃料棒（端栓，被覆管及びナット）及びＬＴＰに顕著な腐食は確認されなかった。

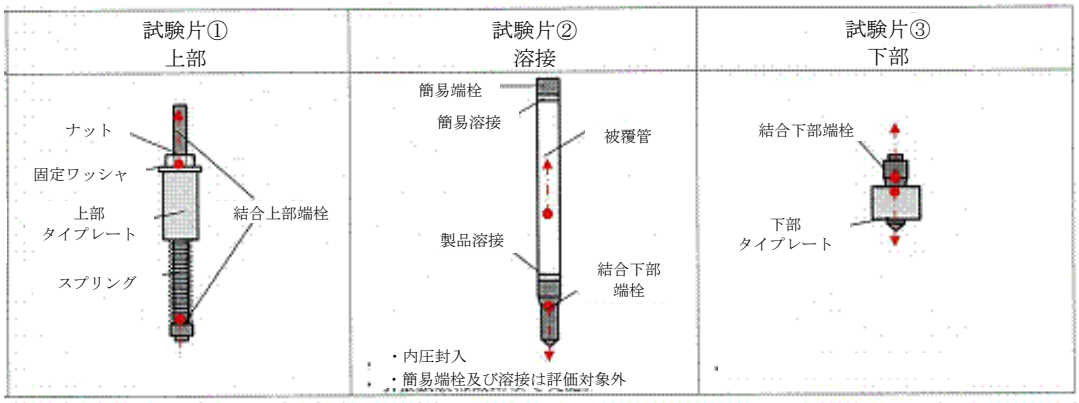
図４－８，図４－９にジルカロイ製部材（上部端栓）とステンレス製部材（ナット）の接触部を示す。ジルカロイ製部材とステンレス製部材の接触部にも腐食は確認されなかった。図４－１０にＬＴＰの観察結果を示す。ＬＴＰの一部分に僅かな錆が見られたが，全体的に有意なキズも腐食もない状況であった。尚，錆は限定的であり，腐食の集中による荷重負担部材の強度が低下する可能性は小さく，吊上げ機能には影響しないと考える。

表４－１　腐食試験の試験条件

| 想定項目 | | 試験条件，温度，塩化物イオン濃度 | 燃料タイプ | 予備酸化膜 | 試験片① | 試験片② | 試験片③ | 備考 |
|---|---|---|---|---|---|---|---|---|
| 海水注水による影響の確認 | フェーズ１ | 90℃，6000 ppm で1200h の浸漬後，90℃，2500ppm で浸漬 | 9×9 燃料(A 型)未照射材 | 無 | ○ | △ | ○ | |
| | | | | 有 | ○ | △ | ○ | |
| | | | 9×9 燃料(B 型)未照射材 | 無 | ○ | － | ○ | |
| | | | | 有 | ○ | － | ○ | |
| | フェーズ２ | 90℃，2500ppm | 9×9 燃料(A 型)未照射材 | 無 | ○ | － | ○ | |
| | | | | 有 | ○ | － | ○ | |
| | | | 9×9 燃料(B 型)未照射材 | 無 | ○ | － | ○ | |
| | フェーズ３ | 40℃，400ppm | 9×9 燃料(A 型)未照射材 | 無 | ○ | － | ○ | |
| | | | | 有 | ○ | － | ○ | |
| | | | 9×9 燃料(B 型)未照射材 | 無 | ○ | － | ○ | |
| アルカリ化による影響の確認 | | 70℃，2500ppm | 9×9 燃料(A 型)未照射材 | 無 | ○ | － | ○ | 高 pH |
| | | | | | ○ | － | ○ | 比較材 |
| 照射影響の確認 | | 90℃，2500ppm（照射影響比較試験） | 9×9 燃料(A 型)照射材 | 照射により有 | ▲ | － | ▲ | |
| | | | 9×9 燃料(A 型)未照射材 | 無 | ▲ | － | ▲ | 比較材 |

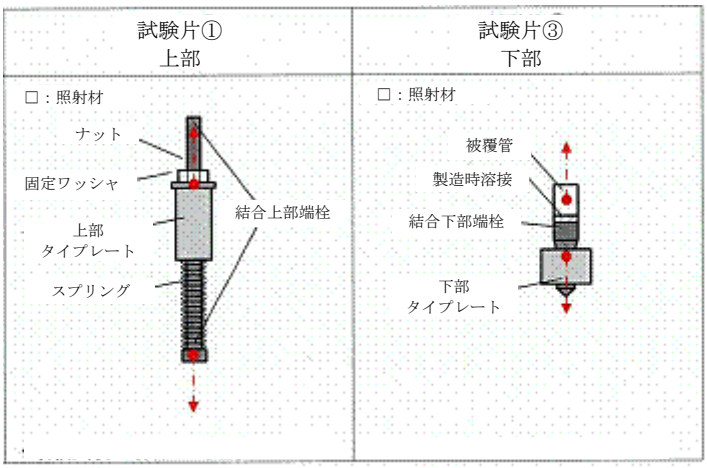
○は試験時間２条件（２０００ｈ，３５００ｈ），△は試験時間１条件（３５００ｈ），▲は試験時間１条件（２０００ｈ）を示す。

表４－２　未照射材用腐食試験片の形状




＊一点鎖線矢印（ -·-·-▶ ）は，引張試験での荷重作用方向を表わす。

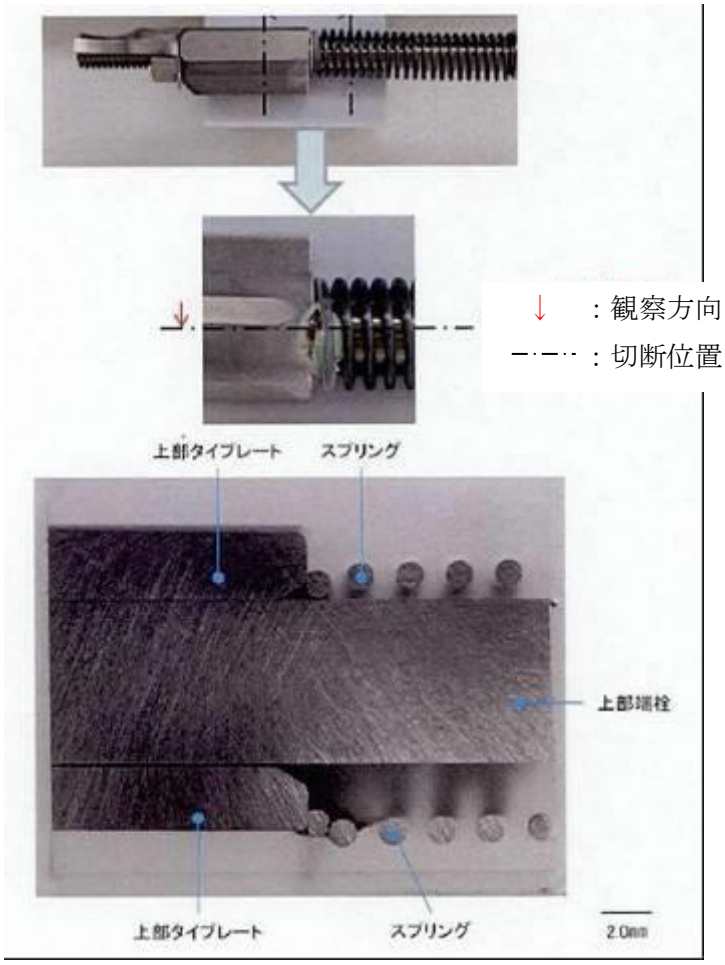
表４－３　照射材用腐食試験片の形状




＊一点鎖線矢印（ -·-·-▶ ）は，引張試験での荷重作用方向を表わす。

表４－４　各部材の材質

| | 部材 | 材質 |
|---|---|---|
| 1 | 結合燃料棒<br>（上部端栓，下部端栓） | ジルカロイ２ |
| 2 | ＵＴＰ | ステンレス鋼 |
| 3 | ＬＴＰ | ステンレス鋼 |
| 4 | ナット | ステンレス鋼 |
| 5 | 膨張スプリング | ニッケル基合金 |
| 6 | 固定ワッシャ | ステンレス鋼 |



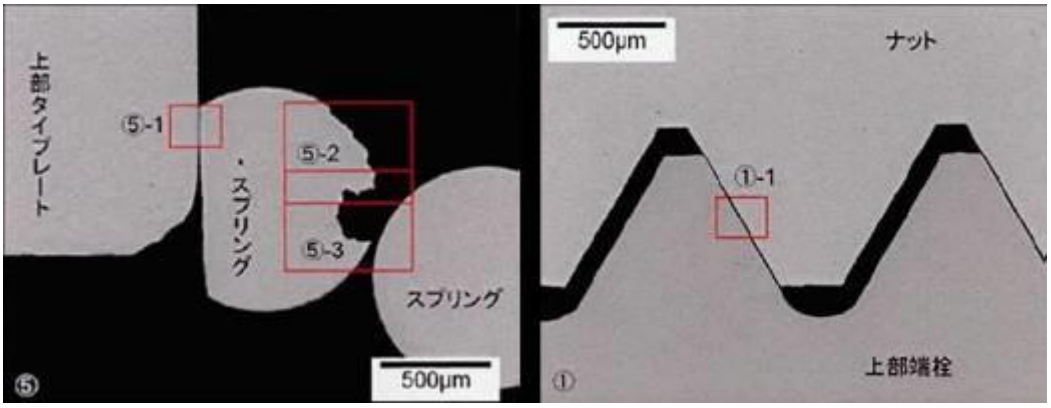




図４－１　腐食試験結果（試験片①，未照射材）：フェーズ１
（90℃ 塩化物イオン濃度：6000ppm(1200 時間)，2500ppm，3500 時間浸漬）
【予備酸化無し】

浸漬試験前




(a) C65U6CZ02－全体写真

3500 時間浸漬試験後




(b) C65U6CZ02－全体写真

図４－２　腐食試験結果（試験片②，未照射材）：フェーズ１
（90℃ 塩化物イオン濃度：6000ppm(1200 時間)，2500ppm，3500 時間浸漬）
【予備酸化無し】

浸漬試験前



(a) C65U7CZ11, C65U8CZ11
－全体写真

3500 時間浸漬試験後



(c) C65U7CZ11, C65U8CZ11
－全体写真

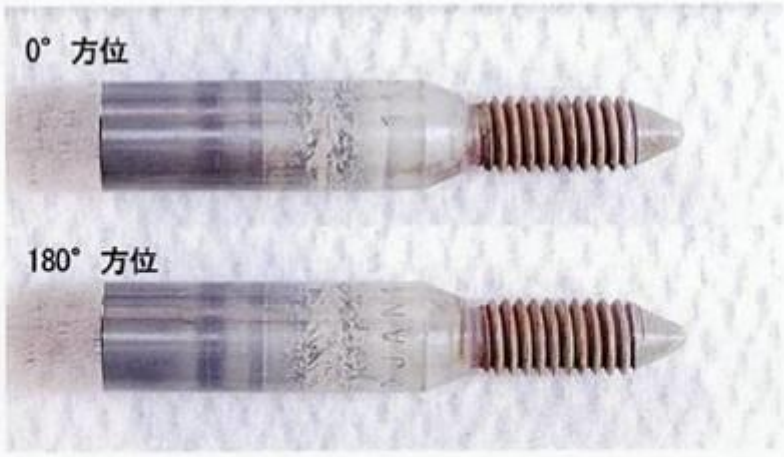
図４－３　腐食試験結果（試験片③，未照射材）：フェーズ１
（90℃ 塩化物イオン濃度：6000ppm(1200 時間)，2500ppm，3500 時間浸漬）
【予備酸化無し】

浸漬試験前



(a) C65C7CZ01－全体写真

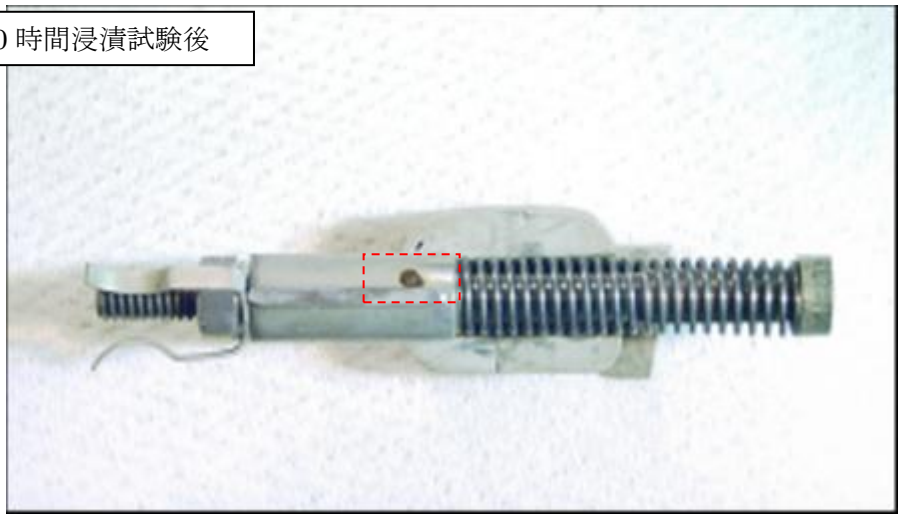
2000 時間浸漬試験後




(b) C65C7CZ01－全体写真

図４－４　腐食試験結果（被覆管付下部端栓）：照射影響の確認
（90℃ 塩化物イオン濃度：2500ppm，2000 時間浸漬）
【照射により予備酸化有り】

2000 時間浸漬試験後



2000 時間浸漬試験後（詳細）

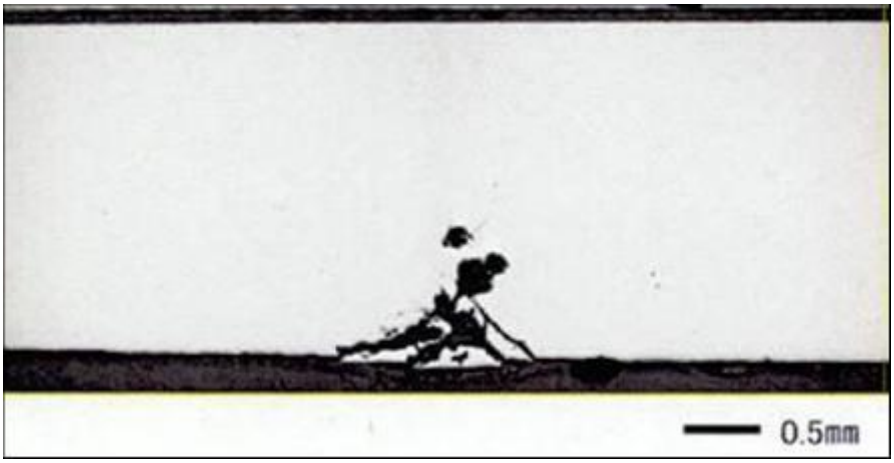



図４－５　腐食試験結果（試験片①，照射材）：照射影響の確認
（90℃ 塩化物イオン濃度：2500ppm，2000 時間浸漬）
（上部端栓は照射材，その他は未照射材）

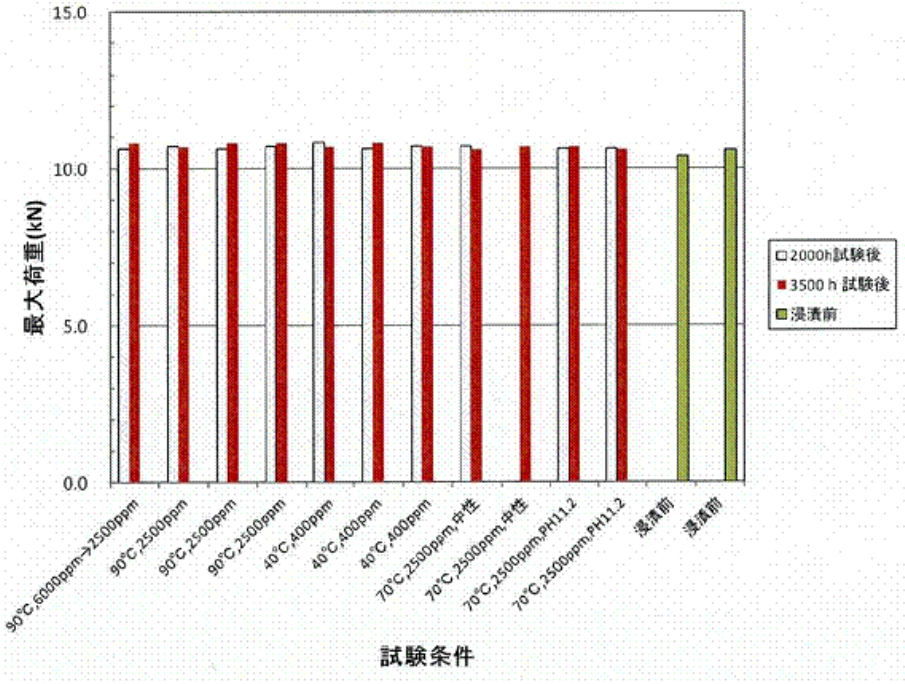



図４－６　浸漬試験後引張試験時の最大荷重比較
（未照射試験片①　予備酸化無し）

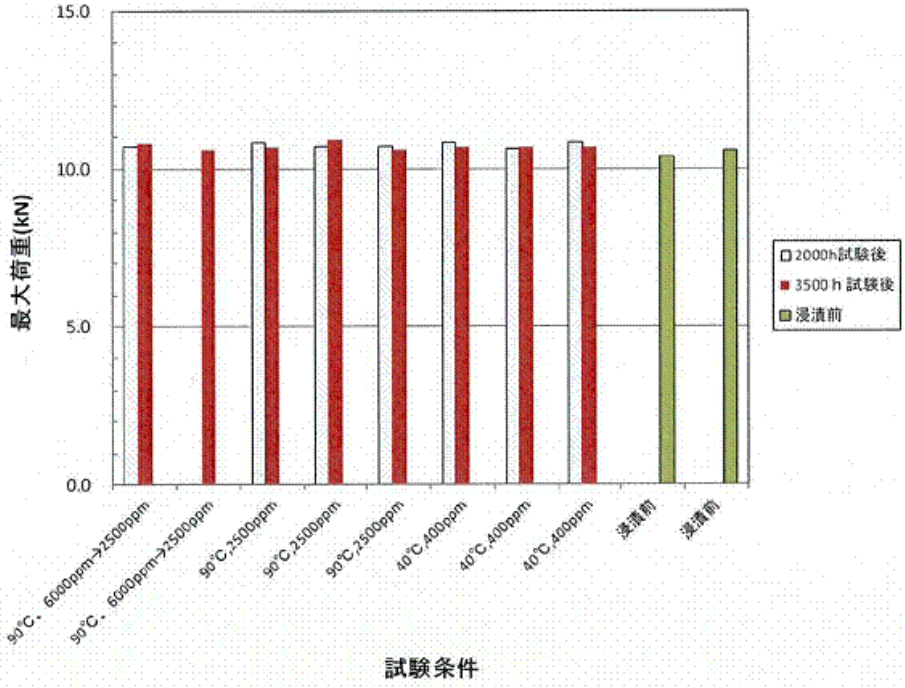



図４－７　浸漬試験後引張試験時の最大荷重比較
（未照射試験片①　予備酸化有り）

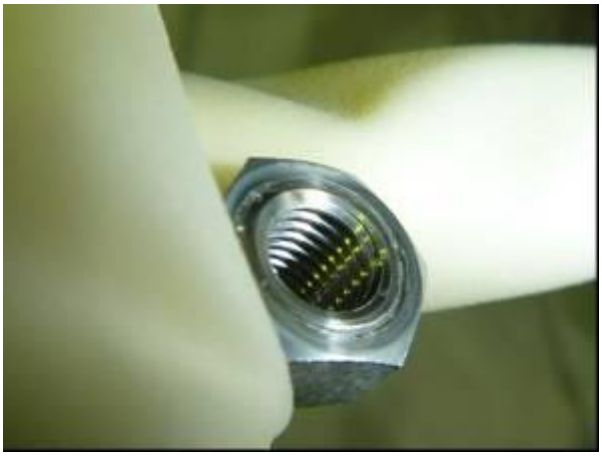


図４－８　４号機新燃料点検結果（ナット）：平成 24 年 8 月



図４－９　４号機新燃料点検結果（結合燃料棒上部端栓）：平成 24 年 8 月



白色部はメーカ機密情報が含まれるため非公開

図４－１０　４号機新燃料点検結果（下部タイプレート）：平成 24 年 8 月

5.　落下がれきによる影響

福島第一１，３，４号機は原子炉建屋爆発に伴うがれきの落下を経験している。これまでに３号機，４号機のＳＦＰ内の調査を実施しており，３号機ＳＦＰではハンドル部の変形が認められる燃料集合体が一部確認されている。

5.1.　がれき落下衝撃試験

5.1.1.　試験概要

３号機ＳＦＰ内には数多くのがれきが確認されており燃料集合体へのがれき衝撃の影響を確認するためにがれき衝突を模擬したがれき落下衝撃試験として９×９燃料（A型）を用いたハンドル部衝撃試験を行った。

5.1.2.　試験条件

がれき落下衝撃試験の試験条件を以下に示す。

| | |
|---|---|
| 試験体型式 | ：９×９燃料（A型） |
| 衝撃位置 | :ハンドル部 |
| 落下高さ | ：５ｍ |
| 落下体重量 | :約１００ｋｇ |

5.1.3.　試験結果

衝突後の燃料集合体を図５－１に示す。試験の結果，ハンドルは大きく変形し燃料棒は湾曲したものの，吊り上げ性能，燃料被覆管の密封性は確保されることを確認した。また，各測定データから，落下体がＵＴＰに衝突し，その衝撃荷重が膨張スプリングを介して全ての燃料棒に伝達すること，燃料被覆管が塑性変形するような大きな荷重が付加された場合にはＵＴＰが塑性変形した後に燃料被覆管が塑性変形することを確認した。

したがって，燃料被覆管への影響程度はＵＴＰの変形程度から把握することが出来る。

5.2.　３号機及び４号機におけるがれき落下影響に関する解析評価

４号機ＳＦＰでは落下がれき等が少ない状況が確認されており，観察した燃料集合体ではＵＴＰ ハンドルには著しい変形は観察されておらず，大部分の燃料についてはＵＴＰハンドルを把持した通常の取り扱いが可能であると考えられる。このため，４号機ＳＦＰ内の大部分の燃料は，使用済燃料共用プール（新燃料については，一部６号機ＳＦＰ）へ搬出するにあたって，従来と同等設計の燃料取扱機での取り扱い，既存のＮＦＴ－２２Ｂ型構内輸送容器の使用ができると考えられる。なお，構内用輸送容器で搬出する燃料については燃料被覆管が健全であることが要求される。

３号機ＳＦＰでは大型のがれきを含めて多量のがれきが落下しており，ハンドル部の変形が認められる燃料集合体が一部確認されている。一方，これまで確認できた範囲では，水

中カメラによる映像上ハンドル部が有意に変形している燃料は一部に留まり，大多数は従来通りの取り扱いが可能であると考えられる。なお，「3.2.構内用輸送容器の収納条件」に記載の通り，構内用輸送容器で搬出する燃料については燃料被覆管が健全であることが要求される。

燃料被覆管が塑性変形していなければ，燃料被覆管健全性は維持されると考えられることから，ＵＴＰの変形程度を観察することにより，燃料健全性を判別する方法について以下のとおり検討した。なお，ハンドル部が有意に変形している燃料等，本評価手法により設定される判定基準を超過する燃料は，燃料被覆管の破損を考慮した容器に収納する。

また，３号機ＳＦＰに存在する燃料タイプと，４号機ＳＦＰに存在する燃料タイプの一覧を表５－１に示す。９×９燃料が４号機はＢ型であることに対し，３号機はＡ型であることが４号機と３号機の差異である。

5.2.1.　燃料健全性の評価方針

がれきの衝突によりＵＴＰが下降すると，燃料被覆管は圧縮荷重によりたわむと考えられるが，燃料集合体には複数の燃料被覆管が配置されているため，照射伸長している燃料被覆管が先行してたわんだとしても，残りの複数の燃料被覆管で圧縮荷重を支えることができる。一方，5.1.3 に示す試験結果からも明らかなように，燃料被覆管よりも先にＵＴＰにおいて塑性変形が発生する。したがって，燃料被覆管に発生する応力が降伏応力に達し塑性変形する場合，ＵＴＰに発生する塑性変形量を評価し，そのＵＴＰに残留する塑性変形量を測定することにより燃料被覆管の塑性変形の有無を評価できる。

なお，燃料被覆管が塑性変形したとしても直ちに燃料健全性に影響を与えることはないが，本燃料健全性評価においては，塑性変形に至らない降伏応力（0.2%耐力）以下であることを評価基準とした。

図５－２にＵＴＰに残留する塑性変形量の解析フロー，図５－３に解析モデルの概要，図５－４にＵＴＰの概要図を示す。解析モデルは，ＵＴＰ，燃料被覆管（ばね要素）及びがれき（剛体）で構成される。がれき（剛体）に下向き荷重を負荷すると，ＵＴＰ及び燃料被覆管（ばね要素）は上下から圧縮荷重を受ける。燃料被覆管（ばね要素）が降伏応力に達する直前のＵＴＰ下降量を算出するとともにＵＴＰに残留する塑性変形量を定量評価する。

本解析は汎用有限要素強度解析コードＡＮＳＹＳを用いる。ＡＮＳＹＳコードでの解析の妥当性を評価するためにＵＴＰの単体試験を実施し，図５－７のとおり試験データと解析との比較を行い，解析結果が試験データを再現できることを確認した。また，本解析において用いた照射材の物性値を表５－２，図５－５，図５－６に示す。

5.2.1.1.　ＵＴＰ塑性変形量の評価位置

図５－８及び図５－９に典型的なＵＴＰ塑性変形の外観図を示す。以下にそれぞれの塑性変形の考え方について示す。

(1)　チャンネルボックス上端に対するハンドル上端の沈み込み量

がれきがハンドルに衝突すると，ハンドルが幅を広げながら沈み込むとともに，ハンドルポスト直下部分のネットワークが沈み込むように変形する。

チャンネルボックス（以下，ＣＢ）は，ネットワーク上のハンドルポストと異なるコーナー部に固定されている。このため，ＣＢ上端に対するハンドル上端の沈み込み量を検出することで，ハンドル変形とネットワーク変形を評価することが出来る。

(2)　ハンドル幅拡大量

がれきがハンドルに衝突すると，ハンドル幅が広がるようにハンドルが変形する。このため，ハンドル幅を検出することで，ハンドル変形を評価することが出来る。

(3)　ＣＢ上端に対するコーナーポスト上端の沈み込み量（９×９燃料（Ｂ型）のみ）

９×９燃料（Ｂ型）はハンドルポスト付近に機械加工されたコーナーポストがあり，ハンドル上端と比較して誤差の少ない測定が可能である。このため，ＣＢ上端に対するコーナーポスト沈み込み量を検出することで，ネットワーク変形を評価することが出来る。

5.2.1.2.　燃料被覆管を模擬したばね要素のばね定数と圧縮荷重

(1)　解析方法

ＵＴＰ下面は水平に下降し一番長い燃料被覆管に最初に圧縮荷重が作用する。ＵＴＰ下降初期には，長い燃料被覆管から短い燃料被覆管へ順番に圧縮荷重が作用する。燃料被覆管は長いため圧縮荷重によりたわむ。

燃料被覆管を模擬したばね要素のばね定数と圧縮荷重の定量評価を以下のとおり実施した。

①　ＵＴＰ下降開始時

燃料被覆管の等価ばね定数（Ｋ）を算出し，燃料被覆管上端の軸方向変位（Ｘ）を用いて，個々の燃料被覆管が負担できる圧縮荷重（Ｆ）をＦ=Ｋ・Ｘ により算出する。

②　たわみ発生直前

たわみ発生直前に燃料被覆管が負担できる圧縮荷重（Pcr）をオイラーの式 $Pcr=n\cdot\pi^2\cdot E\cdot I/(Lsp8)^2$ より，またその時の燃料被覆管上端の軸方向変位（Xcr）を $Xcr=Pcr/K$ により算出する。

③　たわみ発生以降

たわみ発生以降は，個々の燃料被覆管が負担できる圧縮荷重（Ｆ）は弾性たわみの範囲において②で算出したPcr が維持される。

$$K=\frac{E\cdot A}{L}$$

$$Pcr=\frac{n\cdot \pi^2\cdot E\cdot I}{(Lsp8)^2}$$

$$Xcr=\frac{Pcr}{K}$$

$$\sigma_{cr}=\frac{Pcr}{A}$$

ここで

K　：燃料被覆管等価ばね定数[N/mm]

E　：ジルカロイのヤング率[N/mm$^2$]　（91300[N/mm$^2$] @100℃）

A　：燃料被覆管断面積[mm$^2$]

L　：燃料被覆管全長[mm]

Pcr　：たわみ発生直前に燃料被覆管が負担できる圧縮荷重[N]

n　：固定定数（端末条件とたわみ形に応じて 1～4 の値となり，本定量評価では１次モードとして扱い保守的に n=1 とする。）

I　：断面二次モーメント[mm$^4$]

Lsp8　：UTP/最上部スペーサ間長さ[mm]（膨張スプリング縮み代を考慮）

Xcr　：たわみ発生直前の燃料被覆管上端の軸方向変位[mm]

$\sigma_{cr}$　：たわみ発生直前の発生応力[N/mm$^2$]

(2)　解析結果

表５－３と表５－４に８×８燃料，新型８×８ジルコニウムライナ燃料，高燃焼度８×８燃料，９×９燃料（Ｂ型）及び９×９燃料（Ａ型）の燃料被覆管について評価した結果を示す。

5.2.1.3.　燃料被覆管に発生する応力

(1)　解析方法

5.2.1.2で示した燃料被覆管を模擬したばね要素のばね定数と圧縮荷重の定量評価に沿って，最大発生応力の定量評価を実施した。

①　ＵＴＰ下降開始時

5.2.1.2①で算出した圧縮荷重（Ｆ）に基づいて，燃料被覆管の発生応力（σｃ）をσｃ=Ｆ/Ａにより算出する。

②　たわみ発生直前

5.2.1.2②で算出したたわみ発生直前に燃料被覆管が負担できる圧縮荷重（Pcr）に基づいて，燃料被覆管の発生応力（σcr）をσcr=Pcr/Ａにより算出する。

③　たわみ発生以降

図５－１０にたわみの幾何学的評価の模式図を示す。円弧状にたわむことを仮定して，燃料被覆管上端の軸方向変位（Xa）に対するたわみ量（B）を幾何学的に定量評価する。

$B = R \cdot \{1-\cos(\theta/2)\}$

$Xa = 2 \cdot R \cdot \{\pi \cdot (\theta/360^\circ) - \sin(\theta/2)\}$

円弧長さ＝$Lsp8 = 2 \cdot \pi \cdot R \cdot (\theta/360^\circ)$

ここで

| | |
|---|---|
| B | ：たわみ量[mm] |
| Xa | ：たわみによる燃料被覆管上端の軸方向変位[mm] |
| R | ：たわみ半径[mm] |
| $\theta$ | ：円弧角度[°] |

図５－１１にたわみの材料力学的評価の模式図を示す。最大発生応力（$\sigma a$）は，圧縮応力であり，スパン中央高さのたわみ内側位置に生じる。

$M = Pcr \cdot B$

$$\sigma_b = \frac{M}{Z}$$

$\sigma_a = \sigma_b + \sigma_{cr}$

ここで

| | |
|---|---|
| $\sigma_b$ | ：たわみによる曲げ応力[N/mm$^2$] |
| M | ：曲げモーメント[N・mm] |
| Z | ：断面係数[mm$^3$] |
| $\sigma_a$ | ：たわみ発生以降の最大発生応力（曲げ＋圧縮）[N/mm$^2$] |

(2)　解析結果

図５－１２に燃料被覆管上端の軸方向変位（Xcr+Xa）に対する燃料被覆管発生応力（$\sigma a$）（高燃焼度８×８燃料）を示す。燃料被覆管の発生応力が照射材の降伏応力710[N/mm$^2$]に達する燃料被覆管上端の軸方向変位（Xcr+Xa）は，7.7[mm]となった。

図５－１３に燃料被覆管上端の軸方向変位（Xcr+Xa）に対する燃料被覆管発生応力（$\sigma a$）（９×９燃料（Ｂ型））を示す。燃料被覆管の発生応力が照射材の降伏応力710[N/mm$^2$]に達する燃料被覆管上端の軸方向変位（Xcr+Xa）は，9.4[mm]となった。

図５－１４に燃料被覆管上端の軸方向変位（Xcr+Xa）に対する燃料被覆管発生応力（$\sigma a$）（９×９燃料（Ａ型））を示す。燃料被覆管の発生応力が照射材の降伏応力710[N/mm$^2$]に達する燃料被覆管上端の軸方向変位（Xcr+Xa）は，9.4[mm]となった。

5.2.2.　評価結果

図５－３に示した解析モデルに従い，5.2.1.2 で評価した燃料被覆管のばね特性（たわみ発生まではばね定数に基づき算出，たわみ発生以降は一定荷重負担）を基に燃料被覆管に発生する応力を評価した。

5.2.1.3 で燃料被覆管上端の軸方向変位が 7.7㎜（高燃焼度８×８燃料），9.4㎜（９×９燃料（Ｂ型）），9.4㎜（９×９燃料（Ａ型））となった時に燃料被覆管の発生応力が照射材の降伏応力 710[N/㎟]に達すると評価された。すなわち，燃料被覆管上端の軸方向変位が上記変位に至らなければ，燃料被覆管は塑性変形に至らないことが確認された。一方，図５－１５，図５－１６に示すとおり燃料棒は照射により 3㎜[1] [2]程度の照射伸び差があるため，燃料集合体においては，ＵＴＰがそれぞれ 4.7㎜（高燃焼度８×８燃料），6.4㎜（９×９燃料（Ｂ型）），6.4㎜（９×９燃料（Ａ型））下降した場合に，燃料集合体中の燃料棒に塑性変形が生じるものと想定する。

上記のＵＴＰ下降量が発生する荷重が付加された場合に，ＵＴＰの各部位に残留する塑性変形量を評価した。また，ＵＴＰハンドルへのがれきの衝突位置として，①ハンドル上面全体に剛体接触，②ハンドル上面右半分に剛体接触，③ハンドル上面中央 45㎜に剛体接触の 3 ケースを解析対象とした。解析の一例として，図５－１７に高燃焼度８×８燃料について「②ハンドル上面右半分に剛体接触」の評価結果を示す。

燃料被覆管の健全性判定に用いるＵＴＰの塑性変形量（ＣＢ上端に対するハンドル上端の沈み込み量，ハンドル幅拡大量，ＣＢ上端に対するコーナーポスト上端の沈み込み量）を評価した結果を表５－５に示す。９×９燃料（Ａ型）については，高燃焼度８×８燃料及び９×９燃料（Ｂ型）の結果を踏まえ，②ハンドル上面右半分に剛体接触のケースを解析対象とした。結果を表５－６及び図５－１８に示す。燃料健全性検査は，塑性変形量が最も小さい「②ハンドル上面右半分に剛体接触」を基に検査方法を策定する。

5.2.3.　まとめ

膨張スプリングが縮みきった後に燃料被覆管に圧縮荷重が作用する場合について，燃料体上部変形を観察して燃料被覆管を健全と判別する方法を検討した。

燃料被覆管が降伏応力を超える前にＵＴＰに検知可能な塑性変形が生じることから，燃料被覆管の健全性を判別するためのＵＴＰ変形量を評価した。

5.3.　３号機におけるハンドル変形燃料の吊り上げに関する評価

３号機ＳＦＰではハンドル部の変形が認められる燃料（以下，ハンドル変形燃料）が確認されている。また，ハンドル変形燃料のうち１体は，ＣＢ及びチャンネルファスナ（以下，ＣＦ）の有意な変形が見られる（以下，ＣＢ変形燃料）。

燃料取扱機によるハンドル変形燃料の取り扱い可否を確認するため，燃料吊り上げ時の荷重負担部材である結合燃料棒及びハンドルの健全性が保たれる吊り上げ条件を，ハンド

ル変形燃料を模擬した解析や試験より評価する。

ハンドルの外観確認を行い，燃料取扱機によるハンドル把持ができる燃料は，評価より確認された吊り上げ条件で取り扱いを行う。また，通常の燃料取扱機の掴み具によるハンドル把持ができない燃料は，大変形用掴み具にて把持する。なお，ハンドル把持ができない燃料が見つかった場合は別途評価を行い，今後本実施計画に記載した上で取り扱うこととする。

5.3.1.　がれき衝突時の結合燃料棒の健全性

(1)　解析方法

燃料ハンドル部へのがれき衝突を模擬した解析をＬＳ－ＤＹＮＡコードを用いて行い，ハンドル変形燃料の吊り上げに寄与する燃料棒への影響を確認する。

３号機のハンドル変形燃料は，ＣＦ側又は反ＣＦ側にハンドルが変形しており，がれきが斜めに衝突したと考えられる。そのため，斜め衝突のケース（斜め 45°）で衝突解析を主として行い，保守的にハンドルが 90°近くまで変形するよう重量・速度条件を調整したうえで，燃料棒の塑性歪分布の傾向を確認する。解析条件を表５－７に示す。

評価燃料は９×９燃料（Ａ型）及び新型８×８ジルコニウムライナ燃料の２種類とし，８×８燃料及び高燃焼度８×８燃料は燃料棒，ＵＴＰの幾何形状の違いから保守的に新型８×８ジルコニウムライナ燃料で代表することとした。なお，本燃料健全性評価においては，塑性歪 2.8%※1未満であることを評価基準とした。

本解析に用いた未照射材及び照射材の物性値を表５－２に示す。なお，結合燃料棒の上部端栓部の中性子照射量は他の部位に比べて少ないことから，保守的に未照射材の物性値を使用した。

(2)　解析結果

がれき衝突解析の結果を図５－１９に示す。いずれの条件においても燃料棒の上部端栓部にのみ塑性歪が発生し，被覆管部，下部端栓部に塑性歪は見られなかった。

ＣＦ側と反ＣＦ側の結合燃料棒（上部端栓部）４本の塑性歪はいずれも 2.8%※1未満であることから，実力的には吊り上げ時に荷重を負担できるものと考える。この場合，中性子照射による結合燃料棒の伸びのバラツキを考慮したとしても，少なくとも３点以上でバランスを保ち吊り上げるため，結合燃料棒全体では １ｔは問題なく吊り上げられる※2ものと考える。

また，5.1 のがれき落下衝撃試験で上部端栓近傍に発生した塑性歪の測定結果を図５－２０に示す。測定の結果，ハンドルポスト直下近傍の結合燃料棒４本に発生した塑性歪と比較して，残りのＣＦ側，反ＣＦ側の結合燃料棒に発生した塑性歪は小さい値となり，がれき衝突解析と同様な傾向であった。

※１　これまでに実施された燃料被覆管（未照射材，照射材）の軸方向の引張試験に係る知見のうち破断に至った塑性歪の最小値。そのため，この値に達した場合でも必ずしも破断するわけではない。

※２　浸漬試験後引張試験の結果（図４－６，図４－７）より結合燃料棒の垂直方向の引張強度は未照射材，照射材ともに１本あたり１ｔ以上。

5.3.2.　吊り上げ時のハンドルの健全性

(1)　試験概要

燃料吊り上げ時の荷重負担箇所として，変形したハンドルについても同様に，実機相当の吊り上げ荷重負荷時の健全性を確認する必要がある。このため，３号機ＳＦＰ内に保管されている燃料と同タイプのハンドルに，がれき衝突を模擬した変形を付与したうえで引張試験を行い，有意なき裂が発生しないことを確認した。

また，ハンドルに２本あるハンドルポストの片側を模擬した引張試験を行い，有意なき裂が発生しないことを確認した。

(2)　試験条件

引張試験の試験体として，９×９燃料（Ａ型）のＵＴＰを用意した。引張試験に先立って，図５－２１に示す変形付与装置を用いて初期変形（動的荷重，静的荷重）を付与した。引張荷重は，ハンドル変形の無い燃料と同様な吊り上げ荷重として１ｔで吊り上げることを想定し，試験では燃料取扱機荷重計誤差等を考慮して 13ｋＮ とした。また，荷重上限の 2 倍（引張試験装置の上限）として燃料取扱機荷重計誤差等を考慮して 26ｋＮ の試験を実施した。なお，引張回数は，実機で想定されるハンドル変形燃料の吊り上げ回数を考慮して 10 回とした。ハンドルの引張試験装置を図５－２２に示す。

ハンドルポスト模擬試験体については，13kN 及び 26kN 試験に加えて，試験片が破断するまで荷重を付与した。

(3)　試験結果

試験の一例として，図５－２３に９×９燃料（Ａ型）のハンドルの引張試験前後の外観写真，また，図５－２４に浸透探傷試験結果を示す。これらの結果から，引張試験前後で有意なき裂が発生していないことを確認した。また，図５－２５に引張試験中の引張荷重－引張変位図を示す。本図から，引張荷重を繰り返し負荷した場合であっても，引張変位の異常な増加は無いことから，引張試験中に有意なき裂の発生及びその進展は無かったものと考える。

ハンドルポスト模擬についても，引張荷重を繰り返し負荷した場合であっても，引張変位の異常な増加は無いことから，引張試験中に有意なき裂の発生及びその進展は無かったものと考える。また，破断試験結果を表５－８に示す。破断に至るまでの最大荷重は約８．５

ｔ～９．３ｔの範囲となり，実機で想定している吊り上げ荷重（１ｔ）に対して十分な余裕があることを確認した。

5.3.3.　ＣＢ変形燃料について

ＣＢ変形燃料はハンドルだけでなく，ＣＦ及びＣＦポストがハンドル側に傾倒するように変形しており，ＣＦポスト近傍の標準燃料棒，結合燃料棒は，上部タイプレートを介して曲げ応力が発生している可能性がある。そのため，ＣＢ変形燃料について水中カメラによる確認によりがれき衝突に伴う影響を確認した。

ＣＦポスト近傍の結合燃料棒の上部端栓部は破損している可能性があるため，水中カメラ映像によりＣＢ変形燃料の結合燃料棒の状態を確認した。ＣＢ変形燃料の結合燃料棒の状態を図５－２６に示す。

ＣＢ変形燃料は，水中カメラ映像から少なくとも４本の結合燃料棒は有意な変形のない状況であり，吊り上げ時に荷重を負担できるものと考える。

この場合，中性子照射による結合燃料棒の伸びのバラツキを考慮したとしても少なくとも３点以上でバランスを保ち吊り上げるため，結合燃料棒全体では１ｔは問題なく吊り上げられるものと考える。

なお，水中カメラ映像に基づき，ＣＦの変形状態を踏まえた解析モデルを作成しＣＦポスト近傍の燃料棒に発生する塑性歪の有無をＡＮＳＹＳコードを用いて評価した。また，解析条件を表５－９に示す。

解析の結果，ＣＦポスト近傍の標準燃料棒，結合燃料棒は，いずれも上部端栓部において細径部で歪が大きくなり，曲げ角度 30°では塑性歪 2.8%を超過した。一方，被覆管部において歪は発生しなかった。したがって，いずれも上部端栓部は破損している可能性はあるものの，被覆管部に破損はないため，燃料棒からのＦＰガスのリークやペレット脱落リスクは無いと考える。

5.3.4.　評価結果

ハンドル変形燃料については，がれき衝突解析結果から，少なくとも４本の結合燃料棒が吊り上げに寄与できる。また，ＣＢ変形燃料については，ＣＦポスト近傍の結合燃料棒の上部端栓部は破損している可能性はあるが，水中カメラ映像による確認結果から少なくとも４本の結合燃料棒が吊り上げに寄与できる。したがって，少なくとも３点以上で吊り上げるため，結合燃料棒全体では１ｔは問題なく吊り上げられるものと考える。

ハンドル部については，引張試験結果から吊り上げ荷重の２倍（２ｔ）であっても機械的な強度に有意な影響が無い。

以上より，ハンドル変形燃料及びＣＢ変形燃料はハンドル変形の無い燃料と同様の吊り上げ荷重１ｔで吊り上げ可能と評価する。

表５－１　３号機ＳＦＰと４号機ＳＦＰの貯蔵燃料の差異

| | ７×７燃料 | ８×８燃料 | 新型８×８ジルコニウムライナ燃料 | 高燃焼度８×８燃料 | ９×９燃料（Ｂ型） | ９×９燃料（Ａ型） |
|---|---|---|---|---|---|---|
| ３号機 | ― | ○ | ○ | ○ | ― | ○ |
| ４号機 | ○※1 | ○ | ○ | ○ | ○ | ― |

※1　４号機ＳＦＰの７×７燃料は過去の取り扱い中に変形を生じた燃料であるため，解析評価の対象外

表５－２　ジルコニウム合金の物性値[3][4]

| 項目 | 単位 | 物性値 | | | |
|---|---|---|---|---|---|
| 未照射／照射 | － | 未照射材 | 照射材 | | |
| 照射量 | $n/m^2$ | 0 | $2\times10^{25}$ － $14\times10^{25}$ | | |
| 温度 | ℃ | 室温 | 室温 | 100 | 300 |
| 0.2%耐力 | $N/mm^2$ | 380 | 760 | 710*1 | 600 |
| 引張り強さ | $N/mm^2$ | 546 | 860 | 800*1 | 650 |

*1：20℃及び300℃のデータからの内挿値

表５－３　燃料被覆管の等価ばね定数

| 項目 | 単位 | 記号 | 式 | ８×８燃料 | 新型８×８ジルコニウムライナ燃料 | 高燃焼度８×８燃料 | ９×９燃料（Ｂ型） | ９×９燃料（Ａ型） |
|---|---|---|---|---|---|---|---|---|
| ヤング率 | N/mm2 | E | | 91300 | 91300 | 91300 | 91300 | 91300 |
| 酸化減肉*1（EOL） | mm | oxd | | 0.01 | 0.01 | 0.01 | 0.01 | 0.01 |
| 等価ばね定数 | N/mm | K | E*A/L | 698 | 686 | 687 | 500 | 516 |

*1：酸化膜厚さ約15μm[3]の酸化減肉に相当

表５－４　たわみ発生直前に燃料被覆管が負担できる圧縮荷重

| 項目 | 単位 | 記号 | 式 | ８×８燃料 | 新型８×８ジルコニウムライナ燃料 | 高燃焼度８×８燃料 | ９×９燃料（Ｂ型） | ９×９燃料（Ａ型） |
|---|---|---|---|---|---|---|---|---|
| 圧縮荷重 | kN | Pcr | $\pi^2\cdot E\cdot I/(Lsp8)^2$ | 1.7 | 1.7 | 1.7 | 0.9 | 1.0 |
| UTP 下降量 | mm | Xcr | Pcr/K | 2.5 | 2.5 | 2.4 | 1.9 | 1.9 |
| 発生応力 | $N/mm^2$ | σcr | Pcr/A | 55 | 55 | 55 | 42 | 42 |

表５－５　ＵＴＰに残留する塑性変形量

［単位：mm］

| がれき衝突位置 | 塑性変形評価位置 | ９×９燃料（Ｂ型） | 高燃焼度８×８燃料 | 新型８×８*1 ｼﾞﾙｺﾆｳﾑﾗｲﾅ燃料 |
|---|---|---|---|---|
| ①ハンドル上面全体に剛体接触 | ＣＢ上端に対するハンドル上端の沈み込み量 | 4.5 | 7.1 | 8.4 |
| | ハンドル幅拡大量（両側） | 2.1 | 4.8 | 8.1 |
| | ＣＢ上端に対するコーナーポスト上端の沈み込み量 | 4.5 | | |
| ②ハンドル上面右半分に剛体接触 | ＣＢ上端に対するハンドル上端の沈み込み量 | 3.5 | 5.5 | |
| | ハンドル幅拡大量（両側） | 1.8 | 4.2 | |
| | ＣＢ上端に対するコーナーポスト上端の沈み込み量 | 3.8 | | |
| ③ハンドル上面中央 45mm に剛体接触 | ＣＢ上端に対するハンドル上端の沈み込み量 | 8.4 | 10.1 | |
| | ハンドル幅拡大量（両側） | 5.4 | 8.5 | |
| | ＣＢ上端に対するコーナーポスト上端の沈み込み量 | 4.7 | | |

*1：新型８×８ジルコニウムライナ燃料以前の燃料は，高燃焼度８×８燃料と比較してハンドルバーが薄くハンドルポストがコーナーポストと連結していないため塑性変形量が大きい。このため，①を除く一連の解析は高燃焼度８×８燃料の結果を代表としている。

表５－６　ＵＴＰに残留する塑性変形量（９×９燃料（Ａ型））

［単位：mm］

| がれき衝突位置 | 塑性変形評価位置 | ９×９燃料（Ａ型） |
|---|---|---|
| ②ハンドル上面右半分に剛体接触 | ＣＢ上端に対するハンドル上端の沈み込み量 | 5.5 |
| | ハンドル幅拡大量（両側） | 4.0 |

表５－７　がれき衝突時の結合燃料棒の健全性評価における解析条件

| | がれき重量(t) | がれき衝突速度(m/s) | がれき衝突角度 | 燃料型式 |
|---|---|---|---|---|
| 条件① | 1 | 21 | 斜め 45° | ９×９燃料（A型） |
| 条件② | 1 | 21 | 垂直 | ９×９燃料（A型） |
| 条件③ | 4.5 | 12 | 垂直 | ９×９燃料（A型） |
| 条件④ | 1 | 21 | 垂直 | 新型８×８ジルコニウムライナ燃料 |

表５－８　ハンドルポスト引張試験結果(破断試験)

| 初期変形時の荷重付与方法 | 燃料型式 | 破断に至るまでの最大荷重 |
|---|---|---|
| 動的荷重 | 高燃焼度８×８燃料，９×９燃料（A型） | 91.5 kN (9.33t) |
| | 新型８×８ジルコニウムライナ燃料 | 89.7 kN (9.15t) |
| 静的荷重 | 高燃焼度８×８燃料，９×９燃料（A型） | 91.1 kN (9.29t) |
| | 新型８×８ジルコニウムライナ燃料 | 83.4 kN (8.50t) |

表５－９　ＣＢ変形燃料における解析条件

| 項目 | 条件 | 備考 |
|---|---|---|
| 評価温度 | 70℃ | プール水の設計温度の包絡条件として設定 |
| ＣＦ部の傾き | 30° | ＣＢ変形燃料の水中カメラ映像では，ＣＦ部の傾き角は 27 度となることから，包絡条件として設定 |
| 物性値 | 未照射材 | 照射により耐力及び引張強さが高くなる傾向があることから，保守側の試験結果が得られる |

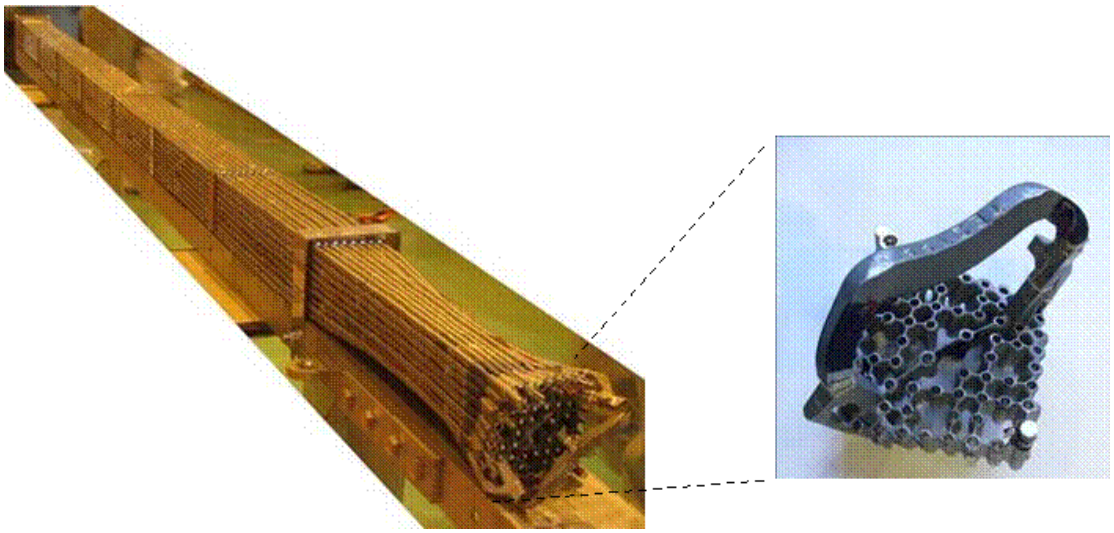


図５－１　がれき落下衝撃試験の結果

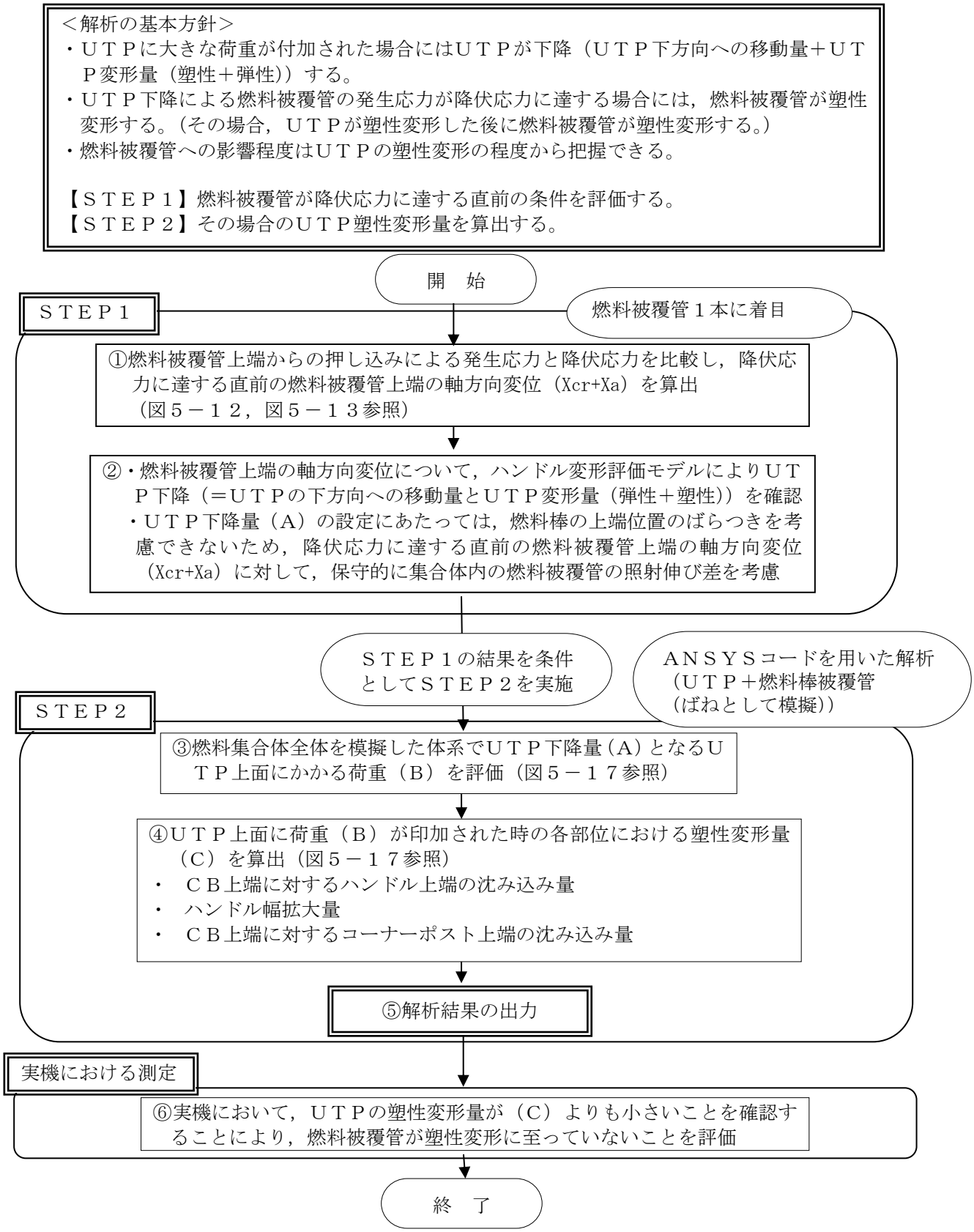



図５－２　ＵＴＰに残留する塑性変形量の解析フロー図

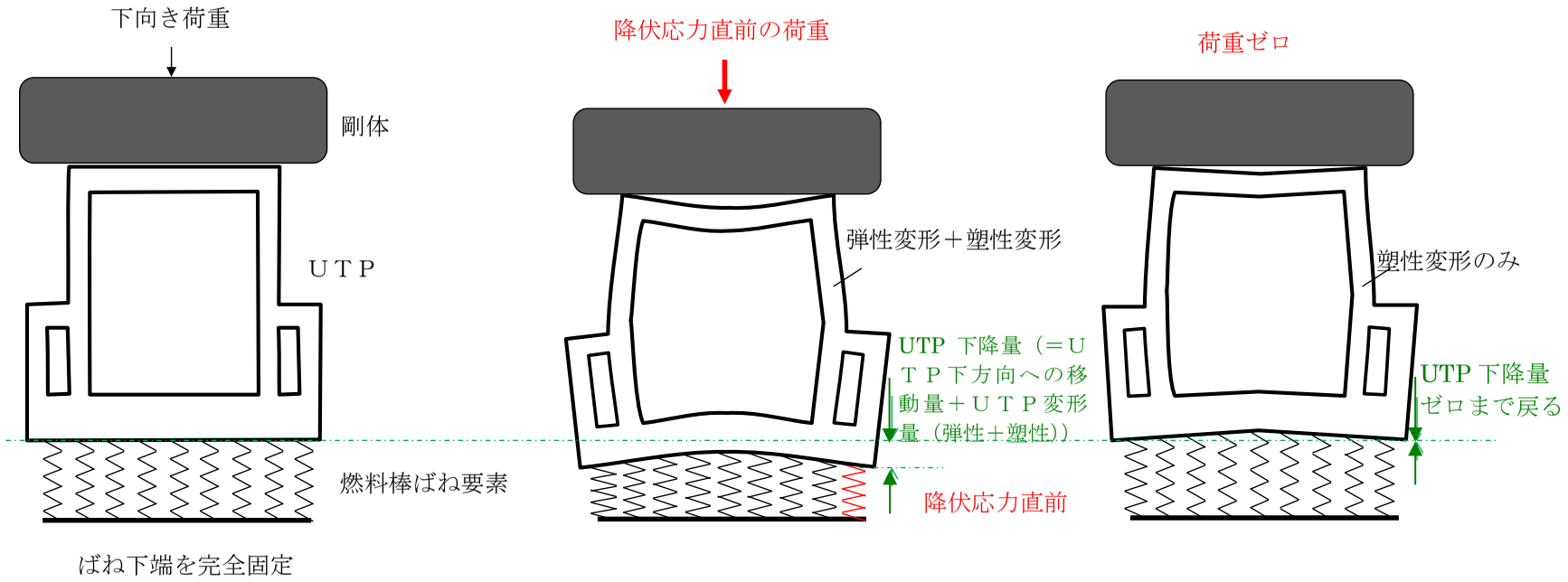
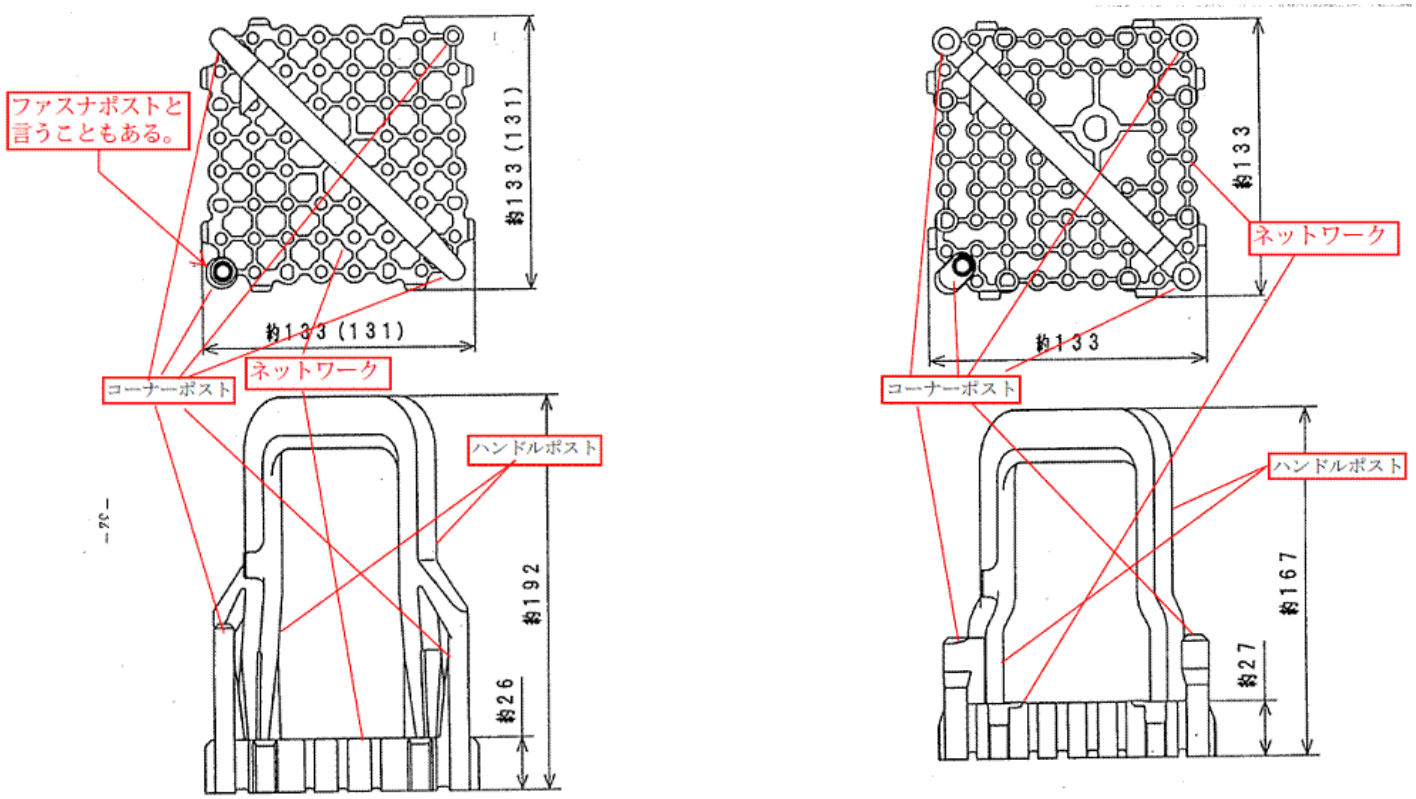



図５－３　解析モデルの概要




高燃焼度８×８燃料

９×９燃料（B型）（D格子）

（ ）はS格子
(単位：mm)

図５－４　ＵＴＰの概要図

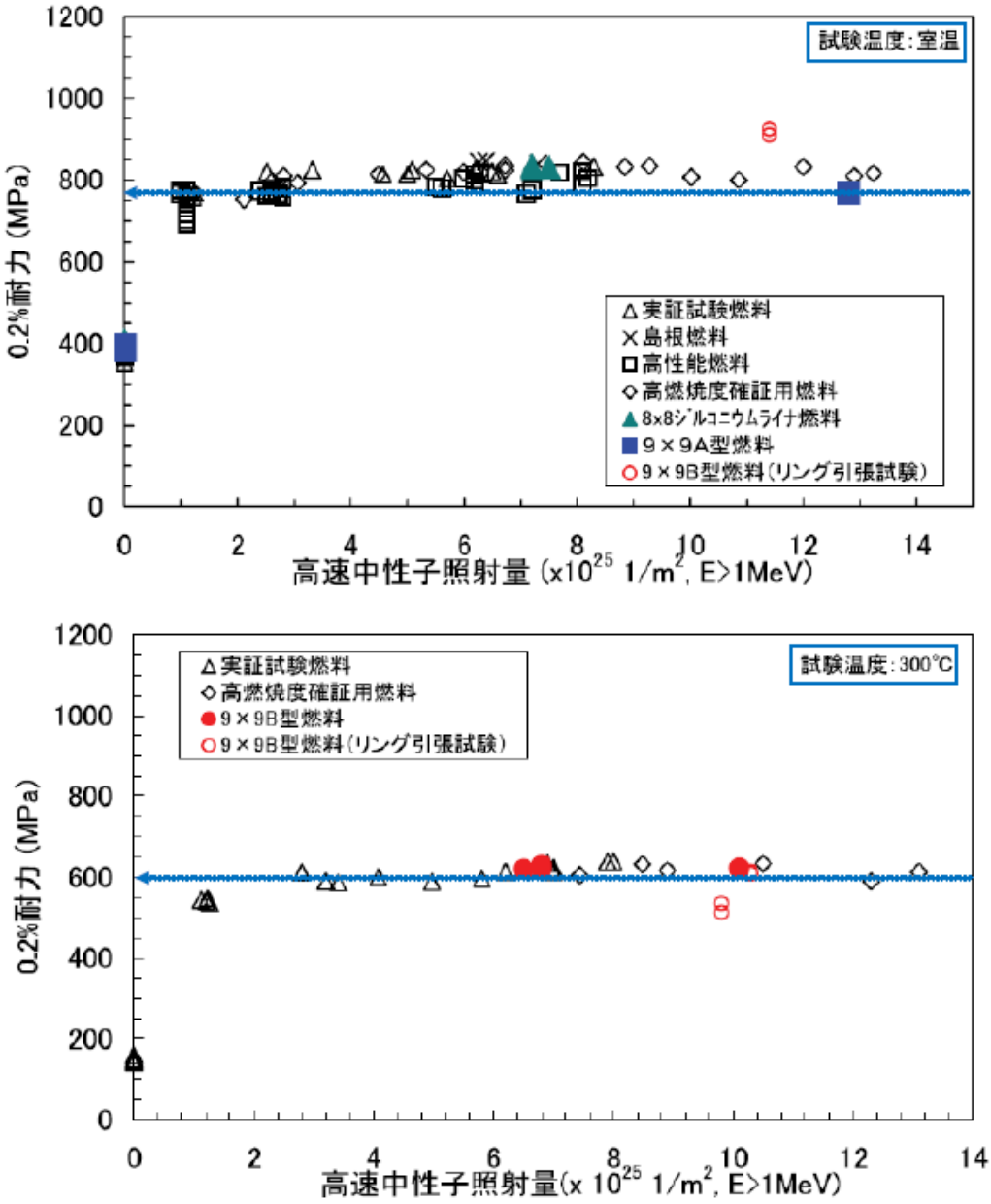



図５－５　ジルコニウム合金の降伏応力（０．２%耐力）評価[3]

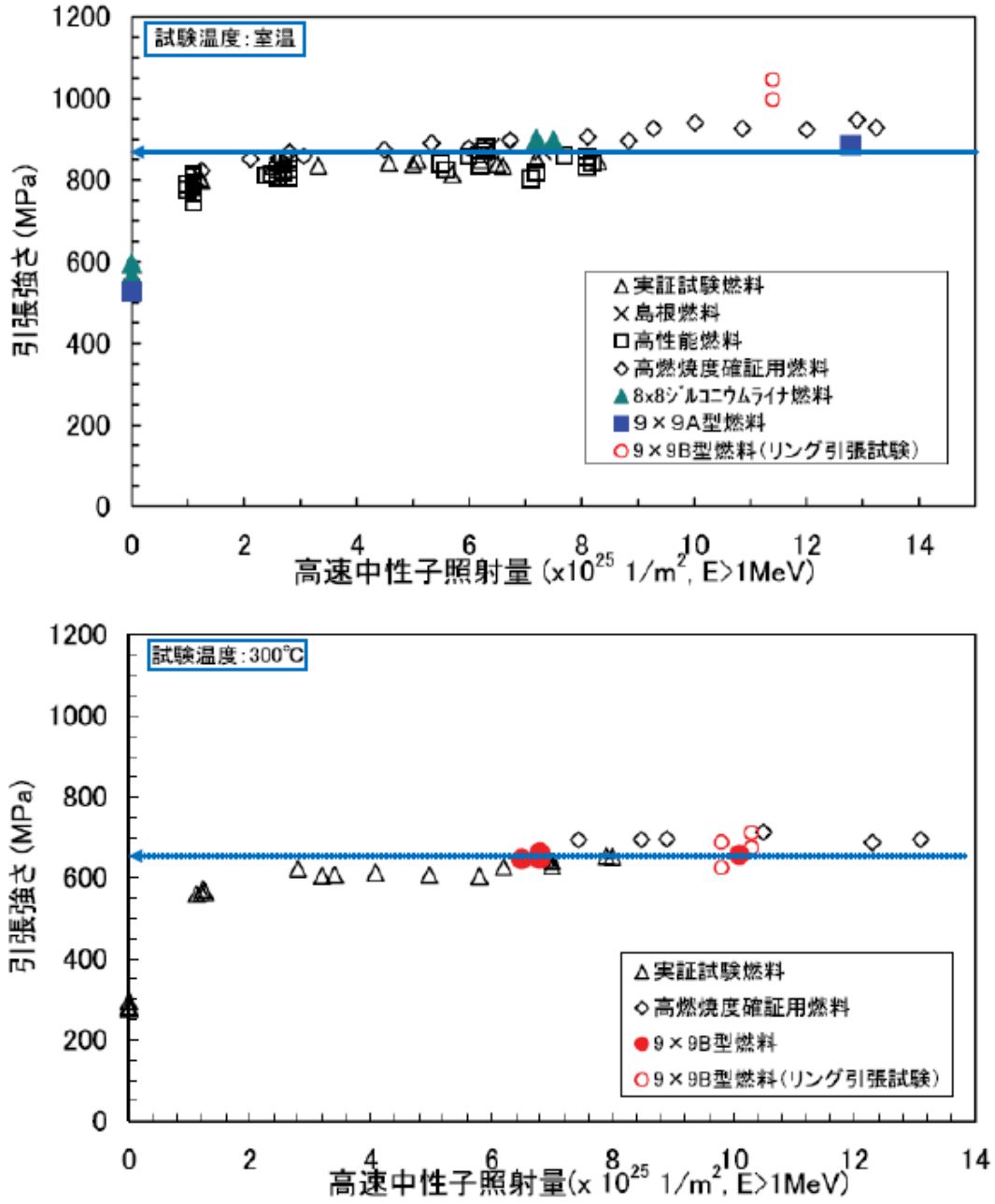
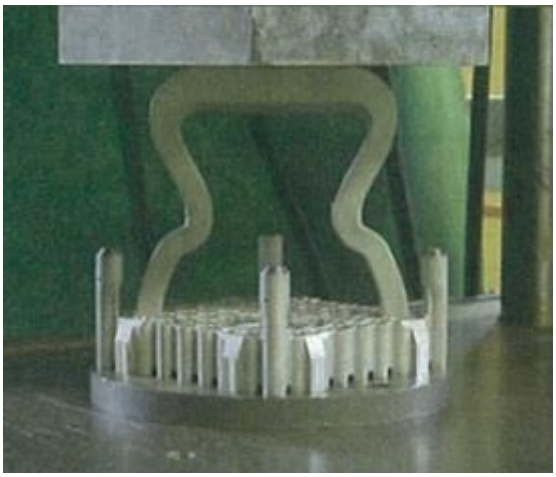
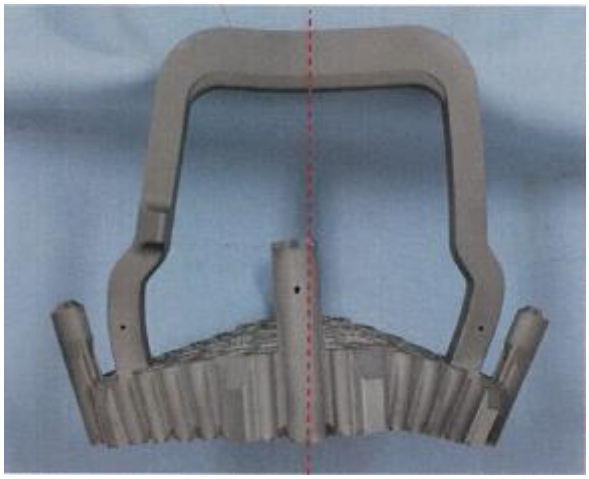


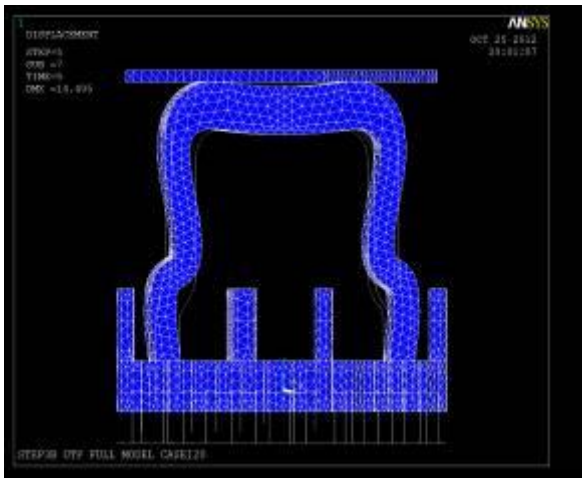

図５－６　ジルコニウム合金の引張り強さ評価[3]



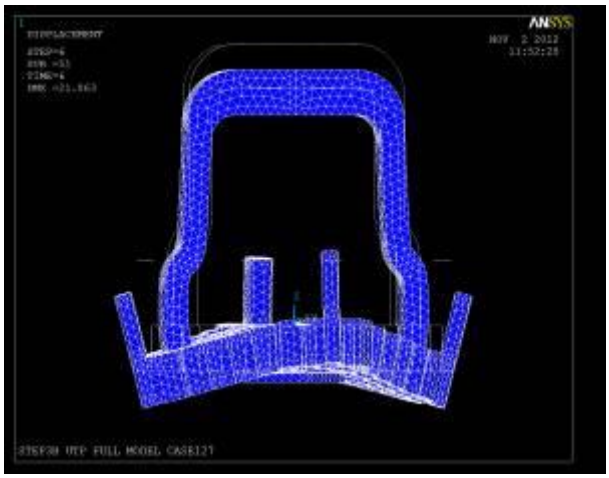
ハンドルを変形させる試験



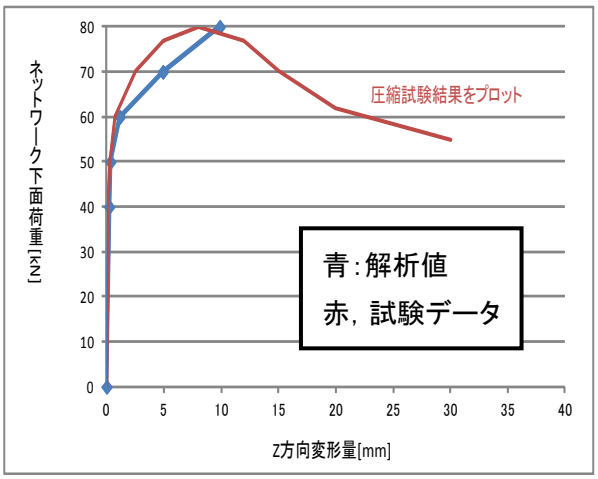
ネットワークを変形させる試験



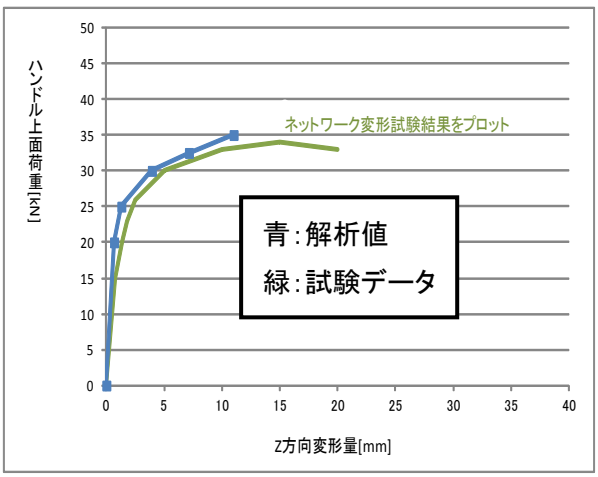
ハンドルを変形させる解析



ネットワークを変形させる解析




単体試験と解析の比較




単体試験と解析の比較

図５－７　単体試験とＡＮＳＹＳコード解析との比較

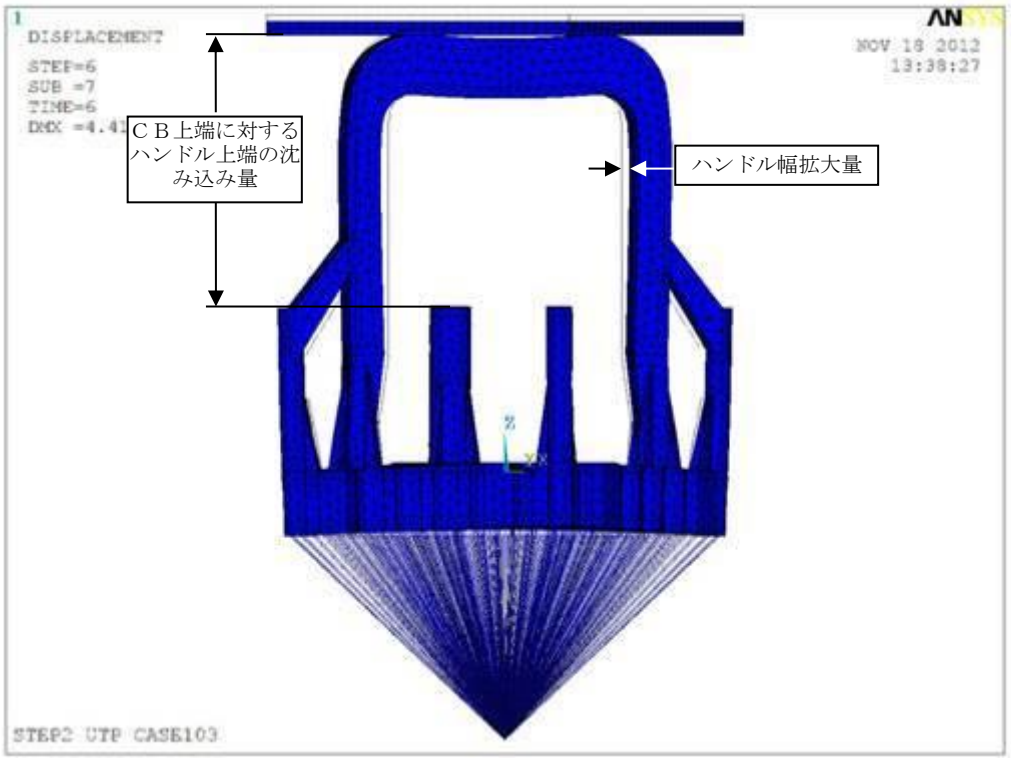



図５－８　典型的なＵＴＰ塑性変形の外観図（高燃焼度８×８燃料）

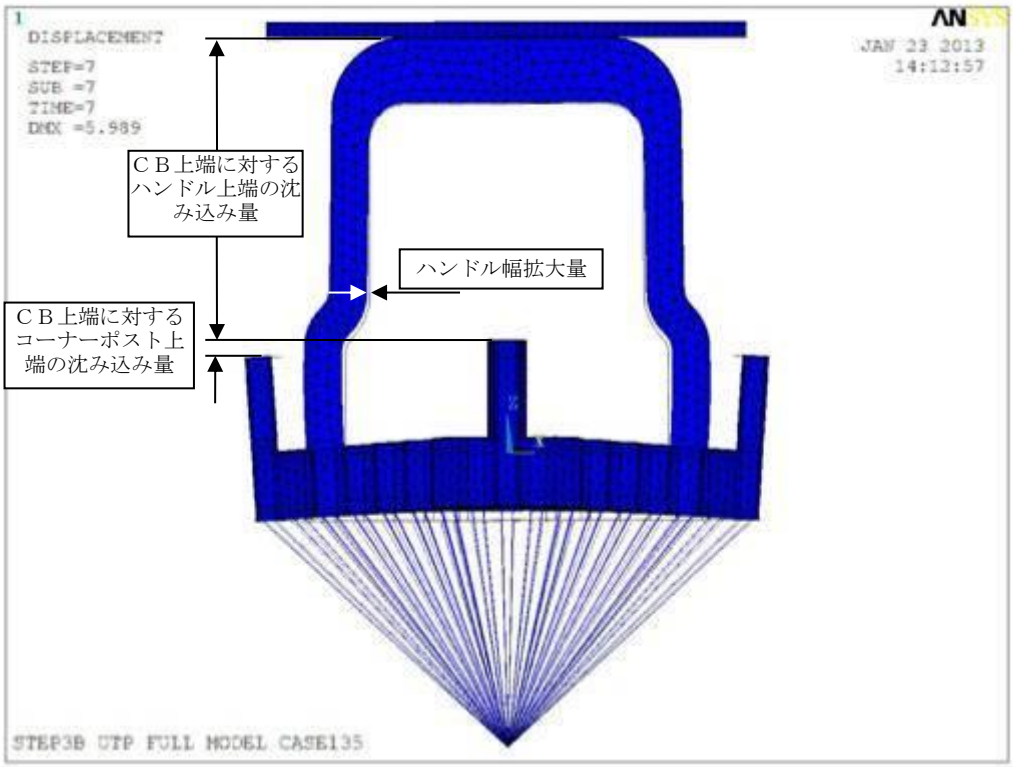



図５－９　典型的なＵＴＰ塑性変形の外観図（９×９燃料（Ｂ型））

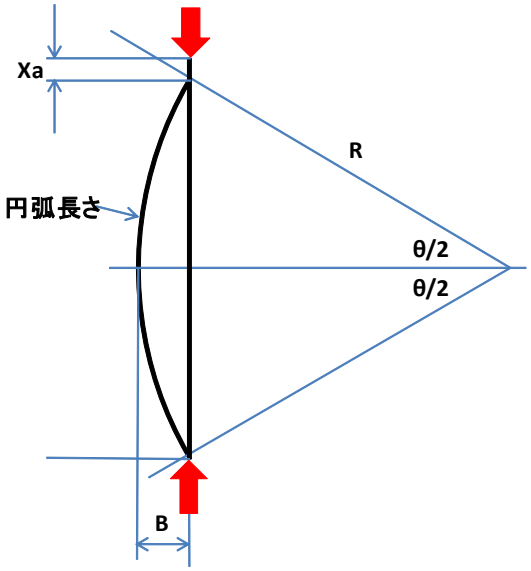



図５－１０　たわみの幾何学的評価の模式図

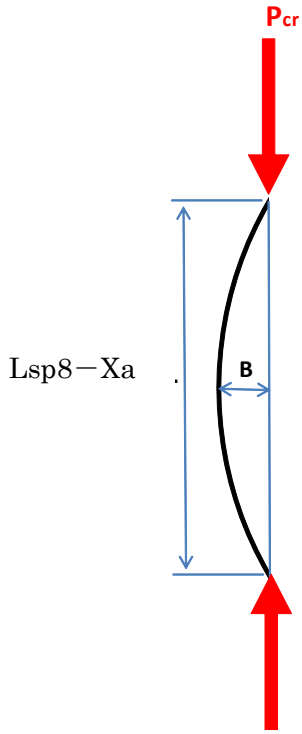



図５－１１　たわみの材料力学的評価の模式図

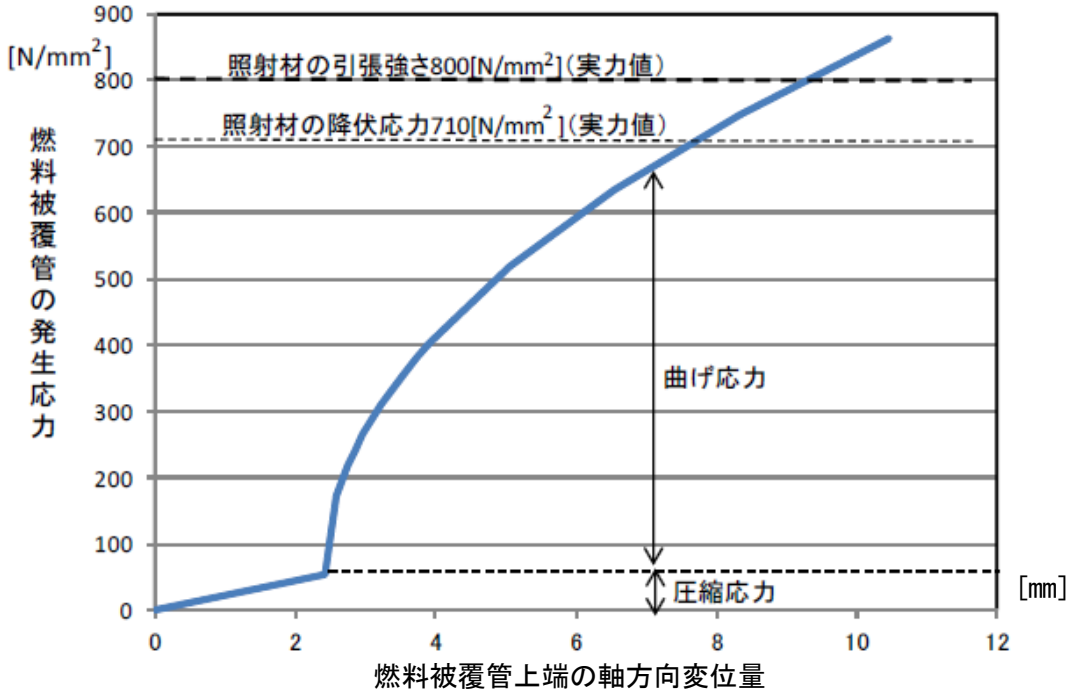



図５－１２　燃料被覆管上端の軸方向変位（Xcr+Xa）による燃料被覆管発生応力（σa）
（高燃焼度８×８燃料）

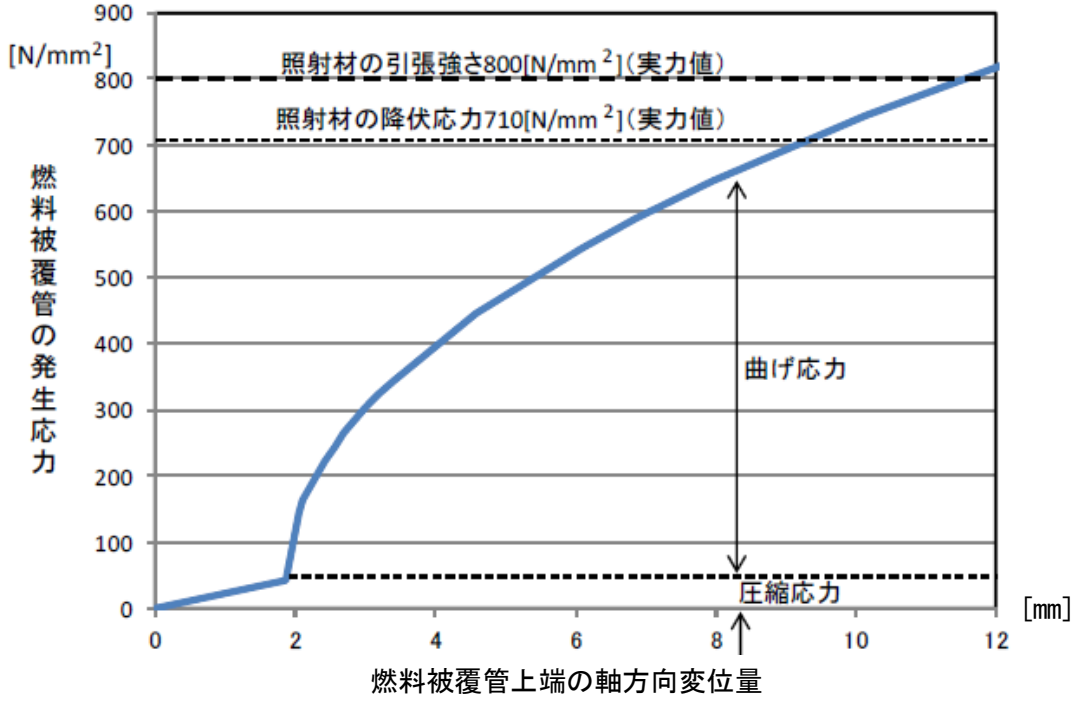



図５－１３　燃料被覆管上端の軸方向変位（Xcr+Xa）による燃料被覆管発生応力（σa）
（９×９燃料（Ｂ型））

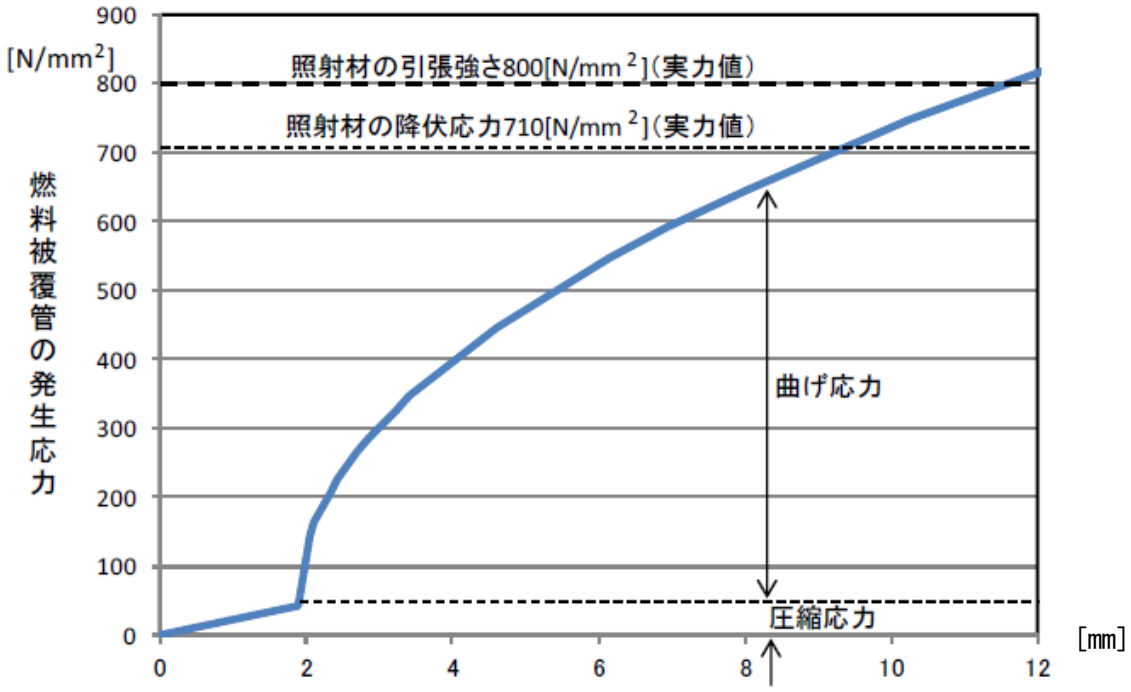
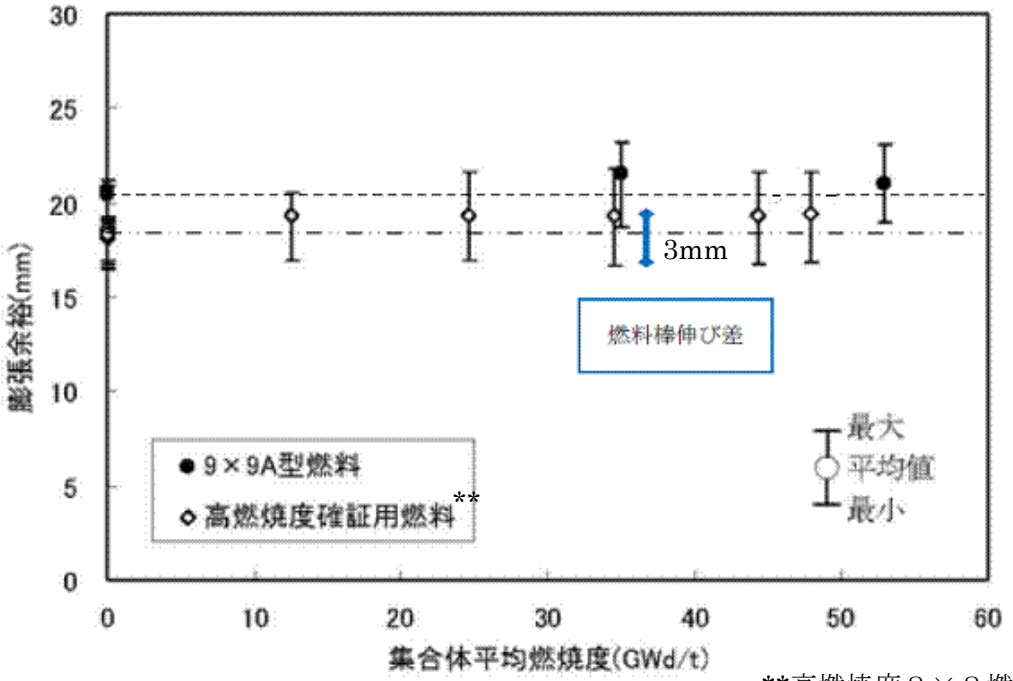



図５－１４　燃料被覆管上端の軸方向変位（Xcr+Xa）による燃料被覆管発生応力（σa）
（９×９燃料（Ａ型））




**高燃焼度８×８燃料のデータ

図５－１５　燃料棒伸び差の燃焼変化（膨張スプリングのデータから評価）
（９×９燃料（Ａ型）及び高燃焼度８×８燃料）[1]

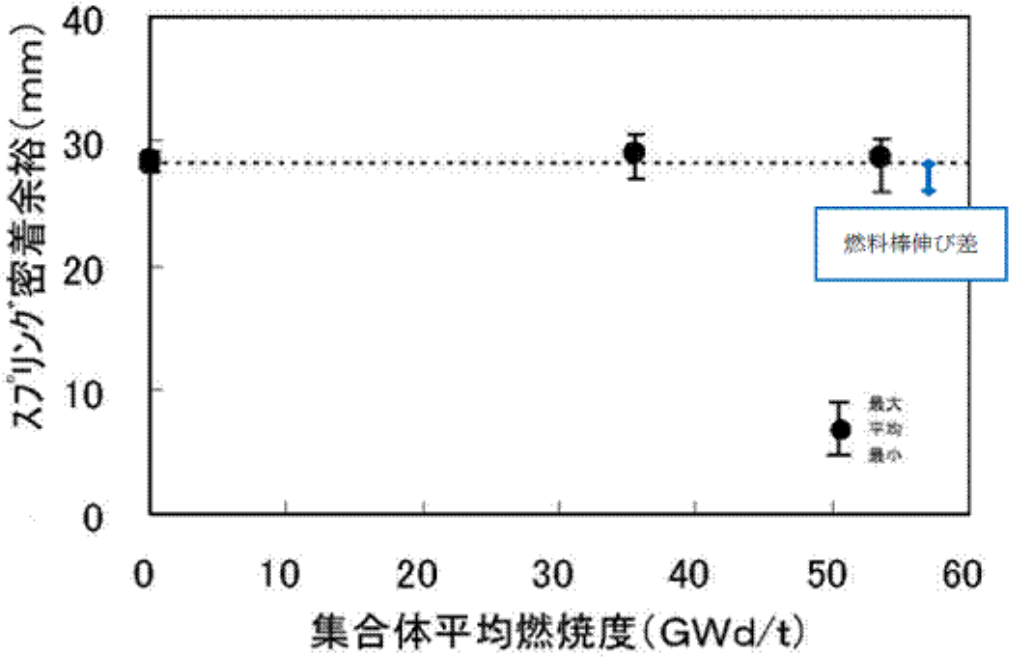
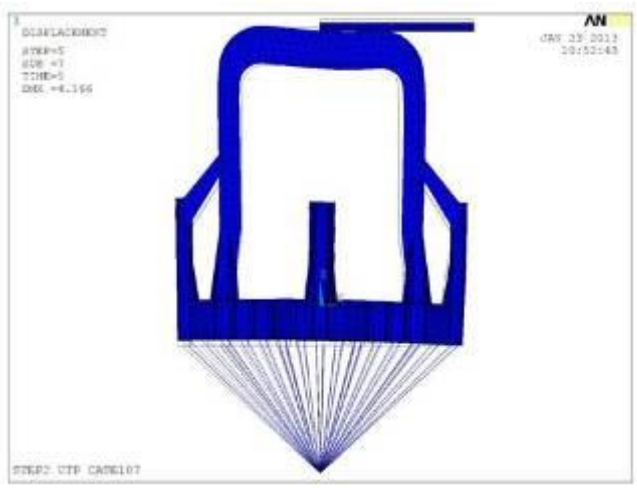
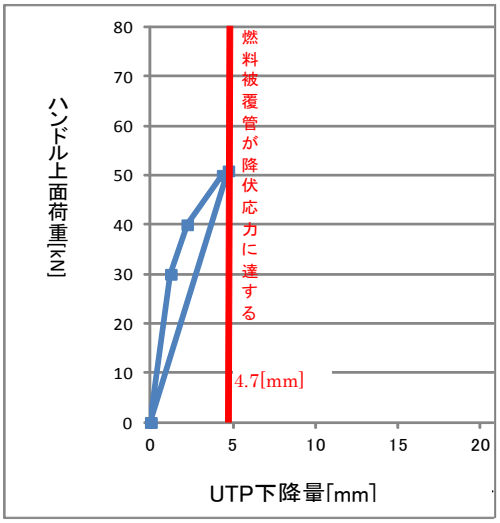
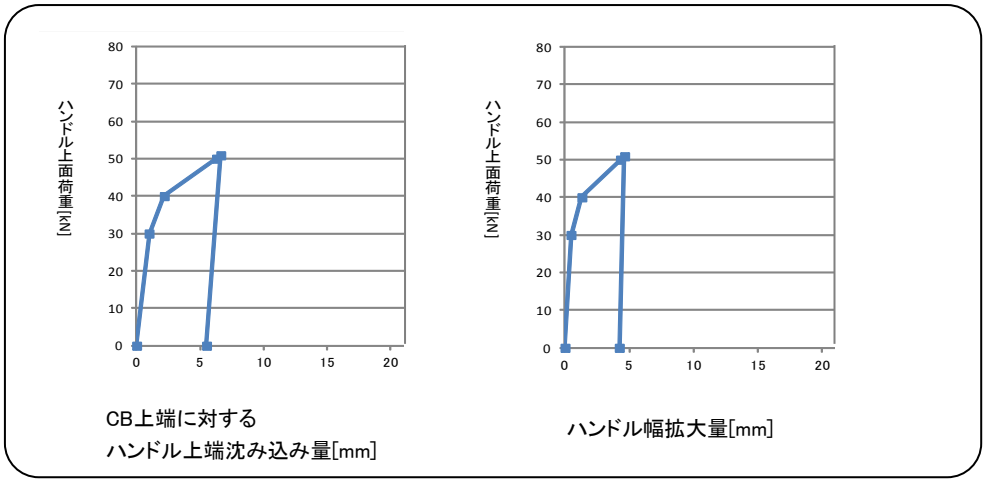



図５－１６　燃料棒伸び差の燃焼変化（膨張スプリングのデータから評価）
（９×９燃料（Ｂ型））[2]



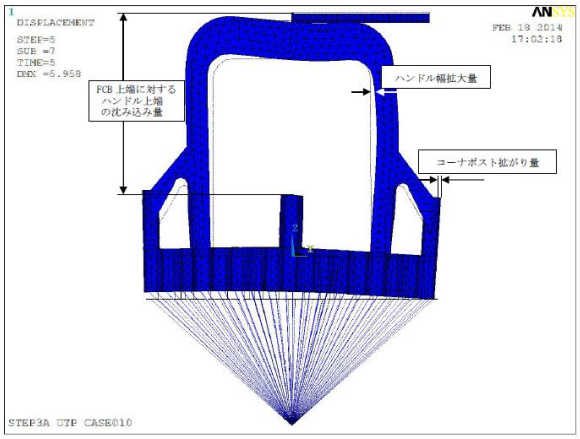


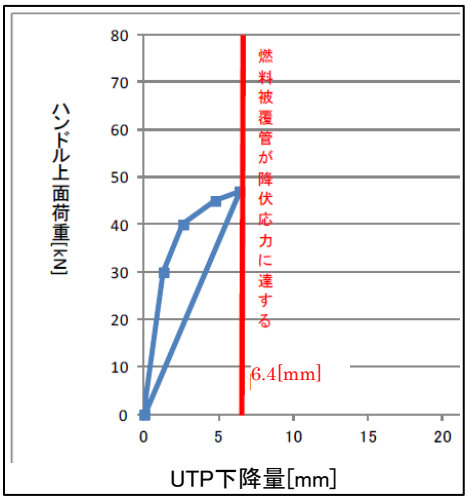

燃料被覆管が降伏応力を与えるＵＴＰ下降量に達する際にハンドル上面に付加される荷重を評価



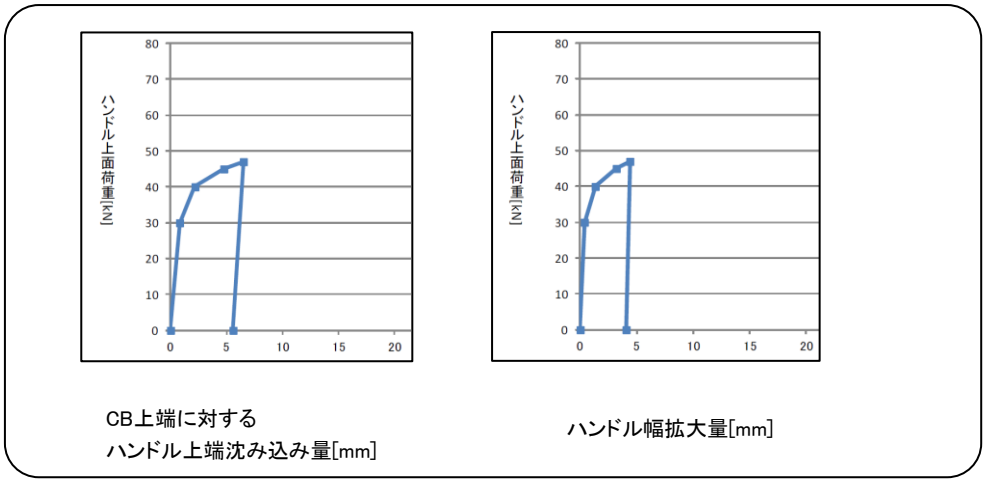

上記荷重が付加された場合のＵＴＰ各部の塑性変形を評価

図５－１７　ＵＴＰに残留する塑性変形量の評価例
（高燃焼度８×８燃料　②ハンドル上面右半分に剛体接触）




燃料被覆管が降伏応力を与えるＵＴＰ下降量に達する際にハンドル上面に付加される荷重を評価




上記荷重が付加された場合のＵＴＰ各部の塑性変形を評価

図５－１８　ＵＴＰに残留する塑性変形量の評価例
（９×９燃料（Ａ型）　②ハンドル上面右半分に剛体接触）

CF側

(単位%)

| 位置 | A | B | C | D | E | F | G | H | J |
|---|---|---|---|---|---|---|---|---|---|
| 1 | 1.9 | 1.2 | 1.7 | 1.5 | 1.6 | 1.4 | 1.6 | 1.7 | 1.9 |
| 2 | 1.4 | | 1.3 | 1.2 | | 1.5 | 1.7 | | 1.9 |
| 3 | 2.0 | 1.6 | 1.3 | 1.1 | 1.2 | 1.3 | 1.7 | 1.7 | 1.4 |
| 4 | 3.2 | 1.9 | 1.4 | 0.9 | | WR 1.1 | 1.7 | 1.8 | 1.8 |
| 5 | 3.2 | | 1.8 | | | | 1.5 | | 1.3 |
| 6 | 4.2 | 4.2 | 2.3 | WR 1.9 | | 1.5 | 1.4 | 1.0 | 0.8 |
| 7 | 4.5 | 4.7 | 4.6 | 3.6 | 2.2 | 1.6 | 1.3 | 0.7 | 0.3 |
| 8 | 5.3 | | 4.6 | 4.4 | | 1.7 | 1.0 | | 0.4 |
| 9 | 5.5 | 4.9 | 3.9 | 4.4 | 3.4 | 1.5 | 0.5 | 0.5 | 0.3 |

反CF側

上部端栓の塑性歪分布（条件①）

（1t，21m/s，斜め 45°，９×９燃料（Ａ型））

■：結合燃料棒

ＣＦ側

(単位%)

| 位置 | A | B | C | D | E | F | G | H | J |
|---|---|---|---|---|---|---|---|---|---|
| 1 | 1.5 | 1.8 | 2.6 | 3.5 | 4.0 | 4.7 | 5.0 | 5.6 | 5.7 |
| 2 | 1.8 | | 1.8 | 2.1 | | 4.5 | 5.5 | | 5.1 |
| 3 | 2.5 | 1.8 | 1.8 | 1.8 | 2.4 | 2.6 | 4.7 | 4.8 | 13.9 |
| 4 | 3.4 | 2.1 | 1.8 | 1.3 | | WR 2.9 | 3.9 | 4.4 | 4.9 |
| 5 | 4.0 | | 2.4 | | | | 2.5 | | 3.7 |
| 6 | 4.3 | 4.5 | 2.5 | WR 2.9 | | 1.9 | 1.7 | 1.6 | 1.4 |
| 7 | 4.9 | 5.3 | 4.7 | 3.9 | 2.5 | 1.7 | 1.4 | 0.9 | 0.3 |
| 8 | 5.6 | | 4.8 | 4.4 | | 1.6 | 0.9 | | 0.3 |
| 9 | 5.6 | 5.2 | 14.2 | 4.8 | 3.7 | 1.4 | 0.3 | 0.3 | 0.1 |

反ＣＦ側

上部端栓の塑性歪分布（条件②）

（1t，21m/s，垂直，９×９燃料（Ａ型））

■：結合燃料棒

CF側

(単位%)

| 位置 | A | B | C | D | E | F | G | H | J |
|---|---|---|---|---|---|---|---|---|---|
| 1 | 1.7 | 1.3 | 2.1 | 2.8 | 3.6 | 4.1 | 4.0 | 4.7 | 5.2 |
| 2 | 1.3 | | 1.3 | 1.4 | | 4.3 | 4.5 | | 4.4 |
| 3 | 2.1 | 1.3 | 1.3 | 1.1 | 1.6 | 1.8 | 4.4 | 4.0 | 13.5 |
| 4 | 2.8 | 1.4 | 1.2 | 0.8 | | WR 1.9 | 3.2 | 3.9 | 4.0 |
| 5 | 3.5 | | 1.5 | | | | 1.6 | | 2.8 |
| 6 | 3.9 | 4.1 | 1.8 | WR 1.9 | | 1.1 | 1.0 | 0.9 | 0.8 |
| 7 | 3.8 | 4.3 | 4.2 | 3.1 | 1.6 | 1.0 | 0.8 | 0.5 | 0.2 |
| 8 | 4.7 | | 4.0 | 3.7 | | 0.9 | 0.5 | | 0.3 |
| 9 | 5.2 | 4.3 | 14.5 | 3.9 | 2.7 | 0.8 | 0.3 | 0.3 | 0.2 |

反CF側

上部端栓の塑性歪分布（条件③）

（4.5t，12m/s，垂直，９×９燃料（Ａ型））

■：結合燃料棒

CF側

(単位%)

| 位置 | A | B | C | D | E | F | G | H |
|---|---|---|---|---|---|---|---|---|
| 1 | 0.1 | 0.2 | 0.1 | 0.7 | 1.3 | 3.4 | 4.4 | 6.9 |
| 2 | 0.2 | 1.2 | 0.3 | 0.7 | 1.0 | 1.9 | 1.7 | 2.1 |
| 3 | 0.3 | 0.4 | 0.5 | 0.4 | 0.3 | 2.1 | 0.5 | 2.5 |
| 4 | 0.7 | 0.9 | 0.4 | 0.1 | 2.8 | 0.2 | 3.7 | 0.1 |
| 5 | 1.7 | 1.5 | 0.6 | 3.3 | 0.0 | 0.1 | 0.2 | 1.6 |
| 6 | 4.1 | 2.6 | 2.1 | 0.1 | 0.1 | 0.2 | 0.2 | 1.0 |
| 7 | 5.5 | 2.2 | 1.3 | 3.8 | 1.7 | 0.2 | 0.3 | 0.2 |
| 8 | 9.9 | 4.0 | 4.4 | 1.5 | 2.9 | 0.3 | 0.2 | 0.2 |

反CF側

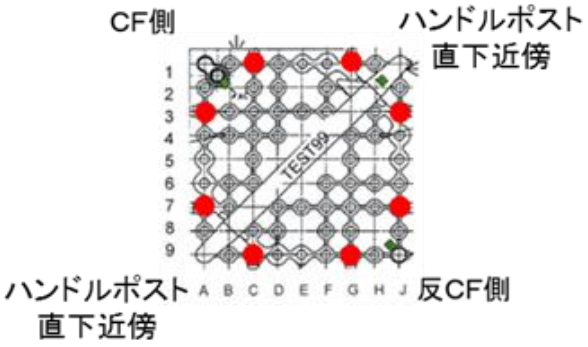
上部端栓の塑性歪分布（条件④）

（1t，21m/s，垂直，

新型８×８ジルコニウムライナ燃料）

■：結合燃料棒

図５－１９　がれき衝突解析における上部端栓の塑性歪分布




| 位置 | A | B | C | D | E | F | G | H | J |
|---|---|---|---|---|---|---|---|---|---|
| 1 | 0.1 | | 0.0 | | | | 0.3 | | 1.0 |
| 2 | | × | | | × | | | × | |
| 3 | 0.1 | | | | | | | | 0.5 |
| 4 | | | | | × | | | | |
| 5 | | × | | × | × | × | | × | |
| 6 | | | | | × | | | | |
| 7 | 0.2 | | | | | | | | 0.0 |
| 8 | | × | | | × | | | × | |
| 9 | 0.6 | | 0.4 | | | | 0.0 | | 0.0 |

図５－２０　がれき落下衝撃試験で得られた上部端栓近傍における
歪ゲージによる測定結果（単位：％　●：結合燃料棒）

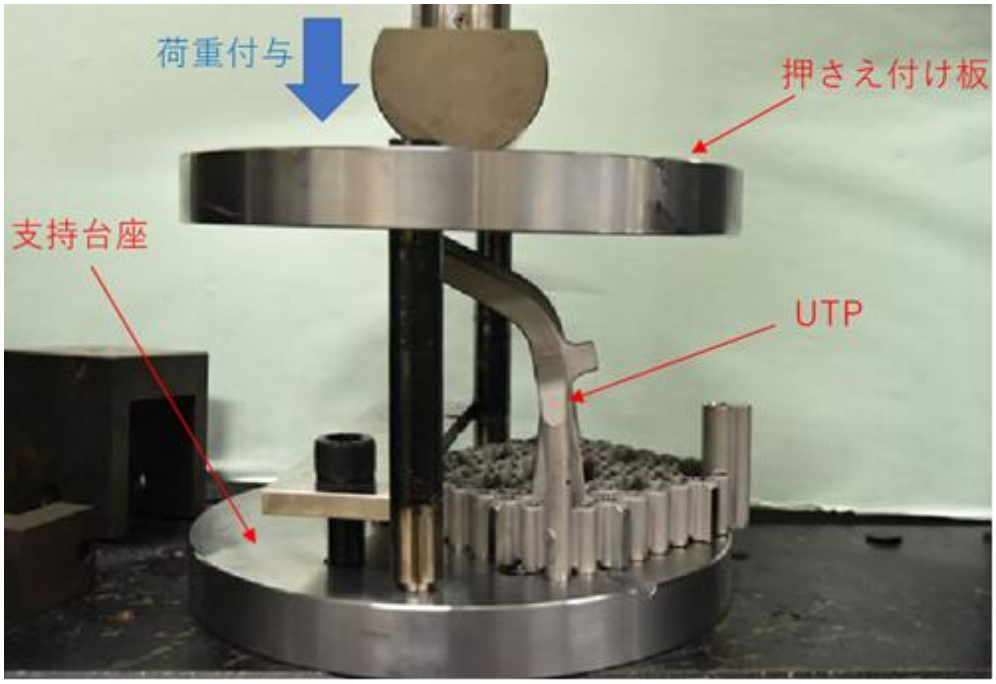



図５－２１　ハンドルへの変形付与装置

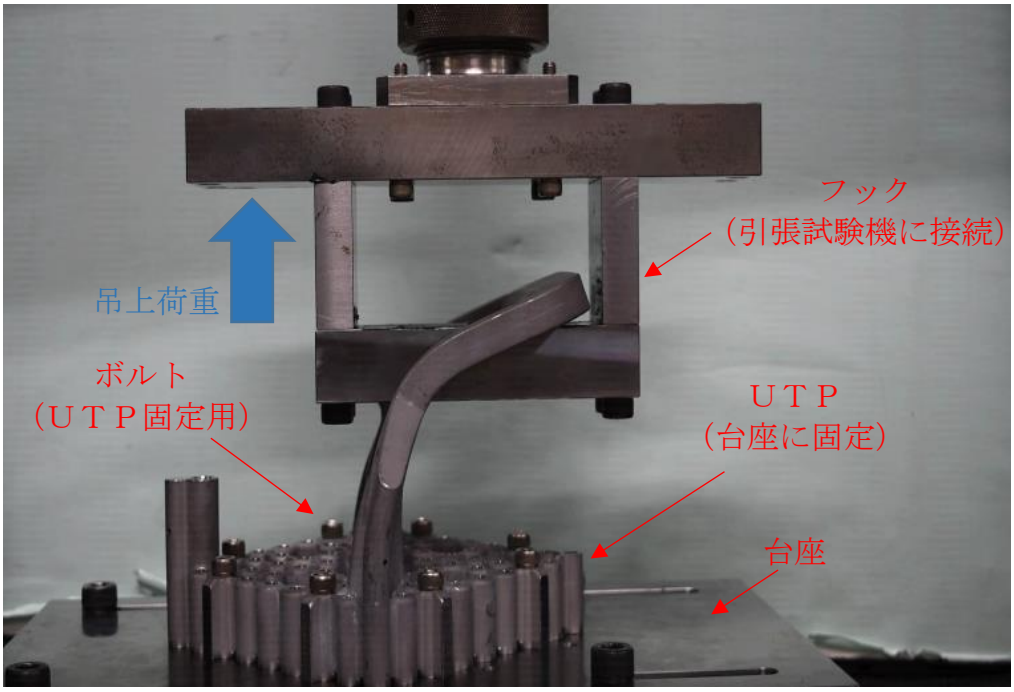



図５－２２　ハンドルの引張試験装置

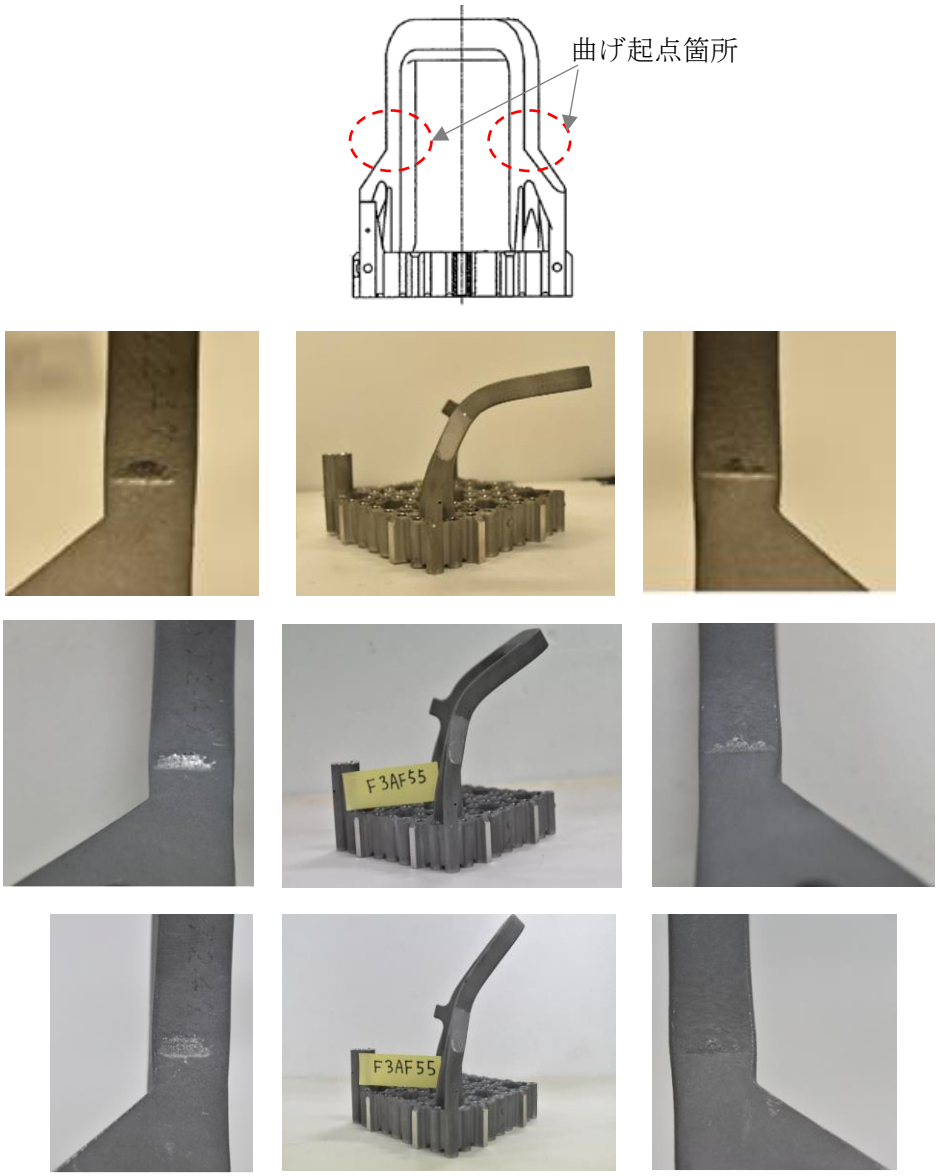



図５－２３　９×９燃料（Ａ型）ハンドルの引張試験前後の比較
（上段：引張試験前　中段：13kN 引張試験後　下段：26kN 引張試験後）

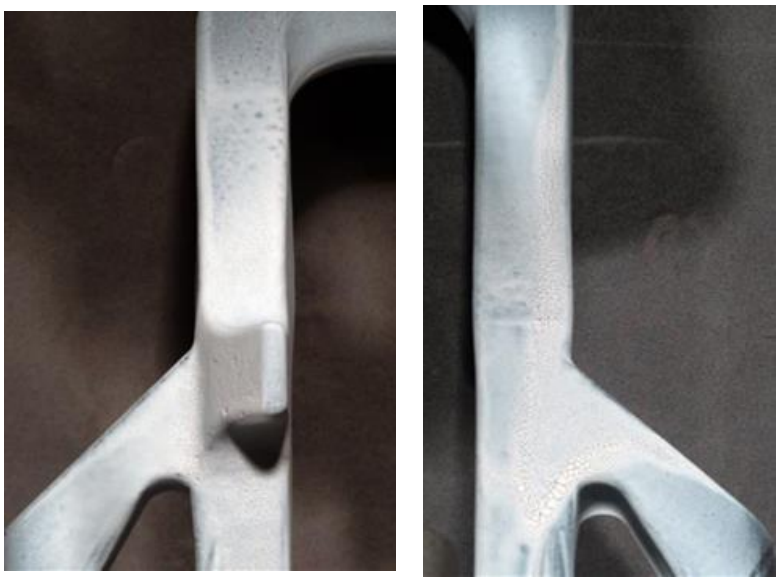


図５－２４（１）　ハンドル引張試験後の浸透探傷試験結果
（９×９燃料（Ａ型）　引張荷重 13kN）

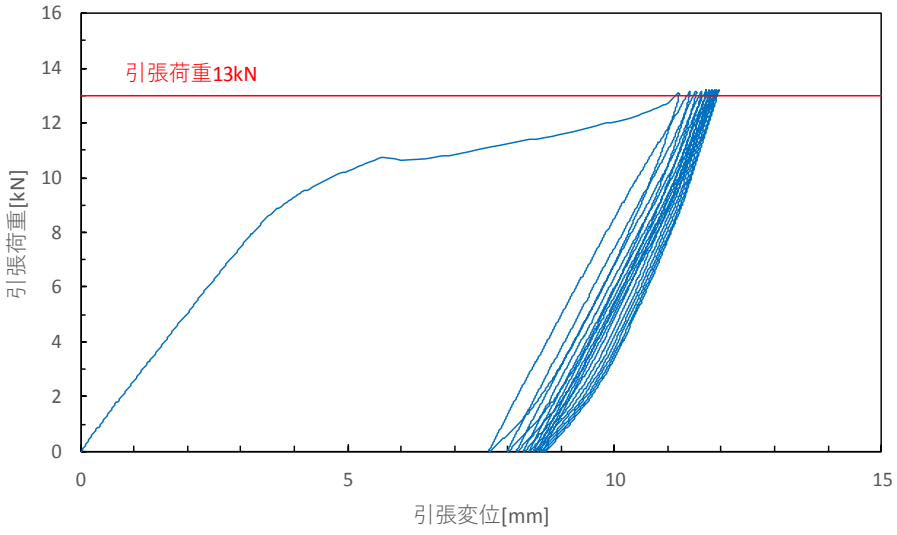



図５－２５（１）　ハンドル引張試験中の引張荷重―引張変位
（９×９燃料（Ａ型）　引張荷重 13kN）

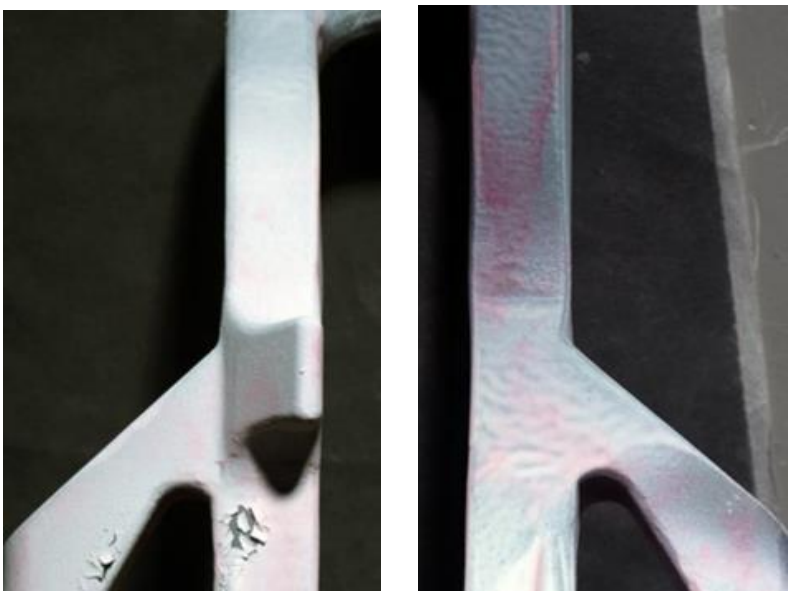


図５－２４（２）　ハンドル引張試験後の浸透探傷試験結果
（９×９燃料（A型）　引張荷重 26kN）

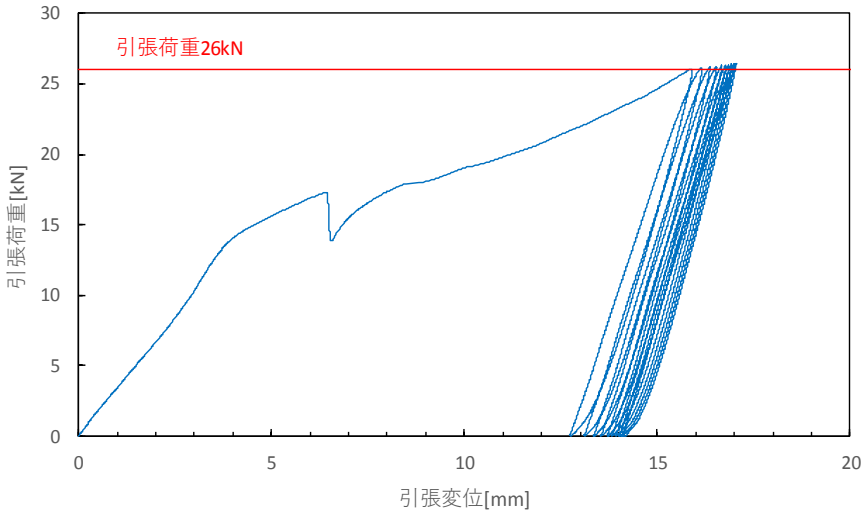



図５－２５（２）　ハンドル引張試験中の引張荷重―引張変位
（９×９燃料（A型）　引張荷重 26kN）

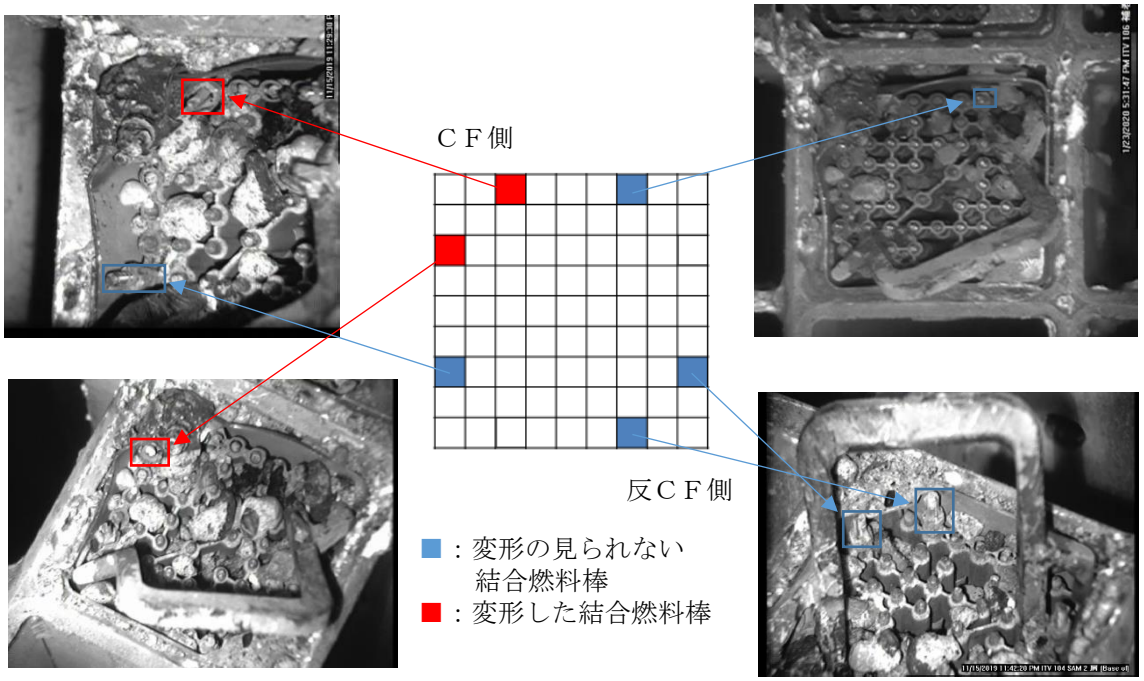



図５－２６　ＣＢ変形燃料の結合燃料棒状況

6.　燃料の取り扱い

6.1.　４号機における燃料の取り扱い

6.1.1.　燃料取り出し手順の概要

燃料取り扱いに支障となるがれきを撤去した後，がれき落下による燃料健全性への影響を確認し，燃料取扱機又はクレーンを用いて燃料の取り出しを行う。燃料の取り出しにあたってはがれきによる固着の発生防止に努めるとともに固着発生時には必要な対応を行う。がれきによる燃料健全性への影響がない燃料集合体は既存のＮＦＴ－２２Ｂ型構内輸送容器に収納し，燃料健全性への影響が疑われる燃料集合体は燃料被覆管の破損を考慮した容器に収納し，使用済燃料共用プール（新燃料については，一部６号機ＳＦＰ）へ搬出する。なお，燃料取扱機又はクレーンを用いて燃料の取り出しを行うにあたっては，実施体制を確立し，事前にトレーニングを行った上で対応する。

6.1.2.　燃料健全性確認

6.1.2.1.　燃料健全性確認手順

図６－１，図６－２に水中カメラで撮影した４号機のプール内のがれき散乱状況を示す。これまでの調査からＳＦＰ水中には様々ながれきが落下しているものの，がれきで確認できない一部の燃料集合体を除いては，ＵＴＰハンドルの変形は確認されていない。

図６－５に４号機ＳＦＰ内がれきマップ及び表６－１には４号機ＳＦＰ内で確認されたがれきのリストを示す。燃料取り出し作業に先立って，がれきを撤去した後，水中カメラにてＵＴＰハンドルの変形状況をあらためて確認し，燃料健全性確認治具を用いての確認は，ＳＦＰ内で最も燃料健全性への影響があると考えられるがれき周辺の燃料に対して行う。

燃料取り出し作業は水中カメラにより作業状況を確認しつつ実施することとし，作業中に燃料集合体やＣＢに傷，変形，腐食等の顕著な異常が確認された場合には，取り出し作業を中止し，水中カメラにて傷の大きさ等について観察し健全性への影響について評価する。また，４号機ＳＦＰ内から使用済燃料共用プール（新燃料については，一部６号機ＳＦＰ）に移送した後，燃料集合体はＮＦＴ－２２Ｂ型構内輸送容器から燃料を取り出す際に，ＣＢに傷，変形，腐食等の顕著な異常がないことを確認する。

6.1.2.2.　燃料健全性確認用治具

燃料健全性確認用治具の概念図を図６－３，図６－４に示す。

燃料健全性確認用治具は，5.2.2 評価結果の中で，燃料被覆管が塑性変形し，かつ，ＵＴＰ塑性変形量が最も小さいがれき衝突条件「②ハンドル上面右半分に剛体接触」を基準に製作する。また，健全性確認治具による検出性を考慮し，高燃焼度８×８燃料以前の燃料に対しては「ＣＢ上端に対するハンドル上端の沈み込み量」，９×９燃料（Ｂ型）に対しては，「ＣＢ上端に対するコーナーポスト上端の沈み込み量」を検出ポイントとする。

6.1.3.　取り出し後の確認

使用済燃料共用プール（新燃料については，一部６号機ＳＦＰ）における長期的な健全性の確認や輸送・保管方法の検討のため，今後，別途点検を計画する。

6.1.4.　がれきによるＣＢの固着

6.1.4.1.　固着の発生防止

燃料集合体を使用済燃料ラックから引き抜く際に，使用済燃料ラック内に落下したがれきとＣＢが干渉して，ＣＢが固着する可能性がある。

このため，燃料取り出しに先立ち，燃料上部にあるがれきを除去する。また，燃料ラックとＣＢの隙間にあるがれきも可能な範囲で除去する。

燃料取り出しにあたっては，燃料取扱機に設置されている荷重計を確認しながら最大４５０ｋｇまでの荷重でゆっくり吊り上げることにより，固着の発生防止を図る。

6.1.4.2.　固着発生時の対応

図６－６に固着発生時の対応フローを示す。クレーンを用いた燃料の再吊上げにおいても固着が解消しない場合等に一時的に落下防止治具を取り付け燃料の落下を防止するとともに，必要に応じて固着状況の調査及び固着原因となるがれきの除去等を実施する。固着した燃料に落下防止治具を取り付けた状態で他の燃料の取り出し作業を実施する場合は，未臨界を確保するとともに固着した燃料が作業の支障とならないよう，燃料取り出し順序を見直す。

なお，ＣＢの固着した状態が長期間に亘ると判断される場合には，当該燃料集合体をワイヤ等によりオペレーティングフロア上の固定した箇所と接続することにより，安定した状態で保持する。その上で、固着状況について詳細確認を行い，燃料集合体を安全に着座させる対応について検討する。（対応例　上部タイプレートのハンドル部を吊った状態で，チャンネルファスナをはずし，ＣＢと燃料集合体を分離して燃料集合体のみをラックに吊り降ろす。）

6.1.4.3.　固着解消時に使用済燃料が落下した場合の被覆管の健全性評価

万一固着が自然解消し使用済燃料が使用済燃料貯蔵ラック内で落下した場合を想定し，燃料被覆管の健全性評価を実施した。燃料集合体が落下した場合，ＬＴＰの燃料棒との嵌合部が変形し，燃料棒が曲がることで燃料棒に応力が発生する。ここでは保守的に落下による位置エネルギーは全て燃料棒及びＬＴＰの歪みエネルギーに使用されるとして評価を行った。なお，被覆管の肉厚が薄い９×９燃料（Ｂ型）を代表として評価を実施した。

評価結果を図６－７及び図６－８に示す。燃料棒の変形が弾性範囲内で収まるＬＴＰと燃料棒嵌合部の傾き角度は約 14 度，その際の落下高さは約 34cm と評価された。

落下高さ約 34cm 以内であれば，燃料被覆管は弾性範囲内であり破損しないと考えられる

ため，落下防止治具は約 34cm よりも十分低い位置（約 15mm）でも取り付けできるようにすることで，燃料集合体落下時の安全を担保する。

6.1.4.4.　落下防止治具の特徴

図６－９に燃料集合体の落下防止治具の概念図を示す。落下防止治具は，治具トップから突出した治具アームで燃料自重を受ける構造となっており，燃料自重を受けた状態で転倒を防止する構造となっている。治具トップ及び高さ調整管は接続用ボルトによりベース２と結合される。ベース２はベース１の固定ピンでベース１と，ベース１は燃料貯蔵ラックのリフティングラグで燃料貯蔵ラックと嵌合されており，また嵌合部は極力クリアランスを排除した設計となっている。

6.1.5.　クレーン又は天井クレーンを用いた燃料集合体の取り扱い

４号機ＳＦＰ及び使用済燃料共用プールにおいて燃料取扱機又は燃料取扱装置での取扱いが困難な燃料集合体は，クレーン主巻フックに支持されたチェーンブロックを用いて吊上げる。装置の概要を図６－１０に示す。

クレーン又は天井クレーンで燃料集合体を取り扱う場合においては，表６－２に示す安全対策を行う。尚，燃料集合体ＵＴＰに作用する吊り上げ荷重は燃料を損傷させることのないように１ｔまでとする。燃料吊り上げ時の荷重は結合燃料棒等に印加されるが，結合燃料棒の耐荷重は９ｔ程度あるので，1ｔは余裕をみた値となっている。

燃料貯蔵ラックとＣＢの間のがれきによって固着が発生した場合については，ＣＢの断面で吊り上げ荷重を受けることになるが，ＣＢの材質（ジルコニウム合金）の機械的強度から，側面長さ（一面）の１／１０程度の断面で１ｔの荷重を受けた場合であっても，ＣＢを損傷させることはなく，燃料に対して影響はない。また，通常の燃料取扱機の吊上げ荷重を上回る荷重を燃料集合体に付加する場合には，ファイバースコープ等により固着の状況を確認し，燃料集合体やＣＢの側面に局所的に過大な荷重がかかる状況でないことを確認する。また，燃料貯蔵ラックの材質はステンレス材であり十分な強度と重量を有していることから，吊り上げ荷重１ｔが燃料貯蔵ラックに付加されたとしても影響はない。仮にがれきによって燃料貯蔵ラックに変形が生じた場合であっても，燃料集合体はＣＢによって囲まれていることから，燃料健全性には影響が生じないものと考えられる。

6.1.6.　４号機における燃料集合体取り扱い時に放射線モニタに異常が確認された場合

仮に４号機オペレーティングフロア上での作業中に，線量率が予想より高くなった場合には，エリア放射線モニタで検知できる。異常を検知した場合は退避し，線量率が十分下がった後に作業を再開する運用により放射線業務従事者の放射線被ばくを低く抑えることが可能である。

## 6.2.　３号機における燃料の取り扱い

### 6.2.1.　燃料取り出し手順の概要

燃料取り扱いに支障となるがれきを撤去した後，がれき落下による燃料健全性への影響を確認し，燃料取扱機を用いて燃料の取り出しを行う。燃料の取り出しにあたってはがれきによる固着の発生防止に努めるとともに固着発生時には必要な対応を行う。がれきによる燃料健全性への影響がない燃料集合体は構内用輸送容器に収納し，燃料健全性への影響が疑われる燃料集合体は燃料被覆管の破損を考慮した容器に収納し，使用済燃料共用プールへ搬出する。なお，燃料取扱機を用いて燃料の取り出しを行うにあたっては，実施体制を確立し，事前にトレーニングを行った上で対応する。

３号機における燃料取扱機の操作は，原則として遠隔操作室から遠隔操作にて行う。

### 6.2.2.　燃料健全性確認

#### 6.2.2.1.　燃料健全性確認手順

図６－１１に水中カメラで撮影した大型のがれき撤去後の３号機のプール内のがれき散乱状況を示す。これまでの調査からＳＦＰ水中には様々ながれきが落下しており，また図６－１２に示すとおりハンドル変形燃料が一部確認されている。

燃料取り出し作業に先立って，がれきを撤去した後，水中カメラにてＵＴＰハンドルの変形状況をあらためて確認する。また，燃料健全性確認用治具を用いての確認を，原則として全燃料に対して行う。ただし，明らかにＵＴＰハンドルに大きな変形がある燃料は除く。

燃料健全性確認用治具により，判定基準を超過することが確認された燃料，または，水中カメラで明らかにＵＴＰハンドルに大きな変形が確認された燃料は，いずれもハンドル変形燃料として扱う。

燃料取り出し作業は水中カメラにより作業状況を確認しつつ実施することとし，作業中に燃料集合体やＣＢに傷，変形，腐食等の異常が確認された場合には，必要に応じて取り出し作業を中止し，水中カメラにて傷の大きさ等について観察し健全性への影響について評価する。また，３号機ＳＦＰ内から使用済燃料共用プールに移送した後，燃料集合体は構内用輸送容器から燃料を取り出す際に，ＣＢに傷，変形，腐食等の顕著な異常がないことを確認する。

#### 6.2.2.2.　燃料健全性確認用治具

燃料健全性確認用治具を図６－１３に示す。

燃料健全性確認用治具は，5.2.2 評価結果の中で，燃料被覆管が塑性変形し，かつ，ＵＴＰ塑性変形量が最も小さいがれき衝突条件「②ハンドル上面右半分に剛体接触」を基準に製作する。また，全ての燃料タイプに対して，「ＣＢ上端に対するハンドル上端の沈み込み量」を検出ポイントとする。

6.2.3.　取り出し後の確認

使用済燃料共用プールにおける長期的な健全性の確認や輸送・保管方法の検討のため，今後，別途点検を計画する。

6.2.4.　がれきによるＣＢの固着

6.2.4.1.　固着発生の防止

燃料集合体を使用済燃料ラックから引き抜く際に，使用済燃料ラック内に落下したがれきとＣＢが干渉して，ＣＢが固着する可能性がある。このため，燃料取り出しに先立ち，燃料上部にあるがれきを除去する。また，燃料ラックとＣＢの隙間にあるがれきも可能な範囲で除去する。燃料取り出しにあたっては，燃料取扱機に設置されている荷重計を確認しながら，最大４５０ｋｇまでの荷重でゆっくり吊り上げることにより，固着の発生防止を図る。

6.2.4.2.　固着発生時の対応

図６－１４に３号機における固着発生時の対応フローを示す。燃料ラックからの吊り上げ時にがれきとの干渉により最大４５０ｋｇの荷重で吊り上げができない場合，当該燃料は着座させ，他の燃料の取り出しを実施する。その後，必要に応じて固着状況の調査及びがれきとの干渉を解除する措置を行った上で，３号機燃料取扱機の定格荷重である最大１ｔの荷重までゆっくり吊り上げを行う。なお，最大１ｔの荷重で吊り上げる高さはチャンネルファスナが燃料ラックから抜ける範囲までとする。最大１ｔの荷重で吊り上げができない場合，がれきとの干渉を解除する措置を行う。なお，燃料集合体ＵＴＰに作用する吊り上げ荷重は燃料を損傷させることのないように１ｔまでとする。燃料吊り上げ時の荷重は結合燃料棒等に印加されるが，結合燃料棒の耐荷重は９ｔ程度あるので，１ｔは余裕をみた値となっている。燃料ラックとＣＢの間のがれきによって固着が発生した場合については，ＣＢの断面で吊り上げ荷重を受けることになるが，ＣＢの材質（ジルコニウム合金）の機械的強度から，側面長さ（一面）の１／１０程度の断面で１ｔの荷重を受けた場合であっても，ＣＢを損傷させることはなく，燃料に対して影響はない。

6.2.5.　震災以前から存在する漏えい燃料等について

３号機ＳＦＰには，表６－３に示すとおり，運転中に漏えいした燃料や，過去の取り扱い中に部材の一部に変形等を生じた燃料が存在する。これらの燃料は，他の燃料と同様に震災以前は燃料取り扱い機を用いて取り扱いを行っており，他の燃料と比べて取り扱い上の相違は無い。

一方，運転中に漏えいした燃料は，被覆管の密封性が失われているため，燃料被覆管の破損を考慮した構内用輸送容器に収納する。

スペーサが一部損傷した燃料のうち１体は，ＣＢが装着されていないため，燃料ラックから燃料を引き抜く際に燃料ラック内に混入したがれきと燃料被覆管が接触することが懸念

される。このため，運転中に漏えいした燃料と同様，ＣＢが装着されていない燃料は燃料被覆管の破損を考慮した構内用輸送容器に収納する。

6.2.6.　ハンドル変形燃料の取り扱い

ハンドル変形燃料は，健全燃料と同様に燃料取扱機を用いて取り出しを行う。ただし，ハンドルの著しい変形等により燃料取扱機にて取り扱いができない燃料が確認された場合は，今後本実施計画に記載した上で取り扱うこととする。

燃料取扱機を用いて取り出したハンドル変形燃料は，ハンドル変形の外観確認結果に応じて，構内用輸送容器内に予め装荷された使用済燃料収納缶（小）または使用済燃料収納缶（大）に収納し，使用済燃料共用プールへ搬出する。なお，使用済燃料収納缶（大）に収納する燃料は，使用済燃料収納缶（小）に入らない燃料を対象とする。

6.2.7.　ハンドル変形燃料の吊り上げ

ハンドル変形燃料については，事前に吊り上げ試験を実施し，吊り上げ試験の結果に応じて燃料と燃料ラックまたはがれきとの干渉を解除した状態にした後に取り出す。ハンドル変形燃料の吊り上げ荷重は，5.3.4 評価結果より，ハンドル変形の無い燃料と同様に最大１ｔとする。

6.3.　２号機における燃料の取り扱い

6.3.1.　燃料取り出し手順の概要

燃料取り扱いに支障となる干渉物を撤去した後，燃料取扱機を用いて燃料の取り出しを行う。燃料集合体は構内用輸送容器に収納し，使用済燃料共用プールへ搬出する。なお，燃料取扱機を用いて燃料の取り出しを行うにあたっては，実施体制を確立し，事前にトレーニングを行った上で対応する。

２号機における燃料取扱機の操作は，原則として遠隔操作室から遠隔操作にて行う。

6.3.2.　震災以前から存在する漏えい燃料等について

２号機ＳＦＰには，表６－４に示すとおり，運転中に漏えいした燃料や，過去の取り扱い中に部材の一部に変形等を生じた燃料が存在する。これらの燃料は，他の燃料と同様に震災以前は燃料取り扱い機を用いて取り扱いを行っており，他の燃料と比べて取り扱い上の相違は無い。

一方，運転中に漏えいした燃料は，被覆管の密封性が失われているため，燃料被覆管の破損を考慮した構内用輸送容器に収納する。

ワイヤ修復燃料は，外観点検等により被覆管の密封性には影響ないことが確認されているが，吊り上げ時の荷重を負担するステンレス製ワイヤが海水注水の影響を受けている可能性があるため，取り扱いについては，今後本実施計画に記載した上で取り扱うこととする。

## 6.4.　破損燃料を使用済燃料共用プールへ受け入れた場合の放射線被ばく影響

ここでは，被覆管が損傷した燃料が使用済燃料共用プールへ搬入された場合の放射線被ばくについて記載する。

### 6.4.1.　液相

使用済燃料共用プールへ搬入された燃料の被覆管に損傷があった場合には，水溶性の核分裂生成物がＳＦＰ内に溶出する。また，構内輸送容器の搬入によりＳＦＰ内の放射性物質が使用済燃料共用プールへ持ち込まれる。しかしながら，水溶性の核分裂生成物及び放射性物質は使用済燃料共用プール冷却浄化系により除去されるため，構内輸送容器の蓋開放後に使用済燃料共用プール水面上で線量率が一時的に上昇する場合でも，時間の経過とともに線量率は低下する。なお，使用済燃料共用プール冷却浄化系の浄化性能を図６－１５に示す。放射能濃度を１／１０にするために有する時間は，約２４時間程度（２系統運転時）と評価している。

仮に使用済燃料共用プール水面上での線量率が予想より高くなったとしても，エリア放射線モニタで検知でき，検知した場合は退避し，線量率が十分下がった後に作業を再開する運用により放射線業務従事者の放射線被ばくを低く抑えることが可能である。

### 6.4.2.　気相

ＳＦＰに保管されている燃料の被覆管に損傷があった場合，気体の核分裂生成物は既にＳＦＰ内で十分放出されているものと考えられる。このため，使用済燃料共用プールで放出される可能性は低く，気相に起因する被ばく影響はないものと考えられる。

表６－１　４号機ＳＦＰ内で確認されたがれき

| 名称 | 数量 | 備考 |
|---|---|---|
| 作業台車用階段 | １個 | 約 2000mm×600mm×1000mm，約 200kg |
| デッキプレート | ２枚 | 約 10000mm×600mm×50mm，約 200kg<br>約 300mm×600mm×50mm，約 6kg |
| 手摺りプレート | ６枚 | 約 2500mm×800mm×2mm（最大），約 20kg（最大） |
| 足場板 | １枚 | 約 1500mm×50mm×200mm，約 10kg |
| コンクリートがれき | － | 約 0～400mm 程度（最大），約 10kg（最大） |
| その他 | － | 燃料取り出しに影響のある照明等の単品落下物 |

表６－２　クレーン又は天井クレーンでの燃料取り扱いに関する安全対策

| 安全対策 | 構造概要 |
|---|---|
| 動力源喪失時の保持機能 | 巻上装置は手動チェーンブロックとする。<br>クレーン主巻フックは電源断時においても保持する構造となっている |
| 吊り具の二重化 | 二重のワイヤロープで燃料集合体を保持する構造とする（クレーンの主巻フックを使用） |
| 外れ防止 | フックは外れ止め装置を有する把持具構造とする |
| 過荷重防止 | 荷重計により荷重の監視を行う<br>燃料集合体ＵＴＰに作用する吊上げ荷重は 1t までとする<br>巻上装置は手動とし，荷重を監視しながら巻上げる |
| 臨界防止 | 燃料集合体を１体ずつ取り扱う把持具構造とする |
| 遮へい | 吊り上げ設備には，吊り上げ上限以上への吊り上げを阻止するロック機構を有する構造とする |

表６－３　３号機ＳＦＰに震災以前から存在する漏えい燃料等

| 状態 | 数量 | 概要 |
|---|---|---|
| 漏えい燃料 | １体 | シッピング検査により漏えいを確認 |
| スペーサ一部損傷 | ２体 | 第４，５ スペーサがコーナー部で切損、第３ スペーサは同じコーナー部で下方に傾いた状態 |
| | | 第１ スペーサコーナー部の溶接個所がはずれて少し変形<br>ＣＢが装着されていない |
| スペーサずれ | １体 | 第２スペーサが第１スペーサ位置までずれた状態 |

表６－４　２号機ＳＦＰに震災以前から存在する漏えい燃料等

| 状態 | 数量 | 概要 |
|---|---|---|
| 漏えい燃料 | １体 | シッピング検査により漏えいを確認 |
| 下部タイプレート変形燃料 | １体 | 下部タイプレート側面の部材（フィンガースプリング）が変形した状態 |
| ワイヤ修復燃料 | １体 | 結合燃料棒（８本）の下部端栓の折損により吊り上げ不可となったため、ワイヤで燃料を一体化して修復している状態 |



図６－１　４号機ＳＦＰ内の状況（その１）



図６－２　４号機ＳＦＰ内の状況（その２）

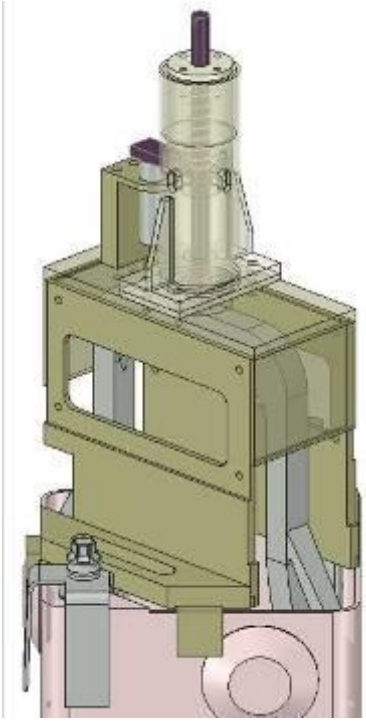


図６－３　燃料健全性確認用治具（概念図）：高燃焼度８×８燃料用

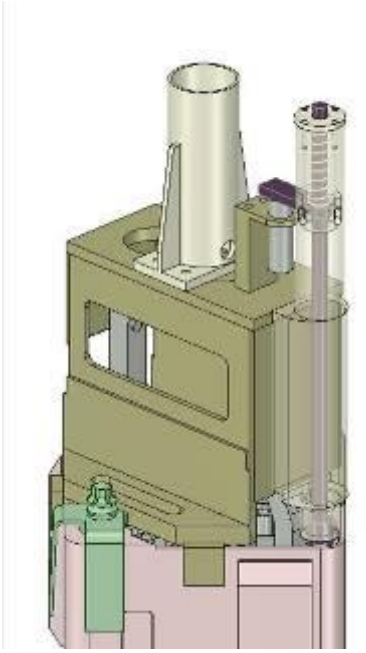


図６－４　燃料健全性確認用治具（概念図）：９×９燃料（Ｂ型）用

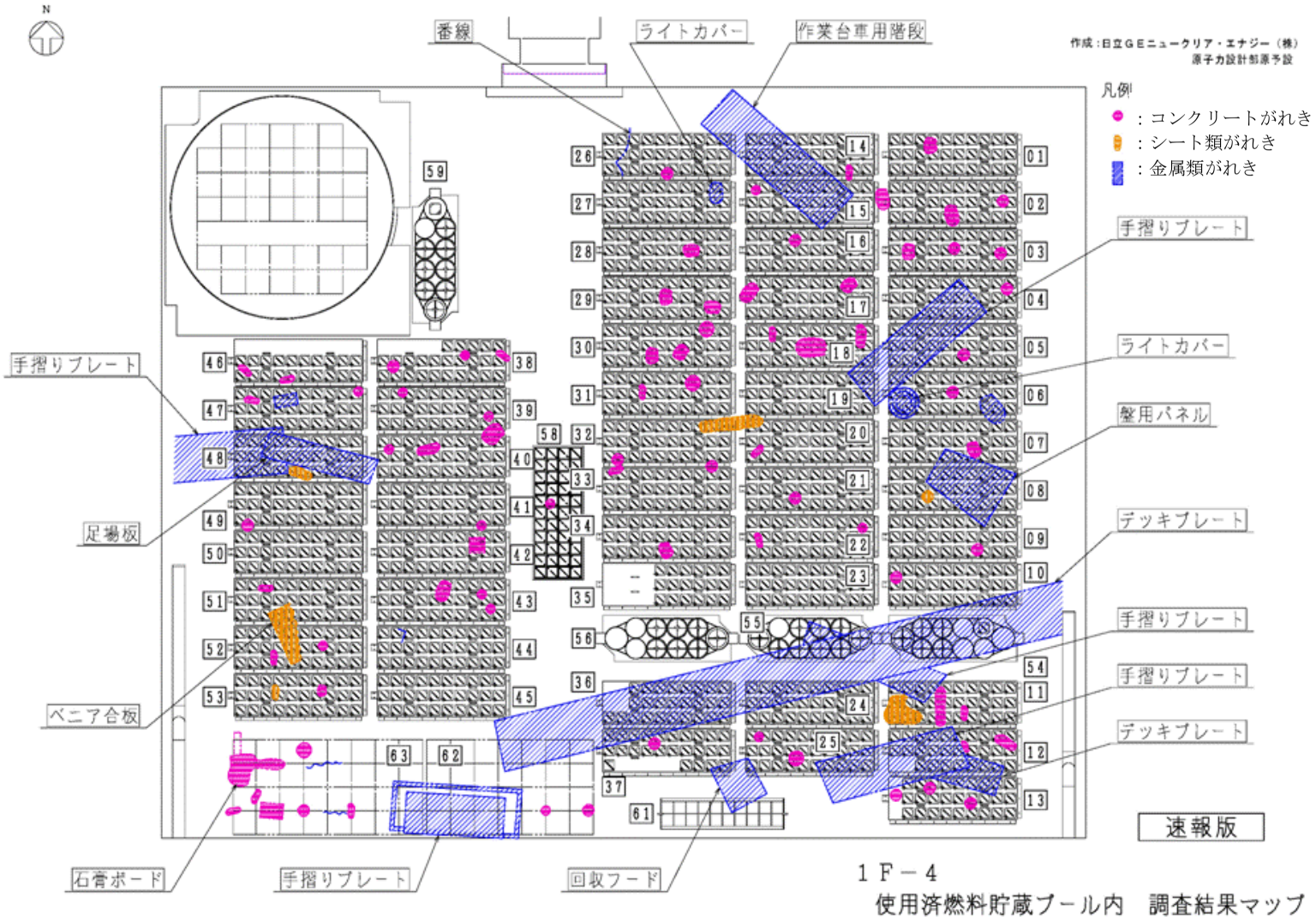
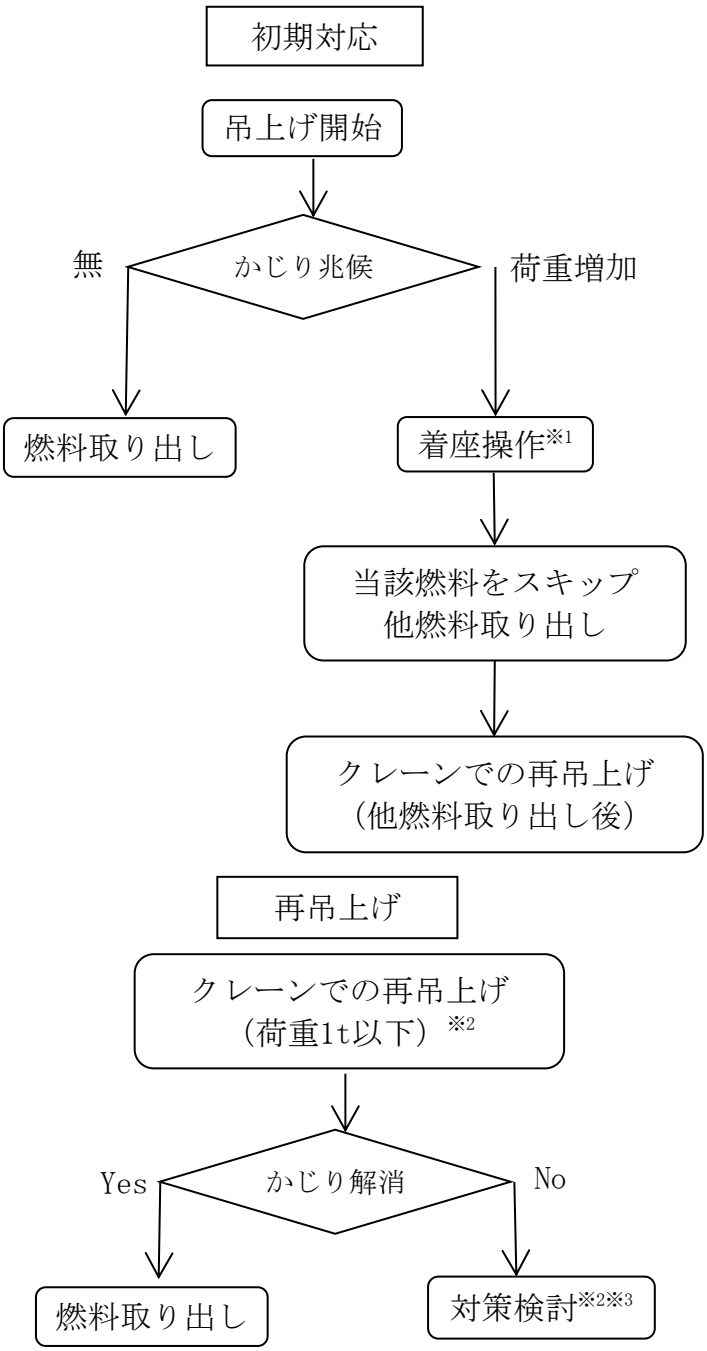



図６－５　４号機ＳＦＰ内がれきマップ




※1　燃料取扱機での燃料取り出し中に固着により吊上げ/着座操作ができなくなった場合，その位置でクレーンに吊替える。

※2　必要に応じてファイバースコープ等による固着状況の調査・がれきの除去等を実施。

※3　燃料の落下防止のため必要に応じて落下防止治具を設置。固着した状態が長期間に亘ると判断される場合には，燃料集合体を安定した状態で保持。

図６－６　固着発生時の対応フロー

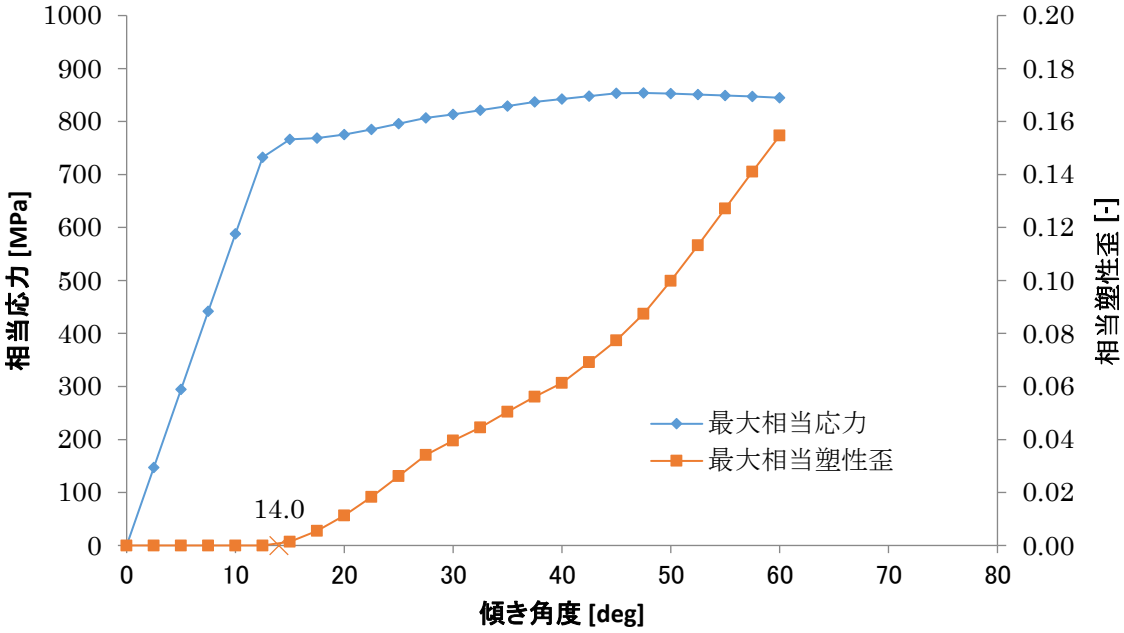



図６－７　ＬＴＰと燃料棒との嵌合部傾き角度－発生応力及び塑性歪

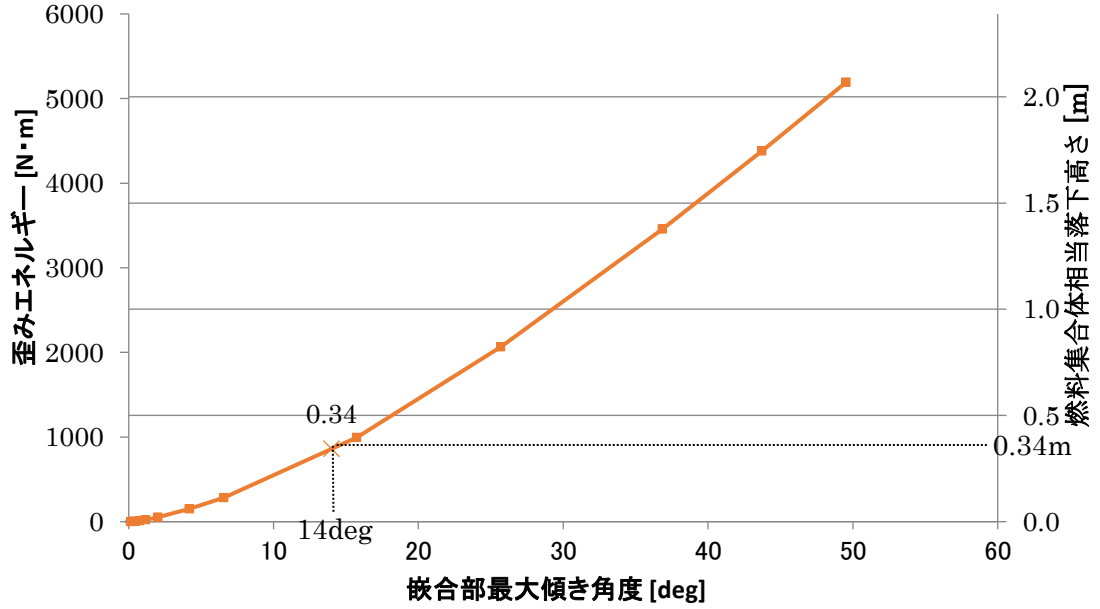



図６－８　ＬＴＰと燃料棒との嵌合部最大傾き角度－歪みエネルギー及び落下高さ

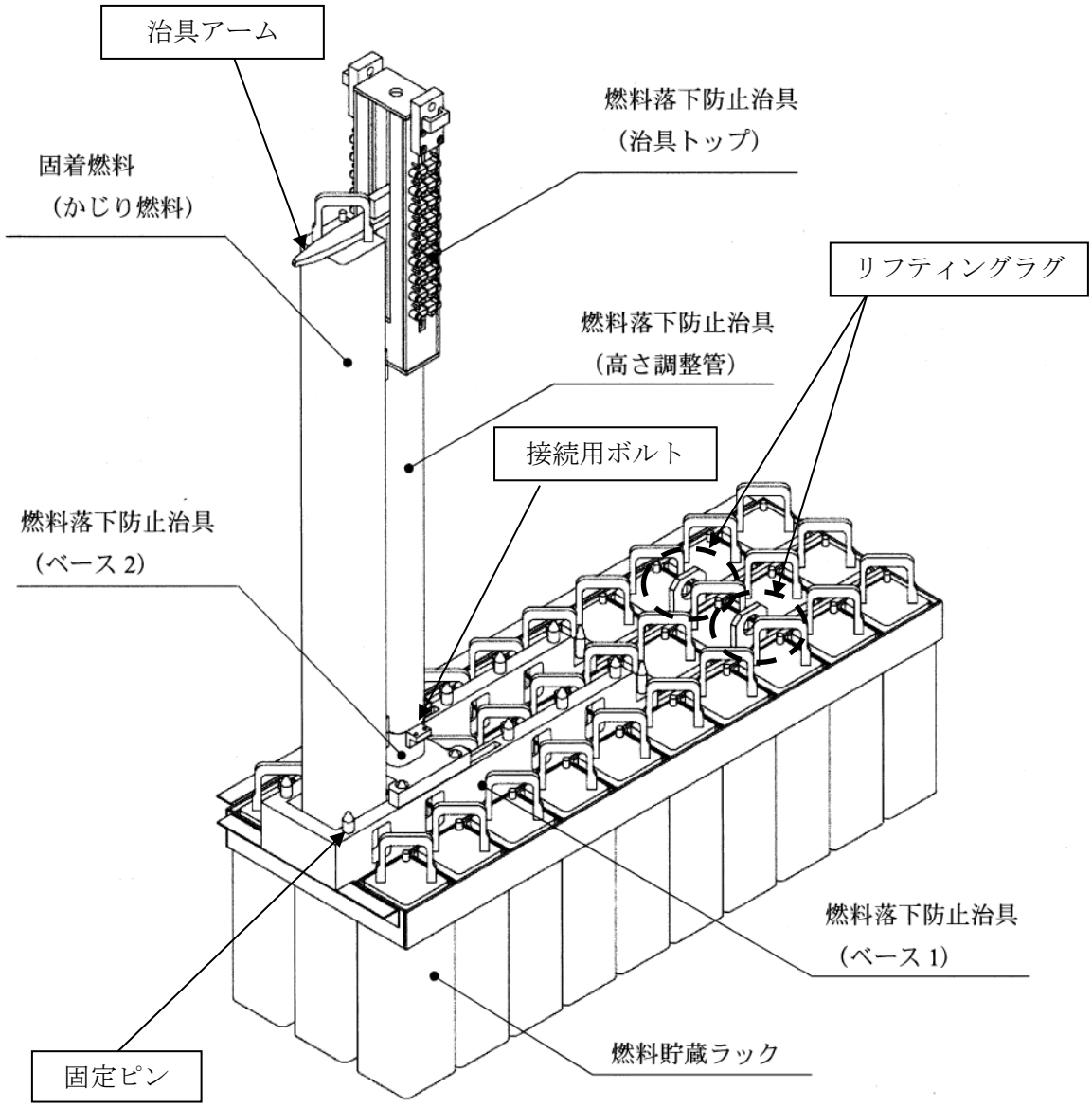



図６－９　落下防止治具概念図

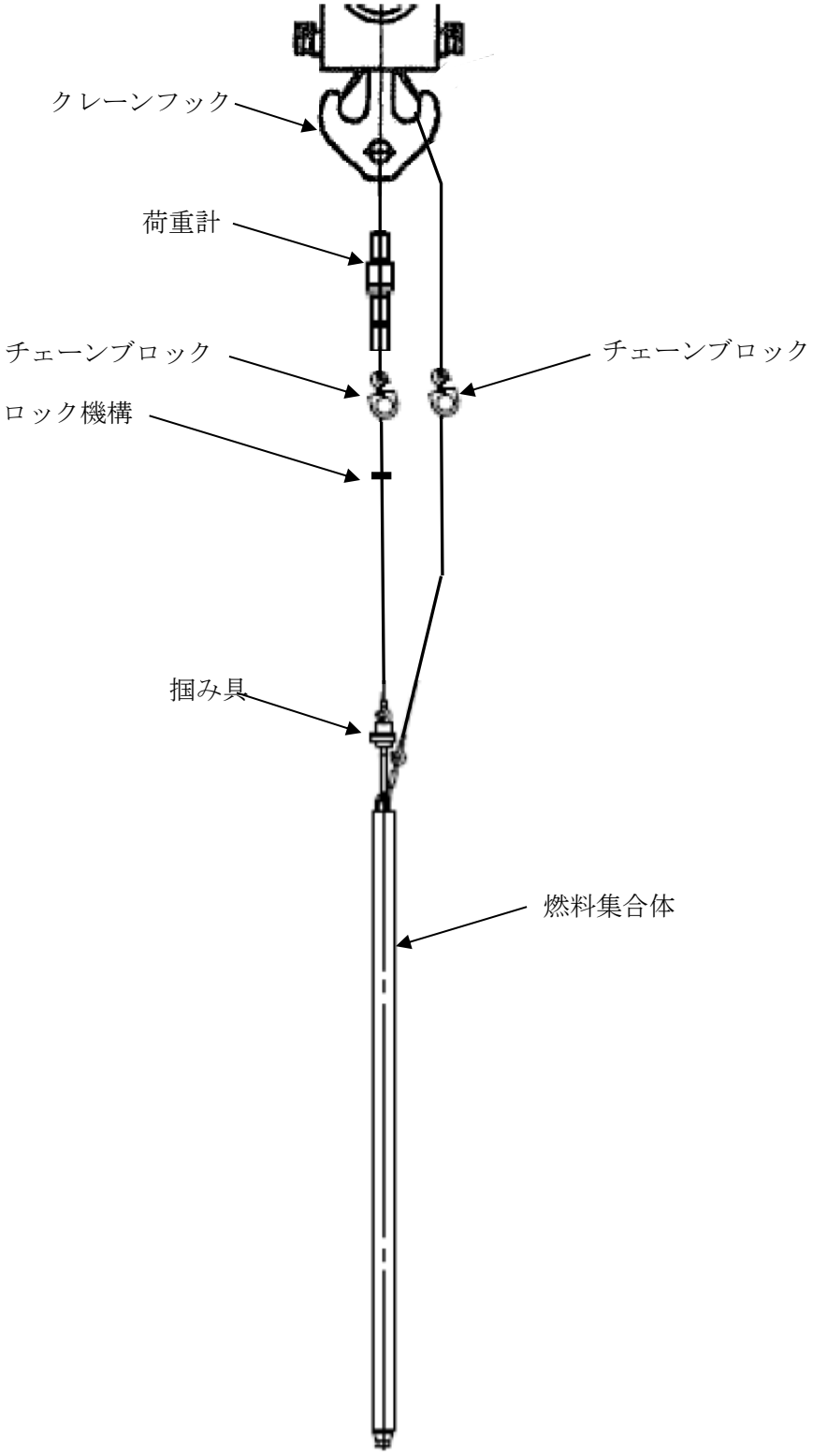



図６－１０　クレーンを用いた燃料集合体の取り扱い（概念図）

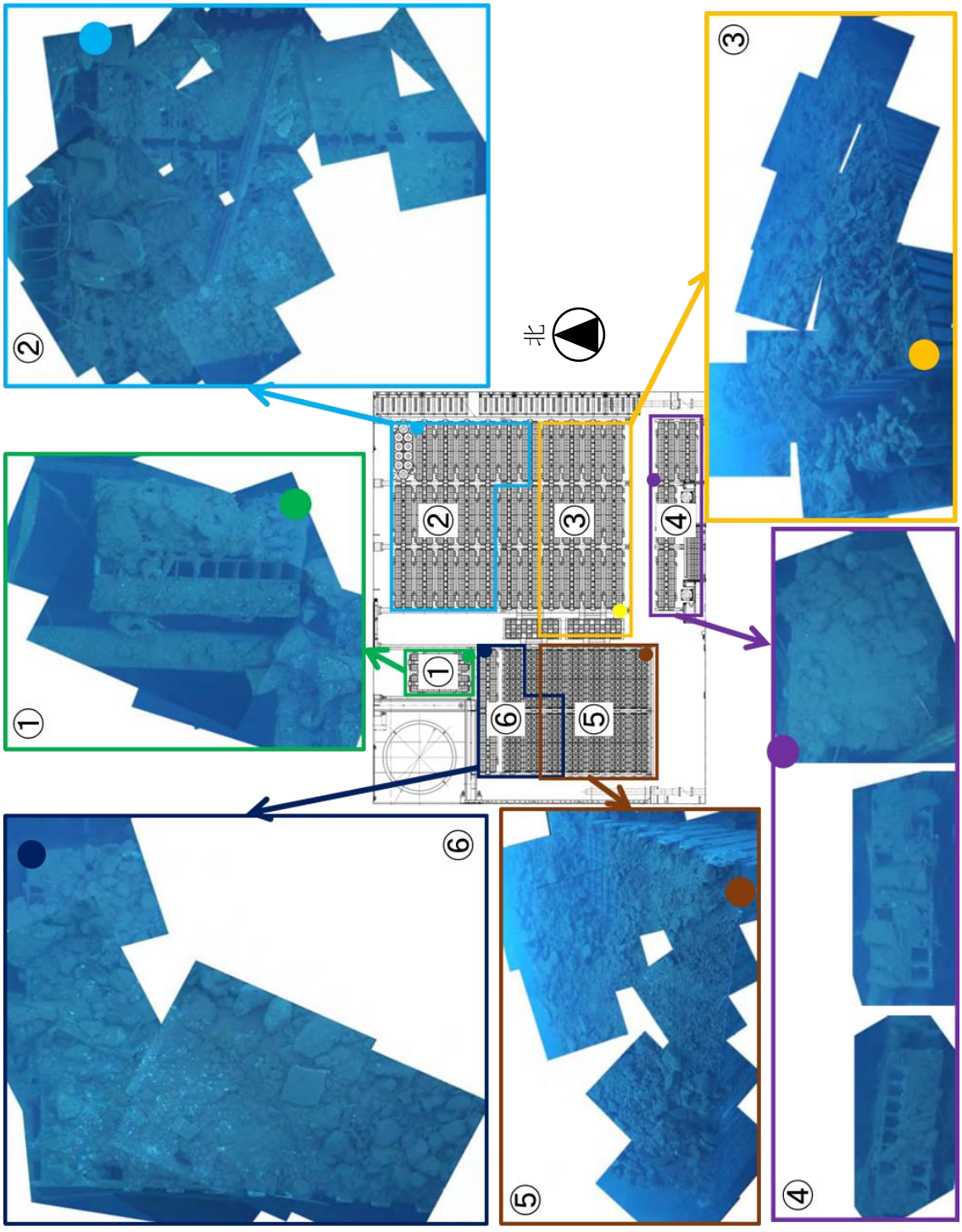
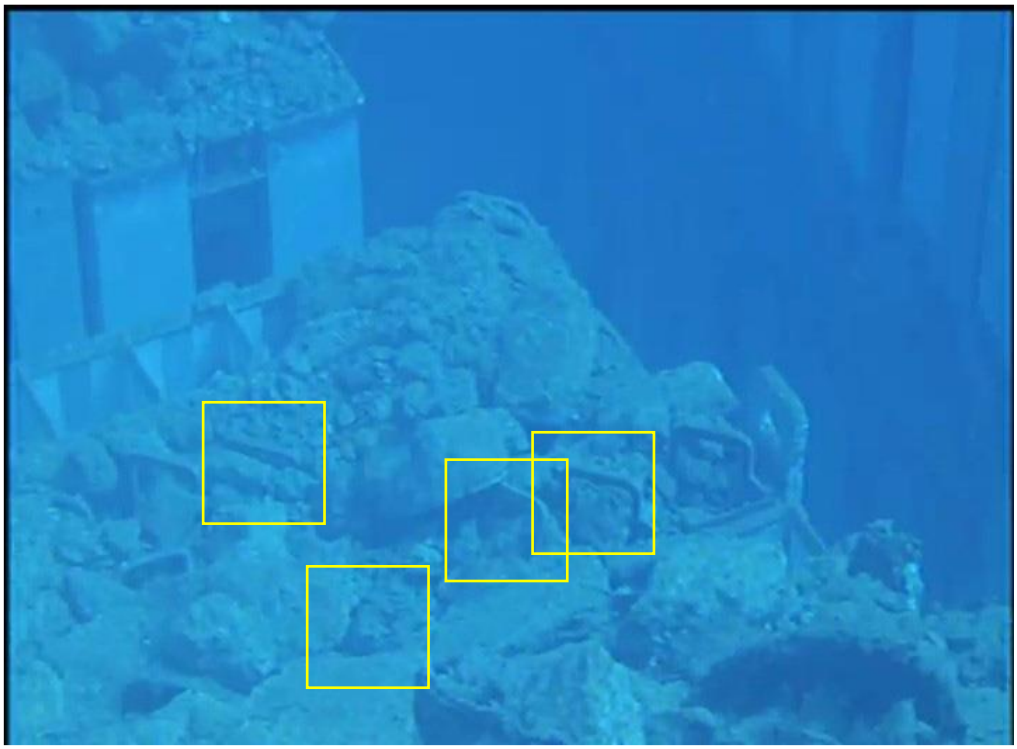



図６－１１　３号機ＳＦＰ内の状況（大型のがれき撤去後）



FHM 落下箇所



CUW ハッチ落下箇所

図６－１２　ハンドル部の変形が認められる燃料（３号機）

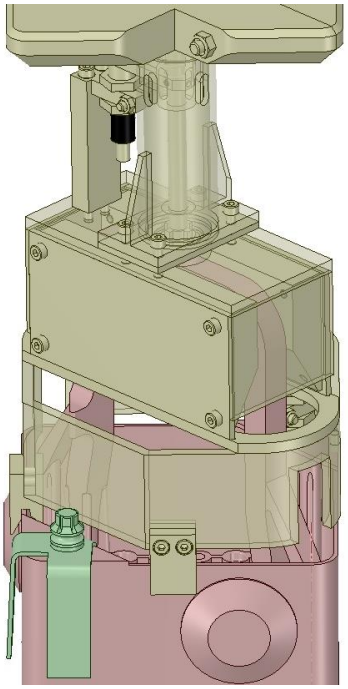
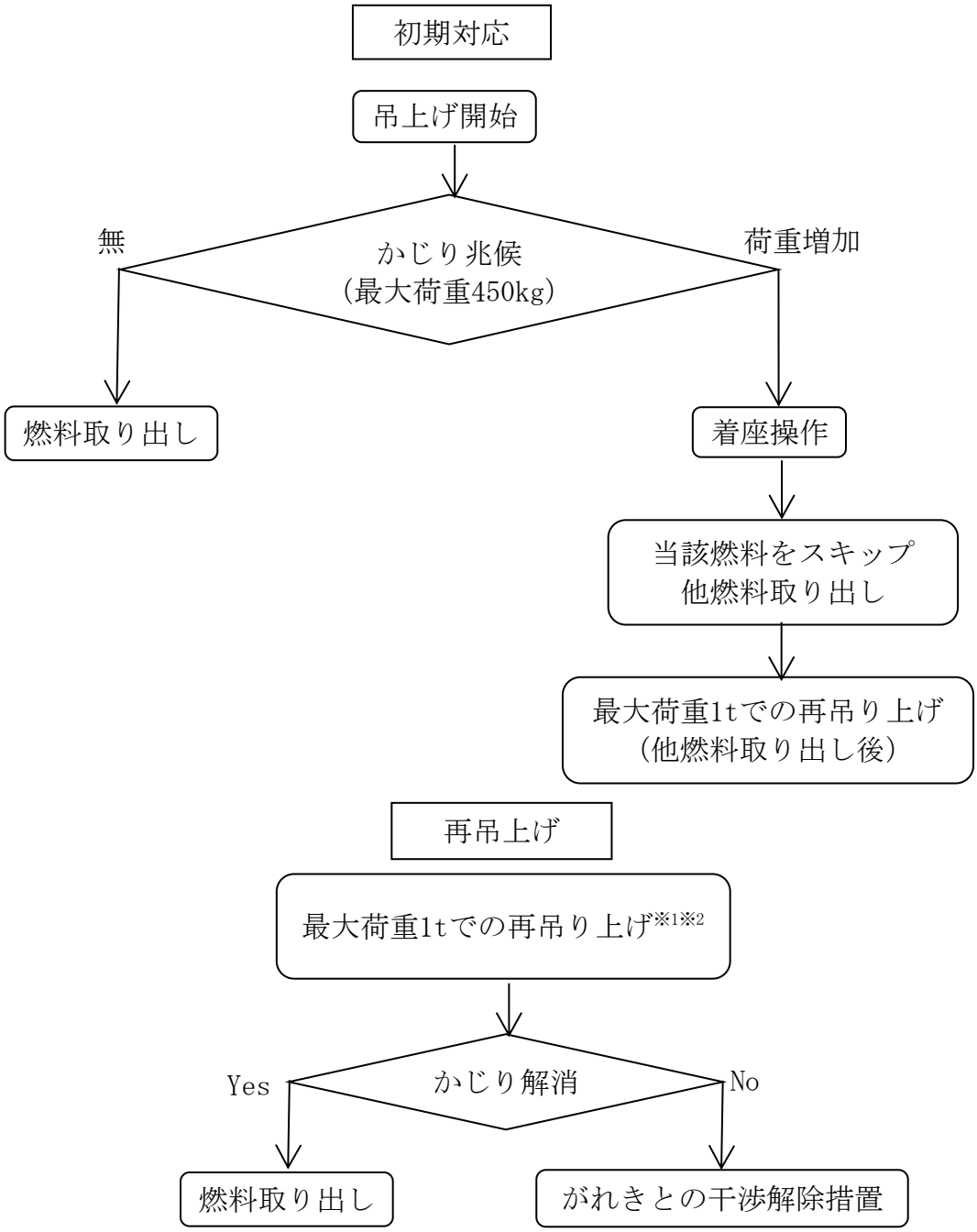


図６－１３　燃料健全性確認用治具（概念図）




※1　必要に応じて固着状況の調査及びがれきとの干渉解除措置を行う。
※2　チャンネルファスナが燃料ラックから抜ける範囲まで。

図６－１４　固着発生時の対応フロー（３号機）

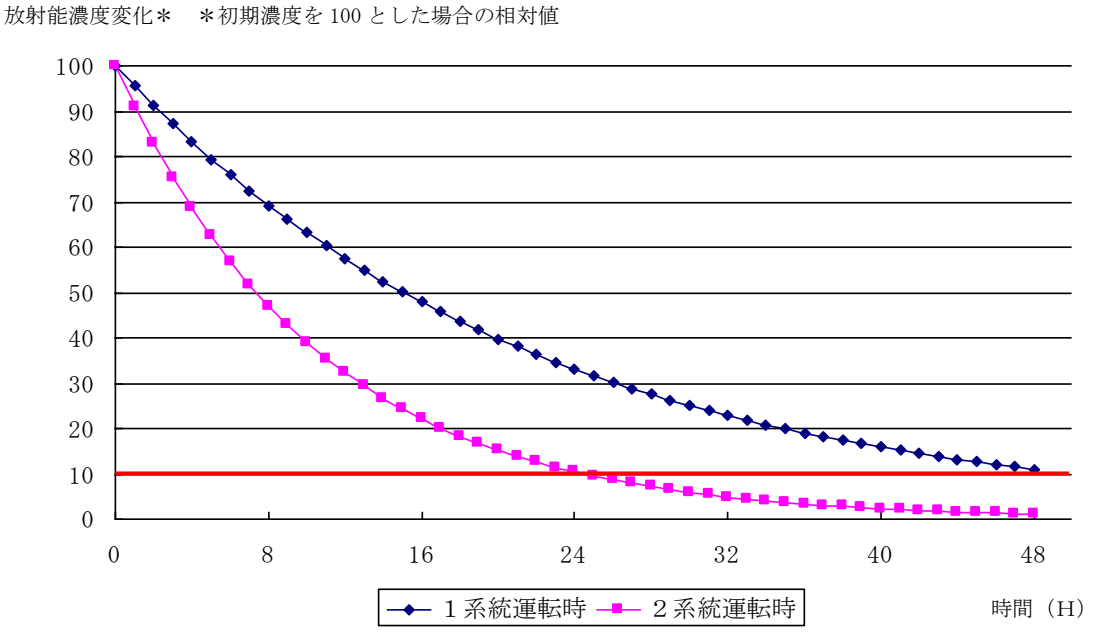



図６－１５　使用済燃料共用プール冷却浄化系ろ過脱塩装置での放射能除去評価

7. 参考資料

（1） 汎用有限要素解析コード（ＡＮＳＹＳ）について

（2） がれき衝突解析に用いるコード（ＬＳ－ＤＹＮＡ）について

8. 参考文献

[1]「平成１８年度 高燃焼度９×９型燃料信頼性実証成果報告書　付録１（９×９Ａ型燃料照射後試験結果)」, 独立行政法人　原子力安全基盤機構, 平成１９年１２月

[2]「平成１８年度 高燃焼度９×９型燃料信頼性実証成果報告書　付録２（９×９Ｂ型燃料照射後試験結果)」, 独立行政法人　原子力安全基盤機構, 平成１９年１２月

[3]「平成１８年度 高燃焼度９×９型燃料信頼性実証成果報告書（総合評価編)」, 独立行政法人　原子力安全基盤機構, 平成１９年１２月

[4] T.Yasuda et al. Deformation and Fracture Properties of Neutron-Irradiated Recrystallized Zircaloy-2 Cladding under Uniaxial Tension, Zirconium in the Nuclear Industry ASTM STP 939, 734 (1987)

以上

# 汎用有限要素解析コード（ＡＮＳＹＳ）について

(1) 概要

ＡＮＳＹＳコードは，米国 Swanson Analysis Systems, Inc.（現在の ANSYS, Inc.）で開発された有限要素法に基づく伝熱・構造解析等の汎用解析コードであり，自動車業界や航空宇宙業界，建築・土木業界等，幅広い分野において設計開発に用いられている。

(2) 機能

ＡＮＳＹＳコードは，構造解析に際して以下の機能を有している。

① 材料の非線形性（弾塑性）を扱うことが可能である。
② 材料特性として時間依存，ひずみの履歴依存並びに等方性・異方性等を考慮することが可能である。
③ モデルの形状は 1 次元~3 次元について取扱うことが可能である。
④ 伝熱解析結果をそのまま境界条件として引き継いで熱応力の評価を行う等，伝熱・構造の連成解析も可能である。
⑤ 荷重条件として集中荷重，分布荷重，モーメント等の力学的荷重の他に温度分布等の熱荷重も取扱うことが可能である。

(3) 解析フロー

ＡＮＳＹＳコードの解析フローを図１に示す。

(4) 使用実績及び検証

ＡＮＳＹＳコードは，原子力分野では，原子炉設置（変更）許可申請書添付資料八における燃料被覆管端栓部の応力解析等，これまで多くの伝熱・構造解析に対し使用実績がある。

また，ＡＮＳＹＳコードの検証は，開発元のリリースノートの例題集において，多くの解析例に対する理論解と解析結果との比較が実施されている。

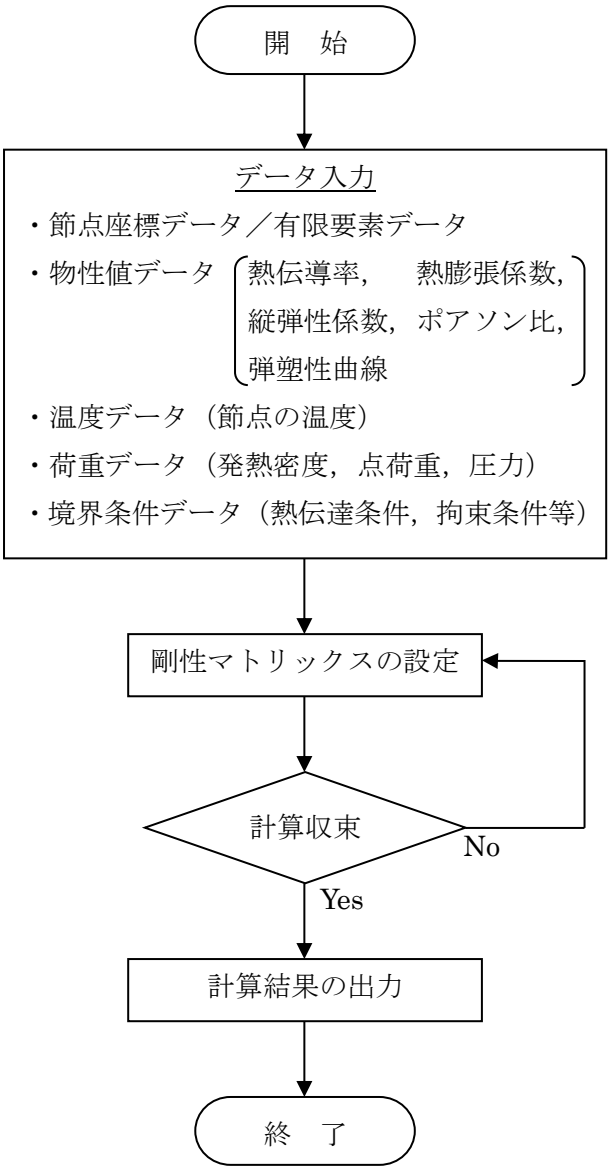



図１　ＡＮＳＹＳコードの解析フロー図

# がれき衝突解析に用いるコード（ＬＳ－ＤＹＮＡ）について

(1)　概要

ＬＳ－ＤＹＮＡコードは米国 Livermore Software Technology Corporation(LSTC 社)からリリースされた汎用陽解法有限要素解析に基づく 3 次元非線形衝撃応答解析コードであり，輸送キャスクの衝撃解析等に広く利用されている。

(2)　機能

ＬＳ－ＤＹＮＡコードは，衝撃解析に際して以下の機能を有している。

① 材料の非線形性を取り扱いできるため，衝撃吸収材が衝撃時に降伏応力を超え，塑性変形することによって衝撃エネルギーを吸収することを考慮できる。

② 20 を超える接触オプションが有効であり，接触面には固着，剥離，接触，滑り，摩擦などの条件が設定できる。

③ 面と面の接触状態だけでなく，辺と辺，節点と面の接触も可能である。

④ 要素の消滅などの特殊な条件も扱うことができる。

⑤ 多数の金属，非金属材料モデルを有している。

(3)　解析フロー

ＬＳ－ＤＹＮＡコードの解析フローを図１に示す。

(4)　使用実績

ＬＳ－ＤＹＮＡコードは，これまで自動車分野をはじめ，多くの分野の衝撃解析に対して使用実績がある。

原子力分野では，返還ガラス固化体輸送用キャスクの核燃料輸送物設計承認書において，構造解析の解析コードとして使用されている実績がある。

(5)　検証方法

実験との比較による検証が実施されていることを確認している。

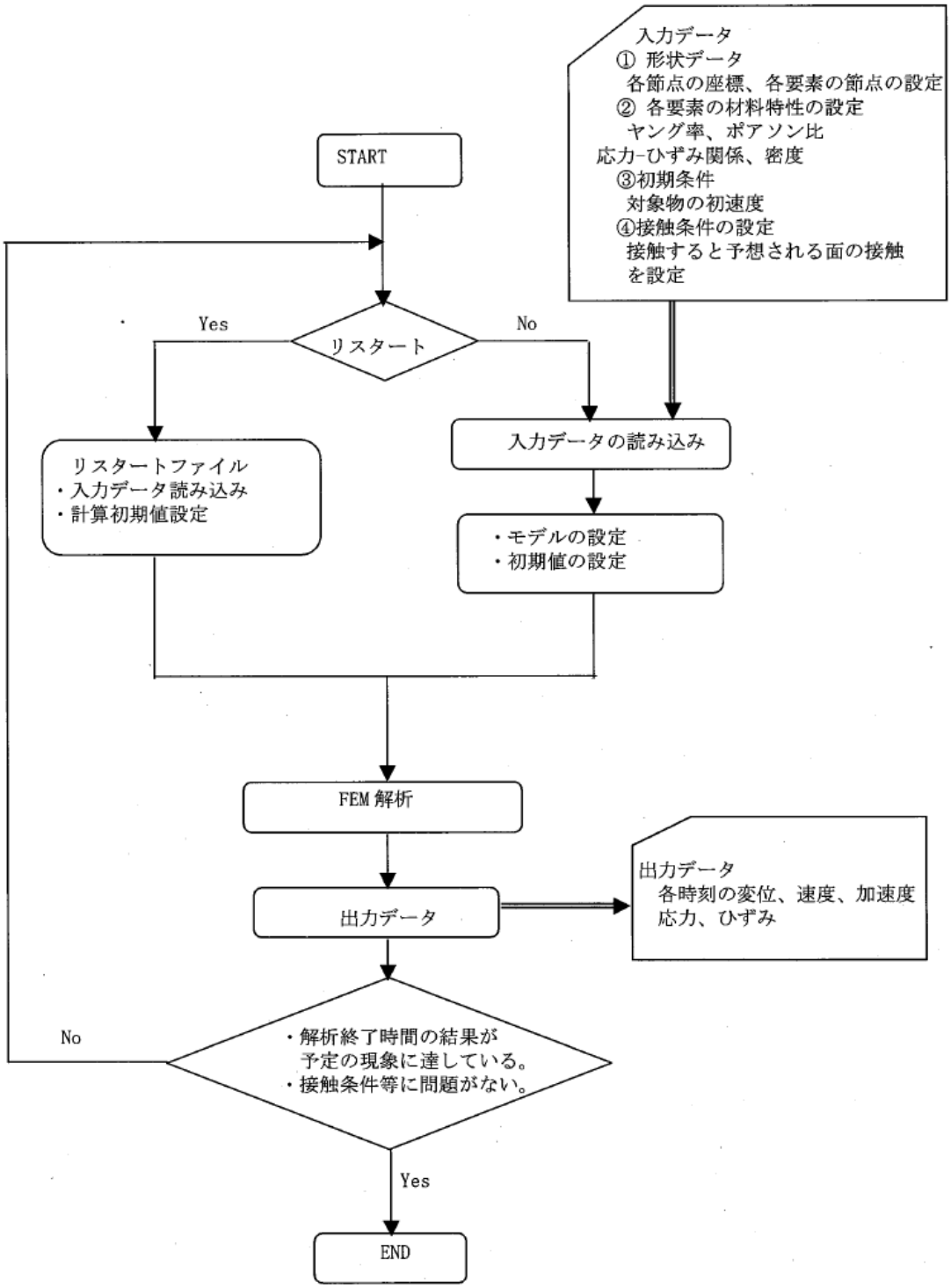



図１　ＬＳ－ＤＹＮＡコードの解析フロー図

# 構内用輸送容器に係る安全機能及び構造強度に関する説明書（４号機）

## 1.　構内用輸送容器の概要

構内用輸送容器は，福島第一原子力発電所４号機使用済燃料プールに貯蔵されている使用済燃料及び新燃料（以下「燃料」という。）を共用プール，新燃料の一部を６号機へ構内輸送する際に使用する。

構内用輸送容器は，福島第一原子力発電所で使用済燃料運搬用容器として設置され，これまで３号機から６号機の使用済燃料を共用プールへ構内輸送する際に使用している使用済燃料輸送容器（NFT-22B 型）である。

使用済燃料輸送容器（NFT-22B 型）は，使用済燃料を再処理工場へ輸送するために設計された容器であり，容器の安全機能は核燃料輸送物設計承認書により確認されている。

## 1.1.　構内用輸送容器の構成

構内用輸送容器は，容器本体，蓋，バスケット及びトラニオンにより構成される。なお，構外輸送においては容器本体の前後に緩衝体を装着するが，構内輸送においては，作業時間を短縮して放射線業務従事者の放射線被ばくを可能な限り低減するために，緩衝体を装着しない運用とする。

構内輸送においては，従来と同様に輸送車両への構内用輸送容器の固縛，輸送車両の徐行等の措置を講じて，輸送車両からの構内用輸送容器の落下防止を図る。

1.2.　設備仕様

1.2.1.　構内用輸送容器の仕様

構内用輸送容器の仕様を表1-1に，鳥瞰図を図1-1に示す。

表 1-1　構内用輸送容器の仕様

| 項　　目 | 数　値　等 |
|---|---|
| 重量（ｔ）<br>(燃料を含む) | 約 91 |
| 全長（m） | 約 5.5 |
| 外径（m） | 約 2.1 |
| 収納体数（体） | 22 以下 |
| 基数（基） | 2 |

1.2.2.　燃料仕様

構内用輸送容器の収納可能な燃料の仕様を表 1-2 に示す。

表 1-2　構内用輸送容器 1 基に収納可能な燃料の仕様

| 項目 | 燃料仕様 |
|---|---|
| 燃料の種類 | 7×7 燃料　　(燃焼度 31,500MWd/t 以下)<br>8×8 燃料　　(燃焼度 38,000MWd/t 以下)<br>新型 8×8 燃料<br>(燃焼度 40,000MWd/t 以下)<br>新型 8×8 ｼﾞﾙｺﾆｳﾑﾗｲﾅ燃料<br>(燃焼度 40,000MWd/t 以下)<br>高燃焼度 8×8 燃料<br>(燃焼度 50,000MWd/t 以下)<br>9×9 燃料　　(燃焼度 55,000MWd/t 以下) |
| 収納体数 | 22 体以下 |
| 崩壊熱量 | 25kW 以下 |
| 放射能強度 | $2.04\times10^{17}$ Bq 以下 |

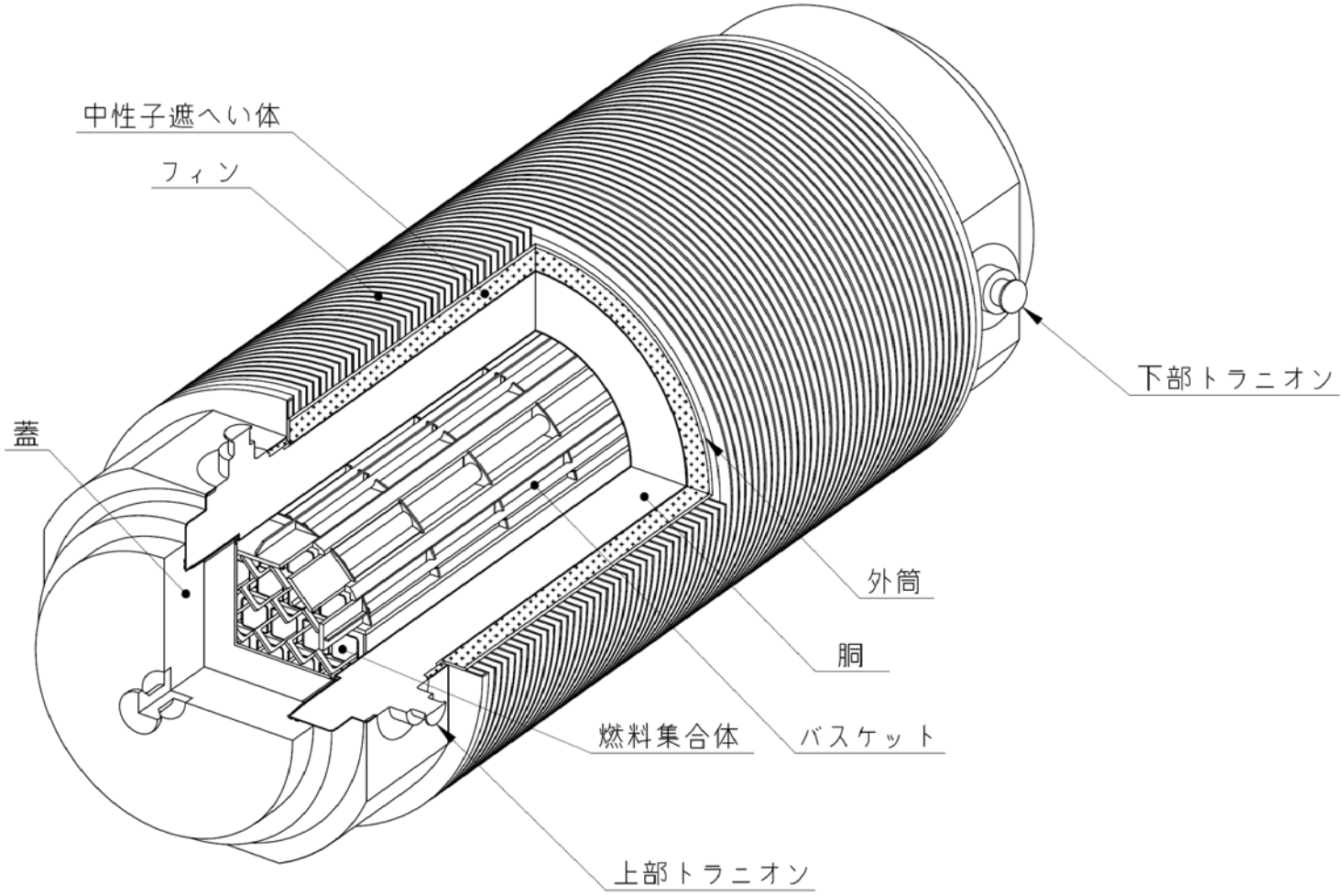



図1-1　　構内用輸送容器全体図（鳥瞰図）

2.　評価の基本方針

2.1.　設計方針

2.1.1. 基本的安全機能

構内用輸送容器は，これまで同発電所における使用済燃料の構内輸送に使用していた使用済燃料輸送容器（NFT-22B 型）であり，本文 2.11.1.3 項の設計方針に示される除熱，密封，遮へい及び臨界防止の安全機能を有するとともに，本文 2.11.1.8 項の構造強度及び耐震性に示される構造強度を有する設計であることを確認する。

2.1.2. 構内用輸送容器の安全機能について

使用済燃料輸送容器（NFT-22B 型）の安全機能は，以下の書類にて評価されている。既存評価は緩衝体を装着した状態を評価しているが，構内輸送では緩衝体を装着しない運用とすることから，既存評価を引用可能な項目は引用し，新規評価が必要な項目は新規評価を実施することとする。

・核燃料輸送物設計変更承認申請書（NFT-22B 型）
（平成 22 年 10 月 28 日申請，原燃輸送株式会社）
・核燃料輸送物設計変更承認申請書の一部補正について（NFT-22B 型）
（平成 24 年 1 月 13 日申請，原燃輸送株式会社）

なお，構内用輸送容器は同発電所で使用済燃料運搬用容器として設置され，以下の書類において安全機能は評価されている。しかし，４号機使用済燃料プールに貯蔵されている 9×9 燃料の輸送については評価していないことから，既存評価として引用しない。

・福島第一原子力発電所 第 1 号機使用済燃料輸送容器（第 1～第 6 号機共用）工事計画認可申請書本文及び添付書類(平成 19 年 2 月 21 日申請，東京電力株式会社)

2.2.　安全設計・評価方針

表 2-1 に評価すべき各安全機能に関する既存評価内容と構内用輸送容器での安全設計・評価の方針を示す。

なお，４号機の使用済燃料プールに貯蔵されている燃料については，平均燃焼度が既存評価に用いた平均燃焼度を僅かに上回るものがある。表 2-2 に４号機の使用済燃料プールに貯蔵中の燃料の種類ごとの性状と既存評価に用いられた燃料仕様との比較を示す。これらの燃料は冷却期間が十分に長いため崩壊熱量及び放射能強度が既存評価を超えることはなく，既存評価に包絡されている。

また，構内用輸送容器に収納する燃料の健全性については，「添付資料－１－３　燃料の健全性確認及び取り扱いに関する説明書」で説明する。

表2-1　構内用輸送容器安全評価の基本方針

| 項目 | 中期安全確保の考え方 | 評価対象 | 既存評価を引用 | 新評価実施 | 評価方針 | 備考 |
|---|---|---|---|---|---|---|
| 除熱機能 | 使用済燃料の健全性及び構成部材の健全性が維持できるように，使用済燃料の崩壊熱を適切に除去できる設計とする。 | 燃料被覆管 | ○ | － | 収納する燃料の崩壊熱量が25kW以下となることをもって評価条件が既存評価と同等であると言えるため，既存評価を引用して評価を行う。 | 緩衝体がない状態では，緩衝体がある状態と比較して各部の温度は低くなる。 |
| | | 構内用輸送容器 | ○ | － | | |
| 密封機能 | 周辺公衆及び放射線業務従事者に対し，放射線被ばく上の影響を及ぼすことのないよう，使用済燃料が内包する放射性物質を適切に閉じ込める設計とする。 | 構内用輸送容器 | ○ | － | 構造強度及び除熱機能の評価結果から，設計事象において，容器の密封部が健全性を維持することを確認する。 | 構造強度の評価にて密封部の構造健全性を説明する。 |
| 遮へい機能 | 内部に燃料を入れた場合に放射線障害を防止するため，使用済燃料の放射線を適切に遮へいする設計とする。 | 構内用輸送容器 | － | ○ | 線源強度は既存評価に包絡されるが，緩衝体を装着しないため，緩衝体がない状態での遮へい評価を実施する。なお，線源強度は安全側に既存評価の値を用いる。 | |
| 臨界防止機能 | 想定されるいかなる場合にも燃料が臨界に達することを防止できる設計とする。 | 構内用輸送容器 | ○ | － | 収納する燃料の初期濃縮度が4.19wt％以下となることをもって評価条件が既存評価と同等であると言え，既存評価においては容器配列，バスケット内の燃料配置等最も厳しい状態を想定し評価しており，構内輸送での条件と比較して，十分安全側であることから，既存評価を引用して評価を行う。 | |
| 構造強度 | 構内用輸送容器は取扱中における衝撃，熱等に耐え，かつ，容易に破損しない設計とする。<br>構内用輸送容器は，設計，材料の選定，製作及び検査について適切と認められる規格及び基準によるものとする。 | 構内用輸送容器 | ○ | － | 容器本体，蓋，バスケット及びトラニオンにおける設計事象の荷重条件が既存評価における荷重条件に包絡されることをもって評価条件が既存評価に包絡されることを確認した上で，既存評価を引用して評価を行う。 | |

表 2-2　貯蔵中の燃料仕様と既存評価の燃料仕様との比較

| 燃料の種類 | 項目 | 4 号機貯蔵中の<br>燃料の性状 | 既存評価の<br>燃料仕様 |
|---|---|---|---|
| 9×9 燃料 | 最高燃焼度（MWd/t） | 50,600 *1 | 55,000 |
| | 平均燃焼度（MWd/t） | 49,700 *2 | 50,000 |
| | 初期濃縮度（wt%） | 約 3.8 | 4.19 |
| | 冷却期間（日） | 1,035 *3 | 820 |
| | 崩壊熱量（kW） | 19 *4 | 24 |
| | 放射能強度（Bq） | $1.63\times10^{17}$ *4 | $2.04\times10^{17}$ |
| 高燃焼度<br>8×8 燃料 | 最高燃焼度（MWd/t） | 45,400 *1 | 50,000 |
| | 平均燃焼度（MWd/t） | 45,200 *2 | 44,000 |
| | 初期濃縮度（wt%） | 約 3.6 | 3.67 |
| | 冷却期間（日） | 2,012 *3 | 780 |
| | 崩壊熱量（kW） | 10 *4 | 22 |
| | 放射能強度（Bq） | $9.40\times10^{16}$ *4 | $1.92\times10^{17}$ |
| 新型 8×8<br>ｼﾞﾙｺﾆｳﾑﾗｲﾅ<br>燃料 | 最高燃焼度（MWd/t） | 34,000 *1 | 40,000 |
| | 平均燃焼度（MWd/t） | 32,300 *2 | 38,000 |
| | 初期濃縮度（wt%） | 約 3.0 | 3.3 |
| | 冷却期間（日） | 4,884 *3 | 690 |
| | 崩壊熱量（kW） | 4 *4 | 22 |
| | 放射能強度（Bq） | $4.70\times10^{16}$ *4 | $1.98\times10^{17}$ |
| 8×8 燃料 | 最高燃焼度（MWd/t） | 37,400 *1 | 38,000 |
| | 平均燃焼度（MWd/t） | 36,700 *5 | 36,000 |
| | 初期濃縮度（wt%） | 約 2.7 | 2.9 |
| | 冷却期間（日） | 9,890 *3 | 1,440 |
| | 崩壊熱量（kW） | 4 *6 | 11 |
| | 放射能強度（Bq） | $3.76\times10^{16}$ *6 | $1.08\times10^{17}$ |

*1 最高燃焼度は 4 号機使用済燃料プールに貯蔵されている燃料の最高値

*2 平均燃焼度は 4 号機使用済燃料プールに貯蔵されている燃料のうち上位 22 体の平均値

*3 冷却期間は 2013 年 9 月 30 日における 4 号機使用済燃料プールに貯蔵されている燃料の最短の冷却期間

*4 崩壊熱量及び放射能強度は平均燃焼度及び冷却期間から ORIGEN2 コードにより求めた容器 1 基あたり（燃料 22 体あたり）の値

*5 8×8 燃料は 4 体しか貯蔵されていないため，平均燃焼度は 4 体の平均値

*6 8×8 燃料は 4 体しか貯蔵されていないため，崩壊熱量及び放射能強度は平均値の 22 倍の値

3.　安全評価

3.1.　構造強度

(1)　基本的な考え方

構内用輸送容器の構造強度については，既存評価の結果を基に，構内用輸送容器の構造強度が想定すべき事象（設計事象）において設計基準に適合していることを確認する。

評価部位は，安全上重要な部位として容器本体，蓋，バスケット並びに支持機能を有するトラニオンとする。また，設計基準は，構外用輸送容器としての安全評価に用いられている基準を適用する。

(2)　設計事象の抽出

JSME S FA1-2007 金属キャスク構造規格の考え方に基づいて，構内用輸送容器の設計事象として以下を抽出した。

なお，設計事象の抽出にあたっては，図 3.1-1 に示すハンドリングフローに基づき，構内用輸送容器の取扱い並びに，共用プール及び６号機までの輸送において想定される起因事象に着目し，発生防止対策を考慮して事象の発生の可能性を検討した。設計事象の抽出結果を表 3.1-1 に示す。

なお，従来と同様の構内用輸送容器の取扱いが可能となるよう，４号機は燃料取り出し用カバー及びクレーンを設置し，共用プールは震災前の状態に復旧する計画である。

1）設計事象Ⅰ

容器本体及び蓋には，収納する燃料の発熱により内圧及び熱による応力が発生する。また，取扱い時及び構内輸送時の加速度により収納物及び自重による荷重がかかり，応力が発生する。

バスケットには，取扱い時及び構内輸送時の加速度により収納物及び自重による荷重がかかり，応力が発生する。

トラニオンには取扱い時の吊上げ等による応力，及び構内輸送時における固縛荷重による応力が発生する。

2）設計事象Ⅱ

容器本体及び蓋には，輸送架台へのトラニオン衝突（取扱いモードNo.1-2,2-2），構内用輸送容器を積載した輸送架台の搬送台車への衝突（取扱いモードNo. 1-6），構内用輸送容器の転倒防止台座への衝突（取扱いモードNo. 1-8,2-6）及びキャスクピットへの衝突（取扱いモードNo. 1-9,2-7）の加速度における収納物及び自重による荷重がかかり，応力が発生する。

バスケットには，輸送架台へのトラニオン衝突（取扱いモードNo. 1-2,2-2），構内用輸送容器を積載した輸送架台の搬送台車への衝突（取扱いモードNo. 1-6），構内用輸送容器の転倒防止台座への衝突（取扱いモードNo. 1-8,2-6）及びキャスクピットへの衝突（取扱いモードNo. 1-9,2-7）の加速度における収納物及び自重による荷重がかかり，応力が発生する。

トラニオンには，輸送架台へのトラニオン衝突（取扱いモードNo. 1-2,2-2）及び構内用輸送容器を積載した輸送架台の搬送台車への衝突（取扱いモードNo. 1-6）の加速度における荷重がかかり，応力が発生する。

3）設計事象Ⅲ及び設計事象Ⅳ

構内用輸送容器を取扱う設備及び運用においては，クレーンワイヤの二重化，始業前の機器の点検を実施することから，ハンドリングフローから抽出される事象のうち，構内用輸送容器の安全機能を著しく損なう事象であって，一般公衆の放射線被ばくの観点からみて重要と考えられる事象はない。

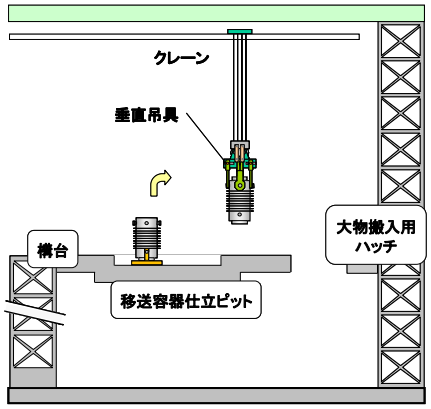
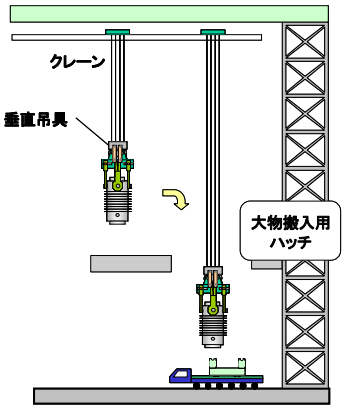
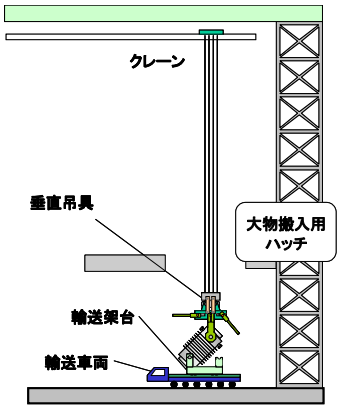
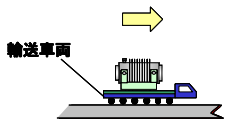
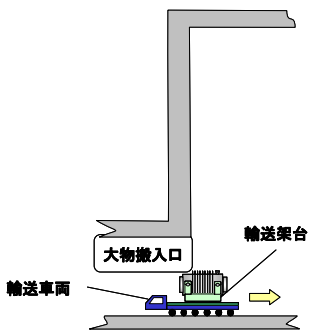
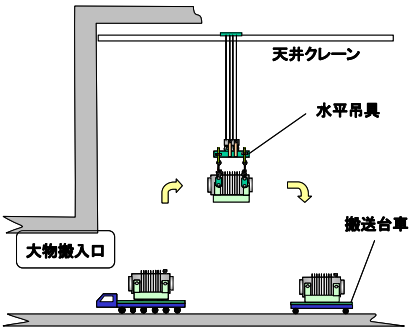
| No. | 取扱いモード<br>（共用プールへの輸送） | No. | 取扱いモード<br>（共用プールへの輸送） |
|---|---|---|---|
| 1-1 | 輸送容器の搬出<br>  <br> | 1-2 | 輸送容器の吊下ろし<br>  <br> |
| 1-3 | 輸送車両への積載<br>  <br> | 1-4 | 構内輸送（徐行）<br>  <br> |
| 1-5 | 共用プール建屋への搬入<br>  <br> | 1-6 | 搬送台車への積載<br>  <br> |

図 3.1-1　構内用輸送容器のハンドリングフロー（1/3）

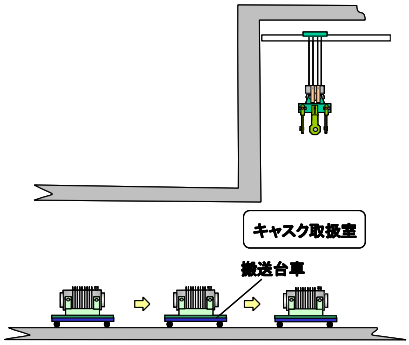
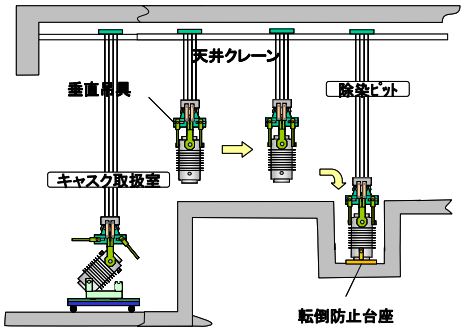
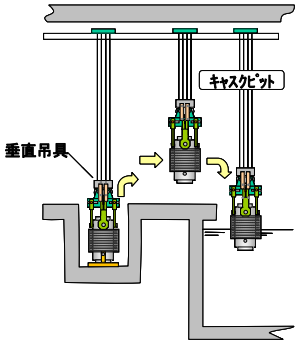
<table>
<tr><th>No.</th><th>取扱いモード<br>（共用プールへの輸送）</th><th>No.</th><th>取扱いモード<br>（共用プールへの輸送）</th></tr>
<tr><td>1-7</td><td>キャスク取扱室への移動<br> 
</td><td>1-8</td><td>除染ピットへの移動<br> 
</td></tr>
<tr><td>1-9</td><td>キャスクピットへ移動<br> 
</td><td></td><td></td></tr>
</table>

図 3.1-1　構内用輸送容器のハンドリングフロー（2/3）

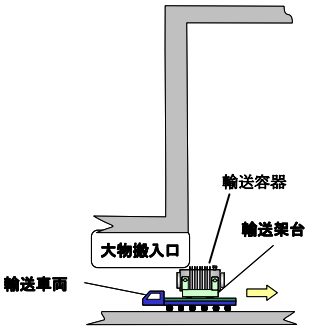
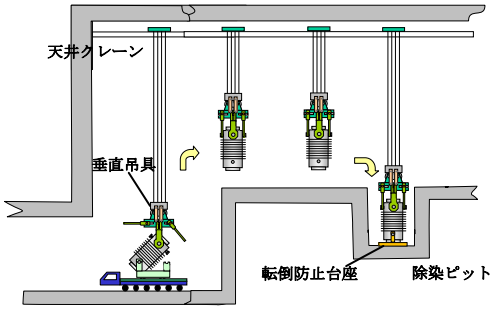
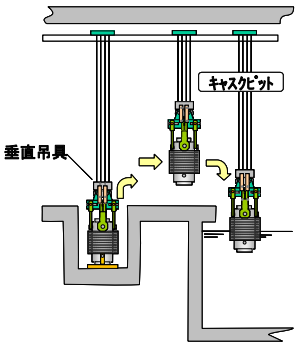
| No. | 取扱いモード<br>（6 号機への輸送） | No. | 取扱いモード<br>（6 号機への輸送） |
|---|---|---|---|
| 2-1<br>～<br>2-4 | 「輸送容器の搬出」，「輸送容器の吊下ろし」，「輸送車両への積載」，「構内輸送」は No. 1-1～1-4 と同じ | 2-5 | 6 号機への搬入<br>  <br> |
| 2-6 | 輸送容器の吊上げ，除染ピットへの移動<br>  <br> | 2-7 | キャスクピットへ移動<br>  <br> |

図 3.1-1　構内用輸送容器のハンドリングフロー（3/3）

表 3.1-1　設計事象の抽出

| 起因事象（ハンドリングフローNo.） | | 原因 | 発生の可能性 | 発生の有無 | 想定シナリオ | 抽出の要否 |
|---|---|---|---|---|---|---|
| 構内用輸送容器の落下 | 輸送車両取扱い時の落下<br>(No.1-4,2-4) | 固定ボルトの取付け不良 | 構内用輸送容器は，輸送車両に複数のボルトで固縛されていることを確認する。また，構内用輸送容器は輸送車両で徐行して輸送すること，輸送経路は輸送に関係する人及び車両以外の立入を制限することから，落下しない。 | × | | × |
| | 搬送台車取扱い時の落下<br>(No. 1-7) | 固定ボルトの取付け不良 | 構内用輸送容器は，搬送台車に複数のボルトで固縛されていることを確認する。また，搬送台車はレール上を走行し，走行範囲インターロック及び障害物検知装置を有していることから他の構築物等に衝突はしないため，落下しない。 | × | | × |
| | クレーン取扱時の落下<br>(No. 1-1,1-2,1-3,<br>1-6,1-8,1-9,2-1,<br>2-2,2-3,2-6,2-7) | 吊具の取付け不良 | 吊具の二重化，始業前の吊具点検，取付け後の外れ止めを施すため，構内用輸送容器は落下しない。 | × | | × |
| | | ワイヤーロープの切断 | ワイヤーロープの二重化，始業前のワイヤーロープ点検を行うため，構内用輸送容器は落下しない。 | × | | × |
| 構内用輸送容器の衝突 | クレーン移動時（走行，横行）の衝突<br>(No. 1-1,1-2,1-3,<br>1-6,1-8,1-9,2-1<br>,2-2,2-3,2-6,2-7) | ブレーキの故障 | 移動前に移動経路に障害物がないことを確認し，構内用輸送容器と移動経路の芯あわせを行い，走行及び横行それぞれにインバータによる停止機能に加えてブレーキによる停止機能により二重化しているため，構内用輸送容器は他の構築物等へ衝突しない。 | × | | × |
| | | 操作員の誤操作 | クレーンの横行走行範囲に制限機能を設ける。また，移動前に移動経路に障害物がないことの確認，構内用輸送容器と移動経路の芯あわせを行うため，構内用輸送容器は他の構築物等へ衝突しない。 | × | | × |
| | クレーン吊下げ時の衝突（垂直吊り）（異常着床）<br>(No. 1-2, 1-8, 1-9<br>,2-2,2-6,2-7) | ブレーキの故障 | 巻上げ装置ブレーキを二重化しているため,構内用輸送容器は輸送架台，転倒防止台座あるいはキャスクピットへ衝突（異常着床）しない。 | × | | × |
| | | 操作員の誤操作 | 吊下げ時の誤操作により，構内用輸送容器は巻下げ速度で輸送架台，転倒防止台座あるいはキャスクピットに異常着床する可能性がある。 | ○ | クレーンの最大巻下げ速度 0.025m/sで，構内用輸送容器が輸送架台，転倒防止台座あるいはキャスクピットに異常着床する場合を，設計事象として抽出。 | ○ |
| | クレーン吊下げ時の衝突（水平吊り）（異常着床）<br>(No. 1-6) | ブレーキの故障 | 巻上げ装置ブレーキを二重化しているため，構内用輸送容器は搬送台車へ衝突（異常着床）しない。 | × | | × |
| | | 操作員の誤操作 | 吊下げ時の誤操作により，輸送架台に積載された状態で構内用輸送容器は巻下げ速度で搬送台車に異常着床する可能性がある。 | ○ | クレーンの最大巻下げ速度 0.025m/sで,輸送架台に積載された状態で構内用輸送容器が搬送台車に異常着床する場合を，設計事象として抽出。 | ○ |

(3)　設計事象の荷重条件

前項で抽出した設計事象について，構内用輸送容器に発生する加速度を導出し，荷重条件が既存評価条件に包絡されることを確認する。

1）設計事象の加速度の導出

事象発生時に構内用輸送容器が有する運動エネルギーを被衝突物（輸送架台，転倒防止台座，キャスクピット床面）の弾性により吸収するとして，発生する衝撃加速度を計算した。衝撃加速度の計算方法と結果を以下に示す。

①輸送架台への衝突（垂直姿勢：取扱いモードNo.1-2,2-2）

対象部位：容器本体及び蓋，バスケット，トラニオン

垂直姿勢で，構内用輸送容器の下部トラニオンが輸送架台のトラニオン受けにクレーンの巻下げ速度（0.025m/s）で衝突する場合について評価する。

構内用輸送容器の有する運動エネルギーを輸送架台後部支持脚のひずみエネルギーで吸収するとして，（１）式で構内用輸送容器に生じる衝撃加速度を求める。

$$\alpha = 1 + \sqrt{1 + \frac{K \cdot V^2}{m \cdot g^2}} \qquad (1)$$

ただし，$\alpha$：衝撃加速度（G）

Ｋ：輸送架台後部支持脚の圧縮変形バネ定数（$3.01 \times 10^{10}$N/m）

Ｖ：クレーンの巻下げ速度（0.025m/s）

ｍ：構内用輸送容器の質量（$9.1 \times 10^{4}$kg）

ｇ：重力加速度（9.8m/s$^2$）

発生する衝撃加速度は2.78Gとなり，余裕をみて3.0Gを評価加速度とする。

②構内用輸送容器を載せた輸送架台の搬送台車への衝突（水平姿勢：取扱いモードNo.1-6）

対象部位：容器本体及び蓋，バスケット，トラニオン

構内用輸送容器を載せた輸送架台を搬送台車に積載する際に，輸送架台が搬送台車に共用プールの天井クレーンの巻下げ速度（0.025m/s）で衝突する場合について評価する。

搬送台車を剛体として，構内用輸送容器の有する運動エネルギーを輸送架台支持脚のひずみエネルギーで吸収するとして，（１）式で構内用輸送容器に生じる衝撃加速度を求める。

ただし，Ｋ：輸送架台前後部支持脚の圧縮変形バネ定数（$6.16 \times 10^{10}$N/m）

Ｖ：共用プールの天井クレーンの巻下げ速度（0.025m/s）

発生する衝撃加速度は3.32Gとなり，余裕をみて4.0Gを評価加速度とする。

③転倒防止台座への衝突（垂直姿勢：取扱いモードNo. 1-8 No. 2-6）

対象部位：容器本体及び蓋，バスケット

垂直姿勢で構内用輸送容器が転倒防止台座に共用プール及び６号機の天井クレーンの巻下げ速度（0.025m/s）で衝突する場合について評価する。

床面を剛体として，構内用輸送容器の有する運動エネルギーを転倒防止台座のひずみエネルギーで吸収するとして，（１）式で構内用輸送容器に生じる衝撃加速度を求める。

ただし，Ｋ：共用プール転倒防止台座の圧縮変形バネ定数（$8.81\times10^{11}$N/m）

６号機転倒防止台座の圧縮変形バネ定数（$9.48\times10^{11}$N/m）

Ｖ：共用プール及び６号機の天井クレーンの巻下げ速度（0.025m/s）

発生する衝撃加速度は共用プールが 9.00G，６号機が 9.29G となり，余裕をみて 10.0G を評価加速度とする。

④キャスクピット床面への衝突（垂直姿勢：取扱いモードNo. 1-9，No. 2-7）

対象部位：容器本体及び蓋，バスケット

垂直姿勢で構内用輸送容器がキャスクピット床面に共用プール及び６号機の天井クレーンの巻下げ速度（0.025m/s）で衝突する場合について評価する。

構内用輸送容器の有する運動エネルギーをキャスクピット床面のひずみエネルギーで吸収するとして，（１）式で構内用輸送容器に生じる衝撃加速度を求める。

ただし，Ｋ：共用プールキャスクピット床面のバネ定数（$5.43\times10^{10}$N/m）

６号機キャスクピット床面のバネ定数（$6.71\times10^{10}$N/m）

Ｖ：共用プール及び６号機の天井クレーンの巻下げ速度（0.025m/s）

発生する衝撃加速度は共用プールが 3.21G，６号機が 3.41G となり，余裕をみて 4.0G を評価加速度とする。

2）評価結果

構内用輸送容器の設計事象における荷重条件と既存評価の荷重条件の比較を表 3.1-2～表 3.1-4 に示す。なお，構内用輸送容器の設計事象及び荷重条件については，抽出された事象のうち最大の荷重が作用する場合について示す。

表 3.1-2～表 3.1-4 に示すとおり，設計事象における「容器本体及び蓋」，「バスケット」及び「トラニオン」に作用する荷重条件は既存評価の荷重条件に包絡されており，評価条件は既存評価に包絡される。

表 3.1-2　荷重条件の比較（容器本体及び蓋）

| 構内用輸送容器の評価事象及び荷重条件 | | | | 既存評価の事象及び荷重条件 | |
|---|---|---|---|---|---|
| 設計事象 | 代表事象 | 包絡される事象 | 荷重条件 | 事象 | 荷重条件 |
| Ⅰ | 構内輸送時 | － | 容器内圧力：0.9 MPa<br>ボルト初期締付け力<br>構内輸送時荷重<br>上方向[*1]：2.0G<br>下方向[*1]：3.0G<br>（自重を考慮）<br>前後方向：2.0G<br>左右方向：1.0G<br>熱荷重 | 一般の試験条件 0.3m 頭部垂直落下 | 容器内圧力：0.9MPa<br>ボルト初期締付け力<br>落下時荷重：52.4G<br>熱荷重 |
| | | | | 一般の試験条件 0.3m 底部垂直落下 | 容器内圧力：0.9MPa<br>ボルト初期締付け力<br>落下時荷重：55.5G<br>熱荷重 |
| | | | | 一般の試験条件 0.3m 水平落下 | 容器内圧力：0.9MPa<br>ボルト初期締付け力<br>落下時荷重：27.6G<br>熱荷重 |
| | 容器の吊上げ吊下げ，移動 | － | 容器内圧力：0.9 MPa<br>ボルト初期締付け力<br>吊上げ荷重<br>下方向[*2]：3.0G<br>（自重を考慮）<br>熱荷重 | 一般の試験条件 0.3m 底部垂直落下 | 容器内圧力：0.9MPa<br>ボルト初期締付け力<br>落下時荷重：55.5G<br>熱荷重 |
| Ⅱ | 輸送架台の搬送台車への衝突<br>（取扱いモードNo.1-6） | － | 容器内圧力：0.9 MPa<br>ボルト初期締付け力<br>輸送架台の搬送台車への衝突時荷重<br>下方向[*1]：4.0G<br>（自重を考慮）<br>熱荷重 | 一般の試験条件 0.3m 水平落下 | 容器内圧力：0.9MPa<br>ボルト初期締付け力<br>落下時荷重：27.6G<br>熱荷重 |
| | 転倒防止台座への衝突<br>（取扱いモードNo.1-8,2-6） | 輸送架台へのトラニオン衝突<br>（取扱いモードNo.1-2,2-2）<br>キャスクピットへの衝突<br>（取扱いモードNo.1-9,2-7） | 容器内圧力：0.9 MPa<br>ボルト初期締付け力<br>転倒防止台座への衝突時荷重<br>下方向[*2]：10.0G<br>（自重を考慮）<br>熱荷重 | 一般の試験条件 0.3m 底部垂直落下 | 容器内圧力：0.9MPa<br>ボルト初期締付け力<br>落下時荷重：55.5G<br>熱荷重 |

*1 構内用輸送容器軸と直角な方向

*2 構内用輸送容器軸方向

表 3.1-3　荷重条件の比較（バスケット）

| 構内用輸送容器の評価事象及び荷重条件 | | | | 既存評価の事象及び荷重条件 | |
|---|---|---|---|---|---|
| 設計事象 | 代表事象 | 包絡される事象 | 荷重条件 | 事象 | 荷重条件 |
| Ⅰ | 構内輸送時 | － | 構内輸送時荷重<br>上方向[*1]：2.0G<br>下方向[*1]：3.0G<br>（自重を考慮）<br>前後方向：2.0G<br>左右方向：1.0G | 特別の試験条件<br>9m 頭部垂直落下 | 落下時荷重：<br>89.3G |
| | | | | 特別の試験条件<br>9m 底部垂直落下 | 落下時荷重：<br>95.5G |
| | | | | 特別の試験条件<br>9m 水平落下 | 落下時荷重：<br>98.8G |
| | 容器の吊上げ吊下げ，移動 | － | 吊上げ荷重<br>下方向[*2]：3.0G<br>（自重を考慮） | 特別の試験条件<br>9m 底部垂直落下 | 落下時荷重：<br>95.5G |
| Ⅱ | 輸送架台の搬送台車への衝突<br>（取扱いモードNo. 1-6） | － | 輸送架台の搬送台車への衝突時荷重<br>下方向[*1]：4.0G<br>（自重を考慮） | 特別の試験条件<br>9m 水平落下 | 落下時荷重：<br>98.8G |
| | 転倒防止台座への衝突<br>（取扱いモードNo. 1-8,2-6） | 輸送架台へのトラニオン衝突<br>（取扱いモードNo.1-2,2-2）<br>キャスクピットへの衝突<br>（取扱いモードNo.1-9,2-7） | 転倒防止台座への衝突時荷重<br>下方向[*2]：10.0G<br>（自重を考慮） | 特別の試験条件<br>9m 底部垂直落下 | 落下時荷重：<br>95.5G |

*1 構内用輸送容器軸と直角な方向
*2 構内用輸送容器軸方向

表 3.1-4　荷重条件の比較（トラニオン）

| 構内用輸送容器の評価事象及び荷重条件 | | | | 既存評価の事象及び荷重条件 | |
|---|---|---|---|---|---|
| 設計事象 | 代表事象 | 包絡される事象 | 荷重条件 | 事象 | 荷重条件 |
| Ⅰ | 構内輸送時 | — | 構内輸送時荷重<br>上方向[*1]：2.0G<br>下方向[*1]：3.0G<br>（自重を考慮）<br>前後方向：2.0G<br>左右方向：1.0G | 通常の輸送条件<br>（固縛装置） | 構内輸送時荷重<br>上方向[*1]：2.0G<br>下方向[*1]：3.0G<br>（自重を考慮）<br>前後方向：2.0G<br>左右方向：1.0G |
| | 容器の吊上げ吊下げ，移動 | — | 吊上げ荷重<br>下方向[*2]：3.0G<br>（自重を考慮） | 通常の輸送条件<br>（吊上装置） | 吊上げ荷重<br>下方向[*2]：3.0G<br>（自重を考慮） |
| Ⅱ | 輸送架台へのトラニオン衝突<br>（取扱いモード No.1-2,2-2） | 輸送架台の搬送台車への衝突<br>（取扱いモード No.1-6）[*3] | 輸送架台へのトラニオン衝突時荷重<br>下方向[*2]：3.0G<br>（自重を考慮） | 通常の輸送条件<br>（吊上装置） | 吊上げ荷重<br>下方向[*2]：3.0G<br>（自重を考慮） |

*1 構内用輸送容器軸と直角な方向

*2 構内用輸送容器軸方向

*3 輸送架台への衝突（取扱いモード No.1-2,2-2）は垂直姿勢で衝突するためトラニオンの荷重負担本数は２本であるのに対して，輸送架台の搬送台車への衝突（取扱いモード No.1-6）では水平姿勢で衝突するためトラニオンの荷重負担本数は４本である。このため，構内用輸送容器への荷重は取扱いモード No.1-6 の方が大きいものの，トラニオンあたりに作用する荷重は取扱いモード No.1-2,2-2 の方が大きくなる。以上から，設計事象としては取扱いモード No.1-2,2-2 が抽出される。

(4)　設計基準

既存評価に用いられている設計基準を表 3.1-5 に示す。

表 3.1-5　設計基準

| 評価条件等 | 評価部位 | 設計基準 | 設計基準の考え方 |
|---|---|---|---|
| 一般の試験条件 | 容器本体（胴）<br>容器本体（底板）<br>蓋 | ・発生応力を分類し，各応力強さが以下の基準値以下であること。<br>Ｐｍ≦Ｓｍ<br>ＰＬ≦１．５Ｓｍ<br>ＰＬ＋Ｐｂ≦１．５Ｓｍ<br>ＰＬ＋Ｐｂ＋Ｑ≦３Ｓｍ<br>ここで，Ｐｍ：一次一般膜応力強さ<br>ＰＬ：一次局部膜応力強さ<br>Ｐｂ：一次曲げ応力強さ<br>Ｑ　：二次応力強さ<br>Ｓｍ：設計・建設規格付録材料図表　Part５表１に示される設計応力強さ | 旧通産省告示第501号による |
| | 蓋ボルト | ・以下の基準値以下であること。<br>σｍ≦２Ｓｍ<br>σｍ＋σｂ≦３Ｓｍ<br>ここで，σｍ：平均引張応力<br>σｂ：曲げ応力<br>Ｓｍ：設計・建設規格付録材料図表　Part５　表２に示される設計応力強さ | |
| 特別の試験条件 | バスケット | ・膜応力強さが降伏応力，（膜＋曲げ）応力強さが降伏応力の1.5倍以下であること。 | 臨界評価上影響のある塑性変形が生じない |
| 通常の輸送条件 | トラニオン | ・応力強さが降伏応力以下であること。ここで，応力強さとは主応力の差の絶対値をいう。 | 旧科技庁 核燃料輸送物設計承認申請書記載要綱（第２版）による |

(5)　評価条件及び評価方法

既存評価の評価条件及び評価方法の内容を以下に示す。

1）容器本体（胴），容器本体（底板），蓋及び蓋ボルト

構内用輸送容器の容器本体及び蓋部の構造強度評価は，想定される圧力荷重，機械的荷重，熱荷重を基に，容器の実形状をモデル化し，構造解析コードABAQUS を用いて容器本体（胴），容器本体（底板），蓋及び蓋ボルトの応力評価を行う。

主な構造部材の応力評価箇所を図 3.1-2 に示す。荷重条件は表 3.1-2 に示したとおりである。

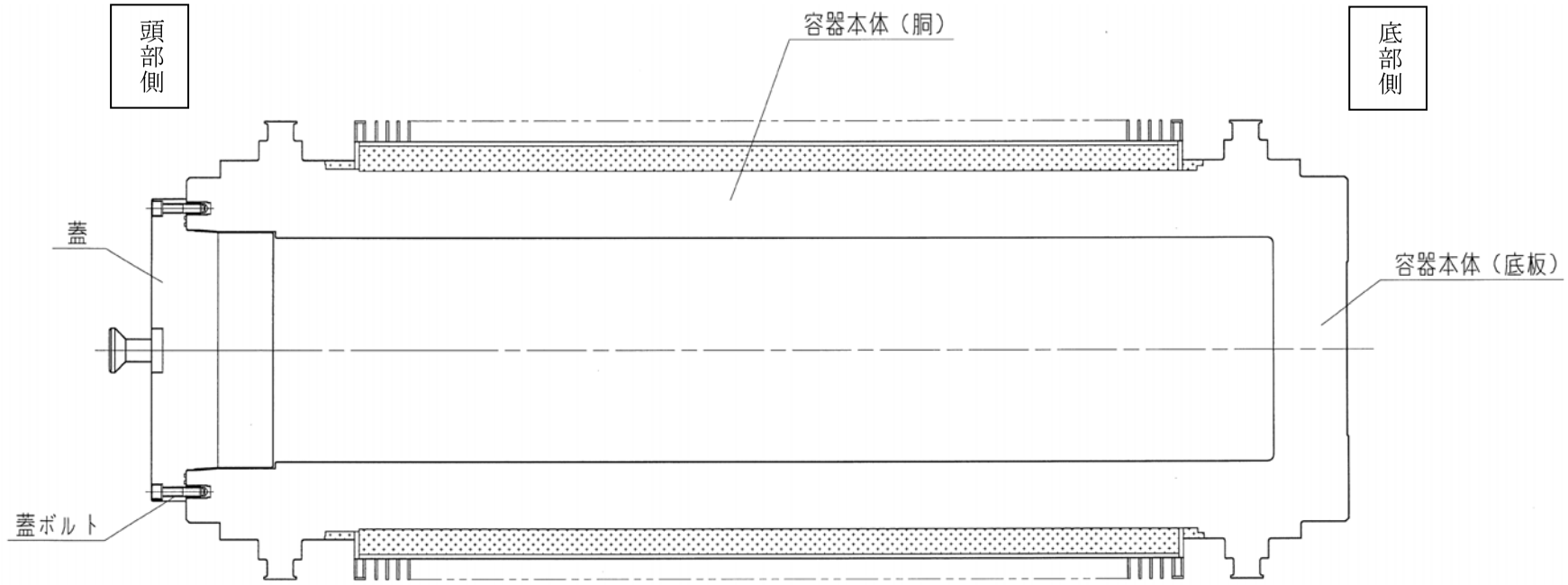



図 3.1-2　容器本体（胴），容器本体（底板），蓋及び蓋ボルトの応力評価箇所

2)　バスケット

バスケットの構造強度評価は，想定される機械的荷重を基に応力評価式を用いて評価する。頭部垂直落下時及び底部垂直落下時には上下部のスペーサに慣性力による圧縮応力が生じる。また，水平落下時に，チャンネルの横板には，慣性力により曲げ応力が生じ，チャンネルの縦板には圧縮応力が生じる。これらの応力評価箇所を図 3.1-3 に示す。荷重条件は表 3.1-3 に示したとおりである。

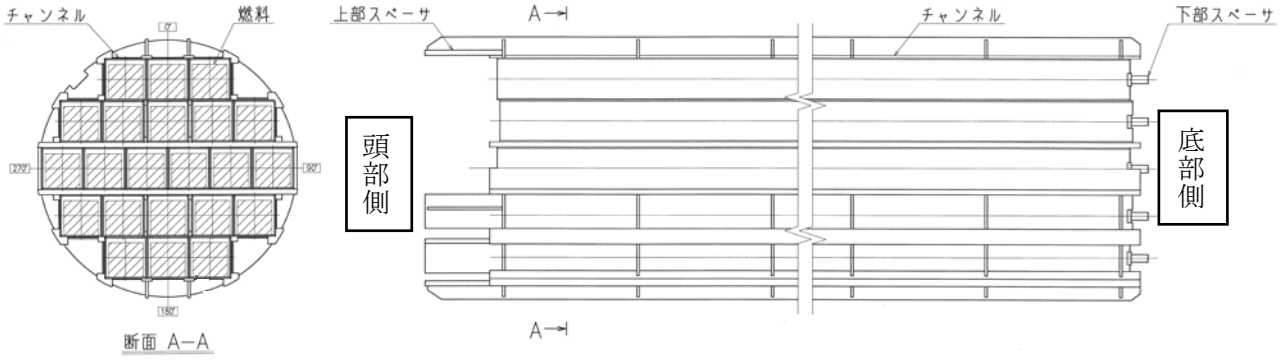



図 3.1-3　バスケットの応力評価箇所

3) トラニオン

トラニオンの構造強度評価は，吊上げ時及び固縛時に想定される機械的荷重を基に応力評価式を用いて評価する。吊上げ時及び固縛時のトラニオンへの荷重点を図 3.1-4 に示す。荷重条件は表 3.1-4 に示したとおりである。

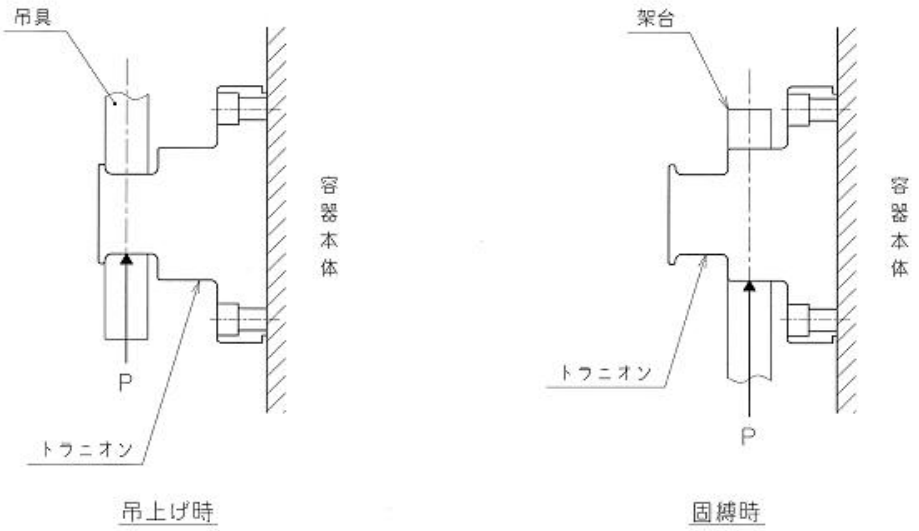



図3.1-4　トラニオンへの荷重点

(6)　評価結果

評価結果を表3.1-6～表3.1-8に示す。いずれも，解析基準値に対して十分に余裕がある。このため，構内用輸送容器の構造健全性は維持される。

表3.1-6　容器本体及び蓋の構造強度評価結果

| 部位 | 材料 | 事象 | 応力分類 | 解析基準 *1 | 解析基準値 (MPa) *2 | 解析結果 (MPa) |
|---|---|---|---|---|---|---|
| 容器本体（胴） | 炭素鋼 | 頭部垂直落下 | 一次応力（Pm） | Sm | 124 | 15.7 |
| | | | 一次応力（PL） | 1.5 Sm | 185 | 25.9 |
| | | | (一次＋二次)応力 | 3 Sm | 371 | 66.6 |
| | | 底部垂直落下 | 一次応力（Pm） | Sm | 124 | 16.9 |
| | | | 一次応力（PL） | 1.5 Sm | 185 | 35.8 |
| | | | (一次＋二次)応力 | 3 Sm | 371 | 39.3 |
| | | 水平落下 | 一次応力（Pm） | Sm | 124 | 31.1 |
| | | | 一次応力（PL） | 1.5 Sm | 185 | 89.5 |
| | | | (一次＋二次)応力 | 3 Sm | 371 | 133 |
| 容器本体（底板） | 炭素鋼 | 頭部垂直落下 | 一次応力（PL＋Pb） | 1.5 Sm | 187 | 2.90 |
| | | | (一次＋二次)応力 | 3 Sm | 373 | 11.8 |
| | | 底部垂直落下 | 一次応力（PL＋Pb） | 1.5 Sm | 187 | 39.2 |
| | | | (一次＋二次)応力 | 3 Sm | 373 | 43.6 |
| | | 水平落下 | 一次応力（PL＋Pb） | 1.5 Sm | 187 | 25.6 |
| | | | (一次＋二次)応力 | 3 Sm | 373 | 66.0 |
| 蓋 | ステンレス鋼 | 頭部垂直落下 | 一次応力（PL＋Pb） | 1.5 Sm | 206 | 67.4 |
| | | | (一次＋二次)応力 | 3 Sm | 411 | 105 |
| | | 底部垂直落下 | 一次応力（PL＋Pb） | 1.5 Sm | 206 | 2.56 |
| | | | (一次＋二次)応力 | 3 Sm | 411 | 16.0 |
| | | 水平落下 | 一次応力（PL＋Pb） | 1.5 Sm | 206 | 21.4 |
| | | | (一次＋二次)応力 | 3 Sm | 411 | 89.8 |
| 蓋ボルト | ニッケルクロムモリブデン鋼 | 頭部垂直落下 | 平均引張応力 | 2 Sm | 562 | 74.3 |
| | | | 平均引張応力＋曲げ応力 | 3 Sm | 844 | 126 |
| | | 底部垂直落下 | 平均引張応力 | 2 Sm | 562 | 127 |
| | | | 平均引張応力＋曲げ応力 | 3 Sm | 844 | 214 |
| | | 水平落下 | 平均引張応力 | 2 Sm | 562 | 135 |
| | | | 平均引張応力＋曲げ応力 | 3 Sm | 844 | 357 |

*1 旧通産省告示第501号による

*2 設計・建設規格より引用

表 3.1-7 バスケットの構造強度評価結果

| 部位 | 材料 | 事象 | 応力分類 | 解析基準 *1 | 解析基準値 (MPa) | 解析結果 (MPa) |
|---|---|---|---|---|---|---|
| バスケット 上部スペーサ | ステンレス鋼 | 頭部 垂直落下 | 膜応力 | Sy | 158 *2 | 127 |
| バスケット 下部スペーサ | ステンレス鋼 | 底部 垂直落下 | 膜応力 | Sy | 158 *2 | 109 |
| バスケット チャンネル | ボロン入りステンレス鋼 | 水平落下 | (膜＋曲げ)応力 | 1.5σy | 356 *3 | 290 |
| | | | 膜応力 | σy | 237 *3 | 59.9 |

*1 臨界評価上影響のある塑性変形が生じない

*2 設計・建設規格より引用

*3 既存評価の材料試験データ

表 3.1-8　トラニオンの構造強度評価結果

| 部位 | 材料 | 事象 | 応力分類 | 解析基準 *1 | 解析基準値 (MPa) *2 | 解析結果 (MPa) |
|---|---|---|---|---|---|---|
| トラニオン | 析出硬化型ステンレス鋼 | 吊上げ | (膜＋曲げ)応力 | Sy | 650 | 444 |
| | | 固縛 | (膜＋曲げ)応力 | Sy | 650 | 175 |

*1 旧科技庁 核燃料輸送物設計承認申請書記載要綱（第２版）による

*2 設計・建設規格より引用

参考資料

# 構造強度計算に用いるコード（ABAQUS）について

## （１）概要

ABAQUS コードは米国 Hibbitt,Karlsson&Sorensen,Ins.(HKS 社)で開発された有限要素法に基づく応力・座屈解析等の汎用解析コードであり，輸送容器の応力解析等に広く利用されている。

## （２）機能

ABAQUS コードは，応力解析に際して以下の機能を有している。

① 定常，非定常の弾性，弾塑性のいずれの解も得ることができる。

② 材料特性として時間依存，歪の履歴依存並びに等方性・異方性等を考慮することができる。

③ モデルの形状は一次元～三次元，又は連続体についても取り扱うことができる。

④ 伝熱解析結果をそのまま境界条件として熱応力解析に用いることが可能である。

⑤ 荷重条件として集中荷重，分布荷重，モーメント，加速度力（慣性力），圧力，遠心力及びコリオリ力等が取り扱える。また，これらの条件の時間依存，線形変化に対しても対応可能である。

## （３）解析フロー

ABAQUS コードの解析フローを図 3.1-5 に示す。

## （４）使用実績

ABAQUS コードは，これまで多くの応力解析に対し使用実績がある。

## （５）検証方法

理論値との比較による検証が実施されていることを確認している。

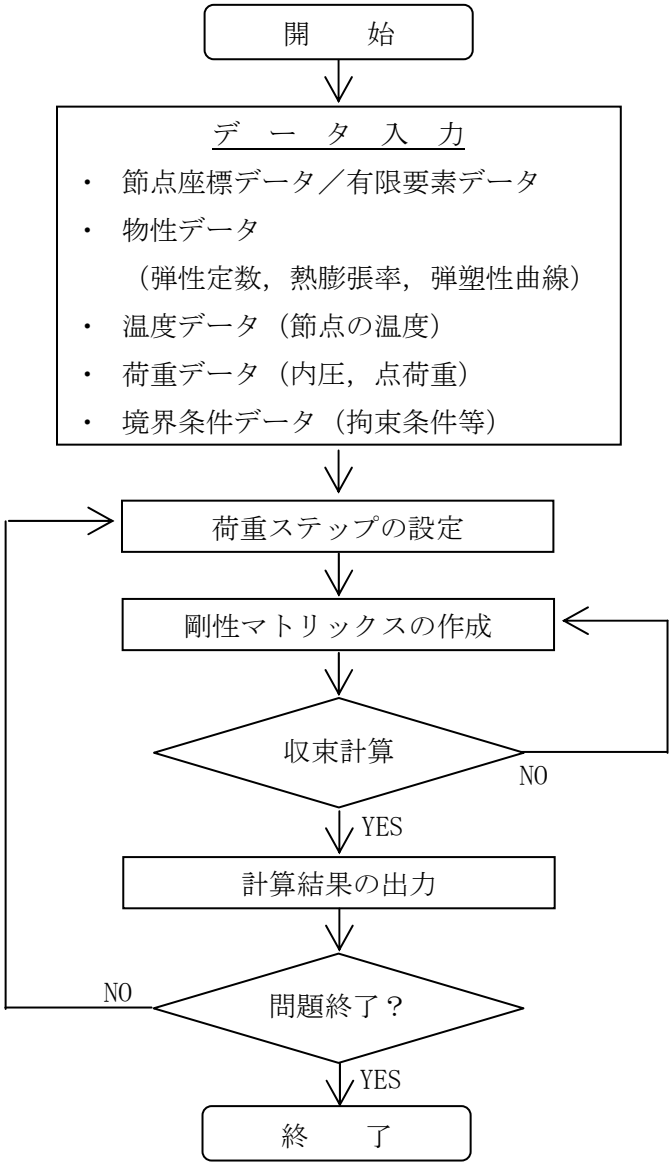



図 3.1-5 ABAQUS コードの応力解析フロー図

3.2.　除熱機能

(1)　基本的な考え方

除熱設計にあたっては，燃料の健全性及び構内用輸送容器の安全機能を有する構成部材の健全性が維持できるよう，以下のとおり設計する。

a.　収納された使用済燃料より発生する崩壊熱は，胴内に充填した水及び空気の自然対流及び伝導により容器本体胴に伝える。
b.　容器本体胴に伝えられた熱は主として中性子遮へい部のレジン中に設けた伝熱フィンにより外筒に伝える。
c.　外筒に伝えられた熱は外筒及び外筒に設置したフィンにより大気に放散する。

除熱機能の評価においては，収納する使用済燃料の最大崩壊熱量を考慮し，環境条件には構外用輸送容器としての安全評価に用いられている条件を用い，自然冷却により冷却されるものとして各部の温度を求め，各部材料の制限温度を超えないことを評価する。

構内輸送では緩衝体を装着しない運用とするが，除熱設計において緩衝体は断熱の効果を有していることから，緩衝体を装着しない運用は除熱性能が向上し，容器本体の温度は既存評価における各部温度に比べて低くなる。また，表 2-2 に示したように，構内用輸送容器に収納する燃料仕様は既存評価に用いている燃料仕様に包絡されており，既存評価に比べて使用済燃料の崩壊熱量は十分低いものとなっている。このため，評価結果は既存評価書の内容を引用する。

(2) 設計基準

設計基準を表 3.2-1 に示す。

表 3.2-1 設計基準

| 対象部位 | 材質 | 設計基準 | 設計基準温度（℃） | 備考 |
|---|---|---|---|---|
| 構内用輸送容器 | レジン | 使用可能温度 | 149 | 中性子遮へい材 |
| | ふっ素ゴム | 使用可能温度 | 300 | Oリング |
| | 炭素鋼 | 構造強度が確保される制限温度 | 375 | 胴 |
| | ステンレス鋼 | 構造強度が確保される制限温度 | 425 | 蓋 |
| | ボロン入りステンレス鋼 | 構造強度が確保される制限温度 | 200 | バスケット |
| 燃料被覆管 | ジルカロイ－2 | 照射硬化回復現象により燃料被覆管の機械的特性が著しく低下しない温度及び水素化物の再配向による被覆管の機械的特性の低下が生じない温度以下となる温度 *1, *2 | 200 | 8×8 燃料 |
| | | | 300 | 新型 8×8 ｼﾞﾙｺﾆｳﾑﾗｲﾅ燃料，高燃焼度 8×8 燃料，9×9 燃料 |

*1 平成 18 年度リサイクル燃料資源貯蔵技術調査等（貯蔵燃料長期健全性等確証試験に関する試験最終報告書）（06 基炉報-0006，独立行政法人原子力安全基盤機構）

*2 平成 19 年度リサイクル燃料資源貯蔵技術調査等（貯蔵燃料健全性等調査に関する試験成果報告書）（07 基炉報-0004，独立行政法人原子力安全基盤機構）

(3)　燃料仕様

既存評価では最大崩壊熱量（25kW）で評価を実施しており，本構内輸送で収納を予定している燃料の崩壊熱量(最大 19kW)を包絡している。

(4)　評価条件

既存評価の内容を以下に示す。

構内用輸送容器の除熱評価は以下の２種類の解析モデルを用いて行う。

a. 半径方向輪切り軸方向フィン半ピッチモデル
（以下「輪切り半ピッチモデル」という。）

b. 軸方向二次元軸対称全体モデル
（以下「全体モデル」という。）

輪切り半ピッチモデル形状図を図 3.2-1 に，全体モデル形状図を図 3.2-2 に示す。
また，評価条件を表 3.2-2 に示す。

表 3.2-2　評価条件

| 項目 | | 評価条件 |
|---|---|---|
| 収納体数　　(体) | | 22 |
| 崩壊熱量　　(kW) | | 25 |
| 周囲温度　　(℃) | | 38 |
| 太陽熱放射 ($W/m^2$) | 垂直に輸送される表面及び水平に輸送されない下向きの表面 | 200 |
| | その他の表面（曲面） | 400 |

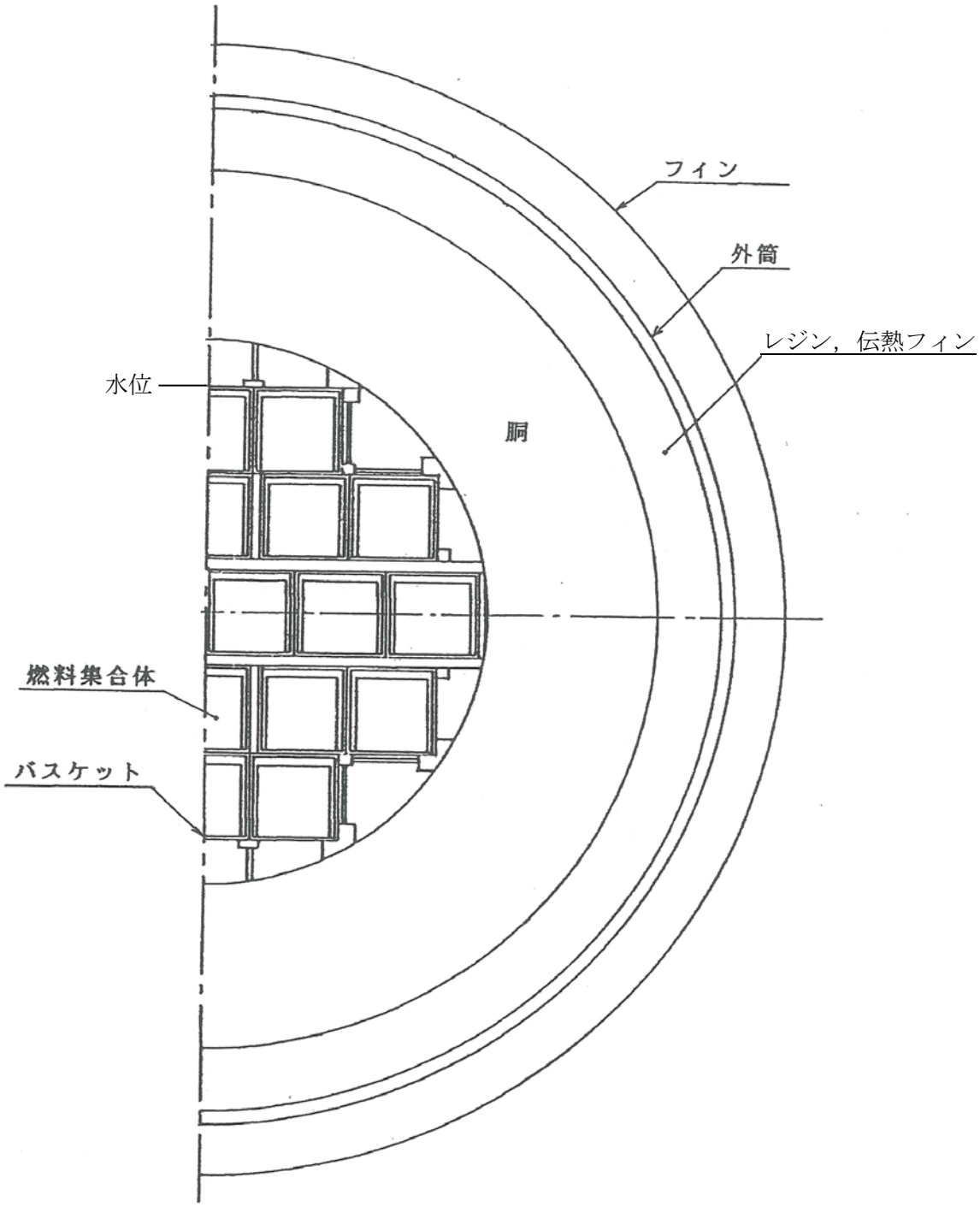
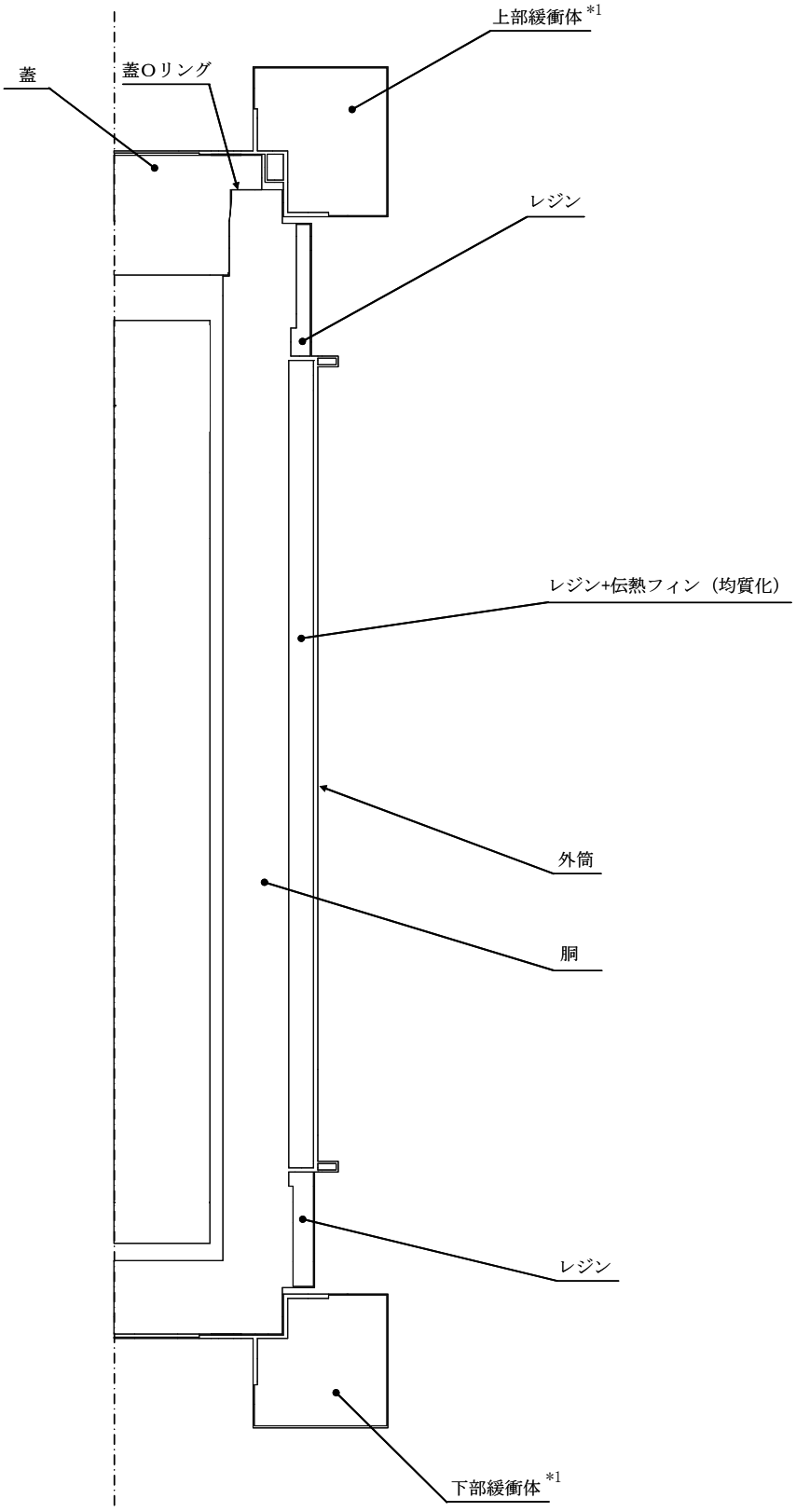



図 3.2-1　輪切り半ピッチモデル形状図




*1 構内輸送では，上部緩衝体及び下部緩衝体は装着しない。

図 3.2-2　全体モデル形状図

(5)　評価方法

軸方向を断熱とした輪切り半ピッチモデルで構内用輸送容器中央部断面の各部温度を評価する。輪切り半ピッチモデルで評価できない部位については，軸方向の温度分布が求められる全体モデルで評価する。

解析にはABAQUSコードを用いる。

(6)　評価結果

評価結果を表3.2-3に示す。本表に示すとおり，構内用輸送容器を構成する部材はいずれも設計基準温度を下回っており，熱的健全性は維持される。

また，燃料被覆管の温度は134℃であり，水素化物の再配向による機械特性の低下が生じる温度を大きく下回っており，燃料の健全性は維持される。

表3.2-3 評価結果（各部温度）

| 対象部位 | 材質 | 評価結果（℃） | 設計基準温度（℃） | 備考 |
|---|---|---|---|---|
| 構内用輸送容器 | レジン | 112 | 149 | 中性子遮へい材 |
| | ふっ素ゴム | 115 | 300 | Oリング |
| | 炭素鋼 | 127 | 375 | 胴 |
| | ステンレス鋼 | 119 | 425 | 蓋 |
| | ボロン入りステンレス鋼 | 132 | 200 | バスケット |
| 燃料被覆管 | ジルカロイ－２ | 134 | 200 | 8×8燃料 |
| | | | 300 | 新型8×8ジルコニウムライナ燃料，高燃焼度8×8燃料，9×9燃料 |

参考資料

# 除熱解析に用いるコード（ABAQUS）について

## （１） 概要

ABAQUS コードは，米国 Hibbitt，Karlsson & Sorensen，Inc.（HKS 社）で開発された有限要素法に基づく伝熱解析等の汎用解析コードであり，輸送容器の伝熱解析などに広く利用されている。

## （２） 機能

ABAQUS コードは，伝熱解析に際して以下の機能を有している。

① 定常，非定常のいずれの解も得ることができる。
② 一次元～三次元の任意形状の構造に対して解くことが可能である。
③ 初期条件（温度）は要素ごとに変化させることができ，計算ステップの自動決定も可能である。
④ 境界条件として，時間に依存する熱流束，温度，伝導，対流及び放射が考慮できる。
⑤ 構成物質の相変態が考慮できる。

## （３） 解析フロー

ABAQUS コードの解析フローを図 3.2-3 に示す。

## （４） 使用実績

ABAQUS コードは，多くの伝熱解析に使用された実績がある。

## （５） 検証方法

貯蔵容器の定常伝熱試験に対して ABAQUS コードによる解析結果と試験結果を比較・検討し，本コードの妥当性が検証されている[*1]。

*1 山川秀次，五味義雄，尾崎幸男，尾崎明朗「使用済燃料キャスク貯蔵技術の確立―キャスクの伝熱特性評価―」，電中研報告書，U92038，(1993)

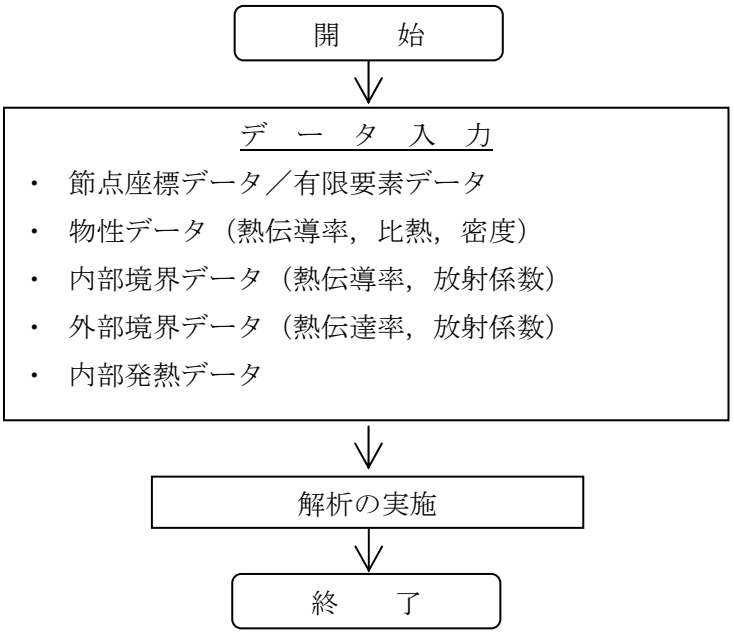



図 3.2-3　ABAQUS コードの伝熱解析フロー図

# 除熱解析に用いるコード（ORIGEN2）について

## （１） 概要

ORIGEN2 コードは，米国オークリッジ国立研究所（ORNL）で開発された炉内中性子束の１点近似による燃焼計算コードである。ORIGEN2 コードは汎用解析コードであり，輸送容器の崩壊熱計算等に広く利用されている。

## （２） 機能

ORIGEN2 コードは，燃焼解析に際して以下の機能を有している。

① 燃料の炉内での燃焼計算，炉取出し後の減衰計算により，冷却期間に対応した崩壊熱，放射線の強度，各核種の放射能量等が求められる。

② 原子炉の炉型と燃料の組合せに対し，中性子エネルギースペクトルの違いにより重みをつけた断面積ライブラリが内蔵されており，任意に選択できる。

③ 計算結果は，放射化生成物，アクチニド，核分裂生成物に分類して出力される。

④ 燃焼計算に必要な放射性核種データ（崩壊熱，ガンマ線のエネルギー分布，自発核分裂と（α，ｎ）反応により発生する中性子源強度等）に関しては，ORIGEN2 コード専用のライブラリがあり，これを用いる。

## （３） 計算フロー

ORIGEN2 コードの計算フローを図 3.2-4 に示す。

## （４） 使用実績

ORIGEN2 コードは，輸送容器，核燃料施設の崩壊熱計算に広く使用されている[*1]。

## （５） 検証方法

汎用コードの導入評価[*1] が実施されていることが確認されている。

大型実験/ベンチマーク試験による検証[*2] が実施されていることが確認されている。

*1 ORNL,“ORIGEN2 Isotope Generation and Depletion Code MATRIX EXPONENTIAL METHOD”,CCC-371

*2 (社)日本原子力学会“原子炉崩壊熱とその推奨値”, 1989 年 8 月

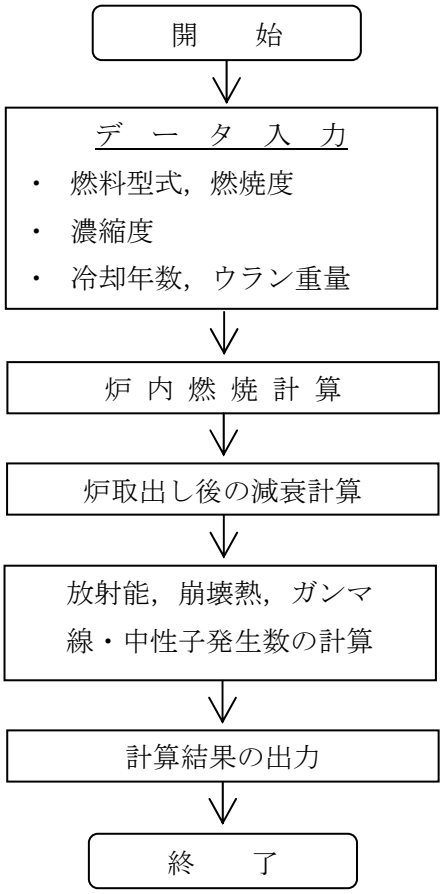



図 3.2-4　ORIGEN2 コードの計算フロー図

3.3. 密封機能

(1) 基本的な考え方

構内用輸送容器の密封装置は容器本体及び蓋より構成される密封容器とこれに付属するバルブから構成される。容器本体と蓋の間，及びバルブのガスケットにはOリングが使用されている。構内用輸送容器の密封境界を図 3.3-1 に示す。

密封機能の評価にあたっては，構造強度評価及び除熱機能評価の結果から，構内用輸送容器の密封性能が維持されることを確認する。

(2) 評価結果

3.1 項に示したとおり，構造強度評価から蓋，蓋ボルト，胴及び底板は構内輸送における荷重条件に対して十分な強度を有しており，密封装置の構造健全性に問題がないことが確認されている。

また，3.2 項に示したとおり，除熱機能評価から構内輸送時のOリングの温度は 115℃以下であり，設計基準温度である 300℃を大きく下回ることから，熱的健全性に問題ないことが確認されている。

以上から，構内用輸送容器の密封性能は維持される。

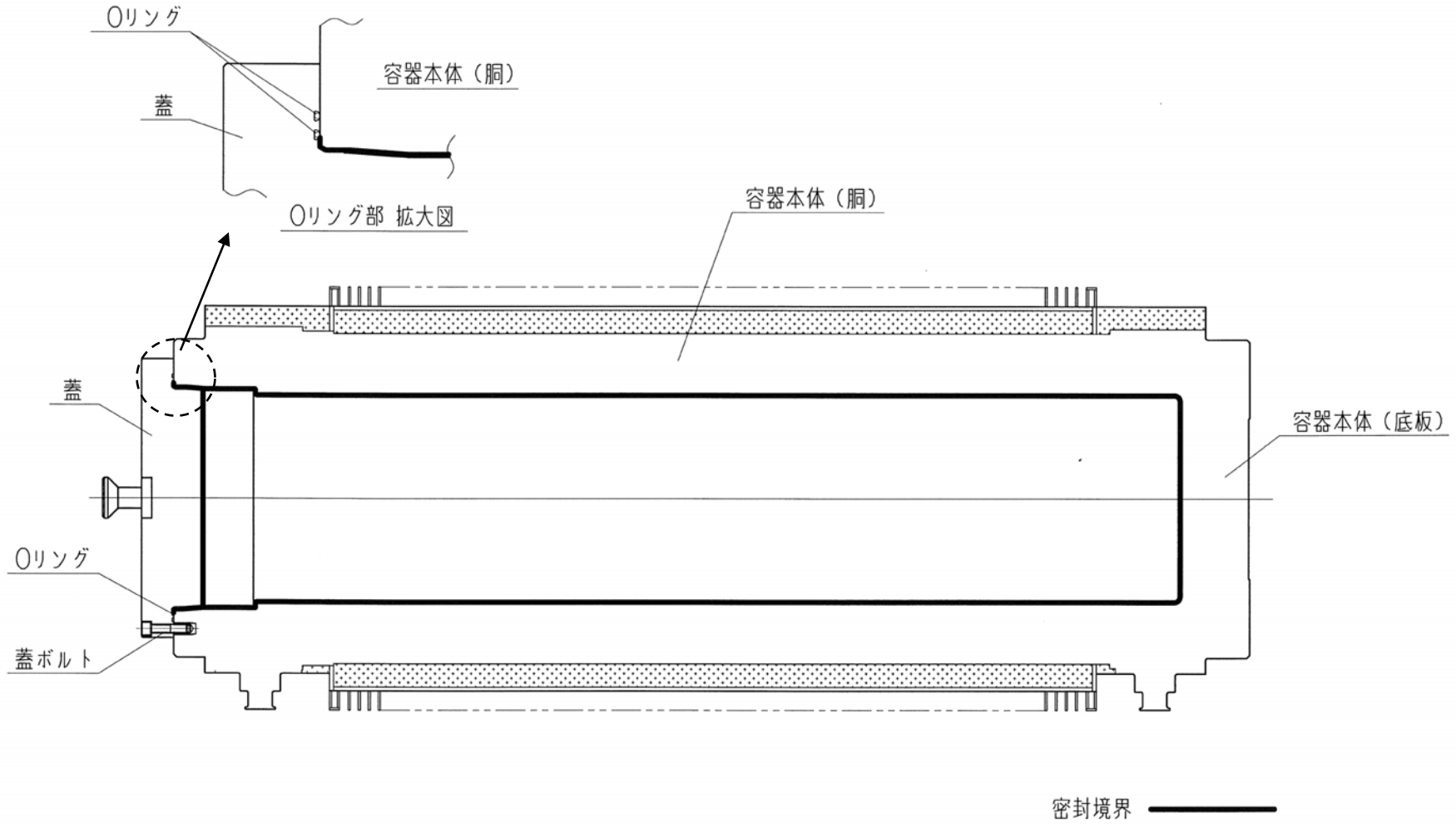



図 3.3-1 密封境界

3.4. 遮へい機能

(1) 基本的な考え方

遮へい設計にあたっては，周辺公衆及び放射線業務従事者に対し，放射線被ばく上影響を及ぼすことのないよう，使用済燃料の放射線を適切に遮へいする能力を有するよう以下のとおり設計する。

a. 構内用輸送容器はガンマ線遮へいと中性子遮へいの機能を有する。

b. 主要なガンマ線遮へい材は，胴，底板及び外筒の炭素鋼と蓋のステンレス鋼である。

c. 主要な中性子遮へい材は，胴内水及び胴と外筒間のレジンである。

遮へい機能の評価においては，収納する使用済燃料の線源強度を考慮し，構外用輸送容器としての安全評価に用いられている評価手法を用い，構内用輸送容器表面及び表面から１ｍにおける線量当量率が制限値を超えないことを評価する。

なお，表 2-2 に示したように，構内用輸送容器に収納する燃料仕様は既存評価に用いている燃料仕様に包絡されるが，構内輸送では緩衝体がない状態で運用することから，再評価を実施する。ただし，緩衝体がない解析モデルである事以外は既存評価と同じとし，既存評価書の内容を引用する。

(2) 設計基準

設計基準を表 3.4-1 に示す。

表 3.4-1 設計基準

（単位：μSv/h）

| | 設計基準 |
|---|---|
| 構内用輸送容器　表面 | 2000 以下 |
| 構内用輸送容器　表面から１ｍ | 100 以下 |

(3) 評価条件

1) 遮へい厚さ

構内用輸送容器の遮へい厚さを表 3.4-2 に示す。

表 3.4-2 遮へい厚さ

（単位：mm）

| | 炭素鋼 | ステンレス鋼 | レジン |
|---|---|---|---|
| 側部 方向 | 307 | — | 115 |
| 頭部軸方向 | — | 305 | — |
| 底部軸方向 | 338 | — | — |

2) 線源条件

表 2-2 に示すように，構内輸送においては 9×9 燃料を収納する場合が，最も放射能強度が大きく，遮へい上厳しい線源条件となる。なお，遮へい機能の評価においては，既存評価の燃料の線源条件で評価する。

構内用輸送容器の収納物の線源条件を表 3.4-3 に示す。

表 3.4-3 線源条件

| 項目 | | 線源条件 |
|---|---|---|
| 平均燃焼度 | (MWd/t) | 50,000 |
| 冷却期間 | (日) | 820 |
| 収納体数 | (体) | 22 |
| 放射能強度 | (Bq) | $2.04\times10^{17}$ |

3) 線源強度及びエネルギー

a. ガンマ線源強度

燃料有効部のガンマ線源強度の計算は ORIGEN2 コードにより行う。得られたガンマ線源強度を表 3.4-4 に示す。また，構造材の放射化によるガンマ線源強度は次式で計算する。構造材の放射化によるガンマ線源強度を表 3.4-5 に示す。

$$A = N_0 \cdot \sigma \cdot \phi \cdot \{1 - \exp(-\lambda \cdot T_1)\} \cdot \exp(-\lambda \cdot T_2)$$

ここで，A ：放射化核種（$^{60}$Co）の放射能(Bq)

$N_0$ ：ターゲット核種（$^{59}$Co）の個数(atoms)

$\sigma$ ：2200m/s の中性子による（$^{59}$Co）の(n, $\gamma$)反応断面積($cm^2$)

$\phi$ ：炉内照射熱中性子束(n/($cm^2$・s))

$\lambda$ ：$^{60}$Co の崩壊定数（/日）

$T_1$ ：照射期間（日）

$T_2$ ：冷却期間（日）

表3.4-4　ガンマ線源強度

（輸送容器１基あたり）

| エネルギー群　数 | 平均エネルギー (MeV) | 線源強度 (photons/s) |
|---|---|---|
| 1 | 0.01 | $5.449\times10^{16}$ |
| 2 | 0.025 | $1.247\times10^{16}$ |
| 3 | 0.0375 | $1.258\times10^{16}$ |
| 4 | 0.0575 | $1.118\times10^{16}$ |
| 5 | 0.085 | $7.725\times10^{15}$ |
| 6 | 0.125 | $8.303\times10^{15}$ |
| 7 | 0.225 | $6.758\times10^{15}$ |
| 8 | 0.375 | $3.839\times10^{15}$ |
| 9 | 0.575 | $6.581\times10^{16}$ |
| 10 | 0.85 | $2.387\times10^{16}$ |
| 11 | 1.25 | $3.830\times10^{15}$ |
| 12 | 1.75 | $2.132\times10^{14}$ |
| 13 | 2.25 | $1.937\times10^{14}$ |
| 14 | 2.75 | $5.750\times10^{12}$ |
| 15 | 3.5 | $7.341\times10^{11}$ |
| 16 | 5.0 | $5.153\times10^{8}$ |
| 17 | 7.0 | $5.943\times10^{7}$ |
| 18 | 9.5 | $6.828\times10^{6}$ |
| 合　計 | | $2.113\times10^{17}$ |

表 3.4-5　構造材の放射化によるガンマ線源強度

（輸送容器１基あたり）

| | $^{60}$Co 線源強度(Bq) |
|---|---|
| ハンドル部 | $3.52\times10^{12}$ |
| 上部グリッド部 | $4.70\times10^{13}$ |
| 上部プレナム部 | $2.62\times10^{14}$ |
| 下部タイプレート部 | $9.59\times10^{13}$ |

b. 中性子線源強度

中性子線源強度の計算は ORIGEN2 コードにより行う。得られた中性子線源強度を表 3.4-6 に示す。また，評価に用いる中性子エネルギースペクトルを表 3.4-7 に示す。

表 3.4-6　中性子線源強度　（輸送容器１基あたり）

| | | 中性子線源強度(n/s) |
|---|---|---|
| １次中性子源 | 自発核分裂によるもの | $1.177\times10^{10}$ |
| | （α，n）反応によるもの | $1.489\times10^{8}$ |
| | 合計 | $1.192\times10^{10}$ |
| 増倍効果を考慮した全中性子線源強度 | | $2.785\times10^{10}$ |

表3.4-7　中性子線源スペクトル

| エネルギー群数 | 上限エネルギー（eV） | スペクトル |
|---|---|---|
| 1 | $1.492\times10^{7}$ | $5.72\times10^{-4}$ |
| 2 | $1.220\times10^{7}$ | $2.02\times10^{-3}$ |
| 3 | $1.000\times10^{7}$ | $6.07\times10^{-3}$ |
| 4 | $8.180\times10^{6}$ | $2.00\times10^{-2}$ |
| 5 | $6.360\times10^{6}$ | $4.12\times10^{-2}$ |
| 6 | $4.960\times10^{6}$ | $5.27\times10^{-2}$ |
| 7 | $4.060\times10^{6}$ | $1.10\times10^{-1}$ |
| 8 | $3.010\times10^{6}$ | $8.74\times10^{-2}$ |
| 9 | $2.460\times10^{6}$ | $2.28\times10^{-2}$ |
| 10 | $2.350\times10^{6}$ | $1.15\times10^{-1}$ |
| 11 | $1.830\times10^{6}$ | $2.07\times10^{-1}$ |
| 12 | $1.110\times10^{6}$ | $1.89\times10^{-1}$ |
| 13 | $5.500\times10^{5}$ | $1.31\times10^{-1}$ |
| 14 | $1.110\times10^{5}$ | $1.59\times10^{-2}$ |
| 15 | $3.350\times10^{3}$ | $8.12\times10^{-5}$ |
| 16 | $5.830\times10^{2}$ | $5.89\times10^{-6}$ |
| 17 | $1.010\times10^{2}$ | $3.89\times10^{-7}$ |
| 18 | $2.900\times10^{1}$ | $5.53\times10^{-8}$ |
| 19 | $1.070\times10^{1}$ | $1.33\times10^{-8}$ |
| 20 | $3.060\times10^{0}$ | $1.88\times10^{-9}$ |
| 21 | $1.120\times10^{0}$ | $4.19\times10^{-10}$ |
| 22 | $4.140\times10^{-1}$ | $1.20\times10^{-10}$ |

(4)　評価方法

遮へい計算は，ガンマ線，中性子共にDOT3.5コードを用いて計算し，構内用輸送容器表面及び表面から１ｍの線量当量率を求める。

遮へい解析モデルを図3.4-1～図3.4-3に示す。解析モデルは，構内用輸送容器の実形状を考慮した上で，構内用輸送容器の底部トラニオン周辺について中性子遮へい材の遮へい厚さが水位方向とトラニオン方向で異なることから，頭部方向，底部水位方向及び底部トラニオン方向に分けてモデル化する。

ライブラリとしては，DLC-23/CASKデータを用い，線量当量率への変換はICRP Publ.74に従う。

解析モデルでは既存評価と同様に以下の条件を考慮する。

・ 胴内での燃料の軸方向の移動を考慮し,安全側に頭部方向評価モデルでは蓋方向に,底部方向評価モデルでは底方向に移動したモデルとする。
・胴内水温度は，収納物の崩壊熱量25kWにおける水温（127℃）より高い150℃に設定する。
・胴内水位は，安全側に水の膨張を考慮しない場合の水位とする。
・バスケットの最外周部は，遮へい体として考慮し，他の部分については，水没部は燃料領域に均質化し，非水没部はボイドに置換え，均質化領域から除外する。
・フィンは，空気に置換え，距離のみ考慮する。
・チャンネルボックスはボイドに置換え，均質化領域から除外する。
・各部寸法はすべてノミナル値とし，公差は密度係数として考慮する。

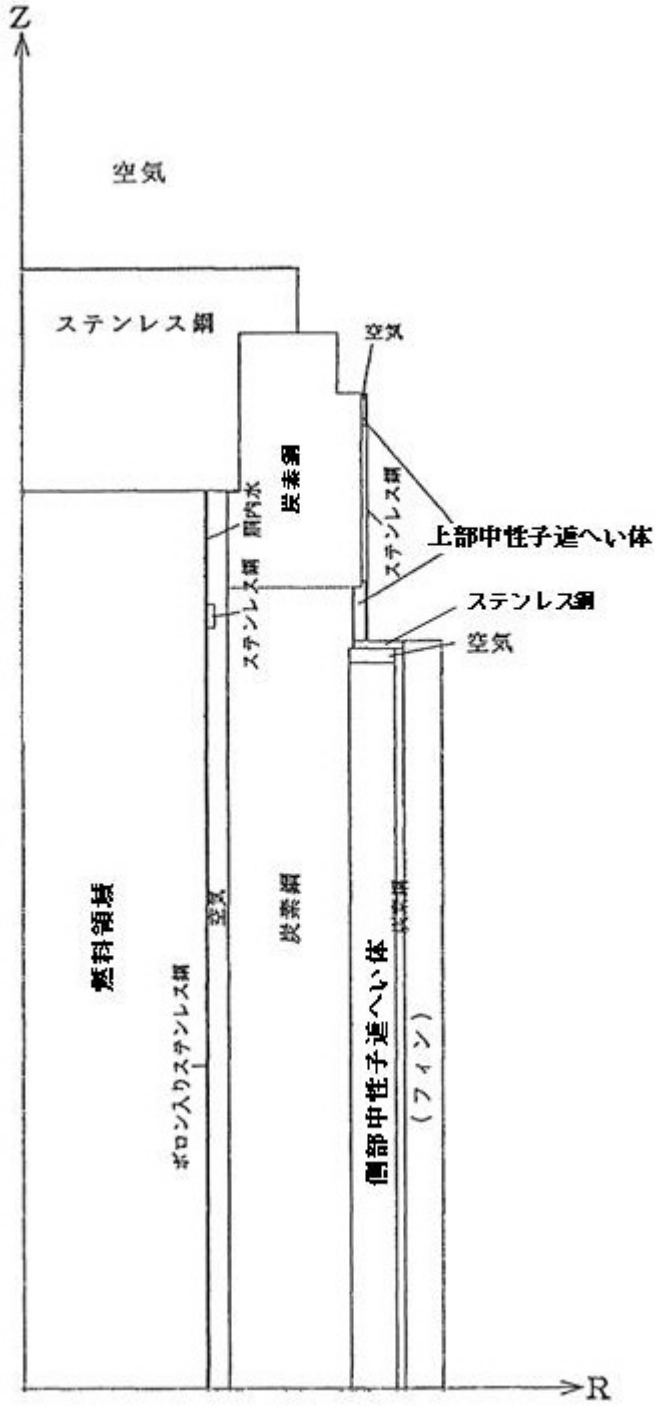



図 3.4-1 遮へい解析モデル（頭部方向）

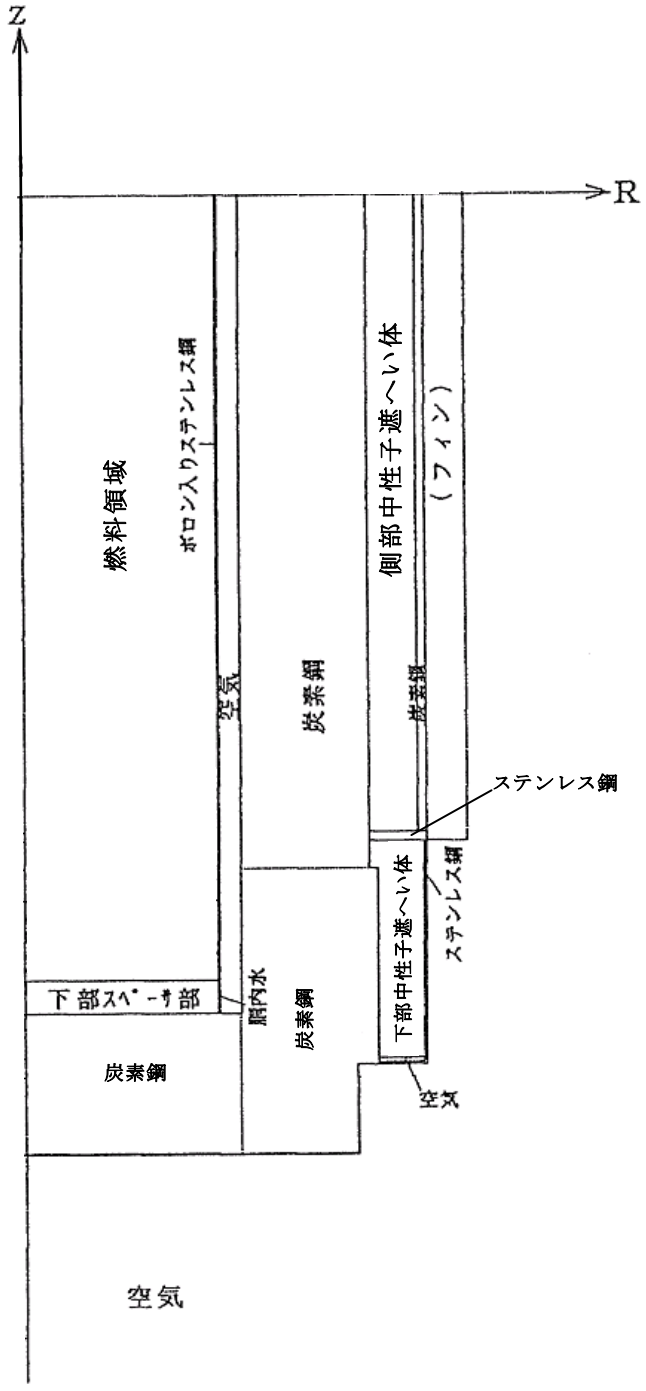



図 3.4-2 遮へい解析モデル（底部水位方向）

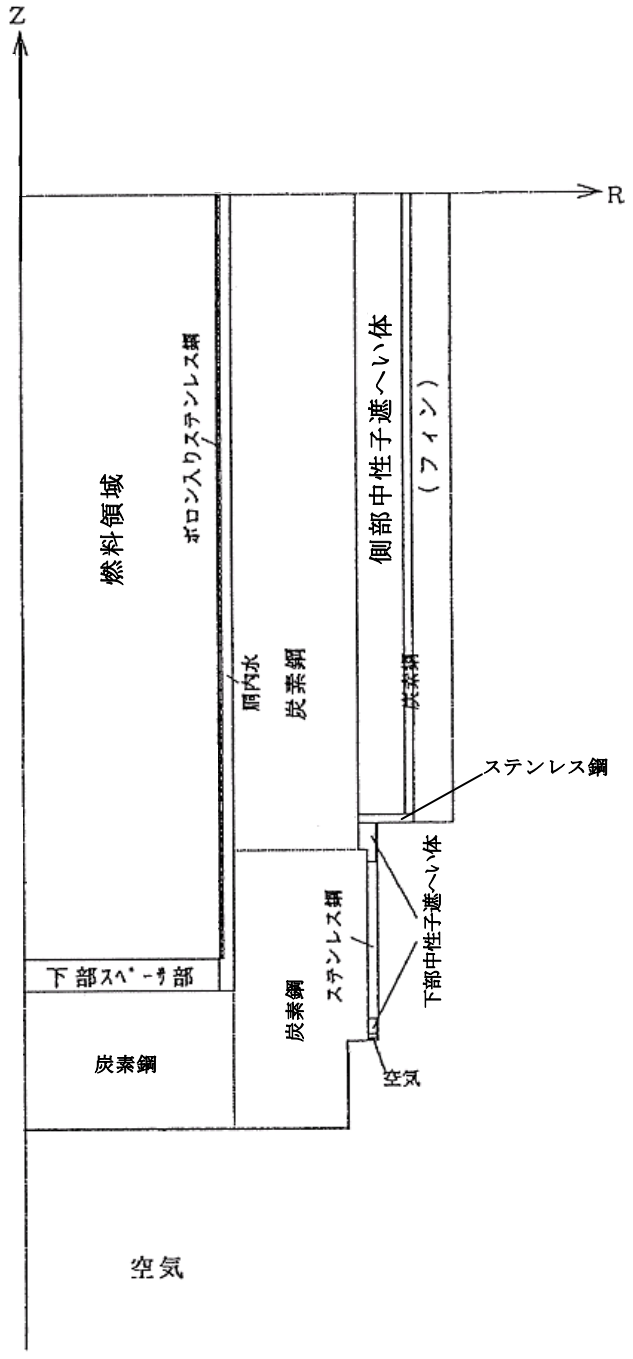



図 3.4-3 遮へい解析モデル（底部トラニオン方向）

(5)　評価結果

構内用輸送容器の線量当量率評価位置を図 3.4-4 に，評価結果を表 3.4-8 に示す。なお，評価結果は頭部軸方向，頭部径方向，側部，底部径方向，底部軸方向における線量当量率の最大値を示している。

本表に示すとおり，構内用輸送容器は設計基準値を満足している。

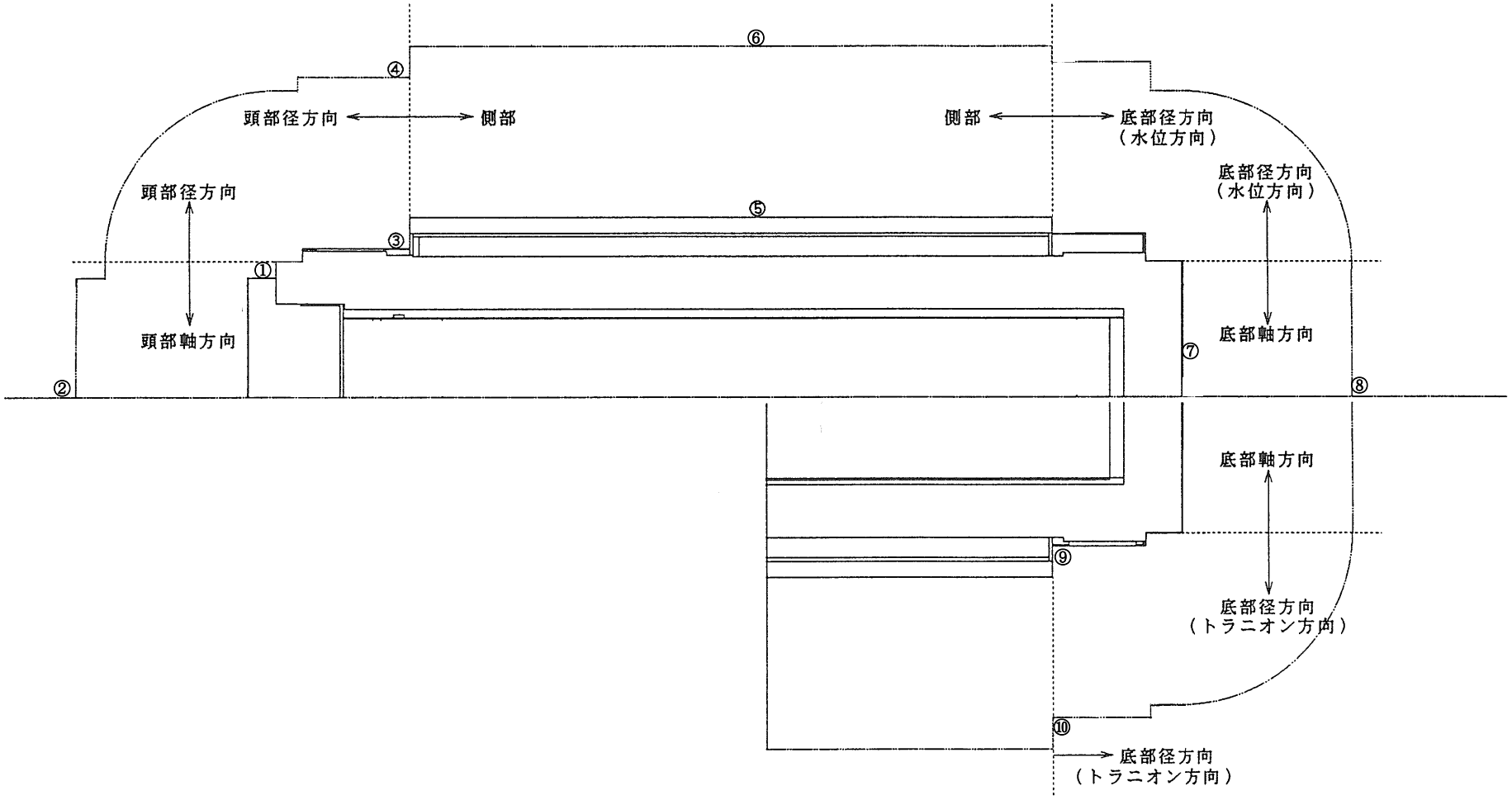



図3.4-4　　線量当量率評価位置

表3.4-8　最大線量当量率の計算結果

（単位：μSv/h）

| | | 頭部 | | 側 部 | 底部 | |
|---|---|---|---|---|---|---|
| | | 軸方向 | 径方向 | | 軸方向 | 径方向 |
| 評価点 | | ① | ③ | ⑤ | ⑦ | ⑨ |
| 表面 | 計算結果 | 1628.2 | 416.3 | 225.0 | 137.2 | 631.2 |
| | 設計基準値 | 2000 | | | | |
| 評価点 | | ② | ④ | ⑥ | ⑧ | ⑩ |
| 表面から1ｍ | 計算結果 | 72.1 | 45.1 | 84.2 | 39.8 | 50.1 |
| | 設計基準値 | 100 | | | | |

参考資料

# 遮へい解析に用いるコード（ORIGEN2）について

## （１） 概要

ORIGEN2 コードは，米国オークリッジ国立研究所（ORNL）で開発された炉内中性子束の１点近似による燃焼計算コードである。ORIGEN2 コードは汎用解析コードであり，輸送容器の放射線源強度計算等に広く利用されている。

## （２） 機能

ORIGEN2 コードは，燃焼解析に際して以下の機能を有している。

① 燃料の炉内での燃焼計算，炉取出し後の減衰計算により，冷却期間に対応した崩壊熱，放射線の強度，各核種の放射能量等が求められる。

② 原子炉の炉型と燃料の組合せに対し，中性子エネルギースペクトルの違いにより重みをつけた断面積ライブラリが内蔵されており，任意に選択できる。

③ 計算結果は，放射化生成物，アクチニド，核分裂生成物に分類して出力される。

④ 燃焼計算に必要な放射性核種データ（崩壊熱，ガンマ線のエネルギー分布，自発核分裂と（α，ｎ）反応により発生する中性子源強度等）に関しては，ORIGEN2 コード専用のライブラリがあり，これを用いる。

## （３） 計算フロー

ORIGEN2 コードの計算フローを図 3.4-5 に示す。

## （４） 使用実績

ORIGEN2 コードは，輸送容器，核燃料施設の放射線源強度計算に広く使用されている[*1]。

## （５） 検証方法

汎用コードの導入評価[*1] が実施されていることが確認されている。

大型実験/ベンチマーク試験による検証[*2] が実施されていることが確認されている。

*1 ORNL，“ORIGEN2 Isotope Generation and Depletion Code MATRIX EXPONENTIAL METHOD”，CCC-371

*2 (社)日本原子力学会“原子炉崩壊熱とその推奨値”，1989 年 8 月

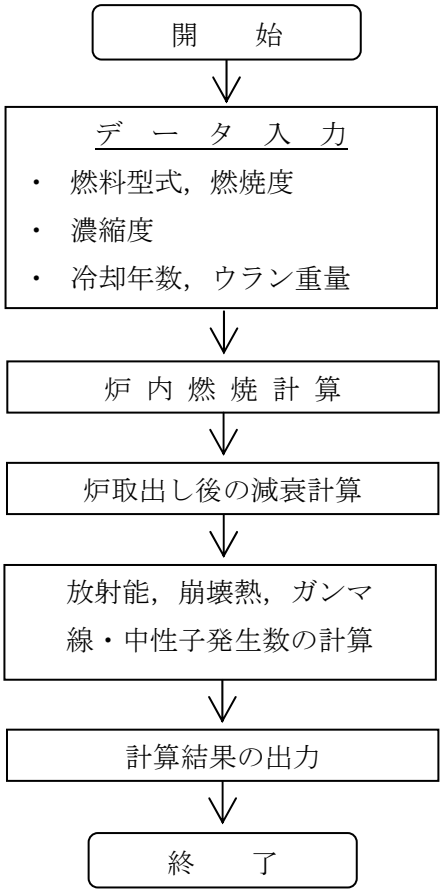



図 3.4-5　ORIGEN2 コードの計算フロー図

# 遮へい解析に用いるコード（DOT3.5 コード）について

## （１）概要

DOT3.5 コード（以下「DOT コード」という。）は二次元輸送コードであり，米国オークリッジ国立研究所（ORNL）で開発された汎用解析コードである。

## （２）機能

DOT コードは，遮へい解析に際して以下の機能を有する。

① ガンマ線や中性子線に対するボルツマン輸送方程式を解くことによる数値解析法であり，放射線の挙動を追跡するのに重要な非等方性が表現できる。

② DOT コードは，二次元の体系を扱うことができる。

## （３）解析フロー

DOT コードの解析フローを図 3.4-6 に示す。

## （４）使用実績

DOT コードは，原子力施設の遮へい計算に広く用いられており，輸送容器の遮へい解析に豊富な実績がある。

## （５）検証

汎用コードの導入評価[*1]が実施されていることが確認されている。

大型実験/ベンチマーク試験による検証[*2]が実施されていることが確認されている。

*1 W. A. Rhoades, “DOT3.5 TWO DIMENSIONAL DISCRETE ORDINATES RADIATION TRANSPORT CODE”, CCC-276,1978 年 10 月

*2 (社)日本原子力学会“中性子遮蔽設計ハンドブック”, 1993 年 4 月

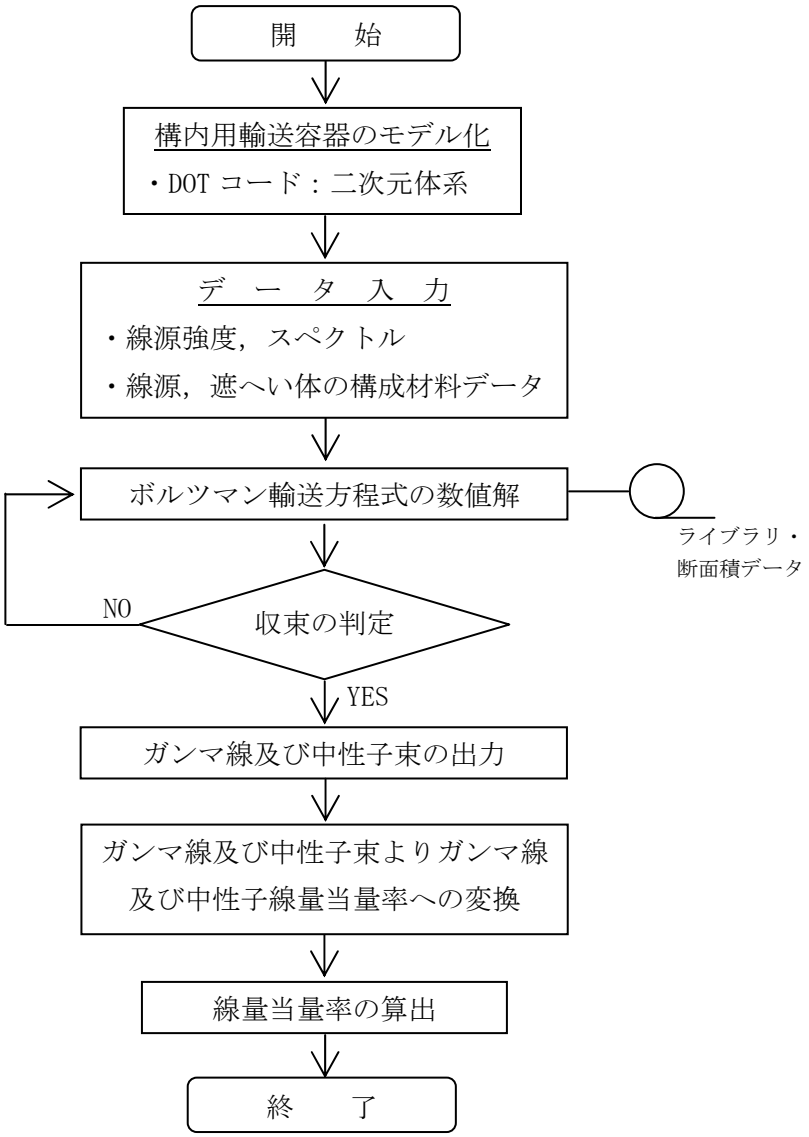



図 3.4-6　DOT コードの解析フロー図

3.5.　臨界防止機能

(1) 基本的な考え方

臨界防止にあたっては,想定されるいかなる場合にも燃料が臨界に達することを防止するため以下のとおり設計する。

a.　燃料を収納するバスケットは格子構造として，燃料を所定の幾何学的配置に維持する設計とする。

b.　バスケットの主要材料には，中性子を吸収するボロン入りステンレス鋼を使用する。

なお，臨界防止機能の評価においては，表 2-2 に示したとおり，構内用輸送容器に収納する燃料の初期濃縮度（約 3.8wt%）は既存評価に用いている初期濃縮度（4.19wt%）に包絡されるため，評価結果は既存評価書の内容を引用する。

(2)　設計基準

想定されるいかなる場合も実効増倍率が 0.95 以下であること。

(3)　評価条件

既存評価の内容を以下に示す。また，臨界解析モデルを図 3.5-1 及び図 3.5-2 に示す。

・評価は初期濃縮度の高い 9×9 燃料について行う。

・燃料のウラン-235 の濃縮度は未照射のままの減損していない値(初期濃縮度)とする。

・燃料集合体には可燃性毒物としてガドリニウムを添加した燃料棒が含まれるが，中性子吸収断面積の大きいガドリニウムの存在を無視し，安全側にガドリニウムを添加していない燃料棒に置換える。

・燃料が構内用輸送容器の中心寄りに配置された状態とする。また，燃料集合体の変形を考慮し，臨界評価上安全側の仮定となるように収納される全燃料について一部領域の燃料棒ピッチを変化させた配列とする。

・バスケット材料のボロン入りステンレス鋼材中の $^{10}$B 含有量は，製造下限値とする。

・チャンネルボックスを水に置換える。

・胴内における燃料として実在する部分は燃料有効長に相当する部分のみとし，上・下部タイプレート部などを水に置換える。

・胴内の燃料有効長の範囲外の構造物は水に置換える。

・中性子遮へい体及びフィンは無いものとする。

・輸送容器外部の雰囲気は安全側に真空とする。

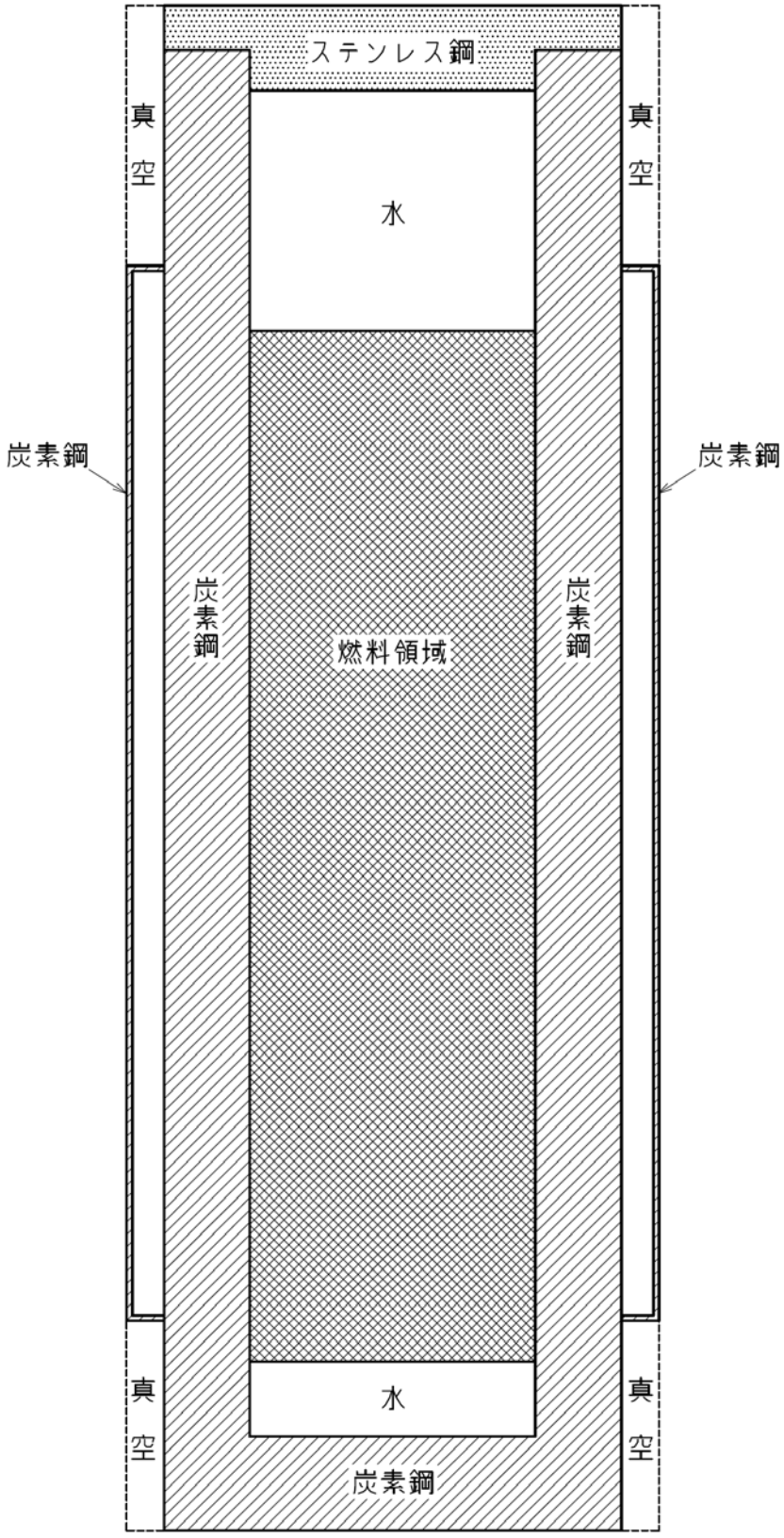
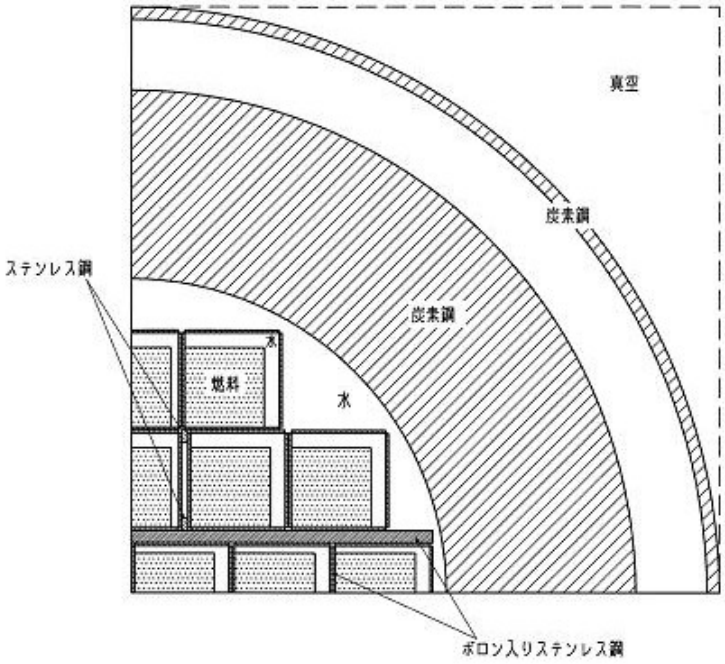
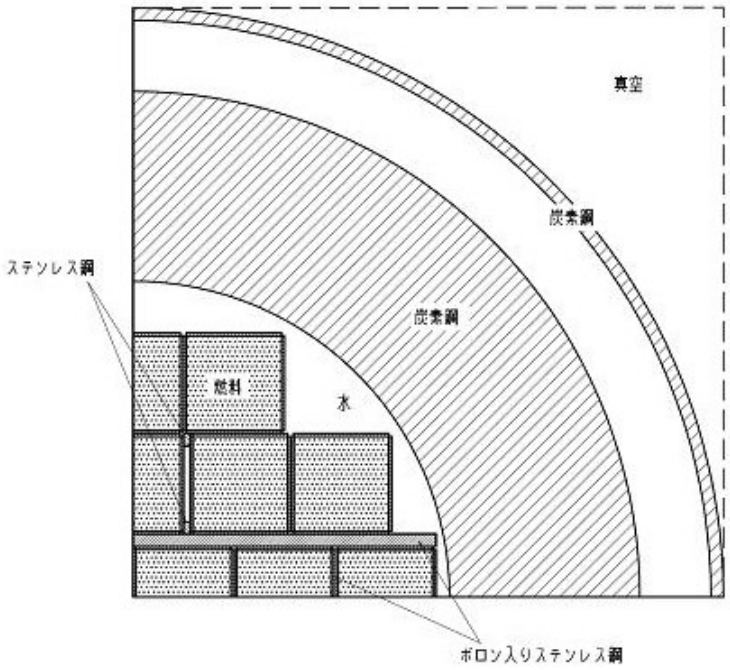



図 3.5-1　臨界解析モデル（縦断面図）




燃料棒ピッチの変化のない領域




燃料棒ピッチの変化のある領域

図 3.5-2　臨界解析モデル（燃料領域部横断面図）

(4)　評価方法

構内用輸送容器の実効増倍率は,燃料のウラン-235 の濃縮度は未照射のままの減損していない値をとる安全側の仮定で，構内用輸送容器の実形状をモデル化し，臨界解析コード KENO-Ⅴ.a を使用して求める。

(5)　評価結果

評価結果を表 3.5-1 に示す。本表に示すとおり，構内用輸送容器の実効増倍率は設計基準を満足している。

表 3.5-1 評価結果

| 評価対象 | 実効増倍率 | 設計基準 |
|---|---|---|
| 構内用輸送容器 | 0.91*1 | 0.95 |

*1 モンテカルロ計算の統計誤差（3σ）を考慮した値

参考資料

# 臨界解析に用いるコード（KENO-Ⅴ.a）について

## （１） 概要

KENO-Ⅴ.a コードは，米国オークリッジ国立研究所（ORNL）で開発されたモンテカルロ法に基づく公開の臨界解析コードであり，輸送容器の臨界解析などに利用されている。

## （２） 機能

KENO-Ⅴ.a コードは，臨界解析に際して以下の機能を有している。

① 実際に中性子が出会う物理現象を確率理論を用いて模擬するため，どのような物理的問題にも適用できる。なお，統計的な手法を用いるため，計算結果には統計誤差が付随する。

② 一次元～三次元の任意形状の体系を扱うことができる。

## （３） 解析フロー

KENO-Ⅴ.a コードの解析フローを図 3.5-3 に示す。

## （４） 使用実績

KENO-Ⅴ.a コードは，国内外で輸送容器の臨界解析をはじめ，核燃料施設の臨界解析に使用されている。

## （５） 検証

米国のバッテル研究所（パシフィック　ノースウエスト研究所，PNL）で行われた臨界実験*1 の中から 16 種類の臨界体系をベンチマーク試験*2 として選び，検証を行った。

*1 S. R. Bierman and E. D. Clayton, “Criticality Experiments with Subcritical Clusters of 2.35 Wt% and 4.31 Wt% $^{235}U$ Enriched $UO_2$ Rods in Water with Steel Reflecting Walls”, NUREG/CR-1784(PNL-3602), U.S. Nuclear Regulatory Commission, April 1981.

*2 “International Handbook of Evaluated Criticality Safety Benchmark Experiments”, LEU-COMP-THERM-010, LEU-COMP-THERM-013, LEU-COMP-THERM-017, LEU-COMP-THERM-042, NEA/NSC/DOC(95)03, September 2009.

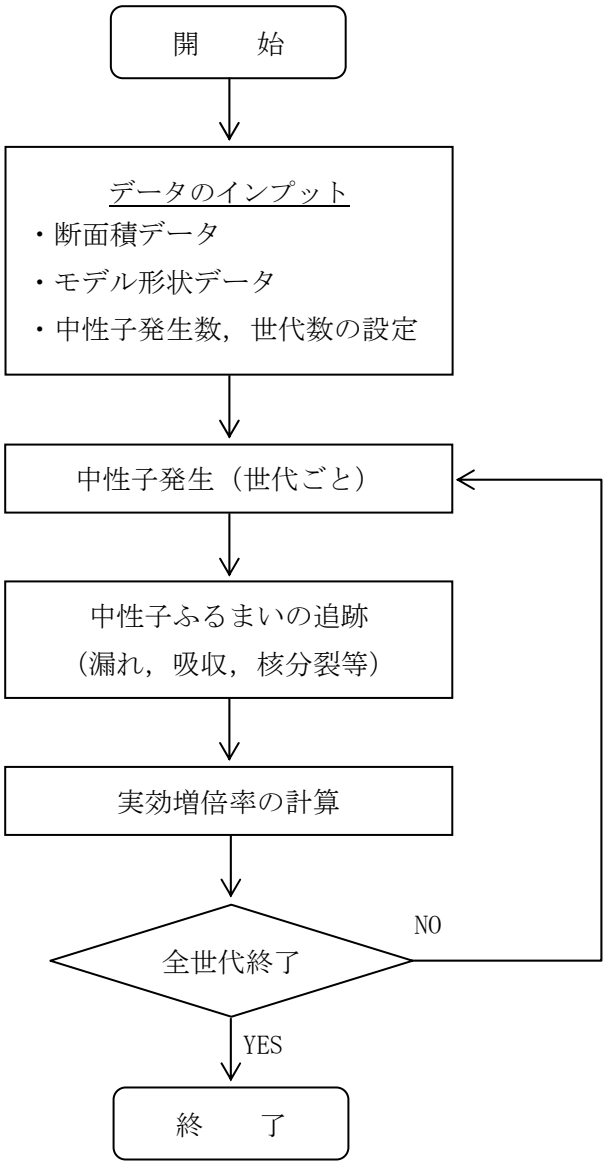



図 3.5-3　KENO-Ⅴ.a コードの解析フロー図

## 4.　構内用輸送容器の落下

### 4.1.　原因

構内用輸送容器の取り扱い中に，何らかの原因で構内用輸送容器が落下して密封境界が破損し，放射性物質が環境に放出される。

### 4.2.　発生防止対策

構内用輸送容器の落下を防止するために，次のような設計及び運転上の対策を講じる。

（１）クレーン主巻フックは二重のワイヤーロープで保持する構造とする。
（２）クレーン巻上装置は電源断時に電動油圧押上機ブレーキで保持する構造とする。
（３）クレーン主巻フックと吊具，吊具と構内用輸送容器の取付けを二重化する。
（４）取付け作業後の取付け状態を確認し，外れ止めを取り付ける。
（５）作業開始前にクレーン及び吊具の事前点検を実施する。
（６）作業手順書を整備し，作業員への教育周知を行う。
（７）有資格者による設備操作，作業管理を行う体制とする。

### 4.3.　核分裂生成物の放出量及び線量の評価

#### 4.3.1.　核分裂生成物の放出量

(1)　破損燃料棒の評価

破損する燃料棒の本数の評価は，次の仮定に基づいて行う。

a. 構内用輸送容器の取り扱い作業に際し，構内用輸送容器が落下して，構内用輸送容器に収納された燃料集合体が破損するものと仮定する。

b. 落下による燃料集合体の破損体数は，構内用輸送容器の収納体数 22 体とする。

(2)　評価条件

核分裂生成物の移行と放出量の評価は，次の仮定に基づいて行う。

a. 燃料ギャップ内の核分裂生成物の量は，表 2-2 に記載のとおり燃焼度 50,000MWd/t の 9×9 燃料集合体について行う。

b. 燃料集合体の冷却期間は表 2-2 に記載のとおり 820 日とする。
なお，表 2-2 に記載のとおり，4 号機に貯蔵中の燃料集合体の冷却期間は最短で 1035 日である。

c. 破損した燃料棒のギャップ内核分裂生成物の全量が構内用輸送容器内に放出されるものとする。破損した燃料棒のギャップ内核分裂生成物の存在量については，半減期の長い核種の放出が支配的であることを考えて，破損した燃料棒内の全蓄積量に対して希ガス(Kr-85)及びよう素（I-129）それぞれ 30%とする。

d. 放出された希ガスは，全量が構内用輸送容器から大気中へ移行するものとする。

e. 放出されたよう素は，全量が構内用輸送容器から大気中へ移行するものとし，構内

用輸送容器に内包する水による除去は無いものとする。

(3) 評価結果

上記の評価条件に基づいて計算した核分裂生成物の大気中への放出量は表 4.1 の通りである。

表 4.1 核分裂生成物の大気中への放出量

| 核分裂生成物 | 放出量 |
|---|---|
| 希ガス | 約 $4.5\times10^{14}$Bq |
| よう素 | 約 $2.0\times10^{9}$Bq |

4.3.2. 線量当量の評価

(1) 評価の前提

大気中へ放出される核分裂生成物は，地上放出されるものとし，これによる実効線量の計算は，次の仮定に基づいて行う。

a. 敷地境界外の地表空気中濃度は，設置許可申請書添付書類六の「5.5 安全解析に使用する気象条件」に記述される相対濃度に核分裂生成物の全放出量を乗じて求める。

なお，相対濃度（$\chi$／Q）は設置許可申請書記載の主蒸気管破断（地上放出）の値 $3.4\times10^{-5}$s/m$^3$ を適用する。

b. 敷地境界外の希ガスによるγ線空気吸収線量は，設置許可申請書添付書類六の「5.5 安全解析に使用する気象条件」に記述される相対線量に希ガスの全放出量を乗じて求める。

なお，相対線量（D／Q）は設置許可申請書記載の主蒸気管破断（地上放出）の値 $3.4\times10^{-19}$Gy/Bq を適用する。

(2) 評価方法

敷地境界外における実効線量は，次に述べる内部被ばくによる実効線量及び外部被ばくによる実効線量の和として計算する。

よう素の内部被ばくによる実効線量$H_I$（Sv）は，(4.1)式で計算する。

$$H_I = R \cdot H \cdot \chi / Q \cdot Q_I \cdots\cdots\cdots\cdots\cdots\cdots\cdots\cdots\cdots\cdots (4.1)$$

ここで，

R ：呼吸率（m$^3$/s）「発電用軽水型原子炉施設の安全評価に関する審査指針」の活動中の呼吸率を秒当たりに換算して用いる。
（小児：0.31m$^3$/h，成人：1.2m$^3$/h）

H ：よう素(Ｉ-129)を 1Bq 吸入した場合の実効線量は ICRP Publ.72 の値を用いる。
（小児：$2.0\times10^{-7}$Sv/Bq，成人：$9.6\times10^{-8}$Sv/Bq）

$\chi$／Q　　：相対濃度（s/m$^3$）
$Q_I$　　：よう素の大気放出量（Bq）

希ガスのγ線外部被ばくによる実効線量$H_\gamma$（Sv）は，(4.2)式で計算する。

$$H_\gamma = K \cdot D/Q \cdot Q_K \cdot E_\gamma / 0.5 \cdots\cdots (4.2)$$

ここで，

K　　：空気吸収線量から実効線量への換算係数（1Sv/Gy）
D／Q　　：相対線量（Gy/Bq）
$Q_K$　　：希ガスの大気放出量（Bq）
$E_\gamma$　　：γ線実効エネルギー「被ばく計算に用いる放射線エネルギー等について」を用いる。(0.0022MeV)

また，希ガスのβ線外部被ばくによる実効線量$H_\beta$（Sv）は，(4.3)式で計算する。

$$H_\beta = 6.2\times10^{-14} \cdot \chi/Q \cdot Q_K \cdot E_\beta \cdot W_{TS} \cdots\cdots (4.3)$$

ここで，

$\chi$／Q　　：相対濃度（s/m$^3$）
$Q_K$　　：希ガスの大気放出量（Bq）
$E_\beta$　　：β線実効エネルギー「被ばく計算に用いる放射線エネルギー等について」を用いる。(0.251MeV)
$W_{TS}$　　：皮膚の組織荷重係数は ICRP Publ.60 の値を用いる。(0.01)

(3)　評価結果

上記の評価前提及び方法に基づき敷地境界外の実効線量を評価した結果は表 4.2 の通りである。

表 4.2　構内用輸送容器の落下時の実効線量

| | 小児 | 成人 |
|---|---|---|
| よう素のγ線による実効線量 | 約 $1.2\times10^{-3}$mSv | 約 $2.2\times10^{-3}$mSv |
| 希ガスのγ線による実効線量 | 約 $6.7\times10^{-4}$mSv | 約 $6.7\times10^{-4}$mSv |
| 希ガスのβ線による実効線量 | 約 $2.4\times10^{-3}$mSv | 約 $2.4\times10^{-3}$mSv |
| 実効線量（合計） | 約 $4.3\times10^{-3}$mSv | 約 $5.3\times10^{-3}$mSv |

上記の値から判断して，本事象による周辺の公衆に与える放射線被ばくのリスクは十分に小さいものと考えられる。

# 構内用輸送容器に係る安全機能及び構造強度に関する説明書（３号機）

## 1.　３号機の構内用輸送容器に係る安全機能及び構造強度

### 1.1.　構内用輸送容器の概要

構内用輸送容器は,福島第一原子力発電所３号機使用済燃料プールに貯蔵されている使用済燃料及び新燃料（以下,「燃料」という。）の共用プールへの輸送に使用する。

これまで，３号機から共用プールへの燃料輸送には，NFT-22B 型容器を使用してきたが，３号機に新設するクレーン（定格荷重：50ton）では NFT-22B 型容器（総重量：約 91ton）を取扱えないことから，新たに設計・製造する容器である。

#### 1.1.1.　構内用輸送容器の構成

構内用輸送容器は，容器本体，蓋，バスケット及びトラニオンにより構成される。構内用輸送容器の概要図を図1-1-1に示す。

（１）容器本体

容器本体は胴，底板，中性子遮へい体，外筒で構成される。低合金鋼の胴及び底板と蓋で放射性物質を閉じ込める耐圧バウンダリを構成する。

また，主に胴及び底板の低合金鋼がガンマ線遮へい機能を有し，胴と外筒の間および底板の底部に配置されたレジンが中性子遮へい機能を有する。

（２）蓋

蓋は一次蓋及び二次蓋で構成する。

一次蓋はステンレス鋼であり，複数本のボルトで容器本体フランジ面に取付けられる。一次蓋にはゴム製のＯリングを設け容器本体フランジ面との密封性を確保する構造となっている。一次蓋のステンレス鋼がガンマ線遮へい機能を有する。

二次蓋もステンレス鋼であり，一次蓋の上から複数本のボルトで容器本体フランジ面に取付けられる。二次蓋にもゴム製のＯリングを設け，容器本体フランジ面との密封性を確保できる構造となっている。

（３）バスケット

バスケットは容器内において燃料集合体を所定の位置に保持するための構造物である。また，未臨界確保のためバスケットにボロン添加ステンレス鋼を使用し，バスケット外周にボロン添加アルミニウム合金板を設置している。

燃料集合体はバスケット内に装填したステンレス鋼製の使用済燃料収納缶（小）に収

納する。

（4）トラニオン

トラニオンは容器のクレーンでの取扱い（吊上げ）及び，構内輸送時の固縛のために容器上部及び下部にボルトで取付ける。

取扱い時（縦姿勢）は容器と吊具との接続を二重化して落下を防止するために，上部トラニオンは二対（4 個）設ける。

構内輸送時（横姿勢）では上部トラニオンと下部トラニオンで架台等に固定するため，下部トラニオンは一対（2 個）設ける。

1.1.2.　設備仕様

1.1.2.1.　構内用輸送容器の仕様

構内用輸送容器の仕様を表1-1-1に示す。

表 1-1-1　構内用輸送容器の仕様

| 項目 | 数値等 |
|---|---|
| 重量（ｔ）<br>(燃料を含む) | 約 46.3 |
| 全長（m） | 約 5.6 |
| 外径（m） | 約 1.4 |
| 収納体数（体） | 7 |
| 基数（基） | 2※1 |

※１：バスケット（7体収納）は3個有する

1.1.2.2.　構内用輸送容器に収納する燃料仕様

1.1.1.(3)に記載のとおり，バスケットに装填したステンレス鋼製の使用済燃料収納缶（小）（内寸153㎜）に燃料を装填して共用プールに輸送する。

収納対象とする燃料は，３号機使用済燃料プールに貯蔵されている表1-1-2に示す燃料とする。

なお，3 号機使用済燃料プールには瓦礫等が落下しており，燃料が破損している可能性があることから，破損燃料については燃料の破損状態に応じて別途検討する。

また，燃料の健全性確認及び取り扱いについては燃料取り出し開始までに，「添付資料－１－３　燃料の健全性確認及び取り扱いに関する説明書」で説明する。

表1-1-2　3号機使用済燃料プールに貯蔵されている燃料の仕様

| | 使用済燃料 | | | | 新燃料 |
|---|---|---|---|---|---|
| 燃料タイプ | 8×8燃料 | 新型8×8<br>ｼﾞﾙｺﾆｳﾑﾗｲﾅ<br>燃料 | 高燃焼度<br>8×8燃料 | 9×9燃料<br>(A型) | 9×9燃料<br>(A型) |
| 貯蔵体数 | 6 | 36 | 148 | 324 | 52 |
| 最高燃焼度<br>(MWd/t) | 34,100 | 39,300 | 43,900 | 51,300 | － |
| 最短冷却日数(日)※2 | 10,642 | 6,488 | 2,738 | 1,716 | － |

※２：平成27年3月1日時点での冷却期間

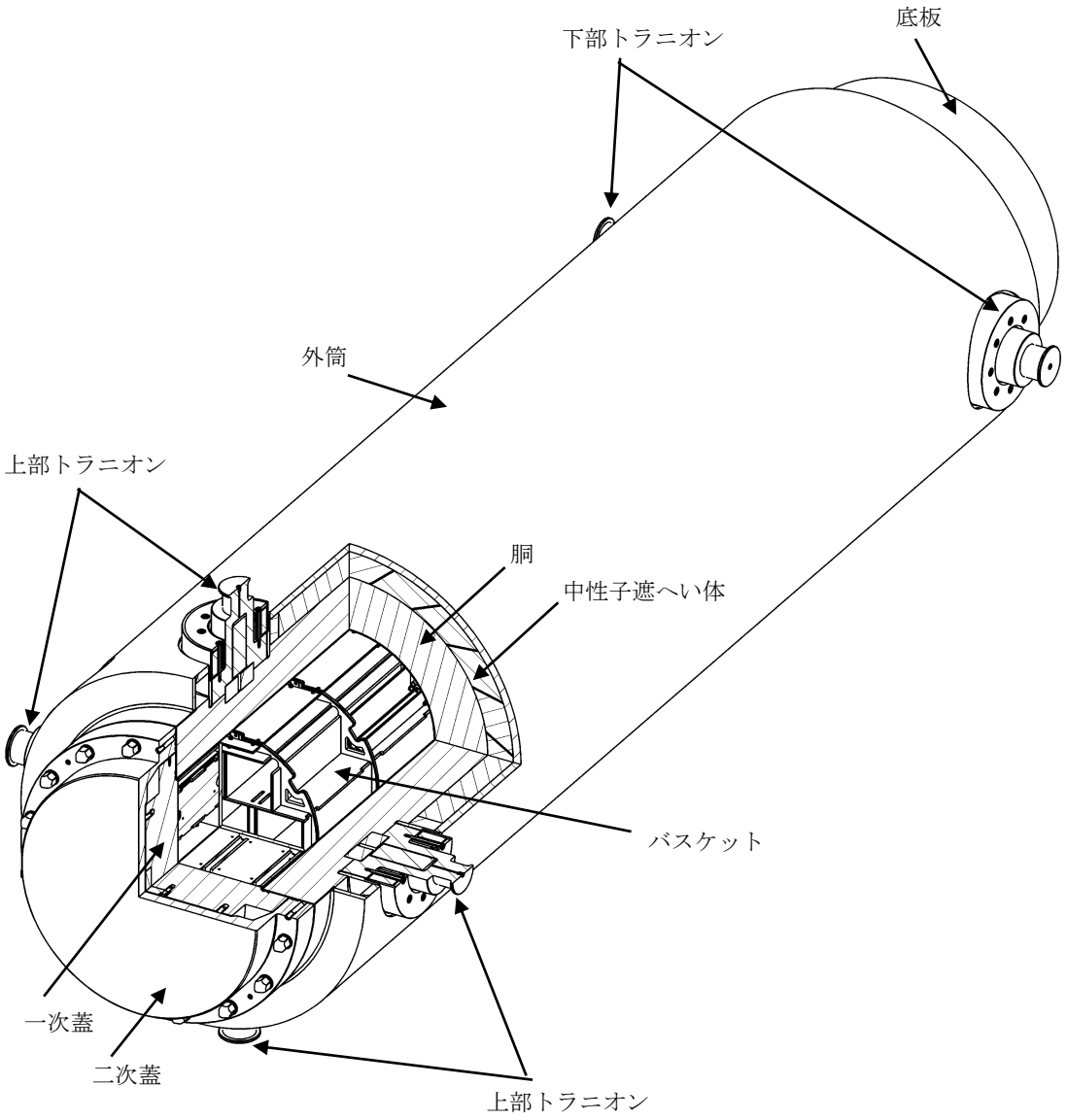



図 1-1-1 構内用輸送容器　概要図

1.2.　評価の基本方針

構内用輸送容器が本文 2.11.1.3 項の設計方針に示される除熱，密封，遮へい及び臨界防止の安全機能を有するとともに，本文 2.11.1.8 項の構造強度及び耐震性に示される構造強度を有する設計であることを確認する。

表 1-2-1 に評価すべき各安全機能に対する安全設計・評価の方針を示す。

表1-2-1　構内用輸送容器安全評価の基本方針

| 項目 | 設計方針 | 評価対象 | 評価方針 | 備考 |
|---|---|---|---|---|
| 構造強度 | 構内用輸送容器は取扱中における衝撃,熱等に耐え,かつ,容易に破損しない設計とする。構内用輸送容器は，設計，材料の選定，製作及び検査について適切と認められる規格及び基準によるものとする。 | 構内用輸送容器 | 構内用輸送容器の取扱手順から設計事象を抽出し，その荷重条件で発生する応力を評価する。<br>構造強度評価手法は，JSME S NC1-2005/2007設計・建設規格を準用する。 | |
| 除熱機能 | 使用済燃料の健全性及び構成部材の健全性が維持できるように,使用済燃料の崩壊熱を適切に除去できる設計とする。 | 燃料被覆管<br>構内用輸送容器 | 収納する燃料から発生する最大崩壊熱量で容器各部及び燃料の温度を評価する。 | |
| 密封機能 | 周辺公衆及び放射線業務従事者に対し,放射線被ばく上の影響を及ぼすことのないよう,使用済燃料が内包する放射性物質を適切に閉じ込める設計とする。 | 構内用輸送容器 | 構造強度及び除熱機能の評価結果から，設計事象において,容器密封部の健全性が維持されることを評価する。 | |
| 遮へい機能 | 内部に燃料を入れた場合に放射線障害を防止するため,使用済燃料の放射線を適切に遮へいする設計とする。 | 構内用輸送容器 | 収納する燃料から発生する線源強度で容器表面及び表面から１ｍの線量当量率を評価する。 | |
| 臨界防止機能 | 想定されるいかなる場合にも燃料が臨界に達することを防止できる設計とする。 | 構内用輸送容器 | 収納する燃料の濃縮度等の条件を保守的に設定して実効増倍率を評価する。 | |

## 1.3. 構造強度評価

### 1.3.1. 基本的な考え方

構内用輸送容器の構造強度の評価部位は，安全上重要な部位として容器本体（胴及び底板），蓋，バスケット及び支持機能を有するトラニオンとする。

構造強度評価手法は，JSME S NC1-2005/2007 設計・建設規格（以下，「設計・建設規格」という。）を準用する。各評価対象部位の適用基準・規格を表 1-3-1 に示す。

表 1-3-1　構造強度に係る適用基準・規格

| 評価対象<br>部位 | 設計・建設規格<br>機器区分 | 構造強度<br>評価方法 | 考え方 |
|---|---|---|---|
| 容器本体，蓋 | クラス３容器 | クラス１容器の規定を準用 | 容器本体及び蓋は設計・建設規格 GNR-1210 及び GNR-1220 の機器等の区分の定義より，クラス３容器に区分されると考えられる。<br>圧力荷重についてはクラス３容器における規格計算式で評価することができるが，熱荷重や取扱時の衝撃荷重等の各種の負荷荷重が発生することから，これらの荷重については，応力解析によって発生応力を求めて評価する必要がある。<br>したがって，構造強度評価手法は，同様な「解析による設計」の考え方が採用されているクラス１容器を準用する。 |
| バスケット | ノンクラス | 炉心支持構造物の規定を準用 | バスケットは設計・建設規格 GNR-1210 及び GNR-1220 の機器等の区分の定義に該当しないと考えられる。<br>しかし，容器内において燃料を支持する部材であるため，構造強度評価手法は，炉心支持構造物を準用する。 |
| トラニオン | クラス３支持構造物 | クラス１支持構造物の規定を準用 | トラニオンは容器をクレーンで取扱うための部位であり，輸送時は容器を支持することから，設計・建設規格 GNR-1210 及び GNR-1220 の機器等の区分の定義より，クラス３支持構造物に区分されると考えられる。<br>しかし，容器本体との整合を取り，構造強度評価手法はクラス１支持構造物を準用する。 |

1.3.2.　設計事象の抽出

JSME S FA1-2007 金属キャスク構造規格の考え方に基づいて，構内用輸送容器の設計事象として以下を抽出した。

なお，設計事象の抽出にあたっては，図 1-3-1 に示すハンドリングフローに基づき，構内用輸送容器の取扱い及び共用プールまでの輸送において想定される起因事象に着目し，発生防止対策を考慮して事象の発生の可能性を検討した。設計事象の抽出結果を表 1-3-2 に示す。

1）設計事象Ⅰ

容器本体及び蓋には，収納する燃料の発熱により内圧及び熱による応力が発生する。また，取扱い時及び構内輸送時の加速度により収納物及び自重による荷重がかかり，応力が発生する。

バスケットには，取扱い時及び構内輸送時の加速度により収納物及び自重による荷重がかかり，応力が発生する。

トラニオンには取扱い時の吊上げによる応力，及び構内輸送時における固縛荷重による応力が発生する。

2）設計事象Ⅱ

容器本体及び蓋には，輸送架台への衝突（取扱いモード No.3），搬送架台への衝突（取扱いモード No.7），転倒防止台座への衝突（取扱いモード No.9）及びキャスクピットへの衝突（取扱いモード No.10）の加速度における収納物及び自重による荷重がかかり，応力が発生する。

バスケットには，輸送架台への衝突（取扱いモード No.3），搬送架台への衝突（取扱いモード No.7），転倒防止台座への衝突（取扱いモード No.9）及びキャスクピットへの衝突（取扱いモード No.10）の加速度における収納物及び自重による荷重がかかり，応力が発生する。

トラニオンには，輸送架台への衝突（取扱いモード No.3）及び搬送架台への衝突（取扱いモード No.7）の加速度における荷重がかかり，応力が発生する。

3）設計事象Ⅲ及び設計事象Ⅳ

構内用輸送容器を取扱う設備及び運用においては，クレーンワイヤ及び吊具の二重化，始業前の機器の点検を実施することから，ハンドリングフローから抽出される事象のうち，構内用輸送容器の安全機能を著しく損なう事象であって，一般公衆の放射線被ばくの観点からみて重要と考えられる事象はない。

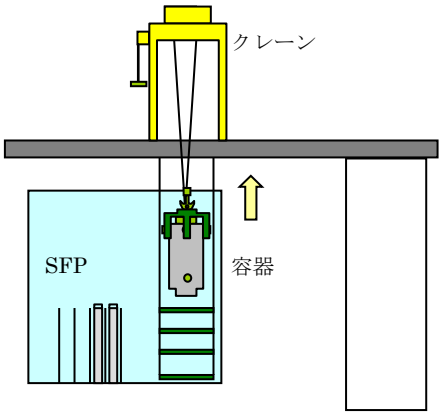
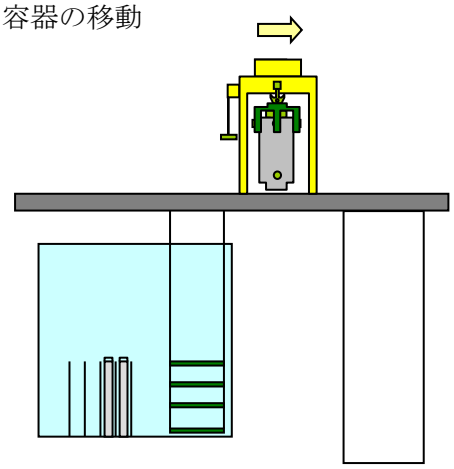
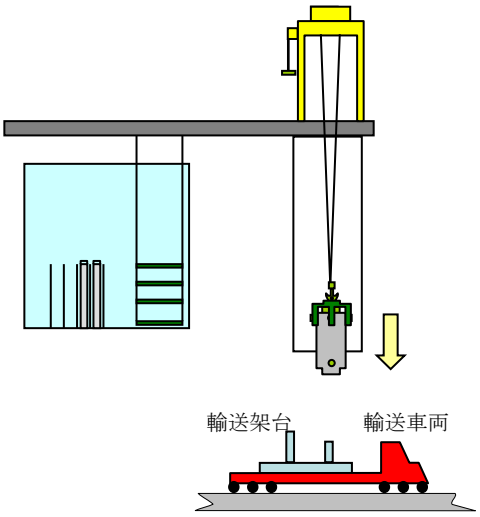
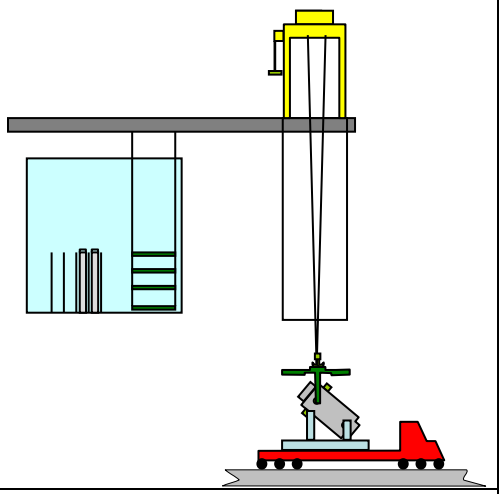
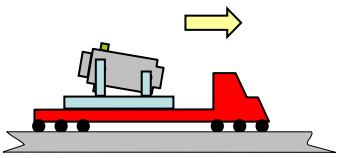
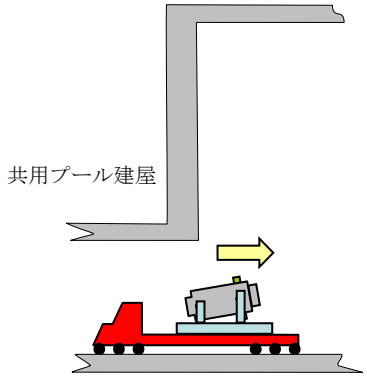
<table>
<tr><th>No.</th><th>取扱いモード</th><th>No.</th><th>取扱いモード</th></tr>
<tr><td>1</td><td>プールからの容器の吊上げ<br> 
</td><td>2</td><td>容器の移動<br>  </td></tr>
<tr><td>3</td><td>容器の吊下し<br> 
</td><td>4</td><td>輸送車両への積載<br>  </td></tr>
<tr><td>5</td><td>構内輸送（３号機→共用プール）<br>  </td><td>6</td><td>共用プール建屋への搬入<br> 
</td></tr>
</table>

図 1-3-1　構内用輸送容器のハンドリングフロー（1/2）

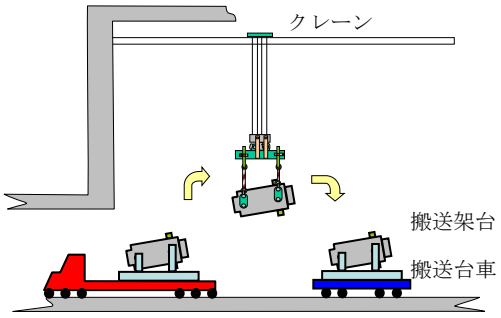
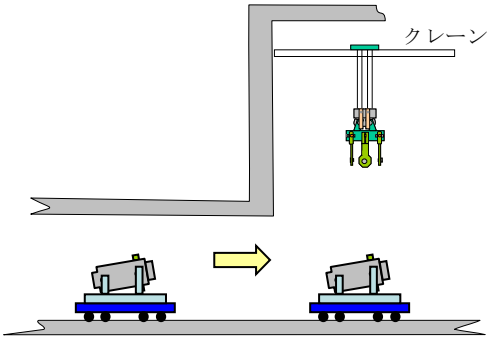
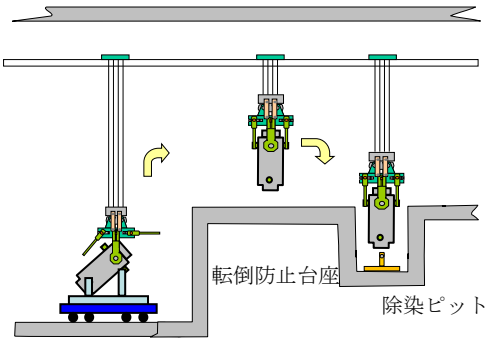
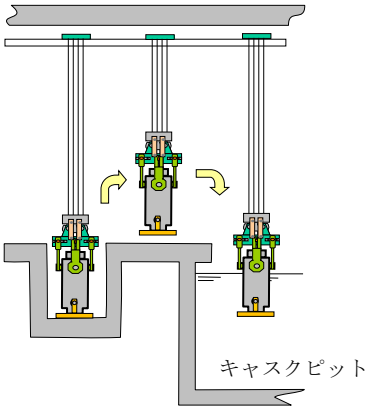
| No. | 取扱いモード | No. | 取扱いモード |
|---|---|---|---|
| 7 | 搬送台車への積載<br>  | 8 | キャスク取扱室への移動<br>  |
| 9 | 除染ピットへの移動<br>  | 10 | キャスクピットへの移動<br>  |

図 1-3-1　構内用輸送容器のハンドリングフロー（2/2）

表 1-3-2　設計事象の抽出（1/2）

| 起因事象 | | 原因 | 発生の可能性・防止策 | 発生の有無 | 想定シナリオ | 抽出の要否 |
|---|---|---|---|---|---|---|
| 構内用輸送容器の落下 | 輸送車両取扱い時の落下（No. 5） | 固定ボルトの取付け不良 | 以下の対策，設計により容器の落下を防止する<br>● 容器は輸送車両に複数のボルトで固縛されていることを確認<br>● 容器は輸送車両で徐行して輸送<br>● 輸送経路は輸送に関係する人及び車両以外の立入を制限 | × | | × |
| | 搬送台車取扱い時の落下（No. 8） | 固定ボルトの取付け不良 | 以下の対策，設計により容器の落下を防止する<br>● 容器は搬送台車に複数のボルトで固縛されていることを確認<br>● 搬送台車はレール上を走行し，走行範囲インターロック及び障害物検知装置を有している | × | | × |
| | クレーン取扱時の落下（No. 1, 2, 3, 4, 7, 9, 10） | 吊具の取付け不良（３号機） | 以下の対策，設計により容器の落下を防止する<br>● 吊具の二重化<br>● 始業前の吊具点検<br>● 取付け後の外れ止めを設置<br>● 取付け状態の ITV による目視確認<br>● 取付け状態の吊具アーム部のリミットスイッチによる確認<br>● 地切り後の ITV による取付け状態の確認，クレーンの荷重確認 | × | | × |
| | | 吊具の取付け不良（共用プール） | 以下の対策，設計により容器の落下を防止する<br>● 吊具の二重化<br>● 始業前の吊具点検<br>● 取付け後の外れ止めを設置<br>● 取付け状態の作業員による確認 | × | | × |
| | | ワイヤーロープ及び吊具の破断（３号機） | 以下の対策，設計により容器の落下を防止する<br>● ワイヤーロープ及び吊具の二重化<br>● 始業前のワイヤーロープ，吊具点検 | × | | × |
| | | ワイヤーロープ及び吊具の破断（共用プール） | 以下の対策，設計により容器の落下を防止する<br>● ワイヤーロープ及び吊具の二重化<br>● 始業前のワイヤーロープ，吊具点検 | × | | × |

表 1-3-2　設計事象の抽出（2/2）

| 起因事象 | | 原因 | 発生の可能性・防止策 | 発生の有無 | 想定シナリオ | 抽出の要否 |
|---|---|---|---|---|---|---|
| 構内用輸送容器の衝突 | クレーン移動時（走行，横行）の衝突 (No. 2, 7, 9, 10) | ブレーキの故障（３号機） | 以下の対策，設計により容器は他の構築物等へ衝突を防止する<br>● ＩＴＶにより移動経路に障害物がないことの確認<br>● 走行及び横行それぞれの制御盤（シーケンサ、インバータ等）による停止機能の作動 | × | | × |
| | | ブレーキの故障（共用プール） | 以下の対策，設計により容器は他の構築物等へ衝突を防止する<br>● 容器移動前に移動経路に障害物がないことの確認<br>● 走行及び横行それぞれの制御盤（シーケンサ、インバータ等）による停止機能の作動 | × | | × |
| | | 操作員の誤操作（３号機） | 以下の対策，設計により構内輸送容器は他の構築物等へ衝突を防止する<br>● クレーンの横行走行範囲に制限機能を設定<br>● ＩＴＶにより移動経路に障害物がないことの確認 | × | | × |
| | | 操作員の誤操作（共用プール） | 以下の対策，設計により構内輸送容器は他の構築物等へ衝突を防止する<br>● クレーンの横行走行範囲に制限機能を設定<br>● 容器移動前に移動経路に障害物がないことの確認 | × | | × |
| | クレーン吊下げ時の衝突（垂直吊り） (No. 3, 4, 9, 10) | ブレーキの故障 | 以下の対策，設計により容器の輸送架台，転倒防止台座あるいはキャスクピットへ衝突を防止する<br>● 巻上げ装置ブレーキを二重化 | × | | × |
| | | 操作員の誤操作 | 吊下げ時の誤操作により，容器は巻下げ速度で輸送架台，転倒防止台座あるいはキャスクピットに衝突する可能性がある。 | ○ | クレーンの最大巻下げ速度 0.025m/s で，構内用輸送容器が輸送架台，転倒防止台座，キャスクピットに衝突する場合を，設計事象として抽出。 | ○ |
| | クレーン吊下げ時の衝突（水平吊り） (No. 7) | ブレーキの故障 | 以下の設計により容器の搬送架台へ衝突を防止する<br>● 巻上げ装置ブレーキを二重化 | × | | × |
| | | 操作員の誤操作 | 吊下げ時の誤操作により，容器は巻下げ速度で搬送架台に衝突する可能性がある。 | ○ | クレーンの最大巻下げ速度 0.025m/s で，容器が搬送架台に衝突する場合を，設計事象として抽出。 | ○ |

1.3.3.　設計事象の荷重条件

前項で抽出した設計事象について，構内用輸送容器に発生する荷重を評価する。

1）内圧

内圧は，除熱評価結果から設定した容器内部水の温度（℃）から，下記の通り設定した。

① 容器内部水及び気体の熱膨張を考慮した場合の内圧

(a) 容器本体及び一次蓋の内圧

容器本体及び一次蓋の内圧は 0.6（MPa）とする。

(b) 二次蓋の内圧

二次蓋の内圧は 0.45（MPa）とする。

② 容器内部水及び気体の熱膨張に加えて，燃料破損による燃料棒内のガス放出を考慮した場合の内圧（最高使用圧力）

(a) 容器本体及び一次蓋の最高使用圧力

容器本体及び一次蓋の最高使用圧力は 2.0（MPa）とする。

(b) 二次蓋の最高使用圧力

二次蓋の最高使用圧力は 1.4（MPa）とする。

③ 試験時圧力

(a) 容器本体及び一次蓋の試験時圧力

容器本体及び一次蓋の試験時圧力は 3.0（MPa）とする。

(b) 二次蓋の試験時圧力

二次蓋の試験時圧力は 2.1（MPa）とする。

2）熱荷重

構内用輸送容器に発生する熱応力は除熱評価結果より得られた温度分布を用いて評価する。

3）設計事象Ⅰの加速度

取扱い時及び構内輸送時の加速度

①取扱い時（吊上げ時）

構内用輸送容器を吊り上げる際に発生する加速度は以下のとおり。なお，吊上げ時の姿勢は縦姿勢である。

・容器軸方向加速度：1.32（G）

②構内輸送時

構内用輸送容器を構内輸送する際に発生する加速度は以下のとおり。なお，構内輸送時の姿勢は横姿勢である。

・前後方向加速度：2.0（G）

・上方向加速度：2.0（G）
・下方向加速度：3.0（G）（自重を考慮）
・左右方向加速度：1.0（G）

4）設計事象Ⅱの加速度の導出

事象発生時に構内用輸送容器が有する運動エネルギーを被衝突物（輸送架台，搬送架台，転倒防止台座）の弾性により吸収するとして，発生する衝撃加速度を計算した。衝撃加速度の計算方法と結果を以下に示す。

①輸送架台への衝突（取扱いモードNo.3）

縦姿勢で構内用輸送容器の下部トラニオンが輸送架台後部支持脚にクレーンの巻下げ速度（0.025m/s）で衝突する場合について評価する。

構内用輸送容器の有する運動エネルギーを輸送架台後部支持脚のひずみエネルギーで吸収するとして，（１）式で構内用輸送容器に生じる衝撃加速度を求める。

$$\alpha = 1 + \sqrt{1 + \frac{K \cdot V^2}{m \cdot g^2}} \qquad (1)$$

ただし，$\alpha$：衝撃加速度（G）

Ｋ：輸送架台後部支持脚の圧縮変形バネ定数（$2.882 \times 10^{10}$N/m）

Ｖ：クレーンの巻下げ速度（0.025m/s）

ｍ：構内用輸送容器の質量（$4.63 \times 10^{4}$kg）

ｇ：重力加速度（9.8m/s$^2$）

発生する衝撃加速度は3.25Gとなり，余裕をみて4.0Gを評価加速度とする。

②構内用輸送容器の搬送台車上の搬送架台への衝突（取扱いモードNo.7）

横姿勢で構内用輸送容器を搬送台車上の搬送架台に積載する際に，構内用輸送容器が搬送台車上の搬送架台に共用プールの天井クレーンの巻下げ速度（0.025m/s）で衝突する場合について評価する。

構内用輸送容器を剛体として，構内用輸送容器の有する運動エネルギーを搬送架台支持脚のひずみエネルギーで吸収するとして，（１）式で構内用輸送容器に生じる衝撃加速度を求める。

ただし，Ｋ：搬送架台前後部支持脚の圧縮変形バネ定数（$5.738 \times 10^{10}$N/m）

Ｖ：共用プールの天井クレーンの巻下げ速度（0.025m/s）

発生する衝撃加速度は4.01Gとなり，余裕をみて5.0Gを評価加速度とする。

③転倒防止台座への衝突及びキャスクピット床面への衝突（取扱いモードNo.9，10）

縦姿勢で構内用輸送容器が転倒防止台座に共用プールの天井クレーンの巻下げ速

度（0.025m/s）で衝突する場合及び，転倒防止台座を取り付けた構内用輸送容器がキャスクピット床面に共用プールの天井クレーンの巻下げ速度（0.025m/s）で衝突する場合について評価する。

床面を剛体として，容器の有する運動エネルギーを転倒防止台座のひずみエネルギーで吸収するとして，（１）式で構内用輸送容器に生じる衝撃加速度を求める。

ただし，Ｋ：転倒防止台座の圧縮変形バネ定数（$4.407\times10^{11}$N/m）

Ｖ：共用プールの天井クレーンの巻下げ速度（0.025m/s）

発生する衝撃加速度は8.93Gとなり，余裕をみて9.0Gを評価加速度とする。

5) 各設計事象における荷重条件

構内用輸送容器の各設計事象における荷重条件を表 1-3-3～表 1-3-5 に示す。なお，構内用輸送容器の設計事象及び荷重条件については，抽出された事象のうち最大の荷重が作用する場合について示す。

表 1-3-3　荷重条件（容器本体及び蓋）(1/2)

| 設計事象 | 代表事象 | 包絡される事象 | 荷重条件 |
|---|---|---|---|
| 設計条件 | 設計時 | － | 最高使用圧力：2.0MPa<br>(二次蓋は 1.4MPa)<br>ボルト初期締付け力<br>以下の荷重のうち最大となるもの<br>・構内輸送時荷重<br>・吊上げ時荷重<br>・搬送架台への衝突時荷重<br>・転倒防止台座への衝突時荷重 |
| I | 構内輸送時 | － | 内圧：0.6MPa<br>(二次蓋は 0.45MPa)<br>ボルト初期締付け力<br>構内輸送時荷重<br>上方向：2.0G<br>下方向：3.0G<br>（自重を考慮）<br>前後方向：2.0G<br>左右方向：1.0G<br>熱荷重 |
| | 吊上げ時 | － | 内圧：0.6MPa<br>(二次蓋は 0.45MPa)<br>ボルト初期締付け力<br>吊上げ荷重<br>下方向：1.32G<br>（自重を考慮）<br>熱荷重 |

表 1-3-3　荷重条件（容器本体及び蓋）(2/2)

| 設計事象 | 代表事象 | 包絡される事象 | 荷重条件 |
|---|---|---|---|
| Ⅱ | 搬送架台への衝突<br>（取扱いモードNo.7） | － | 内圧：0.6MPa<br>（二次蓋は0.45MPa）<br>ボルト初期締付け力<br>搬送架台への衝突時荷重<br>下方向：5.0G<br>（自重を考慮）<br>熱荷重 |
| | 転倒防止台座への衝突<br>（取扱いモードNo.9）<br>キャスクピットへの衝突<br>（取扱いモードNo.10） | 輸送架台への衝突<br>（取扱いモードNo.3） | 内圧：0.6MPa<br>（二次蓋は0.45MPa）<br>ボルト初期締付け力<br>転倒防止台座への衝突時荷重<br>下方向：9.0G<br>（自重を考慮）<br>熱荷重 |
| 試験状態 | 試験時 | － | 試験時圧力：3.0MPa<br>（二次蓋は2.1MPa）<br>ボルト初期締付け力 |

表 1-3-4　荷重条件（バスケット）

| 設計事象 | 代表事象 | 包絡される事象 | 荷重条件 |
|---|---|---|---|
| 設計条件 | 設計時 | － | 搬送架台への衝突時荷重[*1]<br>下方向：5.0G<br>（自重を考慮） |
| Ⅰ | 構内輸送時 | 吊上げ時 | 構内輸送時荷重<br>上方向：2.0G<br>下方向：3.0G<br>（自重を考慮）<br>前後方向：2.0G<br>左右方向：1.0G |
| Ⅱ | 搬送架台への衝突<br>（取扱いモードNo.7） | － | 搬送架台への衝突時荷重<br>下方向：5.0G<br>（自重を考慮） |
| | 転倒防止台座への衝突<br>（取扱いモードNo.9）<br>キャスクピットへの衝突<br>（取扱いモードNo.10） | 輸送架台への衝突<br>（取扱いモードNo.3） | 転倒防止台座への衝突時荷重<br>下方向：9.0G<br>（自重を考慮） |

*1 設計時のうち荷重条件が最も厳しいのは搬送架台への衝突荷重である

表 1-3-5　荷重条件（トラニオン）

| 構内用輸送容器の評価事象及び荷重条件 | | | |
|---|---|---|---|
| 設計事象 | 代表事象 | 包絡される事象 | 荷重条件 |
| Ⅰ | 構内輸送時 | ― | 構内輸送時荷重<br>上方向：2.0G<br>下方向：3.0G<br>（自重を考慮）<br>前後方向：2.0G<br>左右方向：1.0G |
| | 吊上げ時 | ― | 吊上げ荷重<br>下方向：1.32G<br>（自重を考慮） |
| Ⅱ | 輸送架台への衝突<br>（取扱いモードNo.3） | 搬送架台への衝突<br>（取扱いモードNo.7）*1 | 輸送架台への衝突時荷重<br>下方向：4.0G<br>（自重を考慮） |

*1 輸送架台への衝突（取扱いモードNo.3）は垂直姿勢で衝突するためトラニオンの荷重負担本数は２本であるのに対して，搬送架台への衝突（取扱いモードNo.7）では横姿勢で衝突するためトラニオンの荷重負担本数は４本である。このため，構内用輸送容器への荷重は取扱いモード No.7 の方が大きいものの，トラニオンあたりに作用する荷重は取扱いモードNo.3の方が大きくなる。以上から，設計事象としては取扱いモードNo.3が抽出される。

1.3.4.　設計基準

1）容器本体及び蓋

容器本体及び蓋は設計・建設規格 クラス 1 容器に関する規定 PVB-3000 に準じて評価を実施する。容器本体及び蓋の許容応力を表 1-3-6～表 1-3-11 に示す。

① 設計条件における許容応力

設計条件における一次応力は以下の許容応力を上回らないことを確認する。

(a)　一次一般膜応力（$P_m$）

$P_m \leqq S_m$

(b)　一次局部膜応力（$P_L$）

$P_L \leqq 1.5S_m$

(c)　一次膜＋一次曲げ応力（$P_L+P_b$）

$P_L+P_b \leqq 1.5S_m$

(d)　ボルトの平均引張応力（$\sigma_m$）

$\sigma_m \leqq S_m$

② 設計事象Ⅰ，Ⅱにおける許容応力

設計事象Ⅰ，Ⅱにおける応力は以下の許容応力を上回らないことを確認する。

(a)　一次＋二次応力（$P_L+P_b+Q$）

$P_L+P_b+Q \leqq 3S_m$

(b)　平均せん断応力（$\tau$）

$\tau \leqq 0.6S_m$

(c)　平均支圧応力（$\sigma_b$）

$\sigma_b \leqq S_y$

(d)　圧縮応力（$\sigma_c$）

$\sigma_c \leqq B$

(e)　ボルトの平均引張応力（$\sigma_m$）

$\sigma_m \leqq 2S_m$

(f)　ボルトの平均引張応力＋曲げ応力（$\sigma_m+\sigma_b$）

$\sigma_m+\sigma_b \leqq 3S_m$

③ 試験状態における許容応力

試験状態における一次応力は以下の許容応力を上回らないことを確認する。

(a)　一次一般膜応力（$P_m$）

$P_m \leqq 0.9S_y$

(b)　一次局部膜応力（$P_L$）

$P_L \leqq 1.5(0.9S_y)$

(c)　一次一般膜＋一次曲げ応力（$P_m+P_b$）

$P_m+P_b \leqq 1.5(0.9S_y)$

2) バスケット

バスケットは設計・建設規格 炉心支持構造物に関する規定 CSS-3000 に準じて評価を実施する。バスケットの許容応力を表 1-3-12 に示す。

① 設計条件における許容応力

設計条件における一次応力は以下の許容応力を上回らないことを確認する。

(a)　一次一般膜応力（$P_m$）

$P_m \leqq S_m$

(b)　一次一般膜＋一次曲げ応力（$P_m+P_b$）

$P_m+P_b \leqq 1.5S_m$

② 設計事象Ⅰ，Ⅱにおける許容応力

設計事象Ⅰ，Ⅱにおける応力は以下の許容応力を上回らないことを確認する。

(a)　一次＋二次応力（$P_m+P_b+Q$）

$P_m+P_b+Q \leqq 3S_m$

(b)　平均せん断応力（$\tau$）

$\tau \leqq 0.6S_m$

(c)　平均支圧応力（$\sigma_b$）

$\sigma_b \leqq S_y$

(d)　軸圧縮応力（$\sigma_c$）

$\sigma_c \leqq f_c$

3) トラニオン

トラニオン及びトラニオン取付けボルトは以下に示すとおり，設計・建設規格 クラス 1 支持構造物に関する規定 SSB-3000 に準じて評価を実施する。

設計事象Ⅰ，Ⅱにおけるトラニオン及びトラニオン取付けボルトの許容応力を表 1-3-13，表 1-3-14 に示す。

①トラニオンの一次応力の許容応力

一次応力は以下の許容応力を上回らないことを確認する。

(a)　引張応力（$\sigma_t$）

$\sigma_t \leqq f_t$

(b)　せん断応力（$\sigma_s$）

$\sigma_s \leqq f_s$

(c)　圧縮応力（$\sigma_c$）

$\sigma_c \leqq f_c$

(d)　曲げ応力（$\sigma_b$）

$\sigma_b \leqq f_b$

(e)　組合せ応力（$\sigma_T$）

$\sigma_T \leqq f_t$

② トラニオンの一次＋二次応力の許容応力

一次＋二次応力は以下の許容応力を上回らないことを確認する。

(a)　引張応力及び圧縮応力（$\sigma_t$）

$\sigma_t \leqq 3f_t$

(b)　せん断応力（$\sigma_s$）

$\sigma_s \leqq 3f_s$

(c)　曲げ応力（$\sigma_b$）

$\sigma_b \leqq 3f_b$

③ トラニオン取付けボルトの許容応力

応力は以下の許容応力を上回らないことを確認する。

(a)　引張応力（$\sigma_t$）

$\sigma_t \leqq f_t$

表 1-3-6　胴及び底板の許容応力

| 設計事象 | 応力分類 | 記号 | 許容値 [MPa] | 備考 |
|---|---|---|---|---|
| 設計条件 | 一次一般膜応力 | $P_m$ | 123 | |
| | 一次局部膜応力 | $P_L$ | 184 | |
| | 一次膜＋曲げ応力 | $P_L+P_b$ | 184 | |
| 設計事象Ⅰ，Ⅱ | 一次＋二次応力 | $P_L+P_b+Q$ | 369 | |
| | 平均せん断応力 | $\tau$ | 73 | |
| | 平均支圧応力 | $\sigma_b$ | 184 | |
| | 圧縮応力 | $\sigma_c$ | 95 | |
| 試験状態 | 一次一般膜応力 | $P_m$ | 165 | |
| | 一次局部膜応力 | $P_L$ | 247 | |
| | 一次一般膜＋曲げ応力 | $P_m+P_b$ | 247 | |

材質：　GLF1 相当材（ASTM A350M Gr. LF5 Cl.1）

設計温度：　135（℃）

表 1-3-7　一次蓋の許容応力

| 設計事象 | 応力分類 | 記号 | 許容値 [MPa] | 備考 |
|---|---|---|---|---|
| 設計条件 | 一次一般膜応力 | $P_m$ | 137 | |
| | 一次局部膜応力 | $P_L$ | 205 | |
| | 一次膜＋曲げ応力 | $P_L+P_b$ | 205 | |
| 設計事象Ⅰ，Ⅱ | 一次＋二次応力 | $P_L+P_b+Q$ | 411 | |
| 試験状態 | 一次一般膜応力 | $P_m$ | 153 | |
| | 一次局部膜応力 | $P_L$ | 229 | |
| | 一次一般膜＋曲げ応力 | $P_m+P_b$ | 229 | |

材質：　SUSF304

設計温度：　100（℃）

表 1-3-8　ポートカバーの許容応力

| 設計事象 | 応力分類 | 記号 | 許容値 [MPa] | 備考 |
|---|---|---|---|---|
| 設計条件 | 一次一般膜応力 | $P_m$ | 137 | |
| | 一次局部膜応力 | $P_L$ | 205 | |
| | 一次膜＋曲げ応力 | $P_L+P_b$ | 205 | |
| 設計事象Ⅰ，Ⅱ | 一次＋二次応力 | $P_L+P_b+Q$ | 411 | |
| 試験状態 | 一次一般膜応力 | $P_m$ | 143 | |
| | 一次局部膜応力 | $P_L$ | 214 | |
| | 一次一般膜＋曲げ応力 | $P_m+P_b$ | 214 | |

材質：　SUS304

設計温度：　135（℃）

表 1-3-9　二次蓋，二次蓋ポートカバーの許容応力

| 設計事象 | 応力分類 | 記号 | 許容値 [MPa] | 備考 |
|---|---|---|---|---|
| 設計条件 | 一次一般膜応力 | $P_m$ | 137 | |
| | 一次局部膜応力 | $P_L$ | 205 | |
| | 一次膜＋曲げ応力 | $P_L+P_b$ | 205 | |
| 設計事象Ⅰ，Ⅱ | 一次＋二次応力 | $P_L+P_b+Q$ | 411 | |
| 試験状態 | 一次一般膜応力 | $P_m$ | 155 | |
| | 一次局部膜応力 | $P_L$ | 232 | |
| | 一次一般膜＋曲げ応力 | $P_m+P_b$ | 232 | |

材質：　SUSF304

設計温度：　95（℃）

表 1-3-10　一次蓋ボルト，二次蓋ボルト，ポートカバーボルトの許容応力

| 設計事象 | 応力分類 | 記号 | 許容値 [MPa] | 備考 |
|---|---|---|---|---|
| 設計条件 | 平均引張応力 | $\sigma_m$ | 216 | |
| 設計事象Ⅰ，Ⅱ | 平均引張応力 | $\sigma_m$ | 432 | |
| | 平均引張応力＋曲げ応力 | $\sigma_m+\sigma_b$ | 648 | |

材質：　SUS630 H1150

設計温度：　135（℃）

表 1-3-11　二次蓋ポートカバーボルトの許容応力

| 設計事象 | 応力分類 | 記号 | 許容値 [MPa] | 備考 |
|---|---|---|---|---|
| 設計条件 | 平均引張応力 | $\sigma_m$ | 223 | |
| 設計事象Ⅰ，Ⅱ | 平均引張応力 | $\sigma_m$ | 446 | |
| | 平均引張応力＋曲げ応力 | $\sigma_m + \sigma_b$ | 669 | |

材質：　SUS630 H1150

設計温度：　95（℃）

表 1-3-12　バスケットの許容応力

| 設計事象 | 応力分類 | | 記号 | 許容値 [MPa] | 備考 |
|---|---|---|---|---|---|
| 設計条件 | 一次一般膜応力 | | $P_m$ | 133 | |
| | 一次一般膜＋曲げ応力 | | $P_m+P_b$ | 199 | |
| 設計事象Ⅰ，Ⅱ | 一次＋二次応力 | | $P_m+P_b+Q$ | 399 | |
| | 平均せん断応力 | | $\tau$ | 79 | |
| | 平均支圧応力 | | $\sigma_b$ | 150 | |
| | 軸圧縮応力 | バスケット長手方向 | $\sigma_c$ | 34 | |
| | | 上記以外 | | 84 | |

材質：　ボロン添加ステンレス鋼

設計温度：　170（℃）

表 1-3-13　トラニオンの許容応力

| 設計事象 | 応力分類 | | 記号 | 許容値<br>[MPa] | 備考 |
|---|---|---|---|---|---|
| 設計事象Ⅰ，Ⅱ | 一次応力 | 引張応力 | $\sigma_t$ | 394 | |
| | | せん断応力 | $\sigma_s$ | 227 | |
| | | 圧縮応力 | $\sigma_c$ | 383 | |
| | | 曲げ応力 | $\sigma_b$ | 537 | |
| | | 組合せ応力<br>（垂直応力とせん断応力） | $\sigma_T$ | 394 | |
| | 一次＋<br>二次応力 | 引張応力及び圧縮応力 | $\sigma_t$ | 1182 | |
| | | せん断応力 | $\sigma_s$ | 681 | |
| | | 曲げ応力 | $\sigma_b$ | 1611 | |

材質：　SUS630 H1150

設計温度：　135（℃）

表 1-3-14　トラニオン取付けボルトの許容応力

| 設計事象 | 応力分類 | 記号 | 許容値<br>[MPa] | 備考 |
|---|---|---|---|---|
| 設計事象Ⅰ，Ⅱ | 引張応力 | $\sigma_t$ | 318 | |

材質：　SNB23-3

設計温度：　135（℃）

1.3.5. 評価方法及び評価モデル

1.3.5.1. 容器本体及び蓋

容器本体及び蓋の主な構造部材の応力評価箇所を図 1-3-2～1-3-3 に示す。荷重条件は表 1-3-3 に示したとおりである。

1）設計条件

① 胴，底板，一次蓋，二次蓋

(a) 最高使用圧力，ボルト初期締付け力，機械的荷重による応力

容器の実形状をモデル化し構造解析コード ABAQUS を用いて応力評価を行う。

② ポートカバー，二次蓋ポートカバー

(a) 最高使用圧力による応力

最高使用圧力により発生する一次一般膜応力($P_m$)及び，一次膜＋曲げ応力($P_L+P_b$)は(2)式で計算する。なお，一次局部膜応力($P_L$)は発生しない。

$$\left.\begin{aligned}\sigma_x &= \frac{1.24 \cdot P \cdot r^2}{t^2} \\ \sigma_y &= \sigma_x \\ \sigma_z &= -P\end{aligned}\right\} \quad \cdots\cdots (2)$$

ここで，

P　：最高使用圧力

r　：ポートカバーOリング平均半径

二次蓋ポートカバーは締付けボルトピッチ円半径

t　：ポートカバー最小板厚

③ 一次蓋ボルト，二次蓋ボルト，ポートカバーボルト，二次蓋ポートカバーボルト

(a) 最高使用圧力及びガスケット締付による平均引張応力

最高使用圧力におけるボルト荷重及びガスケット（Oリング）締付時のボルト荷重により発生する平均引張応力（$\sigma_{m1}$）は(3)式で計算する。

$$\left.\begin{aligned}\sigma_{m1} &= \frac{W_{m1}}{A} \\ W_{m1} &= H + H_p\end{aligned}\right\} \quad \cdots\cdots (3)$$

ここで，

$W_{m1}$　：必要な最小ボルト荷重

A　：全数のボルト最小断面積

H　：フランジに加わる最高使用圧力による全荷重

$H_p$　：気密を十分保つために，Oリング又は継手接触面にかける圧縮

力（ゴム製Oリングのため Hp=0N）

また，ガスケット（Oリング）締付け時の平均引張応力（$\sigma_{m2}$）は(4)式で計算する。

$$\sigma_{m2}=\frac{W_{m2}}{A} \quad \cdots\cdots (4)$$

ここで，

$W_{m2}$　：ガスケット締付時に必要な最小ボルト荷重（ゴム製Oリングのため $W_{m2}$=0N）

2）設計事象Ⅰ　構内輸送時

① 胴，底板，一次蓋，二次蓋

(a) 内圧，ボルト初期締付け力，構内輸送時の機械的荷重，熱荷重による応力

容器の実形状をモデル化し構造解析コード ABAQUS を用いて応力評価を行う。

(b) 平均せん断応力

平均せん断応力（$\tau$）が発生する箇所はない。

(c) 平均支圧応力

底板とバスケット底面との接触部に発生する平均支圧応力（$\sigma_b$）は(5)式で計算する。

$$\sigma_b=\frac{m_b \cdot G_z}{A_b} \quad \cdots\cdots (5)$$

ここで，

$m_b$　：バスケットの質量

$G_z$　：後方向加速度

$A_b$　：接触面積

(d) 圧縮応力

胴に生じる圧縮応力（$\sigma_c$）は(6)式で計算する。

$$\sigma_c=\frac{m_c \cdot G_z}{A_c} \quad \cdots\cdots (6)$$

ここで，

$m_c$　：容器の質量

$G_z$　：後方向加速度

$A_c$　：胴の断面積

② ポートカバー，二次蓋ポートカバー

最高使用圧力による応力を除き，構内輸送時の機械的荷重及び熱荷重による応力は無視できる。

一次＋二次応力（$P_L+P_b+Q$）は，(2)式で計算する最高使用圧力により発生する一次膜＋曲げ応力($P_L+P_b$)となる。

③ 一次蓋ボルト，二次蓋ボルト，ポートカバーボルト，二次蓋ポートカバーボルト

(a) 最高使用圧力による平均引張応力

最高使用圧力により発生する平均引張応力（$\sigma_{m1}$）は(3)式で計算する。

(b) ボルト初期締付け力による平均引張応力

ボルト初期締付け力により発生する平均引張応力（$\sigma_{m3}$）は(7) 式で計算する。

$$\sigma_{m3}=\frac{F_s}{A_S} \quad \cdots\cdots\cdots\cdots\cdots\cdots\cdots\cdots\cdots\cdots\cdots\cdots\cdots\cdots\cdots\cdots \quad (7)$$

ここで，

$F_S$　　：ボルト初期締付け力

$A_S$　　：ボルト最小断面積

(c) 構内輸送時に作用する加速度による平均引張応力

構内輸送時に作用する加速度により発生する平均引張応力（$\sigma_{m4}$）は(8)式で計算する。

$$\sigma_{m4}=\frac{mG}{A} \quad \cdots\cdots\cdots\cdots\cdots\cdots\cdots\cdots\cdots\cdots\cdots\cdots\cdots\cdots\cdots\cdots \quad (8)$$

ここで，

m　　：作用する質量

G　　：加速度

A　　：全数のボルト最小断面積

(d) 構内輸送時に作用する加速度による曲げ応力

構内輸送時に作用する加速度によって発生する曲げ応力（$\sigma_b$）は(9)式で計算する。

$$\sigma_b = \frac{1}{n} \cdot \frac{mG\ell_b}{8Z} \quad \cdots\cdots\cdots\cdots\cdots\cdots\cdots\cdots\cdots\cdots\cdots\cdots\cdots\cdots\cdots\cdots \quad (9)$$

ここで，

n　　：ボルト本数

m　　：作用する質量

G　　：加速度

$\ell_b$　　：ボルト長さ

Z　　：ボルトの断面係数

なお，二次蓋ポートカバーボルトには取付け構造上，曲げ応力は発生しない。

3）設計事象Ⅰ　吊上げ時

① 胴，底板，一次蓋，二次蓋

(a) 内圧，ボルト初期締付け力，吊上げ時の機械的荷重，熱荷重による応力

容器の実形状をモデル化し構造解析コードABAQUSを用いて応力評価を行う。

(b) 平均せん断応力

平均せん断応力($\tau$)が発生する箇所はない。

(c) 平均支圧応力

底板とバスケット底面との接触部に発生する平均支圧応力($\sigma_b$)は(5)式で計算する。

(d) 圧縮応力

胴に生じる圧縮応力（$\sigma_c$）は(6)式で計算する。

② ポートカバー，二次蓋ポートカバー

最高使用圧力による応力を除き，吊上げ時の機械的荷重及び熱荷重による応力は無視できる。

一次＋二次応力（$P_L+P_b+Q$）は，(2)式で計算する最高使用圧力により発生する一次膜＋曲げ応力($P_L+P_b$)となる。

③ 一次蓋ボルト，二次蓋ボルト，ポートカバーボルト，二次蓋ポートカバーボルト

(a) 最高使用圧力による平均引張応力

最高使用圧力により発生する平均引張応力（$\sigma_{m1}$）は(3)式で計算する。

(b) ボルト初期締付け力による平均引張応力

ボルト初期締付け力により発生する平均引張応力（$\sigma_{m3}$）は(7)式で計算する。

(c) 吊上げ時に作用する加速度による平均引張応力

吊上げ時に作用する加速度による平均引張応力（$\sigma_{m4}$）は発生しない。

(d) 吊上げ時に作用する加速度による曲げ応力

吊上げ時に作用する加速度による曲げ応力（$\sigma_b$）は発生しない。

4）設計事象Ⅱ　搬送架台への衝突（横姿勢）

① 胴，底板，一次蓋，二次蓋

(a) 内圧，ボルト初期締付け力，搬送架台への衝突による機械的荷重，熱荷重による応力

容器の実形状をモデル化し構造解析コードABAQUSを用いて応力評価を行う。

(b) 平均せん断応力

平均せん断応力（$\tau$）が発生する箇所はない。

(c) 平均支圧応力

底板とバスケット底面との接触部に発生する平均支圧応力（$\sigma_b$）は(5)式で計算する。

(d) 圧縮応力

胴に生じる圧縮応力（$\sigma_c$）は(6)式で計算する。

② ポートカバー，二次蓋ポートカバー

最高使用圧力による応力を除き，搬送架台への衝突による機械的荷重及び熱荷重による応力は無視できる。

一次＋二次応力（$P_L+P_b+Q$）は，(2)式で計算する最高使用圧力により発生する一次膜＋曲げ応力($P_L+P_b$)となる。

③ 一次蓋ボルト，二次蓋ボルト，ポートカバーボルト，二次蓋ポートカバーボルト

(a) 最高使用圧力による平均引張応力

最高使用圧力により発生する平均引張応力（$\sigma_{m1}$）は(3)式で計算する。

(b) ボルト初期締付け力による平均引張応力

ボルト初期締付け力により発生する平均引張応力（$\sigma_{m3}$）は(7)式で計算する。

(c) 搬送架台への衝突時に作用する加速度による平均引張応力

搬送架台への衝突時に作用する加速度により発生する平均引張応力（$\sigma_{m4}$）は(8)式で計算する。

なお，一次蓋ボルト，二次蓋ボルト，ポートカバーボルトには，搬送架台への衝突時に作用する加速度による平均引張応力（$\sigma_{m4}$）は発生しない。

(d) 搬送架台への衝突時に作用する加速度による曲げ応力

搬送架台への衝突時に作用する加速度により発生する曲げ応力（$\sigma_b$）は(9)式で計算する。

なお，二次蓋ポートカバーボルトには，搬送架台への衝突時に作用する加速度により曲げ応力（$\sigma_b$）は発生しない。

5）設計事象Ⅱ　転倒防止台座への衝突（縦姿勢）

① 胴，底板，一次蓋，二次蓋

(a) 内圧，ボルト初期締付け力，転倒防止台座への衝突による機械的荷重，熱荷重による応力

容器の実形状をモデル化し構造解析コードABAQUSを用いて応力評価を行う。

(b) 平均せん断応力

平均せん断応力($\tau$)が発生する箇所はない。

(c) 平均支圧応力

底板とバスケット底面との接触部に発生する平均支圧応力($\sigma_b$)は(5)式で計算する。

(d) 圧縮応力

胴に生じる圧縮応力（$\sigma_c$）は(6)式で計算する。

② ポートカバー，二次蓋ポートカバー

最高使用圧力による応力を除き，転倒防止台座への衝突による機械的荷重及び熱荷重による応力は無視できる。

一次＋二次応力（$P_L+P_b+Q$）は，(2)式で計算する最高使用圧力により発生する一次膜＋曲げ応力($P_L+P_b$)となる。

③ 一次蓋ボルト，二次蓋ボルト，ポートカバーボルト，二次蓋ポートカバーボルト

(a) 最高使用圧力による平均引張応力

最高使用圧力により発生する平均引張応力（$\sigma_{m1}$）は(3)式で計算する。

(b) ボルト初期締付け力による平均引張応力

ボルト初期締付け力により発生する平均引張応力（$\sigma_{m3}$）は(7)式で計算する。

(c) 転倒防止台座への衝突時に作用する加速度による平均引張応力

転倒防止台座への衝突時に作用する加速度による平均引張応力($\sigma_{m4}$)は発生しない。

(d) 転倒防止台座への衝突時に作用する加速度による曲げ応力

転倒防止台座への衝突時に作用する加速度による曲げ応力（$\sigma_b$）は発生しない。

6）試験状態

① 胴，底板，一次蓋，二次蓋

(a) 試験時圧力，ボルト初期締付け力による応力

容器の実形状をモデル化し構造解析コード ABAQUS を用いて応力評価を行う。

② ポートカバー，二次蓋ポートカバー

(a) 試験時の圧力による応力

試験時圧力により発生する一次一般膜応力($P_m$)及び，一次一般膜＋曲げ応力($P_m+P_b$)は(2)式で計算する。なお，一次局部膜応力($P_L$)は発生しない。

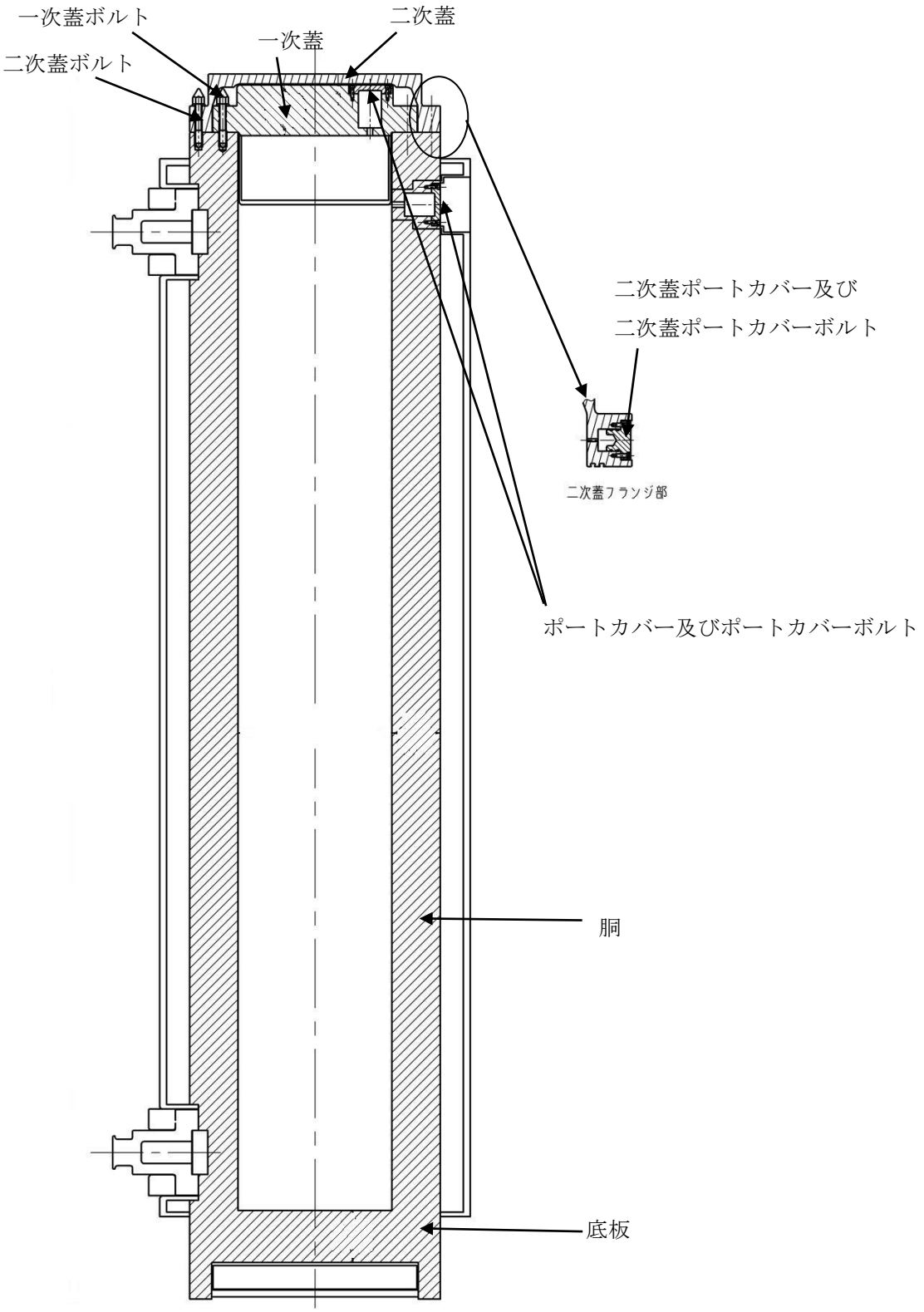



図1-3-2　容器本体及び蓋の応力評価箇所

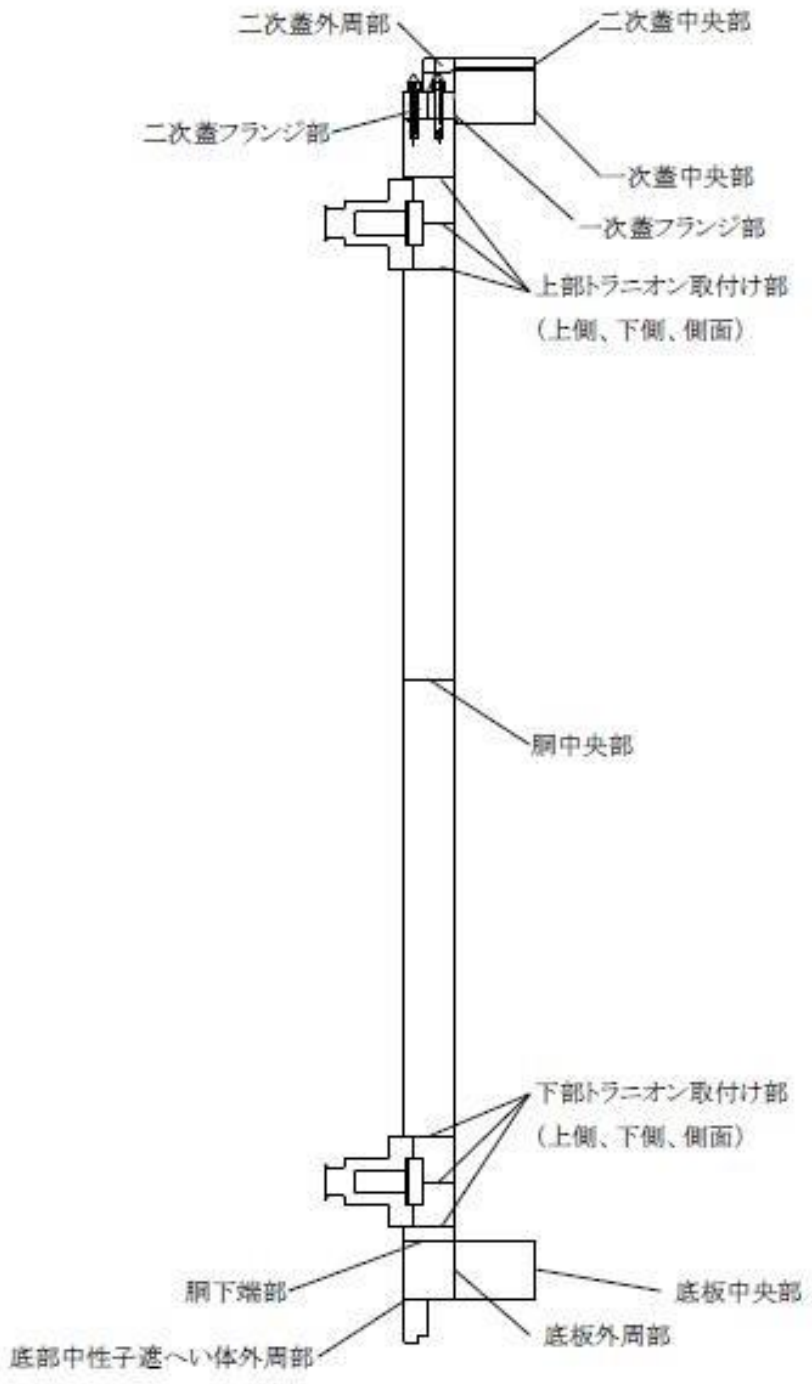



図1-3-3　容器本体及び蓋の応力評価箇所（胴，底板，蓋の詳細）

1.3.5.2. バスケット

バスケットの応力評価箇所を図1-3-4に示す。荷重条件は表1-3-4に示したとおりである。

1）設計条件

①一次一般膜応力

最大応力が発生する箇所は，搬送架台への衝突時の図 1-3-4 の評価点②である。評価点②の一次一般膜応力($P_m$)は，(10)式で計算する。

$$P_m = \frac{m_2 G_X}{A_2} \quad \cdots\cdots (10)$$

$m_2$　：評価点②に作用する質量

$A_2$　：評価点②の断面積

$G_X$　：加速度

② 一次膜応力＋一次曲げ応力

最大応力が発生する箇所は，搬送架台への衝突時の図 1-3-4 の評価点③である。

評価点③の一次一般膜＋一次曲げ応力($P_m$＋$P_b$)は，(11)式で計算する。

$$\left.\begin{aligned} P_m &= \frac{m_3 G_X}{A_3} \\ P_b &= \frac{M_3}{Z_3} \\ M_3 &= \frac{m_3 G_X l_3}{8} \end{aligned}\right\} \cdots\cdots (11)$$

ここで，

$m_3$　：評価点③に作用する質量

$G_X$　：加速度

$A_3$　：評価点③の断面積

$M_3$　：評価点③に生じる曲げモーメント

$Z_3$　：評価点③における枠板の断面係数

$l_3$　：格子支持板のピッチ

2）設計事象Ⅰ　構内輸送時

① 一次＋二次応力

熱荷重は発生しないため，一次＋二次応力($P_m+P_b+Q$)は，(11)式で計算する一次一般膜＋一次曲げ応力($P_m+P_b$)である。

② 平均せん断応力

最大応力が発生する箇所は，図 1-3-4 の評価点⑤(枠板の組合せ部)である。

左右方向加速度により発生する平均せん断応力($\tau$)は，(12)式で計算する。

$$\tau = \frac{m_5 G_Y}{A_5} \quad \cdots\cdots (12)$$

ここで，

$m_5$　：評価点⑤に作用する質量

$A_5$　：評価点⑤の断面積

$G_Y$　：加速度

③ 平均支圧応力

最大応力が発生する箇所は図 1-3-4 の評価点②である。平均支圧応力($\sigma_b$)は(10)式で計算する。

④ 軸圧縮応力

最大応力が発生する箇所は図 1-3-4 の評価点②である。軸圧縮応力($\sigma_c$)は(10)式で計算する。

3）設計事象Ⅱ　搬送架台への衝突（横姿勢）

① 一次＋二次応力

熱荷重は発生しないため，一次＋二次応力($P_m+P_b+Q$)は，(11)式で計算する一次一般膜＋一次曲げ応力($P_m+P_b$)である。

② 平均せん断応力

平均せん断応力($\tau$)は発生しない。

③ 平均支圧応力

最大応力が発生する箇所は図 1-3-4 の評価点②である。平均支圧応力($\sigma_b$)は(10)式で計算する。

④ 軸圧縮応力

最大応力が発生する箇所は図 1-3-4 の評価点②である。軸圧縮応力($\sigma_c$)は(10)式で計算する。

4）設計事象Ⅱ　転倒防止台座への衝突（縦姿勢）

① 一次＋二次応力

転倒防止台座への衝突時の荷重は枠板断面に均等に加わるため枠板には圧縮応力が発生する。また，熱荷重は発生しない。

転倒防止台座への衝突に発生する一次＋二次応力($P_m+P_b+Q$)は(13)式で計算する。

$$P_m + P_b + Q = \frac{m_A G_Z}{A_A} \quad \cdots\cdots\cdots\cdots\cdots\cdots\cdots\cdots\cdots\cdots\cdots\cdots\cdots\cdots\cdots\cdots \quad (13)$$

ここで,

$m_A$　：バスケットの質量

$A_A$　：枠板の総断面積

$G_Z$　：加速度

② 平均せん断応力

平均せん断応力($\tau$)は発生しない。

③ 平均支圧応力

平均支圧応力($\sigma_b$)は①一次＋二次応力と同じである。

④ 軸圧縮応力

軸圧縮応力($\sigma_c$)は①一次＋二次応力と同じである。

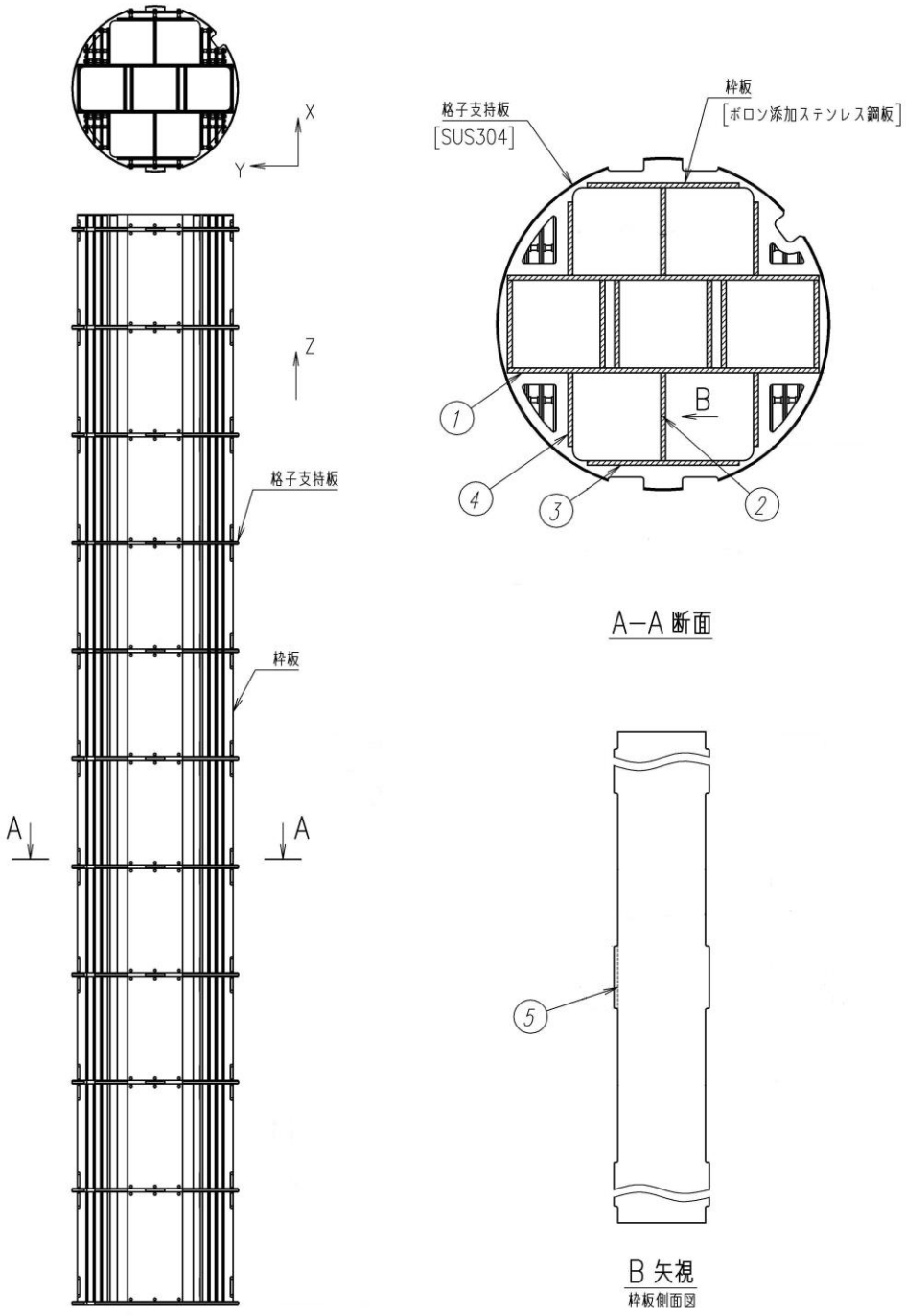



図1-3-4　バスケットの応力評価箇所

1.3.5.3. トラニオン

トラニオン応力評価箇所を図 1-3-5 に示す。荷重条件は表 1-3-5 に示したとおりである。

１）設計事象Ⅰ　構内輸送時

① トラニオン

(a) せん断応力

最大応力が発生する箇所は，図 1-3-5 の下部トラニオンの評価点②である。

前後方向加速度及び下方向加速度により発生するせん断応力（$\sigma_s$）は，(14)式で計算する。

$$\left.\begin{aligned}\sigma_S &= \frac{F_m}{A_2} \\ F_m &= \sqrt{\left(\frac{m}{4}\cdot G_X\right)^2+\left(\frac{m}{2}\cdot G_Z\right)^2}\end{aligned}\right\} \quad \cdots\cdots (14)$$

ここで，

$F_m$　：構内輸送時に下部トラニオンに作用する荷重

$m$　：容器の質量

$A_2$　：評価点の断面積

$G_X$　：下方向加速度

$G_Z$　：前後方向加速度

(b) 曲げ応力

最大応力が発生する箇所は，図 1-3-5 の下部トラニオンの評価点②である。前後方向加速度及び下方向加速度により発生する曲げ応力（$\sigma_b$）は，(15)式で計算する。

$$\left.\begin{aligned}\sigma_b &= \frac{M_2}{Z_2} \\ M_2 &= F_m \cdot L_2\end{aligned}\right\} \quad \cdots\cdots (15)$$

ここで，

$M_2$　：評価点に生じる曲げモーメント

$Z_2$　：評価点の断面係数

$F_m$　：構内輸送時に下部トラニオンに作用する荷重　(14)式のとおり

$L_2$　：評価点と荷重作用位置との距離

(c) 引張応力及び圧縮応力

構内輸送時は図1-3-5の上部及び下部トラニオンと輸送架台間の摩擦力により左右方向加速度による荷重を支持する。したがって引張応力と圧縮応力が発生する箇所は，図 1-3-5 の評価点②である。左右方向加速度により発生する評価点②の引張応力($\sigma_t$)及び圧縮応力($\sigma_c$)は，(16)式で計算する。

$$\left.\begin{aligned}\sigma_t &= \sigma_c = \frac{F_{m2}}{A_2}\\ F_{m2} &= \frac{m}{4}\cdot G_Y\end{aligned}\right\} \quad \cdots\cdots (16)$$

$F_{m2}$ ：構内輸送時に上部及び下部トラニオンに作用する荷重

$m$ ：容器の質量

$A_2$ ：評価点の断面積

$G_Y$ ：左右方向加速度

(d) 組合せ応力

垂直応力($\sigma$)とせん断応力($\sigma_S$)との組合せ応力($\sigma_T$)は，(17)式で計算する。

$$\left.\begin{aligned}\sigma_T &= \sqrt{\sigma^2 + 3\cdot\sigma_S^2}\\ \sigma &= \sigma_b + \sigma_t = \sigma_b + \sigma_c\end{aligned}\right\} \quad \cdots\cdots (17)$$

ここで，

$\sigma$ ：評価点における垂直応力

$\sigma_b$ ：評価点における曲げ応力

$\sigma_t$，$\sigma_c$ ：評価点における引張応力及び圧縮応力

$\sigma_S$ ：評価点におけるせん断応力

また，圧縮応力($\sigma_c$)と曲げ応力($\sigma_b$)との組合せ応力は，(18)式で計算する。

$$\frac{|\sigma_c|}{f_c} + \frac{|{}_c\sigma_b|}{f_b} \leqq 1 \quad \text{かつ} \quad \frac{|{}_t\sigma_b| - |\sigma_c|}{f_t} \leqq 1 \quad \cdots\cdots (18)$$

ここで，$|{}_c\sigma_b| = |{}_t\sigma_b| = \sigma_b$，$|\sigma_c| = \sigma_c$である。

また，引張応力($\sigma_t$)と曲げ応力($\sigma_b$)との組合せ応力は，(19)式で計算する。

$$\frac{|\sigma_t| + |{}_t\sigma_b|}{f_t} \leqq 1 \quad \text{かつ} \quad \frac{|{}_c\sigma_b| - |\sigma_t|}{f_b} \leqq 1 \quad \cdots\cdots (19)$$

ここで，$|{}_c\sigma_b| = |{}_t\sigma_b| = \sigma_b$，$|\sigma_b| = \sigma_t$である。

(e) 一次＋二次応力

容器の熱膨張による応力は無視できるため，トラニオンに発生する一次＋二次応力は(a)せん断応力($\sigma_S$)，(b)曲げ応力($\sigma_b$)，(c)引張応力($\sigma_t$)及び圧縮応力($\sigma_c$)と同じである。

② トラニオン取付けボルト

最大応力が発生する箇所は，図 1-3-5 の下部トラニオンの評価点③である。

トラニオンにモーメント荷重及び引張荷重が作用する場合にトラニオン取付けボルトに発生する引張応力($\sigma_t$)は，(20)式で計算する。

$$\left.\begin{aligned}\sigma_t &= \frac{M_3}{Z_b} + \frac{1}{16}\bullet\frac{F_{m2}}{S_b}\\ M_3 &= F_m \cdot L_3\end{aligned}\right\} \quad \cdots\cdots\cdots\cdots\cdots\cdots\cdots\cdots\cdots\cdots \quad (20)$$

ここで，

$F_m$　：構内輸送時に下部トラニオンに作用する荷重　(14)式のとおり

$F_{m2}$　：構内輸送時に上部及び下部トラニオンに作用する荷重

$L_3$　：評価点と荷重作用位置との距離

$Z_b$　：トラニオン取付けボルトの断面係数

$S_b$　：トラニオン取付けボルトの最小断面積

2）設計事象Ⅰ　吊上げ時

① トラニオン

(a) せん断応力

最大応力が発生する箇所は，図 1-3-5 の上部トラニオンの評価点①である。

吊上げ荷重により発生するせん断応力($\sigma_S$)は，(21)式で計算する。

$$\left.\begin{aligned}\sigma_S &= \frac{F_{m3}}{A_1}\\ F_{m3} &= \frac{m}{2}\cdot G_Z\end{aligned}\right\} \quad \cdots\cdots\cdots\cdots\cdots\cdots\cdots\cdots\cdots\cdots\cdots\cdots\cdots\cdots\cdots\cdots \quad (21)$$

ここで，

$F_{m3}$　：吊上げ時に上部トラニオンに作用する荷重

$m$　：容器の質量

$A_1$　：評価点の断面積

$G_Z$　：吊上げ加速度

(b) 曲げ応力

最大応力が発生する箇所は，図 1-3-5 の上部トラニオンの評価点①である。吊上げ荷重により発生する曲げ応力($\sigma_b$)は，(15)式で計算する。

(c) 引張応力及び圧縮応力

吊上げ時には引張応力($\sigma_t$)及び圧縮応力($\sigma_c$)は発生しない。

(d) 組合せ応力

垂直応力($\sigma$)と曲げ応力($\sigma_b$)との組合せ応力($\sigma_T$)は，(17)式で計算する。

(e) 一次＋二次応力

容器の熱膨張による応力は無視できるため，トラニオンに発生する一次＋二次応力は(a)せん断応力($\sigma_S$)，(b)曲げ応力($\sigma_b$)と同じである。

② トラニオン取付けボルト

最大応力が発生する箇所は，図 1-3-5 の上部トラニオンの評価点③である。

トラニオンにモーメント荷重が作用する場合にトラニオン取付けボルトに発生する引張応力($\sigma_t$)は，(22)式で計算する。

$$\left.\begin{aligned}\sigma_t &= \frac{M_3}{Z_b}\\ M_3 &= F_{m3}\cdot L_3\end{aligned}\right\} \quad \cdots\cdots\cdots\cdots\cdots\cdots\cdots\cdots\cdots\cdots\cdots\cdots \quad (22)$$

ここで，

$M_3$　：評価点に生じる曲げモーメント

$L_3$　：評価点と荷重作用位置との距離

$Z_b$　：トラニオン取付けボルトの断面係数

3）設計事象Ⅱ　輸送架台への衝突

① トラニオン

(a) せん断応力

最大応力が発生する箇所は，図 1-3-5 の下部トラニオンの評価点②である。

衝突荷重により発生するせん断応力($\sigma_s$)は，(21)式で計算する。

(b) 曲げ応力

最大応力が発生する箇所は，図 1-3-5 の下部トラニオンの評価点②である。衝突荷重により発生する曲げ応力($\sigma_b$)は，(15)式で計算する。

(c) 引張応力及び圧縮応力

輸送架台への衝突時には引張応力($\sigma_t$)及び圧縮応力($\sigma_c$)は発生しない。

(d) 組合せ応力

垂直応力($\sigma$)とせん断応力($\sigma_S$)との組合せ応力($\sigma_T$)は，(17)式で計算する。

(e) 一次＋二次応力

容器の熱膨張による応力は無視できるため，トラニオンに発生する一次＋二次応力は(a)せん断応力($\sigma_S$)，(b)曲げ応力($\sigma_b$)と同じである。

② トラニオン取付けボルト

最大応力が発生する箇所は，図 1-3-5 の下部トラニオンの評価点③である。

トラニオンにモーメント荷重が作用する場合にトラニオン取付けボルトに発生する引張応力($\sigma_t$)は，(22)式で計算する。

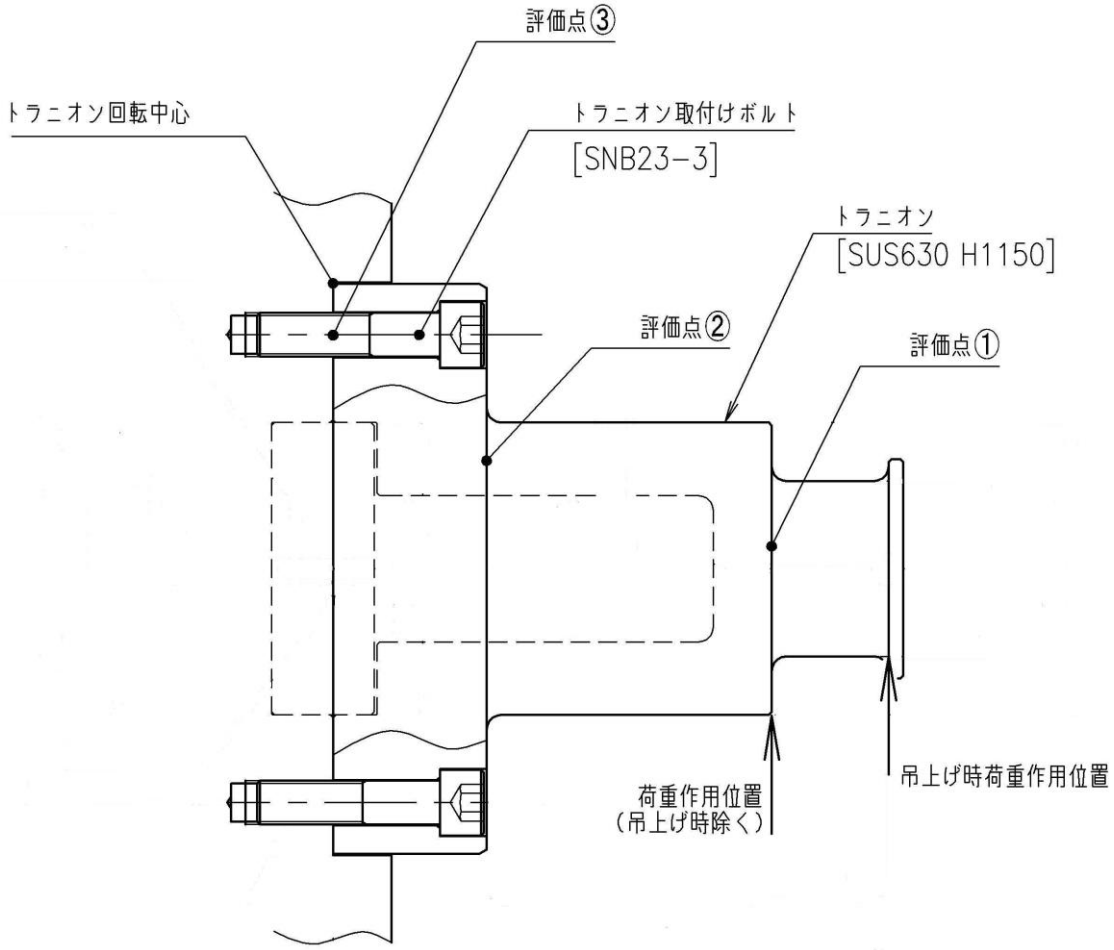



図1-3-5　トラニオンの応力評価箇所

1.3.6.　評価結果

評価結果を表1-3-15～表1-3-23に示す。いずれも，許容応力に対して十分に余裕がある。

このため，構内用輸送容器の構造健全性は維持される。

表 1-3-15　容器本体及び蓋の評価結果（胴，底板，蓋）　1/2

（単位：MPa）

| 部位 | 材料 | 設計事象 | 一次一般膜応力($P_m$) | | 一次局部膜応力($P_L$) | | 一次膜＋曲げ応力($P_L+P_b$) | | 一次一般膜＋曲げ応力($P_m+P_b$) | | 一次＋二次応力($P_L+P_b+Q$) | |
|---|---|---|---|---|---|---|---|---|---|---|---|---|
| | | | 計算値 | 許容応力 | 計算値 | 許容応力 | 計算値 | 許容応力 | 計算値 | 許容応力 | 計算値 | 許容応力 |
| 胴中央部 | ASTM A350M Gr.LF5 Cl.1 | 設計条件 | 8 | 123 | － | － | 9 | 184 | － | － | － | － |
| | | Ⅰ，Ⅱ | － | － | － | － | － | － | － | － | 9 | 369 |
| | | 試験状態 | 7 | 165 | | | － | － | 9 | 247 | － | － |
| 底板中央部 | | 設計条件 | 5 | 123 | － | － | 10 | 184 | － | － | － | － |
| | | Ⅰ，Ⅱ | － | － | － | － | － | － | － | － | 21 | 369 |
| | | 試験状態 | 3 | 165 | － | － | － | － | 6 | 247 | － | － |
| 底板外周部 | | 設計条件 | － | － | 5 | 184 | 11 | 184 | － | － | － | － |
| | | Ⅰ，Ⅱ | － | － | － | － | － | － | － | － | 10 | 369 |
| | | 試験状態 | － | － | 3 | 247 | － | － | 6 | 247 | － | － |
| 胴下端部 | | 設計条件 | － | － | 13 | 184 | 23 | 184 | － | － | － | － |
| | | Ⅰ，Ⅱ | － | － | － | － | － | － | － | － | 17 | 369 |
| | | 試験状態 | － | － | 5 | 247 | － | － | 10 | 247 | － | － |
| 底部中性子遮へい体外周部 | | 設計条件 | － | － | 10 | 184 | 13 | 184 | － | － | － | － |
| | | Ⅰ，Ⅱ | － | － | － | － | － | － | － | － | 25 | 369 |
| | | 試験状態 | － | － | 6 | 247 | － | － | 10 | 247 | － | － |
| 上部トラニオン取付け部 | | 設計条件 | | | 11 | 184 | 22 | 184 | － | － | － | － |
| | | Ⅰ，Ⅱ | － | － | － | － | － | － | － | － | 21 | 369 |
| | | 試験状態 | － | － | 7 | 247 | － | － | 10 | 247 | － | － |

表 1-3-15　容器本体及び蓋の評価結果（胴，底板，蓋）　2/2

（単位：MPa）

| 部位 | 材料 | 設計事象 | 一次一般膜応力 ($P_m$) | | 一次局部膜応力 ($P_L$) | | 一次膜＋曲げ応力 ($P_L+P_b$) | | 一次一般膜＋曲げ応力 ($P_m+P_b$) | | 一次＋二次応力 ($P_L+P_b+Q$) | |
|---|---|---|---|---|---|---|---|---|---|---|---|---|
| | | | 計算値 | 許容応力 | 計算値 | 許容応力 | 計算値 | 許容応力 | 計算値 | 許容応力 | 計算値 | 許容応力 |
| 下部トラニオン取付け部 | ASTM A350M Gr.LF5 Cl.1 | 設計条件 | － | － | 18 | 184 | 32 | 184 | － | － | － | － |
| | | Ⅰ，Ⅱ | － | － | － | － | － | － | － | － | 32 | 369 |
| | | 試験状態 | － | － | 7 | 247 | － | － | 9 | 247 | － | － |
| 一次蓋中央部 | SUSF304 | 設計条件 | 3 | 137 | － | － | 9 | 205 | － | － | － | － |
| | | Ⅰ，Ⅱ | － | － | － | － | － | － | － | － | 4 | 411 |
| | | 試験状態 | 3 | 153 | － | － | － | － | 10 | 229 | － | － |
| 一次蓋フランジ部 | | 設計条件 | － | － | 7 | 205 | 9 | 205 | － | － | － | － |
| | | Ⅰ，Ⅱ | － | － | － | － | － | － | － | － | 8 | 411 |
| | | 試験状態 | － | － | 8 | 229 | － | － | 8 | 229 | － | － |
| 二次蓋中央部 | | 設計条件 | 61 | 137 | | | 102 | 205 | － | － | － | － |
| | | Ⅰ，Ⅱ | － | － | － | － | － | － | － | － | 34 | 411 |
| | | 試験状態 | 92 | 155 | － | － | － | － | 154 | 232 | － | － |
| 二次蓋外周部 | | 設計条件 | － | － | 36 | 205 | 64 | 205 | － | － | － | － |
| | | Ⅰ，Ⅱ | － | － | － | － | － | － | － | － | 25 | 411 |
| | | 試験状態 | － | － | 46 | 232 | － | － | 95 | 232 | － | － |
| 二次蓋フランジ部 | | 設計条件 | | | 9 | 205 | 18 | 205 | － | － | － | － |
| | | Ⅰ，Ⅱ | － | － | － | － | － | － | － | － | 9 | 411 |
| | | 試験状態 | － | － | 13 | 232 | － | － | 27 | 232 | － | － |

表 1-3-16　容器本体及び蓋の評価結果（ポートカバー）

（単位：MPa）

| 部位 | 材質 | 設計事象 | 一次一般膜応力 ($P_m$) | | 一次膜＋曲げ応力 ($P_L+P_b$) | | 一次一般膜＋曲げ応力 ($P_m+P_b$) | | 一次＋二次応力 ($P_L+P_b+Q$) | |
|---|---|---|---|---|---|---|---|---|---|---|
| | | | 計算値 | 許容値 | 計算値 | 許容値 | 計算値 | 許容値 | 計算値 | 許容値 |
| ポートカバー | SUS304 | 設計条件 | 2 | 137 | 17 | 205 | － | － | － | － |
| | | Ⅰ，Ⅱ | － | － | － | － | － | － | 17 | 411 |
| | | 試験状態 | 3 | 143 | － | － | 26 | 214 | | |
| 二次蓋<br>ポートカバー | SUSF304 | 設計条件 | 2 | 137 | 7 | 205 | － | － | － | － |
| | | Ⅰ，Ⅱ | － | － | － | － | － | － | 7 | 411 |
| | | 試験状態 | 3 | 155 | － | － | 11 | 232 | － | － |

表 1-3-17　容器本体及び蓋の評価結果（ボルト）

（単位：MPa）

| 部位 | 材料 | 設計事象 | 平均引張応力（$\sigma_m$） | | 平均引張応力＋曲げ応力（$\sigma_m+\sigma_b$） | |
|---|---|---|---|---|---|---|
| | | | 計算値 | 許容応力 | 計算値 | 許容応力 |
| 一次蓋ボルト | SUS630 H1150 | 設計条件 | 101 | 216 | － | － |
| | | Ⅰ，Ⅱ | 320 | 432 | 350 | 648 |
| 二次蓋ボルト | | 設計条件 | 125 | 216 | － | － |
| | | Ⅰ，Ⅱ | 334 | 432 | 352 | 648 |
| ポートカバーボルト | | 設計条件 | 39 | 216 | － | － |
| | | Ⅰ，Ⅱ | 227 | 432 | 229 | 648 |
| 二次蓋ポートカバーボルト | | 設計条件 | 21 | 223 | － | － |
| | | Ⅰ，Ⅱ | 216 | 446 | 216 | 669 |

表 1-3-18　容器本体及び蓋の評価結果（平均支圧応力及び圧縮応力）

（単位：MPa）

| 部位 | 設計事象 | 平均支圧応力（$\sigma b$） | | 圧縮応力（$\sigma c$） | |
|---|---|---|---|---|---|
| | | 計算値 | 許容応力 | 計算値 | 許容応力 |
| 底板 | Ⅰ，Ⅱ | 2 | 184 | － | － |
| 胴 | Ⅰ，Ⅱ | － | － | 7 | 95 |

表 1-3-19　バスケットの評価結果

（単位：MPa）

| 部位 | 応力の種類 | | 設計条件 | | 設計事象Ⅰ | | 設計事象Ⅱ | | | | 許容応力 |
|---|---|---|---|---|---|---|---|---|---|---|---|
| | | | | | 構内輸送時 | | 搬送架台への衝突 | | 転倒防止台座への衝突 | | |
| | | | 計算値 | 評価点（面） | 計算値 | 評価点（面） | 計算値 | 評価点（面） | 計算値 | 評価点（面） | |
| バスケット | 一次一般膜応力(Pm) | | 52 | ② | — | — | — | — | — | — | 133 |
| | 一次一般膜＋一次曲げ応力(Pm+Pb) | | 159 | ③ | — | — | — | — | — | — | 199 |
| | 一次＋二次応力(Pm+Pb+Q) | | — | — | 103 | ③ | 159 | ③ | 5 | — | 399 |
| | 平均せん断応力（τ） | | — | — | 1 | ⑤ | — | — | — | — | 79 |
| | 平均支圧応力（σb） | | — | — | 34 | ② | 52 | ② | 5 | — | 150 |
| | 軸圧縮応力（σc） | バスケット長手方向 | — | — | — | — | — | — | 5 | — | 34 |
| | | 上記以外 | — | — | 34 | ② | 52 | ② | — | — | 84 |

表 1-3-20　トラニオンの評価結果

（単位：MPa）

| 部位 | 応力の種類 | | 設計事象Ⅰ | | | | 設計事象Ⅱ | | 許容応力 |
|---|---|---|---|---|---|---|---|---|---|
| | | | 構内輸送時 | | 吊上げ時 | | 輸送架台への衝突 | | |
| | | | 計算値 | 評価点（面） | 計算値 | 評価点（面） | 計算値 | 評価点（面） | |
| トラニオン | 一次応力 | 引張応力（$\sigma_t$） | 5 | ② | — | — | — | — | 394 |
| | | せん断応力（$\sigma_S$） | 27 | ② | 27 | ① | 39 | ② | 227 |
| | | 曲げ応力（$\sigma_b$） | 165 | ② | 143 | ① | 243 | ② | 537 |
| | | 圧縮応力（$\sigma_c$） | 5 | ② | — | — | — | — | 383 |
| | | 組合せ応力（$\sigma_T$） | 177 | ② | 151 | ① | 253 | ② | 394 |
| | 一次＋二次応力 | 引張応力及び圧縮応力（$\sigma_t$） | 5 | ② | — | — | — | — | 1182 |
| | | せん断応力（$\sigma_S$） | 27 | ② | 27 | ① | 39 | ② | 681 |
| | | 曲げ応力（$\sigma_b$） | 165 | ② | 143 | ① | 243 | ② | 1611 |

表 1-3-21　トラニオンの評価結果

評価点②の組合せ応力（圧縮応力＋曲げ応力）

| 評価式 | $\sigma_c$（MPa） | $\sigma_b$ ＊（MPa） | 計算値 | 基準値 |
|---|---|---|---|---|
| $\frac{\lvert\sigma_c\rvert}{f_c}+\frac{\lvert{}_c\sigma_b\rvert}{f_b}$ | 5 | 165 | 0.32 | ≦1 |
| $\frac{\lvert{}_t\sigma_b\rvert-\lvert\sigma_c\rvert}{f_t}$ | 5 | 165 | 0.41 | ≦1 |

注記 ＊：$\lvert{}_c\sigma_b\rvert=\lvert{}_t\sigma_b\rvert=\sigma_b$である。

表 1-3-22　トラニオンの評価結果

評価点②の組合せ応力（引張応力＋曲げ応力）

| 評価式 | σｔ（MPa） | σｂ＊（MPa） | 計算値 | 基準値 |
|---|---|---|---|---|
| $\frac{\lvert\sigma_t\rvert+\lvert{}_t\sigma_b\rvert}{f_t}$ | 5 | 165 | 0.44 | ≦1 |
| $\frac{\lvert{}_c\sigma_b\rvert-\lvert\sigma_t\rvert}{f_b}$ | 5 | 165 | 0.30 | ≦1 |

注記 ＊：$\lvert{}_c\sigma_b\rvert=\lvert{}_t\sigma_b\rvert=\sigma_b$である。

表 1-3-23　トラニオン取付けボルトの評価結果

（単位：MPa）

| 部位 | 応力の種類 | | 設計事象Ⅰ | | 設計事象Ⅱ | 許容応力 |
|---|---|---|---|---|---|---|
| | | | 構内輸送時 | 吊上げ時 | 輸送架台への衝突 | |
| | | | 計算値 | 計算値 | 計算値 | |
| トラニオン取付けボルト | 一次応力 | 引張応力 | 168 | 96 | 228 | 318 |

参考資料

# 構造強度計算に用いるコード（ABAQUS）について

## （１）概要

ABAQUS コードは米国 Hibbitt,Karlsson&Sorensen,Ins.(HKS 社)で開発された有限要素法に基づく応力・座屈解析等の汎用解析コードであり，輸送容器の応力解析等に広く利用されている。

## （２）機能

ABAQUS コードは，応力解析に際して以下の機能を有している。

① 定常，非定常の弾性，弾塑性のいずれの解も得ることができる。

② 材料特性として時間依存，歪の履歴依存並びに等方性・異方性等を考慮することができる。

③ モデルの形状は一次元～三次元，又は連続体についても取り扱うことができる。

④ 伝熱解析結果をそのまま境界条件として熱応力解析に用いることが可能である。

⑤ 荷重条件として集中荷重，分布荷重，モーメント，加速度力（慣性力），圧力，遠心力及びコリオリ力等が取り扱える。また，これらの条件の時間依存，線形変化に対しても対応可能である。

## （３）解析フロー

ABAQUS コードの解析フローを図 1-3-6 に示す。

## （４）使用実績

ABAQUS コードは，これまで多くの応力解析に対し使用実績がある。

## （５）検証方法

理論値との比較による検証が実施されていることを確認している。

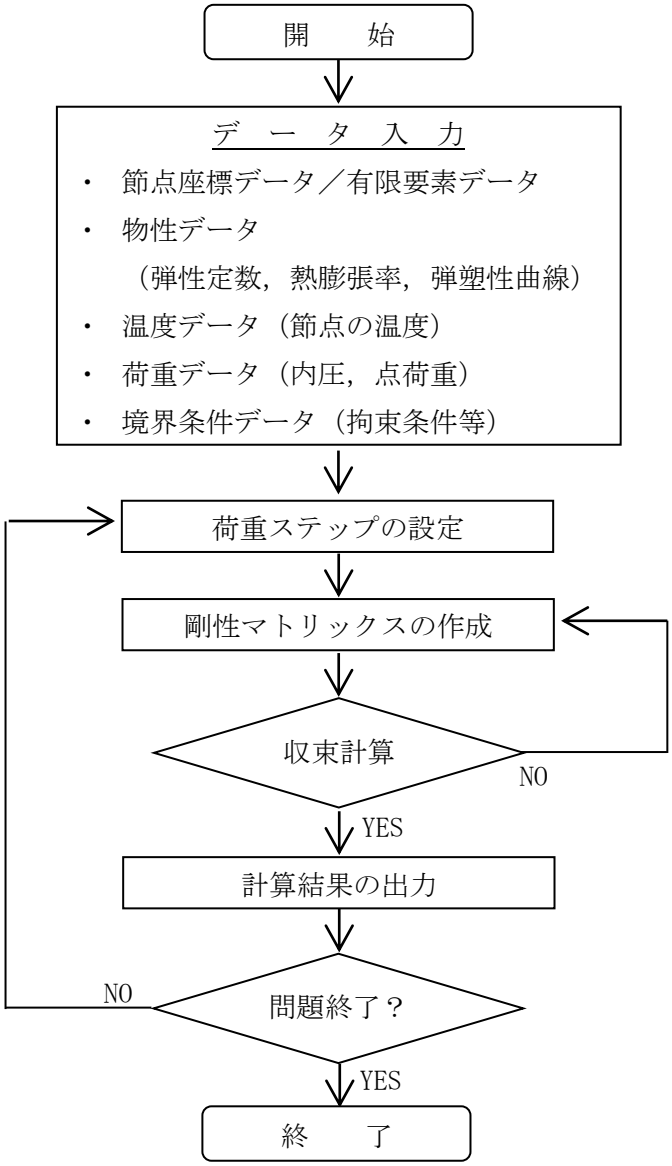



図 1-3-6 ABAQUS コードの応力解析フロー図

参考資料

# 容器内水の放射線分解による水素ガス発生について

## １．容器内水の放射線分解による水素ガス発生

本構内用輸送容器のような密閉した槽内での容器内水の放射線分解により発生する水素ガスの水中濃度はある飽和値に達する。ここでは，水素ガス発生評価を以下に示す。

## ２．評価方法

「添付資料－２－１－３ 構内用輸送容器に係る安全機能及び構造強度に関する説明書（４号機)」(NFT-12B 型)と同じく，類似の環境下における水の放射線分解による水素ガス定常濃度評価*1 をベースに，液相定常水素ガス濃度が照射線量率の平方根に比例する*2 として，水素ガス濃度の評価を行う。

## ３．評価結果および 4 号機構内用輸送容器(NFT-12B 型)との比較

水素ガス濃度の評価結果および，4 号機構内用輸送容器(NFT-12B 型)との比較を以下に示す。

| | ガンマ線照射線量 | 水素ガス濃度 |
|---|---|---|
| 3 号機 構内用輸送容器 | 0.29Gy/s | 1.24% |
| 4 号機 構内用輸送容器(NFT-12B) | 1Gy/s | 2.4% |

3 号機 構内用輸送容器のガンマ線照射量は，4 号機構内用輸送容器(NFT-12B 型)のガンマ線照射量より低く，水素ガス濃度も低くなっている。

水素ガス濃度 1.24%は，水素の爆発下限である空気との混合比 4%に対して十分低い値であり問題ない。

＊1 Sunaryo, 1993, “A Study on Yields and Chemical Behavior of Radiolysis Products of High Temperature Water”, University of Tokyo.

＊2 Y.Fujita, M.Ebihara, ″EVALUATION OF HYDROGEN YIELD IN SPENT FUEL TRANSPORT PACKAGE″ The 16th International Symposium on the Packaging and Transportation of radioactive Materials (PATRAM 2010), October 3-8 2010, London, UK Poster Session 210 (2010)

## 1.4.　除熱機能

### 1.4.1.　基本的な考え方

除熱設計にあたっては，燃料の健全性及び構内用輸送容器の安全機能を有する構成部材の健全性が維持できるよう，以下のとおり設計する。

a. 収納された使用済燃料より発生する崩壊熱は，容器内に充填した水及び空気の自然対流及び熱伝導により胴に伝える。
b. 胴に伝えられた熱は主として中性子遮へい部のレジン中に設けた伝熱フィンにより外筒に伝える。
c. 外筒に伝えられた熱は外筒から大気に放散する。

除熱機能の評価においては，収納する使用済燃料の最大崩壊熱量を考慮し，自然冷却により冷却されるものとして，除熱条件が厳しくなる横姿勢（輸送時）の各部の温度を求め，各部材料の制限温度を超えないことを評価する。

1.4.2.　設計基準

設計基準を表 1-4-1 に示す。

表 1-4-1　設計基準

| 対象部位 | | 材質 | 設計基準 | 設計基準温度（℃） | 備考 |
|---|---|---|---|---|---|
| 構内用輸送容器 | 中性子遮へい材 | レジン | 使用可能温度 | 149 | |
| | Oリング | ふっ素ゴム | 使用可能温度 | 300 | |
| | 胴 | 低合金鋼 | 構造強度が確保される制限温度 | 350 | |
| | 蓋 | ステンレス鋼 | 構造強度が確保される制限温度 | 425 | |
| | バスケット | ボロン添加ステンレス鋼 | 構造強度が確保される制限温度 | 200 | |
| 燃料被覆管 | | ジルカロイ－２ | 照射硬化回復現象により燃料被覆管の機械的特性が著しく低下しない温度及び水素化物の再配向による被覆管の機械的特性の低下が生じない温度以下となる温度*1, *2 | 200 | 8×8 燃料 |
| | | | | 300 | 新型 8×8 ｼﾞﾙｺﾆｳﾑﾗｲﾅ燃料，<br>高燃焼度 8×8 燃料，<br>9×9 燃料 |

*1 平成 18 年度リサイクル燃料資源貯蔵技術調査等（貯蔵燃料長期健全性等確証試験に関する試験最終報告書）（06 基炉報-0006，独立行政法人原子力安全基盤機構）

*2 平成 19 年度リサイクル燃料資源貯蔵技術調査等（貯蔵燃料健全性等調査に関する試験成果報告書）（07 基炉報-0004，独立行政法人原子力安全基盤機構）

1.4.3.　燃料仕様および崩壊熱量

表 1-1-2 に示す３号機使用済燃料プールに貯蔵されている燃料を包絡する条件で崩壊熱量を ORIGEN2 コードにより評価する。燃料条件及び崩壊熱量を表 1-4-2 に示す。

表 1-4-2　燃料条件及び崩壊熱量

| | |
|---|---|
| 燃料タイプ | ９×９燃料 |
| 燃焼度(MWd/t) | 52,000 |
| 冷却期間(日) | 1716 |
| 収納体数(体) | 7 |
| 崩壊熱量(kW) | 3.91 |

1.4.4.　評価条件

構内用輸送容器の除熱評価は以下の２種類の解析モデルを用いて行う。

・輪切り断面モデル

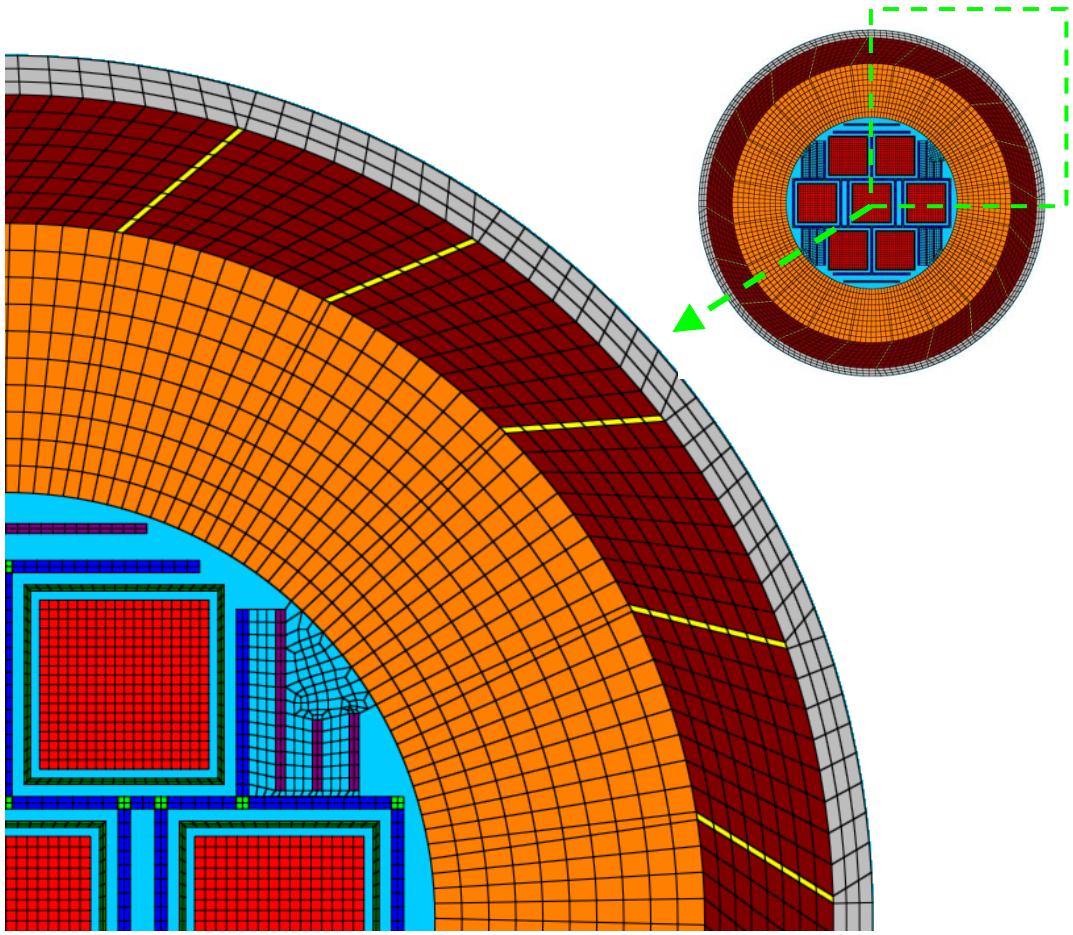
・軸対称断面モデル

輪切り断面モデル形状図を図 1-4-1 に，軸対称断面モデル形状図を図 1-4-2 に示す。また，評価条件を表 1-4-3 に示す。

表 1-4-3　評価条件

| 項目 | | 横姿勢<br>(輸送時) |
|---|---|---|
| 収納体数　(体) | | 7 |
| 崩壊熱量　(kW) | | 3.91 |
| 周囲温度　(℃) | | 38 |
| 太陽熱放射($W/m^2$)*1 | 垂直に輸送される表面 | 200 |
| | その他の表面（曲面） | 400 |

*1：太陽熱放射は１日につき１２時間ごと，７日間受ける



■：外筒
■：中性子遮へい体
■：伝熱フィン
■：胴体
■：バスケット
■：バスケット交差部
■：中性子吸収材
■：水
■：使用済燃料収納缶（小）
■：燃料領域（均質化）

図 1-4-1　輪切り断面モデル形状図

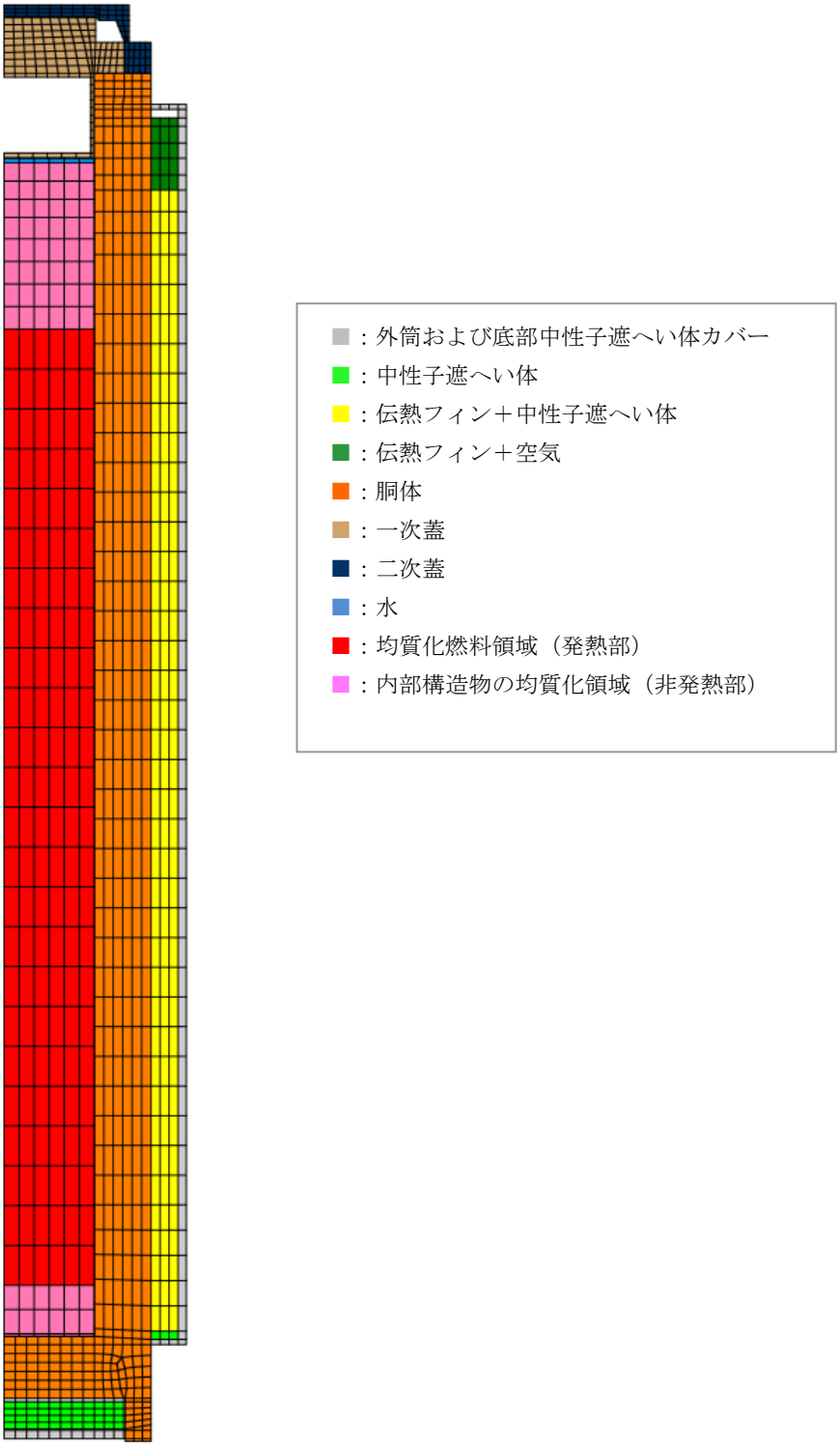



図 1-4-2　軸対称断面モデル形状図

1.4.5.　評価方法

輪切り断面モデルで容器中央部断面の燃料，バスケット，胴，中性子遮へい体の温度を評価する。輪切り断面モデルで評価できない部位については，軸方向の温度分布が求められる軸対称断面モデルで評価する。解析には ABAQUS コードを用いる。

1.4.6.　評価結果

評価結果を表 1-4-4 に示す。表 1-4-4 に示すとおり，構内用輸送容器を構成する部材はいずれも設計基準温度を下回っており，熱的健全性は維持される。

また，燃料被覆管の温度は 169℃であり，水素化物の再配向による機械特性の低下が生じる温度を大きく下回っており，燃料の健全性は維持される。

表 1-4-4 評価結果（各部温度）

| 対象部位 | | 材質 | 評価結果（℃） | 設計基準温度（℃） | 備考 |
|---|---|---|---|---|---|
| 構内用輸送容器 | 中性子遮へい材 | レジン | 96 | 149 | |
| | Oリング | ふっ素ゴム | 82 | 300 | |
| | 胴 | 低合金鋼 | 100 | 350 | |
| | 蓋 | ステンレス鋼 | 96 | 425 | |
| | バスケット | ボロン添加ステンレス鋼 | 152 | 200 | |
| 燃料被覆管 | | ジルカロイ－2 | 169 | 200 | 8×8 燃料 |
| | | | | 300 | 新型 8×8 ｼﾞﾙｺﾆｳﾑﾗｲﾅ燃料<br>高燃焼度 8×8 燃料，9×9 燃料 |

参考資料

# 除熱解析に用いるコード（ABAQUS）について

## （１） 概要

ABAQUS コードは，米国 Hibbitt，Karlsson & Sorensen，Inc.（HKS 社）で開発された有限要素法に基づく伝熱解析等の汎用解析コードであり，輸送容器の伝熱解析などに広く利用されている。

## （２） 機能

ABAQUS コードは，伝熱解析に際して以下の機能を有している。

① 定常，非定常のいずれの解も得ることができる。
② 一次元～三次元の任意形状の構造に対して解くことが可能である。
③ 初期条件（温度）は要素ごとに変化させることができ，計算ステップの自動決定も可能である。
④ 境界条件として，時間に依存する熱流束，温度，伝導，対流及び放射が考慮できる。
⑤ 構成物質の相変態が考慮できる。

## （３） 解析フロー

ABAQUS コードの解析フローを図 1-4-3 に示す。

## （４） 使用実績

ABAQUS コードは，多くの伝熱解析に使用された実績がある。

## （５） 検証方法

貯蔵容器の定常伝熱試験に対して ABAQUS コードによる解析結果と試験結果を比較・検討し，本コードの妥当性が検証されている[*1]。

*1 山川秀次，五味義雄，尾崎幸男，尾崎明朗「使用済燃料キャスク貯蔵技術の確立―キャスクの伝熱特性評価―」，電中研報告書，U92038，(1993)

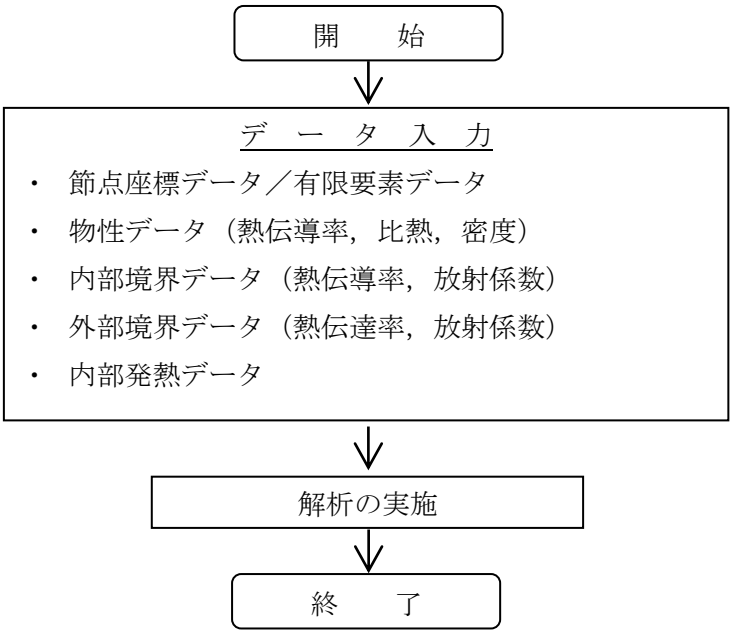



図 1-4-3　ABAQUS コードの伝熱解析フロー図

# 除熱解析に用いるコード（ORIGEN2）について

## （１） 概要

ORIGEN2 コードは，米国オークリッジ国立研究所（ORNL）で開発された炉内中性子束の１点近似による燃焼計算コードである。ORIGEN2 コードは汎用解析コードであり，輸送容器の崩壊熱計算等に広く利用されている。

## （２） 機能

ORIGEN2 コードは，燃焼解析に際して以下の機能を有している。

① 燃料の炉内での燃焼計算，炉取出し後の減衰計算により，冷却期間に対応した崩壊熱，放射線の強度，各核種の放射能量等が求められる。

② 原子炉の炉型と燃料の組合せに対し，中性子エネルギースペクトルの違いにより重みをつけた断面積ライブラリが内蔵されており，任意に選択できる。

③ 計算結果は，放射化生成物，アクチニド，核分裂生成物に分類して出力される。

④ 燃焼計算に必要な放射性核種データ（崩壊熱，ガンマ線のエネルギー分布，自発核分裂と（α，ｎ）反応により発生する中性子線源強度等）に関しては，ORIGEN2 コード専用のライブラリがあり，これを用いる。

## （３） 計算フロー

ORIGEN2 コードの計算フローを図 1-4-4 に示す。

## （４） 使用実績

ORIGEN2 コードは，輸送容器，核燃料施設の崩壊熱計算に広く使用されている[*1]。

## （５） 検証方法

汎用コードの導入評価[*1] が実施されていることが確認されている。

大型実験/ベンチマーク試験による検証[*2] が実施されていることが確認されている。

*1 ORNL,“ORIGEN2 Isotope Generation and Depletion Code MATRIX EXPONENTIAL METHOD”,CCC-371

*2 (社)日本原子力学会“原子炉崩壊熱とその推奨値”, 1989 年 8 月

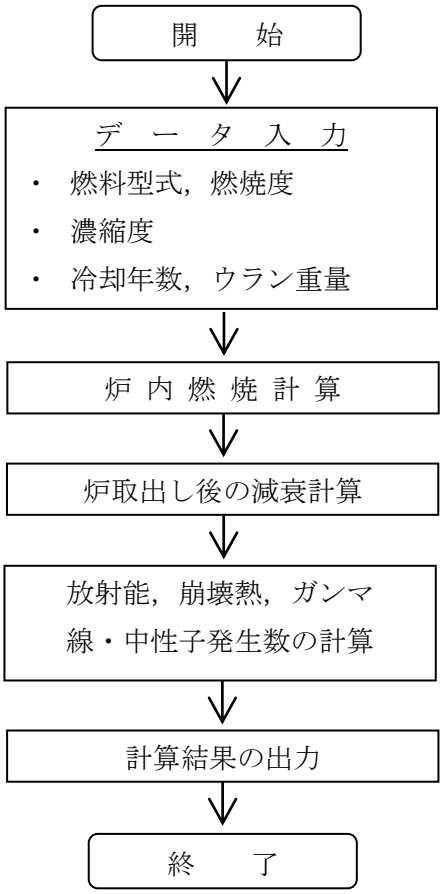



図 1-4-4　ORIGEN2 コードの計算フロー図

1.5. 密封機能

1.5.1. 基本的な考え方

構内用輸送容器の密封は容器本体及び一次蓋より構成される密封容器とこれに付属するポート部のカバーから構成される。容器本体と一次蓋，各ポートカバーのガスケットにはゴム製Oリングが使用されている。一次蓋で構成される構内用輸送容器の密封境界を図1-5-1に示す。

また，一次蓋を覆う形で二次蓋を容器本体に取付ける構造となっており，容器本体と二次蓋のガスケットはゴム製Oリングが使用され，一次蓋に漏えいが発生しても二次蓋で密封を確保できる構造となっている。二次蓋で構成される構内用輸送容器の密封境界を図1-5-2に示す。

密封機能の評価にあたっては，構造強度評価結果，除熱機能評価結果，容器構造から，構内用輸送容器の密封機能が維持されることを確認する。

1.5.2. 評価結果

(1)構造強度評価結果

1.3項に示したとおり，構造強度評価から構内用輸送容器の密封境界を構成する胴，底板，一次蓋，一次蓋ボルト，二次蓋，二次蓋ボルト，ポートカバー及びポートカバーボルトは想定される荷重条件に対して十分な強度を有しており，密封境界の構造健全性に問題がないことが確認されている。

(2)除熱評価結果

1.4項に示したとおり，除熱機能評価からOリングの最高温度は82℃で，設計基準温度である300℃を大きく下回ることから，密封境界の熱的健全性に問題ないことが確認されている。

(3)容器構造

構内用輸送容器の密封境界を構成する一次蓋及び各ポートカバーは，ガスケットにゴム製のOリングを使用し，複数のボルトで容器本体に締付ける構造であり，締付けトルクの管理により密封機能を担保する。

各ポートカバーは3号機に空の容器を移動する前に，共用プールで締付けトルクを管理し，密封機能を担保する。

一次蓋は3号機で燃料装填後に容器本体に締付ける際に，締付けトルクを管理し，密封機能を担保する。

二次蓋も一次蓋と同様にガスケットにゴム製のOリングを使用し，複数のボルトで容器本体に締付けトルクを管理して締付ける構造であり，万が一，一次蓋の密封機能が喪失した場合でも，二次蓋で密封機能を担保する。

(4)まとめ

以上から，構内用輸送容器の密封性能は維持される。

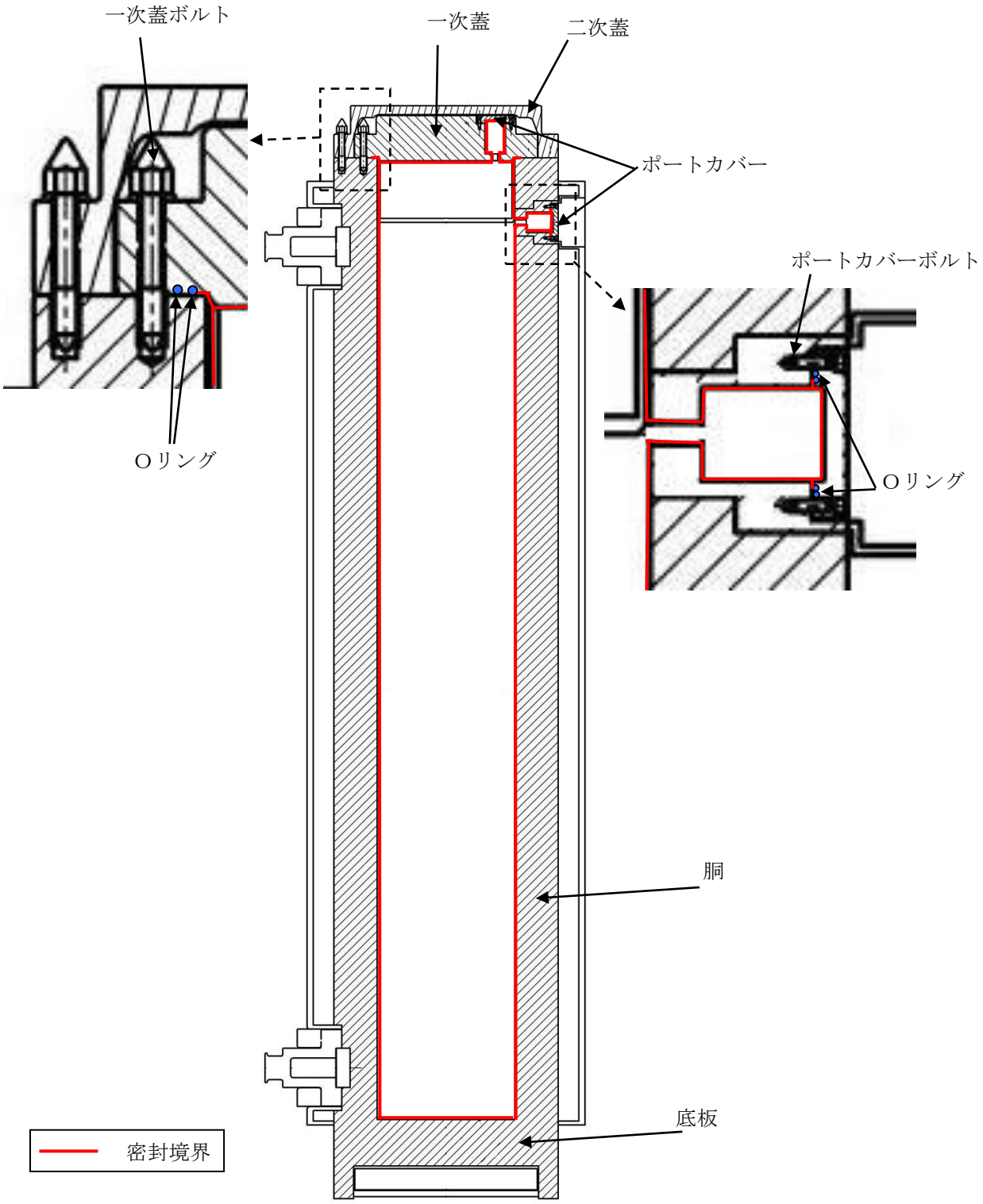



図 1-5-1　一次蓋で構成する容器密封境界

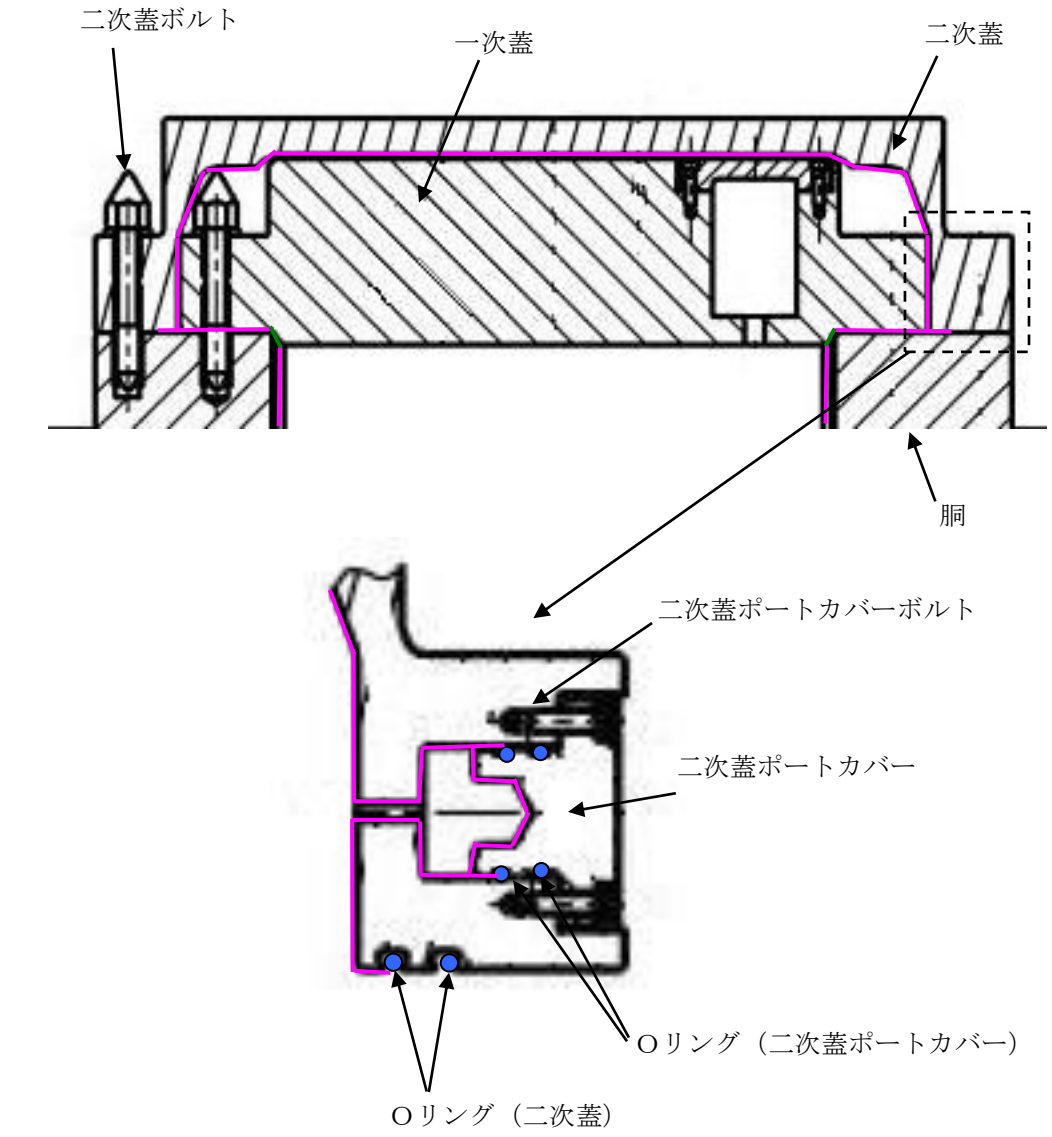



図 1-5-2　二次蓋で構成する密封境界

## 1.6. 遮へい機能

### 1.6.1. 基本的な考え方

収納した使用済燃料から発生する放射線を遮へいするための構内用輸送容器の遮へい設計の基本的な考え方は以下のとおりである。

- 使用済燃料から発生するガンマ線及び中性子を遮へいするために，構内用輸送容器はガンマ線遮へいと中性子遮へいの機能を有するものとする
- 主要なガンマ線遮へい材は，胴及び底板の低合金鋼，外筒の炭素鋼，蓋のステンレス鋼とする
- 主要な中性子遮へい材は，内水及び胴と外筒間，底板底部のレジンとする

1.1 に記載のとおり，構内用輸送容器は３号機に新設するクレーン（定格荷重：50ton）で取扱えるよう，収納する燃料を含む総重量を 46.3ton として設計した容器であり，容器の取扱作業に従事する放射線業務従事者の作業環境からの被ばく低減を図るため，収納体数を７体として遮へい厚さを設定している。

遮へい機能の評価においては，収納する使用済燃料の線源強度を考慮し，構内用輸送容器表面及び表面から１ｍにおける線量当量率を評価する。

1.6.2. 評価条件

1) 遮へい厚さ

構内用輸送容器の遮へい厚さを表 1-6-1 に示す。

表 1-6-1　遮へい厚さ

（単位：cm）

| | 低合金鋼・炭素鋼 | ステンレス鋼 | レジン |
|---|---|---|---|
| 側面方向 | 約 25 | － | 約 10 |
| 上部方向 | － | 約 23 | － |
| 下部方向 | 約 28 | － | 約 10 |

2) 線源条件

遮へい評価の線源条件は表 1-1-2 に示す 3 号機使用済燃料プールに保管されている燃料の条件を包絡する条件とする。線源条件を表 1-6-2 に示す。

表 1-6-2　線源条件

| 項目 | 線源条件 |
|---|---|
| 燃料タイプ | 9×9 燃料 |
| 平均燃焼度　(MWd/t) | 52,000 |
| 冷却期間　(日) | 1716 |
| 収納体数　(体) | 7 |

3) 線源強度及びエネルギー

① ガンマ線源強度

燃料有効部のガンマ線源強度の計算は ORIGEN2 コードにより行う。得られたガンマ線源強度を表 1-6-3 に示す。また，構造材の放射化によるガンマ線源強度は次式で計算する。構造材の放射化によるガンマ線源強度を表 1-6-4 に示す。

$$A = N_0 \cdot \sigma \cdot \phi \cdot \{1 - \exp(-\lambda \cdot T_1)\} \cdot \exp(-\lambda \cdot T_2)$$

ここで，A ：放射化核種（$^{60}$Co）の放射能(Bq)

$N_0$ ：ターゲット核種（$^{59}$Co）の個数(atoms)

$\sigma$ ：2200m/s の中性子による（$^{59}$Co）の(n, $\gamma$)反応断面積(cm$^2$)

$\phi$ ：炉内照射熱中性子束(n/(cm$^2$・s))

$\lambda$ ：$^{60}$Co の崩壊定数（/日）

$T_1$ ：照射期間（日）

$T_2$ ：冷却期間（日）

表1-6-3　ガンマ線源強度

（容器１基あたり）

| 光子エネルギー群 | | 集合体7体あたり (ph/s/7体) |
|---|---|---|
| 群 | 代表エネルギー(MeV) | |
| 1 | 1.00E-02 | 5.9E+15 |
| 2 | 2.50E-02 | 1.3E+15 |
| 3 | 3.75E-02 | 1.5E+15 |
| 4 | 5.75E-02 | 1.2E+15 |
| 5 | 8.50E-02 | 7.7E+14 |
| 6 | 1.25E-01 | 8.3E+14 |
| 7 | 2.25E-01 | 6.4E+14 |
| 8 | 3.75E-01 | 3.6E+14 |
| 9 | 5.75E-01 | 1.1E+16 |
| 10 | 8.50E-01 | 3.1E+15 |
| 11 | 1.25E+00 | 5.9E+14 |
| 12 | 1.75E+00 | 1.9E+13 |
| 13 | 2.25E+00 | 6.7E+12 |
| 14 | 2.75E+00 | 2.9E+11 |
| 15 | 3.50E+00 | 3.7E+10 |
| 16 | 5.00E+00 | 1.3E+08 |
| 17 | 7.00E+00 | 1.5E+07 |
| 18 | 9.50E+00 | 1.7E+06 |

表 1-6-4　構造材の放射化によるガンマ線源強度

（容器１基あたり）

| | $^{60}$Co 線源強度(Bq) |
|---|---|
| ハンドル部 | $1.2\times10^{12}$ |
| 上部グリッド部 | $5.2\times10^{12}$ |
| 上部端栓部 | $5.0\times10^{11}$ |
| 下部タイプレート部 | $2.3\times10^{13}$ |

② 中性子線源強度

中性子線源強度の計算は ORIGEN2 コードにより行う。得られた中性子線源強度を表 1-6-5 に示す。また，評価に用いる中性子エネルギースペクトルは Pu-239 の核分裂スペクトルとし，表 1-6-6 に示す。

表 1-6-5　中性子線源強度

（容器１基あたり）

| | | 中性子線源強度(n/s) |
|---|---|---|
| １次中性子源 | 自発核分裂によるもの | $3.0\times10^{9}$ |
| | （α，n）反応によるもの | $3.6\times10^{7}$ |
| 実効増倍率 | | 0.95 |
| 実効増倍効果を考慮した全中性子線源強度 | | $6.0\times10^{10}$ |

表1-6-6　中性子線源スペクトル

| エネルギー群数 | 上限エネルギー（eV） | スペクトル |
|---|---|---|
| 1 | $1.492\times10^{7}$ | $5.72\times10^{-4}$ |
| 2 | $1.220\times10^{7}$ | $2.02\times10^{-3}$ |
| 3 | $1.000\times10^{7}$ | $6.07\times10^{-3}$ |
| 4 | $8.180\times10^{6}$ | $2.00\times10^{-2}$ |
| 5 | $6.360\times10^{6}$ | $4.12\times10^{-2}$ |
| 6 | $4.960\times10^{6}$ | $5.27\times10^{-2}$ |
| 7 | $4.060\times10^{6}$ | $1.10\times10^{-1}$ |
| 8 | $3.010\times10^{6}$ | $8.74\times10^{-2}$ |
| 9 | $2.460\times10^{6}$ | $2.28\times10^{-2}$ |
| 10 | $2.350\times10^{6}$ | $1.15\times10^{-1}$ |
| 11 | $1.830\times10^{6}$ | $2.07\times10^{-1}$ |
| 12 | $1.110\times10^{6}$ | $1.89\times10^{-1}$ |
| 13 | $5.500\times10^{5}$ | $1.31\times10^{-1}$ |
| 14 | $1.110\times10^{5}$ | $1.59\times10^{-2}$ |
| 15 | $3.350\times10^{3}$ | $8.12\times10^{-5}$ |
| 16 | $5.830\times10^{2}$ | $5.89\times10^{-6}$ |
| 17 | $1.010\times10^{2}$ | $3.89\times10^{-7}$ |
| 18 | $2.900\times10^{1}$ | $5.53\times10^{-8}$ |
| 19 | $1.070\times10^{1}$ | $1.33\times10^{-8}$ |
| 20 | $3.060\times10^{0}$ | $1.88\times10^{-9}$ |
| 21 | $1.120\times10^{0}$ | $4.19\times10^{-10}$ |
| 22 | $4.140\times10^{-1}$ | $1.20\times10^{-10}$ |

1.6.3. 評価モデル

遮へい評価のモデルを図 1-6-1～図 1-6-2 に示す。計算モデルは，構内用輸送容器の実形状を模擬して２次元Ｒ－Ｚ体系で評価する。また，トラニオン取付け部は局所的な中性子遮へい体の欠損が生じるため詳細評価を行う。

評価モデルは以下の条件を考慮する。

・ 主要な遮へい体の厚さは製造公差を考慮した寸法とし，遮へい体の密度はノミナル値とする。

1.6.4. 評価方法

遮へい計算は，ガンマ線，中性子共に DOT3.5 コードを用いて計算し，構内用輸送容器表面及び表面から１ｍの線量当量率を求める。

ライブラリとしては，DLC-23/CASK データを用い，線量当量率への変換は ICRP Publ.74 に基づく 1cm 線量当量率への換算係数を用いる。

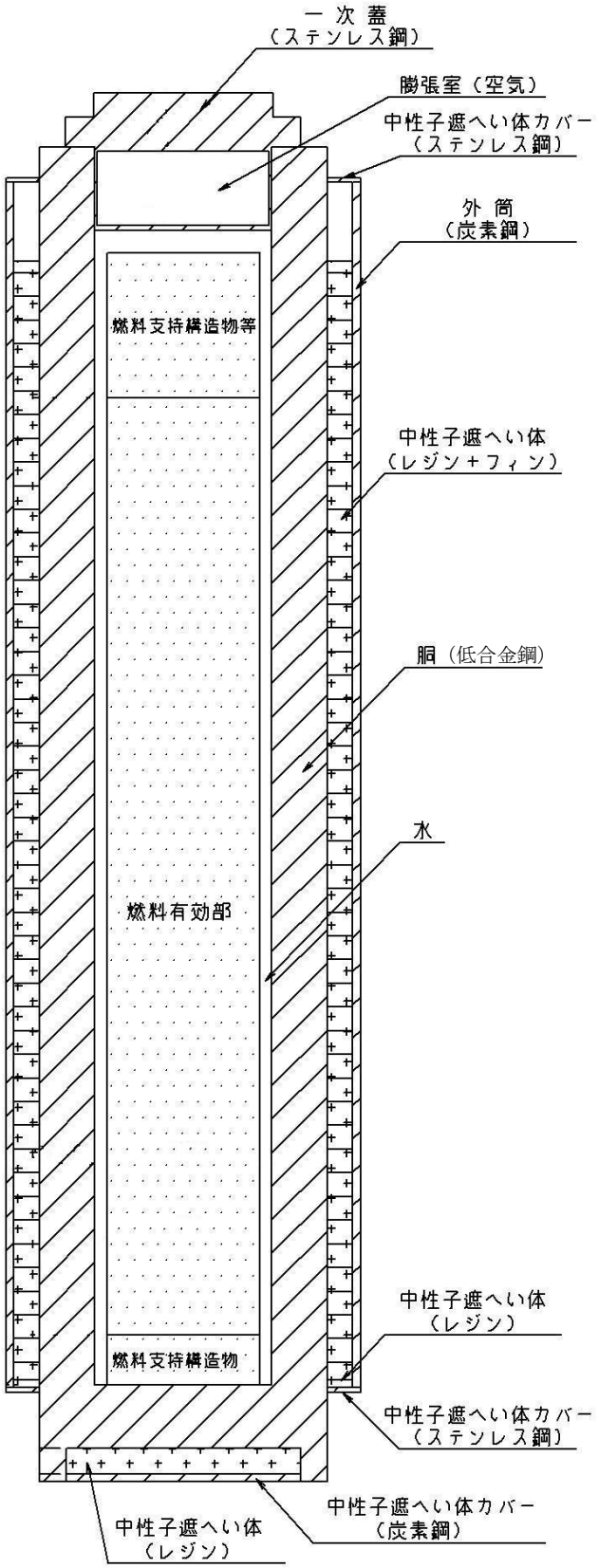



図 1-6-1　遮へい解析モデル（全体　Ｒ－Ｚ体系）

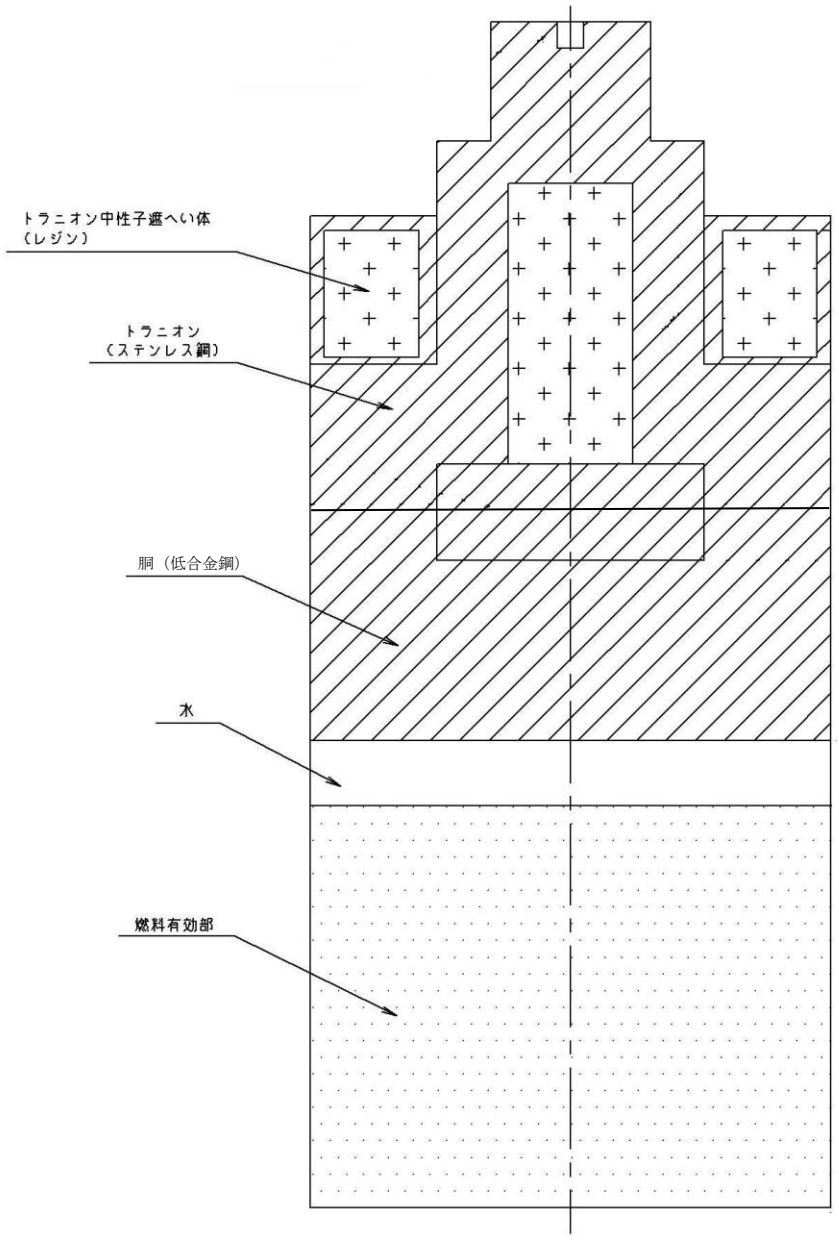



図 1-6-2　遮へい解析モデル（トラニオン部　Ｒ－Ｚ体系）

1.6.5.　評価結果

構内用輸送容器の線量当量率評価位置を図 1-6-3 に，評価結果を表 1-6-7 に示す。評価結果は容器上部，上部中性子遮へい体欠損部，容器側面，下部中性子遮へい体欠損部，容器下部における線量当量率の最大値を示しており，容器表面の線量当量率は容器側面で最大 1.5mSv/h，容器表面から 1m の線量当量率は容器側面で最大 0.34mSv/h となっている。

線量当量率が最大となるのは容器側面であり，容器取扱時には追加遮へい体設置等の放射線業務従事者の被ばく低減対策を講じる計画としている。

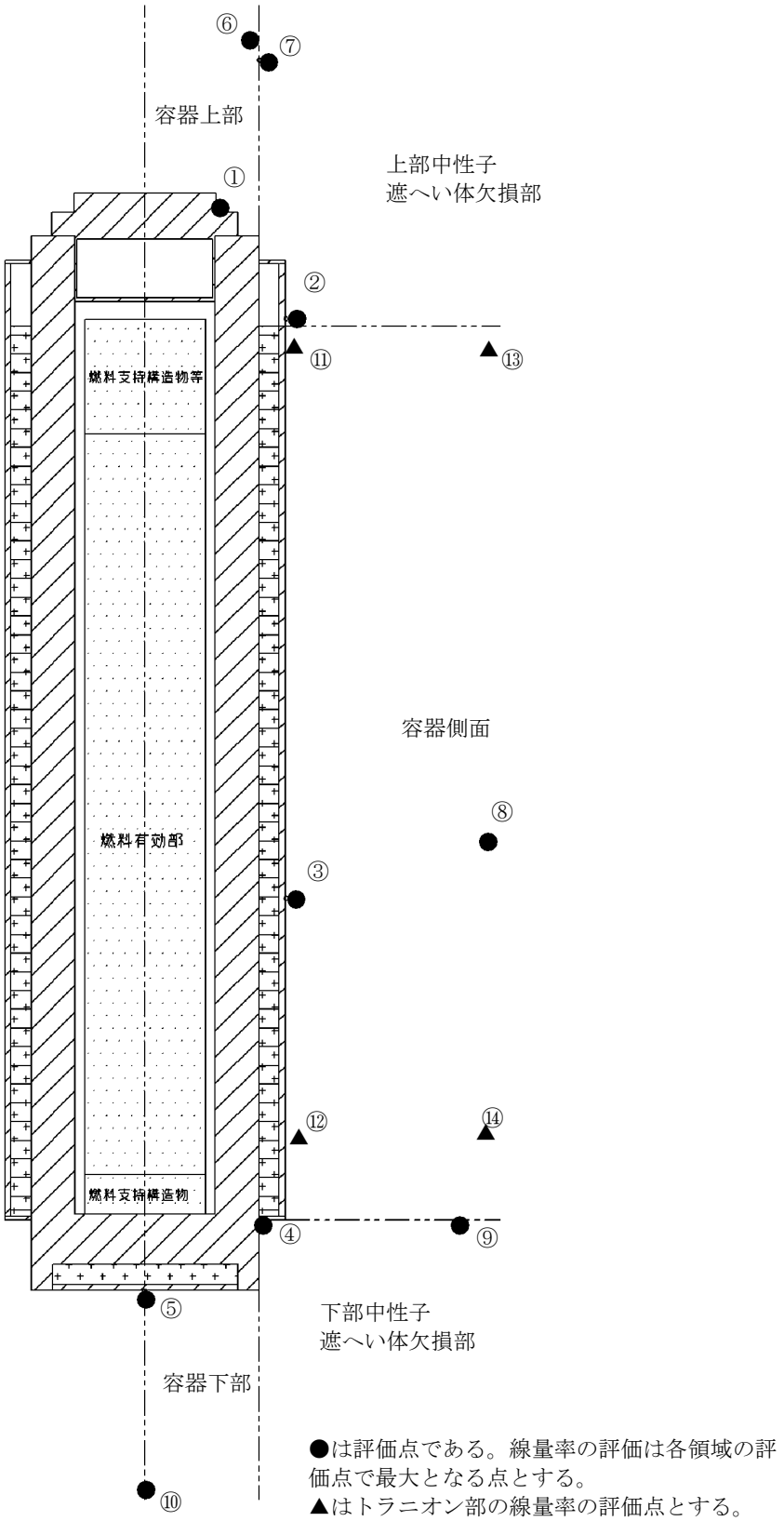



図 1-6-3　線量評価点（容器全体）

表 1-6-7　最大線量当量率の評価結果

（単位：mSv/h）

| | | 容器上部 | 上部中性子遮へい体欠損部 | 容器側面 | 下部中性子遮へい体欠損部 | 容器下部 |
|---|---|---|---|---|---|---|
| 表面 | 評価点 | ① | ② | ③ | ④ | ⑤ |
| | 結果 | 1.4 | 5.1E-2 | 1.5 | 1.1 | 1.7E-1 |
| 表面から１ｍ | 評価点 | ⑥ | ⑦ | ⑧ | ⑨ | ⑩ |
| | 結果 | 4.6E-2 | 5.2E-2 | 3.4E-1 | 1.0E-1 | 2.1E-2 |

（単位：mSv/h）

| | | 上部トラニオン | 下部トラニオン |
|---|---|---|---|
| 表面 | 評価点 | ⑪ | ⑫ |
| | 結果 | 5.4E-2 | 7.5E-1 |
| 表面から１ｍ | 評価点 | ⑬ | ⑭ |
| | 結果 | 6.4E-2 | 1.9E-1 |

参考資料

# 遮へい解析に用いるコード（ORIGEN2）について

## （１） 概要

ORIGEN2 コードは，米国オークリッジ国立研究所（ORNL）で開発された炉内中性子束の１点近似による燃焼計算コードである。ORIGEN2 コードは汎用解析コードであり，輸送容器の放射線源強度計算等に広く利用されている。

## （２） 機能

ORIGEN2 コードは，燃焼解析に際して以下の機能を有している。

① 燃料の炉内での燃焼計算，炉取出し後の減衰計算により，冷却期間に対応した崩壊熱，放射線の強度，各核種の放射能量等が求められる。

② 原子炉の炉型と燃料の組合せに対し，中性子エネルギースペクトルの違いにより重みをつけた断面積ライブラリが内蔵されており，任意に選択できる。

③ 計算結果は，放射化生成物，アクチニド，核分裂生成物に分類して出力される。

④ 燃焼計算に必要な放射性核種データ（崩壊熱，ガンマ線のエネルギー分布，自発核分裂と（α，ｎ）反応により発生する中性子線源強度等）に関しては，ORIGEN2 コード専用のライブラリがあり，これを用いる。

## （３） 計算フロー

ORIGEN2 コードの計算フローを図 1-6-4 に示す。

## （４） 使用実績

ORIGEN2 コードは,輸送容器,核燃料施設の放射線源強度計算に広く使用されている[*1]。

## （５） 検証方法

汎用コードの導入評価[*1] が実施されていることが確認されている。

大型実験/ベンチマーク試験による検証[*2] が実施されていることが確認されている。

*1 ORNL,“ORIGEN2 Isotope Generation and Depletion Code MATRIX EXPONENTIAL METHOD”,CCC-371

*2 (社)日本原子力学会“原子炉崩壊熱とその推奨値”, 1989 年 8 月

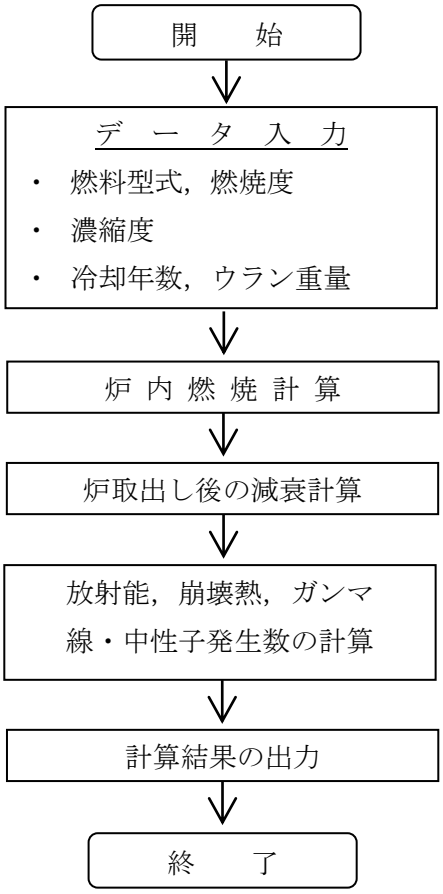



図 1-6-4　ORIGEN2 コードの計算フロー図

# 遮へい解析に用いるコード（DOT3.5 コード）について

## （１）概要

DOT3.5 コード（以下「DOT コード」という。）は二次元輸送コードであり，米国オークリッジ国立研究所（ORNL）で開発された汎用解析コードである。

## （２）機能

DOT コードは，遮へい解析に際して以下の機能を有する。

① ガンマ線や中性子に対するボルツマン輸送方程式を解くことによる数値解析法であり，放射線の挙動を追跡するのに重要な非等方性が表現できる。

② DOT コードは，二次元の体系を扱うことができる。

## （３）解析フロー

DOT コードの解析フローを図 1-6-5 に示す。

## （４）使用実績

DOT コードは，原子力施設の遮へい計算に広く用いられており，輸送容器の遮へい解析に豊富な実績がある。

## （５）検証

汎用コードの導入評価[*1]が実施されていることが確認されている。

大型実験/ベンチマーク試験による検証[*2]が実施されていることが確認されている。

*1 W. A. Rhoades, “DOT3.5 TWO DIMENSIONAL DISCRETE ORDINATES RADIATION TRANSPORT CODE”, CCC-276,1978 年 10 月

*2 (社)日本原子力学会“中性子遮蔽設計ハンドブック”, 1993 年 4 月

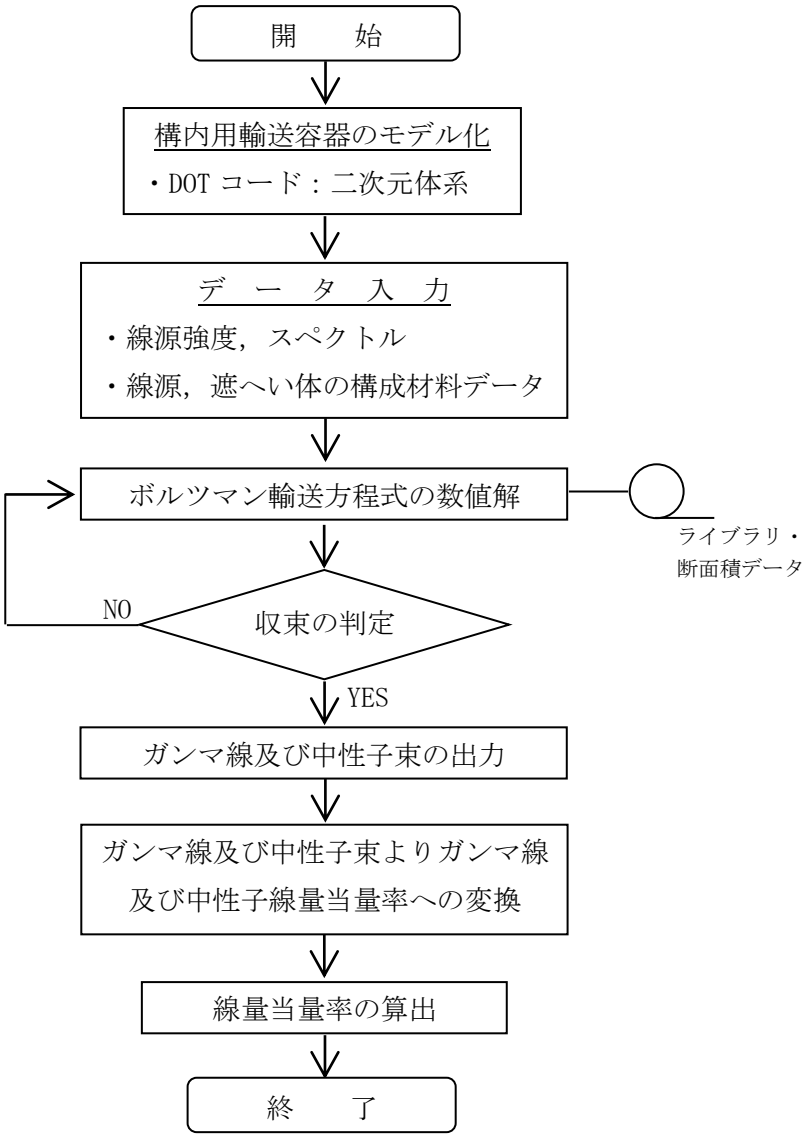



図 1-6-5　DOT コードの解析フロー図

1.7.　臨界防止機能

1.7.1. 基本的な考え方

臨界防止にあたっては,想定されるいかなる場合にも燃料が臨界に達することを防止するため以下のとおり設計する。

- 燃料を収納するバスケットは格子構造として，燃料を所定の幾何学的配置に維持する設計とする。
- バスケットの主要材料には，中性子を吸収するボロン添加ステンレス鋼を使用し，バスケット外周部にボロン添加アルミニウム合金板を配置する。

1.7.2.　設計基準

想定されるいかなる場合も実効増倍率が 0.95 以下であること。

1.7.3.　評価条件

1)燃料条件，評価モデル

以下の保守的な燃料条件で評価を行うものとする。臨界評価モデルを図 1-7-1 に示す。

・燃料タイプは表 1-1-2 に示す燃料条件を包絡する条件として，最も U-235 の濃縮度の高い９×９燃料とする
・U-235 の濃縮度は未照射のまま減損しない値とし，９×９燃料の集合体平均値 3.9wt%とする。
・燃料には可燃性毒物として Gd を添加した燃料が含まれるが，中性子吸収断面積の大きい Gd を無視する。
・燃料の変形を考慮して使用済燃料収納缶（小）内で燃料棒が最適な状態に広がった配列とする。
・燃料を装填した使用済燃料収納缶(小)がバスケット内で最適に偏心した状態とする。
・バスケット材料のボロン添加ステンレス鋼材中及びバスケット外周に配置したボロン添加アルミニウム合金の $^{10}$B 含有量は，製造下限値とする。
・評価に使用する各部の寸法は製造公差を考慮した寸法とする。
・チャンネルボックス及びウォーターロッドは水に置換える。
・中性子遮へい体部（レジン）は真空とする。
・構内用輸送容器外部の雰囲気は安全側に真空，完全反射とする。
・評価モデルは２次元体系とする。

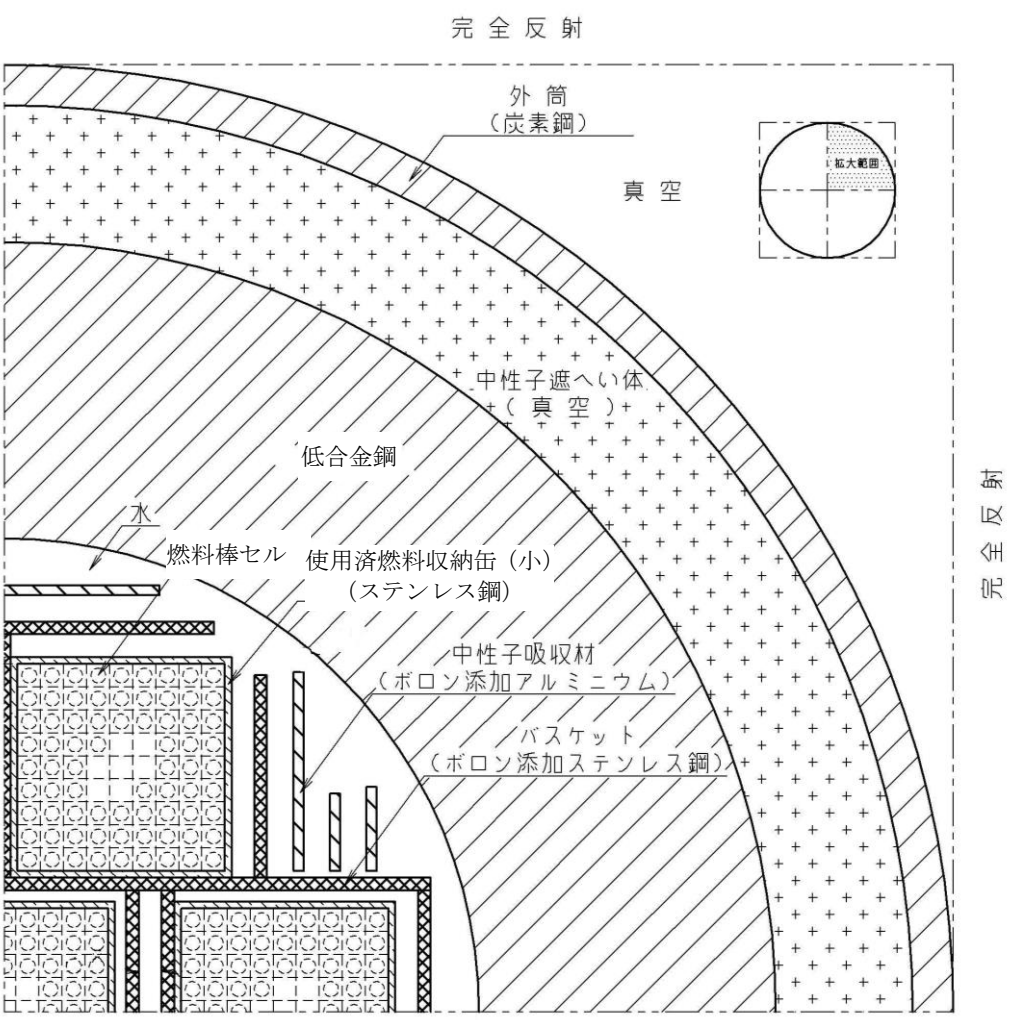

完全反射
外筒
（炭素鋼）
真空
拡大範囲
中性子遮へい体
（真空）
低合金鋼
水
燃料棒セル
使用済燃料収納缶（小）
（ステンレス鋼）
中性子吸収材
（ボロン添加アルミニウム）
バスケット
（ボロン添加ステンレス鋼）
完全反射

図 1-7-1 臨界評価体系

1.7.4.　評価方法

構内用輸送容器の実形状をモデル化し，臨界解析コード KENO-Ⅴ.a を使用して求める。

1.7.5.　評価結果

評価結果を表 1-7-1 に示す。表 1-7-1 に示すとおり，構内用輸送容器の実効増倍率は設計基準を満足している。

表 1-7-1 評価結果

| 実効増倍率*1 | 設計基準 |
|---|---|
| 0.77 | 0.95 |

*1 モンテカルロ計算の統計誤差（3σ）を考慮した値

参考資料

# 臨界解析に用いるコード（KENO-Ⅴ.a）について

## （１） 概要

KENO-Ⅴ.a コードは，米国オークリッジ国立研究所（ORNL）で開発されたモンテカルロ法に基づく公開の臨界解析コードであり，輸送容器の臨界解析などに利用されている。

## （２） 機能

KENO-Ⅴ.a コードは，臨界解析に際して以下の機能を有している。

① 実際に中性子が出会う物理現象を確率理論を用いて模擬するため，どのような物理的問題にも適用できる。なお，統計的な手法を用いるため，計算結果には統計誤差が付随する。

② 一次元～三次元の任意形状の体系を扱うことができる。

## （３） 解析フロー

KENO-Ⅴ.a コードの解析フローを図 1-7-2 に示す。

## （４） 使用実績

KENO-Ⅴ.a コードは，国内外で輸送容器の臨界解析をはじめ，核燃料施設の臨界解析に使用されている。

## （５） 検証

米国のバッテル研究所（パシフィック　ノースウエスト研究所，PNL）で行われた臨界実験*1 の中から 16 種類の臨界体系をベンチマーク試験*2 として選び，検証を行った。

*1 S. R. Bierman and E. D. Clayton, “Criticality Experiments with Subcritical Clusters of 2.35 Wt% and 4.31 Wt% $^{235}U$ Enriched $UO_2$ Rods in Water with Steel Reflecting Walls”, NUREG/CR-1784(PNL-3602), U.S. Nuclear Regulatory Commission, April 1981.

*2 “International Handbook of Evaluated Criticality Safety Benchmark Experiments”, LEU-COMP-THERM-010, LEU-COMP-THERM-013, LEU-COMP-THERM-017, LEU-COMP-THERM-042, NEA/NSC/DOC(95)03, September 2009.

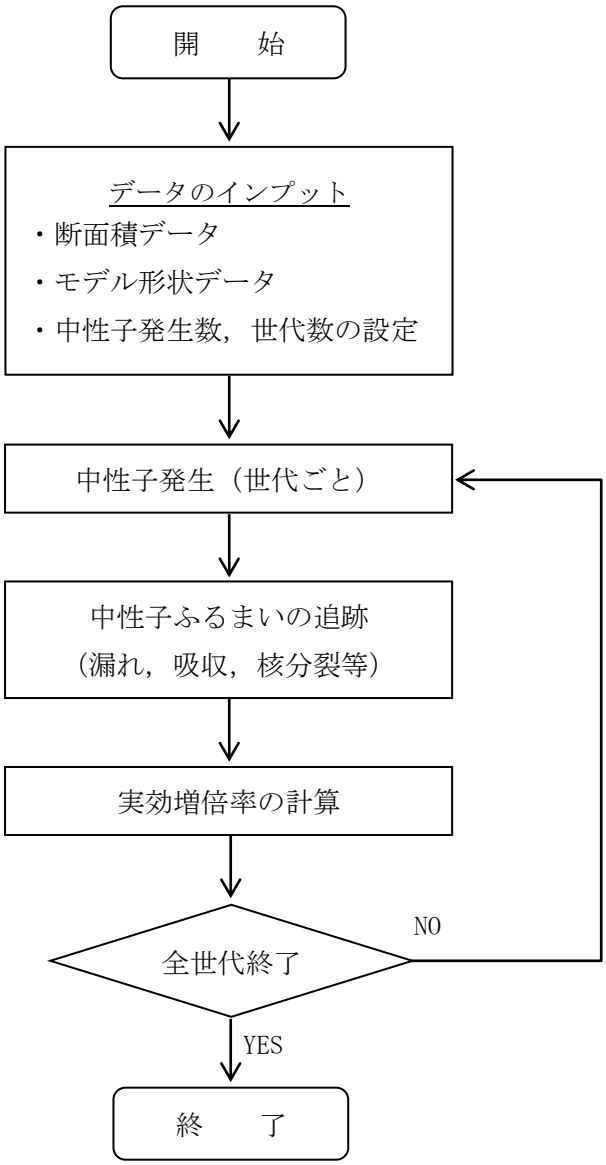



図 1-7-2　KENO-Ⅴ.a コードの解析フロー図

## 1.8.　構内用輸送容器の落下

### 1.8.1.　原因

構内用輸送容器の取扱い中に，何らかの原因で構内用輸送容器が落下して密封境界が破損し，放射性物質が環境に放出される。

### 1.8.2.　発生防止対策

構内用輸送容器の落下を防止するために，次のような設計及び手順の対策を講じる。

（１）クレーン主巻フックは二重のワイヤーロープで保持する構造とする。

（２）クレーン巻上装置は電源断時に電動油圧押上機ブレーキで保持する構造とする。

（３）クレーン主巻フックと吊具，吊具と構内用輸送容器の取付けを二重化する。

（４）取付け作業後の取付け状態を ITV にて確認し，外れ止めを取り付ける。

（５）作業開始前にクレーン及び吊具の事前点検を実施する。

（６）作業手順書を整備し，作業員への教育訓練を行う。

### 1.8.3.　核分裂生成物の放出量及び線量の評価

#### 1.8.3.1.　核分裂生成物の放出量

(1)　破損燃料棒の評価

破損する燃料棒の本数の評価は，次の仮定に基づいて行う。

a. 構内用輸送容器の取り扱い作業に際し，構内用輸送容器が落下して，構内用輸送容器に収納された燃料集合体が破損するものと仮定する。

b. 落下による燃料集合体の破損体数は，構内用輸送容器の収納体数 7 体とする。

(2)　評価条件

核分裂生成物の移行と放出量の評価は，次の仮定に基づいて行う。

a. 燃料ギャップ内の核分裂生成物の量は，表 1-1-2 の燃料条件を包絡する条件として燃焼度 52,000MWd/t の 9×9 燃料集合体について行う。

b. 燃料集合体の冷却期間は表 1-1-2 の燃料条件を包絡する条件として 1716 日とする。

c. 破損した燃料棒のギャップ内核分裂生成物の全量が構内用輸送容器内に放出されるものとする。破損した燃料棒のギャップ内核分裂生成物の存在量については，半減期の長い核種の放出が支配的であることを考えて，破損した燃料棒内の全蓄積量に対して希ガス(Kr-85)及びよう素（I-129）それぞれ 30%とする。

d. 放出された希ガスは，全量が構内用輸送容器から大気中へ移行するものとする。

e. 放出されたよう素は，全量が構内用輸送容器から大気中へ移行するものとし，構内用輸送容器に内包する水による除去は無いものとする。

(3)　評価結果

上記の評価条件に基づいて計算した核分裂生成物の大気中への放出量は表 1-8-1 の通りである。

表 1-8-1　核分裂生成物の大気中への放出量

| 核分裂生成物 | 放出量 |
|---|---|
| 希ガス | 約 $1.3\times10^{14}$Bq |
| よう素 | 約 $6.6\times10^{8}$Bq |

1.8.3.2.　線量当量の評価

(1)　評価の前提

大気中へ放出される核分裂生成物は，地上放出されるものとし，これによる実効線量の計算は，次の仮定に基づいて行う。

a. 敷地境界外の地表空気中濃度は，設置許可申請書添付書類六の「5.5　安全解析に使用する気象条件」に記述される相対濃度に核分裂生成物の全放出量を乗じて求める。

なお，相対濃度（$\chi$／Q）は保守的な評価となる設置許可申請書記載の４号機の主蒸気管破断（地上放出）の値 $3.4\times10^{-5}$s/m$^3$ を適用する。

b. 敷地境界外の希ガスによるγ線空気吸収線量は，設置許可申請書添付書類六の「5.5 安全解析に使用する気象条件」に記述される相対線量に希ガスの全放出量を乗じて求める。

なお，相対線量（D／Q）は保守的な評価となる設置許可申請書記載の４号機の主蒸気管破断（地上放出）の値 $3.4\times10^{-19}$Gy/Bq を適用する。

(2)　評価方法

敷地境界外における実効線量は，次に述べる内部被ばくによる実効線量及び外部被ばくによる実効線量の和として計算する。

よう素の内部被ばくによる実効線量$H_I$（Sv）は，(1)式で計算する。

$$H_I = R \cdot H \cdot \chi / Q \cdot Q_I \quad \cdots\cdots\cdots\cdots\cdots\cdots\cdots\cdots \quad (1)$$

ここで，

R　：呼吸率（m$^3$/s）「発電用軽水型原子炉施設の安全評価に関する審査指針」の活動中の呼吸率を秒当たりに換算して用いる。
（小児：0.31m$^3$/h，成人：1.2m$^3$/h）

H　：よう素(Ｉ-129)を 1Bq 吸入した場合の実効線量は ICRP Publ.72 の値を用いる。
（小児：$2.0\times10^{-7}$Sv/Bq，成人：$9.6\times10^{-8}$Sv/Bq）

$\chi$／Q　：相対濃度（s/m$^3$）

$Q_I$　：よう素の大気放出量（Bq）

希ガスのγ線外部被ばくによる実効線量$H_\gamma$（Sv）は，(2)式で計算する。

$$H_\gamma = K \cdot D/Q \cdot Q_K \cdot E_\gamma / 0.5 \cdots\cdots (2)$$

ここで，

K　　：空気吸収線量から実効線量への換算係数（1Sv/Gy）

D／Q　　：相対線量（Gy/Bq）

$Q_K$　　：希ガスの大気放出量（Bq）

$E_\gamma$　　：γ線実効エネルギー「被ばく計算に用いる放射線エネルギー等について」を用いる。(0.0022MeV)

また，希ガスのβ線外部被ばくによる実効線量$H_\beta$（Sv）は，(3)式で計算する。

$$H_\beta = 6.2\times10^{-14} \cdot \chi/Q \cdot Q_K \cdot E_\beta \cdot W_{TS} \cdots\cdots (3)$$

ここで，

$\chi$／Q　　：相対濃度（$s/m^3$）

$Q_K$　　：希ガスの大気放出量（Bq）

$E_\beta$　　：β線実効エネルギー「被ばく計算に用いる放射線エネルギー等について」を用いる。(0.251MeV)

$W_{TS}$　　：皮膚の組織荷重係数はICRP Publ.60の値を用いる。(0.01)

(3)　評価結果

上記の評価前提及び方法に基づき敷地境界外の実効線量を評価した結果は表 1-8-2 の通りである。

表 1-8-2　構内用輸送容器の落下時の実効線量

| | 小児 | 成人 |
|---|---|---|
| よう素のγ線による実効線量 | 約 $3.9\times10^{-4}$mSv | 約 $7.1\times10^{-4}$mSv |
| 希ガスのγ線による実効線量 | 約 $1.9\times10^{-4}$mSv | 約 $1.9\times10^{-4}$mSv |
| 希ガスのβ線による実効線量 | 約 $6.7\times10^{-4}$mSv | 約 $6.7\times10^{-4}$mSv |
| 実効線量（合計） | 約 $1.3\times10^{-3}$mSv | 約 $1.6\times10^{-3}$mSv |

上記の値から判断して，本事象による周辺の公衆に与える放射線被ばくのリスクは十分に小さいものと考えられる。

2.　別添

別添－１　３号機構内用輸送容器に係る確認事項について

別添－２　３号機構内用輸送容器の保守について

# ３号機　構内用輸送容器に係る確認事項について

３号機　構内用輸送容器の設置工事および溶接に係る主要な確認項目を表－1～表－2 に示す。

表－1　安全機能及び構造強度に関する確認事項

| 確認事項 | 確認項目 | | 確認内容 | 判定基準 |
|---|---|---|---|---|
| 構造強度 | 材料確認 | | 実施計画に記載されている主な材料について確認する。 | 実施計画のとおりであること。 |
| | 強度・漏えい確認 | 耐圧・漏えい確認 | 確認圧力で保持した後，確認圧力に耐えていることを確認する。<br>耐圧確認終了後，耐圧部分からの漏えいの有無を確認する。 | 確認圧力に耐え，かつ構造物の変形等がないこと。<br>また，耐圧部から著しい漏えいがないこと。 |
| 構造強度<br>遮へい機能 | 構造確認 | 寸法確認 | 実施計画に記載されている主要寸法を確認する。 | 寸法が許容範囲内であること。 |
| | | 外観確認 | 各部の外観を確認する。 | 有意な欠陥がないこと。 |
| 除熱機能 | 機能確認 | 伝熱確認 | 代表１基について容器内部に使用済燃料を模擬するヒータを挿入して発熱させ，温度を確認する。 | 周囲温度を補正した容器各部の温度が最高使用温度を超えないこと。 |
| 密封機能 | 機能確認 | 取合確認 | 密封境界を構成する蓋等が容器と取合い密封境界の構成に問題が無いことを確認する。 | 密封境界を構成する蓋等が容器と取合うこと。 |
| 臨界防止機能 | 機能確認 | 材料確認<br>寸法確認<br>外観確認 | バスケットの材料及び主要寸法が，実施計画評価の前提条件となっている値を満足していることを確認し，バスケットの外観に異常のないことを確認する。 | ・材料が実施計画どおりであり，寸法が許容範囲内であること。<br>・有意な変形，破損等の異常がないこと。 |

表－2　溶接部に関する確認事項

| 確認項目 | 確認内容 | 判定基準 |
|---|---|---|
| 材料確認 | 使用材料を材料証明書により確認する。 | 実施計画に記載の材料が使用されていること。 |
| 開先確認 | 開先面の溶接に悪影響を及ぼす欠陥，付着物の有無を確認する。 | 開先面の溶接に悪影響を及ぼす傷，欠陥，付着物がないこと。 |
| | 開先形状，寸法について確認する。 | 開先形状，寸法が溶接規格に適合していること。 |
| 溶接作業確認 | 溶接施工法が，溶接規格第２部に定める溶接施工法認証標準に基づく確認試験を実施し合格したものであることを確認する。 | 溶接施工法が，溶接規格第２部に定める溶接施工法認証標準に基づく確認試験を実施し合格したものであること。 |
| | 溶接士は，実機作業が可能となる資格を有し，同資格が有効期限内であることを確認する。 | 溶接士は，実機作業が可能となる資格を有し，同資格が有効期限内であること。 |
| | 溶接設備が溶接施工法に適したものであることを確認する。 | 溶接設備が溶接施工法に適したものであること。 |
| | 溶接が，あらかじめ決められた溶接施工法によって，溶接士が保有する資格の作業範囲内で行われていることを確認する。 | 溶接が，あらかじめ決められた溶接施工法で行われていること。<br>溶接士が保有する資格の作業範囲内で行われていること。 |
| 溶接後熱処理確認 | 溶接後熱処理の方法，熱処理設備の種類及び容量が溶接規格に適合するものであることを確認する。 | 溶接後熱処理の方法，熱処理設備の種類及び容量が溶接規格に適合するものであること。 |
| 非破壊確認 | 放射線透過試験または浸透探傷試験を実施し，溶接規格に規定する判定基準に適合することを確認する。 | 放射線透過試験または浸透探傷試験を実施し，溶接規格に規定する判定基準に適合すること。 |
| 機械確認 | 機械試験を実施し，溶接規格に規定する判定基準に適合することを確認する。 | 機械試験を実施し，溶接規格に規定する判定基準に適合すること。 |
| 耐圧確認 | 溶接規格に規定する試験圧力で，一定時間以上保持した後，試験圧力に耐え，かつ，漏えいのないことを確認する。 | 目視により各溶接部を検査し，漏えいのないこと。 |
| 外観確認 | 溶接部の形状，外観及び状態について溶接規格に適合することを目視で確認する。 | 目視により溶接部の仕上がり形状を確認し，溶接規格に適合していること。 |

# ３号機構内用輸送容器の保守について

３号機構内用輸送容器は，本文 2.11.1.4 供用期間中に確認する項目に記載のとおり，「除熱，密封，遮へい，臨界防止の安全機能が維持されていること」を供用期間中，確認する。

輸送容器は，共用プールにおいて，輸送毎に以下の検査を実施する。なお，合格基準は，表－3 に示す。また，検査の結果，必要に応じて消耗品の交換，補修を実施する。

（１）外観検査
輸送容器の外表面を目視で確認する。
（２）気密漏えい検査
輸送容器密封部の圧力降下を測定し，漏えい率を算出する。
（３）遮へい検査
収納物を収納した状態で，輸送容器表面の線量当量率を測定する。
（４）未臨界検査
輸送容器内に収納されたバスケットの外観を目視で確認する。
（５）吊上検査
輸送容器を吊り上げた後の状態において，上部トラニオン部の外観を目視で確認する。
（６）作動確認検査
バルブの開閉を行い，作動性を確認する。
（７）熱検査
収納物を収納した状態で，輸送容器表面の温度を測定する。

表－3　検査項目，検査方法及び合格基準

| 検査項目 | 検査方法 | 合格基準 |
|---|---|---|
| 外観検査 | 輸送容器の外表面を目視で確認する。 | 輸送容器の形状に異常な傷又は割れがないこと。 |
| 気密漏えい検査 | 輸送容器密封部に0.9MPaG以上の圧力を加え，圧力降下を測定し，漏えい率を算出する。 | 一次蓋，二次蓋及びポートカバーの各部の漏えい率が $9\times10^{-1}$ ref $cm^3/s$ を超えないこと。 |
| 遮へい検査 | 収納物を収納した状態で，輸送容器表面の線量当量率を測定する。 | 実施計画記載の評価値を超えないこと。 |
| 未臨界検査 | 輸送容器内に収納されたバスケットの外観を目視で確認する。 | バスケットに異常な変形又は破損がないこと。 |
| 吊上検査 | 輸送容器を吊り上げた後の状態において，上部トラニオン部の外観を目視で確認する。 | トラニオン部など吊上部等に異常な変形又は破損がないこと。 |
| 作動確認検査 | バルブの開閉を行い，作動性を確認する。 | 作動性に異常のないこと。 |
| 熱検査 | 収納物を収納した状態で，輸送容器表面の温度を測定する。 | 実施計画記載の評価値を超えないこと。 |

# 構内用輸送容器に係る安全機能及び構造強度に関する説明書（４号機）

## 1.　構内用輸送容器の概要

構内用輸送容器は，福島第一原子力発電所第４号機使用済燃料プールに貯蔵されている使用済燃料及び新燃料（以下「燃料」という。）を共用プールへ構内輸送する際に使用する。

構内用輸送容器は，福島第一原子力発電所で使用済燃料運搬用容器として設置され，これまで第１号機から第２号機の使用済燃料を共用プールへ構内輸送する際に使用している使用済燃料輸送容器（NFT-12B 型）を用いる。

使用済燃料輸送容器（NFT-12B 型）は，使用済燃料を再処理工場へ輸送するために設計された容器であり，容器の安全機能は核燃料輸送物設計承認書により確認されている。

本構内用輸送容器は，震災前の原子炉運転中に被覆管から放射性物質の漏えいのあった燃料（以下「漏えい燃料」という。）（２体），及び震災前の取り扱い中にハンドル及びチャンネルボックスが変形した燃料（以下「変形燃料」という。）（１体）を輸送する。これらの燃料を輸送するにあたって既存の核燃料輸送物設計承認書の条件に該当しない事項については，新たに評価を行う。

また，構内用輸送容器は上記漏えい燃料，変形燃料以外の健全と確認された燃料についても合わせて輸送する。

なお，本構内用輸送容器は，核燃料輸送物としての設計承認及び容器承認を取得しており，容器の仕様を長期にわたって保証できる保守条件を定め（核燃料輸送物設計変更承認申請書別紙ニ章　輸送容器の保守及び核燃料物質の取扱方法，平成２４年１月承認），定期点検※を実施している。

※定期点検については，平成２６年６月に実施し異常の無いことを確認している。

## 1.1.　構内用輸送容器の構成

構内用輸送容器は，容器本体，蓋，バスケット及びトラニオンにより構成される。なお，構外輸送においては容器本体の前後に緩衝体を装着するが，構内輸送においては，作業時間を短縮して放射線業務従事者の放射線被ばくを可能な限り低減するために，緩衝体を装着しない運用とする。

構内輸送においては，従来と同様に輸送車両への構内用輸送容器の固縛，輸送車両の徐行等の措置を講じて，輸送車両からの構内用輸送容器の落下防止を図る。

1.2.　設備仕様

1.2.1.　構内用輸送容器の仕様

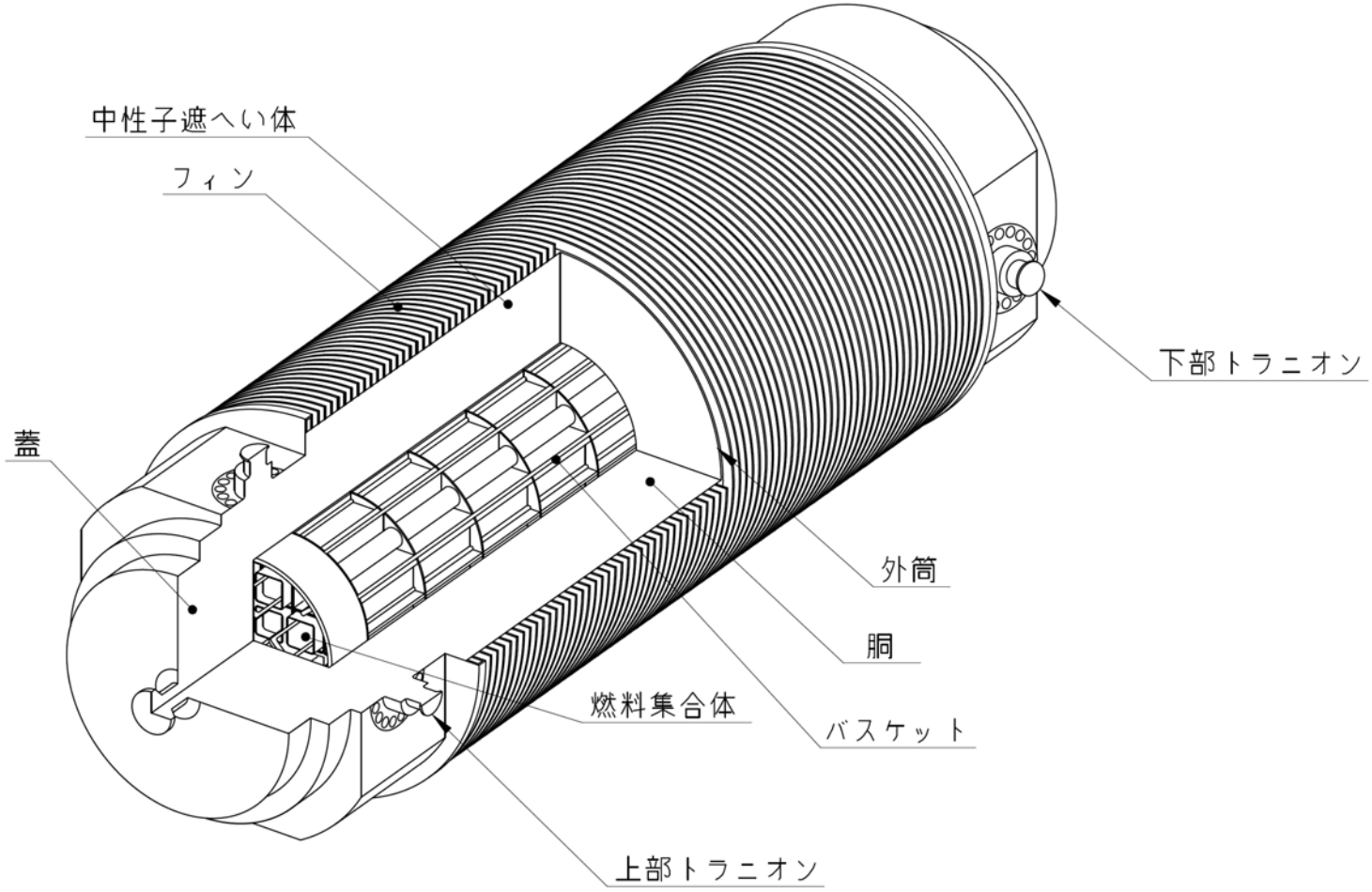
構内用輸送容器の仕様を表－１に，鳥瞰図を図－１に示す。

表－１　構内用輸送容器の仕様

| 項　　目 | 数　値　等 |
|---|---|
| 重量（ｔ）<br>(燃料を含む) | 約 68 |
| 全長（m） | 約 5.5 |
| 外径（m） | 約 1.8 |
| 収納体数（体） | 12 以下 |
| 基数（基） | 2 |

1.2.2.　燃料仕様

構内用輸送容器の収納可能な燃料の仕様は，核燃料輸送物設計承認書に示されている。




図－１　　構内用輸送容器全体図（鳥瞰図）

2.　評価の基本方針

2.1.　設計方針

2.1.1.　基本的安全機能

構内用輸送容器は，これまで同発電所における使用済燃料の構内輸送に使用していた使用済燃料輸送容器（NFT-12B 型）であり，本文 2.11.1.3 項の設計方針に示される除熱，密封，遮へい及び臨界防止の安全機能を有するとともに，本文 2.11.1.8 項の構造強度及び耐震性に示される構造強度を有する設計であることを確認する。

2.1.2.　構内用輸送容器の安全機能について

使用済燃料輸送容器（NFT-12B 型）の安全機能は，以下の書類にて評価されている。既存評価は緩衝体を装着した状態を評価しているが，構内輸送では緩衝体を装着しない運用とすることから，既存評価を引用可能な項目は引用し，新規評価が必要な項目は新規評価を実施することとする。

・核燃料輸送物設計変更承認申請書（NFT-12B 型）
（平成 22 年 10 月 28 日申請，原燃輸送株式会社）
・核燃料輸送物設計変更承認申請書の一部補正について（NFT-12B 型）
（平成 24 年 1 月 13 日申請，原燃輸送株式会社）

なお，構内用輸送容器は同発電所で使用済燃料運搬用容器として設置され，以下の書類において安全機能は評価されている。しかし，４号機使用済燃料プールに貯蔵されている 9×9 燃料の輸送については評価していないことから，既存評価として引用しない。

・福島第一原子力発電所 第 1 号機使用済燃料輸送容器（第 1～第 6 号機共用）工事計画認可申請書本文及び添付書類(平成 19 年 2 月 21 日申請，東京電力株式会社)

2.2.　安全設計・評価方針

表－２に評価すべき各安全機能に関する既存評価内容と構内用輸送容器での安全設計・評価の方針を示す。

なお，４号機の使用済燃料プールに貯蔵されている燃料については，平均燃焼度が既存評価に用いた平均燃焼度を僅かに上回るものがある。４号機の使用済燃料プールに貯蔵中の燃料の種類ごとの性状と既存評価に用いられた燃料仕様を比較し，４号機の燃料は冷却期間が十分に長いため崩壊熱量及び放射能強度が既存評価を超えることはなく，既存評価に包絡されていることを確認している。

また，４号機の使用済燃料プールに貯蔵されている燃料には，漏えい燃料及び変形燃料がある。

構内用輸送容器には健全燃料のみを収納する場合と，健全燃料と漏えい燃料及び変形燃料を同時に収納する場合があり，変形燃料については，通常の燃料輸送時に用いる大口格子に設置されている燃料収納スペーサを抜き取り，大口格子にスツールと共に収納する。燃料を混載する場合には，必要に応じ新規評価を実施することとする。

3. 構内用輸送容器に収納する燃料

構内用輸送容器に収納する燃料は，漏えい燃料（２体），変形燃料（１体），及び健全と確認された燃料である。なお，燃料の健全性の確認方法等については，「添付資料１－３　燃料の健全性確認及び取り扱いに関する説明書」に記載している。

3.1. 漏えい燃料（２体）

漏えい燃料は，原子炉停止後シッピング検査により漏えいが確認された燃料である*1。２体とも震災前に使用済燃料プールにおいて超音波装置を用いて漏えい燃料棒が特定されている。ファイバースコープ装置による漏えい燃料棒の観察の結果，漏えい燃料棒の漏えい孔及び被覆管の亀裂は２体とも確認されていないが，水素化による被覆管の膨れが一部に確認されており，また２体のうち１体は漏えいの原因と推定される金属らしき異物が確認されている。

3.2. 変形燃料（１体）

変形燃料は，過去の震災前の取り扱いによりチャンネルボックス及びハンドルが変形した燃料である*2。事象発生当時に当該燃料についてシッピングを実施した結果，放射性物質の漏えいは確認されていない。そのため，当該燃料の燃料被覆管の密封性能は維持されているものと考えられる。また，2013 年 12 月に当該燃料について吊上げチャンネルボックスの曲がり状況を確認し，チャンネルボックスの曲がりを考慮した最大寸法は測定誤差を加味し 156mm であることを確認している*3。

*1 報告書番号 2006-東京-M006，2007-東京-M015（ニューシア（原子力施設情報公開ライブラリー））

*2 報告書番号 1982-東京-T003（ニューシア（原子力施設情報公開ライブラリー））

*3 福島第一原子力発電所４号機使用済燃料プール内の変形が確認されている燃料集合体の調査結果について（平成２６年１月３０日，東京電力株式会社）

表－２　構内用輸送容器安全評価の基本方針

| 項目 | 設計方針 | 評価対象 | 既存評価を引用 | 新評価実施 | 評価方針 | 備考 |
|---|---|---|---|---|---|---|
| 除熱機能 | 使用済燃料の健全性及び構成部材の健全性が維持できるように，使用済燃料の崩壊熱を適切に除去できる設計とする。 | 燃料被覆管 | ○ | － | 収納する燃料の崩壊熱量が既存評価以下であるため，既存評価を引用して評価を行う。 | 緩衝体がない状態では，緩衝体がある状態と比較して各部の温度は低くなる。 |
| | | 構内用輸送容器 | ○ | － | | |
| 密封機能 | 周辺公衆及び放射線業務従事者に対し，放射線被ばく上の影響を及ぼすことのないよう，使用済燃料が内包する放射性物質を適切に閉じ込める設計とする。 | 構内用輸送容器 | ○ | － | 構造強度及び除熱機能の評価結果から，設計事象において，容器の密封部が健全性を維持することを確認する。 | 構造強度の評価にて密封部の構造健全性を説明する。 |
| 遮へい機能 | 内部に燃料を入れた場合に放射線障害を防止するため，使用済燃料の放射線を適切に遮へいする設計とする。 | 構内用輸送容器 | － | ○ | 線源強度は既存評価に包絡されるが，緩衝体を装着しないため，緩衝体がない状態での遮へい評価を実施する。なお，線源強度は安全側に既存評価の値を用いる。漏えい燃料については，ペレット放出を考慮した評価を実施する。 | |
| 臨界防止機能 | 想定されるいかなる場合にも燃料が臨界に達することを防止できる設計とする。 | 構内用輸送容器 | ○ | ○ | 収納する燃料の初期濃縮度は既存評価以下である。既存評価においては容器配列，バスケット内の燃料配置等最も厳しい状態を想定し評価しており，構内輸送での条件と比較して，十分安全側であることから，既存評価を引用して評価を行う。漏えい燃料については，保守的にペレットが容器内に放出された状態での評価を実施する。変形燃料については，保守的に燃料棒の変形を考慮した状態での評価を実施する。 | |
| 構造強度 | 構内用輸送容器は取り扱い中における衝撃，熱等に耐え，かつ，容易に破損しない設計とする。構内用輸送容器は，設計，材料の選定，製作及び検査について適切と認められる規格及び基準によるものとする。 | 構内用輸送容器 | ○ | － | 容器本体，蓋，バスケット及びトラニオンにおける設計事象の荷重条件が既存評価における荷重条件に包絡されることをもって評価条件が既存評価に包絡されることを確認した上で，既存評価を引用して評価を行う。 | |
| | | 大口格子用スツール | － | ○ | 変形燃料輸送時には大口格子にスツールを装荷するため，スツールの強度評価を行う。 | |

参考資料

# 核燃料輸送物設計変更承認申請書に記載の輸送容器の保守について

核燃料輸送物設計変更承認申請書に記載の輸送容器の保守について，該当箇所の抜粋を以下に記載する。

B．　保守条件

輸送容器の仕様を長期にわたって保証できる保守条件について定める。

輸送容器は、定期点検として、(ニ)－第B．１表の項目に示す定期自主検査、定常検査、基本検査及び総合検査を実施する。また、定期点検の結果、必要に応じて補修を実施する。なお、１年以上使用する計画のない輸送容器については、保管状態に置くことができる。

（１）定期自主検査

外観検査（Ⅰ）、気密漏えい検査、未臨界検査（Ⅰ）、吊上検査（Ⅰ）、作動確認検査を１年に１回以上実施する。なお、保管期間中には、外観検査（Ⅲ）のみを実施する。

但し、年間使用回数が 10 回を超えるものにあっては、使用回数 10 回に１回以上実施する。

（２）定常検査

外観検査（Ⅰ）、気密漏えい検査、未臨界検査（Ⅰ）、吊上検査（Ⅰ）、作動確認検査を輸送前毎に実施する。

（３）基本検査

外観検査（Ⅰ）・（Ⅱ）、気密漏えい検査、未臨界検査（Ⅰ）、吊上検査（Ⅰ）・（Ⅱ）、作動確認検査を５年に１回実施する。

但し、前回の検査から使用回数が 30 回を超えるものにあっては、使用回数 30 回に１回実施する。

（４）総合検査

外観検査（Ⅰ）・（Ⅱ）、耐圧検査、気密漏えい検査、遮蔽検査、未臨界検査（Ⅰ）・（Ⅱ）・（Ⅲ）、熱検査、吊上検査（Ⅰ）・（Ⅱ）、作動確認検査を 10 年に１回実施する。

但し、前回の検査から使用回数が 60 回を超えるものにあっては、使用回数 60 回に１回実施する。なお、遮蔽検査及び熱検査については検査期限を過ぎた場合、期限を過ぎた初回の燃料輸送時(燃料装荷から燃料取出)に実施する。

（５）定期点検の期限管理

定期点検の有効期間は、前回の各々の定期点検終了日を起点とし、有効期間内に次の定期点検を開始する。

基本検査及び総合検査の有効期間の期限が輸送容器の保管期間中になる場合は、各々の検査を省略することができる。

（６）補修

（１）・（２）・（３）・（４）の検査の結果、補修が必要と判定された部位については、補修を行う。

（７）輸送容器保管状態の管理

輸送容器を保管状態に置くに当たっては、定期自主検査を実施する。輸送容器は必要な養生を行った上で保管する。

（８）保管期間終了後の検査

保管期間終了後に輸送容器を再使用する前に、定期自主検査に加え、保管期間中に省

略した他の定期点検を行う。

（9）記録の保管

製作時検査記録、定期自主検査記録、定常検査記録、基本検査記録及び総合検査記録などの定期点検記録（補修記録や部品交換履歴を含む）は、当該輸送容器存続中保存する。

(ニ)－第Ｂ．１表　定期点検の項目、検査方法、合格基準及び検査区分

| 検査項目 | 検査方法 | 合格基準 | 検査区分 | | | |
|---|---|---|---|---|---|---|
| | | | 定期自主検査 | 定常検査 | 基本検査 | 総合検査 |
| 外観検査（Ⅰ） | 輸送容器の外表面を目視で検査する。 | 輸送容器の形状に異常な傷又は割れがないこと。 | ○ | ○ | ○ | ○ |
| 外観検査（Ⅱ） | 輸送容器の構成部品である蓋部、バルブ及びシール面について外観を目視で検査する。 | 表面の形状に異常な傷又は割れがないこと。 | － | － | ○ | ○ |
| 外観検査（Ⅲ） | 輸送容器の外表面を目視で検査する。 | 輸送容器の形状に異常な傷又は割れがないこと。 | ○*1 | － | － | － |
| 耐圧検査 | 0.75MPaGの水圧（輸送容器製作時の耐圧検査圧力）を加え、輸送容器の外表面を目視で検査する。 | 異常な変形、ひび、割れ等がないこと。 | － | － | － | ○ |
| 気密漏えい検査 | 輸送容器密封部に 0.66MPaG 以上の圧力を加え、圧力降下を測定し、漏えい率を算出する。 | 各部の漏えい率の合計が $3\times10^{-2}$ ref $cm^3/s$ を超えないこと。 | ○ | ○ | ○ | ○ |
| 遮蔽検査 | 収納物を収納した状態で、輸送容器表面の各部の線量当量率測定を行い、測定結果と収納物仕様相当の線源強度で行った評価結果を比較する。 | 遮蔽能力に劣化のないこと。 | － | － | － | ○*2 |
| 未臨界検査（Ⅰ） | 輸送容器内に収納されたバスケットの外観を目視で検査する。 | バスケットに異常な変形又は破損がないこと。 | ○ | ○ | ○ | ○ |
| 未臨界検査（Ⅱ） | バスケットの格子枠について、寸法確認用スルーゲージを挿入する。 | スルーゲージが支障なく挿入できること。 | － | － | － | ○ |
| 未臨界検査（Ⅲ） | 中性子吸収による中性子吸収材の減損について計算により評価する。 | 臨界防止性能に影響を及ぼす減損がないこと。 | － | － | － | ○ |
| 熱検査 | 収納物を収納した状態で、輸送容器表面の各部の温度測定を行い、測定結果と収納物仕様相当の発熱量で行った評価結果を比較する。 | 伝熱性能に劣化のないこと。 | － | － | － | ○*2 |
| 吊上検査（Ⅰ） | 輸送容器を吊り上げた後の状態において、上部トラニオン部の外観を目視で検査する。 | トラニオン部など吊上部等に異常な変形又は破損がないこと。 | ○ | ○ | ○ | ○ |
| 吊上検査（Ⅱ） | 上部トラニオン部について浸透探傷試験を行う。 | 有害な傷による浸透指示模様のないこと。 | － | － | ○ | ○ |
| 作動確認検査 | バルブの開閉を行い、作動性を検査する。 | 作動性に異常がないこと。 | ○ | ○ | ○ | ○ |

*1：外観検査（Ⅲ）は、保管期間中に実施する。
*2：総合検査の有効期間 10 年を過ぎた場合には、初回の燃料輸送時(燃料装荷から燃料取出)に実施する。

Ｂ．１　外観検査

外観検査（Ⅰ）は、輸送容器の外表面を目視で検査する。

外観検査（Ⅱ）は、輸送容器の構成部品である蓋部、バルブ及びシール面について外観を目視で検査する。

外観検査（Ⅲ）は、保管状態の輸送容器の外表面を目視で検査する。

Ｂ．２　耐圧検査

0.75MPaGの水圧（輸送容器製作時の耐圧検査圧力）を加えて、輸送容器の外表面を目視で検査する。

Ｂ．３　気密漏えい検査

輸送容器密封部に0.66MPaG以上の圧力を加え、圧力降下を測定し、漏えい率を算出する。

Ｂ．４　遮蔽検査

収納物を収納した状態で、輸送容器表面の各部の線量当量率測定を行い、測定結果と収納物仕様相当の線源強度で行った評価結果を比較する。

Ｂ．５　未臨界検査

未臨界検査（Ⅰ）は、輸送容器内に収納されたバスケットの外観を目視で検査する。

未臨界検査（Ⅱ）は、バスケットの格子枠について、寸法確認用スルーゲージを挿入する。

未臨界検査（Ⅲ）は、中性子吸収による中性子吸収材の減損について計算により評価する。

Ｂ．６　熱検査

収納物を収納した状態で、輸送容器表面の各部の温度測定を行い、測定結果と収納物仕様相当の発熱量で行った評価結果を比較する。

Ｂ．７　吊上検査

吊上検査（Ⅰ）は、輸送容器を吊り上げた後の状態において、上部トラニオン部の外観を目視で検査する。

吊上検査（Ⅱ）は、上部トラニオン部について浸透探傷試験を行う。

Ｂ．８　作動確認検査

バルブの開閉を行い、作動性を検査する。

B．9　補助系の保守

該当なし。

B．10　密封装置の弁、ガスケット等の保守

輸送容器の弁の保守は、分解点検を原則として１年に１回実施する。また、輸送容器の弁、Ｏリング及びボルトは、定期点検及び輸送物発送前検査においても交換が必要となった場合に、その都度新品と取り替える。なお、輸送容器が保管期間中の場合は、輸送容器の弁の保守を省略することができる。

上記に係わらず、(ニ)－第Ｂ．２表に示す部品については同表の交換頻度で無条件に交換する。部品交換又は補修後は、当該部位の再検査を行う。定期点検の実績、部品交換や安全機能に係る部位の補修については、記録し、輸送容器存続中保存する。

(ニ)－第Ｂ．２表　部 品 交 換 頻 度

| 部 品 名 | 交換頻度 | 備考 |
|---|---|---|
| Ｏリング | 実使用期間（燃料装荷期間）の合計で１年に１回以上 | 密封境界に係る部位とする |

B．11　輸送容器の保管

B．11．１　保管状態の管理

輸送容器を保管状態に置くに当たっては、定期自主検査を実施する。輸送容器は必要な養生を行った上で保管する。

B．11．２　保管期間終了後の検査・補修

保管期間終了後に輸送容器を再使用する場合は、保管開始前に行った定期点検から再使用までの保管状況に応じて、定期点検及び補修を行う。

B．12　記録の保管

製作時検査記録、定期自主検査記録、定常検査記録、基本検査記録及び総合検査記録などの定期点検記録（補修記録や部品交換履歴を含む）は、当該輸送容器存続中保存する。

B．13　その他

該当なし。

4.　安全評価

4.1.　構造強度

(1)　基本的な考え方

構内用輸送容器の構造強度については，既存評価の結果を基に，構内用輸送容器の構造強度が想定すべき事象（設計事象）において設計基準に適合していることを確認する。

評価部位は，安全上重要な部位として容器本体，蓋，バスケット及び支持機能を有するトラニオン，並びに大口格子用スツールとする。また，設計基準は，構外用輸送容器としての安全評価に用いられている基準を適用する。

(2)　設計事象の抽出

JSME S FA1-2007 金属キャスク構造規格の考え方に基づいて，構内用輸送容器の設計事象として以下を抽出した。

なお，設計事象の抽出にあたっては，図－２に示すハンドリングフローに基づき，構内用輸送容器の取り扱い及び共用プールまでの輸送において想定される起因事象に着目し，発生防止対策を考慮して事象の発生の可能性を検討した。設計事象の抽出結果を表－３に示す。

a. 設計事象Ⅰ

容器本体及び蓋には，収納する燃料の発熱により内圧及び熱による応力が発生する。また，取り扱い時及び構内輸送時の加速度により収納物及び自重による荷重がかかり，応力が発生する。

バスケットには，取り扱い時及び構内輸送時の加速度により収納物及び自重による荷重がかかり，応力が発生する。

トラニオンには取り扱い時の吊上げ等による応力，及び構内輸送時における固縛荷重による応力が発生する。

大口格子用スツールには，取り扱い時及び構内輸送時の加速度により収納物及び自重による荷重がかかり，応力が発生する。

b. 設計事象Ⅱ

容器本体及び蓋には，輸送架台へのトラニオン衝突（取り扱いモードNo.2），構内用輸送容器を積載した輸送架台の搬送台車への衝突（取り扱いモードNo.6），構内用輸送容器の転倒防止台座への衝突（取り扱いモードNo.8）及びキャスクピットへの衝突（取り扱いモードNo.9）の加速度における収納物及び自重による荷重がかかり，応力が発生する。

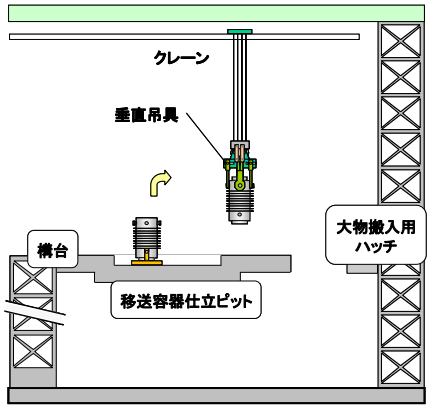
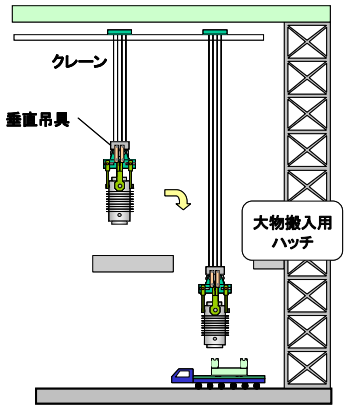
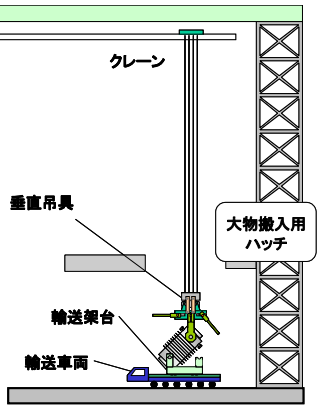
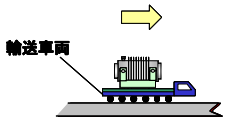
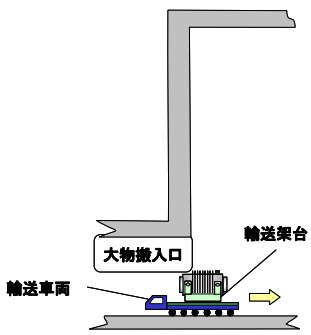
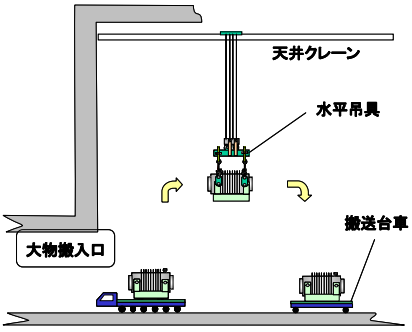
バスケットには，輸送架台へのトラニオン衝突（取り扱いモードNo.2），構内用輸送容器を積載した輸送架台の搬送台車への衝突（取り扱いモードNo.6），構内用輸送容器の転倒防止台座への衝突（取り扱いモードNo.8）及びキャスクピットへの衝突（取り扱いモードNo.9）の加速度における収納物及び自重による荷重がかかり，応力が発生する。

トラニオンには，輸送架台へのトラニオン衝突（取り扱いモードNo.2）及び構内用輸送容器を積載した輸送架台の搬送台車への衝突（取り扱いモードNo.6）の加速度における荷重がかかり，応力が発生する。

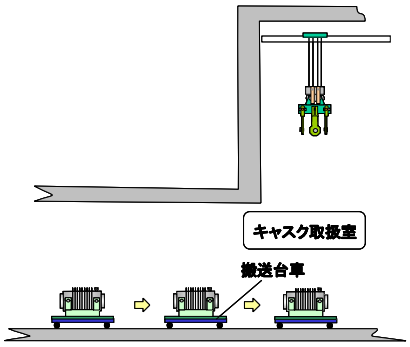
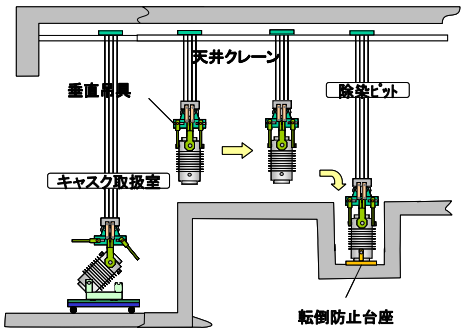
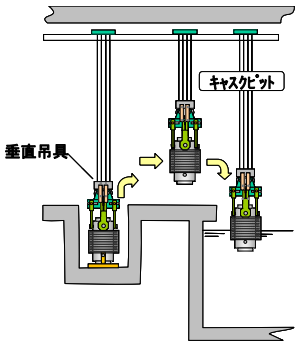
大口格子用スツールには，輸送架台へのトラニオン衝突（取り扱いモードNo.2），構内用輸送容器を積載した輸送架台の搬送台車への衝突（取り扱いモードNo.6），構内用輸送容器の転倒防止台座への衝突（取り扱いモードNo.8）及びキャスクピットへの衝突（取り扱いモードNo.9）の加速度における収納物及び自重による荷重がかかり，応力が発生する。

c. 設計事象Ⅲ及び設計事象Ⅳ

構内用輸送容器を取り扱う設備及び運用においては，ワイヤーロープの二重化，始業前の機器の点検を実施することから，ハンドリングフローから抽出される事象のうち，構内用輸送容器の安全機能を著しく損なう事象であって，一般公衆の放射線被ばくの観点からみて重要と考えられる事象はない。

| No. | 取り扱いモード | No. | 取り扱いモード |
|---|---|---|---|
| 1 | 輸送容器の搬出<br>  | 2 | 輸送容器の吊下ろし<br>  |
| 3 | 輸送車両への積載<br>  | 4 | 構内輸送（徐行）<br>  |
| 5 | 共用プール建屋への搬入<br>  | 6 | 搬送台車への積載<br>  |

図－２　構内用輸送容器のハンドリングフロー（1/2）

| No. | 取り扱いモード | No. | 取り扱いモード |
|---|---|---|---|
| 7 | キャスク取扱室への移動<br>  | 8 | 除染ピットへの移動<br>  |
| 9 | キャスクピットへ移動<br>  | | |

図－２　構内用輸送容器のハンドリングフロー（2/2）

表－３　設計事象の抽出

| 起因事象（ハンドリングフローNo.） | | 原因 | 発生の可能性 | 発生の有無 | 想定シナリオ | 抽出の要否 |
|---|---|---|---|---|---|---|
| 構内用輸送容器の落下 | 輸送車両取り扱い時の落下（No.4） | 固定ボルトの取付け不良 | 構内用輸送容器は，輸送車両に複数のボルトで固縛されていることを確認する。また，構内用輸送容器は輸送車両で徐行して輸送すること，輸送経路は輸送に関係する人及び車両以外の立入を制限することから，落下しない。 | × | | × |
| | 搬送台車取り扱い時の落下（No.7） | 固定ボルトの取付け不良 | 構内用輸送容器は，搬送台車に複数のボルトで固縛されていることを確認する。また，搬送台車はレール上を走行し，走行範囲インターロック及び障害物検知装置を有していることから他の構築物等に衝突はしないため，落下しない。 | × | | × |
| | クレーン取り扱い時の落下（No.1,2,3,6,8,9） | 吊具の取付け不良 | 吊具の二重化，始業前の吊具点検，取付け後の外れ止めを施すため，構内用輸送容器は落下しない。 | × | | × |
| | | ワイヤーロープの切断 | ワイヤーロープの二重化，始業前のワイヤーロープ点検を行うため，構内用輸送容器は落下しない。 | × | | × |
| 構内用輸送容器の衝突 | クレーン移動時（走行，横行）の衝突（No.1,2,3,6,8,9） | ブレーキの故障 | 移動前に移動経路に障害物がないことを確認し，構内用輸送容器と移動経路の芯あわせを行い，走行及び横行それぞれにインバータによる停止機能に加えてブレーキによる停止機能により二重化しているため，構内用輸送容器は他の構築物等へ衝突しない。 | × | | × |
| | | 操作員の誤操作 | クレーンの横行走行範囲に制限機能を設ける。また，移動前に移動経路に障害物がないことの確認，構内用輸送容器と移動経路の芯あわせを行うため，構内用輸送容器は他の構築物等へ衝突しない。 | × | | × |
| | クレーン吊下げ時の衝突（垂直吊り）（異常着床）（No.2,8,9） | ブレーキの故障 | 巻上げ装置ブレーキを二重化しているため，構内用輸送容器は輸送架台，転倒防止台座あるいはキャスクピットへ衝突（異常着床）しない。 | × | | × |
| | | 操作員の誤操作 | 吊下げ時の誤操作により，構内用輸送容器は巻下げ速度で輸送架台，転倒防止台座あるいはキャスクピットに異常着床する可能性がある。 | ○ | クレーンの最大巻下げ速度0.025m/sで，構内用輸送容器が輸送架台，転倒防止台座あるいはキャスクピットに異常着床する場合を，設計事象として抽出。 | ○ |
| | クレーン吊下げ時の衝突（水平吊り）（異常着床）（No.6） | ブレーキの故障 | 巻上げ装置ブレーキを二重化しているため，構内用輸送容器は搬送台車へ衝突（異常着床）しない。 | × | | × |
| | | 操作員の誤操作 | 吊下げ時の誤操作により，輸送架台に積載された状態で構内用輸送容器は巻下げ速度で搬送台車に異常着床する可能性がある。 | ○ | クレーンの最大巻下げ速度0.025m/sで，輸送架台に積載された状態で構内用輸送容器が搬送台車に異常着床する場合を，設計事象として抽出。 | ○ |

(3)　設計事象の荷重条件

前項で抽出した設計事象について，構内用輸送容器に発生する加速度を導出し，容器本体及び蓋，バスケット，トラニオンについては荷重条件が既存評価条件に包絡されることを確認し，大口格子用スツールについては設計加速度を設定する。

a. 設計事象の加速度の導出

事象発生時に構内用輸送容器が有する運動エネルギーを被衝突物（輸送架台，転倒防止台座，キャスクピット床面）の弾性により吸収するとして，発生する衝撃加速度を計算した。衝撃加速度の計算方法と結果を以下に示す。

(a) 輸送架台への衝突（垂直姿勢：取り扱いモードNo.2）

対象部位：容器本体及び蓋，バスケット，トラニオン，大口格子用スツール

垂直姿勢で，構内用輸送容器の下部トラニオンが輸送架台のトラニオン受けにクレーンの巻下げ速度（0.025m/s）で衝突する場合について評価する。

構内用輸送容器の有する運動エネルギーを輸送架台後部支持脚のひずみエネルギーで吸収するとして，（１）式で構内用輸送容器に生じる衝撃加速度を求める。ここで，（１）式より衝撃加速度は質量が小さいほうが保守的な結果となる。また，変形燃料混載時の質量は燃料収納スペーサを抜くため健全燃料輸送時よりも小さい。よって，構内用輸送容器の質量は，変形燃料混載時の質量を用いる。

$$\alpha = 1+\sqrt{1+\frac{K\cdot V^2}{m\cdot g^2}} \qquad (1)$$

ただし，$\alpha$：衝撃加速度（G）

$K$：輸送架台後部支持脚の圧縮変形バネ定数（$2.17\times10^{10}$N/m）

$V$：クレーンの巻下げ速度（0.025m/s）

$m$：構内用輸送容器の質量（$6.87\times10^{4}$kg）

$g$：重力加速度（9.8m/s$^2$）

発生する衝撃加速度は2.75Gとなり，余裕をみて3.0Gを評価加速度とする。

(b) 構内用輸送容器を載せた輸送架台の搬送台車への衝突（水平姿勢：取り扱いモードNo.6）

対象部位：容器本体及び蓋，バスケット，トラニオン，大口格子用スツール

構内用輸送容器を載せた輸送架台を搬送台車に積載する際に，輸送架台が搬送台車に共用プールの天井クレーンの巻下げ速度（0.025m/s）で衝突する場合について評価する。

搬送台車を剛体として，構内用輸送容器の有する運動エネルギーを輸送架台支持脚のひずみエネルギーで吸収するとして，（１）式で構内用輸送容器に生じる衝撃加速度を求める。

ただし，Ｋ：輸送架台前後部支持脚の圧縮変形バネ定数（$4.54\times10^{10}$N/m）

Ｖ：共用プールの天井クレーンの巻下げ速度（0.025m/s）

発生する衝撃加速度は3.30Gとなり，余裕をみて4.0Gを評価加速度とする。

(c) 転倒防止台座への衝突（垂直姿勢：取り扱いモードNo.8）

対象部位：容器本体及び蓋，バスケット，大口格子用スツール

垂直姿勢で構内用輸送容器が転倒防止台座に共用プールの天井クレーンの巻下げ速度（0.025m/s）で衝突する場合について評価する。

床面を剛体として，構内用輸送容器の有する運動エネルギーを転倒防止台座のひずみエネルギーで吸収するとして，（１）式で構内用輸送容器に生じる衝撃加速度を求める。

ただし，Ｋ：転倒防止台座の圧縮変形バネ定数（$8.81\times10^{11}$N/m）

Ｖ：共用プールの天井クレーンの巻下げ速度（0.025m/s）

発生する衝撃加速度は10.2Gとなり，余裕をみて11.0Gを評価加速度とする。

(d) キャスクピット床面への衝突（垂直姿勢：取り扱いモードNo.9）

対象部位：容器本体及び蓋，バスケット，大口格子用スツール

垂直姿勢で構内用輸送容器がキャスクピット床面に共用プールの天井クレーンの巻下げ速度（0.025m/s）で衝突する場合について評価する。

構内用輸送容器の有する運動エネルギーをキャスクピット床面のひずみエネルギーで吸収するとして，（１）式で構内用輸送容器に生じる衝撃加速度を求める。

ただし，Ｋ：キャスクピット床面のバネ定数（$4.33\times10^{10}$N/m）

Ｖ：共用プールの天井クレーンの巻下げ速度（0.025m/s）

発生する衝撃加速度は3.26Gとなり，余裕をみて4.0Gを評価加速度とする。

b. 評価結果

(a) 容器本体及び蓋，バスケット，トラニオン

構内用輸送容器の設計事象における荷重条件と既存評価の荷重条件の比較を表－４～表－６に示す。なお，構内用輸送容器の設計事象及び荷重条件については，抽出された事象のうち最大の荷重が作用する場合について示す。

表－４～表－６に示すとおり，設計事象における「容器本体及び蓋」，「バスケット」及び「トラニオン」に作用する荷重条件は既存評価の荷重条件に包絡されており，評価条件は既存評価に包絡される。また，構造強度評価における設計基準，評価条件，評価方法は既存評価と同様である。従って，構内用輸送容器の構造健全性は維持される。

(b) 大口格子用スツール

構内用輸送容器の設計事象における荷重条件を表－７に，設計加速度を表－８に示す。大口格子用スツールは既存評価がないため，以降で構造健全性を確認する。

表－４　荷重条件の比較（容器本体及び蓋）

| 構内用輸送容器の評価事象及び荷重条件 | | | | 既存評価の事象及び荷重条件 | |
|---|---|---|---|---|---|
| 設計事象 | 代表事象 | 包絡される事象 | 荷重条件 | 事象 | 荷重条件 |
| Ⅰ | 構内輸送時 | － | 容器内圧力：0.6 MPa<br>ボルト初期締付け力<br>構内輸送時荷重<br>上方向[*1]：2.0G<br>下方向[*1]：3.0G<br>（自重を考慮）<br>前後方向：2.0G<br>左右方向：1.0G<br>熱荷重 | 一般の試験条件<br>0.3m 頭部<br>垂直落下 | 容器内圧力：0.6MPa<br>ボルト初期締付け力<br>落下時荷重：56.2G<br>熱荷重 |
| | | | | 一般の試験条件<br>0.3m 底部<br>垂直落下 | 容器内圧力：0.6MPa<br>ボルト初期締付け力<br>落下時荷重：56.9G<br>熱荷重 |
| | | | | 一般の試験条件<br>0.3m 水平落下 | 容器内圧力：0.6MPa<br>ボルト初期締付け力<br>落下時荷重：27.7G<br>熱荷重 |
| | 容器の吊上げ，吊下げ，移動 | － | 容器内圧力：0.6 MPa<br>ボルト初期締付け力<br>吊上げ荷重<br>下方向[*2]：3.0G<br>（自重を考慮）<br>熱荷重 | 一般の試験条件<br>0.3m 底部<br>垂直落下 | 容器内圧力：0.6MPa<br>ボルト初期締付け力<br>落下時荷重：56.9G<br>熱荷重 |
| Ⅱ | 輸送架台の搬送台車への衝突<br>（取り扱いモードNo.6） | － | 容器内圧力：0.6 MPa<br>ボルト初期締付け力<br>輸送架台の搬送台車への衝突時荷重<br>下方向[*1]：4.0G<br>（自重を考慮）<br>熱荷重 | 一般の試験条件<br>0.3m 水平落下 | 容器内圧力：0.6MPa<br>ボルト初期締付け力<br>落下時荷重：27.7G<br>熱荷重 |
| | 転倒防止台座への衝突<br>（取り扱いモードNo.8） | 輸送架台へのトラニオン衝突<br>（取り扱いモードNo.2）<br>キャスクピットへの衝突<br>（取り扱いモードNo.9） | 容器内圧力：0.6 MPa<br>ボルト初期締付け力<br>転倒防止台座への衝突時荷重<br>下方向[*2]：11.0G<br>（自重を考慮）<br>熱荷重 | 一般の試験条件<br>0.3m 底部<br>垂直落下 | 容器内圧力：0.6MPa<br>ボルト初期締付け力<br>落下時荷重：56.9G<br>熱荷重 |

*1 構内用輸送容器軸と直角な方向

*2 構内用輸送容器軸方向

表－５　荷重条件の比較（バスケット）

| 構内用輸送容器の評価事象及び荷重条件 | | | | 既存評価の事象及び荷重条件 | |
|---|---|---|---|---|---|
| 設計事象 | 代表事象 | 包絡される事象 | 荷重条件 | 事象 | 荷重条件 |
| Ⅰ | 構内輸送時 | － | 構内輸送時荷重<br>上方向[*1]：2.0G<br>下方向[*1]：3.0G<br>（自重を考慮）<br>前後方向：2.0G<br>左右方向：1.0G | 特別の試験条件<br>9m 頭部垂直落下 | 落下時荷重：93.0G |
| | | | | 特別の試験条件<br>9m 底部垂直落下 | 落下時荷重：89.1G |
| | | | | 特別の試験条件<br>9m 水平落下 | 落下時荷重：89.5G |
| | 容器の吊上げ，吊下げ，移動 | － | 吊上げ荷重<br>下方向[*2]：3.0G<br>（自重を考慮） | 特別の試験条件 9m 底部垂直落下 | 落下時荷重：89.1G |
| Ⅱ | 輸送架台の搬送台車への衝突<br>（取り扱いモードNo.6） | － | 輸送架台の搬送台車への衝突時荷重<br>下方向[*1]：4.0G<br>（自重を考慮） | 特別の試験条件<br>9m 水平落下 | 落下時荷重：89.5G |
| | 転倒防止台座への衝突<br>（取り扱いモードNo.8） | 輸送架台へのトラニオン衝突<br>（取り扱いモードNo.2）<br>キャスクピットへの衝突<br>（取り扱いモードNo.9） | 転倒防止台座への衝突時荷重<br>下方向[*2]：11.0G<br>（自重を考慮） | 特別の試験条件<br>9m 底部垂直落下 | 落下時荷重：89.1G |

*1 構内用輸送容器軸と直角な方向

*2 構内用輸送容器軸方向

表－６　荷重条件の比較（トラニオン）

| 構内用輸送容器の評価事象及び荷重条件 | | | | 既存評価の事象及び荷重条件 | |
|---|---|---|---|---|---|
| 設計事象 | 代表事象 | 包絡される事象 | 荷重条件 | 事象 | 荷重条件 |
| Ⅰ | 構内輸送時 | — | 構内輸送時荷重<br>上方向[*1]：2.0G<br>下方向[*1]：3.0G<br>（自重を考慮）<br>前後方向：2.0G<br>左右方向：1.0G | 通常の輸送条件<br>（固縛装置） | 構内輸送時荷重<br>上方向[*1]：2.0G<br>下方向[*1]：3.0G<br>（自重を考慮）<br>前後方向：2.0G<br>左右方向：1.0G |
| | 容器の吊上げ，吊下げ，移動 | — | 吊上げ荷重<br>下方向[*2]：3.0G<br>（自重を考慮） | 通常の輸送条件<br>（吊上装置） | 吊上げ荷重<br>下方向[*2]：3.0G<br>（自重を考慮） |
| Ⅱ | 輸送架台へのトラニオン衝突<br>（取り扱いモードNo.2） | 輸送架台の搬送台車への衝突<br>（取り扱いモードNo.6）[*3] | 輸送架台へのトラニオン衝突時荷重<br>下方向[*2]：3.0G<br>（自重を考慮） | 通常の輸送条件<br>（吊上装置） | 吊上げ荷重<br>下方向[*2]：3.0G<br>（自重を考慮） |

*1 構内用輸送容器軸と直角な方向

*2 構内用輸送容器軸方向

*3 輸送架台への衝突（取り扱いモード No.2）は垂直姿勢で衝突するためトラニオンの荷重負担本数は２本であるのに対して，輸送架台の搬送台車への衝突（取り扱いモード No.6）では水平姿勢で衝突するためトラニオンの荷重負担本数は４本である。

このため，構内用輸送容器への荷重は取り扱いモード No.6 の方が大きいものの，トラニオンあたりに作用する荷重は取り扱いモードNo.2 の方が大きくなる。

以上から，設計事象としては取り扱いモードNo.2 が抽出される。

表－７　荷重条件（大口格子用スツール）

| 構内用輸送容器の評価事象及び荷重条件 | | | |
|---|---|---|---|
| 設計事象 | 代表事象 | 包絡される事象 | 荷重条件 |
| Ⅰ | 構内輸送時 | － | 構内輸送時荷重<br>上方向[*1]：2.0G<br>下方向[*1]：3.0G<br>（自重を考慮）<br>前後方向：2.0G<br>左右方向：1.0G |
| | 容器の吊上げ，<br>吊下げ，移動 | － | 吊上げ荷重<br>下方向[*2]：3.0G<br>（自重を考慮） |
| Ⅱ | 輸送架台の<br>搬送台車への衝突<br>（取り扱いモード<br>No.6） | － | 輸送架台の搬送台車への<br>衝突時荷重<br>下方向[*1]：4.0G<br>（自重を考慮） |
| | 転倒防止台座<br>への衝突<br>（取り扱いモード<br>No.8） | 輸送架台への<br>トラニオン衝突<br>（取り扱いモード<br>No.2）<br>キャスクピットへの<br>衝突<br>（取り扱いモード<br>No.9） | 転倒防止台座への<br>衝突時荷重<br>下方向[*2]：11.0G<br>（自重を考慮） |

*1 構内用輸送容器軸と直角な方向

*2 構内用輸送容器軸方向

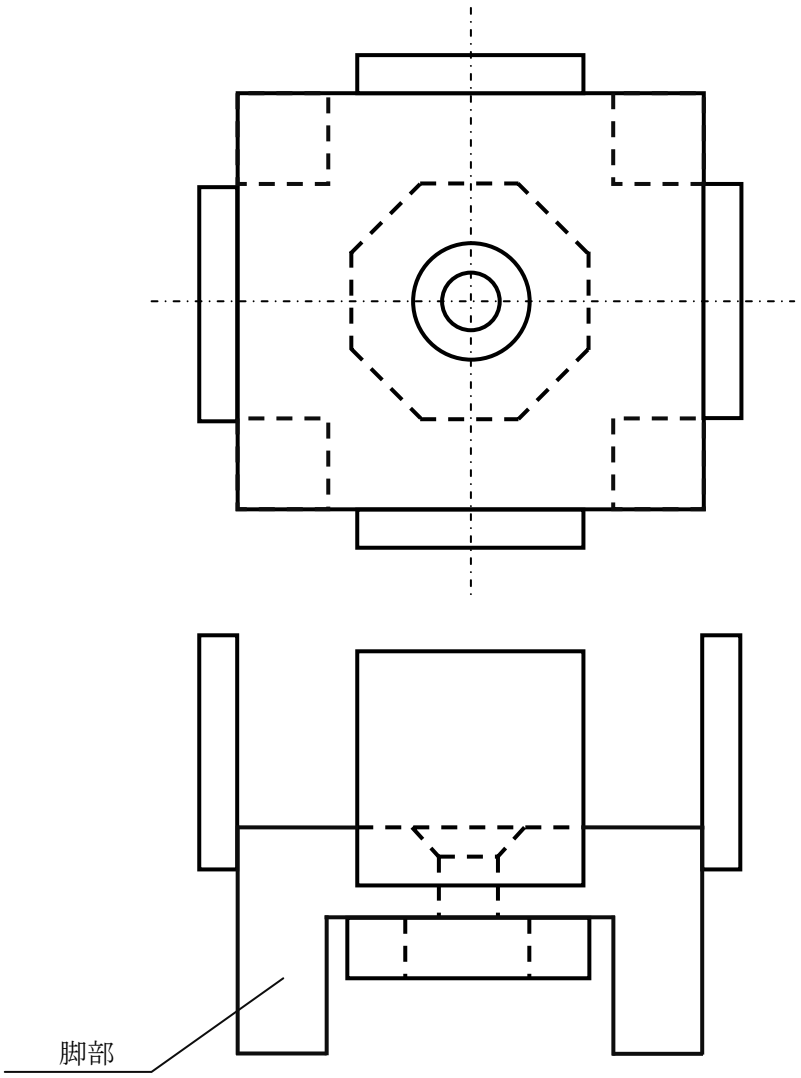
表－８　設計加速度（大口格子用スツール）

| 方向 | 設計加速度 | 備考 |
|---|---|---|
| 構内用輸送容器<br>軸方向 | 11.0G<br>（108m/s$^2$） | 以下の荷重の最大値<br>・構内輸送時荷重：前後方向<br>・吊上げ荷重：下方向<br>・転倒防止台座への衝突時荷重：下方向 |

(4)　大口格子用スツールの構造強度評価

大口格子用スツールの設計基準は，既存評価のスツールに用いられている設計基準を用いる。塑性変形が生じないように，膜応力強さが降伏応力以下であることとする。

大口格子用スツールの構造強度評価は，想定される機械的荷重を基に応力評価式を用いて評価する。構内用輸送容器軸方向に慣性力が作用した場合には大口格子用スツールの脚部に慣性力による圧縮応力が生じる。これらの応力評価箇所を図－３に示す。




図－３　大口格子用スツールの応力評価箇所

構内用輸送容器軸方向に慣性力が作用した場合に大口格子用スツールの脚部に作用する圧縮応力（σc）は，次のようになる。

$\sigma c = W \cdot Gv / A$

$= 9.93\mathrm{MPa}$

ただし，W：燃料（チャンネルボックス含む）重量（320 kg）＋大口格子用スツール重量

Gv：構内用輸送容器軸方向の設計加速度（$108\mathrm{m/s^2}$）

A：大口格子用スツール脚部の全断面積

130℃におけるステンレス鋼の設計降伏点 Sy は 161MPa であるので，大口格子用スツールは塑性変形しない。また，脚部は細長比が小さいので座屈することもない。

参考資料

# 構造強度計算に用いるコード（ABAQUS）について

## （１）概要

ABAQUS コードは米国 Hibbitt,Karlsson&Sorensen,Ins.(HKS 社)で開発された有限要素法に基づく応力・座屈解析等の汎用解析コードであり，輸送容器の応力解析等に広く利用されている。

## （２）機能

ABAQUS コードは，応力解析に際して以下の機能を有している。

① 定常，非定常の弾性，弾塑性のいずれの解も得ることができる。

② 材料特性として時間依存，歪の履歴依存並びに等方性・異方性等を考慮することができる。

③ モデルの形状は一次元～三次元，又は連続体についても取り扱うことができる。

④ 伝熱解析結果をそのまま境界条件として熱応力解析に用いることが可能である。

⑤ 荷重条件として集中荷重，分布荷重，モーメント，加速度力（慣性力），圧力，遠心力及びコリオリ力等が取り扱える。また，これらの条件の時間依存，線形変化に対しても対応可能である。

## （３）解析フロー

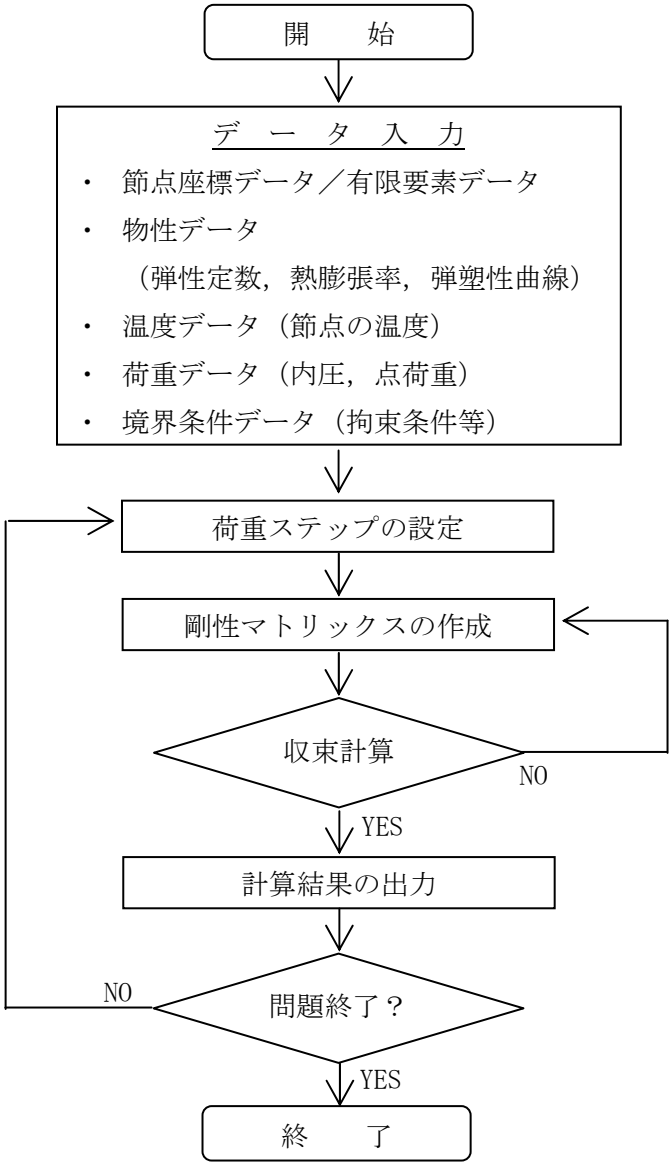
ABAQUS コードの解析フローを図－４に示す。

## （４）使用実績

ABAQUS コードは，これまで多くの応力解析に対し使用実績がある。

## （５）検証方法

理論値との比較による検証が実施されていることを確認している。




図－４　ABAQUS コードの応力解析フロー図

参考資料

# 容器内水の放射線分解による圧力上昇について

本構内用輸送容器（NFT-12B 型）の核燃料輸送物設計変更承認書別紙（以下，「SAR」という。）には，NFT-14P 型及び NFT-38B 型を例として，実輸送後の輸送容器内の水素ガス濃度の測定結果及び容器内のガンマ線照射線量から求めた評価結果が示されている。

SAR（参考資料　ロ章 B　容器内水の放射線分解による圧力上昇について）では，ガンマ線照射量を保守的に NFT-12B 型を含む NFT 型輸送物を包含する 1Gy/s(3,600Gy/h)を仮定しても，水素ガス濃度の評価値は小さく（2.4%と評価），容器内圧の上昇として無視できるものであることが示されている。

NFT-12B 型は 4 号機使用済燃料プールに貯蔵されている燃料を対象にしており，容器内のガンマ線照射量は SAR の燃料仕様に基づくガンマ線照射線量（約 0.8Gy/s(2,910Gy/h)）に比べてさらに小さくなると考えられることから，SAR において評価された水素発生量を超えることは無く，新規に水素発生対策を追加する必要はないと考えられる。

また，SAR の該当箇所の抜粋を以下に記載する。

Ｂ．２　容器内水の放射線分解による圧力上昇について

輸送容器内のような密閉した槽内での水の放射線分解により発生するガスの水中濃度はある飽和値に達する。ここでは、ＮＦＴ－１４Ｐ型及びＮＦＴ－３８Ｂ型を例として、実輸送後に輸送容器内の水素ガス濃度を測定した結果[1)]及びＮＦＴ型輸送物の評価を以下に示す。

１．ＮＦＴ型輸送容器内の水素ガス濃度測定結果

(1) 測定対象輸送容器

測定対象輸送容器は、ＰＷＲ燃料輸送用のＮＦＴ－１４Ｐ型及びＢＷＲ燃料用のＮＦＴ－３８Ｂ型とし、各１基の測定を行った。収納物は、漏えいのない健全な使用済燃料であり、ガンマ照射線量はそれぞれ 640Gy/h 及び 844Gy/h である（中性子による照射線量は全照射線量の $10^{-5}$ 程度であるため評価の上で無視した）。

(2) 輸送容器内ガスのサンプリング

ＮＦＴ型輸送容器の内部ガスは、蓋膨張室内とキャビティ内に分かれているため、それぞれからガスのサンプリングを行なった。サンプリングは、ＮＦＴ型輸送容器からの使用済燃料の取り出し作業の過程で行った。

まず、輸送容器縦起こし状態にて、蓋のバルブを通して、蓋膨張室内のガスをサンプリングタンクに回収し、検知器にガスを吸入して測定した（(ロ)－第Ｂ．参１図）。

次に、輸送容器縦起こし状態にて、輸送容器をプールに入水し、蓋を取り外す際に、輸送容器にガス捕集フードを取付け、サンプリングラインを通してサンプリングバッグに回収し、サンプリングバッグから検知器にキャビティ内のガスを吸入して測定した（(ロ)－第Ｂ．参２図）。

(3) 水素ガス濃度測定

水素濃度の測定は、ガス検知管により行った。実測結果を(ロ)－第Ｂ．参１表に示す。ＮＦＴ－１４Ｐ型及びＮＦＴ－３８Ｂ型の水素濃度測定値は、いずれも発火下限の水素濃度４％を下回る結果であった。

(ロ)－第Ｂ．参１表　水素ガス濃度測定結果[1)]

| 輸送物 | 水素ガス濃度 | |
|---|---|---|
| | 蓋膨張室 | キャビティ |
| ＮＦＴ－１４Ｐ型 | 0.50% | 1.24% |
| ＮＦＴ－３８Ｂ型 | 0.14% | 0.43% |

２．ＮＦＴ型輸送容器内の水素ガス濃度評価

(1) 水素ガス濃度を測定したＮＦＴ型輸送容器に対する評価

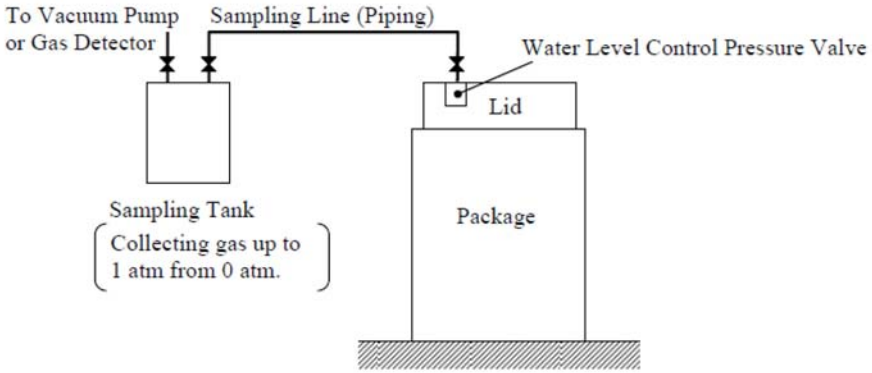
参考文献(1)では、計算評価値として、類似の環境下における水の放射線分解による水素定常濃度評価結果をベースに、水中定常濃度が照射線量の平方根に比例するとして、水素ガス濃度の概算計算を行っている。その評価結果を(ロ)－第Ｂ．参２表に示す。ＮＦＴ－１４Ｐ型では計算値が実験値を若干下回っており、ＮＦＴ－３８Ｂ型では計算値が実験値を上回っているが、比較的よい一致を示している。

(ロ)－第Ｂ．参２表　水素ガス濃度評価結果[1)]

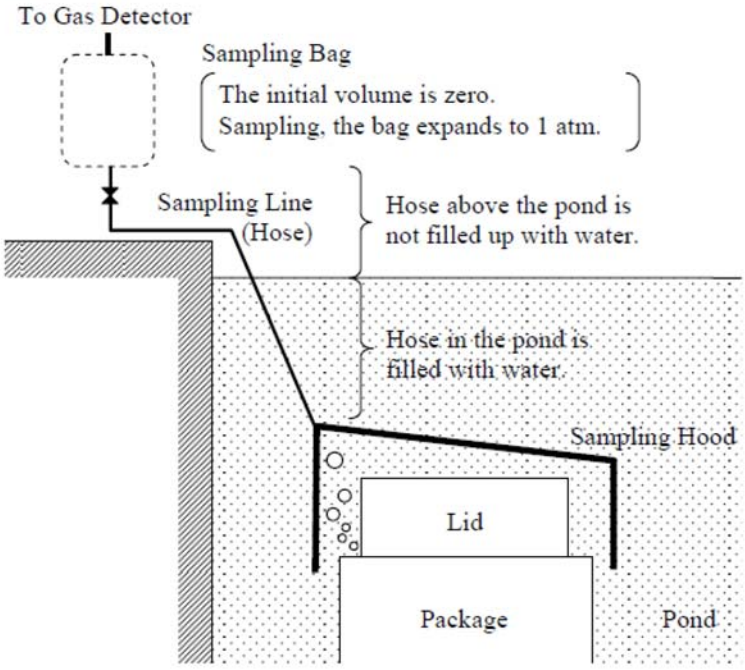
| 輸送物 | ガンマ線照射線量 | 水素ガス濃度 |
|---|---|---|
| ＮＦＴ－１４Ｐ型 | 640Gy/h | 0.99% |
| ＮＦＴ－３８Ｂ型 | 844Gy/h | 1.14% |

(2) ＮＦＴ型輸送物における線源条件に対する評価

ＮＦＴ型輸送物において、最もガンマ線源強度が大きいＮＦＴ－１４Ｐ型においても、ガンマ線照射量は約 0.7Gy/s であるが、仮にガンマ線照射線量を保守側に 1Gy/s (3600Gy/h) としても、(1)で示した値を同様に水中定常濃度が照射線量の平方根に比例するとして補正すると、水素ガス濃度は 2.4%となる。この値は、水素ガスの爆発下限である空気との混合比 4%に対して十分小さい値であり、容器内圧の上昇としても無視できるものである。




（ロ）－第Ｂ．参１図　蓋膨張室内ガスのサンプリング方法[1)]




（ロ）－第Ｂ．参２図　輸送容器キャビティ内ガスのサンプリング方法[1)]

<参考文献>

1）Y.Fujita, M.Ebihara, “Evaluation of Hydrogen Yield in Spent Fuel Transport Package”, The 16th International Symposium on the Packaging and Transportation of Radioactive Materials (PATRAM 2010), October 3-8, 2010, London, UK, Poster Session 210 (2010).

4.2.　除熱機能

4.2.1.　健全燃料輸送時

(1)　基本的な考え方

除熱設計にあたっては，燃料の健全性及び構内用輸送容器の安全機能を有する構成部材の健全性が維持できるよう，以下のとおり設計する。

a.　収納された使用済燃料より発生する崩壊熱は，胴内に充填した水及び空気の自然対流及び伝導により容器本体胴に伝えられる。
b.　容器本体胴に伝えられた熱は主として中性子遮へい部のレジン中に設けた伝熱フィンにより外筒に伝えられる。
c.　外筒に伝えられた熱は外筒及び外筒に設置したフィンにより大気に放散される。

除熱機能の評価においては，収納する使用済燃料の最大崩壊熱量を考慮し，環境条件には構外用輸送容器としての安全評価に用いられている条件を用い，自然冷却により冷却されるものとして各部の温度を求め，各部材料の制限温度を超えないことを評価する。

構内輸送では緩衝体を装着しない運用とするが，既存評価の除熱設計において緩衝体は断熱の効果を有していることから，緩衝体を装着しない運用は除熱性能が向上し，容器本体の温度は既存評価における各部温度に比べて低くなる。また，構内用輸送容器に収納する燃料仕様は既存評価に用いている燃料仕様に包絡されており，既存評価に比べて使用済燃料の崩壊熱量は十分低いものとなっている。このため，評価結果は既存評価書の内容を引用する。

(2) 設計基準

設計基準を表－９に示す。

表－９　設計基準

| 対象部位 | 材質 | 設計基準 | 設計基準温度（℃） | 備考 |
|---|---|---|---|---|
| 構内用輸送容器 | レジン | 使用可能温度 | 149 | 中性子遮へい材 |
| | ふっ素ゴム | 使用可能温度 | 300 | Ｏリング |
| | 炭素鋼 | 構造強度が確保される制限温度 | 375 | 胴 |
| | ステンレス鋼 | 構造強度が確保される制限温度 | 425 | 蓋 |
| | ボロン入りステンレス鋼 | 構造強度が確保される制限温度 | 200 | バスケット |
| 燃料被覆管 | ジルカロイ－２ | 照射硬化回復現象により燃料被覆管の機械的特性が著しく低下しない温度及び水素化物の再配向による被覆管の機械的特性の低下が生じない温度以下となる温度 *1，*2 | 200 | 7×7 燃料，8×8 燃料 |
| | | | 300 | 新型 8×8 ｼﾞﾙｺﾆｳﾑﾗｲﾅ燃料，高燃焼度 8×8 燃料，9×9 燃料 |

*1 平成 18 年度リサイクル燃料資源貯蔵技術調査等（貯蔵燃料長期健全性等確証試験に関する試験最終報告書）（06 基炉報-0006，独立行政法人原子力安全基盤機構）

*2 平成 19 年度リサイクル燃料資源貯蔵技術調査等（貯蔵燃料健全性等調査に関する試験成果報告書）（07 基炉報-0004，独立行政法人原子力安全基盤機構）

(3)　燃料仕様

既存評価では最大崩壊熱量（15kW）で評価を実施しており，本構内輸送で収納を予定している燃料の崩壊熱量(最大 8kW)を包絡している。

(4)　評価条件

既存評価の内容を以下に示す。

構内用輸送容器の除熱評価は，以下の２種類の解析モデルを用いて行う。

a. 半径方向輪切り軸方向フィン半ピッチモデル
（以下「輪切り半ピッチモデル」という。）

b. 軸方向二次元軸対称全体モデル
（以下「全体モデル」という。）

評価条件を表－１０に示す。

表－１０　評価条件

| 項目 | | 評価条件 |
|---|---|---|
| 収納体数　　(体) | | 12 |
| 崩壊熱量　　(kW) | | 15 |
| 周囲温度　　(℃) | | 38 |
| 太陽熱放射 ($W/m^2$) | 垂直に輸送される表面及び水平に輸送されない下向きの表面 | 200 |
| | その他の表面（曲面） | 400 |

(5)　評価方法

軸方向を断熱とした輪切り半ピッチモデルで構内用輸送容器中央部断面の各部温度を評価する。輪切り半ピッチモデルで評価できない部位については，軸方向の温度分布が求められる全体モデルで評価する。

解析にはABAQUSコードを用いる。

(6)　評価結果

評価結果を表－１１に示す。本表に示すとおり，構内用輸送容器を構成する部材はいずれも設計基準温度を下回っており，熱的健全性は維持される。

また，燃料被覆管の温度は123℃であり，水素化物の再配向による機械特性の低下が生じる温度を大きく下回っており，燃料の健全性は維持される。

表－１１　評価結果（各部温度）

| 対象部位 | 材質 | 評価結果（℃） | 設計基準温度（℃） | 備考 |
|---|---|---|---|---|
| 構内用輸送容器 | レジン | 104 | 149 | 中性子遮へい材 |
| | ふっ素ゴム | 106 | 300 | Ｏリング |
| | 炭素鋼 | 116 | 375 | 胴 |
| | ステンレス鋼 | 110 | 425 | 蓋 |
| | ボロン入りステンレス鋼 | 120 | 200 | バスケット |
| 燃料被覆管 | ジルカロイ－２ | 123 | 200 | 7×7燃料，8×8燃料 |
| | | | 300 | 新型8×8ｼﾞﾙｺﾆｳﾑﾗｲﾅ燃料，高燃焼度8×8燃料，9×9燃料 |

4.2.2.　漏えい・変形燃料混載時

構内用輸送容器に収納する漏えい・変形燃料の燃料仕様は既存評価に用いている燃料仕様に包絡されており，既存評価に比べて使用済燃料の崩壊熱量は十分低いものとなっている。このため，評価結果は前項の健全燃料輸送時の評価に包絡される。

なお，万が一輸送容器の取り扱い中に漏えい燃料棒が破損し，漏えい燃料棒からペレットが放出されたとしても，放出ペレットの発熱量は設計発熱量の 0.1%未満であり，構内用輸送容器の構成部材及び燃料の健全性に影響はない。

また，既存評価の解析モデルには燃料収納スペーサをモデル化しているが，燃料収納スペーサがない場合でも上記と同様に崩壊熱量は十分低いものとなっていることから，構内用輸送容器の構成部材及び燃料の健全性に影響はない。

参考資料

# 除熱解析に用いるコード（ABAQUS）について

## （１） 概要

ABAQUS コードは，米国 Hibbitt，Karlsson & Sorensen，Inc.（HKS 社）で開発された有限要素法に基づく伝熱解析等の汎用解析コードであり，輸送容器の伝熱解析などに広く利用されている。

## （２） 機能

ABAQUS コードは，伝熱解析に際して以下の機能を有している。

① 定常，非定常のいずれの解も得ることができる。
② 一次元～三次元の任意形状の構造に対して解くことが可能である。
③ 初期条件（温度）は要素ごとに変化させることができ，計算ステップの自動決定も可能である。
④ 境界条件として，時間に依存する熱流束，温度，伝導，対流及び放射が考慮できる。
⑤ 構成物質の相変態が考慮できる。

## （３） 解析フロー

ABAQUS コードの解析フローを図－５に示す。

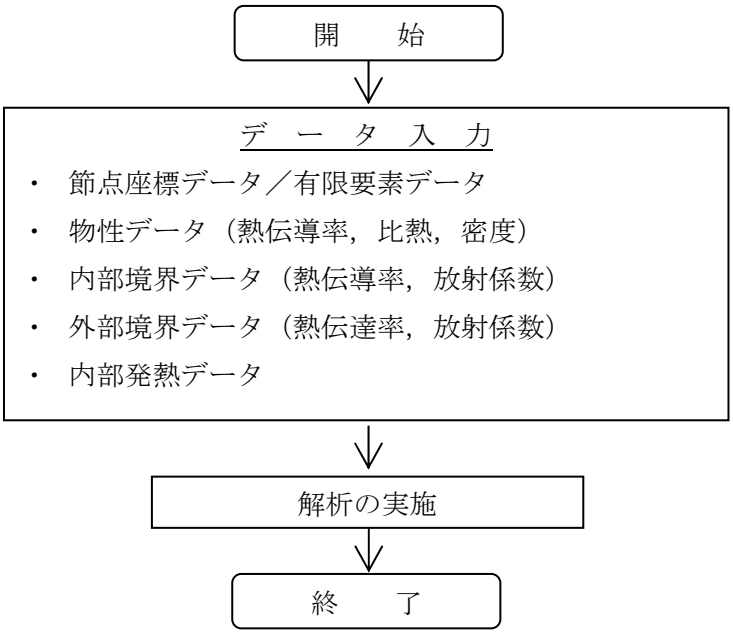
## （４） 使用実績

ABAQUS コードは，多くの伝熱解析に使用された実績がある。

## （５） 検証方法

貯蔵容器の定常伝熱試験に対して ABAQUS コードによる解析結果と試験結果を比較・検討し，本コードの妥当性が検証されている[*1]。

*1 山川秀次，五味義雄，尾崎幸男，尾崎明朗「使用済燃料キャスク貯蔵技術の確立―キャスクの伝熱特性評価―」，電中研報告書，U92038，(1993)




図－５　ABAQUS コードの伝熱解析フロー図

# 除熱解析に用いるコード（ORIGEN2）について

## （１） 概要

ORIGEN2 コードは，米国オークリッジ国立研究所（ORNL）で開発された炉内中性子束の１点近似による燃焼計算コードである。ORIGEN2 コードは汎用解析コードであり，輸送容器の崩壊熱計算等に広く利用されている。

## （２） 機能

ORIGEN2 コードは，燃焼解析に際して以下の機能を有している。

① 燃料の炉内での燃焼計算，炉取出し後の減衰計算により，冷却期間に対応した崩壊熱，放射線の強度，各核種の放射能量等が求められる。

② 原子炉の炉型と燃料の組合せに対し，中性子エネルギースペクトルの違いにより重みをつけた断面積ライブラリが内蔵されており，任意に選択できる。

③ 計算結果は，放射化生成物，アクチニド，核分裂生成物に分類して出力される。

④ 燃焼計算に必要な放射性核種データ（崩壊熱，ガンマ線のエネルギー分布，自発核分裂と（α，ｎ）反応により発生する中性子線源強度等）に関しては，ORIGEN2 コード専用のライブラリがあり，これを用いる。

## （３） 計算フロー

ORIGEN2 コードの計算フローを図－６に示す。

## （４） 使用実績

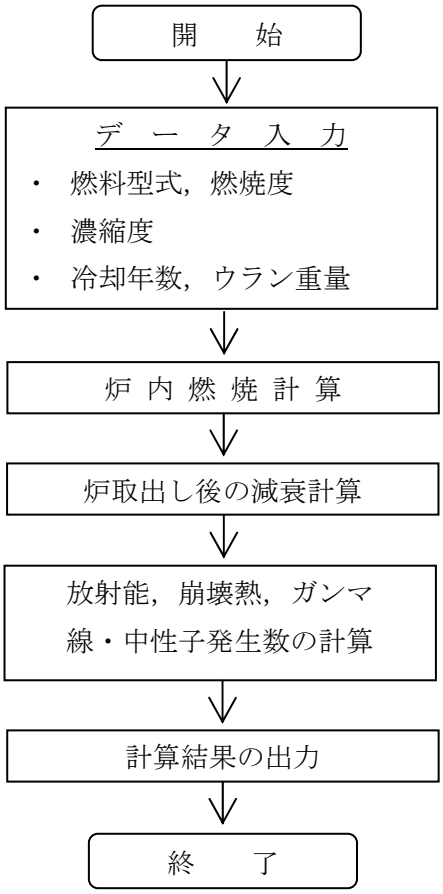
ORIGEN2 コードは，輸送容器，核燃料施設の崩壊熱計算に広く使用されている[*1]。

## （５） 検証方法

汎用コードの導入評価[*1]が実施されていることが確認されている。
大型実験/ベンチマーク試験による検証[*2]が実施されていることが確認されている。

*1 ORNL,“ORIGEN2 Isotope Generation and Depletion Code MATRIX EXPONENTIAL METHOD”,CCC-371

*2（社)日本原子力学会“原子炉崩壊熱とその推奨値”, 1989 年 8 月




図－６　ORIGEN2 コードの計算フロー図

4.3.　密封機能

(1)　基本的な考え方

構内用輸送容器の密封装置は，容器本体及び蓋より構成される密封容器とこれに付属するバルブから構成される。容器本体と蓋の間，及びバルブのガスケットにはOリングが使用されている。

密封機能の評価にあたっては，構造強度評価及び除熱機能評価の結果から，構内用輸送容器の密封性能が維持されることを確認する。

(2)　評価結果

4.1.項に示したとおり，構造強度評価から蓋，蓋ボルト，胴及び底板は構内輸送における荷重条件に対して十分な強度を有しており，密封装置の構造健全性に問題がないことが確認されている。

また，4.2.項に示したとおり，除熱機能評価から構内輸送時のOリングの温度は 106℃以下であり，設計基準温度である 300℃を大きく下回ることから，熱的健全性に問題ないことが確認されている。

以上から，構内用輸送容器の密封性能は維持される。

4.4.　遮へい機能

4.4.1.　健全燃料輸送時

(1)　基本的な考え方

遮へい設計にあたっては，内部に燃料を入れた場合に放射線障害を阻止するため，使用済燃料の放射線を適切に遮へいする能力を有するよう以下のとおり設計する。

a．構内用輸送容器はガンマ線遮へいと中性子遮へいの機能を有する。

b．主要なガンマ線遮へい材は，胴，底板及び外筒の炭素鋼と蓋のステンレス鋼である。

c．主要な中性子遮へい材は，胴内水及び胴と外筒間のレジンである。

遮へい機能の評価においては，収納する使用済燃料の線源強度を考慮し，構外用輸送容器としての安全評価に用いられている評価手法を用い，構内用輸送容器表面及び表面から１ｍにおける線量当量率が設計基準を超えないことを評価する。

なお，構内用輸送容器に収納する燃料仕様は既存評価に用いている燃料仕様に包絡されるが，構内輸送では緩衝体がない状態で運用することから，再評価を実施する。ただし，緩衝体がない解析モデルである事以外は既存評価と同じとし，既存評価書の内容を引用する。

(2)　設計基準

設計基準を表－１２に示す。

表－１２　設計基準

（単位：μSv/h）

| | 設計基準 |
|---|---|
| 構内用輸送容器　表面 | 2000 以下 |
| 構内用輸送容器　表面から１ｍ | 100 以下 |

(3)　評価条件

評価条件は既存評価と同一である。

(4)　評価方法

遮へい計算は，既存評価と同様に，ガンマ線，中性子共にDOT3.5コードを用いて計算し，構内用輸送容器表面及び表面から１ｍの線量当量率を求める。

遮へい解析モデルは既存評価モデルから，緩衝体のないモデルに変更する。その他の条件は，既存評価と同様である。

ライブラリとしては，DLC-23/CASKデータを用い，線量当量率への変換はICRP Publ.74に従う。

(5)　評価結果

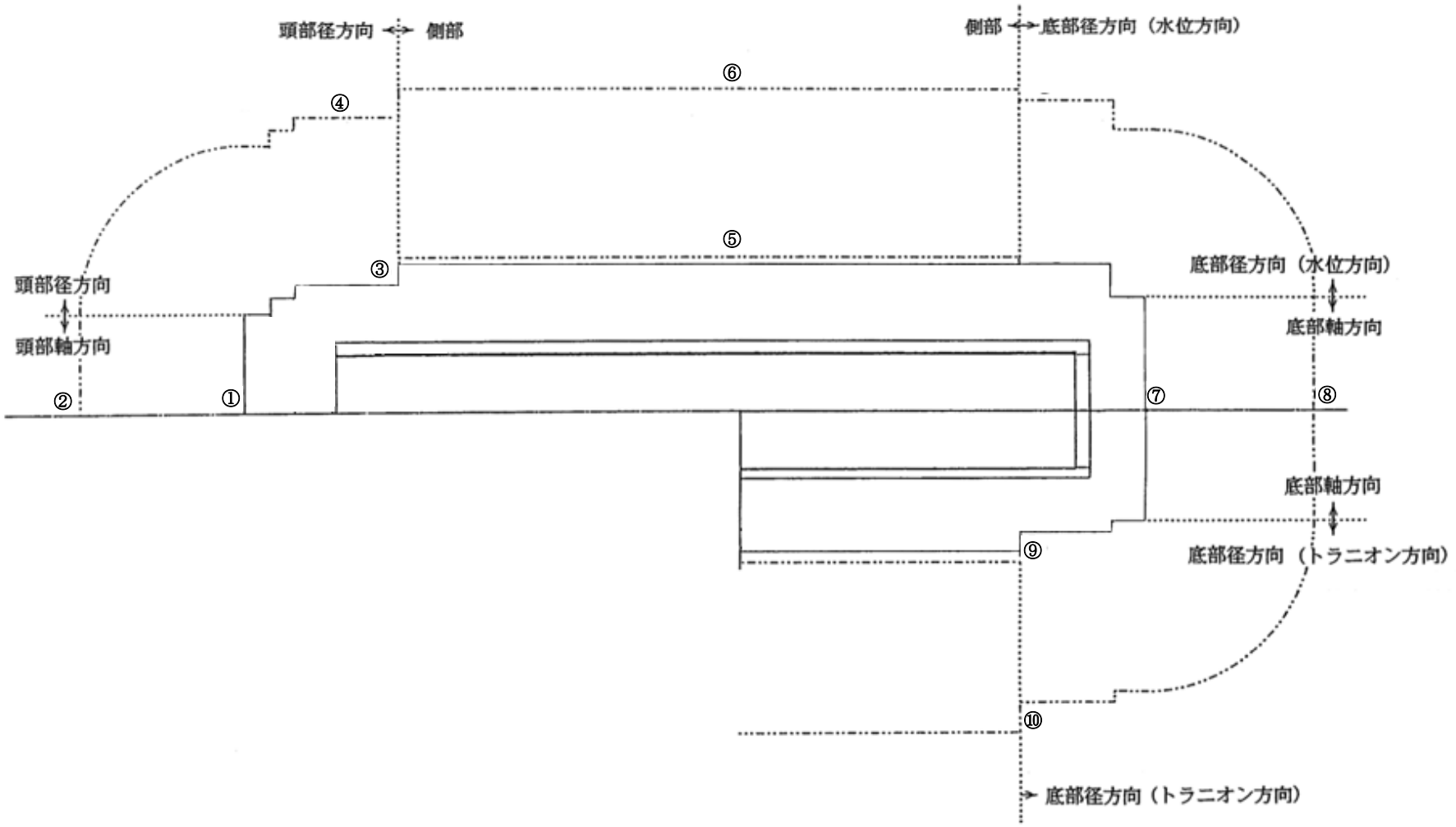
構内用輸送容器の線量当量率評価位置を図－７に,評価結果を表－１３に示す。なお,評価結果は頭部軸方向，頭部径方向，側部，底部径方向，底部軸方向における線量当量率の最大値を示している。

本表に示すとおり，構内用輸送容器は設計基準値を満足している。

表－１３　最大線量当量率の計算結果

（単位：μSv/h）

| | | 頭部 | | 側 部 | 底部 | |
|---|---|---|---|---|---|---|
| | | 軸方向 | 径方向 | | 軸方向 | 径方向 |
| 評価点 | | ① | ③ | ⑤ | ⑦ | ⑨ |
| 表面 | 計算結果 | 984.6 | 549.9 | 236.9 | 165.1 | 928.8 |
| | 設計基準値 | 2000 | | | | |
| 評価点 | | ② | ④ | ⑥ | ⑧ | ⑩ |
| 表面から１ｍ | 計算結果 | 38.3 | 44.5 | 79.5 | 31.5 | 57.6 |
| | 設計基準値 | 100 | | | | |




図－７　　線量当量率評価位置

4.4.2.　漏えい・変形燃料混載時

(1)　基本的な考え方

漏えい・変形燃料混載時の遮へい機能の評価においては，構外用輸送容器としての安全評価（漏えい燃料収納時）に用いられている評価手法を用い，構内用輸送容器表面及び表面から１ｍにおける線量当量率が設計基準を超えないことを評価する。

なお，構内輸送では燃料収納缶を用いずに運用することから，再評価を実施する。ただし，燃料収納缶がない解析モデルである事以外は既存評価と同じとし，既存評価書の内容を引用する。

(2)　設計基準

設計基準は健全燃料と同様であり，表－１２に示すとおりである。

(3)　評価条件

漏えい燃料２体については，漏えい燃料の冷却期間，平均燃焼度により放射能強度を求め，評価を行う。

なお，変形燃料については冷却期間，平均燃焼度は既存評価の条件に包絡されるため，本評価では変形燃料は安全側に健全燃料として扱うこととする。

(4)　評価方法

漏えい燃料については，安全側に漏えい燃料棒の破損を仮定し，漏えい燃料棒 2 本分のペレットが容器内の任意の位置に存在するものとして線量当量率を求める。

遮へい計算は，ガンマ線，中性子共に ANISN コードを用いて燃料棒２本分のペレットに対する線量当量率を求め，安全側に健全燃料（変形燃料含む）のみ収納時の線量当量率に加算して，構内用輸送容器表面及び表面から１ｍの線量当量率を求める。

解析モデルは一次元球モデルとし，健全燃料の解析モデルにおける遮へい解析結果が厳しい位置に存在すると仮定する。

なお，ライブラリは，健全燃料と同様に DLC-23/CASK データを用い，線量当量率への変換は ICRP Publ.74 に従う。

(5)　評価結果

漏えい・変形燃料混載時の評価結果を表－１４に示す。なお，評価結果は頭部軸方向，頭部径方向，側部，底部径方向，底部軸方向における線量当量率の最大値を示している。

本表に示すとおり，漏えい・変形燃料混載時においても構内用輸送容器は設計基準値を満足している。

なお，線量当量率評価位置については，健全燃料収納時と同様であり，図－７に示すとおりである。

表－１４　最大線量当量率の計算結果（漏えい・変形燃料混載時）

（単位：μSv/h）

| | | 頭部 | | 側 部 | 底部 | |
|---|---|---|---|---|---|---|
| | | 軸方向 | 径方向 | | 軸方向 | 径方向 |
| 評価点 | | ① | ③ | ⑤ | ⑦ | ⑨ |
| 表面 | 計算結果 | 1010.0 | 607.7 | 238.3 | 237.2 | 986.6 |
| | 設計基準値 | 2000 | | | | |
| 評価点 | | ② | ④ | ⑥ | ⑧ | ⑩ |
| 表面から１ｍ | 計算結果 | 40.7 | 47.7 | 79.8 | 35.4 | 60.8 |
| | 設計基準値 | 100 | | | | |

参考資料

# 遮へい解析に用いるコード（ORIGEN2）について

## （１） 概要

ORIGEN2 コードは，米国オークリッジ国立研究所（ORNL）で開発された炉内中性子束の１点近似による燃焼計算コードである。ORIGEN2 コードは汎用解析コードであり，輸送容器の放射線源強度計算等に広く利用されている。

## （２） 機能

ORIGEN2 コードは，燃焼解析に際して以下の機能を有している。

① 燃料の炉内での燃焼計算，炉取出し後の減衰計算により，冷却期間に対応した崩壊熱，放射線の強度，各核種の放射能量等が求められる。

② 原子炉の炉型と燃料の組合せに対し，中性子エネルギースペクトルの違いにより重みをつけた断面積ライブラリが内蔵されており，任意に選択できる。

③ 計算結果は，放射化生成物，アクチニド，核分裂生成物に分類して出力される。

④ 燃焼計算に必要な放射性核種データ（崩壊熱，ガンマ線のエネルギー分布，自発核分裂と（α，ｎ）反応により発生する中性子線源強度等）に関しては，ORIGEN2 コード専用のライブラリがあり，これを用いる。

## （３） 計算フロー

ORIGEN2 コードの計算フローを図－８に示す。

## （４） 使用実績

ORIGEN2 コードは，輸送容器，核燃料施設の放射線源強度計算に広く使用されている[*1]。

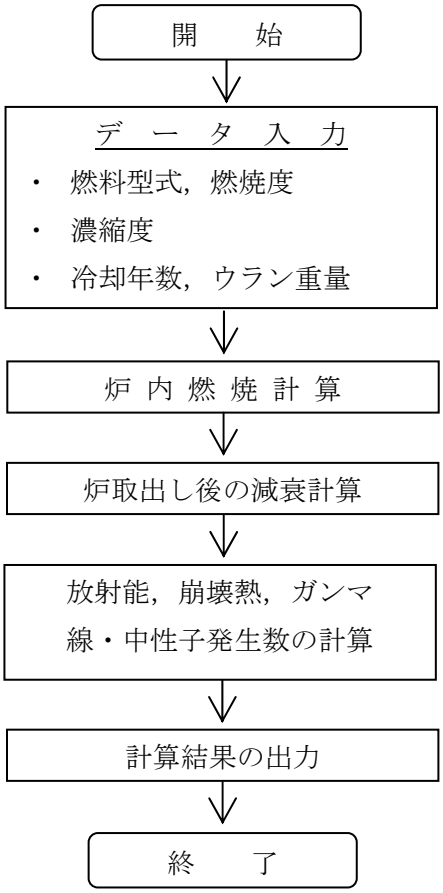
## （５） 検証方法

汎用コードの導入評価[*1]が実施されていることが確認されている。

大型実験/ベンチマーク試験による検証[*2]が実施されていることが確認されている。

*1 ORNL，“ORIGEN2 Isotope Generation and Depletion Code MATRIX EXPONENTIAL METHOD”，CCC-371

*2 (社)日本原子力学会“原子炉崩壊熱とその推奨値”，1989 年 8 月




図－８　ORIGEN2 コードの計算フロー図

遮へい解析に用いるコード（DOT3.5）について

（１）概要

DOT3.5 コード（以下「DOT コード」という。）は二次元輸送コードであり，米国オークリッジ国立研究所（ORNL）で開発された汎用解析コードである。

（２）機能

DOT コードは，遮へい解析に際して以下の機能を有する。

① ガンマ線や中性子線に対するボルツマン輸送方程式を解くことによる数値解析法であり，放射線の挙動を追跡するのに重要な非等方性が表現できる。

② DOT コードは，二次元の体系を扱うことができる。

（３）解析フロー

DOT コードの解析フローを図－９に示す。

（４）使用実績

DOT コードは，原子力施設の遮へい計算に広く用いられており，輸送容器の遮へい解析に豊富な実績がある。

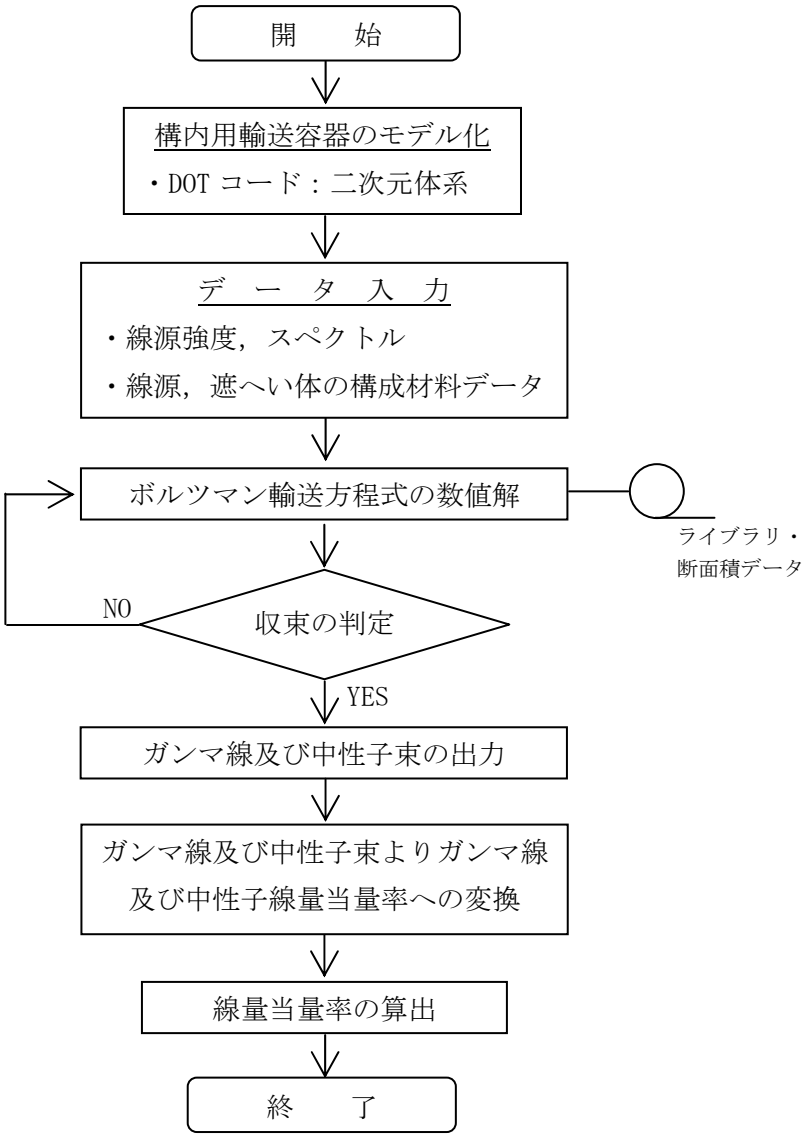
（５）検証

汎用コードの導入評価*1 が実施されていることが確認されている。

大型実験/ベンチマーク試験による検証*2 が実施されていることが確認されている。

*1 W. A. Rhoades, “DOT3.5 TWO DIMENSIONAL DISCRETE ORDINATES RADIATION TRANSPORT CODE”, CCC-276,1978 年 10 月

*2 (社)日本原子力学会“中性子遮蔽設計ハンドブック”, 1993 年 4 月




図－９　DOT コードの解析フロー図

4.5.　臨界防止機能

4.5.1.　健全燃料輸送時

(1) 基本的な考え方

臨界防止にあたっては，想定されるいかなる場合にも燃料が臨界に達することを防止するため以下のとおり設計する。

a.　燃料を収納するバスケットは格子構造として，燃料を所定の幾何学的配置に維持する設計とする。

b.　バスケットの主要材料には，中性子を吸収するボロン入りステンレス鋼を使用する。

なお，臨界防止機能の評価においては，構内用輸送容器に収納する健全燃料の初期濃縮度（約 3.8wt%）は既存評価に用いている初期濃縮度（約 4.2wt%）に包絡されるため，評価結果は既存評価書の内容を引用する。

(2) 設計基準

想定されるいかなる場合も実効増倍率が 0.95 以下であること。

(3) 評価条件

既存評価の内容を以下に示す。

・評価は初期濃縮度の高い 9×9 燃料について行う。
・燃料のウラン-235 の濃縮度は未照射のままの減損していない値（初期濃縮度）とする。
・燃料集合体には可燃性毒物としてガドリニウムを添加した燃料棒が含まれるが，中性子吸収断面積の大きいガドリニウムの存在を無視し，安全側にガドリニウムを添加していない燃料棒に置換える。
・燃料は反応度が最も高くなるように配置された状態とする。また，燃料集合体の変形を考慮し，臨界評価上安全側の仮定となるように収納される全燃料について一部領域の燃料棒ピッチを変化させた配列とする。
・バスケット材料のボロン入りステンレス鋼材中の $^{10}$B 含有量は，製造下限値とする。
・チャンネルボックスを水に置換える。
・胴内における燃料として実在する部分は燃料有効長に相当する部分のみとし，上・下部タイプレート部などを水に置換える。
・胴内の燃料有効長の範囲外の構造物は水に置換える。
・中性子遮へい体及びフィンはないものとする。
・輸送容器外部の雰囲気は安全側に真空とする。

(4) 評価方法

構内用輸送容器の実効増倍率は，燃料のウラン-235 の濃縮度は未照射のままの減損していない値をとる安全側の仮定で，構内用輸送容器の実形状をモデル化し，KENO-V.a コードを使用して求める。

(5) 評価結果

評価結果を表－１５に示す。本表に示すとおり，構内用輸送容器の実効増倍率は設計基準を満足している。

表－１５　評価結果

| 評価対象 | 実効増倍率 | 設計基準 |
|---|---|---|
| 構内用輸送容器 | 0.900[*1] | 0.95 |

*1 モンテカルロ計算の統計誤差（3σ）を考慮した値

4.5.2.　漏えい・変形燃料混載時

4.5.2.1.　健全燃料及び漏えい燃料輸送時

(1) 基本的な考え方

臨界防止にあたっては，想定されるいかなる場合にも燃料が臨界に達することを防止するため以下のとおり設計する。

a.　燃料を収納するバスケットは格子構造として，燃料を所定の幾何学的配置に維持する設計とする。

b.　バスケットの主要材料には，中性子を吸収するボロン入りステンレス鋼を使用する。

なお，臨界防止機能の評価においては，構内用輸送容器に収納する健全燃料及び漏えい燃料の初期濃縮度は既存評価に用いている初期濃縮度（約 4.2wt%）に包絡されるため，健全燃料及び漏えい燃料は既存評価に用いている燃料と同じ仕様として評価する。さらに，安全側に漏えい燃料棒の破損を仮定し，漏えい燃料棒 2 本分のペレットが構内用輸送容器内に放出されるものとして，既存評価の条件に追加する。

(2) 設計基準

想定されるいかなる場合も実効増倍率が 0.95 以下であること。

(3) 評価条件

評価の内容として，ペレットの放出を考慮する以外は健全燃料輸送時と同様とする。

放出されたペレットはペレットと水が混ざった状態とし，燃料領域以外の水領域に存在するものと仮定する。また，ペレットと水は水／ウラン比及びペレット粒径が最適な状態とする。

(4) 評価方法

構内用輸送容器の実効増倍率は，燃料及びペレットのウラン-235 の濃縮度は未照射のままの減損していない値をとる安全側の仮定で，構内用輸送容器の実形状をモデル化し，KENO-V.a コードを使用して求める。

(5) 評価結果

評価結果を表－１６に示す。本表に示すとおり，構内用輸送容器の実効増倍率は設計基準を満足している。

表－１６　評価結果

| 評価対象 | 実効増倍率 | 設計基準 |
|---|---|---|
| 構内用輸送容器 | 0.903*1 | 0.95 |

*1 モンテカルロ計算の統計誤差（3σ）を考慮した値

4.5.2.2.　健全燃料及び変形燃料輸送時

(1) 基本的な考え方

臨界防止にあたっては，想定されるいかなる場合にも燃料が臨界に達することを防止するため以下のとおり設計する。

a.　燃料を収納するバスケットは格子構造として，燃料を所定の幾何学的配置に維持する設計とする。

b.　バスケットの主要材料には，中性子を吸収するボロン入りステンレス鋼を使用する。

なお，臨界防止機能の評価においては，構内用輸送容器に収納する健全燃料は既存評価に用いている初期濃縮度（約 4.2wt%）に包絡されるため，健全燃料は既存評価に用いている燃料と同じ仕様として評価する。また，安全側に変形燃料の燃料棒の変形を考慮して評価する。

(2) 設計基準

想定されるいかなる場合も実効増倍率が 0.95 以下であること。

(3) 評価条件

評価の内容として，9×9 燃料 11 体，7×7 燃料 1 体について行うこと及び燃料収納スペーサを無視すること以外は健全燃料輸送時と同様とする。

変形燃料は大口格子に収納し，反応度が最も高くなるように配置された状態とする。また，燃料集合体の変形を考慮し，臨界評価上安全側の仮定となるように収納される変形燃料について全領域の燃料棒ピッチを変化させた配列とする。

(4) 評価方法

構内用輸送容器の実効増倍率は，燃料のウラン-235 の濃縮度は未照射のままの減損していない値をとる安全側の仮定で，構内用輸送容器の実形状をモデル化し，KENO-V.a コードを使用して求める。

(5) 評価結果

評価結果を表－１７に示す。本表に示すとおり，構内用輸送容器の実効増倍率は設計基準を満足している。

表－１７　評価結果

| 評価対象 | 実効増倍率 | 設計基準 |
|---|---|---|
| 構内用輸送容器 | 0.895*1 | 0.95 |

*1 モンテカルロ計算の統計誤差（3σ）を考慮した値

4.5.2.3.　健全燃料，漏えい燃料及び変形燃料混載時

(1) 基本的な考え方

臨界防止にあたっては，想定されるいかなる場合にも燃料が臨界に達することを防止するため以下のとおり設計する。

a.　燃料を収納するバスケットは格子構造として，燃料を所定の幾何学的配置に維持する設計とする。

b.　バスケットの主要材料には，中性子を吸収するボロン入りステンレス鋼を使用する。

なお，臨界防止機能の評価においては，4.5.2.1.と同様に健全燃料及び漏えい燃料は既存評価に用いている燃料と同じ仕様として評価する。また，4.5.2.2.と同様に安全側に変形燃料の燃料棒の変形を考慮して評価する。さらに，安全側に漏えい燃料棒の破損を仮定し，漏えい燃料棒2本分のペレットが構内用輸送容器内に放出されるものとして，4.5.2.2.の条件に追加する。

(2) 設計基準

想定されるいかなる場合も実効増倍率が0.95以下であること。

(3) 評価条件

評価の内容として，ペレットの放出を考慮する以外は健全燃料及び変形燃料輸送時と同様とする。

放出されたペレットは健全燃料及び漏えい燃料輸送時と同様にペレットと水が混ざった状態とし，燃料領域以外の水領域に存在するものと仮定する。また，ペレットと水は水／ウラン比及びペレット粒径が最適な状態とする。

(4) 評価方法

構内用輸送容器の実効増倍率は，燃料及びペレットのウラン-235 の濃縮度は未照射のままの減損していない値をとる安全側の仮定で，構内用輸送容器の実形状をモデル化し，KENO-V.a コードを使用して求める。

(5) 評価結果

評価結果を表－１８に示す。本表に示すとおり，構内用輸送容器の実効増倍率は設計基準を満足している。

表－１８　評価結果

| 評価対象 | 実効増倍率 | 設計基準 |
|---|---|---|
| 構内用輸送容器 | 0.898*1 | 0.95 |

*1 モンテカルロ計算の統計誤差（3σ）を考慮した値

参考資料

# 臨界解析に用いるコード（KENO-V.a）について

(1) 概要

KENO-V.a コードは，米国オークリッジ国立研究所（ORNL）で開発されたモンテカルロ法に基づく公開の臨界解析コードであり，輸送容器の臨界解析などに利用されている。

(2) 機能

KENO-V.a コードは，臨界解析に際して以下の機能を有している。

① 実際に中性子が出会う物理現象を確率理論を用いて模擬するため，どのような物理的問題にも適用できる。なお，統計的な手法を用いるため，計算結果には統計誤差が付随する。

② 一次元～三次元の任意形状の体系を扱うことができる。

(3) 解析フロー

KENO-V.a コードの解析フローを図－１０に示す。

(4) 使用実績

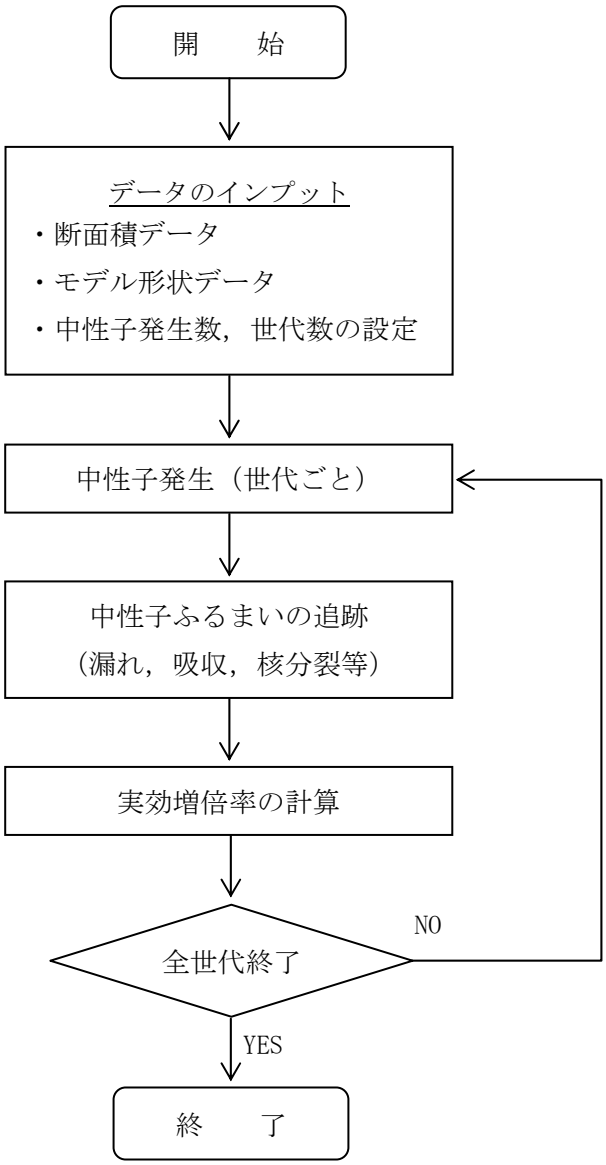
KENO-V.a コードは，国内外で輸送容器の臨界解析をはじめ，核燃料施設の臨界解析に使用されている。

(5) 検証

米国のバッテル研究所（パシフィック　ノースウエスト研究所，PNL）で行われた臨界実験*1の中から16種類の臨界体系をベンチマーク試験*2として選び，検証を行った。

*1 S. R. Bierman and E. D. Clayton, “Criticality Experiments with Subcritical Clusters of 2.35 Wt% and 4.31 Wt% $^{235}U$ Enriched $UO_2$ Rods in Water with Steel Reflecting Walls”, NUREG/CR-1784(PNL-3602), U.S. Nuclear Regulatory Commission, April 1981.

*2 “International Handbook of Evaluated Criticality Safety Benchmark Experiments”, LEU-COMP-THERM-010, LEU-COMP-THERM-013, LEU-COMP-THERM-017, LEU-COMP-THERM-042, NEA/NSC/DOC(95)03, September 2009.




図－１０　KENO-V.a コードの解析フロー図

## 5.　構内用輸送容器の落下

### 5.1.　原因

構内用輸送容器の取り扱い中に，何らかの原因で構内用輸送容器が落下して密封境界が破損し，放射性物質が環境に放出される。

### 5.2.　発生防止対策

構内用輸送容器の落下を防止するために，次のような設計及び運転上の対策を講じる。

（１）クレーン主巻フックは二重のワイヤーロープで保持する構造とする。

（２）クレーン巻上装置は電源断時に電動油圧押上機ブレーキで保持する構造とする。

（３）クレーン主巻フックと吊具，吊具と構内用輸送容器の取付けを二重化する。

（４）取付け作業後の取付け状態を確認し，外れ止めを取り付ける。

（５）作業開始前にクレーン及び吊具の事前点検を実施する。

（６）作業手順書を整備し，作業員への教育周知を行う。

（７）有資格者による設備操作，作業管理を行う体制とする。

### 5.3. 核分裂生成物の放出量及び線量の評価

本構内用輸送容器は，最大 12 体の燃料を輸送することが可能な容器である。これは既に構内用輸送容器として用いている NFT-22B 型の燃料収納体数 22 体より少ない。

従って，核分裂生成物の放出量及び線量の評価は「添付資料－２－１　構内用輸送容器に係る安全機能及び構造強度に関する説明書（４号機）」の評価に包絡される。

# ４号機　構内用輸送容器（NFT-12B 型）に係る確認事項について

４号機 構内用輸送容器（NFT-12B 型）の確認事項を表―1～表―2 に示す。

表－1　確認事項（構内用輸送容器（NFT-12B 型））

| 確認項目 | 確認内容 | 判定基準 |
|---|---|---|
| 寸法確認 | 変形燃料を収納する大口格子の内寸を確認する。 | 実施計画のとおりであること。 |
| 挿入確認 | 変形燃料を収納する大口格子に挿入ゲージ※が円滑に挿入,取出しできることを確認する。 | 挿入ゲージの挿入，取出しが円滑に行えること。 |

※2013 年 12 月に当該燃料について吊上げチャンネルボックスの曲がり状況を確認し，チャンネルボックスの曲がりを考慮した最大寸法は測定誤差を加味し 156mm であることを確認している。このため，挿入ゲージは１辺 156mm 以上とする。

表―２　確認事項（構内用輸送容器（NFT-12B 型）のうち，大口格子用スツール）

| 確認項目 | 確認内容 | 判定基準 |
|---|---|---|
| 寸法確認 | 実施計画に記載されている主な寸法について確認する。 | 実施計画のとおりであること。 |
| 材料確認 | 実施計画に記載されている主な材料について確認する。 | 実施計画のとおりであること。 |
| 外観確認 | 外観を確認する。 | 有意な欠陥がないこと。 |

# 破損燃料用輸送容器（7 体）に係る安全機能及び構造強度に関する説明書（３号機）

## 1.　３号機の破損燃料用輸送容器（7 体）に係る安全機能及び構造強度

### 1.1.　破損燃料用輸送容器（7 体）の概要

３号機使用済燃料プールには，「添付資料－１－３　燃料の健全性確認及び取り扱いに関する説明書　6.2.　３号機における燃料の取り扱い」に示すとおり，震災以前から存在する漏えい燃料等やハンドル部が変形し燃料健全性への影響が疑われる燃料（以下，「破損燃料」という。）が存在し，がれき落下衝撃試験及びがれき衝突解析の結果からペレットが燃料被覆管内に保持されていると想定する。破損燃料用輸送容器は，これらの破損燃料を共用プールへ輸送する際に使用する。

破損燃料用輸送容器は，既存の３号機構内用輸送容器に対して破損燃料を評価条件とした安全評価を行い，安全機能及び構造強度を確認した上で破損燃料用輸送容器として使用する。

また，破損燃料用輸送容器は，収納する燃料のハンドル部の変形の程度に応じて，バスケットを取り替えることにより，変形が小さい燃料を 7 体収納できる容器（以下，「破損燃料用輸送容器（7 体）」という。）と，変形が大きい燃料を 2 体収納できる容器（以下，「破損燃料用輸送容器（2 体）」という。）に使い分けることが可能である。

なお，後者の破損燃料用輸送容器（2 体）に係る安全機能及び構造強度については，「添付資料２－２－２　破損燃料用輸送容器（2 体）に係る安全機能及び構造強度に関する説明書（３号機）」で説明する。

#### 1.1.1.　破損燃料用輸送容器（7 体）の構成

「添付資料－２－１－２　構内用輸送容器に係る安全機能及び構造強度に関する説明書（３号機）　1.1.1.　構内用輸送容器の構成」を参照。

#### 1.1.2.　設備仕様

##### 1.1.2.1.　破損燃料用輸送容器（7体）の仕様

「添付資料－２－１－２　構内用輸送容器に係る安全機能及び構造強度に関する説明書（３号機）　1.1.2.1.　構内用輸送容器の仕様」を参照。

##### 1.1.2.2.　破損燃料用輸送容器（7体）に収納する燃料仕様

バスケットに装填したステンレス鋼製の使用済燃料収納缶（小）（内寸153㎜）に燃料を装填して共用プールに輸送する。

収納対象とする燃料は，震災以前から存在する漏えい燃料，チャンネルボックスが装

着されていないスペーサー部損傷燃料及びハンドル部の変形が小さい燃料，並びに健全燃料とする。

なお，破損燃料用輸送容器（7体）で輸送可能な３号機の破損燃料は，がれき落下衝撃試験及びがれき衝突解析の結果からペレットが燃料被覆管内に保持されていると想定される燃料に限る。

３号機使用済燃料プールに貯蔵されている燃料の仕様を表1-1-1に示す。

表1-1-1　３号機使用済燃料プールに貯蔵されている燃料の仕様

| | 使用済燃料 | | | | 新燃料 |
|---|---|---|---|---|---|
| 燃料タイプ | 8×8燃料 | 新型 8×8 ｼﾞﾙｺﾆｳﾑﾗｲﾅ 燃料 | 高燃焼度 8×8 燃料 | 9×9燃料 (A型) | 9×9燃料 (A型) |
| 貯蔵体数 | 6 | 36 | 148 | 324 | 52 |
| 最高燃焼度 (MWd/t) | 34,100 | 39,300 | 43,900 | 51,300 | － |
| 最短冷却日数(日)※1 | 12,133 | 7,979 | 4,229 | 3,207 | － |

※１：平成 31 年 3 月 31 日時点での冷却期間

1.2.　評価の基本方針

破損燃料用輸送容器（7 体）が本文 2.11.1.3 項の設計方針に示される除熱，密封，遮へい及び臨界防止の安全機能を有するとともに，本文 2.11.1.8 項の構造強度及び耐震性に示される構造強度を有する設計であることを確認する。

なお，既存の３号機構内用輸送容器の安全機能及び構造強度は「添付資料－２－１－２構内用輸送容器に係る安全機能及び構造強度に関する説明書（３号機）」（以下，「既存評価」という。）で確認されているため，1.1.2.2.項に示す３号機の破損燃料が既存評価の評価条件に該当しない事項について，新たに評価を行う。

表 1-2-1 に評価すべき各安全機能に対する安全設計・評価の方針を示す。

表1-2-1　破損燃料用輸送容器（7体）安全評価の基本方針

| 項目 | 設計方針 | 評価対象 | 新評価実施要否 | 評価方針 |
|---|---|---|---|---|
| 構造強度 | 構内用輸送容器は取扱中における衝撃，熱等に耐え，かつ，容易に破損しない設計とする。<br>構内用輸送容器は，設計，材料の選定，製作及び検査について適切と認められる規格及び基準によるものとする。 | 破損燃料用輸送容器（7体） | － | 震災以前から存在する漏えい燃料等は，燃料被覆管の軽微な損傷または損傷の可能性があるが，ペレットは燃料被覆管内に保持されると想定する。また，ハンドル部が変形した燃料についても落下がれきにより燃料上部が損傷している可能性があるが，ペレットは燃料被覆管内に保持されると想定する。このことから，設計事象の荷重条件が既存評価と同等であると言えるため，新評価は不要。 |
| 除熱機能 | 使用済燃料の健全性及び構成部材の健全性が維持できるように，使用済燃料の崩壊熱を適切に除去できる設計とする。 | 燃料被覆管 | － | 構造強度と同様にペレットは燃料被覆管内に保持されると想定する。このことから，評価条件が既存評価と同等であると言えるため，新評価は不要。 |
| | | 破損燃料用輸送容器（7体） | － | |
| 密封機能 | 周辺公衆及び放射線業務従事者に対し，放射線被ばく上の影響を及ぼすことのないよう，使用済燃料が内包する放射性物質を適切に閉じ込める設計とする。 | 破損燃料用輸送容器（7体） | － | 構造強度及び除熱機能の評価結果が既存評価と同等であり，容器構造も同一であるため，新評価は不要。 |
| 遮へい機能 | 内部に燃料を入れた場合に放射線障害を防止するため，使用済燃料の放射線を適切に遮へいする設計とする。 | 破損燃料用輸送容器（7体） | － | 構造強度と同様にペレットは燃料被覆管内に保持されると想定する。このことから，評価条件が既存評価と同等であると言えるため，新評価は不要。 |
| 臨界防止機能 | 想定されるいかなる場合にも燃料が臨界に達することを防止できる設計とする。 | 破損燃料用輸送容器（7体） | ○ | 構造強度と同様にペレットは燃料被覆管内に保持されると想定するが，万一臨界に至った場合の影響緩和が困難であることから，保守的に燃料棒の形状が維持されていないと仮定して実効増倍率を評価する。 |

## 1.3.　臨界防止機能

### 1.3.1. 基本的な考え方

臨界防止にあたっては,想定されるいかなる場合にも燃料が臨界に達することを防止するため以下のとおり設計する。

- 燃料を収納するバスケットは格子構造として,燃料を所定の幾何学的配置に維持する設計とする。
- バスケットの主要材料には，中性子を吸収するボロン添加ステンレス鋼を使用し，バスケット外周部にボロン添加アルミニウム合金板を配置する。

### 1.3.2.　設計基準

想定されるいかなる場合も実効増倍率が 0.95 以下であること。

### 1.3.3.　評価条件

1)燃料条件，評価モデル

以下の保守的な燃料条件で評価を行うものとする。臨界評価モデルを図 1-3-1 に示す。

・燃料棒の形状が維持されていないと仮定し，以下の条件を設定する。
  ・燃料被覆管が破損しペレットが使用済燃料収納缶（小）内に放出され，さらに使用済燃料収納缶（小）外にペレットが漏えいすることを仮定し，容器内にペレットと水が非均質に混ざった状態とする。
  ・水／ウラン比，ペレット粒径が最適な状態とする。
  ・U-235 の濃縮度は未照射のまま減損しない値とし，９×９燃料のペレット最高濃縮度 4.9wt%とする。また，中性子吸収断面積の大きい Gd は無視する。
・バスケット内の使用済燃料収納缶（小）配置は，格子間の範囲で偏心配置（バスケット中心寄り）を考慮する。
・バスケット材料のボロン添加ステンレス鋼材中及びバスケット外周に配置したボロン添加アルミニウム合金の $^{10}$Ｂ含有量は，製造下限値とする。
・評価に使用する各部の寸法は製造公差を考慮した寸法とする。
・チャンネルボックス及びウォーターロッドは水に置換える。
・中性子遮へい体部（レジン）は真空とする。
・破損燃料用輸送容器（7 体）外部の雰囲気は安全側に真空，完全反射とする。
・評価モデルは３次元体系とする。

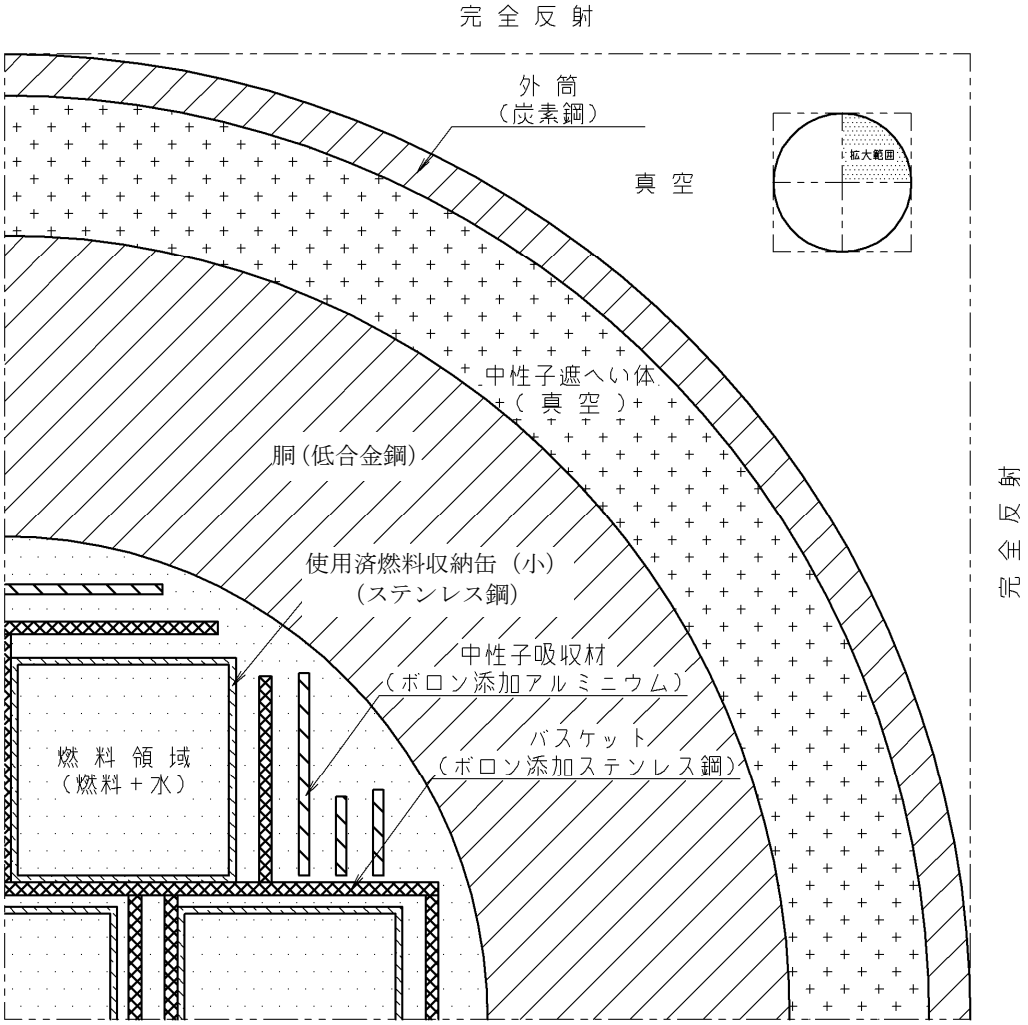

完 全 反 射
外 筒
（炭素鋼）
真 空
拡大範囲
中性子遮へい体
（ 真 空 ）
胴（低合金鋼）
使用済燃料収納缶（小）
（ステンレス鋼）
中性子吸収材
（ボロン添加アルミニウム）
バスケット
（ボロン添加ステンレス鋼）
燃 料 領 域
（燃料＋水）
完 全 反 射

図 1-3-1　臨界評価体系

1.3.4.　評価方法

破損燃料用輸送容器（7 体）の実形状をモデル化し，臨界解析コード KENO-Ⅴ.a を使用して求める。

1.3.5.　評価結果

評価結果を表 1-3-1 に示す。表 1-3-1 に示すとおり，破損燃料用輸送容器（7 体）の実効増倍率は設計基準を満足している。

表 1-3-1　評価結果

| 実効増倍率*1 | 設計基準 |
|---|---|
| 0.94 | 0.95 |

*1 モンテカルロ計算の統計誤差（3σ）を考慮した値

参考資料

# 臨界解析に用いるコード（KENO-Ⅴ.a）について

## （１） 概要

KENO-Ⅴ.a コードは，米国オークリッジ国立研究所（ORNL）で開発されたモンテカルロ法に基づく公開の臨界解析コードであり，輸送容器の臨界解析などに利用されている。

## （２） 機能

KENO-Ⅴ.a コードは，臨界解析に際して以下の機能を有している。

① 実際に中性子が出会う物理現象を確率理論を用いて模擬するため，どのような物理的問題にも適用できる。なお，統計的な手法を用いるため，計算結果には統計誤差が付随する。

② 一次元～三次元の任意形状の体系を扱うことができる。

## （３） 解析フロー

KENO-Ⅴ.a コードの解析フローを図 1-3-2 に示す。

## （４） 使用実績

KENO-Ⅴ.a コードは，国内外で輸送容器の臨界解析をはじめ，核燃料施設の臨界解析に使用されている。

## （５） 検証

米国のバッテル研究所（パシフィック　ノースウエスト研究所，PNL）で行われた臨界実験*1 の中から 16 種類の臨界体系をベンチマーク試験*2 として選び，検証を行った。

*1 S. R. Bierman and E. D. Clayton, “Criticality Experiments with Subcritical Clusters of 2.35 Wt% and 4.31 Wt% $^{235}U$ Enriched $UO_2$ Rods in Water with Steel Reflecting Walls”, NUREG/CR-1784(PNL-3602), U.S. Nuclear Regulatory Commission, April 1981.

*2 “International Handbook of Evaluated Criticality Safety Benchmark Experiments”, LEU-COMP-THERM-010, LEU-COMP-THERM-013, LEU-COMP-THERM-017, LEU-COMP-THERM-042, NEA/NSC/DOC(95)03, September 2009.

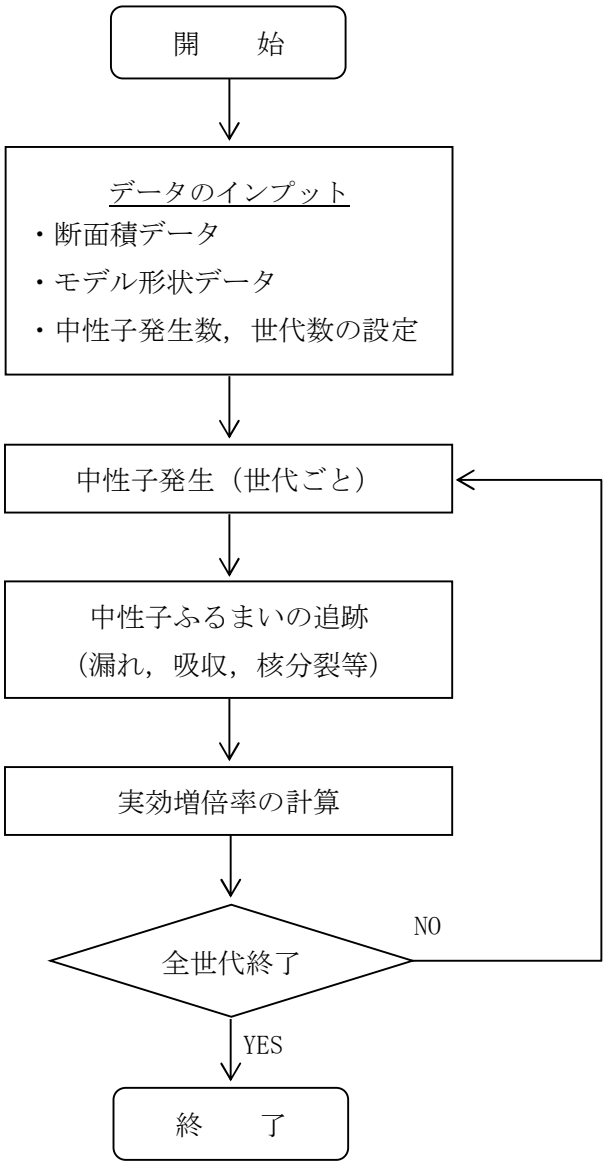



図 1-3-2　KENO-Ⅴ.a コードの解析フロー図

1.4.　破損燃料用輸送容器（7 体）の落下

「添付資料－２－１－２　構内用輸送容器に係る安全機能及び構造強度に関する説明書（３号機）　1.8.　構内用輸送容器の落下」を参照。

# 破損燃料用輸送容器（2 体）に係る安全機能及び構造強度に関する説明書（３号機）

## 1.　３号機の破損燃料用輸送容器（2 体）に係る安全機能及び構造強度

### 1.1.　破損燃料用輸送容器（2 体）の概要

３号機使用済燃料プールにあるハンドル部の変形が認められる燃料のうち,ハンドル部の変形が大きく破損燃料用輸送容器（7 体）に収納できない燃料については，内のりの大きいバスケット（2 体収納）に取り替えた破損燃料用輸送容器（2 体）を使用して，共用プールへ輸送する。なお，バスケット（2 体収納）は 3 基ある３号機構内用輸送容器のいずれに対しても取り替えることができる。

#### 1.1.1.　破損燃料用輸送容器（2 体）の構成

破損燃料用輸送容器（2 体）は，容器本体，蓋，バスケット及びトラニオンにより構成される。なお，バスケット以外の構成部材は破損燃料用輸送容器（7 体）から流用して用いる。破損燃料用輸送容器（2 体）の概要図を図 1-1-1 に示す。

（１）容器本体

容器本体は胴，底板，中性子遮へい体，外筒で構成される。低合金鋼の胴及び底板と蓋で放射性物質を閉じ込める耐圧バウンダリを構成する。

また，主に胴及び底板の低合金鋼がガンマ線遮へい機能を有し，胴と外筒の間および底板の底部に配置されたレジンが中性子遮へい機能を有する。

（２）蓋

蓋は一次蓋及び二次蓋で構成する。

一次蓋はステンレス鋼であり，複数本のボルトで容器本体フランジ面に取付けられる。一次蓋にはゴム製のＯリングを設け容器本体フランジ面との密封性を確保する構造となっている。一次蓋のステンレス鋼がガンマ線遮へい機能を有する。

二次蓋もステンレス鋼であり，一次蓋の上から複数本のボルトで容器本体フランジ面に取付けられる。二次蓋にもゴム製のＯリングを設け，容器本体フランジ面との密封性を確保できる構造となっている。

（３）バスケット

バスケットは容器内において燃料集合体を所定の位置に保持するための構造物である。また，未臨界確保のためバスケット外周にボロン添加アルミニウム合金板を設置している。

燃料集合体はバスケット内に装填したステンレス鋼製の使用済燃料収納缶（大）に収納する。

（4）トラニオン

トラニオンは容器のクレーンでの取扱い（吊上げ）及び，構内輸送時の固縛のために容器上部及び下部にボルトで取付ける。

取扱い時（縦姿勢）は容器と吊具との接続を二重化して落下を防止するために，上部トラニオンは二対（4個）設ける。

構内輸送時(横姿勢)では上部トラニオンと下部トラニオンで架台等に固定するため，下部トラニオンは一対（2個）設ける。

1.1.2.　設備仕様

1.1.2.1.　破損燃料用輸送容器（2体）の仕様

破損燃料用輸送容器（2体）の仕様を表1-1-1に示す。

表 1-1-1　破損燃料用輸送容器（2 体）の仕様

| 項目 | 数値等 |
|---|---|
| 重量（ｔ）<br>(燃料を含む) | 約 44.3 |
| 全長（m） | 約 5.6 |
| 外径（m） | 約 1.4 |
| 収納体数（体） | 2 |
| 基数（基） | 1※1 |

※１：バスケット（2体収納）は1個有する

1.1.2.2.　破損燃料用輸送容器（2体）に収納する燃料仕様

1.1.1.(3)に記載のとおり，バスケットに装填したステンレス鋼製の使用済燃料収納缶（大）（内寸209㎜）に燃料を装填して共用プールに輸送する。

収納対象とする燃料は，破損燃料用輸送容器（7体）に収納できない破損燃料，並びに健全燃料とする。

なお，破損燃料用輸送容器（2体）で輸送可能な３号機の破損燃料は，がれき落下衝撃試験及びがれき衝突解析の結果からペレットが燃料被覆管内に保持されていると想定される燃料に限る。

３号機使用済燃料プールに貯蔵されている燃料の仕様を表1-1-2に示す。

表1-1-2　３号機使用済燃料プールに貯蔵されている燃料の仕様

| | 使用済燃料 | | | | 新燃料 |
|---|---|---|---|---|---|
| 燃料タイプ | 8×8燃料 | 新型８×８<br>ｼﾞﾙｺﾆｳﾑﾗｲﾅ<br>燃料 | 高燃焼度<br>８×８燃料 | 9×9燃料<br>(A型) | 9×9燃料<br>(A型) |
| 貯蔵体数 | 6 | 36 | 148 | 324 | 52 |
| 最高燃焼度<br>(MWd/t) | 34,100 | 39,300 | 43,900 | 51,300 | － |
| 最短冷却日数(日)※2 | 12,133 | 7,979 | 4,229 | 3,207 | － |

※２：平成 31 年 3 月 31 日時点での冷却期間

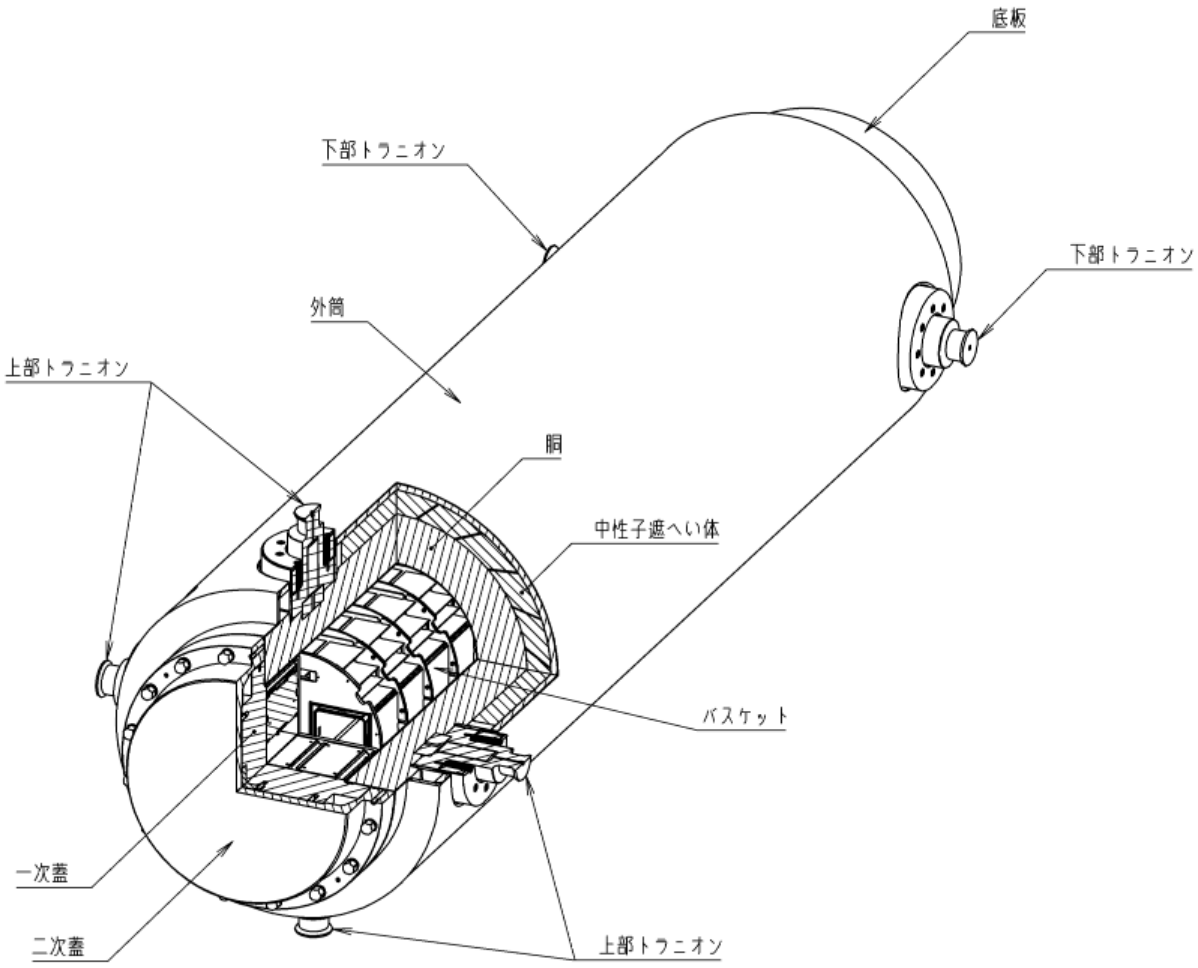



図 1-1-1　破損燃料用輸送容器（2 体）　概要図

1.2.　評価の基本方針

破損燃料用輸送容器（2 体）が，本文 2.11.1.3 項の設計方針に示される除熱，密封，遮へい及び臨界防止の安全機能を有するとともに，本文 2.11.1.8 項の構造強度及び耐震性に示される構造強度を有する設計であることを確認する。

表 1-2-1 に評価すべき各安全機能に関する安全設計・評価の方針を示す。

表1-2-1　破損燃料用輸送容器（2体）安全評価の基本方針

| 項目 | 設計方針 | 評価対象 | 評価方針 |
|---|---|---|---|
| 構造強度 | 構内用輸送容器は取扱中における衝撃，熱等に耐え，かつ，容易に破損しない設計とする。<br>構内用輸送容器は，設計，材料の選定，製作及び検査について適切と認められる規格及び基準によるものとする。 | 破損燃料用輸送容器（2体） | 落下がれきにより燃料上部が損傷している可能性があるが，ペレットは燃料被覆管内に保持されると想定する。<br>３号機構内用輸送容器の取扱手順から設計事象を抽出し，その荷重条件で発生する応力を評価する。<br>構造強度評価手法は，JSME S NC1-2005/2007設計・建設規格を準用する。 |
| 除熱機能 | 使用済燃料の健全性及び構成部材の健全性が維持できるように，使用済燃料の崩壊熱を適切に除去できる設計とする。 | 燃料被覆管<br>破損燃料用輸送容器（2体） | 構造強度と同様にペレットは燃料被覆管内に保持されると想定し，収納する燃料から発生する最大崩壊熱量で容器各部及び燃料の温度を評価する。 |
| 密封機能 | 周辺公衆及び放射線業務従事者に対し，放射線被ばく上の影響を及ぼすことのないよう，使用済燃料が内包する放射性物質を適切に閉じ込める設計とする。 | 破損燃料用輸送容器（2体） | 構造強度及び除熱機能の評価結果から，設計事象において，容器密封部の健全性が維持されることを評価する。 |
| 遮へい機能 | 内部に燃料を入れた場合に放射線障害を防止するため，使用済燃料の放射線を適切に遮へいする設計とする。 | 破損燃料用輸送容器（2体） | 構造強度と同様にペレットは燃料被覆管内に保持されると想定し，収納する燃料から発生する線源強度で容器表面及び表面から１ｍの線量当量率を評価する。 |
| 臨界防止機能 | 想定されるいかなる場合にも燃料が臨界に達することを防止できる設計とする。 | 破損燃料用輸送容器（2体） | 構造強度と同様にペレットは燃料被覆管内に保持されると想定するが，万一臨界に至った場合の影響緩和が困難であることから，保守的に燃料棒の形状が維持されていないと仮定して実効増倍率を評価する。 |

## 1.3.　構造強度評価

### 1.3.1.　基本的な考え方

破損燃料用輸送容器（2 体）の構造強度の評価部位は，安全上重要な部位として容器本体（胴及び底板），蓋，バスケット，支持機能を有するトラニオンとする。

ただし，バスケットを除く構成部材は３号機構内用輸送容器と同一であり，収納体数は３号機構内用輸送容器の 7 体より少ないため容器質量は小さい。よって，容器の支持部材であるトラニオンについては,「添付資料－２－１－２ 構内用輸送容器に係る安全機能及び構造強度に関する説明書（３号機） 1.3.　構造強度評価」に包絡される。

従って，容器本体（胴及び底板），蓋，バスケットの各部の構造強度を評価する。

構造強度評価手法は，JSME S NC1-2005/2007 設計・建設規格（以下,「設計・建設規格」という。）を準用する。各評価対象部位の適用基準・規格を表 1-3-1 に示す。

表 1-3-1　構造強度に係る適用基準・規格

| 評価対象<br>部位 | 設計・建設規格<br>機器区分 | 構造強度<br>評価方法 | 考え方 |
|---|---|---|---|
| 容器本体，蓋 | クラス３容器 | クラス１容器の規定を準用 | 容器本体及び蓋は設計・建設規格 GNR-1210 及び GNR-1220 の機器等の区分の定義より，クラス３容器に区分されると考えられる。<br>圧力荷重についてはクラス３容器における規格計算式で評価することができるが，熱荷重や取扱時の衝撃荷重等の各種の負荷荷重が発生することから，これらの荷重については，応力解析によって発生応力を求めて評価する必要がある。<br>したがって，構造強度評価手法は，同様な「解析による設計」の考え方が採用されているクラス１容器を準用する。 |
| バスケット | ノンクラス | 炉心支持構造物の規定を準用 | バスケットは設計・建設規格 GNR-1210 及び GNR-1220 の機器等の区分の定義に該当しないと考えられる。<br>しかし，容器内において燃料を支持する部材であるため，構造強度評価手法は，炉心支持構造物を準用する。 |

1.3.2.　設計事象の抽出

JSME S FA1-2007 金属キャスク構造規格の考え方に基づいて，破損燃料用輸送容器（2体）の設計事象として以下を抽出した。

なお，設計事象の抽出にあたっては，図 1-3-1 に示すハンドリングフローに基づき，破損燃料用輸送容器（2 体）の取扱い及び共用プールまでの輸送において想定される起因事象に着目し，発生防止対策を考慮して事象の発生の可能性を検討した。設計事象の抽出結果を表 1-3-2 に示す。

1）設計事象Ⅰ

容器本体及び蓋には，収納する燃料の発熱により内圧及び熱による応力が発生する。また，取扱い時及び構内輸送時の加速度により収納物及び自重による荷重がかかり，応力が発生する。

バスケットには，取扱い時及び構内輸送時の加速度により収納物及び自重による荷重がかかり，応力が発生する。

2）設計事象Ⅱ

容器本体及び蓋には，輸送架台への衝突（取扱いモードNo.3），搬送架台への衝突（取扱いモードNo.7），転倒防止台座への衝突（取扱いモードNo.9）及びキャスクピットへの衝突（取扱いモードNo.10）の加速度における収納物及び自重による荷重がかかり，応力が発生する。

バスケットには，輸送架台への衝突（取扱いモードNo.3），搬送架台への衝突（取扱いモードNo.7），転倒防止台座への衝突（取扱いモードNo.9）及びキャスクピットへの衝突（取扱いモードNo.10）の加速度における収納物及び自重による荷重がかかり，応力が発生する。

3）設計事象Ⅲ及び設計事象Ⅳ

破損燃料用輸送容器（2 体）を取扱う設備及び運用においては，クレーンワイヤ及び吊具の二重化，始業前の機器の点検を実施することから，ハンドリングフローから抽出される事象のうち，破損燃料用輸送容器（2 体）の安全機能を著しく損なう事象であって，一般公衆の放射線被ばくの観点からみて重要と考えられる事象はない。

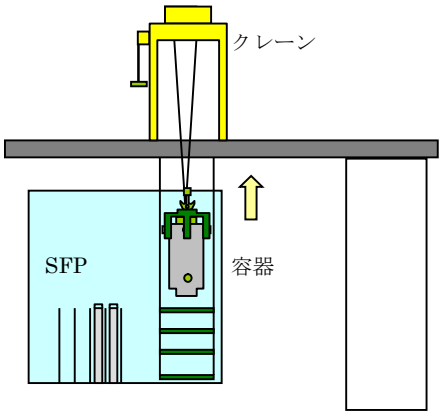
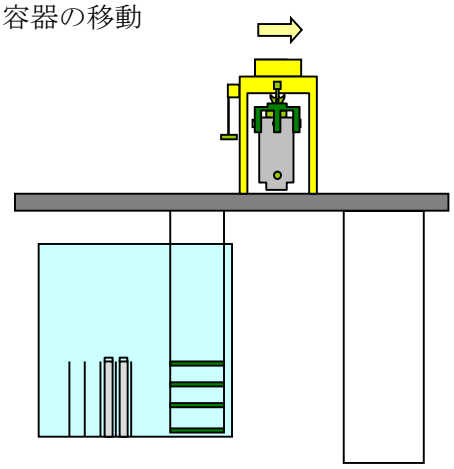
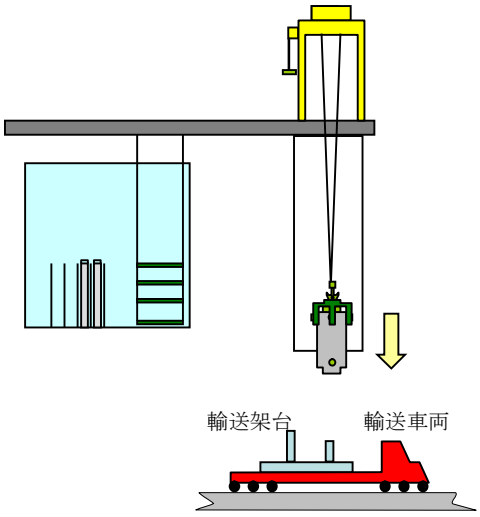
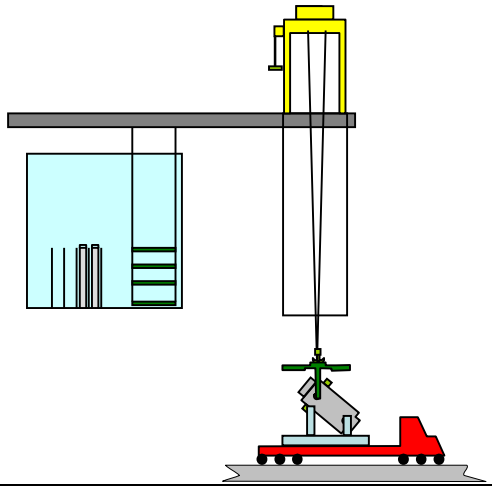
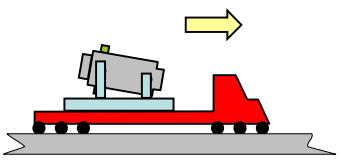
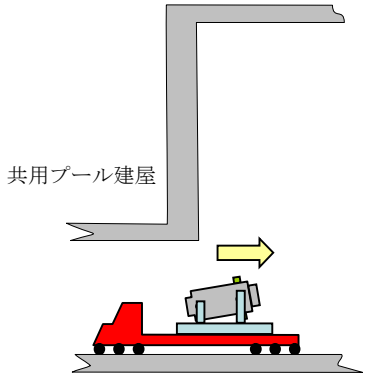
<table>
<tr><th>No.</th><th>取扱いモード</th><th>No.</th><th>取扱いモード</th></tr>
<tr><td>1</td><td>プールからの容器の吊上げ<br> 
</td><td>2</td><td>容器の移動<br>  </td></tr>
<tr><td>3</td><td>容器の吊下し<br> 
</td><td>4</td><td>輸送車両への積載<br>  </td></tr>
<tr><td>5</td><td>構内輸送（３号機→共用プール）<br>  </td><td>6</td><td>共用プール建屋への搬入<br> 
</td></tr>
</table>

図 1-3-1　構内用輸送容器のハンドリングフロー（1/2）

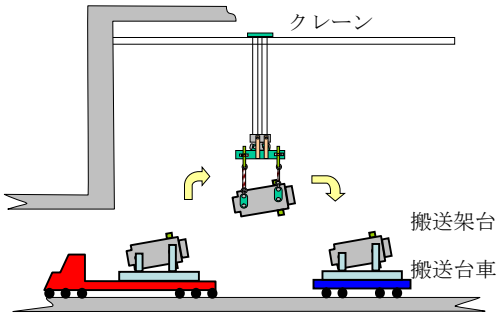
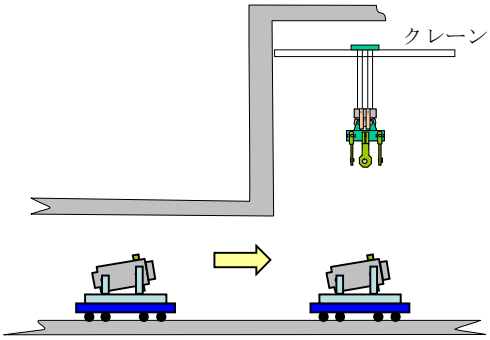
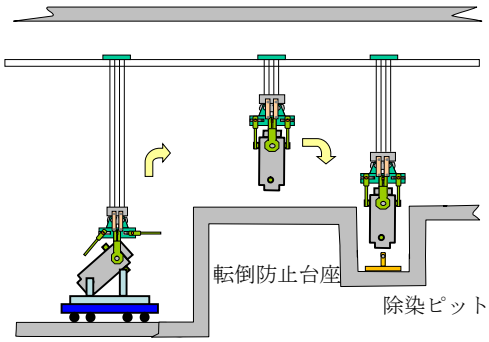
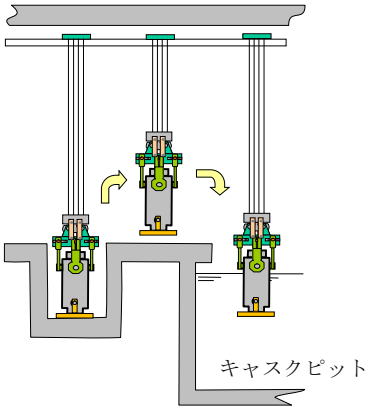
| No. | 取扱いモード | No. | 取扱いモード |
|---|---|---|---|
| 7 | 搬送台車への積載<br>  | 8 | キャスク取扱室への移動<br>  |
| 9 | 除染ピットへの移動<br>  | 10 | キャスクピットへの移動<br>  |

図 1-3-1　構内用輸送容器のハンドリングフロー（2/2）

表 1-3-2　設計事象の抽出（1/2）

| 起因事象 | | 原因 | 発生の可能性・防止策 | 発生の有無 | 想定シナリオ | 抽出の要否 |
|---|---|---|---|---|---|---|
| 破損燃料用輸送容器（2 体）の落下 | 輸送車両取扱い時の落下（No. 5） | 固定ボルトの取付け不良 | 以下の対策，設計により容器の落下を防止する<br>● 容器は輸送車両に複数のボルトで固縛されていることを確認<br>● 容器は輸送車両で徐行して輸送<br>● 輸送経路は輸送に関係する人及び車両以外の立入を制限 | × | | × |
| | 搬送台車取扱い時の落下（No. 8） | 固定ボルトの取付け不良 | 以下の対策，設計により容器の落下を防止する<br>● 容器は搬送台車に複数のボルトで固縛されていることを確認<br>● 搬送台車はレール上を走行し，走行範囲インターロック及び障害物検知装置を有している | × | | × |
| | クレーン取扱時の落下（No. 1, 2, 3, 4, 7, 9, 10） | 吊具の取付け不良（３号機） | 以下の対策，設計により容器の落下を防止する<br>● 吊具の二重化<br>● 始業前の吊具点検<br>● 取付け後の外れ止めを設置<br>● 取付け状態の ITV による目視確認<br>● 取付け状態の吊具アーム部のリミットスイッチによる確認<br>● 地切り後の ITV による取付け状態の確認，クレーンの荷重確認 | × | | × |
| | | 吊具の取付け不良（共用プール） | 以下の対策，設計により容器の落下を防止する<br>● 吊具の二重化<br>● 始業前の吊具点検<br>● 取付け後の外れ止めを設置<br>● 取付け状態の作業員による確認 | × | | × |
| | | ワイヤーロープ及び吊具の破断（３号機） | 以下の対策，設計により容器の落下を防止する<br>● ワイヤーロープ及び吊具の二重化<br>● 始業前のワイヤーロープ，吊具点検 | × | | × |
| | | ワイヤーロープ及び吊具の破断（共用プール） | 以下の対策，設計により容器の落下を防止する<br>● ワイヤーロープ及び吊具の二重化<br>● 始業前のワイヤーロープ，吊具点検 | × | | × |

表 1-3-2　設計事象の抽出（2/2）

| 起因事象 | | 原因 | 発生の可能性・防止策 | 発生の有無 | 想定シナリオ | 抽出の要否 |
|---|---|---|---|---|---|---|
| 破損燃料用輸送容器（2 体）の衝突 | クレーン移動時（走行，横行）の衝突 (No. 2, 7, 9, 10) | ブレーキの故障（３号機） | 以下の対策，設計により容器は他の構築物等へ衝突を防止する<br>● ＩＴＶにより移動経路に障害物がないことの確認<br>● 走行及び横行それぞれの制御盤（シーケンサ、インバータ等）による停止機能の作動 | × | | × |
| | | ブレーキの故障（共用プール） | 以下の対策，設計により容器は他の構築物等へ衝突を防止する<br>● 容器移動前に移動経路に障害物がないことの確認<br>● 走行及び横行それぞれの制御盤（シーケンサ、インバータ等）による停止機能の作動 | × | | × |
| | | 操作員の誤操作（３号機） | 以下の対策，設計により構内輸送容器は他の構築物等へ衝突を防止する<br>● クレーンの横行走行範囲に制限機能を設定<br>● ＩＴＶにより移動経路に障害物がないことの確認 | × | | × |
| | | 操作員の誤操作（共用プール） | 以下の対策，設計により構内輸送容器は他の構築物等へ衝突を防止する<br>● クレーンの横行走行範囲に制限機能を設定<br>● 容器移動前に移動経路に障害物がないことの確認 | × | | × |
| | クレーン吊下げ時の衝突（垂直吊り） (No. 3, 4, 9, 10) | ブレーキの故障 | 以下の設計により容器の輸送架台，転倒防止台座あるいはキャスクピットへ衝突を防止する<br>● 巻上げ装置ブレーキを二重化 | × | | × |
| | | 操作員の誤操作 | 吊下げ時の誤操作により，容器は巻下げ速度で輸送架台，転倒防止台座あるいはキャスクピットに衝突する可能性がある。 | ○ | クレーンの最大巻下げ速度 0.025m/s で，構内用輸送容器が輸送架台，転倒防止台座，キャスクピットに衝突する場合を，設計事象として抽出。 | ○ |
| | クレーン吊下げ時の衝突（水平吊り） (No. 7) | ブレーキの故障 | 以下の設計により容器の搬送架台へ衝突を防止する<br>● 巻上げ装置ブレーキを二重化 | × | | × |
| | | 操作員の誤操作 | 吊下げ時の誤操作により，容器は巻下げ速度で搬送架台に衝突する可能性がある。 | ○ | クレーンの最大巻下げ速度 0.025m/s で，容器が搬送架台に衝突する場合を，設計事象として抽出。 | ○ |

1.3.3.　設計事象の荷重条件

前項で抽出した設計事象について，破損燃料用輸送容器（2 体）に発生する荷重を評価する。

1）内圧

内圧は，除熱評価結果から設定した容器内部水の温度（℃）から，下記の通り設定した。

① 容器内部水及び気体の熱膨張を考慮した場合の内圧

(a) 容器本体及び一次蓋の内圧

容器本体及び一次蓋の内圧は 0.6（MPa）とする。

(b) 二次蓋の内圧

二次蓋の内圧は 0.45（MPa）とする。

② 容器内部水及び気体の熱膨張に加えて，燃料破損による燃料棒内のガス放出を考慮した場合の内圧（最高使用圧力）

(a) 容器本体及び一次蓋の最高使用圧力

容器本体及び一次蓋の最高使用圧力は 2.0（MPa）とする。

(b) 二次蓋の最高使用圧力

二次蓋の最高使用圧力は 1.4（MPa）とする。

③ 試験時圧力

(a) 容器本体及び一次蓋の試験時圧力

容器本体及び一次蓋の試験時圧力は 3.0（MPa）とする。

(b) 二次蓋の試験時圧力

二次蓋の試験時圧力は 2.1（MPa）とする。

2）熱荷重

破損燃料用輸送容器（2 体）に発生する熱応力は，３号機構内用輸送容器における除熱評価で得られた温度分布を用いて評価する。

3）設計事象Ⅰの加速度

取扱い時及び構内輸送時の加速度

①取扱い時（吊上げ時）

破損燃料用輸送容器(2 体)を吊り上げる際に発生する加速度は以下のとおり。なお，吊上げ時の姿勢は縦姿勢である。

・容器軸方向加速度：1.32（G）

②構内輸送時

破損燃料用輸送容器（2 体）を構内輸送する際に発生する加速度は以下のとおり。な

お，構内輸送時の姿勢は横姿勢である。

・前後方向加速度：2.0（G）
・上方向加速度：2.0（G）
・下方向加速度：3.0（G）（自重を考慮）
・左右方向加速度：1.0（G）

4）設計事象Ⅱの加速度の導出

事象発生時に破損燃料用輸送容器（2 体）が有する運動エネルギーを被衝突物（輸送架台，搬送架台，転倒防止台座）の弾性により吸収するとして，発生する衝撃加速度を計算した。衝撃加速度の計算方法と結果を以下に示す。

①輸送架台への衝突（取扱いモードNo.3）

縦姿勢で破損燃料用輸送容器（2 体）の下部トラニオンが輸送架台後部支持脚にクレーンの巻下げ速度（0.025m/s）で衝突する場合について評価する。

破損燃料用輸送容器（2 体）の有する運動エネルギーを輸送架台後部支持脚のひずみエネルギーで吸収するとして，(1)式で破損燃料用輸送容器（2 体）に生じる衝撃加速度を求める。

$$\alpha = 1+\sqrt{1+\frac{K\cdot V^2}{m\cdot g^2}} \qquad (1)$$

ただし，$\alpha$：衝撃加速度（G）

$K$：輸送架台後部支持脚の圧縮変形バネ定数（$2.882\times10^{10}$N/m）

$V$：クレーンの巻下げ速度（0.025m/s）

$m$：破損燃料用輸送容器（2 体）の質量（$4.43\times10^{4}$kg）

$g$：重力加速度（9.8m/s$^2$）

発生する衝撃加速度は3.29Gとなり，余裕をみて4.0Gを評価加速度とする。

②破損燃料用輸送容器（2 体）の搬送台車上の搬送架台への衝突（取扱いモードNo.7）

横姿勢で破損燃料用輸送容器（2 体）を搬送台車上の搬送架台に積載する際に，破損燃料用輸送容器（2 体）が搬送台車上の搬送架台に共用プールの天井クレーンの巻下げ速度（0.025m/s）で衝突する場合について評価する。

破損燃料用輸送容器（2 体）を剛体として，破損燃料用輸送容器（2 体）の有する運動エネルギーを搬送架台支持脚のひずみエネルギーで吸収するとして，(1)式で破損燃料用輸送容器（2 体）に生じる衝撃加速度を求める。

ただし，$K$：搬送架台前後部支持脚の圧縮変形バネ定数（$5.738\times10^{10}$N/m）

$V$：共用プールの天井クレーンの巻下げ速度（0.025m/s）

発生する衝撃加速度は4.07Gとなり，余裕をみて5.0Gを評価加速度とする。

③転倒防止台座への衝突及びキャスクピット床面への衝突（取扱いモードNo.9，10）

縦姿勢で破損燃料用輸送容器（2体）が転倒防止台座に共用プールの天井クレーンの巻下げ速度（0.025m/s）で衝突する場合及び，転倒防止台座を取り付けた破損燃料用輸送容器（2体）がキャスクピット床面に共用プールの天井クレーンの巻下げ速度（0.025m/s）で衝突する場合について評価する。

床面を剛体として，容器の有する運動エネルギーを転倒防止台座のひずみエネルギーで吸収するとして，(1)式で破損燃料用輸送容器（2体）に生じる衝撃加速度を求める。

ただし，K：転倒防止台座の圧縮変形バネ定数（$4.407\times10^{11}$N/m）

V：共用プールの天井クレーンの巻下げ速度（0.025m/s）

発生する衝撃加速度は9.10Gとなり，余裕をみて10Gを評価加速度とする。

5）各設計事象における荷重条件

破損燃料用輸送容器（2体）の各設計事象における荷重条件を表1-3-3，表1-3-4に示す。なお，破損燃料用輸送容器（2体）の設計事象及び荷重条件については，抽出された事象のうち最大の荷重が作用する場合について示す。

表 1-3-3　荷重条件（容器本体及び蓋）(1/2)

| 設計<br>事象 | 代表事象 | 包絡される<br>事象 | 荷重条件 |
|---|---|---|---|
| 設計<br>条件 | 設計時 | － | 最高使用圧力：2.0MPa<br>(二次蓋は 1.4MPa)<br>ボルト初期締付け力<br>以下の荷重のうち最大となるもの<br>・構内輸送時荷重<br>・吊上げ時荷重<br>・搬送架台への衝突時荷重<br>・転倒防止台座への衝突時荷重 |
| I | 構内輸送時 | － | 内圧：0.6MPa<br>(二次蓋は 0.45MPa)<br>ボルト初期締付け力<br>構内輸送時荷重<br>上方向：2.0G<br>下方向：3.0G<br>（自重を考慮）<br>前後方向：2.0G<br>左右方向：1.0G<br>熱荷重 |
| | 吊上げ時 | － | 内圧：0.6MPa<br>(二次蓋は 0.45MPa)<br>ボルト初期締付け力<br>吊上げ荷重<br>下方向：1.32G<br>（自重を考慮）<br>熱荷重 |

表 1-3-3　荷重条件（容器本体及び蓋）(2/2)

| 設計事象 | 代表事象 | 包絡される事象 | 荷重条件 |
|---|---|---|---|
| Ⅱ | 搬送架台への衝突<br>（取扱いモードNo.7） | － | 内圧：0.6MPa<br>(二次蓋は0.45MPa)<br>ボルト初期締付け力<br>搬送架台への衝突時荷重<br>下方向：5.0G<br>（自重を考慮）<br>熱荷重 |
| | 転倒防止台座への衝突<br>（取扱いモードNo.9）<br>キャスクピットへの衝突<br>（取扱いモードNo.10） | 輸送架台への衝突<br>（取扱いモードNo.3） | 内圧：0.6MPa<br>(二次蓋は0.45MPa)<br>ボルト初期締付け力<br>転倒防止台座への衝突時荷重<br>下方向：10G<br>（自重を考慮）<br>熱荷重 |
| 試験状態 | 試験時 | － | 試験時圧力：3.0MPa<br>(二次蓋は2.1MPa)<br>ボルト初期締付け力 |

表 1-3-4　荷重条件（バスケット）

| 設計事象 | 代表事象 | 包絡される事象 | 荷重条件 |
|---|---|---|---|
| 設計条件 | 設計時 | － | 転倒防止台座への衝突時荷重[*1]<br>下方向：10G<br>（自重を考慮） |
| Ⅰ | 構内輸送時 | 吊上げ時 | 構内輸送時荷重<br>上方向：2.0G<br>下方向：3.0G<br>（自重を考慮）<br>前後方向：2.0G<br>左右方向：1.0G |
| Ⅱ | 搬送架台への衝突<br>（取扱いモードNo.7） | － | 搬送架台への衝突時荷重<br>下方向：5.0G<br>（自重を考慮） |
| | 転倒防止台座への衝突<br>（取扱いモードNo.9）<br>キャスクピットへの衝突<br>（取扱いモードNo.10） | 輸送架台への衝突<br>（取扱いモードNo.3） | 転倒防止台座への衝突時荷重<br>下方向：10G<br>（自重を考慮） |

*1 設計時のうち荷重条件が最も厳しいのは転倒防止台座への衝突荷重である

1.3.4.　設計基準

1）容器本体及び蓋

容器本体及び蓋は設計・建設規格 クラス 1 容器に関する規定 PVB-3000 に準じて評価を実施する。容器本体及び蓋の許容応力を表 1-3-5～表 1-3-10 に示す。

① 設計条件における許容応力

設計条件における一次応力は以下の許容応力を上回らないことを確認する。

(a)　一次一般膜応力（$P_m$）

$P_m \leqq S_m$

(b)　一次局部膜応力（$P_L$）

$P_L \leqq 1.5S_m$

(c)　一次膜＋一次曲げ応力（$P_L+P_b$）

$P_L+P_b \leqq 1.5S_m$

(d)　ボルトの平均引張応力（$\sigma_m$）

$\sigma_m \leqq S_m$

② 設計事象Ⅰ，Ⅱにおける許容応力

設計事象Ⅰ，Ⅱにおける応力は以下の許容応力を上回らないことを確認する。

(a)　一次＋二次応力（$P_L+P_b+Q$）

$P_L+P_b+Q \leqq 3S_m$

(b)　平均せん断応力（$\tau$）

$\tau \leqq 0.6S_m$

(c)　平均支圧応力（$\sigma_b$）

$\sigma_b \leqq S_y$

(d)　圧縮応力（$\sigma_c$）

$\sigma_c \leqq B$

(e)　ボルトの平均引張応力（$\sigma_m$）

$\sigma_m \leqq 2S_m$

(f)　ボルトの平均引張応力＋曲げ応力（$\sigma_m+\sigma_b$）

$\sigma_m+\sigma_b \leqq 3S_m$

③ 試験状態における許容応力

試験状態における一次応力は以下の許容応力を上回らないことを確認する。

(a)　一次一般膜応力（$P_m$）

$P_m \leqq 0.9S_y$

(b)　一次局部膜応力（$P_L$）

$P_L \leqq 1.5(0.9S_y)$

(c)　一次一般膜＋一次曲げ応力（$P_m+P_b$）

$P_m+P_b \leqq 1.5(0.9S_y)$

2) バスケット

バスケットは設計・建設規格 炉心支持構造物に関する規定 CSS-3000 に準じて評価を実施する。バスケットの許容応力を表 1-3-11 に示す。

① 設計条件における許容応力

設計条件における一次応力は以下の許容応力を上回らないことを確認する。

(a)　一次一般膜応力（$P_m$）

$P_m \leqq S_m$

(b)　一次一般膜＋一次曲げ応力（$P_m+P_b$）

$P_m+P_b \leqq 1.5S_m$

② 設計事象Ⅰ，Ⅱにおける許容応力

設計事象Ⅰ，Ⅱにおける応力は以下の許容応力を上回らないことを確認する。

(a)　一次＋二次応力（$P_m+P_b+Q$）

$P_m+P_b+Q \leqq 3S_m$

(b)　平均せん断応力（$\tau$）

$\tau \leqq 0.6S_m$

(c)　平均支圧応力（$\sigma_b$）

$\sigma_b \leqq S_y$

(d)　軸圧縮応力（$\sigma_c$）

$\sigma_c \leqq f_c$

表 1-3-5　胴及び底板の許容応力

| 設計事象 | 応力分類 | 記号 | 許容値 [MPa] | 備考 |
|---|---|---|---|---|
| 設計条件 | 一次一般膜応力 | $P_m$ | 123 | |
| | 一次局部膜応力 | $P_L$ | 184 | |
| | 一次膜＋曲げ応力 | $P_L+P_b$ | 184 | |
| 設計事象Ⅰ，Ⅱ | 一次＋二次応力 | $P_L+P_b+Q$ | 369 | |
| | 平均せん断応力 | $\tau$ | 73 | |
| | 平均支圧応力 | $\sigma_b$ | 184 | |
| | 圧縮応力 | $\sigma_c$ | 95 | |
| 試験状態 | 一次一般膜応力 | $P_m$ | 165 | |
| | 一次局部膜応力 | $P_L$ | 247 | |
| | 一次一般膜＋曲げ応力 | $P_m+P_b$ | 247 | |

材質：　GLF1 相当材（ASTM A350M Gr. LF5 Cl.1）

設計温度：　135（℃）

表 1-3-6　一次蓋の許容応力

| 設計事象 | 応力分類 | 記号 | 許容値 [MPa] | 備考 |
|---|---|---|---|---|
| 設計条件 | 一次一般膜応力 | $P_m$ | 137 | |
| | 一次局部膜応力 | $P_L$ | 205 | |
| | 一次膜＋曲げ応力 | $P_L+P_b$ | 205 | |
| 設計事象Ⅰ，Ⅱ | 一次＋二次応力 | $P_L+P_b+Q$ | 411 | |
| 試験状態 | 一次一般膜応力 | $P_m$ | 153 | |
| | 一次局部膜応力 | $P_L$ | 229 | |
| | 一次一般膜＋曲げ応力 | $P_m+P_b$ | 229 | |

材質：　SUSF304

設計温度：　100（℃）

表 1-3-7　ポートカバーの許容応力

| 設計事象 | 応力分類 | 記号 | 許容値 [MPa] | 備考 |
|---|---|---|---|---|
| 設計条件 | 一次一般膜応力 | $P_m$ | 137 | |
| | 一次局部膜応力 | $P_L$ | 205 | |
| | 一次膜＋曲げ応力 | $P_L+P_b$ | 205 | |
| 設計事象Ⅰ，Ⅱ | 一次＋二次応力 | $P_L+P_b+Q$ | 411 | |
| 試験状態 | 一次一般膜応力 | $P_m$ | 143 | |
| | 一次局部膜応力 | $P_L$ | 214 | |
| | 一次一般膜＋曲げ応力 | $P_m+P_b$ | 214 | |

材質：　SUS304

設計温度：　135（℃）

表 1-3-8　二次蓋，二次蓋ポートカバーの許容応力

| 設計事象 | 応力分類 | 記号 | 許容値 [MPa] | 備考 |
|---|---|---|---|---|
| 設計条件 | 一次一般膜応力 | $P_m$ | 137 | |
| | 一次局部膜応力 | $P_L$ | 205 | |
| | 一次膜＋曲げ応力 | $P_L+P_b$ | 205 | |
| 設計事象Ⅰ，Ⅱ | 一次＋二次応力 | $P_L+P_b+Q$ | 411 | |
| 試験状態 | 一次一般膜応力 | $P_m$ | 155 | |
| | 一次局部膜応力 | $P_L$ | 232 | |
| | 一次一般膜＋曲げ応力 | $P_m+P_b$ | 232 | |

材質：　SUSF304

設計温度：　95（℃）

表 1-3-9　一次蓋ボルト，二次蓋ボルト，ポートカバーボルトの許容応力

| 設計事象 | 応力分類 | 記号 | 許容値 [MPa] | 備考 |
|---|---|---|---|---|
| 設計条件 | 平均引張応力 | $\sigma_m$ | 216 | |
| 設計事象Ⅰ，Ⅱ | 平均引張応力 | $\sigma_m$ | 432 | |
| | 平均引張応力＋曲げ応力 | $\sigma_m+\sigma_b$ | 648 | |

材質：　SUS630 H1150

設計温度：　135（℃）

表 1-3-10　二次蓋ポートカバーボルトの許容応力

| 設計事象 | 応力分類 | 記号 | 許容値 [MPa] | 備考 |
|---|---|---|---|---|
| 設計条件 | 平均引張応力 | $\sigma_m$ | 223 | |
| 設計事象Ⅰ，Ⅱ | 平均引張応力 | $\sigma_m$ | 446 | |
| | 平均引張応力＋曲げ応力 | $\sigma_m + \sigma_b$ | 669 | |

材質：　SUS630 H1150

設計温度：　95（℃）

表 1-3-11　バスケットの許容応力

| 設計事象 | 応力分類 | | 記号 | 許容値 [MPa] | 備考 |
|---|---|---|---|---|---|
| 設計条件 | 一次一般膜応力 | | $P_m$ | 133 | |
| | 一次一般膜＋曲げ応力 | | $P_m+P_b$ | 199 | |
| 設計事象Ⅰ，Ⅱ | 一次＋二次応力 | | $P_m+P_b+Q$ | 399 | |
| | 平均せん断応力 | | $\tau$ | 79 | |
| | 平均支圧応力 | | $\sigma_b$ | 150 | |
| | 軸圧縮応力 | 枠板<br>長手方向 | $\sigma_c$ | 96 | |
| | | 枠板<br>長手方向以外 | | 88 | |
| | | 格子支持板外周部<br>0°－180°方向 | | 56 | |
| | | 格子支持板外周部<br>90°－270°方向 | | 129 | |
| | | スペーサ | | 129 | |

材質：　SUS304

設計温度：　170（℃）

1.3.5. 評価方法及び評価モデル

1.3.5.1. 容器本体及び蓋

容器本体及び蓋の主な構造部材の応力評価箇所を図 1-3-2，図 1-3-3 に示す。荷重条件は表 1-3-3 に示したとおりである。

1）設計条件

① 胴，底板，一次蓋，二次蓋

(a) 最高使用圧力，ボルト初期締付け力，機械的荷重による応力

容器の実形状をモデル化し構造解析コード ABAQUS を用いて応力評価を行う。

② ポートカバー，二次蓋ポートカバー

(a) 最高使用圧力による応力

最高使用圧力により発生する一次一般膜応力($P_m$)及び，一次膜＋曲げ応力($P_L+P_b$)は(2)式で計算する。なお，一次局部膜応力($P_L$)は発生しない。

$$\left.\begin{aligned}\sigma_x &= \frac{1.24 \cdot P \cdot r^2}{t^2} \\ \sigma_y &= \sigma_x \\ \sigma_z &= -P\end{aligned}\right\} \quad \cdots\cdots (2)$$

ここで，

P　：最高使用圧力

r　：ポートカバーＯリング平均半径

二次蓋ポートカバーは締付けボルトピッチ円半径

t　：ポートカバー最小板厚

③ 一次蓋ボルト，二次蓋ボルト，ポートカバーボルト，二次蓋ポートカバーボルト

(a) 最高使用圧力及びガスケット締付による平均引張応力

最高使用圧力におけるボルト荷重及びガスケット（Ｏリング）締付時のボルト荷重により発生する平均引張応力（$\sigma_{m1}$）は(3)式で計算する。

$$\left.\begin{aligned}\sigma_{m1} &= \frac{W_{m1}}{A} \\ W_{m1} &= H + H_p\end{aligned}\right\} \quad \cdots\cdots (3)$$

ここで，

$W_{m1}$　：必要な最小ボルト荷重

A　：全数のボルト最小断面積

H　：フランジに加わる最高使用圧力による全荷重

$H_p$　：気密を十分保つために，Ｏリング又は継手接触面にかける圧縮

力（ゴム製Oリングのため Hp=0N）

また，ガスケット（Oリング）締付け時の平均引張応力（$\sigma_{m2}$）は(4)式で計算する。

$$\sigma_{m2}=\frac{W_{m2}}{A} \quad \cdots\cdots (4)$$

ここで，

$W_{m2}$　：ガスケット締付時に必要な最小ボルト荷重（ゴム製Oリングのため $W_{m2}$=0N）

2）設計事象Ⅰ　構内輸送時

① 胴，底板，一次蓋，二次蓋

(a) 内圧，ボルト初期締付け力，構内輸送時の機械的荷重，熱荷重による応力

容器の実形状をモデル化し構造解析コード ABAQUS を用いて応力評価を行う。

(b) 平均せん断応力

平均せん断応力($\tau$)が発生する箇所はない。

(c) 平均支圧応力

底板とバスケット底面との接触部に発生する平均支圧応力($\sigma_b$)は(5)式で計算する。

$$\sigma_b=\frac{m_b \cdot G_z}{A_b} \quad \cdots\cdots (5)$$

ここで，

$m_b$　：バスケットの質量

$G_z$　：後方向加速度

$A_b$　：接触面積

(d) 圧縮応力

胴に生じる圧縮応力（$\sigma_c$）は(6)式で計算する。

$$\sigma_c=\frac{m_c \cdot G_z}{A_c} \quad \cdots\cdots (6)$$

ここで，

$m_c$　：容器の質量

$G_z$　：後方向加速度

$A_c$　：胴の断面積

② ポートカバー，二次蓋ポートカバー

最高使用圧力による応力を除き，構内輸送時の機械的荷重及び熱荷重による応力は無視できる。

一次＋二次応力（$P_L+P_b+Q$）は，(2)式で計算する最高使用圧力により発生する一次膜＋曲げ応力($P_L+P_b$)となる。

③ 一次蓋ボルト，二次蓋ボルト，ポートカバーボルト，二次蓋ポートカバーボルト

(a) 最高使用圧力による平均引張応力

最高使用圧力により発生する平均引張応力（$\sigma_{m1}$）は(3)式で計算する。

(b) ボルト初期締付け力による平均引張応力

ボルト初期締付け力により発生する平均引張応力（$\sigma_{m3}$）は(7) 式で計算する。

$$\sigma_{m3}=\frac{F_s}{A_S} \quad \cdots\cdots\cdots\cdots\cdots\cdots\cdots\cdots\cdots\cdots\cdots\cdots\cdots\cdots\cdots\cdots \quad (7)$$

ここで，

$F_S$　：ボルト初期締付け力

$A_S$　：ボルト最小断面積

(c) 構内輸送時に作用する加速度による平均引張応力

構内輸送時に作用する加速度により発生する平均引張応力（$\sigma_{m4}$）は(8)式で計算する。

$$\sigma_{m4}=\frac{mG}{A} \quad \cdots\cdots\cdots\cdots\cdots\cdots\cdots\cdots\cdots\cdots\cdots\cdots\cdots\cdots\cdots\cdots \quad (8)$$

ここで，

m　：作用する質量

G　：加速度

A　：全数のボルト最小断面積

(d) 構内輸送時に作用する加速度による曲げ応力

構内輸送時に作用する加速度によって発生する曲げ応力（$\sigma_b$）は(9)式で計算する。

$$\sigma_b = \frac{1}{n} \cdot \frac{mG\ell_b}{8Z} \quad \cdots\cdots\cdots\cdots\cdots\cdots\cdots\cdots\cdots\cdots\cdots\cdots\cdots\cdots\cdots\cdots \quad (9)$$

ここで，

n　：ボルト本数

m　：作用する質量

G　：加速度

$\ell_b$　　：ボルト長さ

Z　　：ボルトの断面係数

なお，二次蓋ポートカバーボルトには取付け構造上，曲げ応力は発生しない。

3）設計事象Ⅰ　吊上げ時

① 胴，底板，一次蓋，二次蓋

(a) 内圧，ボルト初期締付け力，吊上げ時の機械的荷重，熱荷重による応力

容器の実形状をモデル化し構造解析コードABAQUSを用いて応力評価を行う。

(b) 平均せん断応力

平均せん断応力($\tau$)が発生する箇所はない。

(c) 平均支圧応力

底板とバスケット底面との接触部に発生する平均支圧応力($\sigma_b$)は(5)式で計算する。

(d) 圧縮応力

胴に生じる圧縮応力（$\sigma_c$）は(6)式で計算する。

② ポートカバー，二次蓋ポートカバー

最高使用圧力による応力を除き，吊上げ時の機械的荷重及び熱荷重による応力は無視できる。

一次＋二次応力（$P_L+P_b+Q$）は，(2)式で計算する最高使用圧力により発生する一次膜＋曲げ応力($P_L+P_b$)となる。

③ 一次蓋ボルト，二次蓋ボルト，ポートカバーボルト，二次蓋ポートカバーボルト

(a) 最高使用圧力による平均引張応力

最高使用圧力により発生する平均引張応力（$\sigma_{m1}$）は(3)式で計算する。

(b) ボルト初期締付け力による平均引張応力

ボルト初期締付け力により発生する平均引張応力（$\sigma_{m3}$）は(7)式で計算する。

(c) 吊上げ時に作用する加速度による平均引張応力

吊上げ時に作用する加速度による平均引張応力（$\sigma_{m4}$）は発生しない。

(d) 吊上げ時に作用する加速度による曲げ応力

吊上げ時に作用する加速度による曲げ応力（$\sigma_b$）は発生しない。

4）設計事象Ⅱ　搬送架台への衝突（横姿勢）

① 胴，底板，一次蓋，二次蓋

(a) 内圧，ボルト初期締付け力，搬送架台への衝突による機械的荷重，熱荷重による応力

容器の実形状をモデル化し構造解析コードABAQUSを用いて応力評価を行う。

(b) 平均せん断応力

平均せん断応力（$\tau$）が発生する箇所はない。

(c) 平均支圧応力

底板とバスケット底面との接触部に発生する平均支圧応力（$\sigma_b$）は(5)式で計算する。

(d) 圧縮応力

胴に生じる圧縮応力（$\sigma_c$）は(6)式で計算する。

② ポートカバー，二次蓋ポートカバー

最高使用圧力による応力を除き，搬送架台への衝突による機械的荷重及び熱荷重による応力は無視できる。

一次＋二次応力（$P_L+P_b+Q$）は，(2)式で計算する最高使用圧力により発生する一次膜＋曲げ応力($P_L+P_b$)となる。

③ 一次蓋ボルト，二次蓋ボルト，ポートカバーボルト，二次蓋ポートカバーボルト

(a) 最高使用圧力による平均引張応力

最高使用圧力により発生する平均引張応力（$\sigma_{m1}$）は(3)式で計算する。

(b) ボルト初期締付け力による平均引張応力

ボルト初期締付け力により発生する平均引張応力（$\sigma_{m3}$）は(7)式で計算する。

(c) 搬送架台への衝突時に作用する加速度による平均引張応力

搬送架台への衝突時に作用する加速度により発生する平均引張応力（$\sigma_{m4}$）は(8)式で計算する。

なお，一次蓋ボルト，二次蓋ボルト，ポートカバーボルトには，搬送架台への衝突時に作用する加速度による平均引張応力（$\sigma_{m4}$）は発生しない。

(d) 搬送架台への衝突時に作用する加速度による曲げ応力

搬送架台への衝突時に作用する加速度により発生する曲げ応力（$\sigma_b$）は(9)式で計算する。

なお，二次蓋ポートカバーボルトには，搬送架台への衝突時に作用する加速度により曲げ応力（$\sigma_b$）は発生しない。

5）設計事象Ⅱ　転倒防止台座への衝突（縦姿勢）

① 胴，底板，一次蓋，二次蓋

(a) 内圧，ボルト初期締付け力，転倒防止台座への衝突による機械的荷重，熱荷重による応力

容器の実形状をモデル化し構造解析コードABAQUSを用いて応力評価を行う。

(b) 平均せん断応力

平均せん断応力($\tau$)が発生する箇所はない。

(c) 平均支圧応力

底板とバスケット底面との接触部に発生する平均支圧応力($\sigma_b$)は(5)式で計算する。

(d) 圧縮応力

胴に生じる圧縮応力（$\sigma_c$）は(6)式で計算する。

② ポートカバー，二次蓋ポートカバー

最高使用圧力による応力を除き，転倒防止台座への衝突による機械的荷重及び熱荷重による応力は無視できる。

一次＋二次応力（$P_L+P_b+Q$）は，(2)式で計算する最高使用圧力により発生する一次膜＋曲げ応力($P_L+P_b$)となる。

③ 一次蓋ボルト，二次蓋ボルト，ポートカバーボルト，二次蓋ポートカバーボルト

(a) 最高使用圧力による平均引張応力

最高使用圧力により発生する平均引張応力（$\sigma_{m1}$）は(3)式で計算する。

(b) ボルト初期締付け力による平均引張応力

ボルト初期締付け力により発生する平均引張応力（$\sigma_{m3}$）は(7)式で計算する。

(c) 転倒防止台座への衝突時に作用する加速度による平均引張応力

転倒防止台座への衝突時に作用する加速度による平均引張応力($\sigma_{m4}$)は発生しない。

(d) 転倒防止台座への衝突時に作用する加速度による曲げ応力

転倒防止台座への衝突時に作用する加速度による曲げ応力（$\sigma_b$）は発生しない。

６）試験状態

① 胴，底板，一次蓋，二次蓋

(a) 試験時圧力，ボルト初期締付け力による応力

容器の実形状をモデル化し構造解析コード ABAQUS を用いて応力評価を行う。

② ポートカバー，二次蓋ポートカバー

(a) 試験時の圧力による応力

試験時圧力により発生する一次一般膜応力($P_m$)及び，一次一般膜＋曲げ応力($P_m+P_b$)は(2)式で計算する。なお，一次局部膜応力($P_L$)は発生しない。

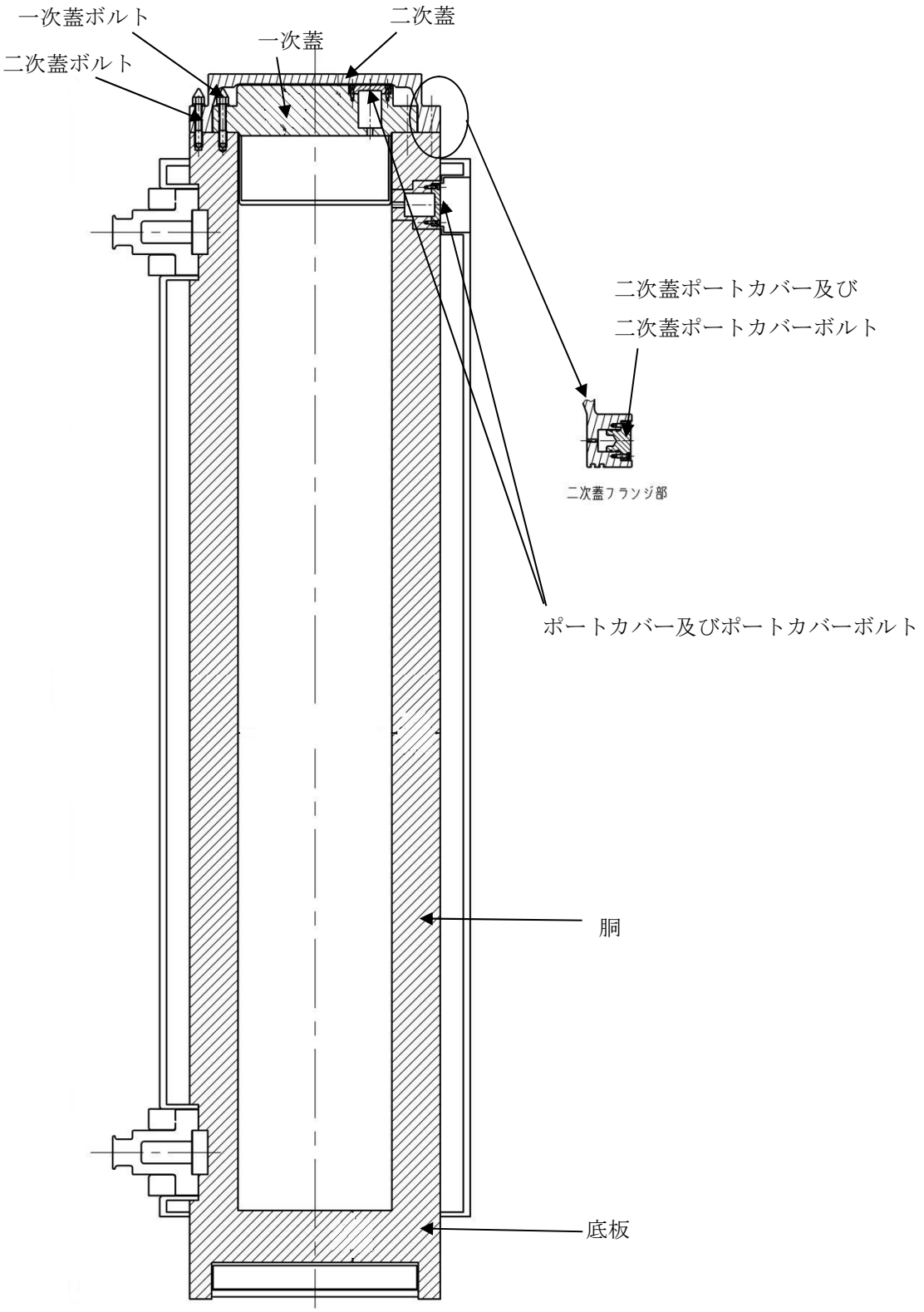



図1-3-2　容器本体及び蓋の応力評価箇所

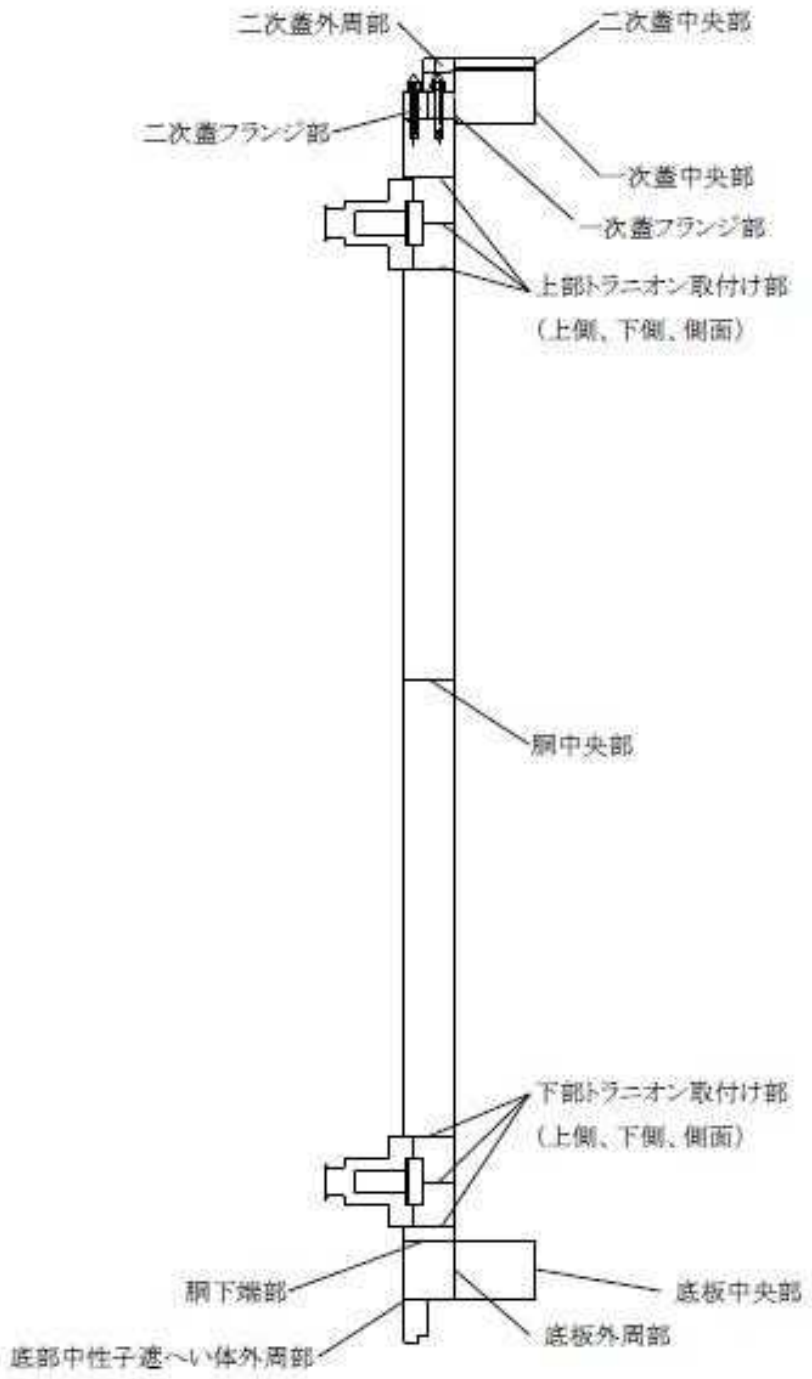



図1-3-3　容器本体及び蓋の応力評価箇所（胴，底板，蓋の詳細）

1.3.5.2. バスケット

バスケットの応力評価箇所を図1-3-4に示す。荷重条件は表1-3-4に示したとおりである。

1）設計条件

①一次一般膜応力

最大応力が発生する箇所は，転倒防止台座への衝突時の図 1-3-4 の評価点①及び⑦である。評価点①及び⑦の一次一般膜応力($P_m$)は，(10)式で計算する。

$$P_m = \frac{m_{1,7} G_Z}{A_{1,7}} \quad \cdots\cdots (10)$$

ここで，

$m_{1,7}$ ：評価点①及び⑦に作用する総質量

$A_{1,7}$ ：評価点①及び⑦の総断面積

$G_Z$ ：加速度

② 一次膜応力＋一次曲げ応力

最大応力が発生する箇所は，転倒防止台座への衝突時の図 1-3-4 の評価点④である。

評価点④の一次一般膜＋一次曲げ応力($P_m+P_b$)は，(11)式で計算する。

$$\left.\begin{aligned} P_m+P_b &= \frac{M_4}{Z_4} \\ M_4 &= \frac{m_4 G_Z l_4}{24} \end{aligned}\right\} \quad \cdots\cdots (11)$$

ここで，

$m_4$ ：評価点④に作用する質量

$G_Z$ ：加速度

$M_4$ ：評価点④に生じる曲げモーメント

$Z_4$ ：評価点④における枠板の断面係数

$l_4$ ：評価点④における等分布荷重が作用する長さ

2）設計事象Ⅰ　構内輸送時

① 一次＋二次応力

最大応力が発生する箇所は，図 1-3-4 の評価点①である。

熱荷重は発生しないため，一次＋二次応力($P_m+P_b+Q$)は，(12)式で計算する一次一般膜＋一次曲げ応力($P_m+P_b$)である。

$$\left.\begin{aligned} P_m &= \frac{m_{1,7}G_Z}{A_{1,7}} \\ P_b &= \frac{1}{n_{span}} \cdot \frac{m_1 G_X l_{pitch}}{12Z_1} \end{aligned}\right\} \cdots\cdots (12)$$

ここで,

$m_{1,7}$ ：評価点①及び⑦に作用する総質量
$m_1$ ：評価点①に作用する質量
$A_{1,7}$ ：評価点①及び⑦の総断面積
$G_X, G_Z$ ：加速度
$Z_1$ ：評価点①における枠板の断面係数
$n_{span}$ ：格子支持板によって支持されるスパンの数
$l_{pitch}$ ：枠板の支持ピッチ

② 平均せん断応力

最大応力が発生する箇所は，図 1-3-4 の評価点④である。

左右方向加速度により発生する平均せん断応力($\tau$)は，(13)式で計算する。

$$\tau = \frac{m_4 G_Y}{A_4} \cdots\cdots (13)$$

ここで,

$m_4$ ：評価点④に作用する質量
$A_4$ ：評価点④の断面積
$G_Y$ ：加速度

③ 平均支圧応力

最大応力が発生する箇所は図 1-3-4 の評価点①，③及び⑦である。平均支圧応力($\sigma_b$)は(10)式で計算する。

④ 軸圧縮応力

最大応力が発生する箇所は図 1-3-4 の評価点①及び⑦である。軸圧縮応力($\sigma_c$)は(10)式で計算する。

3）設計事象Ⅱ　搬送架台への衝突（横姿勢）

① 一次＋二次応力

最大応力が発生する箇所は，図 1-3-4 の評価点①である。

熱荷重は発生しないため，一次＋二次応力($P_m+P_b+Q$)は，(14)式で計算する一次一般膜＋一次曲げ応力($P_m+P_b$)である。

$$\left.\begin{aligned} P_m &= \frac{m_1 G_X}{A_1} \quad , \quad \frac{m_{1,7} G_Z}{A_{1,7}} \\ P_b &= \frac{1}{n_{span}} \cdot \frac{m_1 G_X l_{pitch}}{12 Z_1} \end{aligned}\right\} \cdots\cdots (14)$$

ここで，

$m_{1,7}$　：評価点①及び⑦に作用する総質量

$m_1$　：評価点①に作用する質量

$A_{1,7}$　：評価点①及び⑦の総断面積

$A_1$　：評価点①の断面積

$G_X, G_Z$　：加速度

$Z_1$　：評価点①における枠板の断面係数

$n_{span}$　：格子支持板によって支持されるスパンの数

$l_{pitch}$　：枠板の支持ピッチ

② 平均せん断応力

最大応力が発生する箇所は，図 1-3-4 の評価点⑦である。

前後方向加速度により発生する平均せん断応力($\tau$)は，(15)式で計算する。

$$\tau = \frac{m_7 G_X}{A_7} \cdots\cdots (15)$$

ここで，

$m_7$　：評価点⑦に作用する質量

$A_7$　：評価点⑦の断面積

$G_X$　：加速度

③ 平均支圧応力

最大応力が発生する箇所は図 1-3-4 の評価点①及び④である。平均支圧応力($\sigma_b$)は(16)式で計算する。

$$\sigma_b = \frac{m_1 G_X}{A_1} \quad \cdots\cdots\cdots\

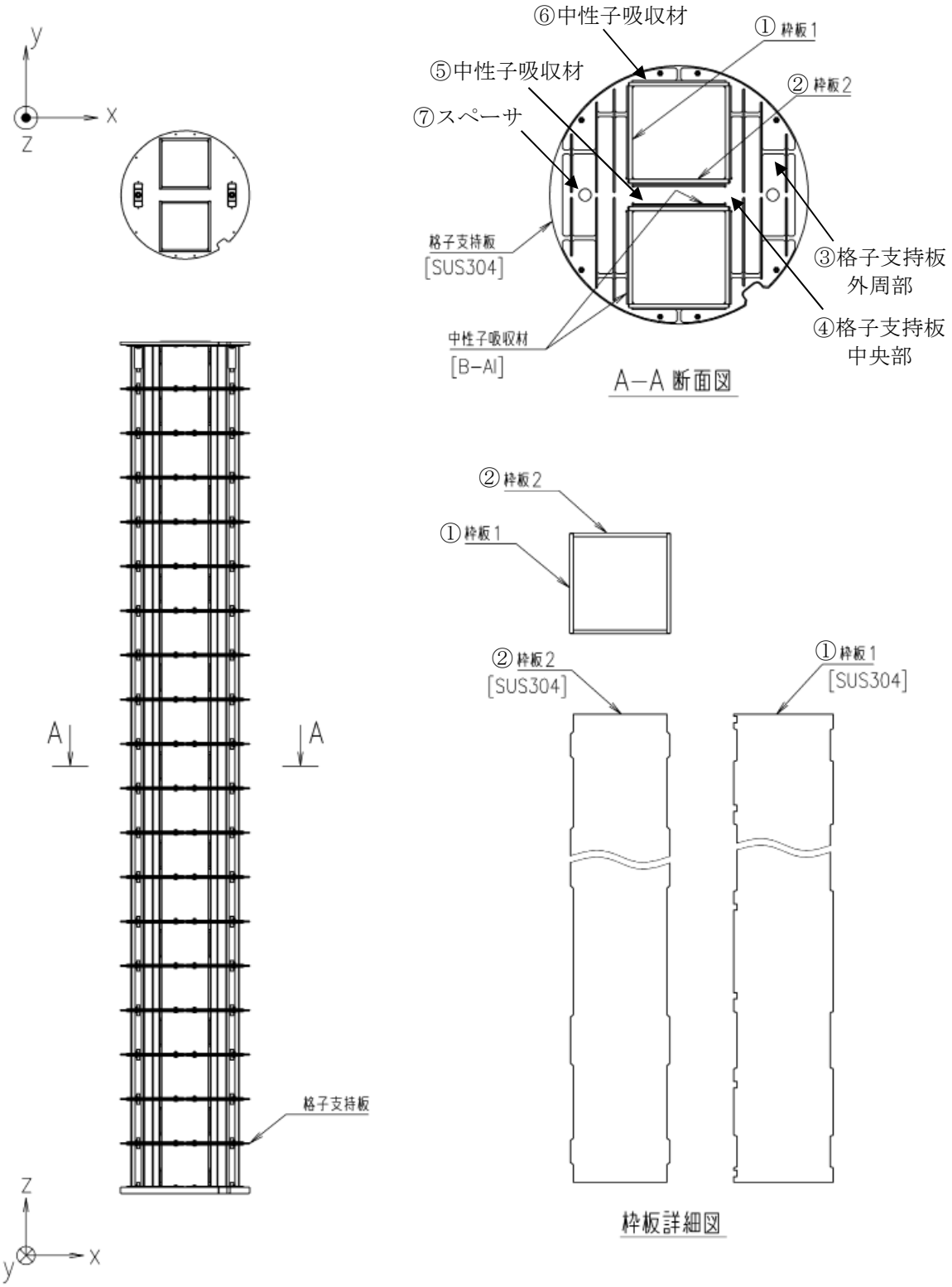



図1-3-4　バスケットの応力評価箇所

1.3.6.　評価結果

評価結果を表1-3-12～表1-3-16に示す。いずれも，許容応力に対して十分に余裕がある。

このため，破損燃料内用輸送容器（2体）の構造健全性は維持される。

表 1-3-12　容器本体及び蓋の評価結果（胴，底板，蓋）　1/2

（単位：MPa）

| 部位 | 材料 | 設計事象 | 一次一般膜応力($P_m$) | | 一次局部膜応力($P_L$) | | 一次膜＋曲げ応力($P_L+P_b$) | | 一次一般膜＋曲げ応力($P_m+P_b$) | | 一次＋二次応力($P_L+P_b+Q$) | |
|---|---|---|---|---|---|---|---|---|---|---|---|---|
| | | | 計算値 | 許容応力 | 計算値 | 許容応力 | 計算値 | 許容応力 | 計算値 | 許容応力 | 計算値 | 許容応力 |
| 胴中央部 | ASTM A350M Gr.LF5 Cl.1 | 設計条件 | 8 | 123 | － | － | 9 | 184 | － | － | － | － |
| | | Ⅰ，Ⅱ | － | － | － | － | － | － | － | － | 9 | 369 |
| | | 試験状態 | 7 | 165 | | | － | － | 9 | 247 | － | － |
| 底板中央部 | | 設計条件 | 5 | 123 | － | － | 9 | 184 | － | － | － | － |
| | | Ⅰ，Ⅱ | － | － | － | － | － | － | － | － | 21 | 369 |
| | | 試験状態 | 3 | 165 | － | － | － | － | 6 | 247 | － | － |
| 底板外周部 | | 設計条件 | － | － | 5 | 184 | 10 | 184 | － | － | － | － |
| | | Ⅰ，Ⅱ | － | － | － | － | － | － | － | － | 10 | 369 |
| | | 試験状態 | － | － | 3 | 247 | － | － | 6 | 247 | － | － |
| 胴下端部 | | 設計条件 | － | － | 12 | 184 | 22 | 184 | － | － | － | － |
| | | Ⅰ，Ⅱ | － | － | － | － | － | － | － | － | 16 | 369 |
| | | 試験状態 | － | － | 5 | 247 | － | － | 10 | 247 | － | － |
| 底部中性子遮へい体外周部 | | 設計条件 | － | － | 10 | 184 | 13 | 184 | － | － | － | － |
| | | Ⅰ，Ⅱ | － | － | － | － | － | － | － | － | 25 | 369 |
| | | 試験状態 | － | － | 6 | 247 | － | － | 10 | 247 | － | － |
| 上部トラニオン取付け部 | | 設計条件 | | | 11 | 184 | 22 | 184 | － | － | － | － |
| | | Ⅰ，Ⅱ | － | － | － | － | － | － | － | － | 20 | 369 |
| | | 試験状態 | － | － | 7 | 247 | － | － | 10 | 247 | － | － |

表 1-3-12　容器本体及び蓋の評価結果（胴，底板，蓋）　2/2

（単位：MPa）

| 部位 | 材料 | 設計事象 | 一次一般膜応力 ($P_m$) | | 一次局部膜応力 ($P_L$) | | 一次膜＋曲げ応力 ($P_L+P_b$) | | 一次一般膜＋曲げ応力 ($P_m+P_b$) | | 一次＋二次応力 ($P_L+P_b+Q$) | |
|---|---|---|---|---|---|---|---|---|---|---|---|---|
| | | | 計算値 | 許容応力 | 計算値 | 許容応力 | 計算値 | 許容応力 | 計算値 | 許容応力 | 計算値 | 許容応力 |
| 下部トラニオン取付け部 | ASTM A350M Gr.LF5 Cl.1 | 設計条件 | － | － | 18 | 184 | 31 | 184 | － | － | － | － |
| | | Ⅰ，Ⅱ | － | － | － | － | － | － | － | － | 30 | 369 |
| | | 試験状態 | － | － | 7 | 247 | － | － | 9 | 247 | － | － |
| 一次蓋中央部 | SUSF304 | 設計条件 | 3 | 137 | － | － | 8 | 205 | － | － | － | － |
| | | Ⅰ，Ⅱ | － | － | － | － | － | － | － | － | 4 | 411 |
| | | 試験状態 | 3 | 153 | － | － | － | － | 10 | 229 | － | － |
| 一次蓋フランジ部 | | 設計条件 | － | － | 7 | 205 | 8 | 205 | － | － | － | － |
| | | Ⅰ，Ⅱ | － | － | － | － | － | － | － | － | 7 | 411 |
| | | 試験状態 | － | － | 8 | 229 | － | － | 8 | 229 | － | － |
| 二次蓋中央部 | | 設計条件 | 61 | 137 | | | 102 | 205 | － | － | － | － |
| | | Ⅰ，Ⅱ | － | － | － | － | － | － | － | － | 34 | 411 |
| | | 試験状態 | 92 | 155 | － | － | － | － | 154 | 232 | － | － |
| 二次蓋外周部 | | 設計条件 | － | － | 36 | 205 | 64 | 205 | － | － | － | － |
| | | Ⅰ，Ⅱ | － | － | － | － | － | － | － | － | 25 | 411 |
| | | 試験状態 | － | － | 46 | 232 | － | － | 95 | 232 | － | － |
| 二次蓋フランジ部 | | 設計条件 | | | 9 | 205 | 18 | 205 | － | － | － | － |
| | | Ⅰ，Ⅱ | － | － | － | － | － | － | － | － | 9 | 411 |
| | | 試験状態 | － | － | 13 | 232 | － | － | 27 | 232 | － | － |

表 1-3-13　容器本体及び蓋の評価結果（ポートカバー）

（単位：MPa）

| 部位 | 材質 | 設計事象 | 一次一般膜応力 ($P_m$) | | 一次膜＋曲げ応力 ($P_L+P_b$) | | 一次一般膜＋曲げ応力 ($P_m+P_b$) | | 一次＋二次応力 ($P_L+P_b+Q$) | |
|---|---|---|---|---|---|---|---|---|---|---|
| | | | 計算値 | 許容値 | 計算値 | 許容値 | 計算値 | 許容値 | 計算値 | 許容値 |
| ポートカバー | SUS304 | 設計条件 | 2 | 137 | 17 | 205 | － | － | － | － |
| | | Ⅰ，Ⅱ | － | － | － | － | － | － | 17 | 411 |
| | | 試験状態 | 3 | 143 | － | － | 26 | 214 | | |
| 二次蓋<br>ポートカバー | SUSF304 | 設計条件 | 2 | 137 | 7 | 205 | － | － | － | － |
| | | Ⅰ，Ⅱ | － | － | － | － | － | － | 7 | 411 |
| | | 試験状態 | 3 | 155 | － | － | 11 | 232 | － | － |

表 1-3-14　容器本体及び蓋の評価結果（ボルト）

（単位：MPa）

| 部位 | 材料 | 設計事象 | 平均引張応力（$\sigma_m$） | | 平均引張応力＋曲げ応力（$\sigma_m+\sigma_b$） | |
|---|---|---|---|---|---|---|
| | | | 計算値 | 許容応力 | 計算値 | 許容応力 |
| 一次蓋ボルト | SUS630 H1150 | 設計条件 | 101 | 216 | － | － |
| | | Ⅰ，Ⅱ | 316 | 432 | 346 | 648 |
| 二次蓋ボルト | | 設計条件 | 125 | 216 | － | － |
| | | Ⅰ，Ⅱ | 325 | 432 | 343 | 648 |
| ポートカバーボルト | | 設計条件 | 39 | 216 | － | － |
| | | Ⅰ，Ⅱ | 227 | 432 | 229 | 648 |
| 二次蓋ポートカバーボルト | | 設計条件 | 21 | 223 | － | － |
| | | Ⅰ，Ⅱ | 216 | 446 | 216 | 669 |

表 1-3-15　容器本体及び蓋の評価結果（平均支圧応力及び圧縮応力）

（単位：MPa）

| 部位 | 設計事象 | 平均支圧応力（σb） | | 圧縮応力（σc） | |
|---|---|---|---|---|---|
| | | 計算値 | 許容応力 | 計算値 | 許容応力 |
| 底板 | Ⅰ，Ⅱ | 1 | 184 | － | － |
| 胴 | Ⅰ，Ⅱ | － | － | 7 | 95 |

表 1-3-16　バスケットの評価結果

（単位：MPa）

| 部位 | 応力の種類 | | 設計条件 | | 設計事象Ⅰ | | 設計事象Ⅱ | | | | 許容応力 |
|---|---|---|---|---|---|---|---|---|---|---|---|
| | | | | | 構内輸送時 | | 搬送架台への衝突 | | 転倒防止台座への衝突 | | |
| | | | 計算値 | 評価点（面） | 計算値 | 評価点（面） | 計算値 | 評価点（面） | 計算値 | 評価点（面） | |
| バスケット | 一次一般膜応力(Pm) | | 13 | ①，⑦ | — | — | — | — | — | — | 133 |
| | 一次一般膜＋一次曲げ応力(Pm+Pb) | | 31 | ④ | — | — | — | — | — | — | 199 |
| | 一次＋二次応力（Pm+Pb+Q) | | — | — | 13 | ① | 16 | ① | 31 | ④ | 399 |
| | 平均せん断応力（τ） | | — | — | 1 | ④ | 1 | ⑦ | 0 | ④，⑦ | 79 |
| | 平均支圧応力（σb) | | — | — | 3 | ①,③,⑦ | 2 | ①,④ | 13 | ①,③,⑦ | 150 |
| | 軸圧縮応力（σc） | 枠板<br>長手方向 | — | — | 3 | ① | 1 | ① | 13 | ① | 96 |
| | | 枠板<br>長手方向以外 | — | — | 2 | ① | 2 | ① | 0 | ①，② | 88 |
| | | 格子支持板外周部<br>0°－180°方向 | — | — | 2 | ③ | 2 | ③ | 0 | ③ | 56 |
| | | 格子支持板外周部<br>90°－270°方向 | — | — | 1 | ③ | 0 | ③ | 0 | ③ | 129 |
| | | スペーサ | — | — | 3 | ⑦ | 1 | ⑦ | 13 | ⑦ | 129 |

参考資料

# 構造強度計算に用いるコード（ABAQUS）について

## （１）概要

ABAQUS コードは米国 Hibbitt,Karlsson&Sorensen,Ins.(HKS 社)で開発された有限要素法に基づく応力・座屈解析等の汎用解析コードであり，輸送容器の応力解析等に広く利用されている。

## （２）機能

ABAQUS コードは，応力解析に際して以下の機能を有している。

① 定常，非定常の弾性，弾塑性のいずれの解も得ることができる。

② 材料特性として時間依存，歪の履歴依存並びに等方性・異方性等を考慮することができる。

③ モデルの形状は一次元～三次元，又は連続体についても取り扱うことができる。

④ 伝熱解析結果をそのまま境界条件として熱応力解析に用いることが可能である。

⑤ 荷重条件として集中荷重，分布荷重，モーメント，加速度力（慣性力），圧力，遠心力及びコリオリ力等が取り扱える。また，これらの条件の時間依存，線形変化に対しても対応可能である。

## （３）解析フロー

ABAQUS コードの解析フローを図 1-3-5 に示す。

## （４）使用実績

ABAQUS コードは，これまで多くの応力解析に対し使用実績がある。

## （５）検証方法

理論値との比較による検証が実施されていることを確認している。

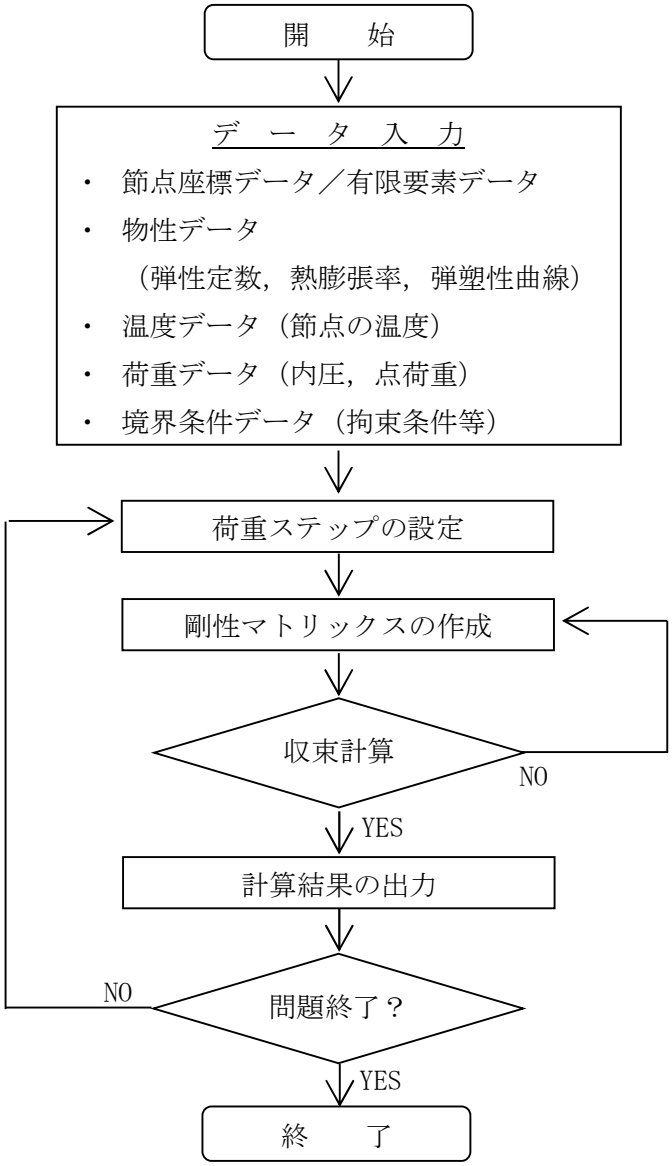



図 1-3-5　ABAQUS コードの応力解析フロー図

参考資料

# 容器内水の放射線分解による水素ガス発生について

## １．容器内水の放射線分解による水素ガス発生

本破損燃料用輸送容器のような密閉した槽内での容器内水の放射線分解により発生する水素ガスの水中濃度はある飽和値に達する。ここでは，水素ガス発生評価を以下に示す。

## ２．評価方法

「添付資料－２－１－３ 構内用輸送容器に係る安全機能及び構造強度に関する説明書（４号機)」と同じく，類似の環境下における水の放射線分解による水素ガス定常濃度評価*1をベースに，液相定常水素ガス濃度が照射線量率の平方根に比例する*2として，水素ガス濃度の評価を行う。

## ３．評価結果

破損燃料用輸送容器（2 体）は３号機構内用輸送容器より燃料収納体数が少ないことから，照射線量率は３号機構内用輸送容器より小さい。

従って，水素ガスの水中濃度は「添付資料－２－１－２ 構内用輸送容器に係る安全機能及び構造強度に関する説明書（３号機)」の評価に包絡されるため，水素の爆発下限である空気との混合比 4%に対して十分低い値であり問題ない。

＊1 Sunaryo, 1993, “A Study on Yields and Chemical Behavior of Radiolysis Products of High Temperature Water”, University of Tokyo.

＊2 Y.Fujita, M.Ebihara, ″EVALUATION OF HYDROGEN YIELD IN SPENT FUEL TRANSPORT PACKAGE″ The 16th International Symposium on the Packaging and Transportation of radioactive Materials (PATRAM 2010), October 3-8 2010, London, UK Poster Session 210 (2010)

## 1.4.　除熱機能

### 1.4.1.　基本的な考え方

除熱設計にあたっては，燃料の健全性及び破損燃料用輸送容器（2 体）の安全機能を有する構成部材の健全性が維持できるよう，以下のとおり設計する。

a. 収納された使用済燃料より発生する崩壊熱は，容器内に充填した水及び空気の自然対流及び熱伝導により胴に伝える。
b. 胴に伝えられた熱は主として中性子遮へい部のレジン中に設けた伝熱フィンにより外筒に伝える。
c. 外筒に伝えられた熱は外筒から大気に放散する。

除熱機能の評価においては，収納する使用済燃料の最大崩壊熱量を考慮し，自然冷却により冷却されるものとして，除熱条件が厳しくなる横姿勢（輸送時）の各部の温度を求め，各部材料の制限温度を超えないことを評価する。

ただし，バスケットを除く構成部材は３号機構内用輸送容器と同一であり，収納体数は３号機構内用輸送容器の７体より少なく崩壊熱量は小さい。また，軸方向の評価対象部位であるＯリング及び蓋については，３号機構内用輸送容器の評価において最も保守的な条件で評価しているため，「添付資料－２－１－２　構内用輸送容器に係る安全機能及び構造強度に関する説明書（３号機）　1.4.　除熱機能」の評価に包絡される。

従って，径方向の評価対象部位である燃料，バスケット，胴，中性子遮へい体の各部の温度を評価する。

1.4.2.　設計基準

設計基準を表 1-4-1 に示す。

表 1-4-1　設計基準

| 対象部位 | | 材質 | 設計基準 | 設計基準温度（℃） | 備考 |
|---|---|---|---|---|---|
| 破損燃料用輸送容器（2 体） | 中性子遮へい材 | レジン | 使用可能温度 | 149 | |
| | 胴 | 低合金鋼 | 構造強度が確保される制限温度 | 350 | |
| | バスケット | ステンレス鋼 | 構造強度が確保される制限温度 | 425 | |
| 燃料被覆管 | | ジルカロイ－2 | 照射硬化回復現象により燃料被覆管の機械的特性が著しく低下しない温度及び水素化物の再配向による被覆管の機械的特性の低下が生じない温度以下となる温度*1, *2 | 200 | 8×8 燃料 |
| | | | | 300 | 新型 8×8 ｼﾞﾙｺﾆｳﾑﾗｲﾅ燃料，<br>高燃焼度 8×8 燃料，<br>9×9 燃料 |

*1 平成 18 年度リサイクル燃料資源貯蔵技術調査等（貯蔵燃料長期健全性等確証試験に関する試験最終報告書）（06 基炉報-0006，独立行政法人原子力安全基盤機構）

*2 平成 19 年度リサイクル燃料資源貯蔵技術調査等（貯蔵燃料健全性等調査に関する試験成果報告書）（07 基炉報-0004，独立行政法人原子力安全基盤機構）

1.4.3.　燃料仕様および崩壊熱量

表 1-1-2 に示す３号機使用済燃料プールに貯蔵されている燃料を包絡する条件で崩壊熱量を ORIGEN2 コードにより評価する。燃料条件及び崩壊熱量を表 1-4-2 に示す。

表 1-4-2　燃料条件及び崩壊熱量

| | |
|---|---|
| 燃料タイプ | ９×９燃料 |
| 燃焼度(MWd/t) | 52,000 |
| 冷却期間(日) | 3,207 |
| 収納体数(体) | 2 |
| 崩壊熱量(kW) | 1.18 |

1.4.4.　評価条件

破損燃料用輸送容器（2 体）の除熱評価は輪切り断面モデルを用いて行う。輪切り断面モデル形状図を図 1-4-1 に示す。

また，評価条件を表 1-4-3 に示す。

表 1-4-3　評価条件

| 項目 | | 横姿勢<br>(輸送時) |
|---|---|---|
| 収納体数　(体) | | 2 |
| 崩壊熱量　(kW) | | 1.18 |
| 周囲温度　(℃) | | 38 |
| 太陽熱放射($W/m^2$)*1 | 水平に輸送される表面（曲面） | 400 |

*1：太陽熱放射は１日につき１２時間ごと，７日間受ける

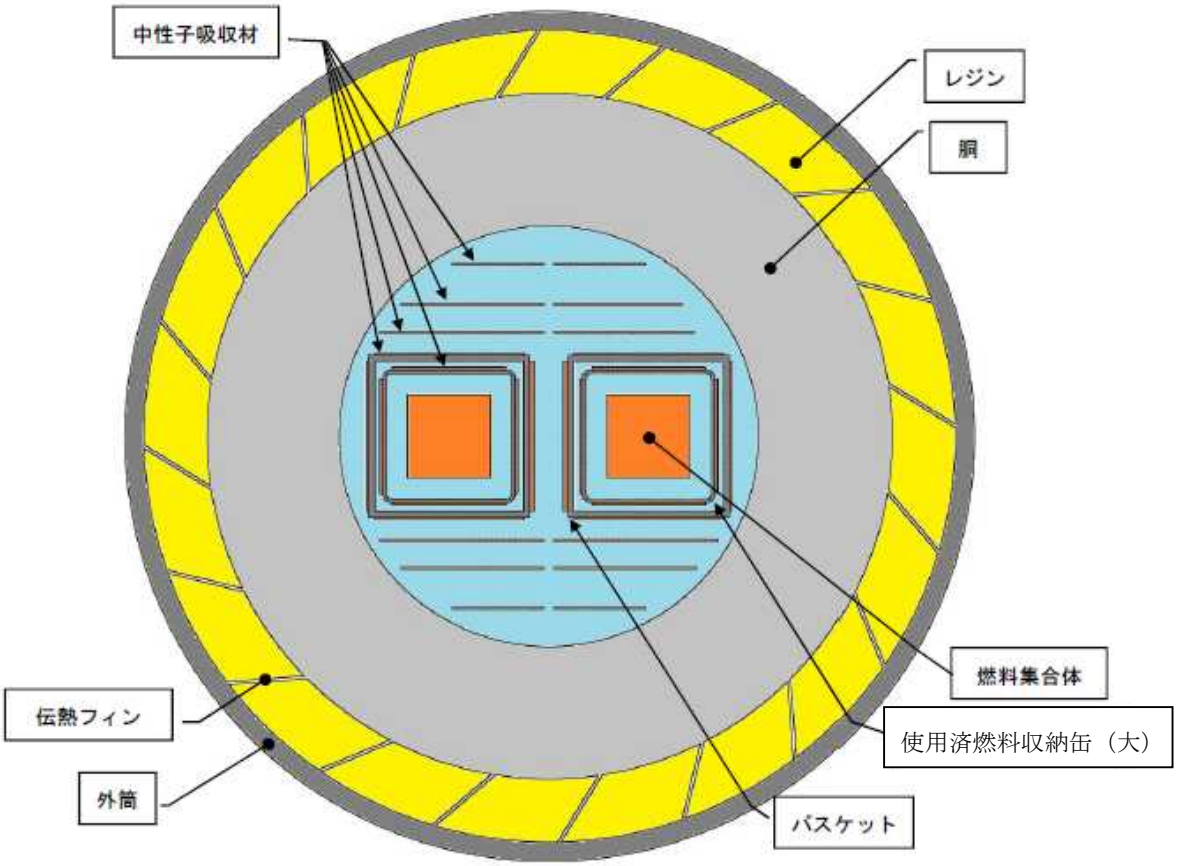



図 1-4-1　輪切り断面モデル形状図

1.4.5.　評価方法

輪切り断面モデルで容器中央部断面の燃料，バスケット，胴，中性子遮へい体の温度を評価する。解析には ABAQUS コードを用いる。

1.4.6.　評価結果

評価結果を表 1-4-4 に示す。表 1-4-4 に示すとおり，破損燃料用輸送容器（2 体）を構成する部材はいずれも設計基準温度を下回っており，熱的健全性は維持される。

また，燃料被覆管の温度は 110℃であり，水素化物の再配向による機械特性の低下が生じる温度を大きく下回っており，燃料の健全性は維持される。

表 1-4-4 評価結果（各部温度）

| 対象部位 | | 材質 | 評価結果（℃） | 設計基準温度（℃） | 備考 |
|---|---|---|---|---|---|
| 破損燃料用輸送容器（2 体） | 中性子遮へい材 | レジン | 72 | 149 | |
| | 胴 | 低合金鋼 | 71 | 350 | |
| | バスケット | ステンレス鋼 | 89 | 425 | |
| 燃料被覆管 | | ジルカロイ－2 | 110 | 200 | 8×8 燃料 |
| | | | | 300 | 新型 8×8 ｼﾞﾙｺﾆｳﾑﾗｲﾅ燃料<br>高燃焼度 8×8 燃料，9×9 燃料 |

参考資料

# 除熱解析に用いるコード（ABAQUS）について

## （１） 概要

ABAQUS コードは，米国 Hibbitt，Karlsson & Sorensen，Inc.（HKS 社）で開発された有限要素法に基づく伝熱解析等の汎用解析コードであり，輸送容器の伝熱解析などに広く利用されている。

## （２） 機能

ABAQUS コードは，伝熱解析に際して以下の機能を有している。

① 定常，非定常のいずれの解も得ることができる。
② 一次元～三次元の任意形状の構造に対して解くことが可能である。
③ 初期条件（温度）は要素ごとに変化させることができ，計算ステップの自動決定も可能である。
④ 境界条件として，時間に依存する熱流束，温度，伝導，対流及び放射が考慮できる。
⑤ 構成物質の相変態が考慮できる。

## （３） 解析フロー

ABAQUS コードの解析フローを図 1-4-2 に示す。

## （４） 使用実績

ABAQUS コードは，多くの伝熱解析に使用された実績がある。

## （５） 検証方法

貯蔵容器の定常伝熱試験に対して ABAQUS コードによる解析結果と試験結果を比較・検討し，本コードの妥当性が検証されている[*1]。

*1 山川秀次，五味義雄，尾崎幸男，尾崎明朗「使用済燃料キャスク貯蔵技術の確立―キャスクの伝熱特性評価―」，電中研報告書，U92038，(1993)

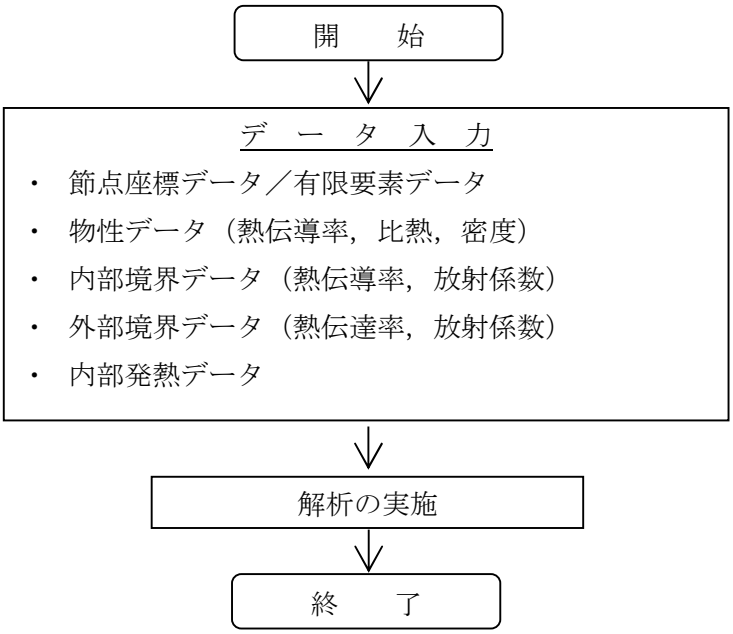



図 1-4-2　ABAQUS コードの伝熱解析フロー図

除熱解析に用いるコード（ORIGEN2）について

（１） 概要

ORIGEN2 コードは，米国オークリッジ国立研究所（ORNL）で開発された炉内中性子束の１点近似による燃焼計算コードである。ORIGEN2 コードは汎用解析コードであり，輸送容器の崩壊熱計算等に広く利用されている。

（２） 機能

ORIGEN2 コードは，燃焼解析に際して以下の機能を有している。

① 燃料の炉内での燃焼計算，炉取出し後の減衰計算により，冷却期間に対応した崩壊熱，放射線の強度，各核種の放射能量等が求められる。

② 原子炉の炉型と燃料の組合せに対し，中性子エネルギースペクトルの違いにより重みをつけた断面積ライブラリが内蔵されており，任意に選択できる。

③ 計算結果は，放射化生成物，アクチニド，核分裂生成物に分類して出力される。

④ 燃焼計算に必要な放射性核種データ（崩壊熱，ガンマ線のエネルギー分布，自発核分裂と（α，ｎ）反応により発生する中性子線源強度等）に関しては，ORIGEN2 コード専用のライブラリがあり，これを用いる。

（３） 計算フロー

ORIGEN2 コードの計算フローを図 1-4-3 に示す。

（４） 使用実績

ORIGEN2 コードは，輸送容器，核燃料施設の崩壊熱計算に広く使用されている[*1]。

（５） 検証方法

汎用コードの導入評価[*1] が実施されていることが確認されている。

大型実験/ベンチマーク試験による検証[*2] が実施されていることが確認されている。

*1 ORNL,“ORIGEN2 Isotope Generation and Depletion Code MATRIX EXPONENTIAL METHOD”,CCC-371

*2 (社)日本原子力学会“原子炉崩壊熱とその推奨値”, 1989 年 8 月

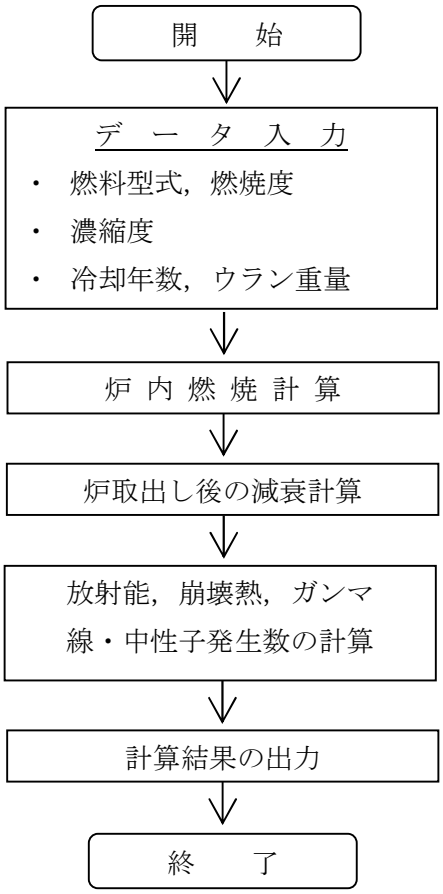



図 1-4-3　ORIGEN2 コードの計算フロー図

1.5. 密封機能

1.5.1. 基本的な考え方

破損燃料用輸送容器（2 体）の密封は容器本体及び一次蓋より構成される密封容器とこれに付属するポート部のカバーから構成される。容器本体と一次蓋，各ポートカバーのガスケットにはゴム製Ｏリングが使用されている。一次蓋で構成される破損燃料用輸送容器（2 体）の密封境界を図 1-5-1 に示す。

また，一次蓋を覆う形で二次蓋を容器本体に取付ける構造となっており，容器本体と二次蓋のガスケットはゴム製Ｏリングが使用され，一次蓋に漏えいが発生しても二次蓋で密封を確保できる構造となっている。二次蓋で構成される破損燃料用輸送容器（2 体）の密封境界を図 1-5-2 に示す。

密封機能の評価にあたっては，構造強度評価結果，除熱機能評価結果，容器構造から，破損燃料用輸送容器（2 体）の密封機能が維持されることを確認する。

1.5.2. 評価結果

(1)構造強度評価結果

1.3 項に示したとおり，構造強度評価から破損燃料用輸送容器（2 体）の密封境界を構成する胴，底板，一次蓋，一次蓋ボルト，二次蓋，二次蓋ボルト，ポートカバー及びポートカバーボルトは想定される荷重条件に対して十分な強度を有しており，密封境界の構造健全性に問題がないことが確認されている。

(2)除熱評価結果

1.4 項に示したとおり，除熱機能評価からＯリングの最高温度は 82℃以下で，設計基準温度である 300℃を大きく下回ることから，密封境界の熱的健全性に問題ないことが確認されている。

(3)容器構造

破損燃料用輸送容器（2 体）の密封境界を構成する一次蓋及び各ポートカバーは，ガスケットにゴム製のＯリングを使用し，複数のボルトで容器本体に締付ける構造であり，締付けトルクの管理により密封機能を担保する。

各ポートカバーは３号機に空の容器を移動する前に，共用プールで締付けトルクを管理し，密封機能を担保する。

一次蓋は３号機で燃料装填後に容器本体に締付ける際に，締付けトルクを管理し，密封機能を担保する。

二次蓋も一次蓋と同様にガスケットにゴム製のＯリングを使用し，複数のボルトで容器本体に締付けトルクを管理して締付ける構造であり，万が一，一次蓋の密封機能が喪失した場合でも，二次蓋で密封機能を担保する。

(4)まとめ

以上から，破損燃料用輸送容器（2 体）の密封性能は維持される。

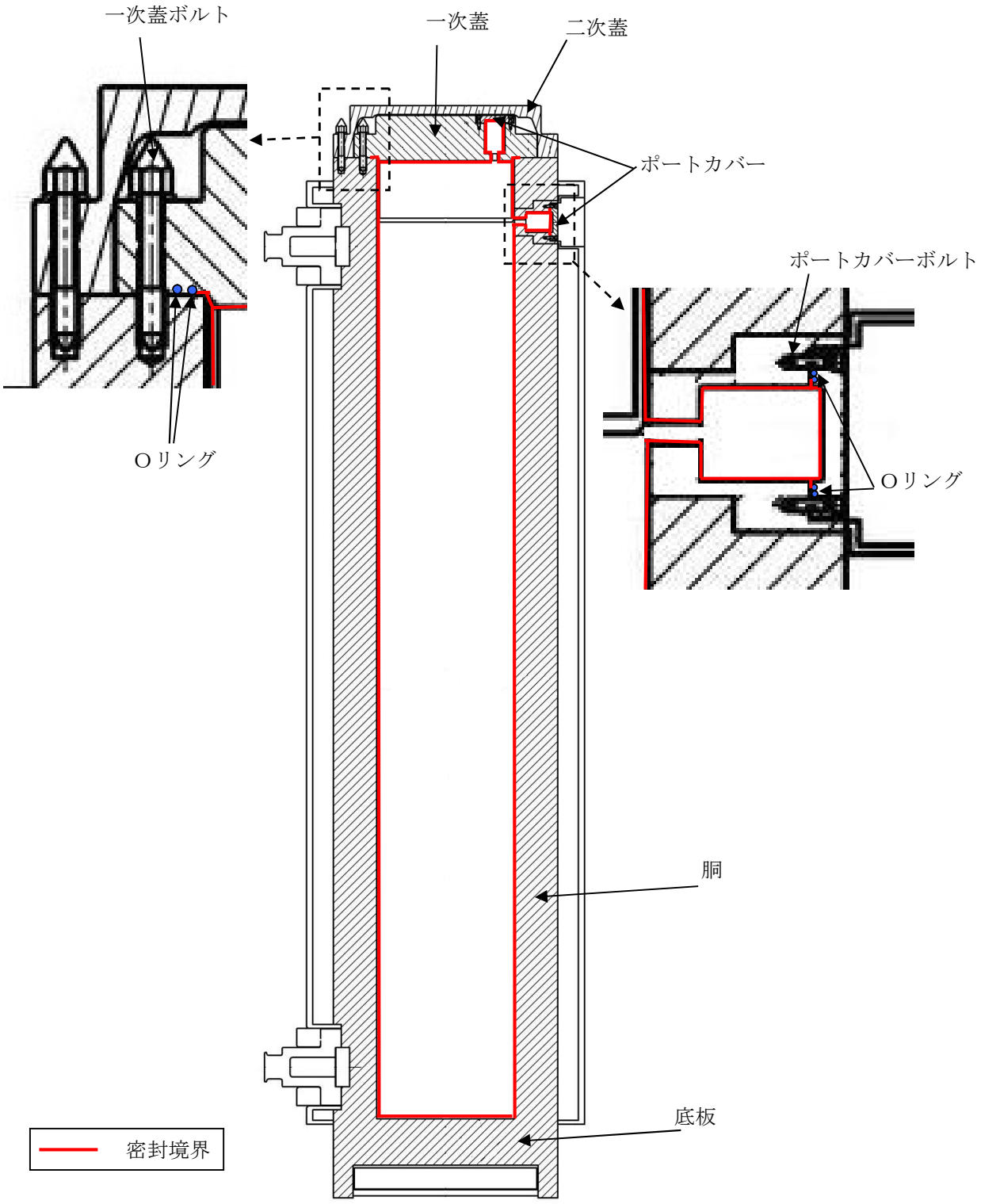



図 1-5-1　一次蓋で構成する容器密封境界

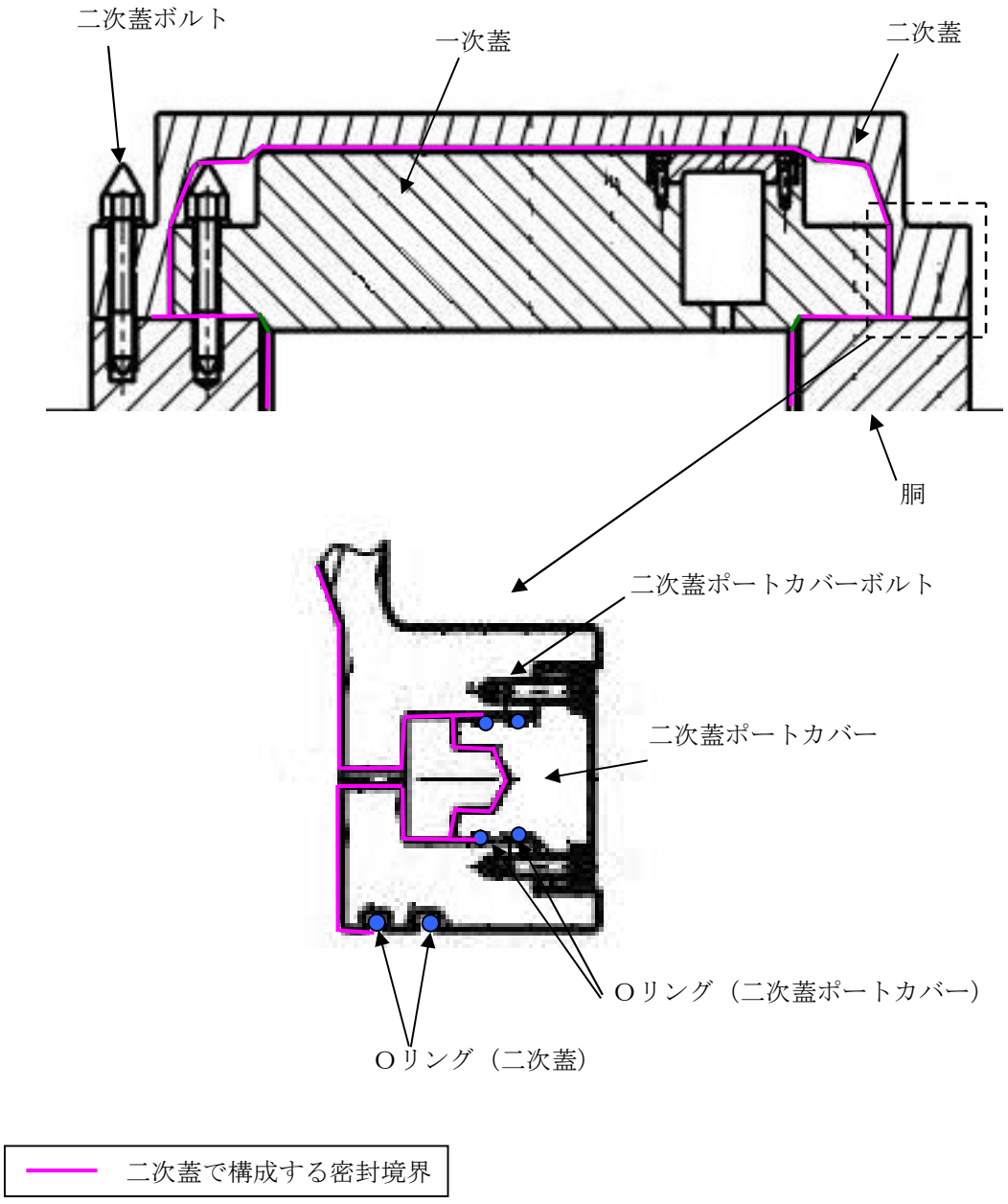



図 1-5-2　二次蓋で構成する密封境界

1.6. 遮へい機能

1.6.1. 基本的な考え方

収納した使用済燃料から発生する放射線を遮へいするための破損燃料用輸送容器(2 体)の遮へい設計の基本的な考え方は以下のとおりである。

- 使用済燃料から発生するガンマ線及び中性子を遮へいするために，破損燃料用輸送容器（2 体）はガンマ線遮へいと中性子遮へいの機能を有するものとする
- 主要なガンマ線遮へい材は，胴及び底板の低合金鋼，外筒の炭素鋼，蓋のステンレス鋼とする
- 主要な中性子遮へい材は，内水及び胴と外筒間，底板底部のレジンとする

遮へい機能の評価においては，収納する使用済燃料の線源強度を考慮し，破損燃料用輸送容器（2 体）表面及び表面から１ｍにおける線量当量率を評価する。

ただし，破損燃料用輸送容器（2 体）の構成部材はバスケットを除いて３号機構内用輸送容器と同一である。また，線源条件について，冷却期間は３号機構内用輸送容器の条件よりも長く，収納体数は３号機構内用輸送容器の 7 体より少ないため，「添付資料－２－１－２ 構内用輸送容器に係る安全機能及び構造強度に関する説明書（３号機） 1.6. 遮へい機能」の評価に包絡されることを確認する。

収納燃料は３号機構内用輸送容器と同一であるため，軸方向の燃焼度分布も同一である。

従って，軸方向の燃焼度分布が最大となる高さにおける水平断面の径方向の線量分布が３号機構内用輸送容器に包絡されていれば，いずれの高さ方向における評価点位置についても包絡されていることがわかる。以上から，径方向の線量評価を行う。

1.6.2. 評価条件

1）遮へい厚さ

破損燃料用輸送容器（2 体）の遮へい厚さを表 1-6-1 に示す。

表 1-6-1　遮へい厚さ　　（単位：cm）

| | 低合金鋼・炭素鋼 | ステンレス鋼 | レジン |
|---|---|---|---|
| 側面方向 | 約 25 | － | 約 10 |
| 上部方向 | － | 約 23 | － |
| 下部方向 | 約 28 | － | 約 10 |

2）線源条件

遮へい評価の線源条件は表 1-1-2 に示す３号機使用済燃料プールに保管されている燃料の条件を包絡する条件とする。線源条件を表 1-6-2 に示す。

表 1-6-2　線源条件

| 項目 | 線源条件 |
|---|---|
| 燃料タイプ | 9×9 燃料 |
| 平均燃焼度　(MWd/t) | 52,000 |
| 冷却期間　(日) | 3,207 |
| 収納体数　(体) | 2 |

3) 線源強度及びエネルギー

① ガンマ線源強度

燃料有効部のガンマ線源強度の計算は ORIGEN2 コードにより行う。得られたガンマ線源強度を表 1-6-3 に示す。また，構造材の放射化によるガンマ線源強度は次式で計算する。破損燃料用輸送容器（2 体）では，冷却期間及び収納体数が 3 号機構内用輸送容器よりも小さいため，構造材の放射化によるガンマ線源強度は包絡される。

$$A = N_0 \cdot \sigma \cdot \phi \cdot \{1 - \exp(-\lambda \cdot T_1)\} \cdot \exp(-\lambda \cdot T_2)$$

ここで，A ：放射化核種（$^{60}$Co）の放射能(Bq)

$N_0$ ：ターゲット核種（$^{59}$Co）の個数(atoms)

$\sigma$ ：2200m/s の中性子による（$^{59}$Co）の(n, $\gamma$)反応断面積(cm$^2$)

$\phi$ ：炉内照射熱中性子束(n/(cm$^2$・s))

$\lambda$ ：$^{60}$Co の崩壊定数（/日）

$T_1$ ：照射期間（日）

$T_2$ ：冷却期間（日）

表1-6-3　ガンマ線源強度

（容器１基あたり）

| 光子エネルギー群 | | 集合体２体あたり (ph/s/2 体) |
|---|---|---|
| 群 | 代表エネルギー(MeV) | |
| 1 | 1.00E-02 | 1.3E+15 |
| 2 | 2.50E-02 | 2.6E+14 |
| 3 | 3.75E-02 | 3.6E+14 |
| 4 | 5.75E-02 | 2.4E+14 |
| 5 | 8.50E-02 | 1.5E+14 |
| 6 | 1.25E-01 | 1.7E+14 |
| 7 | 2.25E-01 | 1.2E+14 |
| 8 | 3.75E-01 | 5.8E+13 |
| 9 | 5.75E-01 | 2.6E+15 |
| 10 | 8.50E-01 | 3.6E+14 |
| 11 | 1.25E+00 | 1.1E+14 |
| 12 | 1.75E+00 | 3.0E+12 |
| 13 | 2.25E+00 | 8.6E+10 |
| 14 | 2.75E+00 | 6.8E+09 |
| 15 | 3.50E+00 | 9.6E+08 |
| 16 | 5.00E+00 | 5.6E+07 |
| 17 | 7.00E+00 | 6.4E+06 |
| 18 | 9.50E+00 | 7.4E+05 |

② 中性子線源強度

中性子線源強度の計算は ORIGEN2 コードにより行う。得られた中性子線源強度を表 1-6-4 に示す。また，評価に用いる中性子エネルギースペクトルは Pu-239 の核分裂スペクトルとし，表 1-6-5 に示す。

表 1-6-4　中性子線源強度

（容器１基あたり）

| | | 中性子線源強度(n/s) |
|---|---|---|
| １次中性子源 | 自発核分裂によるもの | $1.3\times10^{9}$ |
| | （α，n）反応によるもの | $1.5\times10^{7}$ |
| 実効増倍率 | | 0.95 |
| 実効増倍効果を考慮した全中性子線源強度 | | $2.6\times10^{10}$ |

表1-6-5　中性子線源スペクトル

| エネルギー群数 | 上限エネルギー（eV） | スペクトル |
|---|---|---|
| 1 | $1.492\times10^{7}$ | $5.72\times10^{-4}$ |
| 2 | $1.220\times10^{7}$ | $2.02\times10^{-3}$ |
| 3 | $1.000\times10^{7}$ | $6.07\times10^{-3}$ |
| 4 | $8.180\times10^{6}$ | $2.00\times10^{-2}$ |
| 5 | $6.360\times10^{6}$ | $4.12\times10^{-2}$ |
| 6 | $4.960\times10^{6}$ | $5.27\times10^{-2}$ |
| 7 | $4.060\times10^{6}$ | $1.10\times10^{-1}$ |
| 8 | $3.010\times10^{6}$ | $8.74\times10^{-2}$ |
| 9 | $2.460\times10^{6}$ | $2.28\times10^{-2}$ |
| 10 | $2.350\times10^{6}$ | $1.15\times10^{-1}$ |
| 11 | $1.830\times10^{6}$ | $2.07\times10^{-1}$ |
| 12 | $1.110\times10^{6}$ | $1.89\times10^{-1}$ |
| 13 | $5.500\times10^{5}$ | $1.31\times10^{-1}$ |
| 14 | $1.110\times10^{5}$ | $1.59\times10^{-2}$ |
| 15 | $3.350\times10^{3}$ | $8.12\times10^{-5}$ |
| 16 | $5.830\times10^{2}$ | $5.89\times10^{-6}$ |
| 17 | $1.010\times10^{2}$ | $3.89\times10^{-7}$ |
| 18 | $2.900\times10^{1}$ | $5.53\times10^{-8}$ |
| 19 | $1.070\times10^{1}$ | $1.33\times10^{-8}$ |
| 20 | $3.060\times10^{0}$ | $1.88\times10^{-9}$ |
| 21 | $1.120\times10^{0}$ | $4.19\times10^{-10}$ |
| 22 | $4.140\times10^{-1}$ | $1.20\times10^{-10}$ |

1.6.3. 評価モデル

破損燃料用輸送容器（2 体）の実形状を模擬して２次元Ｒ－θ体系で評価する。

評価モデルは以下の条件を考慮する。

・ 主要な遮へい体の厚さは製造公差を考慮した寸法とし，遮へい体の密度はノミナル値とする。

1.6.4. 評価方法

遮へい計算は，ガンマ線，中性子共に DOT3.5 コードを用いて計算し，破損燃料用輸送容器（2 体）表面及び表面から１ｍの線量当量率を求める。

ライブラリとしては，DLC-23/CASK データを用い，線量当量率への変換は ICRP Publ.74 に基づく 1cm 線量当量率への換算係数を用いる。

1.6.5.　評価結果

破損燃料用輸送容器（2 体）の容器側面における評価結果を表 1-6-6 に示す。評価結果から，３号機構内用輸送容器に包絡されることを確認できる。

また，容器側面以外の評価点（容器上部，上部中性子遮へい体欠損部，下部中性子遮へい体欠損部，容器下部，上部トラニオン，下部トラニオン）についても，破損燃料用輸送容器(2 体)の構成部材はバスケットを除いて３号機構内用輸送容器と同一であり，遮へい効果も同じとなるため線量の大小関係は変わらず,容器側面と同様に包絡される。

３号機構内用輸送容器と同様に，容器取扱時には追加遮へい体設置等の放射線業務従事者の被ばく低減対策を講じる計画としている。

表 1-6-6　最大線量当量率の評価結果

（単位：mSv/h）

| | | 容器側面 |
|---|---|---|
| 表面 | 7体収納 | 1.5 |
| | 2体収納 | 8.5E-1 |
| 表面から１ｍ | 7体収納 | 3.4E-1 |
| | 2体収納 | 1.6E-1 |

参考資料

# 遮へい解析に用いるコード（ORIGEN2）について

## （１） 概要

ORIGEN2 コードは，米国オークリッジ国立研究所（ORNL）で開発された炉内中性子束の１点近似による燃焼計算コードである。ORIGEN2 コードは汎用解析コードであり，輸送容器の放射線源強度計算等に広く利用されている。

## （２） 機能

ORIGEN2 コードは，燃焼解析に際して以下の機能を有している。

① 燃料の炉内での燃焼計算，炉取出し後の減衰計算により，冷却期間に対応した崩壊熱，放射線の強度，各核種の放射能量等が求められる。

② 原子炉の炉型と燃料の組合せに対し，中性子エネルギースペクトルの違いにより重みをつけた断面積ライブラリが内蔵されており，任意に選択できる。

③ 計算結果は，放射化生成物，アクチニド，核分裂生成物に分類して出力される。

④ 燃焼計算に必要な放射性核種データ（崩壊熱，ガンマ線のエネルギー分布，自発核分裂と（α，ｎ）反応により発生する中性子線源強度等）に関しては，ORIGEN2 コード専用のライブラリがあり，これを用いる。

## （３） 計算フロー

ORIGEN2 コードの計算フローを図 1-6-1 に示す。

## （４） 使用実績

ORIGEN2 コードは,輸送容器,核燃料施設の放射線源強度計算に広く使用されている[*1]。

## （５） 検証方法

汎用コードの導入評価[*1] が実施されていることが確認されている。

大型実験/ベンチマーク試験による検証[*2] が実施されていることが確認されている。

*1 ORNL,“ORIGEN2 Isotope Generation and Depletion Code MATRIX EXPONENTIAL METHOD”,CCC-371

*2 (社)日本原子力学会“原子炉崩壊熱とその推奨値”, 1989 年 8 月

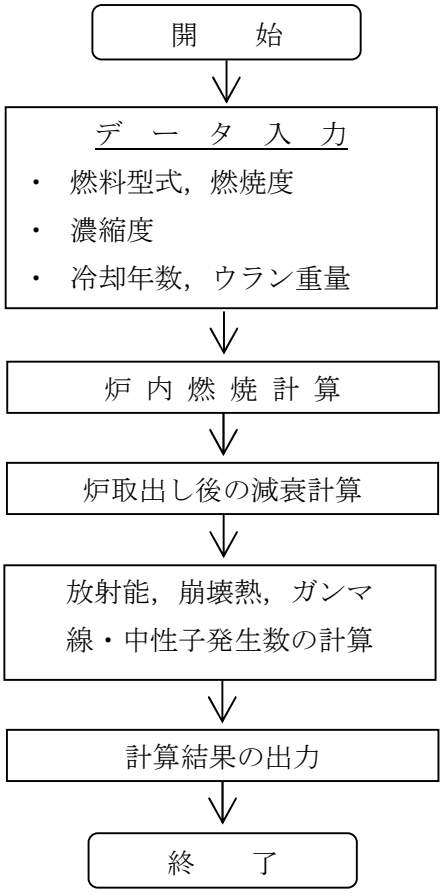



図 1-6-1　ORIGEN2 コードの計算フロー図

# 遮へい解析に用いるコード（DOT3.5 コード）について

## （１）概要

DOT3.5 コード（以下「DOT コード」という。）は二次元輸送コードであり，米国オークリッジ国立研究所（ORNL）で開発された汎用解析コードである。

## （２）機能

DOT コードは，遮へい解析に際して以下の機能を有する。

① ガンマ線や中性子に対するボルツマン輸送方程式を解くことによる数値解析法であり，放射線の挙動を追跡するのに重要な非等方性が表現できる。

② DOT コードは，二次元の体系を扱うことができる。

## （３）解析フロー

DOT コードの解析フローを図 1-6-2 に示す。

## （４）使用実績

DOT コードは，原子力施設の遮へい計算に広く用いられており，輸送容器の遮へい解析に豊富な実績がある。

## （５）検証

汎用コードの導入評価*1 が実施されていることが確認されている。

大型実験/ベンチマーク試験による検証*2 が実施されていることが確認されている。

*1 W. A. Rhoades, “DOT3.5 TWO DIMENSIONAL DISCRETE ORDINATES RADIATION TRANSPORT CODE”, CCC-276,1978 年 10 月

*2 (社)日本原子力学会“中性子遮蔽設計ハンドブック”, 1993 年 4 月

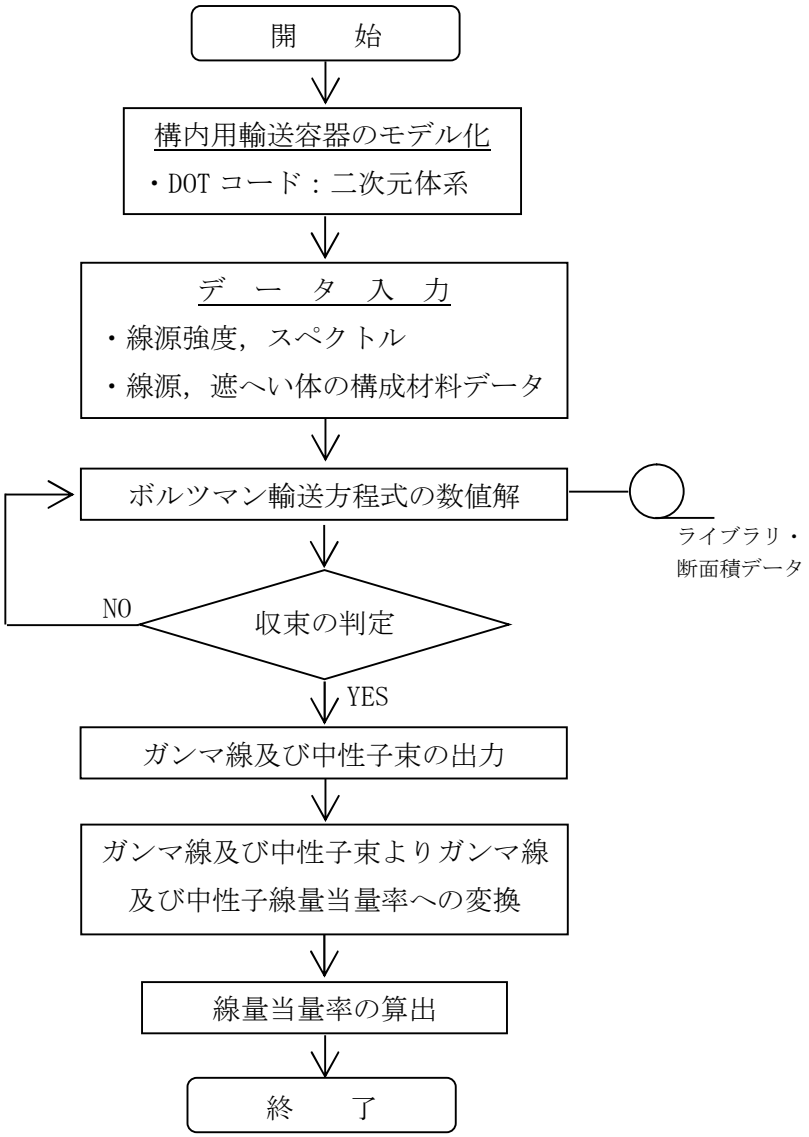



図 1-6-2　DOT コードの解析フロー図

## 1.7.　臨界防止機能

### 1.7.1. 基本的な考え方

臨界防止にあたっては,想定されるいかなる場合にも燃料が臨界に達することを防止するため以下のとおり設計する。

- 燃料を収納するバスケットは格子構造として，燃料を所定の幾何学的配置に維持する設計とする。
- バスケット外周部及び使用済燃料収納缶（大）側面には，中性子を吸収するボロン添加アルミニウム合金板を配置する。

### 1.7.2.　設計基準

想定されるいかなる場合も実効増倍率が 0.95 以下であること。

### 1.7.3.　評価条件

1)燃料条件，評価モデル

以下の保守的な燃料条件で評価を行うものとする。

・燃料棒の形状が維持されていないと仮定し，以下の条件を設定する。
  ・燃料被覆管が破損しペレットが使用済燃料収納缶（大）内に放出され，さらに使用済燃料収納缶（大）外にペレットが漏えいすることを仮定し，容器内にペレットと水が非均質に混ざった状態とする。
  ・水／ウラン比，ペレット粒径が最適な状態とする。
  ・U-235 の濃縮度は未照射のまま減損しない値とし，９×９燃料のペレット最高濃縮度 4.9wt%とする。また，中性子吸収断面積の大きい Gd は無視する。
・バスケット内の使用済燃料収納缶（大）配置は，格子間の範囲で偏心配置（バスケット内側の格子隅角部寄り）を考慮する。
・バスケット外周部及び使用済燃料収納缶（大）側面に配置したボロン添加アルミニウム合金の $^{10}$B 含有量は，製造下限値とする。
・評価に使用する各部の寸法は製造公差を考慮した寸法とする。
・チャンネルボックス及びウォーターロッドは水に置換える。
・中性子遮へい体部（レジン）は真空とする。
・破損燃料用輸送容器（2 体）外部の雰囲気は安全側に真空，完全反射とする。
・評価モデルは３次元体系とする。

1.7.4.　評価方法

破損燃料用輸送容器（2 体）の実形状をモデル化し，臨界解析コード KENO-Ⅴ.a を使用して求める。

1.7.5.　評価結果

評価結果を表 1-7-1 に示す。表 1-7-1 に示すとおり，破損燃料用輸送容器（2 体）の実効増倍率は設計基準を満足している。

表 1-7-1　評価結果

| 実効増倍率*1 | 設計基準 |
|---|---|
| 0.93 | 0.95 |

*1 モンテカルロ計算の統計誤差（3σ）を考慮した値

参考資料

# 臨界解析に用いるコード（KENO-Ⅴ.a）について

## （１） 概要

KENO-Ⅴ.a コードは，米国オークリッジ国立研究所（ORNL）で開発されたモンテカルロ法に基づく公開の臨界解析コードであり，輸送容器の臨界解析などに利用されている。

## （２） 機能

KENO-Ⅴ.a コードは，臨界解析に際して以下の機能を有している。

① 実際に中性子が出会う物理現象を確率理論を用いて模擬するため，どのような物理的問題にも適用できる。なお，統計的な手法を用いるため，計算結果には統計誤差が付随する。

② 一次元～三次元の任意形状の体系を扱うことができる。

## （３） 解析フロー

KENO-Ⅴ.a コードの解析フローを図 1-7-1 に示す。

## （４） 使用実績

KENO-Ⅴ.a コードは，国内外で輸送容器の臨界解析をはじめ，核燃料施設の臨界解析に使用されている。

## （５） 検証

米国のバッテル研究所（パシフィック　ノースウエスト研究所，PNL）で行われた臨界実験*1 の中から 16 種類の臨界体系をベンチマーク試験*2 として選び，検証を行った。

*1 S. R. Bierman and E. D. Clayton, “Criticality Experiments with Subcritical Clusters of 2.35 Wt% and 4.31 Wt% $^{235}U$ Enriched $UO_2$ Rods in Water with Steel Reflecting Walls”, NUREG/CR-1784(PNL-3602), U.S. Nuclear Regulatory Commission, April 1981.

*2 “International Handbook of Evaluated Criticality Safety Benchmark Experiments”, LEU-COMP-THERM-010, LEU-COMP-THERM-013, LEU-COMP-THERM-017, LEU-COMP-THERM-042, NEA/NSC/DOC(95)03, September 2009.

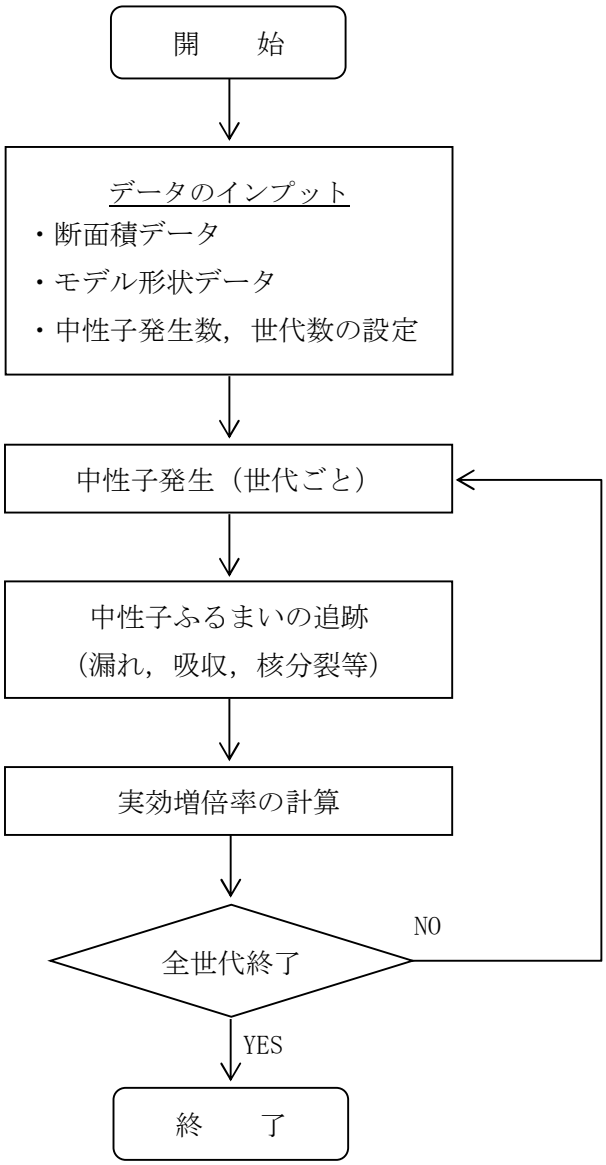



図 1-7-1　KENO-Ⅴ.a コードの解析フロー図

1.8.　破損燃料用輸送容器（2 体）の落下

1.8.1.　原因

破損燃料用輸送容器（2 体）の取扱い中に，何らかの原因で破損燃料用輸送容器（2 体）が落下して密封境界が破損し，放射性物質が環境に放出される。

1.8.2.　発生防止対策

破損燃料用輸送容器（2 体）の落下を防止するために，次のような設計及び手順の対策を講じる。

（1）クレーン主巻フックは二重のワイヤーロープで保持する構造とする。

（2）クレーン巻上装置は電源断時に電動油圧押上機ブレーキで保持する構造とする。

（3）クレーン主巻フックと吊具，吊具と破損燃料用輸送容器（2 体）の取付けを二重化する。

（4）取付け作業後の取付け状態を ITV にて確認し，外れ止めを取り付ける。

（5）作業開始前にクレーン及び吊具の事前点検を実施する。

（6）作業手順書を整備し，作業員への教育訓練を行う。

1.8.3.　核分裂生成物の放出量及び線量の評価

本破損燃料用輸送容器は，最大 2 体の燃料を輸送することが可能な容器である。これは既に構内輸送に用いている 3 号機構内用輸送容器の燃料収納体数 7 体より少ない。

従って，核分裂生成物の放出量及び線量の評価は「添付資料－２－１－２　構内用輸送容器に係る安全機能及び構造強度に関する説明書（３号機）　1.8.　構内用輸送容器の落下」の評価に包絡される。

2.　別添

別添－１　破損燃料用輸送容器（2 体）に係る確認事項について

別添－２　破損燃料用輸送容器（2 体）の保守について

# 破損燃料用輸送容器（2 体）に係る確認事項について

破損燃料用輸送容器（2 体）の設置工事に係る主要な確認項目を表－1 に示す。

表－1　安全機能及び構造強度に関する確認事項

| 確認事項 | 確認項目 | | 確認内容 | 判定基準 |
|---|---|---|---|---|
| 構造強度 | 材料確認 | | 実施計画に記載されているバスケットの主な材料について確認する。 | 実施計画のとおりであること。 |
| 構造強度<br>遮へい<br>機能 | 構造<br>確認 | 寸法確認 | 実施計画に記載されているバスケットの主要寸法を確認する。 | 寸法が許容範囲内であること。 |
| | | 外観確認 | バスケットの各部の外観を確認する。 | 有意な欠陥がないこと。 |
| 密封機能 | 機能<br>確認 | 取合確認 | 密封境界を構成する蓋等が容器と取合い密封境界の構成に問題が無いことを確認する。 | 密封境界を構成する蓋等が容器と取合うこと。 |
| 臨界防止<br>機能 | 機能<br>確認 | 材料確認<br>寸法確認<br>外観確認 | バスケットの材料及び主要寸法が,実施計画評価の前提条件となっている値を満足していることを確認し,バスケットの外観に異常のないことを確認する。 | ・材料が実施計画どおりであり，寸法が許容範囲内であること。<br>・有意な変形，破損等の異常がないこと。 |

# 破損燃料用輸送容器（2 体）の保守について

破損燃料用輸送容器（2 体）は，本文 2.11.1.4 供用期間中に確認する項目に記載のとおり，「除熱，密封，遮へい，臨界防止の安全機能が維持されていること」を供用期間中，確認する。

輸送容器は，共用プールにおいて，輸送毎に以下の検査を実施する。なお，合格基準は，表－2 に示す。また，検査の結果，必要に応じて消耗品の交換，補修を実施する。

（１）外観検査
輸送容器の外表面を目視で確認する。
（２）気密漏えい検査
輸送容器密封部の圧力降下を測定し，漏えい率を算出する。
（３）遮へい検査
収納物を収納した状態で，輸送容器表面の線量当量率を測定する。
（４）未臨界検査
輸送容器内に収納されたバスケットの外観を目視で確認する。
（５）吊上検査
輸送容器を吊り上げた後の状態において，上部トラニオン部の外観を目視で確認する。
（６）作動確認検査
バルブの開閉を行い，作動性を確認する。
（７）熱検査
収納物を収納した状態で，輸送容器表面の温度を測定する。

表－2　検査項目，検査方法及び合格基準

| 検査項目 | 検査方法 | 合格基準 |
|---|---|---|
| 外観検査 | 輸送容器の外表面を目視で確認する。 | 輸送容器の形状に異常な傷又は割れがないこと。 |
| 気密漏えい検査 | 輸送容器密封部に0.9MPaG以上の圧力を加え，圧力降下を測定し，漏えい率を算出する。 | 一次蓋，二次蓋及びポートカバーの各部の漏えい率が $9\times10^{-1}$ ref $cm^3/s$ を超えないこと。 |
| 遮へい検査 | 収納物を収納した状態で，輸送容器表面の線量当量率を測定する。 | 実施計画記載の評価値を超えないこと。 |
| 未臨界検査 | 輸送容器内に収納されたバスケットの外観を目視で確認する。 | バスケットに異常な変形又は破損がないこと。 |
| 吊上検査 | 輸送容器を吊り上げた後の状態において，上部トラニオン部の外観を目視で確認する。 | トラニオン部など吊上部等に異常な変形又は破損がないこと。 |
| 作動確認検査 | バルブの開閉を行い，作動性を確認する。 | 作動性に異常のないこと。 |
| 熱検査 | 収納物を収納した状態で，輸送容器表面の温度を測定する。 | 実施計画記載の評価値を超えないこと。 |

# 構内輸送時の措置に関する説明書（４号機）

## １．構内輸送の概要

第４号機の使用済燃料プールに貯蔵されている燃料は，使用済燃料プールで燃料取扱機またはクレーンを使用して構内用輸送容器に装填する。燃料を装填した構内用輸送容器はクレーンを使用して燃料取り出し用カバーから吊り下ろし，輸送車両に積載し，共用プールに向けて構内輸送する。構内用輸送容器は，福島第一原子力発電所に使用済燃料運搬用容器として設置され，これまで第４号機から共用プールへの使用済燃料の構内輸送に使用している使用済燃料輸送容器（NFT-22B 型），およびこれまで第１号機および２号機から共用プールへの使用済燃料の構内輸送に使用している使用済燃料輸送容器（NFT-12B 型）を用いる。

## ２．構内輸送時に講じる措置

「Ⅲ.3.3.1　放射線防護及び管理」において，管理区域と同等の管理を要する区域として管理対象区域を定義しており，保安規定により４号機から共用プールへの輸送経路も管理対象区域に設定されている。

構内輸送時に講じる措置は，「実用発電用原子炉の設置，運転等に関する規則の第 88 条（工場又は事業所において行われる運搬）」に準じて実施するが，周辺の雰囲気線量や汚染密度が高いことから，周辺環境によっては運搬物の表面及び表面から 1 メートルの距離における線量当量率及び運搬物の表面の放射性物質の密度に関しては法令に適合していることを確認できない可能性がある。

このため，運搬物の表面及び表面から 1 メートルの距離における線量当量率及び運搬物の表面の放射性物質の密度に関しては，作業実施時の最新の保安規定，社内マニュアル等に基づき管理する。

# 構内輸送時の措置に関する説明書（３号機）

## １．構内輸送の概要

第３号機の使用済燃料プールに貯蔵されている燃料は，使用済燃料プールで燃料取扱機を使用して構内用輸送容器に装填する。燃料を装填した構内用輸送容器はクレーンを使用して燃料取り出し用カバーから吊り下ろし，輸送車両に積載し，共用プールに向けて構内輸送する。構内用輸送容器は，新たに設計・製造した容器（密封式円筒形）を用いる。

## ２．構内輸送時に講じる措置

「Ⅲ特定原子力施設の保安　第３編　3.1.1 放射線防護及び 3.1.2 放射線管理」において，管理区域と同等の管理を要する区域として管理対象区域を定義しており，「Ⅲ特定原子力施設の保安　第１編　45 条」により３号機から共用プールへの輸送経路も管理対象区域に設定されている。

構内輸送時に講じる措置は，「東京電力株式会社福島第一原子力発電所原子炉施設の保安及び特定核燃料物質の防護に関する規則の第 14 条の２（工場又は事業所において行われる運搬）」に準じて実施する。

# 放射性物質の飛散・拡散を防止するための機能に関する説明書

## 1　本説明書の記載範囲

本説明書は，１号機，２号機，３号機及び４号機燃料取り出し用カバーの放射性物質の飛散・拡散を防止するための機能について記載するものである。

## 2　４号機放射性物質の飛散・拡散を防止するための機能について

### 2.1　燃料取り出し用カバーについて

#### 2.1.1　概要

燃料取り出し用カバーは，作業に支障が生じることのないよう作業に必要な範囲をカバーし，風雨を遮る構造とする。また，使用済燃料プール内がれき撤去時の放射性物質の舞い上がり，燃料取り出し作業に伴い建屋等に付着した放射性物質の舞い上がりによる大気放出を抑制するため，燃料取り出し用カバーは隙間を低減した構造とするとともに，換気設備を設け，排気はフィルタユニットを通じて大気へ放出する。また，現在，発電所敷地内でよう素（I-131）は検出されていないことから，フィルタユニットは，発電所敷地内等で検出されているセシウム（Cs-134,137）の大気への放出が低減できる設計とする。

#### 2.1.2　燃料取り出し用カバー

燃料取り出し用カバーの大きさは，約 69m（南北）×約 31m（東西）×約 53m（地上高）である。主体構造は鉄骨造であり，壁面及び屋根面は風雨を遮る外装材で覆う計画である。屋根面及び壁面上部には勾配を設けて，雨水の浸入を防止する構造とする。（図 2-1　燃料取り出し用カバー概略図参照）

#### 2.1.3　換気設備

##### 2.1.3.1　系統構成

換気設備は，燃料取り出し用カバー内気体を吸引し，排気ダクトを経由して燃料取り出し用カバーの外部に設置した排気フィルタユニットへ導く。排気フィルタユニットは，プレフィルタ，高性能粒子フィルタ，排風機等で構成され，各フィルタで放射性物質を捕集した後の気体を吹上用排気ダクトから大気へ放出する。

排気フィルタユニットは，換気風量約 25,000$m^3$/h のユニットを 3 系列（うち 1 系列は予備）設置し，約 50,000$m^3$/h の換気風量で運転する。

また，燃料取り出し用カバー内の放射性物質や吹上用排気ダクトから大気に放出される放射性物質の濃度を測定するため，放射性物質濃度測定器を排気フィルタユニットの出入口に設置する。（図 2-2　燃料取り出し用カバー換気設備概略構成図，図 2-3 燃料取り出し用カバー換気設備配置図，図 2-4　燃料取り出し用カバー換気設備系統図参照）

燃料取り出し用カバー換気設備の電源は，異なる系統の所内高圧母線から受電可能な構成とする。(図 2-5　燃料取り出し用カバー換気設備電源系統図参照)

なお，４号機での燃料取り出し作業は，有人での作業を計画していることから，燃料取り出し用カバー内の放射性物質濃度の低減のため，給気フィルタユニットを有する構造とする。給気フィルタユニットは，プレフィルタ，送風機，高性能粒子フィルタ等で構成され，各フィルタで放射性物質を捕集した後の気体を燃料取り出し用カバー内へ放出する。

給気フィルタユニットは，換気風量約 25,000$m^3$/h のユニットを 3 系列（うち 1 系列は予備）設置し，約 50,000$m^3$/h の換気風量で運転する。

表 2-1　換気設備構成

| 設備名 | 構成・配置等 |
|---|---|
| 給気フィルタユニット | 配置：原子炉建屋南側の屋外に 3 系列（うち予備 1 系列）設置<br>構成：プレフィルタ<br>送風機<br>高性能粒子フィルタ（効率 97%（粒径 0.3$\mu$m）以上）<br>フィルタ線量計（高性能粒子フィルタに設置）<br>フィルタ差圧計（プレフィルタ，高性能粒子フィルタに設置） |
| 給気吹出口 | 配置：カバー内の側部に設置 |
| 排気吸込口 | 配置：カバー内の天井部に設置 |
| 排気フィルタユニット | 配置：原子炉建屋南側の屋外に 3 系列（うち予備 1 系列）設置<br>構成：プレフィルタ<br>高性能粒子フィルタ（効率 97%（粒径 0.3$\mu$m）以上）<br>排風機<br>フィルタ線量計（高性能粒子フィルタに設置）<br>フィルタ差圧計（プレフィルタ，高性能粒子フィルタに設置） |
| 吹上用排気ダクト | 配置：排気フィルタユニットの下流側に設置 |
| 放射性物質濃度測定器 | 測定対象：カバー内及び大気放出前の放射性物質濃度<br>仕様　：検出器種類　シンチレーション検出器<br>計測範囲　$10^0$～$10^4s^{-1}$<br>台数　排気フィルタユニット入口　1 台<br>排気フィルタユニット出口　2 台 |

2.1.3.2　換気風量について

燃料取り出し用カバー内の環境は，燃料取扱機，クレーン及び電源盤の設備保護のため40℃以下（設計値）となる換気設備を設けるものとする。また，カバー内での燃料取り出し作業は，有人による作業を計画していることから，作業エリアには，局所的にローカル空調機を設け夏期及び冬期の作業環境の向上を図るものとする。

燃料取り出し用カバー内の熱負荷を除熱するのに必要な換気風量は，下式により求められ約50,000$m^3$/hとなる。

$Q=q/(Cp \cdot \rho \cdot (t1-t2) \cdot 1/3600)$

Q　：換気（排気）風量（$m^3$/h）

q　：設計用熱負荷，約143（kW）（機器発熱）※1

Cp　：定圧比熱，1.004652（kJ/kg・℃）

$\rho$　：密度，1.2（kg/$m^3$）

t1　：カバー内温度，40（℃）

t2　：設計用外気温度，31.5（℃）※2

※1　10%の余裕を含む

※2　28.5℃（小名浜気象台で観測された1971年～1975年の5年間の観測データにおける累積出現率が99%となる最高温度）+約3℃（送風機のヒートアップによる温度上昇）

2.1.3.3　運転管理および保守管理

(1) 運転管理

送風機・排風機の起動/停止操作は，屋外地上部に設置した現場制御盤で行うものとし，故障等により送風機・排風機が停止した場合には，予備機が自動起動する。

現場制御盤では，送風機・排風機の運転状態（起動停止状態），放射性物質濃度が表示され，それらの異常を検知した場合には，警報を発する。また，免震重要棟でも同様に，送風機・排風機の運転状態（起動停止状態），放射性物質濃度が表示され，それらの情報に異常を検知した場合は，警報を発するシステムとなっている。

放射性物質濃度測定器を排気フィルタユニットの出入口に設置し，燃料取り出し用カバー内から大気に放出される放射性物質濃度を測定する。

(2) 保守管理

換気設備については安全上重要な設備ではなく，運転継続性の要求が高くない。保守作業に伴う被ばくを極力低減する観点から，異常の兆候が確認された場合に対応する。なお，排気フィルタユニット出口の放射性物質濃度測定器については，外部への放射性物質放出抑制の監視の観点から多重化し，機器の単一故障により機能が喪失した場合でも測定可能な設備構成とする。

また，フィルタについては，差圧計（プレフィルタ，高性能粒子フィルタに設置）又は線量計（高性能粒子フィルタに設置）の値を確認しながら，必要な時期に交換する。

2.1.3.4　異常時の措置

燃料取り出し用カバー換気設備が停止しても，セシウムの使用済燃料プールから大気への移行割合は，$1\times10^{-3}$～$1\times10^{-5}$%程度であり，４号機から放出される放射性物質は小さいと評価されている（Ⅱ.2.3 使用済燃料プール設備参照）ことから，放射性物質の異常な放出とならないと考えられる。また，４号機の使用済燃料プール水における放射性物質濃度は，Cs-134：$4.5\times10^{0}$Bq/cm$^3$，Cs-137：$6.6\times10^{0}$Bq/cm$^3$（平成 24 年 1 月 30 日に使用済燃料プールより採取した水の分析結果）である。

なお，燃料取り出し用カバー換気設備は，機器の単一故障が発生した場合を想定して，送風機，排風機及び電源の多重化を実施しており，切替等により機能喪失後の速やかな運転の再開を可能とする。また，排気フィルタユニット出口の放射性物質濃度測定器については，２台の連続運転とし，１台故障時においても放射性物質濃度を計測可能とする。

2.2　放射性物質の飛散・拡散を防止するための機能について

2.2.1　排気フィルタによる低減効果

燃料取り出し用カバー内から排気フィルタユニットを通じて大気へ放出される放射性物質は，高性能粒子フィルタ（効率 97%（粒径 0.3μm）以上）により低減される。

セシウムの使用済燃料プールから大気への移行割合は，$1\times10^{-3}$～$1\times10^{-5}$%程度であり，４号機から放出される放射性物質は小さいと評価されている。（Ⅱ.2.3 使用済燃料プール設備参照）

表 2-2 に発電所敷地内で測定された放射性物質濃度を示す。仮に，燃料取り出し用カバー内が表 2-2 に示す放射性物質濃度のうち，濃度の高い４号機オペレーティングフロア上の放射性物質濃度であった場合，排気フィルタを通過して大気へ放出される放射性物質濃度は表 2-3 の通りとなる。

表 2-2　発電所敷地内の放射性物質濃度　　($Bq/cm^3$)

| 核種 | 4 号機原子炉建屋オペレーティングフロア上の濃度（平成 23 年 6 月 18 日測定） | 福島第一原子力発電所西門の濃度（平成 23 年 6 月 18 日測定）※ |
|---|---|---|
| Cs-134 | 約 $1.2\times10^{-4}$ | 約 $5.4\times10^{-6}$ |
| Cs-137 | 約 $1.1\times10^{-4}$ | 約 $6.2\times10^{-6}$ |

※現在は，検出限界値以下であるが，4 号機オペレーティングフロア上の測定値との比較のため，平成 23 年 6 月 18 日の測定値とした。

Q=C・(1-f)

Q　：フィルタ通過後の放射性物質濃度（$Bq/cm^3$）

C　：カバー内に吸い込まれる外気の放射性物質濃度（$Bq/cm^3$）（表 2-2 参照）

f　：フィルタ効率（高性能粒子フィルタ　97%）

表 2-3　フィルタ通過後の放射性物質濃度

| 核種 | 濃度（$Bq/cm^3$） |
|---|---|
| Cs-134 | 約 $3.6\times10^{-6}$ |
| Cs-137 | 約 $3.3\times10^{-6}$ |

以上の結果，表 2-2 及び表 2-3 より，フィルタ通過後の放射性物質濃度は西門での放射性物質濃度よりも低いレベルとなる。

2.2.2　敷地境界線量

2.2.2.1　評価条件

(1) 燃料取り出し用カバー内が，表 2-2 に示す 4 号機オペレーティングフロア上の放射性物質濃度であった場合に排気フィルタユニットを介して大気に放出されるものと仮定する。

(2) 減衰は考慮しない。

(3) 地上放出と仮定する。

(4) 燃料取り出し用カバーの供用期間である 5 年間（想定）に放出される放射性物質が地表に沈着し蓄積した時点のγ線に起因する実効線量と仮定し評価する。

(5) 大気拡散の評価に用いる気象条件は，福島第一原子力発電所原子炉設置変更許可申請書で採用したものと同じ気象データを使用する。

2.2.2.2　評価方法

燃料取り出し用カバー排気フィルタユニットから放出される放射性物質による一般公衆の実効線量は，以下の被ばく経路について年間実効線量(mSv/年)を評価する。

(1) 放射性雲からのγ線に起因する実効線量

(2) 吸入摂取による実効線量

(3) 地面に沈着した放射性物質からのγ線に起因する実効線量

2.2.2.3　放射性雲からのγ線に起因する実効線量

放射性物質のγ線に起因する実効線量については，「発電用軽水型原子炉施設周辺の線量目標値に対する評価指針」の放射性雲からのγ線による実効線量の評価の評価式を用いて評価する。

(1) 計算地点における空気カーマ率の計算

計算地点（x，y，0）における空気カーマ率は，次式により計算する。

$$D = K_1 \cdot E \cdot \mu_{en} \int_0^{\infty} \int_{-\infty}^{\infty} \int_0^{\infty} \frac{e^{-\mu \cdot r}}{4\pi r^2} \cdot B(\mu r) \cdot \chi(x', y', z')\, dx'\, dy'\, dz' \quad \cdots \quad 2\text{-}1$$

ここで，　D　　：計算地点(x，y，0)における空気カーマ率（$\mu$Gy/y）

$K_1$　　：空気カーマ率への換算係数（$4.46\times10^{-4}\ \frac{dis\cdot m^3\cdot \mu Gy}{MeV\cdot Bq\cdot h}$）

E　　：γ線の実効エネルギ（0.5MeV/dis）

$\mu_{en}$　　：空気に対するγ線の線エネルギ吸収係数（$m^{-1}$）

$\mu$　　：空気に対するγ線の線減衰係数（$m^{-1}$）

r　　：放射性雲中の点$(x', y', z')$から計算地点（x，y，0）までの距離（m）

$B(\mu r)$　：空気に対するγ線の再生係数

$$B(\mu r) = 1 + \alpha(\mu r) + \beta(\mu r)^2 + \gamma(\mu r)^3$$

ただし，$\mu_{en}$，$\mu$，$\alpha$，$\beta$，$\gamma$については，0.5MeVのγ線に対する値を用い，以下のとおりとする。

$\mu_{en}=3.84\times10^{-3}(m^{-1})$，　$\mu=1.05\times10^{-2}(m^{-1})$

$\alpha=1.000$，　　$\beta=0.4492$，　$\gamma=0.0038$

$\chi(x', y', z')$　：放射性雲中の点$(x', y', z')$における濃度（$Bq/m^3$）

なお，$\chi(x', y', z')$は，次式により計算する。

$$\chi(x', y', z') = \frac{Q}{2\pi \cdot \sigma_y \cdot \sigma_z \cdot U} \cdot e^{-\frac{y'^2}{2\sigma_y^2}} \cdot \left\{ e^{-\frac{(z' - H)^2}{2\sigma_z^2}} + e^{-\frac{(z' + H)^2}{2\sigma_z^2}} \right\} \quad \cdot \quad 2\text{-}2$$

ここで，　Q　　：放射性物質の放出率（Bq/s）

U　：放出源高さを代表する風速（m/s）

H　：放出源の有効高さ（m）

$\sigma_y$　：濃度分布のy’方向の拡がりのパラメータ（m）

$\sigma_z$　：濃度分布のz’方向の拡がりのパラメータ（m）

このとき，有効高さと同じ高度（z’= H）の軸上で放射性物質濃度が最も濃くなる。被ばく評価地点は地上（z’= 0）であるため，地上放散が最も厳しい評価を与えることになる。

(2) 実効線量の計算

計算地点における年間の実効線量は，計算地点を含む方位及びその隣接方位に向かう放射性雲のγ線からの空気カーマを合計して，次式により計算する。

$$H_\gamma = K_2 \cdot f_h \cdot f_0 \cdot (\overline{D}_L + \overline{D}_{L-1} + \overline{D}_{L+1}) \quad \cdots\cdots\cdots \quad 2\text{-}3$$

ここで，　$H_\gamma$　：放射性物質のγ線に起因する年間の実効線量（μSv/y）

$K_2$　：空気カーマから実効線量への換算係数（0.8μSv/μGy）

$f_h$　：家屋の遮蔽係数（1.0）

$f_0$　：居住係数（1.0）

$(\overline{D}_L + \overline{D}_{L-1} + \overline{D}_{L+1})$　：計算地点を含む方位(L)及びその隣接方位に向かう放射性雲による年間平均のγ線による空気カーマ(μGy/y)。これらは2-1式から得られる空気カーマ率Dを放出モード，大気安定度別風向分布及び風速分布を考慮して年間について積算して求める。

2.2.2.4　吸入摂取による実効線量

吸入摂取による実効線量については，「発電用軽水型原子炉施設周辺の線量目標値に対する評価指針」の吸入摂取による実効線量の評価の評価式を用いて評価する。

(1) 放射性物質の年平均地表空気中濃度の計算

計算地点における年平均地表空気中濃度$\overline{\chi}$は，2-2式を用い，隣接方位からの寄与も考慮して，次式により計算する。

$$\overline{\chi} = \sum_j \overline{\chi}_{jL} + \sum_j \overline{\chi}_{jL-1} + \sum_j \overline{\chi}_{jL+1} \quad \cdots\cdots\cdots\cdots\cdots \quad 2\text{-}4$$

ここで，　j　：大気安定度（A～F）

L　：計算地点を含む方位

(2) 線量の計算

放射性物質の呼吸による実効線量は，次式により計算する。

$$H_I = 365 \cdot \sum_i K_{Ii} \cdot A_{Ii} \quad \cdots\cdots\cdots\cdots\cdots\cdots\cdots\cdots \quad 2\text{-}5$$

$$A_{Ii} = M_a \cdot \overline{\chi}_i \quad \cdots\cdots\cdots\cdots\cdots\cdots\cdots\cdots\cdots\cdots \quad 2\text{-}6$$

ここで，　$H_I$　：吸入摂取による年間の実効線量（$\mu$Sv/y）

365　：年間日数への換算係数（d/y）

$K_{Ii}$　：核種ｉの吸入摂取による成人実効線量換算係数（$\mu$Sv/Bq）

$A_{Ii}$　：核種ｉの吸入による摂取率（Bq/d）

$M_a$　：人間の呼吸率（$m^3$/d）

（成人の１日平均の呼吸率：22.2$m^3$/d を使用）

$\overline{\chi}_i$　：核種ｉの年平均地表空気中濃度（Bq/$m^3$）

表 2-4　吸入摂取による成人の実効線量換算係数（$\mu$Sv/Bq）

| 核種 | Cs-134 | Cs-137 |
|---|---|---|
| $K_{Ii}$ | $2.0\times10^{-2}$ | $3.9\times10^{-2}$ |

2.2.2.5　地面に沈着した放射性物質からのγ線に起因する実効線量

地面に沈着した放射性物質からのγ線に起因する実効線量については，「発電用軽水型原子炉施設の安全審査における一般公衆の線量評価について」の地面に沈着した放射性物質濃度を計算し，放射性物質濃度からの実効線量への換算係数を用いて評価する。

(1) 放射性物質の年平均地上空気中濃度の計算

計算地点における年平均地上空気中濃度$\overline{\chi}$は，2-4 式により計算する。

(2) 線量の計算

地面に沈着した放射性物質からのγ線に起因する実効線量は，次式により計算する。

$$H_G = \sum_i K_{Gi} \cdot S_{Oi} \quad \cdots\cdots\cdots\cdots\cdots\cdots\cdots\cdots\cdots\cdots \quad 2\text{-}7$$

$$S_{Oi} = \overline{\chi}_i \cdot V_g \cdot \frac{f_1}{\lambda_i} \cdot \left(1 - e^{-\lambda_i \cdot T_O}\right) \quad \cdots\cdots\cdots\cdots\cdots \quad 2\text{-}8$$

ここで，　$H_G$　：地面に沈着した放射性物質からのγ線に起因する年間の実効線量（$\mu$Sv/y）

$K_{Gi}$　：核種ｉの地表沈着による外部被ばく線量換算係数（$\frac{\mu Sv/y}{Bq/m^2}$）

$S_{0i}$　：核種ｉの地表濃度（Bq/$m^2$）

$\overline{\chi}_i$　：核種ｉの年平均地表空気中濃度（Bq/$m^3$）

$V_g$　：沈着速度（0.01m/s）

$\lambda_i$　：核種ｉの物理的減衰係数（$s^{-1}$）

$T_o$　：放射性物質の放出期間（s）（カバー供用期間の 5 年を想定）

$f_1$　：沈着した放射性物質のうち残存する割合（保守的に 1 を用いる）

表 2-5　核種 i の地表沈着による外部被ばく線量換算係数（(Sv/s)/(Bq/m$^2$)）

| 核種 | Cs-134 | Cs-137 |
|---|---|---|
| $K_{Gi}$ | $1.5\times10^{-15}$ | $5.8\times10^{-16}$ |

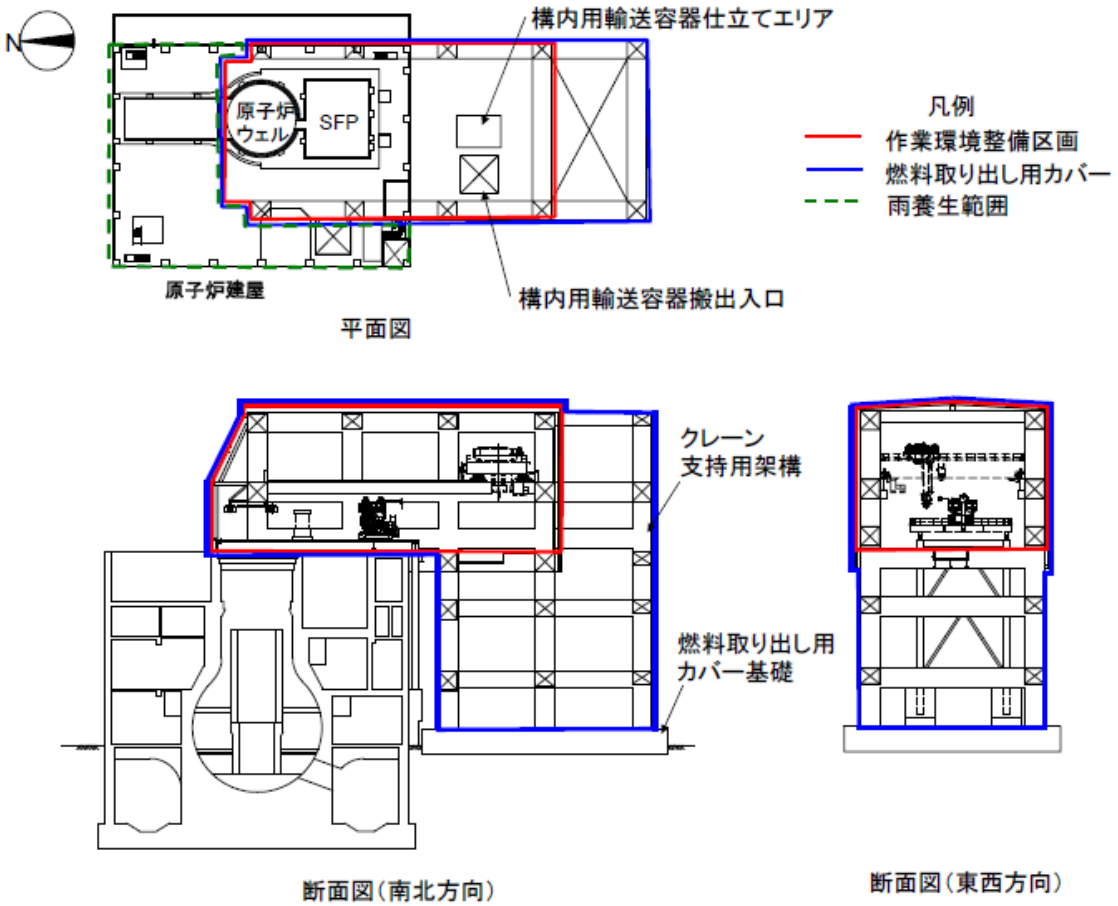
2.2.2.6　評価結果

表 2-3 に示す濃度の放射性物質の放出が燃料取り出し用カバーの供用期間である 5 年間（想定）続くと仮定して算出した結果，年間被ばく線量は敷地境界で約 0.008mSv／年であり，法令の線量限度 1mSv／年に比べても十分低いと評価される。（表 2-6 参照）

また，「Ⅲ特定原子力施設の保安 第 3 編　2　放射性廃棄物等の管理に関する補足説明」での評価（約 0.03mSv/年）に比べても十分に低いと評価される。

表 2-6　燃料取り出し用カバー排気フィルタユニットからの
放射性物質の放出による一般公衆の実効線量（mSv/年）

| 評価項目 | | | 合計 |
|---|---|---|---|
| 放射性雲 | 吸入摂取 | 地表沈着 | |
| 約 $1.3\times10^{-7}$ | 約 $5.4\times10^{-5}$ | 約 $7.4\times10^{-3}$ | 約 $7.5\times10^{-3}$ |




【燃料取り出し用カバー】

- 作業環境整備区画を構成・支持する架構及び附属設備を指す。
- 燃料取り出し用カバーのうち，作業環境整備区画は外装材等により区画し，換気対象範囲とする。

【雨養生範囲】

- 燃料取り出し用カバー以外のオペレーティングフロアエリアは雨水対策を施す。
- 換気対象範囲外とする。

図 2-1　燃料取り出し用カバー概略図

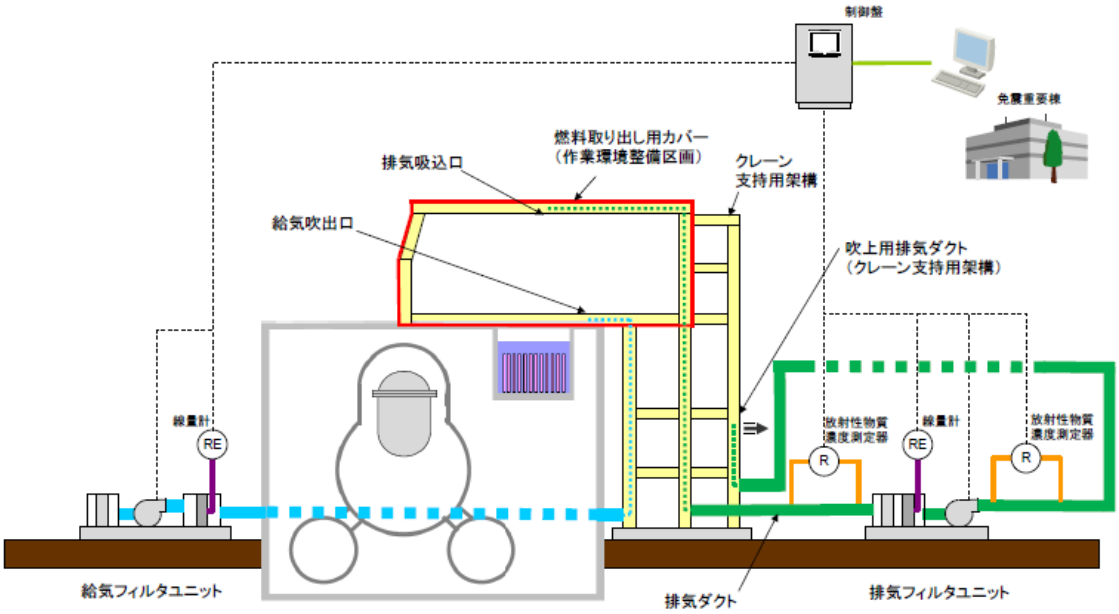



図 2-2　燃料取り出し用カバー換気設備概略構成図

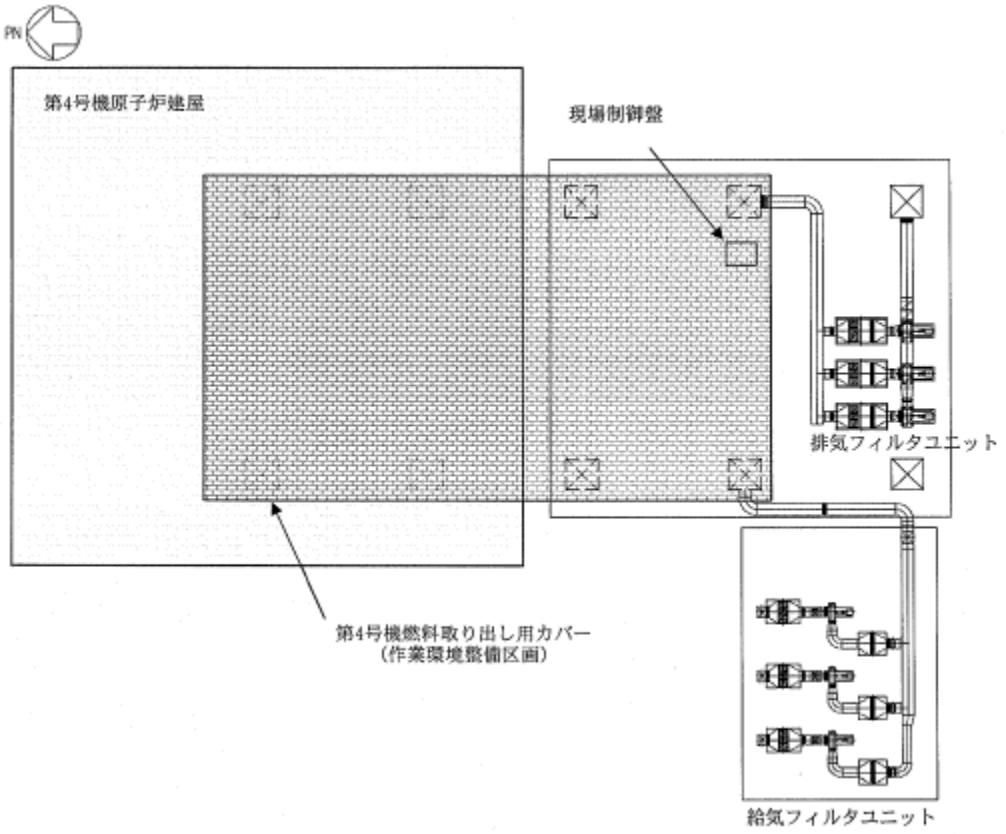



図 2-3　燃料取り出し用カバー換気設備配置図

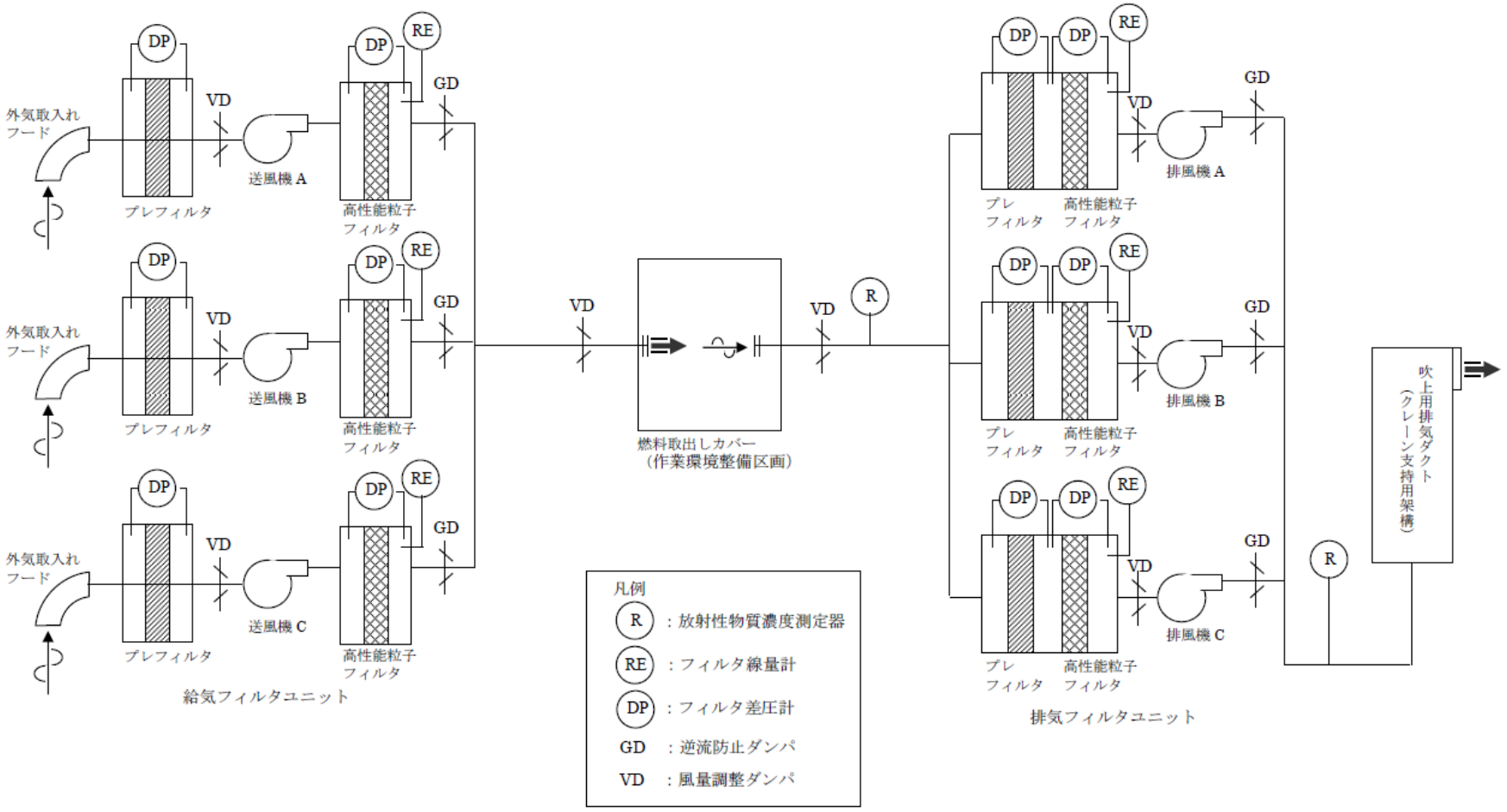
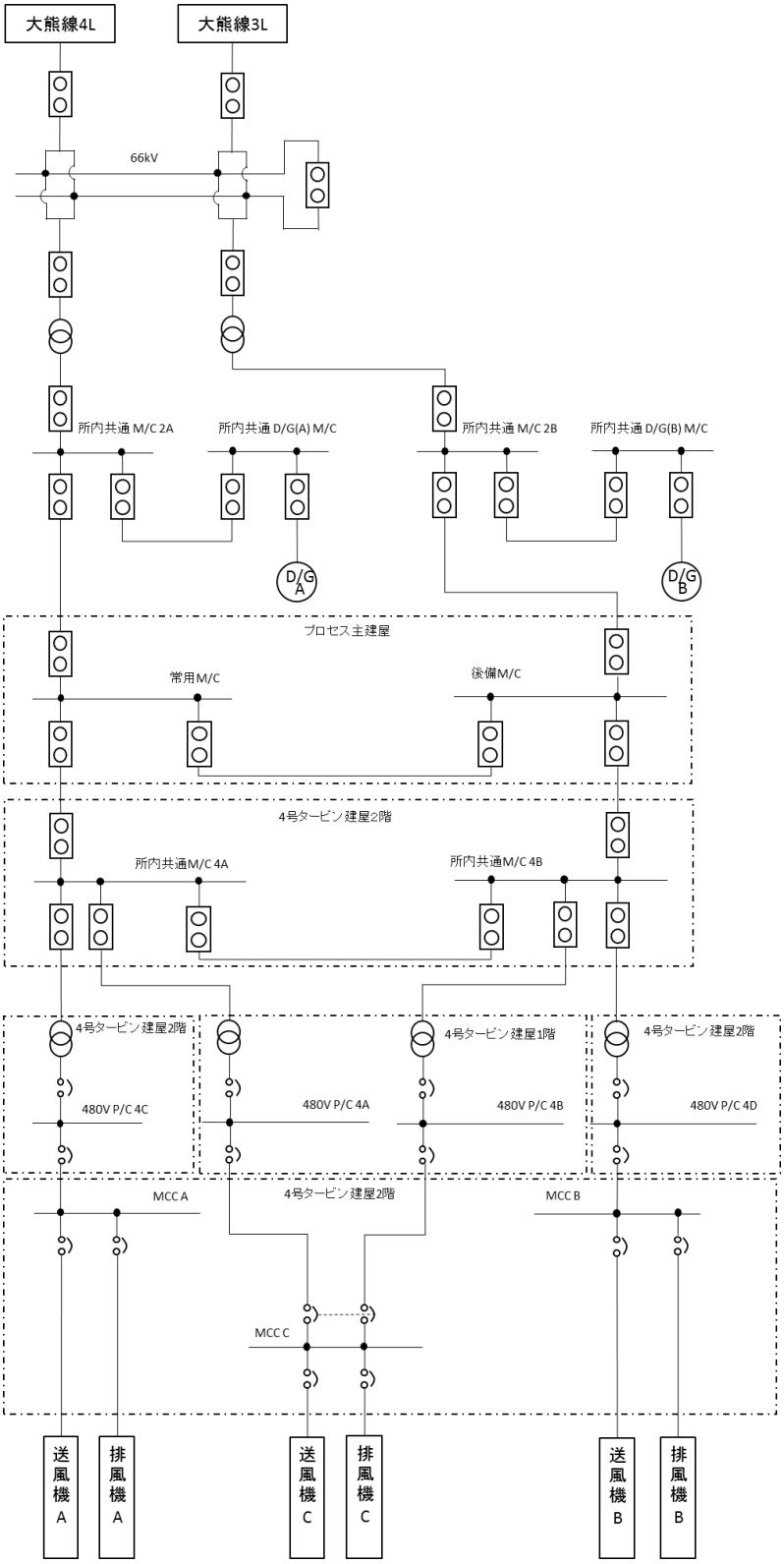



図 2-4　燃料取り出し用カバー換気設備系統図




※平成 29 年 9 月時点

図 2-5　燃料取り出し用カバー換気設備電源系統図

3　３号機放射性物質の飛散・拡散を防止するための機能について

3.1　燃料取り出し用カバーについて

3.1.1　概要

燃料取り出し用カバーは，作業に支障が生じることのないよう作業に必要な範囲をカバーし，風雨を遮る構造とする。また，使用済燃料プール内がれき撤去時の放射性物質の舞い上がり，燃料取り出し作業に伴い建屋等に付着した放射性物質の舞い上がりによる大気放出を抑制するため，燃料取り出し用カバーは隙間を低減した構造とするとともに，換気設備を設け，排気はフィルタユニットを通じて大気へ放出する。また，現在，発電所敷地内でよう素（I-131）は検出されていないことから，フィルタユニットは，発電所敷地内等で検出されているセシウム（Cs-134,137）の大気への放出が低減できる設計とする。

3.1.2　燃料取り出し用カバー

燃料取り出し用カバーの大きさは，約 19m（南北）×約 57m（東西）×約 54m（地上高）である。主体構造は鉄骨造であり，ドーム状の屋根を外装材で覆い，風雨を遮る構造とする。（図 3-1　燃料取り出し用カバー概略図参照）

3.1.3　換気設備

3.1.3.1　系統構成

換気設備は，燃料取り出し用カバー内気体を吸引し，排気ダクトを経由して燃料取り出し用カバーの外部に設置した排気フィルタユニットへ導く。排気フィルタユニットは，プレフィルタ，高性能粒子フィルタ等で構成され，各フィルタで放射性物質を捕集した後の気体を吹上用排気ダクトから大気へ放出する。

排気フィルタユニットは，約 10,000$m^3$/h のユニットを 4 系列（うち 1 系列は予備），排風機は，換気風量約 30,000$m^3$/h のユニットを 2 系列（うち 1 系列は予備）設置し，約 30,000$m^3$/h の 換気風量で運転する。

また，燃料取り出し用カバー内の放射性物質や吹上用排気ダクトから大気に放出される放射性物質の濃度を測定するため，放射性物質濃度測定器を排気フィルタユニットの出入口に設置する。（図 3-2　燃料取り出し用カバー換気設備概略構成図，図 3-3 燃料取り出し用カバー換気設備配置図，図 3-4 燃料取り出し用カバー換気設備系統図参照）

燃料取り出し用カバー換気設備の電源は，異なる系統の所内高圧母線から受電可能な構成とする。（図 3-5　燃料取り出し用カバー換気設備電源系統図参照）

表 3-1　換気設備構成

| 設備名 | 構成・配置等 |
|---|---|
| 排気吸込口 | 配置：カバー内の天井部に設置 |
| 排気フィルタユニット | 配置：原子炉建屋西側の屋外に 4 系列（うち予備 1 系列）設置<br>構成：プレフィルタ<br>高性能粒子フィルタ（効率 97%（粒径 0.3μm）以上）<br>フィルタ線量計（高性能粒子フィルタに設置）<br>フィルタ差圧計（プレフィルタ，高性能粒子フィルタに設置） |
| 排風機 | 配置：原子炉建屋西側の屋外に 2 系列（うち予備 1 系列）設置 |
| 吹上用排気ダクト | 配置：排気フィルタユニットの下流側に設置 |
| 放射性物質濃度測定器 | 測定対象：カバー内及び大気放出前の放射性物質濃度<br>仕様　：検出器種類　シンチレーション検出器<br>計測範囲　$10^{-1}$～$10^{5}s^{-1}$<br>台数　排気フィルタユニット入口　1 台<br>排気フィルタユニット出口　2 台 |

3.1.3.2　換気風量について

燃料取り出し用カバー内の環境は，燃料取扱機，クレーン及び電源盤の設備保護のため 40℃以下（設計値）となる換気設備を設けるものとする。

燃料取り出し用カバー内の熱負荷を除熱するのに必要な換気風量は，下式により求められる風量に余裕をみた約 30,000$m^3$/h とする。

$$Q=q/(Cp\cdot\rho\cdot(t1-t2)\cdot 1/3600)$$

Q：換気（排気）風量（$m^3$/h）

q：設計用熱負荷，約 60（kW）

（機器発熱，日射，使用済燃料プールからの熱，原子炉からの熱）※1

Cp：定圧比熱，1.004652（kJ/kg・℃）

ρ：密度，1.2（kg/$m^3$）

t1：カバー内温度，40（℃）

t2：設計用外気温度，28.5（℃）※2

※1　約 10%の余裕を含む

※2　小名浜気象台で観測された 1972 年～1976 年の 5 年間の観測データにおける累積出現率が 99%となる最高温度

3.1.3.3　運転管理および保守管理

(1) 運転管理

排風機の起動/停止操作は，屋外地上部に設置したコンテナハウス内の現場制御盤で行うものとし，故障等により排風機が停止した場合には，予備機が自動起動する。

現場制御盤では，排風機の運転状態（起動停止状態），放射性物質濃度が表示され，それらの異常を検知した場合には，警報を発する。また，免震重要棟でも同様に，排風機の運転状態（起動停止状態），放射性物質濃度が表示され，それらの情報に異常を検知した場合は，警報を発するシステムとなっている。

放射性物質濃度測定器を排気フィルタユニットの出入口に設置し，燃料取り出し用カバー内から大気に放出される放射性物質濃度を測定する。

(2) 保守管理

換気設備については安全上重要な設備ではなく，運転継続性の要求が高くない。保守作業に伴う被ばくを極力低減する観点から，異常の兆候が確認された場合に対応する。なお，排気フィルタユニット出口の放射性物質濃度測定器については，外部への放射性物質放出抑制の監視の観点から多重化し，機器の単一故障により機能が喪失した場合でも測定可能な設備構成とする。

また，フィルタについては，差圧計（プレフィルタ，高性能粒子フィルタに設置）又は線量計（高性能粒子フィルタに設置）の値を確認しながら，必要な時期に交換する。

3.1.3.4　異常時の措置

燃料取り出し用カバー換気設備が停止しても，セシウムの使用済燃料プールから大気への移行割合は，$1\times10^{-3}$～$1\times10^{-5}$%程度であり，３号機から放出される放射性物質は小さいと評価されている（Ⅱ.2.3 使用済燃料プール設備参照）ことから，放射性物質の異常な放出とならないと考えられる。また，３号機の使用済燃料プール水における放射性物質濃度は，Cs-134：$2.4\times10^{3}$Bq/cm$^3$，Cs-137：$3.9\times10^{3}$Bq/cm$^3$（平成 24 年 9 月 24 日に使用済燃料プールより採取した水の分析結果）である。

なお，燃料取り出し用カバー換気設備は，機器の単一故障が発生した場合を想定して，送風機，排風機及び電源の多重化を実施しており，切替等により機能喪失後の速やかな運転の再開を可能とする。また，排気フィルタユニット出口の放射性物質濃度測定器については，２台の連続運転とし，１台故障時においても放射性物質濃度を計測可能とする。

3.2　放射性物質の飛散・拡散を防止するための機能について

3.2.1　排気フィルタによる低減効果

燃料取り出し用カバー内から排気フィルタユニットを通じて大気へ放出される放射性物質は，高性能粒子フィルタ（効率 97%（粒径 0.3μm)以上）により低減される。

セシウムの使用済燃料プールから大気への移行割合は，$1\times10^{-3}$～$1\times10^{-5}$%程度であり，３号機から放出される放射性物質は小さいと評価されている。(Ⅱ.2.3 使用済燃料プール設備参照)

表 3-2 に３号機原子炉建屋上部で測定された放射性物質濃度を示す。仮に，燃料取り出し用カバー内が表 3-2 に示す放射性物質濃度であった場合，排気フィルタを通過して大気へ放出される放射性物質濃度は表 3-3 の通りとなる。

表 3-2　３号機原子炉建屋上部の放射性物質濃度（Bq/cm$^3$）

| 核種 | 原子炉上北東側（横方向）※ |
|---|---|
| Cs-134 | 約 $5.2\times10^{-4}$ |
| Cs-137 | 約 $8.0\times10^{-4}$ |

※平成 24 年 9 月 6 日測定

$Q=C\cdot(1-f)$

Q　：フィルタ通過後の放射性物質濃度（Bq/cm$^3$）

C　：カバー内に吸い込まれる外気の放射性物質濃度（Bq/cm$^3$）（表 3-2 参照）

f　：フィルタ効率（高性能粒子フィルタ　97%）

表 3-3　フィルタ通過後の放射性物質濃度

| 核種 | 濃度（Bq/cm$^3$） |
|---|---|
| Cs-134 | 約 $1.6\times10^{-5}$ |
| Cs-137 | 約 $2.4\times10^{-5}$ |

以上の結果，表 3-2 及び表 3-3 より，フィルタ通過後の放射性物質濃度は約 1/30 となる。

3.2.2　敷地境界線量

3.2.2.1　評価条件

(1) 燃料取り出し用カバー内が，表 3-2 に示す３号機オペレーティングフロア上の放射性物質濃度であった場合に排気フィルタユニットを介して大気に放出されるものと仮

定する。

(2) 減衰は考慮しない。

(3) 地上放出と仮定する。

(4) 燃料取り出し用カバーの供用期間である5年間（想定）に放出される放射性物質が地表に沈着し蓄積した時点のγ線に起因する実効線量と仮定し評価する。

(5) 大気拡散の評価に用いる気象条件は，福島第一原子力発電所原子炉設置変更許可申請書で採用したものと同じ気象データを使用する。

3.2.2.2　評価方法

燃料取り出し用カバー排気フィルタユニットから放出される放射性物質による一般公衆の実効線量は，以下の被ばく経路について年間実効線量(mSv/年)を評価する。

(1) 放射性雲からのγ線に起因する実効線量

(2) 吸入摂取による実効線量

(3) 地面に沈着した放射性物質からのγ線に起因する実効線量

3.2.2.3　放射性雲からのγ線に起因する実効線量

放射性物質のγ線に起因する実効線量については，「発電用軽水型原子炉施設周辺の線量目標値に対する評価指針」の放射性雲からのγ線による実効線量の評価の評価式を用いて評価する。

(1) 計算地点における空気カーマ率の計算

計算地点（x，y，0）における空気カーマ率は，次式により計算する。

$$D = K_1 \cdot E \cdot \mu_{en} \int_0^{\infty} \int_{-\infty}^{\infty} \int_0^{\infty} \frac{e^{-\mu \cdot r}}{4\pi r^2} \cdot B(\mu r) \cdot \chi(x', y', z')\, dx'\, dy'\, dz' \quad \cdots \quad 3\text{-}1$$

ここで，　D　　：計算地点(x，y，0)における空気カーマ率（μGy/h）

$K_1$　：空気カーマ率への換算係数（$4.46\times10^{-4}\ \frac{dis\cdot m^3\cdot \mu Gy}{MeV\cdot Bq\cdot h}$）

E　　：γ線の実効エネルギ（0.5MeV/dis）

$\mu_{en}$　：空気に対するγ線の線エネルギ吸収係数（$m^{-1}$）

$\mu$　　：空気に対するγ線の線減衰係数（$m^{-1}$）

r　　：放射性雲中の点$(x', y', z')$から計算地点（x，y，0）までの距離（m）

$B(\mu r)$：空気に対するγ線の再生係数

$$B(\mu r) = 1 + \alpha(\mu r) + \beta(\mu r)^2 + \gamma(\mu r)^3$$

ただし，$\mu_{en}$，$\mu$，$\alpha$，$\beta$，$\gamma$については，0.5MeVのγ線に対する値を用い，以下のとおりとする。

$\mu_{en}=3.84\times10^{-3}(m^{-1})$，　$\mu=1.05\times10^{-2}(m^{-1})$

$\alpha=1.000$，　　$\beta=0.4492$，　$\gamma=0.0038$

$\chi(x',y',z')$：放射性雲中の点$(x',y',z')$における濃度（Bq/m$^3$）

なお，$\chi(x',y',z')$は，次式により計算する。

$$\chi(x',y',z') = \frac{Q}{2\pi\cdot\sigma_y\cdot\sigma_z\cdot U}\cdot e^{-\frac{y'^2}{2\sigma_y^2}}\cdot\left\{e^{-\frac{(z'-H)^2}{2\sigma_z^2}}+e^{-\frac{(z'+H)^2}{2\sigma_z^2}}\right\}\quad\cdot\ 3\text{-}2$$

ここで，　Q　　：放射性物質の放出率（Bq/s）

U　　：放出源高さを代表する風速（m/s）

H　　：放出源の有効高さ（m）

$\sigma_y$　：濃度分布のy’方向の拡がりのパラメータ（m）

$\sigma_z$　：濃度分布のz’方向の拡がりのパラメータ（m）

このとき，有効高さと同じ高度（z’= H）の軸上で放射性物質濃度が最も濃くなる。被ばく評価地点は地上（z’= 0）であるため，地上放散が最も厳しい評価を与えることになる。

(2) 実効線量の計算

計算地点における年間の実効線量は，計算地点を含む方位に向かう放射性雲のγ線からの空気カーマを合計して，次式により計算する。

$$H_\gamma = K_2\cdot f_h\cdot f_0\cdot \overline{D}_L \qquad \cdots\cdots\cdots \quad 3\text{-}3$$

ここで，　$H_\gamma$　：放射性物質のγ線に起因する年間の実効線量（μSv/y）

$K_2$　：空気カーマから実効線量への換算係数（0.8μSv/μGy）

$f_h$　：家屋の遮蔽係数（1.0）

$f_0$　：居住係数（1.0）

$\overline{D}_L$　：計算地点を含む方位(L)に向かう放射性雲による年間平均のγ線による空気カーマ(μGy/y)。

3.2.2.4　吸入摂取による実効線量

吸入摂取による実効線量については，「発電用軽水型原子炉施設周辺の線量目標値に対する評価指針」の吸入摂取による実効線量の評価の評価式を用いて評価する。

(1) 放射性物質の年平均地表空気中濃度の計算

計算地点における年平均地表空気中濃度$\overline{\chi}$は，3-2 式を用い，隣接方位からの寄与も考慮して，次式により計算する。

$$\bar{\chi} = \sum_{j} \overline{\chi}_{jL} + \sum_{j} \overline{\chi}_{jL-1} + \sum_{j} \overline{\chi}_{jL+1} \quad \cdots\cdots\cdots\cdots \quad 3\text{-}4$$

ここで，　j　：大気安定度（A～F）

L　：計算地点を含む方位

(2) 線量の計算

放射性物質の呼吸による実効線量は，次式により計算する。

$$H_I = 365 \cdot \sum_{i} K_{Ii} \cdot A_{Ii} \quad \cdots\cdots\cdots\cdots\cdots\cdots\cdots\cdots \quad 3\text{-}5$$

$$A_{Ii} = M_a \cdot \overline{\chi}_i \quad \cdots\cdots\cdots\cdots\cdots\cdots\cdots\cdots \quad 3\text{-}6$$

ここで，　$H_I$　：吸入摂取による年間の実効線量（$\mu$Sv/y）

365　：年間日数への換算係数（d/y）

$K_{Ii}$　：核種 i の吸入摂取による成人実効線量換算係数（$\mu$Sv/Bq）

$A_{Ii}$　：核種 i の吸入による摂取率（Bq/d）

$M_a$　：人間の呼吸率（$m^3$/d）

（成人の 1 日平均の呼吸率：22.2$m^3$/d を使用）

$\overline{\chi}_i$　：核種 i の年平均地表空気中濃度（Bq/$m^3$）

表 3-4　吸入摂取による成人の実効線量換算係数（$\mu$Sv/Bq）

| 核種 | Cs-134 | Cs-137 |
|---|---|---|
| $K_{Ii}$ | $2.0\times10^{-2}$ | $3.9\times10^{-2}$ |

3.2.2.5　地面に沈着した放射性物質からのγ線に起因する実効線量

地面に沈着した放射性物質からのγ線に起因する実効線量については，「発電用軽水型原子炉施設の安全審査における一般公衆の線量評価について」の地面に沈着した放射性物質濃度を計算し，放射性物質濃度からの実効線量への換算係数を用いて評価する。

(1) 放射性物質の年平均地上空気中濃度の計算

計算地点における年平均地上空気中濃度$\bar{\chi}$は，3-4 式により計算する。

(2) 線量の計算

地面に沈着した放射性物質からのγ線に起因する実効線量は，次式により計算する。

$$H_G = \sum_{i} K_{Gi} \cdot S_{Oi} \quad \cdots\cdots\cdots\cdots\cdots\cdots\cdots\cdots \quad 3\text{-}7$$

$$S_{Oi} = \overline{\chi}_i \cdot V_g \cdot \frac{f_1}{\lambda_i} \cdot \left(1 - e^{-\lambda_i \cdot T_O}\right) \quad \cdots\cdots\cdots\cdots \quad 3\text{-}8$$

ここで,　$H_G$　：地面に沈着した放射性物質からのγ線に起因する
年間の実効線量（μSv/y）

$K_{Gi}$　：核種ｉの地表沈着による外部被ばく線量換算係数（$\frac{\mu Sv/y}{Bq/m^2}$）

$S_{0i}$　：核種ｉの地表濃度（$Bq/m^2$）

$\overline{\chi}_i$　：核種ｉの年平均地表空気中濃度（$Bq/m^3$）

$V_g$　：沈着速度（0.01m/s）

$\lambda_i$　：核種ｉの物理的減衰係数（$s^{-1}$）

$T_o$　：放射性物質の放出期間（s）（カバー供用期間の５年を想定）

$f_1$　：沈着した放射性物質のうち残存する割合（保守的に 1 を用いる）

表 3-5　核種ｉの地表沈着による外部被ばく線量換算係数（(Sv/s)/($Bq/m^2$)）

| 核種 | Cs-134 | Cs-137 |
|---|---|---|
| $K_{Gi}$ | $1.5\times10^{-15}$ | $5.8\times10^{-16}$ |

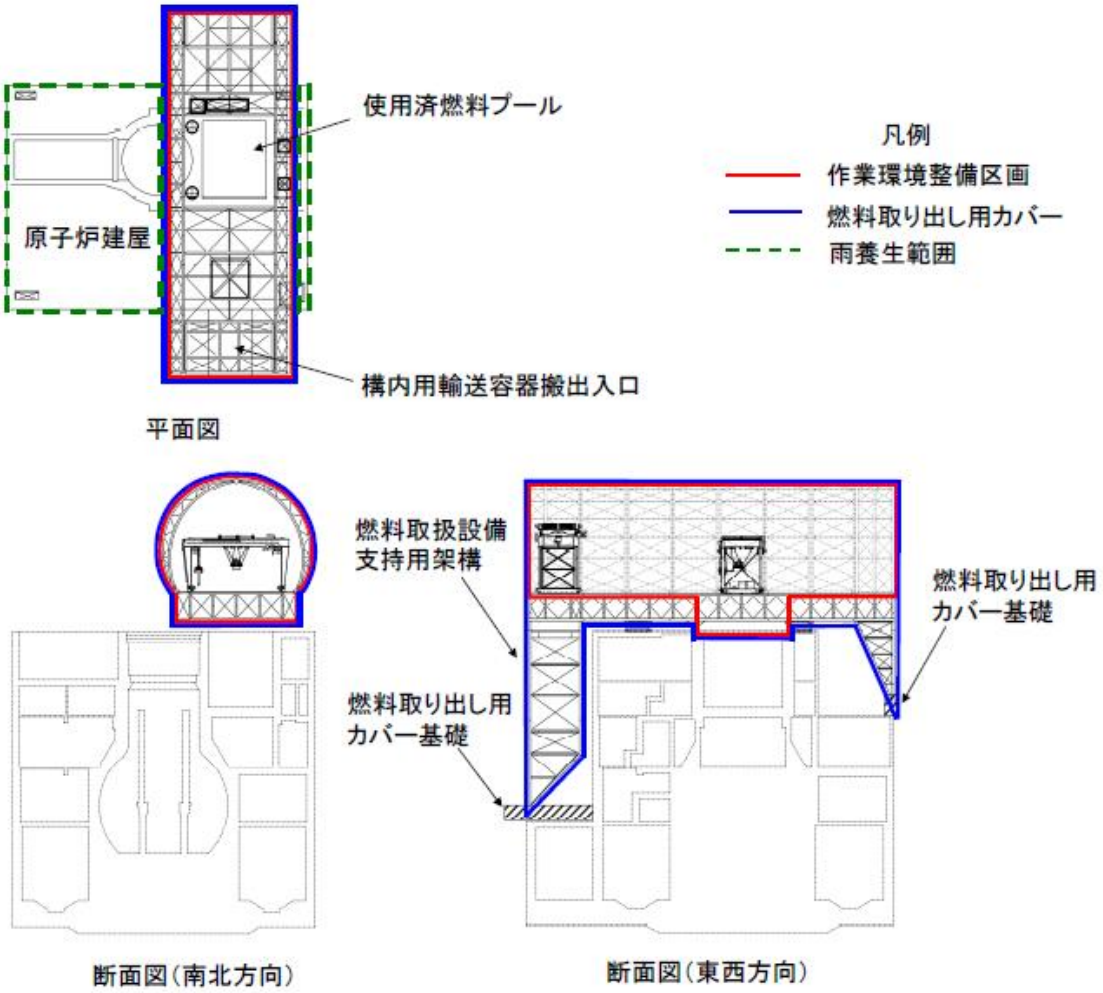
3.2.2.6　評価結果

表 3-3 に示す濃度の放射性物質の放出が燃料取り出し用カバーの供用期間である 5 年間（想定）続くと仮定して算出した結果，年間被ばく線量は敷地境界で約 0.015mSv／年であり，法令の線量限度 1mSv／年に比べても十分低いと評価される。（表 3-6 参照）

また，「Ⅲ特定原子力施設の保安 第３編　2　放射性廃棄物等の管理に関する補足説明」での評価（約 0.03mSv/年）に比べても低いと評価される。

表 3-6　燃料取り出し用カバー排気フィルタユニットからの
放射性物質の放出による一般公衆の実効線量（mSv/年）

| 評価項目 | | | 合計 |
|---|---|---|---|
| 放射性雲 | 吸入摂取 | 地表沈着 | |
| 約 $4.5\times10^{-7}$ | 約 $1.3\times10^{-4}$ | 約 $1.5\times10^{-2}$ | 約 $1.5\times10^{-2}$ |




【燃料取り出し用カバー】

- 作業環境整備区画を構成・支持する架構及び附属設備を指す。
- 燃料取り出し用カバーのうち，作業環境整備区画は外装材等により区画し，換気対象範囲とする。

【雨養生範囲】

- 燃料取り出し用カバー以外のオペレーティングフロアエリアは雨水対策を施す。
- 換気対象範囲外とする。

図 3-1　燃料取り出し用カバー概略図

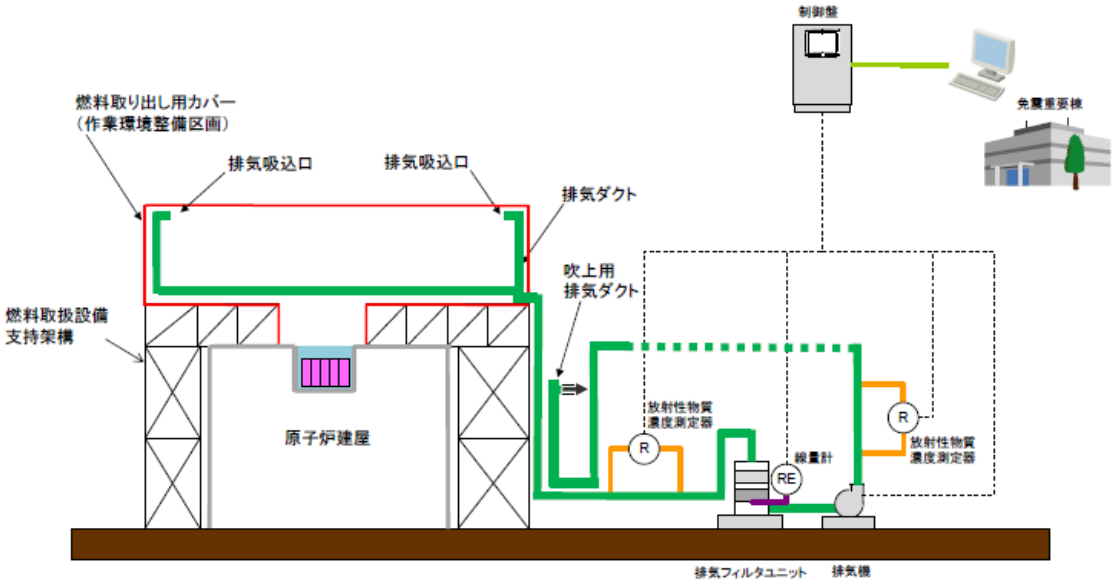



図 3-2　燃料取り出し用カバー換気設備概略構成図

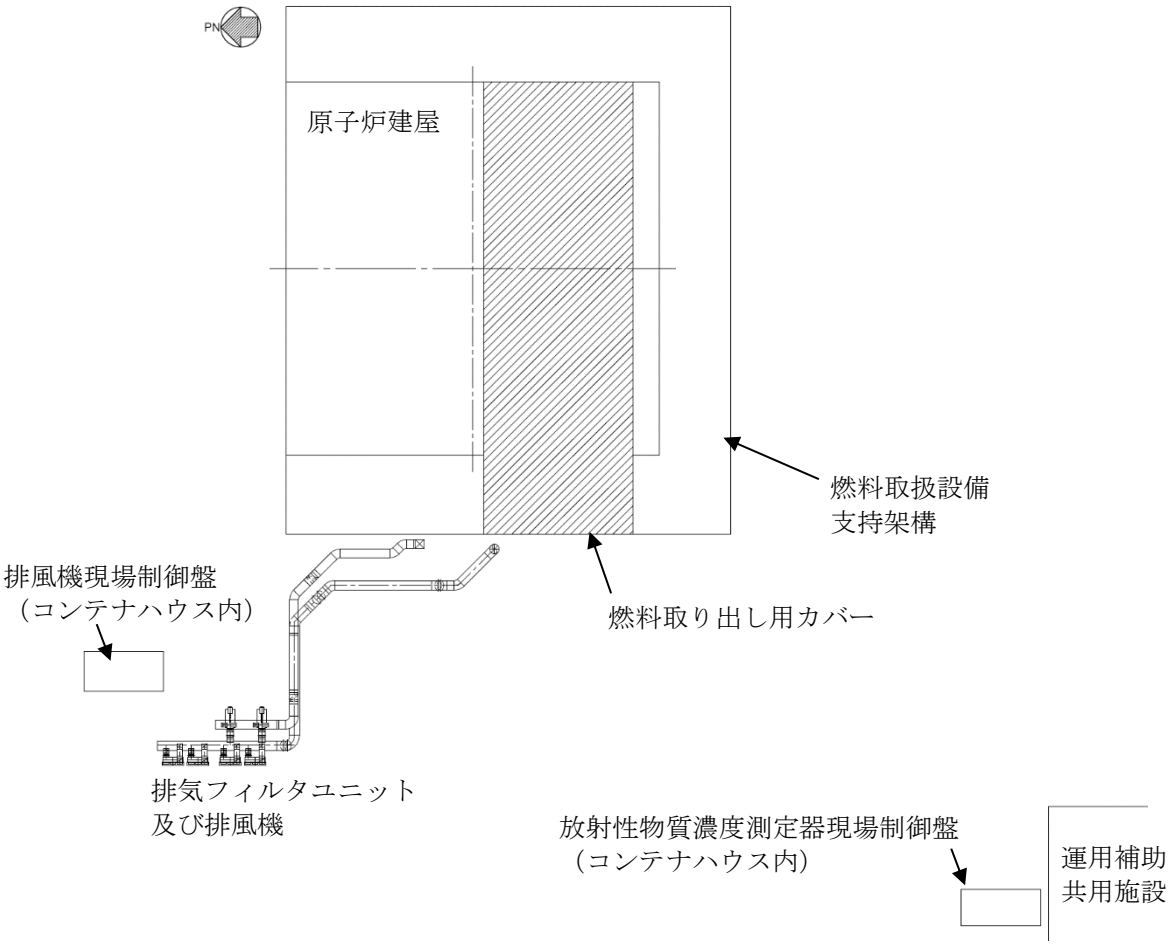



図 3-3　燃料取り出し用カバー換気設備配置図

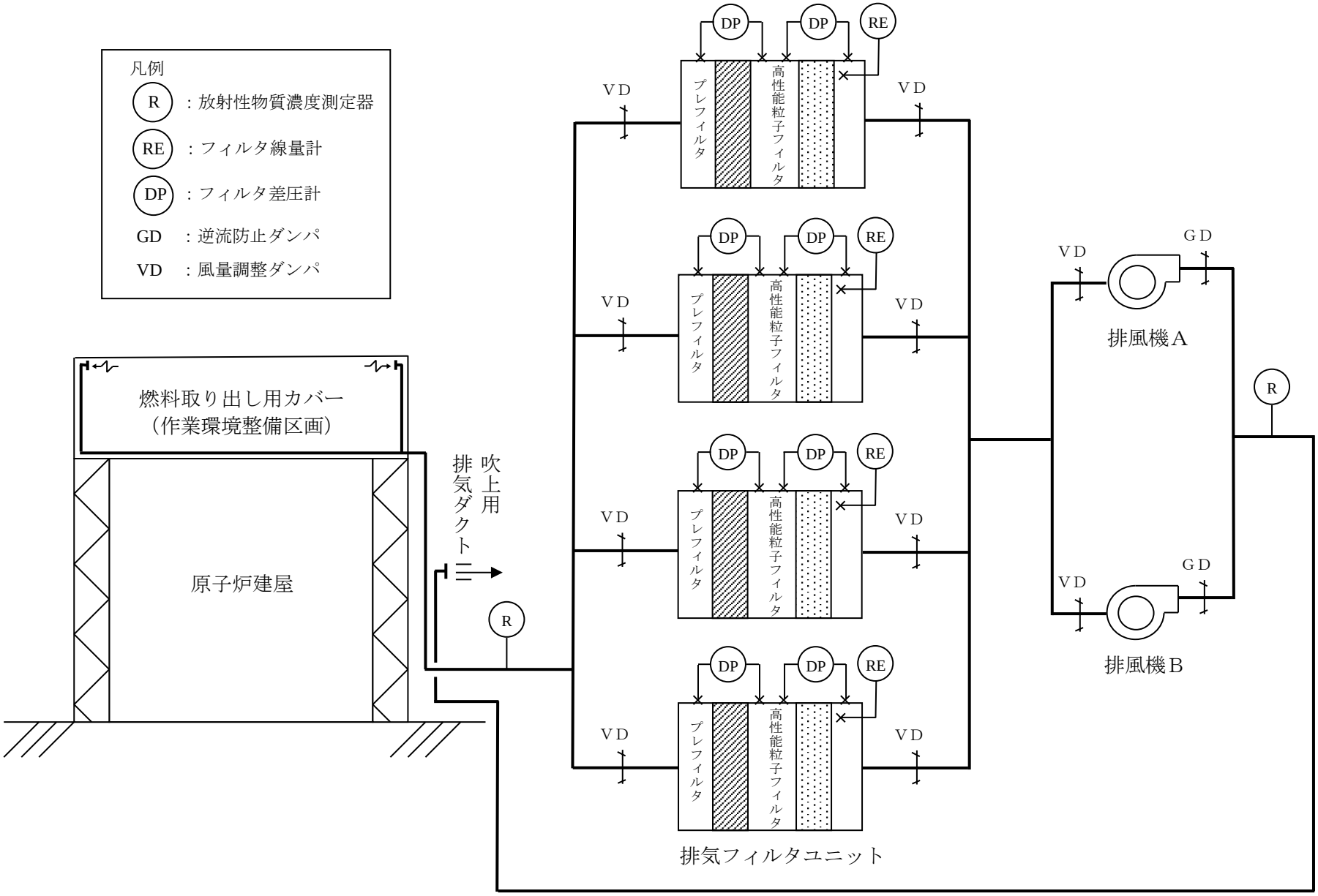
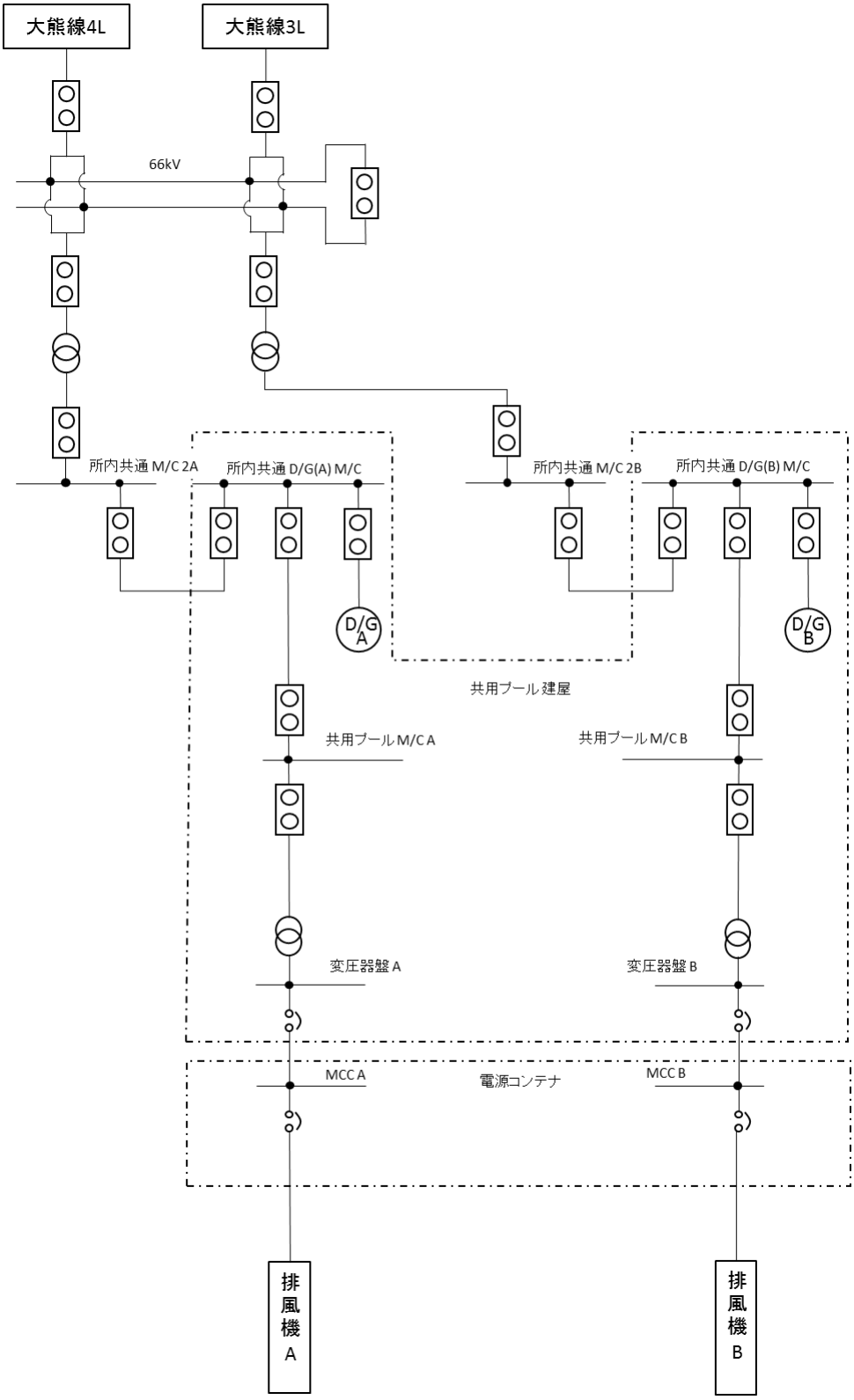



図 3-4　燃料取り出し用カバー換気設備系統図




※平成 29 年 9 月時点

図 3-5　燃料取り出し用カバー換気設備電源系統図

4　２号機放射性物質の飛散・拡散を防止するための機能について

4.1　燃料取り出し用構台について

4.1.1　概要

燃料取り出し用構台は，作業に支障が生じることのないよう作業に必要な範囲をカバーし，風雨を遮る構造とする。また，燃料取り出し作業に伴い建屋等に付着した放射性物質の舞い上がりによる大気放出を抑制するため，燃料取り出し用構台は隙間を低減した構造とするとともに，換気設備を設け，排気はフィルタユニットを通じて大気へ放出する。また，現在，発電所敷地内でよう素（I-131）は検出されていないことから，フィルタユニットは，発電所敷地内等で検出されているセシウム（Cs-134,137）の大気への放出が低減できる設計とする。

4.1.2　燃料取り出し用構台

燃料取り出し用構台の大きさは，約 33m（南北）×約 27m（東西）×約 45m（地上高）である。主体構造は鉄骨造であり，燃料取り出し用構台作業エリアの壁面及び屋根面を外装材で覆い，風雨を遮る構造とする。（図 4-1　燃料取り出し用構台概略図参照）

4.1.3　換気設備

4.1.3.1　系統構成

換気設備は，原子炉建屋オペレーティングフロア及び燃料取り出し用構台内の気体を吸引し，排気ダクトを経由して燃料取り出し用構台地上階に設置した排気フィルタユニットへ導く。排気フィルタユニットは，プレフィルタ，高性能粒子フィルタ等で構成され，各フィルタで放射性物質を捕集した後の気体を吹上用排気ダクトから大気へ放出する。

排気フィルタユニットは，約 10,000$m^3$/h のユニットを 4 系列（うち 1 系列は予備），排風機は，換気風量約 30,000$m^3$/h のユニットを 2 系列（うち 1 系列は予備）設置し，原子炉建屋オペレーティングフロア及び燃料取り出し用構台作業エリアを約 30,000$m^3$/h の換気風量で運転する。

また，原子炉建屋オペレーティングフロア内，燃料取り出し用構台内及び吹上用排気ダクトから大気に放出される放射性物質の濃度を測定するため，放射性物質濃度測定器を排気フィルタユニットの出入口に設置する。（図 4-2　原子炉建屋オペレーティングフロア及び燃料取り出し用構台換気設備概略構成図，図 4-3　原子炉建屋オペレーティングフロア及び燃料取り出し用構台換気設備配置図，図 4-4　原子炉建屋オペレーティングフロア及び燃料取り出し用構台換気設備系統図参照）

原子炉建屋オペレーティングフロア及び燃料取り出し用構台換気設備の電源は，異なる系統の所内高圧母線から受電可能な構成とする。（図 4-5　原子炉建屋オペレーティングフロア及び燃料取り出し用構台換気設備電源系統図参照）

表 4-1　換気設備構成

| 設備名 | 構成・配置等 |
|---|---|
| 排気吸込口 | 配置：原子炉建屋オペレーティングフロア壁面及び燃料取り出し用構台床上に設置 |
| 排気フィルタユニット | 配置：燃料取り出し用構台地上階に 4 系列（うち予備 1 系列）設置<br>構成：プレフィルタ／高性能粒子フィルタ<br>（効率 97%（粒径 0.3μm）以上）<br>フィルタ線量計（各排気フィルタユニットに設置）<br>フィルタ差圧計（プレフィルタ，高性能粒子フィルタに設置） |
| 排風機 | 配置:燃料取り出し用構台地上階に 2 系列（うち予備 1 系列）設置 |
| 吹上用排気ダクト | 配置：排気フィルタユニットの下流側に設置 |
| 放射性物質濃度測定器 | 測定対象：原子炉建屋オペレーティングフロア内，燃料取り出し用構台内及び大気放出前の放射性物質濃度<br>仕様　：検出器種類　シンチレーション検出器<br>計測範囲　$10^{-1}$～$10^{5}s^{-1}$<br>台数　排気フィルタユニット入口　4 台<br>(原子炉建屋側，燃料取り出し用構台側 2 台ずつ)<br>排気フィルタユニット出口　2 台 |

4.1.3.2　換気風量について

原子炉建屋オペレーティングフロア及び燃料取り出し用構台内の環境は，燃料取扱機，クレーン及び電源盤の設備保護のため 40℃以下（設計値）となる換気設備を設けるものとする。

原子炉建屋オペレーティングフロア及び燃料取り出し用構台内の熱負荷を除熱するのに必要な換気風量は，下式により求められる風量に余裕をみた約 30,000$m^3$/h とする。

$$Q=q/(Cp\cdot\rho\cdot(t1-t2)\cdot 1/3600)$$

Q：換気（排気）風量（$m^3$/h）

q：設計用熱負荷，約 80（kW）

（機器発熱，日射，使用済燃料プールからの熱，原子炉からの熱）※1

Cp：定圧比熱，1.004652（kJ/kg・℃）

$\rho$ ：密度，1.2（kg/m$^3$）

t1：燃料取り出し用構台内温度，40（℃）

t2：設計用外気温度，28.5（℃）※2

※1　約 10%の余裕を含む

※2　小名浜気象台で観測された 1972 年～1976 年の 5 年間の観測データにおける累積出現率が 99%となる最高温度

4.1.3.3　運転管理および保守管理

(1) 運転管理

排風機の起動/停止操作は，免震重要棟集中監視室で行うものとし，故障等により排風機が停止した場合には，予備機が自動起動する。

免震重要棟集中監視室では，排風機の運転状態（起動停止状態），放射性物質濃度が表示され，それらの異常を検知した場合には，警報を発する。

放射性物質濃度測定器を排気フィルタユニットの出入口に設置し，原子炉建屋オペレーティングフロア及び燃料取り出し用構台から大気に放出される放射性物質濃度を測定する。

(2) 保守管理

換気設備については安全上重要な設備ではなく，運転継続性の要求が高くない。保守作業に伴う被ばくを極力低減する観点から，異常の兆候が確認された場合に対応する。なお，排気フィルタユニット出入口の放射性物質濃度測定器については，現場の放射性物質監視及び外部への放射性物質飛散抑制の観点から多重化し，機器の単一故障により機能が喪失した場合でも測定可能な設備構成とする。

また，フィルタについては，差圧計（プレフィルタ，高性能粒子フィルタに設置）又は線量計（排気フィルタユニットに設置）の値を確認しながら，必要な時期に交換する。

4.1.3.4　異常時の措置

原子炉建屋オペレーティングフロア及び燃料取り出し用構台換気設備が停止しても，セシウムの使用済燃料プールから大気への移行割合は，$1\times10^{-5}$～$1\times10^{-3}$%程度であり，２号機から放出される放射性物質は小さいと評価されている（Ⅱ.2.3 使用済燃料プール設備参照）ことから，放射性物質の異常な放出とならないと考えられる。また，２号機の使用済燃料プール水における放射性物質濃度は，Cs-134：$1.42\times10^4$Bq/L，Cs-137：$5.89\times10^5$Bq/L（令和 2 年 10 月 15 日に使用済燃料プールより採取した水の分析結果）である。

なお，原子炉建屋オペレーティングフロア及び燃料取り出し用構台換気設備は，機器の単一故障が発生した場合を想定して，排風機及び電源の多重化を実施しており，切替等により機能喪失後の速やかな運転の再開を可能とする。また，排気フィルタユニット出入口の放射性物質濃度測定器については，２台の連続運転とし，１台故障時においても放射性物質濃度を計測可能とする。

4.2　放射性物質の飛散・拡散を防止するための機能について

4.2.1　排気フィルタによる低減効果

原子炉建屋オペレーティングフロア及び燃料取り出し用構台内から排気フィルタユニットを通じて大気へ放出される放射性物質は，プレフィルタ／高性能粒子フィルタ（効率 97%(粒径 0.3μm)以上）により低減される。

セシウムの使用済燃料プールから大気への移行割合は，$1\times10^{-5}$～$1\times10^{-3}$%程度であり，２号機から放出される放射性物質は小さいと評価されている。（Ⅱ.2.3 使用済燃料プール設備参照）

表 4-2 に２号機原子炉建屋オペレーティングフロア上で測定された放射性物質濃度を示す。仮に，原子炉建屋オペレーティングフロア及び燃料取り出し用構台内が表 4-2 に示す放射性物質濃度であった場合，排気フィルタを通過して大気へ放出される放射性物質濃度は表 4-3 の通りとなる。

表 4-2　２号機原子炉建屋オペレーティングフロア上の放射性物質濃度（Bq/cm$^3$）

| 核種 | オペレーティングフロア上の濃度（令和１年８月～令和２年８月の検出濃度の平均値） |
|---|---|
| Cs-134 | 約 $7.6\times10^{-6}$ |
| Cs-137 | 約 $5.0\times10^{-5}$ |

$Q=C\cdot(1-f)$

Q　：フィルタ通過後の放射性物質濃度（Bq/cm$^3$）

C　：原子炉建屋オペレーティングフロア及び燃料取り出し用構台内の放射性物質濃度（Bq/cm$^3$）（表 4-2 参照）

f　：フィルタ効率（プレフィルタ／高性能粒子フィルタ　97%）

表 4-3　フィルタ通過後の放射性物質濃度

| 核種 | 濃度（Bq/cm$^3$） |
|---|---|
| Cs-134 | 約 $2.3\times10^{-7}$ |
| Cs-137 | 約 $1.5\times10^{-6}$ |

以上の結果，表 4-2 及び表 4-3 より，フィルタ通過後の放射性物質濃度は約 1/30 となる。

4.2.2　敷地境界線量

4.2.2.1　評価条件

(1) 原子炉建屋オペレーティングフロア及び燃料取り出し用構台内が，表 4-2 に示す２号機原子炉建屋オペレーティングフロア上の放射性物質濃度であった場合に排気フィルタユニットを介して大気に放出されるものと仮定する。

(2) 減衰は考慮しない。

(3) 地上放出と仮定する。

(4) 燃料取り出し用構台の供用期間である 5 年間（想定）に放出される放射性物質が地表に沈着し蓄積した時点のγ線に起因する実効線量と仮定し評価する。

(5) 大気拡散の評価に用いる気象条件は，福島第一原子力発電所原子炉設置変更許可申請書で採用したものと同じ気象データを使用する。

4.2.2.2　評価方法

原子炉建屋オペレーティングフロア及び燃料取り出し用構台排気フィルタユニットから放出される放射性物質による一般公衆の実効線量は，以下の被ばく経路について年間実効線量(mSv/年)を評価する。

(1) 放射性雲からのγ線に起因する実効線量

(2) 吸入摂取による実効線量

(3) 地面に沈着した放射性物質からのγ線に起因する実効線量

具体的な計算方法等については，「Ⅲ特定原子力施設の保安 第 3 編 2.2 線量評価」に準じる。

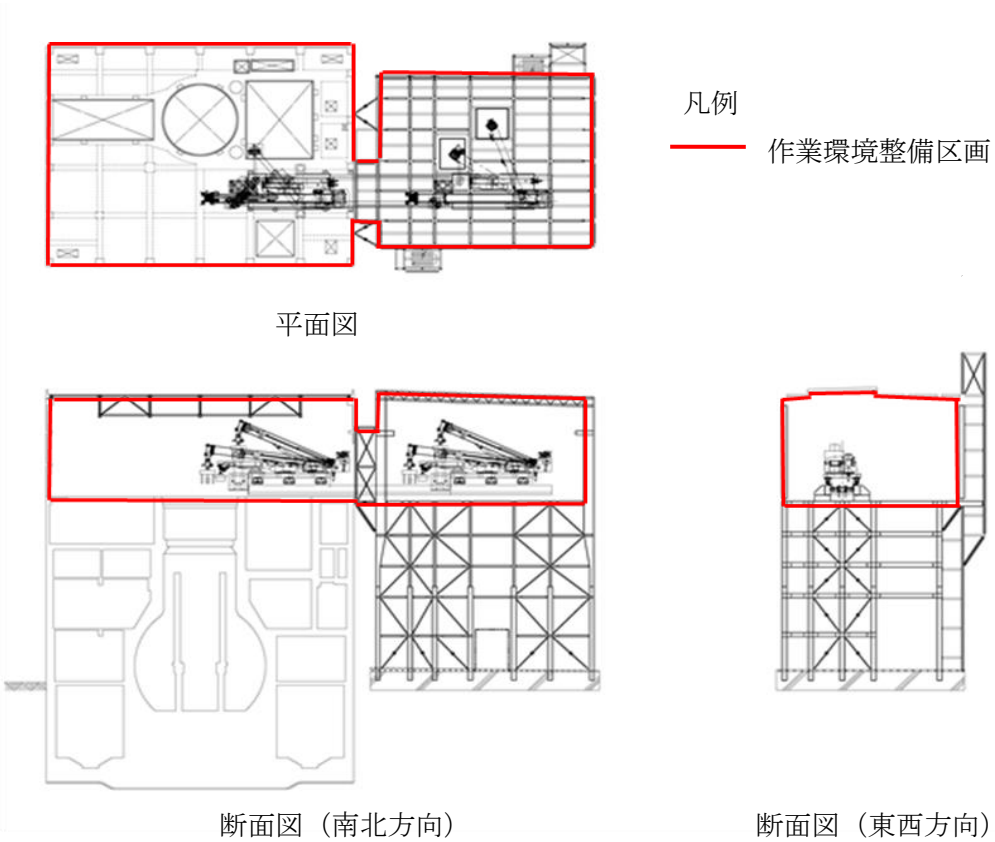
4.2.2.3　評価結果

表 4-3 に示す濃度の放射性物質の放出が燃料取り出し用構台の供用期間である 5 年間（想定）続くと仮定して算出した結果，年間被ばく線量は敷地境界で約 0.0004mSv／年であり，法令の線量限度 1mSv／年に比べても十分低いと評価される。（表 4-4 参照）

また，「Ⅲ特定原子力施設の保安 第 3 編 2 放射性廃棄物等の管理に関する補足説明」での評価（約 0.03mSv/年）に比べても低いと評価される。

表 4-4　原子炉建屋オペレーティングフロア及び燃料取り出し用構台排気フィルタユニットからの放射性物質の放出による一般公衆の実効線量（mSv/年）

| 評価項目 | | | 合計 |
|---|---|---|---|
| 放射性雲 | 吸入摂取 | 地表沈着 | |
| 約 $6.4\times10^{-9}$ | 約 $7.9\times10^{-7}$ | 約 $4.4\times10^{-4}$ | 約 $4.4\times10^{-4}$ |




【燃料取り出し用構台】

- 作業環境整備区画を構成・支持する架構及び附属設備を指す。
- 燃料取り出し用構台のうち，作業環境整備区画は外装材等により区画し，換気対象範囲とする。

図 4-1　燃料取り出し用構台概略図

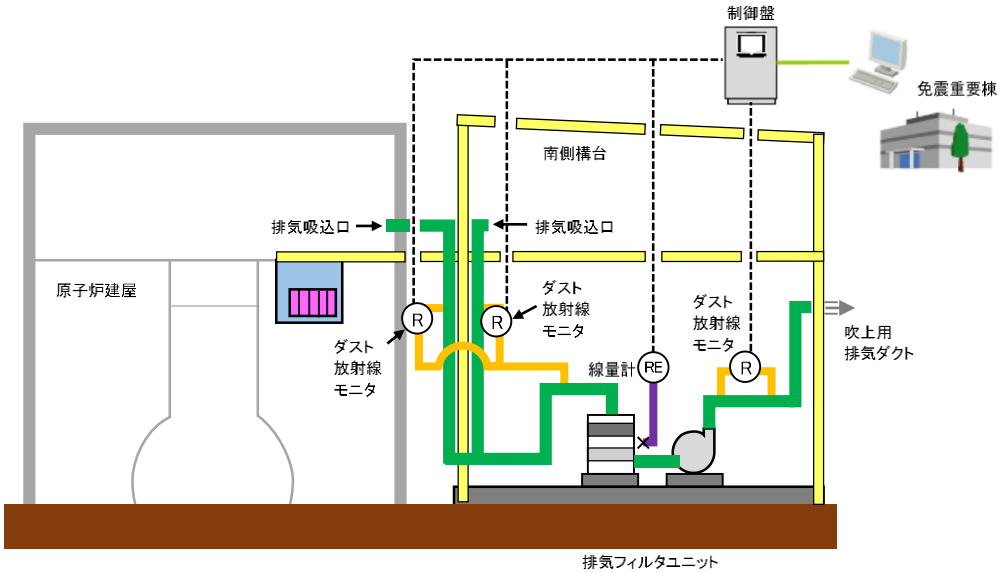



図 4-2　原子炉建屋オペレーティングフロア及び燃料取り出し用構台換気設備 概略構成図

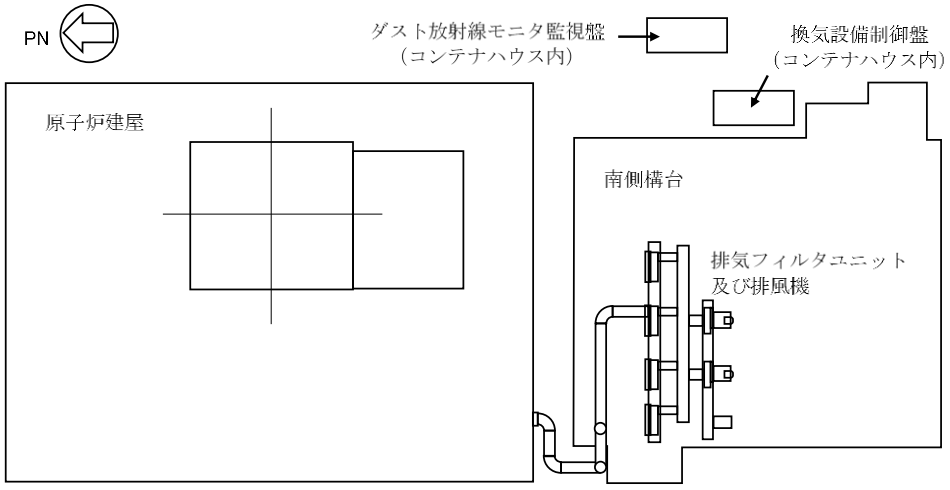



図 4-3　原子炉建屋オペレーティングフロア及び燃料取り出し用構台換気設備配置図

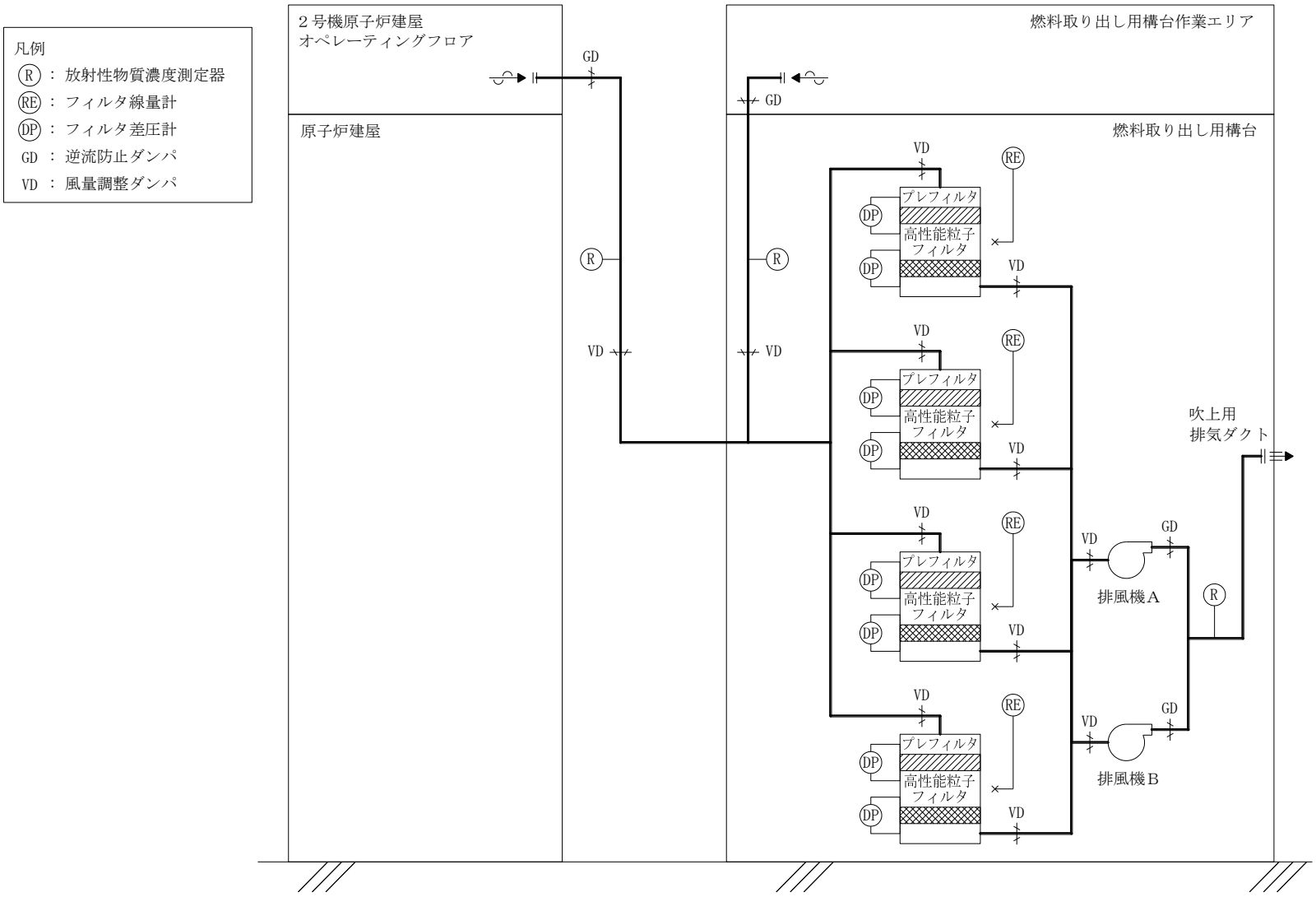
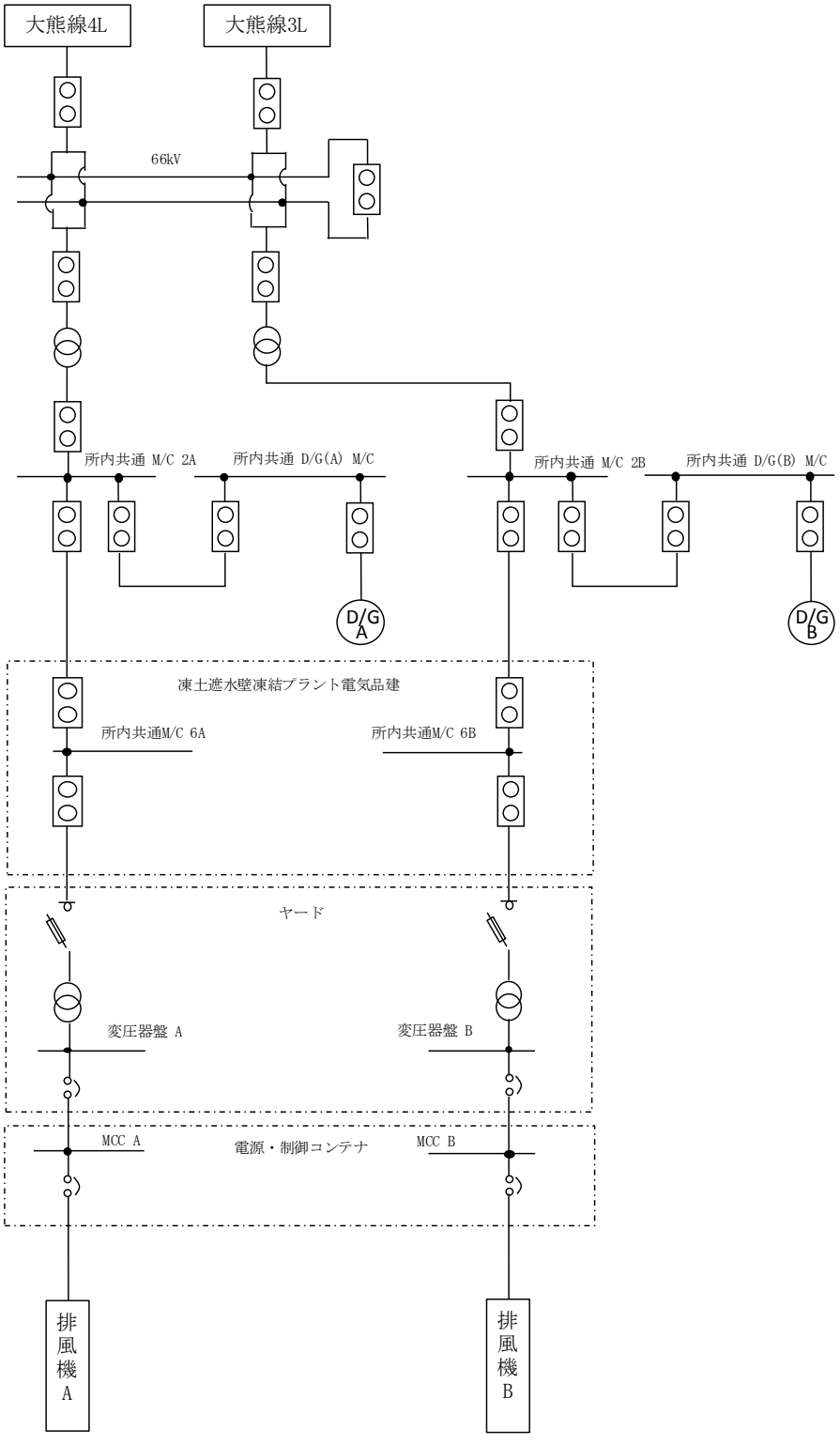



図 4-4　原子炉建屋オペレーティングフロア及び燃料取り出し用構台換気設備系統図




※令和４年７月時点

図 4-5　原子炉建屋オペレーティングフロア及び燃料取り出し用構台換気設備電源系統図

5　1号機放射性物質の飛散・拡散を防止するための機能について

5.1　大型カバーについて

5.1.1　概要

大型カバーは，作業に支障が生じることのないよう作業に必要な範囲をカバーし，風雨を遮る構造とする。また，オペレーティングフロア上にあるガレキ撤去時の放射性物質の舞い上がりによる大気放出を抑制するため，大型カバーは隙間を低減した構造とするとともに，換気設備を設け，排気はフィルタユニットを通じて大気へ放出する。また，現在，発電所敷地内でよう素（I-131）は検出されていないことから，フィルタユニットは，発電所敷地内等で検出されているセシウム（Cs-134,137）の大気への放出が低減できる設計とする。

5.1.2　大型カバー

大型カバーの大きさは，約66m（南北）×約56m（東西）×約68m（地上高）である。主体構造は鉄骨造であり，作業エリアの壁面及び屋根面は風雨を遮る外装材で覆う計画である。屋根面及び壁面上部には勾配を設けて，雨水の浸入を防止する構造とする。（図 5-1　大型カバー概略図参照）

5.1.3　換気設備

5.1.3.1　系統構成

換気設備は，大型カバー内の気体を吸引し，排気ダクトを経由して大型カバーの外部に設置した排気フィルタユニットへ導く。排気フィルタユニットは，プレフィルタ，高性能粒子フィルタ等で構成され，各フィルタで放射性物質を捕集した後の気体を吹上用排気ダクトから大気へ放出する。

排気フィルタユニットは，換気風量約30,000$m^3$/hのユニットを2系列（うち1系列は予備）設置し，約30,000$m^3$/hの換気風量で運転する。

また，大型カバー内の放射性物質や吹上用排気ダクトから大気に放出される放射性物質の濃度を測定するため，放射性物質濃度測定器を排気フィルタユニットの出入口に設置する。（図5-2　大型カバー換気設備概略構成図，図5-3　大型カバー換気設備配置図，図5-4　大型カバー換気設備系統図参照）

大型カバー換気設備の電源は，異なる系統の所内高圧母線から受電可能な構成とする。（図5-5　大型カバー換気設備電源系統図参照）

表 5-1　換気設備構成

| 設備名 | 構成・配置等 |
|---|---|
| 排気吸込口 | 配置：大型カバー壁面に設置 |
| 排気フィルタユニット | 配置：原子炉建屋北側の屋外に 2 系列（うち予備 1 系列）設置<br>構成：プレフィルタ<br>高性能粒子フィルタ（効率 97%（粒径 0.3μm）以上）<br>フィルタ線量計（高性能粒子フィルタに設置）<br>フィルタ差圧計（プレフィルタ，高性能粒子フィルタに設置） |
| 排風機 | 配置：原子炉建屋北側の屋外に 2 系列（うち予備 1 系列）設置 |
| 吹上用排気ダクト | 配置：排気フィルタユニットの下流側に設置 |
| 放射性物質濃度測定器 | 測定対象：大型カバー内及び大気放出前の放射性物質濃度<br>仕様　：検出器種類　シンチレーション検出器<br>計測範囲　$10^{0}$～$10^{4}s^{-1}$<br>台数　排気フィルタユニット入口　2 台<br>排気フィルタユニット出口　2 台 |

5.1.3.2　換気風量について

大型カバー内の環境は，ガレキ撤去用天井クレーン及び電源盤等の設備保護のため 40℃以下（設計値）となる換気設備を設けるものとする。

大型カバー内の熱負荷を除熱するのに必要な換気風量は，下式により求められる風量に余裕をみた約 30,000$m^3$/h とする。

$Q=q/(Cp・\rho・(t1-t2)・1/3600)$

Q　：換気（排気）風量（$m^3/h$）

q　：設計用熱負荷，約 103（kW）（機器発熱）※1

Cp　：定圧比熱，1.004652（kJ/kg・℃）

$\rho$　：密度，1.2（$kg/m^3$）

t1　：カバー内温度，40（℃）

t2　：設計用外気温度，29.7（℃）※2

※1　約 10%の余裕を含む

※2　小名浜気象台で観測された 2015 年～2019 年の 5 年間の観測データにおける累積出現率が 99%となる最高温度

5.1.3.3　運転管理および保守管理

(1) 運転管理

排風機の起動/停止操作は，免震重要棟集中監視室で行うものとし，故障等により排風機が停止した場合には，予備機が自動起動する。

免震重要棟集中監視室では，排風機の運転状態（起動停止状態），放射性物質濃度が表示され，それらの異常を検知した場合には，警報を発する。

放射性物質濃度測定器を排気フィルタユニットの出入口に設置し，大型カバー内から大気に放出される放射性物質濃度を測定する。

(2) 保守管理

換気設備についてはオペレーティングフロア上のガレキ撤去作業時に運転が必要な設備であり，運転継続性の要求が高くない。保守作業に伴う被ばくを極力低減する観点から，異常の兆候が確認された場合に対応する。なお，排気フィルタユニット出入口の放射性物質濃度測定器については，現場の放射性物質濃度監視及び外部への放射性物質飛散抑制の観点から多重化し，機器の故障により機能が喪失した場合でも測定可能な設備構成とする。

また，フィルタについては，差圧計（プレフィルタ，高性能粒子フィルタに設置）又は線量計（高性能粒子フィルタに設置）の値を確認しながら，必要な時期に交換する。

5.1.3.4　異常時の措置

大型カバー換気設備が停止しても，セシウムの使用済燃料プールから大気への移行割合は，$1\times10^{-5}$～$1\times10^{-3}$%程度であり，１号機から放出される放射性物質は小さいと評価されている（Ⅱ.2.3 使用済燃料プール設備参照）ことから，放射性物質の異常な放出とならないと考えられる。また，１号機の使用済燃料プール水における放射性物質濃度は，Cs-134：$2.32\times10^{5}$Bq/L，Cs-137：$7.02\times10^{6}$Bq/L（令和 3 年 4 月 23 日に使用済燃料プールより採取した水の分析結果）である。

なお，大型カバー換気設備は，機器の故障が発生した場合を想定して，排風機及び電源の多重化を実施しており，切替等により機能喪失後の速やかな運転の再開を可能とする。また，排気フィルタユニット出入口の放射性物質濃度測定器については，２台の連続運転とし，１台故障時においても放射性物質濃度を計測可能とする。

5.2　放射性物質の飛散・拡散を防止するための機能について

5.2.1　排気フィルタによる低減効果

大型カバー内から排気フィルタユニットを通じて大気へ放出される放射性物質は，プレフィルタ／高性能粒子フィルタ（効率 97%（粒径 0.3μm)以上）により低減される。

セシウムの使用済燃料プールから大気への移行割合は，$1\times10^{-5}$～$1\times10^{-3}$%程度であり，１号機から放出される放射性物質は小さいと評価されている。（Ⅱ.2.3 使用済燃料プール設備参照）

１号機原子炉建屋オペレーティングフロア上のガレキ撤去実施に伴う大型カバー内での放射性物質の放出率は，下式により求められ表 5-2 の通りとなる。

$R_1=Sd\cdot A\cdot S/h$

$R_1$　：ガレキ撤去実施に伴う大型カバー内での放射性物質の放出率（Bq/h）

Sd　：崩落屋根鉄骨の表面汚染密度，$1.69\times10^{8}$（Bq/cm$^2$）※1

A　：ガレキ撤去（鉄骨切断）に伴う欠損面積，約 190（cm$^2$）

S　：飛散率，0.02（%）※2

h　：1 切断にかかる作業時間，0.23（h）

※1　2016 年 10 月に実施した 1 号機オペレーティングフロア上の空間線量率の測定結果から遮蔽計算コードにて表面汚染密度へ換算

※2　（財）電力中央研究所「廃止措置工事環境影響ハンドブック（第 3 次版）」（平成 19 年 3 月）より引用

表 5-2　１号機原子炉建屋オペレーティングフロア上のガレキ撤去時の放射性物質の放出率（Bq/h）

| 放出率 |
|---|
| 約 $2.8\times10^{7}$ |

仮に，ガレキ撤去実施に伴い大型カバー内で放射性物質が表 5-2 に示す放出率で飛散する場合，排気フィルタを通過して大気へ放出される放射性物質の放出率は下式により求められ表 5-3 の通りとなる。

$R_2=R_1\cdot(1-f)\cdot h_1/h_2$

$R_2$　：フィルタ通過後の放射性物質の放出率（Bq/h）

$R_1$　：大型カバー内の放射性物質の放出率（Bq/h）（表 5-2 参照）

f　：フィルタ効率（プレフィルタ／高性能粒子フィルタ　97%）

$h_1$　：1 月あたりのガレキ撤去作業時間，約 100（h/月）

$h_2$　：1 月の総時間数，720（h/月）

表 5-3　フィルタ通過後の放射性物質の放出率（Bq/h）

| 核種 | 放出率※ |
|---|---|
| Cs-134 | 約 $6.8\times10^{3}$ |
| Cs-137 | 約 $1.1\times10^{5}$ |

※核種比を考慮して算出

5.2.2　敷地境界線量

5.2.2.1　評価条件

(1) ガレキ撤去実施時において，大型カバー内が，表 5-2 に示す放出率で放射性物質が飛散した場合に排気フィルタユニットを介して大気に放出されるものと仮定する。

(2) 減衰は考慮しない（地表沈着を除く）。

(3) 地上放出と仮定する。

(4) 大型カバーの供用期間である 6 年間（想定）に放出される放射性物質が地表に沈着し蓄積した時点のγ線に起因する実効線量と仮定し評価する。

(5) 大気拡散の評価に用いる気象条件は，福島第一原子力発電所原子炉設置変更許可申請書で採用したものと同じ気象データを使用する。

5.2.2.2　評価方法

大型カバー排気フィルタユニットから放出される放射性物質による一般公衆の実効線量は，以下の被ばく経路について年間実効線量(mSv/年)を評価する。

(1) 放射性雲からのγ線に起因する実効線量

(2) 吸入摂取による実効線量

(3) 地面に沈着した放射性物質からのγ線に起因する実効線量

具体的な計算方法等については，「Ⅲ特定原子力施設の保安 第 3 編 2.2 線量評価」に準じる。

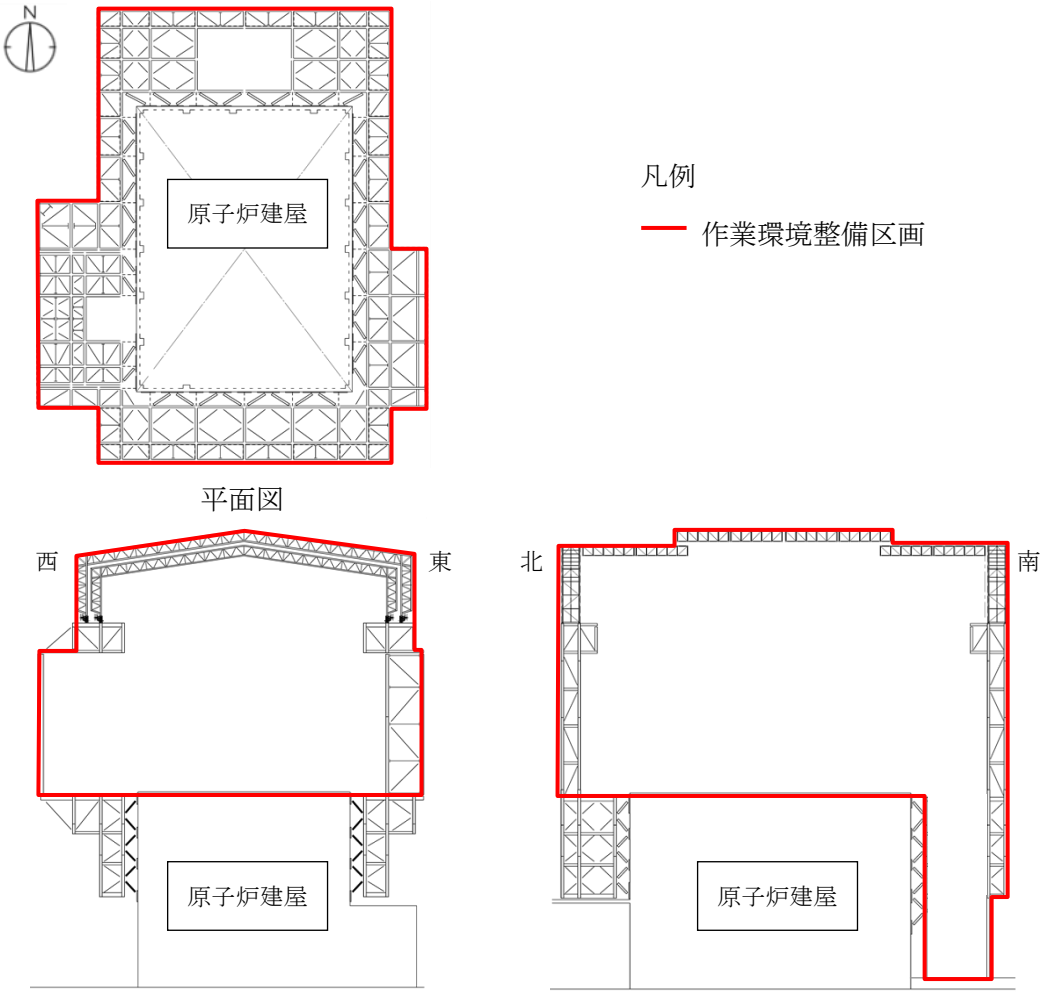
5.2.2.3　評価結果

表 5-3 に示す放出率で放射性物質の放出が大型カバーの供用期間である 6 年間(想定)続くと仮定して算出した結果，年間被ばく線量は敷地境界で約 0.001mSv／年であり，法令の線量限度 1mSv／年に比べても十分低いと評価される。(表 5-4 参照)

また，「Ⅲ特定原子力施設の保安 第 3 編 2 放射性廃棄物等の管理に関する補足説明」での評価（約 0.03mSv/年）に比べても低いと評価される。

表 5-4　大型カバー排気フィルタユニットからの
放射性物質の放出による一般公衆の実効線量（mSv/年）

| 評価項目 | | | 合計 |
|---|---|---|---|
| 放射性雲 | 吸入摂取 | 地表沈着 | |
| 約 $1.2\times10^{-8}$ | 約 $1.6\times10^{-6}$ | 約 $1.1\times10^{-3}$ | 約 $1.1\times10^{-3}$ |




【大型カバー】

- 作業環境整備区画を構成・支持する架構及び附属設備を指す。
- 大型カバーのうち，作業環境整備区画は外装材等により区画し，換気対象範囲とする。

図 5-1　大型カバー概略図

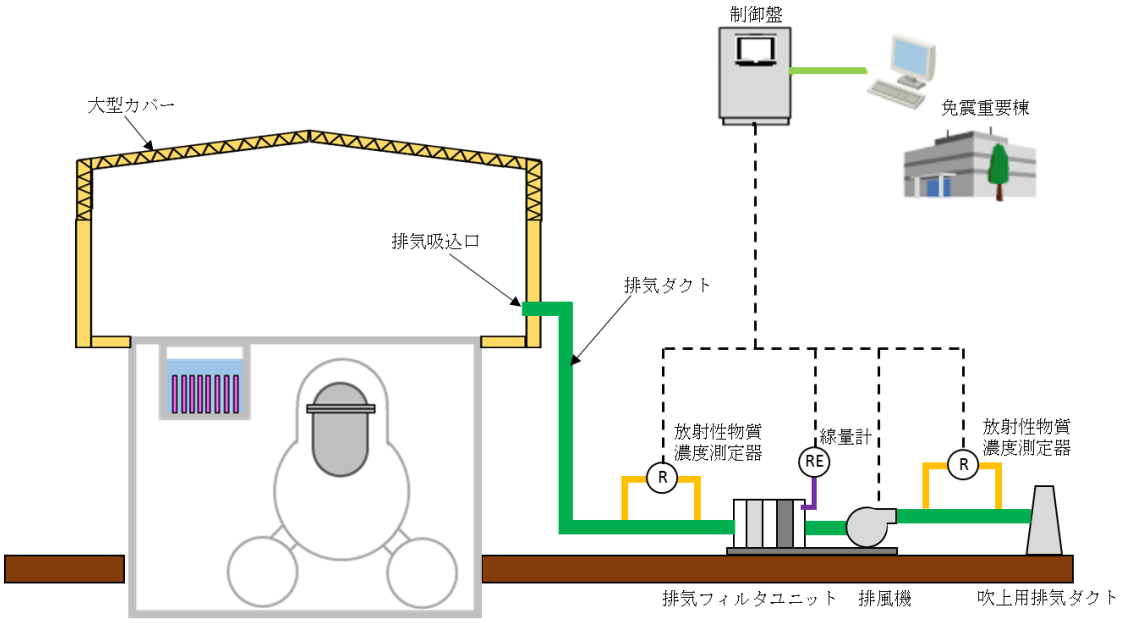



図 5-2　大型カバー換気設備概略構成図

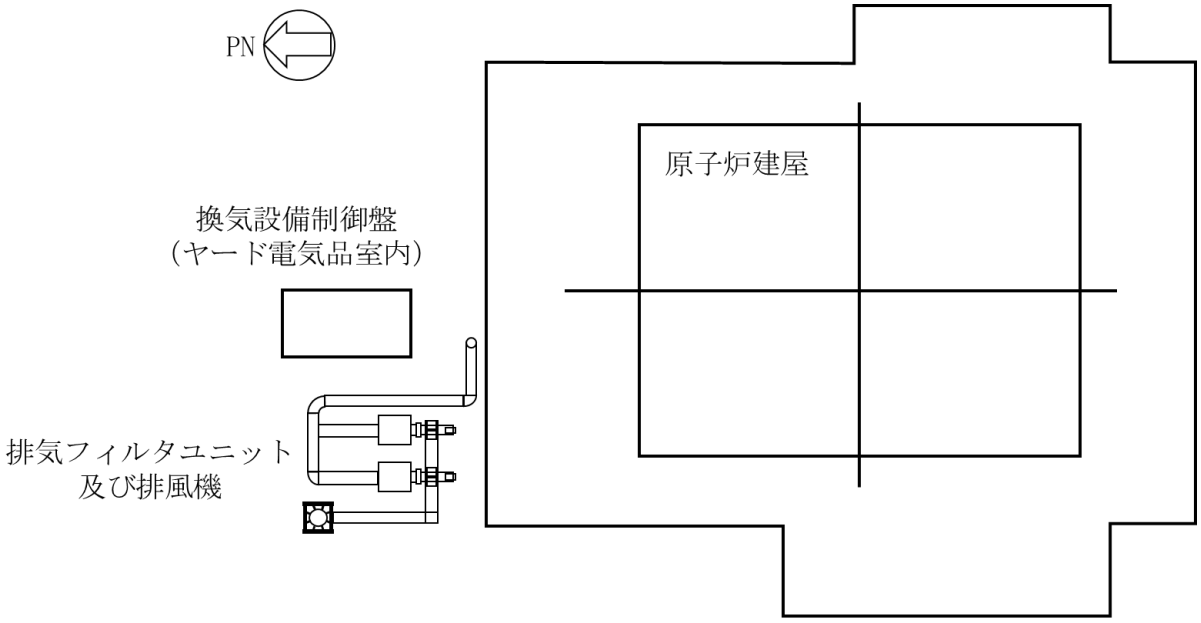



図 5-3　大型カバー換気設備配置図

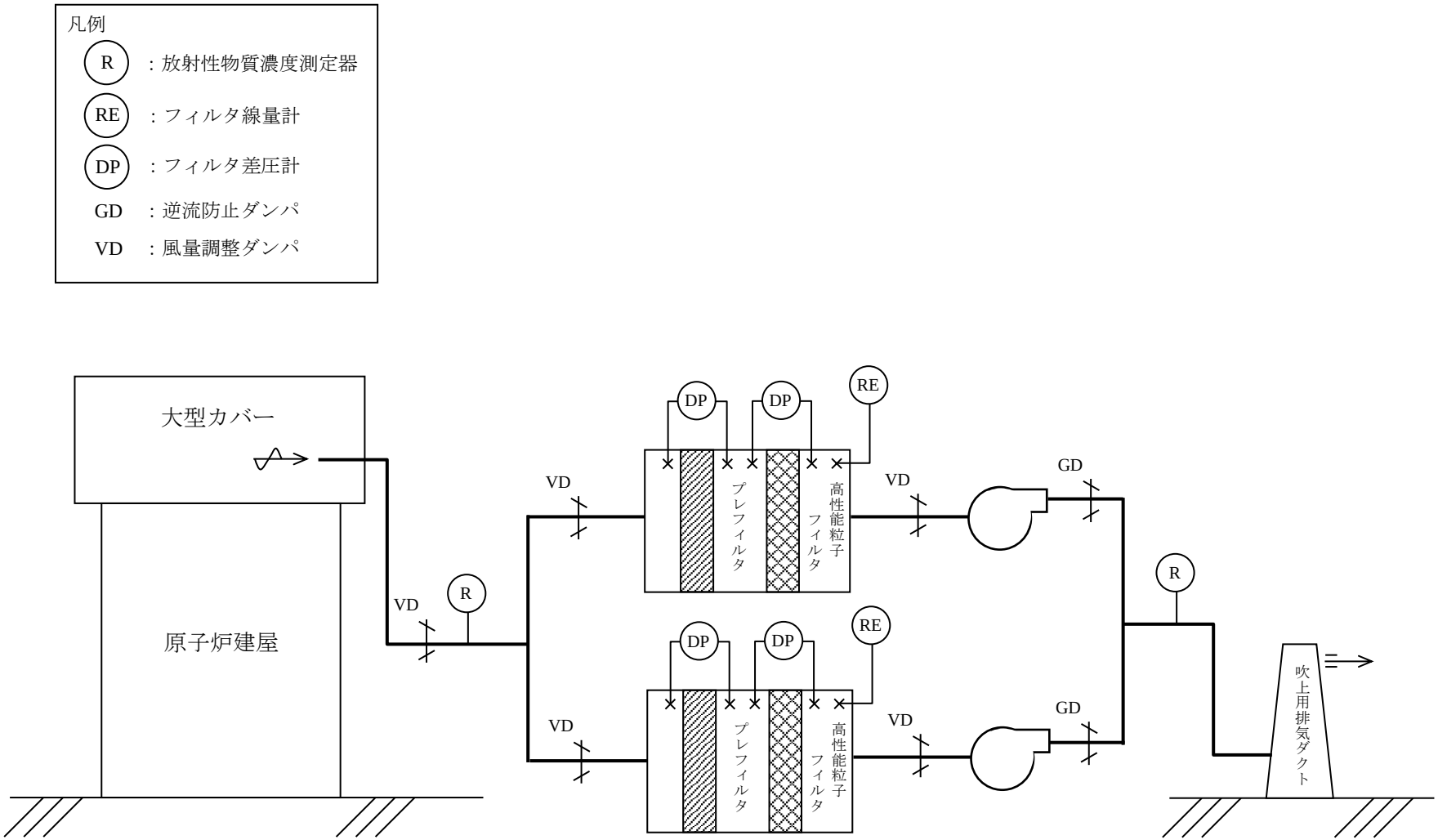
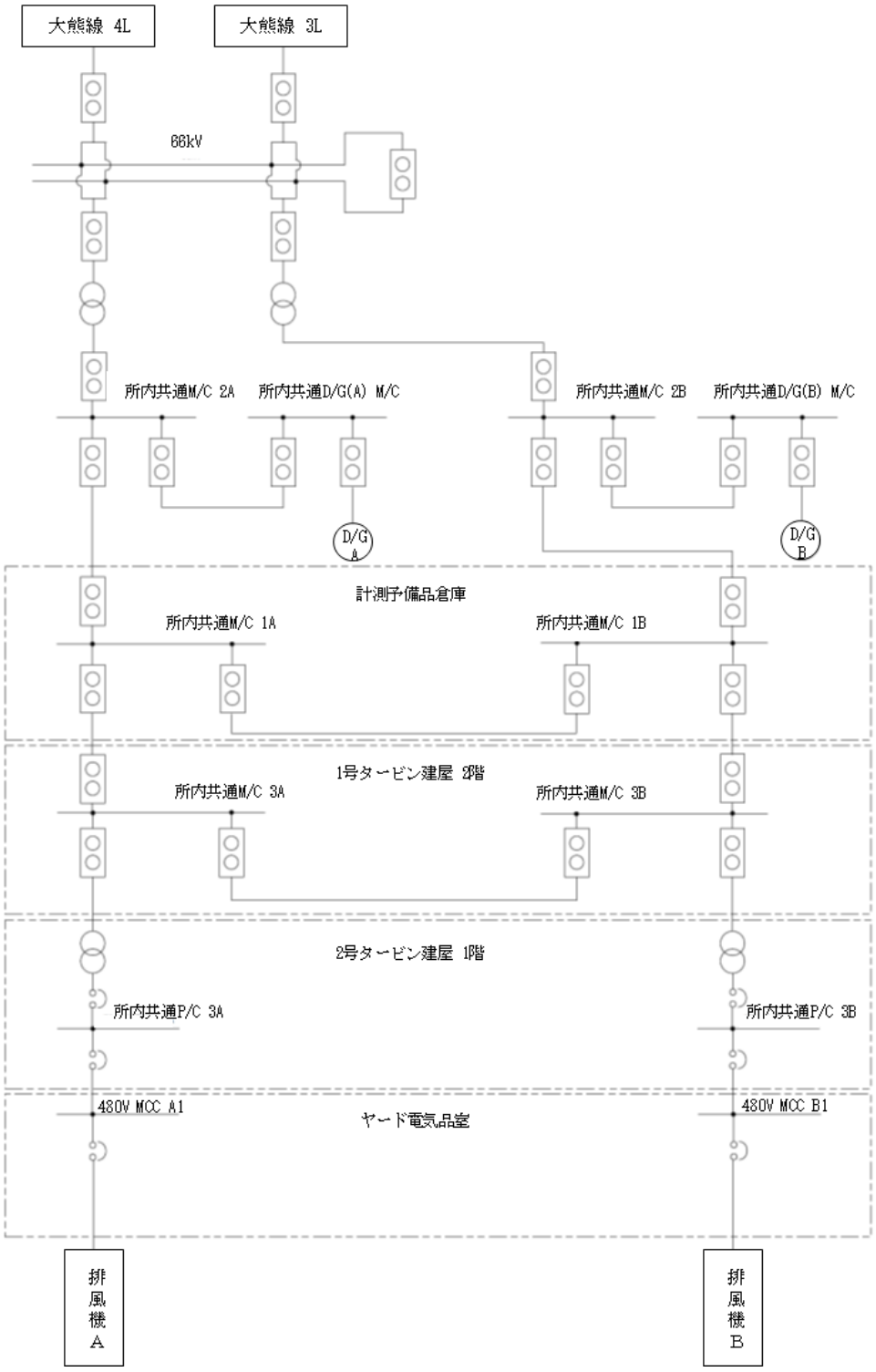



図 5-4　大型カバー換気設備系統図




※令和３年８月時点

図 5-5　大型カバー換気設備電源系統図

6　別添

別添－１　４号機燃料取り出し用カバー換気設備に係る確認事項

別添－２　３号機燃料取り出し用カバー換気設備に係る確認事項

別添－３　２号機原子炉建屋オペレーティングフロア及び燃料取り出し用構台換気設備に係る確認事項

別添－４　１号機大型カバー換気設備に係る確認事項

# ４号機燃料取り出し用カバー換気設備に係る確認事項

４号機燃料取り出し用カバー換気設備に係る主要な確認事項を表－１に示す。

表－１　４号機燃料取り出し用カバー換気設備に係る確認事項

| 確認事項 | 確認項目 | | 確認内容 | 判定基準 |
|---|---|---|---|---|
| 放出抑制 | 機能確認 | 風量確認 | 送風機・排風機の換気風量を確認する。 | 送風機・排風機が１台当たり 25,000m³/h 以上であること。 |
| | | | | 送風機・排風機が定格運転（２台運転１台予備）において，50,000m³/h 以上であること。 |
| | | フィルタ性能確認 | フィルタの放射性物質の除去効率を確認する。 | 放射性物質の除去効率が 97%以上であること。 |
| | 構造確認 | 据付確認 | 放射性物質濃度の測定箇所を確認する。 | 放射性物質濃度測定箇所が実施計画通りであること。 |
| 監視 | 機能確認 | 監視機能確認 | 監視設備により運転状態等が監視できることを確認する。 | 送風機・排風機の運転状態，放射性物質濃度が免震重要棟内のモニタに表示され監視可能であること。 |

# ３号機燃料取り出し用カバー換気設備に係る確認事項

３号機燃料取り出し用カバー換気設備に係る主要な確認事項を表－１に示す。

表－１　３号機燃料取り出し用カバー換気設備に係る確認事項

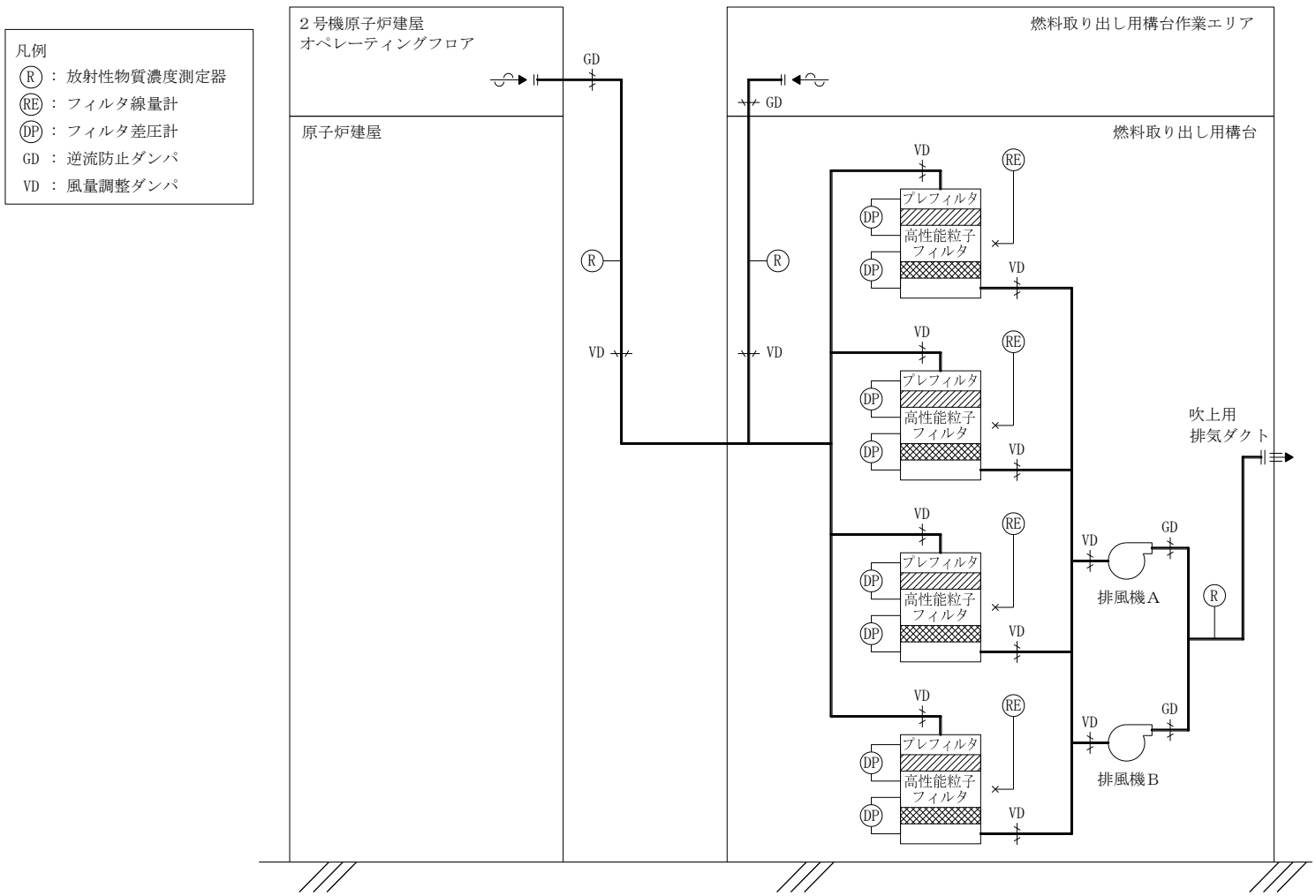
| 確認事項 | 確認項目 | | 確認内容 | 判定基準 |
|---|---|---|---|---|
| 放出抑制 | 機能確認 | 風量確認 | 排風機の出口風量を確認する。 | 排風機が１台当たり30,000$m^3$/h 以上であること。 |
| | | フィルタ性能確認 | フィルタの放射性物質の除去効率を確認する。 | 放射性物質の除去効率が 97%以上であること。 |
| | 構造確認 | 据付確認 | 放射性物質濃度の測定箇所を確認する。 | 放射性物質濃度測定箇所が実施計画通りであること。 |
| 監視 | 機能確認 | 監視機能確認 | 監視設備により運転状態等が監視できることを確認する。 | 排風機の運転状態，放射性物質濃度が免震重要棟内のモニタに表示され監視可能であること。 |
| | | | 設定値において警報及び表示灯が作動することを確認する。 | 許容範囲以内で警報及び表示灯が作動すること。 |
| | | | 標準線源を用いて検出器性能を確認する。 | 計数効率が規定値以上であること。 |
| | | | 放射性物質濃度が現場と免震重要棟に表示されることを確認する。 | 各指示値が許容値範囲以内に入っていること。 |

# ２号機原子炉建屋オペレーティングフロア及び燃料取り出し用構台換気設備に係る確認事項

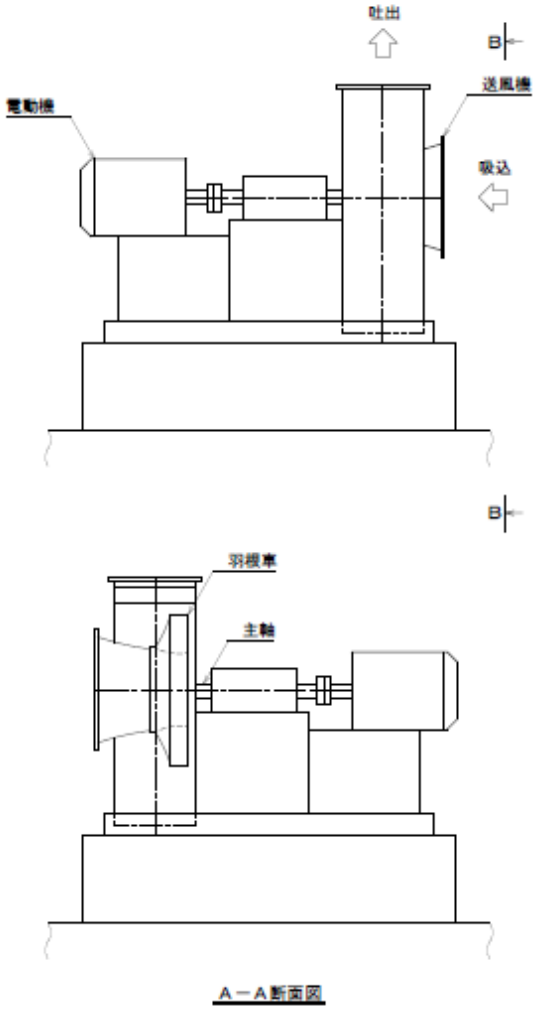
２号機原子炉建屋オペレーティングフロア及び燃料取り出し用構台換気設備に係る主要な確認事項を表－１に示す。また，原子炉建屋オペレーティングフロア及び燃料取り出し用構台換気設備の系統図，排風機の外形図及び排気フィルタユニットの外形図を図－１，図―２，図―３に示す。

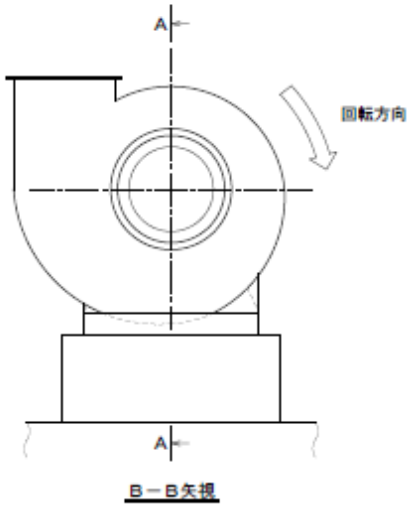
表－１　２号機原子炉建屋オペレーティングフロア及び燃料取り出し用構台換気設備に係る確認事項

| 確認事項 | 確認項目 | | 確認内容 | 判定基準 | 検査場所 |
|---|---|---|---|---|---|
| 放出抑制・監視 | 構造確認 | 外観確認 | 各部の外観を確認する。 | 有意な欠陥がないこと。 | 現地 |
| | | 据付確認 | 系統構成を確認する。 | 系統構成が図－１の通りであること。 | 現地 |
| | 機能確認 | 風量確認 | 排風機の出口風量を確認する。 | 排風機が１台当たり30,000$m^3$/h 以上であること。 | 現地 |
| | | フィルタ性能確認 | フィルタの放射性物質の除去効率を確認する。 | 放射性物質の除去効率が97%(粒径 0.3μm)以上であること。 | 現地 |
| | | 監視機能確認 | 監視設備により運転状態等が監視できることを確認する。 | 排風機の運転状態，放射性物質濃度が免震重要棟内のモニタに表示され監視可能であること。 | 現地 |
| | | | 設定値において警報及び表示灯が作動することを確認する。 | 許容範囲以内で警報及び表示灯が作動すること。 | 現地 |
| | | | 標準線源を用いて検出器性能を確認する。 | 計数効率が規定値以上であること。 | 現地 |
| | | | 放射性物質濃度が現場と免震重要棟に表示されることを確認する。 | 放射性物質濃度が現地と免震重要棟に表示され監視可能であること。 | 現地 |




図－１　原子炉建屋オペレーティングフロア及び燃料取り出し用構台換気設備系統図（添付３－１　図４－４再掲）

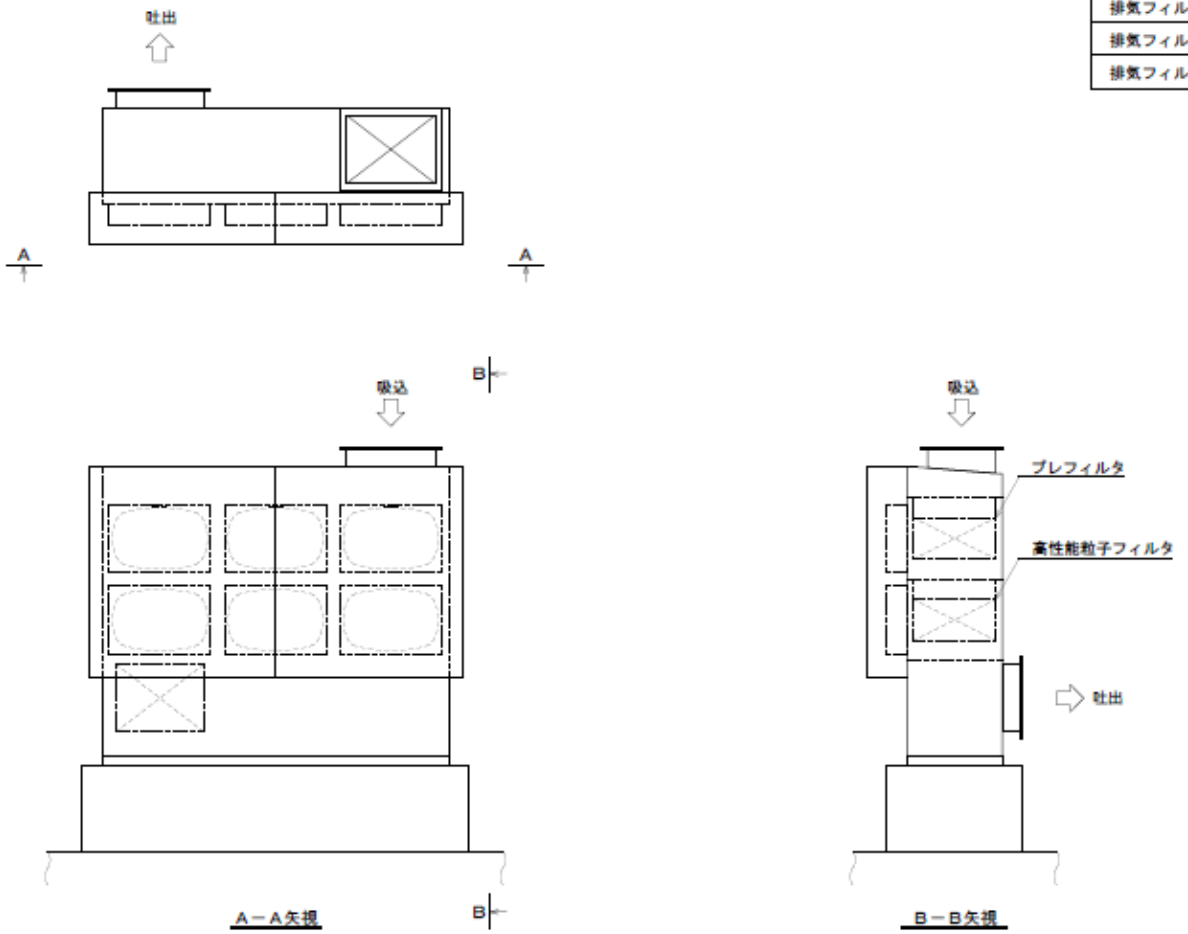



| 機器名称 |
| --- |
| 排風機（A） |
| 排風機（B） |

図－２　排風機　外形図

| 機器名称 |
| --- |
| 排気フィルタユニット（A） |
| 排気フィルタユニット（B） |
| 排気フィルタユニット（C） |
| 排気フィルタユニット（D） |



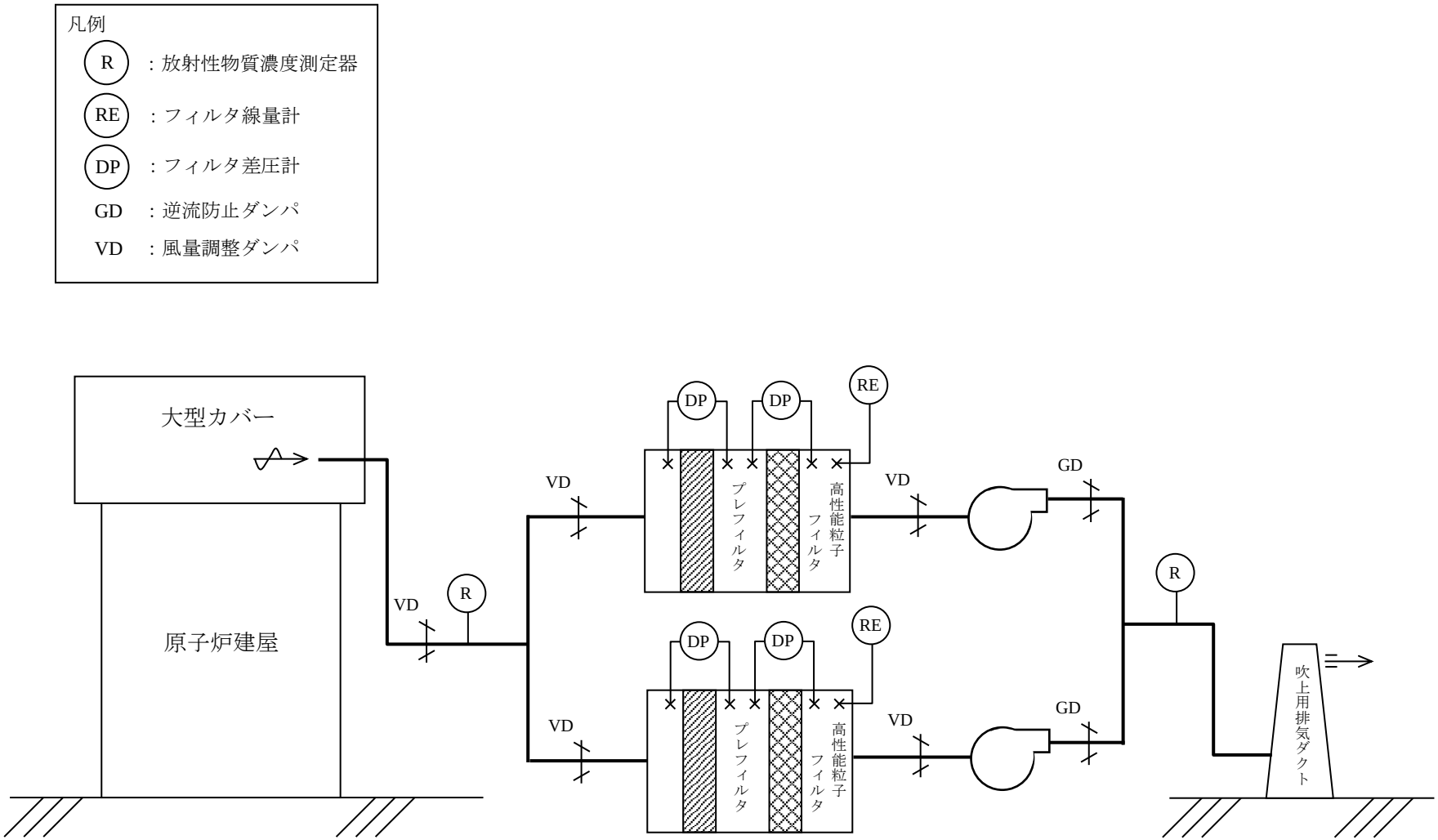

図－３　排気フィルタユニット　外形図

# １号機大型カバー換気設備に係る確認事項

１号機大型カバー換気設備に係る主要な確認事項を表－１に示す。また，大型カバー換気設備の系統図，排風機の外形図及び排気フィルタユニットの外形図を図－1，図－２，図－３に示す。

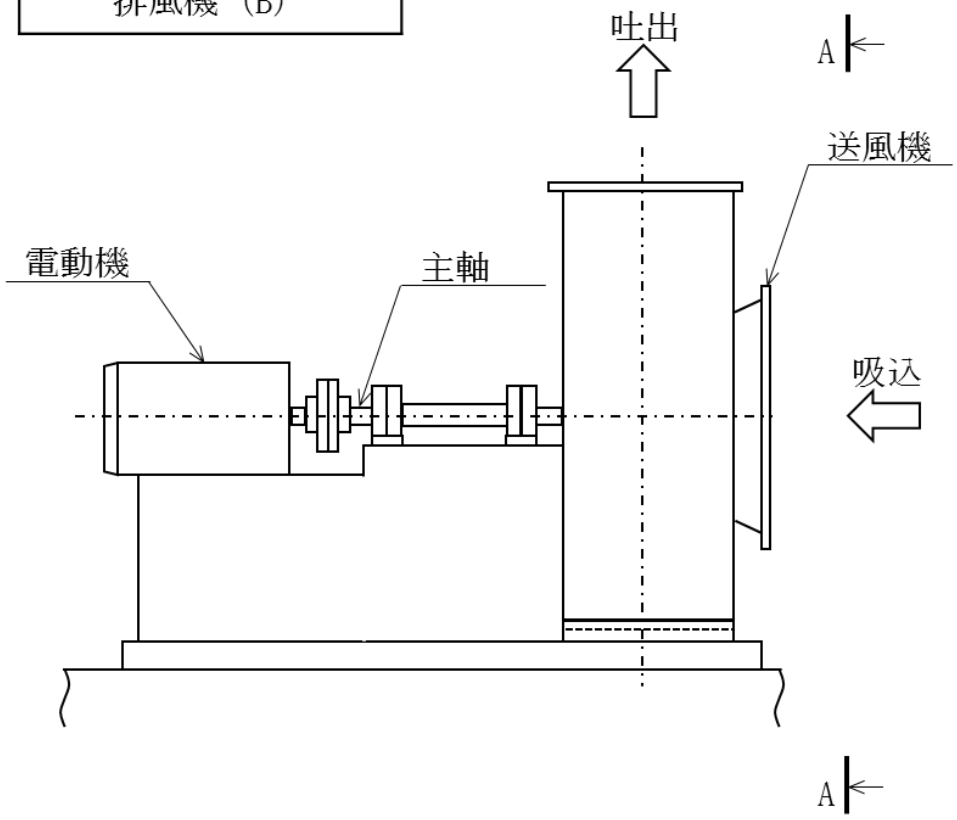
表－１　１号機大型カバー換気設備に係る確認事項

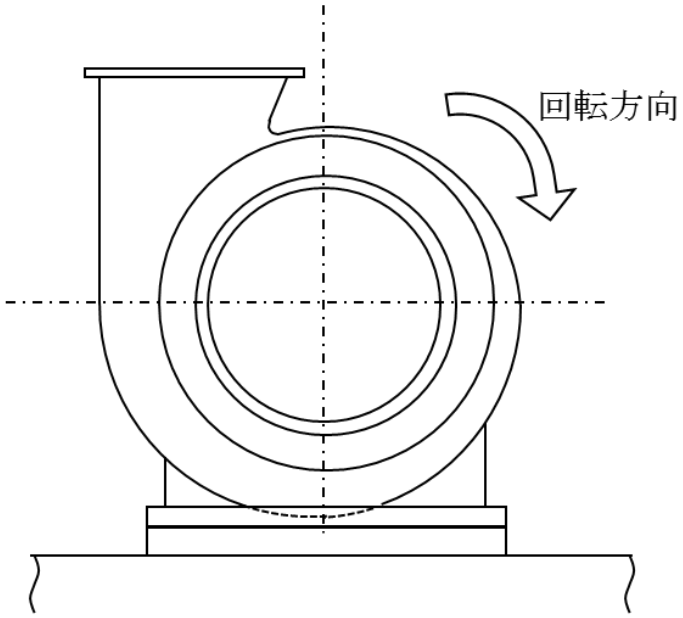
| 確認事項 | 確認項目 | | 確認内容 | 判定基準 | 検査場所 |
|---|---|---|---|---|---|
| 放出抑制・監視 | 構造確認 | 外観確認 | 各部の外観を確認する。 | 有意な欠陥がないこと。 | 現地 |
| | | 据付確認 | 系統構成を確認する。 | 系統構成が図－１の通りであること。 | |
| | 機能確認 | 風量確認 | 排風機の出口風量を確認する。 | 排風機が１台当たり 30,000$m^3$/h 以上であること。 | |
| | | フィルタ性能確認 | フィルタの放射性物質の除去効率を確認する。 | 放射性物質の除去効率が 97%(粒径 0.3$\mu$m)以上であること。 | |
| | | 監視機能確認 | 監視設備により運転状態等が監視できることを確認する。 | 排風機の運転状態，放射性物質濃度が免震重要棟内のモニタに表示され監視可能であること。 | |
| | | | 設定値において警報及び表示灯が作動することを確認する。 | 許容範囲以内で警報及び表示灯が作動すること。 | |
| | | | 標準線源を用いて検出器性能を確認する。 | 計数効率が規定値以上であること。 | |
| | | | 放射性物質濃度が現場と免震重要棟に表示されることを確認する。 | 放射性物質濃度が現地と免震重要棟に表示され監視可能であること。 | |




図－１　大型カバー換気設備系統図（添付３－１　図５－４再掲）

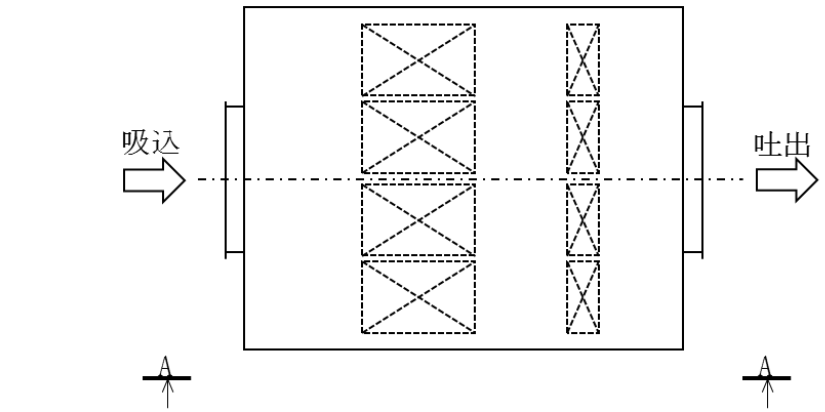
| 機器名称 |
| --- |
| 排風機（A） |
| 排風機（B） |



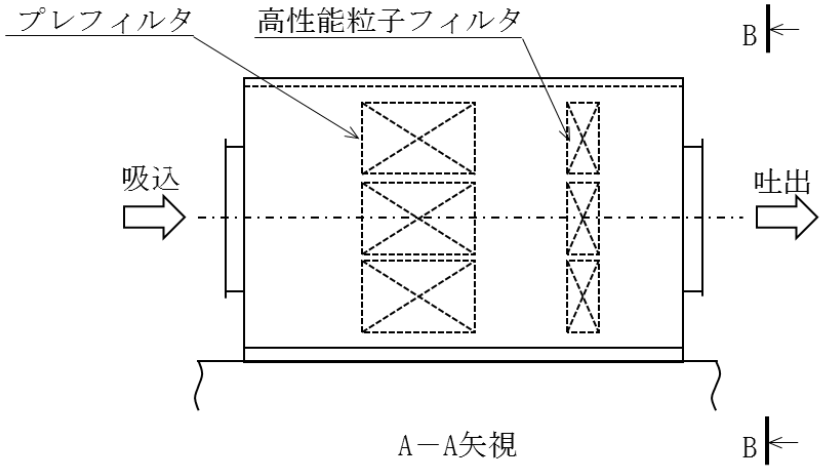



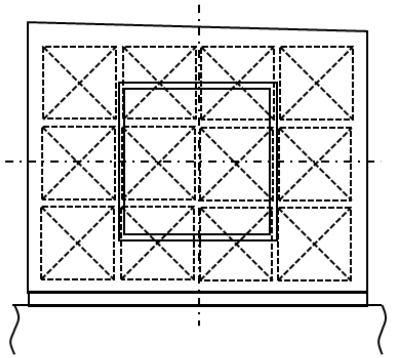

A－A矢視

図－２　排風機　外形図




| 機器名称 |
| --- |
| 排気フィルタユニット（A） |
| 排気フィルタユニット（B） |




図－３　排気フィルタユニット　外形図

添付資料－３－２

# がれき撤去等の手順に関する説明書

## 1　概要

１～４号機において，使用済燃料プール内燃料の取り出しを計画しているが，１，３，４号機については使用済燃料プール内燃料の取り出しに先立ち，原子炉建屋上部がれき及び使用済燃料プール内がれきの撤去等が必要である。

がれき撤去等の作業においては，がれき等を燃料上に落下させ波及的影響を与えないよう対策を講じる必要がある。本説明書は原子炉建屋上部のがれき撤去ならびに使用済燃料プール内のがれき撤去の手順について示すものである。

## 2　がれき撤去等の監理体制

協力会社ががれき撤去等の計画を立案し，当社がその計画の確認を行う。また，放射線管理に関わる計画は，協力会社が立案し，当社がその計画の確認を行う。確認された計画に基づき協力会社が作業を行い，当社が監理を行う。なお，不測事態が発生した場合，協力会社から当社監理員に連絡を行い，当社および協力会社を交え計画の再検討等今後の対応について協議する。

## 3　原子炉建屋上部のがれき撤去等の手順

### (1) がれき撤去フロー

オペレーティングフロア上のがれきを安全に撤去するために，図１に示すがれき撤去フローに従い，作業計画を立案する。なお，オペレーティングフロア上のがれき撤去は，作業状況について常時監視した状況で実施する。監視にあたり以下の点に注意し，異常があった場合は直ちに作業を中止し，関係者へ報告する。

・使用済燃料プールに異常が無いか
・重機による作業区画内に人がいないか
・飛散物，落下物，建屋の異常等はないか

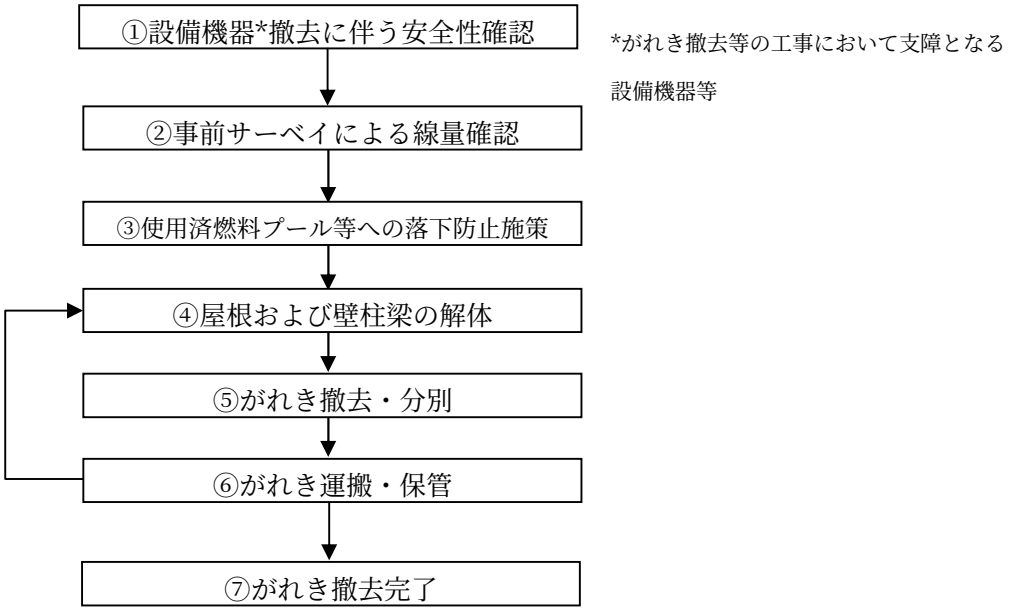



図 1　原子炉建屋上部のがれき撤去フロー

また，がれき撤去フローにおける①設備機器撤去に伴う安全性確認，③使用済燃料プール等への落下防止施策については，次に具体的な内容を示す。

a. ①設備機器撤去に伴う安全性確認

がれき撤去工程においては，設備機器の撤去作業を伴うが，安全性確保のため，当社および協力会社において十分な調査・計画立案が必要である。設備機器の撤去に関するフローを図 2 に示す。

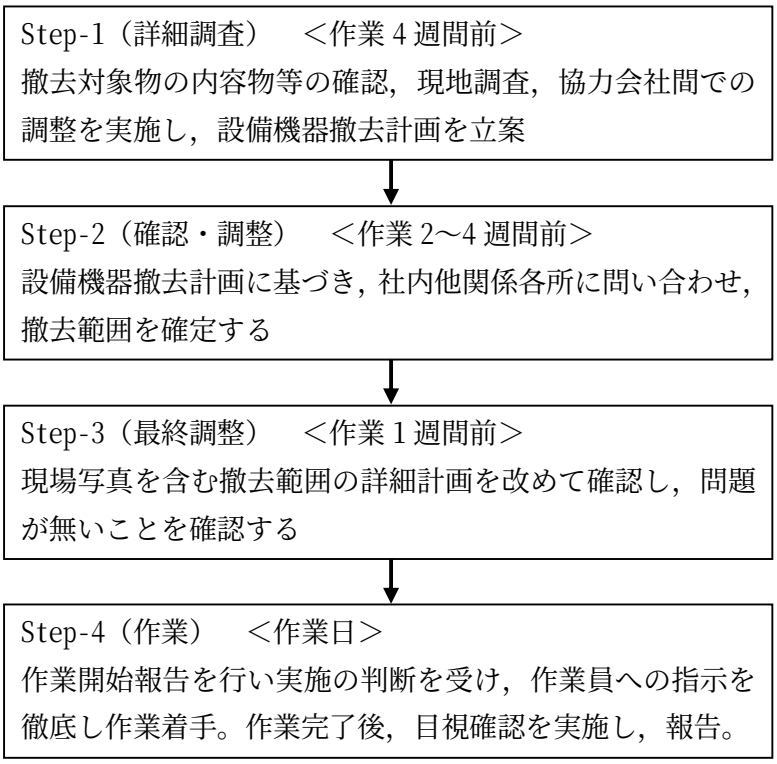



図 2　設備機器撤去に伴う詳細調査・確認・調整業務フロー

b. ③使用済燃料プール等への落下防止施策

使用済燃料プールにがれきが落下し，使用済燃料貯蔵ラックや使用済燃料プールが損傷することを防止するため，がれき撤去に先立ち，がれきの状況を写真の分析や模型等により把握し作業手順を検討する。

がれき解体用重機には，下部へのがれき落下防止策を施した吊り治具等を使用し，使用済燃料プール外のがれき撤去を行う際には，使用済燃料プール上を通過しないように手順を策定する。

燃料取扱機，燃料取り出し用カバーの設置等のオペレーティングフロア上で行う作業にあたっては，極力使用済燃料プール上で作業を行わないように手順を策定する。

なお，必要に応じて使用済燃料プールの表面養生等の対策を施す。

(2) がれき撤去等における留意事項

a. 重機によるがれき撤去

① 安全対策：作業範囲周辺の安全性に配慮し，がれきの落下防止及びがれき落下に伴う設備機器・重機損傷の防止を図る。

② がれき撤去：使用済燃料プールへがれきを落下させないよう十分に注意し，作業を行う。万一がれきが使用済燃料プールに落下した場合には，作業を一時中断し，異常のないことを確認した後，作業を再開する。

③ がれきの分別：がれきは，解体重機でダンプに積み込める大きさに小割し，分別する。

④ がれきの運搬：原子炉建屋周辺ヤードで，遮蔽措置を施したダンプ等へがれき類を積み替え，指定された集積場所へ運搬する。

b. がれきの仮置き及び分別

がれきは，原子炉建屋周辺ヤード内に仮置き場所を設置し，分別集積する。仮置きしたがれきは線量を計測し，高線量の場合は作業員が近寄らないように区画及び表示を行う。

がれきには粉塵などの飛散防止を目的とした飛散防止剤の散布等を行い，ダンプにて搬出する。なお，搬出するがれきについては，放射線量に応じて分別し構内に一時保管する。

c. 作業員の安全対策

作業開始前は，事前サーベイによる線量確認を実施し，高線量箇所の注意喚起を行うなど作業員の被ばく量低減に努める。また，事前サーベイによる線量確認状況に応じエリアモニタを設置し，線量の目視確認が可能な状況とする。なお，緊急時（津波警報発生時の避難等）にはサイレン等により警報を発報し，作業員に避難情報を提供する。

d. 既存建屋への影響評価

がれき撤去に伴い既存建屋に作用する荷重は低下傾向を示すが，がれきの飛散防止のための養生材や解体重機の積載などの影響により作用荷重が増加する場合も考えられる。がれき撤去により大幅な荷重増減が生じる場合には，既存建屋が局部的に荷重を負担することのないよう，配慮して計画を行う。

なお，がれき撤去が進むに伴い建屋の損傷状況が確認できた場合には，必要に応じて既存建屋

への影響を再度評価することとする。

e. 燃料取扱設備，燃料取り出し用カバー等の設置

① 安全対策：作業範囲周辺の安全性に配慮し，設置設備の落下防止及び設備落下に伴う設備機器・重機損傷の防止を図る。

② 設備設置：設備設置は極力使用済燃料プール上で行わないこととする。やむを得ず使用済燃料プール上での作業を行う場合は，使用済燃料プールへ設置設備を落下させないよう十分に注意し，作業を行う。

4 使用済燃料プール内のがれき撤去等の手順

(1) がれき撤去フロー

使用済燃料プール内のがれきを安全に撤去するために，図 3 に示すがれき撤去フローに従い，作業計画を立案する。なお，使用済燃料プール内のがれき撤去は，作業状況について常時監視した状況で実施する。監視にあたり以下の点に注意し，異常があった場合は直ちに作業を中止し，関係者へ報告する。

・使用済燃料プールに異常が無いか
・がれき撤去作業区画内に人がいないか
・雰囲気線量が異常な値を示していないか

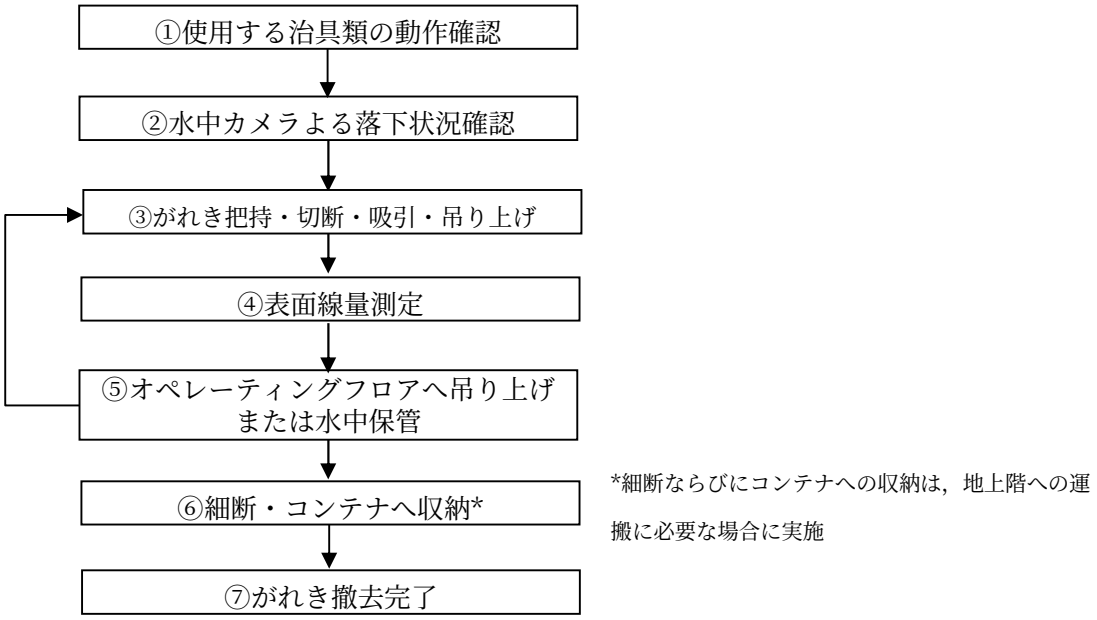



図 3 使用済燃料プール内がれき撤去フロー

また，がれき撤去における安全性確認及び使用済燃料プールへの落下防止施策については，次に具体的な内容を示す。

a. がれき撤去における安全性確認

がれき撤去工程においては，使用済燃料プール内のがれき撤去作業を行うが，安全性確保のため，当社および協力会社において十分な調査・計画立案が必要である。がれき撤去に関するフローを図 4 に示す。

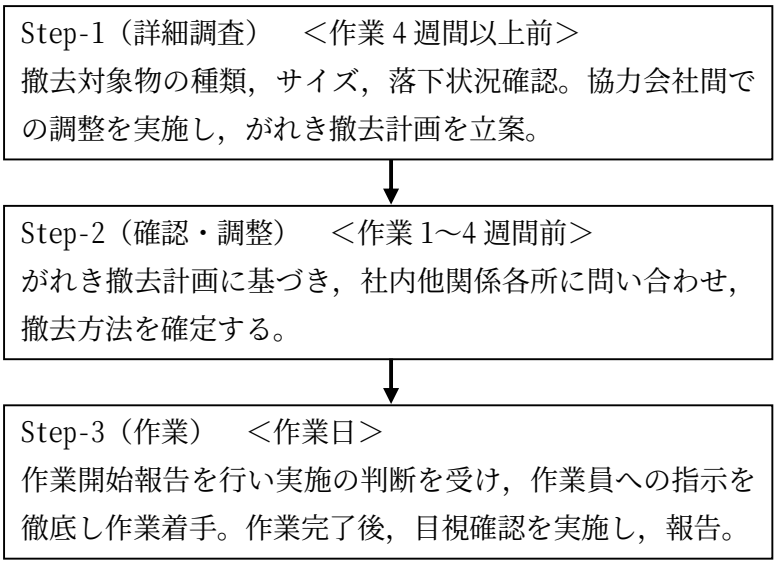



図 4　がれき撤去に伴う詳細調査・確認・調整業務フロー

b. 使用済燃料プールへの落下防止施策

使用済燃料プールからのがれき吊り上げ時にがれきが落下し，使用済燃料貯蔵ラックや使用済燃料プールが損傷することを防止するため，がれき撤去に先立ち，がれきの種類・サイズ・落下状況を水中カメラの映像により把握する。

プール内のがれき撤去にあたっては，事前に燃料，ラックとがれきとの干渉について確認する。干渉が想定される場合は，燃料及びラックの健全性並びに作業員の安全を確保するためのがれき撤去の方法・手順について検討し，必要に応じモックアップ・トレーニング等により安全性の確認を実施する。

がれき把持に用いる治具は，がれきの種類・サイズ・落下状況を考慮した適切な治具を用いる。また，単一故障によるがれき落下を防ぐため，駆動源を喪失しても把持部が開放されない構造とする。

がれき撤去をする上で確実に把持していることを確認するため，水中カメラで確認しながら行うが，水中カメラの視認性を確保するため必要に応じて浄化を行う。

撤去作業中の治具およびがれきの落下を防ぐため，作業前の点検，誤操作防止対策，水中カメラによる監視等を実施する。

把持したがれきは，極力燃料貯蔵ラック上の移動距離が短くなるよう手順を策定する。

(2) がれき撤去等における留意事項

a. 把持治具によるがれき撤去

① 安全対策：作業範囲周辺の安全性に配慮し，がれきの落下防止を図る。

② がれき撤去：使用済燃料プール内へがれきを落下させないよう十分に注意し，作業を行う。万一，監視対象がれき※が使用済燃料プールに落下した場合には，作業を一時中断し，異常のないことを確認した後，作業を再開する。
③ がれきの分別：がれきは，運搬可能な大きさに細断し，分別する。
④ がれきの運搬：燃料取り出し用カバー地上階に待機したトレーラ等にがれきを積載し，指定された集積場所へ運搬する。

※監視対象がれき：落下した場合に燃料に影響を与える可能性があるがれき。

b. がれきの仮置き及び分別

がれきは，オペレーティングフロア上，燃料取り出し用カバー内または原子炉建屋周辺ヤードに仮置き場所を設置し，分別集積する。がれきは吊り上げ時に線量を計測し，搬出不可能な高線量の場合は水中の燃料取り出し作業に干渉しない場所で保管する等の処置を行う。４号機使用済燃料プールからのがれき撤去においては，表面線量 25mSv/h 以下のものを水中から吊り上げ，それより高いものは水中保管とする。

がれきは必要に応じて細断・コンテナに収納し，トレーラ等に積載させて搬出する。

なお，搬出するがれきについては，「Ⅲ章第 3 編 2.1.1 放射性固体廃棄物等の管理」に従い，保管・管理する。

３号機の燃料取り出し用カバー完成後の使用済燃料プール内がれき撤去作業に伴い，表面線量が 30mSv/h を超えるがれき類が約 60$m^3$ 発生すると想定している。

c. 作業員の被ばく線量の管理

放射線業務従事者が立ち入る場所の外部放射線に係る線量率を把握し，作業時間等を管理することで，作業時の被ばく線量が法令に定められた線量限度を超えないようにする。

使用済燃料プール内がれき撤去作業における放射線業務従事者の被ばく低減策として，以下の対策を実施する。

・遠隔操作設備の利用による被ばく低減
・遮へい設置による作業環境の線量低減
・待機場所（低線量エリア）の活用による被ばく低減
・必要に応じた遮へいベスト等の保護具着用による被ばく低減

現場状況を踏まえ，今後継続的に被ばく低減に向けた線源の把握と除去，線源からの遮へい，作業区域管理等を行い，更なる被ばく線量低減に努める。

d. 撤去作業に伴う放射性物質の飛散抑制対策

燃料取り出し用カバー完成後の使用済燃料プール内がれき撤去作業は，燃料取り出し用カバー内で実施することで放射性物質の飛散抑制を図る。燃料取り出し用カバーの放射性物質の飛散・拡散を防止するための機能については，「添付資料－３－１　放射性物質の飛散・拡散を防止するための機能に関する説明書」の通り。燃料取り出し用カバーの外へがれきを搬出する際はコンテナに収納し，放射性物質の飛散抑制を図る。

撤去作業中に，万が一，燃料取り出し用カバー換気設備の排気フィルタユニット出口の放射性物質濃度の異常を検知した場合は，速やかに作業を中断する。

5　４号機がれき落下時の影響評価

万一，燃料上部に落下したがれき撤去中に，がれきが燃料上に落下した場合の影響について評価した。

(1) 評価条件

a.プール内に落下している最大のものであるデッキプレート（約 10000㎜×約 600㎜×約 50㎜，約 200kg）の落下による破損体数は，デッキプレートの投影面積から 240 体（30 体ラック：8 基）とする。

なお，上記に記載以外の条件については，「添付資料－３－３　移送操作中の燃料集合体の落下」と同一条件とする。

(2) 評価結果

上記の評価条件に基づき評価した結果，核分裂生成物の大気中への放出量は，表 1 の通りである。また，敷地境界外の実効線量は，表 2 の通りであり，本事象による周辺公衆に与える放射線被ばくのリスクは小さいものと考えられる。

なお，本評価はデッキプレート落下によりプレート下部にある燃料全てが破損すると仮定しているが，燃料１体当たりに掛かる荷重は燃料取り扱い作業中の燃料（約 300kg）落下よりも小さいことから，本評価は十分に保守的な評価と考える。

表１　４号機核分裂生成物の大気中への放出量

| 核分裂生成物 | 放出量 |
|---|---|
| 希ガス（γ線実効エネルギ 0.5MeV 換算値）<br>大気放出量 | 約 $5.2\times10^{13}$Bq |
| よう素(I-131 等価量(小児実効))大気放出量 | 約 $3.5\times10^{8}$Bq |
| よう素(I-131 等価量(成人実効))大気放出量 | 約 $1.3\times10^{9}$Bq |

表 2　４号機使用済燃料プール内がれき落下時の実効線量

| 実効線量（小児） | 実効線量（成人） |
|---|---|
| 約 $8.1\times10^{-2}$mSv | 約 $8.1\times10^{-2}$mSv |

6　３号機がれき落下時の影響評価

万一，燃料取扱機撤去中に燃料取扱機が燃料上に落下した場合の影響について評価した。

(1) 評価条件

a.プール内に落下している燃料取扱機の落下による破損体数は，燃料取扱機がプール全域に渡って落下していることから，保守的にプール内に保管されている全数（566 体）とする。

なお，上記に記載以外の条件については，「添付資料－３－３　移送操作中の燃料集合体の落下」と同一条件とする。

(2) 評価結果

上記の評価条件に基づき評価した結果，核分裂生成物の大気中への放出量は，表 3 の通りである。また，敷地境界外の実効線量は，表 4 の通りであり，本事象による周辺公衆に与える放射線被ばくのリスクは小さいものと考えられる。

表 3　３号機核分裂生成物の大気中への放出量

| 核分裂生成物 | 放出量 |
|---|---|
| 希ガス（γ線実効エネルギ 0.5MeV 換算値）<br>大気放出量 | 約 $1.2\times10^{14}$Bq |
| よう素(I-131 等価量(小児実効))大気放出量 | 約 $8.2\times10^{8}$Bq |
| よう素(I-131 等価量(成人実効))大気放出量 | 約 $3.2\times10^{9}$Bq |

表 4　３号機使用済燃料プール内がれき落下時の実効線量

| 実効線量（小児） | 実効線量（成人） |
|---|---|
| 約 $1.5\times10^{-1}$mSv | 約 $1.5\times10^{-1}$mSv |

# 移送操作中の燃料集合体の落下

## 1. 原因

福島第一２～４号機使用済燃料プール内における燃料の移送操作中に，何らかの原因で燃料集合体が落下して破損し，放射性物質が環境に放出される。

## 2. 事故防止対策

燃料集合体の落下を防止するため，次のような設計及び運転管理上の対策を講じる。

(1) 燃料取扱機は，燃料集合体の総重量を十分上回る重量に耐えることのできる強度に設計する。

(2) 燃料把握機のワイヤを二重化する。

(3) 燃料把握機は，圧縮空気等の駆動源が喪失した場合，燃料集合体が外れないフェイル・セイフ設計とする。

(4) 燃料把握機が燃料集合体を確実につかんでいない場合には，吊上げができないようなインターロックを設ける。

(5) 運転要領を十分整備し，よく訓練された監督者の直接指揮下で燃料取扱作業を行う運転管理体制をとる。

(6) 使用済燃料プールに貯蔵されている燃料集合体について，移送前に燃料集合体の機械的健全性を確認する。

(7) 燃料集合体の機械的健全性確認において，破損が確認された燃料集合体を移送する場合には，破損形態に応じた適切な取扱手法及び収納方法により，放射性物質の飛散・拡散を防止する。

## 3. 第４号機核分裂生成物の放出量及び線量の評価

### 3.1. 核分裂生成物の放出量

(1) 破損燃料棒の評価

本事故時に破損する燃料棒の本数は，次の仮定に基づいて評価する。

a. 燃料取り出し作業に際し，使用済燃料貯蔵ラックの上部で取扱中の燃料集合体 1 体が使用済燃料貯蔵ラックに落下するものと仮定する。

b. 落下による燃料集合体の破損体数は，炉心での落下を想定した設置許可申請書の評価と同様の 2.3 体とする。

なお，炉心での落下高さ 10m に対し，使用済燃料プールでの落下高さは使用済燃料貯蔵ラックへの落下及び構内用輸送容器への落下共に 1m 以下であり，装荷・貯蔵されている燃料集合体の配置密度も炉心と比較して使用済燃料プール及び構内用輸

送容器の方が低いため，使用済燃料プールでの落下を想定した場合の破損体数が，炉心での落下を想定した場合の破損体数を上回ることはない。

(2) 評価条件

事故時の核分裂生成物の移行と放出量の評価は，次の仮定に基づいて行う。

a. 燃料ギャップ内の核分裂生成物の量は，原子炉が定格出力の約 105%（熱出力 2,483MW）で十分長時間（2,000 日）運転された取替炉心のサイクル末期の最大出力燃料集合体について行う。

b. 燃料取り出し作業は，原子炉停止後 365 日冷却された後に行われるものとし，原子炉停止後の放射能の減衰は考えるものとする。

なお，第４号機の発電停止は 2010 年 11 月 30 日であり，使用済燃料プールからの燃料取り出しはステップ 2 終了から 2 年以内の 2013 年 11 月頃の開始を目標としている。この場合の冷却日数は約 1100 日となる。

c. 破損した燃料棒のギャップ内核分裂生成物の全量が水中に放出されるものとする。破損した燃料棒のギャップ内核分裂生成物の存在量については，半減期の長い核種の放出が支配的であることを考えて，破損した燃料棒内の全蓄積量に対して希ガス及びよう素それぞれ 30%とする。

d. 放出された希ガスは，全量が水中から燃料取り出し用カバーの空気中へ移行するものとする。

e. 燃料取り出し作業開始時には，燃料及び冷却材温度は低下しているので，放出されたよう素のうち 1%は有機状とし，すべて燃料取り出し用カバー内に移行するものとする。

f. 水中へ放出された無機よう素の水中での除染係数は 500 とする。

(3) 評価結果

上記の評価条件に基づいて計算した核分裂生成物の大気中への放出量は表 3.1 の通りである。

表 3.1 核分裂生成物の大気中への放出量

| 核分裂生成物 | 放出量 |
|---|---|
| 希ガス(γ線実効エネルギ 0.5MeV 換算値)<br>大気放出量 | 約 $5.0\times10^{11}$Bq |
| よう素(I-131 等価量(小児実効))大気放出量 | 約 $3.3\times10^{6}$Bq |
| よう素(I-131 等価量(成人実効))大気放出量 | 約 $1.3\times10^{7}$Bq |

3.2. 線量当量の評価

(1) 評価の前提

大気中へ放出される核分裂生成物は，地上放出されるものとし，これによる実効線量の計算は，次の仮定に基づいて行う。

a.　敷地境界外の地表空気中濃度は，設置許可申請書添付書類六の「5.5　安全解析に使用する気象条件」に記述される相対濃度に核分裂生成物の全放出量を乗じて求める。

なお，相対濃度（χ／Q）は設置許可申請書記載の主蒸気管破断（地上放出）の値 $3.4\times10^{-5}s/m^3$ を適用する。

b.　敷地境界外の希ガスによるγ線空気吸収線量は，設置許可申請書添付書類六の「5.5　安全解析に使用する気象条件」に記述される相対線量に希ガスの全放出量を乗じて求める。

なお，相対線量（D／Q）は設置許可申請書記載の主蒸気管破断（地上放出）の値 $3.4\times10^{-19}Gy/Bq$ を適用する。

(2)　評価方法

敷地境界外における実効線量は，次に述べる内部被ばくによる実効線量及び外部被ばく（γ線及びβ線）による実効線量の和として計算する。

よう素の内部被ばくによる実効線量$H_I$（Sv）は，(3.2-1)式で計算する。

$$H_I = R \cdot H_\infty \cdot \chi／Q \cdot Q_I \cdots\cdots\cdots\cdots\cdots\cdots\cdots\cdots\cdots\cdots (3.2\text{-}1)$$

ここで，

R　：呼吸率（$m^3/s$）
「発電用軽水型原子炉施設の安全評価に関する審査指針」の活動中の呼吸率（小児：$0.31m^3/h$，成人：$1.2m^3/h$）を秒当たりに換算して用いる。

$H_\infty$　：よう素（Ｉ-131）を 1Bq 吸入した場合の実効線量
（I-131，小児：$1.6\times10^{-7}Sv/Bq$，成人：$2.0\times10^{-8}Sv/Bq$）

χ／Q　：相対濃度（$s/m^3$）

$Q_I$　：事故期間中のよう素の大気放出量（Bq）（Ｉ-131 等価量）

希ガスのγ線外部被ばくによる実効線量$H_\gamma$（Sv）は，(3.2-2)式で計算する。

$$H_\gamma = K \cdot D／Q \cdot Q_\gamma \cdots\cdots\cdots\cdots\cdots\cdots\cdots\cdots\cdots\cdots (3.2\text{-}2)$$

ここで，

K　：空気吸収線量から実効線量への換算係数（K＝1Sv/Gy）

D／Q　：相対線量（Gy/Bq）

$Q_\gamma$　：事故期間中の希ガスの大気放出量（Bq）
（γ線実効エネルギ 0.5MeV 換算値）

希ガスのβ線外部被ばくによる実効線量$H_\beta$（Sv）は，(3.2-3)式で計算する。

$$H_\beta = 6.2\times10^{-14} \cdot \chi／Q \cdot Q_\beta \cdot E_\beta \cdot W_{TS} \cdots\cdots\cdots\cdots\cdots (3.2\text{-}3)$$

ここで，

χ／Q　：相対濃度（$s/m^3$）

$Q_\beta$　：事故期間中の希ガスの大気放出量（Bq）

$E_{\beta}$　　：$\beta$線のエネルギ（MeV）（0.251MeV　Kr-85 実効エネルギ）

$W_{TS}$　　：皮膚の組織荷重係数は ICRP Publication.60 の値を用いる。（0.01）

(3)　評価結果

上記の評価前提及び方法に基づき敷地境界外の実効線量を評価した結果は表 3.2 の通りである。

表 3.2　燃料集合体の落下時の実効線量

| 実効線量（小児） | 実効線量（成人） |
|---|---|
| 約 $7.8\times10^{-4}$mSv | 約 $7.8\times10^{-4}$mSv |

上記の値から判断して，本事象による周辺の公衆に与える放射線被ばくのリスクは十分に小さいものと考えられる。

今回評価した実効線量は設置許可申請書での評価（$6.8\times10^{-2}$mSv）と比較して 2 桁以上減少しているが，その原因は，設置許可申請書の評価で排気筒放出であったものが，今回地上放出として評価することによる実効線量の上昇要因があるものの，冷却が進んだことによる希ガス及びよう素の減少効果がそれ以上に大きいことである。

3.3.　判断基準への適合性の検討

3.1，3.2 に示した通り，周辺公衆に対し，著しい放射線被ばくのリスクを与えることはない。

4.　第３号機核分裂生成物の放出量及び線量の評価

4.1.　核分裂生成物の放出量

(1)　破損燃料棒の評価

本事故時に破損する燃料棒の本数は，次の仮定に基づいて評価する。

a.　燃料取り出し作業に際し，使用済燃料貯蔵ラックの上部で取扱中の燃料集合体 1 体が使用済燃料貯蔵ラックに落下するものと仮定する。

b.　落下による燃料集合体の破損体数は，炉心での落下を想定した設置許可申請書の評価と同様の 2.3 体とする。

なお，炉心での落下高さ 10m に対し，使用済燃料プールでの落下高さは使用済燃料貯蔵ラックへの落下及び構内用輸送容器への落下共に 1m 以下であり，装荷・貯蔵されている燃料集合体の配置密度も炉心と比較して使用済燃料プール及び構内用輸送容器の方が低いため，使用済燃料プールでの落下を想定した場合の破損体数が，炉心での落下を想定した場合の破損体数を上回ることはない。

(2)　評価条件

事故時の核分裂生成物の移行と放出量の評価は，次の仮定に基づいて行う。

a.　燃料ギャップ内の核分裂生成物の量は，原子炉が定格出力の約 105%（熱出力 2,483MW）で十分長時間（2,000 日）運転された取替炉心のサイクル末期の最大出力燃料集合体について行う。

b.　燃料取り出し作業は，原子炉停止後 365 日冷却された後に行われるものとし，原子炉停止後の放射能の減衰は考えるものとする。

なお，第３号機の使用済燃料プールに貯蔵中の使用済燃料は 2010 年 6 月 18 日に発電停止したものであり，使用済燃料プールからの燃料取り出しはステップ 2 終了から 3 年程度後の 2014 年末の開始を目標としている。この間の冷却日数は約 1600 日となる。

c.　破損した燃料棒のギャップ内核分裂生成物の全量が水中に放出されるものとする。破損した燃料棒のギャップ内核分裂生成物の存在量については，半減期の長い核種の放出が支配的であることを考えて，破損した燃料棒内の全蓄積量に対して希ガス及びよう素それぞれ 30%とする。

d.　放出された希ガスは，全量が水中から燃料取り出し用カバーの空気中へ移行するものとする。

e.　燃料取り出し作業開始時には，燃料及び冷却材温度は低下しているので，放出されたよう素のうち 1%は有機状とし，すべて燃料取り出し用カバー内に移行するものとする。

f.　水中へ放出された無機よう素の水中での除染係数は 500 とする。

(3)　評価結果

上記の評価条件に基づいて計算した核分裂生成物の大気中への放出量は表 4.1 の通

りである。

表 4.1　核分裂生成物の大気中への放出量

| 核分裂生成物 | 放出量 |
|---|---|
| 希ガス(γ線実効エネルギ 0.5MeV 換算値)<br>大気放出量 | 約 $5.0\times10^{11}$Bq |
| よう素(I-131 等価量(小児実効))大気放出量 | 約 $3.3\times10^{6}$Bq |
| よう素(I-131 等価量(成人実効))大気放出量 | 約 $1.3\times10^{7}$Bq |

4.2.　線量当量の評価

(1)　評価の前提

大気中へ放出される核分裂生成物は，地上放出されるものとし，これによる実効線量の計算は，次の仮定に基づいて行う。

a.　敷地境界外の地表空気中濃度は，設置許可申請書添付書類六の「5.5　安全解析に使用する気象条件」に記述される相対濃度に核分裂生成物の全放出量を乗じて求める。

なお，相対濃度（$\chi$／Q）は設置許可申請書記載の主蒸気管破断（地上放出）の値 $2.6\times10^{-5}$s/m$^3$ を適用する。

b.　敷地境界外の希ガスによるγ線空気吸収線量は，設置許可申請書添付書類六の「5.5　安全解析に使用する気象条件」に記述される相対線量に希ガスの全放出量を乗じて求める。

なお，相対線量（D／Q）は設置許可申請書記載の主蒸気管破断（地上放出）の値 $3.0\times10^{-19}$Gy/Bq を適用する。

(2)　評価方法

敷地境界外における実効線量は，次に述べる内部被ばくによる実効線量及び外部被ばく（γ線及びβ線）による実効線量の和として計算する。

よう素の内部被ばくによる実効線量$H_I$（Sv）は，(4.2-1)式で計算する。

$$H_I = R \cdot H_\infty \cdot \chi / Q \cdot Q_I \quad \cdots\cdots\cdots\cdots\cdots\cdots\cdots\cdots \quad (4.2\text{-}1)$$

ここで，

R　：呼吸率（m$^3$/s）
「発電用軽水型原子炉施設の安全評価に関する審査指針」の活動中の呼吸率（小児：0.31m$^3$/h，成人：1.2m$^3$/h）を秒当たりに換算して用いる。

$H_\infty$　：よう素（I-131）を 1Bq 吸入した場合の小児の実効線量
（I-131，小児：$1.6\times10^{-7}$Sv/Bq，成人：$2.0\times10^{-8}$Sv/Bq）

$\chi$／Q　：相対濃度（s/m$^3$）

$Q_I$　：事故期間中のよう素の大気放出量（Bq）（I-131 等価量）

希ガスのγ線外部被ばくによる実効線量$H_{\gamma}$（Sv）は，(4.2-2)式で計算する。

$$H_{\gamma}=K\cdot D/Q\cdot Q_{\gamma} \cdots\cdots (4.2\text{-}2)$$

ここで，

K　　：空気吸収線量から実効線量への換算係数（K＝1Sv/Gy）

D／Q　　：相対線量（Gy/Bq）

$Q_{\gamma}$　　：事故期間中の希ガスの大気放出量（Bq）
（γ線実効エネルギ 0.5MeV 換算値）

希ガスのβ線外部被ばくによる実効線量$H_{\beta}$（Sv）は，(4.2-3)式で計算する。

$$H_{\beta}=6.2\times10^{-14}\cdot \chi/Q\cdot Q_{\beta}\cdot E_{\beta}\cdot W_{TS} \cdots\cdots (4.2\text{-}3)$$

ここで，

$\chi/Q$　　：相対濃度（$s/m^3$）

$Q_{\beta}$　　：事故期間中の希ガスの大気放出量（Bq）

$E_{\beta}$　　：β線のエネルギ（MeV）（0.251MeV　Kr-85 実効エネルギ）

$W_{TS}$　　：皮膚の組織荷重係数は ICRP Publication.60 の値を用いる。
（0.01）

(3)　評価結果

上記の評価前提及び方法に基づき敷地境界外の実効線量を評価した結果は表 4.2 の通りである。

表 4.2　燃料集合体の落下時の実効線量

| 実効線量（小児） | 実効線量（成人） |
|---|---|
| 約 $6.2\times10^{-4}$mSv | 約 $6.2\times10^{-4}$mSv |

上記の値から判断して，本事象による周辺の公衆に与える放射線被ばくのリスクは十分に小さいものと考えられる。

今回評価した実効線量は設置許可申請書での評価（$6.8\times10^{-2}$mSv）と比較して 2 桁以上減少しているが，その原因は，設置許可申請書の評価で排気筒放出であったものが，今回地上放出として評価することによる実効線量の上昇要因があるものの，冷却が進んだことによる希ガス及びよう素の減少効果がそれ以上に大きいことである。

4.3.　判断基準への適合性の検討

4.1，4.2 に示した通り，周辺公衆に対し，著しい放射線被ばくのリスクを与えることはない。

5.　第２号機核分裂生成物の放出量及び線量の評価

5.1.　核分裂生成物の放出量

(1)　破損燃料棒の評価

本事故時に破損する燃料棒の本数は，次の仮定に基づいて評価する。

a.　燃料取り出し作業に際し，使用済燃料貯蔵ラックの上部で取扱中の燃料集合体 1 体が使用済燃料貯蔵ラックに落下するものと仮定する。

b.　落下による燃料集合体の破損体数は，炉心での落下を想定した設置許可申請書の評価と同様の 2.3 体とする。

なお，炉心での落下高さ 10m に対し，使用済燃料プールでの落下高さは使用済燃料貯蔵ラックへの落下及び構内用輸送容器への落下共に 2m 以下であり，装荷・貯蔵されている燃料集合体の配置密度も炉心と比較して使用済燃料プール及び構内用輸送容器の方が低いため，使用済燃料プールでの落下を想定した場合の破損体数が，炉心での落下を想定した場合の破損体数を上回ることはない。

(2)　評価条件

事故時の核分裂生成物の移行と放出量の評価は，次の仮定に基づいて行う。

a.　燃料ギャップ内の核分裂生成物の量は,原子炉熱出力 2483MW(定格出力の約 105%)で 2000 日運転を行った 9×9 燃料集合体について行う。

b.　燃料集合体の冷却期間は 365 日とする。

c.　破損した燃料棒のギャップ内核分裂生成物の全量が水中に放出されるものとする。破損した燃料棒のギャップ内核分裂生成物の存在量については，半減期の長い核種の放出が支配的であることを考えて，破損した燃料棒内の全蓄積量に対して希ガス(Kr-85)及びよう素（I-129）それぞれ 30%とする。

d.　放出された希ガスは，全量が水中から原子炉建屋および燃料取り出し用構台の大気中へ移行するものとする。

e.　燃料取り出し作業開始時には，燃料及び冷却材温度は低下しているので，放出されたよう素のうち 1%は有機状とし，すべて原子炉建屋および燃料取り出し用構台内に移行するものとする。

f.　水中へ放出された無機よう素の水中での除染係数は 500 とする。

(3)　評価結果

上記の評価条件に基づいて計算した核分裂生成物の大気中への放出量は表 5.1 の通りである。

表 5.1　核分裂生成物の大気中への放出量

| 核分裂生成物 | 放出量 |
|---|---|
| 希ガス(γ線実効エネルギ 0.5MeV 換算値)大気放出量 | 約 $5.0\times10^{11}$Bq |
| よう素(I-131 等価量(小児実効))大気放出量 | 約 $3.4\times10^{6}$Bq |
| よう素(I-131 等価量(成人実効))大気放出量 | 約 $1.3\times10^{7}$Bq |

5.2.　線量当量の評価

(1)　評価の前提

大気中へ放出される核分裂生成物は，地上放出されるものとし，これによる実効線量の計算は，次の仮定に基づいて行う。

a.　敷地境界外の地表空気中濃度は，設置許可申請書添付書類六の「5.5　安全解析に使用する気象条件」に記述される相対濃度に核分裂生成物の全放出量を乗じて求める。なお，相対濃度（χ／Q）は保守的な評価となる設置許可申請書記載の２号機の主蒸気管破断（地上放出）の値 $2.0\times10^{-5}s/m^3$ を適用する。

b.　敷地境界外の希ガスによるγ線空気吸収線量は，設置許可申請書添付書類六の「5.5　安全解析に使用する気象条件」に記述される相対線量に希ガスの全放出量を乗じて求める。なお，相対線量（D／Q）は保守的な評価となる設置許可申請書記載の２号機の主蒸気管破断（地上放出）の値 $2.4\times10^{-19}Gy/Bq$ を適用する。

(2)　評価方法

設置許可申請書添付書類十の「3.4.3 燃料集合体の落下」ならびに「4.1.1 原子炉冷却材喪失」と同様の方法で評価する。

敷地境界外における実効線量は，次に述べる内部被ばくによる実効線量及び外部被ばくによる実効線量の和として計算する。

よう素の内部被ばくによる実効線量$H_I$（Sv）は，(5.2-1)式で計算する。

$$H_I = R \cdot H_\infty \cdot \chi / Q \cdot Q_I \cdots\cdots\cdots\cdots\cdots\cdots\cdots\cdots\cdots\cdots (5.2\text{-}1)$$

ここで，

R　：呼吸率（$m^3/s$）
「発電用軽水型原子炉施設の安全評価に関する審査指針」の活動中の呼吸率を秒当たりに換算して用いる。
（小児：$0.31m^3/h$，成人：$1.2m^3/h$）

$H_\infty$　：よう素（I-131）を 1Bq 吸入した場合の実効線量
（小児：$1.6\times10^{-7}Sv/Bq$，成人：$2.0\times10^{-8}Sv/Bq$）

χ／Q　：相対濃度（$s/m^3$）

$Q_I$　：よう素の大気放出量（Bq）（I-131 等価量）

希ガスのγ線外部被ばくによる実効線量$H_\gamma$（Sv）は，(5.2-2)式で計算する。

$$H_\gamma = K \cdot D / Q \cdot Q_\gamma \cdots\cdots\cdots\cdots\cdots\cdots\cdots\cdots\cdots\cdots (5.2\text{-}2)$$

ここで，

K　：空気吸収線量から実効線量への換算係数（1Sv/Gy）

D／Q　：相対線量（Gy/Bq）

$Q_\gamma$　：希ガスの大気放出量（Bq）（γ線実効エネルギー0.5MeV 換算値）

また，希ガスのβ線外部被ばくによる実効線量$H_\beta$（Sv）は，(5.2-3)式で計算する。

$$H_\beta = 6.2\times10^{-14} \cdot \chi / Q \cdot Q_\beta \cdot E_\beta \cdot W_{TS} \cdots\cdots\cdots\cdots (5.2\text{-}3)$$

ここで,

| | |
|---|---|
| $\chi$／Q | ：相対濃度（s/m$^3$） |
| $Q_\beta$ | ：希ガスの大気放出量（Bq） |
| $E_\beta$ | ：$\beta$線実効エネルギー「被ばく計算に用いる放射線エネルギー等について」を用いる。(0.251MeV Kr-85 実効エネルギー) |
| $W_{TS}$ | ：皮膚の組織荷重係数は ICRP Publ.60 の値を用いる。(0.01) |

(3) 評価結果

上記の評価前提及び方法に基づき敷地境界外の実効線量を評価した結果は表 5.2 の通りである。

表 5.2 燃料集合体の落下時の実効線量

| 実効線量（小児） | 実効線量（成人） |
|---|---|
| 約 $4.8\times10^{-4}$mSv | 約 $4.8\times10^{-4}$mSv |

上記の値から判断して，本事象による周辺の公衆に与える放射線被ばくのリスクは十分に小さいものと考えられる。

今回評価した実効線量は設置許可申請書での評価（$6.4\times10^{-2}$mSv）と比較して 2 桁以上減少しているが，その原因は，設置許可申請書の評価で排気筒放出であったものが，今回地上放出として評価することによる実効線量の上昇要因があるものの，冷却が進んだことによる希ガス及びよう素の減少効果がそれ以上に大きいことである。

5.3. 判断基準への適合性の検討

5.1，5.2 に示した通り，周辺公衆に対し，著しい放射線被ばくのリスクを与えることはない。

添付資料－４－１

# 燃料取扱設備の構造強度及び耐震性に関する説明書

## 1　本説明書の記載範囲

本説明書は，２号機，３号機及び４号機燃料取扱設備の構造強度及び耐震性について記載するものである。

## 2　４号機燃料取扱設備の構造強度及び耐震性について

### 2.1　概要

#### 2.1.1 一般事項

４号機燃料取扱設備は，燃料取扱機とクレーンを有し，それぞれについて構造強度及び耐震性について検討を行う。燃料取扱設備は使用済燃料プールを覆う燃料取り出し用カバーに設置される。

燃料取扱機の構造強度及び耐震性は，検討に用いる地震動として基準地震動 Ss に対する地震応答解析を実施し，燃料取扱機が使用済燃料プール及び使用済燃料ラックに波及的影響を及ぼさないことを確認する。ここで，波及的影響の確認は燃料取扱機が落下に至らないことを確認する。

クレーンの構造強度及び耐震性は，検討に用いる地震動として弾性設計用地震動 Sd に対する地震応答解析を実施し，クレーンが使用済燃料プール及び使用済燃料ラックに波及的影響を及ぼさないことを確認する。ここで，波及的影響の確認は，クレーンが落下に至らないことを確認する。

弾性設計用地震動 Sd は，基準地震動 Ss の１／２として評価する。

なお，キャスクの縦揺れについては，キャスクの荷重に対して，クレーンのワイヤが切断しない(キャスクが落下しない)ことを確認している。また，キャスクの横揺れについては，クレーンの水平方向固有周期と比較し，ワイヤロープで吊り下げられたキャスクの固有周期は十分に長いことから，クレーン自体の振動には影響されないことを確認している。

燃料取扱設備の検討は，下記に準拠して行う。

(1) 原子力発電所耐震設計技術指針（JEAG 4601・補-1984）
(2) 原子力発電所耐震設計技術指針（JEAG 4601-1987）
(3) 原子力発電所耐震設計技術規程（JEAC 4601-2008）
(4) 発電用原子力設備規格　設計・建設規格（JSME S NC1-2005）
(5) 発電用原子力設備規格　設計・建設規格（2007 年追補版）（JSME S NC1-2007）

2.1.2 燃料取扱機

燃料取扱機は，燃料取扱機支持用架構（添付資料－４－２「燃料取り出し用カバーの構造強度及び耐震性に関する説明書」参照）に設置されるもので，東西方向を長手方向として２本のガーダが配置され，南北方向に走行する。このガーダ上にトロリが設置され，東西方向に走行する。燃料取扱機フレームは，ガーダ，サドル，トロリで構成される。燃料取扱機の概要を図 2.1.2-1 に示す。

ブリッジ及びトロリは，各々走行レール及び横行レール上に乗っているので地震時，走行方向に対しては，最大静止摩擦力以上の水平力が加わった場合すべりを生じる。

ブリッジ及びトロリの車輪は各々4 個であり，そのうち各々2 個は摩擦を受ける駆動輪であり，他の 2 個は従動輪である。ゆえに，最大静止摩擦係数を $\mu$=0.3 とすれば，水平力は鉛直方向荷重×$\mu$ ×2/4＝鉛直方向荷重×0.15 である。

ブリッジ及びトロリは，走行方向に直角な方向に対しては，脱線防止ラグによって荷重を支持する。

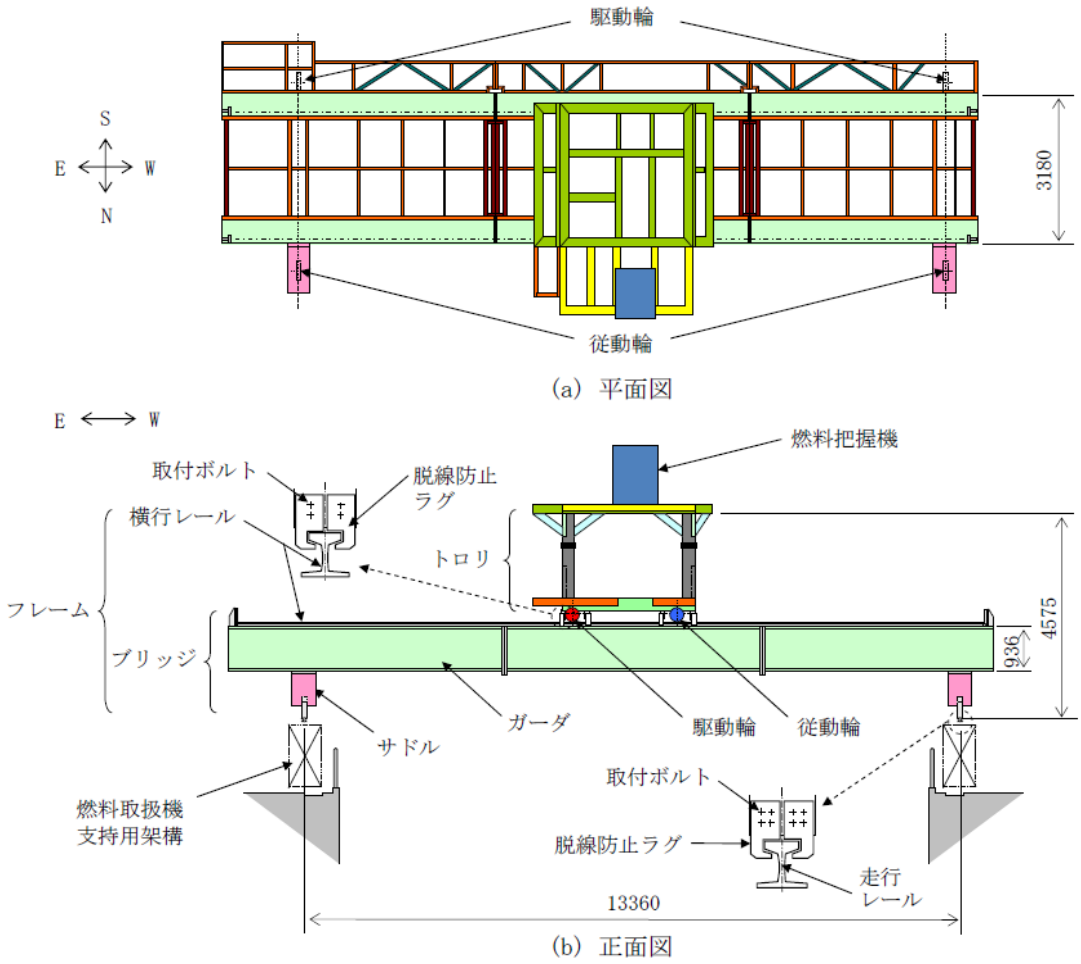



図 2.1.2-1　燃料取扱機の概要

2.1.3 クレーン

クレーンは，クレーン支持用架構（添付資料－４－２「燃料取り出し用カバーの構造強度及び耐震性に関する説明書」参照）に設置されるもので，南北方向に２本のガーダが配置され，南北方向に走行する。このガーダ上にトロリが設置され，東西方向に走行する。クレーンは，ガーダ，サドル，トロリで構成される。クレーンの概要を図 2.1.3-1 に示す。

クレーンは，各々走行レール及び横行レール上に乗っているので地震時，走行方向及び横行方向に対しては，最大静止摩擦力以上の水平力が加わった場合すべりを生じる。

ガーダの車輪は８個であり，そのうち２個は摩擦を受ける駆動輪であり，他の６個は従動輪である。ゆえに，最大静止摩擦係数を$\mu$＝0.3 とすれば，水平力は鉛直方向荷重×$\mu$×2/8＝鉛直方向荷重×0.075 である。

トロリの車輪は４個であり，そのうち２個は摩擦を受ける駆動輪であり，他の２個は従動輪である。ゆえに，最大静止摩擦係数を$\mu$＝0.3 とすれば，水平力は鉛直方向荷重×$\mu$×2/4＝鉛直方向荷重×0.15 である。

ガーダ及びトロリは，走行方向に直角な方向に対しては，脱線防止ラグ，トロリストッパによって荷重を支持する。

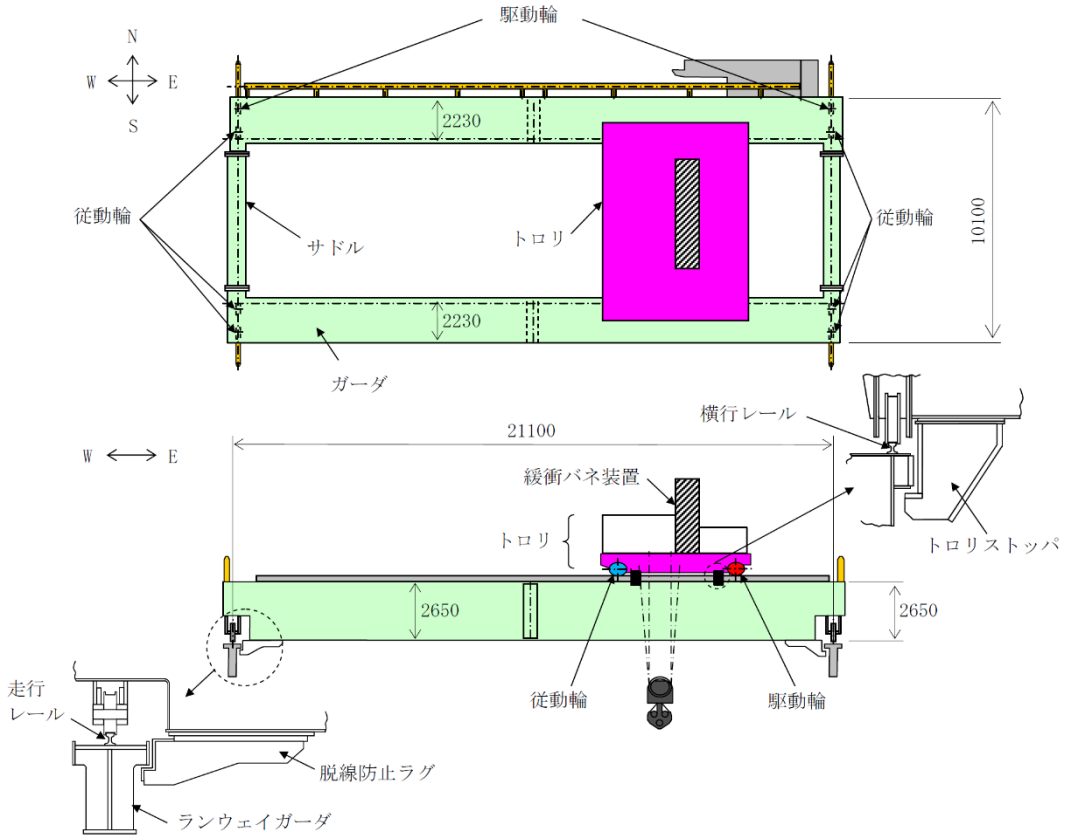



図 2.1.3-1　クレーンの概要

2.2　燃料取扱機の構造強度及び耐震性について

(1) 検討方針

燃料取扱機について，地震応答解析を実施し，応力評価を行う。

1)　使用材料及び許容応力

燃料取扱機の物性値及び許容応力を表 2.2-1 に示す。温度は運転エリアの最高温度（40℃）に余裕を見込んだ 50℃とする。落下防止の観点から，曲げと組合せは設計引張強さＳｕを許容応力とする。せん断応力は，JEAG 4601・補-1984 に従い引張応力から換算して，設計引張強さＳｕを 1/√3 倍して用いる。

表 2.2-1　物性値及び許容応力

材料定数

| 部位 | 使用材料 | 縦弾性係数 (MPa) | ポアソン比 | 温度 (℃) |
|---|---|---|---|---|
| 燃料取扱機構造物 フレーム | SS400 STKR400 | 201,000 | 0.3 | 50 |

許容応力

| 部位 | | 使用材料 | 応力の種類 | 許容応力 (MPa) |
|---|---|---|---|---|
| 燃料取扱機構造物 フレーム | | SS400 STKR400 | 曲げ | 394 |
| | | | せん断 | 227 |
| | | | 組合せ | 394 |
| ブリッジ | 脱線防止ラグ | SS400 | 曲げ | 394 |
| | | | せん断 | 227 |
| | | | 組合せ | 394 |
| | 取付ボルト | SCM435 | せん断 | 523 |
| トロリ | 脱線防止ラグ | SS400 | 曲げ | 394 |
| | | | せん断 | 227 |
| | | | 組合せ | 394 |
| | 取付ボルト | SCM435 | せん断 | 523 |
| 走行レール | | レール鋼 (CR 73K-DHH) | 曲げ | 1080 |
| | | | せん断 | 623 |
| | | | 組合せ | 1080 |
| 横行レール | | レール鋼 (1 類　AR 30A) | 曲げ | 690 |
| | | | せん断 | 398 |
| | | | 組合せ | 690 |

2)　荷重及び荷重組合せ

設計で考慮する荷重は死荷重及び地震荷重である。

死荷重は吊り荷を含む燃料取扱機自身の質量による荷重である。

地震荷重は基準地震動 Ss による荷重であり，水平 2 方向それぞれの地震荷重に鉛直方向地震荷重を加算する。具体的には次の通りである。

・死荷重＋水平地震（NS 方向）＋鉛直地震

・死荷重＋水平地震（EW 方向）＋鉛直地震

| | |
|---|---|
| ブリッジ質量 | 42,000(kg) |
| トロリ質量※ | 17,000(kg) |

※吊り荷質量（450(kg)含む）

(2) 燃料取扱機の地震応答解析

解析は，地震応答解析モデルにより計算機コード「SAP－Ⅳ」を用いたモーダル解析による応答スペクトル法により行う。

1) 解析に用いる入力地震動

燃料取扱機への入力地震動は，基準地震動 Ss を入力したときの燃料取扱機支持用架構位置 G.L.+30.77m（添付資料－４－２「燃料取り出し用カバーの構造強度及び耐震性に関する説明書」参照）の床応答スペクトルを用いる。床応答スペクトルを図 2.2-1 に示す。

この床応答スペクトルは，燃料取扱機の走行範囲で想定される床応答スペクトルを包絡したものである。

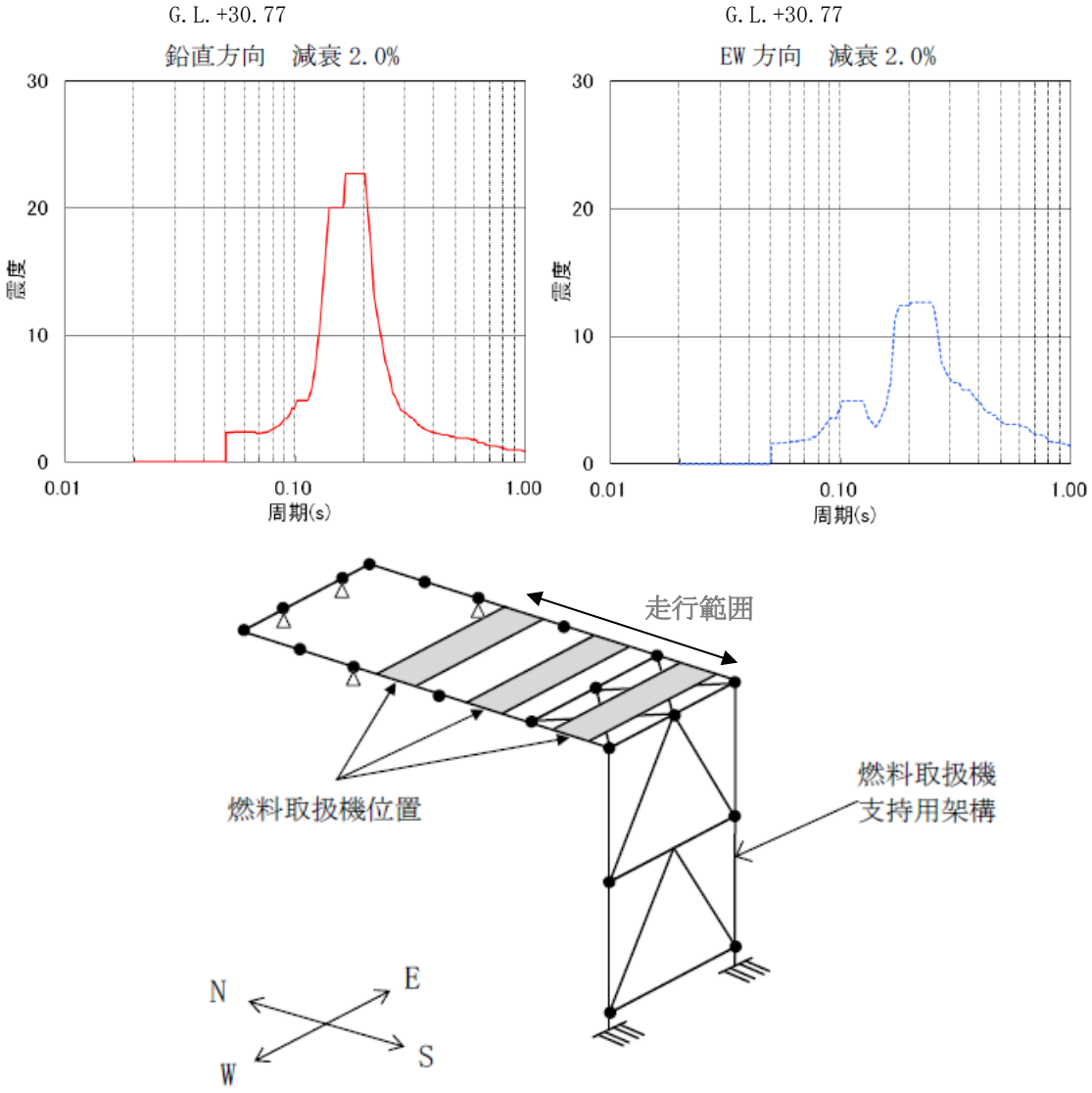



図 2.2-1　床応答スペクトル

2)　地震応答解析モデル

燃料取扱機の地震応答解析モデルを図 2.2-2 に示す。

解析モデルはビームでモデル化しており，ブリッジ脱線防止ラグ下端が架構側との取り合い点であり，脱線防止ラグにより浮上りを押さえる構造としているため，そこを拘束点とする。

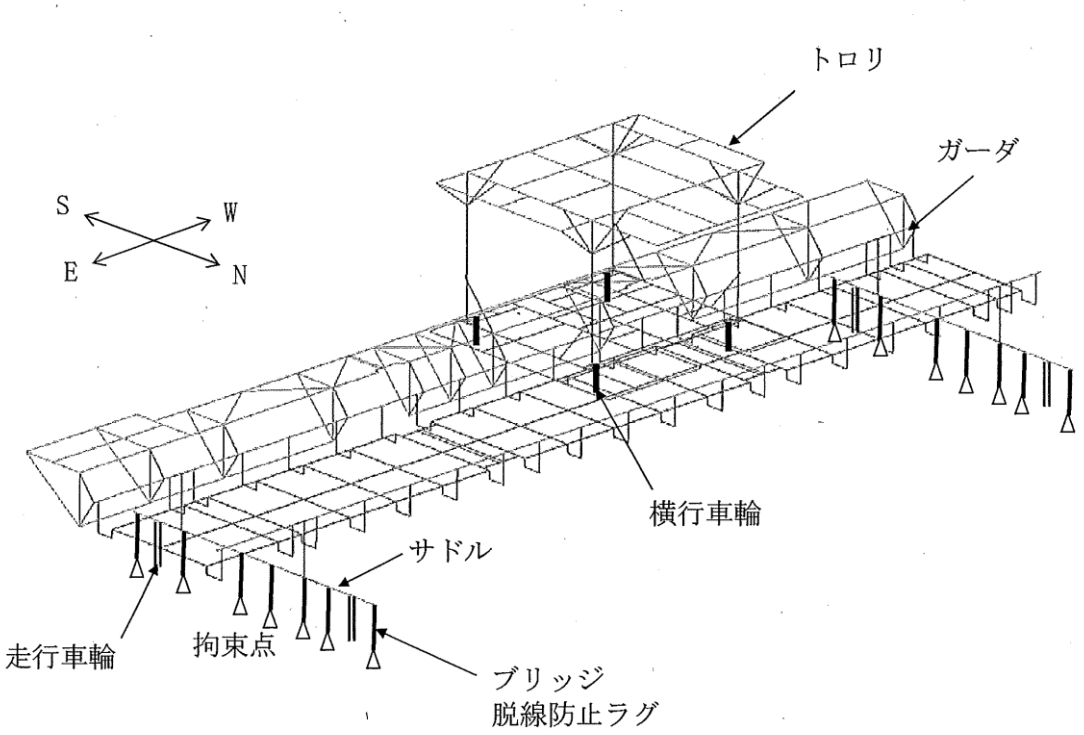



図 2.2-2　地震応答解析モデル

3) 設計震度

・死荷重は鉛直下向きに 1G とする。

・地震荷重は，図 2.2-1 に示す床応答スペクトルを入力する。ただし，レールと車輪の走行方向のすべりを考慮し，ブリッジの NS 方向及びトロリの NS，EW 方向については，2.1.2 項で述べた最大静止摩擦係数より求めた値を水平方向設計震度とする。

| | | | 固有周期（s） | 設計震度 |
|---|---|---|---|---|
| 水平方向 | ブリッジ | NS 方向 | － | 0.15※ |
| | | EW 方向 | 0.034 | 1.76 |
| | トロリ | NS 方向 | － | 0.15※ |
| | | EW 方向 | － | 0.15※ |
| 鉛直方向 | | | 0.065 | 2.34 |

注記※：最大静止摩擦係数より求めた水平方向設計震度

4)　地震応答解析結果

燃料取扱機の地震応答解析結果を図 2.2-3 に示す。

これは死荷重，水平地震及び鉛直地震の荷重を加算して，各部材毎に応力を求めて表示したものである。

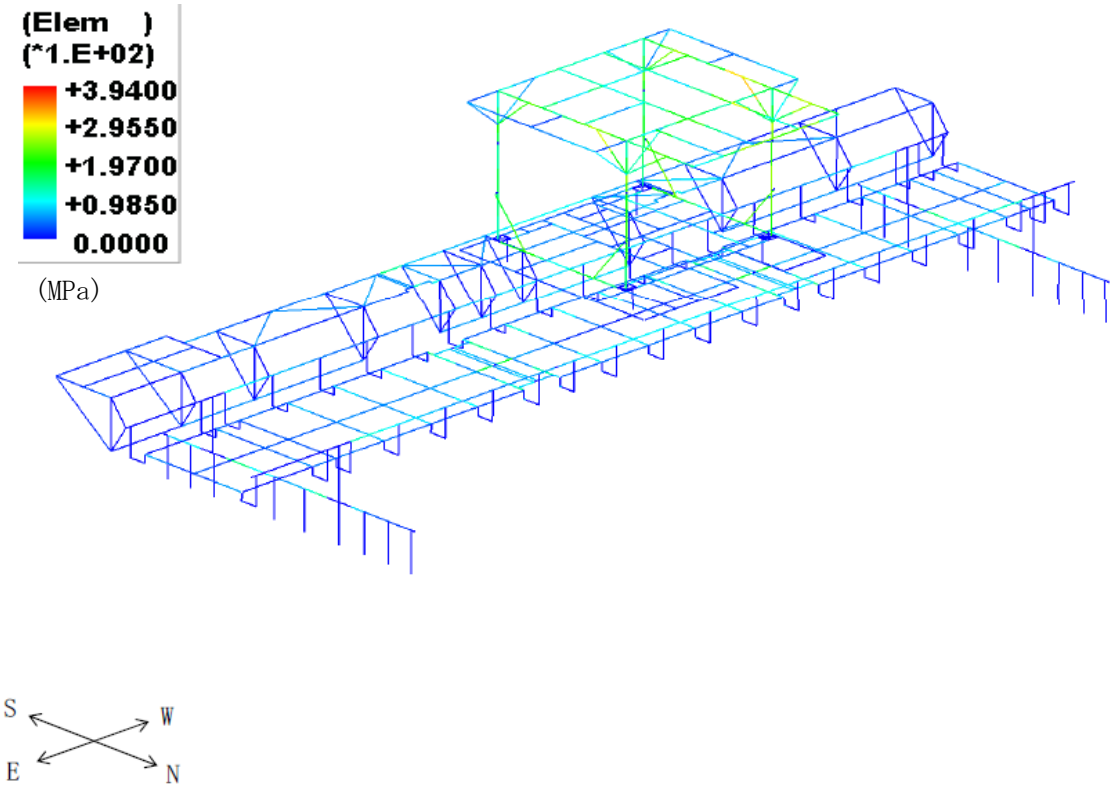



図 2.2-3　地震応答解析結果

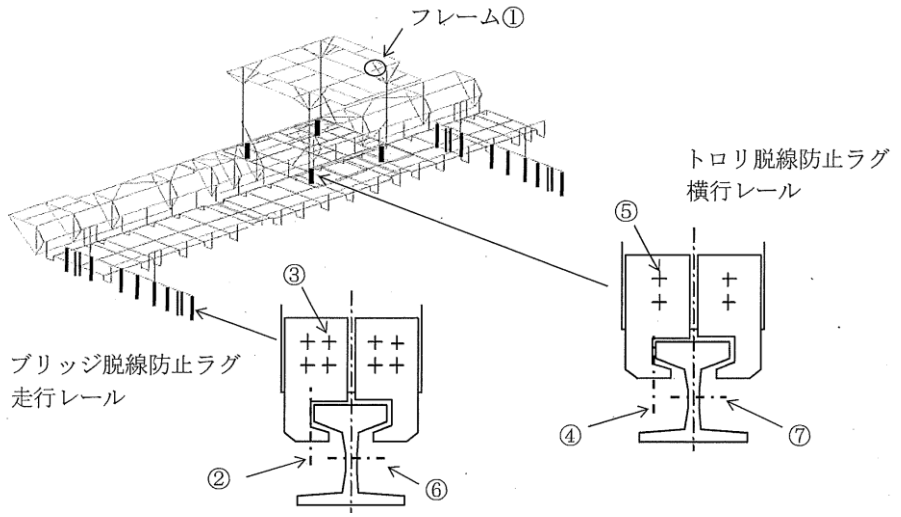
(3) 燃料取扱機の構造強度評価結果

燃料取扱機の応力評価結果を表 2.2-2 に示す。算出応力は許容応力以下であるので，燃料取扱機は基準地震動 Ss に対して落下に至らないことを確認した。

表 2.2-2　応力評価結果纏め

（単位：MPa）

| 部位 | | 使用材料 | 応力の種類 | 算出応力 | 許容応力 |
|---|---|---|---|---|---|
| 燃料取扱機構造物フレーム① | | SS400<br>STKR400 | 曲げ | 316 | 394 |
| | | | せん断 | 13 | 227 |
| | | | 組合せ | 316 | 394 |
| ブリッジ | 脱線防止ラグ② | SS400 | 曲げ | 125 | 394 |
| | | | せん断 | 38 | 227 |
| | | | 組合せ | 140 | 394 |
| | 取付ボルト③ | SCM435 | せん断 | 66 | 523 |
| トロリ | 脱線防止ラグ④ | SS400 | 曲げ | 90 | 394 |
| | | | せん断 | 35 | 227 |
| | | | 組合せ | 107 | 394 |
| | 取付ボルト⑤ | SCM435 | せん断 | 139 | 523 |
| 走行レール⑥ | | レール鋼<br>(CR 73K-DHH) | 曲げ | 531 | 1080 |
| | | | せん断 | 42 | 623 |
| | | | 組合せ | 535 | 1080 |
| 横行レール⑦ | | レール鋼<br>(1 類　AR 30A) | 曲げ | 568 | 690 |
| | | | せん断 | 24 | 398 |
| | | | 組合せ | 569 | 690 |



2.3　クレーンの構造強度及び耐震性について

(1) 検討方針

クレーンについて，地震応答解析を実施し，応力評価を行う。

1)　使用材料及び許容応力

クレーンの物性値及び許容応力を表 2.3-1 に示す。温度は運転エリアの最高温度（40℃）に余裕を見込んだ 50℃とする。落下防止の観点から，曲げと組合せは設計引張強さＳｕを許容応力とする。せん断応力は JEAG4601・補-1984 に従い引張応力から換算して，設計引張強さＳｕを 1/√3 倍して用いる。

表 2.3-1　物性値及び許容応力

材料定数

| 部位 | 使用材料 | 縦弾性係数 (MPa) | ポアソン比 | 温度 (℃) |
|---|---|---|---|---|
| クレーン本体 ガーダ | SM490A | 201,000 | 0.3 | 50 |

許容応力

| 部位 | | 使用材料 | 応力の種類 | 許容応力 (MPa) |
|---|---|---|---|---|
| クレーン本体 ガーダ | 中央 | SM490A | 曲げ | 480 |
| | 端部 | SM490A | せん断 | 277 |
| 脱線防止ラグ | | SS400 | 曲げ | 394 |
| | | | せん断 | 227 |
| | | | 組合せ | 394 |
| トロリストッパ | | SS400 | 曲げ | 394 |
| | | | せん断 | 227 |
| | | | 組合せ | 394 |

2)　荷重及び荷重組合せ

設計で考慮する荷重は死荷重及び地震荷重である。

死荷重は吊り荷を含むクレーン自身の質量による荷重である。

地震荷重は弾性設計用地震動 Sd による荷重であり，水平 2 方向の地震荷重に鉛直方向地震荷重を加算する。具体的には次の通りである。

・死荷重＋水平地震（NS，EW 方向）＋鉛直地震

| | |
|---|---|
| クレーン本体ガーダ質量 | 170,000(kg) |
| トロリ質量 | 103,000(kg) |
| 吊り荷質量 | 100,000(kg) |

(2) クレーンの地震応答解析

解析は，地震応答解析モデルにより計算機コード「ABAQUS」を用いた直接積分法による時刻歴解析により行う

1) 解析に用いる入力地震動

クレーンの入力地震動は，弾性設計用地震動 Sd を入力した時のクレーン支持用架構の地震応答計算から得られる G.L.+40.22m（添付資料－４－２「燃料取り出し用カバーの構造強度及び耐震性に関する説明書」参照）の時刻歴加速度波を用いる。時刻歴加速度波形を図 2.3-1 に示す。なお，死荷重は鉛直下向きに 1G とする。

この時刻歴加速度波はクレーンの走行範囲で想定される時刻歴加速度波のうち，クレーンに対し最も影響を与えるものである。

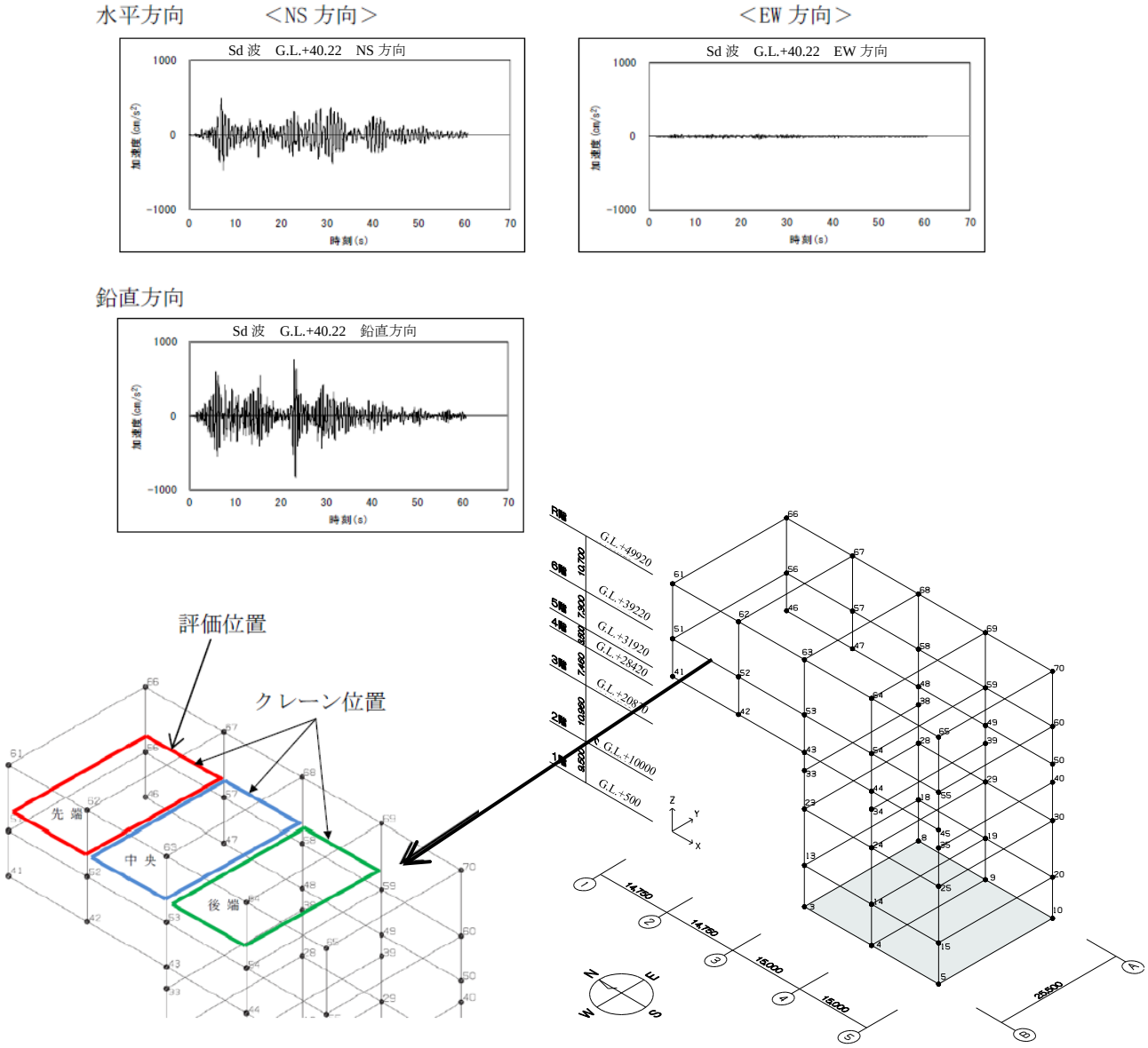



図 2.3-1 時刻歴加速度波形

2)　地震応答解析モデル

クレーンの地震応答解析モデルを図 2.3-2 に示す。

解析モデルは，ビーム及び非線形要素でモデル化しており，走行車輪部下端がクレーン支持用架構側との取り合い点であるため，それを拘束点とする。

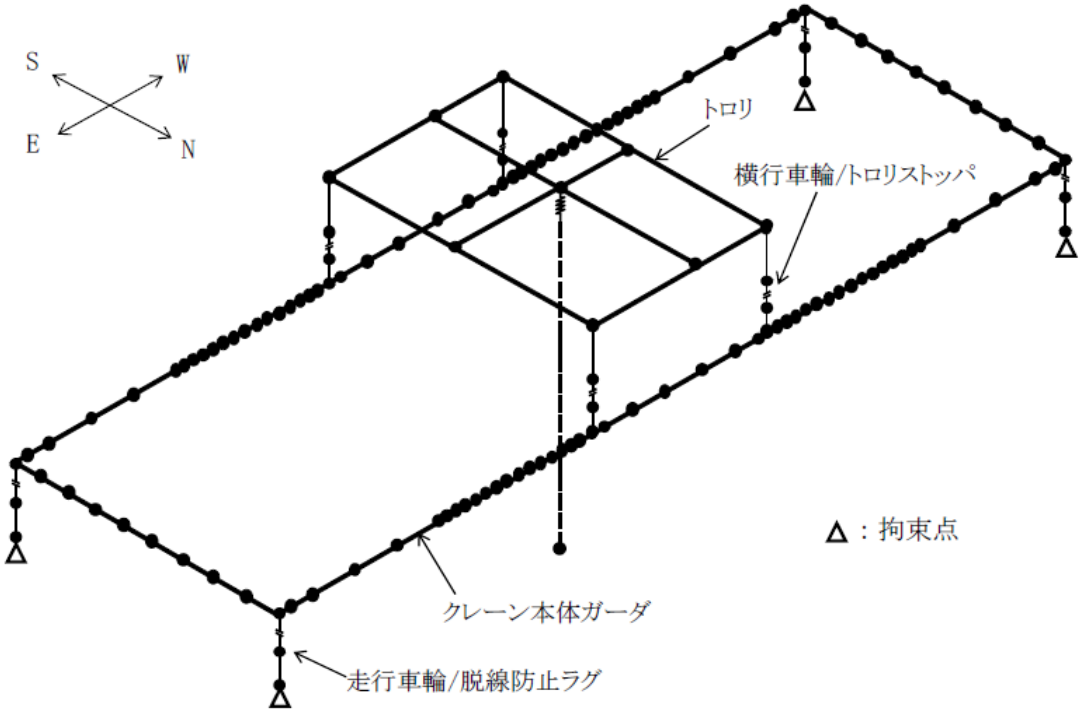



図 2.3-2　地震応答解析モデル

3) 設計地震

脱線防止ラグ及びトロリストッパの評価において，設計震度は以下とする。

| | 固有周期（s） | 設計震度 |
|---|---|---|
| 走行方向（NS 方向） | － | 0.075※ |
| 横行方向（EW 方向） | 0.020 | 0.89 |

注記※：最大静止摩擦係数より求めた水平方向設計震度

4)　地震動の入力方法の考え方

クレーンに入力される時刻歴波は，クレーン周囲のクレーン支持用架構の節部分からランウェイガーダ／走行レールを経由してクレーン車輪部に入力されることとなるが，クレーンの位置により時刻歴波が異なることから，クレーン重心位置に応じて平均化した時刻歴波を入力地震動とする。

5)　地震応答解析結果

クレーンの地震応答解析結果を表 2.3-2 に示す。

地震応答解析結果は時刻歴応答結果の最大値を用いる。

表 2.3-2　クレーンの地震応答解析結果

| 部位 | | 荷重の種類 | 荷重の方向 | 荷重値 |
|---|---|---|---|---|
| クレーン本体ガーダ | 中央 | 曲げモーメント(N･mm) | 鉛直 | $1.707\times10^{10}$ |
| | | | 水平 | $8.429\times10^{8}$ |
| | 端部 | せん断力(N) | 鉛直 | $2.372\times10^{6}$ |
| 脱線防止ラグ | | 圧縮力(N) | 鉛直 | $2.779\times10^{5}$ |
| トロリストッパ | | | 鉛直 | $1.877\times10^{5}$ |

注：絶対値にて表示している。

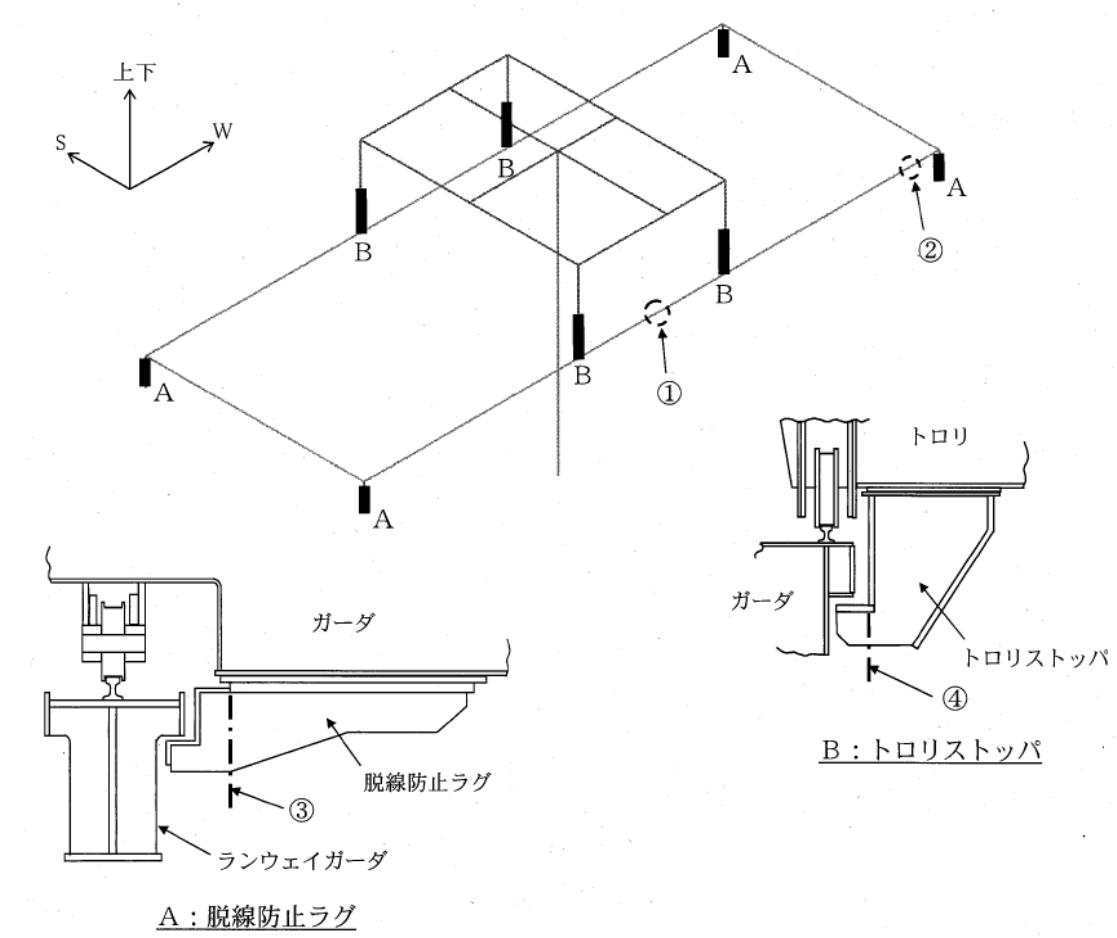
(3) クレーンの構造強度評価結果

クレーンの構造強度評価結果を表 2.3-3 に示す。算出応力は許容応力以下であるので，クレーンは弾性設計用地震動 Sd に対して落下に至らないことを確認した。

表 2.3-3　応力評価結果纏め

（単位：MPa）

| 部位 | | 使用材料 | 応力の種類 | 算出応力 | 許容応力 |
|---|---|---|---|---|---|
| クレーン本体ガーダ | 中央① | SM490A | 曲げ | 140 | 480 |
| | 端部② | SM490A | せん断 | 60 | 277 |
| 脱線防止ラグ③ | | SS400 | 曲げ | 87 | 394 |
| | | | せん断 | 12 | 227 |
| | | | 組合せ | 89 | 394 |
| トロリストッパ④ | | SS400 | 曲げ | 30 | 394 |
| | | | せん断 | 9 | 227 |
| | | | 組合せ | 34 | 394 |




A：脱線防止ラグ

B：トロリストッパ

3　３号機燃料取扱設備の構造強度及び耐震性について

3.1　概要

3.1.1　一般事項

３号機燃料取扱設備は，燃料取扱機とクレーンを有し，それぞれについて構造強度及び耐震性について検討を行う。燃料取扱設備は使用済燃料プールを覆う燃料取り出し用カバーに設置される。燃料取扱機とクレーンの耐震設計上の重要度分類は，B クラス相当とする。

燃料取扱機の構造強度及び耐震性は，検討に用いる地震動として基準地震動 Ss に対する地震応答解析を実施し，燃料取扱機が使用済燃料プール及び使用済燃料ラックに波及的影響を及ぼさないことを確認する。ここで，波及的影響の確認は燃料取扱機が転倒・落下に至らないことを確認する。

クレーンの構造強度及び耐震性は，検討に用いる地震動として弾性設計用地震動 Sd に対する地震応答解析を実施し，クレーンが使用済燃料プール及び使用済燃料ラックに波及的影響を及ぼさないことを確認する。ここで，波及的影響の確認は，クレーンが転倒・落下に至らないことを確認する。

弾性設計用地震動 Sd は，基準地震動 Ss の１／２として評価する。

なお，キャスクの縦揺れについては，キャスクの荷重に対して，クレーンのワイヤが切断しない(キャスクが落下しない)ことを確認している。また，キャスクの横揺れについては，クレーンの水平方向固有周期と比較し，ワイヤロープで吊り下げられたキャスクの固有周期は十分に長いことから，クレーン自体の振動には影響されないことを確認している。

燃料取扱設備の検討は，下記に準拠して行う。

(1) 原子力発電所耐震設計技術指針（JEAG 4601・補-1984）

(2) 原子力発電所耐震設計技術規程（JEAC 4601-2008）

(3) 発電用原子力設備規格　設計・建設規格（JSME S NC1-2005）

(4) 発電用原子力設備規格　設計・建設規格（2007 年追補版）（JSME S NC1-2007）

3.1.2　燃料取扱機

燃料取扱機は，門型架構（添付資料－４－２「燃料取り出し用カバーの構造強度及び耐震性に関する説明書」参照）に設置されるもので，南北方向を長手方向としてブリッジが配置され，東西方向に走行する。このブリッジ上にトロリが設置され，南北方向に走行する。燃料取扱機フレームは，ブリッジ，テンシルトラストロリで構成される。燃料取扱機の概要を図3.1.2-1に示す。

ブリッジは，走行レール上に乗っているので地震時，走行方向に対しては，最大静止摩擦力以上の水平力が加わった場合すべりを生じる。

テンシルトラストロリは，横行レール上に乗っているので地震時，横行方向に対しては，最大静止摩擦力以上の水平力が加わった場合すべりを生じる。

ブリッジ及びトロリの車輪は各々4個であり，そのうち摩擦を受ける駆動輪は，ブリッジは2個，トロリは4個であり，駆動輪で水平力を受ける。

ゆえに，最大静止摩擦係数をμ=0.3 とすれば，ブリッジ水平力は鉛直方向荷重×μ×2/4＝鉛直方向荷重×0.15 であるが，保守的に鉛直方向荷重×0.3 とする。

ブリッジは，走行方向に水平直角な方向に対して，ガイドフレームによって荷重を支持され，鉛直上向き方向に対して，脱線防止ラグによって支持される。

トロリは，走行方向に水平直角及び鉛直上向きな方向に対しては，脱線防止ラグによって荷重を支持する。

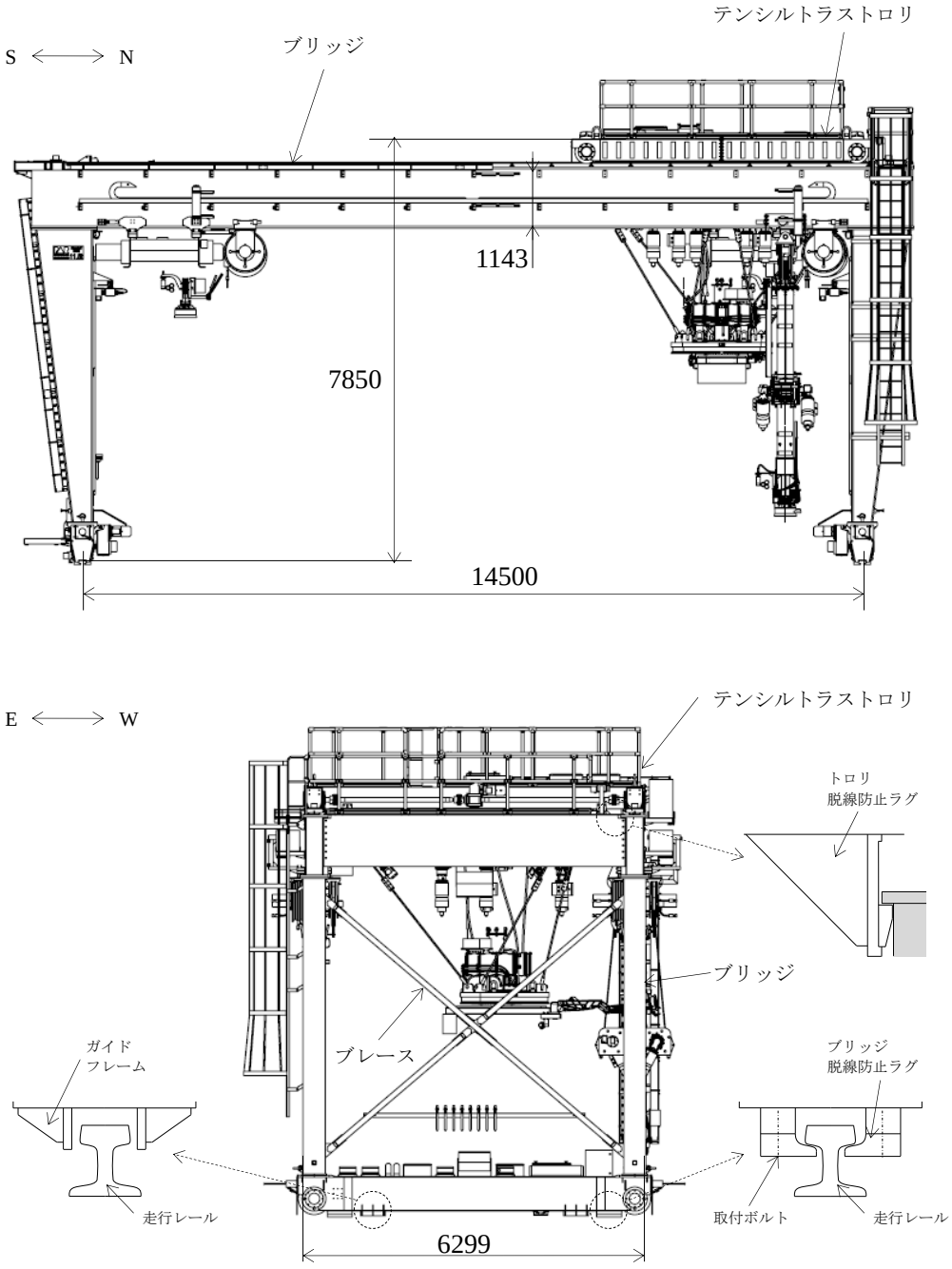



図 3.1.2-1　燃料取扱機の概要

3.1.3　クレーン

クレーンは，門型架構（添付資料－４－２「燃料取り出し用カバーの構造強度及び耐震性に関する説明書」参照）に設置されるもので，南北方向を長手方向としてブリッジが配置され，東西方向に走行する。このブリッジ上にトロリが設置され，南北方向に走行する。クレーンは，ブリッジ，トロリで構成される。クレーンの概要を図 3.1.3-1 に示す。

ブリッジは，走行レール上に乗っているので地震時，走行方向に対しては，最大静止摩擦力以上の水平力が加わった場合すべりを生じる。

トロリは，横行レール上に乗っているので地震時，横行方向に対しては，最大静止摩擦力以上の水平力が加わった場合すべりを生じる。

ブリッジ及びトロリの車輪は各々4 個であり，そのうち摩擦を受ける駆動輪は，ブリッジ，トロリ共に各々2 個であり，駆動輪で水平力を受ける。

ゆえに，最大静止摩擦係数をμ＝0.3 とすれば，水平力は鉛直方向荷重×μ×2/4＝鉛直方向荷重×0.15 であるが，保守的に鉛直方向荷重×0.3 とする。

ブリッジは，走行方向に水平直角な方向に対して，ガイドフレームによって荷重を支持され，鉛直上向き方向に対して，脱線防止ラグによって支持される。

トロリは，走行方向に水平直角及び鉛直上向きな方向に対しては，脱線防止ラグによって荷重を支持する。

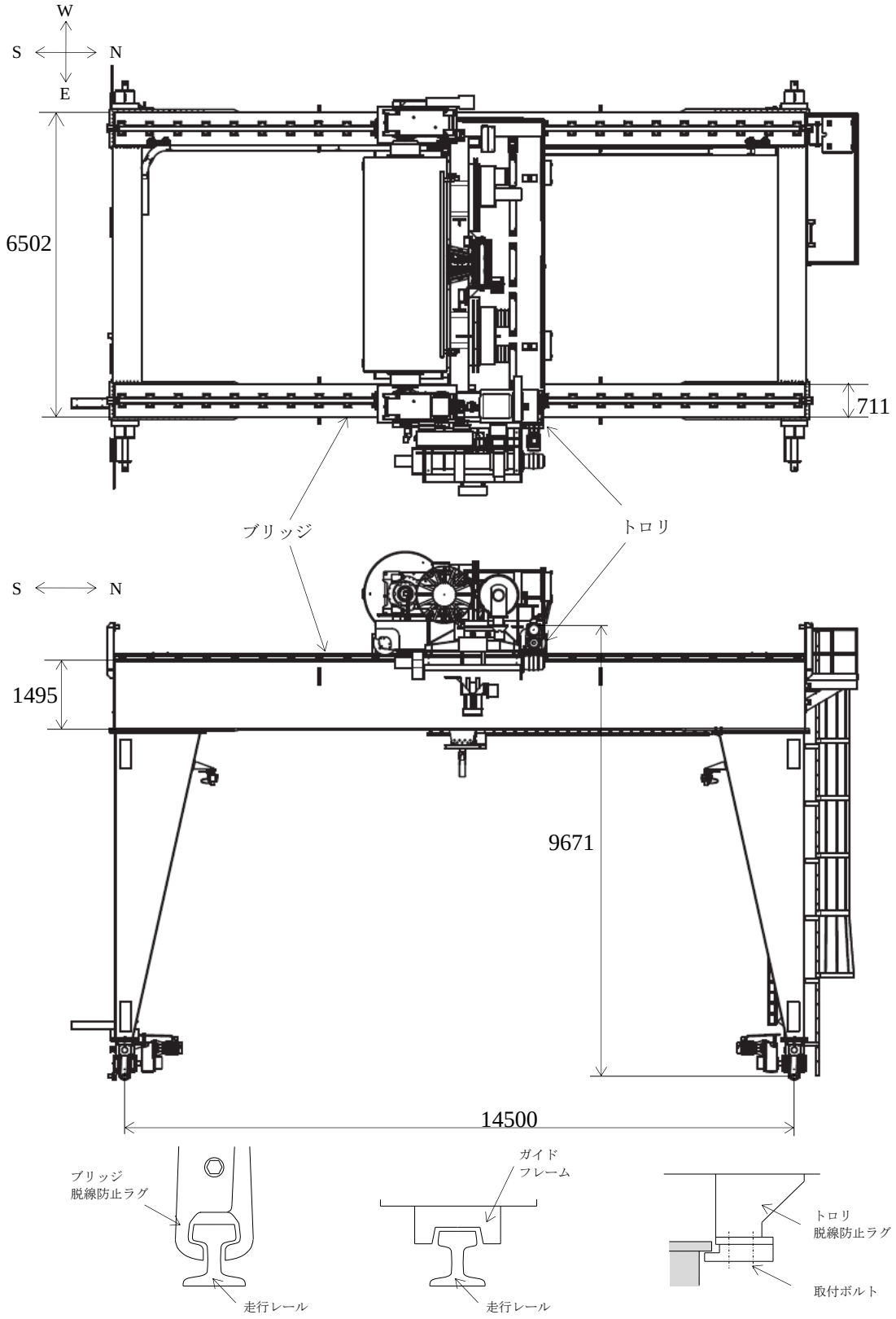



図 3.1.3-1　クレーンの概要

3.2　燃料取扱機の構造強度及び耐震性について

(1) 検討方針

燃料取扱機について，地震応答解析を実施し，応力評価を行う。

1)　使用材料及び許容応力

燃料取扱機の物性値及び許容応力を表 3.2-1 に示す。温度は運転エリアの最高温度（40℃）に余裕を見込んだ 50℃とする。曲げ，組合せ，せん断の許容応力は，JEAC 4601-2008 に従い用いる。

表 3.2-1　物性値及び許容応力

材料定数

| 部位 | 使用材料 | 縦弾性係数 (MPa) | ポアソン比 | 温度 (℃) |
|---|---|---|---|---|
| 燃料取扱機構造物 フレーム | ASTM A572 GR50 | 201,000 | 0.3 | 50 |
| | ASTM A500 GR B | 201,000 | 0.3 | 50 |

許容応力

| 部位 | 使用材料 | 応力の種類 | 許容応力 (MPa) |
|---|---|---|---|
| 燃料取扱機構造物 フレーム | ASTM A572 GR50 | 曲げ | 315 |
| | | せん断 | 181 |
| | | 組合せ | 315 |
| | ASTM A500 GR B | 曲げ | 280 |
| | | せん断 | 161 |
| | | 組合せ | 280 |
| ブリッジ 脱線防止ラグ | ASTM A514 GR H | 曲げ | 483 |
| | | せん断 | 278 |
| | | 組合せ | 483 |
| ブリッジ脱線防止ラグ 取付ボルト | ISO898-1 8.8 | 引張 | 420 |
| ガイドフレーム | ASTM A572 GR50 | 曲げ | 315 |
| | | せん断 | 181 |
| | | 組合せ | 315 |
| トロリ 脱線防止ラグ | ASTM A572 GR50 | 曲げ | 315 |
| | | せん断 | 181 |
| | | 引張 | 315 |
| | | 組合せ | 315 |
| 走行レール | レール鋼 (ASTM A759) | 曲げ | 537 |
| | | せん断 | 310 |
| | | 組合せ | 537 |

2) 荷重及び荷重組合せ

設計で考慮する荷重は死荷重及び地震荷重である。

死荷重は吊り荷を含む燃料取扱機自身の質量による荷重である。

地震荷重は基準地震動 Ss による荷重であり，水平 2 方向それぞれの地震荷重に鉛直方向地震荷重を二乗和平方根（SRSS）法で組み合わせる。具体的には次の通りである。

・ $((\text{水平地震(NS 方向)})^2+(\text{水平地震(EW 方向)})^2+(\text{鉛直地震})^2)^{1/2}$

| | |
|---|---|
| ブリッジ質量 | 43,000(kg) |
| テンシルトラストロリ質量※1 | 26,300(kg) |
| マストトロリ質量 | 3,500(kg) |
| 西側補助ホイストトロリ質量※2 | 6,650(kg) |
| 東側補助ホイストトロリ質量※2 | 6,650(kg) |

※1：吊り荷質量（1,500(kg)）含む

※2：吊り荷質量（4,900(kg)）含む。但し，評価は 5,000kg で行った。

(2) 燃料取扱機の地震応答解析

解析は，地震応答解析モデルにより計算機コード「NX Nastran」を用いた直接積分法による時刻歴解析により行う。

1) 解析に用いる入力地震動

燃料取扱機の入力地震動は，基準地震動 Ss を入力した時の門型架構地震応答計算から得られる G.L.+36m（添付資料－４－２「燃料取り出し用カバーの構造強度及び耐震性に関する説明書」参照）の時刻歴加速度波を用いる。時刻歴加速度波は燃料取扱機，クレーンの門型架構上の位置（添付資料－４－２「燃料取り出し用カバーの構造強度及び耐震性に関する説明書」図 3.2-1 参照）によって異なるため，時刻歴加速度波の各床応答スペクトルの内，燃料取扱機の固有周期で最も大きな値をとる床応答スペクトルの時刻歴加速度波を用いる。

門型架構上での燃料取扱機の位置を表 3.2-2，時刻歴加速度波形を図 3.2-1，図 3.2-2 に示す。なお，死荷重は鉛直下向きに 1G とする。

この時刻歴加速度波は燃料取扱機の走行範囲で想定される時刻歴加速度波のうち，燃料取扱機に対し最も影響を与えるものである。

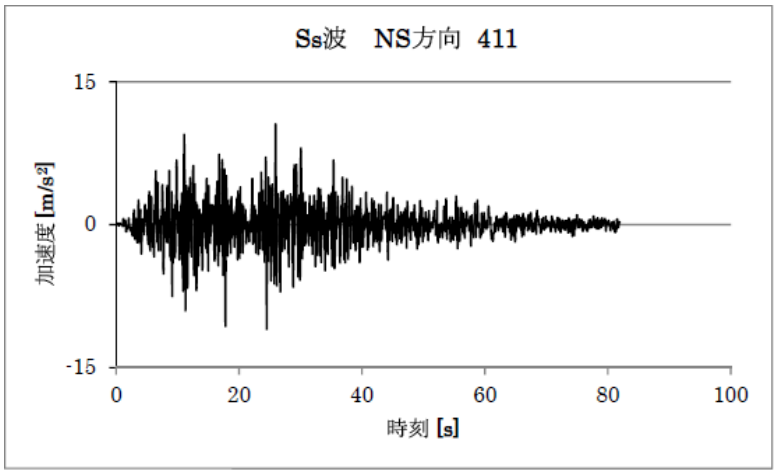
表 3.2-2　門型架構上での燃料取扱機の位置

トロリがブリッジの中央にある場合の解析ケース

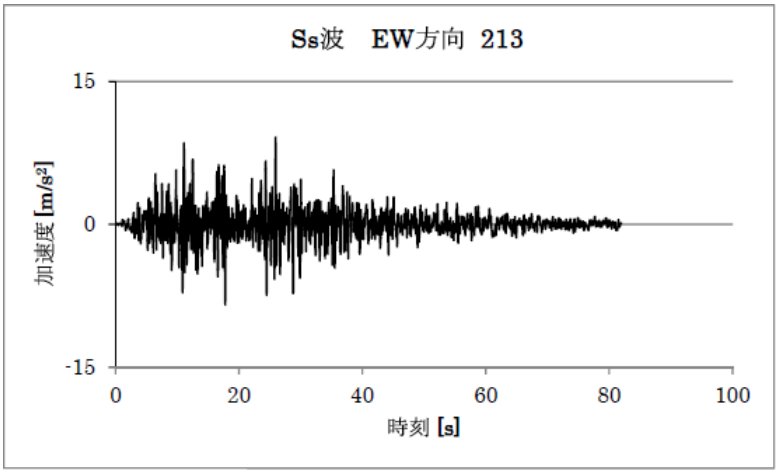
| 時刻歴加速度波 | 門型架構上での<br>燃料取扱機の位置 |
|---|---|
| ＮＳ方向 | 中央 |
| ＥＷ方向 | 東端 |
| ＵＤ方向 | 東端 |

トロリがブリッジの端部にある場合の解析ケース

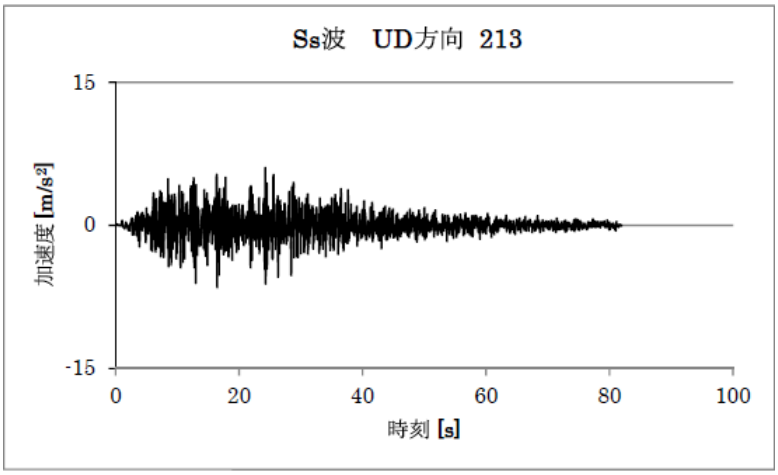
| 時刻歴加速度波 | 門型架構上での<br>燃料取扱機の位置 |
|---|---|
| ＮＳ方向 | 中央 |
| ＥＷ方向 | 中央 |
| ＵＤ方向 | 中央 |




水平方向＜NS 方向＞

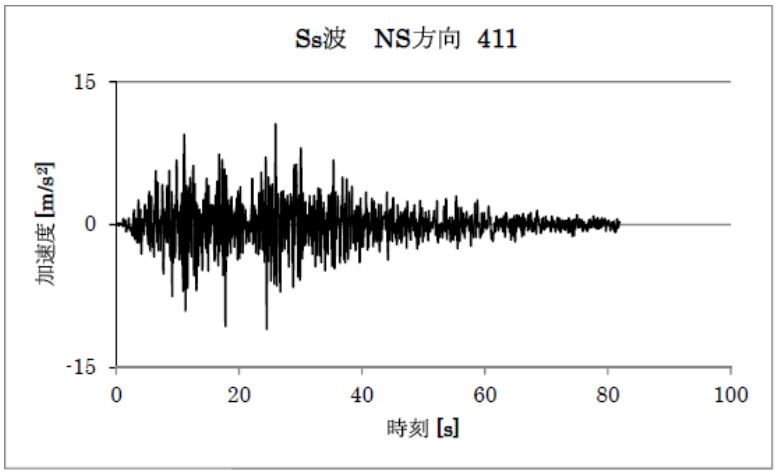



水平方向＜EW 方向＞

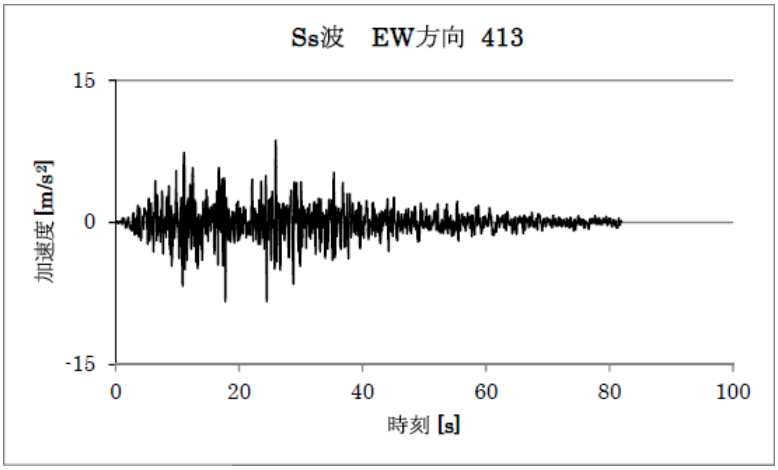



鉛直方向

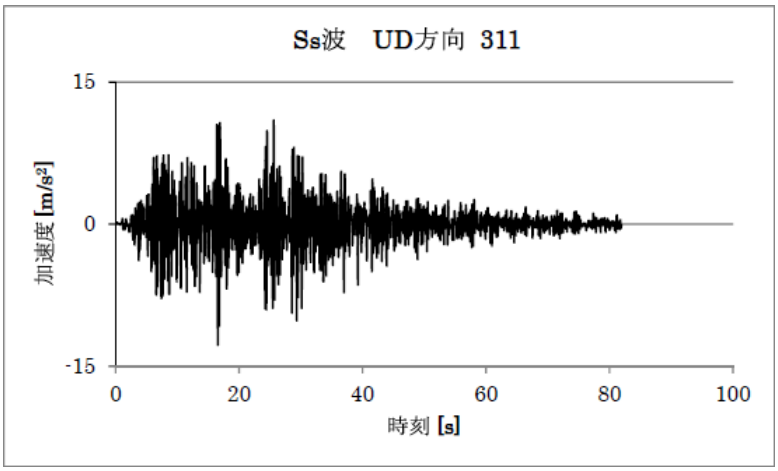
図 3.2-1　トロリがブリッジの中央にある場合の時刻歴加速度波形




水平方向＜NS 方向＞




水平方向＜EW 方向＞




鉛直方向

図 3.2-2　トロリがブリッジの端部にある場合の時刻歴加速度波形

2)　地震応答解析モデル

燃料取扱機の地震応答解析モデルを図 3.2-3 に示す。

解析モデルは，ビーム，非線形要素及びシェルでモデル化しており，走行車輪部下端が門型架構側との取り合い点であるため，それを拘束点とする。

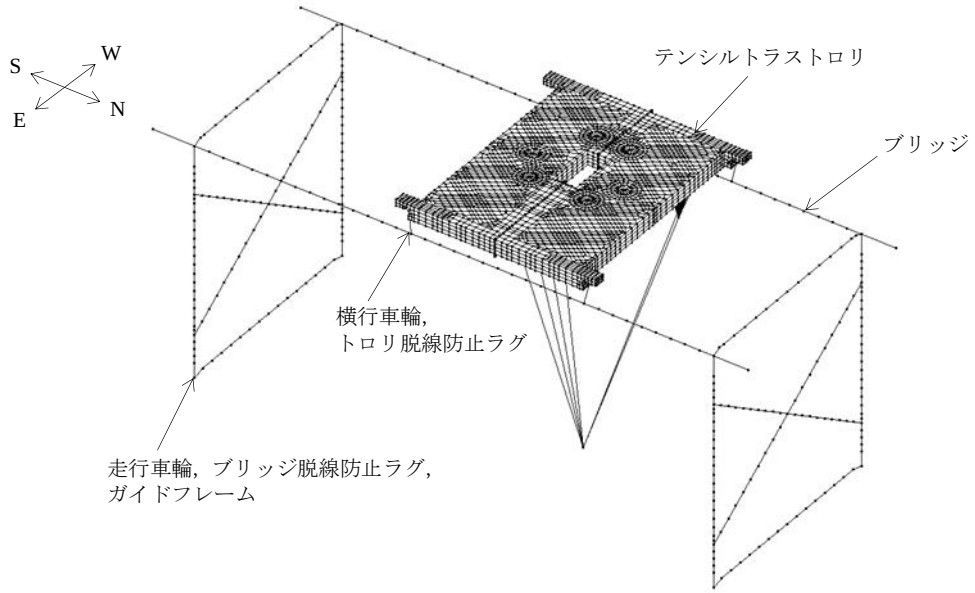



図 3.2-3　地震応答解析モデル

3)　地震応答解析結果

燃料取扱機の地震応答解析結果を表 3.2-3 に示す。

地震応答解析結果は時刻歴応答結果の最大値を用いる。

表 3.2-3　燃料取扱機の地震応答解析結果

| 部位 | | 荷重の種類 | 荷重の方向 | 荷重値 |
|---|---|---|---|---|
| 燃料取扱機構造物 | 脚部 | 曲げモーメント(N･mm) | 水平 | $2.064\times10^{9}$ |
| | ブリッジガーダ | せん断力(N) | 水平 | $7.301\times10^{4}$ |
| | | | 鉛直 | $5.478\times10^{5}$ |
| ブリッジ脱線防止ラグ | | 圧縮力(N) | 鉛直 | $1.669\times10^{5}$ |
| ガイドフレーム | | 圧縮力(N) | 水平 | $3.394\times10^{5}$ |
| トロリ脱線防止ラグ | | 圧縮力(N) | 水平 | $1.110\times10^{5}$ |
| | | 圧縮力(N) | 鉛直 | $1.317\times10^{5}$ |
| 走行レール | | 圧縮力(N) | 水平 | $3.394\times10^{5}$ |

注：絶対値にて表示している。

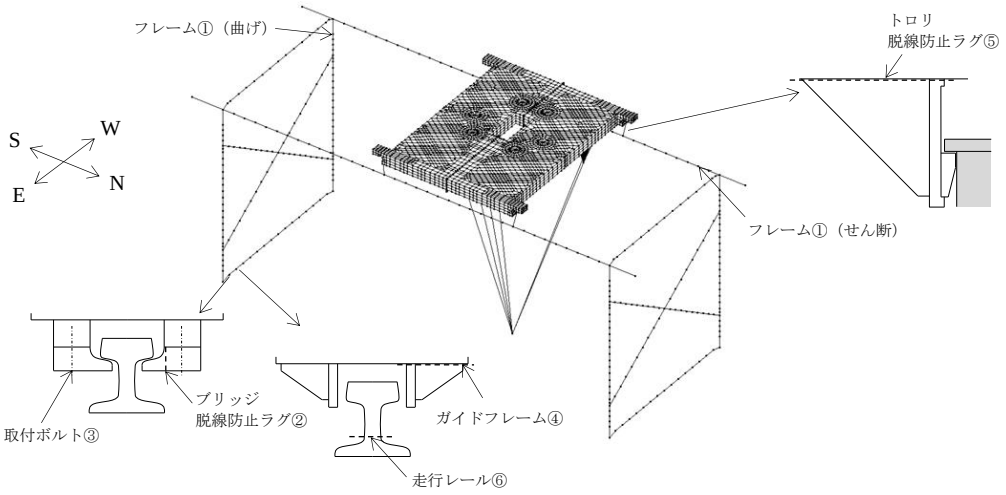
(3) 燃料取扱機の構造強度評価結果

燃料取扱機の応力評価結果を表 3.2-4 に示す。算出応力は許容応力以下であるので，燃料取扱機は基準地震動 Ss に対して転倒・落下に至らないことを確認した。

表 3.2-4　応力評価結果纏め

（単位：MPa）

| 部位 | 使用材料 | 応力の種類 | 算出応力 | 許容応力 |
|---|---|---|---|---|
| 燃料取扱機構造物<br>フレーム① | ASTM A572 GR50 | 曲げ | 140 | 315 |
| | | せん断 | 41 | 181 |
| | | 組合せ | 153 | 315 |
| ブリッジ<br>脱線防止ラグ② | ASTM A514 GR H | 曲げ | 41 | 483 |
| | | せん断 | 8 | 278 |
| | | 組合せ | 44 | 483 |
| ブリッジ脱線防止ラグ<br>取付ボルト③ | ISO898-1 8.8 | 引張 | 222 | 420 |
| ガイドフレーム④ | ASTM A572 GR50 | 曲げ | 170 | 315 |
| | | せん断 | 27 | 181 |
| | | 組合せ | 177 | 315 |
| 引張トロリ<br>脱線防止ラグ⑤ | ASTM A572 GR50 | 曲げ | 16 | 315 |
| | | せん断 | 5 | 181 |
| | | 引張 | 6 | 315 |
| | | 組合せ | 24 | 315 |
| 走行レール⑥ | レール鋼<br>(ASTM A759) | 曲げ | 305 | 537 |
| | | せん断 | 14 | 310 |
| | | 組合せ | 306 | 537 |



3.3　クレーンの構造強度及び耐震性について

(1) 検討方針

クレーンについて，地震応答解析を実施し，応力評価を行う。

1)　使用材料及び許容応力

クレーンの物性値及び許容応力を表 3.3-1 に示す。温度は運転エリアの最高温度（40℃）に余裕を見込んだ 50℃とする。曲げ，組合せ，せん断の許容応力は，JEAC 4601-2008 に従い用いる。

表 3.3-1　物性値及び許容応力

材料定数

| 部位 | 使用材料 | 縦弾性係数 (MPa) | ポアソン比 | 温度 (℃) |
|---|---|---|---|---|
| クレーン構造物 フレーム | ASTM A572 GR50 | 201,000 | 0.3 | 50 |
| | ASTM A500 GR C | 201,000 | 0.3 | 50 |

許容応力

| 部位 | 使用材料 | 応力の種類 | 許容応力 (MPa) |
|---|---|---|---|
| クレーン構造物 フレーム | ASTM A572 GR50 | 曲げ | 315 |
| | | せん断 | 181 |
| | | 組合せ | 315 |
| | ASTM A500 GR C | 曲げ | 297 |
| | | せん断 | 171 |
| | | 組合せ | 297 |
| ガイドフレーム | ASTM A572 GR50 | 曲げ | 315 |
| | | せん断 | 181 |
| | | 組合せ | 315 |
| トロリ 脱線防止ラグ | ASTM A572 GR50 | 曲げ | 315 |
| | | せん断 | 181 |
| | | 引張 | 315 |
| | | 組合せ | 315 |
| トロリ脱線防止ラグ 取付ボルト | ASTM A325 | 引張 | 433 |
| 走行レール | レール鋼 (ASTM A759) | 曲げ | 537 |
| | | せん断 | 310 |
| | | 組合せ | 537 |

2) 荷重及び荷重組合せ

設計で考慮する荷重は死荷重及び地震荷重である。

死荷重は吊り荷を含むクレーン自身の質量による荷重である。

地震荷重は弾性設計用地震動 Sd による荷重であり，水平 2 方向それぞれの地震荷重に鉛直方向地震荷重を二乗和平方根（SRSS）法で組み合わせる。具体的には次の通りである。

・ $((\text{水平地震(NS 方向)})^2+(\text{水平地震(EW 方向)})^2+(\text{鉛直地震})^2)^{1/2}$

| | |
|---|---|
| ブリッジ質量 | 54,600(kg) |
| トロリ質量※ | 85,400(kg) |

※吊り荷質量（50,000(kg)）含む

(2) クレーンの地震応答解析

解析は，地震応答解析モデルにより計算機コード「NX Nastran」を用いた直接積分法による時刻歴解析により行う。

1) 解析に用いる入力地震動

クレーンの入力地震動は，弾性設計用地震動 Sd を入力した時の門型架構地震応答計算から得られる G.L.+36m（添付資料－４－２「燃料取り出し用カバーの構造強度及び耐震性に関する説明書」参照）の時刻歴加速度波を用いる。時刻歴加速度波は燃料取扱機，クレーンの門型架構上の位置（添付資料－４－２「燃料取り出し用カバーの構造強度及び耐震性に関する説明書」図 3.2-1 参照）によって異なるため，時刻歴加速度波の各床応答スペクトルの内，クレーンの固有周期で最も大きな値をとる床応答スペクトルの時刻歴加速度波を用いる。

門型架構上でのクレーンの位置を表 3.3-2，時刻歴加速度波形を図 3.3-1，図 3.3-2 に示す。なお，死荷重は鉛直下向きに 1G とする。

この時刻歴加速度波はクレーンの走行範囲で想定される時刻歴加速度波のうち，クレーンに対し最も影響を与えるものである。

表 3.3-2　門型架構上でのクレーンの位置

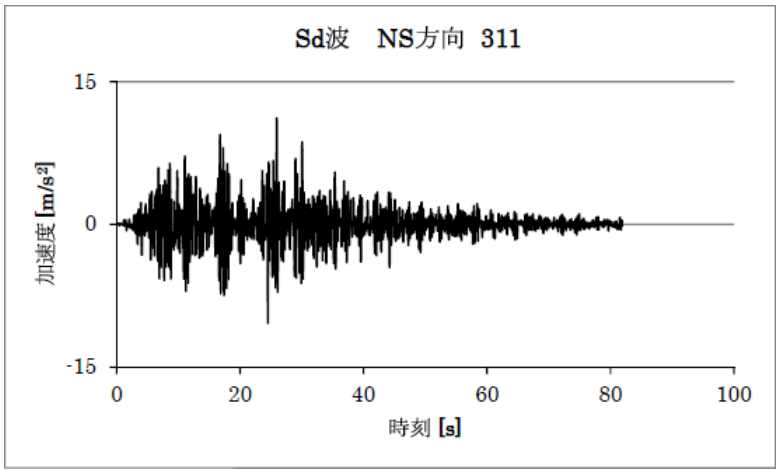
トロリがブリッジの中央にある場合の解析ケース

| 時刻歴加速度波 | 門型架構上での<br>クレーンの位置 |
|---|---|
| ＮＳ方向 | 西端 |
| ＥＷ方向 | 西端 |
| ＵＤ方向 | 西端 |

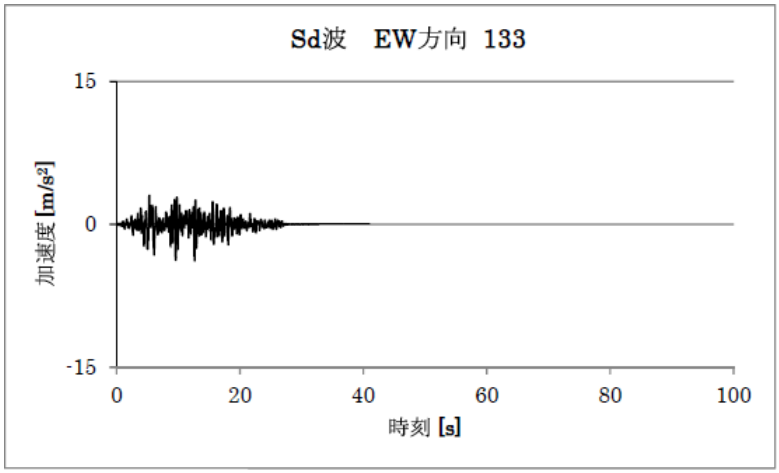
トロリがブリッジの端部※にある場合の解析ケース

| 時刻歴加速度波 | 門型架構上での<br>クレーンの位置 |
|---|---|
| ＮＳ方向 | 西端 |
| ＥＷ方向 | 西端 |
| ＵＤ方向 | 西端 |

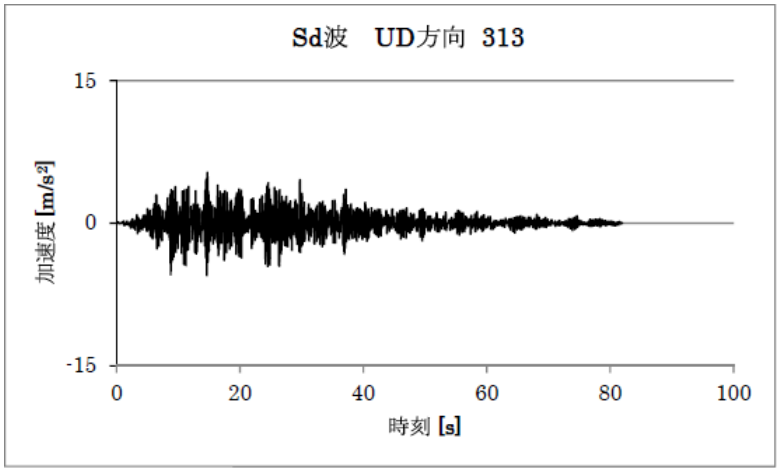
※：構内用輸送容器取扱モードの中でトロリが最も北側に位置する状態




水平方向＜NS 方向＞

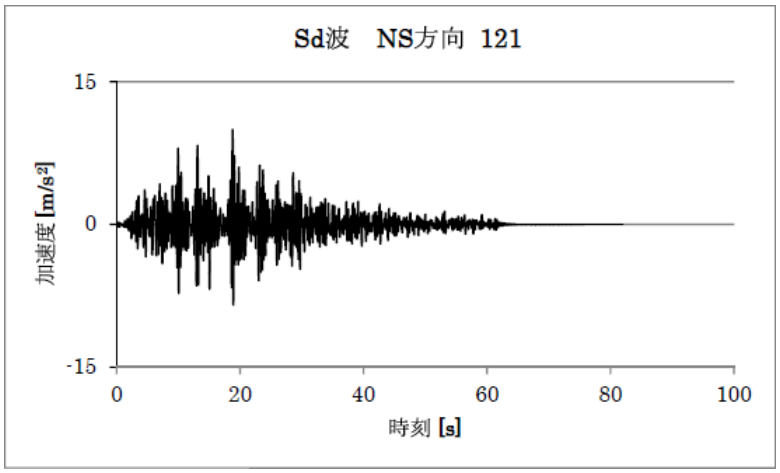



水平方向＜EW 方向＞

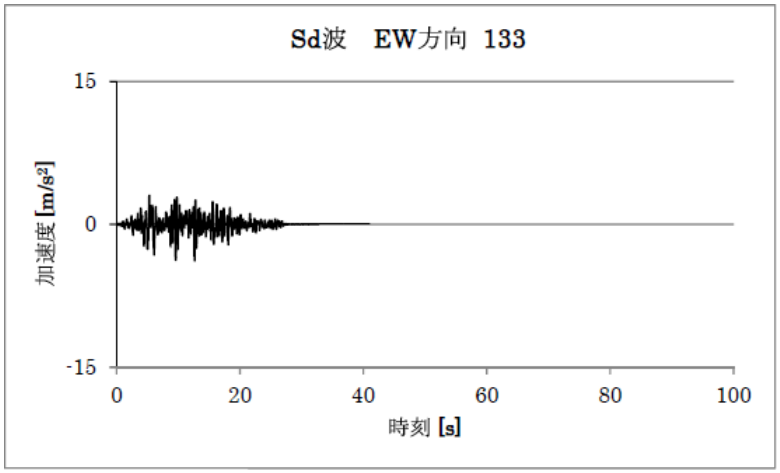



鉛直方向

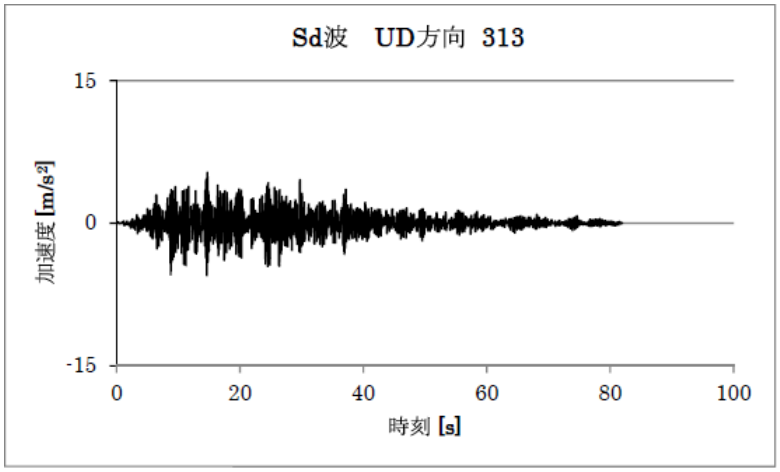
図 3.3-1　トロリが中央にある場合の時刻歴加速度波形




水平方向＜NS 方向＞




水平方向＜EW 方向＞




鉛直方向

図 3.3-2　トロリが中間位置にある場合の時刻歴加速度波形

2)　地震応答解析モデル

クレーンの地震応答解析モデルを図 3.3-3 に示す。

解析モデルは，ビーム及び非線形要素でモデル化しており，走行車輪部下端が門型架構側との取り合い点であるため，それを拘束点とする。

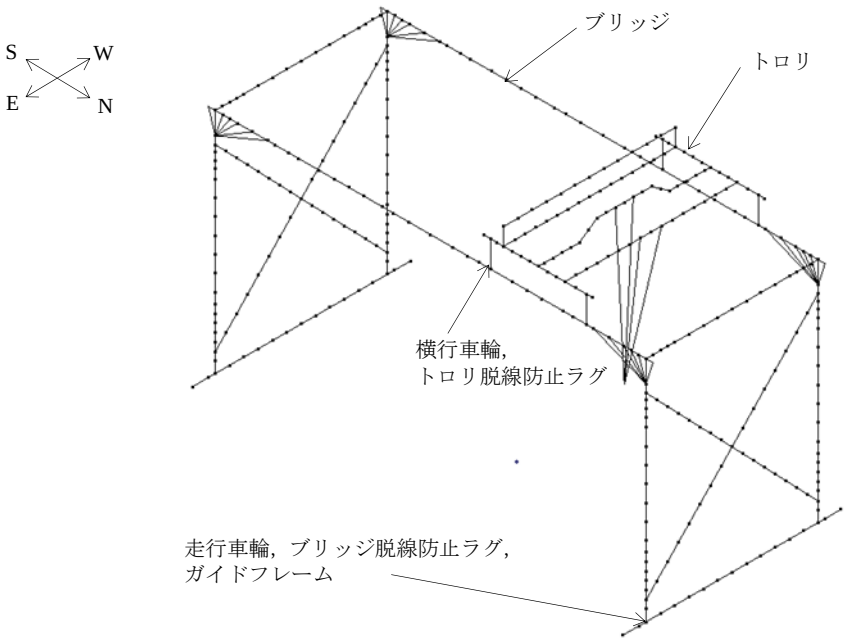



図 3.3-3　地震応答解析モデル

3)　地震応答解析結果

クレーンの地震応答解析結果を表 3.3-3 に示す。

地震応答解析結果は時刻歴応答結果の最大値を用いる。

表 3.3-3　クレーンの地震応答解析結果

| 部位 | | 荷重の種類 | 荷重の方向 | 荷重値 |
|---|---|---|---|---|
| クレーン構造物 | トロリ | 曲げモーメント(N･mm) | 水平 | $2.775\times10^{7}$ |
| | | | 鉛直 | $1.157\times10^{9}$ |
| | | せん断力(N) | 水平 | $2.585\times10^{4}$ |
| | | | 鉛直 | $8.182\times10^{5}$ |
| ガイドフレーム | | 圧縮力(N) | 水平 | $5.357\times10^{5}$ |
| トロリ脱線防止ラグ | | 圧縮力(N) | 水平 | $1.977\times10^{5}$ |
| | | 圧縮力(N) | 鉛直 | $2.145\times10^{5}$ |
| 走行レール | | 圧縮力(N) | 水平 | $5.357\times10^{5}$ |

注：絶対値にて表示している。

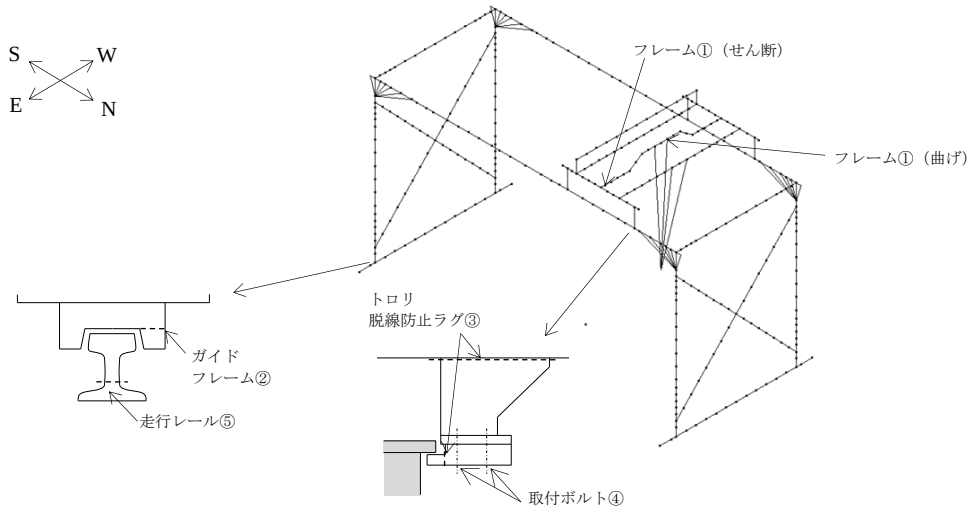
(3) クレーンの構造強度評価結果

クレーンの応力評価結果を表 3.3-4 に示す。算出応力は許容応力以下であるので，クレーンは弾性設計用地震動 Sd に対して転倒・落下に至らないことを確認した。

表 3.3-4　応力評価結果纏め

（単位：MPa）

| 部位 | 使用材料 | 応力の種類 | 算出応力 | 許容応力 |
|---|---|---|---|---|
| クレーン構造物<br>フレーム① | ASTM A572 GR50 | 曲げ | 127 | 315 |
| | | せん断 | 113 | 181 |
| | | 組合せ | 234 | 315 |
| ガイドフレーム② | ASTM A572 GR50 | 曲げ | 93 | 315 |
| | | せん断 | 11 | 181 |
| | | 組合せ | 95 | 315 |
| トロリ<br>脱線防止ラグ③ | ASTM A572 GR50 | 曲げ | 39 | 315 |
| | | せん断 | 14 | 181 |
| | | 引張 | 10 | 315 |
| | | 組合せ | 52 | 315 |
| トロリ脱線防止ラグ<br>取付ボルト④ | ASTM A325 | 引張 | 131 | 433 |
| ブリッジ<br>脱線防止ラグ | ASTM A572 GR50 | — | — | — |
| 走行レール⑤ | レール鋼<br>(ASTM A759) | 曲げ | 273 | 537 |
| | | せん断 | 12 | 310 |
| | | 組合せ | 274 | 537 |



# 4　２号機燃料取扱設備の構造強度及び耐震性について

## 4.1　概要

### 4.1.1　一般事項

２号機燃料取扱設備は，燃料取扱機とクレーンを有し，それぞれについて構造強度及び耐震性について検討を行う。燃料取扱設備は原子炉建屋オペレーティングフロアと燃料取り出し用構台にわたり設置するランウェイガーダ上に設置される。

燃料取扱機及びクレーンの構造強度及び耐震性は，2021 年 9 月 8 日及び 2022 年 11 月 16 日の原子力規制委員会で示された耐震設計の考え方を踏まえ，安全機能の重要度，地震によって機能の喪失を起こした場合の安全上の影響（公衆への被ばく影響）や廃炉活動への影響等を考慮した上で，核燃料物質を非密封で扱う燃料加工施設や使用施設等における耐震クラス分類を参考にして適切な耐震設計上の区分を行うとともに，適切と考えられる設計用地震力に十分耐えられる設計とし，具体的には B+クラスの地震力に対する耐震評価を行う。なお，耐震クラス分類に係わる被ばく評価については，「別冊２８　２号機 使用済燃料プールからの燃料取り出し設備に係る補足説明」（以下，別冊２８と記載）P113～P130 参照。

地震動として検討用地震動（最大加速度 900gal）の 1/2 の最大加速度 450gal の地震動（以下，1/2Ss450 と記載）に対する地震応答解析を実施し，燃料取扱設備が使用済燃料プール及び使用済燃料貯蔵ラックに波及的影響を及ぼさないことを確認する。ここで，波及的影響の確認は燃料取扱機及びクレーンが落下に至らないことを確認する。検討用地震動（最大加速度 900gal）は「東京電力福島第一原子力発電所の外部事象に対する防護の検討について」（東京電力株式会社 平成 26 年 10 月 3 日 特定原子力施設監視・評価検討会（第 27 回））にて提示した地震動とする。

なお，キャスクの縦揺れについては，キャスクの荷重に対して，クレーンのワイヤロープが切断しない（キャスクが落下しない）ことを確認している。また，キャスクの横揺れについては，クレーンの水平方向固有周期と比較し，ワイヤロープで吊り下げられたキャスクの固有周期は十分に長いことから，クレーン自体の振動には影響されないことを確認している。

燃料取扱設備の検討は，下記に準拠して行う。

(1) 原子力発電所耐震設計技術指針（JEAG4601・補-1984）
(2) 原子力発電所耐震設計技術指針（JEAG4601-1987）
(3) 原子力発電所耐震設計技術指針 追補版（JEAG4601-1991）
(4) 原子力発電所耐震設計技術規程（JEAC4601-2015）
(5) 発電用原子力設備規格 設計・建設規格（JSME S NC1-2012）

4.1.2　燃料取扱機

燃料取扱機は，ランウェイガーダ上に設置される。燃料取扱機は低床ジブクレーンとし，南北方向に走行する走行台車とその上に設置する旋回体で構成される。燃料取扱機の概要を図 4.1.2-1 に示す。

燃料取扱機のブームは起伏角度 0°の状態で旋回輪中心からみて 6800mm から 16100mm の範囲で伸縮し，ブーム長さ 6800mm に収縮した状態で 0°から 40°の範囲で起伏する。ブームは旋回体内のブーム根元支持ピンにて支持される。旋回体と走行台車は旋回輪軸受取付ボルトによって支持される。また，燃料取り扱い作業時，ランウェイガーダにアウトリガーピンを挿入し，走行方向，鉛直方向の荷重を支持する。

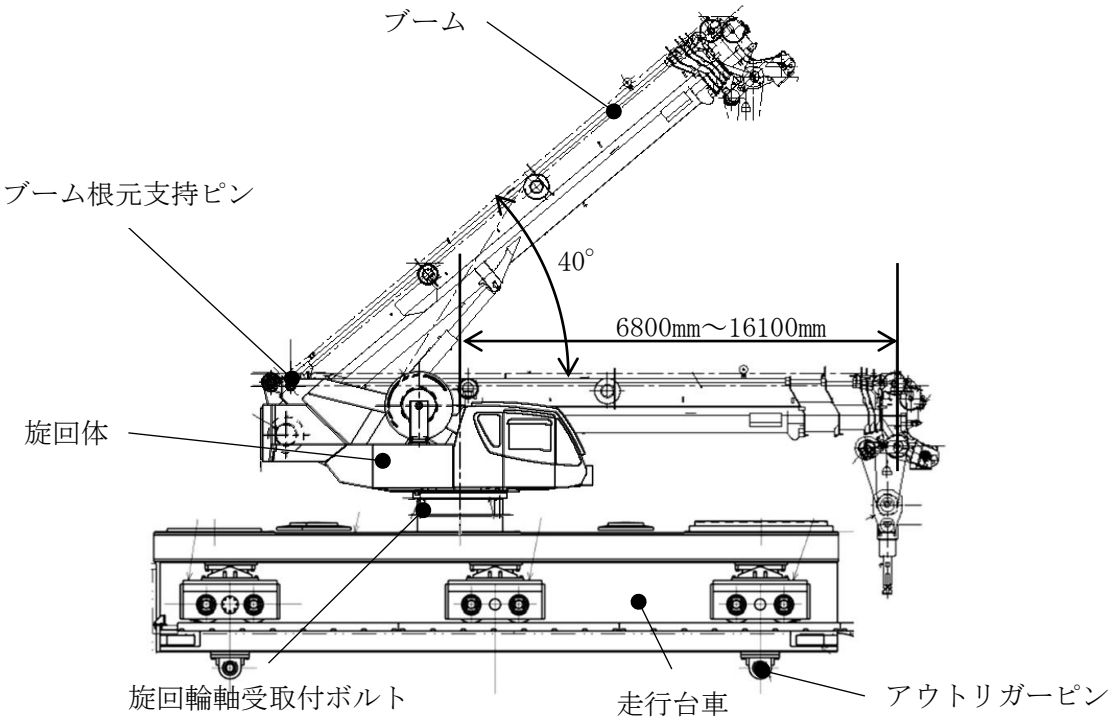



図 4.1.2-1　燃料取扱機の概要

4.1.3　クレーン

クレーンは，ランウェイガーダ上に設置される。クレーンは低床ジブクレーンとし，南北方向に走行する走行台車とその上に設置する旋回体で構成される。クレーンの概要を図4.1.3-1に示す。

クレーンは原子炉建屋内ではブーム起伏角度24°，作業半径12600㎜の状態にて揚重作業を行う。ブームは旋回体内のブーム根元支持ピンにて支持される。旋回体と走行台車は旋回輪軸受取付ボルトによって支持される。また，キャスク取り扱い作業時，ランウェイガーダにアウトリガーピンを挿入し，走行方向，鉛直方向の荷重を支持する。

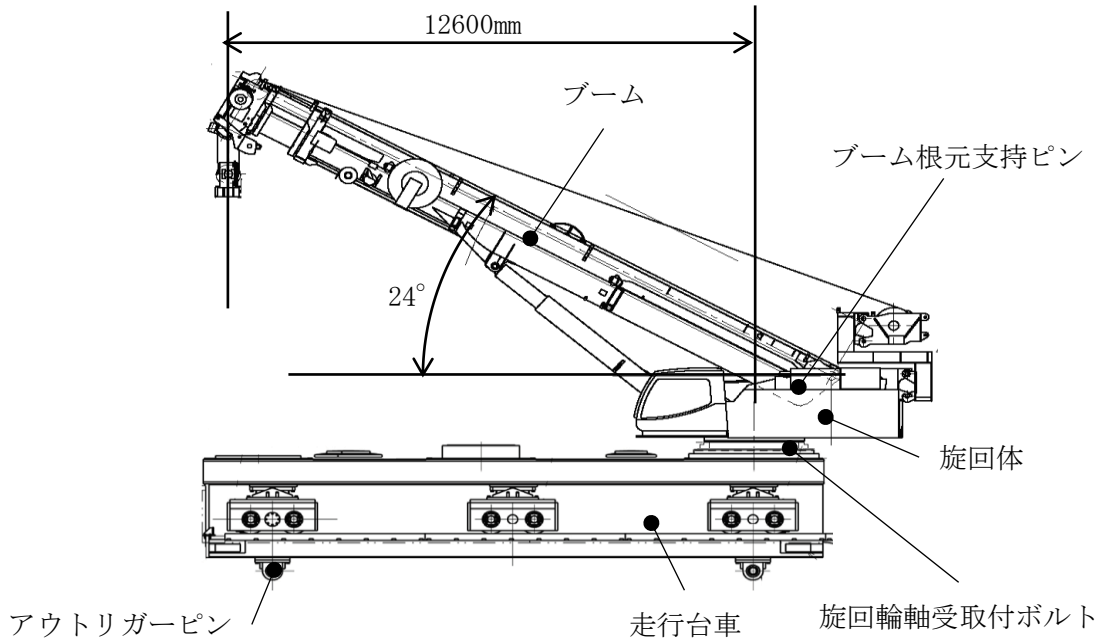



図4.1.3-1　クレーンの概要

4.2　燃料取扱機の構造強度及び耐震性について

(1) 検討方針

燃料取扱機について，地震応答解析を実施し，応力評価を行う。

1)　使用材料及び許容応力

燃料取扱機の許容応力を表 4.2-1 に示す。温度は運転エリアの環境温度 40℃とする。許容応力は，JEAC 4601-2015 に従う。

表 4.2-1　許容応力

| 部位 | 使用材料 | 応力の種類 | 許容応力 (MPa) |
|---|---|---|---|
| ブーム | WEL-TEN980RE/<br>WEL-TEN980E | 引張 | 686 |
| | | せん断 | 396 |
| | | 曲げ | 686 |
| | | 組合せ | 686 |
| ブーム根元支持ピン | SNB23-1 | せん断 | 460 |
| | | 曲げ | 1088 |
| | | 組合せ | 798 |
| 旋回輪軸受取付ボルト<br>(内側) | SUS630 | 引張 | 917 |
| | | せん断 | 529 |
| 旋回輪軸受取付ボルト<br>(外側) | | 引張 | 917 |
| | | せん断 | 529 |
| 走行台車 | SM490B | 引張 | 343 |
| | | せん断 | 198 |
| | | 曲げ | 343 |
| | | 組合せ | 343 |
| アウトリガーピン | SNB23-1 | せん断 | 460 |
| | | 曲げ | 1088 |
| | | 組合せ | 798 |

2)　荷重及び荷重組合せ

設計で考慮する荷重は死荷重及び地震荷重である。

死荷重は吊り荷を含む燃料取扱設備自身の質量による荷重である。

地震荷重は 1/2Ss450 による荷重であり，水平 2 方向及び鉛直方向地震荷重が同時に作用する場合を考慮する。

| | |
|---|---|
| 燃料取扱機質量※ | 258,000 (kg) |
| 吊り荷質量 | 1,000 (kg) |

※クレーンを含む

(2) 燃料取扱機の地震応答解析

燃料取扱機のうち，旋回体については地震応答解析モデルにより計算機コード「ANSYS」を用いたモーダル解析による応答スペクトル解析により行う。走行台車については，解析から得られた旋回体からの反力を考慮し，応力評価式を用いて評価する。

1) 設計震度

旋回体への入力地震動は，1/2Ss450 を入力したときのランウェイガーダの原子炉建屋側走行台車停止位置の床応答スペクトルを用いる。床応答スペクトルを図 4.2-1 に示す。この床応答スペクトルは，走行台車各車輪位置で想定される床応答スペクトルを包絡したものである。

走行台車は剛性が高いため，ランウェイガーダ上の最大応答加速度の 1.2 倍の加速度を用いて設計震度を設定する。

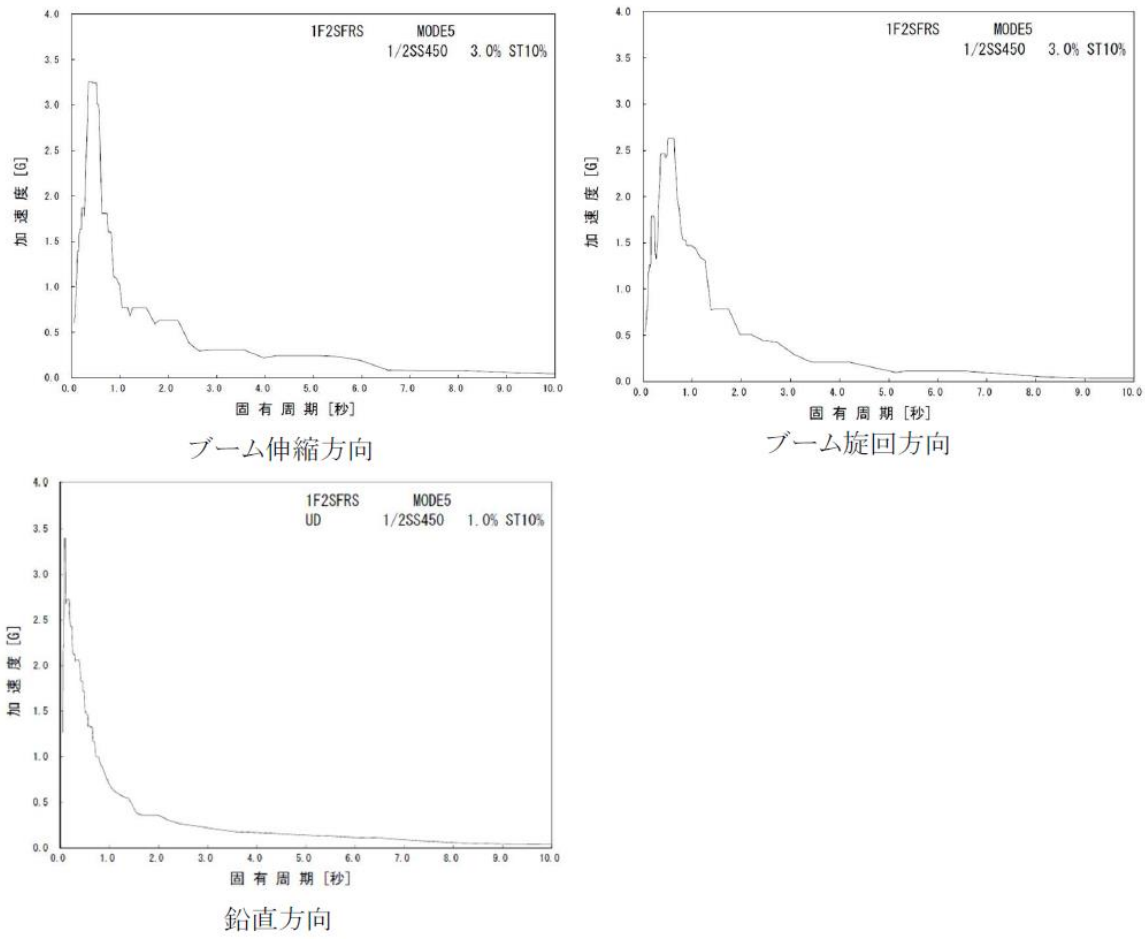



図 4.2-1 床応答スペクトル

2)　地震応答解析モデル

解析モデルは，旋回輪軸受取付ボルトを取り合い点として，旋回体と走行台車に分割して評価する。旋回体の地震応答解析モデルを図 4.2-2 に示す。旋回体はビームとシェルでモデル化し，旋回輪軸受取付ボルトを拘束点とする。走行台車はＨ型又は箱型断面を有するフレームにて構成し，旋回体からの反力を考慮するものとする。

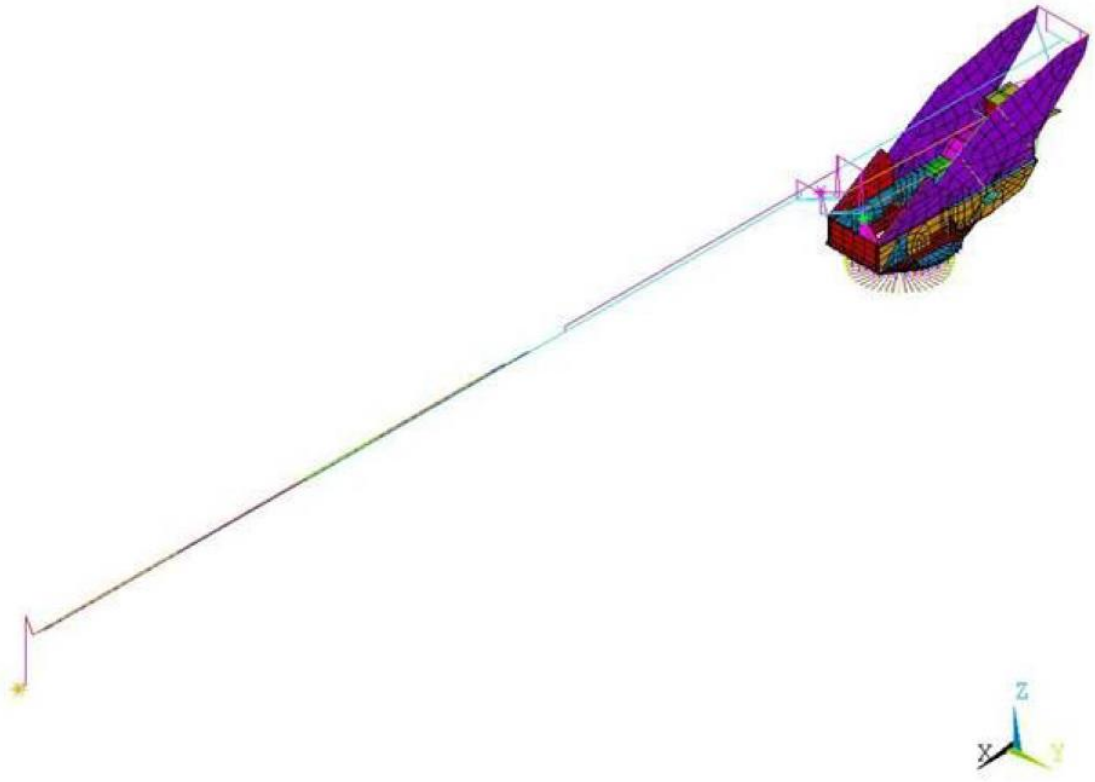



図 4.2-2　地震応答解析モデル

(3) 燃料取扱機の構造強度評価結果

燃料取扱機の応力評価結果を表 4.2-2 に示す。算出応力は許容応力以下であるので，燃料取扱機は 1/2Ss450 に対して落下に至らないことを確認した。

表 4.2-2　応力評価結果纏め

（単位：MPa）

| 部位 | | 使用材料 | 応力の種類 | 算出応力 | 許容応力 |
|---|---|---|---|---|---|
| ブーム | | WEL-TEN980RE/ WEL-TEN980E | 引張 | 115 | 686 |
| | | | せん断 | 15 | 396 |
| | | | 曲げ | 355 | 686 |
| | | | 組合せ | 471 | 686 |
| ブーム根元支持ピン | | SNB23-1 | せん断 | 153 | 460 |
| | | | 曲げ | 112 | 1088 |
| | | | 組合せ | 288 | 798 |
| 旋回輪軸受取付ボルト | 内側 | SUS630 | 引張 | 187 | 917 |
| | | | せん断 | 53 | 529 |
| | 外側 | | 引張 | 237 | 917 |
| | | | せん断 | 66 | 529 |
| 走行台車 | | SM490B | 引張 | 1 | 343 |
| | | | せん断 | 10 | 198 |
| | | | 曲げ | 38 | 343 |
| | | | 組合せ | 43 | 343 |
| アウトリガーピン | | SNB23-1 | せん断 | 169 | 460 |
| | | | 曲げ | 150 | 1088 |
| | | | 組合せ | 329 | 798 |

4.3　クレーンの構造強度及び耐震性について

(1) 検討方針

クレーンについて，地震応答解析を実施し，応力評価を行う。

1)　使用材料及び許容応力

クレーンの許容応力を表4.3-1に示す。温度は運転エリアの環境温度40℃とする。許容応力は，JEAG 4601・補-1984に従う。

表4.3-1　許容応力

| 部位 | 使用材料 | 応力の種類 | 許容応力（MPa） |
|---|---|---|---|
| ブーム | WELDOX1100E (STRENX1100E) | 引張 | 875 |
| | | せん断 | 505 |
| | | 曲げ | 875 |
| | | 組合せ | 875 |
| ブーム根元支点ピン | 42CrMoS4 | せん断 | 303 |
| | | 曲げ | 525 |
| | | 組合せ | 525 |
| 旋回輪軸受取付ボルト | SUS630 | 引張 | 917 |
| 走行台車 | SM490B | 引張 | 343 |
| | | せん断 | 198 |
| | | 曲げ | 343 |
| | | 組合せ | 343 |
| アウトリガーピン | SNB23-1 | せん断 | 460 |
| | | 曲げ | 1088 |
| | | 組合せ | 798 |

2) 荷重及び荷重組合せ

設計で考慮する荷重は死荷重及び地震荷重である。

死荷重は吊り荷を含む燃料取扱設備自身の質量による荷重である。

- 地震荷重は 1/2Ss450 による荷重であり，水平 2 方向及び鉛直方向地震荷重が同時に作用する場合を考慮する。

| | |
|---|---|
| クレーン質量※ | 258,000 (kg) |
| 吊り荷質量 | 47,000 (kg) |

※燃料取扱機を含む

(2) クレーンの地震応答解析

クレーンのうち，旋回体については地震応答解析モデルにより計算機コード「ANSYS」を用いたモーダル解析による応答スペクトル解析により行う。走行台車については，解析から得られた旋回体からの反力を考慮し，応力評価式を用いて評価する。

1) 設計震度

旋回体への入力地震動は，1/2Ss450 を入力したときのランウェイガーダの原子炉建屋側走行台車停止位置の床応答スペクトルを用いる。床応答スペクトルを図 4.3-1 に示す。この床応答スペクトルは，走行台車各車輪位置で想定される床応答スペクトルを包絡したものである。

走行台車は剛性が高いため，ランウェイガーダ上の最大応答加速度の 1.2 倍の加速度を用いて設計震度を設定する。

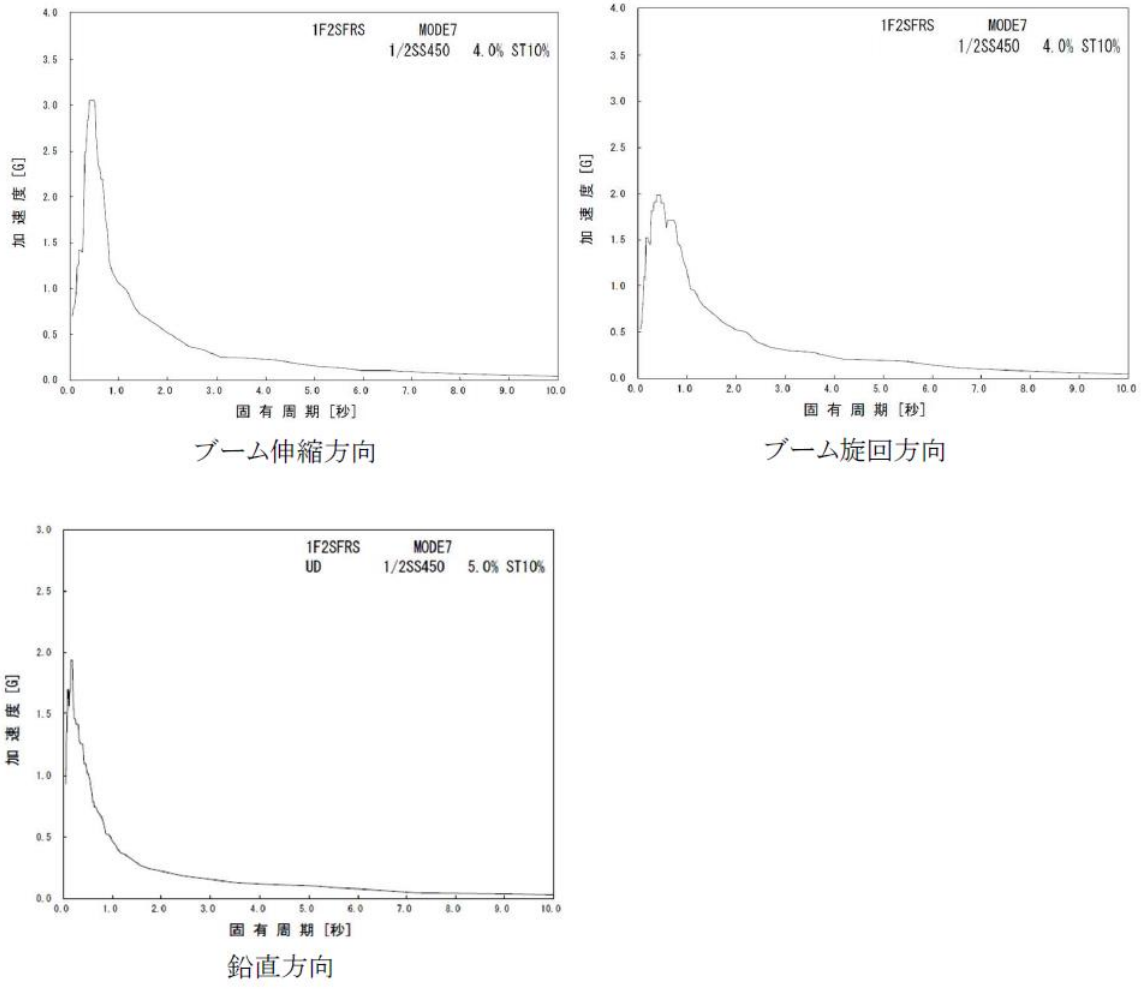



図 4.3-1 床応答スペクトル

2)　地震応答解析モデル

解析モデルは，旋回輪軸受取付ボルトを取り合い点として，旋回体と走行台車に分割して評価する。旋回体の地震応答解析モデルを図 4.3-2 に示す。旋回体はビームとシェルでモデル化し，旋回輪軸受取付ボルトを拘束点とする。走行台車はＨ型又は箱型断面を有するフレームにて構成し，旋回体からの反力を考慮するものとする。

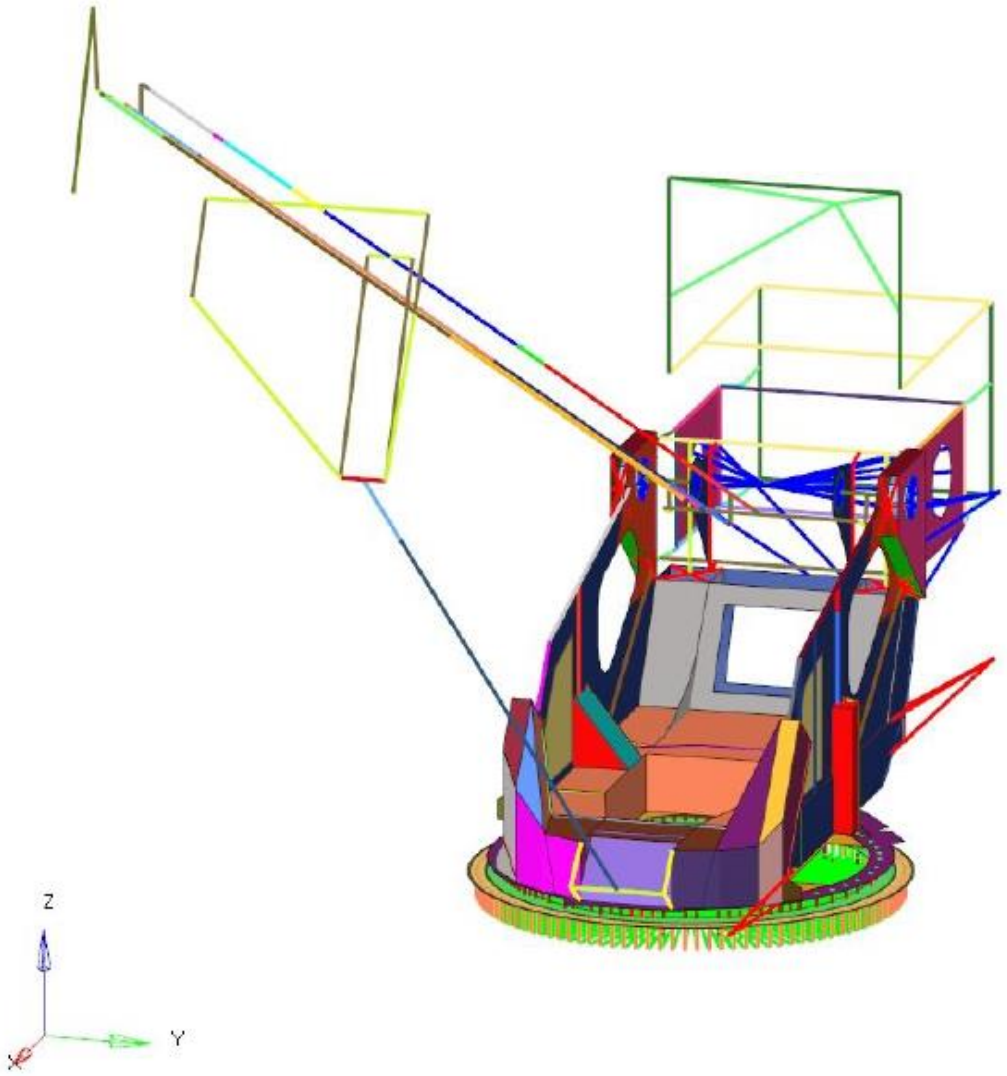



図 4.3-2　地震応答解析モデル

(3) クレーンの構造強度評価結果

クレーンの応力評価結果を表 4.3-2 に示す。算出応力は許容応力以下であるので，クレーンは 1/2Ss450 に対して落下に至らないことを確認した。

表 4.3-2　応力評価結果纏め

（単位：MPa）

| 部位 | 使用材料 | 応力の種類 | 算出応力 | 許容応力 |
|---|---|---|---|---|
| ブーム | WELDOX1100E (STRENX1100E) | 引張 | 108 | 875 |
| | | せん断 | 18 | 505 |
| | | 曲げ | 297 | 875 |
| | | 組合せ | 407 | 875 |
| ブーム根元支持ピン | 42CrMoS4 | せん断 | 153 | 303 |
| | | 曲げ | 58 | 525 |
| | | 組合せ | 272 | 525 |
| 旋回輪軸受取付ボルト | SUS630 | 引張 | 815 | 917 |
| 走行台車 | SM490B | 引張 | 2 | 343 |
| | | せん断 | 40 | 198 |
| | | 曲げ | 229 | 343 |
| | | 組合せ | 242 | 343 |
| アウトリガーピン | SNB23-1 | せん断 | 169 | 460 |
| | | 曲げ | 151 | 1088 |
| | | 組合せ | 330 | 798 |

5　別添

別添－１　４号機燃料取扱設備の耐震性に係る確認事項

別添－２　３号機燃料取扱設備の耐震性に係る確認事項

別添－３　２号機燃料取扱設備の耐震性に係る確認事項

# ４号機燃料取扱設備の耐震性に係る確認事項

４号機燃料取扱設備の耐震性に係る主要な確認事項を表－１及び表－２に示す。

表－１　４号機燃料取扱設備の耐震性に係る確認事項（燃料取扱機）

| 確認事項 | 確認項目 | | 確認内容 | 判定基準 |
|---|---|---|---|---|
| 構造強度・耐震性 | 材料確認 | | 実施計画に記載されている主要部材の材質を確認する。 | 実施計画通りの材料を使用していること。 |
| | 構造確認 | 寸法確認 | 実施計画に記載されている主要寸法を確認する。 | 寸法が許容範囲内であること。 |
| | | 外観確認 | 組み立てた状態における外観を確認する。 | 有意な欠陥がないこと。 |
| | | 据付確認 | 組み立てた状態における据付状態を確認する。 | 実施計画の通りに施工・据付がなされていること。 |

表－２　４号機燃料取扱設備の耐震性に係る確認事項（クレーン）

| 確認事項 | 確認項目 | | 確認内容 | 判定基準 |
|---|---|---|---|---|
| 構造強度・耐震性 | 材料確認 | | 実施計画に記載されている主要部材の材質を確認する。 | 実施計画通りの材料を使用していること。 |
| | 構造確認 | 寸法確認 | 実施計画に記載されている主要寸法を確認する。 | 寸法が許容範囲内であること。 |
| | | 外観確認 | 組み立てた状態における外観を確認する。 | 有意な欠陥がないこと。 |
| | | 据付確認 | 組み立てた状態における据付状態を確認する。 | 実施計画の通りに施工・据付がなされていること。 |

# ３号機燃料取扱設備の耐震性に係る確認事項

３号機燃料取扱設備の耐震性に係る主要な確認事項を表－１及び表－２に示す。

表－１　３号機燃料取扱設備の耐震性に係る確認事項（燃料取扱機）

| 確認事項 | 確認項目 | | 確認内容 | 判定基準 |
|---|---|---|---|---|
| 構造強度・耐震性 | 材料確認 | | 実施計画に記載されている主要部材の材質を確認する。 | 実施計画通りの材料を使用していること。 |
| | 構造確認 | 寸法確認 | 実施計画に記載されている主要寸法を確認する。 | 寸法が許容範囲内であること。 |
| | | 外観確認 | 組み立てた状態における外観を確認する。 | 有意な欠陥がないこと。 |
| | | 据付確認 | 組み立てた状態における据付状態を確認する。 | 実施計画の通りに施工・据付がなされていること。 |

表－２　３号機燃料取扱設備の耐震性に係る確認事項（クレーン）

| 確認事項 | 確認項目 | | 確認内容 | 判定基準 |
|---|---|---|---|---|
| 構造強度・耐震性 | 材料確認 | | 実施計画に記載されている主要部材の材質を確認する。 | 実施計画通りの材料を使用していること。 |
| | 構造確認 | 寸法確認 | 実施計画に記載されている主要寸法を確認する。 | 寸法が許容範囲内であること。 |
| | | 外観確認 | 組み立てた状態における外観を確認する。 | 有意な欠陥がないこと。 |
| | | 据付確認 | 組み立てた状態における据付状態を確認する。 | 実施計画の通りに施工・据付がなされていること。 |

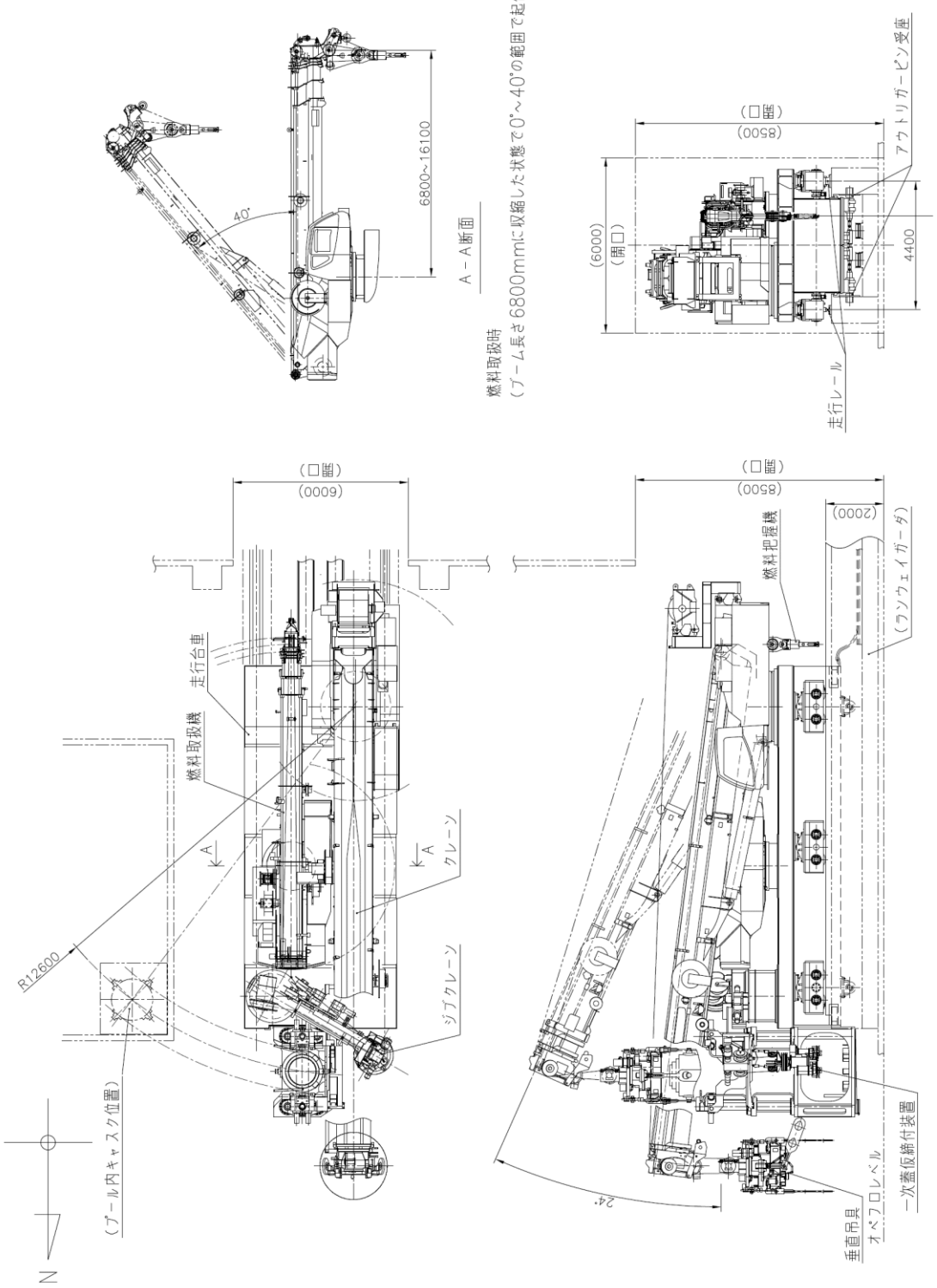
# ２号機燃料取扱設備の耐震性に係る確認事項

２号機燃料取扱設備の耐震性に係る主要な確認事項を表－１に示す。また，燃料取扱設備の外形図を図－１に，燃料取扱設備主要部材一覧を表－２に示す。

表－１　２号機燃料取扱設備の耐震性に係る確認事項

| 確認事項 | 確認項目 | | 確認内容 | 判定基準 | 検査場所 |
|---|---|---|---|---|---|
| 構造強度・耐震性 | 材料確認 | | 実施計画に記載されている主要部材の材質を確認する。 | 表―２に記載の材料を使用していること。 | 工場 |
| | 構造確認 | 寸法確認 | 実施計画に記載されている主要寸法を確認する。 | 図－１に記載の寸法が許容範囲内であること。 | 工場<br>現地*) |
| | | 外観確認 | 組み立てた状態における外観を確認する。 | 有意な欠陥がないこと。 | 工場 |
| | | 据付確認 | 組み立てた状態における据付状態を確認する。 | 図－1の通りに施工・据付がなされていること。 | 工場 |

*) レール間寸法のみ現地で確認する。




図－１　燃料取扱設備　外形図

表―２　燃料取扱設備　主要部材一覧

| 部位 | 使用材料 |
|---|---|
| 燃料取扱機（旋回体）　ブーム | WEL-TEN980RE/WEL-TEN980E |
| 燃料取扱機（旋回体）　ブーム根元支持ピン | SNB23-1 |
| 燃料取扱機（旋回体）　旋回輪軸受取付ボルト（内側） | SUS630 |
| 燃料取扱機（旋回体）　旋回輪軸受取付ボルト（外側） | SUS630 |
| クレーン（旋回体）　ブーム | WELDOX1100E(STRENX1100E) |
| クレーン（旋回体）　ブーム根元支持ピン | 42CrMoS4 |
| クレーン（旋回体）　旋回輪軸受取付ボルト | SUS630 |
| 燃料取扱機／クレーン（走行台車部）　構造物フレーム | SM490B |
| 燃料取扱機／クレーン（走行台車部）　アウトリガーピン | SNB23-1 |

参考資料（１）

耐震解析に用いるコード（SAP－Ⅳ）について

| コード名<br>項目 | SAP－Ⅳ |
|---|---|
| 開発機関 | 米国カリフォルニア大学 |
| 使用したバージョン | 導入時バージョンのまま |
| 開発時期 | 1973 年 |
| 計算機コードの概要 | 本計算機コードは，有限要素法による静的・動的解析汎用プログラムである。<br>1970 年に SAP の初版が発表された後，SOLID SAP（SAP－Ⅱ），SAP－Ⅲを経て，全面的改訂を加えられ 1973 年に SAP－Ⅳとして公開された。<br>以下に示す構造に対し，4 種類の解析を行うことができる。<br>＜構造＞<br>１．トラス構造問題<br>２．ラーメン構造問題<br>３．平面応力／平面ひずみ問題，軸対象固体問題<br>４．固体問題<br>５．厚肉殻<br>６．板曲げ及び薄肉殻問題<br>７．配管系問題<br>＜解析＞<br>１．静的解析<br>２．固有値解析<br>３．動的応答解析<br>４．スペクトル解析 |
| 検証方法 | ・ 別計算機コード「構造解析用計算機コード（NASTRAN 2005.0.0)」による検証が実施されていることを確認した。<br>・ 理論解による検証が実施されていることを確認した。（詳細は添付 1 参照） |

添付 1　解析及び計算機コードの検証

1.　解析の検証

1.1　解析フローチャート

本資料において使用した計算機コード「SAP－Ⅳ」を用いて得られた計算結果の妥当性を確認し，本計算機コードの検証を行うものである。また，本計算機コードを用いた計算のフローを図 1-1 に示す。

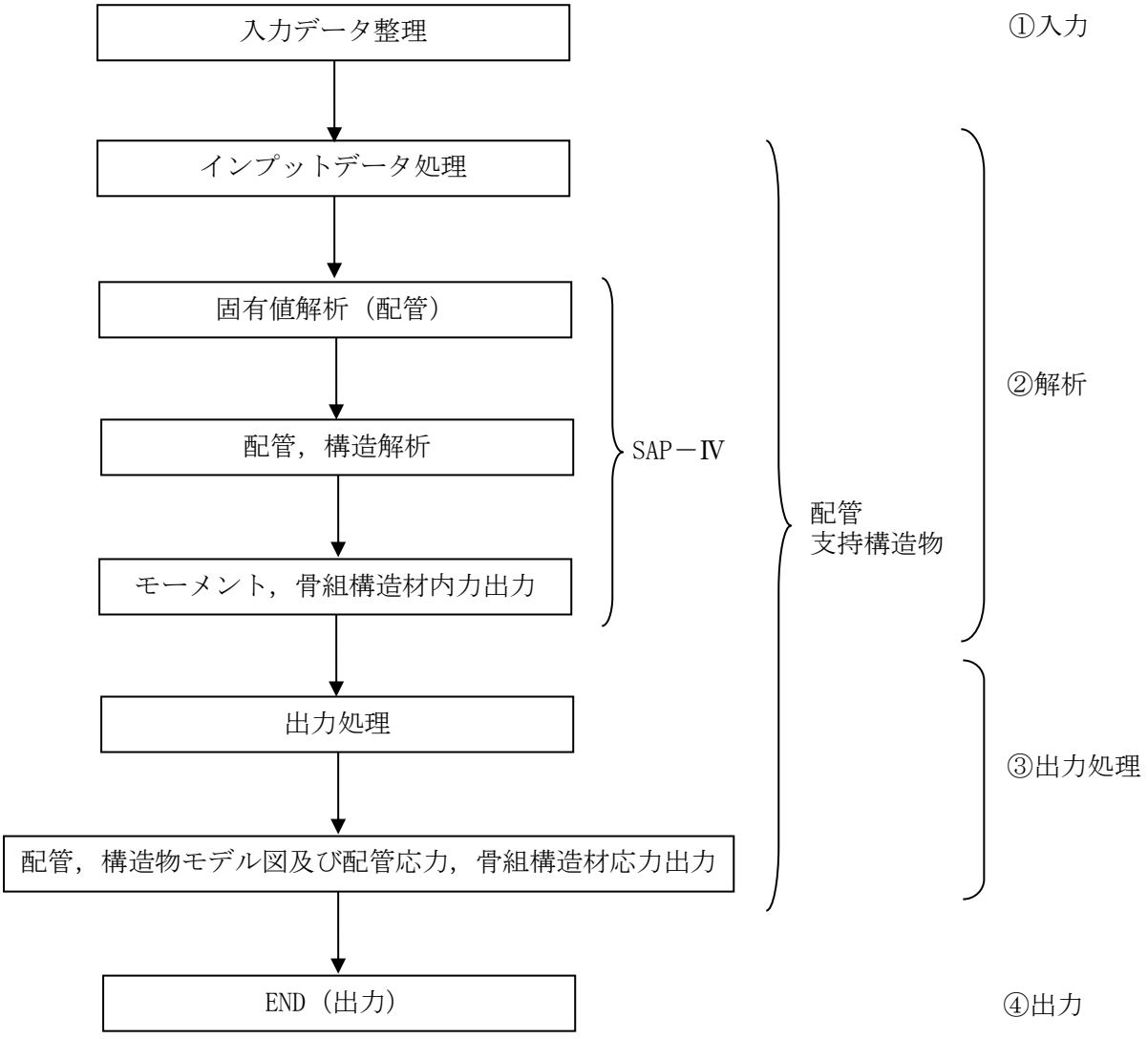



図 1-1　計算フロー

## 1.2　解析の検証

図 1-1 に示した各フローにおける検証方法を以下に示す。

・「①入力」

材料，弁質量及び骨組材断面性能等の解析条件の入力に対し，正しく条件が入力されていることの確認を行った。

・「②解析」

配管については，別の構造解析用計算機コードを用いて，代表的な配管検証用モデルに対する計算を行い，比較を行うことによって，計算結果の妥当性の確認を行った（2.1　配管参照）。

支持構造物については，材料力学に基づく手計算手法を用いて，代表的な簡易骨組モデルに対する計算を行い，比較を行うことによって計算結果の妥当性の確認を行った（2.2　支持構造物参照）。

・「①入力」＋「②解析」＋「③出力処理」＋「④出力」

「SAP－Ⅳ」により出力されたモーメントは応力に変換され，正しく出力されていることを確認した。これらの処理は，手計算によりその妥当性について確認を行った。

## 1.3　結論

以上より，解析結果の検証を行い，手順①～④の妥当性を確認した。

2.　計算機コードの検証

2.1　配管

(1)　検証の概要

計算機コード「SAP－Ⅳ」による計算結果の検証用に用いた構造解析用計算機コード「NASTRAN」はNASAで開発されたプログラムであり，1965年開発後，これまで約40年の使用実績があり，世界的に使用実績及びクライアント数の多いプログラムの一つである。「SAP－Ⅳ」と「NASTRAN」を用いて代表的な配管検証用モデルを対象に解析を行い，得られた結果を比較することにより，検証を行った。

(2)　検証解析

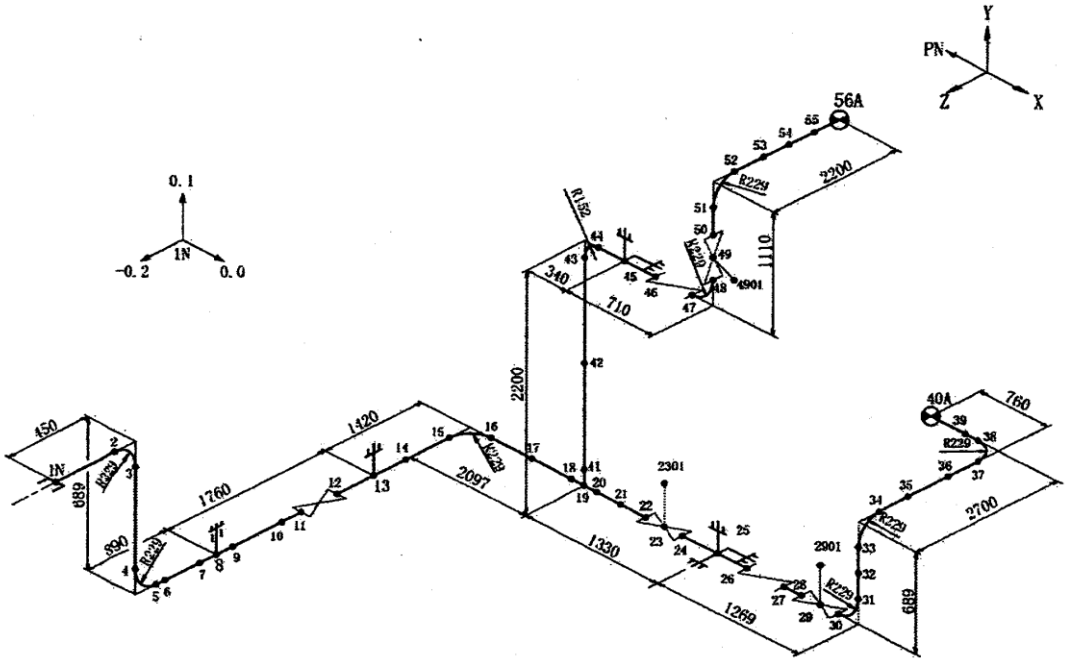
代表的な配管検証用モデルについて，「SAP－Ⅳ」及び「NASTRAN」を用いて解析し，両者の解析結果を比較評価する。以下に解析内容及び検証項目を示す。

| 解析内容 | 検証項目 |
|---|---|
| 静的解析（自重・熱膨張） | 拘束点反力 |

(3)　解析条件

以下に解析モデル及び設計条件を示す。

・解析モデル




鳥瞰図記号凡例

| 記　　号 | 内　　容 |
|---|---|
| ● | 質　　点 |
| ⊗ | ア　ン　カ |
| | レストレイント |
| | リジットハンガ |
| Y(mm)<br>Z(mm)　X(mm) | 主要機器取合点等の移動量 |
| | 注：鳥瞰図中の寸法の単位はmmである。 |

弁部の質量

| 質量 | 対応する評価点 | 質量 | 対応する評価点 |
|---|---|---|---|
| 278.4kg/m | 11～12 | 59.9kg | 22～23 |
| 59.9kg | 23～24 | 185.4kg/m | 26～27 |
| 59.7kg | 28～29 | 127.4kg | 29～30 |
| 185.4kg/m | 46～47 | 127.9kg | 48～49 |
| 59.9 | 49～50 | 119.9kg | 2301 |
| 119.4kg | 2901 | 119.9kg | 4901 |

・設計条件

以下に示す荷重条件のもとで，配管系の静的な解析を行った。

a. 自重

b. 熱膨張

| 解析範囲 | | | | | | | | | |
|---|---|---|---|---|---|---|---|---|---|
| 管番号 | 対応する評価点 | 最高使用圧力 (MPa) | 最高使用温度 (℃) | 運転温度 (℃) | 外径 (mm) | 厚さ (mm) | 材料 | 縦弾性係数* (MPa) | 熱膨張係数* ($\times 10^{-6}$mm/mm℃) |
| 1 | 1N～11,12～22<br>24～26,27～28<br>19～43,44～46<br>47～48 | 1.04 | 93 | 40 | 165.2 | 7.1 | STPT410 | 201667 | 10.3 |
| 2 | 30～40A | 0.43 | 93 | 40 | 165.2 | 7.1 | STPT410 | 201667 | 10.3 |
| 3 | 43～44 | 1.04 | 93 | 40 | 165.2 | 7.1 | STPT410 | 201667 | 10.3 |
| 4 | 50～56A | 1.04 | 93 | 40 | 165.2 | 7.1 | SUS304TP | 193667 | 15.4 |

注記*：運転温度における縦弾性係数及び熱膨張係数を示す。

(4)解析結果の比較

表 2-1　拘束点反力（「SAP－Ⅳ」と「NASTRAN」の比較）

自重　　（単位：N）

| 節点 | SAP－Ⅳ | | | NASTRAN | | |
|---|---|---|---|---|---|---|
| | Fx | Fy | Fz | Fx | Fy | Fz |
| 1N | 10 | 442 | -99 | 20 | 452 | -99 |
| 8 | 0 | 1001 | 0 | 0 | 981 | 0 |
| 13 | 0 | 1991 | 0 | 0 | 2021 | 0 |
| 25 | 599 | 7365 | 344 | 618 | 7385 | 344 |
| 40A | -89 | 1226 | -89 | -89 | 1226 | -99 |
| 45 | 275 | 4649 | 0 | 246 | 4629 | 0 |
| 56A | -795 | 1373 | -148 | -785 | 1354 | -148 |

熱膨張　　（単位：N）

| 節点 | SAP－Ⅳ | | | NASTRAN | | |
|---|---|---|---|---|---|---|
| | Fx | Fy | Fz | Fx | Fy | Fz |
| 1N | 99 | -138 | -148 | 99 | -138 | -148 |
| 8 | 0 | 50 | 0 | 0 | 50 | 0 |
| 13 | 0 | 383 | 0 | 0 | 383 | 0 |
| 25 | -89 | 1030 | -246 | -89 | 1030 | -246 |
| 40A | -89 | -148 | 246 | -89 | -148 | 246 |
| 45 | 363 | -991 | 0 | 363 | -991 | 0 |
| 56A | -295 | -187 | 148 | -295 | -197 | 148 |

(5)　検証結果

表 2-1 における自重及び熱膨張による拘束点反力の比較結果のとおり，両者でよく一致している。

以上の結果から，代表的な配管検証用モデルを用いた両者の解析結果はほぼ同等であり，「SAP－Ⅳ」の妥当性が確認された。

2.2　支持構造物

(1)　検証の概要

材料力学に基づく手計算手法を用いて，代表的な簡易骨組構造モデルに対する計算を行い，得られた結果を比較することにより検証を行った。

(2)　検証解析

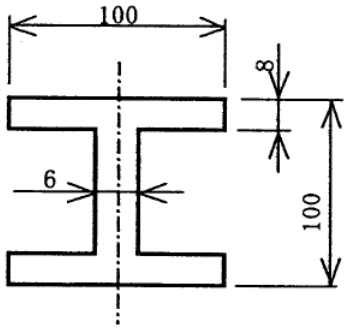
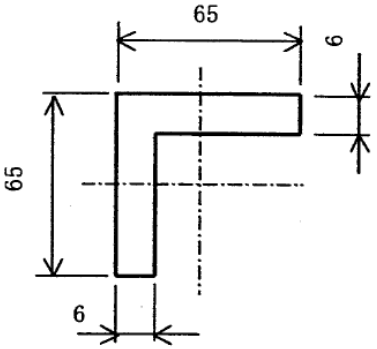
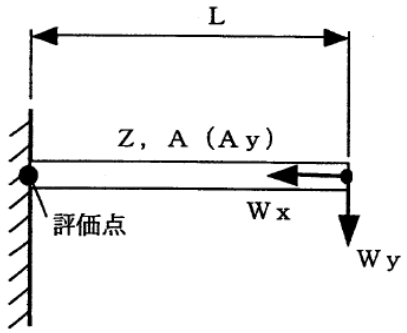
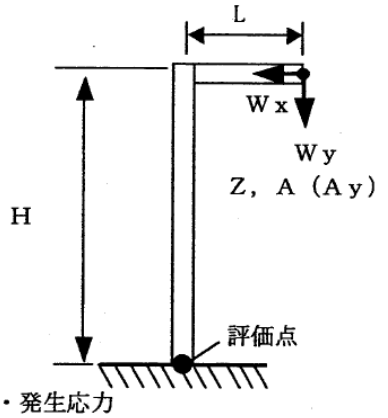
代表的な支持構造物検証用モデル「H 形鋼材」及び「L 形鋼材」について，「SAP－Ⅳ」及び「手計算手法」を用いて，両者の比較評価をする。

以下に，計算内容及び検証項目を示す。

| 計算内容 | 検証項目 |
|---|---|
| 圧縮応力，曲げ応力，せん断応力 | 発生応力 |

(3)　解析条件

・解析モデル　　（単位：mm）

| 評価１　H形鋼材片持ち梁構造 | 評価２　L形鋼材L型構造 |
|---|---|
|  <br>H鋼断面 |  <br>L鋼断面 |
|  <br>・発生応力<br>圧縮応力：Wx*g/A<br>曲げ応力：Wy*g*L/Z<br>せん断応力：Wy*g/Ay |  <br>・発生応力<br>圧縮応力：Wy*g/A<br>曲げ応力：(Wy*g*L-Wx*g*H)/Z<br>せん断応力：Wx*g/Ay |

・設計条件

| | | | 評価１ | 評価２ |
|---|---|---|---|---|
| 付加質量 | Wx | kg | 0 | 0 |
| | Wy | kg | 61 | 36 |
| 梁長さ | L | mm | 300 | 67.5 |
| 柱高さ | H | mm | － | 292.5 |
| 重力加速度 | g | $m/s^2$ | 9.80665 | 9.80665 |
| 断面係数 | Z | $mm^3$ | 67800 | 6270 |
| 断面積 | A | $mm^2$ | 2190 | 752.7 |
| 有効断面積（せん断面積） | Ay | $mm^2$ | 504 | 354 |

(4) 評価結果の比較

表 2-2 発生応力（「SAP－Ⅳ」と「手計算手法」の比較）

H 形鋼材

| | SAP－Ⅳ | | | 手計算手法 | | |
|---|---|---|---|---|---|---|
| | 圧縮応力 | 曲げ応力 | せん断応力 | 圧縮応力 | 曲げ応力 | せん断応力 |
| 発生応力 (MPa) | 0 | 3 | 2 | 0 | 2.7 | 1.2 |

L 形鋼材

| | SAP－Ⅳ | | | 手計算手法 | | |
|---|---|---|---|---|---|---|
| | 圧縮応力 | 曲げ応力 | せん断応力 | 圧縮応力 | 曲げ応力 | せん断応力 |
| 発生応力 (MPa) | 1 | 4 | 0 | 0.5 | 3.9 | 0 |

(5) 検証結果

表 2-2 における H 形鋼材及び L 形鋼材による発生応力の比較結果のとおり，両者でよく一致している。

以上の結果から，代表的な簡易骨組構造モデルを用いた両者の計算結果はほぼ同等であり，「SAP－Ⅳ」の妥当性が確認された。

参考資料（２）

耐震解析に用いるコード（ABAQUS）について

| コード名<br>項目 | ABAQUS |
|---|---|
| 開発機関 | ABAQUS 社 |
| 使用したバージョン | Version 6.5.4 |
| 開発時期 | 2005 年（初版開発時期　1978 年） |
| 計算機コードの概要 | 本計算機コードは,有限要素法による線形／非線形の静的・動的解析汎用プログラムである。以下に示す解析機能及び要素を有している。<br>＜解析機能＞<br>１．線形・非線形静的応力／変位解析<br>２．動的／変位解析<br>３．非定常の動的／変位解析<br>４．定常・非定常の伝熱解析<br>５．弾塑性解析<br>６．大変形解析<br>＜要素＞<br>１．軸対象<br>２．平面ひずみ／平面応力<br>３．三次元ソリッド<br>４．三次元シェル<br>５．トラス<br>６．はり |
| 検証方法 | ・ 振動試験結果とコードによる地震応答計算結果を比較して検証*が実施されていることを確認した。 |

注記：以下の文献を確認し，検証されたコードであることを確認した。

＊：平成 19 年度　原子力施設等の耐震性評価技術に関する試験及び調査
動的上下動耐震試験（クレーン類）に係る報告書
（平成 21 年 1 月　独立行政法人　原子力安全基盤機構）

参考資料（３）

# 耐震解析に用いるコード（NX Nastran）について

## 1. 概要

Nastranは，40年以上にわたって利用されている，動的・静的解析用の業界標準の汎用有限要素法ソルバーである。米国NASAにより，宇宙開発プロジェクト・サターンⅤ型ロケットの設計のために開発され，1972 年に最初のコマーシャルバージョンがリリース（MSC.Nastran）された。その後，2003年にSiemens PLM Software社のNX Nastranに分かれて，開発・販売を継続している汎用ソフトウェアである。

## 2. 機能

NX Nastranは，構造解析に関して主に以下の機能を有する。

① 三次元の梁モデル，シェルモデル及びソリッドモデルによる構造解析を行うことができる

② 固有値解析を行うことができ，固有振動数及び各固有振動モードに対する刺激係数や有効質量を算出できる

③ 静的解析，固有値解析，スペクトル応答解析，動的応答解析を行うことができる

## 3. 検証方法

理論値との比較による検証が実施されていることを確認した。

## 4. 使用したバージョン

NX Nastran Version 8.1

5.　解析及び計算機コードの検証

5.1.　解析の検証

5.1.1.　解析フローチャート

本計算機コードを用いた計算のフローを図 5.1-1 に示す。

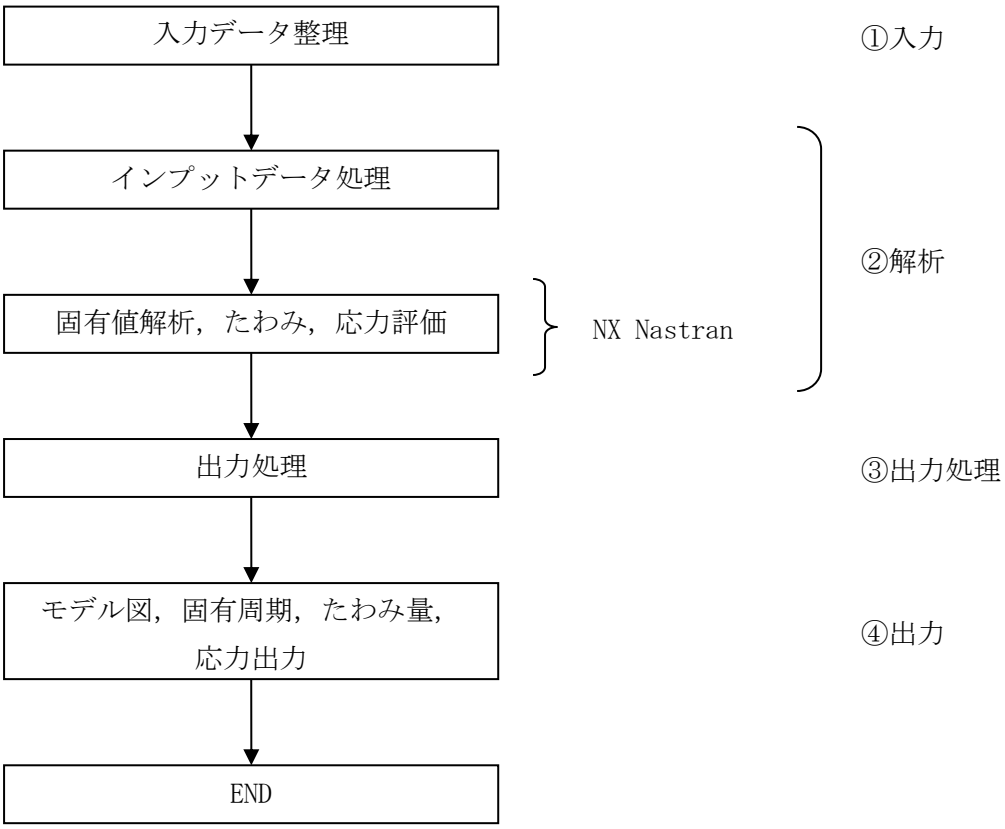



図 5.1-1　計算フロー

5.1.2.　解析の検証

図 5.1-1 に示した各フローにおける検証方法を以下に示す。

・「①入力」

寸法，物性値等の解析条件の入力に対して，正しく条件が入力されていることを確認した。

・「②解析」

両端固定梁，片持ち平板の固有振動数について，材料力学に基づく手計算手法を用いて計算を行い，「NX Nastran」の固有値解析の結果と比較を行うことによって解析結果の妥当性の確認を行った。

片持ち梁のたわみ量，応力について，材料力学に基づく手計算手法を用いて計算を行い，「NX Nastran」の結果と比較を行うことによって解析結果の妥当性の確認を行った（「5.2.　計算機コードの検証」参照）。

・「①入力」＋「②解析」＋「③出力処理」＋「④出力」

「NX Nastran」による解析結果が正しく出力されていることを確認した。

5.1.3.　結論

以上より，解析結果の検証を行い，手順①～④の妥当性を確認した。

## 5.2. 計算機コードの検証

### 5.2.1. 検証の概要

「NX Nastran」を用いて，基本的な構造の解析を行い，得られた結果と理論解との比較を行うことにより，検証を行った。

### 5.2.2. 検証解析

以下に示す構造を「NX Nastran」で解析を行い，理論解との結果を比較評価する。

| 解析内容 | 検証項目 |
|---|---|
| 両端固定梁 | 固有振動数 |
| 片持ち平板 | 固有振動数 |
| 片持ち梁 | たわみ，応力 |

両端固定梁の解析モデルを図 5.2.2-1 に,片持ち平板の解析モデルを図 5.2.2-2 に,片持ち梁の解析モデルを図 5.2.2-3 に示す。

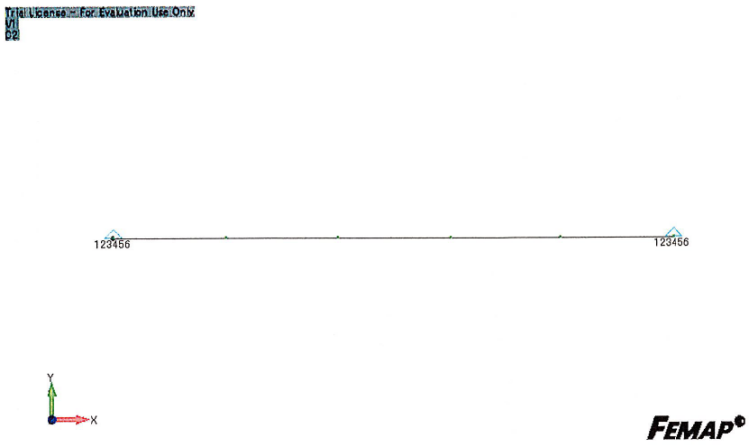



図 5.2.2-1　両端固定梁の解析モデル

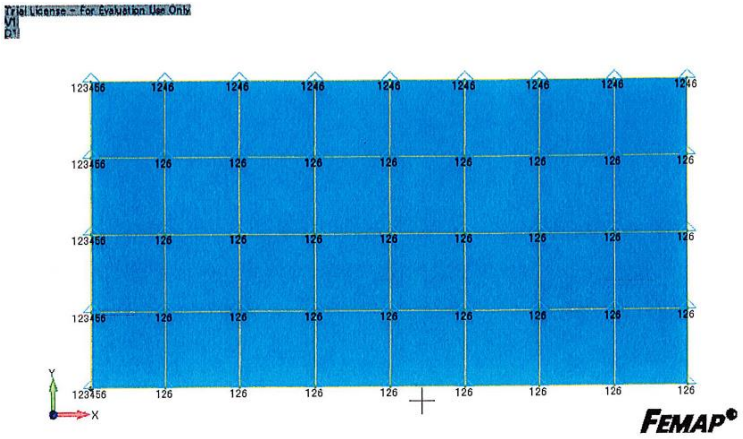



図 5.2.2-2　片持ち平板の解析モデル




図 5.2.2-3　片持ち梁の解析モデル

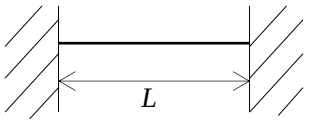
5.2.3.　理論解

(1)　両端固定梁の固有振動数

固定梁の軸に対して直角方向に梁が振動する場合の固有振動数は

$$f_n = \frac{\lambda_n^2}{2\pi L^2}\sqrt{\frac{EI}{\rho A}}$$

で表される。




ここで,

$\lambda_1 = 4.730$

$L = 10$［m］　　（梁の長さ）

$E = 200000$［MPa］　　（ヤング率）

$$I = \frac{2\times 2^3}{12}$$　　（断面二次モーメント）

$= 1.333$［$m^4$］

$\rho = 8000$［$kg/m^3$］　　（単位体積当たりの質量）

$A = 2\times 2 = 4$［$m^2$］　　（梁の面積）

とすると，固定梁の固有振動数は

$$f_1 = \frac{\lambda_1^2}{2\pi L^2}\sqrt{\frac{EI}{\rho A}}$$

$$= \frac{4.730^2}{2\cdot\pi\cdot 10^2}\sqrt{\frac{200000\cdot 10^6\times 1.333}{8000\times 4}}$$

$= 102.7774$［Hz］

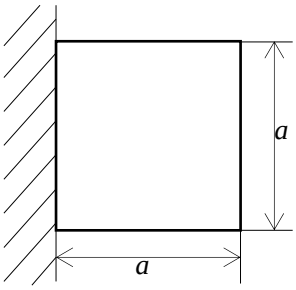
となる。

(2)　片持ち平板の固有振動数

片持ち平板が振動する場合の固有振動数は

$$f_n = \frac{\lambda_n}{2\pi a^2}\sqrt{\frac{D}{\rho h}}$$

で表される。




ここで,

$\lambda_1 = 3.494$

$a$ = 10［m］　　（板の各辺の寸法）

$h$ = 0.05［m］　　（平板の厚さ）

$E$ = 200000［MPa］　　（ヤング率）

$\nu$ = 0.3　　（ポアソン比）

$$D = \frac{Eh^3}{12(1-\nu^2)}$$　　（曲げ剛性）

$$= \frac{200000\times10^6\times0.05^3}{12(1-0.3^2)}$$

$= 2.289\times10^6$［N･m］

$\rho$ = 8000［kg/m$^3$］（単位体積当たりの質量）

とすると，固定梁の固有振動数は

$$f_1 = \frac{\lambda_1}{2\pi a^2}\sqrt{\frac{D}{\rho h}}$$

$$= \frac{3.494}{2\cdot\pi\cdot10^2}\sqrt{\frac{2.289\times10^6}{8000\times0.05}}$$

$= 0.420665$［Hz］

となる。

(3)　片持ち梁のたわみ，応力

片持ち梁のたわみは

$$v = \frac{Wl^3}{3EI}$$

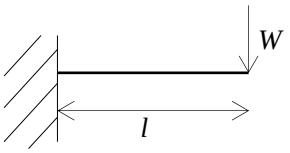
で表される。

ここで，

$W$ = 50000［N］　　（荷重）

$l$ = 480［m］　　（梁の長さ）

$E$ = 30000000［Pa］　　（ヤング率）




$b$ = 30［m］

$h$ = 30［m］

$$I = \frac{bh^3}{12}$$　　（断面二次モーメント）

$$= \frac{30 \cdot 30^3}{12}$$

= 67500［$m^4$］

とすると，片持ち梁のたわみは

$$v = \frac{Wl^3}{3EI}$$

$$= \frac{50000 \cdot 480^3}{3 \cdot 30000000 \cdot 67500}$$

= 0.91［m］

となる。

片持ち梁に発生する応力は

$$Z = \frac{bh^2}{6}$$　　（断面係数）

$$= \frac{30 \cdot 30^2}{6}$$

= 4500［$m^3$］

とすると，

$$\sigma = \frac{W \cdot l}{Z}$$

$$= \frac{50000 \cdot 480}{4500}$$

= 5334［$N/m^2$］

となる。

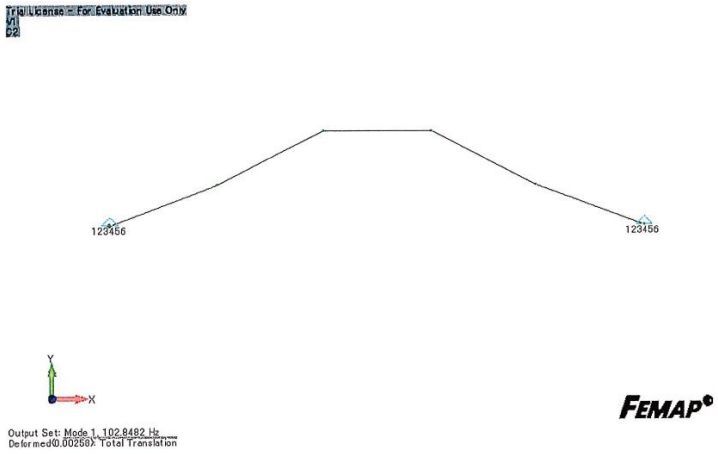
5.2.4.　検証結果

「NX Nastran」による解析結果を図 5.2.4-1～3 に示す。「NX Nastran」による解析結果と理論解の比較を表 5.2.4-1 に示す。

「NX Nastran」による解析結果と手計算の結果がよく一致していることを確認した。

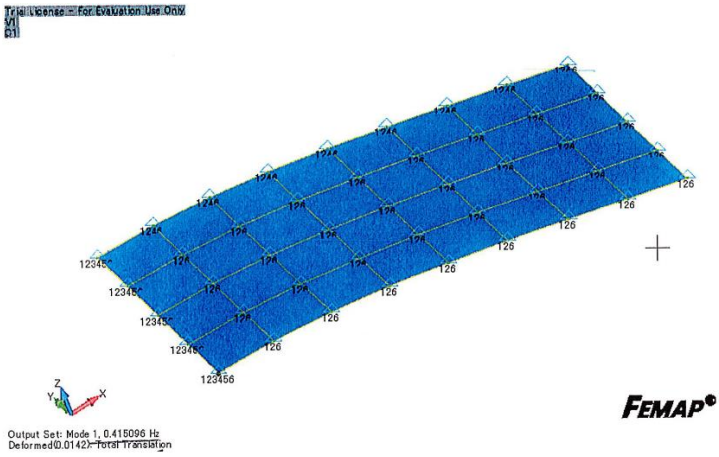
表 5.2.4-1　「NX Nastran」による解析結果と理論解の比較

| 解析内容 | 項目 | 「NX Nastran」による解析結果 | 理論解 |
|---|---|---|---|
| 両端固定梁 | 固有振動数[Hz] | 102.8482 | 102.7774 |
| 片持ち平板 | 固有振動数[Hz] | 0.415096 | 0.420665 |
| 片持ち梁 | たわみ[m] | 0.91 | 0.91 |
| | 応力[N/m$^2$] | 5333 | 5334 |



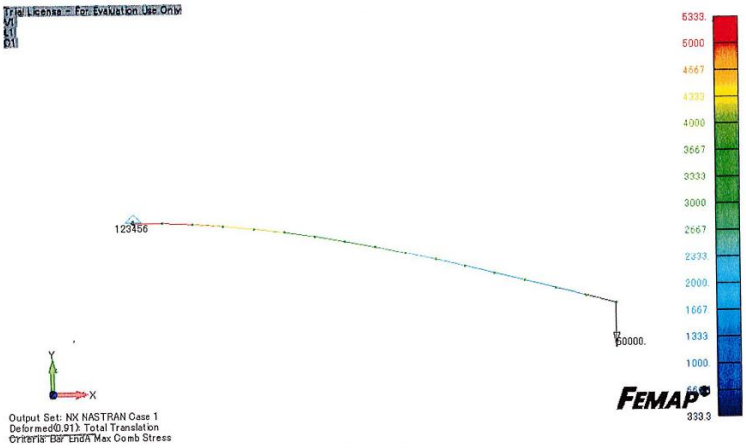

1次モード

図 5.2.4-1　両端固定梁の解析結果（固有振動数）




1次モード

図 5.2.4-2　片持ち平板の解析結果（固有振動数）




変形状態

図 5.2.4-3　片持ち梁の解析結果（たわみ・応力）

参考資料（4）

耐震解析に用いるコード（ANSYS について）

| コード名 / 項目 | ANSYS |
|---|---|
| 開発機関 | Swanson Analysis Systems 社（現 ANSYS 社） |
| 使用したバージョン | 14.5 |
| 開発時期 | 2012 年(初版開発時期　1970 年) |
| 解析コードの概要 | ANSYS(以下,「本解析コード」という。)は Swanson Analysis Systems 社（現 ANSYS 社）により開発された有限要素解析法による計算機プログラムである。<br>本解析コードは，広範囲に亘る多目的有限要素解析法による計算機プログラムであり，静的及び動的構造力学問題のシミュレーションならびに解析を実施するものである。<br>本解析コードは，ISO9001 及び ASME NQA-1 を取得し，アメリカ合衆国規制委員会による 10CFR Part 50 ならびに 10CFR21 の要求を満たしており，数多くの研究機関や企業において，航空宇宙，自動車，機械，建築，土木等の様々な分野の構造解析に広く利用されている。 |
| 検証及び妥当性確認 | 【検証】<br>本解析コードの検証の内容は次の通りである。<br>・　本解析コードの検証は，開発元のリリースノートの例題集において，解析例に対する理論解と解析結果との比較が実施されている。<br>・　本解析コードが適正であることは，コード配布時に同梱された Verification Testing Package により確認している。<br>・　本解析コードの運用環境について，開発元から提示された要件を満足していることを確認している。<br>【妥当性確認】<br>本解析コードの妥当性確認の内容は次の通りである。<br>・　本解析コードは，数多くの研究機関や企業において，航空宇宙，自動車，機械，建築，土木等の様々な分野の構造解析に広く利用されていることを確認している。<br>・　本解析コードは，原子力分野では，原子炉設置（変更）許可申請書における応力解析等，これまで多くの構造解析に対し使用実績があることを確認している。 |

燃料取り出し用カバーの構造強度及び耐震性に関する説明書

1.　本説明書の記載範囲

本説明書は，２号機，３号機及び４号機燃料取り出し用カバーの構造強度及び耐震性について記載するものである。なお，２号機，３号機及び４号機以外については，別途申請する。

2.　４号機燃料取り出し用カバーの構造強度及び耐震性について

2.1　概要

2.1.1　一般事項

4 号機燃料取り出し用カバーは，使用済燃料プールを覆う構造としており，クレーン支持用架構と燃料取扱機支持用架構を有し，それぞれについて構造強度と耐震性について検討を行う。なお，耐震設計上の重要度分類は，燃料取扱設備の間接支持構造物としてＢクラス相当とする。

燃料取り出し用カバーの構造強度は一次設計に対応した許容応力度設計を実施し，耐震性は基準地震動 Ss に対する地震応答解析を実施し，燃料取り出し用カバーの損傷が原子炉建屋，使用済燃料プール及び使用済燃料ラックに波及的影響を及ぼさないことを確認する。ここで，波及的影響の確認は，架構が崩壊機構に至らないことを確認する。図 2.1.1-1 に燃料取り出し用カバーのイメージを示す。

なお，一部損壊した原子炉建屋に接合される燃料取扱機支持用架構の施工前において，本説明書で想定しているように，原子炉建屋の接合部が施工に十分な状態かどうか確認した点検結果を別途報告するとともに，不具合が見つかった場合には，適切に補修等を実施する。

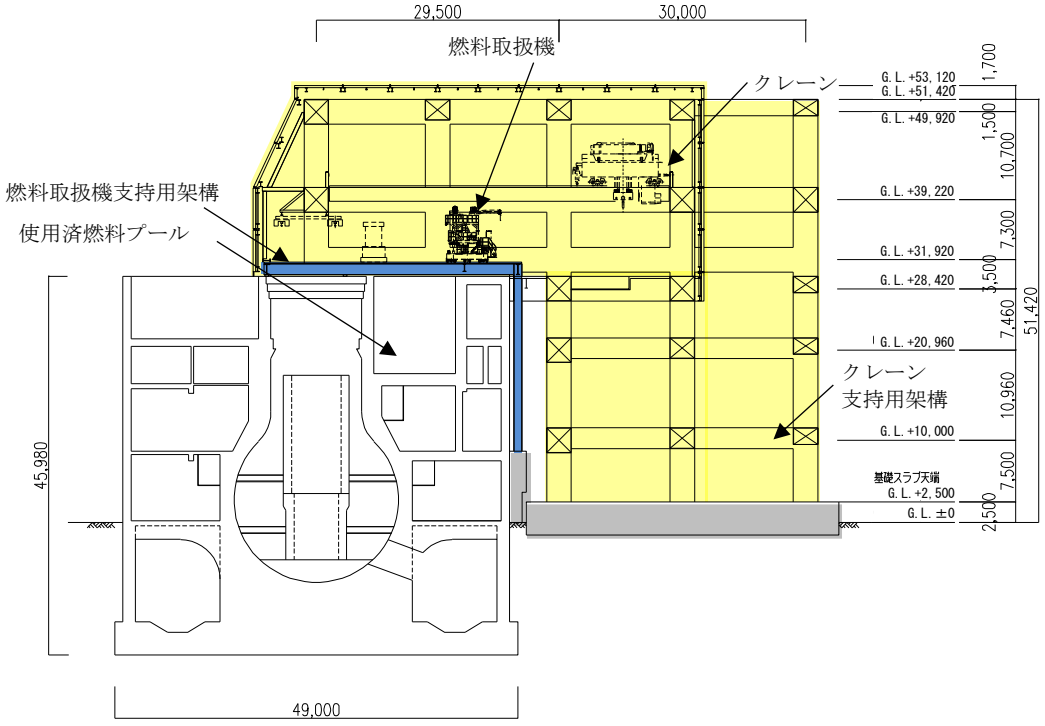



図 2.1.1-1　燃料取り出し用カバーのイメージ

燃料取り出し用カバーの検討は原則として下記の法規及び基規準類に準拠して行う。

(1) 建築基準法・同施行令及び関連告示
(2) 原子力施設鉄筋コンクリート構造計算規準・同解説（日本建築学会，2005 制定）
(3) 鉄筋コンクリート構造計算規準・同解説（日本建築学会，2010 改定）
(4) 鋼構造設計規準（日本建築学会，2005 改定）
(5) 建築基礎構造設計指針（日本建築学会，2001 改定）
(6) 2007 年版 建築物の構造関係技術基準解説書(国土交通省住宅局建築指導課･国土交通省 国土技術政策総合研究所･独立行政法人建築研究所･日本建築行政会議，2007 刊行)
(7) 鋼構造塑性設計指針（日本建築学会，1975 発行）
(8) 建築工事標準仕様書・同解説 JASS14 カーテンウォール工事（日本建築学会，1996 改定）
(9) 各種合成構造設計指針・同解説（日本建築学会，2010 改定）

また，原子力施設の設計において参照される下記の指針及び規程を参考にして検討を行う。

(1) 原子力発電所耐震設計技術指針(JEAG 4601-1987)（日本電気協会 電気技術基準調査委員会，昭和 62 年 8 月 改訂)
(2) 原子力発電所耐震設計技術指針(JEAG 4601-1991 追補版)（日本電気協会 電気技術基準調査委員会，平成 3 年 6 月 発刊)
(3) 原子力発電所耐震設計技術規程(JEAC 4601-2008)（日本電気協会 原子力規格委員会，平成 20 年 12 月 改定)
(4) 乾式キャスクを用いる使用済燃料中間貯蔵建屋の基礎構造の設計に関する技術規程（JEAC 4616-2009)（日本電気協会 原子力規格委員会，平成 21 年 12 月 制定)

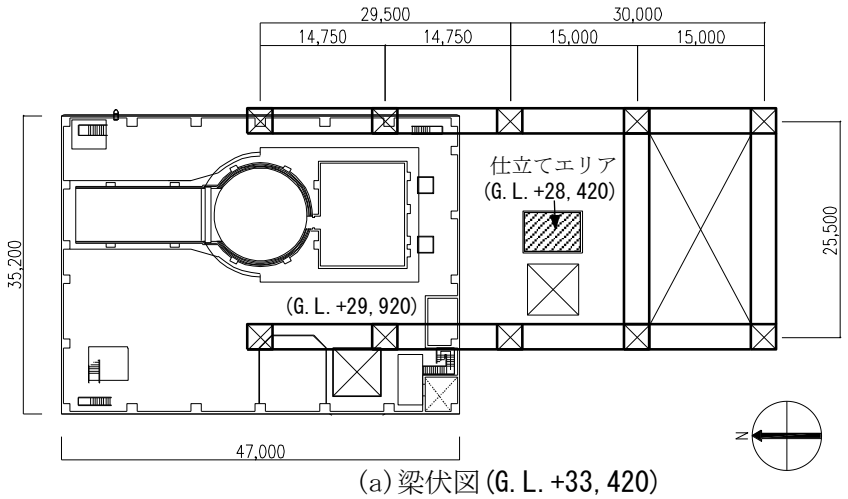
添付資料－4－2 では，G.L.±0mm＝T.P.8,564(※)とする。
(※)震災後の地盤沈下量(-709mm)と，O.P.から T.P.への
読替値(-727mm)を用いて，下式に基づき換算している。
＜ 換算式 ＞ T.P.＝旧 O.P.-1,436mm

2.1.2　クレーン支持用架構

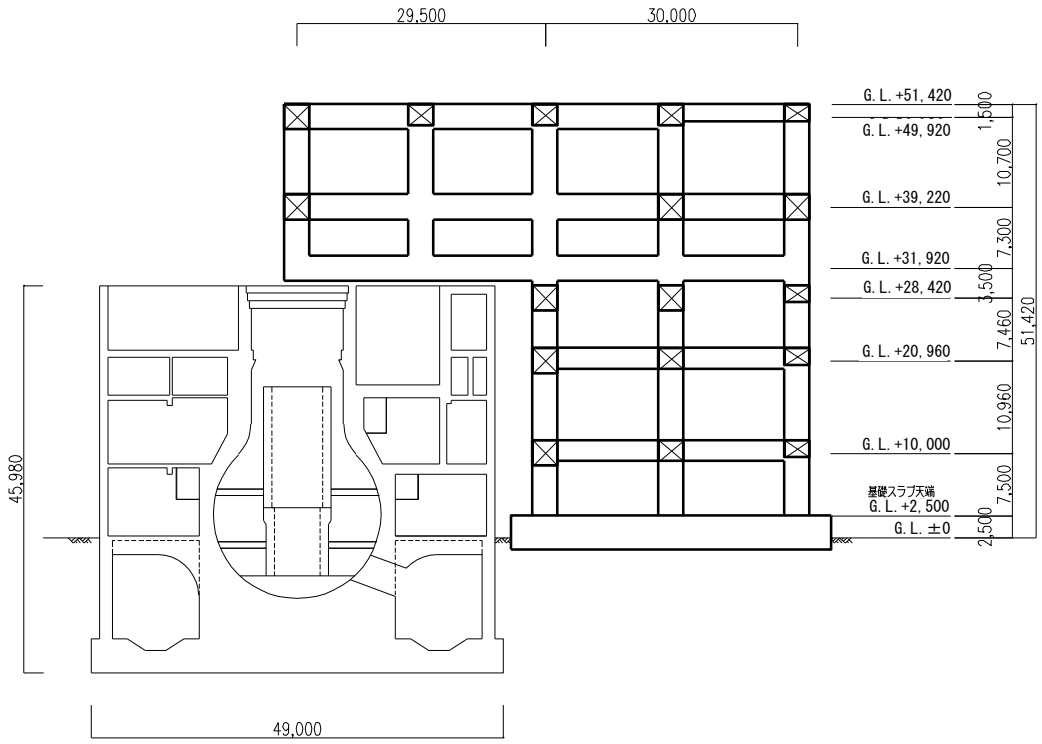
クレーン支持用架構はキャスク搬出入用の天井クレーンを支持する架構で，南北方向に 30.00m，東西方向に 25.50m，地盤面からの高さが 51.42m の柱部分と，北方向に 29.50m 跳ね出した片持ち梁部分からなる逆 L 字型の架構である。構造形式はラーメン構造で，構造種別は鉄骨造である。柱，大梁には，箱型断面部材を用いる。

基礎形式は基礎スラブによる直接基礎とし，地震時の基礎の転倒防止対策として地盤アンカーを用い，基礎スラブを支持する地盤は地盤改良により強固な支持地盤を形成する。改良地盤は既存の原子炉建屋と同様に泥岩に着底している。

クレーン支持用架構の概要を図 2.1.2-1 に，基礎スラブ及び改良地盤の概要を図 2.1.2-2 に示す。

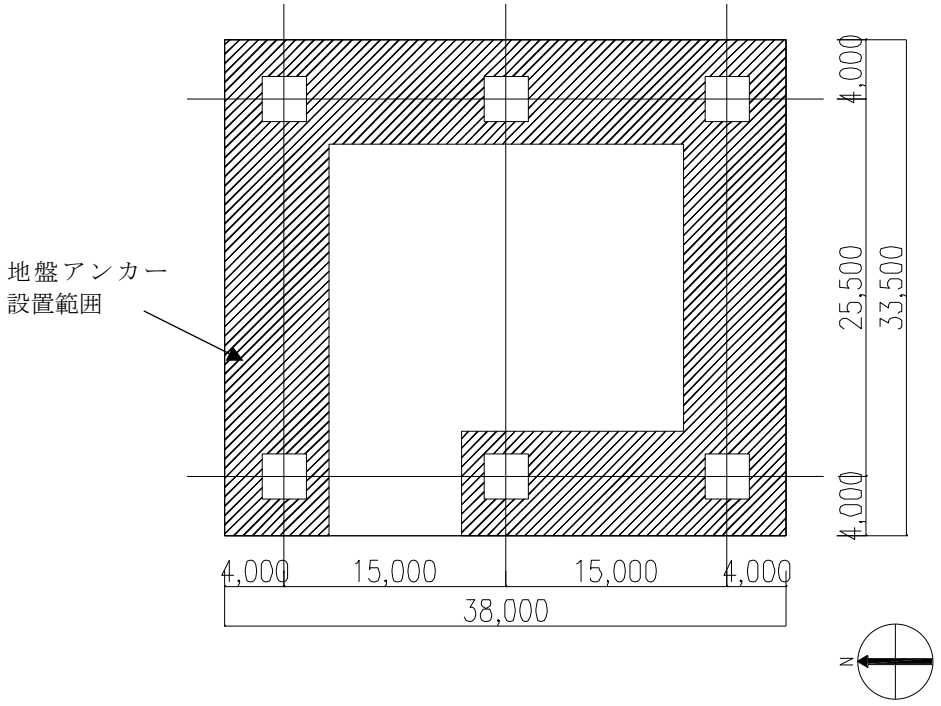



(a)梁伏図(G.L.+33,420)

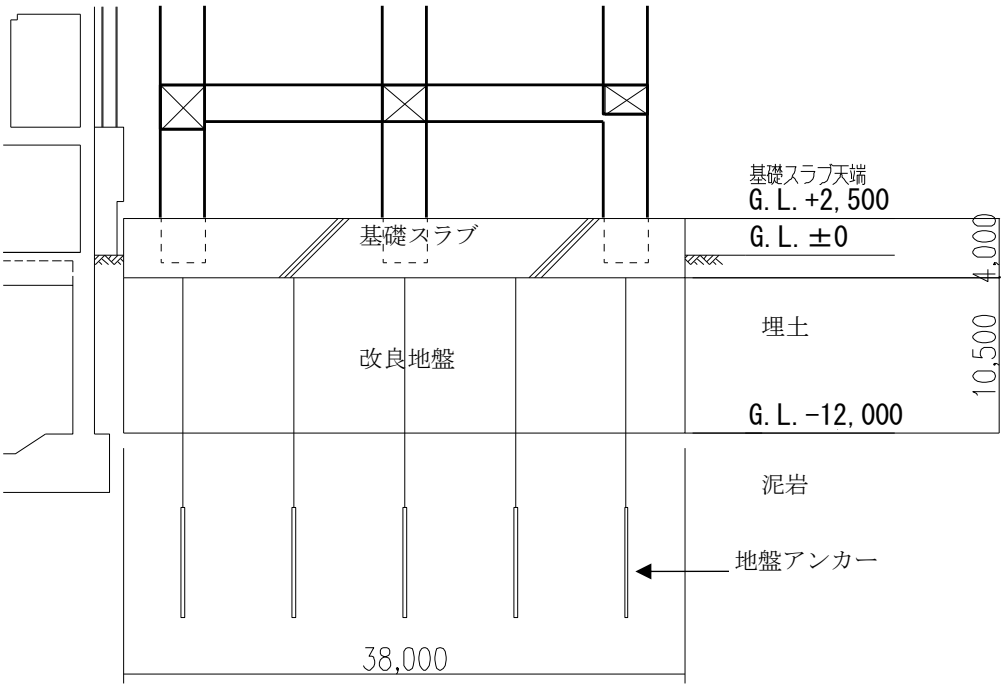



(b) 軸組図

図 2.1.2-1　クレーン支持用架構の概要（単位：mm）




(a) 基礎伏図




(b) 基礎断面図

図 2.1.2-2　基礎スラブ及び改良地盤の概要（単位：mm）

2.1.3　燃料取扱機支持用架構

燃料取扱機支持用架構は燃料取扱機を支持する架構で，南北方向に 30.50m，東西方向に 13.36m，地盤面からの高さが 30.77m の柱及び梁からなる逆 L 字型の架構である。構造形式はラーメン構造で，構造種別は鉄骨造である。

支持形式は，原子炉建屋シェル壁上端及び 1 階から 2 階の南側外壁に支持する構造である。燃料取扱機支持用架構の概要を図 2.1.3-1(1)及び図 2.1.3-1(2)に示す。

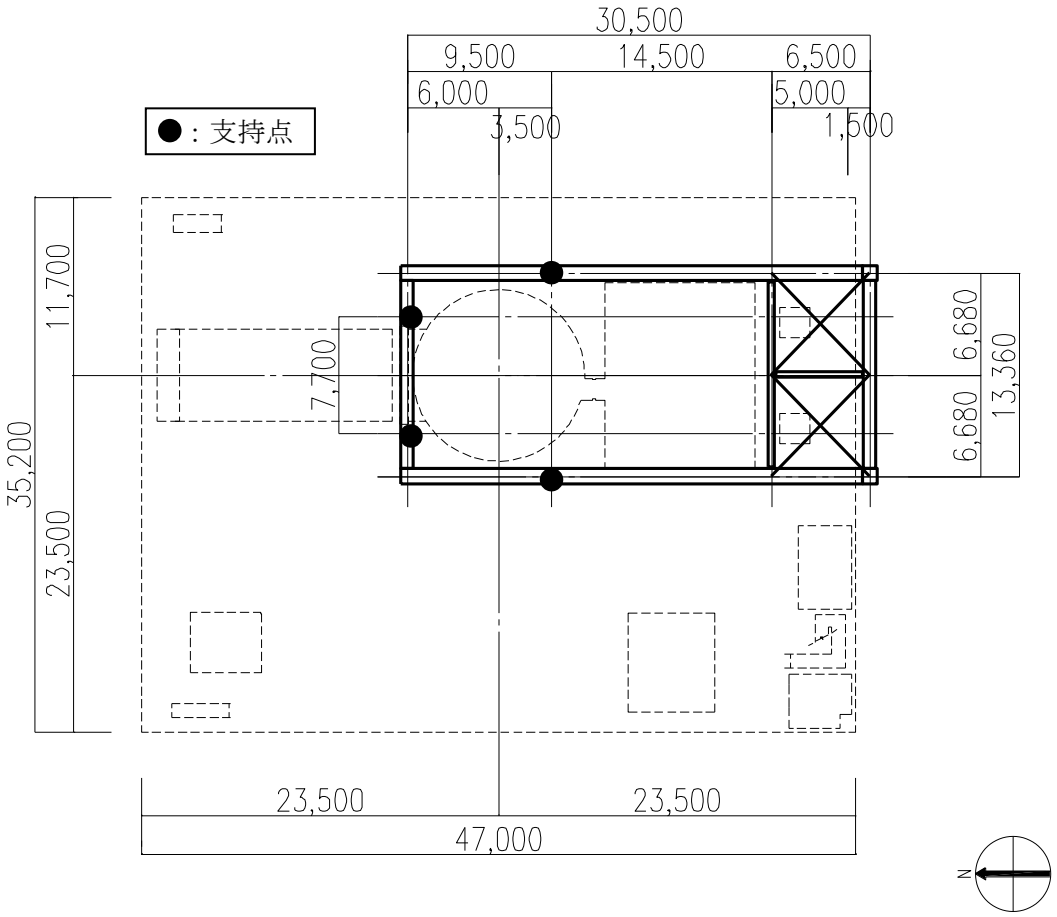
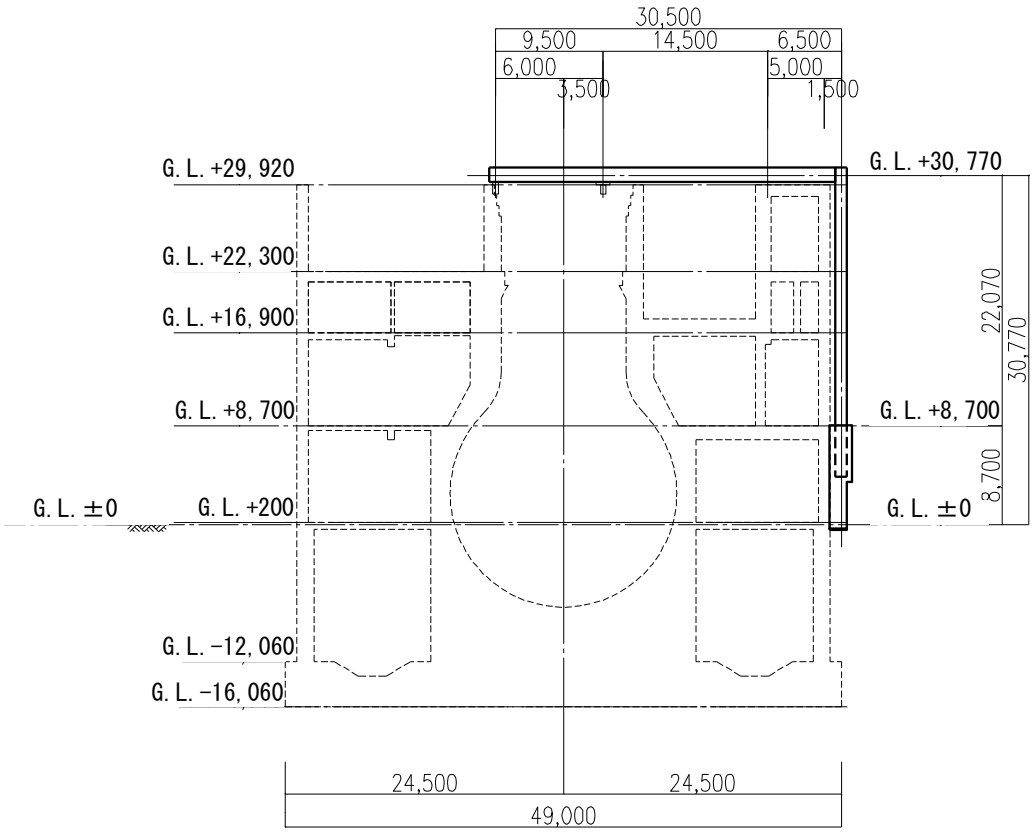
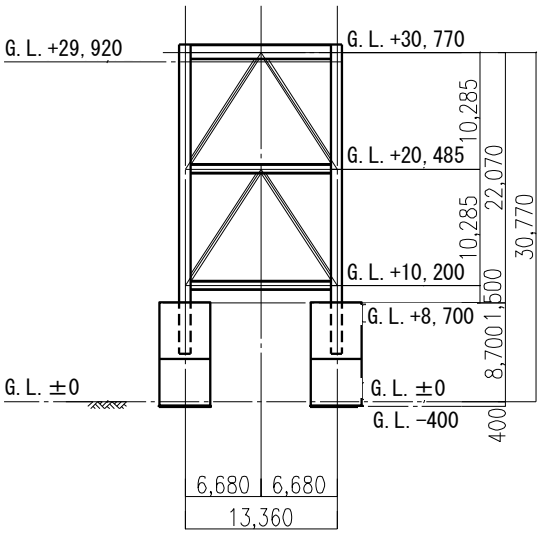



図 2.1.3-1(1)　燃料取扱機支持用架構の概要(梁伏図（G.L.+31,420））（単位：mm）




(a)断面図




(b)立面図

図 2.1.3-1(2)　燃料取扱機支持用架構の概要（単位：mm）

2.2　クレーン支持用架構の構造強度及び耐震性について

クレーン支持用架構の構造強度及び耐震性の検討フローを図 2.2-1 に示す。

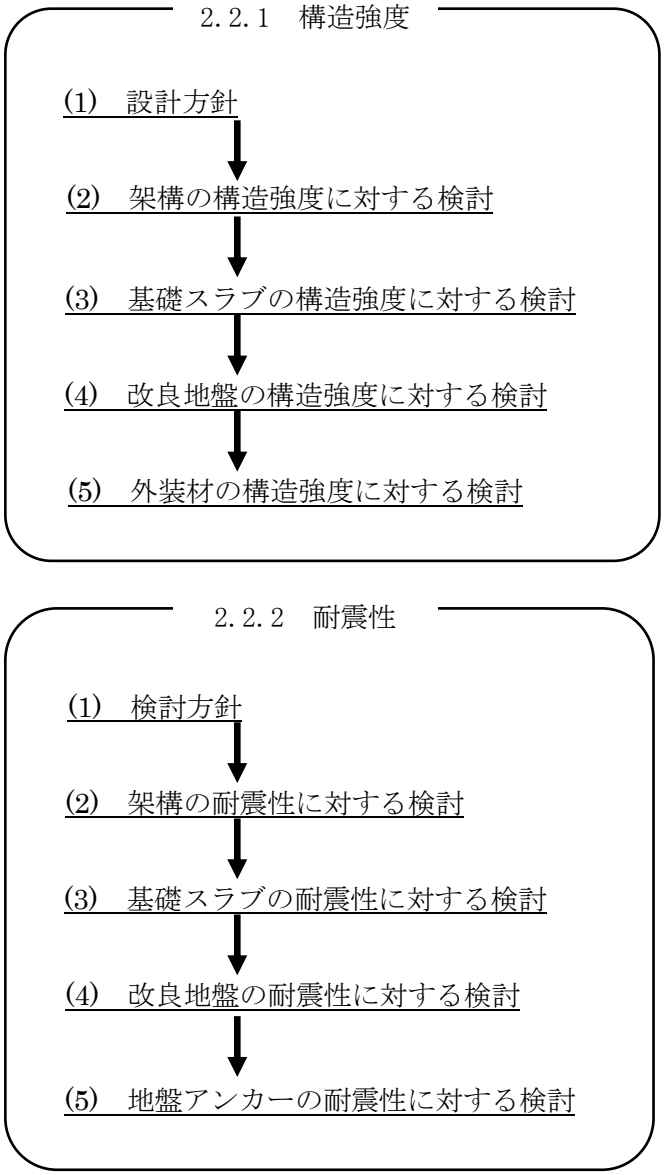



図 2.2-1　クレーン支持用架構の検討フロー

2.2.1　構造強度

(1)　設計方針

構造強度の検討は，クレーン支持用架構，基礎スラブ，改良地盤及び外装材について許容応力度設計を実施する。

1)　使用材料及び許容応力度

使用材料の物性値及び許容応力度を表 2.2.1-1(1)及び表 2.2.1-1(2)に示す。

表 2.2.1-1(1)　クレーン支持用架構の物性値及び許容応力度

材料定数

| 部位 | 材料 | ヤング係数<br>E（N/mm²） | ポアソン比<br>$\nu$ | 単位体積重量<br>$\gamma$（kN/m³） |
|---|---|---|---|---|
| 架　　構 | 鉄骨 | $2.05\times10^5$ | 0.3 | 77.0 |
| 基礎スラブ | コンクリート | $2.44\times10^4$ | 0.2 | 24.0 |

コンクリートの許容応力度　（単位：N/mm²）

| | 長期 | | | 短期 | | |
|---|---|---|---|---|---|---|
| 設計基準強度＝30 | 圧縮 | 引張 | せん断 | 圧縮 | 引張 | せん断 |
| | 10.0 | － | 0.790 | 20.0 | － | 1.185 |

鉄筋の許容応力度　（単位：N/mm²）

| 記号 | 鉄筋径 | 長期 | | 短期 | |
|---|---|---|---|---|---|
| | | 引張及び圧縮 | せん断補強 | 引張及び圧縮 | せん断補強 |
| SD345 | D29 未満 | 215 | 195 | 345 | 345 |
| | D29 以上 | 195 | | | |
| SD390 | D29 未満 | 215 | 195 | 390 | 390 |
| | D29 以上 | 195 | | | |

構造用鋼材の許容応力度　（単位：N/mm²）

| 板厚 | 材料 | 基準強度 F | 許容応力度 |
|---|---|---|---|
| T≦40mm | SS400，SN400B | 235 | 「鋼構造設計規準」に従い，左記 F の値より求める |
| T＞40mm | SN400B | 215 | |
| T≦40mm | SM490A，SN490B | 325 | |
| T≦40mm | SM520B | 355 | |

表 2.2.1-1(2)　改良地盤，支持地盤の物性値及び許容応力度

改良地盤の許容応力度　（単位：kN/m²）

| 設計基準強度=2300*1 | 長期 | | | 短期 | | |
|---|---|---|---|---|---|---|
| | 圧縮 | 引張 | せん断 | 圧縮 | 引張 | せん断 |
| 改良地盤 | 766 | － | 153 | 1533 | － | 306 |
| 断面欠損を考慮*2 | 750 | － | 114 | 1502 | － | 229 |

*1：施工結果を反映した

*2：「JEAC4616-2009」に準拠し，断面欠損を鉛直方向に 2%，せん断方向に 25%考慮した

支持地盤の許容支持力度　（単位：kN/m²）

| 種別 | 長期*1 | 短期*1 |
|---|---|---|
| 泥岩（岩盤） | 1960 | 3920 |

*1：「福島第一原子力発電所第４号機工事計画認可申請書」による

2)　荷重及び荷重組合せ

設計で考慮する荷重を以下に示す。

・鉛直荷重（VL）

クレーン支持用架構に作用する鉛直方向の荷重で，固定荷重，機器荷重，配管荷重，積載荷重及び地盤アンカーの効果を考慮した荷重とする。

・クレーン荷重（CL）

天井クレーンによる荷重を表 2.2.1-2 に示す。

表 2.2.1-2　クレーン荷重一覧表

| | |
|---|---|
| クレーン自重 | 1666 kN |
| トロリ自重 | 1010 kN |
| 吊荷 | 980 kN |

・積雪荷重（SL）

積雪荷重は建築基準法施行令及び福島県建築基準法施行規則細則に準拠し以下の条件とする。

積雪量：30cm，単位荷重：20N/m²/cm

・風圧力（WL）

風圧力は建築基準法施行令第 87 条および建設省告示第 1454 号に基づき，基準風速を 30m/s，地表面粗度区分Ⅱとして算定する。速度圧の算定結果を表 2.2.1-3 に示す。

表 2.2.1-3　速度圧の算定結果

| 建物高さ*<br>H<br>(m) | 平均風速の<br>鉛直分布係数<br>Er | ガスト<br>影響係数<br>Gf | 建物高さと粗度<br>区分による係数<br>E | 基準風速<br>Vo<br>(m/s) | 速度圧<br>q<br>(N/m²) |
|---|---|---|---|---|---|
| 52.73 | 1.28 | 2.00 | 3.28 | 30 | 1769 |

＊：　建物高さは，軒高さ（52.34m）と最高高さ（53.12m）の平均値とした

・地震荷重（K）

水平地震力はG.L.±0mを基準面として，下式により算定し，算定結果を表2.2.1-4に示す。

$$Qi=n \cdot Ci \cdot Wi$$
$$Ci=Z \cdot Rt \cdot Ai \cdot Co$$

ここで，

Qi ：水平地震力（kN）

n ：施設の重要度に応じた係数（n=1.5）

建築基準法で定める地震力の1.5倍を考慮する。

Ci ：地震層せん断力係数

Wi：当該部分が支える重量（kN）

Z ：地震地域係数（Z=1.0）

Rt ：振動特性係数（Rt=1.0）

Ai ：地震層せん断力係数の高さ方向の分布係数で，クレーン支持用架構の固有値を用いたモーダル法（二乗和平方根法）により求める。

$C_0$ ：標準せん断力係数（$C_0$=0.2）

表2.2.1-4　水平地震力の算定結果

| 階 | G.L.(m) | 各階重量 (kN) | Wi (kN) | Ai | | n・Ci | | Qi (kN) | |
|---|---|---|---|---|---|---|---|---|---|
| | | | | NS方向 | EW方向 | NS方向 | EW方向 | NS方向 | EW方向 |
| R | +51.42 | 10569 | － | － | － | － | － | － | － |
| 6 | +40.72～+51.42 | 13780 | 10569 | 1.443 | 1.477 | 0.433 | 0.443 | 4576 | 4683 |
| 5 | +33.42～+40.72 | 5195 | 24349 | 1.302 | 1.328 | 0.391 | 0.398 | 9514 | 9702 |
| 4 | +29.92～+33.46 | 9019 | 29544 | 1.254 | 1.272 | 0.376 | 0.382 | 11118 | 11271 |
| 3 | +22.46～+29.92 | 5782 | 38563 | 1.183 | 1.187 | 0.355 | 0.356 | 13685 | 13730 |
| 2 | +11.50～+22.46 | 6390 | 44345 | 1.113 | 1.114 | 0.334 | 0.334 | 14807 | 14818 |
| 1 | +2.50～+11.50 | － | 50735 | 1.000 | 1.000 | 0.300 | 0.300 | 15221 | 15221 |

・荷重組合せ

設計で考慮するクレーンの位置を図 2.2.1-1 に，荷重組合せを表 2.2.1-5 に示す。

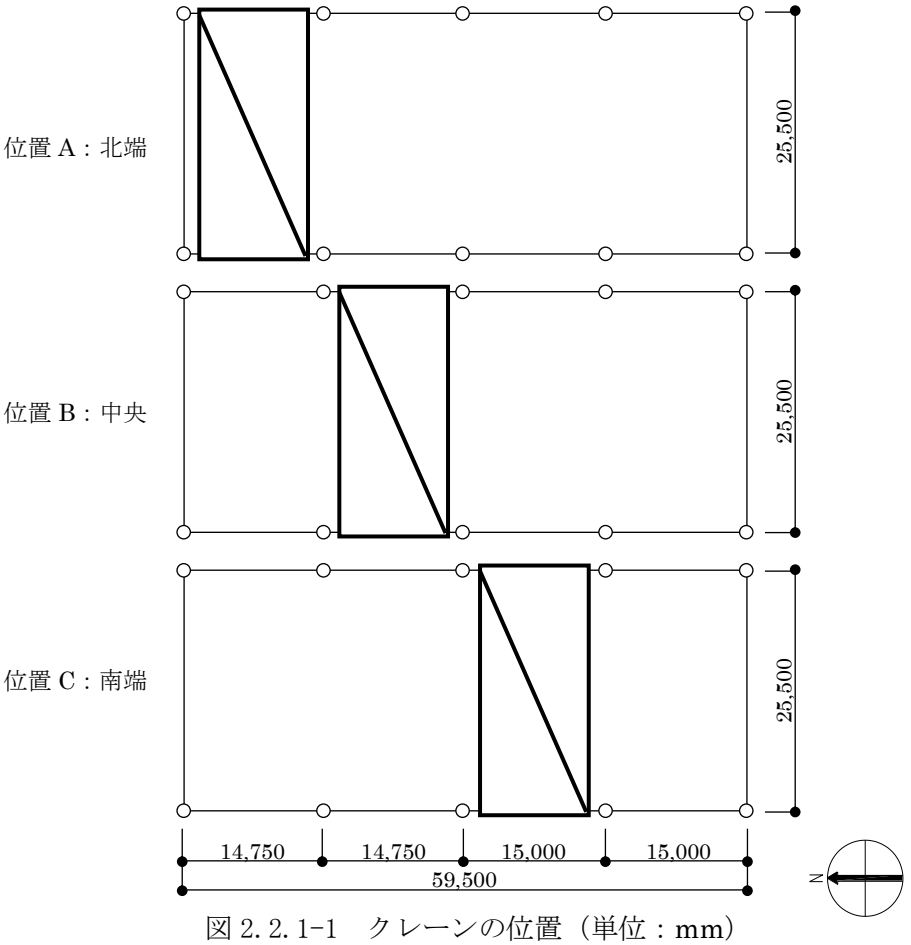



図 2.2.1-1　クレーンの位置（単位：mm）

表 2.2.1-5　クレーン支持用架構の荷重組合せ

| 想定する状態 | 荷重ケース | 荷重組合せ内容 | 許容応力度 |
|---|---|---|---|
| 常時 | C | VL+CL*1 | 長期 |
| 積雪時*3 | S | VL+CL*1+SL | 短期 |
| 暴風時*3 | W | VL+CL*1+WL | |
| 地震時 | E1 | VL+CL*1+K(＋NS)*2 | |
| | E2 | VL+CL*1+K(－NS)*2 | |
| | E3 | VL+CL*1+K(＋EW)*2 | |
| | E4 | VL+CL*1+K(－EW)*2 | |

*1：　吊荷重量は，常時，積雪時及び暴風時はクレーン位置，地震時は仕立てエリアにて考慮する。

*2：　地震荷重は NS 方向及び EW 方向を考慮する。

*3：　短期事象では地震時が支配的であることから，積雪時及び暴風時の検討は省略する。ただし，外装材の検討は暴風時が支配的であることから暴風時に対し検討を行う。

なお，地震時と暴風時のクレーン支持用架構の層せん断力について，風荷重の受圧面積が最大になる EW 方向で比較した結果を図 2.2.1-2 に示す。図 2.2.1-2 より，地震時の層せん断力は暴風時の層せん断力を包絡しており，支配的な荷重である。

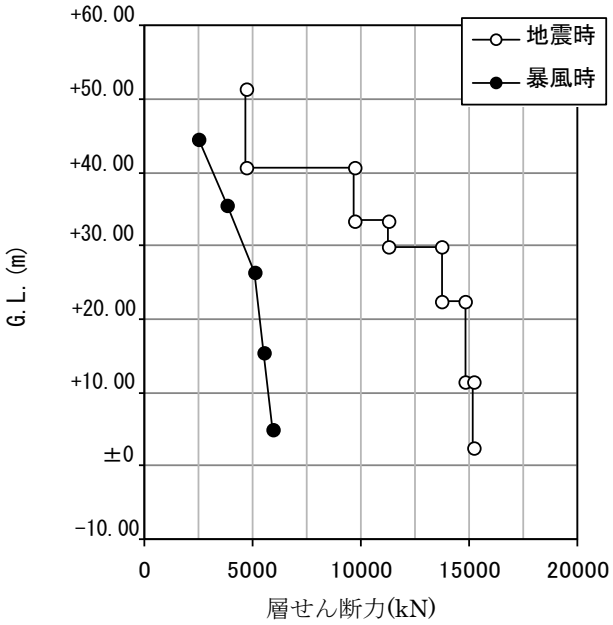



図 2.2.1-2　地震時と暴風時の層せん断力の比較

(2)　架構の構造強度に対する検討

1)　解析モデル

クレーン支持用架構の解析モデルは，基礎スラブ厚中央（G.L.+0.5m）より上部を立体架構モデルとし，柱及び梁の部材端部の条件は剛接，柱脚部は基礎下でピン支持とする。解析モデル，部材寸法及び応力検討箇所を図 2.2.1-3 に示す。ここに，使用する材質は SM490A とする。

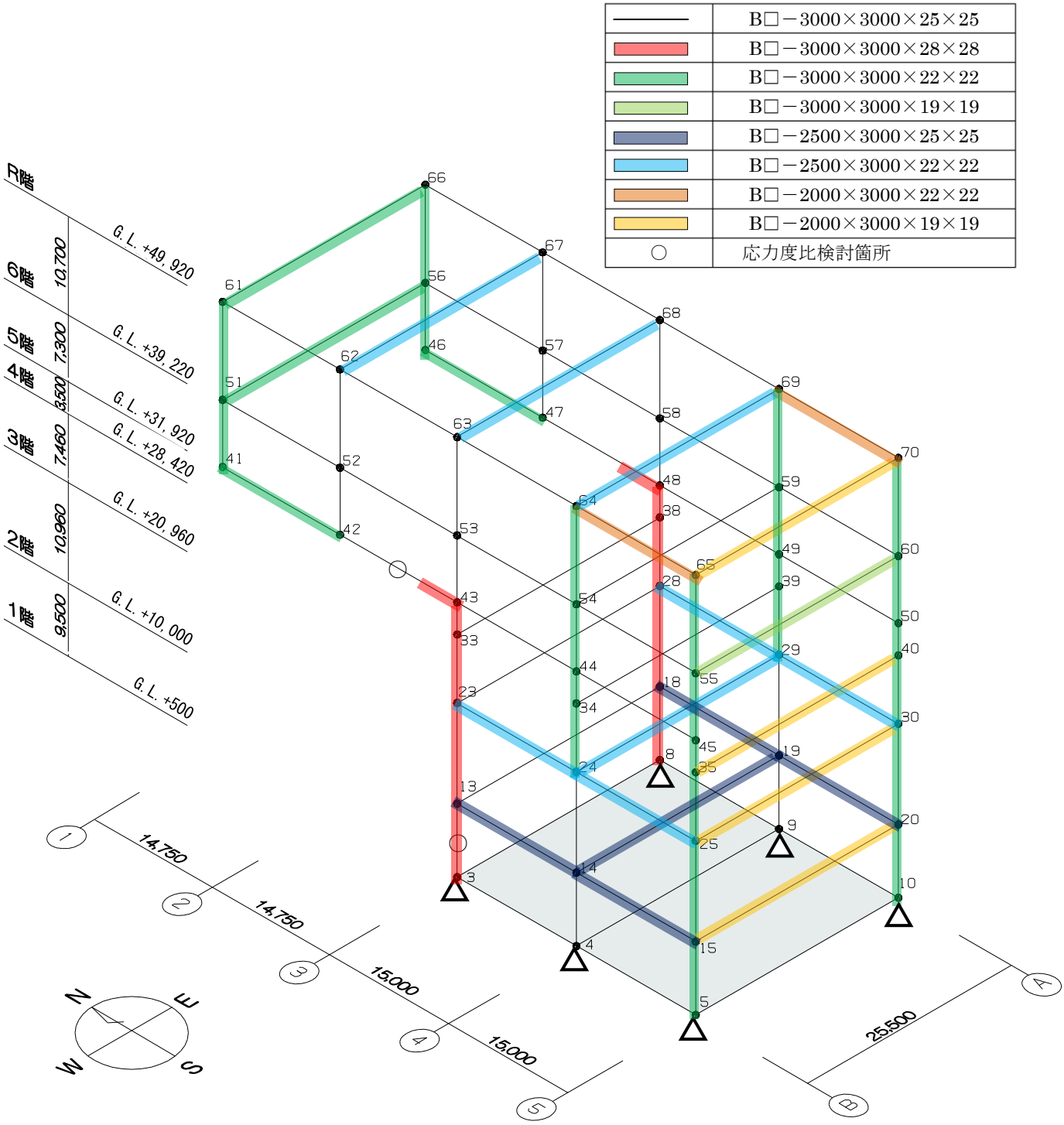
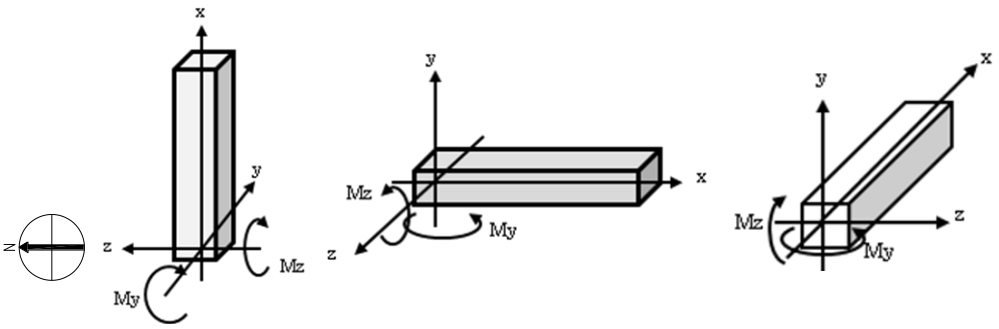



図 2.2.1-3　解析モデル図（単位：mm）

2)　断面検討

応力解析結果を用い，断面検討は二方向の曲げを図 2.2.1-4 に示すように考慮する。




柱要素　　NS 方向梁要素　　EW 方向梁要素

図 2.2.1-4　曲げモーメントの方向

応力度比の検討は「鋼構造設計規準」に従い，軸力及び曲げモーメントに対する検討は下式にて行う。

・軸圧縮の場合　　$\dfrac{\sigma_c}{f_c}+\dfrac{\sigma_{bz}+\sigma_{by}}{f_b}\leqq 1$

・軸引張の場合　　$\dfrac{\sigma_c+\sigma_{bz}+\sigma_{by}}{f_t}\leqq 1$

ここで，

$\sigma_c$：軸応力度（=N／A）

N：軸力，A：断面積

$\sigma_{bz}$：部材 z 軸方向曲げ応力度（＝$M_z$／$Z_z$）

$M_z$，$Z_z$：部材 z 軸回りモーメント及び断面係数

$\sigma_{by}$：部材 y 軸方向曲げ応力度（＝$M_y$／$Z_y$）

$M_y$，$Z_y$：部材 y 軸回りモーメント及び断面係数

$f_c$：許容圧縮応力度

$f_b$：許容曲げ応力度

$f_t$：許容引張応力度

また，せん断力に対する検討は下式にて行う。

$$\frac{\sqrt{(\sigma_c+\sigma_{bz}+\sigma_{by})^2+3\tau_z^{\,2}}}{f_t}\leqq 1 \quad \text{かつ} \quad \frac{\sqrt{(\sigma_c+\sigma_{bz}+\sigma_{by})^2+3\tau_y^{\,2}}}{f_t}\leqq 1$$

ここで，

$\tau_z$：部材 z 軸方向せん断応力度（＝$Q_z$／$A_{wz}$）

$Q_z$，$A_{wz}$：部材 z 軸方向せん断力及びせん断断面積

$\tau_y$：部材 y 軸方向せん断応力度（＝$Q_y$／$A_{wy}$）

$Q_y$，$A_{wy}$：部材 y 軸方向せん断力及びせん断断面積

表 2.2.1-6 及び表 2.2.1-7 に応力度比が最大となる部位の断面検討結果を示す。

断面検討の結果，全ての部材に対する応力度比が 1 以下になることを確認した。

表 2.2.1-6　断面検討結果（常時）

| 部位 | 検討箇所 | 部材形状 (mm) | 荷重ケース (位置)*1 | 作用応力度 (N/mm²) | | 許容応力度 (N/mm²) | 応力度比 | 判定 |
|---|---|---|---|---|---|---|---|---|
| 柱 | 1 階<br>3-B | B□-3000×3000<br>×28×28 | C<br>(A) | 曲げ Mz | 37.3 | 216.7 | 0.52 | OK |
| | | | | 曲げ My | 8.4 | 216.7 | | |
| | | | | 圧縮 N | 65.1 | 213.6 | | |
| | | | | せん断 Qz | 0.8 | 125.1 | | |
| | | | | せん断 Qy | 8.9 | 125.1 | | |
| 梁 | 5 階<br>2-3/B | B□-3000×3000<br>×28×28 | C<br>(A) | 曲げ Mz | 93.0 | 216.7 | 0.55 | OK |
| | | | | 曲げ My | 0.4 | 216.7 | | |
| | | | | 圧縮 N | 19.2 | 214.1 | | |
| | | | | せん断 Qz | 0.4 | 125.1 | | |
| | | | | せん断 Qy | 20.1 | 125.1 | | |

*1：クレーンの位置を示す

表 2.2.1-7　断面検討結果（地震時）

| 部位 | 検討箇所 | 部材形状 (mm) | 荷重ケース (位置)*1 | 作用応力度 (N/mm²) | | 許容応力度 (N/mm²) | 応力度比 | 判定 |
|---|---|---|---|---|---|---|---|---|
| 柱 | 1 階<br>3-B | B□-3000×3000<br>×28×28 | E3<br>(A) | 曲げ Mz | 160.6 | 325.0 | 0.86 | OK |
| | | | | 曲げ My | 31.9 | 325.0 | | |
| | | | | 圧縮 N | 79.5 | 320.4 | | |
| | | | | せん断 Qz | 7.9 | 187.6 | | |
| | | | | せん断 Qy | 37.1 | 187.6 | | |
| 梁 | 5 階<br>2-3/B | B□-3000×3000<br>×28×28 | E3<br>(A) | 曲げ Mz | 93.1 | 325.0 | 0.55 | OK |
| | | | | 曲げ My | 58.9 | 325.0 | | |
| | | | | 圧縮 N | 20.0 | 321.1 | | |
| | | | | せん断 Qz | 8.3 | 187.6 | | |
| | | | | せん断 Qy | 20.5 | 187.6 | | |

*1：クレーンの位置を示す

(3)　基礎スラブの構造強度に対する検討

1)　解析モデル

基礎スラブの応力解析は，弾性地盤上に支持された版として有限要素法を用いて行い，解析モデルは図 2.2.1-5 に示すように四辺形の均質等方な板要素により構成し，支持地盤は等価な弾性ばねとしてモデル化する。

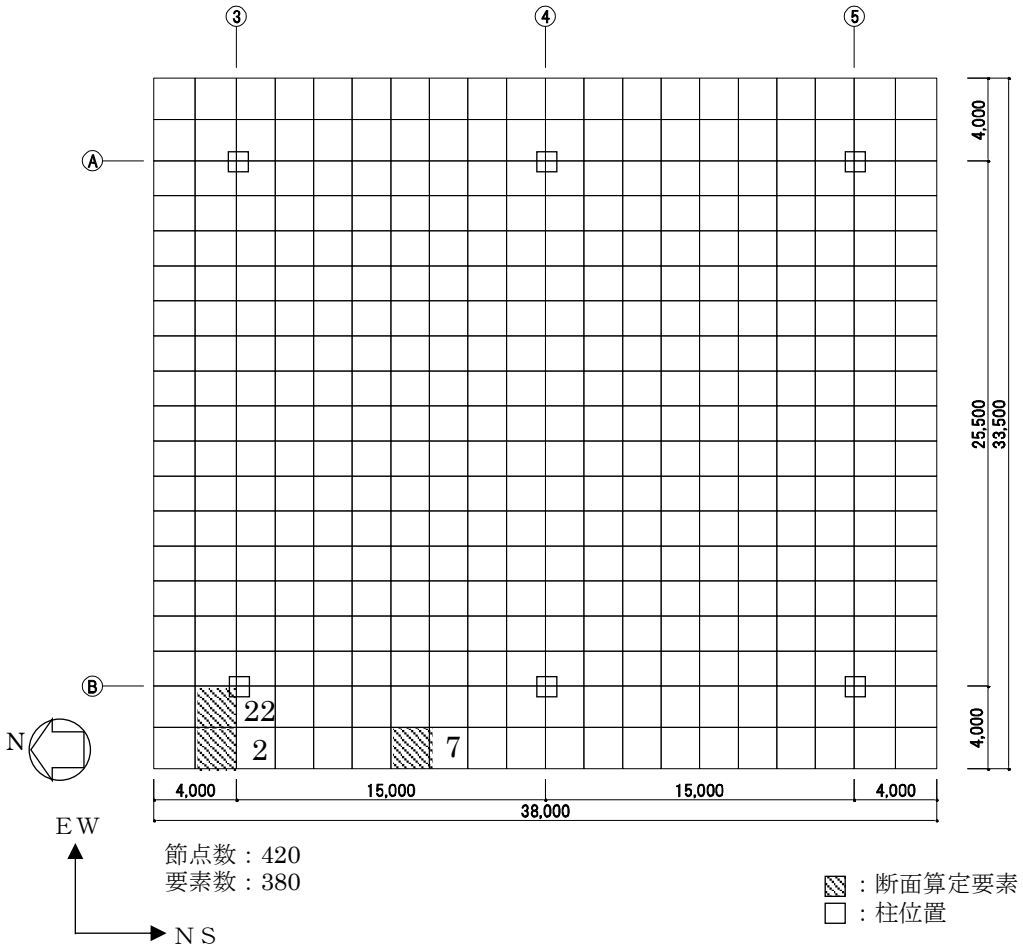



図 2.2.1-5　解析モデル図（単位：mm）

2)　断面検討

組合せた応力より，各要素の必要鉄筋比を「原子力施設鉄筋コンクリート構造計算規準・同解説」より求め，設計配筋が必要鉄筋比を上回ること及び面外せん断力が許容せん断力以下であることを確認する。必要鉄筋比が最大となる要素と設計面外せん断力と許容せん断力との比が最大になる要素の断面検討結果を表 2.2.1-8 に示し，必要鉄筋比が最大となる要素を含む EW 方向の配筋図を図 2.2.1-6 に示す。

断面検討の結果，設計配筋は必要鉄筋比を上回り，また面外せん断力は許容せん断力以下であることを確認した。

表 2.2.1-8　基礎スラブの断面算定表

| 要素番号 | 方向 | 荷重ケース(位置)*1 | 設計応力 N*2 (kN/m) | 設計応力 M (kN･m/m) | N/(b･D) *2 (×10⁻²N/mm²) | M/(b･D²) (×10⁻²N/mm²) | Pt (%) | at (mm²/m) | 設計配筋 上段：上端筋 [断面積 mm²/m] (pt:%) 下段：下端筋 [断面積 mm²/m] (pt:%) | 荷重ケース(位置)*1 | 設計面外せん断力 Q (kN/m) | 許容せん断力 fs･b･j (kN/m) | 判定 |
|---|---|---|---|---|---|---|---|---|---|---|---|---|---|
| 2 | NS | C(A) | -53 | 2397 | -1.4 | 15.0 | 0.09 | 3600 | D38@200+D38@400 [8550] (0.21) | C(C) | 126 | 2627 | OK |
| | | E3(A) | -264 | 2643 | -6.6 | 16.6 | 0.06 | 2400 | D38@200+D38@400 [8550] (0.21) | E1(C) | 215 | 3940 | OK |
| | EW | C(A) | 16 | 1589 | 0.4 | 10.0 | 0.06 | 2400 | 3-D38@200 [17100] (0.43) 2-D38@200 [11400] (0.29) | C(A) | 1583 | 2627 | OK |
| | | E3(A) | 110 | 2111 | 2.8 | 13.2 | 0.03 | 1200 | | E3(A) | 1925 | 3940 | OK |
| 7 | NS | C(A) | 47 | 3678 | 1.2 | 23.0 | 0.13 | 5200 | D38@200+D38@400 [8550] (0.21) | C(C) | 245 | 2627 | OK |
| | | E2(A) | 29 | 3932 | 0.8 | 24.6 | 0.07 | 2800 | 1-D38@200 [5700] (0.14) | E2(C) | 396 | 3940 | OK |
| | EW | C(C) | -2 | 40 | -0.1 | 0.3 | 0.00 | 0 | 1-D38@200 [5700] (0.14) | C(B) | 135 | 2627 | OK |
| | | E4(A) | -26 | 112 | -0.7 | 0.7 | 0.00 | 0 | 1-D38@200 [5700] (0.14) | E2(A) | 154 | 3940 | OK |
| 22 | NS | C(A) | 13 | 2582 | 0.4 | 16.2 | 0.09 | 3600 | D38@200+D38@400 [8550] (0.21) | C(C) | 104 | 2627 | OK |
| | | E2(A) | 239 | 4038 | 6.0 | 25.3 | 0.06 | 2400 | D38@200+D38@400 [8550] (0.21) | E1(C) | 541 | 3940 | OK |
| | EW | C(A) | 77 | 2818 | 2.0 | 17.7 | 0.10 | 4000 | 3-D38@200 [17100] (0.43) 2-D38@200 [11400] (0.29) | C(C) | 575 | 2627 | OK |
| | | E3(A) | 470 | 4754 | 11.8 | 29.8 | 0.07 | 2800 | | E4(A) | 1227 | 3940 | OK |

＊1：クレーンの位置を示す
＊2：圧縮を正とする

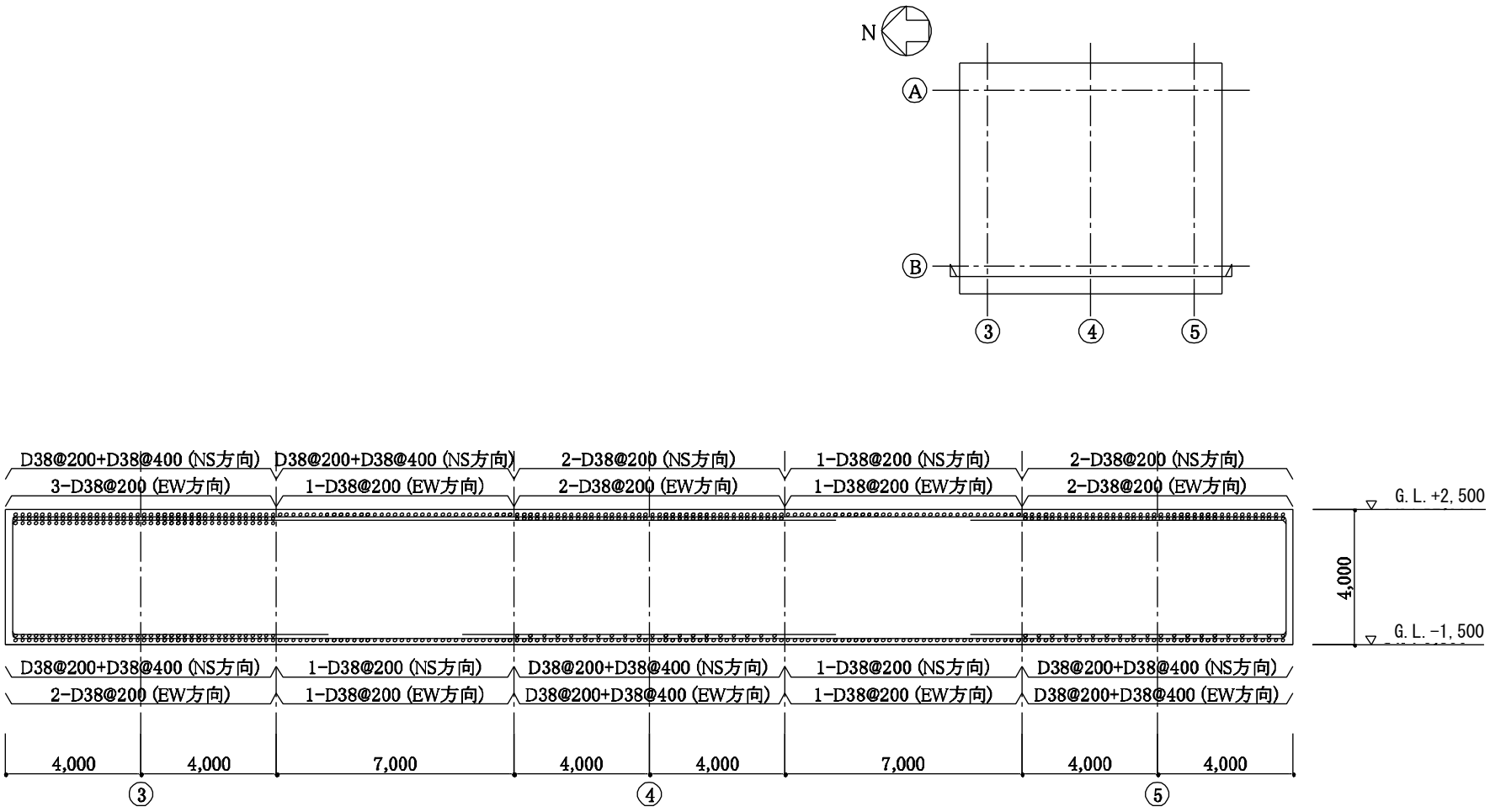



図 2.2.1-6　基礎スラブの配筋図（B 通り）（単位：mm）

(4)　改良地盤の構造強度に対する検討

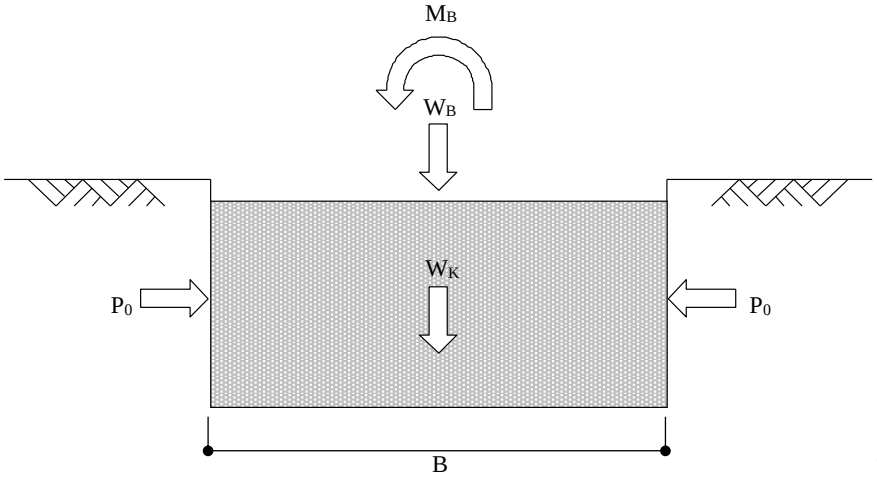
1)　設計方針

クレーン支持用架構を支持する改良地盤は，基礎スラブ直下の地盤を南北方向に 38.0m，東西方向に 33.5m，改良厚さ 10.5m とし，G.L.-12.0mの泥岩に支持する。検討は「JEAC4616-2009」に準拠し，常時及び地震時の改良地盤に生じる最大応力が許容応力度以下であることを確認する。さらに，改良地盤直下の支持地盤の支持力に対して，常時及び地震時の改良地盤に生じる最大接地圧が許容支持力度以下であることを確認する。

2)　常時に対する検討

・改良地盤の検討

常時において，改良地盤底面に生じる最大接地圧が改良地盤の長期許容圧縮応力度以下であることを確認する。図 2.2.1-7 に作用荷重を示す。




$W_B$：架構荷重＋基礎スラブ荷重＋地盤アンカー荷重

$W_K$：改良地盤の自重

$M_B$：架構の偏心による転倒モーメント

$P_o$：長期設計用土圧

B：改良幅

図 2.2.1-7　作用荷重（常時）

改良地盤の荷重負担範囲は，面積 A=1273m$^2$，断面係数 Z=8062m$^3$ となり，改良地盤底面に生じる最大接地圧は下式にて求める。

鉛直力の合計　　$\Sigma W=W_B+W_K=607373kN$

転倒モーメントの合計　　$\Sigma M=M_B=666480kNm$

改良地盤の最大接地圧　　$q_r=\Sigma W/A+\Sigma M/Z=560kN/m^2$

改良地盤に生じる最大接地圧（$q_r$）は，改良地盤の長期許容圧縮応力度（$_Lf_{sc}$）以下であることを確認した。

$q_r=560kN/m^2 \leqq {}_Lf_{SC}=750kN/m^2$

・支持力の検討

改良地盤底面に生じる最大接地圧（$q_r$）が，改良地盤直下の支持地盤の長期許容支持力度（$_Lq_a$）以下であることを確認した。

改良地盤の最大接地圧　　$q_r=560kN/m^2$

支持地盤の長期許容支持力度　$_Lq_a=1960\ kN/m^2$

$q_r=560kN/m^2 \leqq {}_Lq_a=1960\ kN/m^2$

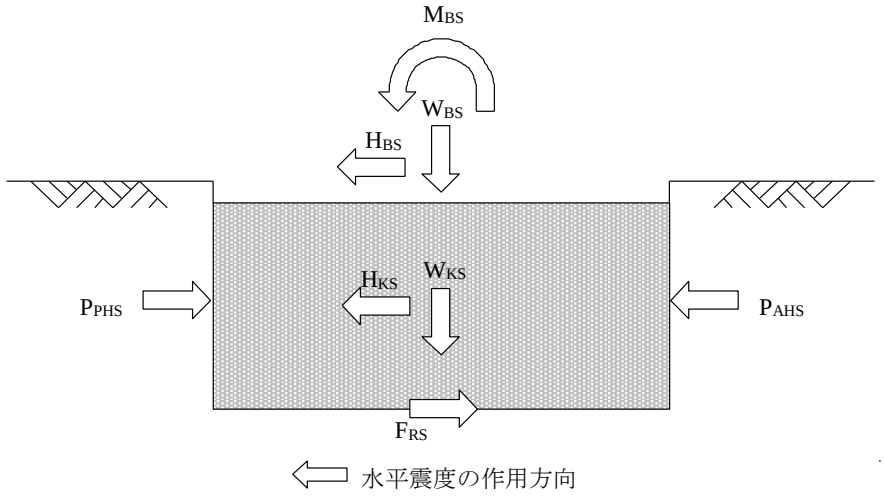
・沈下の検討

支持地盤は泥岩（岩盤）であるため，沈下の検討は不要である。

3)　地震時に対する検討

・改良地盤の検討

地震時において，改良地盤底面の最大接地圧及びせん断応力が，改良地盤の短期許容応力度以下であることを確認する。図 2.2.1-8 に作用荷重を示す。




$W_{BS}$：架構荷重＋基礎スラブ荷重＋地盤アンカー荷重

$W_{KS}$：改良地盤の自重

$H_{BS}$：架構による水平力＋基礎スラブによる水平力

$M_{BS}$：架構と基礎スラブによる改良地盤底面における転倒モーメント

$H_{KS}$：改良地盤の慣性力（地中震度 0.15）

$P_{AHS}$：地震時主働土圧による水平力

$P_{PHS}$：地震時受働土圧による水平力

$F_{RS}$：支持地盤のせん断抵抗力

図 2.2.1-8　作用荷重（地震時）

改良地盤の荷重負担範囲は，面積 $A=1273m^2$，断面係数 $Z=8062m^3$ となり，改良地盤底面の最大接地圧（$q_{1S}$）及び最大せん断応力（$\tau_{max}$）は下式にて求める。

鉛直力の合計　$\Sigma W=W_{BS}+W_{KS}=607373kN$

水平力の合計　$\Sigma H= H_{BS}+H_{KS}+P_{AHS}+P_{PHS}=94687kN$

転倒モーメントの合計　$\Sigma M=M_{BS}+M_{KS}+M_{AHS}+M_{PHS}=1944139kNm$

ここに，　$M_{KS}$ ：改良地盤の転倒モーメント

$M_{AHS}$：地震時主働土圧による転倒モーメント

$M_{PHS}$：地震時受働土圧による転倒モーメント

改良地盤底面の最大接地圧　$q_{1S}=\Sigma W/A+\Sigma M/Z=719kN/m^2$

改良地盤底面の最大せん断応力　$\tau_{max}=1.2\times\Sigma H/A=90kN/m^2$

改良地盤底面の最大接地圧（$q_{1S}$）及び最大せん断応力（$\tau_{max}$）は短期許容応力度（${}_sf_{sc}$ 及び ${}_sf_{ss}$）以下であることを確認した。

$q_{1S}=719kN/m^2 \leqq {}_sf_{SC}=1502\ kN/m^2$

$\tau_{max}=90kN/m^2 \leqq {}_sf_{SS}=229\ kN/m^2$

・支持力の検討

改良地盤底面に生じる最大接地圧（$q_{1S}$）が，改良地盤直下の支持地盤の短期許容支持力度（${}_sq_a$）以下であることを確認した。

改良地盤の最大接地圧　$q_{1S}=719kN/m^2$

支持地盤の短期許容支持力度　${}_sq_a=3920\ kN/m^2$

$q_{1S}=719kN/m^2 \leqq {}_sq_a=3920\ kN/m^2$

(5)　外装材の構造強度に対する検討

1)　設計方針

クレーン支持用架構の屋根面及び側面を覆う外装材は，鋼板パネルを用いる。設計荷重は暴風時の影響が支配的であることから積雪時及び地震時の検討は省略し，暴風時の応力が短期許容応力度以下になることを確認する。なお，許容応力度は製造メーカの推奨値を，屋根面のたわみは「鋼板製屋根構法標準（SSR2007)」(社団法人日本金属屋根協会，2007)，壁面のたわみは「建築工事標準仕様書・同解説　JASS14　カーテンウォール工事」に準じて設定した。

2)　設計用荷重

設計用風圧力は，建築基準法施行令第 82 条の 4 および建設省告示第 1458 号に基づき，基準風速 30m/s，地表面粗度区分Ⅱとして算定する。速度圧の算定結果を表 2.2.1-9 に，ピーク風力係数を表 2.2.1-10 に，風力係数の算定箇所を図 2.2.1-9 に示す。

表 2.2.1-9　速度圧の算定結果

| 建物高さ* H (m) | 平均風速の鉛直分布係数 Er | 基準風速 Vo (m/s) | 平均速度圧 $\bar{q}$ (N/m²) |
|---|---|---|---|
| 52.73 | 1.28 | 30 | 885 |

＊：　建物高さは，軒高さ（52.34m）と最高高さ（53.12m）の平均値とした

表 2.2.1-10　ピーク風力係数

| 建物高さ* H (m) | 屋根面 | | | 壁面 | |
|---|---|---|---|---|---|
| | 一般部 | 周縁部 | 隅角部 | 一般部 | 隅角部 |
| 52.73 | -2.5 | -3.2 | -4.3 | -2.11 | -2.62 |

＊：　建物高さは，軒高さ（52.34m）と最高高さ（53.12m）の平均値とした

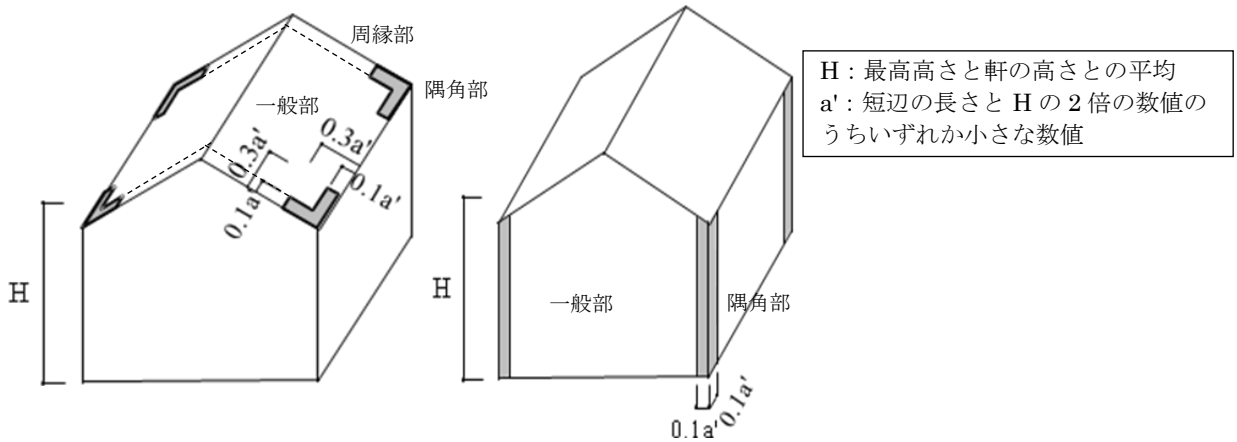



図 2.2.1-9　風力係数の算定箇所のイメージ

3)　外装材の強度検討

検討は応力が厳しくなる図 2.2.1-9 に示す隅角部について行う。ここでは，鋼板パネルの自重は考慮しないものとする。

a. 屋根材

鋼板パネルは下地材の間隔が 1.8m で連続支持されているものとし，暴風時の応力度とたわみに対して検討を行う。屋根材の材料諸元を表 2.2.1-11 に示す。

表 2.2.1-11　屋根材の材料諸元

| 表面材 | | | | | | 芯材 | | |
|---|---|---|---|---|---|---|---|---|
| ヤング係数 E ($N/mm^2$) | せん断弾性係数 G ($N/mm^2$) | せん断断面積 As ($mm^2$) | 形状係数 | 許容応力度 $f_b$ ($N/mm^2$) | 断面係数 Z ($mm^3$) | せん断弾性係数 G ($N/mm^2$) | 断面積 A ($mm^2$) | 形状係数 |
| $2.06\times10^5$ | $7.92\times10^4$ | 210.7 | 0.022 | 59.8 | $26.3\times10^3$ | 3.92 | $4.40\times10^4$ | 1.2 |

・応力度に対する検討

$$M = w\times L^2/8=(0.885\times4.3)\times1.8^2/8 = 1.542\ \mathrm{kNm}$$

$$\sigma_b = M/Z=1.542\times10^6/26.3\times10^3 = 58.7\ \mathrm{N/mm^2}$$

$$\frac{\sigma_b}{f_b}=\frac{58.7}{59.8}=0.982\leqq1.0 \quad \cdots\cdots \text{OK}$$

・たわみの検討

たわみ量は曲げ変形成分（$\delta_M$）とせん断変形成分（$\delta_Q$）の和で評価し，屋根材の短期許容変形（1/300）*以下であることを確認する。

＊:「鋼板製屋根構法標準（SSR2007）」（社団法人日本金属屋根協会，2007）による

$$\delta = \delta_M+\delta_Q = 0.220 + 0.302 = 0.522\ \mathrm{cm}$$

$$\frac{\delta}{L}=\frac{0.522}{180}=\frac{1}{344}\leqq\frac{1}{300} \quad \cdots\cdots \text{OK}$$

検討の結果，作用応力は屋根材の短期許容応力度以下であり，たわみは屋根材の短期許容変形以下であることを確認した。

b.　壁材

鋼板パネルは下地材の間隔が 1.2m で連続支持されているものとし，暴風時の応力とたわみに対して検討を行う。壁材の材料諸元を表 2.2.1-12 に示す。

表 2.2.1-12　壁材の材料諸元

| 表面材 | | | | 芯材 | | |
|---|---|---|---|---|---|---|
| ヤング係数 E ($N/mm^2$) | せん断弾性係数 G ($N/mm^2$) | 許容応力度 $f_b$ ($N/mm^2$) | 断面係数 Z ($mm^3$) | せん断弾性係数 G ($N/mm^2$) | 断面積 A ($mm^2$) | 形状係数 |
| $2.06\times10^5$ | $7.92\times10^4$ | 58.8 | $17.0\times10^3$ | 4.90 | 35000 | 1.2 |

・応力度に対する検討

$$M = w\times L^2 / 8 = (0.885\times2.62)\times1.2^2 / 8 = 0.418\ \mathrm{kNm}$$

$$\sigma_b = M / Z = 0.418\times10^6 / 17.0\times10^3 = 24.6\ \mathrm{N/mm^2}$$

$$\frac{\sigma_b}{f_b} = \frac{24.6}{58.8} = 0.419 \leqq 1.0 \quad \cdots\cdots \text{OK}$$

・たわみの検討

たわみ量は曲げ変形成分（$\delta_M$）とせん断変形成分（$\delta_Q$）の和で評価し，壁材の短期許容変形（1/300）*以下であることを確認する。

*:「建築工事標準仕様書・同解説　JASS14　カーテンウォール工事」による

$$\delta = \delta_M + \delta_Q = 0.075 + 0.293 = 0.368\ \mathrm{cm}$$

$$\frac{\delta}{L} = \frac{0.368}{120} = \frac{1}{326} \leqq \frac{1}{300} \quad \cdots\cdots \text{OK}$$

検討の結果，作用応力は壁材の短期許容応力度以下であり，たわみは壁材の短期許容変形以下であることを確認した。

2.2.2　耐震性

(1)　検討方針

耐震性の検討は，クレーン支持用架構，基礎スラブ，改良地盤及び地盤アンカーについて行い，基準地震動 Ss に対して，クレーン支持用架構，基礎スラブ，改良地盤及び周辺地盤の応答性状を適切に表現できる地震応答解析モデルを設定して実施する。

(2)　架構の耐震性に対する検討

1)　解析に用いる入力地震動

検討に用いる地震動は，「福島第一原子力発電所『発電用原子炉施設に関する耐震設計審査指針』の改訂に伴う耐震安全性評価結果　中間報告書」（平成 20 年 3 月 31 日 東京電力株式会社）にて作成した解放基盤表面で定義される基準地震動 Ss とする。

地震応答解析に用いる入力地震動の概念図を図 2.2.2-1 に示す。モデルに入力する地震動は一次元波動論に基づき，解放基盤表面で定義される基準地震動 Ss に対する地盤の応答として評価する。解放基盤表面位置における基準地震動 Ss-1，Ss-2 及び Ss-3 の加速度時刻歴波形を図 2.2.2-2(1)及び図 2.2.2-2(2)に示す。

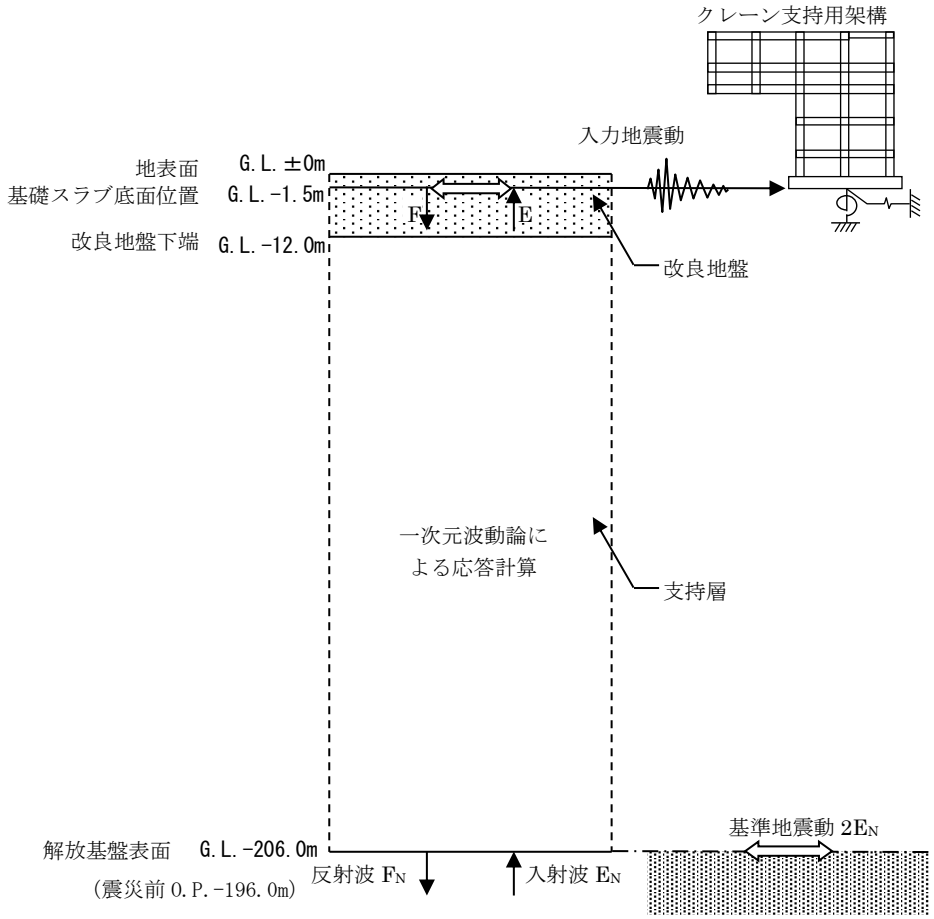
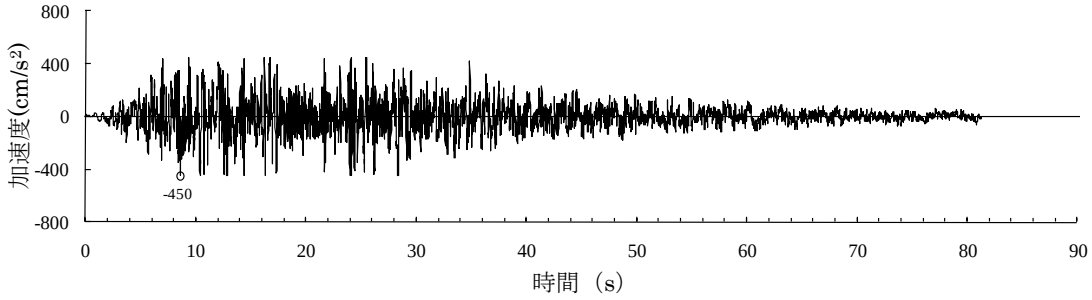
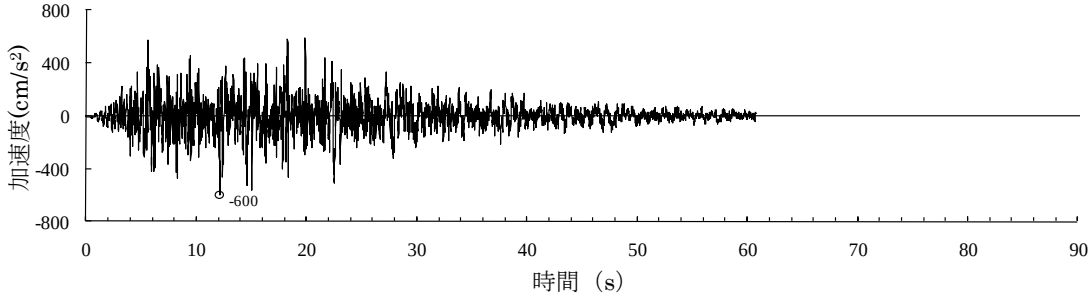


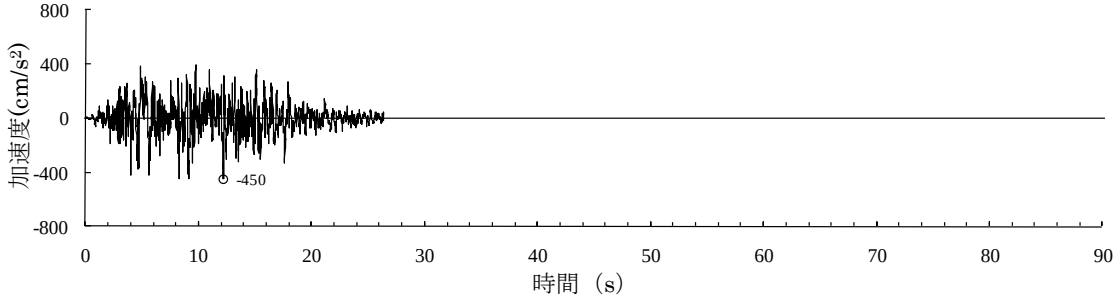

図 2.2.2-1　地震応答解析に用いる入力地震動の概念図




(Ss-1H)




(Ss-2H)

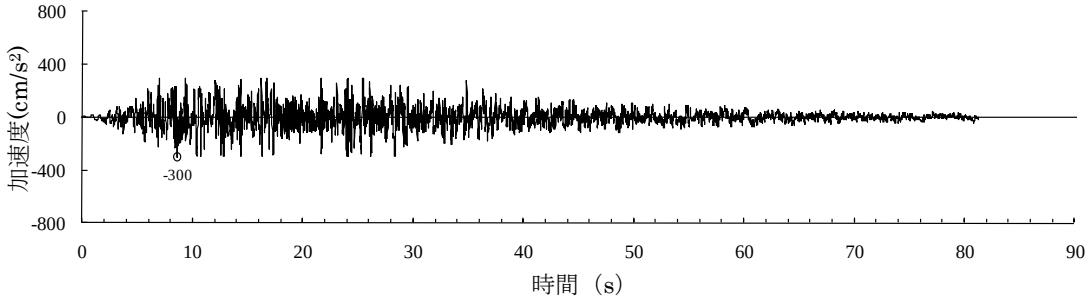



(Ss-3H)

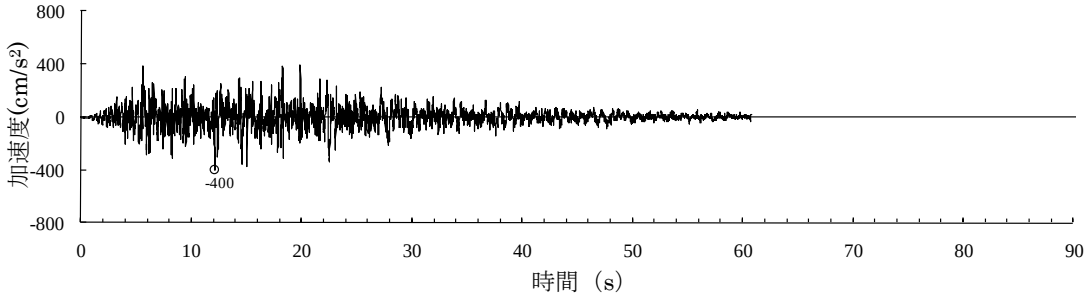
○印は最大値を示す

図 2.2.2-2(1)　解放基盤表面における地震動の加速度時刻歴波形

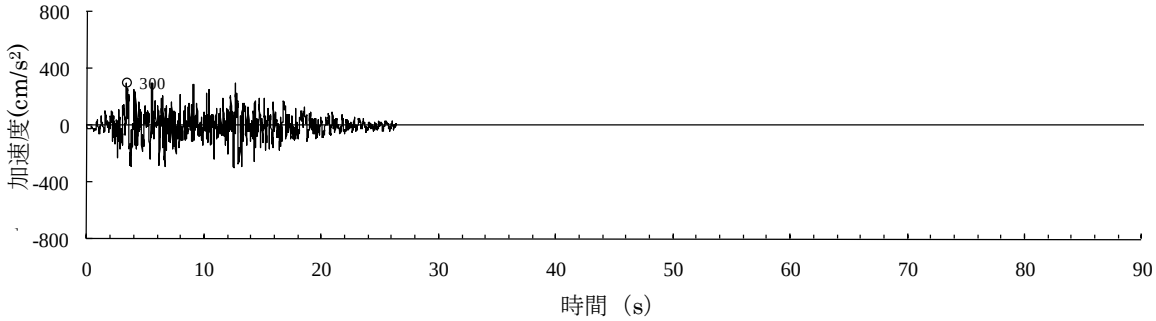
(水平方向)




(Ss-1V)




(Ss-2V)




(Ss-3V)

○印は最大値を示す

図 2.2.2-2(2)　解放基盤表面における地震動の加速度時刻歴波形
(鉛直方向)

2)　地震応答解析モデル

地震応答解析モデルは,図 2.2.2-3 に示す柱及び梁を立体的にモデル化した立体架構モデルとし,地盤を等価なばねで評価した建屋－地盤連成系モデルとする。

地震応答解析に用いる物性値を表 2.2.2-1 に，層間変形角が最大となるクレーンを北端に設置した場合の地震応答解析モデルの質点重量を表 2.2.2-2 に，クレーン支持用架構の復元力特性の設定を図 2.2.2-4 に示す。復元力特性の設定は「鋼構造塑性設計指針」に準じた。

地震応答解析に用いる地盤定数は，「福島第一原子力発電所『発電用原子炉施設に関する耐震設計審査指針』の改訂に伴う耐震安全性評価結果　中間報告書」（平成 20 年 3 月 31 日 東京電力株式会社）を参考に，水平成層地盤と仮定し地震時のせん断ひずみレベルを考慮して定めた。改良地盤の諸元を表 2.2.2-3 に，地盤のひずみ依存性を図 2.2.2-5 に，地盤定数の設定結果を表 2.2.2-4 に示す。基礎底面の地盤ばねについては,「JEAG 4601-1991」に示されている手法を参考にして，地盤を成層補正し振動アドミッタンス理論により評価した。

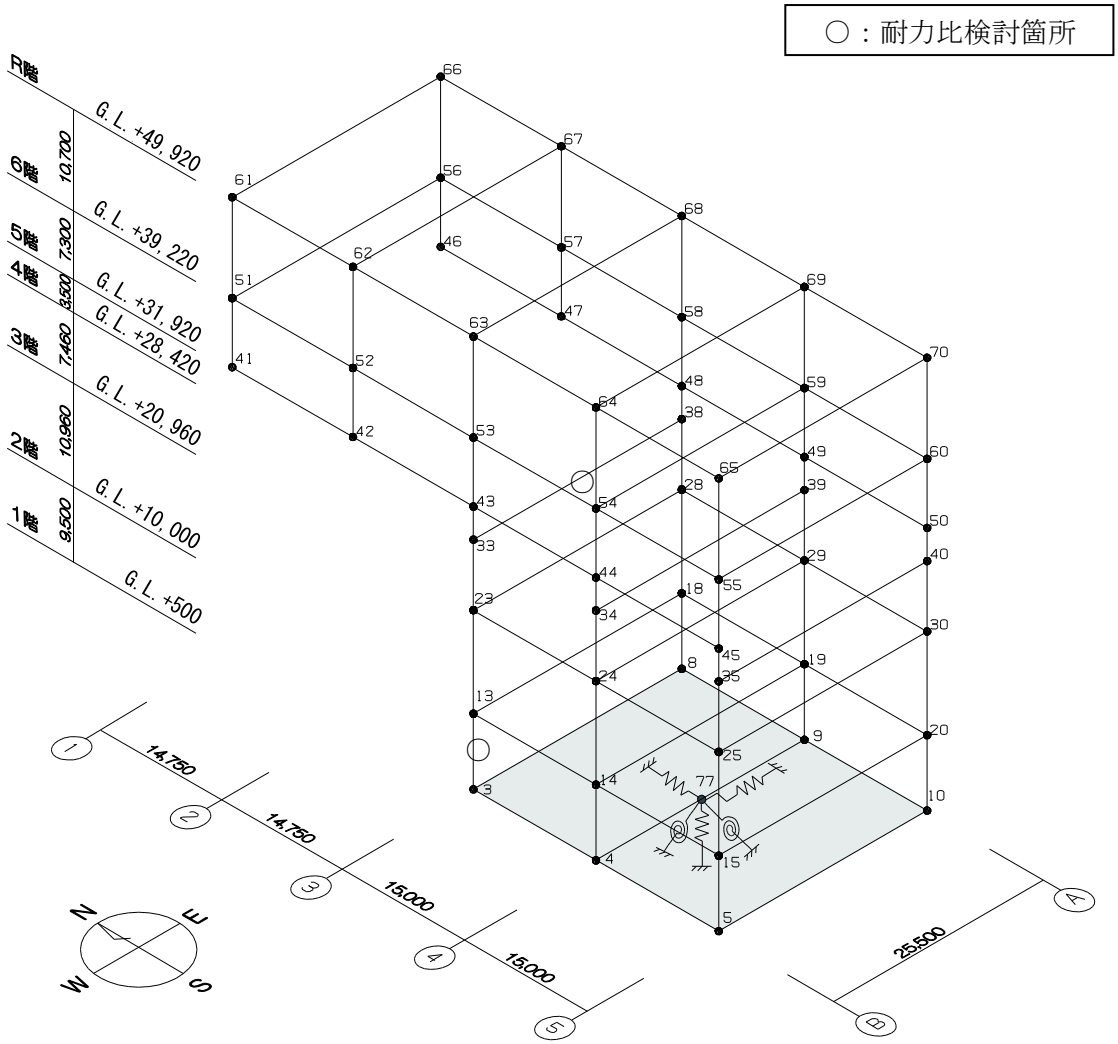


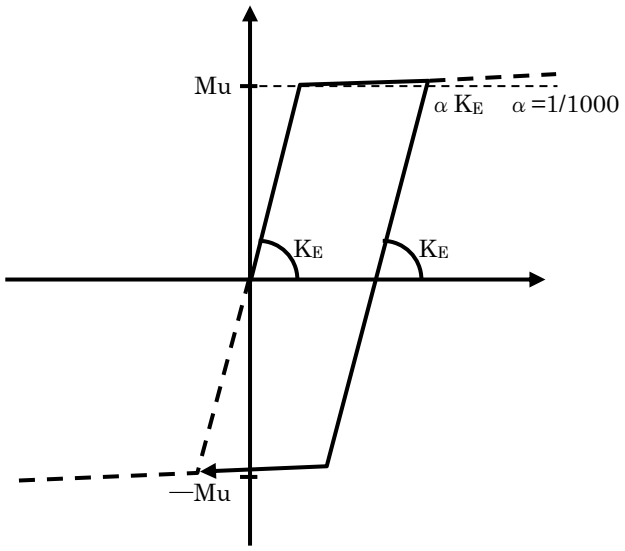

図 2.2.2-3　クレーン支持用架構の地震応答解析モデル（単位：mm）

表 2.2.2-1　地震応答解析に用いる物性値

| 部位 | 材料 | ヤング係数<br>E(N/mm²) | ポアソン比<br>$\nu$ | 単位体積重量<br>$\gamma$ (kN/m³) | 減衰定数<br>h(%) | 備考 |
|---|---|---|---|---|---|---|
| クレーン支持用架構 | 鉄骨 | $2.05\times10^5$ | 0.3 | 77.0 | 2 | SM490A |
| 基礎スラブ | ｺﾝｸﾘｰﾄ | $2.44\times10^4$ | 0.2 | 24.0 | 5 | 設計基準強度<br>30(N/mm²) |

表 2.2.2-2　地震応答解析モデルにおける質点重量

| 階 | 節点番号 | 重量(kN) |
|---|---|---|
| R | 61 | 1129 |
| | 62 | 1221 |
| | 63 | 1225 |
| | 64 | 1200 |
| | 65 | 502 |
| | 66 | 1132 |
| | 67 | 1225 |
| | 68 | 1229 |
| | 69 | 1202 |
| | 70 | 503 |
| 6 | 51 | 2152 |
| | 52 | 1894 |
| | 53 | 1094 |
| | 54 | 1567 |
| | 55 | 718 |
| | 56 | 1629 |
| | 57 | 1538 |
| | 58 | 1094 |
| | 59 | 1375 |
| | 60 | 718 |
| 5 | 41 | 393 |
| | 42 | 600 |
| | 43 | 657 |
| | 44 | 598 |
| | 45 | 321 |
| | 46 | 377 |
| | 47 | 605 |
| | 48 | 700 |
| | 49 | 622 |
| | 50 | 321 |
| 4 | 33 | 2235 |
| | 34 | 2135 |
| | 35 | 374 |
| | 38 | 2176 |
| | 39 | 1726 |
| | 40 | 374 |
| 3 | 23 | 897 |
| | 24 | 1647 |
| | 25 | 635 |
| | 28 | 819 |
| | 29 | 1178 |
| | 30 | 607 |
| 2 | 13 | 1044 |
| | 14 | 1722 |
| | 15 | 700 |
| | 18 | 920 |
| | 19 | 1315 |
| | 20 | 689 |
| 1 | 3 | 26894 |
| | 4 | 41540 |
| | 5 | 21558 |
| | 8 | 26896 |
| | 9 | 41034 |
| | 10 | 21268 |
| | 77 | 0 |
| 合　計 | | 229924 |




ここに,

Mu：全塑性モーメント

$$M_{uy}=\left\{A_{fy}(b-t_1)\sigma_y+\frac{1}{4}A_{wy}(b-2t_1)\sigma_y\right\} \qquad M_{uz}=\left\{A_{fz}(d-t_2)\sigma_y+\frac{1}{4}A_{wz}(d-2t_2)\sigma_y\right\}$$

$A_{fy}=d\cdot t_1$　　$A_{fz}=b\cdot t_2$

$A_{wy}=2\cdot(b-2\cdot t_1)\cdot t_2$　　$A_{wz}=2\cdot(d-2\cdot t_2)\cdot t_1$

$A=b\cdot d-(b-2\cdot t_1)\cdot(d-2\cdot t_2)$　　$\sigma_y$：降伏強度

なお，せん断耐力は下式とする。

Qu：せん断耐力

$$Q_{uy}=\frac{1}{\sqrt{3}}A_{wz}\cdot\sigma_y \qquad Q_{uz}=\frac{1}{\sqrt{3}}A_{wy}\cdot\sigma_y$$

$A_{fy}=d\cdot t_1$　　$A_{fz}=b\cdot t_2$

$A_{wy}=2\cdot(b-2\cdot t_1)\cdot t_2$　　$A_{wz}=2\cdot(d-2\cdot t_2)\cdot t_1$

$A=b\cdot d-(b-2\cdot t_1)\cdot(d-2\cdot t_2)$　　$\sigma_y$：降伏強度

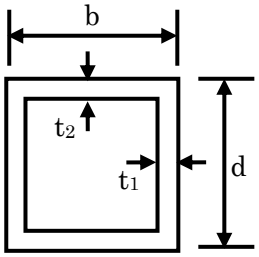



図 2.2.2-4　クレーン支持用架構の復元力特性の設定

表 2.2.2-3　改良地盤の諸元

| せん断波速度* Vs (m/s) | 単位体積重量 γ (kN/m³) | ポアソン比* ν | 初期せん断弾性係数 $G_0$ ($\times 10^5$kN/m²) |
|---|---|---|---|
| 800 | 17.7 | 0.31 | 11.52 |

＊:『柏崎刈羽原子力発電所 1 号機　建物・構築物の耐震安全性評価について（指摘事項に関する回答)』（平成 22　年 2 月 19 日 東京電力株式会社），総合資源エネルギー調査会原子力安全・保安部会耐震・構造設計小委員会構造 WG（第 46 回）会合資料

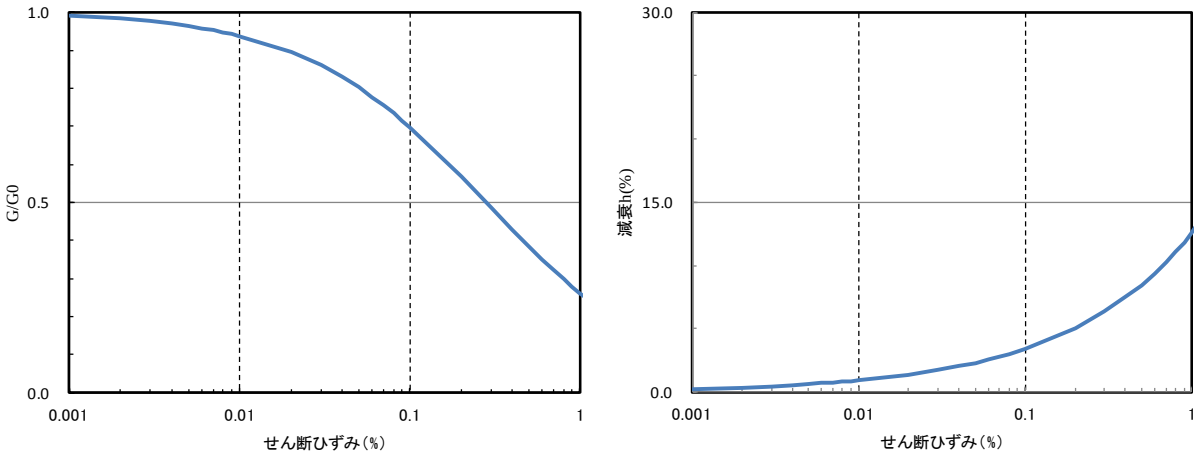



図 2.2.2-5　地盤のひずみ依存性(泥岩)*

＊:『福島第一原子力発電所３号機「新耐震指針に照らした耐震安全性評価（中間報告)」に関する補足説明資料（コメント回答資料）－建物・構築物－』（平成 22　年 6 月 29 日　東京電力株式会社），総合資源エネルギー調査会原子力安全・保安部会耐震・構造設計小委員会構造 WG（第 26 回）A サブグループ会合資料

表 2.2.2-4　地盤定数の設定結果

(a) Ss-1

| G.L.<br>(m) | 地質 | せん断波<br>速度<br>Vs<br>(m/s) | 単位体積<br>重量<br>$\gamma$<br>(kN/m$^3$) | ﾎﾟｱｿﾝ<br>比<br>$\nu$ | せん断<br>弾性係数<br>G<br>(×10$^5$kN/m$^2$) | 初期せん断<br>弾性係数<br>$G_0$<br>(×10$^5$kN/m$^2$) | 剛性<br>低下率<br>$G/G_0$ | ヤング<br>係数<br>E<br>(×10$^5$kN/m$^2$) | 減衰<br>定数<br>h<br>(%) | 層厚<br>H<br>(m) |
|---|---|---|---|---|---|---|---|---|---|---|
| ±0 | | | | | | | | | | |
| | 改良地盤 | 800 | 17.7 | 0.310 | 11.43 | 11.52 | 0.99 | 29.94 | 2 | 12.0 |
| -12.0 | | 450 | 16.5 | 0.464 | 2.97 | 3.41 | 0.87 | 8.70 | 3 | 8.0 |
| -20.0 | | 500 | 17.1 | 0.455 | 3.59 | 4.36 | 0.82 | 10.44 | 3 | 70.0 |
| | 泥岩 | 560 | 17.6 | 0.446 | 4.60 | 5.63 | 0.82 | 13.31 | 3 | 28.0 |
| -90.0 | | 600 | 17.8 | 0.442 | 5.29 | 6.53 | 0.81 | 15.25 | 3 | 88.0 |
| -118.0 | | | | | | | | | | |
| -206.0 | (解放基盤) | 700 | 18.5 | 0.421 | 9.24 | 9.24 | 1.00 | 26.26 | - | - |

(b) Ss-2

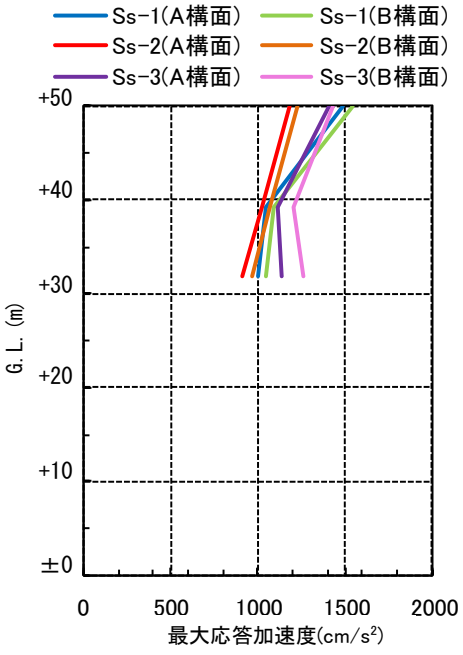
| G.L.<br>(m) | 地質 | せん断波<br>速度<br>Vs<br>(m/s) | 単位体積<br>重量<br>$\gamma$<br>(kN/m$^3$) | ﾎﾟｱｿﾝ<br>比<br>$\nu$ | せん断<br>弾性係数<br>G<br>(×10$^5$kN/m$^2$) | 初期せん断<br>弾性係数<br>$G_0$<br>(×10$^5$kN/m$^2$) | 剛性<br>低下率<br>$G/G_0$ | ヤング<br>係数<br>E<br>(×10$^5$kN/m$^2$) | 減衰<br>定数<br>h<br>(%) | 層厚<br>H<br>(m) |
|---|---|---|---|---|---|---|---|---|---|---|
| ±0 | | | | | | | | | | |
| | 改良地盤 | 800 | 17.7 | 0.310 | 11.43 | 11.52 | 0.99 | 29.94 | 2 | 12.0 |
| -12.0 | | 450 | 16.5 | 0.464 | 2.98 | 3.41 | 0.87 | 8.72 | 3 | 8.0 |
| -20.0 | | 500 | 17.1 | 0.455 | 3.59 | 4.36 | 0.82 | 10.45 | 3 | 70.0 |
| | 泥岩 | 560 | 17.6 | 0.446 | 4.62 | 5.63 | 0.82 | 13.36 | 3 | 28.0 |
| -90.0 | | 600 | 17.8 | 0.442 | 5.50 | 6.53 | 0.84 | 15.85 | 3 | 88.0 |
| -118.0 | | | | | | | | | | |
| -206.0 | (解放基盤) | 700 | 18.5 | 0.421 | 9.24 | 9.24 | 1.00 | 26.26 | - | - |

(c) Ss-3

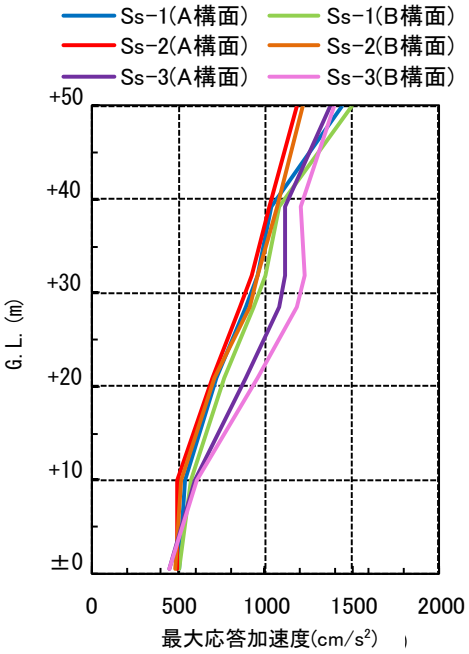
| G.L.<br>(m) | 地質 | せん断波<br>速度<br>Vs<br>(m/s) | 単位体積<br>重量<br>$\gamma$<br>(kN/m$^3$) | ﾎﾟｱｿﾝ<br>比<br>$\nu$ | せん断<br>弾性係数<br>G<br>(×10$^5$kN/m$^2$) | 初期せん断<br>弾性係数<br>$G_0$<br>(×10$^5$kN/m$^2$) | 剛性<br>低下率<br>$G/G_0$ | ヤング<br>係数<br>E<br>(×10$^5$kN/m$^2$) | 減衰<br>定数<br>h<br>(%) | 層厚<br>H<br>(m) |
|---|---|---|---|---|---|---|---|---|---|---|
| ±0 | | | | | | | | | | |
| | 改良地盤 | 800 | 17.7 | 0.310 | 11.44 | 11.52 | 0.99 | 29.98 | 2 | 12.0 |
| -12.0 | | 450 | 16.5 | 0.464 | 3.00 | 3.41 | 0.88 | 8.79 | 3 | 8.0 |
| -20.0 | | 500 | 17.1 | 0.455 | 3.53 | 4.36 | 0.81 | 10.27 | 3 | 70.0 |
| | 泥岩 | 560 | 17.6 | 0.446 | 4.52 | 5.63 | 0.80 | 13.07 | 3 | 28.0 |
| -90.0 | | 600 | 17.8 | 0.442 | 4.97 | 6.53 | 0.76 | 14.34 | 3 | 88.0 |
| -118.0 | | | | | | | | | | |
| -206.0 | (解放基盤) | 700 | 18.5 | 0.421 | 9.24 | 9.24 | 1.00 | 26.26 | - | - |

3) 地震応答解析結果

地震応答解析は水平方向と鉛直方向を同時入力した。最大応答加速度を図 2.2.2-6 及び図 2.2.2-7 に示す。

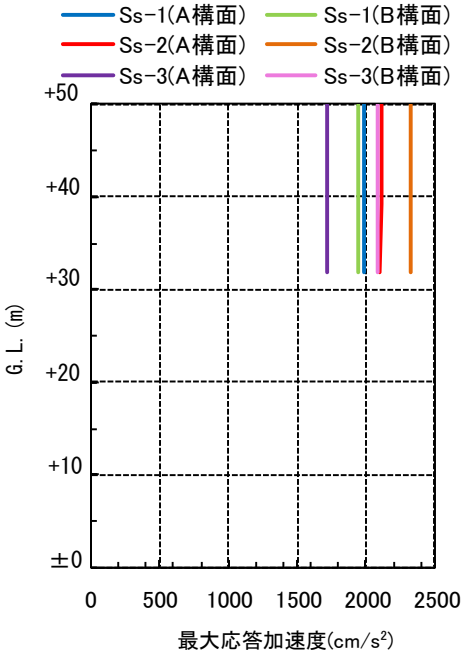



（１通り）

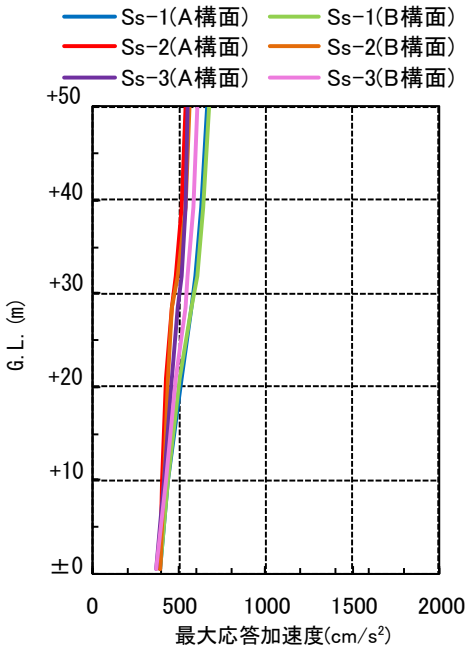



（３通り）

(a) 最大応答加速度（水平(NS)成分）



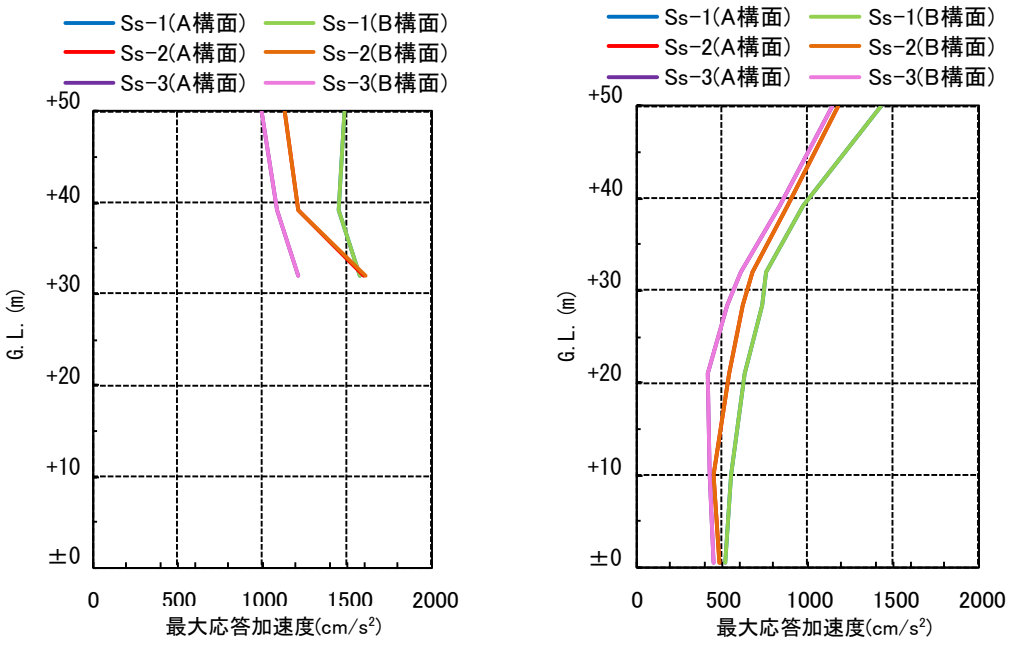

（１通り）




（３通り）

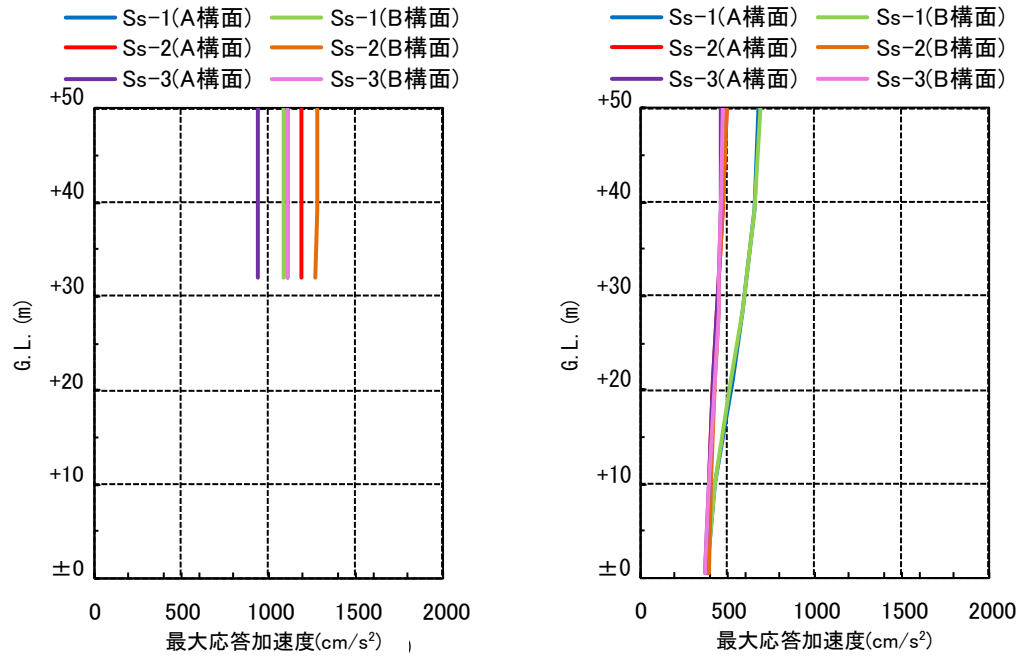
(b) 最大応答加速度（鉛直成分）

図 2.2.2-6　最大応答加速度（NS 方向入力時）




（１通り）　　（３通り）

(a)最大応答加速度（水平(EW)成分）




（１通り）　　（３通り）

(b)最大応答加速度（鉛直成分）

図 2.2.2-7　最大応答加速度（EW 方向入力時）

4)波及的影響の評価

地震応答解析結果が，JSCA 性能メニュー（社団法人日本建築構造技術者協会，2002 年）を参考に定めたクライテリア（「層間変形角は 1/75 以下，層の塑性率は 4 以下，部材の塑性率は 5 以下」*1 及びせん断力はせん断耐力以下）を満足することを確認する。

なお，解析結果が「時刻歴応答解析建築物性能評価業務方法書」（財団法人日本建築センター，平成 19 年 7 月 20 日）に示されるクライテリア（層間変形角は 1/100 以下，層の塑性率は 2 以下，部材の塑性率は 4 以下）を超える場合には水平変形に伴う鉛直荷重の付加的影響を考慮した解析を実施し，安全性を確認する。

*1：北村春幸，宮内洋二，浦本弥樹「性能設計における耐震性能判断基準値に関する研究」，日本建築学会構造系論文集，第 604 号，2006 年 6 月

・層間変形角の検討

層間変形の評価はクレーン支持用架構の剛心位置で評価し，表 2.2.2-5 に検討結果を示す。

検討の結果，層間変形角は 1/75 以下となりクライテリアを満足することを確認した。

表 2.2.2-5　層間変形角の検討結果

| 検討箇所 | 最大応答値 | | | | | | ｸﾗｲﾃﾘｱ | 判定 |
|---|---|---|---|---|---|---|---|---|
| | NS 方向入力時 | | | EW 方向入力時 | | | | |
| | Ss-1 | Ss-2 | Ss-3 | Ss-1 | Ss-2 | Ss-3 | | |
| 6 階 | 1/256 | 1/278 | 1/229 | 1/298 | 1/356 | 1/352 | 1/75 | OK |
| 5 階 | 1/240 | 1/266 | 1/220 | 1/239 | 1/295 | 1/288 | 1/75 | OK |
| 4 階 | 1/228 | 1/249 | 1/225 | 1/207 | 1/243 | 1/252 | 1/75 | OK |
| 3 階 | 1/194 | 1/205 | 1/199 | 1/196 | 1/233 | 1/237 | 1/75 | OK |
| 2 階 | 1/206 | 1/211 | 1/194 | 1/187 | 1/224 | 1/229 | 1/75 | OK |
| 1 階 | 1/357 | 1/359 | 1/317 | 1/329 | 1/397 | 1/409 | 1/75 | OK |

・塑性率の検討

部材の塑性率は，最大応答曲げモーメント時の曲率を全塑性モーメントに至る時の曲率で除した値で表される。最大曲げモーメントが全塑性モーメント以下の場合は弾性であり塑性率は 1 以下となる。最大応答値を全塑性モーメントまたはせん断耐力で除した値を耐力比と定義し，表 2.2.2-6 に検討結果を示す。

表 2.2.2-6 より曲げモーメント及びせん断力については，全てのケースで耐力比が 1 を下回ることから塑性率は 1 以下となり，クライテリアを満足することを確認した。

表 2.2.2-6　耐力比の検討結果

| 部位 | 検討箇所 | 部材形状 (mm) | 地震波 | 入力方向 | 耐力比 | | 判定 |
|---|---|---|---|---|---|---|---|
| 柱 | 1 階<br>3-B | B□-3000×3000<br>×28×28 | Ss-1 | EW | $M_z/M_{uz}$ | 0.85 | OK |
| | | | Ss-3 | NS | $M_y/M_{uy}$ | 0.86 | |
| | | | Ss-3 | NS | $Q_z/Q_{uz}$ | 0.27 | |
| | | | Ss-1 | EW | $Q_y/Q_{uy}$ | 0.37 | |
| 梁 | 4 階<br>3/A-B | B□-3000×3000<br>×25×25 | Ss-1 | EW | $M_z/M_{uz}$ | 0.80 | OK |
| | | | | | $M_y/M_{uy}$ | 0.01 | |
| | | | | | $Q_z/Q_{uz}$ | 0.00 | |
| | | | | | $Q_y/Q_{uy}$ | 0.32 | |

$M_z$：部材 z 軸回りの曲げモーメントの最大値　　$M_{uz}$：部材 z 軸回りの全塑性モーメント

$M_y$：部材 y 軸回りの曲げモーメントの最大値　　$M_{uy}$：部材 y 軸回りの全塑性モーメント

$Q_z$：部材 z 方向のせん断力の最大値　　$Q_{uz}$：　部材 z 軸方向のせん断耐力

$Q_y$：部材 y 方向のせん断力の最大値　　$Q_{uy}$：　部材 y 軸方向のせん断耐力

(3)　基礎スラブの耐震性に対する検討

1)解析モデル

基礎スラブの応力解析は，弾性地盤上に支持された版として有限要素法を用いて行う。解析モデルは，図 2.2.2-8 に示すように四辺形の均質等方な板要素により構成し，支持地盤は等価な弾性ばねとしてモデル化する。

検討は組合せ係数法にて行い，荷重組合せケースを表 2.2.2-7 に示す。

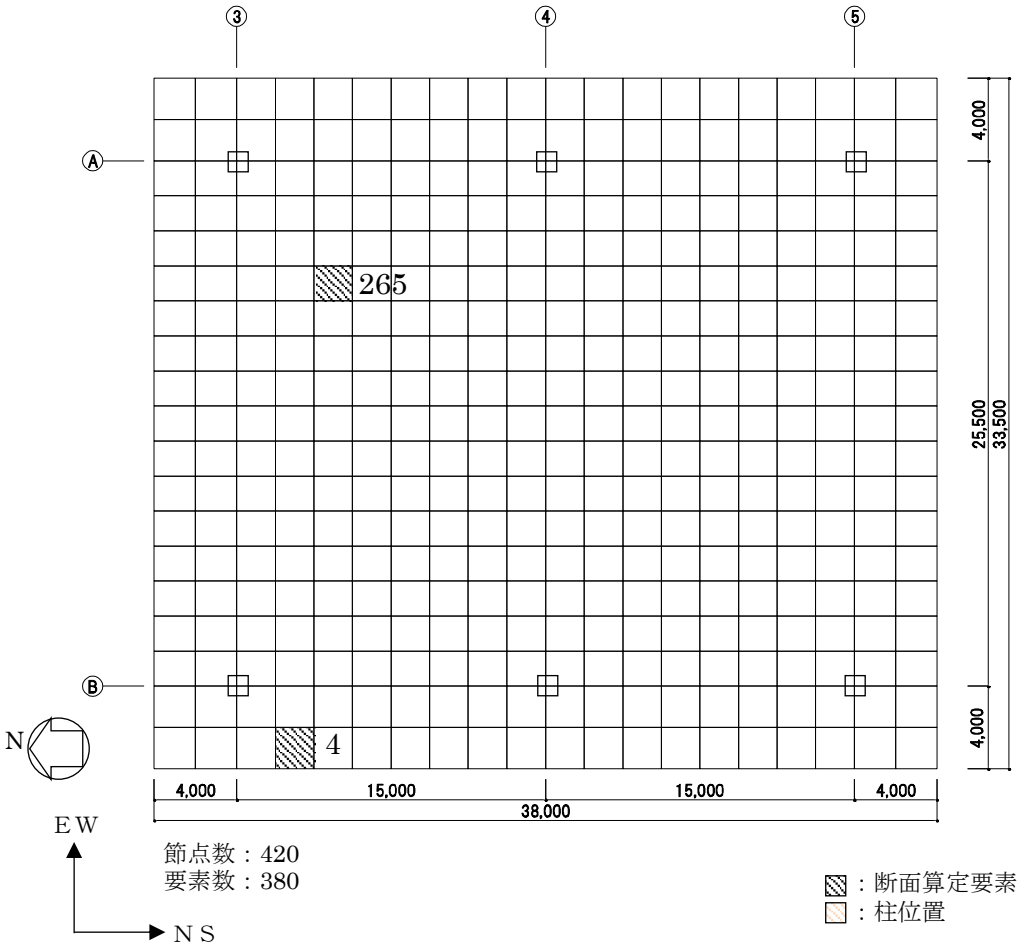



図 2.2.2-8　解析モデル図（単位：mm）

表 2.2.2-7　荷重組合せケース一覧表

| 荷重ケース | 地震力の作用方向 | | | | | |
|---|---|---|---|---|---|---|
| | 鉛直方向 | | 水平方向 | | | |
| | 上向き | 下向き | N→S | S→N | E→W | W→E |
| Dn | | ○ | ○ | | | |
| Ds | | ○ | | ○ | | |
| De | | ○ | | | ○ | |
| Dw | | ○ | | | | ○ |
| Un | ○ | | ○ | | | |
| Us | ○ | | | ○ | | |
| Ue | ○ | | | | ○ | |
| Uw | ○ | | | | | ○ |

2)　断面検討

各要素に対して，検討用応力が部材の終局耐力を下回ることを確認する。曲げ終局強度及びせん断終局強度の算定は，「原子力施設鉄筋コンクリート構造計算規準・同解説」による柱の終局強度算定式に準拠する。なお，鉄筋の引張強度は，平成 12 年建設省告示第 2464 号に定められた基準強度の 1.1 倍を用いる。検討用曲げモーメントを曲げ終局強度で除した値が最大となる箇所及び検討用せん断力をせん断終局強度で除した値が最大となる箇所の基礎スラブの断面検討結果を表 2.2.2-8 に示す。

断面検討の結果，検討用曲げモーメントは曲げ終局強度を下回り，検討用せん断力はせん断終局強度を下回ることを確認した。

表 2.2.2-8　基礎スラブの断面検討結果

| 要素番号 | 方向 | 荷重ケース | 検討用応力 | | | 設計配筋<br>上段：上端筋［断面積 $mm^2/m$］(pt:%)<br>下段：下端筋［断面積 $mm^2/m$］(pt:%) | 部材の終局強度 | | M/Mu | Q/Qu | 判定 |
|---|---|---|---|---|---|---|---|---|---|---|---|
| | | | N*1<br>(kN/m) | M<br>(kN･m/m) | Q<br>(kN/m) | | Mu<br>(kN･m/m) | Qu<br>(kN/m) | | | |
| 4 | NS | De | 129 | 1317 | 3958 | D38@200+D38@400 ［8550］<br>(0.21)<br>D38@200+D38@400 ［8550］<br>(0.21) | 11995 | 6778 | 0.11 | 0.59 | OK |
| | EW | De | 61 | 1415 | 1507 | 3-D38@200 ［17100］<br>(0.43)<br>2-D38@200 ［11400］<br>(0.29) | 15772 | 7294 | 0.09 | 0.21 | OK |
| 265 | NS | Ds | 24 | 3316 | 52 | 1-D38@200 ［5700］<br>(0.14)<br>1-D38@200 ［5700］<br>(0.14) | 7873 | 2215 | 0.43 | 0.03 | OK |
| | EW | Dw | -349 | 4927 | 76 | 1-D38@200 ［5700］<br>(0.14)<br>1-D38@200 ［5700］<br>(0.14) | 7267 | 2184 | 0.68 | 0.04 | OK |

＊1：圧縮を正とする

(4)　改良地盤の耐震性に対する検討

1)　検討方針

検討は「JEAC 4616-2009」に準拠し，基準地震動 Ss により発生する荷重に対して許容限界を満足することを確認する。改良地盤の許容限界は，改良地盤の設計圧縮強度，せん断抵抗に対する安全率に基づき設定する。支持地盤の許容限界は，支持地盤の極限支持力に対する安全率に基づき設定する。

2)　地震応答解析モデル

応力算定用の地震応答解析モデルを図 2.2.2-9 に示す。改良地盤及び支持地盤の物性は表 2.2.2-4 を用いた。

周辺地盤の物性は，一次元波動論であらかじめ実施した等価線形解析結果をもとに改良地盤及び周辺地盤のひずみレベルに応じた等価なせん断剛性，減衰を設定した。

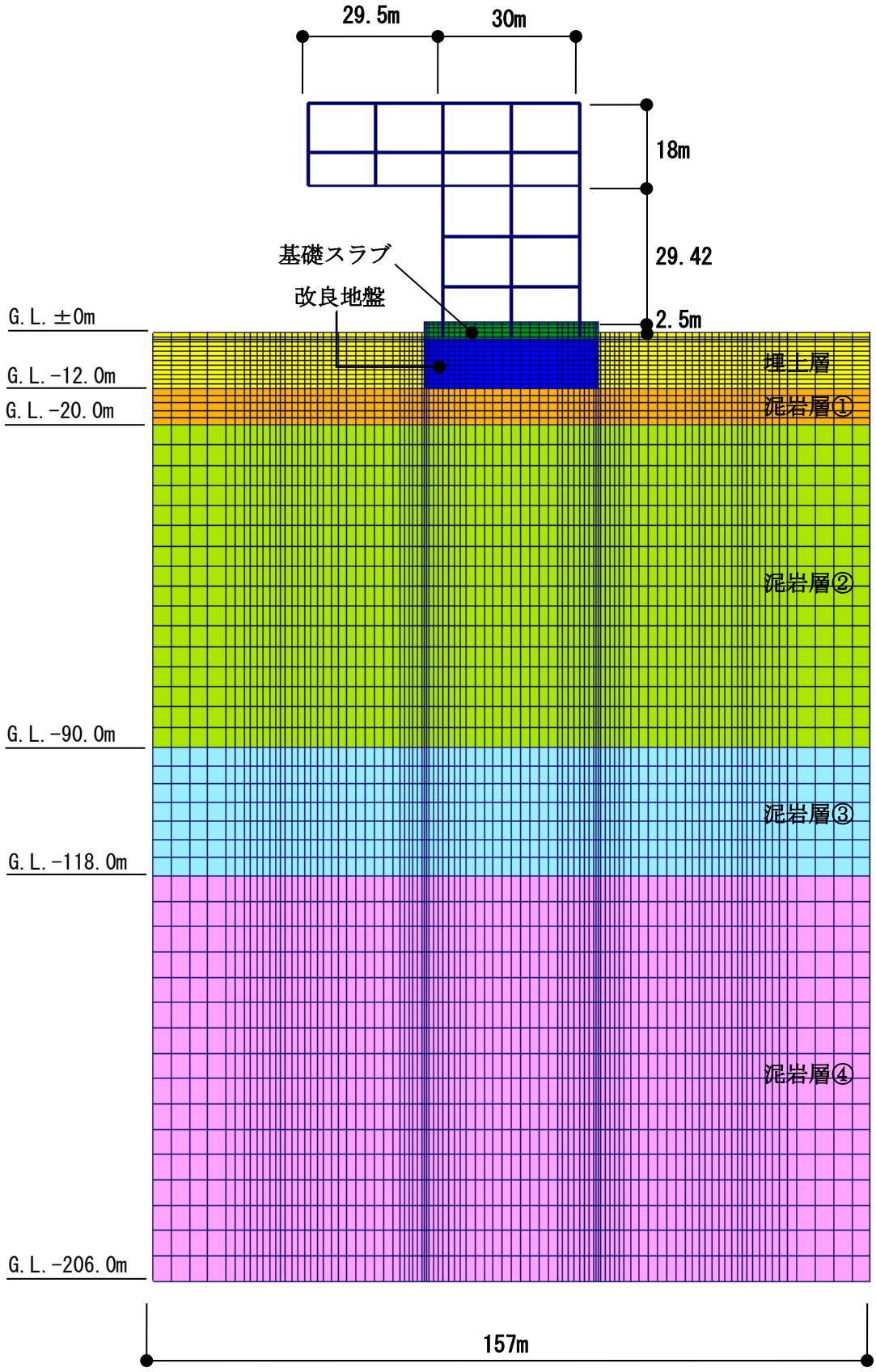



図 2.2.2-9　応力算定用地震応答解析モデル

3)　波及的影響の評価

改良地盤の評価は，「JEAC 4616-2009」に準じ，改良地盤に発生する最大応力が許容値に対して1.5以上の安全率を有していることを確認する。

・改良地盤に生じる鉛直応力に対する検討

改良地盤に作用する鉛直応力に対し改良地盤の圧縮強度の安全率が1.5以上であることを下式により確認する。

$$\frac{{}_{ss}f_{SC}}{\sigma_{ymax}} \geqq 1.5$$

ここで，　　$_{ss}f_{SC}$　：改良地盤の圧縮強度

$\sigma_{ymax}$　：有限要素解析による各要素の鉛直応力の最大値

改良地盤の圧縮強度（$_{ss}f_{SC}$）は，「JEAC 4616-2009」により改良地盤の圧縮強度の平均値である設計圧縮強度4498kN/m²（断面欠損2%を考慮する）を改良地盤の圧縮強度として検討を行う。

安全率の検討結果を表2.2.2-9に示す。検討結果より改良地盤の圧縮強度は改良地盤の基礎スラブ直下における最大鉛直応力の1.5以上の安全率を有していることを確認した。

表2.2.2-9　改良地盤の鉛直応力に対する検討結果

（改良地盤底部）

| 地震波 | 最大鉛直応力 $\sigma_{y\,max}$(kN/m²) | 圧縮強度 $_{ss}f_{SC}$(kN/m²) | 安全率 | ｸﾗｲﾃﾘｱ | 判定 |
|---|---|---|---|---|---|
| Ss-1 | 1809 | 4498 | 2.48 | 1.50 | OK |
| Ss-2 | 1453 | 4498 | 3.09 | 1.50 | OK |
| Ss-3 | 1821 | 4498 | 2.47 | 1.50 | OK |

・改良地盤に作用するせん断力に対する検討

検討は，改良地盤の基礎スラブ直下及び改良地盤下端のせん断力について行う。改良地盤上端及び下端にせん断面を想定し，各時刻（t）における改良地盤に作用する水平方向せん断力 $F_H(t)$と改良地盤の水平抵抗力 $F_R(t)$を評価し，そのせん断に対する安全率 $F_S(t)$が 1.5 以上であることを下式により確認する。

$$F_S(t) = \frac{F_R(t)}{F_H(t)} \geqq 1.5$$

$$F_R(t) = \sum_i F_R(t) = \sum \tau_{Ri}(t) \cdot l_i$$

$$F_H(t) = \sum_i F_H(t) = \sum \tau_{Si}(t) \cdot l_i$$

ここで，　$F_S(t)$　：せん断に対する安全率

$F_R(t)$　：せん断面上の地盤の水平抵抗力（kN）

$F_H(t)$　：せん断面上の地盤のせん断力（kN）

$\tau_{Ri}(t)$　：せん断面の解析モデル要素 i のせん断抵抗力（kN/m²）

$\tau_{Ri}(t)$は上載圧による強度増加は無視して設定し，せん断強度 $_{ss}f_{ss}$ を用いる。なお，せん断破壊及び鉛直方向応力が引張状態になった地盤要素は評価しない

$\tau_{Si}(t)$　：せん断面の解析モデル要素 i に作用するせん断応力（kN/m²）

$l_i$　：解析モデル要素 i を横切るせん断面の長さ（要素 i の長さ）（m）

$_{ss}f_{ss}$　：改良地盤のせん断強度（kN/m²）

改良地盤のせん断強度（$_{ss}f_{ss}$）は下式より設定する。

$$_{ss}f_{ss} = \frac{1}{5} {}_{ss}f_{sc}$$

ここで，　$_{ss}f_{ss}$　：688kN/m²　（断面欠損 25%を考慮する）

安全率の検討結果を表 2.2.2-10 及び表 2.2.2-11 に示す。

検討結果より改良地盤の水平抵抗力は，改良地盤の基礎スラブ直下及び改良地盤下端の最大せん断力の 1.5 以上の安全率を有していることを確認した。なお，解析は二次元でモデル化しているため，単位長さ当りのせん断力及び水平抵抗力で検討する。

表 2.2.2-10　改良地盤のせん断力に対する検討

（基礎スラブ下端）

| 地震波 | 最大せん断力 $F_H$ (kN/m) | 水平抵抗力 $F_R$ (kN/m) | 安全率 $F_S$ | ｸﾗｲﾃﾘｱ | 判定 |
|---|---|---|---|---|---|
| Ss-1 | 3635 | 21156 | 5.82 | 1.50 | OK |
| Ss-2 | 3052 | 22188 | 7.26 | 1.50 | OK |
| Ss-3 | 3548 | 20640 | 5.81 | 1.50 | OK |

表 2.2.2-11　改良地盤のせん断力に対する検討

（改良地盤底部）

| 地震波 | 最大せん断力 $F_H$ (kN/m) | 水平抵抗力 $F_R$ (kN/m) | 安全率 $F_S$ | ｸﾗｲﾃﾘｱ | 判定 |
|---|---|---|---|---|---|
| Ss-1 | 7741 | 24080 | 3.11 | 1.50 | OK |
| Ss-2 | 7481 | 24424 | 3.26 | 1.50 | OK |
| Ss-3 | 6494 | 24080 | 3.70 | 1.50 | OK |

4)　支持力の検討

支持力の評価は，改良地盤底部における最大鉛直応力が支持地盤の極限支持力度に対して 1.5 以上の安全率を有していることを確認する。

$$\frac{R_u}{V} \geqq 1.5$$

ここで，　$R_u$　：極限鉛直支持力度

$V$　：地震応答解析から得られる最大鉛直応力

検討の結果，支持地盤の極限支持力度（6860kN/m²）*は改良地盤底部における最大鉛直応力の 1.5 以上の安全率を有していることを確認した。

＊：「福島第一原子力発電所 原子炉設置変更許可申請書（４号炉増設）」による

$$6860\text{kN/m}^2 \ / \ 1821\ \text{kN/m}^2 \ = \ 3.76 \ \geqq \ 1.50 \ \cdots\cdot\text{OK}$$

(5)　地盤アンカーの耐震性に対する検討

1)　検討方針

地盤アンカーは，図 2.2.2-10 に示すように基礎スラブ上端を緊張端とし，泥岩層 G.L.-17.0m 以深を定着長部としている。地盤アンカーの検討は基準地震動 Ss 時に自由長部に発生する応力が規格降伏耐力以下及び定着長部の設計定着長が必要定着長以上であることを確認する。検討は，旧建築基準法第 38 条の規定に基づく認定工法「STK 永久アンカー工法」（建設省阪住指発第 353 号，平成 8 年 10 月 16 日）における設計マニュアルに基づき実施する。

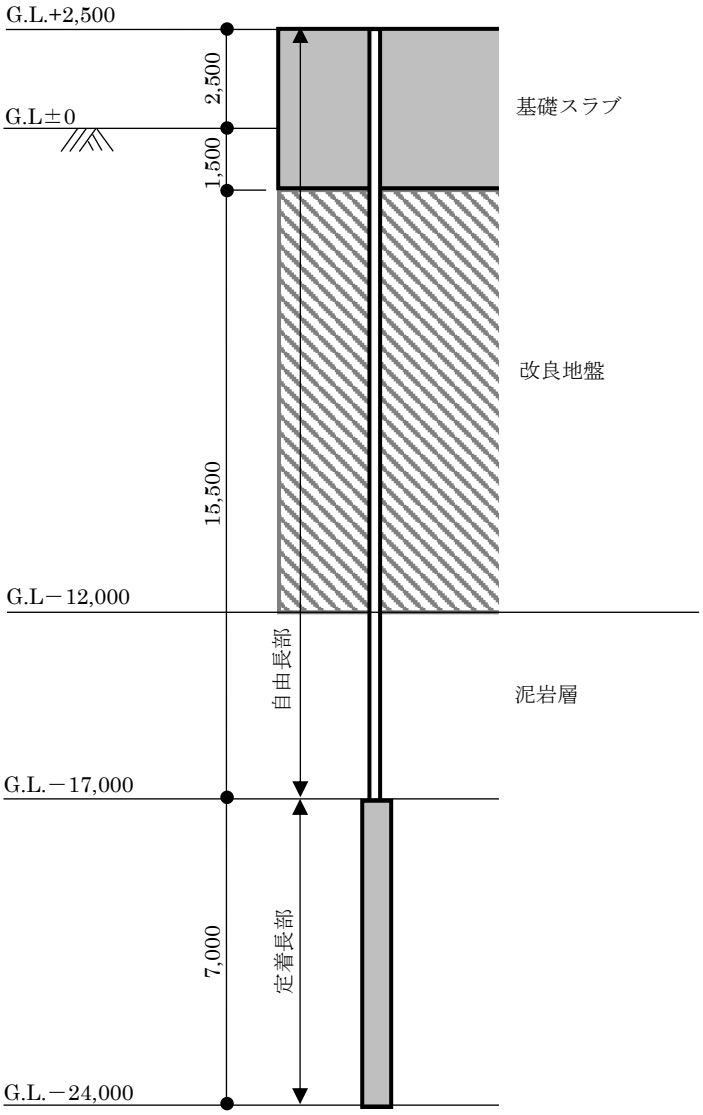



図 2.2.2-10　地盤アンカー設置計画（単位：mm）

2)　地盤アンカーの検討

・自由長部の検討

地盤アンカーに発生する応力と規格降伏耐力を比較した結果を表 2.2.2-12 に示す。地盤アンカーは STK-200 (SWPR19 4-φ21.8)を用いる。

検討の結果，耐力比が 1 以下になることを確認した。

表 2.2.2-12　自由長部の検討結果

| 発生応力<br>$T_{max}$<br>(kN/本) | 規格降伏耐力<br>$T_{ys}$<br>(kN/本) | 耐力比<br>$T_{max}／T_{ys}$ | 判定 |
|---|---|---|---|
| 1590 | 1981 | 0.81 | OK |

・定着長部の検討

定着長部の検討は，地盤アンカーの規格降伏耐力と地盤の極限摩擦抵抗力から求める必要定着長が，設計定着長を下回ることを確認する。結果を表 2.2.2-13 に示す。

検討の結果，検定比が 1 以下になることを確認した。

$$L_a = \frac{T_{ys} \times F}{\tau_u \times \pi \times D_d}$$

ここで，

La　：必要定着長（cm）

$T_{ys}$　：地盤アンカーの規格降伏耐力（1981kN）

F　：安全率（=1.0）

$\tau_u$　：地盤の極限摩擦抵抗力（N/cm²）（137N/cm²）*

＊：旧建築基準法第 38 条の規定に基づく認定工法「STK 永久アンカー工法」(建設省阪住指発第 353 号，平成 8 年 10 月 16 日)，設計マニュアルより N 値 50 以上の泥岩の値

$D_d$　：地盤アンカー体の設計径（17cm）

表 2.2.2-13　定着長の検討結果

| 必要定着長<br>$L_a$<br>(cm) | 設計定着長<br>$L_d$<br>(cm) | 検定比<br>$L_a／L_d$ | 判定 |
|---|---|---|---|
| 271 | 700 | 0.39 | OK |

2.3　燃料取扱機支持用架構の構造強度及び耐震性について

燃料取扱機支持用架構の構造強度及び耐震性の検討フローを図 2.3-1 に示す。

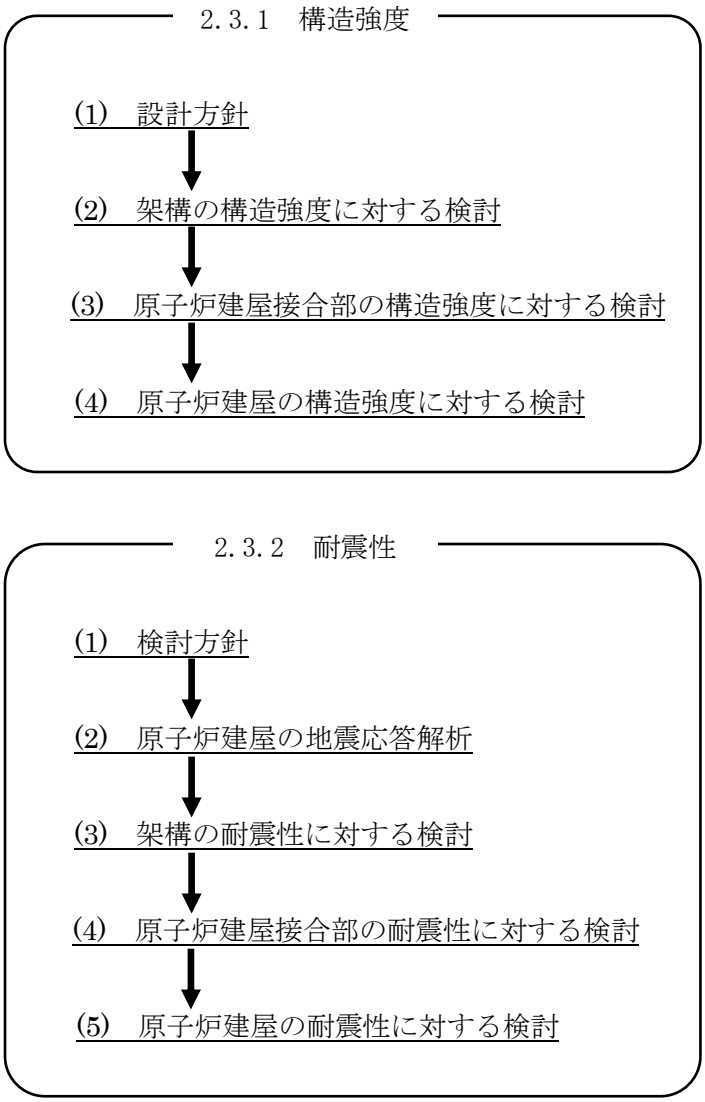



図 2.3-1　燃料取扱機支持用架構の検討フロー

2.3.1　構造強度

(1)　設計方針

構造強度の検討は，燃料取扱機支持用架構，原子炉建屋接合部及び架構反力が作用する原子炉建屋について許容応力度設計を実施する。

1)　使用材料及び許容応力度

燃料取扱機支持用架構の物性値及び許容応力度を表 2.3.1-1 に示す。

表 2.3.1-1　燃料取扱機支持用架構の物性値及び許容応力度

材料定数

| 部位 | 材料 | ヤング係数<br>E（N/mm²） | ポアソン比<br>$\nu$ | 単位体積重量<br>$\gamma$（kN/m³） |
|---|---|---|---|---|
| 架　　構 | 鉄骨 | $2.05\times10^5$ | 0.3 | 77.0 |
| 基礎構造 | コンクリート | $2.44\times10^4$ | 0.2 | 24.0 |

コンクリートの許容応力度　（単位：N/mm²）

| | 長期 | | | 短期 | | |
|---|---|---|---|---|---|---|
| 設計基準強度= 30 | 圧縮 | 引張 | せん断 | 圧縮 | 引張 | せん断 |
| | 10.0 | － | 0.790 | 20.0 | － | 1.185 |

鉄筋の許容応力度　（単位：N/mm²）

| 記号 | 鉄筋径 | 長期 | | 短期 | |
|---|---|---|---|---|---|
| | | 引張及び圧縮 | せん断補強 | 引張及び圧縮 | せん断補強 |
| SD345 | D29 未満 | 215 | 195 | 345 | 345 |
| | D29 以上 | 195 | | | |

構造用鋼材の許容応力度　（単位：N/mm²）

| 板厚 | 材料 | 基準強度 F | 許容応力度 |
|---|---|---|---|
| T≦40 mm | SS400 | 235 | 「鋼構造設計規準」に従い，左記 F の値より求める |
| T≦40 mm | SM490A | 325 | |
| T＞40 mm | TMCP325B*，TMCP325C* | 325 | |
| － | BCP325 | 325 | |
| － | BCR295 | 295 | |
| － | SNR490B | 325 | |

*：国土交通大臣指定書（国住指第 326-2，平成 14 年 5 月 7 日）による

2)　荷重及び荷重組合せ

設計で考慮する荷重を以下に示す。

・鉛直荷重（VL）

燃料取扱機支持用架構に作用する鉛直方向の荷重で，固定荷重，機器荷重，配管荷重及び積載荷重とする。

・クレーン荷重（CL）

吊荷荷重を含む燃料取扱機による荷重を表 2.3.1-2 に示す。

表 2.3.1-2　クレーン荷重一覧表

| | |
|---|---|
| 燃料取扱機 | 735 kN |
| 作業台車 | 196 kN |

・地震荷重（K）

燃料取扱機支持用架構に作用させる地震荷重は，G.L.-12.06m（原子炉建屋基礎スラブ上端レベル）を基準面とした原子炉建屋の地震層せん断力係数の算定結果より設定する。原子炉建屋の地震層せん断力係数は下式より算定し，算定結果を表 2.3.1-4 に示す。

$$Qi = n \cdot Ci \cdot Wi$$

$$Ci = Z \cdot Rt \cdot Ai \cdot Co$$

ここで，

Qi：水平地震力（kN）

n　：施設の重要度に応じた係数（n=1.5）

建築基準法で定める地震力の 1.5 倍を考慮する。

Ci：地震層せん断力係数

Wi：当該部分が支える重量（kN）

ここに，燃料取扱機支持用架構の設計で考慮する原子炉建屋の全体重量は，瓦礫撤去の効果と燃料取扱機支持用架構を新規に設置する影響を考慮した。原子炉建屋の全体重量を表 2.3.1-3 に示す。

表 2.3.1-3　原子炉建屋の全体重量(kN)

| | |
|---|---|
| 原子炉建屋全体重量*1 | 1078100 |
| 瓦礫撤去による軽減重量 | -39810 |
| 燃料取扱機支持用架構の付加重量 | +6490 |
| 燃料取扱機支持用架構設計用原子炉建屋全体重量 | 1044780 |

*1　「福島第一原子力発電所の原子炉建屋の現状の耐震安全性および補強等に関する検討に係る報告書（その１）」（平成 23 年 5 月 28 日　東京電力株式会社）にて用いた原子炉建屋重量(1069320kN)に使用済燃料プール底部の支持構造物の設置工事による重量(8780kN)を加算したもの

Z　：地震地域係数（Z=1.0）

Rt　：振動特性係数（Rt=0.8）

Ai　：地震層せん断力係数の高さ方向の分布係数で，燃料取扱機支持用架構の固有値を用いたモーダル法（二乗和平方根法）により求める。

$C_0$　：標準せん断力係数（$C_0$=0.2）

表 2.3.1-4　原子炉建屋の地震層せん断力係数の算定結果

| 階 | G.L. (m) | 各階重量 (kN) | Wi (kN) | Ai | | n･Ci | |
|---|---|---|---|---|---|---|---|
| | | | | NS 方向 | EW 方向 | NS 方向 | EW 方向 |
| 5 | +29.92 | 77700 | － | － | － | － | － |
| 4 | +29.92～+22.30 | 88770 | 77700 | 2.070 | 2.218 | 0.497 | 0.533 |
| 3 | +22.30～+16.90 | 122210 | 166470 | 1.787 | 1.831 | 0.429 | 0.440 |
| 2 | +16.90～+8.70 | 127700 | 288680 | 1.520 | 1.549 | 0.365 | 0.372 |
| 1 | +8.70～+0.20 | 208960 | 416380 | 1.309 | 1.315 | 0.314 | 0.316 |
| B1 | +0.20～-12.06 | － | 625340 | 1.000 | 1.000 | 0.240 | 0.240 |

燃料取扱機支持用架構に作用させる水平震度は，原子炉建屋 4 階の NS 方向地震層せん断力係数(n・Ci=0.497)及び EW 方向地震層せん断力係数(n・Ci=0.533)より，水平震度を Ki=n・Ci として水平地震力を設定する。表 2.3.1-5 に燃料取扱機支持用架構に作用させる水平地震力の算定結果を示す。

表 2.3.1-5　水平地震力の算定結果

| G.L. (m) | 各階重量 (kN) | NS 方向 | | EW 方向 | |
|---|---|---|---|---|---|
| | | 水平震度 Ki | 水平地震力 Pi (kN) | 水平震度 Ki | 水平地震力 Pi (kN) |
| +30.77 | 2487 | 0.497 | 1236 | 0.533 | 1326 |
| +20.485 | 298 | 0.497 | 148 | 0.533 | 159 |
| +10.20 | 188 | 0.497 | 93 | 0.533 | 100 |

ここに，燃料取扱機支持用架構は鉄骨造で剛性が小さく，原子炉建屋は壁式鉄筋コンクリート造で剛性が非常に高いことから，燃料取扱機支持用架構の変形量に対して原子炉建屋の変形量は非常に小さく，地震時の原子炉建屋の変形が燃料取扱機支持用架構に及ぼす影響は考慮しないものとした。

・荷重組合せ

設計で考慮する燃料取扱機の位置を図 2.3.1-1 に，荷重組合せを表 2.3.1-6 に示す。なお，燃料取扱機支持用架構はクレーン支持用架構に覆われているため，積雪時及び暴風時は考慮しないものとした。

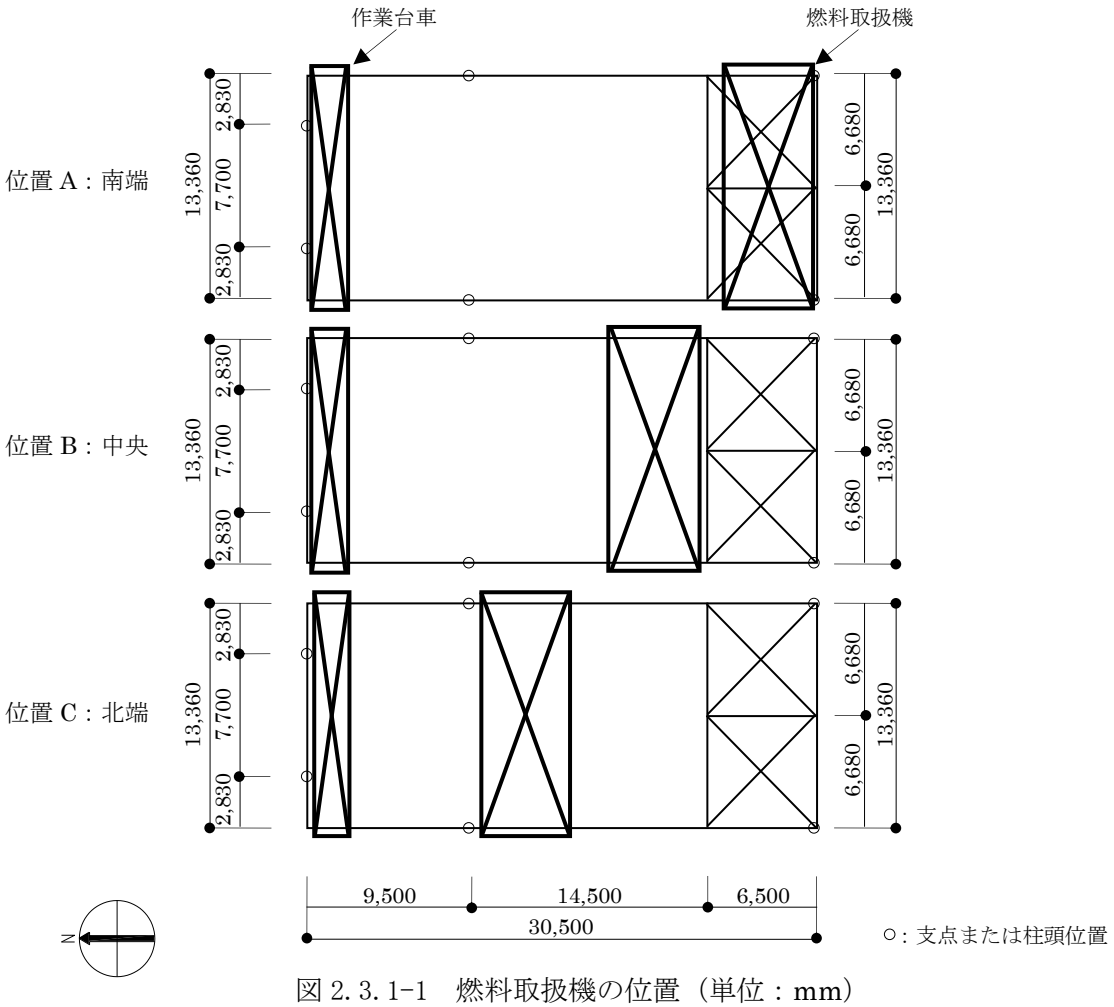



図 2.3.1-1　燃料取扱機の位置（単位：mm）

表 2.3.1-6　燃料取扱機支持用架構の荷重組合せ

| 想定する状態 | 荷重ケース | 荷重組合せ内容 | 許容応力度 |
|---|---|---|---|
| 常時 | C | VL＋CL | 長期 |
| 地震時 | E1 | VL＋CL＋K(＋NS)*1 | 短期 |
| | E2 | VL＋CL＋K(－NS)*1 | |
| | E3 | VL＋CL＋K(＋EW)*1 | |
| | E4 | VL＋CL＋K(－EW)*1 | |

*1：地震荷重は NS 方向及び EW 方向を考慮する

(2)　架構の構造強度に対する検討

1)　解析モデル

燃料取扱機支持用架構の解析モデルは，G.L.+8.70m より上部を立体架構モデルとし，柱及び梁端部の境界条件は剛接，原子炉建屋シェル壁上端はピン及び原子炉建屋南側外壁の柱脚部は固定とする。解析モデル，部材寸法及び応力検討箇所を図 2.3.1-2 に示す。

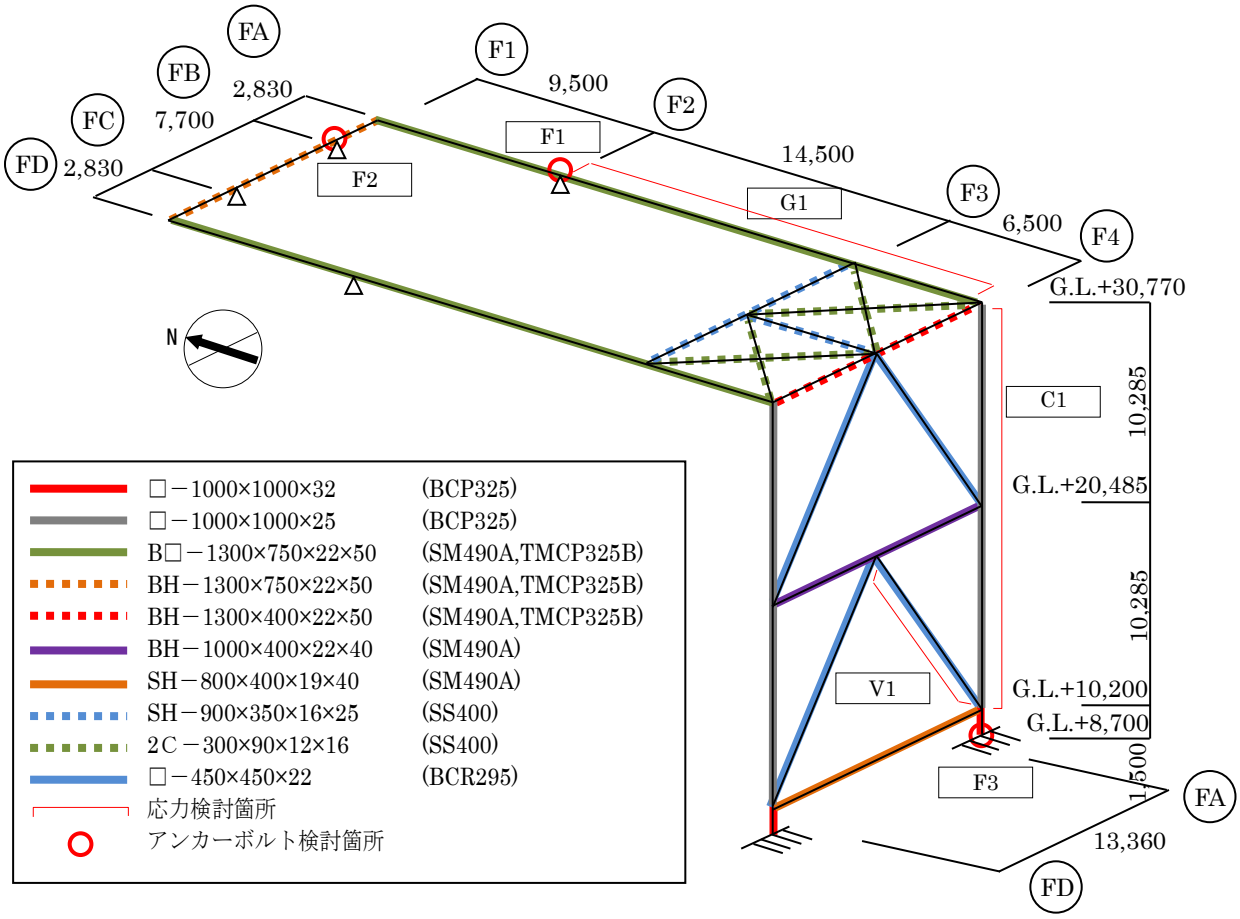
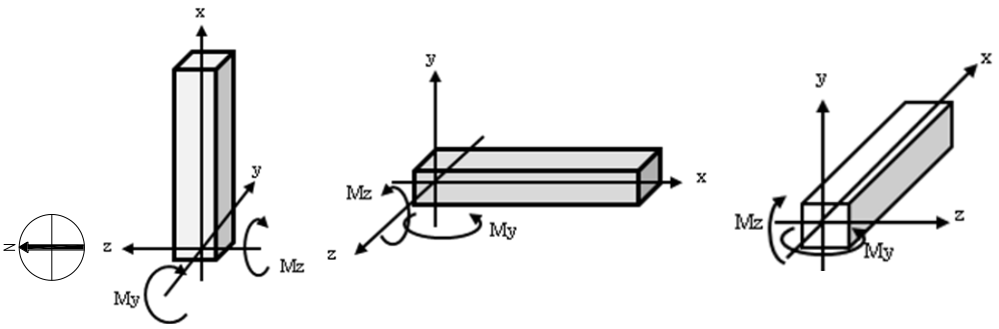



図 2.3.1-2　解析モデル図（単位：mm）

2)　断面検討

応力解析結果を用い，断面検討は二方向の曲げを図 2.3.1-3 に示すように考慮する。




柱要素　　NS 方向梁要素　　EW 方向梁要素

図 2.3.1-3　曲げモーメントの方向

応力度比の検討は「鋼構造設計規準」に従い，軸力及び曲げモーメントに対する検討は下式にて行う。

・軸圧縮の場合　　$\dfrac{\sigma_c}{f_c}+\dfrac{\sigma_{bz}+\sigma_{by}}{f_b}\leqq 1$

・軸引張の場合　　$\dfrac{\sigma_c+\sigma_{bz}+\sigma_{by}}{f_t}\leqq 1$

ここで，

$\sigma_c$：軸応力度（=N／A）

N：軸力，A：断面積

$\sigma_{bz}$：部材 z 軸方向曲げ応力度（＝$M_z$／$Z_z$）

$M_z$，$Z_z$：部材 z 軸回りモーメント及び断面係数

$\sigma_{by}$：部材 y 軸方向曲げ応力度（＝$M_y$／$Z_y$）

$M_y$，$Z_y$：部材 y 軸回りモーメント及び断面係数

$f_c$：許容圧縮応力度

$f_b$：許容曲げ応力度

$f_t$：許容引張応力度

また，せん断力に対する検討は，下式にて行う。

$$\frac{\sqrt{(\sigma_c+\sigma_{bz}+\sigma_{by})^2+3\tau_z^{\,2}}}{f_t}\leqq 1 \quad \text{かつ} \quad \frac{\sqrt{(\sigma_c+\sigma_{bz}+\sigma_{by})^2+3\tau_y^{\,2}}}{f_t}\leqq 1$$

ここで，

$\tau_z$：部材 z 軸方向せん断応力度（＝$Q_z$／$A_{wz}$）

$Q_z$，$A_{wz}$：部材 z 軸方向せん断力及びせん断断面積

$\tau_y$：部材 y 軸方向せん断応力度（＝$Q_y$／$A_{wy}$）

$Q_y$，$A_{wy}$：部材 y 軸方向せん断力及びせん断断面積

表 2.3.1-7 及び表 2.3.1-8 に応力度比が最大となる部位の断面検討結果を示す。

断面検討の結果，全ての部材に対する応力度比が 1 以下になることを確認した。

表 2.3.1-7　断面検討結果（常時）

| 部位 | 検討箇所 | 部材形状 (mm) | 荷重ケース (位置)*1 | 作用 応力度 (N/mm²) | | 許容 応力度 (N/mm²) | 応力度比 | 判定 |
|---|---|---|---|---|---|---|---|---|
| 柱 | C1 | □-1000×1000 ×25×25 | C (B) | 曲げ Mz | 0.3 | 216.7 | 0.13 | OK |
| | | | | 曲げ My | 20.0 | 216.7 | | |
| | | | | 圧縮 N | 4.2 | 150.1 | | |
| | | | | せん断 Qz | 0.9 | 125.1 | | |
| | | | | せん断 Qy | 0.0 | 125.1 | | |
| 梁 | G1 | B□-1300×750 ×22×50 | C (B) | 曲げ Mz | 36.6 | 216.7 | 0.18 | OK |
| | | | | 曲げ My | 1.2 | 216.7 | | |
| | | | | 圧縮 N | 0.4 | 134.0 | | |
| | | | | せん断 Qz | 0.2 | 125.1 | | |
| | | | | せん断 Qy | 0.5 | 125.1 | | |
| ブレース | V1 | □-450×450 ×22 | C (B) | 曲げ Mz | 0.0 | 196.7 | 0.02 | OK |
| | | | | 曲げ My | 1.5 | 196.7 | | |
| | | | | 圧縮 N | 1.5 | 135.1 | | |
| | | | | せん断 Qz | 0.1 | 113.5 | | |
| | | | | せん断 Qy | 0.0 | 113.5 | | |

*1：燃料取扱機の位置を示す

表 2.3.1-8　断面検討結果（地震時）

| 部位 | 検討箇所 | 部材形状 (mm) | 荷重ケース (位置)*1 | 作用 応力度 (N/mm²) | | 許容 応力度 (N/mm²) | 応力度比 | 判定 |
|---|---|---|---|---|---|---|---|---|
| 柱 | C1 | □-1000×1000 ×25×25 | E2 (B) | 曲げ Mz | 0.2 | 325.0 | 0.10 | OK |
| | | | | 曲げ My | 25.1 | 325.0 | | |
| | | | | 圧縮 N | 4.3 | 225.2 | | |
| | | | | せん断 Qz | 1.7 | 187.6 | | |
| | | | | せん断 Qy | 0.0 | 187.6 | | |
| 梁 | G1 | B□-1300×750 ×22×50 | E3 (C) | 曲げ Mz | 34.2 | 325.0 | 0.21 | OK |
| | | | | 曲げ My | 28.5 | 325.0 | | |
| | | | | 圧縮 N | 1.2 | 201.0 | | |
| | | | | せん断 Qz | 3.4 | 187.6 | | |
| | | | | せん断 Qy | 10.2 | 187.6 | | |
| ブレース | V1 | □-450×450 ×22 | E3 (A) | 曲げ Mz | 2.8 | 295.0 | 0.13 | OK |
| | | | | 曲げ My | 0.0 | 295.0 | | |
| | | | | 圧縮 N | 23.9 | 202.7 | | |
| | | | | せん断 Qz | 0.0 | 170.3 | | |
| | | | | せん断 Qy | 0.2 | 170.3 | | |

*1：燃料取扱機の位置を示す

(3)　原子炉建屋接合部の構造強度に対する検討

1)　許容耐力の算定

燃料取扱機支持用架構の原子炉建屋上の支点は接着系アンカーボルトを用いて一体化が図られる。接着系アンカーボルトの許容耐力は「各種合成構造設計指針・同解説」に従い，原子炉建屋の設計基準強度(22.1N/mm²)を用いて下式によって求め，計算結果を表 2.3.1-9 に示す。

$$p_a = \min(p_{a1},\ p_{a3})$$
$$q_a = \min(q_{a1},\ q_{a2},\ q_{a3})$$

ここで，

$p_a$　：接着系アンカーボルトの許容引張力

$p_{a1}$　：アンカーボルトの降伏により決まる許容引張力

$p_{a3}$　：付着力により決まる許容引張力

$q_a$　：接着系アンカーボルトの許容せん断力

$q_{a1}$　：アンカーボルトのせん断強度により決まる許容せん断力

$q_{a2}$　：躯体の支圧強度により決まる許容せん断力

$q_{a3}$　：躯体のコーン破壊により決まる許容せん断力

表 2.3.1-9　接着系アンカーボルトの許容耐力

| 箇所 | | | シェル壁上端（F1，F2） | 南側外壁(F3) |
|---|---|---|---|---|
| 高さ | | m | G.L.+29.92 | G.L.-0.40～G.L.+8.70 |
| 鋼材種類 | | | M27 | D25 |
| | | | SNR490B | SD345 |
| 埋め込み長さ | | mm | 700 | 450 |
| アンカーボルトの間隔 | | mm | 300 | 400 |
| 長期 | 許容引張力($p_{aL}$) | kN/本 | 58 | 51 |
| | 許容せん断力($q_{aL}$) | kN/本 | 53 | 58 |
| 短期 | 許容引張力($p_{aS}$) | kN/本 | 116 | 102 |
| | 許容せん断力($q_{aS}$) | kN/本 | 104 | 116 |

2)　シェル壁上端位置の検討

燃料取扱機支持用架構とシェル壁との接合部の概要を図 2.3.1-4 に，作用応力と許容耐力を比較した結果を表 2.3.1-10 に示す。

検討の結果，全ての応力度比が 1 以下になることを確認した。

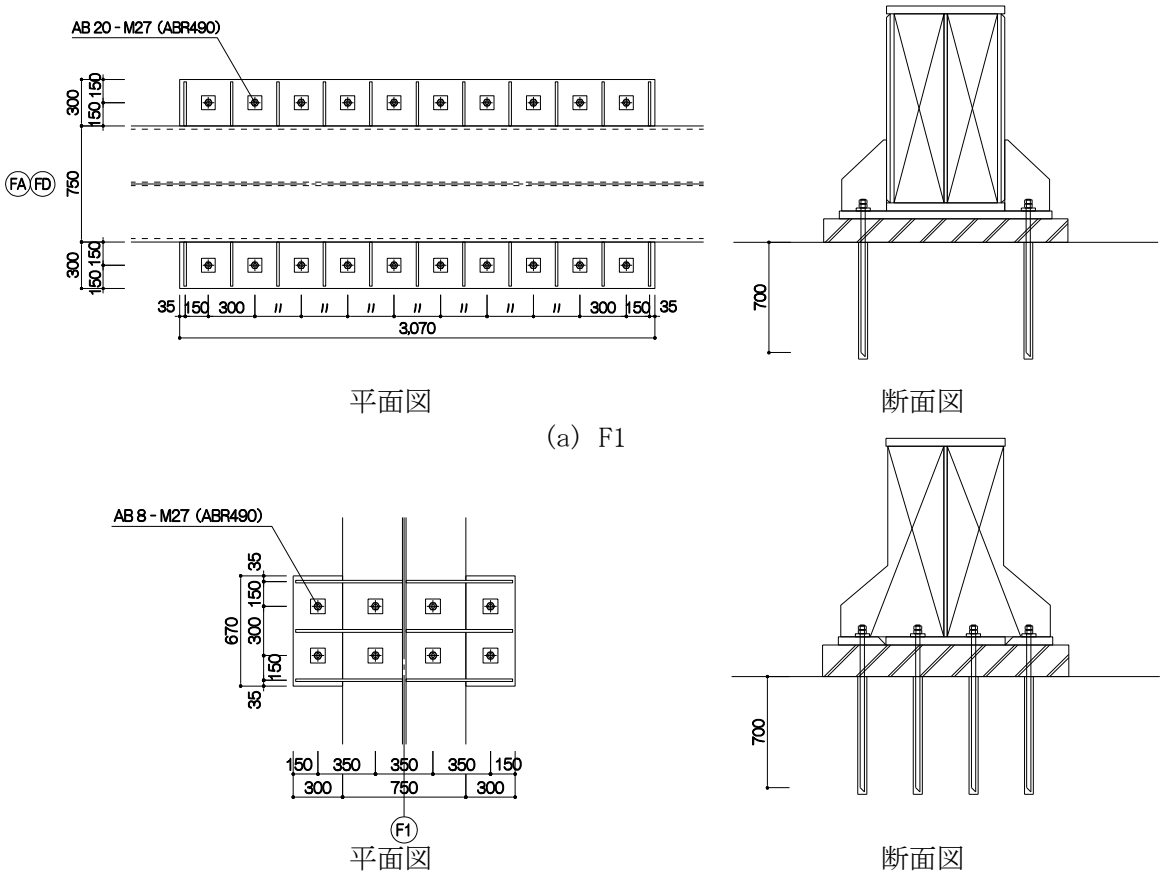



図 2.3.1-4　シェル壁上端位置の接合部概要（単位：mm）

表 2.3.1-10　　シェル壁上端位置の検討結果

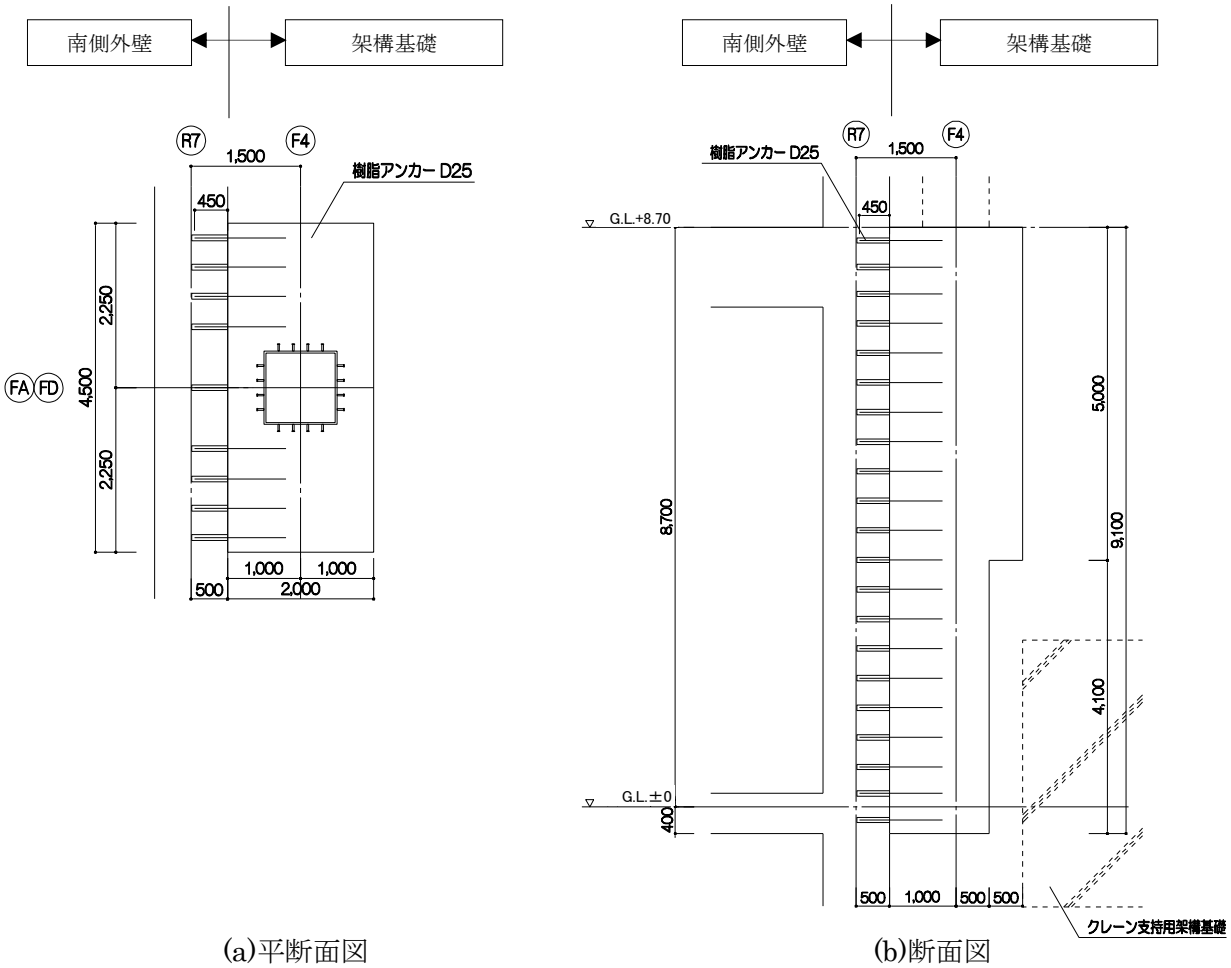
| 検討箇所 (ｱﾝｶｰ本数) *1 | 荷重ケース (位置) *2 | 作用応力 | | 許容耐力 | | 応力度比 | 判定 |
|---|---|---|---|---|---|---|---|
| | | 引抜力 P (kN) | せん断力 Q (kN) | 許容引張力 $p_a$ (kN) | 許容せん断力 $q_a$ (kN) | | |
| F1 (20) | C (B) | 0 | 41 | 1160 | 1060 | 0.04 | OK |
| | E2 (B) | 0 | 669 | 2320 | 2080 | 0.33 | OK |
| F2 (8) | C (A) | 0 | 10 | 464 | 424 | 0.03 | OK |
| | E3 (A) | 0 | 94 | 928 | 832 | 0.12 | OK |

*1：設計で考慮するアンカーボルトの本数
*2：燃料取扱機の位置を示す

3)　南側外壁位置の検討

燃料取扱機支持用架構と南側外壁との接合部の概要を図 2.3.1-5 に，作用応力と許容耐力を比較した結果を表 2.3.1-11 に示す。

検討の結果，全ての応力度比が 1 以下になることを確認した。




(a)平断面図　　(b)断面図

図 2.3.1-5　南側外壁位置の接合部概要（単位：mm）

表 2.3.1-11　南側外壁位置の検討結果

| 検討箇所<br>方向<br>(ｱﾝｶｰ本数)*1 | 荷重ケース<br>(位置)*2 | 作用応力 | | 許容耐力 | | 応力度比 | 判定 |
|---|---|---|---|---|---|---|---|
| | | 引抜力<br>P<br>(kN) | せん断力<br>Q<br>(kN) | 許容引張力<br>$p_a$<br>(kN) | 許容せん断力<br>$q_a$<br>(kN) | | |
| F3<br>NS 方向<br>(引張 24)<br>(せん断 99) | C<br>(A) | 552 | 2622 | 1224 | 5742 | 0.46 | OK |
| | E1<br>(A) | 951 | 2613 | 2448 | 11484 | 0.39 | OK |
| F3<br>EW 方向<br>(引張 15)<br>(せん断 99) | C<br>(A) | 24 | 2622 | 765 | 5742 | 0.46 | OK |
| | E3<br>(A) | 412 | 4049 | 1530 | 11484 | 0.36 | OK |

*1：設計で考慮するアンカーボルトの本数。アンカーボルトは引張に抵抗するものとせん断に抵抗するものをそれぞれ設定した

*2：燃料取扱機の位置を示す

(4)　原子炉建屋の構造強度に対する検討

1)　検討方針

原子炉建屋の構造強度の検討では，当該躯体建設時の設計用応力*1に架構反力により生じる応力を重ね合わせた応力が，許容応力度以下になることを確認する。ここで，燃料取扱機支持用架構の重量が原子炉建屋に比較して十分に小さいことから，検討は地震時についてのみ実施する。検討対象部位は，架構反力を受けるシェル壁と南側外壁とする。なお，シェル壁については G.L.+8.70m より上部を検討対象とする。検討対象部位を図 2.3.1-6 に示す。

*1：原子炉建屋全体重量は，瓦礫撤去の効果（－39810kN）及び燃料取扱機支持用架構の新設（＋6490kN）を考慮すると軽減傾向にあり，地震時応力は低減されるが，安全側の評価として建設時の設計用応力を用いる

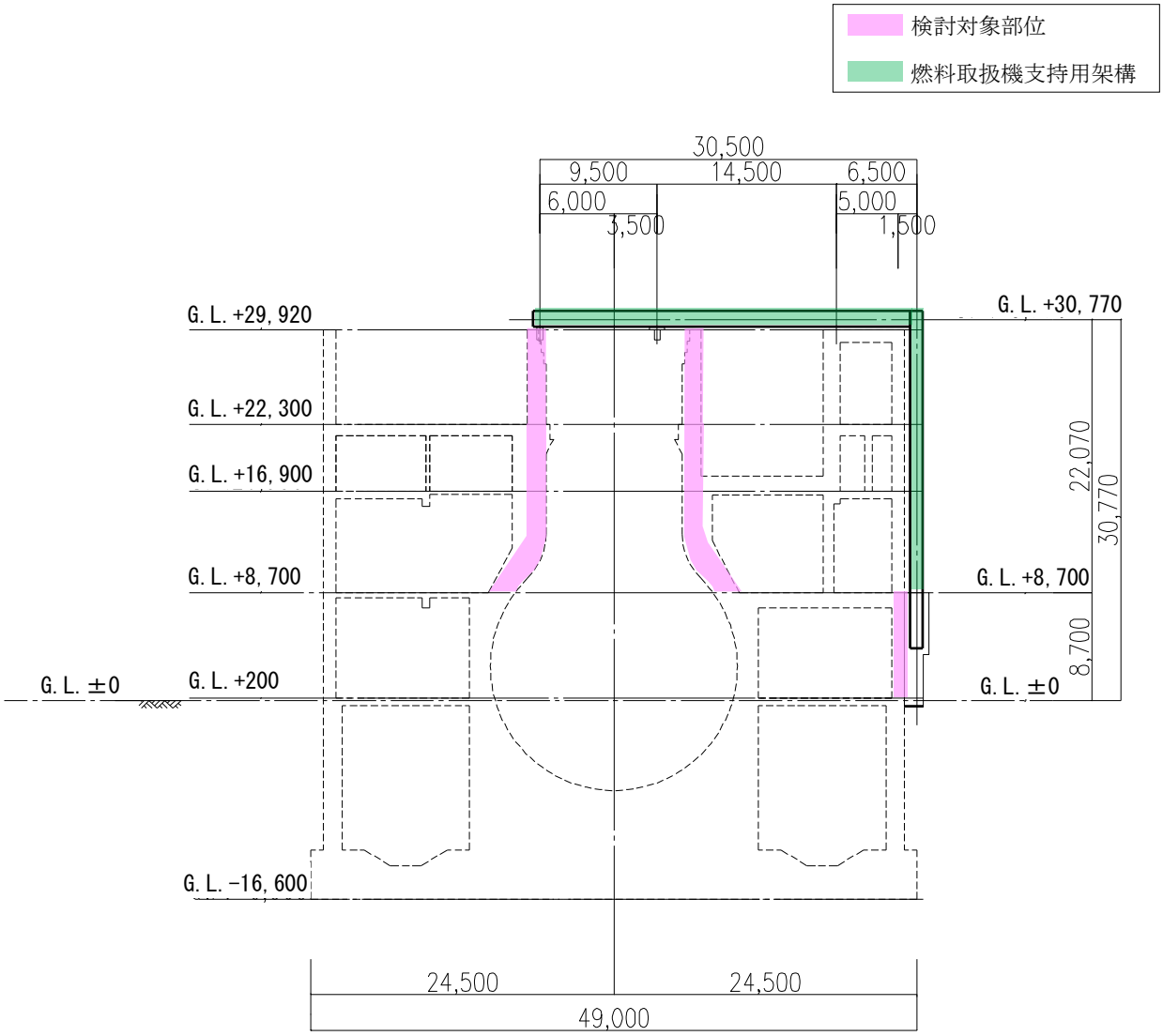



図 2.3.1-6　既存躯体の検討対象部位（単位：mm）

2) 断面検討

軸力及び曲げモーメントに対する断面検討とせん断に対する断面検討は，「原子力施設鉄筋コンクリート構造計算規準・同解説」に従い，設計基準強度(22.1N/mm²)を用いて行う。

シェル壁の軸力及び曲げモーメントに対する検討結果を表 2.3.1-12 に，せん断力に対する断面検討結果を表 2.3.1-13 に示す。南側外壁の面内方向に対する断面検討結果を表 2.3.1-14 に，面外方向に対する断面検討結果を表 2.3.1-15 に示す。

検討の結果，全ての応力度比が 1 以下になることを確認した。また，燃料取扱機支持用架構の反力により生じる応力は，建設時の設計用応力の 10%以下であることを確認した。

表 2.3.1-12　シェル壁の断面検討結果(1)
(軸力及び曲げモーメントに対する検討)

| G.L.<br>(m) | コア壁厚<br>t<br>(m) | 配筋<br>タテ筋<br>$a_t$(cm²/m)<br>$P_g$(%) | 鉄筋の<br>最大引張応力度<br>$\sigma_t$<br>(N/mm²) | コンクリートの<br>最大圧縮応力度<br>$\sigma_c$<br>(N/mm²) | 応力度比<br>$\sigma_t / f_t$ | 判定 |
|---|---|---|---|---|---|---|
| +29.92～<br>+22.30 | 1.50 | $a_t$=87.7<br>$P_g$=1.16 | 58.1 | 2.0 | 0.17 | OK |
| +22.30～<br>+16.90 | 1.85 | $a_t$=87.7<br>$P_g$=0.94 | 80.1 | 3.4 | 0.24 | OK |
| +16.90～<br>+8.70 | 2.08 | $a_t$=171.0<br>$P_g$=1.64 | 64.3 | 3.7 | 0.19 | OK |

表 2.3.1-13　シェル壁の断面検討結果(2)
(せん断に対する検討)

| G.L.<br>(m) | コア壁厚<br>t<br>(m) | 配筋<br>上段:タテ筋<br>下段:ヨコ筋<br>$a_t$(cm²/m)<br>$P_g$(%) | 鉄筋の<br>最大引張応力度<br>$\sigma_t$<br>(N/mm²) | 応力度比<br>$\sigma_t / f_t$ | 判定 |
|---|---|---|---|---|---|
| +29.92～<br>+22.30 | 1.50 | $a_t$ =87.7<br>$P_g$ =1.16 | 86.3 | 0.26 | OK |
| | | $a_t$ =76.0<br>$P_g$ =1.01 | 99.1 | 0.29 | OK |
| +22.30～<br>+16.90 | 1.85 | $a_t$ =87.7<br>$P_g$ =0.94 | 117.1 | 0.34 | OK |
| | | $a_t$ =76.0<br>$P_g$ =0.82 | 134.2 | 0.39 | OK |
| +16.90～<br>+8.70 | 2.08 | $a_t$ =171.0<br>$P_g$ =1.64 | 125.0 | 0.37 | OK |
| | | $a_t$ =171.0<br>$P_g$ = 1.64 | 125.0 | 0.37 | OK |

表 2.3.1-14　南側外壁の断面検討結果(1)
(面内方向)

| G.L.<br>(m) | 壁厚<br>t<br>(m) | 配筋<br>上段:タテ筋<br>下段:ヨコ筋<br>$P_g$<br>(%) | せん断<br>鉄筋の<br>最大引張応力度<br>$\sigma_t$<br>(N/mm²) | 曲げモーメント<br>鉄筋の<br>最大引張応力度<br>$\sigma_t$<br>(N/mm²) | 曲げモーメント<br>コンクリートの<br>最大圧縮応力度<br>$\sigma_c$<br>(N/mm²) | 応力度比<br>$\sigma_t / f_t$ | 判定 |
|---|---|---|---|---|---|---|---|
| +8.70<br>～<br>+0.20 | 1.00 | 2-D32@200<br>$P_g$=0.79<br>2-D32@200<br>$P_g$=0.79 | 278.5 | 0.0 | 2.0 | 0.81 | OK |

表 2.3.1-15　南側外壁の断面検討結果(2)
(面外方向)

| G.L.<br>(m) | 壁厚<br>t<br>(m) | 配筋<br>タテ筋<br>$P_g$<br>(%) | せん断<br>ｺﾝｸﾘｰﾄの最大<br>せん断応力度<br>$\tau_s$<br>(N/mm²) | せん断<br>応力<br>度比<br>$\tau_s / f_s$ | せん断<br>判定 | 曲げモーメント<br>鉄筋の最大<br>引張応力度<br>$\sigma_t$<br>(N/mm²) | 曲げモーメント<br>ｺﾝｸﾘｰﾄの最大<br>圧縮応力度<br>$\sigma_c$<br>(N/mm²) | 曲げモーメント<br>応力<br>度比<br>$\sigma_t / f_t$ | 曲げモーメント<br>判定 |
|---|---|---|---|---|---|---|---|---|---|
| +8.70<br>～<br>+0.20 | 1.00 | 2-D32@200<br>$P_g$ =0.79 | 0.1 | 0.10 | OK | 110.8 | 2.1 | 0.33 | OK |

2.3.2　耐震性

(1)　検討方針

耐震性の検討は，燃料取扱機支持用架構，原子炉建屋接合部及び原子炉建屋の健全性について行い，基準地震動 Ss に対して燃料取扱機支持用架構及び原子炉建屋の応答性状を適切に表現できる地震応答解析を用いて評価する。

(2)　原子炉建屋の地震応答解析

1)　解析に用いる入力地震動

検討に用いる地震動は，「福島第一原子力発電所『発電用原子炉施設に関する耐震設計審査指針』の改訂に伴う耐震安全性評価結果　中間報告書」（平成 20 年 3 月 31 日 東京電力株式会社）にて作成した解放基盤表面に定義される基準地震動 Ss（図 2.2.2-2(1)及び図 2.2.2-2(2)参照）とする。

地震応答解析に用いる入力地震動の概念図を図 2.3.2-1 に示す。モデルに入力する地震動は一次元波動論に基づき，解放基盤表面に定義される基準地震動 Ss に対する地盤の応答として評価する。

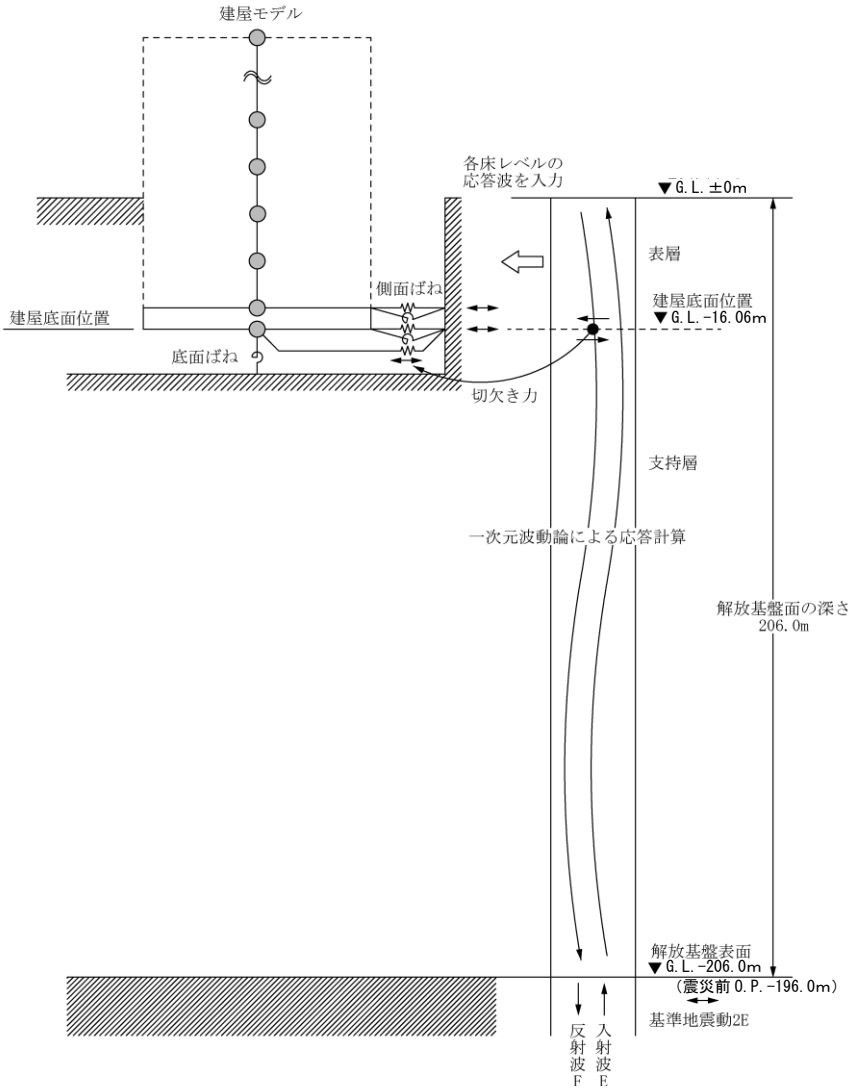



図 2.3.2-1　地震応答解析に用いる入力地震動の概念図

2)　地震応答解析モデル

原子炉建屋の地震応答解析モデルは，図 2.3.2-2 に示すように質点系でモデル化し，地盤を等価なばねで評価した建屋－地盤連成系モデルとする。

地震応答解析モデルの諸元は，「福島第一原子力発電所の原子炉建屋の現状の耐震安全性および補強等に関する検討に係る報告書（その１）」（平成 23 年 5 月 28 日　東京電力株式会社）に示される内容に，使用済燃料プール底部の支持構造物の設置工事，瓦礫撤去及び新規に設置する燃料取扱機支持用架構の重量を考慮した。解析諸元を表 2.3.2-1(1)及び表 2.3.2-1(2)に示す。

地盤定数は，水平成層地盤と仮定し地震時のせん断ひずみレベルを考慮して定めた。地盤定数の設定結果を表 2.3.2-2 に示す。基礎底面の地盤ばねについては，「JEAG 4601-1991」に示されている手法を参考にして，地盤を成層補正し振動アドミッタンス理論によりスウェイ及びロッキングばねを評価した。

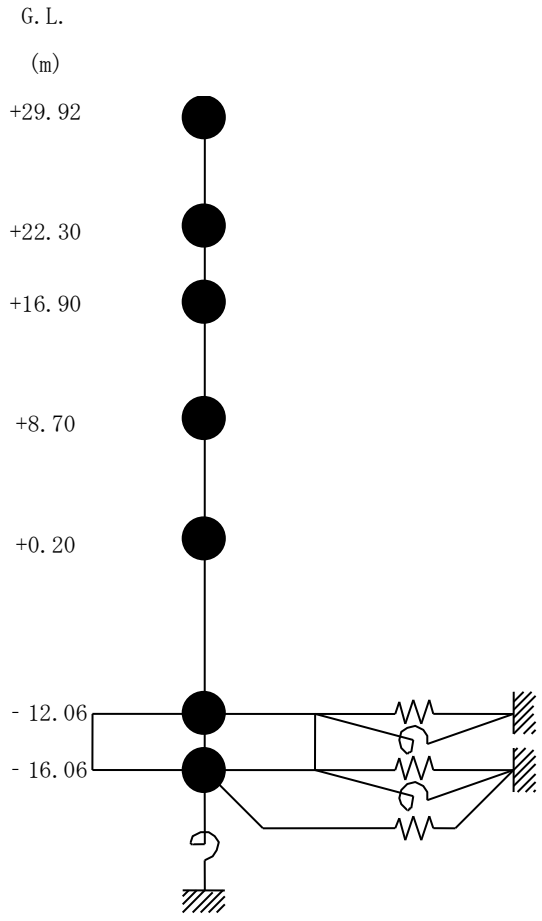



図 2.3.2-2　原子炉建屋の地震応答解析モデル

表 2.3.2-1(1)　原子炉建屋の地震応答解析モデルの諸元

(a)水平（NS）方向

| G.L.(m) | 質点重量 W（kN） | 回転慣性重量 $I_G$（$\times 10^5$ kN･m$^2$） | せん断断面積 As（m$^2$） | 断面二次モーメント I（m$^4$） |
|---|---|---|---|---|
| +29.92 | 77700 | 141.73 | | |
| | | | 150.8 | 13068 |
| +22.30 | 88770 | 163.44 | | |
| | | | 103.4 | 15942 |
| +16.90 | 122210 | 224.92 | | |
| | | | 223.4 | 45026 |
| +8.70 | 127700 | 244.14 | | |
| | | | 175.4 | 46774 |
| +0.20 | 208960 | 391.33 | | |
| | | | 460.4 | 114194 |
| -12.06 | 287050 | 574.38 | | |
| | | | 2812.6 | 562754 |
| -16.06 | 132390 | 264.88 | | |
| 合計 | 1044780 | | | |

ヤング係数 Ec　$2.57\times10^7$(kN/m$^2$)
せん断弾性係数 G　$1.07\times10^7$(kN/m$^2$)
ポアソン比 $\nu$　0.20
減衰 h　5%

(b)水平（EW）方向

| G.L.(m) | 質点重量 W（kN） | 回転慣性重量 $I_G$（$\times 10^5$ kN･m$^2$） | せん断断面積 As（m$^2$） | 断面二次モーメント I（m$^4$） |
|---|---|---|---|---|
| +29.92 | 77700 | 78.78 | | |
| | | | 90.4 | 6491 |
| +22.30 | 88770 | 91.66 | | |
| | | | 105.8 | 6388 |
| +16.90 | 122210 | 224.92 | | |
| | | | 167.5 | 32815 |
| +8.70 | 127700 | 232.88 | | |
| | | | 166.4 | 46303 |
| +0.20 | 208960 | 570.57 | | |
| | | | 424.5 | 136323 |
| -12.06 | 287050 | 828.96 | | |
| | | | 2812.6 | 772237 |
| -16.06 | 132390 | 346.27 | | |
| 合計 | 1044780 | | | |

ヤング係数 Ec　$2.57\times10^7$(kN/m$^2$)
せん断弾性係数 G　$1.07\times10^7$(kN/m$^2$)
ポアソン比 $\nu$　0.20
減衰 h　5%

表 2.3.2-1(2)　原子炉建屋の地震応答解析モデルの諸元

（鉛直方向）

| G.L. (m) | 質点重量<br>W（kN） | 軸断面積<br>$A_N$（$m^2$） | 軸ばね剛性<br>$K_A$（$\times 10^8$ kN /$m^2$） |
|---|---|---|---|
| +29.92 | 77700 | | |
| | | 222.6 | 7.41 |
| +22.30 | 88770 | | |
| | | 218.1 | 10.58 |
| +16.90 | 122210 | | |
| | | 380.4 | 11.92 |
| +8.70 | 127700 | | |
| | | 340.6 | 10.30 |
| +0.20 | 208960 | | |
| | | 654.7 | 13.72 |
| -12.06 | 287050 | | |
| | | 2812.6 | 180.71 |
| -16.06 | 132390 | | |
| | | | |
| 合計 | 1044780 | | |

| | |
|---|---|
| ヤング係数 Ec | $2.57\times10^7$(kN/$m^2$) |
| せん断弾性係数 G | $1.07\times10^7$(kN/$m^2$) |
| ポアソン比 $\nu$ | 0.20 |
| 減衰 h | 5% |

表 2.3.2-2　地盤定数の設定結果

(a) Ss-1

| G.L.<br>(m) | 地質 | せん断波<br>速度<br>Vs<br>(m/s) | 単位体積<br>重量<br>$\gamma$<br>(kN/m$^3$) | ﾎﾟｱｿﾝ<br>比<br>$\nu$ | せん断<br>弾性係数<br>G<br>(×10$^5$kN/m$^2$) | 初期せん断<br>弾性係数<br>$G_0$<br>(×10$^5$kN/m$^2$) | 剛性<br>低下率<br>$G/G_0$ | ヤング<br>係数<br>E<br>(×10$^5$kN/m$^2$) | 減衰<br>定数<br>h<br>(%) | 層厚<br>H<br>(m) |
|---|---|---|---|---|---|---|---|---|---|---|
| ±0 | | | | | | | | | | |
| | 砂岩 | 380 | 17.8 | 0.473 | 2.23 | 2.62 | 0.85 | 6.57 | 3 | 8.1 |
| -8.1 | | 450 | 16.5 | 0.464 | 2.66 | 3.41 | 0.78 | 7.79 | 3 | 11.9 |
| -20.0 | | 500 | 17.1 | 0.455 | 3.40 | 4.36 | 0.78 | 9.89 | 3 | 70.0 |
| -90.0 | 泥岩 | 560 | 17.6 | 0.446 | 4.39 | 5.63 | 0.78 | 12.70 | 3 | 28.0 |
| -118.0 | | 600 | 17.8 | 0.442 | 5.09 | 6.53 | 0.78 | 14.68 | 3 | 88.0 |
| -206.0 | (解放基盤) | 700 | 18.5 | 0.421 | 9.24 | 9.24 | 1.00 | 26.26 | - | - |

(b) Ss-2

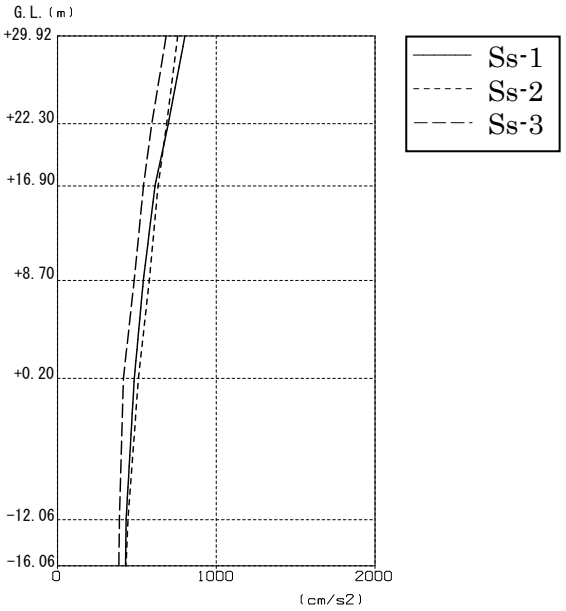
| G.L.<br>(m) | 地質 | せん断波<br>速度<br>Vs<br>(m/s) | 単位体積<br>重量<br>$\gamma$<br>(kN/m$^3$) | ﾎﾟｱｿﾝ<br>比<br>$\nu$ | せん断<br>弾性係数<br>G<br>(×10$^5$kN/m$^2$) | 初期せん断<br>弾性係数<br>$G_0$<br>(×10$^5$kN/m$^2$) | 剛性<br>低下率<br>$G/G_0$ | ヤング<br>係数<br>E<br>(×10$^5$kN/m$^2$) | 減衰<br>定数<br>h<br>(%) | 層厚<br>H<br>(m) |
|---|---|---|---|---|---|---|---|---|---|---|
| ±0 | | | | | | | | | | |
| | 砂岩 | 380 | 17.8 | 0.473 | 2.23 | 2.62 | 0.85 | 6.57 | 3 | 8.1 |
| -8.1 | | 450 | 16.5 | 0.464 | 2.76 | 3.41 | 0.81 | 8.08 | 3 | 11.9 |
| -20.0 | | 500 | 17.1 | 0.455 | 3.53 | 4.36 | 0.81 | 10.27 | 3 | 70.0 |
| -90.0 | 泥岩 | 560 | 17.6 | 0.446 | 4.56 | 5.63 | 0.81 | 13.19 | 3 | 28.0 |
| -118.0 | | 600 | 17.8 | 0.442 | 5.29 | 6.53 | 0.81 | 15.26 | 3 | 88.0 |
| -206.0 | (解放基盤) | 700 | 18.5 | 0.421 | 9.24 | 9.24 | 1.00 | 26.26 | - | - |

(c) Ss-3

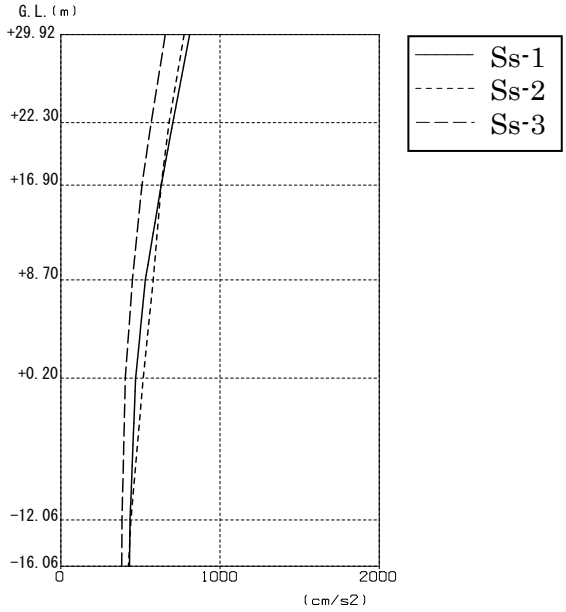
| G.L.<br>(m) | 地質 | せん断波<br>速度<br>Vs<br>(m/s) | 単位体積<br>重量<br>$\gamma$<br>(kN/m$^3$) | ﾎﾟｱｿﾝ<br>比<br>$\nu$ | せん断<br>弾性係数<br>G<br>(×10$^5$kN/m$^2$) | 初期せん断<br>弾性係数<br>$G_0$<br>(×10$^5$kN/m$^2$) | 剛性<br>低下率<br>$G/G_0$ | ヤング<br>係数<br>E<br>(×10$^5$kN/m$^2$) | 減衰<br>定数<br>h<br>(%) | 層厚<br>H<br>(m) |
|---|---|---|---|---|---|---|---|---|---|---|
| ±0 | | | | | | | | | | |
| | 砂岩 | 380 | 17.8 | 0.473 | 2.25 | 2.62 | 0.86 | 6.63 | 3 | 8.1 |
| -8.1 | | 450 | 16.5 | 0.464 | 2.66 | 3.41 | 0.78 | 7.79 | 3 | 11.9 |
| -20.0 | | 500 | 17.1 | 0.455 | 3.40 | 4.36 | 0.78 | 9.89 | 3 | 70.0 |
| -90.0 | 泥岩 | 560 | 17.6 | 0.446 | 4.39 | 5.63 | 0.78 | 12.70 | 3 | 28.0 |
| -118.0 | | 600 | 17.8 | 0.442 | 5.09 | 6.53 | 0.78 | 14.68 | 3 | 88.0 |
| -206.0 | (解放基盤) | 700 | 18.5 | 0.421 | 9.24 | 9.24 | 1.00 | 26.26 | - | - |

3)　地震応答解析結果

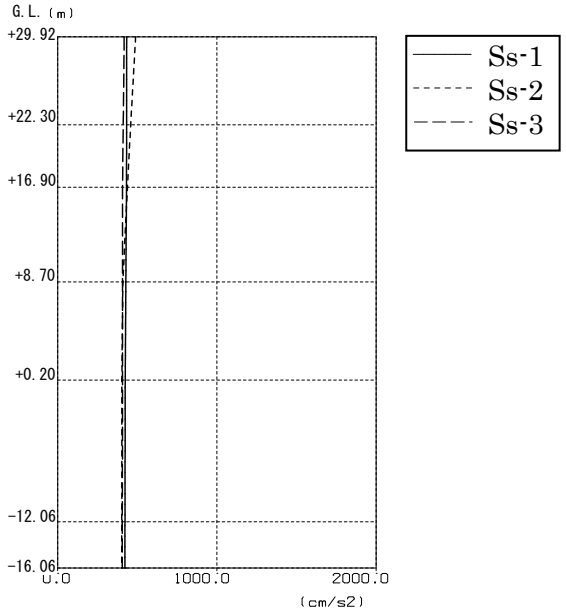
地震応答解析は水平方向と鉛直方向を別々に入力した。最大応答加速度分布を図 2.3.2-3 に示す。




(a)水平（NS）方向




(b)水平（EW）方向




(c)鉛直方向

図 2.3.2-3　原子炉建屋の最大応答加速度分布

(3)　架構の耐震性に対する検討

1)　解析に用いる入力地震動

燃料取扱機支持用架構への入力地震動は，基準地震動 Ss を入力したときの原子炉建屋 G.L.+29.92m と G.L.+8.70m の時刻歴応答変位を用い，水平方向と鉛直方向の同時入力とする。

2)　地震応答解析モデル

地震応答解析に用いる入力地震動の概念と燃料取扱機支持用架構の解析モデルを図 2.3.2-4 に，層間変形角が最大となる燃料取扱機を南端に設置した場合の地震応答解析モデルにおける質点重量を表 2.3.2-3 に示す。

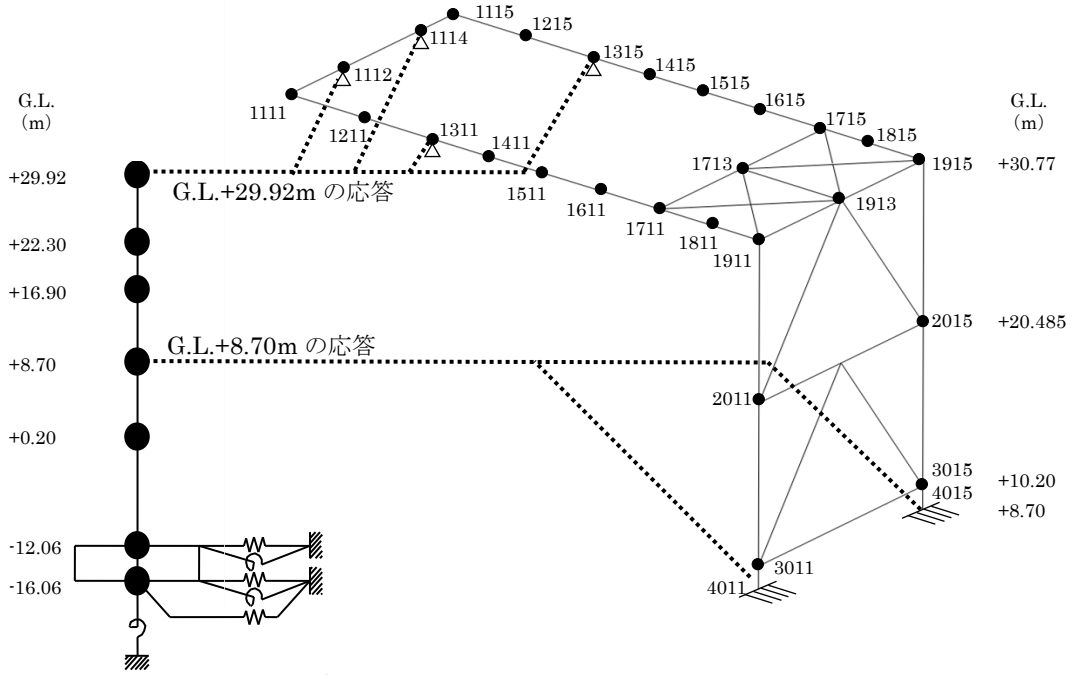



図 2.3.2-4　燃料取扱機支持用架構の地震応答解析モデル

表 2.3.2-3　燃料取扱機支持用架構の地震応答解析モデルにおける質点重量

| G.L.(m) | 節点番号 | 質点重量<br>(kN) |
|---|---|---|
| +30.77 | 1111 | 57 |
| | 1211 | 89 |
| | 1311 | 79 |
| | 1411 | 68 |
| | 1511 | 68 |
| | 1611 | 68 |
| | 1711 | 78 |
| | 1811 | 62 |
| | 1911 | 97 |
| | 1115 | 57 |
| | 1215 | 89 |
| | 1315 | 79 |
| | 1415 | 68 |
| | 1515 | 68 |
| | 1615 | 68 |
| | 1715 | 78 |
| | 1815 | 62 |
| | 1915 | 97 |
| | 1112 | 46 |
| | 1114 | 46 |
| | 1713 | 37 |
| | 1913 | 94 |
| | 9001 | 49 |
| | 9002 | 49 |
| | 9003 | 49 |
| | 9004 | 49 |
| | 9501 | 184 |
| | 9502 | 184 |
| | 9601 | 184 |
| | 9602 | 184 |
| +20.485 | 2011 | 149 |
| | 2015 | 149 |
| +10.20 | 3011 | 94 |
| | 3015 | 94 |
| 合　計 | | 2973 |

3)　波及的影響の評価

地震応答解析結果が，JSCA 性能メニュー（社団法人日本建築構造技術者協会，2002 年）を参考に定めたクライテリア（「層間変形角は 1/75 以下，層の塑性率は 4 以下，部材の塑性率は 5 以下」*1 及びせん断力はせん断耐力以下）を満足することを確認する。

なお，解析結果が「時刻歴応答解析建築物性能評価業務方法書」（財団法人日本建築センター，平成 19 年 7 月 20 日）に示されるクライテリア（層間変形角は 1/100 以下，層の塑性率は 2 以下，部材の塑性率は 4 以下）を超える場合には水平変形に伴う鉛直荷重の付加的影響を考慮した解析を実施し，安全性を確認する。

*1：北村春幸，宮内洋二，浦本弥樹「性能設計における耐震性能判断基準値に関する研究」，日本建築学会構造系論文集，第 604 号，2006 年 6 月

・層間変形角の検討

燃料取扱機支持用架構の層間変形角を表 2.3.2-4 に示す。

検討の結果，層間変形角は 1/75 以下となりクライテリアを満足することを確認した。

表 2.3.2-4　層間変形角の検討結果

| G.L.<br>(m) | 最大応答値 | | | | | | ｸﾗｲﾃﾘｱ | 判定 |
|---|---|---|---|---|---|---|---|---|
| | NS 方向入力時 | | | EW 方向入力時 | | | | |
| | Ss-1 | Ss-2 | Ss-3 | Ss-1 | Ss-2 | Ss-3 | | |
| +20.485～+30.77 | 1/10285 | 1/10285 | 1/34283 | 1/1686 | 1/2057 | 1/2706 | 1/75 | OK |
| +8.70～+20.485 | 1/1061 | 1/1309 | 1/1419 | 1/1733 | 1/2104 | 1/2805 | | |

・塑性率の検討

部材の塑性率は，最大応答曲げモーメント時の曲率を全塑性モーメントに至る時の曲率で除した値で表される。最大曲げモーメントが全塑性モーメント以下の場合は弾性であり塑性率は 1 以下となる。最大応答値を全塑性モーメントまたはせん断耐力で除した値を耐力比と定義し，表 2.3.2-5 に検討結果を示す。

表 2.3.2-5 より曲げモーメント及びせん断力については，全てのケースで耐力比が 1 を下回ることから塑性率は 1 以下となり，クライテリアを満足することを確認した。

表 2.3.2-5　耐力比の検討結果

| 部位 | 検討箇所 | 部材形状 (mm) | 地震波 | 入力方向 | 耐力比 | | 判定 |
|---|---|---|---|---|---|---|---|
| 柱 | C1 | □-1000×1000×25×25 | Ss-1 | NS | Mz/Muz | 0.01 | OK |
| | | | | | My/Muy | 0.10 | |
| | | | | | Qz/Quz | 0.03 | |
| | | | | | Qy/Quy | 0.01 | |
| 梁 | G1 | B□-1300×750×22×50 | Ss-1 | EW | Mz/Muz | 0.12 | OK |
| | | | | | My/Muy | 0.06 | |
| | | | | | Qz/Quz | 0.02 | |
| | | | | | Qy/Quy | 0.09 | |
| ブレース | V1 | □-450×450×22 | Ss-1 | EW | Mz/Muz | 0.02 | OK |
| | | | | | My/Muy | 0.02 | |
| | | | | | Qz/Quz | 0.01 | |
| | | | | | Qy/Quy | 0.01 | |

$M_z$：部材 z 軸回りの曲げモーメントの最大値　$M_{uz}$：部材 z 軸回りの全塑性モーメント

$M_y$：部材 y 軸回りの曲げモーメントの最大値　$M_{uy}$：部材 y 軸回りの全塑性モーメント

$Q_z$：部材 z 方向のせん断力の最大値　$Q_{uz}$：部材 z 軸方向のせん断耐力

$Q_y$：部材 y 方向のせん断力の最大値　$Q_{uy}$：部材 y 軸方向のせん断耐力

(4) 原子炉建屋接合部の耐震性に対する検討

接着系アンカーボルトの耐震性の検討は，短期許容引張力及び短期許容せん断力を許容耐力とし，応力度比が 1 以下になることを確認する。

1) シェル壁上端位置の検討

作用応力と許容耐力を比較した結果を表 2.3.2-6 に示す。

検討の結果，全ての応力度比が 1 以下になることを確認した。

表 2.3.2-6 シェル壁上端位置の検討結果

| 検討箇所<br>(ｱﾝｶｰ本数)*1 | 地震波 | 入力<br>方向 | 作用応力 | | 許容耐力 | | 応力度比 | 判定 |
|---|---|---|---|---|---|---|---|---|
| | | | 引抜力<br>P<br>(kN) | せん断力<br>Q<br>(kN) | 短期<br>許容引張力<br>$p_a$<br>(kN) | 短期<br>許容せん断力<br>$q_a$<br>(kN) | | |
| F1<br>(20) | Ss-1 | NS | 0 | 1105 | 2320 | 2080 | 0.54 | OK |
| F2<br>(8) | Ss-1 | EW | 104 | 168 | 928 | 832 | 0.21 | OK |

*1：設計で考慮するアンカーボルトの本数

2) 南側外壁位置の検討

作用応力と許容耐力を比較した結果を表 2.3.2-7 に示す。

検討の結果，全ての応力度比が 1 以下になることを確認した。

表 2.3.2-7 南側外壁位置の検討結果

| 検討箇所<br>方向<br>(ｱﾝｶｰ本数)*1 | 地震波 | 入力<br>方向 | 作用応力 | | 許容耐力 | | 応力度比 | 判定 |
|---|---|---|---|---|---|---|---|---|
| | | | 引抜力<br>P<br>(kN) | せん断力<br>Q<br>(kN) | 短期<br>許容引張力<br>$p_a$<br>(kN) | 短期<br>許容せん断力<br>$q_a$<br>(kN) | | |
| F3<br>NS 方向<br>(引張 24)<br>(せん断 99) | Ss-1 | NS | 1568 | 3214 | 2448 | 11484 | 0.65 | OK |
| F3<br>EW 方向<br>(引張 15)<br>(せん断 99) | Ss-1 | EW | 863 | 5793 | 1530 | 11484 | 0.57 | OK |

*1：設計で考慮するアンカーボルトの本数。アンカーボルトは引張に抵抗するものとせん断に抵抗するものをそれぞれ設定した

(5)　原子炉建屋の耐震性に対する検討

1）検討方針

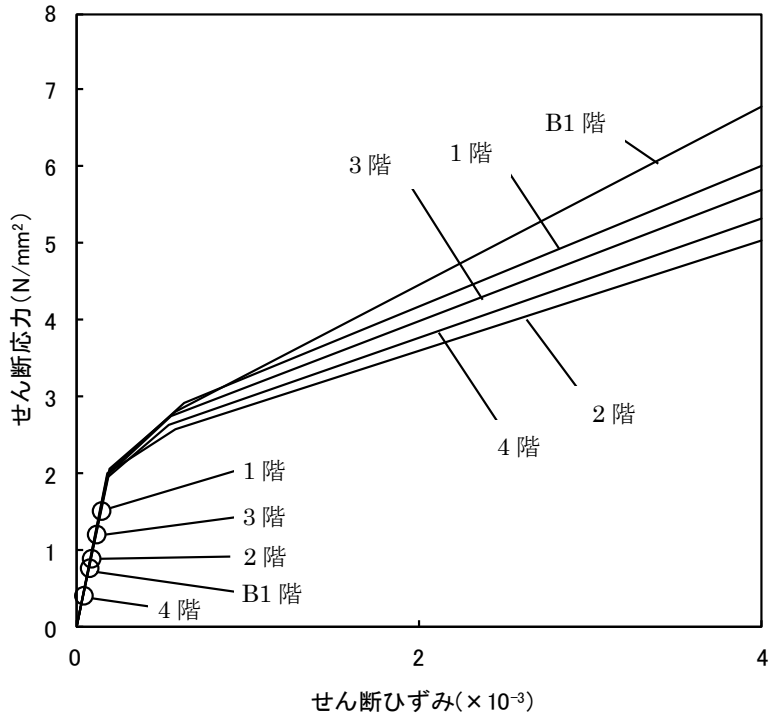
燃料取扱機支持用架構の設置に伴う原子炉建屋の耐震性の評価は，耐震安全上重要な設備への波及的影響防止の観点から，地震応答解析により得られる耐震壁のせん断ひずみが鉄筋コンクリート造耐震壁の終局限界に対応した評価基準値（$4.0\times10^{-3}$）以下になることを確認する。

ここで，耐震壁のせん断ひずみは，「(2)原子炉建屋の地震応答解析」で実施した地震応答解析結果の値とする。

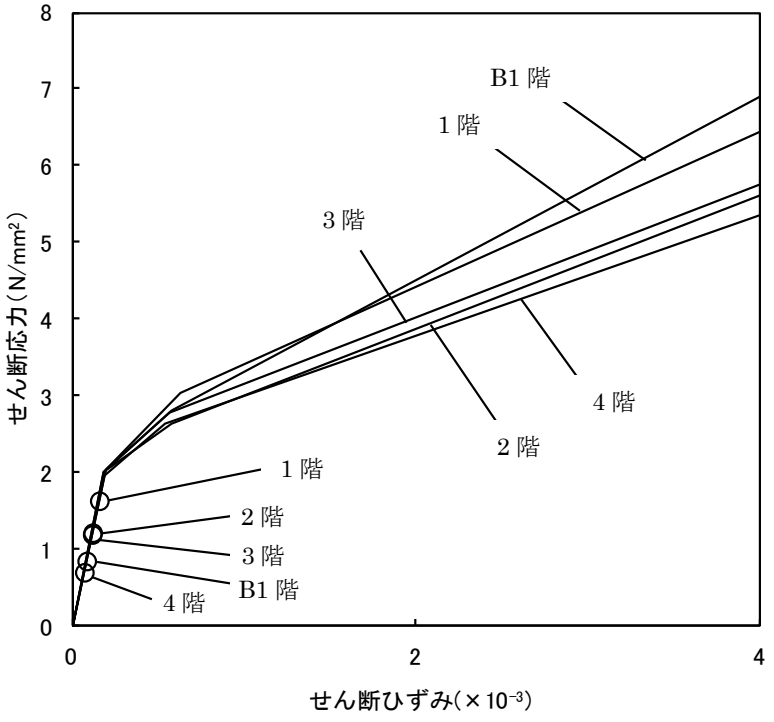
2）検討結果

基準地震動 Ss に対する最大応答値を，「JEAG 4601-1991」に基づき設定した耐震壁のせん断スケルトン曲線上にプロットした結果を，図 2.3.2-5 から図 2.3.2-7 に示す。

検討の結果，地震応答解析により得られる最大応答値は，評価基準値（$4.0\times10^{-3}$）に対して十分に余裕があることを確認した。

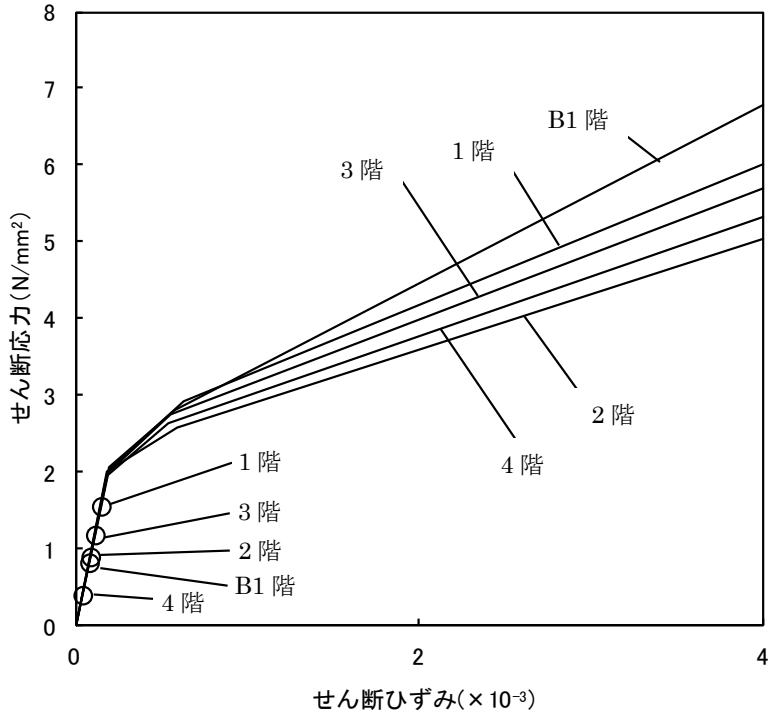



(a)NS 方向

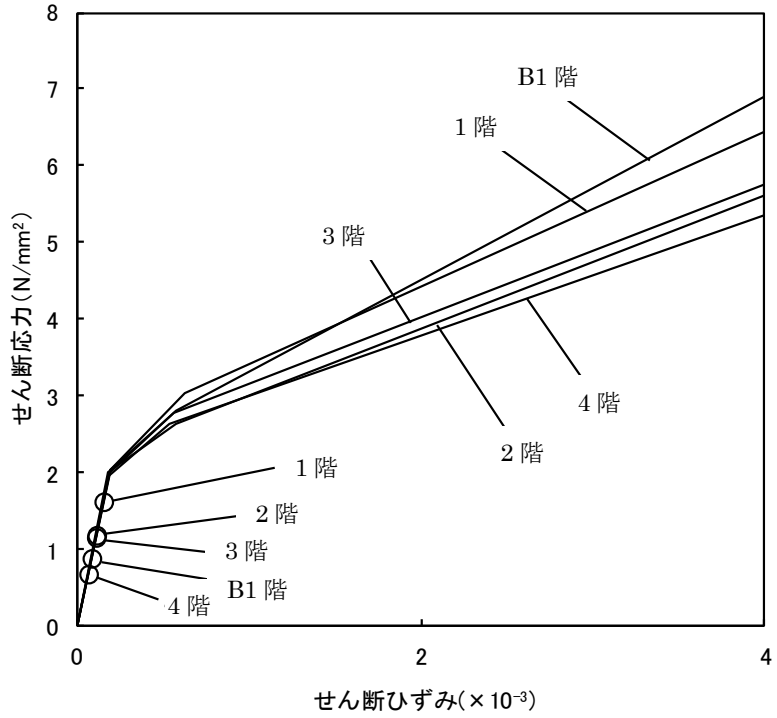



(b)EW 方向

図 2.3.2-5　せん断スケルトン曲線上の最大応答値（Ss-1）

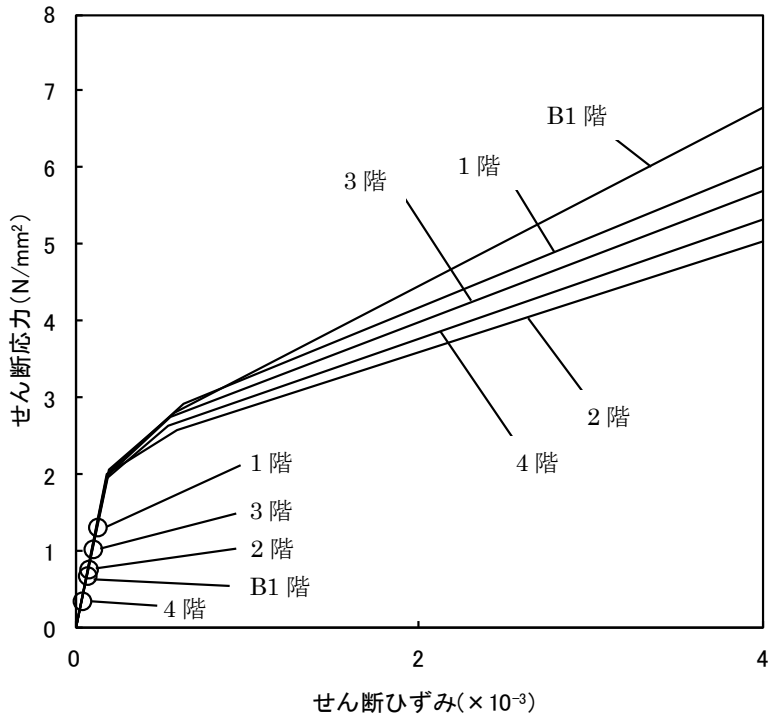



(a)NS 方向

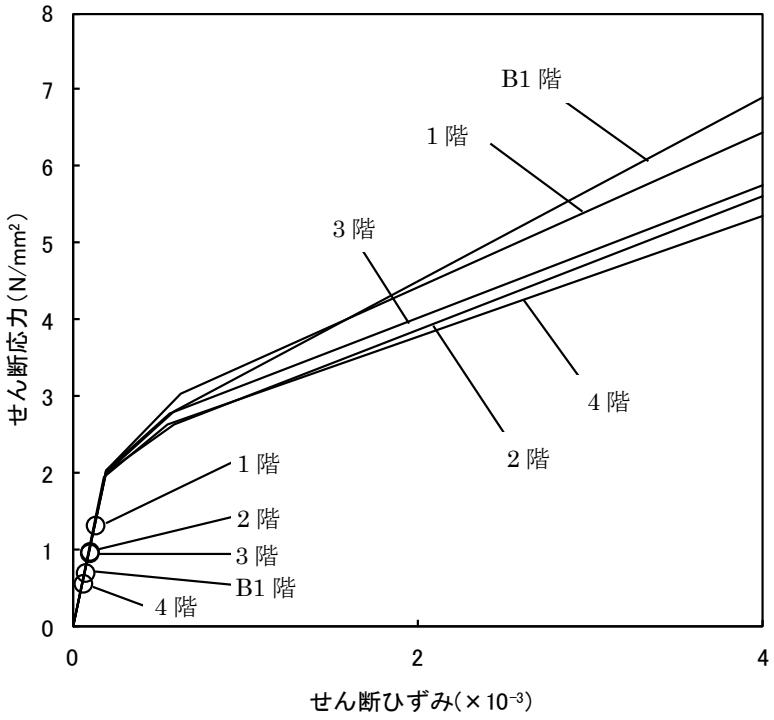



(b)EW 方向

図 2.3.2-6　せん断スケルトン曲線上の最大応答値（Ss-2）




(a)NS 方向




(b)EW 方向

図 2.3.2-7　せん断スケルトン曲線上の最大応答値（Ss-3）

3.　3 号機燃料取り出し用カバーの構造強度及び耐震性について

3.1　概要

3.1.1　一般事項

3 号機燃料取り出し用カバーは，使用済燃料プールを覆う構造としており，燃料取扱設備（燃料取扱機及びクレーン）を支持するドーム状の屋根を有した門型架構であり，構造強度と耐震性について検討を行う。なお，耐震設計上の重要度分類は，燃料取扱設備の間接支持構造物としてＢクラス相当とする。

架構の構造強度は一次設計に対応した許容応力度設計を実施し，耐震性は基準地震動 Ss に対する地震応答解析を実施し，架構の損傷が原子炉建屋，使用済燃料プール及び使用済燃料ラックに波及的影響を及ぼさないことを確認する。ここで，波及的影響の確認は，架構が崩壊機構に至らないことを確認する。図 3.1.1-1 に燃料取り出し用カバーのイメージを示す。

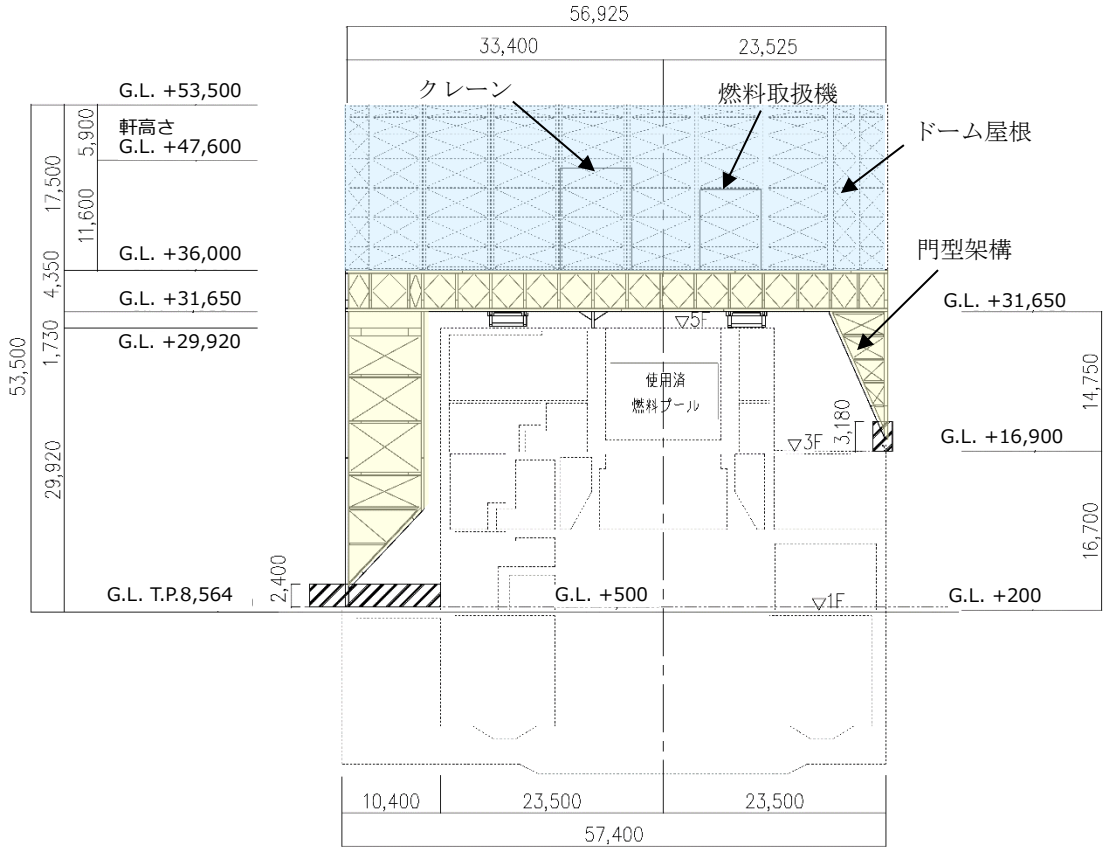



図 3.1.1-1　燃料取り出し用カバーのイメージ（単位：mm）

本章に記載の標高は，震災後の地盤沈下量(-709mm)と O.P.から T.P.への読替値(-727mm)を用いて，下式に基づき換算している。
＜換算式＞ T.P.=旧 O.P.-1.436mm

燃料取り出し用カバーの検討は原則として下記の法規及び基規準類に準拠して行う。

(1) 建築基準法・同施行令及び関連告示
(2) 原子力施設鉄筋コンクリート構造計算規準・同解説（日本建築学会，2005 制定）
(3) 鉄筋コンクリート構造計算規準・同解説（日本建築学会，2010 改定）
(4) 鋼構造設計規準（日本建築学会，2005 改定）
(5) 2007 年版 建築物の構造関係技術基準解説書(国土交通省住宅局建築指導課･国土交通省 国土技術政策総合研究所･独立行政法人建築研究所･日本建築行政会議，2007 刊行)
(6) 鋼構造塑性設計指針（日本建築学会，2010 改定）
(7) 現場打ち同等型プレキャスト鉄筋コンクリート構造設計指針(案)・同解説(2002) （日本建築学会，2002 制定）
(8) プレストレストコンクリート設計施工規準・同解説（日本建築学会，1998 改定）

また，原子力施設の設計において参照される下記の指針及び規程を参考にして検討を行う。

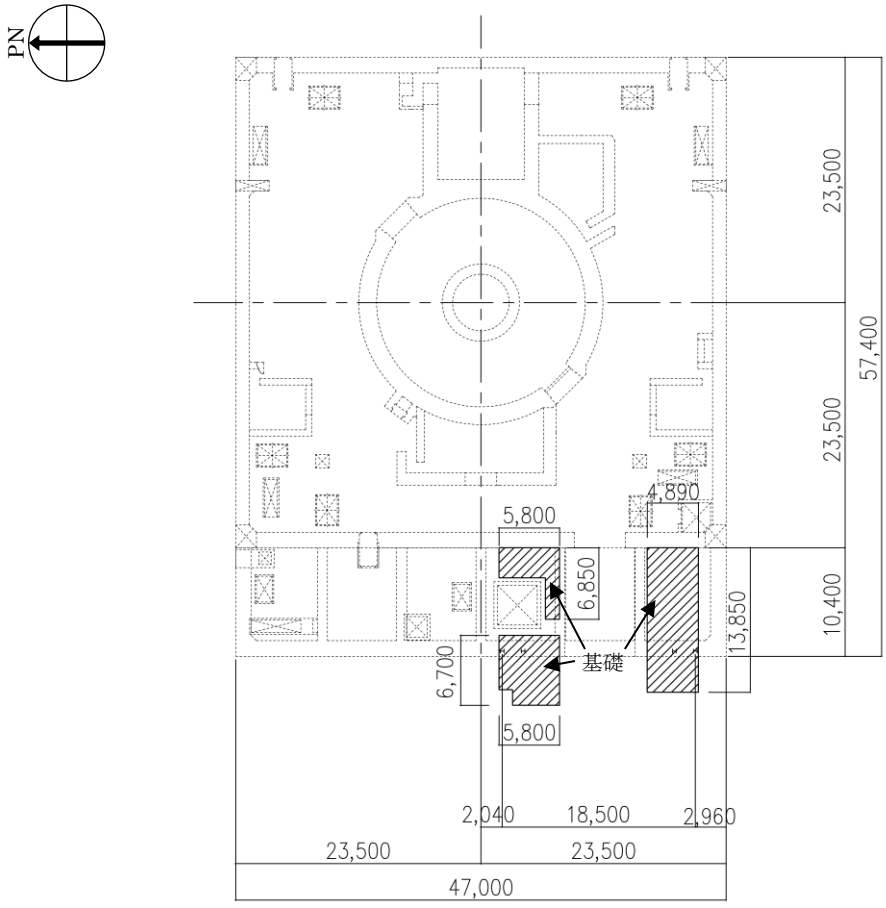
(1) 原子力発電所耐震設計技術指針(JEAG 4601-1987)（日本電気協会　電気技術基準調査委員会，昭和 62 年 8 月 改訂)
(2) 原子力発電所耐震設計技術指針(JEAG 4601-1991 追補版)（日本電気協会　電気技術基準調査委員会，平成 3 年 6 月 発刊)
(3) 原子力発電所耐震設計技術規程(JEAC 4601-2008)（日本電気協会　原子力規格委員会，平成 20 年 12 月 改定)

3.1.2　構造概要

燃料取り出し用カバーは燃料取扱設備を支持する架構で，南北方向に 18.50m，東西方向に 56.925m，地盤面からの高さが 53.50m のドーム状屋根を設けた門型の架構である。構造形式はトラス構造で，構造種別は鉄骨造である。

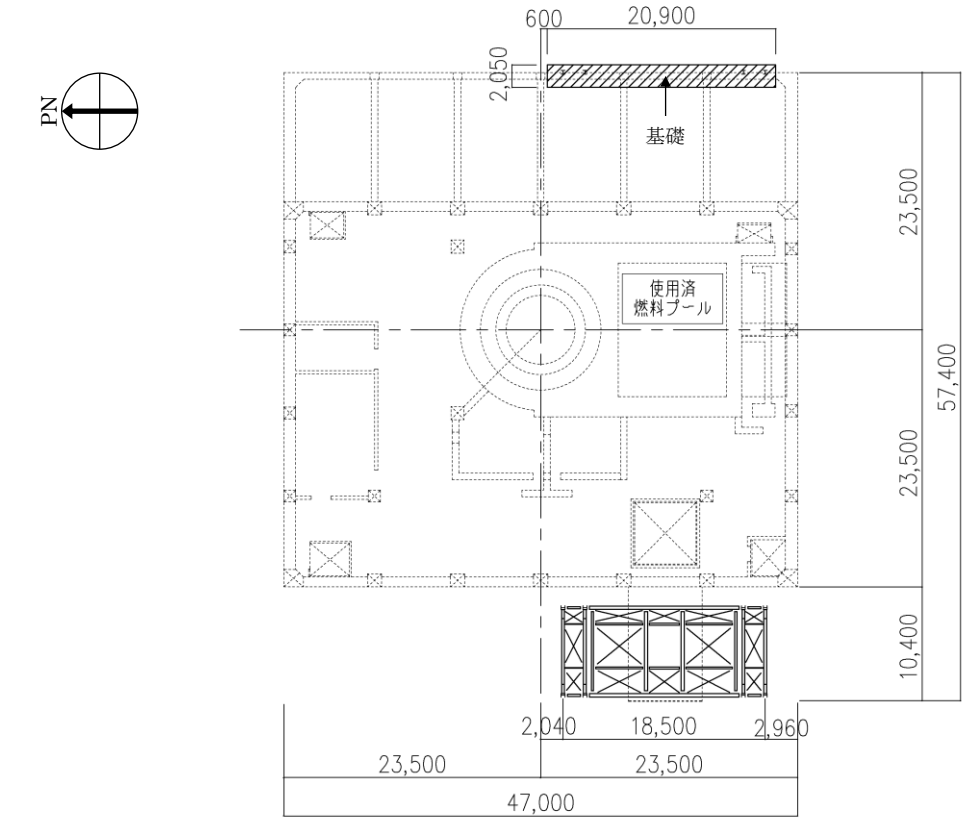
燃料取り出し用カバーは，原子炉建屋の 1 階，3 階及び 5 階に支持される構造である。なお，5 階の原子炉建屋躯体支持点においては，水平振れ止め装置（ストッパ）及び鉛直方向の制震装置（オイルダンパ）を用いる。

燃料取り出し用カバーの概要を図 3.1.2-1～図 3.1.2-5 に示す。

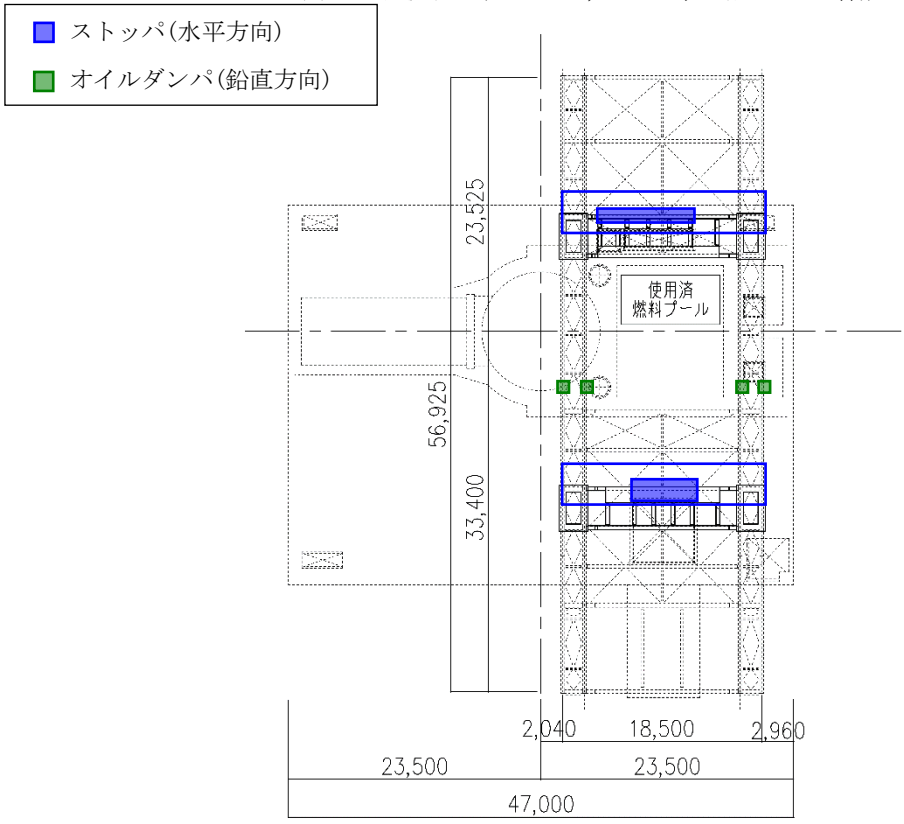



(a) 基礎伏図（G.L.+500　原子炉建屋 1 階レベル+300mm）

図 3.1.2-1　燃料取り出し用カバーの概要（単位：mm）

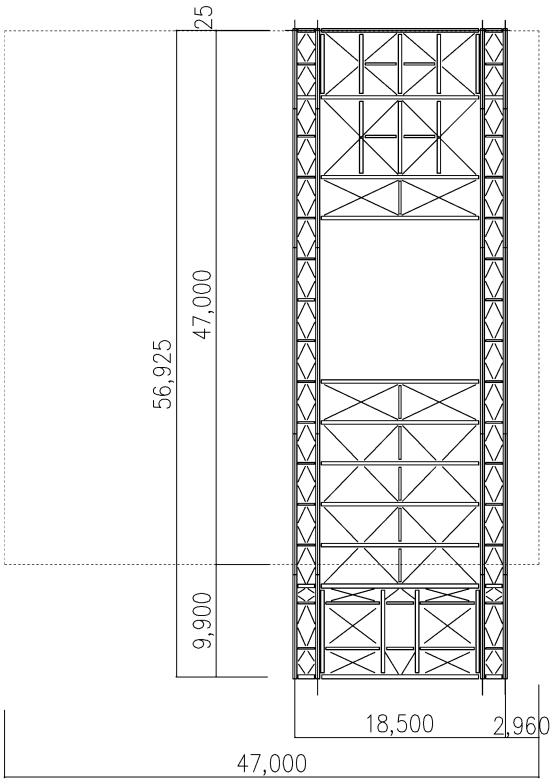



(a) 基礎伏図 (G.L.+16,900　原子炉建屋 3 階)

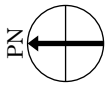


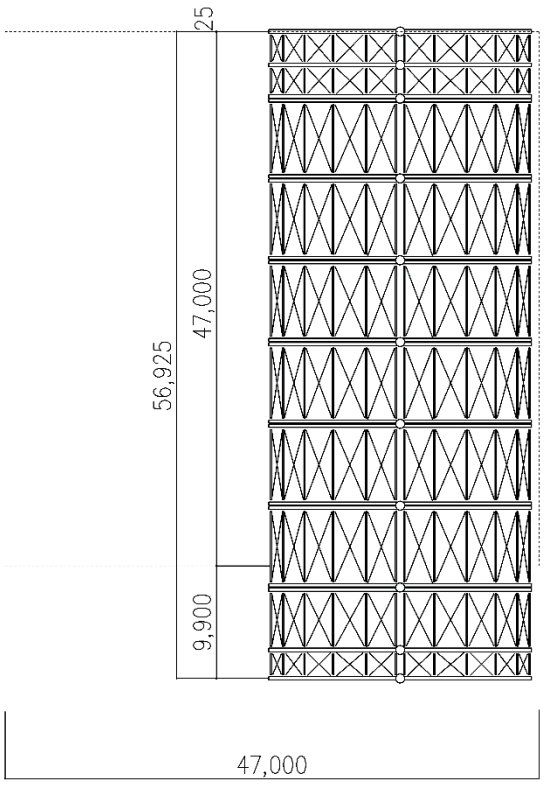

(b)梁伏図 (G.L.+29,920　原子炉建屋 5 階)

図 3.1.2-2　燃料取り出し用カバーの概要 (単位：mm)



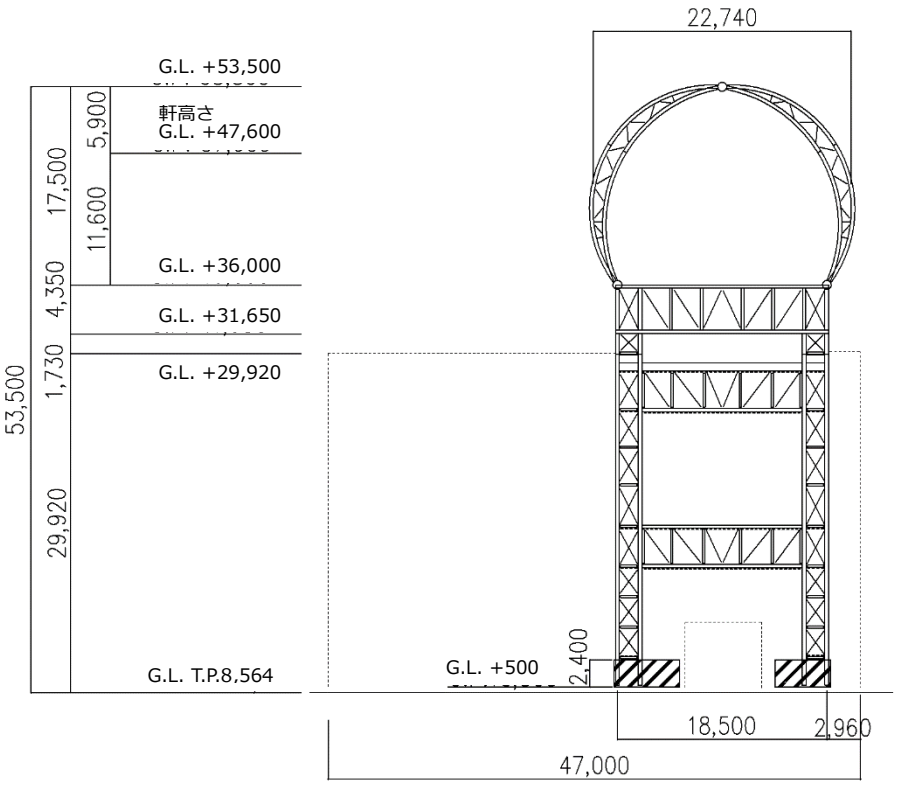

(a)架構ガーダー部平面図(G.L.+36,000)



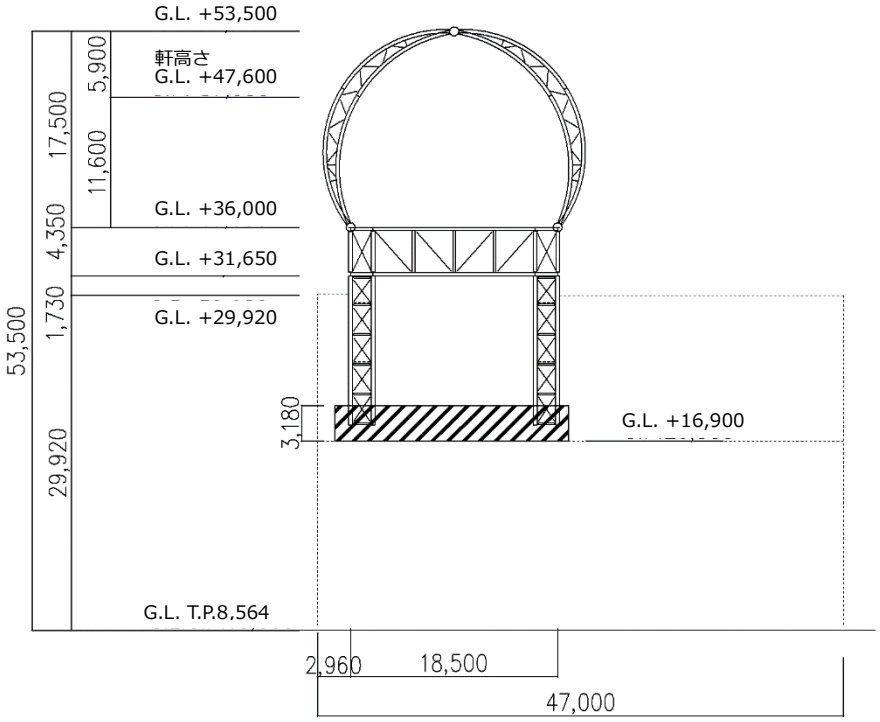




(b)屋根伏図

図 3.1.2-3　燃料取り出し用カバーの概要（単位：mm）

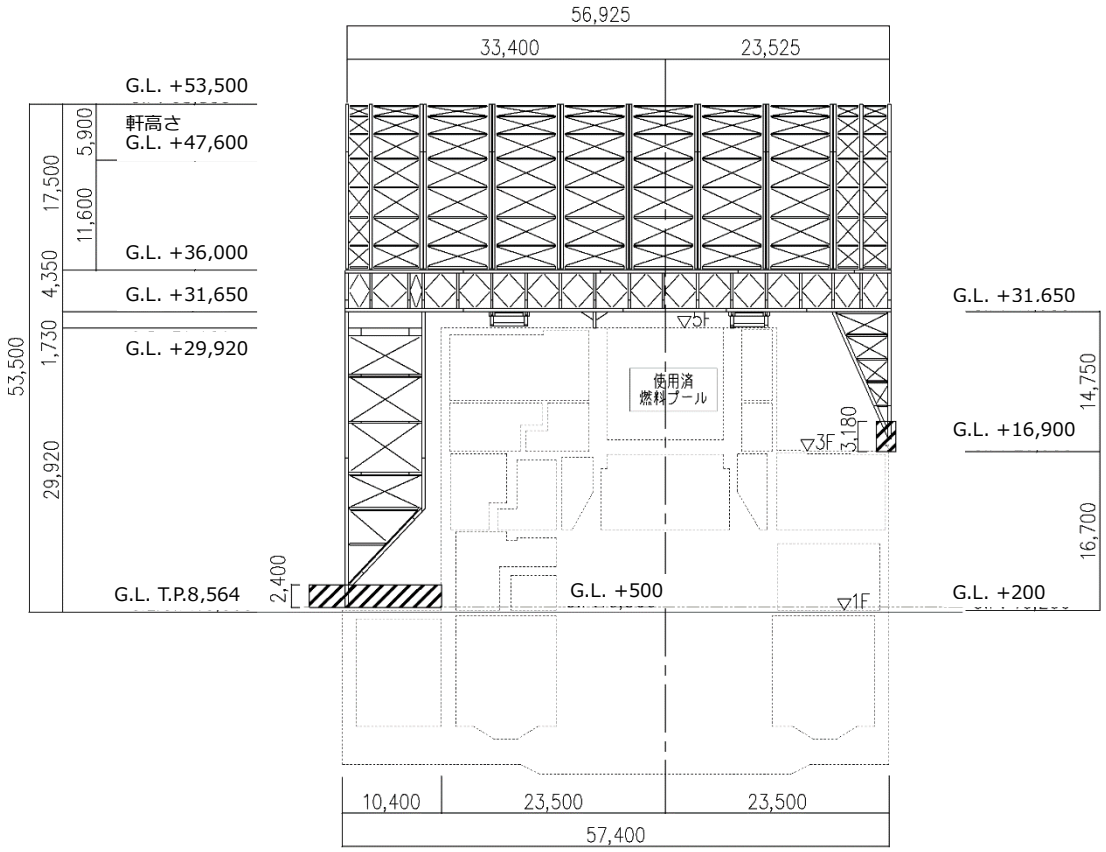



(a) 西軸組図




(b) 東軸組図

図 3.1.2-4　燃料取り出し用カバーの概要（単位：mm）




(a)南軸組図

図 3.1.2-5　燃料取り出し用カバーの概要（単位：mm）

3.1.3　検討フロー

燃料取り出し用カバーの構造強度及び耐震性の検討フローを図 3.1.3-1 に示す。

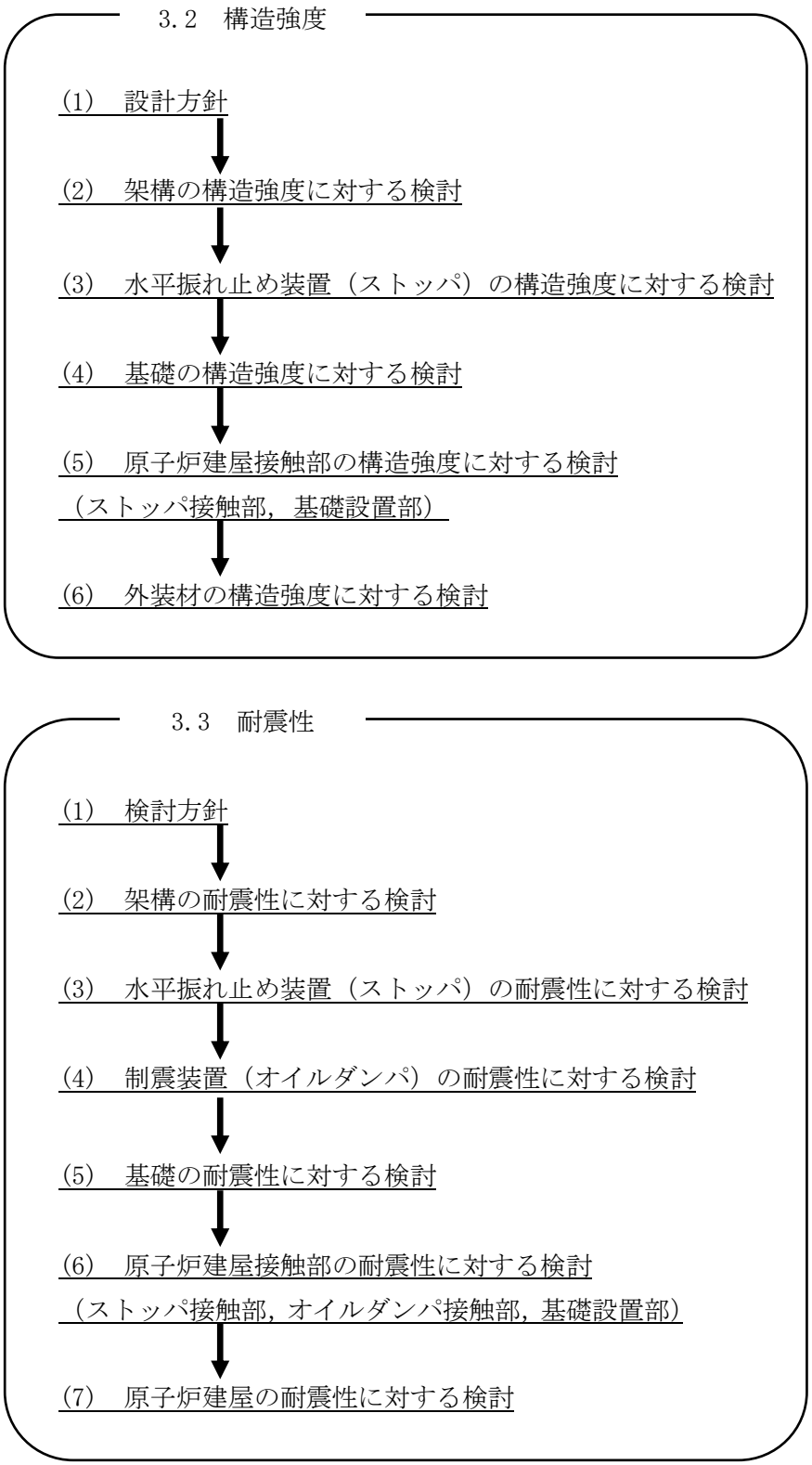



図 3.1.3-1　燃料取り出し用カバーの検討フロー

3.2　構造強度

(1)　設計方針

構造強度の検討は，門型架構及びドーム屋根，水平振れ止め装置（ストッパ），基礎及び外装材について許容応力度設計を実施する。

1)　使用材料及び許容応力度

使用材料の物性値及び許容応力度を表 3.2-1 に示す。

表 3.2-1　使用材料の物性値及び許容応力度

材料定数

| 部位 | 材料 | ヤング係数<br>E (N/mm$^2$) | ポアソン比<br>$\nu$ | 単位体積重量<br>$\gamma$ (kN/m$^3$) |
|---|---|---|---|---|
| 架　　構 | 鉄骨 | $2.05\times10^5$ | 0.3 | 77.0 |
| 基　　礎 | コンクリート | $2.27\times10^4$ | 0.2 | 24.0 |

コンクリートの許容応力度　（単位：N/mm$^2$）

| 設計基準強度＝24 | 長期 | | | 短期 | | |
|---|---|---|---|---|---|---|
| | 圧縮 | 引張 | せん断 | 圧縮 | 引張 | せん断 |
| | 8.0 | － | 0.73 | 16.0 | － | 1.095 |

鉄筋の許容応力度　（単位：N/mm$^2$）

| 記号 | 鉄筋径 | 長期 | | 短期 | |
|---|---|---|---|---|---|
| | | 引張及び圧縮 | せん断補強 | 引張及び圧縮 | せん断補強 |
| SD345 | D29 未満 | 215 | 195 | 345 | 345 |
| | D29 以上 | 195 | | | |

構造用鋼材の許容応力度　（単位：N/mm$^2$）

| 板厚 | 材料 | 基準強度 F | 許容応力度 |
|---|---|---|---|
| T≦40mm | SS400，SN400B | 235 | 「鋼構造設計規準」に従い，左記 F の値より求める |
| T＞40mm | SN400B | 215 | |
| T≦40mm | SM490A，SN490B，STK490 | 325 | |
| － | STKT590 | 440* | |

＊：　「JIS G 3474-2008」による

2)　荷重及び荷重組合せ

設計で考慮する荷重を以下に示す。

・鉛直荷重（VL）

燃料取り出し用カバーに作用する鉛直方向の荷重で，固定荷重，機器荷重，配管荷重及び積載荷重とする。

・燃料取扱設備荷重（CL）

燃料取扱設備による荷重を表 3.2-2 に示す。

表 3.2-2　燃料取扱設備荷重一覧表

| | |
|---|---|
| 燃料取扱機 | 788 kN |
| クレーン | 755 kN |
| 吊荷 | 461 kN |

・積雪荷重（SL）

積雪荷重は建築基準法施行令及び福島県建築基準法施行規則細則に準拠し以下の条件とする。

積雪量：30cm，単位荷重：20N/m$^2$/cm

・風圧力（WL）

風圧力は建築基準法施行令第 87 条および建設省告示第 1454 号に基づき，基準風速を 30m/s，地表面粗度区分Ⅱとして算定する。速度圧の算定結果を表 3.2-3 に示す。

表 3.2-3　速度圧の算定結果

| 建物高さ*<br>H<br>(m) | 平均風速の<br>鉛直分布係数<br>Er | ガスト<br>影響係数<br>Gf | 建物高さと粗度<br>区分による係数<br>E | 基準風速<br>Vo<br>(m/s) | 速度圧<br>q<br>(N/m$^2$) |
|---|---|---|---|---|---|
| 50.55 | 1.27 | 2.00 | 3.23 | 30 | 1750 |

＊：　建物高さは，軒高さ（47.60m）と最高高さ（53.50m）の平均値とした

・地震荷重（K）

燃料取り出し用カバーに作用させる地震荷重は，G.L.-12.06m（原子炉建屋基礎スラブ上端レベル）を基準面とした原子炉建屋の水平地震力の算定結果より設定する。原子炉建屋の水平地震力は下式より算定し，算定結果を表 3.2-5 及び表 3.2-6 に示す。

$$Qi = n \cdot Ci \cdot Wi$$

$$Ci = Z \cdot Rt \cdot Ai \cdot Co$$

ここで，

Qi ：水平地震力（kN）

n ：施設の重要度に応じた係数（n=1.5）

建築基準法で定める地震力の 1.5 倍を考慮する。

Ci ：地震層せん断力係数

Wi ：当該部分が支える重量（kN）

ここに，燃料取り出し用カバーの設計で考慮する原子炉建屋の全体重量は，瓦礫撤去の効果と遮へい体及び燃料取り出し用カバーを新規に設置する影響を考慮した。原子炉建屋の全体重量を表 3.2-4 に示す。

表 3.2-4　原子炉建屋の全体重量(kN)

| | |
|---|---|
| 原子炉建屋全体重量* | 1092200 |
| 瓦礫撤去による軽減重量 | -24640 |
| 遮へい体設置による付加重量 | +18000 |
| 燃料取り出し用カバー等の付加重量 | +44750 |
| 燃料取り出し用カバー設計用原子炉建屋全体重量 | 1130310 |

＊：「福島第一原子力発電所の原子炉建屋の現状の耐震安全性および補強等に関する検討に係る報告書（その２）」（東京電力株式会社，平成 23 年 7 月 13 日）において用いた各階重量の総計

Z ：地震地域係数（Z=1.0）

Rt ：振動特性係数（Rt=0.8）

Ai ：地震層せん断力係数の高さ方向の分布係数で，原子炉建屋の固有値を用いたモーダル解析法（二乗和平方根法）により求める。

$C_0$ ：標準せん断力係数（$C_0$=0.2）

i 層の水平震度 ki は，下式によって算定する。

$$Pi=Q_i-Q_{i-1}$$

$$ki=Pi/wi$$

ここで，

Pi：当該階とその直下階の水平地震力の差（kN）

wi：各階重量（kN）

表 3.2-5　原子炉建屋の水平震度の算定結果（NS 方向）

| 階 | 標 高<br>G.L.(m) | 各階重量<br>wi(kN) | Wi<br>(kN) | Ai | n・Ci | Qi<br>(kN) | Pi<br>(kN) | 水平震度<br>ki |
|---|---|---|---|---|---|---|---|---|
| 5 | +29.92 | 87590 | — | — | — | — | 43010 | 0.492 |
| 4 | +29.92～+22.30 | 119490 | 87590 | 2.046 | 0.491 | 43010 | 42720 | 0.358 |
| 3 | +22.30～+16.90 | 111340 | 207080 | 1.728 | 0.414 | 85730 | 31770 | 0.286 |
| 2 | +16.90～+8.70 | 130160 | 318420 | 1.537 | 0.369 | 117500 | 26050 | 0.201 |
| 1 | +8.70～+0.20 | 253710 | 448580 | 1.331 | 0.320 | 143550 | 25000 | 0.099 |
| B1 | +0.20～-12.06 | — | 702290 | 1.000 | 0.240 | 168550 | — | — |

表 3.2-6　原子炉建屋の水平震度の算定結果（EW 方向）

| 階 | 標 高<br>G.L.(m) | 各階重量<br>wi(kN) | Wi<br>(kN) | Ai | n・Ci | Qi<br>(kN) | Pi<br>(kN) | 水平震度<br>ki |
|---|---|---|---|---|---|---|---|---|
| 5 | +29.92 | 87590 | — | — | — | — | 48610 | 0.555 |
| 4 | +29.92～+22.30 | 119490 | 87590 | 2.311 | 0.555 | 48610 | 39610 | 0.332 |
| 3 | +22.30～+16.90 | 111340 | 207080 | 1.775 | 0.426 | 88220 | 30230 | 0.272 |
| 2 | +16.90～+8.70 | 130160 | 318420 | 1.552 | 0.372 | 118450 | 24200 | 0.186 |
| 1 | +8.70～+0.20 | 253710 | 448580 | 1.323 | 0.318 | 142650 | 25900 | 0.103 |
| B1 | +0.20～-12.06 | — | 702290 | 1.000 | 0.240 | 168550 | — | — |

架構に作用させる水平震度は，原子炉建屋 1 階，3 階及び 5 階の水平震度を用いるものとし，水平地震力を設定する。ドーム屋根部分の水平震度は，建設省告示第 1389 号に基づく 1.0 に 1.5 を乗じて用いる。表 3.2-7 に燃料取り出し用カバーに作用させる水平地震力の算定結果を示す。

表 3.2-7　水平地震力の算定結果

| 標高<br>G.L.(m) | 各階重量<br>wi(kN) | NS 方向 | | EW 方向 | |
|---|---|---|---|---|---|
| | | 水平震度<br>ki | 水平地震力<br>Pi　(kN) | 水平震度<br>ki | 水平地震力<br>Pi　(kN) |
| +53.50 | 3200 | 1.500 | 4800 | 1.500 | 4800 |
| +36.00 | 11400 | 0.492 | 5609 | 0.555 | 6327 |
| +16.90 | 200 | 0.286 | 57 | 0.272 | 54 |
| +0.20 | 1200 | 0.099 | 119 | 0.103 | 124 |

・荷重組合せ

設計で考慮する燃料取扱機及びクレーンの位置を図 3.2-1 に，荷重組合せを表 3.2-8 に示す。

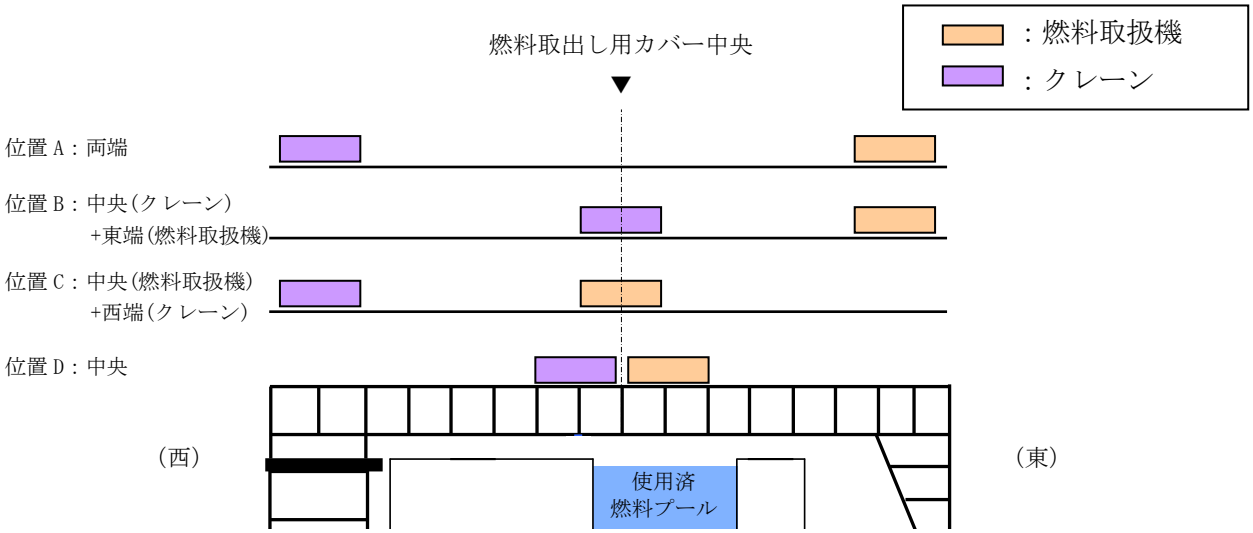



図 3.2-1　燃料取扱設備の位置

表 3.2-8　燃料取り出し用カバーの荷重組合せ

| 想定する状態 | 荷重ケース | 荷重組合せ内容 | 許容応力度 |
|---|---|---|---|
| 常時 | C | VL+CL*1 | 長期 |
| 積雪時*3 | S | VL+CL*1+SL | 短期 |
| 暴風時*3 | W | VL+CL*1+WL | |
| 地震時 | E1 | VL+CL*1+K(+NS) *2 | |
| | E2 | VL+CL*1+K(-NS) *2 | |
| | E3 | VL+CL*1+K(+EW) *2 | |
| | E4 | VL+CL*1+K(-EW) *2 | |

＊1：吊荷荷重は，常時，積雪時及び暴風時は図 3.2-1 に示すクレーンの位置，地震時は使用済燃料プール直上の架構にて考慮する。

＊2：地震荷重は NS 方向及び EW 方向を考慮する。

＊3：短期事象では地震時が支配的であることから，積雪時及び暴風時の検討は省略する。ただし，外装材の検討は暴風時が支配的であることから暴風時に対し検討を行う。

なお，地震時と暴風時の架構の層せん断力について，風荷重の受圧面積が最大になる NS 方向で比較した結果を図 3.2-2 に示す。図 3.2-2 より，地震時の層せん断力は暴風時の層せん断力を包絡しており，支配的な荷重である。

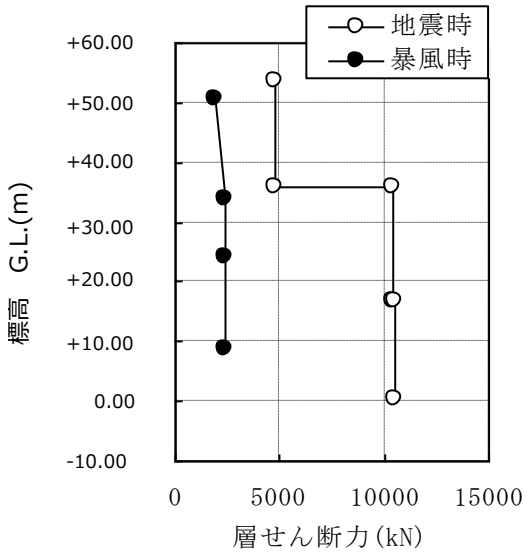



図 3.2-2　地震時と暴風時の層せん断力の比較

(2)　架構の構造強度に対する検討

1)　解析モデル

架構の解析モデルは，門型架構及びドーム屋根を構成する主要な鉄骨部材からなる立体架構モデルとする。図 3.2-3 に架構の立体解析モデルを示す。解析モデルの柱脚部はピン支持，ストッパ取り付き部は水平方向のみピン支持とする。

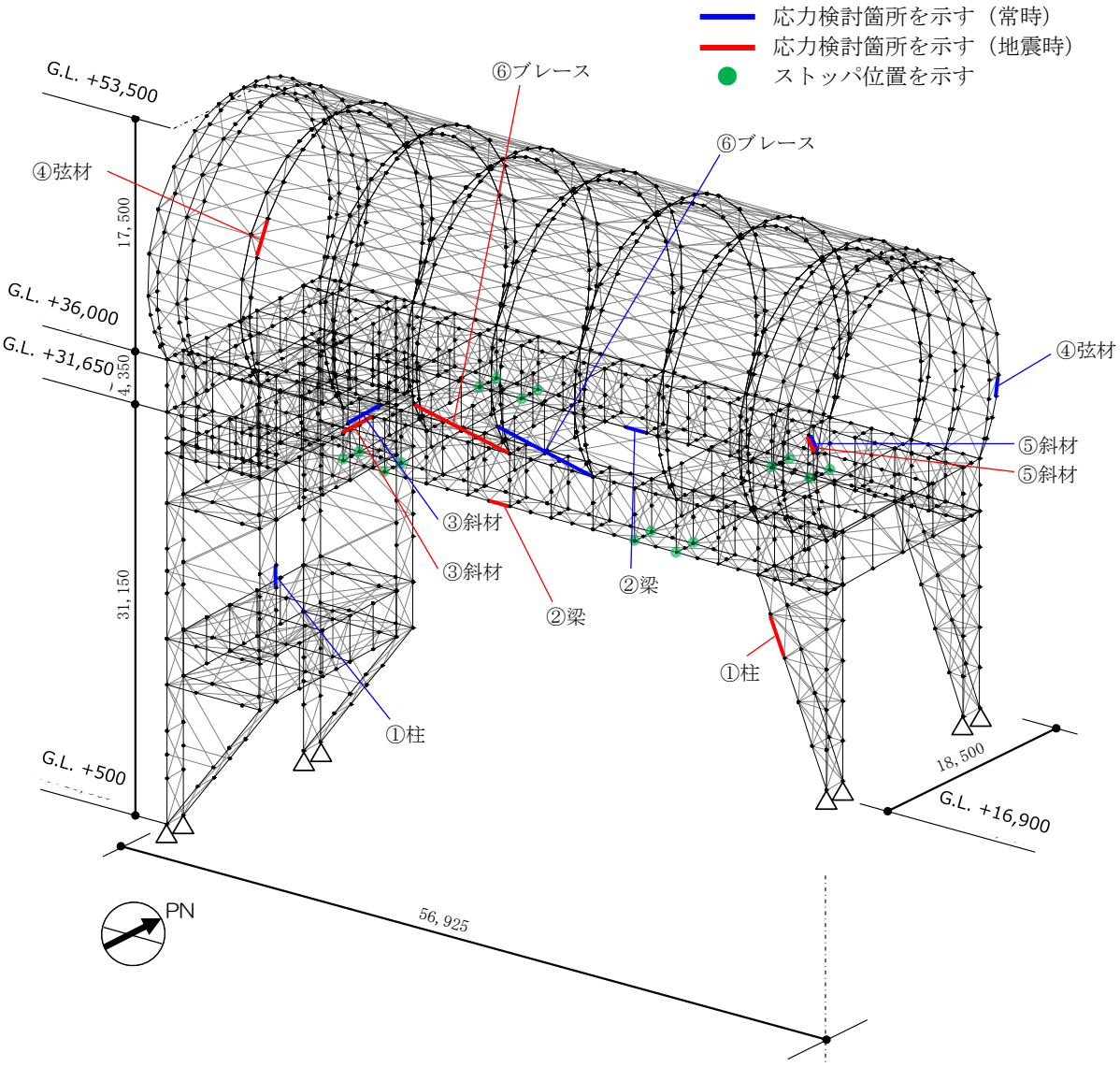



図 3.2-3　解析モデル図（単位：mm）

2)　断面検討

応力度比の検討は「鋼構造設計規準」に従い，軸力に対して下式にて検討を行う。

・軸圧縮の場合　　$\frac{\sigma_c}{f_c} \leqq 1$

・軸引張の場合　　$\frac{\sigma_t}{f_t} \leqq 1$

ここで，　　$\sigma_c$，$\sigma_t$：圧縮応力度（N/A）及び引張応力度（T/A）(N/mm$^2$)

N：圧縮力(N)，T：引張力(N)，A：断面積(mm$^2$)

$f_c$：許容圧縮応力度(N/mm$^2$)

$f_t$：許容引張応力度(N/mm$^2$)

表 3.2-9 及び表 3.2-10 に応力度比が最大となる部位の断面検討結果を示す。

断面検討の結果，全ての部材に対する応力度比が 1 以下になることを確認した。

表 3.2-9　断面検討結果（常時）

| 部　位*1 | | | 部材形状<br>(mm)<br>〈使用材料〉 | 荷重ケース<br>（位置）*2 | 作用<br>応力度<br>(N/mm$^2$) | | 許容<br>応力度<br>(N/mm$^2$) | 応力度比 | 判定 |
|---|---|---|---|---|---|---|---|---|---|
| 門型<br>架構 | ① | 柱 | H-350×350<br>×12×19<br>〈SM490〉 | C<br>(D) | 圧縮 | 77.4 | 164 | 0.48 | O.K. |
| | ② | 梁 | H-350×350<br>×12×19<br>〈SM490〉 | C<br>(D) | 引張 | 91.4 | 216 | 0.43 | O.K. |
| | ③ | 斜材 | 2[s-150×75<br>×6.5×10<br>〈SM490〉 | C<br>(D) | 圧縮 | 103.0 | 120 | 0.86 | O.K. |
| ドーム<br>屋根 | ④ | 弦材 | φ-318.5×6.9<br>〈STKT590〉 | C<br>(B) | 引張 | 33.5 | 293 | 0.12 | O.K. |
| | ⑤ | 斜材 | φ-139.8×4.5<br>〈STK490〉 | C<br>(B) | 圧縮 | 43.4 | 203 | 0.22 | O.K. |
| | ⑥ | ブレース | φ-114.3×4.5<br>〈STK490〉 | C<br>(D) | 圧縮 | 19.4 | 92 | 0.22 | O.K. |

＊1：①～⑥の符号は図 3.2-3 の応力検討箇所を示す

＊2：図 3.2-1 に示す燃料取扱設備の位置を示す

表 3.2-10　断面検討結果（地震時）

| 部　位*1 | | | 部材形状<br>(mm)<br>〈使用材料〉 | 荷重ケース<br>(位置) *2 | 作用<br>応力度<br>(N/mm²) | | 許容<br>応力度<br>(N/mm²) | 応力度比 | 判定 |
|---|---|---|---|---|---|---|---|---|---|
| 門型<br>架構 | ① | 柱 | H-350×350<br>×12×19<br>〈SM490〉 | E1<br>(D) | 圧縮 | 138.9 | 289 | 0.49 | O.K. |
| | ② | 梁 | H-350×350<br>×12×19<br>〈SM490〉 | E1<br>(D) | 引張 | 108.3 | 324 | 0.34 | O.K. |
| | ③ | 斜材 | 2[s-150×75<br>×6.5×10<br>〈SM490〉 | E1<br>(D) | 圧縮 | 164.5 | 180 | 0.92 | O.K. |
| ドーム<br>屋根 | ④ | 弦材 | φ-267.4×6.6<br>〈STKT590〉 | E1<br>(D) | 圧縮 | 155.2 | 396 | 0.40 | O.K. |
| | ⑤ | 斜材 | φ-139.8×4.5<br>〈STK490〉 | E3<br>(A) | 圧縮 | 165.8 | 304 | 0.55 | O.K. |
| | ⑥ | ブレース | φ-114.3×4.5<br>〈STK490〉 | E3<br>(D) | 圧縮 | 80.6 | 138 | 0.59 | O.K. |

＊1：①～⑥の符号は図 3.2-3 の応力検討箇所を示す

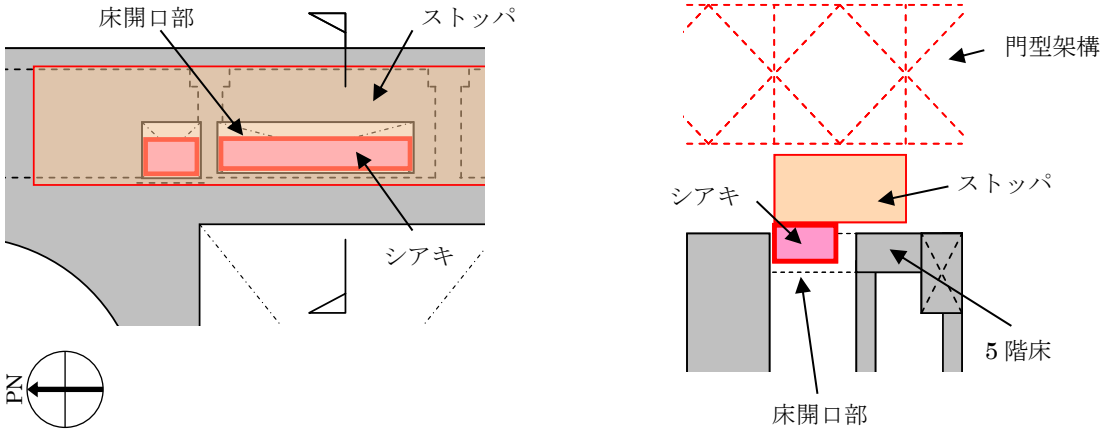
＊2：図 3.2-1 に示す燃料取扱設備の位置を示す

(3)　水平振れ止め装置（ストッパ）の構造強度に対する検討

原子炉建屋の 5 階床上面 2 か所に鋼製のストッパを設置し，架構に発生する水平力を，ストッパを介して原子炉建屋に支持させる。原子炉建屋へは，5 階床の床開口部に突出させた強固なシアキにより水平力を伝達させる。図 3.2-4 にストッパ概要図を示す。

ストッパについては，架構と原子炉建屋を結んだバネ材に発生する水平力の最大値が，床開口に差し込むシアキの短期許容せん断力以下であることを確認する。

なお，原子炉建屋と水平振れ止め装置（ストッパ）の接触部については，不具合が見つかった場合には適切に補修等を実施する。




(a)伏図　　(b)断面図

図 3.2-4　ストッパ概要図

シアキの許容せん断力は下式より算定し，表 3.2-11 に応力比が最大となる部位の断面検討結果を示す。

断面検討の結果，全てのストッパに対する応力比が 1 以下になることを確認した。

$$Q_a = A \cdot f_s$$

ここに，

Qa：短期許容せん断力(kN)

A：シアキの断面積（$mm^2$）

$f_s$：短期許容せん断応力度($N/mm^2$)（SM490A）

表 3.2-11　ストッパ（シアキ）の断面検討結果

| 部位 | 荷重ケース<br>(位置)* | ストッパ反力<br>Q(kN) | 短期許容せん断力<br>Qa(kN) | 応力比<br>Q/Qa | 判定 |
|---|---|---|---|---|---|
| 東側ストッパ | E4<br>(A) | 2560 | 8620 | 0.30 | O.K. |

＊：図 3.2-1 に示す燃料取扱設備の位置を示す

(4)　基礎の構造強度に対する検討

架構の基礎は独立フーチング基礎とし，西側柱脚部は原子炉建屋の地下 1 階壁の直上に設置し，

東側柱脚部は原子炉建屋2階壁の直上に設置して基礎反力が原子炉建屋を介して地盤に伝わるようにする。ここでは，基礎の浮き上がりに対しては基礎反力（圧縮力を正）の最小値が0以上であることを確認し，基礎のすべりに対しては基礎反力の水平力が許容摩擦力以下であることを確認する。

なお，基礎底面の摩擦係数は「現場打ち同等型プレキャスト鉄筋コンクリート構造設計指針(案)・同解説(2002)」に準じて，特に先打ちコンクリート表面に処理をしない場合の後打ちコンクリートとの境界面で設定する0.6(普通コンクリートの場合)とする。

表3.2-12に基礎反力が最小となる部位の基礎浮き上がりの検討結果を示す。

基礎浮き上がりの検討の結果，全ての基礎の最小圧縮力が0以上であることを確認した。

表3.2-12　基礎浮き上がりの検討結果

| 部位 | 荷重ケース<br>（位置）＊ | 最小圧縮力<br>N(kN) | 判定 |
|---|---|---|---|
| 東側柱脚<br>（北側） | E1<br>(C) | 1990 | O.K. |

＊：図3.2-1に示す燃料取扱設備の位置を示す

許容摩擦力は下式より算定し，表3.2-13に応力比が最大となる部位の検討結果を示す。

基礎すべりの検討の結果，全ての基礎に対する応力比が1以下になることを確認した。

$$V_a = \mu(N + R)$$

ここに，

Va：許容摩擦力(kN)

$\mu$ ：摩擦係数（$\mu$=0.6）

N：基礎重量(kN)

R：基礎上端の架構の鉛直反力(kN)

表3.2-13　基礎すべりの検討結果

| 部位 | 荷重ケース<br>（位置）＊ | 水平力<br>Q(kN) | 許容摩擦力<br>Va(kN) | 応力比<br>Q/Va | 判定 |
|---|---|---|---|---|---|
| 東側柱脚 | C (D) | 2410 | 5270 | 0.46 | O.K. |
| | E4 (D) | 2430 | 4580 | 0.54 | O.K. |

＊：図3.2-1に示す燃料取扱設備の位置を示す

(5)　原子炉建屋接触部の構造強度に対する検討

1)　ストッパ接触部

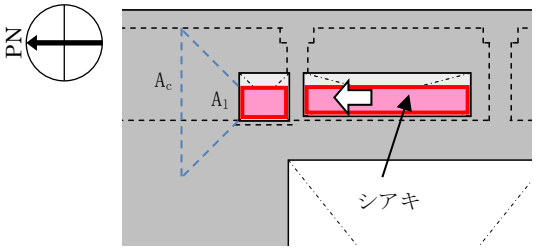
ストッパ接触部の構造強度の検討では，ストッパ水平反力が，既存躯体の短期許容支圧力以下になることを確認する。なお，許容支圧応力度は，原子炉建屋の設計基準強度(22.1N/mm$^2$)を用いて「プレストレストコンクリート設計施工規準・同解説」に基づき算出する。

短期許容支圧力 Na は下式より算定し，表 3.2-14 に応力比が最大となる部位の検討結果を示す。

検討の結果，全てのストッパ接触部に対する応力比が 1 以下になることを確認した。

$$N_a = f_n \cdot A_l$$

$$f_n = f_{na}\sqrt{\frac{A_c}{A_l}} \quad \text{ただし，} \quad \sqrt{\frac{A_c}{A_l}} \leq 2.0$$




ここに，

$f_n$ ：短期許容支圧応力度(N/mm$^2$)

$f_{na}$：$F_{ci}/1.25$ または $0.6F_c$ のうち小さいほうの値(N/mm$^2$)

$F_{ci}$：コンクリート強度，特に定めのない場合には 20N/mm$^2$　($F_{ci}$=22.1N/mm$^2$)

$A_c$ ：支圧端から離れて応力が一様分布となったところのコンクリートの支承面積(mm$^2$)

$A_1$ ：局部圧縮を受ける支圧面積(mm$^2$)

表 3.2-14　ストッパ接触部の検討結果

| 部位 | 荷重ケース（位置）＊ | ストッパ水平反力 N(kN) | 短期許容支圧力 Na(kN) | 応力比 N/Na | 判定 |
|---|---|---|---|---|---|
| 東側ストッパ | E2 (B) | 3980 | 10300 | 0.39 | O.K. |

＊：図 3.2-1 に示す燃料取扱設備の位置を示す

2)　基礎設置部

架構の西側脚部は原子炉建屋 1 階レベル（G.L.+0.2m）で支持し，東側脚部は原子炉建屋 3 階レベル（G.L.+16.9m）で支持している。基礎設置部については，柱脚の鉛直反力により生じる直下壁の軸力が壁の許容軸力以下であることを確認する。

許容軸力 Na は下式より算定し，表 3.2-15 に応力比が最大となる部位の検討結果を示す。

検討の結果，全ての基礎設置部に対する応力比が 1 以下になることを確認した。

$${}_L N_a = {}_L f_c \cdot A_1 \quad , \quad {}_S N_a = {}_S f_c \cdot A_1$$

ここに，

${}_L f_c$：長期許容圧縮応力度(N/mm$^2$)（${}_L f_c$=22.1×1/3=7.4）

${}_S f_c$：短期許容圧縮応力度(N/mm$^2$)（${}_S f_c$=22.1×2/3=14.7）

$A_1$：　柱脚部支配面積(mm$^2$)

表 3.2-15　壁の圧縮力の検討結果

| 部位 | 荷重ケース（位置）＊ | 軸力 N(kN) | 許容軸力 Na(kN) | 応力比 N/Na | 判定 |
|---|---|---|---|---|---|
| 東側柱脚（南側） | C (B) | 4280 | 12900 | 0.34 | O.K. |
| | E1 (B) | 6540 | 25900 | 0.26 | O.K. |

＊：図 3.2-1 に示す燃料取扱設備の位置を示す

(6)　外装材の構造強度に対する検討

1)　検討箇所

架構の屋根面及び側面を覆う外装材は，折板を用いる。強度検討は，壁材，屋根材それぞれに風圧力により生じる応力度が短期許容応力度以下であることを確認する。なお，短期事象においては，暴風時の影響が支配的であることから，積雪時及び地震時の検討は省略する。検討箇所を図 3.2-5 に示す。

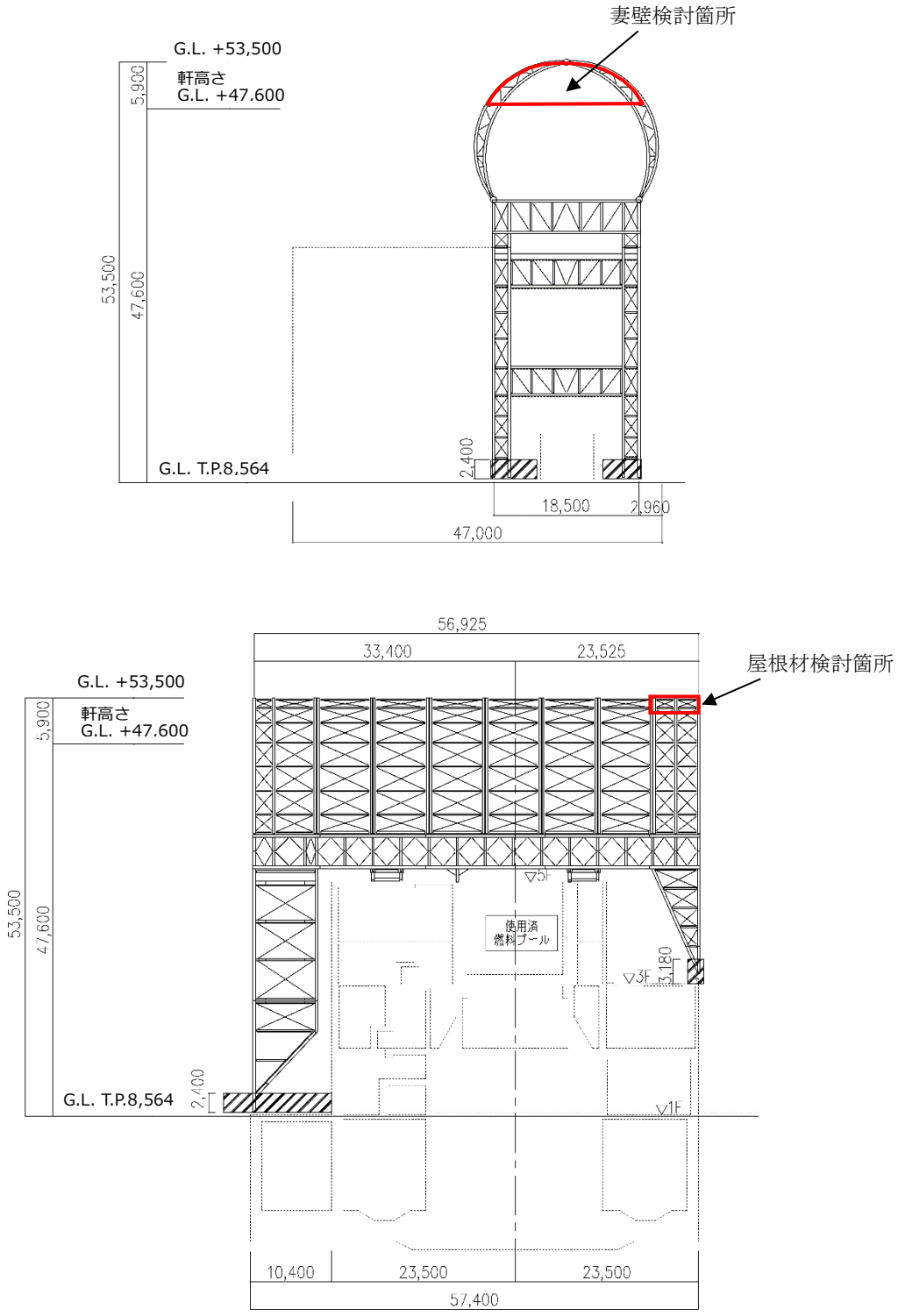



図 3.2-5　外装材検討箇所（単位：mm）

2)　設計用荷重の算定

設計用風圧力は，建築基準法施行令第 82 条の 4 および建設省告示第 1458 号に基づき，基準風速 30m/s，地表面粗度区分Ⅱとして算定する。速度圧の算定結果を表 3.2-16 に，ピーク風力係数を表 3.2-17 に，風力係数の算定箇所を図 3.2-6 に示す。

表 3.2-16　速度圧の算定結果

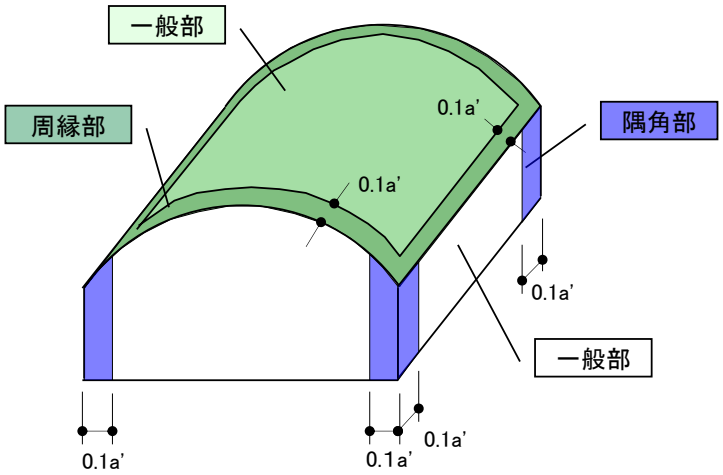
| 建物高さ*<br>H<br>(m) | 平均風速の高さ方向の分布を表す係数<br>$E_r$ | 基準風速<br>$V_0$<br>(m/s) | 平均速度圧<br>q<br>($N/m^2$) |
|---|---|---|---|
| 50.55 | 1.27 | 30 | 871 |

*：建物高さは，軒高さ（47.60m）と最高高さ（53.50m）の平均値とした

表 3.2-17　ピーク風力係数

| 建物高さ*<br>H<br>(m) | 屋根面 | | 妻壁面 | |
|---|---|---|---|---|
| | 一般部 | 周縁部 | 一般部 | 隅角部 |
| 50.55 | -2.5 | -3.2 | -2.02 | -2.5 |

*：建物高さは，軒高さ（47.60m）と最高高さ（53.50m）の平均値とした




a'は平面の短辺の長さと H の 2 倍の数値のうちいずれか小さな数値（30 を超えるときは，30 とする）（単位：m）

図 3.2-6　風力係数の算定箇所

3)　外装材の強度検討

検討は，応力が厳しくなる部位について行う。ここでは，折板の自重は考慮しないものとする。折板の間隔はドーム屋根が 3.4m で連続支持，妻壁が 4.0m で単純支持されているものと仮定する。

屋根材及び壁材の材料諸元を表 3.2-18 に示す。また，検討結果を表 3.2-19 に示す。

断面検討の結果，全ての外装材に対する応力度比が 1 以下になることを確認した。

表 3.2-18　屋根材及び壁材の材料諸元

| 板厚 | 自重 | 正曲げ方向 | | 負曲げ方向 | |
|---|---|---|---|---|---|
| | | 断面 2 次モーメント | 断面係数 | 断面 2 次モーメント | 断面係数 |
| t (mm) | G ($N/m^2$) | $I_x$ ($cm^4/m$) | $Z_x$ ($cm^3/m$) | $I_x$ ($cm^4/m$) | $Z_x$ ($cm^3/m$) |
| 0.8 | 118 | 360 | 43.6(13.1*) | 347 | 40.6(12.2*) |

＊：括弧内の数値は折曲加工部を示す

表 3.2-19　応力度に対する検討結果

| 部位 | 作用応力度 ($N/mm^2$) | 許容応力度 ($N/mm^2$) | 応力度比 | 判定 |
|---|---|---|---|---|
| ドーム屋根 | 189 | 205* | 0.93 | O.K. |
| 妻壁 | 109 | 205* | 0.54 | O.K. |

＊：「JIS G 3321-2010」による

・応力度に対する検討

①ドーム屋根

$w = 871 \times (-3.20) = -2790 (N/m^2)$

$M = (9/128) \times w \times L^2 = (9/128) \times (-2790) \times 3.4^2 \times 10^{-3} = -2.3 (kNm/m)$

$\sigma_b = M/Z = 2.3 \times 10^6 / (12.2 \times 10^3) = 189 (N/mm^2)$

$\sigma_b / f_b = 189/205 = 0.93 \leqq 1.0$　　OK

②妻壁

$w = 871 \times (-2.50) = -2180 (N/m^2)$

$M = (1/8) \times w \times L^2 = (1/8) \times (-2180) \times 4.0^2 \times 10^{-3} = -4.4 (kNm/m)$

$\sigma_b = M/Z = 4.4 \times 10^6 / (40.6 \times 10^3) = 109 (N/mm^2)$

$\sigma_b / f_b = 109/205 = 0.54 \leqq 1.0$　　OK

3.3　耐震性

(1)　検討方針

耐震性の検討は，架構，水平振れ止め装置（ストッパ），制震装置（オイルダンパ），基礎，原子炉建屋接触部及び原子炉建屋の健全性について行い，基準地震動 Ss に対して，これらの応答性状を適切に表現できる地震応答解析を用いて評価する。なお，地震応答解析は水平方向及び鉛直方向を同時に入力する。

(2)　架構の耐震性に対する検討

1)　解析に用いる入力地震動

検討に用いる地震動は,「福島第一原子力発電所『発電用原子炉施設に関する耐震設計審査指針』の改訂に伴う耐震安全性評価結果　中間報告書」（東京電力株式会社，平成 20 年 3 月 31 日）にて作成した解放基盤表面で定義される基準地震動 Ss とする。

地震応答解析に用いる入力地震動の概念図を図 3.3-1 に示す。モデルに入力する地震動は一次元波動論に基づき，解放基盤表面で定義される基準地震動 Ss に対する地盤の応答として評価する。解放基盤表面位置（G.L.-206.0m(震災前 O.P.-196.0m)）における基準地震動 Ss-1，Ss-2 及び Ss-3 の加速度時刻歴波形を図 3.3-2(1)及び図 3.3-2(2)に示す。

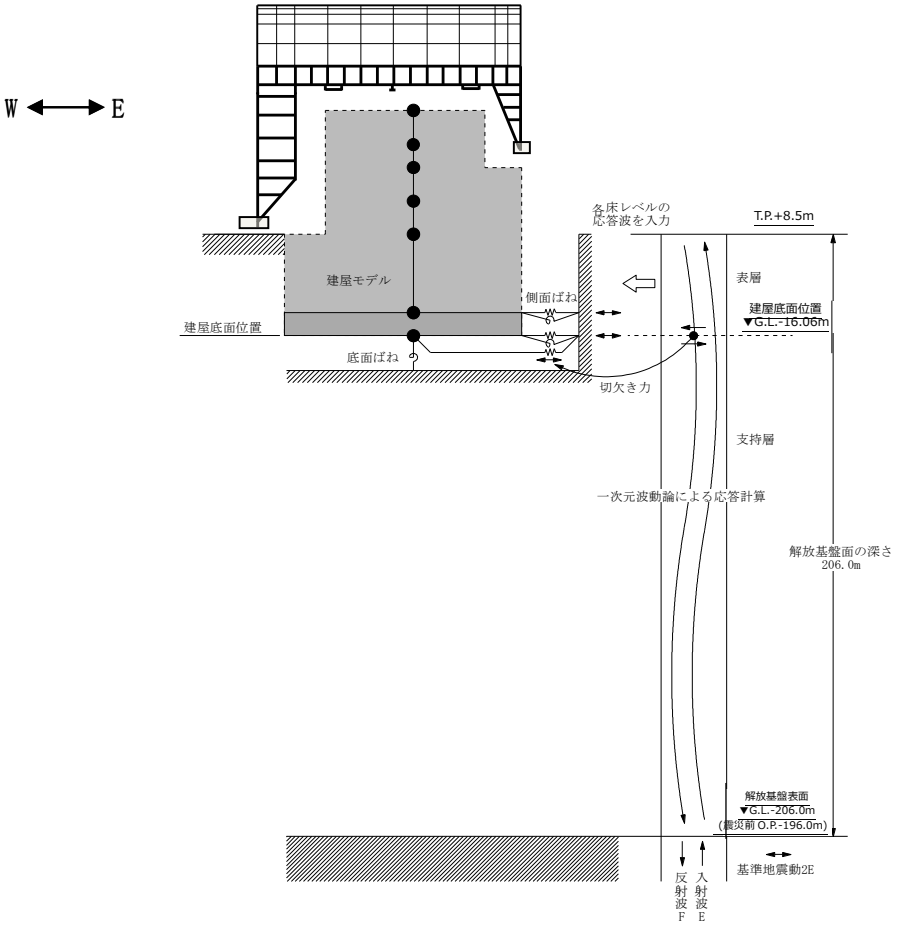
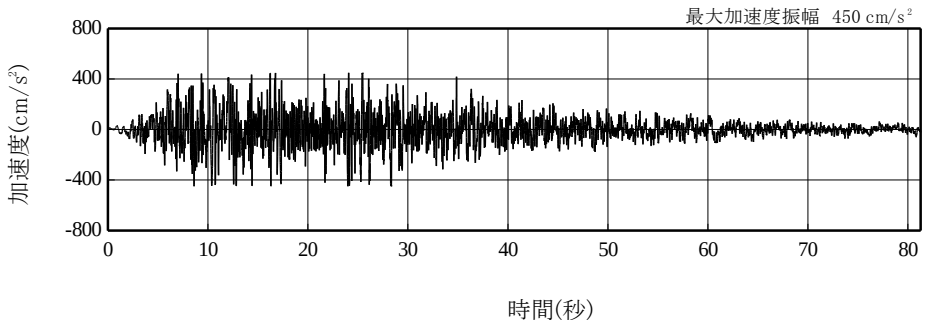
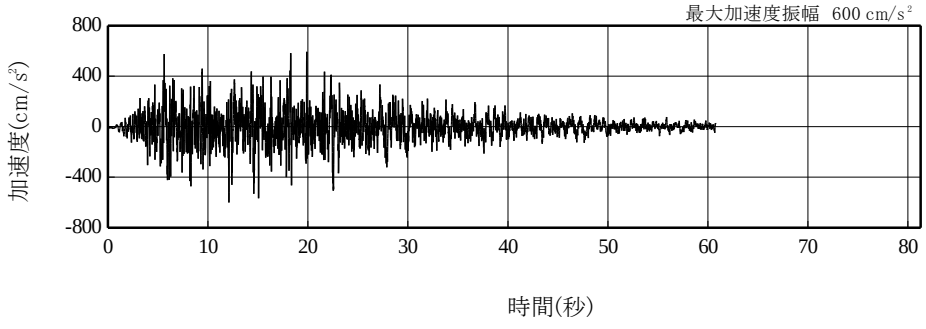



図 3.3-1　地震応答解析に用いる入力地震動の概念図

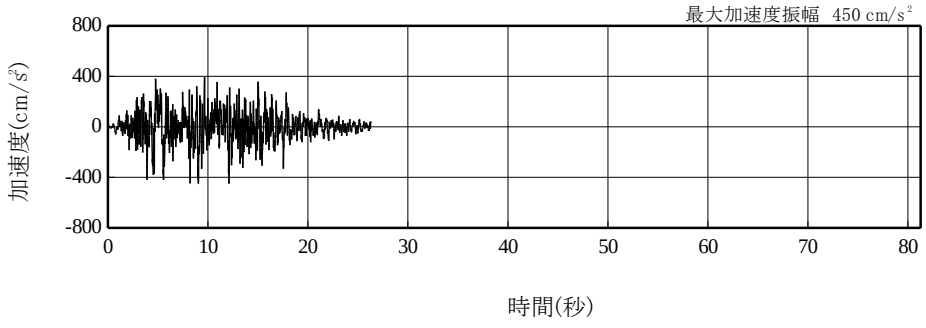
本章に記載の標高は，震災後の地盤沈下量(-709mm)と O.P.から T.P.への読替値(-727mm)を用いて，下式に基づき換算している。
＜換算式＞ T.P.=旧 O.P.-1,436mm




(Ss-1H)

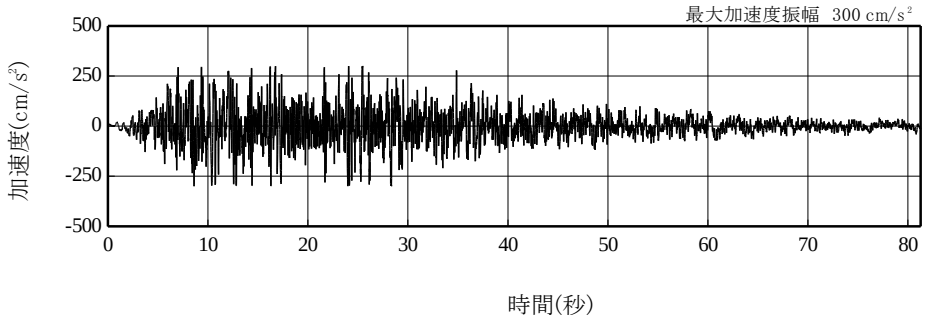



(Ss-2H)

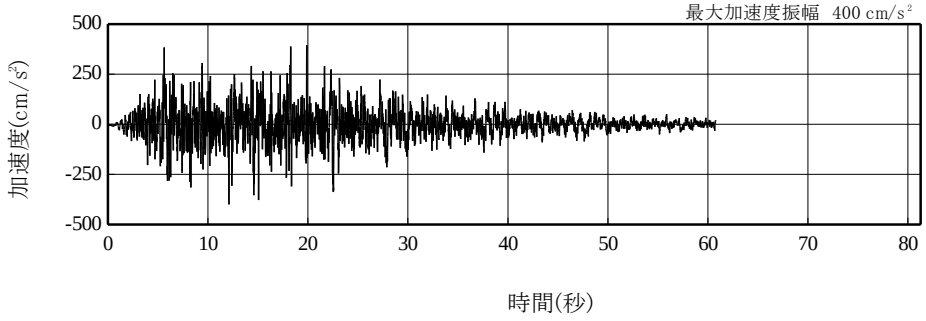



(Ss-3H)

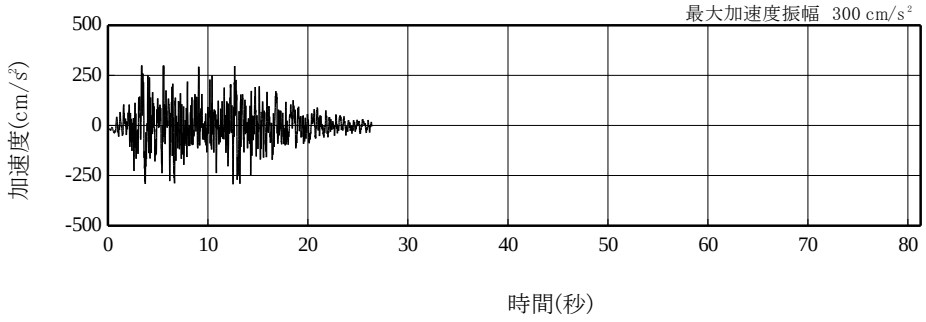
図 3.3-2(1) 解放基盤表面位置における地震動の加速度時刻歴波形(水平方向)




(Ss-1V)




(Ss-2V)




(Ss-3V)

図 3.3-2(2)　解放基盤表面における地震動の加速度時刻歴波形
（鉛直方向）

2)　地震応答解析モデル

地震応答解析モデルは，門型架構及びドーム屋根を構成する主要な鉄骨部材からなる立体架構を原子炉建屋の質点系モデルに接続した図 3.3-3 に示すモデルとし，地盤を等価なばねで評価した建屋－地盤連成系モデルとする。ストッパ取り付き部は原子炉建屋 5 階質点（G.L.+29.92m）と水平方向同一変位条件とし，鉛直方向の制震装置（オイルダンパ）は原子炉建屋の 5 階床上面 4 箇所に門型架構と 5 階床の鉛直方向相対変位が減少する場合に減衰力を発揮するばねに置換して立体架構モデルに組み込んでいる。

地震応答解析に用いる物性値を表 3.3-1 に示す。門型架構及びドーム屋根の部材接合部の質点は仕上げ材等を考慮した重量とし，原子炉建屋の質点は瓦礫撤去の重量等を反映した表 3.3-2 に示す重量とする。門型架構の柱・梁及びドーム屋根の弦材は弾性部材とし，その他ブレース等は「鉄骨 X 型ブレース架構の復元力特性に関する研究」(日本建築学会構造工学論文集 37B 号　1991 年 3 月）に示されている修正若林モデルによる。また，原子炉建屋は，曲げとせん断に「JEAG　4601-1991」に示されている非線形特性を考慮する。

地盤定数は，「福島第一原子力発電所『発電用原子炉施設に関する耐震設計審査指針』の改訂に伴う耐震安全性評価結果　中間報告書」（東京電力株式会社，平成 20 年 3 月 31 日）と同様とし，その結果を表 3.3-3 に示す。原子炉建屋の地盤ばねは，「JEAG　4601-1991」に示されている手法を参考にして，底面地盤を成層補正し振動アドミッタンス理論によりスウェイ及びロッキングばねを，側面地盤を Novak の方法により建屋側面ばねを評価した。

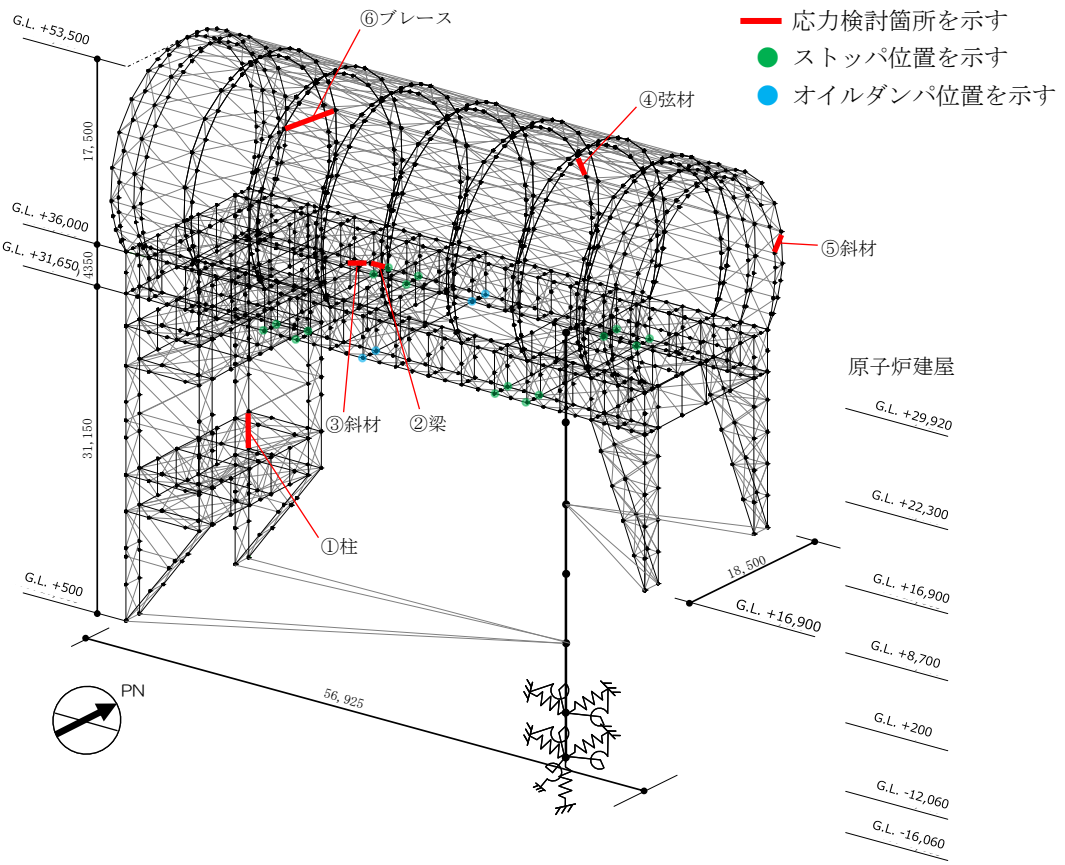



図 3.3-3　地震応答解析モデル（単位：mm）

表 3.3-1　地震応答解析に用いる物性値

| 部位 | 材料 | ヤング係数<br>E(N/mm$^2$) | ポアソン比<br>$\nu$ | 単位体積重量<br>$\gamma$ (kN/m$^3$) | 減衰定数<br>h(%) | 備考 |
|---|---|---|---|---|---|---|
| 架構 | 鉄骨 | $2.05\times10^5$ | 0.3 | 77.0 | 2 | SS400,SM490A<br>STK490,STKT590 |

表 3.3-2　地震応答解析モデルのうち原子炉建屋の地震応答解析モデルの諸元

(a)水平（NS）方向

| 標高<br>G.L.（m） | 質点重量*<br>W（kN） | 回転慣性重量<br>$I_G$（$\times10^5$ kN･m$^2$） | せん断断面積<br>As（m$^2$） | 断面二次モーメント<br>I（m$^4$） |
|---|---|---|---|---|
| +29.92 | 72990 | 76.95 | | |
| | | | 145.3 | 9598 |
| +22.3 | 119490 | 238.33 | | |
| | | | 146.1 | 29271 |
| +16.9 | 111140 | 204.58 | | |
| | | | 237.3 | 56230 |
| +8.7 | 130160 | 239.58 | | |
| | | | 208.6 | 60144 |
| +0.2 | 252510 | 464.88 | | |
| | | | 458.7 | 112978 |
| -12.06 | 301020 | 554.17 | | |
| | | | 2697.8 | 496620 |
| -16.06 | 127000 | 233.79 | | |
| 合計 | 1114310 | | | |

ヤング係数 Ec　$2.57\times10^7$(kN/m$^2$)
せん断弾性係数 G　$1.07\times10^7$(kN/m$^2$)
ポアソン比 $\nu$　0.20
減衰 h　5%

＊：「福島第一原子力発電所の原子炉建屋の現状の耐震安全性および補強等に関する検討に係る報告書（その２）」（東京電力株式会社，平成 23 年 7 月 13 日）において用いた各階重量に瓦礫撤去等による重量増減を考慮した数値（ただし，門型架構の重量 12800kN 及びドーム屋根重量 3200kN は含まない）

表 3.3-2　地震応答解析モデルのうち原子炉建屋の地震応答解析モデルの諸元

(b)水平（EW）方向

| 標高<br>G.L.（m） | 質点重量*<br>W（kN） | 回転慣性重量<br>$I_G$（$\times 10^5$ kN･m$^2$） | せん断断面積<br>As（m$^2$） | 断面二次モーメント<br>I（m$^4$） |
|---|---|---|---|---|
| +29.92 | 72990 | 56.10 | | |
| | | | 61.9 | 5665 |
| +22.3 | 119490 | 124.49 | | |
| | | | 123.4 | 12460 |
| +16.9 | 111140 | 204.58 | | |
| | | | 204.1 | 41352 |
| +8.7 | 130160 | 239.58 | | |
| | | | 226.6 | 61084 |
| +0.2 | 252510 | 693.32 | | |
| | | | 431.3 | 135128 |
| -12.06 | 301020 | 826.50 | | |
| | | | 2697.8 | 740717 |
| -16.06 | 127000 | 348.72 | | |
| | | | | |
| 合計 | 1114310 | | | |

ヤング係数 Ec　$2.57\times10^7$ (kN/m$^2$)
せん断弾性係数 G　$1.07\times10^7$ (kN/m$^2$)
ポアソン比 $\nu$　0.20
減衰 h　5%

(c)鉛直方向

| 標高<br>G.L.（m） | 質点重量*<br>W（kN） | 軸断面積<br>$A_N$（m$^2$） | 軸ばね剛性<br>$K_A$（$\times 10^8$ kN/m） |
|---|---|---|---|
| +29.92 | 72990 | | |
| | | 192.0 | 6.48 |
| +22.3 | 119490 | | |
| | | 266.3 | 12.67 |
| +16.9 | 111140 | | |
| | | 431.7 | 13.53 |
| +8.7 | 130160 | | |
| | | 423.0 | 12.79 |
| +0.2 | 252510 | | |
| | | 691.2 | 14.49 |
| -12.06 | 301020 | | |
| | | 2697.8 | 173.33 |
| -16.06 | 127000 | | |
| | | | |
| 合計 | 1114310 | | |

ヤング係数 Ec　$2.57\times10^7$ (kN/m$^2$)
せん断弾性係数 G　$1.07\times10^7$ (kN/m$^2$)
ポアソン比 $\nu$　0.20
減衰 h　5%

＊：「福島第一原子力発電所の原子炉建屋の現状の耐震安全性および補強等に関する検討に係る報告書（その２）」（東京電力株式会社，平成 23 年 7 月 13 日）において用いた各階重量に瓦礫撤去等による重量増減を考慮した数値（ただし，門型架構の重量 12800kN 及びドーム屋根重量 3200kN は含まない）

表 3.3-3　地盤定数の設定結果

(a) Ss-1

| 標高 G.L. (m) | 地質 | せん断波速度 Vs (m/s) | 単位体積重量 $\gamma$ (kN/m$^3$) | ﾎﾟｱｿﾝ比 $\nu$ | せん断弾性係数 G (×10$^5$kN/m$^2$) | 初期せん断弾性係数 $G_0$ (×10$^5$kN/m$^2$) | 剛性低下率 $G/G_0$ | ヤング係数 E (×10$^5$kN/m$^2$) | 減衰定数 h (%) | 層厚 H (m) |
|---|---|---|---|---|---|---|---|---|---|---|
| 0.0 | | | | | | | | | | |
| | 砂岩 | 380 | 17.8 | 0.473 | 2.23 | 2.62 | 0.85 | 6.57 | 3 | 8.1 |
| -8.1 | | | | | | | | | | |
| | | 450 | 16.5 | 0.464 | 2.66 | 3.41 | 0.78 | 7.79 | 3 | 11.9 |
| -20.0 | | | | | | | | | | |
| | | 500 | 17.1 | 0.455 | 3.40 | 4.36 | 0.78 | 9.89 | 3 | 70.0 |
| -90.0 | 泥岩 | | | | | | | | | |
| | | 560 | 17.6 | 0.446 | 4.39 | 5.63 | 0.78 | 12.70 | 3 | 28.0 |
| -118.0 | | | | | | | | | | |
| | | 600 | 17.8 | 0.442 | 5.09 | 6.53 | 0.78 | 14.68 | 3 | 88.0 |
| -206.0 (震災前 O.P.-196.0) | | | | | | | | | | |
| | (解放基盤) | 700 | 18.5 | 0.421 | 9.24 | 9.24 | 1.00 | 26.26 | - | - |

(b) Ss-2

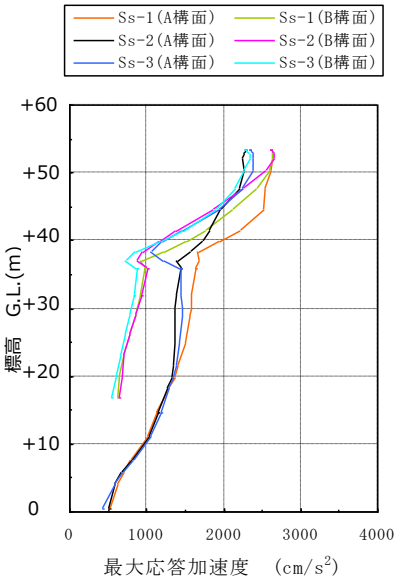
| 標高 G.L. (m) | 地質 | せん断波速度 Vs (m/s) | 単位体積重量 $\gamma$ (kN/m$^3$) | ﾎﾟｱｿﾝ比 $\nu$ | せん断弾性係数 G (×10$^5$kN/m$^2$) | 初期せん断弾性係数 $G_0$ (×10$^5$kN/m$^2$) | 剛性低下率 $G/G_0$ | ヤング係数 E (×10$^5$kN/m$^2$) | 減衰定数 h (%) | 層厚 H (m) |
|---|---|---|---|---|---|---|---|---|---|---|
| 0.0 | | | | | | | | | | |
| | 砂岩 | 380 | 17.8 | 0.473 | 2.23 | 2.62 | 0.85 | 6.57 | 3 | 8.1 |
| -8.1 | | | | | | | | | | |
| | | 450 | 16.5 | 0.464 | 2.76 | 3.41 | 0.81 | 8.08 | 3 | 11.9 |
| -20.0 | | | | | | | | | | |
| | | 500 | 17.1 | 0.455 | 3.53 | 4.36 | 0.81 | 10.27 | 3 | 70.0 |
| -90.0 | 泥岩 | | | | | | | | | |
| | | 560 | 17.6 | 0.446 | 4.56 | 5.63 | 0.81 | 13.19 | 3 | 28.0 |
| -118.0 | | | | | | | | | | |
| | | 600 | 17.8 | 0.442 | 5.29 | 6.53 | 0.81 | 15.26 | 3 | 88.0 |
| -206.0 (震災前 O.P.-196.0) | | | | | | | | | | |
| | (解放基盤) | 700 | 18.5 | 0.421 | 9.24 | 9.24 | 1.00 | 26.26 | - | - |

(c) Ss-3

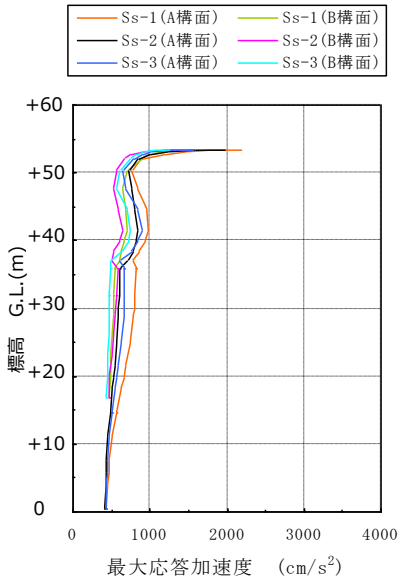
| 標高 G.L. (m) | 地質 | せん断波速度 Vs (m/s) | 単位体積重量 $\gamma$ (kN/m$^3$) | ﾎﾟｱｿﾝ比 $\nu$ | せん断弾性係数 G (×10$^5$kN/m$^2$) | 初期せん断弾性係数 $G_0$ (×10$^5$kN/m$^2$) | 剛性低下率 $G/G_0$ | ヤング係数 E (×10$^5$kN/m$^2$) | 減衰定数 h (%) | 層厚 H (m) |
|---|---|---|---|---|---|---|---|---|---|---|
| 0.0 | | | | | | | | | | |
| | 砂岩 | 380 | 17.8 | 0.473 | 2.25 | 2.62 | 0.86 | 6.63 | 3 | 8.1 |
| -8.1 | | | | | | | | | | |
| | | 450 | 16.5 | 0.464 | 2.66 | 3.41 | 0.78 | 7.79 | 3 | 11.9 |
| -20.0 | | | | | | | | | | |
| | | 500 | 17.1 | 0.455 | 3.40 | 4.36 | 0.78 | 9.89 | 3 | 70.0 |
| -90.0 | 泥岩 | | | | | | | | | |
| | | 560 | 17.6 | 0.446 | 4.39 | 5.63 | 0.78 | 12.70 | 3 | 28.0 |
| -118.0 | | | | | | | | | | |
| | | 600 | 17.8 | 0.442 | 5.09 | 6.53 | 0.78 | 14.68 | 3 | 88.0 |
| -206.0 (震災前 O.P.-196.0) | | | | | | | | | | |
| | (解放基盤) | 700 | 18.5 | 0.421 | 9.24 | 9.24 | 1.00 | 26.26 | - | - |

3)　地震応答解析結果

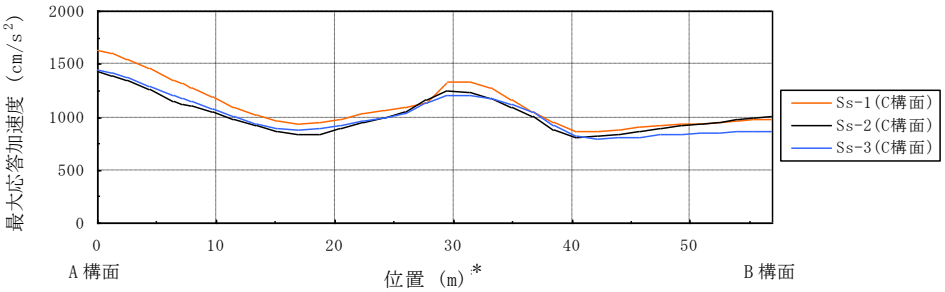
最大応答加速度分布を図 3.3-4(1)及び図 3.3-4(2)に示す。



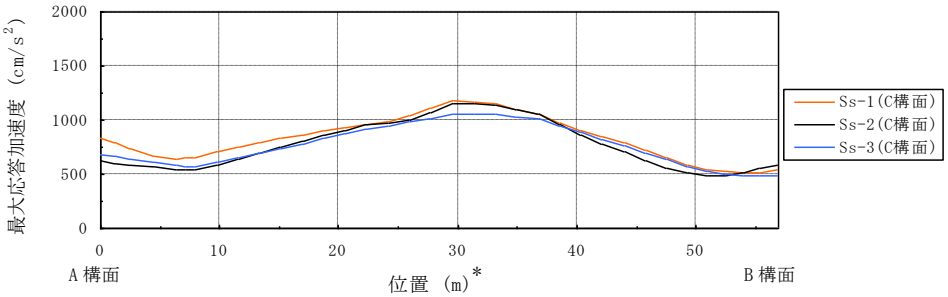

水平(NS)成分（A 構面，B 構面）




鉛直成分（A 構面，B 構面）

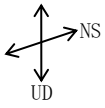


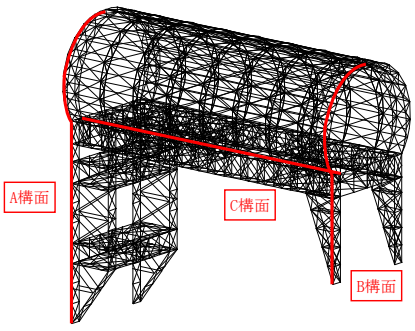

水平(NS)成分（C 構面）




鉛直成分（C 構面）

(NS 方向)

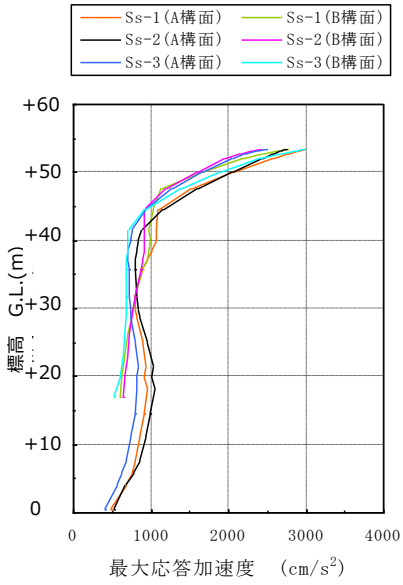


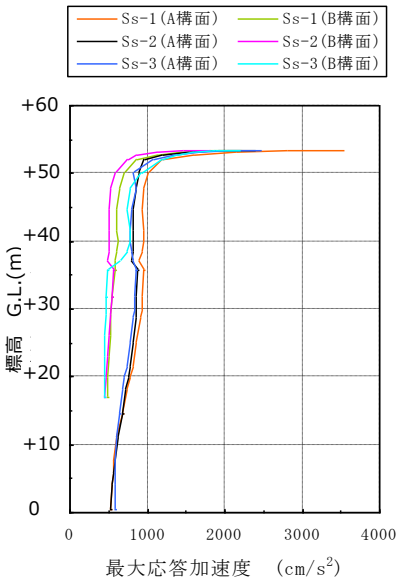

注：燃料取扱設備が門型架構の中央に位置する場合
（図 3.2-1 の位置 D）を示す

＊：位置は A 構面側からの距離を示す

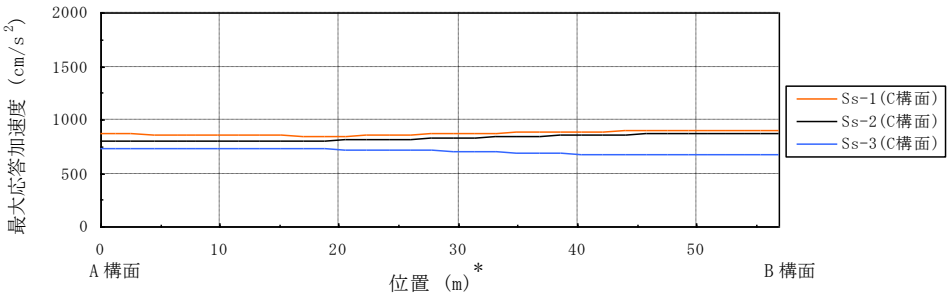
図 3.3-4(1)　最大応答加速度分布



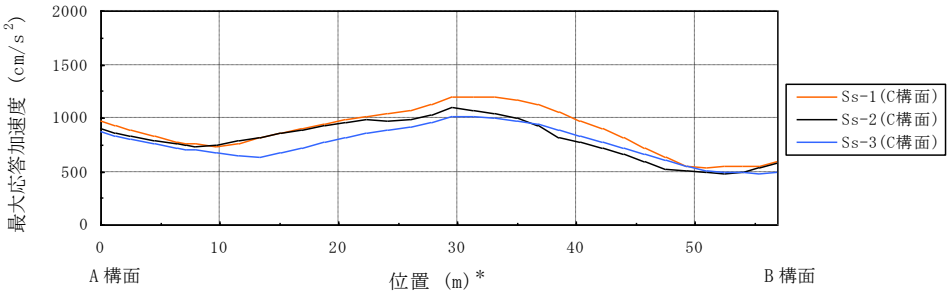

水平(EW)成分（A 構面，B 構面）




鉛直成分（A 構面，B 構面）




水平(EW)成分（C 構面）




鉛直成分（C 構面）

（EW 方向）

注：燃料取扱設備が門型架構の中央に位置する場合
（図 3.2-1 の位置 D）を示す

＊：位置は A 構面側からの距離を示す

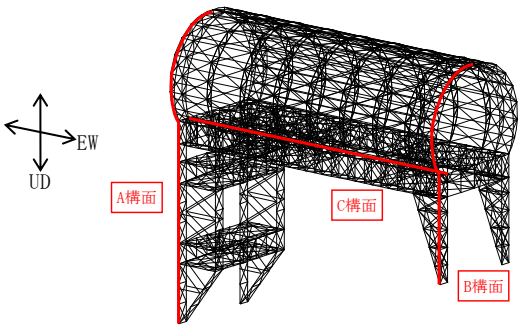



図 3.3-4(2)　最大応答加速度分布

4)　波及的影響の評価

門型架構は，JSCA 性能メニュー（社団法人日本建築構造技術者協会，2002 年）を参考に定めたクライテリア（「層間変形角は 1/75 以下，層の塑性率は 4 以下，部材の塑性率は 5 以下」*）を満足することを確認する。ドーム屋根は，柱・梁によるフレームを構成しないため，JSCA 性能メニューのうち部材の塑性率のクライテリアを満足することを確認する。

なお，解析結果が「時刻歴応答解析建築物性能評価業務方法書」（財団法人日本建築センター，平成 19 年 7 月 20 日）に示されるクライテリア（層間変形角は 1/100 以下，層の塑性率は 2 以下，部材の塑性率は 4 以下）を超える場合には水平変形に伴う鉛直荷重の付加的影響を考慮した解析を実施し，安全性を確認する。

＊：北村春幸，宮内洋二，浦本弥樹「性能設計における耐震性能判断基準値に関する研究」，日本建築学会構造系論文集，第 604 号，2006 年 6 月

・層間変形角の検討

門型架構の最大応答層間変形角を表 3.3-4 に示す。

検討の結果，最大応答層間変形角は 1/75 以下となりクライテリアを満足することを確認した。

表 3.3-4　最大応答層間変形角の検討結果

| 検討箇所 | 地震波 | 入力方向(位置)＊ | 最大応答値 | ｸﾗｲﾃﾘｱ | 判定 |
|---|---|---|---|---|---|
| 東側<br>G.L.+36.00(m)<br>～G.L.+16.90(m) | Ss-1 | NS (A) | 1/820 | 1/75 | O.K. |
| | | EW (B) | 1/990 | 1/75 | O.K. |
| | Ss-2 | NS (B) | 1/990 | 1/75 | O.K. |
| | | EW (B) | 1/1000 | 1/75 | O.K. |
| | Ss-3 | NS (B) | 1/990 | 1/75 | O.K. |
| | | EW (B) | 1/1000 | 1/75 | O.K. |
| 西側<br>G.L.+36.00(m)<br>～G.L.+0.50(m) | Ss-1 | NS (A) | 1/720 | 1/75 | O.K. |
| | | EW (B) | 1/1600 | 1/75 | O.K. |
| | Ss-2 | NS (C) | 1/860 | 1/75 | O.K. |
| | | EW (B) | 1/1600 | 1/75 | O.K. |
| | Ss-3 | NS (C) | 1/800 | 1/75 | O.K. |
| | | EW (B) | 1/1800 | 1/75 | O.K. |

＊：図 3.2-1 に示す燃料取扱設備の位置を示す

・塑性率の検討

部材の塑性率は，引張及び圧縮に対して最大軸力時のひずみを引張耐力または座屈耐力時のひずみで除した値で表される。最大軸力時のひずみが引張耐力または座屈耐力時のひずみ未満の場合は弾性であり塑性率は 1 未満となる。最大応答軸力を引張耐力または座屈耐力で除した値を耐力比と定義し，表 3.3-5 に検討結果を示す。なお，引張耐力及び座屈耐力算定時の材料強度（STKT590 材を除く）は「平成 19 年国土交通省告示第 625 号」に定められた基準強度 F 値の 1.1 倍を用いる。

表 3.3-5 より全てのケースで耐力比が 1 を下回ることから塑性率は 1 未満となり，クライテリアを満足することを確認した。

表 3.3-5　耐力比の検討結果

| 部位*1 | | | 部材形状 (mm) | 地震波 | 入力方向 (位置)*2 | 耐力比 | | 判定 |
|---|---|---|---|---|---|---|---|---|
| 門型架構 | ① | 柱 | H-350×350 ×12×19 〈SM490A〉 | Ss-2 | NS (C) | C/Cu | 0.50 | OK |
| | ② | 梁 | H-350×350 ×12×19 〈SM490A〉 | Ss-1 | NS (C) | C/Cu | 0.45 | OK |
| | ③ | 斜材 | 2[s-150×75 ×6.5×10 〈SM490A〉 | Ss-1 | NS (C) | C/Cu | 0.75 | OK |
| ドーム屋根 | ④ | 弦材 | φ-267.4×6.6 〈STKT590〉 | Ss-1 | NS (D) | C/Cu | 0.63 | OK |
| | ⑤ | 斜材 | φ-139.8×4.5 〈STK490〉 | Ss-1 | EW (D) | C/Cu | 0.90 | OK |
| | ⑥ | ブレース | φ-114.3×4.5 〈STK490〉 | Ss-2 | EW (C) | C/Cu | 0.45 | OK |

＊1：①～⑥の符号は図 3.3-3 の応力検討箇所を示す

＊2：図 3.2-1 に示す燃料取扱設備の位置を示す

C ：部材軸方向の圧縮力の最大値

Cu：座屈耐力

T ：部材軸方向の引張力の最大値

Tu：引張耐力

(3)　水平振れ止め装置（ストッパ）の耐震性に対する検討

ストッパ（鋼製）の耐震性に対する検討は，材料強度を基準強度 F 値の 1.1 倍としたせん断耐力とし，耐力比が 1 以下になることを確認する。図 3.3-5 にストッパ概要図を示す。

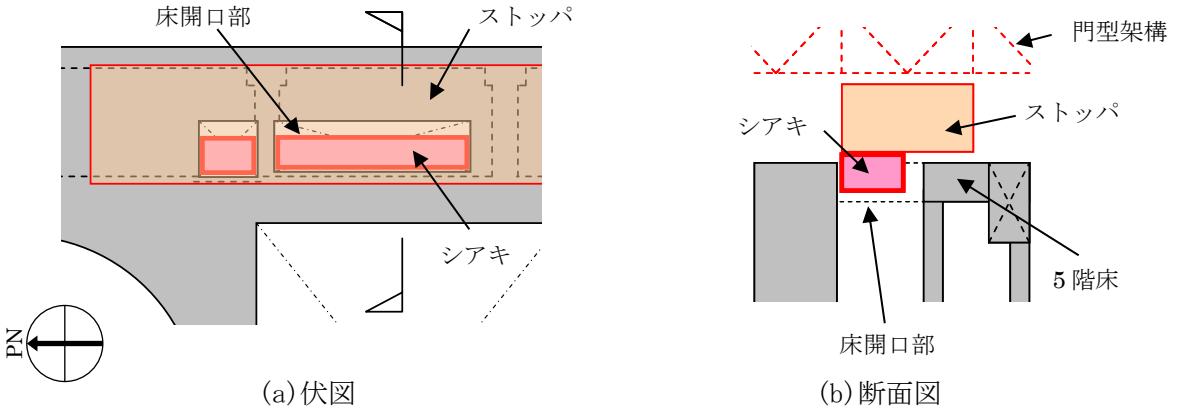
表 3.3-6 に耐力比が最大となる部位の断面検討結果を示す。

断面検討の結果，全てのストッパに対する耐力比が 1 以下になることを確認した。

表 3.3-6　ストッパ（シアキ）の断面検討結果

| 部位 | 地震波 | 入力方向（位置）＊ | 最大応答ストッパ反力 Q(kN) | せん断耐力 Qu(kN) | 耐力比 Q/Qu | 判定 |
|---|---|---|---|---|---|---|
| 東側ストッパ | Ss-1 | EW (D) | 3970 | 9480 | 0.42 | O.K. |

＊：図 3.2-1 に示す燃料取扱設備の位置を示す




(a)伏図　　(b)断面図

図 3.3-5　ストッパ概要図

(4)　制震装置（オイルダンパ）の耐震性に対する検討

原子炉建屋の 5 階床上面 4 箇所に設置するオイルダンパ概念図を図 3.3-6 に示す。

オイルダンパの耐震性に対する検討は，架構と原子炉建屋 5 階床がオイルダンパを介して各々変形する時の相対的な応答値がオイルダンパの許容値以下であることを確認する。

表 3.3-7 に最大応答値と許容値を比較した結果を示す。

検討の結果，全てのオイルダンパで最大応答値が許容値以下になることを確認した。

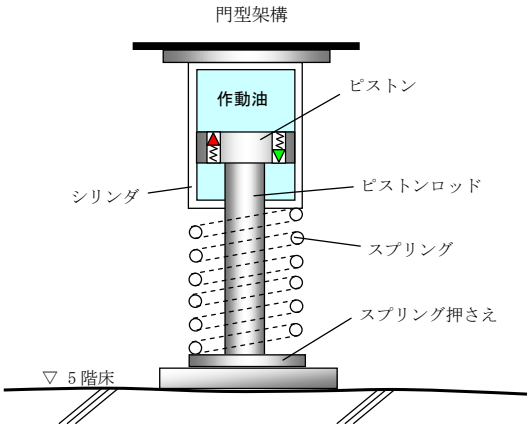



図 3.3-6　オイルダンパ概念図

表 3.3-7　オイルダンパの検討結果

| 検討 | 地震波 | 入力方向<br>（位置）＊ | 最大応答値 | 許容値 | 判定 |
|---|---|---|---|---|---|
| オイルダンパ変位<br>(mm) | Ss-3 | NS (D) | 72 | ±100 | O.K. |
| オイルダンパ速度<br>(m/s) | Ss-1 | NS (D) | 0.48 | 1.00 | O.K. |

＊：図 3.2-1 に示す燃料取扱設備の位置を示す

(5)　基礎の耐震性に対する検討

基礎の浮き上がりに対しては基礎反力（圧縮力を正）の最小値が 0 以上であることを確認し，基礎のすべりに対しては基礎反力の水平力が摩擦耐力以下であることを確認する。

1)　基礎浮き上がりの検討

表 3.3-8 に基礎反力が最小となる部位の基礎浮き上がりの検討結果を示す。

検討の結果，全ての基礎の最小圧縮力が 0 以上になることを確認した。

表 3.3-8　基礎浮き上がりの検討結果

| 部位 | 地震波 | 入力方向<br>（位置）＊ | 最小圧縮力<br>N(kN) | 判定 |
|---|---|---|---|---|
| 東側柱脚<br>(北側) | Ss-3 | NS<br>(C) | 227 | O.K. |

＊：図 3.2-1 に示す燃料取扱設備の位置を示す

2)　基礎すべりの検討

表 3.3-9 に耐力比が最大となる部位の検討結果を示す。

検討の結果，全ての耐力比が 1 以下になることを確認した。

表 3.3-9　基礎すべりの検討結果

| 部位 | 地震波 | 入力方向<br>（位置）＊ | 最大水平力<br>Q(kN) | 摩擦耐力<br>Vu(kN) | 耐力比<br>Q/Vu | 判定 |
|---|---|---|---|---|---|---|
| 東側柱脚 | Ss-1 | EW (D) | 2810 | 4780 | 0.59 | O.K. |

＊：図 3.2-1 に示す燃料取扱設備の位置を示す

(6)　原子炉建屋接触部の耐震性に対する検討

1)　ストッパ接触部

ストッパ接触部の耐震性の検討では，最大ストッパ水平反力が，既存躯体の支圧耐力以下になることを確認する。なお，支圧耐力は，原子炉建屋の設計基準強度(22.1N/mm$^2$)を用いて「プレストレストコンクリート設計施工規準・同解説」に基づき算出する。

表 3.3-10 に耐力比が最大となる部位の検討結果を示す。

検討の結果，全てのストッパ接触部に対する耐力比が 1 以下になることを確認した。

表 3.3-10　ストッパ接触部の検討結果

| 部位 | 地震波 | 入力方向<br>（位置）＊ | 最大ストッパ<br>水平反力<br>N(kN) | 支圧耐力<br>Nu(kN) | 耐力比<br>N/Nu | 判定 |
|---|---|---|---|---|---|---|
| 西側ストッパ | Ss-1 | NS (C) | 10400 | 19600 | 0.54 | O.K. |

＊：図 3.2-1 に示す燃料取扱設備の位置を示す

2)　オイルダンパ接触部

オイルダンパ接触部の耐震性の検討では，最大オイルダンパ鉛直反力が，既存躯体の支圧耐力以下になることを確認する。なお，支圧耐力は，原子炉建屋の設計基準強度(22.1N/mm$^2$)を用いて「プレストレストコンクリート設計施工規準・同解説」に基づき算出する。

表 3.3-11 に耐力比が最大となる部位の検討結果を示す。

検討の結果，全てのオイルダンパ接触部に対する耐力比が 1 以下になることを確認した。

$$N_u = f_n \cdot A_l$$

$$f_n = f_{na}\sqrt{\frac{A_c}{A_l}} \quad \text{ただし，} \quad \sqrt{\frac{A_c}{A_l}} \leq 2.0 *$$

ここに，

$f_n$ ：短期許容支圧応力度(N/mm$^2$)

$f_{na}$ ：$F_{ci}/1.25$ または $0.6F_c$ のうち小さいほうの値(N/mm$^2$)

$F_{ci}$ ：コンクリート強度，特に定めのない場合には 20N/mm$^2$　($F_{ci}$=22.1N/mm$^2$)

$A_c$ ：支圧端から離れて応力が一様分布となったところのコンクリートの支承面積(mm$^2$)

$A_l$ ：局部圧縮を受ける支圧面積(mm$^2$)

(500×500=2.50×10$^5$mm$^2$)

表 3.3-11　オイルダンパ接触部の検討結果

| 部位 | 地震波 | 入力方向<br>（位置）＊ | 最大オイルダンパ<br>鉛直反力<br>N(kN) | 支圧耐力<br>Nu(kN) | 耐力比<br>N/Nu | 判定 |
|---|---|---|---|---|---|---|
| 南側端部 | Ss-1 | NS (D) | 1250 | 6620 | 0.19 | O.K. |

＊：図 3.2-1 に示す燃料取扱設備の位置を示す

3)　基礎設置部

基礎設置部の耐震性の検討では，柱脚の鉛直反力により生じる直下壁の最大軸力が壁の軸耐力以下であることを確認する。

表 3.3-12 に耐力比が最大となる部位の検討結果を示す。

検討の結果，全ての基礎設置部に対する耐力比が 1 以下になることを確認した。

$$N_u = {}_S f_c \cdot A_1$$

ここに，

${}_S f_c$：短期許容圧縮応力度(N/mm$^2$)（${}_S f_c$=22.1×2/3=14.7）

$A_1$：柱脚部支配面積(mm$^2$)

表 3.3-12　壁の圧縮力の検討結果

| 部位 | 地震波 | 入力方向<br>（位置）＊ | 最大軸力<br>N(kN) | 軸耐力<br>Nu(kN) | 耐力比<br>N/Nu | 判定 |
|---|---|---|---|---|---|---|
| 東側柱脚<br>（南側） | Ss-3 | NS<br>(B) | 7430 | 25900 | 0.29 | O.K. |

＊：図 3.2-1 に示す燃料取扱設備の位置を示す

(7)　原子炉建屋の耐震性に対する検討

1)　検討方針

架構の設置に伴う原子炉建屋の耐震性の評価は，耐震安全上重要な設備への波及的影響防止の観点から，地震応答解析により得られる耐震壁のせん断ひずみが鉄筋コンクリート造耐震壁の終局限界に対応した評価基準値（$4.0\times10^{-3}$）以下になることを確認する。

2)　原子炉建屋の地震応答解析

・解析に用いる入力地震動

検討に用いる地震動は，「(2) 架構の耐震性に対する検討」で示した基準地震動 Ss とする。

地震応答解析に用いる入力地震動の概念図は図 3.3-1 と同様であり，モデルに入力する地震動は「(2) 架構の耐震性に対する検討」に示したものと同一である。

・地震応答解析モデル

原子炉建屋の地震応答解析モデルは，図 3.3-7 に示すように質点系でモデル化し，地盤を等価なばねで評価した建屋－地盤連成系モデルとする。

地震応答解析モデルの諸元は，「福島第一原子力発電所の原子炉建屋の現状の耐震安全性および補強等に関する検討に係る報告書（その 2)」（東京電力株式会社，平成 23 年 7 月 13 日）に示される内容に，瓦礫撤去等による重量増減及び新規に設置する燃料取り出し用カバーの重量を考慮した。地震応答解析モデルの諸元のうち表 3.3-2 から変更した質点重量及び回転慣性重量を表 3.3-13 に示す。

地盤定数は，「(2) 架構の耐震性に対する検討」で示した地盤定数と同一である。

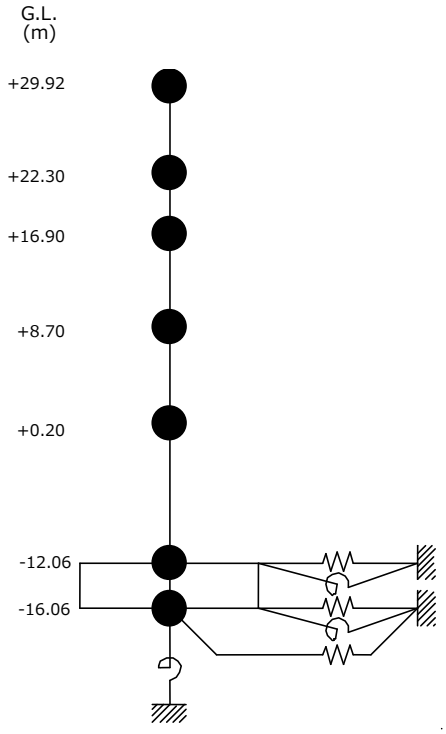



図 3.3-7　原子炉建屋の地震応答解析モデル

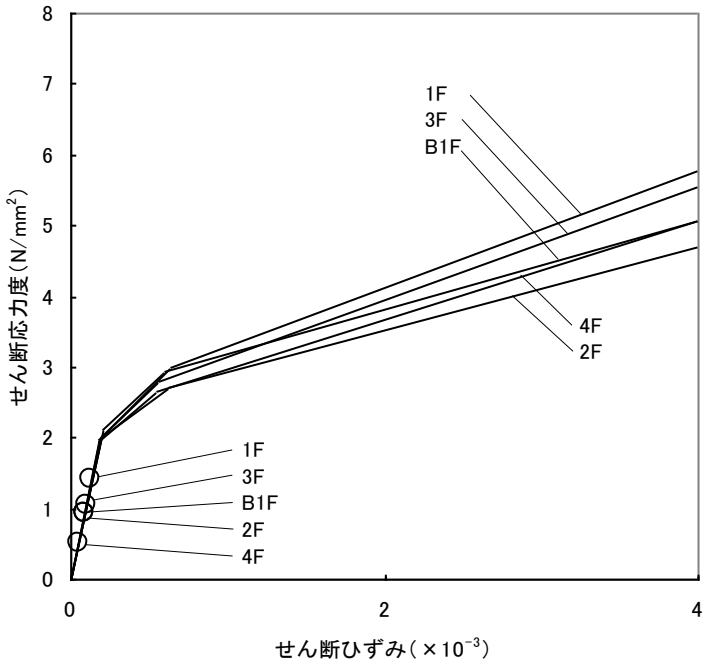
表 3.3-13　原子炉建屋の地震応答解析モデルの諸元（水平方向）

| 標高<br>G.L. (m) | 質点重量<br>W (kN) | 回転慣性重量<br>$I_G$ ($\times 10^5$ kN･m$^2$) | |
|---|---|---|---|
| | | 水平(NS)方向 | 水平(EW 方向) |
| +29.92 | 87590 | 92.34 | 67.32 |
| +22.3 | 119490 | 238.33 | 124.49 |
| +16.9 | 111340 | 204.95 | 204.95 |
| +8.7 | 130160 | 239.58 | 239.58 |
| +0.2 | 253710 | 467.09 | 696.62 |
| -12.06 | 301020 | 554.17 | 826.50 |
| -16.06 | 127000 | 233.79 | 348.72 |
| 合計 | 1130310 | | |

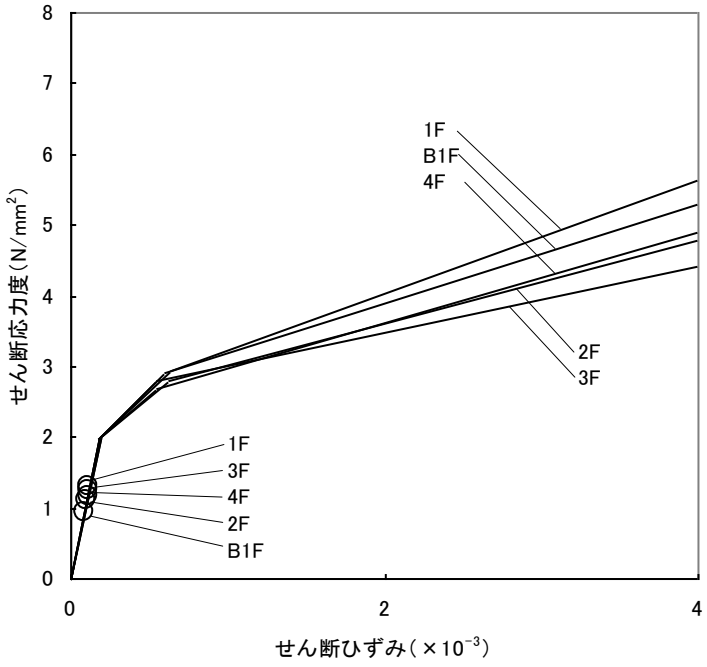
3) 検討結果

基準地震動 Ss に対する最大応答値を，「JEAG 4601-1991」に基づき設定した耐震壁のせん断スケルトン曲線上にプロットした結果を，図 3.3-8 から図 3.3-10 に示す。

検討の結果，地震応答解析により得られる最大応答値は，評価基準値（$4.0\times10^{-3}$）に対して十分に余裕があることを確認した。

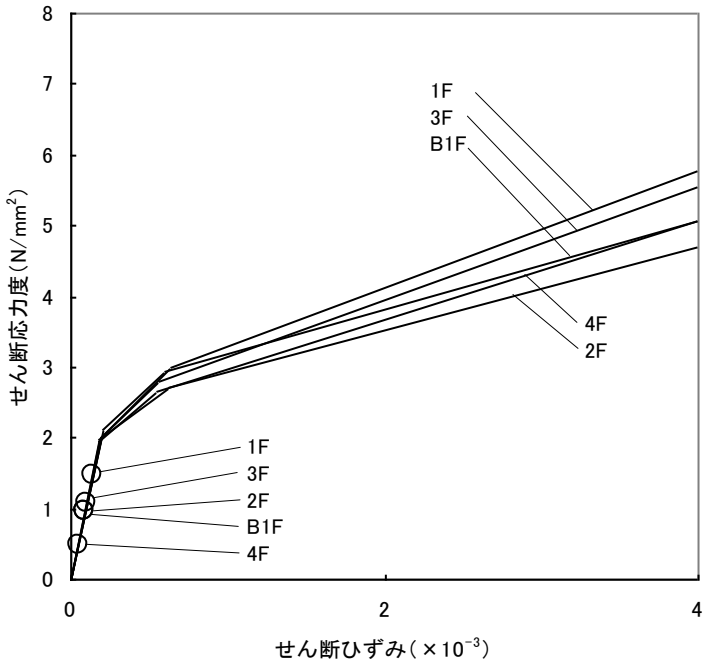



(a) NS 方向

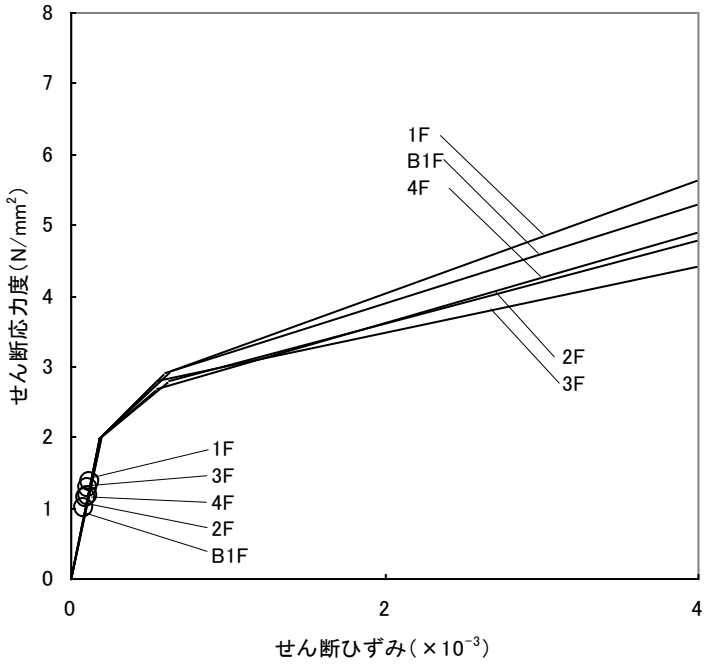



(b) EW 方向

図 3.3-8　せん断スケルトン曲線上の最大応答値（Ss-1）

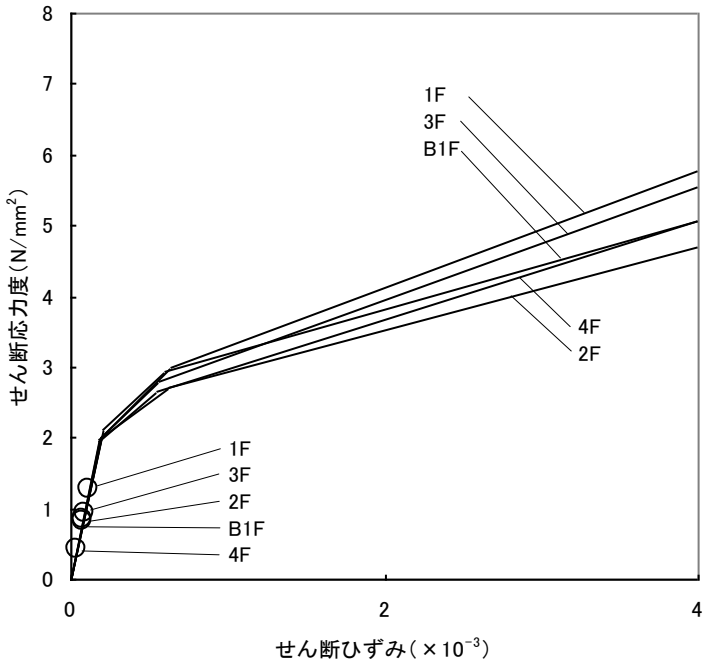



(a) NS 方向

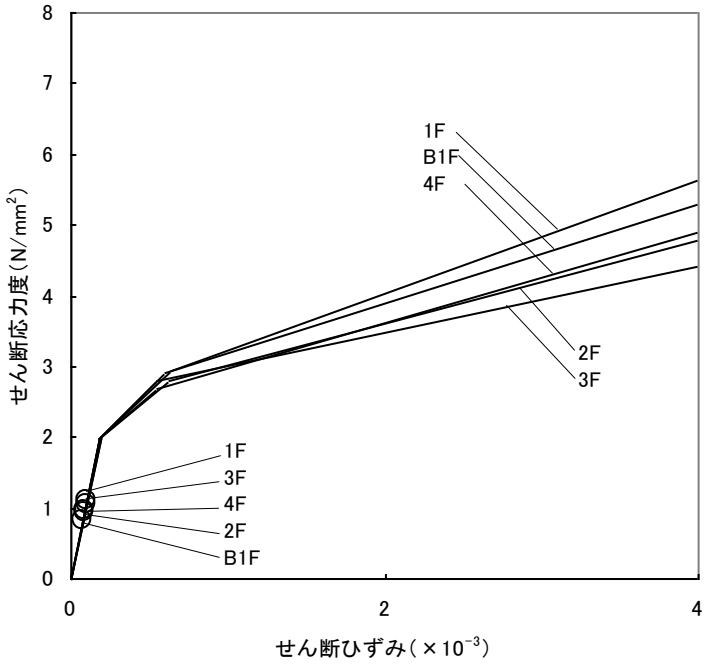



(b) EW 方向

図 3.3-9　せん断スケルトン曲線上の最大応答値（Ss-2）




(a) NS 方向




(b) EW 方向

図 3.3-10　せん断スケルトン曲線上の最大応答値（Ss-3）

4.　2 号機燃料取り出し用構台の構造強度及び耐震性について

4.1　概要

4.1.1　一般事項

2 号機燃料取り出し用構台は，原子炉建屋の南側に設置される基礎・構台・前室と，原子炉建屋に延伸して設置されるランウェイガーダ，弾性支承，オイルダンパから構成され，改良地盤上に設置する。また，ランウェイガーダ上を燃料取扱設備が走行する。ここでは，本燃料取り出し用構台の構造強度と耐震性について検討を行う。なお，2021 年 9 月 8 日の原子力規制委員会で示された耐震設計の考え方を踏まえ，安全機能の重要度，地震によって機能の喪失を起こした場合の安全上の影響（公衆への被ばく影響）や廃炉活動への影響等を考慮した上で，核燃料物質を非密封で扱う燃料加工施設や使用施設等における耐震クラス分類を参考にして適切な耐震設計上の区分を行うとともに，適切と考えられる設計用地震力に十分耐えられる設計とし，具体的には B+クラスに分類される燃料取出設備の間接支持構造物として，B+クラス相当の地震力に対する耐震評価を行う。なお，耐震クラス分類に係わる被ばく評価については，「別冊２８　２号機　使用済燃料プールからの燃料取り出し設備に係る補足説明」（以下，別冊２８と記載）P113～P130 参照。

燃料取り出し用構台の構造強度は一次設計に対応した許容応力度設計を実施し，耐震性は検討用地震動（最大加速度 900gal）の 1/2 の最大加速度 450gal の地震動（以下，1/2Ss450 と記載）に対する地震応答解析を実施し，燃料取り出し用構台の損傷が原子炉建屋，使用済燃料プール及び使用済燃料ラックに波及的影響を及ぼさないことを確認する。ここで，波及的影響の確認は，燃料取り出し用構台が崩壊機構に至らないことを確認する。検討用地震動（最大加速度 900gal）は「東京電力福島第一原子力発電所の外部事象に対する防護の検討について」（東京電力株式会社，平成 26 年 10 月 3 日，特定原子力施設監視・評価検討会（第 27 回））にて提示した地震動とする。

なお，2 号機燃料取り出し用構台については，実施計画変更認可申請の審査期間中に，適用地震動見直しが行われたことから，一部の評価については，「福島第一原子力発電所『発電用原子炉施設に関する耐震設計審査指針』の改訂に伴う耐震安全性評価結果中間報告書」（東京電力株式会社，平成 20 年 3 月 31 日）にて作成した解放基盤表面で定義される新規制基準によらない従来の Ss（最大加速度 600gal）（以下，Ss600 と記載）に対する地震応答解析結果との比較から耐震性を確認する。図 4.1.1-1 に燃料取り出し用構台のイメージを示す。

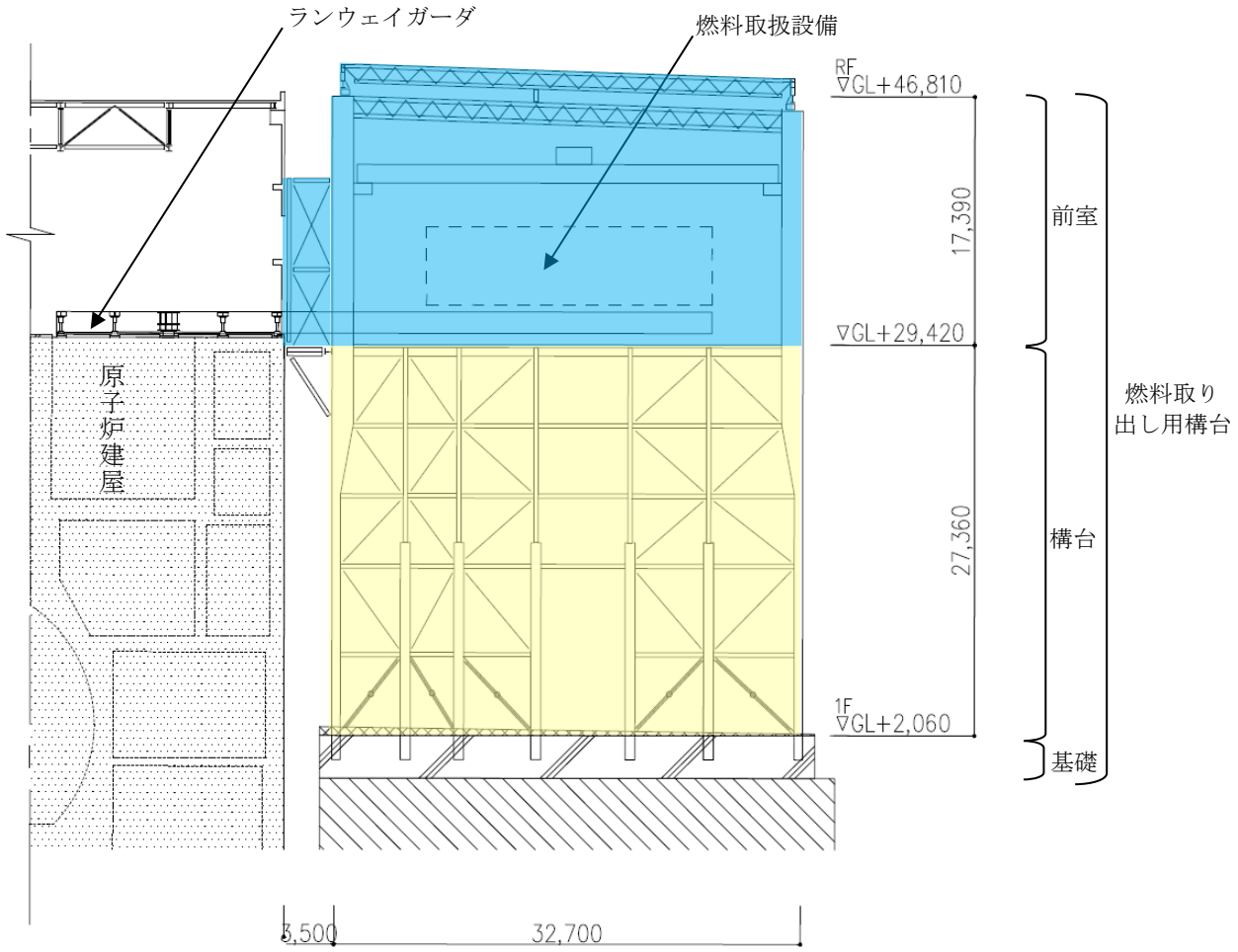



図 4.1.1-1　燃料取り出し用構台のイメージ（単位：mm）

燃料取り出し用構台の検討は原則として下記の法規及び基規準類に準拠して行う。

(1) 建築基準法・同施行令及び関連告示
(2) 原子力施設鉄筋コンクリート構造計算規準・同解説（日本建築学会，改訂版 2013 年８月発行）
(3) 鉄筋コンクリート構造計算規準・同解説（日本建築学会，2018 年 12 月）
(4) 鋼構造設計規準－許容応力度設計法－（日本建築学会，2005 年 9 月）
(5) 2015 年版 建築物の構造関係技術基準解説書(国土交通省住宅局建築指導課･国土交通省 国土技術政策総合研究所･独立行政法人建築研究所･日本建築行政会議，2015 年)
(6) 鋼構造塑性設計指針（日本建築学会，2010 改定）
(7) 原子力発電所耐震設計技術指針(JEAG 4601-1987)（日本電気協会 電気技術基準調査委員会，昭和 62 年 8 月 改訂）
(8) 原子力発電所耐震設計技術指針(JEAG 4601-1991 追補版)（日本電気協会 電気技術基準調査委員会，平成 3 年 6 月 発刊）
(9) 原子力発電所耐震設計技術規程(JEAC 4601-2015)（日本電気協会 原子力規格委員会，平成 27 年 6 月 改定）
(10) 乾式キャスク使用済燃料中間建屋の基礎構造の設計技術規程(JEAC 4616-2009)（日本電気協会 原子力規格委員会，平成 22 年 4 月 発刊）

4.1.2　構造概要

燃料取り出し用構台は，東西方向 27.0m，南北方向 32.7m，高さ 44.75m の矩形架構で構造種別は鉄骨造である。燃料取り出し用構台の概要を以下に示す。なお，オイルダンパ，弾性支承の設置目的及び役割については，別冊２８ P6 参照。

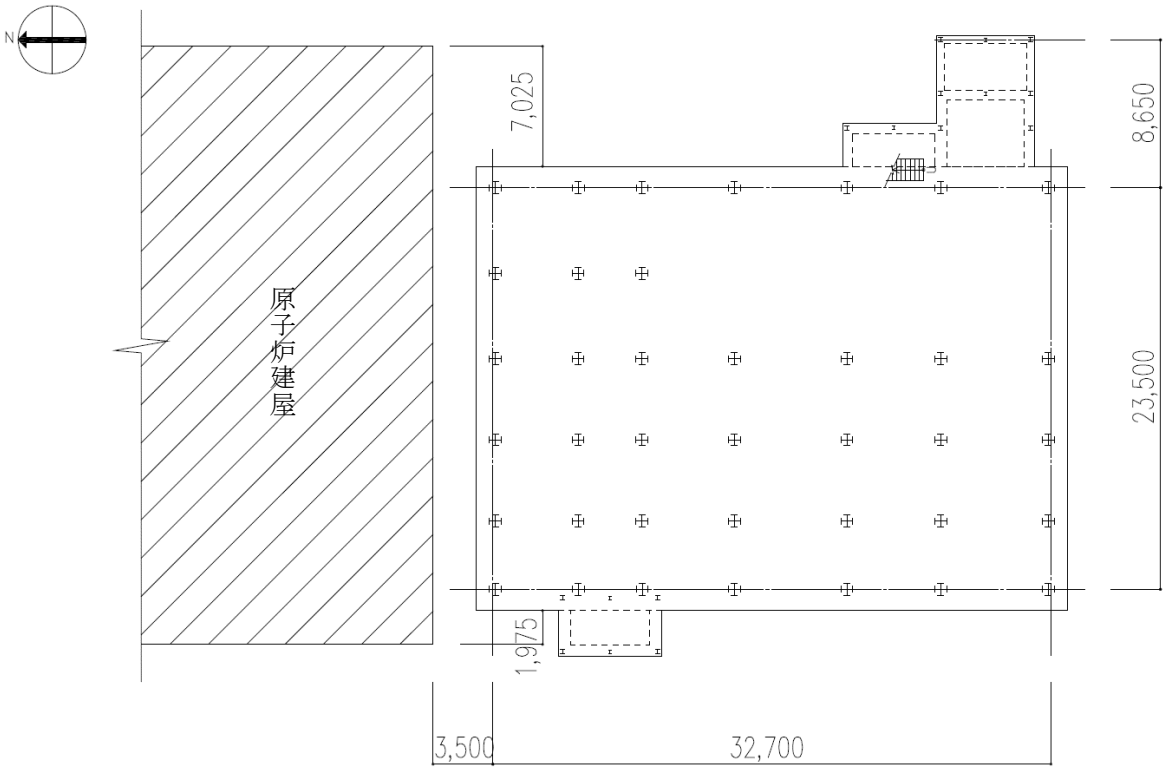
(1) 原子炉建屋と燃料取り出し用構台の間にオイルダンパ（水平棟間）を設置する。

(2) 構台は 5 層の柱・梁・ブレース及びオイルダンパ（鉛直）から成る架構とし，オイルダンパ（鉛直）はブレース状に配置する。

(3) 前室は，柱・梁・ブレース及び屋根トラスから成る架構とする。

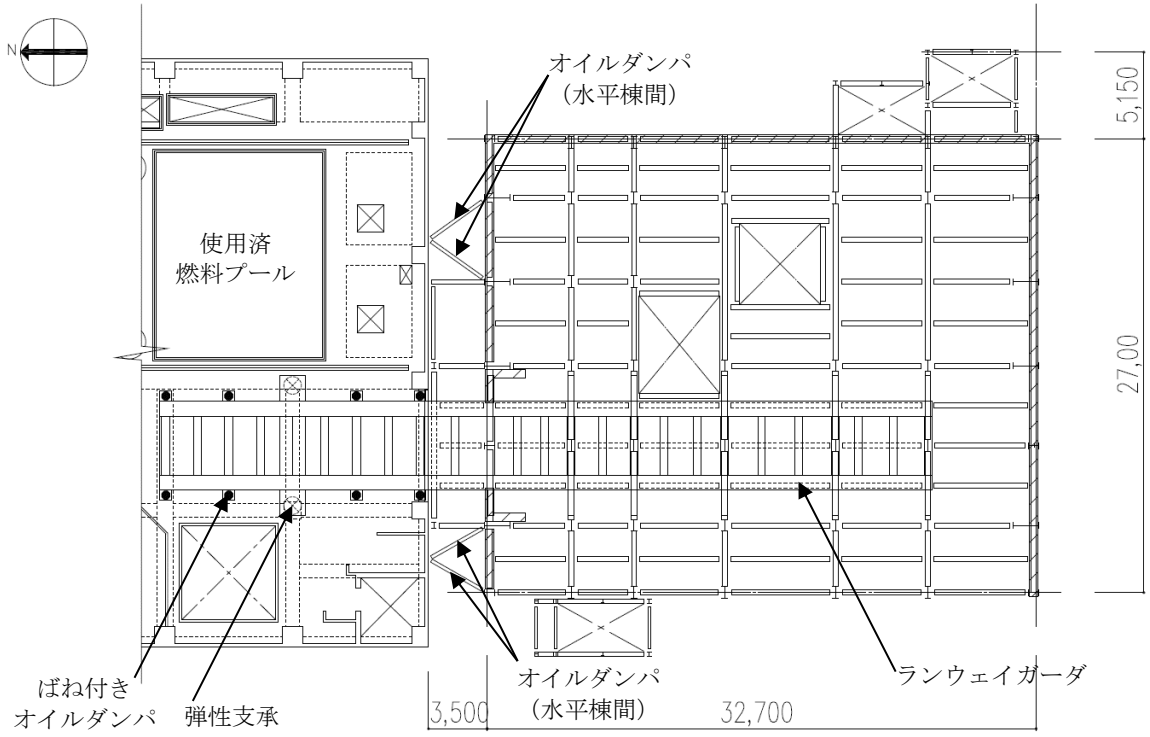
(4) ランウェイガーダは，原子炉建屋南側外壁に開口を設け，構台と原子炉建屋に跨がる形で設置する。構台内では EW 方向の大梁に接続し，水平方向，鉛直方向ともに支持する。原子炉建屋内では水平方向の支持は行わないため，構台からの片持形式であり，鉛直方向は弾性支承で支持する。なお，弾性支承と原子炉建屋床面の固定は行わない。また，ランウェイガーダと原子炉建屋床面との間にばね付きオイルダンパを設置する。ばね付きオイルダンパの下面にはすべり材を取付け，原子炉建屋床面上に設置したすべり板との間で接触させ，水平方向に滑動可能な構造とする。

燃料取り出し用構台の概要図を図 4.1.2-1～図 4.1.2-3 に示す。

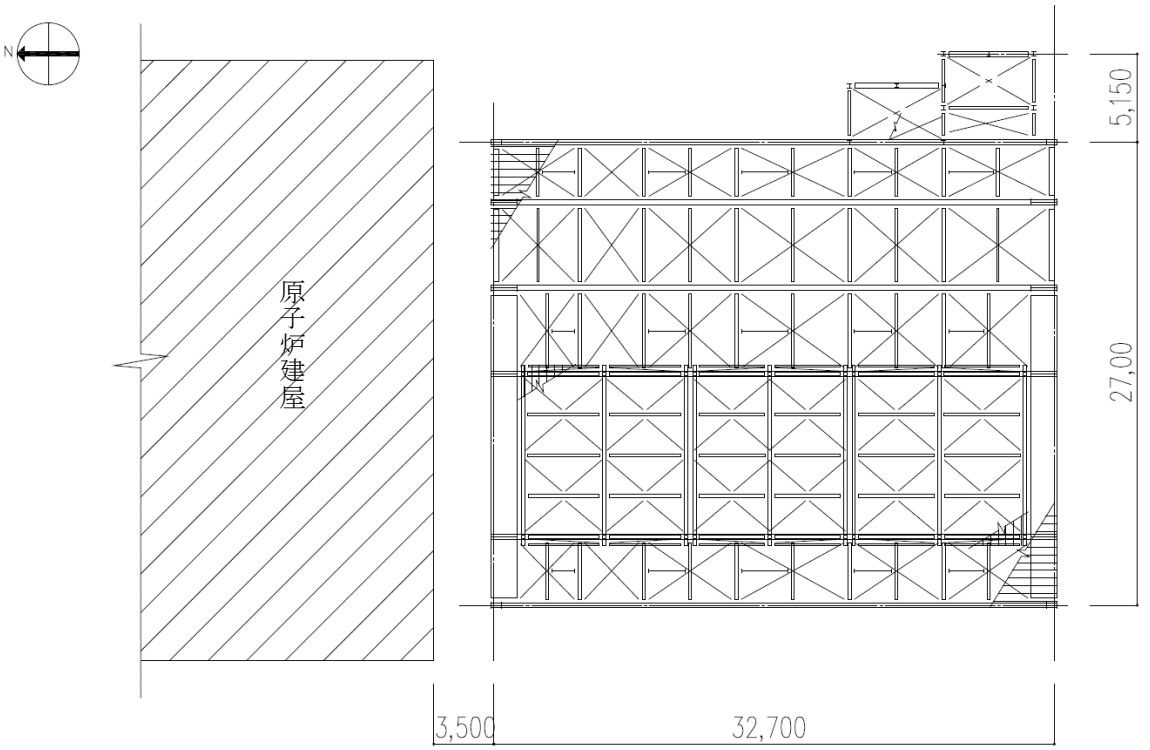



(a) 1F 伏図(G.L.2,020)

図 4.1.2-1　燃料取り出し用構台の概要（単位：mm）

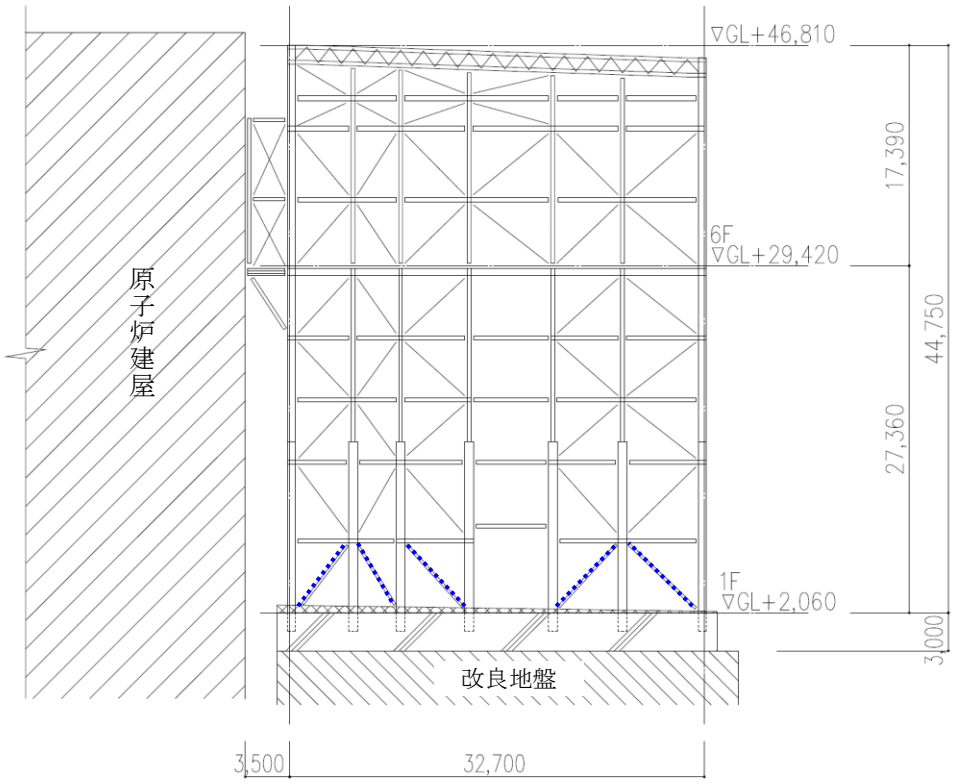



(a) 6F 伏図(G. L. 29, 420)

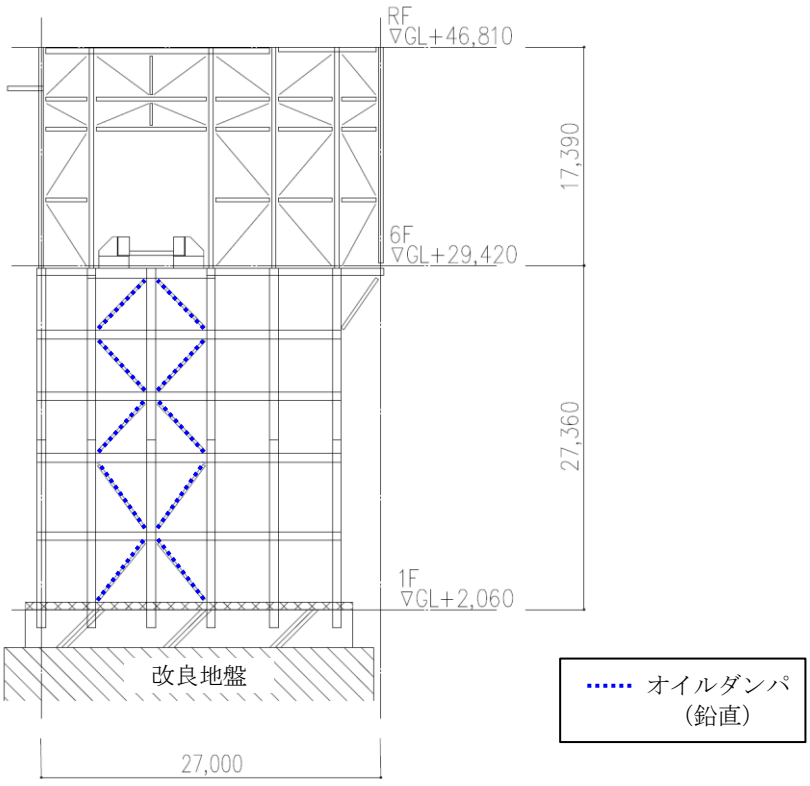



(b) 屋根伏図

図 4.1.2-2　燃料取り出し用構台の概要（単位：mm）




(a) 構台最西側軸組図




(b) 構台最北側軸組図

図 4.1.2-3　燃料取り出し用構台の概要（単位：mm）

4.1.3　検討フロー

燃料取り出し用構台の構造強度及び耐震性の検討フローを図 4.1.3-1 に示す。

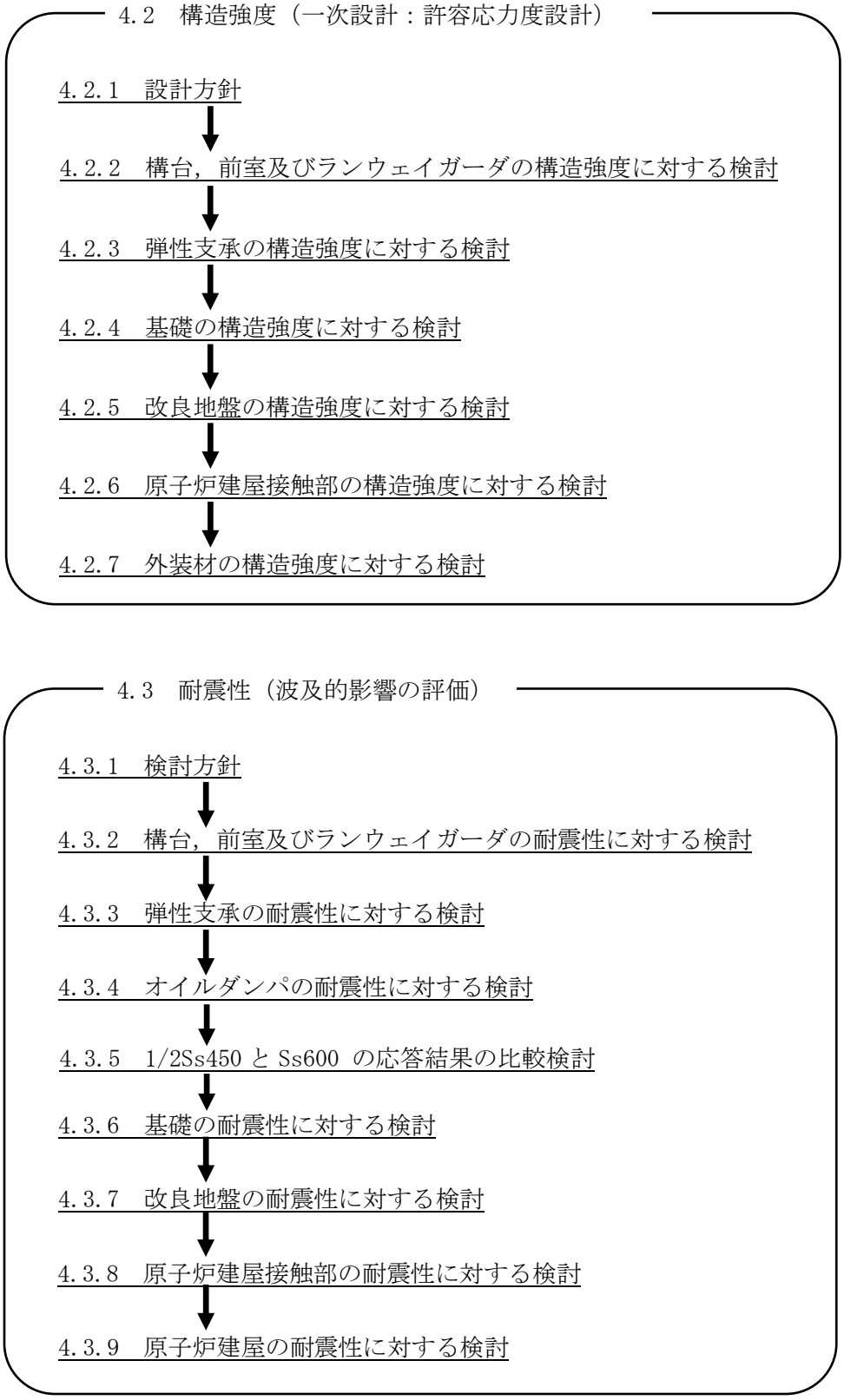



図 4.1.3-1　燃料取り出し用構台の検討フロー

4.2　構造強度

4.2.1　設計方針

構造強度の検討は，構台，前室及びランウェイガーダ，弾性支承，基礎及び改良地盤について許容応力度設計を実施する。

(1)　使用材料及び許容応力度

使用材料の物性値及び許容応力度を表 4.2.1-1～表 4.2.1-3 に示す。なお，弾性支承の詳細仕様については，別冊２８ P46，P47 参照。

表 4.2.1-1　燃料取り出し用構台の物性値及び許容応力度

材料定数

| 部位 | 材料 | ヤング係数<br>E (N/mm$^2$) | ポアソン比<br>$\nu$ | 単位体積重量<br>$\gamma$ (kN/m$^3$) |
|---|---|---|---|---|
| 架　　構 | 鉄骨 | $2.05\times10^5$ | 0.3 | 77.0 |
| 床・基礎スラブ | コンクリート | $2.27\times10^4$ | 0.2 | 23.0 |

コンクリートの許容応力度　（単位：N/mm$^2$）

| 設計基準強度 | 長期 | | | 短期 | | |
|---|---|---|---|---|---|---|
| 24 | 圧縮 | 引張 | せん断 | 圧縮 | 引張 | せん断 |
| | 8.0 | － | 0.73 | 16.0 | － | 1.095 |

鉄筋の許容応力度　（単位：N/mm$^2$）

| 記号 | 鉄筋径 | 長期 | | 短期 | |
|---|---|---|---|---|---|
| | | 引張及び圧縮 | せん断補強 | 引張及び圧縮 | せん断補強 |
| SD295 | － | 195 | 195 | 295 | 295 |
| SD345 | D29 未満 | 215 | 195 | 345 | 345 |
| | D29 以上 | 195 | | | |

構造用鋼材の許容応力度　（単位：N/mm$^2$）

| 板厚 | 材料 | 基準強度 F | 許容応力度 |
|---|---|---|---|
| T≦40mm | SGLCC | 205 | JIS G 3321 に従い，左記 F の値（降伏点又は耐力）より求める |
| | SS400 | 235 * | 「建設省告示第 2464 号」に従い，左記 F の値より求める<br>*:終局強度は基準強度 F 値の 1.1 倍とする。 |
| | SM490A，STK490 | 325 * | |
| | SN490B，SN490C | 325 * | |
| T＞40mm | SN490B | 295 * | |
| | TMCP325 | 325 | |

表 4.2.1-2　弾性支承の物性値

弾性支承の物性値

| 種別 | ゴム | | | 鋼　材 | |
|---|---|---|---|---|---|
| 積層ゴム | ゴム径<br>(mm) | 鉛直剛性<br>($\times 10^3$ kN/m) | 水平剛性<br>($\times 10^3$ kN/m) | フランジ<br>プレート | 内部鋼板 |
| | 750 | 2140 | 0* | SS400 | SS400 |

＊：ローラー支承と仮定

表 4.2.1-3　改良地盤・支持地盤の許容応力度

改良地盤の許容応力度　　(単位：kN/m$^2$)

| 設計基準強度=3000*1 | 長期 | | | 短期 | | |
|---|---|---|---|---|---|---|
| | 圧縮 | 引張 | せん断 | 圧縮 | 引張 | せん断 |
| 改良地盤 | 1000 | － | 200 | 2000 | － | 400 |
| 断面欠損を考慮*2 | 980 | － | 150 | 1960 | － | 300 |

＊1：設計圧縮強度 = 5000kN/m$^2$

＊2：「JEAC4616-2009」に準拠し，断面欠損を鉛直方向に 2%，せん断方向に 25%考慮した

支持地盤の許容支持力度　　(単位：kN/m$^2$)

| 種別 | 長期*3 | 短期*3 |
|---|---|---|
| 泥岩（岩盤） | 1960 | 3920 |

＊3：「福島第一原子力発電所第４号機工事計画認可申請書」による

(2)　荷重及び荷重組合せ

設計で考慮する荷重を以下に示す。

1)　鉛直荷重（VL）

燃料取り出し用構台に作用する鉛直方向の荷重で，固定荷重，機器荷重，配管荷重及び積載荷重とする。

・燃料取扱設備荷重（CL）

燃料取扱設備による荷重を表 4.2.1-4 に示す。なお，燃料取扱設備位置の選定根拠については，別冊２８ P52～P54 参照。

構内用輸送容器揚重時を想定し，構内用輸送容器を含んだ重量とする。

表 4.2.1-4　燃料取扱設備荷重

| 位　置 | 合計重量(t) |
|---|---|
| 原子炉建屋内(A) | 310 |
| 前室内(B) | 310 |

2)　積雪荷重（SL）

積雪荷重は建築基準法施行令第 86 条及び福島県建築基準法施行規則細則に準拠し以下の条件とする。

なお，国土交通省告示 594 号による多雪区域以外の区域における積雪後の降雨を見込んだ割増係数を乗じた積雪荷重を考慮する。

積雪量：30cm，単位荷重：20N/m$^2$/cm

3)　風圧力（WL）

風圧力は建築基準法施行令第 87 条および建設省告示第 1454 号に基づき，基準風速を 30m/s，地表面粗度区分Ⅱとして算定する。速度圧の算定結果を表 4.2.1-5 に示す。

表 4.2.1-5　速度圧の算定結果

| 建物高さ*<br>H(m) | 平均風速の<br>鉛直分布係数<br>Er | ガスト<br>影響係数<br>Gf | 建物高さと粗度<br>区分による係数<br>E | 基準風速<br>Vo(m/s) | 速度圧<br>q(N/m$^2$) |
|---|---|---|---|---|---|
| 46.81 | 1.26 | 2.00 | 3.16 | 30 | 1707 |

＊：建物高さは，安全側に水上鉄骨天端とする

4)　地震荷重（K）

燃料取り出し用構台に作用させる地震荷重は，G.L.+2.06m（構台基礎上端レベル）を基準面とした構台の水平地震力の算定結果より設定する。水平地震力は下式より算定し，算定結果を表4.2.1-6および表4.2.1-7に示す。

$$Qi = n \cdot Ci \cdot Wi$$

$$Ci = Z \cdot Rt \cdot Ai \cdot Co$$

ここで，

Qi：層せん断力（kN）

n　：施設の重要度に応じた係数

建築基準法で定める地震力の1.5倍を考慮する。

Ci：地震層せん断力係数

Wi：当該部分が支える重量（kN）

Z　：地震地域係数（Z=1.0）

Rt　：振動特性係数（Rt=0.8）

Ai　：地震層せん断力係数の高さ方向の分布係数で，燃料取り出し用構台の固有値を用いたモーダル解析法（二乗和平方根法）により求める。

$C_0$　：標準せん断力係数（$C_0$=0.2）

i層の水平震度kiは，下式によって算定する。

$Pi=Q_i-Q_{i-1}$

$ki=Pi/wi$

ここで，

Pi：当該階とその直下階の水平地震力の差（kN）

wi：各階重量（kN）

表 4.2.1-6　燃料取り出し用構台の水平震度の算定結果（NS 方向）

| 階 | 標 高<br>G.L.(m) | 各階重量<br>wi(kN) | Wi<br>(kN) | Ai | n・Ci | Qi<br>(kN) | Pi<br>(kN) | 水平震度<br>ki |
|---|---|---|---|---|---|---|---|---|
| R | 46.81 | 3523.2 | — | — | — | — | 1068 | 0.304 |
| 8 | 46.81～40.42 | 2275.1 | 3523.2 | 1.263 | 0.303 | 1068 | 655 | 0.288 |
| 7 | 40.42～34.82 | 1316.1 | 5798.3 | 1.238 | 0.297 | 1722 | 354 | 0.269 |
| 6 | 34.82～29.42 | 22168.4 | 7114.4 | 1.216 | 0.293 | 2076 | 5631 | 0.254 |
| 5 | 29.42～24.30 | 2805.8 | 29282.8 | 1.097 | 0.263 | 7707 | 638 | 0.228 |
| 4 | 24.30～19.38 | 2426.8 | 32088.5 | 1.084 | 0.260 | 8345 | 487 | 0.201 |
| 3 | 19.38～14.46 | 2957.4 | 34515.3 | 1.066 | 0.257 | 8832 | 524 | 0.178 |
| 2 | 14.46～8.26 | 3530.4 | 37472.7 | 1.040 | 0.249 | 9356 | 484 | 0.138 |
| 1 | 8.26～2.06 | — | 41003.1 | 1.000 | 0.240 | 9841 | — | — |

表 4.2.1-7　燃料取り出し用構台の水平震度の算定結果（EW 方向）

| 階 | 標 高<br>G.L.(m) | 各階重量<br>wi(kN) | Wi<br>(kN) | Ai | n・Ci | Qi<br>(kN) | Pi<br>(kN) | 水平震度<br>ki |
|---|---|---|---|---|---|---|---|---|
| R | 46.81 | 3523.2 | — | — | — | — | 1147 | 0.326 |
| 8 | 46.81～40.42 | 2275.1 | 3523.2 | 1.357 | 0.326 | 1147 | 719 | 0.317 |
| 7 | 40.42～34.82 | 1316.1 | 5798.3 | 1.341 | 0.323 | 1866 | 376 | 0.286 |
| 6 | 34.82～29.42 | 22168.4 | 7114.4 | 1.313 | 0.315 | 2242 | 6033 | 0.273 |
| 5 | 29.42～24.30 | 2805.8 | 29282.8 | 1.178 | 0.282 | 8276 | 609 | 0.217 |
| 4 | 24.30～19.38 | 2426.8 | 32088.5 | 1.154 | 0.278 | 8884 | 394 | 0.163 |
| 3 | 19.38～14.46 | 2957.4 | 34515.3 | 1.120 | 0.269 | 9278 | 339 | 0.115 |
| 2 | 14.46～8.26 | 3530.4 | 37472.7 | 1.069 | 0.257 | 9617 | 224 | 0.064 |
| 1 | 8.26～2.06 | — | 41003.1 | 1.000 | 0.240 | 9841 | — | — |

5)　荷重組合せ

設計で考慮する燃料取扱設備の位置を図 4.2.1-1 に，荷重組合せを表 4.2.1-8 に示す。

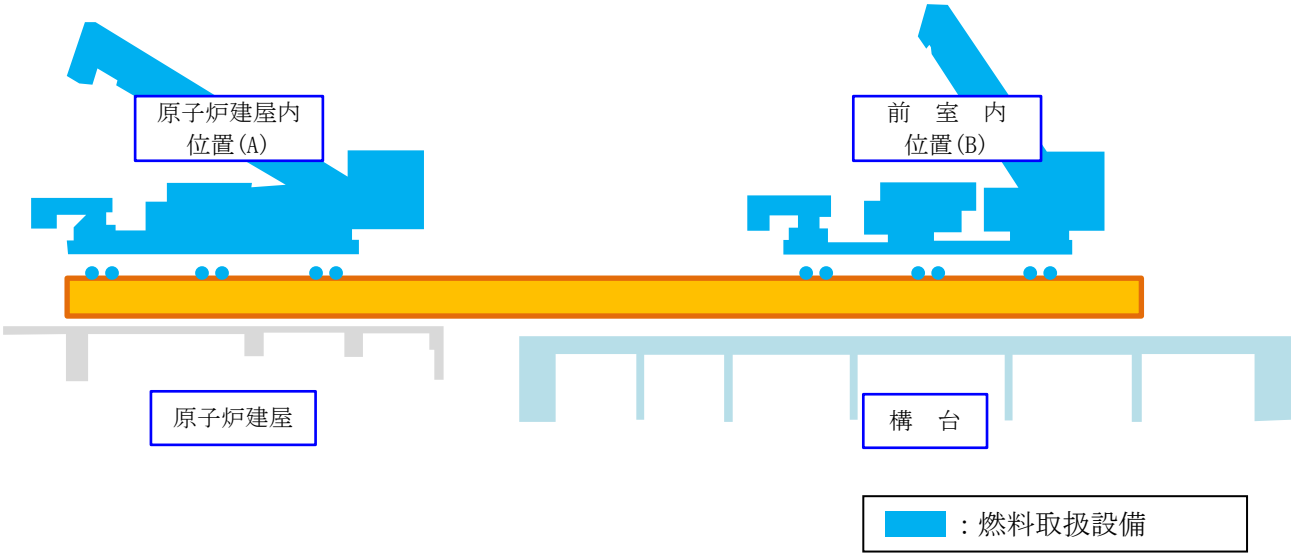



図 4.2.1-1　燃料取扱設備の位置

表 4.2.1-8　荷重組合せ

| 想定する状態 | 荷重ケース | 荷重組合せ内容 | 許容応力度 |
|---|---|---|---|
| 常時 | C | VL | 長期 |
| 積雪時 | S | VL+SL | 短期 |
| 暴風時 | W | VL+WL | |
| 地震時 | E1 | VL+K(+NS) | |
| | E2 | VL+K(-NS) | |
| | E3 | VL+K(+EW) | |
| | E4 | VL+K(-EW) | |

注：各荷重ケースにおいて，燃料取扱設備の位置は原子炉建屋内位置(A)と前室内位置(B)の 2 ケース考慮する。

地震時と暴風時の燃料取り出し用構台の層せん断力について，風荷重の受圧面積が大きい EW 方向で比較した結果を図 4.2.1-2 に示す。図 4.2.1-2 より，地震時の層せん断力は暴風時の層せん断力を包絡しており，支配的な荷重である。

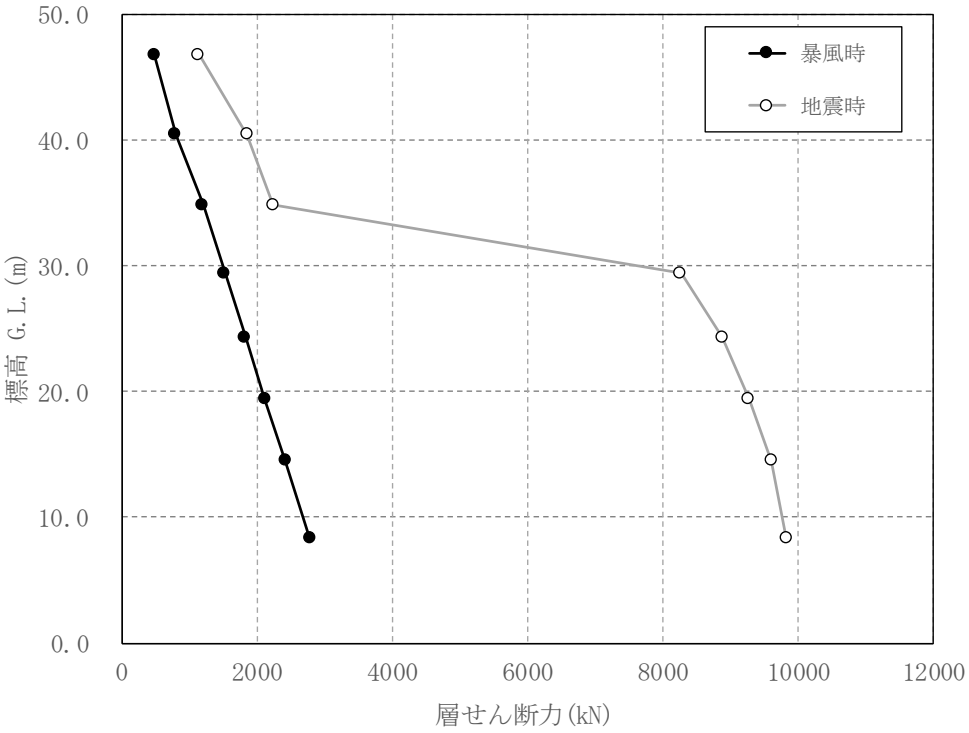



図 4.2.1-2　地震時と暴風時の層せん断力の比較（EW 方向）

4.2.2　構台，前室及びランウェイガーダの構造強度に対する検討

(1) 解析モデル

架構の解析モデルは，構台及び前室とランウェイガーダを構成する主要な鉄骨部材からなる立体架構モデルとする。図 4.2.2-1 に架構の立体解析モデルを示す。解析モデルの柱脚部は固定とする。

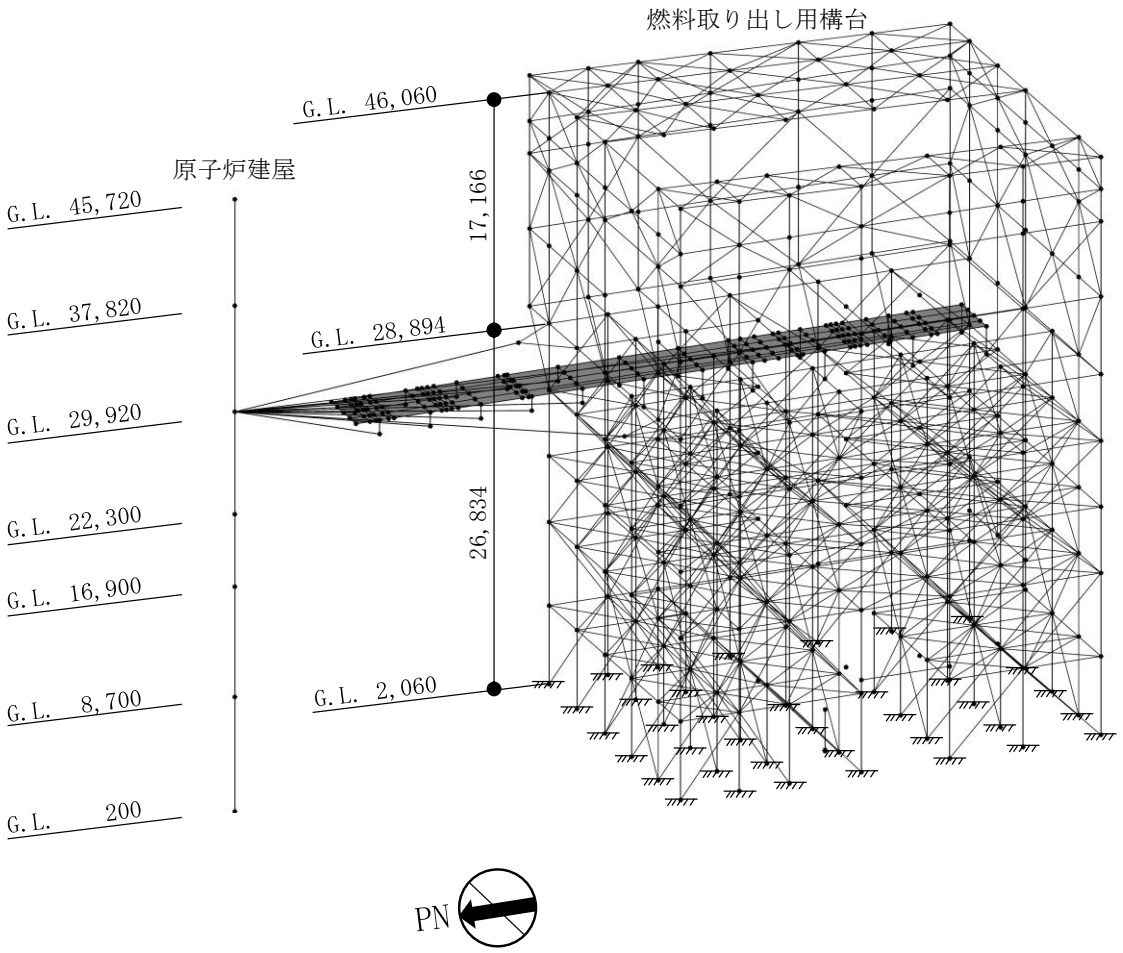



図 4.2.2-1　解析モデル

(2) 断面検討

1) 柱及び梁部材の検討

部材の応力度比は,「鋼構造設計規準」に従い，2 方向の曲げ，軸力及びせん断力の各最大応力と各許容応力度との比を組み合わせた値で表される。

・軸圧縮の場合 $$\sqrt{\left(\frac{\sigma_c}{f_c}+\frac{\sigma_{by}}{f_{by}}+\frac{\sigma_{bz}}{f_{bz}}\right)^2+\left(\frac{\tau}{f_s}\right)^2}\leqq 1$$

・軸引張の場合 $$\sqrt{\left(\frac{\sigma_t}{f_t}+\frac{\sigma_{by}}{f_{by}}+\frac{\sigma_{bz}}{f_{bz}}\right)^2+\left(\frac{\tau}{f_s}\right)^2}\leqq 1$$

ここで, $\sigma_c$, $\sigma_t$：圧縮応力度（N/A）及び引張応力度（T/A）(N/mm$^2$)

N：圧縮力(N)，T：引張力(N)，A：断面積(mm$^2$)

$\sigma_{by}$, $\sigma_{bz}$：強軸まわりの曲げ応力度（$M_y/Z_y$）

及び弱軸まわりの曲げ応力度（$M_z/Z_z$）(N/mm$^2$)

$M_y$, $Z_y$：強軸まわりの曲げモーメント(Nm)及び断面係数(mm$^3$)

$M_z$, $Z_z$：弱軸まわりの曲げモーメント(Nm)及び断面係数(mm$^3$)

$\tau$：せん断応力度（$Q/A_s$）(N/mm$^2$)

Q：せん断力(N)，$A_s$：せん断断面積(mm$^2$)

$f_c$：許容圧縮応力度(N/mm$^2$)

$f_t$：許容引張応力度(N/mm$^2$)

$f_{by}$：強軸まわりの許容曲げ応力度(N/mm$^2$)

$f_{bz}$：弱軸まわりの許容曲げ応力度(N/mm$^2$)

$f_s$：許容せん断応力度(N/mm$^2$)

2) トラス梁の斜材，ブレースの検討

応力度比の検討は，軸力に対し下式にて検討を行う。

・軸圧縮の場合 $$\frac{\sigma_c}{f_c}\leqq 1$$

・軸引張の場合 $$\frac{\sigma_t}{f_t}\leqq 1$$

ここで, $\sigma_c$, $\sigma_t$：圧縮応力度（N/A）及び引張応力度（T/A）(N/mm$^2$)

N：圧縮力(N)，T：引張力(N)，A：断面積(mm$^2$)

$f_c$：許容圧縮応力度(N/mm$^2$)

$f_t$：許容引張応力度(N/mm$^2$)

表 4.2.2-1 に常時に応力度比が最大となる部位の断面検討結果を，図 4.2.2-2 に応力度比が最大となる部材を示した図を示す。同様に，表 4.2.2-2 に地震時に応力度比が最大となる部位の断面検討結果を，図 4.2.2-3 に応力度比が最大となる部位を示した図を示す。

断面検討の結果，全ての部材に対する応力度比が 1 以下になることを確認した。

表 4.2.2-1　断面検討結果（常時）

| 部　位 | | 部材形状(mm)<br>〈使用材料〉 | 荷重ケース<br>(位置) | 作用応力度<br>($N/mm^2$) | | 許容応力度<br>($N/mm^2$) | | 応力度比 | 判定 |
|---|---|---|---|---|---|---|---|---|---|
| 前室 | ⓐ柱 | H-1500×400<br>×16×32<br>〈SM490A〉 | C<br>(A,B) | $\sigma_c$ | 7.4 | $f_c$ | 203 | 0.32 | O.K. |
| | | | | $\sigma_{by}$ | 49.7 | $f_{by}$ | 211 | | |
| | | | | $\sigma_{bz}$ | 9.4 | $f_{bz}$ | 216 | | |
| | | | | $\tau$ | 4.6 | $f_s$ | 125 | | |
| | ⓑ梁 | H-1500×500<br>×19×40<br>〈SM490A〉 | C<br>(A,B) | $\sigma_t$ | 0.2 | $f_t$ | 216 | 0.11 | O.K. |
| | | | | $\sigma_{by}$ | 5.1 | $f_{by}$ | 193 | | |
| | | | | $\sigma_{bz}$ | 16.0 | $f_{bz}$ | 216 | | |
| | | | | $\tau$ | 1.2 | $f_s$ | 125 | | |
| | ⓒ鉛直<br>ブレース | φ-355.6×9.5<br>〈STK490〉 | C<br>(A,B) | $\sigma_c$ | 30.2 | $f_c$ | 157 | 0.20 | O.K. |
| | ⓓ屋根トラス上下弦材 | H-300×300×16<br>×16<br>〈SM490A〉 | C<br>(A,B) | $\sigma_c$ | 76.4 | $f_c$ | 174 | 0.45 | O.K. |
| | | | | $\sigma_{bz}$ | 2.1 | $f_{bz}$ | 216 | | |
| | | | | $\tau$ | 0.2 | $f_s$ | 125 | | |
| | ⓔ屋根トラス斜材 | 2[s-150×75×<br>6.5×10<br>〈SS400〉 | C<br>(A,B) | $\sigma_c$ | 59.9 | $f_c$ | 136 | 0.45 | O.K. |
| | ⓕランウェイガーダ | □-1500×900×<br>(80+40)×80<br>〈SN490B〉 | C<br>(B) | $\sigma_c$ | 0.0 | $f_c$ | 196 | 0.25 | O.K. |
| | | | | $\sigma_b$ | 45.7 | $f_b$ | 196 | | |
| | | | | $\tau$ | 9.2 | $f_s$ | 113 | | |
| 構台 | ⓖ柱 | H-700×300<br>×16×32<br>〈SM490A〉 | C<br>(B) | $\sigma_c$ | 48.7 | $f_c$ | 144 | 0.48 | O.K. |
| | | | | $\sigma_{by}$ | 20.5 | $f_{by}$ | 161 | | |
| | | | | $\sigma_{bz}$ | 2.1 | $f_{bz}$ | 216 | | |
| | | | | $\tau$ | 3.8 | $f_s$ | 125 | | |
| | ⓗ梁 | H-800×350<br>×19×36<br>〈SM490A〉 | C<br>(B) | $\sigma_c$ | 0.0 | $f_c$ | 200 | 0.44 | O.K. |
| | | | | $\sigma_{by}$ | 59.0 | $f_{by}$ | 207 | | |
| | | | | $\sigma_{bz}$ | 0.0 | $f_{bz}$ | 216 | | |
| | | | | $\tau$ | 41.4 | $f_s$ | 125 | | |
| | ①鉛直<br>ブレース | φ-355.6×9.5<br>〈STK490〉 | C<br>(B) | $\sigma_c$ | 21.4 | $f_c$ | 142 | 0.16 | O.K. |

＊1：ⓐ～①の符号は図 4.2.2-2 の応力検討箇所を示す

＊2：(　)内は，燃料取扱設備の位置を示す。(表 4.2.1-4 参照)

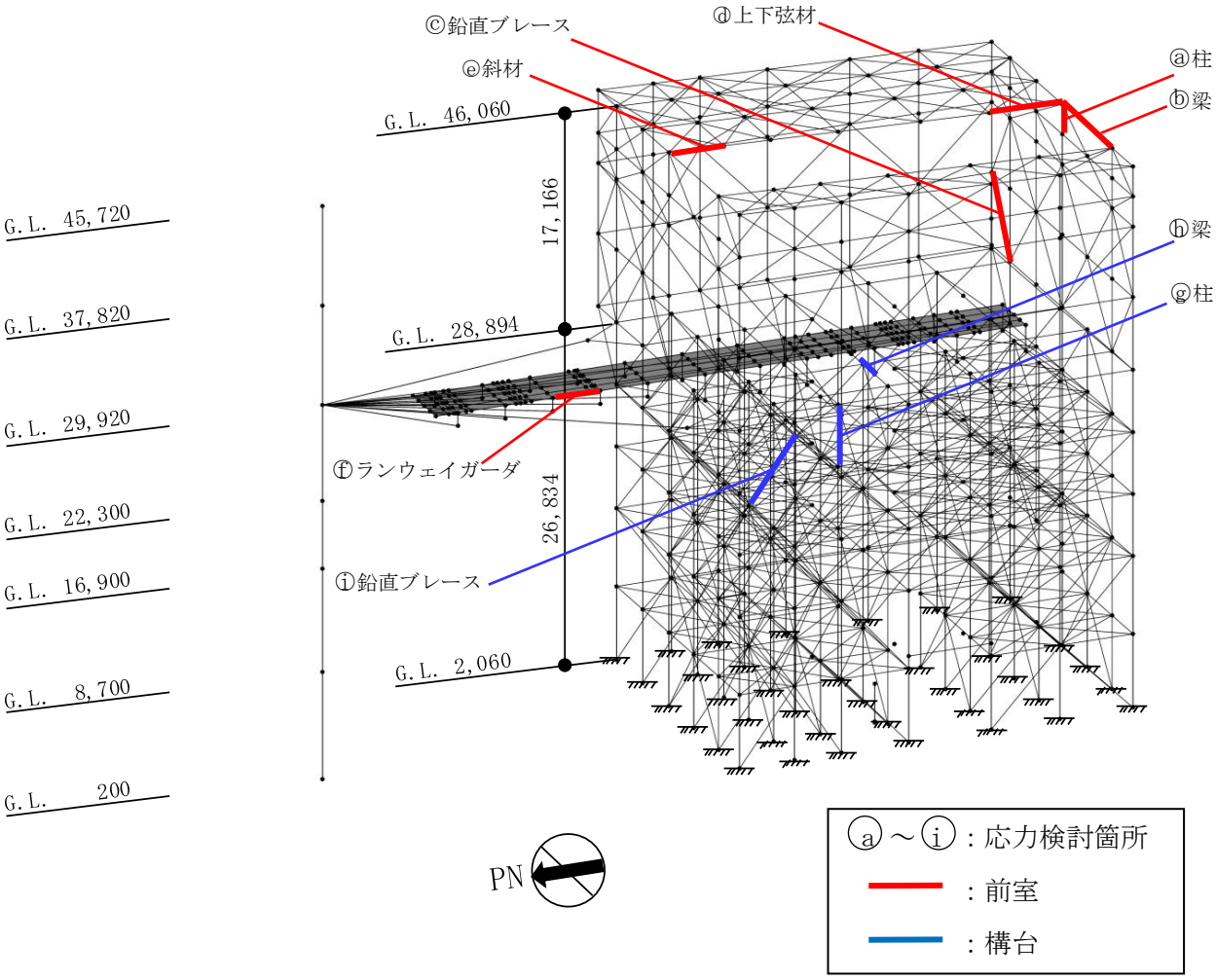



図 4.2.2-2　応力度比が最大となる部材（常時）

表 4.2.2-2　断面検討結果（地震時）

| 部　位 | | 部材形状(mm)<br>〈使用材料〉 | 荷重ケース<br>(位置) | 作用応力度<br>($N/mm^2$) | | 許容応力度<br>($N/mm^2$) | | 応力度比 | 判定 |
|---|---|---|---|---|---|---|---|---|---|
| 前室 | ⓐ柱 | H-1500×400<br>×16×32<br>〈SM490A〉 | E3<br>(B) | $\sigma_c$ | 7.8 | $f_c$ | 304 | 0.25 | O.K. |
| | | | | $\sigma_{by}$ | 48.5 | $f_{by}$ | 316 | | |
| | | | | $\sigma_{bz}$ | 21.1 | $f_{bz}$ | 324 | | |
| | | | | $\tau$ | 4.4 | $f_s$ | 187 | | |
| | ⓑ梁 | H-390×300<br>×10×16<br>〈SM490A〉 | E3<br>(B) | $\sigma_t$ | 9.2 | $f_t$ | 192 | 0.17 | O.K. |
| | | | | $\sigma_{by}$ | 0.0 | $f_{by}$ | 220 | | |
| | | | | $\sigma_{bz}$ | 37.5 | $f_{bz}$ | 324 | | |
| | | | | $\tau$ | 0.6 | $f_s$ | 187 | | |
| | ⓒ鉛直<br>ブレース | φ-406.4×12.7<br>〈STK490〉 | E3<br>(A) | $\sigma_c$ | 76.2 | $f_c$ | 253 | 0.31 | O.K. |
| | ⓓ水平ブレース | 2[s-150×75×9<br>×12.5<br>〈SS400〉 | E3<br>(A) | $\sigma_t$ | 35.8 | $f_t$ | 234 | 0.16 | O.K. |
| | ⓔ屋根トラス上下弦材 | H-300×300×16<br>×16<br>〈SM490A〉 | E4<br>(A) | $\sigma_c$ | 80.3 | $f_c$ | 261 | 0.35 | O.K. |
| | | | | $\sigma_{bz}$ | 10.5 | $f_{bz}$ | 324 | | |
| | | | | $\tau$ | 0.3 | $f_s$ | 187 | | |
| | ⓕ屋根トラス斜材 | 2[s-150×75×<br>6.5×10<br>〈SS400〉 | E2<br>(A,B) | $\sigma_c$ | 61.0 | $f_c$ | 204 | 0.30 | O.K. |
| | ⓖランウェイガーダ | □-1500×900×<br>(80+40)×80<br>〈SN490B〉 | E3<br>(B) | $\sigma_c$ | 14.3 | $f_c$ | 294 | 0.22 | O.K. |
| | | | | $\sigma_b$ | 45.7 | $f_b$ | 294 | | |
| | | | | $\tau$ | 9.2 | $f_s$ | 169 | | |
| 構台 | ⓗ柱 | (X)H-700×300<br>×40×40<br>(Y)H-700×350<br>×40×40<br>〈SM490A〉 | E1<br>(A) | $\sigma_c$ | 42.5 | $f_c$ | 285 | 0.67 | O.K. |
| | | | | $\sigma_{by}$ | 11.2 | $f_{by}$ | 312 | | |
| | | | | $\sigma_{bz}$ | 154.4 | $f_{bz}$ | 324 | | |
| | | | | $\tau$ | 7.3 | $f_s$ | 187 | | |
| | ⓘ梁 | H-700×350<br>×19×36<br>〈SM490A〉 | E3<br>(A) | $\sigma_c$ | 1.0 | $f_c$ | 241 | 0.57 | O.K. |
| | | | | $\sigma_{by}$ | 134.0 | $f_{by}$ | 261 | | |
| | | | | $\sigma_{bz}$ | 2.1 | $f_{bz}$ | 324 | | |
| | | | | $\tau$ | 38.1 | $f_s$ | 187 | | |
| | ⓙ鉛直<br>ブレース | φ-406.4×9.5<br>〈STK490〉 | E2<br>(A) | $\sigma_t$ | 83.8 | $f_t$ | 231 | 0.37 | O.K. |
| | ⓚ水平<br>ブレース | [-180×75×7×<br>10.5<br>〈SS400〉 | E1<br>(A) | $\sigma_t$ | 44.5 | $f_t$ | 234 | 0.20 | O.K. |

＊1：ⓐ～ⓚの符号は図 4.2.2-3 の応力検討箇所を示す

＊2：(　)内は，燃料取扱設備の位置を示す。(表 4.2.1-4 参照)

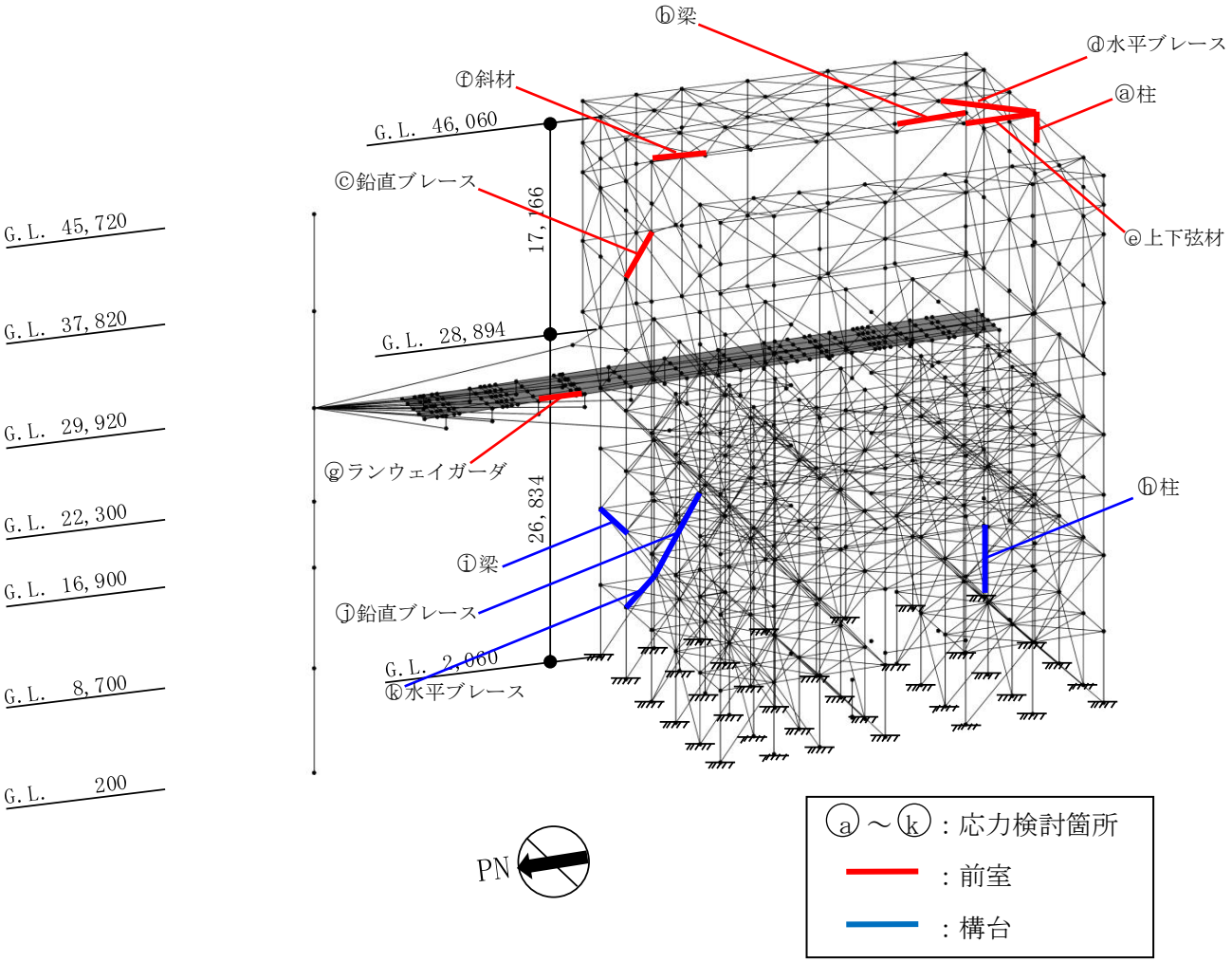



図 4.2.2-3　応力度比が最大となる部材（地震時）

4.2.3　弾性支承の構造強度に対する検討

弾性支承に作用する圧縮力による面圧が，弾性支承の圧縮限界強度以下となることを確認する。圧縮限界強度はゴム材料の弾性係数に応じて製品が規定する数値である。

検討の結果，最大圧縮面圧が圧縮限界強度以下となることを確認した。

表 4.2.3-1　弾性支承の構造強度に対する検討結果

| 設置位置 | 最大面圧発生ケース<br>(位置)* | 圧縮限界強度 $\sigma_v$<br>($N/mm^2$) | 最大圧縮面圧<br>$\sigma_D$($N/mm^2$) | $\sigma_D/\sigma_v$ | 判定 |
|---|---|---|---|---|---|
| 西側 | E2(A) | 43.00 | 6.37 | 0.15 | O.K. |
| 東側 | E2(A) | 43.00 | 6.36 | 0.15 | O.K. |

*：(　)内は，燃料取扱設備の位置を示す。(表 4.2.1-4 参照)

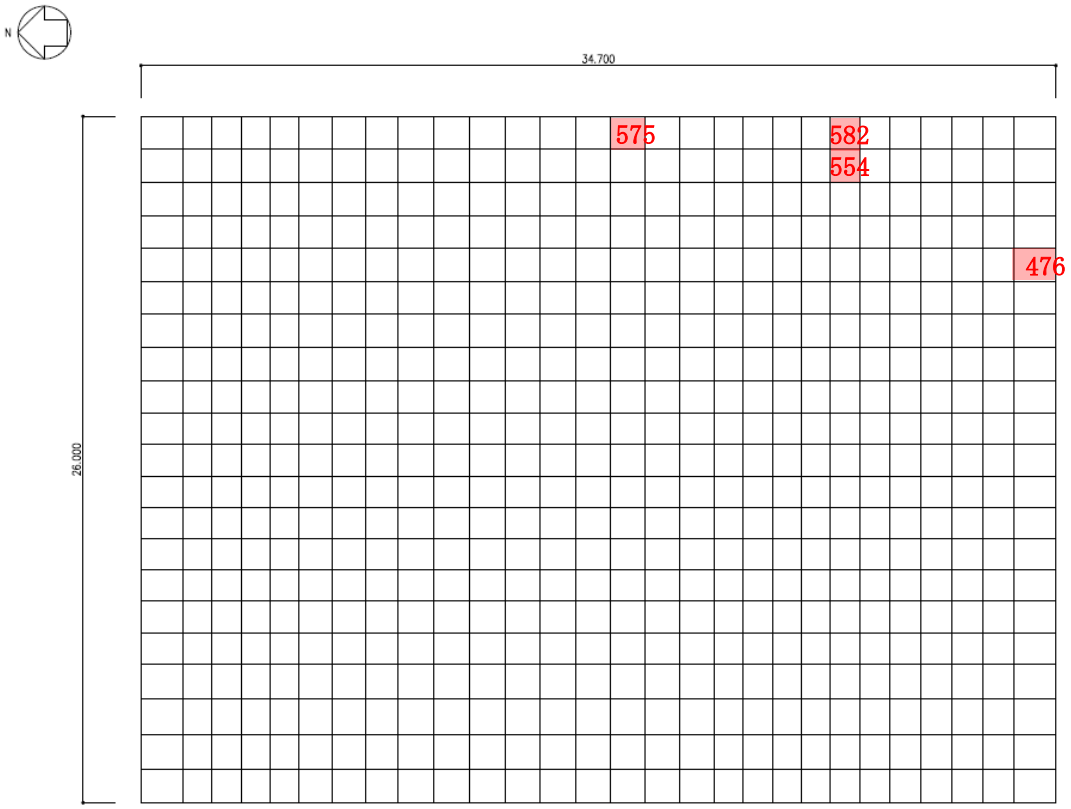
4.2.4　基礎の構造強度に対する検討

(1)　設計方針

基礎の応力解析は，弾性地盤上に支持された版として有限要素法を用いて行い，解析モデルは図4.2.4-1 に示すように四辺形の均質等方な板要素により構成し，支持地盤は等価な弾性ばねとしてモデル化する。但し，浮き上がった場合は，ばねの剛性が０となる。

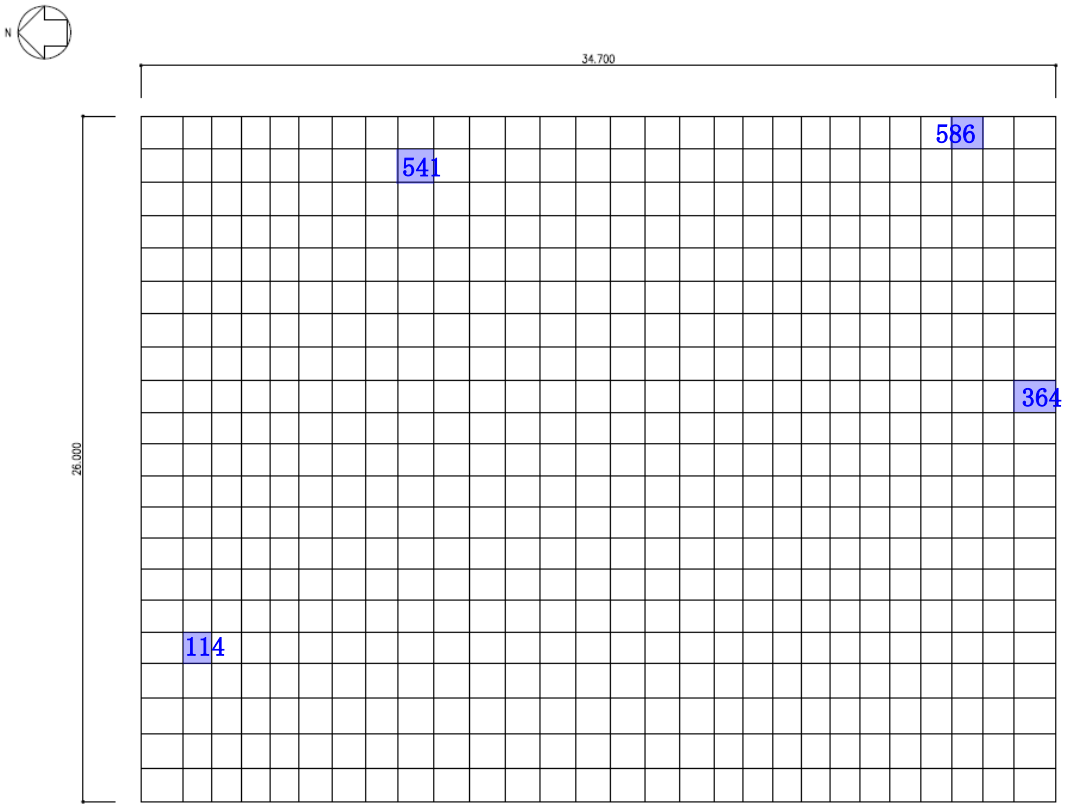
(2)　解析モデル

解析モデルを図 4.2.4-1，図 4.2.4-2 に示す。




凡例　###：断面算定要素(常時:C)（数字は要素番号）

図 4.2.4-1　解析モデル図(常時:C)（単位：mm）




凡例　###：断面算定要素(地震時:E1～E4)（数字は要素番号）

図 4.2.4-2　解析モデル図（単位：mm）

(3)　断面検討

組合せた応力より，各要素の必要鉄筋比を「原子力施設鉄筋コンクリート構造計算規準・同解説」より求め，設計配筋が必要鉄筋比を上回ること及び面外せん断力が許容せん断力以下であることを確認する。必要鉄筋比が最大となる要素と設計面外せん断力と許容せん断力との比が最大になる要素の断面検討結果を表 4.2.4-1，表 4.2.4-2 に示し，配筋図を図 4.2.4-3 に示す。

断面検討の結果，設計配筋は必要鉄筋比を上回り，面外せん断力は許容せん断力以下であることを確認した。

表 4.2.4-1　断面検討結果（常時:C）

| 要素番号 | 方向 | 荷重ケース（位置）*1 | 設計応力 | | N/(b・D) *2 ($\times 10^{-2}$ N/mm$^2$) | M/(b・D$^2$) ($\times 10^{-2}$ N/mm$^2$) | Pt (%) | 設計配筋 上段：上端筋 (pt:%) 下段：下端筋 (pt:%) | 設計面外せん断力 Q (kN/m) | 許容せん断力 fs・b・j (kN/m) | 判定 |
|---|---|---|---|---|---|---|---|---|---|---|---|
| | | | N*2 (kN/m) | M (kN・m/m) | | | | | | | |
| 575 | NS | C(B) | -0.5 | 408.2 | 0.000 | 0.045 | 0.026 | 2-D38@200 (0.38)<br>2-D38@200 (0.38) | 75.5 | 1775 | O.K. |
| 476 | EW | C(B) | -0.8 | 798.1 | 0.000 | 0.089 | 0.051 | 2-D38@200 (0.38)<br>2-D38@200 (0.38) | 101.1 | 1775 | O.K. |
| 582 | NS | C(B) | 1.6 | 75.3 | 0.001 | 0.008 | 0.005 | 2-D38@200 (0.38)<br>2-D38@200 (0.38) | 466.3 | 1775 | O.K. |
| 554 | EW | C(B) | -0.7 | 22.0 | 0.000 | 0.002 | 0.001 | 2-D38@200 (0.38)<br>2-D38@200 (0.38) | 488.7 | 1775 | O.K. |

表 4.2.4-2　断面検討結果（地震時:E1～E4 ）

| 要素番号 | 方向 | 荷重ケース（位置）*1 | 設計応力 | | N/(b・D) *2 ($\times 10^{-2}$ N/mm$^2$) | M/(b・D$^2$) ($\times 10^{-2}$ N/mm$^2$) | Pt (%) | 設計配筋 上段：上端筋 (pt:%) 下段：下端筋 (pt:%) | 設計面外せん断力 Q (kN/m) | 許容せん断力 fs・b・j (kN/m) | 判定 |
|---|---|---|---|---|---|---|---|---|---|---|---|
| | | | N*2 (kN/m) | M (kN・m/m) | | | | | | | |
| 541 | NS | E2(B) | -119.5 | 969.9 | 0.040 | 0.108 | 0.061 | 2-D38@200 (0.38)<br>3-D38@200 (0.57) | 50.8 | 2616 | O.K. |
| 114 | EW | E4(A) | -104.7 | 1140.3 | 0.035 | 0.127 | 0.046 | 2-D38@200 (0.38)<br>2-D38@200 (0.38) | 14.4 | 2663 | O.K. |
| 586 | NS | E3(A) | 29.4 | 316.8 | 0.010 | 0.035 | 0.010 | 2-D38@200 (0.38)<br>2-D38@200 (0.38) | 748.8 | 2663 | O.K. |
| 364 | EW | E1(B) | 26.5 | 109.7 | 0.009 | 0.012 | 0.003 | 2-D38@200 (0.38)<br>2-D38@200 (0.38) | 677.2 | 2663 | O.K. |

*1：(　)内は，燃料取扱設備の位置を示す。(表 4.2.1-4 参照)

*2：圧縮を正とする。

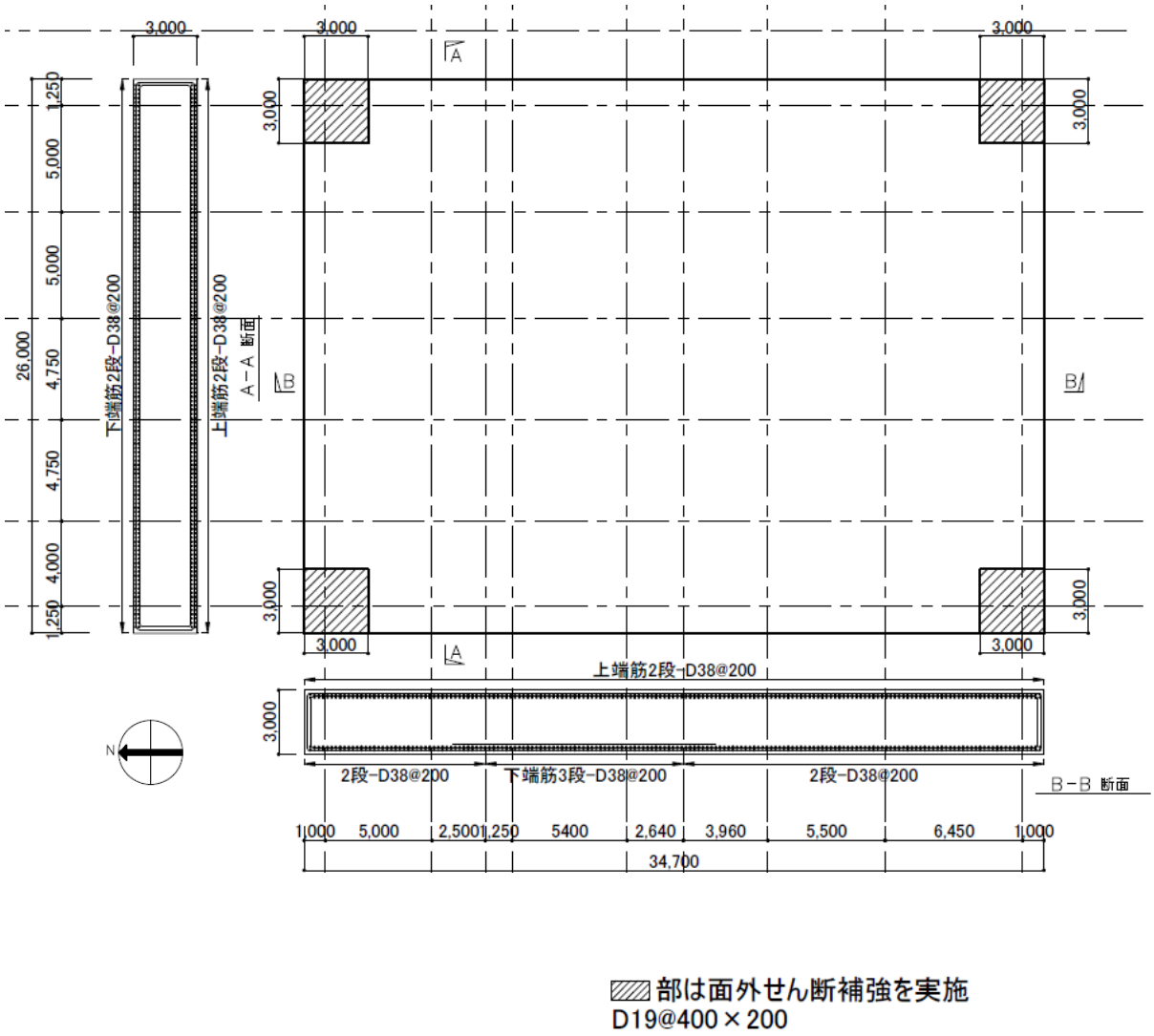



図 4.2.4-3　基礎の配筋図（単位：mm）

4.2.5　改良地盤の構造強度に対する検討

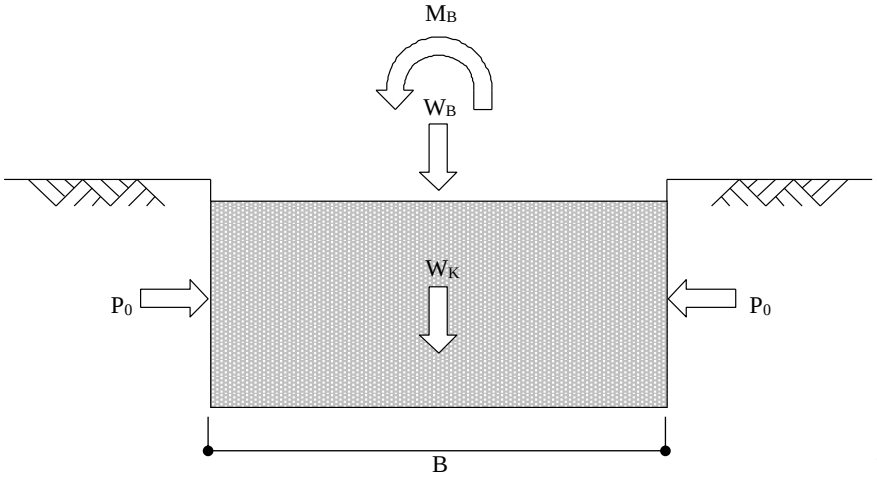
(1)　設計方針

燃料取り出し用構台を支持する改良地盤は，基礎直下の地盤を南北方向に 34.7m，東西方向に 26.0m，改良厚さ 7.16m とし，G.L.-8.1m の泥岩に支持する。検討は「JEAC4616-2009」に準拠し，常時及び地震時の改良地盤に生じる最大応力が許容応力度以下であることを確認する。さらに，改良地盤直下の支持地盤の支持力に対して，常時及び地震時の改良地盤に生じる最大接地圧が許容支持力度以下であることを確認する。

(2)　常時に対する検討

1)　改良地盤の検討

常時において，改良地盤底面に生じる最大接地圧が改良地盤の長期許容圧縮応力度以下であることを確認する。図 4.2.5-1 に作用荷重を示す。




$W_B$：燃料取り出し用構台荷重

$W_K$：改良地盤の自重

$M_B$：燃料取り出し用構台の偏心による転倒モーメント

$P_o$：長期設計用土圧

B：改良幅

図 4.2.5-1　作用荷重（常時:C）

改良地盤の荷重負担範囲は，基礎底盤における矩形断面部分を対象とした面積 $A=902.2m^2$，断面係数 $Z_X=3909m^3$，$Z_Y=5217m^3$ として算定する。改良地盤底面に生じる最大接地圧は下式にて求める。

鉛直力の合計　　$\Sigma W = WB+WK = 233360$ kN

転倒モーメントの合計　　$\Sigma M_{BX} = 32707$ kNm（X 軸回り:EW 方向加力）

$\Sigma M_{BY} = 58936$ kNm（Y 軸回り:NS 方向加力）

改良地盤の最大接地圧　　$qr = \Sigma W/A + \Sigma M_{BX}/Z_X + \Sigma M_{BY}/Z_Y = 279$ kN/m$^2$

改良地盤に生じる最大接地圧（qr）は，改良地盤の長期許容圧縮応力度（${}_Lfsc$）以下であることを確認した。

$qr = 279$ kN/m$^2$ ≦ ${}_Lf_{SC} = 980$ kN/m$^2$

2)　支持力の検討

改良地盤底面に生じる最大接地圧（qr）が，改良地盤直下の支持地盤の長期許容支持力度（${}_Lqa$）以下であることを確認した。

改良地盤の最大接地圧　　$qr = 279$ kN/m$^2$

支持地盤の長期許容支持力度　　${}_Lqa = 1960$ kN/m$^2$

$qr = 279$ kN/m$^2$ ≦ ${}_Lqa = 1960$ kN/m$^2$

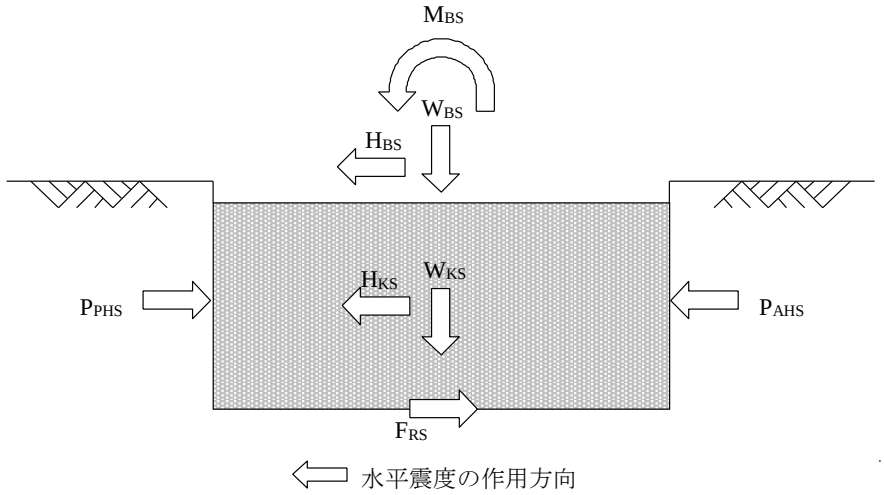
3)　沈下の検討

支持地盤は泥岩（岩盤）であるため，沈下の検討は不要である。

(3)　地震時に対する検討

1)　改良地盤の検討

地震時において，改良地盤底面の最大接地圧及びせん断応力が，改良地盤の短期許容応力度以下であることを確認する。図 4.2.5-2 に作用荷重を示す。




$W_{BS}$：燃料取り出し用構台荷重

$W_{KS}$：改良地盤の自重

$H_{BS}$：燃料取り出し用構台による水平力

$M_{BS}$：燃料取り出し用構台による改良地盤底面における転倒モーメント

$H_{KS}$：改良地盤の慣性力（地中震度 0.15）

$P_{AHS}$：地震時主働土圧による水平力

$P_{PHS}$：地震時受働土圧による水平力

$F_{RS}$：支持地盤のせん断抵抗力

図 4.2.5-2　作用荷重（地震時:E1～E4）

改良地盤の荷重負担範囲は，基礎底盤における矩形断面部分を対象とした面積 $A=902.2m^2$，断面係数 $Z_X=3909m^3$，$Z_Y=5217m^3$ として算定する。改良地盤底面の最大接地圧（$q_{1S}$）及び最大せん断応力（$\tau$ max）は下式にて求める。

鉛直力の合計　　$\Sigma W = W_{BS}+W_{KS} = 233360$ kN

水平力の合計　　$\Sigma H_X = H_{BS}+H_{KS}+P_{AHS}+P_{PHS} = 37007$ kN（NS 方向）

$\Sigma H_Y = H_{BS}+H_{KS}+P_{AHS}+P_{PHS} = 37391$ kN（EW 方向）

転倒モーメントの合計　$\Sigma M_X = M_{BS}+M_{KS}+M_{AHS}+M_{PHS} = 629283$ kNm（X 軸回り:EW 方向加力）

$\Sigma M_Y = M_{BS}+M_{KS}+M_{AHS}+M_{PHS} = 611209$ kNm（Y 軸回り:NS 方向加力）

ここに，　$M_{KS}$：改良地盤の転倒モーメント

$M_{AHS}$：地震時主働土圧による転倒モーメント

$M_{PHS}$：地震時受働土圧による転倒モーメント

改良地盤底面の最大接地圧　$q_{1SX} = \Sigma W/A+\Sigma M_Y/Z_Y = 396$ kN/m$^2$

$q_{1SY} = \Sigma W/A+\Sigma M_X/Z_X = 440$ kN/m$^2$

改良地盤底面の最大せん断応力　$\tau_{Xmax} = 1.2\times\Sigma H_X/A = 50$ kN/m$^2$

$\tau_{Ymax} = 1.2\times\Sigma H_Y/A = 50$ kN/m$^2$

改良地盤底面の最大接地圧（$q_{1S}$）及び最大せん断応力（$\tau_{max}$）は短期許容応力度（${}_sf_{sc}$ 及び ${}_sf_{ss}$）以下であることを確認した。

$q_{1S} = 440$ kN/m$^2$ ≦ ${}_sf_{SC} = 1960$ kN/m$^2$

$\tau_{max} = 50$ kN/m$^2$ ≦ ${}_sf_{SS} = 300$ kN/m$^2$

2)　支持力の検討

改良地盤底面に生じる最大接地圧（$q_{1S}$）が，改良地盤直下の支持地盤の短期許容支持力度（${}_sq_a$）以下であることを確認した。

改良地盤の最大接地圧　$q_{1S} = 440$ kN/m$^2$

支持地盤の短期許容支持力度　${}_sq_a = 3920$ kN/m$^2$

$q_{1S} = 440$ kN/m$^2$ ≦ ${}_sq_a = 3920$ kN/m$^2$

4.2.6　原子炉建屋接触部の構造強度に対する検討

(1)　弾性支承反力に対する検討

弾性支承からの反力によって原子炉建屋 RC 梁に生じるせん断力が，梁の許容せん断耐力以下となることを確認する。

弾性支承の反力は基本的に，プール壁及び下階柱に直接かかるように配置するが，一部梁端に作用するため，それを考慮する。

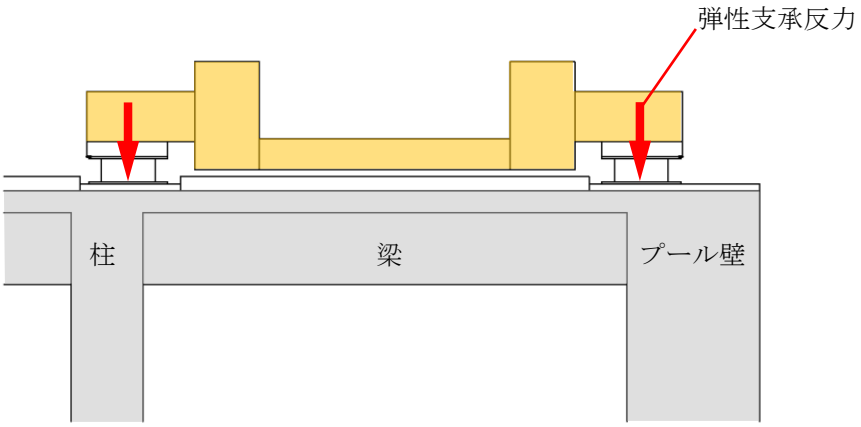



図 4.2.6-1　弾性支承からの反力

検討の結果，梁の発生せん断力が長期許容せん断力以下になることを確認した。

表 4.2.6-1　弾性支承反力に対する検討結果

| 部位 | 荷重ケース<br>(位置)* | 梁端せん断力<br>Q(kN) | 長期許容せん断力<br>Qa(kN) | 耐力比<br>Q/Qa | 判定 |
|---|---|---|---|---|---|
| 弾性支承受梁 | C<br>(A) | 760 | 1486 | 0.52 | O.K. |

*：(　)内は，燃料取扱設備の位置を示す。（表 4.2.1-4 参照）

4.2.7　外装材の構造強度に対する検討

(1)　設置目的

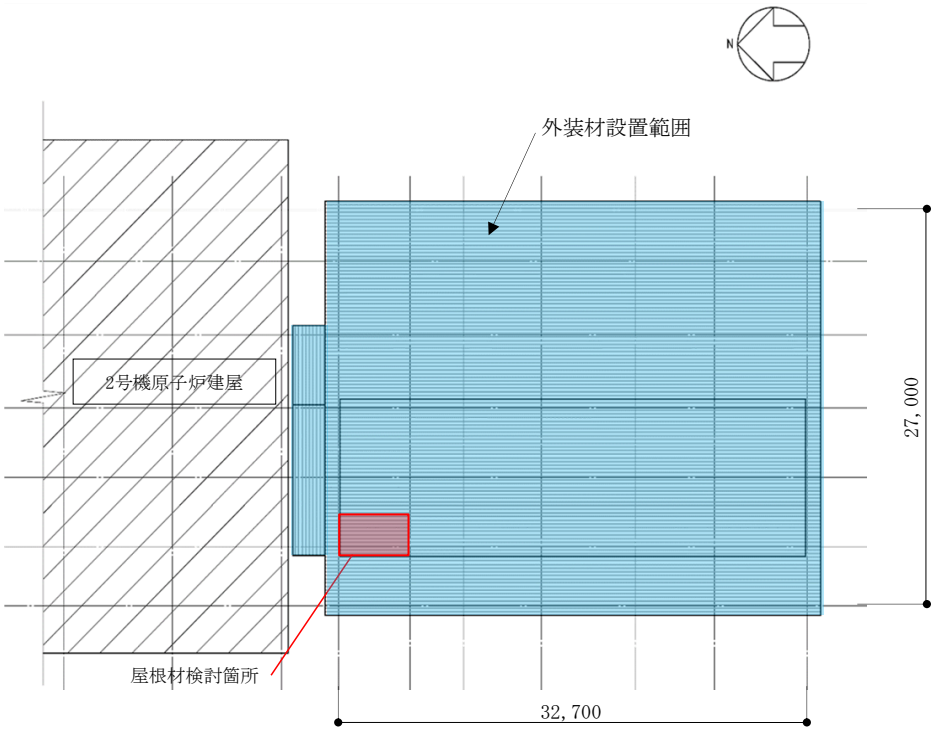
燃料取り出し用構台前室周囲には，燃料取り出し作業環境の整備並びに放射性物質の飛散・拡散防止のため，外装材を設置する。

(2)　評価方針

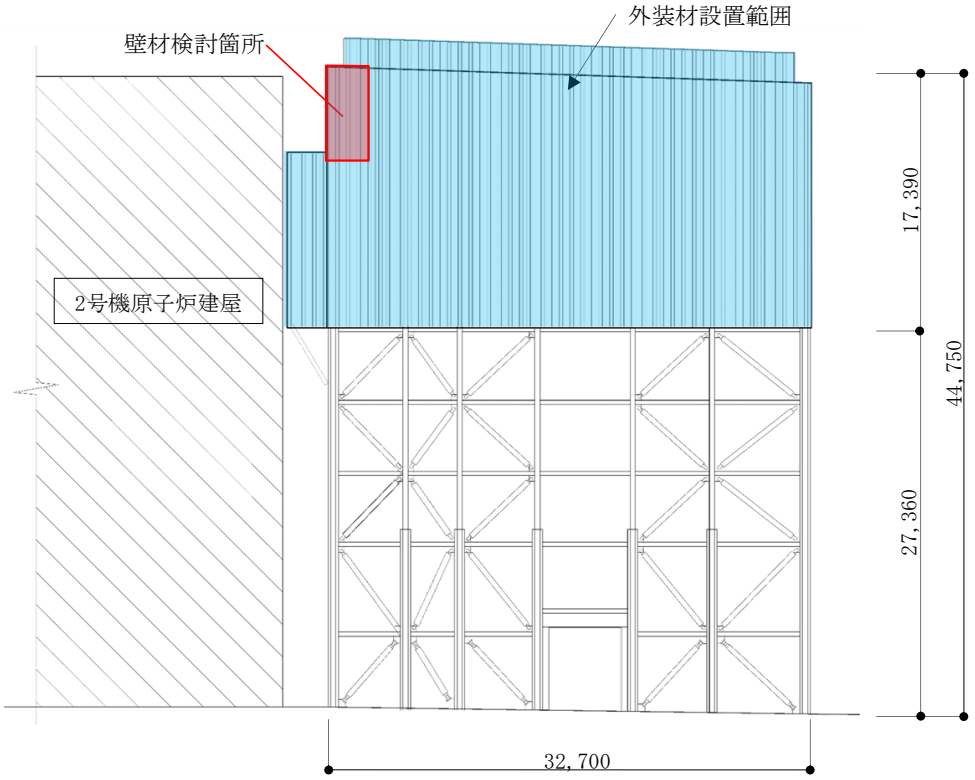
架構の屋根材，壁材には金属製外装材を用いる。断面検討は，屋根材，壁材それぞれに風圧力によって生じる応力度が短期許容応力度以下であることを確認する。

(3)　検討箇所

短期事象においては，暴風時の影響が支配的であることから，積雪時及び地震時の検討は省略する。検討箇所を図 4.2.7-1 に示す。




a. 屋根伏図




b. 西側立面

図 4.2.7-1　外装材検討箇所（単位：mm）

(3)　設計用荷重の算定

設計用風圧力は，建築基準法施行令第 82 条の 4 及び建設省告示第 1458 号に基づき，基準風速 30m/s，地表面粗度区分Ⅱとして算定する。

表 4.2.7-1　速度圧の算定結果

| 建物高さ* H (m) | 平均風速の高さ方向の分布を表す係数 Er | 基準風速 $V_0$ (m/s) | 平均速度圧 q ($N/m^2$) |
|---|---|---|---|
| 47 | 1.258 | 30 | 855 |

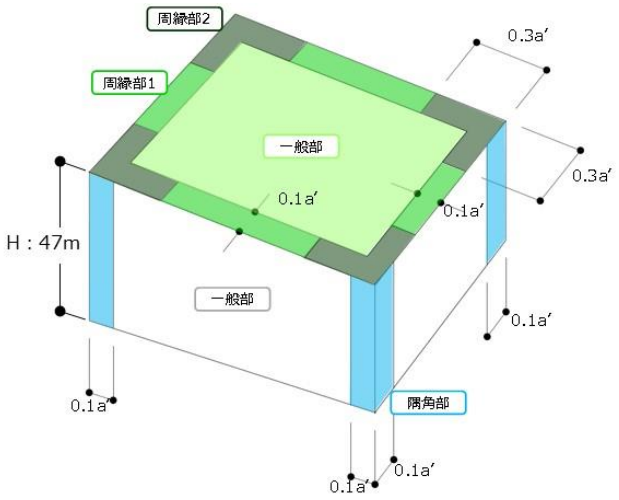
表 4.2.7-2　ピーク風力係数（屋根）

| 建物高さ* H (m) | 正圧 | 負圧 | | |
|---|---|---|---|---|
| | | 一般部 | 周縁部 1 | 周縁部 2 |
| 47 | 0.50 | -2.50 | -3.20 | -4.30 |

表 4.2.7-3　ピーク風力係数（壁）

| 建物高さ* H (m) | 正圧 | 負圧 | |
|---|---|---|---|
| | | 一般部 | 隅角部 |
| 47 | 2.60 | -1.88 | -2.31 |

＊：建物高さは，安全側に建築物の高さと軒の高さ(水上側鉄骨天端)との平均値以上とした




a'は平面の短辺の長さと H の 2 倍の数値のうちいずれか
小さな数値（30 を超えるときは，30 とする）（単位：m）

図 4.2.7-2　風力係数の算定箇所

(4) 外装材の断面検討

検討は，応力が厳しくなる部位について行う。ここでは，外装材の自重は考慮しないものとする。外装材の支持間隔は，保守的な評価となるように最長スパンを用いて評価するものとし，屋根材の間隔は，3.3m で連続支持，壁材は 0.75m で連続支持されているものと仮定する。

屋根材及び壁材の材料諸元を表 4.2.7-4 及び表 4.2.7-5 に示す。また，検討結果を表 4.2.7-6 に示す。

断面検討の結果，全ての外装材に対する応力度比が 1 以下になることを確認した。

表 4.2.7-4　屋根材の材料諸元

| 板厚 | 自重 | 正曲げ方向 | | 負曲げ方向 | |
|---|---|---|---|---|---|
| | | 断面 2 次モーメント | 断面係数 | 断面 2 次モーメント | 断面係数 |
| t (mm) | G ($N/m^2$) | $I_x$ ($cm^4/m$) | $Z_x$ ($cm^3/m$) | $I_x$ ($cm^4/m$) | $Z_x$ ($cm^3/m$) |
| 0.8 | 118 | 360 | 43.6 | 347 | 40.6 |

表 4.2.7-5　壁材の材料諸元

| 板厚 | 自重 | 正曲げ方向 | | 負曲げ方向 | |
|---|---|---|---|---|---|
| | | 断面 2 次モーメント | 断面係数 | 断面 2 次モーメント | 断面係数 |
| t (mm) | G ($N/m^2$) | $I_x$ ($cm^4/m$) | $Z_x$ ($cm^3/m$) | $I_x$ ($cm^4/m$) | $Z_x$ ($cm^3/m$) |
| 0.6 | 59 | 2.31 | 1.67 | 2.31 | 1.67 |

表 4.2.7-6　応力度に対する検討結果

| 部位 | 材料 | 作用応力度 ($N/mm^2$) | 許容応力度 ($N/mm^2$) | 応力度比 | 判定 |
|---|---|---|---|---|---|
| 屋根材 | SGLCC[*1] | 124 | 205[*2] | 0.61 | O.K. |
| 壁　材 | SGLCC[*1] | 96 | 205[*2] | 0.47 | O.K. |

＊1：溶融 55%アルミニウム－亜鉛合金めっき鋼板

＊2：「JIS G 3321」の「降伏点又は耐力」とする

4.3　耐震性

4.3.1　検討方針

耐震性の検討は，構台，前室及びランウェイガーダ，弾性支承，オイルダンパ，基礎，改良地盤，原子炉建屋接触部及び原子炉建屋の健全性について行い，1/2Ss450 に対して，これらの応答性状を適切に表現できる地震応答解析を用いて評価する。1/2Ss450 を用いた地震応答解析は水平 2 方向及び鉛直方向を同時に入力する。また，前述の通り 2 号機燃料取り出し用構台については，実施計画変更認可申請の審査期間中に適用地震動見直しが行われたことから，一部の評価については，Ss600 に対する地震応答解析結果との比較から耐震性を確認する。Ss600 を用いた地震応答解析は水平１方向及び鉛直方向を同時に入力する。

4.3.2　構台，前室及びランウェイガーダの耐震性に対する検討

(1)　解析に用いる入力地震動

解析に用いる地震動は，2 波ある 1/2Ss450 のうち振幅の大きな検討用地震動①の 1/2 の地震動および Ss600 を用いる。

1/2Ss450 を用いた地震応答解析は水平 2 方向及び鉛直方向を同時に入力するが，全く同じ地震動が同時に水平 2 方向に入力されることは現実的に考えにくいことから，応答スペクトルに基づく検討用地震動①を作成した方法と同一の方法で，目標とする応答スペクトルに適合する位相の異なる模擬地震波（別冊２８ P98，P99 参照）を利用する。

地震応答解析に用いる入力地震動の概念図を図 4.3.2-1 に示す。なお，入力地震動策定の詳細については，別冊２８ P25，上下動の解析モデルへの入力方法の妥当性については，別冊２８ P26，P27 参照。

解放基盤表面位置（G.L.-206.0m）（震災前 O.P.-196.0m)における 1/2Ss450 と，Ss600 の 3 波の加速度時刻歴波形を図 4.3.2-2，図 4.3.2-3 及び図 4.3.2-4 に示す。

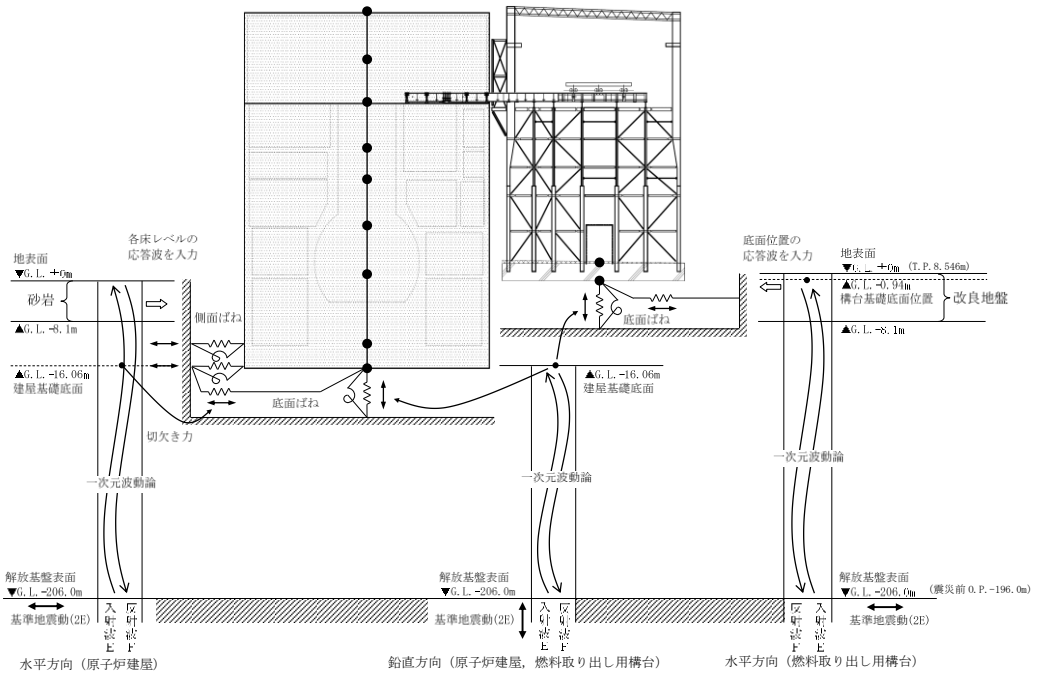
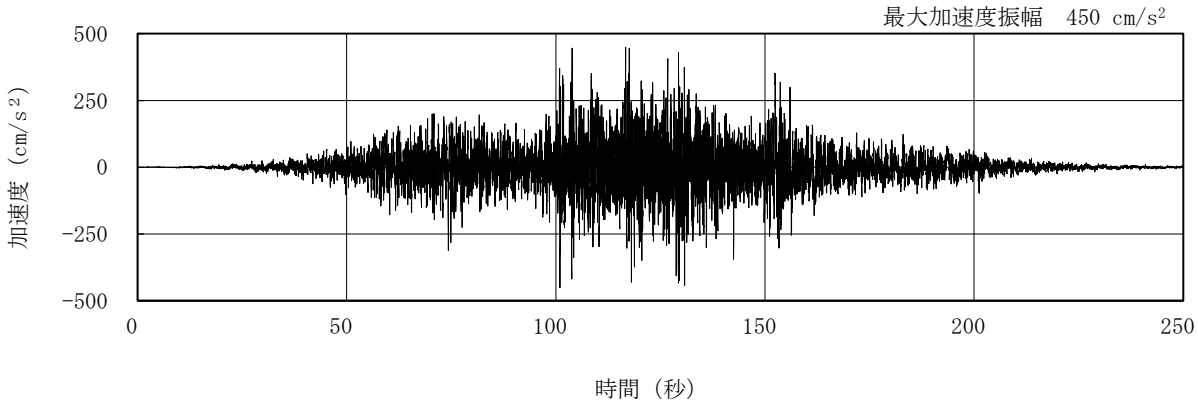
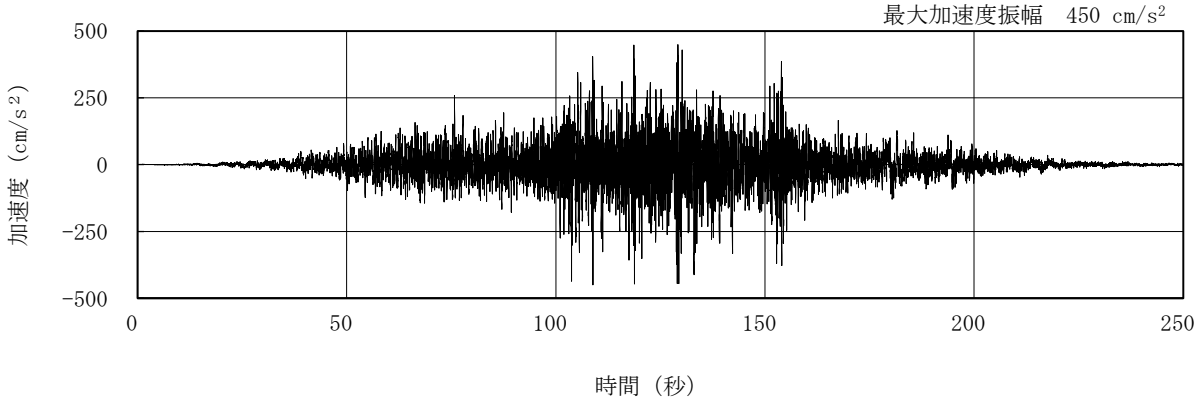



図 4.3.2-1　地震応答解析に用いる入力地震動の概念図

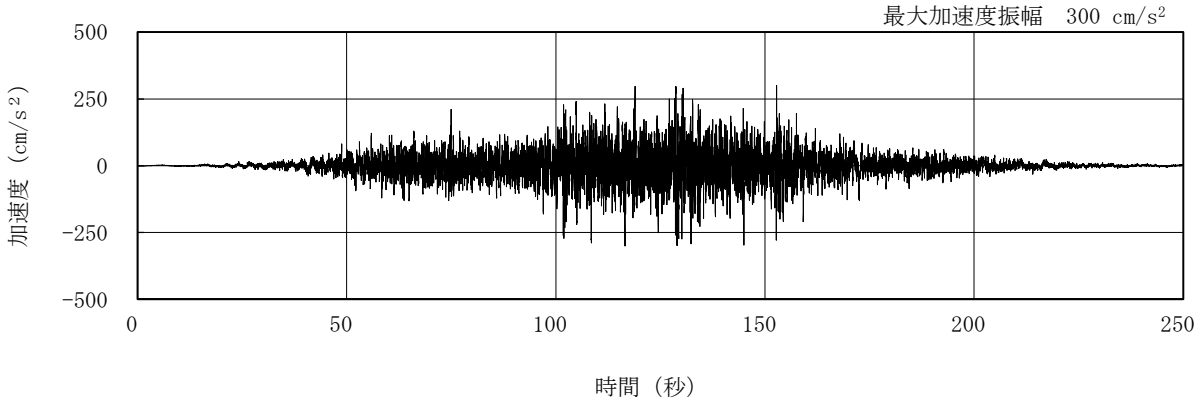
本章に記載の標高は，震災後の地盤沈下量(-709mm)と O.P.から T.P.への読替値(-727mm)を用いて，下式に基づき換算している。
＜換算式＞ T.P.=旧 O.P.-1,436mm




（水平）

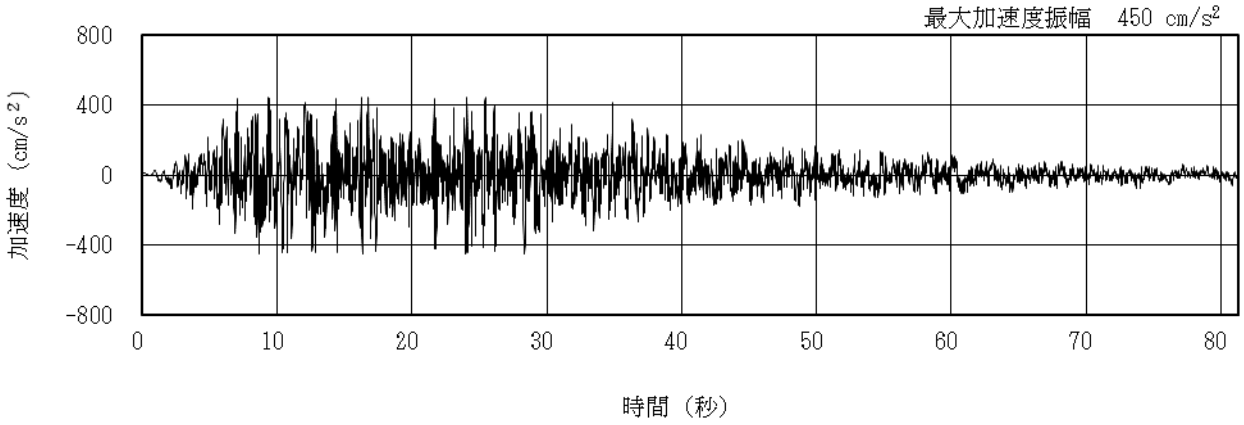



（水平，位相の異なる模擬地震波）

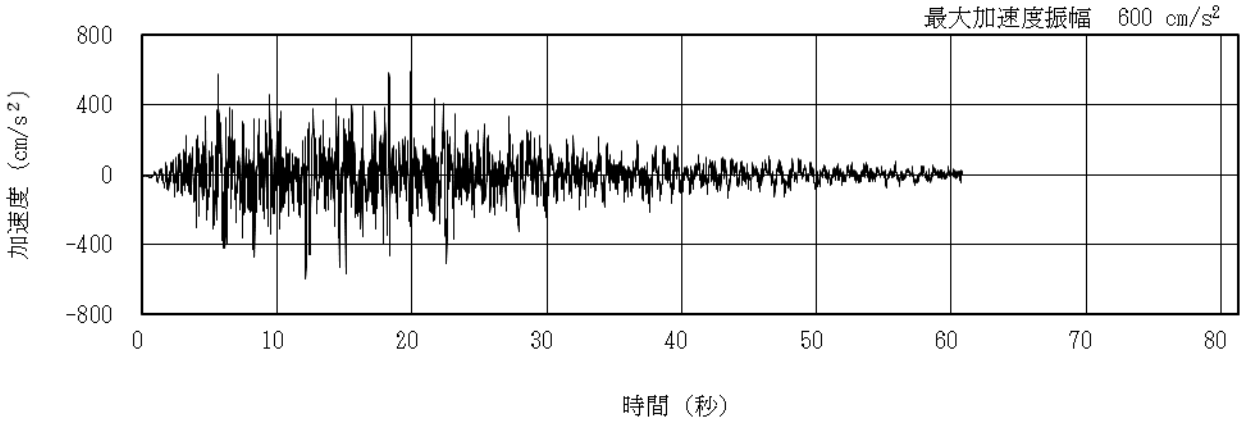



（鉛直）

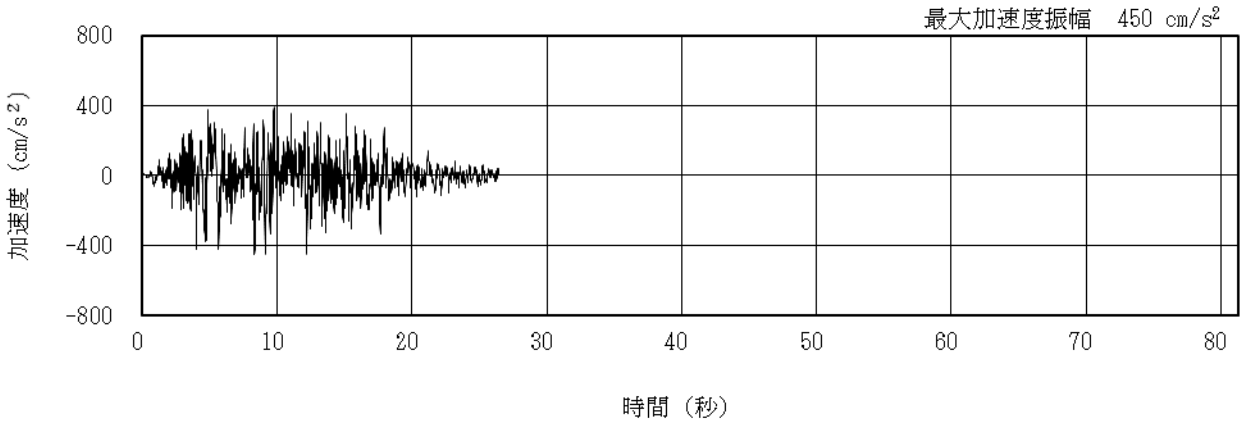
図 4.3.2-2　解放基盤表面における地震動の加速度時刻歴波形
（1/2Ss450）




（従来の Ss-1H）

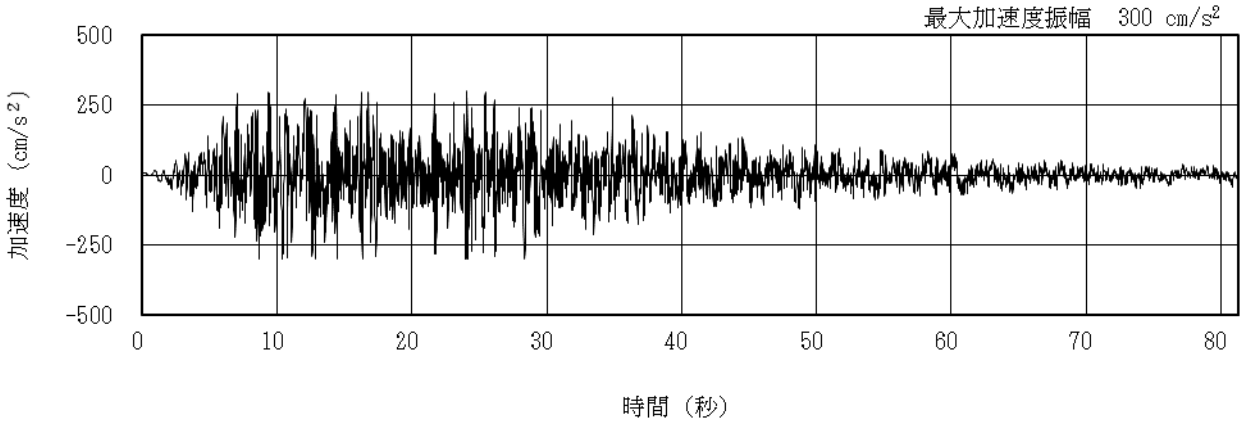



（従来の Ss-2H）

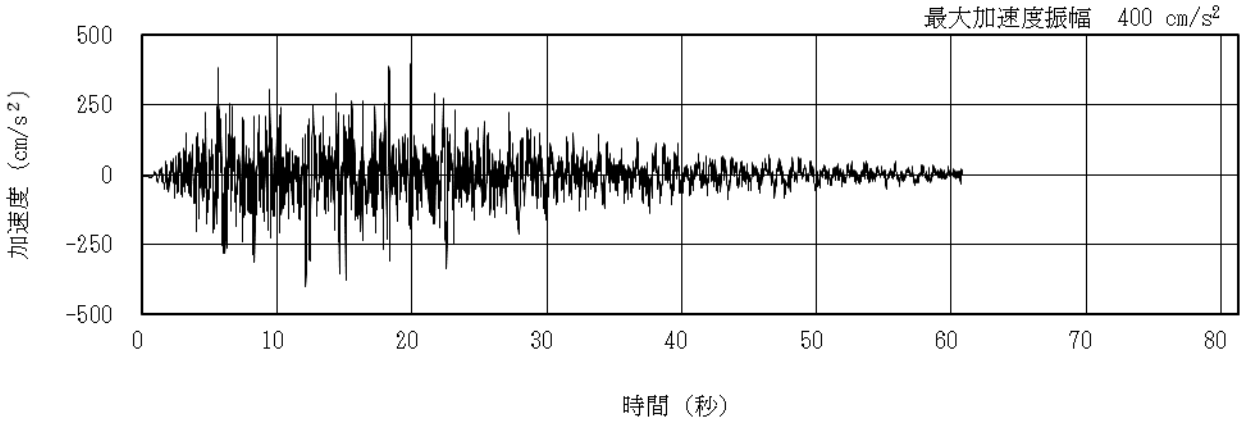



（従来の Ss-3H）

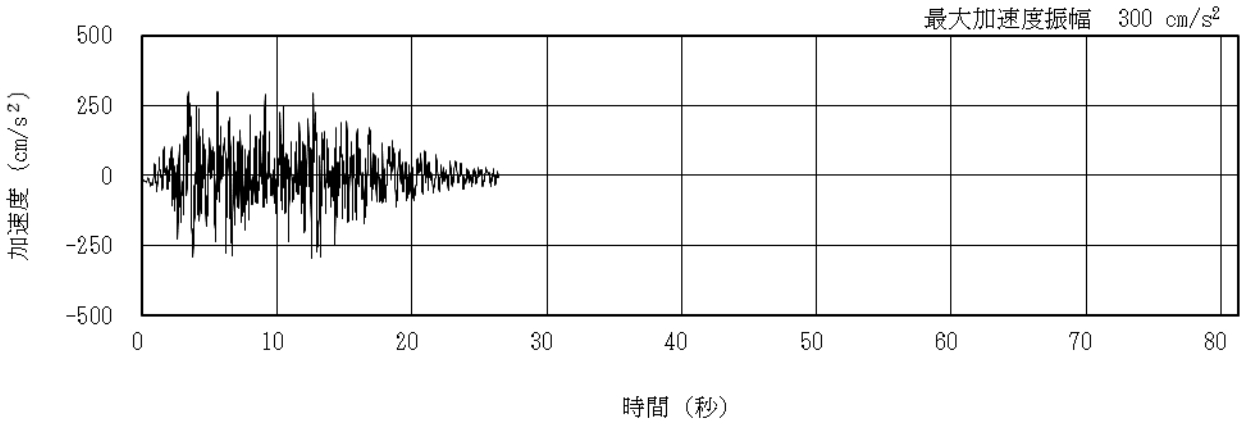
図 4.3.2-3　解放基盤表面における地震動の加速度時刻歴波形
（Ss600，水平方向）




（従来の Ss-1V）




（従来の Ss-2V）




（従来の Ss-3V）

図 4.3.2-4　解放基盤表面における地震動の加速度時刻歴波形
（Ss600，鉛直方向）

(2)　地震応答解析モデル

地震応答解析モデルは，曲げ，せん断剛性及び軸剛性を考慮した原子炉建屋の質点系モデルの質点に，三次元立体骨組でモデル化した燃料取り出し用構台を接続し，地盤との相互作用を考慮した建屋－地盤連成系モデルとする。原子炉建屋のモデルは「Ⅱ章 2.11　添付資料－９　別添－１第２号機原子炉建屋西側外壁開口設置後の原子炉建屋の耐震安全性」で用いた解析モデルを基本に，南側外壁開口や遮蔽コンクリート等の設置（別冊２８　P13 参照）を考慮して，重量や剛性を増減させたモデル（別冊２８　P34，P35 参照）とする。なお，原子炉建屋の質点は炉心位置にモデル化する。解析モデルを図 4.3.2-5 及び図 4.3.2-6 に示す。

地震応答解析に用いる鉄骨およびオイルダンパの物性値を表 4.3.2-1，表 4.3.2-2 に示す。燃料取り出し用構台の部材接合部の節点は機器荷重・仕上げ材等を考慮した重量とし，原子炉建屋の質点は表 4.3.2-3 に示す重量とする。燃料取り出し用構台の柱，梁は弾性部材の梁要素，鉛直ブレースは弾性部材のトラス要素とする。

構台と原子炉建屋南側壁間，構台鉛直面，およびランウェイガーダと原子炉建屋床間に設置するオイルダンパは，減衰要素とばね要素を直列に結合したモデルとする。ランウェイガーダと原子炉建屋床間に設置する弾性支承の鉛直方向は軸ばねとし，水平方向はローラーとする。なお，床上のオイルダンパ・弾性支承とも，圧縮専用ばねを原子炉建屋質点との間に設けることにより浮き上りを許容したモデルとする。なお，弾性支承及びバネ付きオイルダンパを含めた原子炉建屋～構台間の接続条件については，別冊２８　P29，P30，弾性支承及びバネ付きオイルダンパの設置条件および境界条件設定の妥当性については，それぞれ，別冊２８　P48，別冊２８　P50，P51，弾性支承及びバネ付きオイルダンパ下部に設置するすべり材の耐放射線性については，それぞれ別冊２８　P49，別冊２８　P51 参照。また，原子炉建屋の質点系モデルは，軸方向は弾性とし，曲げとせん断に非線形特性を考慮する。

燃料取り出し用構台の地盤定数は，「福島第一原子力発電所『発電用原子炉施設に関する耐震設計審査指針』の改訂に伴う耐震安全性評価結果中間報告書」（東京電力株式会社，平成 20 年 3 月 31 日）を参考に，水平成層地盤と仮定し地震時のせん断ひずみレベルを考慮して定めた。改良地盤の諸元を表 4.3.2-4 に，非線形特性を図 4.3.2-7 に，地盤定数の設定結果を表 4.3.2-5 に示す。また，原子炉建屋の地盤定数は，1/2Ss450 に対しては上記報告書を参考に水平成層地盤と仮定し地震時のせん断ひずみレベルを考慮して定め，Ss600 に対しては上記報告書と同様として定めた。原子炉建屋の地盤定数を表 4.3.2-6 に示す。なお，改良地盤物性の設定及び改良地盤部の地中構築物の影響については，別冊２８　P40～P42 参照。

地盤ばねは，「JEAG 4601-1991 追補版」に示されている手法を参考にして，底面地盤を成層補正し振動アドミッタンス理論によりスウェイ及びロッキングばねを，側面地盤を Novak の方法により建屋側面ばねとして評価する。なお，燃料取り出し用構台は改良地盤への埋込がほとんどないため，底面地盤ばねのみ考慮する。

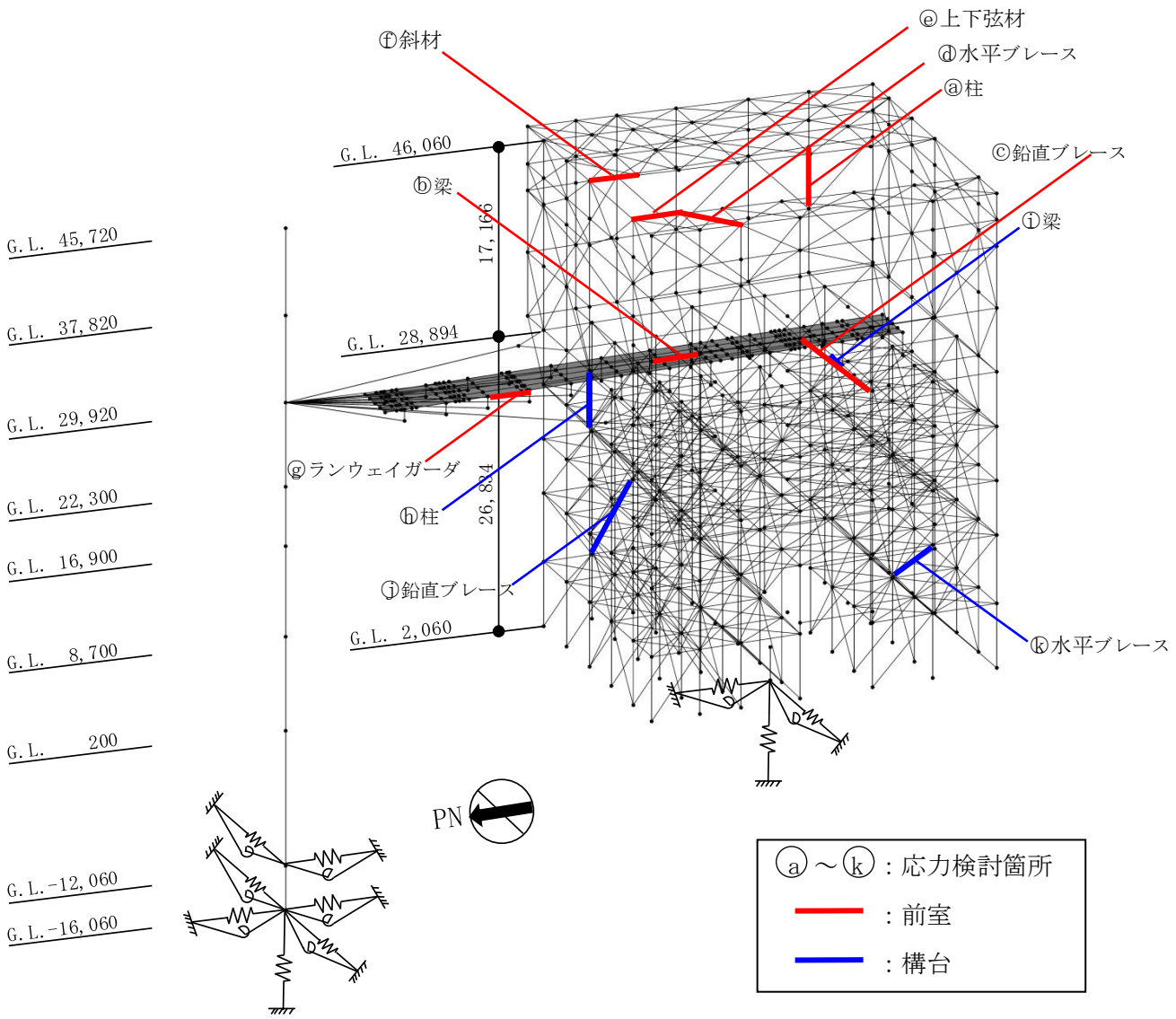



図 4.3.2-5　地震応答解析モデル（単位：mm）（1/2Ss450 応力検討箇所記載）

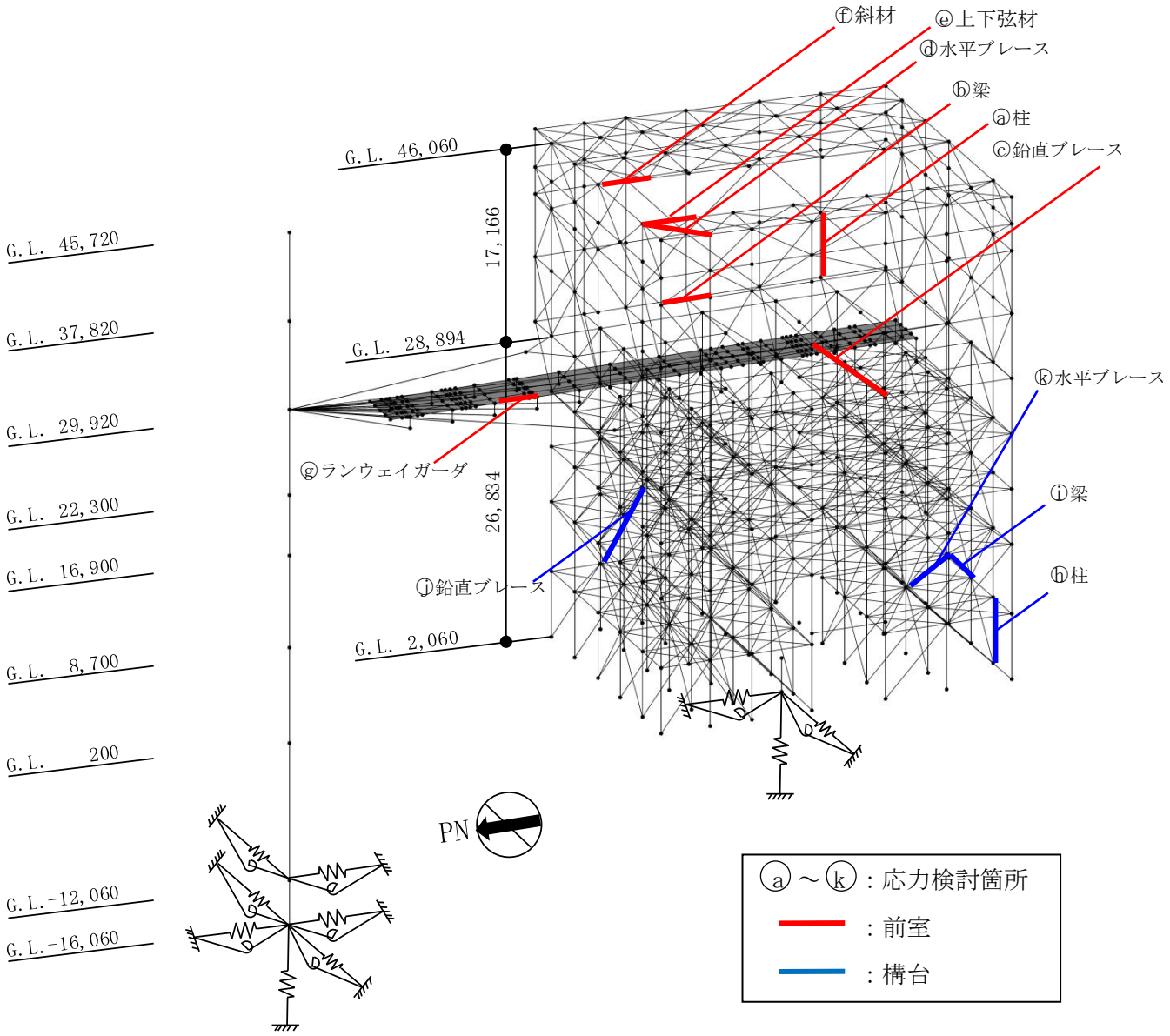



図 4.3.2-6　地震応答解析モデル（単位：mm）（Ss600 応力検討箇所記載）

表 4.3.2-1　地震応答解析に用いる物性値

| 部位 | 材料 | ヤング係数<br>E(N/mm$^2$) | ポアソン比<br>$\nu$ | 単位体積重量<br>$\gamma$ (kN/m$^3$) | 減衰定数<br>h(%) | 備考 |
|---|---|---|---|---|---|---|
| 燃料取り<br>出し用構台 | 鉄骨 | $2.05\times10^5$ | 0.3 | 77.0 | 2 | SS400，SM490A，SN490B，<br>SN490C，STK490，TMCP325 |

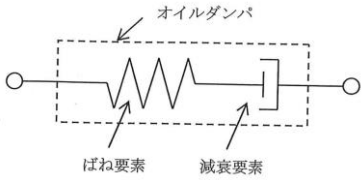
表 4.3.2-2　オイルダンパの物性値及び許容値

オイルダンパ（水平棟間）

| | 最大減衰力 (kN) | リリーフ荷重 (kN) | 最大速度 (m/s) | 第一減衰係数 (kN･s/m) | 第二減衰係数 (kN･s/m) | ストローク (mm) |
|---|---|---|---|---|---|---|
| オイルダンパ | 1970 | 1700 | 0.7 | 12000 | 490 | ±100 |

オイルダンパ（鉛直）

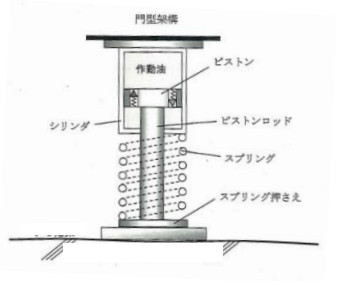
| | 最大減衰力 (kN) | リリーフ荷重 (kN) | 最大速度 (m/s) | 第一減衰係数 (kN･s/m) | 第二減衰係数 (kN･s/m) | ストローク (mm) |
|---|---|---|---|---|---|---|
| オイルダンパ | 2060 | 1600 | 0.5 | 40000 | 1000 | ±60 |




オイルダンパのモデル化

ばね付きオイルダンパ

| | 最大減衰力 (kN) | リリーフ荷重 (kN) | 最大速度 (m/s) | 第一減衰係数 (kN･s/m) | 第二減衰係数 (kN･s/m) | ストローク (mm) |
|---|---|---|---|---|---|---|
| ばね付き オイルダンパ | 1500 | 1200 | 1.0 | 5000 | 395 | ±100 |




ばね付きオイルダンパ概念図

表 4.3.2-3(1)　地震応答解析モデルのうち原子炉建屋の地震応答解析モデルの諸元

(a)水平（NS）方向

| 標高<br>G.L.（m） | 質点重量<br>W（kN） | 回転慣性重量<br>$I_G$（$\times 10^5$ kN･m$^2$） | せん断断面積<br>As（m$^2$） | 断面二次モーメント<br>I（m$^4$） |
|---|---|---|---|---|
| 45.72 | 12880 | 23.28 | | |
| | | | 18.6 | 10154 |
| 37.82 | 10220 | 18.53 | | |
| | | | 16.1 | 10626 |
| 29.92 | 74470 | 134.76 | | |
| | | | 184.3 | 22551 |
| 22.3 | 79440 | 143.78 | | |
| | | | 166.8 | 24629 |
| 16.9 | 107720 | 194.96 | | |
| | | | 249.3 | 44401 |
| 8.7 | 116670 | 211.14 | | |
| | | | 157.1 | 40661 |
| 0.2 | 201190 | 364.11 | | |
| | | | 456.8 | 110444 |
| -12.06 | 341290 | 617.55 | | |
| | | | 2656.2 | 480675 |
| -16.06 | 125030 | 226.24 | | |
| 合計 | 1068910 | | | |

| | |
|---|---|
| ヤング係数 Ec | $2.57\times10^7$(kN/m$^2$) |
| せん断弾性係数 G | $1.07\times10^7$(kN/m$^2$) |
| ポアソン比 $\nu$ | 0.20 |
| 減衰 h | 5% |

表 4.3.2-3(2)　地震応答解析モデルのうち原子炉建屋の地震応答解析モデルの諸元

(b)水平（EW）方向

| 標高<br>G.L.（m） | 質点重量<br>W（kN） | 回転慣性重量<br>$I_G$（$\times 10^5$ kN･m$^2$） | せん断断面積<br>As（m$^2$） | 断面二次モーメント<br>I（m$^4$） |
|---|---|---|---|---|
| 45.72 | 12880 | 13.18 | | |
| | | | 13.6 | 5926 |
| 37.82 | 10220 | 10.40 | | |
| | | | 12.6 | 6255 |
| 29.92 | 74470 | 76.06 | | |
| | | | 108.2 | 11927 |
| 22.3 | 79440 | 81.06 | | |
| | | | 117.3 | 14199 |
| 16.9 | 107720 | 194.96 | | |
| | | | 185.7 | 33796 |
| 8.7 | 116670 | 211.14 | | |
| | | | 173.1 | 41960 |
| 0.2 | 201190 | 544.79 | | |
| | | | 418.1 | 132121 |
| -12.06 | 341290 | 923.98 | | |
| | | | 2656.2 | 719166 |
| -16.06 | 125030 | 338.53 | | |
| 合計 | 1068910 | | | |

| | |
|---|---|
| ヤング係数 Ec | $2.57\times10^7$(kN/m$^2$) |
| せん断弾性係数 G | $1.07\times10^7$(kN/m$^2$) |
| ポアソン比 $\nu$ | 0.20 |
| 減衰 h | 5% |

表 4.3.2-3(3)　地震応答解析モデルのうち原子炉建屋の地震応答解析モデルの諸元

(c)鉛直方向

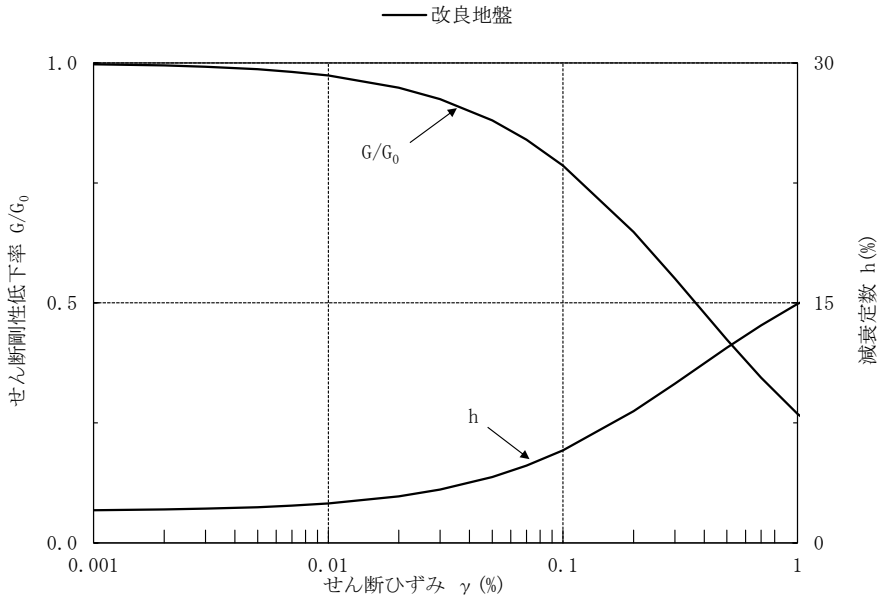
| 標高<br>G.L. (m) | 質点重量<br>W (kN) | 軸断面積<br>$A_N$ ($m^2$) | 軸ばね剛性<br>$K_A$ ($\times 10^8$ kN/m) |
|---|---|---|---|
| 45.72 | 12880 | | |
| | | 43.0 | 1.40 |
| 37.82 | 10220 | | |
| | | 42.5 | 1.38 |
| 29.92 | 74470 | | |
| | | 291.9 | 9.84 |
| 22.3 | 79440 | | |
| | | 295.1 | 14.04 |
| 16.9 | 107720 | | |
| | | 437.5 | 13.71 |
| 8.7 | 116670 | | |
| | | 359.4 | 10.87 |
| 0.2 | 201190 | | |
| | | 627.4 | 13.15 |
| -12.06 | 341290 | | |
| | | 2656.2 | 170.66 |
| -16.06 | 125030 | | |
| 合計 | 1068910 | | |

ヤング係数 Ec　$2.57\times10^7$ ($kN/m^2$)
せん断弾性係数 G　$1.07\times10^7$ ($kN/m^2$)
ポアソン比 $\nu$　0.20
減衰 h　5%

表 4.3.2-4　改良地盤の諸元

| せん断波速度* | 単位体積重量 | ポアソン比* | 初期せん断弾性係数 |
|---|---|---|---|
| Vs<br>(m/s) | $\gamma$<br>(kN/m$^3$) | $\nu$ | $G_0$<br>($\times 10^5$kN/m$^2$) |
| 800 | 17.7 | 0.31 | 11.52 |

*:『柏崎刈羽原子力発電所 1 号機　建物・構築物の耐震安全性評価について（指摘事項に関する回答)』(東京電力株式会社，平成 22 年 2 月 19 日，総合資源エネルギー調査会原子力安全・保安部会耐震・構造設計小委員会構造 WG（第 46 回）会合資料)




*:『柏崎刈羽原子力発電所 1 号機　建物・構築物の耐震安全性評価について（指摘事項に関する回答)』(東京電力株式会社，平成 22 年 2 月 19 日，総合資源エネルギー調査会原子力安全・保安部会耐震・構造設計小委員会構造 WG（第 46 回）会合資料)

図 4.3.2-7　改良地盤の非線形特性

表 4.3.2-5(1)　地盤定数の設定結果（燃料取り出し用構台）

(a) 1/2Ss450

| 標高<br>G.L.<br>(m) | 地質 | せん断波<br>速度<br>Vs<br>(m/s) | 単位体積<br>重量<br>$\gamma$<br>(kN/m$^3$) | ﾎﾟｱｿﾝ<br>比<br>$\nu$ | せん断<br>弾性係数<br>G<br>($\times 10^5$kN/m$^2$) | 初期せん断<br>弾性係数<br>$G_0$<br>($\times 10^5$kN/m$^2$) | 剛性<br>低下率<br>$G/G_0$ | ヤング<br>係数<br>E<br>($\times 10^5$kN/m$^2$) | 減衰<br>定数<br>h<br>(%) | 層厚<br>H<br>(m) |
|---|---|---|---|---|---|---|---|---|---|---|
| 0.0 | | | | | | | | | | |
| | 改良地盤 | 800 | 17.7 | 0.310 | 11.40 | 11.52 | 0.99 | 29.87 | 2 | 8.1 |
| -8.1 | | | | | | | | | | |
| | 泥岩 | 450 | 16.5 | 0.464 | 2.73 | 3.41 | 0.80 | 7.99 | 3 | 11.9 |
| -20.0 | | | | | | | | | | |
| | | 500 | 17.1 | 0.455 | 3.49 | 4.36 | 0.80 | 10.16 | 3 | 70.0 |
| -90.0 | | | | | | | | | | |
| | | 560 | 17.6 | 0.446 | 4.50 | 5.63 | 0.80 | 13.01 | 3 | 28.0 |
| -118.0 | | | | | | | | | | |
| | | 600 | 17.8 | 0.442 | 5.22 | 6.53 | 0.80 | 15.05 | 3 | 88.0 |
| -206.0 | | | | | | | | | | |
| | (解放基盤) | 700 | 18.5 | 0.421 | 9.24 | 9.24 | - | - | - | - |

表 4.3.2-5(2)　地盤定数の設定結果（燃料取り出し用構台）

(b)従来の Ss-1

| 標高<br>G.L.<br>(m) | 地質 | せん断波<br>速度<br>Vs<br>(m/s) | 単位体積<br>重量<br>$\gamma$<br>(kN/m$^3$) | ﾎﾟｱｿﾝ<br>比<br>$\nu$ | せん断<br>弾性係数<br>G<br>($\times 10^5$kN/m$^2$) | 初期せん断<br>弾性係数<br>$G_0$<br>($\times 10^5$kN/m$^2$) | 剛性<br>低下率<br>$G/G_0$ | ヤング<br>係数<br>E<br>($\times 10^5$kN/m$^2$) | 減衰<br>定数<br>h<br>(%) | 層厚<br>H<br>(m) |
|---|---|---|---|---|---|---|---|---|---|---|
| 0.0 | | | | | | | | | | |
| | 改良地盤 | 800 | 17.7 | 0.310 | 11.40 | 11.52 | 0.99 | 29.87 | 2 | 8.1 |
| -8.1 | | | | | | | | | | |
| | | 450 | 16.5 | 0.464 | 2.66 | 3.41 | 0.78 | 7.79 | 3 | 11.9 |
| -20.0 | | | | | | | | | | |
| | | 500 | 17.1 | 0.455 | 3.40 | 4.36 | 0.78 | 9.89 | 3 | 70.0 |
| -90.0 | 泥岩 | | | | | | | | | |
| | | 560 | 17.6 | 0.446 | 4.39 | 5.63 | 0.78 | 12.70 | 3 | 28.0 |
| -118.0 | | | | | | | | | | |
| | | 600 | 17.8 | 0.442 | 5.09 | 6.53 | 0.78 | 14.68 | 3 | 88.0 |
| -206.0 | | | | | | | | | | |
| | (解放基盤) | 700 | 18.5 | 0.421 | 9.24 | 9.24 | 1.00 | 26.26 | - | - |

(c) 従来の Ss-2

| 標高<br>G.L.<br>(m) | 地質 | せん断波<br>速度<br>Vs<br>(m/s) | 単位体積<br>重量<br>$\gamma$<br>(kN/m$^3$) | ﾎﾟｱｿﾝ<br>比<br>$\nu$ | せん断<br>弾性係数<br>G<br>($\times 10^5$kN/m$^2$) | 初期せん断<br>弾性係数<br>$G_0$<br>($\times 10^5$kN/m$^2$) | 剛性<br>低下率<br>$G/G_0$ | ヤング<br>係数<br>E<br>($\times 10^5$kN/m$^2$) | 減衰<br>定数<br>h<br>(%) | 層厚<br>H<br>(m) |
|---|---|---|---|---|---|---|---|---|---|---|
| 0.0 | | | | | | | | | | |
| | 改良地盤 | 800 | 17.7 | 0.310 | 11.40 | 11.52 | 0.99 | 29.87 | 2 | 8.1 |
| -8.1 | | | | | | | | | | |
| | | 450 | 16.5 | 0.464 | 2.73 | 3.41 | 0.80 | 7.99 | 3 | 11.9 |
| -20.0 | | | | | | | | | | |
| | | 500 | 17.1 | 0.455 | 3.49 | 4.36 | 0.80 | 10.16 | 3 | 70.0 |
| -90.0 | 泥岩 | | | | | | | | | |
| | | 560 | 17.6 | 0.446 | 4.50 | 5.63 | 0.80 | 13.01 | 3 | 28.0 |
| -118.0 | | | | | | | | | | |
| | | 600 | 17.8 | 0.442 | 5.22 | 6.53 | 0.80 | 15.05 | 3 | 88.0 |
| -206.0 | | | | | | | | | | |
| | (解放基盤) | 700 | 18.5 | 0.421 | 9.24 | 9.24 | 1.00 | 26.26 | - | - |

(d) 従来の Ss-3

| 標高<br>G.L.<br>(m) | 地質 | せん断波<br>速度<br>Vs<br>(m/s) | 単位体積<br>重量<br>$\gamma$<br>(kN/m$^3$) | ﾎﾟｱｿﾝ<br>比<br>$\nu$ | せん断<br>弾性係数<br>G<br>($\times 10^5$kN/m$^2$) | 初期せん断<br>弾性係数<br>$G_0$<br>($\times 10^5$kN/m$^2$) | 剛性<br>低下率<br>$G/G_0$ | ヤング<br>係数<br>E<br>($\times 10^5$kN/m$^2$) | 減衰<br>定数<br>h<br>(%) | 層厚<br>H<br>(m) |
|---|---|---|---|---|---|---|---|---|---|---|
| 0.0 | | | | | | | | | | |
| | 改良地盤 | 800 | 17.7 | 0.310 | 11.40 | 11.52 | 0.99 | 29.87 | 2 | 8.1 |
| -8.1 | | | | | | | | | | |
| | | 450 | 16.5 | 0.464 | 2.63 | 3.41 | 0.77 | 7.70 | 3 | 11.9 |
| -20.0 | | | | | | | | | | |
| | | 500 | 17.1 | 0.455 | 3.36 | 4.36 | 0.77 | 9.78 | 3 | 70.0 |
| -90.0 | 泥岩 | | | | | | | | | |
| | | 560 | 17.6 | 0.446 | 4.34 | 5.63 | 0.77 | 12.55 | 3 | 28.0 |
| -118.0 | | | | | | | | | | |
| | | 600 | 17.8 | 0.442 | 5.03 | 6.53 | 0.77 | 14.51 | 3 | 88.0 |
| -206.0 | | | | | | | | | | |
| | (解放基盤) | 700 | 18.5 | 0.421 | 9.24 | 9.24 | 1.00 | 26.26 | - | - |

表 4.3.2-6(1)　地盤定数の設定結果（原子炉建屋）

(a) 1/2Ss450

| 標高<br>G.L.<br>(m) | 地質 | せん断波<br>速度<br>Vs<br>(m/s) | 単位体積<br>重量<br>$\gamma$<br>(kN/m$^3$) | ﾎﾟｱｿﾝ<br>比<br>$\nu$ | せん断<br>弾性係数<br>G<br>(×10$^5$kN/m$^2$) | 初期せん断<br>弾性係数<br>$G_0$<br>(×10$^5$kN/m$^2$) | 剛性<br>低下率<br>$G/G_0$ | ヤング<br>係数<br>E<br>(×10$^5$kN/m$^2$) | 減衰<br>定数<br>h<br>(%) | 層厚<br>H<br>(m) |
|---|---|---|---|---|---|---|---|---|---|---|
| 0.0 | | | | | | | | | | |
| | 砂岩 | 380 | 17.8 | 0.473 | 2.23 | 2.62 | 0.85 | 6.57 | 3 | 8.1 |
| -8.1 | | | | | | | | | | |
| | 泥岩 | 450 | 16.5 | 0.464 | 2.73 | 3.41 | 0.80 | 7.99 | 3 | 11.9 |
| -20.0 | | | | | | | | | | |
| | | 500 | 17.1 | 0.455 | 3.49 | 4.36 | 0.80 | 10.16 | 3 | 70.0 |
| -90.0 | | | | | | | | | | |
| | | 560 | 17.6 | 0.446 | 4.50 | 5.63 | 0.80 | 13.01 | 3 | 28.0 |
| -118.0 | | | | | | | | | | |
| | | 600 | 17.8 | 0.442 | 5.22 | 6.53 | 0.80 | 15.05 | 3 | 88.0 |
| -206.0 | | | | | | | | | | |
| | (解放基盤) | 700 | 18.5 | 0.421 | 9.24 | 9.24 | - | - | - | - |

表 4.3.2-6(2)　地盤定数の設定結果（原子炉建屋）

(b) 従来の Ss-1

| 標高<br>G.L.<br>(m) | 地質 | せん断波<br>速度<br>Vs<br>(m/s) | 単位体積<br>重量<br>$\gamma$<br>(kN/m$^3$) | ﾎﾟｱｿﾝ<br>比<br>$\nu$ | せん断<br>弾性係数<br>G<br>($\times 10^5$kN/m$^2$) | 初期せん断<br>弾性係数<br>$G_0$<br>($\times 10^5$kN/m$^2$) | 剛性<br>低下率<br>$G/G_0$ | ヤング<br>係数<br>E<br>($\times 10^5$kN/m$^2$) | 減衰<br>定数<br>h<br>(%) | 層厚<br>H<br>(m) |
|---|---|---|---|---|---|---|---|---|---|---|
| 0.0 | | | | | | | | | | |
| | 砂岩 | 380 | 17.8 | 0.473 | 2.23 | 2.62 | 0.85 | 6.57 | 3 | 8.1 |
| -8.1 | | 450 | 16.5 | 0.464 | 2.66 | 3.41 | 0.78 | 7.79 | 3 | 11.9 |
| -20.0 | | 500 | 17.1 | 0.455 | 3.40 | 4.36 | 0.78 | 9.89 | 3 | 70.0 |
| -90.0 | 泥岩 | 560 | 17.6 | 0.446 | 4.39 | 5.63 | 0.78 | 12.70 | 3 | 28.0 |
| -118.0 | | 600 | 17.8 | 0.442 | 5.09 | 6.53 | 0.78 | 14.68 | 3 | 88.0 |
| -206.0 | (解放基盤) | 700 | 18.5 | 0.421 | 9.24 | 9.24 | 1.00 | 26.26 | - | - |

(c) 従来の Ss-2

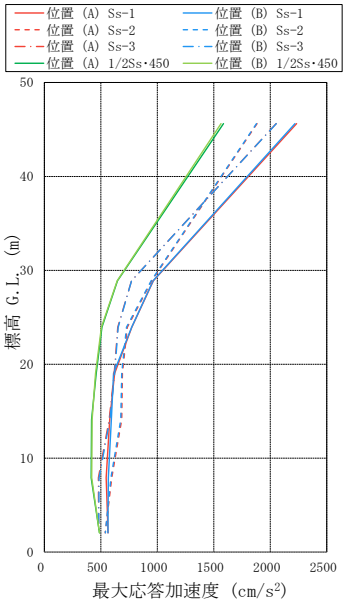
| 標高<br>G.L.<br>(m) | 地質 | せん断波<br>速度<br>Vs<br>(m/s) | 単位体積<br>重量<br>$\gamma$<br>(kN/m$^3$) | ﾎﾟｱｿﾝ<br>比<br>$\nu$ | せん断<br>弾性係数<br>G<br>($\times 10^5$kN/m$^2$) | 初期せん断<br>弾性係数<br>$G_0$<br>($\times 10^5$kN/m$^2$) | 剛性<br>低下率<br>$G/G_0$ | ヤング<br>係数<br>E<br>($\times 10^5$kN/m$^2$) | 減衰<br>定数<br>h<br>(%) | 層厚<br>H<br>(m) |
|---|---|---|---|---|---|---|---|---|---|---|
| 0.0 | | | | | | | | | | |
| | 砂岩 | 380 | 17.8 | 0.473 | 2.23 | 2.62 | 0.85 | 6.57 | 3 | 8.1 |
| -8.1 | | 450 | 16.5 | 0.464 | 2.76 | 3.41 | 0.81 | 8.08 | 3 | 11.9 |
| -20.0 | | 500 | 17.1 | 0.455 | 3.53 | 4.36 | 0.81 | 10.27 | 3 | 70.0 |
| -90.0 | 泥岩 | 560 | 17.6 | 0.446 | 4.56 | 5.63 | 0.81 | 13.19 | 3 | 28.0 |
| -118.0 | | 600 | 17.8 | 0.442 | 5.29 | 6.53 | 0.81 | 15.26 | 3 | 88.0 |
| -206.0 | (解放基盤) | 700 | 18.5 | 0.421 | 9.24 | 9.24 | 1.00 | 26.26 | - | - |

(d) 従来の Ss-3

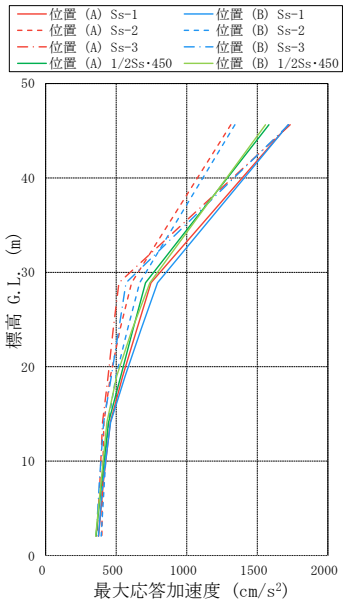
| 標高<br>G.L.<br>(m) | 地質 | せん断波<br>速度<br>Vs<br>(m/s) | 単位体積<br>重量<br>$\gamma$<br>(kN/m$^3$) | ﾎﾟｱｿﾝ<br>比<br>$\nu$ | せん断<br>弾性係数<br>G<br>($\times 10^5$kN/m$^2$) | 初期せん断<br>弾性係数<br>$G_0$<br>($\times 10^5$kN/m$^2$) | 剛性<br>低下率<br>$G/G_0$ | ヤング<br>係数<br>E<br>($\times 10^5$kN/m$^2$) | 減衰<br>定数<br>h<br>(%) | 層厚<br>H<br>(m) |
|---|---|---|---|---|---|---|---|---|---|---|
| 0.0 | | | | | | | | | | |
| | 砂岩 | 380 | 17.8 | 0.473 | 2.25 | 2.62 | 0.86 | 6.63 | 3 | 8.1 |
| -8.1 | | 450 | 16.5 | 0.464 | 2.66 | 3.41 | 0.78 | 7.79 | 3 | 11.9 |
| -20.0 | | 500 | 17.1 | 0.455 | 3.40 | 4.36 | 0.78 | 9.89 | 3 | 70.0 |
| -90.0 | 泥岩 | 560 | 17.6 | 0.446 | 4.39 | 5.63 | 0.78 | 12.70 | 3 | 28.0 |
| -118.0 | | 600 | 17.8 | 0.442 | 5.09 | 6.53 | 0.78 | 14.68 | 3 | 88.0 |
| -206.0 | (解放基盤) | 700 | 18.5 | 0.421 | 9.24 | 9.24 | 1.00 | 26.26 | - | - |

(3)　地震応答解析結果

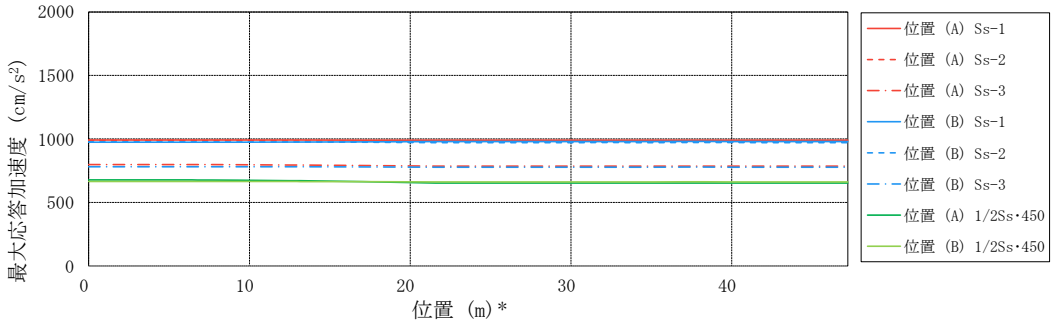
最大応答加速度分布を図 4.3.2-8(1) 及び図 4.3.2-8(2) に示す。



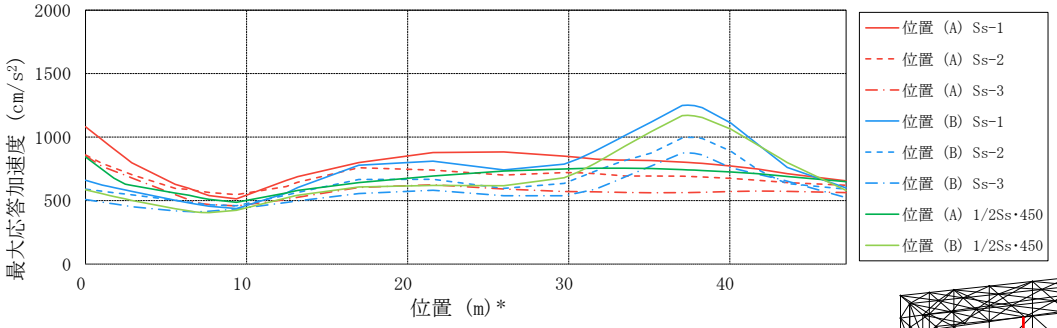

(a) 水平(NS)成分 (構台+前室)



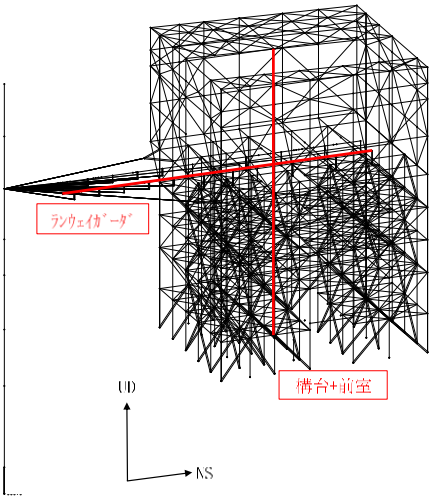

(b) 鉛直成分 (構台+前室)




(c) 水平(NS)成分 (ランウェイガーダ)




(d) 鉛直成分 (ランウェイガーダ)

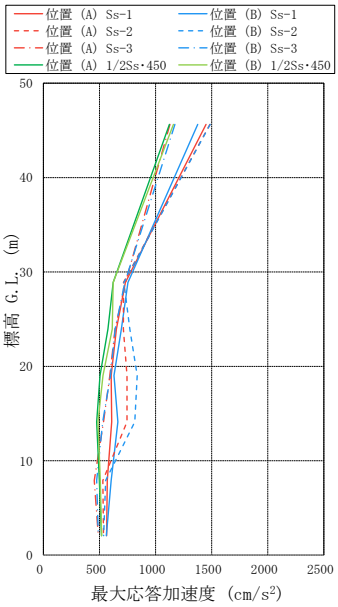



注：凡例位置の条件は表 4.2.1-4 に示す

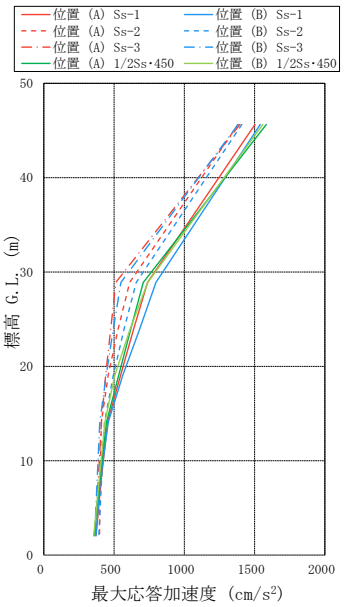
＊：位置は原子炉建屋側の先端からの距離を示す

図 4.3.2-8(1)　最大応答加速度分布

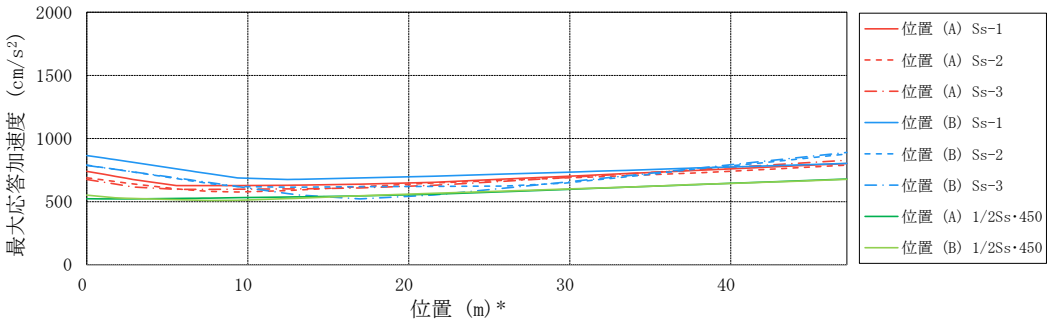
(Ss600：NS 及び UD 方向加力時，1/2Ss450：3 方向加力時)



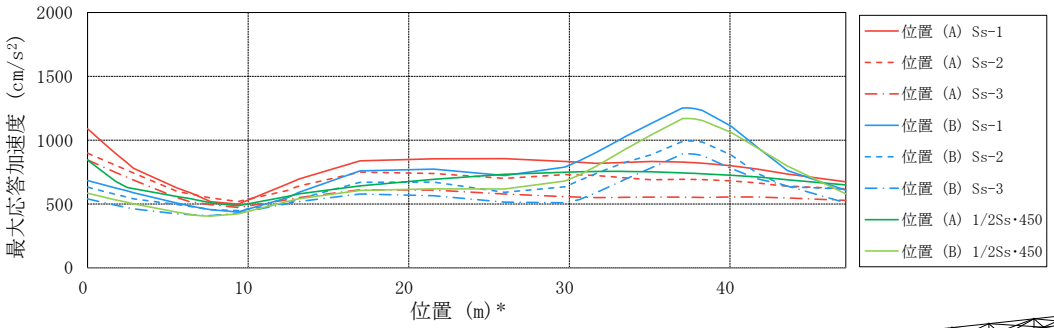

(a)水平(EW)成分 (構台+前室)




(b)鉛直成分 (構台+前室)




(c)水平(EW)成分 (ランウェイガーダ)




(d)鉛直成分 (ランウェイガーダ)

注：凡例位置の条件は表 4.2.1-4 に示す
＊：位置は原子炉建屋側の先端からの距離を示す

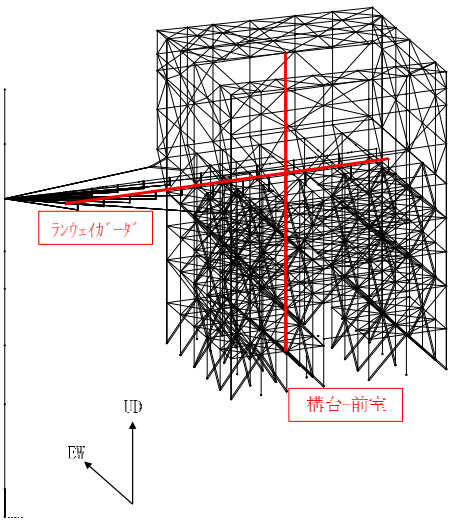



図 4.3.2-8(2)　最大応答加速度分布
(Ss600：EW 及び UD 方向加力時，1/2Ss450：3 方向加力時)

(4) 波及的影響の評価

地震応答解析結果が，JSCA 性能メニュー（社団法人日本建築構造技術者協会，2018 年）を参考に定めたクライテリア（「層間変形角は 1/75 以下，層の塑性率は 4 以下，部材の塑性率は 5 以下」*及びせん断力はせん断耐力以下）を満足することを確認する。

なお，解析結果が「時刻歴応答解析建築物性能評価業務方法書」（財団法人日本建築センター，平成 19 年 7 月 20 日）に示されるクライテリア（層間変形角は 1/100 以下，層の塑性率は 2 以下，部材の塑性率は 4 以下）を超える場合には水平変形に伴う鉛直荷重の付加的影響を考慮した解析を実施し，安全性を確認する。

*：北村春幸，宮内洋二，浦本弥樹「性能設計における耐震性能判断基準値に関する研究」，日本建築学会構造系論文集，第 604 号，2006 年 6 月

1) 層間変形角の検討

最大応答層間変形角を表 4.3.2-7 に示す。

検討の結果，最大応答層間変形角は 1/75 以下となりクライテリアを満足することを確認した。

表 4.3.2-7(1) 最大応答層間変形角の検討結果（1/2Ss450）

| 検討箇所 | 地震波 | 入力方向（位置）* | 最大応答値 | ｸﾗｲﾃﾘｱ | 判定 |
|---|---|---|---|---|---|
| 前室 | 1/2Ss450 | NS（A） | 1/604 | 1/75 | O.K. |
| | | EW（B） | 1/624 | 1/75 | O.K. |
| 構台 | | NS（B） | 1/741 | 1/75 | O.K. |
| | | EW（B） | 1/386 | 1/75 | O.K. |

*：（ ）内は，燃料取扱設備の位置を示す。（表 4.2.1-4 参照）

表 4.3.2-7(2) 最大応答層間変形角の検討結果（Ss600）

| 検討箇所 | 地震波 | 入力方向（位置）* | 最大応答値 | ｸﾗｲﾃﾘｱ | 判定 |
|---|---|---|---|---|---|
| 前室 | 従来の Ss-1 | NS（A） | 1/431 | 1/75 | O.K. |
| | | EW（A） | 1/484 | 1/75 | O.K. |
| | 従来の Ss-2 | NS（A） | 1/433 | 1/75 | O.K. |
| | | EW（A） | 1/472 | 1/75 | O.K. |
| | 従来の Ss-3 | NS（B） | 1/442 | 1/75 | O.K. |
| | | EW（A） | 1/551 | 1/75 | O.K. |
| 構台 | 従来の Ss-1 | NS（B） | 1/443 | 1/75 | O.K. |
| | | EW（B） | 1/320 | 1/75 | O.K. |
| | 従来の Ss-2 | NS（B） | 1/461 | 1/75 | O.K. |
| | | EW（B） | 1/280 | 1/75 | O.K. |
| | 従来の Ss-3 | NS（A） | 1/591 | 1/75 | O.K. |
| | | EW（B） | 1/262 | 1/75 | O.K. |

*：（ ）内は，燃料取扱設備の位置を示す。（表 4.2.1-4 参照）

2) 断面検討

部材の応答結果が塑性していないため，断面検討結果を応力度比で示す。部材の応力度比は，2方向の曲げ，軸力及びせん断力の各最大応力と各許容応力度との比を組み合わせた値で表される。表 4.3.2-8 に断面検討結果を示す。なお，各許容応力度，引張耐力及び座屈耐力算定時の材料強度は「平成 12 年建設省告示第 2464 号」に定められた基準強度 F 値の 1.1 倍を用いる。

表 4.3.2-8 より全てのケースで応力度比が 1 以下になり，クライテリアを満足することを確認した。

表 4.3.2-8(1) 断面検討結果（前室）(1/2Ss450)

| 部 位*1 | | 部材形状(mm)<br>〈使用材料〉 | 燃料取扱<br>設備位置*2 | 作用応力度<br>(N/mm²) | | 許容応力度<br>(N/mm²) | | 応力度比 | 判定 |
|---|---|---|---|---|---|---|---|---|---|
| 前室 | ⓐ柱 | H-700×300<br>×14×28<br>〈SM490A〉 | A | $\sigma_c$ | 24.2 | $f_c$ | 310 | 0.71 | O.K. |
| | | | | $\sigma_{by}$ | 180.8 | $f_{by}$ | 313 | | |
| | | | | $\sigma_{bz}$ | 17.9 | $f_{bz}$ | 357 | | |
| | | | | $\tau$ | 3.0 | $f_s$ | 205 | | |
| | ⓑ梁 | H-390×300<br>×10×16<br>〈SM490A〉 | B | $\sigma_t$ | 3.8 | $f_t$ | 357 | 0.70 | O.K. |
| | | | | $\sigma_{by}$ | 0.0 | $f_{by}$ | 273 | | |
| | | | | $\sigma_{bz}$ | 243.8 | $f_{bz}$ | 357 | | |
| | | | | $\tau$ | 4.2 | $f_s$ | 205 | | |
| | ⓒ鉛直<br>ブレース | $\phi$-355.6×9.5<br>〈STK490〉 | B | $\sigma_c$ | 128.8 | $f_c$ | 279 | 0.47 | O.K. |
| | ⓓ水平<br>ブレース | 2[s-150×75×9<br>×12.5<br>〈SS400〉 | B | $\sigma_t$ | 129.7 | $f_t$ | 258 | 0.51 | O.K. |
| | ⓔ屋根トラス上下弦材 | H-300×300×16<br>×16<br>〈SM490A〉 | B | $\sigma_c$ | 169.2 | $f_c$ | 316 | 0.66 | O.K. |
| | | | | $\sigma_{bz}$ | 43.7 | $f_{bz}$ | 357 | | |
| | | | | $\tau$ | 0.7 | $f_s$ | 205 | | |
| | ⓕ屋根トラス斜材 | 2[s-150×75×<br>6.5×10<br>〈SS400〉 | A | $\sigma_c$ | 117.1 | $f_c$ | 239 | 0.49 | O.K. |
| | ⓖランウェイガーダ | □-1500×900×<br>(80+40)×80<br>〈SN490B〉 | A | $\sigma_c$ | 20.4 | $f_c$ | 323 | 0.29 | O.K. |
| | | | | $\sigma_b$ | 69.8 | $f_b$ | 323 | | |
| | | | | $\tau$ | 12.5 | $f_s$ | 186 | | |

*1：ⓐ～ⓖの符号は図 4.3.2-5 の応力検討箇所を示す

*2：表 4.2.1-4 参照

表 4.3.2-8(2)　断面検討結果（構台）(1/2Ss450)

| 部　位[*1] | | 部材形状(mm)<br>〈使用材料〉 | 燃料取扱<br>設備位置[*2] | 作用応力度<br>(N/mm$^2$) | | 許容応力度<br>(N/mm$^2$) | | 応力度比 | 判定 |
|---|---|---|---|---|---|---|---|---|---|
| 構台 | ⓗ柱 | (X)H-1500×400<br>×16×32<br>(Y)H- 700×350<br>×16×32<br>〈SM490A〉 | B | $\sigma_c$ | 41.6 | $f_c$ | 348 | 0.83 | O.K. |
| | | | | $\sigma_{by}$ | 120.5 | $f_{by}$ | 303 | | |
| | | | | $\sigma_{bz}$ | 108.5 | $f_{bz}$ | 357 | | |
| | | | | $\tau$ | 12.8 | $f_s$ | 205 | | |
| | ⓘ梁 | H-800×350<br>×19×36<br>〈SM490A〉 | B | $\sigma_c$ | 0.1 | $f_c$ | 342 | 0.69 | O.K. |
| | | | | $\sigma_{by}$ | 152.4 | $f_{by}$ | 339 | | |
| | | | | $\sigma_{bz}$ | 0.7 | $f_{bz}$ | 357 | | |
| | | | | $\tau$ | 106.1 | $f_s$ | 205 | | |
| | ⓙ鉛直<br>ブレース | φ-406.4×9.5<br>〈STK490〉 | B | $\sigma_c$ | 137.7 | $f_c$ | 294 | 0.47 | O.K. |
| | ⓚ水平<br>ブレース | [-180×75×7×<br>10.5<br>〈SS400〉 | B | $\sigma_t$ | 36.1 | $f_t$ | 258 | 0.14 | O.K. |

*1：ⓗ～ⓚの符号は図 4.3.2-5 の応力検討箇所を示す

*2：表 4.2.1-4 参照

表 4.3.2-8(3)　断面検討結果（前室）（Ss600）

| 部　位*1 | | 部材形状(mm)<br>〈使用材料〉 | 荷重ケース<br>(位置)*2 | 作用応力度<br>(N/mm²) | | 許容応力度<br>(N/mm²) | | 応力度比 | 判定 |
|---|---|---|---|---|---|---|---|---|---|
| 前室 | ⓐ柱 | H-700×300<br>×14×28<br>〈SM490A〉 | 従来の Ss-1<br>-EW+UD<br>(A) | $\sigma_c$ | 13.7 | $f_c$ | 310 | 0.82 | O.K. |
| | | | | $\sigma_{by}$ | 223.5 | $f_{by}$ | 298 | | |
| | | | | $\sigma_{bz}$ | 3.6 | $f_{bz}$ | 357 | | |
| | | | | $\tau$ | 27.6 | $f_s$ | 205 | | |
| | ⓑ梁 | H-390×300<br>×10×16<br>〈SM490A〉 | 従来の Ss-1<br>+EW-UD<br>(B) | $\sigma_t$ | 6.8 | $f_t$ | 357 | 0.91 | O.K. |
| | | | | $\sigma_{by}$ | 0.0 | $f_{by}$ | 273 | | |
| | | | | $\sigma_{bz}$ | 314.6 | $f_{bz}$ | 357 | | |
| | | | | $\tau$ | 5.5 | $f_s$ | 205 | | |
| | ⓒ鉛直<br>ブレース | $\phi$-355.6×9.5<br>〈STK490〉 | 従来の Ss-2<br>+NS+UD<br>(A) | $\sigma_c$ | 199.6 | $f_c$ | 279 | 0.72 | O.K. |
| | ⓓ水平<br>ブレース | 2[s-200×90×8<br>×13.5<br>〈SS400〉 | 従来の Ss-1<br>+EW-UD<br>(B) | $\sigma_t$ | 178.7 | $f_t$ | 258 | 0.70 | O.K. |
| | ⓔ屋根トラス上下弦材 | H-300×300×16<br>×16<br>〈SM490A〉 | 従来の Ss-1<br>+NS-UD<br>(B) | $\sigma_c$ | 221.0 | $f_c$ | 316 | 0.80 | O.K. |
| | | | | $\sigma_{bz}$ | 33.3 | $f_{bz}$ | 357 | | |
| | | | | $\tau$ | 0.5 | $f_s$ | 205 | | |
| | ⓕ屋根トラス斜材 | 2[s-150×75×<br>6.5×10<br>〈SS400〉 | 従来の Ss-1<br>-NS+UD<br>(B) | $\sigma_c$ | 148.7 | $f_c$ | 239 | 0.63 | O.K. |
| | ⓖランウェイガーダ | □-1500×900×<br>(80+40)×80<br>〈SN490B〉 | 従来の Ss-1<br>+NS-UD と<br>+EW-UD と<br>の包絡<br>(A) | $\sigma_c$ | 24.2 | $f_c$ | 323 | 0.35 | O.K. |
| | | | | $\sigma_b$ | 85.4 | $f_b$ | 323 | | |
| | | | | $\tau$ | 14.9 | $f_s$ | 186 | | |

*1：ⓐ～ⓖの符号は図 4.3.2-6 の応力検討箇所を示す

*2：(　)内は，燃料取扱設備の位置を示す。（表 4.2.1-4 参照）

表 4.3.2-8(4)　断面検討結果（構台）（Ss600）

| 部　位*1 | | 部材形状(mm)<br>〈使用材料〉 | 荷重ケース<br>(位置)*2 | 作用応力度<br>(N/mm²) | | 許容応力度<br>(N/mm²) | | 応力度比 | 判定 |
|---|---|---|---|---|---|---|---|---|---|
| 構台 | ⓗ柱 | (X)H-700×300<br>×36×36<br>(Y)H-700×350<br>×36×40<br>〈SM490A〉 | 従来の Ss-3<br>+EW-UD<br>(B) | $\sigma_c$ | 43.4 | $f_c$ | 343 | 0.91 | O.K. |
| | | | | $\sigma_{by}$ | 246.2 | $f_{by}$ | 337 | | |
| | | | | $\sigma_{bz}$ | 17.1 | $f_{bz}$ | 357 | | |
| | | | | $\tau$ | 18.8 | $f_s$ | 205 | | |
| | ⓘ梁 | H-750×350<br>×40×40<br>〈SM490A〉 | 従来の Ss-3<br>+EW-UD<br>(B) | $\sigma_c$ | 24.1 | $f_c$ | 350 | 0.87 | O.K. |
| | | | | $\sigma_{by}$ | 265.9 | $f_{by}$ | 352 | | |
| | | | | $\sigma_{bz}$ | 5.0 | $f_{bz}$ | 357 | | |
| | | | | $\tau$ | 41.5 | $f_s$ | 205 | | |
| | ⓙ鉛直<br>ブレース | φ-406.4×9.5<br>〈STK490〉 | 従来の Ss-1<br>+NS-UD<br>(B) | $\sigma_c$ | 214.2 | $f_c$ | 294 | 0.73 | O.K. |
| | ⓚ水平<br>ブレース | [-180×75×7×<br>10.5<br>〈SS400〉 | 従来の Ss-3<br>-EW+UD<br>(B) | $\sigma_t$ | 63.3 | $f_t$ | 258 | 0.25 | O.K. |

*1：ⓗ～ⓚの符号は図 4.3.2-6 の応力検討箇所を示す

*2：(　)内は，燃料取扱設備の位置を示す。(表 4.2.1-4 参照)

4.3.3　弾性支承の耐震性に対する検討

弾性支承に作用する圧縮力による面圧が，圧縮限界強度以下となることを確認する。圧縮限界強度はゴム材料の弾性係数に応じて製品が規定する数値である。

検討の結果，最大圧縮面圧が圧縮限界強度以下となることを確認した。

表 4.3.3-1(1)　弾性支承の耐震性に対する検討結果（1/2Ss450）

| 設置位置 | 燃料取扱設備位置* | 圧縮限界強度 $\sigma_v$ ($N/mm^2$) | 最大圧縮面圧 $\sigma_D$ ($N/mm^2$) | $\sigma_D/\sigma_v$ | 判定 |
|---|---|---|---|---|---|
| 西側 | A | 43.00 | 8.80 | 0.21 | O.K. |
| 東側 | A | 43.00 | 8.86 | 0.21 | O.K. |

*：表 4.2.1-4 参照

表 4.3.3-1(2)　弾性支承の耐震性に対する検討結果（Ss600）

| 設置位置 | 荷重ケース (位置)* | 圧縮限界強度 $\sigma_v$ ($N/mm^2$) | 最大圧縮面圧 $\sigma_D$ ($N/mm^2$) | $\sigma_D/\sigma_v$ | 判定 |
|---|---|---|---|---|---|
| 西側 | 従来の Ss-1 +NS-UD (A) | 43.00 | 10.83 | 0.26 | O.K. |
| 東側 | 従来の Ss-1 +NS-UD (A) | 43.00 | 10.83 | 0.26 | O.K. |

*：(　)内は，燃料取扱設備の位置を示す。（表 4.2.1-4 参照）

4.3.4　オイルダンパの耐震性に対する検討

各部位で用いられるオイルダンパの耐震性に対する検討は，地震応答解析における最大応答値が許容値以下であることを確認する。

表 4.3.4-1 に最大応答値と許容値を比較した結果を示す。

検討の結果，全てのオイルダンパで最大応答値が許容値以下になることを確認した。

表 4.3.4-1(1)　オイルダンパの検討結果（1/2Ss450）

| 種類 | 検討項目 | 燃料取扱設備位置* | 最大応答値 | 許容値 | 判定 |
|---|---|---|---|---|---|
| オイルダンパ（水平棟間） | 変位（mm） | A | 40 | ±100 | O.K. |
| | 速度（m/s） | A | 0.42 | 0.70 | O.K. |
| オイルダンパ（鉛直） | 変位（mm） | B | 13 | ±60 | O.K. |
| | 速度（m/s） | B | 0.07 | 0.50 | O.K. |
| ばね付きオイルダンパ | 変位（mm） | A | 14 | ±100 | O.K. |
| | 速度（m/s） | A | 0.10 | 1.00 | O.K. |

＊：表 4.2.1-4 参照

表 4.3.4-1(2)　オイルダンパの検討結果（Ss600）

| 種類 | 検討項目 | 荷重ケース（位置）* | 最大応答値 | 許容値 | 判定 |
|---|---|---|---|---|---|
| オイルダンパ（水平棟間） | 変位（mm） | 従来の Ss-1 NS (B) | 50 | ±100 | O.K. |
| | 速度（m/s） | 従来の Ss-2 NS (B) | 0.54 | 0.70 | O.K. |
| オイルダンパ（鉛直） | 変位（mm） | 従来の Ss-3 EW (B) | 18 | ±60 | O.K. |
| | 速度（m/s） | 従来の Ss-1 NS (B) | 0.16 | 0.50 | O.K. |
| ばね付きオイルダンパ | 変位（mm） | 従来の Ss-1 NS (A) | 18 | ±100 | O.K. |
| | 速度（m/s） | 従来の Ss-1 NS (A) | 0.14 | 1.00 | O.K. |

＊：（　）内は，燃料取扱設備の位置を示す。（表 4.2.1-4 参照）

4.3.5　1/2Ss450 と Ss600 の応答結果の比較検討

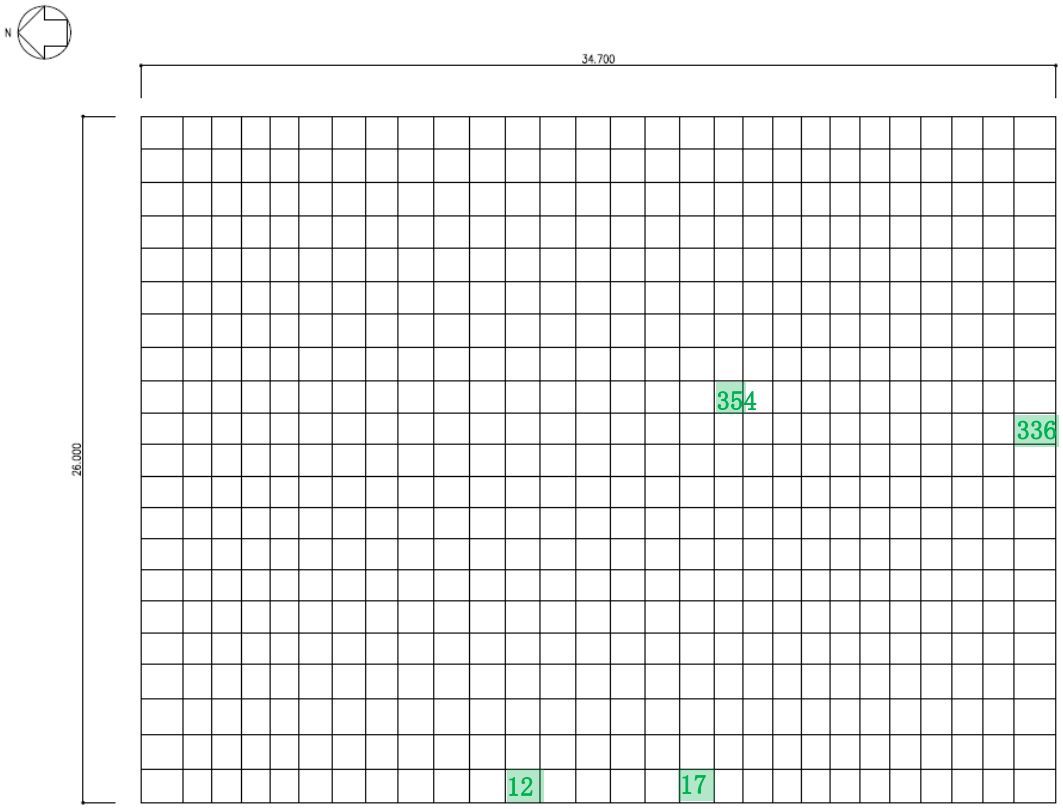
前述の通り，最大応答層間変形角，部材の断面検討結果，弾性支承の最大圧縮面圧およびオイルダンパの最大応答の全てにおいて，1/2Ss450 評価結果が Ss600 評価結果を下回り，1/2Ss450 を適用した場合の影響が十分小さいことをことを確認した。（別冊２８ P97～P103 参照）

4.3.6　基礎の耐震性に対する検討

(1)　解析モデル

基礎の応力解析は，弾性地盤上に支持された版として有限要素法を用いて行う。解析モデルは，図 4.3.6-1 に示すように四辺形の均質等方な板要素により構成し，支持地盤は等価な弾性ばねとしてモデル化する。但し，浮き上がった場合は，ばねの剛性が 0 となる。

なお，前述の通り 1/2Ss450 を適用した場合の影響が十分小さいことを確認したことから，Ss600 での検討結果を記載する。




凡例　###　：Ss600 時断面算定要素（数字は要素番号）

図 4.3.6-1　基礎モデル(Ss600 時)

(2)　断面検討

組合せた応力より，各要素の必要鉄筋比を「原子力施設鉄筋コンクリート構造計算規準・同解説」より求め，設計配筋が必要鉄筋比を上回ること及び面外せん断力が許容せん断力以下であることを確認する。必要鉄筋比が最大となる要素と設計面外せん断力と許容せん断力との比が最大になる要素の断面検討結果を表 4.3.6-1 に示す。なお，各許容応力度，引張耐力及び座屈耐力算定時の材料強度は「平成 12 年建設省告示第 2464 号」に定められた基準強度 F 値の 1.1 倍を用いる。

断面検討の結果，設計配筋は必要鉄筋比を上回り，面外せん断力は許容せん断力以下であることを確認した。

表 4.3.6-1　断面検討結果

| 要素番号 | 方向 | 荷重ケース<br>(位置)*1 | 設計応力 | | N/(b・D)*2<br>($\times 10^{-2}$ N/mm$^2$) | M/(b・D$^2$)<br>($\times 10^{-2}$ N/mm$^2$) | Pt<br>(%) | 設計配筋<br>上段：上端筋　(pt:%)<br>下段：下端筋　(pt:%) | 設計面外<br>せん断力<br>Q (kN/m) | 許容せん断力<br>fs・b・j<br>(kN/m) | 判定 |
|---|---|---|---|---|---|---|---|---|---|---|---|
| | | | N*2<br>(kN/m) | M<br>(kN・m/m) | | | | | | | |
| 12 | NS | 従来のSs-1<br>+NS-UD<br>(A) | 382.3 | 11137.8 | 0.127 | 1.238 | 0.378 | 2-D38@200　(0.38)<br>3-D38@200　(0.57) | 542.8 | 2616 | O.K. |
| 336 | EW | 従来のSs-3<br>+EW-UD<br>(B) | 702.3 | 8453.6 | 0.234 | 0.939 | 0.261 | 2-D38@200　(0.38)<br>2-D38@200　(0.38) | 513.9 | 2663 | O.K. |
| 17 | NS | 従来のSs-1<br>+NS-UD<br>(A) | 485.8 | 3585.9 | 0.162 | 0.398 | 0.099 | 2-D38@200　(0.38)<br>2-D38@200　(0.38) | 2048.4 | 2663 | O.K. |
| 354 | EW | 従来のSs-2<br>-EW+UD<br>(B) | 700.2 | 4994.3 | 0.233 | 0.555 | 0.139 | 2-D38@200　(0.38)<br>2-D38@200　(0.38) | 1806.0 | 2663 | O.K. |

*1：（　）内は，燃料取扱設備の位置を示す。（表 4.2.1-4 参照）
*2：圧縮を正とする。

4.3.7　改良地盤の耐震性に対する検討

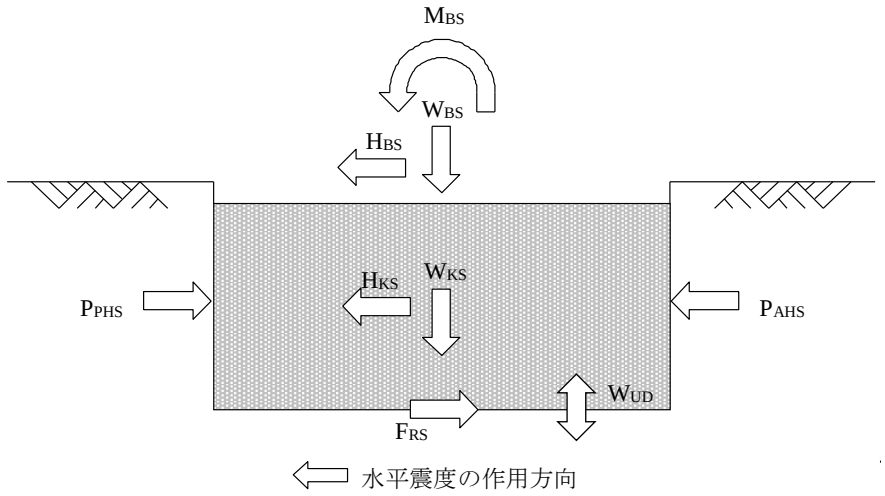
(1)　検討方針

検討は「JEAC 4616-2009」に準拠し，地震により発生する荷重に対して許容限界を満足することを確認する。改良地盤の許容限界は，改良地盤の設計圧縮強度，せん断抵抗に対する安全率に基づき設定する。支持地盤の許容限界は，支持地盤の極限支持力に対する安全率に基づき設定する。

なお，前述の通り 1/2Ss450 を適用した場合の影響が十分小さいことを確認したことから，Ss600 での検討結果を記載する。

(2)　地震時に対する検討

地震時において，改良地盤底面の最大接地圧及びせん断応力が，改良地盤の短期許容応力以下であることを確認する。図 4.3.7-1 に作用荷重を示す。




$W_{BS}$：燃料取り出し用構台荷重
$W_{KS}$：改良地盤の自重
$H_{BS}$：燃料取り出し用構台による水平力
$M_{BS}$：燃料取り出し用構台による改良地盤底面における
　　転倒モーメント
$H_{KS}$：改良地盤の慣性力
$P_{AHS}$：地震時主働土圧による水平力
$P_{PHS}$：地震時受働土圧による水平力
$F_{RS}$： 支持地盤のせん断抵抗力
$W_{UD}$： 上下動による鉛直応力

図 4.3.7-1　作用荷重（Ss600 時）

改良地盤の荷重負担範囲は，基礎底盤における矩形断面部分を対象とした面積 $A=902.2m^2$，断面係数 $Z_X=3909m^3$，$Z_Y=5217m^3$ として算定する。改良地盤底面の最大接地圧（$q_{1S}$）及び最大せん断応力（$\tau max$）は下式にて求める。

鉛直力の合計　$\Sigma W = W_{BS}+W_{KS}$

水平力の合計　$\Sigma H_X= H_{BS}+H_{KS}+P_{AHS}+P_{PHS}$（NS 方向）

$\Sigma H_Y= H_{BS}+H_{KS}+P_{AHS}+P_{PHS}$（EW 方向）

転倒モーメントの合計　$\Sigma M_X= M_{BS}+M_{KS}+M_{AHS}+M_{PHS}$（X 軸回り:EW 方向加力）

$\Sigma M_Y= M_{BS}+M_{KS}+M_{AHS}+M_{PHS}$（Y 軸回り:NS 方向加力）

ここに，　$M_{KS}$：改良地盤の転倒モーメント

$M_{AHS}$：地震時主働土圧による転倒モーメント

$M_{PHS}$：地震時受働土圧による転倒モーメント

改良地盤底面の最大接地圧

$$q_{2SX+} = \Sigma W/A+\Sigma M_Y/Z_Y+W_{UD}/A$$

$$q_{2SX-} = \Sigma W/A+\Sigma M_Y/Z_Y-W_{UD}/A$$

$$q_{2SY+} = \Sigma W/A+\Sigma M_X/Z_X+W_{UD}/A$$

$$q_{2SY-} = \Sigma W/A+\Sigma M_X/Z_X-W_{UD}/A$$

ここに，　$W_{UD}$：上下動による鉛直応力

(3)　波及的影響の評価

改良地盤の評価は，「JEAC 4616-2009」に準じ，改良地盤に発生する最大応力が許容値に対して1.5以上の安全率を有していることを確認する。

1)　改良地盤に生じる鉛直応力に対する検討結果

改良地盤に作用する鉛直応力に対し改良地盤の圧縮強度の安全率が 1.5 以上であることを確認する。

$$\frac{{}_{SS}f_{SC}}{\sigma_{ymax}} \geqq 1.5$$

ここで，　${}_{SS}f_{SC}$　：改良地盤の圧縮強度

$\sigma_{ymax}$　：有限要素解析による各要素の鉛直応力の最大値

改良地盤の圧縮強度（${}_{SS}f_{SC}$）は，「JEAC 4616-2009」により改良地盤の圧縮強度の平均値である設計圧縮強度 5000 $kN/m^2$ とし，断面欠損を考慮した場合 4900 $kN/m^2$ とする。

安全率の検討結果を表 4.3.7-1 に示す。検討結果より改良地盤の圧縮強度は改良地盤の基礎スラブ直下における最大鉛直応力の 1.5 以上の安全率を有していることを確認した。

表 4.3.7-1　改良地盤の鉛直応力に対する検討結果

| 方向 | 最大鉛直応力 $\sigma_{ymax}$(kN/m$^2$) | 最大鉛直応力発生地震波 | 圧縮強度 $_{SS}f_{SC}$(kN/m$^2$) | 安全率 | ｸﾗｲﾃﾘｱ | 判定 |
|---|---|---|---|---|---|---|
| NS | 761 | 従来の Ss-1 | 4900 | 6.43 | 1.50 | OK |
| EW | 793 | 従来の Ss-2 | 4900 | 6.17 | 1.50 | OK |

2)　改良地盤に作用するせん断力に対する検討

検討は，改良地盤の基礎直下及び改良地盤下端のせん断力について行う。改良地盤上端及び下端にせん断面を想定し，せん断に対する安全率 $F_S(t)$ が 1.5 以上であることを確認する。

$$F_S(t)=\frac{F_R(t)}{F_H(t)}\geqq 1.5$$

ここで，　$F_S(t)$：せん断に対する安全率

$F_R(t)$：せん断面上の地盤の水平抵抗力（kN）

$F_H(t)$：せん断面上の地盤のせん断力（kN）

$_{SS}f_{SS}$：改良地盤のせん断強度（kN/m$^2$）

改良地盤のせん断強度（$_{SS}f_{SS}$）は下式より設定する。

$$_{SS}f_{SS}=\frac{1}{5}{}_{SS}f_{SC}$$

ここで，　$_{SS}f_{SS}$：1000 kN/m$^2$

断面欠損を考慮し

$_{SS}f_{SS}$：　750 kN/m$^2$

安全率の検討結果を表 4.3.7-2，表 4.3.7-3 に示す。

検討結果より改良地盤の水平抵抗力は，改良地盤の基礎直下及び改良地盤下端の最大せん断力の 1.5 以上の安全率を有していることを確認した。

表 4.3.7-2　改良地盤のせん断力に対する検討結果（基礎下端）

| 方向 | 最大せん断力発生地震波 | 最大せん断力 $F_H$ (kN) | 水平抵抗力 $F_R$ (kN) | 安全率 $F_S$ | ｸﾗｲﾃﾘｱ | 判定 |
|---|---|---|---|---|---|---|
| NS | 従来の Ss-2 | 56816 | 676650 | 11.90 | 1.50 | OK |
| EW | 従来の Ss-1 | 55076 | 676650 | 12.28 | 1.50 | OK |

表 4.3.7-3　改良地盤のせん断力に対する検討結果（改良地盤下端）

| 方向 | 最大せん断力発生地震波 | 最大せん断力 $F_H$ (kN) | 水平抵抗力 $F_R$ (kN) | 安全率 $F_S$ | ｸﾗｲﾃﾘｱ | 判定 |
|---|---|---|---|---|---|---|
| NS | 従来の Ss-2 | 105335 | 676650 | 6.42 | 1.50 | OK |
| EW | 従来の Ss-1 | 106956 | 676650 | 6.32 | 1.50 | OK |

3)　支持力の検討

支持力の評価は，改良地盤下端における最大鉛直応力が支持地盤の極限支持力度に対して 1.5 以上の安全率を有していることを確認する。

$$\frac{R_u}{V} \geqq 1.5$$

ここで，　　$R_u$:極限鉛直支持力度

V:地震応答解析から得られる最大鉛直応力

検討の結果，支持地盤の極限支持力度（ 6860 kN/m$^2$）*は改良地盤底部における最大鉛直応力の 1.5 以上の安全率を有していることを確認した。

＊:「福島第一原子力発電所 原子炉設置変更許可申請書（４号炉増設)」による

NS 方向：6860 kN/m$^2$ ／ 761 kN/m$^2$ ＝ 9.01 ≧ 1.50 ・・・・OK

EW 方向：6860 kN/m$^2$ ／ 793 kN/m$^2$ ＝ 8.65 ≧ 1.50 ・・・・OK

4.3.8　原子炉建屋接触部の耐震性に対する検討

(1)　弾性支承反力に対する検討

地震応答解析で得られる弾性支承に生ずる最大圧縮軸力の反力として原子炉建屋の RC 梁に生じるせん断力が，梁の許容せん断耐力以下となることを確認する。なお，原子炉建屋接触部の状況については，別冊２８ P64 参照。

弾性支承の反力は基本的に，プール壁及び下階柱に直接かかるように配置するが，一部梁端に作用するため，それを考慮する。この時，地震時の鉛直方向震度を下向きに考慮する。鉛直震度は，時刻歴解析時のオペフロ床質点の鉛直方向最大加速度を震度換算して算定する。

なお，前述の通り 1/2Ss450 を適用した場合の影響が十分小さいことを確認したことから，Ss600 での検討結果を記載する。

検討の結果，梁のせん断力が許容せん断耐力以下となることを確認した。

表 4.3.8-1　弾性支承反力に対する検討結果

| 部位 | 荷重ケース<br>(位置)* | 梁端せん断力<br>Q(kN) | 許容せん断耐力<br>Qa(kN) | 耐力比 | 判定 |
|---|---|---|---|---|---|
| 弾性支承受梁 | 従来の Ss-1<br>NS<br>(A) | 1203 | 2313 | 0.52 | O.K. |

*：(　)内は，燃料取扱設備の位置を示す。（表 4.2.1-4 参照）

(2)　ばね付きオイルダンパの反力に対する検討

ばね付きオイルダンパの反力を受ける原子炉建屋床架構を有限要素法を用いてモデル化し弾性解析を行う。床スラブは板要素で，大梁は線材でモデル化する。

ばね付きオイルダンパの反力は，地震応答解析における各支点での最大鉛直方向反力値を取り出し静的に作用させる。

なお，前述の通り 1/2Ss450 を適用した場合の影響が十分小さいことを確認したことから，Ss600 での検討結果を記載する。

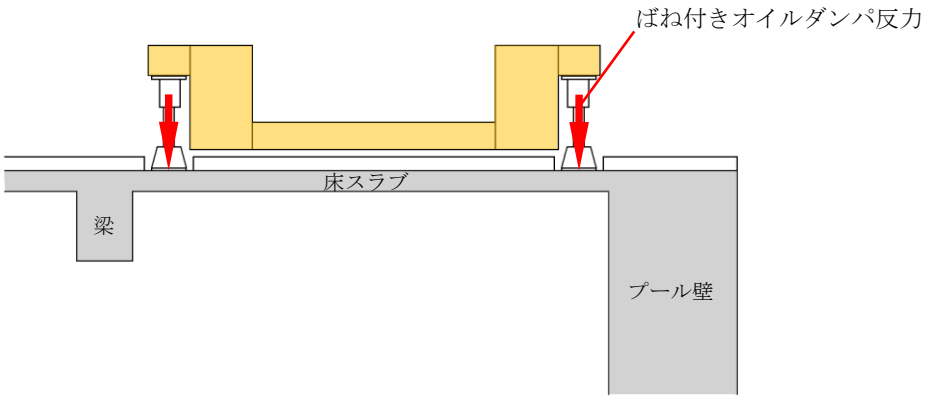



図 4.3.8-1　ばね付きオイルダンパ反力概要図

検討の結果，床スラブの発生応力が許容耐力以下となることを確認した。

表 4.3.8-2　ばね付きオイルダンパの反力に対する検討結果

| 部位 | 荷重ケース<br>(位置) * | 応力 | 発生応力 | 許容耐力 | 耐力比 | 判定 |
|---|---|---|---|---|---|---|
| ばね付きオイルダンパ<br>受け床スラブ | 従来の Ss-1<br>NS<br>(A) | 曲げ<br>M (kN・m) | 79 | 216 | 0.37 | O.K. |
| | | せん断<br>Q(kN) | 321 | 420 | 0.77 | O.K. |

*：(　)内は，燃料取扱設備の位置を示す。（表 4.2.1-4 参照）

(3)　オイルダンパ（水平棟間）反力に対する検討

オイルダンパ（水平棟間）の反力を受ける原子炉建屋南側外壁（壁・大梁及び柱）を有限要素法を用いてモデル化し，弾性解析を行う。

床スラブ・壁付梁は板要素で，柱は線材でモデル化する。

オイルダンパ（水平棟間）の反力を受ける箇所は 2 箇所あるが，面外方向の反力値が大きく，躯体断面の小さい西側での検定比が支配的となるため西側での検討を代表として行う。

オイルダンパ（水平棟間）の反力は，地震応答解析において発生した最大反力を取り出し静的に作用させる。

この時，地震時の水平方向震度を考慮する。水平震度は，時刻歴解析の原子炉建屋床質点の水平方向最大加速度を震度換算して算定し，慣性力として架構面外に作用させる。

なお，前述の通り 1/2Ss450 を適用した場合の影響が十分小さいことを確認したことから，Ss600 での検討結果を記載する。

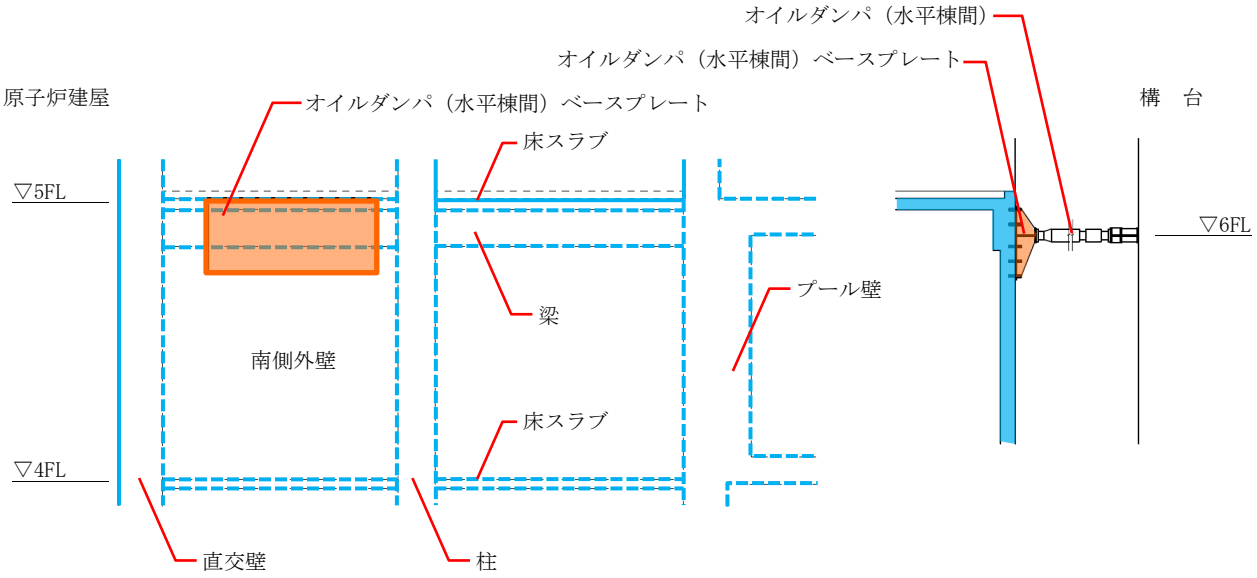



図 4.3.8-2　オイルダンパ（水平棟間）ベースプレート概要図

検討の結果，原子炉建屋南側外壁の発生応力が許容耐力以下となることを確認した。

表 4.3.8-3　オイルダンパ（水平棟間）反力に対する検討結果

| 部位 | 荷重ケース<br>（位置）＊ | 応力 | 発生応力 | 許容耐力 | 耐力比 | 判定 |
|---|---|---|---|---|---|---|
| オイルダンパ<br>（水平棟間）<br>受け外壁 | 従来の Ss-2<br>NS<br>(B) | 曲げ<br>M（kN・m） | 206 | 422 | 0.49 | O.K. |
| | | せん断<br>Q(kN/m) | 273 | 589 | 0.47 | O.K. |

＊：（　）内は，燃料取扱設備の位置を示す。（表 4.2.1-4 参照）

(4)　オイルダンパ（水平棟間）反力に対するあと施工アンカーの検討

オイルダンパ（水平棟間）は，原子炉建屋南側外壁のオペフロ床より少し下がった位置で，あと施工アンカー（M30及びM60 の2種類）を用いて壁面に固定されたベースプレートと接続している。取り合い部の詳細を図 4.3.8-3 に示す。なお，あと施工アンカーの適用性については，別冊２８P63 参照。

なお，前述の通り 1/2Ss450 を適用した場合の影響が十分小さいことを確認したことから，Ss600での検討結果を記載する。

あと施工アンカーは，地震応答解析で得られたオイルダンパ（水平棟間）の反力（引張及びせん断方向）の最大値に対して短期許容強度以下となることを確認した。

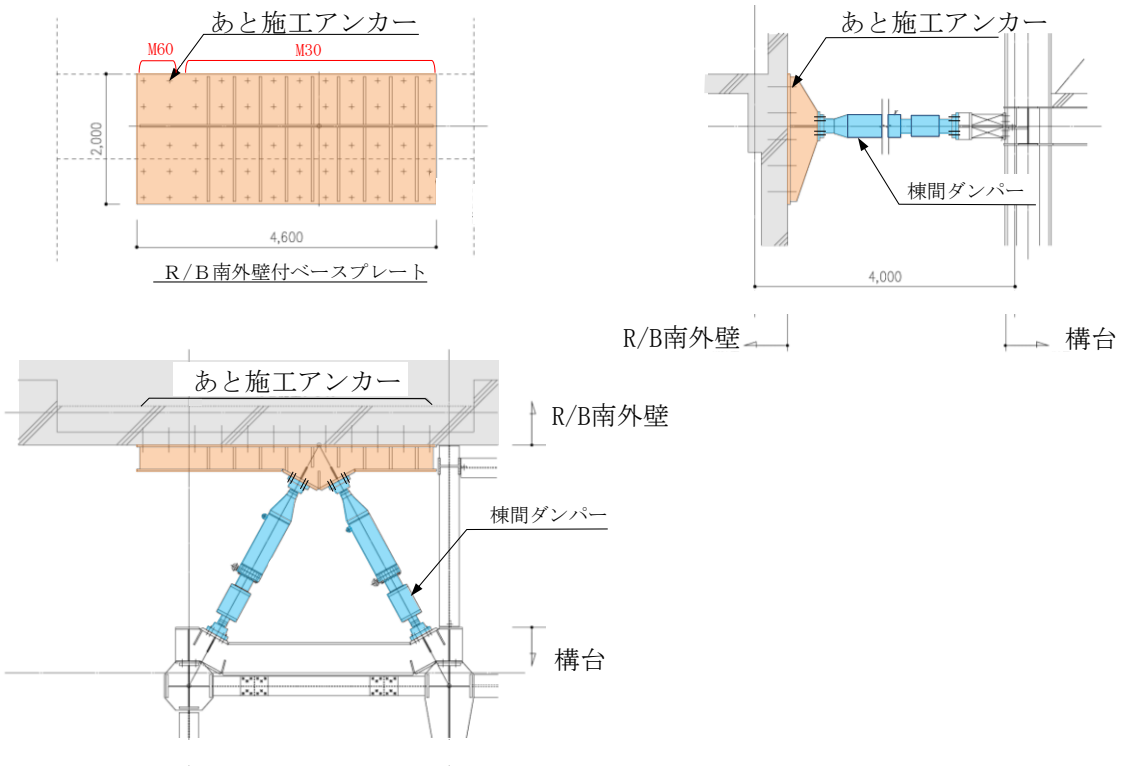



図 4.3.8-3　取り合い部の詳細

表 4.3.8-4　オイルダンパ（水平棟間）反力に対するあと施工アンカーの検討結果

一般あと施工アンカー及び FM ボルトの許容耐力

| 種　類 | 径 | 有効埋込長 | 短期許容強度 | |
|---|---|---|---|---|
| 一般あと施工アンカー | M30 | 300 mm | 107 kN/本 | 引張 |
| FM ボルト | M60 | 265 mm | 329 kN/本 | せん断 |

検討結果

| 種　類 | 作用応力(kN) | 許容耐力(kN) | 耐力比 | 判定 |
|---|---|---|---|---|
| 引張 | 3203 | 5350 | 0.60 | O.K. |
| せん断 | 2219 | 3290 | 0.68 | O.K. |

4.3.9　原子炉建屋の耐震性に対する検討

(1)　検討方針

燃料取り出し用構台を支持する原子炉建屋の耐震性の検討は，耐震安全上重要な設備への波及的影響防止の観点から，原子炉建屋の耐震壁及び屋根トラス（以下，原子炉建屋上部架構）の健全性について行い，Ss600 に対して原子炉建屋上部架構の応答性状を適切に表現できる地震応答解析を用いて評価する。

なお，前述の通り 1/2Ss450 を適用した場合の影響が十分小さいことを確認したことから，Ss600 での検討結果を記載する。

(2)　原子炉建屋上部架構の地震応答解析

1)　解析に用いる入力地震動

原子炉建屋上部架構の地震応答解析に用いる入力地震動は，Ss600 を入力したときの原子炉建屋 G.L.29.92m の時刻歴応答加速度とし，水平方向，回転方向及び鉛直方向の同時入力とする。入力地震動の概念図を図 4.3.9-1 に示す。

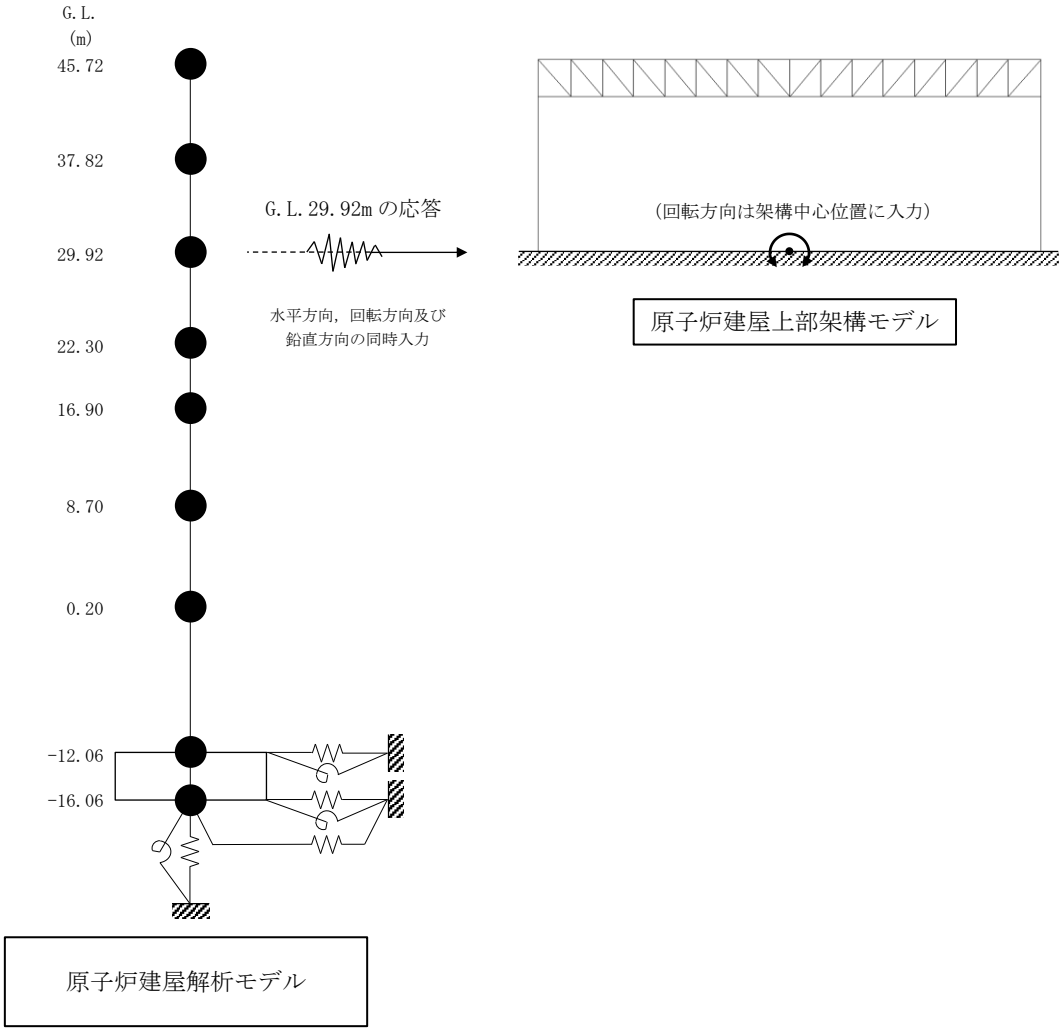



図 4.3.9-1　入力地震動の概念図

2)　地震応答解析モデル

原子炉建屋上部架構の地震応答解析モデルは，G.L.29.92m より上部の鉄骨造の屋根と鉄筋コンクリート造の柱，梁及び耐震壁を組み込んだ立体架構モデルとし，境界条件は柱及び耐震壁脚を固定とする。解析モデルを図 4.3.9-2 に，物性値を表 4.3.9-1 に示す。

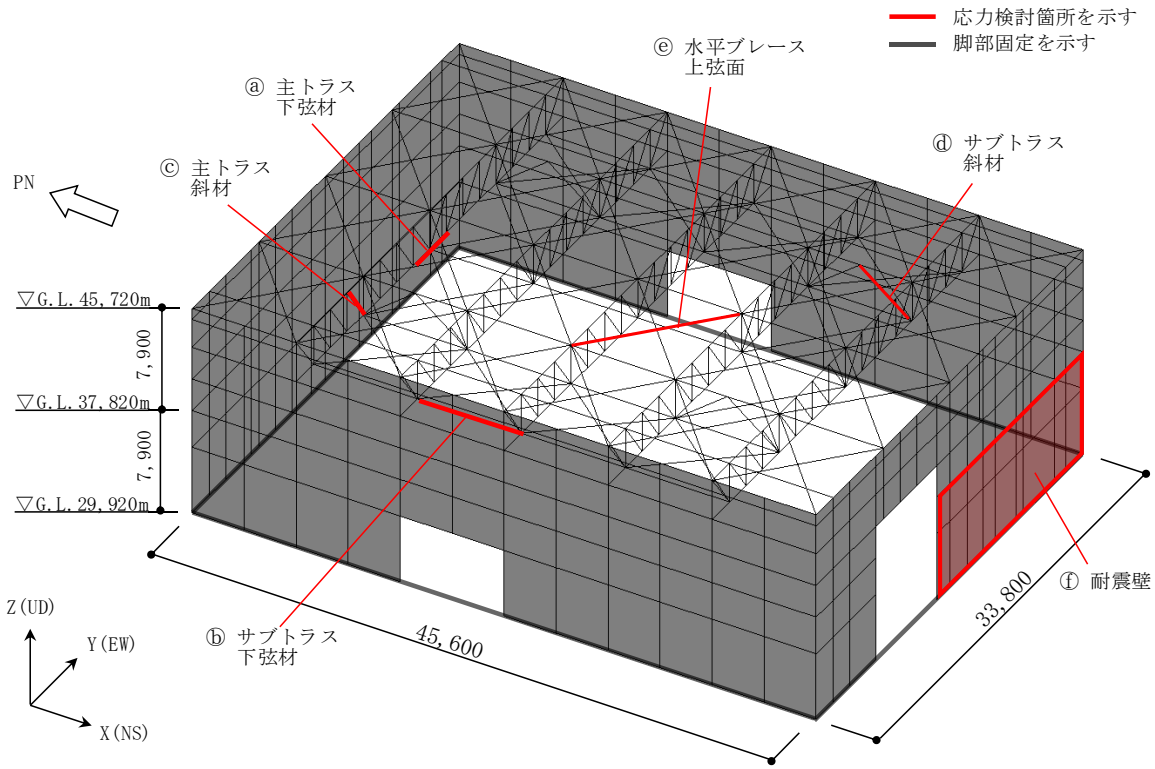



図 4.3.9-2　原子炉建屋上部架構の地震応答解析モデル

表 4.3.9-1　地震応答解析に用いる物性値

| 部　位 | 材　料 | ヤング係数<br>E (N/mm$^2$) | せん断弾性係数<br>G (N/mm$^2$) | 減衰定数<br>h (%) |
|---|---|---|---|---|
| 屋根 | 鉄骨 | $2.05\times10^5$ | $7.90\times10^4$ | 2 |
| 外周部 | コンクリート* | $2.57\times10^4$ | $1.07\times10^4$ | 5 |

＊：実強度(Fc35)に基づく物性値を示す。

(3) 波及的影響の評価

原子炉建屋上部架構の変形は，JSCA 性能メニュー（社団法人日本建築構造技術者協会，2018 年）を参考に定めたクライテリアとして，鉄骨造部材は，塑性率が 5 以下を満足することを確認する。

耐震壁のせん断ひずみは，鉄筋コンクリート造耐震壁の終局限界に対応した評価基準値（$4.0\times10^{-3}$）以下になることを確認する。

1) 応力度比及び塑性率の検討

部材の応力度比は，2 方向の曲げ，軸力及びせん断力の各最大応力と各許容応力度との比を組み合わせた値で表され，部材の塑性率は，引張及び圧縮に対して最大軸力時のひずみを引張耐力または座屈耐力時のひずみで除した値で表される。表 4.3.9-2 及び表 4.3.9-3 に応力度比及び塑性率が最大となる部位の検討結果を示す。なお，各許容応力度，引張耐力及び座屈耐力算定時の材料強度は「平成 12 年建設省告示第 2464 号」に定められた基準強度 F 値の 1.1 倍を用いる。

表 4.3.9-2 より応力度比は 1 以下，表 4.3.9-3 より塑性率は 5 以下となり，クライテリアを満足することを確認した。

表 4.3.9-2　応力度比の検討結果

| 部　位*1 | | | 部材形状 (mm) 〈使用材料〉 | 荷重ケース (位置) *2 | 作用応力度 (N/mm²) | | 許容応力度 (N/mm²) | 応力度比 | 判定 |
|---|---|---|---|---|---|---|---|---|---|
| 主トラス | ⓐ | 下弦材 | H-400×400 ×13×21 〈SS400〉 | 従来の Ss-1 +NS+UD (A) | $\sigma_t$ | 108.4 | 258 | 0.72 | O.K. |
| | | | | | $\sigma_{by}$ | 49.7 | 190 | | |
| | | | | | $\sigma_{bz}$ | 7.4 | 258 | | |
| | | | | | $\tau$ | 5.0 | 148 | | |
| サブトラス | ⓑ | 下弦材 | H-248×249 ×8×13 〈SS400〉 | 従来の Ss-1 +EW-UD (A) | $\sigma_c$ | 53.1 | 142 | 0.38 | O.K. |
| | | | | | $\sigma_{by}$ | 0.0 | 157 | | |
| | | | | | $\sigma_{bz}$ | 0.0 | 258 | | |
| | | | | | $\tau$ | 0.0 | 148 | | |

＊1：ⓐ，ⓑの符号は図 4.3.9-2 の応力検討箇所を示す
＊2：(　)内は，燃料取扱設備の位置を示す。(表 4.2.1-4 参照)

$\sigma_t$ ：引張応力度の最大値
$\sigma_c$ ：圧縮応力度の最大値
$\sigma_{by}$ ：強軸まわりの曲げ応力度の最大値ｂ
$\sigma_{bz}$ ：弱軸まわりの曲げ応力度の最大値
$\tau$ ：せん断応力度の最大値

表 4.3.9-3　塑性率の検討結果

| 部　位*1 | | | 部材形状<br>(mm)<br>〈使用材料〉 | 荷重ケース<br>(位置) *2 | 塑性率 | | 判定 |
|---|---|---|---|---|---|---|---|
| 主トラス | ⓒ | 斜材 | 2Ls-100×100×13<br>〈SS400〉 | 従来の Ss-1<br>+NS+UD<br>(A) | T/Tu | 0.82 | O.K. |
| サブ<br>トラス | ⓓ | 斜材 | 2Ls-100×100×7<br>〈SS400〉 | 従来の Ss-1<br>+NS+UD<br>(A) | C/Cu | 0.58 | O.K. |
| 水平<br>ブレース | ⓔ | 上弦面 | CT-125×250×9×<br>14<br>〈SS400〉 | 従来の Ss-2<br>+EW-UD<br>(A) | C/Cu | 1.68 | O.K. |

＊1：ⓒ～ⓔの符号は図 4.3.9-2 の応力検討箇所を示す

＊2：(　)内は，燃料取扱設備の位置を示す。(表 4.2.1-4 参照)

C　：部材軸方向の圧縮力の最大値

Cu ：座屈耐力

T　：部材軸方向の引張力の最大値

Tu ：引張耐力

2)　耐震壁のせん断ひずみの検討

原子炉建屋上部架構の耐震壁の最大せん断ひずみを表 4.3.9-4 に示す。

検討の結果，耐震壁の最大せん断ひずみは $4.0\times10^{-3}$ 以下となり，クライテリアを満足することを確認した。

また，「4.3.2　構台，前室及びランウェイガーダの耐震性に対する検討」で実施した地震応答解析による原子炉建屋の最大せん断ひずみを，「JEAG 4601-1991 追補版」に基づき設定した耐震壁のせん断スケルトン曲線上にプロットした結果を図 4.3.9-3 に示す。

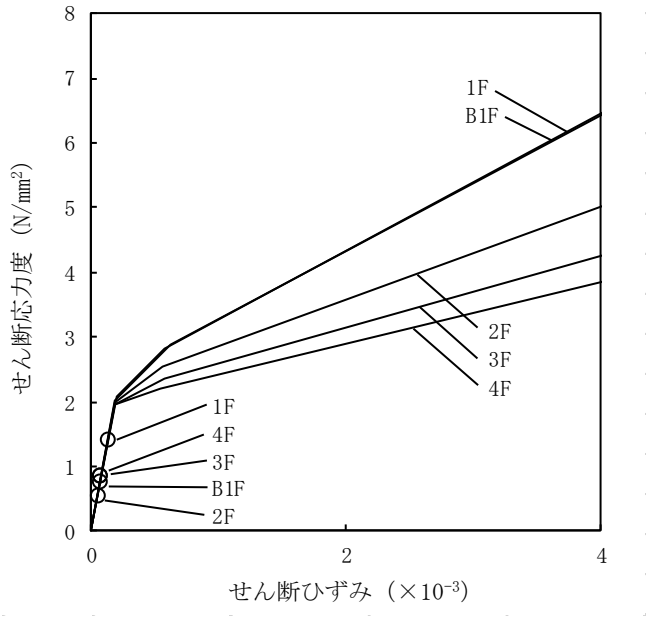
検討の結果，耐震壁の最大せん断ひずみは $4.0\times10^{-3}$ 以下となり，クライテリアを満足することを確認した。

表 4.3.9-4　耐震壁の最大せん断ひずみの検討結果

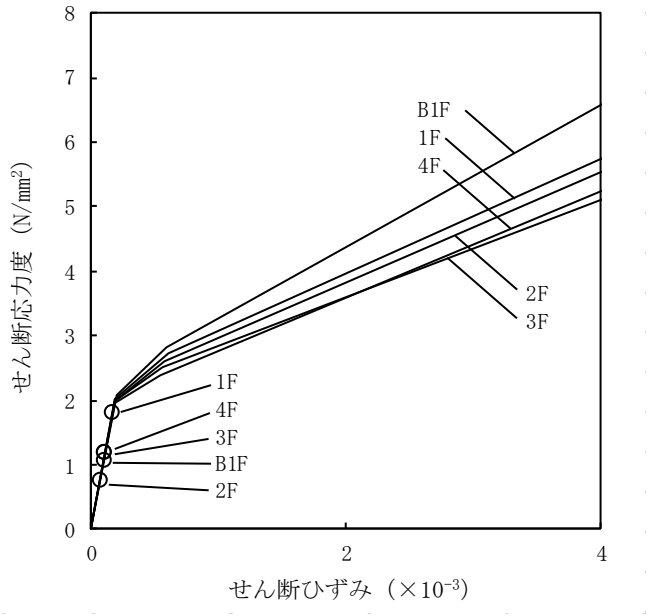
| 部　位*1 | | | 部材形状<br>(mm)<br>〈使用材料〉 | 荷重ケース<br>(位置) *2 | せん断ひずみ<br>($\times10^{-3}$) | 判定 |
|---|---|---|---|---|---|---|
| 耐震壁 | ⓕ | 建屋南側<br>5F | t=200<br>〈Fc22.1〉 | 従来の Ss-1<br>+EW+UD<br>(A) | 0.24 | O.K. |

＊1：ⓕの符号は図 4.3.9-2 の応力検討箇所を示す

＊2：(　)内は，燃料取扱設備の位置を示す。(表 4.2.1-4 参照)




(a) NS 方向




(b) EW 方向

図 4.3.9-3　せん断スケルトン曲線上の最大応答値

5.　別添

別添－１　福島第一原子力発電所　３号機燃料取り出し用カバーの構造強度及び耐震性について（東京電力株式会社，平成２５年２月２１日，特定原子力施設監視・評価検討会（第４回）資料４）

別添－２　福島第一原子力発電所　３号機燃料取り出し用カバーの構造強度及び耐震性について（コメント回答）（東京電力株式会社，平成２５年３月８日，特定原子力施設監視・評価検討会（第６回）資料５）

別添－３　４号機燃料取り出し用カバーに係る確認事項

別添－４　３号機燃料取り出し用カバーに係る確認事項

別添－５　３号機原子炉建屋の躯体状況調査結果を反映した使用済燃料プール等の耐震安全性評価結果

別添－６　３号機原子炉建屋　遮へい体設置における滑動対策について

別添－７　２号機燃料取り出し用構台に係る確認事項

別添－８　２号機原子炉建屋　オペレーティングフロア床面に設置する遮蔽体の落下防止について

特定原子力施設監視・
評価検討会（第４回）
資料4
（第3回資料4を一部改定）

# 福島第一原子力発電所
# ３号機燃料取り出し用カバーの
# 構造強度及び耐震性について

平成２５年2月21日
東京電力株式会社

東京電力 TEPCO

無断複製・転載禁止　東京電力株式会社

１．施設概要と要求機能

２．構造概要

３．設計概要

４．解析モデル

５．耐震性に対する検討結果

６．建屋損傷の反映状況と今後の対応

・　コメント回答

・　参考資料

東京電力 TEPCO

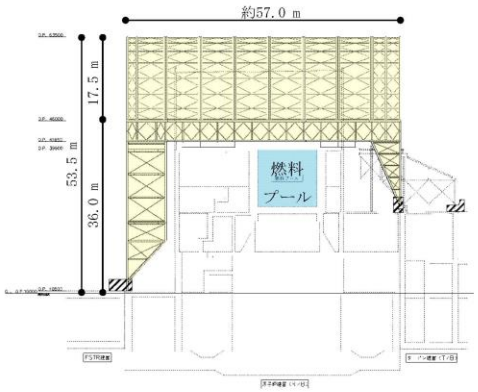
無断複製・転載禁止　東京電力株式会社

※O.P.表記は震災前の「旧 O.P.表記」を指す。
T.P.表記に換算する際は、震災後の地盤沈下量(-709mm)と O.P.から T.P.への読替値(-727mm)を用いて，下式に基づき換算する。
＜換算式＞ T.P.=旧 O.P.-1.436mm

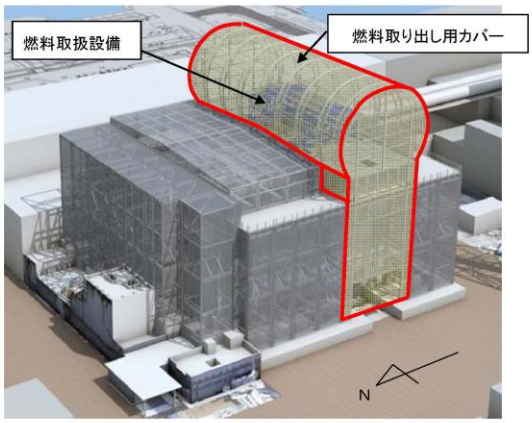
# 1．施設概要と要求機能

## （1）施設概要

- 燃料取り出し用カバーは、プール内燃料の取り出しと燃料取り出し中の作業環境保持のために設置する。
- 東西約57.0m、南北約22.8m、高さ53.5m の鉄骨構造物で、周囲を鋼製の折板で覆う。



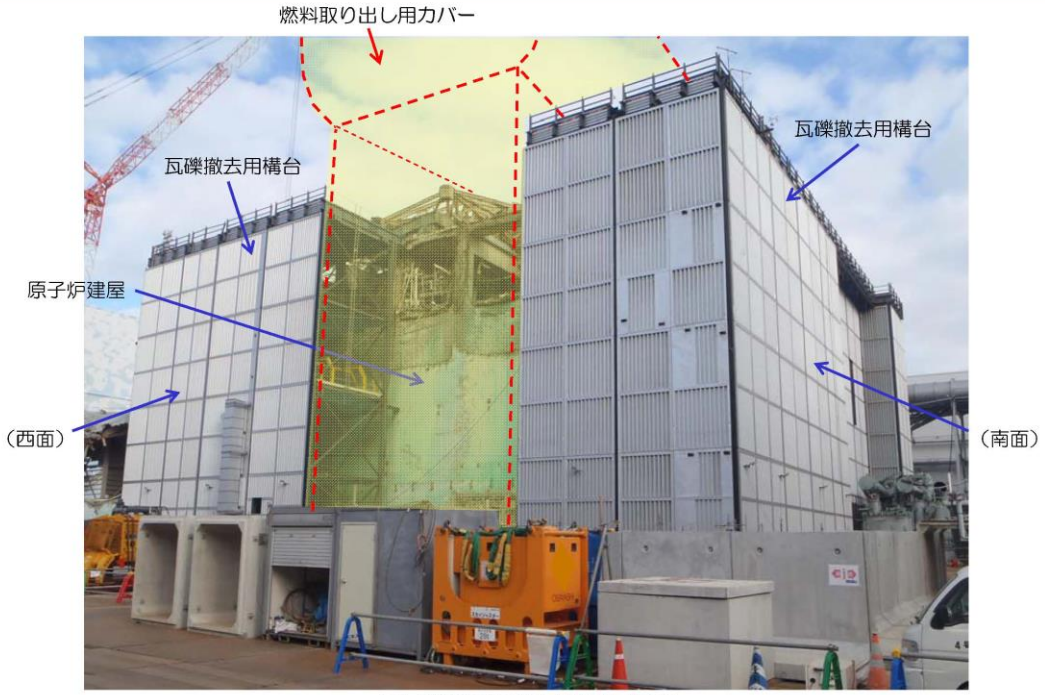

東西断面図




完成イメージ図（北西側外観）


無断複製・転載禁止　東京電力株式会社


# 1．施設概要と要求機能




３号機原子炉建屋の現況写真
（南西面、2013年1月8日撮影）


無断複製・転載禁止　東京電力株式会社

※O.P.表記は震災前の「旧 O.P.表記」を指す。
T.P.表記に換算する際は、震災後の地盤沈下量(-709mm)と O.P.から T.P.への読替値(-727mm)を用いて，下式に基づき換算する。
＜換算式＞ T.P.=旧 O.P.-1,436mm

# 1．施設概要と要求機能

## （2）要求機能

1．作業環境保持

燃料取り出し作業に支障が生じることのないよう、風雨を遮る構造とする。

2．飛散・拡散抑制

外周覆いの隙間を低減し、排気設備によりカバー内の放射性物質の大気への放出を抑制できる構造とする。

3．燃料取扱設備の支持

燃料取扱設備を支持できる構造とする。

## （3）使用期間

ロードマップに示した燃料取り出し作業に支障がない期間とする。

ロードマップ（2012年7月）





無断複製・転載禁止　東京電力株式会社


# 2．構造概要

## （1）構造概要

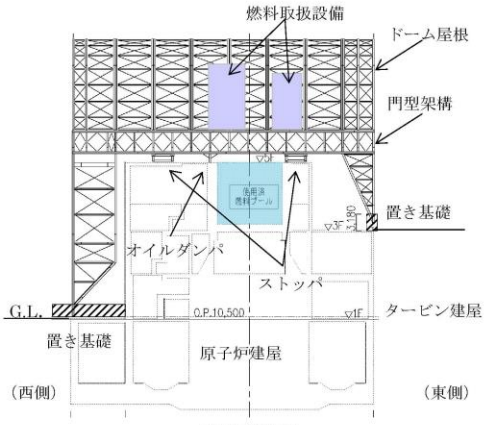
① 高線量下での建設となるため、作業員の被ばくを最小限とする構造とする。

- 軽量の鉄骨トラス構造を採用し、建屋上部に予め大組みした鉄骨ブロックをクレーンで吊り込むことで、現地作業の低減をはかる。
- 建屋との取り合い部は、アンカー等による固縛が不要な構造とし、現地作業の低減をはかる。

② 建屋１、３階部にコンクリート造の置き基礎を設け、燃料取扱い設備を支持する門型架構を構築する。

③ 門型架構の中央部にはストッパおよびオイルダンパを配置し、地震時の建屋との一体挙動を確保する。

④ 門型架構の上部に、軽量のドーム屋根を取り付けて、燃料取り出し時の作業空間を確保する。

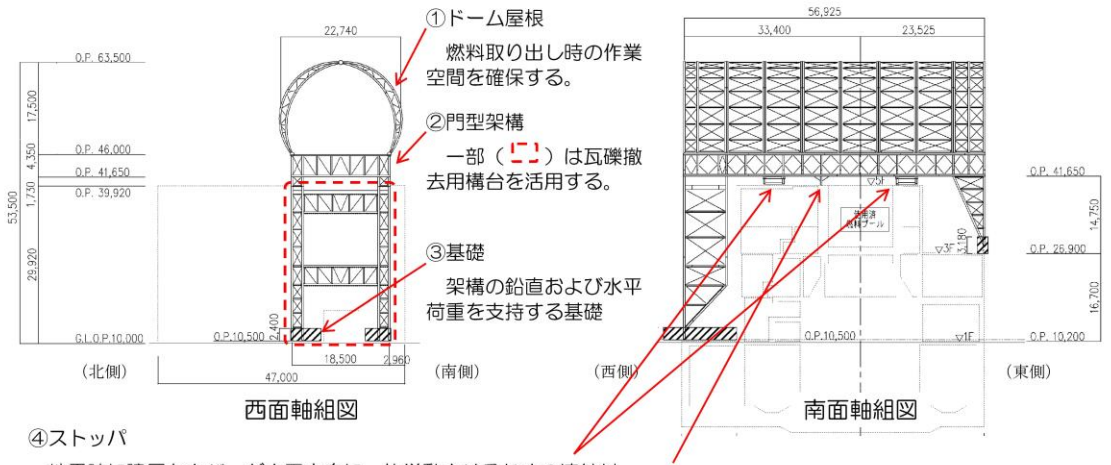



東西断面図

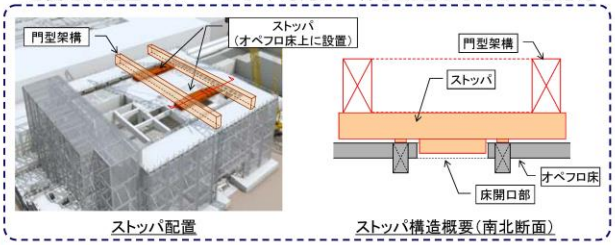

無断複製・転載禁止　東京電力株式会社

※O.P.表記は震災前の「旧 O.P.表記」を指す。
T.P.表記に換算する際は、震災後の地盤沈下量(-709mm)と O.P.から T.P.への読替値(-727mm)を用いて，下式に基づき換算する。
＜換算式＞ T.P.=旧 O.P.-1,436mm

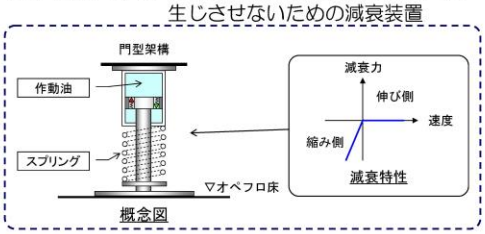
# 2. 構造概要




④ストッパ
地震時に建屋とカバーが水平方向に一体挙動させるための連結材




⑤オイルダンパ： 地震時に鉛直方向に過度の揺れを生じさせないための減衰装置



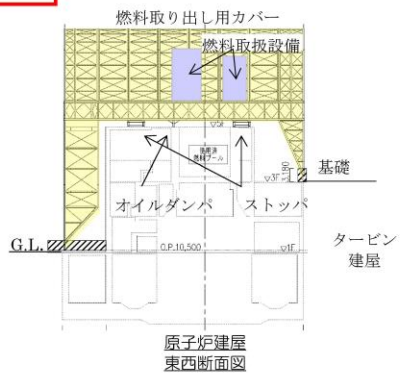

東京電力 TEPCO

無断複製・転載禁止 東京電力株式会社

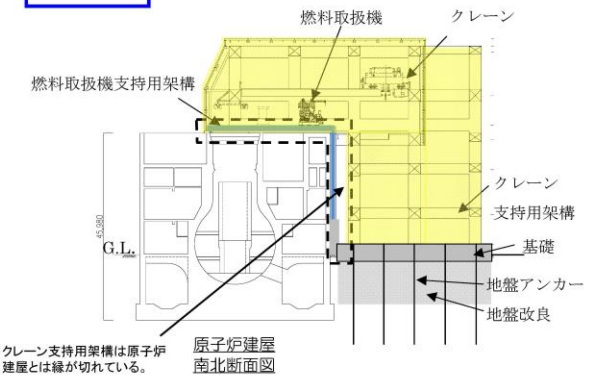


# 2. 構造概要 （2）４号機との比較

**3号機**




**4号機**




| | | |
|---|---|---|
| 放射線量の高い作業環境（数m～数百mSv/h） | ⇔ | 放射線量の比較的低い作業環境（1.0mSv/h程度） |
| 軽量の鉄骨トラス構造物とし、建屋上部に設置 | ⇔ | 大型の鉄骨柱・梁構造物とし、建屋と分離設置 |
| 小型の基礎、ストッパ等を介し建屋と一体化 | ⇔ | 地盤改良等による独立基礎で支持 |
| | | 建屋と一体の燃料取扱機支持用架構を別途設置 |

⇩

現地作業を低減し作業員の被ばくを最小限とする

東京電力 TEPCO

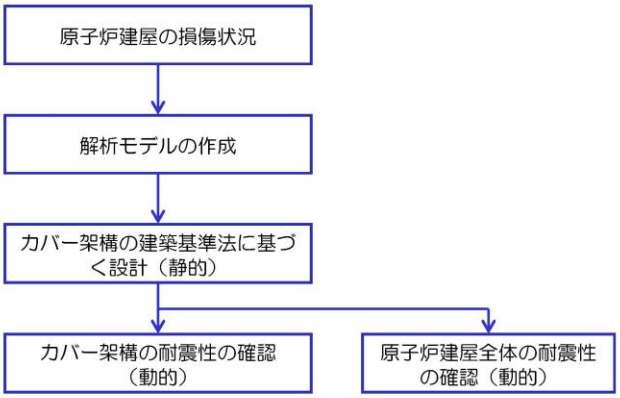
無断複製・転載禁止 東京電力株式会社

※O.P.表記は震災前の「旧 O.P.表記」を指す。
T.P.表記に換算する際は、震災後の地盤沈下量(-709mm)と O.P.から T.P.への読替値(-727mm)を用いて，下式に基づき換算する。
＜換算式＞ T.P.=旧 O.P.-1,436mm

# 3. 設計概要

## 設計方針

- 耐震クラスは、燃料取り出し用カバーは安全機能を有しないため定めない。
- 設計は、建築基準法（地震*1、風圧力*2、積雪）に基づく。
- 基準地震動Ssに対して耐震性*3を確認する。




*1：建築基準法で定める地震力の1.5倍を考慮する。

*2：基準風速30m/s（10分間平均風速、最大瞬間風速50m/s相当）

*3：原子炉建屋、使用済み燃料プールおよび使用済み燃料貯蔵ラックに波及的影響を与えないこと。

（注記）その他の荷重に対する考え方

津波：燃料取り出し用カバーは鉄骨トラスと鋼製の外装材により構成されているが、閉空間になっておらず、津波襲来時には、水は燃料取り出し用カバーの裏側に回り込む。そのため、津波による波圧は生じにくい。

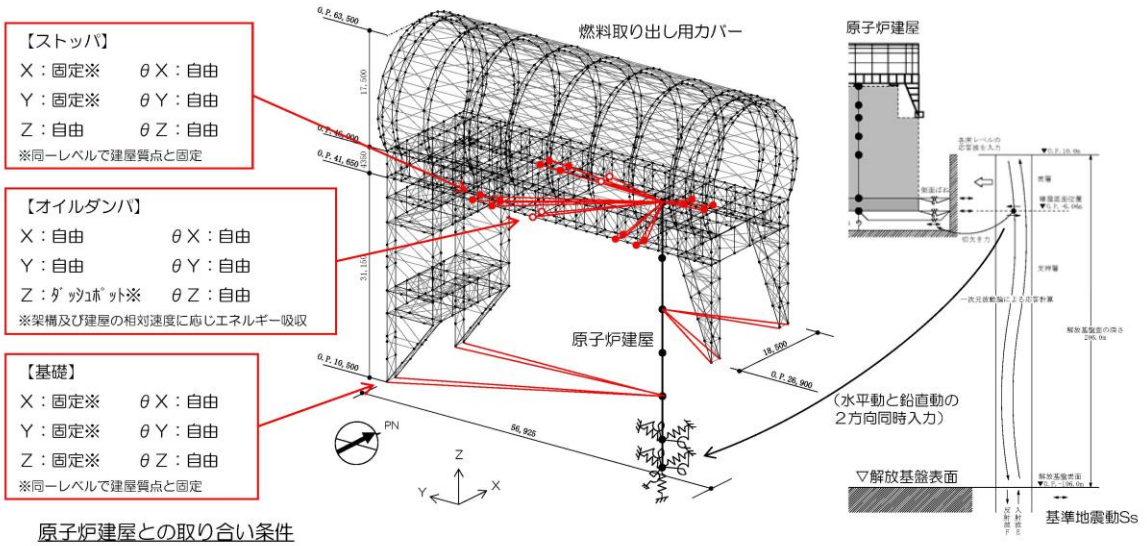
暴風：外装材は、設計風圧力の約4倍の耐力を有することを確認している。


無断複製・転載禁止　東京電力株式会社


# 4. 解析モデル

## 基準地震動Ssに対する耐震性評価モデル

- 立体架構を原子炉建屋の質点系モデルに接続したモデルとし、地盤を等価なばねで評価した建屋－地盤連成系モデルとする。




原子炉建屋との取り合い条件　　解析モデル　　入力動の概念図


無断複製・転載禁止　東京電力株式会社

※O.P.表記は震災前の「旧 O.P.表記」を指す。
T.P.表記に換算する際は、震災後の地盤沈下量(-709mm)と O.P.から T.P.への読替値(-727mm)を用いて，下式に基づき換算する。
＜換算式＞ T.P.=旧 O.P.-1,436mm

# 5. 耐震性に対する検討結果

いずれも評価クライテリア以下であることを確認した。

（1）架構の耐震性

| 部位 | 評価項目 | 検定比、最大応答値 | 評価クライテリア | 判定 |
|---|---|---|---|---|
| 門型架構 | 層間変形角 | 1/720 | 1/75以下 | OK |
| 門型架構 | 塑性率 | 0.75 | 5以下 | OK |
| ドーム屋根 | 塑性率 | 0.90 | 5以下 | OK |
| オイルダンパ | 相対変位 | 72 mm | 100 mm以下 | OK |
| | 相対速度 | 0.48 m/s | 1.0 m/s以下 | OK |
| ストッパ | せん断耐力比 | 0.42 | 1.0以下 | OK |
| 基礎 | 浮き上がりの有無 | 生じない | 生じないこと | OK |
| | すべり摩擦抵抗比 | 0.59 | 1.0以下 | OK |

（2）原子炉建屋の耐震性

| 部位 | 評価項目 | 検定比、最大応答値 | 評価クライテリア | 判定 |
|---|---|---|---|---|
| ストッパ接触部 | 支圧耐力比 | 0.54 | 1.0以下 | OK |
| オイルダンパ接触部 | 支圧耐力比 | 0.19 | 1.0以下 | OK |
| 基礎設置部 | 圧縮耐力比 | 0.29 | 1.0以下 | OK |
| 原子炉建屋 | せん断ひずみ | $0.14\times10^{-3}$ | $4.0\times10^{-3}$以下 | OK |


無断複製・転載禁止　東京電力株式会社


# 6. 建屋損傷の反映状況と今後の予定

## （1）建屋損傷の反映状況

・外壁　：損傷状況を解析モデルに反映

・基礎設置部：目視調査により損傷が無いことを確認

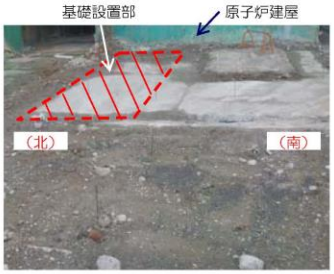


①西面



②東面

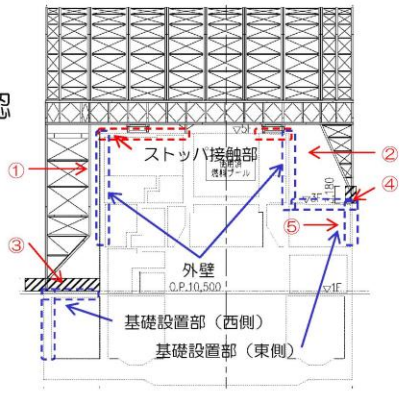
外壁




③基礎設置部（西側）




④基礎設置部（東側、外部）







⑤基礎設置部（東側、内部）


無断複製・転載禁止　東京電力株式会社

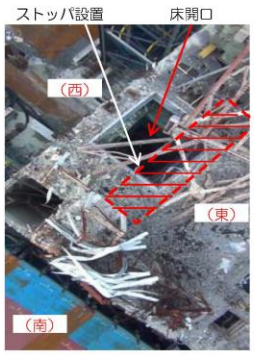
※O.P.表記は震災前の「旧 O.P.表記」を指す。
T.P.表記に換算する際は、震災後の地盤沈下量(-709mm)と O.P.から T.P.への読替値(-727mm)を用いて，下式に基づき換算する。
＜換算式＞ T.P.=旧 O.P.-1.436mm

# 6. 建屋損傷の反映状況と今後の予定

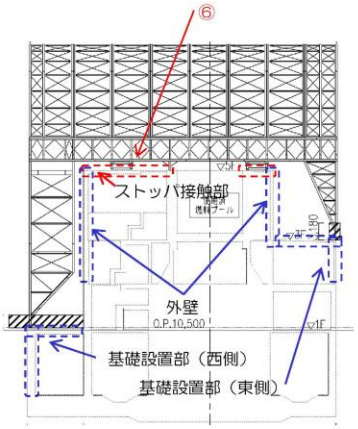
## （2）今後の予定

・ストッパ接触部：瓦礫撤去後にカメラ等による無人調査を予定

今後、燃料取出し開始前に、瓦礫撤去後予定する建屋オペフロ床の調査結果を基に、安全性の再確認を実施する。



⑥ストッパ接触部（南西部）








無断複製・転載禁止　東京電力株式会社


# コメント回答①

①使用期間と設計のクライテリアは密接に関係することから、３号機燃料取り出し用カバーの使用期間を明確に記載すること。仮に、燃料取り出し後も継続使用するのであれば、竜巻、あるいは地震・津波に関わる新安全設計基準にどのように対応するつもりなのかを明確にすること。

## 使用期間

３号機燃料取り出し用カバーの使用期間は、ロードマップに示した「使用済み燃料」取り出し作業に支障がない期間（2017年度頃まで）としている。

その後に計画している「デブリ燃料」取り出し作業に関しては、別の構造体を構築することを想定している。当該構造体については、別途申請する予定である。

ロードマップ（2012年7月）





無断複製・転載禁止　東京電力株式会社

# コメント回答②

②ＪＳＣＡのクライテリア（層間変形角１／７５、層の塑性率４以下、部材の塑性率５以下を満足すること）については、一般の建築物に採用するクライテリアであるため、使用期間及び耐震安全性の観点から、リスク評価の観点から検討し、燃料取り出し用カバーの設計に適用して支障ないことを説明すること。特に、①とも関係し、ドーム屋根の塑性率に対する検定比が0.90となっていることは、仮に損傷を受けた場合に、補修方法も含めて問題がないか説明すること。

１．評価には、ＪＳＣＡ及び日本建築センター両者のクライテリアを用いている。

日本建築センターのクライテリアは、層間変形角１／１００以下、層の塑性率２以下、部材の塑性率４以下とされており、これを越える場合には、水平変形に伴う鉛直荷重の付加的影響を考慮した解析を実施し、安全性を確認するものとされている。

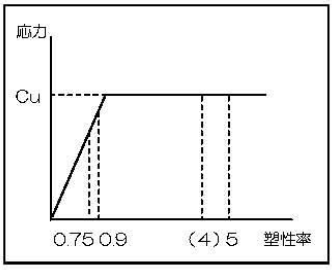

無断複製・転載禁止　東京電力株式会社


# コメント回答②

２．評価結果は、ＪＳＣＡ及び日本建築センター両者のクライテリアに対し十分余裕がある結果となっており、十分な耐震安全性を確保している。

| 部位 | 評価項目 | 最大応答値 | 評価クライテリア | 耐震余裕 |
|---|---|---|---|---|
| 門型架構 | 層間変形角 | 1/720 | 1/75以下<br>（1/100以下） | 9.6倍<br>（7.2倍） |
| 門型架構 | 塑性率 | 0.75 | 5以下<br>（4以下） | 6.6倍<br>（5.3倍） |
| ドーム屋根 | 塑性率 | 0.90 | 5以下<br>（4以下） | 5.5倍<br>（4.4倍） |

（注）（ ）は、日本建築センター「時刻歴応答解析建築物性能評価業務方法書」の判定基準に基づく値を示す。




門型架構、ドーム屋根の最大塑性率

（注）Cuは、建築学会鋼構造設計規準、建築基準法告示を基に算定した座屈荷重

３．本構造物の使用期間は、前述の通り一般の建築物に比べ短い。

⇨ 2つのクライテリアを用いること、両者のクライテリアに対し十分余裕があること、使用期間が一般の建築物に比べ短いことから、３号機燃料取り出し用カバーの耐震性評価に適用して支障がないと考えている。


無断複製・転載禁止　東京電力株式会社

※O.P.表記は震災前の「旧 O.P.表記」を指す。
T.P.表記に換算する際は、震災後の地盤沈下量(-709mm)と O.P.から T.P.への読替値(-727mm)を用いて，下式に基づき換算する。
＜換算式＞ T.P.=旧 O.P.-1,436mm

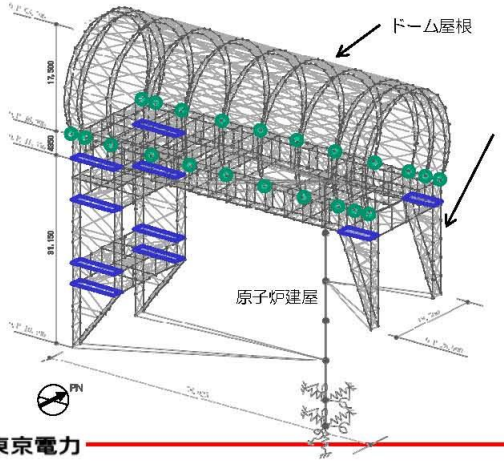
# コメント回答③

③鋼構造において接合部等の詳細設計は耐震安全性を判断する上で重要な審査項目であるので、接合部等の詳細設計結果を追加報告すること。

## 1．接合部の設計方針

・原則として、保有耐力接合（接合部で破断させない設計）とする。

・高線量下での作業となる一部の現地接合部については、発生応力に対する強度設計を行う。（強度余裕確保）




| 現地接合箇所 | 接合部設計方針 |
|---|---|
| ：門型架構現地接合部（柱部） | 発生応力に対する強度設計 |
| ：ドーム屋根現地接合部（脚部） | |
| 無印：その他の接合箇所 | ⇨ 保有耐力接合 |

（注）「保有耐力接合」：母材の耐力が十分に発揮されるように「接合部破断耐力>母材耐力」となるように破断の検討を行うこと


無断複製・転載禁止　東京電力株式会社


# コメント回答③

## 2．基準地震動Ssに対する接合部の検討結果

| 架構 | 検討部位 | 設計 | 検定比（最大箇所） | 耐震余裕 |
|---|---|---|---|---|
| 門型架構 | 現地接合部（柱部） | 発生応力に対する強度設計 | 0.60≦1.0（フランジプレート） | 1.6倍 |
| ドーム屋根 | 現地接合部（脚部） | 発生応力に対する強度設計 | 0.36≦1.0（スプライスプレート） | 2.7倍 |
| 門型架構<br>ドーム屋根 | その他の接合部 | 保有耐力接合 | 接合部では破断しない | |

（注）検定比＝発生応力／接合部破断耐力

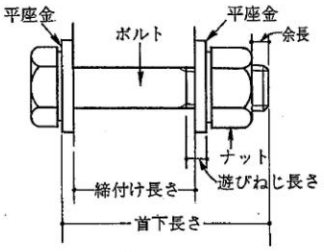

無断複製・転載禁止　東京電力株式会社

# コメント回答④

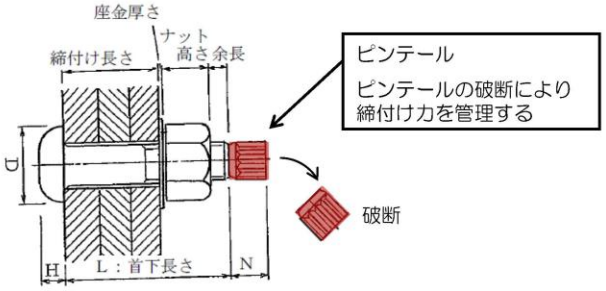
④立ち入りが難しい場所で施工管理（特に接合部）の計画について説明すること。

1．有人にて現地作業が行えるよう、除染、遮へいにより作業環境を確保する。

2．ボルト接合部については、短時間の現地作業によって安定した品質確保及び品質管理が可能なトルシア型の高力ボルト接合工法を採用する。




一般的なボルトの例




今回採用を予定しているトルシア型高力ボルト

3．施工品質の管理は、作業完了後に、施工会社（協力会社）が現場環境を考慮し、全数確認（遠隔操作室からのカメラまたはその他のカメラ、あるいは目視）を実施し、東京電力は抜き取りで確認を実施する。

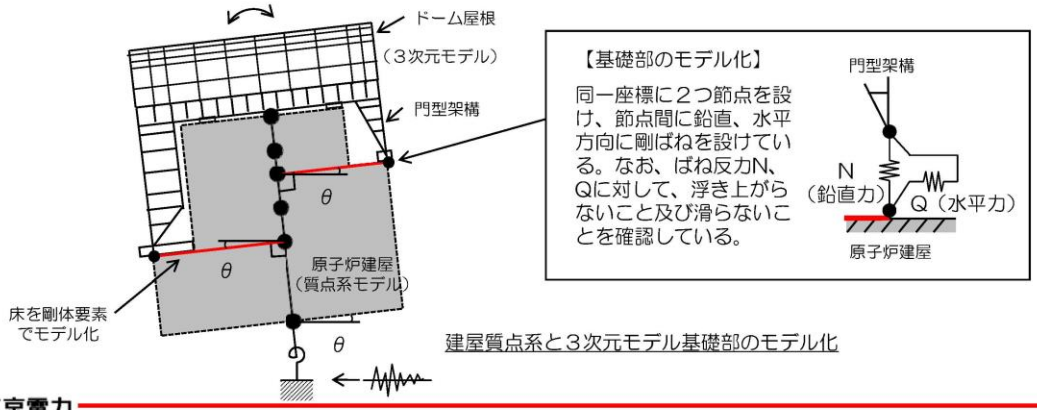

無断複製・転載禁止　東京電力株式会社


# コメント回答⑤

⑤燃料取り出し用カバーの３次元モデルと原子炉建屋の質点系モデルを連成した地震応答解析モデルにおいて、原子炉建屋の剛体的なロッキング運動による燃料取り出し用カバーへの影響（架構基礎部からの鉛直動入力及び柱脚基礎部の相対変位）を反映されていることについて説明すること。

・建屋のロッキング運動による影響を摸擬するため、距離効果を表現できる剛体要素で建屋質点系モデルと３次元モデルの基礎部を連結する。

・さらに、基礎との連結部には鉛直と水平方向に剛ばねを設け、建屋から架構基礎への入力伝達が表現できる境界条件となっている。




建屋質点系と３次元モデル基礎部のモデル化


無断複製・転載禁止　東京電力株式会社

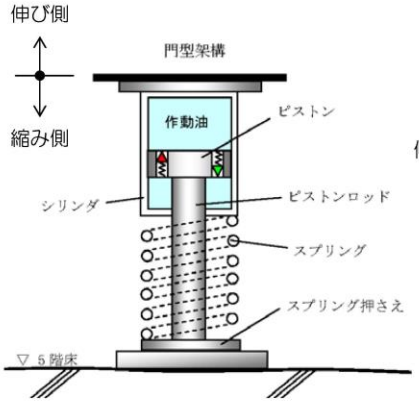
※O.P.表記は震災前の「旧 O.P.表記」を指す。
T.P.表記に換算する際は、震災後の地盤沈下量(-709mm)と O.P.から T.P.への読替値(-727mm)を用いて，下式に基づき換算する。
＜換算式＞ T.P.=旧 O.P.-1,436mm

# コメント回答⑥

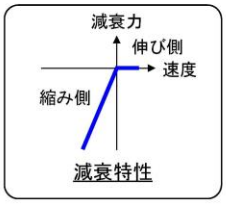
⑥オイルダンパーの機構が分かりにくいので確認したい。資料に示された復元力特性は、横軸が速度で良いかについて確認したい。

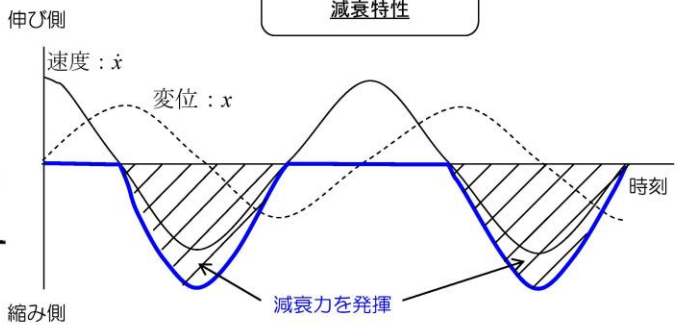
オイルダンパの減衰特性の横軸は速度を示している。

オイルダンパは、地震時に上下方向の縮み側に変形する場合に減衰力が発生し、伸び側に変形する場合にフリーとなる機構を有している。




オイルダンパ概念図





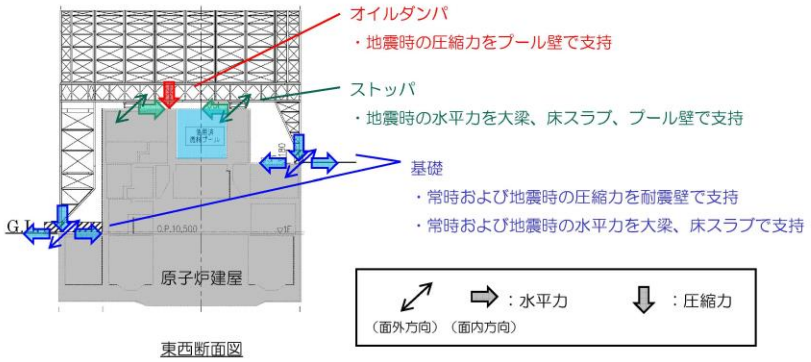
無断複製・転載禁止　東京電力株式会社


# コメント回答⑦

⑦今回設置する構造物の荷重が原子炉建屋にどのようにかかるのか。建屋カバー（燃料取り出し用カバー）を考慮した場合と考慮しない場合の建屋の耐震上の余裕の変化を主要な部分についてまとめて示して欲しい。

・燃料取り出し用カバーからの荷重は、ストッパ接触部、オイルダンパ接触部、基礎設置部から原子炉建屋に作用する。

・接触部の原子炉建屋躯体については、耐震安全性を確認している。（構造強度 p.43、耐震性p.67）




東西断面図


無断複製・転載禁止　東京電力株式会社

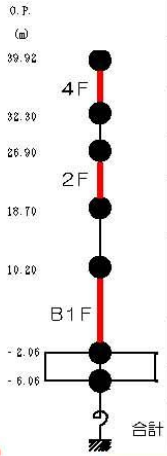
※O.P.表記は震災前の「旧 O.P.表記」を指す。
T.P.表記に換算する際は、震災後の地盤沈下量(-709mm)と O.P.から T.P.への読替値(-727mm)を用いて，下式に基づき換算する。
＜換算式＞ T.P.=旧 O.P.-1.436mm

# コメント回答⑦

・カバー設置前後の、原子炉建屋重量および、建屋の主要な耐震安全指標として、基準地震動Ssによる耐震壁の評価結果を以下に示す。

・原子炉建屋に対して、カバー設置による影響はほとんど見られない。

原子炉建屋質点重量の比較




| 質点重量 W (kN) | | 設置後 |
|---|---|---|
| カバー設置前 | カバー設置後 | 設置前 |
| 78,130 | 87,590 | 1.12 |
| 119,490 | 119,490 | 1.00 |
| 109,640 | 111,340 | 1.02 |
| 130,160 | 130,160 | 1.00 |
| 226,760 | 253,710 | 1.12 |
| 301,020 | 301,020 | 1.00 |
| 127,000 | 127,000 | 1.00 |
| 1,092,200 | 1,130,310 | 1.03 |

耐震壁の耐震安全性評価結果（単位：$\times 10^{-3}$）

| 部位 | 最大応答せん断ひずみ | | 評価クライテリア |
|---|---|---|---|
| | カバー設置前 | カバー設置後 | |
| 4F | 0.10 (40.0) | 0.11 (36.3) | 4.0 |
| 2F | 0.10 (40.0) | 0.11 (36.3) | 4.0 |
| B1F | 0.09 (44.4) | 0.10 (40.0) | 4.0 |

注）（ ）内は裕度（評価クライテリア／最大応答値）を示す。

（出典）カバー設置前の数値は、「福島第一原子力発電所の原子炉建屋の現状の耐震安全性および補強等に関する検討に係る報告書（その２）」（東京電力株式会社、平成23年7月13日による。

東京電力 TEPCO
無断複製・転載禁止　東京電力株式会社


# コメント回答⑧

⑧燃料取り出し用カバー東側の２つの支点を支える置き基礎の直下、あるいはダンパの直下の既存コンクリート接触部の鉛直耐力は局所的な損傷等を考慮し十分な余裕を見ているか。あるいは補強などは行わないのか。

・燃料取り出し用カバーの基礎およびオイルダンパの支点は、直下に強固な耐震壁（オイルダンパ部はプール壁）のある部分に設定している。

・Ｓｓ地震時の評価結果は、以下に示す通り３倍以上の余裕のある結果となっている。

原子炉建屋接触部の耐震安全性評価結果

| 部位 | 検討用応力 (kN) | 耐力 (kN) | 耐力比 | 裕度 |
|---|---|---|---|---|
| 東側基礎 | 7430 | 25900 | 0.29 | 3.4 |
| オイルダンパ | 1250 | 6620 | 0.19 | 5.2 |

東京電力 TEPCO
無断複製・転載禁止　東京電力株式会社

# コメント回答⑨

⑨東側置き基礎の滑り摩擦抵抗は直下に接する既存コンクリート部の損傷、凹凸など考慮したものになっているか。

・基礎は現地で既存コンクリート上部にコンクリートを流し込む方法で構築している。従って、凹凸などに対し密着性を確保している。

・日本建築学会「現場打ち同等型プレキャストコンクリート構造設計指針(案)・同解説（2002）」に様々な条件下での摩擦係数が規定されている。今回の基礎底面の摩擦抵抗は凹凸などは考慮せず、コンクリートーコンクリート間に相当すると考え、摩擦係数として0.6を採用している。

| 境界面の状態 | 摩擦係数 |
|---|---|
| コンクリートーコンクリート間 | 0.6 |
| 目荒ししたコンクリートーコンクリート間 | 1.0 |
| 一体で打設したコンクリートーコンクリート間 | 1.4 |

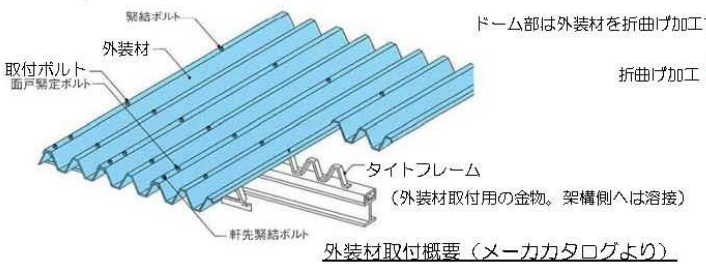
・なお、米国規準（ＡＣＩ 318）でも、日本建築学会と同様、0.6の摩擦係数が規定されている。


無断複製・転載禁止　東京電力株式会社


# コメント回答⑩

⑩燃料取り出し用カバーの外装材の耐震性は大丈夫か（地震時の層間変形に対して安全な構法か、特に東西面の円形部分）。

・外装材は下図に示す通り、ボルトを用いてタイトフレームを介して直接架構に取付ける納まりとなっている。




外装材取付概要（メーカカタログより）

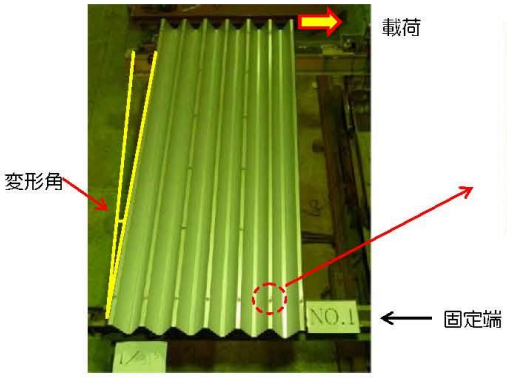



ドーム部外装材　加工試作


無断複製・転載禁止　東京電力株式会社

# コメント回答⑩

・変形に対する外装材の追従性の確認試験を行い、外装材の変形角1/30でも外装材は外れず、地震時の変形に対して追従性があることを確認している。




外装材せん断試験結果（変形角1/30）



（損傷なし）

取付け部詳細

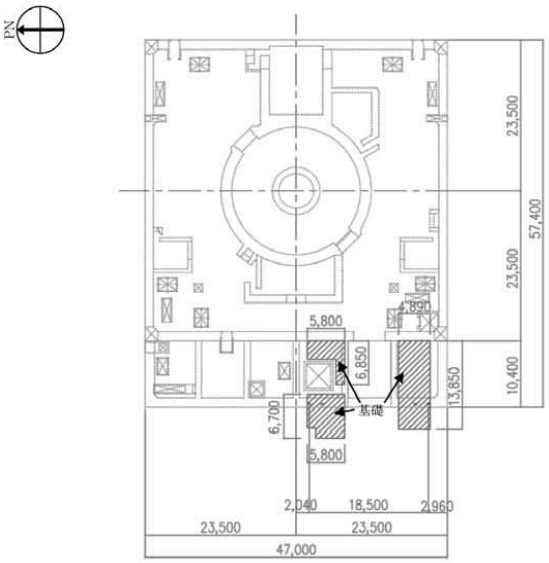

無断複製・転載禁止　東京電力株式会社


# 【参考資料】


無断複製・転載禁止　東京電力株式会社

※O.P.表記は震災前の「旧 O.P.表記」を指す。
T.P.表記に換算する際は、震災後の地盤沈下量(-709mm)と O.P.から T.P.への読替値(-727mm)を用いて，下式に基づき換算する。
＜換算式＞ T.P.=旧 O.P.-1.436mm

# 参考１　構造概要

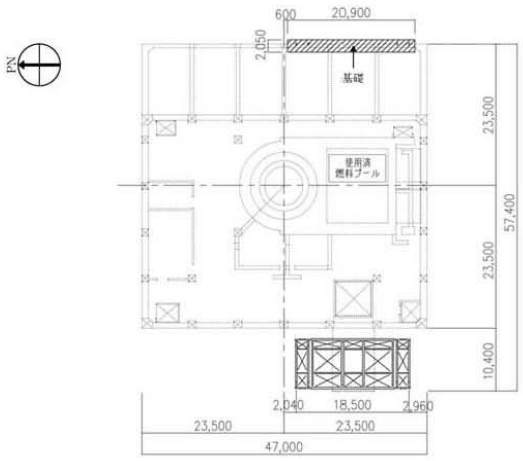



（a）　基礎伏図（O.P.10,500 原子炉建屋１階レベル+300mm）

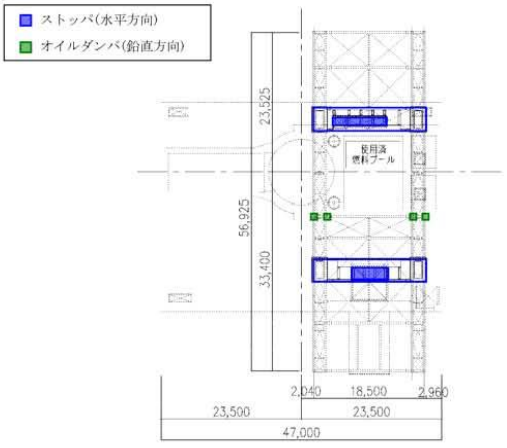
燃料取り出し用カバーの概要（単位：mm）


無断複製・転載禁止　東京電力株式会社


# 参考１　構造概要




（a）　基礎伏図（O.P.26,900　原子炉建屋３階）



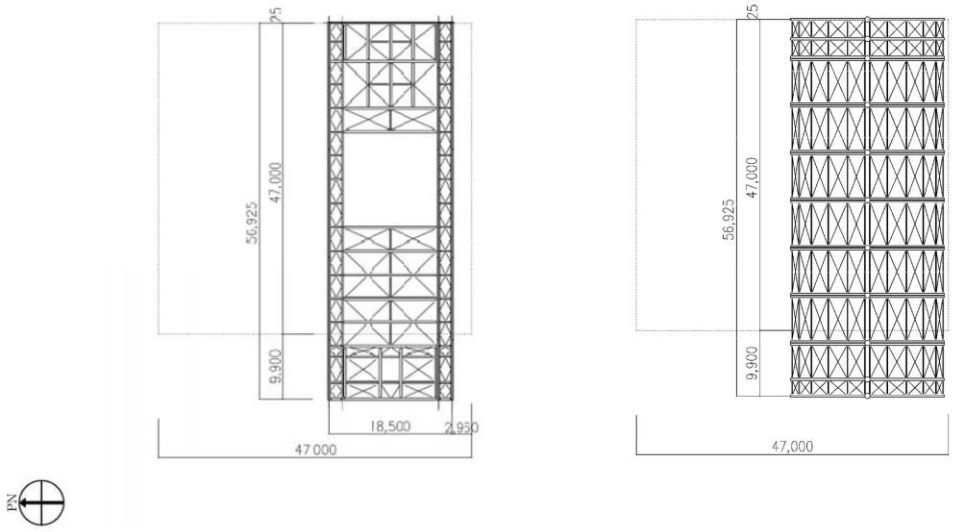

（b）　梁伏図（O.P.26,900　原子炉建屋５階）

燃料取り出し用カバーの概要（単位：mm）


無断複製・転載禁止　東京電力株式会社

※O.P.表記は震災前の「旧 O.P.表記」を指す。
T.P.表記に換算する際は、震災後の地盤沈下量(-709mm)と O.P.から T.P.への読替値(-727mm)を用いて，下式に基づき換算する。
＜換算式＞ T.P.=旧 O.P.-1.436mm

# 参考１　構造概要

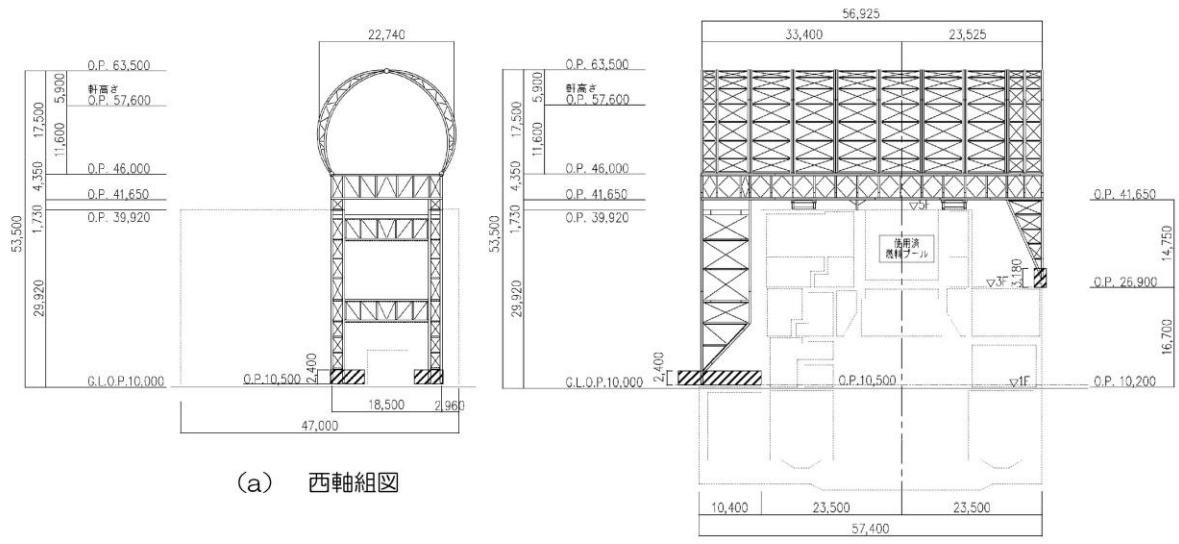



（a）　架構ガーダー部平面図（O.P.46,000 ）　　（b）　屋根伏図

燃料取り出し用カバーの概要（単位：mm）


無断複製・転載禁止　東京電力株式会社


# 参考１　構造概要

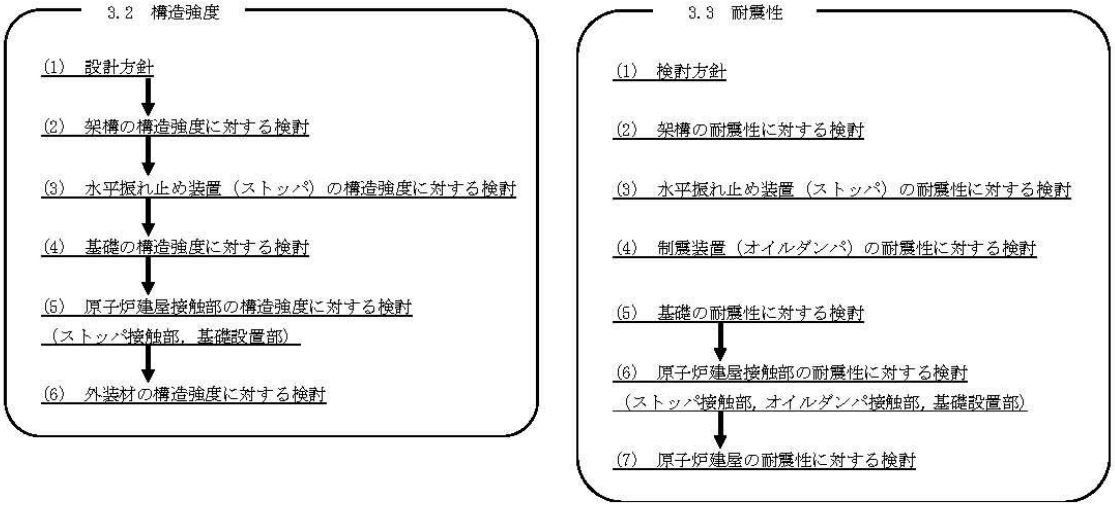



（a）　西軸組図　　（b）　南軸組図

燃料取り出し用カバーの概要（単位：mm）


無断複製・転載禁止　東京電力株式会社

# 参考２　検討フロー





無断複製・転載禁止　東京電力株式会社


# 参考３　構造強度

## （1） 設計方針

### 1）使用材料及び許容応力度

材料定数

| 部位 | 材料 | ヤング係数 E（N/mm²） | ポアソン比 $\nu$ | 単位体積重量 $\gamma$（kN/m³） |
|---|---|---|---|---|
| 架　構 | 鉄骨 | $2.05\times10^5$ | 0.3 | 77.0 |
| 基　礎 | コンクリート | $2.27\times10^4$ | 0.2 | 24.0 |

コンクリートの許容応力度　（単位：N/mm²）

| | 長期 | | | 短期 | | |
|---|---|---|---|---|---|---|
| 設計基準強度＝24 | 圧縮 | 引張 | せん断 | 圧縮 | 引張 | せん断 |
| | 8.0 | — | 0.73 | 16.0 | — | 1.095 |

鉄筋の許容応力度　（単位：N/mm²）

| 記号 | 鉄筋径 | 長期 | | 短期 | |
|---|---|---|---|---|---|
| | | 引張及び圧縮 | せん断補強 | 引張及び圧縮 | せん断補強 |
| SD345 | D29未満 | 215 | 195 | 345 | 345 |
| | D29以上 | 195 | | | |

構造用鋼材の許容応力度　（単位：N/mm²）

| 板厚 | 材料 | 基準強度F | 許容応力度 |
|---|---|---|---|
| T≦40mm | SS400，SN400B | 235 | 「鋼構造設計規準」に従い，左記Fの値より求める |
| T＞40mm | SN400B | 215 | |
| T≦40mm | SM490A，SN490B，STK490 | 325 | |
| — | STKT590 | 440* | |

＊「JIS G 3474-2008」による


無断複製・転載禁止　東京電力株式会社

※O.P.表記は震災前の「旧 O.P.表記」を指す。
T.P.表記に換算する際は、震災後の地盤沈下量(-709mm)と O.P.から T.P.への読替値(-727mm)を用いて，下式に基づき換算する。
＜換算式＞ T.P.=旧 O.P.-1,436mm

# 参考３　構造強度

## （１） 設計方針

### 2）荷重及び荷重組合せ

・鉛直荷重（VL）

燃料取り出し用カバーに作用する鉛直方向の荷重で，固定荷重，機器荷重，配管荷重及び積載荷重とする。

・燃料取扱設備荷重（CL）

| | |
|---|---|
| 燃料取扱機 | 788 kN |
| クレーン | 755 kN |
| 吊荷 | 461 kN |

・積雪荷重（SL）

積雪荷重は建築基準法施行令及び福島県建築基準法施行規則細則に準拠し以下の条件とする。

積雪量：30cm，単位荷重：20N/m²/cm

・風圧力（WL）

建築基準法施行令第87条に基づき，基準風速を30m/s，地表面粗度区分Ⅱとして算定する。

| 建物高さ* H (m) | 平均風速の鉛直分布係数 Er | ガスト影響係数 Gf | 建物高さと粗度区分による係数 E | 基準風速 Vo (m/s) | 速度圧 q (N/m²) |
|---|---|---|---|---|---|
| 50.55 | 1.27 | 2.00 | 3.23 | 30 | 1750 |

※：建物高さは，軒高さ（47.60m）と最高高さ（53.50m）の平均値とした


無断複製・転載禁止　東京電力株式会社


# 参考３　構造強度

## （１） 設計方針

### 2）荷重及び荷重組合せ

・地震荷重（K）

燃料取り出し用カバーに作用させる地震荷重は，O.P.-2.06m（原子炉建屋基礎スラブ上端レベル）を基準面とした原子炉建屋の水平地震力の算定結果より設定する。原子炉建屋の水平地震力は下式より算定する。

$$Qi = n \cdot Ci \cdot Wi$$

$$Ci = Z \cdot Rt \cdot Ai \cdot Co$$

Qi　：水平地震力（kN）
n　：施設の重要度に応じた係数（n=1.5）
　　建築基準法で定める地震力の1.5倍を考慮する。
Ci　：地震層せん断力係数
Z　：地震地域係数（Z=1.0）
Rt　：振動特性係数（Rt=1.0）
Ai　：地震層せん断力係数の高さ方向の分布係数で、
　　原子炉建屋の固有値を用いたモーダル解析法（二乗和平方根法）より求める。
$C_0$　：標準せん断力係数（$C_0$=0.2）


無断複製・転載禁止　東京電力株式会社

※O.P.表記は震災前の「旧 O.P.表記」を指す。
T.P.表記に換算する際は、震災後の地盤沈下量(-709mm)と O.P.から T.P.への読替値(-727mm)を用いて，下式に基づき換算する。
＜換算式＞ T.P.=旧 O.P.-1.436mm

# 参考３　構造強度

## （１） 設計方針

### 2）荷重及び荷重組合せ

・地震荷重（K）

i層の水平震度は下式より算定する。

$$Pi = Q_i - Q_{i-1}$$

$$ki = Pi / wi$$

Pi　：当該階とその直下の水平地震力の差（kN）
wi　：各階重量（kN）

架構に作用させる水平震度は、原子炉建屋1階、3階及び5階の水平震度を用いるものとし、水平地震力を設定する。ドーム屋根部分の水平震度は、建設省告示第1389号に基づく1.0に1.5を乗じて用いる。表3.2-7に燃料取り出し用カバーに作用させる水平地震力の算定結果を示す。

水平地震力の算定結果

| 標高 O.P.(m) | 各階重量 wi(kN) | NS方向 | | EW方向 | |
|---|---|---|---|---|---|
| | | 水平震度 ki | 水平地震力 Pi (kN) | 水平震度 ki | 水平地震力 Pi (kN) |
| 63.50 | 3200 | 1.500 | 4800 | 1.500 | 4800 |
| 46.00 | 11400 | 0.492 | 5609 | 0.555 | 6327 |
| 26.90 | 200 | 0.286 | 57 | 0.272 | 54 |
| 10.20 | 1200 | 0.099 | 119 | 0.103 | 124 |

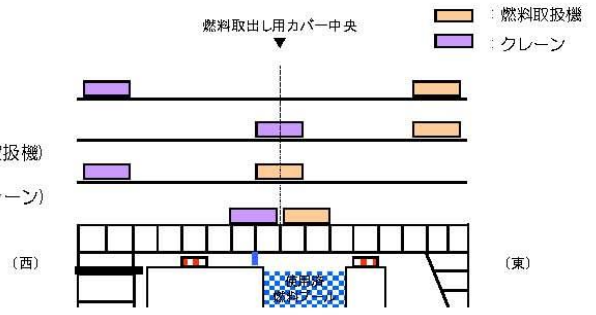

無断複製・転載禁止　東京電力株式会社


# 参考３　構造強度

## （１） 設計方針

### 2）荷重及び荷重組合せ

位置A：両端
位置B：中央(クレーン)+東端(燃料取扱機)
位置C：中央(燃料取扱機)+西端(クレーン)
位置D：中央




燃料取扱設備の位置

燃料取り出し用カバーの荷重組合せ

| 想定する状態 | 荷重ケース | 荷重組合せ内容 | 許容応力度 |
|---|---|---|---|
| 常時 | C | VL+CL*1 | 長期 |
| 積雪時*3 | S | VL+CL*1+SL | 短期 |
| 暴風時*3 | W | VL+CL*1+WL | |
| 地震時 | E1 | VL+CL*1+K(+NS) *2 | |
| | E2 | VL+CL*1+K(-NS) *2 | |
| | E3 | VL+CL*1+K(+EW) *2 | |
| | E4 | VL+CL*1+K(-EW) *2 | |

＊1：吊荷荷重は、常時、積雪時及び暴風時は上図に示すクレーンの位置、地震時は使用済燃料プール直上の架構にて考慮する。
＊2：地震荷重はNS方向及びEW方向を考慮する。
＊3：短期事象では地震時が支配的であることから、積雪時及び暴風時の検討は省略する。
ただし、外装材の検討は暴風時が支配的であることから暴風時に対し検討を行う。


無断複製・転載禁止　東京電力株式会社

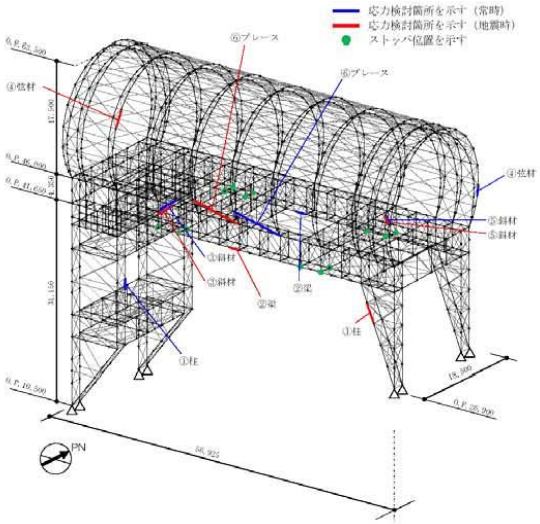
※O.P.表記は震災前の「旧 O.P.表記」を指す。
T.P.表記に換算する際は、震災後の地盤沈下量(-709mm)と O.P.から T.P.への読替値(-727mm)を用いて，下式に基づき換算する。
＜換算式＞ T.P.=旧 O.P.-1,436mm

# 参考３　構造強度

## （２） 架構の強度設計構造強度に対する検討

### １）解析モデル

架構の解析モデルは，門型架構及びドーム屋根を構成する主要な鉄骨部材からなる立体架構モデルとする。下図に架構の立体解析モデルを示す。解析モデルの柱脚部はピン支持，ストッパ取り付き部は水平方向のみピン支持とする。




解析モデル図（単位：mm）


無断複製・転載禁止　東京電力株式会社


# 参考３　構造強度

## （２） 架構の強度設計構造強度に対する検討

### ２）断面検討

応力度比の検討は「鋼構造設計規準」に従い，検討を行う。

全ての部材に対する応力度比が1以下になることを確認した。

断面検討結果（常時）

| 部　位*1 | | | 部材形状 (mm) ＜使用材料＞ | 荷重ケース （位置） *2 | 作用応力度 (N/mm²) | | 許容応力度 (N/mm²) | 応力度比 | 判定 |
|---|---|---|---|---|---|---|---|---|---|
| 門型架構 | ① | 柱 | H-350×350 ×12×19 ＜SM490＞ | C (D) | 圧縮 | 77.4 | 164 | 0.48 | O.K. |
| | ② | 梁 | H-350×350 ×12×19 ＜SM490＞ | C (D) | 引張 | 91.4 | 216 | 0.43 | O.K. |
| | ③ | 斜材 | 2[s-150×75 ×6.5×10 ＜SM490＞ | C (D) | 圧縮 | 103.0 | 120 | 0.86 | O.K. |
| ドーム屋根 | ④ | 弦材 | φ-318.5×6.9 ＜STKT590＞ | C (B) | 引張 | 33.5 | 293 | 0.12 | O.K. |
| | ⑤ | 斜材 | φ-139.8×4.5 ＜STK490＞ | C (B) | 圧縮 | 43.4 | 203 | 0.22 | O.K. |
| | ⑥ | ブレース | φ-114.3×4.5 ＜STK490＞ | C (D) | 圧縮 | 19.4 | 92 | 0.22 | O.K. |

*1：①～⑥の符号はP24の応力検討箇所を示す

*2：P23に示す燃料取扱設備の位置を示す


無断複製・転載禁止　東京電力株式会社

# 参考３　構造強度

## （２） 架構の強度設計構造強度に対する検討

### ２）断面検討

断面検討結果（地震時）

| 部　位*1 | | | 部材形状 (mm) 〈使用材料〉 | 荷重ケース （位置）*2 | 作用 応力度 (N/mm²) | | 許容 応力度 (N/mm²) | 応力度比 | 判定 |
|---|---|---|---|---|---|---|---|---|---|
| 門型架構 | ① | 柱 | H-350×350 ×12×19 〈SM490〉 | E1 (D) | 圧縮 | 138.9 | 289 | 0.49 | O.K. |
| | ② | 梁 | H-350×350 ×12×19 〈SM490〉 | E1 (D) | 引張 | 108.3 | 324 | 0.34 | O.K. |
| | ③ | 斜材 | 2[s-150×75 ×6.5×10 〈SM490〉 | E1 (D) | 圧縮 | 164.5 | 180 | 0.92 | O.K. |
| ドーム屋根 | ④ | 弦材 | φ-267.4×6.6 〈STKT590〉 | E1 (D) | 圧縮 | 155.2 | 396 | 0.40 | O.K. |
| | ⑤ | 斜材 | φ-139.8×4.5 〈STK490〉 | E3 (A) | 圧縮 | 165.8 | 304 | 0.55 | O.K. |
| | ⑥ | ブレース | φ-114.3×4.5 〈STK490〉 | E3 (D) | 圧縮 | 80.6 | 138 | 0.59 | O.K. |

＊1：①～⑥の符号はP24の応力検討箇所を示す

＊2：P23に示す燃料取扱設備の位置を示す

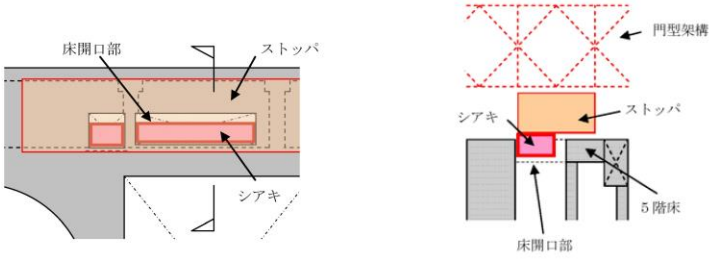

無断複製・転載禁止　東京電力株式会社


# 参考３　構造強度

## （３） 水平振れ止め装置（ストッパ）の構造強度に対する検討

架構と原子炉建屋を結んだバネ材に発生する水平力の最大値が，床開口に差し込むシアキの短期許容せん断力以下であることを確認する。全ての部材に対する応力度比が1以下になることを確認した。

なお，原子炉建屋と水平振れ止め装置（ストッパ）の接触部については，設置前において，本説明書で想定しているように，施工に十分な状況かどうか，雰囲気線量等の作業安全性を鑑みながら，可能な範囲で確認した点検結果を別途報告するとともに，不具合が見つかった場合には適切に補修等を実施する。




（a）　伏図　　（b）　断面図

ストッパ概要図

全てのストッパに対する応力比が1以下になることを確認した。

断面検討結果（常時）

| 部位 | 荷重ケース (位置)* | ストッパ反力 Q(kN) | 短期許容せん断力 Qa(kN) | 応力比 Q/Qa | 判定 |
|---|---|---|---|---|---|
| 東側ストッパ | E4 (A) | 2560 | 8620 | 0.30 | O.K. |

＊：P23に示す燃料取扱設備の位置を示す


無断複製・転載禁止　東京電力株式会社

# 参考３　構造強度

## （４）基礎の構造強度に対する検討

基礎の浮き上がりに対しては基礎反力（圧縮力を正）の最小値が0以上であることを確認し，基礎のすべりに対しては基礎反力の水平力が許容摩擦力以下であることを確認する。
なお，基礎底面の摩擦係数は「現場打ち同等型プレキャスト鉄筋コンクリート構造設計指針(案)・同解説(2002)」に準じて，0.6とする。
基礎浮き上がりの検討の結果，全ての基礎の最小圧縮力が0以上であることを確認した。

基礎浮き上がりの検討結果

| 部位 | 荷重ケース（位置）＊ | 最小圧縮力 N(kN) | 判定 |
|---|---|---|---|
| 東側柱脚（北側） | E1（C） | 1990 | O.K. |

＊：P23に示す燃料取扱設備の位置を示す

基礎すべりの検討の結果，全ての基礎に対する応力比が1以下になることを確認した。

基礎すべりの検討結果

| 部位 | 荷重ケース（位置）＊ | 水平力 Q(kN) | 許容摩擦力 Va(kN) | 応力比 Q/Va | 判定 |
|---|---|---|---|---|---|
| 東側柱脚 | C（D） | 2410 | 5270 | 0.46 | O.K. |
| | E4（D） | 2430 | 4580 | 0.54 | O.K. |

＊：P23に示す燃料取扱設備の位置を示す

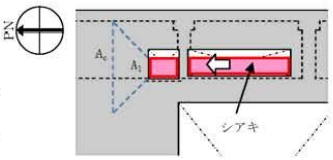

無断複製・転載禁止　東京電力株式会社


# 参考３　構造強度

## （５）原子炉建屋接触部の構造強度に対する検討

### １）ストッパ接触部

ストッパ接触部の構造強度の検討では，ストッパ水平反力が，既存躯体の短期許容支圧力以下になることを確認する。なお，許容支圧応力度は，原子炉建屋の設計基準強度(22.1N/mm²)を用いて「プレストレストコンクリート設計施工規準・同解説」に基づき算出する。
全てのストッパ接触部に対する応力比が1以下になることを確認した。




ストッパ接触部の検討結果

| 部位 | 荷重ケース（位置）＊ | ストッパ水平反力 N(kN) | 短期許容支圧力 Na(kN) | 応力比 N/Na | 判定 |
|---|---|---|---|---|---|
| 東側ストッパ | E2（B） | 3980 | 10300 | 0.39 | O.K. |

＊：P23に示す燃料取扱設備の位置を示す

### ２）基礎設置部

柱脚の鉛直反力により生じる直下壁の軸力が壁の許容軸力以下であることを確認する。
全ての基礎設置部に対する応力比が1以下になることを確認した。

壁の圧縮力の検討結果

| 部位 | 荷重ケース（位置）＊ | 軸力 N(kN) | 許容軸力 Na(kN) | 応力比 N/Na | 判定 |
|---|---|---|---|---|---|
| 東側柱脚（南側） | C（B） | 4280 | 12900 | 0.34 | O.K. |
| | E1（B） | 6540 | 25900 | 0.26 | O.K. |

＊：P23に示す燃料取扱設備の位置を示す


無断複製・転載禁止　東京電力株式会社

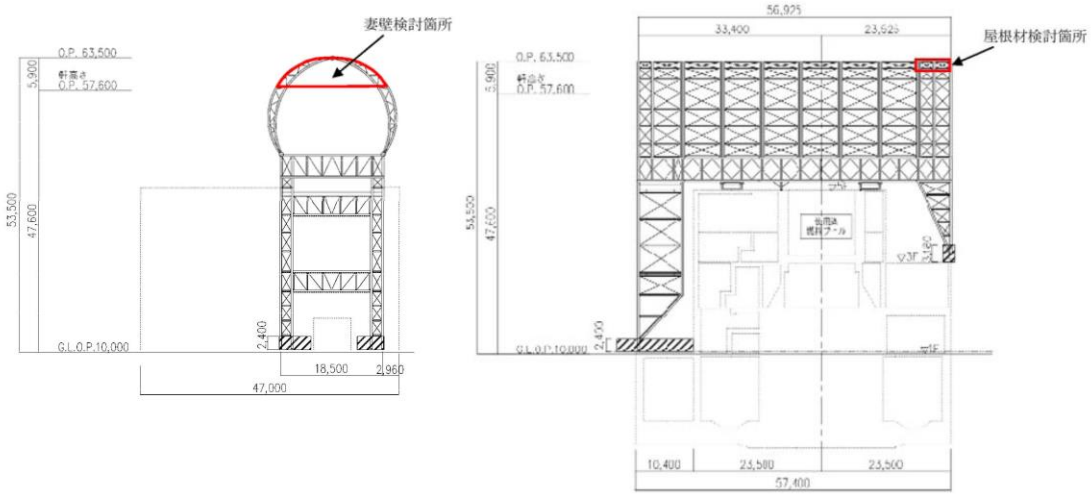
※O.P.表記は震災前の「旧 O.P.表記」を指す。
T.P.表記に換算する際は、震災後の地盤沈下量(-709mm)と O.P.から T.P.への読替値(-727mm)を用いて，下式に基づき換算する。
＜換算式＞ T.P.=旧 O.P.-1,436mm

# 参考３　構造強度

## （６）外装材の構造強度に対する検討

### １）検討箇所

架構の屋根面及び側面を覆う外装材は，折板を用いる。強度検討は，壁材，屋根材それぞれに風圧力により生じる応力度が短期許容応力度以下であることを確認する。




外装材検討箇所（単位：mm）


無断複製・転載禁止　東京電力株式会社


# 参考３　構造強度

## （６）外装材の構造強度に対する検討

### ３）外装材の強度検討

全ての外装材に対する応力度比が1以下になることを確認した。

屋根材及び壁材の材料諸元

| 板厚 | 自重 | 正曲げ方向 | | 負曲げ方向 | |
|---|---|---|---|---|---|
| | | 断面2次モーメント | 断面係数 | 断面2次モーメント | 断面係数 |
| t (mm) | G ($N/m^2$) | $I_x$ ($cm^4/m$) | $Z_x$ ($cm^3/m$) | $I_x$ ($cm^4/m$) | $Z_x$ ($cm^3/m$) |
| 0.8 | 118 | 360 | 43.6（13.1*） | 347 | 40.6（12.2*） |

*：括弧内の数値は折曲加工部を示す

応力度に対する検討結果

| 部位 | 作用応力度 ($N/mm^2$) | 許容応力度 ($N/mm^2$) | 応力度比 | 判定 |
|---|---|---|---|---|
| ドーム屋根 | 189 | 205* | 0.93 | O.K. |
| 妻壁 | 109 | 205* | 0.54 | O.K. |

*：「JIS G 3321-2010」による

（注）ドーム屋根外装材については、設計風圧力の約４倍の耐力を有することを試験により確認している。


無断複製・転載禁止　東京電力株式会社

※O.P.表記は震災前の「旧 O.P.表記」を指す。
T.P.表記に換算する際は、震災後の地盤沈下量(-709mm)と O.P.から T.P.への読替値(-727mm)を用いて，下式に基づき換算する。
＜換算式＞ T.P.=旧 O.P.-1,436mm

# 参考４　耐震性

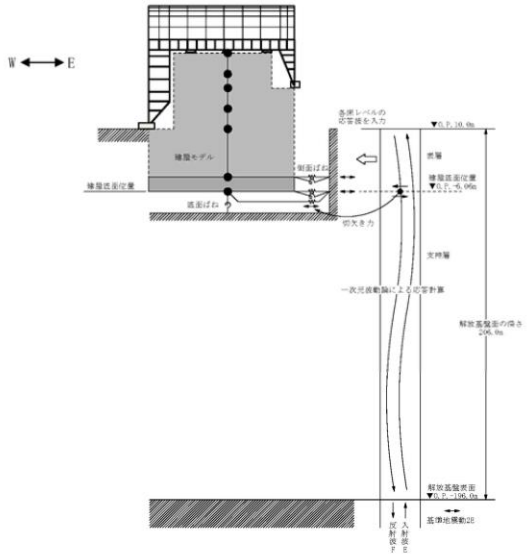
## （１）検討方針

耐震性の検討は，架構，水平振れ止め装置（ストッパ），制震装置（オイルダンパ），基礎，原子炉建屋接触部及び原子炉建屋の健全性について行い，基準地震動Ssに対して，これらの応答性状を適切に表現できる地震応答解析を用いて評価する。なお，地震応答解析は水平方向及び鉛直方向を同時に入力する。

## （２）架構の耐震性に対する検討

### １）解析に用いる入力地震動

検討用地震動は，「福島第一原子力発電所『発電用原子炉施設に関する耐震設計審査指針』の改訂に伴う耐震安全性評価結果　中間報告書」（東京電力株式会社，平成20年3月31日）にて作成した解放基盤表面で定義される基準地震動Ssを用いる。



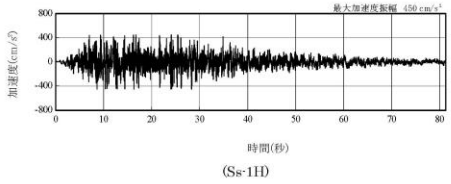

地震応答解析に用いる入力地震動の概念図


無断複製・転載禁止　東京電力株式会社

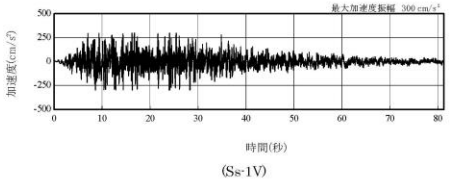

# 参考４　耐震性

## （２）架構の耐震性に対する検討

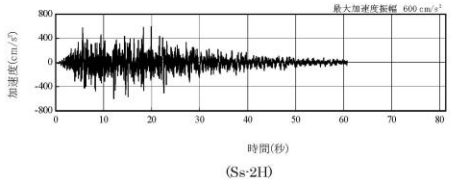
### １）解析に用いる入力地震動



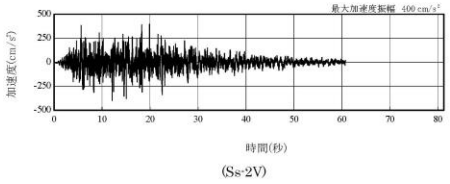
(Ss-1H)



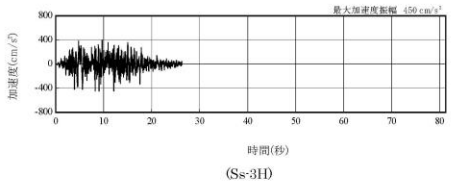
(Ss-1V)



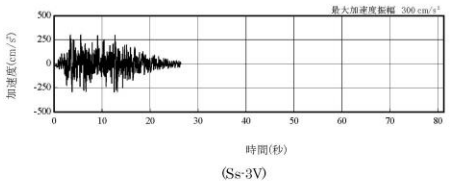
(Ss-2H)



(Ss-2V)



(Ss-3H)



(Ss-3V)

解放基盤表面位置における地震動の加速度時刻歴波形(水平方向)

解放基盤表面位置における地震動の加速度時刻歴波形(鉛直方向)


無断複製・転載禁止　東京電力株式会社

※O.P.表記は震災前の「旧 O.P.表記」を指す。
T.P.表記に換算する際は、震災後の地盤沈下量(-709mm)と O.P.から T.P.への読替値(-727mm)を用いて，下式に基づき換算する。
＜換算式＞ T.P.=旧 O.P.-1.436mm

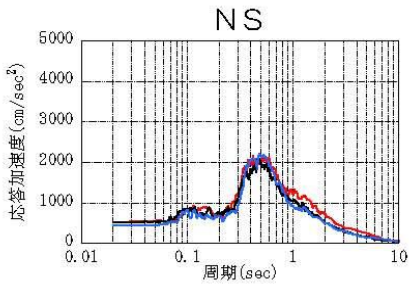
# 参考４　耐震性

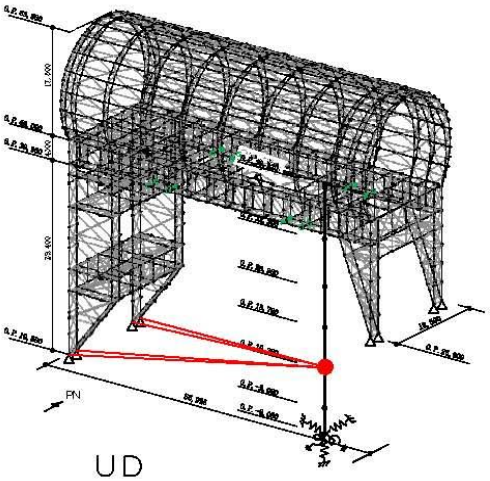
## （２）架構の耐震性に対する検討

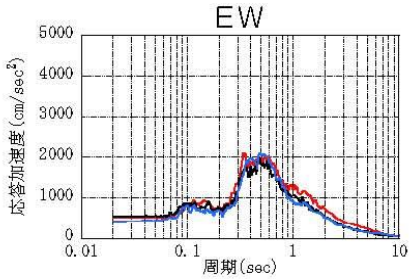
### １）解析に用いる入力地震動

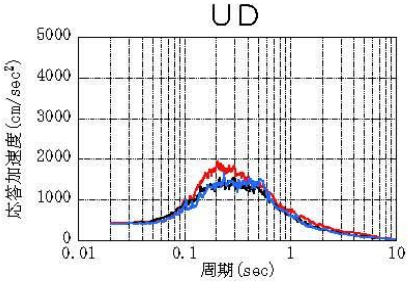
建屋質点の応答解析結果（カバー架構の入力地震動に相当）

1F






(h=2%)
Ss-1
Ss-2
Ss-3


無断複製・転載禁止　東京電力株式会社

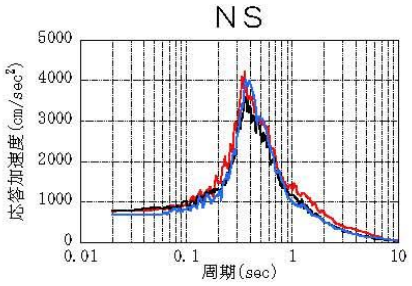

# 参考４　耐震性

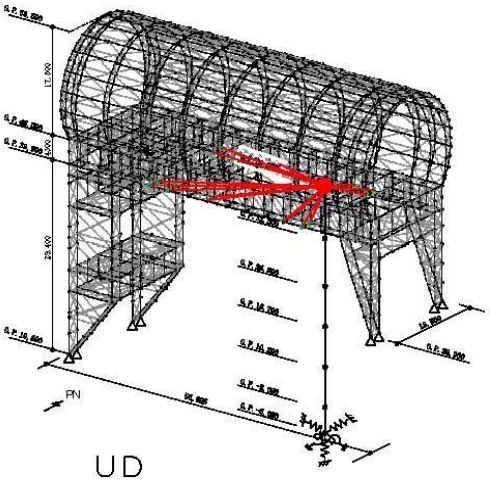
## （２）架構の耐震性に対する検討

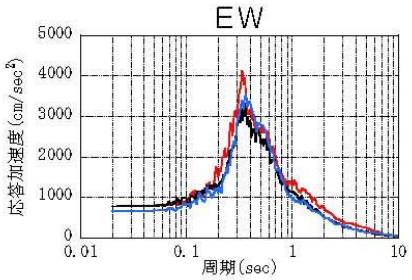
### １）解析に用いる入力地震動

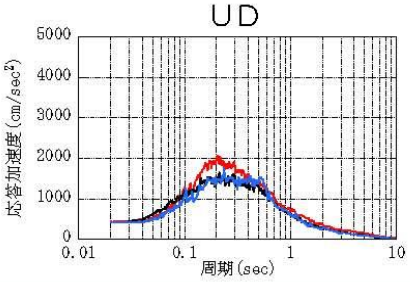
建屋質点の応答解析結果（カバー架構の入力地震動に相当）

5F






(h=2%)
Ss-1
Ss-2
Ss-3


無断複製・転載禁止　東京電力株式会社

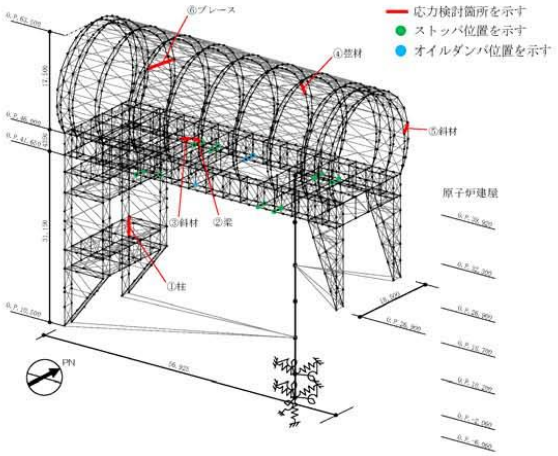
※O.P.表記は震災前の「旧 O.P.表記」を指す。
T.P.表記に換算する際は、震災後の地盤沈下量(-709mm)と O.P.から T.P.への読替値(-727mm)を用いて，下式に基づき換算する。
＜換算式＞ T.P.=旧 O.P.-1,436mm

# 参考４　耐震性

## （２）架構の耐震性に対する検討

### ２）地震応答解析モデル

地震応答解析モデルは，門型架構及びドーム屋根を構成する主要な鉄骨部材からなる立体架構を原子炉建屋の質点系モデルに接続した下図に示すモデルとし，地盤を等価なばねで評価した建屋－地盤連成系モデルとする。ストッパ取り付き部は原子炉建屋5階質点（O.P.39.92 m）と水平方向同一変位条件とし，鉛直方向の制震装置（オイルダンパ）は原子炉建屋の5階床上面4箇所に門型架構と5階床の鉛直方向相対変位が減少する場合に減衰力を発揮するばねに置換して立体架構モデルに組み込んでいる。




地震応答解析モデル（単位：mm）


無断複製・転載禁止　東京電力株式会社


# 参考４　耐震性

## （２）架構の耐震性に対する検討

### ２）地震応答解析モデル

地震応答解析に用いる物性値を下表に示す。門型架構及びドーム屋根の部材接合部の質点は仕上げ材等を考慮した重量とし，原子炉建屋の質点は瓦礫撤去の重量等を反映したP38に示す重量とする。門型架構の柱・梁及びドーム屋根の弦材は弾性部材とし，その他ブレース等は「鉄骨X型ブレース架構の復元力特性に関する研究」（日本建築学会構造工学論文集37B号　1991年3月）に示されている修正若林モデルによる。また，原子炉建屋は，曲げとせん断に「JEAG 4601-1991」に示されている非線形特性を考慮する。

地震応答解析に用いる物性値

| 部位 | 材料 | ヤング係数 E(N/mm$^2$) | ポアソン比 $\nu$ | 単位体積重量 $\gamma$ (kN/m$^3$) | 減衰定数 h(%) | 備考 |
|---|---|---|---|---|---|---|
| 架構 | 鉄骨 | $2.05\times10^5$ | 0.3 | 77.0 | 2 | SS400,SM490A<br>STK490,STKT590 |


無断複製・転載禁止　東京電力株式会社

※O.P.表記は震災前の「旧 O.P.表記」を指す。
T.P.表記に換算する際は、震災後の地盤沈下量(-709mm)と O.P.から T.P.への読替値(-727mm)を用いて，下式に基づき換算する。
＜換算式＞ T.P.=旧 O.P.-1.436mm

# 参考４　耐震性

## （２）架構の耐震性に対する検討

### ２）地震応答解析モデル

地震応答解析モデルのうち原子炉建屋の地震応答解析モデルの諸元

(a)水平（NS）方向

| 標高 O.P.(m) | 質点重量* W(kN) | 回転慣性重量 $I_G$ ($\times 10^5$ kN·m²) | せん断断面積 As(m²) | 断面二次モーメント I(m⁴) |
|---|---|---|---|---|
| 39.92 | 72990 | 76.95 | | |
| 32.3 | 119490 | 238.33 | 145.3 | 9598 |
| 26.9 | 111140 | 204.58 | 146.1 | 29271 |
| 18.7 | 130160 | 239.58 | 237.3 | 56230 |
| 10.2 | 252510 | 464.88 | 208.6 | 60144 |
| -2.06 | 301020 | 554.17 | 458.7 | 112978 |
| -6.06 | 127000 | 233.79 | 2697.8 | 496620 |
| 合計 | 1114310 | | | |

ヤング係数$E_c$ $2.57\times10^7$(kN/m²)
せん断弾性係数G $1.07\times10^7$(kN/m²)
ポアソン比ν 0.20
減衰h 5%

＊ 「福島第一原子力発電所の原子炉建屋の現状の耐震安全性および補強等に関する検討に係る報告書（その２）」（東京電力株式会社，平成23年7月13日）において用いた各階重量に瓦礫撤去等による重量増減を考慮した数値（ただし，門型架構の重量12800kN及びドーム屋根重量3200kNは含まない）

地盤定数は，「福島第一原子力発電所『発電用原子炉施設に関する耐震設計審査指針』の改訂に伴う耐震安全性評価結果　中間報告書」（東京電力株式会社，平成20年3月31日）と同様とする。原子炉建屋の地盤ばねは，「JEAG 4601-1991」に示されている手法を参考にして，底面地盤を成層補正し振動アドミッタンス理論によりスウェイ及びロッキングばねを，側面地盤をNovakの方法により建屋側面ばねを評価した。


無断複製・転載禁止　東京電力株式会社


# 参考４　耐震性

## （２）架構の耐震性に対する検討

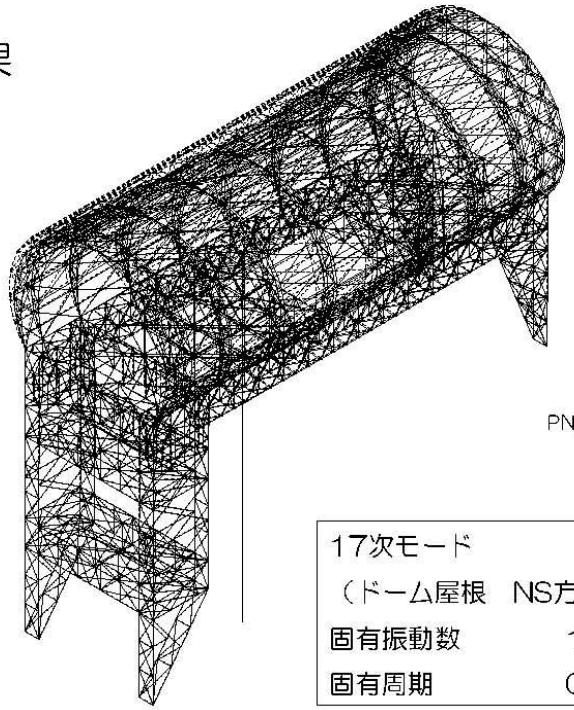
### ２）地震応答解析モデル
固有値解析結果

| 次数 | 固有振動数 (Hz) | 固有周期 (秒) | 刺激係数 NS方向 (X方向) | 刺激係数 EW方向 (Y方向) | 刺激係数 UD方向 (Z方向) | 備考 |
|---|---|---|---|---|---|---|
| 17 | 1.35 | 0.742 | 3.034 | -0.001 | -0.019 | ドーム屋根NS方向1次 |
| 25 | 1.78 | 0.561 | -0.056 | 2.478 | 0.422 | ドーム屋根EW方向1次 |
| 33 | 2.53 | 0.396 | 2.914 | -0.031 | -0.045 | 門型架構・原子炉建屋NS方向1次 |
| 34 | 2.65 | 0.377 | -0.111 | -7.751 | -0.073 | 門型架構・原子炉建屋EW方向1次 |
| 35 | 2.94 | 0.340 | 2.165 | -0.950 | 4.500 | 門型架構UD方向1次 |
| 54 | 4.30 | 0.233 | -0.428 | 0.038 | -40.498 | 原子炉建屋UD方向1次 |

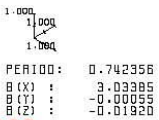

無断複製・転載禁止　東京電力株式会社

# 参考４　耐震性

## 固有値解析結果




| | |
|---|---|
| 17次モード | |
| （ドーム屋根　NS方向　1次） | |
| 固有振動数 | 1.35　Hz |
| 固有周期 | 0.742 秒 |



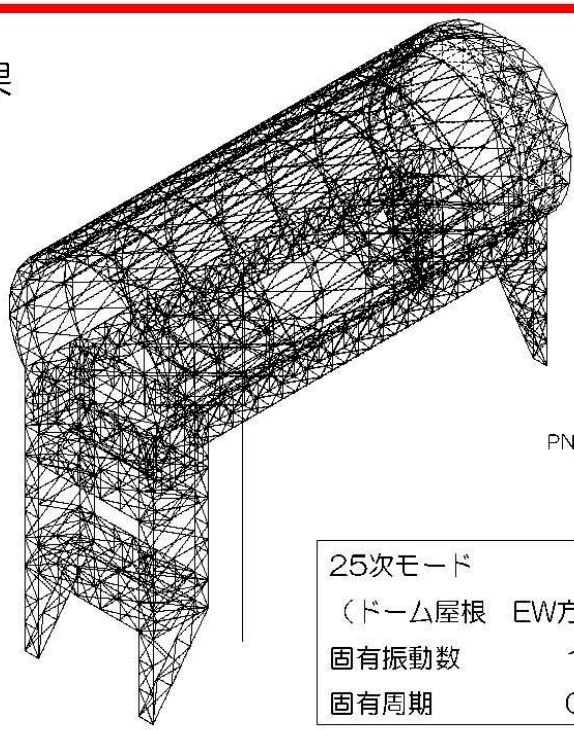

東京電力 TEPCO

無断複製・転載禁止　東京電力株式会社

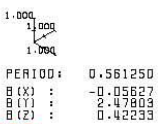


# 参考４　耐震性

## 固有値解析結果




| | |
|---|---|
| 25次モード | |
| （ドーム屋根　EW方向　1次） | |
| 固有振動数 | 1.78　Hz |
| 固有周期 | 0.561 秒 |

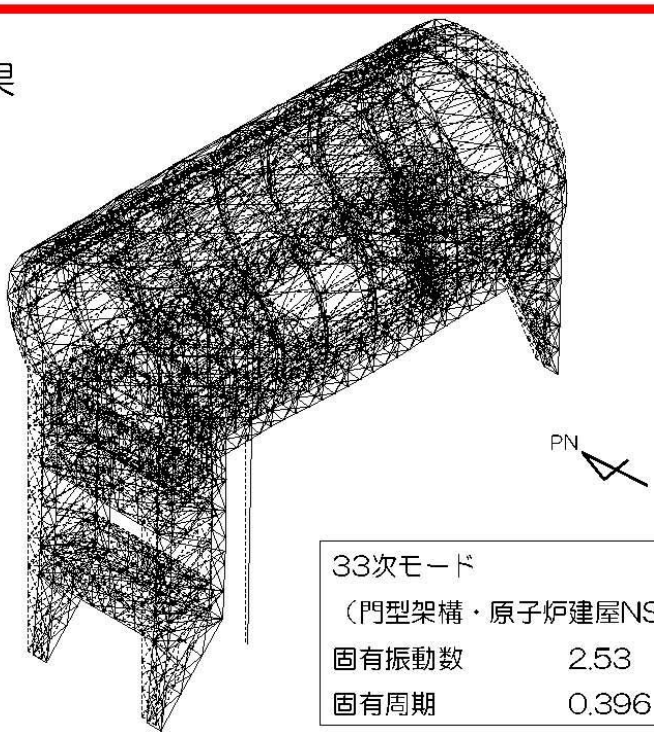



東京電力 TEPCO

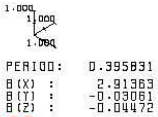
無断複製・転載禁止　東京電力株式会社

# 参考４　耐震性

固有値解析結果




33次モード
（門型架構・原子炉建屋NS方向1次）
固有振動数　2.53　Hz
固有周期　0.396 秒

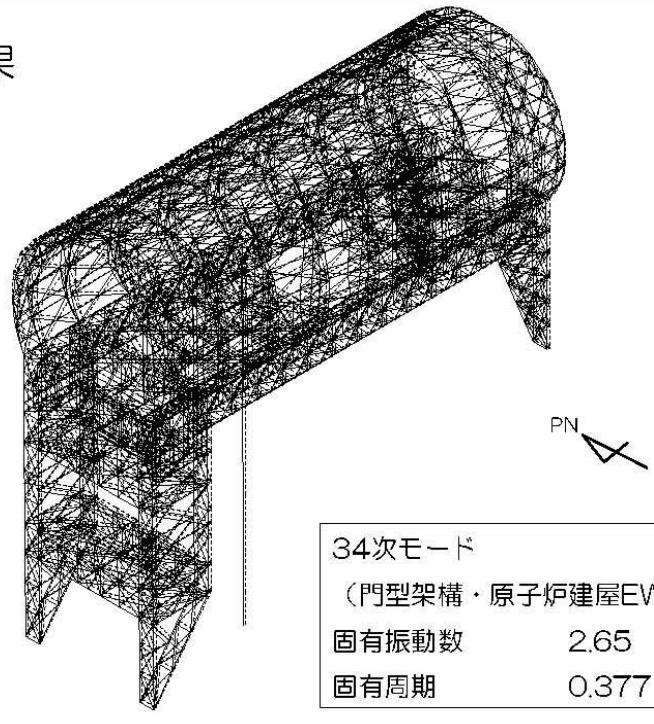




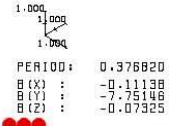
無断複製・転載禁止　東京電力株式会社


# 参考４　耐震性

固有値解析結果




34次モード
（門型架構・原子炉建屋EW方向1次）
固有振動数　2.65　Hz
固有周期　0.377 秒

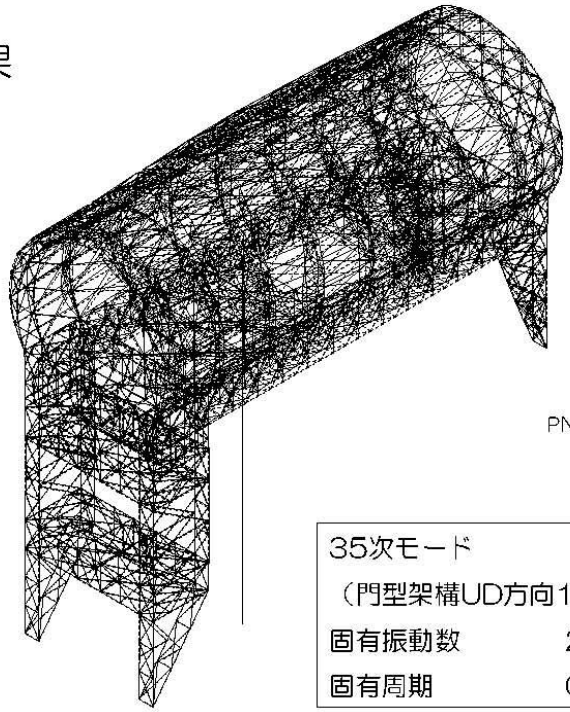




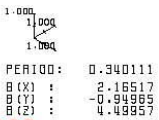
無断複製・転載禁止　東京電力株式会社

# 参考４　耐震性

## 固有値解析結果




35次モード
（門型架構UD方向1次）
固有振動数　2.94　Hz
固有周期　0.340 秒

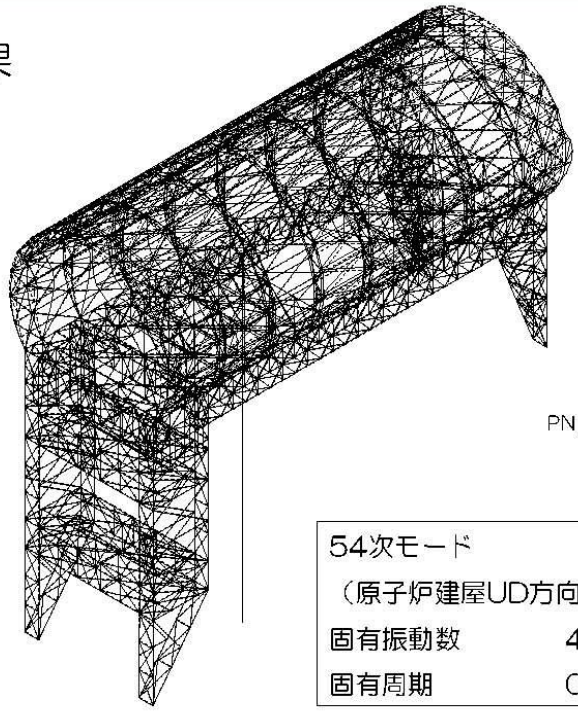



東京電力 TEPCO

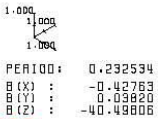
無断複製・転載禁止　東京電力株式会社


# 参考４　耐震性

## 固有値解析結果




54次モード
（原子炉建屋UD方向1次）
固有振動数　4.30　Hz
固有周期　0.233 秒




東京電力 TEPCO

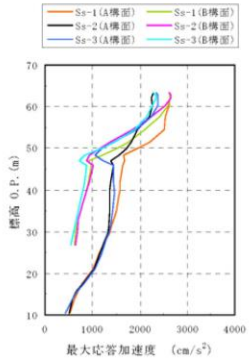
無断複製・転載禁止　東京電力株式会社

※O.P.表記は震災前の「旧 O.P.表記」を指す。
T.P.表記に換算する際は、震災後の地盤沈下量(-709mm)と O.P.から T.P.への読替値(-727mm)を用いて，下式に基づき換算する。
＜換算式＞ T.P.=旧 O.P.-1,436mm

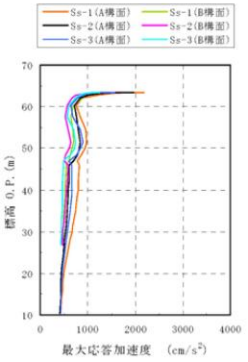
# 参考４　耐震性

## （２）架構の耐震性に対する検討

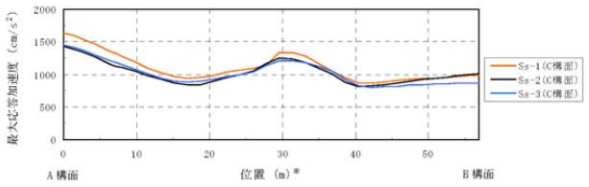
### ３）地震応答解析結果



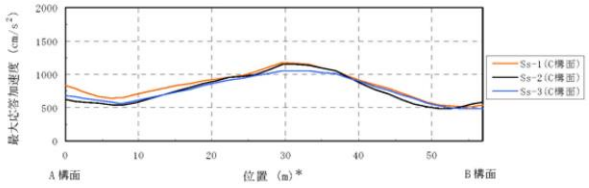

水平(NS)成分（A 構面，B 構面）




鉛直成分（A 構面，B 構面）

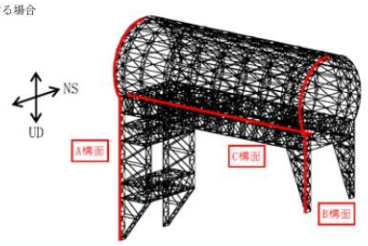



水平(NS)成分（C 構面）




鉛直成分（C 構面）

注：燃料取扱設備が門型架構の中央に位置する場合
（図 3.2-1 の位置 D）を示す
＊：位置は A 構面側からの距離を示す




最大応答加速度分布


無断複製・転載禁止　東京電力株式会社


# 参考４　耐震性

## （２）架構の耐震性に対する検討

### ４）波及的影響の評価

門型架構は，JSCA性能メニュー（社団法人日本建築構造技術者協会，2002年）を参考に定めたクライテリア（「層間変形角は1/75以下，層の塑性率は4以下，部材の塑性率は5以下」＊）を満足することを確認する。ドーム屋根は，柱・梁によるフレームを構成しないため，JSCA性能メニューのうち部材の塑性率のクライテリアを満足することを確認する。
なお，解析結果が「時刻歴応答解析建築物性能評価業務方法書」（財団法人日本建築センター，平成19年7月20日）に示されるクライテリア（層間変形角は1/100以下，層の塑性率は2以下，部材の塑性率は4以下）を超える場合には水平変形に伴う鉛直荷重の付加的影響を考慮した解析を実施し，安全性を確認する。

＊：北村春幸，宮内洋二，浦本弥樹「性能設計における耐震性能判断基準値に関する研究」，日本建築学会構造系論文集，第604号，2006年6月


無断複製・転載禁止　東京電力株式会社

※O.P.表記は震災前の「旧 O.P.表記」を指す。
T.P.表記に換算する際は、震災後の地盤沈下量(-709mm)と O.P.から T.P.への読替値(-727mm)を用いて，下式に基づき換算する。
＜換算式＞ T.P.=旧 O.P.-1,436mm

# 参考４　耐震性

## （２）架構の耐震性に対する検討

### ４）波及的影響の評価

・層間変形角の検討

最大応答層間変形角は1/75以下となりクライテリアを満足することを確認した。

最大応答層間変形角の検討結果

| 検討箇所 | 地震波 | 入力方向（位置）＊ | 最大応答値 | ｸﾗｲﾃﾘｱ | 判定 |
|---|---|---|---|---|---|
| 東側 O.P.46.00(m) ～O.P.26.90(m) | Ss-1 | NS（A） | 1/820 | 1/75 | O.K. |
| | | EW（B） | 1/990 | 1/75 | O.K. |
| | Ss-2 | NS（B） | 1/990 | 1/75 | O.K. |
| | | EW（B） | 1/1000 | 1/75 | O.K. |
| | Ss-3 | NS（B） | 1/990 | 1/75 | O.K. |
| | | EW（B） | 1/1000 | 1/75 | O.K. |
| 西側 O.P.46.00(m) ～O.P.10.50(m) | Ss-1 | NS（A） | 1/720 | 1/75 | O.K. |
| | | EW（B） | 1/1600 | 1/75 | O.K. |
| | Ss-2 | NS（C） | 1/860 | 1/75 | O.K. |
| | | EW（B） | 1/1600 | 1/75 | O.K. |
| | Ss-3 | NS（C） | 1/800 | 1/75 | O.K. |
| | | EW（B） | 1/1800 | 1/75 | O.K. |

＊：P23に示す燃料取扱設備の位置を示す


無断複製・転載禁止　東京電力株式会社


# 参考４　耐震性

## （２）架構の耐震性に対する検討

### ４）波及的影響の評価

・塑性率の検討

全てのケースで耐力比が1を下回ることから塑性率は1未満となり，クライテリアを満足することを確認した。

耐力比の検討結果

| 部位＊1 | | | 部材形状 (mm) | 地震波 | 入力方向（位置）＊2 | 耐力比 | | 判定 |
|---|---|---|---|---|---|---|---|---|
| 門型架構 | ① | 柱 | H-350×350 ×12×19 〈SM490A〉 | Ss-2 | NS (C) | C/Cu | 0.50 | OK |
| | ② | 梁 | H-350×350 ×12×19 〈SM490A〉 | Ss-1 | NS (C) | C/Cu | 0.45 | OK |
| | ③ | 斜材 | 2[s-150×75 ×6.5×10 〈SM490A〉 | Ss-1 | NS (C) | C/Cu | 0.75 | OK |
| ドーム屋根 | ④ | 弦材 | φ-267.4×6.6 〈STKT590〉 | Ss-1 | NS (D) | C/Cu | 0.63 | OK |
| | ⑤ | 斜材 | φ-139.8×4.5 〈STK490〉 | Ss-1 | EW (D) | C/Cu | 0.90 | OK |
| | ⑥ | ブレース | φ-114.3×4.5 〈STK490〉 | Ss-2 | EW (C) | C/Cu | 0.45 | OK |

＊1：①～⑥の符号はP36の応力検討箇所を示す
＊2：P23に示す燃料取扱設備の位置を示す

C　：部材軸方向の圧縮力の最大値
Cu：座屈耐力
T　：部材軸方向の引張力の最大値
Tu：引張耐力


無断複製・転載禁止　東京電力株式会社

# 参考４　耐震性

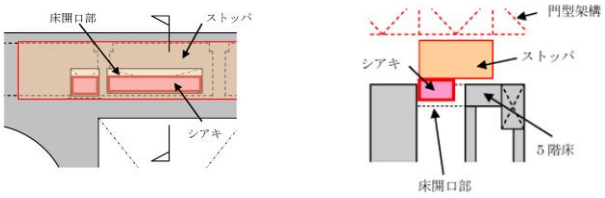
（３）水平振れ止め装置（ストッパ）の耐震性に対する検討

全てのストッパに対する耐力比が1以下になることを確認した。

ストッパ（シアキ）の断面検討結果

| 部位 | 地震波 | 入力方向（位置） | 最大応答ストッパ反力 Q(kN) | せん断耐力 Qu(kN) | 耐力比 Q/Qu | 判定 |
|---|---|---|---|---|---|---|
| 東側ストッパ | Ss-1 | EW（D） | 3970 | 9480 | 0.42 | O.K. |

＊：P23に示す燃料取扱設備の位置を示す




(a)伏図　(b)断面図

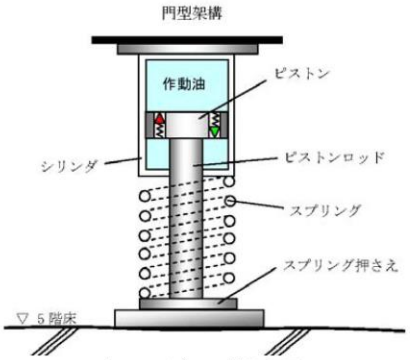
ストッパ概要図


無断複製・転載禁止　東京電力株式会社


# 参考４　耐震性

（４）制震装置（オイルダンパ）の耐震性に対する検討

全てのオイルダンパで最大応答値が許容値以下になることを確認した。




オイルダンパ概念図

オイルダンパの検討結果

| 検討 | 地震波 | 入力方向（位置）＊ | 最大応答値 | 許容値 | 判定 |
|---|---|---|---|---|---|
| オイルダンパ変位（mm） | Ss-3 | NS（D） | 72 | ±100 | O.K. |
| オイルダンパ速度（m/s） | Ss-1 | NS（D） | 0.48 | 1.00 | O.K. |

＊：P23に示す燃料取扱設備の位置を示す


無断複製・転載禁止　東京電力株式会社

# 参考４　耐震性

## （５）基礎の耐震性に対する検討

基礎の浮き上がりに対しては基礎反力（圧縮力を正）の最小値が以上であることを確認し，基礎のすべりに対しては基礎反力の水平力が摩擦耐力以下であることを確認した。

### １）基礎浮き上がりの検討

基礎浮き上がりの検討結果

| 部位 | 地震波 | 入力方向（位置）＊ | 最小圧縮力 N(kN) | 判定 |
|---|---|---|---|---|
| 東側柱脚（北側） | Ss-3 | NS（C） | 227 | O.K. |

＊：P23に示す燃料取扱設備の位置を示す

### ２）基礎すべりの検討

基礎すべりの検討結果

| 部位 | 地震波 | 入力方向（位置）＊ | 最大水平力 Q(kN) | 摩擦耐力 Vu(kN) | 耐力比 Q/Vu | 判定 |
|---|---|---|---|---|---|---|
| 東側柱脚 | Ss-1 | EW（D） | 2810 | 4780 | 0.59 | O.K. |

＊：P23に示す燃料取扱設備の位置を示す


無断複製・転載禁止　東京電力株式会社


# 参考４　耐震性

## （６）原子炉建屋接触部の耐震性に対する検討

### １）ストッパ接触部

最大ストッパ水平反力が，既存躯体の支圧耐力以下になることを確認する。なお，支圧耐力は，原子炉建屋の設計基準強度(22.1N/mm$^2$)を用いて「プレストレストコンクリート設計施工規準・同解説」に基づき算出する。

ストッパ接触部の検討結果

| 部位 | 地震波 | 入力方向（位置）＊ | 最大ストッパ水平反力 N(kN) | 支圧耐力 Nu(kN) | 耐力比 N/Nu | 判定 |
|---|---|---|---|---|---|---|
| 西側ストッパ | Ss-1 | NS（C） | 10400 | 19600 | 0.54 | O.K. |

＊：P23に示す燃料取扱設備の位置を示す

### ２）オイルダンパ接触部

最大オイルダンパ鉛直反力が，既存躯体の支圧耐力以下になることを確認する。なお，支圧耐力は，原子炉建屋の設計基準強度(22.1N/mm$^2$)を用いて「プレストレストコンクリート設計施工規準・同解説」に基づき算出する。

オイルダンパ接触部の検討結果

| 部位 | 地震波 | 入力方向（位置）＊ | 最大水平力 Q(kN) | 摩擦耐力 Vu(kN) | 耐力比 Q/Vu | 判定 |
|---|---|---|---|---|---|---|
| 東側柱脚 | Ss-1 | EW（D） | 2810 | 4780 | 0.59 | O.K. |

＊：P23に示す燃料取扱設備の位置を示す

### ３）基礎設置部

柱脚の鉛直反力により生じる直下壁の最大軸力が壁の軸耐力以下であることを確認する。

壁の圧縮力の検討結果

| 部位 | 地震波 | 入力方向（位置）＊ | 最大軸力 N(kN) | 軸耐力 Nu(kN) | 耐力比 N/Nu | 判定 |
|---|---|---|---|---|---|---|
| 東側柱脚（南側） | Ss-3 | NS（B） | 7430 | 25900 | 0.29 | O.K. |

＊：P23に示す燃料取扱設備の位置を示す


無断複製・転載禁止　東京電力株式会社

※O.P.表記は震災前の「旧 O.P.表記」を指す。
T.P.表記に換算する際は、震災後の地盤沈下量(-709mm)と O.P.から T.P.への読替値(-727mm)を用いて，下式に基づき換算する。
＜換算式＞ T.P.=旧 O.P.-1,436mm

# 参考４　耐震性

## （７）原子炉建屋の耐震性に対する検討

### １）検討方針

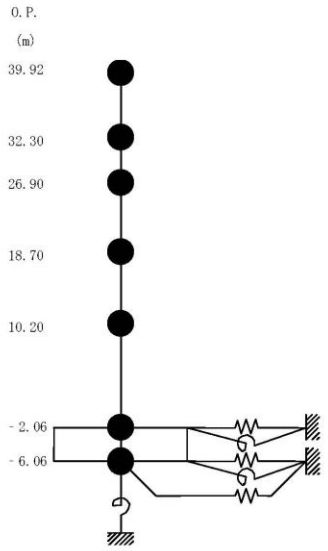
架構の設置に伴う原子炉建屋の耐震性の評価は，耐震安全上重要な設備への波及的影響防止の観点から，地震応答解析により得られる耐震壁のせん断ひずみが鉄筋コンクリート造耐震壁の終局限界に対応した評価基準値（$4.0\times10^{-3}$）以下になることを確認する。

### ２）原子炉建屋の地震応答解析

・入力地震動　基準地震動Ss

原子炉建屋の地震応答解析モデルは，右図に示すように質点系でモデル化し，地盤を等価なばねで評価した建屋－地盤連成系モデルとする。

地震応答解析モデルの諸元は，「福島第一原子力発電所の原子炉建屋の現状の耐震安全性および補強等に関する検討に係る報告書（その2）」（東京電力株式会社，平成23年7月13日）に示される内容に，瓦礫撤去等による重量増減及び新規に設置する燃料取り出し用カバーの重量を考慮した。




原子炉建屋の地震応答解析モデル


無断複製・転載禁止　東京電力株式会社


# 参考４　耐震性

## （７）原子炉建屋の耐震性に対する検討

### ２）原子炉建屋の地震応答解析

原子炉建屋の地震応答解析モデルの諸元（水平方向）

| 標高 O.P.（m） | 質点重量 W（kN） | 回転慣性重量 $I_G$（$\times10^5$ kN·m$^2$） | |
|---|---|---|---|
| | | 水平(NS)方向 | 水平(EW)方向 |
| 39.92 | 87590 | 92.34 | 67.32 |
| 32.3 | 119490 | 238.33 | 124.49 |
| 26.9 | 111340 | 204.95 | 204.95 |
| 18.7 | 130160 | 239.58 | 239.58 |
| 10.2 | 253710 | 467.09 | 696.62 |
| -2.06 | 301020 | 554.17 | 826.50 |
| -6.06 | 127000 | 233.79 | 348.72 |
| 合計 | 1130310 | | |

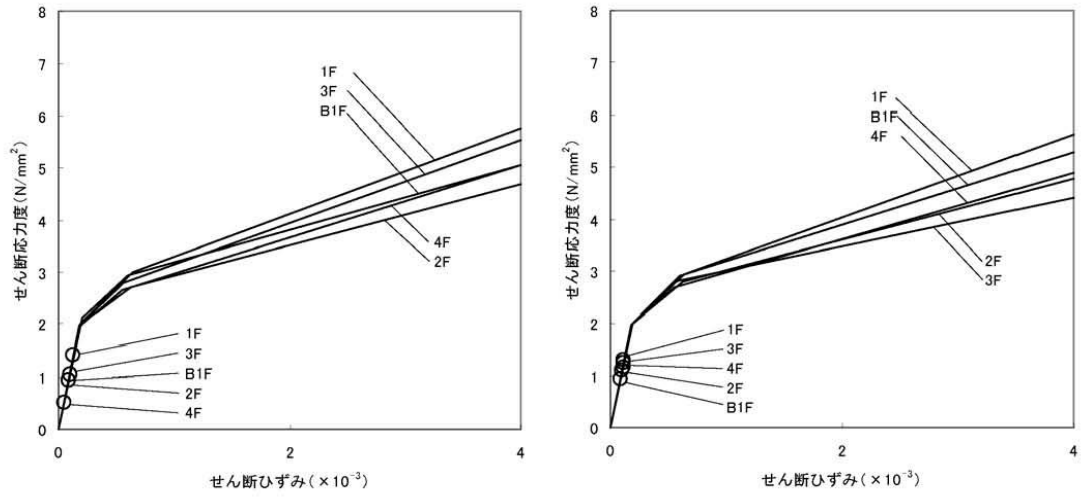

無断複製・転載禁止　東京電力株式会社

# 参考４　耐震性

## （７）原子炉建屋の耐震性に対する検討

### ３）検討結果

地震応答解析により得られる最大応答値は，評価基準値（4.0×10$^{-3}$）に対して十分に余裕があることを確認した。




(a) NS方向　　(b) EW方向

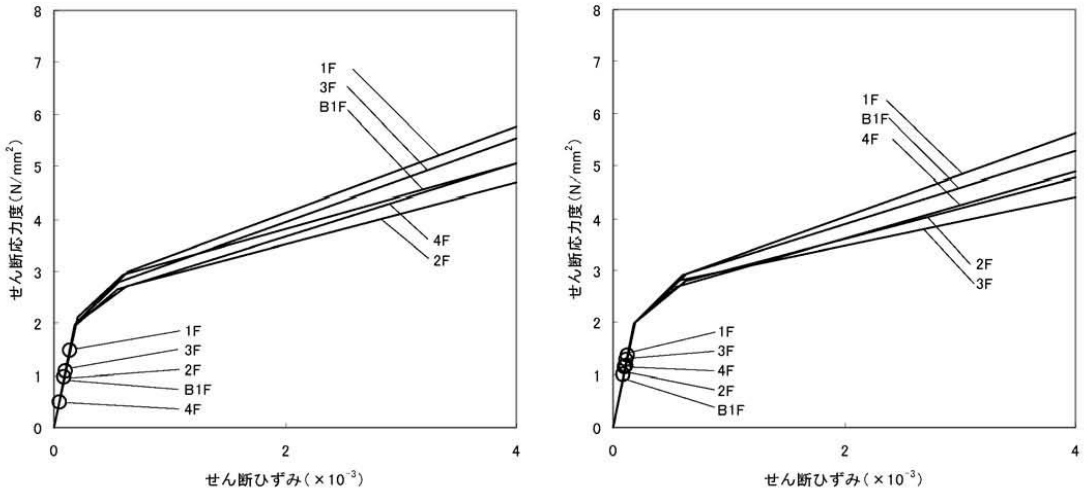
せん断スケルトン曲線上の最大応答値（Ss-1）


無断複製・転載禁止　東京電力株式会社


# 参考４　耐震性

## （７）原子炉建屋の耐震性に対する検討

### ３）検討結果




(a) NS方向　　(b) EW方向

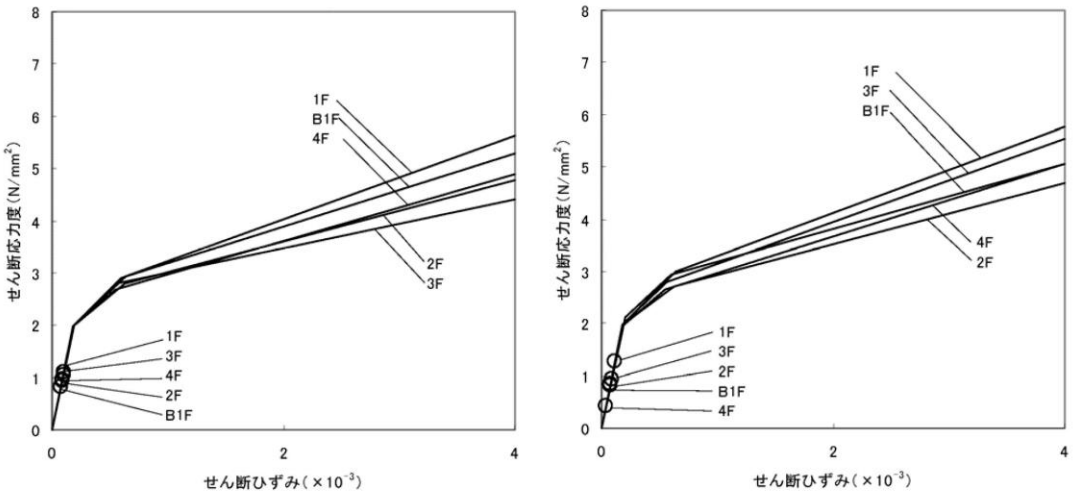
せん断スケルトン曲線上の最大応答値（Ss-2）


無断複製・転載禁止　東京電力株式会社

# 参考４　耐震性

（７）原子炉建屋の耐震性に対する検討

３）検討結果

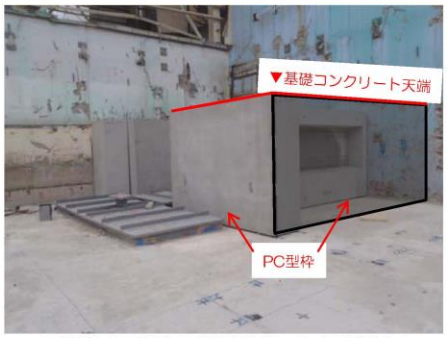



(a) NS方向　　(b) EW方向

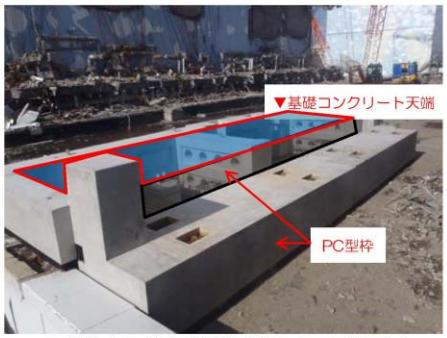
せん断スケルトン曲線上の最大応答値（Ss-3）


無断複製・転載禁止　東京電力株式会社


# 参考５　瓦礫撤去用構台基礎の施工状況




瓦礫撤去用構台西側基礎部　PC型枠設置




瓦礫撤去用構台東側基礎部　PC型枠設置




瓦礫撤去用構台西側基礎部　コンクリート打設




瓦礫撤去用構台東側基礎部　コンクリート打設


無断複製・転載禁止　東京電力株式会社

特定原子力施設監視・
評価検討会（第6回）
資料5

# 福島第一原子力発電所
# ３号機燃料取り出し用カバーの
# 構造強度及び耐震性について
# （コメント回答）

東京電力株式会社

平成２５年３月8日

東京電力 TEPCO

## 目次


・コメント回答①　地震・津波・竜巻等への対応について　・・・P.2
・コメント回答②　耐震性の検討結果（表）の記載について　・・・P.4
・コメント回答③　作業環境の確保について　・・・P.6
・コメント回答④　オイルダンパの機構および損傷時の対応について・・・P.7

# コメント回答①

①３号機燃料取り出し用カバーの使用期間が短いとしても、地震・津波に関わる新安全設計基準への対応あるいは竜巻などの想定外事象に対する安全性や修復性は確保しなくてよいのか、既にされているのかを説明すること。（林教授）

・現在、国により策定中の新安全設計基準への対応については今後となるが、以下を念頭に計画している。

・地震：各部の検討において、可能な限り余裕を確保した計画*1としている。また、脆性的な破壊を生じないよう、原則として保有耐力接合*2 *3としている。

・津波：燃料取り出し用カバーは鉄骨トラスと鋼製の外装材により構成されているが、閉空間になっておらず、津波襲来時には、水は燃料取り出し用カバーの裏側に回り込む。そのため、津波による波圧は生じにくい。

*1　5ページ参照。例えば、ドーム屋根は基準地震動Ssに対し、約５倍の裕度がある。

*2　母材の耐力が十分に発揮されるように「接合部の破断耐力＞母材耐力」となるように破断の検討を行うこと 。

*3　特定原子力施設監視・評価検討会（第4回）資料4 16ﾍﾟｰｼﾞ 参照



# コメント回答①

・竜巻：ドーム屋根の外装材は、設計風圧力の約４倍以上の耐力を有することを確認しており、最大瞬間風速100m/s程度の暴風に対しても飛散しない計画となっている。

・修復性については、除染・遮へい対策を施す計画（コメント回答③参照）であり、現地へのアクセスは可能であると考えている。また、オペレーティングフロア上のガレキ撤去に用いたクレーン等により、遠隔操作による作業も可能であると考えている。

# コメント回答②

②特定原子力施設監視・評価検討会（第４回）資料４の10ページの耐震性の検討結果の表は、検定比なのか、最大応答値なのかを区別できるように明確にすること。（林教授）

・評価項目欄が、「耐力比」もしくは「抵抗比」となっている項目が「検定比」で評価している項目であり、その他が「最大応答値」で評価している項目である。

・「検定比」か「最大応答値」かが分かるように、結果欄に追記した。

（次ページ参照）



# 5. 耐震性に対する検討結果

いずれも評価クライテリア以下であることを確認した。

（１）架構の耐震性

| 部位 | 評価項目 | 検定比、最大応答値 | | 評価クライテリア | 判定 |
|---|---|---|---|---|---|
| 門型架構 | 層間変形角 | 最大応答値 | 1/720 | 1/75以下 | OK |
| 門型架構 | 塑性率 | 最大応答値 | 0.75 | 5以下 | OK |
| ドーム屋根 | 塑性率 | 最大応答値 | 0.90 | 5以下 | OK |
| オイルダンパ | 相対変位 | 最大応答値 | 72 mm | 100 mm以下 | OK |
| | 相対速度 | 最大応答値 | 0.48 m/s | 1.0 m/s以下 | OK |
| ストッパ | せん断耐力比 | 検定比 | 0.42 | 1.0以下 | OK |
| 基礎 | 浮き上がりの有無 | 最大応答値 | 生じない | 生じないこと | OK |
| | すべり摩擦抵抗比 | 検定比 | 0.59 | 1.0以下 | OK |

（２）原子炉建屋の耐震性

| 部位 | 評価項目 | 検定比、最大応答値 | | 評価クライテリア | 判定 |
|---|---|---|---|---|---|
| ストッパ接触部 | 支圧耐力比 | 検定比 | 0.54 | 1.0以下 | OK |
| オイルダンパ接触部 | 支圧耐力比 | 検定比 | 0.19 | 1.0以下 | OK |
| 基礎設置部 | 圧縮耐力比 | 検定比 | 0.29 | 1.0以下 | OK |
| 原子炉建屋 | せん断ひずみ | 最大応答値 | $0.14\times10^{-3}$ | $4.0\times10^{-3}$以下 | OK |

# コメント回答③

③立ち入りが難しい場所で有人にて接合部などの現地作業が行えるように、作業環境をどのように確保するのかについて説明すること。（林教授）

・線量的に、立入りが最も厳しい箇所はオペレーティングフロア上部と考えている。当該部における有人作業ができるように、有人作業が発生するまでに、線量低減対策として、遠隔操作重機による下記３段階の作業を計画している。

１．瓦礫撤去作業（現在実施中）
オペレーティングフロア上部に残存する瓦礫（鉄骨、コンクリート、機械設備等）を撤去する。

２．除染作業
オペレーティングフロア上部の瓦礫撤去後に、床面はつり装置や吸引装置等を使用し、除染作業を実施する。

３．遮へい体設置作業
除染作業後にオペレーティングフロア上部に遮へい体（鉄板等）を設置する。

なお、作業中は適宜、雰囲気線量を計測し、慎重に作業を実施する。



# コメント回答④

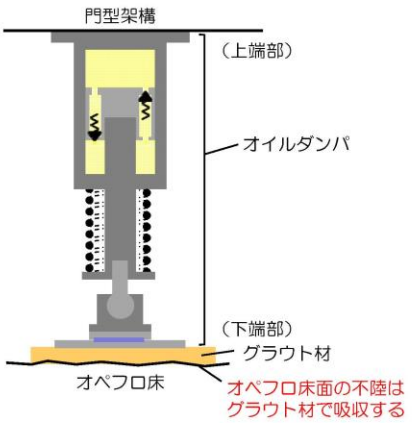
④オイルダンパについては、５階床面の不陸や門型架構の変形などにより、５階床と門型架構が平行でなくなり、スプリング押さえ等の損傷が生じないかについて説明すること。また、スプリング押さえ等の損傷により、システム上の問題が発生しないのかについて確認したい。（林教授）

・５階床面は躯体の不陸が想定される。

・オイルダンパは上端部を架構側に接合し、下端部とオペフロ床とのＧＡＰ部にグラウト材を充填し、床面の不陸を吸収する計画としている。

・オイルダンパが故障や損傷した場合は、修理・取替をする計画としている。

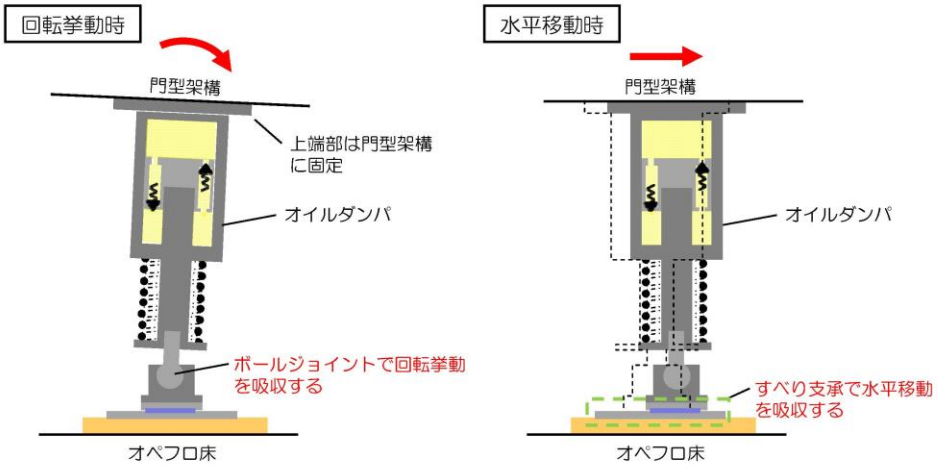
・グラウト材は既存躯体コンクリートの強度よりも高強度のものを使用している。



# コメント回答④

・門型架構とオペフロ床間の挙動が平行ではなくなった場合に備え、オイルダンパ下端部にはボールジョイントとすべり支承を取り付けている。

・ボールジョイントとすべり支承により、オイルダンパの機構損傷が生じないようにしている。




東京電力

別添－３

# ４号機燃料取り出し用カバーに係る確認事項

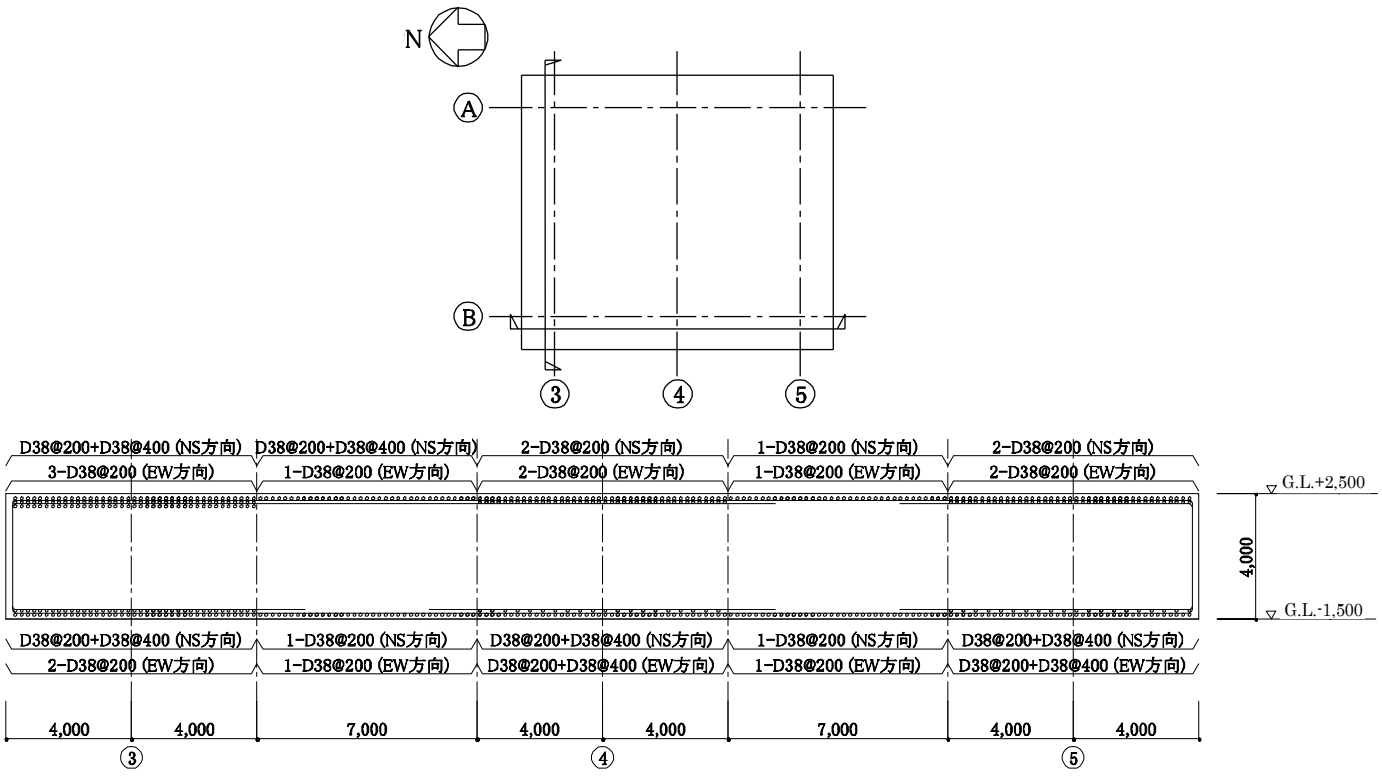
４号機燃料取り出し用カバーの工事に係る主要な確認項目を表－１および表－２に示す。

表－１　４号機燃料取り出し用カバーに係る確認項目（クレーン支持用架構）

| 確認事項 | 確認項目 | 確認内容 | 判定基準 |
|---|---|---|---|
| 構造強度及び耐震性 | 材料確認 | 地盤改良土の一軸圧縮強さを確認する。 | 地盤改良土の一軸圧縮強さが、実施計画に記されている設計基準強度に対して JEAC4616-2009 の基準を満足すること。 |
| | | 構造体コンクリートの圧縮強度を確認する。 | 構造体コンクリート強度が，実施計画に記載されている設計基準強度に対して，JASS 5N の基準を満足すること。 |
| | | 鉄筋の材質，強度，化学成分を確認する。 | JIS G 3112 に適合すること。 |
| | | 地盤アンカーの材質，強度，化学成分を確認する。 | JIS G 3536　JIS G 3502 に適合すること。 |
| | | 鋼材の材質，強度，化学成分を確認する。 | JIS G 3106 又は建築基準法第 37 条第二号に基づく国土交通大臣の認定に適合すること。 |
| | | 高力ボルトの締め付け張力を確認する。 | 特殊ボルト（ワンサイドボルト）について、導入張力試験を JASS 6 に準じて実施し、所定の張力が得られること。 |
| | | 外装材の仕様を確認する。 | 実施計画に記載されている材料諸元に適合することを，検査証明書，出荷証明書及びメーカー技術資料により確認する。 |
| | 寸法確認 | 地盤アンカー長を確認する。 | 地盤アンカー長が 26.75m 以上であること。 |
| | 据付確認 | 地盤改良範囲（深さ）を確認する。 | 支持層に着底していること。 |
| | | 鉄筋の径，間隔（図－1 参照）を確認する。 | 鉄筋の径が実施計画に記載されている通りであること。鉄筋の間隔が実施計画に記載しているピッチにほぼ均等に分布していること。 |
| | | 接合部（図－２～４参照）の施工状況を確認する。 | 高力ボルトが所定の本数・種類であること。 |
| | | 外装材の施工状況を確認する。 | 外装材の設置範囲が，図－７～９の通りであること。 |

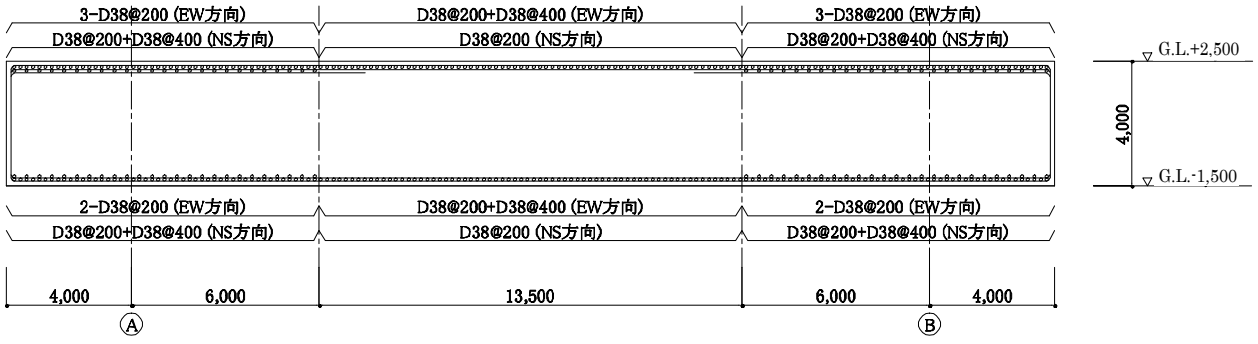
表－２　４号機燃料取り出し用カバーに係る確認項目（燃料取扱機支持用架構）

| 確認事項 | 確認項目 | 確認内容 | 判定基準 |
|---|---|---|---|
| 構造強度及び耐震性 | 材料確認 | 構造体コンクリートの圧縮強度を確認する。 | 構造体コンクリート強度が，実施計画に記載されている設計基準強度に対して，JASS 5N の基準を満足すること。 |
| | | 鋼材の材質，強度，化学成分を確認する。 | JIS G 3106 又は建築基準法第 37 条第二号に基づく国土交通大臣の認定に適合すること。 |
| | | アンカーボルトの材質，強度，化学成分（床面）を確認する。 | JIS G 3138 に適合すること。 |
| | | アンカーボルトの材質，強度，化学成分（壁面）を確認する。 | JIS G 3112 に適合すること。 |
| | 寸法確認 | アンカーボルト埋め込み長さ（床面）を確認する。 | 有効埋め込み長さが 700㎜以上かつボルトの余長はナット面から突き出た長さが 3 山以上であること。 |
| | | アンカーボルト埋め込み長さ（壁面）を確認する。 | 有効埋め込み長さが 450㎜以上であること。 |
| | 据付確認 | 接合部（図－５，６参照）の施工状況を確認する。 | 高力ボルトが所定の本数・種類であること。 |




かぶり厚さ 7cm 以上

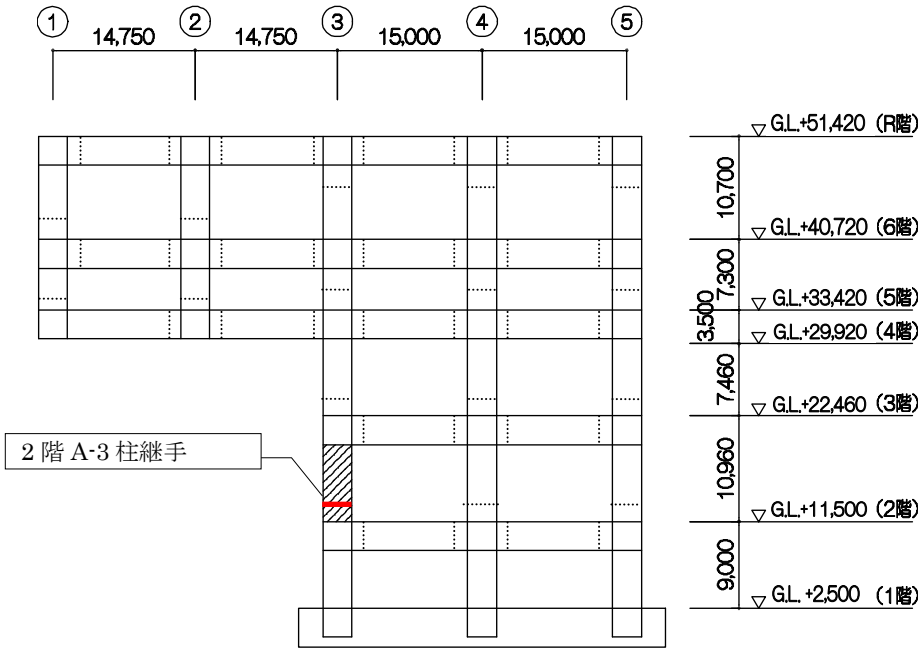
クレーン支持用架構　基礎配筋図(B 通り)



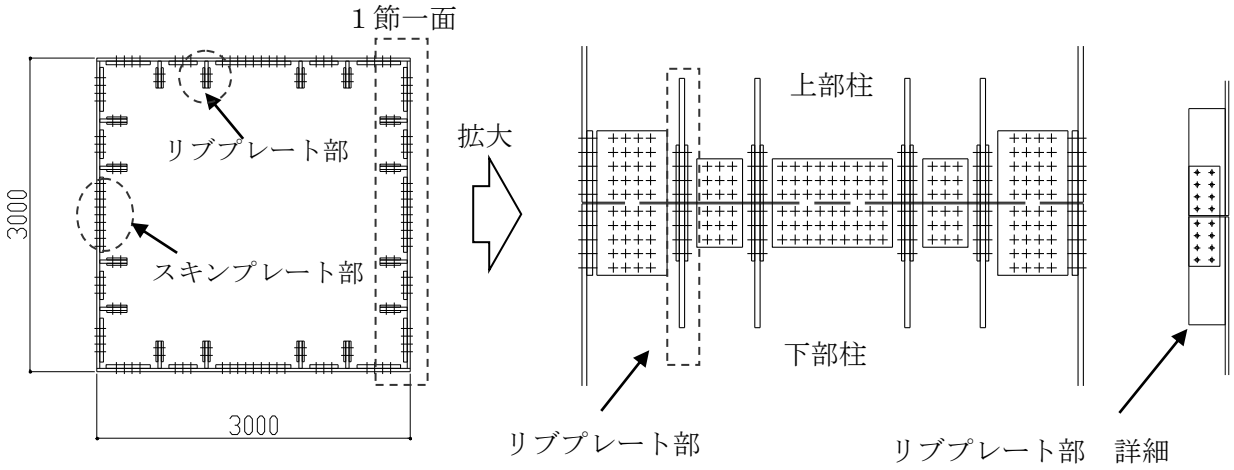

かぶり厚さ 7cm 以上

クレーン支持用架構　基礎配筋図(3 通り)

図－1　クレーン支持用架構　基礎配筋図




（１）接合部位置（Ａ通り軸組図）

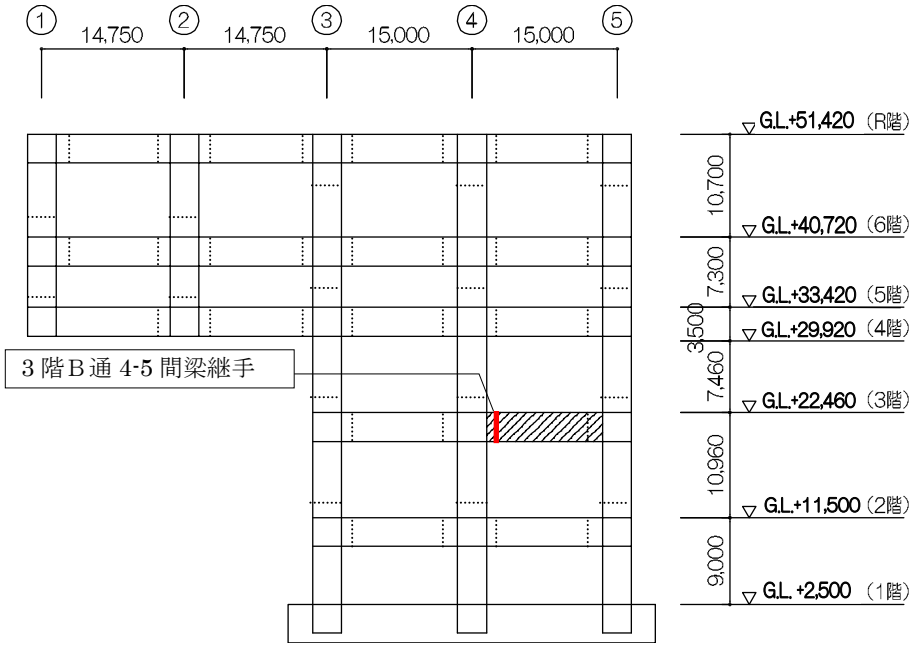



【スキンプレート部】
ボルト種類：MUTF27
本数：85 本×2（1 面あたり）

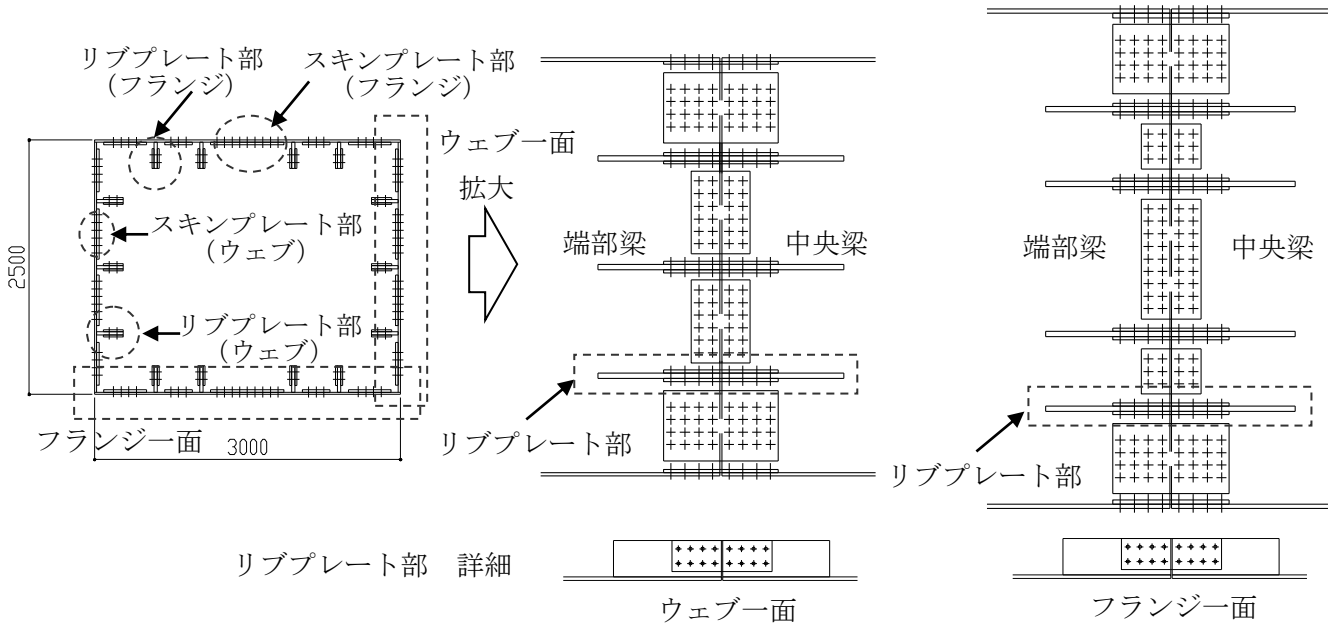
【リブプレート部】
ボルト種類：SHTB　M24
本数：8 本×2（1 箇所あたり）

（２）クレーン支持用架構　接合部詳細

図－２　クレーン支持用架構　接合部①




（１）　クレーン支持用架構　接合部位置（Ｂ通り軸組図）

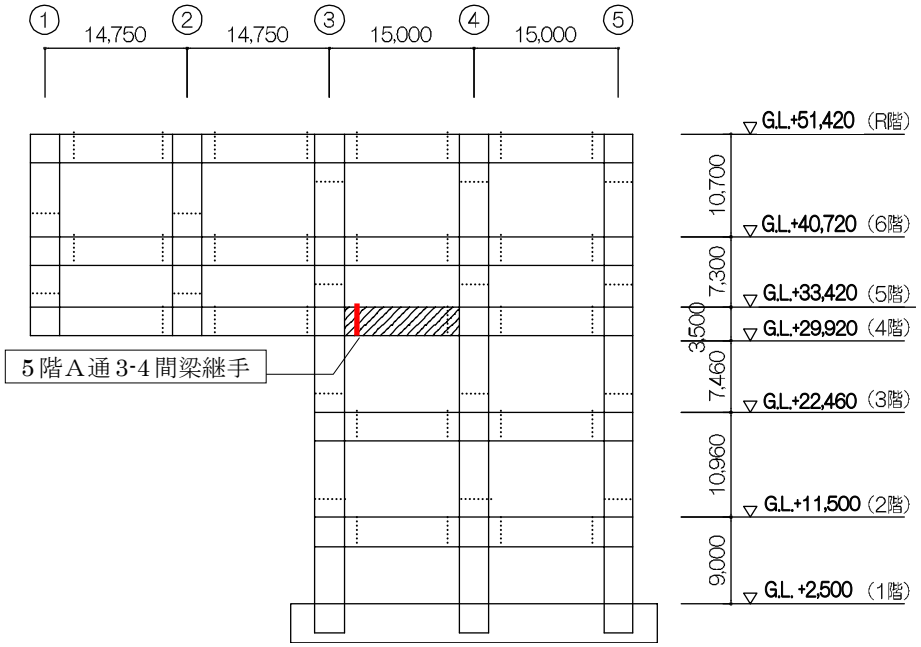



【スキンプレート部】
ボルト種類：MUTF27
本数：62 本×2（フランジ 1 面あたり）
本数：56 本×2（ウェブ 1 面あたり）

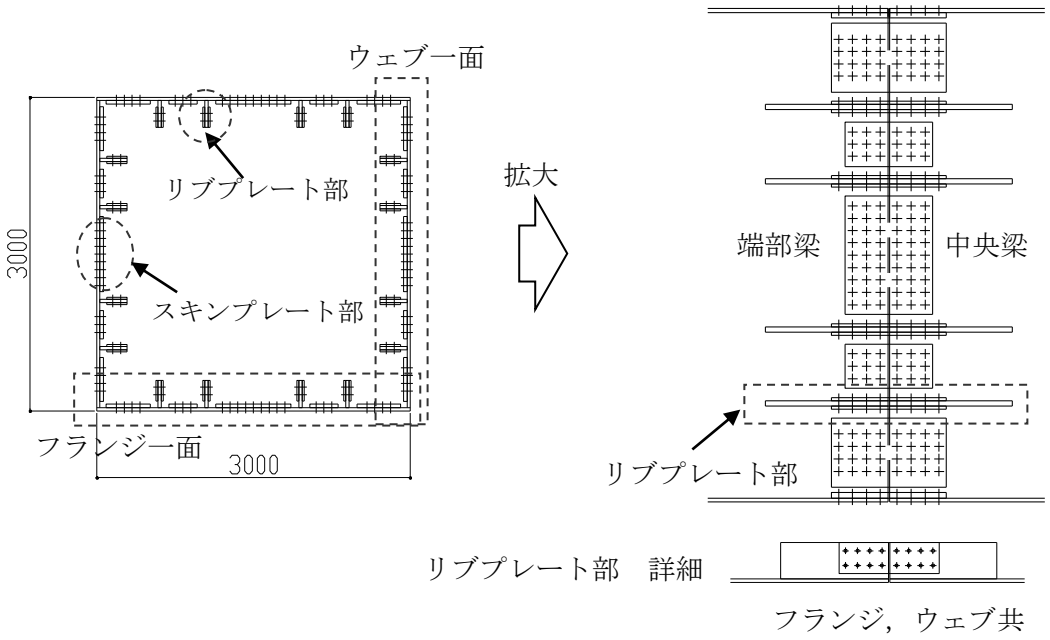
【リブプレート部】
ボルト種類：SHTB　M24
本数：8 本×2（1 箇所あたり）

（２）　接合部詳細(3 階Ｂ通 4-5 間梁)

図－３　クレーン支持用架構　接合部②




（１）接合部位置（A通り軸組図）

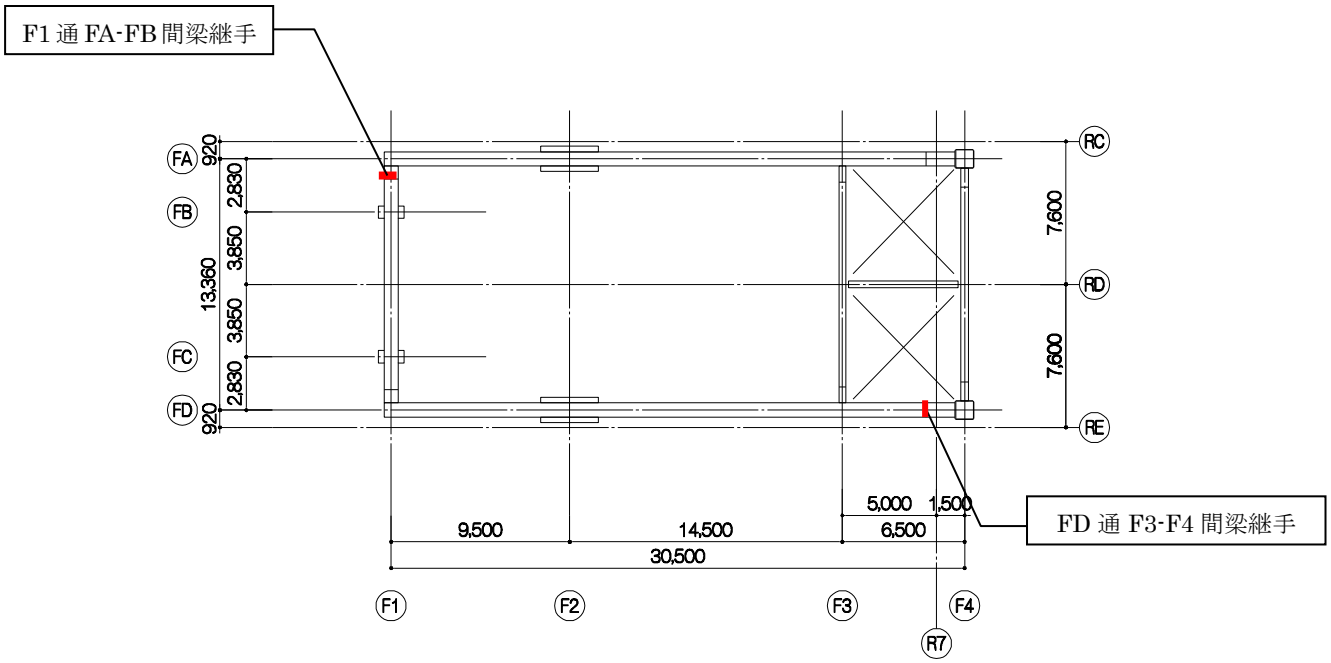



【スキンプレート部】
ボルト種類：MUTF27
本数：77 本×2（フランジ，ウェブ共 1 面あたり）

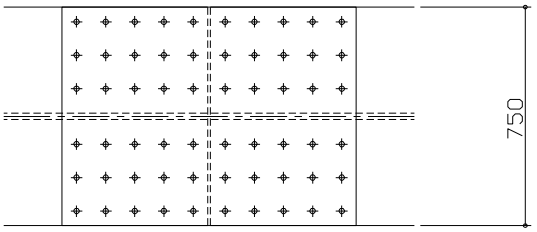
【リブプレート部】
ボルト種類：SHTB　M24
本数：8 本×2（1 箇所あたり）

（２）接合部詳細(5 階A通 3-4 間梁)

図－４　クレーン支持用架構　接合部③

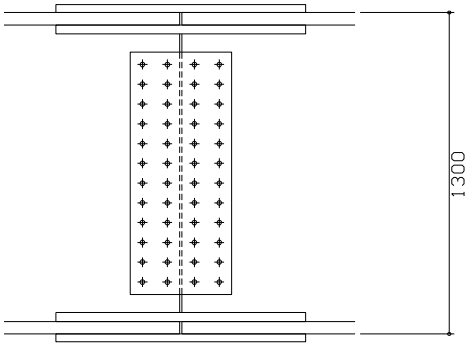



（１）接合部位置




(a)フランジ

ボルト種類：HTB　M27
ボルト本数：30 本×2

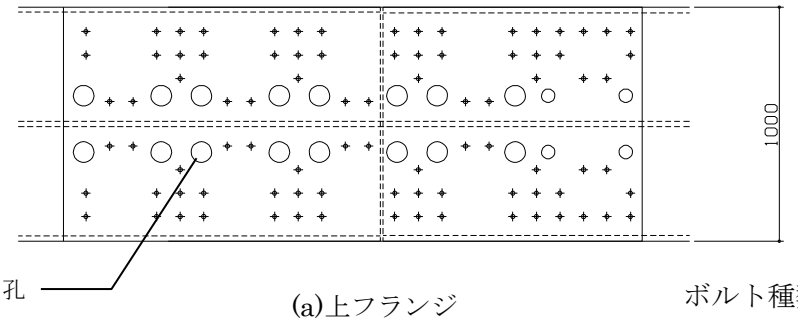



(b)ウェブ

ボルト種類：HTB　M27
ボルト数：24 本×2

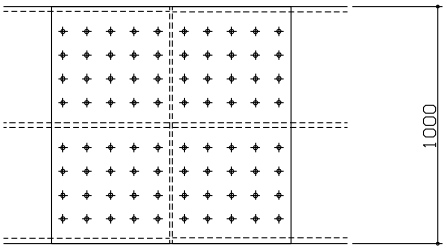
（２）接合部詳細図（F1 通 FA-FB 間梁継手）

図－５　燃料取扱機支持用架構　接合部図①



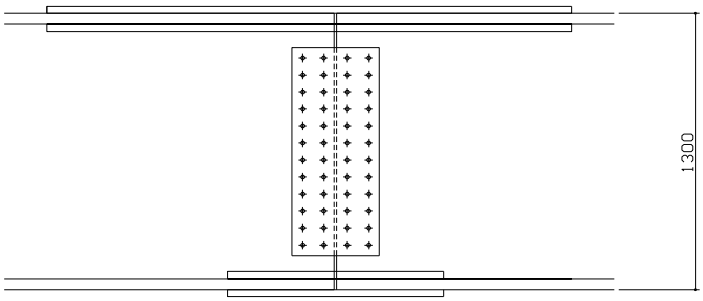

(a)上フランジ

ボルト種類：HTB　M27
ボルト数：44 本×2



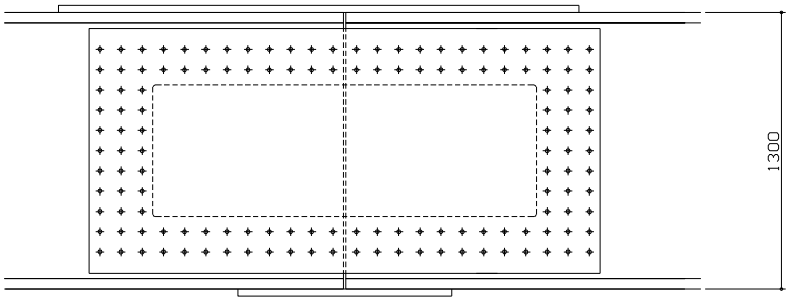

(b)下フランジ

ボルト種類：HTB　M27
ボルト数：40 本×2




(c)ウェブ

ボルト種類：HTB　M27
ボルト数：24 本×2

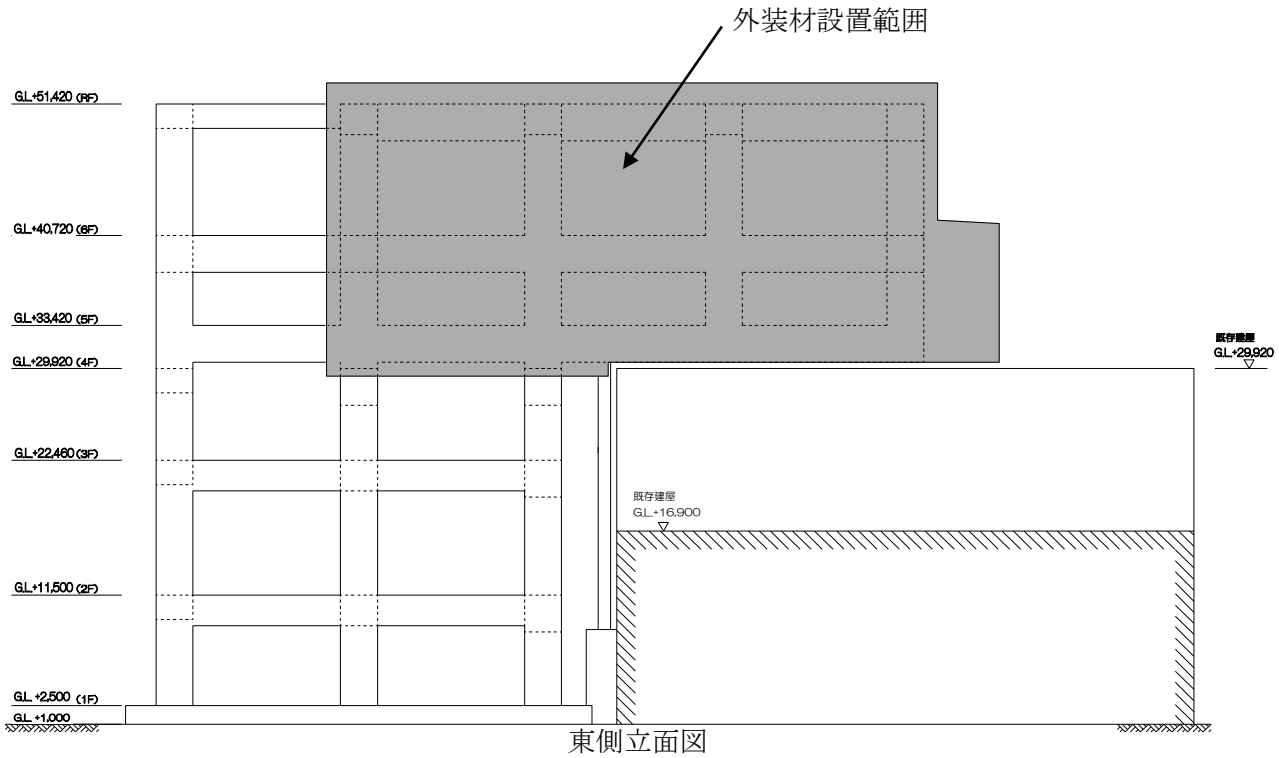



(d)側面プレート

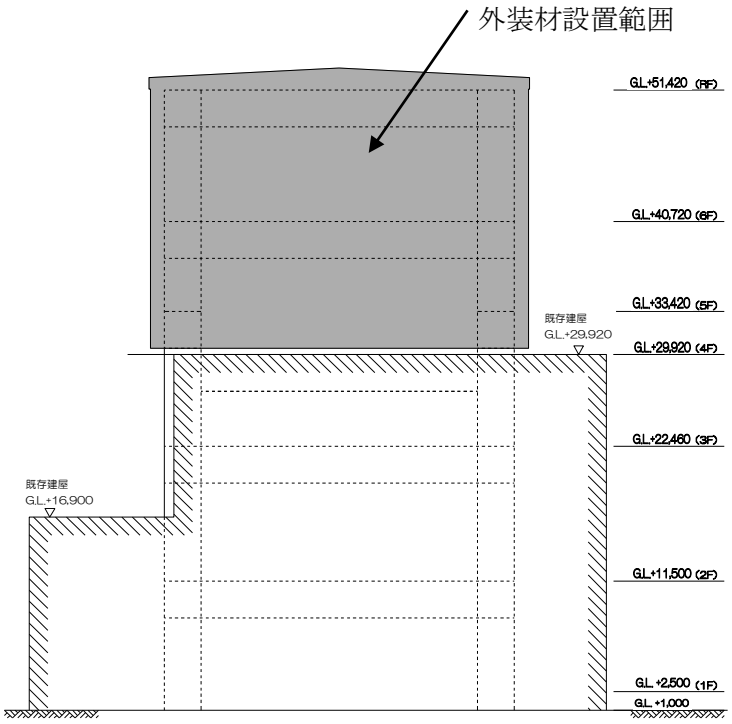
ボルト種類：MUTF27
ボルト数：69 本×2

接合部詳細図（FD 通 F3-F4 間梁継手）（接合部位置は図―５参照）

図－６　燃料取扱機支持用架構　接合部図②

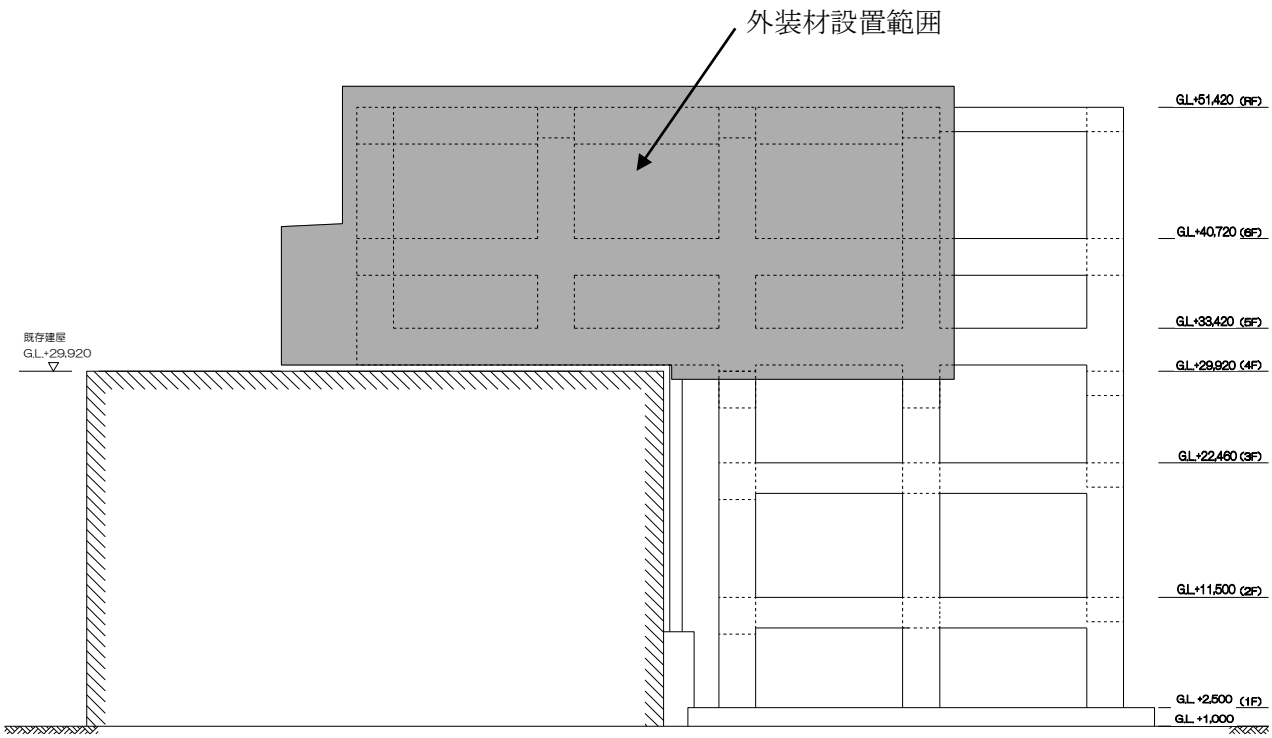



東側立面図

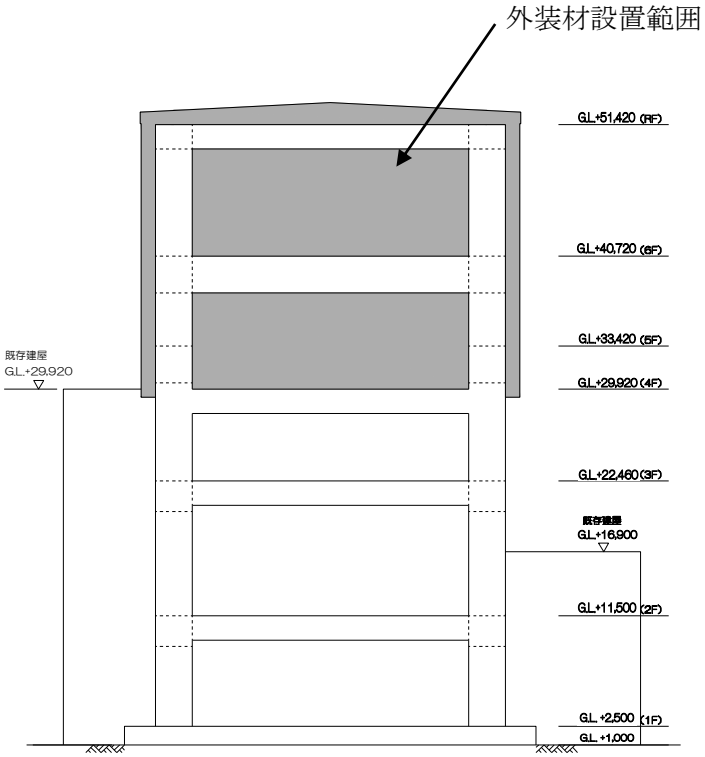



北側立面図

図－７　外装材設置範囲図①

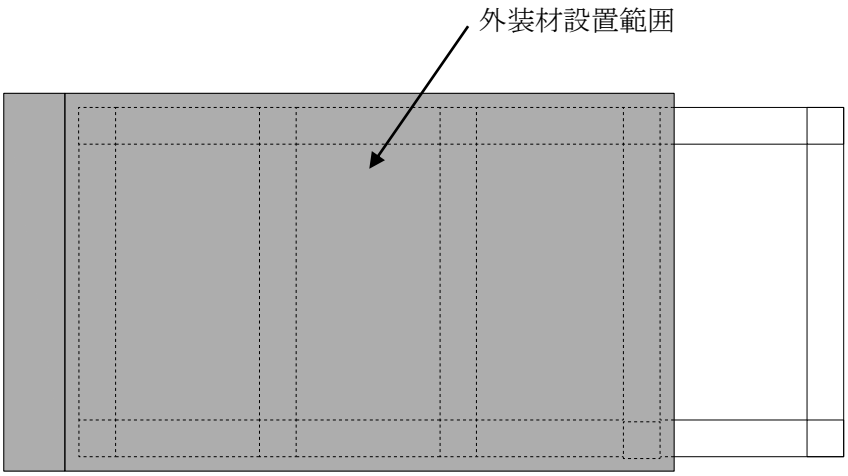



西側立面図




南側立面図

図－８　外装材設置範囲図②




屋根伏図

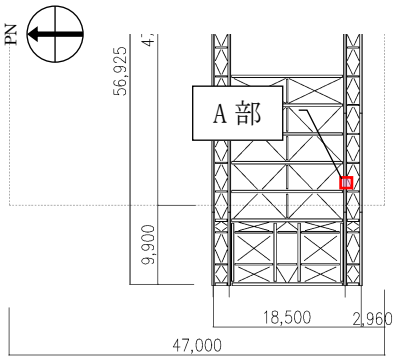
図－９　外装材設置範囲図③

# ３号機燃料取り出し用カバーに係る確認事項

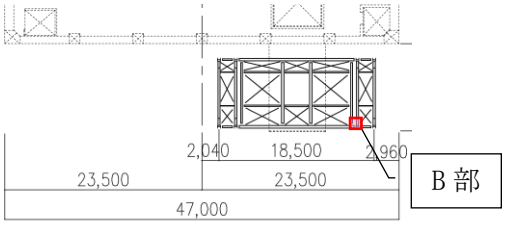
３号機燃料取り出し用カバーの工事に係る主要な確認項目を表－１に示す。

表－１　３号機燃料取り出し用カバーの工事に係る確認項目

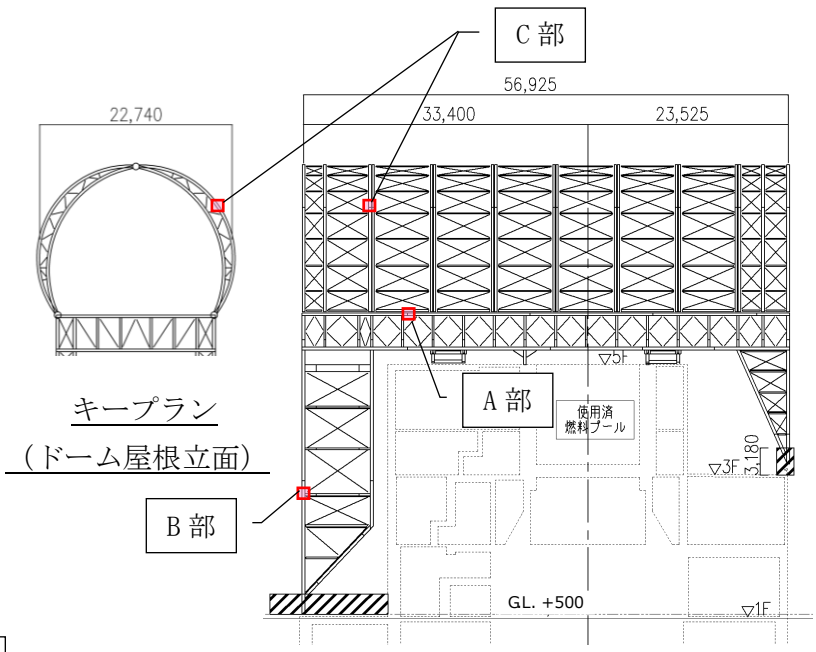
| 確認事項 | 確認項目 | 確認内容 | 判定基準 |
|---|---|---|---|
| 構造強度及び耐震性 | 材料確認 | 鋼材の材質，強度，化学成分を確認する。 | JIS G 3136，JIS G 3101，JIS G 3106，JIS G 3444，JIS G 3474 に適合すること。 |
| | | 制震装置（オイルダンパ）の減衰係数を確認する。 | 減衰係数（$C_1$=50×$10^5$ N・s/m，$C_2$= 3.95×$10^5$ N・s/m）が±10%以内であること。 |
| | | トルシア型超高力ボルト(SHTB)の仕様を確認する。 | 建築基準法 68 条の 26 第 1 項の規定に基づき、同法第 37 条第二号の規定に適合すること。 |
| | 据付確認 | 接合部（図－１参照）の施工状況を確認する。 | SHTB が所定の本数・種類であること。 |
| | 外観確認 | 制震装置（オイルダンパ）の外観を確認する。 | 有害な欠陥がないこと。 |
| | | ドーム屋根に取付ける外装材の外観を確認する。 | 外装材の設置範囲が、図－２の通りであること。 |




キープラン（G.L.+36.000 伏図）

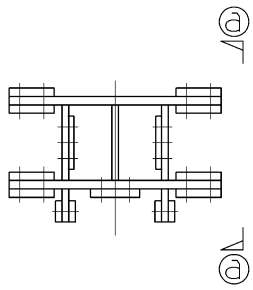



キープラン（G.L.+16.900 伏図）

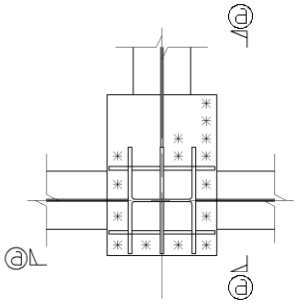



キープラン
（ドーム屋根立面）

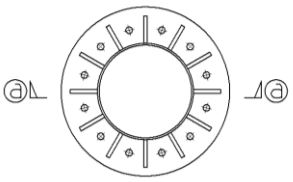
キープラン（東西断面図）



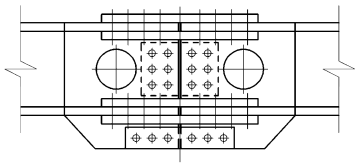

断面図



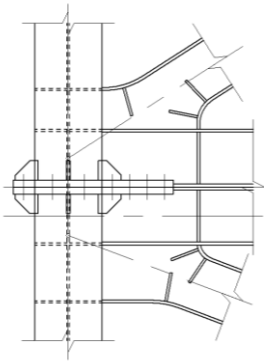

伏図



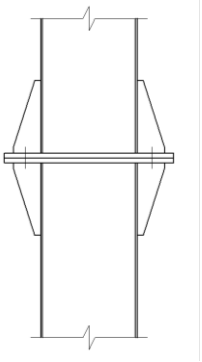

断面図



ⓐ-ⓐ断面図



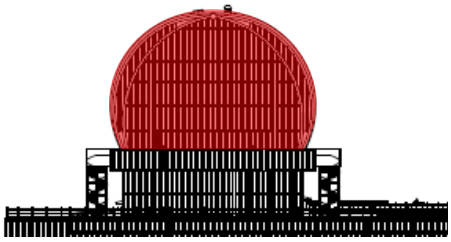
ⓐ-ⓐ断面図



ⓐ-ⓐ断面図

| ボルト種類 ： SHTB M24<br>本数 58×2 | ボルト種類 ： SHTB M24<br>本数 15 | ボルト種類 ： SHTB M22<br>本数 12 |
|---|---|---|
| (a) ガーダ上弦材（A 部） | (b) 柱材（B 部） | (c) 弦材（C 部） |

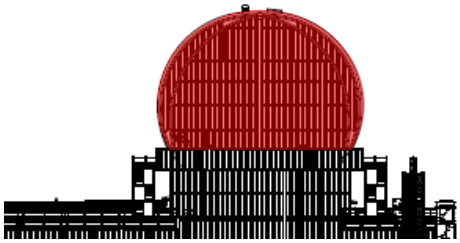
図－１　接合部詳細



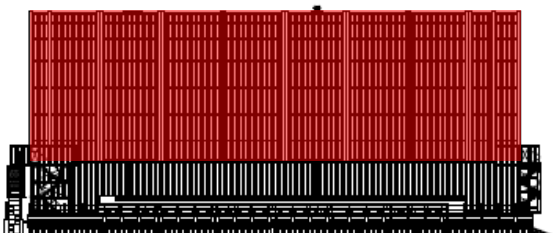
東立面図



北立面図



西立面図



南立面図

ドーム屋根外装材設置箇所

図－２　３号機燃料取り出し用カバーのドーム屋根外装材設置範囲

別添－５

# ３号機原子炉建屋の躯体状況調査結果を反映した使用済燃料プール等の耐震安全性評価結果

## 1. はじめに

３号機原子炉建屋では，現在，瓦礫撤去及び燃料取り出し用カバーの施工が進捗している。瓦礫撤去に伴い，新たな損傷調査が可能になり，躯体の詳細な損傷状況が明らかになった。一方で，燃料取り出し用カバーには，使用済燃料プール部近傍のオペレーティングフロア（５階床）を支持点として，水平振れ止め装置（ストッパ）及び鉛直方向の制震装置（オイルダンパ）の設置や，同じくオペレーティングフロアの随所に，作業の安全のため遮へい体の設置などが計画されている。

本報告書では，燃料取り出し用カバー設置に際し，使用済燃料プール，オペレーティングフロア（以下，オペフロとする）及び１～５階の最新の損傷状況調査結果と，その損傷状況を反映し，かつ使用済燃料の取り出し時の荷重状態を想定した原子炉建屋の３次元ＦＥＭ解析により，使用済燃料プール等（使用済み燃料プール壁床，プールを拘束するシェル壁，オペフロ床）の耐震安全性評価結果を報告する。

## 2. 損傷状況の調査結果

原子炉建屋の瓦礫撤去に伴い，損傷状況の調査を行った。調査は耐震安全性に関わる内外壁及び床を対象に，クレーン吊りの遠隔操作カメラによる映像分析及び遠隔操作ロボットによる建屋内調査の映像分析により実施した。主にクレーン吊りカメラではオペフロ床面及びオペフロ南西部に位置する大物搬入用の床開口から２～５階の開口周辺部の使用済燃料プール壁を含む壁，床を確認した。遠隔操作ロボットによる建屋内調査映像ではクレーン吊りカメラでは確認できない１階，２階のシェル壁を含むエリアの壁，床の状況を確認した。調査結果として，通りスパンごとに損傷の程度を３段階（損傷なし，一部損傷，全壊）に分類した。図-2.1～図-2.10 に原子炉建屋内の各階における損傷状況を，図-2.11 に建屋外壁状況写真をそれぞれ示す。

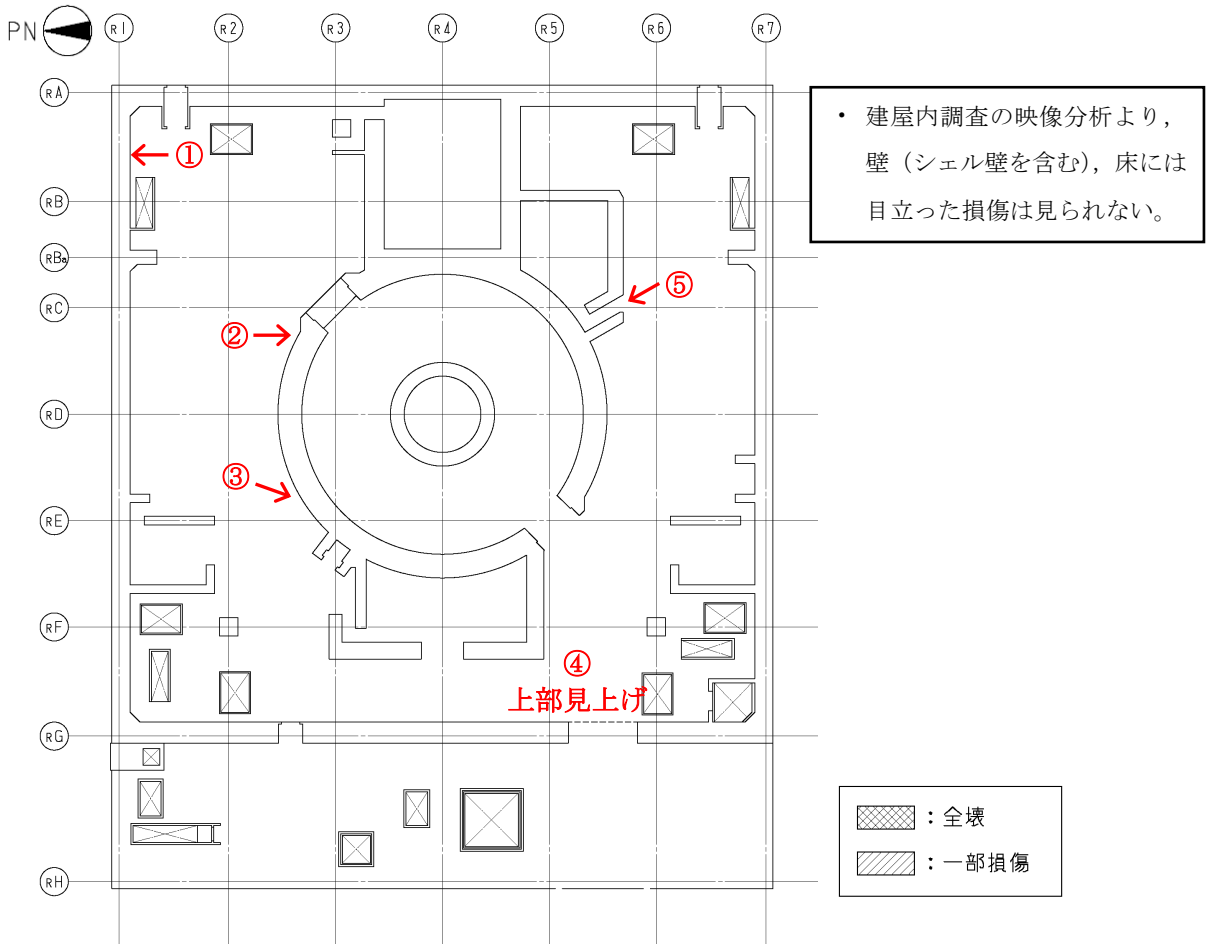
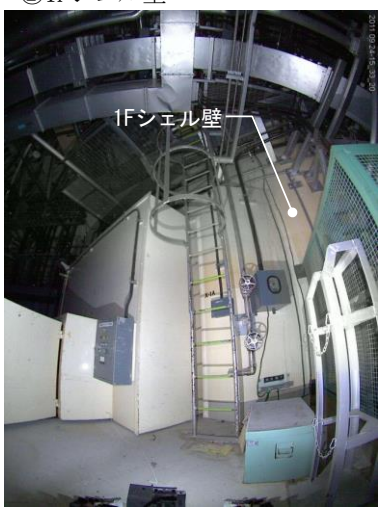



図-2.1　損傷状況（１階）

①1F北側外壁




②1Fシェル壁




③1Fシェル壁及び1F床

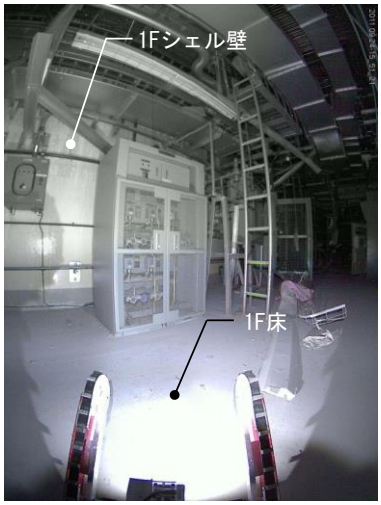
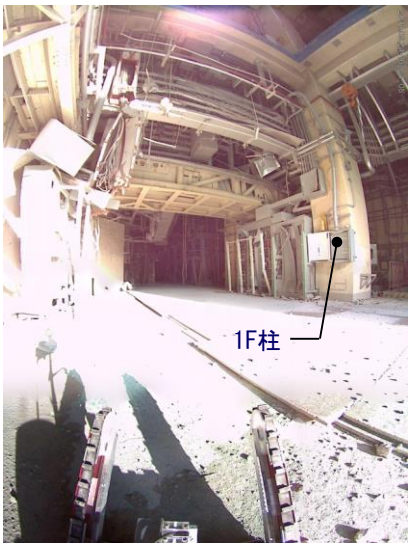



図-2.2(1)　建屋内状況写真（１階）

④1F大物搬入口付近




⑤1Fシェル壁

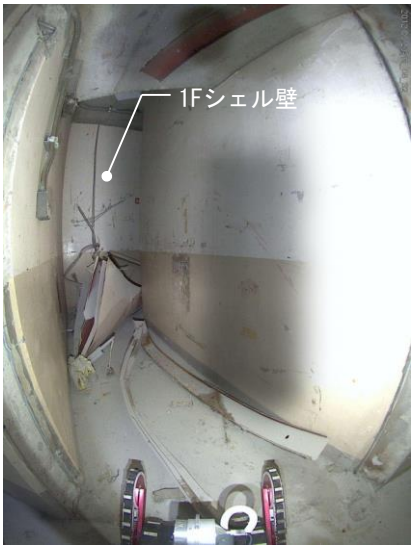



図-2.2(2)　建屋内状況写真（１階）

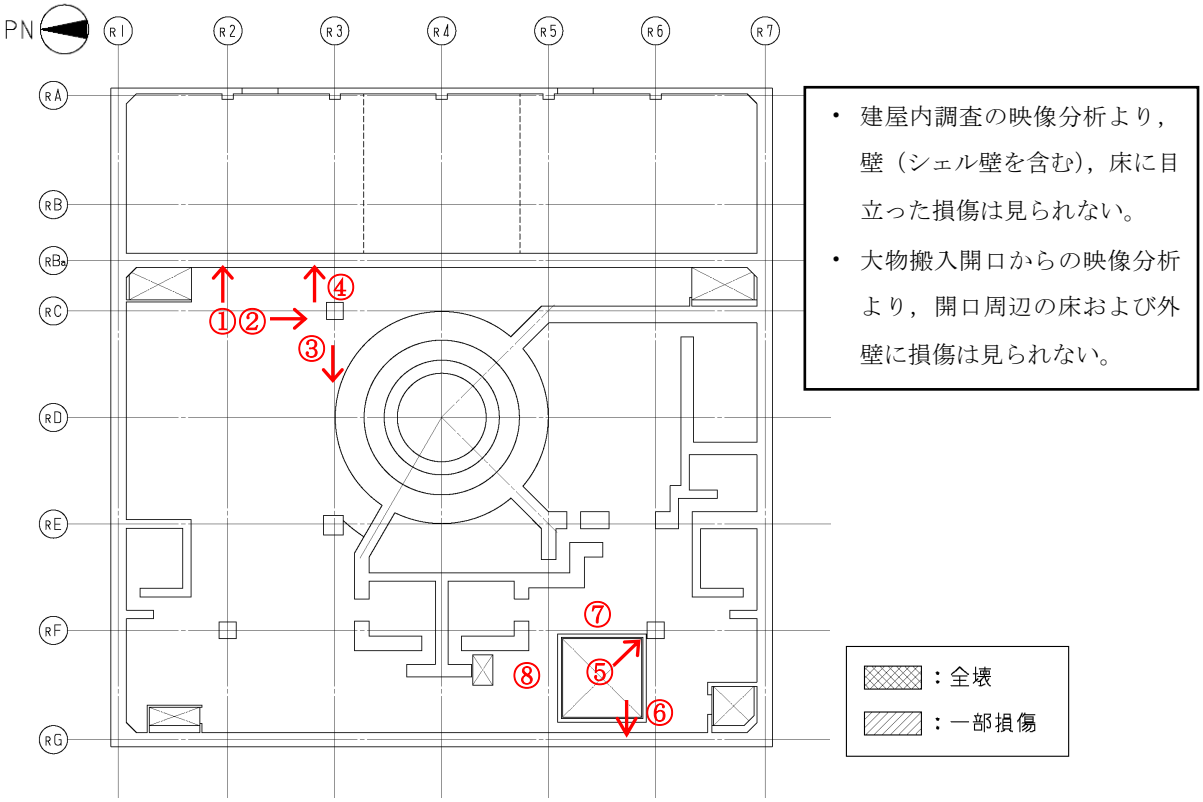



図-2.3　損傷状況（２階）

①2F階段口東側外壁

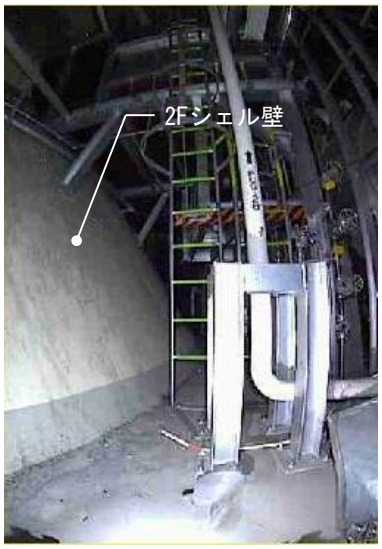



②2F床及び中間部の柱




図-2.4(1)　建屋内状況写真（２階）

③2Fシェル壁




④2F東側外壁




⑤2F柱脚




⑥2F西側外壁脚部




⑦2F床（大物搬入口東側）




⑧2F床（大物搬入口北側）




図-2.4(2)　建屋内状況写真（２階）

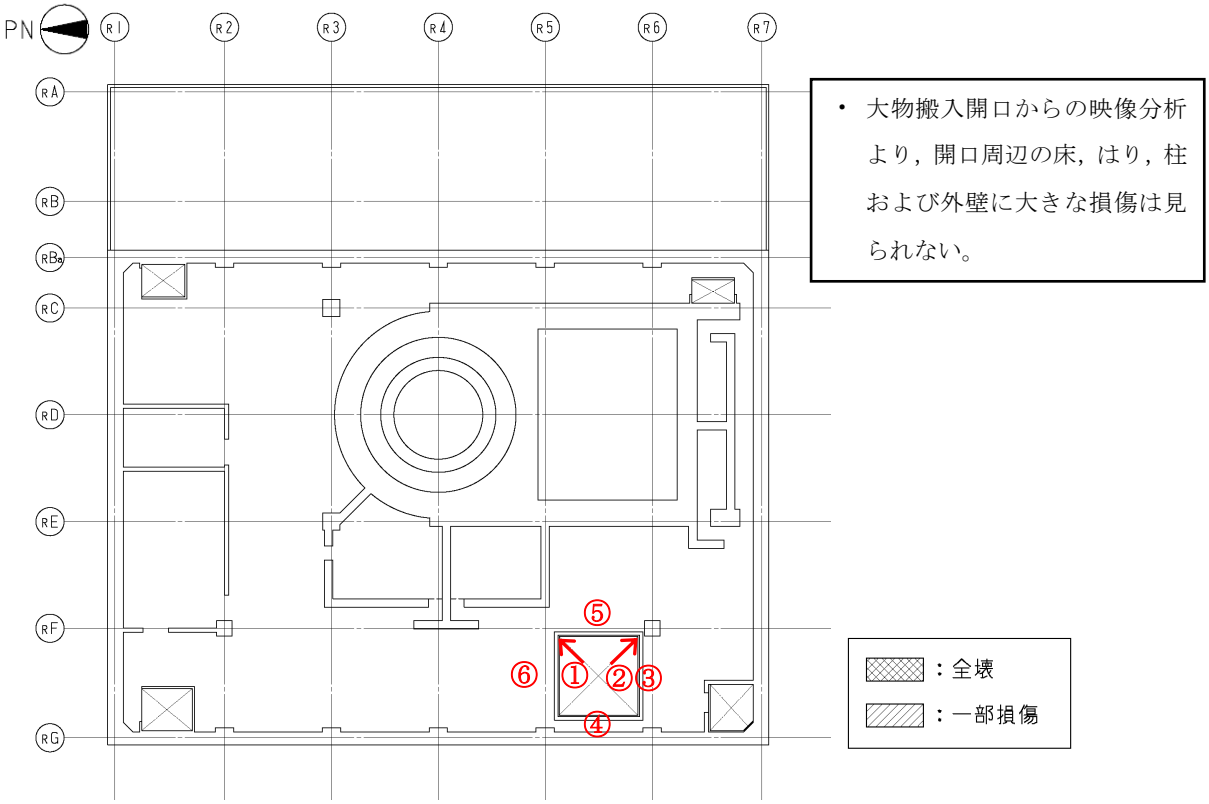
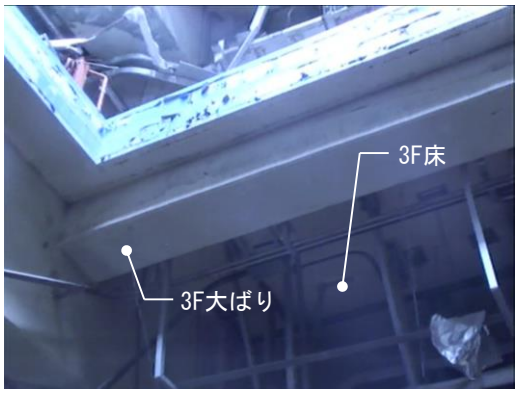



図-2.5　損傷状況（３階）

①3F大ばり交差部（R5通り×RF通り）




② 3F大ばり交差部（R6通り×RF通り）

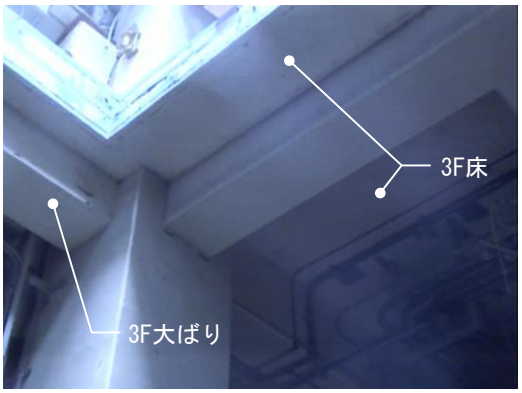
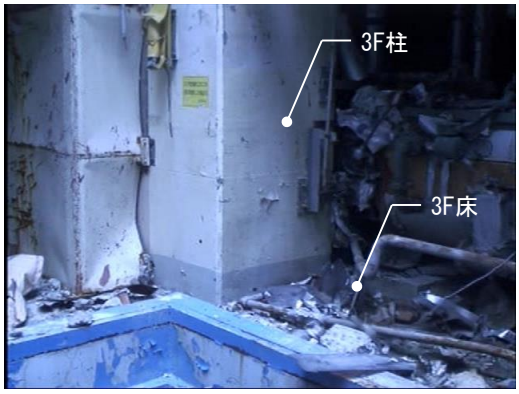
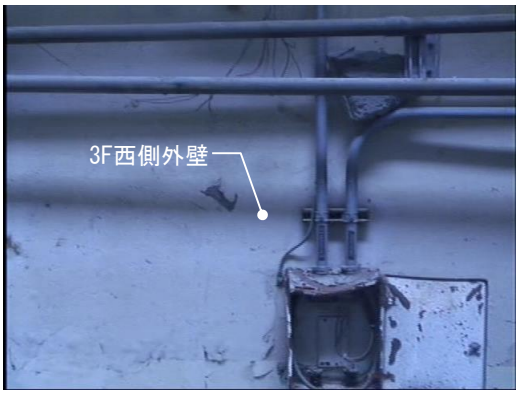



図-2.6(1)　建屋内状況写真（３階）

③3F柱脚




④3F西側外壁中央部




⑤3F床（大物搬入口東側）




⑥3F床（大物搬入口北側）

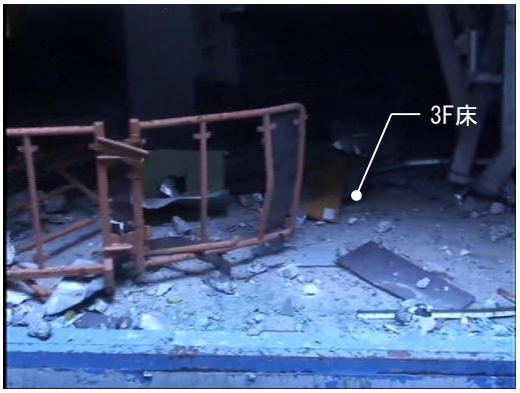
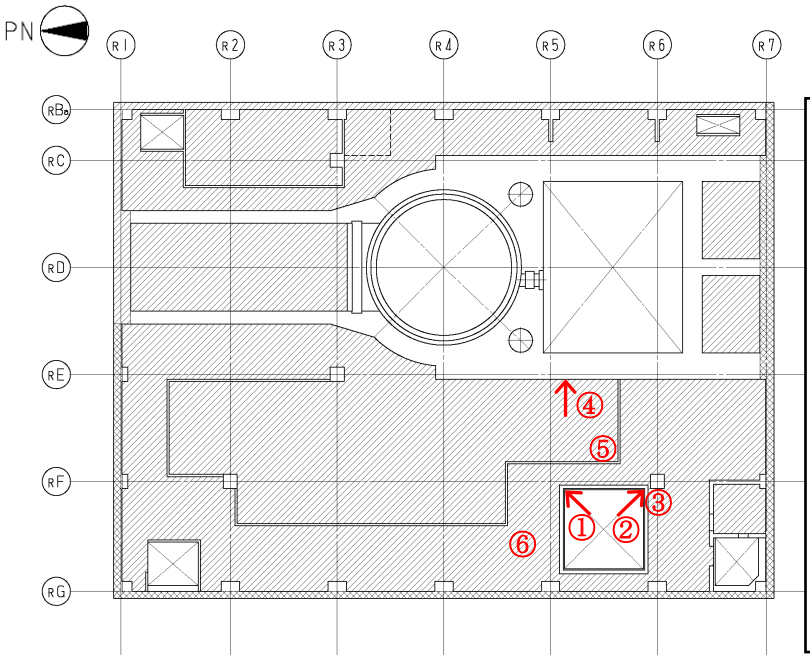


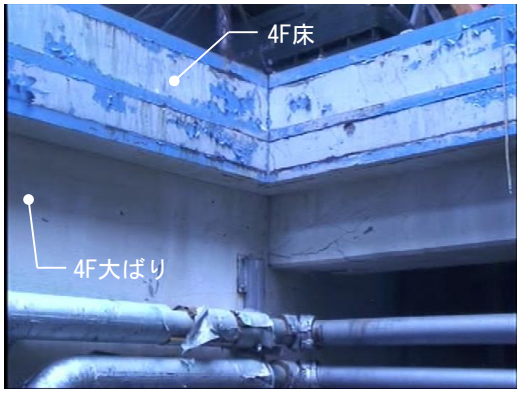

図-2.6(2)　建屋内状況写真（３階）




- 大物搬入開口からの映像分析より，開口周辺の床，はりの一部に剥落が見られる。
- 北西部や北東部において，上部の 5 階床が全壊している箇所もあることより，4 階床は全面的に一部損傷状態にあると推定する。
- プール壁頂部の一部に軽微な損傷が見られるが，剥落などは見られない。

図-2.7　損傷状況（４階）

①4F大ばり 交差部（R5通り ×RF通り）




②4F大ばり 交差部（R6通り ×RF通り）

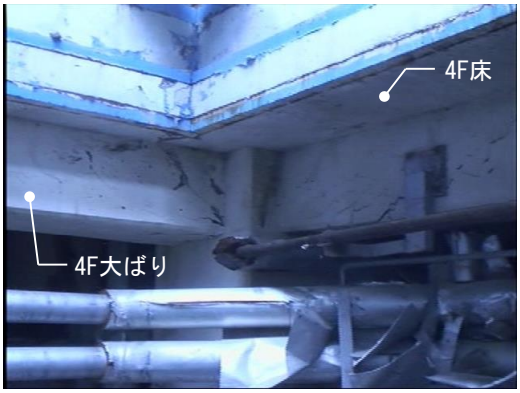
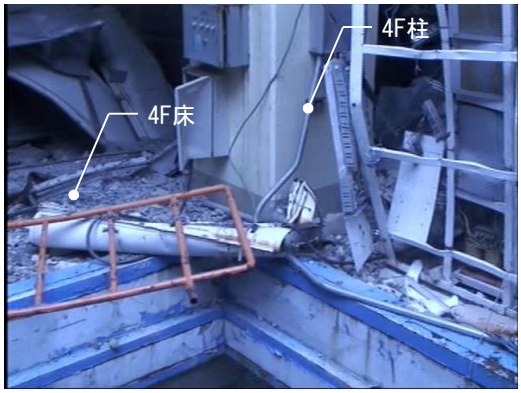
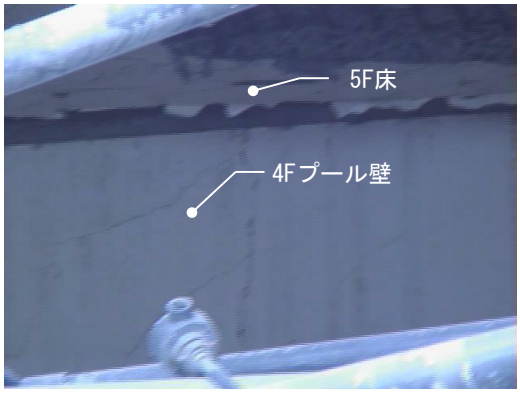



図-2.8(1)　建屋内状況写真（４階）

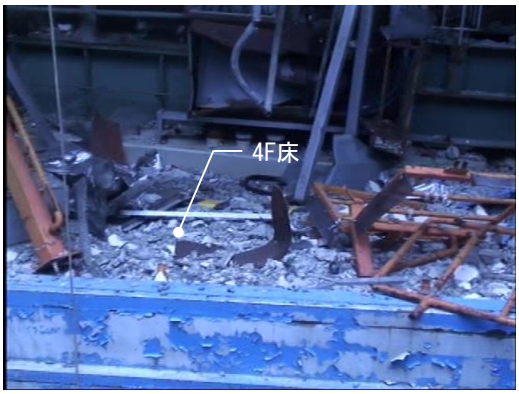
③4F柱脚



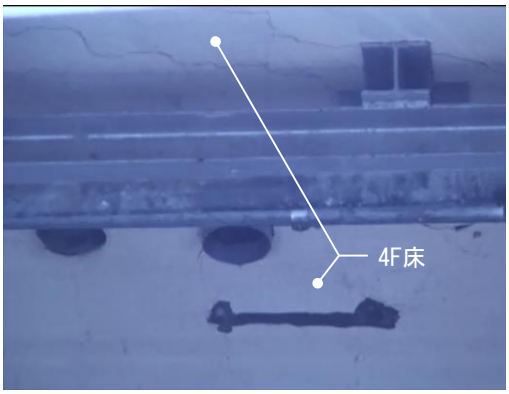

④4Fプール壁（頂部）



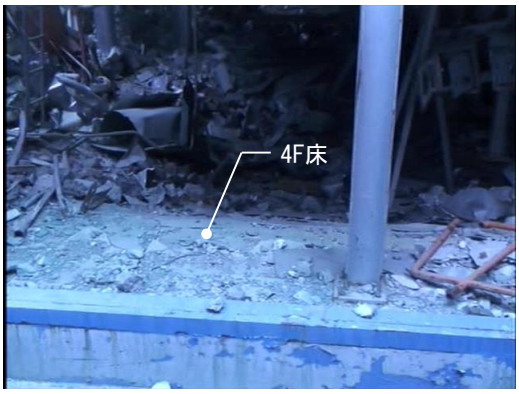

⑤4F床（大物搬入口東側）




⑤4F床（大物搬入口東側）




⑥4F床（大物搬入口北側）




⑥4F床（大物搬入口北側）

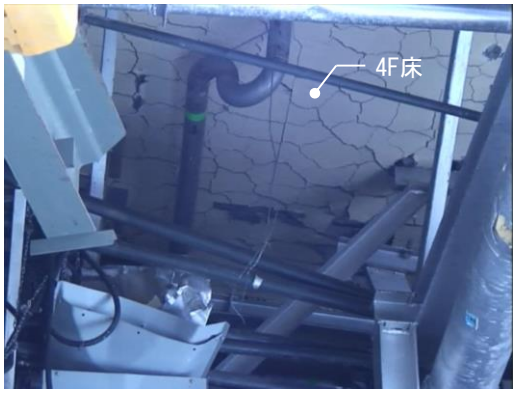
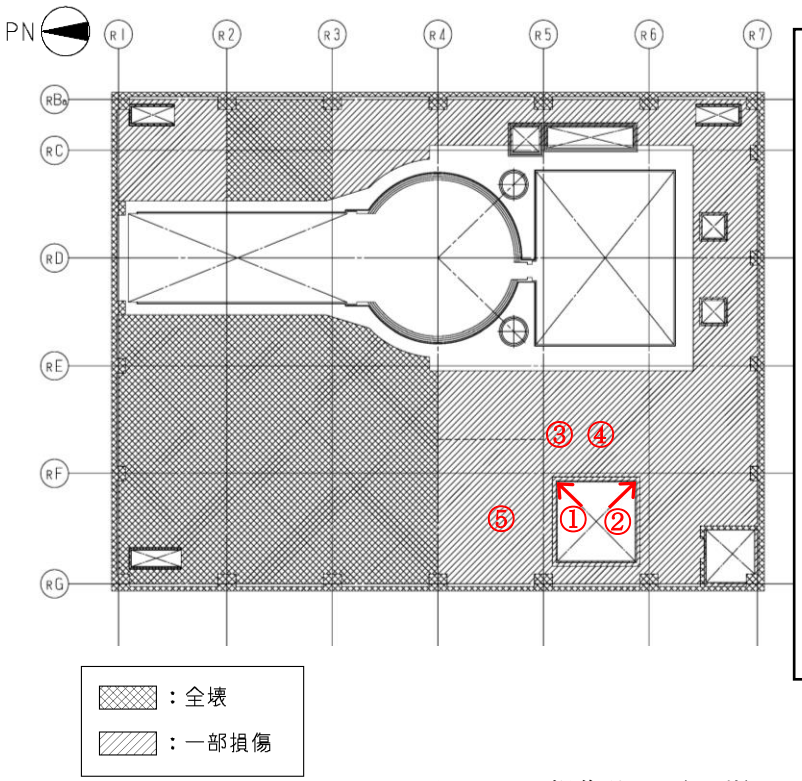


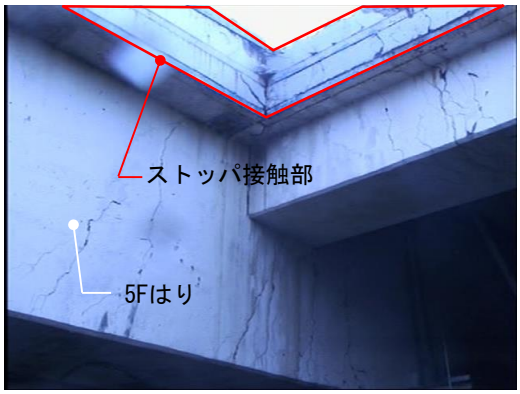

図-2.8(2)　建屋内状況写真（４階）



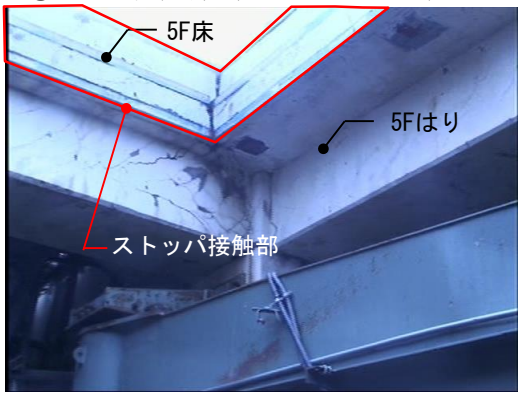

- 大物搬入開口からの映像分析より，開口周辺の床，はりに一部剥落が見られる。
- 北東部２～３通り間および北西部１～４通り間の床は全壊状態にある。
- ストッパ接触部を含む南西部および南東部の床，はりは一部剥落が見られる。
- プール壁上面のオイルダンパ接触部には表面の塗装が剥がれた程度で目立った損傷は見られない。

図-2.9　損傷状況（５階）

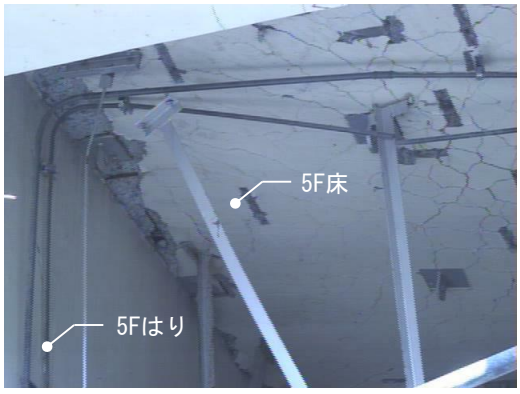
①5Fはり交差部（R5通り×RF通り）




②5Fはり交差部（R6通り×RF通り）




③5F床（大物搬入口東側）




④5F床（大物搬入口東側）

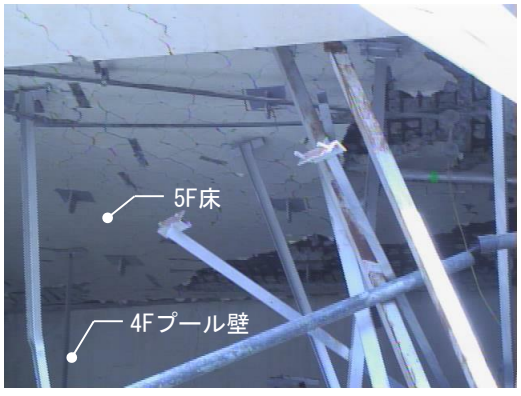
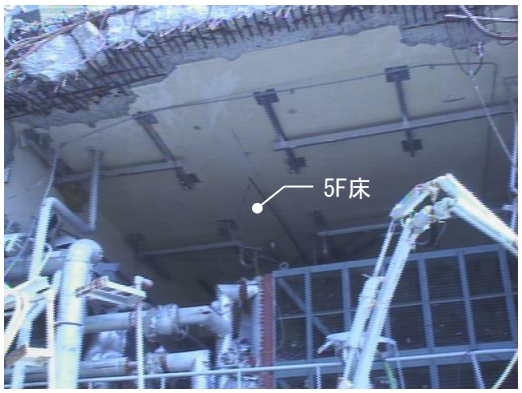
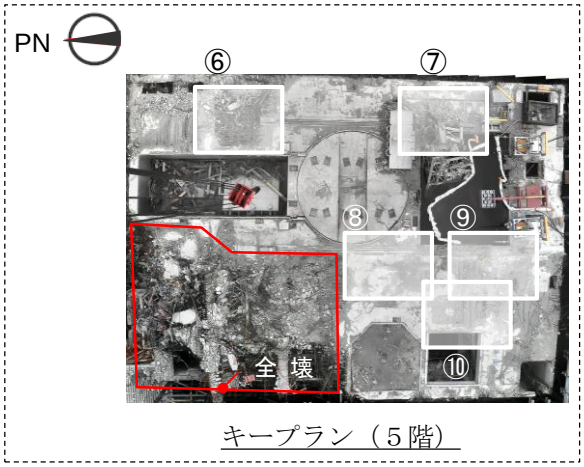



図-2.10(1)　建屋内状況写真（５階）

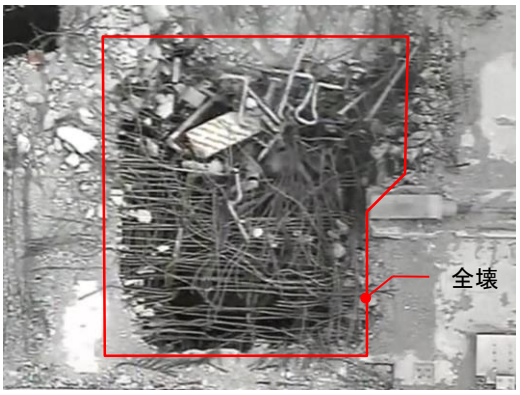
⑤5F床（大物搬入口北側）



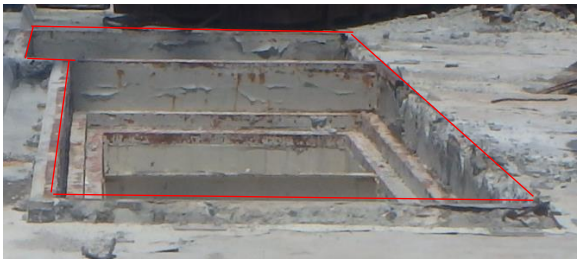




キープラン（５階）

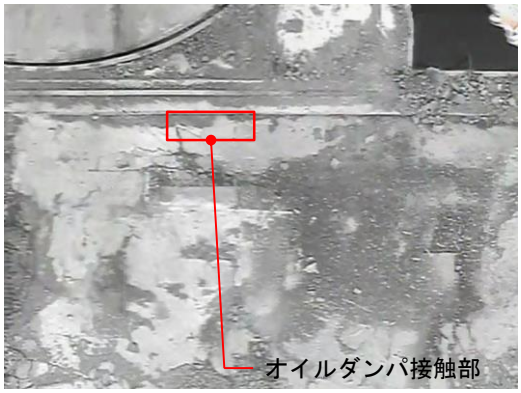
⑥5F床（機器仮置プール）



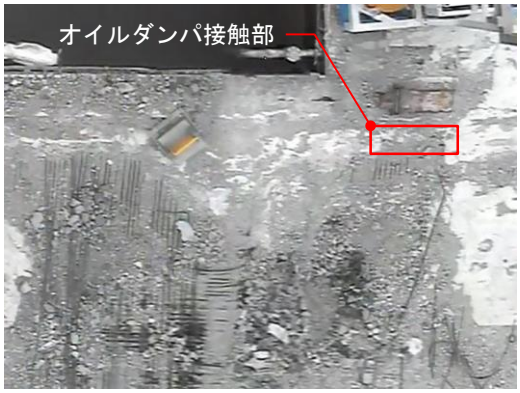

⑦東側ストッパ接触部



⑧オイルダンパ接触部（北側）




⑨オイルダンパ接触部（南側）




⑩西側ストッパ接触部

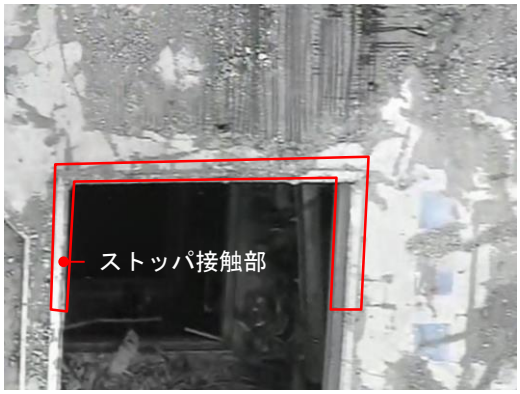



図-2.10(2)　建屋内状況写真（５階）

①西側壁面



②東側壁面



③南側壁面



④北側壁面



・ 外壁４面とも新たな損傷は見られない。

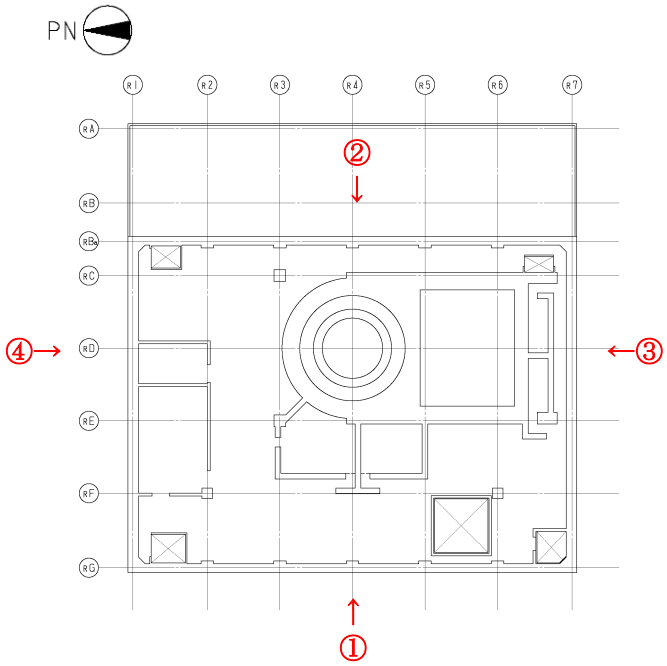



図-2.11　建屋外壁状況写真

3. ３次元ＦＥＭ解析による耐震安全性評価

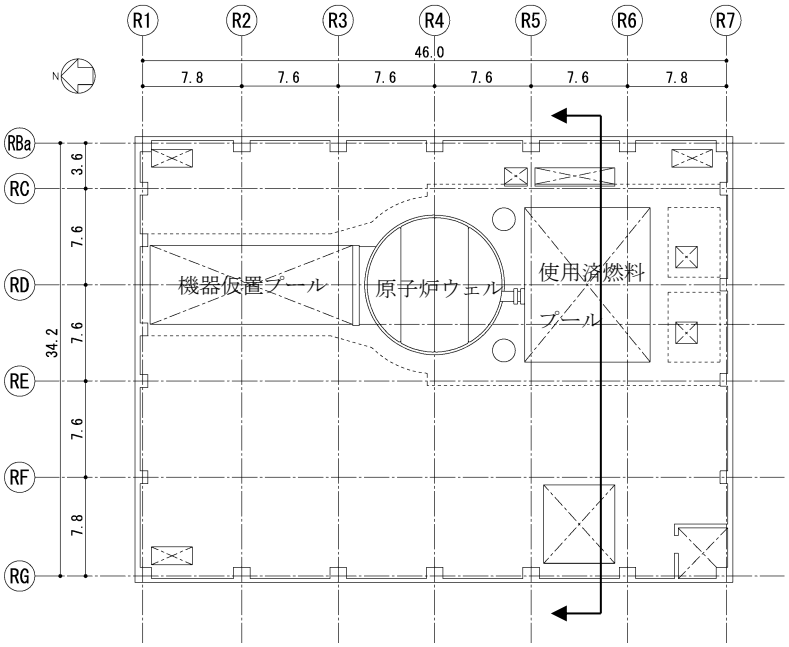
3.1 解析方針

本検討では，使用済燃料の取出し時における原子炉建屋の状況を反映するとともに，２章において損傷が確認された箇所を反映した解析モデルを作成し，基準地震動 Ss に対する耐震安全性を，３次元ＦＥＭ解析によって評価する。

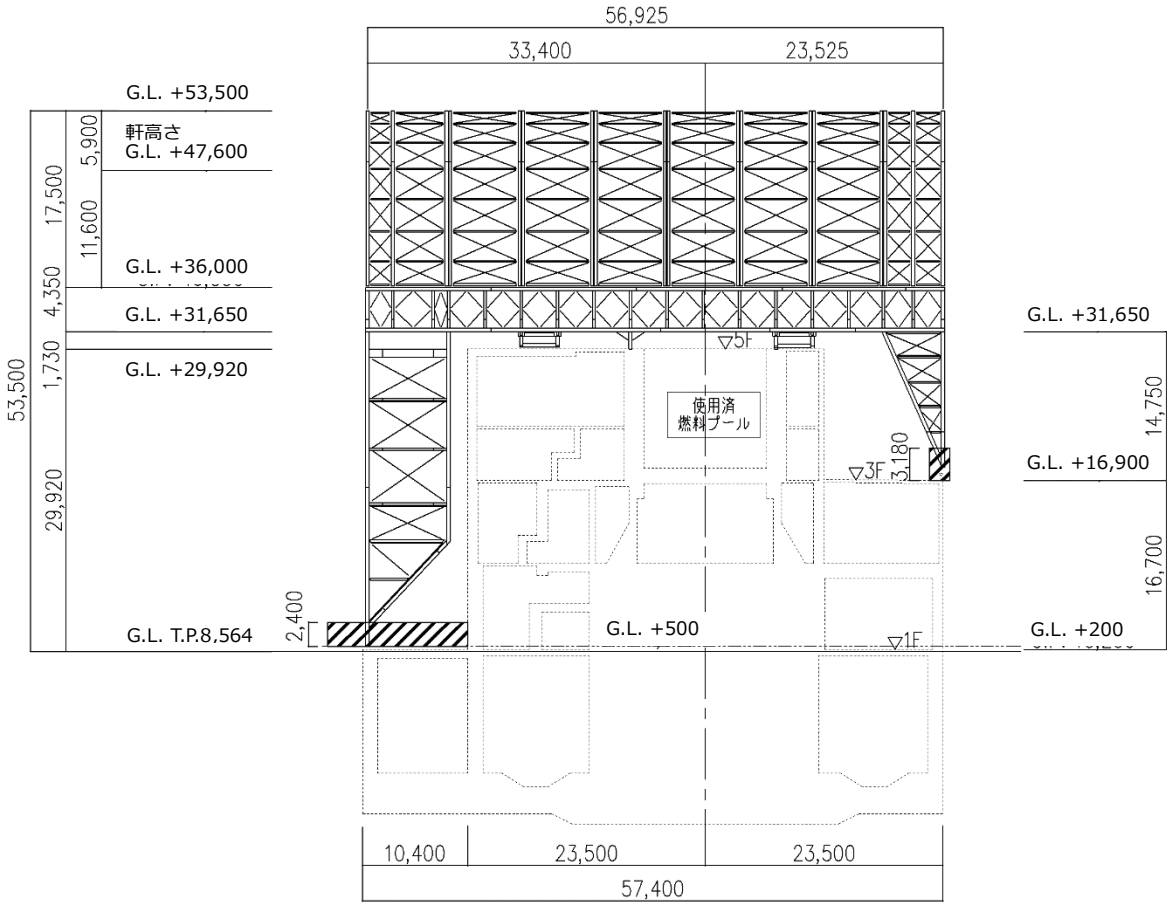
図-3.1.1 に原子炉建屋及び燃料取り出し用カバーの概要図を示す。

耐震安全性評価は，図-3.1.2 のフローに示すように以下の手順で行う。

- 使用済燃料プール周辺の２階の床（G.L.+8.7m）から５階の床（G.L.+29.92m）までの建屋部分をもとに，２章において新たに損傷が確認された箇所の強度を期待せず，剛性を低下あるいは無視した３次元ＦＥＭ解析モデルを作成する。
- 死荷重，遮へい体・燃料取り出し用カバー荷重，使用済燃料プール水による静水圧，地震応答解析結果にもとづく地震荷重，地震時の燃料取り出し用カバー反力及び荷重組合せの条件を設定する。
- 応力解析として鉄筋コンクリート部材の塑性化を考慮した弾塑性解析を行い，使用済燃料プール部，シェル壁及び燃料取り出し用カバーが取り付く５階オペフロに発生する応力及びひずみを算出する。
- 評価基準値と比較し，耐震安全性を評価する。



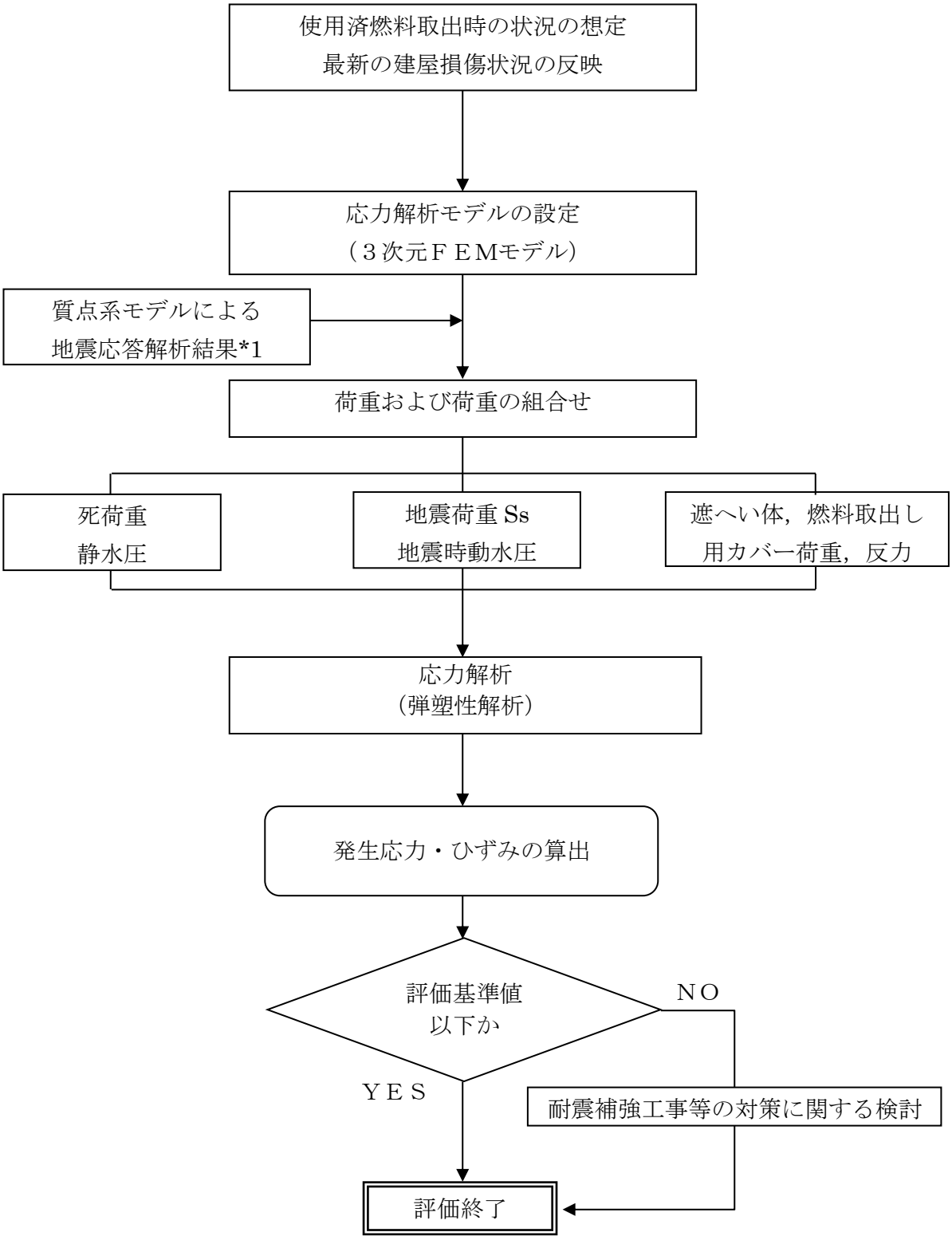

平面図




断面図

図-3.1.1　原子炉建屋及び燃料取り出し用カバーの概要図

本章に記載の標高は，震災後の地盤沈下量(-709mm)と O.P.から T.P.への読替値(-727mm)を用いて，下式に基づき換算している。
＜換算式＞ T.P.=旧 O.P.-1.436mm




*1：「Ⅱ-2-11　添付資料-4-2　3.　３号機燃料取り出し用カバーの構造強度及び耐震性について」中の３号機の燃料取出し時の状態を考慮した地震応答解析結果にもとづく。

図-3.1.2　耐震安全性評価フロー

3.2　応力解析モデルの設定

鉄筋コンクリート部材の塑性化を考慮した弾塑性解析を実施し，使用済燃料プール及びシェル壁等に発生する応力及びひずみを算定する。２階壁から５階のオペフロまでの鉄筋コンクリート部材を有限要素の集合体としてモデル化した。２章において損傷（一部損傷及び全壊）が確認された箇所について，建屋損傷状況を反映した応力解析モデルを構築した。

使用計算機コードは「ABAQUS」である。解析モデルに使用する板要素は，鉄筋層をモデル化した異方性材料による積層シェル要素（コンクリート部：10 要素 11 積分点）を用いた。一般には断面の板厚方向の応力分布を評価するには板厚方向の分割は 4～5 要素で十分であるが、今回は鉄筋層の外側のコンクリート剛性を考慮できるように 10 要素と細かくした。なお、面外せん断剛性は「ABAQUS」では、板厚方向には分割されず 1 要素のままとなる。各要素には，板の軸力と曲げ応力を同時に考える。また，板のたわみには曲げによる変形とせん断による変形を考慮する。柱と梁は，軸力，曲げ，せん断を同時に考慮できる梁要素としてモデル化し，板要素を含めそれぞれの要素の接合条件は剛接とした。

図-3.2.1 に解析モデル概要図を，図-3.2.2 にコンクリートと鉄筋の構成則を，図-3.2.3 に解析モデルの境界条件を示す。

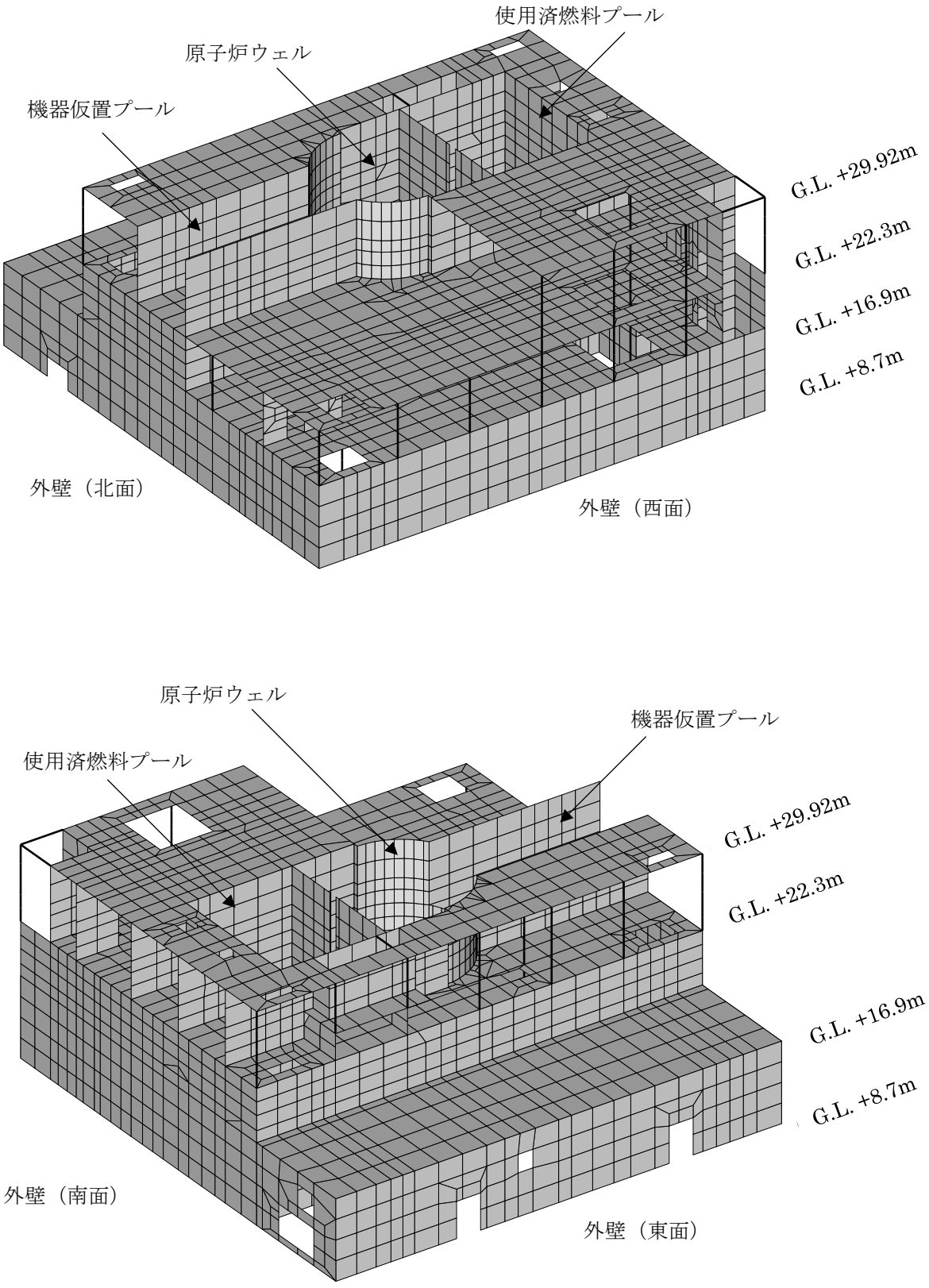
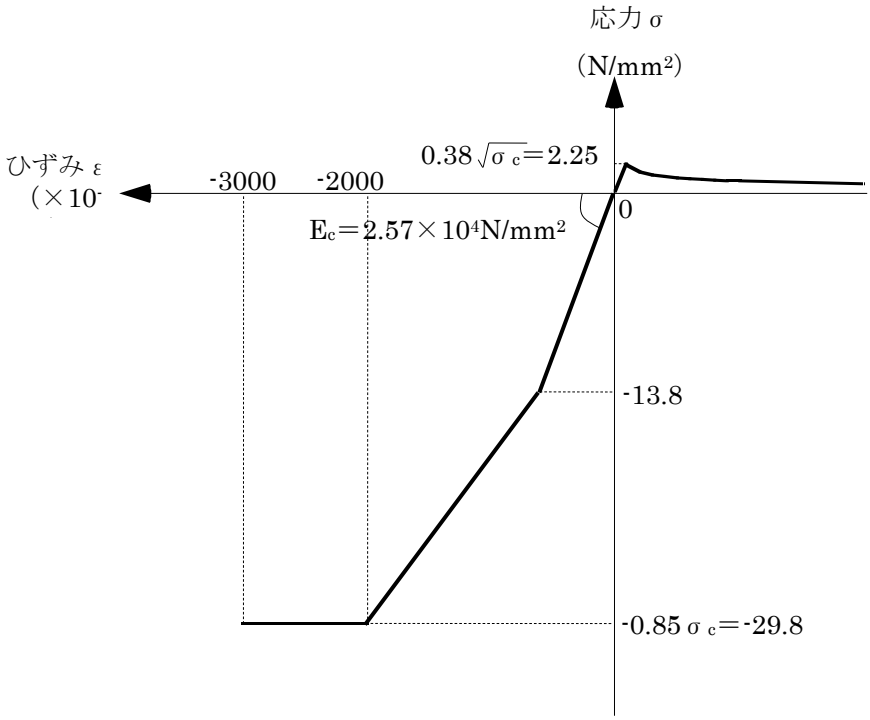
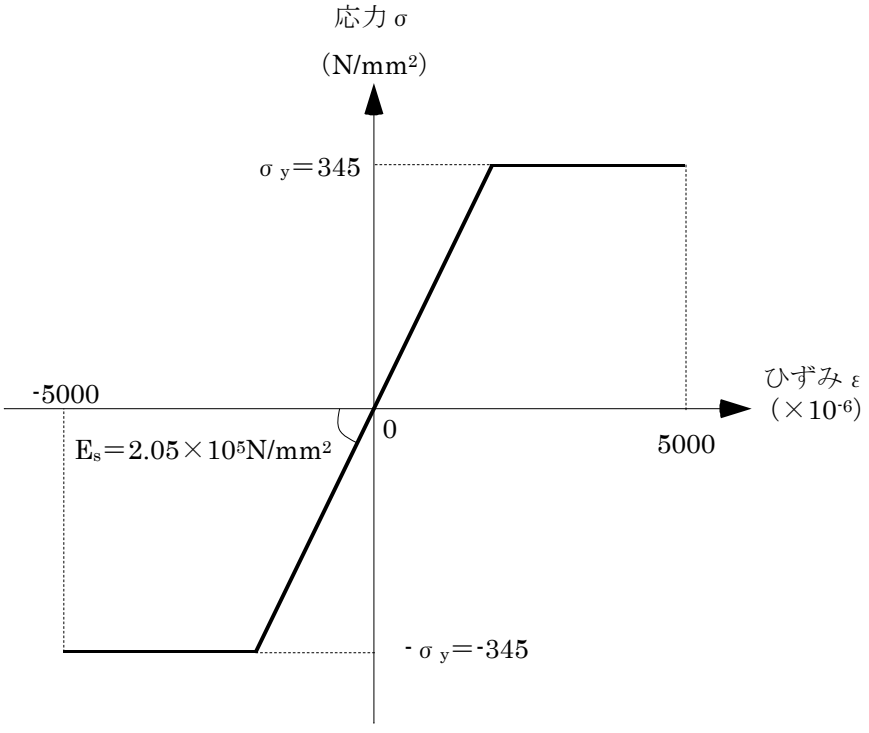



図-3.2.1　解析モデル概要図




(a)　コンクリートの応力－ひずみ関係

（コンクリート強度 σc=35N/mm²）




(b)　鉄筋の応力－ひずみ関係

（鉄筋降伏点 σy=345N/mm²）

図-3.2.2　コンクリートと鉄筋の構成則

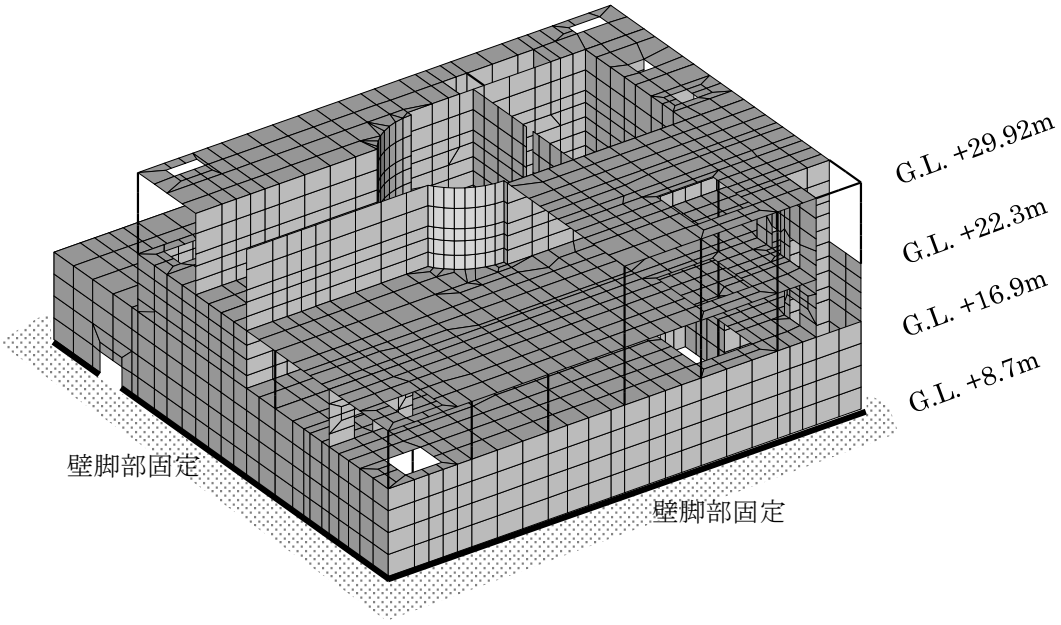



図-3.2.3　解析モデルの境界条件

3.3　損傷状況の仮定

損傷状況の仮定にあたっては，２章において損傷（一部損傷及び全壊）が確認された箇所を反映し，３次元ＦＥＭ解析モデルを作成する。図-3.3.1～図-3.3.4に損傷状況を仮定した損傷モデルを示す。

(1)床スラブ

床スラブは，５階～４階において，床全壊箇所は剛性を0%とし，床一部損壊箇所は剛性を50%とする。損傷状況の調査結果より明らかとなったオペフロ（５階）の北東部の床は，剛性を0%とする。４階の床は，大物搬入開口周辺の床，はりの一部に剥落が見られること，および，北西部や北東部において，上部の５階床が全壊している箇所もあることより，４階床は全面的に一部損傷状態にあると推定する。

(2)外壁・内壁

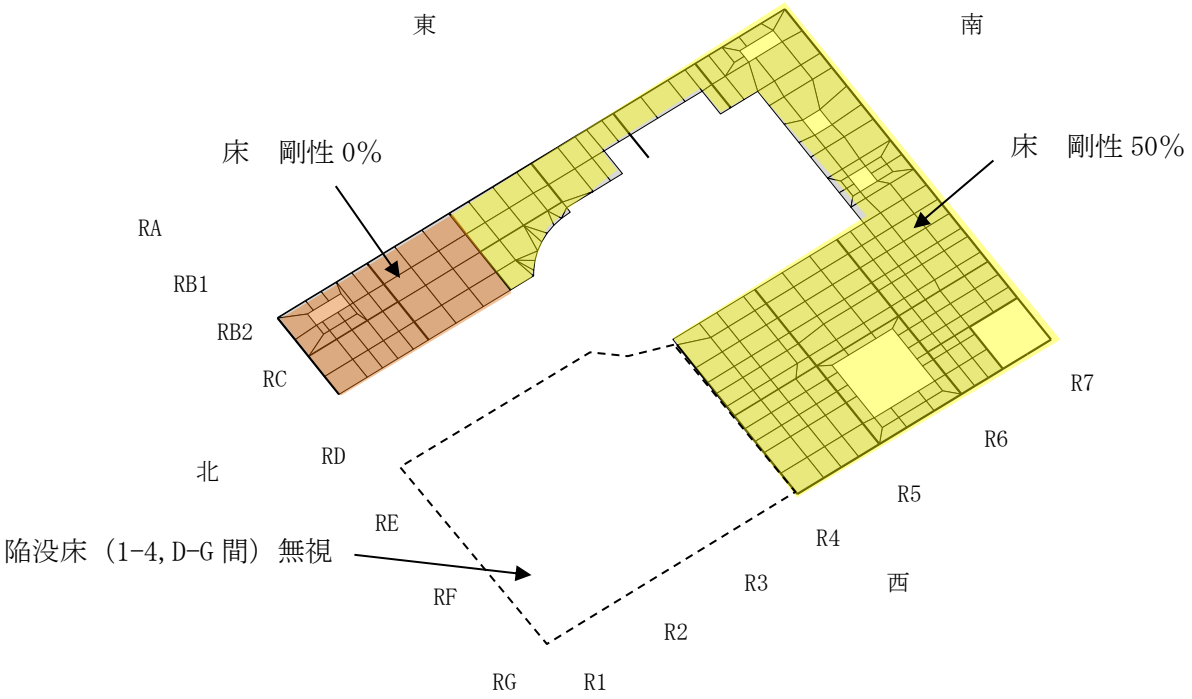
外壁・内壁は，新たな損傷が確認されていないため，変更は行わない。

(3)使用済燃料プール・機器仮置プール

使用済燃料プール・機器仮置プールについては壁及び床ともに健全であった壁や床よりも，十分な厚さがあるため，損傷なしとして評価を行う。

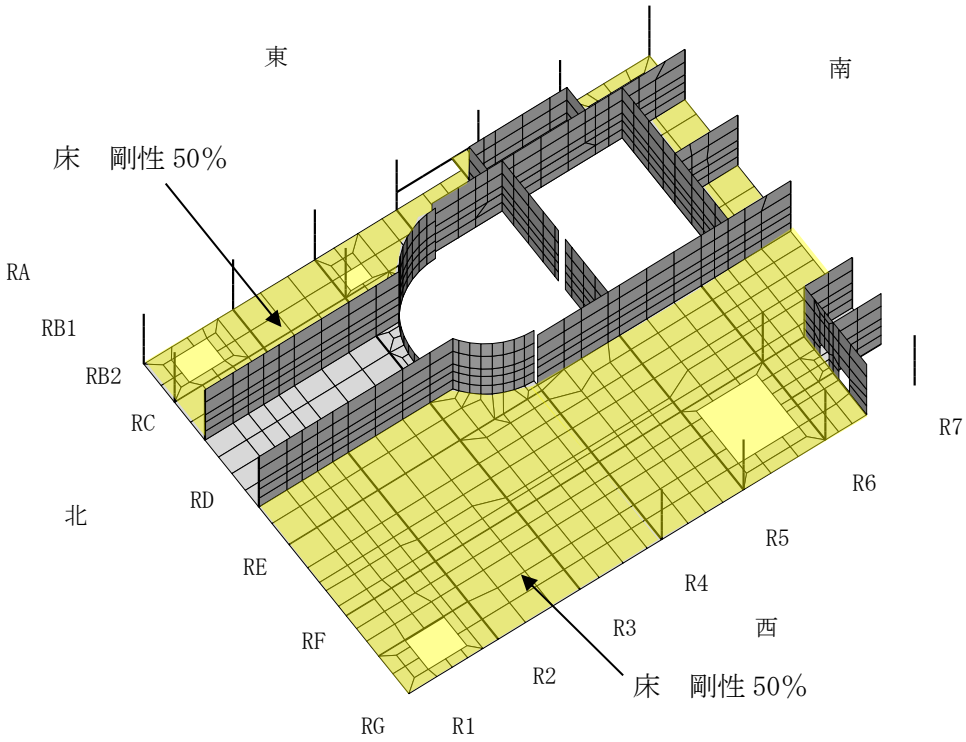
(4)シェル壁

シェル壁については健全であった壁や床よりも，十分な厚さがあるため，損傷なしとして評価を行う。



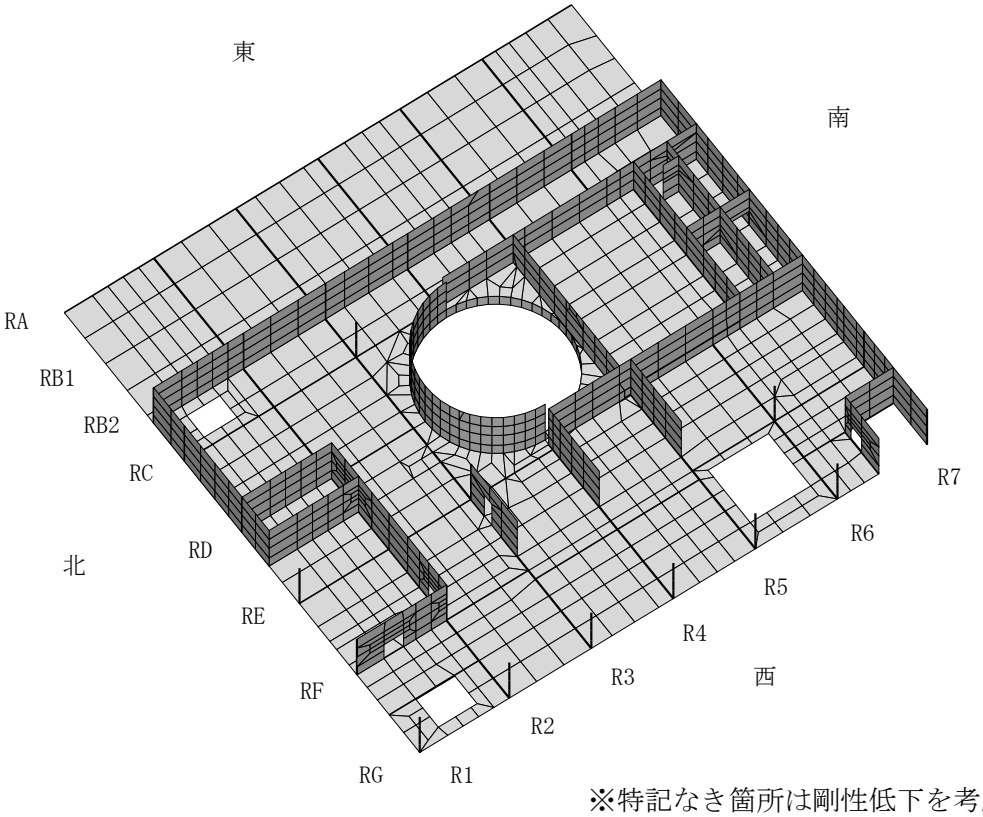

※特記なき箇所は剛性低下を考慮しない。

図-3.3.1　損傷状況仮定　アイソメ図　５階（G.L.+29.92m）



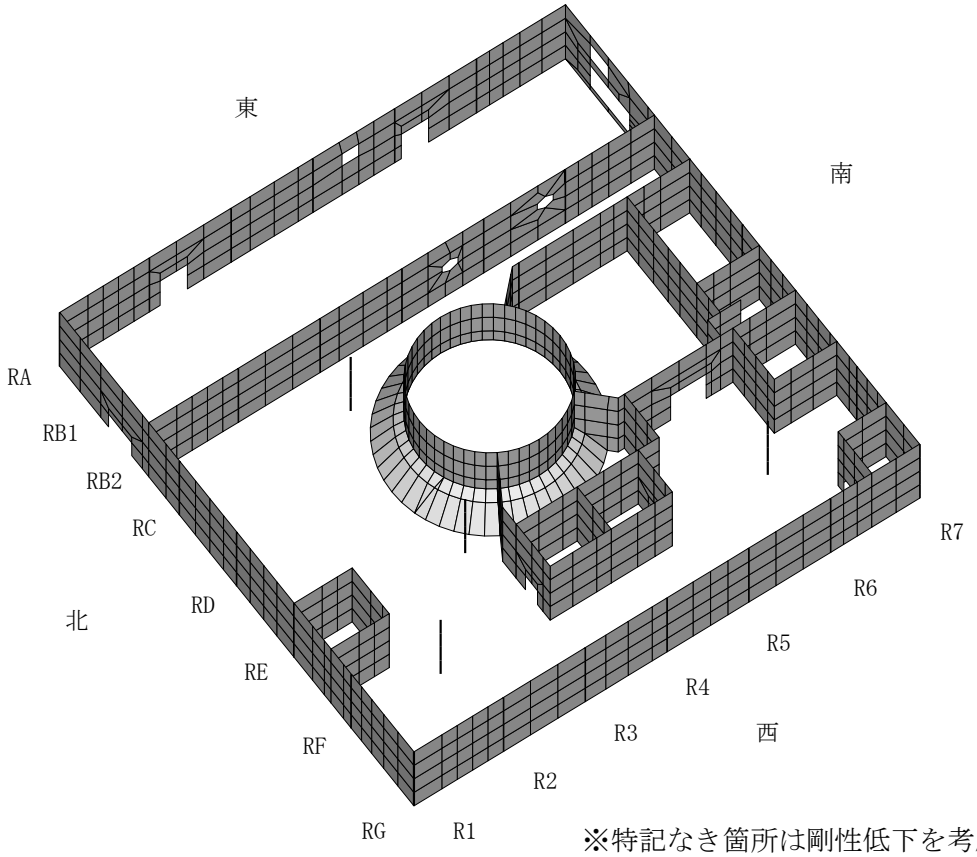

※特記なき箇所は剛性低下を考慮しない。

図-3.3.2　損傷状況仮定　アイソメ図　４階（G.L.+22.3m）




※特記なき箇所は剛性低下を考慮しない。

図-3.3.3　損傷状況仮定　アイソメ図　３階（G.L.+16.9m）




※特記なき箇所は剛性低下を考慮しない。

図-3.3.4　損傷状況仮定　アイソメ図　２階（G.L.+8.7m）

3.4　荷重及び荷重の組合せ

(1) 死荷重　ＤＬ

解析モデルに付与する死荷重は，モデル化範囲の建屋躯体の自重に加え，機器・配管・その他の重量は床に一様に積載されているものとする。死荷重を表-3.4.1 に示す。

表-3.4.1　死荷重

| 荷重 | 荷重の与え方 | 荷重（kN） |
|---|---|---|
| 死荷重（原子炉建屋） | シェル要素に物体力（密度×体積）として入力する | 330619 |

(2) 遮へい体・燃料取り出し用カバー荷重　ＤＦ

遮へい体及び燃料取り出し用カバー重量を表-3.4.2 に示す。

表-3.4.2　遮へい体・燃料取り出し用カバー荷重（固定荷重）

| 荷重 | | 荷重の与え方 | 荷重（kN） |
|---|---|---|---|
| 遮へい体荷重（固定荷重） | | オペフロ階（既存躯体の５階）の鉛直支持位置に、支配面積に応じて按分した荷重を節点荷重として入力する | 18000 |
| 燃料取り出し用カバー荷重（固定荷重） | ストッパ | オペフロ階（既存躯体の５階）のストッパ脚部反力を節点荷重として入力する | 1500 |
| | 東側脚部※1 | カバー架構（オイルダンパを含む）の脚部反力を節点荷重として入力する | 7700※2 |
| | 置き基礎 | 死荷重（原子炉建屋）として考慮済み※3 | (1500) |

※1：解析モデル（3 次元 FEM モデル）において，2 階壁から上部をモデル化しているため，西側脚部（1 階床面レベル）は該当なし。

※2：東側脚部の荷重 7700kN は，全体モデルの取合い点の反力より算出している。

※3：置き基礎は，原子炉建屋下屋部分に一様に荷重（２階外壁上。３階床レベル。）がかかるため，原子炉建屋の死荷重として考慮した。

(3) 静水圧　H

使用済燃料プールが満水状態（プール水重量 13640 kN）にあると仮定した場合の静水圧（σ＝113 kN/m$^2$）を考慮する。荷重は圧力荷重としてシェル要素に入力する。

静水圧　　$P_s = \rho g H$

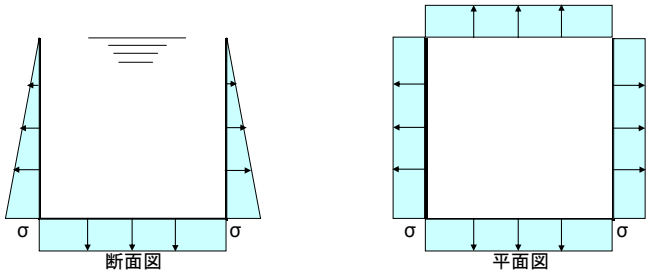
ここで

$\rho$　　：液体の密度（$10^3$kg/m$^3$）

$g$　　：重力加速度(9.80665m/s$^2$)

$H$　　：プール水深(11.51m)

$P_s = 113(kN/m^2)$




(4) 地震荷重　K

全体架構モデルによる基準地震動 Ss に対する地震応答解析結果に基づき，水平方向及び鉛直方向の地震荷重を考慮する。地震荷重を表-3.4.3 に示す。

表-3.4.3(1)　地震荷重（kN）

| G.L.(m) | ﾌﾛｱ重量 (kN) | NS 方向地震力 | | | 荷重の与え方 |
|---|---|---|---|---|---|
| | | せん断力 (kN) | 地震力 (kN) | 震度 | |
| +29.92 | 87590 | － | 71920 | 0.83 | 基準地震動 Ss に対する応答せん断力に基づく地震力を震度換算し、シェル要素の物体力（密度×体積）に乗じて入力する。 |
| +22.3 | 119490 | 71920 | 83080 | 0.70 | |
| +16.9 | 111340 | 155000 | 74320 | 0.67 | |
| +8.7 | 130160 | 229320 | 77190 | 0.60 | |
| +0.2 | － | 306510 | － | － | |

表-3.4.3(2)　地震荷重（kN）

| G.L.(m) | ﾌﾛｱ重量 (kN) | EW 方向地震力 | | | 荷重の与え方 |
|---|---|---|---|---|---|
| | | せん断力 (kN) | 地震力 (kN) | 震度 | |
| +29.92 | 87590 | － | 72110 | 0.83 | 基準地震動 Ss に対する応答せん断力に基づく地震力を震度換算し、シェル要素の物体力（密度×体積）に乗じて入力する。 |
| +22.3 | 119490 | 72110 | 85770 | 0.72 | |
| +16.9 | 111340 | 157880 | 72640 | 0.66 | |
| +8.7 | 130160 | 230520 | 74140 | 0.57 | |
| +0.2 | － | 304660 | － | － | |

表-3.4.3(3)　地震荷重（kN）

| G.L.(m) | ﾌﾛｱ重量 (kN) | UD 方向地震力 | | | 荷重の与え方 |
|---|---|---|---|---|---|
| | | 軸力 (kN) | 地震力 (kN) | 震度 | |
| +29.92 | 87590 | － | 43860 | 0.50 | 基準地震動 Ss に対する応答軸力に基づく地震力を震度換算し、シェル要素の物体力（密度×体積）に乗じて入力する。 |
| +22.3 | 119490 | 43860 | 54730 | 0.46 | |
| +16.9 | 111340 | 98590 | 47810 | 0.43 | |
| +8.7 | 130160 | 146400 | 57000 | 0.44 | |
| +0.2 | － | 203400 | － | － | |

(5) 燃料取り出し用カバー反力　ＫＦ

地震時に生じる燃料取り出し用カバーからの反力を表-3.4.4 に示す。

表-3.4.4　燃料取り出し用カバー反力（地震時）

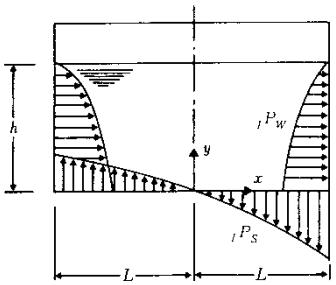
| 荷重 | 荷重の与え方 | 作用方向 | 反力（kN） | |
|---|---|---|---|---|
| オイルダンパ反力 | 節点力として入力 | 鉛直下向き | 5200 | |
| 燃料取り出し用カバー反力 | | | ストッパ | 東側脚部 |
| | 節点力として入力 | N→S | 15500 | 700 |
| | | S→N | 15600 | 700 |
| | | W→E | 14600 | 2500 |
| | | E→W | 16300 | 2500 |
| | 節点力として入力 | 鉛直方向 | 7700 | |

(6) 地震時動水圧荷重　ＫＨ

JEAC4601 に基づき，使用済燃料プール水の基準地震動 Ss 時の動水圧（$\sigma_{NS}$＝44 kN/m$^2$，$\sigma_{EW}$＝56 kN/m$^2$）を考慮する。荷重は圧力荷重としてシェル要素に入力する。

動水圧は保守的にプール最深部の衝撃圧を壁面全体に作用させる。

衝撃圧　$${}_IP_W = \rho L\ddot{X}\frac{\sqrt{3}}{2}\frac{H}{L}\left[1-\left(\frac{y}{H}\right)^2\right]\tanh\left(\sqrt{3}\frac{L}{H}\right)$$



(a) 衝撃圧分布形状

ここで

$\rho$　：液体の密度（$10^3$kg/m$^3$）

$h$　：液体の深さ(11.51m)

$H$　：$H=h$（$h \leqq 1.5L$），　$H=1.5L$（$h>1.5L$）

$2L$　：矩形プール幅(m)

$\ddot{X}$　：プール設置床の応答最大加速度（m/s$^2$）又は設置床とその上階床との平均の応答最大加速度（m/s$^2$）

$y$　：プール底板の中心を原点とする鉛直方向座標(m)
最深部の評価の場合 0m

NS 方向

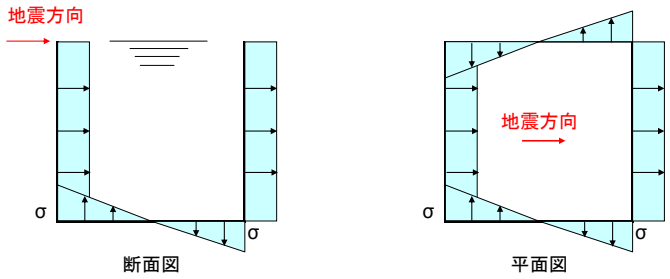
$L$=4.953(m)、$\ddot{X}$＝8.08（m/s$^2$）

$${}_IP_W = 44(kN/m^2)$$

EW 方向

$L$=6.096(m)、$\ddot{X}$＝8.14（m/s²）

$_{I}P_{w} = 56(kN/m^2)$




(7) 荷重の組合せ

表-3.4.5 に荷重の組合せを示す。なお，水平方向及び鉛直方向の地震動の組合せは，組合せ係数法（組合せ係数 0.4）により評価する。

表-3.4.5　荷重の組合せ

| 荷重時名称 | 荷重の組合せ |
|---|---|
| Ss 地震時 | DL ＋ DF ＋ H ＋ K ＋ KF ＋ KH |

ここに，　DL：死荷重，DF：遮へい体・燃料取り出し用カバー荷重，　H：静水圧，
K：地震荷重（基準地震動 Ss），KF：燃料取り出し用カバー反力，KH：地震時動水圧

3.5　評価結果

配筋諸元等に基づき構造検討を行い，耐震安全性を評価する。評価においては，応力解析より求まる発生応力及びひずみが，評価基準値以下となることを確認した。評価基準値は，日本機械学会「発電用原子力設備規格 コンクリート製原子炉格納容器規格」（CCV 規格）に基づき設定した。表-3.5.1 にひずみの評価基準値の値を示す。発生応力（面外せん断力）の評価基準値は，下式による。

シェル壁の面外せん断力に対する評価基準値（$Q_A$）は，次の２つの計算式により計算した値のいずれか小さい方の値とシェル壁の断面積を乗じて算出した値とする。

$$\tau_R = \Phi\{\ 0.1(\ p_t \cdot f_y - \sigma_0\ ) + 0.5 p_w \cdot f_y + 0.235\sqrt{F_c}\ \} \quad \cdots\cdots\cdots\cdots\cdots\cdots\ (3.5\text{-}1)$$

$$\tau_R = 1.10\sqrt{F_c} \quad \cdots\cdots\cdots\cdots\cdots\cdots\ (3.5\text{-}2)$$

ここで，

$\tau_R$　：終局面外せん断応力度（N/mm²）

$p_t$　：主筋の鉄筋比

$f_y$　：鉄筋の許容引張応力度および許容圧縮応力度（N/mm²）

$F_c$　：コンクリートの設計基準強度（N/mm²）

$\sigma_0$　：外力による膜応力度（N/mm²）（引張の符号を正とする）

$p_w$　：面外せん断力に対する補強筋の鉄筋比であって，次の計算式により計算した値

$$p_w = a_w / (b \cdot x) \quad \cdots\cdots\cdots\cdots\cdots\cdots\ (3.5\text{-}3)$$

$a_w$　：面外せん断力に対する補強筋の断面積（mm²）

$b$　：断面の幅（mm）

$x$　：面外せん断力に対する補強筋の間隔（mm）

$\Phi$　：低減係数であり，次の計算式により計算した値（1を超える場合は1，0.58未満の場合は0.58とする）

$$\Phi = 1/\sqrt{M/(Q \cdot d)} \quad \cdots\cdots\cdots\cdots\cdots\cdots\ (3.5\text{-}4)$$

$M$　：曲げモーメント（N･mm）

$Q$　：せん断力（N）

$d$　：断面の有効せい（mm）

シェル壁以外の面外せん断力に対する評価基準値（$Q_A$）は，次の(1)または(2)に示す計算式により計算した値とする。

(1) 次の計算式により計算した値

$$Q_A = b \cdot j \cdot {}_c f_s \quad \cdots\cdots\cdots\cdots\cdots\cdots\ (3.5\text{-}5)$$

ここで，

$Q_A$　：許容面外せん断力（N）

$b$　：断面の幅（mm）

$j$　：断面の応力中心間距離で ${}_c f_s$，断面の有効せいの7／8倍の値（mm）

${}_c f_s$　：コンクリートの許容せん断応力度（N/mm²）

(2) (1)の規定を超えるものについては，次の計算式により計算した値

$$Q_A = b \cdot j \{ \alpha \cdot {}_cf_s + 0.5 {}_wf_t ( p_w - 0.002 ) \} \quad \cdots\cdots (3.5\text{-}6)$$

ここで，

$p_w$ ：面外せん断力に対する補強筋の鉄筋比であり，次の計算式により計算した値(0.012を超える場合は0.012として計算する)

$$p_w = a_w / (b \cdot x) \quad \cdots\cdots (3.5\text{-}7)$$

$a_w$ ：面外せん断力に対する補強筋の断面積（mm²）

$x$ ：面外せん断力に対する補強筋の間隔（mm）

${}_wf_t$ ：面外せん断力に対する補強筋の許容引張応力度（N/mm²）

$\alpha$ ：割増し係数であり，次の計算式により計算した値（2を超える場合は 2，1未満の場合は1とする）

$$\alpha = \frac{4}{M/(Q \cdot d) + 1} \quad \cdots\cdots (3.5\text{-}8)$$

$M$ ：曲げモーメント（N･mm）

$Q$ ：せん断力（N）

$d$ ：断面の有効せい（mm）

なお，$Q_A$，$b$，$j$および ${}_cf_s$は，(1)に定めるところによる。

検定比は，発生ひずみ及び面外せん断力の発生応力と評価基準値の比とする。（１以下で評価基準値を満足する。）

ひずみの検定比 ： $\varepsilon / \varepsilon_A$

面外せん断力の検定比 ： $Q / Q_A$

検定比を示した結果を図-3.5.1～図-3.5.9 に示す。いずれの箇所においても発生ひずみ及び発生応力は弾性範囲内であり，評価基準値を十分に下回っている。このことから，使用済燃料取り出し時の状況において，使用済燃料プール・燃料取り出し用カバーが取りつくオペフロ（5 階）床は，２章の損傷状況の調査結果を考慮しても，耐震安全性を有しているものと評価した。

また，ひずみが弾性範囲内であるため，コンクリートに内張りされたライナーが損傷し，使用済燃料プールの水が漏れ出る可能性はないと考えられる。

なお，付録において，パラメトリックスタディとして，本章の損傷状況をより安全側に評価したケースを実施し，耐震安全性に及ぼす影響を確認した。この目的は，２章の損傷状況の調査結果に示すように，現状の調査範囲では一部で損傷判定の不確定な箇所があり，解析上，これらの箇所の残存剛性を安全側に評価し，評価結果に及ぼす感度を把握するためである。併せて，このパラメトリックスタディにおいては，事故時の影響で使用済燃料プール部やシェル壁の剛性が低下した可能性についても考慮した。この結果，多少の数値変動はあるものの解析結果に大きな差

異は生じておらず，仮定条件の変動が解析結果に与える影響はそれほど大きくなく，パラメトリックスタディにおいても耐震安全性を有していると評価した。（付録参照）

表-3.5.1　評価対象別の $\varepsilon_A$

| 評価対象 | 評価基準値 $\varepsilon_A$ ($\times 10^{-6}$) |
|---|---|
| コンクリート | -3000 |
| 鉄筋 | ±5000 |

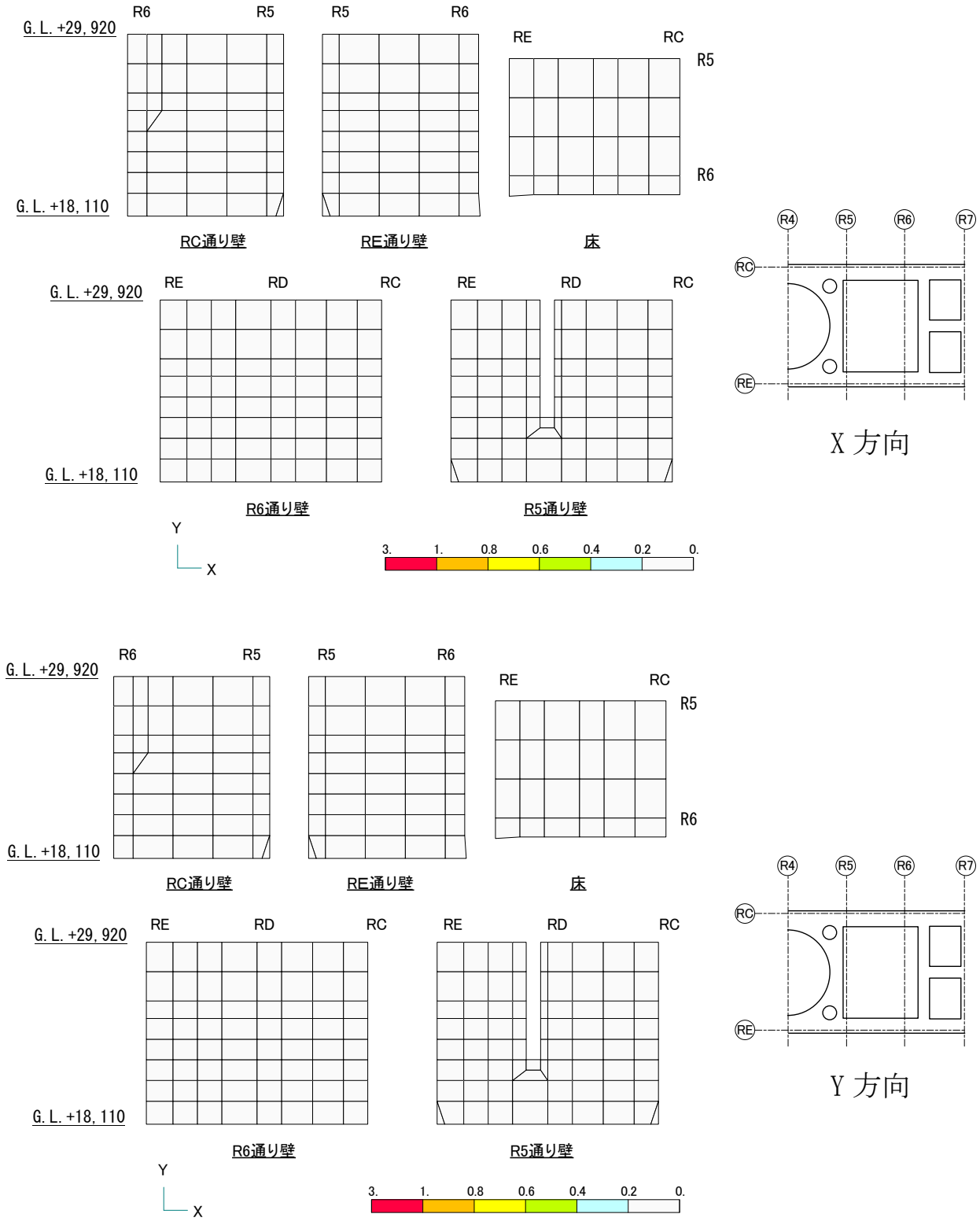
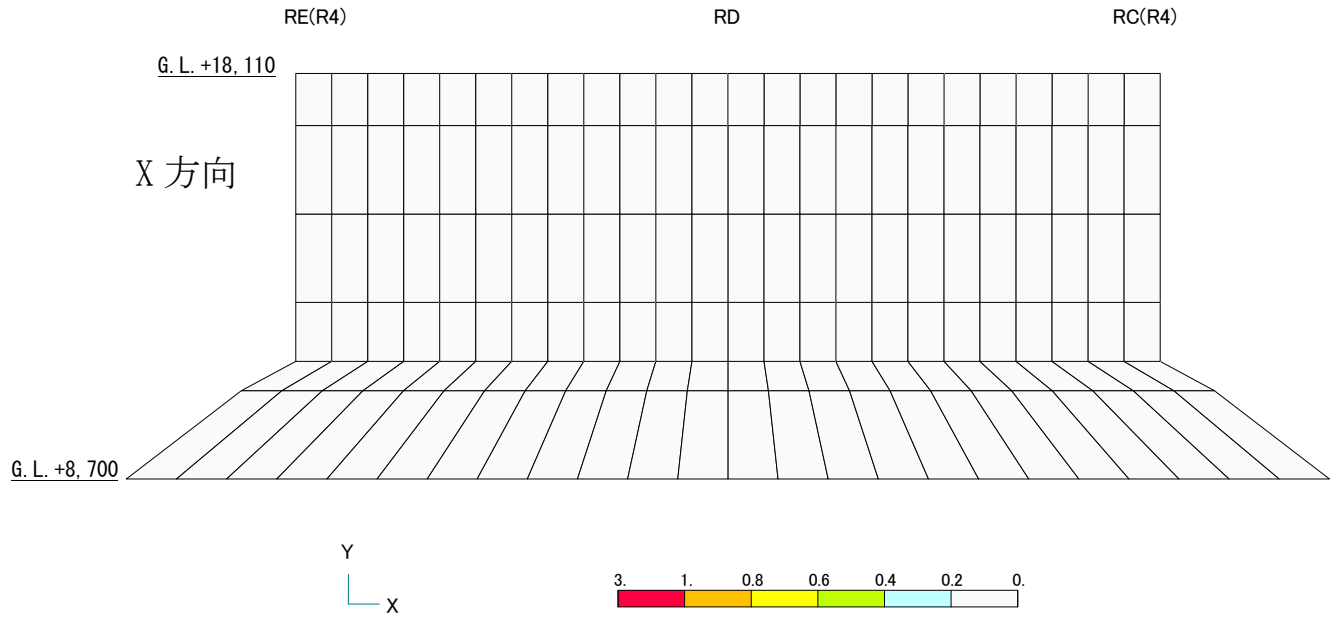



図-3.5.1　コンクリート圧縮ひずみの検定比（使用済燃料プール部）



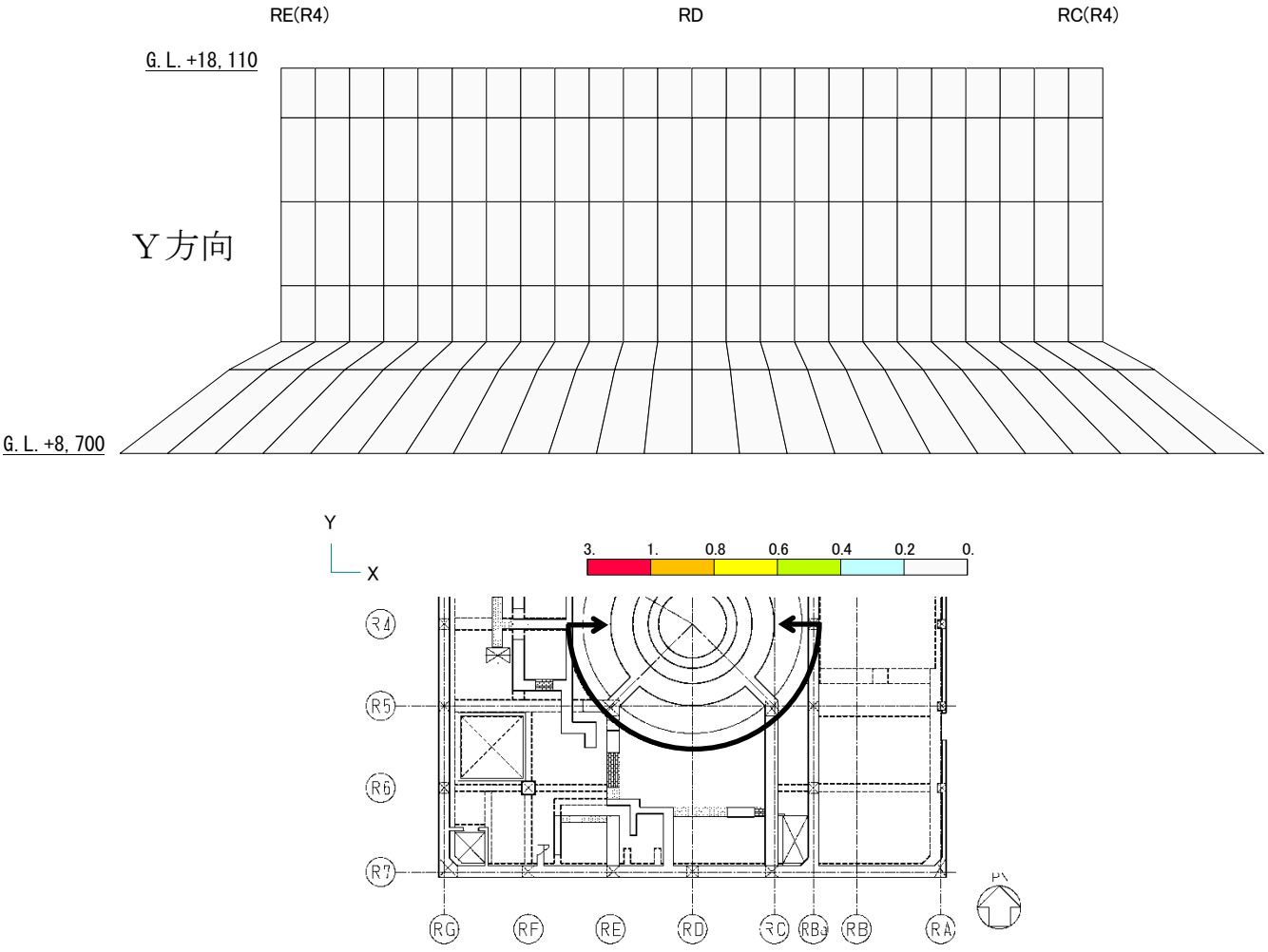




図-3.5.2　コンクリート圧縮ひずみの検定比（シェル壁部）

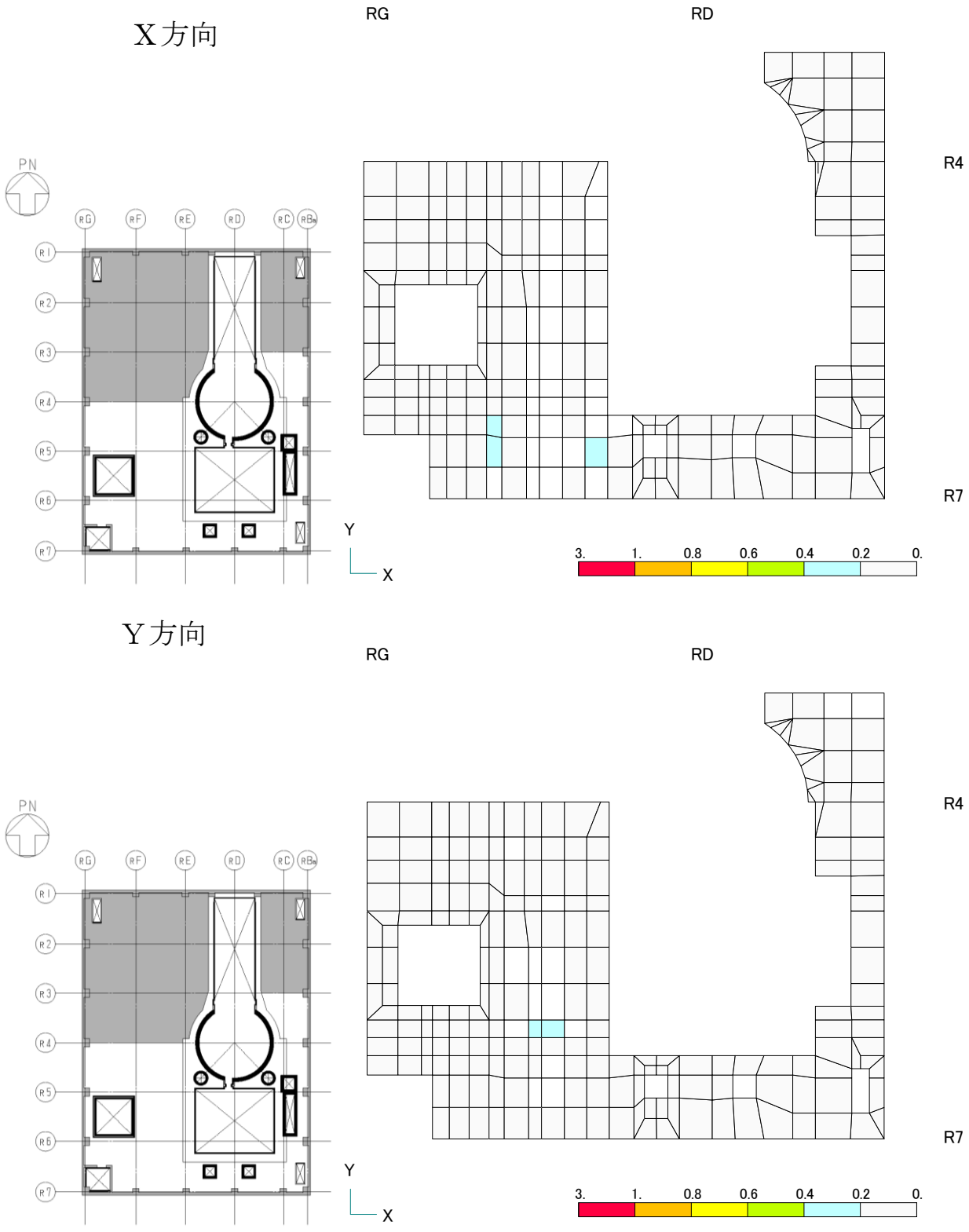
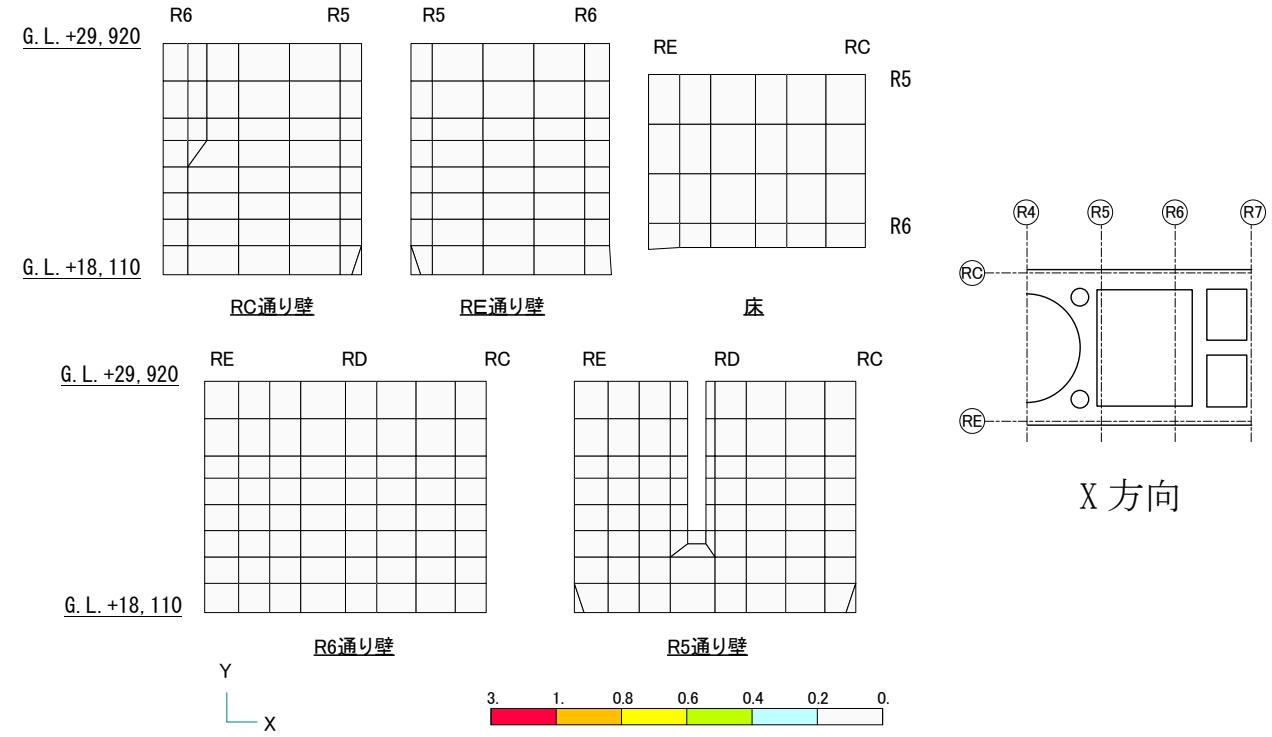



図-3.5.3　コンクリート圧縮ひずみの検定比（オペフロ床部）



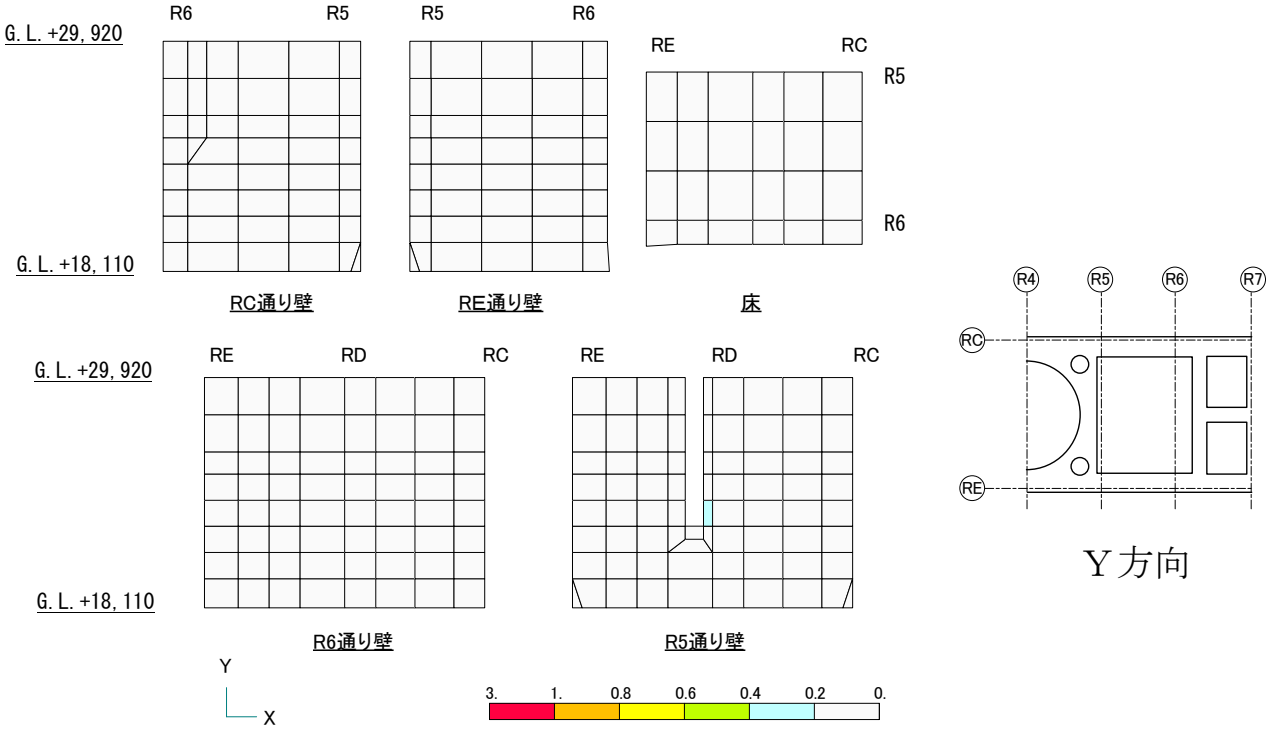
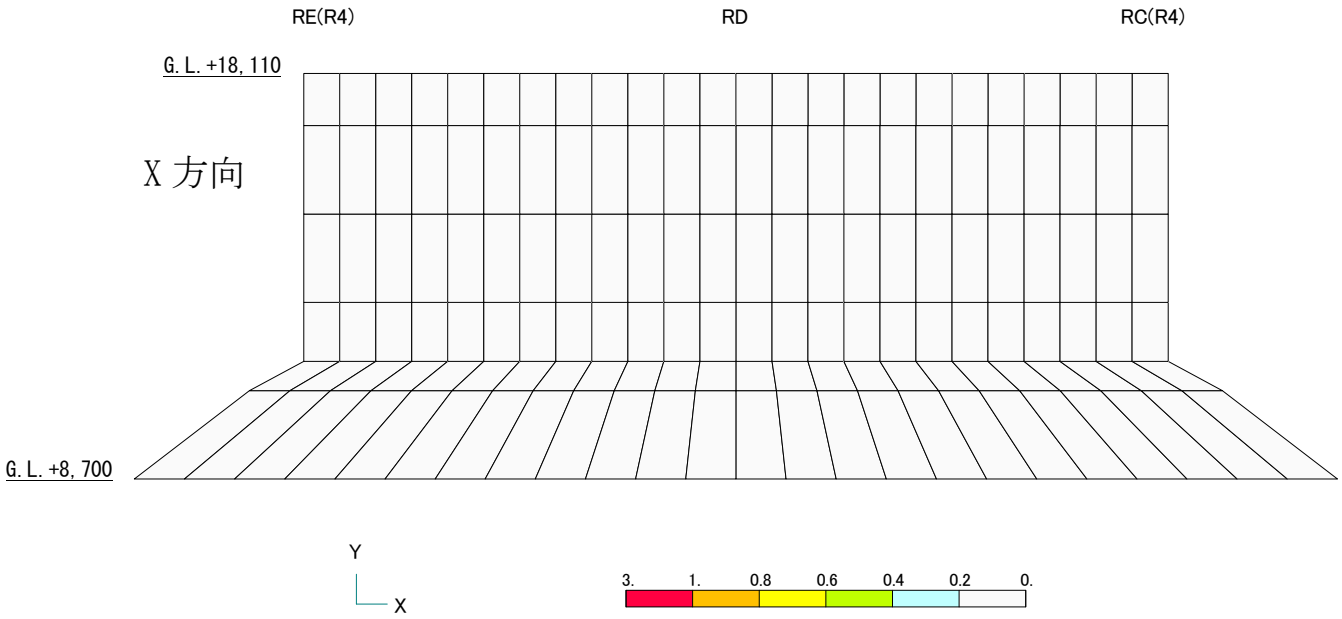




図-3.5.4　鉄筋ひずみの検定比（使用済燃料プール部）



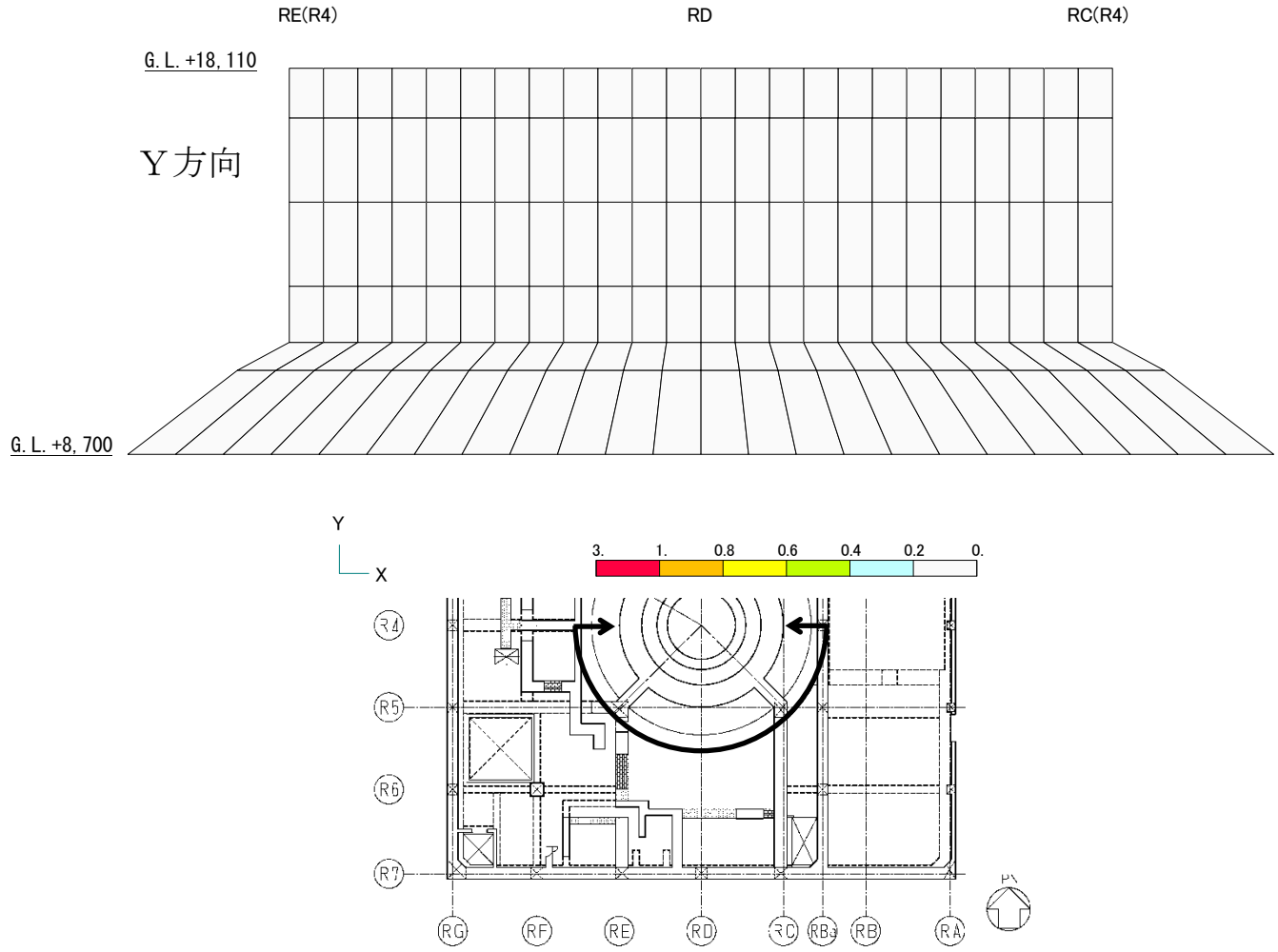
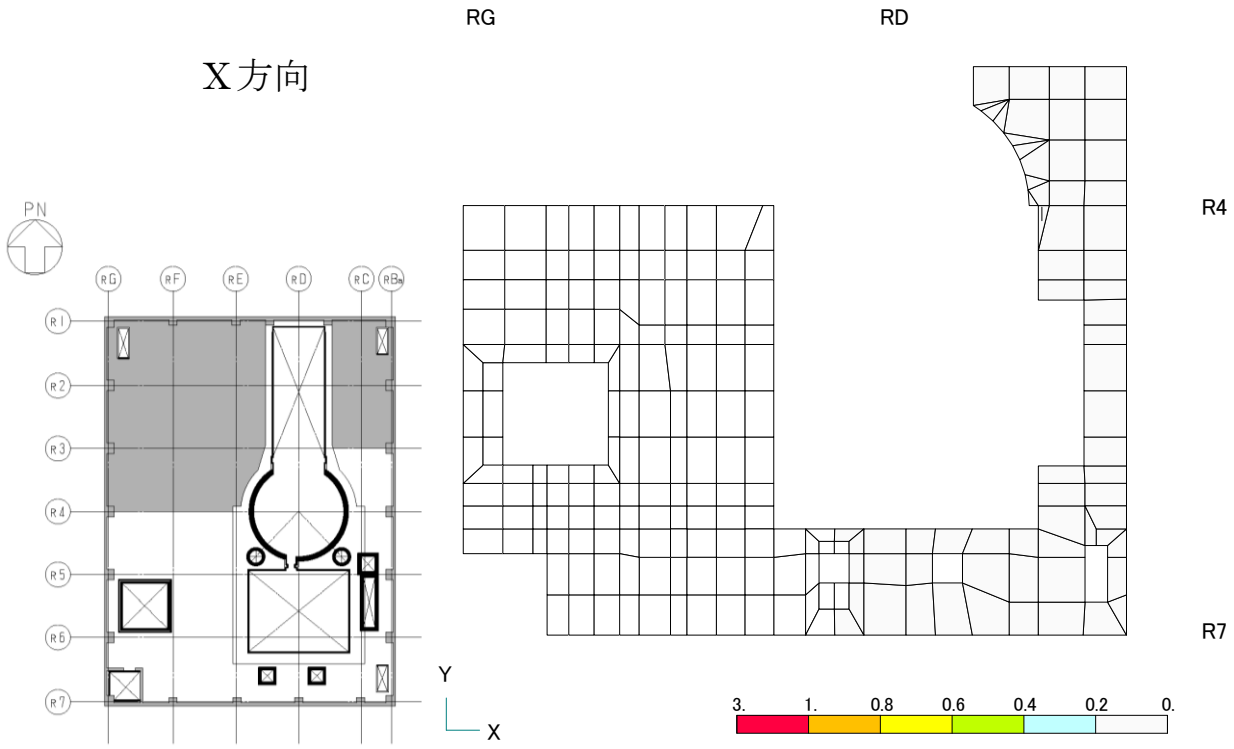




図-3.5.5　鉄筋ひずみの検定比（シェル壁部）



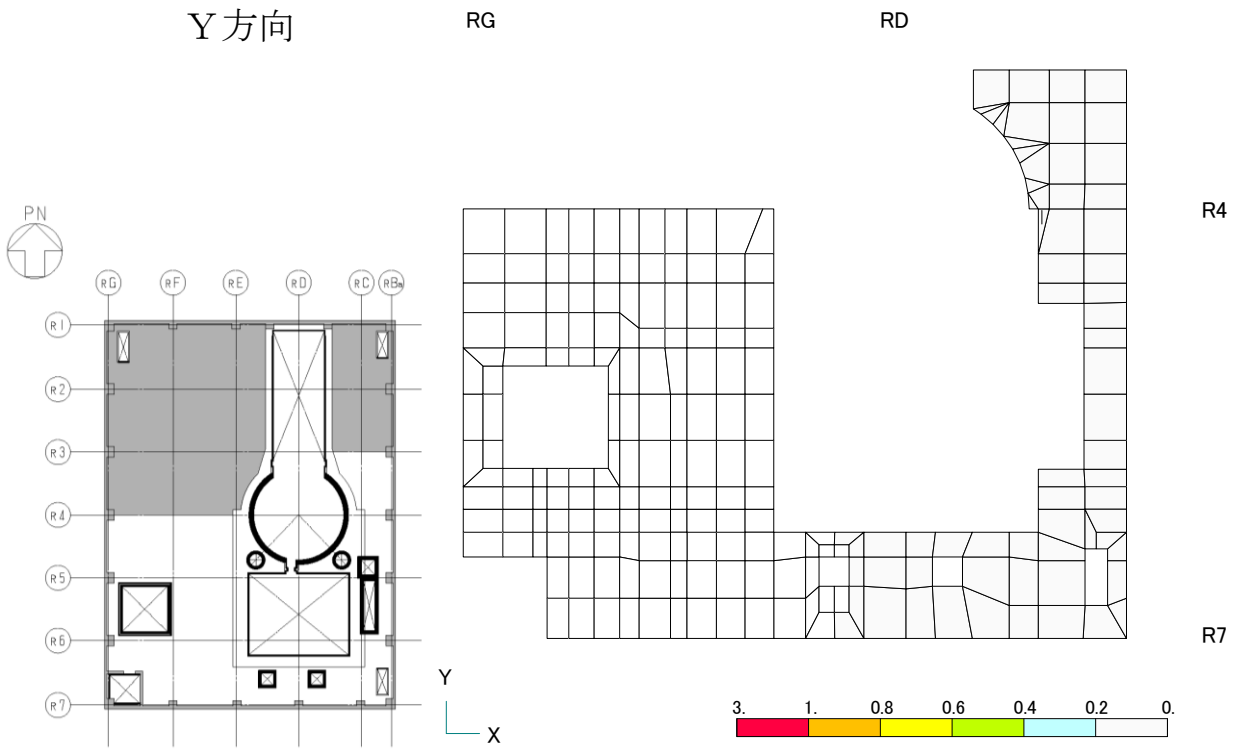
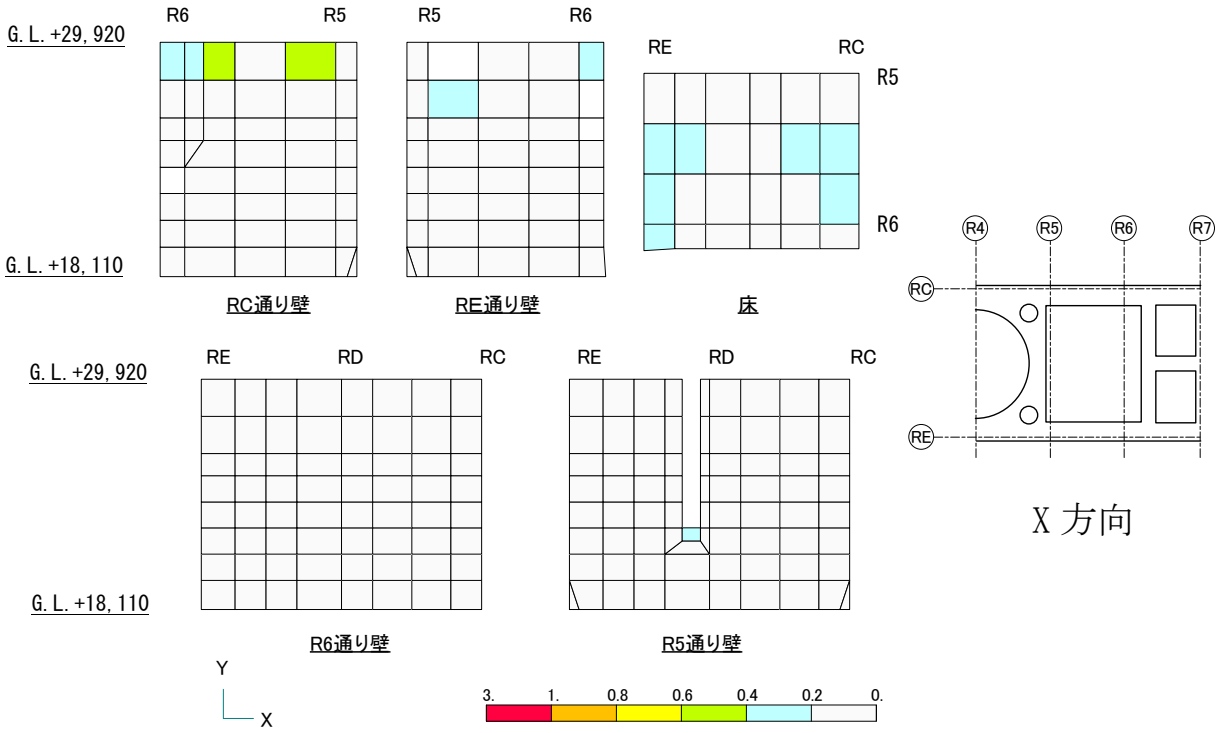




図-3.5.6　鉄筋ひずみの検定比（オペフロ床部）



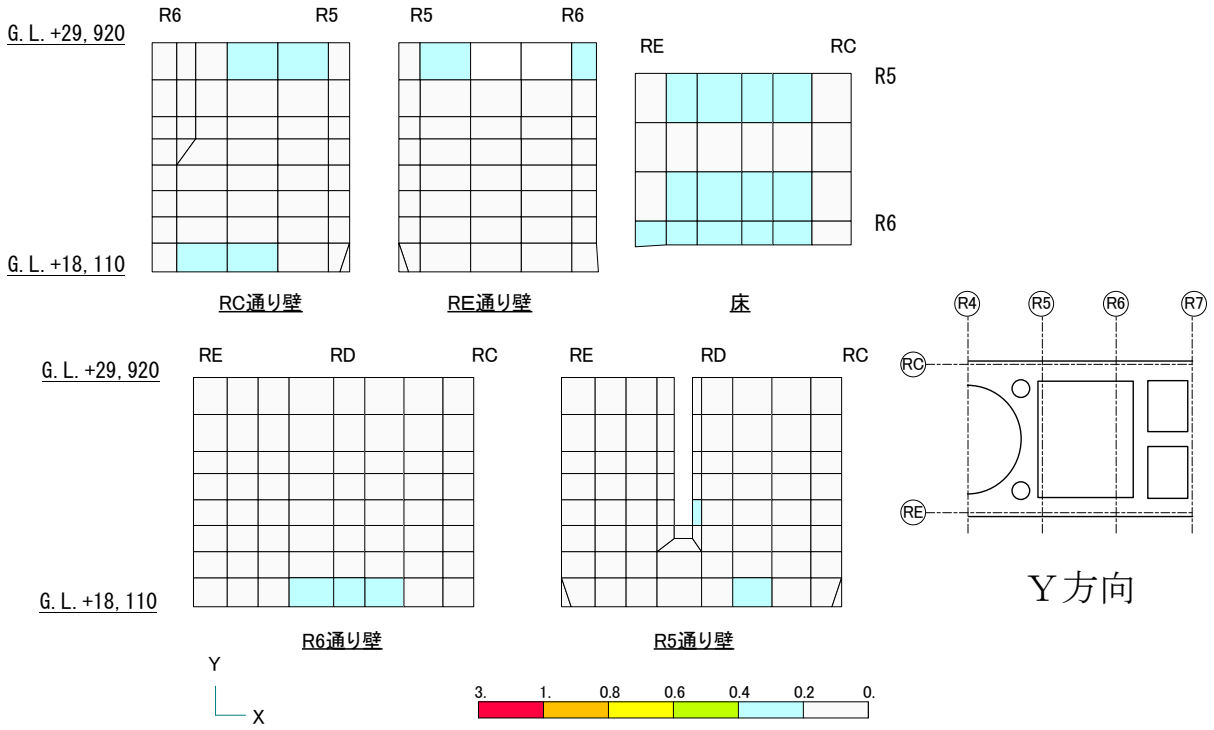
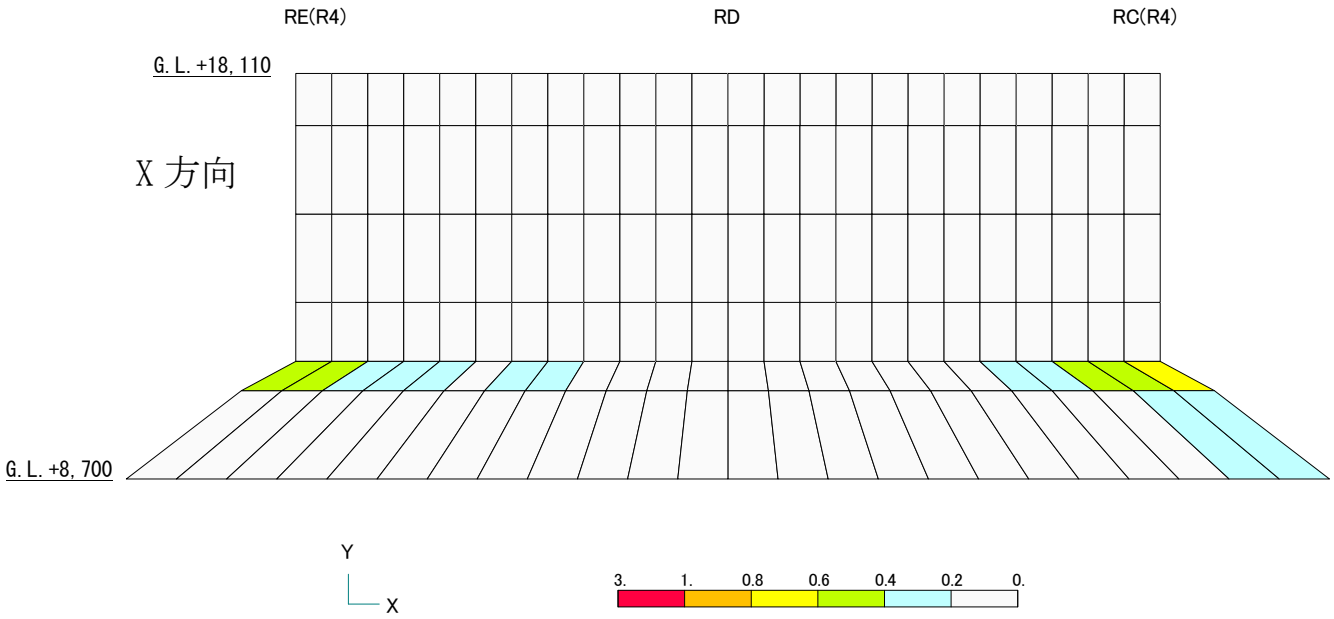




図-3.5.7　面外せん断力の検定比（使用済燃料プール部）



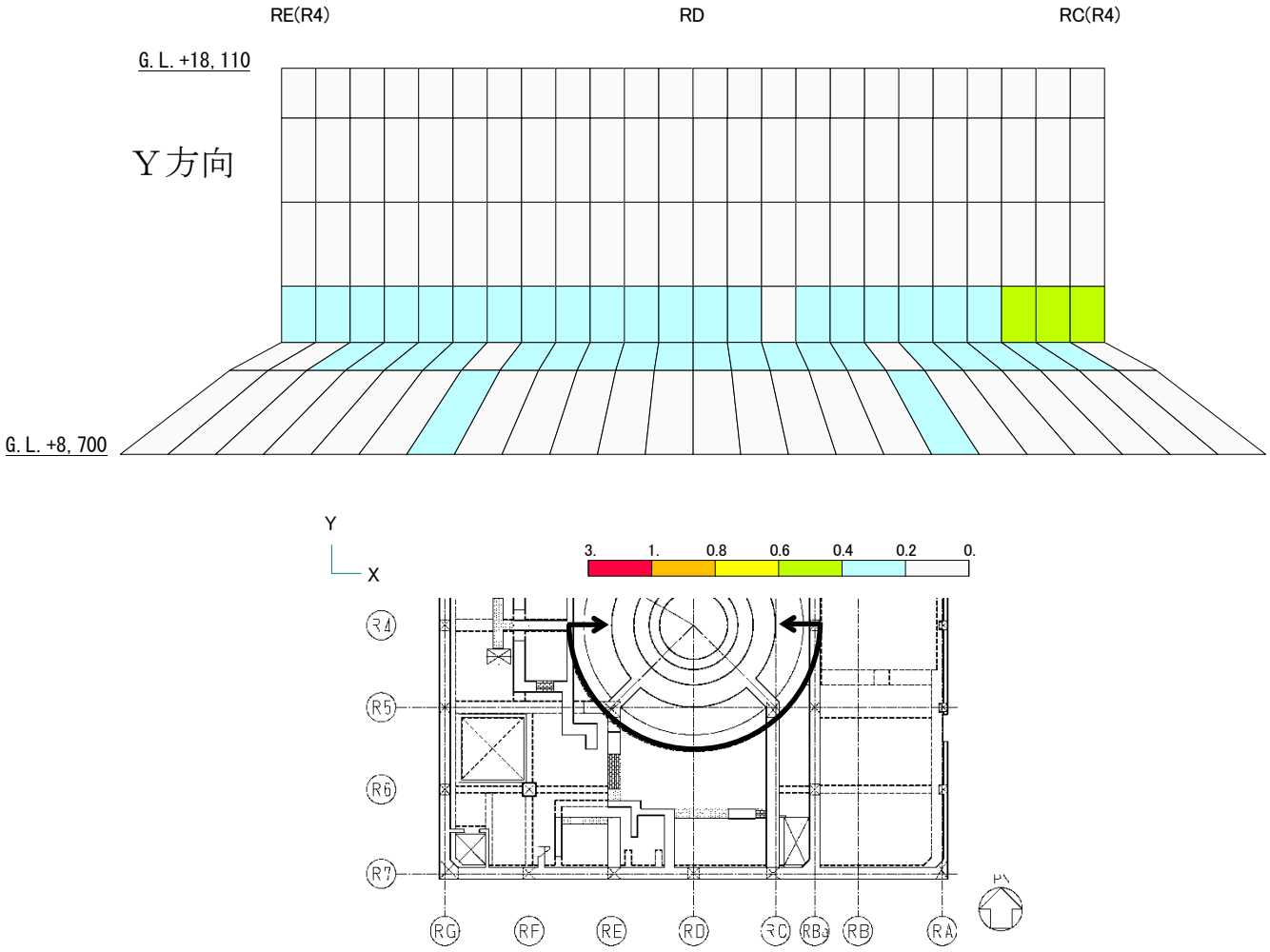




図-3.5.8　面外せん断力の検定比（シェル壁部）

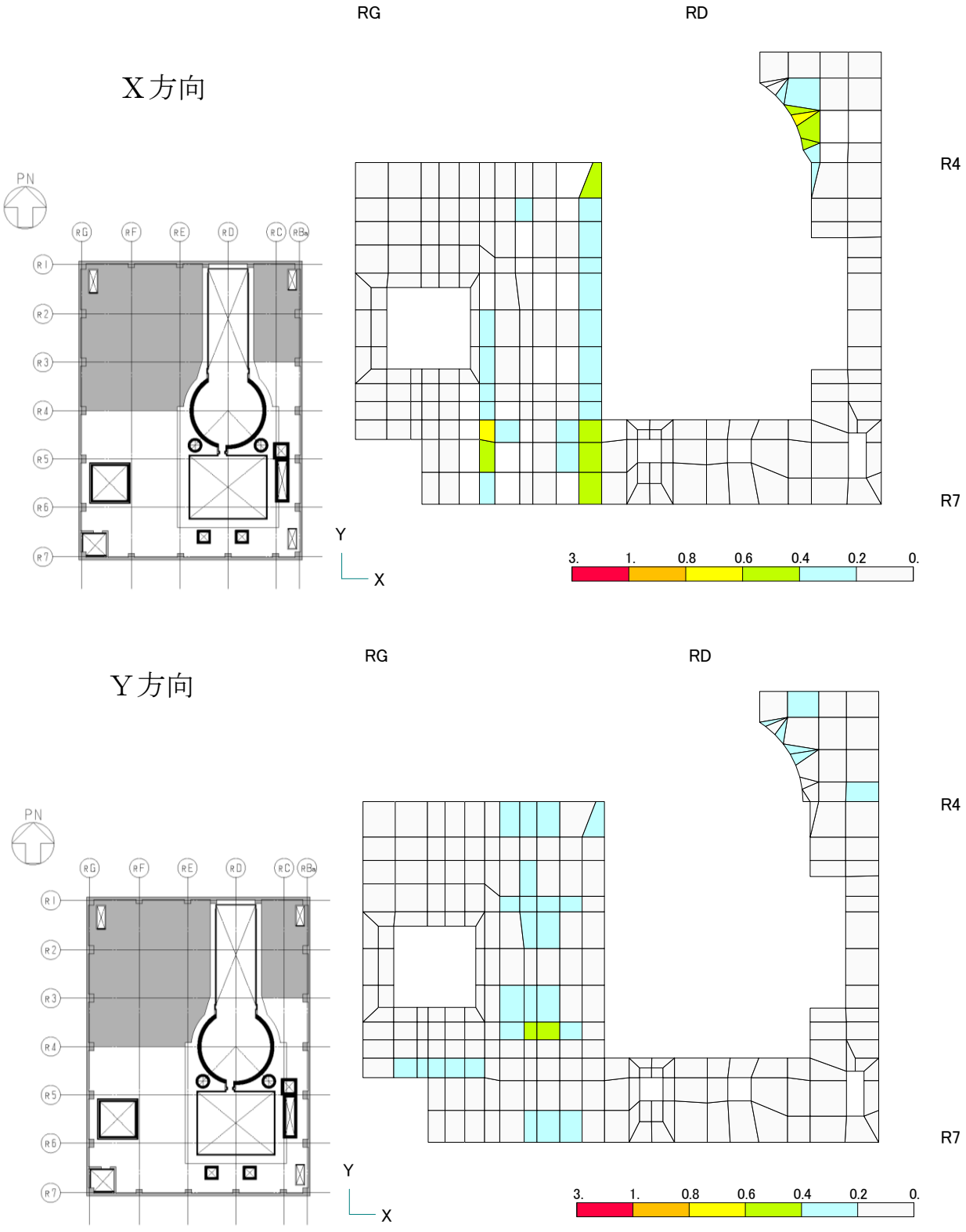



図-3.5.9　面外せん断力の検定比（オペフロ床部）

付録

# 使用済燃料プール等の耐震安全性評価結果に係わるパラメトリックスタディについて

## 1. 概要

付録では，使用済燃料プール部等の剛性を安全側に低下させた場合について解析を行い，その影響を把握する。

## 2. 検討条件

図-1～図-4 にパラメトリックスダディで想定する損傷仮定条件を示す。

### (1) 床スラブ

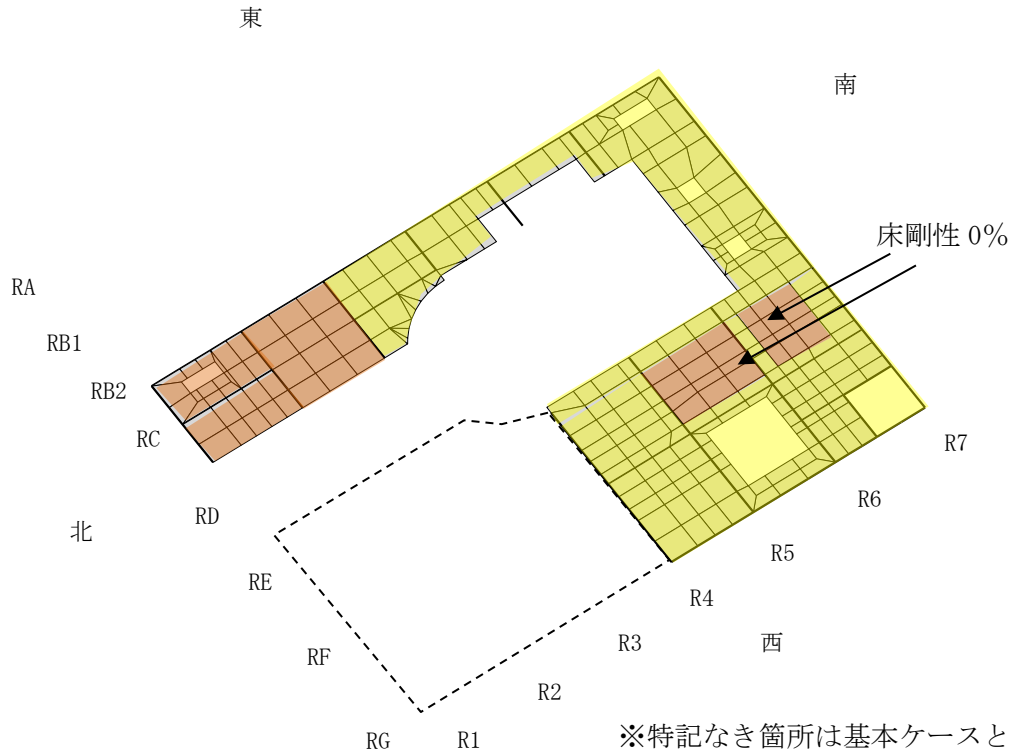
２章より，５階（G.L.+29.92m）のプール部の西側床において，周辺に比べ比較的激しい損傷状況が確認されており，その箇所の剛性を無視した場合を想定する。

４階床において，５階床の全壊箇所の瓦礫の落下や，爆発の影響を受けたと想定し，床の剛性を無視した場合を想定する。

また，今回の調査において十分な損傷確認が実施できなかった３階床について，剛性を 50%に低減した場合を想定する。

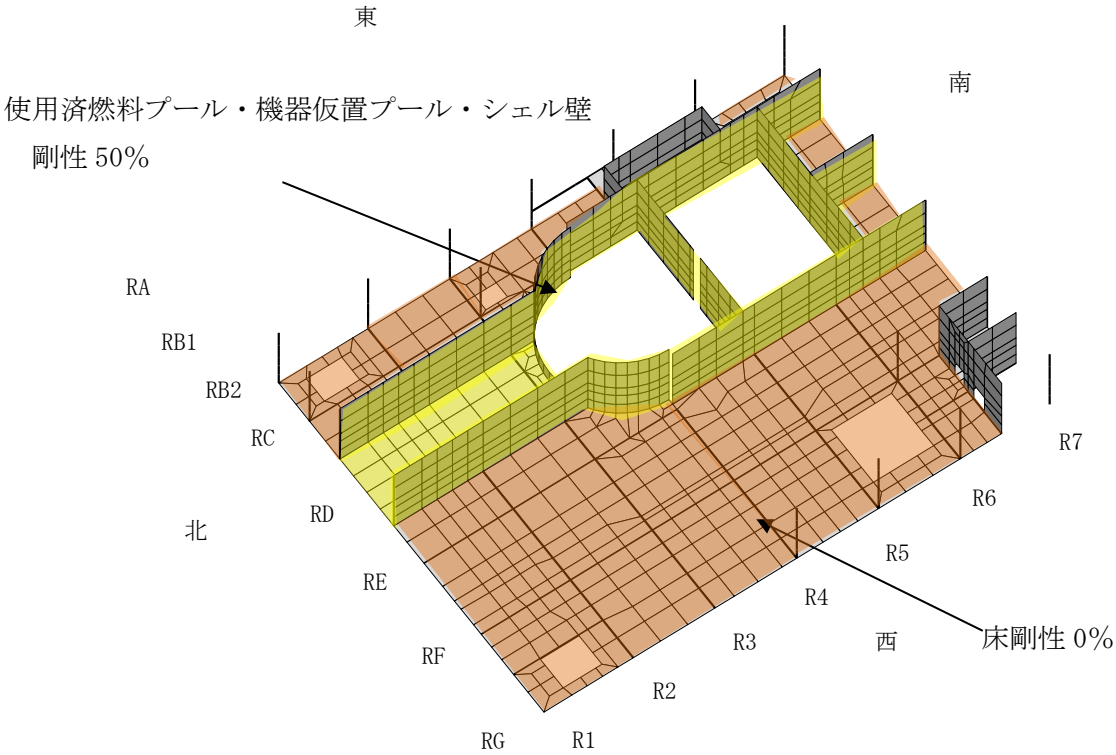
### (2) 使用済燃料プール・燃料仮置プール・シェル壁

使用済燃料プール・燃料仮置プール・シェル壁について，事故時の影響を考慮し剛性を 50%に低減させた場合を想定する。



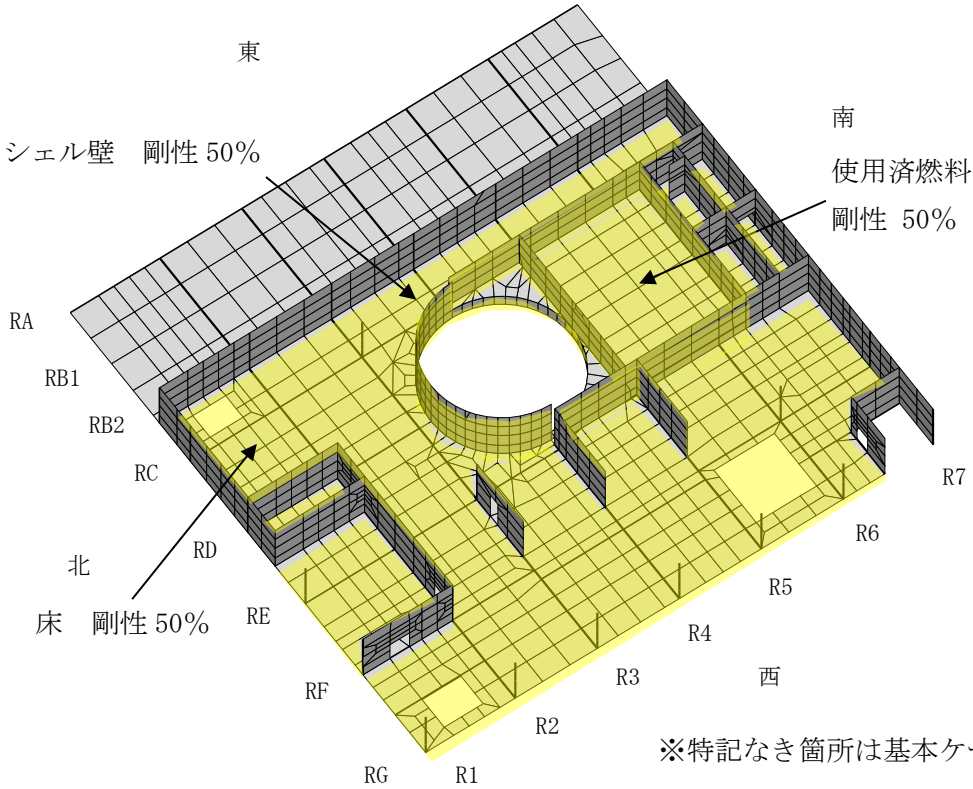

※特記なき箇所は基本ケースと同じ。

図-1　損傷仮定　アイソメ図　５階（G.L.+29.92m）　（パラメータケース）



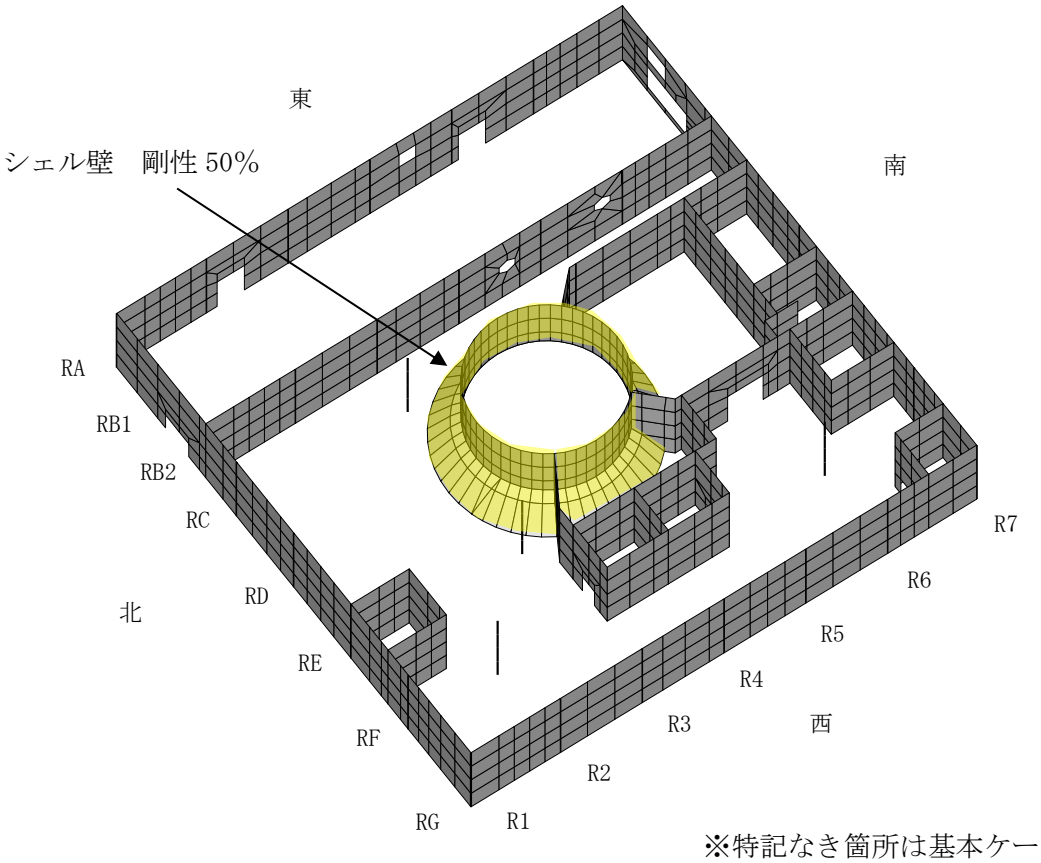

※特記なき箇所は基本ケースと同じ。

図-2　損傷仮定　アイソメ図　４階（G.L.+22.3m）　（パラメータケース）




※特記なき箇所は基本ケースと同じ。

図-3　損傷仮定　アイソメ図　３階（G.L.+16.9m）　（パラメータケース）

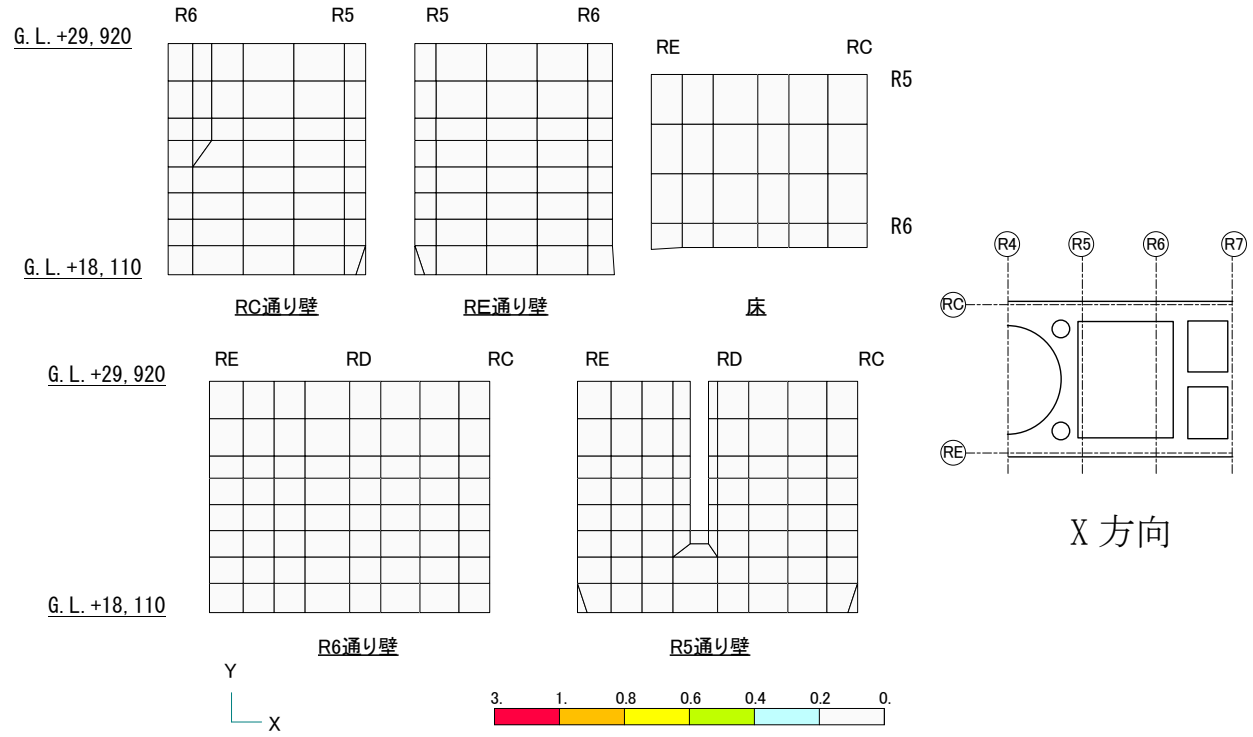



※特記なき箇所は基本ケースと同じ。

図-4　損傷仮定　アイソメ図　２階（G.L.+8.7m）　（パラメータケース）

3．検討結果

パラメータケースの発生ひずみ及び面外せん断力の発生応力と評価基準値の比（検定比）を示した結果を図-5～図-13 に示す。損傷仮定を安全側に低下させた場合においても耐震安全性を有しており，解析結果には大きな影響を与えないことが確認された。



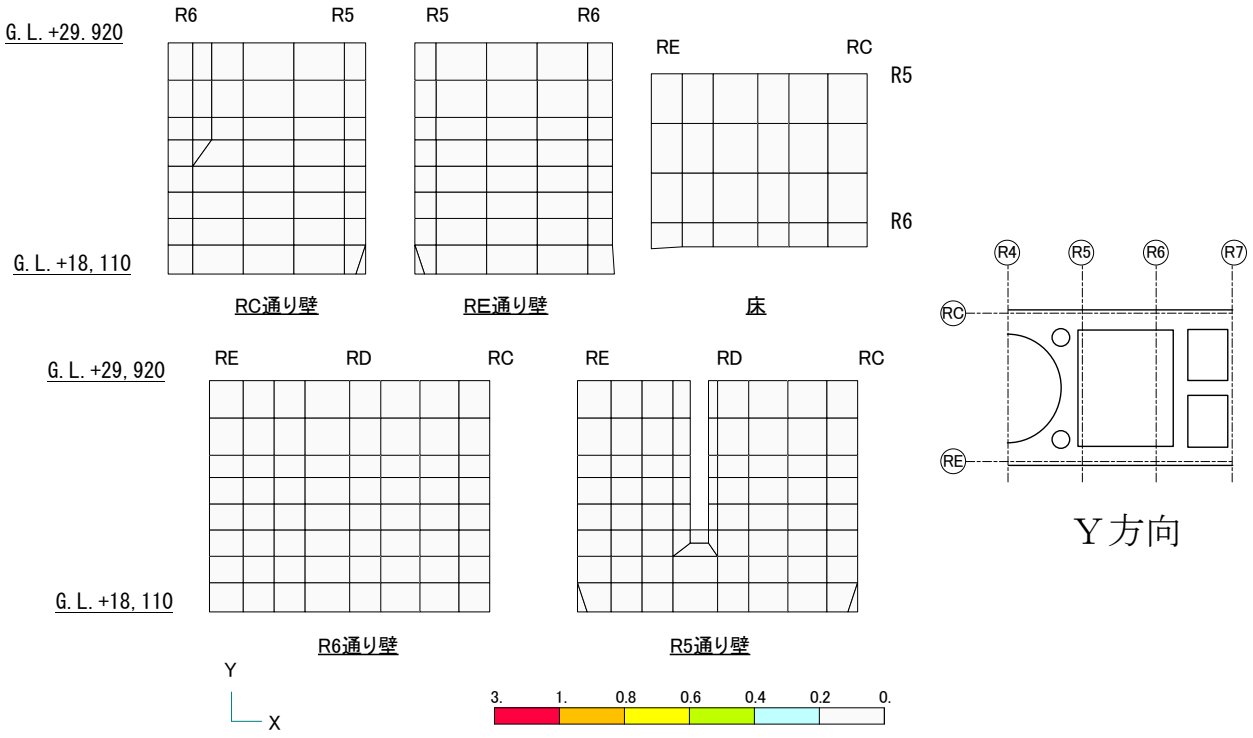
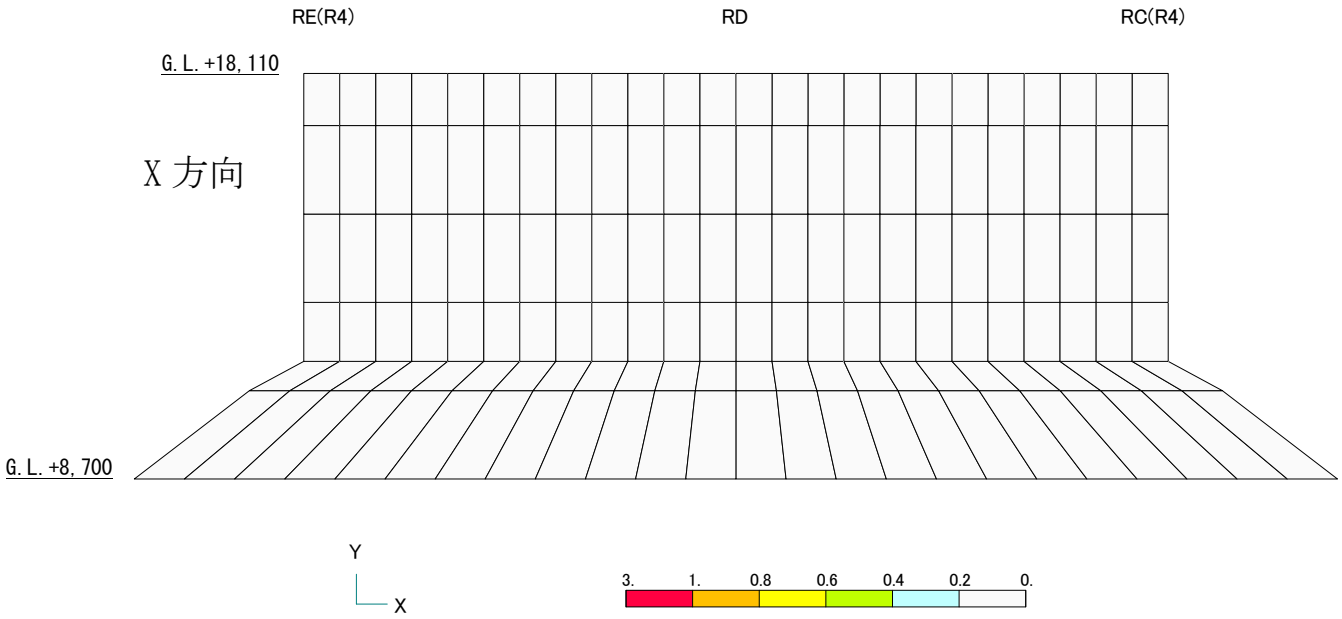
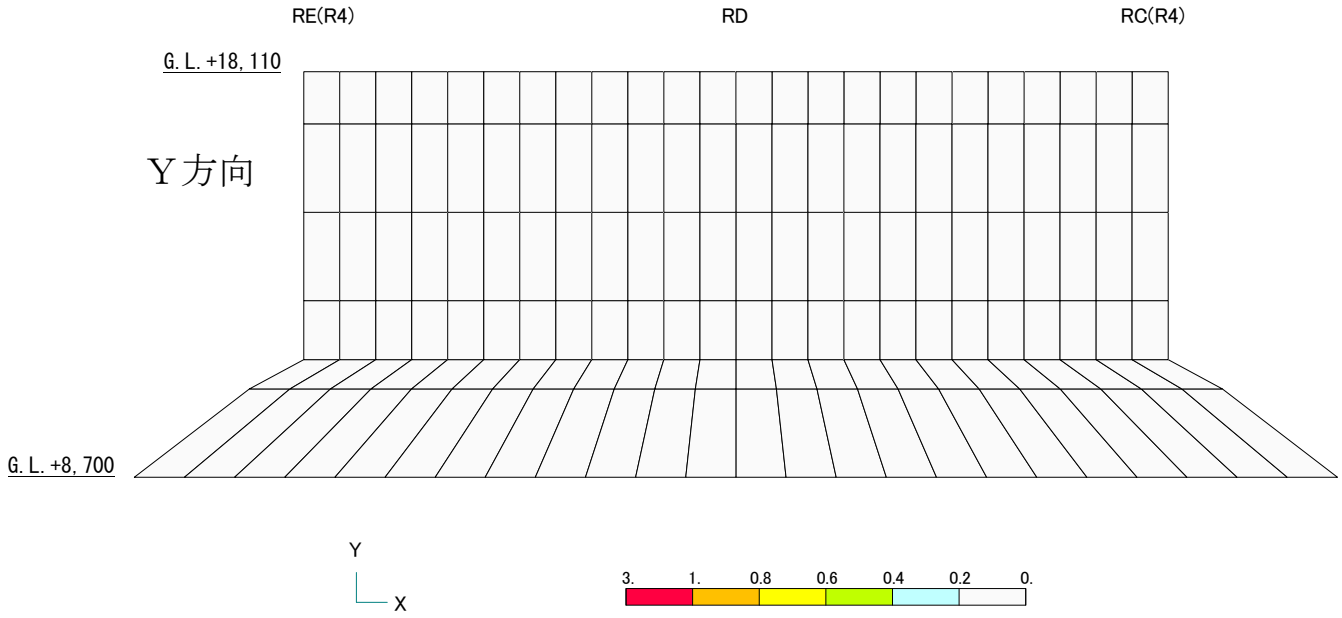




図-5　コンクリート圧縮ひずみの検定比（使用済燃料プール部）



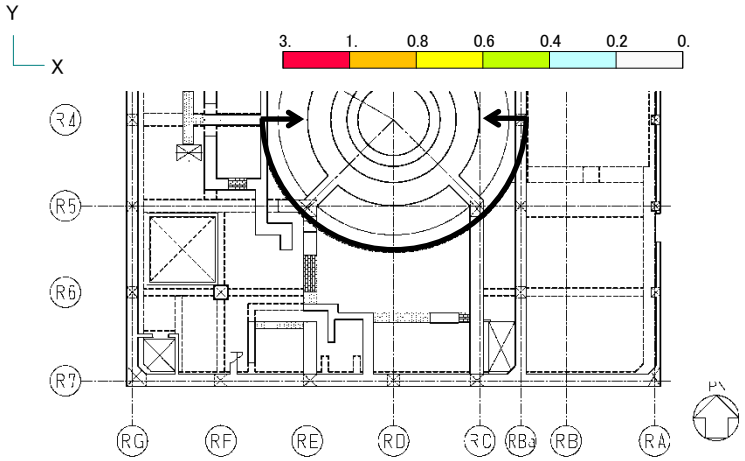
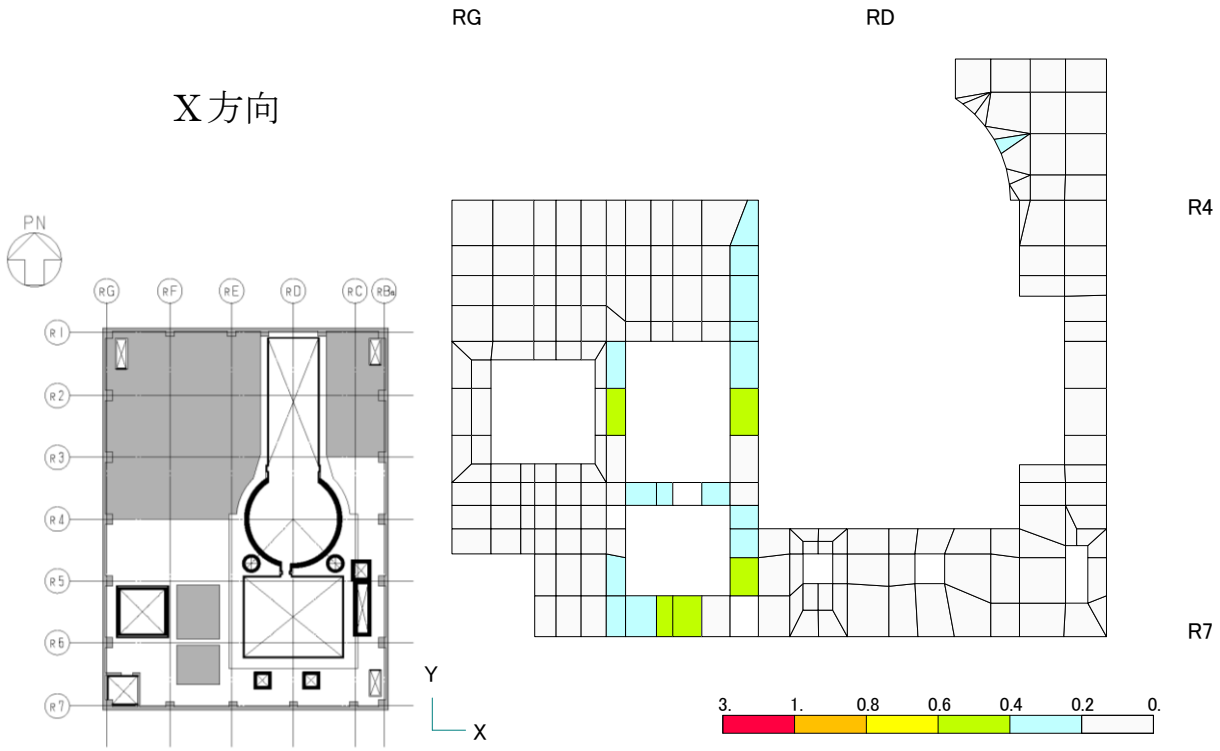




図-6　コンクリート圧縮ひずみの検定比（シェル壁部）



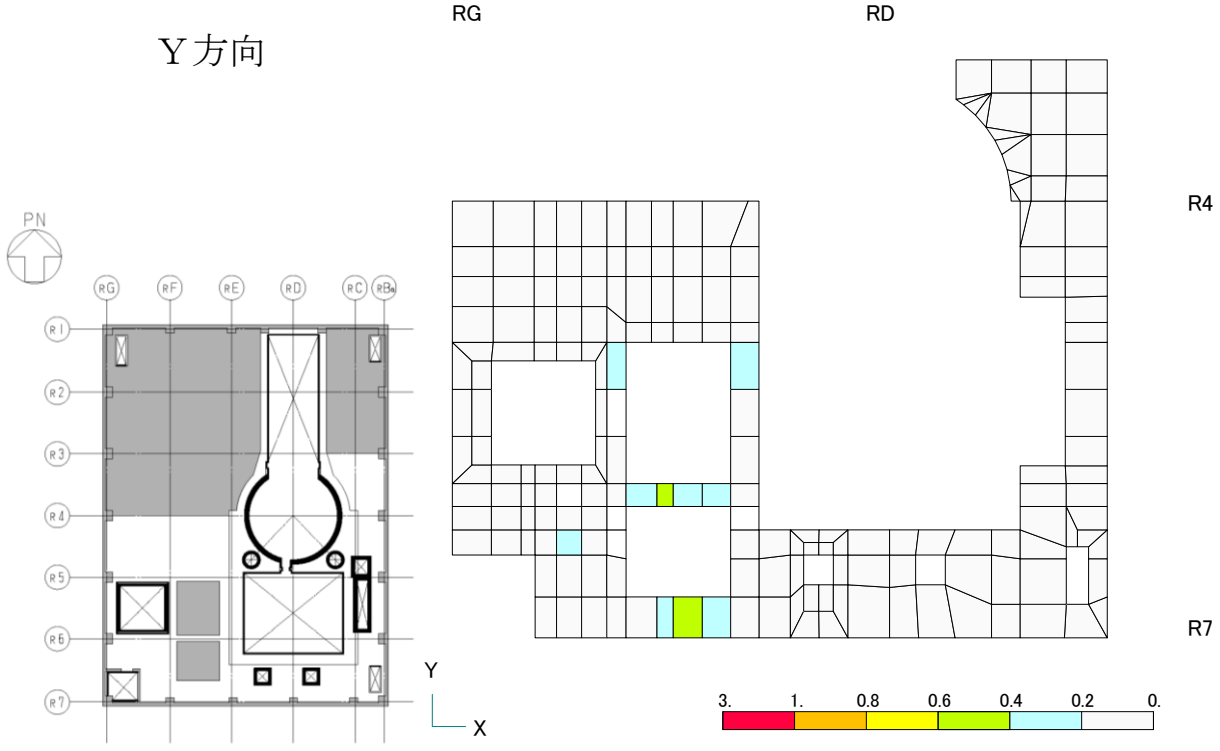
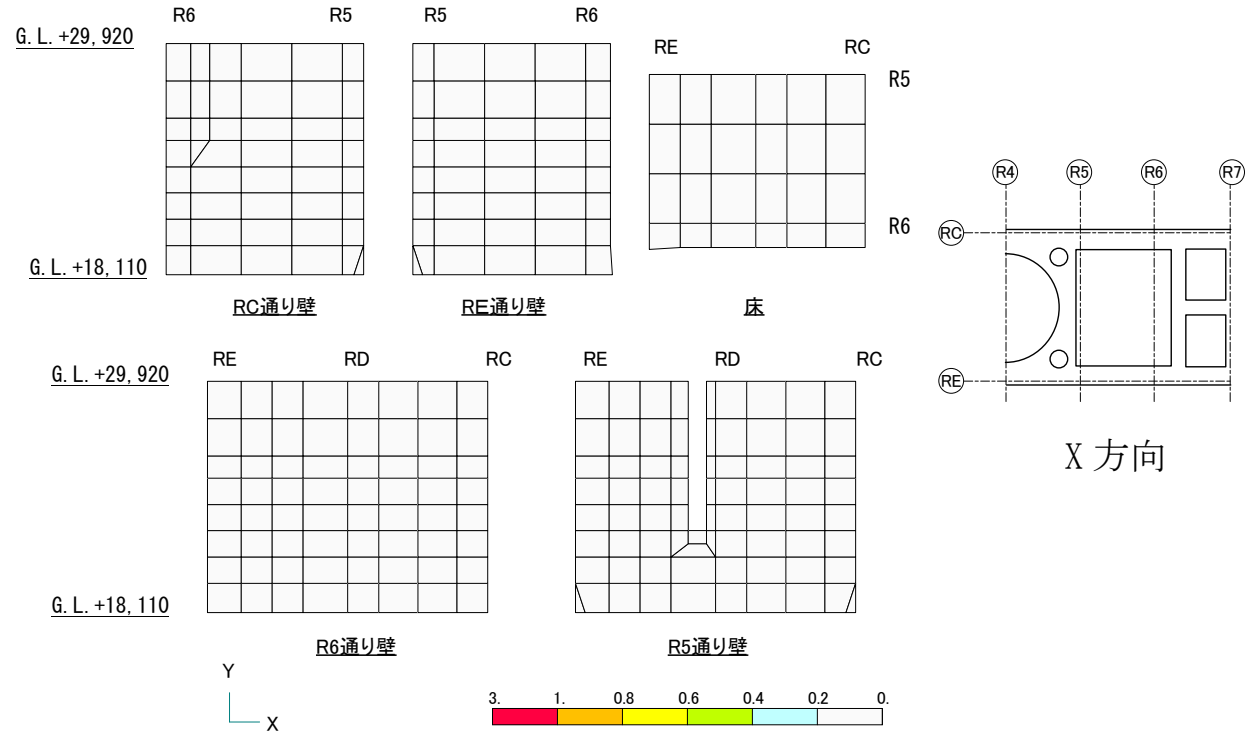




図-7　コンクリート圧縮ひずみの検定比（オペフロ床部）



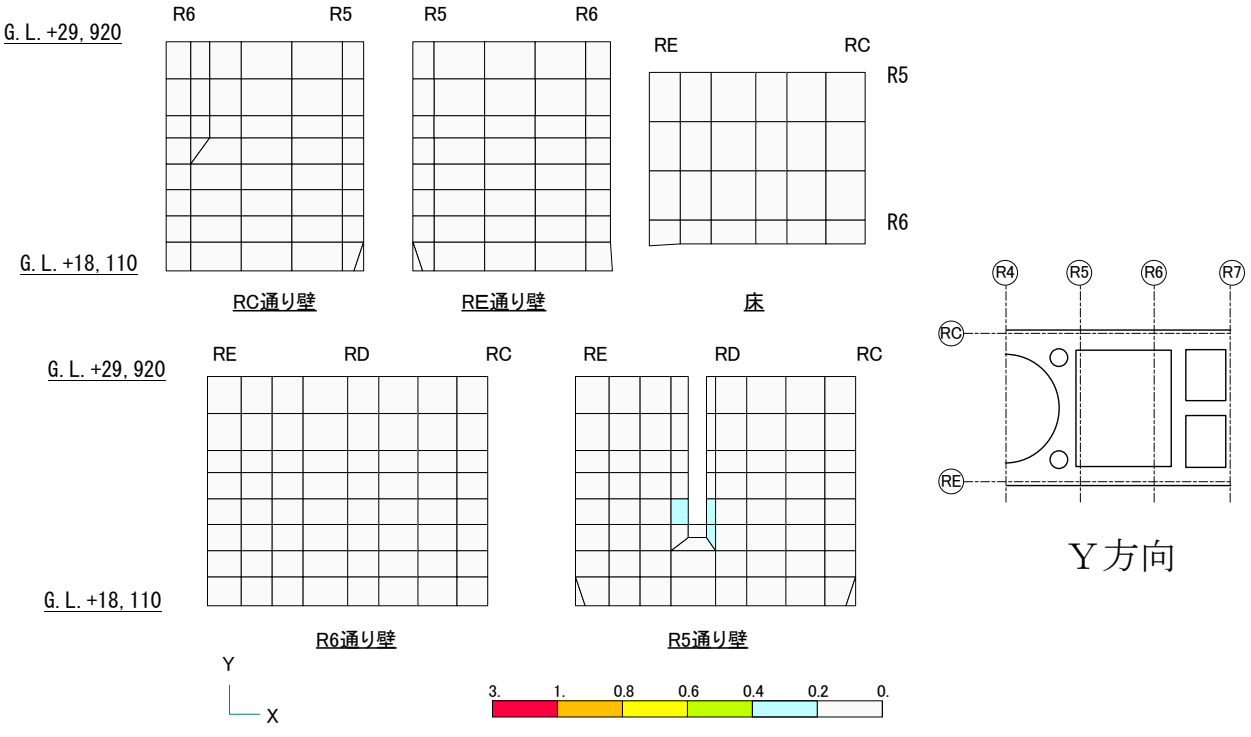
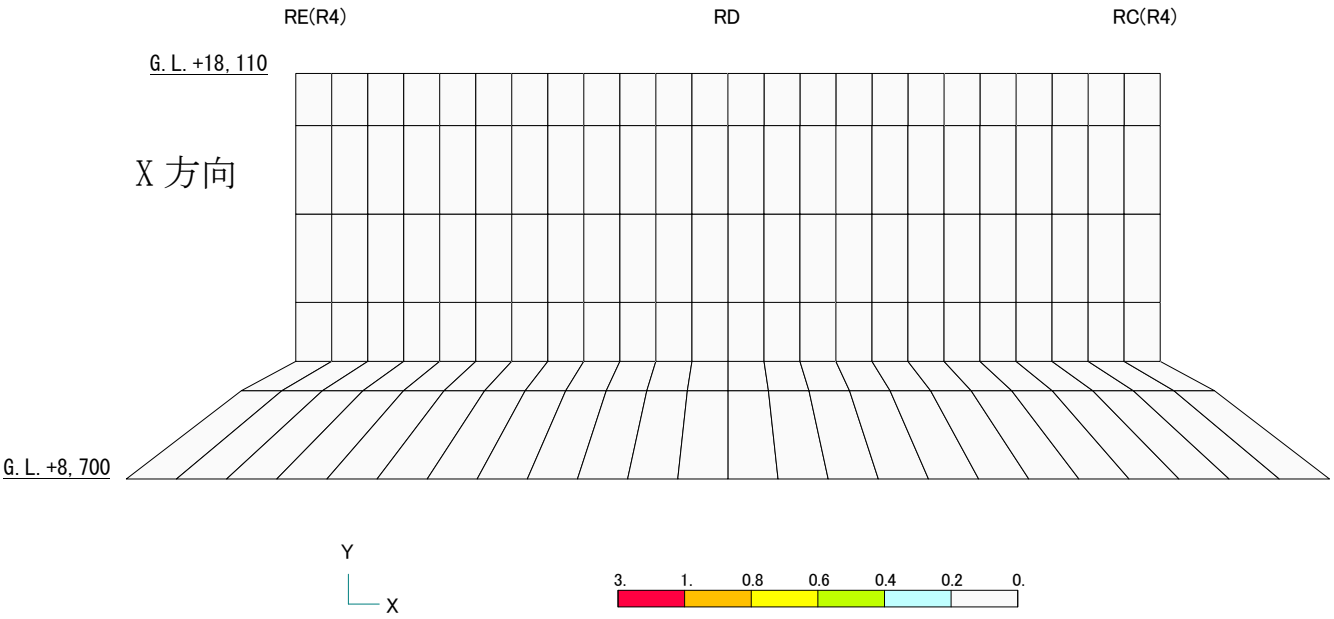




図-8　鉄筋ひずみの検定比（使用済燃料プール部）



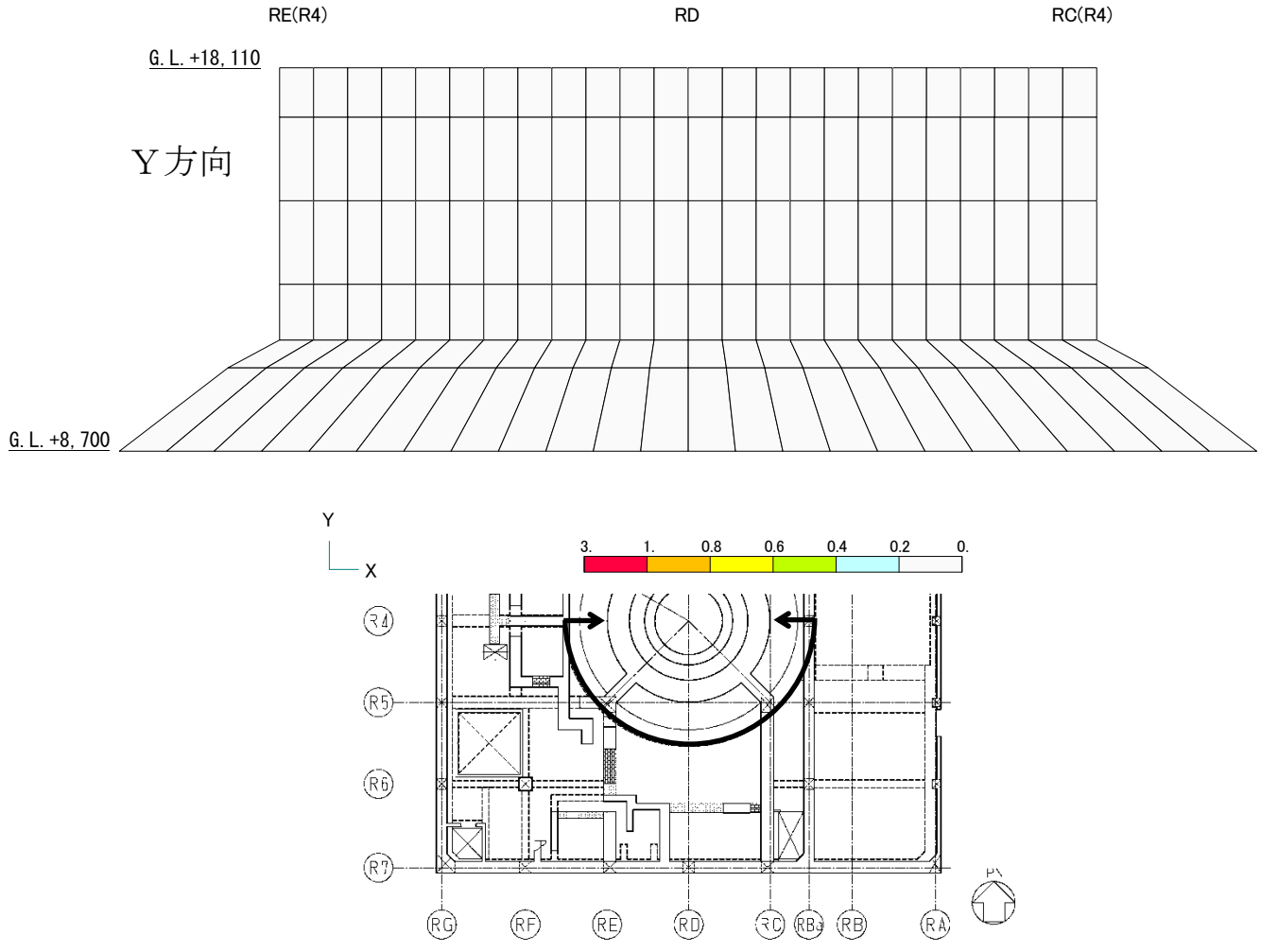
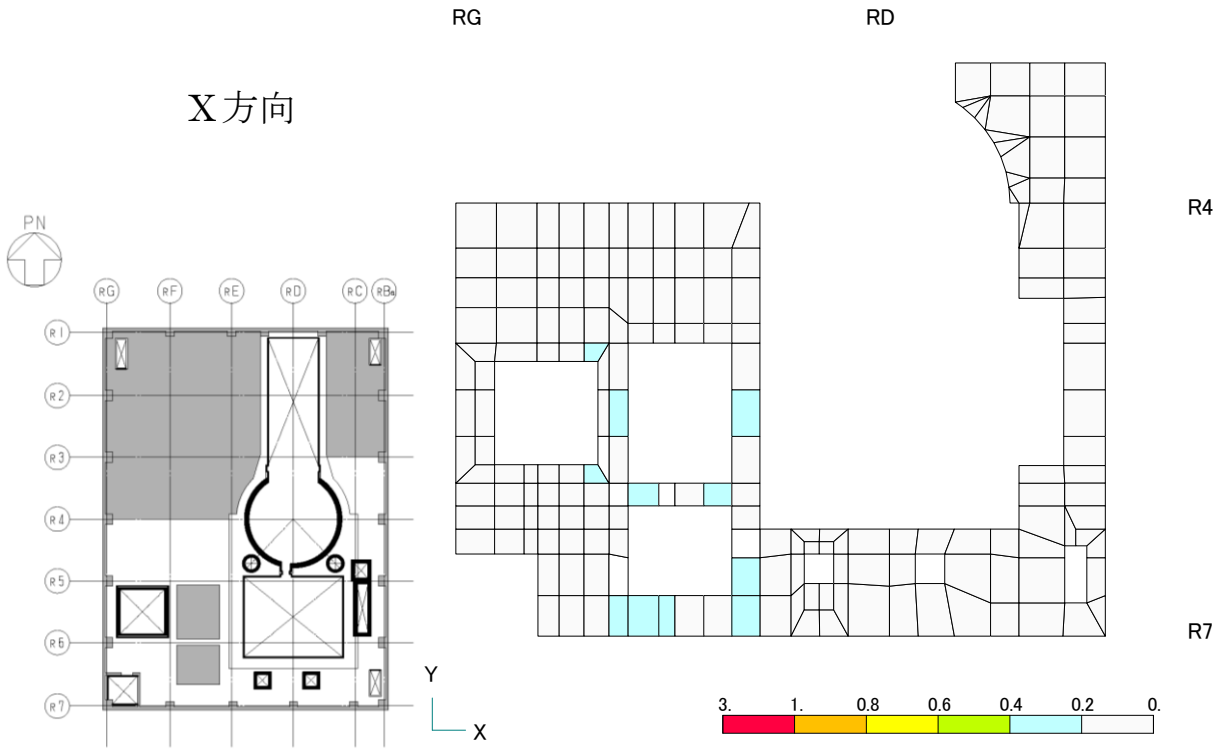




図-9　鉄筋ひずみの検定比（シェル壁部）



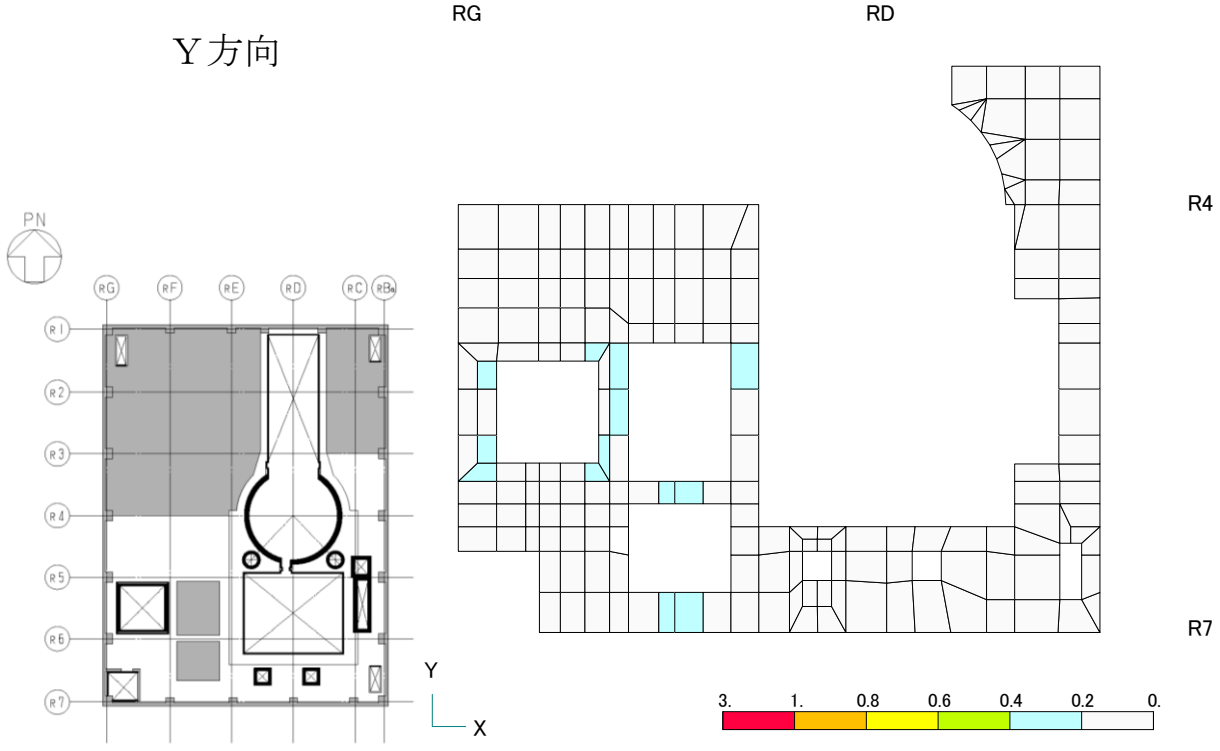
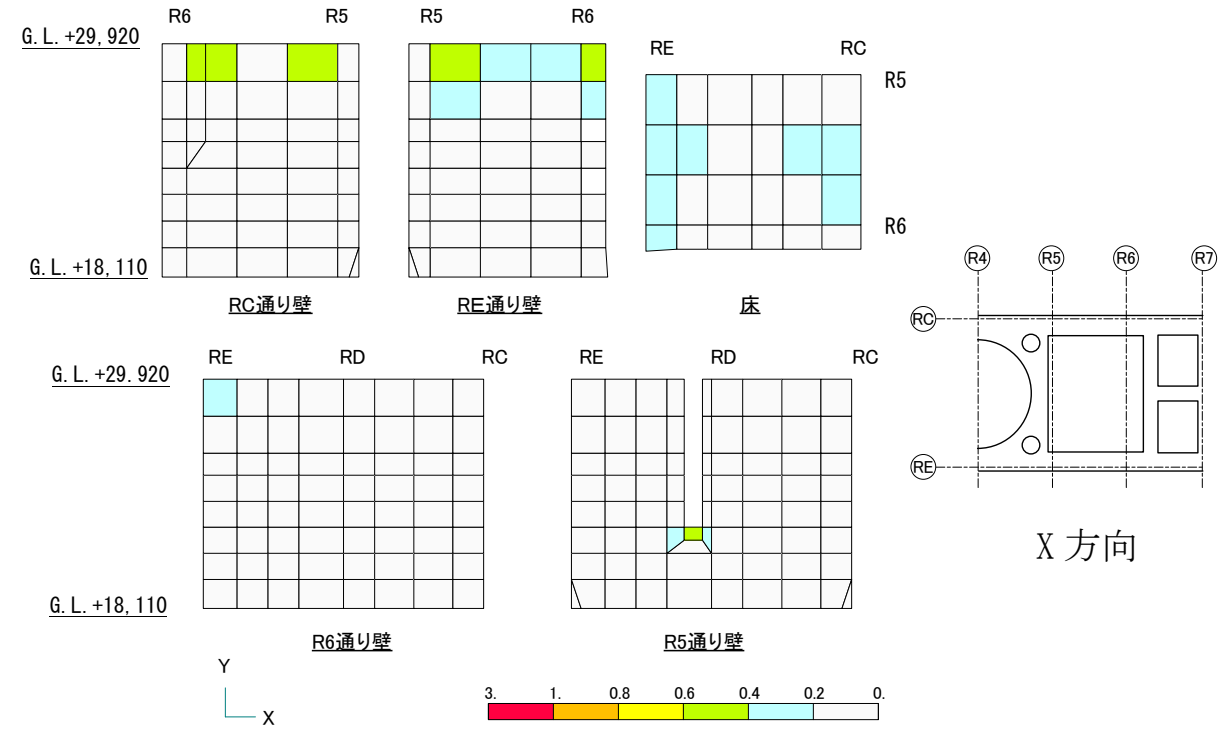




図-10　鉄筋ひずみの検定比（オペフロ床部）



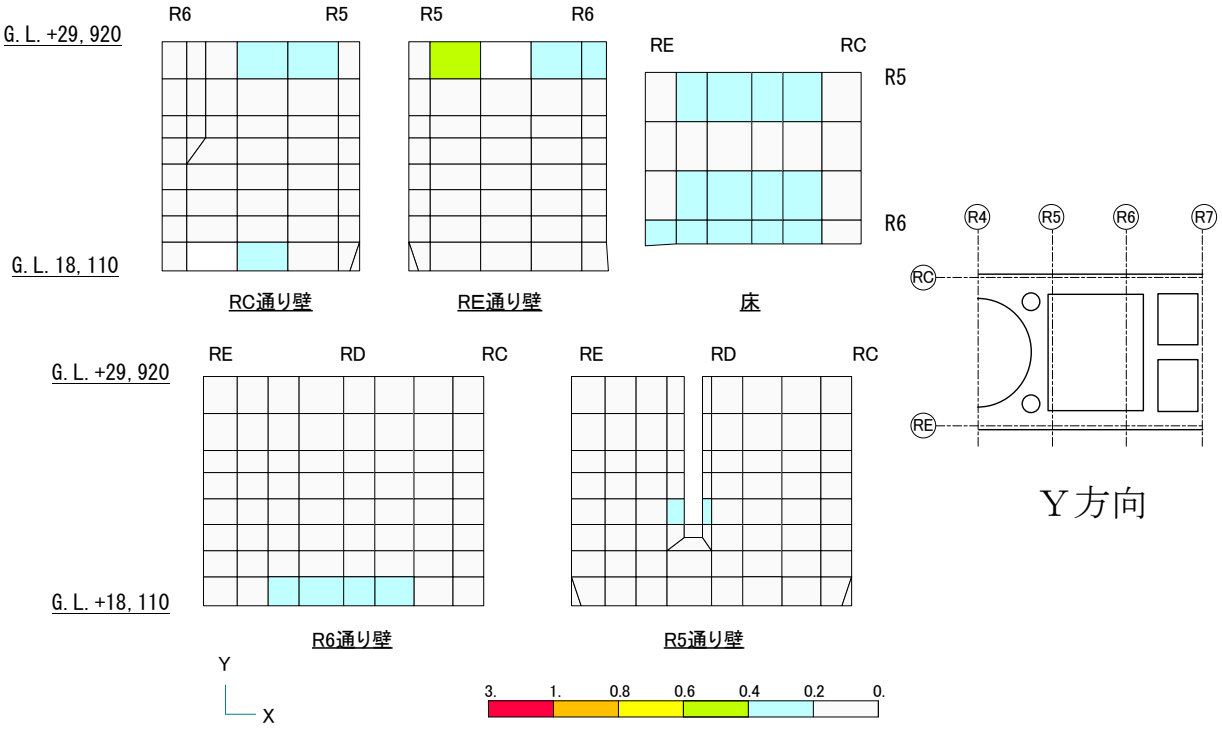
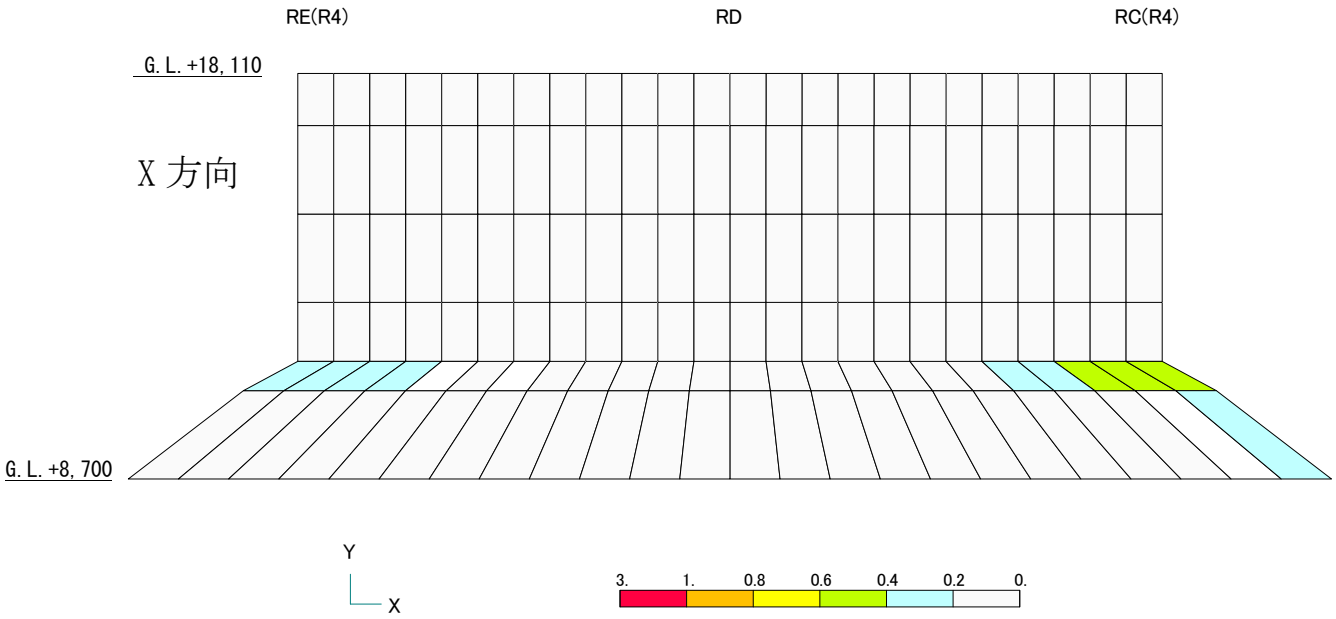




図-11　面外せん断力の検定比（使用済燃料プール部）



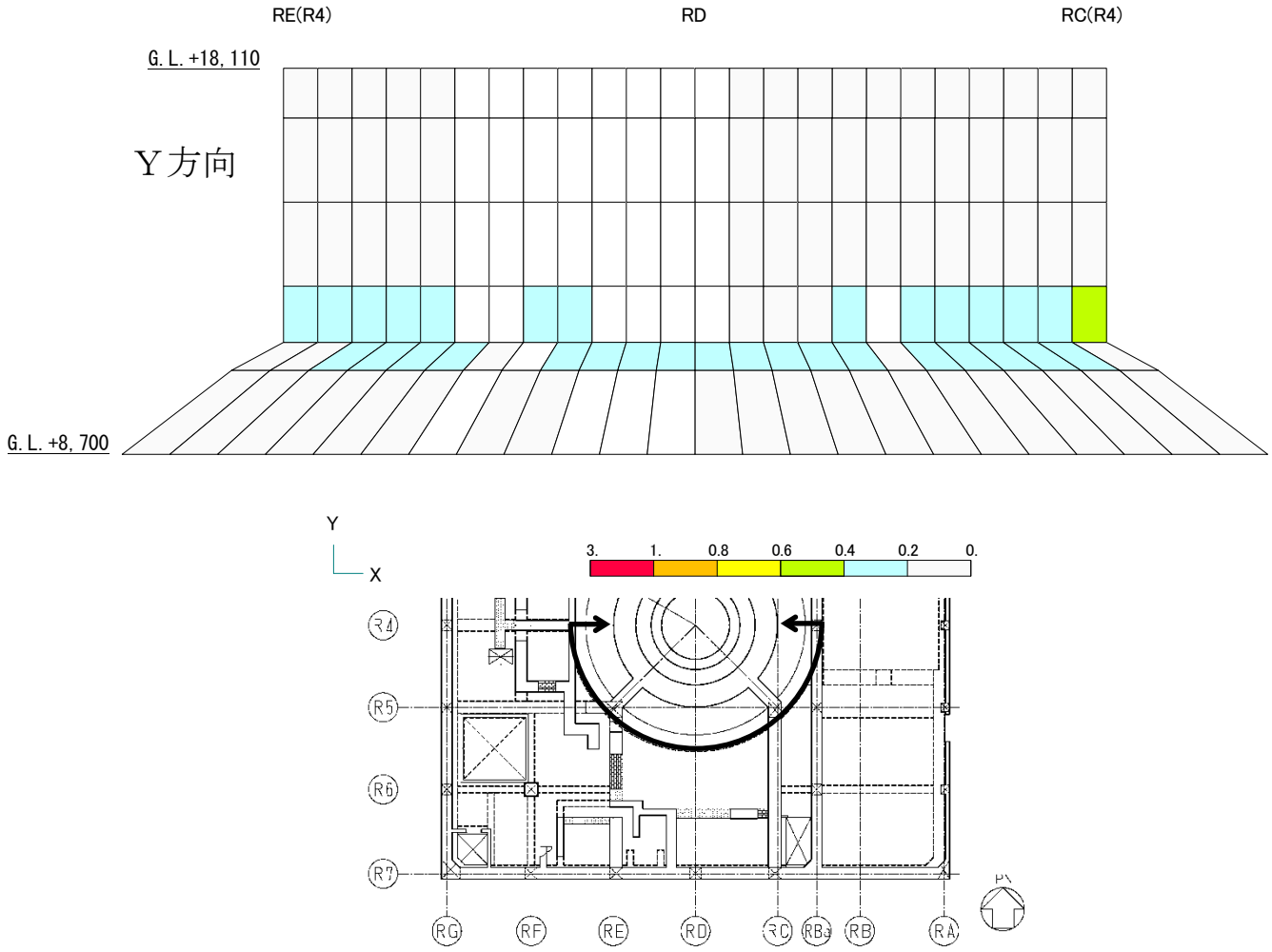
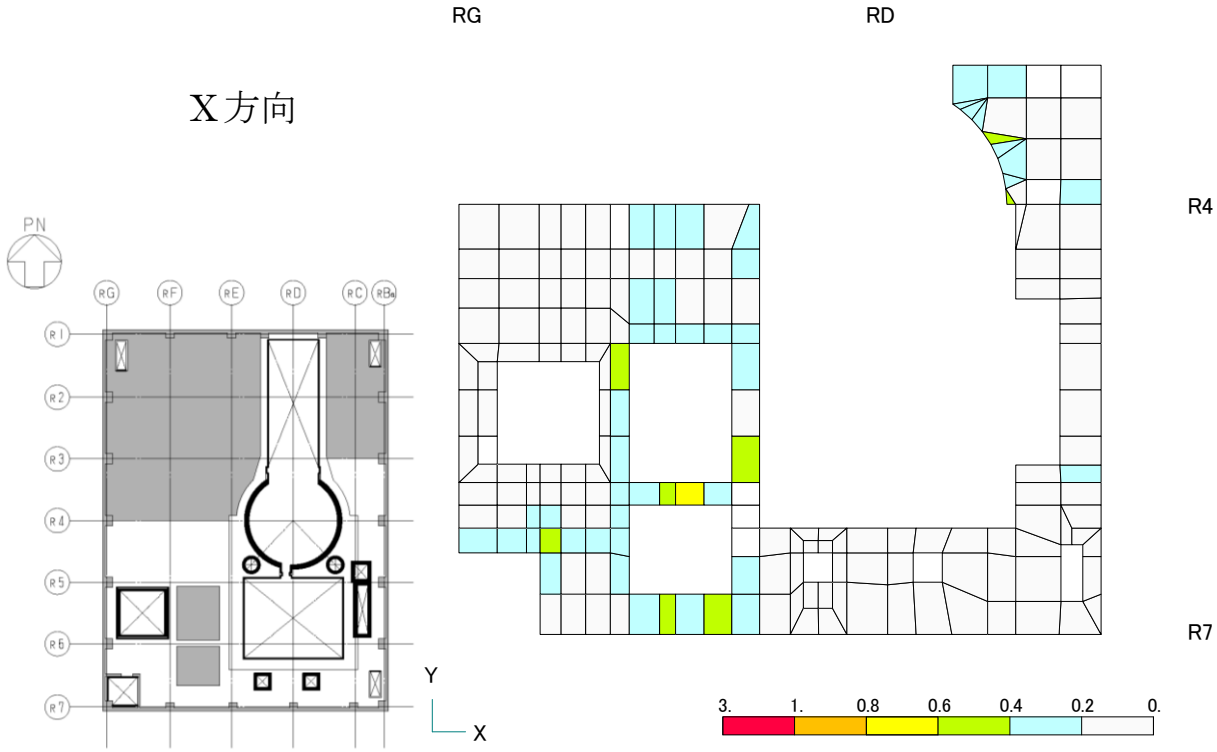




図-12　面外せん断力の検定比（シェル壁部）



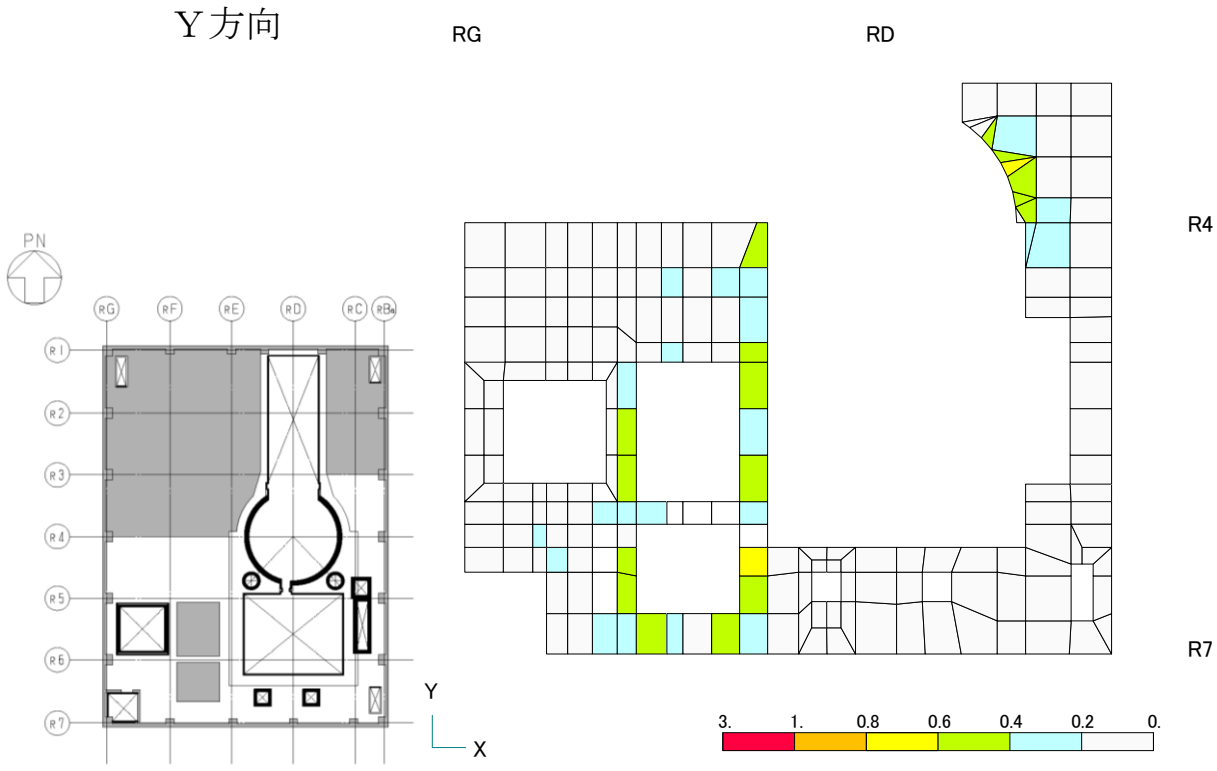




図-13　面外せん断力の検定比（オペフロ床部）

# 3 号機原子炉建屋　遮へい体設置における滑動対策について

## 1. 概要

３号機原子炉建屋は作業環境改善のため，オペレーティングフロア（以下，オペフロとする）床面に遮へい体を設置する計画としている。遮へい体の内，使用済燃料プール周りに設置するものについては，地震時（基準地震動 Ss）に遮へい体へ慣性力が作用することで，遮へい体が使用済燃料プール方向に滑動して使用済燃料プール内に落下しないように，滑動対策を施している。

滑動対策は，遮へい体に作用する使用済燃料プール方向の慣性力を，使用済燃料プール壁等の原子炉建屋躯体で支持することで，遮へい体の使用済燃料プール方向への滑動を防止することである（以下，ずれ止め)。ずれ止めの方法は，下記の２通りがある。

①間接支持

ずれ止めを目的とした支持部材（以下，ずれ止め部材）を遮へい体の上に設置する。遮へい体に作用する使用済燃料プール方向の慣性力がずれ止め部材に伝達され，ずれ止め部材が原子炉建屋躯体に接触することで，遮へい体を間接支持する。

対象箇所：Ａ工区　ＢＣ工区

②直接支持

遮へい体を原子炉建屋躯体に接触させ，遮へい体に作用する使用済燃料プール方向の慣性力を，原子炉建屋躯体で直接支持する。

対象工区：Ｄ工区（東側）　Ｄ工区（南側）

遮へい体の設置方法については，一部の小規模遮へい体を除き，大型クレーンを遠隔操作して遮へい体をオペフロの所定の位置に吊り込むことにより，オペフロへ無人で設置する。この際，大型クレーンの遠隔操作精度に依ることなく遮へい体を設置できるように，鉛直支持材を大型クレーンの遠隔操作により，あらかじめオペフロ床に直置きする。鉛直支持材には溝型部材（凹）が，鉛直支持材に対応する遮へい体の下面には突起部材（凸）が取り付けられており，突起部材を溝形部材に沿わせて遮へい体を設置する。オペフロ床の損傷状況や既設設備（既設 FHM レール）の干渉により，鉛直支持材が設置できない箇所もあり，この箇所については遮へい体をオペフロ床に直置きする。

本資料では，遮へい体設置に関する局所評価として，地震時(基準地震動 Ss)における使用済燃料プール周りの遮へい体，及び，ずれ止め部材，並び，遮へい体またはずれ止め部材と接触する原子炉建屋躯体を対象に行う構造評価の結果示す。また，ずれ止め部材設置前の状況下での地震（基準地震動 Ss）を想定して，間接支持される遮へい体，及び，鉛直支持材を下記の対象（以下，滑動対象物）に行う滑動評価の結果を示す。

Ａ工区　　：遮へい体

ＢＣ工区　　：鉛直支持材（遮へい体と一体化となり滑動する）

Ｄ工区（南側）：鉛直支持材（遮へい体は単独で床スラブで直接支持され，滑動しない）

Ｄ工区（東側）：滑動評価対象外（遮へい体下面の突起部材が既設 FHM レール及び使用済燃料プール壁に接触して、遮へい体が直接支持されるため、滑動しない）

## 2. 遮へい体設置に関する局所評価

### 2.1　評価方法

ずれ止め部材の例を図 2.1-1 に，計画概要を図 2.1-2 に示す。

燃料取り出し用カバー検討用モデルの基準地震動 Ss 時の地震応答解析結果のうち，オペフロ階の最大応答加速度を保守的に設定した水平震度（k＝0.8）を用いる。検討に用いる応力はこの水平震度により生じる慣性力からずれ止め箇所の構造を考慮して算出する。なお，評価基準値は，遮へい体及びずれ止め部材は鋼材の材料強度（F 値×1.1 倍）に基づく許容値を，接触部は原子炉建屋躯体コンクリートの設計基準強度 22.1N/mm$^2$ に基づく許容値とする。

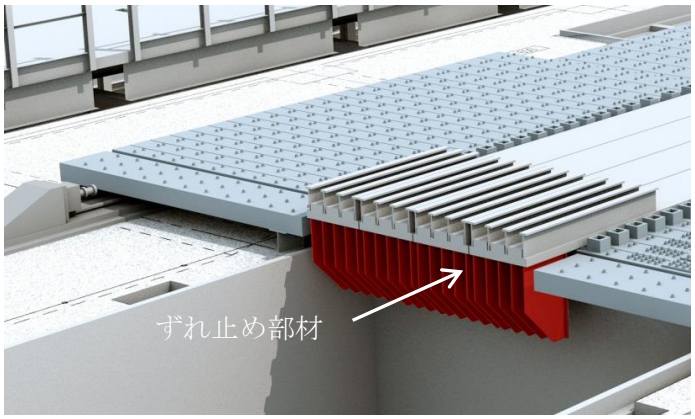
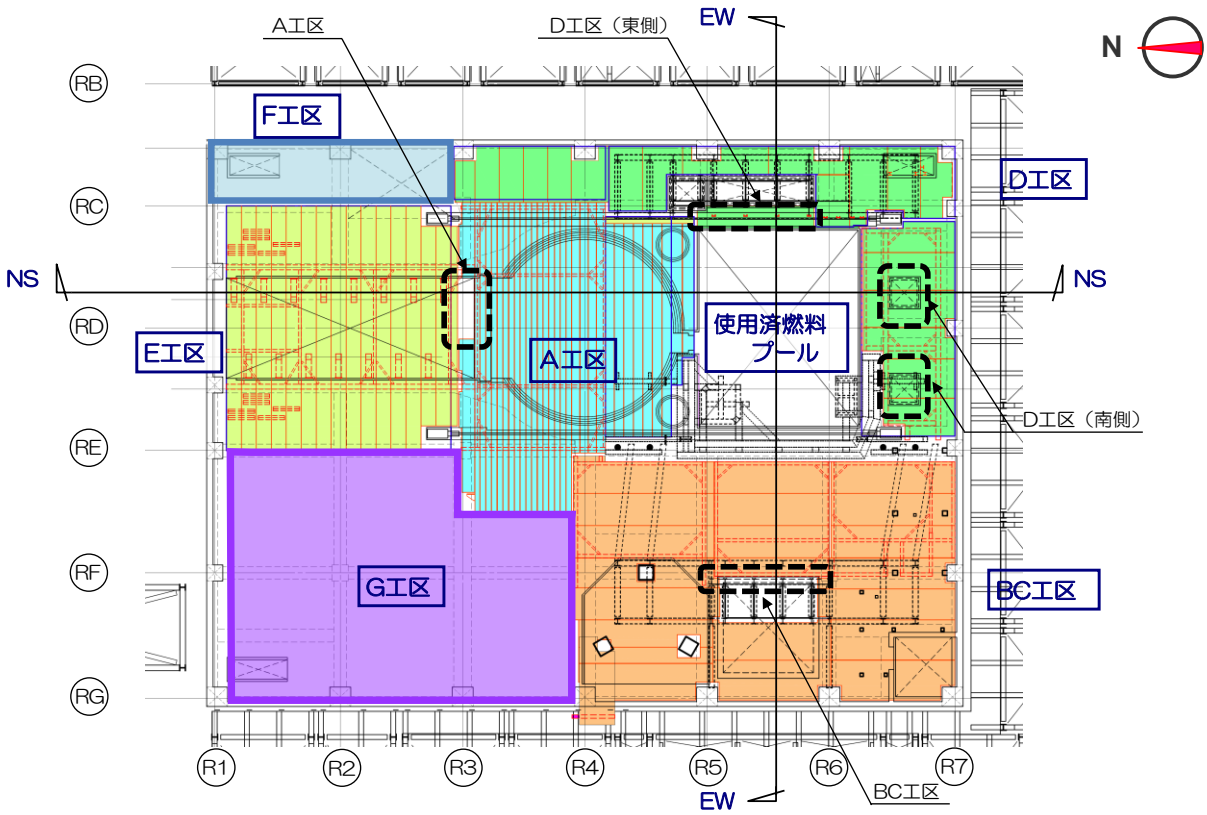
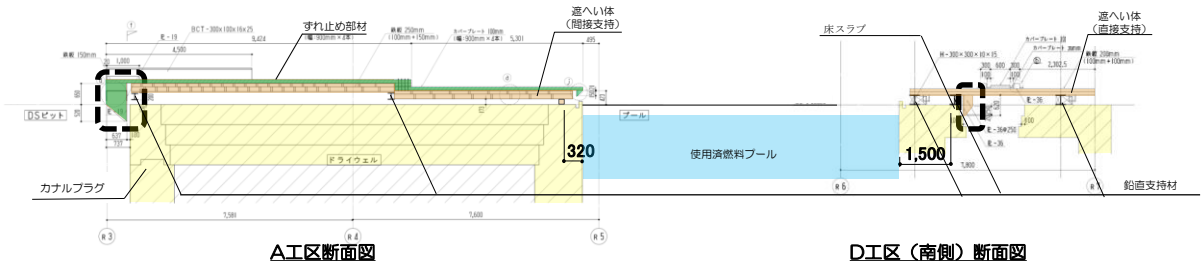


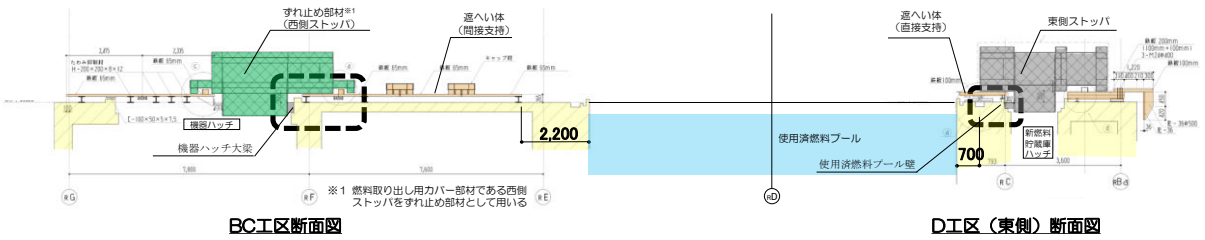

図 2.1-1　ずれ止め部材の例（A 工区）



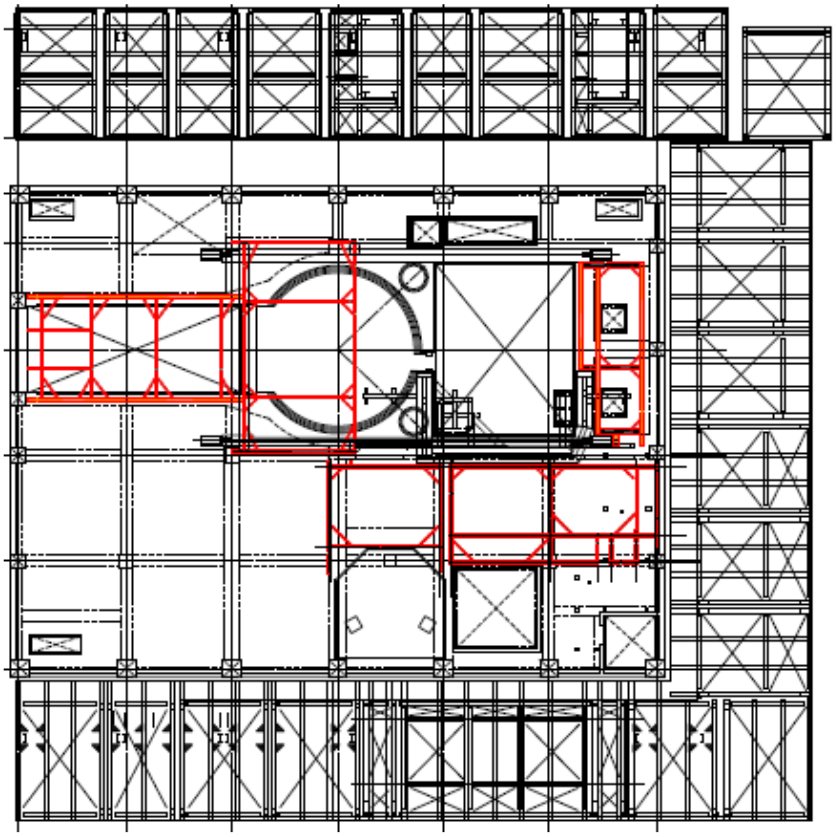

（a）平面計画




（b）使用済燃料プール周りの南北断面




（c）使用済燃料プール周りの東西断面



（d）鉛直支持材配置図（赤線：鉛直支持材）

図 2.1-2　遮へい体計画概要（ ：使用済燃料プール周りの遮へい体のずれ止め箇所　）

＜算定式＞

・ずれ止め箇所（曲げ，せん断の評価）

$$M_a = {}_S f_b \cdot Z$$

$$Q_a = {}_S f_s \cdot A_s$$

ここに，　$M_a$　：許容曲げモーメント

$Q_a$　：許容せん断力

${}_S f_b$　：曲げ応力に対する許容値※1

${}_S f_s$　：せん断応力に対する許容値※1

$Z$　：ずれ止め箇所の断面係数

$A_s$　：ずれ止め箇所のせん断断面積

$W$　：遮へい体重量

$k$　：地震時の水平震度（0.8）

$M$　：地震時の曲げモーメント（$M = Q \times l$）

$Q$　：地震時のせん断力（$Q = W \times k$）

$l$　：作用間距離

※1　：建築基準法に基づく鋼材の材料強度（F値の1.1倍）による許容値

・接触部（支圧の評価）

$$P_a = f_n \cdot A_1$$

ここに，　$f_n = f_{na}\sqrt{\frac{A_c}{A_1}}$　，　$f_{na} = 0.6F_c$　，　$\sqrt{\frac{A_c}{A_1}} \leq 2.0$

$P_a$　：許容支圧力

$F_c$　：コンクリートの設計基準強度（22.1N/mm²）

$A_c$　：支承面積

$A_1$　：接触面積

・接触部（曲げの評価）

$$M_a = A_t \cdot f_t \cdot j$$

ここに，　$A_t$　：鉄筋断面積

$f_t$　：鉄筋の引張に対する許容値※2

$j$　：応力中心間距離

※2　：建築基準法に基づく鋼材の材料強度（F値の1.1倍）による許容値

## 2.2　評価結果

図 2.1-2 に示す使用済燃料プールの四方の遮へい体工区について検討を実施した。遮へい体，ずれ止め部材及び原子炉建屋躯体の結果を表 2.2-1，表 2.2-2 に示す。

遮へい体またはずれ止め部材の設置に関する局所評価として使用済燃料プールに隣接する四方の工区について，基準地震動 Ss 時，使用済燃料プール周りの遮へい体，及び，ずれ止め部材，並び，遮へい体またはずれ止め部材と接触する原子炉建屋躯体に加わる応力は許容応力を下回り，遮へい体が使用済燃料プールに落下することはない。

表 2.2-1　遮へい体またはずれ止め部材の構造評価（基準地震動 Ss）

| 工区 | 応力 | 許容応力 | 検定比 | 検定部位 |
|---|---|---|---|---|
| A | M=　903 kN・m | Ma=　1，260 kN・m | 0.72 | ずれ止め部材（曲げ） |
| B C | Q=　621 kN | Qa= 15，694 kN | 0.04 | ずれ止め部材（せん断） |
| D（南側） | M=　194 kN・m | Ma=　1，525 kN・m | 0.13 | 遮へい体（曲げ） |
| D（東側） | Q=　58 kN | Qa=　2，238 kN | 0.03 | 遮へい体（せん断） |

表 2.2-2　原子炉建屋躯体の構造評価（基準地震動 Ss）

| 工区 | 応力 | 許容応力 | 検定比 | 検定部位 |
|---|---|---|---|---|
| A | P=　879 kN | Pa= 11，925 kN | 0.08 | カナルプラグ（支圧） |
| B C | P=　1，860 kN | Pa= 39，856 kN | 0.05 | 機器ハッチ大梁（支圧） |
| D（南側） | P=　431 kN | Pa= 11，368 kN | 0.04 | 床スラブ（支圧） |
| D（東側） | M=　594 kN・m | Ma=　5，351 kN・m | 0.12 | 使用済燃料プール壁（曲げ）※ |

※D工区（東側）遮へい体下面の突起部は既設 FHM レールと使用済燃料プール壁に接触するので、基準地震動 Ss 時にD工区（東側）遮へい体に発生する慣性力は両箇所で負担可能であるが、評価上は慣性力を使用済燃料プール壁で負担するものとする。

## 3. 遮へい体の滑動に対する評価

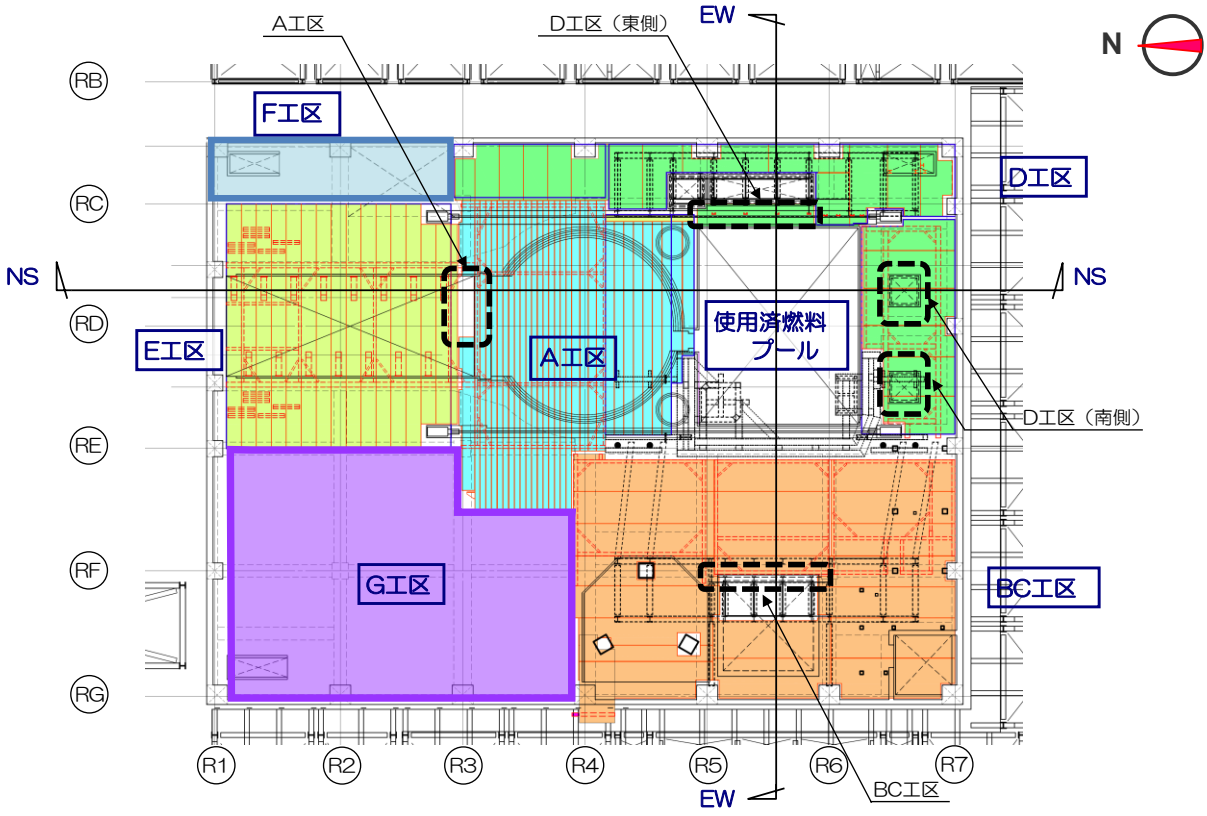
### 3.1　評価方法

本検討では，滑動対象物の端部と使用済燃料プール壁面までのクリアランスが地震時のすべり量より大きいことを確認する。各工区のクリアランスを表 3.1-1 及び図 3.1-1 に，工区ごとの詳細を図 3.1-2 に示す。

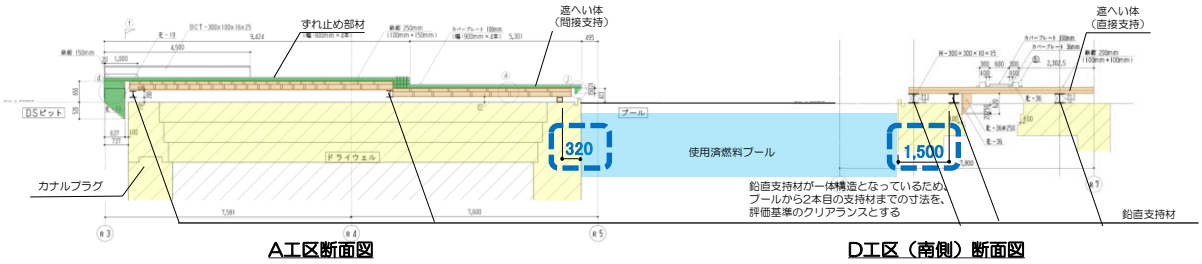
燃料取り出し用カバー検討用モデルの基準地震動 Ss 時の地震応答解析結果のうちオペフロ階の応答加速度時刻歴を入力として，滑動対象物を摸擬した 1 自由度系に遮へい体の動摩擦係数と保守的に上向きの鉛直震度による摩擦抵抗の減少を条件とした地震応答解析を行い，滑動対象物とオペフロ床の相対変位を算出する。地震応答解析の概要を図 3.1-3 に，摩擦係数と鉛直震度の組合せを表 3.1-2 に示す。ここで算出した相対変位が使用済燃料プール壁面までのクリアランス以下であることを確認する。

表 3.1-1　滑動対象物と使用済燃料プールのクリアランス

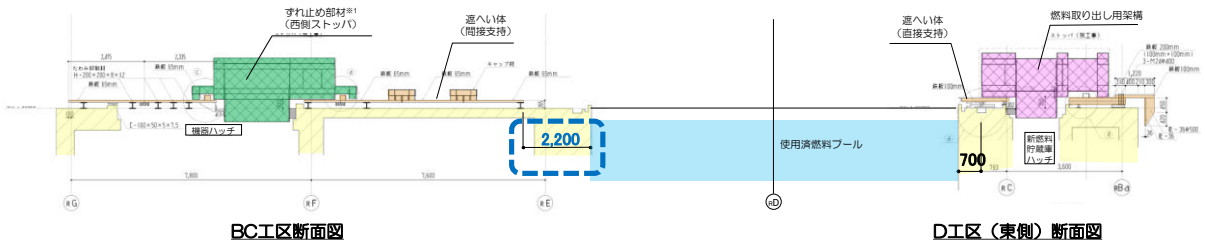
| 工区 | クリアランス |
|---|---|
| A | 320 mm |
| B C | 2，200 mm |
| D（南側） | 1，500 mm |




（a）平面計画




（b）使用済燃料プール周りの南北断面



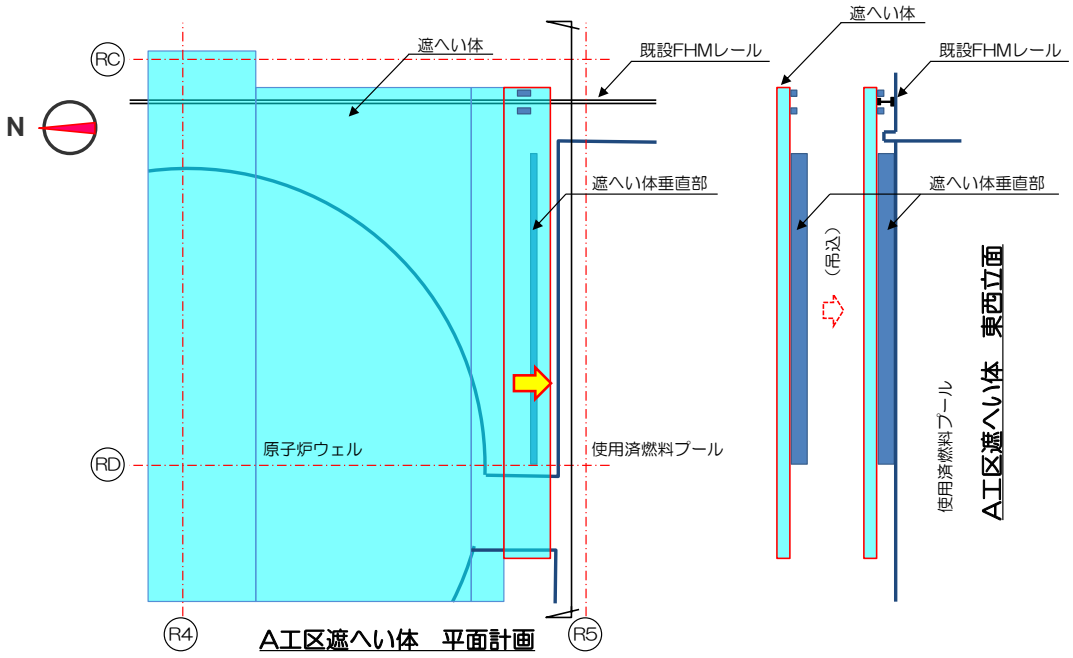

滑動対象物と使用済燃料プールのクリアランス

（c）使用済燃料プール周りの東西断面

図 3.1-1　滑動対象物と使用済燃料プールのクリアランス

Ａ工区遮へい体の使用済燃料プール際は，東側を既設 FHM レールに，西側を原子炉建屋躯体に載せる。

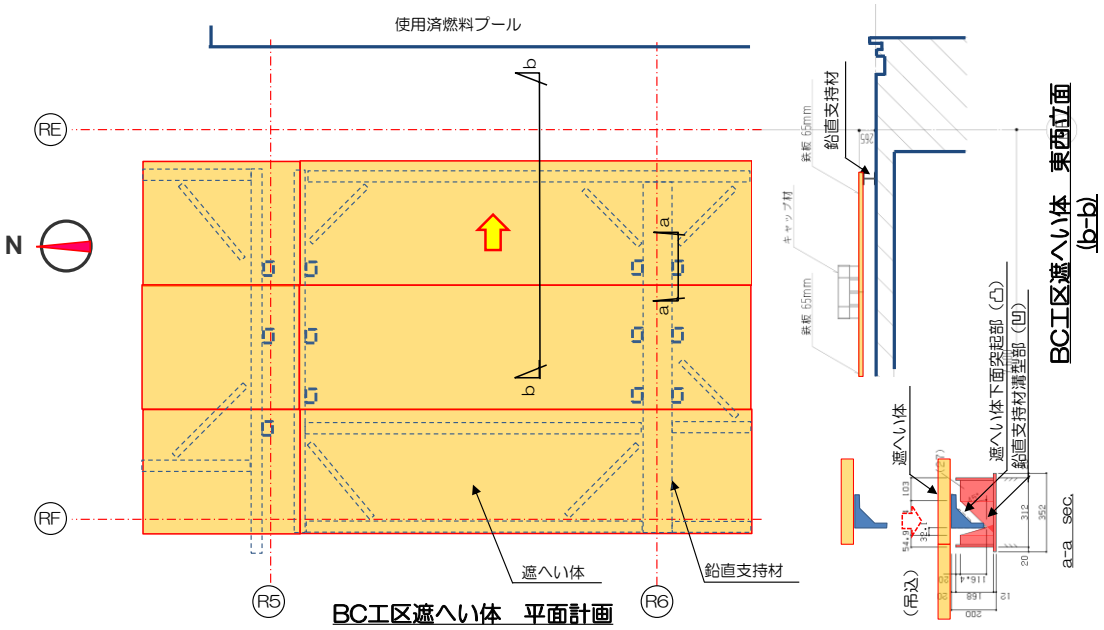
・　「オペフロ床面（コンクリート）に対する遮へい体（鋼材）のすべり量」及び「既設 FHM レール（鋼材）に対する遮へい体（鋼材）のすべり量」の確認を行う。




（a）使用済燃料プール際Ａ工区遮へい体

ＢＣ工区遮へい体は，鉛直支持材をオペフロ床面に載せ，その上に遮へい体を載せる。

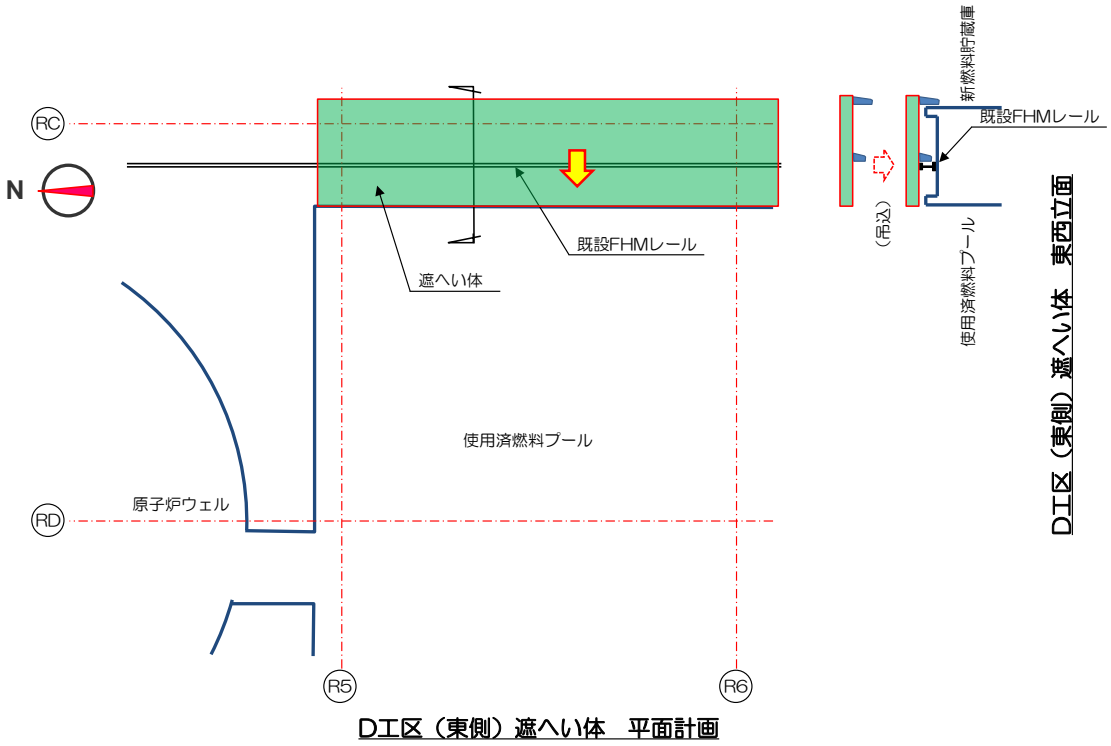
・　「オペフロ床面（コンクリート）に対する，鉛直支持材（鋼材）と一体化された遮へい体（鋼製）のすべり量」の確認を行う。




(b) 使用済燃料プール際ＢＣ工区遮へい体

図 3.1-2　遮へい体詳細(1)

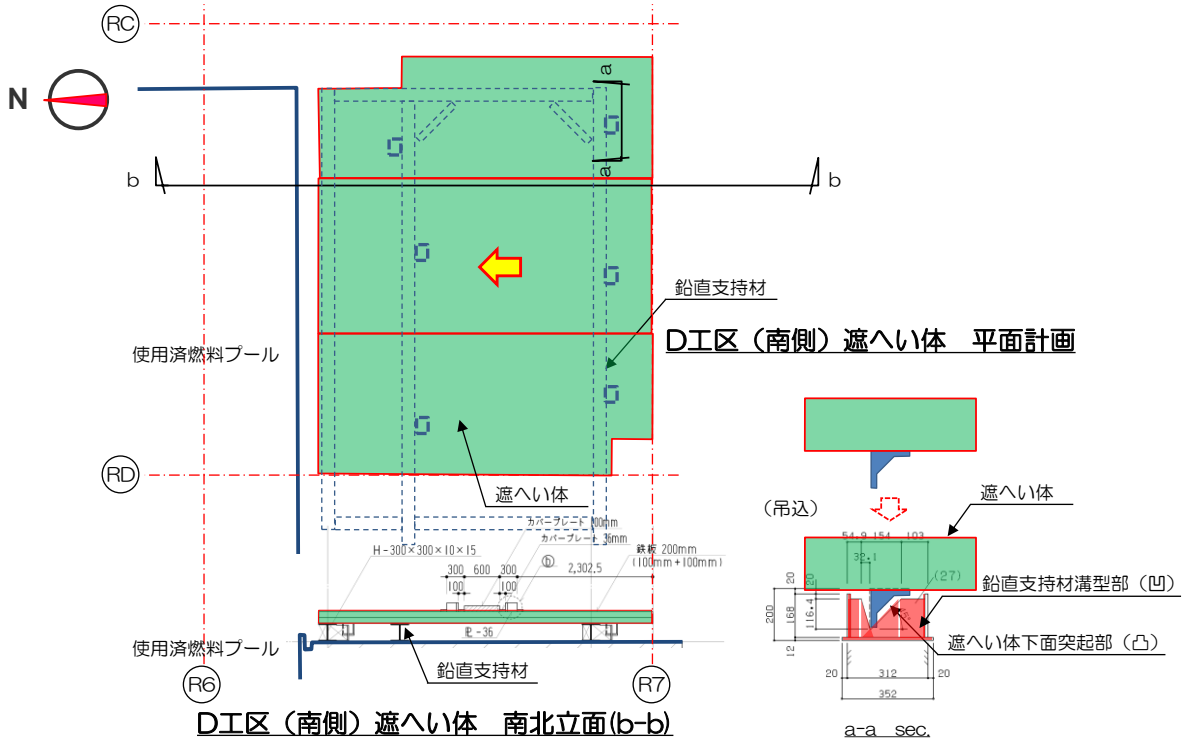
Ｄ工区（東側）遮へい体の使用済燃料プール際は，東側を原子炉建屋躯体に，西側を既設 FHM レールに載せる。
・遮へい体は原子炉建屋躯体で直接支持されるため滑動せず，使用済燃料プール側には落下しないと評価。（滑動に対する評価は実施しない）




（c）使用済燃料プール際Ｄ工区（東側）遮へい体

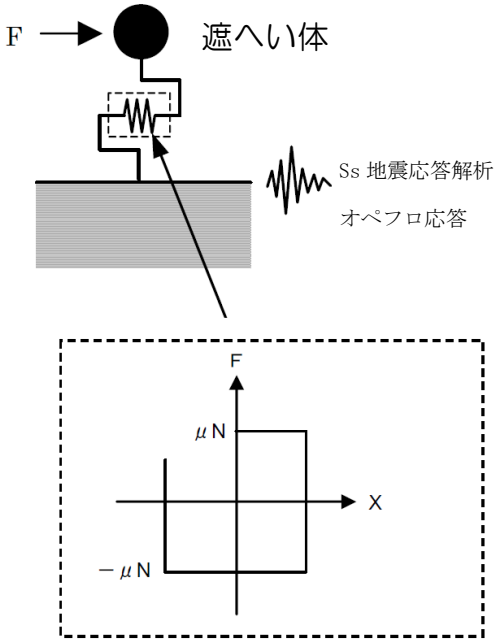
D工区（南側）遮へい体は，鉛直支持材（鋼製）をオペフロ床面に載せ，その上に遮へい体を載せる。

・ 「オペフロ床面（コンクリート）に対する，鉛直支持材（鋼材）のすべり量」の確認を行う。

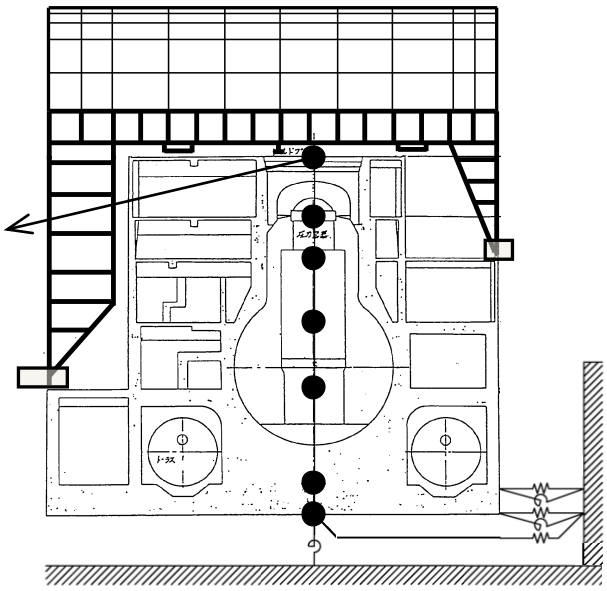



（d）使用済燃料プール際D工区（南側）遮へい体

図 3.1-2　遮へい体詳細(2)




オペフロ床面の摩擦抵抗を摸擬した非線形のばね特性のイメージ



【凡例】Ｆ：地震動により遮へい体に作用する慣性力
Ｘ：遮へい体と使用済燃料プール壁までの距離
μ：摩擦係数
Ｎ：遮へい体の重量

＊：解析モデルの諸元は，「添付資料－4-2　燃料取り出し用カバーの構造強度及び耐震性に関する説明書」の中で用いたものを使用。

＊：遮へい体とオペフロ床面の摩擦抵抗については，遮へい体に生じる慣性力が静止摩擦力を超過すると，一定の摩擦力が抵抗力として作用しながら遮へい体が移動し，慣性力が静止摩擦力以下の場合は，遮へい体は移動せずその場にとどまるような，非線形のばね特性で評価。

図 3.1-3　遮へい体滑動検討の地震応答解析モデル

表 3.1-2　摩擦係数と鉛直震度の組合せ

| CASE | 摩擦面 | 摩擦係数 | 備考 |
|---|---|---|---|
| 1 | 鋼材とコンクリート | 0.40 | 鋼構造設計規準（日本建築学会） |
| 2 | 鋼材とコンクリート | 0.25 | 電中研報告書「使用済燃料キャスク貯蔵技術の確立-地震時のキャスク転倒評価-」（研究報告：U92037）<br>コンクリート及び鋼材表面の塗装条件を様々に変化させた試験結果のうち最も不利な摩擦係数。 |
| 3 | 鋼材とコンクリート | 0.25 | CASE2 に鉛直震度（0.45G）による鉛直力Ｎを低減させた場合。 |
| 4 | 鋼材と鋼材 | 0.35～0.40 | 機械工業ハンドブック改訂版<br>「鋼材とコンクリート」の評価により包絡されるため，省略。 |

## 3.2　評価結果

表 3.1-2 の組合せケースの結果を表 3.2-1 に示す。基準地震動 Ss 時の相対変位が最大となるケース 3 において相対変位が 22.3cm となり,使用済燃料プール壁面までの最小クリアランス 32.0cm 以下である。よって，ずれ止め設置前においても滑動対象物が使用済燃料プールに落下することはない。

表 3.2-1　地震応答解析による滑動対象物とオペフロの相対変位（基準地震動 Ss）

| CASE | 摩擦係数 | 鉛直震度 | 最大相対変位 (cm) | クリアランス (cm) |
|---|---|---|---|---|
| 1 | 0.40 | 0 | 5.8 | 32.0 |
| 2 | 0.25 | 0 | 10.8 | 32.0 |
| 3 | 0.25 | 0.45（上向き） | 22.3 | 32.0 |

# ２号機燃料取り出し用構台に係る確認事項

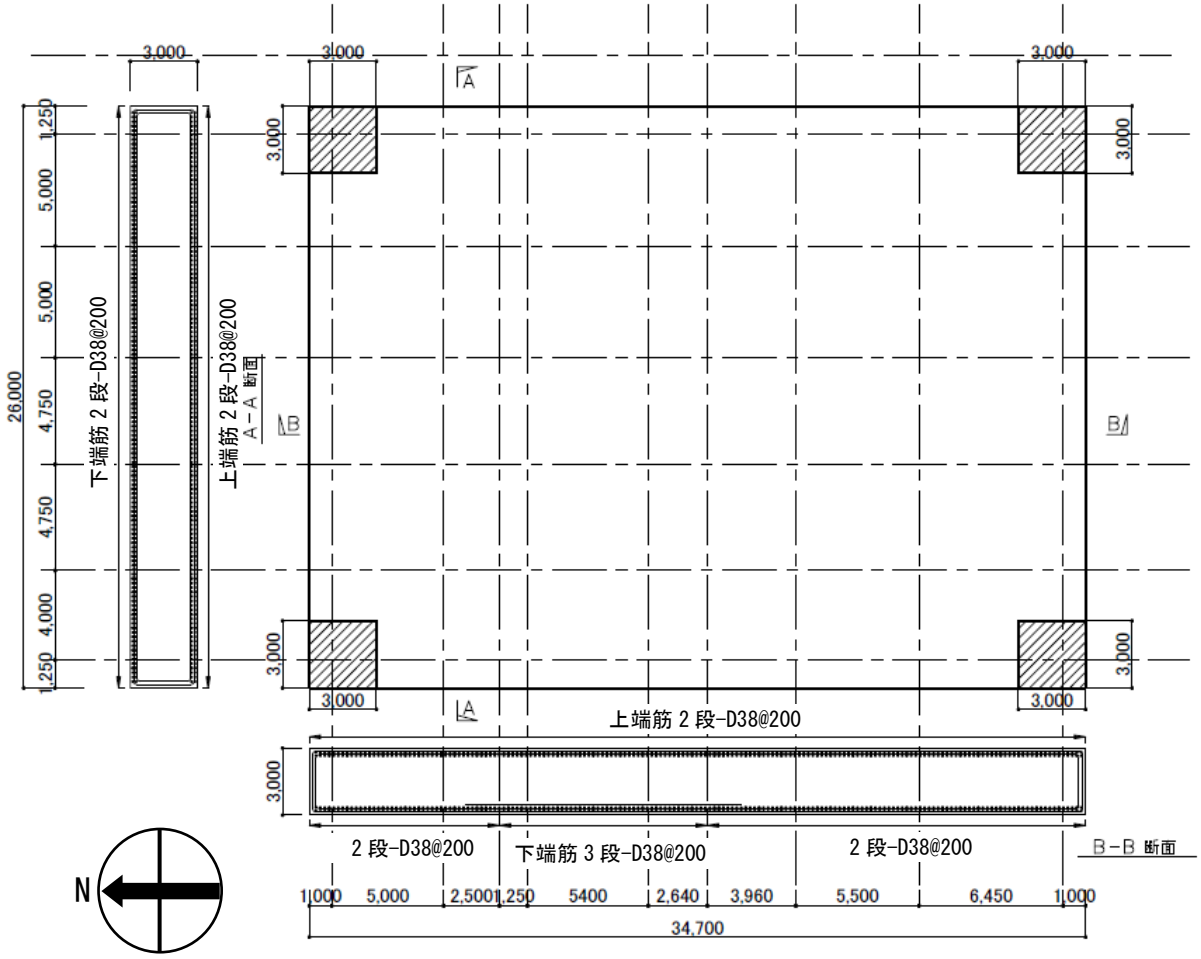
２号機燃料取り出し用構台の工事に係る主要な確認項目を表－１に示す。

表－1　２号機燃料取り出し用構台に係る確認項目

| 確認事項 | 確認項目 | 確認内容 | 判定基準 |
|---|---|---|---|
| 構造強度および耐震性 | 材料確認 | 地盤改良土の一軸圧縮強さを確認する。 | 地盤改良土の一軸圧縮強さが，実施計画に記載されている設計基準強度を満足すること。 |
| | | 構造体コンクリートの圧縮強度を確認する。 | 構造体コンクリート強度が，実施計画に記載されている設計基準強度対して，JASS5N の基準を満足すること。 |
| | | 鉄筋の材質，強度，化学成分を確認する。 | JIS G 3112 に適合すること。 |
| | | 鋼材の材質，強度，化学成分を確認する。 | JIS G 3101，JIS G 3136，JIS G 3106，JIS G 3444，JIS G 3321 又は建築基準法第 37 条第二号の規定に適合すること。 |
| | | 特殊ボルト（ワンサイドボルト）の締め付け張力を確認する。 | 導入張力試験を JASS 6 に準じて実施し，所定の張力が得られること。 |
| | | トルシア型超高力ボルト(SHTB)，トルシア型高力ボルト(S10T)，高力六角ボルト(F10T)の仕様を確認する。 | JIS B 1186 又は建築基準法第 37 条第二号の規定に適合すること。 |
| | | アンカーボルトの材質，強度，化学成分を確認する。 | JIS G 3138 に適合すること。 |
| | | 弾性支承の鉛直剛性を確認する。 | 弾性支承の鉛直剛性が，Ⅱ章 2.11 添付資料－４－２に記載した値の±20%以内であること。 |
| | | オイルダンパの減衰係数を確認する。 | ばね付きオイルダンパの第一減衰係数は，試験時の各速度における荷重が，Ⅱ章 2.11　添付資料－４－２に記載したオイルダンパの減衰係数に各速度を掛けて算出した荷重の±10%以内であること。オイルダ |

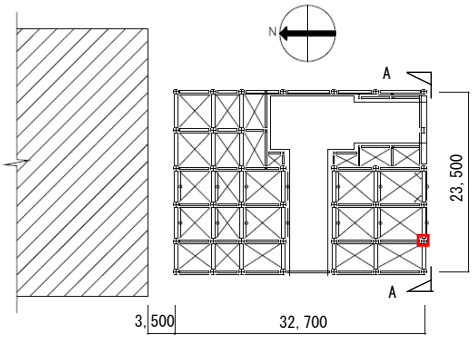
| | | | |
|---|---|---|---|
| | | | ンパ（水平棟間）およびオイルダンパ（鉛直）の第一減衰係数は，正弦波加力を行った際の減衰力ループから算出した第一減衰係数が，添付資料－４－２に記載したオイルダンパの減衰係数の±10％以内であること。<br>第二減衰係数は，試験時の各速度における荷重の平均が，Ⅱ章 2.11　添付資料－４－２に記載したオイルダンパのリリーフ荷重と，減衰係数に各速度を掛けて，並列配置を考慮し算出した荷重の和の±10％以内であること。 |
| | | オイルダンパのリリーフ荷重を確認する。 | 試験で複数の加力速度を用いて得られる近似直線と，Ⅱ章 2.11　添付資料－４－２に記載した第一減衰係数の交点として得られる荷重が，Ⅱ章 2.11　添付資料－４－２に記載したリリーフ荷重の±10％以内であること。 |
| | | オイルダンパのストロークを確認する。 | オイルダンパのストロークが，Ⅱ章 2.11　添付資料－４－２に記載した値以上であること。 |
| | 据付確認 | 地盤改良範囲（深さ）を確認する。 | 支持レベルに着底していること。 |
| | | 鉄筋の径，間隔（図-1 参照）を確認する。 | 鉄筋の径が実施計画書に記載されている通りであること。鉄筋の間隔が実施計画に記載しているピッチにほぼ均等に分布していること。 |
| | | 接合部（図-2～図-5 参照）の施工状況を確認する。 | 高力ボルトが所定の本数・種類であること。 |
| | | アンカーボルト埋め込み長さを確認する。 | 有効埋め込み長さが所定の値（M30：300mm、M60：265mm）であり，かつボルトの余長はナット面から突き出た長さが 3 山以上であること。 |
| | | 制震装置（オイルダンパ）の設置状況を確認する。 | 制震装置（オイルダンパ）の設置位置および設置数が図-6～図-13 の通 |

| | | | |
|---|---|---|---|
| | | | りであること。 |
| | | 免震装置（弾性支承）の設置状況を確認する。 | 免震装置（弾性支承）の設置位置および設置数が図-13 の通りであること。 |
| | | 外装材および床の施工状況を確認する。 | 外装材および床の設置範囲が，図-14～図-17 の通りであること。 |
| | 外観確認 | 制震装置（オイルダンパ）の外観を確認する。 | 有害な欠陥がないこと。 |
| | | 免震装置（弾性支承）の外観を確認する。 | 有害な欠陥がないこと。 |

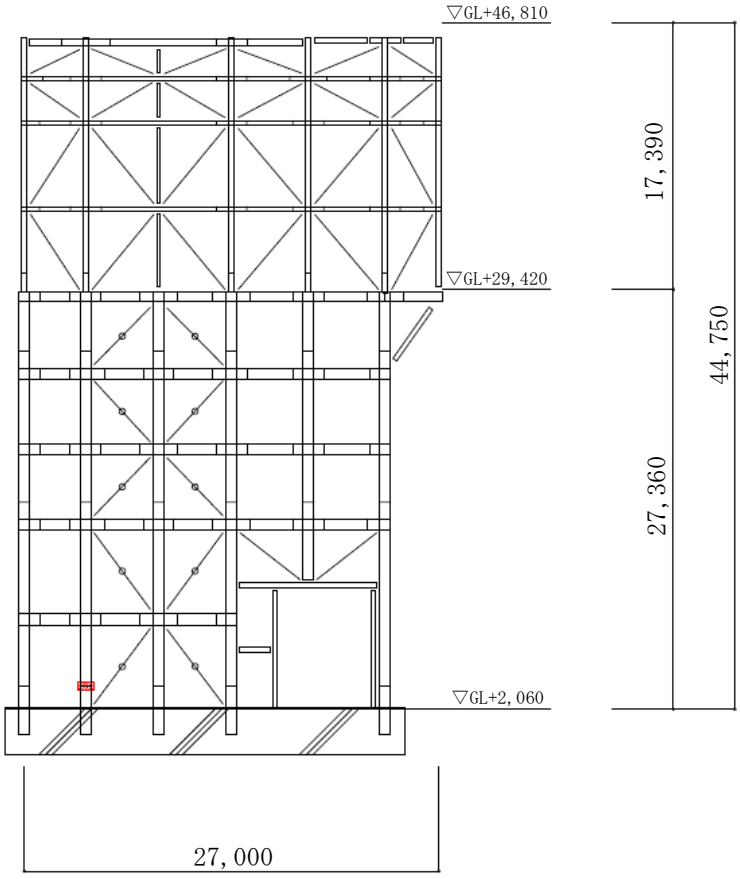



部は面外せん断補強を実施
D19@400×200
鉄筋材質：SD345

図-1　基礎配筋図（単位：mm）

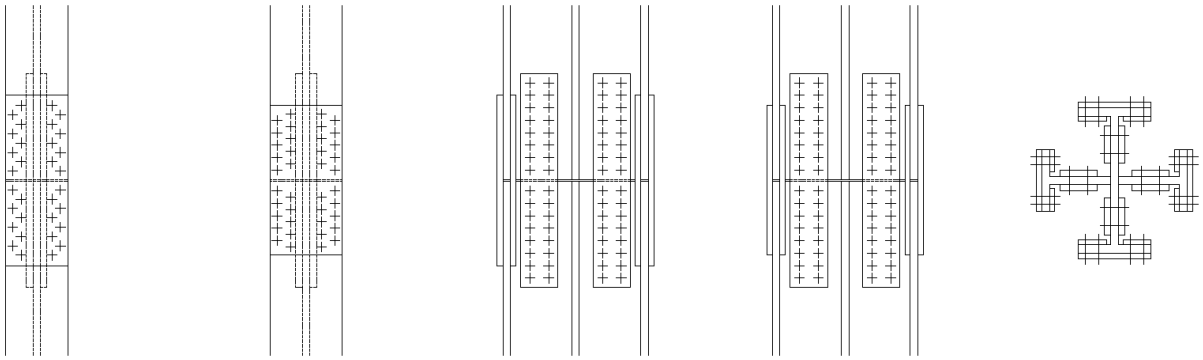



G.L.+8,260 キープラン




A-A 断面図

（１）接合部位置（構台部柱材最大応力度比発生箇所）



(a) フランジ NS
ボルト種類：HTB M24
ボルト本数：16 本×2

(b) フランジ EW
ボルト種類：HTB M24
ボルト本数：20 本×2

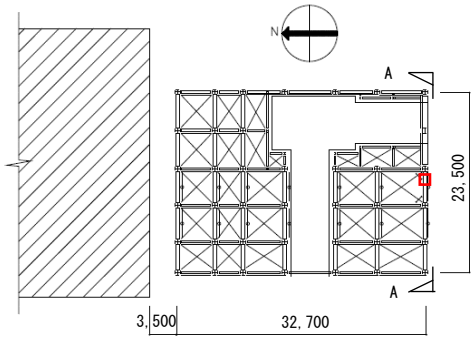
(c) ウェブ NS
ボルト種類：HTB M24
ボルト本数：32 本

(d) ウェブ EW
ボルト種類：HTB M24
ボルト本数：32 本

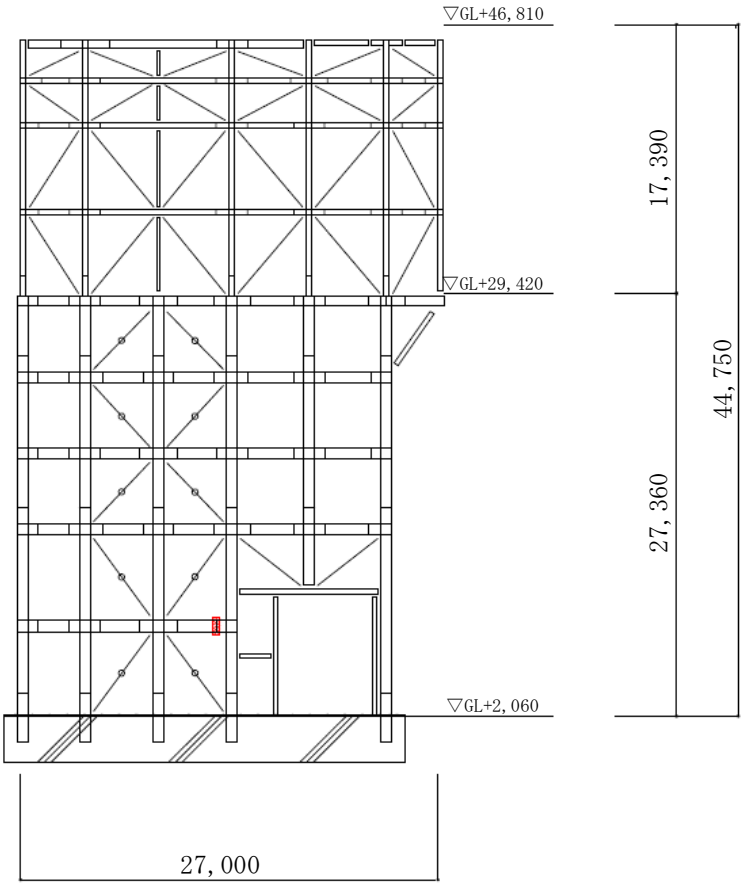
(e) 断面

（２）接合部詳細（片側の構造材に取り付くボルト本数を記載）

図-2　構台接合部①

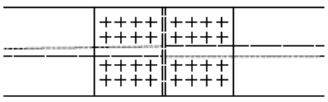



G.L.+8,260 キープラン

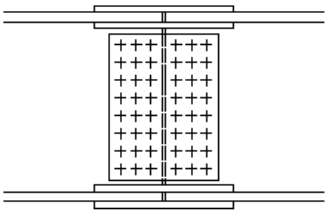



A-A 断面図

（１）接合部位置（構台部梁材最大応力度比発生箇所）



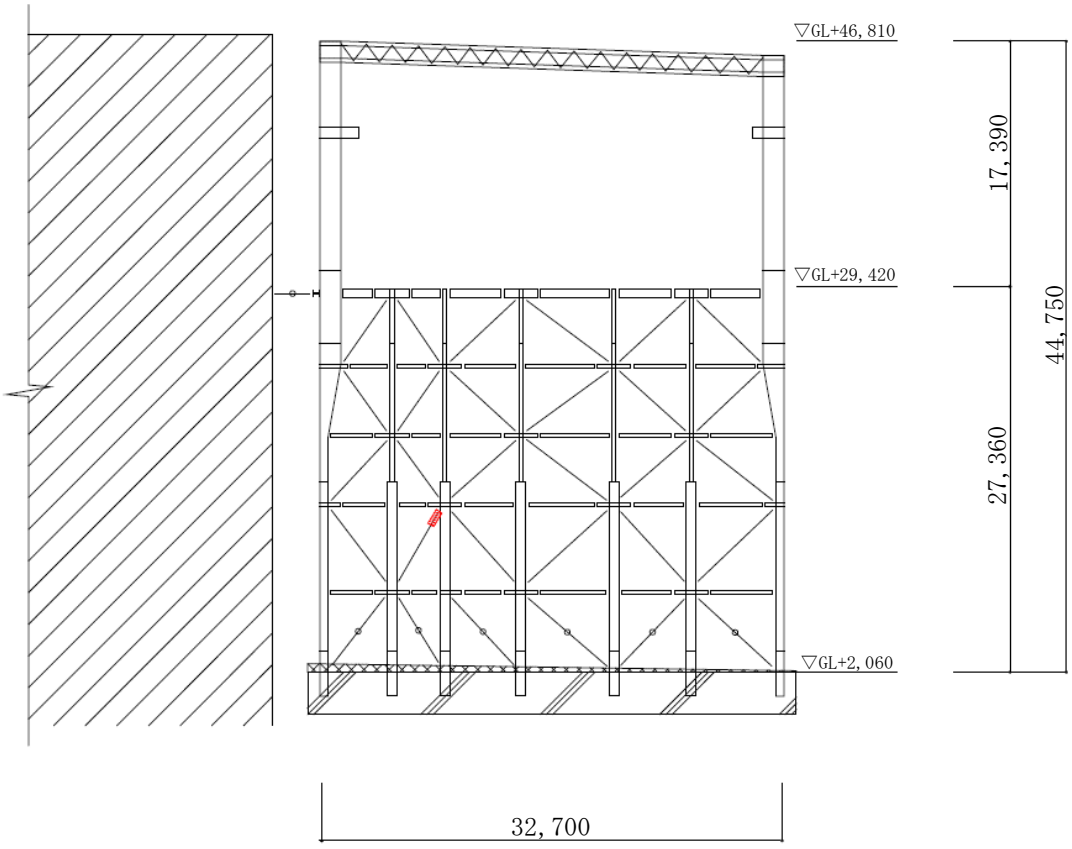
(a) 上下フランジ
ボルト種類：SHTB M24
ボルト本数：16 本×2



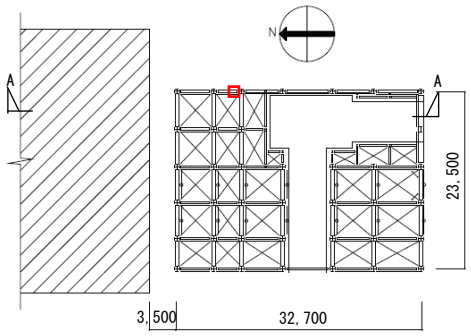
(b) ウェブ
ボルト種類：SHTB M24
ボルト本数：24 本

（２）接合部詳細（片側の構造材に取り付くボルト本数を記載）

図-3　構台接合部②

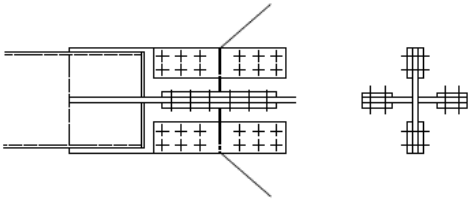



A-A 断面図




G.L.+8,260 キープラン

（１）接合部位置（構台部ブレース材最大応力度比発生箇所）

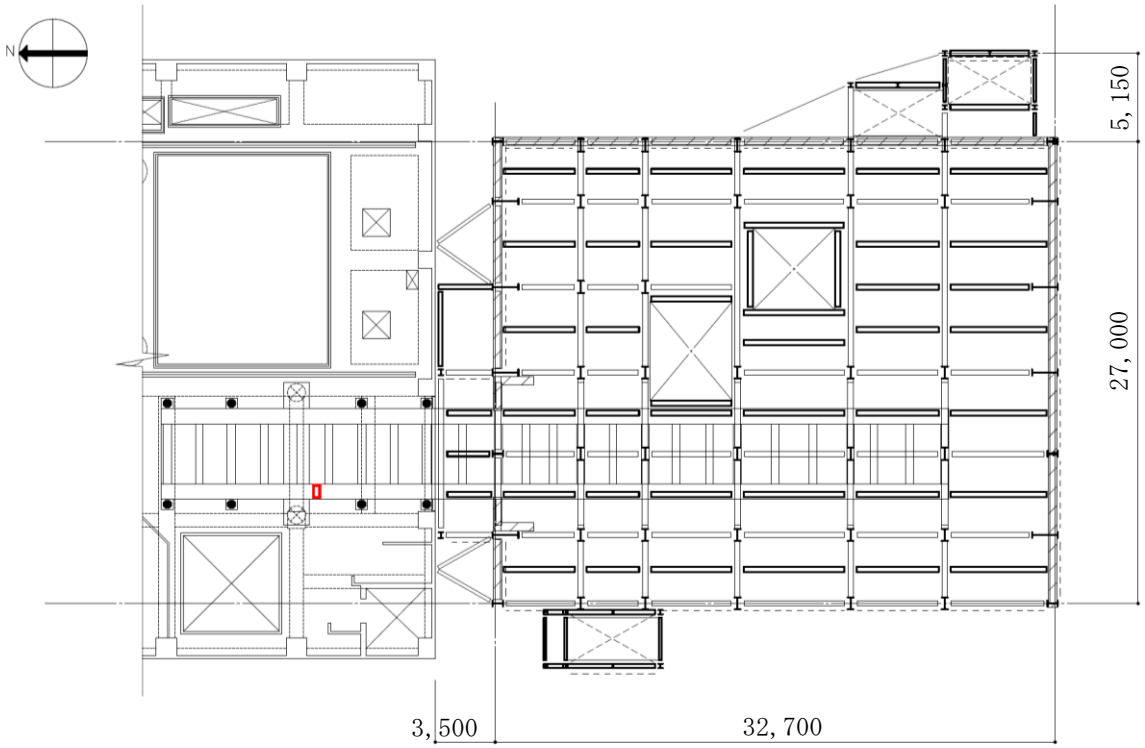


（a）側面　　（b）断面

ボルト種類：SHTB M22
ボルト本数：12 本×2

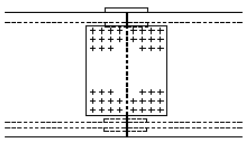
（２）接合部詳細（片側の構造材に取り付くボルト本数を記載）

図-4　構台接合部③

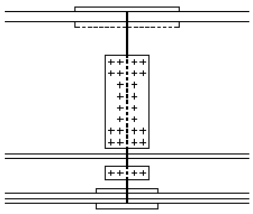



G.L.+29,420 キープラン

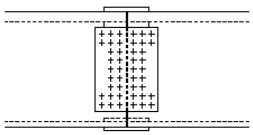
（１）接合部位置（ランウェイガーダ最大応力度比発生箇所）



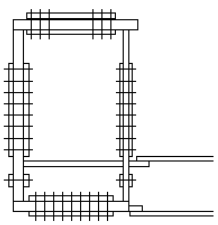
(a) 上フランジ
ボルト種類：SHTB M24
ボルト本数：22 本



(c) ウェブ
ボルト種類：SHTB M24
ボルト本数：14 本×2



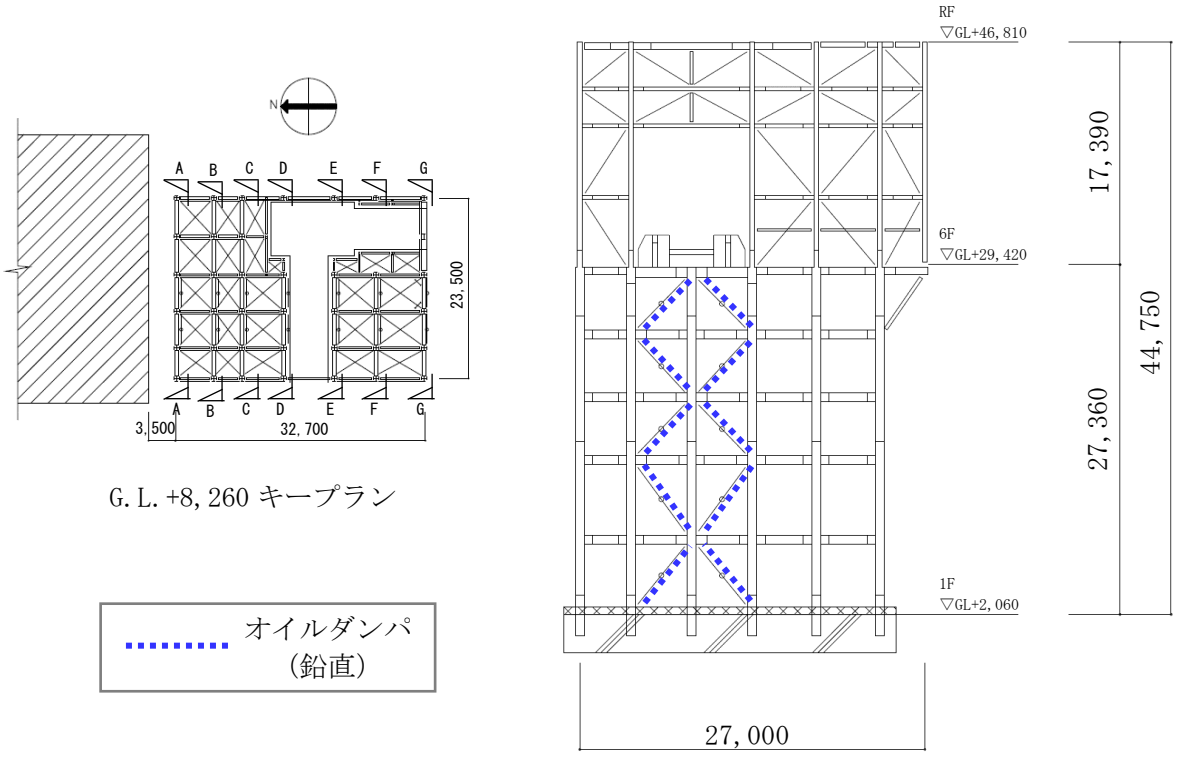
(b) 下フランジ
ボルト種類：SHTB M24
ボルト本数：22 本



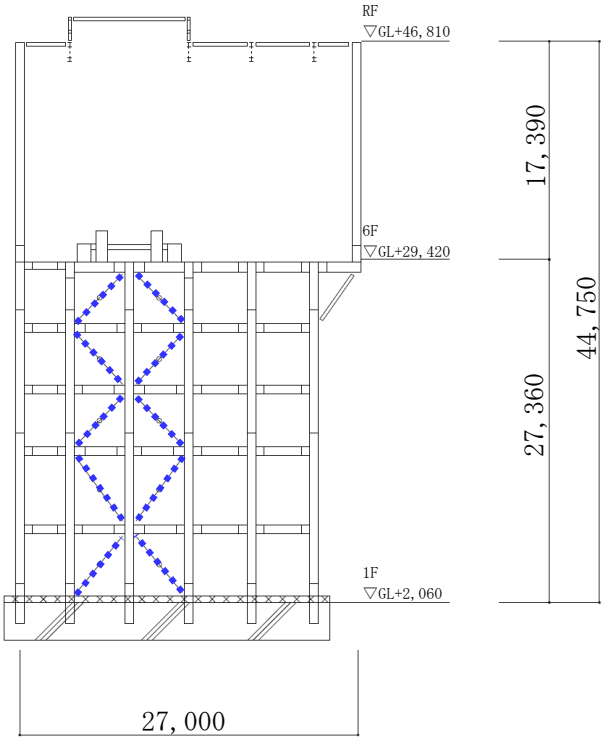
(d) 断面

（２）接合部詳細（片側の構造材に取り付くボルト本数を記載）

図-5　ランウェイガーダ接合部

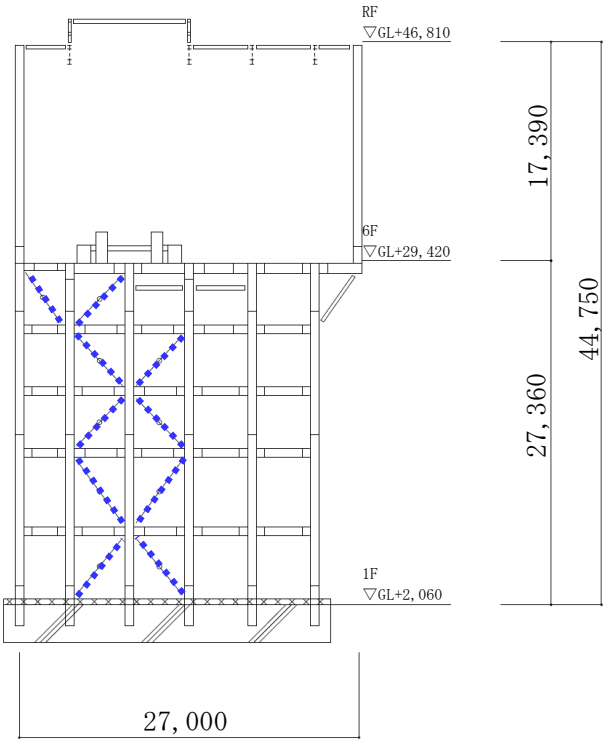



（１）オイルダンパ位置図（A-A 断面図）

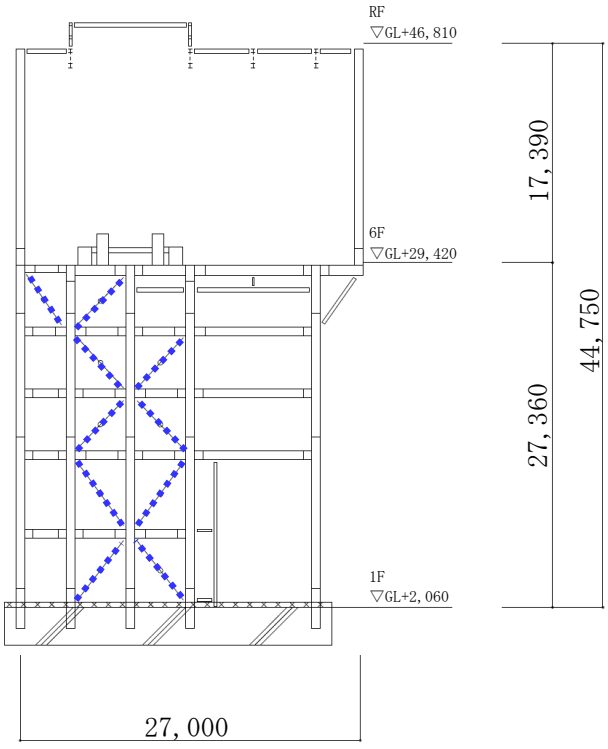



（２）オイルダンパ位置図（B-B 断面図）

図-6　オイルダンパ位置図①

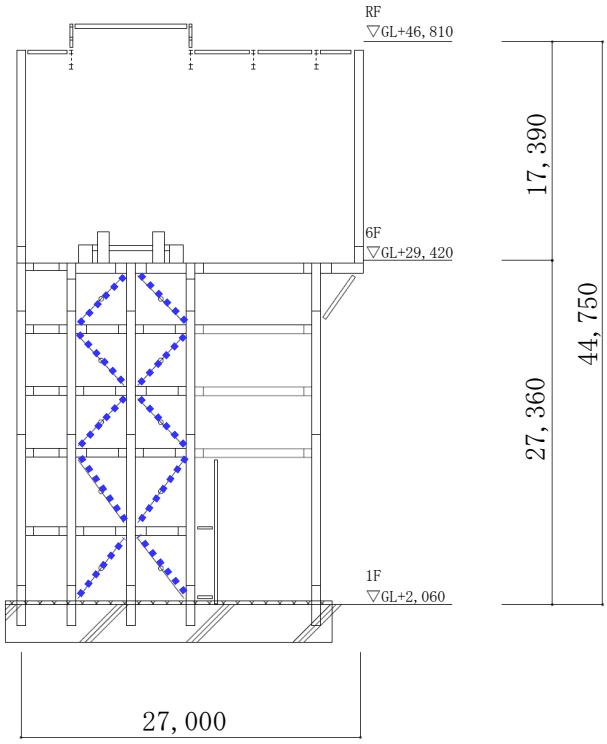



（１）オイルダンパ位置図（C-C 断面図）

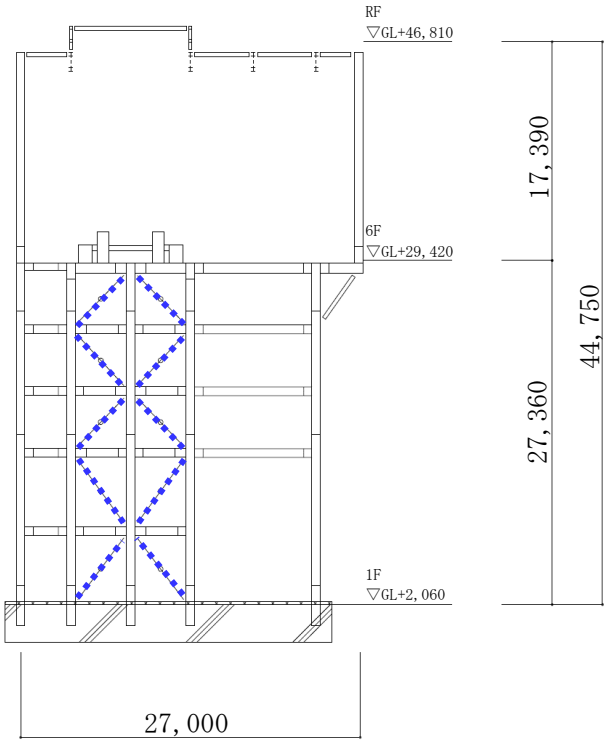



（２）オイルダンパ位置図（D-D 断面図）

図-7　オイルダンパ位置図②

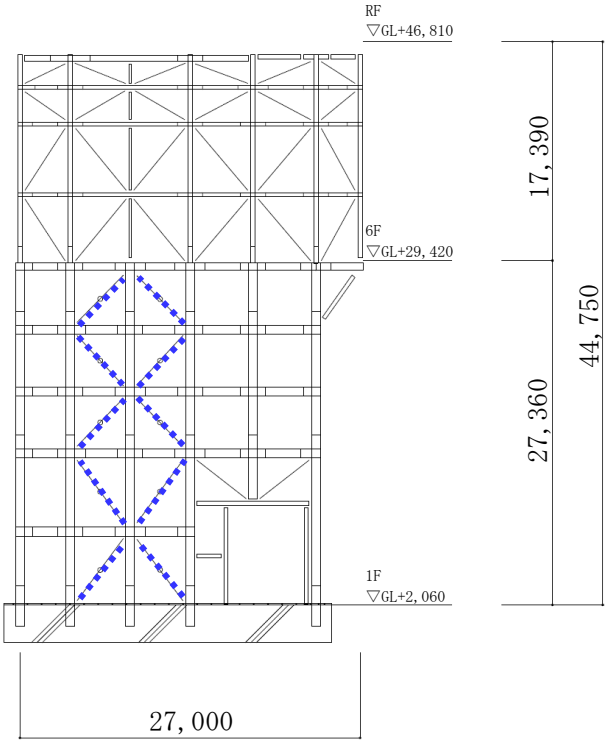



（１）オイルダンパ位置図（E-E 断面図）



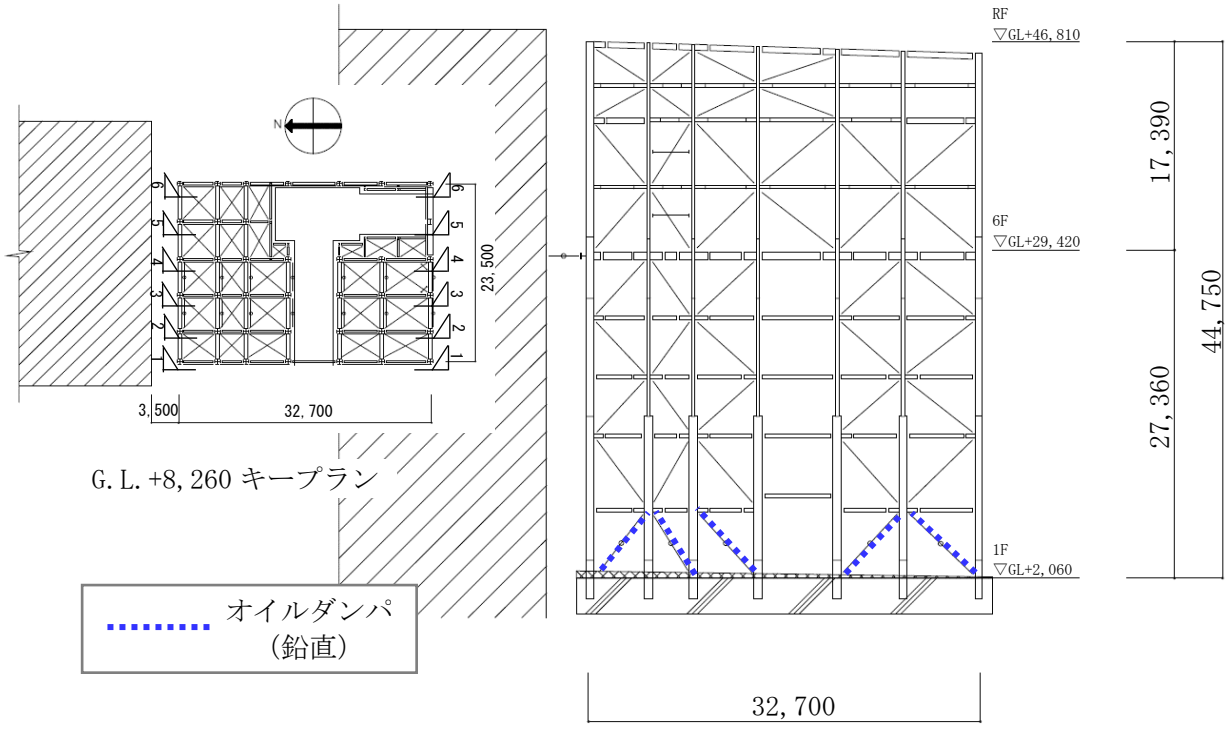

（２）オイルダンパ位置図（F-F 断面図）

図-8　オイルダンパ位置図③

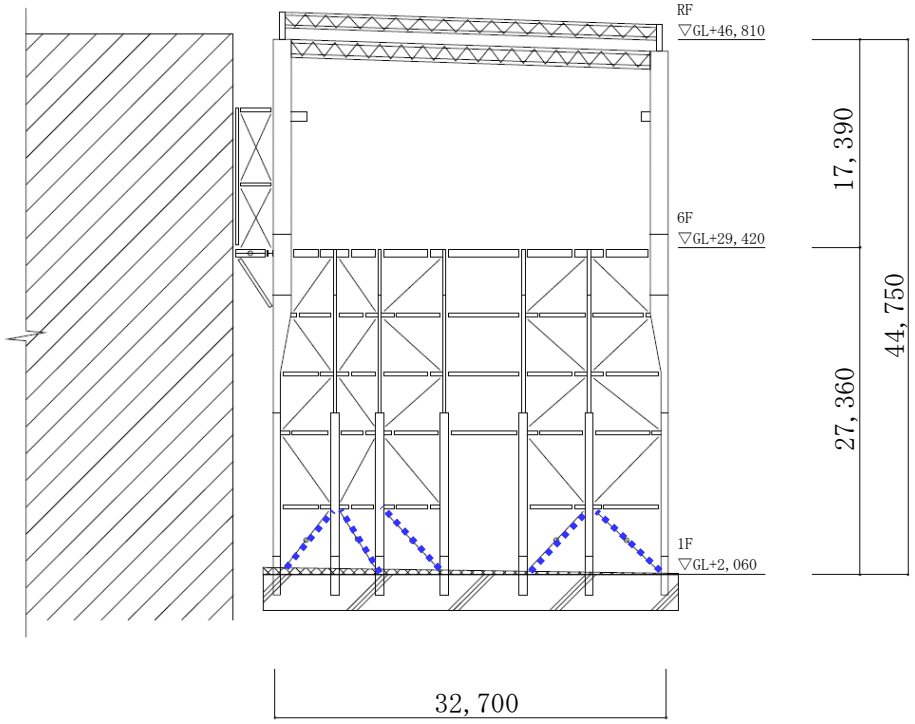



（１）オイルダンパ位置図（G-G 断面図）

図-9　オイルダンパ位置図④

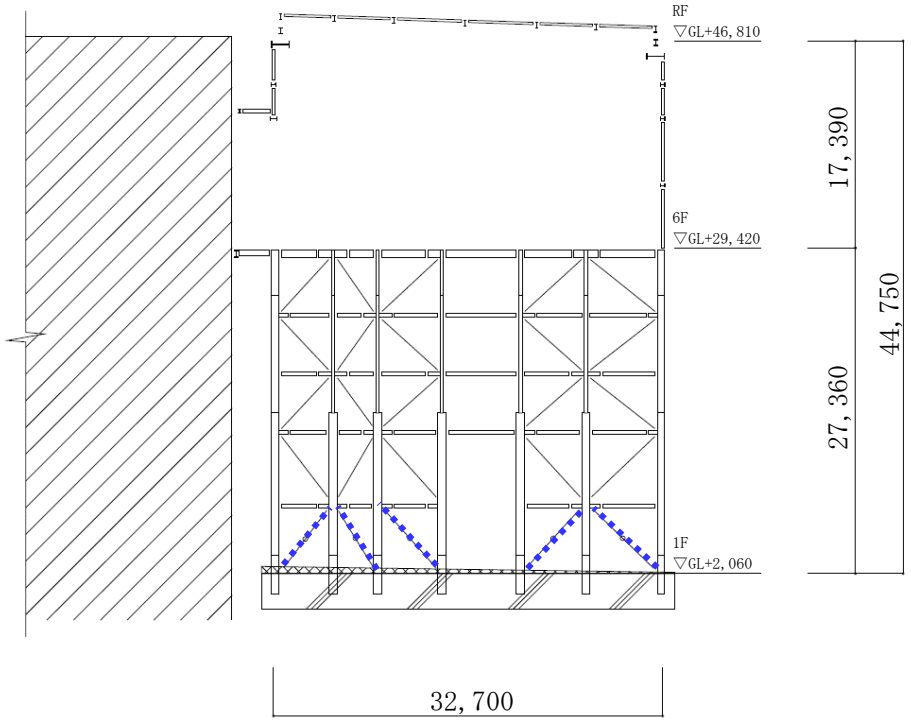



（１）オイルダンパ位置図（1-1 断面図）

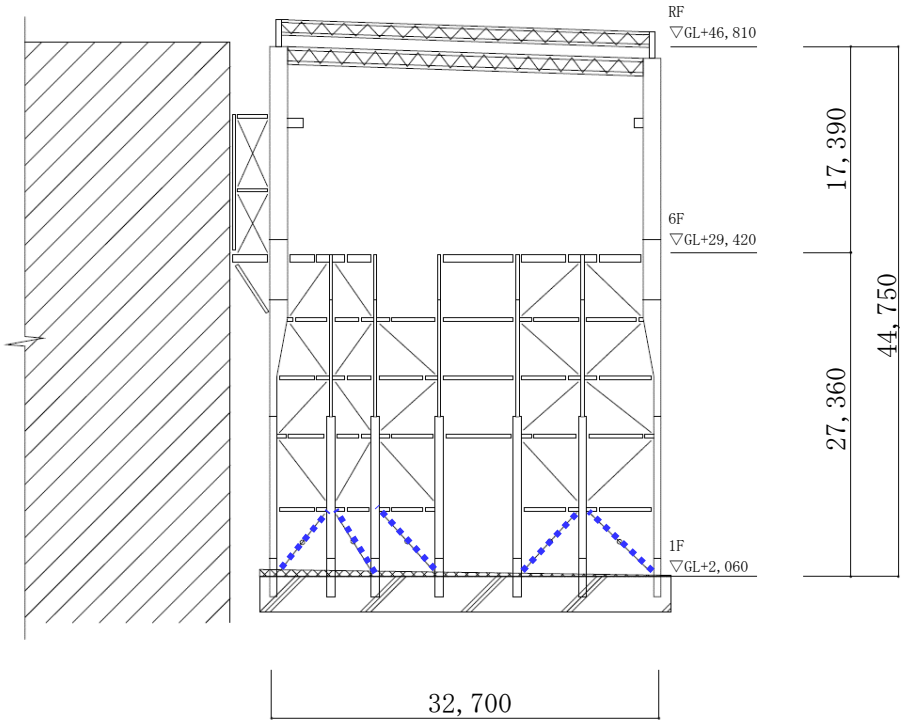



（２）オイルダンパ位置図（2-2 断面図）

図-10　オイルダンパ位置図⑤

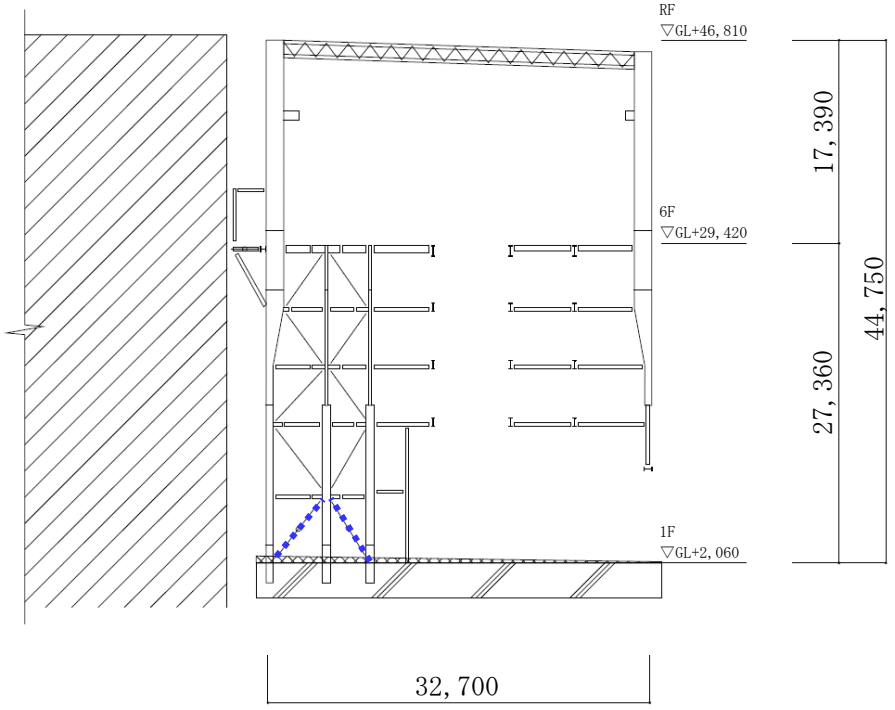



（１）オイルダンパ位置図（3-3 断面図）

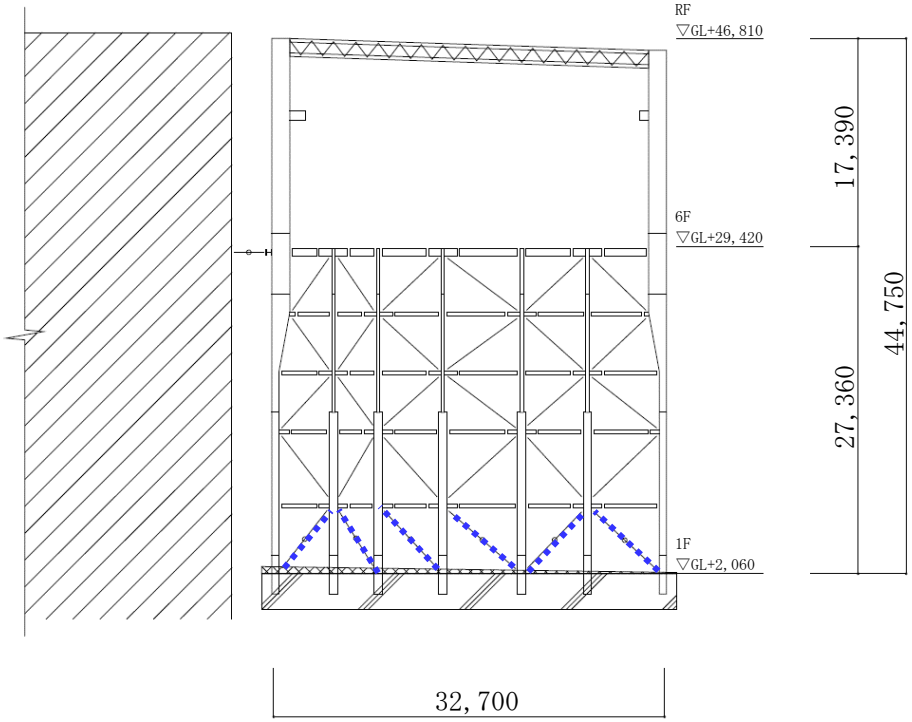



（２）オイルダンパ位置図（4-4 断面図）

図-11　オイルダンパ位置図⑥

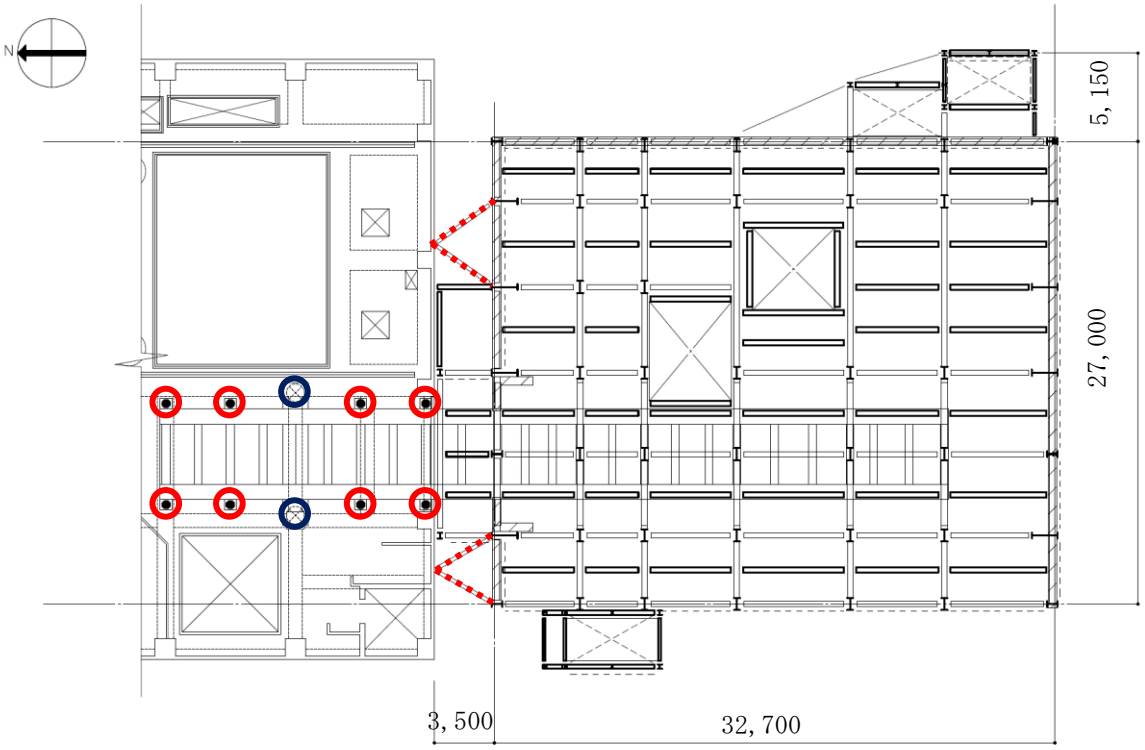



（１）オイルダンパ位置図（5-5 断面図）




（２）オイルダンパ位置図（6-6 断面図）

図-12　オイルダンパ位置図⑦

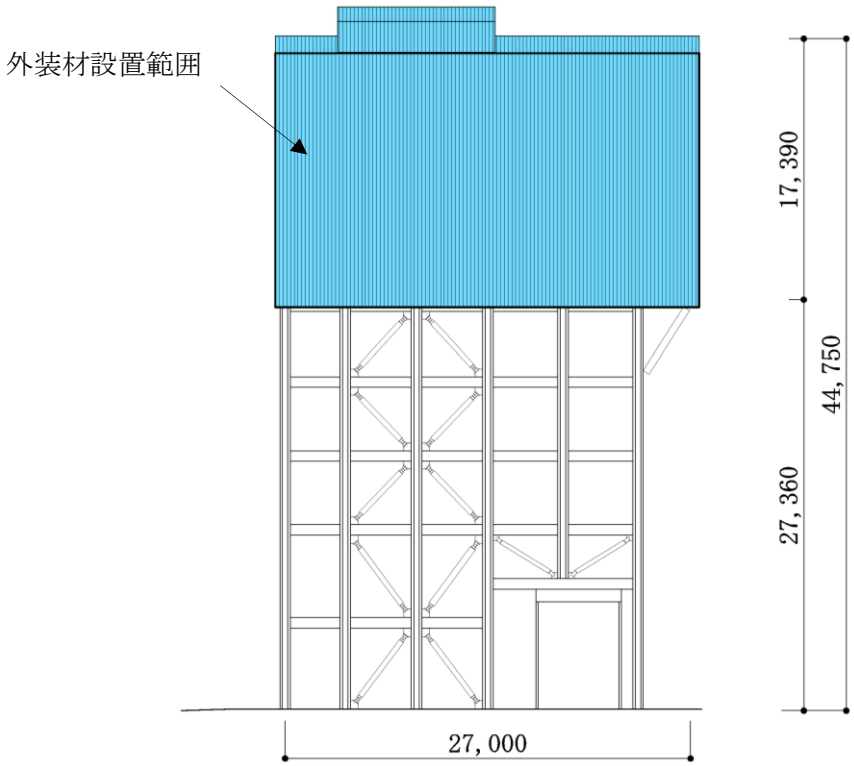




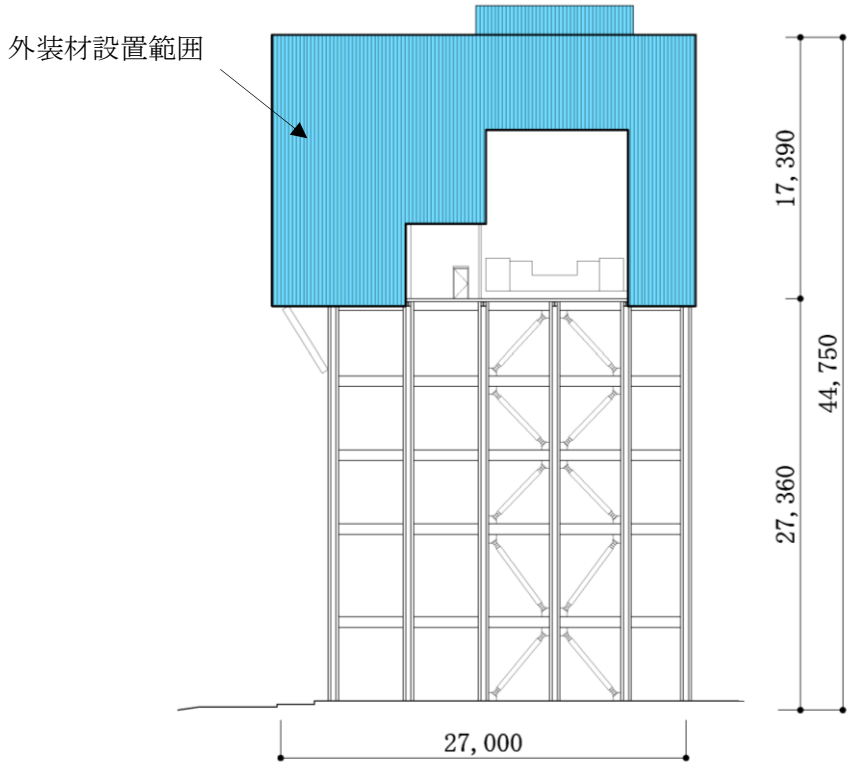


G. L. +29, 420 キープラン

図-13　オイルダンパおよび弾性支承位置図

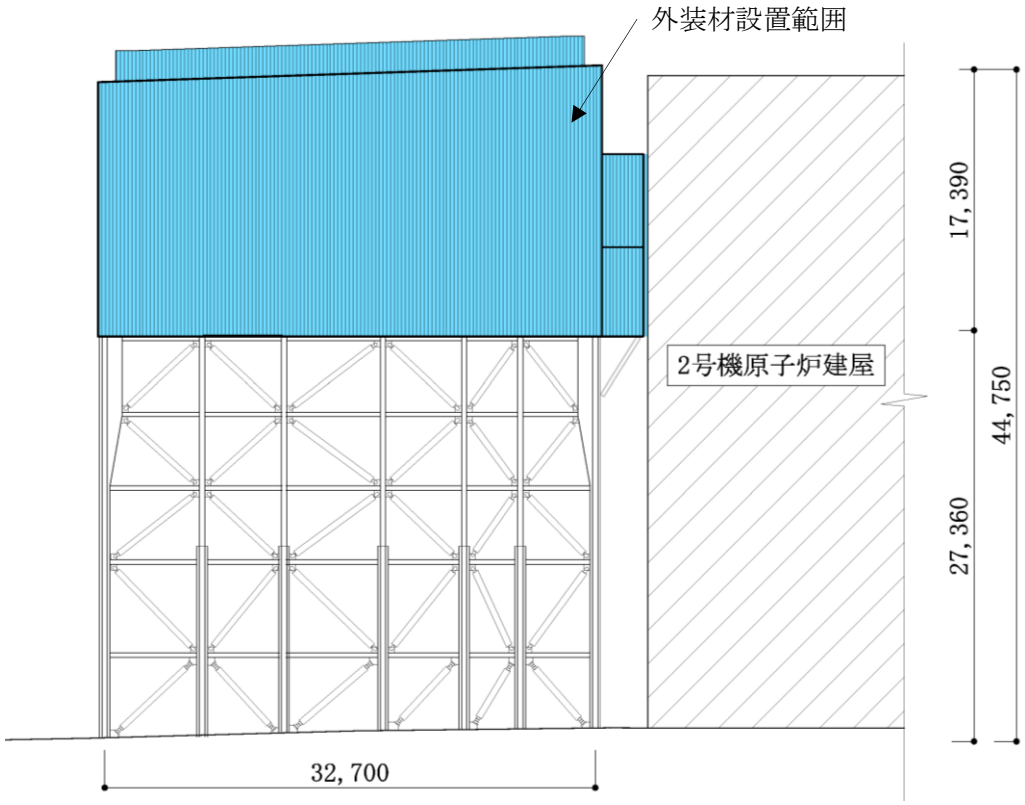



南側立面

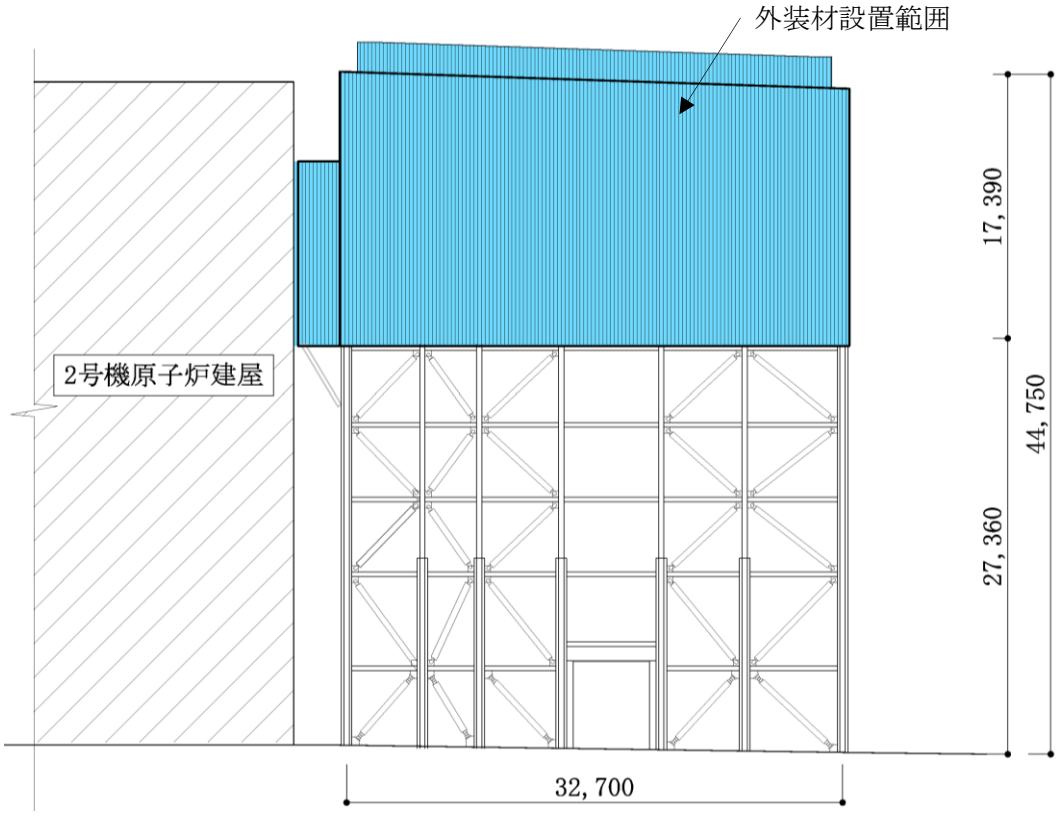



北側立面

図-14　外装材設置範囲図①

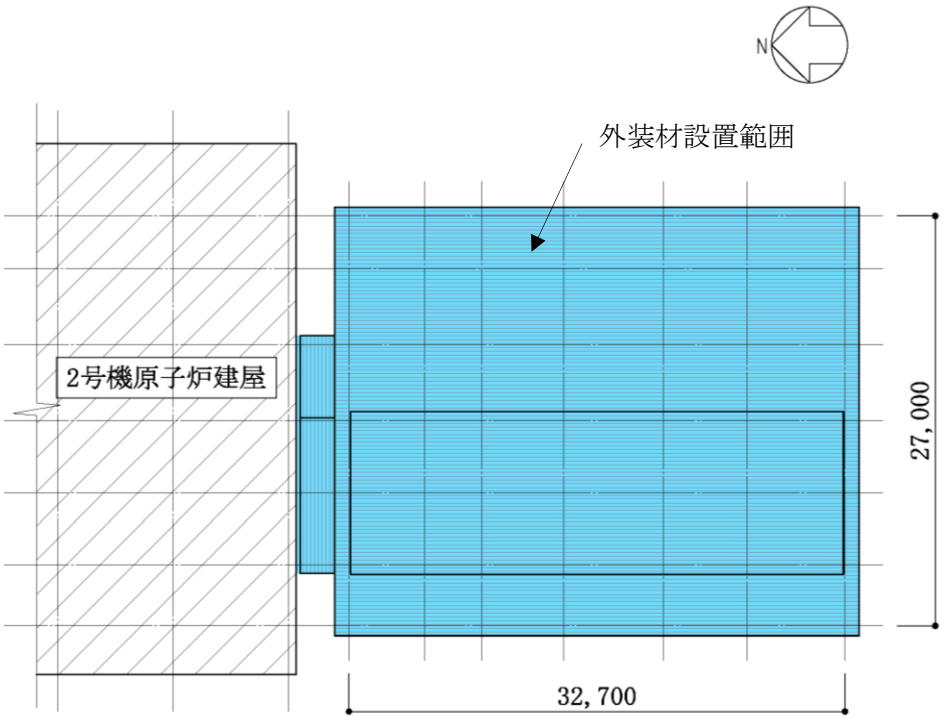



東側立面



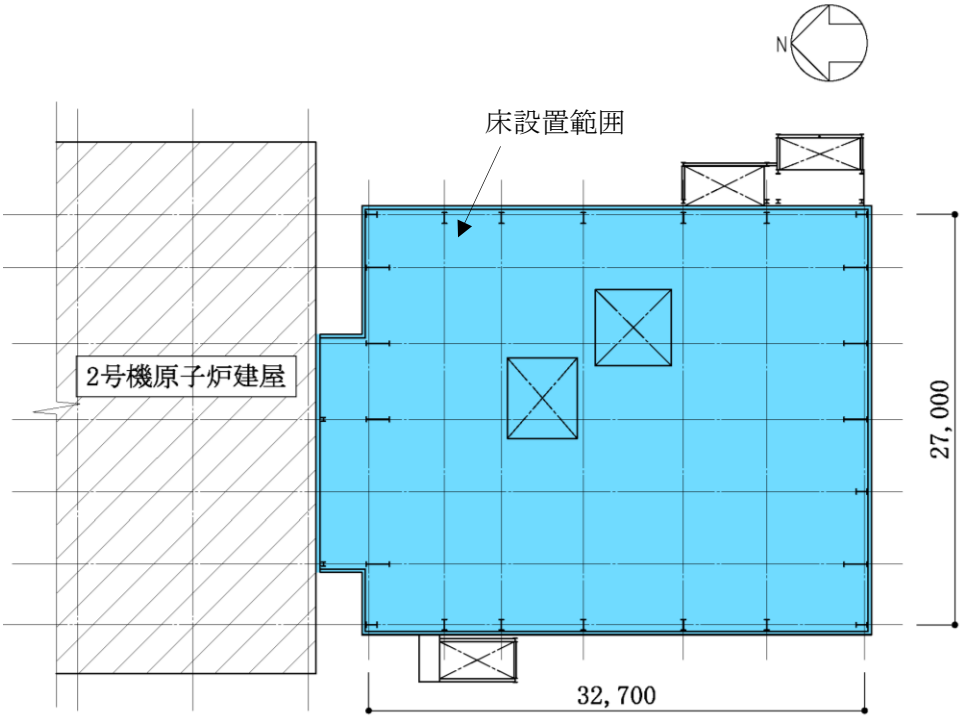

西側立面

図-15　外装材設置範囲図②




屋根伏図

図-16　外装材設置範囲図③




6F 伏図 (G.L. 29,420)

図-17　床設置範囲図

# ２号機原子炉建屋　オペレーティングフロア床面に設置する遮蔽体の落下防止について

## 1. 概要

２号機原子炉建屋内の作業環境改善のため，原子炉建屋内オペレーティングフロア床面及び壁側に遮蔽体を設置する計画としている。オペレーティングフロアに設置する遮蔽体のうち，使用済燃料プール周りに設置するものが，地震時に使用済燃料プール及び使用済燃料ラックに波及的影響を及ぼさないことを，遮蔽体の地震水平方向荷重に対する支持部材の構造強度を評価により確認する。

本資料では，地震時における使用済燃料プール周りに設置する下記遮蔽体の支持部材の構造評価の結果を示す。各遮蔽体の配置を図 1-1 に示す。

(1) 使用済燃料プール(SFP)北側遮蔽
(2) 使用済燃料プール(SFP)南側遮蔽
(3) 使用済燃料プール(SFP)東側遮蔽
(4) 使用済燃料プール(SFP)西側遮蔽

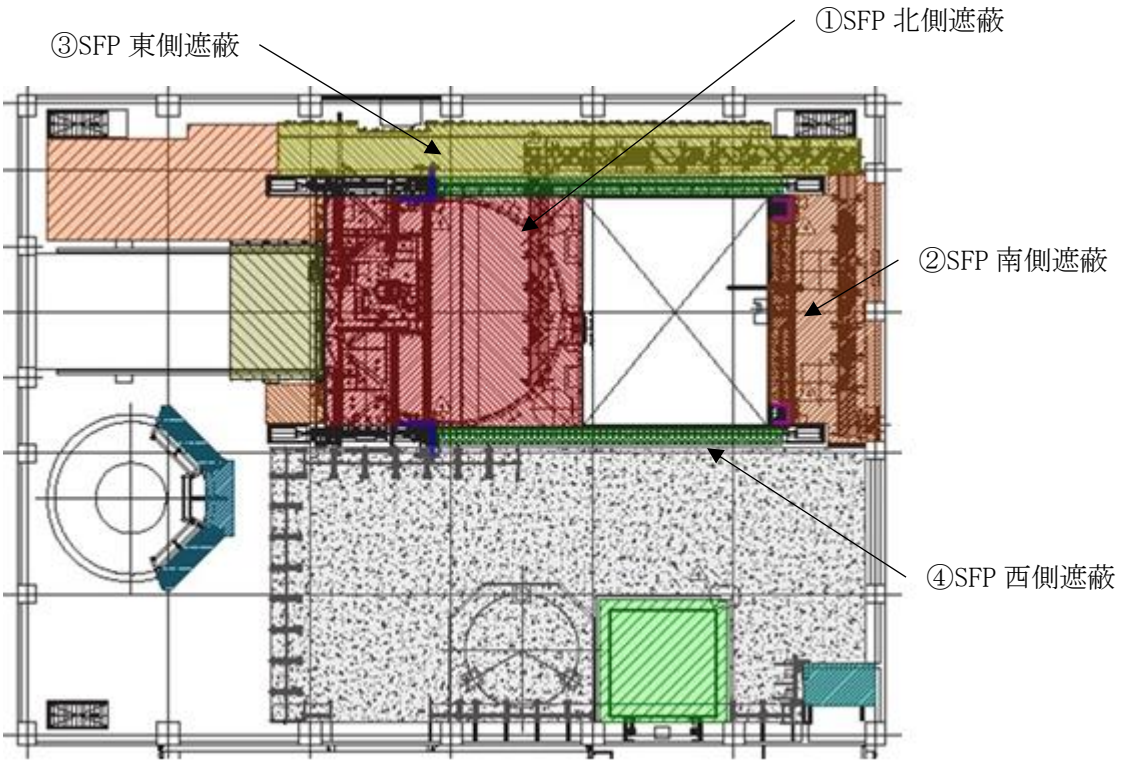



図 1-1 使用済燃料プール周りに設置する遮蔽体

2. 遮蔽体の耐震評価

2.1　評価方法

遮蔽体の耐震評価には，燃料取り出し用構台検討用モデルの地震応答解析結果のうち，原子炉建屋オペレーティングフロアの層せん断係数より保守的に設定した水平震度を用いる。解析に用いる地震動は,2波ある1/2Ss450のうち振幅の大きな検討用地震動①の1/2の地震動を用いるが，実施計画の審査期間中に適用地震動見直しが行われたことから，Ss600 に対する地震応答解析結果との比較から耐震性を確認する。(別冊２８ P104 参照) なお，1/2Ss450 を適用した場合の算出応力は，Ss600 での算出応力に包絡されている。

また，遮蔽体は原子炉建屋のオペレーティングフロア上に設置されるため，摩擦係数($\mu$=0.25)を考慮する。地震時水平方向荷重により支持部材に生じる応力を，JEAG4601-1987 の支持構造物の評価基準値を用いて評価する。

2.1.1　SFP 北側遮蔽

SFP 北側遮蔽の地震時水平方向荷重が D/S プールカバー支持ビームを介して D/S プール南壁と取合うブラケットに負荷されるものとしてブラケットの強度評価を行う。評価対象部を図 2-1 に示す。

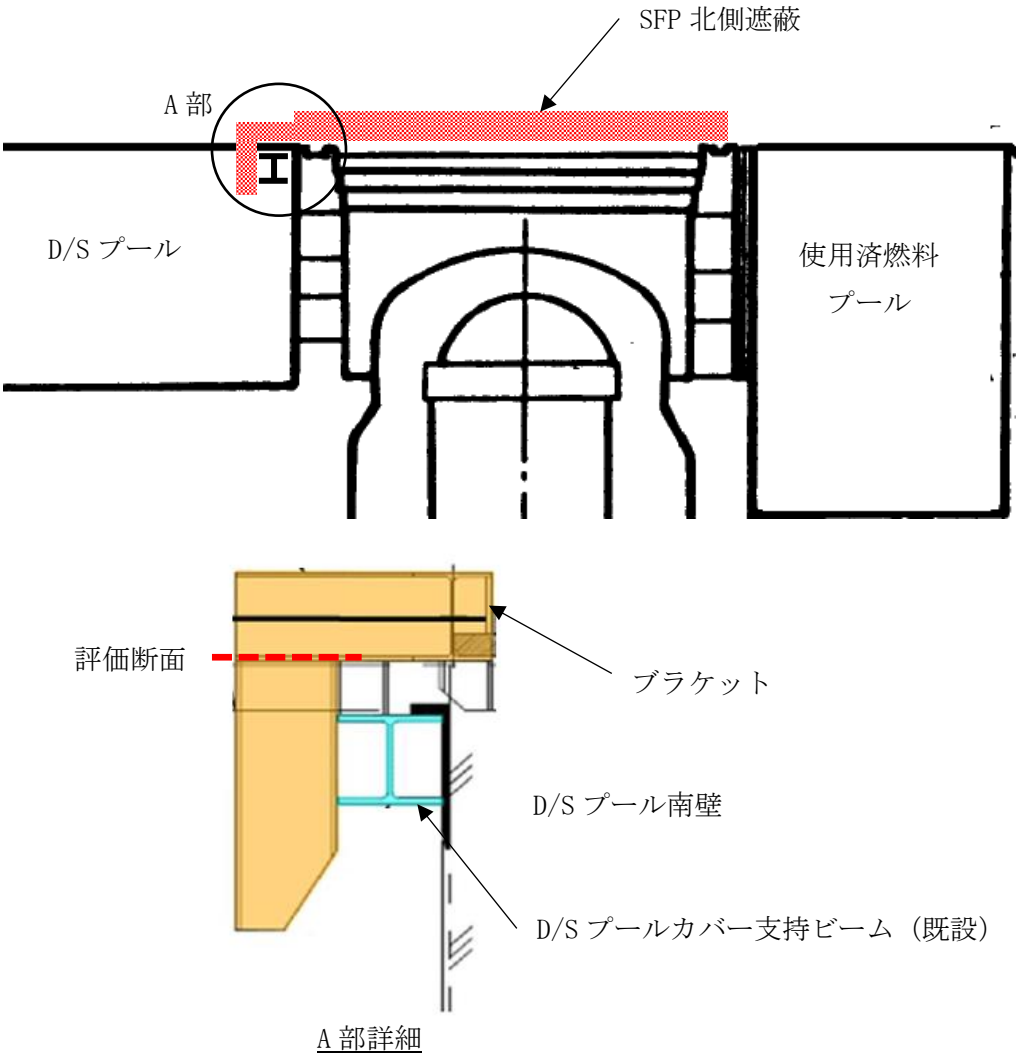



図 2-1　SFP 北側遮蔽　評価対象部

2.1.2 SFP 南側遮蔽

SFP 南側遮蔽の地震時水平荷重が，ジブクレーン及びチャンネル取扱いブームと取り合う荷重受け部材に負荷されるものとして荷重受け部材の強度評価を行う。また，SFP 南側遮蔽のうち，荷重受け部材より使用済燃料プール側に設置する遮蔽体の地震時水平荷重が，同遮蔽体の引っ掛け部材に負荷されるものとして引っ掛け部材の強度評価を行う。評価対象部を図 2-2 に示す。

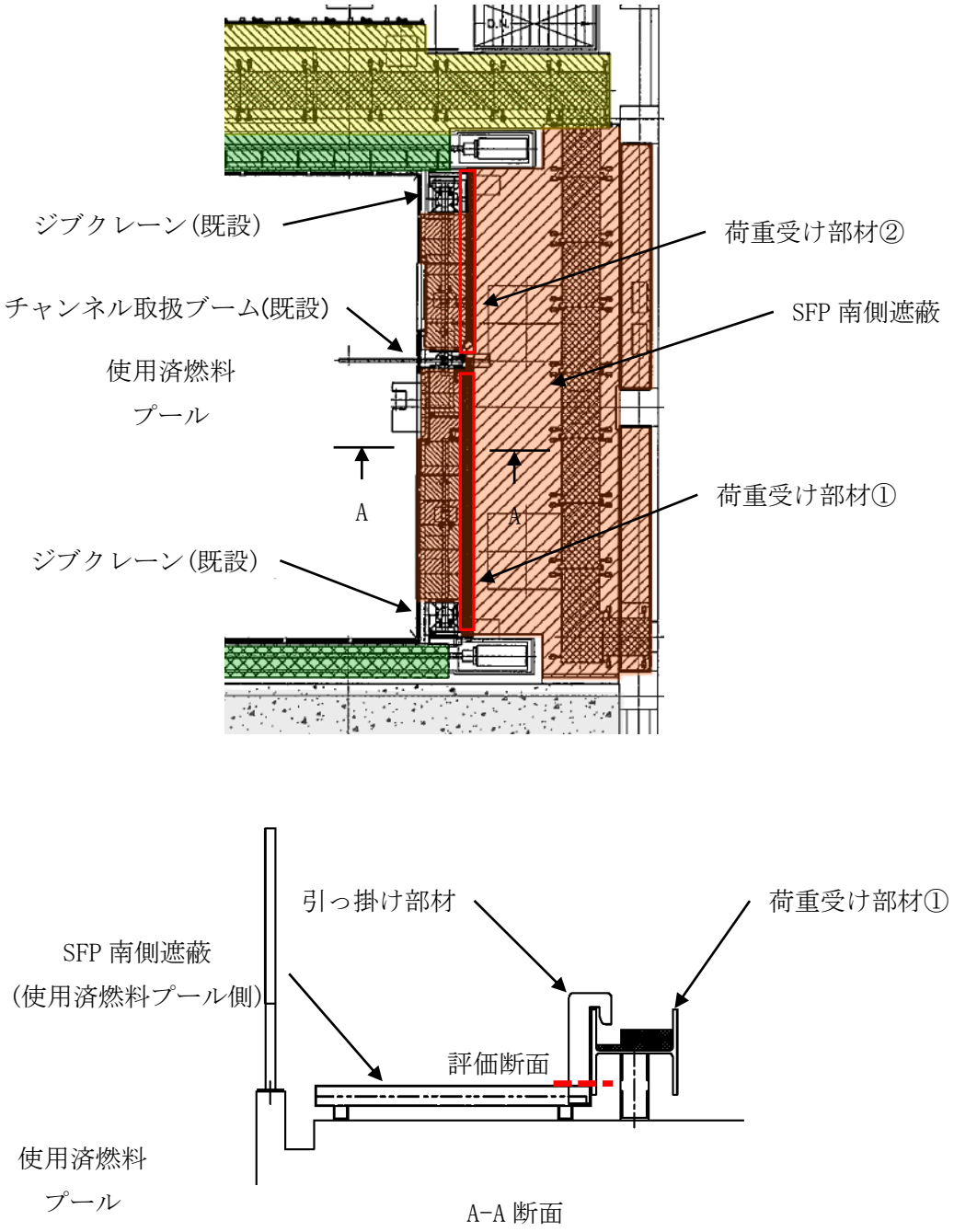



図 2-2　SFP 南側遮蔽体　評価対象部

2.1.3 SFP 東側遮蔽

SFP 東側遮蔽のうち，燃料取替機レールより使用済燃料プール側に設置する遮蔽体の地震時水平方向荷重が，同遮蔽体の引っ掛け部材及び燃料取替機レールよりプール外側に設置する遮蔽体の荷重受け部材に負荷されるものとして引っ掛け部材及び荷重受け部材の強度評価を行う。評価対象部を図 2-3 に示す。

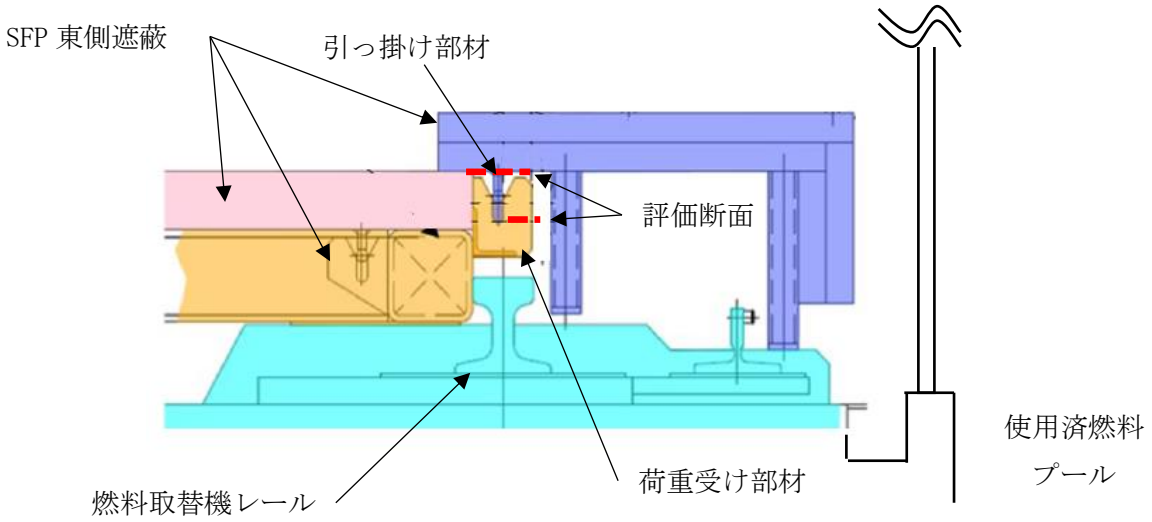



図 2-3　SFP 東側遮蔽体　評価対象部

2.1.4 SFP 西側遮蔽

SFP 西側遮蔽の地震時水平方向荷重が，燃料取替機レールと取合う荷重受け部材に負荷されるものとして，荷重受け部材の強度評価を行う。評価対象部を図 2-4 に示す。

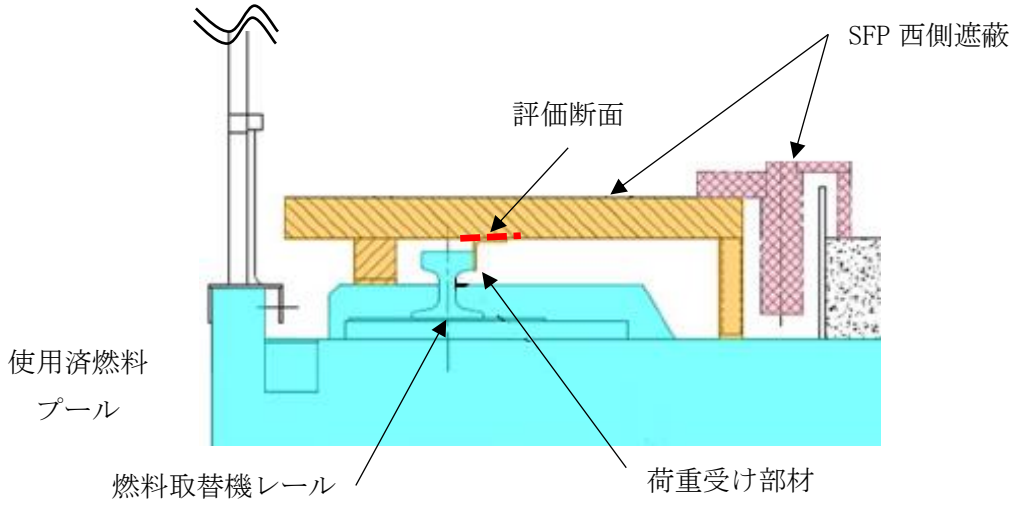



図 2-4　SFP 西側遮蔽　評価対象部

2.2　評価結果

強度評価の結果を表 2-1 に示す。使用済燃料プール周りに設置する遮蔽体について，地震時水平荷重に対して支持部材に生じる応力は許容応力を下回るため，遮蔽体が使用済燃料プールへ落下することはない。

表 2-1　遮蔽体支持部材の構造強度評価結果

| 部位 | | 材質 | 許容応力(MPa) | | 算出応力 Ss600 (MPa) | 算出応力 1/2Ss450 (MPa) |
|---|---|---|---|---|---|---|
| SFP 北側遮蔽 | ブラケット | SS400 | 曲げ | 280 | 146 | 143 |
| | | | せん断 | 161 | 46 | 46 |
| | | | 組合せ | 280 | 167 | 164 |
| SFP 南側遮蔽 | 荷重受け部材① | SS400 | 曲げ | 280 | 244 | 240 |
| | | | せん断 | 161 | 17 | 17 |
| | | | 組合せ | 280 | 246 | 242 |
| | 荷重受け部材② | SS400 | 曲げ | 280 | 270 | 265 |
| | | | せん断 | 161 | 20 | 19 |
| | | | 組合せ | 280 | 273 | 268 |
| | 引っ掛け部材 | SS400 | 曲げ | 280 | 52 | 51 |
| | | | せん断 | 161 | 3 | 3 |
| | | | 組合せ | 280 | 53 | 52 |
| SFP 東側遮蔽 | 荷重受け部材 | SS400 | 曲げ | 280 | 23 | 23 |
| | | | せん断 | 161 | 6 | 5 |
| | | | 組合せ | 280 | 26 | 25 |
| | 引っ掛け部材 | SS400 | 曲げ | 323 | 201 | 186 |
| | | | せん断 | 161 | 13 | 12 |
| | | | 組合せ | 280 | 203 | 188 |
| SFP 西側遮蔽 | 荷重受け部材 | SS400 | 曲げ | 323 | 57 | 56 |
| | | | せん断 | 161 | 2 | 2 |
| | | | 組合せ | 280 | 58 | 57 |

# 燃料取り出し用カバー換気設備の構造強度及び耐震性に関する説明書

## 1　構造強度

燃料取り出し用カバー換気設備は，その用途から換気空調設備に類似すると考える。当該設備は，「JSME S NC-1 発電用原子力設備規格　設計・建設規格」に定められた内包する流体の放射性物質の濃度が 37mBq/cm$^3$ 未満であることから適用除外の設備と位置付けられるが，系統機能試験等を行い，有意な変形や漏えい，運転状態に異常がないことを確認することで，必要な構造強度を有するものと評価する。

## 2　耐震性

### 2.1　基本方針

燃料取り出し用カバーの換気設備は，換気空調系であるＣクラス相当と位置付けられることから，一般構造物と同等の耐震性を有する設計とし，日本産業規格（JIS），空気調和・衛生工学会規格（SHASE-S）等に従うものとする。

1 号機大型カバー換気設備は，「令和３年２月１３日の福島県沖の地震を踏まえた東京電力福島第一原子力発電所の耐震設計における地震動とその適用の考え方」を踏まえ，Ｃクラス（敷地周辺の公衆被ばく線量≦50μSv）と位置付けられることから，一般構造物と同等の耐震性を有する設計とする。

### 2.2　主要設備の耐震構造

「JEAG4601-1987 原子力発電所耐震設計技術指針」等を準用し，静的震度（1.2Ci）に基づく主要機器の転倒等の評価を行い，Ｃクラス相当の耐震性を有するものと評価する。

### 2.3　第４号機燃料取り出し用カバー換気設備の耐震性

#### 2.3.1　送風機・排風機の耐震性

送風機・排風機の耐震性評価として，「JEAG4601-1987 原子力発電所耐震設計技術指針」を準用し，送風機・排風機基礎の溶接部の評価を行った。なお，震度については，耐震設計審査指針上の耐震Ｃクラス設備に適用される静的地震力に余裕を持たせた 0.36G を採用した。基礎の溶接部の許容応力については，供用状態Ｄにおける許容応力を適用し，溶接部の評価温度は 50℃とした。基礎の溶接部のせん断応力を評価した結果，基礎の溶接部に生じるせん断応力は許容応力以下であり，基礎の溶接部の強度が確保されることを確認した（表 2.3-1 参照）。

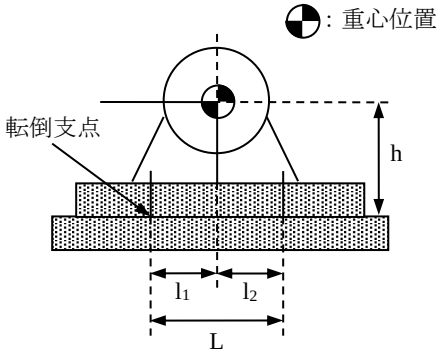



図 2.3-1　送風機・排風機の耐震評価モデル

・評価部位：基礎の溶接部

・考慮する荷重：地震荷重 / 送風機・排風機振動による荷重

・計算に用いる数式

鉛直方向のせん断力　$Q_v = \dfrac{W \cdot g \cdot (C_H + C_P) \cdot h + M_P - W \cdot g \cdot (1 - C_P) \cdot l_1}{\dfrac{1}{2} n_f \cdot (l_1 + l_2)}$

鉛直方向のせん断応力　$\tau_v = \dfrac{Q_v}{A_W}$

水平方向のせん断力　$Q_H = W \cdot g \cdot (C_H + C_P)$

水平方向のせん断応力　$\tau_H = \dfrac{Q_H}{n \cdot A_W}$

W　：据付面に作用する重量

g　：重力加速度(=9.80665)

h　：据付面から重心までの距離

$M_P$　：送風機・排風機回転により働くモーメント

※基礎溶接部に $M_P$ は作用しない

$l_1$　：送風機・排風機重心と基礎の溶接部間の距離

$l_2$　：送風機・排風機重心と基礎の溶接部間の距離（$l_1 \leqq l_2$）

$n_f$　：鉛直方向のせん断力の作用する基礎の溶接部の評価箇所数

n　：基礎の溶接部の箇所数

$A_W$　：基礎の溶接部の断面積

$C_H$　：水平方向設計震度

$C_P$　：送風機・排風機振動による震度

表 2.3-1　送風機・排風機基礎の溶接部の強度評価

| 評価対象機器 | 部位 | 材料 | 応力種類 | 算出応力 (MPa) | 許容応力 (MPa) |
|---|---|---|---|---|---|
| 送風機 | 基礎の溶接部 | SS400 相当 | せん断 | 34 | 65 |
| 排風機 | 基礎の溶接部 | SS400 相当 | せん断 | 23 | 65 |

2.3.2　フィルタユニットの耐震性

フィルタユニットの耐震性評価として，「JEAG4601-1987 原子力発電所耐震設計技術指針」を準用し，2.3.1 項と同様の方法で基礎の溶接部の評価を行った。なお，震度については，耐震設計審査指針上の耐震Ｃクラス設備に適用される静的地震力に余裕を持たせた 0.36G を採用した。基礎の溶接部の許容応力については，供用状態Ｄにおける許容応力を適用し，溶接部の評価温度は 50℃とした。基礎の溶接部のせん断応力を評価した結果，基礎の溶接部に生じるせん断応力は許容応力以下であり，基礎の溶接部の強度が確保されることを確認した（表 2.3-2 参照）。

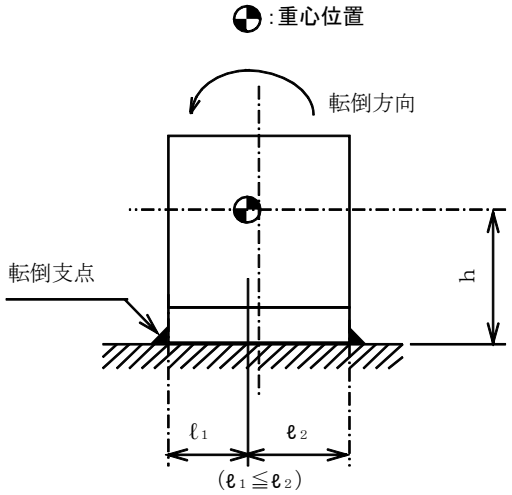



図 2.3-2　フィルタユニットの耐震評価モデル

・評価部位：基礎の溶接部
・考慮する荷重：地震荷重
・計算に用いる数式

鉛直方向せん断力　$Q_v = \dfrac{W \cdot g \cdot C_H \cdot h - W \cdot g \cdot (1 - C_v) \cdot l_1}{n_f \cdot (l_1 + l_2)}$

鉛直方向せん断応力　$\tau_v = \dfrac{Q_v}{A_w}$

水平方向せん断力　$Q_H = W \cdot g \cdot C_H$

水平方向せん断応力　$\tau_H = \dfrac{Q_H}{n \cdot A_w}$

W　：据付面に作用する重量
g　：重力加速度(=9.80665)
h　：据付面から重心までの距離
$l_1$　：フィルタユニット重心と基礎の溶接部間の距離
$l_2$　：フィルタユニット重心と基礎の溶接部間の距離（$l_1 \leqq l_2$）
$n_f$　：鉛直方向のせん断力の作用する基礎の溶接部の評価箇所数
n　：基礎の溶接部の箇所数
$A_w$　：基礎の溶接部の断面積
$C_H$　：水平方向設計震度
$C_V$　：鉛直方向設計震度

表 2.3-2　フィルタユニット基礎の溶接部の強度評価

| 評価対象機器 | 部位 | 材料 | 応力種類 | 算出応力 (MPa) | 許容応力 (MPa) |
|---|---|---|---|---|---|
| 給気フィルタユニット（プレフィルタ） | 基礎の溶接部 | SS400 相当 | せん断 | 9 | 65 |
| 給気フィルタユニット（高性能粒子フィルタ） | 基礎の溶接部 | SS400 相当 | せん断 | 8 | 65 |
| 排気フィルタユニット | 基礎の溶接部 | SS400 相当 | せん断 | 11 | 65 |

2.3.3　ダクトの耐震性

ダクトの耐震性評価として，許容座屈曲げモーメント以下となる基準支持間隔の評価を行った。なお，震度については，耐震設計審査指針上の耐震Ｃクラス設備に適用される静的地震力に余裕を持たせた 0.36G を採用した。ダクトは基準支持間隔（表 2.3-3）よりも小さい間隔で支持することで耐震性を確保する計画である。

なお，燃料取り出し用カバー内のダクトは，燃料取り出し用カバーのクレーン支持用架構を利用している（添付資料－３－１　図 2.2 参照）。クレーン支持用架構は，添付資料－４－２「燃料取り出し用カバーの構造強度及び耐震性に関する説明書」で，基準地震動 Ss に対する地震応答解析を実施し崩壊しないことを確認していることから，使用済燃料プールへ波及的影響は与えない。

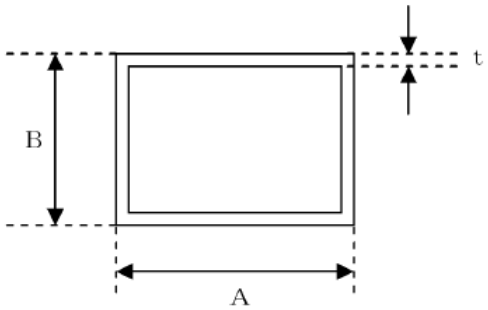



図 2.3-3　角ダクトの評価モデル

・評価部位：角ダクト

・考慮する荷重：地震荷重

・計算に用いる数式

自重による許容座屈曲げモーメント以下とする基準支持間隔

$$L=\sqrt{\frac{8\cdot M_X\cdot 1000}{W\cdot g}}$$

地震による許容座屈曲げモーメント以下とする基準支持間隔

$$L=\sqrt{\frac{8\cdot M_Y\cdot 1000}{W\cdot g}\cdot\frac{1}{C_H}}$$

許容曲げモーメントとの関係は次式となる

$$\frac{M_X}{M_{Xa}}=\frac{M_Y}{M_{Ya}}=1$$

上記式を解くと

基準支持間隔　$$L=\frac{1}{\sqrt{\frac{W\cdot g}{1000\cdot 8\cdot M_{Xa}}+C_H\frac{W\cdot g}{1000\cdot 8\cdot M_{Ya}}}}$$

$L$　：基準支持間隔

$M_x$　：水平方向座屈曲げモーメント

$M_{xa}$　：水平方向許容座屈曲げげモーメント

$M_Y$　：鉛直方向座屈曲げモーメント

$M_{Ya}$　：鉛直方向許容座屈曲げげモーメント

$W$　：ダクト単位長さ当たり質量

$g$　：重力加速度（＝9.80665）

$C_H$　：水平方向設計震度

表 2.3-3　角ダクトの評価

| 評価対象ダクト | 材料 | 基準支持間隔<br>(mm) |
|---|---|---|
| 1100×1100×1.0t | 溶融亜鉛めっき鋼板 | 10998 |
| 850×850×1.0t | 溶融亜鉛めっき鋼板 | 13703 |

2.4　第３号機燃料取り出し用カバー換気設備の耐震性

2.4.1　排風機の耐震性

排風機の耐震性評価として，「JEAG4601-1987 原子力発電所耐震設計技術指針」を準用し，排風機の基礎ボルト・取付ボルトの評価を行った。なお，震度については，耐震設計審査指針上の耐震Ｃクラス設備に適用される静的地震力に余裕を持たせた 0.36G を採用した。基礎ボルトの許容荷重及び取付ボルトの許容応力については，評価温度 50℃とした。基礎ボルト・取付ボルトのせん断・引張を評価した結果，基礎ボルト・取付ボルトに生じる荷重・応力は許容値以下であり，基礎ボルト・取付ボルトの強度が確保されることを確認した（表 2.4-1,2.4-2 参照)。

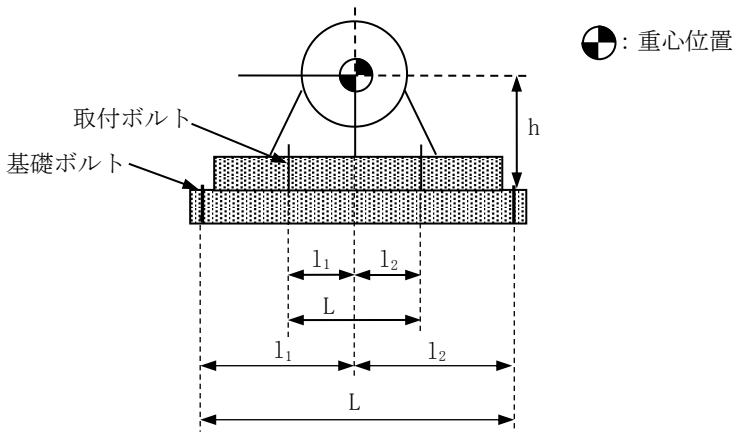



図 2.4-1　排風機の耐震評価モデル

・評価部位：基礎ボルト・取付ボルト

・考慮する荷重：地震荷重 /排風機振動による荷重

・計算に用いる数式

引張力　$Q_v = \dfrac{W \cdot g \cdot (C_H + C_P) \cdot h + M_P - W \cdot g \cdot (1 - C_P) \cdot l_1}{n_f \cdot (l_1 + l_2)}$

引張応力　$\tau_v = \dfrac{Q_v}{A_b}$

せん断力　$Q_H = W \cdot g \cdot (C_H + C_P)$

せん断応力　$\tau_H = \dfrac{Q_H}{n \cdot A_b}$

W　：据付面に作用する重量

g　：重力加速度(=9.80665)

h　：据付面から重心までの距離

$M_P$　：排風機回転により働くモーメント

※基礎ボルト・取付ボルト部に $M_P$ は作用しない

$l_1$　：排風機重心と基礎ボルト・取付ボルト間の距離

$l_2$　：排風機重心と基礎ボルト・取付ボルト間の距離（$l_1 \leqq l_2$）

$n_f$　：評価上引張を受けるボルト本数

n　：全ボルト本数

$A_b$　：基礎ボルト・取付ボルトの断面積

$C_H$　：水平方向設計震度

$C_P$　：排風機振動による震度

表 2.4-1　排風機の基礎ボルトの強度評価

| 評価対象機器 | 部位※ | 材料 | 評価項目 | 算出荷重(N)/本 | | 許容荷重(N)/本※ | |
|---|---|---|---|---|---|---|---|
| | | | | せん断 | 引張 | せん断 | 引張 |
| 排風機 | 基礎ボルト | SS400 | 荷重 | 2829 | 作用しない | 21300 | 23900 |

※基礎ボルトの評価部位及び許容荷重は，ケミカルアンカー部を示す。

表 2.4-2　排風機の取付ボルトの強度評価

| 評価対象機器 | 部位 | 材料 | 評価項目 | 算出応力(MPa) | | 許容応力(MPa) | |
|---|---|---|---|---|---|---|---|
| | | | | せん断 | 引張 | せん断 | 引張 |
| 排風機 | 取付ボルト | SS400 | 応力 | 3 | 作用しない | 133 | 173 |

2.4.2　フィルタユニットの耐震性

フィルタユニットの耐震性評価として，「JEAG4601-1987 原子力発電所耐震設計技術指針」を準用し，2.4.1 項と同様の方法で基礎ボルト・取付ボルトの評価を行った。なお，震度については，耐震設計審査指針上の耐震Ｃクラス設備に適用される静的地震力に余裕を持たせた 0.36G を採用した。基礎ボルトの許容荷重及び取付ボルトの許容応力については，評価温度 50℃とした。基礎ボルト・取付ボルトのせん断・引張を評価した結果，基礎ボルト・取付ボルトに生じる荷重及び応力は許容値以下であり，基礎ボルト・取付ボルトの強度が確保されることを確認した（表 2.4-3,2.4-4 参照)。

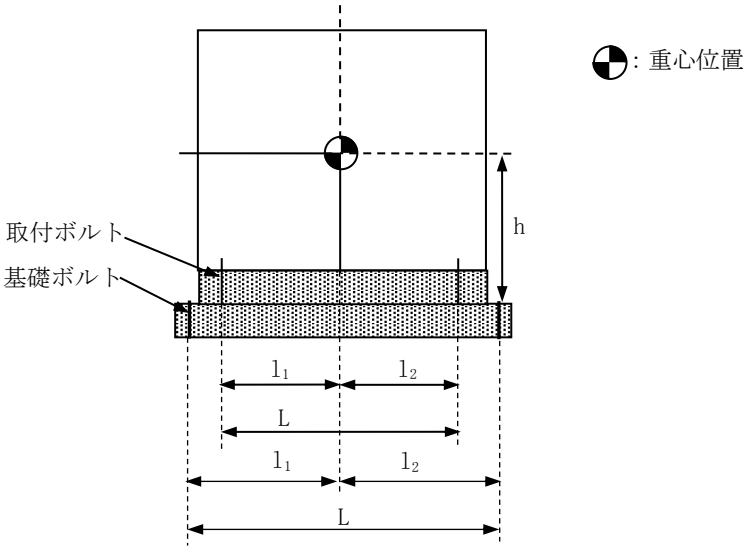



図 2.4-2　フィルタユニットの耐震評価モデル

・評価部位：基礎ボルト・取付ボルト

・考慮する荷重：地震荷重

・計算に用いる数式

引張力　$Q_v = \dfrac{W \cdot g \cdot C_H \cdot h - W \cdot g \cdot (1 - C_v) \cdot l_1}{n_f \cdot (l_1 + l_2)}$

引張応力　$\tau_v = \dfrac{Q_v}{A_b}$

せん断力　$Q_H = W \cdot g \cdot C_H$

せん断応力　$\tau_H = \dfrac{Q_H}{n \cdot A_b}$

$W$　：据付面に作用する重量

$g$　：重力加速度(=9.80665)

$h$　：据付面から重心までの距離

$l_1$　：フィルタユニット重心と基礎ボルト・取付ボルト間の距離

$l_2$　：フィルタユニット重心と基礎ボルト・取付ボルト間の距離

$(l_1 \leqq l_2)$

$n_f$　：評価上引張を受けるボルト本数

$n$　：全ボルト本数

$A_b$　：基礎ボルト・取付ボルトの断面積

$C_H$　：水平方向設計震度

$C_V$　：鉛直方向設計震度

表 2.4-3　フィルタユニットの基礎ボルトの強度評価

| 評価対象機器 | 部位※ | 材料 | 評価項目 | 算出荷重(N)/本 | | 許容荷重(N)/本※ | |
|---|---|---|---|---|---|---|---|
| | | | | せん断 | 引張 | せん断 | 引張 |
| 排気フィルタユニット | 基礎ボルト | SS400 | 荷重 | 1476 | 作用しない | 21300 | 23900 |

※基礎ボルトの評価部位及び許容荷重は，ケミカルアンカー部を示す。

表 2.4-4　フィルタユニットの取付ボルトの強度評価

| 評価対象機器 | 部位 | 材料 | 評価項目 | 算出応力(MPa) | | 許容応力(MPa) | |
|---|---|---|---|---|---|---|---|
| | | | | せん断 | 引張 | せん断 | 引張 |
| 排気フィルタユニット | 取付ボルト | SS400 | 応力 | 5 | 7 | 139 | 180 |

2.4.3　ダクトの耐震性

ダクトの耐震性評価として，許容座屈曲げモーメント以下となる基準支持間隔の評価を行った。なお，震度については，耐震設計審査指針上の耐震Ｃクラス設備に適用される静的地震力に余裕を持たせた 0.36G を採用した。ダクトは基準支持間隔（表 2.4-5,2.4-6 参照）よりも小さい間隔で支持することで耐震性を確保する計画である。

なお，燃料取り出し用カバー内のダクトは，使用済燃料プール上に配置しないことから，使用済燃料プールへ波及的影響は与えない。

(1) 角ダクトの耐震計算

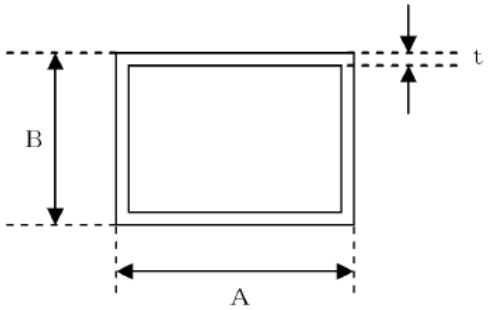



図 2.4-3　角ダクトの評価モデル

・評価部位：角ダクト
・考慮する荷重：地震荷重
・計算に用いる数式

自重による許容座屈曲げモーメント以下とする基準支持間隔

$$L=\sqrt{\frac{8\cdot M_X\cdot 1000}{W\cdot g}}$$

地震による許容座屈曲げモーメント以下とする基準支持間隔

$$L=\sqrt{\frac{8\cdot M_Y\cdot 1000}{W\cdot g}\cdot\frac{1}{C_H}}$$

許容曲げモーメントとの関係は次式となる

$$\frac{M_X}{M_{Xa}}=\frac{M_Y}{M_{Ya}}=1$$

上記式を解くと

基準支持間隔　$$L=\frac{1}{\sqrt{\frac{W\cdot g}{1000\cdot 8\cdot M_{Xa}}+C_H\frac{W\cdot g}{1000\cdot 8\cdot M_{Ya}}}}$$

| | |
|---|---|
| $L$ | ：基準支持間隔 |
| $M_x$ | ：水平方向座屈曲げモーメント |
| $M_{xa}$ | ：水平方向許容座屈曲げげモーメント |
| $M_Y$ | ：鉛直方向座屈曲げモーメント |
| $M_{Ya}$ | ：鉛直方向許容座屈曲げげモーメント |
| $W$ | ：ダクト単位長さ当たり質量 |
| $g$ | ：重力加速度（＝9.80665） |
| $C_H$ | ：水平方向設計震度 |

表 2.4-5　角ダクトの評価

| 評価対象ダクト | 材料 | 基準支持間隔<br>(mm) |
|---|---|---|
| 1100×1100×3.2t | ガルバニウム鋼板 | 37633 |
| 900×900×3.2t | ガルバニウム鋼板 | 40671 |
| 650×500×3.2t | ガルバニウム鋼板 | 43643 |
| 1100×1100×2.3t | ガルバニウム鋼板 | 26033 |
| 1300×1300×1.2t | ガルバニウム鋼板 | 9740 |
| 1300×1000×1.2t | ガルバニウム鋼板 | 10334 |
| 1100×1100×1.2t | ガルバニウム鋼板 | 11589 |
| 900×900×1.2t | ガルバニウム鋼板 | 13882 |
| 700×700×1.2t | ガルバニウム鋼板 | 15364 |

(2) 丸ダクトの耐震計算

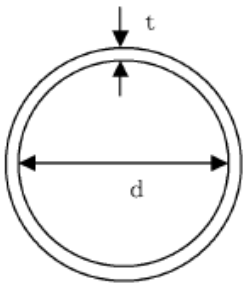



図 2.4-4　丸ダクトの評価モデル

・評価部位：丸ダクト
・考慮する荷重：地震荷重
・計算に用いる数式

自重と地震を合成した座屈曲げモーメント

$$M = \sqrt{1^2 + C_H{}^2} \cdot \frac{W \cdot g}{1000} \cdot \frac{L^2}{8}$$

$$\frac{M}{M_a} = 1$$

上記式を解くと

基準支持間隔　　$$L = \sqrt{\frac{8 \cdot M_a}{\frac{W \cdot g}{1000}\sqrt{(1 + C_H{}^2)}}}$$

L　　：基準支持間隔
M　　：座屈曲げモーメント

$M_a$　：許容座屈曲げげモーメント

W　：ダクト単位長さ当たり質量

g　：重力加速度（＝9.80665）

$C_H$　：水平方向設計震度

表 2.4-6　丸ダクトの評価

| 評価対象ダクト | 材料 | 基準支持間隔<br>(mm) |
|---|---|---|
| 1200φ×3.2t | 鋼板 | 42685 |
| 700φ×3.2t | 鋼板 | 42674 |

2.5　第2号機原子炉建屋オペレーティングフロア及び燃料取り出し用構台換気設備の耐震性

2.5.1　排風機の耐震性

排風機の耐震性評価として，「JEAG4601-1987 原子力発電所耐震設計技術指針」を準用し，排風機の基礎ボルトの評価を行った。なお，震度については，耐震設計審査指針上の耐震Ｃクラス設備に適用される静的地震力 0.2G を採用した。基礎ボルトの許容荷重については，評価温度 50℃とした。基礎ボルトのせん断・引張を評価した結果，基礎ボルトに生じる荷重は許容荷重以下であり，基礎ボルトの強度が確保されることを確認した（表 2.5-1 参照)。

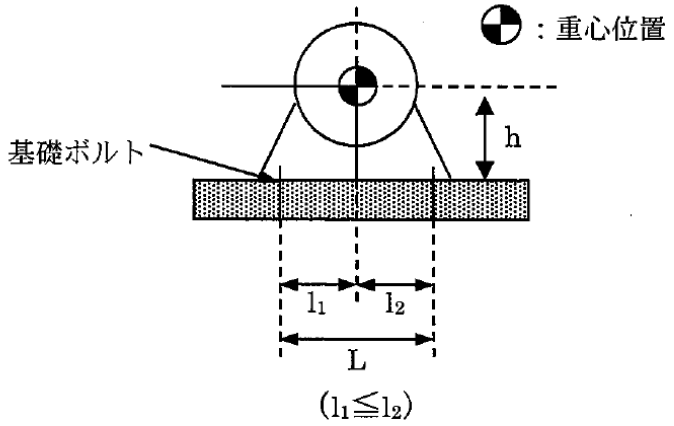



図 2.5-1　排風機の耐震評価モデル

・評価部位：基礎ボルト

・考慮する荷重：地震荷重，排風機振動による荷重

・計算に用いる数式

引張力　　$Q_V=\frac{W\cdot g\cdot(C_H+C_p)\cdot h-W\cdot g\cdot(1-C_p)\cdot l_1}{n_f\cdot(l_1+l_2)}$

せん断力　　$Q_H=\frac{W\cdot g\cdot(C_H+C_P)}{n}$

W　：排風機質量

g　：重力加速度(=9.80665 m/s$^2$)

h　：据付面から重心までの距離

$l_1$　：排風機重心と基礎ボルト間の距離

$l_2$　：排風機重心と基礎ボルト間の距離（$l_1 \leqq l_2$）

$n_f$　：評価上引張を受けるボルト本数

n　：全ボルト本数

$C_H$　：水平方向設計震度

$C_P$　：排風機振動による加速度

表 2.5-1　排風機の基礎ボルトの強度評価結果

| 評価対象機器 | 部位 | 材料 | 評価項目 | 算出荷重(N)/本 | | 許容荷重(N)/本 | |
|---|---|---|---|---|---|---|---|
| | | | | せん断 | 引張 | せん断 | 引張 |
| 排風機 | 基礎ボルト | SS400 | 荷重 | 654.1 | 作用しない | 20550 | 35600 |

2.5.2　フィルタユニットの耐震性

フィルタユニットの耐震性評価として，「JEAG4601-1987 原子力発電所耐震設計技術指針」を準用し，2.5.1 項と同様の方法で基礎ボルトの評価を行った。なお，震度については，耐震設計審査指針上の耐震Ｃクラス設備に適用される静的地震力として 0.2G を採用した。基礎ボルトの許容荷重については，評価温度 50℃とした。基礎ボルトのせん断・引張を評価した結果，基礎ボルトに生じる荷重は許容荷重以下であり，基礎ボルトの強度が確保されることを確認した（表 2.5-2 参照)。

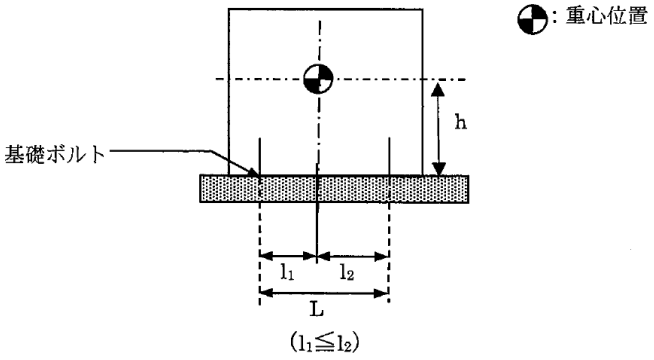



図 2.5-2　フィルタユニットの耐震評価モデル

・評価部位：基礎ボルト
・考慮する荷重：地震荷重
・計算に用いる数式

引張力　　$Q_V=\frac{W\cdot g\cdot C_H\cdot h-W\cdot g\cdot l_1}{n_f\cdot(l_1+l_2)}$

せん断力　　$Q_H=\frac{W\cdot g\cdot C_H}{n}$

W　：フィルタユニット質量
g　：重力加速度(=9.80665 m/s$^2$)
h　：据付面から重心までの距離
$l_1$　：フィルタユニット重心と基礎ボルト間の距離
$l_2$　：フィルタユニット重心と基礎ボルト間の距離
　　($l_1\leqq l_2$)

$n_f$　：評価上引張を受けるボルト本数

n　：全ボルト本数

$C_H$　：水平方向設計震度

表 2.5-2　フィルタユニットの基礎ボルトの強度評価

| 評価対象機器 | 部位 | 材料 | 評価項目 | 算出荷重(N)/本 | | 許容荷重(N)/本 | |
|---|---|---|---|---|---|---|---|
| | | | | せん断 | 引張 | せん断 | 引張 |
| 排気フィルタユニット | 基礎ボルト | SS400 | 荷重 | 281.9 | 作用しない | 11400 | 14300 |

2.5.3　ダクトの耐震性

ダクトの耐震性評価として，「JEAG4601-1987 原子力発電所耐震設計技術指針」を準用し，基準支持間隔の評価を行った。なお，震度については，耐震設計審査指針上の耐震Ｃクラス設備に適用される静的地震力として燃料取り出し用構台側は 0.27G，原子炉建屋側は 0.94G を採用した。ダクトは基準支持間隔(表 2.5-3，表 2.5-4 参照)よりも小さい間隔で支持することで耐震性を確保する計画である。

なお，当該ダクトは，使用済燃料プール上に配置しないことから，使用済燃料プールへ波及的影響を与えない。

(1) 角ダクトの耐震計算

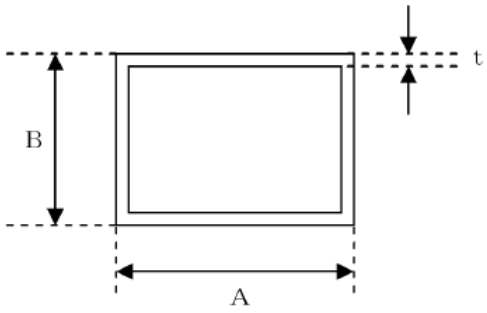



図 2.5-3　角ダクトの評価モデル

・評価部位：角ダクト

・考慮する荷重：地震荷重

・計算に用いる数式

自重による水平軸廻り座屈曲げモーメント

$$M_X=\frac{1}{8}\cdot\frac{W\cdot g}{1000}\cdot L^2$$

地震による鉛直軸廻り座屈曲げモーメント

$$M_Y=\frac{1}{8}\cdot\frac{W\cdot g\cdot C_H}{1000}\cdot L^2$$

許容座屈曲げモーメントとの関係

$$\frac{M_X}{M_{Xa}}+\frac{M_Y}{M_{Ya}}=1$$

上記式を解くと基準支持間隔は次式となる。

$$L=\frac{1}{\sqrt{\frac{W\cdot g}{1000\cdot 8\cdot M_{Xa}}+C_H\frac{W\cdot g}{1000\cdot 8\cdot M_{Ya}}}}$$

$L$　　：基準支持間隔

$M_x$　　：水平軸廻り座屈曲げモーメント

$M_{xa}$　　：水平軸廻り許容座屈曲げモーメント

$M_Y$　　：鉛直軸廻り座屈曲げモーメント

$M_{Ya}$　　：鉛直軸廻り許容座屈曲げモーメント

$W$　　：ダクト単位長さ当たり質量

$g$　　：重力加速度（＝9.80665 m/s$^2$）

$C_H$　　：水平方向設計震度

表 2.5-3　角ダクトの評価

| 評価対象ダクト (mm) | 材料 | 基準支持間隔 (mm) |
|---|---|---|
| 1450×1050×3.2t | SS400 | 34488 |
| 1200×1200×3.2t | SS400 | 29352 |
| 900×900×3.2t | SS400 | 44585 |
| 650×500×3.2t | SS400 | 47815 |
| 1000×800×1.2t | ガルバリウム鋼板 | 12609 |
| 900×900×1.2t | ガルバリウム鋼板 | 13526 |
| 708×558×1.2t | ガルバリウム鋼板 | 15603 |

(2) 丸ダクトの耐震計算

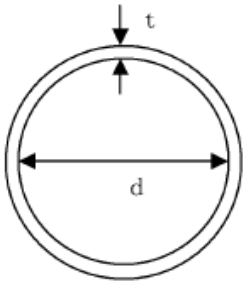



図 2.5-4　丸ダクトの評価モデル

・評価部位：丸ダクト

・考慮する荷重：地震荷重

・計算に用いる数式

自重と地震を合成した座屈曲げモーメント

$$M=\sqrt{1^2+C_H{}^2}\cdot\frac{W\cdot g}{1000}\cdot\frac{L^2}{8}$$

許容座屈曲げモーメントとの関係

$$\frac{M}{M_a}=1$$

上記式を解くと基準支持間隔は次式となる。

$$L=\sqrt{\frac{8\cdot M_a}{\frac{W\cdot g}{1000}\sqrt{1+C_H{}^2}}}$$

L　　：基準支持間隔

M　　：座屈曲げモーメント

$M_a$　　：許容座屈曲げモーメント

W　　：ダクト単位長さ当たり質量

g　　：重力加速度（＝9.80665 $m/s^2$）

$C_H$　　：水平方向設計震度

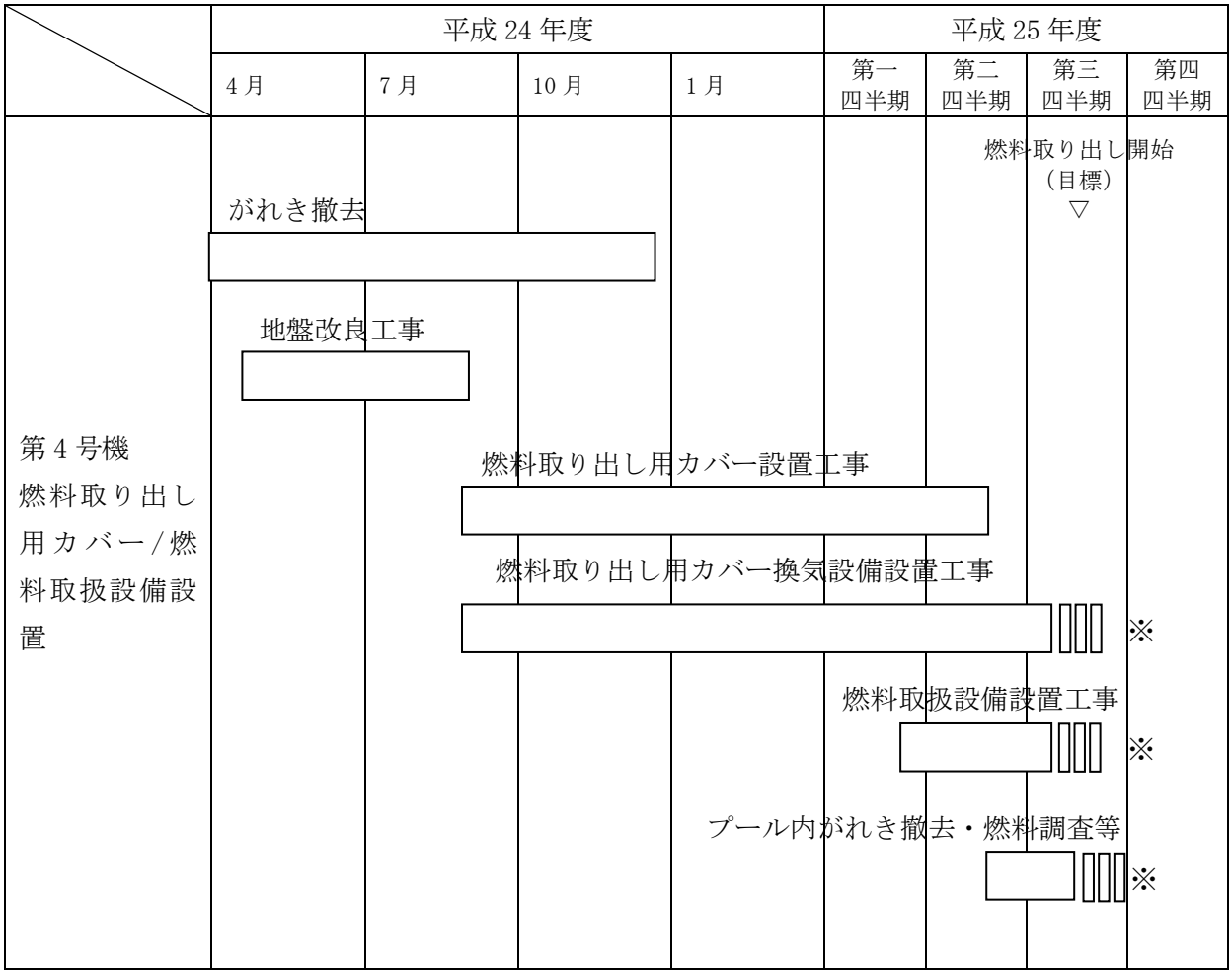
表 2.5-4　丸ダクトの評価

| 評価対象ダクト (mm) | 材料 | 基準支持間隔 (mm) |
|---|---|---|
| 1000φ×3.2t | SS400 | 41890 |
| 700φ×3.2t | SS400 | 43507 |
| 753.6φ×3.2t | SS400 | 44452 |

添付資料－５

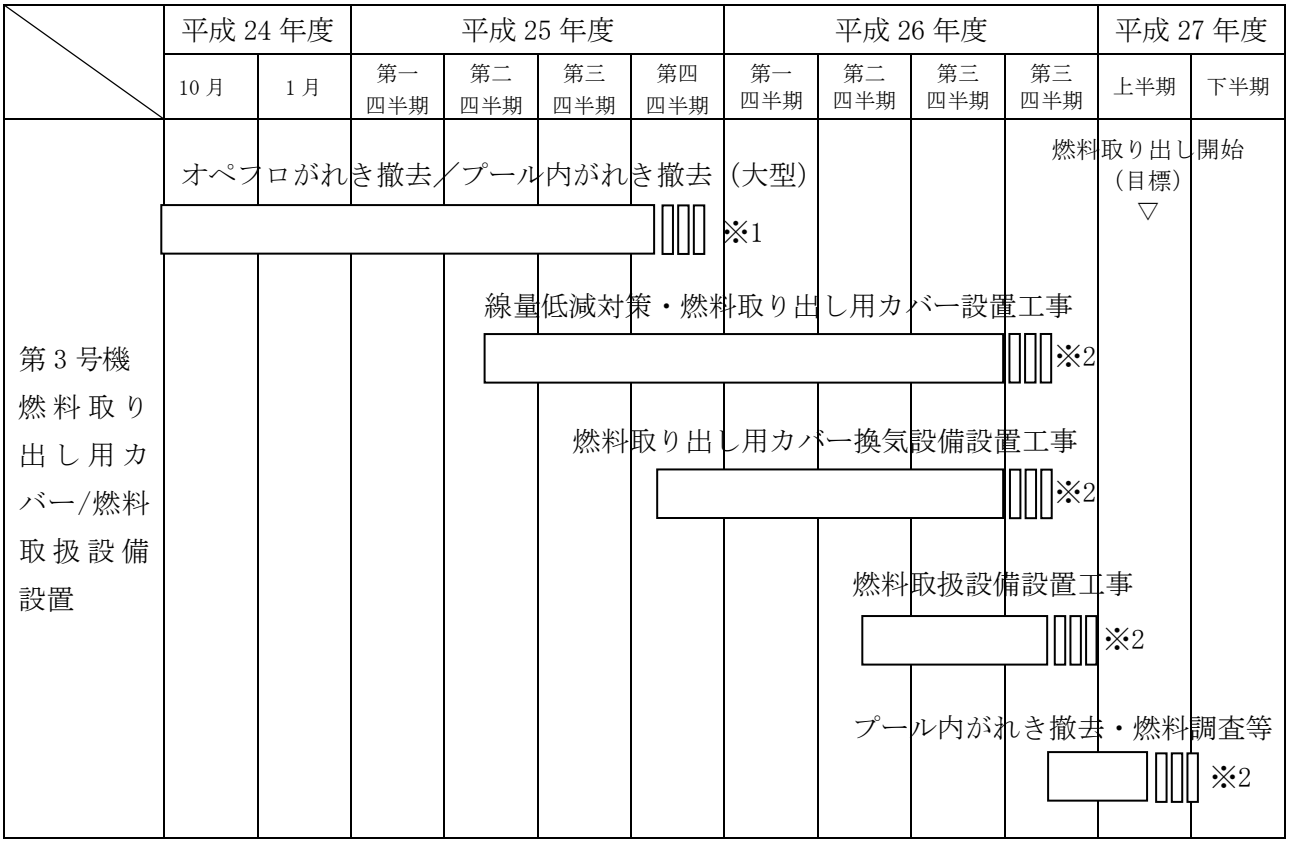
使用済燃料プールからの燃料取り出し工程表

第４号機使用済燃料プールからの燃料取り出し　工程表



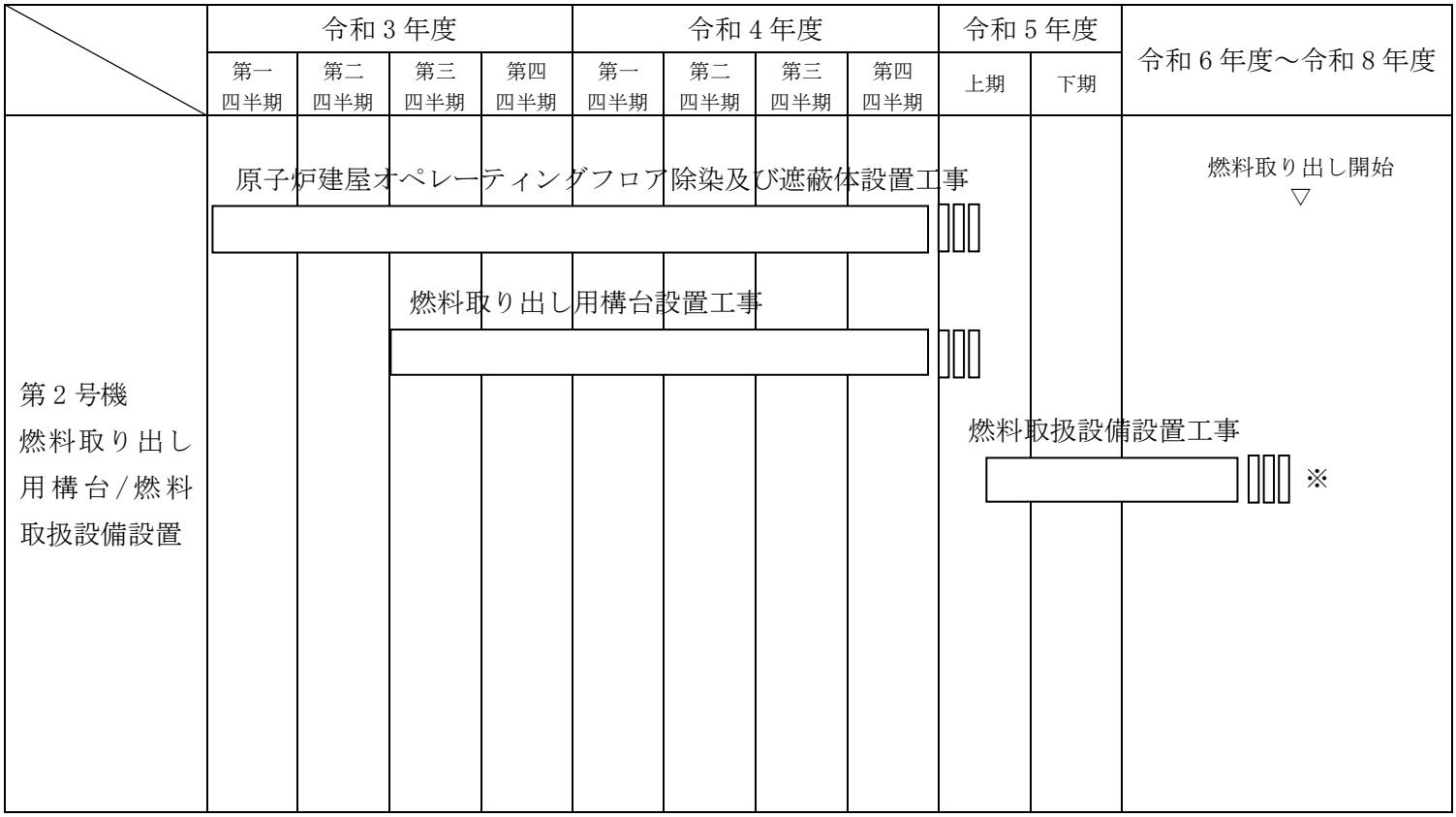

※：燃料取扱設備設置工事/プール内がれき撤去の進捗によって工程に影響を与える可能性有

第 3 号機使用済燃料プールからの燃料取り出し　工程表




※1：がれきの状況により終了時期が変動する可能性有
※2：がれき撤去の進捗によっては、燃料取り出し用カバー/燃料取扱設備設置工事工程等に影響を与える可能性有

第 2 号機使用済燃料プールからの燃料取り出し　工程表




※：原子炉建屋オペレーティングフロア除染及び遮蔽体設置工事の進捗により，燃料取扱設備設置工事工程に影響を与える可能性有

# 福島第一原子力発電所第１号機原子炉建屋カバーに関する説明書

## 1. 適用範囲

本書は，第１号機原子炉建屋カバー排気設備停止前までの機能について記載するものである。

なお，原子炉建屋カバー排気設備停止以降については，添付資料-7「福島第一原子力発電所第１号機原子炉建屋カバー解体について」を参照。

## 2. 原子炉建屋カバーの位置づけ

福島第一原子力発電所第１号機は，原子炉建屋最上階（オペレーティングフロア）より上部が開放された状態であり，放射性物質を含む水蒸気の蒸散や瓦礫・粉塵の風雨による飛散が懸念される。一方，放射性物質の閉じ込め機能および放射線の遮へい機能を有する構造物を設置するまでには，その要求性能を踏まえた建屋構造とし，かつ諸設備を設ける必要があり，短期的に完工できるものではない。このため応急措置的対策（２年程度の供用期間を想定）として，放射性物質の飛散を抑制する原子炉建屋カバーの設置している。

## 3. 原子炉建屋カバーの設置効果

原子炉建屋カバー（附属設備を含む）を設置することにより以下の効果が期待できる。

① 原子炉建屋から大気中へ放出される放射性物質が抑制されること。

② 原子炉建屋への雨水等の浸入が防止されること。

③ 原子炉建屋からカバー内に放出される放射性物質濃度を把握できること。

## 4. 原子炉建屋カバーの設計方針

### 4.1 建物概要

原子炉建屋カバーは放射性物質の飛散抑制のために極力気密性のよい素材を選定するが，応急措置的対策であることから，可能な限り早く設置できる設計・施工方法とする。

平面寸法は約 47m（NS 方向）×約 42m（EW 方向）の長方形で，高さは地上から約 54m である。主体構造は鉄骨造，壁面および屋根面は防水性のある膜材で覆う計画であり，屋根面および壁面上部には勾配を設けて，雨水の浸入を防止する構造とする。また，原子炉建屋カバー下部の膜材端部には，台風時の風の吹き込みや巻き上げを防ぐための重りを取り付ける。

### 4.2 構造概要

原子炉建屋カバーは原子炉建屋周囲への放射性物質の飛散を抑制する覆いであるが，原子炉施設への影響を考慮し，建築基準法に準じて設計する。

4.2.1　設計荷重について

常時，積雪時，暴風時，地震時における構造強度および構造安全性の評価における外力条件は下記のとおりである。

①積雪荷重；積雪深 30cm，単位荷重 20N/m²/cm

②風圧力　；基準風速 25m/s

③地震荷重；水平震度 0.2

なお，風圧力の算定には応急措置として供用期間が 2 年程度であることを考慮し，10 年再現期間で低減した風速を採用しているが，当該地点近傍において過去 35 年の間に観測された最大風速（17m/s）を上回る値となっている。

地震荷重および積雪荷重の設定は建築基準法施行令に準じている。なお，地震荷重の設定に用いる水平震度 0.2 は原子力発電所耐震設計技術指針に定めるＣクラスの地震力に相当する。また，短期事象において，暴風時，地震時の影響が支配的であることから，積雪荷重の検討は省略している。

4.2.2　架構の強度検討

荷重の組み合わせによる応力解析には３次元フレームモデルを使用する。柱，梁，火打材の剛性は，はり要素として集約し，屋根部分および膜材については非構造部材として重量のみ考慮し，剛性は考慮しない。応力解析は，長期の常時荷重，短期の風圧力および地震力について実施し，柱及び梁部材の断面検討の結果，許容値以下の応力度となる。

4.2.3　基礎の検討

原子炉建屋カバーの基礎は地盤面または既設建屋（コントロール建屋，廃棄物処理建屋）の屋根スラブ上面に置かれているため，水平荷重が作用した場合のすべりに対する検討を実施し，柱脚部に作用するせん断力に対し，すべり抵抗は十分に余裕があることを確認した。

また，南面の柱脚部は既設建屋の屋根スラブ上面に架台組した基礎で支持されることから，既設建屋のパンチングシア（押し抜きせん断力）に対する検討を実施し，柱の支持力が十分に確保されていることを確認した。

4.2.4　膜材の検討

屋根面および壁面に使用する膜材の材質は，塩化ビニル樹脂コーティングポリエステル繊維織物とする。膜材の強度検討は，風圧力に対して行う。風圧力により膜材に生じる応力度は，許容応力度以下であり，基準風速に対して十分な余裕があることを確認した。

4.3 附属設備

原子炉建屋から放出される放射性物質の大気放出を抑制するため，原子炉建屋カバーとともに排気設備（フィルタ付）を設置する。原子炉建屋カバー天井部から内部気体を吸引し，排気ダクトを経由して原子炉建屋カバーの外部に設置したフィルタユニットへ導く。フィルタユニットは，プレフィルタ，加熱コイル，高性能粒子フィルタ，よう素用チャコールフィルタ，排風機等で構成し，各フィルタで放射性物質を捕集した後の気体を吹き上げ用排気ダクトから大気放出する。排気風量約 10,000$m^3$/h のフィルタユニットを 6 系列（うち 2 系列は予備）設置し，合計約 40,000$m^3$/h の排気風量で運転する。

現在，使用済燃料プールへの注水は原子炉建屋の内部配管を経由して行われており，これが停止した場合の代替手段として，使用済燃料プールの上部からコンクリートポンプ車による注水を行うこととしている。原子炉建屋カバー設置後は，原子炉建屋カバーの天井部に注水ノズル（方向調整機能付）を取り付け，配管・ホースで原子炉建屋カバー外部の給水系統に接続することで代替注水を可能とする。

また，原子炉建屋カバー内の温度を測定するための温度計や使用済燃料プールへの注水状況などを確認するためのカメラを設置する。原子炉建屋カバー内の放射性物質や吹上用排気ダクトから大気に放出される放射性物質の濃度を測定するための装置と原子炉建屋カバー内の水素濃度を測定するための装置を設置する。

4.4 その他

4.4.1 津波への配慮

津波については，原子炉建屋カバー工事完了までに設置予定の防潮堤により対処する。

4.4.2 火災への配慮

オペレーティングフロア上には元来，火災の原因となる火気は無いため，原子炉建屋カバー内で火災が発生する可能性は小さい。仮に火災が生じた場合においても原子炉建屋カバーが延焼し，原子炉建屋へ波及的影響を与えないよう，JIS A 1322-1966「建築用薄物材料の難燃性試験方法」に基づく「防炎 2 級」以上の性能を有する塩化ビニル樹脂コーティングポリエステル繊維織物を壁パネル・屋根パネルに張って使用する。なお，万一オペレーティングフロアで火災が発生した場合には，カバー屋根又はシャッターを開放して内部に放水する。

4.4.3 放射性物質の飛散抑制

仮に原子炉建屋カバーの膜が一部破損・崩壊することがあっても放射性物質の飛散範囲が拡大することのないよう，原子炉建屋の外壁および原子炉建屋最上階（オペレーティングフロア）には事前に飛散防止剤を散布する。

4.4.4　水素の影響

原子炉及び使用済燃料プール内の燃料による水の放射線分解により水素が発生するが，排気風量 40,000m³/h に比べて発生量が十分に少ないこと，カバー内気体と混合されること，排気設備の吸引口を天井部に設けていることからカバー内に水素が滞留する可能性は極めて低い。万一，水素濃度が可燃限界濃度に達した場合には，カバー屋根又はシャッターを開放し，カバー外へ放出する。

5.　原子炉建屋カバーの設置によるリスク

5.1 設置によるリスク

原子炉建屋カバーを設置することにより下記のリスクが想定される。

(1) 設計荷重以上の外力（地震力または風圧力）により，原子炉建屋カバーが損傷し，原子炉建屋へ波及的影響を及ぼすこと

(2) 原子炉建屋カバー内の熱や水蒸気により，原子炉建屋内の環境（温度，湿度）が悪化すること

(3) 事故の収束に向けた他工程との干渉により，相互の工程遅延が生じること

(4) 事故の収束に向けた後工程の計画に影響を及ぼすこと

これらリスクへの対応策をそれぞれ十分に考慮した上で，原子炉建屋カバーの設置計画を行う。

5.1.1　原子炉建屋カバーの損傷による原子炉建屋への波及的影響について

応急措置としての原子炉建屋カバーは２年程度の供用期間を考慮した上で，設計条件を決定し，建築基準法に準じた構造検討を実施しているが，設計荷重以上の外力が作用した場合の崩壊メカニズムについても検討を行い，原子炉建屋に波及的影響を及ぼさないことを確認する。

漸増載荷解析の結果から，風荷重，地震荷重いずれにおいても，原子炉建屋カバーの架構が崩壊形を形成する前に柱脚がすべり，架構の崩壊には至らない。また，すべり量が増加した場合に備え，原子炉建屋カバーに変形抑制のためのストッパーを G.L.+18.9m の位置（原子炉建屋の健全性が確認されている壁面高さ）に設置し，原子炉建屋のコンクリート壁部分で原子炉建屋カバーを支持できる構造とする。このストッパーにより原子炉建屋カバーの滑動及び架構の倒壊を防ぎ，放射性物質の飛散抑制効果に大きな影響を及ぼさない。この場合，原子炉建屋は原子炉建屋カバーの荷重を負担することとなるが，原子炉建屋重量に比べて原子炉建屋カバー重量は十分に小さく（原子炉建屋カバー総重量／原子炉建屋質点重量（基礎重量をのぞく）＝約 4%），振動性状を示す固有周期に与える影響も約 2%である。一方，基準地震動 Ss-1 及び Ss-2 に対する原子炉建屋の耐震壁のせん断ひずみは最大で $0.12\times10^{-3}$ であり，評価基準値

（$4.0\times10^{-3}$）に対して十分余裕がある。

なお，架構がすべりを生じるまでの滑動抵抗力は，設計風荷重に対し約 1.8 倍，設計地震荷重に対し 3.0 倍の余裕度があり，地震および暴風に対し十分な安全性を有している。

以上より，原子炉建屋カバーに設計荷重以上（地震時，暴風時）の外力が作用した場合に，原子炉建屋が原子炉建屋カバーの荷重を負担することになるが，波及的影響は極めて小さい。

5.1.2　原子炉建屋内の環境への影響について

原子炉からの熱，使用済燃料プールからの熱，外気温及び日射熱を考慮すると，原子炉建屋カバー内の温度は上昇し，原子炉建屋内の温度が最大 10℃程度上昇する場合がある。一方で，原子炉建屋カバーに附属する排気設備では，原子炉建屋カバーのすき間から外気を取り込み，原子炉建屋の外側を外壁に沿って上昇することを想定している。このため，原子炉建屋内においては，スポットクーラー等を設置することで局所的に作業エリアの環境改善を図り，また，状況によっては作業時間を限定するなどの対策をとる。

使用済燃料プール水および原子炉内燃料の崩壊熱により発生した蒸気により原子炉建屋カバー内が加湿されるが，原子炉建屋内の湿度が著しく高くなることはない。

5.1.3　事故の収束に向けた他工程への干渉について

原子炉建屋カバーの設置工事が原子炉および使用済燃料プールの安定的冷却のための他工程へ干渉が生じることがないよう，工程調整・ヤード調整を行い，計画を進める。現在，使用済燃料プールへの注水は原子炉建屋の内部配管を経由して行われているため，原子炉建屋カバーと注水作業が干渉することはない。しかし，原子炉建屋の内部配管を経由して行われる注水作業が中断した場合の代替注水手段であるコンクリートポンプ車による注水作業の代わりとして，原子炉建屋カバーに注水ノズルと注水管・ホースを設置するとともに，注水ノズルによる注水状況やオペレーティングフロア上の状況は原子炉建屋カバー内に設置したカメラを通じて，免震重要棟で確認する。

5.1.4　事故の収束に向けた後工程への影響について

使用済燃料の取り出し，放射線の遮へい機能を有するコンテナ設置等の後工程に対しては，原子炉建屋カバーの一部あるいは全面解体することを前提に，柱・梁に鉄骨材，壁・屋根に膜材を使用し，解体撤去が可能な構造を採用する。なお，原子炉建屋カバーの一部あるいは全面解体を実施する場合は，周辺環境への影響を考慮した上で実施する。

6.　運転管理および保守管理

6.1 運転管理

フィルタユニット内の排風機の起動/停止操作は，フィルタユニットの傍に設置した現場制御盤で行うものとし，故障等により排風機が停止した場合には，予備機が自動起動する。

現場制御盤では，排風機の運転状態（起動停止状態），カバー内温度，水素濃度，放射性物質濃度が表示され，それらの異常を検知した場合は，警報を発する。免震重要棟に設置するモニタには，制御盤の情報が送られ，カメラによるカバー内状況とともに確認することができる。また，免震重要棟でも同様に，それらの情報に異常を検知した場合は，警報を発するシステムとなっている。

また，放射性物質は，原子炉圧力容器から原子炉格納容器，原子炉建屋内，オペレーティングフロアの開口部（機器ハッチ等）を経てカバー内に放出されるものと，使用済燃料プールの水中からプール上空に移行するものが想定される。このため，機器ハッチ開口部近傍に 1 箇所及び使用済燃料プール上方部に 1 箇所から各々吸引できるよう放射性物質濃度測定用のサンプリング配管を設置する。また，カバー内上部空間及び大気放出前（フィルタ通過後）の放射性物質濃度測定用の配管を排気ダクトに設置する。さらに念のため，オペレーティングフロア面のコーナー部近傍に 3 箇所設置し，各々のサンプリング配管を放射性物質濃度測定器に接続し，原子炉建屋から放出される放射性物質濃度を測定し，１号機原子炉建屋の周辺環境への影響を評価する。

6.2 保守管理

換気設備については安全上重要な設備ではなく，運転継続性の要求が高くない。保守作業に伴う被ばくを極力低減する観点から，異常の兆候が確認された場合に対応する。なお，排気フィルタユニット出口の放射性物質濃度測定器については，外部への放射性物質放出抑制の監視の観点から多重化し，機器の単一故障により機能が喪失した場合でも測定可能な設備構成とする。

また，フィルタについては，差圧計（プレフィルタ，よう素用チャコールフィルタ，高性能粒子フィルタに設置）又は線量計（高性能粒子フィルタに設置）の値を確認しながら，必要な時期に交換する。

7.　別添

別添－１　原子炉建屋カバーの設計方針，構内建屋配置図，立面図・アイソメ図

別添－２　構造計算書，伏図・軸組図

別添－３　供用期間を考慮した風荷重の設定

別添－４　設計荷重以上の外力に対する検討

別添－５　原子炉建屋カバー附属設備について

# 1.　原子炉建屋カバーの設計方針

## 1.1　設計概要

### 1.1.1　原子炉建屋カバーを設置する位置づけ

福島第一原子力発電所第１号機は，原子炉建屋最上階（オペレーティングフロア）より上部が開放された状態であり，放射性物質を含む水蒸気の蒸散や瓦礫・粉塵が風雨による飛散が懸念される。一方，放射性物質の閉じ込め機能および放射線の遮へい機能を有する構造物を設置するまでには，その要求性能を踏まえた建屋構造とし，かつ諸設備を設ける必要があり，短期的に完工できるものではない。このため応急措置的対策として，放射性物質の飛散を抑制する原子炉建屋カバーの設置が必要である。

この原子炉建屋カバーの設置は，平成 23 年４月 17 日に示した「福島第一原子力発電所・事故の収束に向けた道筋」において「Ⅱ．抑制（４）大気・土壌での放射性物質の抑制」の課題への対策として位置づけているものである。

### 1.1.2　原子炉建屋カバーの要求性能

原子炉建屋カバーの設計にあたり，要求する性能は下記のとおりとする。

(1) 遮へい性：考慮しない

(2) 気密性：

以下に示す放射性物質の飛散抑制のため，極力気密性のよい素材を選定する。

① 原子炉から放出される放射性物質

② 使用済燃料プール水からの水蒸気に含まれる放射性物質

③ 放射性物質が付着した瓦礫・粉塵等

(3) 構造安全性：後述

### 1.1.3　設計条件

原子炉建屋カバーの設計にあたり，留意するべき条件は下記のとおりとする。

(1) 出来るだけ早く設置できる設計・施工工法であること

(2) 原子炉建屋カバーの損傷により原子炉建屋に波及的影響を及ぼさないこと

(3) 事故の収束に向けた他工程との干渉により相互の工程に遅延を生じさせないこと

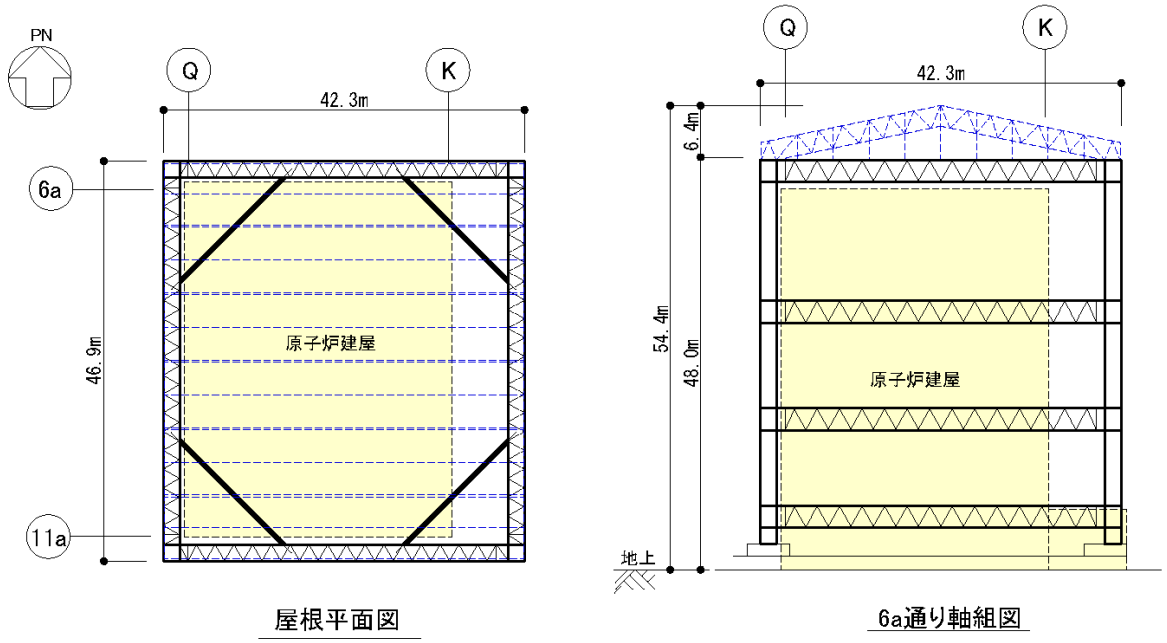
(4) 事故の収束に向けた後工程の計画に影響を及ぼさないこと

1.2　建物概要

1.2.1　構造概要

1.2.1.1 構造種別：

主体構造は鉄骨造であり，壁面および屋根面は膜材で覆う。



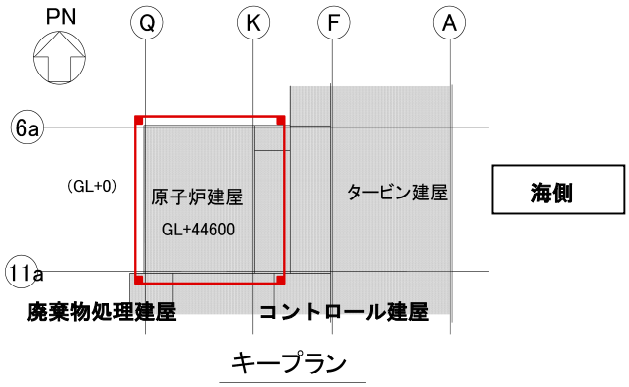




図 1-1　1 号機原子炉建屋カバー概要図

1.2.2　構造安全性

1.2.2.1 設計基規準

・関係諸法規等

建築基準法・施行令および関連告示等

・規準規格類

日本建築学会「建築物荷重指針・同解説」1993 年版

日本建築学会「鋼構造設計規準」2005 年版

1.2.2.2 使用材料と材料強度

・鋼材

表 1-1　鋼材の材料強度

| 種類 | 基準強度 F (N/mm²) |
|---|---|
| SS400, SN400, STK400, STKR400 | 235 |
| SN490, SM490 | 325 |

・膜材：塩化ビニル樹脂コーティング ポリエステル繊維織物

引張強さ 400 N/cm 以上

1.2.2.3 外力

表 1-2　外力の設定条件

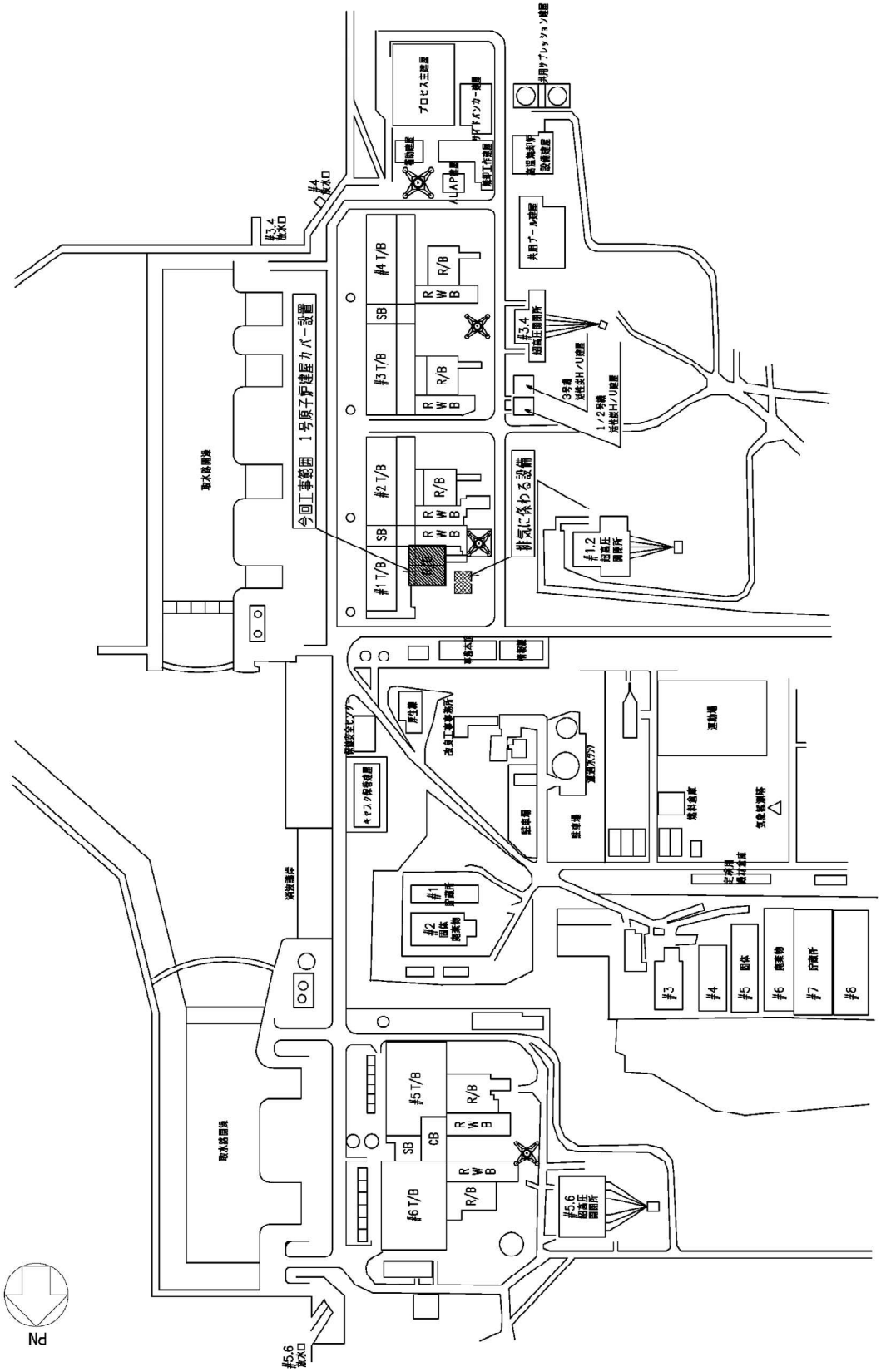
| 種類 | 条件 | 備考 |
|---|---|---|
| 積雪荷重 | 積雪深 30cm<br>単位荷重 20N/m²/cm | 建築基準法施行令・福島県施行細則に準拠 |
| 風圧力 | 基準風速 25m/sec | 建築基準法施行令の基準風速（30m/sec：50 年再現期間）に対し，使用期間を考慮し日本建築学会「建築物荷重指針」（1993 年版）に示される評価式に基づき 10 年再現期間で低減した値とする。なお，サイト近傍（広野町，浪江町）での過去 35 年の最大風速は 17m／sec 程度である。 |
| 地震荷重 | 水平震度 0.2 | 建築基準法施行令に準拠 |

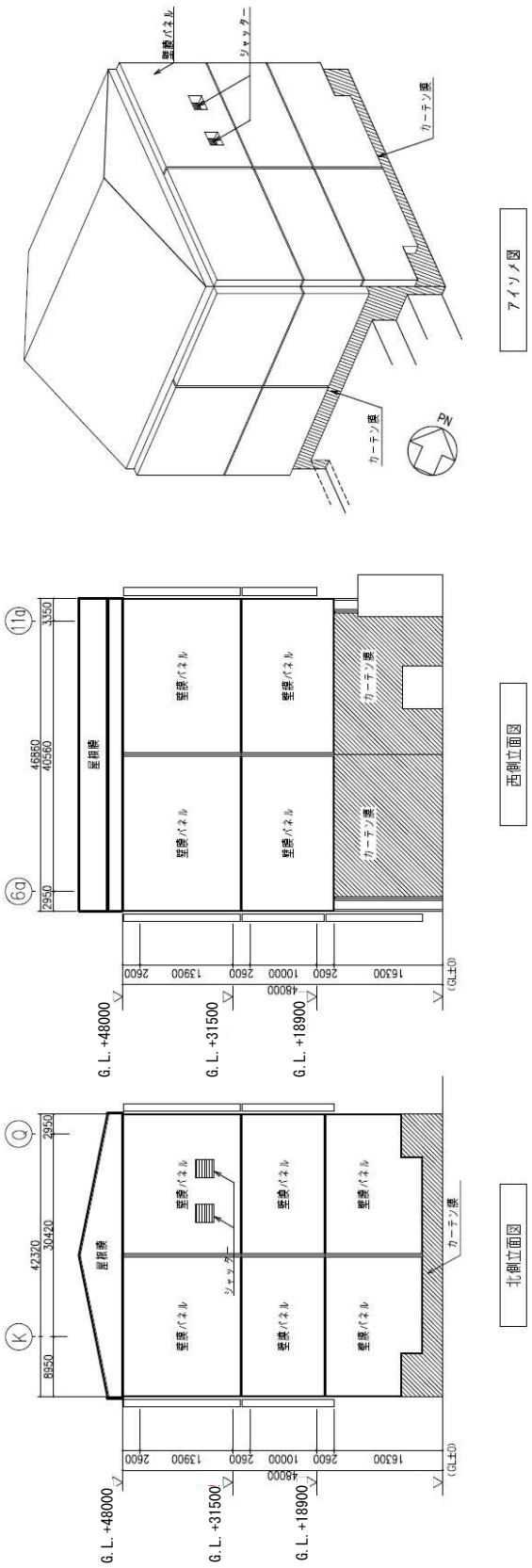
1.2.2.4 荷重の組合せ

表 1-3　荷重組み合わせ一覧（基準法施行令による）

| 想定する状態 | 鉛直荷重 | 水平荷重 | 許容応力度 |
|---|---|---|---|
| 常時 | G+P | | 長期 |
| 積雪時 | G+P+S | | 短期 |
| 暴風時 | G+P | W | |
| 地震時 | G+P | K | |

G：固定荷重，P：積載荷重，S：積雪荷重，W：風圧力，K：地震荷重


今回工事範囲 1号原子炉建屋カバー設置
排気に係わる設備
#1 T/B
#2 T/B
#3 T/B
#4 T/B
#5 T/B
#6 T/B
R/B
R W B
SB
CB
#1 貯蔵所
#2 固体廃棄物
#3
#4
#5 固体
#6 廃棄物
#7 貯蔵所
#8
#1.2 給水加熱器開閉所
#3.4 給水加熱器開閉所
#5.6 給水加熱器開閉所
#3.4 取水口
#4 取水口
#5.6 取水口
取水路開渠
取水路開渠
海底導水路
プロセス主建屋
ALAP建屋
廃棄物処理設備建屋
共用プール建屋
共用ベントフィルタ建屋
3号機 送排気ハンドリング建屋
1/2号機 送排気ハンドリング建屋
運転棟
資料倉庫
駐車場
駐車場
屋外変圧器置場
屋外消火設備
屋外消火設備
構内道路
構内道路
構内道路


アイソメ図
西側立面図
北側立面図
壁面パネル
シャッター
カーテン壁
屋根壁
PN
G. L. +48000
G. L. +31500
G. L. +18900
(GL±0)
48000
16300
2600
10000
2600
13900
2600
46860
40560
3350
2950
42320
30420
8950

立面図・アイソメ図

構造計算書

1　　構造計画

原子炉建屋カバーは，福島第一原子力発電所 1 号機原子炉建屋において，原子炉建屋を覆う構造物である。

原子炉建屋カバーの寸法は，図 2-1 に示すように，平面寸法は約 47m（NS 方向）×約 42m（EW 方向）の長方形で，高さは地上から約 54m である。主体構造は鉄骨造であり，壁面及び屋根面は膜材で覆う計画である。

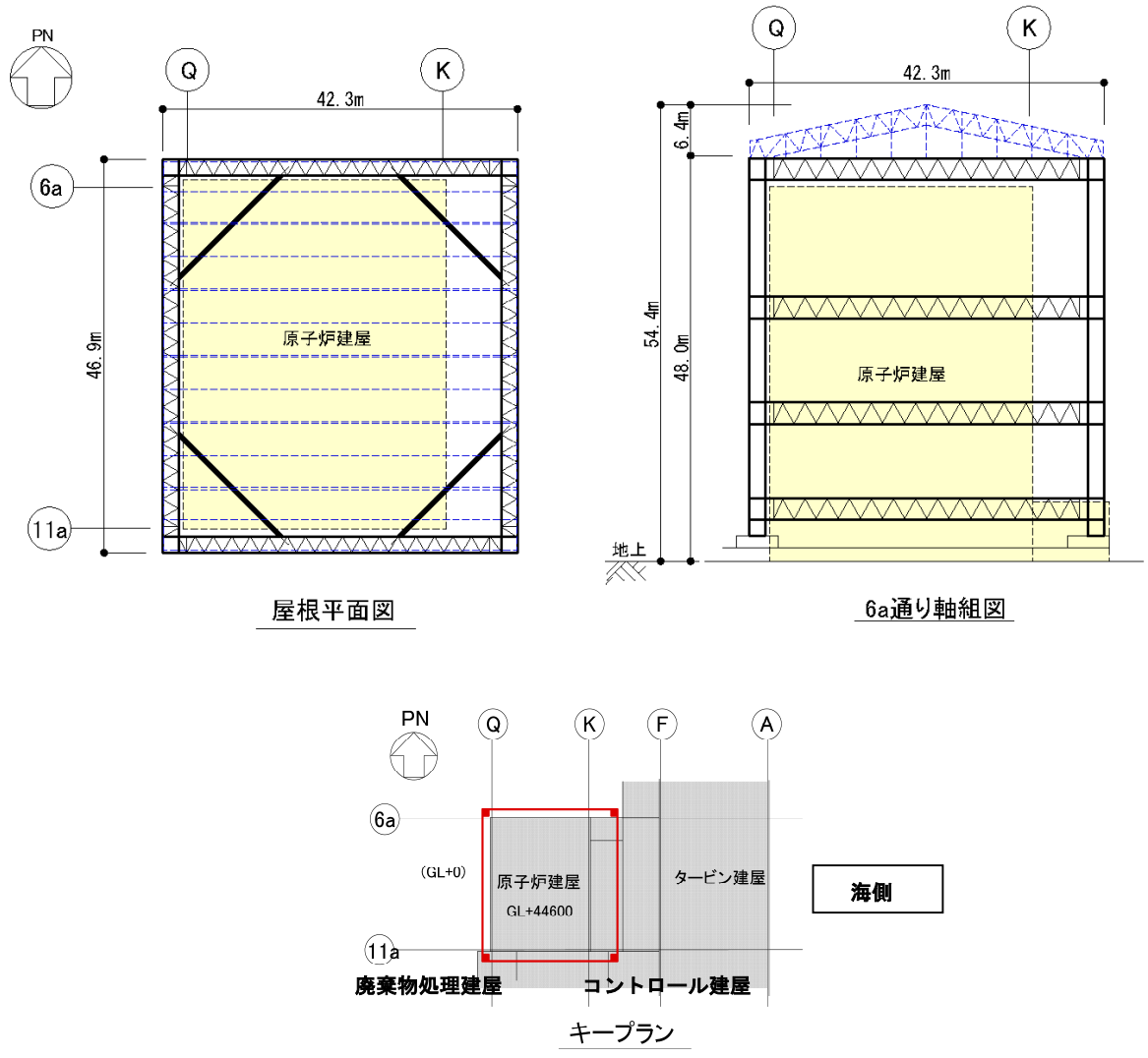



図 2-1　1 号機　原子炉建屋カバー概要図

主要構造部材である柱，梁及び補助材である火打材は，弦材と斜材による組立材で構成する。構造検討に用いる応力は，３次元フレームモデルを用いて算定する。図 2-2 に解析モデル及び部材形状の概要を示す。

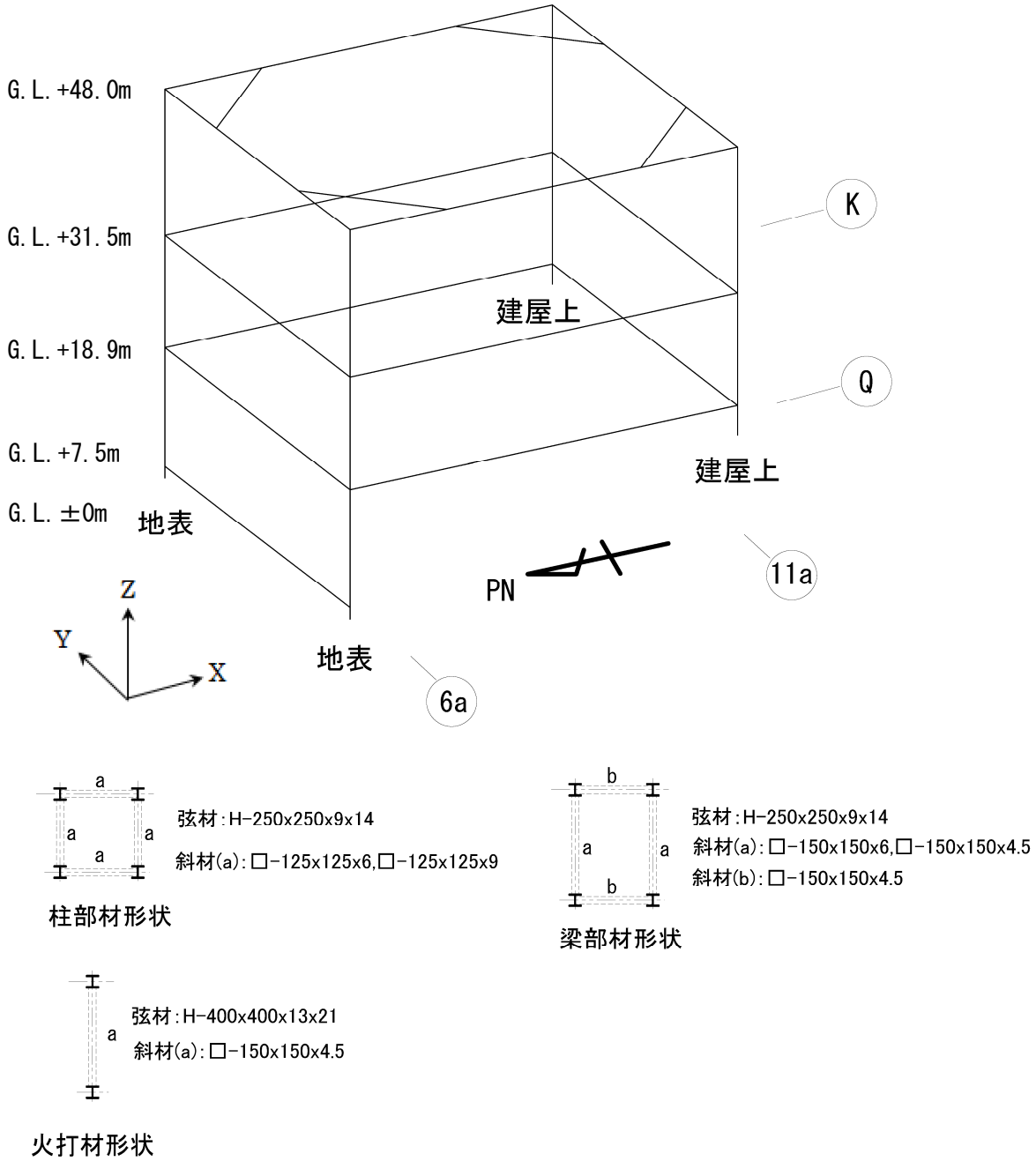



図 2-2　解析モデル及び部材形状の概要

## 2　全体架構の設計

### 2.1　使用材料及び材料の許容応力度

鋼材は SS400，SN400，STK400，STKR400，SN490，SM490 のいずれかを使用する。

鋼材の材料定数及び許容応力度を表 2-1～表 2-2 に示す。

表 2-1　材料の定数

| 材　　料 | ヤング係数 E<br>($N/mm^2$) | ポアソン比<br>v | 単位体積重量<br>($kN/m^3$) |
|---|---|---|---|
| 鉄　　骨 | $2.05\times10^5$ | 0.3 | 77 *1 |

注）*1：鉄骨の単位体積重量は質量密度 $7.85t/m^3$ に換算係数 9.80665 を乗じた。

表 2-2　鋼材の基準強度及び許容応力度　　（単位：$N/mm^2$）

| | 材料 | 板厚 | 基準強度<br>F | 許容応力度 |
|---|---|---|---|---|
| 構造用<br>鋼材 | SS400,SN400<br>STK400,STKR400 | t≦40mm | 235 | 日本建築学会「鋼構造設計規準」に従って左記 F の値により求める。 |
| | | t＞40mm | 215 | |
| | SN490,SM490 | t≦40mm | 325 | |
| | | t＞40mm | 295 | |

## 2.2　荷重及び荷重の組合せ

### (1)　荷重

設計に当たっては，以下の荷重を考慮する。

#### a.　鉛直荷重

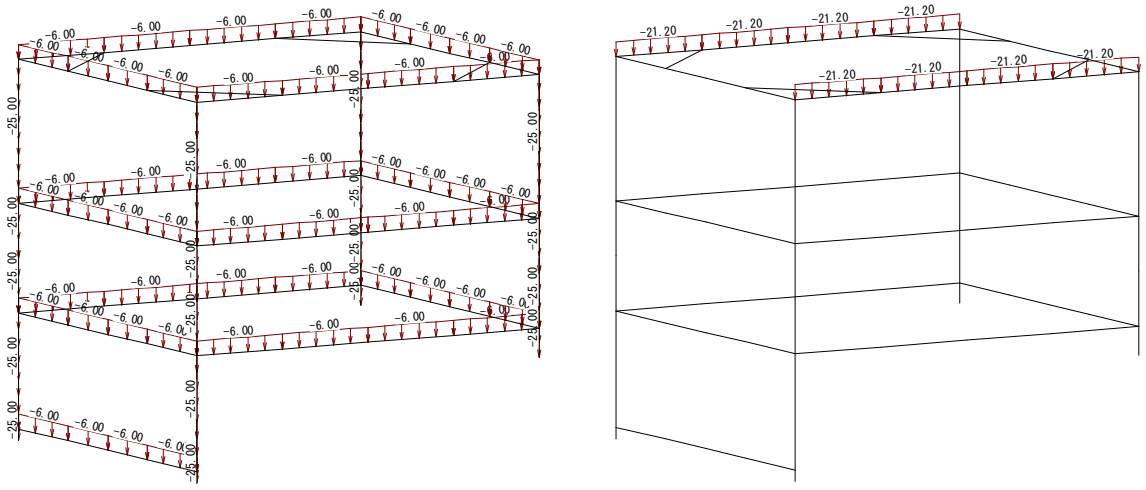
構造物に対して鉛直方向に作用する荷重で，以下の値とする。

| | |
|---|---|
| 鉄骨 | 77 kN/m$^3$ |
| 膜材自重 | 0.01 kN/m$^2$ |

上記より，部材に作用する単位荷重を以下のとおり設定する。

| | |
|---|---|
| 柱 | 25.0 kN/m |
| 梁 | 6.0 kN/m |
| 屋根 | 1.00 kN/m$^2$ |
| 火打材 | 17.0 kN/箇所 |
| 壁膜（パネル部） | 0.45 kN/m$^2$ |
| 壁膜（カーテン部） | 0.4 kN/m |

応力解析モデルに考慮する鉛直荷重の概要を図 2-3 に示す。




(a) 柱梁重量　　(b)屋根重量

図 2-3　鉛直荷重の概要

b.　積雪荷重

建築基準法施行令及び福島県施行細則に準拠し以下の条件とする。

積雪量　　30 cm

単位荷重　　20 N/m²/cm

$W_{SNL}=30\times20\times10^{-3}=0.60$ kN/m²

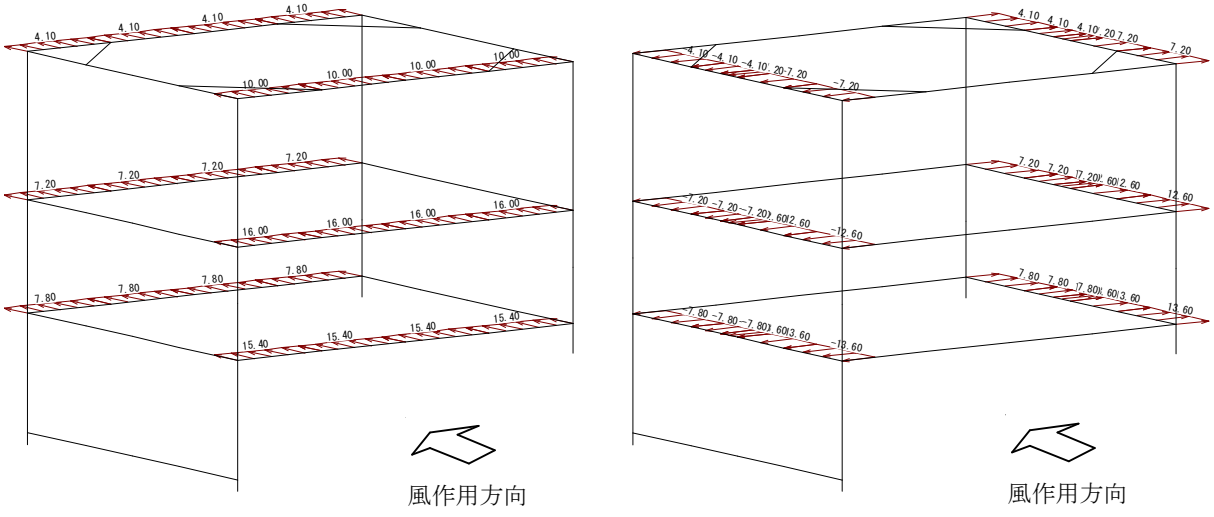
c.　風圧力

基準風速は建築基準法施行令第 87 条及び日本建築学会「建築物荷重指針」(1993 年版)に示される評価式に基づく条件とする。

風圧力は建築基準法施行令第 87 条に準拠して算定する。速度圧の算定結果を表 2-3 に，また，西風による風圧力の概要を図 2-4 に示す。

表 2-3　速度圧の算定

| G.L.<br>(m) | 軒高さ<br>(m) | 最高高さ<br>(m) | 平均高さ<br>H<br>(m) | 平均風速の高さ方向の分布を表す係数<br>$E_r$ | ガスト影響係数<br>$G_f$ | 建築物の高さと地表面粗度に応じた係数<br>E | 基準風速<br>$V_O$<br>(m/s) | 速度圧<br>q<br>(N/m²) |
|---|---|---|---|---|---|---|---|---|
| +48.0 | 50.17 | 54.37 | 52.27 | 1.28 | 2.00 | 3.28 | 25 | 1230 |




(a) 風上及び風下壁面（風作用方向）　　(b) 側壁面（風直交方向）

図 2-4　風圧力の概要（西風）

d. 地震力

地震力は地表面（G.L.±0m）を基準として，下式により算定する。

$Qi = Ci \cdot Wi$

$Ci = Z \cdot Rt \cdot Ai \cdot C_0$

ここで,

Qi　：地震力（kN）

Ci　：地震層せん断力係数

Wi　：当該層以上の重量（kN）

Z　：地震地域係数（Z＝1.0）

Rt　：振動特性係数（Rt＝1.0）

Ai　：地震層せん断力係数の高さ方向の分布係数

$C_0$　：標準せん断力係数（$C_0$＝0.2）

地震力は，構造物を 1 層構造とみなし，建屋重量による慣性力が建屋頂部に作用するものとして算定する。

地震力の算定結果を表 2-4 に示す。

表 2-4　地震力の算定結果

| G.L.<br>（m） | 重量<br>Wi<br>（kN） | ΣWi<br>（kN） | Ai | Ci | 地震力<br>Q<br>（kN） |
|---|---|---|---|---|---|
| +48.0 | 8336 | 8336 | 1.0 | 0.2 | 1668 |

(2) 荷重の組合せ

建築基準法施行令により，以下の荷重の組合せを考慮する。

表 2-5　荷重の組合せ

| 想定する状態 | 鉛直荷重 | 水平荷重 | 許容応力度 |
|---|---|---|---|
| 常時 | G+P | － | 長期 |
| 積雪時 | G+P+S | － | 短期 |
| 暴風時 | G+P | W | |
| 地震時 | G+P | K | |

ここで，

G ：固定荷重

P ：積載荷重

S ：積雪荷重

W ：風圧力

K ：地震力

なお，短期事象においては，暴風時及び地震時の影響が支配的であることから，積雪時の検討は省略する。

## 2.3　全体架構の強度検討

### (1)　解析モデル

解析モデルは，図 2-5 に示すとおり，柱，梁，火打材の剛性をはり要素として集約して評価した 3 次元フレームモデルとする。屋根部分については，重量は考慮するが，屋根自体の剛性は考慮しない。また，膜材についても同様に，重量は考慮するが，膜材自体の剛性は考慮しない。

解析モデルにおける柱，梁の部材端条件は剛接を基本とする。なお，柱脚部はピン支持とする。

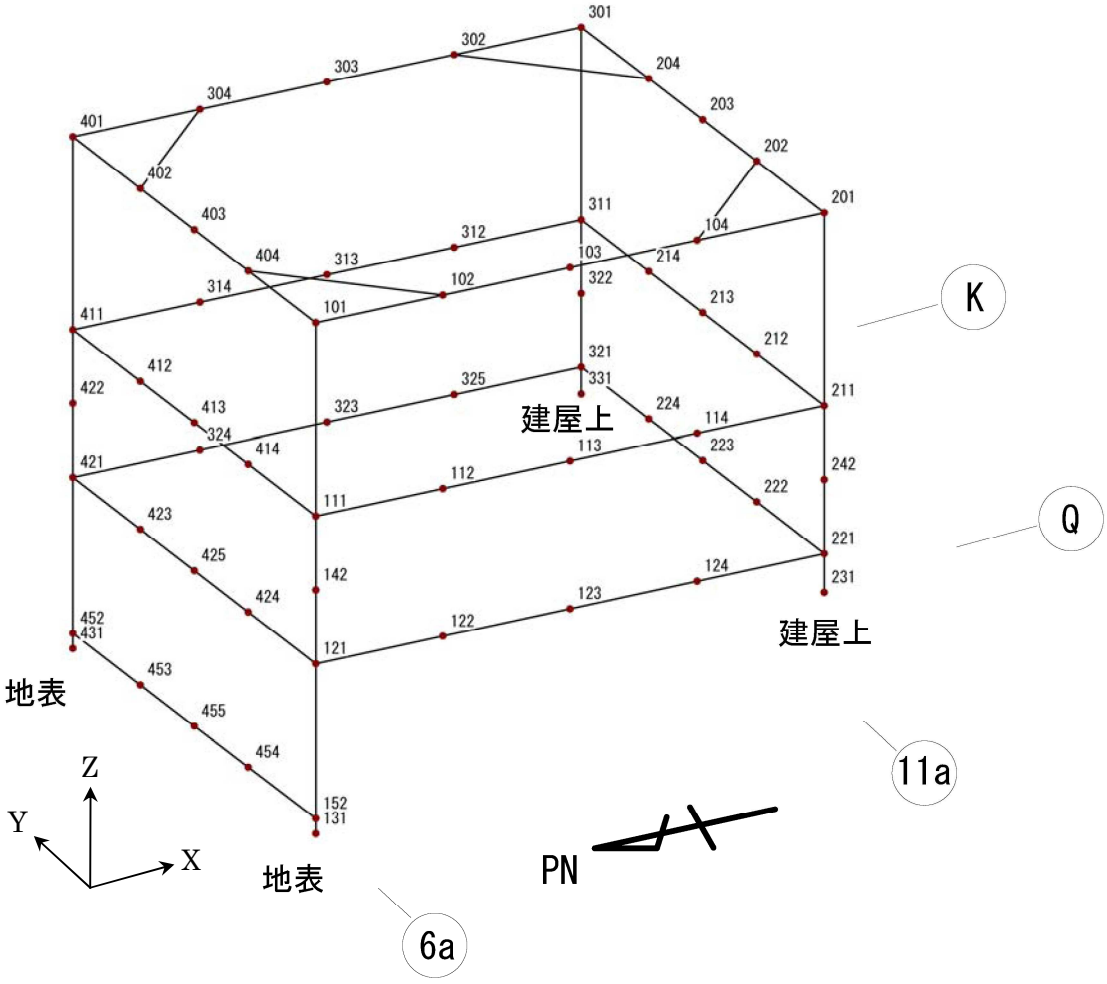



図 2-5　解析モデル

(2) 応力解析

応力解析は以下の 9 ケースについて実施する。

表 2-6　応力解析ケース

| ケース No. | 荷重 | 許容応力度 |
|---|---|---|
| 1 | 常時荷重（固定＋積載） | 長期 |
| 2 | 風圧力（東→西） | 短期 |
| 3 | 風圧力（西→東） | 短期 |
| 4 | 風圧力（南→北） | 短期 |
| 5 | 風圧力（北→南） | 短期 |
| 6 | 地震力（東→西） | 短期 |
| 7 | 地震力（西→東） | 短期 |
| 8 | 地震力（南→北） | 短期 |
| 9 | 地震力（北→南） | 短期 |

注) : 架構が非対称となるため，風圧力及び地震力は 4 方向からの荷重を考慮する。

(3) 部材の断面検討

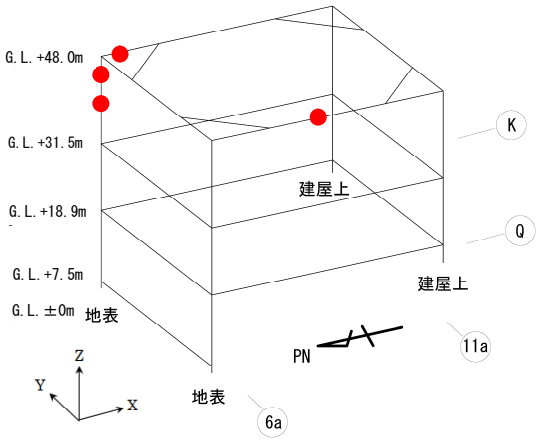
応力解析で得られた各荷重を組み合わせ，柱及び梁部材の断面検討を行う。表 2-7 に常時（固定＋積載），表 2-8 に暴風時（固定＋積載＋風圧力），表 2-9 に地震時（固定＋積載＋地震力）における断面検討結果を示す。各表には，軸力及び曲げモーメントとせん断力に対する断面検討結果から各々の応力度比が最も厳しくなる部位の結果を示している。

全ての荷重組合せ状態について，柱及び梁部材の応力度は許容値以下となることを確認した。

表 2-7　柱及び梁部材の断面検討結果（常時）

| 部材 | | 使用部材 | | | 応力度 ($N/mm^2$) | 許容応力度 ($N/mm^2$) | 応力度比 | 判定 |
|---|---|---|---|---|---|---|---|---|
| | | 弦材 | 斜材 | | | | | |
| 柱（北東） | G. L. +48. 0m ～ G. L. +31. 5m | H-250*250*9*14 | □-125*125*6 | 軸力 | 31.3 | 201 | 0.64 | OK |
| | | | | 曲げ | 102.8 | 216 | | |
| | | | | せん断 | 27.3 | 142 | 0.20 | OK |
| | | | | | 70.5 | 142 | 0.50 | OK |

| 部材 | | 使用部材 | | | 応力度 ($N/mm^2$) | 許容応力度 ($N/mm^2$) | 応力度比 | 判定 |
|---|---|---|---|---|---|---|---|---|
| | | 弦材 | 斜材 | | | | | |
| 梁（西面） | G. L. +48. 0m | H-250*250*9*14 | □-150*150*6 | 軸力 | 9.0 | 186 | 0.60 | OK |
| | | | | 曲げ | 119.0 | 216 | | |
| | | | | せん断 | 119.7 | 137 | 0.88 | OK |
| 梁（東面） | G. L. +48. 0m | H-250*250*9*14 | □-150*150*6 | 軸力 | 9.2 | 186 | 0.60 | OK |
| | | | | 曲げ | 118.8 | 216 | | |
| | | | | せん断 | 119.8 | 137 | 0.88 | OK |

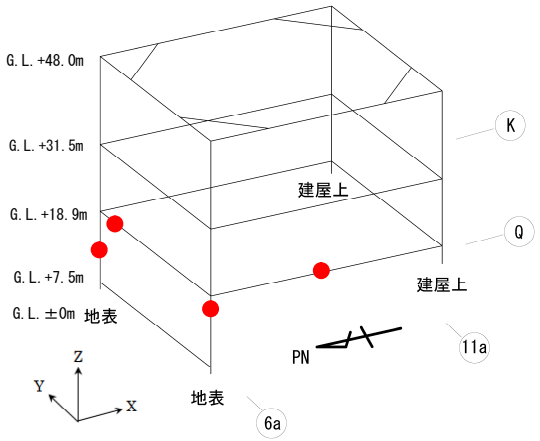



●は最大応力発生位置を示す

図 2-6

| 部材 | | 使用部材 | | 応力度 (N/mm$^2$) | | 許容応力度 (N/mm$^2$) | 応力度比 | 決定ケース | 判定 |
|---|---|---|---|---|---|---|---|---|---|
| | | 弦材 | 斜材 | | | | | | |
| 柱（北西） | G. L. +18. 9m ～ G. L. +5. 6m | H-250*250*9*14 | □-125*125*9 | 軸力 | 88.8 | 301 | 0.69 | 東→西 | OK |
| | | | | 曲げ | 127.8 | 325 | | | |
| | | | | せん断 | 105.0 | 213 | 0.50 | 東→西 | OK |
| | | | | | 20.0 | 213 | 0.10 | 南→北 | OK |
| 柱（北東） | G. L. +18. 9m ～ G. L. +5. 6m | H-250*250*9*14 | □-125*125*9 | 軸力 | 77.4 | 301 | 0.57 | 西→東 | OK |
| | | | | 曲げ | 99.0 | 325 | | | |
| | | | | せん断 | 106.0 | 213 | 0.50 | 西→東 | OK |
| | | | | | 5.9 | 213 | 0.03 | 北→南 | OK |

| 部材 | | 使用部材 | | 応力度 (N/mm$^2$) | | 許容応力度 (N/mm$^2$) | 応力度比 | 決定ケース | 判定 |
|---|---|---|---|---|---|---|---|---|---|
| | | 弦材 | 斜材 | | | | | | |
| 梁（西面） | G. L. +18. 9m | H-250*250*9*14 | □-150*150*6 | 軸力 | 11.3 | 279 | 0.68 | 西→東 | OK |
| | | | | 曲げ | 205.2 | 325 | | | |
| | | | | せん断 | 109.4 | 206 | 0.54 | 西→東 | OK |
| 梁（北面） | G. L. +18. 9m | H-250*250*9*14 | □-150*150*6 | 軸力 | 7.9 | 279 | 0.53 | 北→南 | OK |
| | | | | 曲げ | 162.5 | 325 | | | |
| | | | | せん断 | 116.9 | 207 | 0.57 | 西→東 | OK |



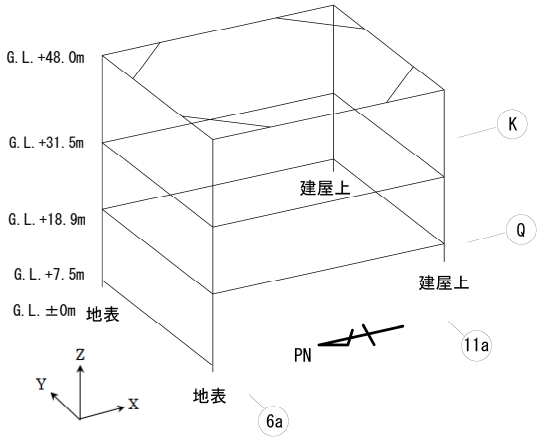

●は最大応力発生位置を示す

図 2-7

表 2-9　柱及び梁部材の断面検討結果（地震時）

| 部材 | | 使用部材 | | 応力度 ($N/mm^2$) | | 許容応力度 ($N/mm^2$) | 応力度比 | 決定ケース | 判定 |
|---|---|---|---|---|---|---|---|---|---|
| | | 弦材 | 斜材 | | | | | | |
| 柱（南西） | G.L.+48.0m ～ G.L.+31.5m | H-250*250*9*14 | □-125*125*6 | 軸力 | 37.1 | 301 | 0.69 | 東→西 | OK |
| | | | | 曲げ | 184.2 | 325 | | | |
| | | | | せん断 | 120.7 | 214 | 0.57 | 東→西 | OK |
| | | | | | 154.8 | 214 | 0.73 | 北→南 | OK |
| 柱（北東） | G.L.+48.0m ～ G.L.+31.5m | H-250*250*9*14 | □-125*125*6 | 軸力 | 36.1 | 301 | 0.67 | 南→北 | OK |
| | | | | 曲げ | 177.2 | 325 | | | |
| | | | | せん断 | 109.2 | 214 | 0.52 | 西→東 | OK |
| | | | | | 158.6 | 214 | 0.75 | 南→北 | OK |

| 部材 | | 使用部材 | | 応力度 ($N/mm^2$) | | 許容応力度 ($N/mm^2$) | 応力度比 | 決定ケース | 判定 |
|---|---|---|---|---|---|---|---|---|---|
| | | 弦材 | 斜材 | | | | | | |
| 梁（東面） | G.L.+48.0m | H-250*250*9*14 | □-150*150*6 | 軸力 | 16.8 | 279 | 0.63 | 南→北 | OK |
| | | | | 曲げ | 183.7 | 325 | | | |
| | | | | せん断 | 168.6 | 206 | 0.82 | 南→北 | OK |




●は最大応力発生位置を示す

図 2-8

## 2.4　基礎の検討

### (1)　すべりに対する検討

原子炉建屋カバーは，基礎となる柱脚部分が地盤面または既設建屋の屋根スラブ上面に設置されているため，水平荷重が作用した場合のすべりの検討を行う。

表 2-10 にすべりに対する検討結果を示す。

水平荷重時（暴風時及び地震時）の柱脚部のせん断力はすべり抵抗以下となる。

表 2-10　すべりに対する検討結果

（単位：kN）

| 部位 | せん断力 | | | すべり抵抗 | 判定 |
|---|---|---|---|---|---|
| | 暴風時 | | 地震時 | | |
| | 東・西 | 南・北 | | | |
| 柱脚 | 2720 | 2445 | 1668 | 5024 | OK |

注)：すべり抵抗は，「鋼構造設計規準　17 章　柱脚」に基づき，摩擦係数 0.4 を用いて算定した。

(2) 柱支持力に対する検討

原子炉建屋カバーの柱のうち南面の柱は，図 2-9 に示すとおり既設建屋の屋根スラブ上面に設置する架台で支持されるため，常時及び水平荷重時（暴風時及び地震時）について柱支持力に対する検討を行う。

表 2-11 に柱支持力に対する検討結果を示す。

各々の柱に作用する軸力は既設建屋のパンチングシアに対する許容せん断力以下であり，柱の支持力は十分に確保されている。

表 2-11　柱支持力に対する検討結果

（単位：kN）

| 部位 | 作用荷重 | | | パンチングシアに対する許容せん断力 | | 判定 |
|---|---|---|---|---|---|---|
| | 長期 | 短期 | | | | |
| | 常時 | 暴風時 | 地震時 | 長期 | 短期 | |
| 南東柱 | 1442 | 1549 | 1808 | 4719 | 7046 | OK |
| 南西柱 | 973 | 1118 | 1211 | 3513 | 5245 | OK |

注)：パンチングシアに対する許容せん断力は，「鉄筋コンクリート構造計算規準・同解説　20 条　基礎」に基づき算定した。

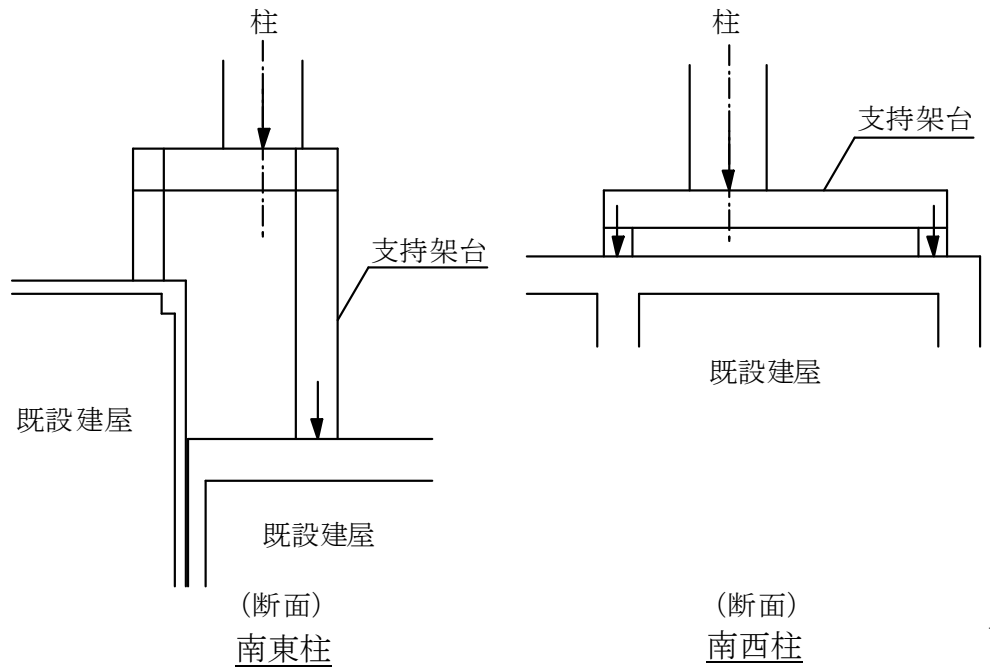



図 2-9　支持架台

3　膜材の設計

3.1　使用材料及び材料の許容応力度

膜材としては塩化ビニル樹脂コーティング ポリエステル繊維織物を用いる。

膜材の許容応力度を表 2-12 に示す。

表 2-12(a)　膜材の許容応力度（壁パネル）

| 膜厚さ t(mm) | 繊維方向 | 基準強度*1 Fm(N/cm) | 許容引張応力度*2 | |
|---|---|---|---|---|
| | | | 長期 $_{L}ft(N/mm^2)$ | 短期 $_{S}ft(N/mm^2)$ |
| 0.52 | タテ糸方向 | 457 | 14.64 | 29.29 |
| | ヨコ糸方向 | 408 | 13.07 | 26.15 |

注記 *1：　基準強度は JIS L 1096「一般織物試験方法」-1999 の定速伸長形引張試験機を用いたストリップ法により測定した引張強さ（建築基準法第 37 条第二号に基づく国土交通大臣の認定を受けたもの）

*2：　ft=Fm/t/v　：v は安全率（平成 14 年国土交通省告示第 667 号「テント倉庫建築物の構造方法に関する安全上必要な技術的基準を定める等の件」第 6 第 3 項第一号に従い，長期は 6，短期は 3 とする）

表 2-12(b)　膜材の許容応力度（屋根）

| 膜厚さ t(mm) | 繊維方向 | 基準強度*1 Fm(N/cm) | 許容引張応力度*2 | |
|---|---|---|---|---|
| | | | 長期 $_{L}ft(N/mm^2)$ | 短期 $_{S}ft(N/mm^2)$ |
| 0.63 | タテ糸方向 | 654 | 12.97 | 25.95 |
| | ヨコ糸方向 | 654 | 12.97 | 25.95 |

注記 *1：　基準強度は JIS L 1096「一般織物試験方法」-1999 の定速伸長形引張試験機を用いたストリップ法により測定した引張強さ（建築基準法第 37 条第二号に基づく国土交通大臣の認定を受けたもの）

*2：　ft=Fm/t/v　：v は安全率（平成 14 年国土交通省告示第 666 号「膜構造の建築物又は建築物の構造方法に関する安全上必要な技術的基準を定める等の件」第 6 第一号に従い，長期は 8，短期は 4 とする）

3.2　設計用荷重

膜材の強度検討は，風圧力に対して行う。

(1)　風圧力

全体架構の設計と同様に，設計における基準風速は 25 m/sec とする。

風圧力の算定結果を表 2-13 に示す。

表 2-13　速度圧及び風力係数の算定

(a)速度圧(q)の算定

| G.L.<br>(m) | 軒高さ<br>(m) | 最高高さ<br>(m) | 平均高さ<br>H<br>(m) | 平均風速の高さ方向の分布を表す係数<br>$E_r$ | ガスト影響係数<br>$G_f$ | 建築物の高さと地表面粗度に応じた係数<br>E | 基準風速<br>$V_O$<br>(m/s) | 速度圧<br>q<br>($N/m^2$) |
|---|---|---|---|---|---|---|---|---|
| +48.0 | 50.17 | 54.37 | 52.27 | 1.28 | 2.00 | 3.28 | 25 | 1230 |

(b)風力係数($C_f$)の算定

| G.L.<br>(m) | 地上高さ<br>Z(m) | $k_Z$ | 壁面:正圧時 | | | 壁面:負圧時 | | |
|---|---|---|---|---|---|---|---|---|
| | | | 外圧係数<br>Cpe | 内圧係数<br>Cpi | 風力係数<br>Cf | 外圧係数<br>Cpe | 内圧係数<br>Cpi | 風力係数<br>Cf |
| +48.0 | 38.5 | 0.912 | 0.73 | -0.20 | 0.93 | -0.70 | 0 | -0.70 |

設計用風圧力は，以下のとおりとなる。

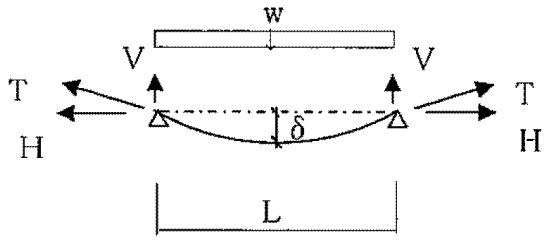
壁パネル膜材：　（正圧時）w=0.93×1230=1144　→　1150N/m²

（負圧時）w=0.70×1230= 861　→　870N/m²

屋根膜材：　（負圧時）w=1.0×1230=1230　→　1230N/m²

3.3　膜材の強度検討

風圧力 w により膜材に生じる応力度 T'は以下の式により算定する。




$V = w \cdot L / 2$ （N/m）

$H = \sqrt[3]{\left(w^2 \cdot L^2 \cdot Et\right) / 24} + T_0$ （N/m）　　（$T_0 = 1000$ N/m）

$T = \sqrt{V^2 + H^2}$ （N/m）

$T' = T / t / 1000$ （N/mm²）

ここで,

$L$ ：支持スパン（m）

$Et$ ：引張剛性（壁パネル膜材：タテ糸方向 230000N/m，ヨコ糸方向 160000N/m）

（屋根膜材：タテ糸方向 418400N/m，ヨコ糸方向 367600N/m）

$T_0$ ：初期張力（=1000 N/m）

$t$ ：膜厚さ（mm）

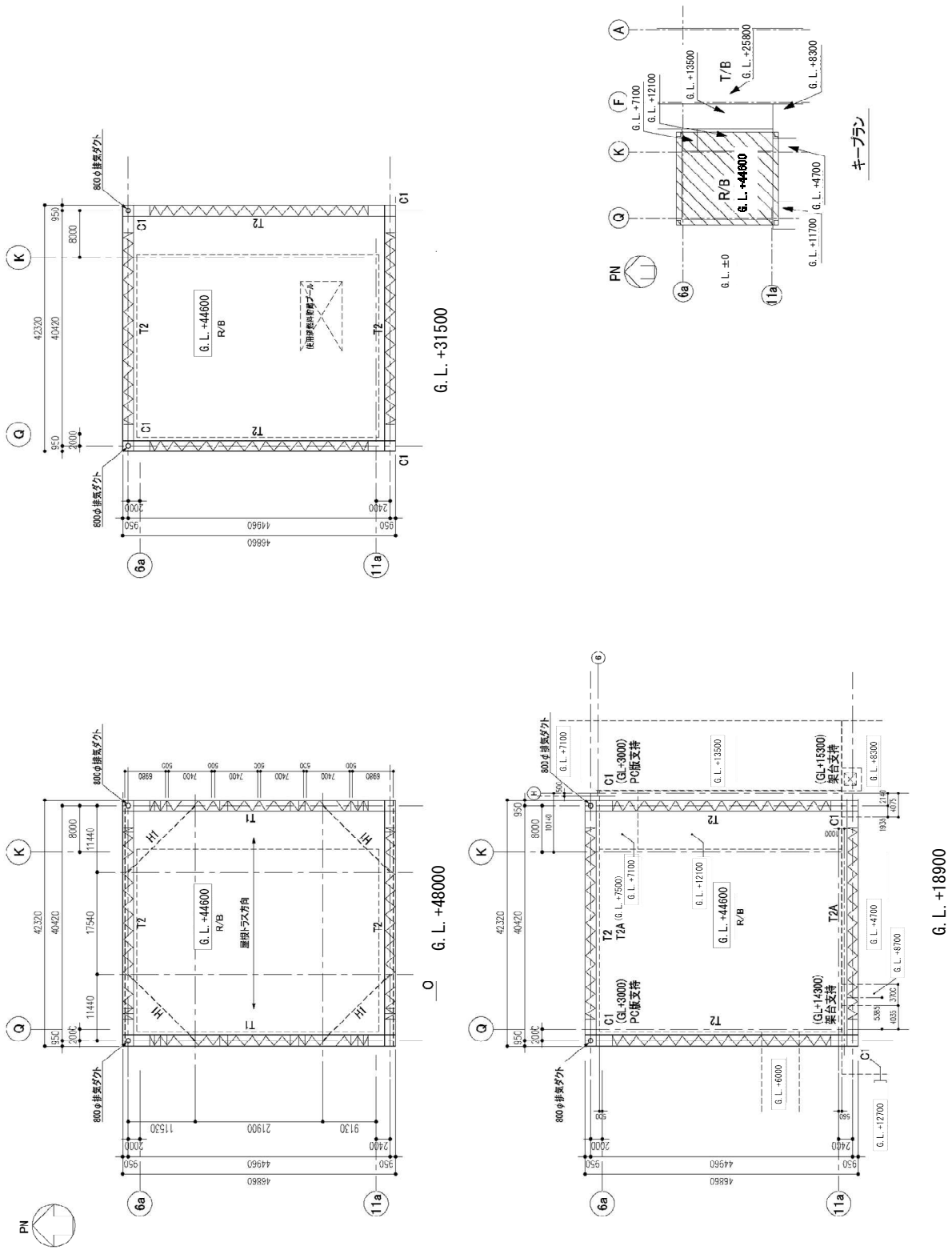
壁パネル膜材及び屋根膜材の強度検討結果を表 2-14 に示す。

風圧力により膜材に生じる応力度は，表 2-12 に示す許容応力度以下であり，基準風速に対して約 2 倍の余裕度がある。

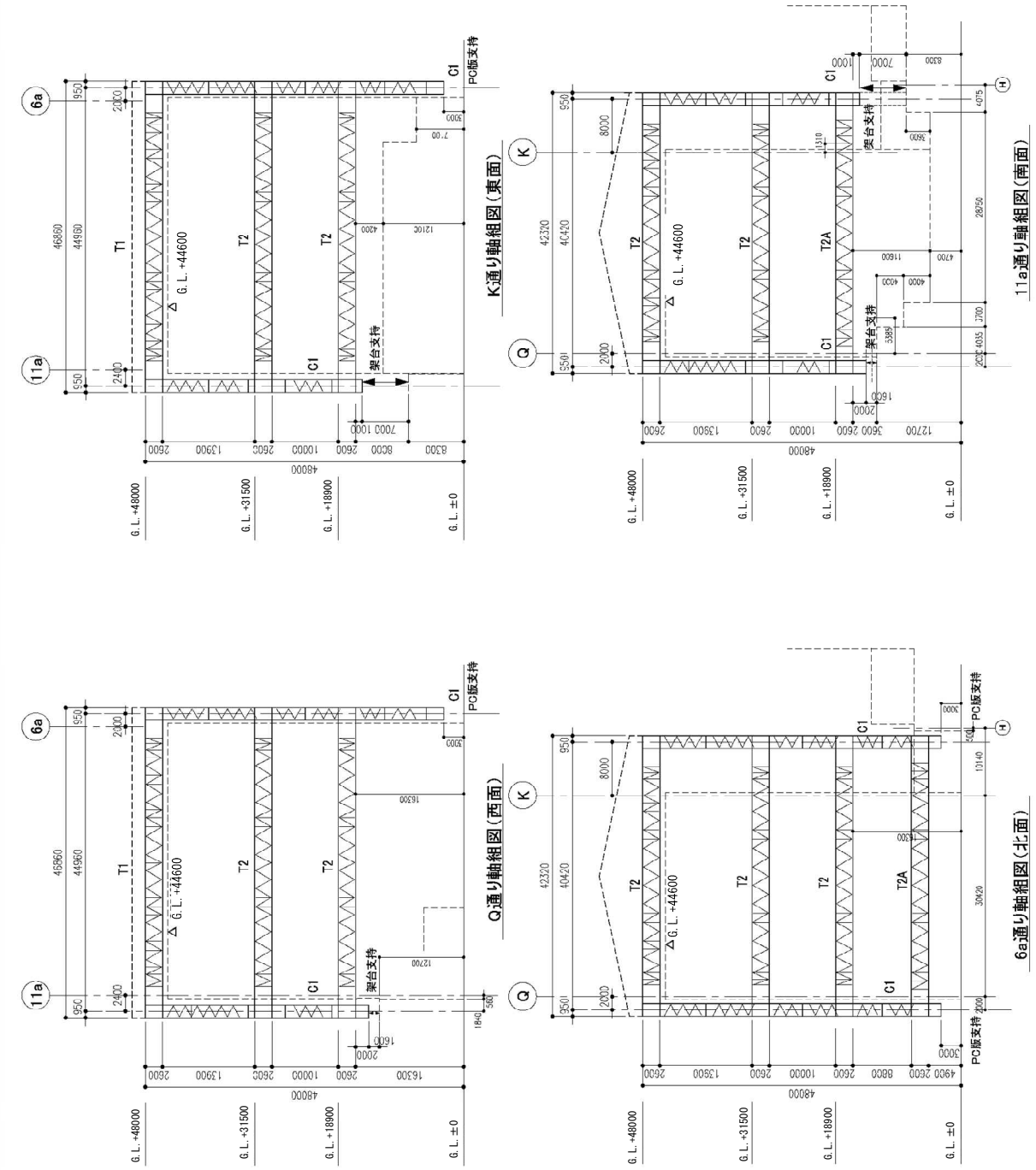
表 2-14　膜材の強度検討結果

| | (壁パネル膜材) | | (屋根膜材) | | |
|---|---|---|---|---|---|
| | （正圧時） | （負圧時） | （屋根面） | （側面） | （妻面） |
| | (Cf=0.93) 短期 | (Cf=－0.7) 短期 | (Cf=－1.0) 短期 | (Cf=1.0) 短期 | (Cf=1.0) 短期 |
| 風圧力　w (N/m²) | 1150 | 870 | 1230 | 1230 | 1230 |
| 糸方向 | ヨコ | ヨコ | ヨコ | ヨコ | ヨコ |
| 支持スパン　L (m) | 2.31 | 2.31 | 1.85 | 1.85 | 2.53 |
| 応力度　T' (N/mm²) | 9.23 | 7.93 | 8.60 | 8.60 | 10.29 |
| 許容応力度　ft (N/mm²) | 26.15 | 26.15 | 25.95 | 25.95 | 25.95 |
| 応力度比　T'/ft | 0.35 | 0.30 | 0.33 | 0.33 | 0.40 |
| 判定 | OK | OK | OK | OK | OK |

参考文献：　国土交通省国土技術政策総合研究所　他監修「膜構造の建築物・膜材料等の技術基準及び同解説」，平成 15 年 8 月




1 号機原子炉建屋カバー　伏図




1号機原子炉建屋カバー　軸組図

# 供用期間を考慮した風荷重の設定
## －　風荷重の設定方針について　－

## 1　　原子炉建屋カバーの供用期間を考慮した風荷重の算定について

原子炉建屋カバーは恒久的対策実施までの短期的対策として，約 2 年間の使用を考えているが，建築基準法で定められる基準風速は建築物の供用期間を考慮し，再現期間を概ね 50 年として設定されている。しかし，原子炉建屋カバーについては供用期間が短期であることを考慮し，日本建築学会「建築物荷重指針（1993 年版)」に基づき，10 年再現期間で低減した風速による風荷重を採用することとする。

## 2　　日本建築学会「建築物荷重指針（1993 年版)」の適用について

日本建築学会「建築物荷重指針」は統計的データや確率・統計的分析により得られた知見をもとに，1993 年に荷重全般について改定され，その後，2004 年に見直しが行われている。

「建築物荷重指針（2004 年版)」では建築物の長期使用を見込み，設計風速の算定に用いる再現期間換算係数は，再現期間 500 年の年最大風速$U_{500}$に基づいた近似式となっている。そのため，再現期間が 100 年から 500 年の範囲から外れるに従って，推定誤差は大きくなる（※1)。

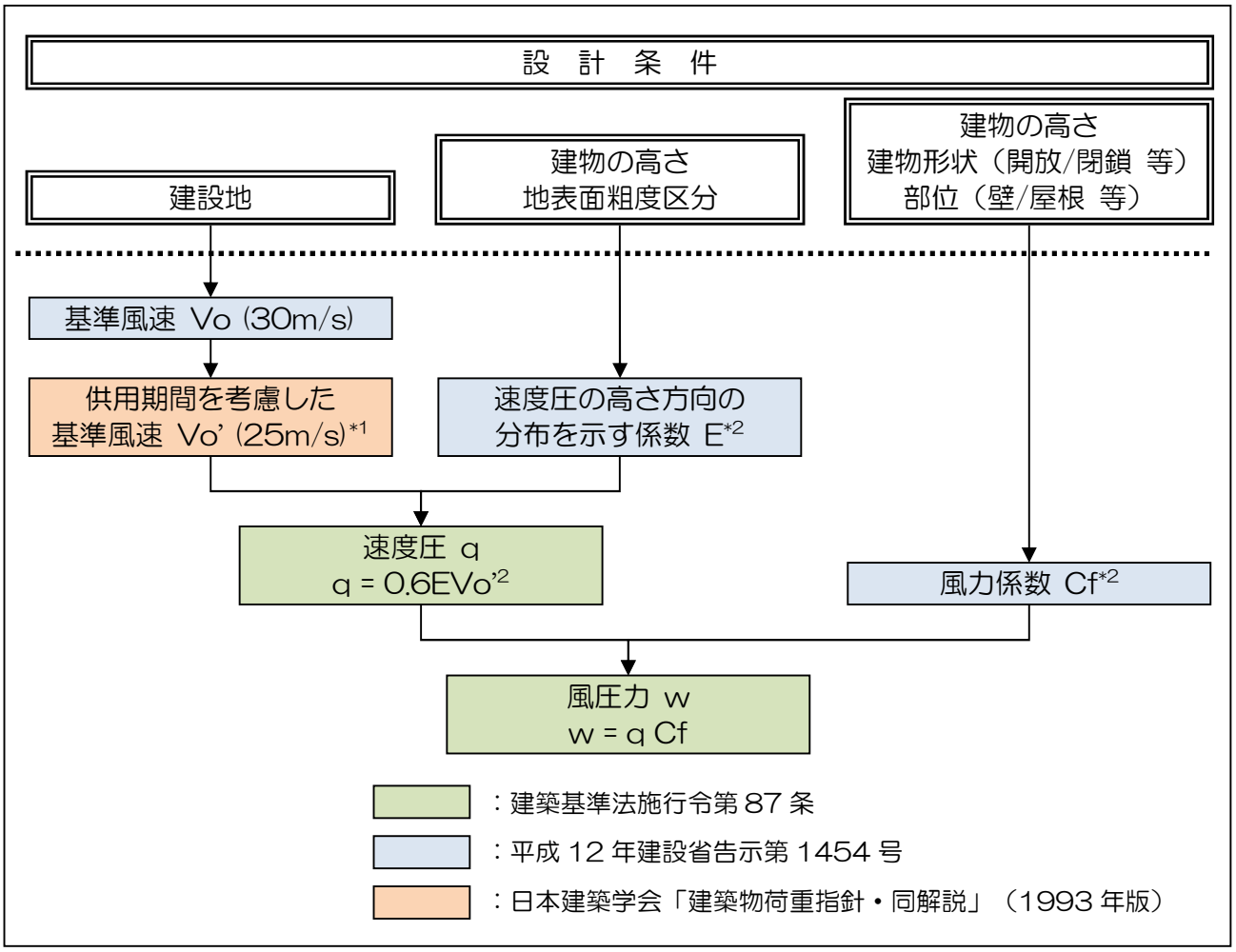
一方，「建築物荷重指針（1993 年版)」は，100 年再現期間の風速に対する再現期待値として定義しており，短期使用の構造物への適用には誤差が少ない算定式と考えられる（※2)。

（※1）建築物荷重指針（2004 年版）の再現期間 20 年とした場合の誤差は約 9%
（※2）建築物荷重指針（1993 年版）の再現期間 5 年とした場合の誤差は 0.6%

以上より，原子炉建屋カバーに作用する風荷重は「建築物荷重指針（1993 年版)」を用いて算定する。

3　　風荷重の算定フロー

設計に用いる風荷重（風圧力）は，以下のフローに従い算定する。




*1:　風速の再現期間換算係数 R は，設計用再現期間 r（年）に応じて，下式により算定される。

$$R = 0.54 + 0.1 \ln(r)$$

50 年再現期間に相当する基準風速 Vo=30m/s を 10 年再現期間に換算すると以下のとおりとなる。

$$Vo' = Vo \times (0.54 + 0.1 \ln(10))/(0.54 + 0.1 \ln(50))$$

$$= 30 \times 0.77/0.93 = 24.8 \rightarrow 25 \text{ m/s}$$

*2:　E および Cf は，告示第 1454 号中に示される数式や図表に示される係数により算定される。

# 設計荷重以上の外力に対する検討

## 1　架構がすべる場合の検討

架構の総重量は，約 12,560 kN であり，すべり摩擦係数を 0.4 とすると，
架構のすべり抵抗は，Qa＝0.4×12,560=5,024 kN となる。

風荷重，地震荷重について漸増載荷解析を実施した結果を図 4-2 及び図 4-3 に示す。崩壊形を形成する場合の最下層のせん断力（保有水平耐力）は，架構のすべり抵抗以上の値となる。

（風荷重時）　Qu=約 7,450kN
（地震荷重時）　Qu=約 6,330kN

すなわち，風荷重時，地震荷重時のいずれにおいても，（Qa＜Qu となるため）架構は崩壊形を形成する前にすべると想定される。柱脚部にすべりが生じた場合，架構にはそれ以上の荷重は作用しないことになるため，架構の崩壊には至らないと考えられる。

また，すべり量が増加した場合，最終的には原子炉建屋カバーは原子炉建屋に接触して変位は拘束され，それ以上の荷重は原子炉建屋が受けることになる。なお，原子炉建屋カバーの G.L.+18,900 レベルの梁の原子炉建屋側に変位抑制のためのストッパーを設置し，万一すべりが生じた場合でも，原子炉建屋のコンクリート壁部分で原子炉建屋カバーを支持できる構造とする。

この場合，原子炉建屋は原子炉建屋カバーの荷重を負担することとなるが，動的解析に用いられる原子炉建屋の質点重量に比べて原子炉建屋カバーの重量は十分に小さく（原子炉建屋カバー総重量／原子炉建屋質点重量（基礎重量をのぞく）＝約 4%），振動性状を示す固有周期に与える影響も約 2%である。一方，基準地震動 Ss-1 及び Ss-2 に対する原子炉建屋の耐震壁のせん断ひずみは最大で $0.12\times10^{-3}$ であり，評価基準値（$4.0\times10^{-3}$）に対して十分余裕がある（※）。これより，原子炉建屋カバーが原子炉建屋に接触しても原子炉建屋の健全性に与える影響は軽微であると言える。

※「福島第一原子力発電所の原子炉建屋の現状の耐震安全性および補強等に関する検討に係わる報告書（その１）」参照

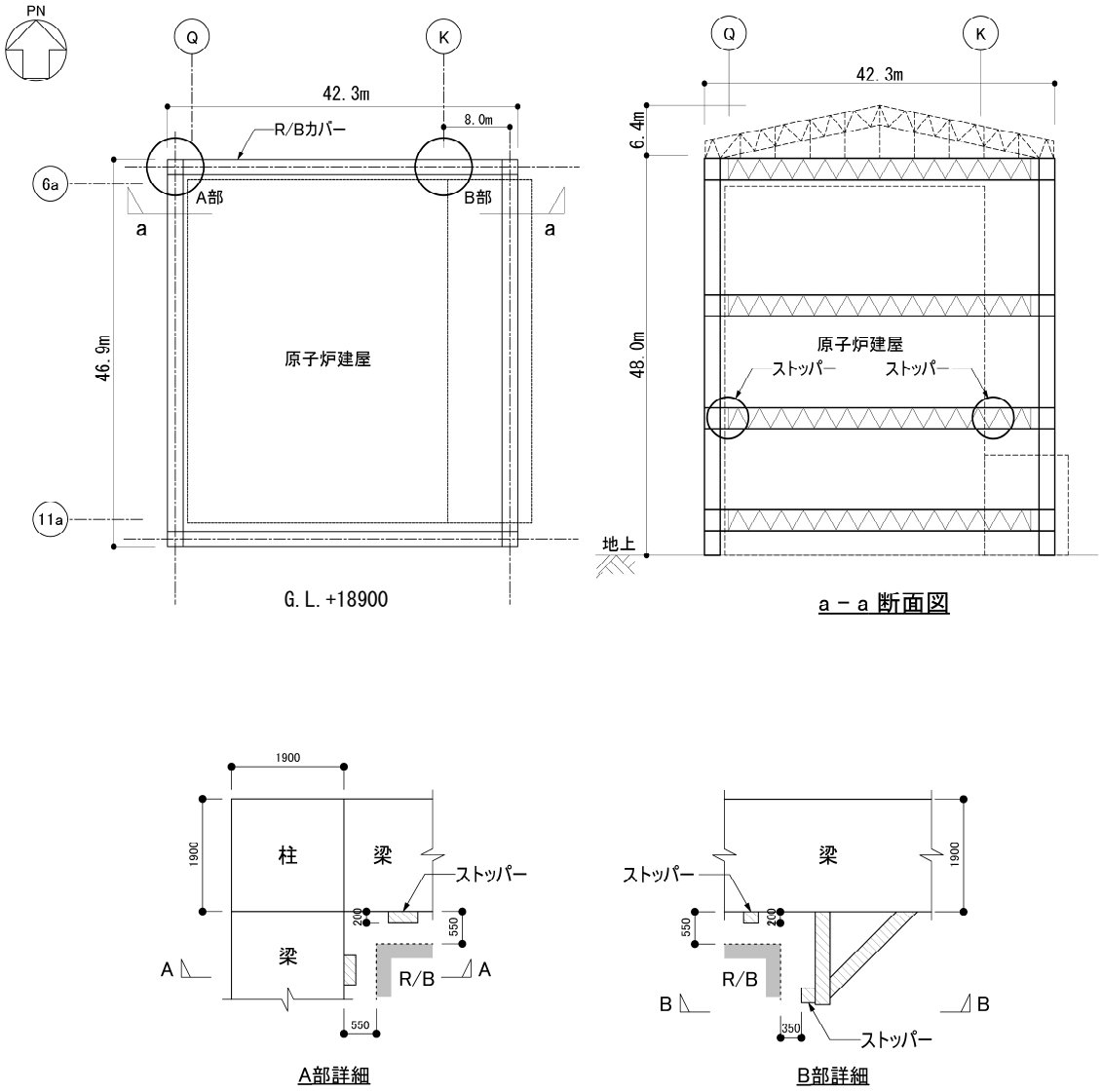
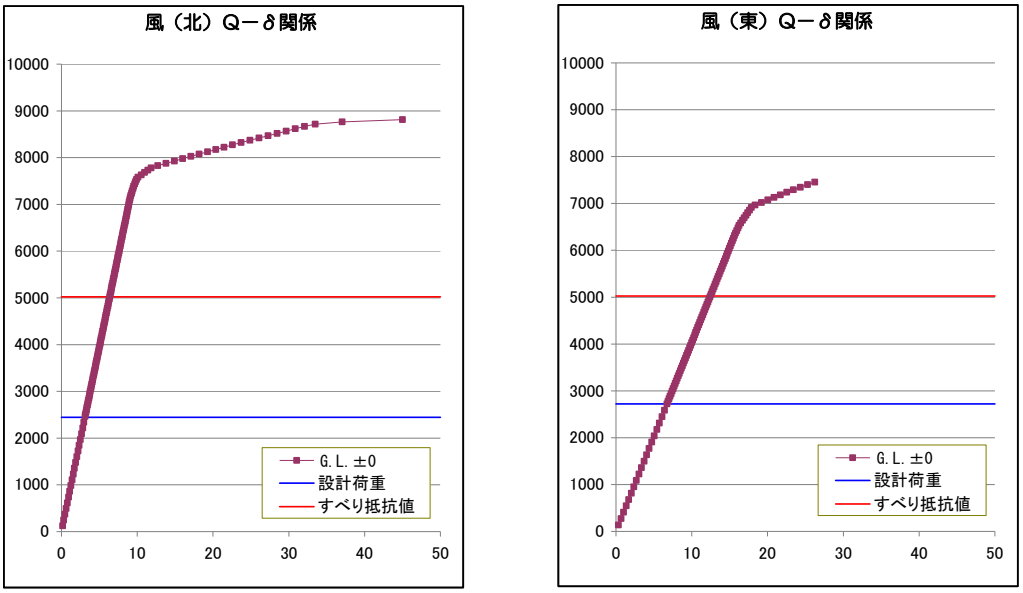


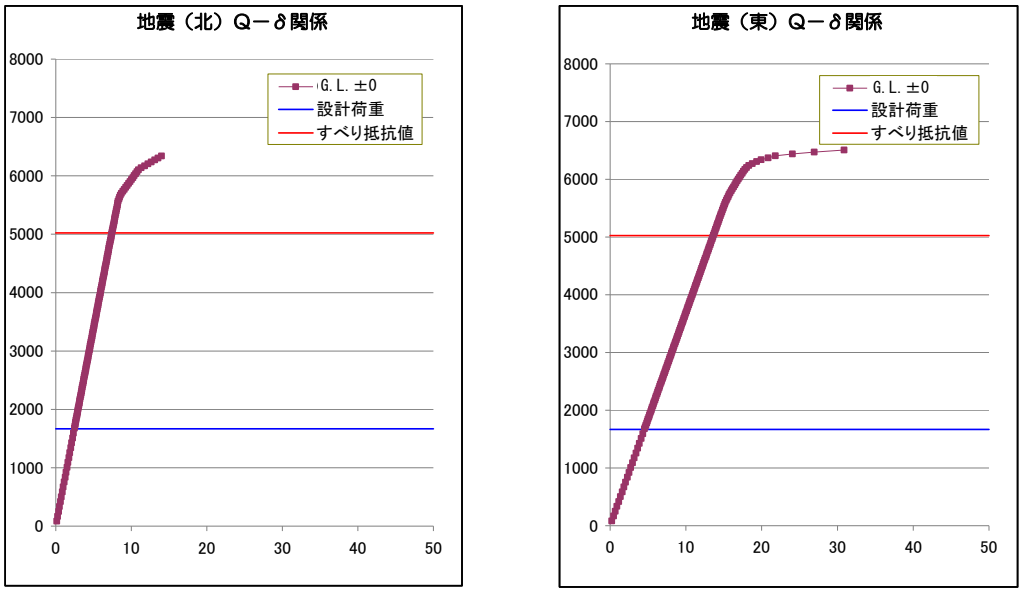

図 4-1　ストッパーの概要

設計荷重に対するすべり抵抗値を比較すると，風荷重時は約 1.8 倍（基準風速に対し約 1.3 倍），地震荷重時は約 3.0 倍の余裕度がある。




単位：横軸（cm），縦軸（kN）

図 4-2　荷重-変形関係：風荷重時




単位：横軸（cm），縦軸（kN）

図 4-3　荷重-変形関係：地震荷重時

なお，設計荷重に対する架構の保有耐力は，風荷重時は約 2.7 倍（基準風速に対し約 1.6 倍），地震荷重時で約 3.7 倍の余裕度がある。

# 原子炉建屋カバー附属設備について

## 1.　設備概要

### 1.1　系統構成

放射性物質の外部流出を抑制するため，原子炉建屋カバーに排気設備（フィルタ付）を設置する。原子炉建屋カバー内の天井部に吸込口を設け，排気ダクトを経由してカバー外に設置したフィルタユニットへ導く。高性能粒子フィルタ（効率97%），よう素用チャコールフィルタ（効率90%），加熱コイル，排風機等から構成されたフィルタユニットを6 系列（うち予備2 系列）設置する。各フィルタユニットの排気風量は，約10,000m$^3$/hとし，総排気風量約40,000m$^3$/h（4 系列）で運転する。原子炉建屋カバー下部は仕切板により区画されており，オペレーティングフロアより上のカバー空間は，約45,000m$^3$（図5-2参照）であることから，1 回/h 程度の換気頻度となる。

また，カバー内の状況や温度，放射性物質の濃度等を確認できる装置を設置する。

表5-1 排気設備及び計測設備等

| 設備名 | 構成・配置等 |
|---|---|
| 吸込口 | 配置：カバー内の北側天井部に設置 |
| フィルタユニット | 配置：原子炉建屋西側の屋外に6 系列（うち予備2 系列）設置<br>構成：プレフィルタ，よう素用チャコールフィルタ（効率90%），<br>高性能粒子フィルタ（効率97%），加熱コイル，排風機，<br>フィルタ線量計（高性能粒子フィルタに設置），<br>フィルタ差圧計（プレフィルタ，よう素用チャコールフィルタ，高性能粒子フィルタに設置） |
| 排気管<br>（吹上用排気ダクト） | 配置：フィルタユニットの下流側に設置<br>（直径：約 1m，高さ：約 4m） |
| カメラ | 配置：オペレーティングフロア上部外周に6 台（うち予備3 台）<br>対象：プールへの注水状況及びカバー内状況 |
| 温度計 | 配置：天井部に2 個（うち予備1 個），<br>オペレーティングフロア高さに2 個（うち予備1 個） |
| 放射性物質濃度測定器 | 測定対象：オペレーティングフロアコーナー部近傍（3 箇所），<br>機器ハッチ開口部近傍，使用済燃料プール上方，<br>カバー内上部空間及び大気放出前の放射性物質の濃度 |
| 水素濃度計 | 測定対象：カバー内上部空間の水素濃度<br>配置　：フィルタユニットの下流側に2 台（うち予備1 台） |

1.2 計測設備構成

原子炉建屋カバー内の各種状態を監視できるよう以下の計測設備を設置する（図5-1参照）。

1.2.1 カメラ

カバー天井部に設置した使用済燃料プール注水用の注水ノズル（1.3項参照）から注水する場合の注入状況，及びカバー内の全体状況を監視するため，オペレーティングフロアより約18m 上のカバー内の外周に沿ってカメラを6 台（うち予備3 台）設置する。設置場所は，オペレーティングフロアを対角線に監視できるよう北面の東側，西面の南側に各2 台（うち予備2台）と使用済燃料プールをより確実に監視できるよう使用済燃料プールの西側に2 台（うち予備1 台）とする。

1.2.2 温度計

使用済燃料プール上方（オペレーティングフロアより約23m）に2 個（うち予備1 個）及びオペレーティングフロアとほぼ同じ高さの北側と西側外周部に各1 個（うち予備1個）の温度計を設置する。

1.2.3 放射性物質濃度測定器

放射性物質は，原子炉圧力容器から原子炉格納容器，原子炉建屋内，オペレーティングフロアの開口部（機器ハッチ等）を経てカバー内に放出されるものと，使用済燃料プールの水中からプール上空に移行するものが想定される。このため，機器ハッチ開口部近傍（オペレーティングフロアより約1m 上，機器ハッチ端部より約2m 西側）と，使用済燃料プール上方（オペレーティングフロアより約25m）から各々吸引できるよう放射性物質濃度測定用のサンプリング配管を設置する。また，カバー内上部空間（オペレーティングフロアより約25m 上）及び大気放出前（フィルタ通過後）の放射性物質濃度測定用の配管を排気ダクトに設置する。さらに念のため，オペレーティングフロア面の北東，北西，南西コーナー部近傍（オペレーティングフロアより約1m 上，原子炉建屋端部より約1m）に各1 箇所設置し（南東コーナー部近傍の１箇所は環境改善を行うなど設置が可能となるよう工夫した後，設置），各々のサンプリング配管は放射性物質濃度測定器に接続する。（図5-2 参照）

1.2.4 フィルタ線量計

Cs-134（半減期2 年）及びCs-137（半減期30 年）は，I-131（半減期8 日）に比べ半減期が長く，セシウムを捕集する高性能粒子フィルタのフィルタ線量が短期間で上昇する可能性があるため，適切な時期にフィルタ交換ができるよう，高性能粒子フィルタにγ線線量計を設置する。

1.2.5 フィルタ差圧計

カバー内の粉塵等を捕集することにより，フィルタ差圧が上昇することが想定されるため，プレフィルタ，高性能粒子フィルタ，よう素用チャコールフィルタに差圧計を設置する。

1.2.6 水素濃度計

3.3項に記載の通り，原子炉及び使用済燃料プール内の燃料による水の放射線分解により水素が発生する。水素の発生量は，排気風量に比べ十分に少ないことや，カバー内気体と混合されること，天井から排気することから，カバー内に水素濃度が滞留する可能性は極めて低いが，念のため水素濃度計を排気ダクトに2 台（うち予備1 台）設置する。

1.3 使用済燃料プール注水設備

現在，使用済燃料プールへの注水は原子炉建屋の内部配管を経由して行われており，これが停止した場合の代替手段として，使用済燃料プールの上部からコンクリートポンプ車による注水を行うこととしている。原子炉建屋カバー設置後は，原子炉建屋カバーの天井部に注水ノズル（方向調整機能付）を取り付け，配管・ホースで原子炉建屋カバー外部の給水系統に接続することで代替注水を可能とする。注水管は予備1 本を含め2 本設置し，注水管の先端に接続する注水ノズルの向きはコンテナに格納された現場制御盤において遠隔で操作が可能である。

1.4 電源構成

原子炉建屋カバー排気設備及び附属設備の電源は，構内設置の降圧変圧器盤から供給される。降圧変圧器盤は，高圧電源盤に接続されており，高圧電源盤は多重化された外部から給電される構成としている。

1.5 配置

原子炉建屋カバー排気設備，コンテナに格納された現場制御盤及び排気管は，原子炉建屋の西側の屋外に設置する（図5-3 参照）。

1.6 運転管理

原子炉建屋カバーの排気設備については，フィルタユニットの近傍に設置した現場制御盤で操作し，排気設備の故障等により停止した場合には，予備機が自動起動する。

現場制御盤では，排風機の運転状態（起動停止状態），カバー内温度，水素濃度，放射性物質濃度が表示され，それらの異常を検知した場合は，警報を発する。免震重要棟に設置するモニタには，制御盤の情報が送られ，カメラによるカバー内状況とと

もに確認することができる。また，免震重要棟でも同様に，それらの情報に異常を検知した場合は，警報を発するシステムとなっている。

1.7 保守管理

換気設備については安全上重要な設備ではなく，運転継続性の要求が高くない。保守作業に伴う被ばくを極力低減する観点から，異常の兆候が確認された場合に対応する。なお，排気フィルタユニット出口の放射性物質濃度測定器については，外部への放射性物質放出抑制の監視の観点から多重化し，機器の単一故障により機能が喪失した場合でも測定可能な設備構成とする。

また，フィルタについては，差圧計（プレフィルタ，よう素用チャコールフィルタ，高性能粒子フィルタに設置）又は線量計（高性能粒子フィルタに設置）の値を確認しながら，必要な時期に交換する。

2. 放出抑制効果について

燃料取り出し用カバー内から排気フィルタユニットを通じて外部へ放出される放射性物質は，高性能粒子フィルタ（効率 97%（粒径 0.3μm)以上）により低減される。

なお，原子炉建屋カバー設置後の敷地境界における年間実効線量については，「Ⅲ.3.2 放射性廃棄物等の管理に関する補足説明」の評価を参照。

3. 原子炉建屋カバー設置による影響について

3.1 温度の影響について

外気28.5℃（夏季設計用温度），原子炉からの熱（10 月1 日時点），使用済燃料プールからの熱（10 月1 日時点）及び日射（秋），排気風量40,000$m^3$/h と仮定した場合におけるカバー内の温度について，気流解析により評価した結果，オペレーティングフロア上約1.5m の温度が約40℃となった。また，原子炉建屋カバーに附属する排気システムは，原子炉建屋カバーのすき間から外気を取り込むことを前提とした構成であり，原子炉建屋内の気体を排気することは想定していない。そこで，原子炉建屋内温度について以下の計算方法で評価した結果，約10℃上昇して約39℃となった。原子炉建屋内で作業を行う場合には，必要に応じてスポットクーラー等を設置し，作業エリアの環境改善を図り，また状況によっては，作業時間を限定するなどの対策をとる。

＜計算方法＞

① 下式により，カバー設置前の原子炉建屋内温度を 28.5℃と仮定した場合の駆体負荷 Q（W）を求める。

② ①で求めた駆体負荷 Q（W）と同程度となるカバー内温度（気流解析結果）と原子炉建屋内温度の温度差Δt（℃）を逆算し，カバー設置後の原子炉建屋内温度を

求める。

$Q=KA\Delta t$

Q：駆体負荷（W）

K：熱通過率（$W/m^2\cdot℃$）

A：伝熱面積（$m^2$）

$\Delta t$：室内外温度差（℃）

$T=t-\Delta t$

T：原子炉建屋内温度（℃）

t：カバー内温度（℃）

3.2 湿度の影響について

使用済燃料プールに貯蔵されている燃料の崩壊熱全てがプール水の蒸発に使用されと仮定した場合の蒸発量は約231kg/h，原子炉内燃料の崩壊熱により発生した蒸気が格納容器から漏出したと仮定した場合の蒸発量は180kg/h となる。また，排気風量 40,000$m^3$/h で，カバー設置前の温度／相対湿度を28.5℃/75%と仮定した場合，カバー設置後のカバー内温度が約40℃の時の相対湿度を以下の計算方法で評価した結果，カバー内湿度は約58%となった。

原子炉建屋内の湿度については，カバーを設置することにより原子炉建屋内温度が約40℃となることから（2.1項参照），カバー内の湿度と同等の約58%になるものと考える。

＜計算方法＞

① 下式により，カバー設置後の絶対湿度 X（kg/kg’）を求める。

② ①で求めた絶対湿度 X（kg/kg’）とカバー内温度の 40℃から，湿り空気 h-x 線図より相対湿度を求める。

$X=X1+\{(LS+LR)/(W\gamma)\}$

X：カバー設置後の絶対湿度（kg/kg’）

X1：カバー設置前の絶対湿度（0.0186kg/kg’）

LS：使用済燃料プールからの蒸発量（231kg/h）

LR：原子炉からの蒸発量（180kg/h）

W：カバー排気風量（40,000$m^3$/h）

$\gamma$：空気密度（1.2$kg/m^3$）

3.3 水素発生に対する影響について

原子炉圧力容器内燃料及び使用済燃料プール内の燃料による水の放射線分解により発生する水素の量について評価した（表5-2 参照）。

評価の結果，水素の発生量は，カバー内の容積及び排気風量に比べ十分に少ないこと，カバー内気体と混合されやすいこと，カバー内の空気を天井から排気することから，カバー内の水素濃度が上昇する可能性は極めて低い。万一，水素濃度が可燃限界濃度に達した場合には，カバー屋根又はシャッターを開放し，カバー外へ放出する。なお，オペレーティングフロアより上のカバー内容積45,000$m^3$/h に対しての水素濃度は，約0.01%となる。

表5-2 水素発生量

| 発 生 箇 所 | 発生量*（$Nm^3$/h） | 40℃の場合（$m^3$/h） |
|---|---|---|
| 原子炉圧力容器内燃料 | 約3.17 | 約3.65 |
| 使用済燃料貯蔵プール内燃料 | 約0.56 | 約0.64 |
| 合 計 | 約3.73 | 約4.29 |

*原子炉内の燃料,使用済燃料貯蔵プール内の燃料ともに100%破損を仮定

○ 原子炉圧力容器内燃料の水素発生量は，3.4kmol/日
体積に換算すると，3.4kmol/日×22.4$Nm^3$/kmol=76.2$Nm^3$/日=3.17$Nm^3$/h

○ 使用済燃料貯蔵プール内燃料の水素発生量は，5.98E-01kmol/日
体積に換算すると，5.98E-01kmol/日×22.4$Nm^3$/kmol=13.4$Nm^3$/日=0.56$Nm^3$/h
（安全側に7 月末時点（原子炉停止後135 日）での評価とした）

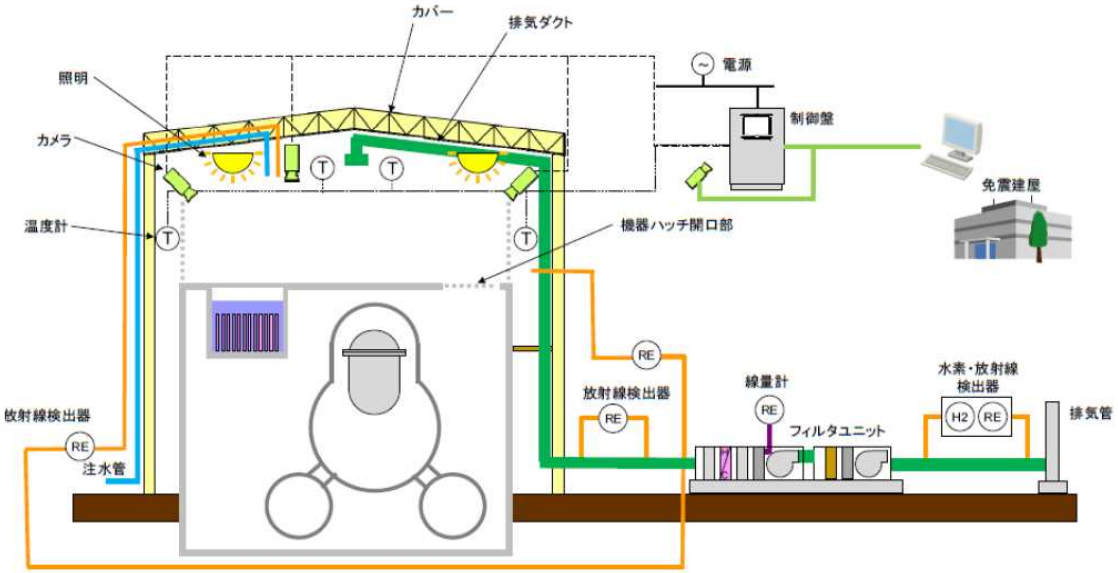



図5-1　原子炉建屋カバー排気設備及びモニタリング設備概略構成図

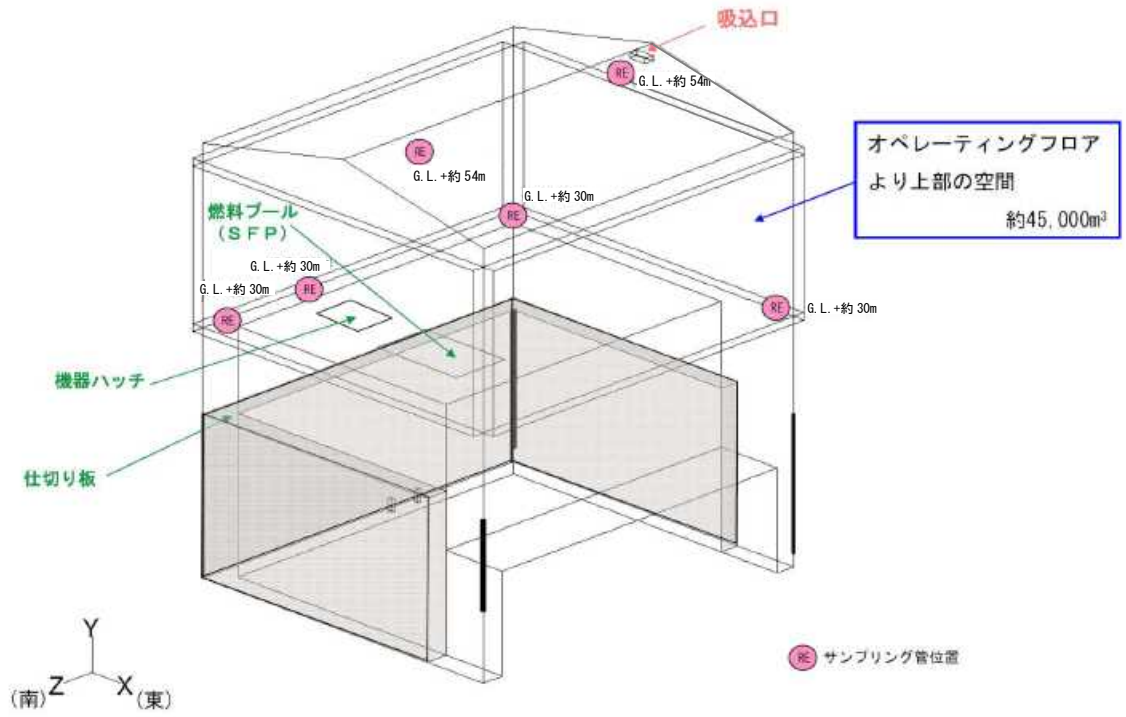



図5-2　原子炉建屋カバー放射性物質濃度サンプリング位置図

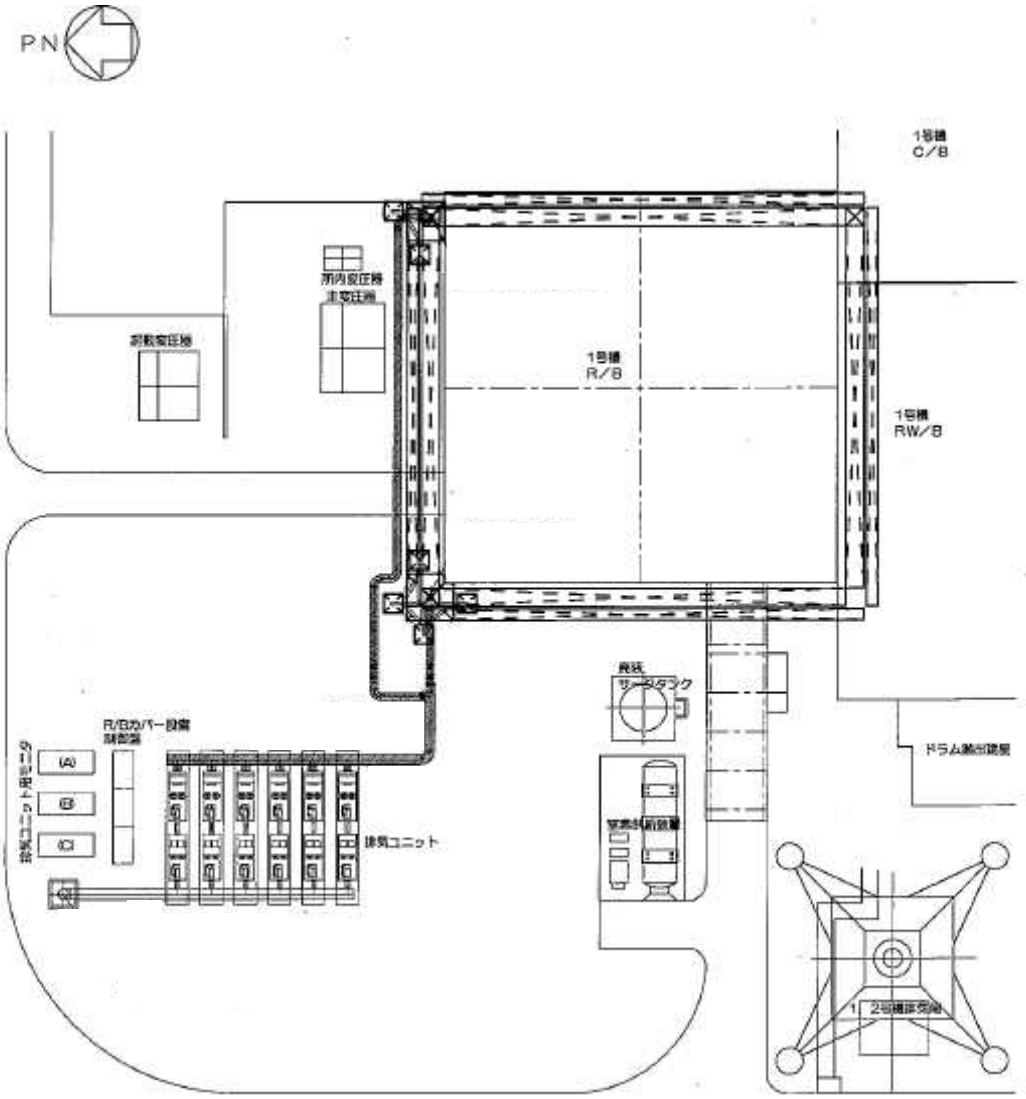



図5-3　原子炉建屋カバー排気設備配置図

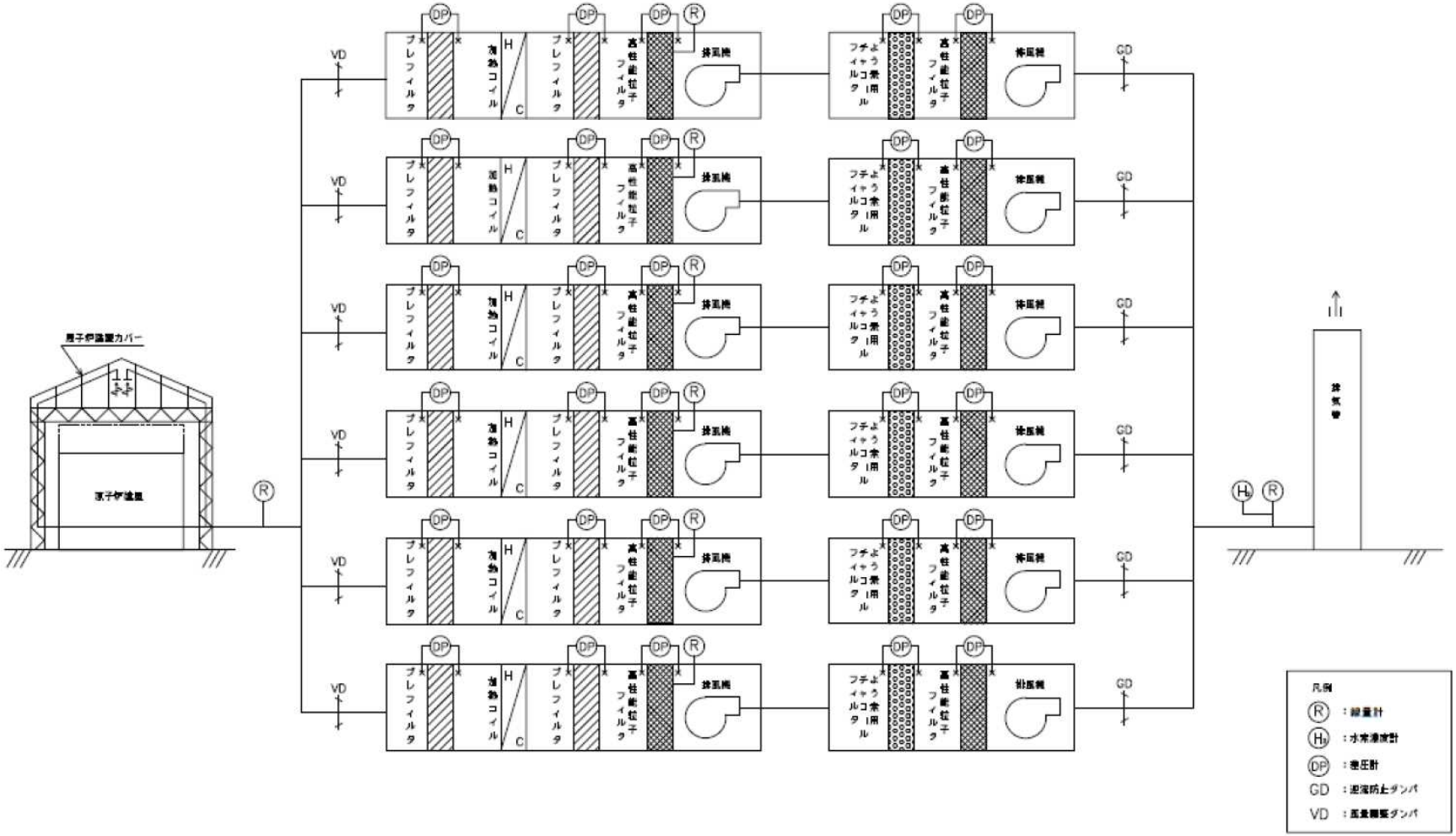



図5-4　原子炉建屋カバー排気設備系統図

添付資料－７

# 福島第一原子力発電所第１号機原子炉建屋カバー解体について

## 1.　適用範囲

本書は，第１号機原子炉建屋カバー解体に伴う影響評価，大型カバーの換気設備運転以前の放射性物質濃度の監視方法について記載するものである。

## 2.　福島第一原子力発電所第１号機原子炉建屋からの燃料取り出し目標

東京電力（株）福島第一原子力発電所1～4号機の廃止措置等に向けた中長期ロードマップ（東京電力福島第一原子力発電所廃炉対策推進会議）を2013年6月27日に改訂した。

今回の改訂では，号機毎の状況を踏まえたスケジュールを検討するとともに，現場の状況に応じて柔軟に対応できるよう複数のプランを号機毎に示している。このうち，１号機の使用済燃料プールからの燃料取り出しは，2017年度前半～同後半の開始を目標としている。

さらに，「特定原子力施設に係る実施計画作成に対する基本方針」において，至近の課題解決として「使用済燃料の使用済燃料プールからの早期取り出し」を最優先事項のひとつに位置づけている。

## 3.　使用済燃料プールからの燃料取り出しの作業ステップ

現在検討中の使用済燃料プールからの燃料取り出しの作業ステップは以下の通りである。

① 原子炉建屋カバー(以下　建屋カバー)の排気設備停止・撤去
② 既存の放射性物質濃度測定器の移設
③ 建屋カバー解体
④ オペレーティングフロア上のガレキ撤去・除染・遮へい
⑤ 燃料取扱設備等の設置，建屋カバー改造・復旧※
⑥ 燃料取り出し開始

また，先行号機の工事実績を踏まえ，建屋カバーの排気設備停止からプール燃料取り出し開始までには４年程度を要すると想定している。建屋カバー解体工程表については表１に示す。

※　燃料取り出し計画は，複数のプラン(建屋カバー改造・復旧，上部コンテナ，燃料取り出し用カバー)の中から，2014年度上半期に決定する。

4.　建屋カバー解体に伴う影響評価

建屋カバーは2011年10月に原子炉建屋上部からの放射性物質の飛散抑制を目的に設置した。その後，原子炉の安定冷却の継続により放射性物質の発生量は減少している。

燃料取り出しに向け建屋カバーを解体した場合，放射性物質を含む水蒸気の蒸散やガレキ・粉塵の飛散が懸念されるため，放射性物質の放出量について評価を行った結果，敷地境界における被ばく評価への影響は少ないと評価している。（詳細は，別添１参照。）

なお，建屋カバーを覆う大規模構造物を構築した後，その中で建屋カバーの解体とオペレーティングフロア上のガレキ撤去を進める方法も考えられるが，この方法の場合には，建屋カバーの解体により放射性物質の放出量が増加する可能性は低いものの，以下の課題がある。

① 大規模構造物の設置により燃料取り出し開始時期が，燃料取り出し開始目標よりも 5 年以上の後ろ倒しとなる。
② 使用済燃料プールへのガレキ落下リスクが長期化する。
③ 建屋カバーを覆う大規模構造物の高さが 90m程度となるため，耐震性の確保や高線量下での作業などの技術面，施工面での課題がある。

以上より，敷地境界・敷地外に与える影響が少ないこと，燃料取り出しに早期に着手できること，速やかな燃料の取り出し完了につながることから，建屋カバーを解体し，オペレーティングフロア上のガレキ撤去を進めることとする。また，建屋カバーの解体に伴う放出量を抑制するため，開口部の閉鎖など十分な放出抑制対策を実施する。

5.　建屋カバー排気設備停止に伴う滞留水素の評価

建屋カバー排気設備停止から建屋カバー解体までの間は，排気機能がなく，建屋カバー内に水素が滞留する可能性があると考えられるため水素の影響について評価した。

「第Ⅱ編 2.2 原子炉格納容器内窒素封入設備」において，第１号機原子炉格納容器内での水素発生量が評価されている。保守的に原子炉格納容器内で発生した水素の全量が建屋カバー内に放出されたものとして評価した結果，建屋カバー内の水素濃度が可燃限界濃度に達するまでの期間は約 2 年と評価される。建屋カバー解体着手は，建屋カバー排気設備停止の約 3～5 ヶ月後と想定しているため，水素濃度が可燃限界濃度に達することをないと評価される。このため，この期間中の水素濃度測定は必要ないと考える。なお，建屋カバー運用開始以降，排気設備に設置されている水素濃度計にて水素は検出されていない。

水素の影響についての評価を以下の条件で評価した。

水素発生量：0.1(m$^3$/h)

建屋カバー内容積：約 45,000(m$^3$)

可燃限界濃度 4%となるために必要な水素量

約 45,000×0.04＝約 1,800(m$^3$)

水素が約 1,800m$^3$ 発生する時間

約 1,800/0.1/24＝約 750(日)　⇒　約 2 年

6. 建屋カバーの排気設備停止以降の放射性物質濃度の監視

6.1 設備構成

排気設備停止以降においてもオペレーティングフロア付近の放射性物質濃度を測定・監視するため，既存の放射性物質濃度測定器を移設する。排気設備停止から建屋カバー解体までの監視設備構成を図 1 に，建屋カバー解体以降の監視設備構成を図 2 に，設備仕様を表 2 に示す。

6.2 運転管理および保守管理

(1)運転管理

放射性物質濃度測定器は，現場制御盤及び免震重要棟に表示され，異常を検知した場合には警報を発するシステムとなっている。

(2)保守管理

放射性物質濃度測定器については安全上重要な設備ではなく，運転継続性の要求が高くない。保守作業に伴う被ばくを極力低減する観点から，異常の兆候が確認された場合に対応する。

7.放射性固体廃棄物等の管理

撤去したオペレーティングフロア上のガレキは，先行号機と同様に一時保管エリアにて保管する。(「第Ⅲ編 3 補足事項 2.1.1 放射性固体廃棄物等の管理」参照)

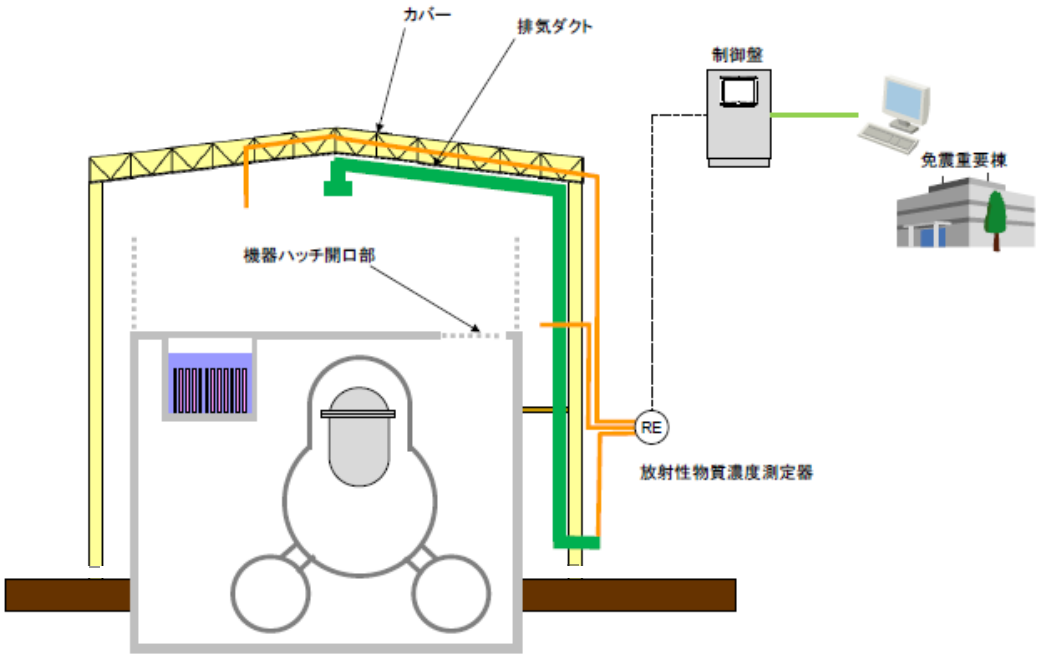



図１　排気設備停止から建屋カバー解体までの監視設備概略構成図

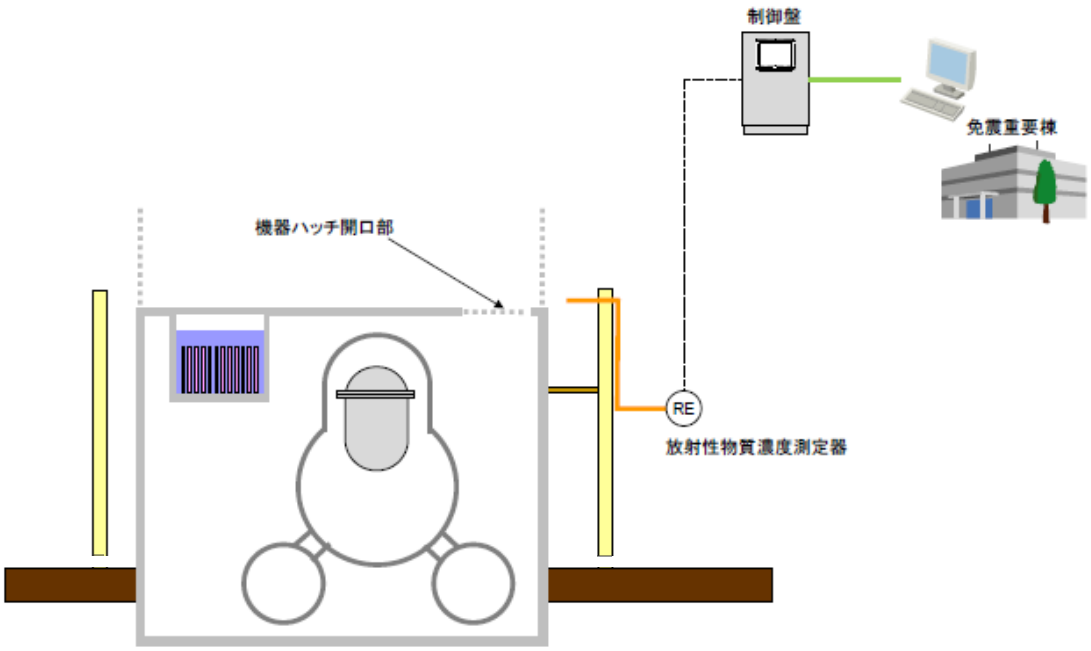



図２　建屋カバー解体以降の監視設備概略構成図

表１　建屋カバー解体工程表

| | 2013年度 | | | | 2014年度 | 2015年度 | 2016年度 | 2017年度 |
|---|---|---|---|---|---|---|---|---|
| | １Ｑ | ２Ｑ | ３Ｑ | ４Ｑ | | | | |
| 排気設備<br>停止・撤去 | | | | | | | | |
| 既存の放射性物質濃度測定器の移設 | | | ※ | | | | | |
| 建屋周辺<br>整備等 | | | | | | | | |
| 建屋カバーの<br>解体 | | | | | | | | |
| 燃料取り出し計画は検討中のため，以下　参考工程 | | | | | | | | |
| ガレキ<br>撤去等 | | | | | | | | |
| カバー改造・<br>復旧等 | | | | | | | | |

※ 既存の放射性濃度測定器の移設期間は，オペレーティングフロア上部の放射性物質濃度の連続監視はできないが，定期的及び必要な都度ダストサンプラで採集し，放射性物質濃度を測定・評価する。

表２　設備仕様

| 設　備　名 | 仕　　様 |
|---|---|
| 放射性物質濃度測定器 | 検出器種類：シンチレーション検出器<br>計測範囲　：$10^{0}$～$10^{4}s^{-1}$<br>台数　　：４台 |

8. 別添

別添－1　第１号機原子炉建屋カバー解体後の放射性物質の放出量評価

# 第１号機原子炉建屋カバー解体後の放射性物質の放出量評価

## 1. 放出量評価方法の考え方

建屋カバー解体後は，燃料取り出し用カバー設置に向け工事中の第３号機と同様の放出箇所となることから，原子炉直上部・機器ハッチ開口部・原子炉格納容器ガス管理設備の各放出箇所において放出量評価を行った。

本評価は，建屋カバーが掛かっていない状態での評価となるため，建屋カバー解体工事の事前調査として屋根パネルを一時的に取り外し，採取した平成 26 年 11 月のダスト濃度を評価に適用した。

また，平成 26 年 6 月に機器ハッチ開口部の放出抑制対策として設置したバルーンについては，ガレキ等によりずれが生じるリスク，ずれ発生後の再設置に伴う作業員の被ばくリスク等を排除する観点から撤去するとともに，非常用扉や大物搬入口横扉については，実態にあわせた開口面積を評価に適用した。

## 2. 放出量評価

原子炉直上部･機器ハッチ開口部･原子炉格納容器ガス管理設備の各放出箇所において，下記の通りの評価を行った。

① 原子炉直上部

原子炉直上部からの放出量

＝原子炉直上部のダスト濃度（Cs-134+Cs-137）× 流量

$＝1.6\times10^{-5}$Bq/cm$^3$ ×　$2.5\times10^{2}$ m$^3$/h　×　$10^{6}$ cm$^3$ /m$^3$

＝約 $4.1\times10^{3}$ Bq/h　＝約 $4.1\times10^{-5}$ 億 Bq/h

※計算に引用した数値

・原子炉直上部のダスト濃度

評価には，原子炉直上部のダスト濃度が必要であるが，現状，建屋カバーが設置されており，測定が不可能である。

このため，建屋カバー解体工事の事前調査として屋根パネルを一時的に取り外し，採取した平成 26 年 11 月のダスト濃度（$1.6\times10^{-5}$Bq/cm$^3$）を適用した。

・流量

建屋カバー解体工事の事前調査として屋根パネルを一時的に取り外した平成 26 年 11 月における第１号機の蒸気発生量 $2.5\times10^{2}$ m$^3$/h（平成 26 年 11 月 1 日現在）を流量として適用した。

② 機器ハッチ開口部

機器ハッチに関しては，外部の風によって流量の変動幅が大きいため，変動幅を考慮して評価を行った。

機器ハッチ開口部からの放出量（最大）
＝機器ハッチ開口部のダスト濃度（Cs-134+Cs-137）× 流量
＝$2.4\times10^{-6}$ Bq/cm$^3$ × $1.1\times10^{4}$ m$^3$/h × $10^{6}$ cm$^3$ /m$^3$
＝約 $2.6\times10^{4}$ Bq/h ＝約 $2.6\times10^{-4}$ 億 Bq/h

機器ハッチ開口部からの放出量（最小）
＝機器ハッチ開口部のダスト濃度（Cs-134+Cs-137）× 流量
＝$2.4\times10^{-6}$ Bq/cm$^3$ × $1.5\times10^{3}$ m$^3$/h × $10^{6}$ cm$^3$ /m$^3$
＝約 $3.6\times10^{3}$ Bq/h ＝約 $3.6\times10^{-5}$ 億 Bq/h

※計算に引用した数値

・機器ハッチ開口部のダスト濃度

建屋カバー解体工事の事前調査として屋根パネルを一時的に取り外し，採取した平成 26 年 11 月のダスト濃度（$2.4\times10^{-6}$Bq/cm$^3$）を適用した。

・流量

外部の風による運動エネルギーにより建物風上側と風下側に圧力差が発生し，圧力差により建屋開口部から空気の流出入が発生する。この圧力差による建屋開口部からの流出入量をベルヌーイの定理を用いて流量を評価した。各前提については，以下の通り。

機器ハッチの開口部の前提

機器ハッチの開口部面積を 0%，二重扉を 80%※，非常用扉を 100%及び大物搬入口横扉を 50%※縮小した場合を想定。

※開口部を貫通している配管，ケーブル等による閉止不可範囲（想定）を除いた面積

風速

昭和 54 年 4 月から昭和 55 年 3 月までの 1 年間における福島第一原子力発電

所の露場の平均風速（3.1m/s）を適用した。（原子炉設置変更許可申請書添付書類 6）

上記の風速を入力条件として 16 方位毎に機器ハッチ開口部からの流量を評価し，最大と最小の流量をそれぞれ以下の通り評価した。

最大の場合の流量は，約 11,000$m^3$/h。

最小の場合の流量は，約 1,500$m^3$/h。

③ 原子炉格納容器ガス管理設備

原子炉格納容器ガス管理設備からの放出量

＝原子炉格納容器ガス管理設備出口のダスト濃度（Cs-134+Cs-137）× 流量

＝$4.4\times10^{-6}$ Bq/$cm^3$ × $2.1\times10^{1}$ $m^3$/h × $10^{6}$ $cm^3$ /$m^3$

＝約 $9.2\times10^{1}$Bq/h ＝約 $9.2\times10^{-7}$ 億 Bq/h

※計算に引用した数値

原子炉格納容器ガス管理設備出口のダスト濃度・流量については，平成 26 年 11 月の値を適用した。

上記 3 箇所の放出箇所からの放出量の評価を受けて，建屋カバー解体後の 1 号機からの放出量合計値は以下の通り。

建屋カバー解体後の放出量評価（最大）

=約 $4.1\times10^{-5}$ 億 Bq/h ＋ 約 $2.6\times10^{-4}$ 億 Bq/h ＋ 約 $9.2\times10^{-7}$ 億 Bq/h

=約 0.00031 億 Bq/h =約 0.0004 億 Bq/h

建屋カバー解体後の放出量評価（最小）

=約 $4.1\times10^{-5}$億 Bq/h ＋ 約 $3.6\times10^{-5}$ 億 Bq/h ＋ 約 $9.2\times10^{-7}$ 億 Bq/h

=約 0.000078 億 Bq/h =約 0.00008 億 Bq/h

よって，建屋カバー解体後の放出量評価は，約 0.00008～0.0004 億 Bq/h

なお，建屋カバーが設置されている状態の 1 号機の平成 26 年度平均の放出量は，約 0.007 億 Bq/h である。このため，建屋カバー解体によって放出量に大きな変動を与えるものではない。

3. 被ばく評価

以下の計算条件で，建屋カバーが解体された場合の放出量による被ばく評価を行った。

①気象条件

被ばく評価に用いる気象条件は，昭和 54 年 4 月から昭和 55 年 3 月までの 1 年間における風向，風速，日射量，放射収支量の観測データを統計処理して用い，統計処理は「発電用原子炉施設の安全解析に関する気象指針」に基づいて行った。

②実効線量の計算方法

放射性セシウムによる実効線量の計算は,「発電用軽水型原子炉施設周辺の線量目標値に対する評価指針」及び「発電用軽水型原子炉施設の安全審査における一般公衆の線量評価」を準用する。

外部被ばく及び吸入摂取による実効線量は，原子炉施設周辺でそれぞれ最大の被ばくを与える地点に居住する人を対象とし，外部被ばくについては放射性雲からのγ線による実効線量と地表に沈着した放射性物質からのγ線による実効線量を考慮する。

具体的な計算方法等については，Ⅲ第 3 編（保安に係る補足事項）2.2 線量評価に準じる。

③計算地点

計算地点は，１．２号機共用排気筒を中心として 16 方位に分割した陸側 9 方位の敷地境界外について行う。

上記の評価方法で，評価した結果は，以下の通り。

敷地境界における被ばく量は年間約 0.00002～0.00008mSv

4. 評価

第 1 号機建屋カバー解体後の放出量評価は，約 0.00008～0.0004 億 Bq/h であり，建屋カバー解体によって放出量に大きな変動を与えるものではない。これによる敷地境界における被ばく量は，年間約 0.00002～0.00008mSv となる。

建屋カバー解体前の第 1 ～ 4 号機における気体廃棄物の推定放出量は，平成 26 年度平均で合計約 0.1 億 Bq/ｈである。敷地境界における被ばく線量は，最大で年間約 0.03mSv と評価している。

建屋カバー解体前の第 1 ～ 4 号機における気体廃棄物の推定放出量と第 1 号機建屋カバー解体後の第 1 ～ 4 号機における推定放出量を比較すると，同等であることを確認した。（下表参照）

なお，放射性気体廃棄物の管理については，Ⅲ第 3 編（保安に係る補足事項）2.1.3 放射性気体廃棄物等の管理に準じる。

| 放出量<br>［単位：億 Bq/h］ | 第 1 号機カバー解体前 | 第 1 号機カバー解体後<br>（評価値） |
|---|---|---|
| 第 1 号機 | 約 0.007※1 | 約 0.00008～0.0004<br>（0.000078～0.00031）※2 |
| 第 2 号機 | 約 0.002※1 | |
| 第 3 号機 | 約 0.0004※1 | |
| 第 4 号機 | 0.0009※1 | |
| 合計 | 約 0.1<br>（0.011）※1 | 約 0.1<br>（0.0039～0.0041）※2,3 |
| 敷地境界線量<br>［単位：mSv/y］ | 約 0.03 | 約 0.03 |

※1 第 1・2・3・4 号機の放出量については，平成 26 年度の平均値を用いている。

※2 評価値

※3 四捨五入の都合上，合計が一致しない

## カバー解体時における放出量評価

① 既認可の実施計画上における評価（平成25年8月認可）
- カバー解体時の放射性物質濃度が不明であったため、カバー設置前の濃度（平成23年10月）を使用して評価
- 機器ハッチ・原子炉上部とも$10^{-4}$Bq/cm$^3$と高い濃度であった
  ⇒流量を減らす必要があった ⇒機器ハッチの開口面積を縮小

② 機器ハッチ開口部の縮小効果を見込まない評価
- 濃度を最新の測定値（平成26年11月）に更新
- 機器ハッチに関しては濃度が２桁下がり、原子炉上部の濃度は１桁下がった

  ⇒原子炉の安定冷却の継続，飛散防止剤の散布効果等により濃度が減少
  ⇒機器ハッチ開口部を縮小せずとも放出管理の目標値$10^7$Bq/hを下回る

③ 機器ハッチ開口部の縮小の効果を見込んだ評価（参考）
- ③は②に対して機器ハッチ開口部90%縮小の効果を見込んだが，放出量は②とほとんど変わらない。

| | 機器ハッチ | | | | | | 原子炉上部 | | PCVガス管理 | | 放出量 [Bq/h] |
|---|---|---|---|---|---|---|---|---|---|---|---|
| | 濃度 [Bq/cm$^3$] | 流量 [m$^3$/h] | 流量評価時の想定縮小% 機器ハッチ | 二重扉 | 非常扉 | 大物搬入口横扉 | 濃度 [Bq/cm$^3$] | 流量 [m$^3$/h] | 濃度 [Bq/cm$^3$] | 流量 [m$^3$/h] | |
| ①既認可実施計画 | $2.6\times10^{-4}$ | 1000～5200 | 90% | 80% | 80% | 100% | $9.9\times10^{-4}$ | 360 | $6.2\times10^{-6}$ | 28 | $6.2\times10^{5}$ ～ $1.7\times10^{6}$ |
| ②機器ハッチ縮小なし | $2.4\times10^{-6}$ | 1500～11000 | 0% | 80% | 100% | 50% | $1.6\times10^{-5}$ | 250 | $4.4\times10^{-6}$ | 21 | $7.8\times10^{3}$ ～ $3.1\times10^{4}$ |
| ③機器ハッチ縮小あり | $2.4\times10^{-6}$ | 1500～9800 | 90% | 80% | 100% | 50% | $1.6\times10^{-5}$ | 250 | $4.4\times10^{-6}$ | 21 | $7.8\times10^{3}$ ～ $2.8\times10^{4}$ |

東京電力

## 被ばく評価

■ 被ばく評価

建屋カバー解体された場合の放出量による被ばく評価は以下の通り

| | 1号機カバー解体後の敷地境界における年間の被ばく量[mSv/y] |
|---|---|
| ①既認可実施計画 | 0.002～0.004 |
| ②機器ハッチ縮小なし | 0.00002～0.00008 |
| ③機器ハッチ縮小あり | 0.00002～0.00007 |

機器ハッチ開口の縮小による放出抑制効果を見込まない条件を見直したとしても，被ばく量に大きな変動を与えるものではない

東京電力

添付資料－８

# 福島第一原子力発電所第１・２号機原子炉建屋
# 作業エリアの整備に伴う干渉物解体撤去について

1.　干渉物解体撤去の目的

１・２号機原子炉建屋使用済燃料プール内の燃料取り出しに要する燃料取り出し用カバー（又はコンテナ）および燃料取扱設備を設置するには，１・２号機原子炉建屋周辺に作業エリアを整備するとともに,作業エリアの線量低減を図る必要がある。しかし,現在,１・２号機原子炉建屋の周辺は既存建屋等が干渉して作業エリアを整備できない状況にあるため，当該干渉物を解体撤去する。

2.　解体撤去の対象となる干渉物

作業エリアを整備するために解体撤去を要する干渉物は以下の通り。なお，解体撤去には各干渉物に付帯する設備も含む。

(1) ２号機原子炉建屋西側作業エリア

a. 廃液サージタンク（２号機）

b. ドラム缶搬出入室

c. ＭＳ／ＳＲＶ※1 窒素ガスボンベ室

d. ＨＣＵ※2 窒素ガスボンベ室

e. 補助ボイラー窒素ガスボンベ室

f. セメントブロアー室

※1：主蒸気/逃し安全弁

※2：制御棒駆動水圧系制御ユニット

(2) ２号機原子炉建屋南側作業エリア

g. 電気品室

h. １～４号機共用所内ボイラ建屋

(3) １号機原子炉建屋西側作業エリア

i. 液体窒素貯蔵タンク

j. 液体窒素蒸発器

k. 廃液サージタンク（１号機）

3.　計画工程

計画工程は以下の通り。工程は現場状況や他工事との調整により変動する可能性がある。

2015 年 8 月～2016 年 2 月（2.　解体撤去の対象となる干渉物：a～g）

2019 年 6 月～2020 年 6 月（2.　解体撤去の対象となる干渉物：h）
2020 年 2 月～2023 年 3 月（2.　解体撤去の対象となる干渉物：i～k）

4.　干渉物の解体撤去方法

干渉物の解体撤去にあたり，干渉物に付帯する設備等を図面や現場調査により確認し，安全を確保した計画を立案する。この計画に基づき，解体重機等による干渉物の解体撤去を実施する。

廃液サージタンクに貯蔵している廃液は，平成 23 年 3 月以前に液体廃棄物処理設備にて処理済の機器ドレンである。廃液サージタンク（２号機）の廃液は，解体撤去前に２号機放射性廃棄物処理建屋地下まで仮設ホースを敷設し，仮設ポンプを用いて，２号機の滞留水へ移送する。また，廃液サージタンク（１号機）の廃液は，解体撤去前に，プロセス主建屋地下まで吸引車で移送する。

なお，廃液移送前には当該廃液の全放射能の測定を行う。

解体撤去作業における留意事項を下記に示す。

- 干渉物の付帯設備を撤去しても，稼働中の周辺設備に影響を与えないことを図面および現場調査にて確認し，適切な処置を施す。
- 解体撤去作業周辺の稼働中の設備が解体撤去作業に伴い損傷しないために，現場状況に応じて設備の移設や防護を施す。
- 解体撤去作業においては，火災リスクを低減するため，火気を使用する機材を原則として選定しない。(ただし,現場状況に応じて火気を使用する機材を選定する場合は,十分な防護対策を施した上で使用する)
- 2.解体撤去の対象となる干渉物 h.１～４号機共用所内ボイラ建屋については，建屋内に設置されている稼働中の２号機原子炉建屋排気設備が解体撤去作業に伴い損傷しないために，現場状況に応じて適切な防護を施す。

廃液サージタンクに貯蔵している廃液の移送作業の留意事項を下記に示す。

- 廃液移送に用いる仮設ホースの連結部は，図１のように養生を行い，受けパンの中には漏えい検知器を設置する，または常時専任監視員を設ける。
- 漏えい検知器が発報した場合は，速やかに廃液移送に用いている仮設ポンプを停止する。
- 廃液移送に用いる仮設ホースは，現場状況に応じて損傷防止対策を行う。

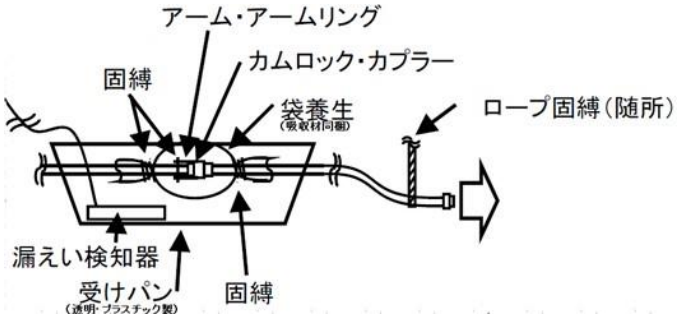



図１　仮設ホース連結部養生

5.　解体撤去作業に伴う放射性物質の飛散抑制策

干渉物の解体撤去時に，放射性物質が付着した粉じんが飛散しないよう，下記の対策を実施する。

(1) 通常の解体撤去作業時の対策

a. 作業開始前

当日の解体撤去予定範囲に対して飛散防止剤を散布する。

b. 作業中

2. 解体撤去の対象となる干渉物 a～g，i～k については，作業対象部およびその周辺に対して散水し，湿潤状態を維持する。散水により発生する水は，吸水マット等で可能な限り回収し，廃棄物として処理する。なお，雨天時は，吸水マット等による水の回収が困難であると判断した場合，散水を伴う作業については実施しない。

2. 解体撤去の対象となる干渉物 h. １～４号機共用所内ボイラ建屋については，鉄骨造であり，ダスト飛散の恐れが低いことから，作業中の散水は実施しない。

c. 作業完了後

当日の解体撤去実施範囲に対して飛散防止剤を散布する。

(2) 放射性物質の飛散が確認された場合の対策

解体撤去作業中に，万が一，構内の空気中放射性物質濃度の異常を検知した場合は，速やかに作業を中断し，解体撤去対象物の周囲の空間に対し広範囲に散水または飛散

防止剤の散布を行う。

6. 解体撤去作業に伴う放射性物質の環境影響

解体する干渉物の表面線量率や表面積から気中へ放出される放射性物質の放出量を保守的な値を用いて概略評価を行い，本作業に伴う放射性物質の放出量が，敷地境界における管理目標値 0.03mSv/年に相当する放出量と比較して，非常に小さな値であることを確認した。

また，本作業に伴う放射性物質の放出量と解体作業期間から想定した放射性物質の放出率は，敷地境界の近傍に設置されたダストモニタの警報設定値に影響を与える範囲ではないことを確認した。

なお,放射性物質の放出量の評価は,粉じんの飛散抑制策の抑制効果は見込んでおらず,安全側に評価している。

7. 廃棄物の保管

2.解体撤去の対象となる干渉物 a～g，i～k については，干渉物の解体撤去に伴い発生する固体廃棄物の発生量は約 570 ㎥（コンクリート約 230 ㎥，金属類約 340 ㎥），線量率は 1～30 mSv/h と想定しており，「Ⅲ特定原子力施設の保安 第 3 編 2.1.1 放射性固体廃棄物等の管理」に従い，覆土式一時保管施設（エリア L）または仮設保管設備（エリア A1・A2），固体廃棄物貯蔵庫に保管・管理する。なお，2.解体撤去の対象となる干渉物 i.液体窒素貯蔵タンクについては，共用プール建屋西側整備ヤードに一時的に移動・保管した後，解体撤去を実施する。

2.解体撤去の対象となる干渉物 h.１～４号機共用所内ボイラ建屋については，干渉物の解体撤去に伴い発生する固体廃棄物の発生量は約 270 ㎥（コンクリート約 70 ㎥，金属類約 200 ㎥），線量率は 1～30mSv/h と想定している。解体後，解体対象物の線量測定を行い，線量区分に応じて，下記の通り保管・管理する。

「Ⅲ特定原子力施設の保安 第 3 編 2.1.1 放射性固体廃棄物等の管理」に従い，1～30mSv/h の瓦礫類は固体廃棄物貯蔵庫に保管・管理する。1mSv/h 以下の瓦礫類のうち，0.1～1mSv/h 以下の瓦礫類は一時保管エリア（E1，P2，W，X）及び固体廃棄物貯蔵庫第 9 棟に，0.1mSv/h 以下の瓦礫類は一時保管エリア（P1）に保管・管理する。

8. 作業者の被ばく線量の管理

放射線業務従事者が立ち入る場所では，外部放射線に係わる線量率を把握し，放射線業務従事者等の立入頻度や滞在時間等を管理することで，作業時における放射線業務従事者が受ける線量が労働安全衛生法およびその関連法令に定められた線量限度を超えないようにする。

１・２号機原子炉建屋使用済燃料プール内の燃料取り出しに関連する今後の工事に

おける放射線業務従事者の被ばく線量低減策として，以下の対策を実施する。

- 放射性物質により汚染している干渉物の撤去による線量低減
- 路盤面の整備による線量低減
- 作業に応じて遮へいベストを着用することにより，作業員の被ばく量を低減
- 作業エリア近傍に遮へい効果のある退避場所を設置し，不要な被ばく量を低減
- 作業エリアに当該場所の空間線量率を表示することによる注意喚起

高線量エリアにおける施工であるため，現場状況を踏まえ，今後継続的に被ばく線量低減に向けた線源の把握と除去，線源からの遮へい，作業区域管理等を行い，更なる被ばく線量低減に努める。

添付資料－９

# 福島第一原子力発電所第２号機原子炉建屋
# 西側外壁の開口設置について

1.　西側外壁開口の目的

第２号機原子炉建屋（以下，原子炉建屋という）の使用済燃料プール内の燃料取り出しに要する燃料取り出し用カバー（またはコンテナ）及び燃料取扱設備を設置するために，原子炉建屋上部を解体する計画である。

原子炉建屋上部解体に先立ち，オペレーティングフロア（5 階）内で準備作業として片付け，清掃及び使用済燃料プールへの養生設置を行う計画である。そのため，原子炉建屋の西側外壁の 5 階部分に作業搬出入用の前室及び開口を設置する。

なお，原子炉建屋上部解体に関しては，工事開始前までに報告し，確認を受ける。

2.　前室，開口概要

(1) 原子炉建屋の西側に設ける前室概要は以下の通りとする。

・ 構　造　：鉄骨造
・屋根外壁材：鋼製折板
・ 大きさ　：高さ方向　約 10m，東西方向　約 16m，南北方向　約 22m

(2) 原子炉建屋の西側外壁に設ける開口概要は以下の通りとする。

・ 位　置　：原子炉建屋の西側外壁
・ 高　さ　：原子炉建屋の 5 階（開口下端レベル　地上約 30m）
・ 大きさ　：高さ約 7m，幅約 5m

3.　開口設置方法

開口位置に附帯する設備等を図面や現場調査により確認し，安全を確保した計画を立案する。この計画に基づき，解体機械等により開口を設置する。

4.　開口設置作業に伴う放射性物質の飛散抑制策

・開口を設置する原子炉建屋西側に構台を設置し，開口全体を覆う前室を設置する。
・開口設置作業開始前及び終了後に，飛散防止剤を散布する。
・前室の外部にダストモニタを設置し，放射性物質の有意な変化を確認した場合は，速やかに作業を中断する。
・前室空気中の放射性物質を低減するため，前室内の空気を換気空調設備により吸気する。吸気した空気はフィルタユニットにより除塵し，前室に戻す。また，換気空調設備入口にダストモニタを設置し，前室空気中の放射性物質濃度を計測する。

5. 津波・台風・竜巻・豪雨の影響

前室及び開口は，15m 級津波が到達しないと考えられる地上約 30m の高さに設置する。前室は，建築基準法及び関係法令に基づく風圧力に対し耐えられるよう設計し，開口は，建築基準法及び関係法令に基づく風圧力に対し耐えられるよう設計している前室内に設置する。前室は，鋼製折板にて覆うことにより風雨を遮る設計とし，開口は，風雨を遮る設計としている前室内に設置する。

6. 耐震安全性

(1) 適用規格

耐震安全性の検討は，下記に準拠して行う。

・建築基準法及び関連法令
・原子力施設鉄筋コンクリート構造計算規準・同解説（日本建築学会，2013 年）
・鉄筋コンクリート構造計算規準・同解説（日本建築学会，2010 年）
・原子力発電所耐震設計技術指針（JEAG4601-1987）
・原子力発電所耐震設計技術指針（JEAG4601-1991 補）
・原子力発電所耐震設計技術規程（JEAC4601-2008）
・鋼構造設計規準（日本建築学会，2005 年）
・鋼構造接合部設計指針（日本建築学会，2006 年）
・日本産業規格（JIS）

(2) 原子炉建屋の検討結果

開口（せん断断面積及び断面二次モーメントを低減）並びに構台及び使用済燃料プールへの養生の重量を考慮した原子炉建屋の解析モデルを用い，基準地震動 Ss による地震応答解析を実施した。その結果，耐震壁のせん断ひずみが評価基準値 $4.0\times10^{-3}$ を下回っており，耐震安全性を確保していることを確認した。（最大値：$0.17\times10^{-3}$（5 階，Ss-1，EW 方向））（詳細は別添－１を参照）

(3) 前室の検討結果

主要な鉄骨部材からなる立体架構モデルを用い,原子力発電所耐震設計技術指針に定める C クラス相当の地震力に対して，断面検討を実施した。その結果，全ての部材に対する検定比（作用応力度/許容応力度）が 1 を下回っており，耐震安全性を確保していることを確認した。（最大値：0.21）

7. 開口設置に伴う放射性物質の環境影響

燃料取り出しに向け原子炉建屋西側外壁に開口を設置した場合,開口部からの放射性物質の飛散が懸念される。このため，放射性物質の放出量について評価を行った結果，敷地

境界における被ばく評価への影響は少ないと評価される。（詳細は別添－２を参照）

8. 廃棄物の保管

解体撤去に伴い発生する固体廃棄物の発生量は約 31 ㎥（コンクリート約 26 ㎥，金属類約 5 ㎥），線量率は１～30mSv/h と想定しており，「Ⅲ特定原子力施設の保安 第 3 編 2.1.1 放射性固体廃棄物等の管理」に従い，構内一時保管エリアにて保管・管理する。

9. 作業者の被ばく線量の管理

放射線業務従事者が立ち入る場所では，外部放射線に係わる線量率を把握し，放射線業務従事者等の立入頻度や滞在時間等を管理することで，作業時における放射線業務従事者が受ける線量が労働安全衛生法及びその関連法令に定められた線量限度（100mSv/5 年及び50mSv/年）を超えないようにする。

開口設置作業における放射線業務従事者の被ばく線量低減策として，以下の対策を実施する。

・省人化を目的とした遠隔操作設備の設置による作業員被ばく量の低減
・遮蔽した退避場所の設置による作業員被ばく量の低減
・必要に応じ作業員の被ばく量を低減させるための遮蔽ベストの着用
・作業時間管理による作業員被ばくの低減

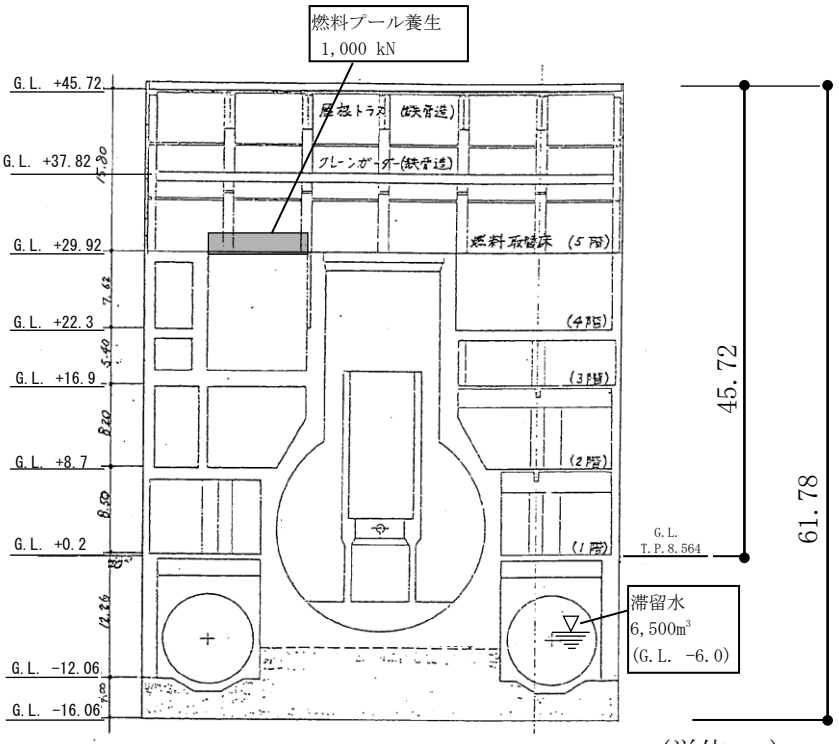
高線量エリアにおける施工であるため，現場状況を踏まえ，今後継続的に被ばく線量低減に向けた線源の把握と除去，線源に対する遮蔽，作業区域管理の検討を行い，更なる被ばく線量低減に努める。

# 第２号機原子炉建屋西側外壁開口設置後の原子炉建屋の耐震安全性

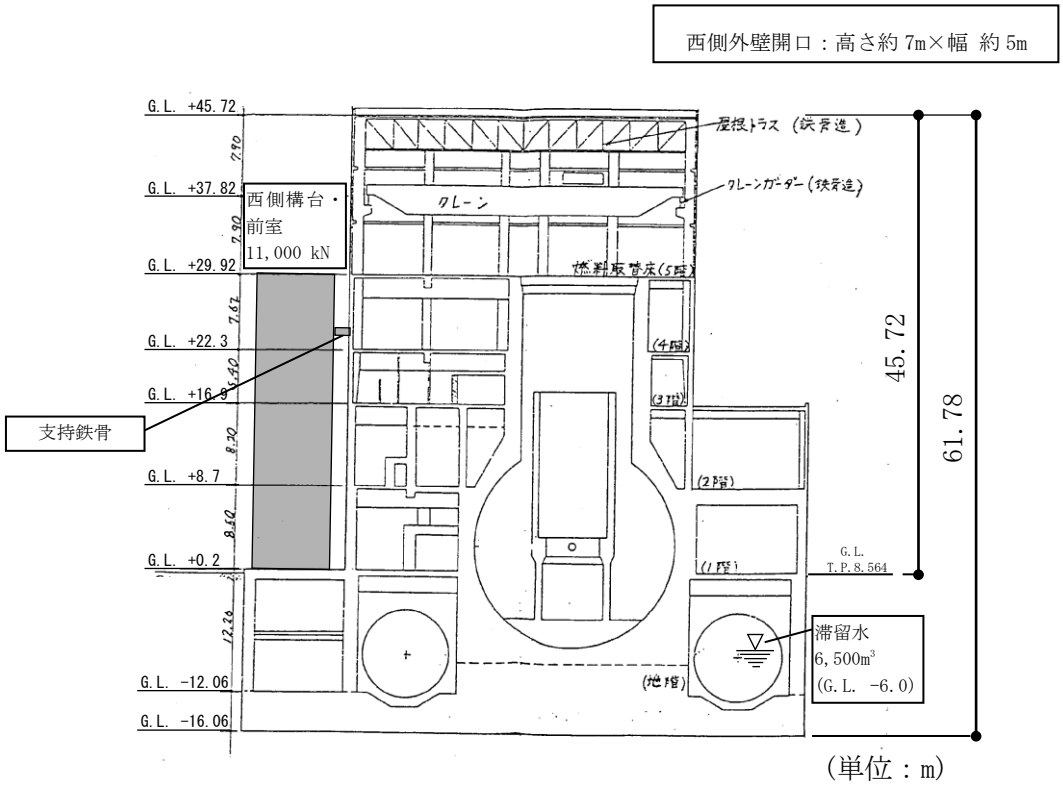
## １．　はじめに

本書は，「Ⅱ章 2.6　添付資料－２　構造強度及び耐震性（地下滞留水を考慮した建屋の耐震安全性評価)」で用いた解析モデルを基本に，西側外壁開口，西側構台・前室及び燃料プール落下防止養生の重量を考慮した解析モデルを用いて基準地震動 Ss に対する評価を行う。なお，評価に用いる地震動（基準地震動 Ss）及び地盤定数は「Ⅱ章 2.6　添付資料－２構造強度及び耐震性（地下滞留水を考慮した建屋の耐震安全性評価)」で用いたものと同じである。

建屋の概要図を図１－１に示す。




（a）NS 方向断面




（b）EW 方向断面

図１－１　原子炉建屋の概略断面図

添付資料９に記載の標高は，震災後の地盤沈下量(-709mm)と O.P.から T.P.への読替値(-727mm)を用いて，下式に基づき換算している。
＜換算式＞ T.P.=旧 O.P.-1,436mm

## ２．　解析に用いる入力地震動

原子炉建屋への入力地震動は，解放基盤表面レベルに想定する基準地震動 Ss を用いる。

地震応答解析に用いる入力地震動の概念図を図２－１に示す。この原子炉建屋の解析モデルに入力する地震動は，一次元波動論に基づき，解放基盤表面レベルに想定する基準地震動 Ss に対する建屋基礎底面レベルの地盤応答として評価する。また，建屋基礎底面レベルにおけるせん断力を入力地震動に付加することにより，地盤の切欠き効果を考慮する。

解放基盤表面位置（G.L.-206m（震災前 O.P.-196.0m））における基準地震動 Ss の加速度波形については，図２－２に示す。

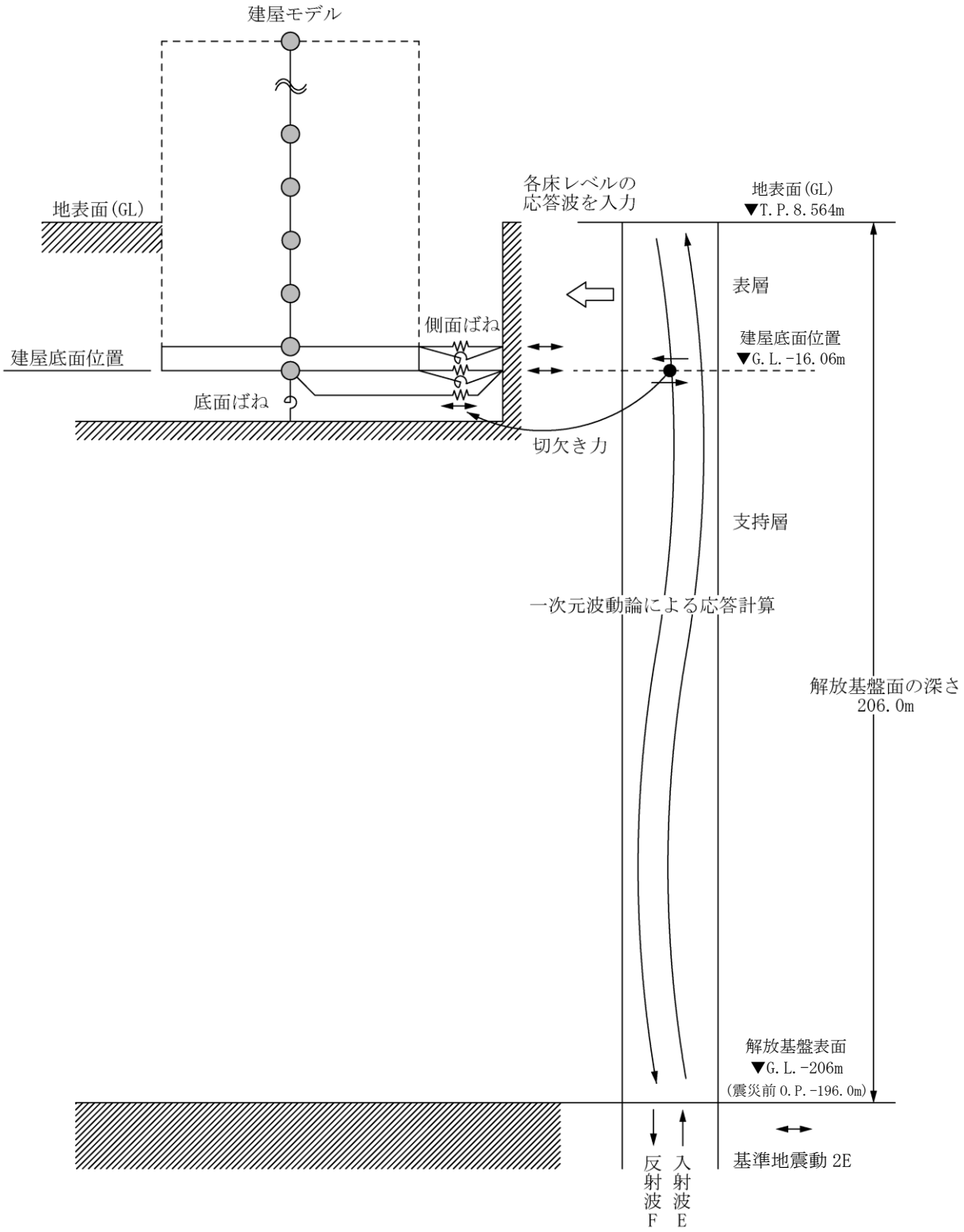
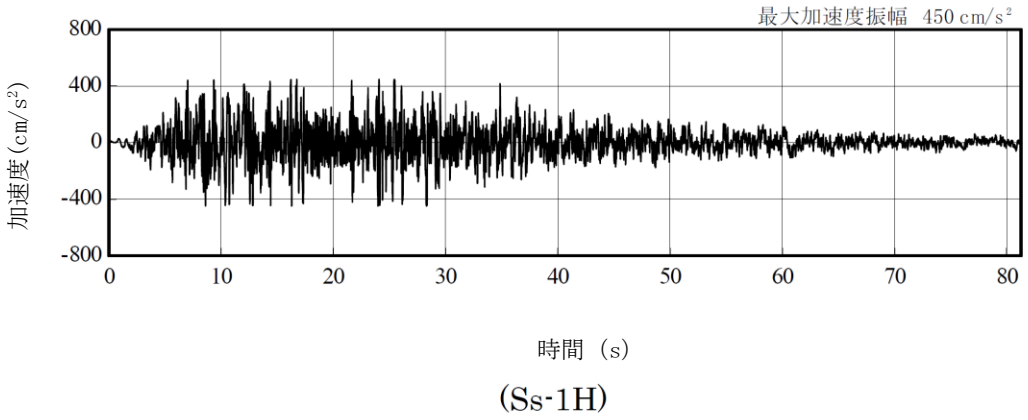
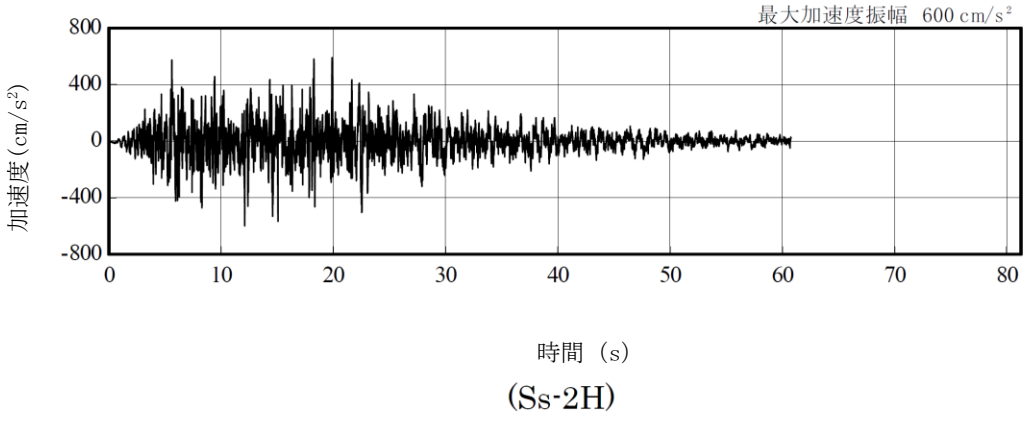


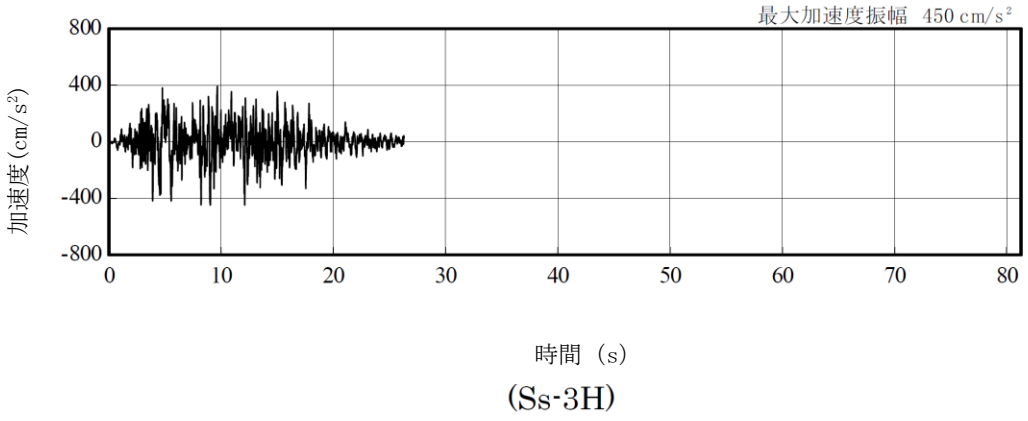

図２－１　地震応答解析に用いる入力地震動の概念図（水平方向）




(Ss-1H)




(Ss-2H)




(Ss-3H)

図２－２　解放基盤表面位置における地震動の加速度時刻歴波形（水平方向）

３．　地震応答解析モデル

基準地震動 Ss に対する原子炉建屋の地震応答解析は，「２．　解析に用いる入力地震動」で算定した入力地震動を用いた動的解析による。

地震応答解析モデルは，図３－１に示すように，建屋を曲げ変形とせん断変形をする質点系とし，地盤を等価なばねで評価した建屋－地盤連成系モデルとする。建屋－地盤連成系としての効果は地盤ばね及び入力地震動によって評価される。建屋解析モデルの諸元は，滞留水を貯留している建屋の耐震安全性を評価した諸元に，オペレーティングフロア階に設けた西側外壁開口，西側構台・前室の重量及び燃料プール落下防止養生の重量を考慮する。建屋解析モデルの諸元に追加した重量を表３－１に，建屋モデル諸元を表３－２に示す。

表３－１　建屋解析モデル追加重量

| | 質点 | G.L. (m) | 重量 (kN) |
|---|---|---|---|
| 燃料プール落下防止養生 | 3 | +29.92 | 1,000 |
| 西側構台・前室 | 4 | +22.3 | 9,000 |
| | 7 | +0.2 | 2,000 |
| 合計 | | | 12,000 |

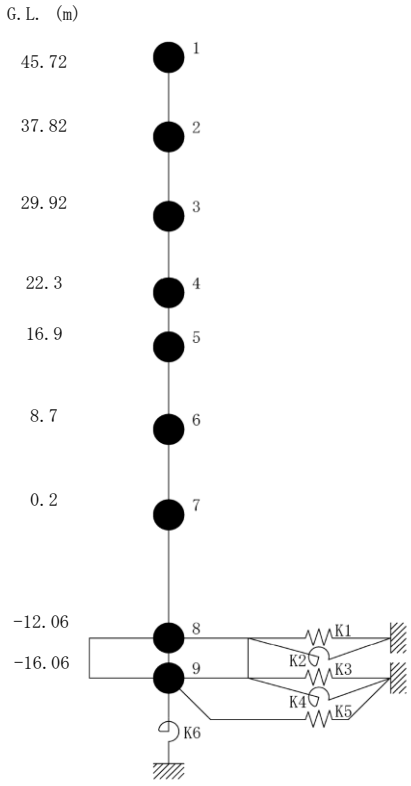
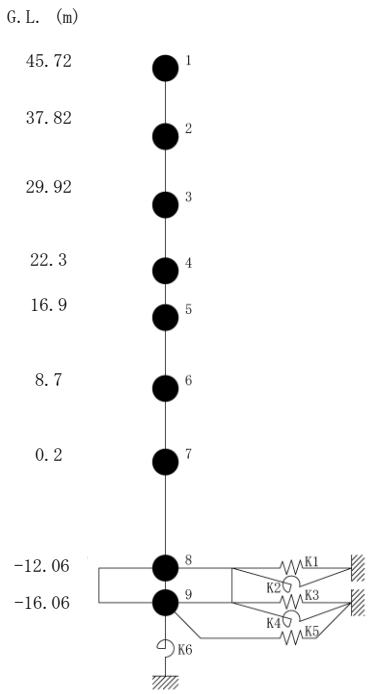



図３－１　原子炉建屋　地震応答解析モデル（NS，EW 方向）

# 表３－２　建屋解析モデルの諸元

## (NS 方向)

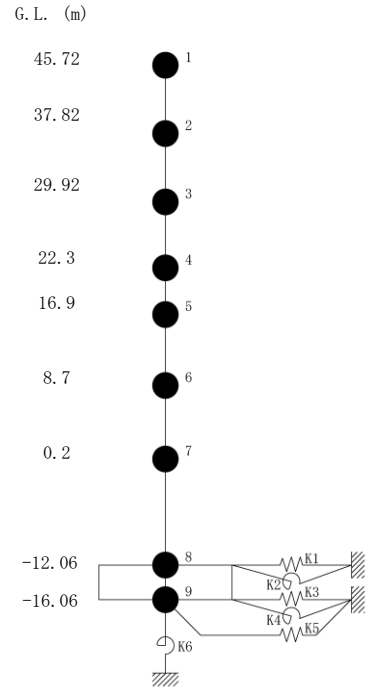



| 質点番号 | 質点重量 W(kN) | 回転慣性重量 $I_G$(×$10^5$kN･$m^2$) | せん断断面積 $A_S$($m^2$) | 断面2次モーメント I($m^4$) |
|---|---|---|---|---|
| 1 | 14,380 | 25.99 | | |
| | | | 18.6 | 10,154 |
| 2 | 10,220 | 18.53 | | |
| | | | 17.4<br>{1.2} | 10,650<br>{25} |
| 3 | 59,470<br>[1,000] | 107.62<br>[1.81] | | |
| | | | 184.3 | 22,551 |
| 4 | 79,440<br><9,000> | 143.78<br><16.29> | | |
| | | | 166.8 | 24,629 |
| 5 | 107,720 | 194.96 | | |
| | | | 249.3 | 44,401 |
| 6 | 116,670 | 211.14 | | |
| | | | 157.1 | 40,661 |
| 7 | 201,190<br><2,000> | 364.11<br><3.62> | | |
| | | | 456.8 | 110,444 |
| 8 | 341,290<br>(63,750) | 617.55<br>(115.35) | | |
| | | | 2,656.2 | 480,675 |
| 9 | 125,030 | 226.24 | | |
| 合計 | 1,055,410 | | | |

注（ ）内は滞留水による付加重量分を示す。
［ ］内は燃料プール養生による付加重量分を示す。
＜ ＞内は燃料取り出し用西側構台による付加重量分を示す。
｛ ｝内は耐震壁開口による減少分を示す。

| | |
|---|---|
| ヤング係数$E_C$ | 2.57×$10^7$ (kN/$m^2$) |
| せん断弾性係数$G$ | 1.07×$10^7$ (kN/$m^2$) |
| ポアソン比$\nu$ | 0.20 |
| 減衰$h$ | 5% |
| 基礎形状 | 46.60m(NS方向)×57.00m(EW方向) |

## (EW 方向)




| 質点番号 | 質点重量 W(kN) | 回転慣性重量 $I_G$(×$10^5$kN･$m^2$) | せん断断面積 $A_S$($m^2$) | 断面2次モーメント I($m^4$) |
|---|---|---|---|---|
| 1 | 14,380 | 14.71 | | |
| | | | 14.0 | 5,941 |
| 2 | 10,220 | 10.40 | | |
| | | | 14.0 | 6,307 |
| 3 | 59,470<br>[1,000] | 60.74<br>[1.02] | | |
| | | | 108.2 | 11,927 |
| 4 | 79,440<br><9,000> | 81.06<br><9.18> | | |
| | | | 117.3 | 14,199 |
| 5 | 107,720 | 194.96 | | |
| | | | 185.7 | 33,796 |
| 6 | 116,670 | 211.14 | | |
| | | | 173.1 | 41,960 |
| 7 | 201,190<br><2,000> | 544.79<br><5.42> | | |
| | | | 418.1 | 132,121 |
| 8 | 341,290<br>(63,750) | 923.98<br>(172.59) | | |
| | | | 2,656.2 | 719,166 |
| 9 | 125,030 | 338.53 | | |
| 合計 | 1,055,410 | | | |

注（ ）内は滞留水による付加重量分を示す。
［ ］内は燃料プール養生による付加重量分を示す。
＜ ＞内は燃料取り出し用西側構台による付加重量分を示す。

| | |
|---|---|
| ヤング係数$E_C$ | 2.57×$10^7$ (kN/$m^2$) |
| せん断弾性係数$G$ | 1.07×$10^7$ (kN/$m^2$) |
| ポアソン比$\nu$ | 0.20 |
| 減衰$h$ | 5% |
| 基礎形状 | 46.60m(NS方向)×57.00m(EW方向) |

４．　耐震安全性評価結果（耐震壁のせん断ひずみの確認）

地震応答解析により得られた耐震壁のせん断ひずみ一覧を表４－１に示す。せん断ひずみは基準地震動 Ss による解析でも，最大で $0.17\times10^{-3}$ であり，評価基準値（$4.0\times10^{-3}$）以下である。

表４－１　耐震壁のせん断ひずみ一覧

(NS 方向)

（単位：$\times10^{-3}$）

| G.L.(m) | Ss-1H | | Ss-2H | | Ss-3H | | 評価基準 |
|---|---|---|---|---|---|---|---|
| | 今回 | 参考*1 | 今回 | 参考*1 | 今回 | 参考*1 | |
| 45.72～37.82 | 0.09 | 0.09 | 0.08 | 0.08 | 0.07 | 0.07 | 4.0 以下 |
| 37.82～29.92 | 0.15 | 0.14 | 0.13 | 0.12 | 0.12 | 0.11 | |
| 29.92～22.3 | 0.04 | 0.04 | 0.04 | 0.04 | 0.04 | 0.03 | |
| 22.3～16.9 | 0.07 | 0.07 | 0.07 | 0.07 | 0.07 | 0.06 | |
| 16.9～8.7 | 0.07 | 0.07 | 0.08 | 0.07 | 0.07 | 0.06 | |
| 8.7～0.2 | 0.15 | 0.15 | 0.16 | 0.15 | 0.14 | 0.13 | |
| 0.2～-12.06 | 0.08 | 0.07 | 0.08 | 0.08 | 0.07 | 0.07 | |

＊1:「西側外壁開口，西側構台及び燃料プール落下防止養生の重量」を考慮しない場合

(EW 方向)

（単位：$\times10^{-3}$）

| G.L.(m) | Ss-1H | | Ss-2H | | Ss-3H | | 評価基準 |
|---|---|---|---|---|---|---|---|
| | 今回 | 参考*1 | 今回 | 参考*1 | 今回 | 参考*1 | |
| 45.72～37.82 | 0.11 | 0.11 | 0.11 | 0.11 | 0.10 | 0.10 | 4.0 以下 |
| 37.82～29.92 | 0.17 | 0.17 | 0.16 | 0.16 | 0.15 | 0.15 | |
| 29.92～22.3 | 0.07 | 0.06 | 0.06 | 0.06 | 0.06 | 0.05 | |
| 22.3～16.9 | 0.10 | 0.10 | 0.10 | 0.09 | 0.09 | 0.08 | |
| 16.9～8.7 | 0.10 | 0.10 | 0.10 | 0.10 | 0.09 | 0.08 | |
| 8.7～0.2 | 0.14 | 0.14 | 0.15 | 0.14 | 0.12 | 0.12 | |
| 0.2～-12.06 | 0.08 | 0.08 | 0.09 | 0.08 | 0.07 | 0.07 | |

＊1:「西側外壁開口，西側構台及び燃料プール落下防止養生の重量」を考慮しない場合

# 第２号機原子炉建屋西側外壁開口設置後の放射性物質の放出量評価

## 1.　放出量評価方法の考え方

原子炉建屋西側外壁開口設置後の放出量評価は，従前の放出箇所であるブローアウトパネルの隙間・原子炉建屋排気設備出口・原子炉格納容器ガス管理設備に加え，新たに設置する開口を考慮して評価を行った。

本評価は，開口設置前に採取した平成 27 年 8 月～平成 29 年 2 月の期間において，原子炉建屋排気設備入口で最大濃度であった平成 27 年 9 月のダスト濃度を評価に適用した。

開口設置に際し，放射性物質の飛散抑制のために開口全体を覆う前室を設置する。そのため，新たに設置する開口の面積については，前室と開口の間に生ずる隙間（以下「開口の隙間」という）を開口面積として評価に適用した。

なお，大物搬入口，二重扉，非常用扉については，実態にあわせた開口面積を評価に適用した。

## 2.　放出量評価

開口の隙間及びブローアウトパネルの隙間・原子炉建屋排気設備出口・原子炉格納容器ガス管理設備の各放出箇所において，下記のとおりの評価を行った。

①　開口の隙間及びブローアウトパネルの隙間

開口の隙間及びブローアウトパネルの隙間に関しては，外部の風による流量の変動幅が大きいため，変動幅を考慮して評価を行った。

開口の隙間及びブローアウトパネルの隙間からの放出量（最大）

＝原子炉建屋排気設備入口のダスト濃度（Cs-134+Cs-137）

×　流量（開口の隙間の流量＋ブローアウトパネルの隙間の流量）

$＝4.6\times10^{-5}$ [Bq/cm$^3$]$\times(9.6\times10^{3}+1.5\times10^{4})$ [m$^3$/h]$\times10^{6}$ [cm$^3$ /m$^3$]

＝約 $1.1\times10^{6}$ [Bq/h]　　＝約 $1.1\times10^{-2}$ [億 Bq/h]

開口の隙間及びブローアウトパネルの隙間からの放出量（最小）

＝原子炉建屋排気設備入口のダスト濃度（Cs-134+Cs-137）

×　流量（開口の隙間の流量＋ブローアウトパネルの隙間の流量）

$＝4.6\times10^{-5}$ [Bq/cm$^3$]$\times(3.8\times10^{3}+7.9\times10^{3})$ [m$^3$/h]$\times10^{6}$ [cm$^3$ /m$^3$]

＝約 $5.4\times10^{5}$ [Bq/h]　　＝約 $5.4\times10^{-3}$ [億 Bq/h]

② 原子炉建屋排気設備

原子炉建屋排気設備からの放出量

＝原子炉建屋排気設備出口の月間平均ダスト濃度（Cs-134+Cs-137）

× 原子炉建屋排気設備の流量

＝$4.9\times10^{-7}$ [Bq/cm$^3$] × $1.0\times10^{4}$ [m$^3$/h] × $10^{6}$ [cm$^3$ /m$^3$]

＝約 $4.9\times10^{3}$ [Bq/h] ＝約 $4.9\times10^{-5}$ [億 Bq/h]

③ 原子炉格納容器ガス管理設備

原子炉格納容器ガス管理設備からの放出量

＝原子炉格納容器ガス管理設備出口の月間平均ダスト濃度（Cs-134+Cs-137）

× 原子炉格納容器ガス管理設備の流量

＝$1.2\times10^{-5}$ [Bq/cm$^3$] × $1.9\times10^{1}$ [m$^3$/h] × $10^{6}$ [cm$^3$ /m$^3$]

＝約 $2.2\times10^{2}$ [Bq/h] ＝約 $2.2\times10^{-6}$ [億 Bq/h]

※計算に引用した数値（ダスト濃度・流量）は以下のとおり。

・ダスト濃度

平成 27 年 9 月の原子炉建屋排気設備入口のダスト濃度，原子炉建屋排気設備出口及び原子炉格納容器ガス管理設備出口の月間平均ダスト濃度を適用した。

・開口の隙間及びブローアウトパネルの隙間の流量

外部の風による運動エネルギーにより建物風上側と風下側に圧力差が発生し，圧力差により建屋開口部から空気の流出入が発生する。この圧力差による建屋開口部からの流出入量をベルヌーイの定理を用いて流量を評価した。各前提については，以下のとおり。

開口の隙間及びブローアウトパネルの隙間の前提

開口の隙間及びブローアウトパネルの隙間の開口面積を縮小せず，二重扉を全開，非常用扉を全開及び大物搬入口を全閉した場合を想定。

風速の前提

昭和 54 年 4 月～昭和 55 年 3 月の 1 年間における福島第一原子力発電所の露場の平均風速（3.1[m/s]）を適用した。（原子炉設置変更許可申請書添付書類 6）

上記の風速を入力条件として 16 方位毎に開口の隙間及びブローアウトパ

ネルの隙間からの流量を評価し，最大と最小の流量をそれぞれ以下のとおり評価した。

| | 合計 | 開口の隙間 | ブローアウトパネルの隙間 |
|---|---|---|---|
| 最大流量[$m^3/h$] | 約 $2.4\times10^4$ | $9.6\times10^3$ | $1.5\times10^4$ |
| 最小流量[$m^3/h$] | 約 $1.2\times10^4$ | $3.8\times10^3$ | $7.9\times10^3$ |

・原子炉建屋排気設備の流量

原子炉建屋排気設備の容量（$1.0\times10^4$ [$m^3/h$]）を適用した。

・原子炉格納容器ガス管理設備の流量

ダスト濃度と同様に平成 27 年 9 月の値を適用した。

上記 3 箇所の放出箇所からの放出量の評価より，開口設置後の原子炉建屋からの放出量合計値は以下のとおり。

開口設置後の放出量評価（最大）

=約 $1.1\times10^{-2}$ [億 Bq/h] ＋ 約 $4.9\times10^{-5}$ [億 Bq/h] ＋ 約 $2.2\times10^{-6}$ [億 Bq/h]

=約 0.011 [億 Bq/h]

開口設置後の放出量評価（最小）

=約 $5.4\times10^{-3}$ [億 Bq/h] ＋ 約 $4.9\times10^{-5}$ [億 Bq/h] ＋ 約 $2.2\times10^{-6}$ [億 Bq/h]

=約 0.0054 [億 Bq/h]

よって，開口設置後の放出量は，約 0.0054～0.011 億 Bq/h と評価した。

なお，開口設置前の原子炉建屋の平成 27 年 8 月～平成 29 年 2 月の平均の放出量は，約 0.0013 億 Bq/h である。

3. 被ばく評価

以下の計算条件で，開口が設置された場合の放出量による被ばく評価を行った。

① 気象条件

被ばく評価に用いる気象条件は，昭和 54 年 4 月～昭和 55 年 3 月の 1 年間における風向，風速，日射量，放射収支量の観測データを統計処理して用い，統計処理は「発電用原子炉施設の安全解析に関する気象指針」に基づいて行った。

② 実効線量の計算方法

放射性セシウムによる実効線量の計算は，「発電用軽水型原子炉施設周辺の線量目

標値に対する評価指針」及び「発電用軽水型原子炉施設の安全審査における一般公衆の線量評価について」を準用する。

外部被ばく及び吸入摂取による実効線量は,原子炉施設周辺でそれぞれ最大の被ばくを与える地点に居住する人を対象とし,外部被ばくについては放射性雲からのγ線による実効線量と地表に沈着した放射性物質からのγ線による実効線量を考慮する。

具体的な計算方法等については,「Ⅲ特定原子力施設の保安 第3編 2.2 線量評価」に準じる。

③ 計算地点

計算地点は，１．２号機共用排気筒を中心として16方位に分割した陸側9方位の敷地境界外について行う。

上記の評価方法で，評価した結果は，以下のとおり。

敷地境界における被ばく量は年間約0.0012～0.0025 [mSv]

4. 評価

第２号機原子炉建屋西側外壁開口設置後の放出量評価は,約0.0054～0.011 億Bq/hであり，開口設置前と比較して約0.0042～0.0099億Bq/h増加することとなる。これによる敷地境界における被ばく量は年間約0.0016～0.0029 mSvとなる。（表参照）

なお，気体廃棄物の管理については,「Ⅲ特定原子力施設の保安 第3編 2.1.3 放射性気体廃棄物等の管理」に準じる。

| 放出量<br>［単位：億Bq/h］ | 第２号機開口設置前 | 第２号機開口設置後<br>（評価値） |
|---|---|---|
| 第1号機 | 約0.000027※1 | |
| 第2号機 | 約0.0013※1 | 約0.0054～0.011 |
| 第3号機 | 約0.0012※1 | |
| 第4号機 | 約0.00022※1 | |
| 合計 | 0.0027※2 | 0.0068~0.013※2 |
| 敷地境界線量<br>［単位：mSv/y］ | 0.0007 | 0.0016~0.0029 |

※1 平成27年8月～平成29年2月の平均値を用いている。

※2 数値処理の都合上，合計が一致しない。

福島第一原子力発電所１号機原子炉建屋
オペレーティングフロア北側のガレキの撤去について

1.　ガレキ撤去の目的

１号機原子炉建屋使用済燃料プール内の燃料取り出しに要する燃料取り出し用カバーおよび燃料取扱設備を設置するため，オペレーティングフロア（以下，オペフロ）上のガレキを撤去する。

2.　撤去の対象となるガレキ

本資料にて対象となる範囲は図 1～3 の通り，7a 通り以北の範囲のガレキとする。（オペフロ外周の鉄骨を除く）

7a 通りより南側の範囲については，継続して調査を進め，施工計画を策定次第，別途申請する。

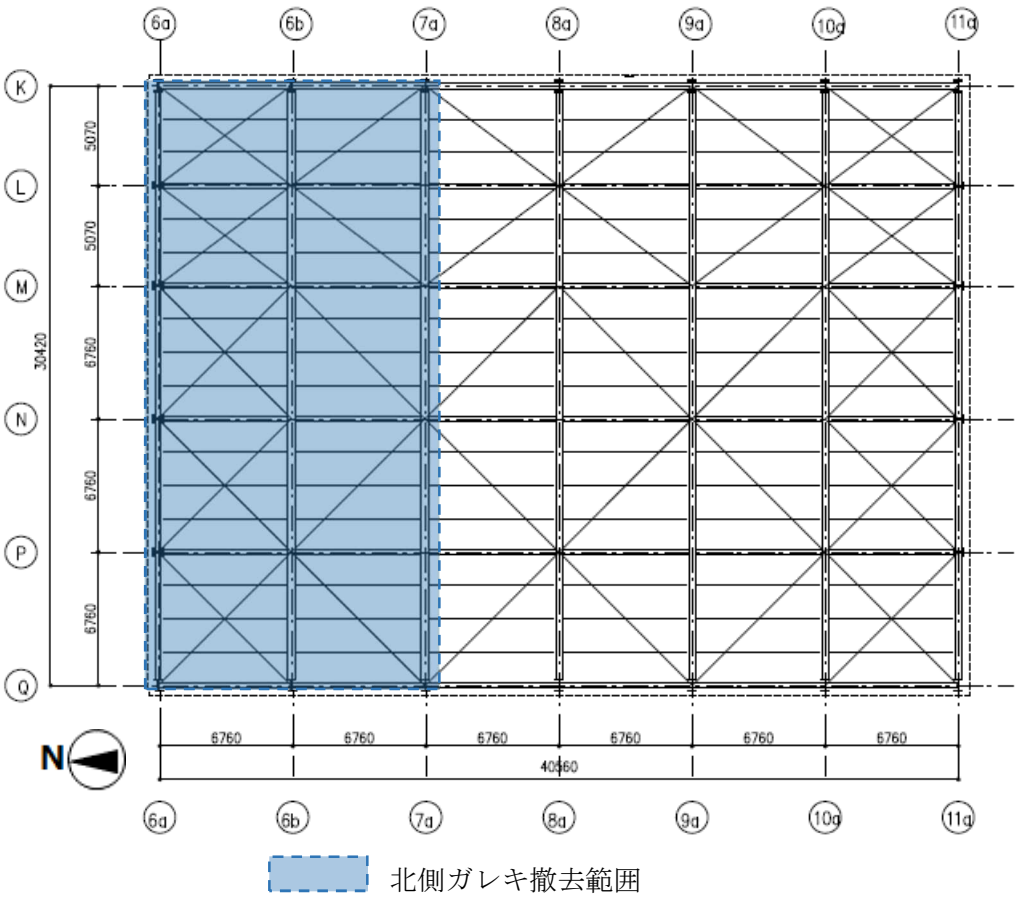



図 1　屋根伏図（上弦面）

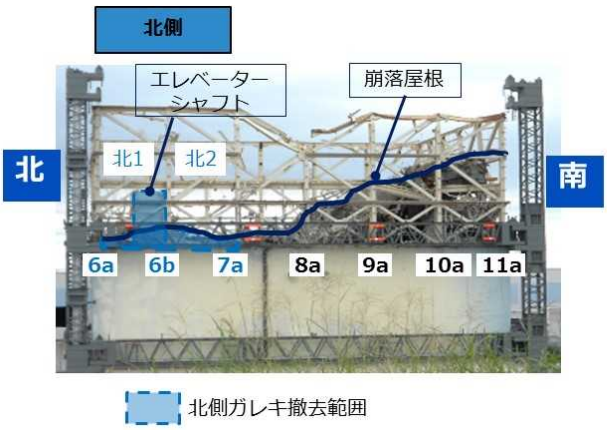



図２　立面イメージ

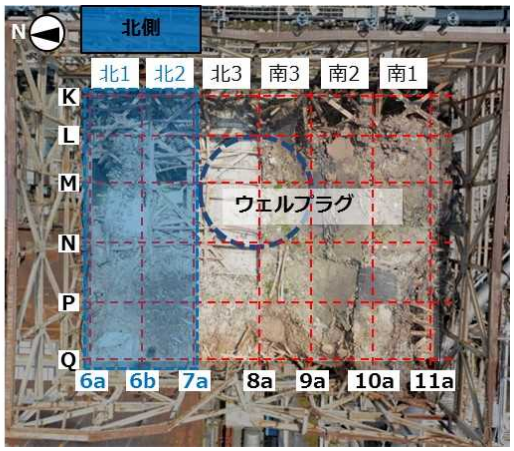



図３　平面イメージ

3.　計画工程

計画工程は以下の通り。工程は現場状況や他工事との調整により変動する可能性が有る。

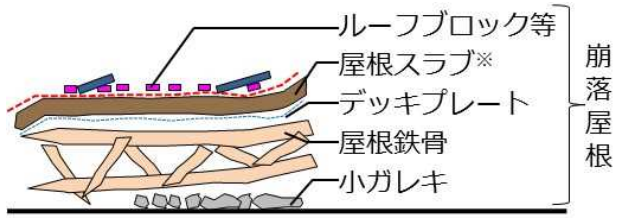
平成 30 年 1 月～平成 31 年 3 月

4.　ガレキの撤去方法

ガレキの撤去にあたり，安全を確保するため，大型クレーンに吊り下げた吸引装置，ペンチ，カッター，ニブラ，ワイヤーソーを用いてガレキの撤去を実施する。

ガレキは，図 4 のように種類の違うガレキが積み重なっており，撤去対象物によって装置・工法を表 1 のように使い分ける。

屋根鉄骨のうち，ワイヤーソーにより切断する箇所を図 5 に示す。




※ 屋根スラブはアスファルト，コンクリート，鉄筋で構成




図 4　ガレキの状態

表 1　撤去対象物ごとの装置・工法の使い分け

| 装置 | 工法 | 撤去対象物 |
|---|---|---|
| 吸引装置 | 吸引 | ・ルーフブロック等<br>・屋根スラブ（アスファルト，コンクリート）<br>・エレベーターシャフト（コンクリート）<br>・小ガレキ　等 |
| ペンチ | 把持 | ・デッキプレート<br>・屋根スラブ（アスファルト，鉄筋）<br>・エレベーターシャフト（鉄筋）<br>・小ガレキ　等 |
| カッター | 切断・把持 | ・屋根鉄骨　等 |
| | 破砕 | ・エレベーターシャフト（コンクリート） |
| ニブラ | 破砕 | ・エレベーターシャフト（コンクリート） |
| ワイヤーソー | 切断 | ・屋根鉄骨 |

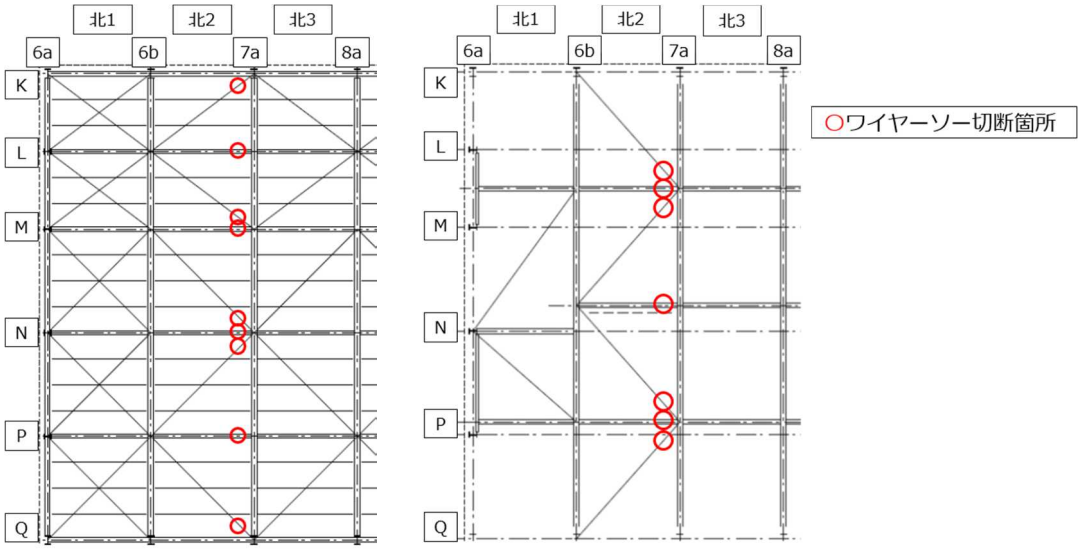



図 5　ワイヤーソーによる切断箇所

撤去作業における留意事項を下記に示す。

- 撤去作業周辺の稼働中の設備を撤去作業に伴い損傷させないために，図面および現場調査にて確認し，現場状況に応じて設備の防護を施す。
- 撤去作業においては，火災リスクを低減するため，火気を使用する機材を原則として選定しない。(ただし,現場状況に応じて火気を使用する機材を選定する場合は,十分な防護対策を施した上で使用する)

5.　撤去作業に伴う放射性物質の飛散抑制策

ガレキの撤去時に，放射性物質が付着した粉じんの飛散抑制を図るため，下記の対策を実施する。

a. 作業開始前

オペフロ上のガレキ全体に，定期的に飛散防止剤を散布することで，粉じんが固着された状態にする。

b. 作業中

コンクリート系のガレキに対しては，可能な限り吸引による撤去を行うことで，飛散量の低減を図る。破砕が必要なコンクリート系のガレキに対しては，破砕と並行して散水を実施する。

c. 作業完了後

撤去したガレキの種類・用いた工法に依らず，当日のガレキ撤去作業後に，撤去実施範囲に対して飛散防止剤を散布する。

撤去作業中に，万が一，1 号機オペフロに設置したダストモニタにより空気中放射性物質濃度の異常を検知した場合は，速やかに作業を中断し，散水を行う。また，構内に設置してある上記以外のダストモニタおよびモニタリングポストにより，空気中放射性物質濃度もしくは空間放射線量率の異常を検知した場合は，速やかに作業を中断する。

なお，散布した水は，ファンネルや階段室等の開口を通じ，建屋滞留水となる。散水および炉注水による建屋滞留水増加量，移送ポンプの能力，および原子炉建屋地下の面積から，建屋滞留水の管理上許容できる散水時間を算出した結果，3 時間強程度であり，十分な散水時間を確保できることを確認した。

6. 撤去作業に伴う放射性物質の環境影響

吸引・把持による撤去は，撤去に伴う粉じんの飛散が少ない工法であり，1 号機オペフロの調査において支障となるガレキの吸引・把持による撤去を行った際にも，オペフロならびに構内のダストモニタに有意な変動がないことを確認している。

切断・破砕による撤去は，ガレキの表面線量率や表面積から気中へ放出される放射性物質放出量の評価を行い，本作業に伴う放射性物質の放出量による敷地境界での線量が，「特定原子力施設への指定に際し東京電力株式会社福島第一原子力発電所に対して求める措置を講ずべき事項について」で求められている敷地境界線量 1 mSv/年未満と比較して，十分小さな値であることを確認した。

また，本作業に伴う放射性物質の放出量と解体作業時間から想定した放射性物質の放出率は，敷地境界の近傍に設置されたダストモニタの警報設定値を超えない範囲であることを確認した。

7. 撤去作業中の装置およびガレキの落下対策

撤去作業中の装置およびガレキの落下を防ぐため，誤作動防止システムの構築，始業前点検，カメラによる監視等の対策を実施する。

8. 廃棄物の保管

ガレキの撤去に伴い，表面線量率 30mSv/h 以下の瓦礫類が約 320 $m^3$，表面線量率 30mSv/h を超える瓦礫類が約 400 $m^3$発生すると想定している。

「Ⅲ章第 3 編 2.1.1 放射性固体廃棄物等の管理」に従い，30mSv/h 以下の瓦礫類は覆土式一時保管施設（エリア L）または仮設保管設備（エリア A1・A2）もしくは容器収納のうえ固体廃棄物貯蔵庫に，30mSv/h を超える瓦礫類は容器収容のうえ固体廃棄物貯蔵庫に保管・管理する。

9. 作業者の被ばく線量の管理

放射線業務従事者が立ち入る場所の外部放射線に係る線量率を把握し，作業時間等を管理することで，作業時の被ばく線量が法令に定められた線量限度を超えないようにする。

なお，本工事における放射線業務従事者の被ばく線量低減策として，以下の対策を実施する。

- 遠隔操作設備の利用による被ばく低減
- 遮へいの設置による作業環境の線量低減
- 待機場所（低線量エリア）の活用による被ばく低減
- 必要に応じた遮へいベスト等の保護具着用による被ばく低減

高線量エリアにおける施工であるため，現場状況を踏まえ，今後継続的に被ばく線量低減に向けた線源の把握と除去，線源からの遮へい，作業区域管理等を行い，更なる被ばく線量低減に努める。

福島第一原子力発電所１号機原子炉建屋
オペレーティングフロア中央および南側のガレキの一部撤去について

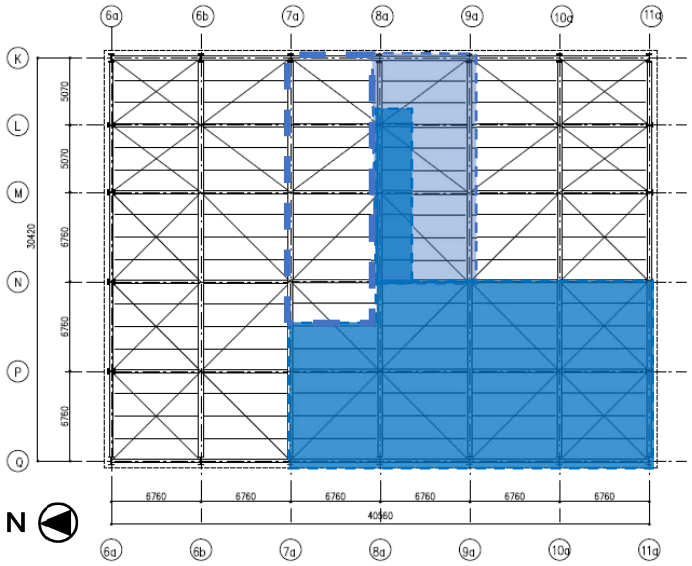
1.　ガレキ撤去の目的

１号機原子炉建屋使用済燃料プール内の燃料取り出しに要する燃料取り出し用カバーおよび燃料取扱設備を設置するため，オペレーティングフロア（以下，オペフロ）上のガレキを撤去する。

2.　撤去の対象となるガレキ

本資料にて対象となる範囲は図 1～3 の通り，7a 通り以南の範囲のガレキとする。（オペフロ外周の鉄骨を除く）

また，撤去するガレキは，図１―①の範囲においては図 4 におけるルーフブロック等，屋根スラブ，デッキプレートとする。図１―②の範囲はルーフブロック等を撤去する。

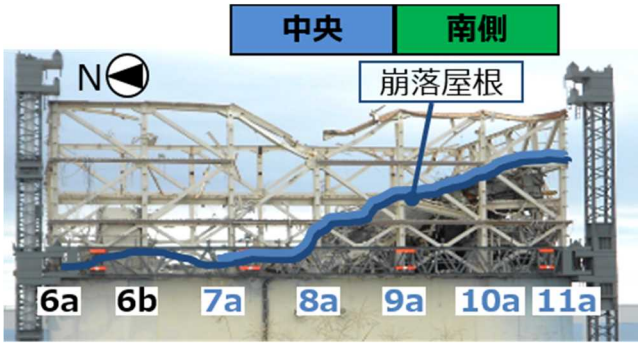



ルーフブロック等，屋根スラブ，デッキプレート撤去範囲(①)

ルーフブロック等撤去範囲(②)

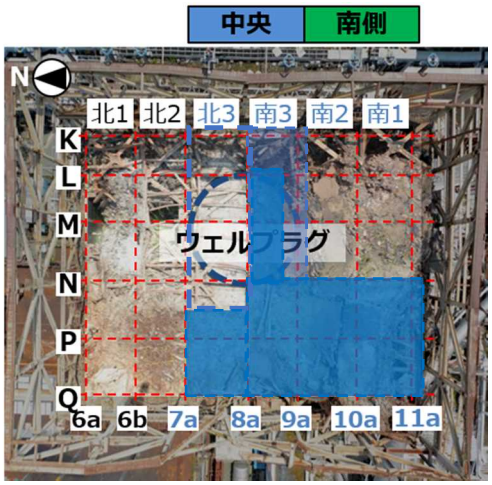
オペフロ調査に伴う支障物撤去により，ルーフブロック等，屋根スラブ，デッキプレート撤去済みの範囲

図１　屋根伏図（上弦面）




中央および南側ガレキ撤去

図２　立面イメージ

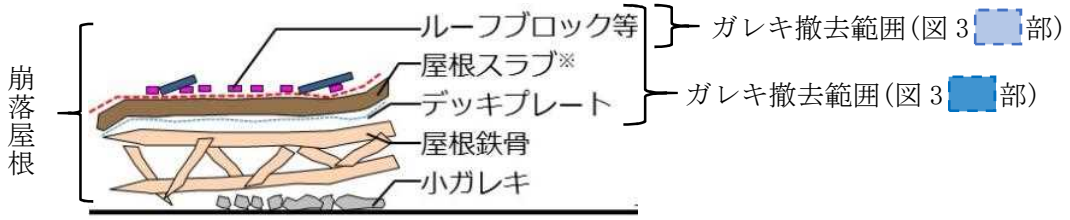



ルーフブロック等，屋根スラブ，デッキプレート撤去範囲

ルーフブロック等撤去範囲

オペフロ調査に伴う支障物撤去により，ルーフブロック等，屋根スラブ，デッキプレート撤去済みの範囲

図３　平面イメージ




※ 屋根スラブはアスファルト，コンクリート，鉄筋で構成

図４　ガレキの状態および中央ガレキ撤去範囲

3.　計画工程

計画工程は以下の通り。工程は現場状況や他工事との調整により変動する可能性が有る。

平成 30 年 6 月～平成 32 年 5 月

4. ガレキの撤去方法

ガレキの撤去にあたり，安全を確保するため，大型クレーンに吊り下げた吸引装置，ペンチを用いてガレキの撤去を実施する。

ガレキは，図 4 のように種類の違うガレキが積み重なっており，撤去対象物によって装置・工法を表 1 のように使い分ける。

表 1　撤去対象物ごとの装置・工法の使い分け

| 装置 | 工法 | 撤去対象物 |
|---|---|---|
| 吸引装置 | 吸引 | ・ルーフブロック等<br>・屋根スラブ（アスファルト，コンクリート） |
| ペンチ | 把持 | ・デッキプレート<br>・屋根スラブ（アスファルト，鉄筋） |

撤去作業における留意事項を下記に示す。

- 撤去作業周辺の稼働中の設備を撤去作業に伴い損傷させないために，図面および現場調査にて確認し，現場状況に応じて設備の防護を施す。
- 撤去作業においては，火災リスクを低減するため，火気を使用する機材を原則として選定しない。(ただし,現場状況に応じて火気を使用する機材を選定する場合は,十分な防護対策を施した上で使用する)

5. 撤去作業に伴う放射性物質の飛散抑制策

ガレキの撤去時に，放射性物質が付着した粉じんの飛散抑制を図るため，下記の対策を実施する。

a. 作業開始前

オペフロ上のガレキ全体に，定期的に飛散防止剤を散布することで，粉じんが固着された状態にする。

b. 作業中

コンクリート系のガレキに対しては，可能な限り吸引による撤去を行うことで，飛散量の低減を図る。

c. 作業完了後

撤去したガレキの種類・用いた工法に依らず，当日のガレキ撤去作業後に，撤去実施範囲に対して飛散防止剤を散布する。

撤去作業中に，万が一，1 号機オペフロに設置したダストモニタにより空気中放射性物質濃度の異常を検知した場合は，速やかに作業を中断し，散水を行う。また，構内に設置してある上記以外のダストモニタおよびモニタリングポストにより，空気中放射性物質濃度もしくは空間放射線量率の異常を検知した場合は，速やかに作業を中断す

る。

なお，散布した水は，ファンネルや階段室等の開口を通じ，建屋滞留水となる。散水および炉注水による建屋滞留水増加量，移送ポンプの能力，および原子炉建屋地下の面積から，建屋滞留水の管理上許容できる散水時間を算出した結果，3 時間強程度であり，十分な散水時間を確保できることを確認した。

6. 撤去作業に伴う放射性物質の環境影響

吸引・把持による撤去は，撤去に伴う粉じんの飛散が少ない工法であり，1 号機オペフロの調査において支障となるガレキの吸引・把持による撤去を行った際にも，オペフロならびに構内のダストモニタに有意な変動がないことを確認している。

7. 撤去作業中の装置およびガレキの落下対策

撤去作業中の装置およびガレキの落下を防ぐため，誤作動防止システムの構築，始業前点検，カメラによる監視等の対策を実施する。

8. 廃棄物の保管

ガレキの撤去に伴い，表面線量率 30mSv/h 以下の瓦礫類が約 110 ㎥，表面線量率 30mSv/h を超える瓦礫類が約 620 ㎥発生すると想定している。

「Ⅲ章第 3 編 2.1.1 放射性固体廃棄物等の管理」に従い，30mSv/h 以下の瓦礫類は覆土式一時保管施設（エリア L）または仮設保管設備（エリア A1・A2）もしくは容器収納のうえ固体廃棄物貯蔵庫に，30mSv/h を超える瓦礫類は容器収容のうえ固体廃棄物貯蔵庫に保管・管理する。

9. 作業者の被ばく線量の管理

放射線業務従事者が立ち入る場所の外部放射線に係る線量率を把握し，作業時間等を管理することで，作業時の被ばく線量が法令に定められた線量限度を超えないようにする。

なお，本工事における放射線業務従事者の被ばく線量低減策として，以下の対策を実施する。

- 遠隔操作設備の利用による被ばく低減
- 遮へいの設置による作業環境の線量低減
- 待機場所（低線量エリア）の活用による被ばく低減
- 必要に応じた遮へいベスト等の保護具着用による被ばく低減

高線量エリアにおける施工であるため，現場状況を踏まえ，今後継続的に被ばく線量低減に向けた線源の把握と除去，線源からの遮へい，作業区域管理等を行い，更なる被ばく線量低減に努める。

# 福島第一原子力発電所１号機原子炉建屋
# オペレーティングフロア外周鉄骨の一部撤去について

## 1.　外周鉄骨撤去の目的

１号機原子炉建屋使用済燃料プール内の燃料取り出しに要する燃料取り出し用カバーおよび燃料取扱設備を設置するため，オペレーティングフロア（以下，オペフロ）上の外周鉄骨を撤去する。

オペフロ南側ガレキ撤去に際し天井クレーン，燃料取扱機，ガレキ等が使用済燃料プール（以下，ＳＦＰ）へ落下することを防止するため，ＳＦＰ保護等を実施する計画としている。ＳＦＰ保護等は作業床からアクセスを計画しており，ルート確保のため外周鉄骨の一部のブレースを撤去する。

## 2.　撤去の対象となる外周鉄骨

本資料にて対象となる範囲は図 1～3 の通り，東面 2 箇所，南面 1 箇所，西面 1 箇所のブレースとする。上記以外の外周鉄骨については，施工計画を策定次第，別途申請する。

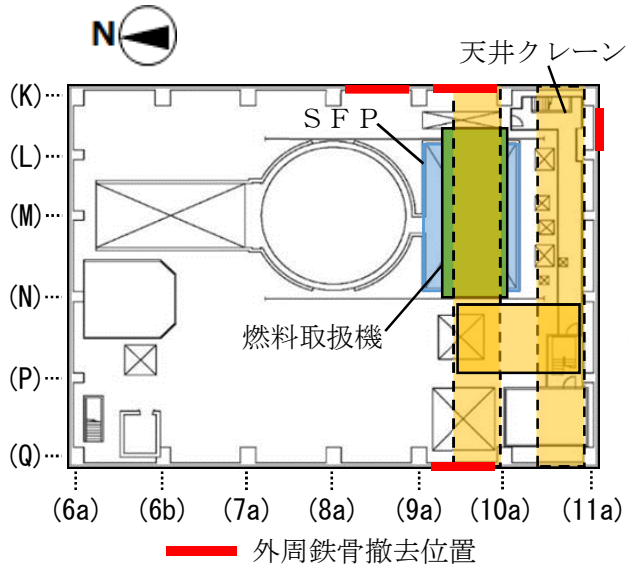



図１　オペフロ平面図

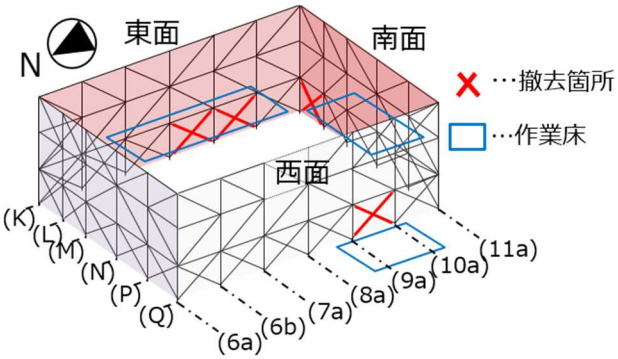



図２　ブレース撤去位置イメージ

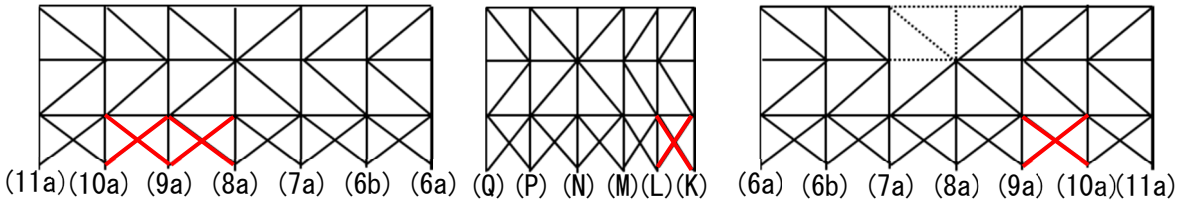



図３　ブレース撤去位置(建屋外側からの視点)

3.　計画工程

計画工程は以下の通り。工程は現場状況や他工事との調整により変動する可能性が有る。

平成 30 年 7 月～平成 30 年 10 月

4.　外周鉄骨の撤去方法

外周鉄骨の撤去は，切断装置(セーバーソー，バンドソー)を使用し，切断・撤去する。切断箇所は，図 4 に示すように 4 箇所あり，そのうち初めの 3 箇所をセーバーソーで切断し，残った 1 箇所を，切断した鉄骨の把持・引き抜きを行う把持装置と干渉しないように，バンドソーで切断する。(西面の撤去箇所については，内空確保の観点で下部 2 箇所をバンドソーで切断する)

なお，装置はすべて地上から遠隔により操作する。

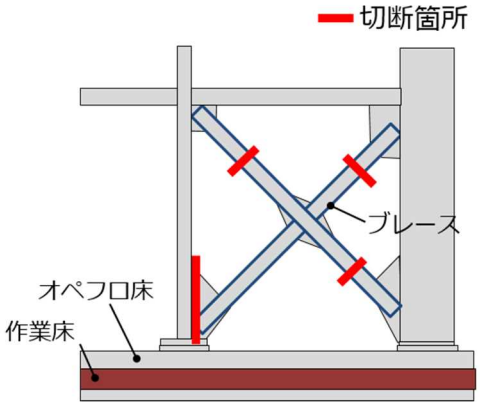



図 4　ブレース切断イメージ(南面の例)*

*：東面，西面については，干渉回避や内空確保の観点で切断位置が異なる

表 1　ブレース撤去に使用する装置

| 装置 | 使用目的 |
|---|---|
| セーバーソー | ・ブレースの切断 |
| バンドソー | ・ブレースの切断 |
| 把持装置 | ・切断後のブレースの把持，引出し |

撤去作業における留意事項を下記に示す。

- 撤去作業周辺の稼働中の設備を撤去作業に伴い損傷させないために，図面および現場調査にて確認し，現場状況に応じて設備の防護を施す。
- 撤去作業においては，火災リスクを低減するため，火気を使用する機材を原則として選定しない。(ただし，現場状況に応じて火気を使用する機材を選定する場合は，十分な防護対策を施した上で使用する)

5. 撤去作業に伴う放射性物質の飛散抑制策

外周鉄骨の撤去時に，放射性物質が付着した粉じんの飛散抑制を図るため，下記の対策を実施する。

a. 作業開始前

オペフロ上のガレキ全体に，定期的に飛散防止剤を散布することで，粉じんが固着された状態にする。

b. 作業中，作業完了後

鉄骨は内部に汚染が浸透しないこと，切断時の刃の接触面積が小さいこと，および表面のダストは飛散防止剤により固着していることから，外周鉄骨切断時のダスト発生量は極めて小さい。

撤去作業中に，万が一，1号機オペフロに設置したダストモニタにより空気中放射性物質濃度の異常を検知した場合は，速やかに作業を中断し，散水を行う。また，構内に設置してある上記以外のダストモニタおよびモニタリングポストにより，空気中放射性物質濃度もしくは空間放射線量率の異常を検知した場合は，速やかに作業を中断する。

なお，散布した水は，ファンネルや階段室等の開口を通じ，建屋滞留水となる。散水および炉注水による建屋滞留水増加量，移送ポンプの能力，および原子炉建屋地下の面積から，建屋滞留水の管理上許容できる散水時間を算出した結果，3時間強程度であり，十分な散水時間を確保できることを確認した。

6. 撤去作業に伴う放射性物質の環境影響

外周鉄骨の表面線量率や表面積から，切断により気中へ放出される放射性物質放出量の評価を行い，本作業に伴う放射性物質の放出量による敷地境界での線量が，「特定原子力施設への指定に際し東京電力株式会社福島第一原子力発電所に対して求める措置を講ずべき事項について」で求められている敷地境界線量1mSv/年未満と比較して，十分小さな値であることを確認した。

また，本作業に伴う放射性物質の放出量と解体作業時間から想定した放射性物質の放出率は，敷地境界の近傍に設置されたダストモニタの警報設定値を超えない範囲であることを確認した。

7. 撤去作業中の装置およびガレキの落下対策

撤去作業中の装置およびガレキの落下を防ぐため，誤作動防止システムの構築，始業前点検，カメラによる監視等の対策を実施する。

8. 廃棄物の保管

ガレキの撤去に伴い，表面線量率 30mSv/h 以下の瓦礫類が約 30 ㎥，発生すると想定している。

「Ⅲ章第 3 編 2.1.1 放射性固体廃棄物等の管理」に従い，30mSv/h 以下の瓦礫類は覆土式一時保管施設（エリア L）または仮設保管設備（エリア A1・A2）もしくは容器収納のうえ固体廃棄物貯蔵庫に，30mSv/h を超える瓦礫類は容器収容のうえ固体廃棄物貯蔵庫に保管・管理する。

9. 作業者の被ばく線量の管理

放射線業務従事者が立ち入る場所の外部放射線に係る線量率を把握し，作業時間等を管理することで，作業時の被ばく線量が法令に定められた線量限度を超えないようにする。

なお，本工事における放射線業務従事者の被ばく線量低減策として，以下の対策を実施する。

- 遠隔操作設備の利用による被ばく低減
- 遮へいの設置による作業環境の線量低減
- 待機場所（低線量エリア）の活用による被ばく低減
- 必要に応じた遮へいベスト等の保護具着用による被ばく低減

高線量エリアにおける施工であるため，現場状況を踏まえ，今後継続的に被ばく線量低減に向けた線源の把握と除去，線源からの遮へい，作業区域管理等を行い，更なる被ばく線量低減に努める。

福島第一原子力発電所１号機原子炉建屋
オペレーティングフロア床上のガレキの一部撤去について

1.　床上ガレキ撤去の目的

１号機原子炉建屋の崩落屋根ガレキや天井クレーン，燃料取扱機等の撤去にあたり，ガレキ落下対策として実施を計画している使用済燃料プール（以下，ＳＦＰ）保護カバー等を設置するため，当該作業に支障となるオペレーティングフロア（以下，オペフロ）床上ガレキの一部を撤去する。

2.　撤去の対象となる床上ガレキ

対象となる範囲は図１の通り。その他の範囲については必要に応じて計画が纏まり次第，別途申請する。

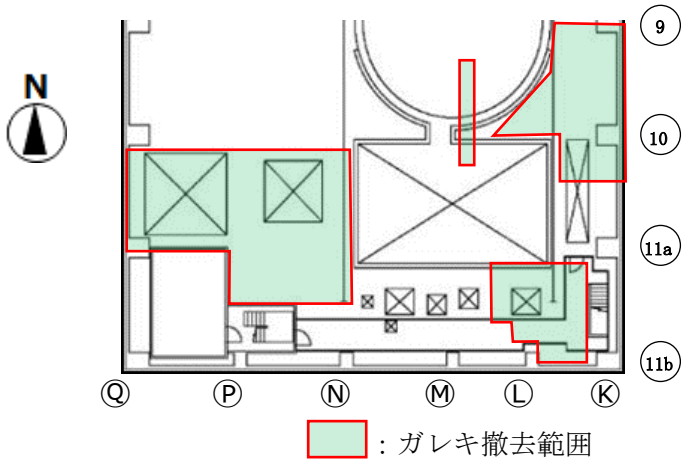



図１　オペフロ床上のガレキ撤去範囲

3.　計画工程

計画工程は以下の通り。工程は現場状況や他工事との調整により変動する可能性が有る。

2019 年 3 月～2020 年 1 月

4.　オペフロ床上ガレキの撤去方法

床上支障ガレキの撤去は，遠隔重機に装着した小型バケットやバイブスクレーパー，カッター，グラップル等を使用する。中型重機のＺＡＸＩＳ－７５は，作業床上から腕が届く範囲でガレキの撤去を行い，小型重機のＺＡＸＩＳ－１７やＡＳＴＡＣＯ－ＳｏＲａは，オペフロ床上にアクセスし，ガレキの撤去を行う。

表１　オペフロ床上のガレキ撤去に使用する装置

| 装置 | 主な使用目的 |
|---|---|
| 単腕遠隔重機<br>（ZAXIS-75，ZAXIS-17） | ・ガレキの把持，手すり等の切断，ガレキのすくい，固着ガレキの剥離　等 |
| 双腕遠隔重機<br>（ASTACO-SoRa） | ・ガレキの把持，梯子・ケーブル等の切断　等 |
| 吸引装置 | ・ガレキの吸引 |
| クレーン<br>（オーシャンクレーン，<br>ミニクローラークレーン） | ・H鋼の把持，H鋼の移動 |

撤去作業における留意事項を下記に示す。

- 撤去作業周辺の稼働中の設備を撤去作業に伴い損傷させないために，図面および現場調査にて確認し，現場状況に応じて設備の防護を施す。
- 撤去作業においては，火災リスクを低減するため，火気を使用する機材を原則として選定しない。(ただし,現場状況に応じて火気を使用する機材を選定する場合は,十分な防護対策を施した上で使用する)

5.　撤去作業に伴う放射性物質の飛散抑制策

オペフロ床上のガレキ撤去時に，放射性物質が付着した粉じんの飛散抑制を図るため，下記の対策を実施する。

a. 作業開始前

オペフロ床上のガレキ全体に，定期的に飛散防止剤を散布することで，粉じんが固着された状態にする。

b. 作業中

コンクリート系のガレキに対しては，可能な限り吸引による撤去を行うことで，粉じん飛散量の低減を図る。

c. 作業完了後

撤去したガレキの種類・用いた工法に依らず，当日のガレキ撤去作業後に，撤去実施範囲に対して飛散防止剤を散布する。

撤去作業中に，万が一，１号機オペフロに設置したダストモニタにより空気中放射性物質濃度の異常を検知した場合は，速やかに作業を中断し，散水を行う。また，構内に

設置してある上記以外のダストモニタおよびモニタリングポストにより，空気中放射性物質濃度もしくは空間放射線量率の異常を検知した場合は，速やかに作業を中断する。

なお，散布した水は，ファンネルや階段室等の開口を通じ，建屋滞留水となる。散水および炉注水による建屋滞留水増加量，移送ポンプの能力，並びに原子炉建屋地下の面積から，建屋滞留水の管理上許容できる散水時間を算出した結果，3 時間強程度であり，十分な散水時間を確保できることを確認した。

6. 撤去作業に伴う放射性物質の環境影響

吸引・把持・押し切り切断による撤去は，撤去に伴う粉じんの飛散が少ない工法であり，１号機オペフロの調査において支障となるガレキの吸引・把持・押し切り切断による撤去を行った際にも，オペフロならびに構内のダストモニタに有意な変動がないことを確認している。

機械的切断・すくい・剥離による撤去は，ガレキの表面線量率やガレキ撤去範囲の面積から気中へ放出される放射性物質放出量の評価を行い，本作業に伴う放射性物質の放出量による敷地境界での線量が，「特定原子力施設への指定に際し東京電力株式会社福島第一原子力発電所に対して求める措置を講ずべき事項について」で求められている敷地境界線量１mSv/年未満と比較して，十分小さな値であることを確認した。

また，本作業に伴う放射性物質の放出量と解体作業時間から想定した放射性物質の放出率は，敷地境界の近傍に設置されたダストモニタの警報設定値を超えない範囲であることを確認した。

7. 撤去作業中の装置およびガレキの落下対策

撤去作業中の装置およびガレキの落下を防ぐため，誤操作防止システムの構築，始業前点検，カメラによる監視等の対策を実施する。

8. 廃棄物の保管

ガレキの撤去に伴い，表面線量率 30mSv/h 以上のガレキ類が約 30 ㎥発生すると想定している。

「Ⅲ章第 3 編 2.1.1 放射性固体廃棄物等の管理」に従い，30mSv/h を超えるガレキ類は容器収容のうえ固体廃棄物貯蔵庫に保管・管理する。

9. 作業者の被ばく線量の管理

放射線業務従事者が立ち入る場所の外部放射線に係る線量率を把握し，作業時間等を管理することで，作業時の被ばく線量が法令に定められた線量限度を超えないようにする。

なお，本工事における放射線業務従事者の被ばく線量低減策として，以下の対策を実施する。

- 遠隔操作設備の利用による被ばく低減
- 遮へいの設置による作業環境の線量低減
- 待機場所（低線量エリア）の活用による被ばく低減
- 必要に応じた遮へいベスト等の保護具着用による被ばく低減

高線量エリアにおける施工であるため，現場状況を踏まえ，今後継続的に被ばく線量低減に向けた線源の把握と除去，線源からの遮へい，作業区域管理等を行い，更なる被ばく線量低減に努める。

福島第一原子力発電所１号機及び２号機非常用ガス処理系配管の一部撤去について

1.　一部撤去の目的

１号機及び２号機非常用ガス処理系配管（以下，ＳＧＴＳ配管）のうち屋外に敷設されている配管については，1/2 号機廃棄物処理建屋雨水対策工事及び１号 R/B 大型カバー設置工事等に干渉することから配管の撤去を実施する。

2.　ＳＧＴＳ配管一部撤去の計画概要

１ 号機及び ２ 号機ＳＧＴＳ配管は各原子炉建屋からそれぞれ屋外に敷設されており，１号機ＳＧＴＳ配管及び２号機ＳＧＴＳ配管は排気筒付近で合流し，排気筒に接続している。本計画では，図に示す各原子炉建屋出口から 1/2 号機合流箇所手前までの配管を撤去する。

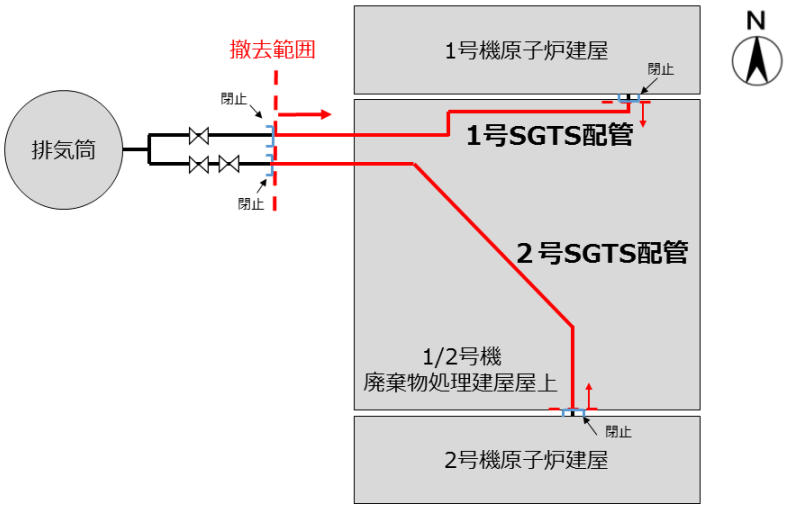



図１　ＳＧＴＳ配管撤去範囲

3.　計画工程

計画工程は以下の通り。

工程は現場状況や他工事との調整により変動する可能性が有る。

計画工程：2021 年 8 月～　2022 年 3 月

4.　配管の撤去方法

クレーンにより吊り下げた遠隔切断装置により配管を把持・切断し撤去する。撤去した配管はハウス内で遠隔装置にてコンテナに収納可能な長さに切断しコンテナに入れて固体廃棄物貯蔵庫で保管する。

撤去作業における留意事項を下記に示す。

- 撤去作業周辺の稼働中の設備を撤去作業に伴い損傷させないため，事前に図面及び現場調査にて確認し，必要に応じて設備の防護を施す。
- 撤去作業においては火災リスクを低減するため，原則，火気を発生させる装置は使用しない。
- 切断するＳＧＴＳ配管のうち本計画で撤去しない配管については，端部に閉止キャップを取り付けてダストが気中へ飛散することを防止する。
- ＳＧＴＳ配管内の水の存在については少量の結露水程度と考えており，結露水が溜まっていると想定する箇所の切断は行わない。
- ＳＧＴＳ配管内に水素の滞留は無いものと考えているが，予め同材質かつ同口径の配管材を用いて火花が出ないことを確認した低速回転のドリルを使用して穿孔し，水素濃度の測定を行う。配管内の水素濃度が４％以上であった場合は，配管内に窒素をパージしてから作業を継続する。

5.　撤去作業に伴う放射性物質の飛散抑制対策

配管内面には遊離性の放射性ダスト（以下，ダスト）が付着している可能性があることから，配管切断時は下記の対策を実施する。

a. 配管切断前

配管切断時に配管内部のダストを気中に飛散させないため，配管切断箇所及び小割箇所へ発泡ウレタンを注入する。

b. 配管切断時

配管切断は予めウレタンを注入した箇所を切断する。配管切断中に切断箇所へ飛散防止剤を散布することで，切断箇所にダストを固着させる。さらに，切断装置（ワイヤーソー）の両面にカバーを設置し，カバー内を吸引することでダスト飛散量の低減を図る。

c. 配管小割時

配管の小割は，フィルタ付の局所排風機で換気される管理されたハウス内でウレタンの注入されている箇所を切断することで，ダスト飛散量の低減を図る。

d. 配管細断時

配管の細断は建屋内に設置するフィルタ付の局所排風機で換気される管理されたハウス内で実施することで，ダスト飛散量の低減を図る。

上記に加え，各作業エリアにダストモニタを設置しダスト濃度を監視する。
作業中にダスト濃度の異常を検知した場合は速やかに作業を中断し，状況に応じて飛散防止剤の散布または散水の実施を検討する。

6. 撤去作業に伴う放射性物質の環境影響

ＳＧＴＳ配管の表面線量率測定をもとに配管内部の放射性物質量を推定し，切断に伴い欠損する面積分の配管内部の放射性物質が気中へ放出された場合の影響評価を保守的な条件の基に行った。評価結果より，放射性物質の放出による敷地境界での線量影響が，「特定原子力施設への指定に際し東京電力株式会社福島第一原子力発電所に対して求める措置を講ずべき事項について」で求められている敷地境界線量 1mSv/年未満と比較して，十分小さな値であることを確認した。

また，本作業に伴う放射性物質の放出量から想定した敷地境界空気中放射性物質濃度は，敷地境界に設置されたモニタリングポスト近傍ダストモニタの警報設定値を超えない範囲であることを確認した。

7. 撤去作業中の部材の落下防止対策

撤去作業中の部材落下防止を図るため，遠隔切断装置を用いて把持し把持状態はカメラにより監視する。また，遠隔切断装置とクレーンの使用前点検，監視員の配置及び作業エリアの区画等の対策を実施する。

8. 廃棄物の保管

ＳＧＴＳ配管撤去作業に伴い，表面線量率が最大で 160mSv/h 程度の金属瓦礫類が約 15m$^3$ 発生すると想定している。なお，撤去作業後に撤去物の線量測定を行い線量区分に応じて下記の通りに保管・管理する。

「Ⅲ 特定原子力施設の保安 第３編 2.1.1 放射性固体廃棄物等の管理」に従い，固体廃棄物貯蔵庫に保管・管理する。

9. 作業者の被ばく線量の管理

放射線業務従事者が立ち入る場所では外部放射線に係わる線量率を把握し，立入頻度や滞在時間等を管理することで作業時の被ばく線量が法令に定められた線量限度を超えないように管理する。

なお，本工事における放射線業務従事者の被ばく線量低減策として，遠隔操作設備の利用により被ばく線量の低減を図る。また，配管の細断作業においては既存の建屋内にハウスを設置しＲαゾーンに設定するとともに，配管の細断からキャスク収納までを遠隔で実施することや遮蔽を設置することによる放射線業務従事者の被ばく線量の低減を図る。

10.　モックアップ試験

同材質かつ同口径の配管材で構成されたモックアップ試験設備でＳＧＴＳ配管の把持，穴開け，ウレタン注入，切断，閉止及び細断作業のモックアップ試験を行う。

モックアップ試験では要素試験で確認できていない項目について検証し，各安全対策を満足したうえで全ての作業が成立することを確認する。

## 2.16.2 増設多核種除去設備

### 2.16.2.1 基本設計

#### 2.16.2.1.1 設置の目的

増設多核種除去設備は,『2.5 汚染水処理設備等』で処理した液体状の放射性物質の処理を早期に完了させる目的から設置するものとし，汚染水処理設備の処理済水に含まれる放射性核種（トリチウムを除く）を『東京電力株式会社福島第一原子力発電所原子炉施設の保安及び特定核燃料物質の防護に関して必要な事項を定める告示』に定める周辺監視区域外の水中の濃度限度（以下,「告示濃度限度」という。）を下回る濃度まで低減する。

なお，増設多核種除去設備の性能を確認する試験（以下,「確認試験」という。）において，増設多核種除去設備が上記性能を有する設備であることについて確認した。

#### 2.16.2.1.2 要求される機能

『2.16.1 多核種除去設備 2.16.1.1.2「要求される機能」』に同じ。

#### 2.16.2.1.3 設計方針

『2.16.1 多核種除去設備 2.16.1.1.3「設計方針」』に同じ。

#### 2.16.2.1.4 供用期間中に確認する項目

増設多核種除去設備処理済水に含まれる除去対象の放射性核種濃度（トリチウムを除く）が告示濃度限度未満であること。

#### 2.16.2.1.5 主要な機器

増設多核種除去設備は，３系列から構成し，各系列は前処理設備と多核種除去装置で構成する。さらに共通設備として，前処理設備及び多核種除去装置へ薬品を供給する薬品供給設備，処理済水のサンプリング,多核種処理水タンクへ移送する多核種移送設備，放射性物質を吸着した吸着材等を収容して貯蔵する高性能容器，増設多核種除去設備の運転監視を行う監視・制御装置，電源を供給する電源設備等で構成する。また，装置の処理能力を確認するための試料採取が可能な構成とする。

増設多核種除去設備の除去対象とする核種は,『2.16.1 多核種除去設備 添付資料－６』と同じとする。

増設多核種除去設備の主要な機器は，免震重要棟集中監視室またはシールド中央制御室の監視・制御装置により遠隔操作及び運転状況の監視を行う。更に，特に重要な運転操作についてはダブルアクションを要する等の設計とする。また，増設多核種除去設備の設置エリアには，エリア放射線モニタを設置し，放射線レベルを監視する。

増設多核種除去設備で処理された水は，処理済水貯留用のタンクで貯留する。

(1) 前処理設備

前処理設備は，多核種除去装置での吸着材によるストロンチウムの除去を阻害するマグネシウム，カルシウム等の２価の金属を炭酸塩沈殿処理により除去することを目的とし，炭酸ソーダと苛性ソーダを添加する。

炭酸塩沈殿処理による生成物は，クロスフローフィルタまたは沈殿槽により濃縮し，高性能容器に排出する。

(2) 多核種除去装置

多核種除去装置は，１系列あたり１８塔の吸着塔で構成する。

多核種除去装置は，除去対象核種に応じて吸着塔に収容する吸着材の種類が異なっており，処理対象水に含まれるコロイド状及びイオン状の放射性物質を分離・吸着処理する機能を有する。吸着塔に収容する吸着材の構成は，処理対象水の性状に応じて変更する。また，吸着材は，所定の容量を通水した後，高性能容器へ排出する。

なお，吸着塔は２塔分の増設が可能である。

(3) 高性能容器（HIC；High Integrity Container）

高性能容器は，使用済みの吸着材，沈殿処理生成物を収容するもので，『2.16.1 多核種除去設備』で使用する高性能容器と同じである。高性能容器の仕様及び健全性評価等を『2.16.1 多核種除去設備 添付資料－５』に示す。

使用済みの吸着材は，収容効率を高めるために脱水装置（SEDS；Self-Engaging Dewatering System）により脱水処理される。脱水した水は増設多核種除去設備の系統内に移送する。

沈殿処理生成物の高性能容器への移送は自動制御で行い，使用済みの吸着材の移送は現場で状況を確認しながら手動操作によって行う。高性能容器への収容量は，水位センサにて監視する。

沈殿処理生成物及び使用済みの吸着材を収容した高性能容器は，使用済セシウム吸着塔一時保管施設で貯蔵する。

また，高性能容器は，取扱い時の落下による漏えいを防止するため，補強体等を取り付ける。

(4) 薬品供給設備

薬品供給設備は，各添加薬液に対してそれぞれタンクを有し，沈殿処理やpH調整のため，ポンプにより薬品を前処理設備や多核種除去装置へ供給する。添加する薬品は，苛性ソーダ，炭酸ソーダ，塩酸とするが，何れも不燃性であり，装置内での反応熱，反応ガスも有意には発生しない。なお，炭酸ソーダについては，増設多核種除去設備の処理済み水に粉体を溶解させ生成することも可能な設計とする。

(5) 多核種移送設備

多核種移送設備は，増設多核種除去設備で処理された水を採取し，分析後の水を処理済水貯留用のタンクに移送するための設備で，サンプルタンク，増設多核種除去設備用移送ポンプおよび移送配管等で構成する。なお，増設多核種除去設備で処理された水は，サンプルタンクをバイパスして処理済水貯留用のタンクに移送することも可能な構成となっている。

また，サンプルタンクは，『2.16.1　多核種除去設備』で処理された水を受け入れることも可能な構成とする。

(6) 電源設備

電源は，異なる２系統の所内高圧母線から受電できる構成とする。なお，電源が喪失した場合でも，設備からの外部への漏えいは発生することはない。

(7) 橋形クレーン

高性能容器を取り扱うための橋形クレーンを設ける。

(8) 増設多核種除去設備基礎

増設多核種除去設備基礎は，平面が約６１ｍ（南北方向）×約８１ｍ（東西方向），厚さ約０．３ｍの鉄筋コンクリート造で，段丘堆積層に直接支持されている。

なお，上屋は，地上高さが約１６ｍの鉄骨造で，構造上，基礎から独立した構造となっている。

2.16.2.1.6 自然災害対策等

(1)　津波

増設多核種除去設備は，アウターライズ津波が到達しないと考えられる T.P.約 28m 以上の場所に設置する。

(2)　台風

台風による設備の損傷を防止するため，建屋は建築基準法施行令に基づく風荷重に対して設計する。

(3)　積雪

積雪による設備の損傷を防止するため，建屋は建築基準法施行令および福島県建築基準法施行規則細則に基づく積雪荷重に対して設計する。

(4)　落雷

接地網を設け，落雷による損傷を防止する。

(5)　竜巻

竜巻の発生の可能性が予見される場合は，設備の停止・隔離弁の閉止操作等を行い，汚染水の漏えい防止及び漏えい水の拡大防止を図る。

(6)　火災

火災発生を防止するため，実用上可能な限り不燃性又は難燃性材料を使用する。また，火災検知性を向上させるため，消防法基準に準拠した火災検出設備を設置するとともに，初期消火のために近傍に消火器を設置する。さらに，避難時における誘導用のために誘導灯を設置する。

2.16.2.1.7 構造強度及び耐震性

(1)構造強度

増設多核種除去設備を構成する主要な機器は，「実用発電用原子炉及びその附属施設の技術基準に関する規則(平成２５年６月２８日原子力規制委員会規則第６号)」において，廃棄物処理設備に相当すると位置付けられる。これに対する適用規格は，「JSME S NC-1 発電用原子力設備規格　設計・建設規格」(以下，「設計・建設規格」という。）で規定され，機器区分クラス３の規定を適用することを基本とする。設計・建設規格の適用が困難な機器については，設計・建設規格適用品と同等の構造強度を有することを基本とする。溶接部については，「JSME S NB-1 発電用原子力設備規格　溶接規格」(以下，「溶接規格」という。）の規定を適用することを基本とし，一部の国内製作機器については，JIS や高圧ガス保安協会基準等に準拠する。また，一部の海外製作機器については，「欧州統一規格（European Norm)」(以下，「EN 規格」という。)，CODAP(仏国圧力容器規格)等に準拠する。また，JSME 規格で規定される材料の日本産業規格(JIS)年度指定は，技術的妥当性の範囲において材料調達性の観点から考慮しない場合もある。

なお,クラス３機器に該当しないその他の機器は,JIS 等規格適合品を用いることとし，ポリエチレン管は，JWWA または ISO 規格に準拠する。

また，原子力発電所での使用実績がない材料を使用する場合は，他産業での使用実績等を活用しつつ，必要に応じて試験等を行うことで，経年劣化等の影響についての評価を行う。

(2) 耐震性

増設多核種除去設備を構成する機器のうち放射性物質を内包するものは，2021 年 9 月 8 日の原子力規制委員会で示された耐震設計の考え方を踏まえ，その安全機能の重要度，地

震によって機能の喪失を起こした場合の安全上の影響（公衆への被ばく影響）や廃炉活動への影響等を考慮した上で，核燃料物質を非密封で扱う燃料加工施設や使用施設等における耐震クラス分類を参考にして適切な耐震設計上の区分を行うとともに，適切と考えられる設計用地震力に耐えられる設計とする。

ただし，2021 年 9 月 8 日以前に認可された機器については，「発電用原子炉施設に関する耐震設計審査指針」を参考にして耐震クラスを分類している。

耐震性を評価するにあたっては，「JEAC4601 原子力発電所耐震設計技術規程」等に準拠する。要求される地震力に対して耐震性を確保できない場合は，その影響について評価を行う。

2.16.2.1.8 機器の故障への対応

(1) 機器の単一故障

増設多核種除去設備は，３つの処理系列を有し，電源についても多重化している。そのため，動的機器，電源系統の単一故障が発生した場合においても，その他の処理系列の運転による処理が可能である。

(2) 高性能容器の落下

万一の高性能容器からの漏えい時の対応として，回収作業に必要な吸引車等を配備し，吸引車を操作するために必要な要員を確保する。また，漏えい回収訓練及び吸引車の点検を定期的に行う。

2.16.2.2 基本仕様

2.16.2.2.1 系統仕様

(1) 増設多核種除去設備

処理方式　　沈殿方式＋吸着材方式

処理容量・処理系列　　250m³/日 /系列×3 系列 ※

※ 構内に貯留している RO 濃縮塩水を早期に処理するため，運用上可能な範囲（最大で 1.1 倍程度）において処理量を増加して運転する。

2.16.2.2.2 機器仕様

(1) 容器

a．処理水受入タンク

| 名称 | | | 処理水受入タンク |
|---|---|---|---|
| 種類 | | － | たて置円筒形 |
| 容量 | | m³/個 | 25 |
| 最高使用圧力 | | MPa | 静水頭 |
| 最高使用温度 | | ℃ | 60 |
| 主要寸法 | 胴内径 | mm | 3100 |
| | 胴板厚さ | mm | 9 |
| | 下部鏡板厚さ | mm | 9 |
| | 高さ | mm | 4740 |
| 材料 | 胴板 | － | SS400・内面ゴムライニング |
| | 下部鏡板 | － | SS400・内面ゴムライニング |
| 個数 | | 個 | 2 |

b．共沈タンク

| 名称 | | | 共沈タンク |
|---|---|---|---|
| 種類 | | － | たて置円筒形 |
| 容量 | | m³/個 | 5 |
| 最高使用圧力 | | MPa | 静水頭 |
| 最高使用温度 | | ℃ | 60 |
| 主要寸法 | 胴内径 | mm | 1750 |
| | 胴板厚さ | mm | 6 |
| | 下部鏡板厚さ | mm | 6 |
| | 高さ | mm | 4257 |
| 材料 | 胴板 | － | SS400・内面ゴムライニング |
| | 下部鏡板 | － | SS400・内面ゴムライニング |
| 個数 | | 個 | 1（1 系列あたり） |

c．供給タンク

| 名称 | | | 供給タンク |
|---|---|---|---|
| 種類 | | － | たて置円筒形 |
| 容量 | | $m^3$/個 | 5 |
| 最高使用圧力 | | MPa | 静水頭 |
| 最高使用温度 | | ℃ | 60 |
| 主要寸法 | 胴内径 | mm | 1750 |
| | 胴板厚さ | mm | 6 |
| | 下部鏡板厚さ | mm | 6 |
| | 高さ | mm | 3837 |
| 材料 | 胴板 | － | SS400・内面ゴムライニング |
| | 下部鏡板 | － | SS400・内面ゴムライニング |
| 個数 | | 個 | 1（1系列あたり） |

d．吸着塔入口バッファタンク

| 名称 | | | 吸着塔入口バッファタンク |
|---|---|---|---|
| 種類 | | － | たて置円筒形 |
| 容量 | | $m^3$/個 | 6 |
| 最高使用圧力 | | MPa | 静水頭 |
| 最高使用温度 | | ℃ | 60 |
| 主要寸法 | 胴内径 | mm | 2000 |
| | 胴板厚さ | mm | 6 |
| | 底板厚さ | mm | 20 |
| | 高さ | mm | 2826 |
| 材料 | 胴板 | － | SUS316L |
| | 底板 | － | SUS316L |
| 個数 | | 個 | 1（1系列あたり） |

ｅ．多核種吸着塔１～１８

| 名称 | | | 多核種吸着塔１～５ |
|---|---|---|---|
| 種類 | | － | たて置円筒形 |
| 容量 | | $m^3$/個 | 1 |
| 最高使用圧力 | | MPa | 1.37 |
| 最高使用温度 | | ℃ | 60 |
| 主要寸法 | 胴内径 | mm | 1054 |
| | 胴板厚さ | mm | 18 |
| | 上部・下部鏡板厚さ | mm | 20 |
| | 高さ | mm | 2550 |
| 材料 | 胴板 | － | SUS316L |
| | 鏡板 | － | SUS316L |
| 個数 | | 個 | 5（1系列あたり） |

| 名称 | | | 多核種吸着塔６～１４ |
|---|---|---|---|
| 種類 | | － | たて置円筒形 |
| 容量 | | $m^3$/個 | 1 |
| 最高使用圧力 | | MPa | 1.37 |
| 最高使用温度 | | ℃ | 60 |
| 主要寸法 | 胴内径 | mm | 1050 |
| | 胴板厚さ | mm | 16 |
| | さら形ふた板厚さ | mm | 16 |
| | 下部鏡板厚さ | mm | 16 |
| | 高さ | mm | 2553 |
| 材料 | 胴板 | － | SM490A・内面ゴムライニング |
| | さら形ふた板 | － | SM490A・内面ゴムライニング |
| | 下部鏡板 | － | SM490A・内面ゴムライニング |
| 個数 | | 個 | 9（1系列あたり） |

| 名　　称 | | | 多核種吸着塔１５～１８ |
|---|---|---|---|
| 種　　類 | | － | たて置円筒形 |
| 容　　量 | | $m^3$/個 | 2.4 |
| 最高使用圧力 | | MPa | 1.37 |
| 最高使用温度 | | ℃ | 60 |
| 主要寸法 | 胴内径 | mm | 1350 |
| | 胴板厚さ | mm | 16 |
| | さら形ふた板厚さ | mm | 19 |
| | 下部鏡板厚さ | mm | 19 |
| | 高さ | mm | 3011 |
| 材料 | 胴板 | － | SM490A・内面ゴムライニング |
| | さら形ふた板 | － | SM490A・内面ゴムライニング |
| | 下部鏡板 | － | SM490A・内面ゴムライニング |
| 個　　数 | | 個 | 4（1系列あたり） |

f．移送タンク

| 名　　称 | | | 移送タンク |
|---|---|---|---|
| 種　　類 | | － | たて置円筒形 |
| 容　　量 | | $m^3$/個 | 27 |
| 最高使用圧力 | | MPa | 静水頭 |
| 最高使用温度 | | ℃ | 60 |
| 主要寸法 | 胴内径 | mm | 3100 |
| | 胴板厚さ | mm | 9 |
| | 底板厚さ | mm | 22 |
| | 高さ | mm | 4131 |
| 材料 | 胴板 | － | SS400・内面ゴムライニング |
| | 底板 | － | SS400・内面ゴムライニング |
| 個　　数 | | 個 | 2 |

g．サンプルタンク（増設多核種除去設備用処理済水一時貯留タンク）

| 名称 | | | サンプルタンク |
|---|---|---|---|
| 種類 | | － | たて置円筒形 |
| 容量 | | $m^3$/個 | 1235 |
| 最高使用圧力 | | MPa | 静水頭 |
| 最高使用温度 | | ℃ | 40 |
| 主要寸法 | 胴内径 | mm | 11000 |
| | 胴板厚さ | mm | 12 |
| | 底板厚さ | mm | 12 |
| | 高さ | mm | 13000 |
| 材料 | 胴板 | － | SM400C |
| | 底板 | － | SM400C |
| 個数 | | 個 | 3 |

h. 炭酸ソーダ溶解槽

| 名称 | | | 炭酸ソーダ溶解槽 |
|---|---|---|---|
| 種類 | | － | 角形 |
| 容量 | | $m^3$/個 | 1.3 |
| 最高使用圧力 | | MPa | 静水頭 |
| 最高使用温度 | | ℃ | 60 |
| 主要寸法 | 内寸 | mm | 1188 × 1188 |
| | 側板厚さ | mm | 6 |
| | 底板厚さ | mm | 6 |
| | 高さ | mm | 1200 |
| 材料 | 側板 | － | SS400・内面ゴムライニング |
| | 底板 | － | SS400・内面ゴムライニング |
| 個数 | | 個 | 3 |

i. 炭酸ソーダ貯槽

| 名　　称 | | | 炭酸ソーダ貯槽 |
|---|---|---|---|
| 種　　類 | | － | たて置円筒形 |
| 容　　量 | | $m^3$/個 | 33 |
| 最高使用圧力 | | MPa | 静水頭 |
| 最高使用温度 | | ℃ | 60 |
| 主要寸法 | 胴内径 | mm | 3100 |
| | 胴板厚さ | mm | 9 |
| | 底板厚さ | mm | 22 |
| | 高さ | mm | 5022 |
| 材料 | 胴板 | － | SUS316L |
| | 底板 | － | SUS316L |
| 個　　数 | | 個 | 2 |

j. 反応／凝集槽

| 名　　称 | | | 反応／凝集槽 |
|---|---|---|---|
| 種　　類 | | － | たて置円筒形 |
| 容　　量 | | $m^3$/個 | 11 |
| 最高使用圧力 | | MPa | 静水頭 |
| 最高使用温度 | | ℃ | 60 |
| 主要寸法 | 胴内径 | mm | 2300 |
| | 胴板厚さ | mm | 6 |
| | 鏡板厚さ | mm | 6 |
| | 高さ | mm | 4400 |
| 材料 | 胴板 | － | SS400・内面ゴムライニング |
| | 鏡板 | － | SS400・内面ゴムライニング |
| 個　　数 | | 個 | １個／系列（２系列に設置） |

k. 沈殿槽

| 名称 | | | 沈殿槽 |
|---|---|---|---|
| 種類 | | － | たて置円筒形 |
| 容量 | | $m^3$/個 | 12 |
| 最高使用圧力 | | MPa | 静水頭 |
| 最高使用温度 | | ℃ | 60 |
| 主要寸法 | 胴内径 | mm | 2300 |
| | 胴板厚さ | mm | 6 |
| | 鏡板厚さ | mm | 6 |
| | 高さ | mm | 4400 |
| 材料 | 胴板 | － | SUS316L |
| | 鏡板 | － | SUS316L |
| 個数 | | 個 | １個／系列（２系列に設置） |

l. 上澄み水タンク

| 名称 | | | 上澄み水タンク |
|---|---|---|---|
| 種類 | | － | たて置円筒形 |
| 容量 | | $m^3$/個 | 2 |
| 最高使用圧力 | | MPa | 静水頭 |
| 最高使用温度 | | ℃ | 60 |
| 主要寸法 | 胴内径 | mm | 1200 |
| | 胴板厚さ | mm | 6 |
| | 鏡板厚さ | mm | 6 |
| | 高さ | mm | 3800 |
| 材料 | 胴板 | － | SUS316L |
| | 鏡板 | － | SUS316L |
| 個数 | | 個 | １個／系列（２系列に設置） |

(2)　ポンプ

ａ．供給ポンプ１（完成品）

| | |
|---|---|
| 台　　数 | 1 台（1 系列あたり） |
| 容　　量 | 10.5　$m^3/h$ |

ｂ．供給ポンプ２（完成品）

| | |
|---|---|
| 台　　数 | 1 台（1 系列あたり） |
| 容　　量 | 11.0　$m^3/h$ |

ｃ．循環ポンプ（完成品）

| | |
|---|---|
| 台　　数 | 1 台（1 系列あたり） |
| 容　　量 | 313　$m^3/h$ |

ｄ．ブースタポンプ１（完成品）

| | |
|---|---|
| 台　　数 | 1 台（1 系列あたり） |
| 容　　量 | 11.0　$m^3/h$ |

ｅ．ブースタポンプ２（完成品）

| | |
|---|---|
| 台　　数 | 1 台（1 系列あたり） |
| 容　　量 | 11.5　$m^3/h$ |

ｆ．移送ポンプ（完成品）

| | |
|---|---|
| 台　　数 | 2 台 |
| 容　　量 | 35　$m^3/h$ |

ｇ．増設多核種除去設備用移送ポンプ（完成品）

| | |
|---|---|
| 台　　数 | 2 台 |
| 容　　量 | 50　$m^3/h$ |

h．炭酸ソーダ溶解槽移送ポンプ（完成品）

| | |
|---|---|
| 台　　数 | 3 台 |
| 容　　量 | 1.8　$m^3/h$ |

ｉ．炭酸ソーダ貯槽 1 供給ポンプ（完成品）

| | |
|---|---|
| 台　　数 | 3 台 |
| 容　　量 | 0.2　$m^3/h$ |

ｊ．炭酸ソーダ貯槽２移送ポンプ（完成品）

台　　数　　2 台

容　　量　　20　$m^3/h$

k. スラリー循環ポンプ

台　　数　　1 台／系列（２系列に設置）

容　　量　　13 $m^3/h$

l. 上澄み水ポンプ

台　　数　　１台／系列（２系列に設置）

容　　量　　12 $m^3/h$

(3)　その他機器

ａ．クロスフローフィルタ

台　　数　　6 台（1 系列あたり）

ｂ．出口フィルタ

台　　数　　1 台（1 系列あたり）

(4) 配管

主要配管仕様（１／８）

| 名　称 | 仕　様 | |
|---|---|---|
| ＲＯ後濃縮塩水系受タンク移送流路分岐部から処理水受入タンク入口まで<br>（鋼管） | 呼び径／厚さ<br>材質<br>最高使用圧力<br>最高使用温度 | 100A/Sch.40<br>STPG370 + ﾗｲﾆﾝｸﾞ<br>0.98MPa<br>60℃<br>40℃ |
| （ポリエチレン管） | 呼び径<br>材質<br>最高使用圧力<br>最高使用温度 | 100A 相当<br>ポリエチレン<br>0.98MPa<br>40℃ |
| （耐圧ホース） | 呼び径<br>材質<br>最高使用圧力<br>最高使用温度 | 100A 相当<br>EPDM<br>0.98MPa<br>60℃ |
| 処理水受入タンク出口から<br>共沈タンク入口まで<br>（鋼管） | 呼び径／厚さ<br>材質<br>最高使用圧力<br>最高使用温度 | 100A/Sch.40<br>STPG370 + ﾗｲﾆﾝｸﾞ<br>静水頭<br>60℃ |
| （鋼管） | 呼び径／厚さ<br><br><br>材質<br>最高使用圧力<br>最高使用温度 | 100A/Sch.40<br>50A/Sch.40<br>32A/Sch.40<br>STPG370 + ﾗｲﾆﾝｸﾞ<br>0.98MPa<br>60℃ |
| （耐圧ホース） | 呼び径<br>材質<br>最高使用圧力<br>最高使用温度 | 100A 相当<br>EPDM<br>静水頭<br>60℃ |
| （耐圧ホース） | 呼び径<br>材質<br>最高使用圧力<br>最高使用温度 | 50A 相当<br>EPDM<br>0.98MPa<br>60℃ |
| 共沈タンク出口から<br>供給タンク入口まで<br>（鋼管） | 呼び径／厚さ<br>材質<br>最高使用圧力<br>最高使用温度 | 150A/Sch.40<br>SUS316L<br>静水頭<br>60℃ |
| （耐圧ホース） | 呼び径<br>材質<br>最高使用圧力<br>最高使用温度 | 150A 相当<br>EPDM<br>静水頭<br>60℃ |

主要配管仕様（２／８）

| 名　称 | 仕　様 | |
|---|---|---|
| 供給タンク出口から<br>クロスフローフィルタ循環ラインまで<br>（鋼管） | 呼び径／厚さ<br>材質<br>最高使用圧力<br>最高使用温度 | 50A/Sch.40<br>SUS316L<br>静水頭<br>60℃ |
| （鋼管） | 呼び径／厚さ<br><br>材質<br>最高使用圧力<br>最高使用温度 | 50A/Sch.40<br>32A/Sch.40<br>SUS316L<br>0.98MPa<br>60℃ |
| （耐圧ホース） | 呼び径<br>材質<br>最高使用圧力<br><br>最高使用温度 | 50A 相当<br>EPDM<br>静水頭<br>0.98MPa<br>60℃ |
| クロスフローフィルタ循環ライン<br>（鋼管） | 呼び径／厚さ<br><br><br><br><br><br>材質<br>最高使用圧力<br>最高使用温度 | 125A/Sch.40<br>150A/Sch.40<br>200A/Sch.40<br>250A/Sch.40<br>300A/Sch.40<br>300A 相当/3mm<br>SUS316L<br>0.98MPa<br>60℃ |
| クロスフローフィルタ出口から<br>吸着塔入口バッファタンク入口まで<br>（鋼管） | 呼び径／厚さ<br><br>材質<br>最高使用圧力<br>最高使用温度 | 50A/Sch.40<br>50A/Sch.80<br>SUS316L<br>0.98MPa<br>60℃ |
| （耐圧ホース） | 呼び径<br>材質<br>最高使用圧力<br>最高使用温度 | 50A 相当<br>EPDM<br>0.98MPa<br>60℃ |
| 吸着塔入口バッファタンク出口から<br>多核種吸着塔５下流 塩酸供給点まで<br>（鋼管） | 呼び径／厚さ<br>材質<br>最高使用圧力<br>最高使用温度 | 50A/Sch.40<br>SUS316L<br>静水頭<br>60℃ |
| （鋼管） | 呼び径／厚さ<br><br>材質<br>最高使用圧力<br>最高使用温度 | 32A/Sch.40<br>50A/Sch.40<br>SUS316L<br>1.37MPa<br>60℃ |
| （耐圧ホース） | 呼び径<br>材質<br>最高使用圧力<br><br>最高使用温度 | 50A 相当<br>EPDM<br>静水頭<br>1.37MPa<br>60℃ |

主要配管仕様（３／８）

| 名　称 | 仕　様 | |
|---|---|---|
| 多核種吸着塔５下流 塩酸供給点から<br>移送タンクまで<br>（鋼管） | 呼び径／厚さ<br><br><br><br>材質<br>最高使用圧力<br>最高使用温度 | 32A/Sch.40<br>50A/Sch.40<br>50A/Sch.80<br>80A/Sch.40<br>STPG370 + ﾗｲﾆﾝｸﾞ<br>1.37MPa<br>60℃ |
| （耐圧ホース） | 呼び径<br>材質<br>最高使用圧力<br>最高使用温度 | 50A 相当<br>EPDM<br>1.37MPa<br>60℃ |
| 移送タンク出口から<br>サンプルタンク入口まで<br>（鋼管） | 呼び径／厚さ<br>材質<br>最高使用圧力<br>最高使用温度 | 80A/Sch.40<br>STPG370 + ﾗｲﾆﾝｸﾞ<br>静水頭<br>60℃ |
| （鋼管） | 呼び径／厚さ<br><br><br><br>材質<br>最高使用圧力<br>最高使用温度 | 40A/Sch.40<br>65A/Sch.40<br>80A/Sch.40<br>100A/Sch.40<br>STPG370 + ﾗｲﾆﾝｸﾞ<br>0.98MPa<br>60℃ |
| （鋼管） | 呼び径／厚さ<br>材質<br>最高使用圧力<br>最高使用温度 | 100A/Sch.40<br>SUS316L<br>0.98MPa<br>60℃ |
| （ポリエチレン管） | 呼び径<br>材質<br>最高使用圧力<br>最高使用温度 | 100A 相当<br>ポリエチレン<br>0.98MPa<br>40℃ |
| （耐圧ホース） | 呼び径<br>材質<br>最高使用圧力<br>最高使用温度 | 80A 相当<br>EPDM<br>静水頭<br>60℃ |
| （耐圧ホース） | 呼び径<br>材質<br>最高使用圧力<br>最高使用温度 | 65A 相当<br>EPDM<br>0.98MPa<br>60℃ |

主要配管仕様（４／８）

| 名　称 | 仕　様 | |
|---|---|---|
| サンプルタンク出口から<br>多核種処理水貯槽，RO 濃縮水貯槽または Sr 処理水貯槽まで※2<br>（鋼管） | 呼び径／厚さ<br><br><br>材質<br>最高使用圧力<br>最高使用温度 | 100A/Sch.40<br>80A/Sch.40<br>50A/Sch.40<br>SUS316L<br>0.98MPa<br>40℃ |
| （鋼管） | 呼び径／厚さ<br>材質<br>最高使用圧力<br>最高使用温度 | 100A/Sch.40<br>SUS316L<br>0.98MPa<br>60℃ |
| （鋼管） | 呼び径／厚さ<br>材質<br>最高使用圧力<br>最高使用温度 | 100A/Sch.40<br>STPG370 + ﾗｲﾆﾝｸﾞ<br>0.98MPa<br>40℃ |
| （鋼管） | 呼び径／厚さ<br>材質<br>最高使用圧力<br>最高使用温度 | 100A/Sch.20S<br>SUS316LTP<br>0.98MPa<br>40℃ |
| （ポリエチレン管） | 呼び径<br><br>材質<br>最高使用圧力<br>最高使用温度 | 200A 相当<br>100A 相当<br>ポリエチレン<br>静水頭<br>40℃ |
| （ポリエチレン管） | 呼び径<br>材質<br>最高使用圧力<br>最高使用温度 | 100A 相当<br>ポリエチレン<br>0.98MPa<br>40℃ |
| （耐圧ホース） | 呼び径<br>材質<br>最高使用圧力<br>最高使用温度 | 100A 相当<br>合成ゴム<br>0.98MPa<br>40℃ |
| 増設多核種除去設備用移送ポンプスキッドから<br>増設多核種除去設備入口弁スキッドまで<br>（ポリエチレン管） | 呼び径<br>材質<br>最高使用圧力<br>最高使用温度 | 100A 相当<br>ポリエチレン<br>0.98MPa<br>40℃ |

主要配管仕様（５／８）

| 名　称 | 仕　様 | |
|---|---|---|
| 移送ポンプ出口分岐部から<br>炭酸ソーダ溶解槽まで<br>（鋼管） | 呼び径／厚さ | 65A/Sch.40<br>40A/Sch.40<br>20A/Sch.40 |
| | 材質 | STPG370 + ﾗｲﾆﾝｸﾞ |
| | 最高使用圧力 | 0.98MPa |
| | 最高使用温度 | 60℃ |
| （鋼管） | 呼び径／厚さ | 20A/Sch.40<br>15A/Sch.40 |
| | 材質 | SUS316L |
| | 最高使用圧力 | 0.98MPa |
| | 最高使用温度 | 60℃ |
| （耐圧ホース） | 呼び径 | 40A 相当 |
| | 材質 | EPDM |
| | 最高使用圧力 | 0.98MPa |
| | 最高使用温度 | 60℃ |
| 炭酸ソーダ溶解槽から<br>炭酸ソーダ貯槽まで<br>（鋼管） | 呼び径／厚さ | 50A/Sch.40<br>40A/Sch.40 |
| | 材質 | SUS316L |
| | 最高使用圧力 | 静水頭 |
| | 最高使用温度 | 60℃ |
| （鋼管） | 呼び径／厚さ | 40A/Sch.40<br>40A/Sch.80<br>15A/Sch.40 |
| | 材質 | SUS316L |
| | 最高使用圧力 | 0.5MPa |
| | 最高使用温度 | 60℃ |
| （耐圧ホース） | 呼び径 | 40A 相当 |
| | 材質 | PTFE |
| | 最高使用圧力 | 静水頭<br>0.5MPa |
| | 最高使用温度 | 60℃ |

主要配管仕様（６／８）

| 名　称 | 仕　様 | |
|---|---|---|
| 炭酸ソーダ貯槽から<br>共沈タンクまで<br>（鋼管） | 呼び径／厚さ<br><br>材質<br>最高使用圧力<br>最高使用温度 | 125A/Sch.40<br>65A/Sch.40<br>SUS316L<br>静水頭<br>60℃ |
| （鋼管） | 呼び径／厚さ<br><br><br>材質<br>最高使用圧力<br>最高使用温度 | 65A/Sch.40<br>40A/Sch.40<br>25A/Sch.40<br>SUS316L<br>0.5MPa<br>60℃ |
| （耐圧ホース） | 呼び径<br>材質<br>最高使用圧力<br>最高使用温度 | 125A 相当<br>PTFE<br>静水頭<br>60℃ |
| （耐圧ホース） | 呼び径<br>材質<br>最高使用圧力<br>最高使用温度 | 40A 相当<br>PTFE<br>0.5MPa<br>60℃ |
| （耐圧ホース） | 呼び径<br>材質<br>最高使用圧力<br>最高使用温度 | 40A 相当<br>EPDM<br>0.5MPa<br>60℃ |

主要配管仕様（７／８）

| 名　称 | 仕　様 | |
|---|---|---|
| 炭酸ソーダ貯槽から<br>多核種除去設備建屋入口まで<br>（鋼管） | 呼び径／厚さ<br>材質<br>最高使用圧力<br>最高使用温度 | 65A/Sch.40<br>SUS316L<br>静水頭<br>60℃ |
| （鋼管） | 呼び径／厚さ<br><br><br>材質<br>最高使用圧力<br>最高使用温度 | 80A/Sch.40<br>65A/Sch.40<br>50A/Sch.40<br>SUS316L<br>0.5MPa<br>60℃ |
| （耐圧ホース） | 呼び径<br>材質<br>最高使用圧力<br>最高使用温度 | 65A 相当<br>PTFE<br>静水頭<br>60℃ |
| （ポリエチレン管） | 呼び径<br>材質<br>最高使用圧力<br>最高使用温度 | 75A 相当<br>ポリエチレン<br>0.5MPa<br>60℃ |
| 処理水受入タンク移送流路分岐部から<br>反応／凝集槽入口まで※3<br>（鋼管） | 呼び径／厚さ<br>材質<br>最高使用圧力<br>最高使用温度 | 50A/Sch.40<br>STPG370 + ﾗｲﾆﾝｸﾞ<br>0.98MPa<br>60℃ |
| 反応／凝集槽出口から沈殿槽入口<br>まで※3<br>（鋼管） | 呼び径／厚さ<br>材質<br>最高使用圧力<br>最高使用温度 | 150A/Sch.40<br>SUS316L<br>静水頭<br>60℃ |
| （耐圧ホース） | 呼び径<br>材質<br>最高使用圧力<br>最高使用温度 | 150A 相当<br>EPDM<br>静水頭<br>60℃ |
| 沈殿槽出口から<br>上澄み水タンク入口まで※3<br>（鋼管） | 呼び径／厚さ<br>材質<br>最高使用圧力<br>最高使用温度 | 150A/Sch.40<br>SUS316L<br>静水頭<br>60℃ |
| （耐圧ホース） | 呼び径<br>材質<br>最高使用圧力<br>最高使用温度 | 150A 相当<br>EPDM<br>静水頭<br>60℃ |

主要配管仕様（８／８）

| 名　称 | 仕　様 | |
|---|---|---|
| 上澄み水タンク出口から供給タンク移送流路合流部まで※3<br>（鋼管） | 呼び径／厚さ<br>材質<br>最高使用圧力<br>最高使用温度 | 50A/Sch.40<br>SUS316L<br>静水頭<br>60℃ |
| （耐圧ホース） | 呼び径<br>材質<br>最高使用圧力<br>最高使用温度 | 50A 相当<br>EPDM<br>静水頭<br>60℃ |
| （鋼管） | 呼び径／厚さ<br><br>材質<br>最高使用圧力<br>最高使用温度 | 50A/Sch.40<br>32A/Sch.40<br>SUS316L<br>0.98MPa<br>60℃ |
| 沈殿槽出口から反応／凝集槽まで※3<br>（鋼管） | 呼び径／厚さ<br>材質<br>最高使用圧力<br>最高使用温度 | 50A/Sch.40<br>SUS316L<br>静水頭<br>60℃ |
| （鋼管） | 呼び径／厚さ<br><br><br><br>材質<br>最高使用圧力<br>最高使用温度 | 50A/Sch.40<br>40A/Sch.40<br>32A/Sch.40<br>25A/Sch.40<br>SUS316L<br>0.98MPa<br>60℃ |
| クロスフローフィルタ循環ライン分岐部から反応／凝集槽まで※3<br>（鋼管） | 呼び径／厚さ<br><br><br>材質<br>最高使用圧力<br>最高使用温度 | 40A/Sch.40<br>25A/Sch.40<br>15A/Sch.40<br>SUS316L<br>0.98MPa<br>60℃ |
| （耐圧ホース） | 呼び径<br><br>材質<br>最高使用圧力<br>最高使用温度 | 25A 相当<br>40A 相当<br>EPDM<br>0.98MPa<br>60℃ |
| 炭酸ソーダ貯槽移送流路分岐部から反応／凝集槽入口まで※3<br>（鋼管） | 呼び径／厚さ<br>材質<br>最高使用圧力<br>最高使用温度 | 25A/Sch.40<br>SUS316L<br>0.5MPa<br>60℃ |
| （耐圧ホース） | 呼び径<br>材質<br>最高使用圧力<br>最高使用温度 | 25A 相当<br>EPDM<br>0.5MPa<br>60℃ |

※1：現場施工状況により，配管仕様（呼び径，厚さ，材質）の一部を使用しない場合がある。

※2：K4 エリアタンクへの配管の一部は，「Ⅱ 2.50 ALPS 処理水希釈放出設備及び関連施設」と兼用する。

※3：２系列に設置

(5) 放射線監視装置

放射線監視装置仕様

| 項目 | 仕様 |
|---|---|
| 名称 | エリア放射線モニタ |
| 基数 | 2 基 |
| 種類 | 半導体検出器 |
| 取付箇所 | 増設多核種除去設備設置エリア |
| 計測範囲 | $10^{-3}$ mSv/h ～ $10^{1}$ mSv/h |

2.16.2.3 添付資料

添付資料－１： 全体概要図及び系統構成図

添付資料－２： 増設多核種除去設備基礎の構造強度に関する検討結果

添付資料－３： 増設多核種除去設備の耐震性に関する説明書

添付資料－４： 増設多核種除去設備の強度に関する説明書

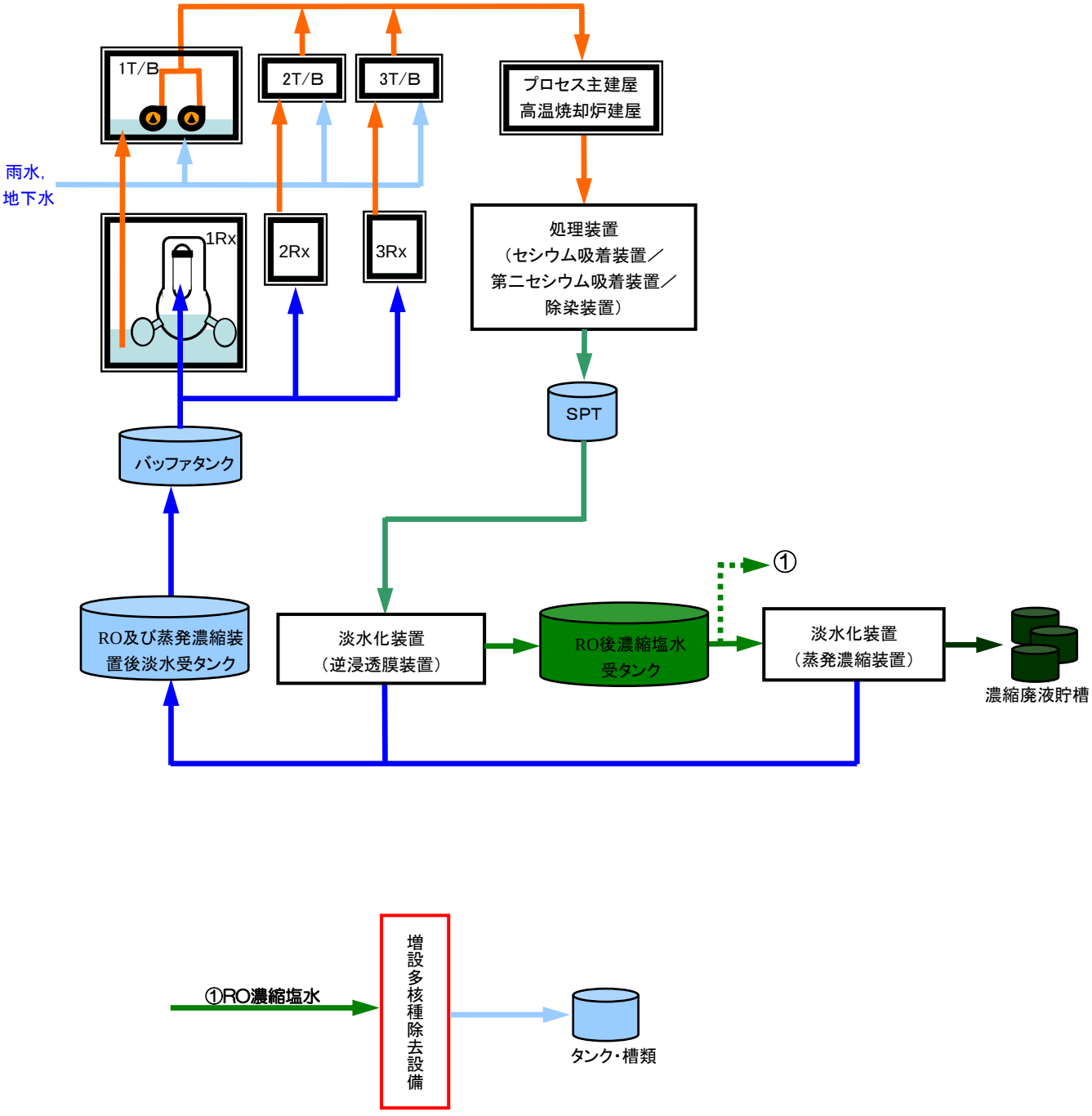
添付資料－５： 流体状の放射性廃棄物の施設外への漏えい防止に関する計算書

添付資料－６： 工事工程表

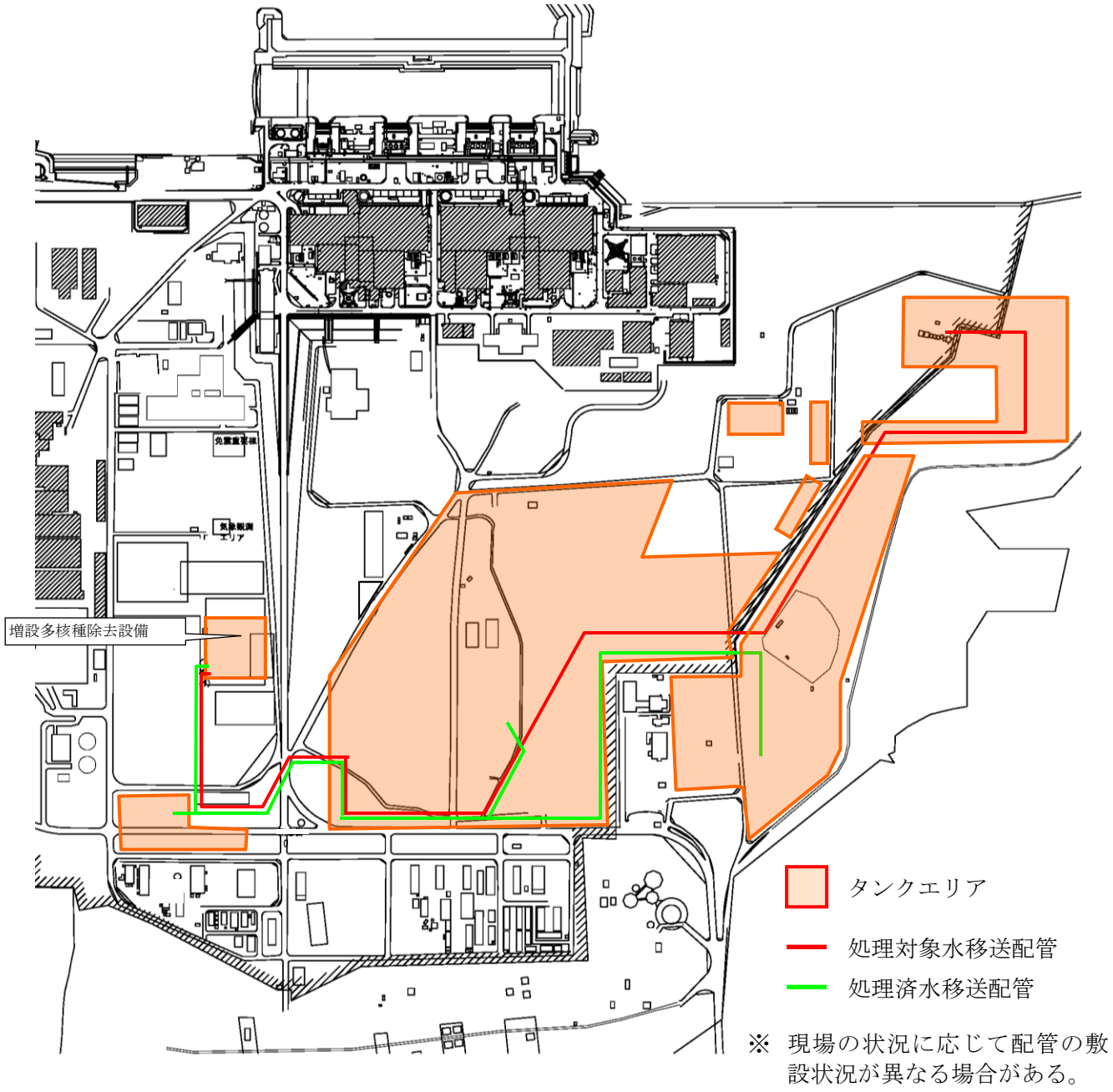
添付資料－７： 増設多核種除去設備の具体的な安全確保策

添付資料－８： 増設多核種除去設備の確認試験結果について

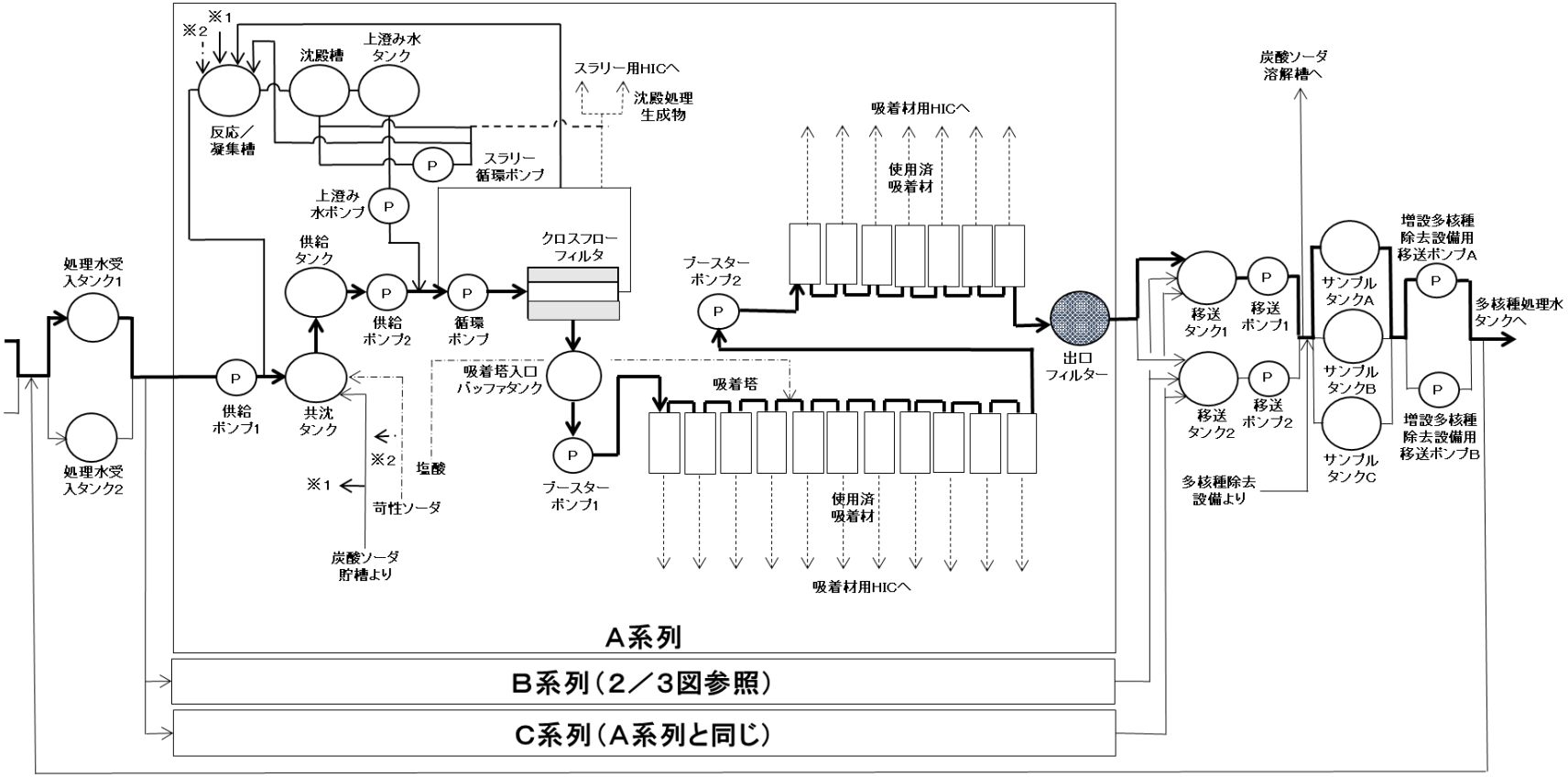
添付資料－９： 増設多核種除去設備に係る確認事項



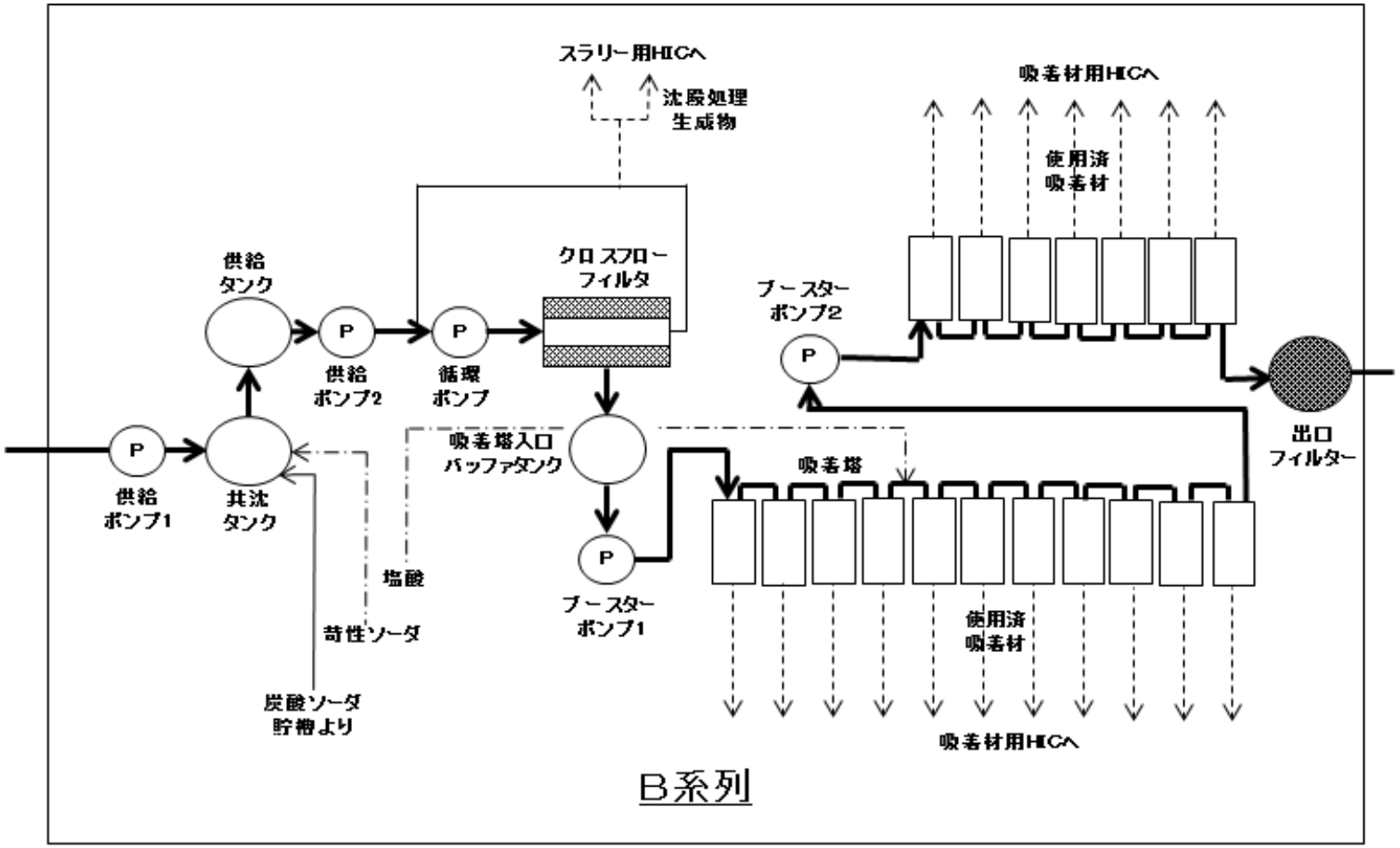

図－１　汚染水処理設備並びに増設多核種除去設備等の全体概要図



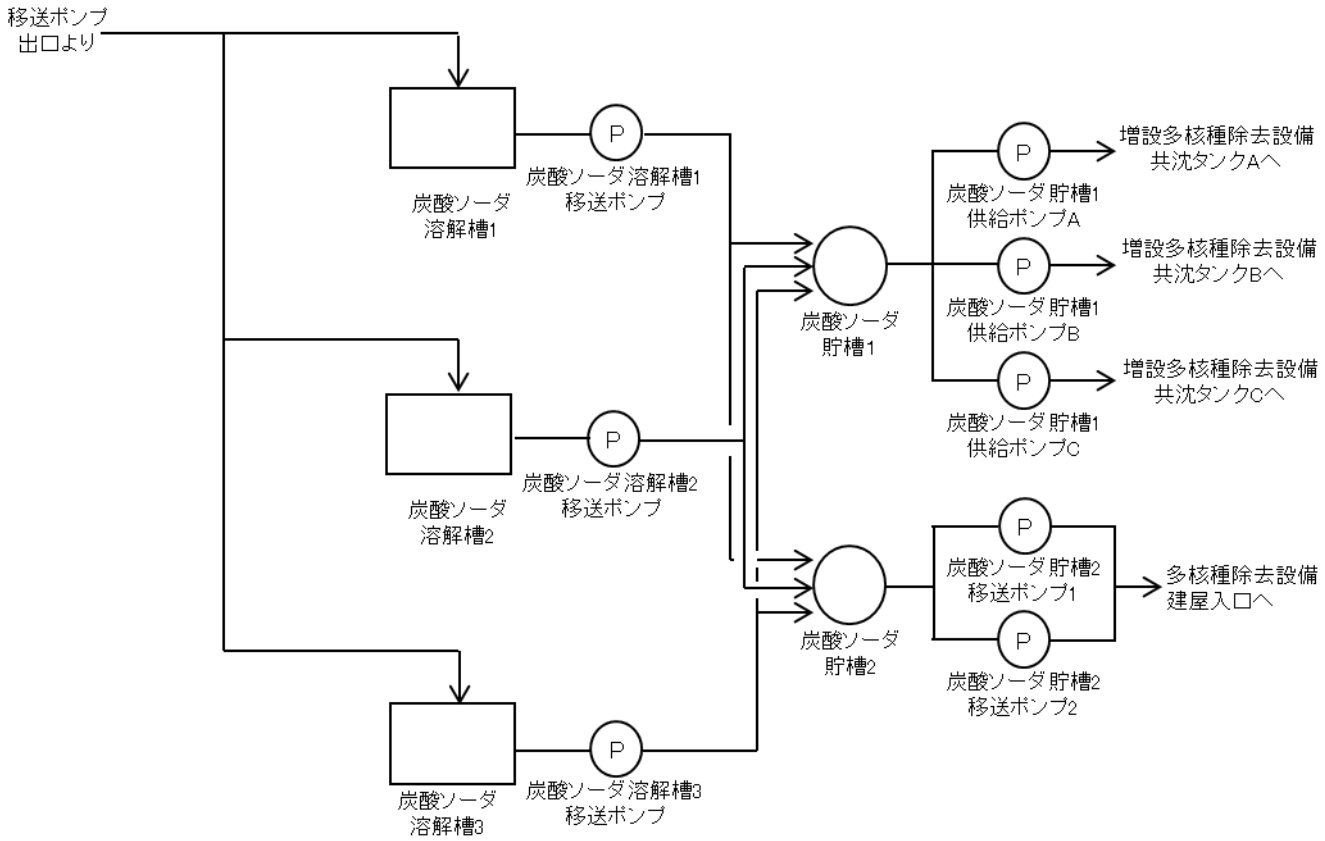

図－２　増設多核種除去設備の配置概要図




図－３　増設多核種除去設備の系統構成図（１／３）




図－３　増設多核種除去設備の系統構成図（２／３）




図－３　増設多核種除去設備の系統構成図（３／３）

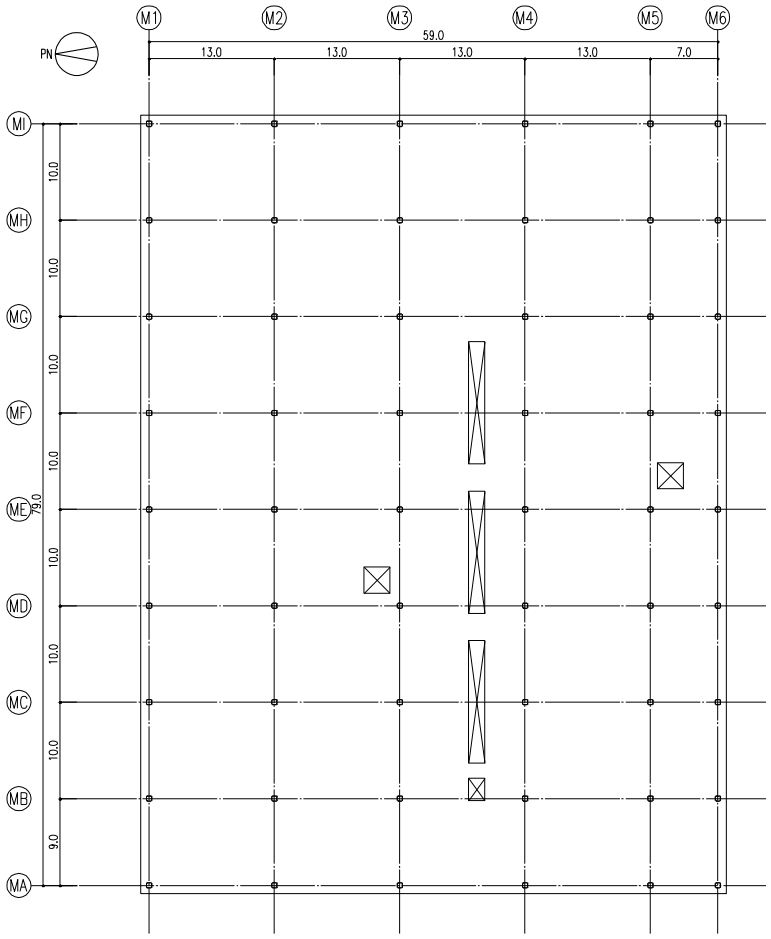
# 増設多核種除去設備基礎の構造強度に関する検討結果

## １．　評価方針

増設多核種除去設備基礎は，耐震Ｂクラスである増設多核種除去設備の間接支持構造物であるため，耐震Ｂクラス相当として，設計する。

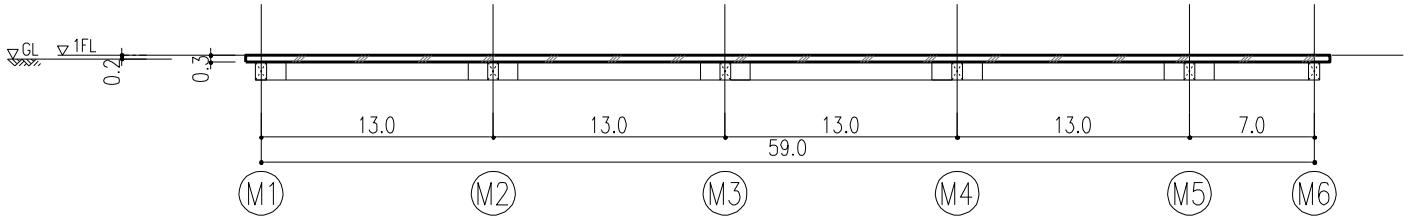
増設多核種除去設備基礎は，平面が約 81m（EW 方向）×約 61m（NS 方向），厚さ約 0.3m の鉄筋コンクリート造で，段丘堆積層に直接支持されている。増設多核種除去設備基礎の平面図及び断面図を図－１～図－３に示す。

増設多核種除去設備基礎と増設多核種除去設備上屋とは，図－４に示すように，上屋から基礎スラブに荷重が伝達されない構造としている。



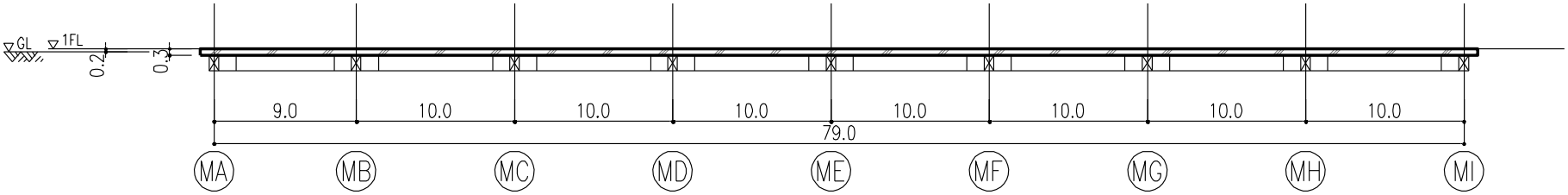

図－１　１階平面図（単位：m）

太線：今回対象



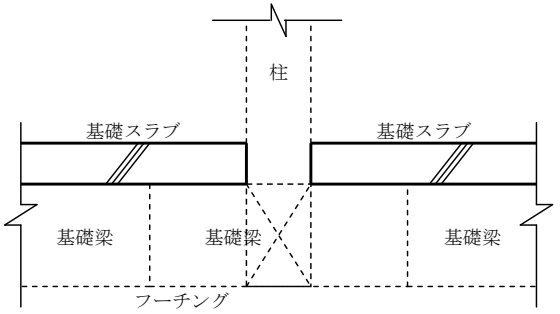

図－２　南北方向断面図（単位：m）

太線：今回対象




図－３　東西方向断面図（単位：m）

太線：今回対象




図－４　基礎スラブと柱・基礎梁の模式図

2.　評価条件

2.1　使用材料及び材料の許容応力度

増設多核種除去設備基礎スラブに用いる材料のうち，コンクリートは普通コンクリートとし，コンクリートの設計基準強度 $F_C$ は 30N/mm$^2$ とする。鉄筋は SD295A とする。各使用材料の許容応力度を表－１及び表－２に示す。

表－１　コンクリートの許容応力度

（単位：N/mm$^2$）

| | 長　期 | | 短　期 | |
|---|---|---|---|---|
| | 圧縮 | せん断 | 圧縮 | せん断 |
| $F_C$＝30 | 10 | 0.79 | 20 | 1.18 |

注：日本建築学会「鉄筋コンクリート構造計算規準・同解説」による。

表－２　鉄筋の許容応力度

（単位：N/mm$^2$）

| | | 長　期 | | 短　期 | |
|---|---|---|---|---|---|
| | | 引張及び圧縮 | せん断補強 | 引張及び圧縮 | せん断補強 |
| SD295A | D16 | 195 | 195 | 295 | 295 |

注：日本建築学会「鉄筋コンクリート構造計算規準・同解説」による。

2.2　荷重

長期荷重として，鉛直荷重（固定荷重，配管荷重及び積載荷重）を考慮する。

また，短期荷重として地震時に基礎面に作用する荷重を考慮する。

3.　評価結果

3.1　基礎スラブおよび基礎地盤の評価結果

基礎スラブの応力解析は，地盤上に支持された盤として計算を行う。曲げモーメントおよび面外せん断力について，長期荷重時および短期荷重時の断面検討結果から，検定比が最大となる短期荷重時の断面検討結果を表－３及び表－４に示す。基礎スラブ配筋図を図－５に示す。

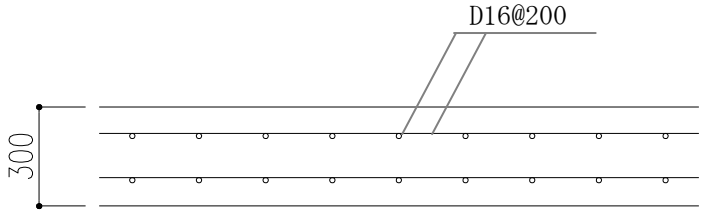
これより，設計鉄筋比は必要鉄筋比を上回り，また面外せん断力は短期許容せん断力以下となっていることを確認した。

表－３　曲げモーメントに対する検討結果

| 応力<br>曲げモーメント(kN･m/m) | 必要鉄筋比<br>(%) | 設計鉄筋比<br>(%) | 検定比 |
|---|---|---|---|
| 6.7 | 0.05 | 0.33 | 0.16≦1.0 |

表－４　面外せん断力に対する検討結果

| 応力<br>面外せん断力(kN/m) | 短期許容せん断力<br>(kN/m) | 検定比 |
|---|---|---|
| 44.0 | 206 | 0.22≦1.0 |




鉄筋のかぶり厚さ
基礎上端部：80mm 以上
基礎下端部：70mm 以上

図－５　基礎スラブ配筋図

なお，基礎地盤に生じる接地圧について，長期荷重時および短期荷重時の検討結果から，検定比が最大となる短期荷重時の検討結果を表－５に示す。短期許容支持力度を評価するにあたっては，日本建築学会「建築基礎構造設計指針」に準拠する。

表－５　基礎地盤の許容支持力度と接地圧の比較

| | 接地圧<br>(kN/m²) | 許容支持力度<br>(kN/m²) | 検定比 |
|---|---|---|---|
| 短期 | 153 | 278 *1 | 0.55≦1.0 |

*1：基礎地盤の平板載荷試験結果より許容支持力度を設定

# 基礎スラブおよび基礎地盤の参考評価について

増設多核種除去設備の基礎スラブおよび基礎地盤について，参考評価として，耐震 S クラス相当の水平震度（水平震度 0.8）に対して，健全性が維持されることを確認した。

基礎スラブの評価結果のうち，曲げモーメントおよび面外せん断力について，検定比が最大となる断面検討結果を表－１及び表－２に示す。

表－１　曲げモーメントに対する検討結果

| 応力<br>曲げモーメント(kN･m/m) | 必要鉄筋比<br>(%) | 設計鉄筋比<br>(%) | 検定比 |
|---|---|---|---|
| 46 | 0.30 | 0.33 | 0.91≦1.0 |

表－２　面外せん断力に対する検討結果

| 応力<br>面外せん断力(kN/m) | 短期許容せん断力<br>(kN/m) | 検定比 |
|---|---|---|
| 119 | 206 | 0.58≦1.0 |

また，基礎地盤に生じる接地圧について，検討結果を表－３に示す。短期許容支持力度を評価するにあたっては，日本建築学会「建築基礎構造設計指針」に準拠する。

表－３　基礎地盤の許容支持力度と接地圧の比較

| | 接地圧<br>(kN/m$^2$) | 許容支持力度<br>(kN/m$^2$) | 検定比 |
|---|---|---|---|
| 短期 | 183 | 278 *1 | 0.66≦1.0 |

*1：基礎地盤の平板載荷試験結果より許容支持力度を設定

基礎スラブおよび基礎地盤の参考評価について（基準地震動 Ss 評価）

増設多核種除去設備の基礎スラブおよび基礎地盤について，参考評価として，基準地震動 Ss（Ss-1～3，水平・上下）に対して，健全性が維持されることを確認した。

基礎スラブの評価結果のうち，曲げモーメントおよび面外せん断力について，検定比が最大となる断面検討結果を表－１及び表－２に示す。

表－１　曲げモーメントに対する検討結果

| 応力<br>曲げモーメント(kN･m/m) | 必要鉄筋比<br>(%) | 設計鉄筋比<br>(%) | 検定比 |
|---|---|---|---|
| 39 | 0.26 | 0.33 | 0.79≦1.0 |

表－２　面外せん断力に対する検討結果

| 応力<br>面外せん断力(kN/m) | 短期許容せん断力<br>(kN/m) | 検定比 |
|---|---|---|
| 102 | 206 | 0.50≦1.0 |

また，基礎地盤に生じる接地圧について，検討結果を表－３に示す。短期許容支持力度を評価するにあたっては，日本建築学会「建築基礎構造設計指針」に準拠する。

表－３　基礎地盤の許容支持力度と接地圧の比較

| | 接地圧<br>(kN/m²) | 許容支持力度<br>(kN/m²) | 検定比 |
|---|---|---|---|
| 短期 | 155 | 278 *1 | 0.56≦1.0 |

*1：基礎地盤の平板載荷試験結果より許容支持力度を設定

# 増設多核種除去設備の耐震性に関する計算書

## １．耐震設計の基本方針

申請設備に係る耐震設計は，次の基本方針に基づいて行う。

（１）設備の重要度による耐震クラス別分類

| 耐震クラス別 ＼ 系統設備 | 主要設備，補助設備<br>及び直接支持構造物 | 間接支持構造物及び相互<br>影響を考慮すべき設備 | |
|---|---|---|---|
| | B | 設　備 | 検討用地震動等 |
| 2.16.2　増設多核種除去設備 | | | |
| (1)容器 | 処理水受入タンク１，２ | 処理水受入タンク１，２スキッド | $S_B$ |
| | 共沈タンクA，B，C | 共沈タンクA，B，Cスキッド | $S_B$ |
| | 供給タンクA，B，C | 供給タンクA，B，Cスキッド | $S_B$ |
| | 吸着塔入口バッファタンク<br>A，B，C | 吸着塔入口バッファタンク<br>A，B，Cスキッド | $S_B$ |
| | 多核種吸着塔１～１８A，B，C | 多核種吸着塔A，B，Cスキッド<br>１～６ | $S_B$ |
| | 移送タンク１，２ | 移送タンク１，２スキッド | $S_B$ |
| | サンプルタンクA，B，C | サンプルタンクエリア | $S_B$ |
| | 炭酸ソーダ溶解槽１，２，３ | 炭酸ソーダ製造スキッド<br>１，２，３ | $S_B$ |
| | 炭酸ソーダ貯槽１，２ | 増設多核種除去設備基礎 | $S_B$ |
| (2)ポンプ | 供給ポンプ１A，B，C | 供給ポンプ１スキッド | $S_B$ |
| | 供給ポンプ２A，B，C | 供給ポンプ２A，B，Cスキッド | $S_B$ |
| | 循環ポンプA，B，C | クロスフローフィルタA，B，C<br>スキッド | $S_B$ |

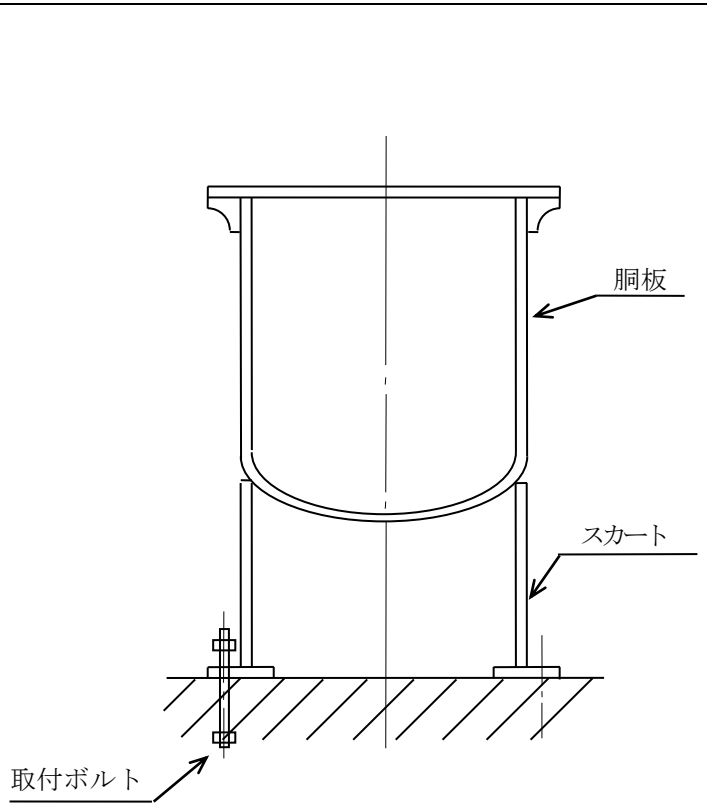
| 耐震クラス別<br>系統設備 | 主要設備，補助設備<br>及び直接支持構造物 | 間接支持構造物及び相互<br>影響を考慮すべき設備 | |
|---|---|---|---|
| | B | 設　備 | 検討用地震動等 |
| (つづき：ポンプ) | ブースターポンプ１A,B,C | ブースターポンプ１A,B,C<br>スキッド | $S_B$ |
| | ブースターポンプ２A,B,C | ブースターポンプ２A,B,C<br>スキッド | $S_B$ |
| | 移送ポンプ１,２ | 出口移送スキッド | $S_B$ |
| | 増設多核種除去設備用移送<br>ポンプA,B | 増設多核種除去設備用移送<br>ポンプ用スキッド | $S_B$ |
| | 炭酸ソーダ溶解槽１,２,３<br>移送ポンプ | 炭酸ソーダ溶解槽１,２,３<br>移送スキッド | $S_B$ |
| | 炭酸ソーダ貯槽１供給ポンプ<br>A,B,C | 炭酸ソーダ貯槽１供給スキッド | $S_B$ |
| | 炭酸ソーダ貯槽２移送ポンプ<br>１，２ | 炭酸ソーダ貯槽２移送スキッド | $S_B$ |
| (3)その他機器 | 出口フィルタA,B,C | 出口フィルタスキッド | $S_B$ |
| (4)配管 | 主配管 | 増設多核種除去設備基礎,<br>スキッド等 | $S_B$ |
| (5)スキッド | 増設多核種除去設備入口弁<br>スキッド | 増設多核種除去設備基礎 | $S_B$ |
| | 処理水受入タンク１,２スキッド | 増設多核種除去設備基礎 | $S_B$ |
| | 供給ポンプ１スキッド | 増設多核種除去設備基礎 | $S_B$ |
| | 共沈タンクA,B,Cスキッド | 増設多核種除去設備基礎 | $S_B$ |
| | 供給タンクA,B,Cスキッド | 増設多核種除去設備基礎 | $S_B$ |
| | 供給ポンプ２A,B,Cスキッド | 増設多核種除去設備基礎 | $S_B$ |
| | 供給ポンプ２弁A,B,C<br>スキッド | 増設多核種除去設備基礎 | $S_B$ |
| | クロスフローフィルタA,B,Cス<br>キッド | 増設多核種除去設備基礎 | $S_B$ |

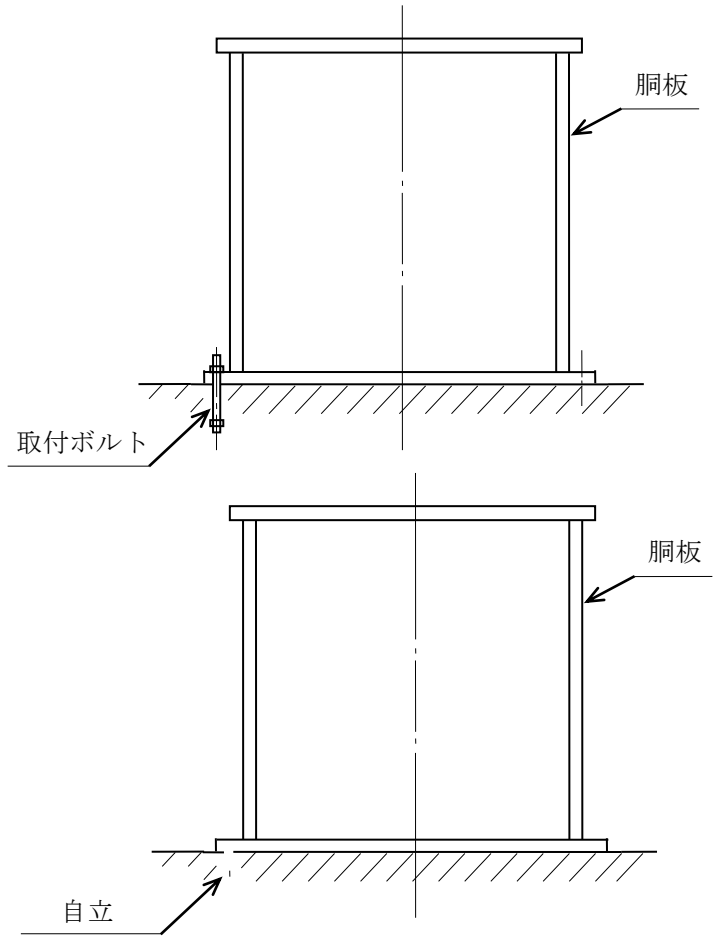
| 耐震クラス別<br>系統設備 | 主要設備，補助設備<br>及び直接支持構造物 | 間接支持構造物及び相互<br>影響を考慮すべき設備 | |
|---|---|---|---|
| | B | 設　備 | 検討用地震動等 |
| (つづき：スキッド) | 吸着塔入口バッファタンク<br>A,B,Cスキッド | 増設多核種除去設備基礎 | $S_B$ |
| | ブースターポンプ１A，B，Cスキッド | 増設多核種除去設備基礎 | $S_B$ |
| | 多核種吸着塔A,B,Cスキッド１～６ | 増設多核種除去設備基礎 | $S_B$ |
| | ブースターポンプ２A，B，Cスキッド | 増設多核種除去設備基礎 | $S_B$ |
| | 出口フィルタスキッド | 増設多核種除去設備基礎 | $S_B$ |
| | 移送タンク１，２スキッド | 増設多核種除去設備基礎 | $S_B$ |
| | 出口移送スキッド | 増設多核種除去設備基礎 | $S_B$ |
| | 増設多核種除去設備用移送ポンプスキッド | 多核種移送設備基礎 | $S_B$ |
| | 炭酸ソーダ製造スキッド<br>１,２,３ | 増設多核種除去設備基礎 | $S_B$ |
| | 炭酸ソーダ溶解槽１,２,３移送スキッド | 増設多核種除去設備基礎 | $S_B$ |
| | 炭酸ソーダ貯槽１供給スキッド | 増設多核種除去設備基礎 | $S_B$ |
| | 炭酸ソーダ貯槽２移送スキッド | 増設多核種除去設備基礎 | $S_B$ |
| 備考 | ・増設多核種除去設備上屋は設備を支持しておらず，間接支持構造物及び相互影響を考慮すべき設備には該当しない。 | | |

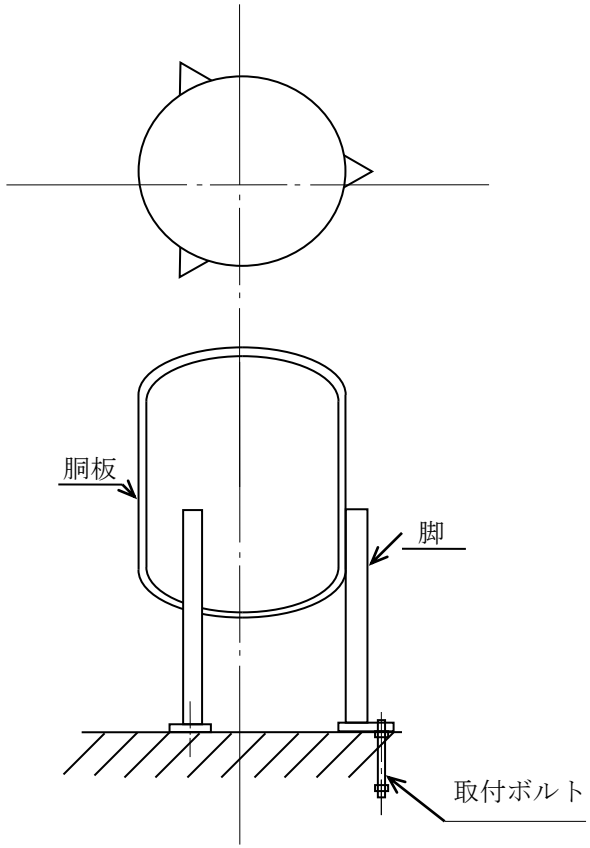
| 耐震クラス別<br>系統設備 | 主要設備，補助設備<br>及び直接支持構造物 | 間接支持構造物及び相互<br>影響を考慮すべき設備 | |
|---|---|---|---|
| | Ｂ＋ | 設　備 | 検討用地震動等 |
| 2.16.2　増設多核種除去設備 | | | |
| (1)容器 | 反応／凝集槽Ａ，Ｃ | 反応／凝集・沈殿槽Ａ，Ｃスキッド | $S_{B+}$ |
| | 沈殿槽Ａ，Ｃ | 反応／凝集・沈殿槽Ａ，Ｃスキッド | $S_{B+}$ |
| | 上澄み水タンクＡ，Ｃ | 上澄み水タンクＡ，Ｃスキッド | $S_{B+}$ |
| (2)ポンプ | スラリー循環ポンプＡ，Ｃ | 凝集沈殿ポンプＡ，Ｃスキッド | $S_{B+}$ |
| | 上澄み水ポンプＡ，Ｃ | 凝集沈殿ポンプＡ，Ｃスキッド | $S_{B+}$ |
| (4)配管 | 主配管 | 増設多核種除去設備基礎，<br>スキッド等 | $S_{B+}$ |
| (5)スキッド | 反応／凝集・沈殿槽Ａ，Ｃスキッド | 増設多核種除去設備基礎 | $S_{B+}$ |
| | 上澄み水タンクＡ，Ｃスキッド | 増設多核種除去設備基礎 | $S_{B+}$ |
| | 凝集沈殿ポンプＡ，Ｃスキッド | 増設多核種除去設備基礎 | $S_{B+}$ |
| 備考 | ・増設多核種除去設備上屋は設備を支持しておらず，間接支持構造物及び相互影響を考慮すべき設備には該当しない。 | | |

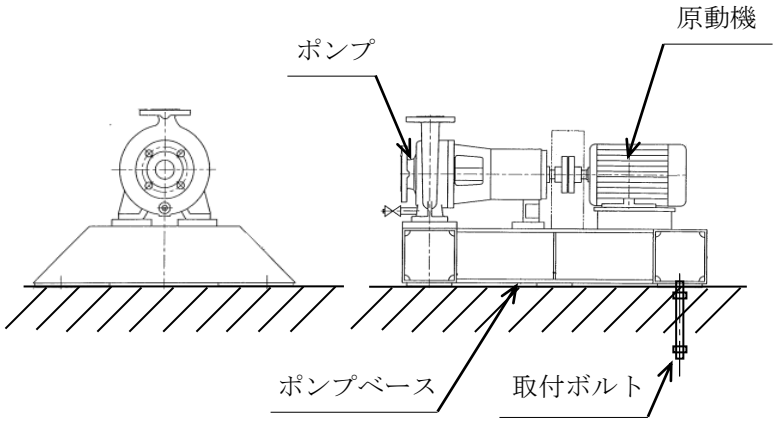
（２）構造計画

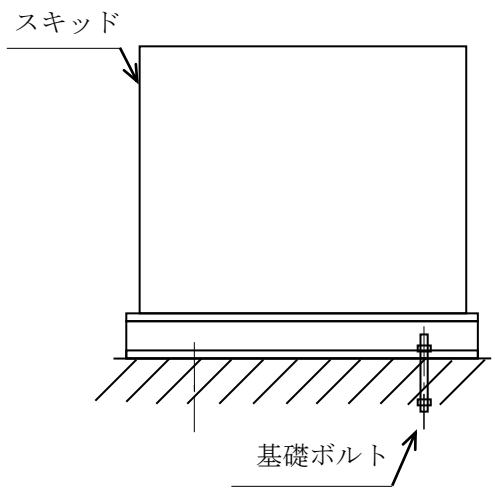
ａ．機器

| 主要区分 | 計画の概要 | | 概略構造図 | 摘要 |
|---|---|---|---|---|
| | 基礎・支持構造 | 主体構造 | | |
| (1) スカート支持たて置円筒形容器 | 胴をスカートで支持し，スカートを取付ボルトでスキッドに据え付ける。 | 上面に平板,下面に鏡板を有するたて置円筒形<br><br>上面及び下面に鏡板を有するたて置円筒形 |  | ・処理水受入タンク１，２<br>・共沈タンクＡ，Ｂ，Ｃ<br>・供給タンクＡ，Ｂ，Ｃ<br>・反応／凝集槽Ａ，Ｃ<br>・沈殿槽Ａ，Ｃ<br>・上澄み水タンクＡ，Ｃ<br><br>・多核種吸着塔１～１８Ａ，Ｂ，Ｃ |

| 主要区分 | 計画の概要 | | 概略構造図 | 摘要 |
|---|---|---|---|---|
| | 基礎・支持構造 | 主体構造 | | |
| (2) 平底たて置円筒形容器 | 底板を取付ボルトでスキッドに据え付ける。<br><br>b.自立<br>（非固定） | 下面に底板を有するたて置円筒形 |  | ・吸着塔入口バッファタンクA，B，C<br>・移送タンク１，２<br>・炭酸ソーダ溶解槽１，２，３<br>・炭酸ソーダ貯槽１，２<br><br>・サンプルタンクA，B，C |

| 主要区分 | 計画の概要 | | 概略構造図 | 摘要 |
|---|---|---|---|---|
| | 基礎・支持構造 | 主体構造 | | |
| (3) 三脚たて置円筒形容器 | 胴を３個の脚で支持し,脚を取付ボルトでスキッドに据え付ける。 | 上面及び下面に鏡板を有するたて置円筒形 |  | ・出口フィルタＡ，Ｂ，Ｃ |

| 主要区分 | 計画の概要 | | 概略構造図 | 摘要 |
|---|---|---|---|---|
| | 基礎・支持構造 | 主体構造 | | |
| (4) 横軸ポンプ | ポンプはポンプベースに固定され，ポンプベースは取付ボルトによりスキッドに据え付ける。 | うず巻形 |  | ・供給ポンプ１A，B，C<br>・供給ポンプ２A，B，C<br>・循環ポンプA，B，C<br>・ブースターポンプ１A，B，C<br>・ブースターポンプ２A，B，C<br>・移送ポンプ１，２<br>・増設多核種除去設備用移送ポンプA，B<br>・炭酸ソーダ溶解槽１，２，３移送ポンプ<br>・炭酸ソーダ貯槽１供給ポンプA，B，C<br>・炭酸ソーダ貯槽２移送ポンプ１，２<br>・スラリー循環ポンプA，C<br>・上澄み水ポンプA，C |

| 主要区分 | 計画の概要 | | 概略構造図 | 摘要 |
|---|---|---|---|---|
| | 基礎・支持構造 | 主体構造 | | |
| (5) スキッド | スキッド架構を基礎ボルトで基礎に据え付ける。 | 垂直自立形 |  | ・増設多核種除去設備入口弁スキッド<br>・処理水受入タンク１，２スキッド<br>・供給ポンプ１スキッド<br>・共沈タンクＡ，Ｂ，Ｃスキッド<br>・供給タンクＡ，Ｂ，Ｃスキッド<br>・供給ポンプ２Ａ，Ｂ，Ｃスキッド<br>・供給ポンプ２弁Ａ，Ｂ，Ｃスキッド<br>・クロスフローフィルタＡ，Ｂ，Ｃスキッド<br>・吸着塔入口バッファタンクＡ，Ｂ，Ｃスキッド<br>・ブースターポンプ１Ａ，Ｂ，Ｃスキッド<br>・多核種吸着塔Ａ，Ｂ，Ｃスキッド１～６<br>・ブースターポンプ２Ａ，Ｂ，Ｃスキッド<br>・出口フィルタスキッド<br>・移送タンク１，２スキッド<br>・出口移送スキッド<br>・増設多核種除去設備用移送ポンプスキッド<br>・炭酸ソーダ製造スキッド１,２,３<br>・炭酸ソーダ溶解槽１,２,３移送スキッド<br>・炭酸ソーダ貯槽１供給スキッド<br>・炭酸ソーダ貯槽２移送スキッド<br>・反応／凝集・沈殿槽Ａ，Ｃスキッド<br>・上澄み水タンクＡ，Ｃスキッド<br>・凝集沈殿ポンプＡ，Ｃスキッド |

b．配管系

a）配管（鋼管）

配管はサポートにより建屋（建屋で支持されるスキッドを含む）等の構造物から支持される。サポートの位置を決定するにあたっては、原子力発電所の耐震設計に用いられている定ピッチスパン法により適正なサポートスパンを確保する。

（3）設計用地震力

| 項目 | 耐震クラス | 静的地震力 | | 動的地震力 | |
|---|---|---|---|---|---|
| | | 水　平 | 鉛　直 | 水　平 | 鉛　直 |
| 機器・配管系 | B | 1.8・$C_i$*1 | ―― | 1/2Sd225*2 | 1/2Sd225*3 |
| | B＋ | 1.8・$C_i$ | ―― | 1/2Ss450<br>1/2Sd225 | 1/2Ss450<br>1/2Sd225 |

注記　＊1：$C_i$ は，標準せん断力係数を 0.2 とし，建物・構築物の振動特性，地盤の種類等を考慮して求められる値とする。

＊2：水平方向の地震動に対して共振のおそれのある施設に適用する。

＊3：鉛直方向の地震動に対して共振のおそれのある施設に適用する。

ただし，2021年9月8日以前に認可された機器については，以下の通りとする。

| 項目 | 耐震クラス | 適用する地震動等 | | 設計用地震力 |
|---|---|---|---|---|
| | | 水　平 | 鉛　直 | |
| 機器・配管系 | B | 静的震度<br>(1.8・$C_i$*1) | ―― | 設計用地震力は，静的地震力とする。 |

注記　＊1：$C_i$ は，標準せん断力係数を 0.2 とし，建物・構築物の振動特性，地盤の種類等を考慮して求められる値とする。

（4）荷重の組合せと許容限界

荷重の組合せと許容限界は,原子力発電所耐震設計技術指針(重要度分類･許容応力編　ＪＥＡＧ４６０１・補－1984，ＪＥＡＧ４６０１－1987及びＪＥＡＧ４６０１－1991追補版)

（日本電気協会　電気技術基準調査委員会　昭和59年9月,昭和62年8月及び平成3年6月）(以下「ＪＥＡＧ４６０１」という。）及び発電用原子力設備規格（設計・建設規格　ＪＳＭＥＳ　ＮＣ１－2005（2007年追補版含む））（日本機械学会　2005年9月，2007年9月）（以下「設計・建設規格」という。）に準拠する。

記号の説明

| | | |
|---|---|---|
| Ｄ | ：死荷重 | |
| $P_d$ | ：当該設備に設計上定められた最高使用圧力による荷重 | |
| $M_d$ | ：当該設備に設計上定められた機械的荷重 | |
| $S_B$ | ：Ｂクラスの設備に適用される地震動より求まる地震力又はＢクラス設備に適用される静的地震力 | |
| $S_{B+}$ | ：Ｂ＋クラスの設備に適用される地震動より求まる地震力又はＢ＋クラス設備に適用される静的地震力 | |
| $B_AS$ | ：Ｂクラス設備（Ｂ＋クラス設備含む）の地震時許容応力状態 | |
| $S_y$ | ：設計降伏点 | 設計・建設規格　付録材料図表 Part5 表 8 に規定される値 |
| $S_u$ | ：設計引張強さ | 設計・建設規格　付録材料図表 Part5 表 9 に規定される値 |
| Ｓ | ：許容引張応力 | 設計・建設規格　付録材料図表 Part5 表 5 又は表 6 に規定される値。 |
| $f_t$ | ：許容引張応力 | 支持構造物（ボルト等を除く。）に対して設計・建設規格 SSB-3121.1 により規定される値。ボルト等に対して設計・建設規格 SSB-3131 により規定される値。 |
| $f_s$ | ：許容せん断応力 | 同　　上 |
| $f_c$ | ：許容圧縮応力 | 支持構造物（ボルト等を除く。）に対して設計・建設規格 SSB-3121.1 により規定される値。 |
| $f_b$ | ：許容曲げ応力 | 同　　上 |
| $\tau_b$ | ：取付ボルトに生じるせん断応力 | |

ＡＳＳ：オーステナイト系ステンレス鋼

ＨＮＡ：高ニッケル合金

また，「供用状態Ｃ」とは，「対象とする機器等が構造不連続部等においては大変形を生じてもよい」と設計仕様書等で規定された圧力及び機械的荷重が負荷された条件下にある状態をいう。

a．容器

| 耐震クラス | 荷重の組合せ | 供用状態（許容応力状態） | 許容限界 | | 適用範囲 |
|---|---|---|---|---|---|
| | | | 一次一般膜応力 | 一次膜応力＋一次曲げ応力 | |
| B<br>B＋ | D＋$P_d$＋$M_d$＋$S_B$<br>ただし，$S_B$については適用する耐震評価方針に応じて$S_{B+}$に読み替える。 | C（$B_AS$） | $S_y$と0.6･$S_u$の小さい方。<br>ただし，ＡＳＳ及びＨＮＡについては上記の値と1.2･Ｓのうち大きい方とする。 | $S_y$<br>ただし，ＡＳＳ及びＨＮＡについては$S_y$と1.2･Ｓのうち大きい方とする。 | ・処理水受入タンク１，２<br>・共沈タンクＡ，Ｂ，Ｃ<br>・供給タンクＡ，Ｂ，Ｃ<br>・多核種吸着塔１～１８Ａ，Ｂ，Ｃ<br>・吸着塔入口バッファタンクＡ，Ｂ，Ｃ<br>・移送タンク１，２<br>・炭酸ソーダ貯槽１，２<br>・反応／凝集槽Ａ，Ｃ<br>・沈殿槽Ａ，Ｃ<br>・上澄み水タンクＡ，Ｃ |

b．支持構造物（注1，注2）

| 耐震クラス | 荷重の組合せ | 供用状態（許容応力状態） | 許容限界（ボルト等以外） | | | | | 許容限界（ボルト等） | | | 適用範囲 |
|---|---|---|---|---|---|---|---|---|---|---|---|
| | | | 一次応力 | | | | | 一次応力 | | | |
| | | | 引張 | せん断 | 圧縮 | 曲げ | 組合せ | 引張 | せん断 | 組合せ | |
| B<br>B＋ | D＋$P_d$＋$M_d$＋$S_B$<br>ただし，$S_B$については適用する耐震評価方針に応じて$S_{B+}$に読み替える。 | C<br>（$B_AS$） | 1.5･$f_t$ | 1.5･$f_s$ | 1.5･$f_c$ | 1.5･$f_b$ | 1.5･$f_t$ | 1.5･$f_t$ | 1.5･$f_s$ | Min{1.5･$f_t$,<br>(2.1･$f_t$−1.6･$\tau_b$)} | ・基礎ボルト<br>・取付ボルト<br>・スカート<br>・脚 |

注1： 耐圧部に溶接により直接取り付けられる支持構造物であって，耐圧部と一体の応力解析を行うものについては，耐圧部と同じ許容応力とする。

注2： 鋼構造設計規準（日本建築学会　2005年改定）等の幅厚比の規定を満足する。

２．耐震性評価

本評価は，「付録１　スカート支持たて置円筒形容器の耐震性についての計算書作成の基本方針」，「付録２　平底たて置円筒形容器の耐震性についての計算書作成の基本方針」及び「付録３　横軸ポンプ及びスキッドの耐震性についての計算書作成の基本方針」に基づいて，以下の耐震性の計算を行う。また評価方法が同付録に依らないものは以下に特記する。

（１）処理水受入タンク１，２
（２）共沈タンクＡ，Ｂ，Ｃ
（３）供給タンクＡ，Ｂ，Ｃ
（４）吸着塔入口バッファタンクＡ，Ｂ，Ｃ
（５）サンプルタンクＡ，Ｂ，Ｃ
（６）多核種吸着塔１～５Ａ，Ｂ，Ｃ
（７）多核種吸着塔６～１４Ａ，Ｂ，Ｃ
（８）多核種吸着塔１５～１８Ａ，Ｂ，Ｃ
（９）移送タンク１，２
(10) 供給ポンプ１Ａ，Ｂ，Ｃ
(11) 供給ポンプ２Ａ，Ｂ，Ｃ
(12) 循環ポンプＡ，Ｂ，Ｃ
(13) ブースターポンプ１Ａ，Ｂ，Ｃ
(14) ブースターポンプ２Ａ，Ｂ，Ｃ
(15) 移送ポンプ１，２
(16) 増設多核種除去設備用移送ポンプＡ，Ｂ
(17) 出口フィルタＡ，Ｂ，Ｃ
・・・・・・・・・・・・「JPI-7R-71-96 石油学会規格 竪形容器用レグ」に準拠し評価する。
(18) 増設多核種除去設備入口弁スキッド
(19) 処理水受入タンク１，２スキッド
(20) 供給ポンプ１スキッド
(21) 共沈タンクＡ，Ｂ，Ｃスキッド
(22) 供給タンクＡ，Ｂ，Ｃスキッド
(23) 供給ポンプ２Ａ，Ｂ，Ｃスキッド
(24) 供給ポンプ２弁Ａ，Ｂ，Ｃスキッド
(25) クロスフローフィルタＡ，Ｂ，Ｃスキッド
(26) 吸着塔入口バッファタンクＡ，Ｂ，Ｃスキッド
(27) ブースターポンプ１Ａ，Ｂ，Ｃスキッド
(28) 多核種吸着塔Ａ，Ｂ，Ｃスキッド１
(29) 多核種吸着塔Ａ，Ｂ，Ｃスキッド２
(30) 多核種吸着塔Ａ，Ｂ，Ｃスキッド３
(31) 多核種吸着塔Ａ，Ｂ，Ｃスキッド４
(32) 多核種吸着塔Ａ，Ｂ，Ｃスキッド５
(33) 多核種吸着塔Ａ，Ｂ，Ｃスキッド６
(34) ブースターポンプ２Ａ，Ｂ，Ｃスキッド

(35) 出口フィルタスキッド
(36) 移送タンク１，２スキッド
(37) 出口移送スキッド
(38) 増設多核種除去設備用移送ポンプスキッド
(39)主配管････････････････配管標準支持間隔評価(定ピッチスパン法)により評価する。
(40) 炭酸ソーダ溶解槽１，２，３
(41) 炭酸ソーダ貯槽１，２
(42) 炭酸ソーダ溶解槽１，２，３移送ポンプ
(43) 炭酸ソーダ貯槽１供給ポンプＡ，Ｂ，Ｃ
(44) 炭酸ソーダ製造スキッド１，２，３
(45) 炭酸ソーダ溶解槽１，２，３移送スキッド
(46) 炭酸ソーダ貯槽１供給スキッド
(47) 炭酸ソーダ貯槽２移送ポンプ１，２
(48) 炭酸ソーダ貯槽２移送スキッド
(49) 反応／凝集槽Ａ，Ｃ
(50) 沈殿槽Ａ，Ｃ
(51) 上澄み水タンクＡ，Ｃ
(52) スラリー循環ポンプＡ，Ｃ
(53) 上澄み水ポンプＡ，Ｃ
(54) 反応／凝集・沈殿槽Ａ，Ｃスキッド
(55) 上澄み水タンクＡ，Ｃスキッド
(56) 凝集沈殿ポンプＡ，Ｃスキッド
(57) 主配管（固有振動数 20Hz 以上）
･･････配管標準支持間隔評価（定ピッチスパン法）により評価する。

なお，機器（配管の一部を除く）の固有周期について確認した結果，固有振動数が 20Hz 以上のため，以下では剛体として扱う。

添付資料３では，設計 GL. 0m= T.P.36.2m(※)とする。

(※) 震災後の地盤沈下量(-709mm)と O.P.から T.P.への換算値(-727mm)を用いて，下式に基づき換算している。

＜換算式＞ T.P.=旧 O.P.-1,436mm

## （1）処理水受入タンク

a．条件

| 機器名称 | 耐震設計上の重要度分類 | 据付場所及び床面高さ 設計G.L.（m） | 水平方向設計震度 | 鉛直方向設計震度 | 最高使用圧力 (MPa) | 最高使用温度 (℃) | 周囲環境温度 (℃) | 比重 |
|---|---|---|---|---|---|---|---|---|
| 処理水受入タンク 1，2 | B | 増設多核種除去設備建屋 T.P.36.2 | $C_H$＝0.36 | — | 静水頭 | 60 | 40 | 1.00 |

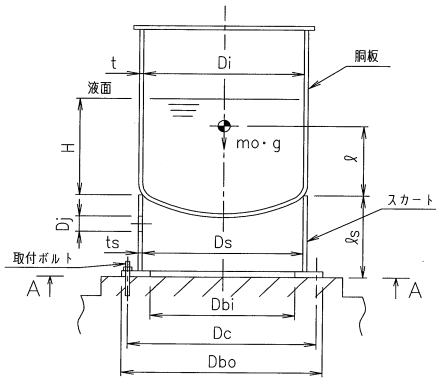
b．評価結果

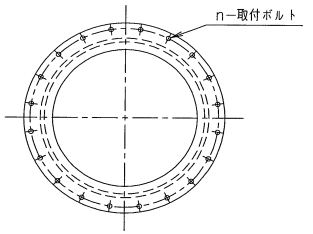
（単位：MPa）

| 部材 | 材料 | 応力 | 算出応力 | 許容応力 |
|---|---|---|---|---|
| 胴板 | SS400 | 組合せ | $\sigma_o$＝9 | $S_a$＝233 |
| スカート | SS400 | 組合せ | $\sigma_s$＝12 | $f_t$＝245 |
| | | 圧縮と曲げの組合せ（坐屈の評価） | $\frac{\eta \cdot \sigma_{S1}}{f_C} + \frac{\eta \cdot \sigma_{S2}}{f_b} \leqq 1$ | |
| | | | 0.07（無次元） | |
| 取付ボルト | SS400 | 引張り | $\sigma_b$＝－ | $f_{ts}$＝176* |
| | | せん断 | $\tau_b$＝13 | $f_{sb}$＝135 |

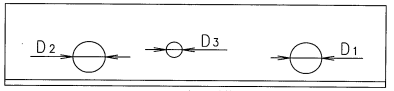
すべて許容応力以下である。

注記 ＊：（3.2.3.2）式より算




A－A矢視図




スカート開口部の形状を示す。

（２）共沈タンク

ａ．条件

| 機　器　名　称 | 耐震設計上の重要度分類 | 据付場所及び床面高さ 設計G.L.（m） | 水平方向設計震度 | 鉛直方向設計震度 | 最高使用圧力（MPa） | 最高使用温度（℃） | 周囲環境温度（℃） | 比　　重 |
|---|---|---|---|---|---|---|---|---|
| 共沈タンクＡ，Ｂ，Ｃ | Ｂ | 増設多核種除去設備建屋 T.P.36.2 | $C_H$＝0.36 | ― | 静水頭 | 60 | 40 | 1.01 |

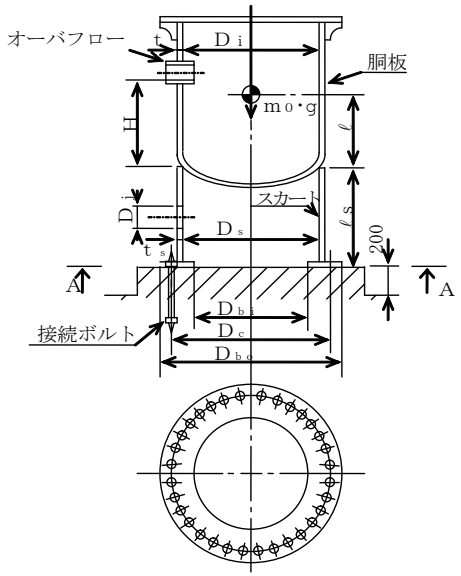
ｂ．評価結果

（単位：MPa）

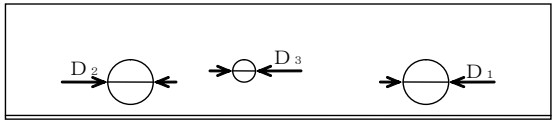
| 部　　材 | 材　　料 | 応　　力 | 算　出　応　力 | 許　容　応　力 |
|---|---|---|---|---|
| 胴板 | ＳＳ４００ | 組合せ | $\sigma_0$＝7 | $S_a$＝233 |
| スカート | ＳＳ４００ | 組　合　せ | $\sigma_s$＝12 | $f_t$＝245 |
| | | 圧縮と曲げの組合せ（座屈の評価） | $\frac{\eta\cdot\sigma_{s1}}{f_c}+\frac{\eta\cdot\sigma_{s2}}{f_b}\leqq 1$ | |
| | | | 0.1（無次元） | |
| 接続ボルト | ＳＳ４００ | 引　張　り | $\sigma_b$＝6 | $f_{ts}$＝176＊ |
| | | せ　ん　断 | $\tau_b$＝6 | $f_{sb}$＝135 |

注記 ＊：（3.2.3.2）式より算出

すべて許容応力以下である。




Ａ～Ａ矢視図




スカート開口部の形状を示す。

（3）供給タンク

a．条件

| 機　器　名　称 | 耐震設計上の重要度分類 | 据付場所及び床面高さ 設計G.L.（m） | 水平方向設計震度 | 鉛直方向設計震度 | 最高使用圧力 (MPa) | 最高使用温度 (℃) | 周囲環境温度 (℃) | 比　重 |
|---|---|---|---|---|---|---|---|---|
| 供給タンクA，B，C | B | 増設多核種除去設備建屋 T.P.36.2 | $C_H$＝０．３６ | — | 静水頭 | 60 | 40 | 1.17 |

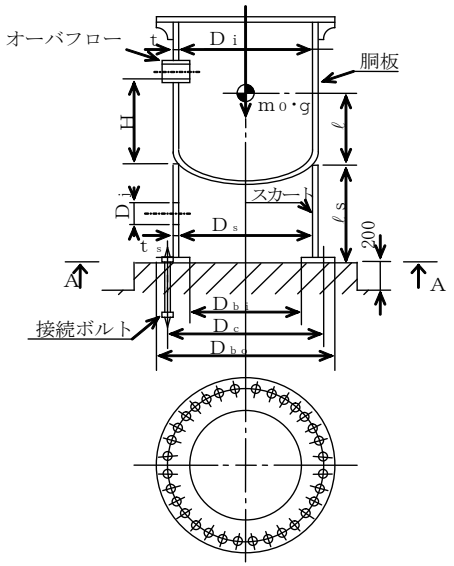
b．評価結果

（単位：MPa）

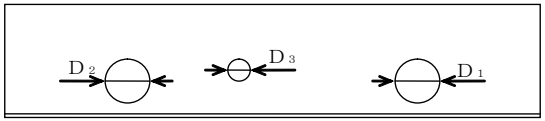
| 部　材 | 材　料 | 応　力 | 算出応力 | 許容応力 |
|---|---|---|---|---|
| 胴　板 | ＳＳ４００ | 組合せ | $\sigma_0$＝7 | $S_a$＝233 |
| スカート | ＳＳ４００ | 組合せ | $\sigma_s$＝11 | $f_t$＝245 |
| | | 圧縮と曲げの組合せ（座屈の評価） | $\frac{\eta\cdot\sigma_{s1}}{f_c}+\frac{\eta\cdot\sigma_{s2}}{f_b}\leqq 1$ | |
| | | | 0.1（無次元） | |
| 接続ボルト | ＳＳ４００ | 引張り | $\sigma_b$＝4 | $f_{ts}$＝176＊ |
| | | せん断 | $\tau_b$＝6 | $f_{sb}$＝135 |

すべて許容応力以下である。

注記 ＊：（3.2.3.2）式より算出




A～A矢視図




スカート開口部の形状を示す。

## （4）吸着塔入口バッファタンク

a．条件

| 機器名称 | 耐震設計上の重要度分類 | 据付場所及び床面高さ 設計G.L.（m） | 水平方向設計震度 | 鉛直方向設計震度 | 最高使用圧力 (MPa) | 最高使用温度 (℃) | 周囲環境温度 (℃) | 比重 |
|---|---|---|---|---|---|---|---|---|
| 吸着塔入口バッファタンク A，B，C | B | 増設多核種除去設備建屋 T.P.36.2 | $C_H$＝0.36 | — | 静水頭 | 60 | 40 | 1.00 |

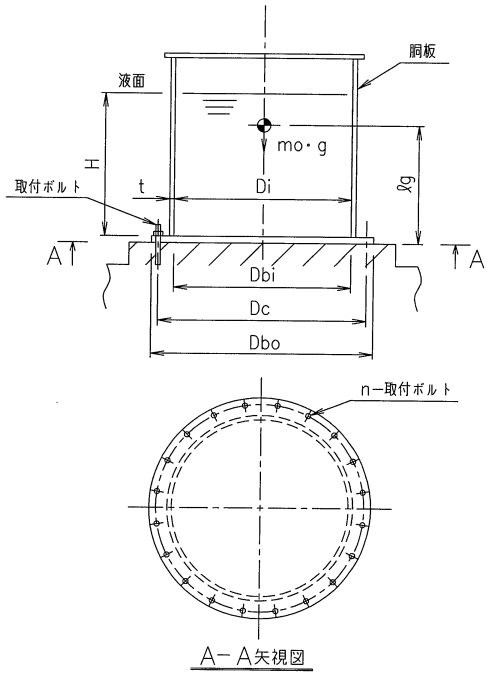
b．評価結果

（単位：MPa）

| 部材 | 材料 | 応力 | 算出応力 | 許容応力 |
|---|---|---|---|---|
| 胴板 | SUS316L | 組合せ | $\sigma_0$＝6 | $S_a$＝163 |
| | | 圧縮と曲げの組合せ（坐屈の評価） | $\frac{\eta\cdot(\sigma_{x2}+\sigma_{x3})}{f_c}+\frac{\eta\cdot\sigma_{x4}}{f_b}\leqq 1$ | |
| | | | 0.03（無次元） | |
| 取付ボルト | SS400 | 引張り | $\sigma_b$＝－ | $f_{ts}$＝176* |
| | | せん断 | $\tau_b$＝8 | $f_{sb}$＝135 |

注記 ＊：（3.2.3.2）式より算出

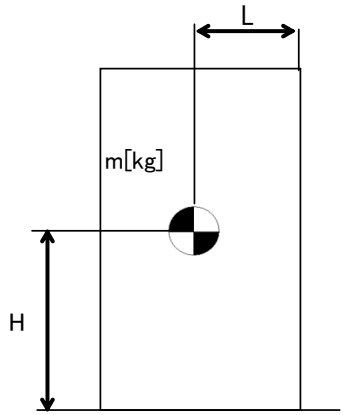
すべて許容応力以下である。




A－A矢視図

（5）サンプルタンク

地震による転倒モーメントと自重による安定モーメントを算出し，それらを比較することにより転倒評価を実施した。評価の結果，地震による転倒モーメントは自重による安定モーメントより小さいことから，転倒しないことを確認した。




m ： 機器質量
g ： 重力加速度
H ： 据付面からの重心までの距離
L ： 転倒支点から機器重心までの距離
$C_H$ ： 水平方向設計震度

地震による転倒モーメント：$M_1$[N・m]=m×g×$C_H$×H
自重による安定モーメント：$M_2$[N・m]=m×g×L

評価結果

| 機器名称 | 評価部位 | 評価項目 | 水平地震動 | 算出値 | 許容値 | 単位 |
|---|---|---|---|---|---|---|
| サンプルタンクＡ，Ｂ，Ｃ | 本体 | 転倒 | 0.36 | $3.1\times10^4$ | $7.1\times10^4$ | kN･m |

## （6）多核種吸着塔１～５

a．条件

| 機　器　名　称 | 耐震設計上の重要度分類 | 据付場所及び床面高さ 設計G.L.（m） | 水平方向設計震度 | 鉛直方向設計震度 | 最高使用圧力 (MPa) | 最高使用温度 (℃) | 周囲環境温度 (℃) | 比　　重 |
|---|---|---|---|---|---|---|---|---|
| 多核種吸着塔１～５<br>A，B，C | B | ~~増設多核種除去設備建屋~~<br>T.P.36.2 | $C_H$＝0.36 | — | 1.37 | 60 | 40 | － |

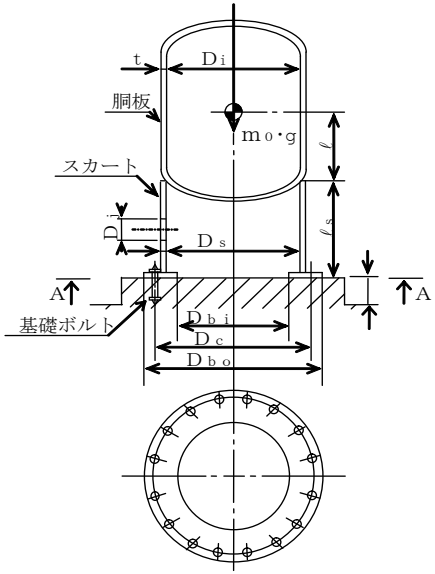
b．評価結果

（単位：MPa）

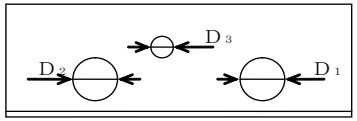
| 部　　材 | 材　　料 | 応　　力 | 算　出　応　力 | 許　容　応　力 |
|---|---|---|---|---|
| 胴　　板 | SUS316L | 組　合　せ | $\sigma_0$＝41 | $S_a$＝163 |
| スカート | SUS304 | 組　合　せ | $\sigma_s$＝7 | $f_t$ ＝205 |
| | | 圧縮と曲げの組合せ（座屈の評価） | $\frac{\eta \cdot \sigma_{s1}}{f_c} + \frac{\eta \cdot \sigma_{s2}}{f_b} \leqq 1$ | |
| | | | 0.03（無次元） | |
| 基礎ボルト | SUS316L | 引　張　り | $\sigma_b$＝2 | $f_{ts}$＝131* |
| | | せ　ん　断 | $\tau_b$＝4 | $f_{sb}$＝101 |

すべて許容応力以下である。

注記　＊：（3.2.3.2）式より算出




A～A矢視図




スカート開口部の形状を示す。

## （7）多核種吸着塔６～１４

ａ．条件

| 機　器　名　称 | 耐震設計上の重要度分類 | 据付場所及び床面高さ 設計G.L.（m） | 水平方向設計震度 | 鉛直方向設計震度 | 最高使用圧力 (MPa) | 最高使用温度 (℃) | 周囲環境温度 (℃) | 比　重 |
|---|---|---|---|---|---|---|---|---|
| 多核種吸着塔６～１４ A，B，C | B | 増設多核種除去設備建屋 T.P.36.2 | $C_H$＝0.36 | — | 1.37 | 60 | 40 | － |

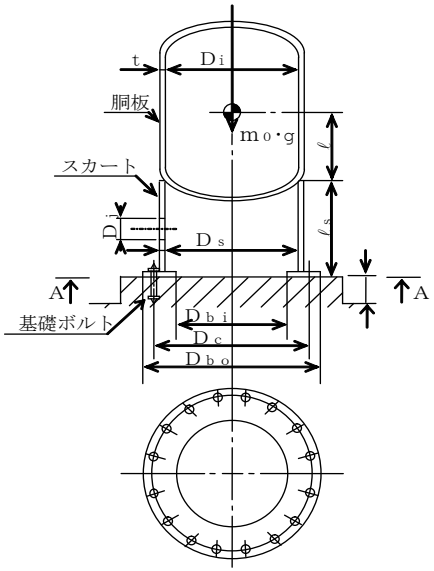
ｂ．評価結果

（単位：MPa）

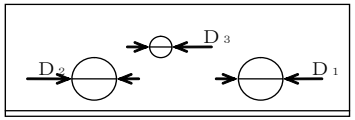
| 部　材 | 材　料 | 応　力 | 算出応力 | 許容応力 |
|---|---|---|---|---|
| 胴　板 | SM490A | 組合せ | $\sigma_o$＝46 | $S_a$＝313 |
| スカート | SM490A | 組合せ | $\sigma_s$＝14 | $f_t$＝325 |
| | | 圧縮と曲げの組合せ（座屈の評価） | $\frac{\eta \cdot \sigma_{s1}}{f_c} + \frac{\eta \cdot \sigma_{s2}}{f_b} \leqq 1$ | |
| | | | 0.05（無次元） | |
| 基礎ボルト | SS400 | 引張り | $\sigma_b$＝3 | $f_{ts}$＝161* |
| | | せん断 | $\tau_b$＝4 | $f_{sb}$＝124 |

すべて許容応力以下である。

注記　＊：（3.2.3.2）式より算出




Ａ～Ａ矢視図




スカート開口部の形状を示す。

## （8）多核種吸着塔１５～１８

a．条件

| 機　器　名　称 | 耐震設計上の重要度分類 | 据付場所及び床面高さ 設計G.L.（m） | 水平方向設計震度 | 鉛直方向設計震度 | 最高使用圧力 (MPa) | 最高使用温度 (℃) | 周囲環境温度 (℃) | 比　重 |
|---|---|---|---|---|---|---|---|---|
| 多核種吸着塔１５～１８ A，B，C | B | 増設多核種除去設備建屋 T.P.36.2 | $C_H$＝0.36 | — | 1.37 | 60 | 40 | － |

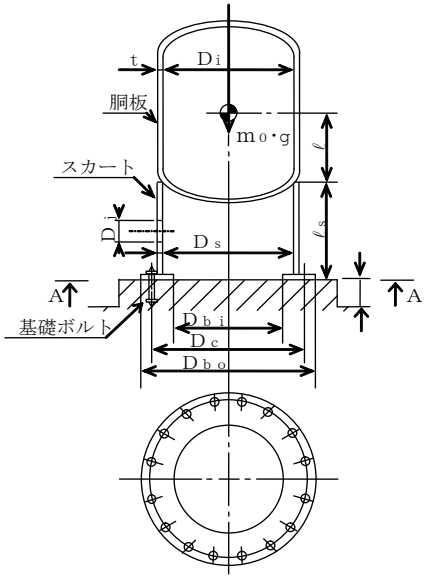
b．評価結果

（単位：MPa）

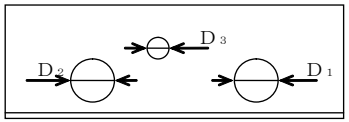
| 部　材 | 材　料 | 応　力 | 算出応力 | 許容応力 |
|---|---|---|---|---|
| 胴　板 | SM490A | 組合せ | $\sigma_o$＝59 | $S_a$＝313 |
| スカート | SM490A | 組合せ | $\sigma_s$＝8 | $f_t$＝325 |
| | | 圧縮と曲げの組合せ（座屈の評価） | $\frac{\eta \cdot \sigma_{s1}}{f_c} + \frac{\eta \cdot \sigma_{s2}}{f_b} \leqq 1$ | |
| | | | 0.03（無次元） | |
| 基礎ボルト | SS400 | 引張り | $\sigma_b$＝2 | $f_{ts}$＝161* |
| | | せん断 | $\tau_b$＝7 | $f_{sb}$＝124 |

すべて許容応力以下である。

注記　＊：（3.2.3.2）式より算出




A～A矢視図




スカート開口部の形状を示す。

## （9）移送タンク

a．条件

| 機器名称 | 耐震設計上の重要度分類 | 据付場所及び床面高さ 設計 G.L.（m） | 水平方向設計震度 | 鉛直方向設計震度 | 最高使用圧力 (MPa) | 最高使用温度 (℃) | 周囲環境温度 (℃) | 比重 |
|---|---|---|---|---|---|---|---|---|
| 移送タンク１，２ | B | 増設多核種除去設備建屋 T.P.36.2 | $C_H$＝0.36 | — | 静水頭 | 60 | 40 | 1.00 |

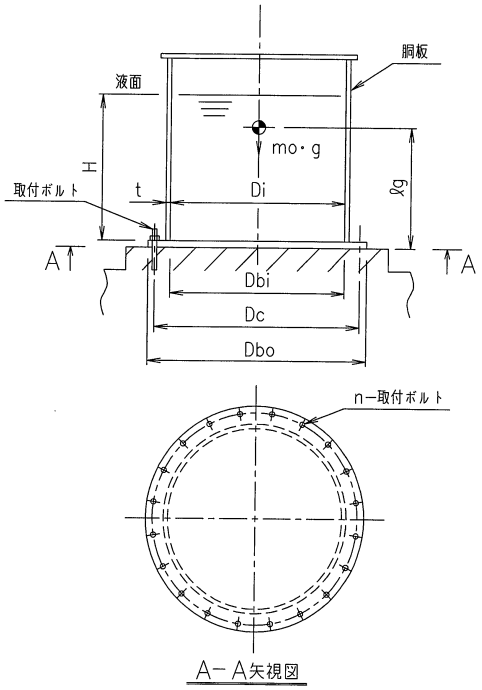
b．評価結果

（単位：MPa）

| 部材 | 材料 | 応力 | 算出応力 | 許容応力 |
|---|---|---|---|---|
| 胴板 | SS400 | 組合せ | $\sigma_0$＝8 | $S_a$＝233 |
| | | 圧縮と曲げの組合せ（坐屈の評価） | $\frac{\eta\cdot(\sigma_{x2}+\sigma_{x3})}{f_c}+\frac{\eta\cdot\sigma_{x4}}{f_b}\leqq 1$ | |
| | | | 0.03（無次元） | |
| 取付ボルト | SS400 | 引張り | $\sigma_b$＝－ | $f_{ts}$＝176* |
| | | せん断 | $\tau_b$＝14 | $f_{sb}$＝135 |

注記 ＊：（3.2.3.2）式より算出

すべて許容応力以下である。




A－A矢視図

## （１０）供給ポンプ１

a．条件

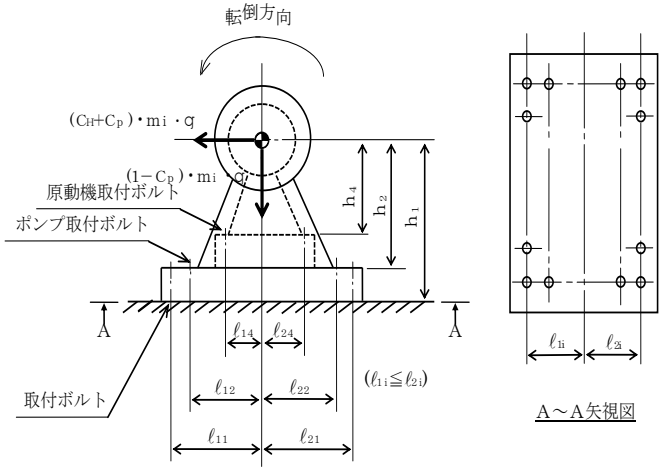
| 機　器　名　称 | 耐震設計上の重要度分類 | 据付場所及び床面高さ 設計 G.L.（m） | 水平方向設計震度 | 鉛直方向設計震度 | ポンプ振動による震度 | 最高使用温度（℃） | 周囲環境温度（℃） |
|---|---|---|---|---|---|---|---|
| 供給ポンプ１<br>A，B，C | B | 増設多核種除去設備建屋<br>T.P.36.2 | $C_H$＝0.36 | — | Cp＝0.18 | 60 | 40 |

b．評価結果

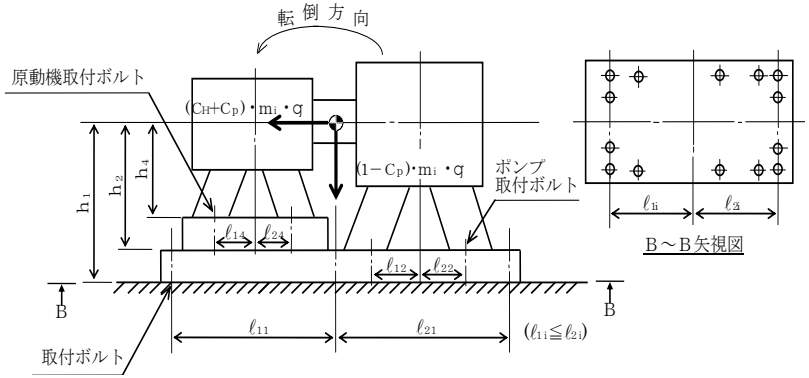
（単位：MPa）

| 部　材 | 材　料 | 応力 | 算出応力 | 許容応力 |
|---|---|---|---|---|
| 取付ボルト（ｉ＝１） | SUS304 | 引張り | － | $f_{ts1}$＝153* |
| | | せん断 | $\tau_{b1}$＝2 | $f_{sb1}$＝118 |
| ポンプ取付ボルト（ｉ＝２） | SUS304 | 引張り | $\sigma_{b2}$＝6 | $f_{ts2}$＝153* |
| | | せん断 | $\tau_{b2}$＝1 | $f_{sb2}$＝118 |
| 原動機取付ボルト（ｉ＝４） | SUS304 | 引張り | $\sigma_{b4}$＝1 | $f_{ts4}$＝153* |
| | | せん断 | $\tau_{b4}$＝1 | $f_{sb4}$＝118 |

すべて許容応力以下である。




注記＊：（3.1.2）式より算出



# （１１）供給ポンプ２

a．条件

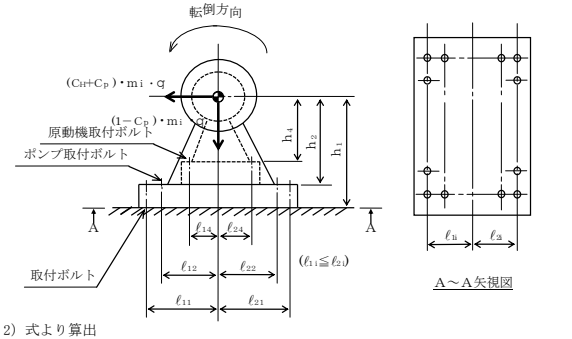
| 機　器　名　称 | 耐震設計上の重要度分類 | 据付場所及び床面高さ設計G.L.（m） | 水平方向設計震度 | 鉛直方向設計震度 | ポンプ振動による震度 | 最高使用温度（℃） | 周囲環境温度（℃） |
|---|---|---|---|---|---|---|---|
| 供給ポンプ２<br>A，B，C | B | 増設多核種除去設備建屋<br>T.P.36.2 | $C_H$＝0.36 | — | Cp＝0.26 | 60 | 40 |

b．評価結果

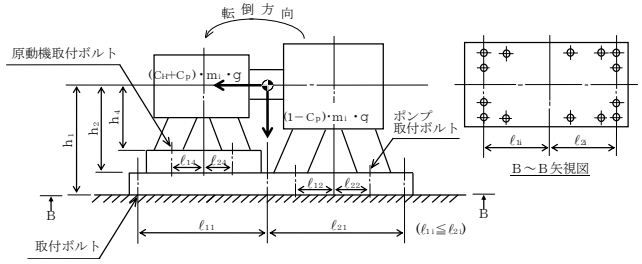
（単位：MPa）

| 部　材 | 材　料 | 応力 | 算出応力 | 許容応力 |
|---|---|---|---|---|
| 取付ボルト<br>（ｉ＝１） | SUS304 | 引張り | — | $f_{ts1}$＝153* |
| | | せん断 | $\tau_{b1}$＝2 | $f_{sb1}$＝118 |
| ポンプ取付ボルト<br>（ｉ＝２） | SUS304 | 引張り | $\sigma_{b2}$＝7 | $f_{ts2}$＝153* |
| | | せん断 | $\tau_{b2}$＝1 | $f_{sb2}$＝118 |
| 原動機取付ボルト<br>（ｉ＝４） | SUS304 | 引張り | $\sigma_{b4}$＝1 | $f_{ts4}$＝153* |
| | | せん断 | $\tau_{b4}$＝2 | $f_{sb4}$＝118 |

すべて許容応力以下である。




注記＊：（3.1.2）式より算出



## （１２）循環ポンプ

a．条件

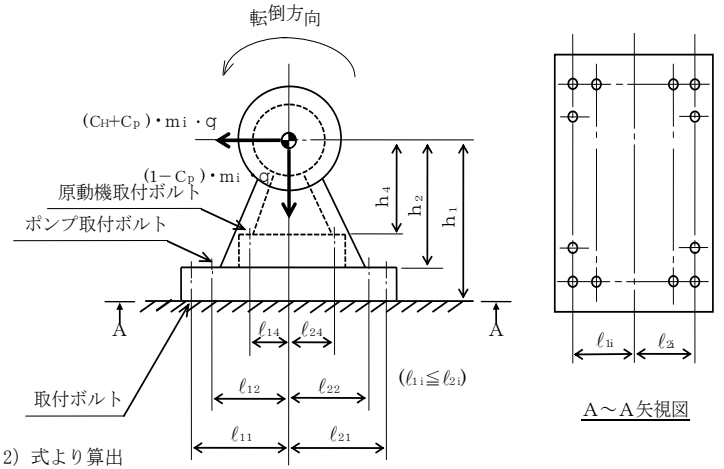
| 機　器　名　称 | 耐震設計上の重要度分類 | 据付場所及び床面高さ 設計 G.L.（m） | 水平方向設計震度 | 鉛直方向設計震度 | ポンプ振動による震度 | 最高使用温度（℃） | 周囲環境温度（℃） |
|---|---|---|---|---|---|---|---|
| 循環ポンプA，B，C | B | 増設多核種除去設備建屋 T.P.36.2 | $C_H$＝0.36 | — | Cp＝0.10 | 60 | 40 |

b．評価結果

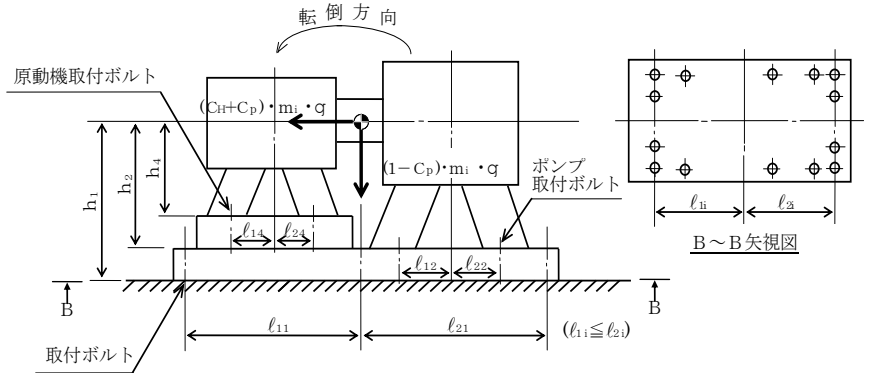
（単位：MPa）

| 部　材 | 材　料 | 応力 | 算出応力 | 許容応力 |
|---|---|---|---|---|
| 取付ボルト（ｉ＝１） | SUS304 | 引張り | － | $f_{ts1}$＝153* |
| | | せん断 | $\tau_{b1}$＝5 | $f_{sb1}$＝118 |
| ポンプ取付ボルト（ｉ＝２） | SUS304 | 引張り | $\sigma_{b2}$＝4 | $f_{ts2}$＝153* |
| | | せん断 | $\tau_{b2}$＝1 | $f_{sb2}$＝118 |
| 原動機取付ボルト（ｉ＝４） | SUS304 | 引張り | $\sigma_{b4}$＝1 | $f_{ts4}$＝153* |
| | | せん断 | $\tau_{b4}$＝3 | $f_{sb4}$＝118 |

すべて許容応力以下である。




注記＊：（3.1.2）式より算出



## （１３）ブースタポンプ１

ａ．条件

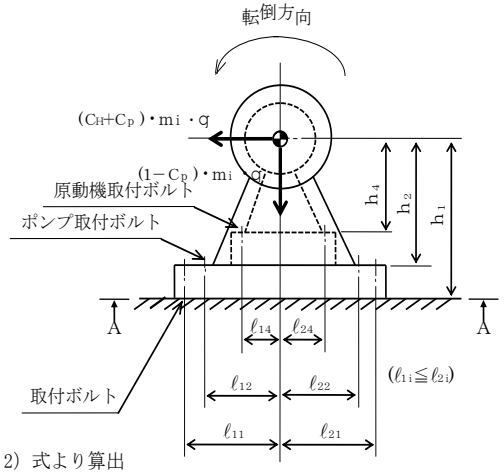
| 機　器　名　称 | 耐震設計上の重要度分類 | 据付場所及び床面高さ 設計G.L.（m） | 水平方向設計震度 | 鉛直方向設計震度 | ポンプ振動による震度 | 最高使用温度（℃） | 周囲環境温度（℃） |
|---|---|---|---|---|---|---|---|
| ブースターポンプ１A，B，C | B | 増設多核種除去設備建屋 T.P.36.2 | $C_H$＝0.36 | — | Cp＝0.26 | 60 | 40 |

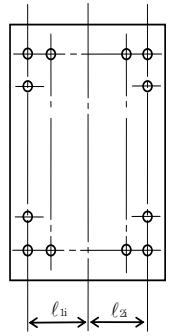
ｂ．評価結果

（単位：MPa）

| 部　材 | 材　料 | 応力 | 算出応力 | 許容応力 |
|---|---|---|---|---|
| 取付ボルト（ｉ＝１） | SUS304 | 引張り | $\sigma_{b1}$＝1 | $f_{ts1}$＝153* |
| | | せん断 | $\tau_{b1}$＝3 | $f_{sb1}$＝118 |
| ポンプ取付ボルト（ｉ＝２） | SUS304 | 引張り | $\sigma_{b2}$＝11 | $f_{ts2}$＝153* |
| | | せん断 | $\tau_{b2}$＝2 | $f_{sb2}$＝118 |
| 原動機取付ボルト（ｉ＝４） | SUS304 | 引張り | $\sigma_{b4}$＝1 | $f_{ts4}$＝153* |
| | | せん断 | $\tau_{b4}$＝2 | $f_{sb4}$＝118 |

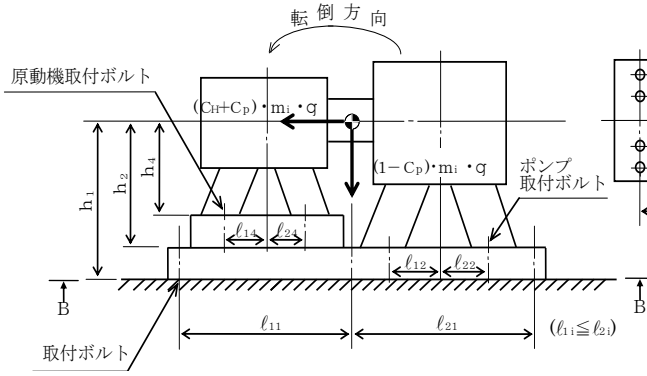
すべて許容応力以下である。

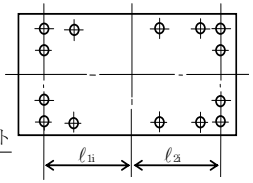



A～A矢視図

注記＊：（3.1.2）式より算出



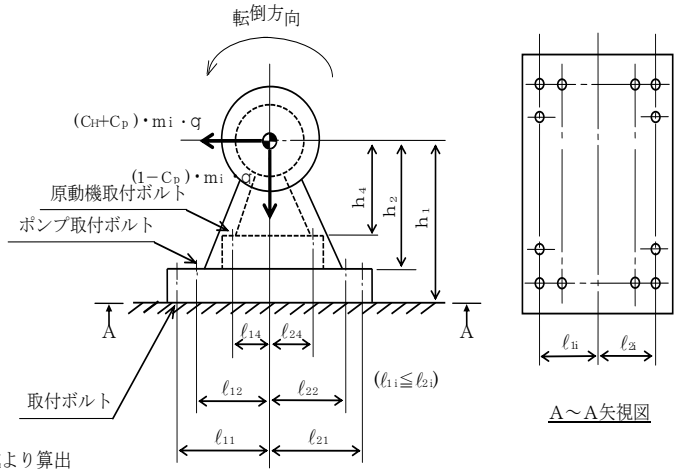




B～B矢視図

## （１４）ブースタポンプ２

ａ．条件

| 機　器　名　称 | 耐震設計上の重要度分類 | 据付場所及び床面高さ 設計G.L.（m） | 水平方向設計震度 | 鉛直方向設計震度 | ポンプ振動による震度 | 最高使用温度（℃） | 周囲環境温度（℃） |
|---|---|---|---|---|---|---|---|
| ブースターポンプ２ A，B，C | B | 増設多核種除去設備建屋 T.P.36.2 | $C_H$＝0.36 | — | Cp＝0.26 | 60 | 40 |



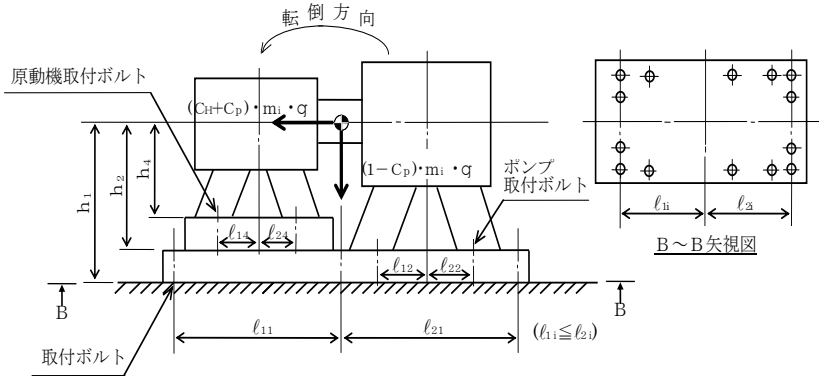

ｂ．評価結果

（単位：MPa）

| 部　材 | 材　料 | 応力 | 算出応力 | 許容応力 |
|---|---|---|---|---|
| 取付ボルト（ｉ＝１） | SUS304 | 引張り | $\sigma_{b1}$＝1 | $f_{ts1}$＝153* |
| | | せん断 | $\tau_{b1}$＝3 | $f_{sb1}$＝118 |
| ポンプ取付ボルト（ｉ＝２） | SUS304 | 引張り | $\sigma_{b2}$＝11 | $f_{ts2}$＝153* |
| | | せん断 | $\tau_{b2}$＝2 | $f_{sb2}$＝118 |
| 原動機取付ボルト（ｉ＝４） | SUS304 | 引張り | $\sigma_{b4}$＝1 | $f_{ts4}$＝153* |
| | | せん断 | $\tau_{b4}$＝2 | $f_{sb4}$＝118 |

すべて許容応力以下である。

注記＊：（3.1.2）式より算出



## （１５）移送ポンプ

a．条件

| 機　器　名　称 | 耐震設計上の重要度分類 | 据付場所及び床面高さ 設計G.L.（m） | 水平方向設計震度 | 鉛直方向設計震度 | ポンプ振動による震度 | 最高使用温度（℃） | 周囲環境温度（℃） |
|---|---|---|---|---|---|---|---|
| 移送ポンプ１，２ | B | 増設多核種除去設備建屋 T.P.36.2 | $C_H$＝0.36 | — | Cp＝0.26 | 60 | 40 |

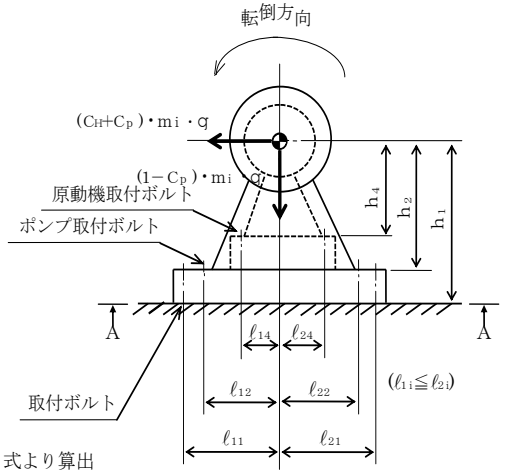
b．評価結果

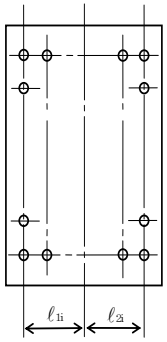
（単位：MPa）

| 部　材 | 材　料 | 応力 | 算出応力 | 許容応力 |
|---|---|---|---|---|
| 取付ボルト（ｉ＝１） | SUS304 | 引張り | — | $f_{ts1}$＝153* |
| | | せん断 | $\tau_{b1}$＝3 | $f_{sb1}$＝118 |
| ポンプ取付ボルト（ｉ＝２） | SUS304 | 引張り | $\sigma_{b2}$＝7 | $f_{ts2}$＝153* |
| | | せん断 | $\tau_{b2}$＝1 | $f_{sb2}$＝118 |
| 原動機取付ボルト（ｉ＝４） | SUS304 | 引張り | $\sigma_{b4}$＝1 | $f_{ts4}$＝153* |
| | | せん断 | $\tau_{b4}$＝3 | $f_{sb4}$＝118 |

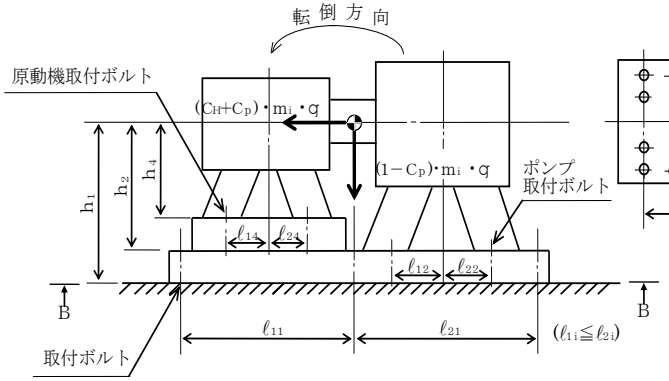
すべて許容応力以下である。

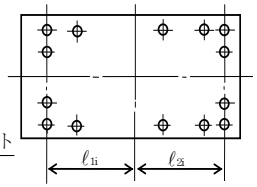
注記＊：（3.1.2）式より算出




A～A矢視図




B～B矢視図

## （１６）増設多核種除去設備用移送ポンプ

ａ．条件

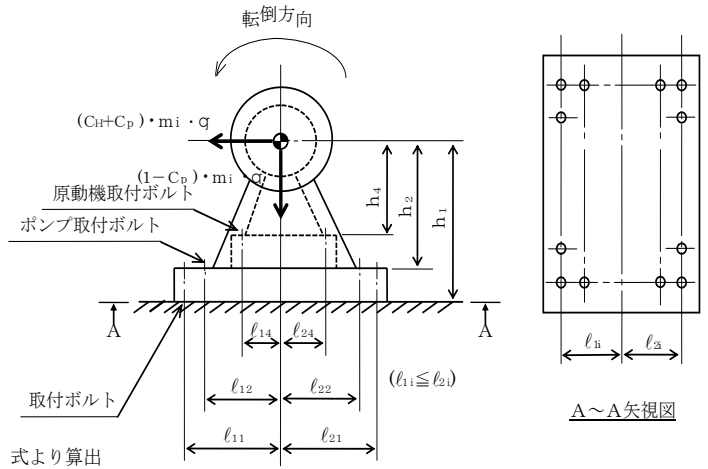
| 機　器　名　称 | 耐震設計上の重要度分類 | 据付場所及び床面高さ 設計G.L.（m） | 水平方向設計震度 | 鉛直方向設計震度 | ポンプ振動による震度 | 最高使用温度（℃） | 周囲環境温度（℃） |
|---|---|---|---|---|---|---|---|
| 増設多核種除去設備用移送ポンプA，B | B | 増設多核種除去設備建屋 T.P.36.2 | $C_H$＝0.36 | ― | Cp＝0.18 | 40 | 40 |

ｂ．評価結果

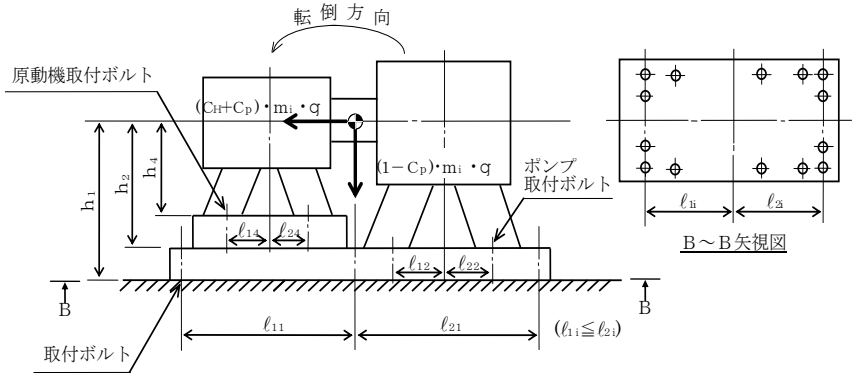
（単位：MPa）

| 部　　材 | 材　料 | 応力 | 算出応力 | 許容応力 |
|---|---|---|---|---|
| 取付ボルト（ｉ＝１） | SUS304 | 引張り | $\sigma_{b1}$＝1 | $f_{ts1}$＝153* |
| | | せん断 | $\tau_{b1}$＝4 | $f_{sb1}$＝118 |
| ポンプ取付ボルト（ｉ＝２） | SUS304 | 引張り | $\sigma_{b2}$＝11 | $f_{ts2}$＝153* |
| | | せん断 | $\tau_{b2}$＝2 | $f_{sb2}$＝118 |
| 原動機取付ボルト（ｉ＝４） | SUS304 | 引張り | $\sigma_{b4}$＝3 | $f_{ts4}$＝153* |
| | | せん断 | $\tau_{b4}$＝3 | $f_{sb4}$＝118 |

すべて許容応力以下である。



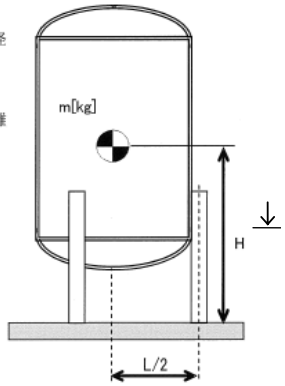

注記＊：（3.1.2）式より算出



# （１７）出口フィルタ

ａ．条件

| 機　器　名　称 | 耐震設計上の重要度分類 | 据付場所及び床面高さ 設計Ｇ.Ｌ.（m） | 水平方向設計震度 | 鉛直方向設計震度 |
|---|---|---|---|---|
| 出口フィルタＡ，Ｂ，Ｃ | Ｂ | 増設多核種除去設備建屋 T.P.36.2 | $C_H$＝0.36 | ― |




L　：脚断面の図心の描く円の直径
m　：機器重量
g　：重力加速度
H　：据付面からの重心までの距離
$A_b$：基礎ボルトの軸断面積
$C_H$：水平方向設計震度

ｂ．評価方法

三脚たて置き円筒型容器

(a)基礎ボルトの強度評価

耐震設計技術規程並びに「JPI-7R-71-96 石油学会規格 竪形容器用レグ」の強度評価方法に準拠して評価を実施した。評価の結果，基礎ボルトの強度が確保されることを確認した 。

基礎ボルトの引張応力：$\sigma_b = \frac{1}{3\times A_b}\left(\frac{4\times m\times g\times C_H\times H}{L} - m\times g\times(1-C_V)\right)$

基礎ボルトのせん断応力：$\tau_b = \frac{1}{3\times A_b}\left(m\times g\times C_H - 0.1\times m\times g\times(1-C_V)\right)$

(b)脚の強度評価

耐震設計技術規程並びに「JPI-7R-71-96 石油学会規格 竪形容器用レグ」の強度評価方法に準拠して，脚の強度評価を実施した。

組合せ応力$\sigma_s$を下記の通り評価し，許容値を下回ることを確認した 。

$$\sigma_s = \sqrt{(\sigma_1+\sigma_2+\sigma_3)^2 + 3\cdot\tau^2}$$

$\sigma_1$：脚の質量による軸方向応力
$\sigma_2$：脚の鉛直方向地震による軸方向応力
$\sigma_3$：脚の曲げモーメントによる軸方向応力
$\tau$　：地震による脚に生じるせん断応力

また，座屈評価を下記の式により行い，脚に座屈が発生しないことを確認した 。

$$\frac{\eta\cdot(\sigma_1+\sigma_2)}{f_c} + \frac{\eta\cdot\sigma_3}{f_b} \leqq 1$$

$\sigma_1$：脚の質量による軸方向応力
$\sigma_2$：脚の鉛直方向地震による軸方向応力
$\sigma_3$：脚の曲げモーメントによる軸方向応力
$f_c$：軸圧縮荷重に対する許容座屈応力
$f_b$：曲げモーメントに対する許容座屈応力
$\eta$　：座屈応力に対する安全率

(c)胴板の強度評価

耐震設計技術規程並びに「JPI-7R-71-96 石油学会規格 竪形容器用レグ」の強度評価方法に準拠して，胴板の強度評価を実施した。

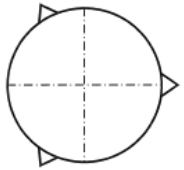
一次一般膜応力$\sigma_0$を下記の通り評価し，許容値を下回ることを確認した 。

$$\sigma_0 = Max\{\sigma_{0\phi}, \sigma_{0x}\}$$

$$\sigma_{0x} = \sigma_{x1} + \sigma_{x2} + \sigma_{x5} + \sigma_{x7}$$

$$\sigma_{0\phi} = \sigma_{\phi 1} + \sigma_{\phi 7}$$

$\sigma_{0\phi}$：一次一般膜応力（周方向）
$\sigma_{0x}$：一次一般膜応力（軸方向）
$\sigma_{\phi 1}$：内圧による周方向応力
$\sigma_{x1}$：内圧による軸方向応力
$\sigma_{x2}$：運転時質量による軸方向応力
$\sigma_{x5}$：地震力により生じる転倒モーメントによる軸方向応力
$\sigma_{\phi 7}$：胴の鉛直方向地震による周方向応力
$\sigma_{x7}$：胴の鉛直方向地震による軸方向応力



Ａ～Ａ矢視図

ｃ．評価結果

（単位：MPa）

| 部　材 | 材　料 | 応　力 | 算出応力 | 許容応力 |
|---|---|---|---|---|
| 胴　板 | SUS316L | 一次一般膜 | $\sigma_0$＝37 | 163 |
| 脚 | SUS304 | 組合せ | $\sigma_s$＝57 | 205 |
| | | 座屈 | 0.29（無次元） | 1（無次元） |
| 基礎ボルト | SUS304 | 引張り | $\sigma_b$＝37 | 153 |
| | | せん断 | $\tau_b$＝3 | 118 |

すべて許容応力以下である。

## （１８）増設多核種除去設備入口弁スキッド

a．条件

| 機器名称 | 耐震設計上の重要度分類 | 据付場所及び床面高さ 設計G.L.（m） | 水平方向設計震度 | 鉛直方向設計震度 | ポンプ振動による震度 | 最高使用温度（℃） | 周囲環境温度（℃） |
|---|---|---|---|---|---|---|---|
| 増設多核種除去設備入口弁スキッド | B | 増設多核種除去設備建屋 T.P.36.2 | $C_H$＝0.36 | — | — | 60 | 40 |

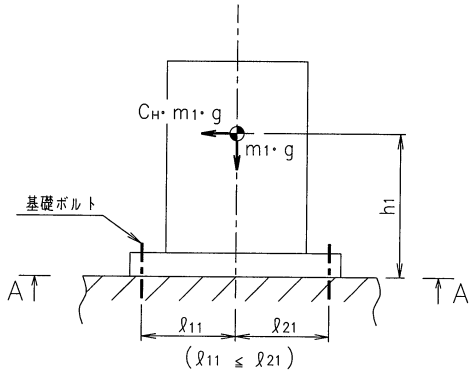
b．評価結果

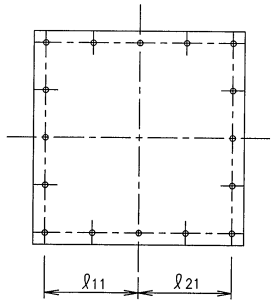
（単位：MPa）

| 部材 | 材料 | 応力 | 算出応力 | 許容応力 |
|---|---|---|---|---|
| 基礎ボルト（ｉ＝１） | SS400 | 引張り | $\sigma_{b1}$＝— | 30　＊ |
| | | せん断 | $\tau_{b1}$＝16 | 38　＊ |

すべて許容応力以下である。

注記　＊：後打ちアンカー耐力による。




A－A矢視図

## （１９）処理水受入タンク１，２スキッド

ａ．条件

| 機器名称 | 耐震設計上の重要度分類 | 据付場所及び床面高さ 設計 G.L.（m） | 水平方向設計震度 | 鉛直方向設計震度 | ポンプ振動による震度 | 最高使用温度 (℃) | 周囲環境温度 (℃) |
|---|---|---|---|---|---|---|---|
| 処理水受入タンク１，２スキッド | B | 増設多核種除去設備建屋 T.P.36.2 | $C_H$＝ 0.36 | － | － | 60 | 40 |

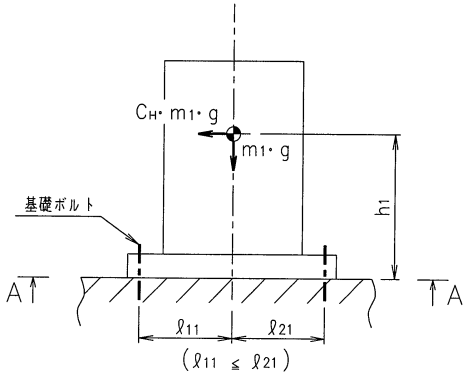
ｂ．評価結果

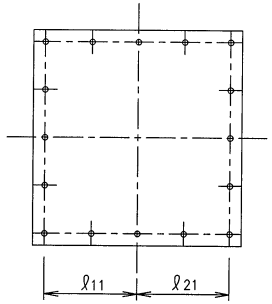
（単位：MPa）

| 部材 | 材料 | 応力 | 算出応力 | 許容応力 |
|---|---|---|---|---|
| 基礎ボルト（ｉ＝１） | SS400 | 引張り | $\sigma_{b1}$＝－ | 65 ＊ |
| | | せん断 | $\tau_{b1}$＝24 | 70 ＊ |

すべて許容応力以下である。

注記 ＊：後打ちアンカー耐力による。




A－A矢視図

## （２０）供給ポンプ１スキッド

a．条件

| 機器名称 | 耐震設計上の重要度分類 | 据付場所及び床面高さ 設計G.L.（m） | 水平方向設計震度 | 鉛直方向設計震度 | ポンプ振動による震度 | 最高使用温度 (℃) | 周囲環境温度 (℃) |
|---|---|---|---|---|---|---|---|
| 供給ポンプ１スキッド | B | 増設多核種除去設備建屋 T.P.36.2 | $C_H$＝0.36 | － | － | 60 | 40 |

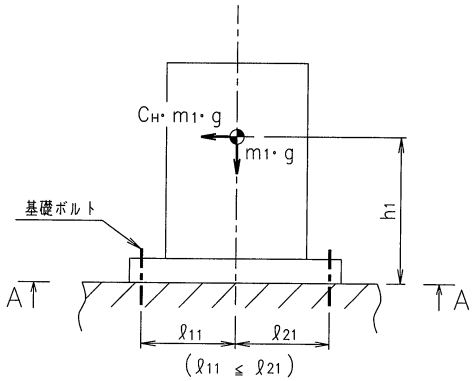
b．評価結果

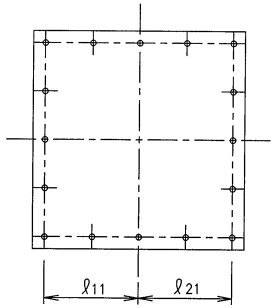
（単位：MPa）

| 部材 | 材料 | 応力 | 算出応力 | 許容応力 |
|---|---|---|---|---|
| 基礎ボルト（ｉ＝１） | SS400 | 引張り | $\sigma_{b1}$＝－ | 30　＊ |
| | | せん断 | $\tau_{b1}$＝8 | 38　＊ |

すべて許容応力以下である。

注記　＊：後打ちアンカー耐力による。




A－A矢視図

## （２１）共沈タンクＡ，Ｂ，Ｃスキッド

ａ．条件

| 機器名称 | 耐震設計上の重要度分類 | 据付場所及び床面高さ 設計G.L.（m） | 水平方向設計震度 | 鉛直方向設計震度 | ポンプ振動による震度 | 最高使用温度（℃） | 周囲環境温度（℃） |
|---|---|---|---|---|---|---|---|
| 共沈タンクＡ，Ｂ，Ｃスキッド | B | 増設多核種除去設備建屋 T.P.36.2 | $C_H$＝0.36 | － | － | 60 | 40 |

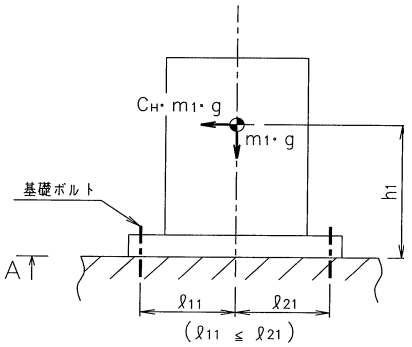
ｂ．評価結果

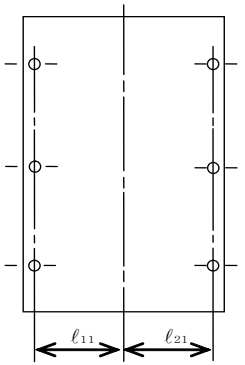
（単位：MPa）

| 部　　材 | 材　料 | 応力 | 算出応力 | 許容応力 |
|---|---|---|---|---|
| 基礎ボルト（ｉ＝１） | SS400 | 引張り | $\sigma_{b1}$＝— | 65 ＊ |
| | | せん断 | $\tau_{b1}$＝16 | 70 ＊ |

注記 ＊：後打ちアンカー耐力による。

すべて許容応力以下である。




Ａ～Ａ矢視図

## （２２）供給タンクＡ，Ｂ，Ｃスキッド

ａ．条件

| 機　器　名　称 | 耐震設計上の重要度分類 | 据付場所及び床面高さ 設計G.L.（m） | 水平方向設計震度 | 鉛直方向設計震度 | ポンプ振動による震度 | 最高使用温度（℃） | 周囲環境温度（℃） |
|---|---|---|---|---|---|---|---|
| 供給タンクＡ，Ｂ，Ｃスキッド | Ｂ | 増設多核種除去設備建屋 T.P.36.2 | $C_H$＝0.36 | － | － | 60 | 40 |

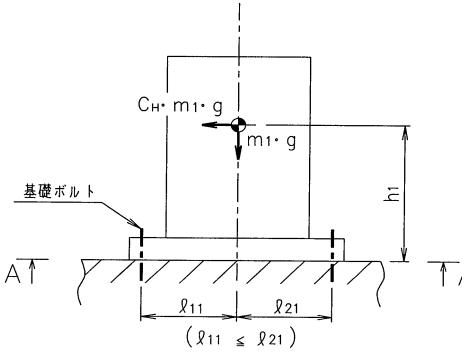
ｂ．評価結果

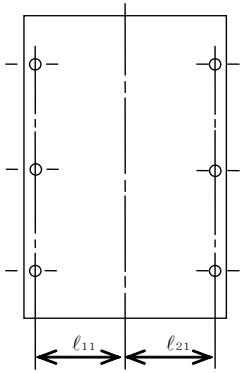
（単位：MPa）

| 部　　材 | 材　料 | 応力 | 算出応力 | 許容応力 |
|---|---|---|---|---|
| 基礎ボルト（ｉ＝１） | SS400 | 引張り | $\sigma_{b1}$＝－ | 65 ＊ |
| | | せん断 | $\tau_{b1}$＝16 | 70 ＊ |

注記 ＊：後打ちアンカー耐力による。

すべて許容応力以下である。




Ａ～Ａ矢視図

## （２３）供給ポンプ２Ａ，Ｂ，Ｃスキッド

ａ．条件

| 機器名称 | 耐震設計上の重要度分類 | 据付場所及び床面高さ 設計 G.L.（m） | 水平方向設計震度 | 鉛直方向設計震度 | ポンプ振動による震度 | 最高使用温度 (℃) | 周囲環境温度 (℃) |
|---|---|---|---|---|---|---|---|
| 供給ポンプ２ Ａ，Ｂ，Ｃスキッド | B | 増設多核種除去設備建屋 T.P.36.2 | $C_H$＝ 0.36 | － | － | 60 | 40 |

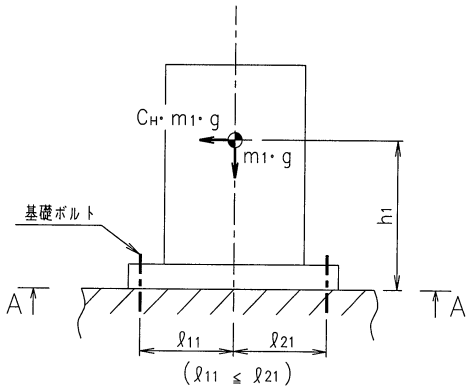
ｂ．評価結果

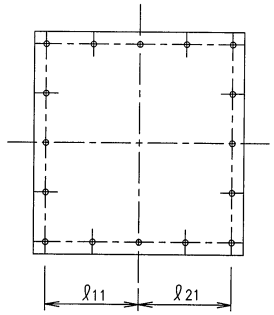
（単位：MPa）

| 部材 | 材料 | 応力 | 算出応力 | 許容応力 |
|---|---|---|---|---|
| 基礎ボルト （ｉ＝１） | SS400 | 引張り | $\sigma_{b1}$＝ － | 30 ＊ |
| | | せん断 | $\tau_{b1}$＝ 6 | 38 ＊ |

すべて許容応力以下である。

注記 ＊：後打ちアンカー耐力による。




A－A矢視図

## （２４）供給ポンプ２弁Ａ，Ｂ，Ｃスキッド

ａ．条件

| 機器名称 | 耐震設計上の重要度分類 | 据付場所及び床面高さ 設計Ｇ.Ｌ.（m） | 水平方向設計震度 | 鉛直方向設計震度 | ポンプ振動による震度 | 最高使用温度（℃） | 周囲環境温度（℃） |
|---|---|---|---|---|---|---|---|
| 供給ポンプ２弁 Ａ，Ｂ，Ｃスキッド | Ｂ | 増設多核種除去設備建屋 T.P.36.2 | $C_H$＝0.36 | － | － | 60 | 40 |

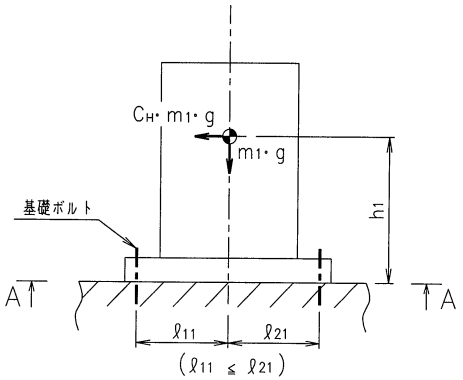
ｂ．評価結果

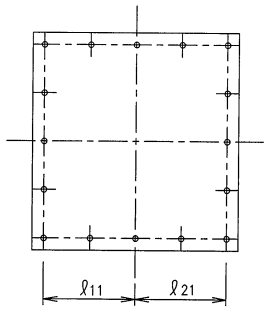
（単位：MPa）

| 部材 | 材料 | 応力 | 算出応力 | 許容応力 |
|---|---|---|---|---|
| 基礎ボルト（ｉ＝１） | SS400 | 引張り | $\sigma_{b1}$＝－ | 30　＊ |
| | | せん断 | $\tau_{b1}$＝4 | 38　＊ |

すべて許容応力以下である。

注記　＊：後打ちアンカー耐力による。




A－A矢視図

## （２５）クロスフローフィルタＡ，Ｂ，Ｃスキッド

ａ．条件

| 機　器　名　称 | 耐震設計上の重要度分類 | 据付場所及び床面高さ 設計G.L.（m） | 水平方向設計震度 | 鉛直方向設計震度 | ポンプ振動による震度 | 最高使用温度（℃） | 周囲環境温度（℃） |
|---|---|---|---|---|---|---|---|
| クロスフローフィルタ Ａ，Ｂ，Ｃスキッド | B | 増設多核種除去設備建屋 T.P.36.2 | $C_H$＝0.36 | — | － | 60 | 40 |

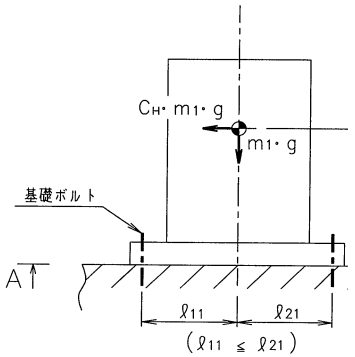
ｂ．評価結果

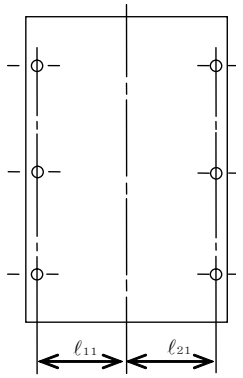
（単位：MPa）

| 部　材 | 材　料 | 応力 | 算出応力 | 許容応力 |
|---|---|---|---|---|
| 基礎ボルト （ｉ＝１） | ＳＳ４００ | 引張り | $\sigma_{b1}$＝－ | 65 ＊ |
| | | せん断 | $\tau_{b1}$＝31 | 70 ＊ |

すべて許容応力以下である。

注記 ＊：後打ちアンカー耐力による。




Ａ～Ａ矢視図

## （２６）吸着塔入口バッファタンクＡ，Ｂ，Ｃスキッド

ａ．条件

| 機器名称 | 耐震設計上の重要度分類 | 据付場所及び床面高さ 設計 G.L.（m） | 水平方向設計震度 | 鉛直方向設計震度 | ポンプ振動による震度 | 最高使用温度（℃） | 周囲環境温度（℃） |
|---|---|---|---|---|---|---|---|
| 吸着塔入口バッファタンクＡ，Ｂ，Ｃスキッド | B | 増設多核種除去設備建屋 T.P.36.2 | $C_H$＝ 0.36 | － | － | 60 | 40 |

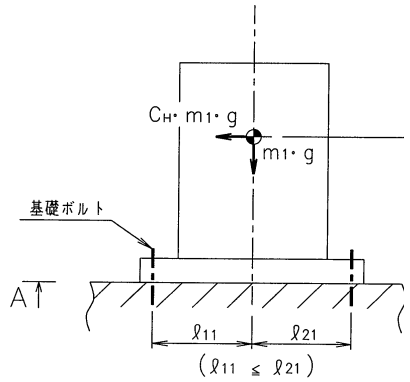
ｂ．評価結果

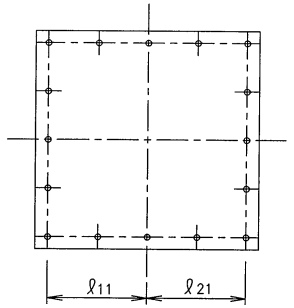
（単位：MPa）

| 部材 | 材料 | 応力 | 算出応力 | 許容応力 |
|---|---|---|---|---|
| 基礎ボルト（ｉ＝１） | SS400 | 引張り | $\sigma_{b1}$＝ － | 65 ＊ |
| | | せん断 | $\tau_{b1}$＝ 13 | 70 ＊ |

すべて許容応力以下である。

注記 ＊：後打ちアンカー耐力による。




A－A矢視図

## （２７）ブースターポンプ１Ａ，Ｂ，Ｃスキッド

ａ．条件

| 機器名称 | 耐震設計上の重要度分類 | 据付場所及び床面高さ 設計 G.L.（m） | 水平方向設計震度 | 鉛直方向設計震度 | ポンプ振動による震度 | 最高使用温度 (℃) | 周囲環境温度 (℃) |
|---|---|---|---|---|---|---|---|
| ブースターポンプ１Ａ，Ｂ，Ｃスキッド | B | 増設多核種除去設備建屋 T.P.36.2 | $C_H$＝0.36 | － | － | 60 | 40 |

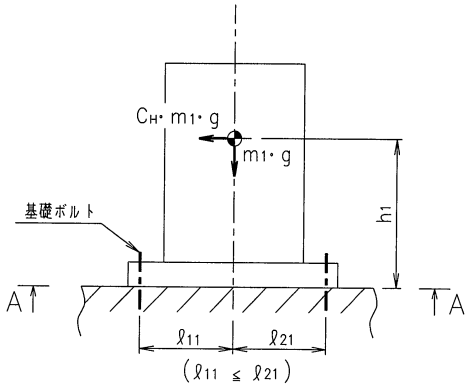
ｂ．評価結果

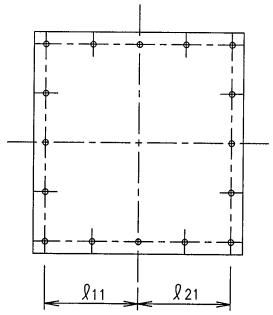
（単位：MPa）

| 部材 | 材料 | 応力 | 算出応力 | 許容応力 |
|---|---|---|---|---|
| 基礎ボルト（ｉ＝１） | SS400 | 引張り | $\sigma_{b1}$＝－ | 30 ＊ |
| | | せん断 | $\tau_{b1}$＝6 | 38 ＊ |

すべて許容応力以下である。

注記 ＊：後打ちアンカー耐力による。




A－A矢視図

## （２８）多核種吸着塔Ａ，Ｂ，Ｃスキッド１

ａ．条件

| 機器名称 | 耐震設計上の重要度分類 | 据付場所及び床面高さ 設計G.L.（m） | 水平方向設計震度 | 鉛直方向設計震度 | ポンプ振動による震度 | 最高使用温度（℃） | 周囲環境温度（℃） |
|---|---|---|---|---|---|---|---|
| 多核種吸着塔Ａ，Ｂ，Ｃスキッド１ | Ｂ | 増設多核種除去設備建屋 T.P.36.2 | $C_H$＝ 0.36 | － | － | 60 | 40 |

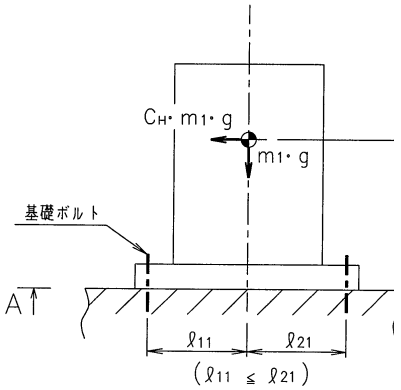
ｂ．評価結果

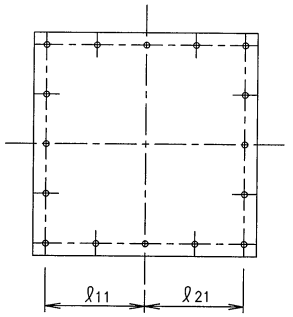
（単位：MPa）

| 部材 | 材料 | 応力 | 算出応力 | 許容応力 |
|---|---|---|---|---|
| 基礎ボルト（ｉ＝１） | SS400 | 引張り | $\sigma_{b1}$＝ － | 65 ＊ |
| | | せん断 | $\tau_{b1}$＝ 21 | 70 ＊ |

すべて許容応力以下である。

注記 ＊：後打ちアンカー耐力による。




A－A矢視図

## （２９）多核種吸着塔Ａ，Ｂ，Ｃスキッド２

ａ．条件

| 機器名称 | 耐震設計上の重要度分類 | 据付場所及び床面高さ 設計 G.L.（m） | 水平方向設計震度 | 鉛直方向設計震度 | ポンプ振動による震度 | 最高使用温度（℃） | 周囲環境温度（℃） |
|---|---|---|---|---|---|---|---|
| 多核種吸着塔Ａ，Ｂ，Ｃスキッド２ | Ｂ | 増設多核種除去設備建屋 T.P.36.2 | $C_H$＝ 0.36 | － | － | 60 | 40 |

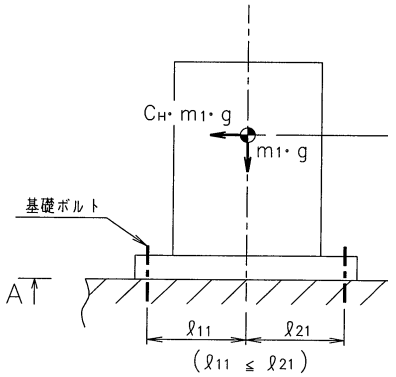
ｂ．評価結果

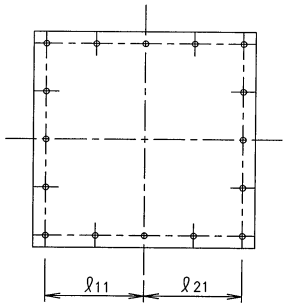
（単位：MPa）

| 部材 | 材料 | 応力 | 算出応力 | 許容応力 |
|---|---|---|---|---|
| 基礎ボルト（ｉ＝１） | SS400 | 引張り | $\sigma_{b1}$＝ － | 65 ＊ |
| | | せん断 | $\tau_{b1}$＝ 19 | 70 ＊ |

すべて許容応力以下である。

注記 ＊：後打ちアンカー耐力による。




A－A矢視図

## （３０）多核種吸着塔Ａ，Ｂ，Ｃスキッド３

ａ．条件

| 機器名称 | 耐震設計上の重要度分類 | 据付場所及び床面高さ 設計 G.L.（m） | 水平方向設計震度 | 鉛直方向設計震度 | ポンプ振動による震度 | 最高使用温度（℃） | 周囲環境温度（℃） |
|---|---|---|---|---|---|---|---|
| 多核種吸着塔Ａ，Ｂ，Ｃスキッド３ | Ｂ | 増設多核種除去設備建屋 T.P.36.2 | $C_H$＝ 0.36 | － | － | 60 | 40 |

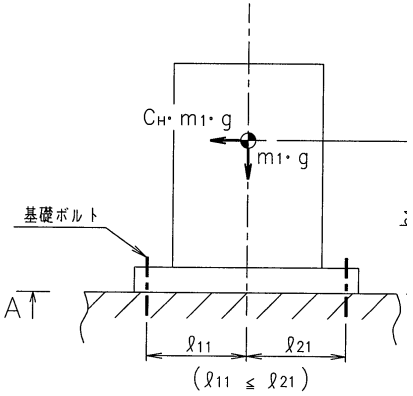
ｂ．評価結果

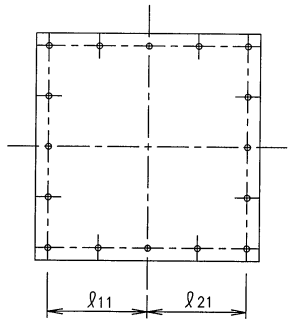
（単位：MPa）

| 部材 | 材料 | 応力 | 算出応力 | 許容応力 |
|---|---|---|---|---|
| 基礎ボルト（ｉ＝１） | SS400 | 引張り | $\sigma_{b1}$= － | 65 ＊ |
| | | せん断 | $\tau_{b1}$= 17 | 70 ＊ |

すべて許容応力以下である。

注記 ＊：後打ちアンカー耐力による。




A－A矢視図

## （３１）多核種吸着塔Ａ，Ｂ，Ｃスキッド４

ａ．条件

| 機器名称 | 耐震設計上の重要度分類 | 据付場所及び床面高さ<br>設計G.L.（m） | 水平方向設計震度 | 鉛直方向設計震度 | ポンプ振動による震度 | 最高使用温度<br>(℃) | 周囲環境温度<br>(℃) |
|---|---|---|---|---|---|---|---|
| 多核種吸着塔Ａ，Ｂ，Ｃスキッド４ | Ｂ | 増設多核種除去設備建屋<br>T.P.36.2 | $C_H$＝ 0.36 | － | － | 60 | 40 |

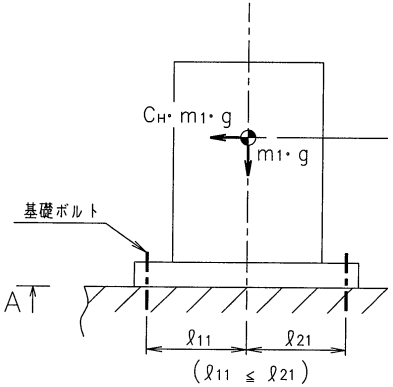
ｂ．評価結果

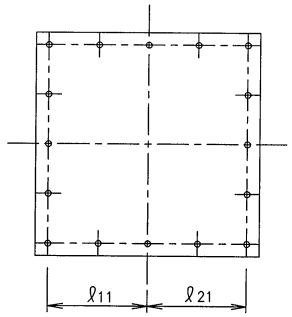
（単位：MPa）

| 部材 | 材料 | 応力 | 算出応力 | 許容応力 |
|---|---|---|---|---|
| 基礎ボルト（ｉ＝１） | SS400 | 引張り | $\sigma_{b1}$= － | 65　＊ |
| | | せん断 | $\tau_{b1}$= 18 | 70　＊ |

すべて許容応力以下である。

注記　＊：後打ちアンカー耐力による。




A－A矢視図

## （３２）多核種吸着塔Ａ，Ｂ，Ｃスキッド５

ａ．条件

| 機器名称 | 耐震設計上の重要度分類 | 据付場所及び床面高さ 設計G.L.（m） | 水平方向設計震度 | 鉛直方向設計震度 | ポンプ振動による震度 | 最高使用温度（℃） | 周囲環境温度（℃） |
|---|---|---|---|---|---|---|---|
| 多核種吸着塔Ａ，Ｂ，Ｃスキッド５ | Ｂ | 増設多核種除去設備建屋 T.P.36.2 | $C_H$＝ 0.36 | － | － | 60 | 40 |

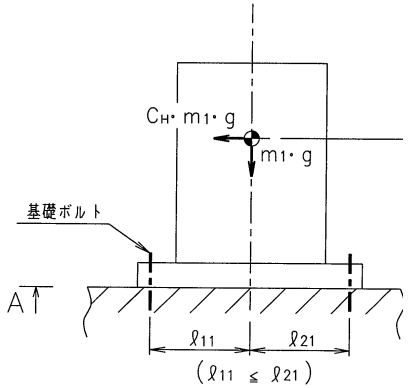
ｂ．評価結果

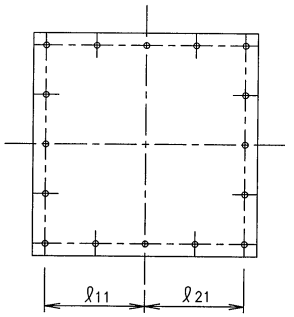
（単位：MPa）

| 部材 | 材料 | 応力 | 算出応力 | 許容応力 |
|---|---|---|---|---|
| 基礎ボルト（ｉ＝１） | SS400 | 引張り | $\sigma_{b1}$= － | 65 ＊ |
| | | せん断 | $\tau_{b1}$= 22 | 70 ＊ |

すべて許容応力以下である。

注記 ＊：後打ちアンカー耐力による。




Ａ－Ａ矢視図

## （３３）多核種吸着塔Ａ，Ｂ，Ｃスキッド６

ａ．条件

| 機器名称 | 耐震設計上の重要度分類 | 据付場所及び床面高さ 設計 G.L.（m） | 水平方向設計震度 | 鉛直方向設計震度 | ポンプ振動による震度 | 最高使用温度（℃） | 周囲環境温度（℃） |
|---|---|---|---|---|---|---|---|
| 多核種吸着塔Ａ，Ｂ，Ｃスキッド６ | Ｂ | 増設多核種除去設備建屋 T.P.36.2 | $C_H$＝ 0.36 | － | － | 60 | 40 |

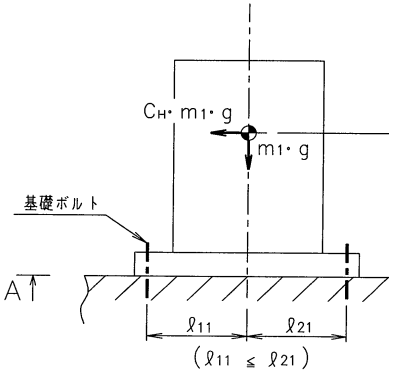
ｂ．評価結果

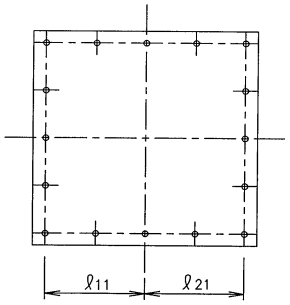
（単位：MPa）

| 部材 | 材料 | 応力 | 算出応力 | 許容応力 |
|---|---|---|---|---|
| 基礎ボルト（ｉ＝１） | SS400 | 引張り | $\sigma_{b1}$= － | 65 ＊ |
| | | せん断 | $\tau_{b1}$= 22 | 70 ＊ |

すべて許容応力以下である。

注記 ＊：後打ちアンカー耐力による。




Ａ－Ａ矢視図

## （３４）ブースターポンプ２Ａ，Ｂ，Ｃスキッド

ａ．条件

| 機器名称 | 耐震設計上の重要度分類 | 据付場所及び床面高さ 設計 G.L.（m） | 水平方向設計震度 | 鉛直方向設計震度 | ポンプ振動による震度 | 最高使用温度 (℃) | 周囲環境温度 (℃) |
|---|---|---|---|---|---|---|---|
| ブースターポンプ２Ａ，Ｂ，Ｃスキッド | B | 増設多核種除去設備建屋 T.P.36.2 | $C_H$＝ 0.36 | － | － | 60 | 40 |

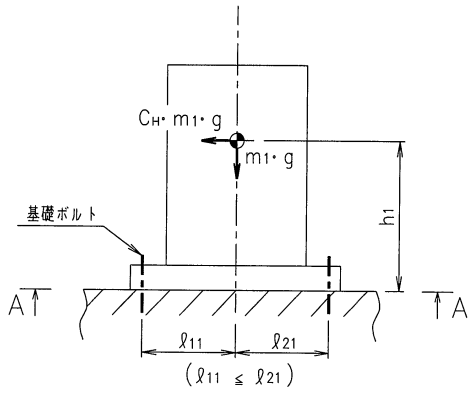
ｂ．評価結果

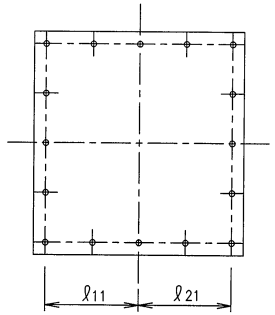
（単位：MPa）

| 部材 | 材料 | 応力 | 算出応力 | 許容応力 |
|---|---|---|---|---|
| 基礎ボルト（ｉ＝１） | SS400 | 引張り | $\sigma_{b1}$＝ － | 30 ＊ |
| | | せん断 | $\tau_{b1}$＝ 5 | 38 ＊ |

すべて許容応力以下である。

注記 ＊：後打ちアンカー耐力による。




A－A矢視図

## （３５）出口フィルタスキッド

ａ．条件

| 機器名称 | 耐震設計上の重要度分類 | 据付場所及び床面高さ 設計G.L.（m） | 水平方向設計震度 | 鉛直方向設計震度 | ポンプ振動による震度 | 最高使用温度 (℃) | 周囲環境温度 (℃) |
|---|---|---|---|---|---|---|---|
| 出口フィルタスキッド | B | 増設多核種除去設備建屋 T.P.36.2 | $C_H$＝0.36 | － | － | 60 | 40 |

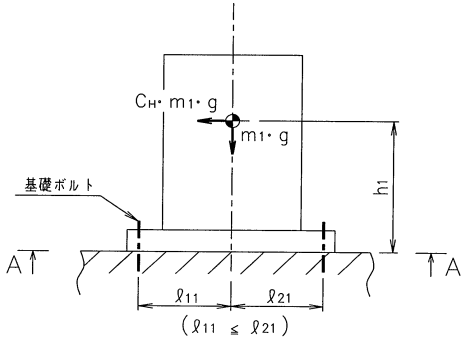
ｂ．評価結果

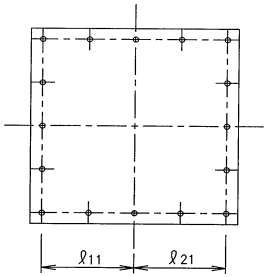
（単位：MPa）

| 部材 | 材料 | 応力 | 算出応力 | 許容応力 |
|---|---|---|---|---|
| 基礎ボルト（ｉ＝１） | SS400 | 引張り | $\sigma_{b1}$＝－ | 30　＊ |
| | | せん断 | $\tau_{b1}$＝9 | 38　＊ |

すべて許容応力以下である。

注記　＊：後打ちアンカー耐力による。




A－A矢視図

## （３６）移送タンク１，２スキッド

ａ．条件

| 機器名称 | 耐震設計上の重要度分類 | 据付場所及び床面高さ 設計 G.L.（m） | 水平方向設計震度 | 鉛直方向設計震度 | ポンプ振動による震度 | 最高使用温度 (℃) | 周囲環境温度 (℃) |
|---|---|---|---|---|---|---|---|
| 移送タンク １，２スキッド | B | 増設多核種除去設備建屋 T.P.36.2 | $C_H$＝ 0.36 | － | － | 60 | 40 |

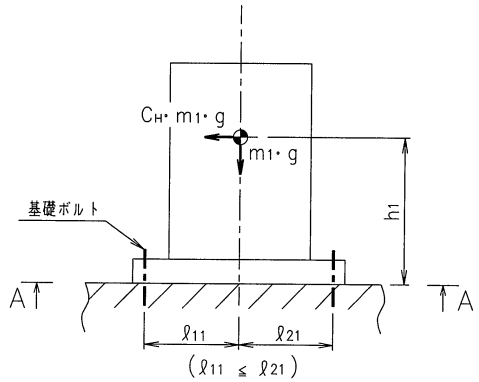
ｂ．評価結果

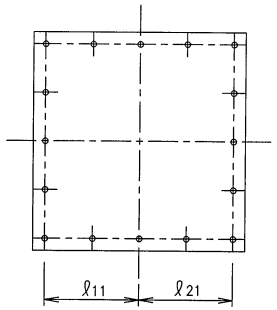
（単位：MPa）

| 部材 | 材料 | 応力 | 算出応力 | 許容応力 |
|---|---|---|---|---|
| 基礎ボルト （ｉ＝１） | SS400 | 引張り | $\sigma_{b1}$= － | 65 ＊ |
| | | せん断 | $\tau_{b1}$= 25 | 70 ＊ |

注記 ＊：後打ちアンカー耐力による。

すべて許容応力以下である。




A－A矢視図

## （３７）出口移送スキッド

a．条件

| 機器名称 | 耐震設計上の重要度分類 | 据付場所及び床面高さ 設計G.L.（m） | 水平方向設計震度 | 鉛直方向設計震度 | ポンプ振動による震度 | 最高使用温度（℃） | 周囲環境温度（℃） |
|---|---|---|---|---|---|---|---|
| 出口移送スキッド | B | 増設多核種除去設備建屋 T.P.36.2 | $C_H$＝0.36 | — | — | 60 | 40 |

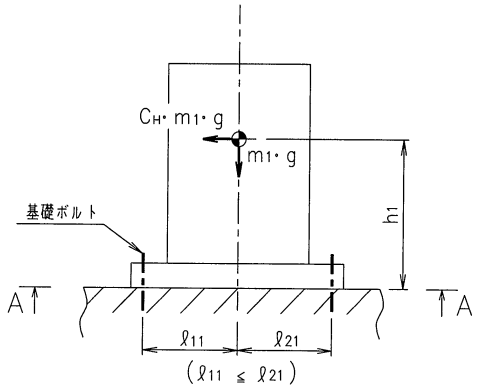
b．評価結果

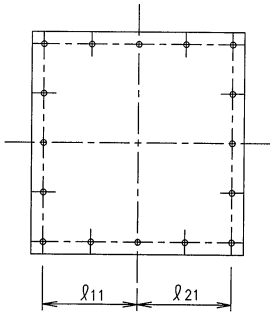
（単位：MPa）

| 部材 | 材料 | 応力 | 算出応力 | 許容応力 |
|---|---|---|---|---|
| 基礎ボルト（ｉ＝１） | SS400 | 引張り | $\sigma_{b1}$＝－ | 30　＊ |
| | | せん断 | $\tau_{b1}$＝10 | 38　＊ |

すべて許容応力以下である。

注記　＊：後打ちアンカー耐力による。




A－A矢視図

## （３８）増設多核種除去設備用移送ポンプスキッド

a．条件

| 機器名称 | 耐震設計上の重要度分類 | 据付場所及び床面高さ 設計G.L.（m） | 水平方向設計震度 | 鉛直方向設計震度 | ポンプ振動による震度 | 最高使用温度 (℃) | 周囲環境温度 (℃) |
|---|---|---|---|---|---|---|---|
| 増設多核種除去設備用移送ポンプスキッド | B | 増設多核種除去設備建屋 T.P.36.2 | $C_H$＝0.36 | — | — | 40 | 40 |

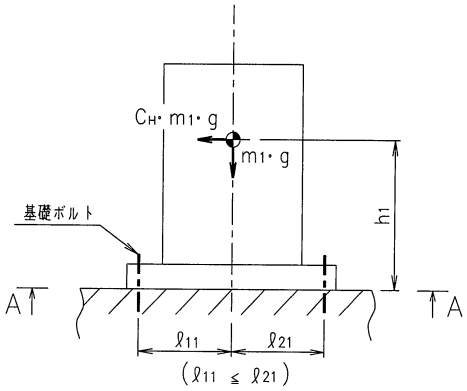
b．評価結果

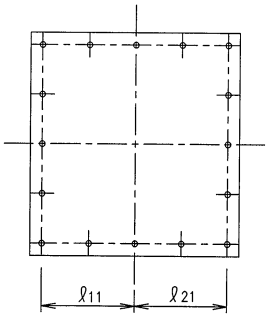
（単位：MPa）

| 部材 | 材料 | 応力 | 算出応力 | 許容応力 |
|---|---|---|---|---|
| 基礎ボルト（ｉ＝１） | SS400 | 引張り | $\sigma_{b1}$＝— | 30　＊ |
| | | せん断 | $\tau_{b1}$＝11 | 38　＊ |

すべて許容応力以下である。

注記　＊：後打ちアンカー耐力による。




A－A矢視図

# （３９）主配管

配管標準支持間隔評価（定ピッチスパン法）

## １．評価方法

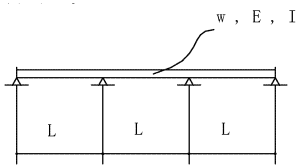
配管系を定められたピッチで支持することにより、配管系の固有周期を設定し、地震応力が過大とならないようにする。

応力基準による定ピッチスパンの設定方法（耐震Ｂクラス配管）

（１）直管部スパン

①一次応力評価

３スパン連続梁において発生する一次応力が許容値以下であることを確認する。




②自重応力の制限

自重による応力は39MPaを超えないものとする。

③１次固有周期の制限

支持スパンは建屋の一次固有周期より短周期側となるように設定する。

上記による直管部　最大支持間隔を、２．評価結果に示す。

（２）集中質量部

集中質量部に発生する応力 及び 固有周期が、直管部における値を上回らないものとする。

（３）曲り部

曲り部の面外方向について、応力 及び 固有周期が直管部のそれを上回らない支持スパンとする。

曲り部の面内方向は、上記の縮小率を超えず、且つ（２）集中質量部の方法を準用し縮小率を決定するものとする。

（４）分岐部

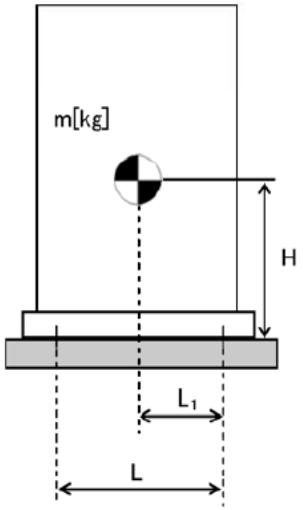
分岐部に発生する応力 及び 固有周期が、直管部における値を上回らないものとする。

## ２．評価結果

| | | | 配管設計条件 | | | | | | |
|---|---|---|---|---|---|---|---|---|---|
| | 耐震クラス | | B | B | B | B | B | B | B |
| | 保温 | | 有 | 無 | 無 | 無 | 無 | 有 | 無 |
| | しゃへい | | 無 | 無 | 無 | 無 | 有 | 無 | 無 |
| | 流体 | | 液体 | 液体 | 液体 | 気体 | 液体 | 液体 | 液体 |
| | 内　圧（MPa） | | 静水頭～1.37 | 静水頭 | 静水頭～1.37 | 大気圧 | 0.98 | 静水頭～1.37 | 静水頭～1.37 |
| | 最高使用温度（℃） | | ～60 | ～60 | ～60 | ～60 | ～60 | ～60 | ～60 |
| | 比重(g/cm3) | | 1.00～1.17 | ～1.00 | 1.00～1.17 | 0.001 | 1.17 | 1.00 | 1.00～1.05 |
| | 材　質 | | ステンレス鋼 | ステンレス鋼 | ステンレス鋼 | ステンレス鋼 | ステンレス鋼 | 炭素鋼 | 炭素鋼 |
| 直管部　最大支持間隔 | 口径 | sch | (mm) | | | | | | |
| | 10A | 40 | 2570 | 2520 | － | － | － | － | － |
| | 15A | 40 | 3210 | 2940 | 3690 | － | － | 3240 | － |
| | 20A | 40 | 3770 | 3420 | － | － | － | 3820 | － |
| | 25A | 40 | 4430 | 3960 | 4610 | － | － | 4500 | 4700 |
| | 32A | 40 | 5070 | 4590 | － | － | － | 5170 | － |
| | 40A | 40 | 5420 | 4980 | 5460 | － | － | 5540 | － |
| | 50A | 40 | 6060 | 5700 | 6030 | 6630 | － | － | 6170 |
| | 65A | 40 | 6930 | 6680 | － | － | － | － | 6950 |
| | 80A | 40 | 7470 | － | － | － | － | － | 7470 |
| | 100A | 40 | 8400 | － | 8170 | 9170 | － | － | 8360 |
| | 125A | 40 | － | － | 8950 | － | － | － | 9000 |
| | 150A | 40 | － | － | 9640 | － | － | － | 9600 |
| | 200A | 40 | － | － | 10890 | － | － | － | － |
| | 250A | 40 | － | － | 11990 | － | 9600 | － | － |
| | 300A | 40 | － | － | 12970 | － | － | － | － |

（４０）炭酸ソーダ溶解槽１，２，３

原子力発電所耐震設計技術指針の評価方法に準拠して評価を実施した。評価の結果，基礎ボルトの強度が確保されることを確認した。




m　：機器質量
g　：重力加速度（9.80665 m/s²）
H　：据付面からの重心までの距離
L　：基礎ボルト間の水平方向距離
$L_1$　：重心と基礎ボルト間の水平方向距離
$n_f$：引張力の作用する基礎ボルトの評価本数
n　：基礎ボルトの本数
$A_b$　：基礎ボルトの軸断面積
$C_H$　：水平方向設計震度
$C_V$　：鉛直方向設計震度

基礎ボルトに作用する引張力：$F_b = \frac{1}{L}\left(m \times g \times C_H \times H - m \times g \times (1 - C_V) \times L_1\right)$

基礎ボルトの引張応力：$\sigma_b = \frac{F_b}{n_f \times A_b}$

基礎ボルトのせん断応力：$\tau_b = \frac{m \times g \times C_H}{n \times A_b}$

a. 条件

| 機器名称 | 耐震設計上の重要度分類 | 据付場所及び床面高さ 設計G.L.（m） | 水平方向設計震度 | 鉛直方向設計震度 | 最高使用温度（℃） | 周囲環境温度（℃） | 比重 |
|---|---|---|---|---|---|---|---|
| 炭酸ソーダ溶解槽 1，2，3 | B | 増設多核種除去設備建屋 T.P.36.2 | $C_H$=0.36 | － | 60 | 40 | 1.05 |

b. 評価結果

（単位：MPa）

| 部　材 | 材　料 | 応　力 | 算出応力 | 許容応力 |
|---|---|---|---|---|
| 基礎ボルト (i=1) | SUS304 | 引張り | $\sigma_{bi}$=- | $f_{tsi}$=153 |
| | | せん断 | $\tau_{bi}$=26 | $f_{sbi}$=118 |

すべて許容応力以下である。

## （４１）炭酸ソーダ貯槽１，２

a. 条件

| 機器名称 | 耐震設計上の重要度分類 | 据付場所及び床面高さ<br>設計G.L.（m） | 水平方向設計震度 | 鉛直方向設計震度 | 最高使用圧力<br>(MPa) | 最高使用温度<br>(℃) | 周囲環境温度<br>(℃) | 比重 |
|---|---|---|---|---|---|---|---|---|
| 炭酸ソーダ貯槽<br>１，２ | B | 増設多核種除去設備建屋<br>T.P.36.2 | 0.36 | － | 静水頭 | 60 | 40 | 1.05 |

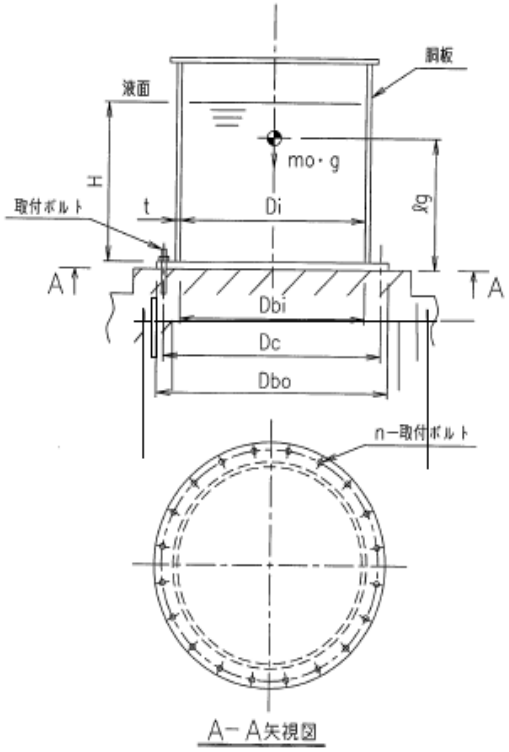
b. 評価結果

（単位： MPa）

| 部材 | 材料 | 応力 | 算出応力 | 許容応力 |
|---|---|---|---|---|
| 胴板 | SUS316L | 組合せ | $\sigma_0=11$ | $S_a=278$ |
| | | 圧縮と曲げの組合せ（座屈の評価） | $\frac{n\cdot(\sigma_{x2}+\sigma_{x3})}{f_c}+\frac{n\cdot\sigma_{x4}}{f_b}\leqq 1$ | |
| | | | 0.04 （無次元） | |
| 取付ボルト | SS400 | 引張り | $\sigma_b=-$ | $f_{ts}=176^*$ |
| | | せん断 | $\tau_b=18$ | $f_{sb}=135$ |

注記 ＊：(3.2.2.2) 式より算出

すべて許容応力以下である。



（４２）炭酸ソーダ溶解槽１，２，３移送ポンプ

a. 条件

| 機器名称 | 耐震設計上の重要度分類 | 据付場所及び床面高さ 設計G.L.（m） | 水平方向設計震度 | 鉛直方向設計震度 | ポンプ振動による震度 | 最高使用温度（℃） | 周囲環境温度（℃） |
|---|---|---|---|---|---|---|---|
| 炭酸ソーダ溶解槽<br>１，２，３移送ポンプ | B | 増設多核種除去設備建屋<br>T.P.36.2 | $C_H$＝0.36 | － | $C_P$＝0.30 | 60 | 40 |

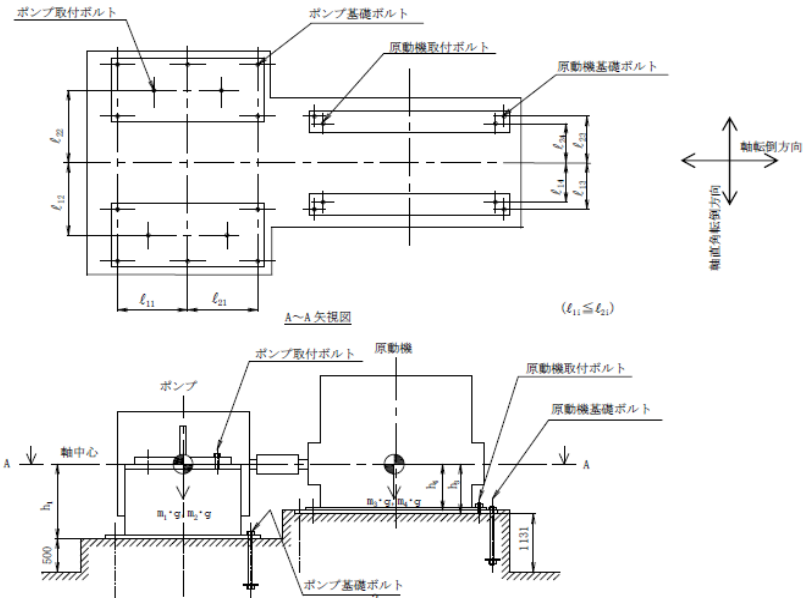
b. 評価結果

（単位：MPa）

| 部　材 | 材　料 | 応　力 | 算出応力 | 許容応力 |
|---|---|---|---|---|
| ポンプ基礎ボルト<br>(i=1) | SUS304 | 引張り | $\sigma_{b1}$＝2 | $f_{ts1}$＝153* |
| | | せん断 | $\tau_{b1}$＝1 | $f_{sb1}$＝118 |
| ポンプ取付ボルト<br>(i=2) | SS400 | 引張り | $\sigma_{b2}$＝ 4 | $f_{ts2}$＝183* |
| | | せん断 | $\tau_{b2}$＝2 | $f_{sb2}$＝141 |
| 原動機基礎ボルト<br>(i=3) | － | 引張り | － | $f_{ts3}$＝－ |
| | | せん断 | $\tau_{b3}$＝－ | $f_{sb3}$＝－ |
| 原動機取付ボルト<br>(i=4) | － | 引張り | － | $f_{ts4}$＝－ |
| | | せん断 | $\tau_{b4}$＝－ | $f_{sb4}$＝－ |

すべて許容応力以下である。

注記＊：（3.1.2）式より算出



（４３）炭酸ソーダ貯槽１供給ポンプＡ，Ｂ，Ｃ

a. 条件

| 機器名称 | 耐震設計上の重要度分類 | 据付場所及び床面高さ 設計G.L.（m） | 水平方向設計震度 | 鉛直方向設計震度 | ポンプ振動による震度 | 最高使用温度（℃） | 周囲環境温度（℃） |
|---|---|---|---|---|---|---|---|
| 炭酸ソーダ貯槽１<br>供給ポンプA,B,C | B | 増設多核種除去設備建屋<br>T.P.36.2 | $C_H$＝0.36 | － | $C_P$＝0.00 | 60 | 40 |

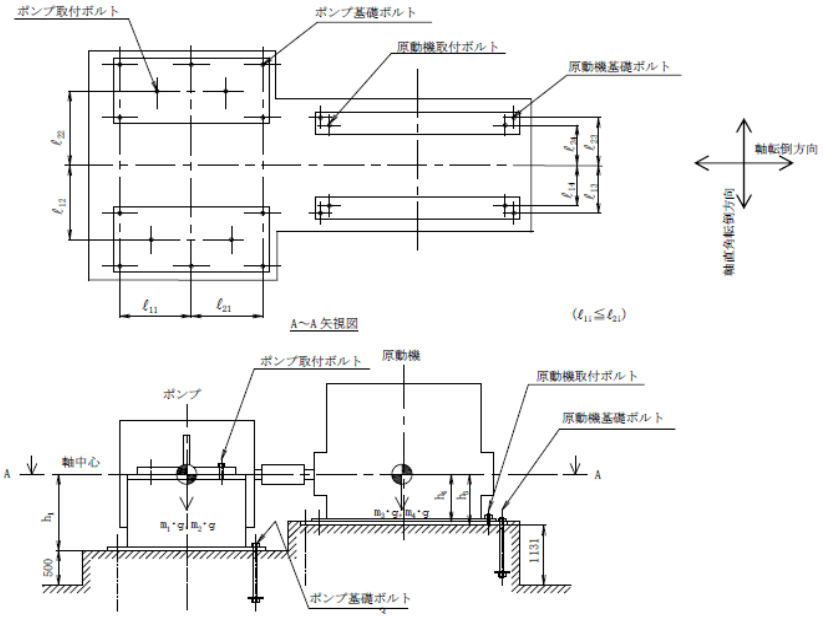
b. 評価結果

（単位：MPa）

| 部　材 | 材　料 | 応　力 | 算出応力 | 許容応力 |
|---|---|---|---|---|
| ポンプ基礎ボルト (i=1) | SUS304 | 引張り | $\sigma_{b1}$＝9 | $f_{ts1}$＝153* |
| | | せん断 | $\tau_{b1}$＝3 | $f_{sb1}$＝118 |
| ポンプ取付ボルト (i=2) | － | 引張り | － | $f_{ts2}$＝－ |
| | | せん断 | $\tau_{b2}$＝－ | $f_{sb2}$＝－ |
| 原動機基礎ボルト (i=3) | － | 引張り | － | $f_{ts3}$＝－ |
| | | せん断 | $\tau_{b3}$＝－ | $f_{sb3}$＝－ |
| 原動機取付ボルト (i=4) | － | 引張り | － | $f_{ts4}$＝－ |
| | | せん断 | $\tau_{b4}$＝－ | $f_{sb4}$＝－ |

すべて許容応力以下である。

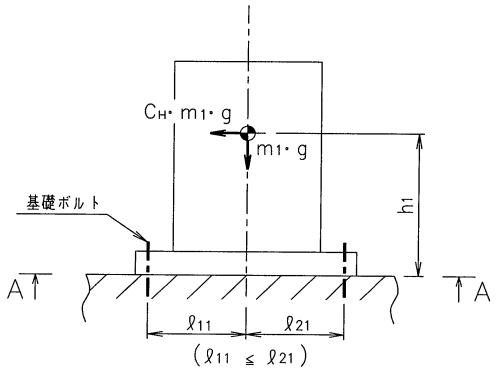
注記＊：（3.1.2）式より算出



（４４）炭酸ソーダ製造スキッド１，２，３

a. 条件

| 機器名称 | 耐震設計上の重要度分類 | 据付場所及び床面高さ 設計G.L.（m） | 水平方向設計震度 | 鉛直方向設計震度 | 最高使用温度（℃） | 周囲環境温度（℃） |
|---|---|---|---|---|---|---|
| 炭酸ソーダ製造スキッド1,2,3 | B | 増設多核種除去設備建屋 T.P.36.2 | $C_H$＝0.36 | － | 60 | 40 |



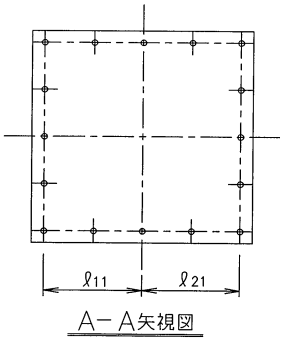

b. 評価結果

（単位：MPa）

| 部　材 | 材　料 | 応　力 | 算出応力 | 許容応力 |
|---|---|---|---|---|
| 基礎ボルト (i=1) | SS400 | 引張り | $\sigma_{bi}$＝－ | $f_{tsi}$＝39* |
| | | せん断 | $\tau_{bi}$＝19 | $f_{sbi}$＝49* |

注記　＊：後打ちアンカー耐力による

すべて許容応力以下である。




A－A矢視図

（４５）炭酸ソーダ溶解槽１，２，３移送スキッド

a. 条件

| 機器名称 | 耐震設計上の重要度分類 | 据付場所及び床面高さ<br>設計 G.L.（m） | 水平方向設計震度 | 鉛直方向設計震度 | 最高使用温度<br>(℃) | 周囲環境温度<br>(℃) |
|---|---|---|---|---|---|---|
| 炭酸ソーダ溶解槽1,2,3<br>移送スキッド | B | 増設多核種除去設備建屋<br>T.P. 36.2 | $C_H$＝0.36 | － | 60 | 40 |

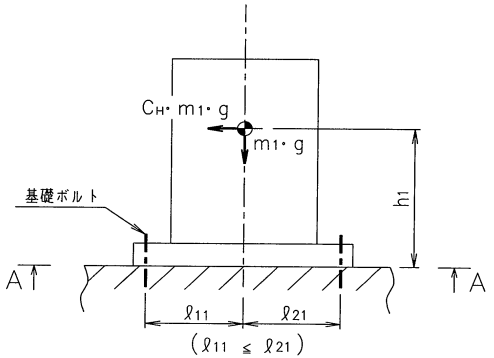
b. 評価結果

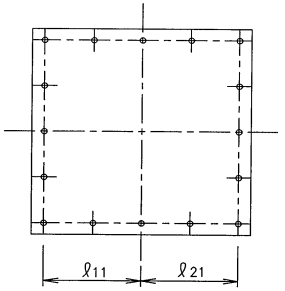
（単位：MPa ）

| 部　材 | 材　料 | 応　力 | 算出応力 | 許容応力 |
|---|---|---|---|---|
| 基礎ボルト<br>(i=1) | SS400 | 引張り | $\sigma_{bi}$＝－ | $f_{tsi}$＝39* |
| | | せん断 | $\tau_{bi}$＝3 | $f_{sbi}$＝49* |

注記　＊：後打ちアンカー耐力による

すべて許容応力以下である。




A－A矢視図

（４６）炭酸ソーダ貯槽１供給スキッド

a. 条件

| 機器名称 | 耐震設計上の重要度分類 | 据付場所及び床面高さ<br>設計 G.L.（m） | 水平方向設計震度 | 鉛直方向設計震度 | 最高使用温度<br>(℃) | 周囲環境温度<br>(℃) |
|---|---|---|---|---|---|---|
| 炭酸ソーダ貯槽１<br>供給スキッド | B | 増設多核種除去設備建屋<br>T.P.36.2 | $C_H$＝0.36 | － | 60 | 40 |

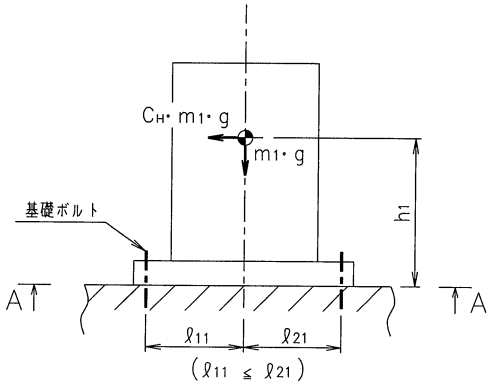
b. 評価結果

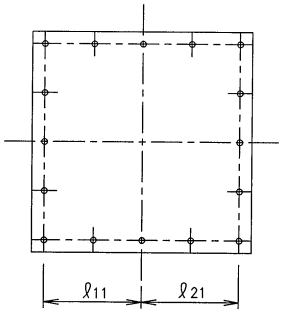
（単位：MPa ）

| 部　材 | 材　料 | 応　力 | 算出応力 | 許容応力 |
|---|---|---|---|---|
| 基礎ボルト<br>(i=1) | SS400 | 引張り | $\sigma_{b1}$＝－ | $f_{ts1}$＝39* |
| | | せん断 | $\tau_{b1}$＝5 | $f_{sb1}$＝49* |

注記　＊：後打ちアンカー耐力による

すべて許容応力以下である。



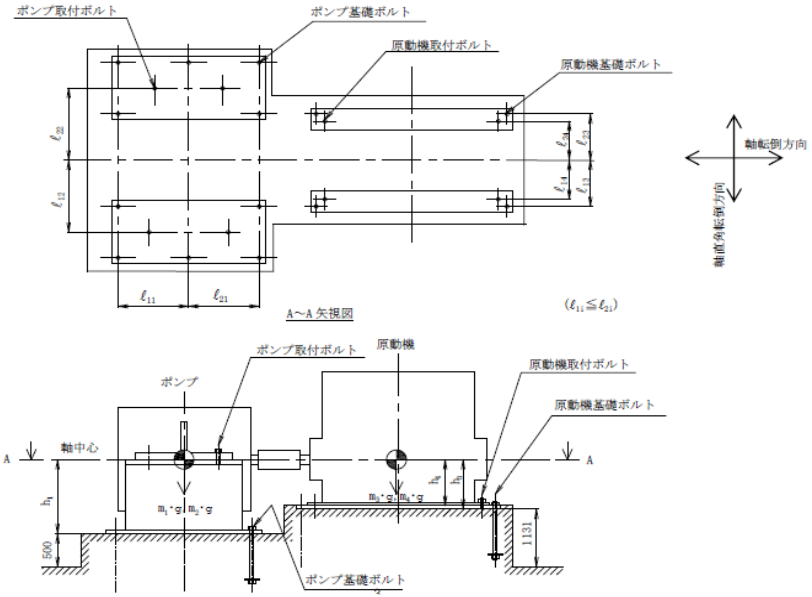




A－A矢視図

（４７）炭酸ソーダ貯槽２移送ポンプ１，２

a. 条件

| 機器名称 | 耐震設計上の重要度分類 | 据付場所及び床面高さ<br>設計 G.L.（m） | 水平方向設計震度 | 鉛直方向設計震度 | ポンプ振動による震度 | 最高使用温度（℃） | 周囲環境温度（℃） |
|---|---|---|---|---|---|---|---|
| 炭酸ソーダ貯槽２<br>移送ポンプ 1,2 | B | 増設多核種除去設備建屋<br>T.P.36.2 | $C_H$＝0.36 | － | $C_P$＝0.30 | 60 | 40 |




b. 評価結果

（単位：MPa ）

| 部　材 | 材　料 | 応　力 | 算出応力 | 許容応力 |
|---|---|---|---|---|
| ポンプ基礎ボルト (i=1) | SUS304 | 引張り | $\sigma_{b1}$＝2 | $f_{ts1}$＝153* |
| | | せん断 | $\tau_{b1}$＝2 | $f_{sb1}$＝118 |
| ポンプ取付ボルト (i=2) | SS400 | 引張り | $\sigma_{b2}$＝2 | $f_{ts3}$＝183* |
| | | せん断 | $\tau_{b2}$＝3 | $f_{sb2}$＝141 |
| 原動機基礎ボルト (i=3) | － | 引張り | － | $f_{ts3}$＝－ |
| | | せん断 | $\tau_{b3}$＝－ | $f_{sb3}$＝－ |
| 原動機取付ボルト (i=4) | － | 引張り | － | $f_{ts4}$＝－ |
| | | せん断 | $\tau_{b4}$＝－ | $f_{sb4}$＝－ |

すべて許容応力以下である。

注記＊：（3.1.2）式より算出

（４８）炭酸ソーダ貯槽２移送スキッド

a. 条件

| 機器名称 | 耐震設計上の重要度分類 | 据付場所及び床面高さ<br>設計 G.L.（m） | 水平方向設計震度 | 鉛直方向設計震度 | 最高使用温度<br>(℃) | 周囲環境温度<br>(℃) |
|---|---|---|---|---|---|---|
| 炭酸ソーダ貯槽２<br>移送スキッド | B | 増設多核種除去設備建屋<br>T.P.36.2 | $C_H$=0.36 | － | 60 | 40 |

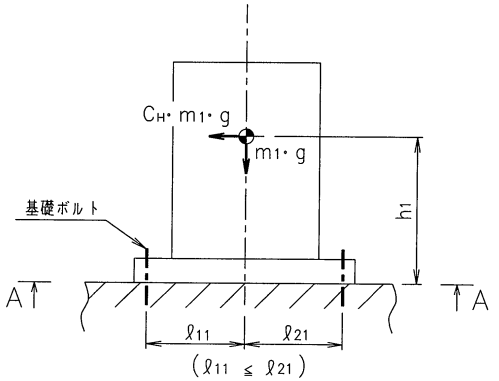
b. 評価結果

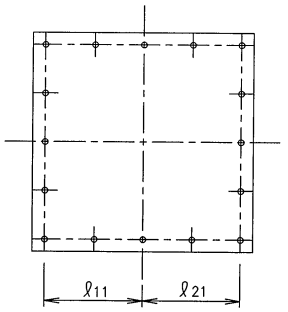
（単位：MPa ）

| 部　材 | 材　料 | 応　力 | 算出応力 | 許容応力 |
|---|---|---|---|---|
| 基礎ボルト<br>(i=1) | SS400 | 引張り | $\sigma_{b1}$=－ | $f_{ts1}$=39* |
| | | せん断 | $\tau_{b1}$=4 | $f_{sb1}$=49* |

注記　＊：後打ちアンカー耐力による

すべて許容応力以下である。




A－A矢視図

（４９）反応／凝集槽Ａ，Ｃ

| 機器名称 | 評価部位 | 材料 | 評価項目 | 震度 | 算出値 | 許容値 | 単位 |
|---|---|---|---|---|---|---|---|
| 反応／凝集槽Ａ，Ｃ | 胴板 | SS400 | 組合せ | 水平 0.70 鉛直 0.40 | 19 | 208 | MPa |
| | スカート | SS400 | 組合せ | | 17 | 215 | MPa |
| | | | 圧縮と曲げの組合せ（座屈の評価） | | 0.08 | 1 | - |
| | 取付ボルト | SS400 | 引張り | | 76 | 161 | MPa |
| | | | せん断 | | 37 | 124 | MPa |

（５０）沈殿槽Ａ，Ｃ

| 機器名称 | 評価部位 | 材料 | 評価項目 | 震度 | 算出値 | 許容値 | 単位 |
|---|---|---|---|---|---|---|---|
| 沈殿槽Ａ，Ｃ | 胴板 | SUS316L | 組合せ | 水平 0.70 鉛直 0.40 | 21 | 160 | MPa |
| | スカート | SUS304 | 組合せ | | 17 | 205 | MPa |
| | | | 圧縮と曲げの組合せ（座屈の評価） | | 0.09 | 1 | - |
| | 取付ボルト | SS400 | 引張り | | 72 | 161 | MPa |
| | | | せん断 | | 39 | 124 | MPa |

（５１）上澄み水タンクＡ，Ｃ

| 機器名称 | 評価部位 | 材料 | 評価項目 | 震度 | 算出値 | 許容値 | 単位 |
|---|---|---|---|---|---|---|---|
| 上澄み水タンクＡ，Ｃ | 胴板 | SUS316L | 組合せ | 水平 0.70 鉛直 0.40 | 13 | 160 | MPa |
| | スカート | SUS304 | 組合せ | | 20 | 205 | MPa |
| | | | 圧縮と曲げの組合せ（座屈の評価） | | 0.10 | 1 | - |
| | 取付ボルト | SS400 | 引張り | | 48 | 161 | MPa |
| | | | せん断 | | 9 | 124 | MPa |

（５２）スラリー循環ポンプＡ，Ｃ

| 機器名称 | 評価部位 | 材料 | 評価項目 | 震度 | 算出値 | 許容値 | 単位 |
|---|---|---|---|---|---|---|---|
| スラリー循環ポンプＡ，Ｃ | 取付ボルト | SS400 | 引張り | 水平 0.70 | 3 | 161 | MPa |
| | | | せん断 | 鉛直 0.40 | 3 | 124 | MPa |

（５３）上澄み水ポンプＡ，Ｃ

| 機器名称 | 評価部位 | 材料 | 評価項目 | 震度 | 算出値 | 許容値 | 単位 |
|---|---|---|---|---|---|---|---|
| 上澄み水ポンプＡ，Ｃ | 取付ボルト | SS400 | 引張り | 水平 0.70 | 3 | 161 | MPa |
| | | | せん断 | 鉛直 0.40 | 3 | 124 | MPa |

（５４）反応／凝集・沈殿槽Ａ，Ｃスキッド

| 機器名称 | 評価部位 | 材料 | 評価項目 | 震度 | 算出値 | 許容値 | 単位 |
|---|---|---|---|---|---|---|---|
| 反応／凝集・沈殿槽Ａ，Ｃスキッド | 基礎ボルト | SS400 | 引張り | 水平 0.70 | 51 | 60* | MPa |
| | | | せん断 | 鉛直 0.40 | 36 | 70* | MPa |

注記　＊後打ちアンカー耐力による

（５５）上澄み水タンクＡ，Ｃスキッド

| 機器名称 | 評価部位 | 材料 | 評価項目 | 震度 | 算出値 | 許容値 | 単位 |
|---|---|---|---|---|---|---|---|
| 上澄み水タンクＡ，Ｃスキッド | 基礎ボルト | SS400 | 引張り | 水平 0.70 | 45 | 60* | MPa |
| | | | せん断 | 鉛直 0.40 | 15 | 70* | MPa |

注記　＊後打ちアンカー耐力による

（５６）凝集沈殿ポンプＡ，Ｃスキッド

| 機器名称 | 評価部位 | 材料 | 評価項目 | 震度 | 算出値 | 許容値 | 単位 |
|---|---|---|---|---|---|---|---|
| 凝集沈殿ポンプＡ，Ｃスキッド | 基礎ボルト | SS400 | 引張り | 水平 0.70 | 4 | 60* | MPa |
| | | | せん断 | 鉛直 0.40 | 14 | 70* | MPa |

注記　＊後打ちアンカー耐力による

（５７）主配管（固有振動数 20Hz 以上）

１．評価方法

増設多核種除去設備の主配管のうち追設するものは，建屋との共振による加速度増大の防止を目的とし，はりモデルを使用して，配管系の固有振動数が 20Hz 以上となるスパンを解析で算出し，配管系をこの定ピッチスパンで支持するように設計する。

２．評価結果

| | | | 配管設計条件 | | | | |
|---|---|---|---|---|---|---|---|
| | 耐震クラス | | B | B | B | B | B |
| | 保温 | | 無 | 無 | 有 | 有 | 無 |
| | 遮へい | | 無 | 無 | 無 | 無 | 無 |
| | 流体 | | 液体 | 液体 | 液体 | 液体 | 液体 |
| | 内 圧 (MPa) | | 0.98 | 静水頭～0.98 | 0.5 | 0.98 | 静水頭 |
| | 最高使用温度 (℃) | | ～60 | ～60 | ～60 | ～60 | ～60 |
| | 比重(g/cm3) | | 1.0 | 1.0～1.2 | 1.0 | 1.0～1.2 | 1.1 |
| | 材 質 | | 炭素鋼 | ステンレス鋼 | ステンレス鋼 | ステンレス鋼 | ステンレス鋼 |
| 直管部最大支持間隔 | 口径 | sch | (mm) | (mm) | (mm) | (mm) | (mm) |
| | 15A | 40 | | | | 1400 | |
| | 25A | 40 | | | 1850 | 1800 | |
| | 32A | 40 | | | | 2000 | |
| | 40A | 40 | | | | 2100 | |
| | 50A | 40 | 2550 | 2500 | | | |
| | 150A | 40 | | | | | 4000 |

増設多核種除去設備の各機器について，参考評価として，耐震 S クラス相当の水平震度に対して，健全性が維持されることを確認した。評価結果を表１に示す。

表１　増設多核種除去設備　各機器に対する耐震評価結果（１／４）

| 機器名称 | 評価部位 | 評価項目 | 水平震度 | 算出値 | 許容値 | 単位 |
|---|---|---|---|---|---|---|
| 処理水受入れタンク１，２ | 取付ボルト | 引張 | 0.8 | 19 | 176 | MPa |
| | | せん断 | 0.8 | 29 | 135 | MPa |
| 共沈タンク A，B，C | 取付ボルト | 引張 | 0.8 | 32 | 176 | MPa |
| | | せん断 | 0.8 | 12 | 135 | MPa |
| 供給タンク A，B，C | 取付ボルト | 引張 | 0.8 | 27 | 176 | MPa |
| | | せん断 | 0.8 | 13 | 135 | MPa |
| 吸着塔入口バッファタンク A，B，C | 取付ボルト | 引張 | 0.8 | 5 | 176 | MPa |
| | | せん断 | 0.8 | 16 | 135 | MPa |
| サンプルタンク A，B，C | 本体 | 転倒 | 0.8 | $6.7\times10^{4}$ | $7.1\times10^{4}$ | kN・m |
| 多核種吸着塔１～５A，B，C | 取付ボルト | 引張 | 0.8 | 18 | 131 | MPa |
| | | せん断 | 0.8 | 8 | 101 | MPa |
| 多核種吸着塔６～１４A，B，C | 取付ボルト | 引張 | 0.8 | 21 | 158 | MPa |
| | | せん断 | 0.8 | 9 | 121 | MPa |
| 多核種吸着塔１５～１８A，B，C | 取付ボルト | 引張 | 0.8 | 32 | 158 | MPa |
| | | せん断 | 0.8 | 16 | 121 | MPa |
| 移送タンク１，２ | 取付ボルト | 引張 | 0.8 | 6 | 176 | MPa |
| | | せん断 | 0.8 | 31 | 135 | MPa |
| 供給ポンプ１A，B，C | 取付ボルト | 引張 | 0.8 | 1 | 153 | MPa |
| | | せん断 | 0.8 | 3 | 118 | MPa |
| | ポンプ取付ボルト | 引張 | 0.8 | 8 | 153 | MPa |
| | | せん断 | 0.8 | 2 | 118 | MPa |
| | 原動機取付ボルト | 引張 | 0.8 | 2 | 153 | MPa |
| | | せん断 | 0.8 | 2 | 118 | MPa |

表１　増設多核種除去設備　各機器に対する耐震評価結果（２／４）

| 機器名称 | 評価部位 | 評価項目 | 水平震度 | 算出値 | 許容値 | 単位 |
|---|---|---|---|---|---|---|
| 供給ポンプ２A，B，C | 取付ボルト | 引張 | 0.8 | 2 | 153 | MPa |
| | | せん断 | 0.8 | 3 | 118 | MPa |
| | ポンプ取付ボルト | 引張 | 0.8 | 9 | 153 | MPa |
| | | せん断 | 0.8 | 2 | 118 | MPa |
| | 原動機取付ボルト | 引張 | 0.8 | 3 | 153 | MPa |
| | | せん断 | 0.8 | 3 | 118 | MPa |
| 循環ポンプA，B，C | 取付ボルト | 引張 | 0.8 | 3 | 153 | MPa |
| | | せん断 | 0.8 | 9 | 118 | MPa |
| | ポンプ取付ボルト | 引張 | 0.8 | 8 | 153 | MPa |
| | | せん断 | 0.8 | 2 | 118 | MPa |
| | 原動機取付ボルト | 引張 | 0.8 | 3 | 153 | MPa |
| | | せん断 | 0.8 | 5 | 118 | MPa |
| ブースターポンプ１A，B，C | 取付ボルト | 引張 | 0.8 | 3 | 153 | MPa |
| | | せん断 | 0.8 | 5 | 118 | MPa |
| | ポンプ取付ボルト | 引張 | 0.8 | 15 | 153 | MPa |
| | | せん断 | 0.8 | 3 | 118 | MPa |
| | 原動機取付ボルト | 引張 | 0.8 | 3 | 153 | MPa |
| | | せん断 | 0.8 | 3 | 118 | MPa |
| ブースターポンプ２A，B，C | 取付ボルト | 引張 | 0.8 | 3 | 153 | MPa |
| | | せん断 | 0.8 | 5 | 118 | MPa |
| | ポンプ取付ボルト | 引張 | 0.8 | 15 | 153 | MPa |
| | | せん断 | 0.8 | 3 | 118 | MPa |
| | 原動機取付ボルト | 引張 | 0.8 | 3 | 153 | MPa |
| | | せん断 | 0.8 | 3 | 118 | MPa |
| 移送ポンプ１，２ | 取付ボルト | 引張 | 0.8 | 2 | 153 | MPa |
| | | せん断 | 0.8 | 5 | 118 | MPa |
| | ポンプ取付ボルト | 引張 | 0.8 | 10 | 153 | MPa |
| | | せん断 | 0.8 | 2 | 118 | MPa |
| | 原動機取付ボルト | 引張 | 0.8 | 3 | 153 | MPa |
| | | せん断 | 0.8 | 4 | 118 | MPa |

表１　増設多核種除去設備　各機器に対する耐震評価結果（３／４）

| 機器名称 | 評価部位 | 評価項目 | 水平震度 | 算出値 | 許容値 | 単位 |
|---|---|---|---|---|---|---|
| 増設多核種除去設備用移送ポンプ A，B | 取付ボルト | 引張 | 0.8 | 4 | 153 | MPa |
| | | せん断 | 0.8 | 6 | 118 | MPa |
| | ポンプ取付ボルト | 引張 | 0.8 | 14 | 153 | MPa |
| | | せん断 | 0.8 | 3 | 118 | MPa |
| | 原動機取付ボルト | 引張 | 0.8 | 5 | 153 | MPa |
| | | せん断 | 0.8 | 5 | 118 | MPa |
| 出口フィルタ A，B，C | 取付ボルト | 引張 | 0.8 | 92 | 153 | MPa |
| | | せん断 | 0.8 | 6 | 118 | MPa |
| 増設多核種除去設備入口弁スキッド | 基礎ボルト | 引張 | 0.8 | － | 30 | MPa |
| | | せん断 | 0.8 | 36 | 38 | MPa |
| 処理水受入タンク１，２スキッド | 基礎ボルト | 引張 | 0.8 | 37 | 65 | MPa |
| | | せん断 | 0.8 | 52 | 70 | MPa |
| 供給ポンプ１スキッド | 基礎ボルト | 引張 | 0.8 | － | 30 | MPa |
| | | せん断 | 0.8 | 16 | 38 | MPa |
| 共沈タンク A，B，C スキッド | 基礎ボルト | 引張 | 0.8 | 44 | 65 | MPa |
| | | せん断 | 0.8 | 34 | 70 | MPa |
| 供給タンク A，B，C スキッド | 基礎ボルト | 引張 | 0.8 | 32 | 65 | MPa |
| | | せん断 | 0.8 | 36 | 70 | MPa |
| 供給ポンプ２A，B，C スキッド | 基礎ボルト | 引張 | 0.8 | － | 30 | MPa |
| | | せん断 | 0.8 | 12 | 38 | MPa |
| 供給ポンプ２弁 A，B，C スキッド | 基礎ボルト | 引張 | 0.8 | － | 30 | MPa |
| | | せん断 | 0.8 | 9 | 38 | MPa |
| クロスフローフィルタ A，B，C スキッド | 基礎ボルト | 引張 | 0.8 | 34 | 65 | MPa |
| | | せん断 | 0.8 | 68 | 70 | MPa |
| 吸着塔入口バッファタンク A，B，C スキッド | 基礎ボルト | 引張 | 0.8 | 5 | 65 | MPa |
| | | せん断 | 0.8 | 28 | 70 | MPa |
| ブースターポンプ１A，B，C スキッド | 基礎ボルト | 引張 | 0.8 | － | 30 | MPa |
| | | せん断 | 0.8 | 13 | 38 | MPa |
| 多核種吸着塔 A，B，C スキッド１ | 基礎ボルト | 引張 | 0.8 | 36 | 65 | MPa |
| | | せん断 | 0.8 | 45 | 70 | MPa |
| 多核種吸着塔 A，B，C スキッド２ | 基礎ボルト | 引張 | 0.8 | 31 | 65 | MPa |
| | | せん断 | 0.8 | 41 | 70 | MPa |
| 多核種吸着塔 A，B，C スキッド３ | 基礎ボルト | 引張 | 0.8 | 27 | 65 | MPa |
| | | せん断 | 0.8 | 37 | 70 | MPa |

表１　増設多核種除去設備　各機器に対する耐震評価結果（４／４）

| 機器名称 | 評価部位 | 評価項目 | 水平震度 | 算出値 | 許容値 | 単位 |
|---|---|---|---|---|---|---|
| 多核種吸着塔 A，B，C スキッド４ | 基礎ボルト | 引張 | 0.8 | 32 | 65 | MPa |
| | | せん断 | 0.8 | 39 | 70 | MPa |
| 多核種吸着塔 A，B，C スキッド５ | 基礎ボルト | 引張 | 0.8 | 20 | 65 | MPa |
| | | せん断 | 0.8 | 49 | 70 | MPa |
| 多核種吸着塔 A，B，C スキッド６ | 基礎ボルト | 引張 | 0.8 | 20 | 65 | MPa |
| | | せん断 | 0.8 | 49 | 70 | MPa |
| ブースターポンプ２A，B，C スキッド | 基礎ボルト | 引張 | 0.8 | － | 30 | MPa |
| | | せん断 | 0.8 | 10 | 38 | MPa |
| 出口フィルタスキッド | 基礎ボルト | 引張 | 0.8 | － | 30 | MPa |
| | | せん断 | 0.8 | 18 | 38 | MPa |
| 移送タンク１，２ スキッド | 基礎ボルト | 引張 | 0.8 | － | 65 | MPa |
| | | せん断 | 0.8 | 55 | 70 | MPa |
| 出口移送スキッド | 基礎ボルト | 引張 | 0.8 | － | 30 | MPa |
| | | せん断 | 0.8 | 22 | 38 | MPa |
| 増設多核種除去設備用移送ポンプスキッド | 基礎ボルト | 引張 | 0.8 | － | 30 | MPa |
| | | せん断 | 0.8 | 25 | 38 | MPa |

以上

別紙－２

# 耐震クラスの設定について

増設多核種除去設備を構成する機器のうち放射性物質を内包するものは，2021 年 9 月 8 日の原子力規制委員会で示された耐震設計の考え方を踏まえ，その安全機能の重要度，地震によって機能の喪失を起こした場合の安全上の影響（公衆への被ばく影響）や廃炉活動への影響等を考慮した上で，核燃料物質を非密封で扱う燃料加工施設や使用施設等における耐震クラス分類を参考にして適切な耐震設計上の区分を行うとともに，適切と考えられる設計用地震力に耐えられる設計とする。

本資料では，上記の方針に基づく耐震クラスの設定について記載する。

ただし，本資料に記載が無い，2021 年 9 月 8 日以前に認可された機器については，「発電用原子炉施設に関する耐震設計審査指針」を参考にして耐震クラスを分類している。

## １．Ｂ＋クラスに設定する設備

### （１）対象設備

反応／凝集槽，沈殿槽，上澄み水タンク，スラリー循環ポンプ，上澄み水ポンプ，反応／凝集・沈殿槽スキッド，上澄み水タンクスキッド，凝集沈殿ポンプスキッドおよびこれらに接続する主配管。

### （２）設定の理由

ａ．破損シナリオ

地震により安全機能を失った際の公衆への被ばく影響を評価するため，増設多核種除去設備の各機器が破損して内包する液体放射性物質が漏えいすることを想定する。なお，破損を想定する各機器には，（１）対象設備に加えて，2021 年 9 月 8 日以前に認可された機器を含む。

ｂ．影響評価

敷地境界線量評価の対象としている機器に設置している遮へい等（各タンクの厚さ含む）が消失することを想定し，これにより放射線量が増大する影響を簡易的に評価した結果，最寄りの敷地境界（評価点 No.70）の線量は年間 1.36mSv 程度になると評価した。

なお，敷地境界線量評価の対象としている機器は，処理水受入タンク，共沈供給タンクスキッド，クロスフローフィルタスキッド，吸着塔，ＨＩＣ（スラリー用及び吸着材用），反応／凝集槽，沈殿槽，上澄み水タンクであり，これらの鉄遮へいが 5cm 消失することで線量が 10 倍になると設定して評価した。

また，各機器の破損により漏出した放射性物質を最寄りの敷地境界にいる公衆が吸引することにより，0.08mSv 程度の線量影響が有ると評価した。（表１参照）

なお，1 年の間に線源の除去もしくは遮へいによる線量低減は十分可能であること，安全機能を失うような地震が発生したとしても，機器が全て破損することは無いと想定されることから，評価シナリオは保守性を有している。

ｃ．耐震クラス

破損シナリオによる公衆への被ばく影響は 1.44mSv 程度であり 50μSv～5mSv の

範囲であること，増設多核種除去設備は供用期間が長期間であることから，耐震クラスはＢ＋クラスと評価する。

表１　漏出した放射性物質を公衆が吸引した場合の線量簡易評価

| 項目 | 記号 | 単位 | 値 | 備考 |
|---|---|---|---|---|
| 放射性物質量 | MAR | Bq | 4.10E+14 | 実施計画記載の敷地境界線量評価条件より設定。核種はSr-90。 |
| MARのうち事故の影響を受ける割合 | DR | － | 1 | 全機器が損傷するとして保守側に設定 |
| 雰囲気中に放出され浮遊する割合 | ARF | － | 5.00E-05 | 出典※1より |
| 肺に吸入され得る微粒子の割合 | RF | － | 1 | 知見となるデータが無いため保守側に設定 |
| 環境中へ漏れ出る割合 | LPF | － | 1 | 機器・建物の損傷の程度を考慮せず保守側に設定 |
| 五因子法※2による放射性物質放出量 | ST | Bq | 2.05E+10 | MAR×DR×ARF×RF×LPF |
| 一般公衆の呼吸率 | Ma | $m^3/s$ | 2.57E-04 | 出典※3より 2.22E+07$cm^3$/日を換算 |
| 実効線量換算係数 | H | mSv/Bq | 7.7E-05 | 出典※4より Sr-90 の値 |
| 発電用原子炉施設の安全解析に関する気象指針による相対濃度 | χ/Q | $s/m^3$ | 1.95E-04 | 大気安定度:Ｄ，風速 3.1m/s，敷地境界まで 440m |
| 公衆が漏出した放射性物質を吸引することによる内部被ばく線量 | Di | mSv | 7.91E-02 | ST×(χ/Q)×Ma×H |

※１：U.S. Department of Energy, AIRBORNE RELEASE FRACTIONS/RATES AND RESPIRABLE FRACTIONS FOR NONREACTOR NUCLEAR FACILITIES, Volume I - Analysis of Experimental Data, DOE-HDBK-3010-94 December 1994

※２：五因子法とは、核燃料サイクル施設の事故解析ハンドブック（NUREG/CR-6410）に記載された簡易的に放射性物質の放出量を評価する手法である。

※３：発電用軽水型原子炉施設周辺の線量目標に対する評価指針

※４:核原料物質又は核燃料物質の精錬の事業に関する規則等の規定に基づく線量限度等を定める告示

（３）Ｂ＋クラスの設計震度

2021 年 9 月 8 日の原子力規制委員会で示された耐震設計の考え方では，Ｂクラスに対する静的地震力の評価と，動的地震力の評価として 1/2Sd225 弾性範囲（共振時のみ）の評価を求めており，Ｂ＋クラスではＢクラスの評価に加えて，動的地震力の評価として 1/2Ss450 機能維持の評価を求めている。

ａ．静的地震力の評価

機器に対する静的地震力の評価は，水平 0.3G に 1.2 を乗じて水平震度は 0.36 として評価を行う。この評価は，後述するｃ．に包絡されることから，ａ．の評価を省略する。

ｂ．1/2Sd225 弾性範囲（共振時のみ）

1/2Sd225 における機器に対する評価では，後述するｃ．に記載する値（水平震度 0.70,鉛直震度 0.40）に 1/2 を乗じて求め，水平震度は 0.35，鉛直震度は 0.20 として評価を行う。

ｃ．1/2Ss450 機能維持

増設多核種除去設備では 1/2Ss450 に対する，基礎（GL-0.1m）での最大応答加速度は水平（２方向）にて 556cm/s$^2$および 549cm/s$^2$ ，鉛直にて 321cm/s$^2$である。また水平２方向の各時刻の応答加速度を重ね合わせたところ，最大応答加速度は 570cm/s$^2$である。

このため，機器に対する評価では最大応答加速度に 1.2 を乗じて重力加速度で除した値を評価に用いる震度とし，水平震度 0.70，鉛直震度 0.40 にて評価を行う。

以上

# 付録1　スカート支持たて置円筒形容器の耐震性についての計算書作成の基本方針

1.　一般事項

本基本方針は，スカート支持たて置円筒形容器（耐震設計上の重要度分類ＢクラスおよびＢ＋クラス）の耐震性についての計算方法を示す。

1.1　適用基準

本基本方針における計算方法は，原子力発電所耐震設計技術指針　ＪＥＡＧ４６０１-1987（日本電気協会 電気技術基準調査委員会 昭和62年8月）に準拠する。

1.2　計算条件

(1)　容器及び内容物の質量は重心に集中するものとする。

(2)　地震力は容器に対して水平方向および鉛直方向に作用するものとする。

(3)　容器はスカートで支持され，スカートは下端のベースプレートを円周上等ピッチの多数の基礎ボルトで基礎に固定された固定端とする。ここで，基礎については剛となるように設計する。

(4)　胴とスカートをはりと考え，変形モードは曲げ及びせん断変形を考慮する。

(5)　容器頂部に水平方向変位を拘束する構造物を設ける場合は，その部分をピン支持とする。

(6)　スカート部材において，マンホール等の開口部があって補強をしていない場合は，欠損の影響を考慮する。

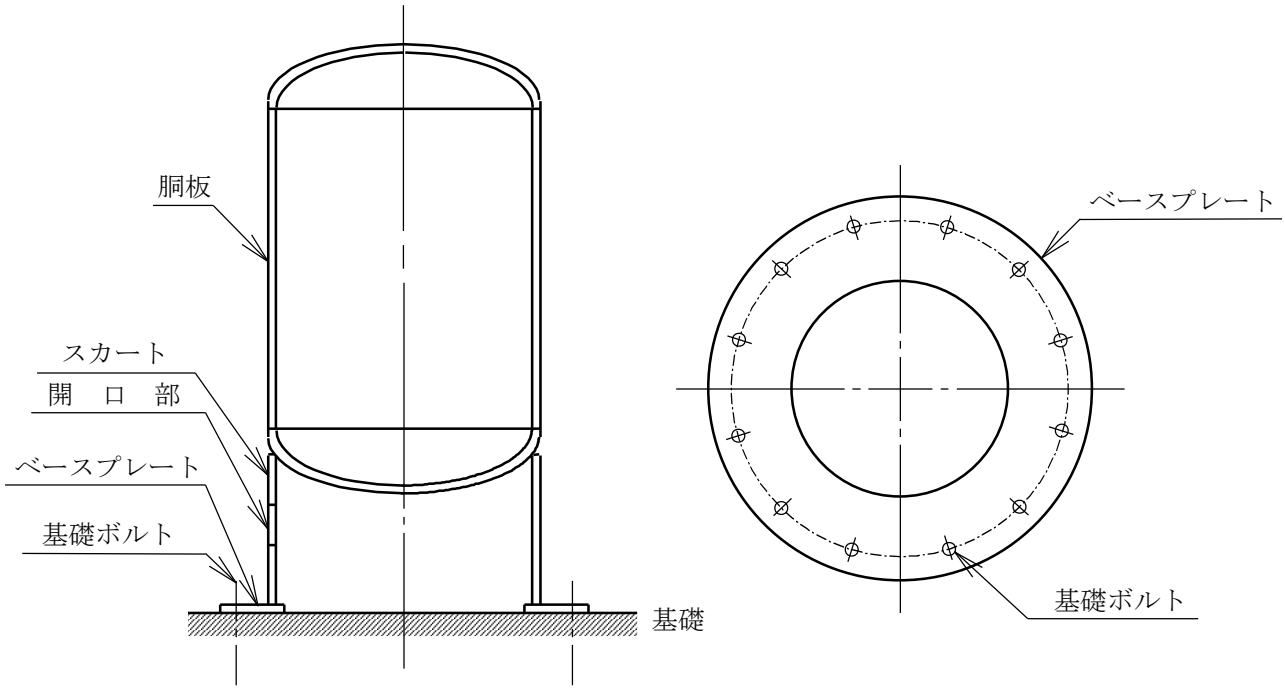



図1－1　概　要　図

1.3　記号の説明

| 記　号 | 記　号　の　説　明 | 単　位 |
|---|---|---|
| A | 胴の軸断面積 | $mm^2$ |
| $A_b$ | 基礎ボルトの軸断面積 | $mm^2$ |
| $A_e$ | 胴の有効せん断断面積 | $mm^2$ |
| $A_s$ | スカートの軸断面積 | $mm^2$ |
| $A_{se}$ | スカートの有効せん断断面積 | $mm^2$ |
| $C_c$ | 基礎ボルト計算における係数 | ― |
| $C_H$ | 水平方向設計震度 | ― |
| $C_t$ | 基礎ボルト計算における係数 | ― |
| $C_v$ | 鉛直方向設計震度 | ― |
| $D_{bi}$ | ベースプレートの内径 | mm |
| $D_{bo}$ | ベースプレートの外径 | mm |
| $D_c$ | 基礎ボルトのピッチ円直径 | mm |
| $D_i$ | 胴の内径 | mm |
| $D_j$ | スカートに設けられた各開口部の穴径（$j=1, 2, 3\cdots j_1$） | mm |
| $D_s$ | スカートの内径 | mm |
| E | 胴の縦弾性係数 | MPa |
| $E_s$ | スカートの縦弾性係数 | MPa |
| e | 基礎ボルト計算における係数 | ― |
| F | 設計・建設規格　SSB-3121.1又はSSB-3131に定める値 | MPa |
| $F_c$ | 基礎に作用する圧縮力 | N |
| $F_t$ | 基礎ボルトに作用する引張力 | N |
| $f_b$ | 曲げモーメントに対する許容座屈応力 | MPa |
| $f_c$ | 軸圧縮荷重に対する許容座屈応力 | MPa |
| $f_{sb}$ | せん断力のみを受ける基礎ボルトの許容せん断応力 | MPa |
| $f_t$ | スカートの許容引張応力 | MPa |
| $f_{to}$ | 引張力のみを受ける基礎ボルトの許容引張応力 | MPa |
| $f_{ts}$ | 引張力とせん断力を同時に受ける基礎ボルトの許容引張応力 | MPa |
| G | 胴のせん断弾性係数 | MPa |
| $G_s$ | スカートのせん断弾性係数 | MPa |
| g | 重力加速度（＝9.80665） | $m/s^2$ |
| H | 水頭 | mm |
| I | 胴の断面二次モーメント | $mm^4$ |
| $I_s$ | スカートの断面二次モーメント | $mm^4$ |
| $j_1$ | スカートに設けられた開口部の穴の個数 | ― |

| 記　号 | 記　号　の　説　明 | 単　位 |
|---|---|---|
| $K_H$ | 水平方向ばね定数 | N/m |
| $K_V$ | 鉛直方向ばね定数 | N/m |
| k | 基礎ボルト計算における中立軸の荷重係数 | － |
| $\lambda$ | 胴のスカート接合点から重心までの距離 | mm |
| $\lambda_1$，$\lambda_2$ | 基礎ボルト計算における中立軸から荷重作用点までの距離（図2－4に示す距離） | mm |
| $\lambda_r$ | 容器の重心から上端支持部までの長さ | mm |
| $\lambda_s$ | スカートの長さ | mm |
| $M_s$ | スカートに作用する転倒モーメント | N･mm |
| $M_{s1}$ | スカートの上端部に作用する転倒モーメント | N･mm |
| $M_{s2}$ | スカートの下端部に作用する転倒モーメント | N･mm |
| $m_0$ | 容器の運転時質量 | kg |
| $m_e$ | 容器のスカート接合部から上部の空質量 | kg |
| n | 基礎ボルトの本数 | － |
| $P_r$ | 最高使用圧力 | MPa |
| Q | 重心に作用する任意の水平力 | N |
| Q′ | Qにより上端の支持部に作用する反力 | N |
| S | 設計・建設規格　付録材料図表　Part5　表5に定める値 | MPa |
| $S_a$ | 胴の許容応力 | MPa |
| $S_u$ | 設計・建設規格　付録材料図表　Part5　表9に定める値 | MPa |
| $S_y$ | 設計・建設規格　付録材料図表　Part5　表8に定める値 | MPa |
| s | 基礎ボルトと基礎の縦弾性係数比 | － |
| $T_H$ | 水平方向固有周期 | s |
| $T_V$ | 鉛直方向固有周期 | s |
| t | 胴板の厚さ | mm |
| $t_1$ | 基礎ボルト面積相当板幅 | mm |
| $t_2$ | 圧縮側基礎相当幅 | mm |
| $t_s$ | スカートの厚さ | mm |
| Y | スカート開口部の水平断面における最大円周長さ | mm |
| z | 基礎ボルト計算における係数 | － |
| $\alpha$ | 基礎ボルト計算における中立軸を定める角度 | rad |
| $\delta$ | 荷重Qによる容器の上端での変位量 | mm |
| $\delta'$ | 荷重Q′による容器の上端での変位量 | mm |
| $\delta_0$ | 荷重Q，Q′による容器の重心での変位量 | mm |
| $\eta$ | 座屈応力に対する安全率 | － |
| $\pi$ | 円周率 | － |

| 記　　号 | 記　　号　　の　　説　　明 | 単　　位 |
|---|---|---|
| $\rho'$ | 液体の密度（＝比重×$10^{-6}$） | $kg/mm^3$ |
| $\sigma_0$ | 胴の一次一般膜応力の最大値 | MPa |
| $\sigma_{0c}$ | 胴の組合せ圧縮応力 | MPa |
| $\sigma_{0t}$ | 胴の組合せ引張応力 | MPa |
| $\sigma_b$ | 基礎ボルトに生じる引張応力 | MPa |
| $\sigma_c$ | 基礎に生じる圧縮応力 | MPa |
| $\sigma_s$ | スカートの組合せ応力 | MPa |
| $\sigma_{s1}$ | スカートの運転時質量による軸方向応力 | MPa |
| $\sigma_{s2}$ | スカートの曲げモーメントによる軸方向応力 | MPa |
| $\sigma_{s3}$ | スカートの鉛直方向地震による軸方向応力 | MPa |
| $\sigma_{x1}$，$\sigma_{\phi 1}$ | 静水頭又は内圧により胴に生じる軸方向及び周方向応力 | MPa |
| $\sigma_{x2}$ | 胴の運転時質量による軸方向引張応力 | MPa |
| $\sigma_{x3}$ | 胴の空質量による軸方向圧縮応力 | MPa |
| $\sigma_{x4}$ | 地震により胴に生じる軸方向応力 | MPa |
| $\sigma_{x5}$ | 胴の鉛直方向地震による軸方向引張応力 | MPa |
| $\sigma_{x6}$ | 胴の鉛直方向地震による軸方向圧縮応力 | MPa |
| $\sigma_{xc}$ | 胴の軸方向応力の和（圧縮側） | MPa |
| $\sigma_{xt}$ | 胴の軸方向応力の和（引張側） | MPa |
| $\sigma_\phi$ | 胴の周方向応力の和 | MPa |
| $\sigma_{\phi 2}$ | 静水頭に鉛直方向地震が加わり胴に生じる周方向応力 | MPa |
| $\tau$ | 地震により胴に生じるせん断応力 | MPa |
| $\tau_b$ | 基礎ボルトに生じるせん断応力 | MPa |
| $\tau_s$ | 地震によりスカートに生じるせん断応力 | MPa |
| $\phi_1(x)$ | 圧縮荷重に対する許容座屈応力の関数 | MPa |
| $\phi_2(x)$ | 曲げモーメントに対する許容座屈応力の関数 | MPa |

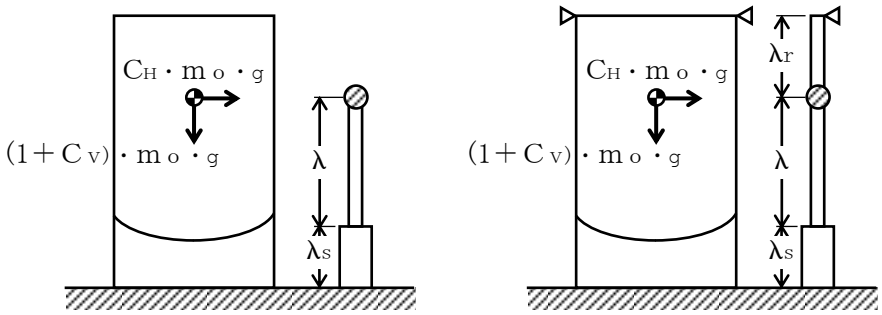
注：「設計・建設規格」とは，発電用原子力設備規格（設計・建設規格　ＪＳＭＥ　ＳＮＣ１－2005（2007年追補版含む。））（日本機械学会　2007年9月）（以下「設計・建設規格」という。）をいう。

2.　計算方法

2.1　固有周期の計算方法

(1)　計算モデル

本容器は，1.2項より図2－1に示す下端固定の1質点系振動モデルあるいは下端固定上端支持の1質点系振動モデルとして考える。




下端固定の場合　　下端固定上端支持の場合

図2－1　固有周期の計算モデル

(2)　水平方向固有周期

a.　下端固定の場合

曲げ及びせん断変形によるばね定数$K_H$は次式で求める。

$$K_H=1000\ /\ \left\{\frac{\lambda^3}{3\cdot E\cdot I}+\frac{1}{3\cdot E_s\cdot I_s}\cdot(3\cdot\lambda^2\cdot\lambda_s+3\cdot\lambda\cdot\lambda_s{}^2+\lambda_s{}^3)+\frac{\lambda}{G\cdot A_e}+\frac{\lambda_s}{G_s\cdot A_{se}}\right\} \quad \cdots\cdots\cdots\cdots\cdots\cdots\cdots \quad (2.1.1)$$

ここで，スカートの開口部（図2－2参照）による影響を考慮し，胴及びスカートの断面性能は次のように求める。

胴の断面性能は

$$I=\frac{\pi}{8}\cdot(D_i+t)^3\cdot t \quad \cdots\cdots\cdots\cdots\cdots\cdots\cdots \quad (2.1.2)$$

$$A_e=\frac{2}{3}\cdot\pi\cdot(D_i+t)\cdot t \quad \cdots\cdots\cdots\cdots\cdots\cdots\cdots \quad (2.1.3)$$

スカートの断面性能は

$$I_s=\frac{\pi}{8}\cdot(D_s+t_s)^3\cdot t_s-\frac{1}{4}\cdot(D_s+t_s)^2\cdot t_s\cdot Y \quad \cdots\cdots\cdots\cdots\cdots\cdots\cdots \quad (2.1.4)$$

スカート開口部の水平断面における最大円周長さは，

（図2－2及び図2－3参照）

$$Y=\sum_{j=1}^{j1}(D_s+t_s)\cdot\sin^{-1}\left(\frac{D_j}{D_s+t_s}\right) \quad \cdots\cdots\cdots\cdots \quad (2.1.5)$$

$$A_{se}=\frac{2}{3}\cdot\{\pi\cdot(D_s+t_s)-Y\}\cdot t_s \quad \cdots\cdots\cdots\cdots \quad (2.1.6)$$

したがって，固有周期$T_H$は次式で求める。

$$T_H=2\cdot\pi\cdot\sqrt{\frac{m_0}{K_H}} \quad \cdots\cdots\cdots\cdots \quad (2.1.7)$$

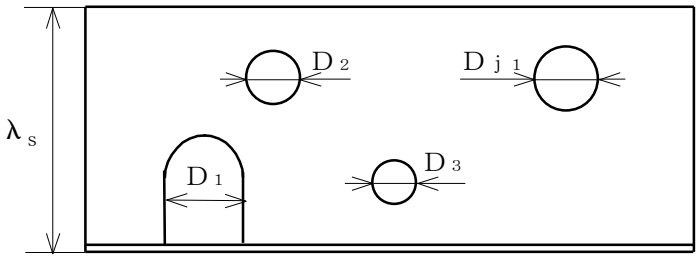



図2－2　スカート開口部の形状

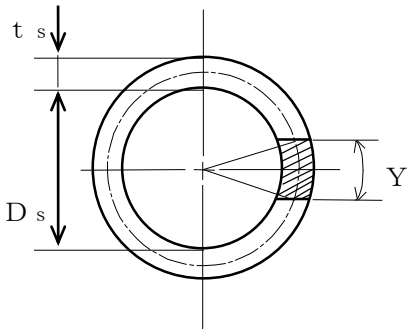



図2－3　スカート開口部の水平断面における最大円周長さ

b.　下端固定上端支持の場合

重心の位置に水平方向の荷重Qが作用したときに上端の支持部に生じる反力Q′は，図2－4 に示すように荷重Q及び反力Q′による上端の変位量δとδ′が等しいとして求める。

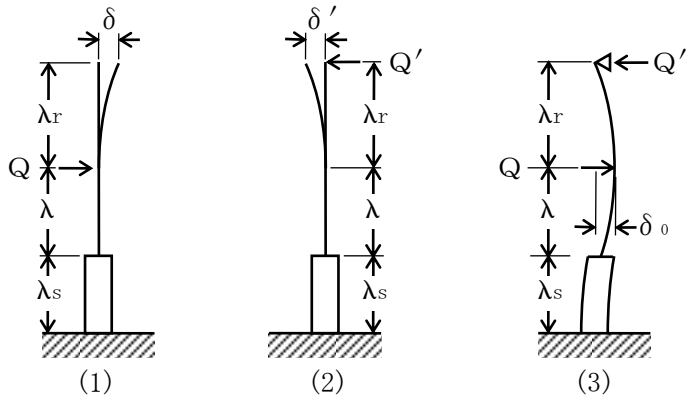



図2－4　下端固定上端支持の場合の変形モデル

図 2－4 の(1)の場合

$$\delta=\frac{Q\cdot\lambda^2}{6\cdot E\cdot I}\cdot(2\cdot\lambda+3\cdot\lambda_r)+\frac{Q}{6\cdot E_s\cdot I_s}$$
$$\cdot\{2\cdot\lambda_s^3+3\cdot\lambda_s^2\cdot\lambda_r+6\cdot\lambda_s\cdot\lambda\cdot(\lambda_s+\lambda+\lambda_r)\}$$
$$+\frac{Q\cdot\lambda}{G\cdot A_e}+\frac{Q\cdot\lambda_s}{G_s\cdot A_{se}} \quad \cdots\cdots\cdots\cdots\cdots\cdots\cdots \quad (2.1.8)$$

図 2－4 の(2)の場合

$$\delta'=\frac{Q'\cdot(\lambda+\lambda_r)^3}{3\cdot E\cdot I}+\frac{Q'}{3\cdot E_s\cdot I_s}$$
$$\cdot\{3\cdot(\lambda+\lambda_r)^2\cdot\lambda_s+3\cdot(\lambda+\lambda_r)\cdot\lambda_s^2+\lambda_s^3\}$$
$$+\frac{Q'\cdot(\lambda+\lambda_r)}{G\cdot A_e}+\frac{Q'\cdot\lambda_s}{G_s\cdot A_{se}} \quad \cdots\cdots\cdots\cdots\cdots\cdots \quad (2.1.9)$$

(2.1.8) 式と (2.1.9) 式を等しく置くことにより，

$$Q'=Q\cdot\left\{\frac{\lambda^2\cdot(2\cdot\lambda+3\cdot\lambda_r)}{6\cdot E\cdot I}\right.$$
$$+\frac{2\cdot\lambda_s^3+3\cdot\lambda_s^2\cdot\lambda_r+6\cdot\lambda_s\cdot\lambda\cdot(\lambda_s+\lambda+\lambda_r)}{6\cdot E_s\cdot I_s}$$
$$\left.+\frac{\lambda}{G\cdot A_e}+\frac{\lambda_s}{G_s\cdot A_{se}}\right\}\Big/\left\{\frac{(\lambda+\lambda_r)^3}{3\cdot E\cdot I}+\right.$$
$$\frac{3\cdot(\lambda+\lambda_r)^2\cdot\lambda_s+3\cdot(\lambda+\lambda_r)\cdot\lambda_s^2+\lambda_s^3}{3\cdot E_s\cdot I_s}$$
$$\left.+\frac{\lambda+\lambda_r}{G\cdot A_e}+\frac{\lambda_s}{G_s\cdot A_{se}}\right\} \quad \cdots\cdots\cdots\cdots\cdots\cdots \quad (2.1.10)$$

したがって，図 2－4 の(3)に示す重心位置での変位量$\delta_0$は図 2－4 の(1)及び(2)の重心位置での変位量の重ね合せから求めることができ，ばね定数$K_H$は次式で求める。

$$K_H=\frac{Q}{\delta_o}=1000\Big/\left\{\frac{\lambda^3}{3\cdot E\cdot I}+\frac{3\cdot\lambda^2\cdot\lambda_s+3\cdot\lambda\cdot\lambda_s{}^2+\lambda_s{}^3}{3\cdot E_s\cdot I_s}+\left(1-\frac{Q'}{Q}\right)\cdot\left(\frac{\lambda}{G\cdot A_e}+\frac{\lambda_s}{G_s\cdot A_{se}}\right)-\frac{Q'}{Q}\cdot\left(\frac{2\cdot\lambda^3+3\cdot\lambda^2\cdot\lambda_r}{6\cdot E\cdot I}+\frac{3\cdot\lambda_s{}^2\cdot\lambda+\lambda_s{}^3+3\cdot\lambda_s\cdot\lambda^2+3\cdot\lambda_s\cdot\lambda\cdot\lambda_r+\frac{3}{2}\cdot\lambda_s{}^2\cdot\lambda_r}{3\cdot E_s\cdot I_s}\right)\right\}$$

……　(2.1.11)

固有周期は（2.1.7）式により求める。

(3)　鉛直方向固有周期

軸方向変形によるばね定数$K_V$は次式で求める。

$$K_V=1000\Big/\left\{\frac{\lambda}{A\cdot E}+\frac{\lambda_s}{A_s\cdot E_s}\right\}$$ ……　(2.1.12)

$$A=\pi\cdot(D_i+t)\cdot t$$ ……　(2.1.13)

$$A_s=\{\pi\cdot(D_s+t_s)-Y\}\cdot t_s$$ ……　(2.1.14)

したがって，固有周期$T_v$は次式で求める。

$$T_v=2\cdot\pi\cdot\sqrt{\frac{m_0}{K_v}}$$ ……　(2.1.15)

2.2　応力の計算方法

応力計算において，静的地震力を用いる場合は，絶対値和を用い，動的地震力を用いる場合は，ＳＲＳＳ法を用いることができる。

2.2.1　胴の応力

(1)　静水頭又は内圧による応力

静水頭による場合（鉛直方向地震時を含む。）

$$\sigma_{\phi 1}=\frac{\rho' \cdot g \cdot H \cdot D_i}{2 \cdot t} \quad \cdots\cdots (2.2.1.1)$$

$$\sigma_{\phi 2}=\frac{\rho' \cdot g \cdot H \cdot D_i \cdot C_v}{2 \cdot t} \quad \cdots\cdots (2.2.1.2)$$

$$\sigma_{x1}=0 \quad \cdots\cdots (2.2.1.3)$$

内圧による場合

$$\sigma_{\phi 1}=\frac{P_r \cdot (D_i+1.2 \cdot t)}{2 \cdot t} \quad \cdots\cdots (2.2.1.4)$$

$$\sigma_{\phi 2}=0 \quad \cdots\cdots (2.2.1.5)$$

$$\sigma_{x1}=\frac{P_r \cdot (D_i+1.2 \cdot t)}{4 \cdot t} \quad \cdots\cdots (2.2.1.6)$$

(2)　運転時質量及び鉛直方向地震による応力

胴がスカートと接合する点を境界として，上部には胴自身の質量による圧縮応力が，下部には下部の胴自身の質量と内容物の質量による引張応力が生じる。

下部の胴について

$$\sigma_{x2}=\frac{(m_0-m_e) \cdot g}{\pi \cdot (D_i+t) \cdot t} \quad \cdots\cdots (2.2.1.7)$$

$$\sigma_{x5}=\frac{(m_0-m_e) \cdot g \cdot C_v}{\pi \cdot (D_i+t) \cdot t} \quad \cdots\cdots (2.2.1.8)$$

上部の胴について

$$\sigma_{x3}=\frac{m_e \cdot g}{\pi \cdot (D_i+t) \cdot t} \quad \cdots\cdots (2.2.1.9)$$

$$\sigma_{x6}=\frac{m_e \cdot g \cdot C_v}{\pi \cdot (D_i+t) \cdot t} \quad \cdots\cdots (2.2.1.10)$$

(3)　水平方向地震による応力

水平方向の地震力により胴はスカート接合部で最大となる曲げモーメントを受ける。この曲げモーメントによる軸方向応力と地震力によるせん断応力は次のように求める。

a.　下端固定の場合

$$\sigma_{x4}=\frac{4\cdot C_H\cdot m_0\cdot g\cdot \lambda}{\pi\cdot(D_i+t)^2\cdot t} \quad \cdots\cdots\cdots\cdots\cdots\cdots\cdots \quad (2.2.1.11)$$

$$\tau=\frac{2\cdot C_H\cdot m_0\cdot g}{\pi\cdot(D_i+t)\cdot t} \quad \cdots\cdots\cdots\cdots\cdots\cdots\cdots\cdots \quad (2.2.1.12)$$

b.　下端固定上端支持の場合

$$\sigma_{x4}=\frac{4\cdot C_H\cdot m_0\cdot g\cdot\left|\lambda-\frac{Q'}{Q}\cdot(\lambda+\lambda_r)\right|}{\pi\cdot(D_i+t)^2\cdot t} \quad \cdots\cdots\cdots\cdots \quad (2.2.1.13)$$

$$\tau=\frac{2\cdot C_H\cdot m_0\cdot g\cdot\left(1-\frac{Q'}{Q}\right)}{\pi\cdot(D_i+t)\cdot t} \quad \cdots\cdots\cdots\cdots\cdots\cdots \quad (2.2.1.14)$$

(4)　組合せ応力

(1)～(3)によって求めた胴の応力は以下のように組み合わせる。

a.　一次一般膜応力

(a)　組合せ引張応力

$$\sigma_\phi=\sigma_{\phi1}+\sigma_{\phi2} \quad \cdots\cdots\cdots\cdots\cdots\cdots\cdots\cdots\cdots \quad (2.2.1.15)$$

$$\sigma_{0t}=\frac{1}{2}\cdot\left\{\sigma_\phi+\sigma_{xt}+\sqrt{(\sigma_\phi-\sigma_{xt})^2+4\cdot\tau^2}\right\}$$

$$\cdots\cdots\cdots\cdots\cdots\cdots\cdots \quad (2.2.1.16)$$

ここで,

【絶対値和】

$$\sigma_{xt}=\sigma_{x1}+\sigma_{x2}+\sigma_{x4}+\sigma_{x5} \quad \cdots\cdots\cdots\cdots \quad (2.2.1.17)$$

【ＳＲＳＳ法】

$$\sigma_{xt}=\sigma_{x1}+\sigma_{x2}+\sqrt{\sigma_{x4}^2+\sigma_{x5}^2} \quad \cdots\cdots\cdots\cdots \quad (2.2.1.18)$$

(b)　組合せ圧縮応力

$\sigma_{xc}$が正の値（圧縮側）のとき，次の組合せ圧縮応力を求める。

$$\sigma_\phi=-\sigma_{\phi1}-\sigma_{\phi2} \quad \cdots\cdots\cdots\cdots\cdots\cdots\cdots\cdots\cdots \quad (2.2.1.19)$$

$$\sigma_{0c}=\frac{1}{2}\cdot\left\{\sigma_\phi+\sigma_{xc}+\sqrt{(\sigma_\phi-\sigma_{xc})^2+4\cdot\tau^2}\right\}$$

$$\cdots\cdots\cdots\cdots\cdots\cdots\cdots \quad (2.2.1.20)$$

ここで,

【絶対値和】

$$\sigma_{xc} = -\sigma_{x1} + \sigma_{x3} + \sigma_{x4} + \sigma_{x6} \quad \cdots\cdots\cdots \quad (2.2.1.21)$$

【ＳＲＳＳ法】

$$\sigma_{xc} = -\sigma_{x1} + \sigma_{x3} + \sqrt{\sigma_{x4}^{2} + \sigma_{x6}^{2}} \quad \cdots\cdots\cdots \quad (2.2.1.22)$$

したがって，胴の組合せ一次一般膜応力の最大値は，絶対値和，ＳＲＳＳ法それぞれに対して，

$\sigma_0$＝Max ｛組合せ引張応力（$\sigma_{0t}$），組合せ圧縮応力（$\sigma_{0c}$）｝

$$\cdots\cdots\cdots\cdots\cdots\cdots\cdots \quad (2.2.1.23)$$

とする。

一次応力は一次一般膜応力と同じになるので省略する。

2.2.2　スカートの応力

(1)　運転時質量及び鉛直方向地震による応力

スカート底部に生じる運転時質量及び鉛直方向地震による圧縮応力は次式で求める。

$$\sigma_{s1} = \frac{m_0 \cdot g}{\{\pi \cdot (D_s + t_s) - Y\} \cdot t_s} \quad \cdots\cdots\cdots\cdots\cdots \quad (2.2.2.1)$$

$$\sigma_{s3} = \frac{m_0 \cdot g \cdot C_V}{\{\pi \cdot (D_s + t_s) - Y\} \cdot t_s} \quad \cdots\cdots\cdots\cdots\cdots \quad (2.2.2.2)$$

(2)　水平方向地震による応力

水平方向の地震力によりスカートには曲げモーメントが作用する。この曲げモーメントによる軸方向応力と地震力によるせん断応力は次式で求める。

a.　下端固定の場合

$$\sigma_{s2} = \frac{M_s}{(D_s + t_s) \cdot t_s \cdot \left\{\frac{\pi}{4} \cdot (D_s + t_s) - \frac{Y}{2}\right\}} \quad \cdots\cdots\cdots \quad (2.2.2.3)$$

$$\tau_s = \frac{2 \cdot C_H \cdot m_0 \cdot g}{\{\pi \cdot (D_s + t_s) - Y\} \cdot t_s} \quad \cdots\cdots\cdots\cdots\cdots \quad (2.2.2.4)$$

ここで,

$$M_s = C_H \cdot m_0 \cdot g \cdot (\lambda_s + \lambda) \quad \cdots\cdots\cdots\cdots\cdots\cdots \quad (2.2.2.5)$$

b.　下端固定上端支持の場合

軸方向応力は（2.2.2.3）式で表されるが，曲げモーメント$M_s$は次の$M_{s1}$又は$M_{s2}$のいずれか大きい方の値とする。

$$M_{s1}=C_H \cdot m_0 \cdot g \cdot \left|\lambda-\frac{Q'}{Q}\cdot(\lambda+\lambda_r)\right| \quad \cdots\cdots\cdots\cdots\cdots\cdots \quad (2.2.2.6)$$

$$M_{s2}=C_H \cdot m_0 \cdot g \cdot \left|\lambda_s+\lambda-\frac{Q'}{Q}\cdot(\lambda_s+\lambda+\lambda_r)\right| \quad \cdots\cdots\cdots\cdots\cdots\cdots\cdots\cdots \quad (2.2.2.7)$$

$$\tau_s=\frac{2 \cdot C_H \cdot m_0 \cdot g \cdot \left(1-\frac{Q'}{Q}\right)}{\{\pi \cdot (D_s+t_s)-Y\} \cdot t_s} \quad \cdots\cdots\cdots\cdots\cdots\cdots \quad (2.2.2.8)$$

(3)　組合せ応力

組合せ応力は次式で求める。

【絶対値和】

$$\sigma_s=\sqrt{(\sigma_{s1}+\sigma_{s2}+\sigma_{s3})^2+3 \cdot \tau_s^2} \quad \cdots\cdots\cdots\cdots \quad (2.2.2.9)$$

【ＳＲＳＳ法】

$$\sigma_s=\sqrt{\left(\sigma_{s1}+\sqrt{\sigma_{s2}^2+\sigma_{s3}^2}\right)^2+3 \cdot \tau_s^2} \quad \cdots\cdots\cdots\cdots \quad (2.2.2.10)$$

2.2.3　基礎ボルトの応力

(1)　引張応力

基礎に作用する転倒モーメントＭｓは，下端固定の場合，（2.2.2.5）式を，下端固定上端支持の場合は（2.2.2.6）式又は（2.2.2.7）式を用いる。

転倒モーメントが作用した場合に生じる基礎ボルトの引張荷重と基礎部の圧縮荷重については，荷重と変位量の釣合い条件を考慮することにより求める。（図2－5参照）

以下にその手順を示す。

a.　σｂ及びσｃを仮定して基礎ボルトの応力計算における中立軸の荷重係数ｋを求める。

$$k=\frac{1}{1+\frac{\sigma_b}{s\cdot\sigma_c}} \qquad \cdots\cdots\cdots\cdots\cdots\cdots\cdots\cdots\cdots\cdots \quad (2.2.3.1)$$

b.　基礎ボルトの応力計算における中立軸を定める角度αを求める。

$$\alpha=\cos^{-1}(1-2\cdot k) \qquad \cdots\cdots\cdots\cdots\cdots\cdots\cdots\cdots \quad (2.2.3.2)$$

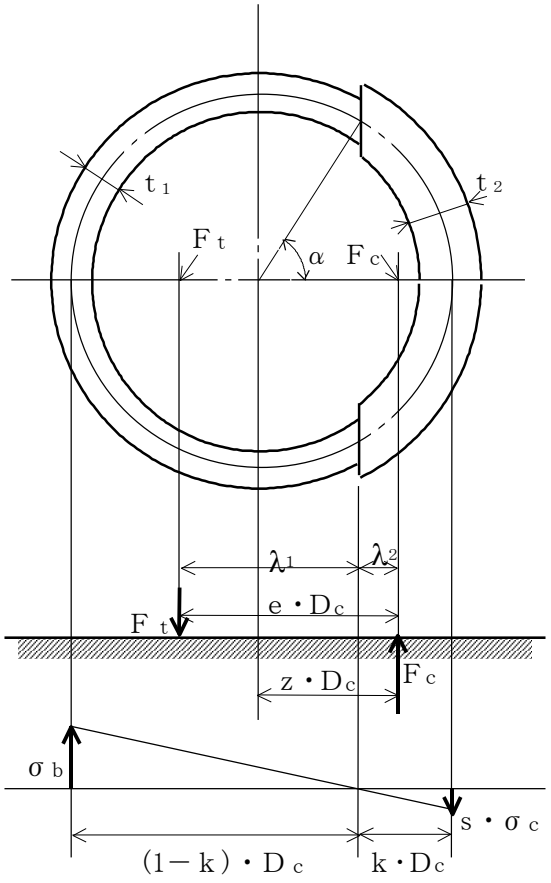



図2－5　基礎の荷重説明図

c. 各定数ｅ，ｚ，Ｃｔ及びＣｃを求める。

$$e=\frac{1}{2}\cdot\left\{\frac{(\pi-\alpha)\cdot\cos^2\alpha+\frac{1}{2}\cdot(\pi-\alpha)+\frac{3}{2}\cdot\sin\alpha\cdot\cos\alpha}{(\pi-\alpha)\cdot\cos\alpha+\sin\alpha}+\frac{\frac{1}{2}\cdot\alpha-\frac{3}{2}\cdot\sin\alpha\cdot\cos\alpha+\alpha\cdot\cos^2\alpha}{\sin\alpha-\alpha\cdot\cos\alpha}\right\} \quad \cdots\cdots\cdots \quad (2.2.3.3)$$

$$z=\frac{1}{2}\cdot\left(\cos\alpha+\frac{\frac{1}{2}\cdot\alpha-\frac{3}{2}\cdot\sin\alpha\cdot\cos\alpha+\alpha\cdot\cos^2\alpha}{\sin\alpha-\alpha\cdot\cos\alpha}\right) \quad \cdots\cdots\cdots\cdots\cdots\cdots\cdots \quad (2.2.3.4)$$

$$C_t=\frac{2\cdot\{(\pi-\alpha)\cdot\cos\alpha+\sin\alpha\}}{1+\cos\alpha} \quad \cdots\cdots\cdots\cdots\cdots \quad (2.2.3.5)$$

$$C_c=\frac{2\cdot(\sin\alpha-\alpha\cdot\cos\alpha)}{1-\cos\alpha} \quad \cdots\cdots\cdots\cdots\cdots\cdots\cdots \quad (2.2.3.6)$$

d. 各定数を用いてＦｔ及びＦｃを求める。

【絶対値和】

$$F_t=\frac{M_s-(1-C_v)\cdot m_0\cdot g\cdot z\cdot D_c}{e\cdot D_c} \quad \cdots\cdots\cdots\cdots\cdots \quad (2.2.3.7)$$

$$F_c=F_t+(1-C_v)\cdot m_0\cdot g \quad \cdots\cdots\cdots\cdots\cdots\cdots\cdots \quad (2.2.3.8)$$

【ＳＲＳＳ法】

$$F_t=\frac{\sqrt{M_s^2+(C_v\cdot m_0\cdot g\cdot z\cdot D_c)^2}}{e\cdot D_c}-\frac{z}{e}\cdot m_0\cdot g \quad \cdots\cdots\cdots \quad (2.2.3.9)$$

$$F_c=\frac{\sqrt{M_s^2+(C_v\cdot m_0\cdot g\cdot(z-e)\cdot D_c)^2}}{e\cdot D_c}+\left(1-\frac{z}{e}\right)\cdot m_0\cdot g \quad \cdots\cdots\cdots\cdots\cdots\cdots\cdots \quad (2.2.3.10)$$

基礎ボルトに引張力が作用しないのは，αがπに等しくなったときであり，（2.2.3.3）式及び（2.2.3.4）式においてαをπに近づけた場合の値　ｅ＝0.75及びｚ＝0.25を（2.2.3.7）式又は（2.2.3.9）式に代入し，得られるＦｔの値によって引張力の有無を次のように判定する。

Ｆｔ≦0ならば引張力は作用しない。

Ｆｔ＞0ならば引張力が作用しているので次の計算を行う。

e.　$\sigma_b$及び$\sigma_c$を求める。

$$\sigma_b=\frac{2\cdot F_t}{t_1\cdot D_c\cdot C_t} \quad \cdots\cdots\cdots\cdots\cdots\cdots\cdots\cdots \quad (2.2.3.11)$$

$$\sigma_c=\frac{2\cdot F_c}{(t_2+s\cdot t_1)\cdot D_c\cdot C_c} \quad \cdots\cdots\cdots\cdots\cdots\cdots \quad (2.2.3.12)$$

ここで,

$$t_1=\frac{n\cdot A_b}{\pi\cdot D_c} \quad \cdots\cdots\cdots\cdots\cdots\cdots\cdots\cdots \quad (2.2.3.13)$$

$$t_2=\frac{1}{2}\cdot(D_{bo}-D_{bi})-t_1 \quad \cdots\cdots\cdots\cdots\cdots\cdots \quad (2.2.3.14)$$

$\sigma_b$及び$\sigma_c$がa項にて仮定した値と十分に近似していることを確認する。この場合の$\sigma_b$及び$\sigma_c$を基礎ボルトと基礎に生じる応力とする。

(2)　せん断応力

a.　下端固定の場合

$$\tau_b=\frac{C_H\cdot m_0\cdot g}{n\cdot A_b} \quad \cdots\cdots\cdots\cdots\cdots\cdots\cdots\cdots \quad (2.2.3.15)$$

b.　下端固定上端支持の場合

$$\tau_b=\frac{C_H\cdot m_0\cdot g\cdot\left(1-\frac{Q'}{Q}\right)}{n\cdot A_b} \quad \cdots\cdots\cdots\cdots\cdots\cdots \quad (2.2.3.16)$$

3.　評価方法

3.1　固有周期の評価

2.1項で求めた固有周期から，水平方向及び鉛直方向の設計震度を求める。

3.2　応力の評価

3.2.1　胴の応力評価

2.2.1項で求めた組合せ応力が胴の最高使用温度における許容応力Ｓａ以下であること。

| 応力の種類 | 許　容　応　力　Sa |
|---|---|
| 一次一般膜応力 | 設計降伏点Ｓｙと設計引張強さＳｕの0.6倍のいずれか小さい方の値。ただし，オーステナイト系ステンレス鋼及び高ニッケル合金にあっては許容引張応力Ｓの1.2倍の方が大きい場合は，この大きい方の値とする。 |

一次応力の評価は算出応力が一次一般膜応力と同じ値であるので省略する。

3.2.2　スカートの応力評価

(1)　2.2.2項で求めたスカートの組合せ応力が許容引張応力 $f_t$ 以下であること。

$$f_t = \frac{F}{1.5} \cdot 1.5 \quad \cdots\cdots\cdots\cdots\cdots\cdots\cdots\cdots\cdots\cdots \quad (3.2.2.1)$$

(2)　圧縮膜応力（圧縮応力と曲げによる圧縮側応力の組合せ）は次式を満足すること。

（座屈の評価）

$$\frac{\eta \cdot (\sigma_{s1} + \sigma_{s3})}{f_c} + \frac{\eta \cdot \sigma_{s2}}{f_b} \leqq 1 \quad \cdots\cdots\cdots\cdots\cdots\cdots \quad (3.2.2.2)$$

ここで，$f_c$ は次による。

$$\frac{D_s + 2 \cdot t_s}{2 \cdot t_s} \leqq \frac{1200 \cdot g}{F} \quad \text{のとき}$$

$$f_c = F \quad \cdots\cdots\cdots\cdots\cdots\cdots\cdots\cdots\cdots\cdots\cdots\cdots\cdots\cdots \quad (3.2.2.3)$$

$$\frac{1200 \cdot g}{F} < \frac{D_s + 2 \cdot t_s}{2 \cdot t_s} < \frac{8000 \cdot g}{F} \quad \text{のとき}$$

$$f_c = F \cdot \left[ 1 - \frac{1}{6800 \cdot g} \cdot \left\{ F - \phi_1 \left( \frac{8000 \cdot g}{F} \right) \right\} \cdot \left( \frac{D_s + 2 \cdot t_s}{2 \cdot t_s} - \frac{1200 \cdot g}{F} \right) \right] \quad \cdots\cdots\cdots\cdots\cdots\cdots \quad (3.2.2.4)$$

$$\frac{8000\cdot g}{F}\leqq\frac{D_s+2\cdot t_s}{2\cdot t_s}\leqq 800 \quad \text{のとき}$$

$$f_c=\phi_1\left(\frac{D_s+2\cdot t_s}{2\cdot t_s}\right) \quad \cdots\cdots\cdots\cdots\cdots\cdots\cdots \quad (3.2.2.5)$$

ただし，$\phi_1(x)$は次の関数とする。

$$\phi_1(x)=0.6\cdot\frac{E_s}{x}\cdot\left[1-0.901\cdot\left\{1-\exp\left(-\frac{1}{16}\cdot\sqrt{x}\right)\right\}\right] \cdots\cdots \quad (3.2.2.6)$$

また，$f_b$は次による。

$$\frac{D_s+2\cdot t_s}{2\cdot t_s}\leqq\frac{1200\cdot g}{F} \quad \text{のとき}$$

$$f_b=F \quad \cdots\cdots\cdots\cdots\cdots\cdots\cdots\cdots\cdots\cdots\cdots\cdots\cdots\cdots \quad (3.2.2.7)$$

$$\frac{1200\cdot g}{F}<\frac{D_s+2\cdot t_s}{2\cdot t_s}<\frac{9600\cdot g}{F} \quad \text{のとき}$$

$$f_b=F\cdot\left[1-\frac{1}{8400\cdot g}\cdot\left\{F-\phi_2\left(\frac{9600\cdot g}{F}\right)\right\}\cdot\left(\frac{D_s+2\cdot t_s}{2\cdot t_s}-\frac{1200\cdot g}{F}\right)\right] \quad \cdots\cdots\cdots\cdots\cdots\cdots \quad (3.2.2.8)$$

$$\frac{9600\cdot g}{F}\leqq\frac{D_s+2\cdot t_s}{2\cdot t_s}\leqq 800 \quad \text{のとき}$$

$$f_b=\phi_2\left(\frac{D_s+2\cdot t_s}{2\cdot t_s}\right) \quad \cdots\cdots\cdots\cdots\cdots\cdots\cdots \quad (3.2.2.9)$$

ただし，$\phi_2(x)$は次の関数とする。

$$\phi_2(x)=0.6\cdot\frac{E_s}{x}\cdot\left[1-0.731\cdot\left\{1-\exp\left(-\frac{1}{16}\cdot\sqrt{x}\right)\right\}\right] \quad \cdots \quad (3.2.2.10)$$

$\eta$は安全率で次による。

$$\frac{D_s+2\cdot t_s}{2\cdot t_s}\leqq\frac{1200\cdot g}{F} \quad \text{のとき}$$

$$\eta=1 \quad \cdots\cdots\cdots\cdots\cdots\cdots\cdots\cdots\cdots\cdots\cdots\cdots\cdots\cdots\cdots \quad (3.2.2.11)$$

$$\frac{1200\cdot g}{F}<\frac{D_s+2\cdot t_s}{2\cdot t_s}<\frac{8000\cdot g}{F} \quad \text{のとき}$$

$$\eta=1+\frac{0.5\cdot F}{6800\cdot g}\cdot\left(\frac{D_s+2\cdot t_s}{2\cdot t_s}-\frac{1200\cdot g}{F}\right) \quad \cdots\cdots\cdots\cdots \quad (3.2.2.12)$$

$$\frac{8000\cdot g}{F}\leqq\frac{D_s+2\cdot t_s}{2\cdot t_s} \quad \text{のとき}$$

$$\eta=1.5 \quad \cdots\cdots\cdots\cdots\cdots\cdots\cdots\cdots\cdots\cdots\cdots\cdots\cdots\cdots\cdots \quad (3.2.2.13)$$

3.2.3　基礎ボルトの応力評価

2.2.3項で求めた基礎ボルトの引張応力$\sigma_b$は次式より求めた許容引張応力$f_{ts}$以下であること。

せん断応力$\tau_b$はせん断力のみを受ける基礎ボルトの許容せん断応力$f_{sb}$以下であること。

$$f_{ts}=1.4\cdot f_{to}-1.6\cdot \tau_b \quad \cdots\cdots\cdots\cdots\cdots\cdots\cdots\cdots \quad (3.2.3.1)$$

かつ,

$$f_{ts}\leqq f_{to} \quad \cdots\cdots\cdots\cdots\cdots\cdots\cdots\cdots\cdots\cdots\cdots\cdots\cdots\cdots \quad (3.2.3.2)$$

ただし，$f_{to}$及び$f_{sb}$は下表による。

| | 許容引張応力　$f_{to}$ | 許容せん断応力　$f_{sb}$ |
|---|---|---|
| 計　　算　　式 | $\frac{F}{2}\cdot 1.5$ | $\frac{F}{1.5\cdot\sqrt{3}}\cdot 1.5$ |

# 付録2　平底たて置円筒形容器の耐震性についての計算書作成の基本方針

1.　一般事項

本基本方針は，平底たて置円筒形容器（耐震設計上の重要度分類ＢクラスおよびＢ＋クラス）の耐震性についての計算方法を示す。

1.1　適用基準

本基本方針における計算方法は，原子力発電所耐震設計技術指針　ＪＥＡＧ４６０１-1987　（日本電気協会 電気技術基準調査委員会 昭和62年8月）に準拠する。

1.2　計算条件

(1)　容器及び内容物の質量は重心に集中するものとする。

(2)　地震力は容器に対して水平方向および鉛直方向から作用するものとする。

(3)　容器は胴下端のベースプレートを円周上等ピッチの多数の基礎ボルトで基礎に固定された固定端とする。ここで，基礎については剛となるように設計する。

(4)　胴をはりと考え，変形モードは曲げ及びせん断変形を考慮する。

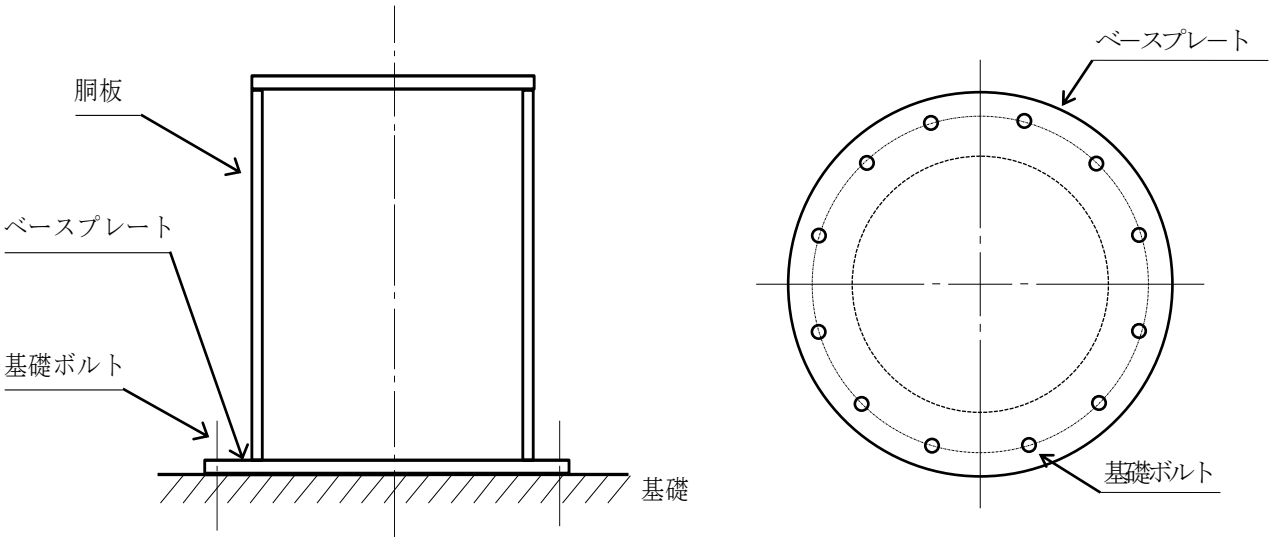



図1－1　概　要　図

1.3　記号の説明

| 記　　号 | 記　　号　　の　　説　　明 | 単　　位 |
|---|---|---|
| A | 胴の軸断面積 | $mm^2$ |
| $A_b$ | 基礎ボルトの軸断面積 | $mm^2$ |
| $A_e$ | 胴の有効せん断断面積 | $mm^2$ |
| $C_c$ | 基礎ボルト計算における係数 | － |
| $C_H$ | 水平方向設計震度 | － |
| $C_t$ | 基礎ボルト計算における係数 | － |
| $C_v$ | 鉛直方向設計震度 | － |
| $D_{bi}$ | ベースプレートの内径 | mm |
| $D_{bo}$ | ベースプレートの外径 | mm |
| $D_c$ | 基礎ボルトのピッチ円直径 | mm |
| $D_i$ | 胴の内径 | mm |
| E | 胴の縦弾性係数 | MPa |
| e | 基礎ボルト計算における係数 | － |
| F | 設計・建設規格　SSB-3121.1又はSSB-3131に定める値 | MPa |
| $F^*$ | 設計・建設規格　SSB-3121.3又はSSB-3133に定める値 | MPa |
| $F_c$ | 基礎に作用する圧縮力 | N |
| $F_t$ | 基礎ボルトに作用する引張力 | N |
| $f_b$ | 曲げモーメントに対する許容座屈応力 | MPa |
| $f_c$ | 軸圧縮荷重に対する許容座屈応力 | MPa |
| $f_{sb}$ | せん断力のみを受ける基礎ボルトの許容せん断応力 | MPa |
| $f_{to}$ | 引張力のみを受ける基礎ボルトの許容引張応力 | MPa |
| $f_{ts}$ | 引張力とせん断力を同時に受ける基礎ボルトの許容引張応力 | MPa |
| G | 胴のせん断弾性係数 | MPa |
| g | 重力加速度（＝9.80665） | $m/s^2$ |
| H | 水頭 | mm |
| I | 胴の断面二次モーメント | $mm^4$ |
| $K_H$ | 水平方向ばね定数 | N/m |
| $K_V$ | 鉛直方向ばね定数 | N/m |
| k | 基礎ボルト計算における中立軸の荷重係数 | － |
| $\lambda_1$，$\lambda_2$ | 基礎ボルト計算における中立軸から荷重作用点までの距離（図2－2に示す距離） | mm |
| $\lambda_g$ | 基礎から容器重心までの距離 | mm |
| $M_s$ | 基礎に作用する転倒モーメント | N･mm |
| $m_o$ | 容器の運転時質量 | kg |
| $m_e$ | 容器の空質量 | kg |
| n | 基礎ボルトの本数 | － |
| S | 設計・建設規格　付録材料図表　Part5　表5に定める値 | MPa |
| $S_a$ | 胴の許容応力 | MPa |
| $S_u$ | 設計・建設規格　付録材料図表　Part5　表9に定める値 | MPa |

| 記　号 | 記　号　の　説　明 | 単　位 |
|---|---|---|
| $S_y$ | 設計・建設規格　付録材料図表　Part5　表8に定める値 | MPa |
| s | 基礎ボルトと基礎の縦弾性係数比 | － |
| $T_H$ | 水平方向固有周期 | s |
| $T_V$ | 鉛直方向固有周期 | s |
| t | 胴板の厚さ | mm |
| $t_1$ | 基礎ボルト面積相当板幅 | mm |
| $t_2$ | 圧縮側基礎相当幅 | mm |
| z | 基礎ボルト計算における係数 | － |
| $\alpha$ | 基礎ボルト計算における中立軸を定める角度 | rad |
| $\eta$ | 座屈応力に対する安全率 | － |
| $\pi$ | 円周率 | － |
| $\rho'$ | 液体の密度（＝比重×$10^{-6}$） | $kg/mm^3$ |
| $\sigma_0$ | 胴の一次一般膜応力の最大値 | MPa |
| $\sigma_{0c}$ | 胴の組合せ圧縮応力 | MPa |
| $\sigma_{0t}$ | 胴の組合せ引張応力 | MPa |
| $\sigma_2$ | 地震動のみによる胴の一次応力と二次応力の和の変動値の最大値 | MPa |
| $\sigma_{2\phi}$ | 地震動のみによる胴の周方向一次応力と二次応力の和 | MPa |
| $\sigma_{2c}$ | 地震動のみによる胴の一次応力と二次応力の和の変動値（圧縮側） | MPa |
| $\sigma_{2t}$ | 地震動のみによる胴の一次応力と二次応力の和の変動値（引張側） | MPa |
| $\sigma_{2xc}$ | 地震動のみによる胴の軸方向一次応力と二次応力の和（圧縮側） | MPa |
| $\sigma_{2xt}$ | 地震動のみによる胴の軸方向一次応力と二次応力の和（引張側） | MPa |
| $\sigma_b$ | 基礎ボルトに生じる引張応力 | MPa |
| $\sigma_c$ | 基礎に生じる圧縮応力 | MPa |
| $\sigma_{x1}$，$\sigma_{\phi 1}$ | 静水頭により胴に生じる軸方向及び周方向応力 | MPa |
| $\sigma_{x2}$ | 胴の空質量による軸方向圧縮応力 | MPa |
| $\sigma_{x3}$ | 胴の鉛直方向地震による軸方向応力 | MPa |
| $\sigma_{x4}$ | 胴の水平方向地震による軸方向応力 | MPa |
| $\sigma_{xc}$ | 胴の軸方向応力の和（圧縮側） | MPa |
| $\sigma_{xt}$ | 胴の軸方向応力の和（引張側） | MPa |
| $\sigma_\phi$ | 胴の周方向応力の和 | MPa |
| $\sigma_{\phi 2}$ | 静水頭に鉛直方向地震が加わり胴に生じる周方向応力 | MPa |
| $\tau$ | 地震により胴に生じるせん断応力 | MPa |
| $\tau_b$ | 基礎ボルトに生じるせん断応力 | MPa |
| $\phi_1$（x） | 圧縮荷重に対する許容座屈応力の関数 | MPa |
| $\phi_2$（x） | 曲げモーメントに対する許容座屈応力の関数 | MPa |

注：「設計・建設規格」とは，発電用原子力設備規格（設計・建設規格　ＪＳＭＥ　ＳＮＣ１－2005（2007年追補版含む。））（日本機械学会　2007年9月）（以下「設計・建設規格」という。）をいう。

2.　計算方法

2.1　固有周期の計算方法

(1)　計算モデル

本容器は，1.2項より図2－1に示すような下端固定の1質点系振動モデルとして考える。

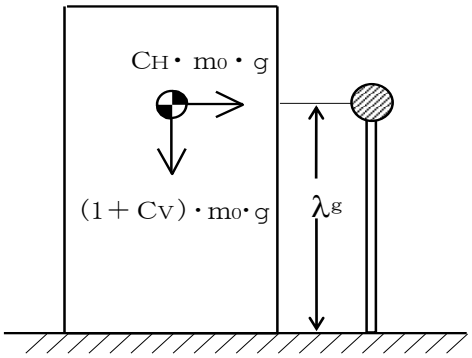



図2－1　固有周期の計算モデル

(2)　水平方向固有周期

曲げ及びせん断変形によるばね定数$K_H$は次式で求める。

$$K_H=\frac{1000}{\frac{\lambda_g{}^3}{3\cdot E\cdot I}+\frac{\lambda_g}{G\cdot A_e}} \quad \cdots\cdots (2.1.1)$$

ここで，胴の断面性能は次のように求める。

$$I=\frac{\pi}{8}\cdot(D_i+t)^3\cdot t \quad \cdots\cdots (2.1.2)$$

$$A_e=\frac{2}{3}\cdot\pi\cdot(D_i+t)\cdot t \quad \cdots\cdots (2.1.3)$$

したがって，固有周期$T_H$は次式で求める。

$$T_H=2\cdot\pi\cdot\sqrt{\frac{m_0}{K_H}} \quad \cdots\cdots (2.1.4)$$

(3)　鉛直方向固有周期

軸方向変形によるばね定数$K_V$は次式で求める。

$$K_V=\frac{1000}{\frac{\lambda_g}{A\cdot E}} \quad \cdots\cdots (2.1.5)$$

ここで，胴の断面性能は次のように求める。

$$A=\pi\cdot(D_i+t)\cdot t \quad \cdots\cdots (2.1.6)$$

したがって，固有周期$T_v$は次式で求める。

$$T_v=2\cdot\pi\cdot\sqrt{\frac{m_e}{K_v}} \quad \cdots\cdots (2.1.7)$$

2.2　応力の計算方法

応力計算において，静的地震力を用いる場合は，絶対値和を用い，動的地震力を用いる場合は，ＳＲＳＳ法を用いることができる。

2.2.1　胴の応力

(1)　静水頭及び鉛直方向地震による応力

$$\sigma_{\phi 1}=\frac{\rho' \cdot g \cdot H \cdot D_i}{2 \cdot t} \quad \cdots\cdots (2.2.1.1)$$

$$\sigma_{\phi 2}=\frac{\rho' \cdot g \cdot H \cdot D_i \cdot C_v}{2 \cdot t} \quad \cdots\cdots (2.2.1.2)$$

$$\sigma_{x1}=0 \quad \cdots\cdots (2.2.1.3)$$

(2)　運転時質量及び鉛直方向地震による応力

胴がベースプレートと接合する点には，胴自身の質量による圧縮応力と鉛直方向地震による軸方向応力が生じる。

$$\sigma_{x2}=\frac{m_e \cdot g}{\pi \cdot (D_i+t) \cdot t} \quad \cdots\cdots (2.2.1.4)$$

$$\sigma_{x3}=\frac{m_e \cdot g \cdot C_v}{\pi \cdot (D_i+t) \cdot t} \quad \cdots\cdots (2.2.1.5)$$

(3)　水平方向地震による応力

水平方向の地震力により胴はベースプレート接合部で最大となる曲げモーメントを受ける。この曲げモーメントによる軸方向応力と地震力によるせん断応力は次のように求める。

$$\sigma_{x4}=\frac{4 \cdot C_H \cdot m_0 \cdot g \cdot \lambda_g}{\pi \cdot (D_i+t)^2 \cdot t} \quad \cdots\cdots (2.2.1.6)$$

$$\tau=\frac{2 \cdot C_H \cdot m_0 \cdot g}{\pi \cdot (D_i+t) \cdot t} \quad \cdots\cdots (2.2.1.7)$$

(4)　組合せ応力

(1)～(3)によって求めた胴の応力は以下のように組み合わせる。

a.　一次一般膜応力

(a)　組合せ引張応力

$$\sigma_{\phi}=\sigma_{\phi 1}+\sigma_{\phi 2} \quad \cdots\cdots (2.2.1.8)$$

$$\sigma_{0t}=\frac{1}{2} \cdot \left\{\sigma_{\phi}+\sigma_{xt}+\sqrt{(\sigma_{\phi}-\sigma_{xt})^2+4 \cdot \tau^2}\right\} \quad \cdots\cdots (2.2.1.9)$$

ここで，

【絶対値和】

$$\sigma_{xt}=\sigma_{x1}-\sigma_{x2}+\sigma_{x3}+\sigma_{x4} \quad \cdots\cdots (2.2.1.10)$$

【ＳＲＳＳ法】

$$\sigma_{xt}=\sigma_{x1}-\sigma_{x2}+\sqrt{\sigma_{x3}^2+\sigma_{x4}^2} \quad \cdots\cdots (2.2.1.11)$$

(b)　組合せ圧縮応力

$\sigma_{xc}$が正の値（圧縮側）のとき，次の組合せ圧縮応力を求める。

$$\sigma_{\phi}=-\sigma_{\phi 1}-\sigma_{\phi 2} \quad \cdots\cdots\cdots\cdots\cdots\cdots\cdots\cdots \quad (2.2.1.12)$$

$$\sigma_{0c}=\frac{1}{2}\cdot\left\{\sigma_{\phi}+\sigma_{xc}+\sqrt{(\sigma_{\phi}-\sigma_{xc})^{2}+4\cdot\tau^{2}}\right\} \quad \cdots\cdots\cdots\cdots\cdots\cdots\cdots\cdots \quad (2.2.1.13)$$

ここで,

【絶対値和】

$$\sigma_{xc}=-\sigma_{x1}+\sigma_{x2}+\sigma_{x3}+\sigma_{x4} \quad \cdots\cdots\cdots \quad (2.2.1.14)$$

【ＳＲＳＳ法】

$$\sigma_{xc}=-\sigma_{x1}+\sigma_{x2}+\sqrt{\sigma_{x3}^{2}+\sigma_{x4}^{2}} \quad \cdots\cdots\cdots \quad (2.2.1.15)$$

したがって，胴の組合せ一次一般膜応力の最大値は，絶対値和，ＳＲＳＳ法それぞれに対して,

$\sigma_{0}$＝Max｛組合せ引張応力（$\sigma_{0t}$），組合せ圧縮応力（$\sigma_{0c}$）｝

$$\cdots\cdots\cdots\cdots\cdots\cdots\cdots\cdots \quad (2.2.1.16)$$

とする。

一次応力は一次一般膜応力と同じになるので省略する。

2.2.2　基礎ボルトの応力

(1)　引張応力

転倒モーメントが作用した場合に生じる基礎ボルトの引張荷重と基礎部の圧縮荷重については，荷重と変位量の釣合い条件を考慮することにより求める。(図 2－2 参照)

以下にその手順を示す。

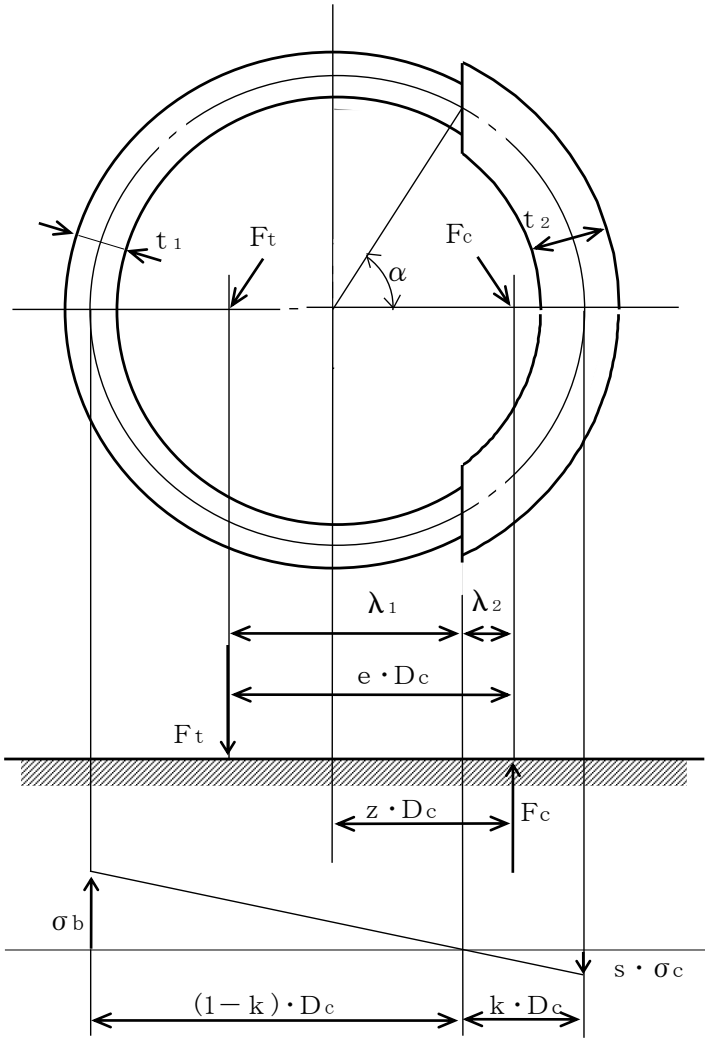



図2－2　基礎の荷重説明図

a.　σ b及びσ c を仮定して基礎ボルトの応力計算における中立軸の荷重係数 k を求める。

$$k = \frac{1}{1 + \frac{\sigma_b}{s \cdot \sigma_c}} \quad \cdots\cdots (2.2.2.1)$$

b. 基礎ボルトの応力計算における中立軸を定める角度αを求める。

$$\alpha = \cos^{-1}(1-2\cdot k) \quad \cdots\cdots\cdots\cdots\cdots\cdots\cdots\cdots \quad (2.2.2.2)$$

c. 各定数ｅ，ｚ，Ｃｔ及びＣｃを求める。

$$e = \frac{1}{2}\cdot\left\{ \frac{(\pi-\alpha)\cdot\cos^2\alpha + \frac{1}{2}\cdot(\pi-\alpha) + \frac{3}{2}\cdot\sin\alpha\cdot\cos\alpha}{(\pi-\alpha)\cdot\cos\alpha + \sin\alpha} + \frac{\frac{1}{2}\cdot\alpha - \frac{3}{2}\cdot\sin\alpha\cdot\cos\alpha + \alpha\cdot\cos^2\alpha}{\sin\alpha - \alpha\cdot\cos\alpha} \right\} \quad \cdots\cdots\cdots \quad (2.2.2.3)$$

$$z = \frac{1}{2}\cdot\left( \cos\alpha + \frac{\frac{1}{2}\cdot\alpha - \frac{3}{2}\cdot\sin\alpha\cdot\cos\alpha + \alpha\cdot\cos^2\alpha}{\sin\alpha - \alpha\cdot\cos\alpha} \right) \quad \cdots\cdots\cdots\cdots\cdots\cdots\cdots\cdots \quad (2.2.2.4)$$

$$C_t = \frac{2\cdot\{(\pi-\alpha)\cdot\cos\alpha + \sin\alpha\}}{1+\cos\alpha} \quad \cdots\cdots\cdots\cdots\cdots\cdots \quad (2.2.2.5)$$

$$C_C = \frac{2\cdot(\sin\alpha - \alpha\cdot\cos\alpha)}{1-\cos\alpha} \quad \cdots\cdots\cdots\cdots\cdots\cdots\cdots\cdots \quad (2.2.2.6)$$

d. 各定数を用いてＦｔ及びＦｃを求める。

【絶対値和】

$$F_t = \frac{M_s - (1-C_v)\cdot m_0\cdot g\cdot z\cdot D_c}{e\cdot D_c} \quad \cdots\cdots\cdots\cdots\cdots\cdots\cdots\cdots \quad (2.2.2.7)$$

$$F_c = F_t + (1-C_v)\cdot m_0\cdot g \quad \cdots\cdots\cdots\cdots\cdots\cdots\cdots\cdots \quad (2.2.2.8)$$

【ＳＲＳＳ法】

$$F_t = \frac{\sqrt{M_s^2 + (C_v\cdot m_0\cdot g\cdot z\cdot D_c)^2}}{e\cdot D_c} - \frac{z}{e}\cdot m_0\cdot g \quad \cdots\cdots \quad (2.2.2.9)$$

$$F_c = \frac{\sqrt{M_s^2 + (C_v\cdot m_0\cdot g\cdot(z-e)\cdot D_c)^2}}{e\cdot D_c} + \left(1-\frac{z}{e}\right)\cdot m_0\cdot g \quad \cdots\cdots\cdots\cdots\cdots\cdots\cdots \quad (2.2.2.10)$$

ここで，

$$M_s = C_H\cdot m_0\cdot g\cdot\lambda_g \quad \cdots\cdots\cdots\cdots\cdots\cdots\cdots\cdots \quad (2.2.2.11)$$

基礎ボルトに引張力が作用しないのは，αがπに等しくなったときであり，（2.2.2.3）式及び（2.2.2.4）式においてαをπに近づけた場合の値ｅ＝0.75及びｚ＝0.25を（2.2.2.7）式又は（2.2.2.9）式に代入し，得られるＦｔの値によって引張力の有無を次のように判定する。

Ｆｔ≦0ならば引張力は作用しない。

Ｆｔ＞0ならば引張力が作用しているので次の計算を行う。

e.　$\sigma_b$及び$\sigma_c$を求める。

$$\sigma_b = \frac{2 \cdot F_t}{t_1 \cdot D_c \cdot C_t} \quad \cdots\cdots (2.2.2.12)$$

$$\sigma_c = \frac{2 \cdot F_c}{(t_2 + s \cdot t_1) \cdot D_c \cdot C_c} \quad \cdots\cdots (2.2.2.13)$$

ここで,

$$t_1 = \frac{n \cdot A_b}{\pi \cdot D_c} \quad \cdots\cdots (2.2.2.14)$$

$$t_2 = \frac{1}{2} \cdot (D_{bo} - D_{bi}) - t_1 \quad \cdots\cdots (2.2.2.15)$$

$\sigma_b$及び$\sigma_c$がa項にて仮定した値と十分に近似していることを確認する。この場合の$\sigma_b$及び$\sigma_c$を基礎ボルトと基礎に生じる応力とする。

(2)　せん断応力

$$\tau_b = \frac{C_H \cdot m_0 \cdot g}{n \cdot A_b} \quad \cdots\cdots (2.2.2.16)$$

3.　評価方法

3.1　固有周期の評価

2.1 項で求めた固有周期から，水平方向及び鉛直方向の設計震度を求める。

3.2　応力の評価

3.2.1　胴の応力評価

(1)　2.2.1項で求めた組合せ応力が胴の最高使用温度における許容応力Ｓａ以下であること。

| 応力の種類 | 許　容　応　力　Sa |
|---|---|
| 一次一般膜応力 | 設計降伏点Ｓｙと設計引張強さＳｕの0.6倍のいずれか小さい方の値。ただし，オーステナイト系ステンレス鋼及び高ニッケル合金にあっては許容引張応力Ｓの1.2倍の方が大きい場合は，この大きい方の値とする。 |

一次応力の評価は算出応力が一次一般膜応力と同じ値であるので省略する。

(2)　圧縮膜応力（圧縮応力と曲げによる圧縮側応力の組合せ）は次式を満足すること。

（座屈の評価）

$$\frac{\eta \cdot (\sigma_{x2}+\sigma_{x3})}{f_c}+\frac{\eta \cdot \sigma_{x4}}{f_b} \leqq 1 \quad \cdots\cdots\cdots\cdots\cdots\cdots\cdots \quad (3.2.1.1)$$

ここで，$f_c$は次による。

$\dfrac{D_i+2\cdot t}{2\cdot t} \leqq \dfrac{1200\cdot g}{F}$　のとき

$$f_c = F \quad \cdots\cdots\cdots\cdots\cdots\cdots\cdots\cdots\cdots\cdots\cdots\cdots\cdots\cdots \quad (3.2.1.2)$$

$\dfrac{1200\cdot g}{F} < \dfrac{D_i+2\cdot t}{2\cdot t} < \dfrac{8000\cdot g}{F}$ のとき

$$f_c = F\cdot\left[1-\frac{1}{6800\cdot g}\cdot\left\{F-\phi_1\left(\frac{8000\cdot g}{F}\right)\right\}\cdot\left(\frac{D_i+2\cdot t}{2\cdot t}-\frac{1200\cdot g}{F}\right)\right]$$

$$\cdots\cdots\cdots\cdots\cdots\cdots\cdots\cdots \quad (3.2.1.3)$$

$\dfrac{8000\cdot g}{F} \leqq \dfrac{D_i+2\cdot t}{2\cdot t} \leqq 800$　のとき

$$f_c = \phi_1\left(\frac{D_i+2\cdot t}{2\cdot t}\right) \quad \cdots\cdots\cdots\cdots\cdots\cdots\cdots\cdots \quad (3.2.1.4)$$

ただし，$\phi_1(x)$は次の関数とする。

$$\phi_1(x) = 0.6\cdot\frac{E}{x}\cdot\left[1-0.901\cdot\left\{1-\exp\left(-\frac{1}{16}\cdot\sqrt{x}\right)\right\}\right]$$

$$\cdots\cdots\cdots\cdots\cdots\cdots\cdots \quad (3.2.1.5)$$

また，$f_b$は次による。

$\frac{D_i+2\cdot t}{2\cdot t} \leqq \frac{1200\cdot g}{F}$　のとき

$$f_b = F \quad \cdots\cdots (3.2.1.6)$$

$\frac{1200\cdot g}{F} < \frac{D_i+2\cdot t}{2\cdot t} < \frac{9600\cdot g}{F}$　のとき

$$f_b = F\cdot\left[1-\frac{1}{8400\cdot g}\cdot\left\{F-\phi_2\left(\frac{9600\cdot g}{F}\right)\right\}\cdot\left(\frac{D_i+2\cdot t}{2\cdot t}-\frac{1200\cdot g}{F}\right)\right] \quad \cdots\cdots (3.2.1.7)$$

$\frac{9600\cdot g}{F} \leqq \frac{D_i+2\cdot t}{2\cdot t} \leqq 800$　のとき

$$f_b = \phi_2\left(\frac{D_i+2\cdot t}{2\cdot t}\right) \quad \cdots\cdots (3.2.1.8)$$

ただし，$\phi_2$（x）は次の関数とする。

$$\phi_2(x) = 0.6\cdot\frac{E}{x}\cdot\left[1-0.731\cdot\left\{1-\exp\left(-\frac{1}{16}\cdot\sqrt{x}\right)\right\}\right] \quad \cdots\cdots (3.2.1.9)$$

$\eta$は安全率で次による。

$\frac{D_i+2\cdot t}{2\cdot t} \leqq \frac{1200\cdot g}{F}$　のとき

$$\eta = 1 \quad \cdots\cdots (3.2.1.10)$$

$\frac{1200\cdot g}{F} < \frac{D_i+2\cdot t}{2\cdot t} < \frac{8000\cdot g}{F}$　のとき

$$\eta = 1+\frac{0.5\cdot F}{6800\cdot g}\cdot\left(\frac{D_i+2\cdot t}{2\cdot t}-\frac{1200\cdot g}{F}\right) \quad \cdots\cdots (3.2.1.11)$$

$\frac{8000\cdot g}{F} \leqq \frac{D_i+2\cdot t}{2\cdot t}$　のとき

$$\eta = 1.5 \quad \cdots\cdots (3.2.1.12)$$

3.2.2　基礎ボルトの応力評価

2.2.2 項で求めた基礎ボルトの引張応力 $\sigma_b$ は次式より求めた許容引張応力 $f_{ts}$ 以下であること。

せん断応力 $\tau_b$ はせん断力のみを受ける基礎ボルトの許容せん断応力 $f_{sb}$ 以下であること。

$$f_{ts}=1.4\cdot f_{to}-1.6\cdot \tau_b \quad \cdots\cdots\cdots\cdots\cdots\cdots\cdots\cdots\cdots\cdots \quad (3.2.2.1)$$

かつ,

$$f_{ts}\leqq f_{to} \quad \cdots\cdots\cdots\cdots\cdots\cdots\cdots\cdots\cdots\cdots\cdots\cdots\cdots\cdots\cdots\cdots \quad (3.2.2.2)$$

ただし，$f_{to}$ 及び $f_{sb}$ は下表による。

| | 許容引張応力　$f_{to}$ | 許容せん断応力　$f_{sb}$ |
|---|---|---|
| 計　　算　　式 | $\dfrac{F}{2}\cdot 1.5$ | $\dfrac{F}{1.5\cdot\sqrt{3}}\cdot 1.5$ |

# 付録３　横軸ポンプ及びスキッドの耐震性についての計算書作成の基本方針

1.　一般事項

本基本方針は，横軸ポンプ（耐震設計上の重要度分類ＢクラスおよびＢ＋クラス）の耐震性についての計算方法を示す。なお，本基本方針はスキッドにも適用する。（その場合は，ポンプをスキッドと読み替える。）

1.1　適用基準

本基本方針における計算方法は，原子力発電所耐震設計技術指針　ＪＥＡＧ４６０１-1987（日本電気協会 電気技術基準調査委員会　昭和 62 年 8 月）（以下「指針」という。）に準拠する。

1.2　計算条件

(1)　ポンプ及び内容物の質量は重心に集中するものとする。

(2)　地震力はポンプに対して水平方向および鉛直方向から作用するものとする。

(3)　ポンプは基礎ボルトで基礎に固定された固定端とする。ここで，基礎については剛となるように設計する。

(4)　転倒方向は図 1－1 概要図における軸直角方向及び軸方向について検討し，計算書には計算結果の厳しい方を記載する。

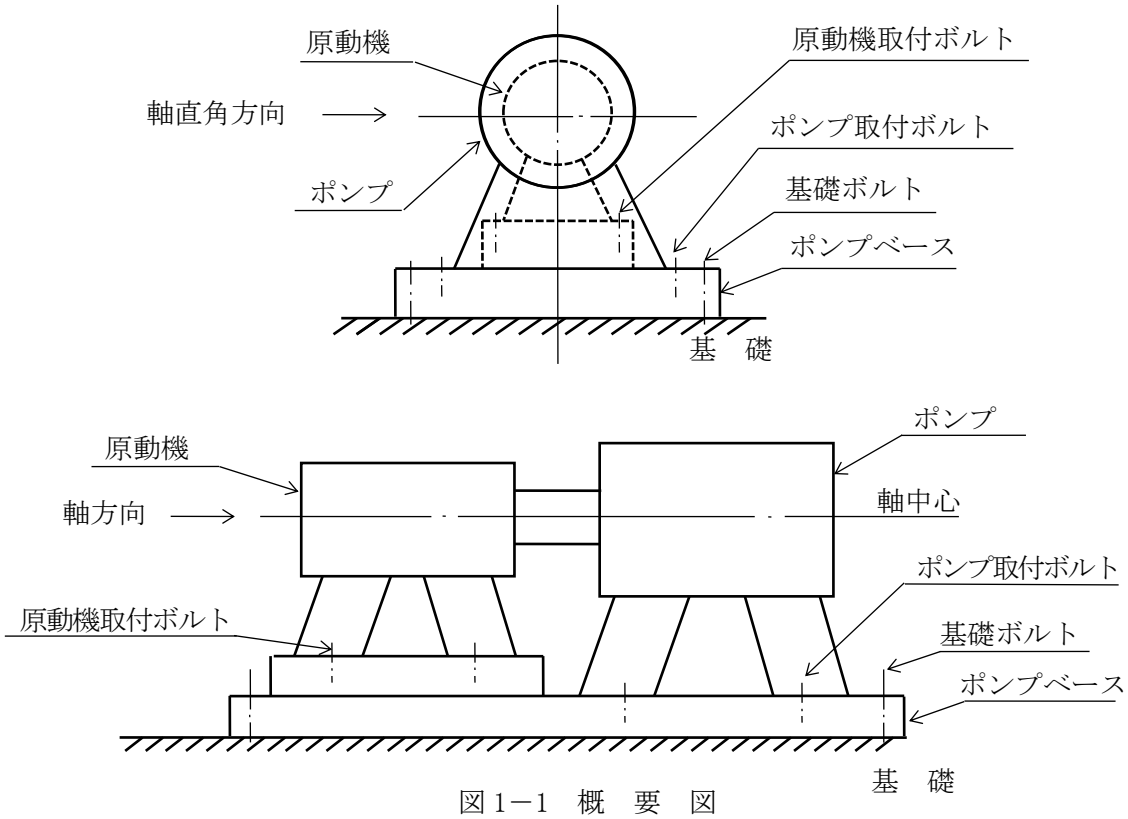



図 1－1　概　要　図

1.3　記号の説明

| 記　号 | 記　　号　　の　　説　　明 | 単　　位 |
|---|---|---|
| $A_{bi}$ | ボルトの軸断面積 | $mm^2$ |
| $C_H$ | 水平方向設計震度 | － |
| $C_v$ | 鉛直方向設計震度 | － |
| $C_m$ | 原動機振動による震度 | － |
| $C_p$ | ポンプ振動による震度 | － |
| $d_i$ | ボルトの呼び径 | mm |
| $F_i$ | 設計・建設規格　SSB-3131 に定める値 | MPa |
| $F_{bi}$ | ボルトに作用する引張力（1 本当たり） | N |
| $f_{sbi}$ | せん断力のみを受けるボルトの許容せん断応力 | MPa |
| $f_{toi}$ | 引張力のみを受けるボルトの許容引張応力 | MPa |
| $f_{tsi}$ | 引張力とせん断力を同時に受けるボルトの許容引張応力 | MPa |
| g | 重力加速度（＝9.80665） | $m/s^2$ |
| $H_m$ | 原動機予想最大両振幅 | $\mu m$ |
| $H_p$ | ポンプ予想最大両振幅 | $\mu m$ |
| $h_i$ | 据付面又は取付面から重心までの距離 | mm |
| $\ell_{1i}$ | 重心とボルト間の水平方向距離* | mm |
| $\ell_{2i}$ | 重心とボルト間の水平方向距離* | mm |
| $M_m$ | 原動機回転により作用するモーメント | N･mm |
| $M_p$ | ポンプ回転により作用するモーメント | N･mm |
| $m_i$ | 運転時質量 | kg |
| $N_m$ | 原動機回転速度（同期回転速度） | $min^{-1}$ |
| $N_p$ | ポンプ回転速度 | $min^{-1}$ |
| $n_i$ | ボルトの本数 | － |
| $n_{fi}$ | 評価上引張力を受けるとして期待するボルトの本数 | － |
| P | 原動機出力 | kW |
| $Q_{bi}$ | ボルトに作用するせん断力 | N |
| $S_{ui}$ | 設計・建設規格　付録材料図表　Part5　表 9 に定める値 | MPa |
| $S_{yi}$ | 設計・建設規格　付録材料図表　Part5　表 8 に定める値 | MPa |
| $\pi$ | 円周率 | － |
| $\sigma_{bi}$ | ボルトに生じる引張応力 | MPa |
| $\tau_{bi}$ | ボルトに生じるせん断応力 | MPa |

注1：「設計・建設規格」とは，発電用原子力設備規格（設計・建設規格　ＪＳＭＥ　ＳＮＣ１－2005（2007 年追補版含む。））（日本機械学会　2007 年 9 月）（以下「設計・建設規格」という。）をいう。

注2：$A_{bi}$，$d_i$，$F_i$，$F_{bi}$，$f_{sbi}$，$f_{toi}$，$f_{tsi}$，$\ell_{1i}$，$\ell_{2i}$，$n_i$，$n_{fi}$，$Q_{bi}$，$S_{ui}$，$S_{yi}$，$\sigma_{bi}$及び$\tau_{bi}$の添字iの意味は，以下のとおりとする。

ｉ＝1：ポンプ基礎ボルト（ポンプと原動機のベースが共通である場合を含む。）

ｉ＝2：ポンプ取付ボルト

ｉ＝3：原動機基礎ボルト

ｉ＝4：原動機取付ボルト

なお，ポンプと原動機間に増速機がある場合は，次のように定義する。

ｉ＝5：増速機基礎ボルト

ｉ＝6：増速機取付ボルト

注3：$h_i$及び$m_i$の添字ｉの意味は，以下のとおりとする。

ｉ＝1：ポンプ据付面

ｉ＝2：ポンプ取付面

ｉ＝3：原動機据付面

ｉ＝4：原動機取付面

なお，ポンプと原動機間に増速機がある場合は，次のように定義する。

ｉ＝5：増速機据付面

ｉ＝6：増速機取付面

注記＊：$\ell_{1i} \leqq \ell_{2i}$

2.　計算方法

2.1　固有周期の計算方法

横軸ポンプは構造的に1個の大きなブロック状をしており，重心の位置がブロック状のほぼ中心にあり，かつ，下面が基礎ボルトにて固定されている。

したがって，全体的に一つの剛体と見なせるため，固有周期は十分に小さく，固有周期の計算は省略する。

2.2　応力の計算方法

2.2.1　ボルトの応力

ボルトの応力は地震による震度，ポンプ振動による震度及びポンプ回転により作用するモーメントによって生じる引張力とせん断力について計算する。

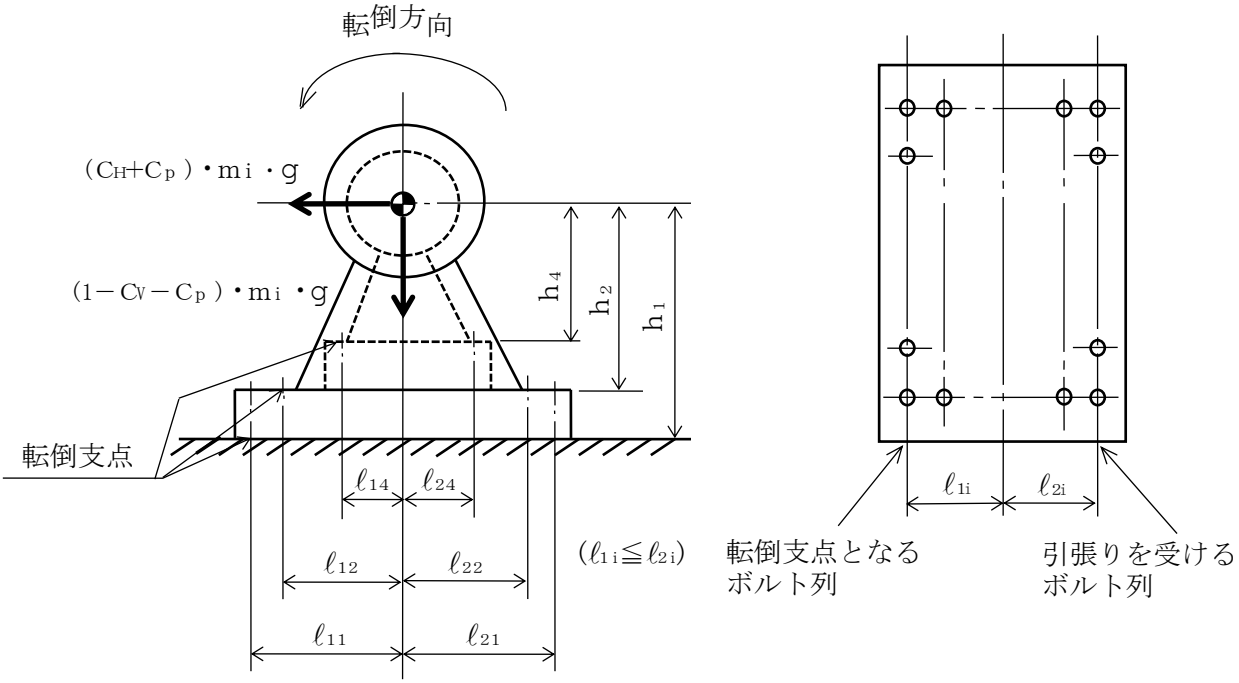



図2−1　計算モデル（軸直角方向転倒）

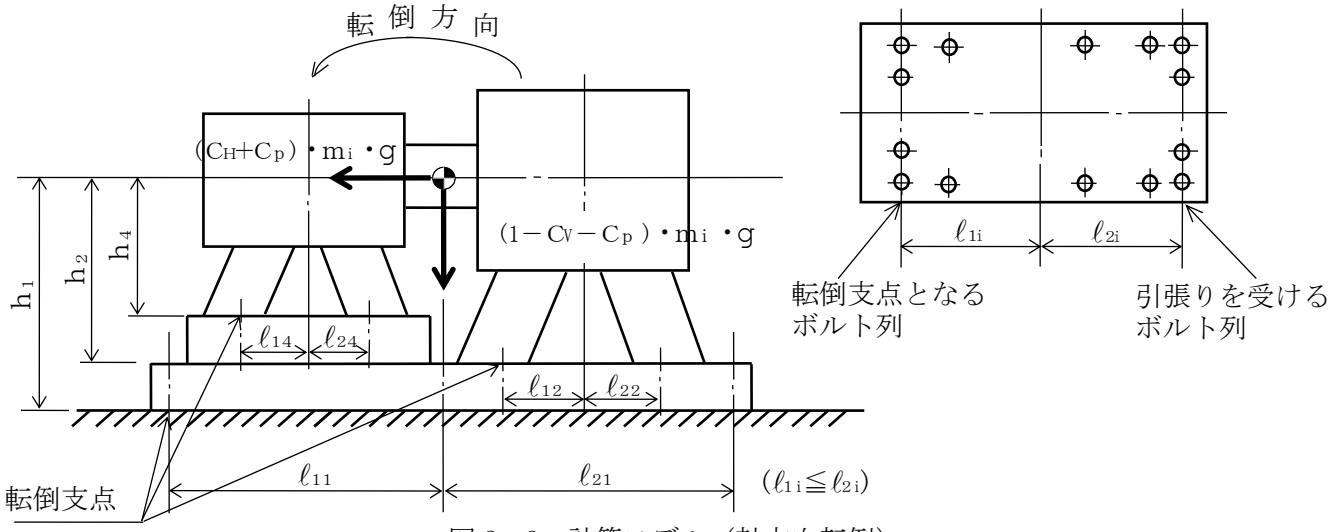



図 2－2　計算モデル（軸方向転倒）

(1)　引張応力

ボルトに対する引張力は最も厳しい条件として，図 2－1 及び図 2－2 で最外列のボルトを支点とする転倒を考え，これを片側の最外列のボルトで受けるものとして計算する。

なお，ポンプと原動機のベースが共通である場合の基礎ボルト（i＝1）及び計算モデル図 2－2 の場合のボルト（i＝1～6）については，ポンプ回転によるモーメントは作用しない。

引張力

$$F_{bi}=\frac{\left(C_H+C_p\right)\cdot m_i\cdot g\cdot h_i+M_p-\left(1-C_v-C_p\right)\cdot m_i\cdot g\cdot l_{1i}}{n_{fi}\cdot\left(l_{1i}+l_{2i}\right)} \quad \cdots\cdots\cdots\cdots\cdots\cdots\cdots\cdots \quad (2.2.1)$$

$\ell_{1i}$ が負となる場合，(2.2.1)式中の（1－Cv－Cp）を（1－Cv＋Cp）に置き換える。

増速機のボルト（i＝5 及び 6）の場合，（2.2.1）式中のMpは（Mp＋Mm），Cpは（Cp＋Cm）と置き換える。

ここで，ポンプ回転により作用するモーメントMpは次式で求める。

（Mmについても同様で，次式で求める。この場合，NpはNmと置き換える。）

$$M_p=\left(\frac{60}{2\cdot\pi\cdot N_p}\right)\cdot 10^6\cdot P \quad \cdots\cdots\cdots\cdots\cdots\cdots\cdots\cdots \quad (2.2.2)$$

（1kW＝$10^6$N･mm/s）

また，Cpは振動による振幅及び回転速度を考慮して定める値で，次式で求める。

（Cmについても同様で，次式で求める。この場合，HpはHm，NpはNmと置き換える。）

$$C_p=\frac{\frac{1}{2}\cdot\frac{H_p}{1000}\cdot\left(2\cdot\pi\cdot\frac{N_p}{60}\right)^2}{g\cdot 1000} \quad \cdots\cdots\cdots\cdots\cdots\cdots\cdots\cdots \quad (2.2.3)$$

引張応力

$$\sigma_{bi}=\frac{F_{bi}}{A_{bi}} \quad \cdots\cdots (2.2.4)$$

ここで，ボルトの軸断面積$A_{bi}$は

$$A_{bi}=\frac{\pi}{4}\cdot d_i^{\,2} \quad \cdots\cdots (2.2.5)$$

ただし，$F_{bi}$が負のときボルトには引張力が生じないので，引張応力の計算は行わない。

(2) せん断応力

ボルトに対するせん断力はボルト全本数で受けるものとして計算する。

せん断力

$$Q_{bi}=(C_H+C_p)\cdot m_i\cdot g \quad \cdots\cdots (2.2.6)$$

増速機のボルト(i＝5 及び 6)の場合，(2.2.6) 式中の$C_p$は($C_p+C_m$)と置き換える。

せん断応力

$$\tau_{bi}=\frac{Q_{bi}}{n_i\cdot A_{bi}} \quad \cdots\cdots (2.2.7)$$

3. 評価方法

3.1 応力の評価

3.1.1 ボルトの応力評価

2.2.1 項で求めたボルトの引張応力$\sigma_{bi}$は次式より求めた許容引張応力$f_{tsi}$以下であること。

せん断応力$\tau_{bi}$はせん断力のみを受けるボルトの許容せん断応力$f_{sbi}$以下であること。

$$f_{tsi}=1.4\cdot f_{toi}-1.6\cdot \tau_{bi} \quad \cdots\cdots (3.1.1)$$

かつ，

$$f_{tsi}\leqq f_{toi} \quad \cdots\cdots (3.1.2)$$

ただし，$f_{toi}$及び$f_{sbi}$は下表による。

| | 許容引張応力 $f_{toi}$ | 許容せん断応力 $f_{sbi}$ |
|---|---|---|
| 計　算　式 | $\frac{F_i}{2}\cdot 1.5$ | $\frac{F_i}{1.5\cdot\sqrt{3}}\cdot 1.5$ |

# 増設多核種除去設備の強度に関する計算書

## 1.　強度評価の方針

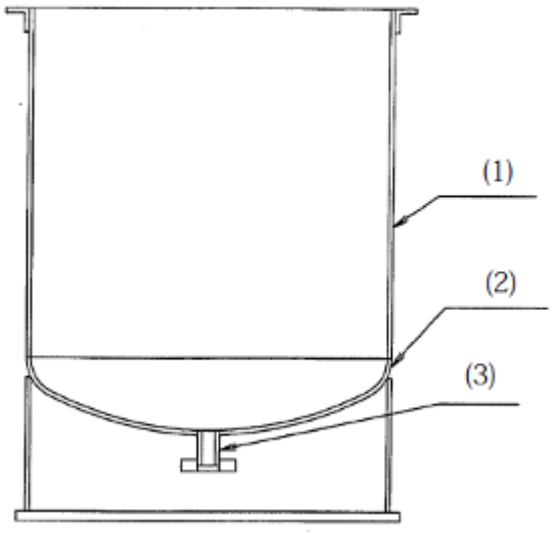
増設多核種除去設備を構成する主要な機器及び主配管（鋼管）は，強度評価においては，「JSME S NC-1 電用原子力設備規格　設計・建設規格」（以下，「設計・建設規格」という。）のクラス３機器またはクラス３配管に準じた評価を行う。

## 2.　強度評価

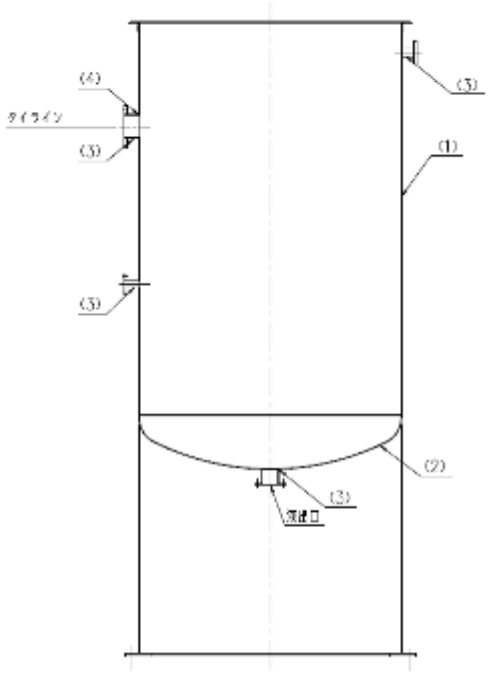
### 2.1　処理水受入タンク，共沈タンク，供給タンク

#### 2.1.1　評価箇所

強度評価箇所を図－１－１、図－１－２に示す。




図－１－１　処理水受入タンク 概要図




図－１－２　共沈タンク，供給タンク 概要図

図中の番号は，2.1.2 及び 2.1.3 の番号に対応する。

2.1.2　評価方法

(1)　胴の厚さの評価

開放タンクの胴に必要な厚さは、次に掲げる値のうちいずれか大きい値とする。

a.　規格上必要な最小厚さ：$t_1$

炭素鋼鋼板又は低合金鋼鋼板で作られた場合は 3mm，その他の材料で作られた場合は 1.5mm とする

b.　胴の計算上必要な厚さ：$t_2$

$$t_2 = \frac{D_i \cdot H \cdot \rho}{0.204 \cdot S \cdot \eta}$$

$t_2$：必要厚さ（mm）
Di：胴の内径（m）
H：水頭（m）
$\rho$：液体の比重。
　ただし，１未満の場合は１とする。
S：許容引張応力(MPa)
$\eta$：継手効率（-）

(2)　下部鏡板の厚さの評価

さら形鏡板の場合で、中低面に圧力を受ける物については、下記式により計算した値以上の厚さとする。

a.　鏡板の計算上必要な厚さ：t

$$t = \frac{P \cdot R \cdot W}{2S \cdot \eta - 0.2P}$$

t：必要厚さ（mm）
P：最高使用圧力（MPa）
R：鏡板の中央部における内面の半径（mm）
W：さら型鏡板の形状による係数
$\eta$：継手効率(-)
S：許容引張応力（MPa）

(3)　管台の厚さの評価

管台に必要な厚さは，次に揚げる値のうちいずれか大きい値とする。

a.　管台の計算上必要な厚さ：$t_1$

$$t_1 = \frac{D_i \cdot H \cdot \rho}{0.204 \cdot S \cdot \eta}$$

$t_1$：必要厚さ（mm）
Di：管台の内径(m)
H：水頭(m)
$\rho$：液体の比重。
　ただし，１未満の場合は１とする。
S：許容引張応力(MPa)
$\eta$：継手効率(-)

b.　規格上必要な厚さ：$t_2$

管台の外径に応じ設計・建設規格　表 PVC-3980-1 より求めた管台の厚さとする。

(4)　胴の穴の補強計算

a.　補強に有効な範囲内にある補強に有効な面積が，補強に必要な面積より大きくなるようにすること。

b.　大きい穴の補強を要しない穴の最大径

内径が 1500mm 以下の胴に設ける穴の径が胴の内径の２分の１（500mm を超える場合は，500mm）以下および内径が 1500mm を超える胴に設ける穴の径が胴の内径の３分の１（1000mm を超える場合は，1000mm）以下の場合は，大きい穴の補強計算は必要ない。

c.　溶接部の強度として，予想される破断箇所の強さが，溶接部の負うべき荷重以上であること。

2.1.3 評価結果

評価結果を表－１～２に示す。必要厚さ等を満足しており，十分な構造強度を有すると評価している。

表－１－１　処理水受入タンクの評価結果（板厚）

| 機器名称 | 評価項目 | 必要厚さ (mm) | 最小厚さ (mm) |
|---|---|---|---|
| 処理水受入タンク 1，2 | （1）胴板の厚さ | 3.00 | 7.27 |
| | （2）下部鏡板の厚さ | 0.98 | 6.00 |
| | （3）管台の厚さ（液出口） | 3.50 | 4.35 |

表－２－１　共沈タンクの評価結果（板厚）

| 機器名称 | 評価項目 | 必要厚さ (mm) | 最小厚さ (mm) |
|---|---|---|---|
| 共沈タンク A，B，C | （1）胴板の厚さ | 3.00 | 3.72 |
| | （2）下部鏡板の厚さ | 3.00 | 3.69 |
| | （3）管台の厚さ（液出口） | 3.50 | 3.75 |
| | （3）管台の厚さ（タイライン） | 3.50 | 4.72 |
| | （3）管台の厚さ（液入口） | 2.40 | 2.40 |
| | （3）管台の厚さ（苛性ソーダ入口） | 2.20 | 2.20 |
| | （3）管台の厚さ（炭酸ソーダ入口） | 2.20 | 2.20 |
| | （3）管台の厚さ(pH 計スキッド行き) | 2.20 | 2.20 |
| | （3）管台の厚さ(pH 計スキッド戻り) | 1.70 | 1.90 |

表－２－２　共沈タンクの評価結果（胴の穴の補強計算）

| 機器名称 | 評価項目 | 評価結果 | |
|---|---|---|---|
| 共沈タンク A，B，C | （4）胴 （タイライン） | 補強に必要な面積 ($mm^2$) | 補強に有効な総面積 ($mm^2$) |
| | | 40.95 | 663.63 |
| | | 大きな穴の補強を要しない最大径（mm） | 穴の径 (mm) |
| | | 583.33 | 167.20 |
| | | 溶接部の負うべき荷重 (N) | 予想される破断箇所の強さ（N） |
| | | -47353 | — ※1 |

※1　溶接部の負うべき荷重が負であり，溶接部の強度計算は不要

表－３－１　供給タンクの評価結果（板厚）

| 機器名称 | 評価項目 | 必要厚さ（mm） | 最小厚さ（mm） |
|---|---|---|---|
| 供給タンク<br>A，B，C | （１）胴板の厚さ | 3.00 | 3.72 |
| | （２）下部鏡板の厚さ | 3.00 | 3.69 |
| | （３）管台の厚さ（液出口） | 3.50 | 3.75 |
| | （３）管台の厚さ（タイライン） | 3.50 | 4.72 |
| | （３）管台の厚さ<br>（クロフフローフィルタ戻り） | 2.20 | 2.20 |
| | （３）管台の厚さ（デカント水戻り） | 2.20 | 2.20 |

表－３－２　供給タンクの評価結果（胴の穴の補強計算）

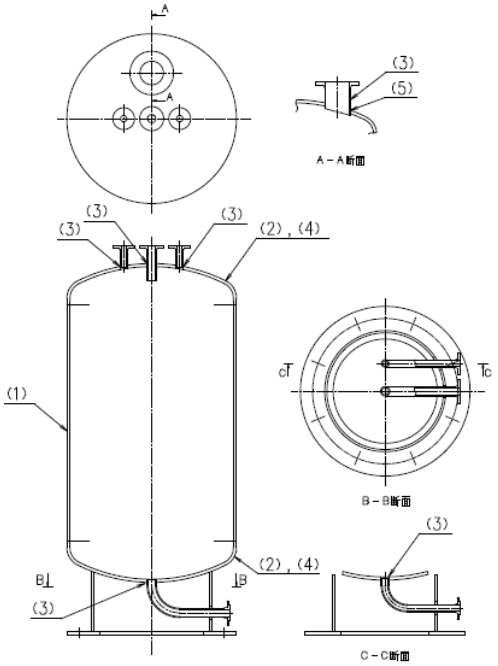
| 機器名称 | 評価項目 | 評価結果 | |
|---|---|---|---|
| 供給タンク<br>A，B，C | （４）胴<br>（タイライン） | 補強に必要な面積<br>（$mm^2$） | 補強に有効な総面積<br>（$mm^2$） |
| | | 48.54 | 656.11 |
| | | 大きな穴の補強を<br>要しない最大径（mm） | 穴の径<br>（mm） |
| | | 583.33 | 167.20 |
| | | 溶接部の負うべき荷重<br>（N） | 予想される破断箇所の<br>強さ（N） |
| | | -45765 | ― ※2 |

※2　溶接部の負うべき荷重が負であり，溶接部の強度計算は不要

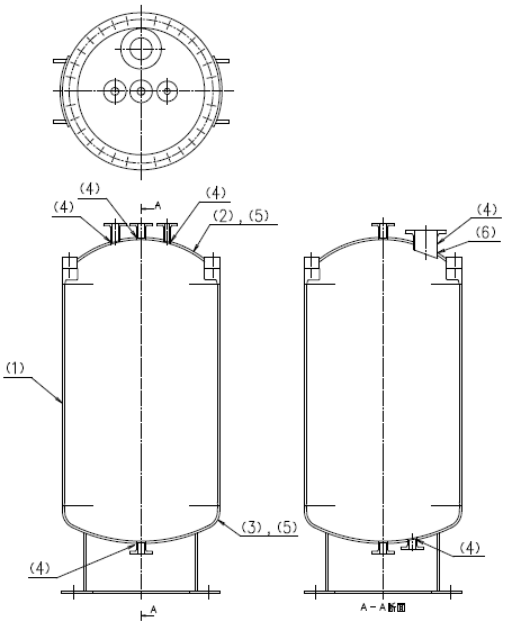
2.2　吸着塔

2.2.1　評価箇所

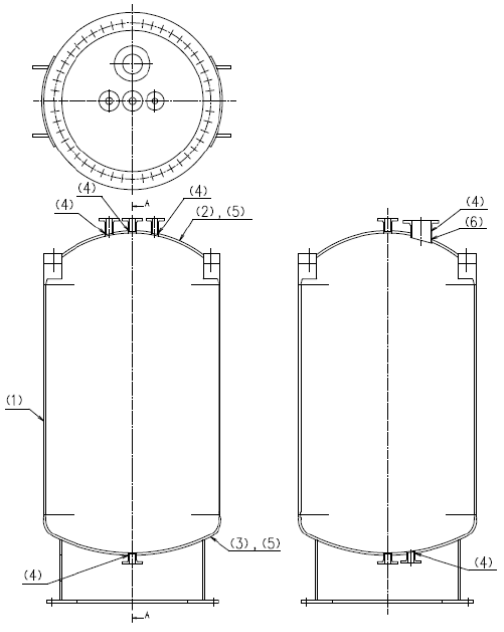
強度評価箇所を図－２に示す。




吸着塔Ⅰ型




吸着塔Ⅱ型




吸着塔Ⅲ型

吸着塔Ⅰ型　：多核種吸着塔１～５

吸着塔Ⅱ型　：多核種吸着塔６～１４

吸着塔Ⅲ型　：多核種吸着塔１５～１８

図－２　吸着塔　概要図

図中の番号は，2.2.2，2.2.3 の番号に対応する。

2.2.2　評価方法

(1)　胴の厚さの評価

胴に必要な厚さは，次に揚げる値のうちいずれか大きい値とする。

a.　規格上必要な最小厚さ：$t_1$

炭素鋼鋼板又は低合金鋼鋼板で作られたものにあっては 3mm，その他の材料で作られたものにあっては 1.5mm とする。

b.　内面に圧力を受ける胴の必要厚さ：$t_2$

$$t_2 = \frac{P \cdot D_i}{2 \cdot S \cdot \eta - 1.2 \cdot P}$$

$t_2$：必要厚さ（mm）
P　：最高使用圧力（MPa）
Di　：胴の内径（mm）
S　：許容引張応力（MPa）
$\eta$　：継手効率（-）

(2)　鏡板の厚さの評価

さら形鏡板に必要な厚さは，以下で計算した値のうちいずれか大きい方の値とする。

a.　フランジ部：$t_1$

$$t_1 = \frac{P \cdot D_i}{2 \cdot S \cdot \eta - 1.2 \cdot P}$$

$t_1$：必要厚さ（mm）
P　：最高使用圧力（MPa）
Di　：胴の内径（mm）
S　：許容引張応力（MPa）
$\eta$　：継手効率（-）

b.　鏡板：$t_2$

$$t_2 = \frac{P \cdot R \cdot W}{2 \cdot S \cdot \eta - 0.2P}$$

$t_2$：必要厚さ（mm）
P　：最高使用圧力（MPa）
R　：鏡板の中央部における内面の半径（mm）
W　：さら型鏡板の形状による係数（-）
S　：許容引張応力（MPa）
$\eta$　：継手効率（-）

ここで，Wは以下の式により計算した値とする。

$$W = \frac{1}{4} \cdot \left( 3 + \sqrt{\frac{R}{r}} \right)$$

R　：鏡板の中央部における内面の半径（mm）
r　：さら形鏡板のすみの丸みの内半径（mm）

(3)　管台の厚さの評価

管台に必要な厚さは，次に揚げる値のうちいずれか大きい値とする。

a.　内面に圧力を受ける管台：$t_1$

$$t_1=\frac{P\cdot D_O}{2\cdot S\cdot \eta + 0.8\cdot P}$$

$t_1$：必要厚さ（mm）
P　：最高使用圧力（MPa）
Do：管台の外径（mm）
S　：許容引張応力（MPa）
$\eta$　：継手効率（-）

b.　規格上必要な最小厚さ：$t_2$

炭素鋼鋼管を使用する管台にあっては，管台の外径に応じて設計・建設規格　表 PVC-3610-1 より求めた管台の厚さとする。

(4)　鏡板の補強を要しない穴の最大径の評価

鏡板の補強を要しない穴の最大径は，以下で計算した値のうちいずれかとする。

a.　穴の径が 61mm 以下で，かつ，次の式により計算した値以下の穴。

$$d_{r1}=\frac{D-2\cdot t_c}{4}$$

$d_{r1}$：補強を要しない穴の最大径(mm)
D　：鏡板のフランジ部の外径（mm）
$t_c$　：鏡板の最少厚さ(mm)

b.　a に揚げるものを除き，穴の径が 200ｍｍ以下で，かつ，設計・建設規格　図 PVD-3122-1 及び図 PVD-3122-2 により求めた値以下の穴。

$$d_{r2}=\quad 8.05\sqrt[3]{Dt_c(1-K)}$$

$d_{r2}$：補強を要しない穴の最大径(mm)
D　：鏡板のフランジ部の外径（mm）
$t_c$　：鏡板の最少厚さ(mm)
K　：係数(-)

ここで，Kは，さら形鏡板の場合，次の式により計算した値で，Ｋ＞０．９９のときは，Ｋ＝０．９９とする。

$$K=\frac{P\cdot D}{1.82S\cdot \eta\cdot t_c}$$

P　：最高使用圧力（MPa）
D　：鏡板のフランジ部の外径（mm）
S　：許容引張応力（MPa）
$\eta$　：継手効率の値（-）
$t_c$：鏡板の最少厚さ(mm)

(5) 鏡板の穴の補強計算

a. 補強に有効な範囲内にある補強に有効な面積が，補強に必要な面積より大きくなるようにすること。

b. 大きい穴の補強を要しない最大径

内径が 1500mm 以下の胴に設ける穴の径が胴の内径の２分の１（500ｍｍを超える場合は，500mm）以下および内径が 1500ｍｍを超える胴に設ける穴の径が胴の内径の３分の１（1000mm を超える場合は，1000mm）以下の場合は，大きい穴の補強計算は必要ない。

c. 溶接部の強度として，予想される破断箇所の強さが，溶接部の負うべき荷重以上であること。

2.2.3 評価結果

評価結果を表－４～６に示す。必要厚さ等を満足しており，十分な構造強度を有すると評価している。

表－４－１　吸着塔の評価結果（板厚）

| 機器名称 | 評価項目 | 必要厚さ（mm） | 最小厚さ（mm） |
|---|---|---|---|
| 多核種吸着塔<br>１～５<br>Ａ，Ｂ，Ｃ | （１）胴板の厚さ | 9.57 | 14.80 |
| | （２）上部・下部鏡板の厚さ | 10.18 | 15.50 |
| | （３）管台の厚さ（清掃口） | 1.04 | 5.80 |
| | （３）管台の厚さ（液出口） | 0.38 | 2.40 |
| | （３）管台の厚さ（液入口） | 0.38 | 3.00 |
| | （３）管台の厚さ（吸着材入口） | 0.31 | 2.90 |
| | （３）管台の厚さ（吸着材出口） | 0.31 | 2.30 |
| | （３）管台の厚さ（ベント） | 0.31 | 2.90 |

表－４－２　吸着塔の評価結果（鏡板の補強要否確認）

| 機器名称 | 評価項目 | 補強を要しない穴の最大径（mm） | 穴の径（mm） |
|---|---|---|---|
| 吸着塔１～５<br>A，B，C | （４）上部鏡板（清掃口） | 165.50 | 165.20 ※3 |
| | （４）下部鏡板（液出口） | 165.50 | 60.50 |
| | （４）上部鏡板（液入口） | 165.50 | 60.50 |
| | （４）上部鏡板（吸着材入口） | 165.50 | 48.60 |
| | （４）下部鏡板（吸着材出口） | 165.50 | 48.60 |
| | （４）上部鏡板（ベント） | 165.50 | 48.60 |

※３　管台の外径は 165.2mm であるものの，鏡板に加工する穴の径は最大 168.5mm であり，補強を要しない穴の最大径を上回ることから鏡板の穴の補強計算を行う。

表－４－３　吸着塔の評価結果（鏡板の穴の補強計算）

| 機器名称 | 評価項目 | 評価結果 | |
|---|---|---|---|
| 吸着塔１～５<br>A，B，C | （５）上部鏡板<br>（清掃口） | 補強に必要な面積（$mm^2$） | 補強に有効な総面積（$mm^2$） |
| | | $1.015\times10^3$ | $1.723\times10^3$ |
| | | 大きな穴の補強を要しない最大径（mm） | 穴の径（mm） |
| | | 500.00 | 153.60 |
| | | 溶接部の負うべき荷重（N） | 予想される破断箇所の強さ（N） |
| | | $-2.992\times10^4$ | — ※4 |

※４　溶接部の負うべき荷重が負であり，溶接部の強度計算は不要

表－５－１　吸着塔の評価結果（板厚）

| 機器名称 | 評価項目 | 必要厚さ（mm） | 最小厚さ（mm） |
|---|---|---|---|
| 多核種吸着塔<br>６～１４<br>A，B，C | （１）胴板の厚さ | 8.44 | 13.60 |
| | （２）さら形ふた板 | 6.50 | 11.70 |
| | （３）下部鏡板の厚さ | 9.02 | 11.80 |
| | （４）管台の厚さ（清掃口） | 3.80 | 5.80 |
| | （４）管台の厚さ（液出口） | 2.40 | 3.00 |
| | （４）管台の厚さ（液入口） | 2.40 | 3.00 |
| | （４）管台の厚さ（吸着材入口） | 2.40 | 3.00 |
| | （４）管台の厚さ（吸着材出口） | 2.40 | 3.00 |
| | （４）管台の厚さ（ベント） | 2.20 | 2.90 |

表－５－２　吸着塔の評価結果（鏡板・さら形ふた板の補強要否確認）

| 機器名称 | 評価項目 | 補強を要しない穴の最大径（mm） | 穴の径（mm） |
|---|---|---|---|
| 多核種吸着塔<br>６～１４<br>Ａ，Ｂ，Ｃ | （５）さら形ふた板（清掃口） | 142.05 | 165.20 ※5 |
| | （５）下部鏡板（液出口） | 142.98 | 60.50 |
| | （５）さら形ふた板（液入口） | 142.05 | 60.50 |
| | （５）さら形ふた板（吸着材入口） | 142.05 | 60.50 |
| | （５）下部鏡板（吸着材出口） | 142.98 | 60.50 |
| | （５）さら形ふた板（ベント） | 142.05 | 48.60 |

※５　さら形ふた板の穴の補強計算を行う

表－５－３　吸着塔の評価結果（さら形ふた板の穴の補強計算）

| 機器名称 | 評価項目 | 評価結果 | |
|---|---|---|---|
| 多核種吸着塔<br>６～１４<br>Ａ，Ｂ，Ｃ | （６）さら形ふた板（清掃口） | 補強に必要な面積（$mm^2$） | 補強に有効な総面積（$mm^2$） |
| | | 610.5 | $1.438\times10^3$ |
| | | 大きな穴の補強を要しない最大径（mm） | 穴の径（mm） |
| | | 437.00 | 153.60 |
| | | 溶接部の負うべき荷重（N） | 予想される破断箇所の強さ（N） |
| | | $-6.530\times10^4$ | — ※6 |

※６　溶接部の負うべき荷重が負であり，溶接部の強度計算は不要

表－６－１　吸着塔の評価結果（板厚）

| 機器名称 | 評価項目 | 必要厚さ（mm） | 最小厚さ（mm） |
|---|---|---|---|
| 多核種吸着塔<br>１５～１８<br>Ａ，Ｂ，Ｃ | （１）胴板の厚さ | 10.85 | 13.60 |
| | （２）さら形ふた板 | 8.36 | 14.40 |
| | （３）下部鏡板の厚さ | 11.60 | 14.60 |
| | （４）管台の厚さ（清掃口） | 3.80 | 5.80 |
| | （４）管台の厚さ（液出口） | 2.40 | 3.00 |
| | （４）管台の厚さ（液入口） | 2.40 | 3.00 |
| | （４）管台の厚さ（吸着材入口） | 2.40 | 3.00 |
| | （４）管台の厚さ（吸着材出口） | 2.40 | 3.00 |
| | （４）管台の厚さ（ベント） | 2.20 | 2.90 |

表－６－２　吸着塔の評価結果（鏡板・さら形ふた板の補強要否確認）

| 機器名称 | 評価項目 | 補強を要しない穴の最大径（mm） | 穴の径（mm） |
|---|---|---|---|
| 多核種吸着塔<br>１５～１８<br>Ａ，Ｂ，Ｃ | （５）さら形ふた板（清掃口） | 162.41 | 165.20 ※7 |
| | （５）下部鏡板（液出口） | 164.21 | 60.50 |
| | （５）さら形ふた板（液入口） | 162.41 | 60.50 |
| | （５）さら形ふた板（吸着材入口） | 162.41 | 60.50 |
| | （５）下部鏡板（吸着材出口） | 164.21 | 60.50 |
| | （５）さら形ふた板（ベント） | 162.41 | 48.60 |

※７　さら形ふた板の穴の補強計算を行う

表－６－３　吸着塔の評価結果（さら形ふた板の穴の補強計算）

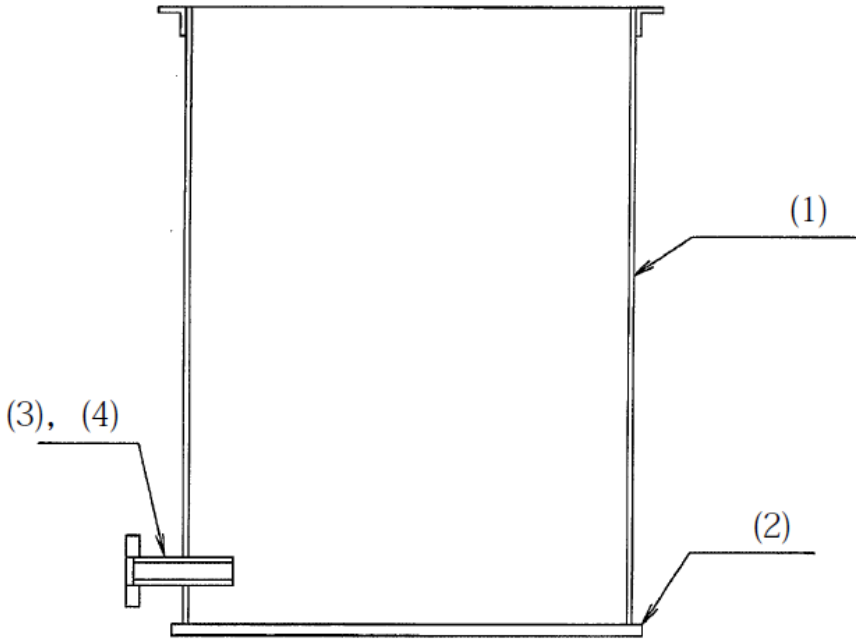
| 機器名称 | 評価項目 | 評価結果 | |
|---|---|---|---|
| 多核種吸着塔<br>１５～１８<br>Ａ，Ｂ，Ｃ | （６）さら形ふた板（清掃口） | 補強に必要な面積（$mm^2$） | 補強に有効な総面積（$mm^2$） |
| | | 784.9 | $1.687\times10^3$ |
| | | 大きな穴の補強を要しない最大径（mm） | 穴の径（mm） |
| | | 500.00 | 153.60 |
| | | 溶接部の負うべき荷重（N） | 予想される破断箇所の強さ（N） |
| | | $-7.203\times10^4$ | — ※8 |

※８　溶接部の負うべき荷重が負であり，溶接部の強度計算は不要

2.3　吸着塔入口バッファタンク，移送タンク，サンプルタンク

2.3.1　評価箇所

強度評価箇所を図－３に示す。




図中の番号は，2.3.2，2.3.3 の番号に対応する。

図－３　吸着塔入口バッファタンク，移送タンク　概要図

2.3.2　評価方法

(1)　胴の厚さの評価

開放タンクの胴に必要な厚さは，次に揚げる値のうちいずれか大きい値とする。

a.　規格上必要な最小厚さ：$t_1$

炭素鋼鋼板又は低合金鋼鋼板で作られた場合は 3mm，その他の材料で作られた場合は 1.5mm とする。

b.　胴の計算上必要な厚さ：$t_2$

$$t_2 = \frac{D_i \cdot H \cdot \rho}{0.204 \cdot S \cdot \eta}$$

$t_2$：必要厚さ（mm）

Di　：胴の内径（m）

H　：水頭（m）

$\rho$　：液体の比重。

ただし，１未満の場合は１とする。

S　：許容引張応力(MPa)

$\eta$　：継手効率（-）

c. 胴の内径に応じた必要厚さ：$t_3$

胴の内径が 5m を超えるものについては，胴の内径の区分に応じ設計・建設規格　表 PVC-3920-1 より求めた胴の厚さとする。

(2) 底板の厚さの評価

地面，基礎等に直接接触する開放タンクの底板の厚さは，3mm 以上であること。

(3) 管台の厚さの評価

管台に必要な厚さは，次に揚げる値のうちいずれか大きい値とする。

a. 管台の計算上必要な厚さ：$t_1$

$$t_1 = \frac{D_i \cdot H \cdot \rho}{0.204 \cdot S \cdot \eta}$$

$t_1$：必要厚さ（mm）
Di：管台の内径(m)
H：水頭(m)
$\rho$：液体の比重。
ただし，１未満の場合は１とする。
S：許容引張応力(MPa)
$\eta$：継手効率(-)

b. 規格上必要な厚さ：$t_2$

管台の外径に応じ設計・建設規格　表 PVC-3980-1 より求めた管台の厚さとする。

(4) 胴の穴の補強計算

a. 補強に有効な範囲内にある補強に有効な面積が，補強に必要な面積より大きくなるようにすること。

b. 大きい穴の補強を要しない穴の最大径

内径が 1500mm 以下の胴に設ける穴の径が胴の内径の２分の１（500mm を超える場合は，500mm）以下および内径が 1500mm を超える胴に設ける穴の径が胴の内径の３分の１（1000mm を超える場合は，1000mm）以下の場合は，大きい穴の補強計算は必要ない。

c. 溶接部の強度として，予想される破断箇所の強さが，溶接部の負うべき荷重以上であること。

2.3.3 評価結果

評価結果を表－７～９に示す。必要厚さ等を満足しており，十分な構造強度を有すると評価している。

表－７－１　吸着塔入口バッファタンクの評価結果（板厚）

| 機器名称 | 評価項目 | 必要厚さ（mm） | 最少厚さ（mm） |
|---|---|---|---|
| 吸着塔入口バッファタンクＡ，Ｂ，Ｃ | （１）胴の厚さ | 1.50 | 3.48 |
| | （２）底板の厚さ | 3.00 | 17.80 |
| | （３）管台の厚さ（液出口） | 2.40 | 3.91 |

表－７－２　吸着塔入口バッファタンクの評価結果（胴板の補強要否確認）

| 機器名称 | 評価項目 | 補強を要しない穴の最大径（mm） | 穴の径（mm） |
|---|---|---|---|
| 吸着塔入口バッファタンクＡ，Ｂ，Ｃ | （４）胴（液出口） | 85.00 | 85.00 以下 |

表－８－１　移送タンクの評価結果（板厚）

| 機器名称 | 評価項目 | 必要厚さ（mm） | 最少厚さ（mm） |
|---|---|---|---|
| 移送タンク１．２ | （１）胴の厚さ | 3.00 | 7.47 |
| | （２）底板の厚さ | 3.00 | 20.35 |
| | （３）管台の厚さ（液出口） | 3.50 | 3.91 |

表－８－２　移送タンクの評価結果（胴板の補強要否確認）

| 機器名称 | 評価項目 | 補強を要しない穴の最大径（mm） | 穴の径（mm） |
|---|---|---|---|
| 移送タンク１．２ | （４）胴（液出口） | 85.00 | 85.00 以下 |

表－９－１　サンプルタンクの評価結果（板厚）

| 機器名称 | 評価項目 | 必要厚さ (mm) | 最少厚さ (mm) |
|---|---|---|---|
| サンプルタンク A，B，C | （１）胴の厚さ | 11.7 | 12.0 |
| | （２）底板の厚さ | 3.0 | 12.0 |
| | （３）管台の厚さ（100A） | 3.5 | 6.0 |
| | （３）管台の厚さ（200A） | 3.5 | 8.2 |
| | （３）管台の厚さ（650A） | 3.5 | 12.0 |

表－９－２　サンプルタンクの穴の補強評価結果

| 機器名称 | 管台口径 | 評価部位 | 補強に必要な面積[mm$^2$] | 補強に有効な総面積[mm$^2$] |
|---|---|---|---|---|
| サンプルタンクA，B，C | 100A | 管台 | 724 | 1616 |
| | 200A | 管台 | 1411 | 3195 |
| | 650A | 管台 | 4466 | 10840 |

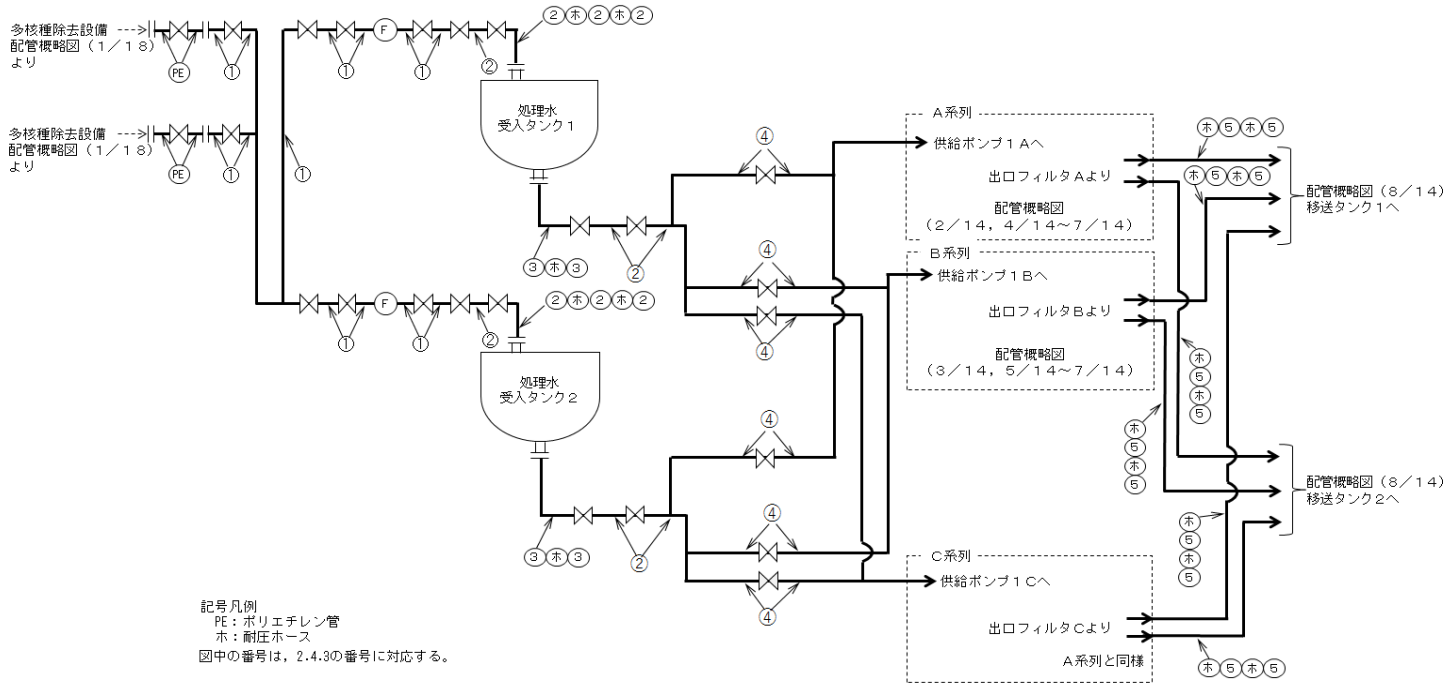
表－９－３　サンプルタンクの強め材の取付け強さ

| 機器名称 | 管台口径 | 溶接部の負うべき荷重 | 予想される破断箇所の強さ | | | | | |
|---|---|---|---|---|---|---|---|---|
| | | W [N] | $W_1$ [N] | $W_2$ [N] | $W_3$ [N] | $W_4$ [N] | $W_5$ [N] | $W_6$ [N] |
| サンプルタンクA，B，C | 100A | 37367.82 | 154937 | 278514 | 119886 | 199587 | 234638 | 243463 |
| | 200A | 63939.66 | 342042 | 570661 | 300675 | 402159 | 443526 | 529294 |
| | 650A | 167003.76 | 1412331 | 2016618 | 1600574 | 1641873 | 1453630 | 2204861 |

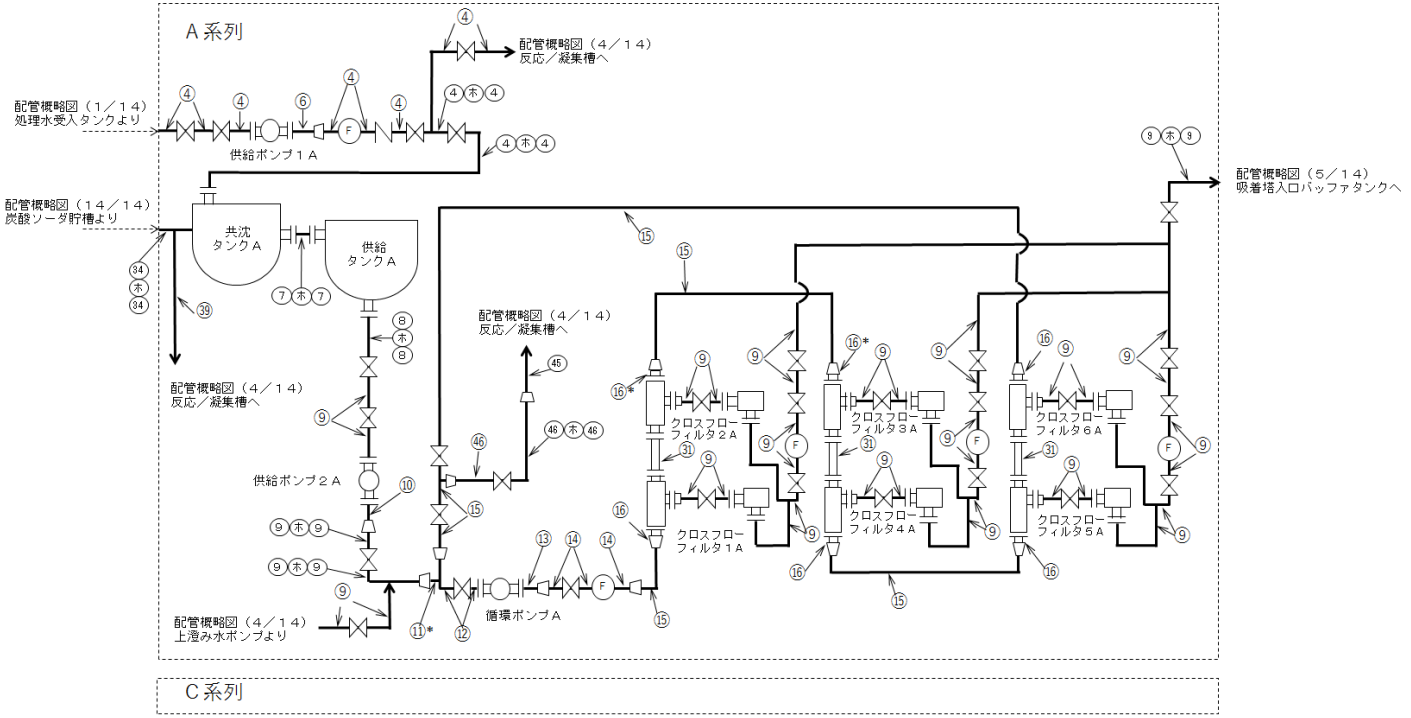
2.4　主配管

2.4.1　評価箇所

強度評価箇所を図－４に示す。

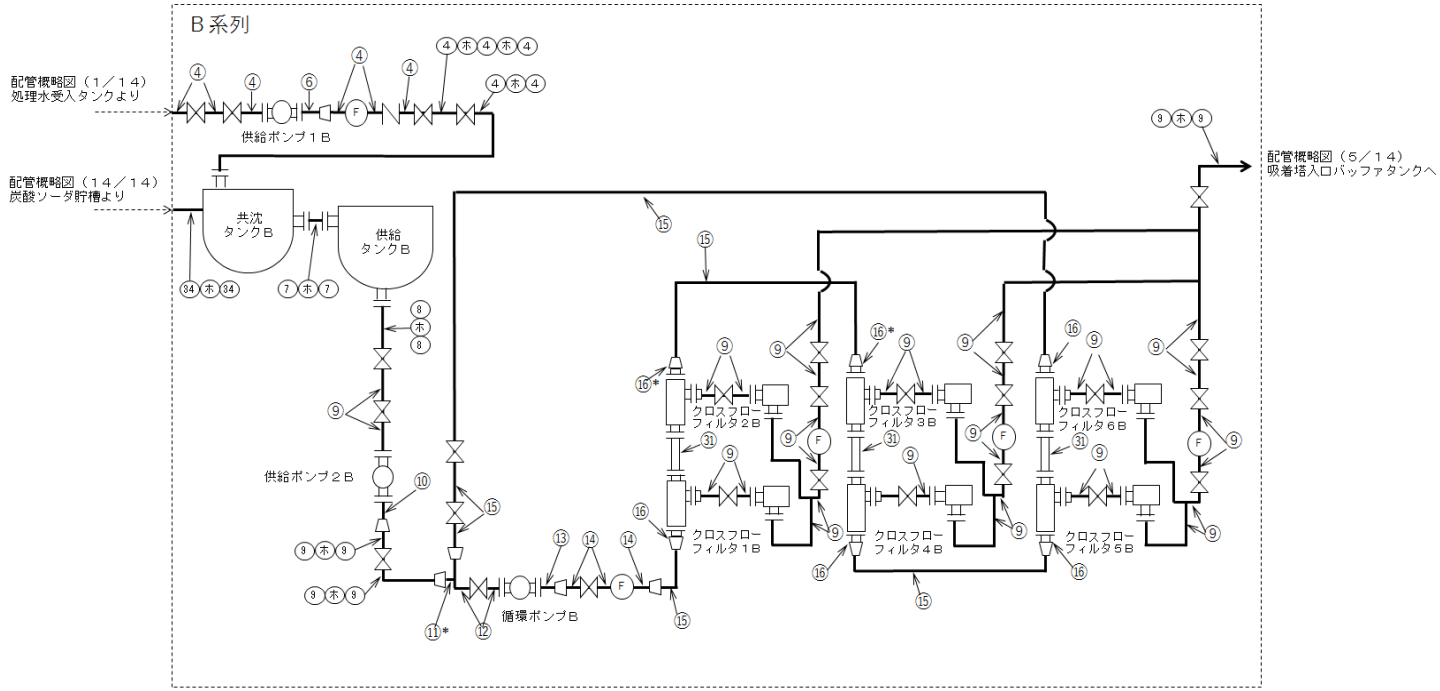

多核種除去設備
配管概略図（1／18）
より
多核種除去設備
配管概略図（1／18）
より
PE
F
処理水
受入タンク1
処理水
受入タンク2
A系列
供給ポンプ1Aへ
出口フィルタAより
配管概略図
（2／14，4／14～7／14）
B系列
供給ポンプ1Bへ
出口フィルタBより
配管概略図
（3／14，5／14～7／14）
C系列
供給ポンプ1Cへ
出口フィルタCより
A系列と同様
配管概略図（8／14）
移送タンク1へ
配管概略図（8／14）
移送タンク2へ
記号凡例
PE：ポリエチレン管
ホ：耐圧ホース
図中の番号は，2.4.3の番号に対応する。

図－4　配管概略図（1／14）




記号凡例
　ホ：耐圧ホース
図中の番号は，2.4.3の番号に対応する。
注記＊：管継手
※使用する材料に変更の無い範囲で図に示す配管構成は変更となる場合がある。

図－４　配管概略図（２／１４）

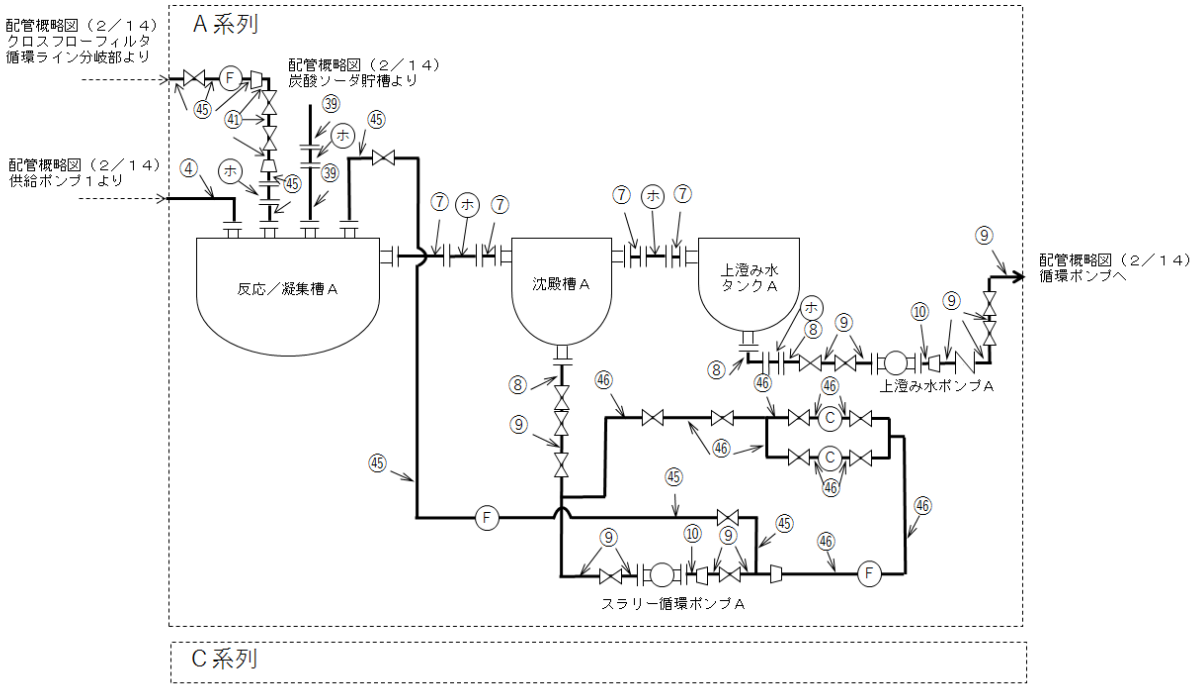



記号凡例
ホ：耐圧ホース
図中の番号は，2.4.3の番号に対応する。

注記＊：管継手

※使用する材料に変更の無い範囲で図に示す
配管構成は変更となる場合がある。

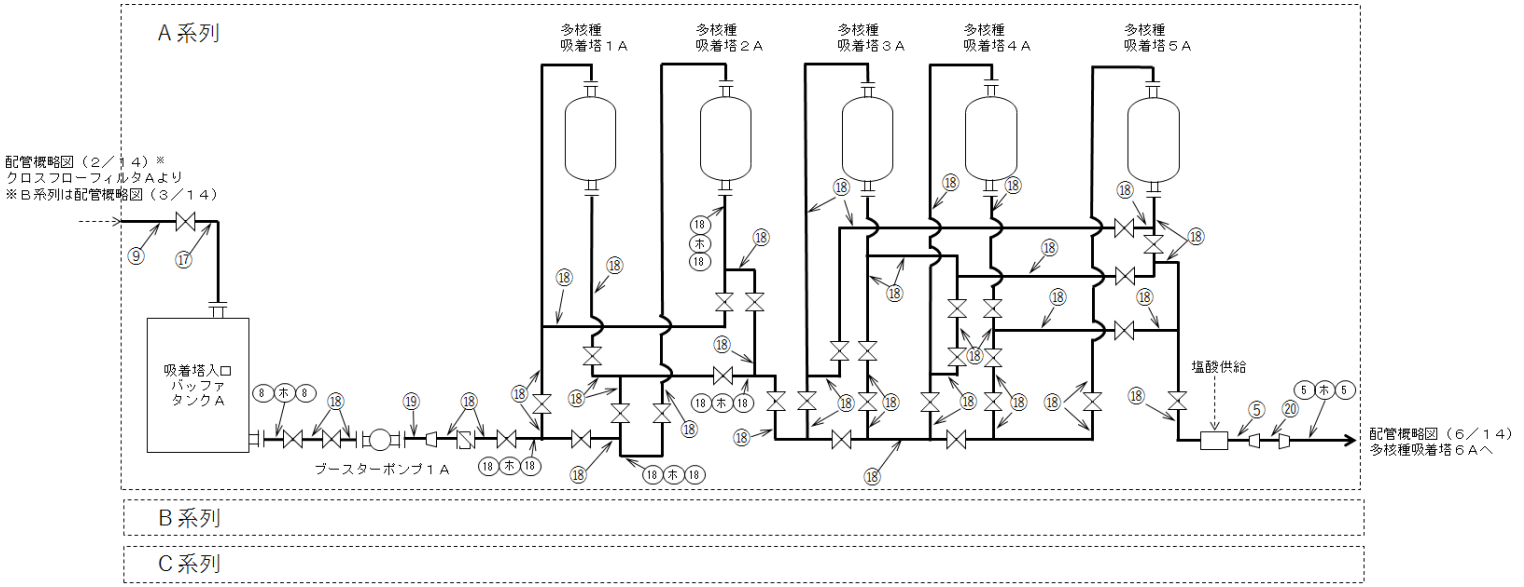
図－4　配管概略図（3／14）




記載凡例
ホ：耐圧ホース
C：スラリー濃度計

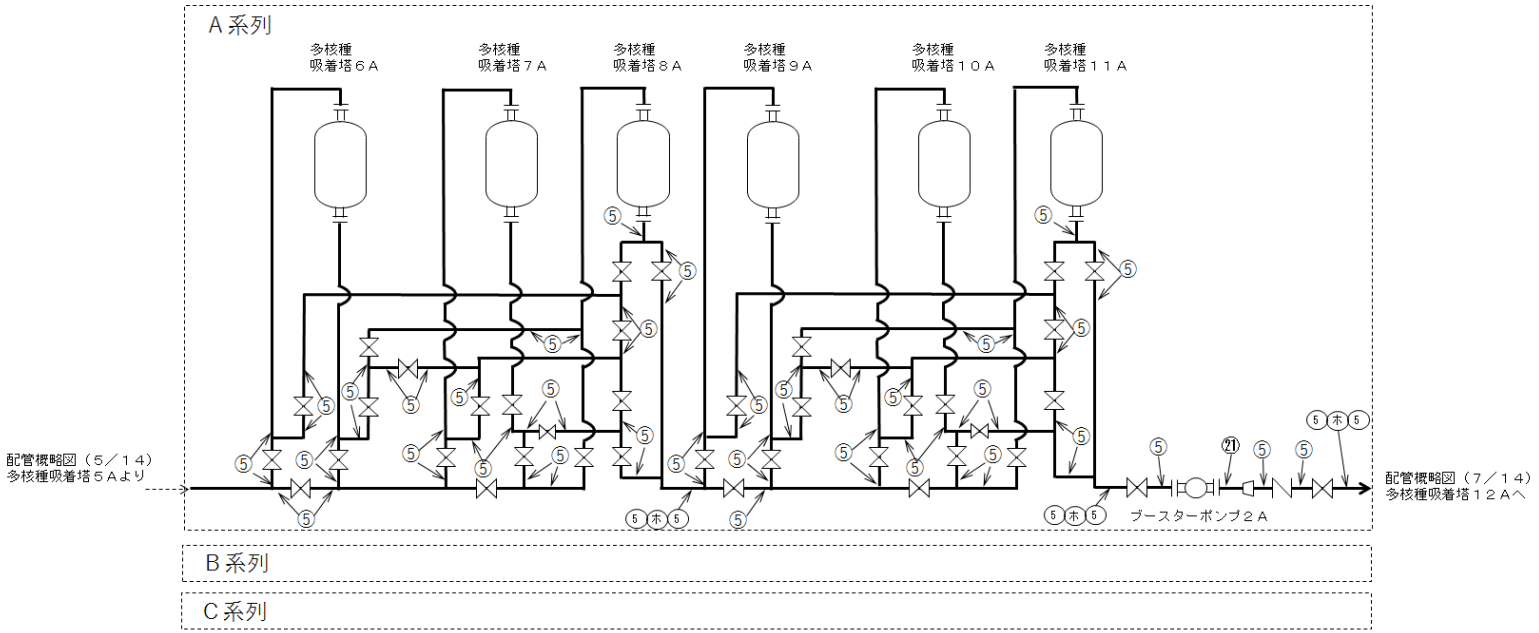
図中の番号は，2.4.3の番号に対応する。

図－4　配管概略図（4／14）



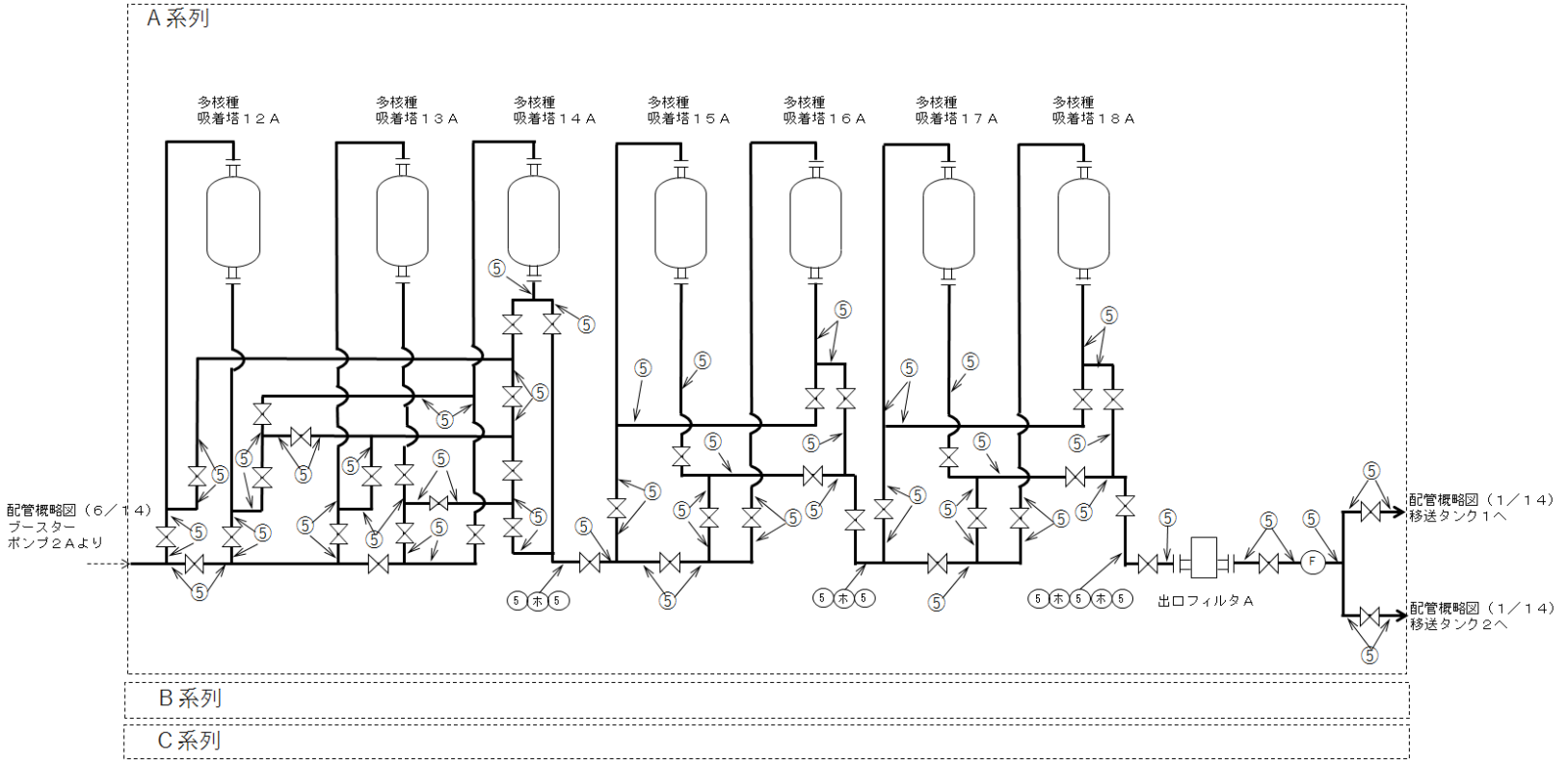

記号凡例
ホ：耐圧ホース
図中の番号は，2.4.3の番号に対応する。
※使用する材料に変更の無い範囲で図に示す配管構成は変更となる場合がある。

図－４　配管概略図（５／１４）

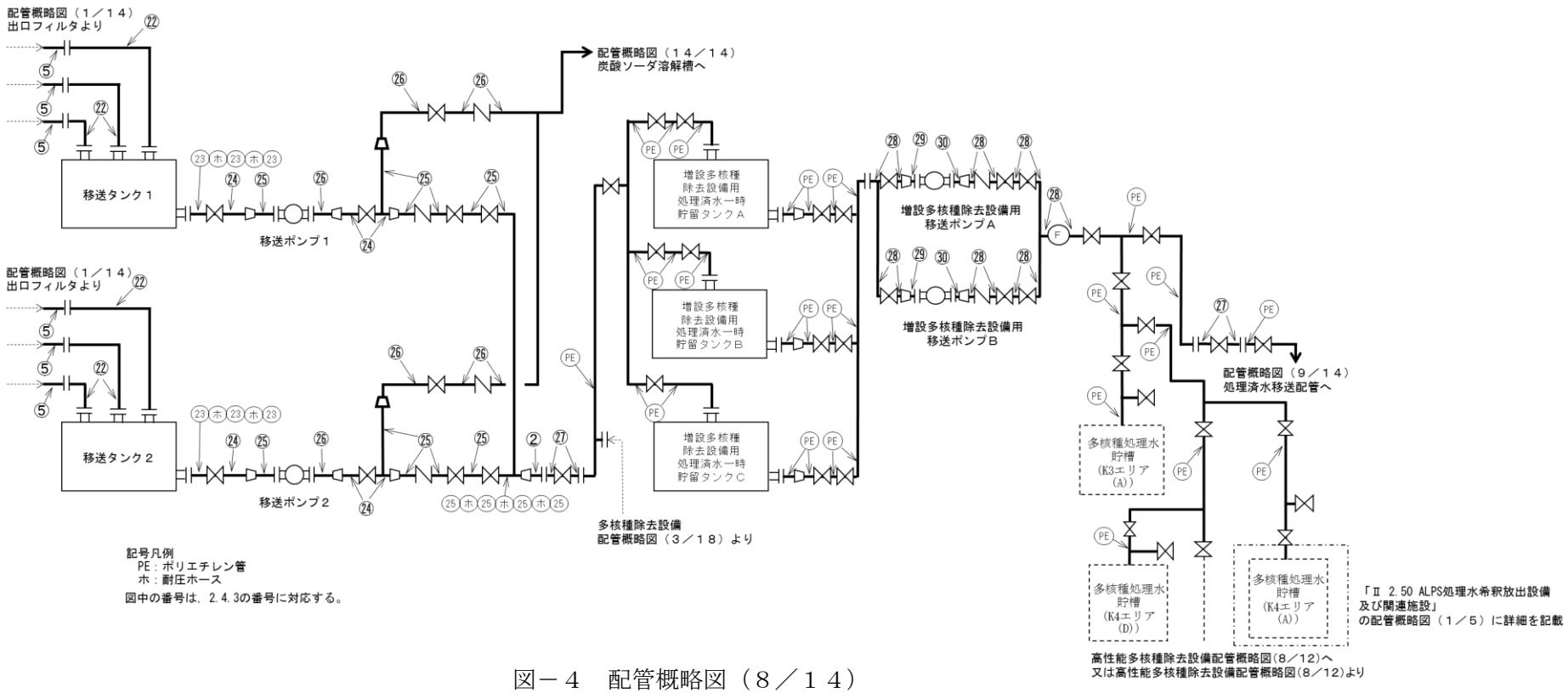



記号凡例
　ホ：耐圧ホース
図中の番号は，2.4.3の番号に対応する。

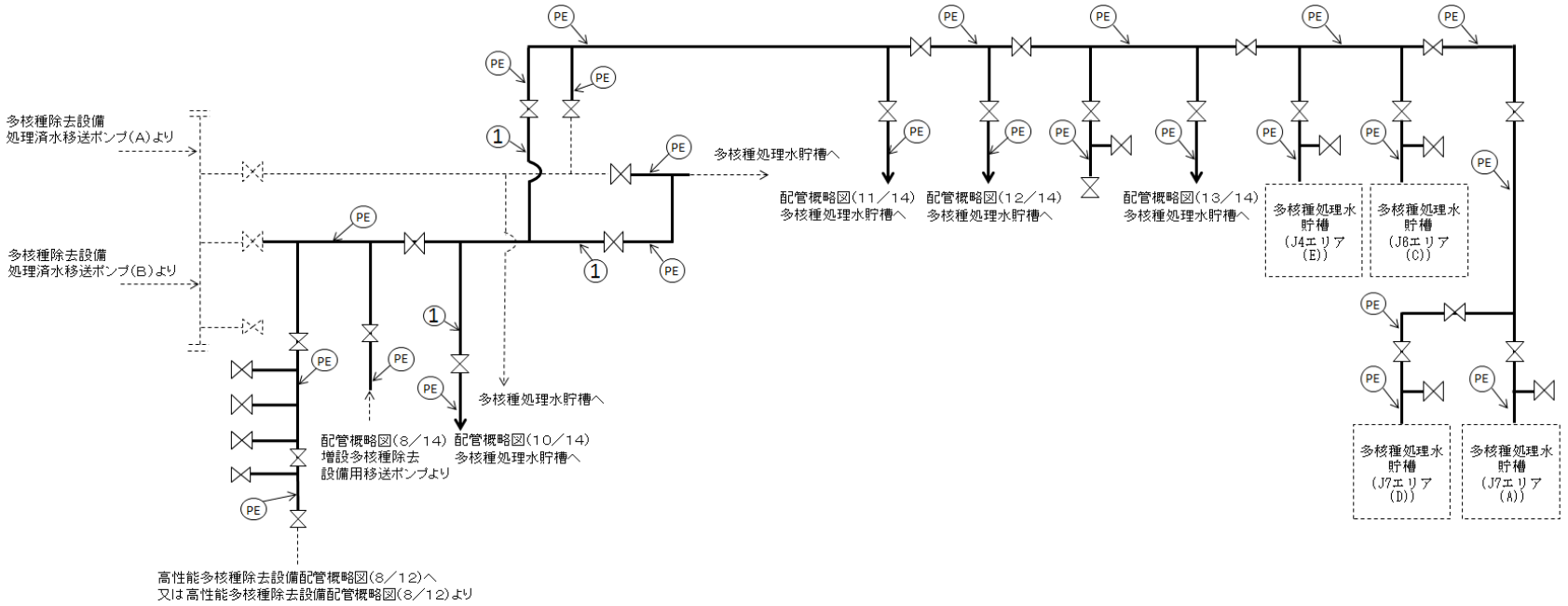
図－４　配管概略図（６／１４）


A系列
多核種
吸着塔１２Ａ
多核種
吸着塔１３Ａ
多核種
吸着塔１４Ａ
多核種
吸着塔１５Ａ
多核種
吸着塔１６Ａ
多核種
吸着塔１７Ａ
多核種
吸着塔１８Ａ
配管概略図（６／１４）
ブースター
ポンプ２Ａより
出口フィルタＡ
配管概略図（１／１４）
移送タンク１へ
配管概略図（１／１４）
移送タンク２へ
B系列
C系列
記号凡例
ホ：耐圧ホース
図中の番号は，2.4.3の番号に対応する。

図－４　配管概略図（７／１４）


配管概略図（１／１４）
出口フィルタより
移送タンク１
移送ポンプ１
配管概略図（１４／１４）
炭酸ソーダ溶解槽へ
増設多核種
除去設備用
処理済水一時
貯留タンクＡ
増設多核種
除去設備用
処理済水一時
貯留タンクＢ
増設多核種
除去設備用
処理済水一時
貯留タンクＣ
増設多核種除去設備用
移送ポンプＡ
増設多核種除去設備用
移送ポンプＢ
配管概略図（１／１４）
出口フィルタより
移送タンク２
移送ポンプ２
多核種除去設備
配管概略図（３／１８）より
配管概略図（９／１４）
処理済水移送配管へ
多核種処理水
貯槽
（K3エリア
（A））
多核種処理水
貯槽
（K4エリア
（D））
多核種処理水
貯槽
（K4エリア
（A））
「Ⅱ 2.50 ALPS処理水希釈放出設備
及び関連施設」
の配管概略図（１／５）に詳細を記載
高性能多核種除去設備配管概略図(8／12)へ
又は高性能多核種除去設備配管概略図(8／12)より
記号凡例
PE：ポリエチレン管
ホ：耐圧ホース
図中の番号は，2.4.3の番号に対応する。

図－４　配管概略図（８／１４）

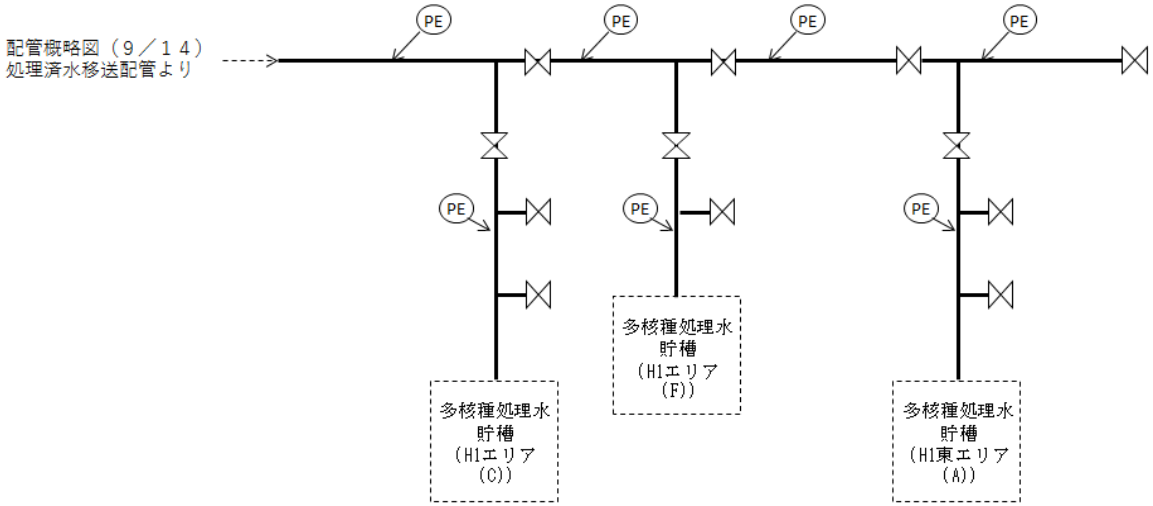



記号凡例
PE：ポリエチレン管

図中の番号は，2.4.3の番号に対応する。

※使用する材料に変更の無い範囲で図に示す
配管構成は変更となる場合がある

図－４　配管概略図（９／１４）

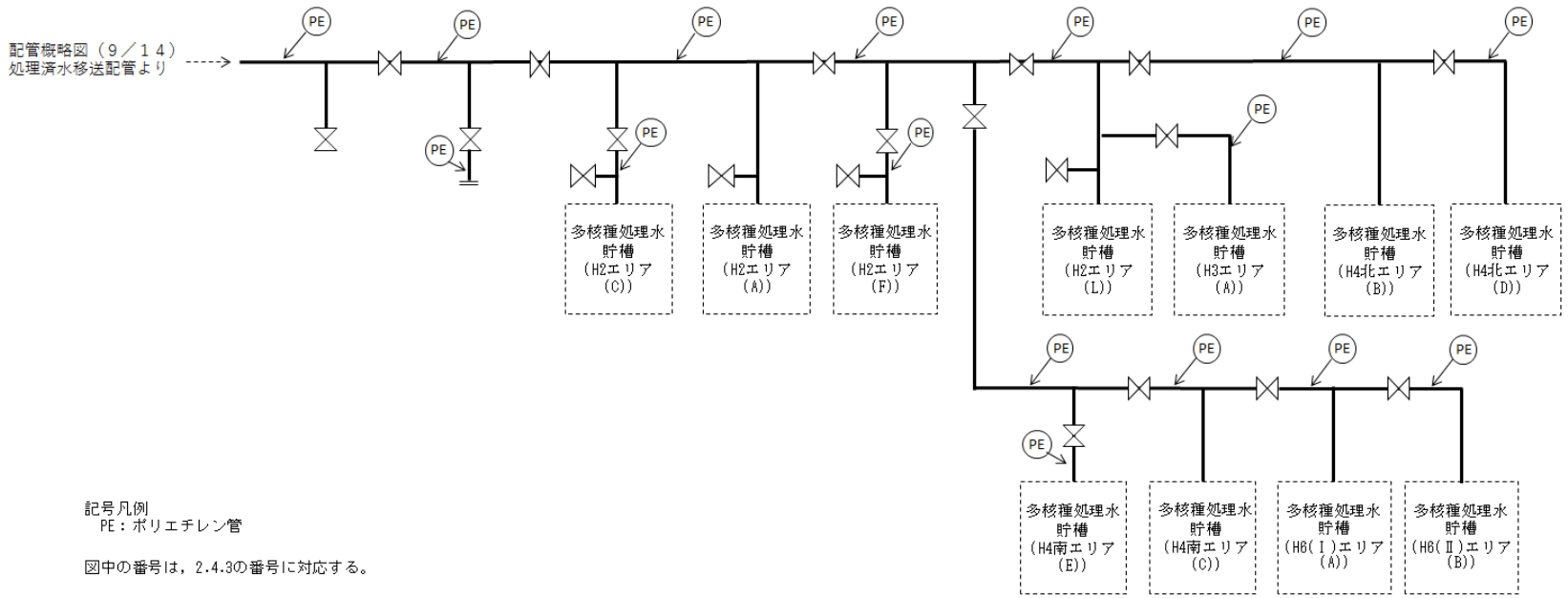



記号凡例
PE：ポリエチレン管

図中の番号は，2.4.3の番号に対応する。

※使用する材料に変更の無い範囲で図に示す
配管構成は変更となる場合がある

図－４　配管概略図（１０／１４）

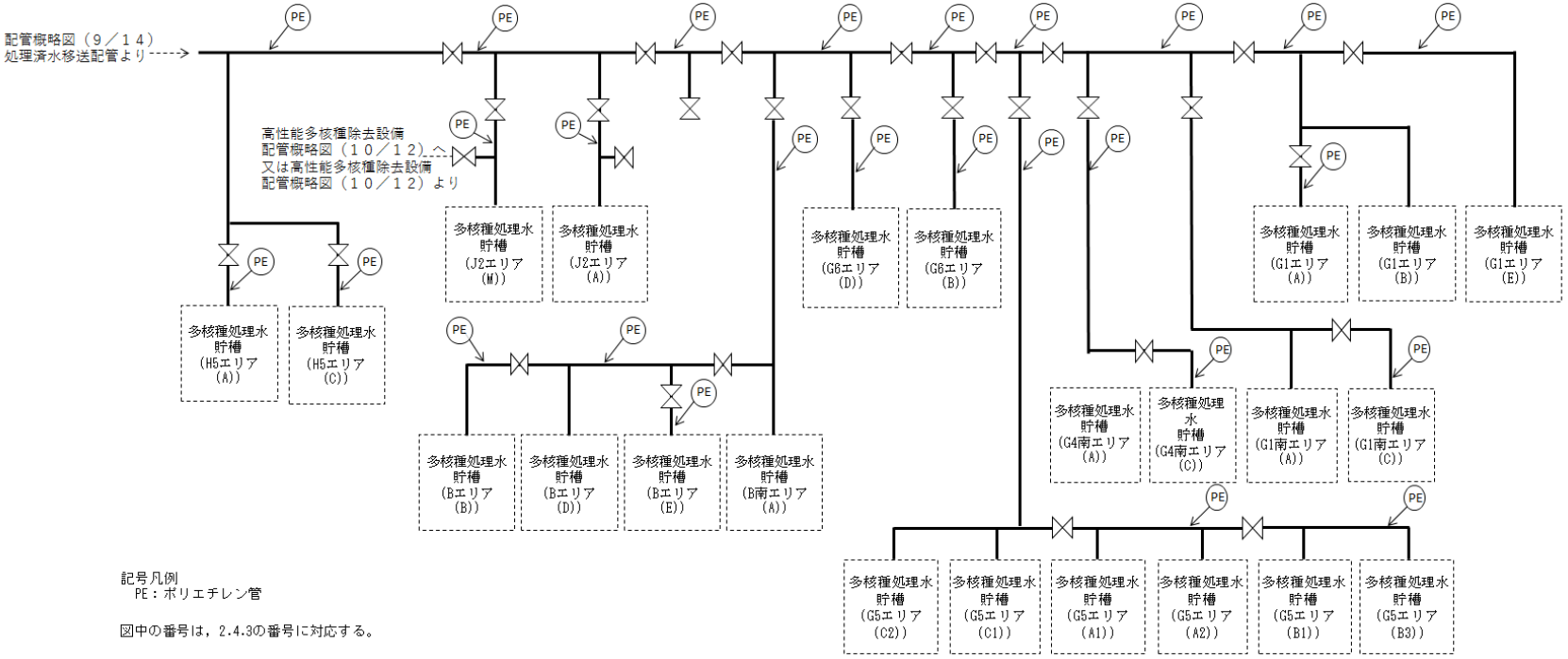



記号凡例
PE：ポリエチレン管

図中の番号は，2.4.3の番号に対応する。

※使用する材料に変更の無い範囲で図に示す
配管構成は変更となる場合がある

図－４　配管概略図（１１／１４）

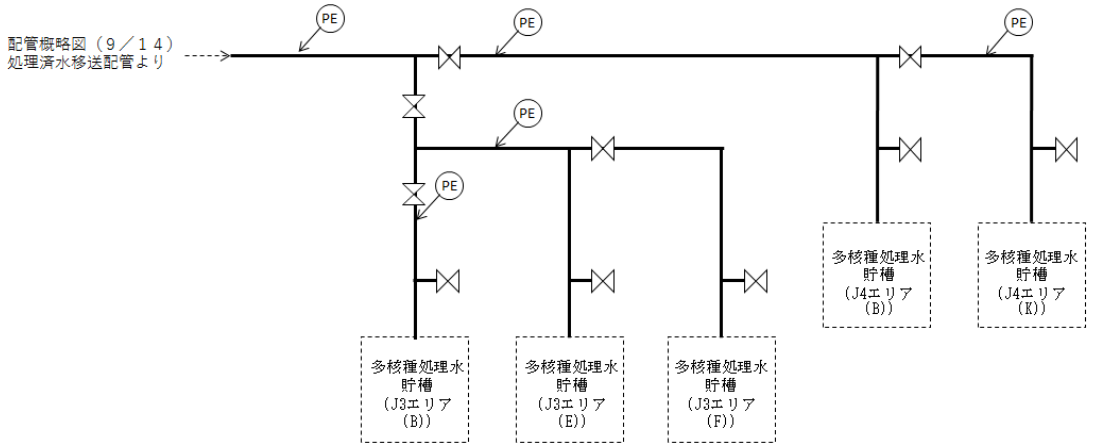



記号凡例
PE：ポリエチレン管

図中の番号は，2.4.3の番号に対応する。

※使用する材料に変更の無い範囲で図に示す
配管構成は変更となる場合がある

図－４　配管概略図（１２／１４）

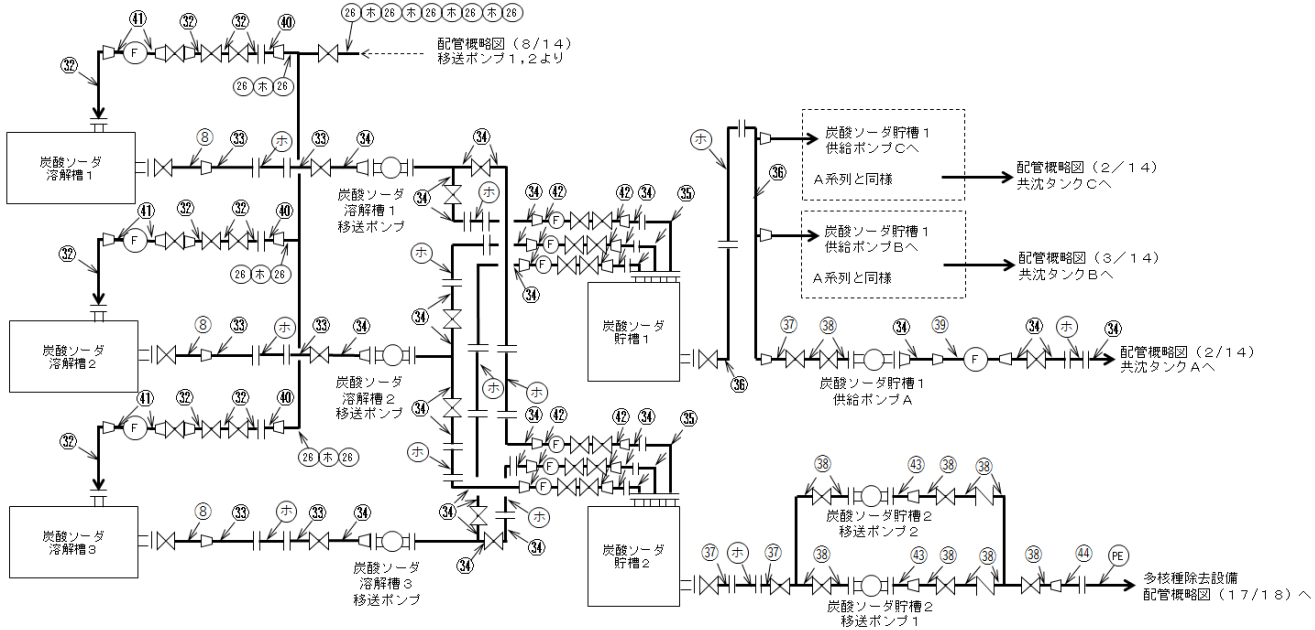



記号凡例
PE：ポリエチレン管

図中の番号は，2.4.3の番号に対応する。

※使用する材料に変更の無い範囲で図に示す
配管構成は変更となる場合がある

図－４　配管概略図（１３／１４）




記号凡例
ホ：耐圧ホース

図中の番号は，2.4.3の番号に対応する。

図－４　配管概略図（１４／１４）

2.4.2　評価方法

(1)　管の厚さの評価

管の必要な厚さは，次に揚げる値のいずれか大きい方の値とする。

a.　内面に圧力を受ける管

$$t_1 = \frac{P \cdot D_O}{2 \cdot S \cdot \eta + 0.8 \cdot P}$$

$t_1$ ：必要厚さ（mm）
P　：最高使用圧力（MPa）
Do：管台の外径（m）
S　：許容引張応力（MPa）
$\eta$　：継手効率（-）

b.　炭素鋼鋼管の設計・建設規格上必要な最小必要厚さ：$t_2$

設計・建設規格　PPD-3411（3）の表 PPD-3411-1 より求めた値

2.4.3　評価結果

評価結果を表－９に示す。必要厚さ等を満足しており，十分な構造強度を有していると評価している。

表－９　配管の評価結果（管厚）

| No. | 外径 (mm) | 材料 | 最高使用圧力(MPa) | 最高使用温度（℃） | 必要厚さ (mm) | 最小厚さ (mm) |
|---|---|---|---|---|---|---|
| 1 | 114.30 | STPG370 | 0.98 | 40 | 3.40 | 5.25 |
| 2 | 114.30 | STPG370 | 0.98 | 60 | 3.40 | 5.25 |
| 3 | 114.30 | STPG370 | 静水頭 | 60 | － | 5.25 |
| 4 | 60.50 | STPG370 | 0.98 | 60 | 2.40 | 3.40 |
| 5 | 60.50 | STPG370 | 1.37 | 60 | 2.40 | 3.40 |
| 6 | 42.70 | STPG370 | 0.98 | 60 | 1.90 | 3.10 |
| 7 | 165.20 | SUS316L | 静水頭 | 60 | － | 6.21 |
| 8 | 60.50 | SUS316L | 静水頭 | 60 | － | 3.40 |
| 9 | 60.50 | SUS316L | 0.98 | 60 | 0.28 | 3.40 |
| 10 | 42.70 | SUS316L | 0.98 | 60 | 0.20 | 3.10 |
| 11 | 76.30 | SUS316L | 0.98 | 60 | 0.35 | 4.55 |
| 12 | 165.20 | SUS316L | 0.98 | 60 | 0.74 | 6.21 |
| 13 | 139.80 | SUS316L | 0.98 | 60 | 0.63 | 5.77 |
| 14 | 216.30 | SUS316L | 0.98 | 60 | 0.97 | 7.17 |
| 15 | 267.40 | SUS316L | 0.98 | 60 | 1.20 | 8.13 |
| 16 | 318.50 | SUS316L | 0.98 | 60 | 1.43 | 9.01 |
| 17 | 60.50 | SUS316L | 0.98 | 60 | 0.28 | 4.81 |
| 18 | 60.50 | SUS316L | 1.37 | 60 | 0.38 | 3.40 |
| 19 | 42.70 | SUS316L | 1.37 | 60 | 0.27 | 3.10 |
| 20 | 89.10 | STPG370 | 1.37 | 60 | 3.00 | 4.81 |
| 21 | 42.70 | STPG370 | 1.37 | 60 | 1.90 | 3.10 |
| 22 | 60.50 | STPG370 | 1.37 | 60 | 2.40 | 4.81 |
| 23 | 89.10 | STPG370 | 静水頭 | 60 | － | 4.81 |
| 24 | 89.10 | STPG370 | 0.98 | 60 | 3.00 | 4.81 |
| 25 | 76.30 | STPG370 | 0.98 | 60 | 2.70 | 4.55 |

| No. | 外径<br>(mm) | 材料 | 最高使用<br>圧力(MPa) | 最高使用<br>温度 (℃) | 必要厚さ<br>(mm) | 最小厚さ<br>(mm) |
|---|---|---|---|---|---|---|
| 26 | 48.60 | STPG370 | 0.98 | 60 | 2.20 | 3.20 |
| 27 | 114.30 | SUS316L | 0.98 | 60 | 0.52 | 5.25 |
| 28 | 114.30 | SUS316L | 0.98 | 40 | 0.51 | 5.25 |
| 29 | 89.10 | SUS316L | 0.98 | 40 | 0.40 | 4.81 |
| 30 | 60.50 | SUS316L | 0.98 | 40 | 0.27 | 3.40 |
| 31 | 323.90 | SUS316L | 0.98 | 60 | 1.45 | 2.70 |
| 32 | 27.20 | SUS316L | 0.98 | 60 | 0.21 | 2.61 |
| 33 | 48.60 | SUS316L | 静水頭 | 60 | － | 3.20 |
| 34 | 48.60 | SUS316L | 0.50 | 60 | 0.12 | 3.20 |
| 35 | 48.60 | SUS316L | 0.50 | 60 | 0.12 | 4.46 |
| 36 | 139.80 | SUS316L | 静水頭 | 60 | － | 5.77 |
| 37 | 76.30 | SUS316L | 静水頭 | 60 | － | 4.55 |
| 38 | 76.30 | SUS316L | 0.50 | 60 | 0.18 | 4.55 |
| 39 | 34.00 | SUS316L | 0.50 | 60 | 0.08 | 2.90 |
| 40 | 27.20 | STPG370 | 0.98 | 60 | 1.70 | 2.40 |
| 41 | 21.70 | SUS316L | 0.98 | 60 | 0.17 | 2.52 |
| 42 | 21.70 | SUS316L | 0.50 | 60 | 0.05 | 2.52 |
| 43 | 60.50 | SUS316L | 0.50 | 60 | 0.14 | 3.40 |
| 44 | 89.10 | SUS316L | 0.50 | 60 | 0.21 | 4.81 |
| 45 | 34.00 | SUS316L | 0.98 | 60 | 0.15 | 2.90 |
| 46 | 48.60 | SUS316L | 0.98 | 60 | 0.21 | 3.20 |

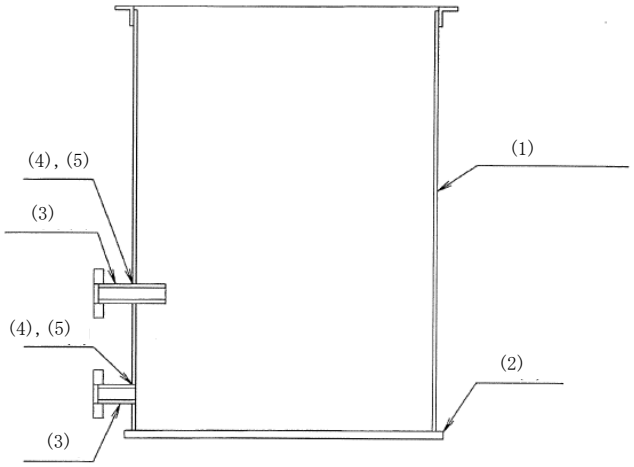
注１）継手類はJIS等の規格品を適用することで、管に対し十分な厚さを有し、管の強度評価に包絡される。

注２）管及び機器の取合箇所において、変位の吸収や着脱の必要性から強度計算の規格外となるホース類を適用する箇所がある。これらについては配管の流体・圧力・温度条件に合致した十分実績のあるものを採用することで、必要な強度を確保するものとする。

2.5　炭酸ソーダ貯槽

2.5.1　評価箇所

強度評価箇所を図－５に示す。




図中の番号は，2.5.2，2.5.3 の番号に対応する。

図－５　炭酸ソーダ貯槽　概要図

2.5.2　評価方法

(1)胴の厚さの評価

開放タンクの胴に必要な厚さは，次に揚げる値のうちいずれか大きい値とする。

a.　規格上必要な最小厚さ：$t_1$

炭素鋼鋼板又は低合金鋼鋼板で作られた場合は 3mm，その他の材料で作られた場合は 1.5mm とする。

b.　胴の計算上必要な厚さ：$t_2$

$$t_2 = \frac{D_i \cdot H \cdot \rho}{0.204 \cdot S \cdot \eta}$$

$t_2$：必要厚さ（mm）
Di：胴の内径（m）
H：水頭（m）
$\rho$：液体の比重。
　ただし，１未満の場合は１とする。
S：許容引張応力(MPa)
$\eta$：継手効率（-）

c.　胴の内径に応じた必要厚さ：$t_3$

胴の内径が 5m を超えるものについては，胴の内径の区分に応じ設計・建設規格　表 PVC-3920-1 より求めた胴の厚さとする。

(2)　底板の厚さの評価

地面，基礎等に直接接触する開放タンクの底板の厚さは，3mm 以上であること。

(3)　管台の厚さの評価

管台に必要な厚さは，次に揚げる値のうちいずれか大きい値とする。

a.　管台の計算上必要な厚さ：$t_1$

$$t_1 = \frac{D_i \cdot H \cdot \rho}{0.204 \cdot S \cdot \eta}$$

$t_1$：必要厚さ（mm）
Di：管台の内径(m)
H：水頭(m)
$\rho$：液体の比重。
　ただし，１未満の場合は１とする。
S：許容引張応力(MPa)
$\eta$：継手効率(-)

b.　規格上必要な厚さ：$t_2$

管台の外径に応じ設計・建設規格　表 PVC-3980-1 より求めた管台の厚さとする。

(4)　胴の穴の補強計算

a. 補強に有効な範囲内にある補強に有効な面積が，補強に必要な面積より大きくなるようにすること。

b. 大きい穴の補強を要しない穴の最大径

内径が 1500mm 以下の胴に設ける穴の径が胴の内径の２分の１（500mm を超える場合は，500mm）以下および内径が 1500mm を超える胴に設ける穴の径が胴の内径の３分の１（1000mm を超える場合は，1000mm）以下の場合は，大きい穴の補強計算は必要ない。

c. 溶接部の強度として，予想される破断箇所の強さが，溶接部の負うべき荷重以上であること。

2.5.3　評価結果

評価結果を表－１０に示す。必要厚さ等を満足しており，十分な構造強度を有すると評価している。

表－１０－１　炭酸ソーダ貯槽の評価結果（板厚）

| 機器名称 | 評価項目 | 必要厚さ (mm) | 最少厚さ (mm) |
|---|---|---|---|
| 炭酸ソーダ貯槽１ | （１）胴の厚さ | 1.50 | 6.87 |
| | （２）底板の厚さ | 3.00 | 19.60 |
| | （３）管台の厚さ（１２５Ａ） | 3.50 | 4.87 |
| | （３）管台の厚さ（１００Ａ） | 3.50 | 4.35 |
| 炭酸ソーダ貯槽２ | （１）胴の厚さ | 1.50 | 6.87 |
| | （２）底板の厚さ | 3.00 | 19.60 |
| | （３）管台の厚さ（６５Ａ） | 2.70 | 3.65 |
| | （３）管台の厚さ（１００Ａ） | 3.50 | 4.35 |

表－１０－２　炭酸ソーダ貯槽の評価結果（胴板の補強要否確認）

| 機器名称 | 評価項目 | 補強を要しない穴の最大径 (mm) | 穴の径 (mm) |
|---|---|---|---|
| 炭酸ソーダ貯槽１ | （４）胴板（１２５Ａ） | 85.00 | 85 を超える※9 |
| | （４）胴板（１００Ａ） | 85.00 | 85 を超える※9 |
| 炭酸ソーダ貯槽２ | （４）胴板（６５Ａ） | 85.00 | 85.00 以下 |
| | （４）胴板（１００Ａ） | 85.00 | 85 を超える※9 |

※9　胴板の穴の補強計算を行う

表－１０－３　炭酸ソーダ貯槽の評価結果（胴の穴の補強計算）

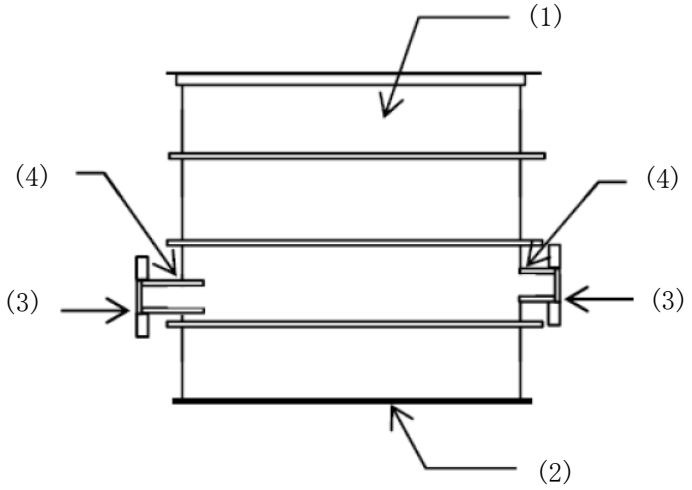
| 機器名称 | 評価項目 | 評価結果 | |
|---|---|---|---|
| 炭酸ソーダ貯槽１ | （５）胴（１２５Ａ） | 補強に必要な面積（$mm^2$） | 補強に有効な総面積（$mm^2$） |
| | | 87.58 | $1.130\times10^3$ |
| | | 大きな穴の補強を要しない最大径（mm） | 穴の径（mm） |
| | | 1000 | 130.06 |
| | | 溶接部の負うべき荷重（N） | 予想される破断箇所の強さ（N） |
| | | $-7.759\times10^4$ | —※１０ |
| 炭酸ソーダ貯槽１，２ | （５）胴（１００Ａ） | 補強に必要な面積（$mm^2$） | 補強に有効な総面積（$mm^2$） |
| | | 71.11 | $7.845\times10^2$ |
| | | 大きな穴の補強を要しない最大径（mm） | 穴の径（mm） |
| | | 1000 | 105.60 |
| | | 溶接部の負うべき荷重（N） | 予想される破断箇所の強さ（N） |
| | | $-6.294\times10^4$ | —※１０ |

※１０　溶接部の負うべき荷重が負であり，溶接部の強度計算は不要

2.6　炭酸ソーダ溶解槽

2.6.1　評価箇所

強度評価箇所を図－６に示す。




図中の番号は，2.6.2，2.6.3 の番号に対応する。

図－６　炭酸ソーダ溶解槽　概要図

2.6.2　評価方法

（１）側板，底板の評価

炭酸ソーダ溶解槽の側板の必要厚さは，等分布荷重，4 辺固定での最大曲げ応力 $\sigma_{max}$ が材料の許容引張応力となる場合（$S = \sigma_{max}$）の厚さを必要な厚さとして算出する。

$$t = a\,(\beta_2 \cdot p / S)^{1/2}$$

$$p = \rho\ g\ H$$

t　：最小必要厚さ（mm）

a　：平板の短辺長さ（mm）

$\beta_2$：長方形板の最大応力の係数

（機械工学便覧（第 5 章 平板の曲げ表 28）より）

p　：等分布荷重（MPa）

S　：許容引張応力（MPa）

g　：重力加速度（9.80665m/s$^2$）

H　：水頭（m）

$\rho$　：液体の比重

ただし，１未満の場合は１とする。

(2)底板の厚さの評価

地面，基礎等に直接接触する開放タンクの底板の厚さは，3mm 以上であること。

(3)管台の厚さの評価

管台に必要な厚さは，次に揚げる値のうちいずれか大きい値とする。

a. 管台の計算上必要な厚さ：$t_1$

$$t_1 = \frac{D_i \cdot H \cdot \rho}{0.204 \cdot S \cdot \eta}$$

$t_1$：必要厚さ（mm）
Di：管台の内径(m)
H：水頭(m)
$\rho$：液体の比重。
ただし，１未満の場合は１とする。
S：許容引張応力(MPa)
$\eta$：継手効率(-)

b. 規格上必要な厚さ：$t_2$

管台の外径に応じ設計・建設規格　表 PVC-3980-1 より求めた管台の厚さとする。

(4)側板の穴の補強計算

a. 補強に有効な範囲内にある補強に有効な面積が，補強に必要な面積より大きくなるようにすること。

b. 大きい穴の補強を要しない穴の最大径

内径が 1500mm 以下の側板に設ける穴の径が側板の内径の２分の１（500mm を超える場合は，500mm）以下および内径が 1500mm を超える側板に設ける穴の径が側板の内径の３分の１（1000mm を超える場合は，1000mm）以下の場合は，大きい穴の補強計算は必要ない。

c. 溶接部の強度として，予想される破断箇所の強さが，溶接部の負うべき荷重以上であること。

2.6.3　評価結果

評価結果を表－１１に示す。必要厚さ等を満足しており、十分な構造強度を有すると評価している。

表－１１－１　炭酸ソーダ溶解槽の評価結果（板厚）

| 機器名称 | 評価項目 | 必要厚さ（mm） | 最少厚さ（mm） |
|---|---|---|---|
| 炭酸ソーダ溶解槽<br>１，２，３ | （１）側板の厚さ | 2.11 | 5.5 |
| | （２）底板の厚さ | 3.0 | 5.5 |
| | （３）管台の厚さ（液出口） | 2.7 | 3.6 |
| | （３）管台の厚さ（ヒータ取付座） | 3.5 | 3.6 |

表－１１－２　炭酸ソーダ貯槽の評価結果（側板の穴の補強計算）

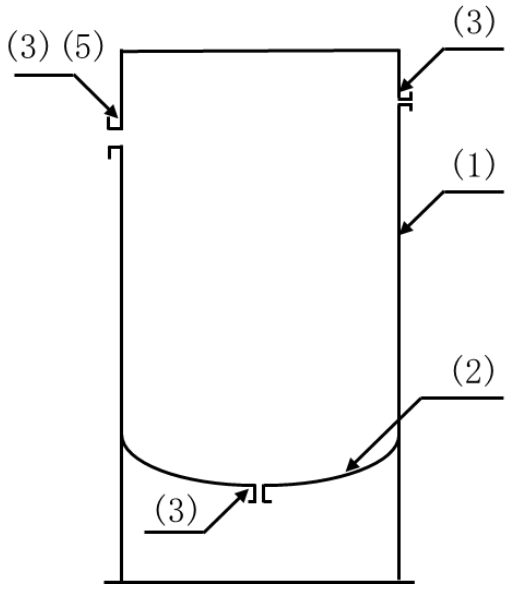
| 機器名称 | 評価項目 | 評価結果 | |
|---|---|---|---|
| 炭酸ソーダ溶解槽<br>１，２，３ | （４）側板（液出口） | 補強に必要な<br>面積（$mm^2$） | 補強に有効な<br>総面積（$mm^2$） |
| | | 149.5 | 293.6 |
| | | 大きな穴の補強を<br>要しない最大径（mm） | 穴の径<br>（mm） |
| | | 500 | 68.95 |
| | | 溶接部の負う<br>べき荷重（N） | 予想される破断箇所<br>の強さ（N） |
| | | $-3.274\times10^3$ | —※１１ |
| | （４）側板（ヒータ取付座） | 補強に必要な<br>面積（$mm^2$） | 補強に有効な<br>総面積（$mm^2$） |
| | | 176.5 | 286.0 |
| | | 大きな穴の補強を<br>要しない最大径（mm） | 穴の径<br>（mm） |
| | | 500 | 81.76 |
| | | 溶接部の負う<br>べき荷重（N） | 予想される破断箇所<br>の強さ（N） |
| | | $-4.828\times10^3$ | —※１１ |

※１１　溶接部の負うべき荷重が負であり，溶接部の強度計算は不要

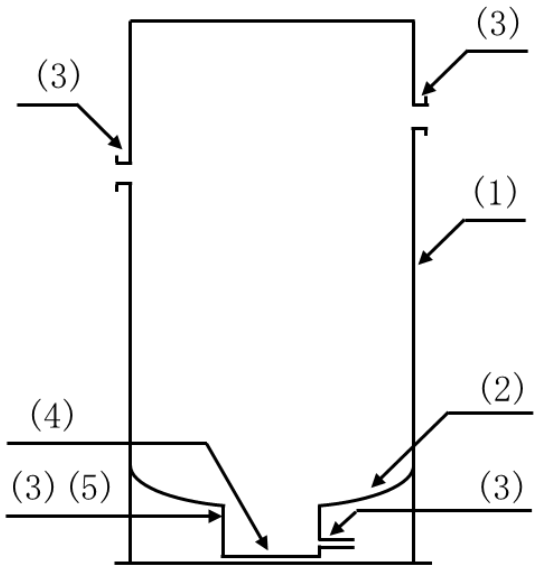
2.7　反応／凝集槽，沈殿槽，上澄み水タンク

2.7.1　評価箇所

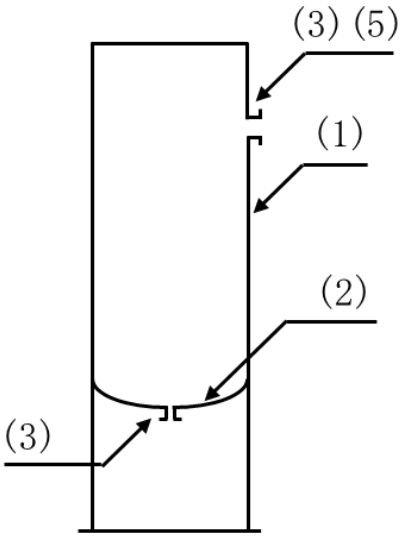
強度評価箇所を図－７－１～図－７－３に示す。




図－７－１　反応／凝集槽　概要図




図－７－２　沈殿槽　概要図




図－７－３　上澄み水タンク　概要図

図中の番号は，2.7.2 及び 2.7.3 の番号に対応する。

2.7.2　評価方法

(1)胴の厚さの評価

開放タンクの胴に必要な厚さは，次に掲げる値のうちいずれか大きい値とする。

a.規格上必要な最小厚さ：$t_1$

炭素鋼鋼板又は低合金鋼鋼板で作られた場合は3mm，その他の材料で作られた場合は1.5mmとする。

b.胴の計算上必要な厚さ：$t_2$

$$t_2 = \frac{D_i \cdot H \cdot \rho}{0.204 \cdot S \cdot \eta}$$

$t_2$：必要厚さ（mm）
Di：胴の内径（m）
H：水頭（m）
$\rho$：液体の比重
　ただし，１未満の場合は１とする。
S：許容引張応力(MPa)
$\eta$：継手効率（-）

(2)鏡板の厚さの評価

さら形鏡板の場合で，中低面に圧力を受ける物については，下記式により計算した値以上の厚さとする。

a.鏡板の計算上必要な厚さ：t

$$t = \frac{P \cdot R \cdot W}{2S \cdot \eta - 0.2P}$$

t：必要厚さ（mm）
P：最高使用圧力（MPa）
R：鏡板の中央部における内面の半径（mm）
W：さら型鏡板の形状による係数
$\eta$：継手効率(-)
S：許容引張応力（MPa）

(3)管台の厚さの評価

管台に必要な厚さは，次に揚げる値のうちいずれか大きい値とする。

a.管台の計算上必要な厚さ：$t_1$

$$t_1 = \frac{D_i \cdot H \cdot \rho}{0.204 \cdot S \cdot \eta}$$

$t_1$：必要厚さ（mm）
Di：管台の内径(m)
H：水頭(m)
$\rho$：液体の比重
ただし，１未満の場合は１とする。
S：許容引張応力(MPa)
$\eta$：継手効率(-)

b.規格上必要な厚さ：$t_2$

管台の外径に応じ設計・建設規格　表 PVC-3980-1 より求めた管台の厚さとする。

(4)平板の厚さの評価

平板に必要な厚さは，次に掲げる値とする。

a.平板の計算上必要な厚さ：t

$$t = d \cdot \sqrt{\frac{K \cdot P}{S}}$$

t：必要厚さ（mm）
d：平板の径（mm）
K：取付方法による係数（-）
P：最高使用圧力(MPa)
S：許容引張応力（MPa）

(5)胴の穴の補強計算

a. 補強に有効な範囲内にある補強に有効な面積が，補強に必要な面積より大きくなるようにすること。

b 大きい穴の補強を要しない穴の最大径

内径が 1500mm 以下の胴に設ける穴の径が胴の内径の２分の１（500mm を超える場合は，500mm)以下および内径が 1500mm を超える胴に設ける穴の径が胴の内径の３分の１(1000mm を超える場合は，1000mm）以下の場合は，大きい穴の補強計算は必要ない。

c.溶接部の強度として，予想される破断箇所の強さが，溶接部の負うべき荷重以上であること。

2.7.3　評価結果

評価結果を表－１２～１４に示す。必要厚さ等を満足しており，十分な構造強度を有すると評価している。

表－１２－１　反応／凝集槽の評価結果（板厚）

| 機器名称 | 評価項目 | 必要厚さ (mm) | 最小厚さ (mm) |
|---|---|---|---|
| 反応／凝集槽 A，C | （１）胴板の厚さ | 3.0 | 3.7 |
| | （２）鏡板の厚さ | 1.2 | 2.9 |
| | （３）管台の厚さ（スラリー出口） | 3.5 | 4.7 |
| | （３）管台の厚さ（原水入口） | 2.4 | 2.4 |
| | （３）管台の厚さ（液入口） | 1.7 | 1.9 |
| | （３）管台の厚さ（返送スラリー入口） | 1.7 | 1.9 |
| | （３）管台の厚さ（炭酸ソーダ入口） | 1.7 | 1.9 |
| | （３）管台の厚さ（ドレン） | 2.7 | 3.5 |

表－１２－２　反応／凝集槽の評価結果（胴の穴の補強計算）

| 機器名称 | 評価項目 | 評価結果 | |
|---|---|---|---|
| 反応／凝集槽 A，C | （５）胴 （スラリー出口） | 補強に必要な面積 ($mm^2$) | 補強に有効な総面積 ($mm^2$) |
| | | 80 | 560 |
| | | 大きな穴の補強を要しない最大径 (mm) | 穴の径 (mm) |
| | | 766 | 151 |
| | | 溶接部の負うべき荷重 (N) | 予想される破断箇所の強さ (N) |
| | | -40000 | —※1 |

※１　溶接部の負うべき荷重が負であり，溶接部の強度計算は不要

表－１３－１　沈殿槽の評価結果（板厚）

| 機器名称 | 評価項目 | 必要厚さ (mm) | 最小厚さ (mm) |
|---|---|---|---|
| 沈殿槽 A，C | （１）胴板の厚さ | 1.5 | 3.9 |
| | （２）鏡板の厚さ | 1.2 | 3.2 |
| | （３）管台の厚さ（スラリー入口） | 3.5 | 5.4 |
| | （３）管台の厚さ（上澄み水出口） | 3.5 | 5.4 |
| | （３）管台の厚さ（濃縮スラリー出口） | 2.4 | 2.6 |
| | （３）管台の厚さ（サンプ部） | 3.5 | 3.9 |
| | （４）平板の厚さ | 9.1 | 22.2 |

表－１３－２　沈殿槽の評価結果（胴の穴の補強計算）

| 機器名称 | 評価項目 | 評価結果 | |
|---|---|---|---|
| 沈殿槽<br>Ａ，Ｃ | （５）鏡板<br>（サンプ部） | 補強に必要な面積<br>($mm^2$) | 補強に有効な総面積<br>($mm^2$) |
| | | 390 | 2000 |
| | | 大きな穴の補強を<br>要しない最大径（mm） | 穴の径<br>(mm) |
| | | 766 | 750 |
| | | 溶接部の負うべき荷重<br>(N) | 予想される破断箇所の<br>強さ（N） |
| | | -180000 | —※1 |

※１　溶接部の負うべき荷重が負であり，溶接部の強度計算は不要

表－１４－１　上澄み水タンクの評価結果（板厚）

| 機器名称 | 評価項目 | 必要厚さ<br>(mm) | 最小厚さ<br>(mm) |
|---|---|---|---|
| 上澄み水タンク<br>Ａ，Ｃ | （１）胴板の厚さ | 1.5 | 3.9 |
| | （２）鏡板の厚さ | 0.4 | 3.2 |
| | （３）管台の厚さ（上澄み水入口） | 3.5 | 5.4 |
| | （３）管台の厚さ（上澄み水出口） | 2.4 | 2.6 |

表－１４－２　上澄み水タンクの評価結果（胴の穴の補強計算）

| 機器名称 | 評価項目 | 評価結果 | |
|---|---|---|---|
| 上澄み水タンク<br>Ａ，Ｃ | （５）胴（上澄み水入口） | 補強に必要な面積<br>($mm^2$) | 補強に有効な総面積<br>($mm^2$) |
| | | 30 | 680 |
| | | 大きな穴の補強を<br>要しない最大径（mm） | 穴の径<br>(mm) |
| | | 500 | 151 |
| | | 溶接部の負うべき荷重<br>(N) | 予想される破断箇所の<br>強さ（N） |
| | | -63000 | —※1 |

※１　溶接部の負うべき荷重が負であり，溶接部の強度計算は不要

# 流体状の放射性廃棄物の施設外への漏えい防止に関する計算書

## 1. 流体状の放射性廃棄物の施設外への漏えい防止能力の評価

増設多核種除去設備建屋の外周には堰が設置されており，仮に全容器の保有廃液が流出した場合においても施設内にとどまり，施設外への漏えいは防止される。この漏えい防止能力の評価を表－１に示す。

表－１　施設外への漏えい防止能力の評価（増設多核種除去設備）

| 容器名称 | 設　置　場　所 | | 容器容量（$m^3$）※1 | 容器設置区画内床面積※2（$m^2$） | 見込み高さ※3（ｃｍ） | 漏えい廃液全量を貯留するために必要な堰の高さ（ｃｍ） | 拡大防止堰の高さ（ｃｍ） | 評　価 |
|---|---|---|---|---|---|---|---|---|
| | 建屋名 | 設計 G.L.（m） | ① | ② | ③ | ④＝①/②×100+③ | ⑤ | 容器設置区画の拡大防止堰の高さは、各容器からの漏えい廃液全量を貯留するために必要な堰の高さを満足しており、施設外への漏えいを防止できる。 |
| 処理水受入タンク等 | 増設多核種除去設備建屋 | T.P.36.2 | 684.5 | 4371.5 | 17.0 | 32.7 | 33 以上 | |

注記　※１　：　保守的に建屋内に設置する全容器の総容量としている

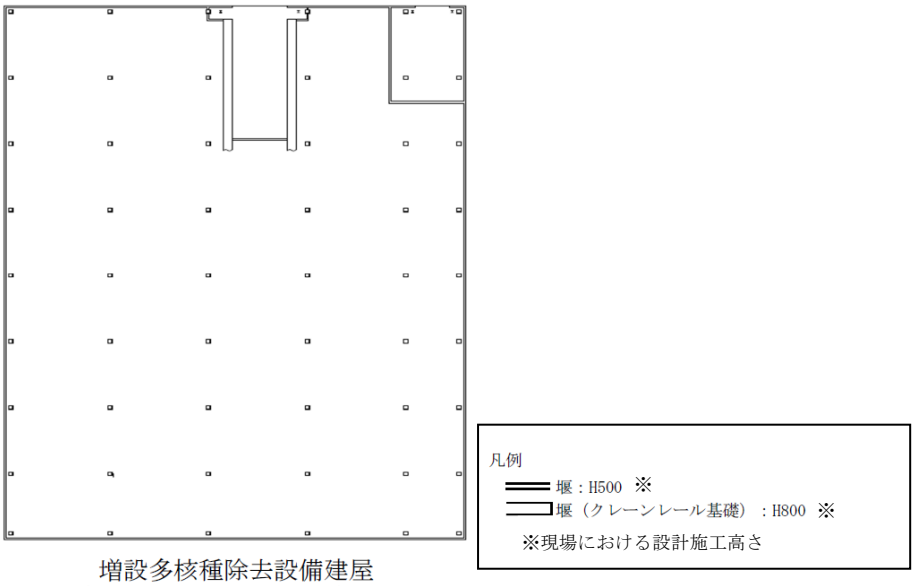
※２　：　容器設置区画内の内のり面積

※３　：　基礎体積による高さ増加分（基礎体積÷当該容器設置区画内床面積）を考慮した値

2.　増設多核種除去設備建屋の堰に関する説明

増設多核種除去設備建屋の外周に設置される堰の配置を図－１に示す。

堰の名称，主要寸法及び材料について，表－２に示す。



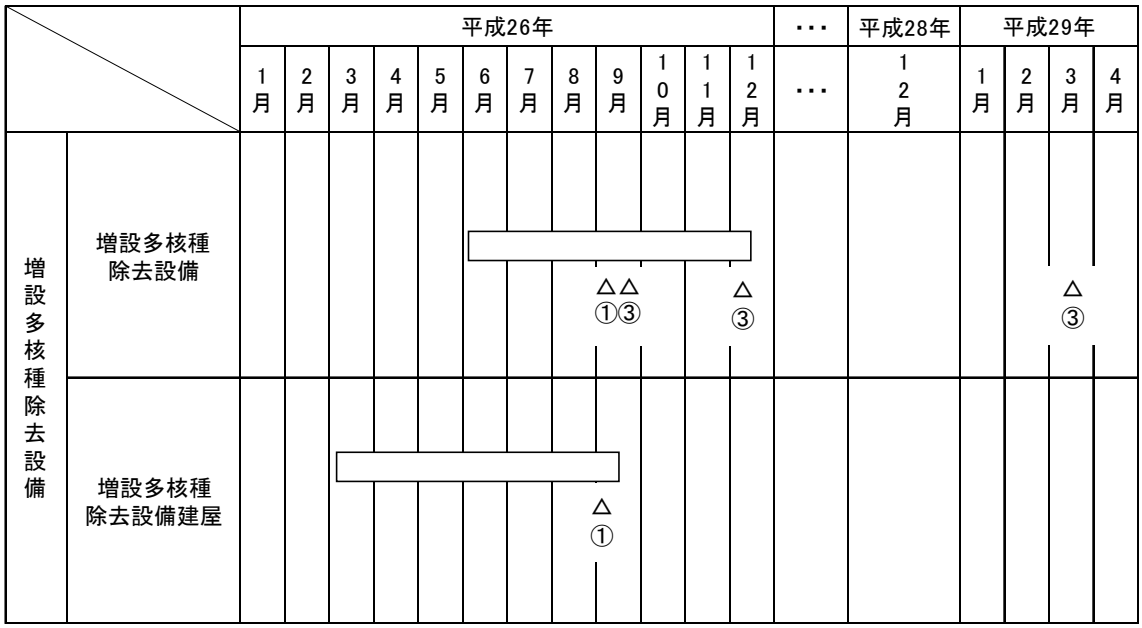

増設多核種除去設備建屋
図－１　堰を明示した図面

表－２　堰の名称、主要寸法、材料

| 名　　称 | | 増設多核種除去設備建屋　堰 |
|---|---|---|
| 主要寸法 | 堰の高さ | 330㎜以上 |
| | 床・堰の塗装 | 床面及び床面から堰の高さまで |
| 材　　料 | 堰 | 鉄筋コンクリート |
| | 床・堰の塗装 | エポキシ樹脂系 |

| 名　　称 | | 増設多核種除去設備建屋　堰（クレーンレール基礎） |
|---|---|---|
| 主要寸法 | 堰の高さ | 330㎜以上 |
| | 床・堰の塗装 | 床面及び床面から堰の高さまで |
| 材　　料 | 堰 | 鉄筋コンクリート |
| | 床・堰の塗装 | エポキシ樹脂系 |

工事工程表




□ ： 現地据付組立

① ： 構造，強度又は漏えいに係る試験をすることができる状態になった時

③ ： 原子炉施設の工事の計画に係る工事が完了した時

添付資料－７

# 増設多核種除去設備の具体的な安全確保策

増設多核種除去設備で扱う液体は，放射性物質を含むことから，漏えい防止対策，放射線遮へい・崩壊熱除去及び可燃性ガス滞留防止等について，具体的な安全確保策を以下の通り定め，実施する。

## 1. 放射性物質の漏えい防止等に対する考慮

### (1) 漏えい発生防止

a. 増設多核種除去設備を構成する機器は，腐食による漏えい発生防止のため，液性等に応じて，炭素鋼（内面ライニング），ステンレス鋼，ポリエチレン材等を採用する。（別添－１）

b. タンクには水位検出器を設け，オーバーフローを防止するため，インターロックの作動によりポンプを停止する設計とする。

c. 鋼材もしくはポリエチレンの継手部は，可能な限り溶接構造もしくは融着構造とする。また，Ｇ１南，Ｈ５，Ｈ６（Ⅰ），Ｂ，Ｂ南，Ｈ３，Ｈ６（Ⅱ）エリアタンク設置に伴い新設する移送配管は，漏えい堰等が設置されないフランジ構造の継手部についてシール材又は発泡剤の充填を実施し，Ｇ６，Ｇ１，Ｇ４南，Ｇ５エリアタンク設置に伴い新設する移送配管は，供用の終了後に配管の水抜きを実施する。供用の終了後とは，タンクが満水の状態となった後を示す。

d. ポンプの軸封部は，漏えいし難いメカニカルシール構造とする。

e. 耐圧ホース，ポリエチレン管は設計・建設規格（JSME）に記載のない非金属材料である為，日本産業規格（JIS），日本水道協会規格（JWWA），ISO 規格，製品の試験データ等を用いて設計を行う。なお，耐圧ホース，ポリエチレン管の耐震性については，可撓性を有しており地震による有意な応力は発生しない。

### (2) 漏えい検知・漏えい拡大防止・混水防止

a. 増設多核種除去設備は，スキッド毎に漏えいパン及び漏えい検知器を設け，漏えいを早期に検知する。また，増設多核種除去設備設置エリアの最外周及び系統毎に，漏えいの拡大を防止する堰及び漏えい検知器を設ける（図１）。トレーラヤードには，スロープ堰を設置する。

b. 漏えいを検知した場合には，免震重要棟集中監視室及びシールド中央制御室に警報を発し，運転操作員によりカメラ，流量等の運転監視パラメータ等の状況を確認し，適切な対応を図る。

c. 漏えい水のコンクリートへの浸透を防止するため，増設多核種除去設備設置エリアには床塗装を実施する。

d. 漏えい堰等が設置されない移送配管等で継手部がフランジ構造となる場合には，漏えい拡大防止カバーで覆った上で中に吸水シートを入れ，漏えい水の拡大防止に努める。

e. 増設多核種除去設備の設置に伴い新規に敷設する屋外移送配管について，以下の対応を行う。

- ポリエチレン管とポリエチレン管の接合部は漏えい発生を防止するため融着構造とすることを基本とし，ポリエチレン管と鋼管の取合い等でフランジ接続となる箇所については養生を行い，漏えい拡大防止を図る。また，処理対象水の移送配管は，万一，漏えいしても排水路を通じて環境に放出することがないように，排水路から可能な限り隔離するとともに，排水路を跨ぐ箇所はボックス鋼内等に配管を敷設する。さらに，ボックス鋼端部から排水路に漏えい水が直接流入しないように土嚢を設ける。
- 移送配管から漏えいが確認された場合は，ポンプ等を停止し，系統の隔離及び土嚢の設置等により漏えいの拡大防止を図る。
- 移送配管の更なる漏えい検知・漏えい拡大防止策について，速やかに検討し，RO濃縮水処理によるリスク低減効果，漏えい拡大防止策の有効性や工期等を踏まえ，可能なものから実施する。対策が完了するまでの間は，巡視点検による漏えい検知を要員へ周知し，確実に実施する。

f. サンプルタンクの本堰（コンクリート堰）高さは，堰の保有水量がタンク１基分の容量以上となるよう確保する。

g. タンク増設に合わせて、追加で敷設する屋外移送配管については、e.の措置に加えて、以下の対応を行う。

- 移送配管は，使用開始までに漏えい確認等を実施し，施工不良等による大規模な漏えいの発生を防止する。また，フランジ継手部は，ガスケットの経年劣化により微小漏えいの発生が懸念されることから，架空化により視認性を向上させ，毎日の巡視点検により漏えいの有無を確認する。

(3) 検討用地震動に対する考慮

増設多核種除去設備のうち，処理前・処理中の液体を内包する設備は，検討用地震動（最大加速度 900gal。以下「Ss900」という。）に対して海洋に流出するおそれのない設計とする。ただし，建屋・構築物の設置後に本設計方針を適用する場合は，Ss900 に対する評価を行い，評価にて健全性が確認できない場合には施工上可能な範囲で補強等の対策工事を行う。また，当該対策を講じても地震発生時に海洋に流出するおそれがある場合は、液体を速やかに回収する機動的対応がとれるよう必要な機材、体制等を整備する。

2. 放射線遮へい・崩壊熱除去

(1) 放射線遮へい（被ばくに対する考慮）

a. 増設多核種除去設備からの放射線による雰囲気の線量当量率が 0.1mSv/h 以下（放射線業務従事者が作業を行う位置で，遮へい体を含む機器表面から 1m の位置）となるよう適切な遮へいを設ける。また，最寄りの評価点(No.70)における直接線・スカイシャイン線の評価結果は年間約 0.03mSv となる。

| 評価点 | 年間線量（mSv/年） |
|---|---|
| No.70 | 0.034 |
| （参考）No.66 | 0.027 |
| （参考）No.71 | 0.026 |

b. 通常運転時は，免震重要棟集中監視室及びシールド中央制御室から遠隔での監視及び操作を可能とする。

c. 保守作業時の放射線業務従事者の被ばく低減のため，機器の洗浄が行える構成とする。

d. 増設多核種除去設備の運転操作等に係る放射線業務従事者以外の者が不要に近づくことがないよう，標識等を設ける。さらに，放射線レベルの高い区域は，標識を設け放射線業務従事者の被ばく低減を図る。

(2) 崩壊熱除去

a. 処理対象水に含まれる放射性物質の崩壊熱は，通水時は処理水とともに熱除去される。

b. 使用済みの吸着材あるいは沈殿処理生成物を収容する高性能容器の貯蔵時は，伝導，対流，輻射により熱除去される。最も発熱量の大きい収容物を貯蔵する場合においても，容器の健全性に影響を与えるものではない。（『2.16.1 多核種除去設備』添付資料－5 別添－１参照）

3. 可燃性ガスの滞留防止

a. 増設多核種除去設備では，水の放射線分解により発生する可能性のある可燃性ガスは，通水時は処理水とともに排出される。

b. 増設多核種除去設備の運転停止時は，満水状態であれば可燃性ガスの滞留の可能性はないが，念のため吸着塔のベント弁を開操作し，可燃性ガスの滞留を防止する。なお，増設多核種除去設備の建屋には，換気装置及び換気装置のための貫通箇所があり，可燃性ガスが滞留し難い構造となっている。

c. 使用済みの吸着材，沈殿処理生成物を収容する高性能容器は，発生する可燃性ガスの濃度が可燃限界を超えないようベント孔を設ける（『2.16.1 多核種除去設備』添付資料－5 参照）。高性能容器内の可燃性ガスの水素濃度を評価した結果，約 2.3%程度となり，可燃限界を超えることはない（別添－２）。

4. 環境条件を踏まえた対応

(1) 腐食

増設多核種除去設備は，汚染水処理設備の処理済水を処理することから塩化物イオン濃度が高く，また薬液注入によりｐＨが変動することから，耐腐食性を有する材料を選定する（別添－１）。

(2) 熱による劣化

熱による劣化が懸念されるポリエチレン管については，汚染水処理設備の処理済水の温度がほぼ常温のため，劣化の可能性は十分低い。

(3) 凍結

水を移送している過程では，凍結の恐れはない。水の移送を停止した場合，屋外に敷設されているポリエチレン管等は，凍結による破損が懸念される。そのため，屋外敷設のポリエチレン管等に保温材を取り付ける。また，建屋内の配管については，40A 以下の配管に対し，保温，ヒータを設置する。

今後，タンク増設に合わせて，追加で敷設する屋外移送配管については，凍結しない十分な厚さ（100A に対して 21.4㎜ 以上）を確保した保温材を取り付ける。なお，保温材は，高い気密性と断熱性を有する硬質ポリウレタン等を使用する。

保温材厚さの設定の際には，「建設設備の凍結防止（空気調和・衛生工学会）」に基づき，震災以降に凍結事象が発生した外気温-8℃，内部流体の初期温度 5℃，保温材厚さ 21.4㎜ の条件において，内部流体が 25％※凍結するまでに十分な時間（50 時間程度）があることを確認した。なお，震災以降の実測データから，外気温-8℃が半日程度継続することはない。

※「JIS A 9501 保温保冷工事施工標準」において管内水の凍結割合を 25%以下と推奨

(4) 耐放射線性

ポリエチレンは，集積線量が $2\times10^5$Gy に達すると，引張強度は低下しないが，破断時の伸びが減少する傾向を示す。ポリエチレン管の照射線量率を 1Gy/h と仮定すると，$2\times10^5$Gy に到達する時間は $2\times10^5$ 時間（22.8 年）と評価される。そのため，ポリエチレン管は数年程度の使用では放射線照射の影響を受けることはないと考えられる。

なお，系統バウンダリを構成するその他の部品には，ガスケット，グランドパッキンがあるが，他の汚染水処理設備等で使用実績のある材料を使用しており，数年程度の使用は問題ない。

(5) 紫外線

屋外に敷設されているポリエチレン管等は，紫外線による劣化を防止するため，紫外線防止効果のあるカーボンブラックを添加した保温材を取り付ける，もしくは，カーボンブラックを添加していない保温材を使用する場合は，カーボンブラックを添加した被覆材または紫外線による劣化のし難い材料である鋼板を取り付ける。

5. その他

(1) 処理済水の保管容量

多核種除去設備処理済水の保管容量は，半期毎に報告している「福島第一原子力発電所１～４号機における滞留水貯留タンク増設計画」（平成 26 年 4 月 4 日付）において，地下水流入低減対策（地下水バイパス実施，サブドレン汲み上げ等）の実施により，平成 27 年 3 月末時点で，多核種除去設備処理水保有量約 52 万 $m^3$ の想定に対し，多核種除去設備処理水貯槽容量を約 58 万 $m^3$ 確保する計画としており，必要な保管容量を確保している。なお，必要に応じて多核種除去設備処理水貯槽の増設等を実施する。

(2) 高性能容器の発生量

増設多核種除去設備において，高性能容器（タイプ 2）は年間約 545 基（高性能容器（タイプ 1）は年間約 498 基）発生すると想定される（2016.1.1～2016.12.31 までの積算処理量及び高性能容器の発生量を基に処理量 750$m^3$/日×3 系列運転（稼働率 80%）における年間の高性能容器の発生数を評価）。

高性能容器（タイプ 1）は，使用済セシウム吸着塔一時保管施設のうち，第二施設（保管容量 736 基）に保管する。2017.8.30 現在，未使用の高性能容器（タイプ１）は 78 基あり，新たな製作予定はない。

高性能容器（タイプ 2）は，使用済セシウム吸着塔一時保管施設のうち，第二施設（保管容量 736 基）及び第三施設（保管容量 3,456 基）に保管する。

なお，必要に応じて使用済セシウム吸着塔一時保管施設を増設する。

(3) 増設多核種除去設備設置エリアにおける高性能容器の落下対策

高性能容器の落下試験で健全性が確認された範囲で取り扱うため，増設多核種除去設備設置エリアでは，以下の落下対策を実施する。

a. 傾斜落下防止架台

・ トレーラエリアに門型の傾斜落下防止架台を設け，移動ルートを制限することにより，傾斜落下の可能性を排除する。

b. クレーン上下方向，東西南北方向の移動制限

・ 高性能容器の落下試験で健全性が確認された落下高さ，落下姿勢で取扱うため，リミットスイッチによりクレーン上下方向の移動範囲，東西南北方向の移動範囲を制限する。（図３）

また，万一の高性能容器の落下破損時における漏えい物回収作業での放射線業務従事者の被ばく線量は，『2.16.1 多核種除去設備 添付資料－７　高性能容器落下破損時の漏えい物回収作業における被ばく線量評価』に示す通りである。また,増設多核種除去設備エリアから一時保管施設までの高性能容器の移送についても,多核種除去設備エリアにおける作業と同様の管理（トレーラ上に高性能容器を収容する遮へい体を設置することにより放射線業務従事者の被ばくを低減，遮へい体の固縛により高性能容器の車両上からの落下・転倒を防止等）を実施する。

6.　多核種除去設備において確認された不具合事象の対応

多核種除去設備でこれまでに確認された不具合事象の増設多核種除去設備への対応を以下に記す。また,多核種除去設備で今後発生する不具合についても,適宜対策を反映していく。

(1)　誤操作による連続処理停止事象

運転データ取得のため，運転操作員が監視制御画面（タッチパネル）を操作したところ，機器の「選択操作」を誤り設備が自動停止した。対策としてシングルアクションとなっていた「選択操作」をダブルアクションとなるようソフト変更を行っており，増設多核種除去設備においても同様に「選択操作」をダブルアクションとする設計とする。

(2)　バックパルスポットからの漏えい事象

バックパルスポットのシリンダシール部，軸シール部からの微小にじみによる炭酸塩の析出及び固着により，バックパルスポットの動作不良等が発生した。対策として軸シールの多重化等によるシール性を向上させた改良型バックパルスポットに交換しており，増設多核種除去設備においても同様に改良型バックパルスポットを採用する。

(3)　バッチ処理タンクからの漏えい事象

バッチ処理タンクからの漏えいが確認された原因は，当該材料であるSUS316L材のすき間腐食（生成した鉄沈殿物がタンク内に堆積・付着することによるすき間環境の形成及び薬液注入（次亜塩素酸）等による腐食環境の促進）と推定した。対策として次亜塩素酸の注入の停止，バッチ処理タンクへのゴムライニング施工及びすき間腐食の発生の可能性があるフランジに対しガスケット型犠牲陽極等を施工した。増設多核種除去設備では以下の対応を実施する。

・次亜塩素酸の注入の停止

・中性領域の機器は，ゴムライニングを施工

・アルカリ領域の機器は，SUS316L 材を採用するが，活性炭を収容する吸着塔は腐食電位の上昇が懸念されるため、吸着塔廻りのフランジにガスケット型犠牲陽極を施工

(4)　クロスフローフィルタからのスラリー透過事象

クロスフローフィルタ（以下，「CFF」という。）のガスケット（PTFE 製）がβ線照射により脆化し，逆洗時の圧力脈動等によって欠損・傷が発生したことで，ストロンチウムを含む炭酸塩スラリーが下流側へ流出し，出口水に高い放射能濃度が確認された。対策として当該ガスケットを耐放射線性に優れる合成ゴム（EPDM）へ変更した CFF へ交換しており，増設多核種除去設備においても，同様の対応を実施する。

また，多核種除去設備下流側まで高い放射能濃度の水が流出したことを受け，増設多核種除去設備では，以下の汚染拡大防止対策を図る（別添－３）。

・多核種移送設備（サンプルタンク，増設多核種除去設備用移送ポンプ）の導入
・サンプルタンクが万一汚染した場合の再処理ラインの設置
・当面の間，炭酸塩スラリーの透過がないことを，クロスフローフィルタ出口において Ca 濃度を測定することで確認

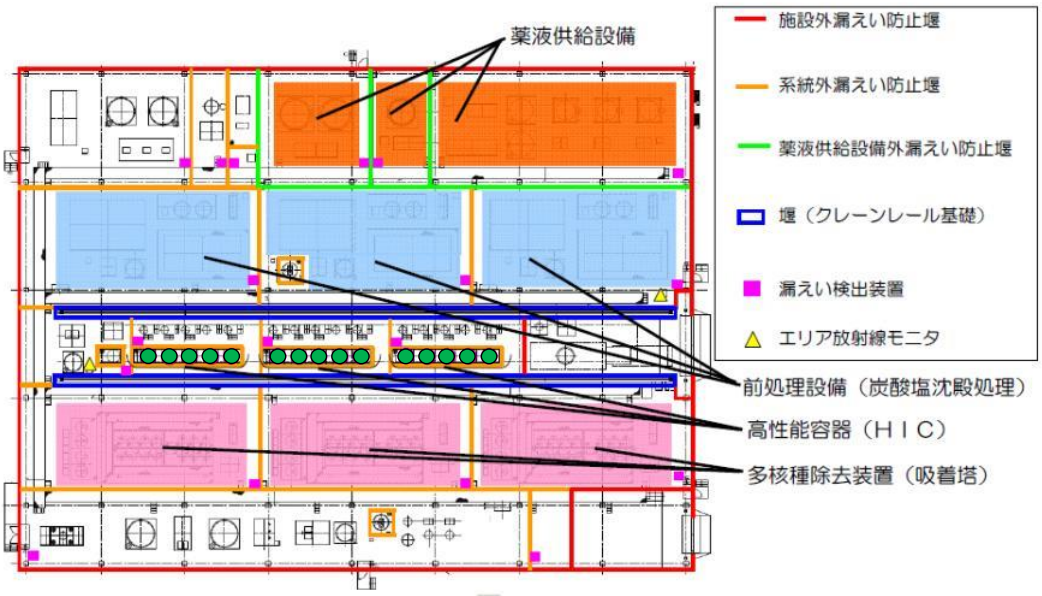



図１　堰及び漏えい検出装置

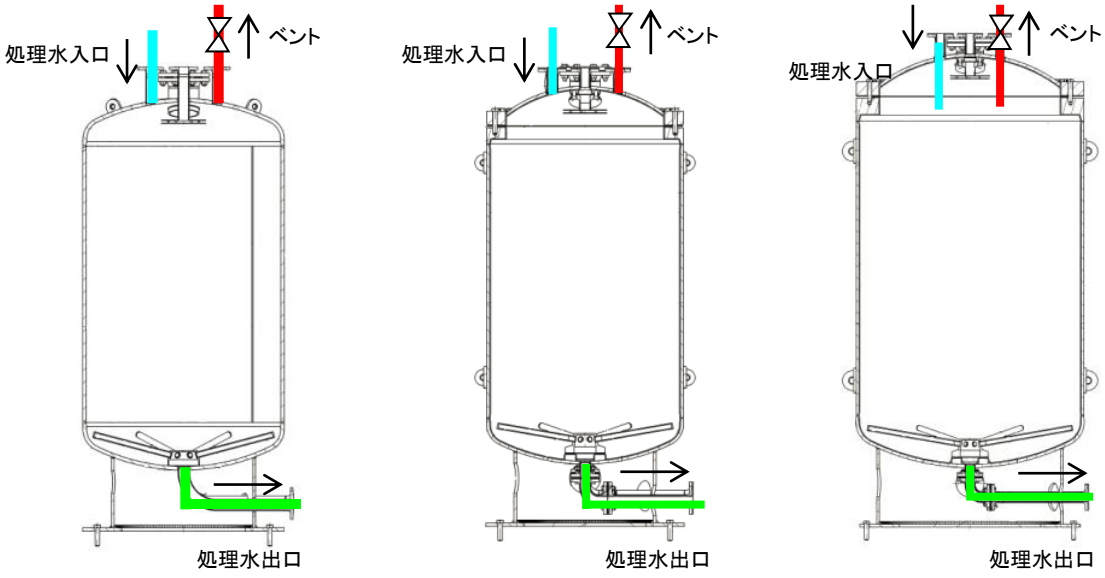



図２　吸着塔概要図

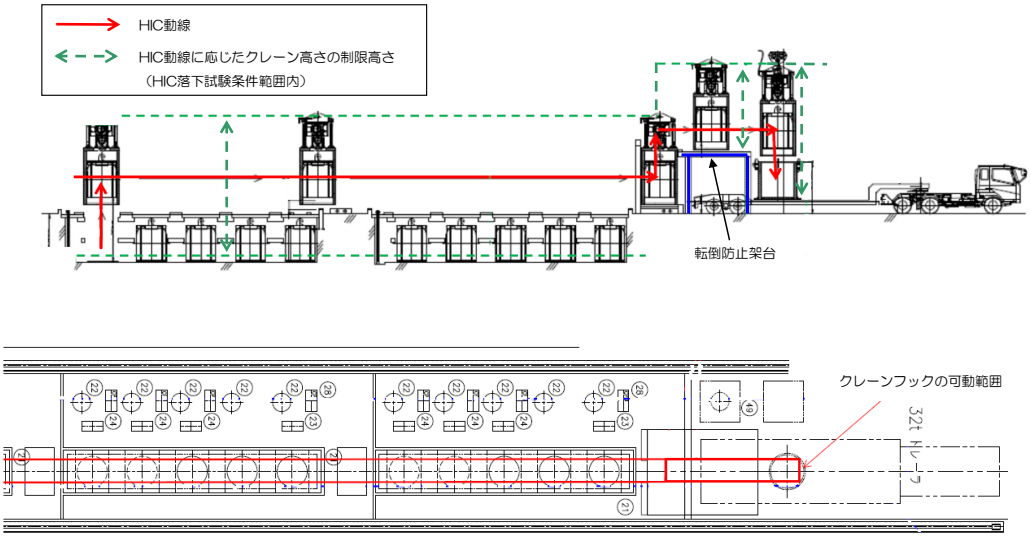



図３　増設多核種除去設備 HIC 用クレーンの動作概要図

別添－１

# 増設多核種除去設備に使用する材料の適合性評価

## 1. はじめに

増設多核種除去設備は，処理対象水（RO 濃縮塩水）の性状から，系統内の塩化物イオン濃度が高く，また，前処理設備等での薬液注入によりｐＨが変動する。そのため，増設多核種除去設備の使用環境における材料の適合性について評価を実施した。

## 2. 使用環境における材料の適合性について

増設多核種除去設備を構成する主な機器の材料選定理由を表 1 に示す。表 1 の材料のうち，SUS316L に対する耐食性について評価を行った。

表 1　増設多核種除去設備を構成する主な機器の使用材料と選定理由

| 機器 | 材料 | 選定理由 |
|---|---|---|
| 吸着塔 | SUS316L<br>炭素鋼 | 処理対象水に海水由来の塩分が含まれており，腐食が懸念されることから，中性領域においてはゴムライニング付の炭素鋼を使用する。アルカリ性領域においては，中性領域よりも腐食の発生の可能性が低いことから，耐食性に優れる SUS316L を使用する。ただし，多核種除去設備において，活性炭を収容する吸着塔及び近傍のフランジ部に，微小なすき間腐食が確認された知見を踏まえ，当該箇所においてはガスケット型犠牲陽極を設置する。 |
| 高性能容器 | ポリエチレン | 収容するスラリー及び吸着材の脱水後の残水には，海水由来の塩分が含まれていることから，約 20 年の貯蔵期間を想定し，金属材料よりも耐食性に優れるポリエチレンを使用する。 |
| タンク類 | SUS316L<br>炭素鋼 | 処理対象水に海水由来の塩分が含まれており，腐食が懸念されることから，中性領域においてはゴムライニング付の炭素鋼を使用する。アルカリ性領域においては，中性領域よりも腐食の発生の可能性が低いことから，耐食性に優れる SUS316L を使用する。 |
| 配管<br>（鋼管） | SUS316L<br>炭素鋼 | 処理対象水に海水由来の塩分が含まれており，腐食が懸念されることから，中性領域においてはゴムライニング付の炭素鋼を使用する。アルカリ性領域においては，中性領域よりも腐食の発生の可能性が低いことから，耐食性に優れる SUS316L を使用する。 |
| 配管<br>(ポリエチレン管) | ポリエチレン | 耐食性に優れることから，屋外配管に主に使用する。 |

2.1　ステンレス鋼（SUS316L）及び炭素鋼の耐食性について

炭素鋼は，ゴムライニング施工するため腐食の発生の可能性はない。

ステンレス鋼（SUS316L）の腐食モードを表 2 に示す。腐食モードに対する耐食性について，表 3 に示す使用範囲を考慮し評価を実施した。

表 2　使用材料における腐食モード

| 使用材料 | 腐食モード |
|---|---|
| ステンレス鋼<br>（SUS316L） | 塩化物応力腐食割れ（SCC） |
| | すきま腐食 |
| | 孔食 |
| | 全面腐食 |

表 3　ステンレス鋼（SUS316L）を使用する範囲の環境

| 使用材料 | 使用範囲 | 塩化物イオン濃度[ppm] | 常用温度[℃] | 最大流速[m/s] | pH |
|---|---|---|---|---|---|
| ステンレス鋼（SUS316L） | 前処理設備 | 13000 | 60 | 2.8 | 11.8～12.2 |
| | 多核種吸着塔 1～5 塔目 | 13000 | 40 | 1.5 | 11.8～12.2 |

a. ステンレス鋼の応力腐食割れ（SCC）

応力腐食割れ（SCC）の発生には，使用温度と塩化物イオン濃度が寄与する。塩化物イオン濃度が 10ppm を超える条件においては一般的に 316 系の SCC 発生限界温度は 100℃といった値がよく用いられており，使用温度 60℃，塩化物イオン濃度 13000ppm の使用環境では，塩化物応力腐食割れ（SCC）が発生する可能性は低いと考えられる。[1)]

1）化学工学協会編:“多管式ステンレス鋼熱交換器の応力腐食割れ,” 化学工業社（1984）.

b. ステンレス鋼のすきま腐食

すきま腐食の発生には，使用温度と塩化物イオン濃度等が寄与し，増設多核種除去設備の環境下では，すきま腐食が発生する可能性は否定できない。[1)]このため，すきま腐食が発生する可能性のある箇所についてガスケット型犠牲陽極を設置するとともに，定期的な点検・保守を行っていく。

c. ステンレス鋼の孔食

孔食の発生には，自然電位，使用温度，塩化物イオン濃度が寄与する。ステンレス鋼の自然電位は pH に依存し，pH が低いほど自然電位は高く孔食が発生する可能性が高く

なるが，増設多核種除去設備の環境下では，孔食が発生する可能性は低いと考えられる。[2) 3)]

d. ステンレス鋼の全面腐食

全面腐食の発生には，pH 及び流速が寄与する。pH11.8～12.2 の使用環境では不動態皮膜は安定である。また，最大流速 2.8m/s（9.2feet/s）では，全面腐食が進行する速度は小さいと考えられる。[4) 5)]


1) 宮坂松甫他，「ポンプの高信頼性と材料」，ターボ機械 第 36 巻 第 9 号，2008 年 9 月

2) M. Akashi, G. Nakayama, T. Fukuda: CORROSION/98 Conf., NACE International, Paper No. 158 (1998).

3) ステンレス協会編: “ステンレス鋼データブック,” 日刊工業新聞社，p. 270 (2000).

4) ステンレス協会編，ステンレス鋼便覧 第 3 版，日刊工業新聞社

5) 腐食防食協会編，腐食・防食ハンドブック，丸善


3. 腐食への対応方針

増設多核種除去設備で使用しているステンレス鋼（SUS316L）の腐食モードとして、すきま腐食が想定される。対応方針として，すきま腐食が発生する可能性のある箇所についてガスケット型犠牲陽極を設置するとともに，定期的な点検・保守を行っていく。

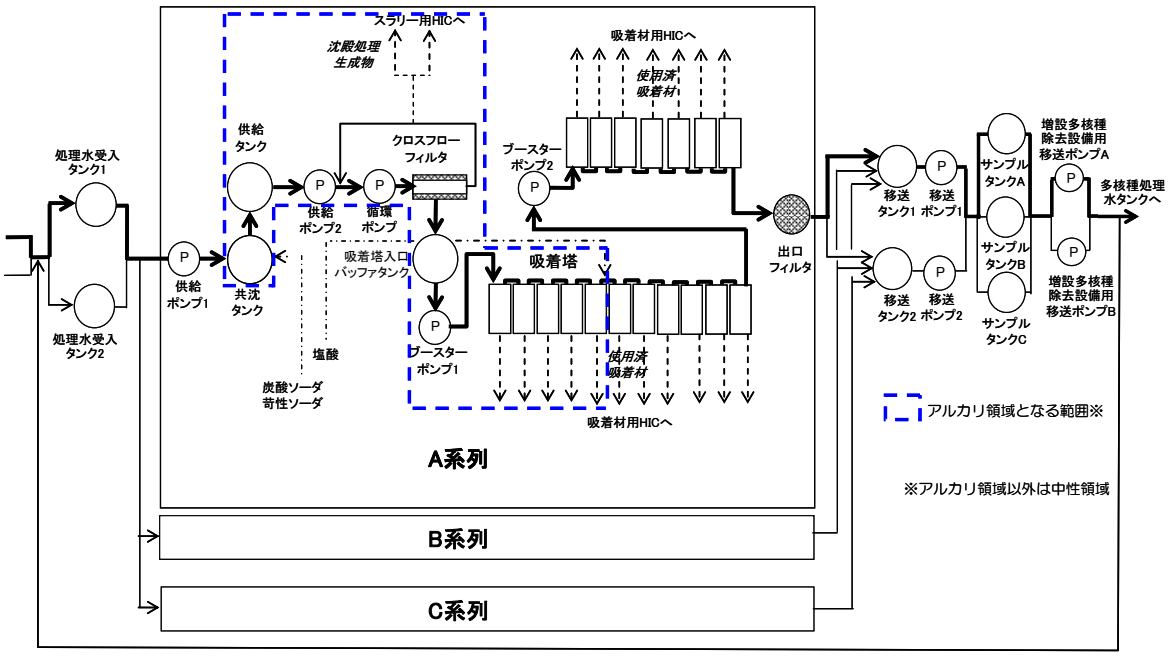



図１ 増設多核種除去設備における液性

以 上

別添－２

# 高性能容器の水素到達濃度評価

高性能容器に収容するスラリー及び吸着材のうち、容器内の水素到達濃度が最も高くなるスラリーを収容する高性能容器の評価結果を以下に示す。

## 1. 水素発生量評価

水素は、吸着した核種の崩壊エネルギーが容器内に残留する水に吸収され発生する。

水素発生速度H(mol/s)は次式により算出する。

$$H = G \times \alpha \times V \times 6.24 \times 10^{19} \times D \div A$$

H：水素発生速度

G：水が100eVのエネルギーを吸収した際に発生する水素分子の個数、0.45

α：含水率、1.0（スラリー）

V：ＨＩＣ内充填物体積、2.61m$^3$（高性能容器タイプ2）

D：吸収熱量、1.3E-05（W/cm$^3$）

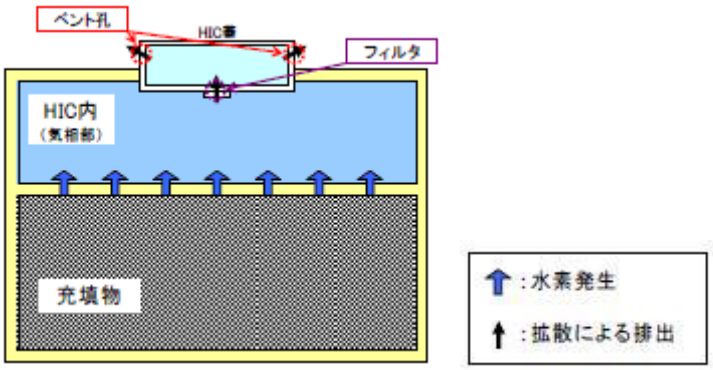
A：アボガドロ数（6.02×10$^{23}$個/mol）

## 2. 水素到達濃度評価

高性能容器内の水素到達濃度は、水素発生量と濃度勾配から生じる拡散による水素排出量を考慮し、以下の方法で評価する。

### 2.1 評価体系

評価体系を図１に示す。



2.2 高性能容器の拡散係数

ベント孔及びフィルタの拡散係数から、高性能容器の拡散係数を算出する。

$$D_{total} = \frac{1}{\frac{1}{D_{hole}} + \frac{1}{D_{filter}}}$$

$D_{total}$：高性能容器の拡散係数

$D_{hole}$：ベント孔の拡散係数、$m \times 8.36 \times 10^{-8}$($m^3/s$)、

m：ベント孔の個数、32（個）

$D_{filter}$：フィルタの拡散係数、$n \times 3.66 \times 10^{-7}$($m^3/s$)、n=13

n：フィルタの個数、13（個）

2.3　水素の到達濃度評価結果

高性能容器内の水素濃度 $C_{HIC}$[%]は以下の式から算出される。

$$C_{HIC} = 2.45 \times \frac{H}{D_{total}}$$

評価の結果、ＨＩＣ内の水素到達濃度は約 2.3%となり、可燃限界を下回る濃度となる。

以上

別添－３

# 増設多核種除去設備　汚染拡大防止対応状況について

## 1.　概要

多核種除去設備Ｂ系のクロスフローフィルタパッキン損傷に伴う炭酸塩スラリーの透過事象により、その下流の配管、多核種除去設備の処理済水を貯蔵するタンク等において、全β濃度の上昇を確認した。

また、上記事象により、汚染拡大防止の観点から、運転中のＡ／Ｃ系統の停止も余儀なくされた（その後、Ａ／Ｃ系統は健全であることが確認されたことから、汚染された系統の洗浄のため再起動を実施）。

そのため、増設多核種除去設備においては、当該事象を踏まえ、以下の対策を追加で実施することにより、上記と同様な事象発生時の汚染拡大を防止するとともに、健全な系統による浄化が可能な構成とする。

- 多核種移送設備（サンプルタンク、増設多核種除去設備用移送ポンプ）の導入
- サンプルタンクが万一汚染した場合の再処理ラインの設置

また、当面の間、クロスフローフィルタ出口においてＣａ濃度測定を実施し、炭酸塩スラリーの透過がないことを確認する。

## 2.　多核種移送設備、再処理ライン等の設置

増設多核種除去設備の処理済水は当初、移送ポンプから処理済水を貯蔵するタンク（多核種処理水貯槽）へ直接移送する計画でいたが、多核種除去設備で発生した貯蔵タンク等の汚染を踏まえ、サンプルタンク、増設多核種除去設備用移送ポンプを設置する。

また、増設多核種除去設備用移送ポンプの下流から増設多核種除去設備の処理水受入タンクへの戻りラインを設置し、万一サンプルタンクまで汚染した場合は、当該汚染水を再処理する。

当該のライン設置により、損傷系統以外の系統は上記の汚染水の再処理を含めて運転継続することが可能となる。

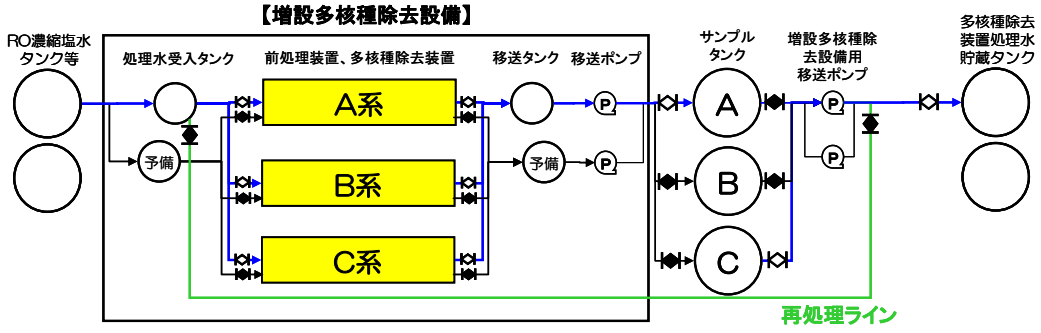



図１　多核種移送設備、再処理ライン等の概要

3.　汚染発生時の対応の流れ

【評価条件】

- 運転系統：A～C 系の 3 系列運転
- サンプルタンクは A が受入れ中、C が払い出し中
- サンプルタンク A の分析にて汚染を確認。調査の結果、A 系が損傷したことを確認

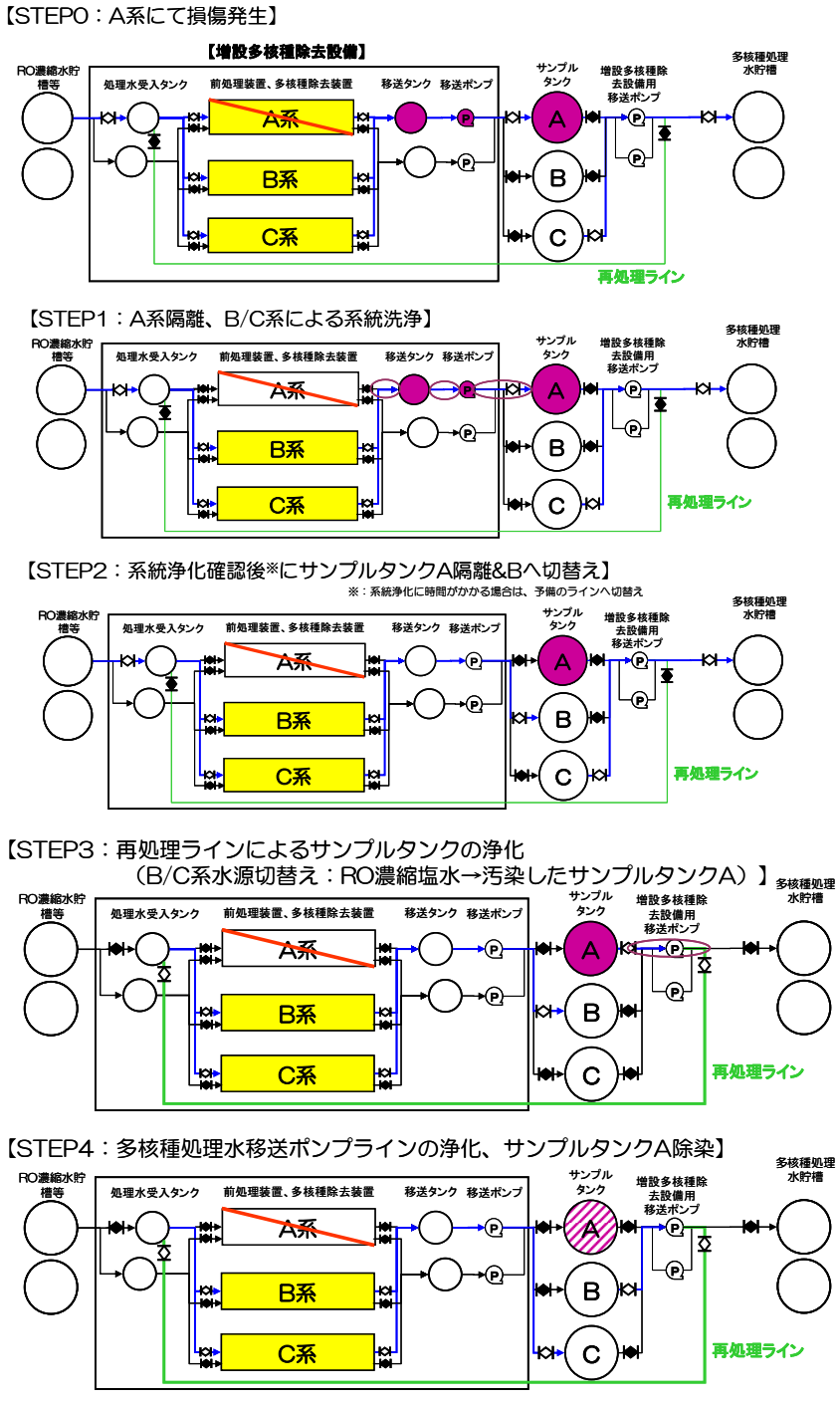



図 2　汚染発生時の対応ステップ（1／2）

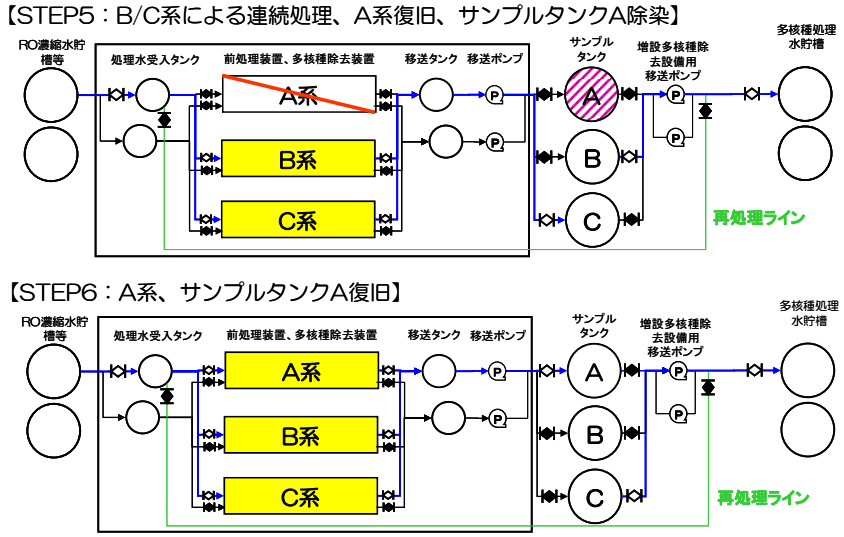



図２　汚染発生時の対応ステップ（２／２）

4.　その他（βモニタの概要）

- 更なる信頼性向上の観点からβモニタを設置する。
- 運用としては、多核種除去設備からサンプルタンクへの移送ラインより処理水を抜き出し、モニタリングする。モニタリング後の水は、処理水移送タンクへ移送する。
- 万一、βモニタで汚染が確認された場合、系統毎のラインに切替え、損傷発生系統を特定することができるライン構成となっている。

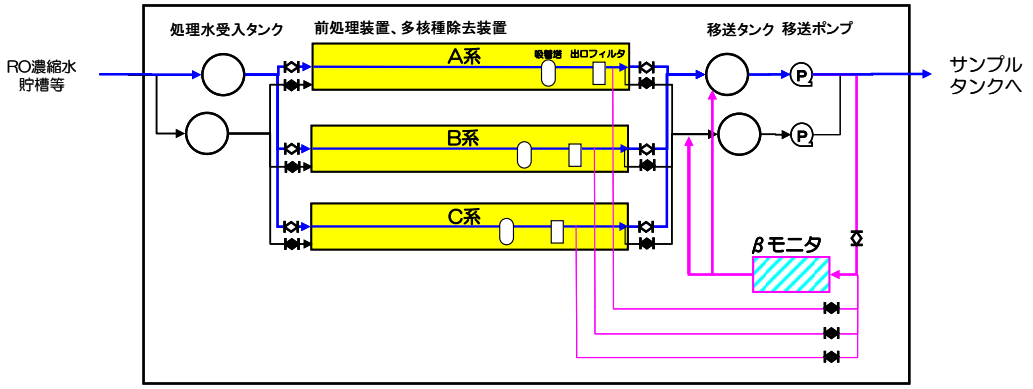



図３　βモニタシステムの概要

以上

別添－４

処理済水による炭酸ソーダ生成・供給に係る機器の具体的な安全確保策

処理済水による炭酸ソーダ生成・供給に係る下記の機器の具体的な安全確保策を以下の通り定め，実施する。なお，下記の機器については「添付－７　増設多核種除去設備の具体的な安全確保策」の対象範囲外とする。

a. 炭酸ソーダ溶解槽
b. 炭酸ソーダ貯槽
c. 炭酸ソーダ溶解槽移送ポンプ
d. 炭酸ソーダ貯槽１供給ポンプ
e. 主要配管
・移送ポンプ出口分岐部から炭酸ソーダ溶解槽まで
（鋼管）
・炭酸ソーダ溶解槽から炭酸ソーダ貯槽まで
（鋼管），（耐圧ホース）
・炭酸ソーダ貯槽から共沈タンクまで
（鋼管），（耐圧ホース）
・炭酸ソーダ貯槽から多核種除去設備建屋入口まで
（鋼管），（耐圧ホース），（ポリエチレン管）

1. 放射性物質の漏えい防止等に対する考慮

(1)　漏えい発生防止

a.　腐食による漏えい発生防止のため，液性等に応じて，炭素鋼（内面ライニング），ステンレス鋼等を採用する。（別添－１）

b.　タンクには水位検出器を設け，オーバーフローを防止するため，インターロックの作動によりポンプを停止する設計とする。

c.　鋼材の継手部は，可能な限り溶接構造とする。ポリエチレンの継手部は，可能な限り融着構造とする。また，漏えい堰等が設置されない移送配管等で継手部がフランジ構造となる場合には，シール材又は発泡剤の充填を実施し漏えい防止カバーを設置する。

d.　ポンプは，軸封部が無く軸封部があるポンプと比較して漏えいリスクの低いダイヤフラムポンプ及びキャンドポンプを採用する。

(2)　漏えい検知・漏えい拡大防止

a.　スキッド毎に漏えいパン及び漏えい検知器を設け，漏えいを早期に検知する。また，漏えいの拡大を防止する堰及び床面に漏えい検知器を設ける。

b. 漏えいを検知した場合には，免震重要棟集中監視室及びシールド中央制御室に警報を発し，運転操作員によりカメラ，流量等の運転監視パラメータ等の状況を確認し，適切な対応を図る。

c. 漏えい水のコンクリートへの浸透を防止するため，設置エリアには床塗装を実施する。

d. ポリエチレン管とポリエチレン管の接合部は漏えい発生を防止するため融着構造とすることを基本とし，ポリエチレン管と鋼管の取合い等でフランジ接続となる箇所については養生を行い，漏えい拡大防止を図る。

・移送配管から漏えいが確認された場合は，ポンプを停止し，系統の隔離及び土嚢の設置等により漏えいの拡大防止を図る。

・移送配管は，使用開始までに漏えい確認等を実施し，施工不良等による大規模な漏えいの発生を防止する。

・建屋内の移送配管において漏えい検知器が設置されていない箇所に敷設する場合は，漏えいした水を漏えい検知器が設置されている箇所に導くために配管下部に受けを設置する。

2. 放射線遮へい・崩壊熱除去

(1) 放射線遮へい（被ばくに対する考慮）

a. 機器からの放射線による雰囲気の線量当量率が 0.1mSv/h 以下（放射線業務従事者が作業を行う位置で，遮へい体を含む機器表面から 1m の位置）となるよう適切な遮へいを設ける。

b. 通常運転時は，免震重要棟集中監視室及びシールド中央制御室から遠隔での監視及び操作を可能とする。

c. 保守作業時の放射線業務従事者の被ばく低減のため，機器の洗浄が行える構成とする。

(2) 崩壊熱除去

処理対象水に含まれる放射性物質の崩壊熱は，通水時は処理水とともに熱除去される。

3. 可燃性ガスの滞留防止

水の放射線分解により発生する可能性のある可燃性ガスは，通水時は処理水とともに排出される。

4. 環境条件を踏まえた対応

(1) 腐食

汚染水処理設備の処理済水を処理することから塩化物イオン濃度が高く，また薬液注入によりｐＨが変動することから，耐腐食性を有する材料を選定する（別添－１）。

(2) 凍結

水を移送している過程では，凍結の恐れはない。水の移送を停止した場合，凍結による破損が懸念される 40A 以下の配管に対し，保温材もしくはヒータを設置する。屋外に敷設されているポリエチレン管は，水の移送を停止した場合に凍結による破損が懸念されるため，凍結しない十分な厚さを確保した保温材を取り付ける。なお，保温材は，高い気密性と断熱性を有する硬質ポリウレタン等を使用する。

保温材厚さの設定の際には，「建設設備の凍結防止（空気調和・衛生工学会）」に基づき，震災以降に凍結事象が発生した外気温-8℃，内部流体の初期温度 5℃，保温材厚さ 21.4㎜の条件において，内部流体が 25%※凍結するまでに十分な時間（50 時間程度）があることを確認した。なお，震災以降の実測データから，外気温-8℃が半日程度継続することはない。

※「JIS A 9501 保温保冷工事施工標準」において管内水の凍結割合を 25%以下と推奨

(3) 耐放射線性

ポリエチレンは，集積線量が $2\times10^5$Gy に達すると，引張強度は低下しないが，破断時の伸びが減少する傾向を示す。ポリエチレン管の照射線量率を 1Gy/h と仮定すると，$2\times10^5$Gy に到達する時間は $2\times10^5$ 時間（22.8 年）と評価される。そのため，ポリエチレン管は数年程度の使用では放射線照射の影響を受けることはないと考えられる。

系統バウンダリを構成するガスケット，グランドパッキンについては，他の汚染水処理設備で使用実績のある材料を使用しており，数年程度の使用は問題ない。

(4) 熱による劣化

熱による劣化が懸念されるポリエチレン管については，処理済水による炭酸ソーダ生成・供給に係る機器で扱う水の温度がほぼ常温のため，劣化の可能性は十分低い。

(5) 紫外線

屋外に敷設されているポリエチレン管は，紫外線による劣化を防止するため，紫外線防止効果のあるカーボンブラックを添加した保温材を取り付ける，もしくは，カーボンブラックを添加していない保温材を使用する場合は，カーボンブラックを添加した被覆材または紫外線による劣化のし難い材料である鋼板を取り付ける。

5. 規格・基準等

「JSME S NC-1 発電用原子力設備規格　設計・建設規格」，日本産業規格（JIS 規格），ISO 規格を準拠する。

6. 耐震性及び構造強度

(1) 耐震性

「発電用原子炉施設に関する耐震設計審査指針」の B クラスに相当する設備と位置付ける。機器及び鋼管の耐震性を評価するにあたっては，「JEAC4601 原子力発電所耐震設計技術規程」等に準拠する。評価の結果，各機器について算出応力に対し十分な強度を有することを確認した。また，鋼管については，定ピッチスパン法に基づき定められた間隔で支持することにより，地震応力が過大とならないようにする。

耐震性評価は，「添付資料－３　増設多核種除去設備の耐震性に関する計算書」参照。

なお，ポリエチレン管，耐圧ホースについては，材料の可撓性により耐震性を確保する。

(2) 構造強度

「JSME S NC-1 電用原子力設備規格　設計・建設規格」に準拠し設計する。評価の結果，各機器について必要厚さ等を満足しており，十分な構造強度を有することを確認した。

構造強度評価は，「添付資料－４　増設多核種除去設備の強度に関する計算書」を参照。

なお，ポリエチレン管は ISO 規格，または，JIS に準拠し，耐圧ホースは，流体・圧力・温度条件に合致した十分実績のあるものを採用することで、必要な強度を確保するものとする。

以上

添付資料－８

# 増設多核種除去設備の確認試験結果について

増設多核種除去設備は，汚染水処理設備の処理済水に含まれる放射性核種（トリチウムを除く）を『東京電力株式会社福島第一原子力発電所原子炉施設の保安及び特定核燃料物質の防護に関して必要な事項を定める告示』に定める周辺監視区域外の水中の濃度限度（以下，「告示濃度限度」という。）を下回る濃度まで低減することを目的として設置した。

系統流量などの運転状態に関する使用前検査を実施後，平成 26 年 9 月より，増設多核種除去設備の性能を確認する確認試験（ホット試験）を実施し，その後のホット試験において上記性能について確認してきた。

これまでのホット試験において，増設多核種除去設備で使用する各吸着材が，一定の使用期間を経ても，上記性能を有する設備であることを確認した。

以上

# 増設多核種除去設備に係る確認事項

増設多核種除去設備に係る主要な確認事項を表－１～１２に示す。

なお，ALPS 処理水希釈放出設備及び関連施設と兼用する配管（鋼管，ポリエチレン管，耐圧ホース）に係る主要な確認事項は，「Ⅱ 2.50 ALPS 処理水希釈放出設備及び関連施設」に示す。

表－１　確認事項（処理水受入タンク，共沈タンク，供給タンク，吸着塔入口バッファタンク，移送タンク，反応／凝集槽，沈殿槽，上澄み水タンク）

| 確認事項 | 確認項目 | 確認内容 | 判定基準 |
|---|---|---|---|
| 構造強度・耐震性 | 材料確認 | 実施計画に記載した主な材料について記録を確認する。 | 実施計画のとおりであること。 |
| | 寸法確認 | 実施計画に記載した主要寸法について記録を確認する。 | 寸法が許容範囲内であること。 |
| | 外観確認 | 各部の外観を確認する。 | 有意な欠陥がないこと。 |
| | 据付確認 | 機器が系統構成図とおりに据付られていることを確認する。 | 実施計画のとおり施工・据付されていること。 |
| | 耐圧・漏えい確認 | 確認圧力で保持した後，確認圧力に耐えていることを確認する。耐圧確認終了後，漏えいの有無も確認する。 | 確認圧力に耐え，かつ構造物の変形等がないこと。また、耐圧部から著しい漏えいがないこと。 |

表－２　確認事項（サンプルタンク）

| 確認事項 | 確認項目 | 確認内容 | 判定基準 |
|---|---|---|---|
| 構造強度・耐震性 | 材料確認 | 実施計画に記載した主な材料について記録を確認する。 | 実施計画のとおりであること。 |
| | 寸法確認 | 実施計画に記載した主要寸法について記録を確認する。 | 寸法が許容範囲内であること。 |
| | 外観確認 | 各部の外観を確認する。 | 有意な欠陥がないこと。 |
| | 据付確認 | 機器が系統構成図とおりに据付られており、タンク基礎の不陸について確認する。また、支持力試験にて、タンク基礎の地盤支持力を確認する。 | 実施計画のとおり施工・据付されており、タンク基礎の不陸に異常がないこと。また、必要な支持力を有していること。 |
| | 耐圧・漏えい確認 | 確認圧力で保持した後，確認圧力に耐えていることを記録で確認する。耐圧確認終了後，漏えいの有無も確認する。 | 確認圧力に耐え，かつ構造物の変形等がないこと。また、耐圧部から著しい漏えいがないこと。 |
| 性能 | 監視確認 | 水位計について、免震重要棟集中監視室及びシールド中央制御室にタンク水位が表示できることを確認する。 | 免震重要棟集中監視室及びシールド中央制御室にタンク水位が表示できること。 |
| | 寸法確認 | 基礎外周堰の高さを確認する。 | 必要容量に相当する高さがあること。 |
| | 外観確認 | 基礎外周堰の外観を確認する。 | 有意な欠陥がないこと。 |

表－３　確認事項（吸着塔）

| 確認事項 | 確認項目 | 確認内容 | 判定基準 |
|---|---|---|---|
| 構造強度・耐震性 | 材料確認 | 実施計画に記載した主な材料について記録を確認する。 | 実施計画のとおりであること。 |
| | 寸法確認 | 実施計画に記載した主要寸法について記録を確認する。 | 寸法が許容範囲内であること。 |
| | 外観確認 | 各部の外観を確認する。 | 有意な欠陥がないこと。 |
| | 据付確認 | 機器の据付位置，据付状態について確認する。 | 実施計画のとおり施工・据付されていること。 |
| | 耐圧・漏えい確認 | 確認圧力で保持した後，確認圧力に耐えていることを確認する。耐圧確認終了後，漏えいの有無も確認する。 | 確認圧力に耐え，かつ構造物の変形等がないこと。また，耐圧部から著しい漏えいがないこと。 |

表－４　確認事項（供給ポンプ１，２，循環ポンプ，
ブースターポンプ１，２，移送ポンプ，増設多核種除去設備用移送ポンプ，
スラリー循環ポンプ，上澄み水ポンプ）

| 確認事項 | 確認項目 | 確認内容 | 判定基準 |
|---|---|---|---|
| 構造強度・耐震性 | 外観確認 | 各部の外観を確認する。 | 有意な欠陥がないこと。 |
| | 据付確認 | 機器の据付位置，据付状態について確認する。 | 実施計画のとおり施工・据付されていること。 |
| | 漏えい確認 | 運転圧力で耐圧部分からの漏えいの有無を確認する。 | 耐圧部から著しい漏えいがないこと。 |
| 性能 | 運転性能確認 | ポンプの運転確認を行う。 | 実施計画に記載した容量を満足すること。<br>また，異音，異臭，異常振動等がないこと。 |

表－５　確認事項（その他機器（出口フィルタ，クロスフローフィルタ））

| 確認事項 | 確認項目 | 確認内容 | 判定基準 |
|---|---|---|---|
| 構造強度・耐震性 | 外観確認 | 各部の外観について記録にて確認する。 | 有意な欠陥がないこと。 |
| | 据付確認 | 機器の据付位置，据付状態について確認する。 | 実施計画のとおり施工・据付されていること。 |
| | 耐圧<br>漏えい確認 | 確認圧力で保持した後，確認圧力に耐えていることを確認する。耐圧確認終了後，漏えいの有無も確認する。 | 確認圧力に耐え，かつ構造物の変形等がないこと。また，耐圧部から著しい漏えいがないこと。 |

表－６　確認事項（主配管（鋼管））

| 確認事項 | 確認項目 | 確認内容 | 判定基準 |
|---|---|---|---|
| 構造強度・耐震性 | 材料確認 | 実施計画に記載した主な材料について，材料証明書または納品書により確認する。 | 実施計画の記載とおりであること。 |
| | 寸法確認 | 実施計画に記載した主要寸法について，材料証明書または納品書により確認する。 | 実施計画の記載とおりであること。 |
| | 外観確認 | 各部の外観について，立会いまたは記録により確認する。 | 有意な欠陥がないこと。 |
| | 据付確認 | 機器が図面のとおり据付ていることを立会いまたは記録により確認する。 | 図面のとおり施工･据付ていること。 |
| | 耐圧・漏えい確認 注１ | ①：最高使用圧力の 1.5 倍で一定時間保持後，同圧力に耐えていること，また，耐圧部からの漏えいがないことを立会いまたは記録により確認する。 | 最高使用圧力の 1.5 倍に耐え，かつ構造物の変形等がないこと。また，耐圧部から漏えいがないこと。 |
| | | ②：運転圧力で耐圧部からの漏えいのないことを立会いまたは記録により確認する。※１ | 耐圧部から漏えいがないこと。 |
| 機能・性能 | 通水確認 | 通水ができることを立会いまたは記録により確認する。 | 通水ができること。 |

※１：運転圧力による耐圧部の漏えい検査が実施できない配管フランジ部については，トルク確認等の代替検査を実施する。

注１：耐圧漏えい確認は，①②のいずれかとする。

表－７　確認事項（主配管（ポリエチレン管））

| 確認事項 | 確認項目 | 確認内容 | 判定基準 |
|---|---|---|---|
| 構造強度・耐震性 | 材料確認 | 実施計画に記載した材料について，製品検査成績書により確認する。 | 実施計画の記載とおりであること。 |
| | 寸法確認 | 実施計画に記載した主要寸法（外径相当）について，製品検査成績書により確認する。 | 実施計画の記載とおりであること。 |
| | 外観確認 | 各部の外観について，立会いまたは記録により確認する。 | 有意な欠陥がないこと。 |
| | 据付確認 | 機器が図面のとおりに据付ていることを立会いまたは記録により確認する。 | 図面のとおり施工･据付ていること。 |
| | 耐圧・漏えい確認 注１ | ①：最高使用圧力以上で一定時間保持後，同圧力に耐えていること，また，耐圧部からの漏えいがないことを立会いまたは記録により確認する。 | 最高使用圧力に耐え，かつ構造物の変形等がないこと。また，耐圧部から漏えいがないこと。 |
| | | ②：気圧により，耐圧部からの漏えいのないことを立会いまたは記録で確認する。 | 耐圧部から漏えいがないこと。 |
| | | ③：運転圧力で耐圧部からの漏えいがないことを立会いまたは記録で確認する。 | |
| 機能・性能 | 通水確認 | 通水ができることを立会いまたは記録により確認する。 | 通水ができること。 |

注１：耐圧漏えい確認は，①②③のいずれかとする。

表－８　確認事項（主配管（耐圧ホース））

| 確認事項 | 確認項目 | 確認内容 | 判定基準 |
|---|---|---|---|
| 構造強度・耐震性 | 材料確認 | 実施計画に記載した主な材料について記録を確認する。 | 実施計画のとおりであること。 |
| | 寸法確認 | 実施計画に記載した主要寸法（外径相当）について記録を確認する。 | 実施計画のとおりであること。 |
| | 外観確認 | 各部の外観を確認する。 | 有意な欠陥がないこと。 |
| | 据付確認 | 配管の据付状態について確認する。 | 実施計画のとおり施工・据付されていること。 |
| | 耐圧・漏えい確認 | 確認圧力で保持した後，確認圧力に耐えていることを記録により確認する。<br>耐圧確認終了後，耐圧部分からの漏えいの有無を記録により確認する。 | 確認圧力に耐え，かつ構造物の変形等がないこと。<br>また，耐圧部から漏えいがないこと。 |
| 機能・性能 | 通水確認 | 通水ができることを確認する。 | 通水ができること。 |

表－９　確認事項（漏えい検出装置及び警報装置）

| 確認事項 | 確認項目 | 確認内容 | 判定基準 |
|---|---|---|---|
| 構造強度 | 外観確認 | 各部の外観を確認する。 | 有意な欠陥がないこと。 |
| | 据付確認 | 装置の据付位置，据付状態について確認する。 | 実施計画のとおり施工・据付されていること。 |
| 機能 | 漏えい警報確認 | 設定通りに警報が作動することを確認する。 | 漏えいを検知し，警報が作動すること。設定通りに、警報が作動すること。 |

表－１０　確認事項（エリア放射線モニタ）

| 確認事項 | 確認項目 | | 確認内容 | 判定基準 |
|---|---|---|---|---|
| 監視 | 構造確認 | 外観確認 | 各部の外観を確認する。 | 有意な欠陥がないこと。 |
| | | 据付確認 | 機器の据付位置，据付状態について確認する。 | 実施計画の通りに施工・据付されていること。 |
| | 機能確認 | 警報確認 | 設定値どおり警報及び表示灯が作動することを確認する。 | 許容範囲以内で警報及び表示灯が作動すること。 |
| | 性能確認 | 線源校正確認 | 標準線源を用いて線量当量率を測定し，各検出器の校正が正しいことを確認する。 | 基準線量当量率に対する正味線量当量が，許容範囲以内であること。 |
| | | 校正確認 | モニタ内のテスト信号発生部により，各校正点の基準入力を与え、その時のデータ収集装置の指示値が正しいことを確認する。 | 各指示値が許容範囲以内に入っていること。 |

表－１１　確認事項（基礎）

| 確認事項 | 確認項目 | 確認内容 | 判定基準 |
|---|---|---|---|
| 構造強度 | 材料確認 | 構造体コンクリートの圧縮強度を確認する。 | 構造体コンクリート強度が,実施計画に記載されている設計基準強度に対して，JASS 5 の基準を満足すること。 |
| | | 鉄筋の材質，強度，化学成分を確認する。 | JIS G 3112 に適合すること。 |
| | 寸法確認 | 構造体コンクリート部材の断面寸法を確認する。 | 構造体コンクリート部材の断面寸法が,実施計画に記載されている寸法に対して，JASS 5 の基準を満足すること。 |
| | 据付確認 | 鉄筋の径，間隔を確認する。 | 鉄筋の径が実施計画に記載されている通りであること。鉄筋の間隔が実施計画に記載されているピッチにほぼ均等に分布していること。 |

表－１２　確認事項（堰その他の設備）

| 確認事項 | 確認項目 | 確認内容 | 判定基準 |
|---|---|---|---|
| 漏えい防止 | 材料確認 | 実施計画に記載されている主な材料について確認する。 | 実施計画のとおりであること。 |
| | 寸法確認 | 実施計画に記載されている主要寸法を確認する。 | 寸法が許容範囲内であること。 |
| | 外観確認 | 各部の外観を確認する。 | 有意な欠陥がないこと。 |
| | 据付確認 | 堰その他の設備の据付位置，据付状態について確認する。 | 実施計画のとおり施工･据付されていること。 |

表－１３　確認事項（増設多核種除去設備）

| 確認事項 | 確認項目 | 確認内容 | 判定基準 |
|---|---|---|---|
| 性能 | 運転性能確認 | 実施計画に記載の容量が通水可能であることを確認する。 | 実施計画に記載した容量を通水することが可能であり、設備からの異音，異臭，振動等の異常がないこと。 |
| | 除去性能 | 処理済水に含まれる放射性核種（トリチウムを除く）について，除去対象とする 62 核種の放射能濃度を確認する。 | 『東京電力株式会社福島第一原子力発電所原子炉施設の保安及び特定核燃料物質の防護に関して必要な事項を定める告示』に定める周辺監視区域外の水中の濃度限度未満であること。 |

増設多核種除去設備の溶接部に係る主要な確認事項を表－１４～１７に示す。

表－１４　確認事項（タンク、吸着塔、主配管の溶接検査）

| 確認事項 | 確認項目 | 対象設備 | 確認内容 | 判定基準 |
|---|---|---|---|---|
| 溶接検査 | 材料検査 | ①処理水受入タンク<br>②共沈タンク<br>③供給タンク<br>④吸着塔入口ﾊﾞｯﾌｧﾀﾝｸ<br>⑤吸着塔<br>⑥処理水受入タンク～吸着塔までの外径 61mm 以上の主配管 | 溶接に使用する材料が、溶接規格等に適合するものであり、溶接施工法の母材の区分に適合することを確認する。 | 溶接に使用する材料が、溶接規格等に適合するものであり、溶接施工法の母材の区分に適合するものであること。 |
| | | ⑦処理水受入タンク～吸着塔までの外径 61mm を超える主配管<br>⑧反応／凝集槽<br>⑨沈殿槽<br>⑩上澄み水タンク | 材料が溶接規格等に適合するものであり、溶接施工法の母材の区分に適合することを確認する。 | 材料が溶接規格等に適合するものであり、溶接施工法の母材の区分に適合するものであること。 |
| | 開先検査 | ①処理水受入タンク<br>②共沈タンク<br>③供給タンク<br>④吸着塔入口ﾊﾞｯﾌｧﾀﾝｸ<br>⑤吸着塔<br>⑥処理水受入タンク～吸着塔までの外径 61mm 以上の主配管<br>⑦処理水受入タンク～吸着塔までの外径 61mm を超える主配管<br>⑧反応／凝集槽<br>⑨沈殿槽<br>⑩上澄み水タンク | 開先形状等が溶接規格等に適合するものであることを確認する。 | 開先形状等が溶接規格等に適合するものであること。 |

| | | | | |
|---|---|---|---|---|
| | 溶接作業検査 | ①処理水受入タンク<br>②共沈タンク<br>③供給タンク<br>④吸着塔入口ﾊﾞｯﾌｧﾀﾝｸ<br>⑤吸着塔<br>⑥処理水受入タンク～吸着塔までの外径 61mm 以上の主配管<br>⑦処理水受入タンク～吸着塔までの外径 61mm を超える主配管<br>⑧反応／凝集槽<br>⑨沈殿槽<br>⑩上澄み水タンク | あらかじめ確認された溶接施工法又は実績のある溶接施工法又は管理されたプロセスを有する溶接施工法であることを確認する。あらかじめ確認された溶接士により溶接が行われていることを確認する。 | あらかじめ確認された溶接施工法および溶接士により溶接施工をしていること。 |
| | 非破壊試験 | ①処理水受入タンク<br>②共沈タンク<br>③供給タンク<br>④吸着塔入口ﾊﾞｯﾌｧﾀﾝｸ<br>⑤吸着塔<br>⑥処理水受入タンク～吸着塔までの外径 61mm 以上の主配管 | 溶接部（最終層）について非破壊検査（浸透探傷検査）を行い、その試験方法及び結果が溶接規格等に適合するものであることを確認する。 | 溶接部（最終層）について非破壊検査（浸透探傷検査）を行い、その試験方法及び結果が溶接規格等に適合するものであること。 |
| | | ⑦処理水受入タンク～吸着塔までの外径 61mm を超える主配管<br>⑧反応／凝集槽<br>⑨沈殿槽<br>⑩上澄み水タンク | 溶接部について非破壊検査を行い、その試験方法及び結果が溶接規格等に適合するものであることを確認する。 | 溶接部について非破壊検査を行い、その試験方法及び結果が溶接規格等に適合するものであること。 |

| | | | | |
|---|---|---|---|---|
| | 機械試験 | ⑤吸着塔 | 溶接部を代表する試験片にて機械試験を行い、当該試験片の機械的性質が溶接規格等に適合しているものであることを確認する。 | 溶接部を代表する試験片にて機械試験を行い、当該試験片の機械的性質が溶接規格等に適合しているものであること。 |
| | 耐圧・<br>漏えい検査<br>外観検査 | ①処理水受入タンク<br>②共沈タンク<br>③供給タンク<br>④吸着塔入口ﾊﾞｯﾌｧﾀﾝｸ<br>⑤吸着塔<br>⑥処理水受入タンク～吸着塔までの外径 61㎜ 以上の主配管 | 検査圧力で保持した後、検査圧力に耐えていること及び耐圧部分から漏えいがないことを確認する。 | 検査圧力で保持した後、検査圧力に耐えていること及び耐圧部分から漏えいがないこと及び外観上、傷・へこみ・変形等の異常がないこと。 |
| | 耐圧・<br>漏えい検査 | ⑦処理水受入タンク～吸着塔までの外径 61㎜ を超える主配管<br>⑧反応／凝集槽<br>⑨沈殿槽<br>⑩上澄み水タンク | 検査圧力で保持した後、検査圧力に耐えていることを確認する。耐圧確認終了後、耐圧部分からの漏えいの有無を確認する。 | 検査圧力で保持した後、検査圧力に耐えていること。耐圧確認終了後、耐圧部分からの漏えいがないこと。 |
| | 外観検査 | | 耐圧・漏えい検査後外観上、傷・へこみ・変形等の異常がないことを確認する。 | 外観上、傷・へこみ・変形等の異常がないこと。 |

表－１５　確認事項（タンクの汚染水入口ノズルと天板の溶接部）

| 確認事項 | 確認項目 | 対象設備 | 確認内容 | 判定基準 |
|---|---|---|---|---|
| 溶接検査 | 材料検査 | ①処理水受入タンク1<br>②処理水受入タンク2<br>③吸着塔入口ﾊﾞｯﾌｧﾀﾝｸ | 溶接に使用する材料が、溶接検査申請書に記載したものであり、溶接施工法の母材の区分に準拠することを記録で確認する。 | 溶接に使用する材料が、溶接規格等に準拠するものであり、溶接施工法の母材の区分に準拠するものであること。 |
| | 開先検査 | ①処理水受入タンク1<br>②処理水受入タンク2<br>③吸着塔入口ﾊﾞｯﾌｧﾀﾝｸ | 溶接検査申請書に記載した開先形状等であることを記録で確認する。 | 開先形状等が溶接規格等に準拠するものであること。 |
| | 溶接作業検査 | ①処理水受入タンク1<br>②処理水受入タンク2<br>③吸着塔入口ﾊﾞｯﾌｧﾀﾝｸ | 溶接検査申請書に記載した溶接施工法であり、実績のある溶接施工法又は管理されたプロセスを有する溶接施工法であることを確認する。あらかじめ確認された溶接士により溶接が行われていることを記録で確認する。 | 溶接検査申請書に記載した溶接施工法および溶接士により溶接施工されていること。 |
| | 非破壊試験 | ①処理水受入タンク1<br>②処理水受入タンク2<br>③吸着塔入口ﾊﾞｯﾌｧﾀﾝｸ | 溶接部（最終層）について非破壊検査（浸透探傷検査）を行い、その試験方法及び結果が溶接規格等に準拠するものであることを記録で確認する。 | 溶接部（最終層）について非破壊検査（浸透探傷検査）を行い、その試験方法及び結果が溶接規格等に準拠するものであること。 |

| | | | | |
|---|---|---|---|---|
| | 耐圧・<br>漏えい検査<br>外観検査 | ①処理水受入タンク 1<br>③吸着塔入口ﾊﾞｯﾌｧﾀﾝｸ | 検査圧力で保持した後、検査圧力に耐えていること及び耐圧部分から漏えいがないことを記録で確認する。 | 検査圧力で保持した後、検査圧力に耐えていること及び耐圧部分から漏えいがないこと及び外観上、傷・へこみ・変形等の異常がないこと |
| | | ②処理水受入タンク 2 | | |

表－１６　確認事項（海外製品溶接検査）

| 確認事項 | 確認項目 | 対象設備 | 確認内容 | 判定基準 |
|---|---|---|---|---|
| 溶接検査 | 材料検査 | ①クロスフローフィルタ | 使用する材料が、EN 規格等に準拠するものであることを記録で確認する。 | 使用する材料が、EN 規格等に準拠するものであること。 |
| | 開先検査 | ①クロスフローフィルタ | 開先形状が EN 規格等に準拠していることを製作図等で確認する。 | EN 規格等に準拠していること。 |
| | 溶接作業検査 | ①クロスフローフィルタ | EN 規格に定められた溶接施工法及び溶接士の資格を有していることを記録で確認する。 | EN 規格に基づく、溶接施工法及び溶接士により溶接施工されていること。 |
| | 非破壊試験 | ①クロスフローフィルタ | 長手溶接部について非破壊検査（放射線透過試験）を行い、その試験方法及び結果が CODETI2006 等に適合するものであることを記録で確認する。 | 長手溶接部について、非破壊検査（放射線透過試験）を行い、試験方法及び結果が CODETI2006 等に適合するものであること。 |

| | | | | |
|---|---|---|---|---|
| | 耐圧・漏えい検査 | ①クロスフローフィルタ | CODAP2005 等に基づき、検査圧力で保持した後、検査圧力に耐えていること及び耐圧部分から漏えいがないことを記録で確認する。 | CODAP2005 等に基づく検査圧力で保持した後、検査圧力に耐えていること及び耐圧部分から漏えいがないこと。 |
| | 外観検査 | ①クロスフローフィルタ | 本体の外観及び溶接部の施工状況等を確認する。 | 外観上、傷・へこみ・変形等の異常がないこと。また、溶接部の溶接施工状況に異常がないこと。 |

表－１７　確認事項（クロスフローフィルタ接続管の溶接部）

| 確認事項 | 確認項目 | 対象設備 | 確認内容 | 判定基準 |
|---|---|---|---|---|
| 溶接検査 | 材料検査 | ①クロスフローフィルタ接続管 | 溶接に使用する材料が、溶接検査申請書に記載したものであることを記録で確認する。 | 溶接に使用する材料が、溶接規格等に準拠するものであること。 |
| | 開先検査 | ①クロスフローフィルタ接続管 | 溶接検査申請書に記載した開先形状であることを記録で確認する。 | 開先形状等が溶接規格等に準拠するものであること。 |
| | 溶接作業検査 | ①クロスフローフィルタ接続管 | 溶接検査申請書に記載した溶接施工法であり、管理されたプロセスを有する溶接施工法及び溶接士により溶接が行われていることを記録で確認する。 | 溶接検査申請書に記載した溶接施工法および溶接士（JIS や高圧ガス保安協会基準等）により溶接施工されていること |

| | | | | |
|---|---|---|---|---|
| | 非破壊試験 | ①クロスフローフィルタ接続管 | 溶接部（最終層）について非破壊検査（浸透探傷検査）を行い、その試験方法及び結果が溶接規格等に準拠するものであることを記録で確認する。 | 溶接部（最終層）について非破壊検査（浸透探傷検査）を行い、その試験方法及び結果が溶接規格等に準拠するものであること。 |
| | 耐圧・漏えい検査<br>外観検査 | ①クロスフローフィルタ接続管 | 検査圧力で保持した後、検査圧力に耐えていること及び耐圧部分から漏えいがないことを確認する。また、溶接部の施工状況等を確認する。 | 検査圧力で保持した後、検査圧力に耐えていること及び耐圧部分から漏えいがないこと及び外観上、傷・へこみ・変形等の異常がないこと。また、溶接部の溶接施工状況に異常がないこと。 |

増設多核種除去設備の薬品供給設備に係る主要な確認事項を表－１８～２３に示す。

表－１８　確認事項　（炭酸ソーダ溶解槽，炭酸ソーダ貯槽）

| 確認事項 | 確認項目 | 確認内容 | 判定基準 |
|---|---|---|---|
| 構造強度・耐震性 | 材料確認 | 実施計画に記載した主な材料について，材料証明書等を確認する。 | 実施計画のとおりであること。 |
| | 寸法確認 | 実施計画に記載した主要寸法について，記録または材料証明書等を確認する。 | 実施計画のとおりであること。 |
| | 外観確認 | 各部の外観を確認する。 | 有意な欠陥がないこと。 |
| | 据付確認 | 機器が系統構成図とおりに据付られていることを確認する。 | 実施計画のとおり施工・据付されていること。 |
| | 耐圧・漏えい確認 | ①確認圧力で保持した後，確認圧力に耐えていることを確認する。耐圧確認終了後，漏えいの有無を記録で確認する。 | 確認圧力に耐え，かつ構造物の変形等がないこと。また、耐圧部から漏えいがないこと。 |
| | | ②運用水位以上で，一定時間保持後，確認圧力に耐えること，また漏えいがないことを記録により確認する。 | 確認圧力に耐え，かつ構造物の変形等がないこと。また、耐圧部から漏えいがないこと。 |

注１：①②は，いずれかとする。

表－１９　確認事項（炭酸ソーダ溶解槽移送ポンプ、炭酸ソーダ貯槽１供給ポンプ，炭酸ソーダ貯槽２移送ポンプ）

| 確認事項 | 確認項目 | 確認内容 | 判定基準 |
|---|---|---|---|
| 構造強度・耐震性 | 外観確認 | 各部の外観を確認する。 | 有意な欠陥がないこと。 |
| | 据付確認 | 機器の据付位置，据付状態について確認する。 | 実施計画のとおり施工・据付されていること。 |
| | 漏えい確認 | 運転圧力（ポンプ実施計画記載容量時）で耐圧部分からの漏えいの有無を記録で確認する。 | 耐圧部から漏えいがないこと。 |
| 性能 | 運転性能確認 | ポンプの運転確認を行う。 | 実施計画に記載した容量を満足すること。<br>また，異音，異常振動等がないこと。 |

表－２０　確認事項（主配管（鋼管））

| 確認事項 | 確認項目 | 確認内容 | 判定基準 |
|---|---|---|---|
| 構造強度・耐震性 | 材料確認 | 実施計画に記載した主な材料について材料証明書等を確認する。 | 実施計画のとおりであること。 |
| | 寸法確認 | 実施計画に記載した外径，厚さについて記録または材料証明書等を確認する。 | 実施計画のとおりであること。 |
| | 外観確認 | 各部の外観を確認する。 | 有意な欠陥がないこと。 |
| | 据付確認 | 機器の据付状態について確認する。 | 実施計画のとおり施工・据付されていること。 |
| | 耐圧・漏えい確認 | ①最高使用圧力以上の圧力で保持した後，確認圧力に耐えていることを記録で確認する。耐圧確認終了後，耐圧部分からの漏えいの有無を記録で確認する。 | 最高使用圧力以上の圧力に耐え，かつ構造物の変形等がないこと。また，耐圧部から漏えいがないこと。 |
| | | ②運転圧力（ポンプ実施計画記載容量時）で耐圧部からの漏えいのないことを記録等により確認する。 | 耐圧部から漏えいがないこと。 |

注１：①②は，いずれかとする。

表－２１　確認事項（耐圧ホース）

| 確認事項 | 確認項目 | 確認内容 | 判定基準 |
|---|---|---|---|
| 構造強度・耐震性 | 材料確認 | 実施計画に記載した主な材料について検査成績書等を確認する。 | 実施計画のとおりであること。 |
| | 寸法確認 | 実施計画に記載した主要寸法（外径相当）について検査成績書等を確認する。 | 実施計画のとおりであること。 |
| | 外観確認 | 各部の外観を確認する。 | 有意な欠陥がないこと。 |
| | 据付確認 | 機器の据付状態について確認する。 | 実施計画のとおり施工・据付されていること。 |
| | 耐圧・漏えい確認 | 最高使用圧力以上の圧力で保持した後，確認圧力に耐えていることを記録で確認する。耐圧確認終了後，耐圧部分からの漏えいの有無を記録で確認する。 | 最高使用圧力以上の圧力に耐え，かつ構造物の変形等がないこと。また，耐圧部から漏えいがないこと。 |

表－２２　確認事項（薬品供給設備）

| 確認事項 | 確認項目 | 確認内容 | 判定基準 |
|---|---|---|---|
| 性能 | 運転性能確認 | 系統通水が可能であることを確認する。 | 通水可能であること。 |

表－２３　確認事項（主配管（ポリエチレン管））

| 確認事項 | 確認項目 | 確認内容 | 判定基準 |
|---|---|---|---|
| 構造強度・耐震性 | 材料確認 | 実施計画に記載した主な材料について材料証明書等を確認する。 | 実施計画のとおりであること。 |
| | 寸法確認 | 実施計画に記載した外径，厚さについて記録または材料証明書等を確認する。 | 実施計画のとおりであること。 |
| | 外観確認 | 各部の外観を確認する。 | 有意な欠陥がないこと。 |
| | 据付確認 | 機器の据付状態について確認する。 | 実施計画のとおり施工・据付されていること。 |
| | 耐圧・漏えい確認 | 最高使用圧力以上の圧力で保持した後，確認圧力に耐えていることを記録で確認する。耐圧確認終了後，耐圧部分からの漏えいの有無を記録で確認する。 | 最高使用圧力以上の圧力に耐え，かつ構造物の変形等がないこと。また，耐圧部から漏えいがないこと。 |

別冊２８

# ２号機　使用済燃料プールからの燃料取り出し設備に係る補足説明

本資料は，２号機使用済燃料プールからの燃料取り出しを目的とした設備に係る実施計画面談資料のうち，実施計画本文や添付資料の補足として必要な部分，及び評価の根拠を示すための計算書を取り纏めたものである。

# Ⅰ　燃料取り出し用構台　補足説明資料

# 2号機燃料取扱設備及び燃料取り出し用構台の設置について

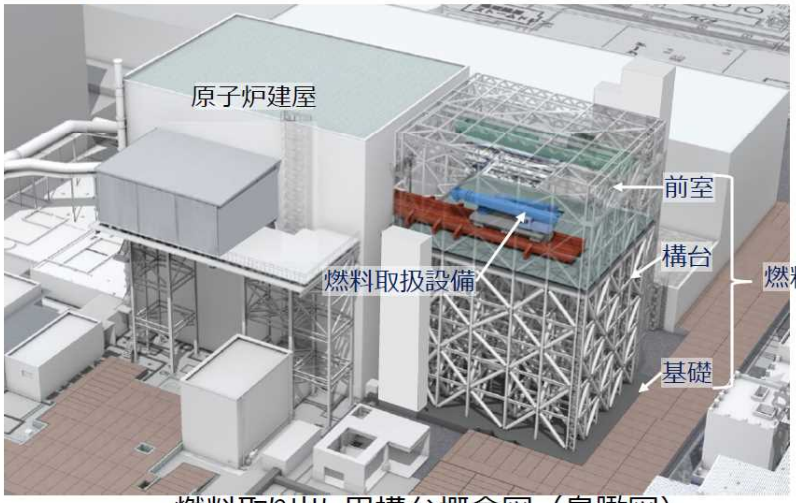
## 燃料取り出し用構台　補足説明資料

東京電力ホールディングス株式会社

©Tokyo Electric Power Company Holdings, Inc. All Rights Reserved.　無断複製・転載禁止　東京電力ホールディングス株式会社

## 概要（燃料取り出し用構台）

- 原子炉建屋上部を全面解体せず，建屋南側に燃料取り出し用構台を設置した上で，南側外壁の小開口から燃料と輸送容器を取り扱う。
- ブーム型クレーン式の燃料取扱設備を採用することで，南側外壁の開口部は小さくなり，原子炉建屋の構造部材のうち柱と梁の解体を回避できる。
- 燃料取扱設備は，燃料取り出し用構台上での組立・保守作業が可能となることから，作業員被ばくを低減できる。




青字：新設設備

燃料取り出し用構台概念図（鳥瞰図）

©Tokyo Electric Power Company Holdings, Inc. All Rights Reserved.　無断複製・転載禁止　東京電力ホールディングス株式会社

## 4.1.1 一般事項（燃料取り出し用構台）

TEPCO

- 2号機燃料取り出し用構台は，原子炉建屋の南側に設置される基礎・構台・前室と，原子炉建屋に延伸して設置されるランウェイガーダ，弾性支承，オイルダンパから構成され，改良地盤上に設置する。また，ランウェイガーダ上を燃料取扱設備が走行する。ここでは，本燃料取り出し用構台の構造強度と耐震性について検討を行う。なお，2021年9月8日の原子力規制委員会で示された耐震設計の考え方を踏まえ，安全機能の重要度，地震によって機能の喪失を起こした場合の安全上の影響（公衆への被ばく影響）や廃炉活動への影響等を考慮した上で，核燃料物質を非密封で扱う燃料加工施設や使用施設等における耐震クラス分類を参考にして適切な耐震設計上の区分を行う*とともに，適切と考えられる設計用地震力に十分耐えられる設計とし，具体的にはB+クラスに分類される燃料取出設備の間接支持構造物として，B+クラス相当の地震力に対する耐震評価を行う。

＊：耐震設計における耐震クラス分類は，「令和３年２月１３日の福島県沖の地震を踏まえた東京電力福島第一原子力発電所の耐震設計における地震動とその適用の考え方（２回目）」(原子力規制庁，令和3 年9 月8 日）に基づき，地震により安全機能を失った際の公衆への被ばく影響を行い，Ｂクラスもしくは Ｂ＋クラスと判断されるが，通常のＢクラスよりも高い耐震性が求められるＢ＋クラスの対象設備の要件として挙げられる使用済燃料を移動させるために必要な燃料取出設備の間接支持構造物としてＢ＋クラス相当とする。なお，耐震クラス分類に係わる被ばく評価については，「別冊２８　２号機使用済燃料プールからの燃料取り出し設備に係る補足説明」（以下，別冊２８と記載）**P113～P1○○（Ⅴ　2号燃料取扱設備破損時の被ばく評価についての計算書）**参照。

©Tokyo Electric Power Company Holdings, Inc. All Rights Reserved.　　無断複製・転載禁止　東京電力ホールディングス株式会社

## 4.1.1 一般事項（燃料取り出し用構台）

TEPCO

- 燃料取り出し用構台の構造強度は一次設計に対応した許容応力度設計を実施し，耐震性は検討用地震動（最大加速度900gal）の1/2の最大加速度450galの地震動（以下，1/2Ss450と記載）に対する地震応答解析を実施し，燃料取り出し用構台の損傷が原子炉建屋，使用済燃料プール及び使用済燃料ラックに波及的影響を及ぼさないことを確認する。ここで，波及的影響の確認は，燃料取り出し用構台が崩壊機構に至らないことを確認する。検討用地震動（最大加速度900gal）は「東京電力福島第一原子力発電所の外部事象に対する防護の検討について」（東京電力株式会社，平成26年10月3日，特定原子力施設監視・評価検討会（第27回））にて提示した地震動とする。
- なお，2号機燃料取り出し用構台については，実施計画変更認可申請の審査期間中に，適用地震動見直しが行われたことから，一部の評価については，「福島第一原子力発電所『発電用原子炉施設に関する耐震設計審査指針』の改訂に伴う耐震安全性評価結果中間報告書」（東京電力株式会社，平成20年3月31日）（以下，バックチェックと記載）にて作成した解放基盤表面で定義される新規制基準によらない従来のSs（最大加速度600gal）（以下，Ss600と記載）に対する地震応答解析結果との比較から耐震性を確認する。
- 上記1/2Ss450を用いた評価については，「Ⅳ　2号燃料取り出し関連設備に対する1/2Ss450評価について」に記載するため，本資料（Ⅰ　燃料取り出し用構台　補足説明資料）への記載は省略し，Ss600（本資料では基準地震動Ssと記載）に対する評価を記載する。

©Tokyo Electric Power Company Holdings, Inc. All Rights Reserved.　　無断複製・転載禁止　東京電力ホールディングス株式会社

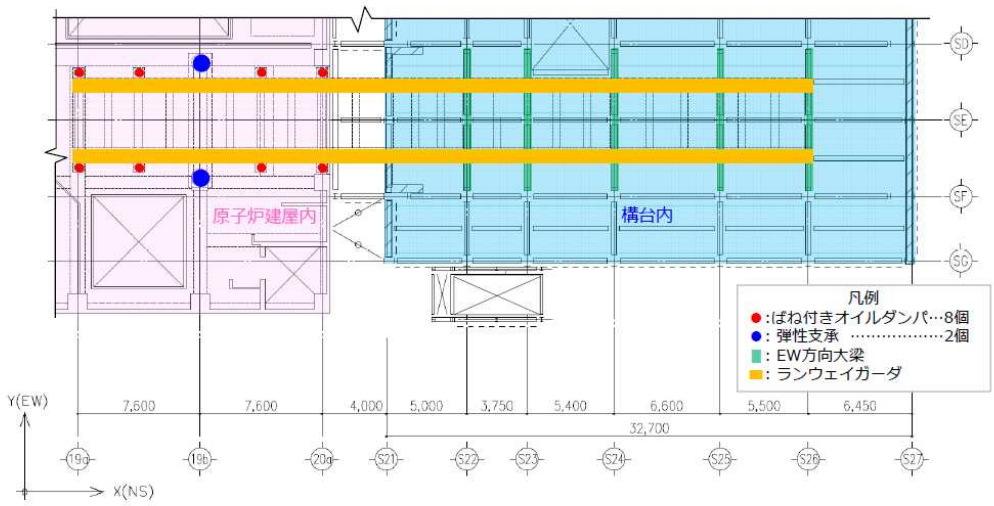
## 4.1.2 構造概要（燃料取り出し用構台）

■ 燃料取り出し用構台は，東西方向27.0m，南北方向32.7m，高さ44.75mの矩形架構で構造種別は鉄骨造である。

1. 原子炉建屋と燃料取り出し用構台の間にオイルダンパ（水平棟間）を設置する。
2. 構台は5層の柱・梁・ブレース及びオイルダンパ（鉛直）から成る架構とし，オイルダンパ（鉛直）はブレース状に配置する。
3. 前室は，柱・梁・ブレース及び屋根トラスから成る架構とする。
4. ランウェイガーダは，原子炉建屋南側外壁に開口を設け，構台と原子炉建屋に跨がる形で設置する。構台内ではEW方向の大梁に接続し，水平方向，鉛直方向ともに支持する。原子炉建屋内では水平方向の支持は行わないため，構台からの片持形式であり，鉛直方向は弾性支承で支持する。なお，弾性支承と原子炉建屋床面の固定は行わない。また，ランウェイガーダと原子炉建屋床面との間にばね付きオイルダンパを設置する。ばね付きオイルダンパの下面にはすべり材を取付け，原子炉建屋床面上に設置したすべり板との間で接触させ，水平方向に滑動可能な構造とする。

©Tokyo Electric Power Company Holdings, Inc. All Rights Reserved.　無断複製・転載禁止 東京電力ホールディングス株式会社

## 4.1.2 構造概要（燃料取り出し用構台）




©Tokyo Electric Power Company Holdings, Inc. All Rights Reserved.　無断複製・転載禁止 東京電力ホールディングス株式会社

## オイルダンパ，弾性支承の設置目的・役割

■ オイルダンパ（水平棟間）
　原子炉建屋は剛構造(＝短周期)であり，長周期の燃料取り出し用構台と地震時の揺れ方が異なるため，2棟の相対変位を制御するとともに，構台上部の変形を抑制するためにオイルダンパを棟間に計4台設置する。

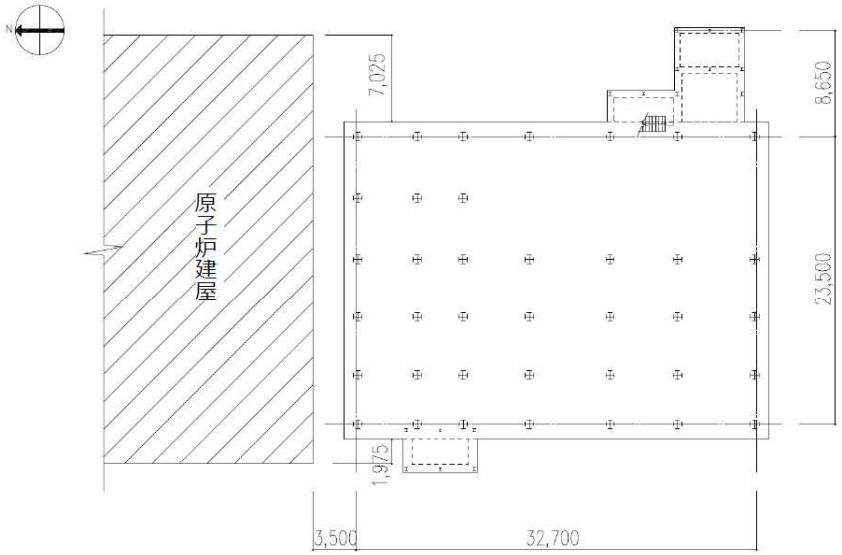
■ オイルダンパ（鉛直）
　地震時のランウェイガーダの水平方向加速度応答スペクトルの低減を目的として，構台にオイルダンパをブレース状に計98台配置し構台の減衰の付与を図る。

■ ばね付きオイルダンパ
　ランウェイガーダ～オペフロ床間にばね付きオイルダンパを計8台設置し，ランウェイガーダの鉛直方向加速度応答スペクトルの低減を図る。原子炉建屋床面との固定を行わないことにより，鉛直方向（原子炉建屋に対して下向き挙動時）のみ減衰力が作用し，水平方向には減衰力は作用しない。

■ 弾性支承
　ランウェイガーダ及び燃料取扱設備の重量を原子炉建屋内で支持する支点とするため，計2台設置する。免震で用いる弾性支承を用い，原子炉建屋床面との固定を行わないことにより，鉛直方向力（圧縮）を支持し，水平方向力を負担しない機構としている。 また，軸剛性が剛でなく積層ゴムの剛性であることにより，燃料取扱設備の地震時鉛直方向の加速度応答低減の役割も有する。

©Tokyo Electric Power Company Holdings, Inc. All Rights Reserved.　無断複製・転載禁止 東京電力ホールディングス株式会社

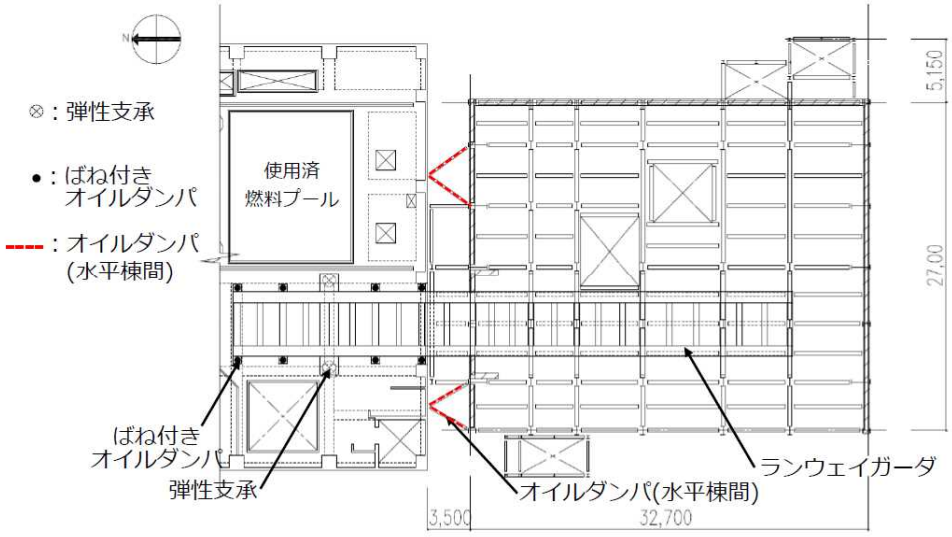
## 4.1.2 構造概要（燃料取り出し用構台）




(a) 1F伏図 (G.L.2,060)
図 4.1.2-1 燃料取り出し用構台の概要（単位：mm）

©Tokyo Electric Power Company Holdings, Inc. All Rights Reserved.　無断複製・転載禁止 東京電力ホールディングス株式会社

## 4.1.2 構造概要（燃料取り出し用構台）

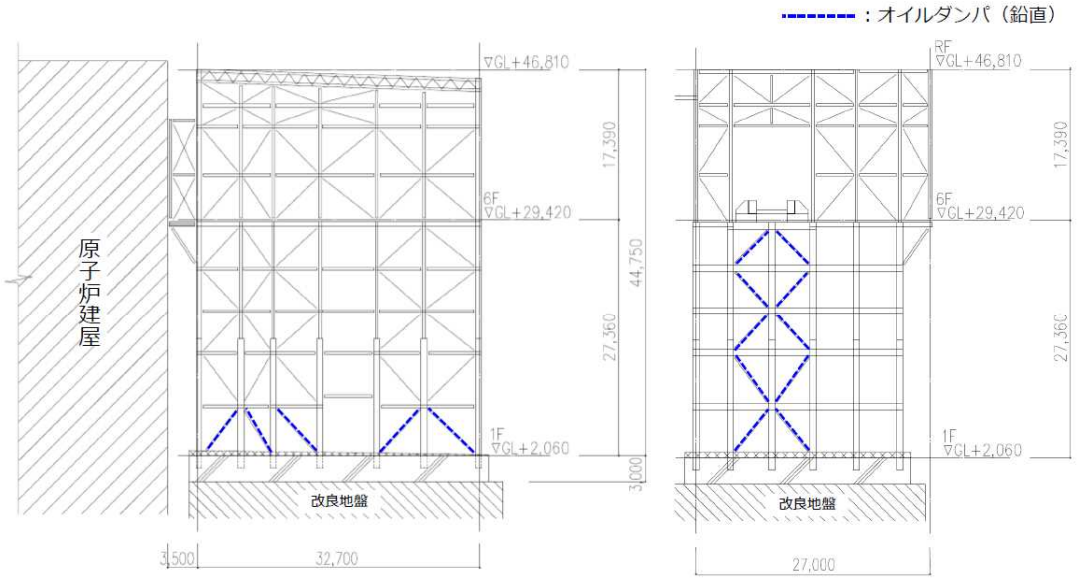



(b) 6F伏図 (G.L.29,420)

図 4.1.2-2 燃料取り出し用構台の概要（単位：mm）

©Tokyo Electric Power Company Holdings, Inc. All Rights Reserved.　無断複製・転載禁止 東京電力ホールディングス株式会社

## 4.1.2 構造概要（燃料取り出し用構台）

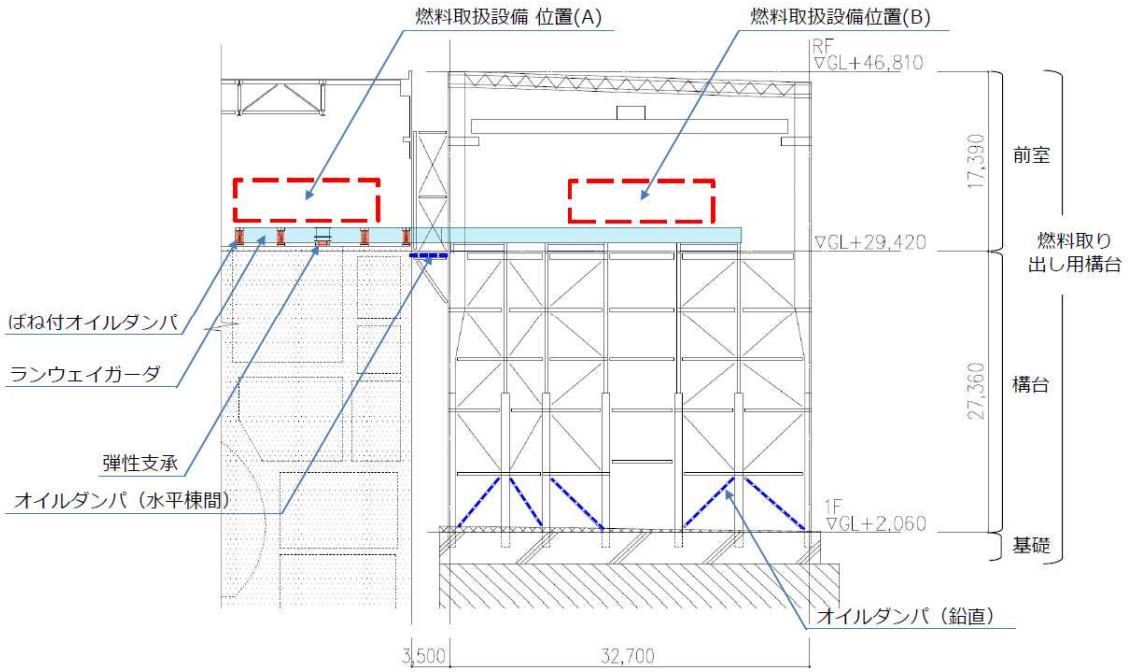



(a) 構台最西側軸組図　　(b) 構台最北側軸組図

図 4.1.2-3 燃料取り出し用構台の概要（単位：mm）

©Tokyo Electric Power Company Holdings, Inc. All Rights Reserved.　無断複製・転載禁止 東京電力ホールディングス株式会社

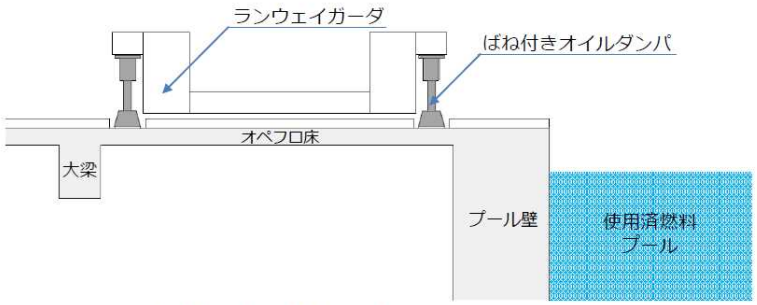
## オイルダンパ，弾性支承の配置



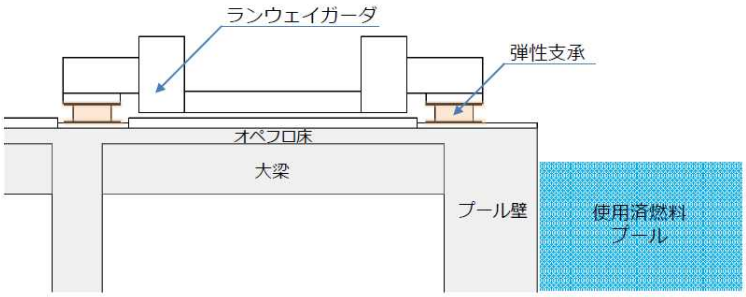

ランウェイガーダ部断面図

©Tokyo Electric Power Company Holdings, Inc. All Rights Reserved. 無断複製・転載禁止 東京電力ホールディングス株式会社

## オイルダンパ，弾性支承の配置




ばね付きオイルダンパ部

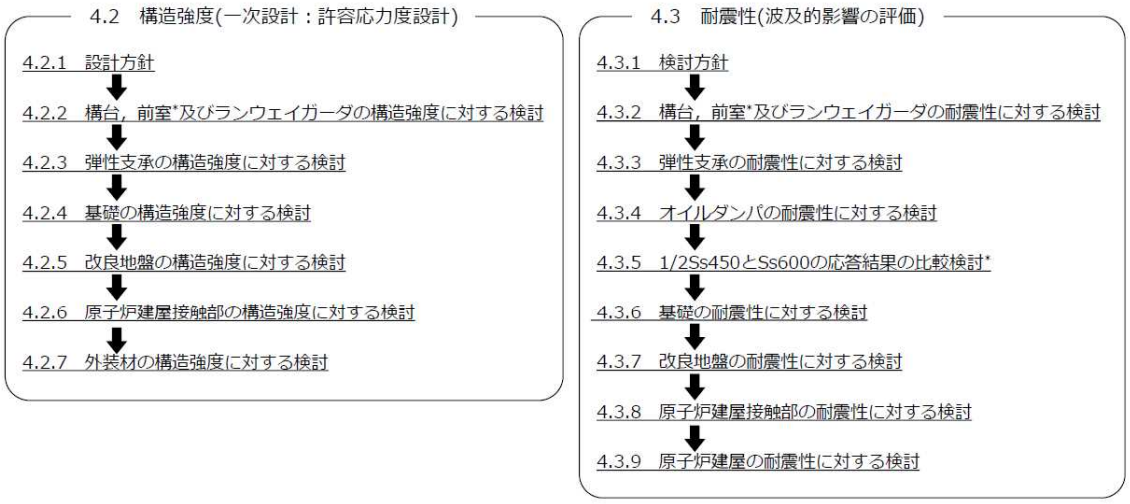



弾性支承部

©Tokyo Electric Power Company Holdings, Inc. All Rights Reserved. 無断複製・転載禁止 東京電力ホールディングス株式会社

## 4.1.3 検討フロー

TEPCO




＊：「Ⅳ　2号燃料取り出し関連設備に対する1/2Ss450評価について」に記載する

図 4.1.3-1 燃料取り出し用構台の検討フロー

©Tokyo Electric Power Company Holdings, Inc. All Rights Reserved.　無断複製・転載禁止 東京電力ホールディングス株式会社

## 4.2.1 設計方針（構造強度）

TEPCO

構造強度の検討は，構台及びランウェイガーダ，弾性支承，基礎及び改良地盤について許容応力度設計を実施する。

表 4.2.1-1(1) 燃料取り出し用構台の物性値及び許容応力度

材料定数

| 部位 | 材料 | ヤング係数 E（N/mm²） | ポアソン比 ν | 単位体積重量 γ（kN/m³） |
|---|---|---|---|---|
| 架　構 | 鉄骨 | $2.05\times10^5$ | 0.3 | 77.0 |
| 床・基礎スラブ | コンクリート | $2.27\times10^4$ | 0.2 | 23.0 |

コンクリートの許容応力度　（単位：N/mm²）

| 設計基準強度 | 長期 | | | 短期 | | |
|---|---|---|---|---|---|---|
| 24 | 圧縮 | 引張 | せん断 | 圧縮 | 引張 | せん断 |
| | 8.0 | － | 0.73 | 16.0 | － | 1.095 |

[引用文献]
- 鋼構造設計規準　－許容応力度設計法－（日本建築学会2005年 9月）
- 鉄筋コンクリート構造計算規準・同解説（日本建築学会2018年12月）

©Tokyo Electric Power Company Holdings, Inc. All Rights Reserved.　無断複製・転載禁止 東京電力ホールディングス株式会社

表 4.2.1-1(2) 燃料取り出し用構台の物性値及び許容応力度

鉄筋の許容応力度 (単位：N/mm²)

| 記号 | 鉄筋径 | 長期 | | 短期 | |
|---|---|---|---|---|---|
| | | 引張及び圧縮 | せん断補強 | 引張及び圧縮 | せん断補強 |
| SD295 | － | 195 | 195 | 295 | 295 |
| SD345 | D29未満 | 215 | 195 | 345 | 345 |
| | D29以上 | 195 | | | |

構造用鋼材の許容応力度 (単位：N/mm²)

| 板厚 | 材料 | 基準強度F | 許容応力度 |
|---|---|---|---|
| T≦40mm | SGLCC | 205 | JIS G 3321に従い，左記Fの値（降伏点又は耐力）より求める |
| | SS400 | 235＊ | 「建設省告示第2464号」に従い，左記Fの値より求める<br>＊：終局強度は基準強度F値の1.1倍とする |
| | SM490A，STK490 | 325＊ | |
| | SN490B，SN490C | 325＊ | |
| T＞40mm | SN490B | 295＊ | |
| | TMCP325 | 325 | |

©Tokyo Electric Power Company Holdings, Inc. All Rights Reserved. 無断複製・転載禁止 東京電力ホールディングス株式会社

4.2.1 設計方針

表 4.2.1-2 弾性支承の物性値

弾性支承の物性値

| 種別 | ゴム | | | 鋼 材 | |
|---|---|---|---|---|---|
| 積層ゴム | ゴム径 (mm) | 鉛直剛性 (×10³ kN/m) | 水平剛性 (×10³ kN/m) | フランジプレート | 内部鋼板 |
| | 750 | 2140 | 0＊ | SS400 | SS400 |

＊：ローラー支承と仮定。

ブリヂストン「建築免震用積層ゴム製品仕様一覧 2019 VoL.1」による。

表 4.2.1-3 改良地盤・支持地盤の許容応力度

改良地盤の許容応力度 (単位：kN/m²)

| 設計基準強度=3000＊1 | 長期 | | | 短期 | | |
|---|---|---|---|---|---|---|
| | 圧縮 | 引張 | せん断 | 圧縮 | 引張 | せん断 |
| 改良地盤 | 1000 | － | 200 | 2000 | － | 400 |
| 断面欠損を考慮＊2 | 980 | － | 150 | 1960 | － | 300 |

＊1：設計圧縮強度 = 5000kN/m²
＊2：「JEAC4616-2009」に準拠し，断面欠損を鉛直方向に2%，せん断方向に25%考慮した。

支持地盤の許容支持力度 (単位：kN/m²)

| 種別 | 長期＊3 | 短期＊3 |
|---|---|---|
| 泥岩（岩盤） | 1960 | 3920 |

＊3：「福島第一原子力発電所第４号機工事計画認可申請書」による。

©Tokyo Electric Power Company Holdings, Inc. All Rights Reserved. 無断複製・転載禁止 東京電力ホールディングス株式会社

## 4.2.1 設計方針

■ 荷重

- 鉛直荷重（VL）
  燃料取り出し用構台に作用する鉛直方向の荷重で，固定荷重，機器荷重，配管荷重及び積載荷重とする。

- 燃料取扱設備荷重（CL）
  構内用輸送容器揚重時を想定し，構内用輸送容器を含んだ重量とする。

表 4.2.1-4 燃料取扱設備荷重

| 位置 | 合計重量(t) |
|---|---|
| 原子炉建屋内(A) | 310 |
| 前室内(B) | 310 |

©Tokyo Electric Power Company Holdings, Inc. All Rights Reserved.　無断複製・転載禁止 東京電力ホールディングス株式会社

## 4.2.1 設計方針

- 積雪荷重（SL）
  積雪荷重は建築基準法施行令第86条及び福島県建築基準法施行規則細則に準拠し以下の条件とする。
  なお，国土交通省告示594号による多雪区域以外の区域における積雪後の降雨を見込んだ割増係数を乗じた積雪荷重を考慮する。

積雪量：30cm，単位荷重：20N/m$^2$/cm

- 風圧力（WL）
  風圧力は建築基準法施行令第87条および建設省告示第1454号に基づき，基準風速を30m/s，地表面粗度区分Ⅱとして算定する。

表 4.2.1-5　速度圧の算定結果

| 建物高さ* H(m) | 平均風速の鉛直分布係数 Er | ガスト影響係数 Gf | 建物高さと粗度区分による係数 E | 基準風速 Vo(m/s) | 速度圧 q(N/m$^2$) |
|---|---|---|---|---|---|
| 46.81 | 1.26 | 2.00 | 3.16 | 30 | 1707 |

*：建物高さは，安全側に水上鉄骨天端とする。

©Tokyo Electric Power Company Holdings, Inc. All Rights Reserved.　無断複製・転載禁止 東京電力ホールディングス株式会社

## 4.2.1 設計方針

TEPCO

- 地震荷重（K）

燃料取り出し用構台に作用させる地震荷重は，G.L.+2.06m（構台基礎上端レベル）を基準面とした構台の水平地震力の算定結果より設定する。

$$Qi = n \cdot Ci \cdot Wi$$
$$Ci = Z \cdot Rt \cdot Ai \cdot Co$$

ここで，

Qi ：層せん断力（kN）
n ：施設の重要度に応じた係数
　建築基準法で定める地震力の1.5倍を考慮する。
Ci ：地震層せん断力係数　　Wi ：当該部分が支える重量（kN）
Z ：地震地域係数（Z=1.0）　　Rt ：振動特性係数（Rt=0.8）
Ai ：地震層せん断力係数の高さ方向の分布係数で，燃料取り出し用構台の固有値を用いたモーダル解析法（二乗和平方根法）により求める。
Co ：標準せん断力係数（ Co=0.2）

i層の水平震度kiは，下式によって算定する。

$$Pi = Q_i - Q_{i-1}$$
$$ki = Pi/wi$$

ここで，

Pi：当該階とその直下階の水平地震力の差（kN）
wi：各階重量（kN）

©Tokyo Electric Power Company Holdings, Inc. All Rights Reserved.　無断複製・転載禁止 東京電力ホールディングス株式会社

## 4.2.1 設計方針

TEPCO

表 4.2.1-6 燃料取り出し用構台の水平震度の算定結果

| 標高 G.L.(m) | 各階重量 wi(kN) | NS方向 | | EW方向 | |
|---|---|---|---|---|---|
| | | 水平地震力 Pi (kN) | 水平震度 ki | 水平地震力 Pi (kN) | 水平震度 ki |
| 46.81 | 3523.2 | 1068 | 0.304 | 1147 | 0.326 |
| 46.81～40.42 | 2275.1 | 655 | 0.288 | 719 | 0.317 |
| 40.42～34.82 | 1316.1 | 354 | 0.269 | 376 | 0.286 |
| 34.82～29.42 | 22168.4 | 5631 | 0.254 | 6033 | 0.273 |
| 29.42～24.30 | 2805.8 | 638 | 0.228 | 609 | 0.217 |
| 24.30～19.38 | 2426.8 | 487 | 0.201 | 394 | 0.163 |
| 19.38～14.46 | 2957.4 | 524 | 0.178 | 339 | 0.115 |
| 14.46～8.26 | 3530.4 | 484 | 0.138 | 224 | 0.064 |
| 8.26～2.06 | — | — | — | — | — |

©Tokyo Electric Power Company Holdings, Inc. All Rights Reserved.　無断複製・転載禁止 東京電力ホールディングス株式会社

## 耐震安全上必要な機器等の点検をする上での設計上の考慮

TEPCO

- 燃料取り出し用構台設置時に必要な足場（歩廊）を設置後に転用し，耐震安全上重要であるオイルダンパの点検を行うための歩廊として活用
- 必要に応じ歩廊の追加設置を行う予定
- 歩廊は2次部材であるため剛性は考慮せず，重量のみ解析モデルに反映

©Tokyo Electric Power Company Holdings, Inc. All Rights Reserved.　無断複製・転載禁止 東京電力ホールディングス株式会社

## 今後の申請のうち構台の評価に取り込む条件について

TEPCO

- 燃料取り出し用構台設置に係る実施計画変更認可申請以降の申請内容（燃料取扱設備設置，南側開口設置）および遮蔽体重量について，以下の通り解析条件に取り込んでいる
- 後段の申請にあたり，取り込んだ条件に変更が生じた場合，速やかに燃料取り出し用構台への影響を確認のうえ，影響が生じる場合は燃料取り出し用構台の変更認可申請を実施する

【燃料取扱設備】

構内用輸送容器揚重時を想定し，構内用輸送容器を含んだ下記重量を，燃料取扱設備の動作姿勢（R/B内：キャスクピットへのキャスク揚重，構台内：機器ハッチへのキャスク揚重）を考慮したうえで構台の解析モデル（ランウェイガーダ上）に分配

| 機器名 | 重量（t） |
|---|---|
| キャスク | 50 |
| クレーン | 54 |
| 燃料取扱機 | 23 |
| ジブクレーン | 13 |
| 走行台車 | 170 |
| 全体 | 310 |

※現設計における概算重量は設計裕度に収まる

【南側開口】

6.75m（幅）× 8.3m（高さ）を考慮し，原子炉建屋のEW方向解析モデルのせん断断面積および断面二次モーメント，UD方向の軸断面積および軸ばね剛性を低減

【遮蔽体】

原子炉建屋オペフロ上および燃料取り出し用構台前室に設置する遮蔽体の重量を，下記の通り想定したうえで，それを上回る重量を原子炉建屋および構台の解析モデルに配置

| 名称 | 重量（t） |
|---|---|
| オペフロ遮蔽体（R/B） | 1560 |
| 前室遮蔽体（構台） | 230 |

※現設計における概算重量は設計裕度に収まる

©Tokyo Electric Power Company Holdings, Inc. All Rights Reserved.　無断複製・転載禁止 東京電力ホールディングス株式会社

## 4.2.1 設計方針

■ 荷重組合せ

表 4.2.1-7 荷重組合せ

| 想定する状態 | 荷重ケース | 荷重組合せ内容 | 許容応力度 |
|---|---|---|---|
| 常時 | C | VL | 長期 |
| 積雪時 | S | VL+SL | 短期 |
| 暴風時 | W | VL+WL | |
| 地震時 | E1 | VL+K(+NS) | |
| | E2 | VL+K(-NS) | |
| | E3 | VL+K(+EW) | |
| | E4 | VL+K(-EW) | |

注：各荷重ケースにおいて，燃料取扱設備の位置は原子炉建屋内位置(A)と前室内位置(B)の2ケース考慮する。

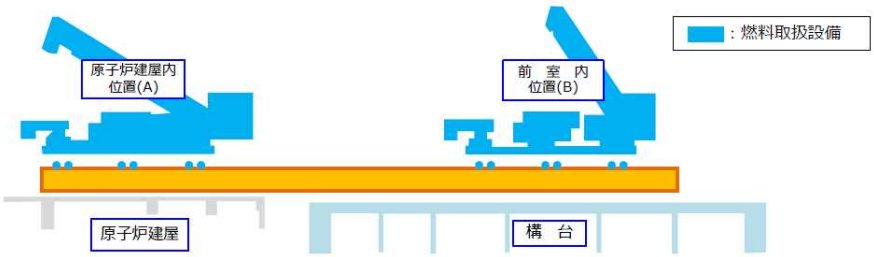



図 4.2.1-1 燃料取扱設備の位置

©Tokyo Electric Power Company Holdings, Inc. All Rights Reserved.　無断複製・転載禁止　東京電力ホールディングス株式会社

## 4.2.1 設計方針

■ 層せん断力

地震時と暴風時の燃料取り出し用構台の層せん断力について，風荷重の受圧面積が大きい EW方向で比較した結果を図 4.2.1-2に示す。図 4.2.1-2より，地震時の層せん断力は暴風時の層せん断力を包絡しており，支配的な荷重である。

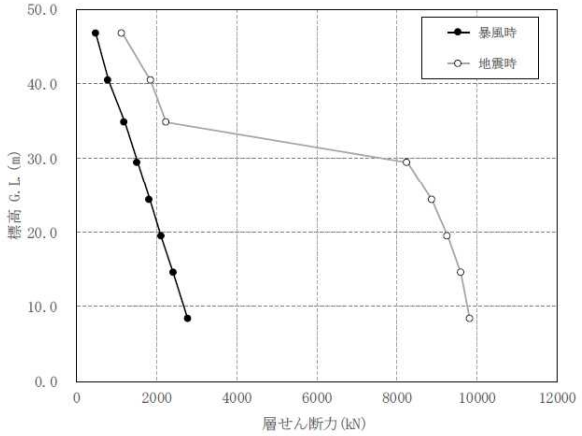



図4.2.1-2　地震時と暴風時の層せん断力の比較（EW方向）

©Tokyo Electric Power Company Holdings, Inc. All Rights Reserved.　無断複製・転載禁止　東京電力ホールディングス株式会社

## 4.2.2構台，前室及びランウェイガーダの構造強度に対する検討

■ 解析モデル

架構の解析モデルは，構台及び前室とランウェイガーダを構成する主要な鉄骨部材からなる立体架構モデルとする。構造強度に対する検討は静的検討であるため，動的荷重（応答速度）に対し減衰力を発揮するオイルダンパはモデル化しない。

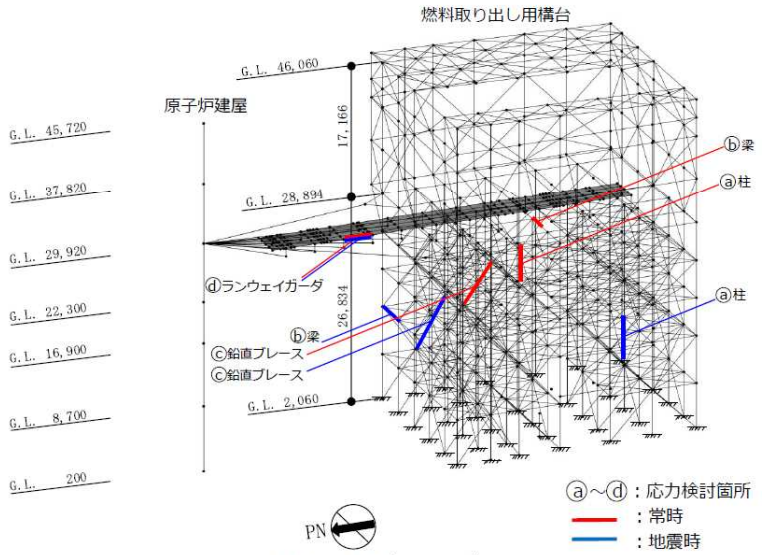



図 4.2.2-1 解析モデル

©Tokyo Electric Power Company Holdings, Inc. All Rights Reserved. 無断複製・転載禁止 東京電力ホールディングス株式会社

## 4.2.2構台，前室及びランウェイガーダの構造強度に対する検討

■ 柱及び梁部材の検討

部材の応力度比は，「鋼構造設計規準（2005年9月）」に従い，2方向の曲げ，軸力及びせん断力の各最大応力と各許容応力度との比を組み合わせた値で表される。

・軸圧縮の場合 $\sqrt{\left(\frac{\sigma_c}{f_c}+\frac{\sigma_{by}}{f_{by}}+\frac{\sigma_{bz}}{f_{bz}}\right)^2+\left(\frac{\tau}{f_s}\right)^2} \leqq 1$　・軸引張の場合 $\sqrt{\left(\frac{\sigma_t}{f_t}+\frac{\sigma_{by}}{f_{by}}+\frac{\sigma_{bz}}{f_{bz}}\right)^2+\left(\frac{\tau}{f_s}\right)^2} \leqq 1$

ここで，

$\sigma_c$，$\sigma_t$：圧縮応力度（N/A）及び引張応力度（T/A）(N/mm²)

N：圧縮力(N)，T：引張力(N)，A：断面積(mm²)

$\sigma_{by}$，$\sigma_{bz}$：強軸まわりの曲げ応力度（$M_y/Z_y$）及び弱軸まわりの曲げ応力度（$M_z/Z_z$）(N/mm²)

$M_y$，$Z_y$：強軸まわりの曲げモーメント(Nm)及び断面係数(mm³)

$M_z$，$Z_z$：弱軸まわりの曲げモーメント(Nm)及び断面係数(mm³)

$\tau$：せん断応力度（$Q/A_s$）(N/mm²)

Q：せん断力(N)，$A_s$：せん断断面積(mm²)

$f_c$：許容圧縮応力度(N/mm²)

$f_t$：許容引張応力度(N/mm²)

$f_{by}$：強軸まわりの許容曲げ応力度(N/mm²)

$f_{bz}$：弱軸まわりの許容曲げ応力度(N/mm²)

$f_s$：許容せん断応力度(N/mm²)

©Tokyo Electric Power Company Holdings, Inc. All Rights Reserved. 無断複製・転載禁止 東京電力ホールディングス株式会社

## 4.2.2構台，前室及びランウェイガーダの構造強度に対する検討

■ トラス梁の斜材，ブレースの検討

応力度比の検討は，「鋼構造設計規準（2005年9月）」に従い，軸力に対し下式にて検討を行う。

・軸圧縮の場合　　$\frac{\sigma_c}{f_c} \leqq 1$

・軸引張の場合　　$\frac{\sigma_t}{f_t} \leqq 1$

ここで，　　$\sigma_c$，$\sigma_t$：圧縮応力度（N/A）及び引張応力度（T/A）(N/mm²)
N：圧縮力(N)，T：引張力(N)，A：断面積(mm²)
$f_c$：許容圧縮応力度(N/mm²)
$f_t$：許容引張応力度(N/mm²)

©Tokyo Electric Power Company Holdings, Inc. All Rights Reserved.　無断複製・転載禁止 東京電力ホールディングス株式会社

4.2.2構台，前室及びランウェイガーダの構造強度に対する検討

表 4.2.2-1　断面検討結果（常時）

| 部位*1 | | | 部材形状(mm)<使用材料> | 荷重ケース(位置)*2 | 作用応力度(N/mm²) | | 許容応力度(N/mm²) | | 応力度比 | 判定 |
|---|---|---|---|---|---|---|---|---|---|---|
| 鉄骨部材 | ⓐ | 柱 | (Y)H-700×300×16×32<SM490A> | C(B) | $\sigma_c$ | 48.7 | $f_c$ | 144 | 0.48 | O.K. |
| | | | | | $\sigma_{by}$ | 20.5 | $f_{by}$ | 161 | | |
| | | | | | $\sigma_{bz}$ | 2.1 | $f_{bz}$ | 216 | | |
| | | | | | τ | 3.8 | $f_s$ | 125 | | |
| | ⓑ | 梁 | H-800×350×19×36<SM490A> | C(B) | $\sigma_c$ | 0.0 | $f_c$ | 200 | 0.44 | O.K. |
| | | | | | $\sigma_{by}$ | 59.0 | $f_{by}$ | 207 | | |
| | | | | | $\sigma_{bz}$ | 0.0 | $f_{bz}$ | 216 | | |
| | | | | | τ | 41.4 | $f_s$ | 125 | | |
| | ⓒ | 鉛直ブレース | Φ-355.6×9.5<STK490> | C(B) | $\sigma_c$ | 21.4 | $f_c$ | 142 | 0.16 | O.K. |
| | ⓓ | ランウェイガーダ | □-1500×900×(80+40)×80<SN490B> | C(B) | $\sigma_c$ | 0.0 | $f_c$ | 196 | 0.25 | O.K. |
| | | | | | $\sigma_b$ | 45.7 | $f_b$ | 196 | | |
| | | | | | τ | 9.2 | $f_s$ | 113 | | |

*1：ⓐ～ⓓの符号は図 4.2.2-1の応力検討箇所を示す。
*2：( )内は，燃料取扱設備の位置を示す。（表4.2.1-4参照）

©Tokyo Electric Power Company Holdings, Inc. All Rights Reserved.　無断複製・転載禁止 東京電力ホールディングス株式会社

## 4.2.2構台，前室及びランウェイガーダの構造強度に対する検討

表 4.2.2-2　断面検討結果（地震時）

| 部位*1 | | | 部材形状(mm)<br><使用材料> | 荷重ケース<br>(位置)*2 | 作用応力度<br>(N/mm²) | | 許容応力度<br>(N/mm²) | | 応力度比 | 判定 |
|---|---|---|---|---|---|---|---|---|---|---|
| 鉄骨部材 | ⓐ | 柱 | (X)H-700×300×40×40<br>(Y)H-700×350×40×40<br><SM490A> | E1<br>(A) | $\sigma_c$ | 42.5 | $f_c$ | 285 | 0.67 | O.K. |
| | | | | | $\sigma_{by}$ | 11.2 | $f_{by}$ | 312 | | |
| | | | | | $\sigma_{bz}$ | 154.4 | $f_{bz}$ | 324 | | |
| | | | | | τ | 7.3 | $f_s$ | 187 | | |
| | ⓑ | 梁 | H-700×350×19×36<br><SM490A> | E3<br>(A) | $\sigma_c$ | 1.0 | $f_c$ | 241 | 0.57 | O.K. |
| | | | | | $\sigma_{by}$ | 134.0 | $f_{by}$ | 261 | | |
| | | | | | $\sigma_{bz}$ | 2.1 | $f_{bz}$ | 324 | | |
| | | | | | τ | 38.1 | $f_s$ | 187 | | |
| | ⓒ | 鉛直ブレース | Φ-406.4×9.5<br><STK490> | E2<br>(B) | $\sigma_t$ | 83.8 | $f_t$ | 231 | 0.37 | O.K. |
| | ⓓ | ランウェイガーダ | □-1500×900×(80+40)×80<br><SN490B> | E3<br>(B) | $\sigma_c$ | 14.3 | $f_c$ | 294 | 0.22 | O.K. |
| | | | | | $\sigma_b$ | 45.7 | $f_b$ | 294 | | |
| | | | | | τ | 9.2 | $f_s$ | 169 | | |

*1：ⓐ～ⓓの符号は図 4.2.2-1の応力検討箇所を示す。
*2：( )内は，燃料取扱設備の位置を示す。（表4.2.1-4参照）

©Tokyo Electric Power Company Holdings, Inc. All Rights Reserved.　無断複製・転載禁止 東京電力ホールディングス株式会社

## 4.2.3 弾性支承の構造強度に対する検討

弾性支承に作用する圧縮力による面圧が，弾性支承の圧縮限界強度以下となることを確認する。圧縮限界強度はゴム材料の弾性係数に応じて製品が規定する数値である。

表 4.2.3-1　弾性支承の構造強度に対する検討結果

| 設置位置 | 最大面圧発生ケース<br>(位置)* | 圧縮限界強度<br>σv (N/mm²) | 最大圧縮面圧<br>$\sigma_D$(N/mm²) | $\sigma_D/\sigma v$ | 判定 |
|---|---|---|---|---|---|
| 西側 | E2(A) | 43.00 | 6.37 | 0.15 | O.K. |
| 東側 | E2(A) | 43.00 | 6.36 | 0.15 | O.K. |

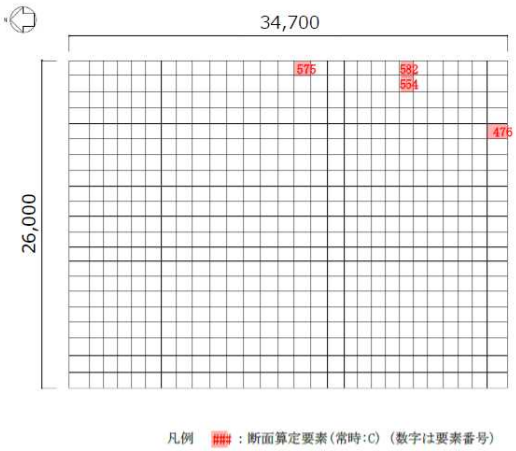
*：( )内は，燃料取扱設備の位置を示す。（表4.2.1-4参照）

©Tokyo Electric Power Company Holdings, Inc. All Rights Reserved.　無断複製・転載禁止 東京電力ホールディングス株式会社

## 4.2.4 基礎の構造強度に対する検討

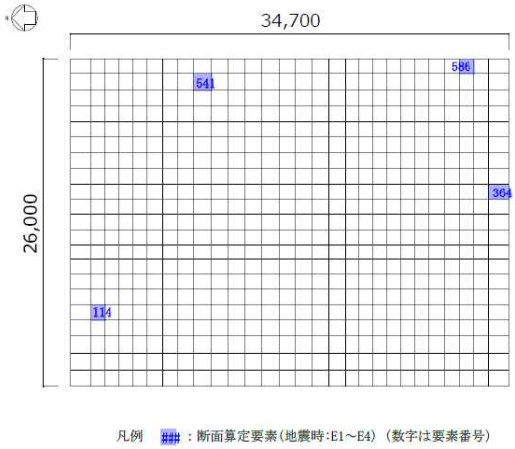
■ 解析モデル

基礎の応力解析は，弾性地盤上に支持された版として有限要素法を用いて行い，解析モデルは下図に示すように四辺形の均質等方な板要素により構成し，支持地盤は等価な弾性ばねとしてモデル化する。但し，浮き上がった場合は，ばねの剛性が 0 となる。




（常時:C）

図 4.2.4-1　解析モデル図（単位：mm）




（地震時:E1～E4）

図 4.2.4-2　解析モデル図（単位：mm）

©Tokyo Electric Power Company Holdings, Inc. All Rights Reserved.　無断複製・転載禁止 東京電力ホールディングス株式会社

## 4.2.4 基礎の構造強度に対する検討

■ 断面検討

組合せた応力より，各要素の必要鉄筋比を「原子力施設鉄筋コンクリート構造計算規準・同解説（2013年8月）」より求め，設計配筋が必要鉄筋比を上回ること及び面外せん断力が許容せん断力以下であることを確認する。

表 4.2.4-1　断面検討結果（常時:C）

| 要素番号 | 方向 | 荷重ケース（位置）*1 | 設計応力 N*2 (kN/m) | 設計応力 M (kN・m/m) | N/(b・D)*2 (×10⁻² N/mm²) | M/(b・D²) (×10⁻² N/mm²) | Pt (%) | 設計配筋 上段：上端筋 (pt:%) 下段：下端筋 (pt:%) | 設計面外せん断力 Q(kN/m) | 許容せん断力 fs・b・j (kN/m) | 判定 |
|---|---|---|---|---|---|---|---|---|---|---|---|
| 575 | NS | C(B) | -0.5 | 408.2 | 0.000 | 0.045 | 0.026 | 2-D38@200 (0.38)<br>2-D38@200 (0.38) | 75.5 | 1775 | O.K. |
| 476 | EW | C(B) | -0.8 | 798.1 | 0.000 | 0.089 | 0.051 | 2-D38@200 (0.38)<br>2-D38@200 (0.38) | 101.1 | 1775 | O.K. |
| 582 | NS | C(B) | 1.6 | 75.3 | 0.001 | 0.008 | 0.005 | 2-D38@200 (0.38)<br>2-D38@200 (0.38) | 466.3 | 1775 | O.K. |
| 554 | EW | C(B) | -0.7 | 22.0 | 0.000 | 0.002 | 0.001 | 2-D38@200 (0.38)<br>2-D38@200 (0.38) | 488.7 | 1775 | O.K. |

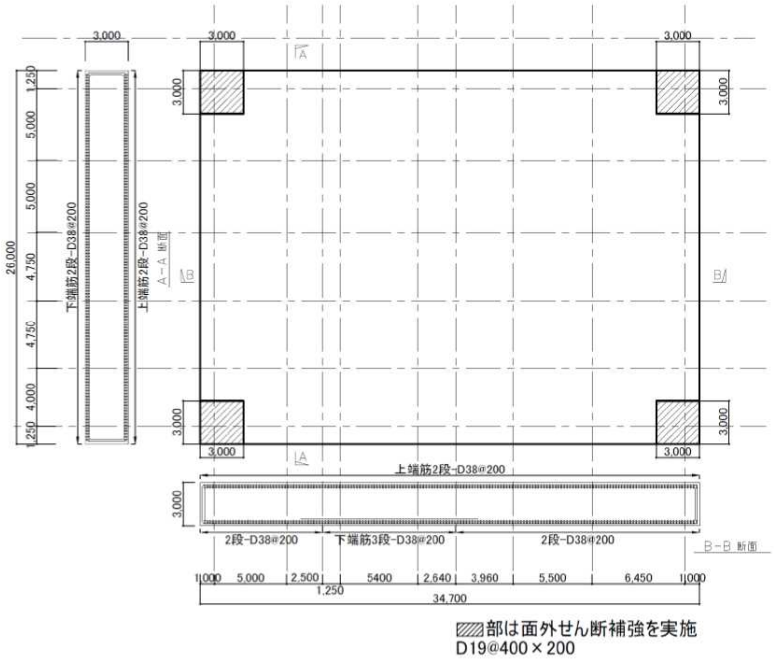
表 4.2.4-2　断面検討結果（地震時:E1～E4 ）

| 要素番号 | 方向 | 荷重ケース（位置）*1 | 設計応力 N*2 (kN/m) | 設計応力 M (kN・m/m) | N/(b・D)*2 (×10⁻² N/mm²) | M/(b・D²) (×10⁻² N/mm²) | Pt (%) | 設計配筋 上段：上端筋 (pt:%) 下段：下端筋 (pt:%) | 設計面外せん断力 Q(kN/m) | 許容せん断力 fs・b・j (kN/m) | 判定 |
|---|---|---|---|---|---|---|---|---|---|---|---|
| 541 | NS | E2(B) | -119.5 | 969.9 | 0.040 | 0.108 | 0.061 | 2-D38@200 (0.38)<br>3-D38@200 (0.57) | 50.8 | 2616 | O.K. |
| 114 | EW | E4(A) | -104.7 | 1140.3 | 0.035 | 0.127 | 0.046 | 2-D38@200 (0.38)<br>2-D38@200 (0.38) | 14.4 | 2663 | O.K. |
| 586 | NS | E3(A) | 29.4 | 316.8 | 0.010 | 0.035 | 0.010 | 2-D38@200 (0.38)<br>2-D38@200 (0.38) | 748.8 | 2663 | O.K. |
| 364 | EW | E1(B) | 26.5 | 109.7 | 0.009 | 0.012 | 0.003 | 2-D38@200 (0.38)<br>2-D38@200 (0.38) | 677.2 | 2663 | O.K. |

*1：燃料取扱設備の位置を示す。　*2：圧縮を正とする。

©Tokyo Electric Power Company Holdings, Inc. All Rights Reserved.　無断複製・転載禁止 東京電力ホールディングス株式会社

## 4.2.4 基礎の構造強度に対する検討

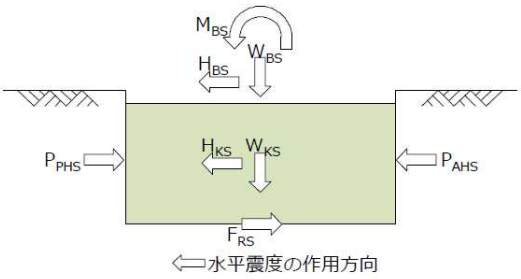

3,000
3,000
3,000

## 4.2.5 改良地盤の構造強度に対する検討

### ■ 地震時に対する検討

地震時において，改良地盤底面の最大接地圧及びせん断応力が，改良地盤の短期許容応力度以下であることを確認する。

さらに，改良地盤直下の支持地盤の支持力に対して，改良地盤に生じる最大接地圧が許容支持力度以下であることを確認する




$W_{BS}$：燃料取り出し用構台荷重
$W_{KS}$：改良地盤の自重
$H_{BS}$：燃料取り出し用構台による水平力
$M_{BS}$：燃料取り出し用構台による改良地盤底面における転倒モーメント
$H_{KS}$：改良地盤の慣性力（地中震度0.15）
$P_{AHS}$：地震時主働土圧による水平力
$P_{PHS}$：地震時受働土圧による水平力
$F_{RS}$：支持地盤のせん断抵抗力

図 4.2.5-2 作用荷重（地震時:E1～E4）

◆ 改良地盤の検討

最大接地圧 $q_{1S}$ = 440 kN/m² ≦ 短期許容応力度 ${}_{S}f_{SC}$ = 1960 kN/m²

最大せん断応力 Tmax = 50 kN/m² ≦ 短期許容応力度 ${}_{S}f_{SS}$ = 300 kN/m²

◆ 支持力の検討

最大接地圧 $q_{1S}$ = 440 kN/m² ≦ 短期許容支持力度 ${}_{S}q_{a}$ = 3920 kN/m²

©Tokyo Electric Power Company Holdings, Inc. All Rights Reserved. 無断複製・転載禁止 東京電力ホールディングス株式会社

## 4.2.6 原子炉建屋接触部の構造強度に対する検討

### ■ 弾性支承反力に対する検討

弾性支承からの反力によって原子炉建屋RC梁に生じるせん断力が，梁の長期許容せん断耐力以下となることを確認する。弾性支承の反力は基本的に，プール壁及び下階柱に直接かかるように配置するが，一部梁端に作用するため，それを考慮する。

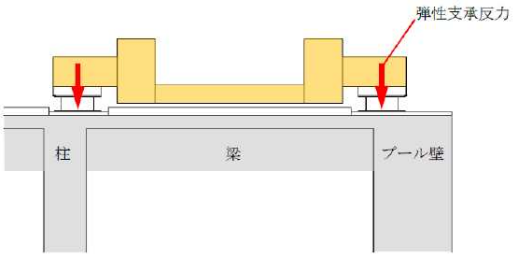



図 4.2.6-1 弾性支承からの反力

表 4.2.6-1 弾性支承反力に対する検討結果

| 部位 | 荷重ケース (位置)* | 梁端せん断力 Q(kN) | 長期許容せん断力 Qa(kN) | 耐力比 Q/Qa | 判定 |
|---|---|---|---|---|---|
| 弾性支承受梁 | C (A) | 760 | 1486 | 0.52 | O.K. |

*：( )内は，燃料取扱設備の位置を示す。（表4.2.1-4参照）

©Tokyo Electric Power Company Holdings, Inc. All Rights Reserved. 無断複製・転載禁止 東京電力ホールディングス株式会社

## 4.2.7 外装材の構造強度に対する検討

■ 設置目的

燃料取り出し用構台前室周囲には，燃料取り出し作業環境の整備並びに放射性物質の飛散・拡散防止のため，外装材を設置する。

■ 評価方針

架構の屋根材，壁材には金属製外装材を用いる。断面検討は，屋根材，壁材それぞれに風圧力によって生じる応力度が短期許容応力度以下であることを確認する。

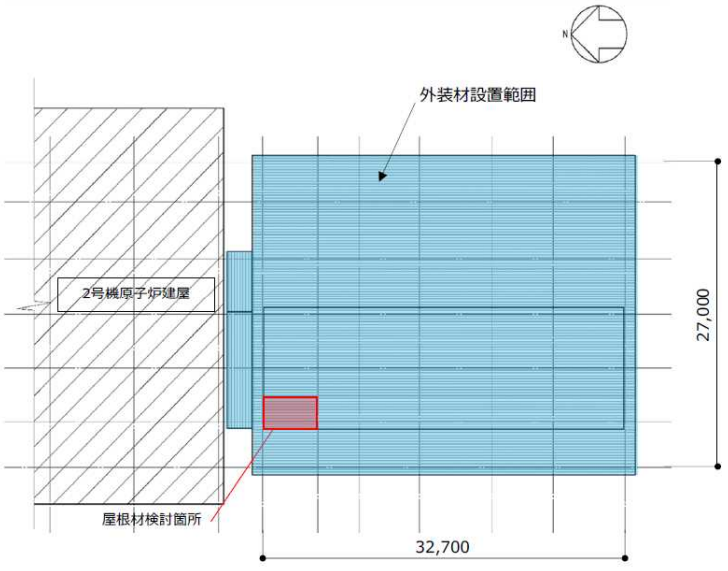
■ 検討箇所

短期事象においては，暴風時の影響が支配的であることから，積雪時及び地震時の検討は省略する。検討箇所を図4.2.7-1に示す。

©Tokyo Electric Power Company Holdings, Inc. All Rights Reserved.　無断複製・転載禁止 東京電力ホールディングス株式会社

## 4.2.7 外装材の構造強度に対する検討

■ 検討箇所



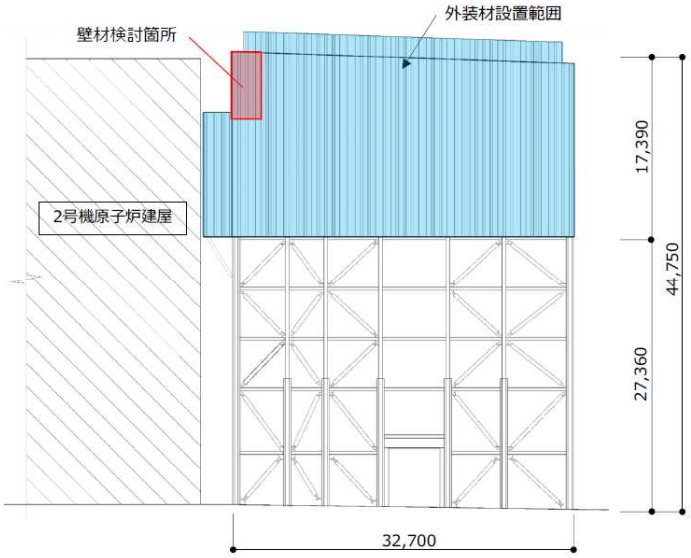

a. 屋根伏図

図 4.2.7-1(1)　外装材検討箇所（単位：mm）

©Tokyo Electric Power Company Holdings, Inc. All Rights Reserved.　無断複製・転載禁止 東京電力ホールディングス株式会社

## 4.2.7 外装材の構造強度に対する検討

■ 検討箇所




b. 西側立面

図 4.2.7-1(2)　外装材検討箇所（単位：mm）

©Tokyo Electric Power Company Holdings, Inc. All Rights Reserved.　無断複製・転載禁止 東京電力ホールディングス株式会社

## 4.2.7 外装材の構造強度に対する検討

■ 設計用荷重の算定

設計用風圧力は，建築基準法施行令第82条の4及び建設省告示第1458 号に基づき，基準風速 30m/s，地表面粗度区分Ⅱとして算定する。

表 4.2.7-1　速度圧の算定結果

| 建物高さ* H（m） | 平均風速の高さ方向の分布を表す係数 Er | 基準風速 $V_0$（m/s） | 平均速度圧 q（N/m²） |
|---|---|---|---|
| 47 | 1.258 | 30 | 855 |

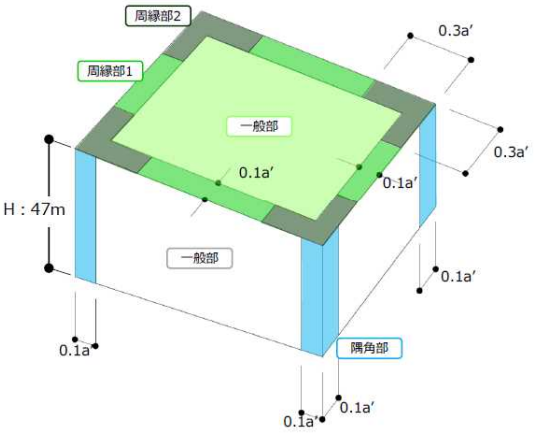
表 4.2.7-2　ピーク風力係数（屋根）

| 建物高さ* H (m) | 正圧 | 負圧 | | |
|---|---|---|---|---|
| | | 一般部 | 周縁部1 | 周縁部2 |
| 47 | 0.50 | -2.50 | -3.20 | -4.30 |

表 4.2.7-3　ピーク風力係数（壁）

| 建物高さ* H (m) | 正圧 | 負圧 | |
|---|---|---|---|
| | | 一般部 | 隅角部 |
| 47 | 2.60 | -1.88 | -2.31 |

＊：建物高さは，安全側に建築物の高さと軒の高さ(水上側鉄骨天端)との平均値以上とした




a'は平面の短辺の長さとH の2 倍の数値のうちいずれか小さな数値（30 を超えるときは，30 とする）(単位：m)

図 4.2.7-2　風力係数の算定箇所

©Tokyo Electric Power Company Holdings, Inc. All Rights Reserved.　無断複製・転載禁止 東京電力ホールディングス株式会社

## 4.2.7 外装材の構造強度に対する検討

TEPCO

■ 外装材の強度検討

- 検討は，応力が厳しくなる部位について行う。ここでは，外装材の自重は考慮しないものとする。外装材の支持間隔は，保守的な評価となるように最長スパンを用いて評価するものとし，屋根材の間隔は，3.3mで連続支持，壁材が0.75mで連続支持されているものと仮定する。
- 屋根材及び壁材の材料諸元を表4.2.7-4，4.2.7-5に示す。また，検討結果を表4.2.7-6に示す。
- 断面検討の結果，全ての外装材に対する応力度比が1以下になることを確認した。

①屋根材

$w = 855\times(-4.30) = -3678 \Rightarrow -3680(N/m^2)$

$M = w\times L^2 / 8 = (-3680)\times 3.3^2\times 10^{-3} / 8 = -5.0(kNm/m)$

$\sigma_b = M/Z_x = 5.0\times 10^6/(40.6\times 10^3) = 123.2 \Rightarrow 124(N/mm^2)$

$\sigma_b/f_b = 124/205 = 0.61 \leqq 1.0$　　OK

②壁材

$w = 855\times(2.60) = 2223 \Rightarrow 2230(N/m^2)$

$M = w\times L^2 / 8 = (2230)\times 0.75^2\times 10^{-3} / 8 = 0.16(kNm/m)$

$\sigma_b = M/Z_x = 0.16\times 10^6/(1.67\times 10^3) = 95.8 \Rightarrow 96(N/mm^2)$

$\sigma_b/f_b = 96/205 = 0.47 \leqq 1.0$　　OK

ただし　w：風圧力($N/m^2$)
M：単位幅当りの外装材に生ずる最大曲げモーメント(kNm/m)
L：スパン(m)
$\sigma_b$：曲げモーメントによる応力度($N/mm^2$)
$Z_x$：単位幅当りの断面係数($mm^3/m$)
$f_b$：許容曲げ応力度($N/mm^2$)

©Tokyo Electric Power Company Holdings, Inc. All Rights Reserved.　無断複製・転載禁止 東京電力ホールディングス株式会社

## 4.2.7 外装材の構造強度に対する検討

TEPCO

■ 外装材の強度検討

表 4.2.7-4　屋根材の材料諸元

| 板厚 | 自重 | 正曲げ方向 | | 負曲げ方向 | |
|---|---|---|---|---|---|
| | | 断面2次モーメント | 断面係数 | 断面2次モーメント | 断面係数 |
| t (mm) | G ($N/m^2$) | $I_x$ ($cm^4/m$) | $Z_x$ ($cm^3/m$) | $I_x$ ($cm^4/m$) | $Z_x$ ($cm^3/m$) |
| 0.8 | 118 | 360 | 43.6 | 347 | 40.6 |

表 4.2.7-5　壁材の材料諸元

| 板厚 | 自重 | 正曲げ方向 | | 負曲げ方向 | |
|---|---|---|---|---|---|
| | | 断面2次モーメント | 断面係数 | 断面2次モーメント | 断面係数 |
| t (mm) | G ($N/m^2$) | $I_x$ ($cm^4/m$) | $Z_x$ ($cm^3/m$) | $I_x$ ($cm^4/m$) | $Z_x$ ($cm^3/m$) |
| 0.6 | 59 | 2.31 | 1.67 | 2.31 | 1.67 |

表 4.2.7-6　応力度に対する検討結果

| 部位 | 材料 | 作用応力度 ($N/mm^2$) | 許容応力度 ($N/mm^2$) | 応力度比 | 判定 |
|---|---|---|---|---|---|
| 屋根材 | SGLCC*1 | 124 | 205*2 | 0.61 | O.K. |
| 壁　材 | SGLCC*1 | 96 | 205*2 | 0.47 | O.K. |

＊1：溶融55%アルミニウム－亜鉛合金めっき鋼板
＊2：「JIS G 3321」の「降伏点又は耐力」とする

©Tokyo Electric Power Company Holdings, Inc. All Rights Reserved.　無断複製・転載禁止 東京電力ホールディングス株式会社

## 4.3.1 検討方針（耐震性）

- 耐震性の検討は，構台及びランウェイガーダ，弾性支承，オイルダンパ，基礎，改良地盤，原子炉建屋接触部及び原子炉建屋の健全性について行い，基準地震動Ssに対して，これらの応答性状を適切に表現できる地震応答解析を用いて評価する。

- 地震応答解析は水平1方向及び鉛直方向を同時に入力する。

©Tokyo Electric Power Company Holdings, Inc. All Rights Reserved.　無断複製・転載禁止 東京電力ホールディングス株式会社

## 4.3.2 構台，前室およびランウェイガーダの耐震性に対する検討

- 解析に用いる入力地震動
  入力地震動は，バックチェックにて作成した解放基盤表面で定義される基準地震動Ssを用いる。

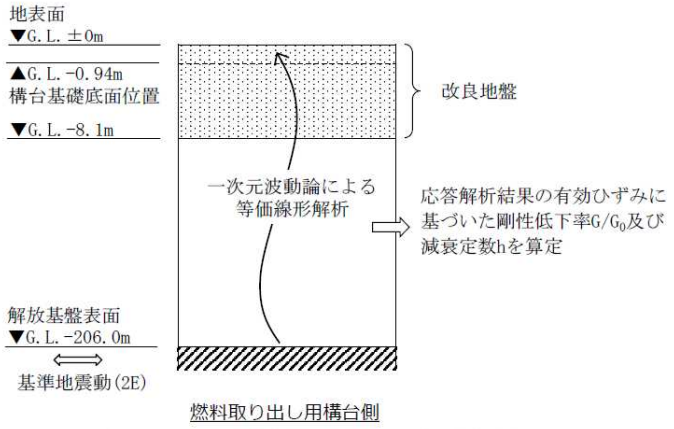
  モデルに入力する地震動は一次元波動論に基づき，解放基盤表面で定義される基準地震動Ssに対する地盤の応答として評価する。

©Tokyo Electric Power Company Holdings, Inc. All Rights Reserved.　無断複製・転載禁止 東京電力ホールディングス株式会社

## 入力地震動の策定について

■ 地震応答解析モデルへの入力地震動策定

水平地震動は，基準地震動SsをG.L.-206.0mの解放基盤位置に入力し，初期地盤物性に対して一次元波動論に基づいた等価線形解析を行い，各層で生じる地盤のひずみ依存特性を考慮した等価な剛性低下率G/G0及び減衰定数hを定め，定めた地盤物性値をもとに，線形解析を行っている。
なお，鉛直地震動は，等価線形解析を実施せず，水平方向の等価地盤物性からVpを算定し，線形解析により設定する。




燃料取り出し用構台側

©Tokyo Electric Power Company Holdings, Inc. All Rights Reserved. 無断複製・転載禁止 東京電力ホールディングス株式会社

## 4.3.2 構台，前室およびランウェイガーダの耐震性に対する検討

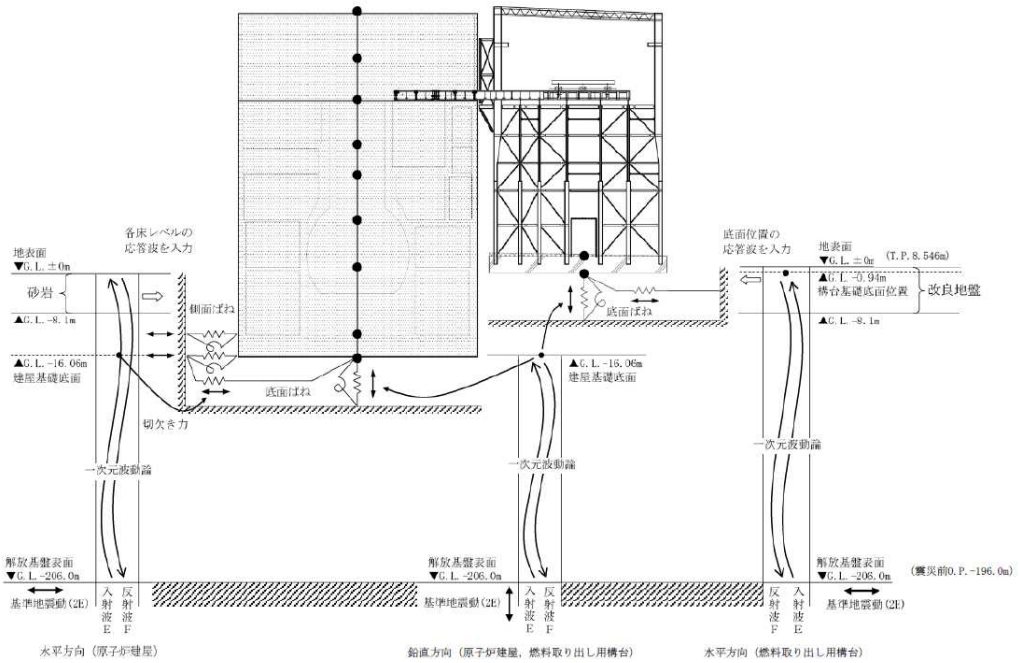



図 4.3.2-1 地震応答解析に用いる入力地震動の概念図

©Tokyo Electric Power Company Holdings, Inc. All Rights Reserved. 無断複製・転載禁止 東京電力ホールディングス株式会社

## 4.3.2 構台，前室およびランウェイガーダの耐震性に対する検討

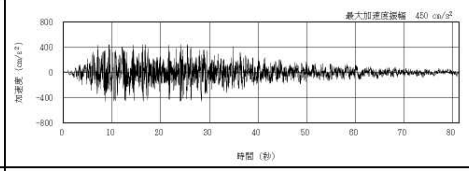
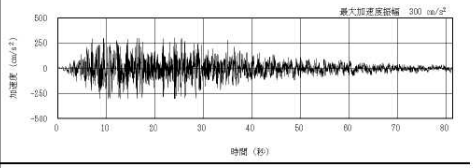
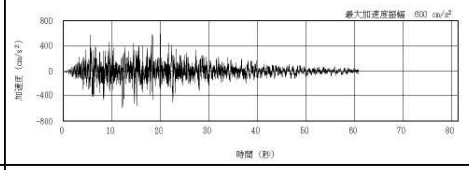
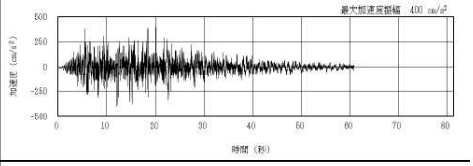
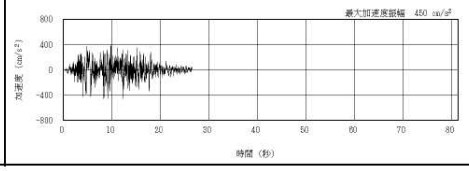
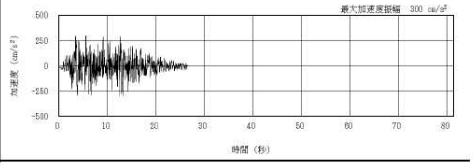
| 地震波 | 水平方向 | 鉛直方向 |
|---|---|---|
| Ss-1 |  |  |
| Ss-2 |  |  |
| Ss-3 |  |  |

図 4.3.2-2　解放基盤表面における地震動の加速度時刻歴波形

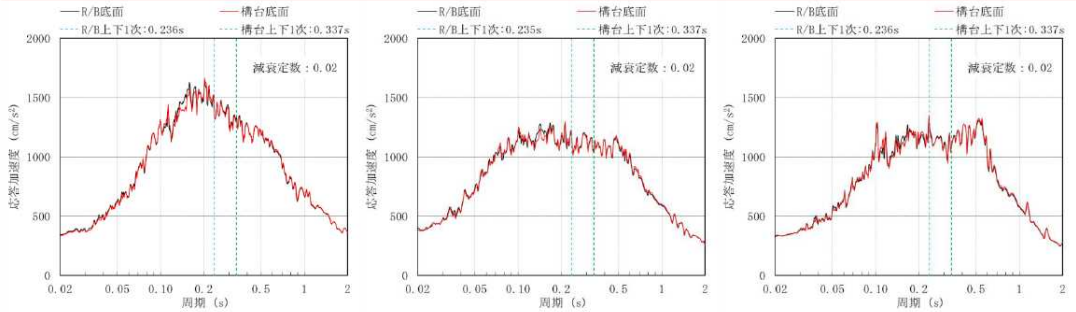
©Tokyo Electric Power Company Holdings, Inc. All Rights Reserved.　無断複製・転載禁止 東京電力ホールディングス株式会社

## 解析モデルへの入力方法の考え方と妥当性(上下動)

- 使用する解析コードの制約から上下動の入力波は１つに限られるため，燃料取り出し用構台についても原子炉建屋底面位置での上下動を，入力波として使用している。
- 原子炉建屋及び構台の基礎底面位置の上下方向の地盤応答加速度応答スペクトルの比較を次頁に示す。これによると，原子炉建屋及び構台の上下方向の1次固有周期で双方にほとんど差がみられず，その他の周期帯でも，0.1～0.2秒の周期帯を除き，はほとんど差が見られない
- また，原子炉建屋底面及び構台基礎底面位置の上下動を入力波とした場合のランウェイガーダ先端部の加速度応答スペクトルの比較を次頁に示す。これによると，双方に全ての周波数帯でほとんど差がみられない。
- さらに，原子炉建屋，燃料取り出し用構台それぞれの基礎底面位置での変位時刻歴波形と，相対変位時刻歴波形を次々頁に示す。相対変位がほとんど生じないことを確認した。
- 上記から，原子炉建屋基礎底面位置の地盤応答を構台に入力することによる構台の応答結果には影響が無く，妥当だと判断した

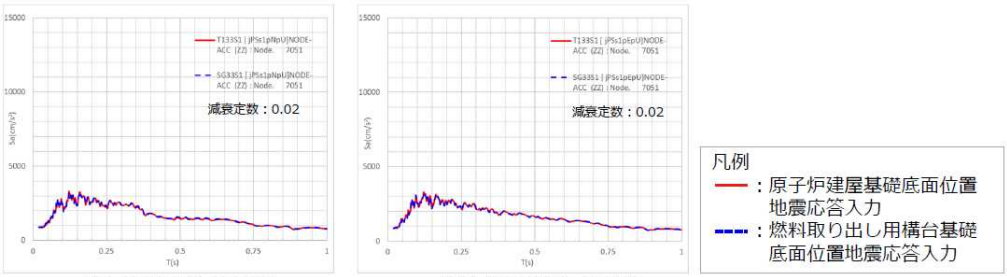
©Tokyo Electric Power Company Holdings, Inc. All Rights Reserved.　無断複製・転載禁止 東京電力ホールディングス株式会社

## 解析モデルへの入力方法の考え方と妥当性(上下動)




(Ss-1)　(Ss-2)　(Ss-3)

原子炉建屋及び構台の基礎底面位置の加速度応答スペクトル比較

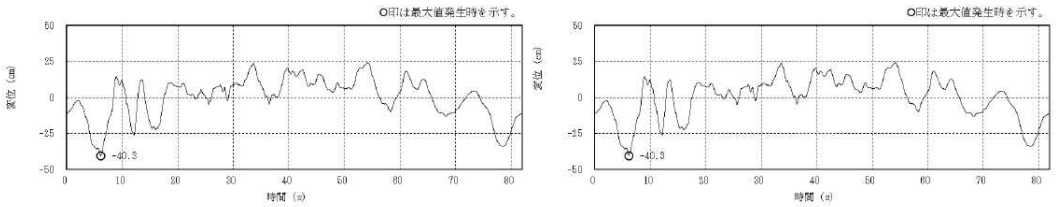



NS+UD加力時　UD方向　　EW+UD加力時　UD方向

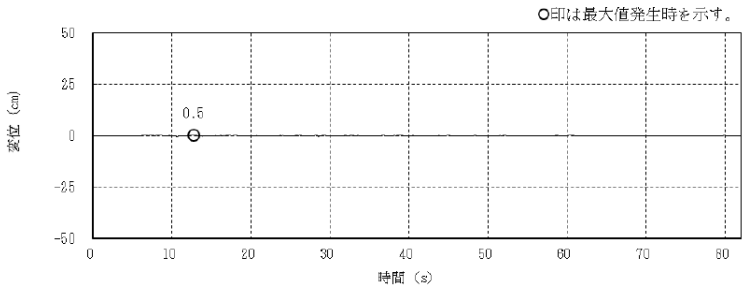
ランウェイガーダ先端部の加速度応答スペクトル比較（Ss-1）

©Tokyo Electric Power Company Holdings, Inc. All Rights Reserved.　無断複製・転載禁止　東京電力ホールディングス株式会社

## 解析モデルへの入力方法の考え方と妥当性(上下動)




原子炉建屋（G.L.-16.06 m）　　燃料取り出し用構台（G.L. -0.94 m）




相対変位

基礎底面位置　変位時刻歴波形比較

©Tokyo Electric Power Company Holdings, Inc. All Rights Reserved.　無断複製・転載禁止　東京電力ホールディングス株式会社

## 4.3.2 構台，前室およびランウェイガーダの耐震性に対する検討

- 地震応答解析モデルは，曲げ，せん断剛性及び軸剛性を考慮した原子炉建屋の質点系モデルの質点に，三次元立体骨組でモデル化した燃料取り出し用構台を接続し，地盤との相互作用を考慮した建屋－地盤連成系モデルとする。
- 原子炉建屋のモデルは「Ⅱ章2.11　添付資料－9　別添－1　第２号機原子炉建屋西側外壁開口設置後の原子炉建屋の耐震安全性」で用いた解析モデルを基本に，南側外壁開口や遮蔽コンクリート等の設置を考慮して，重量や剛性を増減させたモデルとする。なお，原子炉建屋の質点は炉心位置にモデル化する。
- 燃料取り出し用構台の部材接合部の節点は機器荷重・仕上げ材等を考慮した重量とし，原子炉建屋の質点は表 4.3.2-3 に示す重量とする。燃料取り出し用構台の柱，梁は弾性部材の梁要素，鉛直ブレースは弾性部材のトラス要素とする。
- 構台と原子炉建屋南側壁間，構台鉛直面，およびランウェイガーダと原子炉建屋床間に設置するオイルダンパは，減衰要素とばね要素を直列に結合したモデルとする。
- ランウェイガーダと原子炉建屋床間に設置する弾性支承の鉛直方向は軸ばねとし，水平方向はローラーとする。なお，床上のオイルダンパ・弾性支承とも，圧縮専用ばねを原子炉建屋質点との間に設けることにより浮き上りを許容したモデルとする。
- 原子炉建屋の質点系モデルは，軸方向は弾性とし，曲げとせん断に非線形特性を考慮する。

©Tokyo Electric Power Company Holdings, Inc. All Rights Reserved.　無断複製・転載禁止 東京電力ホールディングス株式会社

## 4.3.2 構台，前室およびランウェイガーダの耐震性に対する検討

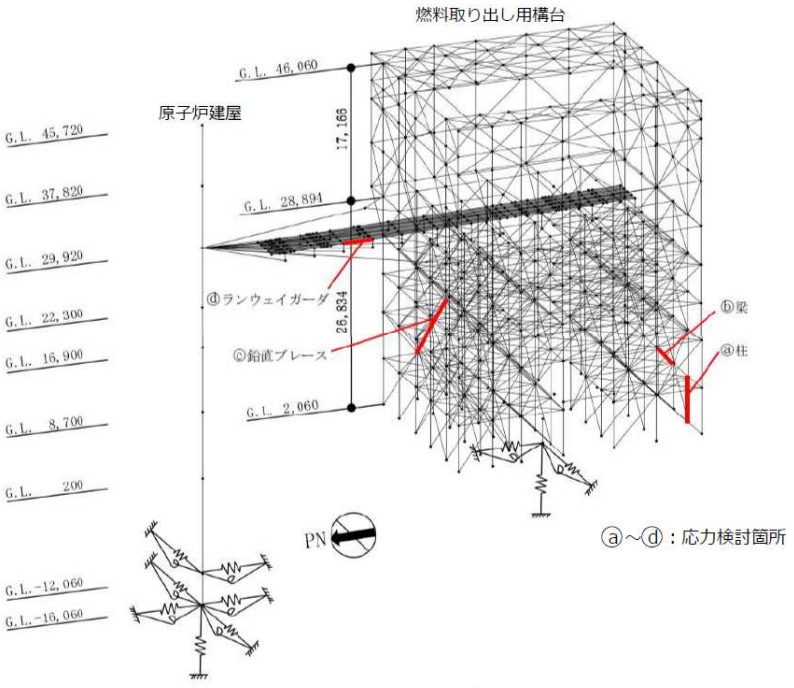
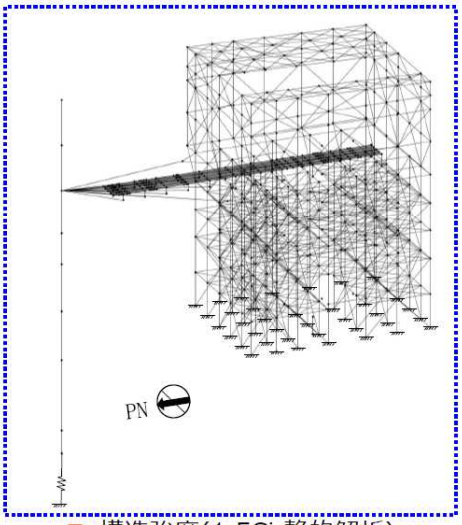



図 4.3.2-3　地震応答解析モデル（単位：mm）

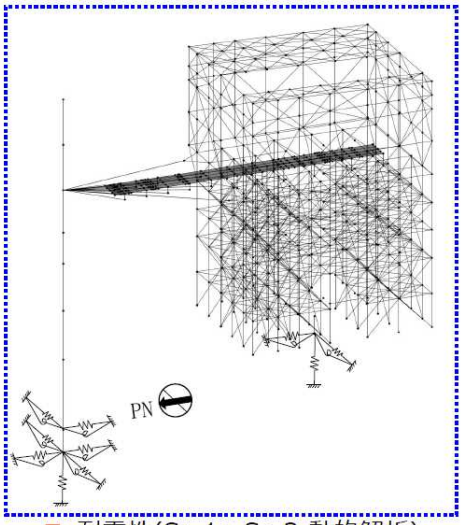
©Tokyo Electric Power Company Holdings, Inc. All Rights Reserved.　無断複製・転載禁止 東京電力ホールディングス株式会社

## 解析モデルの比較

■ 耐震性の検討（動的解析）に使用する解析モデルは，構造強度の検討（静的解析）と比較し，脚部境界条件およびオイルダンパのモデル化の点が異なる




■ 構造強度(1.5Ci 静的解析)
脚部境界条件：鉄骨柱脚部を固定
その他：ダンパ考慮しない




■ 耐震性(Ss-1～Ss-3 動的解析)
脚部境界条件：地盤をSRばねとして考慮
その他：ダンパ考慮

©Tokyo Electric Power Company Holdings, Inc. All Rights Reserved.　無断複製・転載禁止 東京電力ホールディングス株式会社

## 解析モデル詳細（原子炉建屋～構台間の接続条件）

■ 次頁に記載の通り，解析モデル上，原子炉建屋～構台間の接続にはMPC*を用いる

■ 原子炉建屋オペレーティングフロア床面上に配置する弾性支承およびばね付きオイルダンパは，鉛直方向の軸力のみ作用するモデルとするため，上下方向のみの自由度を有し，原子炉建屋のオペレーティングフロアレベルの質点と，弾性支承およびばね付きオイルダンパ各々のばね直下質点とをMPC要素で拘束する

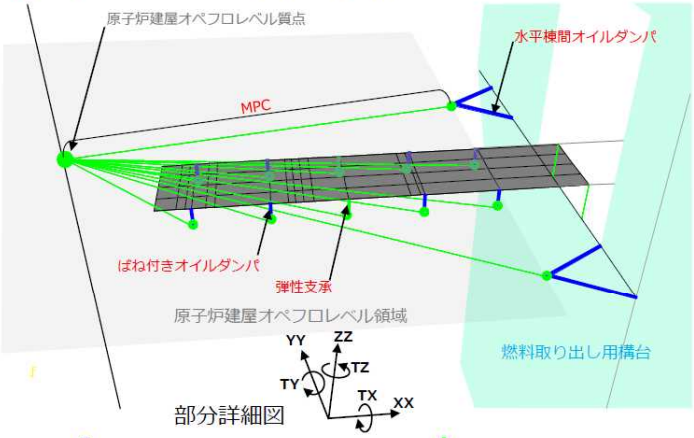
■ 水平棟間オイルダンパは水平面内の軸力のみ作用するモデルとするため，水平面内のみ自由度を有し，原子炉建屋のオペレーティングフロアレベルの質点とMPC要素で拘束する

＊：Multi Point Constraint（多点拘束）
節点自由度を他の１つ，または複数の節点自由度により定義するもの。

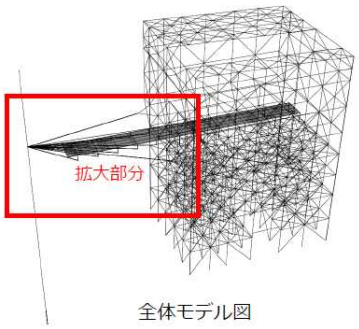
©Tokyo Electric Power Company Holdings, Inc. All Rights Reserved.　無断複製・転載禁止 東京電力ホールディングス株式会社

## 解析モデル詳細（原子炉建屋～構台間の接続条件）

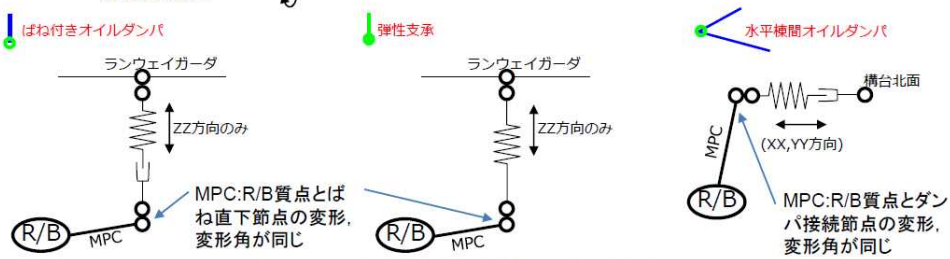
■ 原子炉建屋～構台間の接続条件について




部分詳細図




全体モデル図




©Tokyo Electric Power Company Holdings, Inc. All Rights Reserved.　無断複製・転載禁止　東京電力ホールディングス株式会社

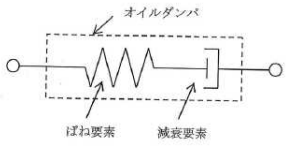
## 4.3.2 構台，前室およびランウェイガーダの耐震性に対する検討

表 4.3.2-1　地震応答解析に用いる物性値

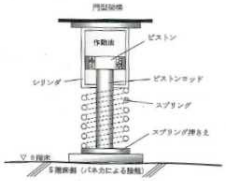
| 部位 | 材料 | ヤング係数 E(N/mm²) | ポアソン比 ν | 単位体積重量 γ(kN/m³) | 減衰定数 h(%) | 備考 |
|---|---|---|---|---|---|---|
| 燃料取り出し用構台 | 鉄骨 | $2.05\times10^5$ | 0.3 | 77.0 | 2 | SS400, SM490A, STK490, SN490B, SN490C, TMCP325 |

表4.3.2-2　オイルダンパの物性値及び許容値

| ダンパ種類 | 最大減衰力 (kN) | リリーフ荷重 (kN) | 最大速度 (m/s) | 第一減衰係数 (kN·s/m) | 第二減衰係数 (kN·s/m) | ストローク (mm) |
|---|---|---|---|---|---|---|
| オイルダンパ（水平棟間） | 1970 | 1700 | 0.70 | 12000 | 490 | ±100 |
| オイルダンパ（鉛直） | 2060 | 1600 | 0.50 | 40000 | 1000 | ±60 |
| ばね付きオイルダンパ | 1500 | 1200 | 1.00 | 5000 | 395 | ±100 |




オイルダンパのモデル化



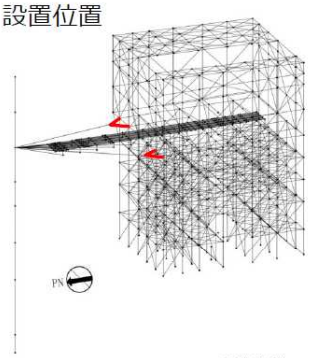
ばね付きオイルダンパ概念図

©Tokyo Electric Power Company Holdings, Inc. All Rights Reserved.　無断複製・転載禁止　東京電力ホールディングス株式会社

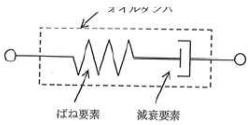
## オイルダンパ（水平棟間）の物性について

オイルダンパは特注品となるため，仕様(物性値及び許容値)に従ったオイルダンパを製作し，全数製品試験を行い性能を満たしていることを確認する。

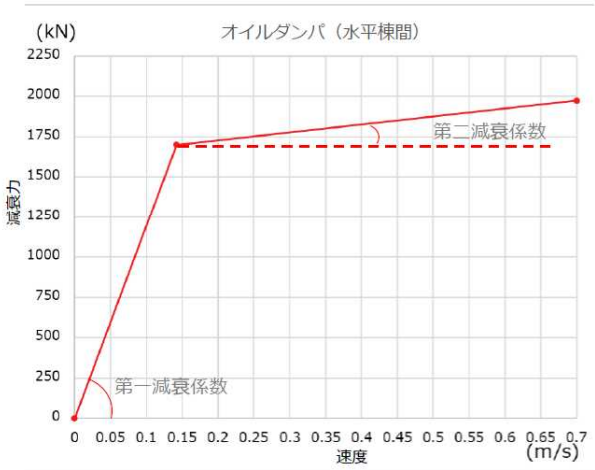
■ 設置位置



■ モデル化




■ 設計特性



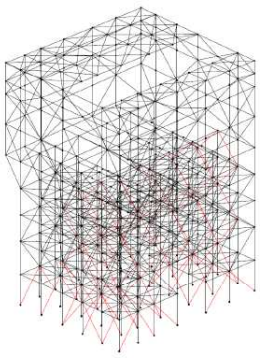

■ 物性値及び許容値

| 最大減衰力 (kN) | リリーフ荷重 (kN) | 最大速度 (m/s) | 第一減衰係数 (kN･s/m) | 第二減衰係数 (kN･s/m) | ストローク (mm) |
|---|---|---|---|---|---|
| 1970 | 1700 | 0.70 | 12000 | 490 | ±100 |

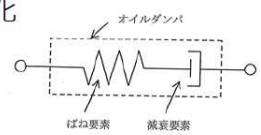
©Tokyo Electric Power Company Holdings, Inc. All Rights Reserved.　無断複製・転載禁止 東京電力ホールディングス株式会社

## オイルダンパ（鉛直）の物性について

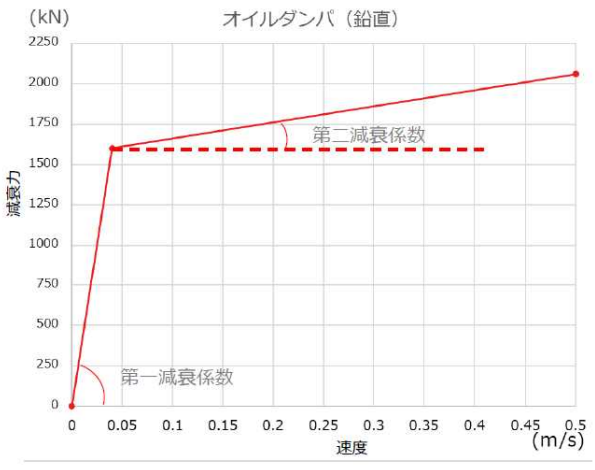
■ 設置位置



■ モデル化




■ 設計特性



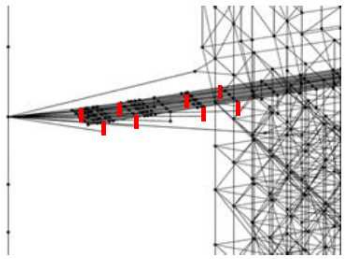

■ 物性値及許容値

| 最大減衰力 (kN) | リリーフ荷重 (kN) | 最大速度 (m/s) | 第一減衰係数 (kN･s/m) | 第二減衰係数 (kN･s/m) | ストローク (mm) |
|---|---|---|---|---|---|
| 2060 | 1600 | 0.50 | 40000 | 1000 | ±60 |

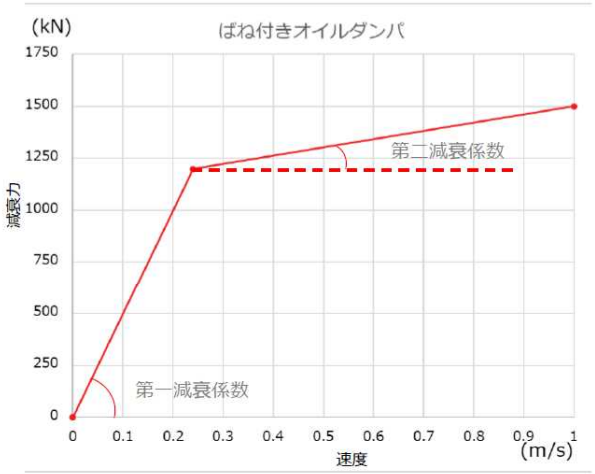
©Tokyo Electric Power Company Holdings, Inc. All Rights Reserved.　無断複製・転載禁止 東京電力ホールディングス株式会社

## ばね付きオイルダンパの物性について

■ 設置位置

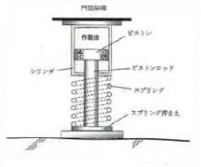


■ 設計特性




（圧縮側を示す）

■ 概念図



■ 物性値及許容値

| 最大減衰力 (kN) | リリーフ荷重 (kN) | 最大速度 (m/s) | 第一減衰係数 (kN･s/m) | 第二減衰係数 (kN･s/m) | ストローク (mm) |
|---|---|---|---|---|---|
| 1500 | 1200 | 1.00 | 5000 | 395 | ±100 |

©Tokyo Electric Power Company Holdings, Inc. All Rights Reserved.　無断複製・転載禁止 東京電力ホールディングス株式会社

## 4.3.2 構台，前室およびランウェイガーダの耐震性に対する検討

表 4.3.2-3(1)　地震応答解析モデルのうち原子炉建屋の地震応答解析モデルの諸元
(a) 水平（NS）方向

| 標高 G.L.（m） | 質点重量 W（kN） | 回転慣性重量 $I_G$（$\times 10^5$ kN･m²） | せん断断面積 As（m²） | 断面二次モーメント I（m⁴） |
|---|---|---|---|---|
| 45.72 | 12880 | 23.28 | | |
| | | | 18.6 | 10154 |
| 37.82 | 10220 | 18.53 | | |
| | | | 16.1 | 10626 |
| 29.92 | 74470 | 134.76 | | |
| | | | 184.3 | 22551 |
| 22.3 | 79440 | 143.78 | | |
| | | | 166.8 | 24629 |
| 16.9 | 107720 | 194.96 | | |
| | | | 249.3 | 44401 |
| 8.7 | 116670 | 211.14 | | |
| | | | 157.1 | 40661 |
| 0.2 | 201190 | 364.11 | | |
| | | | 456.8 | 110444 |
| -12.06 | 341290 | 617.55 | | |
| | | | 2656.2 | 480675 |
| -16.06 | 125030 | 226.24 | | |
| 合計 | 1068910 | | | |

ヤング係数 Ec　$2.57\times10^7$(kN/m²)
せん断弾性係数 G　$1.07\times10^7$(kN/m²)
ポアソン比 ν　0.20
減衰 h　5%

©Tokyo Electric Power Company Holdings, Inc. All Rights Reserved.　無断複製・転載禁止 東京電力ホールディングス株式会社

表 4.3.2-3(2)　地震応答解析モデルのうち原子炉建屋の地震応答解析モデルの諸元
(b) 水平（EW）方向

| 標高<br>G.L.（m） | 質点重量<br>W（kN） | 回転慣性重量<br>$I_G$（$\times 10^5$ kN・m$^2$） | せん断断面積<br>As（m$^2$） | 断面二次モーメント<br>I（m$^4$） |
|---|---|---|---|---|
| 45.72 | 12880 | 13.18 | | |
| 37.82 | 10220 | 10.40 | 13.6 | 5926 |
| 29.92 | 74470 | 76.06 | 12.6 | 6255 |
| 22.3 | 79440 | 81.06 | 108.2 | 11927 |
| 16.9 | 107720 | 194.96 | 117.3 | 14199 |
| 8.7 | 116670 | 211.14 | 185.7 | 33796 |
| 0.2 | 201190 | 544.79 | 173.1 | 41960 |
| −12.06 | 341290 | 923.98 | 418.1 | 132121 |
| −16.06 | 125030 | 338.53 | 2656.2 | 719166 |
| | | | | |
| 合計 | 1068910 | | | |

ヤング係数 Ec　$2.57\times10^7$(kN/m$^2$)
せん断弾性係数 G　$1.07\times10^7$(kN/m$^2$)
ポアソン比 ν　0.20
減衰 h　5%

©Tokyo Electric Power Company Holdings, Inc. All Rights Reserved.　無断複製・転載禁止 東京電力ホールディングス株式会社

4.3.2 構台，前室およびランウェイガーダの耐震性に対する検討 TEPCO

表 4.3.2-3(3)　地震応答解析モデルのうち原子炉建屋の地震応答解析モデルの諸元
(c) 鉛直方向

| 標高<br>G.L.（m） | 質点重量<br>W（kN） | 軸断面積<br>As（m$^2$） | 軸ばね剛性<br>$K_A$（$\times 10^8$ kN/m） |
|---|---|---|---|
| 45.72 | 12880 | | |
| 37.82 | 10220 | 43.0 | 1.40 |
| 29.92 | 74470 | 42.5 | 1.38 |
| 22.3 | 79440 | 291.9 | 9.84 |
| 16.9 | 107720 | 295.1 | 14.04 |
| 8.7 | 116670 | 437.5 | 13.71 |
| 0.2 | 201190 | 359.4 | 10.87 |
| −12.06 | 341290 | 627.4 | 13.15 |
| −16.06 | 125030 | 2656.2 | 170.66 |
| | | | |
| 合計 | 1068910 | | |

ヤング係数 Ec　$2.57\times10^7$(kN/m$^2$)
せん断弾性係数 G　$1.07\times10^7$(kN/m$^2$)
ポアソン比 ν　0.20
減衰 h　5%

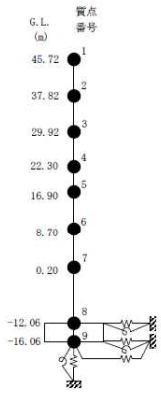
©Tokyo Electric Power Company Holdings, Inc. All Rights Reserved.　無断複製・転載禁止 東京電力ホールディングス株式会社

## バックチェック時の解析モデルとの変更点と理由

TEPCO

■ バックチェック時と今回実施計画変更認可申請時の原子炉建屋解析モデル諸元の比較を行い，変更点とその理由を以下に記載する

（バックチェックモデル）
（NS 方向）




| 質点番号 | 質点重量 W (kN) | 回転慣性重量 $I_G$ ($\times 10^5$ kN・m$^2$) | せん断断面積 $A_s$ (m$^2$) | 断面2次モーメント I (m$^4$) |
|---|---|---|---|---|
| 1 | 14, 380 | 25. 99 | | |
| 2 | 10, 220 | 18. 53 | 18. 6 | 10, 154 |
| 3 | 58, 470 | 105. 81 | 18. 6 | 10, 675 |
| 4 | 70, 440 | 127. 49 | 184. 3 | 22, 551 |
| 5 | 107, 720 | 194. 96 | 166. 8 | 24, 629 |
| 6 | 116, 670 | 211. 14 | 249. 3 | 44, 401 |
| 7 | 199, 190 | 360. 49 | 157. 1 | 40, 661 |
| 8 | 277, 540 | 502. 20 | 456. 8 | 110, 444 |
| 9 | 125, 030 | 226. 24 | 2, 656. 2 | 480, 675 |
| 合計 | 979, 660 | | | |

| | |
|---|---|
| ヤング係数 $E_c$ | $2.57\times10^7$ (kN/m$^2$) |
| せん断弾性係数 $G$ | $1.07\times10^7$ (kN/m$^2$) |
| ポアソン比 $\nu$ | 0. 20 |
| 減衰 $h$ | 5% |
| 基礎形状 | 46. 6m(NS方向)×57. 0m(E |

（申請モデル）
（NS方向）



| 74470 (16000)*2 | 134.76 (28.95)*2 |
|---|---|

■ 質点重量及び回転慣性重量
＊1：屋根保護層撤去による減少
**＊2：遮へい体追加による増加**
＊3：西側構台追加による増加
＊4：滞留水考慮による増加

■ せん断断面積及び断面二次モーメント
＊5：ブローアウトパネル開口考慮による減少
＊6：西側外壁開口による減少

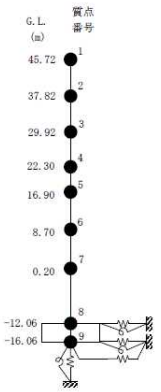
原子炉建屋解析モデル諸元比較（NS方向）

©Tokyo Electric Power Company Holdings, Inc. All Rights Reserved.　無断複製・転載禁止　東京電力ホールディングス株式会社

## バックチェック時の解析モデルとの変更点と理由

TEPCO

（バックチェックモデル）
（EW 方向）




| 質点番号 | 質点重量 W (kN) | 回転慣性重量 $I_G$ ($\times 10^5$ kN・m$^2$) | せん断断面積 $A_s$ (m$^2$) | 断面2次モーメント I (m$^4$) |
|---|---|---|---|---|
| 1 | 14, 380 | 14. 71 | | |
| 2 | 10, 220 | 10. 40 | 14. 0 | 5, 941 |
| 3 | 58, 470 | 59. 72 | 14. 0 | 6, 307 |
| 4 | 70, 440 | 71. 88 | 108. 2 | 11, 927 |
| 5 | 107, 720 | 194. 96 | 117. 3 | 14, 199 |
| 6 | 116, 670 | 211. 14 | 185. 7 | 33, 796 |
| 7 | 199, 190 | 539. 37 | 173. 1 | 41, 960 |
| 8 | 277, 540 | 751. 39 | 418. 1 | 132, 121 |
| 9 | 125, 030 | 338. 53 | 2, 656. 2 | 719, 166 |
| 合計 | 979, 660 | | | |

| | |
|---|---|
| ヤング係数 $E_c$ | $2.57\times10^7$ (kN/m$^2$) |
| せん断弾性係数 $G$ | $1.07\times10^7$ (kN/m$^2$) |
| ポアソン比 $\nu$ | 0. 20 |
| 減衰 $h$ | 5% |
| 基礎形状 | 46. 6m(NS方向)×57. 0m(EW方向) |

（申請モデル）
（EW方向）



| 74470 (16000)*2 | 76.06 (16.34)*2 |
|---|---|

| 13.6 ⟨0.4⟩*5 | 5926 ⟨15⟩*5 |
|---|---|
| 12.6 ⟨1.4⟩*5 | 6255 ⟨52⟩*5 |

■ 質点重量及び回転慣性重量
＊1：屋根保護層撤去による減少
**＊2：遮へい体追加による増加**
＊3：西側構台追加による増加
＊4：滞留水考慮による増加

■ せん断断面積及び断面二次モーメント
**＊5：南側開口による減少**

原子炉建屋解析モデル諸元比較（EW方向）

©Tokyo Electric Power Company Holdings, Inc. All Rights Reserved.　無断複製・転載禁止　東京電力ホールディングス株式会社

## バックチェック時の解析モデルとの変更点と理由

(バックチェックモデル)
(鉛直方向)

建屋

| 質点番号 | 質点重量 W(kN) | 軸断面積 $A_s$(m²) | 軸ばね剛性 $K_s$(×10⁵kN/m) |
|---|---|---|---|
| 1 | 8,560 | | |
| 2 | 10,220 | 44.4 | 1.44 |
| 3 | 58,470 | 46.4 | 1.51 |
| 4 | 70,440 | 291.9 | 9.85 |
| 5 | 107,720 | 295.1 | 14.05 |
| 6 | 116,670 | 437.5 | 13.71 |
| 7 | 199,190 | 359.4 | 10.87 |
| 8 | 277,540 | 627.4 | 13.15 |
| 9 | 125,030 | 2,656.2 | 170.66 |
| 合計 | 979,660 | | |

屋根

| 質点番号 | 質点重量 W(kN) | せん断断面積 $A_s$(×10⁻²m²) | 断面2次モーメント I(m⁴) |
|---|---|---|---|
| 1 | – | | |
| 10 | 1,580 | 8.46 | 0.664 |
| 11 | 2,700 | 5.48 | 0.664 |
| 12 | 1,540 | 2.81 | 0.664 |

①コンクリート部
ヤング係数 $E_c$ $2.57\times10^7$ (kN/m²)
せん断弾性係数 $G$ $1.07\times10^7$ (kN/m²)
ポアソン比 $\nu$ 0.20
減衰 $h$ 5%

②鉄骨部
ヤング係数 $E_c$ $2.05\times10^8$ (kN/m²)
せん断弾性係数 $G$ $7.90\times10^7$ (kN/m²)
ポアソン比 $\nu$ 0.30
減衰 $h$ 2%

トラス端部回転拘束ばね $K_\theta$ $2.11\times10^7$ (kN·m/rad)
基礎形状 46.6m(NS方向)×57.0m(EW方向)

(申請モデル)
(鉛直方向)

| 質点番号 | 質点重量 W (kN) | 軸断面積 $A_s$ (m²) | 軸ばね剛性 $K_s$ (×10⁵ kN/m) |
|---|---|---|---|
| 1 | 12680 〈16000〉*1 | | |
| 2 | 10220 | 43.0 〈1.4〉*5 | 1.40 〈0.04〉*5 |
| 3 | 74470 〈16000〉*2 | 42.5 〈1.4〉*5 〈1.3〉*6 〔1.2〕*7 | 1.38 〈0.05〉*5 〈0.04〉*6 〔0.04〕*7 |
| 4 | 58470 〈16000〉*3 | 291.9 | 9.85 |
| 5 | 107720 | 295.1 | 14.05 |
| 6 | 116670 | 437.5 | 13.71 |
| 7 | 204190 〈20000〉*3 | 359.4 | 10.87 |
| 8 | 341290 〈637580〉*4 | 627.4 | 13.15 |
| 9 | 125030 | 2656.2 | 170.66 |
| 合計 | 1068910 | | |

74470 〈16000〉*2

43.0 〈1.4〉*5 | 1.40 〈0.04〉*5
42.5 〈1.4〉*5 〈1.3〉*6 〔1.2〕*7 | 1.38 〈0.05〉*5 〈0.04〉*6 〔0.04〕*7

G.L. (m) / 質点番号
45.72 / 37.82 / 29.92 / 22.30 / 16.90 / 8.70 / 0.20 / -12.06 / -16.06

■ 質点重量及び回転慣性重量
＊1：屋根保護層撤去による減少
**＊2：遮へい体追加による増加**
＊3：西側構台追加による増加
＊4：滞留水考慮による増加

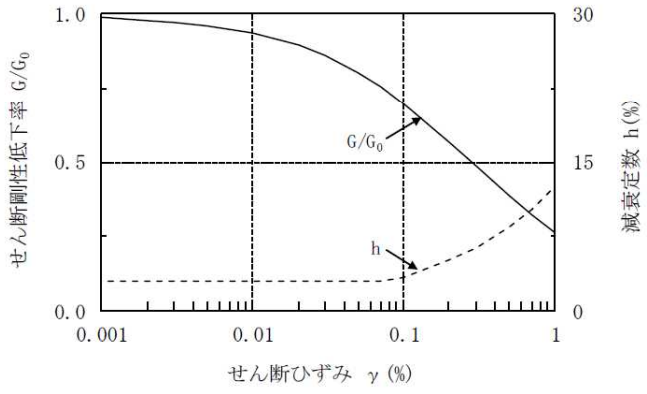
■ 軸断面積及び軸ばね剛性
**＊5：南側開口による減少**
＊6：ブローアウトパネル開口考慮による減少
＊7：西側外壁開口による減少

原子炉建屋解析モデル諸元比較（UD方向）

©Tokyo Electric Power Company Holdings, Inc. All Rights Reserved.　無断複製・転載禁止　東京電力ホールディングス株式会社

## 4.3.2 構台，前室およびランウェイガーダの耐震性に対する検討

- 燃料取り出し用構台の地盤定数は，バックチェック時の地盤定数を参考に，水平成層地盤と仮定し地震時のせん断ひずみレベルを考慮して定めた
- 原子炉建屋の地盤定数は，バックチェック時に作成したモデルと同様としている




地盤のひずみ依存性(泥岩)

©Tokyo Electric Power Company Holdings, Inc. All Rights Reserved.　無断複製・転載禁止　東京電力ホールディングス株式会社

## 4.3.2 構台，前室およびランウェイガーダの耐震性に対する検討

表 4.3.2-4　改良地盤の諸元

| せん断波速度* Vs(m/s) | 単位体積重量 γ(kN/m³) | ポアソン比* ν | 初期せん断弾性係数 G0(×10⁵kN/m²) |
|---|---|---|---|
| 800 | 17.7 | 0.31 | 11.52 |

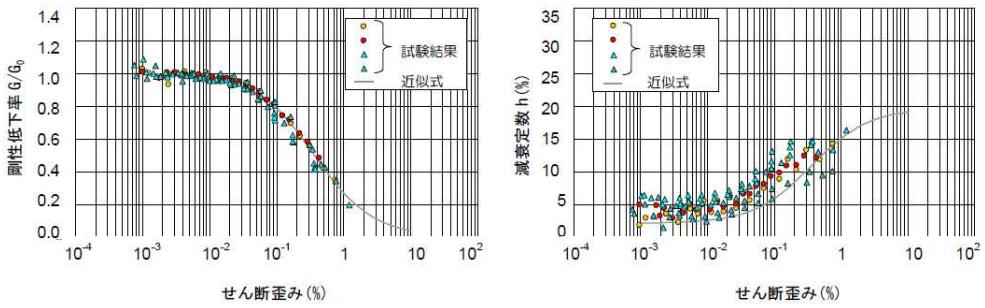
＊：『柏崎刈羽原子力発電所1号機　建物・構築物の耐震安全性評価について（指摘事項に関する回答）』（平成22 年2月19日　東京電力株式会社），総合資源エネルギー調査会原子力安全・保安部会耐震・構造設計小委員会構造WG（第46回）会合資料

©Tokyo Electric Power Company Holdings, Inc. All Rights Reserved.　無断複製・転載禁止　東京電力ホールディングス株式会社

## 改良地盤物性の設定について

■ 類似条件下での改良地盤の試験結果を以下に示す。

出典：『柏崎刈羽原子力発電所1号機　建物・構築物の耐震安全性評価について（指摘事項に関する回答）』（平成22 年2月19日　東京電力株式会社），総合資源エネルギー調査会原子力安全・保安部会耐震・構造設計小委員会構造WG（第46回）会合資料




©Tokyo Electric Power Company Holdings, Inc. All Rights Reserved.　無断複製・転載禁止　東京電力ホールディングス株式会社

表4.3.2-5(1)　地盤定数の設定結果（燃料取り出し用構台）
(a) Ss-1

| 標高 G.L. (m) | 地質 | せん断波速度 Vs (m/s) | 単位体積重量 γ (kN/m³) | ﾎﾟｱｿﾝ比 ν | せん断弾性係数 G (×10⁵kN/m²) | 初期せん断弾性係数 $G_0$ (×10⁵kN/m²) | 剛性低下率 $G/G_0$ | ヤング係数 E (×10⁵kN/m²) | 減衰定数 h (%) | 層厚 H (m) |
|---|---|---|---|---|---|---|---|---|---|---|
| 0.0 | | | | | | | | | | |
| | 改良地盤 | 800 | 17.7 | 0.310 | 11.40 | 11.52 | 0.99 | 29.87 | 2 | 8.1 |
| -8.1 | | 450 | 16.5 | 0.464 | 2.66 | 3.41 | 0.78 | 7.79 | 3 | 11.9 |
| -20.0 | | 500 | 17.1 | 0.455 | 3.40 | 4.36 | 0.78 | 9.89 | 3 | 70.0 |
| -90.0 | 泥岩 | 560 | 17.6 | 0.446 | 4.39 | 5.63 | 0.78 | 12.70 | 3 | 28.0 |
| -118.0 | | 600 | 17.8 | 0.442 | 5.09 | 6.53 | 0.78 | 14.68 | 3 | 88.0 |
| -206.0 | (解放基盤) | 700 | 18.5 | 0.421 | 9.24 | 9.24 | 1.00 | 26.26 | - | - |

©Tokyo Electric Power Company Holdings, Inc. All Rights Reserved.　無断複製・転載禁止 東京電力ホールディングス株式会社

4.3.2 構台，前室およびランウェイガーダの耐震性に対する検討 TEPCO

表4.3.2-5(2)　地盤定数の設定結果（燃料取り出し用構台）
(b) Ss-2

| 標高 G.L. (m) | 地質 | せん断波速度 Vs (m/s) | 単位体積重量 γ (kN/m³) | ﾎﾟｱｿﾝ比 ν | せん断弾性係数 G (×10⁵kN/m²) | 初期せん断弾性係数 $G_0$ (×10⁵kN/m²) | 剛性低下率 $G/G_0$ | ヤング係数 E (×10⁵kN/m²) | 減衰定数 h (%) | 層厚 H (m) |
|---|---|---|---|---|---|---|---|---|---|---|
| 0.0 | | | | | | | | | | |
| | 改良地盤 | 800 | 17.7 | 0.310 | 11.40 | 11.52 | 0.99 | 29.87 | 2 | 8.1 |
| -8.1 | | 450 | 16.5 | 0.464 | 2.73 | 3.41 | 0.80 | 7.99 | 3 | 11.9 |
| -20.0 | | 500 | 17.1 | 0.455 | 3.49 | 4.36 | 0.80 | 10.16 | 3 | 70.0 |
| -90.0 | 泥岩 | 560 | 17.6 | 0.446 | 4.50 | 5.63 | 0.80 | 13.01 | 3 | 28.0 |
| -118.0 | | 600 | 17.8 | 0.442 | 5.22 | 6.53 | 0.80 | 15.05 | 3 | 88.0 |
| -206.0 | (解放基盤) | 700 | 18.5 | 0.421 | 9.24 | 9.24 | 1.00 | 26.26 | - | - |

©Tokyo Electric Power Company Holdings, Inc. All Rights Reserved.　無断複製・転載禁止 東京電力ホールディングス株式会社

表4.3.2-5(3)　地盤定数の設定結果（燃料取り出し用構台）
(c) Ss-3

| 標高 G.L. (m) | 地質 | せん断波速度 Vs (m/s) | 単位体積重量 γ (kN/m³) | ﾎﾟｱｿﾝ比 ν | せん断弾性係数 G (×10⁵kN/m²) | 初期せん断弾性係数 $G_0$ (×10⁵kN/m²) | 剛性低下率 $G/G_0$ | ヤング係数 E (×10⁵kN/m²) | 減衰定数 h (%) | 層厚 H (m) |
|---|---|---|---|---|---|---|---|---|---|---|
| 0.0 | | | | | | | | | | |
| | 改良地盤 | 800 | 17.7 | 0.310 | 11.40 | 11.52 | 0.99 | 29.87 | 2 | 8.1 |
| -8.1 | | 450 | 16.5 | 0.464 | 2.63 | 3.41 | 0.77 | 7.70 | 3 | 11.9 |
| -20.0 | | 500 | 17.1 | 0.455 | 3.36 | 4.36 | 0.77 | 9.78 | 3 | 70.0 |
| -90.0 | 泥岩 | 560 | 17.6 | 0.446 | 4.34 | 5.63 | 0.77 | 12.55 | 3 | 28.0 |
| -118.0 | | 600 | 17.8 | 0.442 | 5.03 | 6.53 | 0.77 | 14.51 | 3 | 88.0 |
| -206.0 | (解放基盤) | 700 | 18.5 | 0.421 | 9.24 | 9.24 | 1.00 | 26.26 | - | - |

©Tokyo Electric Power Company Holdings, Inc. All Rights Reserved.　無断複製・転載禁止 東京電力ホールディングス株式会社

4.3.2 構台，前室およびランウェイガーダの耐震性に対する検討 TEPCO

表 4.3.2-6(1)　地盤定数の設定結果（原子炉建屋）
(a) Ss-1

| 標高 G.L. (m) | 地質 | せん断波速度 Vs (m/s) | 単位体積重量 γ (kN/m³) | ﾎﾟｱｿﾝ比 ν | せん断弾性係数 G (×10⁵kN/m²) | 初期せん断弾性係数 $G_0$ (×10⁵kN/m²) | 剛性低下率 $G/G_0$ | ヤング係数 E (×10⁵kN/m²) | 減衰定数 h (%) | 層厚 H (m) |
|---|---|---|---|---|---|---|---|---|---|---|
| 0.0 | | | | | | | | | | |
| | 砂岩 | 380 | 17.8 | 0.473 | 2.23 | 2.62 | 0.85 | 6.57 | 3 | 8.1 |
| -8.1 | | 450 | 16.5 | 0.464 | 2.66 | 3.41 | 0.78 | 7.79 | 3 | 11.9 |
| -20.0 | | 500 | 17.1 | 0.455 | 3.40 | 4.36 | 0.78 | 9.89 | 3 | 70.0 |
| -90.0 | 泥岩 | 560 | 17.6 | 0.446 | 4.39 | 5.63 | 0.78 | 12.70 | 3 | 28.0 |
| -118.0 | | 600 | 17.8 | 0.442 | 5.09 | 6.53 | 0.78 | 14.68 | 3 | 88.0 |
| -206.0 | (解放基盤) | 700 | 18.5 | 0.421 | 9.24 | 9.24 | 1.00 | 26.26 | - | - |

©Tokyo Electric Power Company Holdings, Inc. All Rights Reserved.　無断複製・転載禁止 東京電力ホールディングス株式会社

表 4.3.2-6(2)　地盤定数の設定結果（原子炉建屋）
(b) Ss-2

| 標高 G.L. (m) | 地質 | せん断波速度 Vs (m/s) | 単位体積重量 γ (kN/m³) | ポアソン比 ν | せん断弾性係数 G (×10⁵kN/m²) | 初期せん断弾性係数 $G_0$ (×10⁵kN/m²) | 剛性低下率 $G/G_0$ | ヤング係数 E (×10⁵kN/m²) | 減衰定数 h (%) | 層厚 H (m) |
|---|---|---|---|---|---|---|---|---|---|---|
| 0.0 | | | | | | | | | | |
| | 砂岩 | 380 | 17.8 | 0.473 | 2.23 | 2.62 | 0.85 | 6.57 | 3 | 8.1 |
| -8.1 | | | | | | | | | | |
| | | 450 | 16.5 | 0.464 | 2.76 | 3.41 | 0.81 | 8.08 | 3 | 11.9 |
| -20.0 | | | | | | | | | | |
| | | 500 | 17.1 | 0.455 | 3.53 | 4.36 | 0.81 | 10.27 | 3 | 70.0 |
| -90.0 | 泥岩 | | | | | | | | | |
| | | 560 | 17.6 | 0.446 | 4.56 | 5.63 | 0.81 | 13.19 | 3 | 28.0 |
| -118.0 | | | | | | | | | | |
| | | 600 | 17.8 | 0.442 | 5.29 | 6.53 | 0.81 | 15.26 | 3 | 88.0 |
| -206.0 | | | | | | | | | | |
| | (解放基盤) | 700 | 18.5 | 0.421 | 9.24 | 9.24 | 1.00 | 26.26 | - | - |

©Tokyo Electric Power Company Holdings, Inc. All Rights Reserved.　無断複製・転載禁止 東京電力ホールディングス株式会社

4.3.2 構台，前室およびランウェイガーダの耐震性に対する検討 TEPCO

表 4.3.2-6(3)　地盤定数の設定結果（原子炉建屋）
(c) Ss-3

| 標高 G.L. (m) | 地質 | せん断波速度 Vs (m/s) | 単位体積重量 γ (kN/m³) | ポアソン比 ν | せん断弾性係数 G (×10⁵kN/m²) | 初期せん断弾性係数 $G_0$ (×10⁵kN/m²) | 剛性低下率 $G/G_0$ | ヤング係数 E (×10⁵kN/m²) | 減衰定数 h (%) | 層厚 H (m) |
|---|---|---|---|---|---|---|---|---|---|---|
| 0.0 | | | | | | | | | | |
| | 砂岩 | 380 | 17.8 | 0.473 | 2.25 | 2.62 | 0.86 | 6.63 | 3 | 8.1 |
| -8.1 | | | | | | | | | | |
| | | 450 | 16.5 | 0.464 | 2.66 | 3.41 | 0.78 | 7.79 | 3 | 11.9 |
| -20.0 | | | | | | | | | | |
| | | 500 | 17.1 | 0.455 | 3.40 | 4.36 | 0.78 | 9.89 | 3 | 70.0 |
| -90.0 | 泥岩 | | | | | | | | | |
| | | 560 | 17.6 | 0.446 | 4.39 | 5.63 | 0.78 | 12.70 | 3 | 28.0 |
| -118.0 | | | | | | | | | | |
| | | 600 | 17.8 | 0.442 | 5.09 | 6.53 | 0.78 | 14.68 | 3 | 88.0 |
| -206.0 | | | | | | | | | | |
| | (解放基盤) | 700 | 18.5 | 0.421 | 9.24 | 9.24 | 1.00 | 26.26 | - | - |

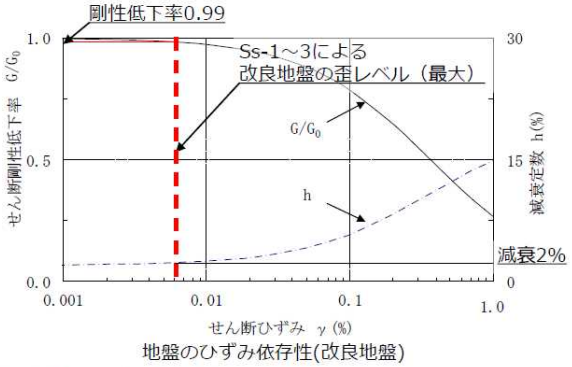
©Tokyo Electric Power Company Holdings, Inc. All Rights Reserved.　無断複製・転載禁止 東京電力ホールディングス株式会社

## 改良地盤物性の設定について

- 燃料取り出し用構台基礎直下は支持層（泥岩）に到達していないため，高圧噴射攪拌工法により地盤改良を行う。
- 物性値のうち圧縮強度とせん断波速度は，2号機燃料取り出し用構台と同一条件の４号機燃料取り出し用カバーでの実績値に基づき設定している。
- ひずみ依存特性は，本件と同様に，原地盤が砂質埋め戻し土及び砂岩であり，改良方法が高圧噴射攪拌工法を用いた類似条件下での物性を参照する。
- ひずみ依存性は，福島サイトでの実績値はないが，上記理由のほか，今回の入力地震動では剛性低下をほぼ起こさない応答レベルであり，減衰についても下限値の2%としている。
- 施工例が少なく，同工法，同設計値（剛性，強度）でのひずみ依存特性の実績値は上記を除き確認できなかったため，パラメトリックスタディを実施し，改良地盤のひずみ依存特性が応答に与える影響を確認した。（次頁以降記載）

| | 2号燃料取り出し用構台 | （参考）4号機燃料取り出し用カバー | |
|---|---|---|---|
| | 設計仕様 | 設計仕様 | 実施工後の試験結果 |
| せん断波速度 Vs(m/s) | 800 | 800 | 836 |
| 圧縮強度 (N/mm²) | 5 | 5 | 4.498* |
| 設計基準強度 (N/mm²) | 3 | 3 | 2.300* |

＊：設計バックフィットを実施し，設計成立性を確認している

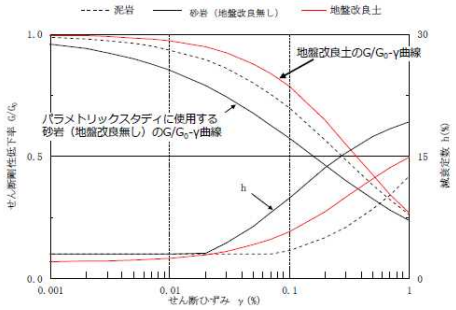


地盤のひずみ依存性(改良地盤)

©Tokyo Electric Power Company Holdings, Inc. All Rights Reserved.　無断複製・転載禁止 東京電力ホールディングス株式会社

## 改良地盤物性の設定について

- 地盤改良を実施すると，改良前地盤よりせん断剛性低下率のひずみ依存性が改善される
- ここでは仮に，地盤改良を実施しない砂岩のせん断剛性低下率のひずみ依存性を用いて基礎下入力動に及ぼす影響を確認する
- 一方，初期せん断剛性や減衰定数は，地盤改良土の物性をそのまま用いる
- 上記条件の場合，剛性低下しやすくなり，応答が大きくなる傾向となる
- 入力波基準地震動Ss-1とする




地盤改良土の物性をそのまま使用　　ひずみ依存特性を変更したことにより変更

| 標高 G.L. (m) | 地質 | 初期せん断波速度 $Vs_0$ (m/s) | 単位体積重量 γt (kN/m³) | ポアソン比 ν | 初期せん断弾性係数 $G_0$ (×10⁵ kN/m²) | 剛性低下率 $G/G_0$ | せん断弾性係数 G (×10⁵ kN/m²) | 剛性低下後せん断波速度 Vs (m/s) | 剛性低下後縦波速度 Vp (m/s) | 減衰定数 h (%) | 層厚 h (m) |
|---|---|---|---|---|---|---|---|---|---|---|---|
| 0.0 | | | | | | | | | | | |
| -8.1 | （地盤改良土） | 800 | 17.7 | 0.310 | 11.52 | 0.93 | 10.71 | 770 | 1470 | 2 | 8.1 |
| -20.0 | 泥岩 | 450 | 16.5 | 0.464 | 3.41 | 0.78 | 2.66 | 398 | 1530 | 3 | 11.9 |
| -90.0 | | 500 | 17.1 | 0.455 | 4.36 | 0.78 | 3.40 | 442 | 1540 | 3 | 70.0 |
| -118.0 | | 560 | 17.6 | 0.446 | 5.63 | 0.78 | 4.39 | 495 | 1580 | 3 | 28.0 |
| -206.0 | | 600 | 17.8 | 0.442 | 6.53 | 0.78 | 5.09 | 530 | 1640 | 3 | 88.0 |
| | （解放基盤） | 700 | 18.5 | 0.421 | 9.24 | - | 9.24 | 700 | 1890 | - | - |

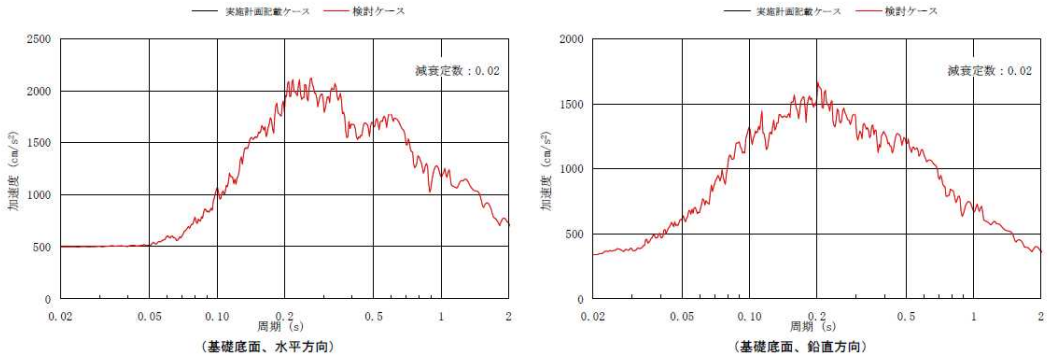
【参考】砂岩の物性値

| | | | | | | | | | | | |
|---|---|---|---|---|---|---|---|---|---|---|---|
| 0.0 | | | | | | | | | | | |
| -8.1 | 砂岩 | 380 | 17.8 | 0.473 | 2.62 | 0.85 | 2.23 | 350 | ○○ | 3 | 8.1 |

©Tokyo Electric Power Company Holdings, Inc. All Rights Reserved.　無断複製・転載禁止 東京電力ホールディングス株式会社

## 改良地盤物性の設定について

- 基礎下入力動の比較を以下に示す
- 地盤改良を実施しない砂岩のひずみ依存特性を適用した場合においても，基礎下入力動は地盤改良を実施した類似条件下のひずみ依存性を用いた場合とほぼ同等であり，改良地盤のひずみ依存特性が応答に与える影響は十分小さいことを確認した

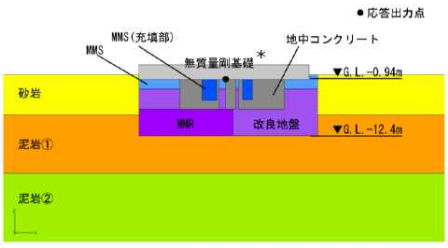



基礎下入力動の加速度応答スペクトルの比較（基準地震動Ss-1）

©Tokyo Electric Power Company Holdings, Inc. All Rights Reserved.　無断複製・転載禁止 東京電力ホールディングス株式会社

## 改良地盤部の地中構築物影響について

- 改良地盤部には，地中構築物（コンクリート）やMMRが残置されており，これらの影響について2D-FEMモデルを用いて確認する
- 地中コンクリート及びMMRは，建設時の工事記録の設計基準強度を参照し，剛性を設定する
- 2D-FEMモデル下端は解放基盤（G.L.-206.0m）までとし，下端には粘性境界を，側方はエネルギー伝達境界を設定する
- 検討用地震動は，3波のうち最も応答が大きくなる傾向がある基準地震動Ss-1とする
- 入力方法は，水平と鉛直の同時入力とする

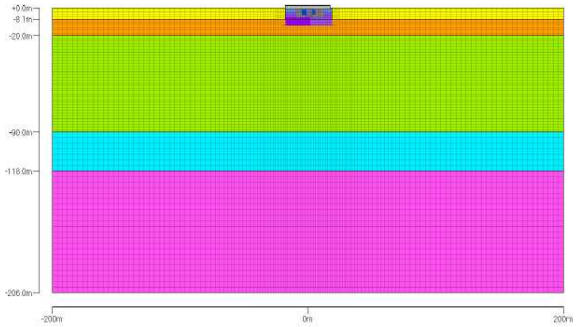



＊：一次元波動論により算出した応答との比較を行うため，一次元波動論での算出時にモデル化していない基礎は，無質量剛基礎とした

改良地盤部の地盤物性値

| | 改良地盤・MMS（設計仕様） | 地中コンクリート | MMR |
|---|---|---|---|
| せん断波速度 Vs(m/s) | 800 | — | — |
| 圧縮強度 (N/mm²) | 5 | — | — |
| 設計基準強度 (N/mm²) | 3 | 22.1* | 13.7* |

＊：剛性の算定は日本建築学会RC規準に基づく

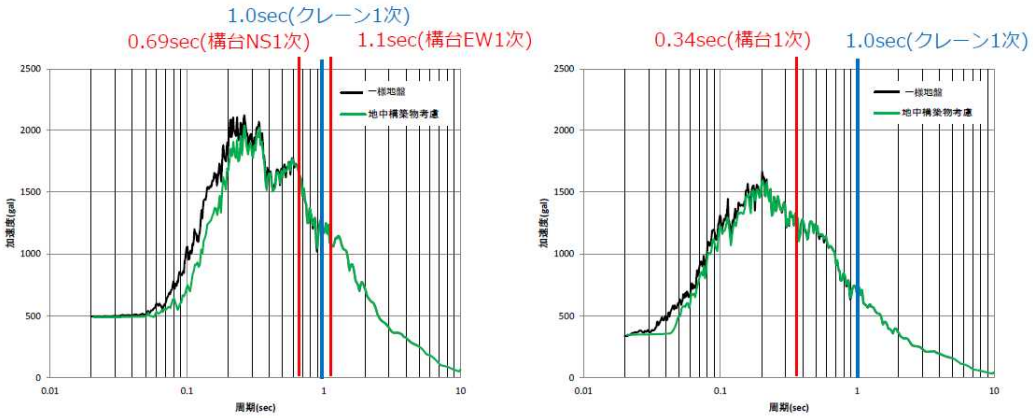



地盤FEMモデル

©Tokyo Electric Power Company Holdings, Inc. All Rights Reserved.　無断複製・転載禁止 東京電力ホールディングス株式会社

## 改良地盤部の地中構築物影響について

- 基礎下入力動の比較を以下に示す
- 水平動および鉛直動ともに，地中構築物を考慮した解析結果は，実施計画変更認可申請に記載した結果（地中構築物を考慮せず，一様な改良地盤と仮定し一次元波動論により算出（以下「一様地盤」と呼ぶ））と比較して，ほぼ同等で一部周期帯では下回る結果となった
- 以上より，架構，燃料取扱設備とも地中構築物を考慮せず，一様な改良地盤として評価する方が保守的な評価になっており，妥当であることを確認した

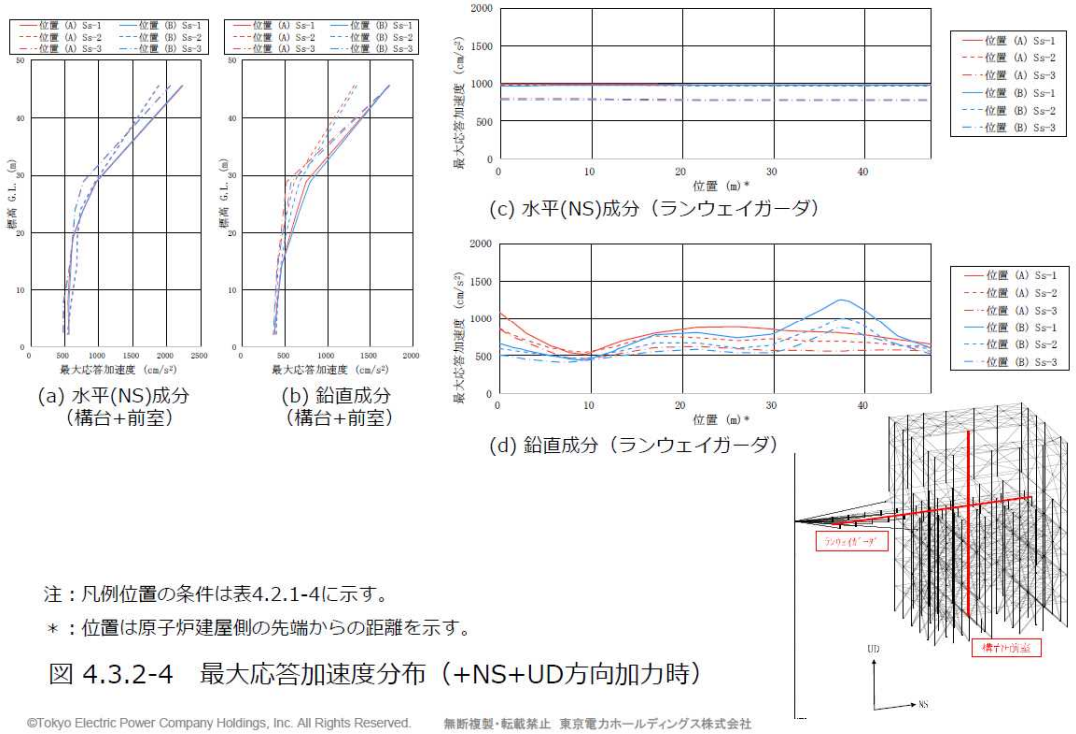



(a) 水平動　　(b) 鉛直動

基礎下入力動の加速度応答スペクトルの比較（基準地震動Ss-1，h=2%）

©Tokyo Electric Power Company Holdings, Inc. All Rights Reserved.　無断複製・転載禁止 東京電力ホールディングス株式会社

## 4.3.2 構台，前室およびランウェイガーダの耐震性に対する検討




(a) 水平(NS)成分（構台+前室）　(b) 鉛直成分（構台+前室）

(c) 水平(NS)成分（ランウェイガーダ）

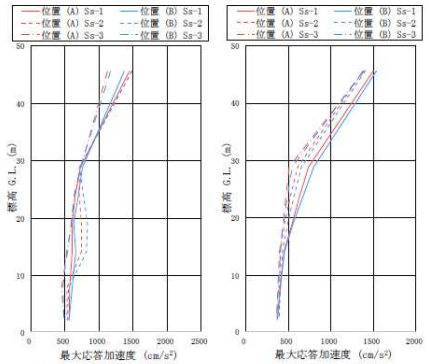
(d) 鉛直成分（ランウェイガーダ）

注：凡例位置の条件は表4.2.1-4に示す。

＊：位置は原子炉建屋側の先端からの距離を示す。

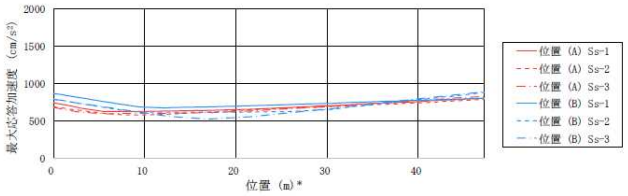
図 4.3.2-4　最大応答加速度分布（+NS+UD方向加力時）

©Tokyo Electric Power Company Holdings, Inc. All Rights Reserved.　無断複製・転載禁止 東京電力ホールディングス株式会社

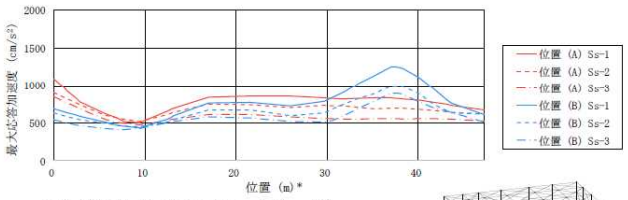



(a) 水平(EW)成分
（構台+前室）

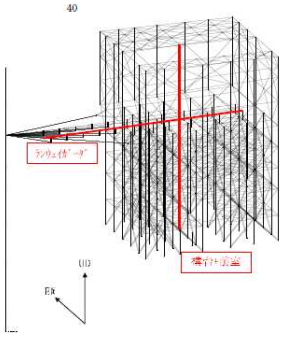
(b) 鉛直成分
（構台+前室）




(c) 水平(EW)成分（ランウェイガーダ）




(d) 鉛直成分（ランウェイガーダ）




注：凡例位置の条件は表4.2.1-4に示す。

＊：位置は原子炉建屋側の先端からの距離を示す。

図 4.3.2-5　最大応答加速度分布（+EW+UD方向加力時）

©Tokyo Electric Power Company Holdings, Inc. All Rights Reserved.　無断複製・転載禁止 東京電力ホールディングス株式会社

4.3.2 構台，前室およびランウェイガーダの耐震性に対する検討 TEPCO

■ 波及的影響の評価

地震応答解析結果が，JSCA 性能メニュー（社団法人日本建築構造技術者協会2018年3月）を参考に定めたクライテリア（「層間変形角は1/75 以下，層の塑性率は4 以下，部材の塑性率は5 以下」*及びせん断力はせん断耐力以下）を満足することを確認する。

＊：北村春幸，宮内洋二，浦本弥樹「性能設計における耐震性能判断基準値に関する研究」，日本建築学会構造系論文集，第604 号，2006 年6 月

表 4.3.2-7　最大応答層間変形角の検討結果

| 検討箇所 | 地震波 | 入力方向 (位置)* | 最大応答値 | ｸﾗｲﾃﾘｱ | 判定 |
|---|---|---|---|---|---|
| 構台<br>(1F-6F間)<br>G.L.28.894(m)<br>～G.L.2.060(m) | Ss-1 | NS（B） | 1/443 | 1/75 | O.K. |
| | | EW（B） | 1/320 | 1/75 | O.K. |
| | Ss-2 | NS（B） | 1/461 | 1/75 | O.K. |
| | | EW（B） | 1/280 | 1/75 | O.K. |
| | Ss-3 | NS（A） | 1/591 | 1/75 | O.K. |
| | | EW（B） | 1/262 | 1/75 | O.K. |

＊：(　)内は，燃料取扱設備の位置を示す。（表4.2.1-4参照）

©Tokyo Electric Power Company Holdings, Inc. All Rights Reserved.　無断複製・転載禁止 東京電力ホールディングス株式会社

## 4.3.2 構台，前室およびランウェイガーダの耐震性に対する検討

部材の応力度比は，2方向の曲げ，軸力及びせん断力の各最大応力と各許容応力度との比を組み合わせた値で表される。なお，材料強度は「建設省告示第2464号」に定められた基準強度F 値の1.1 倍を用いる。

表 4.3.2-8　断面検討結果

| 部位*1 | | | 部材形状(mm)<使用材料> | 荷重ケース(位置)*2 | 作用応力度(N/mm²) | | 許容応力度(N/mm²) | | 応力度比 | 判定 |
|---|---|---|---|---|---|---|---|---|---|---|
| 鉄骨部材 | ⓐ | 柱 | (X)H-700×300×36×36<br>(Y)H-700×350×36×40<br><SM490A> | Ss-3<br>+EW-UD<br>(B) | $\sigma_c$ | 43.4 | $f_c$ | 343 | 0.91 | O.K. |
| | | | | | $\sigma_{by}$ | 246.2 | $f_{by}$ | 337 | | |
| | | | | | $\sigma_{bz}$ | 17.1 | $f_{bz}$ | 357 | | |
| | | | | | $\tau$ | 18.8 | $f_s$ | 205 | | |
| | ⓑ | 梁 | H-750×350×40×40<br><SM490A> | Ss-3<br>+EW-UD<br>(B) | $\sigma_c$ | 24.1 | $f_c$ | 350 | 0.87 | O.K. |
| | | | | | $\sigma_{by}$ | 265.9 | $f_{by}$ | 352 | | |
| | | | | | $\sigma_{bz}$ | 5.0 | $f_{bz}$ | 357 | | |
| | | | | | $\tau$ | 41.5 | $f_s$ | 205 | | |
| | ⓒ | 鉛直ブレース | Φ-406.4×9.5<br><STK490> | Ss-1<br>+NS-UD<br>(B) | $\sigma_c$ | 214.2 | $f_c$ | 294 | 0.73 | O.K. |
| | ⓓ | ランウェイガーダ | □-1500×900×(80+40)×80<br><SN490B> | Ss-1<br>+NS-UDと+EW-UDとの包絡<br>(A) | $\sigma_c$ | 24.2 | $f_c$ | 323 | 0.35 | O.K. |
| | | | | | $\sigma_b$ | 85.4 | $f_b$ | 323 | | |
| | | | | | $\tau$ | 14.9 | $f_s$ | 186 | | |

*1：ⓐ～ⓓの符号は図 4.3.2-4の応力検討箇所を示す。
*2：( )内は，燃料取扱設備の位置を示す。（表4.2.1-4参照）

©Tokyo Electric Power Company Holdings, Inc. All Rights Reserved.　無断複製・転載禁止 東京電力ホールディングス株式会社

## JSCA性能メニューと損傷レベル

■ JSCA性能メニューに定められた各クライテリアの損傷レベルについて

| 対象 | | 性能評価項目 | | 損傷限界 | 安全限界余裕度 Ⅰ<br><性能限界余裕度 Ⅰ> | 安全限界余裕度 Ⅱ<br><性能限界余裕度 Ⅱ> | 安全限界<br><性能限界> |
|---|---|---|---|---|---|---|---|
| 建物挙動 | | $R$ (rad) | | 1/200 | 1/150 | 1/100 | 1/ 75 |
| 構造体 | 構造骨組(層) | $Q$ | | $Q_y$ | $Q_u$ | | |
| | | $\mu$ | | 1.0 | $\mu_u$ / 2.0 | $\mu_u$ / 1.33<br>< $\mu_u$ / 1.50 > | $\mu_u$ = 4.0<br>< $\mu_u$ = 3.0 > |
| | | $\eta$ | JASS6 型 | 0 | $\eta_u$ / 4.0 | $\eta_u$ / 1.77 | $\eta_u$ =10.7($\delta_v/\delta_{eq}$) |
| | | | ﾉﾝｽｶﾗｯﾌﾟ | 0 | $\eta_u$ / 4.0 | $\eta_u$ / 1.77 | $\eta_u$ =18.2($\delta_v/\delta_{eq}$) |
| | | | 梁端混用 | 0 | $\eta_u$ / 4.0 | $\eta_u$ / 1.77 | $\eta_u$ = 6.7($\delta_v/\delta_{eq}$) |
| | 構造部材 | $\gamma$ (%) | | 0 | 30 | 60 | 100 |
| | | $\mu_m$ | | 1.0 | $\mu_{mu}$ / 2.0 | $\mu_{mu}$ / 1.33 | $\mu_{mu}$ = 5.0 |
| | | $\eta_m$ | JASS6 型 | 0 | $\eta_{mu}$ / 4.0 | $\eta_{mu}$ / 1.77 | $\eta_{mu}$ = 21.5 |
| | | | ﾉﾝｽｶﾗｯﾌﾟ | 0 | $\eta_{mu}$ / 4.0 | $\eta_{mu}$ / 1.77 | $\eta_{mu}$ = 36.5 |
| | | | 梁端混用 | 0 | $\eta_{mu}$ / 4.0 | $\eta_{mu}$ / 1.77 | $\eta_{mu}$ = 13.5 |
| 制振免震部材 | | $\eta_d$ | | — | $\eta_{du}$ / 4.0 | $\eta_{du}$ / 1.77 | $\eta_{du}$ |
| | | $W_d$ | | — | $W_{du}$ / 4.0 | $W_{du}$ / 1.77 | $W_{du}$ |
| | | $\delta_1$ | | — | $\delta_{1u}$ / 2.0 | $\delta_{1u}$ / 1.33 | $\delta_{1u}$ |
| 建物の状態 | | | | 無被害<br>機能維持<br>修復不要 | 軽微な被害<br>主要機能確保<br>軽微な修復 | 小破<br>指定機能確保<br>小規模修復 | 中破<br>限定機能確保<br>中規模修復 |

※< >内は 2017 年版 JSCA 性能設計説明書において変更した項目

出典：JSCA性能設計説明書2017年版【耐震性能編】（社団法人日本建築構造技術者協会）

©Tokyo Electric Power Company Holdings, Inc. All Rights Reserved.　無断複製・転載禁止 東京電力ホールディングス株式会社

## JSCA性能メニューと損傷レベル

■ 地震によるＳ造建物の状態

| 被害の程度 | 軽微な被害 | 小　破 | 中　破 | 大　破 |
|---|---|---|---|---|
| 構造部材 | 無被害 | ほぼ無被害 | ブレースなどの一部に座屈などの損傷が生じる | 建物を支持する部材に座屈・破断が生じる |
| 外　壁 | ほぼ無被害 | 継目のシール材に剥離、ずれなどの損傷が生じる | 外装材の一部に損傷が生じるが、脱落はしない | 外装材が破損し、脱落が生じる |
| 内　壁 | 下地材の継目で仕上げ材（クロス）に亀裂などの損傷が生じる | 下地材の一部に損傷が生じる | 下地材に損傷が生じ、一部で脱落する | 下地材が破損し、脱落が生じる |
| 天　井 | ほぼ無被害 | 天井材の一部に損傷が生じる | 天井材に損傷が生じ、一部で脱落する | 天井材が破損し、脱落が生じる |

■ 中破の被災イメージ




出典：JSCA性能設計説明書2017年版【耐震性能編】（社団法人日本建築構造技術者協会）

©Tokyo Electric Power Company Holdings, Inc. All Rights Reserved.　無断複製・転載禁止　東京電力ホールディングス株式会社

## No.25 国交省で定められたF値の1.1倍適用の考え方

■燃料取り出し用構台に用いる鋼材は以下告示に定めるJIS規格品を用いるため適用可能。

告示　平12建告第2464号　第１・第３

鋼材等及び溶接部の許容応力度並びに材料強度の基準強度を定める件

建築基準法施行令（昭和25年政令第338号）第90条，第92条，第96条及び第98条の規定に基づき，鋼材等及び溶接部の許容応力度並びに鋼材等及び溶接部の材料強度の基準強度を次のように定める。

第１　表　鋼材等の許容応力度の基準強度（抜粋）

| 鋼材等の種類及び品質 | | | | | 基準強度(単位１平方ミリメートルにつきニュートン) |
|---|---|---|---|---|---|
| 炭素鋼 | 構造用鋼材 | SS400 | JIS G3101 | 鋼材の厚さが40ミリメートル以下のもの | 235 |
| | | SM490A | JIS G3106 | 鋼材の厚さが40ミリメートルを超え100以下のもの | 215 |
| | | SN490B | JIS G3136 | 鋼材の厚さが40ミリメートル以下のもの | 235 |
| | | SN490C | JIS G3136 | | |
| | | STK490 | JIS G3444 | 鋼材の厚さが40ミリメートルを超え100以下のもの | 295 |
| 異形鉄筋 | | SD295 | JIS G3112，JIS G3117 | - | 295 |
| | | SD345 | | - | 345 |

第３　鋼材等の材料強度の基準強度

一　鋼材等の材料強度の基準強度は，次号に定めるもののほか，第１の表の数値とする。**ただし，炭素鋼の構造用鋼材，丸鋼及び異形鉄筋のうち，同表に掲げるJISに定めるものについては，同表の数値のそれぞれ1.1倍以下の数値とすることができる。**

©Tokyo Electric Power Company Holdings, Inc. All Rights Reserved.　無断複製・転載禁止　東京電力ホールディングス株式会社

## 4.3.3 弾性支承の耐震性に対する検討

■ 弾性支承に作用する圧縮力による面圧が，圧縮限界強度以下となることを確認する。圧縮限界強度はゴム材料の弾性係数に応じて製品が規定する数値である。

表 4.3.3-1　弾性支承の耐震性に対する検討結果

| 設置位置 | 最大面圧発生ケース (位置)* | 圧縮限界強度σv (N/mm²) | 最大圧縮面圧 $\sigma_D$(N/mm²) | $\sigma_D/\sigma v$ | 判定 |
|---|---|---|---|---|---|
| 西側 | Ss-1+NS-UD(A) | 43.00 | 10.83 | 0.26 | O.K. |
| 東側 | Ss-1+NS-UD(A) | 43.00 | 10.83 | 0.26 | O.K. |

*：(　)内は，燃料取扱設備の位置を示す。（表4.2.1-4参照）

©Tokyo Electric Power Company Holdings, Inc. All Rights Reserved.　無断複製・転載禁止 東京電力ホールディングス株式会社

## 弾性支承の耐震性に対する検討

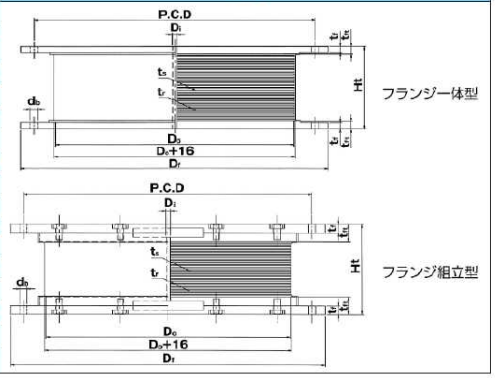
■ 下記製品相当品を使用予定

**出典:ブリヂストン建築免震用積層ゴム製品仕様一覧**2019 Vol.1

**天然ゴム系積層ゴム（NRB）**

国土交通省免震材料認定番号　MVBR-0295（N3、G3、G5）　取得：2006年1月
MVBR-0509/MVBR-0518（G4）　取得：2014年12月

**●製品形状**

| 各部の形状、寸法 | 項　目 | 解　説 |
|---|---|---|
| | ゴム外径 : $D_o$ (mm) |  |
| | ゴム内径 : $D_i$ (mm) | |
| | ゴム内径数 : $n_i$ | |
| | 有効断面積 : A (× $10^2$mm²) | |
| | ゴム一層厚 : $t_r$ (mm) | |
| | ゴム層数 : n | |
| | ゴム総厚 : H = n・$t_r$ (mm) | |
| | 1 次形状係数 $S_1 = (D_o^2 - n_i \cdot D_i^2)/(4 \cdot t_r(D_o + n_i \cdot D_i))$ | |
| | 2 次形状係数 $S_2 = D_o/(n \cdot t_r)$ | |
| | フランジ外径 : $D_f$ (mm) | |
| | フランジ厚さ：端部 / 中央部 : $t_f/t_{ft}$ (mm) | |
| | 取付ボルト穴 PCD : PCD (mm) | |
| | 取付ボルト穴径×数 : $d_b$ (mm) × 数 | |
| | 想定ボルトサイズ : M ($d_b$−3) | |
| | 内部鋼板厚さ : $t_s$ (mm) | |
| | 製品総高さ : $H_t$ (mm) | |
| | 製品総重量 1 (kN) = 1/9.80665 (tonf) | |

フランジ一体型

フランジ組立型

©Tokyo Electric Power Company Holdings, Inc. All Rights Reserved.　無断複製・転載禁止 東京電力ホールディングス株式会社

# 弾性支承の耐震性に対する検討

TEPCO

**出典：ブリヂストン建築免震用積層ゴム製品仕様一覧2019 Vol.1（つづき）**

## ●鉛直性能

### ■ 鉛直剛性 $K_V$

●鉛直剛性 $K_V$ は以下の式より算出します。

$$K_V = E_C \cdot \frac{A}{H} \qquad E_C = \frac{E(1+2\kappa S_1^2)}{1+E(1+2\kappa S_1^2)/E_\infty}$$

### ■ 圧縮限界強度（右図参照）

●せん断ひずみ 0 時の座屈面圧 $\sigma_{cr}$ は次式で決定しています。

$$\sigma_{cr} = \pi^2/4 \cdot \alpha_c \cdot (G_{eq} \cdot E_b)^{0.5} \cdot S_2$$

ただし、$E_b = E(1 + 2/3 \cdot \kappa \cdot S_1^2) / \{1 + E(1 + 2/3 \cdot \kappa \cdot S_1^2)/E_\infty\}$

$\alpha_c$：弊社試験データより定めた $S_2$ による補正係数

$S_2 \geq 5$ の場合：$\alpha_c = 1.0$　$S_2 < 5$ の場合：$\alpha_c = 0.10 \cdot (S_2 - 5) + 1$

●任意のせん断ひずみ $\gamma$ における圧縮限界強度 $\sigma_{cr}'(\gamma)$ は、$\sigma_{cr}$ を用いて次式で決定しています。

$$\sigma_{cr}'(\gamma) = \sigma_{cr} \cdot (1 - \beta_c \cdot \gamma / S_2)$$

$\beta_c$：弊社試験データより定めた $S_2$ による補正係数

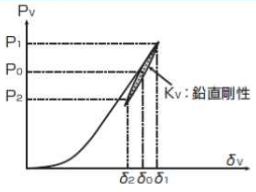
$S_2 \geq 5$ の場合：$\beta_c = 0.76$　$S_2 < 5$ の場合：$\beta_c = 0.76 / \{0.15 \cdot (S_2 - 5) + 1\}$

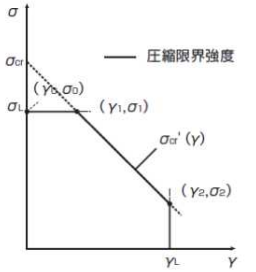
●圧縮限界強度はゴム材料の弾性係数に応じて以下の上限値 $\sigma_L$ を超えない領域までとし、ひずみ領域としては 0 面圧時の限界ひずみ $\gamma_L$ を超えない範囲までで規定しています。

ゴム材料（呼称）G0.30、G0.35 の場合：$\sigma_L = 40$　$(N/mm^2)$

ゴム材料（呼称）G0.40、G0.45 の場合：$\sigma_L = 60$　$(N/mm^2)$

$\gamma_L = 400\%$ または $S_2 \times 100\%$ のうち小さい値



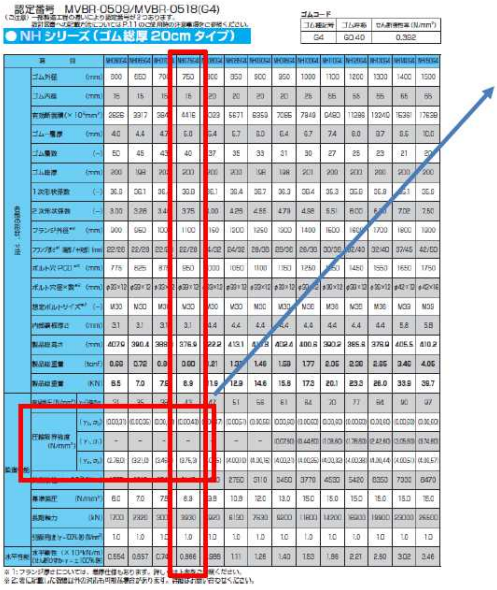




©Tokyo Electric Power Company Holdings, Inc. All Rights Reserved.　無断複製・転載禁止　東京電力ホールディングス株式会社

# 弾性支承の耐震性に対する検討

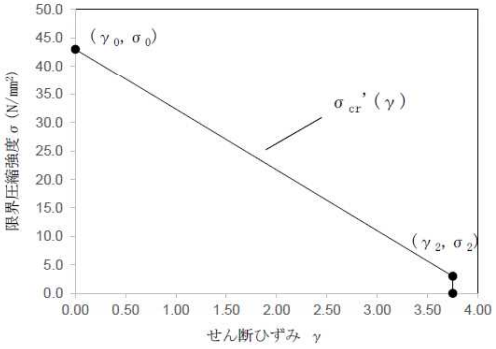
TEPCO

**出典：ブリヂストン建築免震用積層ゴム製品仕様一覧2019 Vol.1（つづき）**




装置性能

| せん断ひずみ | | 限界圧縮強度 | |
|---|---|---|---|
| $\gamma_0$ | 0.00 | $\sigma_0$ | 43.0 |
| $\gamma_2$ | 3.75 | $\sigma_2$ | 3.0 |



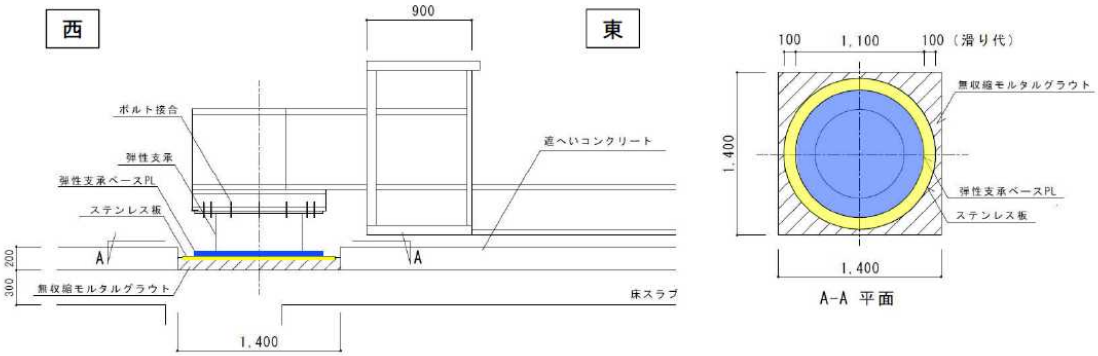

©Tokyo Electric Power Company Holdings, Inc. All Rights Reserved.　無断複製・転載禁止　東京電力ホールディングス株式会社

## 弾性支承の設置条件

- 次頁に示すように，弾性支承は原子炉建屋床面上にステンレス板を設置し，その上に直接設置する計画としているが，被ばく量の低減のためテフロン板，防塵カバーの設置や床面への固定は行わない
- Ss時の水平方向の最大応答相対変位は，NS方向で45mm，EW方向で71mmであり，滑り代100mm以下であるため，弾性支承がステンレス板上を滑動しても問題無い
- Ss時の水平方向の最大応答相対変位は，弾性支承のせん断変形に対する許容値400 mm（せん断歪みγ＝200%に相当）と比較し十分小さいことから，ベースプレートとステンレス板の摩擦により弾性支承が滑動しなかったとしても，地震により発生するせん断歪みで損傷することは無い
- 水平方向の摩擦力は地震時にランウェイガーダの応答を抑制する側に作用するため，地震応答解析では摩擦力を考慮せず，フリーの条件とすることは，ランウェイガーダの応答を保守的に評価することとなる
- 以上から，現状の摩擦力を考慮しない境界条件は，妥当だと判断している

©Tokyo Electric Power Company Holdings, Inc. All Rights Reserved.　無断複製・転載禁止　東京電力ホールディングス株式会社

## 弾性支承の設置条件




弾性支承設置概要図（単位：mm）

©Tokyo Electric Power Company Holdings, Inc. All Rights Reserved.　無断複製・転載禁止　東京電力ホールディングス株式会社

## 弾性支承の設置条件

【弾性支承（天然ゴム系積層ゴム）の耐放射線性】

- 弾性支承の放射線に対する耐久性は以下の文献を参照し，$10^6$rad （=1.0×$10^4$ Gy）程度であれば大きな劣化は起こらず問題無いと判断している
- 設置環境を仮定し，どの程度の照射量となるか試算した

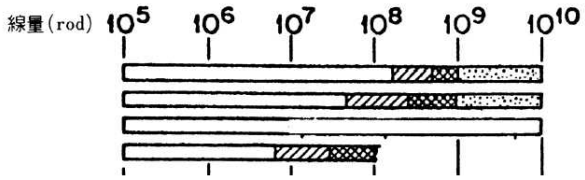
  2年×365日×24時間×19mSv/h* =332.9Sv → 332.9Gy ＜ 1.0×$10^4$ Gy

  使用限界線量に対し十分小さいことを確認した

＊：2021年2月～3月（除染及び遮蔽未実施）の実測値であり今後低減させる見込み

**Hydrocarbon Rubbers**

| | |
|---|---|
| **Natural Rubber** | |
| **Tensile Strength, psi** | **2600** |
| **Elongation at Break, %** | **420** |
| **Shore Hardness, Scale A** | **60** |
| **Compression Set, recovery, %** | **93** |




注）
- 初期値の80－100%が保持されている。
- 〃 50－ 80% 〃
- 〃 10－ 50% 〃
- 〃 0－ 10% 〃

出典：日本ゴム協会誌 第52巻 第2号(1979) ゴムの耐放射線性 町 末男

©Tokyo Electric Power Company Holdings, Inc. All Rights Reserved. 無断複製・転載禁止 東京電力ホールディングス株式会社

## 4.3.4 オイルダンパの耐震性に対する検討

各部位で用いられるオイルダンパの耐震性に対する検討は，地震応答解析における最大応答値が許容値以下であることを確認する。

表 4.3.4-1 オイルダンパ（水平棟間）の検討結果

| 検討 | 地震波 | 入力方向(位置)* | 最大応答値 | 許容値 | 判定 |
|---|---|---|---|---|---|
| オイルダンパ変位（mm） | Ss-1 | NS（B） | 50 | ±100 | O.K. |
| オイルダンパ速度（m/s） | Ss-2 | NS（B） | 0.54 | 0.70 | O.K. |

表 4.3.4-2 オイルダンパ（鉛直）の検討結果

| 検討 | 地震波 | 入力方向(位置)* | 最大応答値 | 許容値 | 判定 |
|---|---|---|---|---|---|
| オイルダンパ変位（mm） | Ss-3 | EW（B） | 18 | ±60 | O.K. |
| オイルダンパ速度（m/s） | Ss-1 | NS（B） | 0.16 | 0.50 | O.K. |

表 4.3.4-3 はね付きオイルダンパの検討結果

| 検討 | 地震波 | 入力方向(位置)* | 最大応答値 | 許容値 | 判定 |
|---|---|---|---|---|---|
| オイルダンパ変位（mm） | Ss-1 | NS（A） | 18 | ±100 | O.K. |
| オイルダンパ速度（m/s） | Ss-1 | NS（A） | 0.14 | 1.00 | O.K. |

＊：（ ）内は，燃料取扱設備の位置を示す。（表4.2.1-4参照）

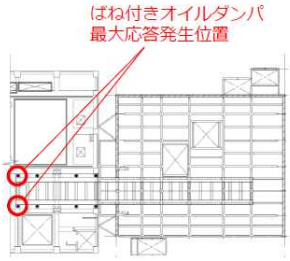
©Tokyo Electric Power Company Holdings, Inc. All Rights Reserved. 無断複製・転載禁止 東京電力ホールディングス株式会社

## ばね付きオイルダンパの設置条件

- 次頁に示すように，ばね付きオイルダンパの下面にはすべり材（テフロン板）を取付け，原子炉建屋床面上に設置したすべり板（ステンレス板）との間で接触させ，水平方向に滑動できる計画としており，剛すべり支承*1の機構を参考に水平力を負担しない条件とした
- Ss時の水平方向の最大応答相対変位は，NS方向で45mm，EW方向で76mmであり，滑り代100mm以下となっている
- Ss時の最大面圧は13.4N/mm²であり，基準面圧*2（20N/mm²）を下回ることから，面圧によるテフロンの損傷は起こらない
- ステンレス板（テフロンコーティング）とテフロン板との基準摩擦係数は0.013であり，非常に小さい
- 摩擦係数はばらつきや次頁の通り速度依存性や面圧依存性が有るため，設置条件を考慮し，保守的に摩擦係数を0.040と仮定すると，Ss時の応答解析結果から得られる最大発生軸力に，上記摩擦係数を掛けて得た最大摩擦力は，28kN（0.04×680kN（最大軸力））となり，ばね付きオイルダンパのせん断許容値である 40kN を下回る
- 一般的にオイルダンパは両端固定し設置し，伸方向/縮方向両方向で減衰力を発揮
- 一方剛すべり支承は長期荷重を負担し，地震時に荷重を逃がす形で設置
- 今回の設置方法は，オイルダンパ下部にすべり材（テフロン板）を備えており，縮方向のみ減衰力を発揮することや，長期荷重を負担しない部分にすべり材を設置することが一般的な設置条件と異なる
- なお，3号機燃料取り出し用カバーで2号燃料取り出し用構台と同様の設置方法を用いており，実績がある

＊1 すべり材（テフロン板）を備え，すべり板（ステンレス板）上を滑らせる構造とした，「剛すべり支承」は，一般建物の渡り廊下や免震建物の付属施設（エレベータ，階段，周辺低層部）の下部に用いられている

＊2 長期許容面圧に相当

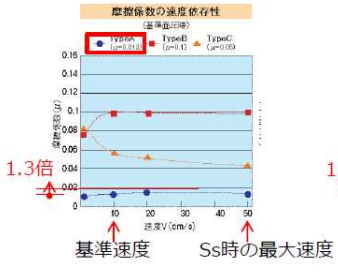


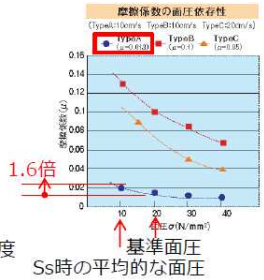

©Tokyo Electric Power Company Holdings, Inc. All Rights Reserved.　無断複製・転載禁止 東京電力ホールディングス株式会社

## ばね付きオイルダンパの設置条件

| | TypeA μ=0.013 | TypeB μ=0.1 | TypeC μ=0.05 |
|---|---|---|---|
| 長期鉛直荷重 | 100kN~10000kN | | |
| 短期鉛直荷重 | 200kN~20000kN（長期鉛直荷重x2.0） | | |
| 摩擦係数※1 | 0.013 | 0.1 | 0.05 |
| 基準面圧 | 20N/mm² | | 30N/mm² |
| 変位量※2 | ±500mm | | |

※1.TypeA,TypeBは正弦波最大速度10cm/sの時、TypeCは20cm/sの時を示しております。
※2.変位量は設計を考慮して広げることができます。




・摩擦係数のばらつき*：±30%
・速度依存性：＋30%
・面圧依存性：+60%

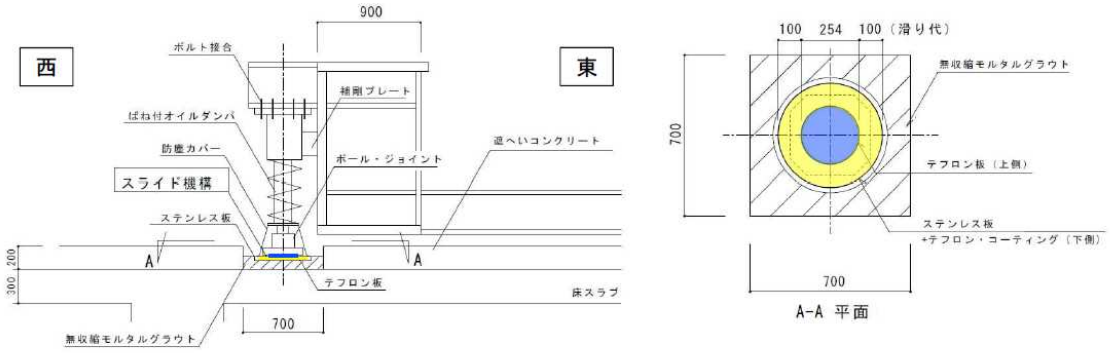
変動要因をすべて考慮した摩擦係数
0.013×1.3×1.3×1.6＝0.035　→　0.04と仮定

＊：設計で参照したカタログ（MVBR-0293）には記載がないものの，最新の大臣認定（MVBR-0606）のカタログを参照し設定

基準摩擦係数および摩擦係数の速度および面圧依存特性（出典：日本ピラー工業（株）カタログ）

©Tokyo Electric Power Company Holdings, Inc. All Rights Reserved.　無断複製・転載禁止 東京電力ホールディングス株式会社

## ばね付きオイルダンパの設置条件




ばね付きオイルダンパ設置概要図（単位：mm）

©Tokyo Electric Power Company Holdings, Inc. All Rights Reserved.　無断複製・転載禁止 東京電力ホールディングス株式会社

## ばね付きオイルダンパの設置条件

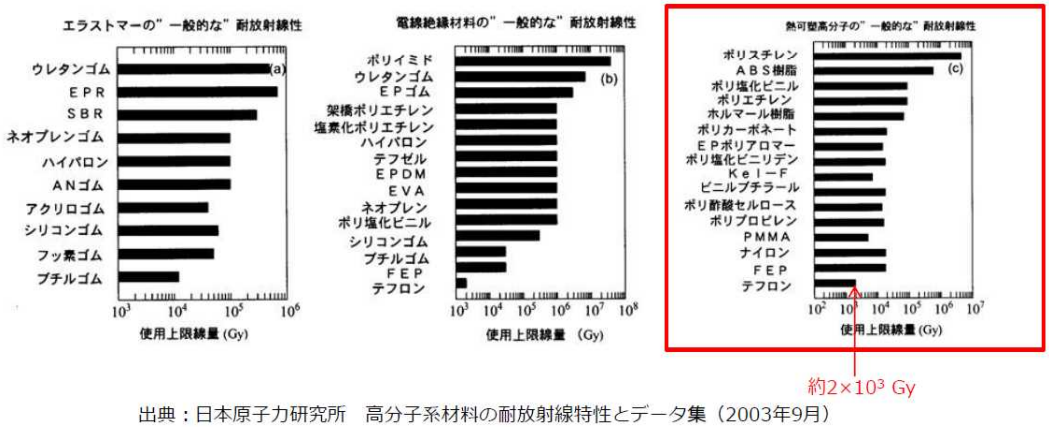
【テフロンの耐放射線性】

- テフロンの放射線に対する耐久性は以下によると，約2×10³ Gyと評価されている
- 設置環境を仮定し，どの程度の照射量となるか試算した

2年×365日×24時間×19mSv/h*＝332.9Sv　→　332.9Gy　＜　2000Gy

使用限界線量に対し十分小さいことを確認した

＊：2021年2月～3月（除染及び遮蔽未実施）の実測値であり今後低減させる見込み




出典：日本原子力研究所　高分子系材料の耐放射線特性とデータ集（2003年9月）

©Tokyo Electric Power Company Holdings, Inc. All Rights Reserved.　無断複製・転載禁止 東京電力ホールディングス株式会社

## 燃料取扱設備位置選定の妥当性について

TEPCO

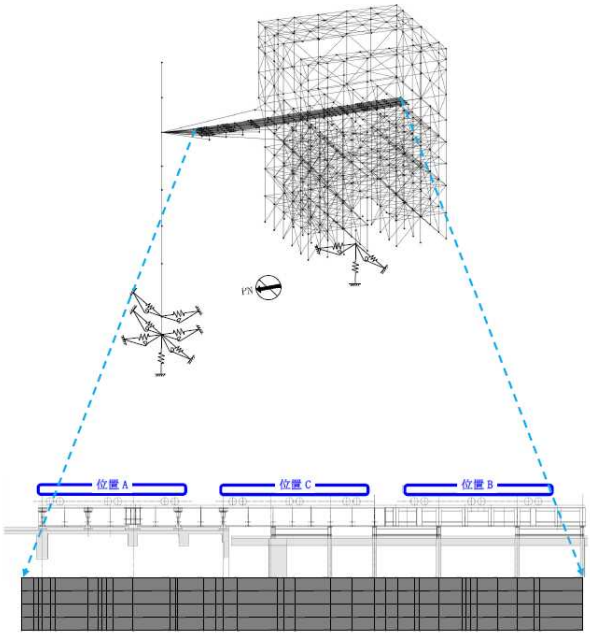
- 実施計画変更認可申請書において，燃料取扱設備が原子炉建屋側にある場合（位置 A）と構台内ある場合（位置 B）を，構造強度および耐震性の検討条件としていることの妥当性を確認するため，中間位置にある場合（以降 位置C）における走行台車位置応答，および燃料取り出し用構台を構成する各部材の応答結果の比較を行った

©Tokyo Electric Power Company Holdings, Inc. All Rights Reserved.　無断複製・転載禁止 東京電力ホールディングス株式会社

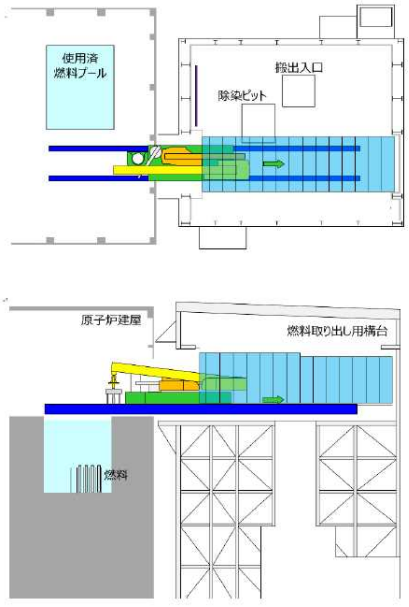
## 燃料取扱設備の位置の選定の妥当性について

TEPCO

- 燃料取扱設備の位置，および位置 C における作業姿勢は下図のとおり




燃料取扱設備位置図



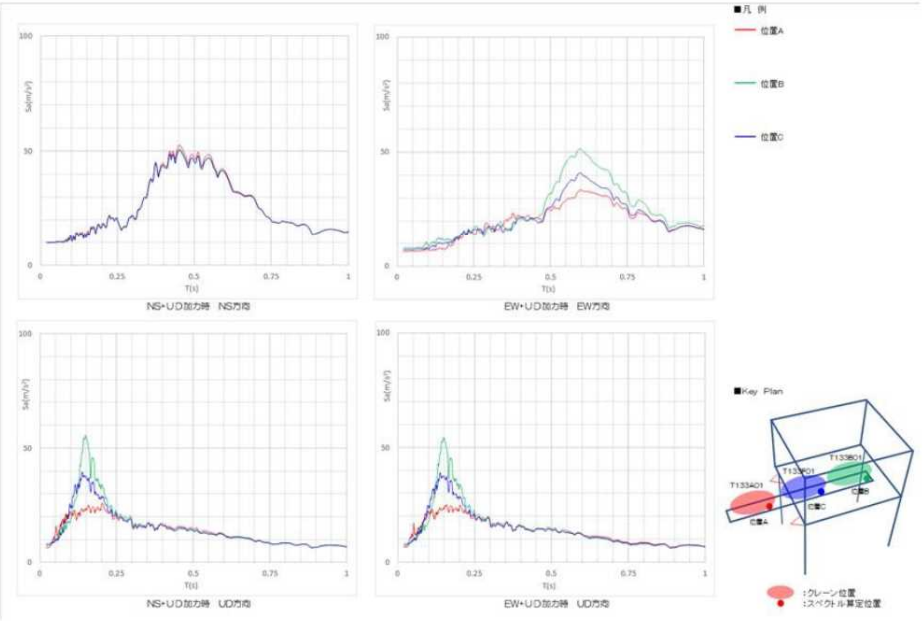

燃料取扱設備台車上の機器の姿勢

©Tokyo Electric Power Company Holdings, Inc. All Rights Reserved.　無断複製・転載禁止 東京電力ホールディングス株式会社

## 燃料取扱設備の位置の選定の妥当性について

TEPCO

- 位置Cにおける燃料取扱設備作業台車車輪位置での加速度応答スペクトルは，位置Aおよび位置Bにおける加速度応答スペクトルにほぼ包絡される形となり，中間位置での応答が燃料取扱設備に与える影響は十分に小さいことを確認した




©Tokyo Electric Power Company Holdings, Inc. All Rights Reserved. 無断複製・転載禁止 東京電力ホールディングス株式会社

## 燃料取扱設備の位置の選定の妥当性について

TEPCO

- 燃料取り出し用構台（鉄骨部材）の断面検討結果の比較は以下のとおり
- 位置の違いによる最大応力度比発生位置に違いは無く，位置Cの応答結果が位置A,Bの包絡値を下回ることを確認した

| 部位 | | | 部材形状(mm)<br><使用材料> | | 許容応力度<br>(N/mm²) | 位置A,B包絡値<br>作用応力度<br>(N/mm²) | 位置A,B包絡値<br>応力度比 | 位置C応答結果<br>作用応力度<br>(N/mm²) | 位置C応答結果<br>応力度比 |
|---|---|---|---|---|---|---|---|---|---|
| 鉄骨部材 | a | 柱 | (X)H-700×300×36×36<br>(Y)H-700×350×36×40<br><SM490A> | $f_c$ | 343 | 43.4 | 0.91 | 44.6 | 0.81 |
| | | | | $f_{by}$ | 337 | 246.2 | | 215.6 | |
| | | | | $f_{bz}$ | 357 | 17.1 | | 11.6 | |
| | | | | $f_s$ | 205 | 18.8 | | 16.5 | |
| | b | 梁 | H-750×350×40×40<br><SM490A> | $f_c$ | 350 | 24.1 | 0.87 | 21.1 | 0.76 |
| | | | | $f_{by}$ | 352 | 265.9 | | 231.4 | |
| | | | | $f_{bz}$ | 357 | 5.0 | | 4.3 | |
| | | | | $f_s$ | 205 | 41.5 | | 36.2 | |
| | c | 鉛直ブレース | Φ-406.4×9.5<br><STK490> | $f_c$ | 294 | 214.2 | 0.73 | 213.3 | 0.73 |
| | d | ランウェイガーダ | □-1500×900×(80+40)×80<br><SN490B> | $f_c$ | 323 | 24.2 | 0.35 | 10.3 | 0.27 |
| | | | | $f_b$ | 323 | 85.4 | | 73.3 | |
| | | | | $f_s$ | 186 | 14.9 | | 12.7 | |

燃料取り出し用構台（鉄骨部材）の断面検討結果比較

©Tokyo Electric Power Company Holdings, Inc. All Rights Reserved. 無断複製・転載禁止 東京電力ホールディングス株式会社

## 燃料取扱設備の位置の選定の妥当性について

TEPCO

- 弾性支承およびオイルダンパの応答結果の比較は以下のとおり
- 位置Cでの応答結果が位置A,Bの包絡値を下回ることを確認した
- 前頁に記載した，燃料取扱設備台車車輪位置での加速度応答スペクトル，燃料取り出し用構台（鉄骨部材）の断面検討結果と併せ，位置Aおよび位置Bを構造強度および耐震性の検討条件として選定することの妥当性を確認した

| | | | 位置A,B<br>包絡値 | 位置C<br>応答結果 |
|---|---|---|---|---|
| | | 許容値 | 最大応答値 | 最大応答値 |
| ｵｲﾙﾀﾞﾝﾊﾟ<br>(水平棟間) | 変位<br>(mm) | ±100 | 50 | 47 |
| | 速度<br>(m/s) | 0.70 | 0.54 | 0.52 |
| ｵｲﾙﾀﾞﾝﾊﾟ<br>(鉛直) | 変位<br>(mm) | ±60 | 18 | 16 |
| | 速度<br>(m/s) | 0.50 | 0.16 | 0.15 |
| ばね付き<br>ｵｲﾙﾀﾞﾝﾊﾟ | 変位<br>(mm) | ±100 | 18 | 8 |
| | 速度<br>(m/s) | 1.00 | 0.14 | 0.12 |

オイルダンパの応答結果比較

| | | 位置A,B<br>包絡値 | 位置C<br>応答結果 |
|---|---|---|---|
| 設置<br>位置 | 圧縮限界<br>強度<br>σv<br>(N/mm²) | 最大圧縮<br>面圧<br>$\sigma_D$<br>(N/mm²) | 最大圧縮<br>面圧<br>$\sigma_D$<br>(N/mm²) |
| 西側 | 43.00 | 10.83 | 5.87 |
| 東側 | 43.00 | 10.83 | 5.92 |

弾性支承の応答結果比較

＊：【4.3.5　1/2Ss450とSs600の応答結果の比較検討】については，「Ⅳ　２号燃料取り出し関連設備に対する1/2Ss450評価について」に記載するため，本資料では省略する

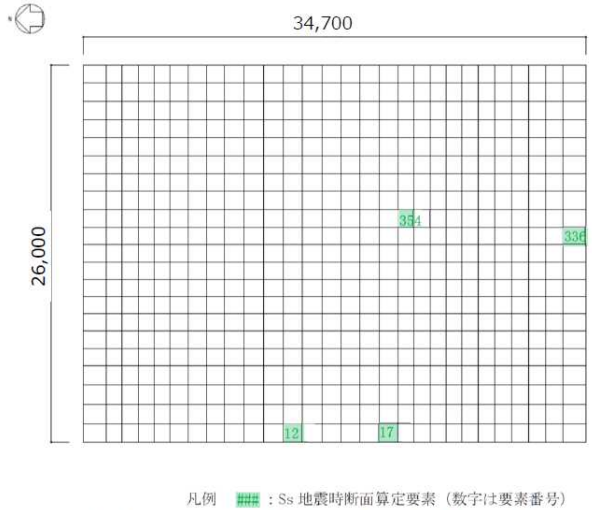
©Tokyo Electric Power Company Holdings, Inc. All Rights Reserved.　無断複製・転載禁止　東京電力ホールディングス株式会社

## 4.3.6 基礎の耐震性に対する検討

TEPCO

- 解析モデル

基礎の応力解析は，弾性地盤上に支持された版として有限要素法を用いて行う。解析モデルは下図に示すように四辺形の均質等方な板要素により構成し，支持地盤は等価な弾性ばねとしてモデル化する。但し，浮き上がった場合は，ばねの剛性が 0 となる。




凡例　###：Ss 地震時断面算定要素（数字は要素番号）

図 4.3.6-1　基礎モデル(Ss 地震時)

©Tokyo Electric Power Company Holdings, Inc. All Rights Reserved.　無断複製・転載禁止　東京電力ホールディングス株式会社

## 4.3.6 基礎の耐震性に対する検討

■ 断面検討

組合せた応力より，各要素の必要鉄筋比を「原子力施設鉄筋コンクリート構造計算規準・同解説（2013年8月）」より求め，設計配筋が必要鉄筋比を上回ること及び面外せん断力が許容せん断力以下であることを確認する。なお，各許容応力度及び引張耐力算定時の材料強度は「建設省告示第2464号」に定められた基準強度F 値の1.1 倍を用いる。

表 4.3.6-1　断面検討結果

| 要素番号 | 方向 | 荷重ケース（位置）*1 | 設計応力 N*2 (kN/m) | 設計応力 M (kN・m/m) | N/(b・D)*2 (×10-2 N/mm2) | M/(b・D2) (×10-2 N/mm2) | Pt (%) | 設計配筋 上段：上端筋 (pt:%) 下段：下端筋 (pt:%) | 設計面外せん断力 Q(kN/m) | 許容せん断力 fs・b・j (kN/m) | 判定 |
|---|---|---|---|---|---|---|---|---|---|---|---|
| 12 | NS | Ss-1 +NS-UD (A) | 382.3 | 11137.8 | 0.127 | 1.238 | 0.378 | 2-D38@200 (0.38)<br>3-D38@200 (0.57) | 542.8 | 2616 | O.K. |
| 336 | EW | Ss-3 +EW-UD (B) | 702.3 | 8453.6 | 0.234 | 0.939 | 0.261 | 2-D38@200 (0.38)<br>2-D38@200 (0.38) | 513.9 | 2663 | O.K. |
| 17 | NS | Ss-1 +NS-UD (A) | 485.8 | 3585.9 | 0.162 | 0.398 | 0.099 | 2-D38@200 (0.38)<br>2-D38@200 (0.38) | 2048.4 | 2663 | O.K. |
| 354 | EW | Ss-2 -EW+UD (B) | 700.2 | 4994.3 | 0.233 | 0.555 | 0.139 | 2-D38@200 (0.38)<br>2-D38@200 (0.38) | 1806.0 | 2663 | O.K. |

*1：燃料取扱設備の位置を示す。　*2：圧縮を正とする。

©Tokyo Electric Power Company Holdings, Inc. All Rights Reserved.　無断複製・転載禁止 東京電力ホールディングス株式会社

## 基礎版FEMの荷重条件と応力コンター

■ 基礎版の断面検定において最大検定比となる荷重ケースを下表に示す。検定比最大ケースの応力コンター図を次ページ以降に示す。

表：検定比最大ケース一覧

| 要素番号 | 方向 | 荷重ケース（位置）*1 | 設計応力 N*2 (kN/m) | 設計応力 M (kN・m/m) | N/(b・D)*2 (×10-2 N/mm2) | M/(b・D2) (×10-2 N/mm2) | Pt (%) | 設計配筋 上段：上端筋 (pt:%) 下段：下端筋 (pt:%) | せん断補強筋 (Pw:%) | 設計面外せん断力 Q(kN/m) | 許容せん断力 fs・b・j (kN/m) | 判定 |
|---|---|---|---|---|---|---|---|---|---|---|---|---|
| 12 | NS | Ss-1+NS -UD(A) | 382.3 | 11137.8 | 0.127 | 1.238 | 0.378 | 2-D38@200 (0.38)<br>3-D38@200 (0.57) | － | 542.8 | 2616 | O.K. |
| 336 | EW | Ss-3+EW -UD(B) | 702.3 | 8453.6 | 0.234 | 0.939 | 0.261 | 2-D38@200 (0.38)<br>2-D38@200 (0.38) | － | 513.9 | 2663 | O.K. |
| 17 | NS | Ss-1+NS -UD(A) | 485.8 | 3585.9 | 0.162 | 0.398 | 0.099 | 2-D38@200 (0.38)<br>2-D38@200 (0.38) | － | 2048.4 | 2663 | O.K. |
| 354 | EW | Ss-2-EW +UD(B) | 700.2 | 4994.3 | 0.233 | 0.555 | 0.139 | 2-D38@200 (0.38)<br>2-D38@200 (0.38) | － | 1806.0 | 2663 | O.K. |

*1：燃料設備の位置を示す。*2：圧縮を正とする。

■ 最大検定比が生じる要素が応力最大要素ではない。①配筋が異なること，②断面検定が応力の組み合わせを考慮しているためである。せん断力については最大検定比と最大応力の発生要素の領域が大きく異なるため，せん断力最大時の荷重ケースとコンター図も示す。

表：せん断応力最大ケース一覧

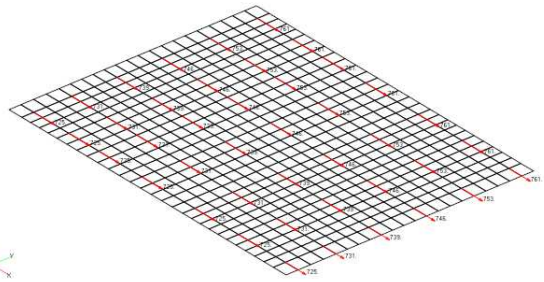
| 要素番号 | 方向 | 荷重ケース（位置）*1 | 設計応力 N*2 (kN/m) | 設計応力 M (kN・m/m) | N/(b・D) (×10-2 N/mm2) | M/(b・D2) (×10-2 N/mm2) | Pt (%) | 設計配筋 上段：上端筋 (pt:%) 下段：下端筋 (pt:%) | せん断補強筋 (Pw:%) | 設計面外せん断力 Q(kN/m) | 許容せん断力 α・fs・b・j Qa(kN/m) | 判定 |
|---|---|---|---|---|---|---|---|---|---|---|---|---|
| 587 | NS | Ss-1+NS+UD (A) | -152.6 | 431.5 | 0.051 | 0.048 | 0.021 | 2-D38@200 (0.38)<br>2-D38@200 (0.38) | D19@400×200<br>(0.36) | 2201.9 | 5992 | O.K. |
| 560 | EW | Ss-1+NS+UD (A) | 7.4 | 13.4 | 0.002 | 0.001 | 0 | 2-D38@200 (0.38)<br>2-D38@200 (0.38) | D19@400×200<br>(0.36) | 2014.1 | 5992 | O.K. |

*1：燃料設備の位置を示す。*2：圧縮を正とする。

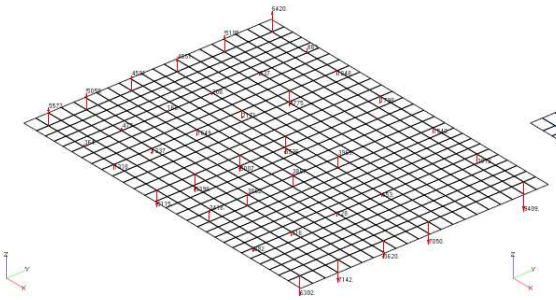
©Tokyo Electric Power Company Holdings, Inc. All Rights Reserved.　無断複製・転載禁止 東京電力ホールディングス株式会社

## 基礎版FEMの荷重条件と応力コンター

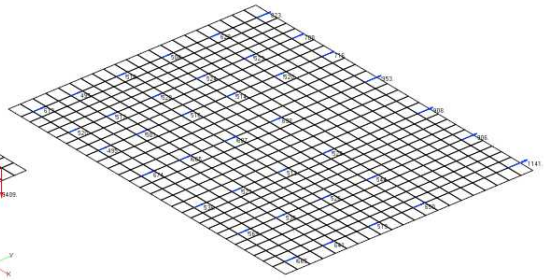
- 基礎の耐震性に対する検討では，基礎上部から受ける荷重として，柱反力（柱脚軸力・曲げモーメント・せん断力）を各柱位置の接点に入力する
- 上記に加え，基礎自重，水平方向並びに鉛直方向の慣性力，付加曲げ応力を入力する



柱脚せん断力Q



柱脚軸力N

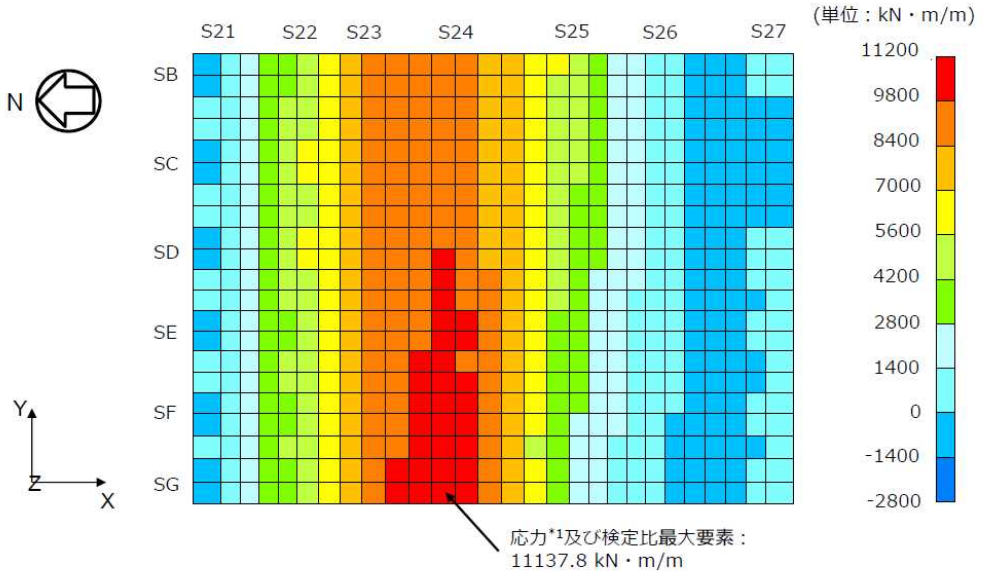


柱脚曲げモーメントM

荷重条件例：Ss-1+NS-UD(A)

©Tokyo Electric Power Company Holdings, Inc. All Rights Reserved.　無断複製・転載禁止　東京電力ホールディングス株式会社

## 基礎版FEMの荷重条件と応力コンター

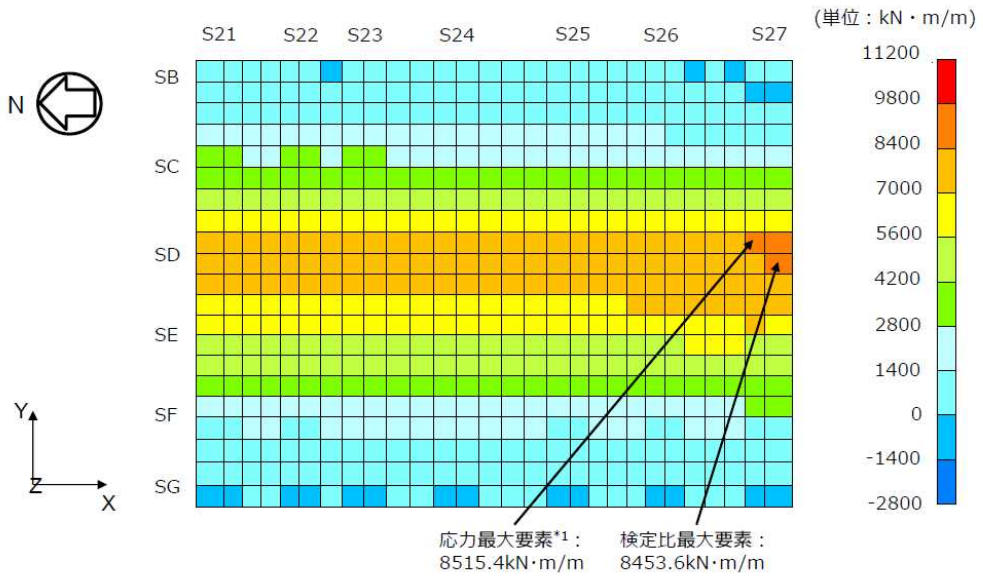



*1：本ケースにおける応力最大要素を示す。

応力コンター（Y軸まわり曲げモーメント）
応力及び検定比最大値発生荷重ケース： Ss-1+NS-UD(A)

©Tokyo Electric Power Company Holdings, Inc. All Rights Reserved.　無断複製・転載禁止　東京電力ホールディングス株式会社

## 基礎版FEMの荷重条件と応力コンター

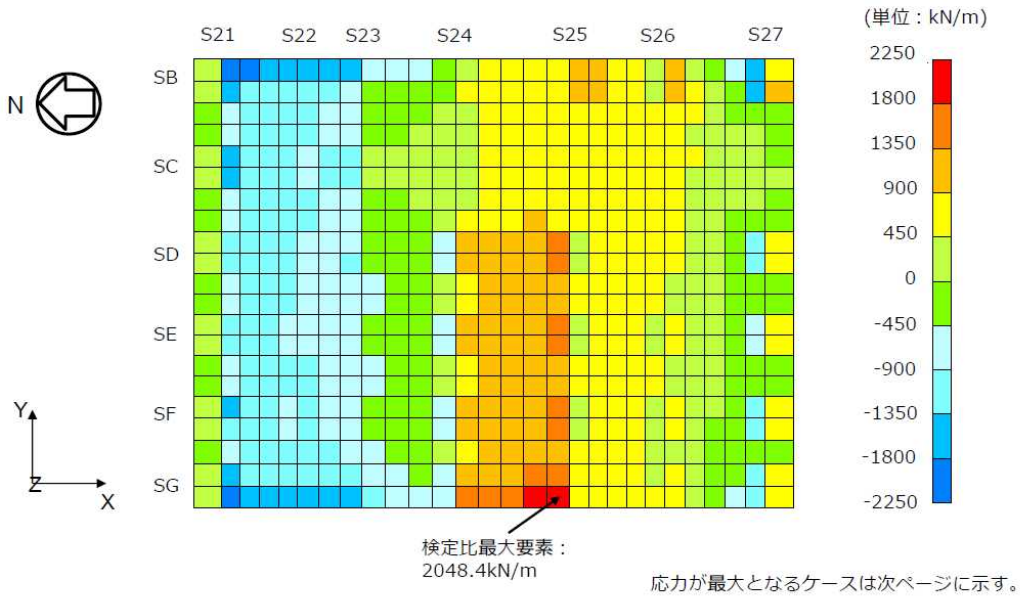



*1：本ケースにおける応力最大要素を示す。

応力コンター（X軸まわり曲げモーメント）
応力及び検定比最大値発生荷重ケース： Ss-3+EW-UD(B)

©Tokyo Electric Power Company Holdings, Inc. All Rights Reserved. 無断複製・転載禁止 東京電力ホールディングス株式会社

## 基礎版FEMの荷重条件と応力コンター

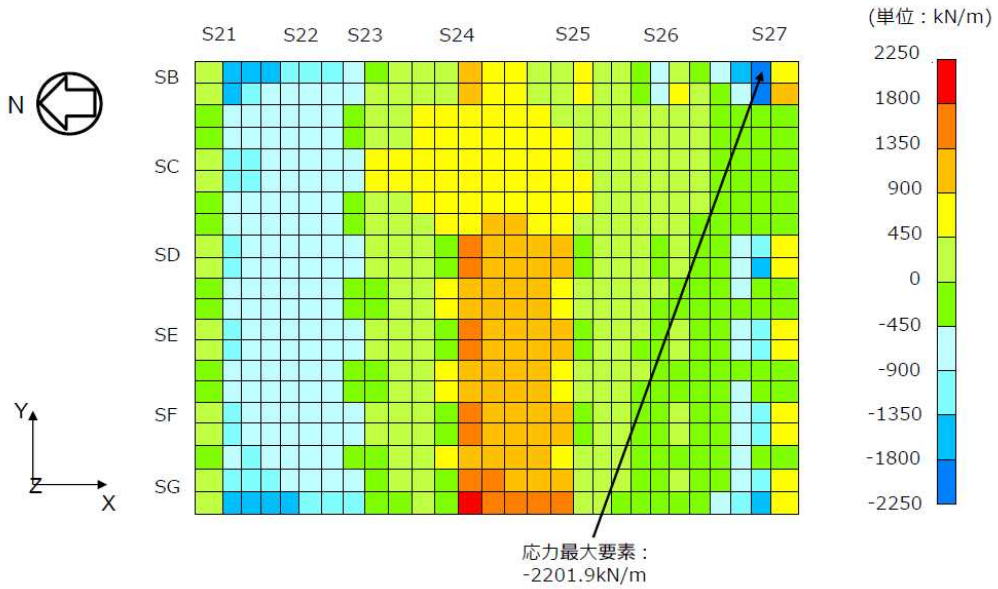



応力が最大となるケースは次ページに示す。

応力コンター（NS方向せん断力）
検定比最大値発生荷重ケース： Ss-1+NS-UD(A)

©Tokyo Electric Power Company Holdings, Inc. All Rights Reserved. 無断複製・転載禁止 東京電力ホールディングス株式会社

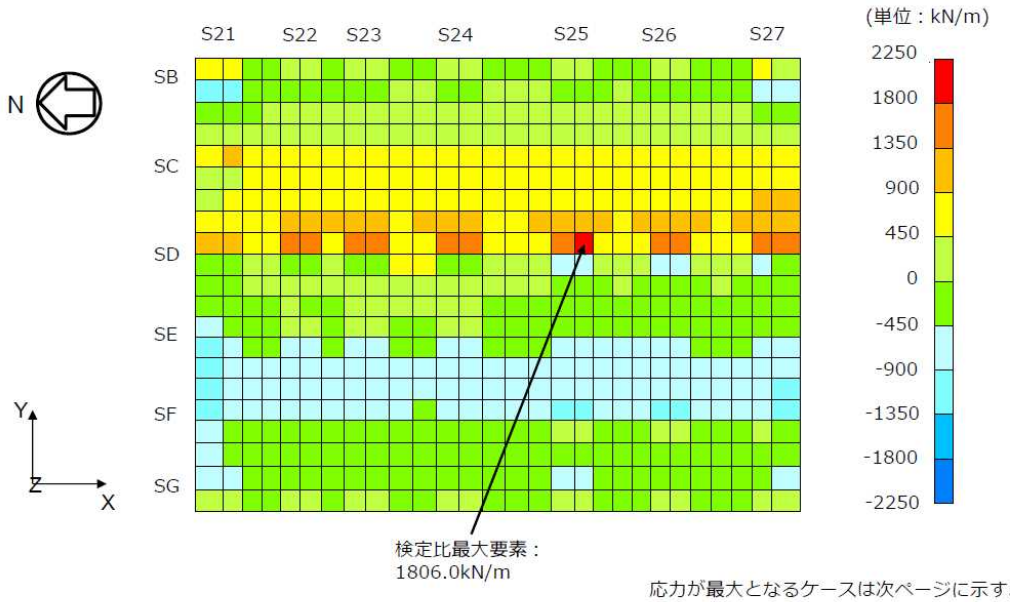
## 基礎版FEMの荷重条件と応力コンター




応力コンター（NS方向せん断力）
応力最大値発生荷重ケース： Ss-1+NS+UD(A)

©Tokyo Electric Power Company Holdings, Inc. All Rights Reserved. 無断複製・転載禁止 東京電力ホールディングス株式会社

## 基礎版FEMの荷重条件と応力コンター

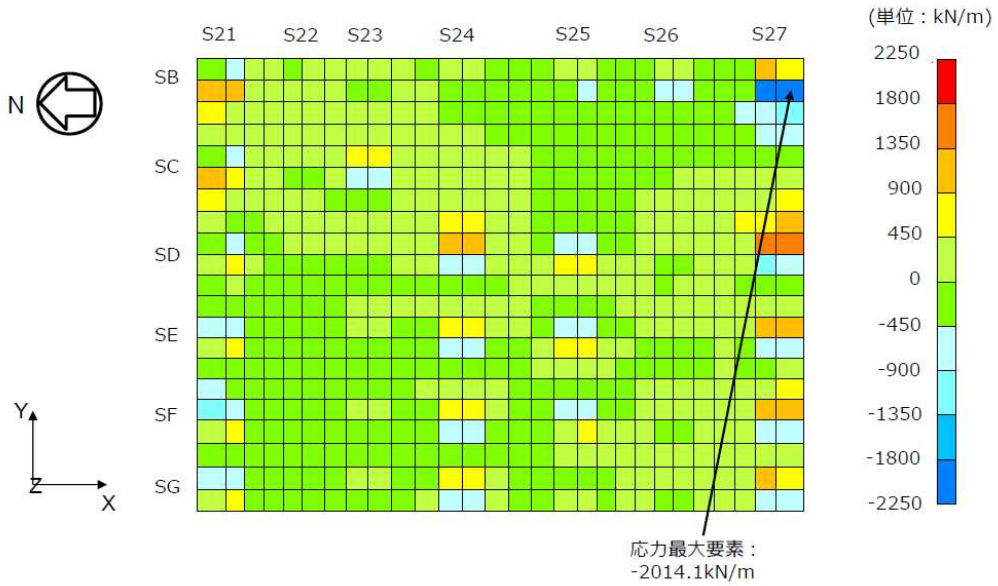



応力が最大となるケースは次ページに示す。

応力コンター（EW方向せん断力）
検定比最大値発生荷重ケース： Ss-2-EW+UD(B)

©Tokyo Electric Power Company Holdings, Inc. All Rights Reserved. 無断複製・転載禁止 東京電力ホールディングス株式会社

## 基礎版FEMの荷重条件と応力コンター



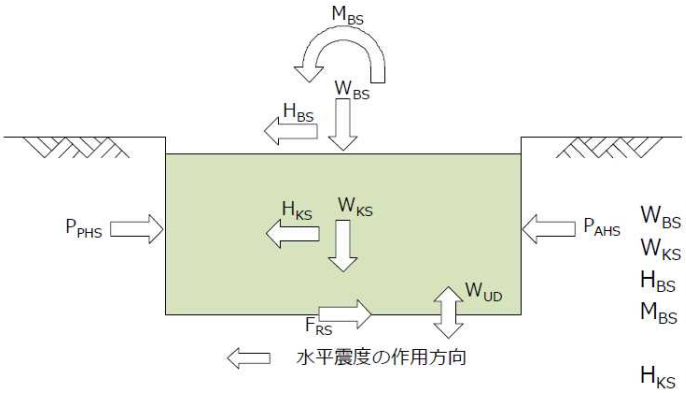

応力コンター（EW方向せん断力）
応力最大値発生荷重ケース： Ss-1+NS+UD(A)

©Tokyo Electric Power Company Holdings, Inc. All Rights Reserved. 無断複製・転載禁止 東京電力ホールディングス株式会社

## 4.3.7 改良地盤の耐震性に対する検討

■ 基準地震動Ss時に対する検討

検討は「JEAC 4616-2009」に準拠し，基準地震動Ssにより発生する荷重に対して許容限界を満足することを確認する。地震時において，改良地盤底面の最大接地圧及びせん断応力が，改良地盤の短期許容応力以下であることを確認する。




$W_{BS}$：燃料取り出し用構台荷重
$W_{KS}$：改良地盤の自重
$H_{BS}$：燃料取り出し用構台による水平力
$M_{BS}$：燃料取り出し用構台による改良地盤底面における転倒モーメント
$H_{KS}$：改良地盤の慣性力
$P_{AHS}$：地震時主働土圧による水平力
$P_{PHS}$：地震時受働土圧による水平力
$F_{RS}$：支持地盤のせん断抵抗力
$W_{UD}$：上下動による鉛直応力

図4.3.7-1　作用荷重（基準地震動Ss時）

©Tokyo Electric Power Company Holdings, Inc. All Rights Reserved. 無断複製・転載禁止 東京電力ホールディングス株式会社

## 4.3.7 改良地盤の耐震性に対する検討

TEPCO

### ■ 改良地盤に生じる鉛直応力に対する検討

改良地盤に作用する鉛直応力に対し改良地盤の圧縮強度の安全率が1.5以上であることを確認する。

$$\frac{{}_{SS}f_{SC}}{\sigma_{ymax}} \geqq 1.5$$

ここで，${}_{SS}f_{SC}$：改良地盤の圧縮強度
$\sigma_{ymax}$：有限要素解析による各要素の鉛直応力の最大値

改良地盤の圧縮強度（${}_{SS}f_{SC}$）は，「JEAC 4616-2009」により改良地盤の圧縮強度の平均値である設計圧縮強度5000 kN/m²とし，断面欠損を考慮した場合 4900 kN/m²とする。

表4.3.7-1　改良地盤の鉛直応力に対する検討結果

| 方向 | 最大鉛直応力<br>発生地震波 | 最大鉛直応力<br>$\sigma_{ymax}$(kN/m²) | 圧縮強度<br>${}_{SS}f_{SC}$(kN/m²) | 安全率 | ｸﾗｲﾃﾘｱ | 判定 |
|---|---|---|---|---|---|---|
| NS | Ss-1 | 761 | 4900 | 6.43 | 1.50 | OK |
| EW | Ss-2 | 793 | 4900 | 6.17 | 1.50 | OK |

©Tokyo Electric Power Company Holdings, Inc. All Rights Reserved.　無断複製・転載禁止 東京電力ホールディングス株式会社

## 4.3.7 改良地盤の耐震性に対する検討

TEPCO

### ■ 改良地盤に作用するせん断力に対する検討

検討は，改良地盤の基礎直下及び改良地盤下端のせん断力について行う。改良地盤上端及び下端にせん断面を想定し，せん断に対する安全率$F_S$が1.5以上であることを確認する。

$$F_S = \frac{F_R}{F_H} \geqq 1.5$$

ここで，$F_S$:せん断に対する安全率
$F_R$:せん断面上の地盤の水平抵抗力（kN）
$F_H$:せん断面上の地盤のせん断力（kN）

表 4.3.7-2　改良地盤のせん断力に対する検討結果（基礎直下）

| 方向 | 最大せん断力<br>発生地震波 | 最大せん断力<br>$F_H$(kN) | 水平抵抗力<br>$F_R$(kN) | 安全率<br>$F_S$ | ｸﾗｲﾃﾘｱ | 判定 |
|---|---|---|---|---|---|---|
| NS | Ss-2 | 56816 | 676650 | 11.90 | 1.50 | OK |
| EW | Ss-1 | 55076 | 676650 | 12.28 | 1.50 | OK |

表 4.3.7-3　改良地盤のせん断力に対する検討結果（改良地盤下端）

| 方向 | 最大せん断力<br>発生地震波 | 最大せん断力<br>$F_H$(kN) | 水平抵抗力<br>$F_R$(kN) | 安全率<br>$F_S$ | ｸﾗｲﾃﾘｱ | 判定 |
|---|---|---|---|---|---|---|
| NS | Ss-2 | 105335 | 676650 | 6.42 | 1.50 | OK |
| EW | Ss-1 | 106956 | 676650 | 6.32 | 1.50 | OK |

©Tokyo Electric Power Company Holdings, Inc. All Rights Reserved.　無断複製・転載禁止 東京電力ホールディングス株式会社

## 4.3.7 改良地盤の耐震性に対する検討

TEPCO

■ 支持力の検討

支持力の評価は，改良地盤下端における最大鉛直応力が支持地盤の極限支持力度に対して1.5以上の安全率を有していることを確認する。

$$\frac{R_u}{V} \geqq 1.5$$

ここで，$R_u$：極限鉛直支持力度
V：地震応答解析から得られる最大鉛直応力

表 4.3.7-4　支持地盤の鉛直応力に対する検討結果

| 方向 | 最大鉛直応力発生地震波 | 最大鉛直応力 V (kN/m²) | 支持地盤の極限支持力度 Ru (kN/m²)* | 安全率 $F_s$ | ｸﾗｲﾃﾘｱ | 判定 |
|---|---|---|---|---|---|---|
| NS | Ss-1 | 761 | 6860 | 9.01 | 1.50 | OK |
| EW | Ss-2 | 793 | 6860 | 8.65 | 1.50 | OK |

＊：「福島第一原子力発電所 原子炉設置変更許可申請書（４号炉増設）」による。

©Tokyo Electric Power Company Holdings, Inc. All Rights Reserved.　無断複製・転載禁止 東京電力ホールディングス株式会社

## 4.3.8 原子炉建屋接触部の耐震性に対する検討

TEPCO

■ 弾性支承反力に対する検討

地震応答解析で得られる弾性支承に生ずる最大圧縮軸力の反力として原子炉建屋のRC梁に生じるせん断力が，梁の許容せん断耐力以下となることを確認する。

表 4.3.8-1　弾性支承反力に対する検討結果

| 部位 | 地震波 | 入力方向 | 梁端せん断力Q(kN) | 許容せん断耐力Qa(kN) | 耐力比 | 判定 |
|---|---|---|---|---|---|---|
| 弾性支承受梁 | Ss-1 | NS(A)* | 1203 | 2313 | 0.52 | O.K. |

＊：(　)内は，燃料取扱設備の位置を示す。（表4.2.1-4参照）

■ ばね付きオイルダンパの反力に対する検討

ばね付きオイルダンパの反力を受ける原子炉建屋床架構を有限要素法を用いてモデル化し弾性解析を行う。床スラブは板要素で，大梁は線材でモデル化する。

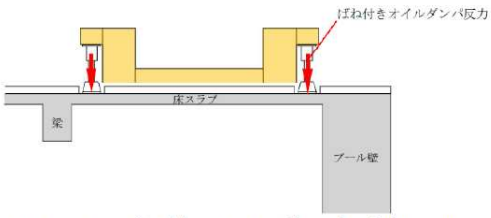



図 4.3.8-1　ばね付きオイルダンパ反力概要図

表 4.3.8-2　ばね付きオイルダンパの反力に対する検討結果

| 部位 | 地震波 | 入力方向 | 応力 | 発生応力 | 許容耐力 | 耐力比 | 判定 |
|---|---|---|---|---|---|---|---|
| ばね付きオイルダンパ受け床スラブ | Ss-1 | NS(A)* | 曲げM (kNm/m) | 79 | 216 | 0.37 | O.K. |
| | | | せん断Q(kN/m) | 321 | 420 | 0.77 | O.K. |

＊：(　)内は，燃料取扱設備の位置を示す。（表4.2.1-4参照）

©Tokyo Electric Power Company Holdings, Inc. All Rights Reserved.　無断複製・転載禁止 東京電力ホールディングス株式会社

## 4.3.8 原子炉建屋接触部の耐震性に対する検討

■ オイルダンパ（水平棟間）反力に対する検討

オイルダンパ（水平棟間）の反力を受ける原子炉建屋南側外壁（壁・大梁及び柱）を有限要素法を用いてモデル化し，弾性解析を行う。壁付梁は板要素で，柱は線材でモデル化する。オイルダンパ（水平棟間）の反力を受ける箇所は2箇所あるが，面外方向の反力値が大きく，躯体断面の小さい西側での検定比が支配的となるため西側での検討を代表として行う。

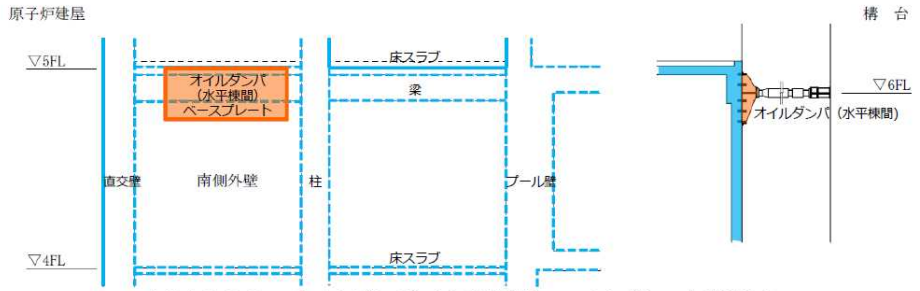



図 4.3.8-2　オイルダンパ（水平棟間）ベースプレート概要図

表 4.3.8-3　オイルダンパ（水平棟間）反力に対する検討結果

| 部位 | 地震波 | 入力方向 | 応力 | 発生応力 | 許容耐力 | 耐力比 | 判定 |
|---|---|---|---|---|---|---|---|
| オイルダンパ（水平棟間）受け外壁 | Ss-2 | NS(B)* | 曲げM (kNm/m) | 206 | 422 | 0.49 | O.K. |
| | | | せん断Q(kN/m) | 273 | 589 | 0.47 | O.K. |

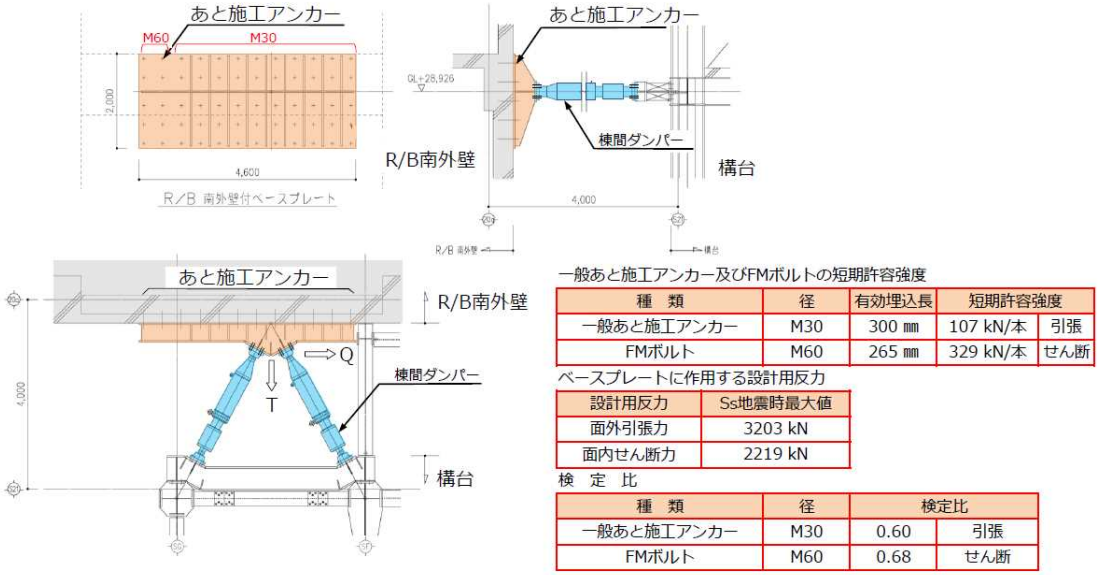
＊：(　)内は，燃料取扱設備の位置を示す。（表4.2.1-4参照）

©Tokyo Electric Power Company Holdings, Inc. All Rights Reserved.　無断複製・転載禁止　東京電力ホールディングス株式会社

## 棟間ダンパー R/B南外壁接続について

■ 棟間ダンパは，R/B南側外壁のオペフロより下がった位置で，あと施工アンカー（M30及びM60 の2種類）　を用いて壁面に固定されたベースプレートと接続している。

■ あと施工アンカーは，地震応答解析で得られた棟間ダンパのR/B側節点反力（引張及びせん断方向）の最大値に対して短期許容強度を用いて必要本数を算出して配置している。




一般あと施工アンカー及びFMボルトの短期許容強度

| 種　類 | 径 | 有効埋込長 | 短期許容強度 | |
|---|---|---|---|---|
| 一般あと施工アンカー | M30 | 300 ㎜ | 107 kN/本 | 引張 |
| FMボルト | M60 | 265 ㎜ | 329 kN/本 | せん断 |

ベースプレートに作用する設計用反力

| 設計用反力 | Ss地震時最大値 |
|---|---|
| 面外引張力 | 3203 kN |
| 面内せん断力 | 2219 kN |

検　定　比

| 種　類 | 径 | 検定比 | |
|---|---|---|---|
| 一般あと施工アンカー | M30 | 0.60 | 引張 |
| FMボルト | M60 | 0.68 | せん断 |

©Tokyo Electric Power Company Holdings, Inc. All Rights Reserved.　無断複製・転載禁止　東京電力ホールディングス株式会社

## あと施工アンカーの適用性と妥当性について

TEPCO

- M30アンカーボルトの設計は，「各種合成構造設計指針・同解説（日本建築学会）」「4.5接着系アンカーボルトの設計」，及び「あと施工アンカー工法・製品評価認証書 セメフォースアンカー150，セメフォースアンカー500」（日本建築あと施工アンカー協会　認証番号：第17-0005号）による

- 以下の通り，M30のアンカーボルトの設計方法及び工法は妥当であると判断する
  - 躯体コンクリートの設計基準強度は22.1N/mm2であり，各種合成構造設計指針の適用範囲内（18～48N/mm2）である
  - アンカーボルト材料はSNR400であり，各種合成構造設計指針の適用範囲内である
  - 接着材は「あと施工アンカー工法・製品評価認証書」を取得した材料を用いる
  - セメフォースアンカーの製品評価認証書に定めてあるアンカーボルト径はD22までだが，D22を超える太径アンカー筋に対する無機系あと施工アンカーの付着強度に対する知見は土木学会論文に記載されており，D51まで各種合成構造設計指針の付着強度以上が確保されていることを確認していることから，適用には問題無い

- 本アンカーボルトは無機系材料（セメント系）を使用しており，耐久性や耐放射線性はコンクリート躯体同等である

©Tokyo Electric Power Company Holdings, Inc. All Rights Reserved.　無断複製・転載禁止 東京電力ホールディングス株式会社

## あと施工アンカーの適用性と妥当性について

TEPCO

- M60のアンカーボルトの設計は，「評定書（工法等）　FMボルト工法」（日本建築センター　BCJ評定-SS0031-01）による
- 本評定書において，構造設計方法及び工法が妥当であることが示されている

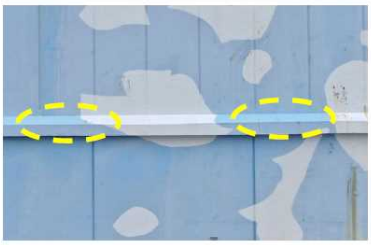
- 以下の通り，M60のアンカーボルトの設計方法及び工法は妥当であると判断する
  - 躯体コンクリートの設計基準強度は22.1N/mm2であり，評定書の適用範囲内（21～42N/mm2）である
  - アンカーボルト材料はSNR400であり，評定書の適用範囲内である
  - 接着材は評定書で指定された材料である
  - アンカーボルト径M60は評定書の適用範囲内（30～60mm）である

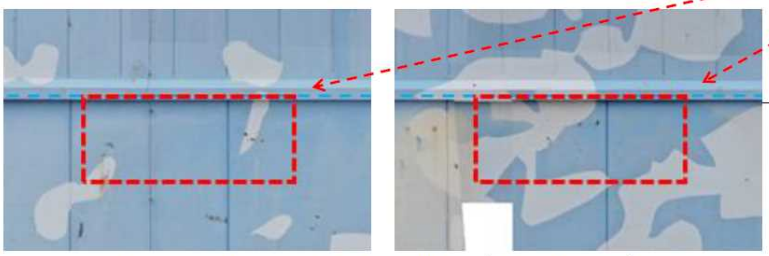
- 本アンカーボルトは無機系材料（セメント系）を使用しており，耐久性や耐放射線性はコンクリート躯体同等である

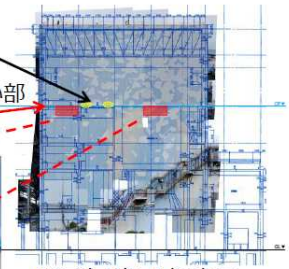
©Tokyo Electric Power Company Holdings, Inc. All Rights Reserved.　無断複製・転載禁止 東京電力ホールディングス株式会社

## 原子炉建屋接触部の状況について（1）

- 現在に至るまでに該当箇所に損傷や劣化が生じていないかを，遠隔カメラによる画像で確認している。
- オイルダンパ（水平棟間）取り合い部およびばね付きオイルダンパ設置部の損傷は，3号機水素爆発によると思われる塗装面の傷が若干見られる程度であり，躯体構造に及ぼす影響は生じていない。





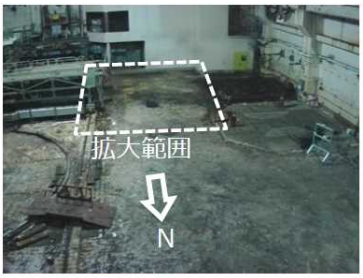
原子炉建屋南壁面
合成写真

ドローンカメラによる遠隔撮影（2020/6/29）

©Tokyo Electric Power Company Holdings, Inc. All Rights Reserved.　無断複製・転載禁止　東京電力ホールディングス株式会社

## 原子炉建屋接触部の状況について（2）

- 弾性支承およびばね付きオイルダンパ設置位置となる原子炉建屋オペレーティングフロア床面上部には大きな損傷は無く，躯体構造に及ぼす影響は生じていない。




オペフロ全景




原子炉建屋天井監視カメラにより遠隔撮影した
合成写真（2021/4/15）

©Tokyo Electric Power Company Holdings, Inc. All Rights Reserved.　無断複製・転載禁止　東京電力ホールディングス株式会社

## 4.3.9 原子炉建屋の耐震性に対する検討

TEPCO

■ 検討方針

燃料取り出し用構台を支持する原子炉建屋の耐震性の検討は，耐震安全上重要な設備への波及的影響防止の観点から，原子炉建屋の耐震壁及び屋根トラス（以下，原子炉建屋上部架構）の健全性について行い，基準地震動Ssに対して原子炉建屋上部架構の応答性状を適切に表現できる地震応答解析を用いて評価する。

■ 解析に用いる入力地震動

原子炉建屋上部架構の地震応答解析に用いる入力地震動は，基準地震動Ssを入力したときの原子炉建屋G.L.29.92mの時刻歴応答加速度とし，水平方向，回転方向及び鉛直方向の同時入力とする。入力地震動の概念図を図 4.3.9-1に示す。

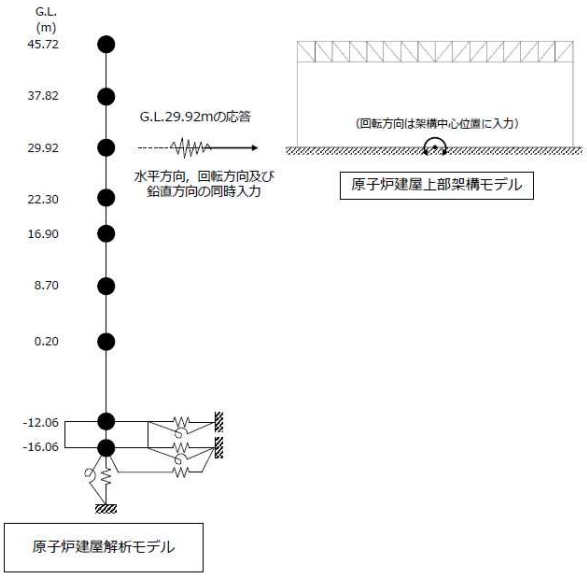



図 4.3.9-1　入力地震動の概念図

©Tokyo Electric Power Company Holdings, Inc. All Rights Reserved.　無断複製・転載禁止 東京電力ホールディングス株式会社

## 4.3.9 原子炉建屋の耐震性に対する検討

TEPCO

■ 地震応答解析モデル

原子炉建屋上部架構の地震応答解析モデルは，G.L.29.92mより上部の鉄骨造の屋根と鉄筋コンクリート造の柱，梁及び耐震壁を組み込んだ立体架構モデルとし，境界条件は柱及び耐震壁脚を固定とする。

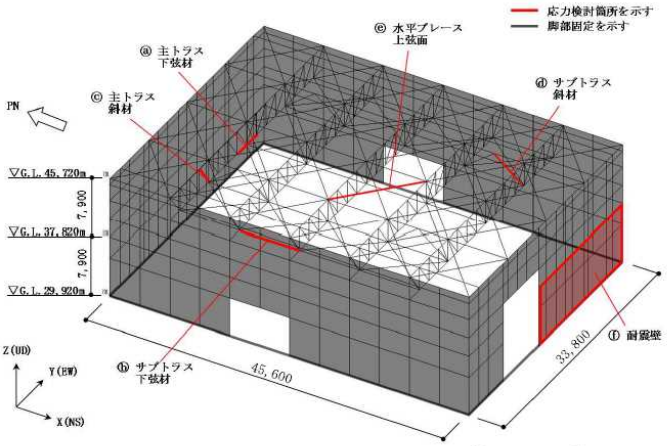



図 4.3.9-2　原子炉建屋上部架構の地震応答解析モデル

表 4.3.9-1　地震応答解析に用いる物性値

| 部　位 | 材　料 | ヤング係数 E (N/mm²) | せん断弾性係数 G (N/mm²) | 減衰定数 h (%) |
|---|---|---|---|---|
| 屋根 | 鉄骨 | $2.05\times10^5$ | $7.90\times10^4$ | 2 |
| 外周部 | コンクリート* | $2.57\times10^4$ | $1.07\times10^4$ | 5 |

*：実強度(Fc35)に基づく物性値を示す。

©Tokyo Electric Power Company Holdings, Inc. All Rights Reserved.　無断複製・転載禁止 東京電力ホールディングス株式会社

## 4.3.9 原子炉建屋の耐震性に対する検討

TEPCO

■ 波及的影響の評価

原子炉建屋上部架構の変形は，JSCA性能メニュー（社団法人日本建築構造技術者協会，2018年3月）を参考に定めたクライテリアとして，鉄骨造部材は，塑性率が5以下を満足することを確認する。耐震壁のせん断ひずみは，鉄筋コンクリート造耐震壁の終局限界に対応した評価基準値（$4.0\times10^{-3}$）以下になることを確認する。

■ 応力度比及び塑性率の検討

部材の応力度比は，2方向の曲げ，軸力及びせん断力の各最大応力と各許容応力度との比を組み合わせた値で表され，部材の塑性率は，引張及び圧縮に対して最大軸力時のひずみを引張耐力または座屈耐力時のひずみで除した値で表される。なお，各許容応力度，引張耐力及び座屈耐力算定時の材料強度は「建設省告示第2464号」に定められた基準強度F値の1.1倍を用いる。

©Tokyo Electric Power Company Holdings, Inc. All Rights Reserved.　無断複製・転載禁止 東京電力ホールディングス株式会社

## 4.3.9 原子炉建屋の耐震性に対する検討

TEPCO

表 4.3.9-2　応力度比の検討結果

| 部 位*1 | | | 部材形状(mm)<使用材料> | 地震波入力方向(位置)*2 | 作用応力度 (N/mm²) | | 許容応力度 (N/mm²) | 応力度比 | 判定 |
|---|---|---|---|---|---|---|---|---|---|
| 主トラス | ⓐ | 下弦材 | H-400×400×13×21<SS400> | Ss-1+NS+UD(A) | $\sigma_t$ | 108.4 | 258 | 0.72 | O.K. |
| | | | | | $\sigma_{by}$ | 49.7 | 190 | | |
| | | | | | $\sigma_{bz}$ | 7.4 | 258 | | |
| | | | | | $\tau$ | 5.0 | 148 | | |
| サブトラス | ⓑ | 下弦材 | H-248×249×8×13<SS400> | Ss-1+EW-UD(A) | $\sigma_c$ | 53.1 | 142 | 0.38 | O.K. |
| | | | | | $\sigma_{by}$ | 0.0 | 157 | | |
| | | | | | $\sigma_{bz}$ | 0.0 | 258 | | |
| | | | | | $\tau$ | 0.0 | 148 | | |

＊1：ⓐ，ⓑの符号は図 4.3.9-2 の応力検討箇所を示す。
＊2：( )内は，燃料取扱設備の位置を示す。（表 4.2.1-4参照）

$\sigma_t$ ：引張応力度の最大値
$\sigma_c$ ：圧縮応力度の最大値
$\sigma_{by}$ ：強軸まわりの曲げ応力度の最大値
$\sigma_{bz}$ ：弱軸まわりの曲げ応力度の最大値
$\tau$ ：せん断応力度の最大値

©Tokyo Electric Power Company Holdings, Inc. All Rights Reserved.　無断複製・転載禁止 東京電力ホールディングス株式会社

## 4.3.9 原子炉建屋の耐震性に対する検討

表4.3.9-3 塑性率の検討結果

| 部 位*1 | | | 部材形状(mm)<br><使用材料> | 地震波入力方向<br>(位置) *2 | 塑性率 | | 判定 |
|---|---|---|---|---|---|---|---|
| 主トラス | ⓒ | 斜材 | 2Ls-100×100×13<br><SS400> | Ss-1+NS+UD<br>(A) | T/Tu | 0.82 | O.K. |
| サブトラス | ⓓ | 斜材 | 2Ls-100×100×7<br><SS400> | Ss-1+NS+UD<br>(A) | C/Cu | 0.58 | O.K. |
| 水平ブレース | ⓔ | 上弦面 | CT-125×250×9×14<br><SS400> | Ss-2+EW-UD<br>(A) | C/Cu | 1.68 | O.K. |

＊1 :ⓒ, ⓓ, ⓔ の符号は図 4.3.9-2 の応力検討箇所を示す。
＊2 : ( )内は，燃料取扱設備の位置を示す。（表 4.2.1-4参照）

C：部材軸方向の圧縮力の最大値
Cu：座屈耐力
T：部材軸方向の引張力の最大値
Tu：引張耐力

©Tokyo Electric Power Company Holdings, Inc. All Rights Reserved. 無断複製・転載禁止 東京電力ホールディングス株式会社

## 4.3.9 原子炉建屋の耐震性に対する検討

■ 耐震壁のせん断ひずみの検討

耐震壁の最大せん断ひずみは$4.0\times10^{-3}$以下となり，クライテリアを満足することを確認した。

表 4.3.9-4 耐震壁の最大せん断ひずみの検討結果

| 部 位*1 | | | 部材形状(mm)<br><使用材料> | 地震波入力方向<br>(位置) *2 | せん断ひずみ<br>($\times10^{-3}$) | 判定 |
|---|---|---|---|---|---|---|
| 耐震壁 | ⓕ | 建屋南側<br>5F | t=200<br><Fc22.1> | Ss-1+EW+UD<br>(A) | 0.24 | O.K. |

＊1 :ⓕ の符号は図 4.3.9-2 の応力検討箇所を示す。
＊2 : ( )内は，燃料取扱設備の位置を示す。（表 4.2.1-4参照）

©Tokyo Electric Power Company Holdings, Inc. All Rights Reserved. 無断複製・転載禁止 東京電力ホールディングス株式会社

## 4.3.9 原子炉建屋の耐震性に対する検討

「4.3.2 架構の耐震性に対する検討」で実施した地震応答解析による原子炉建屋の最大せん断ひずみを，「JEAG 4601-1991」に基づき設定した耐震壁のせん断スケルトン曲線上にプロットした結果を示す。

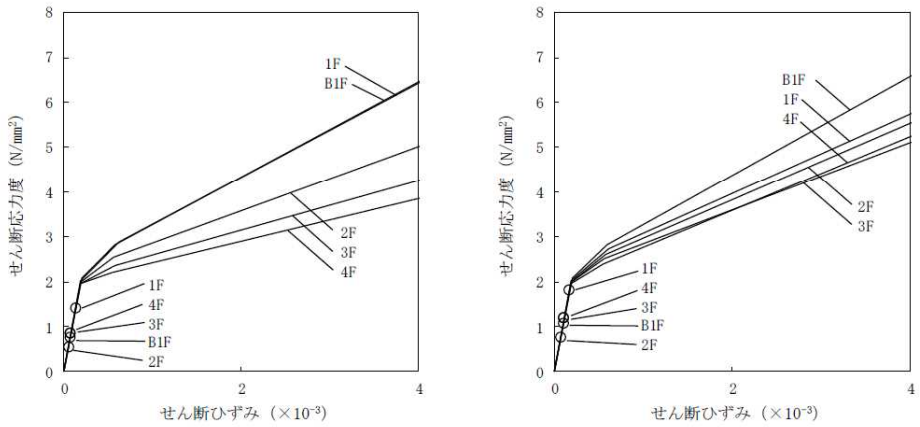



図4.3.9-3　せん断スケルトン曲線上の最大応答値

©Tokyo Electric Power Company Holdings, Inc. All Rights Reserved.　無断複製・転載禁止 東京電力ホールディングス株式会社

# Ⅱ　換気設備　換気風量について

## 1. 必要換気風量の設定

燃料取扱設備等の電気品保護のため，原子炉建屋オペレーティングフロア及び燃料取り出し用構台前室内の環境を 40℃以下(設計値)となるよう換気設備の換気風量を設定する。また，各エリアの放射性物質濃度が上がらないよう換気回数 0.5 回/h 以上を確保することを目安とする。これらの要求を満足する換気風量として，原子炉建屋オペレーティングフロアの換気風量を 20000($m^3$/h)，燃料取り出し用構台の換気風量を 10000($m^3$/h)に設定した。具体的な算定結果を以下に示す。

### 1.1 原子炉建屋オペレーティングフロアの環境維持に必要な換気風量

(1) 設計用熱負荷の除熱に必要な換気風量

$Q_1 = q_1/(C_p \cdot \rho \cdot (t_{1a} - t_2) \cdot 1/3600) = 15580$ ($m^3$/h)

$Q_1$ :設計用熱負荷の除熱に必要な換気風量($m^3$/h)

$q_1$ :設計用熱負荷，約 60 (kW)(機器発熱(照明)，使用済燃料プールからの熱)

$C_p$ :定圧比熱，1.004652(kJ/kg･℃)

$\rho$ :密度，1.2(kg/$m^3$)

$t_{1a}$ :原子炉建屋オペレーティングフロア温度，40(℃)

$t_2$ :設計用外気温度，28.5(℃)

(2) 換気回数の確保に必要な換気風量

$Q_1' = Vol_1 \cdot 0.5 = 13000$ ($m^3$/h)

$Q_1'$:換気回数 0.5 回/h に必要な換気風量($m^3$/h)

$Vol_1$ :原子炉建屋オペレーティングフロア内容積，約 26000($m^3$)

### 1.2 燃料取り出し用構台の環境維持に必要な換気風量

(1) 設計用熱負荷の除熱に必要な換気風量($m^3$/h)

$Q_2 = q_2/(C_p \cdot \rho \cdot (t_{1b} - t_2) \cdot 1/3600) = 5193$ ($m^3$/h)

$Q_2$ :設計用熱負荷の除熱に必要な換気風量($m^3$/h)

$q_2$ :設計用熱負荷，約 20 (kW)(機器発熱(照明))

$C_p$ :定圧比熱，1.004652(kJ/kg･℃)

$\rho$ :密度，1.2(kg/$m^3$)

$t_{1b}$ :燃料取り出し用構台前室内温度，40(℃)

$t_2$ :設計用外気温度，28.5(℃)

(2) 換気回数の確保に必要な換気風量

$Q_2' = Vol_2 \cdot 0.5 = 8000$ ($m^3$/h)

$Q_2'$:換気回数 0.5 回/h に必要な換気風量($m^3$/h)

$Vol_2$ :燃料取り出し用構台前室内容積，約 16000($m^3$)

## 2. 原子炉建屋オペレーティングフロア及び燃料取り出し用構台における気流の流れ

1 章に基づき, 原子炉建屋オペレーティングフロアの換気風量を 20000(m³/h), 燃料取り出し用構台の換気風量を 10000(m³/h)に設定した場合の気流の流れを評価する。

### 2.1 評価モデル

評価モデルを図 1 に, 評価で考慮する隙間を表 1 に示す。

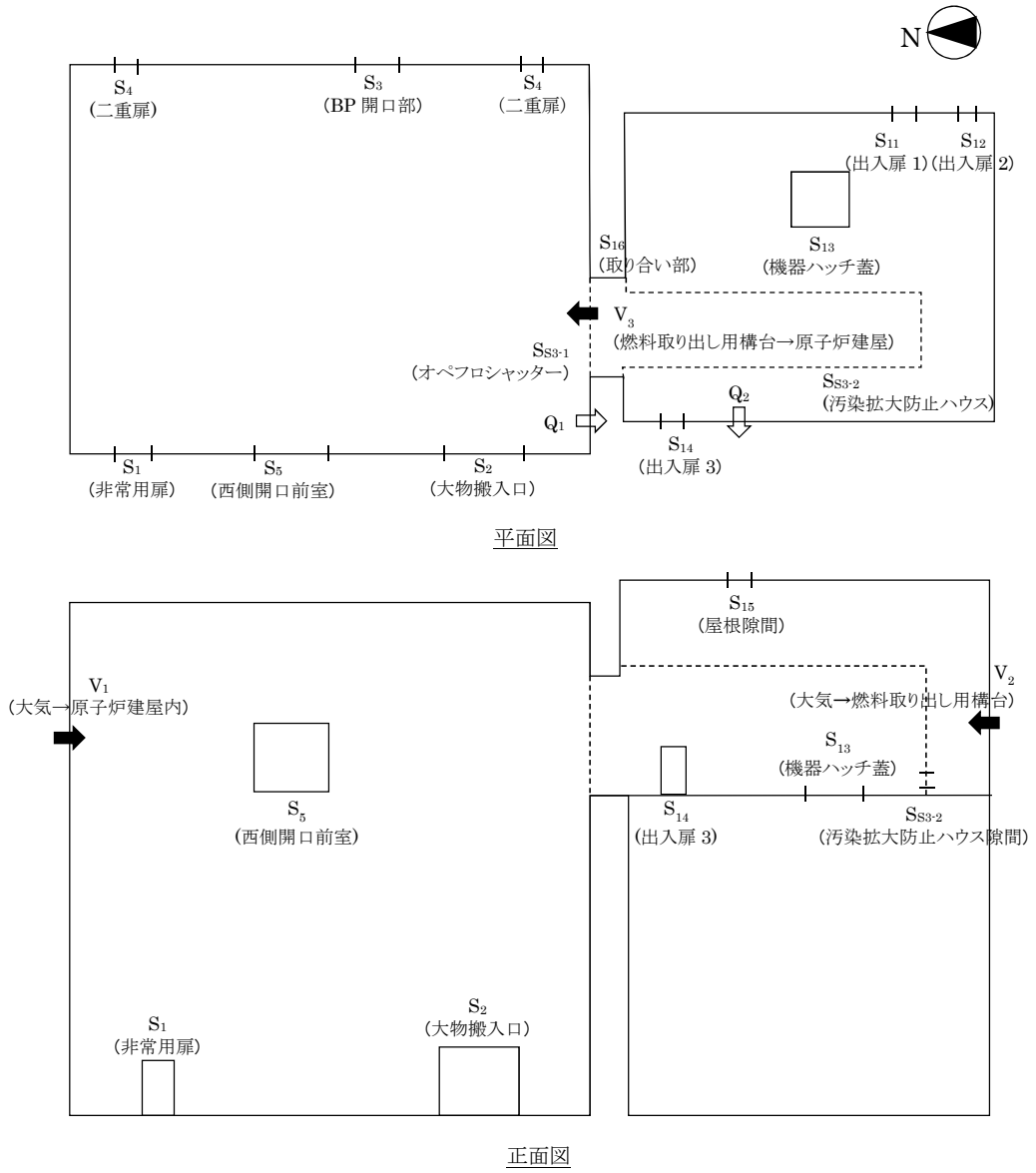



図 1 評価モデル

表 1 評価で考慮する隙間面積

| 記号 | 名称 | 単位 | 数値(*) | 備考 |
|---|---|---|---|---|
| $S_{S1}$ | 原子炉建屋隙間 合計面積 | $m^2$ | － | |
| $S_1$ | 非常用扉 開口面積(*) | $m^2$ | 0 | 津波対策のため閉止済 |
| $S_2$ | 大物搬入口 開口面積(*) | $m^2$ | 0 | 津波対策のため閉止済 |
| $S_3$ | ブローアウトパネル(BP)開口部 隙間面積(*) | $m^2$ | 0.34 | |
| $S_4$ | 原子炉建屋二重扉(南北)開口面積(*) | $m^2$ | 0 | 津波対策のため閉止済 |
| $S_5$ | 西側開口前室 開口面積(*) | $m^2$ | 0.467 | 西側開口前室隙間合計 |
| $S_{S2}$ | 燃料取り出し用構台隙間合計面積 | $m^2$ | － | |
| $S_{11}$ | 出入扉 1 隙間 | $m^2$ | 0.06 | |
| $S_{12}$ | 出入扉 2 隙間 | $m^2$ | 0.08 | |
| $S_{13}$ | 機器ハッチ蓋隙間 | $m^2$ | 0.2 | |
| $S_{14}$ | 出入扉 3 隙間 | $m^2$ | 0.06 | |
| $S_{15}$ | 燃料取り出し用構台屋根隙間 | $m^2$ | 0.98 | |
| $S_{16}$ | 燃料取り出し用構台取り合い部隙間 | $m^2$ | 0.42 | オペフロシャッター開時は $S_{S1}$ に加算<br>オペフロシャッター閉時は $S_{S2}$ に加算 |
| $S_{S3\text{-}1}$ | オペフロシャッター隙間 | $m^2$ | 2.33 | オペフロシャッター閉時に適用 |
| $S_{S3\text{-}2}$ | 汚染拡大防止ハウス隙間 | $m^2$ | 2.34 | オペフロシャッター開時に適用 |

(*)原子炉建屋からの放出量評価適用値。

2.2 評価ケース

燃料取り出し作業時に，大気から原子炉建屋へ，大気から燃料取り出し用構台へ，燃料取り出し用構台から原子炉建屋へ流入する気流が生じることを確認する。評価ケースは以下の 2 ケースとする。

(1) オペフロシャッター閉時

オペフロシャッター閉，汚染拡大防止ハウスは収納状態とした場合の評価モデルを図 2 に示す。

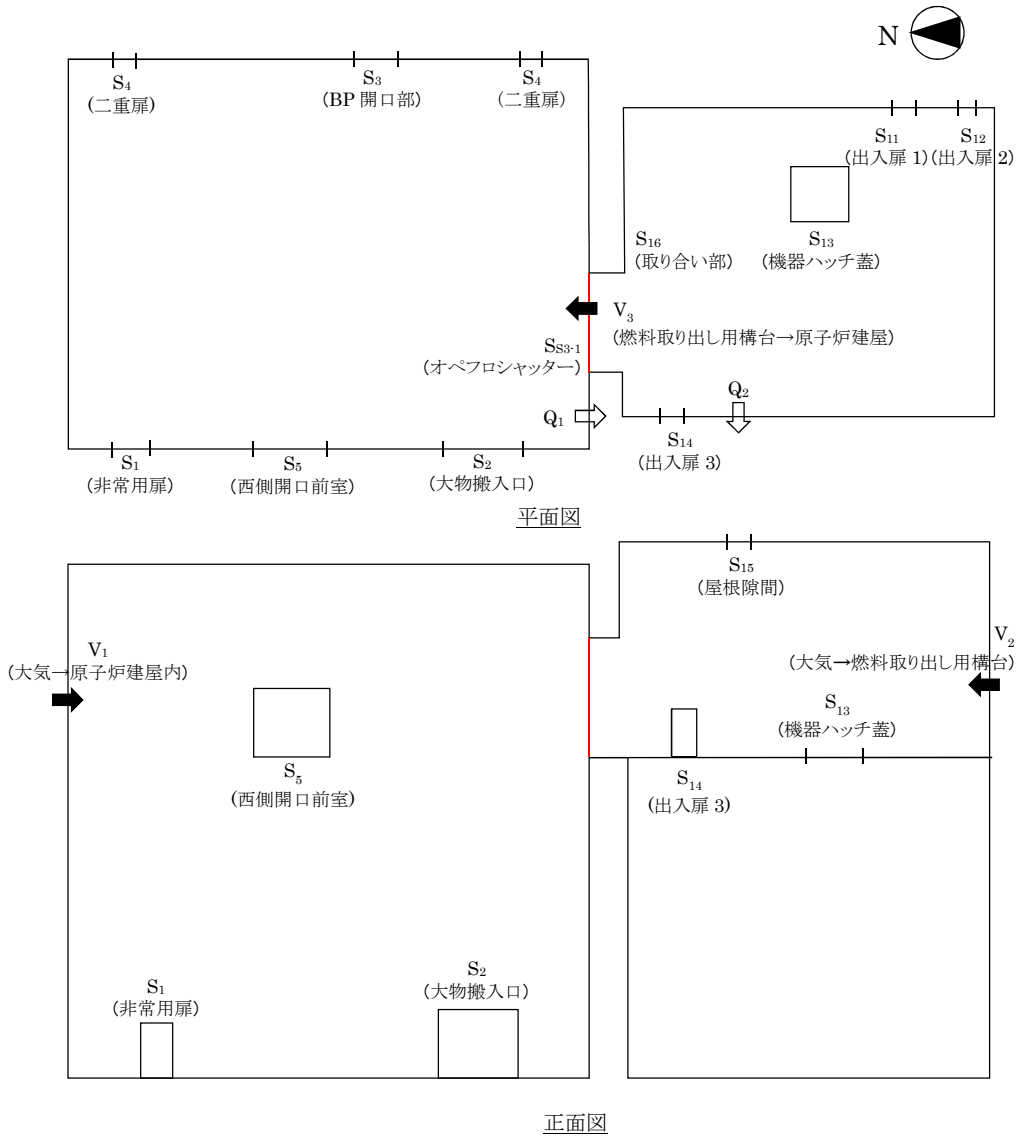



図 2 オペフロシャッター閉時 評価モデル

(2) オペフロシャッター開時

オペフロシャッター開，汚染拡大防止ハウスは展開状態とした場合の評価モデルを図 3 に示す。

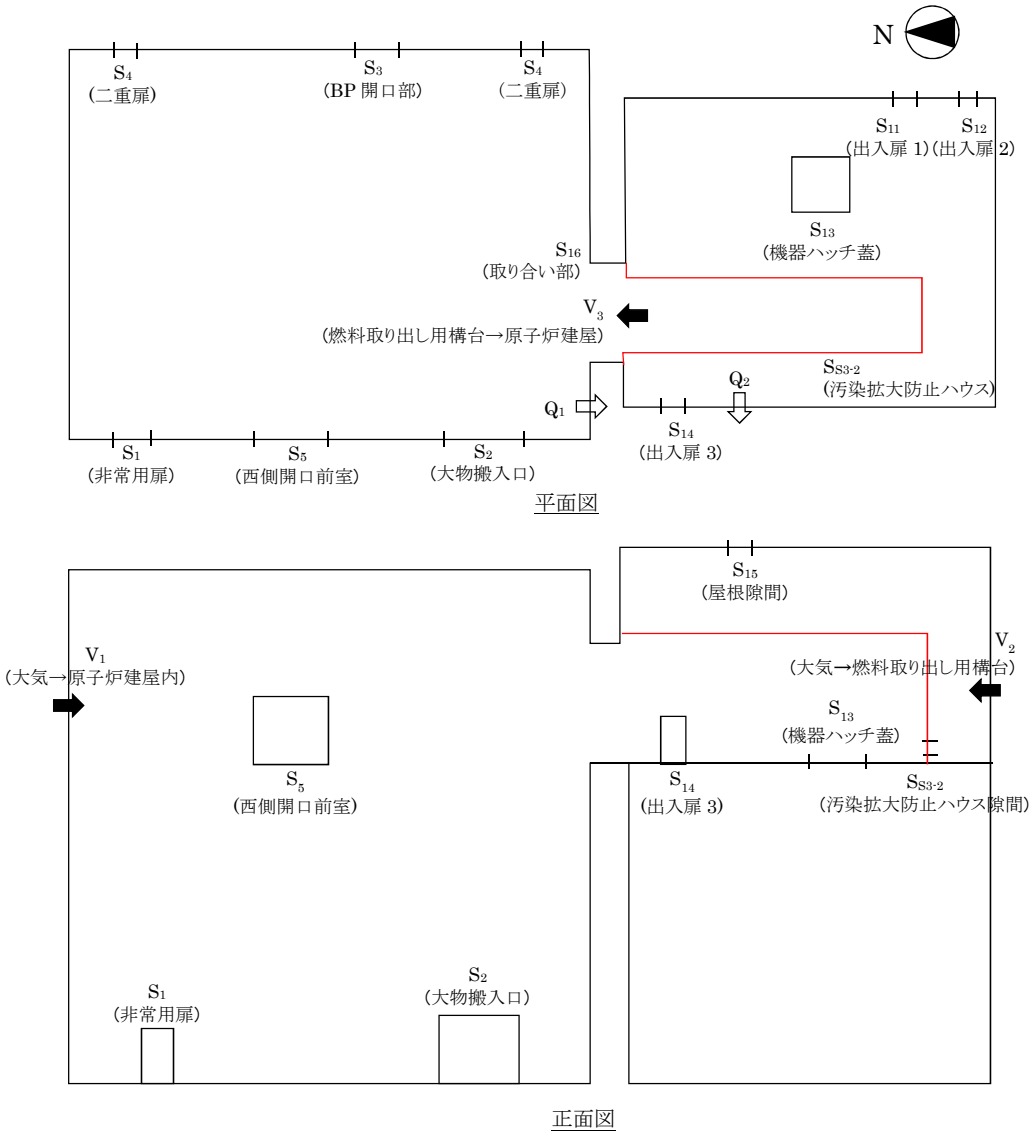



図 3 オペフロシャッター開時 評価モデル

2.3 評価方法

燃料取り出し用構台から原子炉建屋オペレーティングフロアへ気流の流れが生じている状態では原子炉建屋，燃料取り出し用構台でのマスバランスは以下の通りとなる。

$$Q_1 = (V_1 \times S_{S1} + V_3 \times S_{S3}) \times 3600 \quad (1)$$

$$Q_2 = (V_2 \times S_{S2} - V_3 \times S_{S3}) \times 3600 \quad (2)$$

$Q_1$ :原子炉建屋換気風量 20000($m^3$/h)
$Q_2$ :燃料取り出し用構台換気風量 10000($m^3$/h)
$S_{S1}$ :原子炉建屋隙間合計面積 表 1 参照
$S_{S2}$ :燃料取り出し用構台隙間合計面積 表 1 参照
$S_{S3}$ :原子炉建屋／燃料取り出し用構台間隙間 表 1 参照
$V_1$ :大気から原子炉建屋への流入風速(m/s)
$V_2$ :大気から燃料取り出し用構台への流入風速(m/s)
$V_3$ :燃料取り出し用構台から原子炉建屋への流入風速(m/s)

各流入風速は以下の式より求める。

$$P_0 - P_1 = \zeta \times \rho \times V_1^2/2g \quad (3)$$

$$P_0 - P_2 = \zeta \times \rho \times V_2^2/2g \quad (4)$$

$$P_2 - P_1 = \zeta \times \rho \times V_3^2/2g \quad (5)$$

$P_0$ :大気圧 0(Pa)
$P_1$ :原子炉建屋内圧(Pa)
$P_2$ :燃料取り出し用構台内圧(Pa)
$\zeta$ :形状抵抗係数 2.00(-)
$\rho$ :空気密度 1.2(kg/$m^3$)
g :重力加速度 9.81(m/$s^2$)

大気圧を 0(Pa)とし，(3)～(5)式を変形する。

$$V_1 = \sqrt{-P_1 \times 2g/(\zeta \times \rho)} \quad (6)$$

$$V_2 = \sqrt{-P_2 \times 2g/(\zeta \times \rho)} \quad (7)$$

$$V_3 = \sqrt{(P_2 - P_1) \times 2g/(\zeta \times \rho)} \quad (8)$$

(6)～(8)式を(1)，(2)式に代入し，マスバランスを満たす $P_1$，$P_2$ を求める。

2.4 算定結果

2.3 項に記載の方法に従い，原子炉建屋内圧，燃料取り出し用構台内圧を算定し，各流入風速を算定した。

| 記号 | 名称 | 単位 | オペフロ<br>シャッター開時 | オペフロ<br>シャッター閉時 |
|---|---|---|---|---|
| $P_1$ | 原子炉建屋内圧 | Pa | -1.28 | -1.38 |
| $P_2$ | 燃料取り出し用構台内圧 | Pa | -1.22 | -1.20 |
| $V_1$ | 大気から原子炉建屋への<br>流入風速 | m/s | 3.2 | 3.4 |
| $V_2$ | 大気から燃料取り出し用構台へ<br>の流入風速 | m/s | 3.2 | 3.1 |
| $V_3$ | 燃料取り出し用構台から<br>原子炉建屋への流入風速 | m/s | 0.68 | 1.2 |

2.5 評価

2.4 項に示す通り，オペフロシャッターの開閉状態に関わらず，大気から原子炉建屋へ，大気から燃料取り出し用構台へ，燃料取り出し用構台から原子炉建屋へ流入する気流が生じる。

以上より，ダスト飛散抑制の観点で適切に換気風量が設定されていることを確認した。

## 3. まとめ

1 章及び 2 章に示す通り，原子炉建屋オペレーティングフロアの換気風量を 20000($m^3$/h)，燃料取り出し用構台の換気風量を 10000($m^3$/h)と設定することで，原子炉建屋及び燃料取り出し構台内の温度維持，換気回数の確保，ダスト飛散抑制のための気流の確保が可能となることを確認した。

Ⅲ　原子炉建屋オペレーティングフロア床面に設置する遮蔽体の耐震性についての計算書

1/2Ss450 を用いた評価については,「Ⅳ　2 号機燃料取り出し関連設備に対する 1/2Ss450 評価について」に記載するため，本資料「Ⅲ　原子炉建屋オペレーティングフロア床面に設置する遮蔽体の耐震性についての計算書」への記載は省略する。

## I. 遮蔽体に係る耐震設計の基本方針

1. 設備の重要度による耐震クラス別分類

| 設備名 | 耐震<br>クラス別 | 確認用<br>地震動 |
|---|---|---|
| 遮蔽体 | ノンクラス | Ss |

2 号機原子炉建屋内の作業環境改善のため，原子炉建屋内のオペレーティングフロア床面及び壁側に遮蔽体を設置する計画としている。

遮蔽体の耐震クラス別分類は原子力発電所耐震設計技術指針(JEAG4601・補-1984)に規定される放射性物質にかかわる設備には該当しないため，ノンクラスとなる。但し，オペレーティングフロアに設置する遮蔽体のうち使用済燃料プール周りに設置するものが，地震による破損などの事象により，使用済燃料プール及び使用済燃料ラックに波及的影響を及ぼさないことを確認する。

本資料では，使用済燃料プール周りに設置する下記遮蔽体の支持部材の構造強度の結果を示す。各遮蔽体の配置を図 1 に示す。なお，本書に示す形状は現場の状況に合わせて変更する可能性がある。

(1) 使用済燃料プール(SFP)北側遮蔽
(2) 使用済燃料プール(SFP)南側遮蔽
(3) 使用済燃料プール(SFP)東側遮蔽
(4) 使用済燃料プール(SFP)西側遮蔽

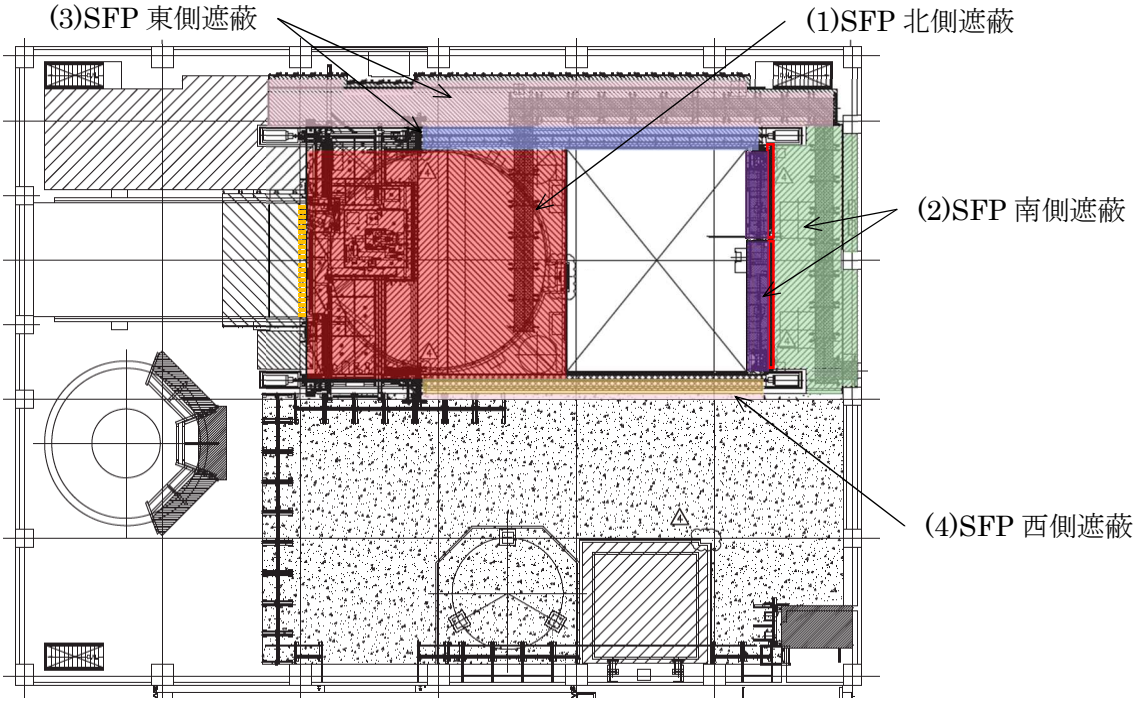



図 1 使用済燃料プール周りに設置する遮蔽体

2. 設計用地震力

遮蔽体の耐震評価には，原子炉建屋オペレーティングフロアの層せん断係数より 1.2 倍の裕度を考慮した静的地震力(水平震度 0.99G，鉛直震度 0.29)，地震応答解析結果から，遮蔽体を剛構造とみなし 1.2 倍の裕度を考慮した動的地震力(水平震度 0.94G，鉛直震度 0.54)のうち，保守的となる地震力を選定する。

遮蔽体に負荷される水平力 F は以下のようにあらわされる。

$$F = mgC_H - \mu(1 - C_V)mg = \left(C_H - \mu(1 - C_V)\right)mg$$

m ：遮蔽体質量
g ：重力加速度
$C_H$ ：水平方向地震力
$C_V$ ：鉛直方向地震力
μ ：摩擦係数(=0.25)

上式において静的地震力により遮蔽体に負荷される水平力 F は，

$$F = 0.8125mg$$

動的地震力による遮蔽体に負荷される水平力 F は，

$$F = 0.825mg$$

となり，動的地震力の方が大きくなる。以降の評価では，遮蔽体の設計用地震力として動的地震力を適用する。

3. 荷重の組合せ，応力算定及び許容応力

記号の説明

D　:死荷重

Ss　: Ss 地震動により求まる地震力

$1.5f_s$:許容せん断応力

設計・建設規格 SSB-3121.3 により規定される値

$1.5f_c$:許容圧縮応力

同上

$1.5f_b$:許容曲げ応力

同上

| 荷重の組合せ | 許容限界 | | |
|---|---|---|---|
| | 1 次応力 | | |
| | せん断 | 圧縮 | 曲げ |
| D+Ss | $1.5f_s$ | $1.5f_c$ | $1.5f_b$ |

注)組合せ応力についても評価する。

## II. 遮蔽体の耐震性についての計算書

1. 概要

1.1. 一般事項

本計算書は遮蔽体の耐震性についての計算書である。

2. 計算条件

(1) 遮蔽体は原子炉建屋のオペレーティングフロア上に設置されるため，摩擦係数($\mu$=0.25)*を考慮し，水平方向地震力からオペレーティングフロアと遮蔽体間の摩擦力を減じた荷重が遮蔽体に負荷されるものとする。

(*)電中研報告書「使用済燃料キャスク貯蔵技術の確立-地震時のキャスク転倒評価-」(研究報告：U92037)より，コンクリート及び鋼材表面の塗装条件を様々に変化させた試験結果のうち，最も不利な摩擦係数を適用する。

3. 評価方法

3.1. 応力算定方法

各遮蔽体の支持部に発生する曲げ応力，せん断応力，支圧応力を工学算定式により算出し，それぞれ許容応力以下となることを確認する。また，曲げ応力とせん断応力が同時に負荷される場合には，組合せ応力が許容応力以下となることを確認する。

3.2. 応力の評価方法

材料及び許容応力を表 1 に示す。

表 1 材料及び許容応力

| 部位 | | 材質 | 許容応力 (MPa) | |
|---|---|---|---|---|
| SFP 北側遮蔽 | ブラケット | SS400 | 曲げ | 280 |
| | | | せん断 | 161 |
| | | | 組合せ | 280 |
| | D/S プールカバー支持ビーム(既設) | A6061T6 | 支圧 | 252 |
| SFP 南側遮蔽 | 荷重受け部材① | SS400 | 曲げ | 280 |
| | | | せん断 | 161 |
| | | | 組合せ | 280 |
| | 荷重受け部材② | SS400 | 曲げ | 280 |
| | | | せん断 | 161 |
| | | | 組合せ | 280 |
| | 引っ掛け部材 | SS400 | 曲げ | 280 |
| | | | せん断 | 161 |
| | | | 組合せ | 280 |
| SFP 東側遮蔽 | 荷重受け部材 | SS400 | 曲げ | 280 |
| | | | せん断 | 161 |
| | | | 組合せ | 280 |
| | 引っ掛け部材 | SS400 | 曲げ | 323 |
| | | | せん断 | 161 |
| | | | 組合せ | 280 |
| SFP 西側遮蔽 | 荷重受け部材 | SS400 | 曲げ | 323 |
| | | | せん断 | 161 |
| | | | 組合せ | 280 |

4. 設計条件

4.1. 耐震上の重要度分類　　ノンクラス(Ss)

4.2. 据付場所及び床面高さ　　原子炉建屋オペレーティングフロア T.P.38484

4.3. 設計震度

水平震度 0.94G, 鉛直震度 0.54G

4.4. 荷重条件

自重＋地震荷重

5. 結論

強度評価の結果を表 2 に示す。使用済燃料プール周りに設置する遮蔽体について, 地震時水平荷重負荷時に支持部材に生じる応力は許容応力を下回るため, 遮蔽体が使用済燃料プールへ落下することはない。

表 2 遮蔽体支持部材の構造強度評価結果

| 部位 | | 材質 | 許容応力 (MPa) | | 算出応力 (MPa) |
|---|---|---|---|---|---|
| SFP 北側遮蔽 | ブラケット | SS400 | 曲げ | 280 | 146 |
| | | | せん断 | 161 | 46 |
| | | | 組合せ | 280 | 167 |
| | D/S プールカバー支持ビーム(既設) | A6061T6 | 支圧 | 252 | 73 |
| SFP 南側遮蔽 | 荷重受け部材① | SS400 | 曲げ | 280 | 244 |
| | | | せん断 | 161 | 17 |
| | | | 組合せ | 280 | 246 |
| | 荷重受け部材② | SS400 | 曲げ | 280 | 270 |
| | | | せん断 | 161 | 20 |
| | | | 組合せ | 280 | 273 |
| | 引っ掛け部材 | SS400 | 曲げ | 280 | 52 |
| | | | せん断 | 161 | 3 |
| | | | 組合せ | 280 | 53 |
| SFP 東側遮蔽 | 荷重受け部材 | SS400 | 曲げ | 280 | 23 |
| | | | せん断 | 161 | 6 |
| | | | 組合せ | 280 | 26 |
| | 引っ掛け部材 | SS400 | 曲げ | 323 | 201 |
| | | | せん断 | 161 | 13 |
| | | | 組合せ | 280 | 203 |
| SFP 西側遮蔽 | 荷重受け部材 | SS400 | 曲げ | 323 | 57 |
| | | | せん断 | 161 | 2 |
| | | | 組合せ | 280 | 58 |

6. 数値計算

6.1. SFP 北側遮蔽

6.1.1 形状・寸法

SFP 北側遮蔽は図 2 に示す通り，SFP 北側のオペレーティングフロア上に並べられた各遮蔽体支持部材間を，かぎ型のフックで接続し，SFP 北側遮蔽全体の地震時水平方向荷重を，北側端部の遮蔽体支持部材のブラケットで支持する構造を有する。そのため，地震時水平方向荷重がブラケットに負荷された場合の強度評価を行う。また，ブラケットと取合い地震時荷重が負荷される D/S プールカバー支持ビームの強度評価を行う。

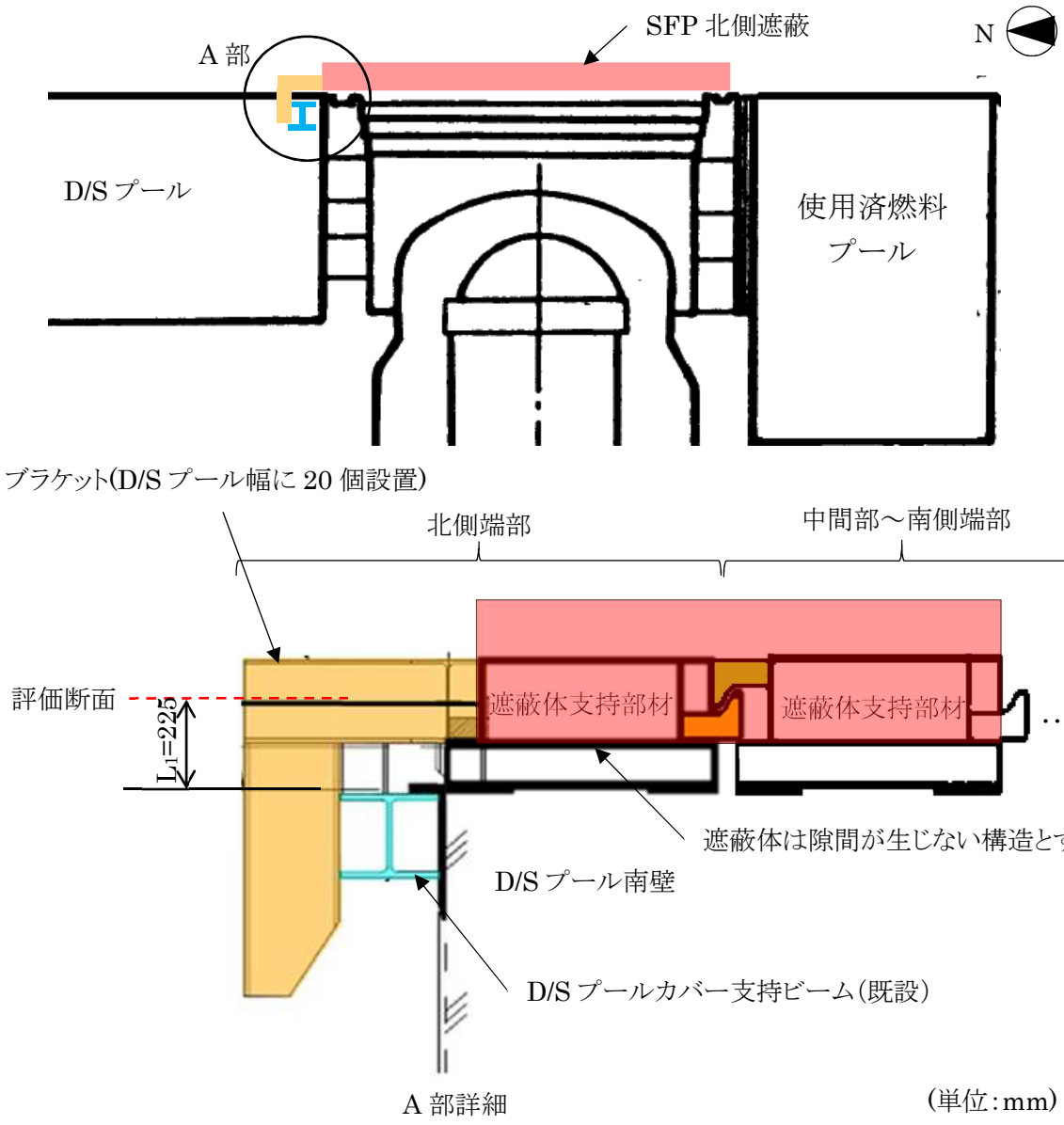



図 2 SFP 北側遮蔽 評価対象部

6.1.2　ブラケットの強度

(1)　曲げ応力

$P_1 = W_1 \cdot g \cdot (C_H - \mu(1 - C_V))/N_1$

$P_1$　:地震時にブラケット 1 個当たりに生じる荷重(N)

$W_1$　:SFP 北側遮蔽質量　432000(kg)

$g$　:重力加速度　9.80665(m/s$^2$)

$C_H$　:水平方向設計震度　0.94

$C_V$　:鉛直方向設計震度　0.54

$\mu$　:摩擦係数　0.25

$N_1$　:ブラケット数量　20

$M_1 = P_1 \cdot L_1$

$\sigma_1 = M_1/Z_1 = 146(\mathrm{MPa})$

$\sigma_1$　:ブラケット 1 個当たりに生じる曲げ応力(MPa)

$M_1$　:ブラケット 1 個当たりに生じる曲げモーメント(N・mm)

$L_1$　:評価断面から荷重点の距離　225(mm)

$Z_1$　:ブラケットの断面係数　271000(mm$^3$)

(2)　せん断応力

$\tau_1 = P_1/A_1 = 46(\mathrm{MPa})$

$\tau_1$　:ブラケット 1 個当たりに生じるせん断力(N)

$A_1$　:ブラケットの断面積　3811(mm$^2$)

(3)　組合せ応力

$\sigma_{fa1} = \sqrt{\sigma_1^2 + 3 \cdot \tau_1^2} = 167(\mathrm{MPa})$

$\sigma_{fa1}$　:ブラケット 1 個当たりに生じる組合せ応力(MPa)

6.1.3　D/S プールカバー支持ビームの強度

(1)　支圧応力

$\sigma_{p1} = P_1/A_2 = 73(\mathrm{MPa})$

$\sigma_{p1}$　:D/S プールカバー支持ビームに生じる支圧応力(MPa)

$A_2$　:D/S プールカバー支持ビームの支圧断面積　2400(mm$^2$)

## 6.2. SFP 南側遮蔽

### 6.2.1 形状・寸法

SFP 南側遮蔽は図 3 に示す通り，SFP 南側のオペレーティングフロア上に並べられた遮蔽体の地震時水平方向荷重をジブクレーン及びチャンネル取扱いブーム間に設置する荷重受け部材で支持する構造を有する。ジブクレーン及びチャンネル取扱ブームはケミカルアンカーにて十分な強度で原子炉建屋オペレーティングフロア床面に固定されているため，地震時水平方向荷重を支持する荷重受け部材の強度評価を行う。また，SFP 南側遮蔽のうち，荷重受け部材より使用済燃料プール側に設置する遮蔽体の地震時水平荷重が，同遮蔽体の引っ掛け部材に負荷された場合の強度評価を行う。

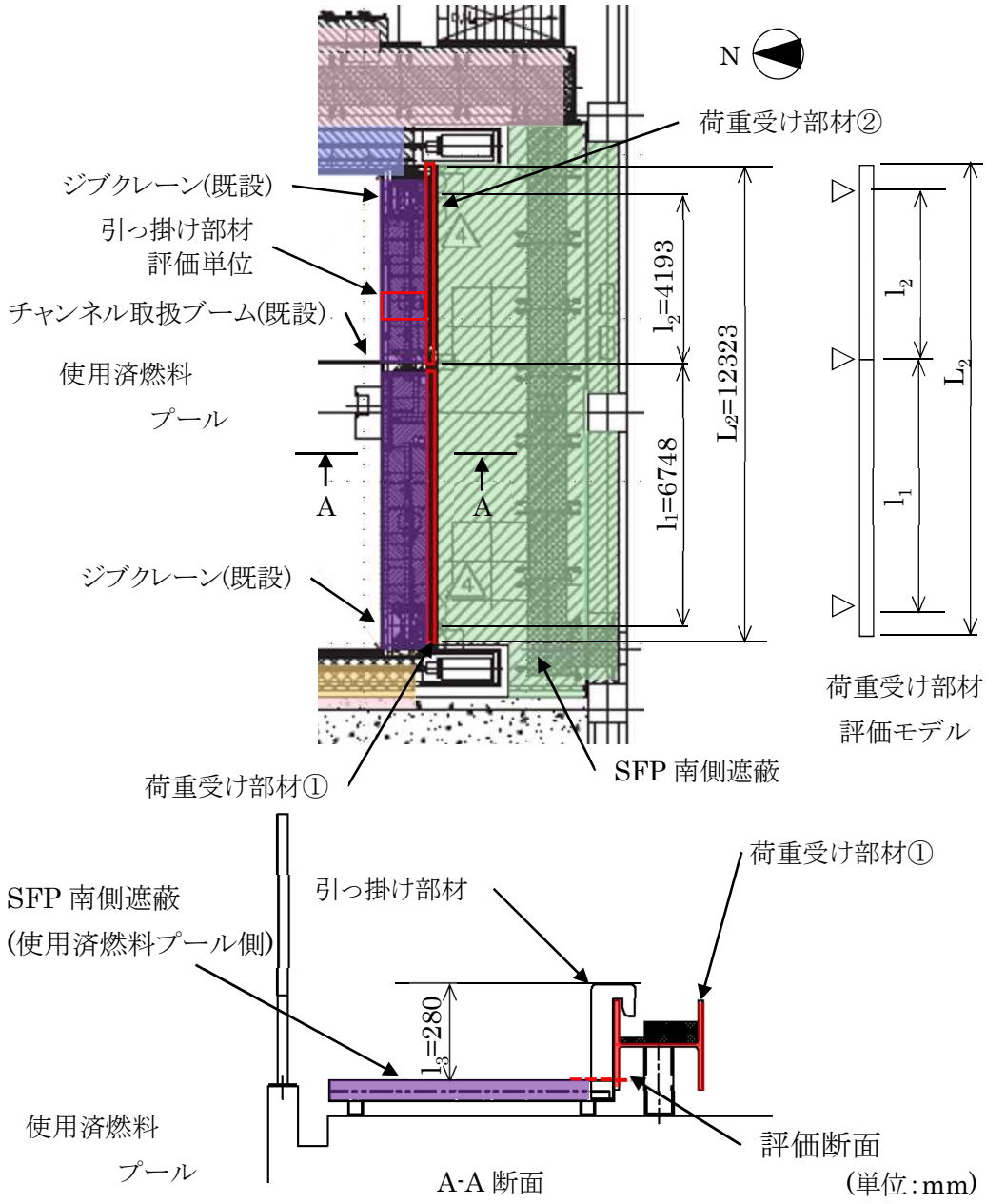



図 3 SFP 南側遮蔽体 評価対象部

6.2.2　荷重受け部材①の強度

(1)　曲げ応力

$P_2 = W_2 \cdot g \cdot (C_H - \mu(1 - C_V))/L_2$

$P_2$　:地震時に荷重受け部材に生じる単位長さ当たりの荷重(N/mm)

$W_2$　:SFP 南側遮蔽質量　88000(kg)

$L_2$　:荷重受け部材が荷重を受ける長さ　12323(mm)

$M_2 = P_2 \cdot l_1^2/8$

$\sigma_2 = M_2/Z_2 = 244(\mathrm{MPa})$

$\sigma_2$　:荷重受け部材①に生じる曲げ応力 (MPa)

$M_2$　:荷重受け部材①に生じる曲げモーメント(N・mm)

$l_1$　:荷重受け部材①の支持点間距離　6748(mm)

$Z_2$　:荷重受け部材①の断面係数　1350000($mm^3$)

(2)　せん断応力

$\tau_2 = P_2 \cdot l_1/(2 \cdot A_1) = 17(\mathrm{MPa})$

$\tau_2$　:荷重受け部材①に生じるせん断応力(MPa)

$A_3$　:荷重受け部材①の断面積　11850($mm^2$)

(3)　組合せ応力

$\sigma_{fa2} = \sqrt{\sigma_2^2 + 3 \cdot \tau_2^2} = 246(\mathrm{MPa})$

$\sigma_{fa2}$　:荷重受け部材①に生じる組合せ応力(MPa)

6.2.3　荷重受け部材②の強度

(1)　曲げ応力

$M_3 = P_2 \cdot l_2^2/8$

$\sigma_3 = M_3/Z_3 = 270(\mathrm{MPa})$

$\sigma_3$　:荷重受け部材②に生じる曲げ応力 (MPa)

$M_3$　:荷重受け部材②に生じる曲げモーメント(N・mm)

$l_2$　:荷重受け部材②の支持点間距離　4193 (mm)

$Z_3$　:荷重受け部材②の断面係数　472000($mm^3$)

(2)　せん断応力

$\tau_3 = P_2 \cdot l_2/(2 \cdot A_4) = 20(\mathrm{MPa})$

$\tau_3$　:荷重受け部材②に生じるせん断応力(MPa)

$A_4$　:荷重受け部材②の断面積　6353($mm^2$)

(3)　組合せ応力

$\sigma_{fa3} = \sqrt{\sigma_3^2 + 3 \cdot \tau_3^2} = 273(\mathrm{MPa})$

$\sigma_{fa3}$　:荷重受け部材②に生じる組合せ応力(MPa)

6.2.4　引っ掛け部材の強度

SFP 南側遮蔽(使用済燃料プール側)は評価単位に分割されており，個々に 2 個の引っ掛け部材を有しているため，評価単位での評価とし，評価単位の質量を保守的に設定することで代表とする。引っ掛け部材の評価においては最も大きな曲げ応力が生じる脚部を評価断面とする。

(1)　曲げ応力

$P_3 = W_3 \cdot g \cdot (C_H - \mu(1 - C_V)) / N_2$

$P_3$　:地震時に引っ掛け部材 1 個当たりに生じる荷重(N)

$W_3$　:SFP 南側遮蔽（使用済燃料プール側のみ）質量 380 (kg)

$N_2$　:遮蔽体 1 個当たりの引っ掛け部材数　2

$M_4 = P_3 \cdot l_3$

$\sigma_4 = M_4/Z_4 = 52(\mathrm{MPa})$

$\sigma_4$　:引っ掛け部材 1 個当たりに生じる曲げ応力 (MPa)

$M_4$　:引っ掛け部材 1 個当たりに生じる曲げモーメント(N・mm)

$l_3$　:引っ掛け部材高さ　280(mm)

$Z_4$　:引っ掛け部材の断面係数　8438($mm^3$)

(2)　せん断応力

$\tau_4 = P_3/A_5 = 3(\mathrm{MPa})$

$\tau_4$　:引っ掛け部材 1 個当たりに生じるせん断応力(MPa)

$A_5$　:引っ掛け部材の断面積　675 ($mm^2$)

(3)　組合せ応力

$\sigma_{fa4} = \sqrt{\sigma_4^2 + 3 \cdot \tau_4^2} = 53(\mathrm{MPa})$

$\sigma_{fa4}$　:引っ掛け部材 1 個当たりに生じる組合せ応力(MPa)

## 6.3. SFP 東側遮蔽

### 6.3.1 形状・寸法

SFP 東側遮蔽は図 4 に示す通り，SFP 東側のオペレーティングフロア上に並べられた遮蔽体の地震時水平方向荷重を燃料取替機レールで支持し，同レールより使用済燃料プール側に設置する遮蔽体の地震時水平方向荷重は引っ掛け部材，荷重受け部材で支持する構造を有する。燃料取替機レールはケミカルアンカーにて十分な強度で原子炉建屋オペレーティングフロア床面に固定されているため，燃料取替機レールより使用済燃料プール側に設置する遮蔽体の地震時水平方向荷重が引っ掛け部材及び荷重受け部材に負荷された場合の強度評価を行う。

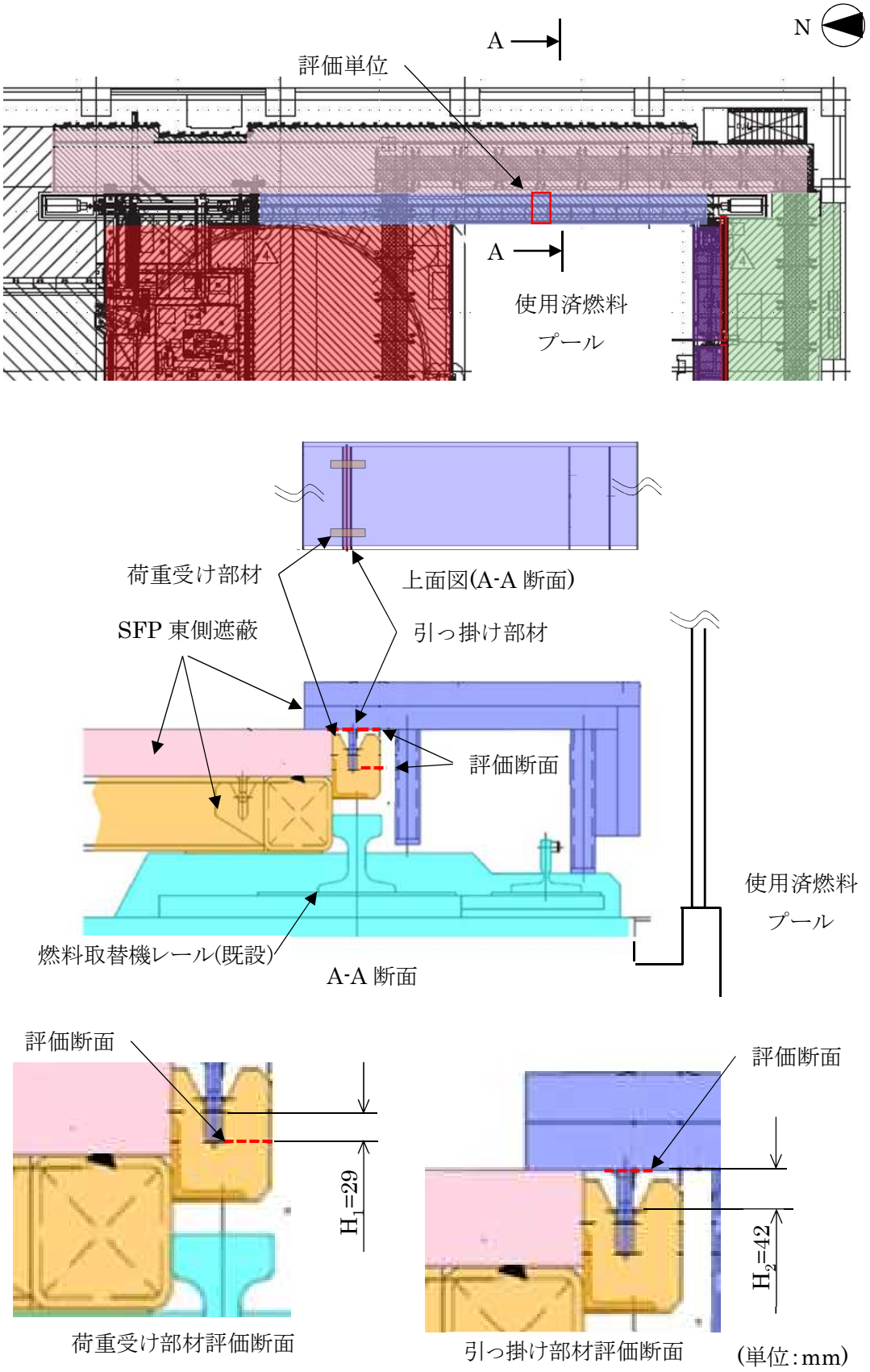



図 4 SFP 東側遮蔽体 評価対象部

6.3.2　荷重受け部材の強度

SFP 東側遮蔽(使用済燃料プール側)は評価単位に分割されており，個々に 2 個の引っ掛け部材を有しているため，評価単位での評価とし，評価単位の質量を保守的に設定することで代表とする。荷重受け部材の評価においては，最も大きな曲げ応力が生じる脚部を評価断面とする。

(1)　曲げ応力

$P_4 = W_4 \cdot g \cdot (C_H - \mu(1 - C_V))/N_3$

$P_4$　:地震時に荷重受け部材 1 個当たりに生じる荷重(N/mm)

$W_4$　:SFP 東側遮蔽（使用済燃料プール側のみ）質量 570(kg)

$N_3$　:$W_4$を支持する荷重受け部材数　2

$M_5 = P_4 \cdot H_1$

$\sigma_5 = M_5/Z_5 = 23(MPa)$

$\sigma_5$　:荷重受け部材 1 個当たりに生じる曲げ応力 (MPa)

$M_5$　:荷重受け部材 1 個当たりに生じる曲げモーメント(N・mm)

$H_1$　:荷重受け部材部材高さ　29(mm)

$Z_5$　:荷重受け部材 1 個当たりの断面係数　2888($mm^3$)

(2)　せん断応力

$\tau_5 = P_4/A_6 = 6(MPa)$

$\tau_5$　:荷重受け部材 1 個当たりに生じるせん断応力(MPa)

$A_6$　:荷重受け部材の断面積　456($mm^2$)

(3)　組合せ応力

$\sigma_{fa5} = \sqrt{\sigma_5^2 + 3 \cdot \tau_5^2} = 26(MPa)$

$\sigma_{fa5}$　:荷重受け部材 1 個当たりに生じる組合せ応力(MPa)

6.3.3　引っ掛け部材の強度

最も大きな曲げ応力が生じる引っ掛け部材脚部を評価断面とする。

(1)　曲げ応力

$P_5 = W_4 \cdot g \cdot (C_H - \mu(1 - C_V))/N_4$

$P_5$　:地震時に引っ掛け部材 1 個当たりに生じる荷重(N/mm)

$N_4$　:$W_4$を支持する引っ掛け部材数　2

$M_6 = P_5 \cdot H_2$

$\sigma_6 = M_6/Z_6 = 201(MPa)$

$\sigma_6$　:引っ掛け部材 1 個当たりに生じる曲げ応力 (MPa)

$M_6$　:引っ掛け部材 1 個当たりに生じる曲げモーメント(N・mm)
$H_2$　:引っ掛け部材高さ　42(mm)
$Z_6$　:引っ掛け部材の断面係数　512($mm^3$)

(2)　せん断応力

$\tau_6 = P_5/A_7 = 13(MPa)$
$\tau_6$　:引っ掛け部材 1 個当たりに生じるせん断応力(MPa)
$A_7$　:引っ掛け部材の断面積　192 ($mm^2$)

(3)　組合せ応力

$\sigma_{fa6} = \sqrt{\sigma_6^2 + 3 \cdot \tau_6^2} = 203(MPa)$
$\sigma_{fa6}$　:引っ掛け部材 1 個当たりに生じる組合せ応力(MPa)

## 6.4. SFP 西側遮蔽

### 6.4.1 形状・寸法

SFP 西側遮蔽は図 5 に示す通り，SFP 西側のオペレーティングフロア上に並べられた遮蔽体の地震時水平方向荷重を既設燃料取替機レールで支持する構造を有する。既設燃料取替機レールはケミカルアンカーにて十分な強度で原子炉建屋オペレーティングフロア床面に固定されているため，SFP 西側遮蔽体の地震時水平方向荷重が荷重受け部材に負荷された場合の強度評価を行う。

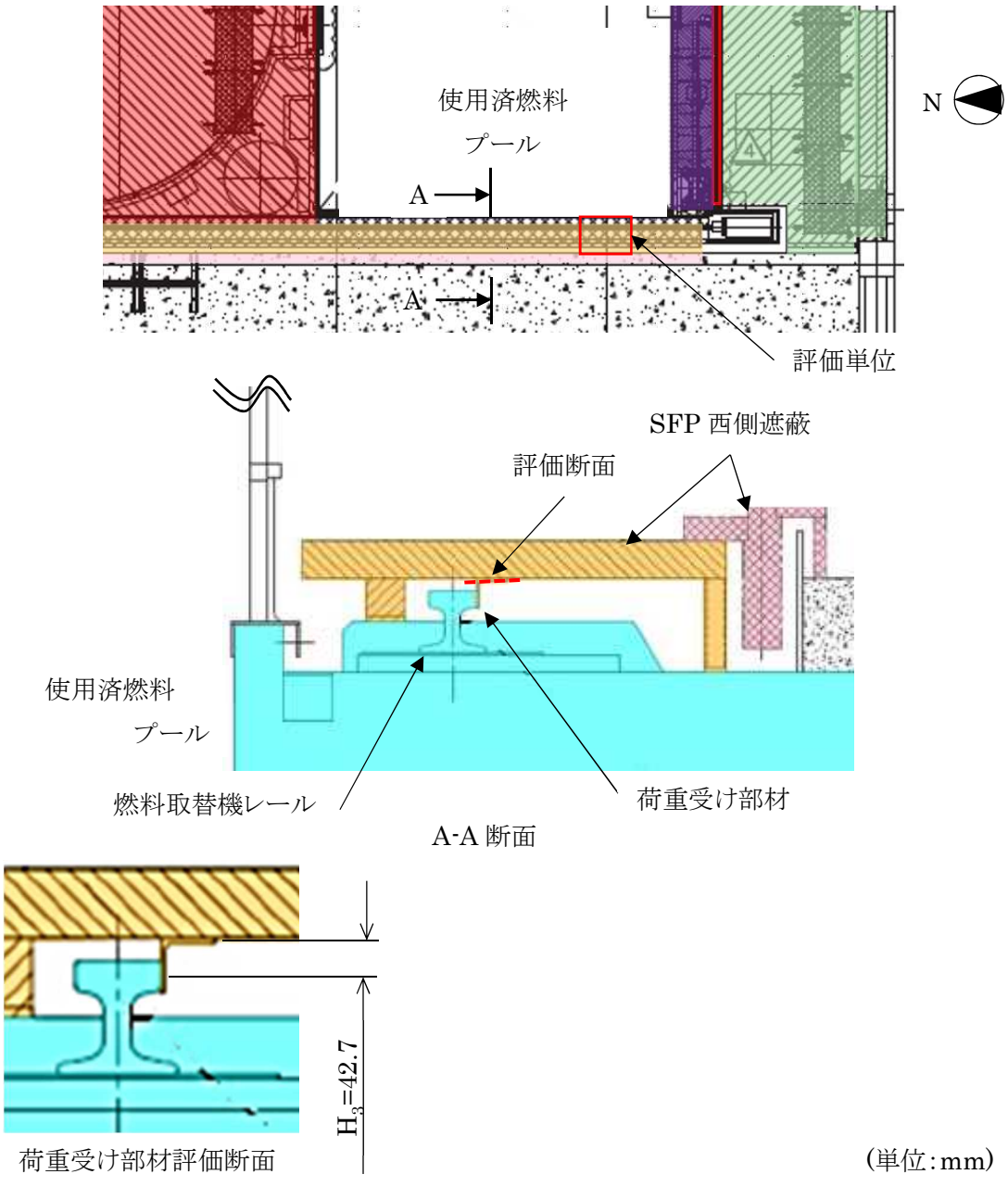



図 5 SFP 西側遮蔽 評価対象部

6.4.2　荷重受け部材の強度

SFP 西側遮蔽は評価単位に分割されており，個々に荷重受け部材で支持されるため，評価単位での評価とし，評価単位の質量を保守的に設定することで代表とする。荷重受け部材の評価においては，最も大きな曲げ応力が生じる脚部を評価断面とする。

(1)　曲げ応力

$P_6 = W_6 \cdot g \cdot (C_H - \mu(1 - C_V))$

$P_6$　:地震時に荷重受け部材 1 個当たりに生じる荷重(N)

$W_6$　:SFP 西側遮蔽質量　960(kg)

$M_7 = P_6 \cdot H_3$

$\sigma_7 = M_7/Z_7 = 57(\mathrm{MPa})$

$\sigma_7$　:荷重受け部材 1 個当たりに生じる曲げ応力 (MPa)

$M_7$　:荷重受け部材 1 個当たりに生じる曲げモーメント(N・mm)

$H_3$　:荷重受け部材部材高さ　42.7(mm)

$Z_7$　:荷重受け部材断面係数　5880 ($mm^3$)

(2)　せん断応力

$\tau_7 = P_6/A_8 = 2(\mathrm{MPa})$

$\tau_7$　:荷重受け部材 1 個当たりに生じるせん断応力(MPa)

$A_8$　:引っ掛け部材の断面積　5880($mm^2$)

(3)　組合せ応力

$\sigma_{fa7} = \sqrt{\sigma_7^2 + 3 \cdot \tau_7^2} = 58(\mathrm{MPa})$

$\sigma_{fa7}$　:引っ掛け部材 1 個当たりに生じる組合せ応力(MPa)

# Ⅳ　2 号機燃料取扱設備及び燃料取り出し用構台に対する 1/2Ss450 評価について

## 解析条件比較（燃料取り出し用構台）

TEPCO

- 1/2Ss450（水平2方向＋鉛直方向）を適用した場合の影響評価として，実施計画変更認可初回申請書記載の解析結果（以下，Ss600評価結果）と比較する
- 1/2Ss450評価では，地震動の位相反転を考慮せずに解析ケースを絞っているため，位相反転を考慮することによる，断面検討結果の変動から評価ケースの代表性を確認する
- 解析条件

| 解析条件 | 条件相違 | 1/2Ss450評価 | Ss600評価 |
|---|---|---|---|
| 解析に用いる入力地震動 | 有り | **1/2Ss450**<br>次頁以降に示す検討用地震動（最大加速度900gal）の1/2の最大加速度450galの地震動（1波） | **Ss600**<br>バックチェックにて作成した基準地震動Ss<br>（最大加速度600gal,450gal）（3波） |
| 地震力の組合せ | 有り | **水平2方向**及び鉛直方向地震力の同時入力 | **水平1方向**及び鉛直方向地震力の同時入力 |
| **ケース数** | **有り** | **1ケース*** | **8ケース** |
| 地盤定数 | 有り<br>(手法は同様) | **1/2Ss450**の水平動を用いて等価線形解析により算出 | **Ss600**の水平動を用いて等価線形解析により算出 |
| 地盤バネ | 有り<br>(手法は同様) | 上記地盤定数を用いて算出 | 上記地盤定数を用いて算出 |
| 原子炉建屋モデル | 無し | 質点系モデル | |
| 構台モデル | 無し | 三次元立体モデル | |
| 荷重条件<br>(燃料取扱設備荷重) | 無し | 構内用輸送容器揚重時を想定し，構内用輸送容器を含んだ重量を，燃料取扱設備の動作姿勢（R/B内：キャスクピットへのキャスク揚重，構台内：機器ハッチへのキャスク揚重）を考慮したうえで構台の解析モデル（ランウェイガーダ上）に分配<br>燃料取扱設備位置は原子炉建屋内位置(A)と前室内位置(B)の2ケース考慮 | |

＊ 位相反転を考慮することによる，断面検討結果の変動から代表性確認を実施

©Tokyo Electric Power Company Holdings, Inc. All Rights Reserved.　無断複製・転載禁止 東京電力ホールディングス株式会社

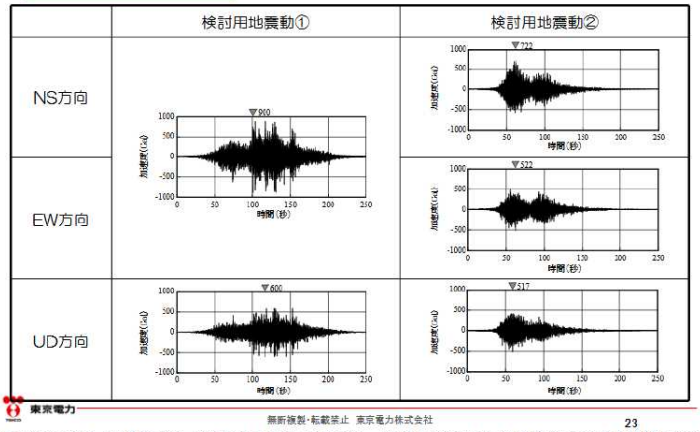
## 検討に用いる地震動の概要

TEPCO

- 本検討に用いる地震動は，第27回特定原子力施設監視・評価検討会にてご説明した，検討用地震動（以下，「Ss900Gal」という）とする。
- Ss900Galは以下の二つの地震動からなる。
- Ss600による評価結果との比較には，Ss900Galの二つの地震動のうち，振幅が大きく，燃料取り出し用構台および燃料取扱設備の応答が大きくなる傾向となる検討用地震動①を用いる。

### 4．1　検討用地震動の評価（検討用地震動）

加速度時刻歴波形




東京電力

無断複製・転載禁止 東京電力株式会社

23

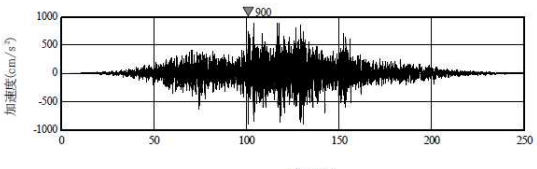
第27回特定原子力施設監視・評価検討会 資料2「東京電力福島第一原子力発電所の外部事象に対する防護の検討について」より抜粋

©Tokyo Electric Power Company Holdings, Inc. All Rights Reserved.　無断複製・転載禁止 東京電力ホールディングス株式会社

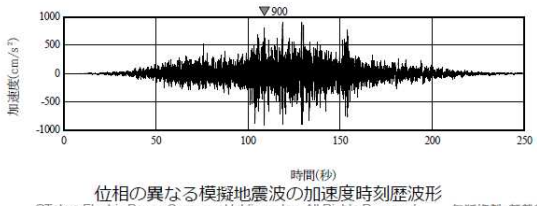
## 検討に用いる地震動の概要（水平二方向の検討に関して）

TEPCO

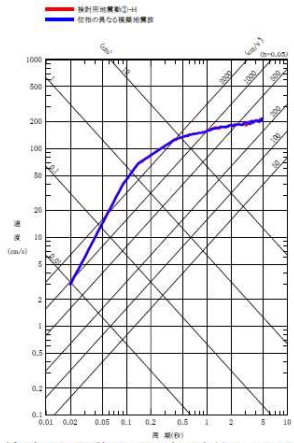
- 水平二方向の影響評価を実施するに当たっては，水平2方向及び鉛直方向地震力の同時入力を行う。
- 影響評価に当たっては，全く同じ地震動が同時に水平2方向に入力されることは現実的に考えにくいことから，検討用地震動①を作成した方法と同一の方法で，目標とする応答スペクトルに適合する位相の異なる模擬地震波を利用する。
- なお，検討用地震動①-Hの位相が，2011年東北地方太平洋沖地震において福島第一原子力発電所敷地内の地震観測記録のNS方向の位相を基に作成していることから，模擬地震波はそれと直交するEW方向の位相を基に作成する。




検討用地震動①-Hの加速度時刻歴波形




位相の異なる模擬地震波の加速度時刻歴波形



検討用地震動①の設計用応答スペクトル

©Tokyo Electric Power Company Holdings, Inc. All Rights Reserved. 無断複製・転載禁止 東京電力ホールディングス株式会社

## 観測記録を用いた位相差の確認

TEPCO

- なお，念のために自由地盤系南地点（O.P.-200m）の観測記録から，当該サイトにおいて，水平2方向の地震波で位相差が生じる傾向を確認した。確認の方法として，検討用地震動①を同時に水平2方向に入力した場合のオービット（図1）と，観測記録の水平2方向のオービット（図2及び図3）との比較を行った。図1から，全く同じ地震動を同時に水平2方向に入力した場合，オービットは現実的に考えにくい45°方向に直線的な軌跡を示す。一方，図2及び図3より観測記録ではオービットは位相差によって生じるランダムな軌跡を示すことを確認した。

本資料におけるO.P.表記は震災前の「旧O.P.表記」を指す。T.P.表記に換算する際は，震災後の地盤沈下量(-709mm)とO.P.からT.P.への読替値(-727mm)を用いて，下式に基づき換算する。
(換算式) T.P. = 旧O.P. -1,436mm

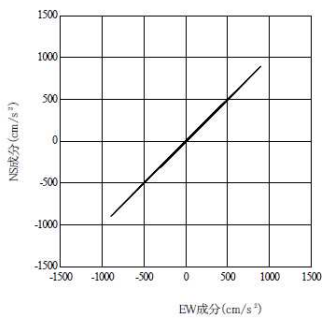



図1 検討用地震動
水平2方向の加速度成分のオービット

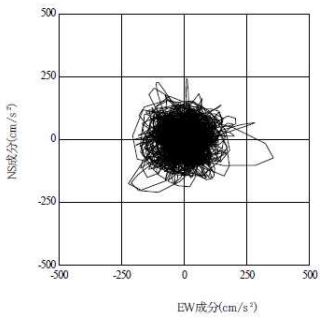



図2 2011年東北地方太平洋沖地震の観測記録
水平2方向の加速度成分のオービット

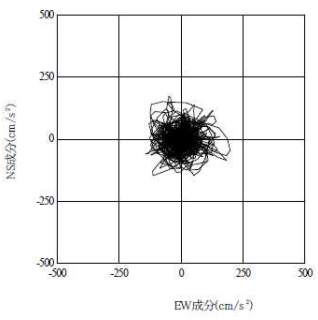



図3 2021年2月13日福島県沖地震の観測記録
水平2方向の加速度成分のオービット

©Tokyo Electric Power Company Holdings, Inc. All Rights Reserved. 無断複製・転載禁止 東京電力ホールディングス株式会社

## 観測記録を用いた位相差の確認

- また，検討用地震動①と位相の異なる模擬地震波を水平2方向に入力した場合のオービット（図4）と観測記録の水平2方向のオービット（図2及び図3）との比較を行った。図4のオービットはランダムな軌跡を示し，実際の観測記録と似たような軌跡を示すことを確認した。
- このため，位相の異なる模擬地震波はサイト特性を適切に考慮しており，妥当であると考えている。

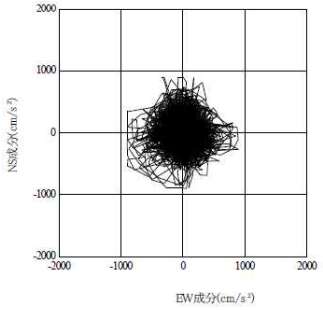



図4 検討用地震動①と
位相の異なる模擬地震波の
水平2方向の加速度成分のオービット

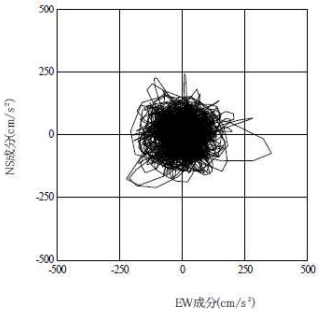



図2 2011年東北地方太平洋沖地震の観測記録
水平2方向の加速度成分のオービット

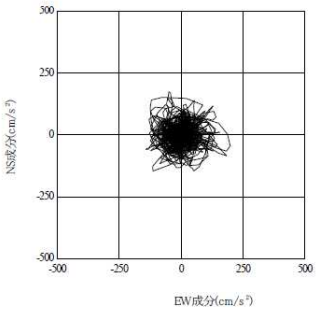
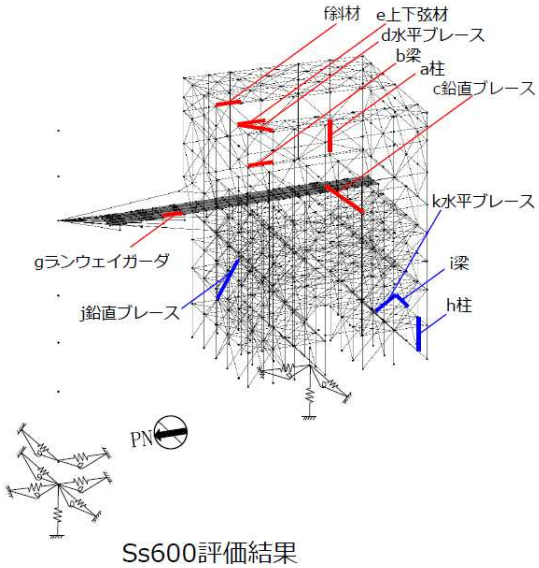



図3 2021年2月13日福島県沖地震の観測記録
水平2方向の加速度成分のオービット

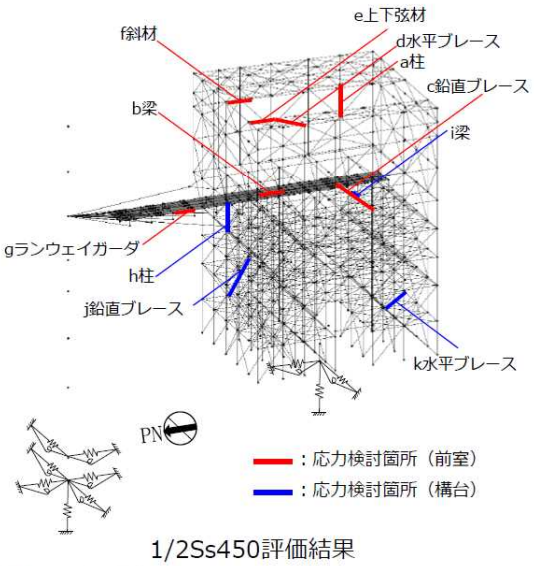
©Tokyo Electric Power Company Holdings, Inc. All Rights Reserved.　無断複製・転載禁止 東京電力ホールディングス株式会社

## 影響評価結果（燃料取り出し用構台）

- 燃料取り出し用構台（鉄骨部材）の断面検討結果の比較を，前室と構台の層に区分し，より詳細に比較を行った
- 評価の結果，最大応力度比発生部材は下図のとおり




Ss600評価結果




1/2Ss450評価結果

©Tokyo Electric Power Company Holdings, Inc. All Rights Reserved.　無断複製・転載禁止 東京電力ホールディングス株式会社

## 影響評価結果（燃料取り出し用構台）

TEPCO

- 燃料取り出し用構台（鉄骨部材）の断面検討結果の比較は以下のとおり
- 部位により，同位置の部材が最大になる場合と，異なる場合の両方が存在するが，全ての部位において1/2Ss450評価結果がSs600評価結果を下回ることを確認した

| 部位 | | | Ss600評価結果 | | | | | | 1/2Ss450評価結果 | | | | | | 比 |
|---|---|---|---|---|---|---|---|---|---|---|---|---|---|---|---|
| | | | 部材形状(mm)<使用材料> | 設備位置 | 許容応力度(N/mm²) | | 作用応力度(N/mm²) | 応力度比 | 部材形状(mm)<使用材料> | 設備位置 | 許容応力度(N/mm²) | | 作用応力度(N/mm²) | 応力度比 | |
| 前室 | a | 柱 | H-700×300×14×28<SM490A> | (A) | $f_c$ | 310 | 13.7 | 0.82 | H-700×300×14×28<SM490A> | (A) | $f_c$ | 310 | 24.2 | 0.71 | 0.87 |
| | | | | | $f_{by}$ | 298 | 223.5 | | | | $f_{by}$ | 313 | 180.8 | | |
| | | | | | $f_{bz}$ | 357 | 3.6 | | | | $f_{bz}$ | 357 | 17.9 | | |
| | | | | | $f_s$ | 205 | 27.6 | | | | $f_s$ | 205 | 3.0 | | |
| | b | 梁 | H-390×300×10×16<SM490A> | (B) | $f_t$ | 357 | 6.8 | 0.91 | H-390×300×10×16<SM490A> | (B) | $f_t$ | 357 | 3.8 | 0.70 | 0.77 |
| | | | | | $f_{by}$ | 273 | 0.0 | | | | $f_{by}$ | 273 | 0.0 | | |
| | | | | | $f_{bz}$ | 357 | 314.6 | | | | $f_{bz}$ | 357 | 243.8 | | |
| | | | | | $f_s$ | 205 | 5.5 | | | | $f_s$ | 205 | 4.2 | | |
| | c | 鉛直ブレース | φ-355.6×9.5<STK490> | (A) | $f_c$ | 279 | 199.6 | 0.72 | φ-355.6×9.5<STK490> | (B) | $f_c$ | 279 | 128.8 | 0.47 | 0.66 |
| | d | 水平ブレース | 2[s-200×90×8×13.5<SS400> | (B) | $f_t$ | 258 | 178.7 | 0.70 | 2[s-150×75×9×12.5<SS400> | (B) | $f_t$ | 258 | 129.7 | 0.51 | 0.73 |

燃料取り出し用構台（鉄骨部材）の断面検討結果比較（前室(1)）

©Tokyo Electric Power Company Holdings, Inc. All Rights Reserved.　無断複製・転載禁止 東京電力ホールディングス株式会社

## 影響評価結果（燃料取り出し用構台）

TEPCO

| 部位 | | | Ss600評価結果 | | | | | | 1/2Ss450評価結果 | | | | | | 比 |
|---|---|---|---|---|---|---|---|---|---|---|---|---|---|---|---|
| | | | 部材形状(mm)<使用材料> | 設備位置 | 許容応力度(N/mm²) | | 作用応力度(N/mm²) | 応力度比 | 部材形状(mm)<使用材料> | 設備位置 | 許容応力度(N/mm²) | | 作用応力度(N/mm²) | 応力度比 | |
| 前室 | e | 屋根トラス上下弦材 | H-300×300×16×16<SM490A> | (B) | $f_c$ | 316 | 221.0 | 0.80 | H-300×300×16×16<SM490A> | (B) | $f_c$ | 316 | 169.2 | 0.66 | 0.83 |
| | | | | | $f_{bz}$ | 357 | 33.3 | | | | $f_{bz}$ | 357 | 43.7 | | |
| | | | | | $f_s$ | 205 | 0.5 | | | | $f_s$ | 205 | 0.7 | | |
| | f | 屋根トラス斜材 | 2[s-150×75×6.5×10<SS400> | (B) | $f_c$ | 239 | 148.7 | 0.63 | 2[s-150×75×6.5×10<SS400> | (A) | $f_c$ | 239 | 117.1 | 0.49 | 0.78 |
| | g | ランウェイガーダ | □-1500×900×(80+40)×80<SN490B> | (A) | $f_c$ | 323 | 24.2 | 0.35 | □-1500×900×(80+40)×80<SN490B> | (A) | $f_c$ | 323 | 20.4 | 0.29 | 0.83 |
| | | | | | $f_b$ | 323 | 85.4 | | | | $f_b$ | 323 | 69.8 | | |
| | | | | | $f_s$ | 186 | 14.9 | | | | $f_s$ | 186 | 12.5 | | |

燃料取り出し用構台（鉄骨部材）の断面検討結果比較（前室(2)）

©Tokyo Electric Power Company Holdings, Inc. All Rights Reserved.　無断複製・転載禁止 東京電力ホールディングス株式会社

## 影響評価結果（燃料取り出し用構台）

TEPCO

| 部位 | | | Ss600評価結果 部材形状(mm) <使用材料> | 設備位置 | | | 許容応力度 (N/mm²) | 作用応力度 (N/mm²) | 応力度比 | 1/2Ss450評価結果 部材形状(mm) <使用材料> | 設備位置 | | 許容応力度 (N/mm²) | 作用応力度 (N/mm²) | 応力度比 | 比 |
|---|---|---|---|---|---|---|---|---|---|---|---|---|---|---|---|---|
| 構台 | h | 柱 | (X)H-700×300 ×36×36 (Y)H-700×350 ×36×40 <SM490A> | (B) | $f_c$ | 343 | 43.4 | 0.91 | (X)H1500×400 ×16×32 (Y)H-700×350 ×16×32 <SM490A> | (B) | $f_c$ | 348 | 41.6 | 0.83 | 0.92 |
| | | | | | $f_{by}$ | 337 | 246.2 | | | | $f_{by}$ | 303 | 120.5 | | |
| | | | | | $f_{bz}$ | 357 | 17.1 | | | | $f_{bz}$ | 357 | 108.5 | | |
| | | | | | $f_s$ | 205 | 18.8 | | | | $f_s$ | 205 | 12.8 | | |
| | i | 梁 | H-750×350 ×40×40 <SM490A> | (B) | $f_c$ | 350 | 24.1 | 0.87 | H-800×350 ×19×36 <SM490A> | (B) | $f_c$ | 342 | 0.1 | 0.69 | 0.80 |
| | | | | | $f_{by}$ | 352 | 265.9 | | | | $f_{by}$ | 339 | 152.4 | | |
| | | | | | $f_{bz}$ | 357 | 5.0 | | | | $f_{bz}$ | 357 | 0.7 | | |
| | | | | | $f_s$ | 205 | 41.5 | | | | $f_s$ | 205 | 106.1 | | |
| | j | 鉛直ブレース | φ-406.4×9.5 <STK490> | (B) | $f_c$ | 294 | 214.2 | 0.73 | φ-406.4×9.5 <STK490> | (B) | $f_c$ | 294 | 137.7 | 0.47 | 0.65 |
| | k | 水平ブレース | [-180×75×7 ×10.5 <SS400> | (B) | $f_t$ | 258 | 63.3 | 0.25 | [-180×75×7 ×10.5 <SS400> | (B) | $f_t$ | 258 | 36.1 | 0.14 | 0.56 |

燃料取り出し用構台（鉄骨部材）の断面検討結果比較（構台）

©Tokyo Electric Power Company Holdings, Inc. All Rights Reserved.　無断複製・転載禁止 東京電力ホールディングス株式会社

## 影響評価結果（燃料取り出し用構台）

TEPCO

- 弾性支承およびオイルダンパの応答結果の比較は以下のとおり
- 1/2Ss450評価結果がSs600評価結果を下回ることを確認した
- 前頁に記載した，燃料取り出し用構台（鉄骨部材）の断面検討結果と併せ， 1/2Ss450評価結果がSs600評価結果を下回り，影響が十分小さいことを確認した

オイルダンパの応答結果比較

| | | | Ss600 評価結果 | | 1/2Ss450評価結果 | |
|---|---|---|---|---|---|---|
| | | 許容値 | 設備位置 | 最大応答値 | 設備位置 | 最大応答値 |
| ｵｲﾙﾀﾞﾝﾊﾟ (水平棟間) | 変位 (mm) | ±100 | (B) | 50 | (A) | 40 |
| | 速度 (m/s) | 0.70 | (B) | 0.54 | (A) | 0.42 |
| ｵｲﾙﾀﾞﾝﾊﾟ (鉛直) | 変位 (mm) | ±60 | (B) | 18 | (B) | 13 |
| | 速度 (m/s) | 0.50 | (B) | 0.16 | (B) | 0.07 |
| ばね付き ｵｲﾙﾀﾞﾝﾊﾟ | 変位 (mm) | ±100 | (A) | 18 | (A) | 14 |
| | 速度 (m/s) | 1.00 | (A) | 0.14 | (A) | 0.10 |

弾性支承の応答結果比較

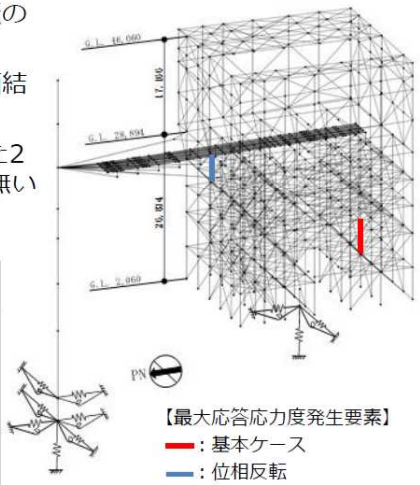
| | 圧縮限界強度 σv (N/mm²) | Ss600 評価結果 設備位置 | Ss600 評価結果 最大圧縮面圧 $\sigma_D$ (N/mm²) | 1/2Ss450 評価結果 設備位置 | 1/2Ss450 評価結果 最大圧縮面圧 $\sigma_D$ (N/mm²) |
|---|---|---|---|---|---|
| 西側 | 43.00 | (A) | 10.83 | (A) | 8.80 |
| 東側 | 43.00 | (A) | 10.83 | (A) | 8.86 |

©Tokyo Electric Power Company Holdings, Inc. All Rights Reserved.　無断複製・転載禁止 東京電力ホールディングス株式会社

## 影響確認に用いた評価ケースの代表性について

- 1/2Ss450評価結果で応力度比が最大となるケース（設備位置(B)，要素：柱）に対し，位相反転を考慮した場合（１ケース）の応力度比の変動を下表の通り確認した
- 上記最大応力度比となる部材における変動は6%程度
- 1/2Ss450評価結果とSs600評価結果の差は全頁以前に記載の通り最小でも8%と， 1/2Ss450評価における位相反転の変動以上に大きく大小関係は変わらない
- 許容値への裕度は，上記1/2Ss450評価結果とSs600評価結果の差以上に大きい
- 以上から，新耐震方針への変更による影響確認は実施した2ケース（設備位置(A)および(B)，位相反転無し）で問題無いことを確認した

| 荷重ケース | 部材形状(mm)<br><使用材料> | 許容応力度 (N/mm²) | | 作用応力度 (N/mm²) | 応力度比 | 基本ケースとの比較 |
|---|---|---|---|---|---|---|
| 1/2Ss450<br>-NS+EW+UD<br>(B)<br>(基本ケース) | (X)H-1500×400<br>×16×32<br>(Y)H-700×350<br>×16×32<br><SM490A> | $f_c$ | 348 | 41.6 | 0.83 | 1.00 |
| | | $f_{by}$ | 303 | 120.5 | | |
| | | $f_{bz}$ | 357 | 108.5 | | |
| | | $f_s$ | 205 | 12.8 | | |
| 1/2Ss450<br>+NS-EW-UD<br>(B)<br>(位相反転) | (X)H-700×300<br>×40×40<br>(Y)H-700×350<br>×40×40<br><SM490A> | $f_c$ | 322 | 70.9 | 0.78 | 0.94 |
| | | $f_{by}$ | 340 | 120.5 | | |
| | | $f_{bz}$ | 357 | 72.6 | | |
| | | $f_s$ | 205 | 5.6 | | |

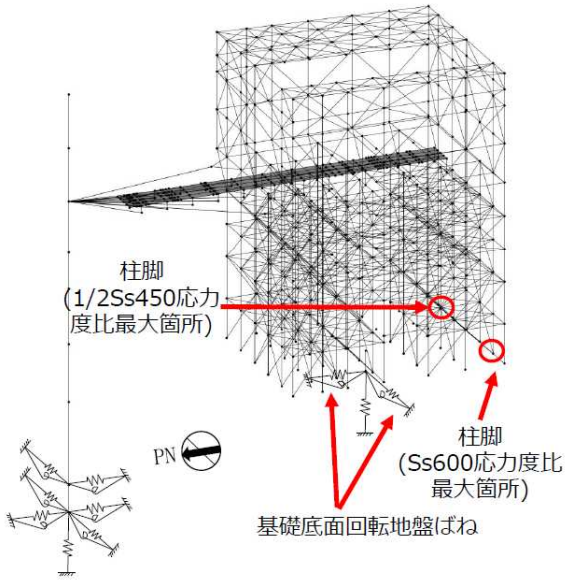



最大応答応力度発生要素位置

©Tokyo Electric Power Company Holdings, Inc. All Rights Reserved.　無断複製・転載禁止 東京電力ホールディングス株式会社

## 基礎スラブの影響評価について

- 地震応答解析結果より基礎スラブに作用する検討用応力を次頁の通り比較した
- 基礎全体に掛かる転倒モーメントの比較のため，基礎底面回転地盤ばね反力の最大応答値を用いて比較
- 柱脚反力により局所的に応答が大きくなる箇所が存在すると考えられるため，全体の転倒モーメント比較に加え，柱脚の最大応力度比の比較も実施
- 1/2Ss450の検討用応力はSs600より小さくなるため，基礎の耐震性に対する検討は，1/2Ss450評価結果がSs600評価結果を下回り，影響が十分小さいことを確認した




©Tokyo Electric Power Company Holdings, Inc. All Rights Reserved.　無断複製・転載禁止 東京電力ホールディングス株式会社

# 基礎スラブの影響評価について

【全体応答】

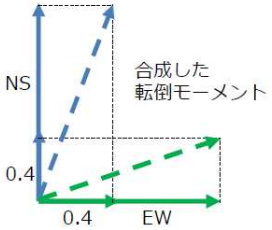
基礎スラブの地震時検討用応力の比較（全体）

| 地震時検討用応力 | | Ss600 | 1/2Ss450 | 1/2Ss450／Ss600 |
|---|---|---|---|---|
| 最大転倒モーメント | $M_{NS}$(kN·m) | 1,119,000 | 649,000 | 0.58 |
| | $M_{EW}$(kN·m) | 843,000 | 658,000 | 0.79 |
| 最大軸力 | N(kN) | 49,000 | 46,000 | 0.94 |

1/2Ss450では，水平2方向の影響を考慮する必要があるため，発生時刻の異なるNS方向，EW方向の最大転倒モーメントを，荷重係数法を用いて一方を係数倍(0.4)したうえで，二乗和平方根を用いて合成し，Ss600の1方向の転倒モーメントと比較する。

・NS方向
合成した転倒モーメント＝$\sqrt{649{,}000^2+(0.4\times658{,}000)^2}$ ≒701,000 kN·m
701,000／1,119,000＝0.63

・EW方向
合成した転倒モーメント＝$\sqrt{(0.4\times649{,}000)^2+658{,}000^2}$ ≒708,000 kN·m
708,000／843,000＝0.84




【局所応答】

構台から作用する応力（柱脚柱の断面検討結果）の比較

| 柱脚柱の断面検討結果 | Ss600 | 1/2Ss450 | 1/2Ss450／Ss600 |
|---|---|---|---|
| 応力度比 | 0.91 | 0.76 | 0.84 |
| 部材形状(mm) | (X)H-700×300×36×36<br>(Y)H-700×350×36×40<br><SM490A> | (X)H-700×300×40×40<br>(Y)H-700×350×40×40<br><SM490A> | |

©Tokyo Electric Power Company Holdings, Inc. All Rights Reserved.　無断複製・転載禁止 東京電力ホールディングス株式会社

# 基礎スラブの影響評価について

- 前頁で記載した転倒モーメントの合成方法の妥当性を確認するため， Ss600評価の最大モーメントと，荷重係数法を用いた1/2Ss450評価の最大転倒モーメントに加え，時刻歴評価による1/2Ss450評価の最大転倒モーメントの比較を行った
- 時刻歴評価による1/2Ss450評価の最大転倒モーメントが， Ss600評価の最大モーメントと，荷重係数法を用いた1/2Ss450評価の最大転倒モーメントより小さくなっており，荷重係数法を用いた転倒モーメントの合成方法の妥当性を確認した

基礎スラブの地震時検討用応力の比較（全体）

| 地震時検討用応力 | | Ss600 | 1/2Ss450<br>（荷重係数法） | 1/2Ss450<br>（時刻歴評価） |
|---|---|---|---|---|
| 最大転倒モーメント | $M_{NS}$(kN·m) | 1,119,000 | 649,000 | (648,000)* |
| | $M_{EW}$(kN·m) | 843,000 | 658,000 | (155,000)* |
| 合成した転倒モーメント | M(kN·m) | – | 708,000 | 667,000 |

＊合成した転倒モーメントが最大となる時刻のNS方向，EW方向それぞれの転倒モーメントを記載

©Tokyo Electric Power Company Holdings, Inc. All Rights Reserved.　無断複製・転載禁止 東京電力ホールディングス株式会社

## 新基準による遮蔽体耐震評価結果

TEPCO

- 使用済燃料プール周りに設置する遮蔽体について，新基準による地震水平荷重負荷時に支持部材に生じる応力が，許容応力を下回ることを確認した。
- また，Ss600と1/2Ss450の評価結果の比較検討を行った。その結果1/2Ss450を用いた場合より保守的であることを確認した。
- 比較検討結果
  - ✓ Ss600　　:地震時に遮蔽対に負荷される水平力が大きい動的地震動を用いて評価。
  - ✓ 1/2Ss450:地震時に遮蔽体に負荷される水平力は，Ss600で算出した値を下回る結果となった。
  - ✓ これより，1/2Ss450の評価結果はSs600の評価結果に包絡される。

| 適用地震動 | 静的地震力を用いて算出した水平力 | 動的地震力を用いて算出した水平力 |
|---|---|---|
| Ss600 | 0.8125mg | 0.825mg |
| 1/2Ss450 | 0.8125mg | 0.61mg |

地震時に遮蔽体に負荷される水平力:$F = (C_H - \mu(1 - CV))mg$
Ss600:静的地震力（$C_H$:水平0.99G，$C_V$:鉛直0.29G），動的地震力（$C_H$:水平0.94G，$C_V$:鉛直0.54G）
1/2Ss450:静的地震力（$C_H$:水平0.99G，$C_V$:鉛直0.29G），動的地震力（$C_H$:水平0.74G，$C_V$:鉛直0.48G）
μ:摩擦係数（0.25）

- 実施計画変更認可申請の審査において，1/2Ss450を用いた場合よりSs600を用いることの適切性を確認した。このため，添付4-2別添8に「Ss600が1/2Ss450を用いた場合より保守的である」旨を記載する。

©Tokyo Electric Power Company Holdings, Inc. All Rights Reserved.　無断複製・転載禁止 東京電力ホールディングス株式会社

## 別添資料

TEPCO

- 補足説明資料
  - ➢ 別添１　2号機燃料取扱設備の設備停止位置における耐震性についての計算書

©Tokyo Electric Power Company Holdings, Inc. All Rights Reserved.　無断複製・転載禁止 東京電力ホールディングス株式会社

別添１　２号機燃料取扱設備の設備停止位置における
耐震性についての計算書

※本計算書は，「2 号機燃料取扱設備及び燃料取り出し用構台の設置」に関する実施計画申請の内，燃料取扱設備の申請範囲を分割することから，先行して認可を受ける燃料取り出し用構台への影響を確認するため暫定的な評価を行うものである。

# I. 2 号機燃料取扱設備に係る耐震設計の基本方針

## 1. 設備の重要度による耐震クラス別分類

| 設備名 | 耐震<br>クラス別 | 確認用<br>地震動 |
|---|---|---|
| 燃料取扱設備 | B+ | 1/2Ss450 |

燃料取扱設備は，燃料取扱機及びクレーンによる揚重作業時，原子炉建屋側または燃料取り出し用構台側の所定の停止位置にて 4 本のアウトリガーピンを介してランウェイガーダに固定し，原子炉建屋側では燃料取扱及び輸送容器取扱作業を，燃料取り出し用構台側では輸送容器取扱作業を行う。また，アウトリガーピンによる固定解除後，ランウェイガーダに設置する走行レール上を走行し，原子炉建屋と燃料取り出し用構台間を移動する。

2 号機燃料取扱設備の耐震クラス別分類は，「令和3年2月13日の福島県沖の地震を踏まえた東京電力福島第一原子力発電所の耐震設計における地震動とその適用の考え方（2 回目）」(原子力規制庁，令和 3 年 9 月 8 日）に基づき，B+クラスに分類される。本計算書では，2 号機燃料取り出し用構台の実施計画申請にあたり，別申請にて提示する燃料取扱設備の耐震応答解析の結果が構台の申請内容に影響しないことに当たりをつけるため，各設備停止位置における転倒評価を行うものである。

## 2. 設計用地震力

### 2.1. 設計用床応答スペクトル

(1) 床応答スペクトルは，原子炉建屋及び燃料取り出し用構台の地震応答解析モデルに対して，確認用地震動を用いた時刻歴応答解析を行い，ランウェイガーダ上の走行台車部車輪位置（計 6 箇所)での加速度応答時刻歴を求める。時刻歴応答解析においては，地震動（1/2Ss450），入力方向（+NS+EW+UD），ランウェイガーダに付加する荷重（燃料取扱状態，輸送容器取扱状態，輸送容器固定状態）の組合せを考慮する。

(2) (1)で求めた各走行台車車輪位置での加速度応答時刻歴を入力として，1 自由度系の応答スペクトルを求める。

(3) (2)で求めた応答スペクトル 6 点を包絡する応答スペクトルを求める。

(4) (3)で求めた応答スペクトルに対し，周期方向に±10%の拡幅を行い設計用床応答スペクトルとする。

### 2.2. 剛構造の機器に適用する設計地震力

評価対象機器が剛構造の場合は，各地震動，入力方向，ランウェイガーダに付加する荷重条件においてランウェイガーダの原子炉建屋側燃料取扱設備停止位置

から得られる最大床応答加速度と燃料取り出し用構台側燃料取扱設備停止位置から得られる最大床応答加速度の 1.2 倍の加速度を地震力とする。

3. 荷重の組合せ，応力算定及び許容応力

記号の説明

D　　：死荷重

1/2Ss450　：1/2Ss450 地震動により求まる地震力

$1.5f_t$　　：許容引張応力

ボルト以外の支持構造物に対しては発電用原子力設備規格 設計・建設規格（以下，設計・建設規格）SSB-3121.3，ボルト材に対しては設計・建設規格 SSB-3133 により規定される値

$1.5f_s$　　：許容せん断応力

同上

$1.5f_c$　　：許容圧縮応力

設計・建設規格 SSB-3121.3 により規定される値

$1.5f_b$　　：許容曲げ応力

同上

| 荷重の組合せ | 許容限界<br>(ボルト以外) | | | | 許容限界<br>(ボルト等) | |
|---|---|---|---|---|---|---|
| | 1 次応力 | | | | 1 次応力 | |
| | 引張 | せん断 | 圧縮 | 曲げ | 引張 | せん断 |
| D+1/2Ss450 | $1.5f_t$ | $1.5f_s$ | $1.5f_c$ | $1.5f_b$ | $1.5f_t$ | $1.5f_s$ |

## II. 燃料取扱設備停止時の耐震性についての計算書

### 1. 概要

#### 1.1. 一般事項

本書は燃料取扱設備が原子炉建屋内及び燃料取り出し用構台内で停止時の耐震性についての計算書である。

#### 1.2. 計算条件

(1) 燃料取扱設備全体が原子炉建屋内で停止時に使用済燃料プール(以下，SFP)に波及的影響を及ぼさないこと及び通常時における駐機位置として燃料取り出し用構台内で停止時に転倒しないことを確認するため，各停止時においてアウトリガーピンが挿入されていない状態について評価を行う。

(2) 燃料取扱機，クレーン，ジブクレーンは格納状態，固定治具は構内用輸送容器固定状態とする。

(3) 走行姿勢において評価対象(走行台車部)は剛構造であるため，停止時の耐震評価についてはランウェイガーダ上で得られる最大床応答加速度の 1.2 倍の加速度を地震力とする。

(4) 走行台車積載構造物の影響を考慮するため，地震力は構内用輸送容器を含めた設備全体の重心位置に付加する。

#### 1.3. 荷重の伝達経路

図 1-1 及び図 1-2 に荷重伝達経路を示す。(荷重①～③)

本評価においては，転倒方向である+EW の水平力及び鉛直方向+UD による転倒モーメントを考慮する。なお，本計算書は暫定的に走行姿勢で評価しており，下記荷重伝達経路の内，転倒防止ラグが転倒モーメントを支持する時間は十分に短いと考えられるため NS 方向の力は考慮しない。

以上に基づき荷重経路を選定すると，荷重は走行台車(荷重①)，転倒防止ラグ(荷重②)，転倒防止ラグボルト(荷重③)の順に伝達する。

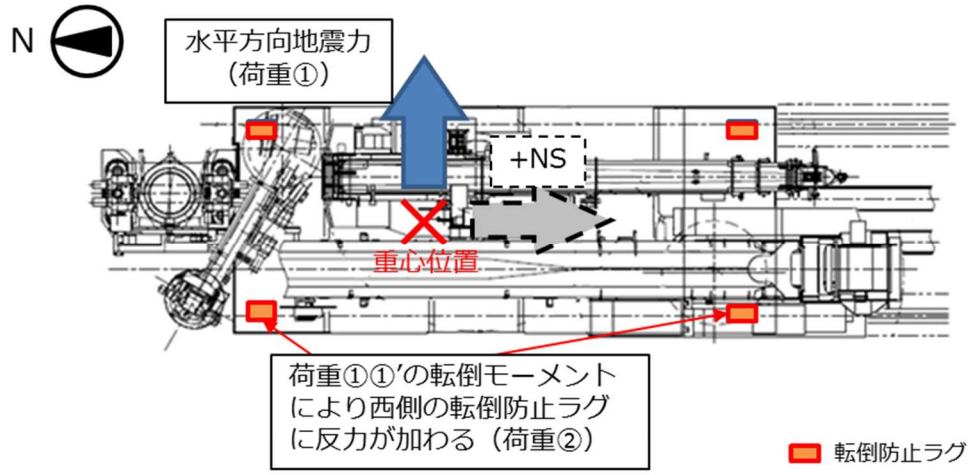



図 1-1 燃料取扱設備荷重経路の概略図(平面)

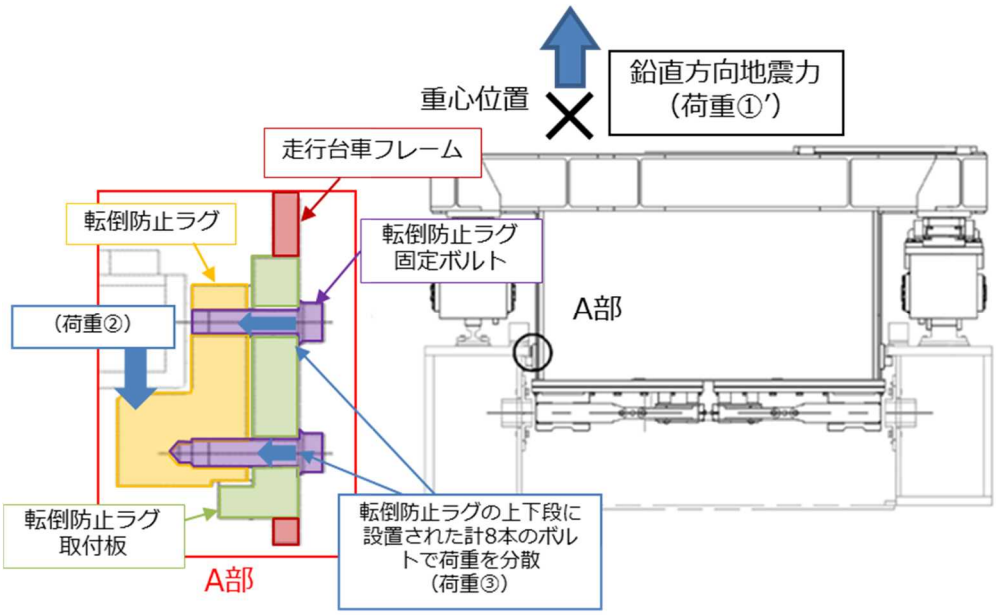



図 1-2 燃料取扱設備荷重経路の概略図(南側から見た図)

## 2. 計算方法

### 2.1. 計算モデル

1.2 及び 1.3 に基づいた計算モデルを図 1 に示す。

転倒防止ラグは転倒防止ラグ取付板を介して走行台車のフレーム部材に取り付けられるため，モーメントに対する強度は十分に有する。また，転倒防止ラグ取付板取付部は十分な溶接脚長を確保できるため，転倒防止ラグ固定ボルトが最も厳しい部位となる。

よって，荷重伝達経路のうち，最も厳しい転倒防止ラグ固定ボルトに生じる応力を評価する。なお，転倒防止ラグ固定ボルトにせん断力が生じないよう転倒防止ラグ取付板につばを設けている。

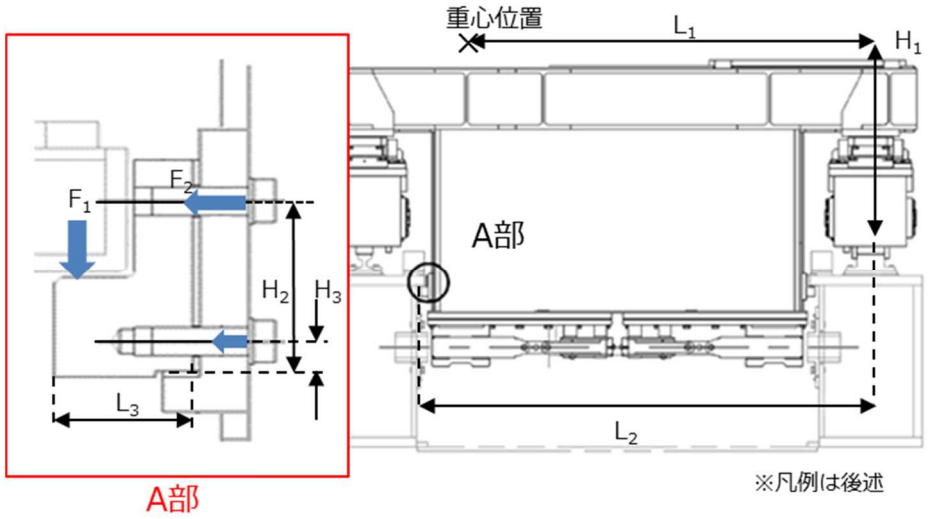



図 2 燃料取扱設備 停止時の計算モデル

2.2. 計算に用いる入力地震動

ランウェイガーダの原子炉建屋側及び燃料取り出し用構台位置での燃料取扱設備車輪位置(6 点)で得られる最大応答加速度包絡値の 1.2 倍の加速度を用いて設計用震度とする。適用する地震動を表1に示す。なお，本計算書は暫定的に走行姿勢で評価しており，転倒防止ラグが転倒モーメントを支持する時間は十分に短いと考えられるため NS 方向の力は考慮しない。

表 1 適用する地震動

| | 設計用震度 | |
|---|---|---|
| 停止位置 | 原子炉建屋 | 燃料取り出し用構台 |
| 確認用地震動 | 1/2Ss450 | 1/2Ss450 |
| 鉛直方向 | 0.77 | 0.81 |
| 水平方向 | 0.66 | 1.47 |

3. 評価方法

3.1. 応力の評価方法

材料及び許容応力を表 2 に示す。

表 2 材料及び許容応力

| 部位 | 使用材料 | 応力の種類 | 許容応力 (MPa) |
|---|---|---|---|
| 転倒防止ラグ固定ボルト | SCM435H | 引張 | 651 |

3.2. 結論

算出応力は，表 3 に示す通り，全て許容応力値以下であることを確認した。

表 3 算定応力の評価

| 部位 | 使用材料 | 応力の種類 | 許容応力 (MPa) | 算出応力(MPa) | |
|---|---|---|---|---|---|
| | | | | 原子炉建屋 | 燃料取り出し用構台 |
| 転倒防止ラグ固定ボルト | SCM435H | 引張 | 651 | 110 | 434 |

4. 数値計算

4.1. 燃料取扱設備停止時の転倒防止ラグ 固定ボルトの算出応力

4.1.1 原子炉建屋内での評価

(1) 引張応力

地震時に燃料取扱設備の転倒防止ラグ 1 個当たりに生じる鉛直力 $F_1$ は，走行台車東側車輪端部を支点としたモーメントつり合い式より下式となる。走行台車片側に転倒防止ラグは 2 個設置する。

$$F_1 = \frac{W_1 \cdot g \cdot C_H \cdot H_1 + W_1 \cdot g \cdot (C_V - 1) \cdot L_1}{2L_2}$$

| | | |
|---|---|---|
| $F_1$ | :転倒防止ラグ 1 個当たりに生じる鉛直力(N) | |
| $W_1$ | :燃料取扱設備質量 | 310000(kg) |
| $g$ | :重力加速度 | 9.80665(m/s²) |
| $C_H$ | :水平方向地震力 | 0.66 |
| $H_1$ | :燃料取扱設備重心高さ(走行レール上面基準) | 1793(mm) |
| $C_V$ | :鉛直方向地震力 | 0.77 |
| $L_1$ | :燃料取扱設備重心東西位置(走行レール(東側)東端部基準) | 2340(mm) |
| $L_2$ | :走行レール(東側)東端部から転倒防止ラグ荷重点までの距離 | 4034(mm) |

転倒防止ラグ 1 個当たりに生じる鉛直力 $F_1$ より，転倒防止ラグ固定ボルト(上段)1 本当たりに生じる引張応力 $F_2$ は，転倒防止ラグ下端を支点としたモーメントつり合い式より下式となる。転倒防止ラグ 1 個に転倒防止ラグ固定ボルトは上段／下段に 4 本ずつ設置する。

$$F_2 = \frac{F_1 \cdot L_3}{4 \cdot (H_2 + \frac{H_3^2}{H_2})}$$

$$\sigma_1 = \frac{F_2}{A_1} = 110(MP_a)$$

| | | |
|---|---|---|
| $F_2$ | :転倒防止ラグ固定ボルト 1 本当たりに生じる引張力(N) | |
| $\sigma_1$ | :転倒防止ラグ固定ボルト(上段)に生じる引張応力(MPa) | |
| $L_3$ | :転倒防止ラグ板厚 | 95(mm) |
| $H_2$ | :転倒防止ラグ下端からの転倒防止ラグ固定ボルト位置(上段) | 145(mm) |
| $H_3$ | :転倒防止ラグ下端からの転倒防止ラグ固定ボルト位置(下段) | 25(mm) |
| $A_1$ | :転倒防止ラグ固定ボルト(M24)有効断面積 | 353 (mm²) |

4.1.2　燃料取り出し用構台内での評価

(1)　引張応力

地震時に燃料取扱設備の転倒防止ラグ 1 個当たりに生じる鉛直力 $F_1$'は，走行台車東側車輪端部を支点としたモーメントつり合い式より下式となる。走行台車片側に転倒防止ラグは 2 個設置する。

$$F_1' = \frac{W_1 \cdot g \cdot C_H' \cdot H_1 + W_1 \cdot g \cdot (C_V' - 1) \cdot L_1}{2L}$$

| | | |
|---|---|---|
| $F_1'$ | :転倒防止ラグ 1 個当たりに生じる鉛直力(N) | |
| $W_1$ | :燃料取扱設備質量 | 310000(kg) |
| $g$ | :重力加速度 | 9.80665(m/s²) |
| $C_H'$ | :水平方向地震力 | 0.81 |
| $H_1$ | :燃料取扱設備重心高さ(走行レール上面基準) | 1793(mm) |
| $C_V'$ | :鉛直方向地震力 | 1.47 |
| $L_1$ | :燃料取扱設備重心東西位置(走行レール(東側)東端部基準) | 2340(mm) |
| $L_2$ | :走行レール(東側)東端部から転倒防止ラグ荷重点までの距離 | 4034(mm) |

転倒防止ラグ 1 個当たりに生じる鉛直力 $F_1$'より，転倒防止ラグ固定ボルト(上段)1 本当たりに生じる引張応力 $F_2$'は，転倒防止ラグ下端を支点としたモーメントつり合い式より下式となる。転倒防止ラグ 1 個に転倒防止ラグ固定ボルトは上段／下段に 4 本ずつ設置する。

$$F_2' = \frac{F_1' \cdot L_3}{4 \cdot (H_2 + \frac{H_3^2}{H_2})}$$

$$\sigma_1' = \frac{F_2'}{A_1} = 434(MP_a)$$

| | | |
|---|---|---|
| $F_2'$ | :転倒防止ラグ固定ボルト 1 本当たりに生じる引張力(N) | |
| $\sigma_1'$ | :転倒防止ラグ固定ボルト(上段)に生じる引張応力(MPa) | |
| $L_3$ | :転倒防止ラグ板厚 | 95(mm) |
| $H_2$ | :転倒防止ラグ下端からの転倒防止ラグ固定ボルト位置(上段) | 145(mm) |
| $H_3$ | :転倒防止ラグ下端からの転倒防止ラグ固定ボルト位置(下段) | 25(mm) |
| $A_1$ | :転倒防止ラグ固定ボルト(M24)有効断面積 | 353 (mm²) |

# Ⅴ　2 号機燃料取扱設備破損時の被ばく評価についての計算書

1. 2 号機燃料取扱設備破損時の被ばく評価シナリオ

2 号機燃料取扱設備の内，地震影響に対する裕度が小さいクレーン旋回輪軸受取付ボルトが破損したと想定し※1，公衆被ばくに至るシナリオとして，以下の３つが考えられる。

① 燃料取扱設備クレーンが使用済燃料プール内に落下し，プールのライナーが破損することで水位が低下する

② 燃料取扱設備クレーンが使用済燃料プール内に落下し，燃料が破損する

③ 燃料取り出し用構台で吊り下ろし作業中の構内用輸送容器が地上に落下し，燃料が破損する

地震によりこれらのシナリオが発生したと仮定し，敷地境界における線量を評価する。なお，シナリオ①と②については同時に起こることを考える。

2. 燃料取扱設備クレーンの使用済燃料プールへの落下（シナリオ①，②）

2.1 使用済燃料プールライナーの破損による線量の上昇（シナリオ①）

(1) 評価方法

本シナリオの線量率評価は，以下の前提に基づき評価する。

a. 2 号機使用済燃料プールのプール水が全喪失した場合の使用済燃料および制御棒のスカイシャイン線，直接線による敷地境界へ与える線量影響を評価した。

なお，使用済燃料の冷却期間は 10 年以上経過しており，短半減期核種は減衰し，長半減期核種が支配的であるため，6 号機の解析結果を元に，2 号機との使用済燃料の体数比，制御棒の本数，制御棒の種類に応じた線源強度比，冷却期間から比例計算する。6 号機の解析条件は別添 1 の通りであり，その解析結果(6 号機原子炉建屋から 900m 地点)を表 1 に示す。

表 1　6 号機解析結果

| | 使用済燃料[mSv/h] | 制御棒[mSv/h] | 合計[mSv/h] |
|---|---|---|---|
| 900m 地点 | $2.3\times10^{-5}$ | $9.0\times10^{-5}$ | $1.2\times10^{-4}$ |

b. 放出点を使用済燃料プールとし，評価点は使用済燃料プール中心からの距離が最も短い地点とする。

c. 図 1 に評価モデルを示す。

※1 公衆被ばくに至るシナリオを定めるため，「福島第一原子力発電所『発電用原子炉施設に関する耐震設計審査指針』の改訂に伴う耐震安全性評価結果中間報告書」(東京電力株式会社，平成 20 年 3 月 31 日)にて作成した解放基盤表面で定義される新規制基準によらない従来の基準地震動 Ss(最大加速度 600gal)及び弾性設計用地震動 Sd(最大加速度 300gal)で評価した結果より，地震影響に対する裕度が最も小さいクレーン旋回輪軸受取付ボルトが破損したと想定した。

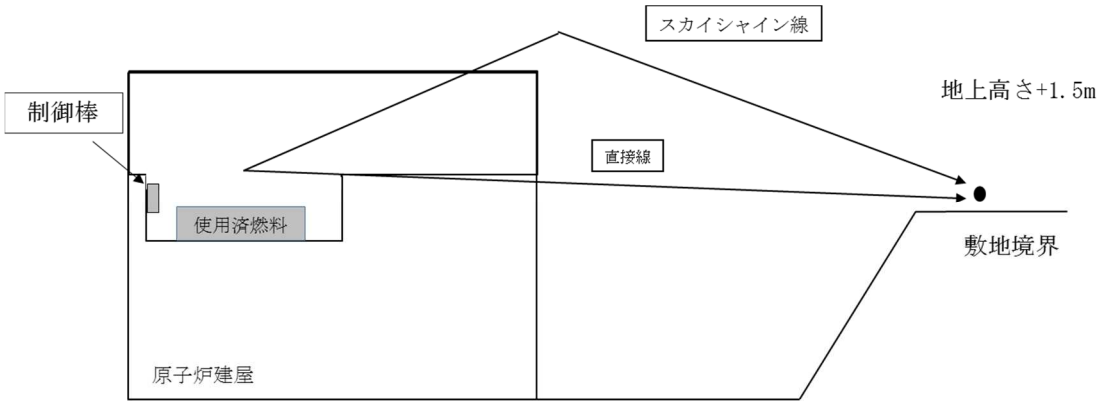



図 1 評価モデルの概要

d. 使用済燃料および制御棒の線量影響は(1)式，(2)式の通り評価する。

$$H_{F1} = H_{F2} \times \frac{N_{F1}}{N_{F2}} \qquad \text{(1)式}$$

$H_{F1}$：2 号機の使用済燃料の線量率[mSv/h]
$H_{F2}$：6 号機の使用済燃料の解析結果[mSv/h]
$N_{F1}$：2 号機の使用済燃料体数[体]
$N_{F2}$：6 号機の使用済燃料体数[体]

$$H_{C1} = H_{C2} \times \frac{N_{C1}}{N_{C2}} \times \frac{S_1}{S_2} \times \left(\frac{1}{2}\right)^{\frac{(t1-t2)}{T}} \qquad \text{(2)式}$$

$H_{C1}$：2 号機の制御棒の線量率[mSv/h]
$H_{C2}$：6 号機の制御棒の解析結果[mSv/h]
$N_{C1}$：2 号機の制御棒の本数[本]
$N_{C2}$：6 号機の制御棒の本数[本]
$S_1$ ：2 号機の線源強度比[-]
$S_2$ ：6 号機の線源強度比[-]
$t1$ :2 号機の冷却期間[年]
$t2$ :6 号機の冷却期間[年]
$T$ :Co-60 の半減期(5.27)[年]

(2) 評価条件

本シナリオの線量率評価条件を表 2 に示す。
なお，制御棒の評価対象はハンガーラックに装荷しているものとする。

表 2　評価条件

| | 使用済燃料 | | | 制御棒 | | |
|---|---|---|---|---|---|---|
| | 体数［体］ | 燃焼度［GWd/t］ | 冷却期間［年］ | 本数［本］ | 線源強度比※2［-］ | 冷却期間［年］ |
| 2 号機 | 587 | 49 | 9.8 | 28 | 0.64 | 9.7 |
| 6 号機 | 1456 | 51 | 9.9 | 27 | 1.0 | 13.8 |

(3) 評価結果

上記の評価条件に基づき敷地境界線量は表 3 の通りである。

表 3　2 号機評価結果

| | 使用済燃料［mSv］ | 制御棒［mSv］ | 合計［mSv］ |
|---|---|---|---|
| 敷地境界線量 | 約 $1.2\times10^{-3}$ | 約 $1.3\times10^{-2}$ | 約 $1.4\times10^{-2}$ |

SFP 水の容積及びライナードレンからの最大漏えい量を考慮した BAF までの到達時間は十分に裕度があり，また復旧作業も数時間程度で着手可能と考えるが，保守的に燃料露出継続時間を 5 日間とする。

2.2 使用済燃料プール内の燃料破損による核分裂生成物の放出（シナリオ②）

2.2.1　核分裂生成物の放出量

(1) 評価方法

設置許可申請書添付書類十の「3.4.3 燃料集合体の落下」と同様の方法で評価する。

破損する燃料体数の評価は，次の仮定に基づいて行う。

a. 燃料取扱設備に搭載しているクレーンが地震の影響により根元の旋回部から折損し，保守的にクレーンが使用済燃料プールの使用済燃料貯蔵ラック上に落下するものと仮定する。

b. 使用済燃料プールの西側から 20 列目までの使用済燃料全てが破損すると仮定し，落下による燃料集合体の破損体数は 449 体とする。（図 2 参照）

※2 6 号機の制御棒の照射量(Hf，4.9snvt)に対する線源強度を 1 とした時の線源強度の比を線源強度比と定義し，2号機の制御棒(B4C，1.4snvt)に対する線源強度比を算出する。

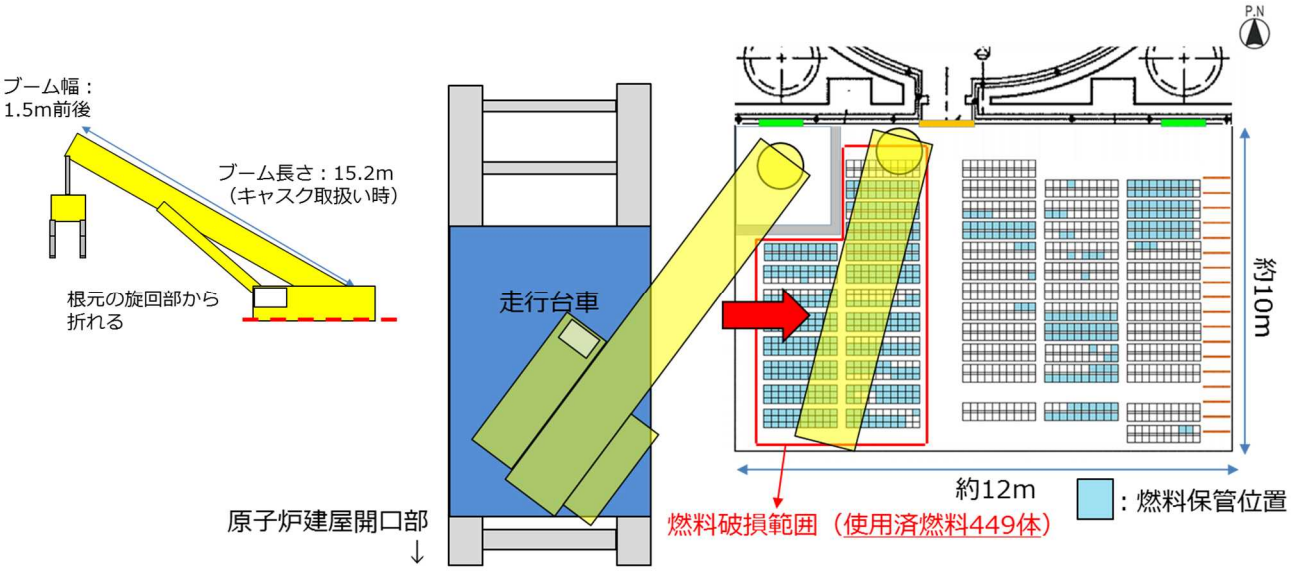



図 2 評価モデルの概要

(2) 評価条件

核分裂生成物の移行と放出量の評価は，次の仮定に基づいて行う。

a. 燃料ギャップ内の核分裂生成物の量は，原子炉熱出力 2483MW（定格出力の約 105%）で 2000 日運転を行った 9×9 燃料集合体について行う。

b. 燃料集合体の冷却期間は 365 日とする。

c. 破損した燃料棒のギャップ内核分裂生成物の全量が水中に放出されるものとする。破損した燃料棒のギャップ内核分裂生成物の存在量については，半減期の長い核種の放出が支配的であることを考えて，破損した燃料棒内の全蓄積量に対して希ガス(Kr-85)及びよう素（I-129）それぞれ 30%とする。

d. 放出された希ガスは，全量が水中から原子炉建屋および燃料取り出し用構台の大気中へ移行するものとする。

e. 放出されたよう素は，全量が水中から原子炉建屋および燃料取り出し用構台の大気中へ移行するものとするが，同時に水位低下が起こることを想定するため保守的に水による除去は無いものとする。

(3) 評価結果

上記の評価条件に基づいて計算した核分裂生成物の大気中への放出量は表 4 の通りである。

表 4　核分裂生成物の大気中への放出量

| 核分裂生成物 | 放出量 |
|---|---|
| 希ガス(γ線実効エネルギー0.5MeV 換算値)<br>大気放出量 | 約 $9.8\times10^{13}$Bq |
| よう素(I-131 等価量(小児実効))大気放出量 | 約 $5.5\times10^{10}$Bq |
| よう素(I-131 等価量(成人実効))大気放出量 | 約 $2.1\times10^{11}$Bq |

2.2.2　線量当量の評価

(1) 評価の前提

大気中へ放出される核分裂生成物は，地上放出されるものとし，これによる実効線量の計算は，次の仮定に基づいて行う。

a. 敷地境界外の地表空気中濃度は，設置許可申請書添付書類六の「5.5 安全解析に使用する気象条件」に記述される相対濃度に核分裂生成物の全放出量を乗じて求める。なお，相対濃度（$\chi$／Q）は保守的な評価となる設置許可申請書記載の２号機の主蒸気管破断（地上放出）の値 $2.0\times10^{-5}$s/m$^3$ を適用する。

b. 敷地境界外の希ガスによるγ線空気吸収線量は，設置許可申請書添付書類六の「5.5　安全解析に使用する気象条件」に記述される相対線量に希ガスの全放出量を乗じて求める。なお，相対線量（D／Q）は保守的な評価となる設置許可申請書記載の２号機の主蒸気管破断（地上放出）の値 $2.4\times10^{-19}$Gy/Bq を適用する。

(2) 評価方法

設置許可申請書添付書類十の「3.4.3 燃料集合体の落下」ならびに「4.1.1 原子炉冷却材喪失」と同様の方法で評価する。

敷地境界外における実効線量は，次に述べる内部被ばくによる実効線量及び外部被ばくによる実効線量の和として計算する。

よう素の内部被ばくによる実効線量$H_I$（Sv）は，(1)式で計算する。

$$H_I = R \cdot H_\infty \cdot \chi / Q \cdot Q_I \quad \cdots\cdots (1)$$

ここで，

R　　：呼吸率（m$^3$/s)「発電用軽水型原子炉施設の安全評価に関する審査指針」の活動中の呼吸率を秒当たりに換算して用いる。
（小児：0.31m$^3$/h，成人：1.2m$^3$/h）

$H_\infty$　：よう素（Ｉ-131）を 1Bq 吸入した場合の実効線量
（小児：$1.6\times10^{-7}$Sv/Bq，成人：$2.0\times10^{-8}$Sv/Bq）

$\chi$／Q　：相対濃度（s/m$^3$）

$Q_I$　　：よう素の大気放出量（Bq）（I-131 等価量）

希ガスのγ線外部被ばくによる実効線量$H_\gamma$（Sv）は，(2)式で計算する。

$$H_\gamma = K \cdot D/Q \cdot Q_\gamma \cdots\cdots (2)$$

ここで，

K　　：空気吸収線量から実効線量への換算係数（1Sv/Gy）

D／Q　：相対線量（Gy/Bq）

$Q_\gamma$　　：希ガスの大気放出量（Bq）（γ線実効エネルギー0.5MeV 換算値）

また，希ガスのβ線外部被ばくによる実効線量$H_\beta$（Sv）は，(3)式で計算する。

$$H_\beta = 6.2\times10^{-14} \cdot \chi/Q \cdot Q_\beta \cdot E_\beta \cdot W_{TS} \cdots\cdots (3)$$

ここで，

$\chi$／Q：相対濃度（$s/m^3$）

$Q_\beta$　：希ガスの大気放出量（Bq）

$E_\beta$　：β線実効エネルギー「被ばく計算に用いる放射線エネルギー等について」を用いる。(0.251MeV Kr-85 実効エネルギー)

$W_{TS}$　：皮膚の組織荷重係数は ICRP Publ.60 の値を用いる。(0.01)

(3) 評価結果

上記の評価前提及び方法に基づき敷地境界外の実効線量を評価した結果は表 5 の通りである。

表 5　クレーンの使用済燃料プールへの落下時の実効線量

| 実効線量（小児） | 実効線量（成人） |
|---|---|
| 約 $1.1\times10^{-1}$mSv | 約 $1.3\times10^{-1}$mSv |

2.3燃料取扱設備クレーンの使用済燃料プールへの落下シナリオにおける公衆への被ばく影響については，2.1 と 2.2 に示す評価結果を合算し約 $1.4\times10^{-1}$mSv となる。

3.　構内用輸送容器の落下による核分裂生成物の放出（シナリオ③）

3.1構内用輸送容器が地上に落下することで燃料が破損し，核分裂生成物が放出されたと仮定する。

3.1.1　核分裂生成物の放出量

(1) 評価方法

設置許可申請書添付書類十の「3.4.3 燃料集合体の落下」と同様の方法で評価する。

破損する燃料体数の評価は，次の仮定に基づいて行う。

a. 構内用輸送容器の取り扱い作業に際し，構内用輸送容器が落下して，構内用輸送容器に収納された燃料集合体が破損するものと仮定する。

b. 落下による燃料集合体の破損体数は，構内用輸送容器の収納体数 7 体とする。

(2) 評価条件

核分裂生成物の移行と放出量の評価は，次の仮定に基づいて行う。

a. 燃料ギャップ内の核分裂生成物の量は，原子炉熱出力 2483MW（定格出力の約 105%）で 2000 日運転を行った 9×9 燃料集合体について行う。

b. 燃料集合体の冷却期間は 365 日とする。

c. 破損した燃料棒のギャップ内核分裂生成物の全量が構内用輸送容器内に放出されるものとする。破損した燃料棒のギャップ内核分裂生成物の存在量については，半減期の長い核種の放出が支配的であることを考えて，破損した燃料棒内の全蓄積量に対して希ガス(Kr-85)及びよう素（I-129）それぞれ 30%とする。

d. 放出された希ガスは，全量が構内用輸送容器から大気中へ移行するものとする。

e. 放出されたよう素は，全量が構内用輸送容器から大気中へ移行するものとし，構内用輸送容器に内包する水による除去は無いものとする。

(3) 評価結果

上記の評価条件に基づいて計算した核分裂生成物の大気中への放出量は表 6 の通りである。

表 6　核分裂生成物の大気中への放出量

| 核分裂生成物 | 放出量 |
|---|---|
| 希ガス(γ線実効エネルギー0.5MeV 換算値)<br>大気放出量 | 約 $1.6\times10^{12}$Bq |
| よう素(I-131 等価量(小児実効))大気放出量 | 約 $8.6\times10^{8}$Bq |
| よう素(I-131 等価量(成人実効))大気放出量 | 約 $3.3\times10^{9}$Bq |

3.1.2　線量当量の評価

(1) 評価の前提

大気中へ放出される核分裂生成物は，地上放出されるものとし，これによる実効線量の計算は，次の仮定に基づいて行う。

a. 敷地境界外の地表空気中濃度は，設置許可申請書添付書類六の「5.5 安全解析に使用する気象条件」に記述される相対濃度に核分裂生成物の全放出量を乗じて求める。なお，相対濃度（χ／Q）は設置許可申請書記載の２号機の主蒸気管破断（地上放出）の値 $2.0\times10^{-5}s/m^3$ を適用する。

b. 敷地境界外の希ガスによるγ線空気吸収線量は，設置許可申請書添付書類六の「5.5　安全解析に使用する気象条件」に記述される相対線量に希ガスの全放出量を乗じて求める。なお，相対線量（D／Q）は設置許可申請書記載の２号機の主蒸気管破断（地上放出）の値 $2.4\times10^{-19}Gy/Bq$ を適用する。

(2) 評価方法

設置許可申請書添付書類十の「3.4.3 燃料集合体の落下」ならびに「4.1.1 原子炉冷却材喪失」と同様の方法で評価する。

敷地境界外における実効線量は，次に述べる内部被ばくによる実効線量及び外部被ばくによる実効線量の和として計算する。

よう素の内部被ばくによる実効線量$H_I$（Sv）は，(1)式で計算する。

$$H_I = R \cdot H_\infty \cdot \chi / Q \cdot Q_I \quad \cdots\cdots (1)$$

ここで，

R　　：呼吸率（$m^3/s$）「発電用軽水型原子炉施設の安全評価に関する審査指針」の活動中の呼吸率を秒当たりに換算して用いる。
（小児：$0.31m^3/h$，成人：$1.2m^3/h$）

$H_\infty$　：よう素（Ｉ-131）を 1Bq 吸入した場合の実効線量
（小児：$1.6\times10^{-7}Sv/Bq$，成人：$2.0\times10^{-8}Sv/Bq$）

χ／Q　：相対濃度（$s/m^3$）

$Q_I$　　：よう素の大気放出量（Bq）（I-131 等価量）

希ガスのγ線外部被ばくによる実効線量$H_\gamma$（Sv）は，(2)式で計算する。

$$H_\gamma = K \cdot D / Q \cdot Q_\gamma \quad \cdots\cdots (2)$$

ここで，

K　　：空気吸収線量から実効線量への換算係数（1Sv/Gy）

D／Q　：相対線量（Gy/Bq）

$Q_{\gamma}$　：希ガスの大気放出量（Bq）（γ線実効エネルギー0.5MeV 換算値）

また，希ガスのβ線外部被ばくによる実効線量$H_{\beta}$（Sv）は，(3)式で計算する。

$$H_{\beta}=6.2\times10^{-14}\cdot\chi/Q\cdot Q_{\beta}\cdot E_{\beta}\cdot W_{TS}\cdots\cdots\cdots\cdots\cdots\cdots\cdots\cdots\cdots(3)$$

ここで，

$\chi/Q$　：相対濃度（$s/m^3$）

$Q_{\beta}$　：希ガスの大気放出量（Bq）

$E_{\beta}$　：β線実効エネルギー「被ばく計算に用いる放射線エネルギー等について」を用いる。(0.251MeV Kr-85 実効エネルギー)

$W_{TS}$　：皮膚の組織荷重係数は ICRP Publ.60 の値を用いる。(0.01)

(3) 評価結果

上記の評価前提及び方法に基づき敷地境界外の実効線量を評価した結果は表 7 の通りである。

表 7　構内用輸送容器の落下時の実効線量

| 実効線量（小児） | 実効線量（成人） |
|---|---|
| 約 $1.7\times10^{-3}$mSv | 約 $1.9\times10^{-3}$mSv |

4. 2 号機燃料取扱設備の耐震クラスについて

2. 燃料取扱設備クレーンの使用済燃料プールへの落下，ならびに 3. 構内用輸送容器の落下の被ばく評価に示すとおり，地震の影響により燃料取扱設備が破損したと想定した場合の公衆への被ばく影響は 5mSv 未満である。

以上より，2 号機燃料取扱設備の耐震クラスは B クラスと考えられるが，運転できないことによるリスク低減活動への影響を考慮し，耐震クラスは B+クラスと考える。

5. 補足説明資料

別添 1　「2 号機燃料取扱設備破損時の被ばく評価についての計算書」における使用済燃料プールのプール水全喪失時の影響評価に対する補足説明

別添 2　「2 号機燃料取扱設備破損時の被ばく評価についての計算書」における燃料破損時の被ばく評価に対する補足説明

別添１　「２号機燃料取扱設備破損時の被ばく評価についての計算書」における
使用済燃料プールのプール水全喪失時の影響評価に対する補足説明

1. 目的

Ⅴ「2 号機燃料取扱設備破損時の被ばく評価についての計算書」における 2.1.「使用済燃料プールライナーの破損による線量の上昇(シナリオ①)」の 2 号機使用済燃料プールのプール水全喪失時のスカイシャイン線，直接線による敷地境界へ与える線量影響評価では，6 号機の解析結果を基に評価をしており，6 号機の解析条件を示す。

2. 解析条件

(1) 使用済燃料の解析条件は以下の通り。

a. 使用済燃料の体数は 1456 体とする。

b. 使用済燃料の燃焼度は保守的に最高燃焼度 51GWd/tとする。

c. 使用済燃料の冷却期間は冷却期間が最も短い使用済燃料の冷却期間とし，9.9 年とする。

d. ORIGEN2.2 により使用済燃料の線源強度を計算し，この線源強度を用いて MCNP5-1.60 により線量率を解析する。

(2) 制御棒の解析条件は以下の通り。

a. 制御棒の本数は 27 本(ハンガーラック装荷本数)とする。

b. 制御棒の照射量は保守的に最大照射量 4.9snvt とする。

c. 制御棒の冷却期間は冷却期間が最も短い制御棒の冷却期間とし，13.8 年とする。

d. ORIGEN2.2 により制御棒の線源強度を計算し，この線源強度を用いて MCNP5-1.60 により線量率を解析する。

3. 解析結果

2 号機原子炉建屋から敷地境界までの距離は約 900m であることから，6 号機原子炉建屋から 900m 地点における線量率を表 1 に示す。

表 1　6 号機解析結果

| | 使用済燃料[mSv/h] | 制御棒[mSv/h] | 合計[mSv/h] |
|---|---|---|---|
| 900m 地点 | 約 $2.3\times10^{-5}$ | 約 $9.0\times10^{-5}$ | 約 $1.2\times10^{-4}$ |

別添２　「2 号機燃料取扱設備破損時の被ばく評価についての計算書」における
燃料破損時の被ばく評価に対する補足説明

Ⅴ「2 号機燃料取扱設備破損時の被ばく評価についての計算書」における被ばく評価は，福島第一原子力発電所２号機の「原子炉設置変更許可申請書　添付書類十　３．事故解析　３．４．３燃料集合体の落下」を基に評価している。

Ⅴ「2 号機燃料取扱設備破損時の被ばく評価についての計算書」では，2.2 にて燃料取扱設備クレーンが使用済燃料プールに落下し，燃料が破損するシナリオと，3.1 にて構内用輸送容器が地上に落下し，燃料が破損するシナリオについて燃料破損の評価をしているが，同等の評価であることから前者について設置許可からの変更点を説明する。

| V 被ばく評価計算書 | 設置許可との差異・理由 |
|---|---|
| 2.2 使用済燃料プール内の燃料破損による核分裂生成物の放出（シナリオ②）<br>2.2.1　核分裂生成物の放出量<br>(1) 評価方法<br>破損する燃料体数の評価は，次の仮定に基づいて行う。<br>a.　燃料取扱設備に搭載しているクレーンが地震の影響により根元の旋回部から折損し，保守的にクレーンが使用済燃料プールの使用済燃料貯蔵ラック上に落下するものと仮定する。<br>b.　使用済燃料プールの西側から 20 列目までの使用済燃料全てが破損すると仮定し，落下による燃料集合体の破損体数は 449 体とする。（図 2 参照） | (1) 評価するシナリオの違いとそれに伴い破損する燃料体数の違い（設置許可は 2.3 体相当以下） |
| (2) 評価条件<br>核分裂生成物の移行と放出量の評価は，次の仮定に基づいて行う。<br>a.　燃料ギャップ内の核分裂生成物の量は，原子炉熱出力 2483MW（定格出力の約 105%）で 2000 日運転を行った 9×9 燃料集合体について行う。<br>b.　燃料集合体の冷却期間は 365 日とする。<br>c.　破損した燃料棒のギャップ内核分裂生成物の全量が水中に放出されるものとする。破損した燃料棒のギャップ内核分裂生成物の存在量については，半減期の長い核種の放出が支配的であることを考えて，破損した燃料棒内の全蓄積量に対して希ガス(Kr-85)及びよう素(I-129)それぞれ 30%とする。<br>d.　放出された希ガスは，全量が水中から原子炉建屋および燃料取り出し用構台の大気中へ移行するものとする。<br>e.　放出されたよう素は，全量が水中から原子炉建屋および燃料取り出し用構台の大気中へ移行するものとするが，同時に水位低下が起こることを想定するため保守的に水による除去は無いものとする。 | (2) 設定する条件の違い<br>b. 冷却期間を実際の取り出し時期とすると被ばく評価結果は低くなるが，基準 5mSv と比べて大きくないため，保守的に他の実施計画の評価と合わせた（設置許可は 1 日）<br>c. 十分に冷却した燃料で短半減期核種が減衰し長半減期核種のギャップへの放出割合が大きくなることから，ギャップ放出割合を 30%※とした。（設置許可は希ガス 10%，よう素 5%）<br>※（独）原子力安全基盤機構「平成 18 年度高燃焼度 9 × 9 型燃料信頼性実証成果報告書（総合評価編）」図 3.10.1，図 3.10.1.2 にて，FP ガス放出率は最大 25%程度<br>d, e. 評価シナリオで保守的に水がなくなったと仮定しているため，よう素の水による除染係数は考慮しておらず，大気にそのまま放出されるとしている（設置許可は除染係数 500，非常用ガス処理系を考慮） |

| V 被ばく評価計算書 | 設置許可との差異・理由 |
|---|---|
| (3) 評価結果<br>上記の評価条件に基づいて計算した核分裂生成物の大気中への放出量は表 4 の通りである。<br><br>2.2.2 線量当量の評価<br>(1) 評価の前提<br>大気中へ放出される核分裂生成物は，地上放出されるものとし，これによる実効線量の計算は，次の仮定に基づいて行う。<br>a. 敷地境界外の地表空気中濃度は，設置許可申請書添付書類六の「5.5 安全解析に使用する気象条件」に記述される相対濃度に核分裂生成物の全放出量を乗じて求める。なお，相対濃度（χ／Q）は保守的な評価となる設置許可申請書記載の２号機の主蒸気管破断（地上放出）の値 $2.0\times10^{-5}s/m^3$ を適用する。<br>b. 敷地境界外の希ガスによるγ線空気吸収線量は，設置許可申請書添付書類六の「5.5 安全解析に使用する気象条件」に記述される相対線量に希ガスの全放出量を乗じて求める。なお，相対線量（D／Q）は保守的な評価となる設置許可申請書記載の２号機の主蒸気管破断（地上放出）の値 $2.4\times10^{-19}Gy/Bq$ を適用する。 | (1) 設置許可と同等だが，以下を見直し。<br>相対濃度（χ／Q），相対線量（D／Q）：<br>燃料集合体の落下ではなく保守的に主蒸気管破断の地上放出の値を適用（設置許可はχ／Q＝$5.6\times10^{-6}s/m^3$，D／Q＝$1.5\times10^{-19}Gy/Bq$） |

| V 被ばく評価計算書 | 設置許可との差異・理由 |
|---|---|
| (2) 評価方法<br>敷地境界外における実効線量は，次に述べる内部被ばくによる実効線量及び外部被ばくによる実効線量の和として計算する。<br>よう素の内部被ばくによる実効線量$H_I$（Sv）は，(1)式で計算する。<br>$H_I = R \cdot H_\infty \cdot \chi / Q \cdot Q_I$ ・・・・・・・・・・・・・・・・・・・・・・・・・・・・ (1)<br>ここで，<br>R　：呼吸率（$m^3/s$）「発電用軽水型原子炉施設の安全評価に関する審査指針」の活動中の呼吸率を秒当たりに換算して用いる。<br>(小児：0.31$m^3$/h，成人：1.2$m^3$/h)<br>$H_\infty$　：よう素（I-131）を 1Bq 吸入した場合の実効線量<br>(小児：$1.6\times10^{-7}$Sv/Bq，成人：$2.0\times10^{-8}$Sv/Bq)<br>$\chi / Q$　：相対濃度（$s/m^3$）<br>$Q_I$　：よう素の大気放出量（Bq）(I-131 等価量)<br>希ガスのγ線外部被ばくによる実効線量$H_\gamma$（Sv）は，(2)式で計算する。<br>$H_\gamma = K \cdot D / Q \cdot Q_\gamma$ ・・・・・・・・・・・・・・・・・・・・・・・・・・・・・・・・ (2)<br>ここで，<br>K　：空気吸収線量から実効線量への換算係数（1Sv/Gy）<br>D／Q　：相対線量（Gy/Bq）<br>$Q_\gamma$　：希ガスの大気放出量（Bq）（γ線実効エネルギー0.5MeV 換算値） | (2) 呼吸率：<br>原子力安全委員会「発電用軽水型原子炉施設の安全評価に関する審査指針」の値とした（設置許可は ICRP Publ.23(1974)）<br><br>よう素（I-131）を 1Bq 吸入した場合の実効線量：<br>ICRP Publ.71(1995) の値とした（設置許可は ICRP Publ.30(1978)） |

| V 被ばく評価計算書 | 設置許可との差異・理由 |
| --- | --- |
| また，希ガスのβ線外部被ばくによる実効線量$H_{\beta}$（Sv）は，(3)式で計算する。<br>$H_{\beta}=6.2\times10^{-14}\cdot\chi/Q\cdot Q_{\beta}\cdot E_{\beta}\cdot W_{TS}$ ・・・・・・・・・・・・・・・・・・ (3)<br>ここで，<br>$\chi/Q$ ：相対濃度（$s/m^3$）<br>$Q_{\beta}$ ：希ガスの大気放出量（Bq）<br>$E_{\beta}$ ：β線実効エネルギー「被ばく計算に用いる放射線エネルギー等について」を用いる。(0.251MeV)<br>$W_{TS}$ ：皮膚の組織荷重係数は ICRP Publ.60 の値を用いる。(0.01)<br><br>(3) 評価結果<br>上記の評価前提及び方法に基づき敷地境界外の実効線量を評価した結果は表 5 の通りである。 | 設置許可　添付書類十　４．重大事故及び仮想事故　４．１．１原子炉冷却材喪失におけるβ線による全身に対する線量（4-3）式を用いて評価。ただし，β線による外部被ばくによる実効線量を求めるため，原子力安全委員会「発電用軽水型原子炉施設の安全審査における一般公衆の線量評価について」より，皮膚に対する組織荷重係数を乗じて算出した。(設置許可は等価線量の計算式) |

# Ⅵ 燃料取扱設備の耐震性についての計算書

## I. 燃料取扱設備に係る耐震設計の基本方針

### 1. 設備の重要度による耐震クラス別分類

| 設備名 | 耐震<br>クラス別 |
|---|---|
| 燃料取扱設備 | B+ |

燃料取扱設備は，燃料取扱機及びクレーンによる揚重作業時，原子炉建屋側または燃料取り出し用構台側の所定の停止位置にて 4 本のアウトリガーピンを介してランウェイガーダに固定し，原子炉建屋側では燃料取扱及び輸送容器取扱作業を，燃料取り出し用構台側では輸送容器取扱作業を行う。また，アウトリガーピンによる固定解除後，ランウェイガーダに設置する走行レール上を走行し，原子炉建屋と燃料取り出し用構台間を移動する。

### 2. 構造設計

#### (1) 構造概要

燃料取扱設備は，構内用輸送容器（以下，輸送容器）を取り扱うクレーン，燃料を取り扱う燃料取扱機，輸送容器一次蓋を取り扱うジブクレーン，輸送容器を積載し転倒を防止するキャスク固定治具，それらを支持する走行台車から構成される。（図 1 参照）

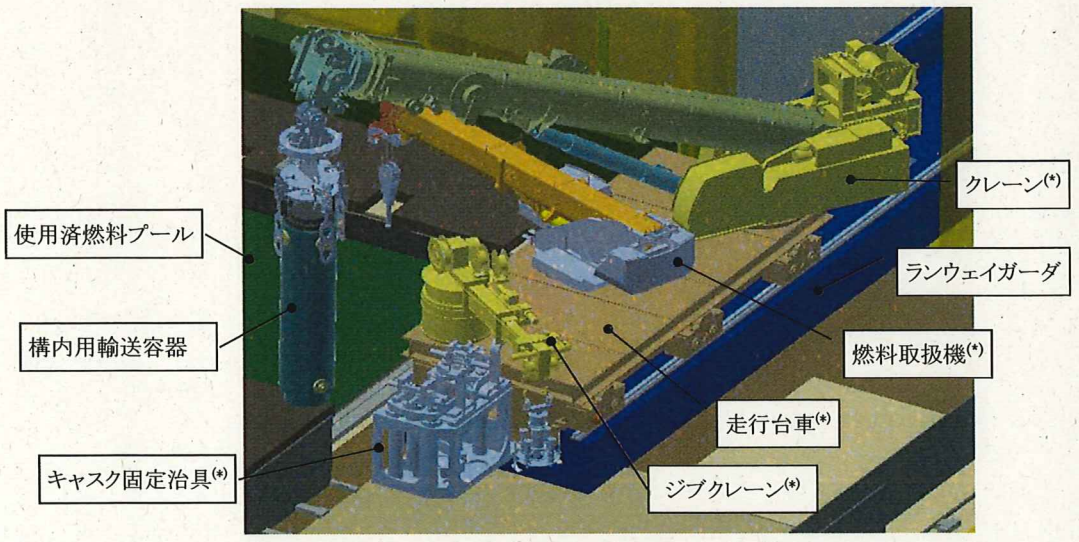



図 1 燃料取扱設備 構造概要(*が本書の評価対象機器)

### 3. 評価に適用する確認用地震動

使用済燃料プール，使用済燃料貯蔵ラックへの波及的影響がないことを確認するための地震動として，1/2Ss450 を適用する。

4. 設計用地震力

4.1. 設計用床応答スペクトル

(1) 床応答スペクトルは，原子炉建屋及び燃料取り出し用構台の地震応答解析モデル(図 2 参照)に対して，1/2Ss450 を用いた時刻歴応答解析を行い，ランウェイガーダ上の走行台車部車輪位置(原子炉建屋側，燃料取り出し用構台側停止位置)につき 6 箇所(図 3 参照)での加速度応答時刻歴を求める。時刻歴応答解析においては，入力方向(+NS+EW+UD)，ランウェイガーダに負荷する荷重(燃料取扱状態，輸送容器取扱状態，輸送容器固定状態)の組合せを考慮する。

(2) (1)で求めた各走行台車部車輪位置での加速度応答時刻歴を入力として，1 自由度系の床応答スペクトルを求める。

(3) (2)で求めた床応答スペクトル 6 点を包絡する床応答スペクトルを求める。

(4) (3)で求めた床応答スペクトルに対し，周期方向に±10%の拡幅を行い設計用床応答スペクトルとする。

(5) 走行台車部は剛構造を有しており(IV章参照)，応答増幅は極めて小さいと考えられることから，走行台車部に搭載される燃料取扱機(旋回体)，クレーン(旋回体)，キャスク固定治具の耐震性は上記床応答スペクトルを用いて評価する。

(6) 各機器の耐震性の評価においては，水平 2 方向と鉛直方向の地震力が同時に負荷されるものとする。地震力の組合せについては，2乗和平方根法を用いて算出する。

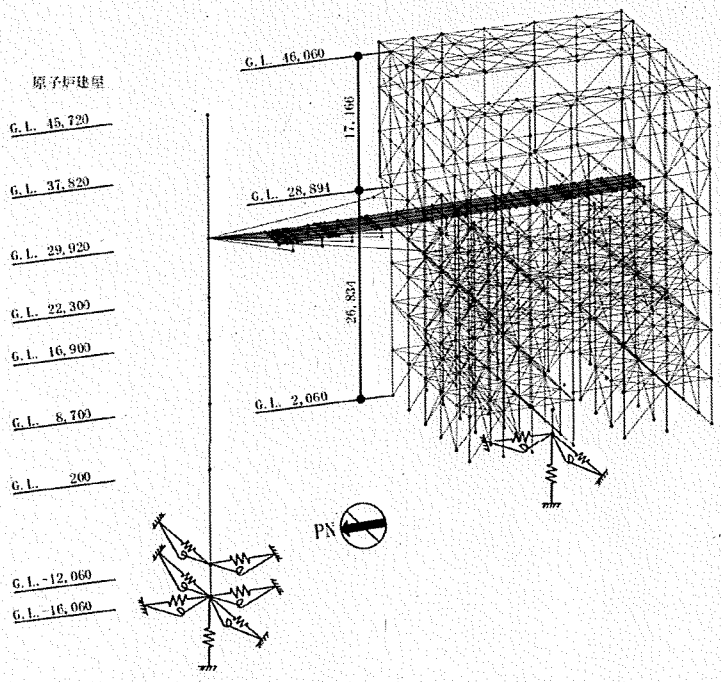



図 2 地震応答解析モデル

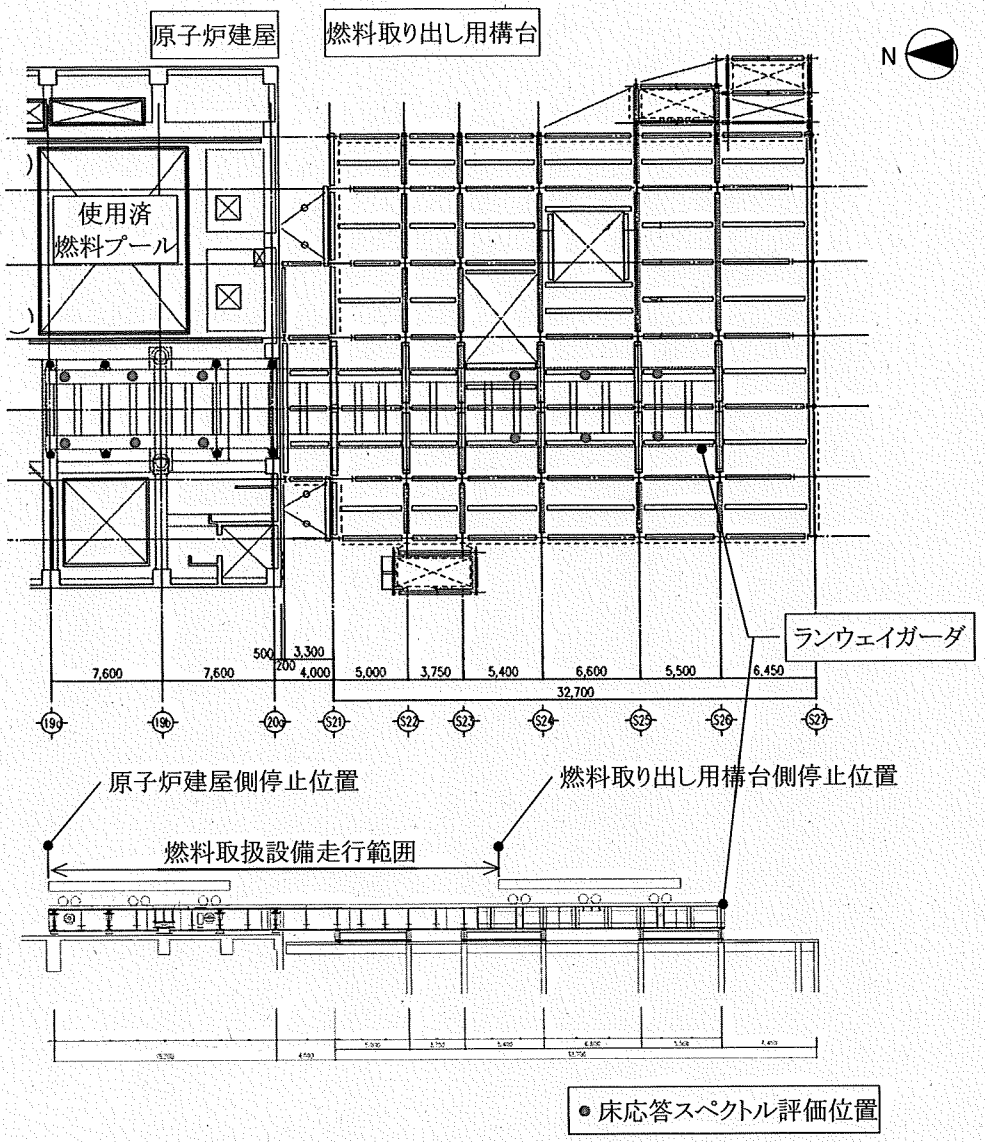



図 3 床応答スペクトル 評価位置

4.2. 剛構造の機器に適用する設計地震力

走行台車部のように評価対象機器が剛構造の場合は，各地震動，入力方向，ランウェイガーダに負荷する荷重条件においてランウェイガーダの原子炉建屋側燃料取扱設備停止位置，または，燃料取り出し用構台側燃料取扱設備停止位置から得られる最大床応答加速度の 1.2 倍の加速度を地震力とする。

5. 荷重の組合せ，応力算定及び許容応力

記号の説明

D　　：死荷重

1/2Ss450　：1/2Ss450 地震動により求まる地震力

$1.5f_t$　　：許容引張応力

ボルト以外の支持構造物に対しては設計・建設規格 SSB-3121.3，

ボルト材に対しては設計・建設規格 SSB-3133 により規定される値

$1.5f_s$　　：許容せん断応力

同上

$1.5f_p$　　：許容支圧応力

設計・建設規格 SSB-3121.3 により規定される値

$1.5f_b$　　：許容曲げ応力

同上

| 荷重の組合せ | 許容限界（ボルト以外） | | | | 許容限界（ボルト等） | |
|---|---|---|---|---|---|---|
| | 1 次応力 | | | | 1 次応力 | |
| | 引張 | せん断 | 支圧 | 曲げ | 引張 | せん断 |
| D+1/2Ss450 | $1.5f_t$ | $1.5f_s$ | $1.5f_p$ | $1.5f_b$ | $1.5f_t$ | $1.5f_s$ |

注）組合せ応力についても評価する。

## II. 燃料取扱機(旋回体)の耐震性についての計算書

### 1. 概要

#### 1.1. 一般事項

本計算書は燃料取扱機(旋回体)の耐震性についての計算書である。

#### 1.2. 計算条件

(1) 燃料取扱機(旋回体)の耐震性の評価は評価姿勢，荷重条件ともに最も厳しい条件となる燃料取扱状態で代表する。

(2) 燃料取扱機(旋回体)は，走行台車上面に旋回輪軸受取付ボルトで固定する。

(3) 燃料取扱機(旋回体)には水平方向地震力と鉛直方向地震力が同時に作用するものとし，ブーム伸縮方向，ブーム旋回方向の地震力が燃料取扱機(旋回体)に同時に作用するものとする。

(4) 地震力はランウェイガーダと取り合う走行台車部の車輪位置から，走行台車の構造物フレーム(燃料取扱機支持部)に伝達し，燃料取扱機(旋回体)の旋回輪軸受取付ボルトを介して，旋回体部のブーム及びブーム根元支持ピンへ伝達される。上記の荷重伝達経路を考慮し，燃料取扱機(旋回体)として，ブーム，ブーム根元支持ピン，旋回輪軸受取付ボルトを評価対象部位とする。

2. 計算方法

2.1. 固有周期の計算方法

2.1.1 条件

(1) 燃料取扱機(旋回体)の重量として自重及び定格荷重を考慮する。燃料取扱機(旋回体)の重量を表 1及び構造概要を図 4に示す。

(2) 旋回輪軸受取付ボルトは剛な走行台車部で支持する。

(3) 燃料取扱機(旋回体)の重量には, 定格荷重を考慮する。

表 1 燃料取扱機(旋回体)の重量

| 名称 | 重量(t) |
|---|---|
| 燃料取扱機(旋回体) | 22.5 |
| 定格荷重 | 1 |

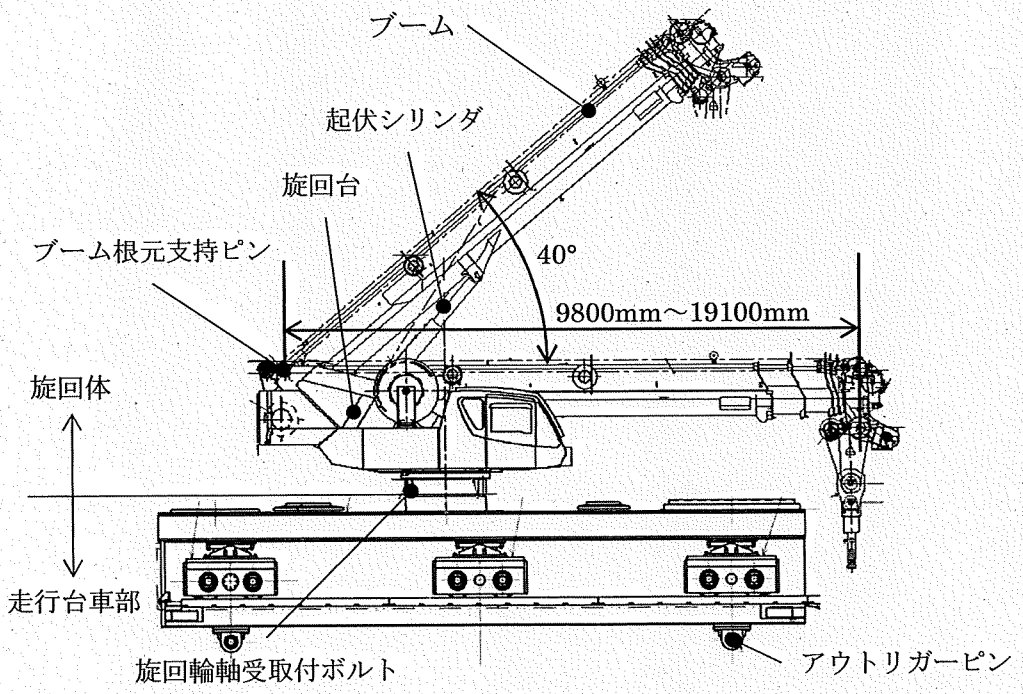



図 4 燃料取扱機 構造概要

2.1.2　計算モデル

2.1.1 の条件に基づいた計算モデルを図 5 に示す。

(1) ブームごとに断面形状に基づき断面特性を設定したはり要素でモデル化する。

(2) ブーム根元支持ピン及び旋回輪軸受取付ボルトははり要素でモデル化する。

(3) 燃料取扱機(旋回体)は燃料取扱時にブーム長さ，起伏角を変化させるため，起伏角度 0° でのブーム長さ(9.8m，16.64m，19.1m)の影響，ブーム長さ 9.8m での起伏角度(0° ，40° )の影響を確認し，裕度が最も小さい姿勢となるブーム長さ 19.1m，起伏角 0° を代表姿勢とした。

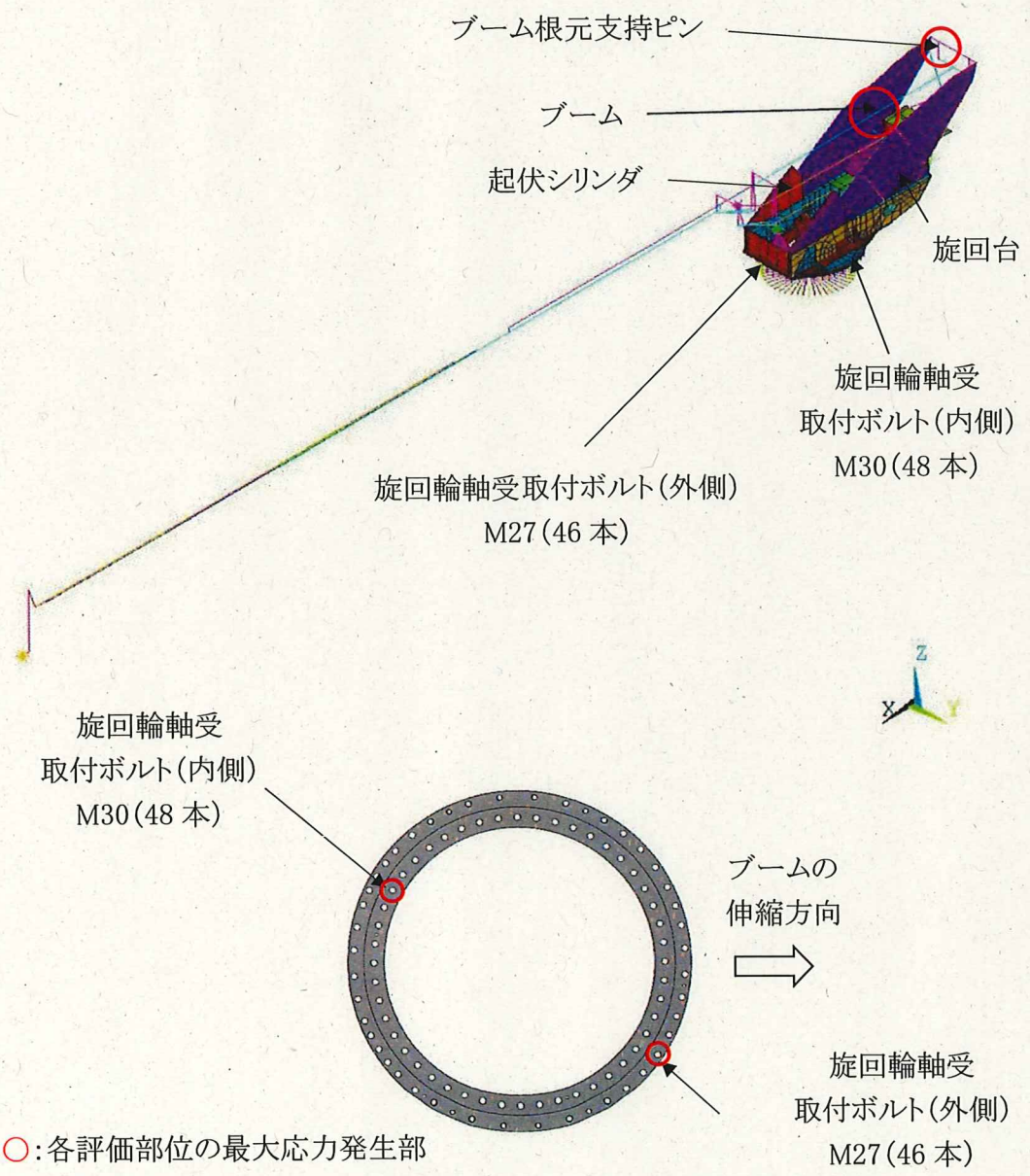


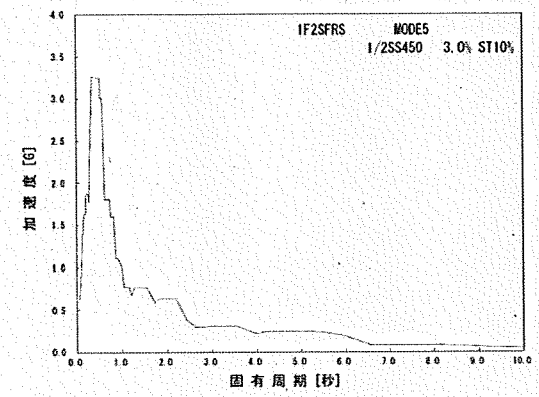

図 5　燃料取扱機(旋回体)　計算モデル

2.1.3　計算

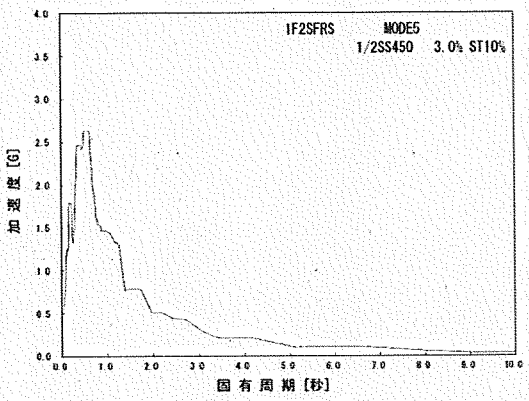
燃料取扱機の固有周期は水平 1.6s，上下 1.0s となる。

2.2.　計算に用いる入力地震動

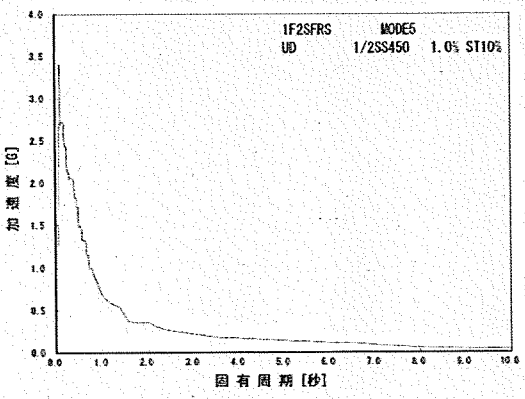
本評価では，1/2Ss450 地震動(水平 2 方向及び鉛直方向)を原子炉建屋及び燃料取り出し用構台の地震応答解析モデルへ入力し得られる加速度応答時刻歴から求めた設計用床応答スペクトルを用いる。ランウェイガーダへの負荷荷重は，燃料取扱状態として燃料取扱設備重量及び燃料取扱機定格荷重を考慮した。床応答スペクトルの減衰定数は，燃料取扱機の振動特性から水平 3%，鉛直 1%を適用した。本評価で用いる設計用床応答スペクトルを図 6 に示す。




ブーム伸縮方向




ブーム旋回方向




鉛直方向

図 6　設計用床応答スペクトル(燃料取扱状態)

3. 評価方法

3.1. 応力の評価方法

材料及び許容応力を表 2 に示す。

表 2 材料及び許容応力

| 部位 | 使用材料 | 応力の種類 | 許容応力 (MPa) |
|---|---|---|---|
| ブーム | WEL-TEN980RE /WEL-TEN980E | 引張 | 686 |
| | | せん断 | 396 |
| | | 曲げ | 686 |
| | | 組合せ | 686 |
| ブーム根元支持ピン | SNB23-1 | せん断 | 460 |
| | | 曲げ | 1088 |
| | | 組合せ | 798 |
| 旋回輪軸受取付ボルト (内側) | SUS630 | 引張 | 917 |
| | | せん断 | 529 |
| 旋回輪軸受取付ボルト (外側) | | 引張 | 917 |
| | | せん断 | 529 |

4. 数値計算

各要素に生じる力，モーメントを計算機（計算機コード ANSYS）にて求め，各要素の断面性状から応力を算定する。上記手順で求めた組合せ応力が最大となった要素の応力算定過程を記載する。

4.1. 燃料取扱機（旋回体）の計算過程を示す。

4.1.1 ブームの強度検討

(1) 引張応力

$\sigma_{t1} = P_{t1}/A_1 = 115(\mathrm{MPa})$

$P_{t1}$：ブームに作用する軸方向引張力

$A_1$：ブームの断面積

(2) せん断応力

$\tau_1 = (P_{\tau y1} + P_{\tau z1})/A_1 + T_1/(2 \cdot A_{i1} \cdot t_1) = 15(\mathrm{MPa})$

$P_{\tau y1}$：ブームに作用するY軸方向せん断力

$P_{\tau z1}$：ブームに作用するZ軸方向せん断力

$A_1$ ：ブームの当該断面の断面積

$T_1$ ：ブームに作用する捩じりモーメント

$A_{i1}$：ブームの当該断面の内側境界断面積

$t_1$ ：ブームの当該断面の最小板厚

(3) 曲げ応力

$\sigma_{b1} = M_{y1} \cdot H_{z1}/I_{yy1} + M_{z1} \cdot B_{y1}/I_{zz1} = 355(\mathrm{MPa})$

$M_{y1}$：ブームに作用するY軸周りモーメント

$M_{z1}$：ブームに作用するZ軸周りモーメント

$H_{z1}$：ブームの当該断面中心からZ方向端部までの最長長さ

$B_{y1}$：ブームの当該断面中心からY方向端部までの最長長さ

$I_{yy1}$：ブームの当該断面のY方向断面二次モーメント

$I_{zz1}$：ブームの当該断面のZ方向断面二次モーメント

(4) 組合せ応力

$$\sigma_{\sigma 1} = \sqrt{(\sigma_{b1} + \sigma_{t1})^2 + 3\tau_1^2} = 471(\mathrm{MPa})$$

4.1.2　ブーム根元支持ピンの強度検討

(1) せん断応力

$\tau_2 = (P_{\tau x2} + P_{\tau z2})/A_2 = 153(\mathrm{MPa})$

$P_{\tau x2}$：ブーム根元支持ピンに作用するX方向せん断力

$P_{\tau z2}$：ブーム根元支持ピンに作用するZ方向せん断力

$A_2$：ブーム根元支持ピンの断面積

(2) 曲げ応力

$\sigma_{b2} = (P_{\tau x2} + P_{\tau z2}) \cdot B_2 \cdot D_2/(2 \cdot I_2) = 112(\mathrm{MPa})$

$P_{\tau x2}$：ブーム根元支持ピンに作用するX方向せん断力

$P_{\tau z2}$：ブーム根元支持ピンに作用するZ方向せん断力

$B_2$：ブーム根元支持ピンからせん断力の作用点までの距離

$D_2$：ブーム根元支持ピンの外径

$I_2$：ブーム根元支持ピンの断面二次モーメント

(3) 組合せ応力

$\sigma_{\sigma 2} = \sqrt{\sigma_{b2}^2 + 3\tau_2^2} = 288(\mathrm{MPa})$

4.1.3　旋回輪軸受取付ボルト(内側)の強度検討

(1) 引張応力

$\sigma_{t3} = P_{t3}/A_3 = 187(\mathrm{MPa})$

$P_{t3}$：取付ボルトに作用する引張力

$A_3$：取付ボルトの有効断面積

(2) せん断応力

$\tau_3 = P_{\tau 3}/A_3 + \tau_{b3} = 53(\mathrm{MPa})$

$P_{\tau 3}$：取付ボルトに作用するせん断力

$A_3$：取付ボルトの有効断面積

$\tau_{b3}$：捩じりモーメントによるせん断応力

4.1.4　旋回輪軸受取付ボルト(外側)の強度検討

(1) 引張応力

$\sigma_{t4} = P_{t4}/A_4 = 237(MPa)$

$P_{t4}$:取付ボルトに作用する引張力

$A_4$:取付ボルトの有効断面積

[redacted]

(2) せん断応力

$\tau_4 = P_{\tau 4}/A_4 + \tau_{b4} = 66(MPa)$

$P_{\tau 4}$:取付ボルトに作用するせん断力

$A_4$:取付ボルトの有効断面積

$\tau_{b4}$:捩じりモーメントによるせん断応力

[redacted]

5. 結論

算出応力は，表 3 に示すように，全て許容応力値以下であることを確認した。

表 3 算出応力

| 部位 | 使用材料 | 応力の種類 | 許容応力 (MPa) | 算出応力 (MPa) |
|---|---|---|---|---|
| ブーム | WEL-TEN980RE /WEL-TEN980E | 引張 | 686 | 115 |
| | | せん断 | 396 | 15 |
| | | 曲げ | 686 | 355 |
| | | 組合せ | 686 | 471 |
| ブーム根元支持ピン | SNB23-1 | せん断 | 460 | 153 |
| | | 曲げ | 1088 | 112 |
| | | 組合せ | 798 | 288 |
| 旋回輪軸受取付ボルト (内側) | SUS630 | 引張 | 917 | 187 |
| | | せん断 | 529 | 53 |
| 旋回輪軸受取付ボルト (外側) | | 引張 | 917 | 237 |
| | | せん断 | 529 | 66 |

## III. クレーン(旋回体)の耐震性についての計算書

### 1. 概要

### 1.1. 一般事項

本計算書はクレーン(旋回体)の耐震性についての計算書である。

### 1.2. 計算条件

(1) 輸送容器取扱状態以外ではクレーン(旋回体)は吊荷，旋回体ともに使用済燃料プール上にないことから，クレーン(旋回体)の耐震性の評価は評価姿勢，荷重条件ともに最も厳しい条件となる輸送容器取扱状態で代表する。

(2) クレーン(旋回体)は，走行台車上面に旋回輪軸受取付ボルトで固定する。

(3) クレーン(旋回体)には水平方向地震力と鉛直方向地震力が同時に作用するものとし，ブーム伸縮方向，ブーム旋回方向の地震力がクレーン(旋回体)に対して同時に作用するものとする。

(4) クレーン(旋回体)の評価は原子炉建屋側及び燃料取り出し用構台側での輸送容器取扱姿勢にて行う。

(5) 地震力はランウェイガーダと取り合う走行台車部の車輪位置から，走行台車の構造物フレーム(クレーン支持部)に伝達し，クレーンの旋回輪軸受取付ボルトを介して，旋回体部のブーム及びブーム根元支持ピンへ伝達される。上記の荷重伝達経路を考慮し，クレーン(旋回体)として，ブーム，ブーム根元支持ピン，旋回輪軸受取付ボルトを評価対象部位とする。

## 2. 計算方法

### 2.1. 固有周期の計算方法

#### 2.1.1 条件

(1) クレーン(旋回体)の重量として自重及び定格荷重を考慮する。クレーン(旋回体)の重量を表 4 に示す。

(2) クレーン(旋回体)の原子炉建屋側での評価姿勢を図 7に, 燃料取り出し用構台側での評価姿勢を図 8 に示す。

(3) 旋回輪軸受取付ボルトは剛な走行台車部で支持する。

表 4 クレーンの重量

| 名称 | 重量(t) |
|---|---|
| クレーン(旋回体) | 54 |
| 定格荷重 | 47 |

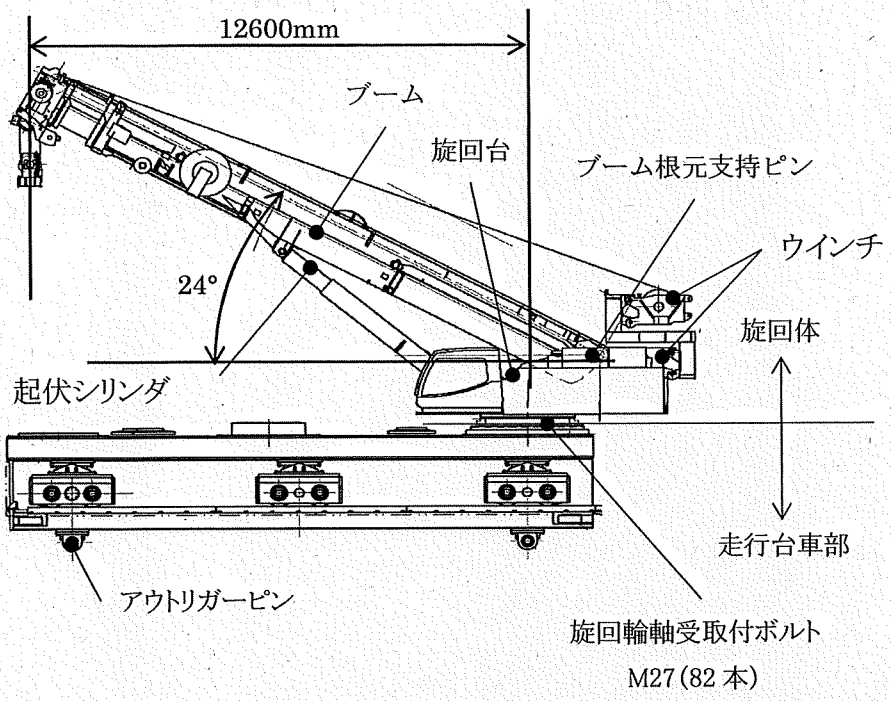



図 7 クレーン 構造概要(原子炉建屋側)

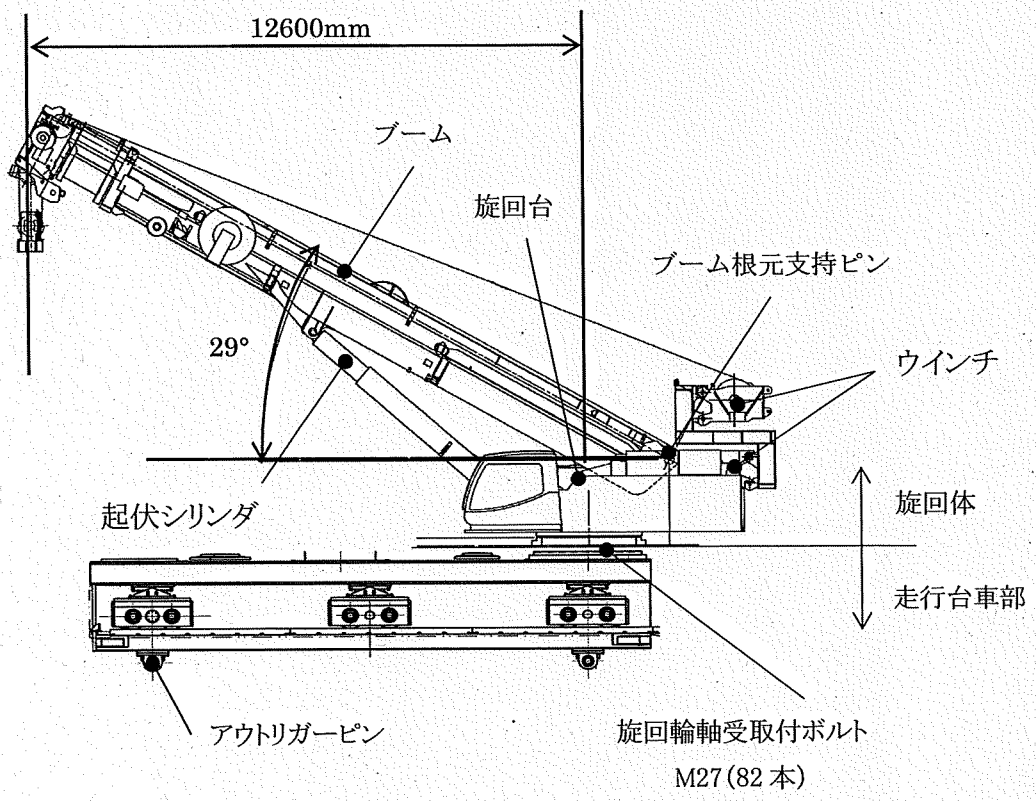



図 8 クレーン 構造概要(燃料取り出し用構台側)

2.1.2　計算モデル

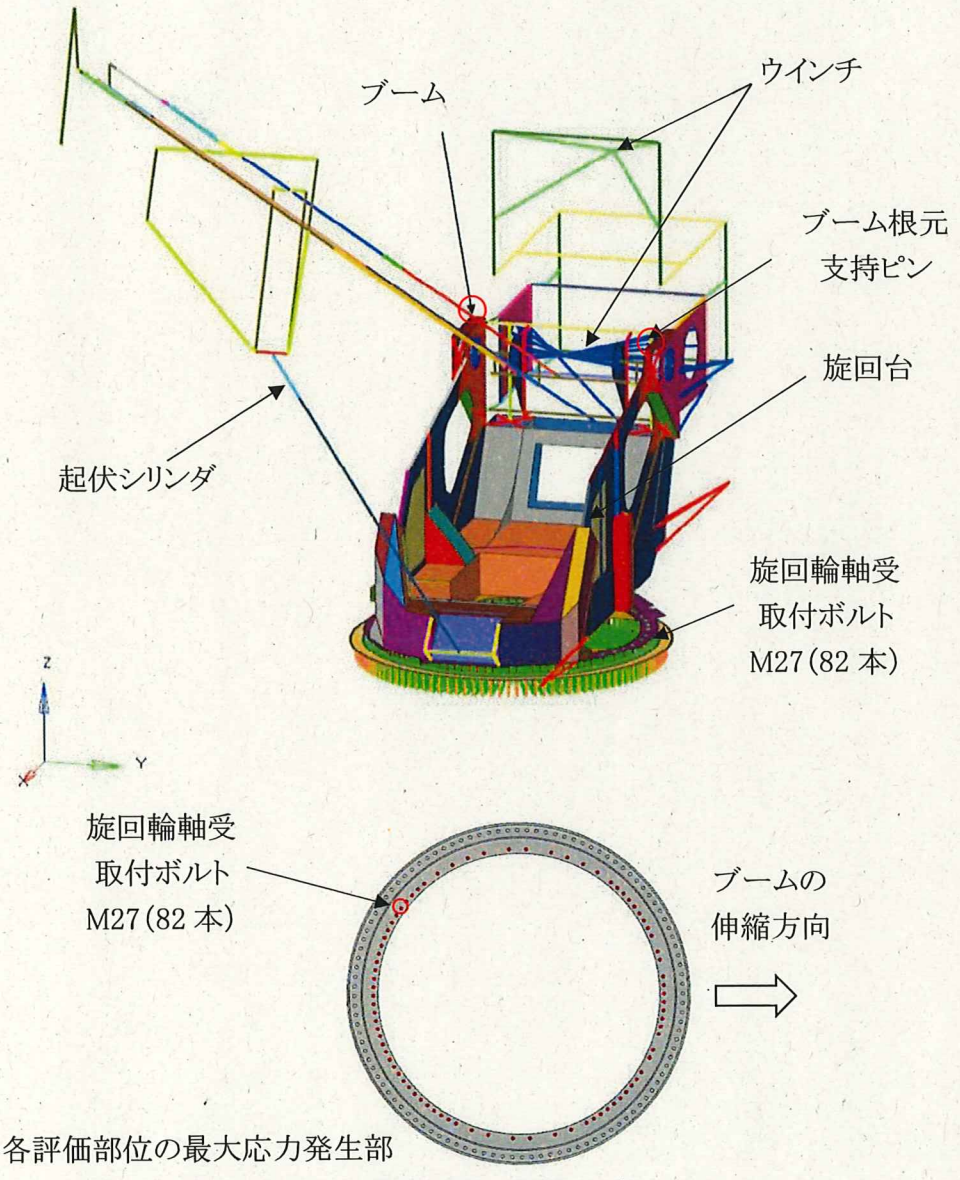
2.1.1 の条件に基づいた計算モデルを図 9 に示す。

(1) ブームごとに断面形状に基づき断面特性を設定したはり要素でモデル化する。

(2) ブーム根元支持ピン及び旋回輪軸受取付ボルトははり要素でモデル化する。

(3) クレーンは輸送容器取扱時の姿勢である旋回半径 12.6m, 起伏角 24° または起伏角 29° とする。

(4) 旋回輪軸受取付ボルトは, 内側 82 本,外側 108 本であるため, 内側を代表して評価する。




○:各評価部位の最大応力発生部

図 9　クレーン(旋回体)　計算モデル

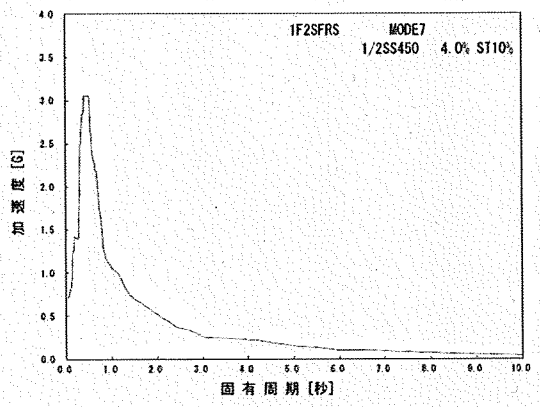
(原子炉建屋側, 最大応力発生部は燃料取り出し構台側も同様)

### 2.1.3　計算

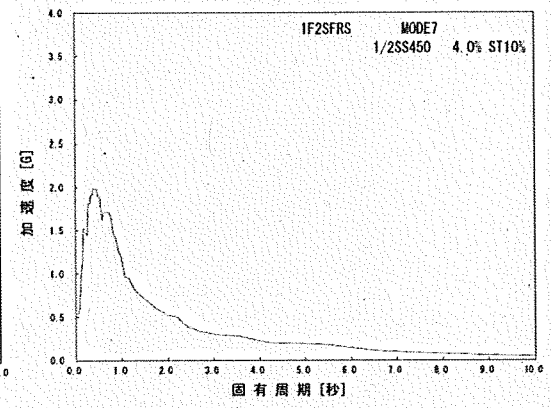
クレーンの固有周期は水平 1.0s，上下 1.0s となる。

## 2.2.　計算に用いる入力地震動

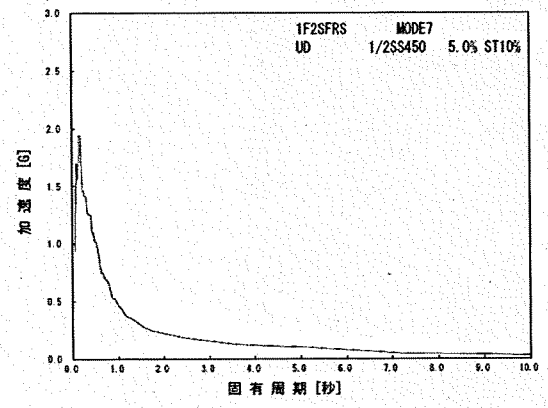
本評価では，1/2Ss450 地震動(水平 2 方向及び鉛直方向)を原子炉建屋及び燃料取り出し用構台の地震応答解析モデルへ入力し得られる加速度応答時刻歴から求めた設計用床応答スペクトルを用いる。ランウェイガーダへの負荷荷重は，輸送容器取扱状態として燃料取扱設備重量及びクレーン定格荷重を考慮した。床応答スペクトルの減衰定数は，クレーンの振動特性から水平 4%，鉛直 5%を適用した。本評価で用いる原子炉建屋側の設計用床応答スペクトルを図 10 に，燃料取り出し用構台側の設計用床応答スペクトルを図 11 に示す。




ブーム伸縮方向

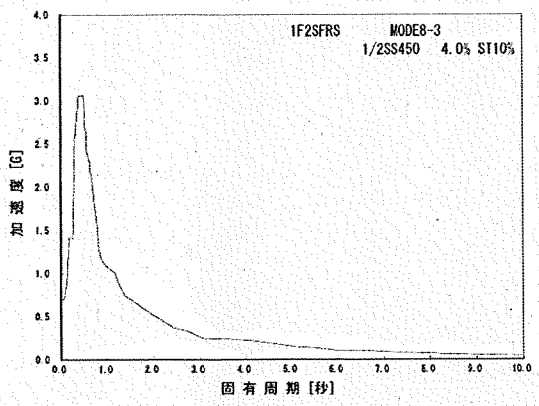



ブーム旋回方向

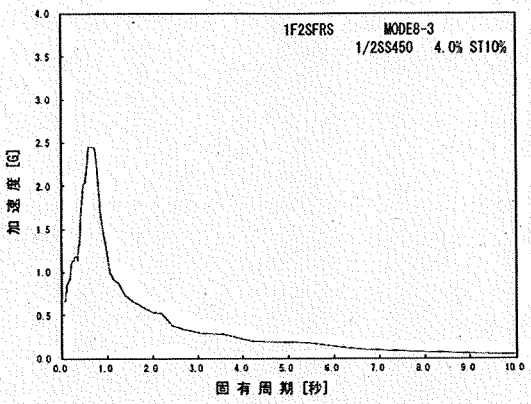



鉛直方向

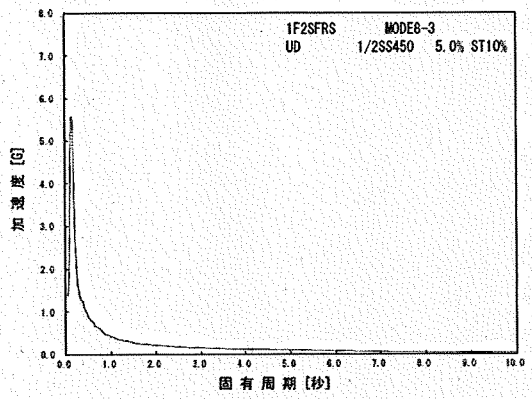
図 10　設計用床応答スペクトル(輸送容器取扱状態，原子炉建屋側)




ブーム伸縮方向




ブーム旋回方向




鉛直方向

図 11 設計用床応答スペクトル(輸送容器取扱状態, 燃料取り出し用構台側)

3. 評価方法

3.1. 応力の評価方法

材料及び許容応力を表 5 に示す。

表 5 材料及び許容応力

| 部位 | 使用材料 | 応力の種類 | 許容応力 (MPa) |
|---|---|---|---|
| ブーム | WELDOX1100E (STRENX1100E) | 引張 | 875 |
| | | せん断 | 505 |
| | | 曲げ | 875 |
| | | 組合せ | 875 |
| ブーム根元支持ピン | 42CrMoS4 | せん断 | 303 |
| | | 曲げ | 525 |
| | | 組合せ | 525 |
| 旋回輪軸受取付ボルト | SUS630 | 引張 | 917 |

4. 数値計算

各要素に生じる力，モーメントを計算機（計算機コード ANSYS）にて求め，各要素の断面性状から応力を算定する。上記手順で求めた組合せ応力が最大となった要素の応力算定過程を記載する。

4.1. 原子炉建屋側でのクレーン（旋回体）の計算過程を示す。

4.1.1 ブームの強度検討

(1) 引張応力

$\sigma_{t1} = P_{t1}/A_1 = 108(\mathrm{MPa})$

$P_{t1}$：ブームに作用する軸方向引張力

$A_1$：ブームの断面積

(2) 曲げ応力

$\sigma_{b1} = M_{y1} \cdot H_{z1}/I_{yy1} + M_{z1} \cdot B_{y1}/I_{zz1} = 297(\mathrm{MPa})$

$M_{y1}$：ブームに作用するY軸周りモーメント

$M_{z1}$：ブームに作用するZ軸周りモーメント

$H_{z1}$：ブームの当該断面中心からZ方向端部までの最長長さ

$B_{y1}$：ブームの当該断面中心からY方向端部までの最長長さ

$I_{yy1}$：ブームの当該断面のY方向断面二次モーメント

$I_{zz1}$：ブームの当該断面のZ方向断面二次モーメント

(3) せん断応力

$\tau_1 = (P_{\tau y1} + P_{\tau z1})/A_1 + T_1/(2 \cdot A_{i1} \cdot t_1) = 18(\mathrm{MPa})$

$P_{\tau y1}$：ブームに作用するY軸方向せん断力

$P_{\tau z1}$：ブームに作用するZ軸方向せん断力

$A_1$ ：ブームの当該断面の断面積

$T_1$ ：ブームに作用する捩じりモーメント

$A_{i1}$：ブームの当該断面の内側境界断面積

$t_1$ ：ブームの当該断面の最小板厚

(4) 組合せ応力

$$\sigma_{\sigma 1} = \sqrt{(\sigma_{b1} + \sigma_{t1})^2 + 3{\tau_1}^2} = 407(\mathrm{MPa})$$

4.1.2　ブーム根元支持ピンの強度検討

(1) 曲げ応力

$$\sigma_{b2} = \sqrt{P_{\tau x2}^2 + P_{\tau z2}^2} \cdot B_2 \cdot D_2/(2 \cdot I_2) = 58(\mathrm{MPa})$$

$P_{\tau x2}$:ブーム根元支持ピンに作用するX方向せん断力 [redacted]

$P_{\tau z2}$:ブーム根元支持ピンに作用するZ方向せん断力 [redacted]

$B_2$ :ブーム根元支持ピンからせん断力の作用点までの距離 [redacted]

$D_2$ :ブーム根元支持ピンの外径 [redacted]

$I_2$ :ブーム根元支持ピンの断面二次モーメント [redacted]

(2) せん断応力

$$\tau_2 = \sqrt{P_{\tau x2}^2 + P_{\tau z2}^2}/A_2 = 153(\mathrm{MPa})$$

$P_{\tau x2}$:ブーム根元支持ピンに作用するX方向せん断力 [redacted]

$P_{\tau z2}$:ブーム根元支持ピンに作用するZ方向せん断力 [redacted]

$A_2$:ブーム根元支持ピンの断面積 [redacted]

(3) 組合せ応力

$$\sigma_{\sigma 2} = \sqrt{\sigma_{b2}^2 + 3{\tau_2}^2} = 272(\mathrm{MPa})$$

4.1.3　旋回輪軸受取付ボルトの強度検討

(1) 引張応力

$$\sigma_{t3} = P_{t3}/A_3 = 815(\mathrm{MPa})$$

$P_{t3}$:取付ボルトに作用する引張力 [redacted]

$A_3$:取付ボルトの有効断面積 [redacted]

4.2. 燃料取り出し用構台側でのクレーン(旋回体)の計算過程を示す。

4.2.1 ブームの強度検討

(1) 引張応力

$\sigma_{t1} = P_{t1}/A_1 = 96(\mathrm{MPa})$

$P_{t1}$:ブームに作用する軸方向引張力

$A_1$:ブームの断面積

(2) 曲げ応力

$\sigma_{b1} = M_{y1} \cdot H_{z1}/I_{yy1} + M_{z1} \cdot B_{y1}/I_{zz1} = 277(\mathrm{MPa})$

$M_{y1}$:ブームに作用するY軸周りモーメント

$M_{z1}$:ブームに作用するZ軸周りモーメント

$H_{z1}$:ブームの当該断面中心からZ方向端部までの最長長さ

$B_{y1}$:ブームの当該断面中心からY方向端部までの最長長さ

$I_{yy1}$:ブームの当該断面のY方向断面二次モーメント

$I_{zz1}$:ブームの当該断面のZ方向断面二次モーメント

(3) せん断応力

$\tau_1 = (P_{\tau y1} + P_{\tau z1})/A_1 + T_1/(2 \cdot A_{i1} \cdot t_1) = 17(\mathrm{MPa})$

$P_{\tau y1}$:ブームに作用するY軸方向せん断力

$P_{\tau z1}$:ブームに作用するZ軸方向せん断力

$A_1$ :ブームの当該断面の断面積

$T_1$ :ブームに作用する捩じりモーメント

$A_{i1}$:ブームの当該断面の内側境界断面積

$t_1$ :ブームの当該断面の最小板厚

(4) 組合せ応力

$$\sigma_{\sigma 1} = \sqrt{(\sigma_{b1} + \sigma_{t1})^2 + 3\tau_1^{\,2}} = 375(\mathrm{MPa})$$

4.2.2　ブーム根元支持ピンの強度検討

(1) 曲げ応力

$\sigma_{b2} = \sqrt{P_{\tau x2}^2 + P_{\tau z2}^2} \cdot B_2 \cdot D_2/(2 \cdot I_2) = 54(\mathrm{MPa})$

$P_{\tau x2}$:ブーム根元支持ピンに作用するX方向せん断力 [redacted]

$P_{\tau z2}$:ブーム根元支持ピンに作用するZ方向せん断力 [redacted]

$B_2$ :ブーム根元支持ピンからせん断力の作用点までの距離 [redacted]

$D_2$ :ブーム根元支持ピンの外径 [redacted]

$I_2$ :ブーム根元支持ピンの断面二次モーメント [redacted]

(2) せん断応力

$\tau_2 = \sqrt{P_{\tau x2}^2 + P_{\tau z2}^2}/A_2 = 142(\mathrm{MPa})$

$P_{\tau x2}$:ブーム根元支持ピンに作用するX方向せん断力 [redacted]

$P_{\tau z2}$:ブーム根元支持ピンに作用するZ方向せん断力 [redacted]

$A_2$:ブーム根元支持ピンの断面積 [redacted]

(3) 組合せ応力

$\sigma_{\sigma 2} = \sqrt{\sigma_{b2}^2 + 3\tau_2^{\,2}} = 252(\mathrm{MPa})$

4.2.3　旋回輪軸受取付ボルトの強度検討

(1) 引張応力

$\sigma_{t3} = P_{t3}/A_3 = 830(\mathrm{MPa})$

$P_{t3}$:取付ボルトに作用する引張力 [redacted]

$A_3$:取付ボルトの有効断面積 [redacted]

5. 結論

算出応力は，表 6 に示す通り，全て許容応力値以下であることを確認した。

表 6 算出応力の評価

| 評価位置 | 部位 | 使用材料 | 応力の種類 | 許容応力 (MPa) | 算出応力 (MPa) |
|---|---|---|---|---|---|
| 原子炉建屋側 | ブーム | WELDOX1100E (STRENX1100E) | 引張 | 875 | 108 |
| | | | せん断 | 505 | 18 |
| | | | 曲げ | 875 | 297 |
| | | | 組合せ | 875 | 407 |
| | ブーム根元支持ピン | 42CrMoS4 | せん断 | 303 | 153 |
| | | | 曲げ | 525 | 58 |
| | | | 組合せ | 525 | 272 |
| | 旋回輪軸受取付ボルト | SUS630 | 引張 | 917 | 815 |
| 燃料取り出し用構台側 | ブーム | WELDOX1100E (STRENX1100E) | 引張 | 875 | 96 |
| | | | せん断 | 505 | 17 |
| | | | 曲げ | 875 | 277 |
| | | | 組合せ | 875 | 375 |
| | ブーム根元支持ピン | 42CrMoS4 | せん断 | 303 | 142 |
| | | | 曲げ | 525 | 54 |
| | | | 組合せ | 525 | 252 |
| | 旋回輪軸受取付ボルト | SUS630 | 引張 | 917 | 830 |

## IV. 燃料取扱機／クレーン(走行台車部)の耐震性についての計算書

### 1. 概要

#### 1.1. 一般事項

本書は燃料取扱機及びクレーンを構成する走行台車部の耐震性についての計算書である。

#### 1.2. 計算条件

(1) 燃料取扱設備全体が使用済燃料プール及び使用済燃料貯蔵ラックに波及的影響を及ぼさないことを確認するため，燃料取扱状態，輸送容器取扱状態について評価を行う。

(2) 走行台車部は走行レール上を走行し，燃料取扱時及び輸送容器取扱時，輸送容器固定状態ではアウトリガーピンによりランウェイガーダに固定されるものとする。

(3) 走行台車部には水平 2 方向地震力と鉛直方向地震力が同時に作用するものとする。

(4) 地震力はランウェイガーダと取り合う走行台車部の車輪位置から，走行台車部の構造物フレーム，アウトリガーピン及び転倒防止ラグに伝達される。また，搭載機器からの反力を走行台車部の構造物フレーム，アウトリガーピン及び転倒防止ラグで支持する。上記の荷重伝達経路を考慮し，走行台車部として，構造物フレーム，アウトリガーピン及び転倒防止ラグを評価対象部位とする。

### 2. 計算方法

#### 2.1. 固有周期の計算方法

##### 2.1.1 条件

(1) 走行台車部の重量として自重及び搭載機器を考慮する。走行台車部の構造概要を図 12 に，走行台車部及び搭載機器の重量を表 7 に示す。

(2) 走行台車部の自重及び搭載機器に作用する鉛直方向の地震力は，搭載機器を支持する構造物フレーム及び車輪を介してランウェイガーダに支持される。地震による水平力(NS 方向)及び転倒力はアウトリガーピン，地震による水平力(EW 方向)は転倒防止ラグを介してランウェイガーダに支持される。

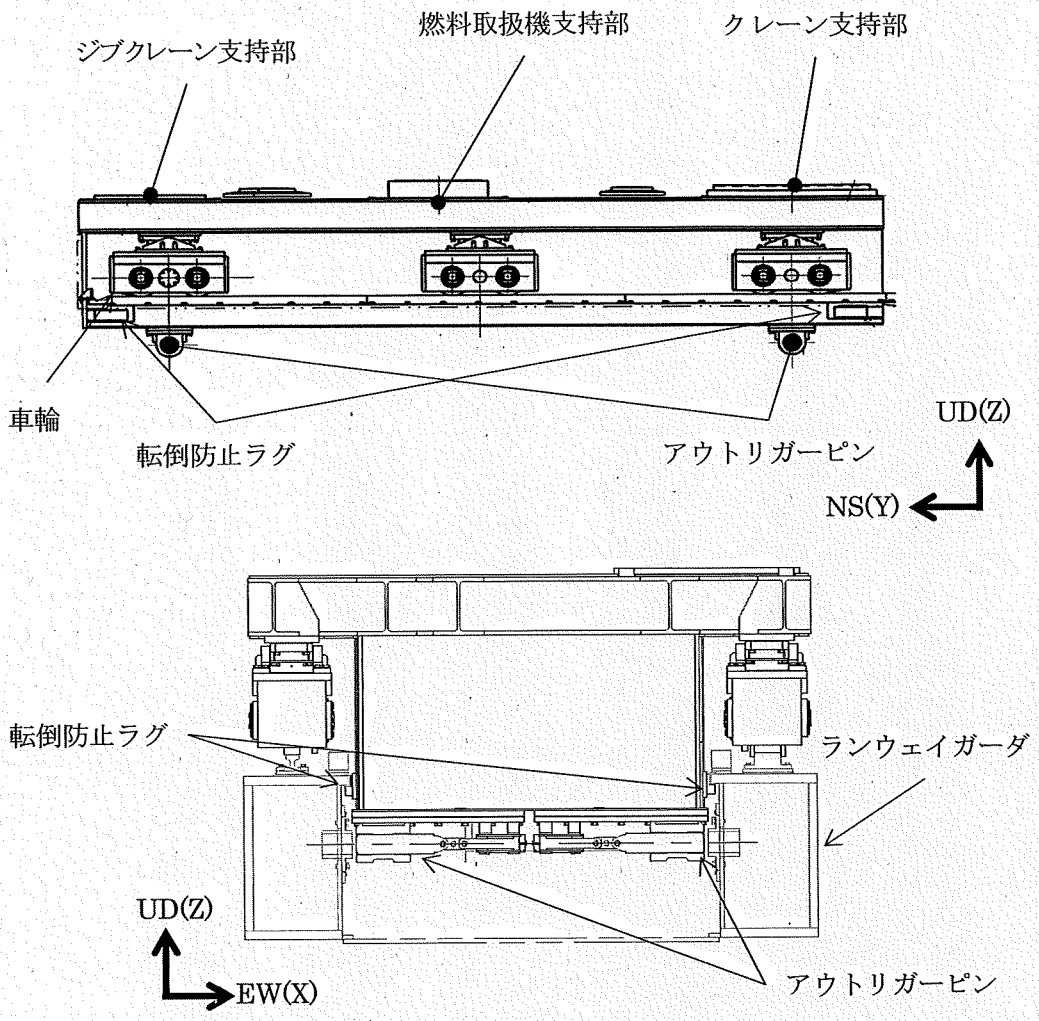



図 12 走行台車 構造概要

表 7 走行台車部及び搭載機器の重量

| 名称 | 重量(t) | 各状態において追加で考慮する重量 |
|---|---|---|
| 走行台車部 | 153.6 | — |
| 燃料取扱機(旋回体) | 22.5 | 燃料取扱状態において定格荷重(1t)を考慮 |
| クレーン(旋回体) | 54 | 輸送容器取扱において定格荷重(47t)を考慮 |
| キャスク固定治具 | 28 | — |

2.1.2　計算モデル

2.1.1 の条件に基づいた計算モデルを図 13 に示す。

(1) 走行台車部の各搭載機器の支持部は，H 形又は箱型断面を有する構造物フレームにより構成され，車輪にて支持される構造となっているため，両端支持梁として搭載機器の支持部ごとに評価を行う。走行台車部にかかる水平力(EW 方向)は転倒防止ラグにて支持されるため，走行台車は水平方向にも十分剛である。また，アウトリガーピン支持部及び転倒防止ラグ支持部は地震力を支持する構造を有するが走行台車部の剛性には影響しない。

(2) クレーン，燃料取扱機の自重及び耐震計算の結果反力として生じる地震力，モーメントは旋回輪軸受取付ボルト穴ピッチ円の中心位置で各支持部へ伝達させる。

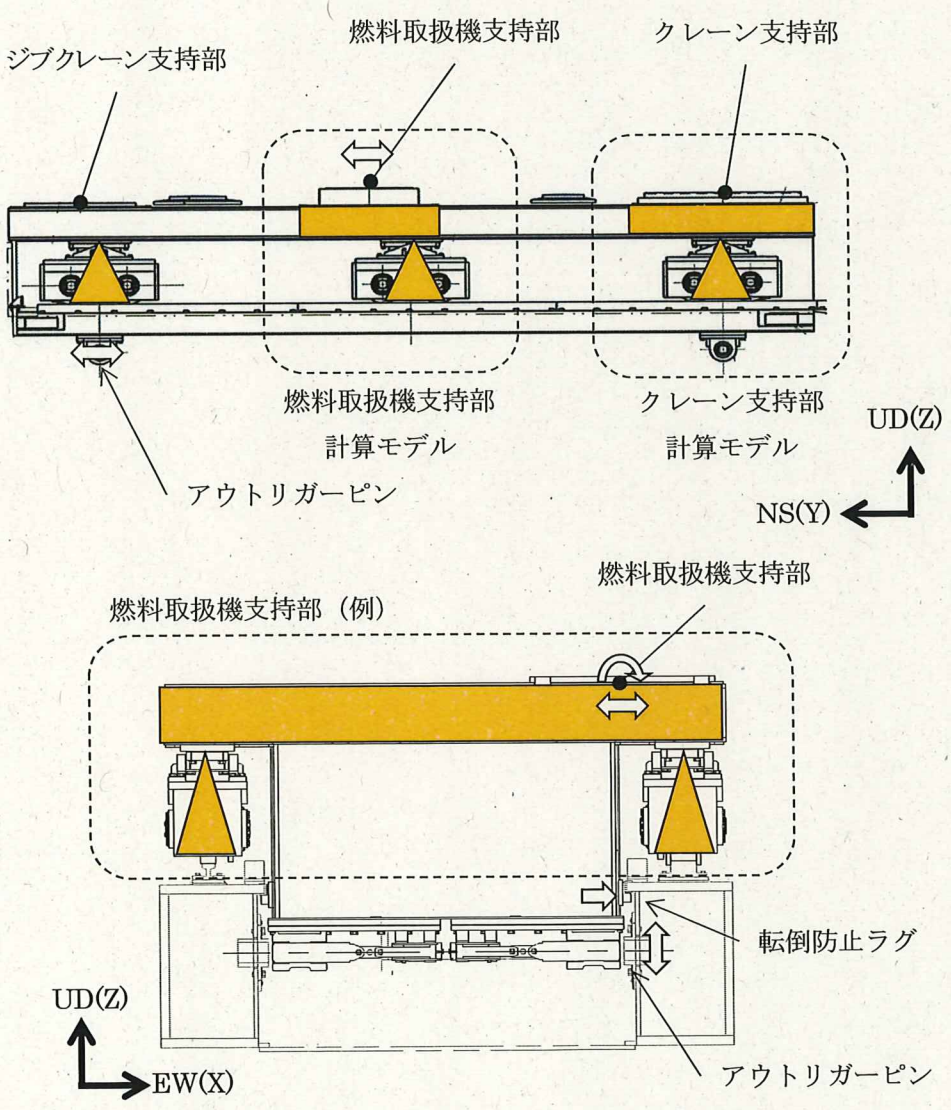



図 13　走行台車　計算モデル

2.1.3　計算

燃料取扱機及びクレーンを支持する構造物フレームの固有周期を次式により求める。固有周期算定に用いる値を表 8 に示す。

$$T = 2L^2/\pi \cdot \sqrt{w/1000EI}$$

表 8　固有周期算定に用いる値

| | 項目 | 単位 | 燃料取扱機<br>支持部 | クレーン<br>支持部 |
|---|---|---|---|---|
| T | 固有周期 | s | 0.01 以下 | |
| L | はりの長さ | mm | 4400 | |
| w | 単位長さ当りのはりの重量 | kg/mm | 1.361 | 1.568 |
| E | はりの縦弾性係数 | $N/mm^2$ | 201000 | |
| I | はりの断面二次モーメント | $mm^4$ | 9.279E+10 | 1.793E+11 |

2.2. 計算に用いる入力地震動

構造物フレームの固有周期は水平方向，鉛直方向ともに 0.01s 以下であり，剛構造と考えられるため，各状態におけるランウェイガーダへの負荷荷重を考慮し，ランウェイガーダの燃料取扱設備停止位置から得られる最大応答加速度の 1.2 倍の加速度を用いて設計用震度とする。

表 9 適用する地震動

| | 燃料取扱機支持部 | クレーン支持部 | |
|---|---|---|---|
| | 原子炉建屋側 | 原子炉建屋側 | 燃料取り出し用構台側 |
| NS 方向 | 0.83 | 0.83 | 0.81 |
| EW 方向 | 0.67 | 0.66 | 0.81 |
| 鉛直方向 | 0.74 | 0.77 | 1.47 |

3. 評価方法

3.1. 応力の評価方法

材料及び許容応力を表 10 に示す。

表 10 材料及び許容応力

| 部位 | 使用材料 | 応力の種類 | 許容応力 (MPa) |
|---|---|---|---|
| 構造物フレーム | SM490B | 引張 | 343 |
| | | せん断 | 198 |
| | | 曲げ | 343 |
| | | 組合せ | 343 |
| アウトリガーピン | SNB23-1 | せん断 | 460 |
| | | 曲げ | 1088 |
| | | 組合せ | 798 |
| 転倒防止ラグ | SM490B | 支圧 | 977 |

4. 数値計算

4.1. 走行台車部の燃料取扱状態における各部の強度

4.1.1 走行台車の構造物フレーム(燃料取扱機支持部)の強度検討

以下の応力算定に用いる力($P_{t1}$, $P_{\tau y1}$, $P_{\tau z1}$)及びモーメント($T_1$, $M_{y1}$, $M_{z1}$)は,燃料取扱機の耐震解析の結果から求まる燃料取扱機支持部にかかる力及びモーメント,燃料取扱機支持部の自重及び燃料取扱機支持部にかかる地震力を考慮して求めた値を用いる。

(1) 引張応力

$\sigma_{t1} = P_{t1}/A_1 = 1(\mathrm{MPa})$

$P_{t1}$ :構造物フレームに作用する軸方向引張力 $1.780\times10^5(\mathrm{N})$

$A_1$ :構造物フレームの断面積 $1.734\times10^5\ (\mathrm{mm^2})$

(2) せん断応力

$\tau_1 = (P_{\tau y1} + P_{\tau z1})/A_1 + T_1/(2A_{i1}\cdot t_1) = 10(\mathrm{MPa})$

$P_{\tau y1}$ :構造物フレームに作用するY軸方向せん断力 $2.588\times10^5(\mathrm{N})$

$P_{\tau z1}$ :構造物フレームに作用するZ軸方向せん断力 $4.441\times10^5(\mathrm{N})$

$A_1$ :構造物フレームの断面積 $1.734\times10^5\ (\mathrm{mm^2})$

$T_1$ :構造物フレームに作用する捩じりモーメント $2.091\times10^8(\mathrm{N\cdot mm})$

$A_{i1}$ :構造物フレームの内側境界断面 $9.402\times10^5\ (\mathrm{mm^2})$

$t_1$ :構造物フレームの最小板厚 22 (mm)

(3) 曲げ応力

$\sigma_{b1} = M_{y1}\cdot H_{z1}/I_{yy1} + M_{z1}\cdot B_{y1}/I_{zz1} = 38(\mathrm{MPa})$

$M_{y1}$ :構造物フレームに作用するY軸まわりのモーメント $1.287\times10^9(\mathrm{N\cdot mm})$

$M_{z1}$ :構造物フレームに作用するZ軸まわりのモーメント $3.593\times10^8(\mathrm{N\cdot mm})$

$H_{z1}$ :構造物フレームの評価断面中立軸から評価点までのZ方向の長さ 288 (mm)

$B_{y1}$ :構造物フレームの評価断面中立軸から評価点までのY方向の長さ 850 (mm)

$I_{yy1}$ :構造物フレームにおけるY軸まわりの断面二次モーメント $1.074\times10^{10}\ (\mathrm{mm^4})$

$I_{zz1}$ :構造物フレームにおけるZ軸まわりの断面二次モーメント $9.279\times10^{10}\ (\mathrm{mm^4})$

(4) 組合せ応力

$\sigma_{\sigma t1} = \sqrt{(\sigma_{t1}+\sigma_{b1})^2 + 3\tau_1^2} = 43(\mathrm{MPa})$

4.1.2　走行台車の構造物フレーム(クレーン支持部)の強度検討

4.2.2 の評価に包絡される。

4.1.3　アウトリガーピンの強度検討

アウトリガーピンの応力算定に用いるせん断力($P_{\tau 3}$)は，走行台車にかかる地震力による転倒モーメントに加え，全搭載機器の耐震解析の結果から求まる各搭載機器支持部にかかる力，モーメントが保守的に同時に作用するとして求めた値を用いる。

(1) せん断応力

$\tau_3 = P_{\tau 3}/(\pi d_3^2/4) = 169(\mathrm{MPa})$

| | | |
|---|---|---|
| $P_{\tau 3}$ | :ピンに作用するせん断力 | $4.293\times10^6$(N) |
| $d_3$ | :ピンの外径 | 180 (mm) |

(2) 曲げ応力

$\sigma_{b3} = (P_{\tau 3}\cdot L_3/2)/(\pi d_3^3/32) = 150(\mathrm{MPa})$

| | | |
|---|---|---|
| $P_{\tau 3}$ | :ピンに作用するせん断力 | $4.293\times10^6$(N) |
| $L_3$ | :ピンの曲げ長さ | 40 (mm) |
| $d_3$ | :ピンの外径 | 180 (mm) |

(3) 組合せ応力

$$\sigma_{\sigma 3} = \sqrt{\sigma_{b3}^2 + 3\tau_3^2} = 329(\mathrm{MPa})$$

4.1.4　転倒防止ラグの強度検討

転倒防止ラグの応力算定に用いる水平力($P_{p4}$)は，走行台車にかかる地震力に加え，全搭載機器の耐震解析の結果から求まる各搭載機器支持部にかかる水平力が保守的に同時に作用するとして求めた値を用いる。

(1) 支圧応力

$\sigma_{p4} = P_{P4}/A_4 = 69(\mathrm{MPa})$

| | | |
|---|---|---|
| $P_{p4}$ | :転倒防止ラグに作用する水平力 | $1.362\times10^6$(N) |
| $A_4$ | :支圧面積 | $2.000\times10^4$ ($mm^2$) |

4.2. 原子炉建屋側での走行台車部の輸送容器取扱状態における各部の強度

4.2.1 走行台車の構造物フレーム(燃料取扱機支持部)の強度検討

4.1.1 の評価に包含される。

4.2.2 走行台車の構造物フレーム(クレーン支持部)の強度検討

以下の応力算定に用いる力($P_{t2}$, $P_{\tau y2}$, $P_{\tau z2}$)及びモーメント($T_2$, $M_{y2}$, $M_{z2}$)は,クレーンの耐震解析の結果から求まるクレーン支持部にかかる力及びモーメント,クレーン支持部の自重及びクレーン支持部にかかる地震力を考慮して求めた値を用いる。

(1) 引張応力

$\sigma_{t2} = P_{t2}/A_2 = 2(\mathrm{MPa})$

$P_{t2}$ :構造物フレームに作用する軸方向引張力 $3.172\times10^5$(N)

$A_2$ :構造物フレームの断面積 $1.998\times10^5$ ($mm^2$)

(2) せん断応力

$\tau_2 = (P_{\tau y2} + P_{\tau z2})/A_2 + T_2/(2\cdot A_{i2}\cdot t_2) = 40(\mathrm{MPa})$

$P_{\tau y2}$ :構造物フレームに作用するY軸方向せん断力 $6.398\times10^5$(N)

$P_{\tau z2}$ :構造物フレームに作用するZ軸方向せん断力 $3.219\times10^6$(N)

$A_2$ :構造物フレームの断面積 $1.998\times10^5$ ($mm^2$)

$T_2$ :構造物フレームに作用する捩じりモーメント $1.151\times10^9$(N・mm)

$A_{i2}$ :構造物フレームの内側境界断面 $1.273\times10^6$ ($mm^2$)

$t_2$ :構造物フレームの最小板厚 22 (mm)

(3) 曲げ応力

$\sigma_{b2} = M_{y2}\cdot H_{z2}/I_{yy2} + M_{z2}\cdot B_{y2}/I_{zz2} = 229(\mathrm{MPa})$

$M_{y2}$ :構造物フレームに作用するY軸まわりのモーメント $9.849\times10^9$(N・mm)

$M_{z2}$ :構造物フレームに作用するZ軸まわりのモーメント $9.114\times10^8$(N・mm)

$H_{z2}$ :構造物フレームの評価断面中立軸から評価点までのz方向の長さ 288 (mm)

$B_{y2}$ :構造物フレームの評価断面中立軸から評価点までのy方向の長さ 1150 (mm)

$I_{yy2}$ :構造物フレームにおけるY軸まわりの断面二次モーメント $1.276\times10^{10}$ ($mm^4$)

$I_{zz2}$ :構造物フレームにおけるZ軸まわりの断面二次モーメント $1.793\times10^{11}$ ($mm^4$)

(4) 組合せ応力

$$\sigma_{\sigma t2} = \sqrt{(\sigma_{t2} + \sigma_{b2})^2 + 3\tau_2^2} = 242(\mathrm{MPa})$$

4.2.3 アウトリガーピンの強度検討

アウトリガーピンの応力算定に用いるせん断力($P_{\tau 4}$)は，走行台車にかかる地震力による転倒モーメントに加え，全搭載機器の耐震解析の結果から求まる各搭載機器支持部にかかる力，モーメントが保守的に同時に作用するとして求めた値を用いる。

(1) せん断応力

$\tau_4 = P_{\tau 4}/(\pi d_4^2/4) = 169(\mathrm{MPa})$

| | | |
|---|---|---|
| $P_{\tau 4}$ | :ピンに作用するせん断力 | $4.300\times10^6$(N) |
| $d_4$ | :ピンの外径 | 180 (mm) |

(2) 曲げ応力

$\sigma_{b4} = (P_{\tau 4} \cdot L_3/2)/(\pi d_4^3/32) = 151(\mathrm{MPa})$

| | | |
|---|---|---|
| $P_{\tau 4}$ | :ピンに作用するせん断力 | $4.300\times10^6$ (N) |
| $L_4$ | :ピンの曲げ長さ | 40 (mm) |
| $d_4$ | :ピンの外径 | 180 (mm) |

(3) 組合せ応力

$$\sigma_{\sigma 4} = \sqrt{\sigma_{b4}^2 + 3\tau_4^2} = 330(\mathrm{MPa})$$

4.2.4 転倒防止ラグの強度検討

転倒防止ラグの応力算定に用いる水平力($P_{p5}$)は，走行台車にかかる地震力に加え，全搭載機器の耐震解析の結果から求まる各搭載機器支持部にかかる水平力が保守的に同時に作用するとして求めた値を用いる。

(1) 支圧応力

$\sigma_{p5} = P_{P5}/A_5 = 67(\mathrm{MPa})$

| | | |
|---|---|---|
| $P_{p5}$ | :転倒防止ラグに作用する水平力 | $1.341\times10^6$(N) |
| $A_5$ | :支圧面積 | $2.000\times10^4$ ($mm^2$) |

4.3. 燃料取り出し用構台側での走行台車部の輸送容器取扱状態における各部の強度

4.3.1 走行台車の構造物フレーム(燃料取扱機支持部)の強度検討

4.1.1 の評価に包含される。

4.3.2 走行台車の構造物フレーム(クレーン支持部)の強度検討

以下の応力算定に用いる力($P_{t2\prime}$, $P_{\tau y2\prime}$, $P_{\tau z2\prime}$)及びモーメント($T_{2\prime}$, $M_{y2\prime}$, $M_{z2\prime}$)は, クレーンの耐震解析の結果から求まるクレーン支持部にかかる力及びモーメント, クレーン支持部の自重及びクレーン支持部にかかる地震力を考慮して求めた値を用いる。

(1) 引張応力

$\sigma_{t2\prime} = P_{t2\prime}/A_{2\prime} = 3(\mathrm{MPa})$

$P_{t2\prime}$ :構造物フレームに作用する軸方向引張力 $5.227\times10^{5}(\mathrm{N})$

$A_{2\prime}$ :構造物フレームの断面積 $1.998\times10^{5}\ (\mathrm{mm^2})$

(2) せん断応力

$\tau_{2\prime} = (P_{\tau y2\prime} + P_{\tau z2\prime})/A_{2\prime} + T_{2\prime}/(2\cdot A_{i2\prime}\cdot t_{2\prime}) = 41(\mathrm{MPa})$

$P_{\tau y2\prime}$ :構造物フレームに作用するY軸方向せん断力 $5.862\times10^{5}(\mathrm{N})$

$P_{\tau z2\prime}$ :構造物フレームに作用するZ軸方向せん断力 $3.073\times10^{6}(\mathrm{N})$

$A_{2\prime}$ :構造物フレームの断面積 $1.998\times10^{5}\ (\mathrm{mm2})$

$T_{2\prime}$ :構造物フレームに作用する捩じりモーメント $1.237\times10^{9}(\mathrm{N\cdot mm})$

$A_{i2\prime}$ :構造物フレームの内側境界断面 $1.273\times10^{6}\ (\mathrm{mm2})$

$t_{2\prime}$ :構造物フレームの最小板厚 $22\ (\mathrm{mm})$

(3) 曲げ応力

$\sigma_{b2\prime} = M_{y2\prime}\cdot H_{z2\prime}/I_{yy2\prime} + M_{z2\prime}\cdot B_{y2\prime}/I_{zz2\prime} = 221(\mathrm{MPa})$

$M_{y2\prime}$ :構造物フレームに作用するY軸まわりのモーメント $9.540\times10^{9}(\mathrm{N\cdot mm})$

$M_{z2\prime}$ :構造物フレームに作用するZ軸まわりのモーメント $8.521\times10^{8}(\mathrm{N\cdot mm})$

$H_{z2\prime}$ :構造物フレームの評価断面中立軸から評価点までのz方向の長さ $288\ (\mathrm{mm})$

$B_{y2\prime}$ :構造物フレームの評価断面中立軸から評価点までのy方向の長さ $1150\ (\mathrm{mm})$

$I_{yy2\prime}$ :構造物フレームにおけるY軸まわりの断面二次モーメント $1.276\times10^{10}\ (\mathrm{mm^4})$

$I_{zz2\prime}$ :構造物フレームにおけるZ軸まわりの断面二次モーメント $1.793\times10^{11}\ (\mathrm{mm^4})$

(4) 組合せ応力

$$\sigma_{\sigma t2\prime} = \sqrt{(\sigma_{t2\prime} + \sigma_{b2\prime})^2 + 3\tau_{2\prime}^2} = 235(\mathrm{MPa})$$

4.3.3 アウトリガーピンの強度検討

アウトリガーピンの応力算定に用いるせん断力($P_{\tau 4\prime}$)は，走行台車にかかる地震力による転倒モーメントに加え，全搭載機器の耐震解析の結果から求まる各搭載機器支持部にかかる力，モーメントが保守的に同時に作用するとして求めた値を用いる。

(1) せん断応力

$$\tau_{4\prime} = P_{\tau 4\prime}/(\pi d_{4\prime}^2/4) = 184(\mathrm{MPa})$$

| | | |
|---|---|---|
| $P_{\tau 4\prime}$ | :ピンに作用するせん断力 | $4.673\times10^6$(N) |
| $d_{4\prime}$ | :ピンの外径 | 180 (mm) |

(2) 曲げ応力

$$\sigma_{b4\prime} = (P_{\tau 4\prime} \cdot L_{4\prime}/2)/(\pi d_{4\prime}^3/32) = 164(\mathrm{MPa})$$

| | | |
|---|---|---|
| $P_{\tau 4\prime}$ | :ピンに作用するせん断力 | $4.673\times10^6$ (N) |
| $L_{4\prime}$ | :ピンの曲げ長さ | 40 (mm) |
| $d_{4\prime}$ | :ピンの外径 | 180 (mm) |

(3) 組合せ応力

$$\sigma_{\sigma 4\prime} = \sqrt{\sigma_{b4\prime}^2 + 3\tau_{4\prime}^2} = 359(\mathrm{MPa})$$

4.3.4 転倒防止ラグの強度検討

転倒防止ラグの応力算定に用いる水平力($P_{p5\prime}$)は，走行台車にかかる地震力に加え，全搭載機器の耐震解析の結果から求まる各搭載機器支持部にかかる水平力が保守的に同時に作用するとして求めた値を用いる。

(1) 支圧応力

$$\sigma_{p5\prime} = P_{P5\prime}/A_{5\prime} = 73(\mathrm{MPa})$$

| | | |
|---|---|---|
| $P_{p5\prime}$ | :転倒防止ラグに作用する水平力 | $1.451\times10^6$(N) |
| $A_{5\prime}$ | :支圧面積 | $2.000\times10^4$ ($mm^2$) |

5. 結論

算出応力は，表 11 に示す通り，全て許容応力値以下であることを確認した。

表 11 算定応力の評価

(燃料取扱状態，輸送容器取扱状態)

| 部位 | 評価位置 | 使用材料 | 応力の種類 | 許容応力 (MPa) | 算出応力(MPa) | |
|---|---|---|---|---|---|---|
| | | | | | 燃料取扱状態 | 輸送容器取扱状態 |
| 構造物フレーム (燃料取扱機支持部) | 原子炉建屋側 | SM490B | 引張 | 343 | 1 | |
| | | | せん断 | 198 | 10 | |
| | | | 曲げ | 343 | 38 | |
| | | | 組合せ | 343 | 43 | |
| 構造物フレーム (クレーン支持部) | 原子炉建屋側 | SM490B | 引張 | 343 | | 2 |
| | | | せん断 | 198 | | 40 |
| | | | 曲げ | 343 | | 229 |
| | | | 組合せ | 343 | | 242 |
| | 燃料取り出し用構台側 | | 引張 | 343 | | 3 |
| | | | せん断 | 198 | | 41 |
| | | | 曲げ | 343 | | 221 |
| | | | 組合せ | 343 | | 235 |
| アウトリガーピン | 原子炉建屋側 | SNB23-1 | せん断 | 460 | 169 | 169 |
| | | | 曲げ | 1088 | 150 | 151 |
| | | | 組合せ | 798 | 329 | 330 |
| | 燃料取り出し用構台側 | | せん断 | 460 | | 184 |
| | | | 曲げ | 1088 | | 164 |
| | | | 組合せ | 798 | | 359 |
| 転倒防止ラグ | 原子炉建屋側 | SM490B | 支圧 | 977 | 69 | 67 |
| | 燃料取り出し用構台側 | | | | | 73 |

## V. キャスク固定治具の耐震性についての計算書

### 1. 概要

#### 1.1. 一般事項

本計算書はキャスク固定治具の耐震性についての計算書である。

#### 1.2. 計算条件

(1) キャスク固定治具に積載する輸送容器が転倒して使用済燃料プール及び使用済燃料貯蔵ラックに波及的影響を及ぼさないことを確認するため，輸送容器積載時の評価を行う。設計床応答スペクトルは加速度応答のより大きいランウェイガーダ先端側を含む走行台車車輪位置 6 点を包絡したものを使用する。

(2) キャスク固定治具には水平 2 方向地震力と鉛直方向地震力が同時に作用するものとする。

### 2. 計算方法

#### 2.1. 固有周期の計算方法

##### 2.1.1 条件

(1) キャスク固定治具の重量として自重及び搭載機器(輸送容器)を考慮する。キャスク固定治具の重量を表 12 に，構造概要を図 14 に示す。

(2) キャスク仮置台取付ボルトは剛な走行台車に支持されているものとする。

(3) キャスク仮置台取付ボルトにせん断力が生じないよう，走行台車接続部に発生するせん断力は構造物フレームで支持する構造とする。

表 12 キャスク固定治具の重量

| 名称 | 重量(t) |
|---|---|
| キャスク固定治具 | 28 |
| 搭載機器(輸送容器) | 50 |

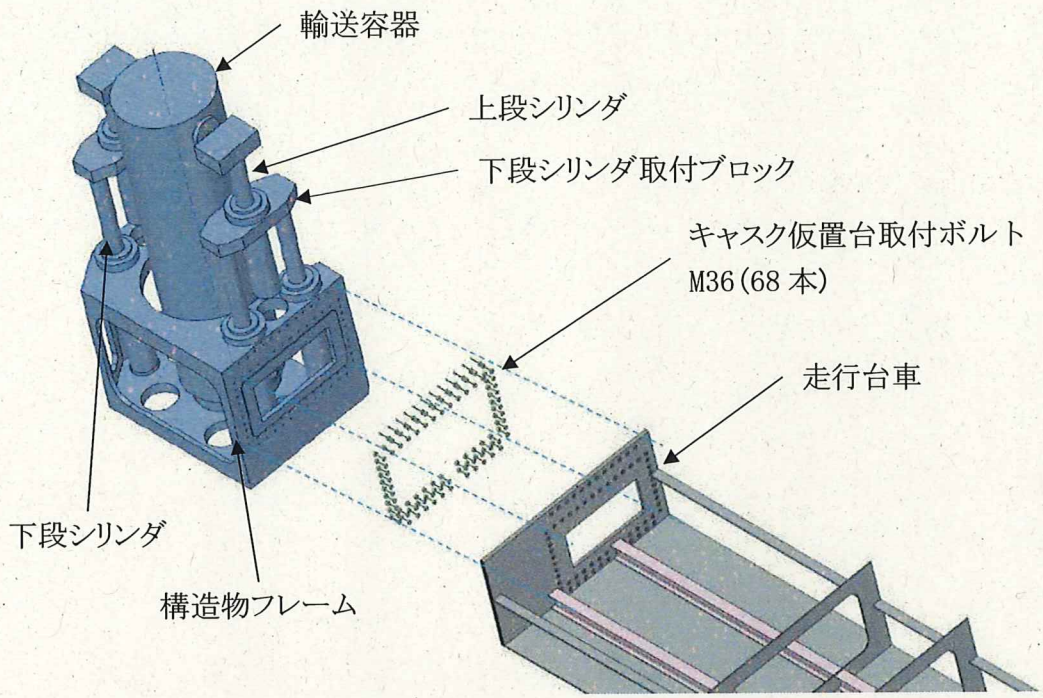



図 14 キャスク固定治具 構造概要

2.1.2　計算モデル

2.1.1 の条件に基づいた計算モデルを図 15 に示す。

(1) 輸送容器を支持する構造物フレームははり要素でモデル化する。

(2) キャスク固定治具は走行台車側面にキャスク仮置台取付ボルトで固定し，当該ボルトにせん断力がかからないよう Y 方向及び Z 方向の力を構造物フレームのインローで支持する構造を有する。モデル化では上記構造を反映した。

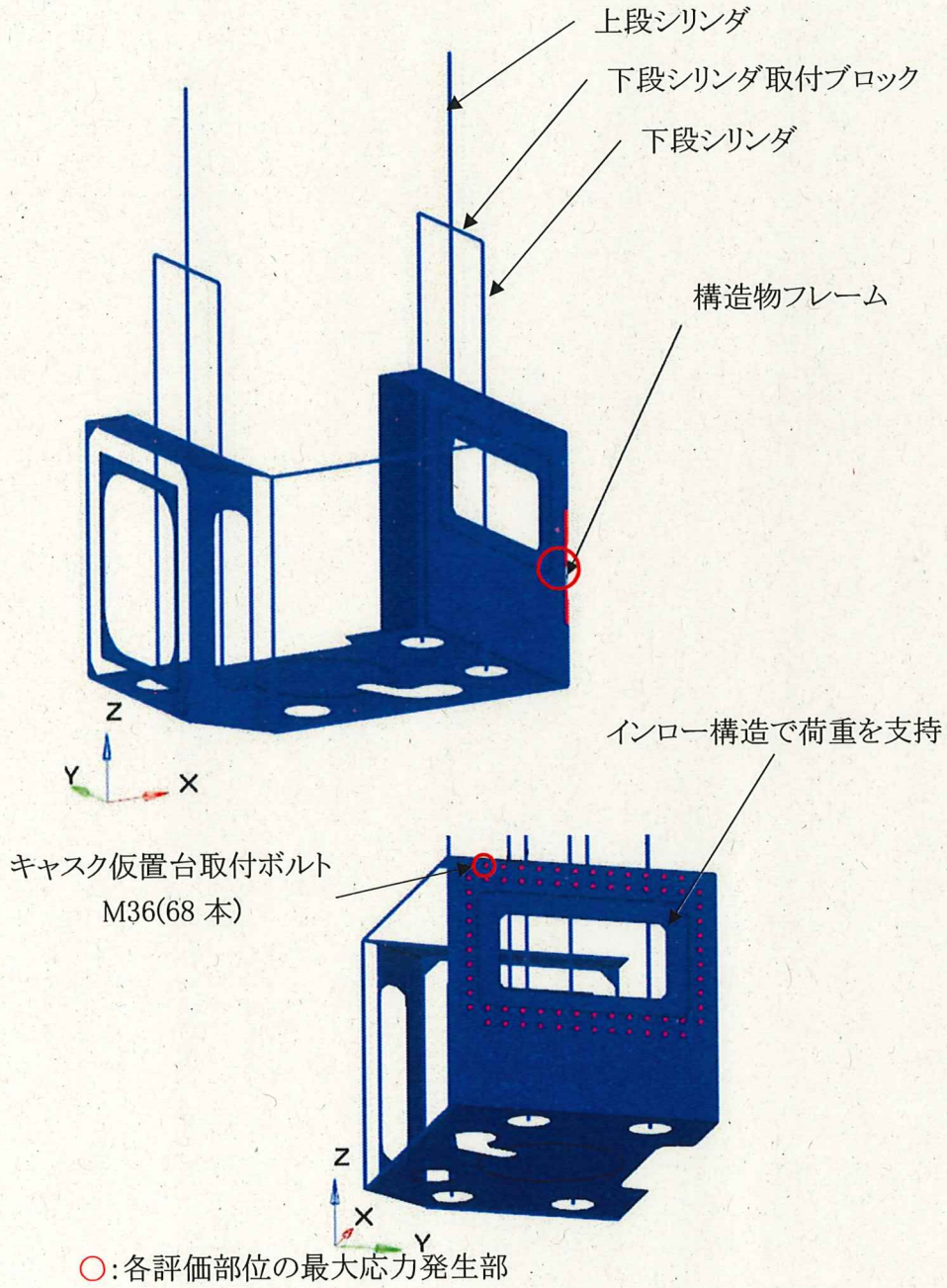


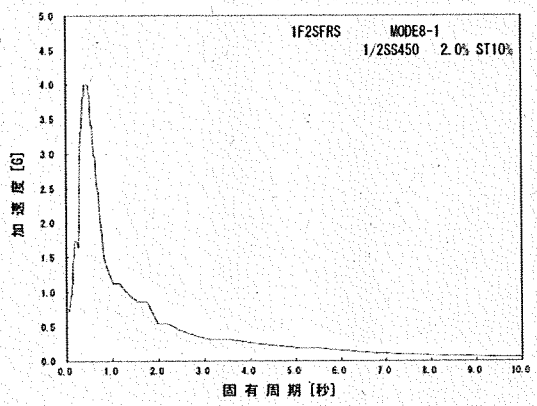

図 15　キャスク固定治具　計算モデル

2.1.3　計算

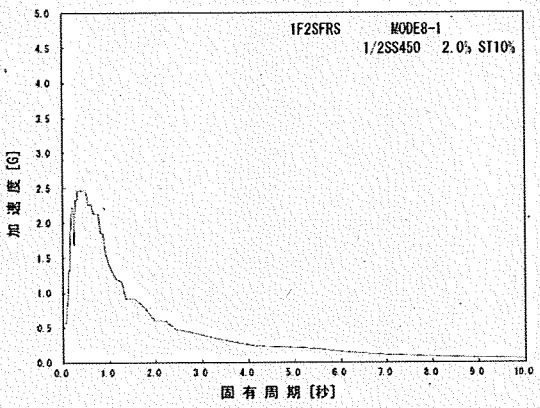
キャスク固定治具の固有周期は水平 0.2s，上下 0.2s となる。

2.2.　計算に用いる入力地震動

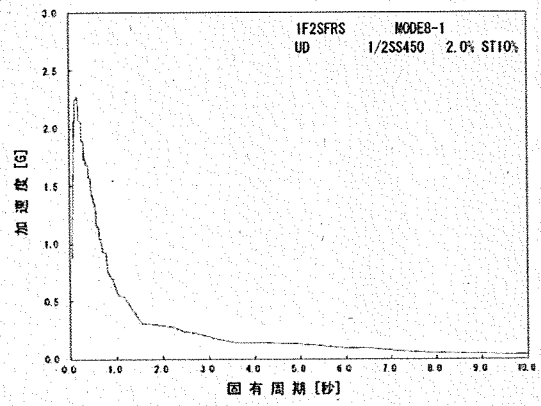
本評価では，1/2Ss450 地震動(水平 2 方向及び鉛直方向)を原子炉建屋及び燃料取り出し用構台の地震応答解析モデルへ入力し得られる応答加速度時刻歴から求めた設計用床応答スペクトルを用いる。ランウェイガーダへの負荷荷重は，輸送容器固定状態として燃料取扱設備重量及び輸送容器重量を考慮した。床応答スペクトルの減衰定数は，ボルト及びリベット構造物として水平 2%，鉛直 2%を適用した。本評価で用いる設計用床応答スペクトルを図 16 に示す。




NS 方向




EW 方向




鉛直方向

図 16　設計用床応答スペクトル(輸送容器固定状態)

3. 評価方法

3.1. 応力の評価方法

材料及び許容応力を表 13 に示す。

表 13 材料及び許容応力

| 部位 | 使用材料 | 応力の種類 | 許容応力 (MPa) |
|---|---|---|---|
| 構造物フレーム | SM490B | 引張 | 343 |
| | | せん断 | 198 |
| | | 曲げ | 343 |
| | | 組合せ | 343 |
| キャスク仮置台取付ボルト | SNB23-1 | 引張 | 798 |

4. 数値計算

各要素に生じる力，モーメントを計算機(計算機コード ANSYS)にて求め，各要素の断面性状から応力を算定する。上記手順で求めた組合せ応力が最大となった要素の応力算定過程を記載する。

4.1. キャスク固定治具の輸送容器固定状態における各部の強度

4.1.1 構造物フレームの強度検討

(1) 引張応力

$\sigma_{t1} = P_{t1}/A_1 = 72(\mathrm{MPa})$

$P_{t1}$ :構造物フレームに作用する軸方向引張力 $1.171\times10^{6}(\mathrm{N})$

$A_1$ :構造物フレームの断面積 $1.625\times10^{4}\ (\mathrm{mm^2})$

(2) せん断応力

$\tau_1 = (P_{\tau y1} + P_{\tau z1})/A_1 + T_1/Z_{p1} = 34(\mathrm{MPa})$

$P_{\tau y1}$ :構造物フレームに作用するY軸方向せん断力 $2.319\times10^{5}(\mathrm{N})$

$P_{\tau z1}$ :構造物フレームに作用するZ軸方向せん断力 $2.372\times10^{4}(\mathrm{N})$

$A_1$ :構造物フレームの断面積 $1.625\times10^{4}\ (\mathrm{mm^2})$

$T_1$ :構造物フレームに作用する捩じりモーメント $4.923\times10^{6}(\mathrm{N\cdot mm})$

$Z_{p1}$ :捩じり極断面係数 $2.822\times10^{5}\ (\mathrm{mm^2})$

(3) 曲げ応力

$\sigma_{b1} = M_{y1}/Z_{y1} + M_{z1}/Z_{z1} = 252(\mathrm{MPa})$

$M_{y1}$ :構造物フレームに作用するY軸まわりのモーメント $4.997\times10^{6}(\mathrm{N\cdot mm})$

$M_{z1}$ :構造物フレームに作用するZ軸まわりのモーメント $1.514\times10^{8}(\mathrm{N\cdot mm})$

$Z_{y1}$ :構造物フレームの当該断面のY軸まわりの断面係数 $1.760\times10^{5}(\mathrm{mm^3})$

$Z_{Z1}$ :構造物フレームの当該断面のZ軸まわりの断面係数 $6.771\times10^{5}(\mathrm{mm^3})$

(4) 組合せ応力

$\sigma_{\sigma t1} = \sqrt{(\sigma_{t1} + \sigma_{b1})^2 + 3\tau_1^2} = 330(\mathrm{MPa})$

4.1.2　キャスク仮置台取付ボルトの強度検討

(1) 引張応力

$\sigma_{t2} = P_{t2}/A_2 = 774(MPa)$

$P_{t2}$　:取付ボルトに作用する引張力　　$6.322\times10^5(N)$

$A_2$　:取付ボルトの有効断面積　　$817\ (mm^2)$

5. 結論

算出応力は，表 14 に示す通り全て許容応力値以下であることを確認した。

表 14 算出応力の評価

| 部位 | 使用材料 | 応力の種類 | 許容応力 (MPa) | 算出応力 (MPa) |
|---|---|---|---|---|
| 構造物フレーム | SM490B | 引張 | 343 | 72 |
| | | せん断 | 198 | 34 |
| | | 曲げ | 343 | 252 |
| | | 組合せ | 343 | 330 |
| キャスク仮置台取付ボルト | SNB23-1 | 引張 | 798 | 774 |

## VI. ジブクレーンの耐震性についての計算書

### 1. 概要

#### 1.1. 一般事項

本計算書はジブクレーンの耐震性についての計算書である。

#### 1.2. 計算条件

(1) ジブクレーンが転倒して使用済燃料プール及び使用済燃料貯蔵ラックに波及的影響を及ぼさないことを確認するため，輸送容器一次蓋取扱時の評価を行う。

(2) ジブクレーンには水平 2 方向地震力と鉛直方向地震力が同時に作用するものとする。

### 2. 計算方法

#### 2.1. 固有周期の計算方法

##### 2.1.1 条件

(1) ジブクレーンの重量として自重及び搭載機器(一次蓋と一次蓋仮締付装置)を考慮する。ジブクレーンの重量を表 15 に，構造概要を図 17 に示す。

(2) 取付ボルトは剛な走行台車に支持されているものとする。

(3) 取付ボルトはコラム下面に取付けられるものとする。

表 15 ジブクレーンの重量

| 名称 | 重量(t) |
|---|---|
| ジブクレーン | 9 |
| 搭載機器 | 4 |

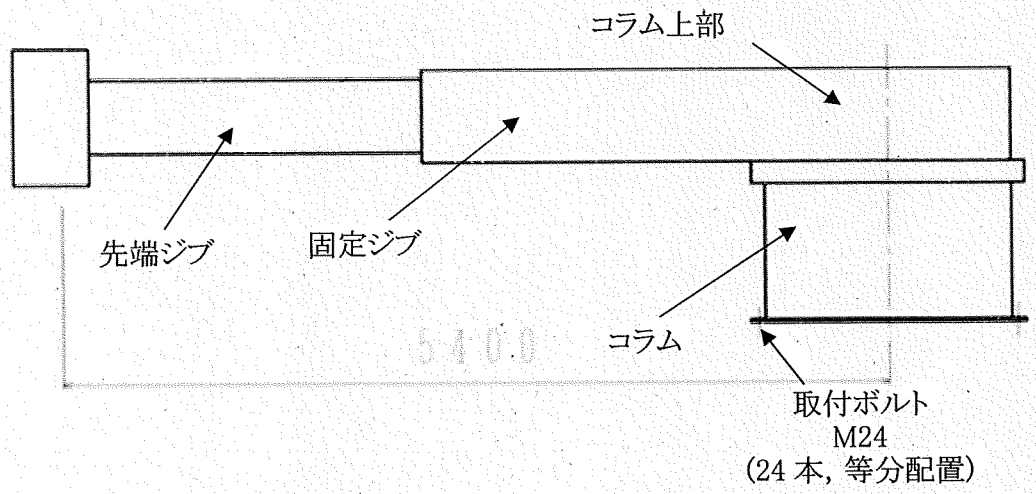



図 17 キャスク固定治具 構造概要(単位:mm)

2.1.2　計算モデル

2.1.1 の条件に基づいた計算モデルを図 18 に示す。

(1) ジブクレーンの計算モデルは，はり要素でモデル化する。

(2) ジブクレーンの姿勢は，先端ジブ最大長(作業半径 5.4m)とする。

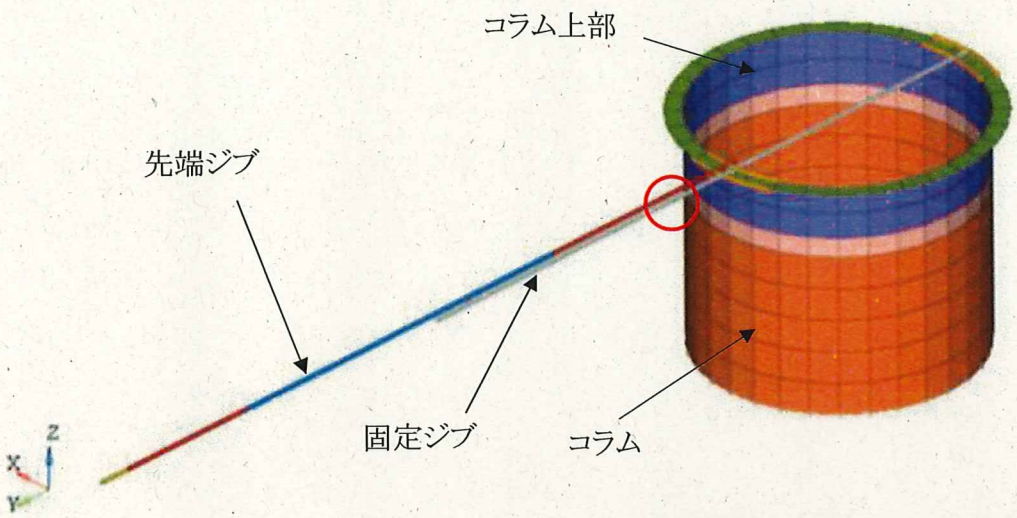


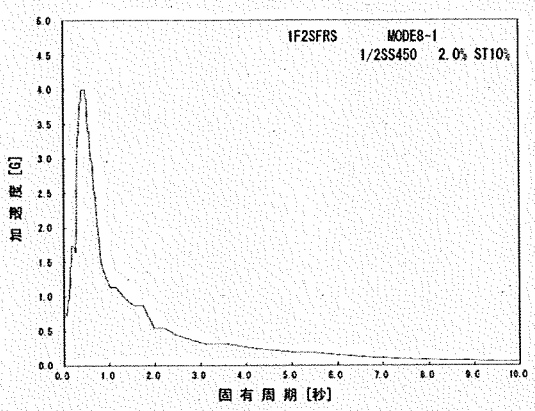

図 18　ジブクレーン　計算モデル

2.1.3　計算

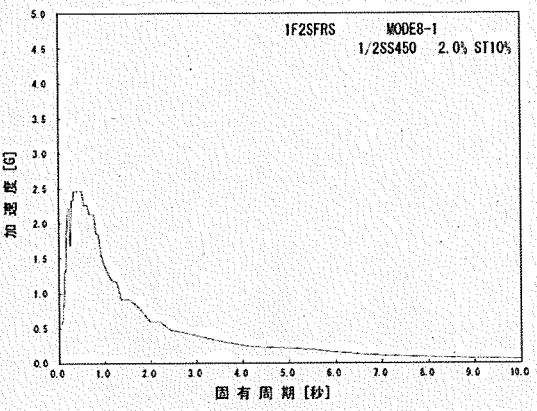
ジブクレーンの固有周期は水平 0.2s，上下 0.2s となる。

2.2. 計算に用いる入力地震動

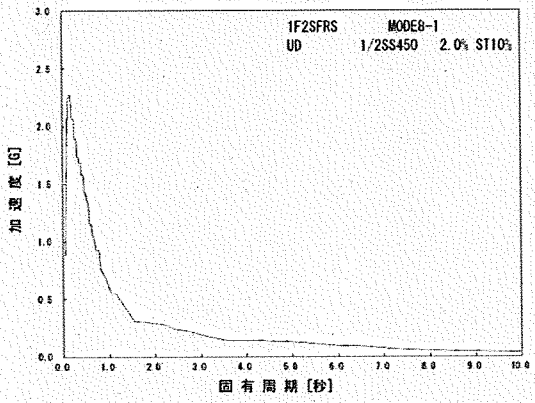
本評価では，1/2Ss450 地震動(水平 2 方向及び鉛直方向)を原子炉建屋及び燃料取り出し用構台の地震応答解析モデルへ入力し得られる応答加速度時刻歴から求めた設計用床応答スペクトルを用いる。ランウェイガーダへの負荷荷重は，輸送容器固定状態として燃料取扱設備重量及び輸送容器重量を考慮した。床応答スペクトルの減衰定数は，ボルト及びリベット構造物として水平 2%，鉛直 2%を適用した。本評価で用いる設計用床応答スペクトルを図 19 に示す。




NS 方向




EW 方向




鉛直方向

図 19 設計用床応答スペクトル(輸送容器固定状態)

3. 評価方法

3.1. 応力の評価方法

材料及び許容応力を表 16 に示す。

表 16 材料及び許容応力

| 部位 | 使用材料 | 応力の種類 | 許容応力 (MPa) |
|---|---|---|---|
| 先端ジブ | SM490B | 引張 | 343 |
| | | せん断 | 198 |
| | | 曲げ | 343 |
| | | 組合せ | 343 |
| 取付ボルト | S45C | 引張 | 399 |
| | | せん断 | 230 |
| | | 組合せ | 399 |

4. 数値計算

先端ジブについては，各要素に生じる力，モーメントを計算機（計算機コードANSYS）にて求め，各要素の断面性状から応力を算定する。上記手順で求めた組合せ応力が最大となった要素の応力算定過程を記載する。

取付ボルトについては，円筒のコラムに等分配置されているため基礎ボルトの計算式を用いて計算する。（スカート支持たて置円筒形容器基礎ボルトの応力）

4.1. ジブクレーンの輸送容器固定状態における各部の強度

4.1.1 先端ジブの強度検討

(1) 引張応力

$\sigma_{t1} = P_{t1}/A_1 = 0(\mathrm{MPa})$

$P_{t1}$ :先端ジブに作用する軸方向引張力 $6.661\times10^{2}(\mathrm{N})$

$A_1$ :先端ジブの断面積 $2.175\times10^{4}\ (\mathrm{mm^2})$

(2) せん断応力

$\tau_1 = (P_{\tau y1} + P_{\tau z1})/A_1 + T_1/(2A_{i1}\cdot t_1) = 21(\mathrm{MPa})$

$P_{\tau y1}$ :先端ジブに作用するY軸方向せん断力 $4.195\times10^{4}(\mathrm{N})$

$P_{\tau z1}$ :先端ジブに作用するZ軸方向せん断力 $1.939\times10^{5}(\mathrm{N})$

$A_1$ :先端ジブの断面積 $2.175\times10^{4}\ (\mathrm{mm^2})$

$T_1$ :先端ジブに作用する捩じりモーメント $1.517\times10^{7}(\mathrm{N\cdot mm})$

$A_{i1}$ :先端ジブの内側境界断面 $8.431\times10^{4}\ (\mathrm{mm^2})$

$t_1$ :先端ジブの最小板厚 $9\ (\mathrm{mm})$

(3) 曲げ応力

$\sigma_{b1} = M_{y1}\cdot H_{z1}/I_{yy1} + M_{z1}\cdot B_{y1}/I_{zz1} = 254(\mathrm{MPa})$

$M_{y1}$ :先端ジブに作用するY軸まわりのモーメント $8.245\times10^{8}(\mathrm{N\cdot mm})$

$M_{z1}$ :先端ジブに作用するZ軸まわりのモーメント $1.284\times10^{7}(\mathrm{N\cdot mm})$

$H_{z1}$ :先端ジブの評価断面中立軸から評価点までのZ方向の長さ $247\ (\mathrm{mm})$

$B_{y1}$ :先端ジブの評価断面中立軸から評価点までのY方向の長さ $191\ (\mathrm{mm})$

$I_{yy1}$ :先端ジブにおけるY軸まわりの断面二次モーメント $8.407\times10^{8}\ (\mathrm{mm^4})$

$I_{zz1}$ :先端ジブにおけるZ軸まわりの断面二次モーメント $2.182\times10^{8}\ (\mathrm{mm^4})$

(4) 組合せ応力

$\sigma_{\sigma t1} = \sqrt{(\sigma_{t1} + \sigma_{b1})^2 + 3\tau_1^2} = 257(\mathrm{MPa})$

4.1.2　取付ボルトの強度検討

(1) 引張応力

$\sigma_{t2} = P_{t2}/A_2 = 201(MPa)$

$P_{t2}$　:取付ボルトに作用する引張力　　$7.095\times10^4(N)$

$A_2$　:取付ボルトの有効断面積　　$353(mm^2)$

(2) せん断応力

$\tau_2 = P_{\tau2}/A_2 = 33(MPa)$

$P_{\tau2}$　:取付ボルトに作用するせん断力　　$1.148\times10^4(N)$

$A_2$　:取付ボルトの有効断面積　　$353\ (mm^2)$

5. 結論

算出応力は，表 17 に示す通り全て許容応力値以下であることを確認した。

表 17 算出応力の評価

| 部位 | 使用材料 | 応力の種類 | 許容応力 (MPa) | 算出応力 (MPa) |
|---|---|---|---|---|
| 先端ジブ | SM490B | 引張 | 343 | 0 |
| | | せん断 | 198 | 21 |
| | | 曲げ | 343 | 254 |
| | | 組合せ | 343 | 257 |
| 取付ボルト | S45C | 引張 | 399 | 201 |
| | | せん断 | 230 | 33 |

# 福島第一原子力発電所
# 特定原子力施設に係る実施計画

# 別冊集

本資料は、「福島第一原子力発電所特定原子力施設に係る実施計画」の内容を補足するものです。

本資料は、東京電力ホールディングス株式会社またはその他の企業の秘密情報が含まれている可能性があります。当社の許可なく本資料の内容を本来の目的以外に使用すること、ならびに第三者に開示、公開する行為を禁止します。

東京電力ホールディングス株式会社

目次

別冊１　原子炉圧力容器・格納容器注水設備に係る補足説明
Ⅰ　原子炉圧力容器・格納容器注水設備の構造強度及び耐震性について

別冊２　原子炉格納容器内窒素封入設備に係る補足説明
Ⅰ　原子炉格納容器内窒素封入設備の構造強度及び耐震性について

別冊３　使用済燃料プール設備に係る補足説明
Ⅰ　使用済燃料プール設備の構造強度及び耐震性について

別冊４　原子炉圧力容器・格納容器ホウ酸水注入設備に係る補足説明
Ⅰ　原子炉圧力容器・格納容器ホウ酸水注入設備の構造強度及び耐震性について

別冊５　汚染水処理設備等に係る補足説明
Ⅰ　汚染水処理設備等の構造強度及び耐震性について
Ⅱ　2.5 汚染水処理設備等の寸法許容範囲について

別冊６　原子炉格納容器ガス管理設備に係る補足説明
Ⅰ　原子炉格納容器ガス管理設備の構造強度及び耐震性について

別冊７　使用済燃料プールからの燃料取り出し設備に係る補足説明
Ⅰ　燃料取り出し用カバー換気設備の構造強度及び耐震性について
Ⅱ　燃料の健全性確認及び取り扱いに関する補足書
Ⅲ　３号機　構内用輸送容器に関する要目表
Ⅳ　構内用輸送容器に係る安全機能及び構造強度に関する説明書（４号機）（添付資料－２－１－３）に関する補足書
Ⅴ　構内用輸送容器（NFT－12B 型）の確認項目に係わる寸法及び材料
Ⅵ　破損燃料用輸送容器（7 体）に係る安全機能及び構造強度に関する説明書（３号機）（添付資料－２－２－１）に関する補足書
Ⅶ　破損燃料用輸送容器（2 体）に係る安全機能及び構造強度に関する説明書（３号機）（添付資料－２－２－２）に関する補足書

別冊８　使用済燃料乾式キャスク仮保管設備に係る補足説明
Ⅰ　乾式キャスク仮保管設備の構造強度及び耐震性について
Ⅱ　乾式キャスク仮保管設備に関する要目表

別冊９　放射性液体廃棄物処理施設及び関連施設に係る補足説明

Ⅰ　放射性液体廃棄物処理施設及び関連施設の構造強度及び耐震性について

別冊１２　サブドレン他水処理施設に係る補足説明

Ⅰ　サブドレン他水処理施設の耐震性に係る補足説明

Ⅱ　サブドレン集水設備の強度に係る補足説明

Ⅲ　サブドレン他浄化設備の強度に係る補足説明

Ⅳ　サブドレン他移送設備の強度に係る補足説明

Ⅴ　地下水ドレン集水設備の強度に係る補足説明

別冊１３　放射性固体廃棄物等の管理施設及び関連施設（雑固体廃棄物焼却設備）に係る補足説明

Ⅰ　雑固体廃棄物焼却設備の耐震性に係る補足説明

Ⅱ　雑固体廃棄物焼却設備の強度に係る補足説明

Ⅲ　雑固体廃棄物焼却設備の公称値の許容範囲について

別冊１４　雨水処理設備等に係わる補足説明

Ⅰ　雨水処理設備等の構造強度・耐震性に係わる補足説明

Ⅱ　雨水処理設備等の寸法許容範囲について

Ⅲ　雨水処理設備等の耐圧検査条件について

別冊１５　使用済燃料共用プール設備に係る補足説明

Ⅰ　使用済燃料貯蔵ラックおよび使用済燃料収納缶に係る要目表

Ⅱ　使用済燃料貯蔵ラック（49 体）の耐震性について

Ⅲ　使用済燃料貯蔵ラック（25 体）の核燃料物質が臨界に達しないことを説明する書類に係る補足説明

Ⅳ　使用済燃料貯蔵ラック（25 体）の耐震性について

別冊１６　建屋内 RO 循環設備および追設する関連機器に係る補足説明

Ⅰ　建屋内 RO 循環設備の構造強度評価に係る補足説明

Ⅱ　建屋内 RO 循環設備の耐震性評価に係る補足説明

Ⅲ　追設する関連機器の構造強度・耐震性評価に係る補足説明

別冊１７　５・６号機　燃料取扱系及び燃料貯蔵設備に係る補足説明

Ⅰ　燃料の取扱い・耐震性について

別冊１８　RO 濃縮水処理設備に係る補足説明

Ⅰ　RO 濃縮水処理設備の構造強度及び耐震性について

別冊１９　大型機器除染設備に係る補足説明

Ⅰ　大型機器除染設備の強度に係る補足説明

Ⅱ　大型機器除染設備の公称値の許容範囲について

別冊２０　電気系統設備に係る補足説明

Ⅰ　所内共通 M/C5A/B の耐震性評価結果

Ⅱ　所内共通 M/C6A/B の耐震性評価結果

Ⅲ　所内共通 M/C7A/B の耐震性評価結果

別冊２１　放射性物質分析・研究施設 第 1 棟に係る補足説明

Ⅰ 放射性物質分析・研究施設 第 1 棟の構造強度について

Ⅱ 放射性物質分析・研究施設 第 1 棟の耐震性について

Ⅲ 第 1 棟の設備の公称値の許容範囲について

別冊２２　油処理装置に係る補足説明

Ⅰ 油処理装置の耐震性に関する補足説明

Ⅱ 油処理装置の強度に係る補足説明

Ⅲ 油処理装置の公称値の許容範囲について

別冊２３　増設雑固体廃棄物焼却設備に係る補足説明

Ⅰ．増設雑固体廃棄物焼却設備の耐震性に係る補足説明

Ⅱ．増設雑固体廃棄物焼却設備の強度に係る補足説明

Ⅲ．増設雑固体廃棄物焼却設備の公称値の許容範囲について

別冊２４　５・６号機　放射性液体廃棄物処理系に係る補足説明

Ⅰ　５・６号機　放射性液体廃棄物処理系のうち，仮設設備（滞留水貯留設備）の構造強度及び耐震性について

別冊２６　３号機原子炉格納容器内取水設備に係る補足説明

Ⅰ　３号機原子炉格納容器内取水設備の構造強度及び耐震性について

別冊２７　ALPS 処理水希釈放出設備に係る補足説明

Ⅰ　ALPS 処理水希釈放出設備の構造強度について

Ⅱ　ALPS 処理水希釈放出設備の公称値の許容範囲について

別冊２８　２号機　使用済燃料プールからの燃料取り出し設備に係る補足説明

Ⅰ　燃料取り出し用構台 補足説明資料

Ⅱ　換気設備　換気風量について

Ⅲ　原子炉建屋オペレーティングフロア床面に設置する遮蔽体の耐震性についての計算書

Ⅳ　2 号機燃料取扱設備及び燃料取り出し用構台に対する 1/2Ss450 評価について

Ⅴ　2 号機燃料取扱設備破損時の被ばく評価についての計算書

Ⅵ　燃料取扱設備の耐震性についての計算書